

АКАДЕМИЯ НАУК СССР  
ИНСТИТУТ НАУЧНОЙ ИНФОРМАЦИИ

РЕФЕРАТИВНЫЙ  
ЖУРНАЛ

ХИМИЯ  
РЕФЕРАТЫ

3004—5970

\*

№ 2

1956

ИЗДАТЕЛЬСТВО АКАДЕМИИ НАУК СССР  
МОСКВА



ГЛАВНАЯ РЕДАКЦИОННАЯ КОЛЛЕГИЯ  
РЕФЕРАТИВНОГО ЖУРНАЛА

*Н. В. Агеев, В. В. Алтатов, В. И. Дикунин, А. П. Лебедев, В. Ю. Домоусов,  
С. М. Никольский, Н. Ф. Огородников, Д. Ю. Панов (председатель редколлегии),  
Л. Н. Седов, В. В. Серпинский, Э. В. Шпальский*

СОДЕРЖАНИЕ

ОБЩИЕ ВОПРОСЫ. МЕТОДОЛОГИЯ. ИСТОРИЯ. НАУЧНЫЕ УЧРЕЖДЕНИЯ И КОНФЕРЕНЦИИ. ПРИПОДАВАНИЕ. ВОПРОСЫ БИБЛИОГРАФИИ И НАУЧНОЙ ДОКУМЕНТАЦИИ . . . . .	1	Минеральные соли. Окислы. Кислоты. Основания . . . . .	287
ФИЗИЧЕСКАЯ ХИМИЯ . . . . .	4	Удобрения . . . . .	300
Общие вопросы . . . . .	4	Полициды . . . . .	304
Атомное ядро . . . . .	5	Взрывохимические производств. Электросинте- зис. Химические источники тока . . . . .	309
Атом . . . . .	8	Силикаты. Стекло. Керамика. Витруные материалы . . . . .	313
Молекула. Химическая связь . . . . .	9	Получение и разделение газов . . . . .	320
Кристаллы . . . . .	20	Подготовка воды. Осточные воды . . . . .	320
Жидкости и аморфные тела. Газы . . . . .	45	Переработка твердых горючих ископаемых . . . . .	324
Общие вопросы химии животных . . . . .	53	Переработка природных газов и нефти. Моторное то- пливо. Смазки . . . . .	328
Термодинамика. Термодинамика. Равновесие. Физико- химический анализ. Фазовые переходы . . . . .	54	Промышленный органический синтез . . . . .	345
Кинетика. Горение. Взрывы. Топохимия. Катализ . . . . .	62	Промышленный синтез красителей . . . . .	361
Фотохимия. Радиационная химия. Теория фотографи- ческого процесса . . . . .	72	Крашение и химическая обработка текстильных мате- риалов . . . . .	364
Растворы. Теория кислот и оснований . . . . .	74	Взрывчатые вещества. Пиротехнические составы . . . . .	372
Оптическая химия . . . . .	77	Лекарственные вещества. Витамины. Антибиотики . . . . .	372
Поверхностные явления. Адсорбция. Хроматогра- фия. Новый обмен . . . . .	85	Фотографические материалы . . . . .	382
Химия коллоидов. Дисперсные системы . . . . .	91	Душистые вещества. Эфирные масла. Парфюмерия и косметика . . . . .	385
НЕОРГАНИЧЕСКАЯ ХИМИЯ. КОМПЛЕКСНЫЕ СО- ЕДИНЕНИЯ . . . . .	97	Каучук натуральный и синтетический. Резина . . . . .	387
КОСМОХИМИЯ. ГЕОХИМИЯ. ГИДРОХИМИЯ . . . . .	107	Санитарические полимеры. Пластмассы . . . . .	395
ОРГАНИЧЕСКАЯ ХИМИЯ . . . . .	114	Лакс. Краски. Эмали. Опилы. Синтетика . . . . .	400
Теоретические и общие вопросы органической химии . . . . .	114	Лесохимические продукты. Целлюлоза и ее производ- ные. Бумага . . . . .	414
Синтетическая органическая химия . . . . .	122	Искусственное и синтетическое волокно . . . . .	420
Природные вещества и их синтетические аналоги . . . . .	212	Жиры и масла. Воски. Мыла. Моющие средства. Фото- реагенты . . . . .	426
ХИМИЯ ВЫСОКОМОЛЕКУЛЯРНЫХ ВЕЩЕСТВ . . . . .	237	Углеводы и их переработка . . . . .	430
АНАЛИТИЧЕСКАЯ ХИМИЯ . . . . .	250	Бродильная промышленность . . . . .	432
Общие вопросы . . . . .	250	Пищевая промышленность . . . . .	437
Анализ неорганических веществ . . . . .	261	Кожа. Мех. Идентификация. Дубители. Технические бенины . . . . .	442
Анализ органических веществ . . . . .	276	Прочие производств . . . . .	448
ОБОРУДОВАНИЕ ЛАБОРАТОРИЙ. ПРИБОРЫ, ИХ ТЕОРИЯ, КОНСТРУКЦИЯ, ПРИМЕНЕНИЕ . . . . .	285	КОРРОЗИЯ. ЗАЩИТА ОТ КОРРОЗИИ . . . . .	456
ХИМИЧЕСКАЯ ТЕХНОЛОГИЯ. ХИМИЧЕСКИЕ ПРО- ДУКТЫ И ИХ ПРИМЕНЕНИЕ . . . . .	294	ПРОЦЕССЫ И ОБОРУДОВАНИЕ ХИМИЧЕСКИХ ПРОИЗВОДСТВ . . . . .	460
Общие вопросы . . . . .	294	Процессы и аппараты химической технологии . . . . .	460
Серная кислота, сера и ее соединения . . . . .	294	Контрольно-измерительные приборы. Автоматическое регулирование . . . . .	473
Азотная промышленность . . . . .	296	ТЕХНИКА БЕЗОПАСНОСТИ. САНИТАРНАЯ ТЕХНИКА . . . . .	477
Социальная промышленность . . . . .	296	АВТОРСКИЙ УКАЗАТЕЛЬ . . . . .	I
		УКАЗАТЕЛЬ ДЕРЖАТЕЛЕЙ ПАТЕНТОВ . . . . .	XIV

297  
298  
299  
300  
301  
302  
303  
304  
305  
306  
307  
308  
309  
310  
311  
312  
313  
314  
315  
316  
317  
318  
319  
320  
321  
322  
323  
324  
325  
326  
327  
328  
329  
330  
331  
332  
333  
334  
335  
336  
337  
338  
339  
340  
341  
342  
343  
344  
345  
346  
347  
348  
349  
350  
351  
352  
353  
354  
355  
356  
357  
358  
359  
360  
361  
362  
363  
364  
365  
366  
367  
368  
369  
370  
371  
372  
373  
374  
375  
376  
377  
378  
379  
380  
381  
382  
383  
384  
385  
386  
387  
388  
389  
390  
391  
392  
393  
394  
395  
396  
397  
398  
399  
400  
401  
402  
403  
404  
405  
406  
407  
408  
409  
410  
411  
412  
413  
414  
415  
416  
417  
418  
419  
420  
421  
422  
423  
424  
425  
426  
427  
428  
429  
430  
431  
432  
433  
434  
435  
436  
437  
438  
439  
440  
441  
442  
443  
444  
445  
446  
447  
448  
449  
450  
451  
452  
453  
454  
455  
456  
457  
458  
459  
460  
461  
462  
463  
464  
465  
466  
467  
468  
469  
470  
471  
472  
473  
474  
475  
476  
477  
478  
479  
480  
481  
482  
483  
484  
485  
486  
487  
488  
489  
490  
491  
492  
493  
494  
495  
496  
497  
498  
499  
500  
501  
502  
503  
504  
505  
506  
507  
508  
509  
510  
511  
512  
513  
514  
515  
516  
517  
518  
519  
520  
521  
522  
523  
524  
525  
526  
527  
528  
529  
530  
531  
532  
533  
534  
535  
536  
537  
538  
539  
540  
541  
542  
543  
544  
545  
546  
547  
548  
549  
550  
551  
552  
553  
554  
555  
556  
557  
558  
559  
560  
561  
562  
563  
564  
565  
566  
567  
568  
569  
570  
571  
572  
573  
574  
575  
576  
577  
578  
579  
580  
581  
582  
583  
584  
585  
586  
587  
588  
589  
590  
591  
592  
593  
594  
595  
596  
597  
598  
599  
600  
601  
602  
603  
604  
605  
606  
607  
608  
609  
610  
611  
612  
613  
614  
615  
616  
617  
618  
619  
620  
621  
622  
623  
624  
625  
626  
627  
628  
629  
630  
631  
632  
633  
634  
635  
636  
637  
638  
639  
640  
641  
642  
643  
644  
645  
646  
647  
648  
649  
650  
651  
652  
653  
654  
655  
656  
657  
658  
659  
660  
661  
662  
663  
664  
665  
666  
667  
668  
669  
670  
671  
672  
673  
674  
675  
676  
677  
678  
679  
680  
681  
682  
683  
684  
685  
686  
687  
688  
689  
690  
691  
692  
693  
694  
695  
696  
697  
698  
699  
700  
701  
702  
703  
704  
705  
706  
707  
708  
709  
710  
711  
712  
713  
714  
715  
716  
717  
718  
719  
720  
721  
722  
723  
724  
725  
726  
727  
728  
729  
730  
731  
732  
733  
734  
735  
736  
737  
738  
739  
740  
741  
742  
743  
744  
745  
746  
747  
748  
749  
750  
751  
752  
753  
754  
755  
756  
757  
758  
759  
760  
761  
762  
763  
764  
765  
766  
767  
768  
769  
770  
771  
772  
773  
774  
775  
776  
777  
778  
779  
780  
781  
782  
783  
784  
785  
786  
787  
788  
789  
790  
791  
792  
793  
794  
795  
796  
797  
798  
799  
800  
801  
802  
803  
804  
805  
806  
807  
808  
809  
810  
811  
812  
813  
814  
815  
816  
817  
818  
819  
820  
821  
822  
823  
824  
825  
826  
827  
828  
829  
830  
831  
832  
833  
834  
835  
836  
837  
838  
839  
840  
841  
842  
843  
844  
845  
846  
847  
848  
849  
850  
851  
852  
853  
854  
855  
856  
857  
858  
859  
860  
861  
862  
863  
864  
865  
866  
867  
868  
869  
870  
871  
872  
873  
874  
875  
876  
877  
878  
879  
880  
881  
882  
883  
884  
885  
886  
887  
888  
889  
890  
891  
892  
893  
894  
895  
896  
897  
898  
899  
900  
901  
902  
903  
904  
905  
906  
907  
908  
909  
910  
911  
912  
913  
914  
915  
916  
917  
918  
919  
920  
921  
922  
923  
924  
925  
926  
927  
928  
929  
930  
931  
932  
933  
934  
935  
936  
937  
938  
939  
940  
941  
942  
943  
944  
945  
946  
947  
948  
949  
950  
951  
952  
953  
954  
955  
956  
957  
958  
959  
960  
961  
962  
963  
964  
965  
966  
967  
968  
969  
970  
971  
972  
973  
974  
975  
976  
977  
978  
979  
980  
981  
982  
983  
984  
985  
986  
987  
988  
989  
990  
991  
992  
993  
994  
995  
996  
997  
998  
999  
1000

Р  
Л

И

30

не  
ве  
ку  
в  
ук  
в  
30

13  
30

ни  
сп  
30

от  
18  
пе  
(со  
ни  
хи  
И.  
Р  
от  
сте  
Н.  
ме  
300

т  
г  
в  
и  
(  
и  
300  
т  
ж



# РЕФЕРАТИВНЫЙ ЖУРНАЛ ХИМИЯ

ГЛАВНЫЙ РЕДАКТОР *В. В. Серпинский*. УЧЕНЫЙ СЕКРЕТАРЬ *И. А. Зайцев*  
РУКОВОДИТЕЛИ СЕКТОРОВ И ГРУПП: *Х. С. Багдасарьян, Д. А. Бочвар, Л. М. Бродде, А. И. Бусев, М. Е. Дяткина, В. В. Кафаров, В. Л. Кретович, Д. Н. Куранов, Б. А. Сасс-Тисовский, В. А. Соколов, К. С. Топчиев, Н. А. Фукс*

Рефераты 3004—5970

№ 2

25 января 1956 г.

## ОБЩИЕ ВОПРОСЫ.

### МЕТОДОЛОГИЯ. ИСТОРИЯ. НАУЧНЫЕ УЧРЕЖДЕНИЯ И КОНФЕРЕНЦИИ. ПРЕПОДАВАНИЕ. ВОПРОСЫ БИБЛИОГРАФИИ И НАУЧНОЙ ДОКУМЕНТАЦИИ

3004. О трактовке понятий массы атомов и молекул.  
*Кульман А. Г.*, Химия в школе, 1954, № 6, 67—69

Автор отмечает неточности в терминах и определениях, относящихся к понятиям атомного веса, мол. веса, единицы атомного веса, граммома, граммолекулы, допускаемые в хим. литературе, в частности в учебниках, популярных изданиях и справочниках, и указывает на затруднения, возникающие в связи с этим в преподавании.

3005. О некоторых определениях химических понятий. *Верховский С. Е.*, Химия в школе, 1954, № 6, 70—72

Дискуссионная статья. См. РЖХим, 1953, 1327—1329.

3006. О научно-исследовательской работе в области химии. *Ван Сюй* (談談化學研究. 王序), 化學通報, Хуасюэ тунбао, 1955, № 1, 2—4 (кит.)

Рассматриваются задачи, направления и организации научно-исследовательской работы преподавателей средней школы.

3007. Аналитические и графические варианты периодической системы, предложенные русскими физиками и химиками в конце XIX в. *Державин А. Н.*, Уч. зап. Магнитогор. пед. ин-та, 1955, № 3, 164—179

Исследуются работы Ф. М. Флавицкого («О функции, отвечающей периодичности свойств хим. элементов», 1887 г.), Д. А. Гольдгаммера («Об аналитич. выражении периодич. системы элементов», 1897 г.), Н. П. Нецаева (сообщения в отд. химии О-ва любителей естествознания, антропологии и этнографии, 1893 г., и в секции химии IX съезда естествоиспытателей и врачей, 1894 г.), И. И. Шенрока (сообщения в секциях физики и химии РФХО, 1890 и 1898 гг.), Н. Б. Делоне (графич. схема от 1898 г. и сообщение «О симметрии в периодич. системе хим. элементов», I Менделеевский съезд, 1907 г.), Н. Симоновича («Гипотеза функции атомного веса элементов», 1897—1898 гг.).

3008. Флогистонная теория — решающий этап в историческом развитии химии. *Штрубе* (Die Phlogistontheorie ein entscheidender Abschnitt in der geschichtlichen Entwicklung der Chemie. Strube I g e n e), Wiss. und Fortschr., 1955, 5, № 7, 185—188 (нем.)

Популярный очерк. *Е. С.*  
3009. Падающие капли. *Захтлебен* (Fallende Tropfen. Sachtleben R.) Kosmos, 1955, 51, № 2, 94—97 (нем.)

Описан прибор химика-врача Адама Лонницера (1557 г.) для демонстрации круговорота воды в природе. Отмечается роль алхимиков в практическом осуществлении процесса дистилляции и в развитии дистилляционной аппаратуры.

3010. История фармакопей в Польше. *Стопа* (Historia farmakopei w Polsce. Stopa Zofia), Farmacja polska, 1955, 11, № 3, 59—62 (польск.) Библиограф. 26 назв.

3011. Производство бумаги 200 лет тому назад. *Богдан* (Papirgyártás 200 év előtt. Bogdán István), Papir és nyomdatechn., 1955, 7, № 8, 263—267 (венг.)

Сведения о технологии произ-ва бумаги в Австро-Венгрии в XVIII в.

3012. К истории развития учения о рудных месторождениях в нашей стране. *Бетехтин А. Г., Вольфсон Ф. И.* В сб.: Основные проблемы в учении о магматогенных рудных месторождениях. 2-е изд. М., Изд-во АН СССР, 1955, 7—81

3013. О газификации подмосковного угля в первой половине XIX века. *Маньковский Г. И.*, Тр. Ин-та истории естествозн. и техн. АН СССР, 1955, 3, 204—205

Краткие сведения об одной промышленной установке для газификации угля в Калужской губернии. Газ использовался для освещения.

3014. Развитие ртутной промышленности в России. *Розенбаум С. А.*, Тр. Ин-та истории естествозн. и техн. АН СССР, 1955, 3, 45—52

3015. Отечественные ученые — творцы технологии бродильных производств. *Мальцев П. М.*, Тр. Киевск. технол. ин-та пищ. пром-сти, 1954, № 14, 3—17

Обзор. Библиограф. 57 назв.

3016. Е. Шпитальский — изобретатель электролитического способа полировки металлов. *Баташев К. П.*, Тр. Ленингр. политехн. ин-та, 1953, № 6, 93—97

Отмечаются преимущества способа сравнительно с механич. полировкой и приводится оригинальная рецептура Е. Шпитальского (1911 г.).

3017. Николай Николаевич Зинин (К 75-летию со дня смерти). *Романцева Л. М., Козлова И. В.*, Химия в школе, 1955, № 5, 17—26

3018. Н. Э. Ляковский — исследователь белковых веществ. *Баталин А. Х.*, Биохимия, 1955, 20, № 4, 507—510

Биографические сведения о Н. Э. Лясковском (1818—1871), профессоре химии Московского ун-та, и краткий обзор его научных работ. Библ. 15 назв. Д. Т.

3019. Русский химик-аналитик Назарий Андреевич Иванов. Баталин А. Х., Сообщ. о науч. работах членов Всес. хим. о-ва им. Д. И. Менделеева, 1955, № 1, 47—50

Н. А. Иванов (1816—1883) — профессор химии Горного ин-та в Петербурге. Приведены краткие биографич. сведения, очерк научной и педагогич. деятельности, характеристика его учебника «Начальные основания аналитической химии», изданного в 1854 г. Д. Т.

3020. Химия углеводов и гетероциклических соединений в работах Н. Д. Зелинского и его школы. Казанский Б. А., Левина Р. Я., Юрьев Ю. К., Вестн. Моск. ун-та, 1955, № 45, 145—167. Обзор. Библ. 113 назв. Ю. В.

3021. Антуан-Франсуа де Фуркруа. Смитон (Antoine-François de Fourcroy (1755—1809). Smeaton W. A.), Nature, 1955, 175, № 4467, 1017—1018 (англ.)

Краткая биография и очерк научной, педагогич. и организационной деятельности известного французского химика А.-Ф. Фуркруа. Е. С.

3022. Джозайя Уиллард Гиббс. Эспер (Josiah Willard Gibbs. Oesper Ralph E.), J. Chem. Educ., 1955, 32, № 5, 267—268 (англ.)

Краткая биография Гиббса (1839—1903). Рассматривается выдающееся значение его основополагающих трудов по термодинамике и статистической механике, приводятся высказывания об этом Оствальда, Кельвина и других известных ученых. Е. С.

3023. М. В. Ненцкий — выдающийся биохимик XIX в. Мартинсон Э. Э. В сб.: Материалы по истории отечеств. химии. Вып. 3. Докл. Ленинградского фил. Комис. по истории химии. М.—Л., Изд-во АН СССР, 1954, 82—102

Краткая биография и характеристика научной деятельности М. В. Ненцкого (1847—1901). Подробно рассмотрены его исследования в области обмена ароматич. соединений, расщепления и строения белковых в-в и в области красящего в-ва крови и ферментов. Д. Т.

3024. Стефан Нементовский (К 30-летию со дня смерти). Плажек (Stefan Niementowski (W 30-letcie śmierci). Płazek E d w i n), Wiadom. chem., 1955, 9, № 7—8, 371—378 (польск.)

Очерк жизни и научной деятельности С. Нементовского (1866—1925), видного химика-органика, профессора Львовского политехнического ин-та, члена Польской академии наук. Приведен перечень трудов, 44 назв. Д. Т.

3025. Памяти А. Е. Ферсмана (К 10-летию со дня смерти). Щербakov Д. Н., Зап. Всес. минералог. о-ва, 1955, 84, № 3, 261—262

3026. Мишель Полоновский (1889—1954). Дегре (Michel Polonovski (1889—1954). Desgrez P.), Ann. Inst. hydrol. et climatol., 1954, 25, № 76—77, 1—5 (франц.)

См. РЖХим, 1954, 54268—54276.

3027. Профессор Я. О. Парнаса. Мани (Prof. J. K. Parnas. Man n T.), Nature, 1955, 175, № 4456, 532—533 (англ.)

Некролог известного биохимика академика Я. О. Парнаса. Д. Т.

3028. Двадцать лет со времени открытия искусственной радиоактивности супругами Жолио-Кюри. Петржилка (Dvacet let od objevení umělé radioaktivity manželů Joliot-Curieovými. Petržílka Václav), Vesmír, 1954, 33, № 5, 151—153 (чеш.)

3029. Современная структурная химия. Нобелевская лекция, декабрь 1954 г. Паулинг (Moderne Strukturchemie. Nobel-Vortrag Dezember 1954. Pau-

ling Linus), Angew. Chemie, 1955, 67, № 9/10, 241—244 (нем.)

Излагается историческое развитие структурной химии органич. соединений, начиная с работ Франкланда, Кекуле и Бутлерова, а также соответствующие успехи в области неорганич. химии. Автор отмечает, что применение рассчитанных моделей дало в последние годы существенные результаты в изучении белковых в-в, и полагает, что хим. методы окажутся эффективными в разрешении и др. проблем биологии и медицины. Д. Т.

3030. Линус Карл Паулинг, лауреат Нобелевской премии по химии за 1954 г. Блум (Linus Carl Pauling. Nobelpreisträger für Chemie 1954. Blum Dieter), Chemiker-Ztg., 1955, 79, № 1, 2 (нем.)

3031. Нобелевская премия по химии. Профессор Линус Паулинг.— (Nobel prize for chemistry: prof. Linus Pauling, For. Mem. R. S.—), Nature, 1954 174, № 4437, 907—908 (англ.)

3032. Научная деятельность Линуса Паулинга. Хэганс (The scientific work of Linus Pauling. Huggins Maurice L.), Chem. and Engng News, 1955, 33, № 3, 242, 244 (англ.)

3033. Нобелевская премия по химии за 1954 г. [Линус Паулинг]. Магнели (Nobelpriset i kemi 1954. Magnéli Arne), Elementa, 1955, 38, № 1, 1—6 (швед.)

3034. Линус Паулинг, лауреат Нобелевской премии по химии за 1954 г. Силлен (Linus Pauling. 1954 års nobelpristagare i kemi. Sillén Lars Gunnar), Svensk kem. tidskr., 1954, 66, № 10, 290—296 (швед.)

3035. Линус Паулинг. Нобелевская премия по химии за 1954 г. Бастиансен (Linus Pauling. Nobelprisen i kemi 1954. Bastiansen Otto), Tidskr. kjemi, bergves. og metallurgi, 1955, 15, № 1, 1 (норв.)

3036. Нобелевская премия по химии за 1954 г. Линус Паулинг. Хюллерос (Nobelprisen i kemi 1954. Linus Pauling. Hüllerås Egil), Frøys. verden, 1954, 16, № 3, 100—101 (норв.)

3037. Линус Карл Паулинг, лауреат Нобелевской премии. Еннен (Linus Carl Pauling, nobelprisiwinnaar. J ennen J.), Meded. Vlaamse chem. verenig., 1955, 17, № 2, 100—101 (флам.)

3038. Лауреат Нобелевской премии по химии Линус Паулинг. Сихтола (Kemian Nobelinpalkinto Linus Paulingille. Sihtola Hannes), Suomen kem., 1954, A27, № 12, 337—340 (фин.)

3039. О деятельности Линуса Паулинга. Симанути (Linus Pauling の業績について. 島内武彦), 化学の領域, J. Japan Chem., Кагаку-но рэнки, 1955, 9, № 1, 1—2 (япон)

3040. Академик Александр Владимирович Палладин (К 50-летию научной деятельности). —, Биохимия, 1955, 20, № 4, 401—402

См. также РЖХим, 1956, 38.

3041. Клод Фромажо.— (Claude Fromageot.—), Ann. Univ. Paris, 1955, 25, № 2, 173 (франц.)

К. Фромажо (р. 1899 г.) — профессор биологич. химии Парижского ун-та. Приведены краткие биографич. данные. Е. С.

3042. Альберт Кирман.— (Albert Kirmann.—), Ann. Univ. Paris, 1955, 25, № 2, 175—176 (франц.)

А. Кирман (р. 1900 г.) — профессор Парижского ун-та и директор хим. лаборатории Высшей Нормальной Школы. Приведены краткие биографич. данные и перечень трудов в области органич. химии. Е. С.

3043. Бернар Пюльман.— (Bernard Pullman.—), Ann. Univ. Paris, 1955, 25, № 2, 176—178 (франц.)

Б. Пюльман (р. 1919 г.) — профессор теоретич. хи-

мии в Парижском ун-те. Приведены краткие биографич. данные и перечень важнейших трудов (24 назв.). Д. Т.

3044. О преподавании неорганической химии в высших учебных заведениях. Шнер (A szervetlen kémia egyetemi oktatásáról. Schnee Anna, Magyar kémik. lapja, 1955, 10, № 8, 243—244 (венг.))

В химических высших учебных заведениях Венгрии на VII семестре введен повышенный курс неорганич. химии, на VIII — лабораторный практикум для ознакомления студентов с современ. препаративными методами неорганич. химии. Приводится список работ. В. Г.

3045. Занятия по технике и методике школьного химического эксперимента в педагогическом вузе. Харью А. П., Химия в школе, 1955, № 5, 42—46

Излагаются методич. соображения о постановке преподавания курса техники и методики школьного хим. эксперимента и приводится в качестве примера содержание и методика занятия по теме «Свойства серной к-ты» на III курсе хим. отд. педагогич. ин-та. Д. Т.

3046. Цели и задачи преподавания химии в средней школе. Юй Чун-чжи (初中化學教學目的與要求. 俞崇智), Хуасюэ тунбао, 1955, № 1, 34—37 (кит.)

3047. Некоторые замечания об учебнике по химии для средней школы. — (有關中學化學課本中一些問題的研討), Хуасюэ тунбао, 1955, № 1, 26—31 (кит.)

3048. К вопросу о преподавании органической химии в средней школе. Ся Янь (中學有機化學的教學問題. 夏炎), Хуасюэ тунбао, 1955, № 1, 31—34 (кит.)

3049. Предложение о включении в программу органической химии для средней школы материалов из истории химии в Китае. Хуан Лань-сунь (在高中有機化學中加入我國化學史的建議. 黃蘭孫), Хуасюэ тунбао, 1955, № 1, 58—60 (кит.)

3050. Развитие активного мышления у учащихся на уроках химии. Чжоу Цун-би (在化學教學中如何啓發學生積極思維. 周從弼), Хуасюэ тунбао, 1955, № 6, 360—361 (кит.)

3051. Некоторые замечания о практических занятиях по химии. Юй Янь-лин (在化學實驗工作中的幾點體會. 余延齡), Хуасюэ тунбао, 1955, № 1, 55—56, 4 (кит.)

3052. Поурочное планирование учебного материала в VIII и IX классах. — Химия в школе, 1955, № 5, 46—48

Излагаются рекомендации применительно к новой программе по химии, введенной в 1955/56 учебном году. Д. Т.

3053. Что такое атомный эквивалент? Как определить атомный эквивалент? Сюй Гуан-сянь (什麼叫做原子價? 如何確定原子價? 徐光憲), Хуасюэ тунбао, 1955, № 1, 53—54 (кит.)

3054. О методике преподавания темы «Вода и растворы» в средней школе. Фу Шоу-си, Фэн Чэнь-пин (初中化學「水和溶液」的教學法. 符綬璽, 馮承英), Хуасюэ тунбао, 1955, № 1, 44—48 (кит.)

3055. Последовательность усвоения темы «Вода и растворы». Бао Ши-шань (對「水和溶液」一章系統性的認識. 鮑世善), Хуасюэ тунбао, 1955, № 1, 48 (кит.)

3056. О методике преподавания темы «Важнейшие кислоты, щелочи, окислы и соли» в средней школе. Цзи Шу-фан, Кан Дэ-пу, Чжан Бинь-пин, Чжан Бинь-цзе (初中化學「最重要的幾種酸、鹼、氧化物和鹽」的教學法. 冀淑芳, 康德普, 章彬英, 章彬傑), Хуасюэ тунбао, 1955, № 1, 49—52 (кит.)

3057. Об учебных материалах по теме «Способы производства серной кислоты» (средняя школа). Чжао Жун-минь (「硫酸底製法」一節教材中幾個問題的商榷和探討. 張若民), Хуасюэ тунбао, 1955, № 6, 352—355 (кит.)

3058. Методика преподавания темы «Гидролиз солей». Гуань Цань-ин (鹽類水解的教學法. 管金鷹), Хуасюэ тунбао, 1955, № 6, 345—348 (кит.)

3059. О методике преподавания темы «Углеводороды» в средней школе. Ли Юн-юэ, Лю Сяо-ху, Се Ин, Чжао Инь-чжу (高中化學「烴」的教學法. 凌永樂, 羅瑞虎, 謝瑩, 趙引珠), Хуасюэ тунбао, 1955, № 1, 37—44 (кит.)

3060. Химические задачи на реакции с избытком одного из реагирующих веществ. Артемьев Г. И., Химия в школе, 1955, № 5, 39—41

Методич. указания об основных приемах решения задач на определение выхода. Д. Т.

3061. Первый лабораторный урок по химии. Савицкий С. Н., Химия в школе, 1955, № 5, 36—39

Методические указания на основе опыта автора. Приведено описание урока на тему «Очистка поваренной соли». Д. Т.

3062. О некоторых демонстрационных опытах по теории электролитической диссоциации. Дмитриев Б. С., Химия в школе, 1954, № 6, 62—64

Приведены прописи опытов для показа: 1) влияния природы р-рителя на степень диссоциации и 2) смещения ионного равновесия при разбавлении р-ра и введении одноименных ионов. Д. Т.

3063. Демонстрация в школе влияния поверхности на скорость течения гетерогенных химических реакций. Драницына В. Б., Малиновский В. С. (液體表面之大小對氣體吸收量之影響的演示實驗. В. Б. 德蘭尼采納, В. С. 馬里諾夫斯基), Хуасюэ тунбао, 1955, № 1, 57 (кит.)

Перевод. См. РЖХим, 1954, 47681. Д. Т.

3064. Действующая модель завода синтетической соляной кислоты. Троицкий С. В., Химия в школе, 1955, № 5, 56—57

Приведены чертеж и подробное описание устройства и работы лабораторной установки, монтируемой из деталей обычного лабораторного оборудования. Д. Т.

3065. Прибор для получения щелочей калия и натрия. Несина К. П., Химия в школе, 1955, № 5, 51—52

Прибор (электролизер) предназначается для демонстрационных целей, для кружковых занятий, а также для лабораторного получения щелочи и хлорной воды (дает 25 мл 20%-ного NaOH в 1 час). Подробно описаны изготовление прибора и работа с ним. Д. Т.

3066. О восстановлении окислов водородом и о химической прочности окислов. Ключников Н. Г., Химия в школе, 1955, № 5, 53—54

Методические указания. Описание методики опыта для изучения восстановительных свойств водорода. Д. Т.

3067. Алюминотермическое получение металлов и сплавов. Ключников Н. Г., Химия в школе, 1954, № 6, 64—65

Даны подробные указания к проведению алюминотермич. р-ний при демонстрационных опытах и в кружковых занятиях. Д. Т.

3068. Предложение о проведении опытов с озоном (в средней школе). Чэнь Дин-у (關於臭氣演示實驗的一個建議. 陳定武), Хуасюэ тунбао, 1955, № 6, 374—375 (кит.)

3069 К. Химическая библиотека. Библиография книг по алхимии, химии и фармации. Фергусон



- (Bibliotheca chemica: a bibliography of books on alchemy, chemistry and pharmaceuticals. Ferguson John, Verschoyle, 1954, v. I, xxiii + 488 p. £ 5 5 s.; v. II, 608 p., £ 7 7 s.) (англ.)
- 3070 К. Химия. Учебник для педагогических училищ. Изд. 3-е. Борисов И. Н. М., Учпедгиз, 1955, 224 стр. с илл., 3 р. 65 к.
- 3071 К. Химия. Учебник для педагогических училищ. Борисов И. Н. (Химия. Учебник за пед. уща. Борисов И. Н. Прев. от рус. София. Нар. просв., 1955, 210 стр. с илл., 5. 25 лв.) (болг.)
- 3072 К. Общая химия. Для I класса нехимических техникумов. Ротницкий (Chemia ogólna. Dla kl. I techników niechemicznych. Wyd. 2. Rothnicki J. I. Warszawa, Państw. Wydawn. Szkoln. Zawod., 1955, 303 s., 1 ниб., таб., ил., 11. 60 zł.) (польск.)
- 3073 К. Химия. Учебник для VII класса заочного общеобразовательного лицея. Богущкий (Chemia. Podręcznik dla kl. 7 Korespondencyjnego liceum ogólnokształcącego, Bogucki Anatoliusz. Warszawa, Państw. Zakł. Wydawn. Szkoln., 1955, 239 s., ил., 3.85 zł.) (польск.)
- 3074 К. Химия. Учебник для VII класса семилетней и средней школы. Кирюшкин Д. М. (Химия. Орто мектептин 7-нчи кл. учун окуу китеби. Кирюшкин Д. М. Экинчи басыл. Фрунзе, Кыргызокуупедмамбас, 1955, 120 бет., 1 с.) (кирг.)
- 3075 К. Химия. Учебник для VII класса семилетней и средней школы. Шаповаленко С. Г., Ходаков Ю. В. (Химия. Мануал пентру класа А 7-я а школий де шепте ань ши челей мижключий.
- Шаповаленко С. Г., Ходаков Ю. В. Кишинэу, «Шкоала советикэ», 1955, 126 паж., 95 к.) (молд.)
- 3076 К. Химия для IX—XI классов. Прикман (Keemia IX, X ja XI klassile. Priikman Karl. Tallinn, Eesti riiklik kirjastus, 1955, 328 lk., 3.70 rbl.) (эст.)
- 3077 К. Задачи и упражнения по химии. Гольдфарб Я. Л., Сморгонский Л. М. (Химиянын, бодалгалары болгаш мергежилгелери. Ортумак школанын 7 класынга. Гольдфарб Я. Л., Сморгонский Л. М., Ийиги үндүргени. Кызыл, Тыванын ном үндүрер чери, 1955, 75 арын., 1 р. 10 к.) (тувин.)
- 3078 К. Задачи и упражнения по химии. Для средней школы. Гольдфарб Я. Л., Сморгонский Л. М. (Պրոբլեմայի խնդիրներ և վարժություններ, Հիմնական խնդիրներ և վարժություններ ճան. Ա., Ստեփանյանի (Լ. Մ.), Երևան, Հայկոհրամ 1955 թ. 204 էջ, 2 ա. 10 Կ., Ереван, Айпетрат, 1955, 204 стр., 2 р. 10 к. (арм.)
- См. также: Общ. вопр. 4071, 5686; 983Бх. Новые элементы 3108. Вопр. терминологии, номенкл., стандартизации 3461, 3504, 4258; 986Бх, 1338Бх. История 4202, 4510, 4554, 4942, 5590, 5807; 982Бх, 1134Бх, 1579Бх, 1777Бх. Персоналии 1134Бх. Научные учреждения 3630, 4550, 4935, 4937, 5608, 5927; 981Бх. Конференции 3303, 3615 3635, 4318, 4456, 4467, 4497, 5126, 5546 5927; 977—980Бх, 1665Бх, 1811Бх. Уч. лит-ра: по хим. дисц. 3412, 3548, 3679, 3722, 3723, 4129; 1252Бх; по технол. дисц. 4478, 4608, 5858

## ФИЗИЧЕСКАЯ ХИМИЯ

### ОБЩИЕ ВОПРОСЫ

3079. О статистической оценке в физике. Аннис, Честон, Примаков (On statistical estimation in physics. Annis M., Cheston W., Primakoff H.), Revs Mod. Phys., 1953, 25, № 4, 818—830 (англ.)

Обсуждается проблема оценки параметров, определяемых статистически из физ. измерений. Через  $\theta$  обозначена физ. величина, характеризующая определенный класс частиц или класс систем частиц, а через  $x_i$  ( $i = 1, 2, \dots, n$ ) — ряд величин, получающихся в результате  $n$  измерений (непосредственно или с использованием расчетов) величины  $\theta$ . Определены следующие функции распределения вероятностей:  $G(\theta; x_1, x_2, \dots, x_n)$  — распределение вероятностей величин  $x_i$ , так что величина  $G(\theta; x_1, x_2, \dots, x_n) dx_1 dx_2 \dots dx_n$  есть вероятность того, что  $z$  заключена между  $x_1$  и  $x_1 + dx_1$ ,  $x_2$  — между  $x_2$  и  $x_2 + dx_2$  и т. д.;  $H(x_1, \dots, x_n; \theta)$  — распределение вероятностей величины  $\theta$ , так что величина  $H(x_1, x_2, \dots, x_n; \theta) d\theta$  есть вероятность того, что  $\theta$  заключена между  $\theta$  и  $\theta + d\theta$  (апостериорная вероятность). В обеих функциях величины, стоящие до точки с запятой, входят в качестве параметров в распределение величин, стоящих после. Цель работы — выяснение способов оценки физ. параметра  $\theta$ , данного рядом  $x_i$ , через теор. выведенную и (или) экспериментально полученную функцию  $G$ . Введена вероятность  $P(\theta) d\theta$  того, что в эксперименте данного типа значение  $\theta$  будет заключено между  $\theta$  и  $\theta + d\theta$  независимо от величин  $x_i$  (априорная вероятность). Рассмотрены следующие слу-

чай: 1)  $P(\theta) d\theta$  известна вначале и известен ряд  $x_i$ ; указан процесс оценки величины  $\theta$  и найдена связь между функциями  $P$ ,  $G$  и  $H$ . 2)  $P(\theta) d\theta$  совершенно неизвестна вначале; показано, что она всегда может быть найдена на основе достаточного кол-ва эксперим. наблюдений; описан метод такого нахождения; 3)  $P(\theta) d\theta$  совершенно неизвестна и имеется лишь одно измерение ряда  $x_i$ ; в этом случае величина  $\theta$  может быть оценена лишь в смысле «максимума вероятности»; 4) известно, что  $P(\theta)$  может быть представлена в виде  $\delta$ -функции,  $P(\theta) = \delta(\theta - \theta_0)$ , где  $\theta_0$  неизвестно, и имеется ряд  $x_i$ ; величина  $\theta$  также может быть оценена в смысле «максимума вероятности». Во всех случаях исследуется связь между  $G$  и  $H$ . Приводятся иллюстративные примеры из теории рассеяния и физики космич. излучения. А. А.

3080. Соотношение между диффузионным слоем Нернста и пограничным слоем Прандтля. Фильштет (Der Zusammenhang zwischen Nernstscher Diffusionsschicht und Prandtl'scher Strömungsgrenzschicht. Vielstich Wolf), Z. Elektrochem., 1953, 57, № 8, 646—655 (нем.)

Приведен краткий обзор работ по переносу в-ва при гетерог. р-циях в размешиваемой жидкости, основанных на представлении о диффузионном слое Нернста, теории теплопередачи и теории конвективной диффузии в р-рах. Показано, что между толщиной диффузионного слоя Нернста  $\delta_N$  и толщиной слоя Прандтля  $\delta_{Pr}$ , равной расстоянию, на которое распространяется профиль скоростей в жидкости от границы раздела при ламинарном режиме движения, существует приближенное соотношение  $\delta_N = \delta_{Pr} Pr^{-1/2}$ , (1), где  $Pr$  — число

Прандтля. При рассмотрении переноса в-ва в случае турбулентного движения целесообразно разделить пограничный слой на турбулентную зону и прилегающую к твердому телу зону — вязкий подслой. В случае пластинки в турбулентном потоке толщина вязкого подслоя  $\delta_0$  равна  $\gamma Re^{-0.9}$ , где  $\gamma$  — расстояние вдоль пластинки от точки набегания,  $Re_\gamma$  — соответствующее  $\gamma$  значение числа Рейнольдса. Показано, что между  $\delta_N$  и  $\delta_0$  существует соотношение, аналогичное ур-нию (1):  $\delta_N \sim \delta_0 Re^{-1/2}$  (2). Ур-ния (1) и (2) находятся в согласии с приведенными в литературе соотношениями и опытными данными для переноса в-ва и теплопередачи.

А. О.  
3081. Релаксационное и резонансное поглощение.

Гросс (Relaxationsabsorption and Resonanzabsorption. Gross B.), Kolloid-Z., 1954, 138, № 2, 65—68 (нем.)

3082. Диффузия от поверхности шара. Аксельруд Г. А., Ж. физ. химии, 1953, 27, № 10, 1446—1464

Теоретически и экспериментально исследовано угловое распределение диффузионного тока в-ва с поверхности шара. Получены критерияльные ур-ния, определяющие кинетику растворения твердого шара в движущейся жидкости:  $Nu = 1,075 \sqrt{Pe} (Re < 1)$ ;  $Nu = 0,8 \times$

$\times \sqrt{Fr} \sqrt{Re} (1 \ll Re < 10^4)$ . В. Ш.  
3083. К вопросу о кинетике растворения твердой частицы, движущейся в потоке жидкости. Аксельруд Г. А., Ж. физ. химии, 1954, 28, № 10, 1725—1736

Кинетика растворения шара, обтекаемого потоком жидкости, была рассмотрена ранее (реф. 3082). Физ. картина растворения одинакова во всех случаях, и различные способы растворения частицы отличаются лишь способом образования скорости обтекания. Предложена классификация процессов растворения и рассмотрены три способа: прямого обтекания, гравитационный способ, естественная конвекция и инерционное растворение. Растворение частицы, взвешенной в движущейся жидкости, соответствует гравитационному способу. При значениях  $Re < 1$ , а также в области  $Re 30—300$  коэфф. скорости растворения  $K$  не зависит от размера частицы. Для значений  $Re > 500$  величина  $K$  зависит от диаметра  $d$  частицы, причем  $K = md^{-1/4}$ . Ур-ние кинетики процесса позволяет найти среднюю во времени разность конц-ий — насыщения и конц-ий р-ра. Для нахождения  $K$  при любых значениях  $Re$  предложен графич. метод. Полученные соотношения использованы для расчета времени полного растворения частицы при движении в потоке. Результаты теоретич. анализа проверялись на опыте по растворению в воде куб. частиц каменной соли и сферич. частиц прессованной бензойной к-ты, причем растворение происходило в вертикальном потоке и соответствовало промежуточной области  $Re$ . При устранении действия инерционных сил соответствие с выводами теории достаточно удовлетворительно.

Л. Р.

## АТОМНОЕ ЯДРО

3084. Теория ядерных моделей. Иден, Франсис (Theory of nuclear models. Eden R. J., Francis N. C.), Phys. Rev., 1955, 97, № 5, 1366—1379 (англ.)

Дается единая теория строения ядра, согласно которой  $\psi$ -функции, соответствующие различным моделям, получаются преобразованием истинной волновой

функции ядра. Оператор преобразований определяет ядерную энергию в задачах, связанных с насыщением ядерных сил. Показано, что, с точки зрения введенной теории, модели, учитывающие слабое взаимодействие, согласуются с наличием сильного взаимовлияния нуклонов. В рассуждениях используются самосогласованные ур-ния типа ур-ний самосогласованного поля.

Г. С.

3085. Изотопический спин и гипотеза нейтронного заряда. Терлецкий Я. П., Докл. АН СССР, 1955, 101, № 6, 1035—1038

Исходя из гипотезы зарядовой инвариантности, приведен ряд соображений, касающихся структуры элементарных частиц. Вводится понятие нейтронного заряда, представляющее интерес в теории ядра. Г. С.

3086. Угловая корреляция ядерного излучения. Роз (Angular correlation of nuclear radiations. Rose M. E.), Science, 1953, 118, № 3074, 635—642 (англ.)

Обзор. Библ. 23 назв.

Г. С.

3087. Ядерные мультипольные переходы при неупругом рассеянии электронов. Шифф (Nuclear multipole transitions in inelastic electron scattering. Schiff L. I.), Phys. Rev., 1954, 96, № 3, 765—772 (англ.)

Найдены выражения сечений неупругого рассеяния быстрых электронов, вызывающего мультипольные переходы в ядре. Показано, что существует связь между вероятностью неупругого рассеяния электронов и вероятностью соответствующего радиационного электрич. мультипольного перехода, что обусловлено участием в переходах большого числа нуклонов. В рассуждениях используется модель Бора — Моттельсона. В случаях магнитных мультипольных переходов или случае одночастичного перехода связь между вероятностями неупругого рассеяния и радиационных переходов невелика. Рассмотрены также  $(0^+ \rightarrow 0^+)$ -переходы.

Г. С.

3088. Переориентация ориентированных ядер. Стиenberg (Reorientation of aligned nuclei. Steenberg N. R.), Phys. Rev., 1954, 95, № 4, 982—988 (англ.)

В случае, когда ориентированные ядра распадаются путем двухступенчатого каскада, степень ориентации промежуточного состояния в общем случае зависит от магнитного взаимодействия. Поэтому, если второй переход совершается с испусканием  $\gamma$ -излучения, то магнитное взаимодействие влияет на его угловое распределение. Для случая высоких т-р получены практически точные ф-лы для средней степени ориентации промежуточного состояния  $\Delta'$ . Установлено, что если свойства промежуточного состояния подобны свойствам начального состояния, то: 1) эффект переориентации будет иметь место для времен жизни промежуточного состояния  $\tau > 10^{-9}$  сек., 2) он может либо увеличивать, либо уменьшать величину  $\Delta'$ , 3) сильное внешнее поле ( $H > 10^8$  э) совершенно уничтожает эффект, 4) вследствие переориентации в угловом распределении появляются члены вида  $\cos^4 \theta$  даже при высоких т-рах, 5) когда  $\tau$  очень велико, то  $\Delta'$  стремится к конечному пределу. Приведенные автором высчисления применяются к экспериментам Амблера и др. (ЖЭФиз, 1954, 11269), результаты которых не согласуются с упрощенной теорией.

Р. Ф.

3089. Спин ядра и магнитный момент 3,1-часового  $Cs^{134m}$ . Гудман, Уэкслер (Nuclear spin and magnetic moment of 3.1 hr.  $Cs^{134m}$ . Goodman L. S., Wexler S.), Phys. Rev., 1954, 95, № 2, 370 (англ.)

В результате эксперимента изотопу  $Cs^{134m}$  приписан спин 8 и  $\mu = 1,10$ .

Р. Ф.

**3090. Моменты  $\text{Na}^{23}$ . Шарф** (Moments of  $\text{Na}^{23}$ . Scharff Morris F.), Phys. Rev., 1954, 95, № 4, 1114 (англ.)

Произведено теоретич. вычисление дипольного магнитного и квадрупольного электрич. моментов. Предполагается, что в ядре сверх замкнутых оболочек имеется 3 протона и 4 нейтрона на оболочке  $d_{5/2}$ . Вычисление ведется не для этой, а для более простой конфигурации  $(d_{5/2})^3_P (d_{5/2})^2_N$ , магнитные и квадрупольные моменты которой равны соответственно магнитному и взятому с обратным знаком квадрупольному моменту конфигурации  $(d_{5/2})^3_P (d_{5/2})^4_N$ . Описывается метод построения волновой функции для конфигурации  $(d_{5/2})^3_P - (d_{5/2})^2_N$ . Подбирая определенным образом величины коэфф., задающих волновую функцию, автор получил в хорошем согласии с опытом следующие значения для магнитного и квадрупольного моментов:  $\text{Na}^{23}\mu = 2,221 \mu_{\text{яд}} (\mu_{\text{ядр}} = 2,217 \mu_{\text{яд}})$  и  $Q = 0,095 \cdot 10^{-24} \text{ см}^2 \times \times (Q_{\text{ядр}} = (0,1 \pm 0,06 \cdot 10^{-24}) \text{ см}^2)$ . Для ядра  $\text{Ne}^{21}$  при этих же величинах коэфф. получены значения:  $Q = 0,195 \cdot 10^{-24} \text{ см}^2$ ,  $\mu = -0,49$ . А. Б.

**3091. Ядерный спин и магнитный момент тербия 159.** Бейкер, Блини (The nuclear spin and magnetic moment of terbium 159. Baker J. M., Bleaneu B.), Proc. Phys. Soc., 1955, A68, № 3, 257 (англ.)

Наблюдена сверхтонкая структура спектра парамагнитного резонанса иона  $\text{Tb}^{3+}$  в кристалле этилсульфата Y, содержавшего 0,1% этилсульфата Tb. Подтверждено значение спина ядра  $\text{Tb}^{159}: I = 3/2$ . Оценена величина магнитного момента ядра  $\text{Tb}^{159}: 1,5 \pm 0,4$  ядерных магнетонов. Л. Ш.

**3092. Закономерность в магнитных моментах нечетных ядер.** Шарф (Regularity in magnetic moments of odd nuclei. Scharff Morris F.), Phys. Rev., 1954, 95, № 4, 1112—1113 (англ.)

Отмечается, что правило: «прибавление  $\alpha$ -частицы к нечетному ядру сдвигает его магнитный момент в направлении линии Шмидта (или от нее), если спин нового более тяжелого ядра  $I = I - 1/2$  (или  $I + 1/2$ ), где  $I$  — значение орбитального момента последнего нечетного нуклона», выполняется в 41 из 49 рассмотренных случаев. Р. Ф.

**3093. Ядерные уровни в  $\text{Ca}^{43}$ .** Линдквист, Митчелл (Nuclear levels in  $\text{Ca}^{43}$ . Lindqvist Torsten, Mitchell Allen C. G.), Phys. Rev., 1954, 95, № 6, 1535—1538 (англ.)

Ядерные уровни в  $\text{Ca}^{43}$  изучены при распаде  $\text{Sc}^{43} \rightarrow \text{Ca}^{43}$ .

Энергии уровней равны 0,369, 0,627 и 0,81 Мэв. Уровням были приписаны соответствующие конфигурации. Теоретич. исследование  $(f_{7/2})^3$ -конфигурации сравнено с эксперим. данными. Р. Ф.

**3094. Расщепления некоторых легких элементов тритонами, изученные при помощи фотографического метода.** Кюэ, Маньяк-Валетт, Бауман (Désintégrations de quelques éléments légers par des tritons étudiées par la méthode photographique. Cüer Pierre, Magnac-Valette Denyse, m-me, Baumann Germain, C. G.), Acad. sci., 1955, 240, № 19, 1880—1882 (франц.)

При помощи фотопластинки наблюдаются следующие р-ции расщепления легких элементов тритонами: 1)  $\text{Li}^6 + \text{H}^3 \rightarrow \text{Li}^{8*} + \text{H}^1$  (один случай);  $\text{Li}^{8*}$  получается в возбужденном состоянии с  $E 0,7 \pm 0,2 \text{ Мэв}$ ; 2)  $\text{Li}^7 + \text{H}^3 \rightarrow \text{He}^4 + \text{He}^{6*}$  (два случая);  $E_{\text{He}^6} 1,6 \pm 0,6 \text{ Мэв}$  и  $4,2 \pm 0,5 \text{ Мэв}$ ; 3)  $\text{C}^{12} + \text{H}^3 \rightarrow \text{He}^4 + \text{B}^{11} + 3,85 \text{ Мэв}$  (два случая); в обоих случаях  $\text{B}^{11}$  получен в основном со-

стоянии; 4)  $\text{C}^{12} + \text{H}^3 \rightarrow \text{H}^1 + \text{C}^{14*}$ ;  $\text{C}^{14*}$  получается в возбужденном состоянии с  $E 6,1 \text{ Мэв}$ . Сечения р-ции 2 и 3  $\leq 10^{-3} \text{ барн}$ . Р-ция 4 с образованием  $\text{C}^{14}$  в основном состоянии ( $Q 4,63 \text{ Мэв}$ ) не обнаружена ( $\sigma \leq 5 \cdot 10^{-3} \text{ барн}$  для  $E_{\text{H}^3} 1-3 \text{ Мэв}$ ). И. Л.

**3095. Двухступенчатые каскады в спектрах  $\gamma$ -лучей, испускаемых при захвате нейтронов  $\text{Cd}^{114}$  и  $\text{Cl}^{36}$ .** Рексидлер, Хамермеш (Two-step cascades in chlorine-36 and cadmium-114 neutron-capture gamma-ray spectra. Recksiedler Arthur L., Hamermesh Bernard), Phys. Rev., 1954, 96, № 1, 109—112 (англ.)

С помощью двух кристаллов  $\text{NaI(Tl)}$  в сочетании с двадцати- и одноканальным амплитудным анализаторами и схемой совпадений с разрешающей способностью 5 мксек. исследовались каскадные  $\gamma$ -лучи в спектрах, испускаемых  $\text{Cl}^{36}$  и  $\text{Cd}^{114}$  при захвате нейтронов. Установлено существование нескольких двухступенчатых каскадов в спектре  $\text{Cl}^{36}$  и одного — в спектре  $\text{Cd}^{114}$ . Р. Ф.

**3096. Период полураспада  $\text{Rb}^{86}$ .** Найдз (Half-life of  $\text{Rb}^{86}$ . Niday James B.), Phys. Rev., 1955, 98, № 1, 42 (англ.)

Некоторое количество чистых образцов  $\text{Rb}^{86}$  получено при помощи нового радиохим. метода.  $T_{1/2}$  найден равным  $18,64 \pm 0,04$  дня. Р. Ф.

**3097. Реакции глубокого отщепления и деления на сложных ядрах (Cu, La, Bi).** Муриш А. Н., Преображенский Б. К., Ютландов И. А., Якимов М. А., Сессия АН СССР по мирному использованию атом. энергии, 1955. Заседания Отд. хим. н. М., Изд-во АН СССР, 1955, 160—177 (резюме англ.)

Приведены результаты радиохим. изучения продуктов р-ции глубокого отщепления и деления под действием протонов с  $E 480$  и  $660 \text{ Мэв}$  на  $\text{Cu}$ ,  $\text{La}^{63}$ ,  $\text{Cu}^{65}$ ,  $\text{La}$  и  $\text{Bi}$ . Идентификация изотопов проводилась по  $T_{1/2}$ , по энергии излучения и по дочерним продуктам.  $\beta$ -Спектры снимались на магнитном  $\beta$ -спектрометре.  $\alpha$ -Активность препаратов  $\text{Po}$  измерялась при помощи ионизационной камеры. Показано, что в процессе испарения из возбужденных ядер нейтронов больше, чем заряженных частиц. Большинство образующихся изотопов — нейтроны недостаточные, распадающиеся с испусканием  $\beta^+$  или путем  $\beta^-$ -захвата. Образование стабильных ядер в случае  $\text{Bi}$  маловероятно. Деление ядер, образовавшихся из  $\text{Bi}$  при р-ции глубокого отщепления, носит эмиссионный характер (нейтронная ширина  $\Gamma_n > \Gamma_f$ , где  $\Gamma_f$  — ширина деления для ядер с  $E$  возбуждения  $\geq 10 \text{ Мэв}$ ). Г. С.

**3098. Делительные ядерные реакции на  $\pi^-$ -мезонах и быстрых протонах.** Перфилов Н. А., Иванова Н. С., Ложкин О. В., Остроумов В. И., Шапов В. П., Сессия АН СССР по мирному использованию атом. энергии, 1955. Заседания Отд. хим. н. М., Изд-во АН СССР, 1955, 79—96 (резюме англ.)

Взаимодействие медленных  $\pi^-$ -мезонов и  $460, 660 \text{ Мэв}$  протонов с  $\text{U}$ ,  $\text{Bi}$  и  $\text{W}$  изучено методом толстослойных эмульсий. Вероятности распадов ядер  $\text{U}$ ,  $\text{Bi}$  и  $\text{W}$  под влиянием захватов медленных  $\pi^-$ -мезонов равны соответственно  $0,3-0,4$ ;  $0,02$ ;  $0,002$ . Распределение выходов деления  $\text{U}$  по длинам пробегов осколков имеет максимум. Это обстоятельство позволяет изучить механизм взаимодействия  $\pi^-$ -мезонов с ядрами, приводящего к образованию быстрых частиц. Изучение взаимодействия  $450$  и  $660 \text{ Мэв}$  протонов с  $\text{U}$ ,  $\text{Bi}$  и  $\text{W}$  приводит к методу определения энергии возбуждения ядер. Получено распределение пробегов осколков деления в зависимости от энергий возбуждения для всех исследуемых ядер. Угловое распределение продуктов



деления  $a + b \sin^4 \theta$  — анизотропно. Показано, что деление тяжелых ядер при больших энергиях возбуждения происходит после охлаждения ядра после испарения нейтрон и заряженных частиц.

**3099.** Время жизни  $\text{Sr}^{90}$ . Уайлс, Томлинсон (The half-life of  $\text{Sr}^{90}$ . Wiles D. M., Tomlinson R. H.), Canad. J. Phys., 1955, 33, № 3-4, 133—137 (англ.)

Для определения времени жизни  $\text{Sr}^{90}$  использовался метод, основанный на измерении скорости счета от образца с известным числом радиоактивных ядер. Скорость счета определялась с помощью 4π-счетчика с эффективностью 99%. Число ядер в образце определялось при разделении изотопов Sr в масс-спектрометре. Для времени жизни  $\text{Sr}^{90}$  этим методом получена величина  $27,7 \pm 0,4$  лет.

**3100.** Спектроскопические исследования излучений некоторых нейтронно-дефицитных изотопов Xe и J. Матхур, Хайд (Spectrometer studies of the radiations of some neutron-deficient isotopes of xenon and iodine. Mathur Hirdaya B., Hyde Earl K.), Phys. Rev., 1954, 96, № 1, 126—129 (англ.)

Изотопы Xe с недостатком нейтронов были получены по реакции ( $p, xn$ ) при бомбардировке протонами высокой энергии мишеней из KJ. Эти изотопы наносились на фольги методом тлеющего разряда и их радиоактивные свойства исследовались с помощью спектрометра.  $\text{Xe}^{122}$  с  $T_{1/2}$  19 час. распадается путем захвата орбитального электрона, и в результате распада образуется  $\text{I}^{122}$  с  $T_{1/2}$  3,5 мин.; распад сопровождается испусканием  $\gamma$ -лучей с  $E$  182 и 235 кэВ.  $\text{I}^{122}$  испускает позитроны с  $E$  3,12 МэВ.  $\text{Xe}^{123}$  распадается с  $T_{1/2}$  в 1,8 часа, и в результате распада образуется  $\text{I}^{123}$  с  $T_{1/2} = 13$  час. При распаде испускаются позитроны с  $E$   $1,7 \pm 0,1$  МэВ,  $\gamma$ -излучение с  $E$  150 кэВ и рентгеновское излучение.  $\text{Xe}^{121}$  распадается с  $T_{1/2}$  в  $40 \pm 10$  мин., и в результате распада образуется  $\text{I}^{121}$  с  $T_{1/2}$  1,6 часа.

**3101.** Выходы различных изотопов неодима и церия при делении  $\text{U}^{235}$ . Кукавадзе Г. М., Анчикина М. П., Гольдин Л. Л., Эршлер В. В., Сессия АН СССР по мирному использованию атом. энергии, 1955. Заседания Отд. хим. н. М., Изд-во АН СССР, 1955, 205—209 (резюме англ.)

Проведены масс-спектрометрич. измерения выходов изотопов Nd и Ce в продуктах деления  $\text{U}^{235}$ . Образец  $\text{U}^{235}$  облучался в ядерном реакторе. Редкие земли, выделенные на Y-носителе, были подвергнуты масс-спектрометрич. анализу. Выход осколков измерялся методом деления. Кол-во Ce и Nd в осколках определялось методом наименьших квадратов на основе масс-спектрограмм. Выходы Ce  $^{140}$ , Ce  $^{142}$ , Nd  $^{144}$ , Nd  $^{146}$ , Nd  $^{148}$ , Nd  $^{150}$  равны соответственно (в %):  $(5,6 \pm 0,17)$ ,  $(5,6 \pm 0,17)$ ,  $(5,15 \pm 0,3)$ ,  $(3,37 \pm 0,3)$ ,  $(3,00 \pm 0,2)$ ,  $(2,34 \pm 0,15)$ ,  $(1,15 \pm 0,10)$ ,  $(0,51 \pm 0,04)$ . Отклонения выходов изотопов Nd и Ce измерены с точностью 2—3 и 1% соответственно. Кривая распада  $\text{U}^{235}$  в области (140—150) близка к кривой распада  $\text{U}^{235}$ . Г. С.

**3102.** Относительный выход изотопов Nd и Sm при делении  $\text{U}^{235}$  и  $\text{U}^{238}$  тепловыми нейтронами. Мелайка, Паркер, Петруска, Томлинсон (The relative abundances of neodymium and samarium isotopes in the thermal neutron fission of  $\text{U}^{235}$  and  $\text{U}^{238}$ . Melaika E. A., Parker M. J., Petruska J. A., Tomlinson R. H.), Canad. J. Chem., 1955, 33, № 5, 830—837 (англ.)

При помощи масс-спектрометра измерен относительный выход изотопов Nd и Sm при делении природного U и  $\text{U}^{238}$  под действием медленных нейтронов. Сечения захвата нейтронов для  $\text{Sm}^{149}$  и  $\text{Sm}^{151}$  измерены по

отношению к сечению  $\text{B}^{10}$  и равны  $66 200 \pm 2500$  барн и  $12 000$  барн соответственно.  $T_{1/2}$   $\text{Pm}^{147}$  и  $\text{Sm}^{151}$  оценены в  $2,52 \pm 0,08$  года и  $\sim 93$  лет соответственно.  $T_{1/2}$  для Sm определялся по изменению относительного содержания его в двух образцах, отличающихся по возрасту на 7 лет.

**3103.** Распад  $\text{Cs}^{134m}$  (3,1 часа). Суньяр, Михелич, Голдхабер (Decay of  $\text{Cs}^{134m}$  (3.1 hr). Sunyar A. W., Mihelich J. W., Goldhaber M. J.), Phys. Rev., 1954, 95, № 2, 570—572 (англ.)

Ранее было показано, что  $\text{Cs}^{134m}$  (3,1 часа) распадается с испусканием  $\gamma$ -лучей 128 кэВ (переход типа E3). Метастабильному состоянию был приписан спин, равный 7. Недавно проведенные прямые измерения спина  $\text{Cs}^{134m}$  дали величину, равную 8. В связи с этим исследованием авторы произвели вновь определение коэфф. конверсии на K-оболочке для перехода 128 кэВ. Полученная величина  $E_K$   $2,6 \pm 0,3$  подтверждает мультипольность E3. Поиски  $\gamma$ -лучей в области низких энергий с помощью пропорционального счетчика обнаружили  $\gamma$ -линию слабой интенсивности с энергией  $10,5 \pm 0,7$  кэВ. Сравнение с недавно подсчитанным коэфф. конверсии на L-оболочке показало хорошее согласие с предположением о M1-переходе (с вероятной примесью  $\leq 0,5\%$  E2). Не исключена возможность 99%  $E1 + 1\%$  M2. Было также обнаружено, что испускание кванта с  $E_2$  10,5 кэВ совпадает по времени с неконвертированным переходом  $E_1$  128 кэВ ( $T \leq 10^{-7}$  сек.). Исходя из этих данных, уровням  $\text{Cs}^{134}$  можно приписать следующую последовательность спинов и четностей:  $4^+, 5^+, 8^+$ . Исследования с помощью полукругового магнитного спектрографа подтвердили наличие линии с энергией  $E_2$   $137,4 \pm 0,5$  кэВ. Уточнено также значение энергии  $E_1$   $127,1 \pm 0,5$  кэВ.

**3104.** Спектры  $\gamma$ -лучей при захвате нейтронов в некоторых тяжелых ядрах. Адыясеви Б. П., Грошев Л. В., Демидов А. М. Сессия АН СССР по мирному использованию атом. энергии, 1955. Заседания Отд. физ.-матем. н. М., Изд-во АН СССР, 1955, 270—293 (резюме англ.)

Приведены результаты измерений спектров  $\gamma$ -лучей, испускаемых Sm, Hg и Pb при облучении нейтронами в Р. Т. Ф.-реакторе. Спектр  $\gamma$ -лучей измерялся магнитным спектрометром. Предложены возможные схемы  $\gamma$ -распада исследуемых ядер. Показано существование перехода в основное состояние в случаях  $\text{Pb}^{207}$  и  $\text{Pb}^{208}$ . С помощью схем распада найдены энергии связи нейтрона в  $\text{Sm}^{150}$  и  $\text{Hg}^{200}$ , равные  $8,00 \pm 0,003$  и  $8,03 \pm 0,03$  МэВ соответственно. Угловые моменты промежуточного ядра равны 0<sup>+</sup> и 4<sup>+</sup> для  $\text{Hg}^{200}$  и  $\text{Sm}^{150}$  соответственно. Спин основного состояния  $\text{Sm}^{149}$  равен  $7/2^+$ . Определена мультипольность переходов для Cd, Sm и Hg.

**3105.** Распад  $\text{Hg}^{203}$ . Тулин, Ньюбё (On the decay of  $\text{Hg}^{203}$ . Thulin Sigvard, Nybø Karl), Arkiv fys., 1954, 7, № 3, 289—291 (англ.)

Измерена  $E_{\text{макс}}$   $\beta$ -спектра  $\text{Hg}^{203}$ , равная  $210 \pm 2$  кэВ.  $\alpha_K$  внутренней конверсии  $\gamma$ -лучей с  $E$  279 кэВ равен  $0,154 \pm 0,015$ . Отношение  $K/L + M$  равно  $2,8 \pm 0,2$ .

**3106.** О спонтанном делении тория. Подгорская А. В., Калашикова В. И., Столяров Г. А., Воробьев Е. Д., Флеров Г. Н., Ж. эксперим. и теор. физики, 1955, 28, № 4, 503—505

Измерение периода спонтанного деления Th, эффект которого очень мал, представляет большие трудности. Результаты измерений могут сильно искажаться при-

существом ничтожных кол-в U, загрязнением легкими элементами, способными к р-ции ( $\alpha, n$ ) на  $\alpha$ -частицах, испускаемых Th, и вынужденным делением под действием космич. излучения. По измерениям авторов, период спонтанного деления Th не меньше  $10^{20}$  лет, в то время как в литературе принято значение  $1,4 \cdot 10^{18}$  лет. Л. Г.

**3107. Спектр  $\gamma$ -лучей  $Ac^{226}$ . Боке, Клейбер** (Gamma-ray spectrum of  $Ac^{226}$ . Box Harold C., Klaiber G. Stanley), Phys. Rev., 1954, 95, № 5, 1247—1249 (англ.)

С помощью сцинтилляционного спектрометра с кристаллом NaI изучен спектр  $\gamma$ -лучей ядерно-чистого  $Ac^{226}$ . Зарегистрированы  $\gamma$ -линии 0,098; 0,127; 0,336; 0,410; 0,458; 0,907; 0,965; 1,587; 0,155; 0,220; 0,278 и 0,790 Мэв, из которых четыре последних обнаружены впервые. Описан двойной сцинтилляционный спектрометр, использовавшийся для исследования  $\gamma\gamma$ -совпадений. Предложена схема распада  $Ac^{226}$ . Р. Ф.

**3108. Элементы 99 и 100.** — (Die Elemente 99 und 100.—), Orion, 1954, 9, № 9/10, 415 (нем.)

Ссылаясь на официальное заявление американской комиссии по атомной энергии, автор сообщает о получении нового элемента с порядковым номером 99 путем бомбардировки  $U^{238}$  ядрами азота с энергией 100 Мэв. Масса синтезированного изотопа 99 равна 247. Его период полураспада достигает 7,3 мин. Претерпевая радиоактивный распад, он излучает одну  $\alpha$ -частицу, превращаясь в изотоп бериллия с порядковым номером 97. Элемент предварительно назван «экагольмий». Сообщено о синтезе элемента с номером 100 — «экаэрий». В. П.

**3109. Нейтрино и образование Tc в некоторых звездах. Нахмиас** (Le neutrino et la formation de technécium dans certaines étoiles. Nahmias Maurice E.), C. r. Acad. sci., 1954, 239, № 23, 1595—1597 (франц.)

Предполагается, что образование некоторых изотопов в звездах, в частности  $\beta$ -активного изотопа  $Tc^{99}$  ( $T_{1/2} = 212\,000$  лет) связано с замкнутым циклом, включающим нейтрино с энергией, большей 1,8 Мэв, которые испускаются в результате других ядерных р-ний в звездах:  $Ru^{99} + \nu = Tc^{99} + \beta^+$  и  $Tc^{99} = Ru^{99} + \beta^- + \nu$ . Б. Г.

**3110. Выходы фотоядерных реакций под действием тормозного излучения с  $E_{\text{макс}} = 320$  Мэв. I. Результаты экспериментов. Дебс, Эйсингер, Фархолл, Халперн, Рихтер** (Yields of photo-nuclear reactions with 320-Mev X-rays. I. Experimental results. Debs R. J., Eisinger J. T., Fairhall A. W., Halpern I., Richter H. G.), Phys. Rev., 1955, 97, № 5, 1325—1327 (англ.)

Определены выходы радиоактивных ядер из Cu, Zn, Ga, Ge и As. Для каждой мишени определены относительные выходы ряда радиоактивных изотопов. В. Ч.

**3111. Выходы фотоядерных реакций под действием тормозного излучения с  $E_{\text{макс}} = 320$  Мэв. II. Интерпретация результатов. Халперн, Дебс, Эйсингер, Фархолл, Рихтер** (Yields of photo-nuclear reactions with 320-Mev X-rays. II. Interpretation of results. Halpern I., Debs R. J., Eisinger J. T., Fairhall A. W., Richter H. G.), Phys. Rev., 1955, 97, № 5, 1327—1336 (англ.)

С помощью данных по выходам радиоактивных ядер из Cu, Zn, Ga, Ge и As обсуждаются модели ядерных р-ний, идущих при высоких энергиях, при которых последние частицы вылетают из бомбардируемого ядра испарением (см. предыдущий реферат). Г. С.

**3112. Выход нейтронов при фоторасщеплении урана** Итория. Лазарева Л. Е., Гаврилов Б. И.,

Валуев Б. Н., Зацепина Г. Н., Ставинский В. С. Сессия АН СССР по мирному использованию атом. энергии, 1955. Заседания Отд. физ.-матем. н. М., Изд-во АН СССР, 1955, 306—321 (резюме англ.)

Фоторасщепление U и Th исследовано на синхротроне, способом ускорять частицы до  $E\,30$  Мэв. Абс. выходы фотонейтронов и среднее число нейтронов на один акт фотоделения  $\nu$  измерены при различных максим. энергиях тормозного  $\gamma$ -излучения от 6 до 30 Мэв. Полученные кривые позволили рассчитать кривые сечения для фотонейтронов и кривые фотоделения. Анализ кривых сечений позволяет оценить вероятность деления ядер при возбуждении фотонами. Р. Ф.

**3113. Энергетические уровни ядра  $Np^{237}$  и распад  $Am^{242m}$ . Баранов С. А., Шлягин К. Н.** Сессия АН СССР по мирному использованию атом. энергии, 1955. Заседания Отд. физ.-матем. н. М., Изд-во АН СССР, 1955, 251—269

Излучение  $U^{237}$ ,  $Am^{241}$  и  $Am^{242m}$  изучено с помощью магнитного спектрометра с двойной фокусировкой. Изучение  $U^{237}$  и  $Am^{241}$  позволило найти энергетич. уровни  $Np^{237}$ . Измерение излучения  $Am^{242m}$  дает схему распада  $Np^{237}$ . Р. Ф.

**3114. Сечение Sc для медленных нейтронов. Паттенден** (The slow neutron cross section of scandium. Pattenenden N. J.), Proc. Phys. Soc., 1955, A68, № 2, 104—109 (англ.)

Измерялись полные нейтронные сечения Sc в области 0,0015—5000 эв. Нейтроны разделялись по энергиям с помощью трех спектрометров: в областях 0,0015—0,10 и 10—5000 эв — по времени пролета, в области 0,08—40 эв — на кристаллич. спектрометре. Полученная кривая зависимости  $\sigma_t$  от энергии показывает, что сечение поглощения в области малых энергий изменяется по закону  $1/\nu$  (с точностью 2%) и равно  $\sigma_a = 4,05/\sqrt{E}$  барн, где  $E$  — энергия нейтрона в эв. Сечение рассеяния  $\sigma_s$  постоянно до 11 эв, затем резко падает. Показано, что существует отрицательная резонансная энергия  $E_r = -(130 \pm 30)$  эв; ширина уровня  $\Gamma_n^0 = (0,84 \pm 0,25)$  эв для рассеяния и  $\Gamma_a = 0,25 \pm 0,1$  эв для поглощения. Второй резонанс обнаружен  $\sim 3600 \pm 200$  эв. Ширина этого уровня  $\Gamma \sim 180$  эв. Ю. Х.

**3115 Д. Взаимодействие  $\gamma$ -квантов с легкими ядрами. Чилашвили Г.** Автореф. дисс. канд. физ.-матем. н., Тбилис. ун-т, Тбилиси, 1954

См. также: Ядерная аппаратура 4253—4260. Радиоактивные изотопы 3351, 3356, 3358, 3360

## АТОМ

**3116. К вопросу о нахождении простых аналитических волновых функций для конфигураций  $1s^2 2s$  и  $1s^2 2s^2$  атомов и ионов в ряду He—C. Холдэйн** [Note on a search for simple analytic wave functions for configurations  $(1s)^2 (2s)$  and  $(1s)^2 (2s)^2$  in atoms and ions from He to C. Holdöien E.], Proc. Phys. Soc., 1955, A68, № 4, 297—303 (англ.)

Даны новые аналитич. выражения для радиальных частей волновых функций конфигураций  $1s^2 2s$  и  $1s^2 2s^2$  в ряду He—C на основе функций типа:  $1s: R(1,0;kr) = (a^3 k^3 / \pi N_{1s})^{1/2} (e^{-ahr} + ae^{-bkr})$ ,  $2s: R(2,0;kr) = (k^5 / 3\pi N_{2s})^{1/2} (re^{-hr} + \beta k^{-1} e^{-chr}) + (N_{1s} / 3N_{2s} a^3)^{1/2} \times \times KR(1,0;kr)$ , где  $a, b, c, \alpha, \beta, k$  — варьируемые пара-

метры. Автор уменьшил число параметров, определяющих из полного расчета конфигураций  $1s^2$  в ряду  $\text{He}-\text{Ne}^{+}$  приближенные соотношения между ними. Найденные соотношения  $\alpha \approx 21 \cdot 10^{-5} / Z^2$ ;  $\beta = -2ap$ ;  $b = 2a$ ;  $c = a/2$  позволили уменьшить общее число параметров до двух:  $a = 2Z_{1s}/Z_{2s}$  и  $k = (1/2)Z_{2s}$ , где  $Z_{1s}$  и  $Z_{2s}$  — эффективные заряды ядер,  $k$  — массгазный множитель. Расчеты конфигураций  $1s^2$ ,  $1s^2 2s$  и  $1s^2 2s^2$  атомов и ионов в ряду  $\text{He}-\text{C}$  дали следующие результаты:  $\text{He}$  ( $a = 3.99$ ,  $k = 0.366$ ,  $E = -5.723$  ридберга),  $\text{Li}^+$  (3.62; 0.688; -14.472),  $\text{Be}^{2+}$  (3.36; 1.046; -27.222),  $\text{B}^{3+}$  (3.23; 1.397; -43.972),  $\text{C}^{4+}$  (3.15; 1.748; -64.720),  $\text{He}^-$  (4.62; 0.250; -5.694),  $\text{Li}$  (3.67; 0.672; -14.865),  $\text{Be}^+$  (3.04; 1.151; -28.553),  $\text{B}^+$  (2.75; 1.636; -46.749),  $\text{C}^+$  (2.60; 2.119; -69.449),  $\text{Li}^-$  (4.10; 0.520; -14.832),  $\text{Be}$  (3.48; 0.995; -29.145),  $\text{B}^+$  (3.13; 1.431; -48.450) и  $\text{C}^{2+}$  (2.93; 1.874; -72.766). Полученные значения энергий хорошо согласуются с вычисленными при помощи функций Хартри-Фока.

**3117. Влияние градиента потенциала на плотность вырожденного ферми-газа. Святцкий В. И.** (The effect of a potential gradient on the density of a degenerate Fermi gas. Swiatecki W. J.), Proc. Phys. Soc., 1955, A68, № 4, 285—293 (англ.)

Плотность заряда  $\rho$  связана с кинетич. энергией  $T$  вырожденных ферми-частиц, находящихся в поле с постоянным потенциалом, соотношением  $\rho = \text{const } T^{1/2}$ . При расчете для данной точки  $\rho$  зарядов, находящихся во внешнем поле, обычно используется это соотношение; при этом предполагается, что потенциал во всем пространстве имеет такое же значение, как и в данной точке. Предложено обобщение этого приема на случай потенциала, изменяющегося линейно с наклоном, равным наклону истинного потенциала в каждой данной точке вырожденного ферми-газа. Решение ур-ния Шредингера для такого потенциала совместно с ур-нием Пуассона использовано при выводе видоизмененного ур-ния Томаса — Ферми с решением  $\rho = \text{const } r^{-2} \exp(r/a)$ , где  $a$  равно боровскому радиусу водорода, умноженному на  $3(3\pi/2)^{1/2}$  и не зависит от атомного номера. Результирующее отличие распределения электронной плотности нейтрального атома наиболее существенно во внешних областях.

**3118. Об одной формуле для потенциалов ионизации атомных ионов. Немец П. В.,** Ж. физ. химии, 1955, 29, № 6, 1031—1032

Предложена новая ф-ла для определения потенциалов ионизации атомов и ионов:  $E_{zn} = E_{nn} + [E_{(n+1)n} - E_{nn}](z - n) + k[z - (n + 1)](z - n)$ , где  $z$  и первый индекс вообще — порядковый номер элемента;  $n$  — номер по порядку отрывающегося электрона;  $E_{zn}$  и  $E_{(n+1)n}$  — потенциалы ионизации  $n$ -го электрона у атомов с порядковыми номерами соответственно  $z$  и  $n + 1$ ;  $k$  — постоянная, одинаковая для всех атомов при ионизации  $n$ -го электрона. Точность вычисленных  $E_{zn}$  порядка 0,1%. Из предложенной ф-лы при  $n = 1$  получается теоретич. соотношение  $E_{z,1} = z^2$ , выраженное в единицах  $E_{1,1}$ . Некоторые потенциалы ионизации в случае электронов с  $n = 19-28$  и  $n = 37-45$  не укладываются в предложенную схему, что, по мнению автора, указывает на особенности ионизации. Дана таблица значений  $k$  для  $n$  от 1 до 45.

**3119. Спектр однократно ионизованного магния, Mg II. Рисберг** (The spectrum of singly-ionized magnesium, Mg II. Risberg Percy), Arkiv fys., 1955, 9, № 31, 483—494 (англ.)

С помощью горячего полого катода и спектрографа с решеткой (дисперсия 7,5 Å/мм измерены  $\lambda_{\text{вод}}$  для

93 линий Mg II в области  $\lambda$  11 620—2790 Å). Приведена схема и таблица 54 термов Mg II, в том числе 7 значений  $^2G$ -термов и 5 значений  $^2H$ -термов. Вышние  $^2D$ -термы являются обращенными, а  $^2F$  — нормальными. Таблица серий вычисляется из значений  $^2G$ -термов. Значения термов могут быть удовлетворительно рассчитаны по ф-лам вида  $\delta = A + Bt + Ct^2 + \dots$ , где  $\delta = n - n^*$ ,  $t = (n^*)^{-2}$ , а  $n$  — главное квантовое число,  $n^*$  — эффективное квантовое число ( $n^* = \sqrt{4R/T_n}$ ). Произведен расчет  $\lambda_{\text{вод}}$  для 20 линий Mg II для области  $\lambda$  1750—880 Å с точностью 0,05 см<sup>-1</sup>.

**3120. Относительные значения  $gf$ -величин линий Co I. Кинг, Парнс, Дэйвис, Олсен** (Relative  $gf$ -values for lines of Co I. King R. B., Parnes B. R., Davis M. H., Olsen K. H.), J. Opt. Soc. America, 1955, 45, № 5, 350—353 (англ.)

По ранее описанной методике (King R. B., Astrophys. J., 1941, 94, 27; 1947, 105, 376; 1948, 108, 87) измерены  $gf$ -значения, определенные как произведения силы осциллятора  $f$  на статистич. вес  $g = 2j + 1$  для 256 линий спектра Co I в области 2987—6540 Å, соответствующих переходам с низких термов с потенциалом возбуждения 0—3,24 эв. Результаты измерений приведены в виде таблицы.

**3121. Ядерный спин Si<sup>29</sup>. Вильямс, Мак Колл, Гутковский** (The nuclear spin of Si<sup>29</sup>. Williams G. A., McCall D. W., Gutowsky H. S.), Phys. Rev., 1954, 93, № 6, 1428—1429 (англ.)

Исследована тонкая структура ядерного магнитного резонанса F<sup>19</sup> в жидком SiF<sub>4</sub>, обогащенном изотопом Si<sup>29</sup> (Si<sup>28</sup> 30%; Si<sup>29</sup> 69%; Si<sup>30</sup> 1%). На опыте наблюдался симметричный триплет с отношением пиковых интенсивностей  $\sim 1:2:1$  и расстояниями боковых компонент от центральной  $\pm 0,023$  гаусс. Так как  $I(\text{Si}^{28}) = I(\text{Si}^{30}) = 0$ , резонансы соответствующих молекул не расщеплены и вносят свой вклад лишь в центральный максимум. Таким образом, резонанс Si<sup>29</sup>F<sub>4</sub> является дублетом или триплетом, т. е.  $I(\text{Si}^{29}) = 1/2$  или 1. Второе из этих значений, однако, исключается оболочечной моделью ядер. Расхождение полученных значений отношений интегральных интенсивностей с теорией объясняется наличием хим. обмена, катализированного молекулами HF, возникающими за счет гидролиза.

Ф. С.

См. также: 3108

## МОЛЕКУЛА. ХИМИЧЕСКАЯ СВЯЗЬ

**3122. Вклад ионной конфигурации в некоторые возбужденные состояния молекулы водорода. Льюис** (Ionic configuration interaction in some excited states of the hydrogen molecule. Lewis J. T.), Proc. Phys. Soc., 1955, A68, № 7, 632—636 (англ.)

С помощью вариационного метода исследованы возбужденные электронные состояния типа  $1\Sigma$  в молекуле водорода, получаемые взаимодействием гомеополарных конфигураций  $[\text{H}(1s), \text{H}(2s \text{ или } 2p)]$  или гомеополарных конфигураций  $[\text{H}(1s), \text{H}(3s, 3p \text{ или } 3d)]$  с ионной конфигурацией  $[\text{H}^+, \text{H}^-(1s^2)]$ . Волновая функция иона H<sup>+</sup> взята в виде, предложенном ранее (РЖХим, 1954, 44306). Потенциальная кривая ионной конфигурации построена с использованием эксперим. значений электронного сродства (0,74 эв) и поляризуемости (230 ат. ед.) атома H. Расчеты выполнены в окрестностях точек пересечения потенциальных кривых рассматриваемых гомеополарных конфигураций с потенциальной кривой ионной конфигурации: для конфигурации с главным



квантовым числом  $n=2$  в области  $8a_0 \leq R \leq 12a_0$ , а для конфигурации  $sp=3$  в области  $26a_0 \leq R \leq 38a_0$ ;  $a_0$  — радиус Бора. Необходимые интегралы взаимодействия заимствованы из ранее опубликованной работы (Coulson C. A., Proc. Cambridge Philos. Soc., 1942, 38, 210). Результаты расчета показывают, что учет ионной конфигурации приводит в рассматриваемых областях изменения  $R$  к значительным изменениям потенциальных кривых. На основе этого утверждается, что при наличии ионной конфигурации, имеющей подходящую симметрию и энергию, эту конфигурацию необходимо учитывать в расчетах сил взаимодействия между атомами на больших расстояниях. Подчеркивается сильная зависимость от  $R$  ионного характера состояний, полученных взаимодействием гомеолярных состояний с  $n=3$  с ионной конфигурацией. При изменении  $R$  меньше чем на 1 ат. ед. (в области пересечения потенциальных кривых) ионный характер состояний изменяется от 10 до 80%. Авторы видят в этом подтверждение основного допущения, сделанного в теории неадиабатич. столкновений (Zener C., Proc. Roy. Soc., 1932, A137, 696).

3123. Перекрывание приближенных волновых функций молекулы водорода. II. Ковалентный и ионный характер молекулы  $H_2$ . Бронштейн, Симпсон (Overlaps of trial functions for the hydrogen molecule. II. Covalent and ionic character of  $H_2$ . Brau nstein Jerry, Simpson William T.), J. Chem. Phys., 1955, 23, № 1, 176—178 (англ.).

Вычислены интегралы перекрывания (скалярные произведения) функций  $\psi$  (Банг) и  $\psi$  (ион) с функциями, составленными из атомных  $1s$ -орбит. Получены следующие результаты для  $zR=1.5$  [первая цифра с  $\psi$  (Банг), вторая с  $\psi$  (ион); использованы обозначения, введенные ранее (Сообщение I, РЖХим, 1955, 54396)]:  $\psi$  (ион) 0,9505; 1,000;  $\psi$  (ПАО) 0,9817; 0,9817;  $\psi$  (ЛКАО) 0,9875; 0,9875;  $\psi$  (Банг) 1,000; 0,9505;  $\psi$  (Вейнбаум) 0,9980; 0,9681;  $\psi$  (Джемс и Кулидж) 0,9852; 0,9556. Вследствие неортогональности функций  $\psi$  (Банг) и  $\psi$  (ион) скалярные произведения этих функций с функцией Джемса и Кулиджа нельзя интерпретировать как степени ковалентного и ионного характера основного состояния молекулы  $H_2$ . Предложен следующий выбор трех взаимно ортогональных функций: 1)  $\psi$  (атом.) =  $\psi$  (ПАО), 2)  $\psi$  (ковал.) =  $N[\psi$  (Банг) - 0,9817  $\psi$  (ПАО)], 3)  $\psi$  (ион) =  $N[N[\psi$  (ион)] - 0,9817  $\psi$  (ПАО)] + 0,3663  $\psi$  (ковал.). Скалярные произведения  $c_a$  (первая цифра),  $c_b$  (вторая цифра) и  $c_c$  (третья цифра) функций  $\psi$  (атом.),  $\psi$  (ковал.) и  $\psi$  (ион) на функции  $\psi$  составляют:  $\psi$  (ион) 0,9817; 0,0697; 0,1772;  $\psi$  (ПАО) 1,000; 0; 0;  $\psi$  (ЛКАО) 0,9941; 0,0611; 0,0897;  $\psi$  (Банг) 0,9817; 0,1904; 0;  $\psi$  (Вейнбаум) 0,9896; 0,1394; 0,0357;  $\psi$  (Джемс и Кулидж) 0,979; 0,125; 0,015. При этом численные значения  $c_a$  и  $c_b$  являются мерой соответственно ковалентного и ионного характера состояния. Указано, что сделанный выбор ортогональных волновых функций не является единственным и что в первую очередь требуется так уточнить  $\psi$  (атом.), чтобы энергия связи в состоянии с волновой функцией  $\psi$  (атом.) равнялась нулю (в случае  $\psi$  (атом.) =  $\psi$  (ПАО) энергия связи равна 2,56 эв). Приведены двумерные графики, представляющие электронную плотность в состояниях  $\psi$  (ПАО),  $\psi$  (ковал.),  $\psi$  (Банг),  $\psi$  (ион),  $\psi$  (ЛКАО) на оси молекулы как функцию двух переменных — координат обоих электронов.

3124. Исследование комбинированного приближенного метода. Прёйсс (Untersuchungen zum kombinierten Näherungsverfahren. Preuss H.), Z. Naturforsch., 1955, 10a, № 5, 365—373 (нем.). Комбинированный приближенный квантомеханич. метод расчета, предложенный Гельманом (С. г. Acad.

sci. URSS, 1934, 3, 444), применен для вычисления энергий связи и равновесных межъядерных расстояний в молекулярных ионах щел. металлов и для исследования устойчивости монов гидридов щел. металлов. Рассматривая движение валентного электрона в поле атомных остатков с помощью эффективного потенциала Гельмана  $V = A[\exp(-\kappa r_a)/r_a + \exp(-\kappa r_b)/r_b]$ , произведено вариационное вычисление энергии связи и равновесного межъядерного расстояния с помощью двухпараметрической функции  $\psi = \exp[-\alpha(r_a + r_b)](1 + \gamma^2(r_a - r_b)^2)$ . Учитывая, что вариация параметра  $\gamma$  приводит к понижению энергии, малому по сравнению с произведением в определении эффективного потенциала, положено:  $\gamma = 0$ . Получены следующие результаты (первая цифра — энергия связи  $E$  в эв, вторая — равновесное межъядерное расстояние  $R$  в ат. ед.):  $Na^+$  1,06; 6,82;  $K^+$  0,93; 8,47;  $Rb^+$  0,80; 8,60;  $Cs^+$  0,80; 9,17. Сравнением полученных результатов с эксперим. данными для нейтр. молекул щел. металлов показано, что вычисленные значения  $E$  и  $R$  для молекулярных ионов щел. металлов больше, чем соответствующие величины для нейтр. молекул. Аналогичным методом исследованы молекулярные ионы гидридов щел. металлов. Вычисления указывают на неустойчивость этих молекул (на отсутствие энергии связи). Приведена также грубоколич. оценка, показывающая, что разность энергий связи молекулярных ионов и нейтр. молекул щел. металлов положительна. Обсуждаются возможные дальнейшего развития комбинированного приближенного метода — путем введения трехпараметрич. эффективного потенциала  $V = (A/r + B)\exp(-2\kappa r)$  или же путем уточнения значений параметров  $A$  и  $\kappa$  в случае двухпараметрич. эффективного потенциала. Для вариационных вычислений атомных уровней  $1s, 2s, 2p$  (и уточненных значений  $A$  и  $\kappa$ ), соответствующих двухпараметрич. потенциалу, предложены пробные функции, отличные от водородоподобных (состоящие из экспоненциальных членов):  $\psi = [\exp(-\alpha r) + \gamma \exp(-\beta r)] \times X(A, \beta, \gamma)$ , где  $A(\alpha, \beta, \gamma)$  — нормировочный множитель;  $\alpha, \beta, \gamma$  — параметры, различные для  $1s-, 2s-$  и  $2p$ -состояний.

3125. Структура отрицательных молекулярных ионов водорода  $[H_2^-]$  и кислорода  $[O_2^-]$ . Объяснение критических частот в ионосфере на основании собственных частот отрицательного иона кислорода. Ионеску [Structura ionilor negativi moleculari de hidrogen ( $H_2^-$ ) și de oxigen ( $O_2^-$ ). Explicarea frecvențelor critice din ionosferă cu ajutorul frecvențelor proprii ale ionilor negativi de oxigen. Ionescu Th. V.], Bul. științ. Acad. R. P. Române. Sec. mat. și fiz., 1954, 6, № 2, 339—386 (рум.; резюме русс., франц.).

Обзор работ автора по обнаружению молекулярных ионов  $[H_2^-]$  и  $[O_2^-]$ , измерению их частот и квантовомеханическим расчетам энергетич. уровней этих ионов. На основе теоретич. данных, подтвержденных эксперим. исследованиями ионосферы, автор делает вывод о расхождении ионов  $O_2^-$  во всей ионосфере, что дает возможность объяснить ряд явлений в верхних слоях атмосферы, а также тонкую структуру наблюдаемых в ионосфере крит. частот, возникающих под влиянием действия магнитного поля Земли на отрицательный ион.

3126. Замечание к теории сверхсопряжения. Н'Ха а (Note on hyperconjugation. H'N a u a Y.), J. Chem. Phys., 1955, 23, № 6, 1165 (англ.).

В работах, посвященных теоретич. рассмотрению явления сверхсопряжения, имеет место производ в вы-

боре величины поправочного члена для квазиатома  $H_2$  или  $H_3$   $\delta(\delta\beta_{CC} = \alpha - \alpha_C, \alpha - \text{кулоновский интеграл квазиатома } H_2 \text{ или } H_3, \beta_{CC} = \gamma_{CC} - \delta\alpha_{CC})$ . Предлагается считать  $\alpha$  равным энергии  $\epsilon$  разрыхляющей  $1s-1s$  молекулярной орбиты квазиатома  $H_2$ , поскольку  $\epsilon_{1s-1s} \approx \alpha_H - \beta_{HH} / (1 - S_{HH})$ , где  $\alpha_H = \epsilon_{1s} + \omega$ ;  $\omega = \int u_b aa + 1/2 (J_{aa} + J_{ab})$ ;  $\beta_{HH} \approx \int u_b ab - S_H \int u_b aa + \int aa | ab - 1/2 \int_{HH} (J_{aa} + J_{ab})$ ,  $u_b$  — функция потенциальной энергии электрона в поле положительного иона  $H_b^+$ . При эффективных зарядах ядер водорода, равных 1, методом ЛКАО найдено (для межъядерного расстояния в 1,780 Å):  $J_{aa} = -17,00$ ;  $J_{ab} = -7,89$ ,

$\int u_b aa = -8,04$ ;  $\int u_b ab = -4,11$ ;  $\int aa | ab = -3,36$ ;

$S_{HH} = 0,282$ ;  $\alpha_H = -9,19$ ;  $\beta_H = -1,18$  (при  $\epsilon_{1s} = -13,595$ ),  $\epsilon = -6,42$  эв. Путем выражения  $\epsilon = \alpha$  через интегралы атомов углерода ( $\alpha_C = -7,2$  эв;  $\beta_{CC} = -2,56$  эв) найдено:  $\delta = -0,3$ . Результаты расчетов, произведенных с использованием этого значения параметра  $\delta$ , приведены в следующей статье (реф. 3127).

Т. Р. 3127. Энергия сопряжения третьего порядка.

И'Х а я (Third-order conjugation energies. I'N а у а Y.), J. Chem. Phys., 1955, 23, № 6, 1171 (англ.)

Приводятся результаты расчета энергии сопряжения третьего порядка  $E_3$  (энергии сверхсопряжения второго порядка) для различных длин связей C—C. Расчеты произведены для этана, этилена и метильной группы методом ЛКАО при следующих условиях: 1) интеграл  $\beta$  принят пропорциональным интегралу  $S$  (в более ранних работах интеграл  $\gamma$  считался пропорциональным  $S$ ); 2) для параметра  $\delta$  принято значение  $-0,3$ , определенное теоретически в предыдущей работе (реф. 3126); 3) вместо эмпирич. значения интеграла неортогональности орбит в группах C—H<sub>3</sub> и C—H<sub>2</sub>  $S^*$  использовано его теоретич. значение:  $S^* = 0,541$ ; 4) интегралы неортогональности несоседних орбит считаются равными нулю. Найдены значения  $E_3$  в  $|\beta|$  [в скобках  $r$  (C—C) в Å]: 0,0157 (1,55); 0,0169 (1,53); 0,0214 (1,46); 0,0266 (1,39); 0,0303 (1,35); 0,0323 (1,33). При использовании этих значений  $E_3$  найдена энергия сопряжения бензола  $-1,0383$  эв. Из сравнения с опытным значением 75 ккал найдено  $\beta = -72,2$  ккал, так что  $E_3$  для указанных расстояний составляют в ккал: 1,13; 1,22; 1,55; 1,92; 2,19 и 2,33.

Т. Р. 3128. О приближенном методе определения орбит.

Лефевр (Une méthode approchée de détermination d'orbitales. Lefebvre Roland), C. r. Acad. sci., 1955, 240, № 10, 1094—1095 (франц.)

Дана совокупность ортонормированных функций  $\bar{\varphi}_i$ , представляющих исходное приближение к орбитам  $\varphi_i$ .

В следующем приближении принимается, что  $\varphi_i = \bar{\varphi}_i + \sum_k c_{ki} \bar{\varphi}_k$  (1). При использовании выражений (1) строится волновая функция системы электронов  $\Phi$  в виде одного определителя Слейтера или в виде заданной линейной комбинации определителей. Затем для функции  $\Phi$  получают разложение по определителям  $\bar{\Psi}'_e$ , в котором отбрасывают малые члены, нелинейные относительно  $c_{ki}$ :  $\Phi = \bar{\Phi} + \sum_k \mu_k \bar{\Psi}'_k$  с  $\Phi = \sum_k \lambda_k \bar{\Psi}_k$ . Минимизация энергии, отвечающей функции  $\Phi$ , сводится при этом к проблеме наложения конфигураций. Определены коэффициенты наложения  $\mu_i$ , вычисляются связанные с ними линейными соотношениями коэффициенты  $c_{ki}$  и получают искомые приближенные орбиты  $\varphi_i$ . Приве-

дены результаты применения предложенного метода к расчету молекулярных орбит *транс*-бутадиена. В качестве исходного приближения были выбраны орбиты Хюккеля  $\varphi_1 = 0,437 \sigma_1 + 0,785 \sigma_2$ ,  $\varphi_2 = 0,429 \sigma_3 + 0,791 \sigma_4$ . Автор получил  $\varphi_1 = 0,494 \sigma_1 + 0,744 \sigma_2$ ,  $\varphi_2 = 0,524 \sigma_3 + 0,718 \sigma_4$ , что хорошо согласуется с результатами расчета по методу ЛКАО с самосогласованием:  $\varphi_1 = 0,501 \sigma_1 + 0,736 \sigma_2$ ,  $\varphi_2 = 0,524 \sigma_3 + 0,718 \sigma_4$ . Указано, что вычисленное значение энергии возбужденного состояния  ${}^1\Psi^{2,3}$  всего на 0,2 эв отличается от значения, найденного при учете шести наиболее низких конфигураций симметрии  $B_u$ .

М. А.

3129. Изучение азулена по методу молекулярного самосогласованного поля. Жюльер (Étude de l'azulène par la méthode du champ moléculaire self-consistant. J u l g A n d r é), J. chim. phys. et phys.-chim. biol., 1955, 52, № 5, 377—381 (франц.)

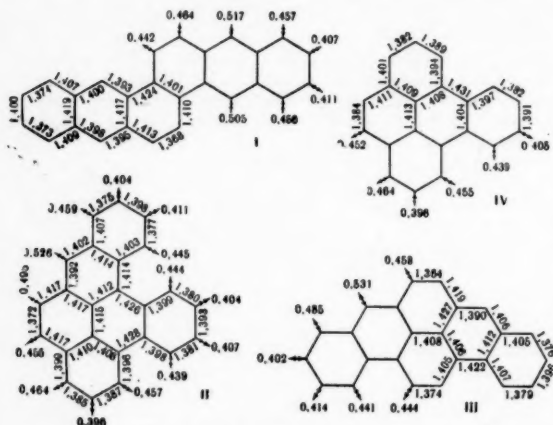
Расчет молекулы азулена произведен по методу ЛКАО с самосогласованным полем в обычном  $\pi$ -электронном приближении. При этом использованы водородоподобные  $2p_z$ -орбиты с эффективным зарядом  $Z = 3,18$ .

Учитывались все молекулярные интегралы; трех- и четырехцентровые интегралы определялись по приближенной ф-ле (Sklar, J. Chem. Phys., 1939, 7, 984). Принята плоская форма молекулы с расстояниями: 1,40 Å для периферич. связей; 1,44 Å для общей связи пяти- и семичленного колец (9—10). Найдены следующие молекулярные орбиты для основного состояния:  $\varphi_1 = 0,203\chi_1 + 0,181\chi_2 + 0,203\chi_3 + 0,307\chi_4 + 0,226\chi_5 + 0,213\chi_6 + 0,226\chi_7 + 0,261\chi_8 + 0,307\chi_{10}$ ;  $\varphi_2 = -0,255\chi_1 - 0,295\chi_2 - 0,255\chi_3 - 0,171\chi_4 + 0,085\chi_5 + 0,328\chi_6 + 0,425\chi_7 + 0,328\chi_8 - 0,171\chi_{10}$ ;  $\varphi_3 = -0,178\chi_1 + 0,178\chi_2 + 0,289\chi_3 + 0,406\chi_4 + 0,315\chi_5 - 0,406\chi_6 - 0,289\chi_{10}$ ;  $\varphi_4 = 0,243\chi_1 + 0,512\chi_2 + 0,243\chi_3 - 0,302\chi_4 - 0,274\chi_5 + 0,126\chi_6 + 0,355\chi_7 + 0,126\chi_8 - 0,274\chi_{10}$ ;  $\varphi_5 = 0,469\chi_1 - 0,469\chi_2 - 0,377\chi_3 + 0,155\chi_4 + 0,357\chi_5 - 0,357\chi_6 - 0,155\chi_7 + 0,337\chi_{10}$ ;  $\varphi_6 = 0,054\chi_1 - 0,388\chi_2 + 0,054\chi_3 + 0,371\chi_4 - 0,459\chi_5 - 0,155\chi_6 + 0,547\chi_7 - 0,155\chi_8 + 0,459\chi_9 + 0,371\chi_{10}$ . Первый потенциал ионизации составляет 8,04 эв. Вычислены заряды у атомов  $q_1 = q_3 = 1,049$ ;  $q_2 = 0,997$ ;  $q_4 = q_6 = 0,908$ ;  $q_5 = q_7 = 1,034$ ;  $q_8 = q_9 = 0,938$ . При сопоставлении полученных величин зарядов у атомов с результатами расчетов по методу ЛКАО (Pullman B., Berthier G., C. r. Acad. sci., 1948, 227, 677) и по методу свободного электрона обнаружено существенное отличие: согласно последним методам, все атомы пятичленного кольца имеют отрицательные заряды, остальные пять атомов заряжены положительно. Вычисленное значение дипольного момента составляет 1,7 D. Энергия перехода  $N \rightarrow V_1$  составляет 3,6 эв, между тем как экспериментально известна полоса около 1,8 эв. Если для атомных интегралов использовать значения, принимаемые в полуэмпирич. теории (РНХим, 1954, 12388; 1955, 83), то энергия перехода  $N \rightarrow V_1$  снижается до 2,8 эв. Выведено приближенное соотношение, связывающее изменение энергии электронного перехода  $\Delta(E_1 - E_N)$  при включении в молекулу азулена группы  $CH_3$  с разностью зарядов  $q_1 - q_N$  у рассматриваемого атома азуленового ядра для молекулы в возбужденном и основном состояниях  $\Delta(E_1 - E_N) = kV(q_1 - q_N)$  (1). На основании соотношения (1) произведена оценка смещений спектральных полос в различных метилазуленах (первая цифра указывает положение заместителя в молекуле, затем следует теоретич. значение  $\lambda_{\text{макс}}$  в м.м., в скобках приведены экспериментальные  $\lambda_{\text{макс}}$ ): 2, 676 (676); 3, 738 (738); 4, 672 (680); 5, 717 (717); 6, 658 (681). Теор. определены смещения полярографич. потенциала полувольтны при переходе от азулена к его метильным производным.

М. А.

**3130.** Молекулярные диаграммы некоторых ароматических углеводородов. Шальве, Пельтье (Diagrammes moléculaires de quelques hydrocarbures aromatiques. Chalvet Odilon, Peltier Jean), C. r. Acad. sci., 1955, 240, № 17, 1709—1711 (франц.)

Методом линейных комбинаций атомных орбит рассчитаны молекулярные диаграммы 1,2,4'-антраантрацена (I), 1,2,3,4-добензопирена (II), 3,4,9,10-добензопирена (III) и 1,2-бензопирена (IV). Соответствующие



энергии  $\pi$ -электронов равны  $26\alpha + 36,484\beta$ ;  $24\alpha + 34,030\beta$ ;  $24\alpha + 33,954\beta$  и  $20\alpha + 28,336\beta$ . Приведены индексы связей и межатомные расстояния для каждого из указанных соединений (см. схему). Отмечено, что полученные результаты в случае III находятся в хорошем согласии со значениями, полученными методом таблиц (реф. 3135).

**3131.** Энергии резонанса и распределение зарядов в ненасыщенных углеводородных радикалах и ионах. Бриксток, Попп (Resonance energies and charge distributions of unsaturated hydrocarbon radicals and ions. Brickstock A., Popple J. A.), Trans. Faraday Soc., 1954, 50, № 9, 901—911 (англ.)

Упрощенная теория молекулярных орбит, основанная на многоэлектронном гамильтониане (РЖХим, 1955, 28255), применяется к расчету энергий сопряжения (ЭС) и распределения плотности  $\pi$ -электронов ионов и радикалов альтернантных углеводородов. Полная энергия  $\pi$ -электронов сопряженной системы  $E_\pi$  с четным числом  $\pi$ -электронов  $2N$  равна  $\sum_{\mu} P_{\mu\mu} (U_{\mu\mu} + 1/4 P_{\mu\mu} \gamma_{\mu\mu}) + 2 \sum_{\mu < \nu} P_{\mu\nu} \beta_{\mu\nu} + \sum_{\mu < \nu} \{ (P_{\mu\mu} - 1) (P_{\nu\nu} - 1) - 1/2 P_{\mu\nu}^2 \} \gamma_{\mu\nu}$ , где  $P_{\mu\nu} = 2 \sum_i x_{i\mu} x_{i\nu}$ ;  $x_{i\mu}$  — коэфф. разложения  $i$ -той молекулярной волновой функции  $\psi_i$  по атомным орбитам  $\Phi_\mu$ ; суммирование производится по всем занятым уровням;  $\gamma_{\mu\nu}$  — электростатич. кулоновское взаимодействие двух атомов в состояниях  $\Phi_\mu$  и  $\Phi_\nu$  соответственно;  $U_{\mu\mu}$  — кулоновский, а  $\beta_{\mu\nu}$  — резонансный интегралы. Для систем с нечетным числом  $\pi$ -электронов сумма  $P_{\mu\nu}$  разбивается на две части: по уровням, занятым электронами со спинным  $\alpha$  и по уровням со спинным  $\beta$  (РЖХим, 1955, 6978):  $P_{\mu\nu} = P_{\mu\nu}^\alpha + P_{\mu\nu}^\beta$  и  $E_\pi = \sum_{\mu} (P_{\mu\mu} U_{\mu\mu} + P_{\mu\mu}^\alpha P_{\mu\mu}^\beta \gamma_{\mu\mu}) + 2 \sum_{\mu < \nu} P_{\mu\nu}^\alpha \beta_{\mu\nu} + \sum_{\mu < \nu} \{ (P_{\mu\mu}^\alpha - 1) (P_{\nu\nu}^\alpha - 1) - [(P_{\mu\nu}^\alpha)^2 + (P_{\mu\nu}^\beta)^2] \} \gamma_{\mu\nu}$ . Доказывается, что для катиона и аниона одного и того же альтернантного углеводорода

рода  $P_{\mu\mu}^\alpha + P_{\mu\mu}^\beta = 2$ , т. е. распределение положительного заряда в катионе совпадает с распределением отрицательного заряда в анионе;  $P_{\mu\nu}^\alpha = -P_{\mu\nu}^\beta$  (если  $\mu \neq \nu$  и атомы  $\mu$  и  $\nu$  принадлежат к одному классу) и  $P_{\mu\nu}^\alpha = P_{\mu\nu}^\beta$  (если атомы  $\mu$  и  $\nu$  принадлежат к разным классам), т. е. порядки всех связей одинаковы. Для радикалов с нечетным числом электронов  $P_{\mu\mu} = 1$ , т. е. плотность зарядов распределена равномерно;  $P_{\mu\nu}^\alpha = -P_{\mu\nu}^\beta$ , если атомы  $\mu$  и  $\nu$  принадлежат к одному классу, и  $P_{\mu\nu}^\alpha = P_{\mu\nu}^\beta$ , если они принадлежат к разным классам. Для энергии сопряжения альтернантной молекулы с  $2N$   $\pi$ -электронами, вычисляемой как разность  $E_\pi - NE_\pi$  этилена, получается  $2 [\sum_{\mu < \nu} P_{\mu\nu} - N] \beta + 1/2 \sum_{\mu < \nu} P_{\mu\nu}^2 \times (\gamma_{12} - \gamma_{\mu\nu})$  ( $\Sigma^*$  — означает, что  $\mu = \nu - 1$ ). Для  $E_\pi$  аниона —  $E_\pi$  катиона получается  $2U + \gamma_{11}$ , т. е. то же, что и из классич. соображений, следовательно, ЭС катиона и аниона одинаковы. ЭС катиона и радикала приблизительно вычисляется, если положить  $P_{\mu\nu}$  равными соответствующим величинам одноэлектронной задачи. Разность ЭС катиона и радикала положительна и равна  $\sum_{\mu < \nu} x_{\mu\mu}^2 x_{\nu\nu}^2 (\gamma_{11} - \gamma_{\mu\nu})$ . Последнее подтверждается опытом. В одноэлектронной теории (Longuet-Higgins, J. Chem. Phys., 1950, 18, 265) этой разницы не получается. С использованием найденных ранее интегралов (РЖХим, 1955, 83) вычислены значения ЭС (в ккал/моль) ионов (первая цифра) и радикалов (вторая цифра): аллила (60,2; 31,0), транс-пентадиенила (99,8; 54,6), бензила (162,5; 122,9), дифенилметила (302,9; 248,7), трифенилметила (432,1; 370,3) 1-фенилаллила (199,9; 151,1) и 2-фенилаллила (177,0; 147,8). Полученные значения по порядку величины совпадают с эксперим. оценками. Для расчета распределения зарядов используются  $P_{\mu\nu}$  многоэлектронной задачи путем введения в одноэлектронный гамильтониан поправок на взаимодействие электронов и решения задачи по теории возмущений в первом приближении. В результате для всех катионов получается сдвиг электронов к центру системы. Напр., для всех фенильных групп плотность заряда в мета- и пара-положениях уменьшена по сравнению с одноэлектронной теорией.

**3132.** К определению порядка связи в квантовой химии. Бингель (Zur Definition der Bindungsordnung in der Quantenchemie. Bingle W.), Z. Naturforsch., 1954, 9a, № 5, 436—439 (нем.)

Обсуждаются различные определения порядка связи  $P$  для сопряженных и ароматич. систем в методе валентных схем. Определение, данное Паулингом (J. Amer. Chem. Soc., 1935, 57, 2705), некорректно из-за пренебрежения интегралами неортогональности между функциями отдельных валентных схем  $S_{\alpha\beta}$  и должно при учете  $S_{\alpha\beta}$  иметь вид:  $P_{rs} = \sum_{\alpha, \beta} S_{\alpha\beta} S_{\alpha\beta}^r S_{\alpha\beta}^s / \sum_{\alpha, \beta} S_{\alpha\beta} S_{\alpha\beta}^r S_{\alpha\beta}^s$  (1), где  $a_\alpha$  — коэфф., с которым валентная функция данной схемы входит в волновую функцию системы,  $\Phi_{\alpha\beta}^r$  — множитель, с помощью которого учитывается, что сумма в числителе распространяется только на те схемы, в которых атомы  $r$  и  $s$  соединены валентным штрихом. При подходящем выборе множителей  $\Phi_{\alpha\beta}^r$  определение (1) совпадает с определением Пенни (Penney W. G., Proc. Roy. Soc., 1937, A158, 306)  $P_{rs} = -1/2 \cdot s_r \cdot s_s$ , где  $s_r \cdot s_s$  — среднее значение спин-векторов  $\pi$ -электронов атомов  $r$  и  $s$ . Действительно, из сравнения выражения энергии  $2N$   $\pi$ -электронов, получаемого методом «островов» Паулинга  $E = Q + \sum_{r,s} c_{rs} J_{rs}$ ,  $c_{rs} = \sum_{\alpha, \beta} S_{\alpha\beta} S_{\alpha\beta}^r S_{\alpha\beta}^s \gamma_{\alpha\beta}$ , где  $Q$  — кулоновский интеграл,  $J_{rs}$  — обменный инте-



град,  $\gamma_{\alpha,\beta}^r$  — число, равное  $1/2$ , если атомы  $r$  и  $s$  находятся на разных островах (I) или  $+1$  ( $-1$ ), если атомы  $r$  и  $s$  находятся на одном острове и разделены нечетным (четным) числом связей (II), и выражения энергии  $2N$ -электронной задачи, получаемого с помощью векторной модели Дирака  $E = Q - 1/2 \sum_{rs} (1 + 4s_r s_s)$ , следует  $c_{rs} = -1/2 (1 + 4s_r s_s)$ . Откуда  $p_{rs} = 1/2 (1 + 2c_{rs}) = \sum_{\alpha\beta} a_{\alpha} a_{\beta} s_{\alpha\beta} \gamma_{\alpha,\beta}^r$ , если положить  $\gamma_{\alpha,\beta}^r = 1/2 (1 + 2\gamma_{\alpha,\beta}^r)$ . Так как  $\gamma_{\alpha,\beta}^r$  равно нулю при условии I,  $+1$  ( $-1$ )

при условии II, то  $p_{rs} = \sum_{\alpha\beta} a_{\alpha} a_{\beta} s_{\alpha\beta} - \sum_{\alpha\beta} a_{\alpha} a_{\beta} s_{\alpha\beta}$  (2), где первая (вторая) сумма распространена по всем парам структур, для которых выполняется условие II. Выражение (2) в противоположность определению Паулига инвариантно относительно выбора системы независимых валентных структур и позволяет произвести более удобный расчет  $p$ , чем по Фле Пенни. В приближении, когда все обменные интегралы между ближайшими соседями приравниваются друг к другу, а остальные пренебрегают, Ф-ла (2) позволяет вычислять отдельные  $p$ , тогда как Ф-ла Пенни дает только среднее значение  $p$  для всей молекулы, и для определения отдельных  $p$  приходится прибегать к методам теории возмущений.

Н. Г. 3133. К определению порядка связи и свободной валентности в квантовой химии. Бингел (Zur Definition der Bindungsordnung und der freien Valenz in der Quantenchemie. Bingel W., Z. Naturforsch., 1954, 9a, № 10, 824—827 (нем.).

Порядок связи  $p$ , определенный в предыдущей работе (реф. 3132), поднимается некоторому соотношению нормировки:  $\sum_s p_{rs} = 1$ ;  $r \neq s$  (1). Это соотношение можно распространить и на случай нечетного числа электронов, введя добавочную фиктивную орбиту  $x$ :  $\sum_s p_{rs} + p_{rx} = 1$ ;  $r \neq x$ ,  $s \neq r$ ;  $\sum_s p_{xs} = 1$ ;  $r = x$ ,  $s \neq x$ . Пользуясь (1), можно упростить выражение для свободной валентности  $F_r$ , которая определяется как сумма  $p$  для связей со всеми атомами  $s$ , не соседними с данным атомом  $r$ ,  $F_r = \sum_s p_{rs} = \sum_s p_{rs} - 1 - \sum_s p_{rs}$ ; сумма  $\sum_s$  распространена по всем атомам  $s$ , соседним с  $r$ . То же самое выражение для  $F$  получается и в случае нечетного числа электронов, если включить в число «соседних» атомов также и добавочный фиктивный атом  $x$ :  $F_r = \sum_s p_{rs} + p_{rx} = 1 - \sum_s p_{rs}$ . Полученное выражение для  $F_r$  инвариантно по отношению к выбору системы независимых структур (если использовать  $p$ , определенный автором), чем оно выгодно отличается от данного ранее определения (Daudel R., Pullman A., C. r. Acad. sci., 1945, 220, 888), и одинаково для случаев четного и нечетного числа электронов, в чем его преимущество перед не совсем корректным определением (Moffitt W., Trans. Faraday Soc., 1949, 45, 373). Приведенные урния сравниваются с соответствующими урниями метода МО. По выведенным Ф-лам вычислены значения  $F$  для этилена ( $F_1 = F_2 = 0$ ), бензола ( $F = -0,246$ ), аллильного радикала ( $F_1 = F_2 = 1/2$ ;  $F_3 = -1/2$ ) и нафталина ( $F_a = -0,206$ ;  $F_b = -0,220$ ).

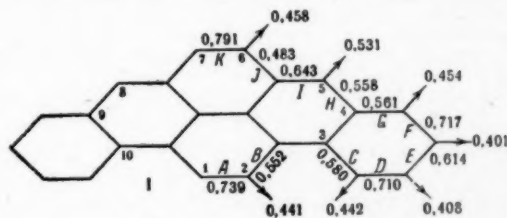
Н. Г. 3134. Длины связей в молекулах ненасыщенных углеводородов. Дие (The bond lengths of unsaturated hydrocarbons. Deas Herbert D., Philos. Mag., 1955, 46, № 377, 670—681 (англ.).

Метод стандартных возбужденных состояний, предложенный ранее (Hall G. G., Proc. Roy. Soc., 1952, A213, 102), применен для нахождения равновесной конфигурации ядер в молекулах ненасыщ. углеводородов. Получено следующее приближенное выражение

для полной энергии молекулы:  $\epsilon = \epsilon_0 + \sum_{\lambda\mu} \sum_{\nu} 2p_{\lambda\mu} N_{\lambda\mu} [U_{\lambda\mu} + P_{\lambda\mu} V_{\lambda\mu} + P_{\lambda\mu}^2 W_{\lambda\mu}]$ . Здесь  $\epsilon_0$  не зависит от конфигурации ядер;  $N_{\lambda\mu} = 1$ , если ядра  $\lambda$  и  $\mu$  являются ближайшими соседями и  $N_{\lambda\mu} = 0$  в остальных случаях;  $U_{\lambda\mu}$  — вклад  $\sigma$ -электронов, а  $P_{\lambda\mu} V_{\lambda\mu}$  и  $P_{\lambda\mu}^2 W_{\lambda\mu}$  — вклады  $\pi$ -электронов в энергию молекулы. Через  $p_{\lambda\mu}$  обозначен элемент матрицы порядков связей:  $p_{\lambda\mu} = 2 \sum_{\alpha=1}^p t_{\alpha\lambda} t_{\alpha\mu}$ , где  $t_{\alpha\lambda}$  — коэфф. в разложении молекулярной орбиты  $\pi$ -электрона  $\psi_{\mu}$  по нормированным локализованным стандартным орбитам  $\chi_{\nu}$ ;  $\psi_{\mu} = \sum_{\nu=1}^{2p} t_{\nu\mu} \chi_{\nu}$  ( $2p$  — число атомов углерода). Предполагая, что функции  $U_{\lambda\mu}$ ,  $V_{\lambda\mu}$  и  $W_{\lambda\mu}$  1) не зависят от  $\lambda$  и  $\mu$ , 2) одинаковы для всех молекул ненасыщ. углеводородов, 3) зависят только от длины  $r$  связи между ядрами  $\mu$  и  $\lambda$ , и заменяя функции  $U$ ,  $V$ ,  $W$  функциями  $\epsilon_1$ ,  $\epsilon_2$ ,  $\epsilon_3$ , можно получить выражение для полной энергии молекулы в виде:  $\epsilon = \epsilon_0 + \sum_{i=1}^L [\epsilon_1(r_i) + p_i \epsilon_2(r_i) + p_i^2 \epsilon_3(r_i)]$ , где  $L$  — число связей  $C-C$  в молекуле. Полагая  $dp_i/dr_i = 0$ , т. е. пренебрегая зависимостью порядка связи от малых колебаний длины связи около  $r_0 = 1,40$  А по сравнению с зависимостью порядка связи от индекса  $i$  (т. е. от расположения данной связи в молекуле), необходимое условие минимума полной энергии молекулы для каждой связи записывается в виде:  $d\epsilon_1(r)/dr + p d\epsilon_2(r)/dr + p^2 d\epsilon_3(r)/dr = 0$ . Полагая  $d\epsilon_i(r)/dr = a_i + b_i p$  ( $i=1,2,3$ ), где  $a_i = [d\epsilon_i(r)/dr]_{r=r_0}$ , и  $p = r - r_0$ , получена следующая Ф-ла, связывающая длину  $r$  и порядок  $p$  связи в молекуле ненасыщ. углеводорода:  $r = r_0 - (a_1 + a_2 p + a_3 p^2) / (b_1 + b_2 p + b_3 p^2)$ . Подбором коэфф.  $a_i$ ,  $b_i$  (методом наименьших квадратов) из эксперим. длин связей в этилене, нафталине и антрацене получено соотношение:  $r = (1,40 + 2,27p^2 - 17,38p + 9,70) / (176,08p^2 - 186,08p + 100)$ . Т. Р. 3135. Об усовершенствовании метода таблиц.

Шальве (Sur un perfectionnement de la méthode des abaques. Chalvet Odilon, C. r. Acad. sci., 1955, 240, № 8, 871—873 (франц.).

Ранее (C. r. Acad. sci., 1951, 232, 165) было показано, что в первом приближении порядок связи между атомами углерода в альтернативном углеводороде с конденсированными ядрами зависит только от «типов» соседних связей (типом связи называют число  $\pi$ -связей, расположенных у концов рассматриваемой связи). В соответствии с этим были составлены таблицы, позволяющие без расчета находить порядки связей и индексы свободной валентности. Для увеличения точности метода автор предлагает характеризовать связь более детально: связи с данным типом ближайшего соседства могут различаться в зависимости от типов связей более да-



леких соседей. По классификации автора, напр., связи 1—2 и 6—7 в молекуле 3, 4, 9, 10-дибензипирена (I) имеют различное обозначение: ( $3_{244}$ ,  $3_{244}$ ) и ( $3_{234}$ ,  $3_{234}$ ) соответственно. На основании улучшенного метода таблиц построена молекулярная диаграмма I (см. рис.).

По эмпирич. ф-ле (Coulson C. A. и др., Proc. Roy. Soc., 1951, A207, 306) определены межатомные расстояния в А для связей А 1,372; В 1,407; С 1,402; D 1,378; E 1,397; F 1,376; G 1,405; H 1,403; I 1,390; J 1,420; K 1,363. Большое значение индекса свободной валентности в положении 5 указывает на возможность р-ций замещения в этом положении; связь 6—7 должна обладать большой способностью к присоединению. М. А.

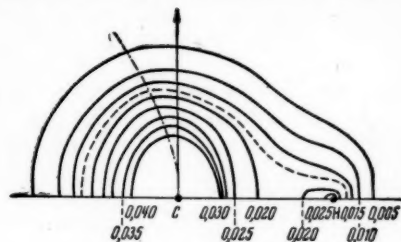
3136. Тенденция к сопряжению ароматического углевода и bathochromный эффект метильных групп. Пульман, Бертье (Le pouvoir de conjugaison des carbones aromatiques et l'effet bathochrome des méthyles. Pullman Bernard, Berthier Gaston, J. chim. phys. et phys.-chim. biol., 1955, 52, № 2, 114—118 (франц.))

Для суждения о величине bathochromного сдвига в спектре поглощения альтернативных углеводородов при замещении атома Н группой  $\text{CH}_3$  предлагается приближенная ф-ла:  $\Delta N \rightarrow V_i = B \Delta F_n$  (1), где  $\Delta N \rightarrow V_i$  — изменение энергии перехода  $N \rightarrow V_i$ , обусловленное введением в молекулу метильной группы;  $\Delta F_n$  — разность индексов свободной валентности  $n$ -го атома С в незамещ. углеводороде для основного и первого возбужденного состояний молекулы;  $B = A/2K$ . Ф-ла (1) получена путем комбинации выражений  $\Delta N \rightarrow V_i = \Delta_j - \Delta_i = A c_{nj}^2$ , и  $\Delta F_n = 2 c_{nj}^2 K_j$ , и справедливость ее легко доказывается в рамках используемого здесь метода ЛКАО ( $c_{nj}$  — коэфф. при  $n$ -й атомной орбите;  $\Delta_j$  и  $\Delta_i$  — смещения уровней энергии  $K_j$  и  $K_i$  основного и первого возбужденного состояний, обусловленные введением метильной группы). По мнению авторов, индекс свободной валентности является мерой тенденции к сопряжению и можно утверждать, что bathochromный сдвиг в спектре поглощения зависит от разности тенденций к сопряжению атома С в двух состояниях молекулы. Приведены таблицы, в которых содержатся эксперим. данные о bathochromных смещениях в спектрах поглощения различных метилбензотриенов и метилбензфенантронов, а также результаты расчетов величин  $F_n$ ,  $\Delta F_n$  и  $\Delta N \rightarrow V_i$ . Отмечается, что существует полный параллелизм между теоретич. значениями  $\Delta N \rightarrow V_i$  и  $\Delta F_n$  для всех положений заместителя. Ф-ла (1) оказывается в более удовлетворительном соответствии с экспериментом, чем ф-ла старой теории, согласно которой  $\Delta N \rightarrow V_i \sim F_n$  (С. г. Acad. sci., 1947, 224, 1354). М. А.

3137. К теории направленных валентностей; поляризация атома углерода протоном. Ру, Додель (Sur la théorie de la valence dirigée: polarisation d'un atome de carbone par un proton. Roux Monique, Daudel Raymond, C. r. Acad. sci., 1955, 240, № 10, 1091—1093 (франц.))

Проведена попытка интерпретации направленных валентностей путем исследования распределения электронной плотности  $\rho$  в атоме углерода в состоянии  $^3S$ , поляризованном протоном, выходящим на расстоянии 1,09А. Состояние электронов описывается волновой функцией  $\psi(1, 2, 3, 4, 5, 6) = \det |s_A(1) | s_B(2) T_{1A}(3) T_{2A}(4) \times T_{3A}(5) \varphi_A(6)|$  с ортогонализированными функциями Слейтера  $1s = (Z^3/\pi)^{1/2} e^{-Zr}$ ;  $Z = 5,7$ ;  $2s = (re - cr - Ke - ar)N$ , где  $c = 1,625$ ;  $a = 5,7$ ;  $K = 1,544$ ;  $N = V/0,063 \times 4\pi$  и гибридными тетраэдрич. орбитами  $T_{ei}$  и связывающей орбитой  $\varphi = T_{eA} + 1s_H$ . Электронная плотность вычислялась по ф-ле  $\rho = 2(1s)^2 + (T_{e1})^2 + (T_{e2})^2 + (T_{e3})^2 + (\varphi)^2$ . В плоскости, содержащей ядра С и Н, построены линии равной электронной плотности  $\rho = \text{const}$  (см. рис.). В этой же плоскости на дуге окружности радиуса  $R$ , проведенной от линии связи вокруг ядра С, отмечена

точка Р, в которой плотность  $\rho$  максимальна. Угол НСР, близкий к  $90^\circ$  для малых  $R$ , возрастает с увеличением  $R$ , достигая приблизительно  $110^\circ$  при  $R = 1,09\text{А}$ .

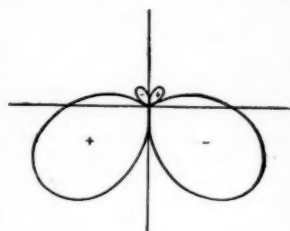


Этот угол, по мысли автора, определит направление новой связи СН, если еще один протон проникнет в электронное облако атома С. М. А.

3138. О новых гибридных орбитах типа  $\pi$  тетраэдрической симметрии. Джакометти (Su dei nuovi orbitali ibridi di tipo  $\pi$  a simmetria tetraedrica. Giacometti G., Nuovo cimento, 1955, 1, № 3, 507—508 (итал.))

Рассматриваются гибридные орбиты типа  $\pi$  в тетраэдрич. ионах и молекулах [напр.  $\text{SO}_4^{2-}$ ,  $\text{PO}_4^{3-}$ ,  $\text{Ni}(\text{CO})_4$ ].

Тетраэдр вписывается в куб. Орбиты имеют вид, изображенный на рис. Тетраэдрич. орбита выражается как  $\tau_1 = (1/\sqrt{2})[V1 - a^2 \times (p_x + p_y) - (a/\sqrt{3}) \times (d_{yz} + d_{zx} + 2d_{x^2-y^2})]$ . Остальные две орбиты получаются в результате применения к  $\tau_1$  операций симметрии группы  $T_d$ ;  $a = V^{5/2}$ . Орбиты типа  $\sigma$  имеют вид:  $\sigma_{11} = (1/2)s + [(1/4 - b^2)^{1/2} (p_x - p_y - p_z) + b(d_{yz} - d_{zx} - d_{xy})]$ ,  $b = 1/\sqrt{8}$ .



3139. О новом методе построения поверхности потенциальной энергии. Сато (On a new method of drawing the potential energy surface. Sato Shin, J. Chem. Phys., 1955, 23, № 3, 592—593 (англ.))

Предложен новый метод для расчета энергии взаимодействия трех атомов водорода, отличающийся от метода Гейтлера — Лондона введением новой функции типа Морзе для триплетного состояния  $\text{H}_2$ :  $E_{tr} = De/2 \times \{ \exp[-2\beta(r-r_e)] + 2 \exp[-\beta(r-r_e)] \}$ . Эта функция вместе с функцией для синглетного состояния позволяет определить интегралы  $Q_{AB}$ ,  $Q_{AC}$ ,  $Q_{BC}$ ,  $\alpha_{AB}$ ,  $\alpha_{AC}$ ,  $\alpha_{BC}$  и получить выражения общей энергии системы как функции от межатомных расстояний  $r_{AB}$  и  $r_{AC}$ , отличающиеся от выражения полученного Лондоном множителем  $1/(1+k)$ , где  $k$  — квадрат интеграла неортогональности, что, однако, само по себе мало сказывается на получаемых результатах ввиду малости  $k$ . Полученная поверхность потенциальной энергии системы трех атомов водорода лучше согласуется с данными эмпирич. расчета (Hirschfelder и др., J. Chem. Phys., 1937, 5, 697). Для лучшего согласия рассчитанной энергии активации с экспериментальной для доли кулоновского взаимодействия  $\rho$  следует принять значение  $> 0,20$ . Новый метод позволяет также строить поверхность потенциальной энергии в области  $r < 1,0$  ат. ед. В. А.

3140. Исследование взаимодействия между стабильными молекулами и атомами. I. Теоретический расчет энергии активации реакций между молекулами и атомами методом молекулярных орбит. Гриффинг (Studies of the interaction between stable molecules and atoms. I. A molecular orbital theory of the activation energy between molecules and atoms. Griffing Virginia), J. Chem. Phys., 1955, 23, № 6, 1015—1023 (англ.)

Работа является вводной в серию работ (реф. 3141—3144), в которых метод молекулярных орбит используется для исследования взаимодействия между молекулами и атомами, имеющими заполненные электронные оболочки. Молекулярные орбиты используются для расчета энергии активации и для построения диаграмм корреляции. Молекулярные орбиты реагентов и продуктов приводятся в соответствие с молекулярными орбитами состояния, названного амбивалентным комплексом. Последний определяется как комплекс, образованный молекулами АВ и CD, могущий распадаться на продукты, отличные от исходных молекул (напр., AC + BD или A + BC + D). Приведены диаграммы корреляции для линейного и квадратного комплексов H<sub>4</sub>, рассмотренных в цитированных работах. На основе рассмотрения заполнения связывающих и разрыхляющих орбит амбивалентного комплекса объяснены относительные величины энергии активации р-ции между двумя молекулами, имеющими заполненные электронные оболочки, между молекулой и радикалом и между двумя радикалами. Дано качеств. правило: путь р-ции между молекулами с заполненными электронными оболочками проходит через амбивалентный комплекс, в котором расположение ядер обладает наименьшей пространственной симметрией. Указано, что рассматриваемый метод дает колич. результаты для разности энергий системы, соответствующих двум различным геометр. расположениям ядер.

Т. Р.

3141. Исследование взаимодействия между стабильными молекулами и атомами. II. Взаимодействие между двумя атомами He. Гриффинг, Уэнер (Studies of the interaction between stable molecules and atoms. II. Interaction between two He atoms. Griffing Virginia, Wehner J. F.), J. Chem. Phys., 1955, 23, № 6, 1024—1028 (англ.)

С помощью теории молекулярных орбит вычислена кривая потенциальной энергии взаимодействия двух атомов гелия в промежутке от  $R = 0,6a_0$  до  $R = 7,0a_0$ . Занятые молекулярные орбиты взяты в виде линейных комбинаций атомных 1s-функций с эффективным зарядом ядра  $Z = 27/16$ . Ф-лы из опубликованной ранее работы (Roothaan C. C. J., Revs Mod. Phys., 1951, 23, 69) использованы для представления энергии системы в виде суммы интегралов по атомным орбитам. Найденная таким образом потенциальная кривая согласуется с опытом при малых межъядерных расстояниях, но область притяжения (сил Ван-дер-Ваальса) на ней отсутствует. Для согласования найденной кривой с экспериментальной в области притяжения к вычисленной кривой прибавлен член вида  $C/R^6$ . По схеме Руаана вычислены энергии ионизации электронов с занятых молекулярных орбит как функции  $R$ . Экстраполированием найденных зависимостей для  $R \rightarrow \infty$  определен потенциал ионизации атома He. Получено:  $I = 24,39$  эв (опыт 24,58 эв). Полученное значение  $I$  лучше согласуется с опытом, чем вычисленное обычным способом с помощью тех же атомных орбит. Вычитая из непосредственно найденной потенциальной кривой взаимодействия двух атомов гелия энергию ионизации электрона с разрыхляющей орбиты  $\epsilon_2(R)$  и прибавляя  $\epsilon_2(\infty)$ , построена потенциальная кривая для He<sub>2</sub><sup>+</sup>. По-

лучен минимум потенциальной энергии в 2,07 эв на расстоянии в 1,20 Å (опыт 2,5 эв; 1,09 Å).

Т. Р.

3142. Исследование взаимодействия между стабильными молекулами и атомами. III. Рассматриваем квадратную конфигурацию H<sub>4</sub> методом молекулярных орбит. Гриффинг, Мачек (Studies of the interaction between stable molecules and atoms. III. A molecular orbital treatment of the quadratic form of H<sub>4</sub>. Griffing Virginia, Machek Andrej), J. Chem. Phys., 1955, 23, № 6, 1029—1034 (англ.)

Методом молекулярных орбит рассмотрена система, состоящая из четырех атомов H, расположенных в вершинах квадрата. Из 1s-орбит  $\chi_p$  ( $p = a, b, c, d$ ) атомов H составлены следующие молекулярные орбиты:  $\varphi_1 = c_1(\chi_a + \chi_b + \chi_c + \chi_d)$ ,  $\varphi_2 = c_2(\chi_a + \chi_b - \chi_c - \chi_d)$ ,  $\varphi_3 = c_3(\chi_a - \chi_b - \chi_c + \chi_d)$ ,  $\varphi_4 = c_4(\chi_a - \chi_b + \chi_c - \chi_d)$ . Считая, что орбита  $\varphi_1$  занята двумя электронами, составлены конфигурации, соответствующие различным распределениям остальных двух электронов по вырожденным молекулярным орбитам  $\varphi_2$  и  $\varphi_3$ :

	I	II	III	IV	V	VI
$\varphi_2$	$\alpha\beta$		$\alpha$	$\beta$	$\alpha$	$\beta$
$\varphi_3$		$\alpha\beta$	$\alpha$	$\beta$	$\alpha$	$\beta$

В первом приближении вычислена полная энергия системы при электронной конфигурации I (и равная ей энергия конфигурации II). В следующем приближении учтено взаимодействие конфигураций. Взаимодействие вырожденных конфигураций I и II приводит к образованию двух невырожденных синглетных состояний  $^1B_{1g}$  и  $^1A_{1g}$ , а из конфигураций III—VI образуется одно синглетное  $^1B_{2g}$  и одно триплетное  $^3B_{2g}$ -состояния. В силу высокого значения энергии разрыхляющей орбиты  $\varphi_4$  эта орбита не учтена при рассмотрении низших энергетич. состояний системы. Вычислена полная энергия системы как функция длины  $R$  стороны квадрата для состояний  $^1B_{1g}$ ,  $^1A_{1g}$ ,  $^1B_{2g}$  и  $^3B_{2g}$ , а также энергии молекулярных орбит. Основным состоянием является состояние  $^3B_{2g}$ . Отмечается, что используемый метод неточен при больших  $R$  (при  $R \rightarrow \infty$  энергия основного состояния системы должна стремиться к -54,4 эв, в то время как энергия состояния  $^3B_{2g}$  вычисленная в данной работе, при  $R \rightarrow \infty$  стремится к -50,6 эв). Авторами сделан вывод, что полная энергия квадратного комплекса атомов H, как функция  $R$ , не имеет минимума и что вероятным промежуточным состоянием обменной р-ции  $H_aH_b + H_cH_d \rightarrow H_aH_d + H_bH_c$  является не квадратное, а линейное расположение атомов H.

Т. Р.

3143. Исследование взаимодействия между стабильными молекулами и атомами. IV. Энергия линейного комплекса H<sub>4</sub>. Гриффинг, Вандерслайс (Studies of the interaction between stable molecules and atoms. IV. The energy of the linear H<sub>4</sub> complex. Griffing Virginia, Vanderslice Joseph T.), J. Chem. Phys., 1955, 23, № 6, 1035—1038 (англ.)

Метод самосогласованных молекулярных орбит (Roothaan C. C. J., Rev. Mod. Phys., 1951, 23, 69) применен к линейному симметрич. комплексу H<sub>4</sub> с целью испытать этот метод для расчета энергий активных комплексов. Молекулярные орбиты взяты в виде линейных комбинаций атомных 1s-орбит. Расчеты выполнены для следующих значений расстояния  $R$  между соседними ядрами H:  $R = 1,4; 1,6; 2,0$  и  $2,2$  ат. ед. Соответствующие значения полной энергии рассматриваемого комплекса равны: -55,48; -55,99; -56,50 и -56,54 эв. Минимум полной энергии комплекса имеет место при  $R \approx 2,1$  ат. ед. При этом значении  $R$  рассмат-



риваемая система образует амбивалентный комплекс определенный в реф. 3140. Найденная для  $R = 1,4$  ат. ед. энергия ниже, чем энергия, вычисленная простым методом молекулярных орбит (Taylor R., Proc Phys. Soc., 1951, A64, 249), но выше, чем энергия, вычисленная с помощью метода молекулярных орбит с учетом взаимодействия конфигураций. Сделан вывод, что разумные значения энергии линейного комплекса  $H_4$ , полученные в работе, подтверждают применимость используемого метода к рассмотрению взаимодействия молекул с заполненными электронными оболочками при малых значениях межъядерных расстояний. Т. Р. 3144.

**Исследование взаимодействия между стабильными молекулами и атомами. V. Рассмотрение реакции  $H + H_2$  в приближении молекулярных орбит. Гриффинг, Вандерслие** (Studies of the interaction between stable molecules and atoms. V. Molecular orbital approach to the  $H + H_2$  reaction. Griffing Virginia, Vanderslice Joseph H.), J. Chem. Phys., 1955, 23, № 6, 1039—1042 (англ.)

Метод самосогласованных молекулярных орбит применен к вычислению энергии симметрич. линейного комплекса  $H_3$ . Поскольку указанный метод предназначен для рассмотрения замкнутых электронных оболочек, то этим методом предварительно рассмотрен линейный комплекс  $H_3^-$ . Энергия комплекса  $H_3$  найдена путем вычитания из энергии комплекса  $H_3^-$  энергии  $\epsilon_2$  второй молекулярной орбиты. Расчеты выполнены для значений межъядерных расстояний, лежащих в промежутке от 1,4 до 2,5 ат. ед. и для разных эффективных зарядов ядер. Найден минимум энергии комплекса  $H_3$  ( $E = -1,543$  ат. ед.,  $R \approx 2,0$  ат. ед.). Соответствующее значение энергии активации реакции  $H_2 + H \rightarrow H_3$  (41 ккал) является неудовлетворительным. Эксперим. значение: 5—10 ккал, а вычисленное Слейтером (Slater J. C., Electronic Structure of Atoms and Molecules) методом молекулярных орбит с учетом взаимодействия конфигураций значение энергии активации равно 8,76 ккал. Т. Р. 3145.

**Смещение зарядов в сопряженных молекулах при реакциях. Гринвуд** (Charge shifts and the reactions of conjugated molecules. Greenwood H. N.), J. Amer. Chem. Soc., 1955, 77, № 8, 2055—2057 (англ.)

Изучены изменения конфигурации  $\pi$ -электронов, происходящие при атаке электроотрицательных реагентов на сопряженные молекулы. На основании расчетов, выполненных простейшим методом молекулярных орбит, при пренебрежении интегралами перекрывания, сделаны следующие выводы. 1. Энергии всех молекулярных орбит  $\pi$ -электронов понижаются. Понижение наиболее низкого уровня  $\epsilon_1$  ограничено только численным значением  $\delta\epsilon_r$  — изменения кулоновского интеграла в месте атаки (у  $r$ -го атома). Остальные уровни  $\epsilon_2, \dots, \epsilon_n$  понижаются, стремясь в пределе к значениям  $\epsilon'_i$  — к уровням энергии  $\pi$ -электронных орбит системы  $A$  — сопряженной системы, получающейся из рассматриваемой молекулы исключением  $r$ -го атома. При этом  $\epsilon_2$  стремится к  $\epsilon'_1$ ,  $\epsilon_3$  — к  $\epsilon'_2$  и т. д. 2. Молекулярные орбиты  $\psi_i$  ( $i = 1, \dots, n$ ) претерпевают следующие изменения:  $\psi_1$  стремится к орбите, локализованной у  $r$ -го атома, а остальные молекулярные орбиты стремятся к молекулярным орбитам  $A$ :  $\psi_i \rightarrow \psi'_{i-1}$ . 3. У  $r$ -го атома увеличивается плотность заряда  $\pi$ -электронов, связанная с орбитой  $\psi_1$ , и уменьшаются плотности зарядов  $\pi$ -электронов, связанные с остальными орбитами. Суммарная плотность

$\pi$ -электронов в месте атаки увеличивается. На основе выводов 1, 2 и 3 автор утверждает, что хим. связь сопряженной молекулы с электроотрицательным реагентом образуется парой наиболее прочно связанных  $\pi$ -электронов (эти электроны названы автором валентными  $\pi$ -электронами), а не электронами, занимающими наиболее высокий уровень энергии, как это предполагалось ранее (Fukui K. и др., J. Chem. Phys., 1952, 20, 722). Т. Р.

**Зависимость между длиной связи, полярностью и энергией связи. Цзинь Сун-шоу** (鍵長・鍵の極性與鍵能間の關係. 金松壽), 化學學報, Хуасюэ сюэбао, 1955, 21, № 2, 122—131 (кит.; резюме англ.)

В предположении, что длина и полярность связи влияют на энергию связи независимо друг от друга, эмпирически найдено следующее соотношение:  $D = (ab/r^{1,66}) + 23,06(x_A - x_B)^2$  (1) или  $(1/2)(D_{A-A} + D_{B-B}) = ab/r^{1,66}$ , где  $a$  (или  $b$ ) — константа, равная 8,03 для N, O, F, H, 13,40 для других элементов и  $4,63 + 4,7 r_A$  для H в гидридах ( $r_A$  — ковалентный радиус атома, с которым связан атом H);  $D$  и  $r$  (т. е.  $r_{AB}$ ) — соответственно энергия и длина связи;  $x_A$  и  $x_B$  — электроотрицательности элементов A и B, образующих связь. Выполнение соотношения (1) было проверено для энергий 83 типов простых связей. В большинстве случаев значения, вычисленные по (1), совпали с эксперим. с точностью до  $\pm (1-2)$  ккал. В. Ш. 3147.

**Строение, частоты нормальных колебаний и термодинамические функции свободных радикалов метила, метилена, метина и дикарбона. Гурвич А. М., Фрост А. В., Уч. зап. Моск. ун-та, 1953, № 164, 129—143**

Обсуждается строение радикалов  $CH_3$  и  $CH_2$ . Авторы считают любой радикал  $CR_1R_2R_3$  плоским, усматривая доказательство этого в образовании рацемата при галогенировании оптически активного  $HCR_1R_2R_3$  (Brown, Kharasch, Chao, J. Amer. Chem. Soc., 1940, 62, 3435). Эта точка зрения подтверждается квантовомеханич. расчетами. Исходя из спектроскопич. данных и теоретич. расчетов, имеющихся в литературе, авторы считают основным состоянием  $CH_3$  синглетное и оценивают разность энергий синглетного и триплетного состояний в 5—19 ккал/моль, а угол  $H-C-H$  в  $\sim 140^\circ$ . При оценке колебательных частот авторы исходят из предположения о неизменности характеристич. частот радикала при переходе от молекулы к свободному состоянию. Для  $CH_3$ , принимая пирамидальную модель (из этана), авторы находят основные частоты 2954, 2994 и 1486  $cm^{-1}$ ; принимая плоскую модель, 2923, 3025, 1602  $cm^{-1}$ . Для  $CH_2$  при угле  $H-C-H$  142,5° 2944, 1472, 3149; при 180° 2918, 1480, 3173  $cm^{-1}$ . На основании приведенных частот в приближении гармонич. осциллятора и жесткого ротатора вычислены термодинамич. функции  $CH_3$  и  $CH_2$  от 298,16 до 2200°K и на основании данных Гердберга термодинамич. функции  $CH$  и  $C_2$  от 298,16 до 3000°K. Из них найдены константы равновесия р-ций  $CH_4 \rightleftharpoons CH_3 + H$  (1) и  $CH_4 \rightleftharpoons CH_2 + H_2$  (2). Авторы оценивают  $\Delta H$  ( $CH_3 - H$ ) в р-ции  $CH_3 \rightarrow CH_2 + H$  в 86  $\pm 10$  ккал/моль. Для р-ции (1)  $\Delta H = -101$  ккал/моль, для (2) 83,76 ккал/моль. Приведены значения констант равновесия в интервале 298,16—3000°K. М. В. 3148.

**Метод определения энергии диссоциации молекулы азота. Шихан** (A method of determining the dissociation energy of nitrogen. Sheehan W. F., Jr., J. Chem. Phys., 1954, 22, № 8, 1461 (англ.) Предложен метод, позволяющий выбрать одно из трех известных в литературе возможных значений энергии диссоциации  $N_2$  ( $D_0$ ): 7,38; 8,57 и 9,76 эв. Идея метода заключается в изучении масс-спектрометрич. методом при помощи вращательных спектров перехода

к равновесию образцов  $N^{14}N^{15}$  или неравновесной смеси  $N^{14}N^{14}$  и  $N^{14}N^{15}$  при возбуждении  $N_2$  флуоресцирующими атомами Kг и Хе. При этом происходят следующие процессы:  $M_1 + h\nu \rightarrow M_1^*$  (1),  $M_1^* + N_2^{14} \rightarrow M_1 + 2N^{14}$  (2),  $M_1^* + N_2^{15} \rightarrow M_1 + 2N^{15}$  (3), где  $M_1$  — Kг или Хе. Образующиеся  $N^{14}$  и  $N^{15}$  затем комбинируют в тройных столкновениях или на стенках сосуда. Учитывая, что наиболее вероятный обмен квантом происходит при условии минимума превращения энергии возбуждения в кинетическую и зная значения энергии возбужденных  $Kг^*$  ( $^3P_2$ ; 8,910 эв) и  $Хе^*$  ( $^3P_{2,1}$ ; 8,313 и 8,435 эв), можно из этого факта инициирования р-ции (2) и (3) атомами  $Kг^*$  или  $Хе^*$  сделать заключение о действительном значении  $D_0(N_2)$ . Если диссоциация происходит под действием  $Kг^*$ , а не  $Хе^*$ , это подтвердит значение 9,76 или 7,38 эв в зависимости от того, образуются ли атомы в состоянии  $^2D$ . Если диссоциацию вызывают  $Хе^*$ , а не  $Kг^*$ ,  $D_0(N_2)$  равна 8,57 эв. Если р-ции (2) и (3) не идут ни с  $Kг^*$ , ни с  $Хе^*$ ,  $D_0(N_2)$  равна 7,38 эв. В. А.

**3149. Спектр испускания молекулы CuAu.** Рюан (Spectre d'émission de la molécule CuAu. Ruan R. Jean), C. r. Acad. sci., 1954, 239, № 19, 1200—1202 (франц.)

Исследовался спектр испускания сплава Cu с Au в видимой области спектра, возбужденный при нагревании сплава в графитовой печи и приписываемый молекуле CuAu. В спектре наблюдается несколько серий полос с нижним состоянием X. В системе  $A \rightarrow X$  полосы состоят из 6—9 линий в зелено-голубой области. Из изотопич. сдвига полос  $Cu^{63}Au$  и  $Cu^{65}Au$  найдено начало полосы (0,0) 4945,6 Å. В состоянии X  $\omega_e = 250$ ;  $x_e \omega_e = 0,7$  см $^{-1}$ . В системе  $B \rightarrow X$  идентифицированы полосы (0,0) и (1,0) (для  $B \nu_{00} = 20\,661,4$ ;  $\omega_e = 257$ ;  $x_e \omega_e = 2,2$  см $^{-1}$ ), в  $C \rightarrow X$  (1,0), (0,0) и (0,1) (для  $C \nu_{00} = 22\,173$ ;  $\omega' = 231$  см $^{-1}$ ) и в  $D \rightarrow X$  полосы (2,0), (1,0), (0,0), (0,1), (0,2), (0,3) и (0,4) ( $\nu_{00} = 23\,672$ ;  $\omega' = 182$  см $^{-1}$ ). Две группы полос между 5100 и 5900 Å приписаны молекулам  $Cu_n Au$ , так как их интенсивность возрастает с увеличением кол-ва меди в сплаве. Е. П.

**3150. О влиянии посторонних газов на ультрафиолетовую область спектра излучения паров иода и серы.** Агырбичану И., Ж. матем. и физ. Акад. РНР, 1954, 3, 5—8 (русс.); Rev. math. et phys. (Bucuresti), 1954, 2, 5—8 (франц.)

Сняты спектры излучения паров  $J_2$  и  $S_2$  в видимой и УФ-областях до 2000 Å, полученные в безэлектродном разряде в присутствии и в отсутствие воздуха при давл. 4—7 мм рт. ст. У  $J_2$  в видимой области имеется система полос 6700—5000 Å, идентичная полосе поглощения. При  $\lambda < 5000$  Å излучения нет, так как в этой области происходит диссоциация  $J_2$  в состоянии  $^3\Pi_{ou}^+$ . Далее в отсутствие воздуха обнаружены группы полос, отвечающие к 4 областям с границами: (1) 4700—3500, (2) 3425—3340, (3) 3280—3160 и (4) 3130—2000 Å. В присутствии воздуха появляется только группа (2) наряду со спектром  $N_2$ . Отсутствие излучения в других областях объясняется, по мнению автора, тем, что неоднородное электрич. поле посторонних молекул вызывает «электрическую» преддиссоциацию возбужденных молекул  $J_2$ . Полосы в спектре  $S_2$  почти точно вписываются в параболу Кондона, представляя собой наиболее вероятные переходы. Отмечается резкое снижение интенсивности в спектре  $S_2$  в области 4350 и 2799 Å за счет явления естественной преддиссоциации. Автор приписывает эту преддиссоциацию двум нестабильным уровням, пересекающим кривую потенциальной энергии стабильного уровня. В присутствии воздуха в спектре  $S_2$ , кроме полос  $N_2$ , появляются только некоторые полосы, причем с уменьшенной интенсивностью. О. Г.

**3151. Возмущающие факторы в молекулярных спектрах.** Агырбичану (Factori perturbatori în spectrele moleculare. Agirbiceanu I.), Commun. Acad. R. P. R., 1954, 4, № 11-12, 609—612 (рум.; резюме русс., франц.)

Задачей исследования являлось уточнение характера электронных уровней молекулы иода. Приводится эксперим. материал, согласующийся со схемой, предложенной ранее (Waser J., Wieland K., Nature, 1947, 166, 643). Система из 6 полос, идентифицированная в области  $\lambda$  3160—3180 Å, не умещается ни в одну из предложенных схем, кроме схемы Вазера и Виланда (система D, переход  $^1\Sigma_u^+ - ^1\Sigma_g^+$ ). В опытах сочетались электрич. и оптич. методы возбуждения паров  $J_2$ . Наблюдавшееся изменение в интенсивности полос при переходе от электрич. возбуждения к комбинированному (электрич. + оптич.) объясняется постепенным оптич. возбуждением. Электрич. метод приводит к заполнению всех более высоких уровней, в том числе  $B(^3\Pi_{ou})$  и  $E(^3P_g)$ . При наложении с помощью ртутной дуги оптич. возбуждения излучения с  $\lambda$  358 Å и  $\lambda$  4050 Å вызывает дополнительный переход молекул с уровня B на уровень E, если последний обладает характеристиками в отсутствие со схемой Вазера. В этом случае эмиссия  $E(^3P_g - ^3\Pi_{ou})$  при комбинированном возбуждении, должна быть более интенсивной, чем при одном лишь электрич. возбуждении, что и наблюдалось автором в его опытах. М. К.

**3152. Влияние давления на интенсивность некоторых электронных переходов в парах  $SF_6$ ,  $C_2H_2$  и  $C_2D_2$  в вакуумной ультрафиолетовой области.** Ностранд, Данкан (Effect of pressure on intensity of some electronic transitions in  $SF_6$ ,  $C_2H_2$  and  $C_2D_2$  vapors in the vacuum ultraviolet region. Noststrand Elbert D., Duncan A. B. F.), J. Amer. Chem. Soc., 1954, 76, № 13, 3377—3379 (англ.)

С помощью описанной ранее методики (Мое G., Duncan A. B. F., J. Amer. Chem. Soc., 1952, 74, 3136) измерена интенсивность полос поглощения  $SF_6$ ,  $C_2H_2$  и  $C_2D_2$  в вакуумной УФ-области (1850—780 Å). В спектре поглощения  $SF_6$  найдены 4 очень широкие полосы с максимумами при 1057, 934, 870, 817 Å, с силами осцилляторов соответственно 0,294; 0,055; 0,130 и 0,097; три из которых (I, III, IV) интерпретируются как ридберговские переходы, объединяемые сериальной ф-лой  $\nu = \nu_{\infty} - R/(n + 0,75)^2$ ,  $n = 1, 2, 3$ , предел ионизации  $\nu_{\infty} = 130316$  см $^{-1}$  (1615 эв). Произведен расчет значений  $f$  с помощью предложенных ранее молекулярных орбит (Duncan A. B. F., J. Chem. Phys., 1952, 20, 951):  $\varphi_3$  (высшая занятая орбита) =  $0,893(3d_{x^2-y^2})_S + 0,179(\sigma_2 - \sigma_3 + \sigma_4 - \sigma_6)_F$ ;  $\varphi_4$  (орбита, на которую происходит переход) =  $0,777(3p_x)_S - 0,718(\sigma_2 - \sigma_3)_F$  или  $(4p_x)_S$  для первой полосы. С двумя различными функциями  $\varphi_i$  для  $f$  получено соответственно 0,86 и 1,19, что согласуется с эксперим. данными, если учесть приближенный характер примененных функций. Влияние давления излучается на части первой полосы  $SF_6$  в области 1250—1300 Å и на полосах поглощения 65 790 см $^{-1}$  ( $C_2H_2$ ) и 65 770 см $^{-1}$  ( $C_2D_2$ ). Найдено, что в исследованном интервале парц. давлений  $SF_6$ ,  $C_2H_2$  и  $C_2D_2$  и примесного газа — гелия коэфф. поглощения в указанной области сохраняется постоянным. Силы осцилляторов исследованных полос  $C_2H_2$  и  $C_2D_2$  одинаковы и равны  $\sim 13$ . В. А.

**3153. Спектр пламени разложения озона.** Фэрбэри, Гейдон (The spectrum of the decomposition flame of ozone. Fairbairn A. R., Gaydon A. G.), Trans. Faraday Soc., 1954, 50, № 11, 1256—1259 (англ.)

В спектре слабого свечения озона при термич. разложении (до 3100° K) наблюдается сплошной спектр от 4000 Å по направлению к длинноволновой области, который объясняется наличием окислов азота. При взрывном пламени  $O_3$  возникает система полос Шумана — Рунге молекулы  $O_2$ . Термич. возбуждение этой системы полос более вероятно, чем хемилюминесцентное. Авторы обсуждают возможный механизм р-ции в связи со спектрами пламен  $CO + O_2$ , взрывного пламени  $F_2 + H_2O$  и свечения ночного неба. Е. П.

**3154. Пространственная конфигурация и ультрафиолетовые спектры поглощения дифенила и некоторых родственных соединений. Судзуки** (The spatial configurations and the ultraviolet absorption spectra of biphenyl and some related compounds. Suzuki Hiroshi), Bull. Chem. Soc. Japan, 1954, 27, № 19, 597—601 (англ.)

Высказывается предположение, что расхождение эксперим. данных по конфигурации дифенила (I) в разных агрегатных состояниях связано с действительным различием строения молекулы. Автор приписывает I в кристаллич. состоянии в соответствии с эксперим. данными плоское строение, в жидком и газообразном состоянии — форму пропеллера с углом поворота  $\Phi$  между кольцами, равным  $\sim 45^\circ$ . С увеличением угла  $\Phi$  особенности дефиниционных колец постепенно исчезают, в частности уменьшается энергия взаимодействия бензольных колец, наблюдается смещение характеристик. УФ-полосы поглощения I в коротковолновую сторону. Ранее (Bull. Chem. Soc. Japan, 1952, 25, 145) автор выводил соотношения между отклонением от копланарности и положением  $\lambda_{\text{макс}}$  для стилибенов. В настоящей работе этот метод применен к производным I. При помощи метода молекулярных орбит вычислен угол  $\Phi$  в I, 4,5-метил-9,10-дигидрофенантрена (II), 9,10-дигидрофенантрена (III), 2,7-дигидро-(3,4)-(5,6)-дигидрофенантрена (IV), 2,7-дигидро-(3,4)-(5,6)-дигидрофенантрена (V), 2,7-дигидро-(3,4)-(5,6)-дигидрофенантрена (VI) и о,о'-диметилдифенила (VII). При расчете обменный интеграл между атомами 1,1'-углерода был принят равным  $\alpha\beta$ , где  $\alpha = S(H) \cos \Phi / 1,39$ , а  $S(H)$  — значение интеграла неортогональности  $\pi$ -электронов между атомами 1,1' при расстоянии между центрами, равном R. Энергия первого электронного перехода для плоской формы I, определяемая из спектров кристаллов ( $36306 \text{ см}^{-1}$ ) приравнена расчетной энергии  $\Delta E = 1,482 \beta$ . В качестве второй реперной точки использовалось значение  $\Delta E = 2\beta$  электронного перехода в бензоле, соответствующего полосе  $48000 \text{ см}^{-1}$ . Получены следующие результаты [на первом месте  $\lambda_{\text{макс}}$ , на втором  $\Delta E$  в величинах  $\beta$ , на третьем  $\alpha$ , на четвертом  $\Phi$ , на пятом R в Å, на шестом — энергия резонанса в  $\beta$ ]: I (жидк.) 2475 (19000); 1,664; 0,531;  $50^\circ$ ; 1,501; 0,112; II 2750 (18500); 1,502; 0,819;  $16,5^\circ$ ; 1,482; 0,260; III 2635 (18000); 1,555; 0,720;  $31,5^\circ$ ; 1,489; 0,203; IV 2500 (16500); 1,646; 0,562;  $47^\circ$ ; 1,499; 0,125; V 2480 (15000); 1,660; 0,538;  $49^\circ$ ; 1,501; 0,115; VI 2350 (10000); 1,759; 0,373;  $63^\circ$ ; 1,513; 0,056; VII 2270 (6800); 1,825; 0,267;  $70,5^\circ$ ; 1,520; 0,029. Полученные значения  $\Phi$  и R хорошо согласуются с электронографич. и рентгенографич. данными. В. А.

**3155. К систематике УФ-спектров поглощения. Сообщение II. Метилпроизводные 1,2-циклопентенофенантрена. Данненберг, Стейдле** (Zur Systematik der UV-Absorption. II. Mitt.: Die Methylhomologen des 1,2-Cyclopenteno-phenanthrens. Danneberg Heinz, Steidle Walter), Z. Naturforsch., 1954, 9b, № 4, 294—297 (нем.)

Исследованы УФ-спектры поглощения р-ров гомологов циклопентенофенантрена (I) в спирте: 3', 3, 4-, 5-, 6-, 8-, 9- и 10-метил-, 3', 8-, 3',9-, 3,4-, 3,6-, 3,8-, 9,10-диметил-, 3',3',9-триметил- и 1,2-циклопен-

тадиенофенантрена. Метилирование пятичленного кольца не меняет спектра исходного I. При введении одной метильной группы в фенантреновое кольцо наблюдается небольшой bathochromный эффект (0—8 мμ). Две метильные группы влияют сильнее (смещение полос поглощения порядка 4—11 мμ). Наибольшее смещение, наблюдается при введении метильной группы в положение 8, что наблюдается также для метилгомологов фенантрена (Askew F. A., J. Chem. Soc., 1935, 509). В некоторых случаях метилирование смещает полосы поглощения в сторону коротких волн (4-метил- и 5-метил-I). Двойная связь в 1,2-циклопентенофенантрена вызывает более сильное bathochromное смещение, чем две метильные группы. Сообщение I см. Z. Naturforsch., 1949, 4b, 327. В. А.

**3156. Поглощение света бициклопентаном и бициклопентеном в вакуумной ультрафиолетовой области. Стокс, Пикетт** (Absorption of bicycloheptane and bicycloheptene in the vacuum ultraviolet. Stokes Suzanne, Pickett Lucy W.), J. Chem. Phys., 1955, 23, № 2, 258—260 (англ.)

Исследованы спектры поглощения бициклопентана (I) и бициклопентена (II) в вакуумной УФ-области  $45000\text{--}65000 \text{ см}^{-1}$ . Спектр I похож на спектр циклогексана, но смещен относительно последнего на  $\sim 1500 \text{ см}^{-1}$  в сторону длинных волн, что объясняется наличием дополнительного напряжения в бициклич. кольце. Заметное поглощение наблюдается с  $55000 \text{ см}^{-1}$  и быстро увеличивается при переходе к коротким волнам, причем максимум поглощения расположен за пределами возможности регистрации ( $> 64000 \text{ см}^{-1}$ ). Авторы относят систему полос к возбуждению  $\sigma$ -электрона. Наблюдаются признаки тонкой структуры. Более подробно исследован спектр II (начало поглощения  $\sim 46500 \text{ см}^{-1}$ ), в котором найдены две системы полос с максимумами при  $51125$  и  $59715 \text{ см}^{-1}$  (в обоих случаях  $f = 0,15$ ). Отмечено сходство спектра II со спектрами циклогексена и цикlopentена. Из анализа тонкой структуры найдено, что частоты колебаний  $C=C$  и  $C-H$  в возбужденном состоянии равны соответственно  $1485$  и  $2670 \text{ см}^{-1}$ . При продолжительном облучении I и II УФ-светом в спектре появляются полосы циклопентадина и этилена, что свидетельствует о фотохим. разложении I и II. В. А.

**3157. Ультрафиолетовые спектры поглощения некоторых полихлорзамещенных ароматических соединений. Мосби** (The ultraviolet absorption spectra of some highly chlorinated aromatic systems. Mosby William L.), J. Amer. Chem. Soc., 1955, 77, № 3, 758—760 (англ.)

Исследованы УФ-спектры поглощения октахлорнафталина (I), 3,5,8,10-тетрахлорпирена (II) и декахлорпирена (III). Приведены кривые поглощения. Наблюдаемые особенности спектров I и III (уширение  $\beta$ -полос I, обращение порядка интенсивности полос  $290\text{--}320 \text{ мμ}$  у III, исчезновение  $\alpha$ -полос III) объясняются неопланарностью молекул I и III. В. А.

**3158. Поглощение сложных молекул, находящихся в метастабильном состоянии. Левшин В. Л., Лактионов А. Г., Докл. АН СССР, 1955, 103, № 1, 61—64**

С целью получения данных об энергетич. уровнях молекул, находящихся в метастабильном состоянии, исследованы спектры поглощения сильновозбужденных органолюминофоров, обладающих длительным послесвечением (флуоресценция в борном фосфоре, аскулит, родулин оранжевый, акрилин желтый и риванол в сахарных деленцах). Полосы дополнительного поглощения возбужденных фосфоров с флуоресценцием расположены около  $640$ ,  $500$ ,  $415$  и  $350 \text{ мμ}$ . Дополнительное поглощение, возникающее при возбуждении фосфоров, исчезает параллельно затуханию длительного после-



свечения, что свидетельствует о принадлежности наблюдаемых поло- молекулам в метастабильном состоянии. Вычислены силы осцилляторов, равные в случае флуоресценции: для синглет-синглетного перехода 0,03, для первого триплет-триплетного 0,07 и для второго триплет-триплетного 0,04. Длительности возбужденных состояний, определенные по абсорбционной ф-ле Кравца, равны для триплетного уровня  $10^{-7}$  и для синглетного  $10^{-8}$  сек. На основании исследования дихроизма, наблюдаемого у фосфоров, возбуждаемых поляризованным светом, установлено, что осцилляторы всех полюсов триплетного поглощения примерно параллельны осциллятору синглетного поглощения. П. Ф.

3159. Влияние растворителя на спектры органических соединений. Дипольные силы и принцип Франка — Кондона. Бейлисс, Мак-Рей (Solvent effects in organic spectra: dipole forces and the Franck — Condon principle. Bayliss Noel S., McRae Eion G.), J. Phys. Chem., 1954, 58, № 11, 1002—1006 (англ.)

Предложена качественная теория влияния р-рителя на спектр поглощения. Молекула растворенного в-ва (А) рассматривается в ячейке, составленной из молекул р-рителя (В), с которыми она взаимодействует по дисперсионному, поляризационному, диполь-поляризационному и диполь-дипольному механизмам. Последние два случая имеют место при наличии дипольного момента у А, В или у обеих молекул. В момент перехода ячейка находится в равновесном состоянии, в то время как на возбужденном уровне, согласно принципу Франка — Кондона, при той же конфигурации состояние не всегда является равновесным и включает ориентационное напряжение или напряжение упаковки. Первое имеет место, когда А и В имеют дипольные моменты и дипольный момент А изменяется во время электронного перехода. Напряжение упаковки связано с тем случаем, когда А в возбужденном состоянии по размерам существенно больше, чем в основном состоянии, что редко имеет место для органич. соединений. После поглощения кванта ячейка через промежуток времени, равный времени релаксации, приходит в равновесное возбужденное состояние, энергия которого может значительно отличаться от энергии ячейки в момент электронного перехода. Этот процесс в силу соотношения неопределенности для энергии и времени приводит к размытию колебательной структуры полосы поглощения. Обозначая  $\Delta S = S'' - S'$ , где  $S''$  и  $S'$  — соответственно смещения уровней основного и возбужденного состояний А в р-ре, автор рассматривает направление смещения  $\Delta S$  для следующих случаев: I, А и В не имеют дипольного момента; в этом случае, поскольку дисперсионное взаимодействие примерно одинаково для обоих состояний, проявляется только поляризационный эффект и в спектре наблюдается смещение в длинноволновую сторону с сохранением колебательной структуры; II, В полярно; то же, что и для I с добавлением небольшого возможного напряжения упаковки, что может привести к небольшому размытию структуры; IIIа, А полярно,  $D_A'' > D_A'$ ; в этом случае энергия сольватации обусловлена диполь-поляризационными силами, уменьшение  $D_A$  приводит к тому, что  $S'' < S'$  (положительный знак  $S$  соответствует уменьшению энергии А в р-ре), и в спектре наблюдается смещение в коротковолновую сторону с сохранением колебательной структуры, частично или с избытком перекрывающееся поляризационным смещением в длинноволновую сторону; IIIв, А полярно,  $D_A'' < D_A'$ , что всегда приводит, в соответствии с вышеизложенным, к смещению в длинноволновую сторону с сохранением колебательной структуры; IVа, А и В полярны,  $D_A'' > D_A'$ , ди-

поль-дипольное взаимодействие при  $D_A'' > D_A'$  дает смещение в коротковолновую сторону с размытием структуры; IVв, А и В полярны,  $D_A'' < D_A'$ , то же, что и в IVа, но со смещением в длинноволновую сторону. Обсуждаются литературные данные по спектрам поглощения органич. соединений в различных р-рителях с точки зрения перечисленных случаев. Показано, что смещение в коротковолновую сторону, наблюдаемое для переходов  $\pi^* \rightarrow \pi$  в спектрах ароматич. производных, может быть объяснено, если учесть, что переход электрона из неподеленной пары гетероатомов (n) на  $\pi$ -орбиту приводит к уменьшению  $D_A$  и, следовательно, относится к случаям IIIа и IVа. В. А.

3160. Влияние растворителя на спектры ацетона, кротонового альдегида, нитрометана и нитробензола. Бейлисс, Мак-Рей (Solvent effects in the spectra of acetone, crotonaldehyde, nitromethane and nitrobenzene. Bayliss Noel S., McRae Eion G.), J. Phys. Chem., 1954, 58, № 11, 1006—1011 (англ.)

Исследованы спектры поглощения р-ров ацетона, кротонового альдегида, нитрометана и нитробензола в n-гептане (I), циклогексане (II),  $\text{CCl}_4$  (III), бензоле (IV),  $\text{CHCl}_3$  (V), ацетоне (VI), этиловом спирте (VII), воде (VIII) и в 90%-ной  $\text{H}_2\text{SO}_4$  (IX). Получены следующие результаты (первая цифра  $\nu_{\text{макс}}$ , вторая  $\epsilon_{\text{макс}}$ , третья  $f \cdot 10^{-4}$ ; в скобках р-ритель): ацетон, полоса 2800А, 35840; 13,0; 4,3 (I); 35740; 14,7; 4,9 (II); 35710; 20,1; 6,5 (III); 35770; 17,5; — (IV); 36250; 17,3; 5,4 (V); 36770; 16,0; 5,1 (VII); 37760; 17,9; 5,2 (VIII); нитрометан, полоса 2800А, 36020; 18,2; 5,1 (I); 35950; 18,2; 5,1 (II); 36120; 20,5; 5,7 (III); > 36000; > 31; — (IV); 36270; 19,6; 5,4 (V); 36500; 16,9; 4,8 (VII); 37200; 15,4; 4,3 (VIII); 39600; 15,6; — (IX); кротоновый альдегид, полоса 3300А, 30580; 24; 7,0 (I); 30550; 21; 6,0 (II); 30860; 32; 8,6 (IV); 30600; 24; — (VI); 33000; 40; 9,7 (VII); полоса 2200А, 47040; 16000; 3000 (I); 46750; 13000; 3000 (II); 44760; 15000; 4000 (VIII); нитробензол, полоса 2500А, 39740; 8350; 2300 (I); 39540; 9900; 2600 (II); 39170; 9790; — (III); 38150; 8330; 2500 (V); 38580; 8240; 2600 (VII); 37370; 8190; 2600 (VIII); 34560; 8500; 3000 (IX). Полученные данные сравниваются со спектрами перечисленных соединений в газообразном состоянии (полоса поглощения нитрометана 2800А в газе измерена впервые,  $\nu_{\text{макс}} = 36300 \text{ см}^{-1}$ ,  $\epsilon_{\text{макс}} = 8,0$ ). Все исследованные соединения обладают дипольным моментом и относятся к случаям IIIа, IIIв, IVа и IVв, перечисленным в предыдущей работе (реф. 3159). Полосы ацетона (2800А) и нитрометана (2800А) относятся к переходам  $\pi^* \rightarrow \pi$ , сопровождающимся уменьшением дипольного момента, поэтому в неполярных р-рителях (случай IIIа) они должны смещаться в коротковолновую сторону; однако вследствие преобладания поляризационного эффекта в спектрах наблюдается смещение в длинноволновую сторону. Аналогичная полоса кротонового альдегида обнаруживает смещение в коротковолновую сторону, что говорит о преобладании диполь-поляризационного эффекта, повиному, связанного с большим изменением дипольного момента молекулы при переходе. В полярных р-рителях (случай IVа) полосы сохраняют положение или смещаются в коротковолновую сторону (см. ссылку). Полосы переходов  $\pi^* \rightarrow \pi$  (кротоновый альдегид 2200А, нитробензол 2500А) обнаруживают значительное смещение в длинноволновую сторону, что связывается с увеличением дипольного момента при переходе (случай IIIв и IVв. у А).

В. А.  
3161. Определение показателей и толщин напластованных мономолекулярных слоев гетина. Малё, Ринальди (Détermination des indices et de l'épais-



seur de couches monomoléculaires stratifiées d'hémine. Malé Damien, Rinaldi Renaud, C. r. Acad. sci., 1955, 240, № 22, 2130—2132 (франц.)

Продолжая исследования оптич. свойств гемина (РЖХим, 1955, 54416), авторы описывают метод определения показателей преломления и поглощения мономолекулярных слоев гемина на стекле, позволяющий исключить измерения сдвига фазы при отражении и пропускании света. Промерялись пленки, полученные напластованием большого числа мономолекулярных слоев, достаточно толстые, чтобы коэфф. отражения и пропускания не подчинялись у-нию Вольтера (Wolter H., Z. Phys., 1937, 105, 269). При наложении каждого нового мономолекулярного слоя для  $\lambda = 4250 \text{ Å}$  при нормальном падении измерялись коэфф. отражения от пленки в воздухе и в стекле и пропускание пленки. На основании этих измерений вычислены: показатель преломления  $n = 1,7$ , показатель поглощения  $\chi = 0,35$  и толщина мономолекулярного слоя  $20 \text{ Å}$ . При этом предполагалось, что пленки плоскопараллельны и по структуре своей гомогенны. Л. Р.

3162. Окраска и строение комплексных соединений элементов переходных групп. Хартман, Шлефер (Farbe und Konstitution von Komplexverbindungen der Übergangselemente. Hartmann Hermann, Schläfer Hans Ludwig), Angew. Chem., 1954, 66, № 24, 768—776 (нем.)

Обзорная статья. Рассматриваются спектры поглощения комплексных ионов элементов переходных групп в свете электростатич. теории (Magnus A., Z. anorgan und allgem Chem., 1922, 124, 292). Наблюдаемые полосы интерпретируются в основном как переходы между мультиплетными компонентами основного термина свободного иона ( $\Delta S = 0$ ), расщепленного в поле кристаллич. решетки. В случае  $\text{Mn}^{2+}$  и  $\text{Fe}^{2+}$ , основные состояния которых не расщеплены, наблюдаемые полосы являются переходами между основным секстетным термом и ближайшими квартетными терминами ( $\Delta S = 2$ ) и ввиду наличия дополнительного интеркомбинационного запрета значительно слабее первых ( $\lg \epsilon \approx -1$ ). Показано, что число наблюдаемых полос в видимой части спектра согласуется с выведенным теоретически на основании рассмотрения симметрии окружения центрального иона и его основного термина в свободном состоянии. В. А.

3163. Спектроскопическое исследование взаимодействия простых анионов солей с катионами металлов переходных групп. Часть I. Спектры поглощения  $[\text{Co}(\text{NH}_3)_6]^{3+}$  и  $[\text{Cr}(\text{NH}_3)_6]^{3+}$  в водных растворах солей слабых кислот. Енэда [Spectroscopic investigations of the interaction between simple salt anions and transition metal cations. Part I. The absorption spectra of hexamine cobalt (III) and chromium (III) complexes in aqueous solutions of salts of weak acid. Yoneda Hayami], Bull. Chem. Soc. Japan, 1955, 28, № 2, 125—129 (англ.)

Исследованы спектры поглощения  $0,005 \text{ M}$  водн. р-ров  $[\text{Co}(\text{NH}_3)_6]\text{Cl}_3$ ,  $[\text{CoEn}_3]\text{Cl}_3$ ,  $[\text{Cr}(\text{NH}_3)_6]\text{Cl}_3$  и  $[\text{CrEn}_3]\text{Cl}_3$ , содержащих  $\text{KNCS}$ ,  $\text{Na}_2\text{SO}_3$ ,  $\text{Na}_2\text{S}_2\text{O}_3$  и  $\text{Na}_2\text{CO}_3$  в конц.-ных  $0,01, 0,1$  и  $1 \text{ M}$ . Найдено, что добавление указанных солей приводит к появлению новой полосы поглощения (для комплексов  $\text{Co}$  в области  $105\text{--}115 \cdot 10^3 \text{ см}^{-1}$ , приписываемой ассоциату комплекса с различным числом анионов слабой к-ты. Указанный эффект наиболее отчетливо наблюдается у комплексов кобальта. Положение и интенсивность полос поглощения исходного комплексного иона при этом практически не меняются:  $[\text{Co}(\text{NH}_3)_6]\text{Cl}_3$  I (первая полоса)  $_{\text{макс}} 10^{13} \text{ см}^{-1}$ , 65,5;  $\lg \epsilon$  1,70; II (вторая полоса) 88,5; 1,63;  $[\text{CoEn}_3]\text{Cl}_3$  I 63,5; 1,92; II 89,5; 1,89;  $[\text{Cr}(\text{NH}_3)_6]\text{Cl}_3$  I 65,0; 1,60; II 86,0; 1,52;  $[\text{CrEn}_3]\text{Cl}_3$  I 66,0; 1,78; II 86,0;

1,75. Полоса поглощения ассоциата по положению почти совпадает с полосой поглощения моноацидоген-таминного комплексного иона (за исключением CNS) с соответствующим кислотным остатком. Наблюдаемую полосу поглощения автор приписывает аниону слабой к-ты, у которой полоса поглощения, наблюдаемая обычно при  $2000 \text{ Å}$ , в результате взаимодействия с комплексообразователем сместилась в длинноволновую сторону. С этой интерпретацией согласуется факт совпадения максимумов полос гексамминовых и этилендиамминовых комплексов. Указанное взаимодействие не является просто электростатическим, а связано, повидимому, с наличием у центрального атома d-оболочки, так как в спектрах комплексных ионов, где у центрального атома нет d-оболочки, добавление в р-р солей не сопровождается появлением новых полос поглощения. Вычислены степени ассоциации исследованных комплексов при различных конц.-ных примесей соли. В. А.

3164. Расчет нормальных колебаний с учетом ангармоничности. III. Стибли. Гамо (非調和性を考慮した基準振動の研究. 第3報. アンチモン化素 蒲生格), 日本化学雑誌, Нихон кагаку дзасси, J. Chem. Soc. Japan. Pure Chem. Sec., 1954, 75, № 8, 815—816 (япон.)

См. РЖХим, 1955, 6996. Сообщение II см. РЖХим, 1955, 33831.

3165. Кобальтовые спектры и структура диборана. Свердлов Л. М., Зайцева И. Н., Ж. физ. химии, 1955, 29, № 7, 1240—1247

См. РЖХим, 1955, 33830.

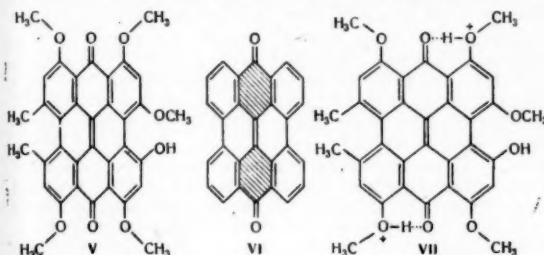
3166. Основные колебания двухатомных молекул. Митра (Grundschnwingungen von zweiatomigen Molekülen. Mitra Shashanka Shekhar), Z. Phys., 1955, 140, № 5, 531—534 (нем.)

Предложены два эмпирич. соотношения, связывающие частоты основных колебаний  $a, b, c$  двухатомных молекул XY, XX и YY, состоящих из атомов с одинаковым числом валентных электронов:  $a^4 = bc(b+c)^2/4$  и  $\sqrt{a} = 0,48 \sqrt{b} + 0,52 \sqrt{c}$ , ( $c > b$ ). Преимуществом этих соотношений по сравнению с ранее опубликованным  $a^3 = 0,815 bc^2$ ,  $c > b$  (Clark C. H. D., Nature, 1937, 139, 508) является то, что при  $a = b = c$  они превращаются в тождество. Вычисленные значения  $a$  из  $b$  и  $c$  по второму соотношению, дающему лучшие результаты, хорошо согласуются с эксперим. данными, за исключением нитридов P, As и Sb. Авторы объясняют это расхождение тем, что экспериментально наблюдаемые частоты PN, AsN и SbN относятся к возбужденным состояниям перечисленных молекул. Предсказаны частоты основных колебаний следующих молекул: NaLi (249,8  $\text{см}^{-1}$ ), FrLi (152,0), FrNa (83,60), RbK (74,64), CsK (65,86), FrK (57,59), FrRb (42,50), FrCs (35,45), PbC (827,1; 955,2), BiN (995,6), AsP (598,5), SbP (501,9), BiP (433,7), SbAs (348,0), BiAs (291,4), PoO (711,1), SeS (552,9), TeS (467,3), PoS (400,1), PoSe (265,2), PoTe (202,6), AtCl (324,6), AtBr (225,2), AtI (175,7). Среднее значение частоты колебания  $F_2$ , определенное из трех пар:  $\text{Cl}_2$  и  $\text{FCl}$ ,  $\text{Br}_2$  и  $\text{FBr}$  и  $\text{I}_2$  и  $\text{FI}$ , равно  $1100 \text{ см}^{-1}$ . В. А.

3167. Связь между частотой CO и солеобразованием ненасыщенных кетонов. Брокман, Франк (Beziehungen zwischen CO-Frequenz und Salzbindung ungesättigter Ketone. Brockmann Hans, Franck Burchard), Naturwissenschaften, 1955, 42, № 3, 70—71 (нем.)

В дифенохиноне (I) и пиррахиноне (II), карбонильная группа которых сопряжена с ароматич. системами, частота CO очень низкая. Это же имеет место у сильно ненасыщ. кетонов (III, IV, V) ( $\text{C}_6\text{H}_5\text{CH}=\text{CH})_2\text{C}=\text{O}$  (III) ( $1660 \text{ см}^{-1}$ );  $[\text{C}_6\text{H}_5(\text{CH}=\text{CH})_2\text{C}=\text{O}$  (IV) ( $1610$ );

V (1640). При образовании солей таких кетонов частота CO уменьшается вследствие большей поляризации группы CO: перхлорат III, 1612  $\text{см}^{-1}$  гидролизует в  $\text{CH}_3\text{COOH}$ ; динитроперхлорат IV, 1553, устойчив в  $\text{CH}_3\text{COOH}$ ; хлорид V, 1610, устойчив в 0,1 н. HCl. Частота CO, поскольку она является мерой порядка связи и пропорциональна константе Гаммета  $\sigma$ ,



является выражением основности кетона. У мезонафтодиантрона (VI)  $\nu_{\text{CO}} = 1670$ . Введение метоксигрупп снижает  $\nu_{\text{CO}}$ , как показано на примере V, который, однако, обладает аномально большой основностью по сравнению с I и II. Это объясняется тем, что при получении соли протон к-ты образует со стоящим рядом атомом кислорода карбонильной и метоксигруппы короткие водородные связи, сопряженные со всей ароматической системой (VII).

**3168. Инфракрасный спектр тридегтеросилана и строение молекулы силана. Бойд** (Infrared spectrum of trideuteriosilane and the structure of the silane molecule. Boyd D. R. J., J. Chem. Phys., 1955, 23, № 5, 922—926 (англ.))

Исследована с большой дисперсией тонкая вращательная структура параллельной полосы  $2\nu_1$  в ИК-спектре  $\text{SiD}_3\text{H}$ , полученного при взаимодействии  $\text{SiCl}_4$  с  $\text{LiAlD}_4$  в эфирном р-ре. Найлены следующие значения вращательных постоянных:  $B_0 = 1,7785 \pm 0,0008 \text{ см}^{-1}$ ;  $B_2 - B_0 = -0,01628$ ;  $A_2 - A_0 = -0,0039$ ;  $D_0^J = 1,67 \cdot 10^{-6}$ ;  $D_0^{JK} = -(1,26 \pm 0,20) \cdot 10^{-7}$ ;  $\nu_0(\text{Si}^{29}\text{D}_3\text{H}) = 4709,09$ ;  $J_B = 15,764 \cdot 10^{-40} \text{ гсм}^2$ . В спектре наблюдались слабые полосы, соответствующие изотопным молекулам  $\text{Si}^{29}\text{D}_3\text{H}$  и  $\text{Si}^{30}\text{D}_3\text{H}$ ,  $\nu_0$  которых смещено относительно  $\text{Si}^{29}\text{D}_3\text{H}$  соответственно на 2,27 и 4,37  $\text{см}^{-1}$ . В предположении, что все углы молекул  $\text{SiD}_3\text{H}$  и  $\text{SiH}_4$  тетраэдрические, а  $r(\text{Si}-\text{H})$  не меняется при дейтерировании, найдено  $r(\text{Si}-\text{H}) = 1,4798 \pm 0,0004 \text{ Å}$ , что значительно выше принятого в литературе значения 1,45<sub>8</sub> (Гербергер Г., Колебательные спектры многоатомных молекул. Изд-во ин. лит. Москва, 1949). Последнее значение автор считает менее вероятным, так как оно было получено из анализа тонкой структуры полосы  $\nu_4 \text{ SiH}_4$ , у которой наличие значительных возмущений затрудняет правильное отнесение компонент тонкой структуры.

**3169. Инфракрасный спектр поглощения 2-метил-5-карбокситиофена. Идальго** (Espectro de absorcion infraroja del metil-2-carboxi-5 tiofeno. Hidalgo Antonio, An. Real soc. española fis. y quim., 1955, B51, № 2, 165—168 (исп.))

Продолжение работы (РЖХим, 1955, 25605). В ИК-спектре 2-метил-5-карбокситиофена найдены полосы (в  $\text{см}^{-1}$ , в скобках поглощение в %): 4600 (20); 4420 (20); 3110 (70,  $B_1$ , вал. СН); 2910 (90); 2840 (100); 2650 (10); 2560 (10); 2500 (10); 1630 (100, вал. C=O); 1575 (70,  $B_1$ , вал. колебание кольца); 1460 (80); 1433 (50); 1338 (50); 1295 (60); 1223 (50,  $B_1$ , деф. СН); 1163 (50); 1106 (80); 1035 (90,  $A_1$ , деф. СН); 973 (60,  $A_1$ , деф.

кольца); 935 (50); 916<sup>1</sup> (50); 902 (60); 810 (70,  $B_1$ , деф. СН); 750 (60,  $B_1$ , деф. кольца); 670 (70,  $A_1$ , вал. кольца); 600 (80,  $B_2$ , деф. СН); 560 (30); 516 (40,  $A_1$ , деф. кольца); 482 (60,  $B_2$ , деф. СН).

М. В.

**3170. Инфракрасный спектр поглощения диметилтрициклопентила. Бирка-Бэлэцину** (Spectral de absorbtie infraroja al dimetiltriciclopentilului. Bîrcă-Gălăţeanu D., Comun. Acad. R. P. România, 1955, 5, № 2, 339—342 (рум.; резюме франц., русс.))

Получен ИК-спектр поглощения диметилтрициклопентила в области 1,5—14  $\mu$ . В спектре выделяются 3 области интенсивного поглощения: у 3, 5, 7 и 11  $\mu$ . Полоса 2864  $\text{см}^{-1}$  приписана симметричному, а полоса 2937  $\text{см}^{-1}$  асимметричному валентному колебанию групп  $\text{CH}_3$ , первые обертоны которых обнаружены у 5717 и 5727  $\text{см}^{-1}$ . Полоса 1440  $\text{см}^{-1}$  отнесена к деформационному колебанию групп  $\text{CH}_3$ , а 893  $\text{см}^{-1}$  — к валентному колебанию C—C. Сопоставив полученный спектр со спектрами поглощения циклопентана и метилциклопентана, автор сделал вывод, что 3 полосы поглощения в области 11—12  $\mu$ , являясь общими для данных в-в, характерны для насыщ. кольца с 5 атомами C в кольце.

Е. П.

**3171. Инфракрасные спектры внутрикомплексных соединений. Часть I. Системы кетенольного типа. Беллами, Бичер** (The infra-red spectra of chelate compounds. Part I. Systems of ketoenol type. Bellamy L. J., Beecher L., J. Chem. Soc., 1954, Dec., 4487—4490 (англ.))

Изучено положение полос C=O в ИК-спектрах альдегидов и кетонов, в енольных формах которых возможно образование внутримолекулярной водородной связи. Найлены значения частот C=O ( $\text{см}^{-1}$ , первая цифра в кетоформе, вторая в енольной форме с водородной связью): ацетилацетон 1724; 1608; бензоилацетон 1724; 1600; дибензоилметан — 1600; 2-формилциклогексанон 1706; 1596;  $\alpha$ -теноилтрифторацетон — 1595; 5,5-диметилциклогексан-1,3-дион 1733; 1603; 1706 (енольная форма без водородной связи); 2-пианоциклогексанон 1721; —; 2-пиано-2-метилциклогексанон 1721; —; салициловый альдегид —; 1668; 2-окс-3-метокси- и 2,4-диоксibenзальдегиды —; 1653; 5-хлор-2-оксibenзальдегид —; 1656; 1,5-диоксинантрахион —; 1631 и 1626; 1,2,5,8-тетраоксинантрахион 1600; 1-этил-оксотетралин-2-карбоксилат 1733 (C=O эфири.), 1698 (кето), 1645 (енол); 2-этилоксциклогексан-1-карбоксилат 1724 (кето), 1704 (кислота), 1634 (енол); 1-этил-2-метилоксциклогексан-1-карбоксилат 1724 (эфири.), 1712 (кето); ацетоксусный эфир 1733 (эфири.), 1709 (кето), 1645 (енол); метилсалицилат 1668 (енол); салициловая к-та 1661 (енол); 2,5-диоксibenзойная к-та 1669 (енол); 2,4-диоксibenзойная к-та 1653 (енол); 3-окс-2-нафтойная к-та 1678 (енол). Положение полосы C=O линейно зависит от степени двоевязности связи C=C в енольной форме. Аналогичная картина наблюдается для сложных эфиров и карбоновых к-т. Предельные значения частот C=O для случая, когда кратность связи C=C равна единице, совпадают со значениями частот C=O, характерных для кетоформы рассматриваемого типа соединений. Найденный факт объясняется тем, что расстояние O.....O, влияющее на взаимодействие атомов кислорода в кольце и соответственно на частоту C=O, определяется длиной связи C=C в соответствии с ее кратностью. Отмечается отсутствие связи между константой кетенольного равновесия и частотой C=O.

В. А.

**3172. Исследования спектров растворов полимерных электролитов в инфракрасной области. I. Синтетические поликислоты и полиамфолиты. Эрлик** (Infrared studies on solutions of polymeric electrolytes. I. Synthetic polyacids and polyampholytes. Ehrlich)

lich Gert), J. Amer. Chem. Soc., 1954, 76, № 21, 5263—5268 (англ.)

Получены ИК-спектры поглощения в области 5—8  $\mu$  р-ров в тяжелой воде полиметакриловой к-ты и ее сополимера с 2-диметиламиноэтилметакрилатом и акриловой к-ты с 2-винилпиридином. Сильные полосы 1710  $\text{см}^{-1}$  приписаны колебаниям  $\text{C}=\text{O}$  в карбоксильной группе, а 1550 и 1412  $\text{см}^{-1}$  карбоксильному нону, а в сополимере акриловой к-ты с 2-винилпиридином наблюдаются колебания пиридинового кольца. При добавлении к р-рам  $\text{DCl}$  и  $\text{NaOD}$  частоты пиридинового кольца смещаются к меньшим длинам волн. На основании измерений интенсивностей полос поглощения сделан вывод о том, что в изоионной точке снпятич. полиамфолиты являются диполярными ионами и что в изоионной точке для обеспечения стабильности бинарного р-ра в воде необходимо какое-то миним. число ионизованных групп. В пленках полиамфолиты имеют небольшие заряды. Приведены кривые поглощения указанных в-в в  $\text{D}_2\text{O}$ ,  $\text{DCl}$ ,  $\text{NaOD}$ , а также спектр  $\text{D}_2\text{O}$  от 2 до 14  $\mu$  (99,5%  $\text{D}_2\text{O}$ ). Е. П.

**3173.** Интенсивность полосы валентного колебания  $\text{C}-\text{D}$  в инфракрасных спектрах дейтеробензола, *m*-дейтеронитробензола и *m*-дейтероанилина. Догбен, Пиментел, Вон (The infrared intensity of the  $\text{C}-\text{D}$  stretching vibration in deuterobenzene, *m*-deuteronitrobenzene and *m*-deuteroaniline. Dauben William G., Pimentel George C., Vaughan C. Wheaton, Jr., J. Amer. Chem. Soc., 1955, 77, № 10, 2886—2888 (англ.))

Измерены интегральные интенсивности полосы валентного колебания  $\text{C}-\text{D}$  дейтеробензола (I) (2272  $\text{см}^{-1}$ ), *m*-дейтеронитробензола (II) (2285) и *m*-дейтероанилина (III) (2270), растворенных в соответствующих недеирированных соединениях. Найдены значения: I 35,8; II 16,0 и III 39,5  $\text{л./моль см}^2$ . Полученные данные находятся в противоречии с литературными (Alexander B. R., Burge R. E., Jr., J. Amer. Chem. Soc., 1950, 72, 3100), согласно которым, измерения интенсивности не могут быть использованы для определения небольших кол-в мета-дейтеропроизводных бензола из-за малой интенсивности полосы  $\text{C}-\text{D}$ . Показано, что в р-рах I и нитробензоле и тритиламине интенсивность полосы  $\text{C}-\text{D}$  понижается соответственно на 30 и 20%, что объясняется возмущениями, вызванными сольватацией молекул I молекулами р-рителя. В. А.

**3174.** Количественные измерения поглощения полосы  $\text{CH}$  спиртов при 3,4  $\mu$ . Мироне, Фабри (Misura quantitative di assorbimento sulla banda  $\text{CH}$  degli alcoli a 3,4  $\mu$ . Mirone Paolo, Fabbrì Gian Franco), Gazz. chim. ital., 1954, 84, № 1, 187—208 (итал.)

С помощью ИК-спектрофотометра с призмой из  $\text{LiF}$  определялась интегральная интенсивность ( $A$ ) полос, лежащих в областях от 2800 до 3000  $\text{см}^{-1}$ , в метиловом, этиловом, *n*-пропиловом, *n*-бутиловом, *n*-октиловом, *n*-додециловом, *n*-гексадециловом, изобутиловом, изоамиловом, втор-пропиловом, втор-октиловом и трет-бутиловом спиртах. Величина  $A$  определялась по ф-ле  $A = \int_{\lambda_1}^{\lambda_2} \epsilon d\lambda - 1/2 (\epsilon_1 + \epsilon_2) (\lambda_2 - \lambda_1)$ , где индексы 1 и 2 относятся к положениям справа и слева от полосы поглощения. Спирты изучались в р-рах в  $\text{CCl}_4$ , конц-ция для низших членов ряда 0,1  $M$ , для высших 0,03—0,02  $M$ . Величина  $A$  линейно зависит от числа связей  $\text{CH}$  в молекуле, наклон прямой для вторичных и третичных спиртов меньше, чем для нормальных. Приведены кривые поглощения в рассматриваемой области для всех изученных спиртов. М. В.

**3175.** Частота комбинационного рассеяния хлора. Штамрейх, Сала, Форнерис (A frequenza Raman del cloro. Stammreich H., Sala

Oswaldo, Forneris Roberto), Anais Acad. brasileira. cienc., 1953, 25, № 4, 375—377 (порт.; резюме англ.)

Применив светосильную аппаратуру и возбуждающую линию  $\text{Hg}$  5461 Å, авторы получили спектр комб. расс. газообразного  $\text{Cl}_2$  под давл. 2 атм. Найдена частота  $557,5 \pm 1 \text{ см}^{-1}$ , что хорошо согласуется с данными по полосатым спектрам ( $\omega_e = 564,9$ ,  $\omega_e x_e = 4,0$ ,  $\omega = \omega_e - 2\omega_e x_e = 556,9 \text{ см}^{-1}$ ). Для силовой постоянной авторы приводят значение  $3,22 \cdot 10^5 \text{ дн/см}$  и вычисляют с ее помощью частоты изотопных молекул  $\text{Cl}^{35}\text{Cl}^{35}$ ,  $\text{Cl}^{35}\text{Cl}^{37}$ ,  $\text{Cl}^{37}\text{Cl}^{37}$ , равные соответственно 561, 553 и 545  $\text{см}^{-1}$ . Разрешающая сила прибора была недостаточна для их наблюдения. Частота  $\text{Cl}_2$  в конц. р-ре в  $\text{CCl}_4$  (15%) равна  $551 \pm 2 \text{ см}^{-1}$ . М. В.

**3176.** К исследованию хлористого брома. Основная колебательная частота. Штамрейх, Форнерис (Contribuições para o conhecimento do monocloreto de bromo. A frequência vibracional fundamental do  $\text{BrCl}$ . Stammreich H., Forneris Roberto), Anais Acad. brasileira. cienc., 1953, 25, № 4, 379—390 (порт.; резюме англ.)

Более подробное изложение опубликованной ранее работы (РЖХим, 1954, 15951). Из найденной частоты вычислена силовая постоянная  $\text{BrCl}$   $2,611 \cdot 10^5 \text{ дн/см}^{-1}$ . Вычисленные с ее помощью частоты изотопных молекул равны:  $\text{Br}^{79}\text{Cl}^{35}$  429,  $\text{Br}^{81}\text{Cl}^{35}$  427,  $\text{Br}^{79}\text{Cl}^{37}$  420,  $\text{Br}^{81}\text{Cl}^{37}$  419  $\text{см}^{-1}$ . М. В.

**3177.** Трансляционные колебания молекулярных кристаллических решеток и вопрос об их проявлении в спектрах комбинационного рассеяния. Раскин Ш. Ш., Скрипов Ф. Н., Ж. эксперим. и теор. физики, 1954, 26, № 4, 479—491

При помощи светосильного осветителя на двухпризматическом спектрографе со стеклянной оптикой (дисперсия 12 Å/мм в фиолетовой области) исследованы спектры комб. расс. следующих соединений в кристаллич. состоянии ( $\Delta\nu$  в  $\text{см}^{-1}$ ): винная к-та (I): 36(10), 59(2), 78(6), 87(4), 102(6), 123(8), 151(2), 169(2), 197(1), 230(1), 265(1), 293(1), 335(2), 375(2), 478(2), 524(2, дв. ?), 593(4, дв. ?), 733(10), 775(1), 823(4), 879(6), 896(4), 958(1), 988(1), 1098(2), 1130(4), 1255(4), 1361(1), 1664(1), 1687(3), 1737(5), 1756(1), 2937(3), 2973(3), 3423(1); рацемат винной к-ты (II): 52(5), 80(15), 101(9), 115(2), 144(2), 164(3), 204(2), 258(2), 306(2), 392(2), 455(1), 499(5), 507(3), 565(2), 680(0), 755(10), 839(5), 894(9), 990(5), 1089(1), 1151(6), 1217(6), 1272(7), 1307(7), 1367(2), 1457(1), 1710(8), 2952(5), 3180(2), 3404(2); этилендиаминтарtrat (III): 66(3), 83(9), 104(9), 125(9), 145(5), 185(0?), 370(1), 471(2), 520(6), 652(3), 716(1), 803(8), 841(1), 879(2), 895(3), 925(3), 971(1), 987(12), 1063(12), 1105(4), 1207(7), 1238(7), 1314(9), 1344(7), 1405(1), 1426(12), 1458(9), 1538(3), 1617(2), 1630(2), 2834(4), 2880(15), 2947(15), 2978(15), 3005(15), 3413(6); виннокислый калий (IV): 36(3), 42(3), 46(3), 54(3), 76(8), 101(5), 130(2), 146(4), 153(6), 188(3), 247(1), 281(4), 311(2), 336(1), 370(2), 405(1), 490(6), 527(5), 580(2), 605(4), 642(2), 885(2), 703(4), 809(10), 851(3), 895(7), 914(6), 991(7), 1013(1), 1071(3), 1112(5), 1208(3), 1244(5), 1294(3), 1314(1), 1338(5), 1397(6), 1427(5), 1498(1), 1545(4), 1593(7), 1625(1), 1650(1), 1700(2), 2932(10), 3250—3350 (полоса); далее группа очень слабых линий в области 3800—4200  $\text{см}^{-1}$ ; сегнетовая соль (V): 36(6), 92(3), 130(3), 148(4), 182(3), 248(1), 285(1), 330(1), 379(1), 439(1), 489(3), 505(2), 533(8), 566(2), 610(3), 655(1), 707(1), 808(4), 851(3), 894(4), 993(10), 1041(1), 1072(4), 1115(2), 1167(4), 1216(5), 1245(1), 1291(2), 1352(3), 1386(3), 1424(2), 1614(2), 2931(3), 2977(4), 3450(2); резорцин (VI): 40(8), 58(8), 79(10), 109(5), 141(4), 157(4), 179(2), 198(2), 255(5), 525(1), 613(4), 742(7), 766(3), 865(1), 961(1), 997(12), 1078(4), 1153(3), 1270(3), 1305(4), 1604(3), 3040(3), 3063(15), 3200, 3300



(два максимума на фоне полосы); далее группа очень слабых линий в области  $3800-4200 \text{ см}^{-1}$ : тимол (VII): 38(5), 67(10), 107(3), 142(4), 169(2), 205(2), 220(1), 285(3), 293(?), 399(4), 424(6), 483(4), 503(3), 527(4), 585(5), 698(3), 741(15), 763(?), 785(?), 812(4), 858(1), 889(5), 955 (дв.?), 1026(?), 1061(5), 1094(3), 1110(4), 1161(2), 1241(?), 1263(10), 1290(4), 1312(4), 1347(?), 1378(3), 1460(8), 1517(?), 1585(5), 1618(8), 1768(?), 1900(1), 2040(1), 2240(1), 2454(1), 2490(1), 2711(2), 2754(2), 2868(8), 2919(10), 2958(10), 2971(7), 3018(4), 3057(3), 3207(?), 3227(1). Кроме того, получены спектры жидких VI и VII: VI (жидк.) 200(?), 245(12), 432(1), 486(?), 528(7), 543(5), 557(2), 614(5), 747(12), 770(1), 965(?), 1001(20), 1080(6), 1154(2), 1225(1), 1301(8), 1496(?), 1532(3), 1604(7), 3068(20), 3380—3600 (полоса); VII (жидк.) 227(5), 286(3), 318(3), 391(3), 417(3), 471(2), 500(2), 519(4), 580(5), 638(2), 693(2), 736(15), 780(?), 810(1), 885(6), 920(1), 944(6), 1060(7), 1086(4), 1110(4), 1155(2), 1226(2), 1263(10), 1308(4), 1346(?), 1378(7), 1412 (?), 1462(7), 1515(2), 1583(3), 1617(10), 2861(8), 2915(10), 2963(10), 3025(4), 3063(6), 3135—3555 (полоса). Полученный эксперим. материал показывает, что область кристаллич. частот простирается до  $200 \text{ см}^{-1}$ . Это следует из сравнения спектров жидких и твердых VI и VII. В то же время число линий в этой области (напр., для I, II) превосходит теоретич. предел для одних вращательных качаний, но не превышает числа линий, предсказываемого теорией. Отсюда автор заключает, в соответствии с ранее развитыми представлениями, (Докл. АН СССР, 1949, 64, 317; РЖХим, 1954, 39176), что в спектрах комб. расс. кристаллов с водородной связью могут появляться не только линии, соответствующие вращательным качаниям, но и линии, соответствующие трансляционным колебаниям. В спектрах I к последним отнесены линии 151 и  $169 \text{ см}^{-1}$ , в спектре II 115, 144 и 164. Показано, что частоты трансляционных колебаний имеют тот же порядок величин, что и частоты вращательных качаний, а в случае кристаллов с водородной связью — и выше. Расчет среднего значения частот трансляционных колебаний для бензола и нафталина из данных по сжимаемости, теплоемкости при жидких т-рах и по соотношениям Маделунга и Липлемана дал соответственно 60, 57, 63, 68 ( $\text{C}_6\text{H}_6$ ) и 75, 65, 65, 77 ( $\text{C}_{10}\text{H}_8$ ). Для средней величины трансляционных частот  $\alpha$ -винной к-ты расчет по данным сжимаемости дал более высокое значение ( $115 \text{ см}^{-1}$ ). Эти данные отвергают представления Багавантма (Bhagavantam S., Proc. Ind. Acad. Sci., 1941, A13, 543), согласно которым трансляционные частоты по величине меньше частот вращательных качаний. В. А.

3178. К вопросу о связи температурного хода интенсивности линий комбинационного рассеяния с межмолекулярным взаимодействием в конденсированной фазе. Бобович Я. С., Пивоваров В. М., Докл. АН СССР, 1954, 97, № 5, 801—804

В целях выяснения зависимости температурного хода линий комб. расс. от межмолекулярного взаимодействия в конденсированной фазе измерены в интервале т-р  $14-55^\circ$  интенсивности линий комб. расс. порошкообразных *n*-нитроанилина (I), *n*-нитрофенола (II), *n*-нитрофенола (III) и *n*-нитротолуола (IV) и сравнены с интенсивностями линий спектров этих соединений в р-рах. Выбор в-в был обусловлен наличием сильного смещения линий комб. расс. при переходе от растворенного к твердому состоянию. Получены следующие результаты (первая цифра — частота линий соединения в спектре порошка, вторая — в спектре р-ра): I (р-р в ацетоне) 864, 865; 1107, 1112; 1174, 1176; 1282, 1314, 1335, 1322; II (р-р в с.п.) 1112, 1113; 1232, —; 1277, 1288; 1320, 1332; 1579, 1590; III (р-р в  $\text{CCl}_4$ ) 1110, 1110; 1253, 1262; 1326, 1337; 1340; 1590, 1590; IV (р-р в  $\text{CCl}_4$ ) 1377, 1343; 1593, 1593. Найдено,

что при переходе от растворенного состояния к твердому некоторые линии испытывают значительное смещение, особенно значительное в случае линии полносимметричного колебания нитрогруппы. В то же время непосредственной связи между ходом интенсивностей линий и их смещением нет. Авторы показали одновременно, что наблюдаемая аномалия хода интенсивностей, выражающаяся в уменьшении интенсивности линии при повышении т-ры, не может быть отнесена к ударному уширению линии при повышении т-ры, так как отношение  $I_{14^\circ}/I_{55^\circ}$  при ширинах щели монохроматора 2—50  $\text{см}^{-1}$  практически не меняется.

В. А.  
3179. Экспериментальное изучение температурной зависимости интенсивностей стоксовых линий комбинационного рассеяния первого порядка. Бобович Я. С., Докл. АН СССР, 1954, 98, № 1, 39—42

Для выяснения вопроса о том, в какой степени ранее найденная аномалия температурной зависимости линий комб. расс. (реф. 3178) обусловлена характером колебаний и свойствами хим. связей, автор исследовал фотоэлектрич. методом интенсивности линий комб. расс. бензола (I), хлороформа (II), этилового спирта (III), ацетона (IV), *n*-гексана (V), диоксана (VI), метилметакрилата (VII) и гексахлорпропилена (VIII) при 15 и  $55^\circ$ . Найдены следующие значения для отношений  $I_{14^\circ}/I_{55^\circ}$ : I 1,33 (линия  $606 \text{ см}^{-1}$ ), 1,3 (992), 1,66 (1176), 1,53 (1585—1604), 1,07 (3047—3063); II 1,25 (261), 1,23 (366), 1,21 (667), 1,4 (762), 1,54 (1216), 1,23(3019); III 1,48(882), 1,39(1047—1095), 2(1274), 1,66(1454); IV 1,45(786), 1,15(1346),  $\sim 2$ (1429), 1,77(1707), 1,14 (2922); V 1,35(1305), 1,45(1440—1460), 1,12 (2850—2970); VI 1,2 (835), 1,46(1014), 1,13 (1109—1125), 1,33 (1209—1222), 1,35(1305), 1,3(1444—1455); VII 1,09 (1634), 1,05 (1722); VIII 1,04 (1610). Автор заключает, что убывание интенсивности стоксовых линий комб. расс. при повышении т-ры является общим свойством для всех колебаний, в том числе и с высокой частотой, хотя для последних экспоненциальный множитель в исследованном интервале т-р не должен был бы меняться. Аномалия интенсивностей линий не объясняется полярностью молекул, поскольку она наблюдается и для бездипольных молекул (I, V), хотя и в меньшей степени. Наиболее сильный эффект наблюдается для деформационных колебаний. На валентные колебания т-ра влияет в меньшей степени, особенно, на колебания кратных связей. Исключением является линия 1707 в спектре IV, испытывающая значительное понижение интенсивности при  $55^\circ$ . Заметного различия между симметричными и несимметричными колебаниями нет. Наблюдаемые факты допускают предположение, что физ. величина, определяющей аномальный ход интенсивностей, является ангармоничность колебаний, хотя теория в этом случае предсказывает лишь увеличение интенсивностей, и поэтому нуждается в уточнении. В. А.

3180. Некоторые наблюдения двух- и трехквантовых переходов. Куш (Some observations of double- and triple-quantum transitions. Kusch P.), Phys. Rev., 1954, 93, № 5, 1022—1025 (англ.)

Автор наблюдал в молекулярном пучке  $\text{O}_2$ , исходящем из источника при  $77^\circ \text{K}$ , спектр, характеризующийся  $\Delta J = 0$ ,  $\Delta m_J = \pm 1$  в состоянии  $K = 1$ ,  $J = 2$ ,  $\Sigma$  в поле около 113 гс. Наблюдалось 7 линий вместо ожидаемых 4, что автор приписывает трем процессам: 1) поглощению или испусканию единственного кванта  $\Delta m_J = \pm 1$ , 2) поглощению или испусканию двух квантов одинаковой энергии,  $\Delta m_J = \pm 2$ , 3) то же для трех квантов,  $\Delta m_J = \pm 3$ . Процессы 1 и 3, накладываясь, дают две наиболее интенсивные линии. Автор полагает также, что в одной из слабых линий участвует четы-



режквантовый переход. Структура спектра не связана с неоднородностью магнитного поля, что доказывается наблюдениями над линиями, возникающими из  $K=1$ ,  $J=1$ . Детальный анализ линий затруднен слабой интенсивностью пучка  $O_2$ . Дальнейшие наблюдения проводились над переходами  $\Delta F=0$ ,  $\Delta m_F=\pm 1$  в  $K=2$ , где наблюдались одно- и двухквантовые переходы. Полуширины одноквантовых линий согласуются с предсказанными (18  $\mu\text{г}$ ). Двухквантовые линии уже (12  $\mu\text{г}$ ). Трехквантовые переходы наблюдались для  $F=2$ . Двух- и трехквантовые переходы при больших амплитудах имеют частоты, согласующиеся с одноквантовыми при малых амплитудах, последний при большей амплитуде смещен к меньшим частотам на 50  $\mu\text{г}$ . М. В.

**3181.** Предварительное исследование спектра  $N_2O$  при большой толщине слоя между 1,5 и 2,5  $\mu$ . Ама, Баршевиц, Гренье-Бессон (*Étude préliminaire du spectre de  $N_2O$  sous grande épaisseur entre 1,5 et 2,5  $\mu$ . Amat G., Barchewitz P., Grenier-Besson M.-L., m-me, J. phys. et radium, 1955, 16, № 1, 16—20 (франц.)*)

Спектр  $N_2O$  исследовался с помощью кюветы с многократными отражениями при толщинах слоя, достигавших 140 м. Измерено 30 полос поглощения в области 3900—6600  $\text{см}^{-1}$ , дано их отнесение по колебательным переходам и тип каждой полосы (перпендикулярная или параллельная). Ряд полос наблюдается впервые. Расчет колебательных постоянных приводит авторов к выводу, что современная теория резонансного ангармонич. взаимодействия недостаточна и необходимы расчеты в последующих приближениях. М. В.

**3182.** Влияние резонанса Ферми на постоянные центробежного растяжения в  $CO_2$ . Куртуа, Герцберг (Effect of Fermi resonance on the centrifugal stretching constants in  $CO_2$ . Courtois C. P., Herzberg G., J. Chem. Phys., 1955, 23, № 5, 975—976 (англ.)

Авторы нашли большие различия в значениях констант  $D$  различных групп расщепления Ферми в колебательном спектре  $CO_2$ , измерявшимся с помощью ИК-спектрографа большой разрешающей силы с кюветой, длиной 1 м. Исследовались полосы:  $\nu_1 + \nu_3$ ,  $2\nu_2 + \nu_3$ ,  $2\nu_1 + \nu_3$ ,  $\nu_1 + 2\nu_2 + \nu_3$ ,  $4\nu_2 + \nu_3$ ,  $3\nu_1 + \nu_3$ ,  $2\nu_1 + 2\nu_2 + \nu_3$ ,  $\nu_1 + 4\nu_2 + \nu_3$ ,  $6\nu_2 + \nu_3$ ,  $\nu_2 + 2\nu_3$ ,  $3\nu_3$ . Значения  $D$  меняются от 7,6 до  $21,4 \cdot 10^{-8} \text{ см}^{-1}$ . М. В.

**3183.** Структура HNCS, определенная из микроволнового спектра. Дусманис, Сандерс, Таунс, Зейгер (Structure of HNCS from microwave spectra. Dousmanis G. C., Sanders T. M., Jr, Townes C. H., Zeiger H. J., J. Chem. Phys., 1953, 21, № 8, 1416—1417 (англ.)

Для точного определения структуры молекулы HNCS исследованы микроволновые спектры HNCS и DNCS. В спектре наблюдались вращательные переходы  $1_{11,0} \rightarrow 2_{12,1}$  ( $K=1$ ),  $1_{01,-1} \rightarrow 2_{02,-2}$  ( $K=0$ ) и  $1_{10,1} \rightarrow 2_{11,0}$  ( $K=1$ ), частоты которых для жесткого ротатора равны  $\nu_1 = 3C + B$ ,  $\nu_2 = 2B + 2C + \frac{1}{2}(B - C)^2/(2A - B - C)$  и  $\nu_3 = 3B + C$ . Наблюдаемые отклонения значений постоянных, определенных из  $\nu_1$  и  $\nu_2$  и из  $\nu_3$ , обусловлены центробежным искажением. Найлены следующие параметры (для состояний  $K=1$ ):  $C-S$  4,5609 + 0,0020 Å;  $C-N$  1,2158;  $N-H$  1,013;  $N-D$  1,003;  $\angle CNH$   $130^\circ 15' \pm 15'$ ,  $\angle CND$   $132^\circ 16'$ . Отличие в значениях углов  $CNH$  и  $CND$  для состояний  $K=0$  ( $\angle CNH$   $130^\circ 32'$  и  $\angle CND$   $132^\circ 27'$ ) и  $K=1$  объясняется центробежным искажением. Найдено, что силовая постоянная  $\nu_3$  равна  $(2,7 \pm 0,6) \cdot 10^{-10} \text{ дин см радиан}^{-1}$ . Зная эту постоянную и углы при  $K=1$ , авторы установили форму потенциального барьера для деформационных колебаний. Приближительная потенциальная функция дает равновесный угол в  $136^\circ$  и полную амплитуду колебаний в

$26^\circ$ . Постоянная квадрупольного взаимодействия  $S^2$  равна  $27,5 \pm 0,8 \text{ Мгц}$ . Е. П.

**3184.** Электронный парамагнитный резонанс в жидких растворах солей. Козырев Б. М., Докл. АН СССР, 1955, 103, № 1, 53—56

Подведены итоги произведенного автором и его сотрудниками исследования электронного парамагнитного резонанса (ЭПР) в р-рах солей  $Mn^{2+}$ ,  $Cu^{2+}$ ,  $VO^{2+}$ ,  $Cr^{3+}$  и  $Gd^{3+}$  в воде и других р-рителях (спирт, глицерин, ацетон) в диапазоне частот  $10^7 - 10^{10} \text{ гц}$  при комнатной т-ре. В отдельных случаях применялись другие р-рители. Указано, что в водн. р-рах солей  $Cr^{3+}$ ,  $Fe^{3+}$ ,  $Co^{3+}$  и  $Ni^{2+}$  резонанса не обнаружено. Полученные результаты не укладываются в теорию протонного резонанса (Bloembergen N., Purcell E. M., Pound R. V., Phys. Rev., 1948, 73, 678). В то же время ЭПР в жидких р-рах очень похож на ЭПР в твердых р-рах тех же солей. Так, в твердых р-рах солей  $Mn^{2+}$  время спин-решеточной релаксации  $\tau$  велико, а начальное расщепление  $\delta$  основного уровня иона мало, так что наблюдаются узкие кривые. В разб. водн. р-рах солей  $Mn^{2+}$  линии также узки. Ион  $Fe^{3+}$  имеет меньшее  $\tau$  и большее  $\delta$ , чем  $Mn^{2+}$ . В соответствии с этим кривая ЭПР в жидких р-рах солей  $Fe^{3+}$  весьма широка, так же как и у иона  $Gd^{3+}$ . Ионы, не обладающие резонансным поглощением в жидких р-рах, не обнаруживаются его и в твердых р-рах. Такое сходство обусловлено, вероятно, тем, что существующая вокруг каждого иона сольватная оболочка, время жизни которой больше, чем период осциллирующего поля, создает условия, сходные с условиями в твердом кристалле. В отличие от твердых р-ров ЭПР в жидких р-рах не обнаруживает тонкой структуры, так как обуславливающие ее локальные электрич. поля усредняются по всевозможным направлениям. При этом, если все или часть линий тонкой структуры изотропны, результирующая линия будет узкой (фиолетовые соли  $Cr^{3+}$ ). В конц. р-рах возможно наличие обменных взаимодействий между ионами, которые снимают тонкую и сверхтонкую структуры линий и вызывают их сужение. Это имеет место в р-рах  $Mn^{2+}$  и  $VO^{2+}$  при конц-ях порядка нескольких  $\text{моль/л}$ , а в р-рах  $Cu^{2+}$  даже до нескольких десятых  $\text{моль/л}$ . Сверхтонкую структуру в р-рах солей  $Mn^{2+}$  и  $VO^{2+}$  удается наблюдать только при достаточном разбавлении. Л. Ш.

**3185.** Парамагнитный резонанс в тефлоне, облученном рентгеновскими лучами. Шнейдер (Paramagnetic resonance of x-rayed teflon. Schneider E. E., J. Chem. Phys., 1955, 23, № 5, 978—979 (англ.)

Изучалось парамагнитное резонансное поглощение при 23700  $\text{Мгц}$  в тефлоне (политетрафторэтилен), облученном рентгеновскими лучами. Из величины интегрального магнитного поглощения было установлено, что после 3-часового облучения при 40 ма, что отвечает дозе  $5 \cdot 10^5 \text{ рентген}$ , конц-ия спинов была порядка  $10^{17} \text{ см}^{-3}$ . Фактор  $g = 2,021$  (положительный сдвиг по сравнению со значением для свободного электрона  $g = 2,0023$ ). Наблюдается триплет с расстоянием между пиками 19  $\text{гс}$ . Предполагается, что это сверхтонкая структура, вызываемая взаимодействием резонирующих электронов с ядрами F; резонанс вызывается неспаренными электронами, возникающими при разрыве связей C—C. Если бы электрон был локализован на р-орбите атома C, триплетное расщепление равнялось бы 5,6  $\text{гс}$ . Наблюдаемое расщепление и сдвиг  $g$  указывают, что лишний электрон участвует в связи CF. М. В.

**3186.** Косинусоидальное взаимодействие в  $CSF$  и  $RbF$ . Бемский, Ниренберг, Силсби (Cosine interaction in  $CSF$  and  $RbF$ . Bemski G., Nierenberg W. A., Silsbee H. B., Phys. Rev., 1955, 98, № 2, 470—473 (англ.)

Исследовалась форма линий резонанса  $F^{19}$  в молекулярных пучках  $RbF$  и  $CsF$  при наложении различных по напряженности постоянных магнитных полей. Для интерпретации опытов использовался гамильтониан вида  $H = -\mu_N g_I H - \mu_N g_J H - cI$ , где  $I$  — спин ядра фтора,  $J$  — угловой момент молекулы,  $\mu_N$  — ядерный магнетон;  $g_I$  и  $g_J$  — магнитные моменты ядра и молекулы соответственно, выраженные в единицах  $\mu_N$ ;  $c$  — константа магнитного взаимодействия между вращательным моментом молекулы и ядерным спином.  $H$  — приложенное магнитное поле. Экспериментально снимались кривые зависимости показания детектора от частоты осциллирующего поля при постоянном значении  $H$ . Исследовались случаи сильных ( $H > 500$  эс), промежуточных ( $300 > H > 100$  эс) и слабых ( $H < 100$  эс) полей, а также случаи  $H = 0$ . При обсуждении формы линий использовалась развитая ранее теория (Nierenberg W. A., Phys. Rev., 1951, 92, 932), из которой следует, что по ширине линии можно определить параметр  $c/ha$ , который один определяет ее форму:  $a = (\hbar V \pi) / (2\pi k K T)^{1/2}$ , где  $K$  — момент инерции молекулы. Найдено, что для  $RbF$   $c/ha = 0,58$  Мгц, причем форма кривых хорошо совпадала с теорией Ниренберга для всей совокупности значений  $H$ . Используя известное приближенное значение момента инерции  $RbF$ , авторы получают  $a = 0,0157$ , откуда  $c/h = 9,1 \pm 0,9$  кгц (чему соответствует локальное магнитное поле у ядра  $F$  (на единичное вращение)  $H_r = 4,28 \pm 0,20$  эс). Этот результат меньше полученного ранее (Hughes V., Grabner L., Phys. Rev., 1950, 79, 314):  $c/h = 12 \pm 3$  кгц. Кривые для  $CsF$  совпадают с теорией только в случае сильных полей. Одной из возможных причин искажения кривых в слабых полях является квадрупольный резонанс  $Cs$ . В сильных полях получается  $c/ha = 0,71$  Мгц. При использовании известного значения  $K$  для  $CsF$  получается  $c/h = 12,0 \pm 0,6$  кгц,  $H_r = 3,00 \pm 0,15$  эс. Значение  $c/h$  отклоняется от найденной ранее (Trischka J. W., Phys. Rev., 1948, 74, 418) величины ( $16 \pm 3$  кгц) в ту же сторону, что и для  $RbF$ . Л. Ш.

**3187. Изучение переохлажденного вращательного перехода 2,3-диметилбутана с помощью ядерного резонанса.** Сигалл, Астон (Study of nuclear resonance of the supercooled rotational transition of 2,3-dimethylbutane. Segall Herbert, Aston J. G.), J. Chem. Phys., 1955, 23, № 3, 528—531 (англ.)

Твердый 2,3-диметилбутан (I) имеет точку перехода вращательного типа ниже т. пл.  $145,19^\circ$  К. Наличие относительно свободной вращательной проявляется в узких линиях протонного (резонанса менее 4 эс). Вплоть до  $60^\circ$  К I постепенно теряет свою свободу вращения при выдерживании при постоянной т-ре и при охлаждении. При переходе из переохлажденного в нормальное состояние линия поглощения сужается от 8 до 3,5 эс и не расширяется до 9 эс (что отвечает нормальному состоянию без вращения) пока переход полностью не закончен. Авторы объясняют это переходом в лабильной конфигурации вокруг дырок по Я. И. Френкелю, что создает высокое, но постоянное время спин-спинового релаксации и большую высоту пика и более узкую линию. Такая конфигурация сохраняется вплоть до завершения перехода. Резонансное поглощение наблюдалось при  $23,592$  Мгц в поле  $5541$  эс. Наличие переохлажденного вращательного состояния проявляется в повышении т-ры на  $17^\circ$ , наблюдавшемся при измерении теплоемкости. Одновременно линия сужается, расширяясь вновь после выделения тепла. Линия сужается от  $8,29$  до  $7,14$  эс при нагревании I от  $60,2$  до  $88,0^\circ$  К. Необратимый переход в нормальное твердое

состояние без вращения начинается при  $102,9^\circ$  К. При повышении т-ры до  $119^\circ$  К ширина линии составляет  $4,04$  эс, а при последующем охлаждении до  $115,6^\circ$  К  $8,55$  эс. В последующих опытах наблюдался примерно тот же ход. Наибольшая ширина линии  $12,38$  эс наблюдалась при охлаждении до  $86^\circ$  К после перехода. I находится в переохлажденном вращательном состоянии до необратимого перехода, в переходном состоянии во время перехода и в невращательном нормальном состоянии после перехода. Теплота перехода оценивается в  $1350 \pm 200$  кал/моль, что хорошо согласуется с обратным калориметрич. значением  $1552$  при  $136,07^\circ$  К. Время перехода менялось в четырех опытах от 6 до 16 мин. Формы линий при переходе могут быть представлены выражением  $g(v) = A \exp(-mt') \exp[-2\pi^2 \times (v - v_0) T_2]$ , где  $t'$  — время в сек. во время перехода,  $A$  — постоянная нормировки при  $t = 0$ ,  $m$  — постоянная затухания, связанная с переходами около дырок. Частота линейно менялась во времени, так что  $g(t) = A \exp(-mt_0) \exp(-mt) \exp(-t^2/2b^2)$ ,  $t = t' - t_0$  ( $t_0$  при  $v = v_0$ ). Расчет показывает, что производная  $g'(t)$  должна быть асимметрична, это подтверждается опытом. Константа  $b = 21,5 \pm 0,2$  сск. Из значений  $m$  авторы заключают, что энергия активации невелика.

М. В.

**3188. Время спин-решеточной релаксации ядер  $Si^{29}$  в чистом плавленом кварце.** Холман, Андерсон, Кот (Spin-lattice relaxation time of the  $Si^{29}$  nucleus in pure fused silica. Holzman G. R., Anderson John H., Koth W.), Phys. Rev., 1955, 98, № 2, 542—543 (англ.)

Из зависимости проекции макроскопич. магнитного момента на плоскость вращения вектора ВЧ-поля найдено, что при комнатной т-ре в поле  $9200$  эс время релаксации ядер  $Si^{29}$  в плавленом кварце  $T = 10$  час., а в магнитном поле Земли  $T = 1,3$  мин. Л. Ш.

**3189. Чистоквадрупольный резонанс  $Cl^{35}$  в хлорангидридах кислот и хлоратах.** Брей (Pure quadrupole resonances in acid chlorides and chlorates. Bray P. J.), J. Chem. Phys., 1955, 23, № 4, 703—706 (англ.)

Квадрупольный резонанс  $Cl^{35}$  наблюдался в следующих соединениях ( $R = COCl$ ):  $CHCl_3R$ ,  $CH_2ClR$ ,  $RR$ ,  $R(CH_2)_2R$ ,  $R(CH_2)_3R$ ,  $R(CH_2)_4R$ ,  $RCH = CHR$ ,  $OCH = CHCH = CR$ ,  $Cl_2C_2H_2R$ ,  $Cu(ClO_3)_2 \cdot 6H_2O$ ,  $Mg(ClO_3)_2 \cdot 6H_2O$ ,  $Sr(ClO_3)_2$ ,  $\beta-JCl$ ,  $JCl_2$ ,  $SeCl_4$ ,  $SO_2Cl_2$ ,  $CCl_3CH(C_6H_5)Cl_2$ . У следующих соединений ( $M = CH_3$ ,  $X = CH_3$ ) резонанс не обнаружено (в скобках указан исследованный диапазон частот в Мгц):  $MXR$  (27—41),  $n-MX_4R$  (24—36),  $MX_5R$  (25—36),  $MX_6R$  (24—36),  $MX_{10}R$  (24—40),  $MX_{12}R$  (24—36),  $MX_{14}R$  (24—36),  $iso-(M)CHXR$  (24—36),  $iso-(M)_2CHXR$  (24—36),  $MXCH(C_6H_5)R$  (25—35),  $C_6H_5XR$  (24—36),  $C_6H_5XXR$  (25—35),  $C_6H_5OXR$  (24—36),  $\alpha-C_6H_5OCH(M)R$  (24—36),  $m-NO_2C_6H_4R$  (27—40),  $n-NO_2C_6H_4R$  (27—40),  $3,5-(NO_2)_2C_6H_3R$  (27—40),  $o-ClC_6H_4R$  (27—40),  $3,4-Cl_2C_6H_3R$  (24—36),  $m-BrC_6H_4R$  (28—40),  $MO_2C_6H_4R$  (24—36),  $o-C_6H_5OC_6H_4R$  (24—40),  $n-C_6H_5OC_6H_4R$  (27—40),  $n-MX_4OC_6H_4R$  (27—40),  $(C_6H_5)_2NR$  (27—40),  $MCH = CHR$  (24—36),  $1-C_{10}H_7R$  (24—36). Отсутствие резонанса в хлорангидридах монокарбоновых алифатич. к-т, имеющих на одном из концов цепи незащ. метильную группу, можно объяснить тем, что группы R разных молекул в кристалле могут иметь своими соседями различное (случайное) число групп R и M. Такая случайность ближайшего окружения может сильно уширить линию и помешать наблюдению резонанса. Другое объяснение заключается в возможном вращении группы M с малой частотой вокруг осей C—C. Две компоненты спектра в  $JCl_2$  истолковываются как линии, даваемые двумя группами атомов Cl (внешние и мостиковые атомы), занимающими неодинаковое

положение по отношению к атому J в молекуле  $J_2Cl_6$ . Повидимому, имеется неразрешенная тонкая структура. Высокочастотная группа линий  $CCl_3CH(C_6H_4Cl)_2$  принадлежит, видимо, группе  $CCl_3$ , низкочастотная — группе  $C_6H_4Cl$ . Одночная линия спектра  $ClCOCOSCl$  указывает на то, что в кристалле присутствует только один геометр. изомер. Л. Ш.

### 3190. Вычисление электрических дипольных моментов.

Гуггенхейм (The computation of electric dipole moments. Guggenheim E. A.), Proc. Phys. Soc., 1955, B68, № 3, 186—187 (англ.)

Рассмотрена точность, с которой необходимо знать отдельные величины при вычислении дипольных моментов. Из основных соотношений, вытекающих из уравнения Дебая, следует, что при точности в определении разности диэлектрич. проницаемостей  $p$ -ра и  $r$ -рителя ( $\epsilon - \epsilon_1$ ), редко превышающей 1%, достаточна точность в 0,1% при определении конц-ии и уд. веса  $r$ -рителя. При вычислении ориентационной поляризации достаточна грубая оценка значения парц. молярного объема, напр., использование его значения для чистого растворенного в-ва. Вследствие того, что для многих  $r$ -рителей (бензол,  $CCl_4$  и др.) разница между  $\epsilon_1$  и  $n_1^2$  достаточна мала, а также отсутствуют сведения о поляризуемости молекул растворенного в-ва, можно пользоваться приближенным ур-нием для ориентационной поляризации  $P_2 \approx [3/(\epsilon_1 + 2)] \{ (d\epsilon/dw)_{w=0} - (dn^2/dw)_{w=0} \}$ , где  $w$  — весовая доля растворенного в-ва,  $n$  — коэфф. преломления  $r$  ра. Однако, учитывая достигаемую при этом незначительную экономию в вычислениях и серьезную путаницу, которая может произойти от смешения этих приближенных ур-ний и других точных соотношений, автор предостерегает от пользования этими приближениями. Их не следует применять, когда  $r$ -рителем служит диоксан.

### 3191. О диэлектрической постоянной жидкого цианистого водорода. Кол (On the dielectric constant of liquid hydrogen cyanide. Cole Robert H.), J. Amer. Chem. Soc., 1955, 77, № 7, 2012—2013 (англ.)

На основе разработанной Кирквудом теории диэлектрич. проницаемости ( $\epsilon$ ) и линейной цепной модели цианистого водорода (I) рассмотрена зависимость между  $\epsilon$  и константой равновесия  $r$ -ции  $(HCN)_n + HCN = (HCN)_{n+1}$ ;  $K = C_{n+1}/C_n C_1$ , где  $C_n$  — конц-ия  $n$ -мера. Если  $C_0$  — валовая конц-ия в расчете на мономер, то  $C_0 = C_1(1 - KC_1)^{-1}$ . В ур-нии Кирквуда средний момент единичной молекулы и ее локального окружения  $g\mu = g(\epsilon_\infty + 2)\mu_0/3$ , где  $g$  — коэфф. корреляции,  $\epsilon_\infty$  — диэлектрич. проницаемость для индуцированной поляризации,  $\mu_0$  — дипольный момент свободной молекулы. В упрощенной модели среднее значение момента для каждой молекулы  $n$ -мерной цепи с общим числом таких молекул  $nC_n$  дается ур-нием  $g\mu = (\mu/C_0) \times \sum_{n=1}^{\infty} n^2 C_n = \mu(1 + KC_1)/(1 - KC_1)$ , откуда  $KC_0 = (g^2 - 1)/4$ . На основании эксперим. данных для  $\mu_0$  (2,96 D) и  $\epsilon$  (205,5 при т. пл. — 13,3° и 105,5 при т. кип. 25,7°) найдена прямолинейная зависимость  $\lg(g^2 - 1)$  от  $10^3/T$ . Из наклона прямой найдено значение теплоты ассоциации  $\Delta H = -4,6$  ккал/моль, что близко к значению  $\Delta H$  для тримера I в паровой фазе. А. З.

### 3192. Исследования $Fe(CNS)_3$ в диоксане. Чжу Дин-ли, Ли Фудзин [Studies of iron (III) thiocyanate in dioxane. Chu Ting Li, Li Norman C., Fujii Charles T.], J. Amer. Chem. Soc., 1955, 77, № 8, 2085—2087 (англ.)

Из концентрационной зависимости диэлектрич. проницаемости и плотности найден дипольный момент  $Fe(CNS)_3$  (I) в диоксане при 30°  $8,2 \pm 1$  D. Молярная

поляризация  $IP_\infty = 1420$ , молярная рефракция 55 (вычислена из рефракций связей). Магнитный момент, измеренный при 25° в диоксане, составляет  $5,6 \pm 0,2$  мв. Определить мол. вес не удалось из-за малой растворимости, но авторы считают образование димерных молекул маловероятным, так как димер должен иметь дипольный момент, близкий к нулю. Высокое значение дипольного момента I в диоксане авторы объясняют образованием тетраэдрич. комплекса с диоксаном, в котором атом железа образует четвертую связь с кислородом диоксана. Этот комплекс должен иметь спиновый магнитный момент, соответствующий пяти неспаренным электронам, что согласуется с найденным значением. Спектры поглощения I в различных  $r$ -рителях также согласуются с этими представлениями. У  $r$ -ров I в бензоле, эфире и хлористом этилене имеется максимум поглощения при 5120 Å, в диоксане и тетрагидрофуране — при 5460 Å. Смещение полосы поглощения, повидимому, обусловлено образованием комплекса. С эфиром комплекса не образуется вследствие стерич. препятствий, создаваемых этильными группами. А. З.

### 3193. Дипольные моменты некоторых нитрилов. Торопов А. П., Мороз А. И., Докл. АН УзССР, 1955, № 6, 21—22 (резюме узб.)

Из концентрационной зависимости диэлектрич. проницаемости и плотности найдены дипольные моменты ( $\mu$ ) нитрилов к-т в бензоле при 20° (в D): гидрокоричной (3,36), 2-фенилмасляной (3,38), 2,2-дифенилпропионовой (3,44) и винилкукуской (3,60). Найденные значения  $\mu$  нитрилов, содержащих фенильную группу в  $\beta$ -положении, практически совпадают с  $\mu$  пропионитрила и бутиронитрила. Отсюда авторы заключают, что поляризующее действие нитрильной группы на бензольное кольцо становится малозаметным уже при  $\beta$ -положении фенильной группы. Поляризующее действие нитрильной группы на двойную связь в аллиленитриле выражено слабее, чем в акрилонитриле. А. З.

### 3194. О дипольном моменте анабазина. Гранитова О. И., Торопов А. П., Докл. АН УзССР, 1955, № 2, 27—28 (резюме узб.)

Из концентрационной зависимости диэлектрич. проницаемости и плотности найден дипольный момент ( $\mu$  в D) анабазина ( $\alpha$ -пиперидил- $\beta$ -пиридина) (I) в бензоле при 20, 40 и 60°, равный соответственно 2,26, 2,46 и 2,71 D, и в 2,2,4-триметилпентане при 40° 2,43. Значительное увеличение  $\mu$  с ростом  $t$ -ры указывает на наличие в молекуле I заторможенного внутреннего вращения. Определены средние значения угла между векторами диполей пиридинового и пиперидинового ядер молекулы I при этих  $t$ -рах, равные соответственно 104, 89 и 79°. А. З.

### 3195. Диэлектрические константы жидкого и твердого сероводорода. Гавриляк, Суэнсон, Коул (Dielectric constants of liquid and solid hydrogen sulfide. Havriliak S., Swenson R. W., Cole R. H.), J. Chem. Phys., 1955, 23, № 1, 134—135 (англ.)

Измерена диэлектрич. проницаемость  $H_2S$  в жидком и твердом состояниях. Вычисление дипольного момента производилось по ур-нию Овзагера. Найдено для низкотемпературной твердой фазы (63,0—101,0° K)  $\epsilon$  3,52—3,70; для промежуточной твердой фазы (103,4—124,2° K)  $\epsilon$  24,7—19,4,  $\mu$  1,08—1,04 D; для высокотемпературной твердой фазы (125,9—186,1° K)  $\epsilon$  16,6—10,9,  $\mu$  0,96—0,92 D; для жидкой фазы (194,6—212,0° K)  $\epsilon$  8,99—8,04,  $\mu$  0,88—0,78 D. В исследованных жидкой и трех твердых фазах не обнаружено зависимости  $\epsilon$  от частоты или заметных диэлектрич. потерь в пределах от 15  $\mu$ ц до 500  $\mu$ ц. В упорядоченной фазе ниже 103° K значения  $\epsilon$  несколько выше  $n^2 = 2,44$ , что обусловлено мол. колебаниями. Согласно полученных результатов с теорией Овзагера



указывает на неупорядоченность структур и отсутствие водородных связей.

**3196. Диэлектрические свойства гидрата пинакола.** Применение для измерения температуры. Драйден, Микинс (Dielectric properties of pinacol hydrate: application to temperature measurement. Dryden J. S., Meakins R. J.), Nature, 1955, 175, № 4457, 603 (англ.)

У гексагидрата пинакола (I) обнаружены диэлектрич. дисперсия в области  $\sim 80$  кГц при  $20^\circ$ , где для поликристаллич. в-ва диэлектрич. проницаемость падает с 45 до 3. Средняя частота  $f$  в области дисперсии быстро меняется с  $T$ -ой и выражается ф-лой  $f = 2 \cdot 10^{17} \exp(-H/kT)$  сек.<sup>-1</sup>, где  $H = 16,5$  ккал/моль. Температурный коэфф. в центре области дисперсии при  $20^\circ$   $(df/dT)/f = 5,5 - 9\%$  на  $1^\circ$ . Дисперсия связана с диэлектрич. поглощением с максимумом фактора диэлектрич. потерь  $= 17$  ( $\lg \delta \sim 0,75$ ) в центре области дисперсии. Электрич. конденсатор с диэлектриком I может быть использован как термочувствительный элемент в схемах, применяемых для измерения или контроля  $T$ -р. Конденсатор должен быть герметизирован, так как I медленно теряет влагу при соприкосновении с воздухом, превращаясь в пинакол.

**3197. Электронная поляризуемость ионов в кристаллах.** Тессман, Кан, Шоу (Electronic polarizabilities of ions in crystals. Tessman Jack R., Kahn A. H., Shockley William), Phys. Rev., 1953, 92, № 4, 890—895 (англ.)

Вычислены поляризуемости ( $\alpha$ ) ряда ионов в ионных кристаллах. Предполагалось, что  $\alpha$  кристалла равна сумме  $\alpha$  составляющих ионов. Молярная поляризуемость вычислялась по ф-ле  $\alpha_m = V_m(n^2 - 1)/(Ln^2 - L + 4\pi)$  из литературных значений объема кристалла, приходящегося на пару ионов  $V_m$ , и коэфф. преломления  $n$ . Наилучшие результаты получены при коэфф. Лоренца  $L$ , равном  $4\pi/3$ . Поляризуемости ионов галогенов ( $\alpha_A$ ) и ионов щел. металлов ( $\alpha_H$ ) вычислялись из  $\alpha_m$  методом наименьших квадратов, исходя из значения  $\alpha_A$  для  $Li^+$  (0,029  $\text{\AA}^3$  по Паулингу). При этом предполагалось, что  $\alpha_m = \alpha_A + \alpha_H$ . Отклонение  $\alpha_m$  от принятых значений  $\alpha_A + \alpha_H$  не превосходит 3%, за исключением соединений фтора. В предположении аддитивности вычислены поляризуемости других ионов в кристаллах, содержащих ион галогена или щел. металла. Найденные значения  $\alpha$  (в  $\text{\AA}^3$  для линии D Na):  $Li^+$  0,03;  $Na^+$  0,41;  $K^+$  1,33;  $Rb^+$  1,98;  $Cs^+$  3,34;  $F^-$  0,64;  $Cl^-$  2,96;  $Br^-$  4,16;  $I^-$  6,43;  $Ca^{2+}$  1,1;  $Sr^{2+}$  1,6;  $Ba^{2+}$  2,5;  $O^{2-}$  0,5—3,2;  $S^{2-}$  4,8—5,9;  $Se^{2-}$  6,0—7,5;  $Te^{2-}$  8,3—10,2;  $Ag^+$  2,4;  $Cu^+$  1,6;  $Cu^{2+}$  0,2;  $Zn^{2+}$  0,8;  $Cd^{2+}$  1,8;  $Ge^{4+}$  1;  $Sn^{4+}$  3,4;  $Pb^{4+}$  4,9. Отмечена необходимость учета отклонений от аддитивности ввиду возрастания роли гомеопольных связей в кристалле при переходе от галогенидов щел. металлов к другим соединениям, что проявляется в большом разбросе вычисленных поляризуемостей одного и того же иона в разных соединениях и появлении отрицательных значений среди вычисленных поляризуемостей.

**3198. О рефракции ионов.** Сообщение II. Мургулеску И. Г., Лациу Э., Хим. ж. Акад. РНР, 1954, 3, 25—33 (русс.), Rev. chim. (Bucuresti), 1954, 2, 27—35 (нем.)

Предлагается метод определения рефракций ионов, основанный на сравнении молекулярных рефракций солей, анионы которых находятся друг к другу в полимерных отношениях (напр., анионы  $SO_4^{2-}$  и  $S_2O_8^{2-}$ ). При этом рефракция в-ва рассматривается как сумма (поляризуемостей), соответствующих отдельным электронным слоям молекулы данного в-ва. Значение ре-

фракции зависит почти исключительно от электронов внешнего слоя. Так, для указанного примера  $RSO_4^{2-} = 32 r_e + \Sigma n_i r_i$ ;  $R_{S_2O_8^{2-}} = 60 r_e - 2 \Sigma n_i r_i + 2 r_p$ , где

$r_e$  — рефракция, приходящаяся на один внешний электрон,  $r_i$  — то же для одного электрона внутреннего слоя,  $n_i$  — число электронов внутреннего слоя,  $r_p$  — рефракция, вызванная электроном перекисного мостика аниона  $S_2O_8^{2-}$ . Пользуясь соотношением между поляризуемостью  $\alpha$  и эффективным ядерным зарядом  $Z^*$ , а также соотношением Лорентца — Лоренца, авторы показывают, что для взятого примера рефракция, обусловленная внутренними слоями электронов, исчисляется сотыми долями  $cm^3$ . Рефракция, обусловленная электронами перекисного мостика, составляет 0,25  $cm^3$  и  $R_{S_2O_8^{2-}} = 1,875 R_{SO_4^{2-}}$ . Из измерений  $n_D$  найдены  $MR$

для  $(NH_4)_2SO_4$  и  $(NH_4)_2S_2O_8$  и из них вычислены рефракции ионов  $SO_4^{2-}$  (14,57),  $NH_4^+$  (4,41), а из других соединений найдены  $K^+$  (2,44),  $Na^+$  (0,41),  $S_2O_8^{2-}$  (25,58),  $NO_3^-$  (10,80),  $ClO_4^-$  (13,03),  $Ba^{2+}$  (4,76),  $Zn^{2+}$  (0,76),  $Hg^{2+}$  (8,02). Сообщение I см. Bul. stiint. Acad. RPR, 1949, A1, № 9, 855.

**3199. О молекулярной рефракции амидов карбоновых кислот.** Иоффе Б. В., Ж. общ. химии, 1955, 25, № 5, 902—908

Определены плотности и показатели преломления для спектральных линий  $C, D$  и  $F$  формамида, метилформамида, диметилформамида, этилформамида, диэтилформамида,  $n$ -бутилформамида, диметилацетамида, этилацетамида, диэтилацетамида,  $n$ -бутилацетамида, диметилбутирамида,  $n$ -бутилбутирамида, ди- $n$ -бутилбутирамида. Молекулярная рефракция амидов зависит от их строения и не может быть точно рассчитана с помощью одной константы, характеризующей амидный азот или амидогруппу, поэтому автор предлагает дополнить существующие таблицы атомных и групповых рефракций новыми константами для амидов разной структуры. Для спектральных линий  $C$  (первая цифра),  $D$  (вторая цифра) и  $F$  (третья цифра) атомные рефракции азота во вторичных амидах и третичных формаминах равны 2,729; 2,750; 2,834, в третичных амидах (кроме формамидов) 2,491; 2,508; 2,588, групповые рефракции  $HCON <$  (формамиды) и  $-CHNH <$  (вторичные амиды) 8,501; 8,572; 8,732,  $-CON <$  (третичные амиды, кроме формамидов) 7,196; 7,261; 7,422, рефракции связи  $C-N$  в амидогруппе  $-CON <$  во вторичных амидах 1,87; 1,88, 1,99, в третичных формаминах 1,68; 1,68; 1,79; в третичных амидах (кроме формамидов) 1,40; 1,38, 1,52.

**3200. Успехи магнетохимии.** Сида (最近の磁気化学. 志田正二), 化学と工業, Kagaku to kogyo, Chem. and Chem. Ind., 1955, 8, № 2, 52—61 (япон.) Обзор. Библ. 62 назв.

**3201. Изучение поворотной изомерии с помощью инфракрасной спектроскопии.** Часть 3.  $n$ -Пропилгалогениды. Браун, Шепард (Infra-red spectroscopic studies of rotational isomerism. Part 3. The  $n$ -propyl halides. Brown J. K., Sheppard N.), Trans. Faraday Soc., 1954, 50, № 11, 1164—1173 (англ.) Получены ИК-спектры жидких и кристаллич.  $n$ -пропилхлорида (I),  $n$ -пропилбромид (II) и  $n$ -пропилидида (III) в области 500—1500  $cm^{-1}$ . Ранее было установлено, что в диалогензанах в кристаллич. состоянии существуют только *транс*-изомеры. Принимая, что более высокая частота соответствует *транс*-изомеру, и сравнивая опытные значения для I (жидк. 726 и 649  $cm^{-1}$ , кристалл 716  $cm^{-1}$ ), авторы утверждают,



что I, II и III имеют в кристаллич. состоянии только *транс*-изомер, а в жидком — повернутый и *транс*-изомеры. Эти выводы согласуются с данными по частотам деформационных колебаний в группах  $\text{CH}_2$ . Сопоставляя полученные результаты с литературными данными по спектрам комб. расс. и поляризационным измерениям, авторы дают следующее отнесение основных частот (первая цифра для I, вторая II, третья III): *транс*-формы 716, 642, 593 (с.  $A'$ , вал. C—X), 748, 740, 715 (с.  $A'$ , деф.  $\text{CH}_2$ ), 860, 850, 827 (ср.  $A'$ , деф.  $\text{CH}_2$ ), 894, 892, 892 (с.  $A'$ , деф.  $\text{CH}_2$ ), 1029, 1025, 1018 (ср.  $A'$ , вал. C—C), 1062, 1040, 1013 (ср.  $A'$ , вал. C—C), 1105, 1103, 1093 (ср.  $A'$ , деф.  $\text{CH}_2$ ), 1162, 1146, 1130 (ср.  $A'$ , деф.  $\text{CH}_2$ ), 1262, 1222, 1185 (с.  $A'$ , деф.  $\text{CH}_2$ ), 1291, 1288, — (сл.  $A'$ , деф.  $\text{CH}_2$ ), 1340, 1326, 1321 (ср.  $A'$ , деф.  $\text{CH}_2$ ), 1375, 1376, 1372 (ср.  $A'$ , деф.  $\text{CH}_2$ ), —, 1420 (ср.  $A'$ , деф.  $\text{CH}_2$ ), —, 1440, 1437 (ср.  $A'$ , деф.  $\text{CH}_2$ ), 1460, 1460, 1460 (с.  $A'$ ,  $A'$  деф.  $\text{CH}_2$ ); частоты, наблюдаемые в спектрах комб. расс. 365, 312, 288 ( $A'$ , скел. деф. 246, 223, 203 ( $A'$ , скел. деф.)), 141, 131, 131 ( $A'$ , скел. крутильн.); повернутый изомер (жидк.) 645, 563, 501 (вал. C—X), 788, 778, 763 (с., деф.  $\text{CH}_2$ ), 855, 839, 816 (с., деф.  $\text{CH}_2$ ), 894, 884, 875 (с., деф.  $\text{CH}_2$  или вал. C—C), 1035, 1032, 1011 (ср., то же), —, 1085, 1077 (ср., то же), 1208, 1200, — (сл., деф.  $\text{CH}_2$ ), 1262, 1228, 1195 (с., деф.  $\text{CH}_2$ ), 1306, 1286, 1274 (с., деф.  $\text{CH}_2$ ), 1340, 1340, 1340 (ср., деф.  $\text{CH}_2$ ), 1378, 1378, 1375 (ср., деф.  $\text{CH}_2$ ), —, 1440, 1425 (с., деф.  $\text{CH}_2$ ), 1460, 1460, 1460 (с., деф.  $\text{CH}_2$ ); частота в спектрах комб. расс. 425, 402, 390 (скел. деф.), 291, 272, 260 (то же), 212, 200, — (скел. крутильн.). Выводы о положении валентных частот C—Hal распространяются на некоторые разветвленные галогениды. Установлено, что одна из частот C—Hal в каком-нибудь галогениде  $\text{C}_4$ — $\text{C}_5$  близка по положению к частоте *транс*-формы предыдущего гомолога, а вторая частота всегда выше, напр. в *трет*-бутилхлориде частота *транс*-формы равна  $568\text{ см}^{-1}$ , а в *трет*-амилхлориде имеются две частоты 560 и  $616\text{ см}^{-1}$ . Часть 2 см. РЖХим, 1955, 7040.

**3202. Спектрофотометрическое исследование иодистого пода в различных растворителях.** Бакле, Милс (A spectrophotometric study of iodine chloride in various solvents. Buckles Robert E., Mills Jack F.), J. Amer. Chem. Soc., 1954, 76, № 19, 4845—4849 (англ.)

Исследованы спектры поглощения  $\text{JCl}_2$  (I) и  $\text{R}_4\text{NJCl}_2$  (II) (соединения с  $\text{R} = \text{CH}_3$  и  $\text{C}_4\text{H}_9$  имеют одинаковые спектры) в различных растворителях:  $\text{CH}_3\text{CN}$ ,  $\text{C}_2\text{H}_5\text{CN}$ ,  $\text{C}_4\text{H}_9\text{CN}$ ,  $(\text{CH}_3)_2\text{COH}$ ,  $\text{C}_2\text{H}_5\text{OH}$ ,  $\text{CH}_3\text{OH}$ ,  $\text{CH}_3\text{COOH}$ ,  $\text{C}_2\text{H}_5\text{Cl}$ ,  $\text{CCl}_4$ ,  $\text{C}_6\text{H}_{12}$ ,  $\text{CF}_3\text{COOH}$ . Описанным ранее методом (РЖХим, 1953, 8247) вычислена константа равновесия ( $153 \pm 13$ ) для р-ции образования 1:1 комплекса I с  $\text{C}_2\text{H}_5\text{CN}$  в циклогексане. В случаях образования комплексов I и II с электронодонорными р-рителями  $\lambda_{\text{макс}}$  смещается от 460 (в инертных р-рителях) к  $\sim 350\text{ мμ}$ , приближаясь к  $\lambda_{\text{макс}}$  для  $\text{JCl}_2$  (III). Кроме того, в спиртах и нитрилах появлялся новый максимум с  $\lambda_{\text{макс}} \sim 230\text{ мμ}$ , характерный для III, интенсивность которого растет при стоянии р-ров. Полученные результаты согласуются с предположением, что III образуется при р-ции I и II с электронодонорными р-рителями или примесями в р-рителях (B):  $\text{B} + \text{JCl}_2 \rightleftharpoons \text{BJCl}_2 \rightleftharpoons \text{BJ}^+ + \text{JCl}_2^-$ . Такой механизм подтверждается опытами с избытком  $\text{Cl}^-$  и  $\text{AgNO}_3$ . Определены константы диссоциации III при 25°: —lg K в  $\text{C}_2\text{H}_5\text{Cl}$  4,21; в  $\text{CH}_3\text{COOH}$  3,72; в  $\text{C}_2\text{H}_5\text{OH}$  3; в  $\text{CH}_3\text{OH}$  2,5; в  $\text{H}_2\text{O}$  2,22; в  $\text{CH}_3\text{CN}$  7; в  $\text{CH}_3\text{CH}_2\text{CN}$  8. Диссоциация III в полярных р-рителях, образующих комплексы с I, повышена (РЖХим, 1955, 25817). В  $\text{CF}_3\text{COOH}$  наблю-

далась полная диссоциация. При освещении р-ров I в нитрилах рассеянным светом, а для I в циклогексане даже при стоянии в темноте наблюдалась значительная потеря I, повидимому, с образованием  $\text{J}_2$ ,  $\text{J}_3$  и  $\text{HCl}$ , так как максимум поглощения через 24 часа смещался от 466 к  $507\text{ мμ}$ .

**3203. Инфракрасная полоса молекулярного комплекса фтористого водорода и трехфтористого хлора.** Пемслер, Смит (An infrared band of a molecular complex between hydrogen fluoride and chlorine trifluoride. Pemsler J. Paul, Smith D. F.), J. Chem. Phys., 1954, 22, № 11, 1834—1836 (англ.)

В смеси HF и  $\text{ClF}_3$  наблюдается сильное искажение полосы поглощения HF у  $2,47\text{ мμ}$ , обусловленное полосой, совпадающей с *P*-ветвью HF. Спектр поглощения HF +  $\text{ClF}_3$  исследовался при различных давлениях HF и  $\text{ClF}_3$  и малом парц. давлении комплекса HF· $\text{ClF}_3$ . Углубление максимума поглощения  $d_4$  у  $2,53\text{ мμ}$  в смеси HF и  $\text{ClF}_3$  по сравнению с чистым HF пропорционально парц. давлению комплекса:  $d_4 = b p_c$ . Зависимость  $d_4$  от произведения парц. давлений HF и  $\text{ClF}_3$  выражается прямой линией, и авторы полагают, что комплекс имеет состав HF· $\text{ClF}_3$ . С повышением *t*-ры наклон этой прямой *m* уменьшается. Поскольку *m* является произведением *b* на константу равновесия, а *b* зависит от *t*-ры так же, как молекулярная плотность,  $mT/T_0$  меняется с *t*-рой так же, как константа равновесия. Из зависимости  $\ln mT/T_0$  от  $1/T$ , представляющей собой прямую, авторы нашли значение теплоты р-ции  $\Delta H = -3,92\text{ ккал/моль}$ . Константа равновесия, найденная из уменьшения поглощения, соответствующего полимеру HF, равна  $10^{-5}\text{ мм}$  при 21°; парц. давление HF· $\text{ClF}_3$  не превышает 1 мм рт. ст. По мнению авторов, в комплексе связь осуществляется через F, а не через H. Полоса поглощения  $3,51\text{ мμ}$  комплекса DF· $\text{ClF}_3$  совпадает с длинноволновой ветвью полосы DF в смеси DF и  $\text{ClF}_3$ .

**3204. Ассоциация посредством водородной связи в аминоконплексах двухвалентной платины.** Чатт, Данкансон, Венанци (Associazione tramite legami idrogeno nei complessi amminici del platino bivalente. Chatt Joseph, Duncan Andrew, Venanzi Luigi), Atti Accad. naz. Lincei. Rend. Cl. sci. fis., mat. e natur., 1954, 17, № 3-4, 120—124 (итал.)

Изучены ИК-спектры поглощения комплексов типа  $\text{L} \rightarrow \text{PtX}_2 \leftarrow \text{NH}_2\text{R}$ , где L — нейтр. адденд, X — галоген, R — алкил или арил в р-ре в  $\text{CCl}_4$ . В спектре *транс*- $[(n-\text{C}_3\text{H}_7)_3\text{P}, n\text{-толуидин}, \text{PtCl}_2]$  наблюдались две резкие полосы поглощения  $3348$  и  $3277\text{ см}^{-1}$ , соответствующие симм. и антисим. колебаниям свободных групп  $\text{NH}_2$ , и две более размытые  $3218$  и  $3131\text{ см}^{-1}$ , соответствующие ассоциированным группам  $\text{NH}_2$ . Разбавление р-ра вызывает понижение интенсивности полос ассоциированных групп и усиление полос свободных групп; так же влияет разбавление диоксаном. Предполагая в разб. р-рах только бимолекулярную ассоциацию, можно вычислить долю находящегося в р-ре мономера по отклонению от закона Бера, а отсюда получить константу равновесия по ф-ле  $k = (1 - \alpha) / 2\alpha^2$ . Определены константы ассоциации при 25° для: *транс*- $[\text{C}_2\text{H}_5, n\text{-толуидин}, \text{PtCl}_2]$   $115\text{ л/моль}$ ; *транс*- $[(n-\text{C}_3\text{H}_7)_3\text{P}, n\text{-толуидин}, \text{PtCl}_2]$  40, *транс*- $[(n-\text{C}_3\text{H}_7)_3\text{As}, n\text{-толуидин}, \text{PtCl}_2]$  24, *транс*- $[(n-\text{C}_3\text{H}_7)_3\text{P}, n\text{-толуидин}, \text{PtCl}_2]$  17, *транс*- $[(n-\text{C}_3\text{H}_7)_3\text{P}, n\text{-толуидин}, \text{PtBr}_2]$  7,5; у *транс*- $[(n-\text{C}_3\text{H}_7)_3\text{P}, n\text{-толуидин}, \text{PtI}_2]$  ассоциации нет. Сделано предположение, что атомом, образующим водородную связь, является галоген. Степень ассоциации уменьшается в ряду  $\text{Cl}^- \rightarrow \text{Br}^- \rightarrow \text{I}^-$ . Изучено влияние различных L и R, кроме вышеуказанных, на примерах *транс*- $[(n-\text{C}_3\text{H}_7)_3\text{P}, \text{хлоранилин},$

$\text{PtCl}_2$ ], *транс*- $[(n\text{-C}_3\text{H}_7)_3\text{P}]$ , *п*-нитроанилин,  $\text{PtCl}_2$ ], *транс*- $[(n\text{-C}_3\text{H}_7)_3\text{P}]$ , метиламин,  $\text{PtCl}_2$ ], *транс*- $[(n\text{-C}_3\text{H}_7)_3\text{P}]$ , бензиламин,  $\text{PtCl}_2$ ]. Комплексы с первичными жирными аминами имеют такую же степень ассоциации, как и с первичными ароматич. аминами. Комплексы со вторичными аминами обладают наименьшей склонностью к образованию водородной связи. Спектры *транс*- $[(n\text{-C}_3\text{H}_7)_3\text{P}]$ , пиперидин,  $\text{PtCl}_2$ ] и *транс*- $[(n\text{-C}_3\text{H}_7)_3\text{P}]$ , диэтиламин,  $\text{PtCl}_2$ ] содержат только одну полосу в области 3000—3500, которую можно отнести к колебанию NH. В спектре *транс*- $[\text{C}_2\text{H}_4]$ , пиперидин,  $\text{PtCl}_2$ ] отклонения от закона Бера малы, так что ассоциация слабая, *транс*- $[(n\text{-C}_3\text{H}_7)_3\text{P}]$ , N-метиланлин,  $\text{PtCl}_2$ ] имеет одну полосу  $3261\text{ см}^{-1}$ ; в присутствии диоксана появляется вторая полоса  $3229\text{ см}^{-1}$ , указывающая на ассоциацию NH с кислородом диоксана.

А. С.

См. также: Структура молекул: неорганич. 3491, 3642, 3644, 3653; органич. 3726, 3734; по рентг. дан. 3219, 3222, 3223, 3226, 3231. Спектры 3493, 3645, 3657, 3686, 3724, 3728, 3735, 3747, 3756, 3768, 3771, 3802, 3805, 3807, 3819, 3832, 3850, 3860, 3866, 3868, 3890, 3896, 3897, 3906, 3916—3919, 3921—3924, 3926, 3931, 3969, 3970, 3973—3980, 3985, 3987, 3988, 3990, 3994, 3996—4003, 4006, 4011, 4012, 4060, 4061, 4114. Дипольные моменты и диэлектрич. св-ва 3314, 3331, 3725, 3921. Магнитные св-ва 3121, 3294, 3643, 3948. Реакционная способность 3428, 3729, 3740. Межмол. взаимодействие и водородная связь 3298, 3299, 3300, 3324, 3502. Приборы для исслед. строения молекул 4261—4272, 4274. Др. вопр. 3727.

## КРИСТАЛЛЫ

3205. Теория определения знаков структурных амплитуд. Китайгородский А. И., Тр. Ин-та кристаллогр. АН СССР, 1954, № 10, 25—41 (русс.), 42—56 (франц.)

Рассматриваются возможности определения знаков  $F_{hkl}$  на основе анализа величины  $X_{H,K} = \hat{F}_H \cdot \hat{F}_K \cdot \hat{F}_{H+K}$  (1), названной структурным произведением индексов  $H$  и  $K$ . Структурное произведение (1) может быть использовано для достоверного определения знаков. В общем случае  $X$  лежит в пределах:  $-1/8 < X < 1$ . Если  $|X| > 1/8$ , то такое структурное произведение заведомо положительно и именуется достоверным. Доля достоверных  $X$  зависит от  $N$  — числа атомов в ячейке. При изменении  $N$  от 2 до 64 доля достоверно положительных  $X$  падает от 0,23 до  $36 \cdot 10^{-10}$ , и возможность достоверного определения знаков ограничивается структурами с  $N$  не более 20. Исследована  $\varphi(X_{H,K})$  — ф-ция распределения  $X_{H,K}$ , рассматриваемых как случайные величины. При  $N > 16$   $\varphi(x)$  практически не отличается от гауссовского распределения:  $\varphi(x) = (1/\sqrt{2\pi D}) \exp[-(x - \bar{X})^2/2D]$ . При больших  $X$  эта ф-ла занижает долю положительных  $X$ . Вероятность положительного знака  $X$  есть  $W_+ = \varphi(X_+)/[\varphi(X_+) + \varphi(X_-)] = 1/[1 + (\exp - X/\omega)]$ , где  $\omega = 1/2 \cdot D/\bar{X}$ . Для одинаковых атомов в ячейке и индексов общего типа  $\omega = 1/2 \cdot N$ . С увеличением  $N$  доля больших  $|X|$  быстро падает, а  $W_+$  тем меньше, чем меньше  $|X|$ . Отсюда делается заключение, что при  $N > 100$  применение вероятностного метода для определения знаков становится проблематичным. Из изложенной теории следует равенство Захаряна  $S(S_{H,K}) = S_{H+K}$ . Вероятность  $S_{H+K}$  определяется как вероятность сложного события. Если знак  $S_{H+K}$  определен из нескольких  $X$  с примерно равными  $W_+$

и если в  $m$  случаях знак  $H + K$  есть  $S$ , а в  $n$  случаях —  $\bar{S}$ , то вероятность того, что знак есть  $S$  ( $m > n$ ), равна  $1/[1 + [(1 - W_+)/W_+]^{m-n}]$ . Указано, что при неполном усреднении по индексам некоторые группы  $X$  с большей вероятностью могут оказаться отрицательными.

И. Р.

3206. Теория определения знаков структурных амплитуд. Китайгородский А. И., Докл. АН СССР, 1955, 101, № 1, 73—76

Развитие работы автора (реф. 3205) на ту же тему. Дается ф-ла для подсчета единичных структурных амплитуд:  $\hat{F} = (F_H / \sqrt{\langle F^2_H \rangle}) [(\sum_{j=1}^N Z_j^2)^{1/2} / \sum Z_j]$ , где

$\langle F^2_H \rangle$  — плавная кривая, построенная усреднением по узким шаровым поясам обратного пространства. Обобщается понятие структурного произведения  $X$  и даются его основные свойства. Величина  $X = \hat{F}_H \hat{F}_K \hat{F}_{H+K} \dots$

$\dots \hat{F}_{H+K+L+M+\dots}$  содержащая  $m$  сомножителей, называется структурным произведением  $m$ -го порядка. Если  $X$  содержит  $p$  одинаковых множителей, структурное произведение называется  $p$ -кратно вырожденным. При значении  $|X| \geq \epsilon$   $X$  достоверно положительно. Для  $m = 3, 4, 5, 6$  соответственно  $\epsilon = 0,125; 0,250; 0,347; 0,423$ . Вероятность положительного значения  $X$  больше  $1/2$  при любом  $m$  и дается одной и той же ф-лой:  $W_+(X) = 1/[1 + \exp(-2N_{\text{эф}}|X|)]$ , где  $N_{\text{эф}} = \langle X \rangle / D$ ;  $\langle X \rangle = \sum_{j=1}^N n_j^m$  и  $D = 2^m (\sum n_j^2)^m + \sum n_j^{2m}$ . Для нахождения знаков структурных амплитуд  $X$  с порядком  $m > 4$  мало пригодны. При  $N_{\text{эф}} = 50$  значение  $W_+ > 0,9$  имеет место, если  $|X| > 0,02$ , т. е. при  $m = 3$   $\hat{F} > 0,27$ , при  $m = 4$   $\hat{F} > 0,37$ , при  $m = 5$   $\hat{F} > 0,47$  и т. д.

М. П.-К.

3207. Статистическое определение знаков «опорных» структурных амплитуд. Руманова Н. М., Докл. АН СССР, 1954, 98, № 3, 399—402

Излагается метод определения знаков структурных амплитуд наиболее ярких отражений («опорных» для дальнейших операций по отысканию знаков любых отражений). Метод основан на статистич. соотношении  $S_{H_A} = S(\bar{S}_{H_A} \bar{S}_{H_j})$  (1), в котором  $H_A = H_i + H_j$  ( $S$  — символ знака структурной амплитуды,  $H_A, H_i, H_j$  — условные обозначения индексов  $h_A k_A l_A, h_i k_i l_i, h_j k_j l_j$ ). Соотношение (1) применяется к двум «сопоставляемым» отражениям  $H_A$  и  $H_B$ , выраженным соответственно через две группы, «определяющих» отражения  $H_i, H_j, H_k, H_l$ . В качестве последних выбираются «симметрически связанные» отражения, соотношение между знаками которых заранее известно. Если по условиям симметрии  $|F_{hkl}| = |F_{\bar{h}\bar{k}\bar{l}}|$ , то  $H_i = h_i k_i l_i, H_j = \pm h_i \pm k_i \pm l_i, H_k = h_k k_k l_k, H_l = \pm h_j \pm k_j \pm l_j$  и, следовательно,  $h_A = h_i + h_j, h_B = \pm h_i \pm h_j$  и т. д. Если, в частности,  $|h_A| = |h_B|, |k_A| = |k_B|, |l_A| \neq |l_B|$ , правые части ур-ния (1) будут образованы двумя множествами пар отражений (с заданными  $l_i$  и  $l_j$  и разными  $h_i k_i, h_j k_j$ ); для сопоставления знаков  $F_A$  и  $F_B$  будет вполне достаточная статистика. Все centrosимметрич. федоровских групп делится на три категории: 1) удовлетворяет условиям  $|F_{hkl}| = |F_{\bar{h}\bar{k}\bar{l}}|$  и  $S_{hkl} = f(hkl) S_{\bar{h}\bar{k}\bar{l}}$ , где  $f(hkl) = +1$  или  $-1$  в зависимости от индексов (65 ф. гр. классов  $O_h, T_h, D_{6h}, D_{2h}$ , а также  $D_{6h}$  в ортогональных осях); 2) — удовлетворяет условиям  $|F_{Ql}| = |F_{\bar{Q}\bar{l}}|$  и  $S_{Ql} = f(hkl) S_{\bar{Q}\bar{l}}$ , где  $Q$  — обобщающий индекс, заменяющий двойку индексов  $hk$  (24 ф. гр. классов

$D_{6h}$ ,  $C_{6h}$ ,  $C_{4h}$ ,  $C_{2h}$ , а также  $D_{3d}$  при надлежащем выборе осей; 3) удовлетворяет условию  $F_H = F_{\bar{H}}$  группы  $C_i$ ,  $C_{3i}$ ,  $C_{2i}$ . В первых двух категориях статистич. подход возможен, в третьей — нет. Статистич. подход вполне применим и к проекциям. М. П.-К.

**3208.** Влияние упаковки на атомный формфактор согласно теории Томаса — Ферми. Умеда, Томисима (On the influence of the packing on the atomformfactor based on the Thomas — Fermi theory. Umeda K w a i, Tomishima Y a s u o), J. Chem. Phys., 1953, 21, № 11, 2085—2086 (англ.)

Исследовано влияние упаковки (изменения радиуса атома  $x_0$ ) на атомный формфактор для покоящегося атома  $f_0$ , вычисленный согласно теории Томаса —

Ферми (ТФ):  $f_0(k) = (Z/k\mu) \int_0^{x_0} \sin(k\mu x) \Phi^{1/2} / x^{1/2} dx$ , где

$k = 4\pi \sin \theta / \lambda$ ;  $\Phi$  — функция ТФ,  $\mu$  — единица длины в теории ТФ. Используя таблицы функции ТФ, авторы вычислили кривые  $f_0(k)$  для 13 конечных значений радиусов атома. Произведен также новый, более точный, чем ранее выполненный, расчет функции  $f_0(k)$  для бесконечного атома. В работе представлены кривые атомных формфакторов  $f_0$  для атома Cs при трех значениях радиуса атома в свободном пространстве и в кристаллах. Т. Р.

**3209.** Определение атомных факторов рассеяния на основе измеренных структурных факторов с применением рядов Фурье. Корхонен (On the determination of the atomic scattering factors on the basis of the measured structure factors by using Fourier series. Korhonen Unto), Suomalais. tiedekat. toimituks., 1955, Ser. A, 182, 1—6 (англ.)

Предполагая известными значения электронной плотности  $\rho(x, y, z)$ , автор подсчитывает структурные факторы  $F(hkl)$ . Если считать, что  $\rho(xyz)$  образовано отдельными ионами, рассеивающее в-во которых сосредоточено внутри их ионных радиусов, а за пределами этих радиусов почти точно равно нулю, то структурный фактор может быть представлен в виде:  $F(hkl) = \sum_v \int \rho(x, y, z) \exp[i\Phi(hkl)] d\tau$ , где  $\Phi(hkl) = 2\pi(hx_1/a + ky_1/b + lz_1/c)$ ;  $v$  — ионная сфера. Структурный фактор каждого иона 1 есть:  $F_1(hkl) = f_1(hkl) \exp[i\delta(hkl)]$ , где  $f_1(hkl)$  — атомный фактор рассеяния иона 1 и  $\delta(hkl) = 2\pi(hx_1/a + ky_1/b + lz_1/c)$ . Интегрируя правую часть ур-ния, написанного для  $F_1(hkl)$ , автор получает выражение для фактора атомного рассеяния иона 1:  $f_1(hkl) = 4\pi R^3/V^{1/3} F^1(hkl) + \sum_{h'k'l'} F^1(h'k'l') 1/a^2 (\sin \alpha' - \cos \alpha)$ , где  $F^1 = \exp[-2\pi i(hx_1/a + ky_1/b + lz_1/c)] F(hkl)$  и  $\alpha = 2\pi R/d_{(h-h', k-k', l-l')}$ . В этом выражении  $R$  — ионный радиус,  $d_{(h-h', k-k', l-l')}$  — межплоскостное расстояние в решетке;  $F^1(hkl)$  — структурный фактор для отражений  $(hkl)$ , когда точка  $(x_1, y_1, z_1)$  принята за начало координат. Приведены таблицы, сравнивающие значения  $f$  для иона  $Cl^-$ , полученные из расчета по приведенным ф-лам и из эксперимента. Г. Г.

**3210.** Расчет углового фактора  $1/LP$  и его применение к ретиграфу. Ге (Le calcul du facteur polarisation—Lorentz  $1/LP$  et son application au retigraphe. G a y R.), Bull. Soc. franç. mineral. et cristallogr., 1954, 77, № 10—12, 1330—1336 (франц.)

Приводятся ф-лы для определения углового фактора (фактора поляризации и Лоренца)  $1/LP$  как функции 3 величин:  $\theta$ ,  $h$  и  $g$ , где  $\theta$  — брегговский угол для пятна  $hkl$ ;  $h$  — угловая высота плоскости обратной

решетки, содержащая узел  $hkl$ ;  $g$  — угол, образованный падающим лучом с осью вращения кристалла.  $1/L = \sin 2\theta (1 - \sin^2 g / \sin^2 \epsilon)^{1/2}$ ,  $1/LP = [2 \sin 2\theta (1 - \sin^2 g / \sin^2 \epsilon)^{1/2}] / (1 + \cos^2 \theta)$ , где  $\epsilon$  — длина дуги от точки пересечения сферы отражения с экваториальной плоскостью до узла  $hkl$  на сфере. Принимая, что  $R'$  есть расстояние пятна  $hkl$  на рентгенограмме до оси вращения и  $R_0$  — постоянная прибора, равная расстоянию кристалла до фотопленки, найдено:  $(R'/2R_0)^2 = \sin^2 \theta - (\sin h - \sin g)^2 / 2$ . При помощи полученных ф-л построен график  $1/LP$  в функции  $h$ ,  $g$  и  $R'/2R_0$ . Г. Г.

**3211.** Об использовании ненаблюдаемых отражений в методе наименьших квадратов при определении кристаллических структур. Гамильтон (On the treatment of unobserved reflexions in the least-squares adjustment of crystal structures. H a m i l t o n W a l t e r C.), Acta crystallogr., 1955, 8, № 3, 185—186 (англ.)

При уточнении кристаллич. структур методом наименьших квадратов часто приходится сталкиваться с вопросом о не поддающихся измерению ненаблюдаемых отражениях, т. е. таких, для которых  $0 \leq F^2 \leq F_{\text{мин}}^2$ . Для прецизионного определения структур оценка этих величин весьма существенна. В случае отражений, не поддающихся эксперим. оценке, нужно определить для них среднюю величину  $\mu$  и вероятное отклонение  $\sigma^2$ , предположив теоретич. вероятностное распределение для данной пространственной группы; такое распределение для  $P1$  и  $\bar{P}1$  выведено ранее (Howells E. R. и др., Acta crystallogr., 1950, 3, 210). Показано, что для  $P1$   $\mu \approx I_{\text{мин}}/2$ ,  $\sigma^2 \approx I_{\text{мин}}^2/12$ ; для  $\bar{P}1$   $\mu \approx I_{\text{мин}}/3$ ,  $\sigma^2 \approx 4I_{\text{мин}}^2/45$ . На практике этим приближением можно пользоваться для всех нецентросимметричных и центросимметричных групп, исключая наиболее тонкие определения. При решении нормальных ур-ний каждое ненаблюдаемое отражение должно входить с соответствующим средним значением и весом, определяемым из теоретич. распределения. Автор считает ошибочным предположение, что при последовательных уточнениях следует привлекать только отражения с  $F_{\text{выч}}^2 > F_{\text{мин}}^2$ . Соответствующие отражения должны включаться в последовательные уточнения даже в тех случаях, когда все  $F_{\text{выч}}^2$  имеют величину менее предельно измеримой. Т. Х.

**3212.** Интерференции Дебая — Шеррера при угле Брэгга 85°. Хаук, Хаук (Debye — Scherrer-Interferenzen bei Bragg-Winkel um 85°. H a u k V i k t o r, H a u k J o h a n n a), Z. angew. Phys., 1955, 7, № 7 321—323 (нем.)

Расчетаны и сравнены с эксперим. данными формы штрихов на дебай-шерреровских интерференционных кольцах, наблюдаемые при вращении образцов при обратной рентгено съемке под брегговскими углами  $\sim 85^\circ$  на плоскую, неподвижную пленку. Найдено, что форма этих штрихов в дебай-шерреровском кольце зависит от условий съемки, в особенности от угла между первичным лучом и осью вращения поверхности материала. Чтобы при общих условиях съемки охватить всю область отражений, образец следует поворачивать в небольшом интервале углов перпендикулярно к первичному лучу. В статье подробно рассматривается расчет  $\sin \theta$  в зависимости от геометрии, условий съемки и приведены подробные иллюстрации. Расчетom учитывается любое взаимное расположение образца и пленки. В. С.

**3213.** Быстрый численный метод вычисления структурных амплитуд. Стэнли (A rapid numerical method of calculating structure factors. S t a n l e y E.), Acta crystallogr., 1955, 8, № 2, 122—123 (англ.)



Дан быстрый метод вычисления структурных амплитуд, основанный на использовании таблицы функции  $\cos x$  через 0,001 значений аргумента  $x$ . Положительные и отрицательные значения  $\cos x$  различаются цветом. Для каждого параметра изготавливается трафарет, который оставляет незакрытыми значения  $hx$  для  $h$  от 1 до 20 и значения  $ky$  ( $k = 1, 2, \dots, 20$ ). Эти трафареты позволяют не только получить значения  $hk$  и  $ky$ , но при совмещении нулевого отверстия трафарета для  $ky$  со значением  $\cos h_x x$  можно также найти все значения  $\cos(h_x x + ky)$ . Значения для отрицательных  $k$  и  $h$  можно получить поворотом трафаретов на  $180^\circ$  в собственной плоскости. Те же таблицы и трафареты используются для получения значений  $\sin x$ . Геометрич. структурные факторы для проекции, содержащий 10 атомов, вычислены предложенным методом со скоростью 20–30 факторов в 1 час.

Д. Х. 3214. Светосильное фокусирующее расположение для определения структуры с помощью диффрактометра. Фронмейер, Рихтер (Ein lichtstarkes Fokussierungsverfahren für Strukturbestimmungen mit dem Zählrohrgoniometer. Frohnmeyer G., Richter H.), Naturwissenschaften, 1955, 42, № 9, 256–257 (нем.).

Описывается метод асимметричной фокусировки изогнутого кристалла монохроматора, применяемый при точных измерениях интенсивности рентгеновского излучения. В этом методе отражающая плоскость не параллельна фокусирующей поверхности: углы падающего и отраженного лучей с фокусирующей поверхностью образцов (соответственно  $\alpha$  и  $\beta$ ) следующим образом связаны с углом  $\vartheta$  и расстояниями фокус-образец ( $a$ ), образец — счетчик ( $R$ ):  $\sin \alpha / \sin \beta = a / R$ ;  $\alpha + \beta = 2\vartheta$  (Brentano J. C. H., Proc. Phys. Soc., 1937, 49, 61). При автоматич. регистрации интенсивности необходимо, чтобы вращение образца ( $\alpha$ ) было связано с вращением счетчика ( $2\vartheta$ ):  $\cotg \alpha = (R / a \sin 2\vartheta) \pm \cotg 2\vartheta$  (плюс — в случае отраженного луча; минус — в случае проходящего луча). При использовании асимметричной фокусировки  $a/R = 4/25$  по сравнению с симметричной получается четырехкратный выигрыш в интенсивности.

Д. Х. 3215. Два графика для установки прецессионной камеры Бургера. Кинг (Two charts for setting the Buerger precession camera. King Murray Vernon), Acta crystallogr., 1955, 8, № 1, 53–55 (англ.). Приняв эти графики для быстрого решения двух постоянно встречающихся задач при работе с прецессионной камерой Бургера: 1) установки экрана для выделения нужной слоевой линии и 2) изменения ориентировки неправильно установленных кристаллов с помощью снимков без экранов.

Г. Г. 3216. К вопросу о сверхпроводимости соединений  $\text{Bi}_4\text{Rh}$  и  $\text{Bi}_2\text{Rh}$ . Алексеевский Н. Е., Жданов Г. С., Журавлев Н. Н., Ж. эксперим. и теор. физики, 1955, 28, № 2, 237–240

Исследованы кристаллы соединений состава  $\text{Bi}_4\text{Rh}$  и  $\text{Bi}_2\text{Rh}$  (рентгенографич. данные см. реф. 3217) и возможности их перехода в сверхпроводящее состояние.  $\alpha$ -Модификация  $\text{Bi}_4\text{Rh}$  не переходит в сверхпроводящее состояние до  $t$ -ры  $0,1^\circ\text{K}$ . Кристаллы  $\beta\text{Bi}_4\text{Rh}$ , выделенные из сплава с 3,5 вес.% Rh, закаленного при  $t$ -ре  $350\text{--}390^\circ\text{C}$ , переходят в сверхпроводящее состояние при  $T = 3,2^\circ\text{K}$ . Кристаллы  $\gamma\text{-Bi}_4\text{Rh}$ , выделенные из сплава того же состава, закаленного от  $t$ -ры, близкой к точке плавления этого соединения, обнаруживают сверхпроводимость при  $T = 2,7^\circ\text{K}$ . Соединение  $\text{Bi}_2\text{Rh}$  получено в 2-х модификациях:  $\alpha\text{-Bi}_2\text{Rh}$  — низкотемпературная, выделена из отожженных сплавов состава 17 вес.% Rh, не переходит в сверхпроводящее состояние до  $t$ -ры  $1,34^\circ\text{K}$ ;  $\beta\text{-Bi}_2\text{Rh}$  — высокотемпературная, выделена из сплава состава 14–17 вес.% Rh, закален-

ная от  $t$ -ры, близкой к точке плавления этого соединения, не переходит в сверхпроводящее состояние до  $t$ -ры  $1,27^\circ\text{K}$ . Дано объяснение нестабильного поведения сверхпроводящих сплавов Bi с Rh.

Г. Г. 3217. Структура сверхпроводников. VIII. Рентгенографическое и металлографическое исследование системы висмут — родий. Журавлев Н. Н., Жданов Г. С., Ж. эксперим. и теор. физики, 1955, 28, № 2, 228–235

Рентгенографическими и металлографич. исследованиями системы Bi — Rh подтверждено ранее установленное (Роде Е. Я., Изв. Ин-та платины, 1929, 7, 21) существование трех соединений:  $\text{Bi}_4\text{Rh}$  (3 модификации:  $\alpha, \beta, \gamma$ ),  $\text{Bi}_2\text{Rh}$  (2 модификации) и  $\text{BiRh}$ . Получены кристаллы и определены параметры кристаллич. решеток следующих соединений: 1) низкотемпературной модификации  $\alpha\text{-Bi}_4\text{Rh}$   $a$  14,928 Å,  $\rho_{\text{рент}}$  11,24,  $n = 24$  вес. частиц  $\alpha\text{-Bi}_4\text{Rh}$ , ф. гр.  $Ia\bar{3}d$ ; 2) низкотемпературной ромбич. модификации  $\alpha\text{-Bi}_2\text{Rh}$   $a$  5,9;  $b = 6,8$ ,  $c = 7,2$  Å,  $\rho_{\text{рент}}$  12,1;  $n = 4$  вес. частиц; 3) высокотемпературной моноклинной модификации  $\beta\text{-Bi}_2\text{Rh}$   $a$  16,2;  $b$  7,0,  $c$  10,3 Å,  $\beta$   $92^\circ 30'$ ;  $\rho_{\text{рент}}$  11,6,  $n = 16$  вес. частиц. По табитусу кристаллы  $\beta\text{-Bi}_4\text{Rh}$  относятся к ортогональной сингонии,  $\gamma\text{-Bi}_4\text{Rh}$  — гексагональной. Определены плотности и микротвердости соединений в системе Bi — Rh. Сообщение VII РЖХим, 1955, 28338.

Г. Г. 3218. Рентгенографическое определение элементарной ячейки  $\beta\text{-Bi}_4\text{Rh}$ . Глаголева В. П., Ж. эксперим. и теор. физики, 1955, 28, № 2, 235–236. Дополнение (см. реф. 3217). Кристаллы  $\beta\text{-Bi}_4\text{Rh}$  представляют собой тонкие пластинки с двумя отражающими гранями. Параметры моноклинной ячейки:  $a$  16,2,  $b$  7,0,  $c$  10,5 Å,  $\rho_{\text{рент}}$  11,6,  $n = 16$ .

Г. Г. 3219. Рентгеноструктурное исследование кристаллов *цис*-тетрахлордиамминплатины. Бокий Г. Б., Кукина Г. А., Порай-Кошиц М. А., Изв. Сектора платины ИОНХ АН СССР, 1955, № 29, 5–18

Кристаллы *цис*- $[\text{Pt}(\text{NH}_3)_2\text{Cl}_2]$  — светложелтые псевдогексагональные пластинки, сростки по {001}; приматич. класс моноклинной сингонии;  $a : b = 0,608 : 1$ ,  $\beta$   $96^\circ 57'$ . Оптически положительные двусосные,  $n_o = 1,955$ ;  $n_m = 1,870$ ,  $n_p = 1,855$ ,  $2V = +50^\circ$ . Параметры решетки  $a$  6,36,  $b$  10,75;  $c$  11,20 Å,  $n = 4$ ; ф. гр.  $C2/c$ . Структурный тип определен по проекциям межатомной функции (001), электронной плотности (001) и (100); координаты атомов уточнены по линейным сечениям электронной плотности. Общее число учтенных отражений более 1000. Структура сводится к гексагональной упаковке комплексов  $\text{Pt}(\text{NH}_3)_2\text{Cl}_2$  или удвоенной гексагональной упаковке Cl и  $\text{NH}_3$  с заполнением  $1/6$  октаэдрич. пустот атомами Pt (через слой по карбонатному мотиву со сдвигом). Структура слоистая. Координаты атомов: Pt:  $x$  0,  $y$  0,215,  $z$  0,250;  $\text{Cl}_{(1)}$ : 0,146, 0,047, 0,137;  $\text{Cl}_{(2)}$ : 0,324, 0,216, 0,119;  $\text{NH}_3$  — 0,119, 0,349, 0,129. Межатомные расстояния в комплексе: Pt —  $\text{Cl}_{(1)}$  2,38 Pt —  $\text{Cl}_{(2)}$  2,44, Pt —  $\text{NH}_3$  2,15 кХ. Производится сопоставление структуры *цис*-изомера со структурой *транс*-изомера. (Белов И. В. и др., Изв. АН СССР, ОХН, 1947, № 3, 249).

М. П.-К. 3220. Строение кристаллов дихлоротетрапирдинникеля и дихлоротетрапирдиндикуболята. Порай-Кошиц М. А., Анцыпкина А. С., Изв. Сектора платины ИОНХ АН СССР, 1955, № 29, 19–36

Подробное изложение результатов исследования, опубликованных ранее (РЖХим, 1954, 17752). Дано описание структуры и рассмотрена ее связь с некото-

рыми свойствами. Подробно описан метод структурного исследования этого соединения.

М. П.-К.

**3221. Гексагидро-1,3,5-тринитрозо-симм-триазин (1,3,5-тринитрозо-1,3,5-триазинциклогексан). Хинч** [Hexahydro-1,3,5-trinitroso-s-triazine (1,3,5-trinitroso-1,3,5-triazacyclohexane). Hinch Ralph J., *Analyst. Chem.*, 1955, 27, № 4, 569—570 (англ.)]

Кристаллы гексагидро-1,3,5-тринитрозо-симм-триазина (I) получают кристаллизацией из изопропилового, амиллового или бензилового спиртов. Кристаллы I моноклинные. Параметры решетки:  $a$  12,83,  $b$  6,26,  $c$  9,08 Å,  $\beta$  92°35',  $\rho$  1,585,  $\rho_{\text{теор}}$  1,586,  $n = 4$ . Показатели преломления:  $n_D = 1,582$ ,  $n_m = 1,607$ ,  $n_g = 1,613$ . Двойное лучепреломление отрицательное. Имеется другая полиморфная модификация (II). Форма II является изотропной. При нагревании I превращается в II, последние плавятся при 107—107,5°. Т-ра перехода I  $\rightarrow$  II  $\approx$  97°.

Е. Ш.

**3222. О кристаллической структуре и строении молекулы дициклопентадиенила марганца. Вейс, Фишер** (Zur Kristallstruktur und Molekülgestalt des Di-cyclopentadienylmangans. Weiss E., Fischer E. O.), *Z. Naturforsch.*, 1955, 10b, № 1, 58—59 (нем.)

Кристаллы  $\text{Mn}(\text{C}_5\text{H}_5)_2$  (I) ромбические. Параметры решетки:  $a$  28,10,  $b$  11,70,  $c$  9,95 Å, ф. гр. *Стма*. Базоцентрированная элементарная ячейка содержит 16 молекул. На основании того, что I легко образует смешанные кристаллы с  $\text{Mg}(\text{C}_5\text{H}_5)_2$  (II) с содержанием I до 50% (РЖХим, 1955, 34545), можно предположить, что молекула I имеет такое же строение, как и II. Смешанные кристаллы являются моноклинными, так же как и кристаллы всех изученных до сих пор дициклопентадиенильных соединений (РЖХим, 1955, 48341). Магнитные измерения показали, что в смешанных кристаллах молекула I в интервале  $T$ -р от 20 до 470° К имеет 5 неспаренных электронов. Для чистого I число неспаренных электронов увеличивается с повышением  $T$ -ры и достигает 5 при 158—159° К. При этом коричневый I превращается в светлокоричнево-оранжевую высокотемпературную модификацию. Повидимому, в смешанных кристаллах в высокотемпературной модификации молекула I является полным комплексом, аналогично II (РЖХим, 1955, 48341). Автор считает, что и в ромбич. модификации молекула I имеет такую же форму. Е. Ш.

**3223. Рентгеноструктурное исследование индиго и тиюинидо. Грибова Е. А.**, Докл. АН СССР, 1955, 102, № 2, 279—281

Кристаллы индиго (I) и тиюинидо (II) получены сублимацией очищ. образцов. Параметры решетки: I  $a$  9,23,  $b$  5,74,  $c$  12,25 Å,  $\beta$  116°30',  $n = 2$ , ф. гр.  $P2_1/c$ ; II  $a$  7,82,  $b$  3,92,  $c$  20,34,  $\beta$  92°40',  $n = 2$ , ф. гр.  $P2_1/c$ . Принципиальная расфировка структур проведена при помощи геометрич. анализа и метода проб и ошибок. Для уточнения координат атомов II построена про-

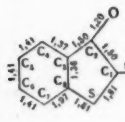


Рис. 1

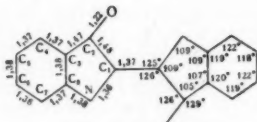


Рис. 2

екция электронной плотности вдоль оси  $b$ . По деформации бензольного кольца определен наклон молекулы к плоскости (010) (в предположении, что молекула плоская). Координаты атомов II:  $C_{(1)}$   $x$  0,454;  $z$  0,023;  $C_{(2)}$  0,513; 0,091;  $C_{(3)}$  0,370; 0,125;  $C_{(4)}$  0,370; 0,188;  $C_{(5)}$  0,226; 0,214;  $C_{(6)}$  0,068, 0,177;  $C_{(7)}$  0,071; 0,113;

$C_{(8)}$  0,217; 0,091;  $S_{(9)}$  0,230; 0,009; O 0,656; 0,108. Межатомные расстояния и валентные углы в молекуле приведены на рис. 1. Для определения координат атомов I, кроме двумерной проекции вдоль моноклинной оси, использованы линейные сечения трехмерной функции электронной плотности, параллельные моноклинной оси, и двумерное сечение по плоскости (210), почти совпадающей с плоскостью молекулы. Координаты атомов I:  $C_{(1)}$   $x$  0,049;  $y$  0,907;  $z$  0,020;  $C_{(2)}$  0,103; 0,793; 0,142;  $C_{(3)}$  0,197; 0,593; 0,138;  $C_{(4)}$  0,277; 0,421; 0,222;  $C_{(5)}$  0,364; 0,256; 0,196;  $C_{(6)}$  0,373; 0,261; 0,087;  $C_{(7)}$  0,293; 0,432; 0,004;  $C_{(8)}$  0,209; 0,602; 0,029; N 0,124; 0,793; 0,963; O 0,059; 0,847; 0,219. Значения координат атомов I несколько отличаются от ранее полученных результатов (РЖХим, 1955, 3365), хотя принципиальная расфировка структуры совпадает. Межатомные расстояния и валентные углы в молекуле видны из рис. 2. Все атомы, за исключением атомов N и атомов  $C_{(2)}$  и  $C_{(7)}$ , лежат в одной плоскости. Атомы N выходят из плоскости молекулы на 0,07 Å, а атомы  $C_{(2)}$  и  $C_{(7)}$  — на 0,05 Å. Каждый атом N находится на расстоянии 2,88 Å от атома O той же молекулы и на расстоянии 2,94 Å от атома O соседней молекулы, связанной с первой плоскостью скольжения, на основании чего автор делает вывод о существовании в кристаллич. I межмолекулярных водородных связей.

Л. Ш.

**3224. Структурные исследования силицидов. Парте, Новотный, Шмид** (Strukturuntersuchungen an Siliziden. Parthé E., Nowotny H., Schmid H.), *Monatsh. Chem.*, 1955, 86, № 3, 385—396 (нем.)

Приведены результаты исследования структур силицидов переходных металлов групп 4а, 5а, 6а в средней области кони-ий. Соединения типа  $\text{M}_3\text{Si}_2$  ( $\text{M} = \text{V}, \text{Nb}, \text{Ta}, \text{Cr}, \text{Mo}, \text{W}$ ) являются изотипными и принадлежат к ф. гр.  $D_{2d}^{11}$ . С точки зрения металлографии более правильной ф-лой является ф-ла  $\text{M}_3\text{Si}_2$ . Данным рентгенографич. анализа соответствует ф-ла  $\text{M}_3\text{Si}_2$ . В системе Nb—Si и Ta—Si найдена одна изотипная фаза, которая может быть истолкована как высокотемпературная модификация  $\text{M}_3\text{Si}_2$ -фазы. Она пидицирована в тетрагональной сингонии. Стабилизированная углеродом  $\text{M}_3\text{Si}_2$ -фаза типа  $D8_3$  образуется в системе  $\text{V}_3\text{Si}_2$ — $\text{Nb}_3\text{Si}_2$  непрерывный ряд твердых р-ров, в то время как в системе  $\text{V}_3\text{Si}_2$ — $\text{Zr}_3\text{Si}_2$ , возможно, существует незначительный разрыв растворимости.  $\text{VS}_2$  и  $\text{NbS}_2$  также имеют полную растворимость в твердом состоянии; система  $\text{VS}_2$ — $\text{MoS}_2$  обнаруживает очень большую растворимость со стороны  $\text{VS}_2$ ;  $\text{MoS}_2$ , напротив, мало растворяет  $\text{VS}_2$ . Рентгеновское исследование проводилось на монокристаллах и порошковых образцах на излучении  $\text{Cu-K}_\alpha$ . В статье приведены таблицы расчетов интенсивностей и параметров решеток, а также даны кривые изменения параметров некоторых соединений в зависимости от изменения растворимости. В. С.

**3225. Рентгенографическое изучение четырех усиливающих саж. Александер, Дэрин** (X-ray diffraction study of four reinforcing carbon blacks. Alexander Leroy, Darin Stephen R.), *J. Chem. Phys.*, 1955, 23, № 3, 594—595 (англ.)

Проведено рентгенографич. изучение 4 усиливающих саж — Kosmobile 77 (I), Stalex K (II), Philbeack O (III), Acetylene black (IV). Эксперим. кривые интенсивности были исправлены на поляризацию и адсорбцию и приведены к электронным единицам. Профиль эксперим. кривых интенсивности сравнивался с формой кривых, рассчитанных теоретически (Franklin R. E., *Acta crystallogr.*, 1950, 3, 107). В результате исследо-

вания были получены следующие структурные характеристики: I  $D = 0,31$ ;  $d_{(002)} = 3,60 \text{ \AA}$ ;  $M_c = 4$ ;  $L_c = 14,4 \text{ \AA}$ ;  $L_a = 10 \text{ \AA}$ ;  $L_a/L_c = 0,69$ ; II  $0,30$ ;  $3,61$ ;  $11/3$ ;  $13,2$ ;  $13$ ;  $0,98$ ; III  $0,32$ ;  $3,61$ ;  $10/3$ ;  $12,0$ ;  $11$ ;  $0,92$ ; IV  $0,08$ ;  $3,48$ ;  $6$ ;  $20,9$ ;  $20$ ;  $0,96$ . Здесь  $D$  — коэфф., характеризующий кол-во неорганизованного материала,  $d_{(002)}$  — межслоевое расстояние,  $M_c$  — кол-во слоев в параллельно слоевой группе,  $L_c$  — средняя толщина группы в направлении, перпендикулярном слоям,  $L_a$  — размер слоев. Для некоторых саж (II и III) лучшее совпадение эксперим. кривых интенсивности с теоретич. достигается при сочетании двух значений величин  $M$ . Б. Л.

3226. Результаты рентгеновских исследований витамина  $B_{12}$ . Бринк, Ходжкин, Линден, Пикер-эрт, Робертсон, Уайт (X-ray crystallographic evidence on the structure of vitamin  $B_{12}$ . Brink Clara, Hodgkin Dorothy Crowfoot, Lindsey June, Pickworth Jenny, Robertson John H., White John G.), Nature, 1954, 174, № 4443, 1169—1171 (англ.)

Сообщаются некоторые результаты рентгеновских исследований витамина  $B_{12}$  ( $C_{61-64}H_{85-92}N_{14}PC$ ), хим. структура которого неизвестна. Исследованы 4 типа кристаллов: воздушно-сухие препараты, влажные,  $B_{12}$ -SeCN (CN в  $B_{12}$  замещен SeCN) и продукты распада, не содержащие нуклеотидной и пропаноламидной групп. Для всех кристаллов построены трехмерные ряды Фурье с использованием фаз, определенных по положению тяжелых атомов, найденных из проекции Паттерсона. Из распределения электронной плотности были выявлены положения группы CN и общие контуры нуклеотидной группы. Обнаружена большая плоская группа, сходная с порфириновым ядром, но отличающаяся от него тем, что 2 пятичленных цикла непосредственно связаны между собой, а 3 — через дополнительный атом. Эта группа была обнаружена также и в продуктах распада. Структура остальной части молекулы недостаточно четко выявлена. Н. А.

3227. Иттриалит и абукумалит из негматитов Суоёма деревни Нидзака, префектуры Фукусима. О мори, Хасэгава (福島県伊達郡飯坂村水晶山ベグマタイト産イットリア石と阿武隈石. 大森啓一, 長谷川修三), 岩石礦物床床學會誌, Гансёки кобуну коссё гаккайши, J. Japan Assoc. Mineral. Petrol. and Econ. Geologists, 1953, 37, № 1, 21—29 (япон.)

Установлены структуры иттриалита (I) и абукумалита (II). Приведены результаты хим. анализа, I имел  $\rho 4,560$  и  $n$  (показатель преломления)  $1,7604$ . Из порошковых I найдено:  $a 10,532 \text{ \AA}$ . Кристаллич. структура I подобна структуре пироксена, коппита и апатита. II имел  $\rho 4,567$ . Параметры решетки:  $a 9,58$ ,  $c 6,81$  А близки параметрам апатита:  $a 9,51$ ,  $c 6,77$ . О. Г.

3228. Обсуждение кристаллической структуры иттриалита. Уэда, Нисимура (A consideration of the crystal structure of yttrilite. Ueda Tateo, Nishimura Shin'ichi), J. Geol. Soc. Japan, 1954, 60, № 703, 131—137 (англ.; резюме япон.)

Установлен изоморфизм иттриалита ( $Y, Th)_2Si_2O_7$  (I) с тортеитом ( $Sc, Y)_2Si_2O_7$ , структура которого была установлена ранее (Zachariasen W. H., Z. Kristallogr., 1930, 73, 1). Обсуждаются результаты другой работы (см. реф. 3227), в которой авторы, исследуя структуру I, пришли к выводу, что I изоморфен минералам группы коппита. Э. Г.

3229. Исследование аномального рефракционного эффекта в электронной дифракции. Часть 1. Дымки окисей магния и кадмия. Кувабара (A study of anomalous refraction effect in electron diffraction.

Part 1. Magnesium oxide and cadmium oxide smokes. Kuwabara Shigeo), J. Sci. Hiroshima Univ., 1953, 17, № 1, 111—113 (англ.)

Дымки, образующиеся при сгорании металлич. Mg и Cd в воздухе, исследовались в электронном микроскопе, который мог одновременно применяться как электронограф высокой разрешающей силы. Частицы, образующие дымки, были ясно выраженной куб. формы, более правильные в случае MgO. При осаждении на коллоидной подложке в виде толстого слоя частицы были беспорядочно ориентированы, а при тонких слоях преобладала ориентация с осью (001), перпендикулярной подложке. На электронограммах наблюдаются резко выраженные дублеты в отражениях типа ( $h\bar{h}h$ ), отражения ( $h00$ ) резкие (часто с квартетными пятнами). Прочие отражения диффузные, однако при внимательном наблюдении в них можно заметить расщепление линий; электронограммы частиц MgO более четкие, чем CdO. Рансе (Honjo G., Mihama K. Acta crystallogr., 1951, 4, 282) было указано, что подобное аномальное расщепление обусловлено рефракционным эффектом внешней куб. формы и так называемым эффектом двойной рефракции брегговского отражения. Коэфф. Фурье  $V_{hkl}$  внутреннего потенциала кристаллов были вычислены на основе динамич. теории и сравнивались с непосредственно наблюдаемыми. Удовлетворительное совпадение значений было получено для MgO, для CdO оно недостаточно; автор обуславливает последнее дефектами кристаллов CdO. С. Ф.

3230. О затухающих волнах при дифракции электрона. Ёснока (電子線回折における虚数ポテンシャルについて. 吉岡英), 物性論研究, Буссейрон кэнкю, 1953, № 69, 118—136 (япон.; резюме англ.)

На основе рассмотрения второго приближения в проблеме столкновений Борна обсуждается метод введения мнимой части в коэфф. Фурье для периодич. потенциала кристаллов. Получены ф-лы, аналогичные для случая рентгеновских лучей (Morière S., Ann. Phys., 1939, 35, 272, 297). Так как тензор  $C_{hg}$  представляющий поправочный член в динамическом ур-нии дифракции, не постоянен вблизи брегговского угла, то результаты не могут быть заменены просто комплексным потенциалом. Различие затухания двух волн в случае брегговского отражения обуславливается в основном разностью значений  $(C_{00} + C_{hh})/2$  для двух рассеивающих точек, значение  $C_{0h}$  менее существенно. М. П.

3231. Электронографическое определение положения атомов водорода в кристаллах уротропина. Лобачев А. Н., Тр. Ин-та кристаллогр. АН СССР, 1954, № 10, 165—171 (русс.), 172—177 (франц.) Проведено полное электронографич. определение кристаллич. структуры уротропина.  $C_6H_{12}N_4$  куб. кристаллы:  $a 7,02 \text{ \AA}$ ,  $n = 2$ . Возможные ф. гр.  $T_d^3$  и  $T_d^4$ . Однозначный выбор ф. гр. невозможен без знания положения атомов Н. Эксперим. материалом исследования служили электронограммы порошка, причем при съемке во избежание испарения препарата, последний заключался между двумя целлулоидными пленками. Измерение интенсивностей отражений производилось с помощью микрофотометра и визуально. Координаты атомов определялись по проекции потенциала решетки на грань куба. Для определения знаков использовались данные прежних рентгеновских исследований (Бриль Р. и др., Успехи химии, 1940, 8, № 4, 419—456). Координаты атомов (в скобках данные Бриля и др.): С  $0,228 (0,235)$ ; N  $0,118 (0,120)$ ; H  $x 0,090 \pm 0,01 (0,095 \pm 0,01)$ ; y  $0,328 \pm 0,01 (0,335 \pm 0,01)$ .



Длина связи C—H 1,17 кХ. Учитывая расположение атомов Н в кристаллах  $C_6H_{12}N_4$ , автор приписывает последним симметрию  $T_d^3 - I \bar{4}3 m$ . Т. Х.

**3232. Образование ядер в азиде серебра: электронно-микроскопическое и электронографическое исследование. Сокилл (Nucleation in silver azide: an investigation by electron microscopy and diffraction. S a w k i l l J.), Proc. Roy. Soc., 1955, A229, № 1176, 135—142 (англ.)**

Для медленного разложения монокристаллов азидов серебра на Н и Аг использовался пучок в электронном микроскопе. Получившиеся электронноопт. изображения и дифракционные картины на различных стадиях разложения позволяли проследить процесс образования ядер. Как в первом, так и во втором случае обнаруживается возникновение двух форм кристаллов Аг: сильно ориентированных и имеющих совершенно беспорядочное расположение. Последние располагаются по границам монокристалла азидов. Сильно ориентированное Аг существует в виде дискретных зерен величиной порядка  $0,1 \times 0,1 \times 0,5 \mu$ , также расположенных вблизи поверхности кристалла азидов. Зерна состоят из чистого Аг только в конце разложения, на стадиях более ранних не наблюдалось мелких частичек Аг, из которых они росли. Автор представляет себе зерно как область, в которую диффундируют атомы Аг для построения гранцентрированной решетки с сильно увеличенной константой (4,21 А). Во время разложения величина зерна заметно не меняется, но плотность возрастает вследствие увеличения содержания Аг. Приведены рисунки, показывающие, что кристаллы Аг принимают ориентировку кристаллов азидов. Н. Ш.

**3233. Дифракция нейтронов на металлическом эрбии. Кёлер Уоллан (Neutron diffraction by metallic erbium. Koehler W. C., Wollan E. O.), Phys. Rev., 1955, 97, № 4, 1177—1178 (англ.)** Нейтронографич. исследование магнитной структуры металлич. Ер в температурных интервалах: от комнатной Т-ры до 80° К; от 80 до 35° К и от 35 до 4,2° К. При комнатной Т-ре установлена парамагнитная структура; магнитный момент атома Ер обуславливается полным L и S участием одиннадцати 4 f-электронов. Когерентное ядерное рассеяние объясняется простой гексагональной плотной упаковки атомов Ер. На основании анализа интенсивности максимумов нейтронограммы [рентгенографически установлено отсутствие структурных изменений до 43° К (ИЖХим, 1955, 20627)]; предполагается наличие двух магнитных превращений при 80 и 35° К. Наличие сверхструктурных отражений приводит авторов к предположению, что переходы при 80 и 35° К являются антиферромагнитными. Это подтверждается также наличием аномального хода начальной восприимчивости у Ер в области ~80° К. При 4,2° К у металлич. Ер определена ферромагнитная структура: магнитные моменты атомов ориентированы параллельно гексагональной оси. Магнитный момент атомов в этом состоянии составляет 7,2 магнетона Бора; предполагается наличие существенного орбитального взаимодействия. Р. О.

**3234. К вопросу о форме кристаллов вольфрама. Решетников А. М., Сальников П. И., Царев Б. М., Ж. техн. физики, 1955, 25, № 3, 414—415**

Из анализа возможных теневых проекций и на основании электронномикроскопич. исследования устанавливается, что наиболее вероятной формой кристаллов W является ромбодекаэдр. У. А.

**3235. Кристаллы щелочноземельных карбонатов для катодов с оксидным покрытием. I. Условия для приготовления и свойства осажденных карбонатов бария и стронция. II. Сорбированная вода в осажденных**

карбонатах бария и стронция. III. Термическое разложение карбонатов бария и стронция. Сато, Ямашита (酸化物陰極用アルカリ土類炭酸塩の結晶について. 第1報 Ba, Sr 炭酸塩の生成条件と結晶の性状. 第2報. Ba, Sr 炭酸塩中の水分第3報. Ba, Sr 炭酸塩の熱分解. 佐藤洋一, 山下俊彦), 工業化学雑誌, Korô Kagaku Zasshi, J. Chem. Soc. Japan Industr. Chem. Sec., 1953, 56, № 5, 332—334, № 6, 389—391, № 7, 476—478 (япон.)

**3236. О возможной связи между дисперсией расположения оптических индикатрис и гомологией кристаллов. Михеев В. И., Зап. Всес. минералог. о-ва, 1955, 84, № 2, 170—174**

Утверждается, вопреки высказанным ранее мнениям (РЖХим, 1955, 11164), возможность существования связи между элементами гомологии кристалла и дисперсией расположения эллипсоидов показателей преломления. На примере тетрагонального и моноклинического кристаллов показано, что никакого противоречия между гомологией формы кристалла и гомологией индикатрисы физ. свойств не существует. Сформулированы правила, касающиеся расположения эллипсоида (трехосного, эллипсоида вращения) относительно элементов гомологии кристалла. Н. Г.

**3237. Характеристика формы кристаллов. Разумовский Н. К., Кристаллография, 1955, № 4, 159—161**

Устанавливается четкое различие между терминами облик и габитус. Указывается, что термин габитус целесообразно употреблять только для идиоморфных кристаллов и характеризовать его названием наиболее развитой кристаллографич. простой формы. Понятие облик (относительное развитие кристалла по главным направлениям, совмещенным с тремя осями координат) следует относить также и к ксеноморфным кристаллам. Предлагается классификация типов обликов: изометрич. (по трем осям примерно одинаковое развитие), столбчатый (развитие по одному направлению явно преобладает, а по двум остальным примерно одинаково), пластинчатый (по одному направлению развитие замедленное), досковидный (по всем трем направлениям развитие разное). Приводятся числовые характеристики обликов и дается графич. изображение полей символов обликов. Приводится пример определения облика по сечению агрегатов кристаллич. зерен в изломе и в шлифах. Н. Г.

**3238. Элементы совмещения. Нардов В. В., Кристаллография, 1955, 4, 155—158**

Исследованы все способы соединения друг с другом одинаковых асимметричных частиц; обнаружен ряд закономерных систем таких частиц. Взаимное расположение частиц в этих системах описывается с помощью элементов совмещения (вспомогательных геометрич. образов, при помощи которых обнаруживается закономерная повторяемость одинаковых конечных, не налегающих друг на друга частиц бесконечной фигуры), частным случаем которых являются элементы симметрии. Приводятся примеры элементов совмещения (второго порядка): ломаная ось, ломаная косая ось, ломаная винтовая ось и т. д. Элементы совмещения могут складываться друг с другом и с элементами симметрии. Среди реальных кристаллов еще не найдены кристаллы, обладающие элементами совмещения. Указывается, что закономерность внутреннего строения кристалла, выражаемая элементами совмещения, должна отражаться свойствами граней кристалла (явления адсорбции, фигуры травления) и его формой. Н. Г.

**3239. Графический метод определения межплоскостных расстояний. Терпестра (Graphical method for determining interplanar spacings. Terpest-**

га Р.), Amer. Mineralogist, 1954, 39, № 1-2, 149—150 (англ.)

Ранее Блоссом (Bloss F. D. Amer. Mineralogist, 1952, 37, 588) описана сетка, с помощью которой увеличивается точность и ускоряется расчет результатов, получаемых с помощью графич. метода Пикко (Peacock M. A., Z. Kristallogr., 1938, 100, 93—103). В своей статье автор в развитие указанных работ предлагает шкалу-график, являющийся функцией  $V(1+x^2)$ , значительно ускоряющий определение межплоскостных расстояний. Для пользования этим графиком требуется построение обычно употребляемой в кристаллографии гномограммы, центр и длина радиуса которой находятся в соответствии с сеткой Блосса и приводимой функции.

Г. Г.

**3240. Общие методы и результаты волномеханической многоэлектронной теории кристаллических решеток.** Фольц (Allgemeine Methoden und Ergebnisse der wellenmechanischen Vielelektronentheorie in Kristallgittern. Volz H.), Halbleiterprobleme, 1954, 1, 2—22 (нем.; резюме англ.)

Рассмотрены общие положения волномеханич. описания движения электронов в периодич. поле. Выведена волновая функция ансамбля электронов в периодич. решетке и даны приближенные решения, построенные на базе либо блоховских функций, либо функций отдельных электронов. На ряде примеров выяснена возможность применения этих приближений. Схематически рассмотрена система термов электронного ансамбля в твердых телах. Результаты теории применены, в частности, для описания ферромагнетизма. Дальнейшее развитие теории возможно при лучшем способе учета кулоновского взаимодействия электронов. И. Д.

**3241. Приближенный метод расчета энергии кристаллической решетки.** Карапетьянц М. Х., Ж. физ. химии, 1954, 28, № 6, 1136—1152

Даны краткий обзор методов расчета энергии решетки  $U$  и сводка результатов вычисления  $U$  по этим методам для галогенидов, сульфидов, гидроксидов и гидридов элементов I и II групп периодич. системы. Для расчета  $U$  предложено пользоваться приближенным линейным ур-нием  $U_{II} \approx AU_I + B$  (1), являющимся частным применением соотношения, ранее описанного автором (РЖХим, 1954, 19578). С помощью (1), в котором  $U_{II}$  и  $U_I$  — энергии решетки в рядах односторонних соединений, вычислены значения  $U$  для 248 в-в в том числе для 59 в-в, для которых значения теплот образования  $\Delta H$  неизвестны. Для 189 соединений среднее расхождение между значениями  $U$ , вычисленными по (1) и найденными по ур-нию  $U = \sum \Delta H_{\text{ионы}} - \Delta H_{\text{соед.}}$ , меньше 1%. Обращено внимание на возможность пользоваться наряду с (1) и приближенным линейным ур-нием  $U \approx a + b\Delta H$  (2), связывающим  $U$  с  $\Delta H$  в ряду сходных соединений. Эта возможность иллюстрируется на примере галогенидов I группы. По найденным с помощью (2) значениям  $U$  вычислена теплота образования иона  $F^-$  (газ)  $\Delta H_{F^-} \approx -68 \text{ ккал}$ . Рассмотрена связь между относительным наклоном прямых  $U_{II} - U_I$  и радиусами  $r$  соответствующих ионов для галогенидов Li—Cs, Be—Ba и элементов III группы. Рекомендованы приближенные ур-ния. Для галогенидов Li—Cs:  $(U_{\text{MeX}} - 100)/(U_{\text{KX}} - 100) \approx 1,834 - 0,615 r_{\text{Me}} + (3a) \text{ и } (U_{\text{MeX}} - 100)/U_{\text{MeCl}} - 100 \approx 2,270 - 0,703 r_{\text{X}} \text{ (36) и для галогенидов Be—Ba: } U_{\text{MeCl}}/U_{\text{CaX}_2} \approx 1,332 - 0,33 r_{\text{Me}^{++}(4a) \text{ и } U_{\text{MeX}}/U_{\text{MeCl}_2} \approx 1,51 - 0,28 r_{\text{X}} \text{ (46)}$ . Средняя ошибка вычисления  $U$  по (3a) и (36) 0,8 ккал (кроме LiF), по (4a) и (46) — меньше 5 ккал (кроме Be F<sub>2</sub>).

М. К.

**3242. Собственная энергия полярона и метод Блоха — Нордзика.** Сингви, Удгаонкар (Polaron self-energy and Bloch-Nordsieck method. Singwi K. S., Udgaonkar B. M.), Phys. Rev., 1954, 94, № 1, 38—42 (англ.)

Задача о движении электрона проводимости, взаимодействующего с поляризационными колебаниями среды, решается приближенно в предположении, что импульс электрона  $p$  мало отличается от своего среднего значения  $mv$ . Это означает малое рассеяние электрона при взаимодействии с фононом. После разложения до членов  $\sim p - mv$  включительно и канонического преобразования общий гамильтониан системы распадается на сумму гамильтонианов невзаимодействующих подсистем: фононов и электрона. Последний содержит постоянный член  $\Delta E$ , зависящий от средней скорости электрона  $v$ . В случае малых и больших скоростей ( $mv^2/2 < \hbar\omega$  и  $mv^2/2 > \hbar\omega$ ) проведено вычисление собственной энергии  $\Delta E$  путем разложения по соответствующим отношениям. В пределах  $\Delta E = -(2/\pi)(mv^2/2\hbar\omega)^{1/2}\alpha\hbar\omega$ ;  $mv^2 \ll \hbar\omega$   $\Delta E \approx -(\pi/4)(2\hbar\omega/mv^2)^{1/2}\alpha\hbar\omega$ ;  $mv^2 \gg \hbar\omega$ , где  $\omega$  — предельная частота поляризационных колебаний,  $\alpha = (e^2/2\hbar)(2m/\hbar\omega)^{1/2}(1/n^2 - 1/\epsilon)$ ,  $n$  — оптический показатель преломления,  $\epsilon$  — диэлектрическая проницаемость. Для NaCl при  $mv^2 \sim \hbar\omega$   $\Delta E = -0,09 \text{ эв}$ , т. е. величина по модулю почти вдвое меньше найденной ранее (РЖФиз, 1954, 2697). Авторы относят это за счет нарушения критериев метода при малых скоростях, указывая, что при  $mv^2 \gg \hbar\omega$  метод Блоха — Нордзика должен давать лучшие результаты. Исправлена ошибка, допущенная одним из авторов (Singwi K. S., Phys. Rev., 1952, 87, 1044) при вычислении методом Блоха — Нордзика энергии взаимодействия двух электронов, обусловленной обменом фононами. Эта энергия того же порядка, что и при использовании теории возмущений.

К. Т.

**3243. Разупорядочение твердых тел нейтронным облучением.** Снайдер, Нейфельд (Disordering of solids by neutron radiation. Snyder W. S., Neufeld Jacob), Phys. Rev., 1955, 97, № 6, 1636—1646 (англ.)

Излагается общий метод определения числа вакансий (В) или междузельных атомов (МА) в одноатомном твердом теле, подвергнутом нейтронному облучению. Предполагается, что соударяющиеся атомы находятся в таких энергетич. состояниях, для которых применима орбитальная картина. Следуя методу Бора, авторы отдельно рассматривают области сильной и умеренной экранировки, резерфордское распределение в электронных столкновениях. Число В или МА в зависимости от энергии первоначально выбитого атома дается решением некоторых интегральных ур-ний, которые различны для разных областей энергии. Установлено, что если скорость атома отдачи после столкновения с нейтроном меньше, чем  $e^2/\hbar$  (область упругих столкновений), то приблизительно половина энергии атома уходит на образование В или МА. Если скорость такого атома выше  $e^2/\hbar$  (область неупругих столкновений), то энергия, уходящая на образование В и МА, примерно постоянна для средних и тяжелых элементов. Получена простая ф-ла, дающая среднее число В или МА, образуемых при столкновении с нейтроном, обладающим энергией  $E$ , в одноатомном твердом теле, образованном средним или тяжелым элементом с атомным весом  $M$  и порядковым номером  $Z$ :  $G(E) \approx (nE - \alpha)^2/4\alpha nE$  при  $E \leq \gamma/n$ ;  $G(E) \approx [(nE - \alpha)^2 - (1 - \bar{R})(nE - \alpha - \gamma)^2]/4\alpha nE$  при  $E > \gamma/n$ , где  $\gamma = Me^4/2\hbar^2$ ;  $n = 4M/(M+1)^2$ ;  $\alpha$  — энергия связи атома в решетке;  $\bar{R}$  — медленно меняющаяся функция  $Z$ .

К. Т.

**3244. Изучение дефектов кристаллической решетки методом измерения поглощения в герцовой области; связь с инфракрасными спектрами поглощения. Фрейман, Фрейман** (Étude des défauts de réseau dans les solides à l'aide de l'absorption hertzienne; relation avec l'absorption infrarouge. Freymann Marie, m-me, Freymann René), J. phys. et radium, 1954, 15, № 3, 217—219 (франц.)

Доклад на конференции по молекулярной спектроскопии содержит как уже опубликованные (РЖХим, 1953, 249, 4317; 1955, 20622, 31118; РЖДиз, 1954, 5003), так и новые данные. На основании собственных исследований и литературных данных авторы заключают, что измерение температурного и частотного ходов релаксационных диэлектрических потерь и ИК-поглощения представляет собой независимые и дополняющие друг друга методы изучения примесных и собственных дефектов решетки. Первый метод позволяет определить величину энергии активации диффузии дефекта или энергию ионизации примесных центров ( $U$ ) в у-нии:  $\chi_{\text{макс}} = A \exp(-U/RT)$ , где  $\chi_{\text{макс}}$  — частота, соответствующая максимуму релаксационных диэлектрических потерь при  $T$ -ре  $T$ . ИК-поглощение, обусловленное переходом электронов, позволяет непосредственно определить величину  $U$  из положения максимумов. Указано, что определения  $U$  обоими методами еще не были выполнены на одном и том же в-ве: для Si, Ge и В измерено поглощение в ИК-области, но не диэлектрические потери; для различных окислов определены диэлектрические потери (см. ссылку), но не ИК-поглощение. Предварительные опыты авторов по измерению поглощения ZnO в ИК-области дали обнадеживающие результаты, однако релаксационные потери в ZnO не были обнаружены. Последнее удалось осуществить Менцелю (РЖДиз, 1955, 10166) для В и Si после устранения проводимости, что, согласно авторам, является первым случаем установления связи между ИК-поглощением и диэлектрическими потерями и обнаружения релаксационных потерь в элементах металлоидного характера. А. Х.

**3245. Диффузия кадмия, индия и олова в монокристаллах серебра. Томидзука, Слифкин** (Diffusion of cadmium, indium, and tin in single crystals of silver. Tomizuka C. T., Slifkin L.), Phys. Rev., 1954, 96, № 3, 610—615 (англ.)

Измерены коэф. диффузии ( $D$ ) меченых Cd, In и Sn в монокристаллах чистого Ag (99,99%) в интервале 592—937°. Найдено  $D_{\text{Cd}} = 0,44 \exp(-41700/RT)$ ,  $D_{\text{In}} = 0,41 \exp(-40630/RT)$ ,  $D_{\text{Sn}} = 0,25 \exp(-39300/RT)$ . Для Cd, In, Sn и Sb (РЖХим, 1955, 39583) энергия активации диффузии в Ag описывается ф-лой:  $H$  (в ккал/моль) =  $42,8 - 1,13z$ , где  $z$  — атомный номер диффундирующего элемента. Полученные значения  $H$  и частотного фактора сильно отличаются от более старых данных (Jost W., Diffusion in solids, liquids, gases, N. Y., 1952) и хорошо согласуются с теоретич. представлениями последних лет (Zener C., J. Appl. Phys., 1951, 22, 372; РЖХим, 1955, 39582). А. Х.

**3246. О теплопроводности твердого гелия при больших плотностях. Уэбб, Уилкс** (The thermal conductivity of solid helium at high densities. Webb F. J., Wilks J.), Philos. Mag., 1953, 44, № 353, 664—674 (англ.)

Прошлые измерения (Webb F. J. и др. Proc. Roy. Soc., 1952, A214, 546) теплопроводности  $\lambda$  твердого He распространены на область более высоких плотностей  $d$  путем использования давления до 1800 ат. Описана аппаратура для измерения  $\lambda$  в интервале  $d$  от 0,19 до 0,35 г/см<sup>3</sup>, соответствующих интервалу дебаевских характеристик.  $T$ -р  $\theta$  24—90°. При постоянной  $T$ -ре  $\lambda$  возрастает с ростом  $d$  во всем интервале  $d$ , так при

2° К  $\lambda$  возрастает в этом интервале в 300 раз. Сильная сжимаемость твердого He позволила измерить  $\lambda$  образцов с  $d$ , отличающимися почти в 2 раза. Приведены кривые температурной (1,3—4,2° К) зависимости  $\lambda$  для образцов твердого He с различными  $d$ . Для  $d < 0,28$  г/см<sup>3</sup> результаты совпадают с полученными в цитированной работе (средний свободный пробег является, в основном, функцией  $\theta/T$ ). При  $d > 0,28$  г/см<sup>3</sup> результаты плохо воспроизводимы, так как He кристаллизовался преимущественно в виде мелких кристаллов, а не хорошо образованных монокристаллов. Авторы считают, что эти результаты подтверждают теорию теплопроводности Пайерлса (Pierls R. E. Ann. Physik, Lpz., 1929, 3, 1055) и показывают, что основным параметром, определяющим  $\lambda$  диэлектрич. кристаллов, является  $\theta$ . Сильно различающиеся значения  $\lambda$  диэлектрич. кристаллов авторы приписывают различиям в  $\theta$ . Вывод подтвержден графиком  $\lambda = f(T)$  для твердого He, кварца и сапфира: кривые близки по форме и располагаются в соответствии со значениями  $\theta$ . А. Х.

**3247. Замечания к теории фазовых превращений Гейслера, в частности, для случая сплавов индий-таллий. Басинский, Кристиан** (Notes on Geisler's theory of phase transformations, with special reference to indium-thallium alloys. Basinski Z. S., Christian J. W.), Acta metallurgica, 1953, 1, № 6, 759—761 (англ.)

Анализ теории фазовых превращений Гейслера (РЖДиз, 1955, 21849), в которой предполагается, что мартенситное превращение сопровождается деформациями, а не вызывается ими. В основном рассмотрен случай сплавов In-Tl, который Гейслер использует в качестве примера. Основываясь на данных других исследователей и собственных наблюдениях, авторы считают неверным представления Гейслера о росте новой фазы в сплавах In-Tl. Соответствующим образом изменяя теорию, ее можно согласовать с экспериментом, но тогда она теряет всю оригинальность и становится тождественной с механизмом двойных сдвигов. П. С.

**3248. Исследование превращений порядок-беспорядок в двойных сплавах. IV. Исследование сплава Cu-Pt. Фурнье** (Étude des modifications d'ordre-désordre dans les alliages binaires. IV. Étude de l'alliage Cu-Pt. Fournet G.), Bull. Soc. franç. minéral et cristallogr., 1954, 77, № 4-6, 711—724 (франц.)

Теоретическое объяснение поведения сплава Cu-Pt, основанное на предположении о зависимости энергии смещения от расстояния между атомами  $W(r) = W_{\text{CuCu}}(r) + W_{\text{PtPt}}(r) - 2W_{\text{CuPt}}(r)$  и учете взаимодействия между ближайшими соседями и атомами во второй координационной сфере. Наблюдается хорошее согласие с опытом для эффектов, обусловленных ближним и дальним порядком. Часть III. РЖХим, 1954, 39188. Б. Ф.

**3249. Теплопроводность кристаллов и жидкостей. Мидзусима** (Thermal conductivity of crystals and liquids. Mizushima Sanchi), J. Phys. Soc. Japan, 1954, 9, № 4, 546—552 (англ.)

Получено выражение для теплопроводности  $K$  идеальных кристаллов в предположении, что нормальные соударения фононов происходят гораздо чаще, чем процессы переброса (Umklapp-процесс), а  $T$ -ра не слишком низка по сравнению с характеристической:  $K \approx 0,1 q a (U/V)/QT$ , где  $q$  — скорость звука,  $a$  — постоянная решетки,  $U/V$  — энергия связи на единицу объема,  $T$  — абс.  $T$ -ра,  $Q$  — коэфф. порядка единицы, зависящий от кристаллич. структуры. Эта ф-ла хорошо согласуется с экспериментом для ионных кристаллов с решеткой типа NaCl и, кроме того, может быть при-



менена к жидкостям. Показано, что в последнем случае она почти идентична ф-ле, предложенной Бриджманом (Bridgman P. W., Rev. Mod. Phys., 1935, 7, 28).

Д. Б.

3250. Упругие постоянные AgBr при 28°. Тапхаузер, Лосон (Elastic constants of AgBr at 28°C. Tappan D. S., Lawson A. W.), J. Chem. Phys., 1954, 22, № 12, 2092 (англ.)

Импульсным ультразвуковым методом (Lazarus D., Phys. Rev., 1949, 76, 549) измерены скорости звука в AgBr при 28°. Пользуясь полученными данными и приняв плотность AgBr равной 6,473 г/см<sup>3</sup>, авторы вычислили упругие постоянные AgBr (в единицах 10<sup>11</sup> дин/см<sup>2</sup>): ось в направлении [100]  $C_{11} = 5,622 \pm 0,014$ ;  $C_{44} = 0,729 \pm 0,006$ ; ось в направлении [110]  $C_{11} = 5,62 \pm 0,03$ ;  $C_{12} = 3,28 \pm 0,03$ ;  $C_{44} = 0,727 \pm 0,005$ . Изотермич. сжимаемость  $\chi_T = 2,48 \cdot 10^{-12}$  см<sup>2</sup>/дин. Отмечается значительное отклонение от соотношения Коши  $C_{12} = C_{44}$ . Б. К.

3251. Рентгеновская спектроскопия валентной зоны и зоны проводимости в хлористом калии. Парратт, Джоссем (X-ray spectroscopy of valence and conduction bands of potassium chloride. Parratt L. G., Jossem E. L.), Physica, 1954, 20, № 11, 1134—1137 (англ.)

Приводятся результаты исследования  $K_{\beta}$ -полос K и Cl в кристалле KCl, выполненные на двойном кристалл-спектрометре с большой разрешающей способностью ( $\lambda/d\lambda = 11000$ ), и сопоставления этих результатов со спектрами поглощения K и Cl в KCl, полученными ранее (Trischka J. W., Phys. Rev., 1945, 67, 318). Авторы считают, что  $K_{\beta}$ -линии K и Cl возникают в результате перехода электронов с рентгеновских экситонных уровней, расположенных ниже заполненной зоны, на  $K$ -уровни соответствующих атомов. Этим объясняется узость  $K_{\beta}$ -линий K и Cl (ширина линий с поправкой на разрешающую способность и ширину  $K$ -состояний равна 0,33 эв для Cl и 0,22 эв для K), а также наличие с их коротковолновой стороны слабых линий  $K_{\beta\alpha}$  (в Cl) и  $K_{\beta\kappa}$  (в K), обусловленных переходом электронов из заполненных зон  $3pCl^-$  и  $3pK^+$ . Резкие линии в  $K$ -спектрах поглощения K и Cl объясняются переходом  $K$ -электронов на экситонные уровни, расположенные ниже зоны проводимости, а непрерывное поглощение — переходом в зону проводимости. Ширина валентной  $3p$ -зоны кристалла KCl, вычисленная из эмиссионных и абсорбционных  $K$ -спектров с учетом данных по УФ-поглощению в KCl, оказалась равной 4,2 эв, что находится в хорошем согласии с теоретич. данными. Р. Б.

3252. О влиянии низкой температуры на спектр поглощения аддитивно окрашенного хлористого серебра. Сера Т. Я., Кирьякова М. П., Сб. физ.-матем. фак. и Н.-и. ин-та физики Одесск. ун-та, 1954, 5, 23—26

В связи с изучением природы центров окраски галоидного Ag (Сб. физ.-матем. фак. и Н.-и. ин-та физики Одесск. ун-та, 1951, 3) исследовано влияние т-ры на спектр поглощения аддитивно и фотохимически окрашенного AgCl в области 550—620 мμ. Слои AgCl толщиной  $\sim 10^{-6}$  см получали возгонкой в вакууме ( $10^{-5}$  мм рт. ст.) на стеклянную пластинку. Половину слоя AgCl окрашивали аддитивно путем термич. распыления на него чистого Ag в вакууме. Фотохим. окраску создавали УФ-лучами лампы ПРК-4. Спектры измеряли дифференциальным методом, т. е. определяли поглощение окрашенной половины слоя относительно неокрашенной [кривые  $I_{\text{н}}/I_0 = f(\lambda)$ ]. Кривая поглощения аддитивно и фотохимически окрашенного AgCl при  $-150^\circ$  лежит выше кривой, полученной при комнат-

ной т-ре. Однако различные участки кривой смешаются на различные расстояния, а в области 500—565 мμ наблюдается уменьшение поглощения. Авторы объясняют это различиями в концентрации, структуре и в степени связи центров окраски с решеткой AgCl. Изменение коэф. поглощения окрашенных кристаллов при понижении т-ры приписано изменению свойств центров окраски. А. Х.

3253. Разрушение центров фотохимической окраски в галоидном серебре действием света. Нестеровская Е. А., Сб. физ.-матем. фак. и Н.-и. ин-та физики Одесск. ун-та, 1954, 5, 45—55

Исследовано оптич. обесцвечивание фотохимически окрашенного галоидного Ag в тонких слоях мелкозернистой AgCl- и AgBr-эмульсий в области 400—780 мμ. Эмульсии слабо окрашивали нефилтрованным излучением Нг-лампы и обесцвечивали, освещая через фильтры [красный ( $\lambda > 650$  мμ), зеленый (500—600 мμ) и синий (400—500 мμ)] или Нг-линией 436 мμ. Результаты представлены кривыми поглощения и выплывания ( $I_1/I_2$ , где  $I_1$  и  $I_2$  — интенсивности света, прошедшего через один и два раза засвеченный слой). После первой засветки спектр имеет тонкую структуру (Кириллов Е. А., Изв. АН СССР, сер. физ., 1948, 12, 533; 1950, 14, 525). Для процесса обесцвечивания под действием второй засветки установлены следующие закономерности: 1) центры тонкой структуры разрушаются светом из любой области видимого спектра, причем сильнее всего выплывают те максимумы поглощения, которые лежат в области пропускания фильтра, применяемого при вторичном освещении; 2) выплывание не ограничено областью пропускания фильтра или линией 436 мμ, а распространяется на соседние длины волн; 3) спектральное положение максимумов поглощения тонкой структуры и максимумов выплывания совпадает для обеих эмульсий. Это показывает, что поглощение света в центрах тонкой структуры ведет к их разрушению. Исходя из фотоэлектрич. активности этих центров (Зайдман Н. М., Ж. физ. химии, 1952, 26, 1791), автор считает, что их разрушение происходит в результате оптического перехода электрона в зону проводимости кристалла и потери устойчивости центра. Максимумы тонкой структуры можно разделить на 3 группы: 1-я группа в области 620—780 мμ полностью разрушается красным светом и тонкая структура в этой области полностью сглаживается; 2-я группа в области 500—620 мμ отличается устойчивостью центров и сохранением заметных следов тонкой структуры при освещении зеленым светом; 3-я группа в области 400—500 мμ характеризуется выплыванием, сопровождающимся усилением резкости тонкой структуры. Особенности поведения этих групп объясняются, исходя из существования в галоидном Ag колл. и атомарных центров. Ч. М.

3254. Люминесценция смешанных галогосеребряных кристаллов. Голуб С. И., Сб. физ.-матем. фак. и Н.-и. ин-та физики Одесск. ун-та, 1954, 5, 27—43

На основании собственных исследований (Сб. физ.-матем. фак. и Н.-и. ин-та физики Одесск. ун-та, 1951, 3, 41, 55, 59) и литературных данных высказано предположение, что центрами люминесценции в галоидном Ag являются избыточные атомы Ag и что возбуждающий свет поглощается не основной решеткой, а атомами (или ионами) активатора — Ag. С целью проверки предположенного механизма исследована люминесценция смешанных монокристаллов галоидного Ag, выраженных по методу Киропулоса. В кристаллах AgCl — AgBr (1—80 мол. %), AgBr — AgCl (0,01—1 мол. %), AgCl — AgJ (0,1—10 мол. %) и AgBr — AgJ прибавление второго компонента к первому приводит к сдвигу полос излучения в сторону длинных волн и к ее усложне-

нию — появлению от двух до трех максимумов. В случае  $\text{AgCl} - \text{AgBr}$  (40 мол. %) имеются максимумы при 493 и 518  $\mu$  (максимумы чистых  $\text{AgCl}$  и  $\text{AgBr}$  лежат при 480 и 610  $\mu$ ). Максимум при 518  $\mu$  наряду с максимумом при 480  $\mu$  наблюдается в кристаллах  $\text{AgCl} - \text{MnCl}_2$ ; он разрушается при нагревании и приписан центрам свечения, состоящим из более крупных атомарных агрегатов  $\text{Ag}$ , чем центры, ответственные за максимум 480  $\mu$ . Автор считает, что эти результаты подтверждают его гипотезу о природе центров свечения и указывают на многообразие этих центров. Люминесценция кристаллов  $\text{AgBr} - \text{AgI}$  (0,1—2 мол. %) затухает по гиперболическому закону  $I = At^{-\alpha}$  (где  $\alpha = 0,24$ ), характерному для кристаллофосфоров, активированных тяжелыми металлами — в данном случае, повидимому, атомами  $\text{Ag}$ . Выход люминесценции кристаллов  $\text{AgBr} - \text{AgI}$  (1 мол. %) близок к единице. После сошлифовки поверхности кристалла выход уменьшается на 30%, что подтверждает существование повышенной концентрации избыточных атомов  $\text{Ag}$  на поверхности (цитированная работа). Выход для  $\text{AgCl}$  при возбуждении в интервале 313—460  $\mu$  не зависит от длины волны и для различных образцов колеблется от 0,4 до 0,9. Высокий выход подтверждает предположение о поглощении света атомами (или ионами) активатора. Ч. М.

**3255. Локальные нарушения структуры в галонидном серебре.** Фоменко А. С., Семенов В. В., Сб. Физ.-матем. фак. и Н.-и. ин-та физики Одесск. ун-та, 1954, 5, 73—76

Исследованы спектральное распределение фотопроводимости  $\text{AgCl}$  и  $\text{AgBr}$  и влияние на него обработки сулемой, разрушающей поверхностные центры окраски. Опыты проводились на тонких ( $6 \cdot 10^{-4}$ — $2 \cdot 10^{-3}$  см) плавленых монокристалльных слоях, полученных между кварцевыми пластинками по методу Левитской А. М. и Королева А. М. (Ж. техн. физики, 1937, 7, 760). Измерения производились в области 760—248  $\mu$  через каждые 10  $\mu$ . Кривые фотопроводимости пересчитывались на поглощенную энергию. Спектральные кривые фотопроводимости  $\text{AgBr}$  и  $\text{AgCl}$  до обработки сулемой имеют сложную структуру и согласуются с найденными в другой работе (Кириллов Е. А., Фоменко А. С., Сб. физ.-матем. фак. и Н.-и. ин-та физики Одесск. ун-та, 1951, 3, 7). Обработка сулемой приводит к заметному ослаблению максимумов в коротковолновой области и полному их исчезновению и сглаживанию кривой в длинноволновой области. Сделан вывод, что исчезновение максимумов обусловлено разрушением поверхностных центров фотохим. окраски. Это подтверждает правильность предположения Кириллова Е. А. и Фоменко А. С. (Изв. АН СССР, сер. физ., 1948, 12, 533; Сб. физ.-матем. фак. и Н.-и. ин-та физики Одесск. ун-та, 1951, 3, 7), что внутренний фотоэффект в значительной степени связан с центрами фотохим. окраски. Ч. М.

**3256. Поглощение меди в видимой и инфракрасной области при 4,2° К.** Бьонди (Optical and infrared absorption of copper at 4.2° K. Biondi Manfred A.), Phys. Rev., 1954, 96, № 2, 534—535 (англ.). Для проверки теории поглощения, учитывающей аномальный скин-эффект в металлах, измерена поглощательная способность  $A$  монокристаллической и поликристаллической  $\text{Cu}$  при 4,2° К в области 0,5—4,0  $\mu$ . Наблюдалось нарушение теплового равновесия двух металлич. блоков, помещенных в вакууме и соединенных тепловодами с гелиевой ванной. На одном из блоков укреплялся освещаемый образец, другой, зачерпленный, принимал от последнего отраженную радиацию. Каждый блок имел обмотки термометра сопротивления и нагревательную. После выключения освещения в нагревательную обмотку каждого из блоков посылался

ток, необходимый для восстановления достигнутых при освещении т-р. Значения мощности этих токов использовались для вычисления поглощения. Образцы отжигались  $\sim 1000^\circ$  и электрополировались. Результаты измерений совпадают для обоих образцов. В области 2,1—4  $\mu$   $A = 0,0039$  и не зависит от  $\lambda$ , что указывает на диффузный характер отражения электронов от поверхности металла. При  $\lambda \leq 0,55 \mu$   $A$  резко возрастает благодаря прямым межзонным переходам внутри полосы проводимости. Результаты в области  $\lambda > 2 \mu$  согласуются с представлением о дополнительном двухступенчатом процессе поглощения, при котором электрон проводимости, поглотив фотон, испускает фотон. М. Н.

**3257. Температурная зависимость оптических свойств многодоменных монокристаллов  $\text{BaTiO}_3$ .** Хория, Кавабе, Савада (Optical behaviours of multi-domain single crystal of  $\text{BaTiO}_3$  in dependence on temperature. Horie Tadao, Kawabe Kazuo, Sawada Shozo), J. Phys. Soc. Japan, 1954, 9, № 5, 823—825 (англ.).

Исследованы оптич. свойства — видимый край поглощения (ВКП), пропускание  $T$  и истинный характеристич. край поглощения (ИХКП) — многодоменного монокристалла  $\text{BaTiO}_3$  в интервале т-р от  $-120$  до  $+150^\circ$ , включающем все три точки фазового перехода ( $-70$ ; 5;  $120^\circ$ ). ВКП и  $T$  обладают ярко выраженной петлей гистерезиса при  $-70^\circ$  (при 5 и  $120^\circ$  петли гистерезиса отсутствуют). Это объяснено тем, что при переходе кристалла  $\text{BaTiO}_3$  из ромбич. формы в ромбоэдрическую при  $-70^\circ$  образуется более тонкая доменная структура. ИХКП линейно смещается с ростом т-ры в сторону длинных волн, причем температурный коэффициент близок к значению для ионных кристаллов. В. С.

**3258. Свойства кристаллов  $\text{KCl}$ , содержащих центры металлического таллия. Фотоэлектрический эффект.** Роледер И., Бюл. Польск. АН, отд. 3, 1954, 2, № 9, 447—450

Исследован внутренний фотоэффект в кристаллах  $\text{KCl}$ , содержащих центры металлич. Тl. В кристаллы  $\text{KCl} - \text{TlCl}$ , выращенные по методу Киропулоса, вводили избыток металлич. К путем нагревания в парах К при  $550$ — $600^\circ$  и быстрого охлаждения до комнатной т-ры. При этом, по мнению автора, К восстанавливает ионы  $\text{Tl}^{2+}$  до атомов Тl. После удаления избытка К в вакуумной печи при  $550$ — $600^\circ$  кристаллы имели однородную желто-коричневую окраску. По данным колориметрич. анализа они содержали  $4 \cdot 10^{-3}$  или  $1,7 \cdot 10^{-2}$  мол. % Тl. Фотопроводимость измеряли в вакууме ( $\sim 10^{-6}$  мм рт. ст.) при освещении в области  $\sim 400$ — $1000 \mu$ . Линейная зависимость фототока от интенсивности освещения и насыщенности электрич. поля, а также его безинерционное следование за освещением указывают на первичный характер фототока. Максимум кривой спектрального распределения фототока лежит при  $550 \pm 20 \mu$ , что соответствует оптич. энергии активации  $2,26 \pm 0,08$  эв. В присутствии избытка атомов К наблюдаются максимумы при  $\sim 820$  и  $510 \mu$ . В пользу атомной, а не колл. природы центров Тl говорит значительное различие в положении максимумов внутреннего фотоэффекта ( $550 \pm 20 \mu$ ) и внешнего фотоэффекта с поверхности Тl (240  $\mu$ ) (по литературным данным для колл. Na в  $\text{NaCl}$  эти максимумы лежат соответственно при 365 и 310  $\mu$ ). А. Х.

**3259. Фототропия титанатов щелочноземельных металлов.** Мак-Невин, Огл (The phototropy of the alkaline earth titanates. Mac Nevin William M., Ogle P. R.), J. Amer. Chem. Soc., 1954, 76, № 14, 3846—3848 (англ.).

Исследовано наличие фототропии (Ф) у чистых и содержащих примеси (0,02—0,5%) синтетич.  $\text{MgTiO}_3$  (I),

$\text{CaTiO}_3$  (II) и  $\text{BaTiO}_3$  (III). Образцы окрашивали УФ-лучами и наблюдали их самопроизвольное обесцвечивание в темноте при различных  $t$ -рах. У чистых II и III и у II и III, содержащих  $\text{Ag}^+$ ,  $\text{Cu}^{2+}$ ,  $\text{Sb}^{3+}$ ,  $\text{Sn}^{4+}$ ,  $\text{Mg}^{2+}$ ,  $\text{Zr}^{4+}$  и  $\text{Co}^{2+}$ , Ф не наблюдается. Она появляется в присутствии следующих кол-в примесей (в %):  $\text{Fe}^{2+}$  0,06—0,08,  $\text{Zn}^{2+}$  0,02,  $\text{Sb}^{3+}$  0,1,  $\text{V}^{5+}$  0,1; при этом II окрашивается в фиолетовый, а III — в серый цвет. С увеличением конц-ии примесей эффект Ф усиливается. В области 400—700 м $\mu$  измерен коэфф. оптич. поглощения  $k$  II и III после 5-минутного облучения УФ-лучами; максимум  $k$  лежит при 550 м $\mu$ . Исследована зависимость  $k$  для II от времени облучения  $t$  УФ-лучами:  $k$  возрастает с  $t$ , достигая постоянного значения через 30 мин. Окрашенные II и III обесцвечиваются соответственно при 360—400° и 220—270°. При 25-кратном повторении цикла: окрашивание — обесцвечивание эффект Ф не изменяется. Влага и  $\text{O}_2$  не влияют на Ф. I не обнаруживает Ф ни в чистом виде, ни с примесями, что приписано отличию кристаллич. структуры I от II и III: примесные ионы  $\text{Fe}^{3+}$  замещают  $\text{Mg}^{2+}$  или  $\text{Ti}^{4+}$  в решетке I без образования асимметричного поля; ионы  $\text{Zn}^{2+}$ , по размеру близкие ионам  $\text{Mg}^{2+}$  и  $\text{Ti}^{4+}$ , могут замещать эти ионы, не создавая напряжений в плотноупакованной структуре из ионов  $\text{O}^{2-}$ . Ионы с радиусом больше  $\text{Ti}^{4+}$  не могут встроиться даже в искаженную решетку и поэтому не вызывают Ф. Ионы с радиусом, близким, но не равным  $\text{Ti}^{4+}$ , создают искажения и вызывают Ф; валентность этих ионов должна отличаться от 4, чтобы был возможен переход электрона.

А. Х.

**3260. Некоторые синтетические флуоресцирующие минералы и алюмосиликатные фосфоры. Ии мори, Ии мори** (Certain synthetic fluorescent mineral bodies and the aluminosilicate phosphors. Iimori Masami, Iimori Satoyasu), Караку кэнкюдэ хикюку, Repts. Scient. Res. Inst., 1953, 29, № 5—6, 463—467, Abstrs ka gaku — kenkyu-jo hokoku, 1953, 23, № 1 (англ.)

Синтезированы некоторые флуоресцирующие минералы такого же хим. состава, как полевые шпаты, пеоциты, скаполиты и содалиты. Эффективными активаторами этих люминофоров служат  $\text{Pb}$ ,  $\text{Cu}$ ,  $\text{Ti}$  и  $(\text{UO}_2)^{+}$ . Приведены характеристики спектров излучения этих синтетич. алюмосиликатов, активированных свинцом. Ч. М.

**3261. Влияние процентного содержания  $\text{CdS}$  на люминесценцию  $\text{ZnS-CdS-Cu}$ -люминофоров. Аксенова Э. Б., Кац М. Л., Уч. зап. Саратовск. ун-та, 1954, 40, 127—130**

С помощью метода кривых термич. высвечивания исследовано влияние процентного содержания  $\text{CdS}$  на спектр акценторных локальных уровней фосфоров  $\text{ZnS-CdS-Cu}$ , приготовленных в одинаковых условиях ( $t$ -ра прокалывания 1100°, конц-ия активатора  $10^{-4}$   $\text{e}/\text{e}$ ). Кривые термич. высвечивания имеют резко выраженный пик при  $t$ -ре  $\sim -180^\circ$  и практически одинаковы для фосфоров, содержащих от 5 до 45%  $\text{CdS}$ , однако сильно отличаются от кривых термич. высвечивания фосфора  $\text{ZnS-Cu}$  резким уменьшением относительной интенсивности второго, более высокотемпературного пика, который у  $\text{ZnS-CdS-Cu}$  едва намечается. Кривые затухания послеосвечения люминофоров  $\text{ZnS-CdS-Cu}$  удовлетворительно описываются эмпирической ф-лой Левшина и Антонова-Романовского:  $I = A t^{-\alpha}$ .

П. Ф.

**3262. Исследования влияния давления на люминесценцию твердых тел. I. Браун** (Some investigations on the effect of pressure on the luminescence of solids. I. Braun E. A.), Bull. Res. Council Israel, 1954, 4, № 3, 219—221 (англ.)

Порошкообразные фосфоры  $\text{ZnS-Ag}$  и  $\text{ZnS-Cu}$  возбуждались УФ-лучами в камере с воздухом или  $\text{O}_2$  при

нормальном давлении и с  $\text{O}_2$  при давл. 150  $\text{кг}/\text{см}^2$ . Во всех случаях спектры излучения и интенсивность свечения  $I$  одинаковы. Одностороннее механич. давл. в 500  $\text{кг}/\text{см}^2$  (во время возбуждения и наблюдения) уменьшает  $I$  на  $\sim 7\%$ . Спец. опыты показали, что этот эффект в основном обусловлен изменением светорассеяния фосфора и что истинное уменьшение  $I$  свечения (спектр излучения не изменяется), повидимому, равно  $\sim 2\%$ . Фотографии. рентгенопленку подвергали давлению до 4000  $\text{кг}/\text{см}^2$ . После снятия давления наблюдали флуоресценцию (краевое излучение) пленки при возбуждении  $\lambda$  3600 А в жидком воздухе.  $I$  уменьшается с ростом давления, уменьшение равно 40% при 4000  $\text{кг}/\text{см}^2$ . Описанное в литературе сильное уменьшение  $I$  фосфоров автор объясняет разрушением кристаллов. По данным прошлой работы (Czech. J. Phys., 1952, 1, 171), кристаллы  $\text{AgBr}$  в фотоэмульсии при указанных давлениях испытывают пластич. деформацию без разрушения. Сделан вывод, что в активированных примесями фосфорах типа  $\text{ZnS-Ag}$  свечение происходит в изолированных центрах, слабо чувствительных к изменениям окружающей решетки. Краевое излучение обусловлено процессами, протекающими в основной решетке, и поэтому чувствительно к ее деформации.

Ч. М.

**3263. Исследования влияния давления на люминесценцию твердых тел. II. Браун, Барух** (Some investigations on the effect of pressure on the luminescence of solids. II. Braun E. A., Baruch A.), Bull. Res. Council Israel, 1954, 4, № 3, 222—224 (англ.)

Исследовано влияние размалывания порошкообразных фосфоров  $\text{ZnS-Cu}$  (I),  $\text{ZnS-Ag}$  (II) и 80%  $\text{ZnS}$ , 20%  $\text{CdS-Ag}$  (III) на интенсивность свечения  $I$  и кривые термовысвечивания в интервале 160—500° К при возбуждении  $\lambda$  3600 А.  $I$  размолотых фосфоров I, II и III равна соответственно 35, 10 и 20% от  $I$  исходных фосфоров. На кривых термовысвечивания появляются новые высокотемпературные пики, а некоторые основные пики смещаются. Первый эффект приписан либо появлению новых глубоких уровней захвата в результате размалывания, либо перераспределению уровней. Смещение пиков показывает, по мнению авторов, что процесс флуоресценции в целом сильно зависит от поверхности фосфора.

Ч. М.

**3264. Форма полос излучения твердых люминофоров. Влам** (The shape of the emission bands of luminescent solids. Vlam C. C.), Brit. J. Appl. Phys., 1954, 5, № 12, 443—446 (англ.)

Анализом кривых излучения люминофоров в координатах энергия—частота излучения показано, что простые кривые описываются кривой Гаусса, а более сложные представляют сумму нескольких кривых Гаусса. Из модели центральных сил выведено ур-ние для интенсивности свечения в функции частот, которая для низких  $t$ -р сводится к ф-ле Гаусса, а при более высоких  $t$ -рах удовлетворительно аппроксимируется ею. Кривая эмиссии  $\text{CaWO}_4$  вычислена, исходя из предположения, что центром свечения является ион  $\text{W}^{6+}$  и важными являются только радиальные колебания ионов  $\text{O}^{2-}$ , окружающих ион  $\text{W}^{6+}$ . Наблюдается хорошее совпадение с опытными данными.

Б. Г.

**3265. Затухание длительной флуоресценции окиси магния. Саксена, Пант** (Decay of phosphorescence of long duration in magnesium oxide. Sakseena B. D., Pant L. M.), Current Sci., 1954, 23, № 12, 393—394 (англ.)

$\text{MgO}$  при катодном возбуждении имеет максимум свечения в области 4400—4550 А и слабый максимум  $\sim 5750$  А. Послеосвечение наблюдается преимущественно в синей части. Наиболее длительное послеосвечение наблюдается у монокристаллов, прогретых в кислородно-газовом пламени в течение 3 мин. и в пламени бун-



зеновской горелки в течение 5 час. При продолжительном облучении электронами (20 час.) длительность послесвечения падает. Затухание фосфоресценции описывается бимолекулярной схемой. Б. Г.

**3266. Окрашивание и люминесценция плавленого кварца, вызванные облучением рентгеновскими и  $\gamma$ -лучами, кинетика этих процессов и родственные явления. Дейнтон, Руботтом** (The kinetics of the coloration and luminescence of vitreous silica induced by irradiation with X- and  $\gamma$ -rays, with observations on related phenomena. Dainton F. S., Rowbottom J.), Trans. Faraday Soc., 1954, 50, № 377, 480—493 (англ.)

В спектре поглощения облученного плавленого кварца появляются 3 полосы при 220, 300 и 545 м $\mu$ . Полосы при 220 и 545 м $\mu$  образуются с равными скоростями и являются результатом одного общего процесса, полоса при 300 м $\mu$  растет значительно скорей. С другой стороны, опыты по оптич. обесцвечиванию окрашенного кварца показывают, что полоса при 220 м $\mu$  может быть избирательно создана и обеспечена независимо от полосы при 545 м $\mu$  и что полосы при 220 и 300 м $\mu$  взаимно превращаются одна в другую при облучении светом с  $\lambda$  220 и 300 м $\mu$ . Это явление аналогично известному превращению  $F \rightleftharpoons F'$ -центры в KCl при  $-100^\circ$ . Исходя из этого, а также из того, что в плавленом кварце, как и в простых кристаллах, наблюдается термич. обесцвечивание центров окраски, термолюминесценция и фотопроводимость, авторы заключают, что центры окраски связаны с основными стеклообразным в-вом, а не с примесями. Данные спектрального анализа подтверждают этот вывод. Образование всех 3 полос протекает как р-ция 1-го порядка. Это показывает, что для центров каждого типа в кварце имеется ограниченное число предшественников центров окраски или зарождающихся центров окраски. Между способностью окрашиваться, фосфоресценцией и флуоресценцией не наблюдается строгой корреляции. Приведены данные в пользу того, что активатором люминесценции в плавленом кварце служит примесный Pb. Фосфоресценция затухает по закону  $It = \text{const}$ . А. Х.

**3267. Электронный резонанс в F-центрах. Корринга** (Electron resonance in F centers. Corringa J.), Phys. Rev., 1954, 94, № 5, 1388—1389 (англ.)

Релаксация ориентации ядерных спинов, обуславливающая уширение линии резонансного парамагнитного поглощения F-центров в целочногоалюидных кристаллах, должна характеризоваться двумя временами. Взаимодействие электрона F-центра с 6 ближайшими ядрами, фигурирующее в теории Кипа, Киттеля, Леви и Портиса (РЖХим, 1954, 42682) в виде  $\alpha \cdot \sum_{i=1}^6 I_i$ , где  $\sigma$  и  $I_i$  — спины электрона и ядер, таково, что абс. величина спина этих ядер  $|\sum_{i=1}^6 I_i|$  должна сохраняться. Поэтому при внезапном прекращении облучения, насыщающего электронные спины, вначале получается изотропное распределение ориентаций величины  $\sum_{i=1}^6 I_i$  при постоянном  $|\sum_{i=1}^6 I_i|$ . Процессы, приводящие к изменению  $|\sum_{i=1}^6 I_i| = \pm 1$ , обуславливают взаимодействие электрона с более удаленными ядрами шел. металла или измещению константы взаимодействия  $\alpha \rightarrow \alpha(1 + \delta_i)$ , происходящему вследствие колебаний решетки, протекают с временем порядка секунд, а не микросекунд. Наличие второго времени релаксации может быть обнаружено, напр., по постепенному изменению формы полосы резонансного поглощения от  $2I_{\text{макс}} + 1$  равноинтенсивных линий до кривой типа Гаусса после внезапного прекращения насыщающего спин излучения. (Измерение должно производиться при малой амплитуде радиации.) К. Т.

**3268. Регулируемая проводимость монокристаллов CdS. Крёгер, Винк, Бомгард** (Controlled conductivity in CdS single crystals. Kröger F. A., Vink H. J., Boomgaard J. van den), Z. phys. Chem., 1954, 203, № 1/2, 1—72 (англ.; резюме нем.)

Электрические свойства монокристаллов х. ч. CdS и CdS с примесями Ga, In, Sb, Cl или Ag сильно зависят от атмосферы, в которой производилась термич. обработка кристалла. Кристаллы, обработанные в окислительной атмосфере (напр., в парах серы), являются изоляторами или полупроводниками, обладающими фотопроводимостью; восстановительная атмосфера сообщает кристаллам квазиметаллич. электронную проводимость. Для CdS с примесями Ga или Cl число носителей в восстановленных кристаллах равно конц-ии примесных ионов в широком интервале составов атмосферы. Оптич. свойства (поглощение, флуоресценция) также зависят от атмосферы. Полосы поглощения в желтой части спектра наблюдаются только у окисленных кристаллов. На основе обобщения теории дефектов решеток Вагнера и Шоттки рассчитана зависимость конц-ии различных дефектов решетки, доноров, акцепторов и уровней прилипания от конц-ии и природы примесей и восстановительной способности атмосферы. Теоретич. расчеты для CdS удовлетворительно согласуются с экспериментом. А. Х.

**3269. Смещение спектра поглощения закиси меди в зависимости от температуры. Никитин, Зискинд** (Déplacement du spectre d'absorption de l'oxyde cuivreux en fonction de la température. Nikitine Serge, Sieskind Manuel, Perny Guy), C. r. Acad. sci., 1954, 238, № 20, 1987—1989 (франц.)

Экситонный спектр  $\text{Cu}_2\text{O}$  (РЖХим, 1955, 15836, 42489) смещается при изменении т-ры. В «желтой серии» линия  $n = 2v_2(j)$  исследовалась вплоть до  $250^\circ\text{K}$ , в красной — предел серии  $v_\infty(R)$  — вплоть до  $273^\circ\text{K}$  и выше. Зависимость частот от т-ры в обоих случаях хорошо передается параболой  $v = v_0(1 - aT - bT^2)$ . Так как в экситонном спектре  $v_n = v_\infty - R'/n^2$  ( $R'$  — константа,  $n$  — целое число), то можно написать  $v_n(j) = v_\infty(j) \times (1 - aT - bT^2) - R'/n^2(\text{см}^{-1})$ , где  $v_\infty(j)^\circ$  — значение, соответствующее  $0^\circ\text{K}$ . Авторы получили  $v_n(j) = 17528(1 - 1,871 \cdot 10^{-5}T - 3,521 \cdot 10^{-7}T^2) - 800/n^2 \text{ см}^{-1}$ ,  $v_\infty(R) = 16510(1 - 2,695 \cdot 10^{-5}T - 3,689 \cdot 10^{-7}T^2) \text{ см}^{-1}$ . Изменение частот с т-рой объясняется расширением электронных полос кристалла, вызванным тепловыми колебаниями. Можно написать для каждой серии  $v_n = v_\infty - (R'/n^2) \pm kv_{\text{ИК}}$ , где  $k$  — целое число,  $v_{\text{ИК}}$  — ИК-частота кристалла. Авторы находят  $v_{\text{ИК}}$  из соотношения между частотами зеленой и желтой серий:  $v_\infty(V) - v_\infty(j) = 1056 \text{ см}^{-1} = v_{\text{ИК}}$ ;  $v_\infty(j) - v_\infty(R) = 1030 \text{ см}^{-1} = v_{\text{ИК}}$ . М. В.

**3270. Исправление опечаток. К статье «Эффекты Крамера и Расселла на монокристаллах цинка».** Грунберг, Райт (Errata. Grunberg L., Wright K. H. R.), Nature, 1953, 171, № 4360, 914 (англ.)

К. РЖХим, 1955, 33940. В статье следует поменять местами подписи (а) и (в) под рисунком. А. Х.

**3271. Поглощение пленок окиси бария в ультрафиолетовой области спектра. Окумура** (Ultraviolet absorption in barium oxide films. Okumura K o j i), Phys. Rev., 1954, 96, № 6, 1704—1705 (англ.) Измерено оптическое поглощение термически активированных пленок  $\text{BaO}$ , полученных испарением в вакууме, в области 2100—3500 Å. Результаты измерения в вакууме ( $<10^{-5}$  мм рт. ст.) близки к получен-

ным ранее (Sproull R. L., Tyler W. W., *Semiconducting materials*, L., 1951). Наблюдаются две полосы поглощения: первая начинается при 3,95 эв, вторая — при 4,95 эв. Точные измерения обнаруживают в первой полосе максимумы при 4,1 и 4,4 эв. Первый максимум совпадает с максимумом фотопроводимости (цитированная работа). В результате дезактивации пленок ВаО сухим  $O_2$  (~10 мм рт. ст., 25°), ведущей к превращению ВаО из *n*- в *p*-тип, максимумы 4,1 и 4,4 эв и первая полоса исчезают, а начало второй полосы остается в том же положении. Автор считает, что экситонное поглощение не зависит от присутствия  $O_2$ , и приписывает максимумы первой полосы электронным переходам на уровни донора, а не экситонам (см. ссылку).

Ч. М. 3272. Оптические свойства сульфида кадмия в стекле.

Кувабара (Optical properties of cadmium sulfide in glass. Kuwabara Goro), *J. Phys. Soc. Japan*, 1954, 9, № 6, 992—996 (англ.)

Исследованы оптич. поглощение и люминесценция четырех образцов (I—IV) известково-натриевого силикатного стекла, содержащего CdS. I получали быстрым охлаждением расплавленного стекла, II, III и IV — путем все более продолжительного нагревания I при  $t > 500$ —600° С и последующего медленного охлаждения. Свойства I не отличаются от свойств чистого стекла — он не поглощает в видимой области и не люминесцирует. Для II, III и IV положения длинноволнового края поглощения, максимумов полосы возбуждения и полосы излучения соответственно равны (в эв): II 2,85; 2,86; 1,86; III 2,66; 2,75; 1,71; IV 2,53; 2,61; 1,60. Для всех образцов форма края полосы поглощения и его зависимость от *t*-ры одинаковы и близки к таковым для монокристалла CdS. В интервале между 290 и 90° К край поглощения смещается на  $-2,7 \cdot 10^{-4}$  эв на 1° К. Образцы II—IV довольно ярко, но значительно слабее, чем обычные люминофоры, флуоресцируют при возбуждении линией 365 мμ. Спектры излучения представляют собой широкие колоколообразные полосы, высота которых уменьшается от образца II к IV: тонкая структура отсутствует. Яркость свечения строго пропорциональна интенсивности возбуждения в интервале интенсивностей 100:1. Яркость свечения уменьшается с ростом *t* и в интервале от -190 до 200° С описывается ур-нием  $I = I_0 / [1 + b_1 \exp(-E_1/kT) + b_2 \exp(-E_2/kT)]$ . Интерпретация результатов. В образце I CdS растворен в виде изолированных ионов  $Cd^{2+}$  и  $S^{2-}$ . В результате отжига в образцах II—IV образуются мельчайшие кристаллы CdS (эффект Тиндаля отсутствует), размер которых возрастает с длительностью отжига. Длинноволновое смещение края поглощения при переходе от II к IV обусловлено уменьшением ширины запрещенной зоны и приближением ее к ширине для крупного кристалла. Пропорциональность между смещением максимума свечения и края поглощения показывает, что расстояние между основным и возбужденным уровнем центров свечения изменяется пропорционально ширине запрещенной зоны. Изменение оптич. свойств с размером кристаллов вообще приписано уменьшению параметра решетки с уменьшением размеров кристаллов и его приближению к нормальному параметру в результате длительного отжига. Положение спектров возбуждения показывает, что возбуждающий свет поглощается основной решеткой.

А. Х. 3273. Дрейфовая подвижность в полупроводниках. II. Кремний. Принс (Drift mobilities in semiconductors. II. Silicon. Prince M. B.), *Phys. Rev.*, 1954, 93, № 6, 1204—1206 (англ.)

Измерена дрейфовая подвижность  $\mu$  дырок и электронов в монокристаллах Si в зависимости от концентрации примесных центров и *t*-ры в интервале 150—300° К.

Сопротивление  $\rho$  образцов лежало в пределах 0,3—30 ом см при 300° К. Для образцов с  $\rho > 10$  ом см величины  $\mu$  при 300° К соответственно равны:  $\mu$  дырок в Si *n*-типа  $\mu_p = 500 \pm 50$  см<sup>2</sup>/в сек,  $\mu$  электронов в Si *p*-типа  $\mu_n = 1200 \pm 100$  см<sup>2</sup>/в сек. Температурная зависимость подчиняется закону  $\mu_n = 5,5 \cdot 10^6 T^{-1,5}$ ;  $\mu_p = 2,4 \times 10^6 T^{-2,3}$ . Часть I см. РЖХим, 1954, 47775. Ф. П.

3274. Экспериментальные доказательства существования зонной структуры германия и кремния. Киттель (Experimental evidence on the band structure of germanium and silicon. Kittel C.), *Physica*, 1954, 20, № 11, 829—833 (англ.)

Анализ результатов эксперим. исследований зонной структуры полупроводников, особенно Ge и Si. Наиболее однозначны результаты для *n*-Ge, где измерения циклотронного резонанса (ЦР) и магнитосопротивления (М) показывают, что поверхности энергии у нижнего края полосы проводимости являются вытянутыми сфероидами, ориентированными в К-пространстве вдоль направления [111]. Эти сфероиды сильно анизотропны (отношение масс 15:1). В *p*-Ge две изотропные линии в ЦР указывают на то, что край полосы проводимости находится в центре зоны Бриллюэна; мультиплетность резонансного спектра объясняется спин-орбитальным расщеплением. Повидимому, эта модель качественно объясняет особенности ИК-поглощения *p*-Ge, но с ее помощью трудно объяснить эксперименты по переносу частиц. Из М и ЦР найдено, что поверхности энергии в *n*-Si являются вытянутыми сфероидами, направленными вдоль оси [100], тогда как структура *p*-Si подобна структуре *p*-Ge.

В. К.

3275. Фотопроводящие слои из теллурида свинца. Хенцинская Г., Сосновский Л., Бюл. Польск. АН, Отд. III, 1954, 2, № 8, 389—390

Получены микрокристаллич. слои PbTe, обладающие высокой чувствительностью к ИК-лучам при *t*-ре жидкого воздуха. Исходным материалом служил PbTe, содержащий ~3% избыточного Pb и полученный в вакууме из чистых Pb и Te. Слои получали испарением PbTe в вакууме ( $10^{-6}$  мм рт. ст.). До активации кислородом слои нефоточувствительны и обладают высокой *n*-проводимостью ( $\sim 10$  ом<sup>-1</sup>см<sup>-1</sup>), которая почти постоянна в интервале 90—300° К. В результате обработки в  $O_2$  с давл.  $\sim 10^{-3}$  мм рт. ст. при 20° С появляется высокая фоточувствительность, проводимость изменяется из *n*-типа в *p*-тип и ее температурный коэфф. резко возрастает. Длинноволновая граница спектральной чувствительности лежит при  $\sim 4,75$  мμ. При 20° С чувствительность ничтожна. Достоинством слоев PbTe является постоянство на открытом воздухе ( $> 12$  месяцев).

Ч. М.

3276. Электропроводность титанатов щелочноземельных металлов. Пигонь (Przewodnictwo elektryczne tytanianów ziem alkalicznych. Pigoń Krzysztof), *Roczn. chem.*, 1954, 28, № 4, 611—628 (польск.; резюме англ.)

Исследована температурная зависимость проводимости  $\sigma$  поликристаллич. образцов  $MgTiO_3$ ,  $CaTiO_3$ ,  $SrTiO_3$  и  $BaTiO_3$ , полученных из хим. или спектрально чистых материалов. Отклонений от закона Ома не обнаружено. Значения  $\sigma$  на постоянном и переменном токах хорошо согласуются между собой, что указывает на отсутствие межкристаллич. барьеров. Зависимость  $\lg \sigma = f(1/T)$  выражается прямой с одним ( $CaTiO_3$ ,  $BaTiO_3$ ) или двумя ( $MgTiO_3$ ,  $SrTiO_3$ ) изломами. При *t*-ре  $< 200^\circ$  наблюдается примесная проводимость (*n*-типа для  $BaTiO_3$ ) и отклонения от линейной зависимости. При *t*-ре  $> 200^\circ$  наблюдается собственная проводимость с энергией активации  $2,02 \pm 0,04$  эв (для  $BaTiO_3$ ), хорошо воспроизводимой для различных образцов, слабо зависящей от

природы катиона и совпадающей с оптич. энергией активации (2,0 эв). Предложена схема энергетич. уровней, в которой зона проводимости образована уровнями ионов  $Ti^{3+}$ , а заполненная зона — уровнями  $O^{2-}$ . Коэфф. термо-э. д. с.  $CaTiO_3$ ,  $SrTiO_3$  и  $BaTiO_3$  в интервале 400—950° равен  $\sim 1$  мВ/град, слегка падает с ростом  $t$ -ры и имеет положительный знак. Для  $MgTiO_3$  коэфф. термо-э. д. с. равен 0,1 мВ/град, положительный ниже 700° и отрицательный выше 700°.

**3277. Изучение электропроводности различных сплавов висмута. Кирьяшкина З. И., Шаталова О. К., Уч. зап. Саратовск. ун-та, 1954, 36, 29—33**

В интервале от  $-21$  до  $+269^\circ$  измерена температурная зависимость уд. сопротивления  $\rho$  монокристаллов чистого Bi (99,98%) и Bi с примесью 0,81 и 3,1 ат. % Pb или 0,55 ат. % Sn. Для чистого Bi  $\rho$  линейно увеличивается с  $t$ -рой до  $\sim 120^\circ$ , а при более высоких  $t$ -рах линейная зависимость сменяется криволинейной. Величина  $\rho$  зависит от угла  $\alpha$  между направлением тока и главной осью кристалла: при  $20^\circ$   $\rho_{\alpha=65^\circ} = 113,5 \cdot 10^{-6}$  ом см,  $\rho_{\alpha=10^\circ} = 132,8 \cdot 10^{-6}$  ом см,  $\rho_{\alpha=4^\circ} = 139,7 \cdot 10^{-6}$  ом см. Кривые  $\rho = f(T)$  для различных  $\alpha$  параллельны между собой. Примесь Pb увеличивает  $\rho$  в 2—3 раза. Кривая  $\rho = f(T)$  для Bi—Pb состоит из 4 областей: от  $-21$  до  $+70-90^\circ$   $\rho$  уменьшается, от  $70-90$  до  $150^\circ$   $\rho$  постоянно или слабо изменяется, от  $150-160$  до  $255^\circ$   $\rho$  растет и выше  $250^\circ$  резко снижается.  $\rho$  зависит от  $\alpha$ . Примесь Sn увеличивает  $\rho$  в 2—4 раза, ход кривой  $\rho = f(T)$  такой же, как у Bi—Pb.

**3278. Электропроводность и термоэлектродвижущая сила серого олова. Камаджиев (Kamadziev Petko R.), Чехосл. физ. ж., 1955, 5, № 1, 60—63 (резюме англ.); Českosl. časop. fys., 1954, 4, № 4, 424—426 (чеш.)**

Измерены электропроводность  $\sigma$  и термо-э. д. с.  $E_T$   $\alpha$ -Sn в интервале  $\sim 80-300^\circ K$ . Образцы порошкообразного  $\alpha$ -Sn прессовались под действием собственного давления, создаваемого в результате увеличения объема при переходе из  $\beta$ -Sn в  $\alpha$ -Sn (Блум А. И., Горюнов Н. А., Докл. АН СССР, 1950, 75, 367). У образцов чистого  $\alpha$ -Sn с отрицательной дифференциальной  $E_T$  (термоэлемент Cu— $\alpha$ -Sn—Cu), т. е. с проводимостью  $n$ -типа  $\sigma$  увеличивается с  $t$ -рой во всем исследованном интервале  $t$ -ре. В области собственной проводимости при  $t$ -рах  $> -100^\circ C$  энергия активации равна 0,06 эв. При последовательных сериях измерений одного и того же образца, который в промежутке (30—50 час.) между измерениями находится при  $t$ -ре  $2-3^\circ C$ , прямые  $lg \sigma = f(1/T)$  испытывают параллельное смещение. Во всех случаях величина  $\sigma$  лежит в пределах  $\sim 50-400$  ом $^{-1}$ см $^{-1}$ .  $\alpha$ -Sn, смешанное с 0,1 вес. % Al, имеет проводимость  $p$ -типа, которая уменьшается с ростом  $t$ -ры при одновременном росте  $E_T$ , что приписано вырождению электронного газа.  $E_T$  чистого  $\alpha$ -Sn имеет максимум между  $-65$  и  $-80^\circ C$ .

**3279. Электрические и оптические свойства селенида индия. Деймон, Реддингтон (Electrical and optical properties of indium selenide. Damon R. W., Redington R. W.), Phys. Rev., 1954, 96, № 6, 1498—1500 (англ.)**

Образцы InSe получали взаимодействием стехиометрич. кол-в In и Se высокой чистоты в вакууме. Один образец получен из 99,999%-ного Se и очищенного зонной плавкой In; продукт р-ции InSe также очищали зонной плавкой в  $H_2$ . Т. пл.  $660^\circ$ . Монокристаллы выращивали в печи Стокбаргера. Они обладают листоватой текстурой и принадлежат к тригональной сингонии. Показатель преломления в исследованном интер-

вале длин волн 0,3—1,4  $\mu$  равен  $\sim 3$ . Кривая спектрального поглощения не имеет четкой длинноволновой границы и совпадает для неочищ. и очищ. зонной плавкой кристалла. Авторы объясняют это нестехиометрич. составом образцов. Фотоэлектрич. чувствительность максимальна в видимой области и близка к чувствительности серого Se. В области собственной проводимости термич. энергия активации равна  $\sim 1$  эв, в низкотемпературной области она колеблется для различных образцов от 0,2 до 0,4 эв. Знак носителей тока определить не удалось.

**3280. Электрические свойства интерметаллических соединений  $Mg_2Si$ ,  $Mg_2Ge$ ,  $Mg_2Sn$  и  $Mg_2Pb$ . Буш, Винклер (Elektrische Eigenschaften der intermetallischen Verbindungen  $Mg_2Si$ ,  $Mg_2Ge$ ,  $Mg_2Sn$  und  $Mg_2Pb$ . Busch G., Winkler U.), Physica, 1954, 20, № 11, 1067—1072 (нем.)**

Исследованы электрич. свойства интерметаллич. соединений  $Mg_2Si$ ,  $Mg_2Ge$ ,  $Mg_2Sn$  и  $Mg_2Pb$ , полученных сплавлением спектрально чистых компонентов в ВЧ-печи в сухом Ar. Путем измерений электропроводности и постоянной Холла получены следующие данные: 1) ширина запрещенной зоны  $\Delta E$  (в эв):  $Mg_2Si$  0,77;  $Mg_2Ge$  0,74;  $Mg_2Sn$  0,36; 2) коэфф.  $a$  в ф-ле зависимости  $\Delta E$  от  $t$ -ры  $\Delta E_T = \Delta E - aT$ :  $Mg_2Ge$   $8,94 \cdot 10^{-4}$  эв град $^{-1}$ ;  $Mg_2Sn$   $3,82 \cdot 10^{-4}$  эв град $^{-1}$ ; 3) отношение подвижности электронов к подвижности дырок:  $Mg_2Ge$  5;  $Mg_2Sn$  1,4.

**3281. Электрические свойства антимонида индия. II. Маделунг, Вейс (Die elektrischen Eigenschaften von Indiumantimonid II. Madelung O., Weiss H.), Z. Naturforsch., 1954, 9a, № 6, 527—534 (нем.)**

Измерены уд. проводимость и постоянная Холла полупроводника InSb в интервале от  $-220$  до  $+470^\circ$ . InSb начинает вырождаться уже при низких  $t$ -рах: собственная проводимость при  $\sim 200^\circ K$ , а проводимость InSb  $n$ -типа — почти при любой  $t$ -ре. Ширина запрещенной зоны описывается ф-лой:  $\Delta E = 0,27 - 3 \cdot 10^{-4} T$  (эв). Подвижность электронов равна  $\sim 65000 (T/300)^{-1,66}$  см $^2$  в $^{-1}$ сек $^{-1}$ . Подвижность дырок значительно ниже, чем подвижность электронов: при не слишком низких  $t$ -рах она по крайней мере на два порядка ниже последней. Температурный коэфф. подвижности дырок больше температурного коэфф. подвижности электронов. Эффективные массы зависят от  $t$ -ры. Как  $m_n/m_p$ , так и  $m_n m_p / m^3$  меньше единицы. Сообщение I см. РЖХим, 1955, 28393.

**3282. Некоторые проблемы диффузии неосновных носителей в полупроводниках. Висванатхан, Батти (Some problems in the diffusion of minority carriers in a semiconductor. Visvanathan S., Battey J. F.), J. Appl. Phys., 1954, 25, № 1, 99—102 (англ.)**

В работе предложен математич. расчет ур-ния диффузии неосновных носителей в полупроводниках, построенный на аналогии с ур-ниями теплопередачи. Граничные условия задаются приравнением диффузионного тока, протекающего по поверхности, к степени поверхностной рекомбинации. Решение найдено в виде суммы решений для точечного и линейного источников вводимых носителей; анализируются границы обоснованности такого упрощения. Подобный расчет применим, если образец ограничен двумя бесконечными плоскостями и скорость поверхностной рекомбинации мала. Для точечного источника неосновных носителей решение доведено до численного интеграла, выражающего плотность носителей на поверхности образца как функцию расстояния от источника. Приводится расчет для конкретного случая диффузии дырок в полупроводнике  $n$ -типа с протравленной поверхностью



и оценивается погрешность, вносимая поверхностной рекомбинацией дырок. Ф. П.

3283. Возможный механизм движения границы сегнетоэлектрического домена. Накамура (Possible mechanism of ferroelectric domain boundary movement. Nakamura Terutaro), J. Phys. Soc. Japan, 1954, 9, № 3, 425—426 (англ.)

Так как вычисления (Takagi Y., International Conference on Theoretical Physics, Kyoto, Japan, Sept., 1953) дают примерно равные значения энергии для сегнетоэлектрического и антисегнетоэлектрического расположения диполей в кристалле  $\text{BaTiO}_3$ , то можно предполагать, что толщина стенки между доменами с антипараллельным расположением диполей крайне мала (около 1—2 атомных слоев). Предлагается возможный механизм движения стенки домена под действием слабого поля. Если в кристалле в месте расположения стенки домена существует винтовая дислокация, то поверхность стенки не является плоской, а представляет собой поверхность спирали со ступенькой в том месте, где спираль встречается со стенкой соседнего домена. Под действием весьма слабого поля ступенька вращается относительно оси дислокации, и при повороте ее на  $360^\circ$  стенка домена сдвигается на одно межатомное расстояние. Описанный механизм не применим к движению стенки, разделяющей домены, с взаимно перпендикулярным расположением диполей, однако, так как ее толщина может быть порядка десятка атомных слоев, то под действием сравнительно слабых полей происходит обычное смещение стенки. Е. М.

3284. Влияние примесей в карбонатах щелочноземельных металлов на электронную эмиссию оксидного катода. Сато, Ямамото (アルカリ土類炭酸塩中の不純物のエミツションに及ぼす影響. 佐藤礼洗, 山本弘), 東芝レビュー, Тосиба рэбю, Toshiba Rev., 1954, 9, № 12, 1191—1195 (япон.; резюме англ.)

Наиболее сильное влияние на эмиссию оксидного катода оказывают примеси, содержащиеся в карбонатах щелочноземельных металлов, если последние осаждаются из нитрата растворимым карбонатом. Если тройной карбонат ( $\text{Ba}$ ,  $\text{Sr}$ ,  $\text{Ca}$ ) $\text{CO}_3$  осаждается из вод. р-ра нитрата карбонатом  $\text{Na}$ , то основными примесями являются  $\text{Na}^+$ ,  $\text{NO}_3^-$  и  $\text{Cl}^-$ . Влияние этих примесей изучено количественно. Даже после многократных промывок в осадке остаются заметные кол-ва  $\text{Na}^+$  и  $\text{NO}_3^-$ . Эти примеси находятся на поверхности и в объеме кристаллов карбоната. Первые легко удаляются промывкой, вторые не могут быть полностью удалены ни промывкой, ни электролизом, ни прогревом на воздухе при  $550^\circ$ . После этих операций остается  $\sim 0,47\%$  примесей. Примеси в кол-вах  $0,47$ — $0,84\%$  не влияют на эмиссию ( $\text{Ba}$ ,  $\text{Sr}$ ,  $\text{Ca}$ ) $\text{O}$ -катода. Ч. М.

3285. Электронное спиновое резонансное поглощение в металлах. I. Экспериментальная часть. Фехер, Кип (Electron spinresonance absorption in metals. I. Experimental. Feher George, Kip A. F.), Phys. Rev., 1955, 93, № 2, 337—348 (англ.)

Измерено парамагнитное резонансное поглощение (ПРП) в  $\text{Li}$ ,  $\text{Na}$ ,  $\text{K}$ ,  $\text{Be}$ ,  $\text{Mg}$ ,  $\text{Al}$ ,  $\text{Pd}$ ,  $\text{W}$  на частотах 300 и 900  $\text{Mc}$  в интервале  $t$ -р 4—296°K. Эффект установлен в  $\text{Li}$ ,  $\text{Na}$ ,  $\text{Be}$ ; в  $\text{K}$  осязательный эффект обнаружен только на частоте 300  $\text{Mc}$  и 4°K. Изучена форма линий ПРП. Получено удовлетворительное согласие эксперим. результатов с теорией (см. реф. 3286) в области нормального и аномального скин-эффекта. Проверка теории проведена для типичных случаев, возникающих в условиях различных соотношений между временами диффузии электронов через скин-слой и временами релаксации. Смещения  $g$ -факторов от значения фак-

тора свободного электрона ( $\Delta g$ ) равны для  $\text{Li} \leq 10^{-4}$ ,  $\text{Na} - (8 \pm 2) \cdot 10^{-4}$ ,  $\text{Be} (9 \pm 1) \cdot 10^{-4}$ . Измерено время релаксации  $T$ ; у  $\text{Li}$  и  $\text{Be}$   $T$  не меняется с  $t$ -рой, но сильно зависит от кол-ва примесей. У  $\text{Na}$   $T$  обратно пропорционально  $t$ -ре. Из отсутствия эффекта ПРП у  $\text{Mg}$ ,  $\text{Al}$ ,  $\text{Pd}$ ,  $\text{W}$  делается вывод, что при комнатной  $t$ -ре у этих металлов  $T < 5 \cdot 10^{-10}$  сек. С. А.

3286. Электронное спиновое резонансное поглощение в металлах. II. Теория электронной диффузии и скин-эффекта. Дайсон (Electron spin resonance absorption in metals. II. Theory of electron diffusion and the skin effect. Dyson Freeman J.), Phys. Rev., 1955, 98, № 2, 349—359 (англ.)

Развита теория парамагнитного резонансного поглощения в металлах, учитывающая диффузию электронов проводимости внутри скин-слоя. В основу теории положена упрощенная модель, в которой предполагается, что электроны диффундируют подобно свободным частицам. Детальные расчеты проведены для случая плоской металлич. пластины. Найдено, что диффузия электронов не оказывает заметного влияния на ширину линии магнитного резонанса, но сильно изменяет форму линии. Для случая, когда образец имеет большую толщину, а линия поглощения узка, расчеты проведены для классич. и для аномального скин-эффекта. С. А.

3287. Тепловые изменения, сопровождающие процессы намагничивания ферритов. Бейтс, Шерри (The heat changes accompanying magnetization processes in ferrites. Bates L. F., Sherry N. P. R.), Proc. Phys. Soc., 1955, B68, № 5, 304—309 (англ.)

Измерены тепловые изменения, сопровождающие процесс ступенчатого намагничивания, для ряда никель-цинковых ферритов. В основном, тепловые изменения связаны с зависимостью намагниченности (в домене) от поля. В ферритах обнаружен аномальный термомангнитный эффект в области слабых полей, наблюдаемый также и у металлов. Причина этого явления не ясна. Е. М.

3288. Классическая теория температурной зависимости энергии магнитной анизотропии. Зинер (Classical theory of the temperature dependence of magnetic anisotropy energy. Zener C.), Phys. Rev., 1954, 96, № 5, 1335—1337 (англ.)

С целью выяснения причин температурной зависимости магнитной энергии анизотропии ферромагнитного кристалла высказаны 2 предположения: 1) влияние  $t$ -ры на кристалл состоит только в создании локальных флуктуаций в направлении вектора намагниченности  $I$ , локальная величина которого не зависит от  $t$ -ры; 2) отклонение локального вектора  $I'$  от направления макроскопич. вектора  $I$  является суммарным эффектом большого кол-ва очень малых отклонений, имеющих произвольные направления. При этих предположениях проведено усреднение величин локальной энергии анизотропии  $E = \sum_n E_n S_n (\alpha_1 \alpha_2 \alpha_3)$  (1) по отношению к функции распределения углов  $\theta$  между направлениями локальной и макроскопич. намагниченностей ( $S_n$  — поверхностная гармоника  $n$ -го порядка, имеющая симметрию соответствующего кристалла,  $\alpha_1 \alpha_2 \alpha_3$  — направляющие косинусы локального вектора  $I$  по отношению к кристаллографич. осям,  $E_n$  — энергетич. константы). В результате усреднения получено соотношение, подобное (1), но  $\alpha_1 \alpha_2 \alpha_3$  представляют в нем уже макроскопич. вектор  $I$ , а коэфф.  $E_n(T)$  и  $E_n(0)$  связаны соотношением:  $E_n(T)/E_n(0) = \{I_S(T)/I_S(0)\}^{n(n+1)/2}$ , где  $I_S$  — намагниченность насыщения. Для куб. кристалла первые два члена соотношения (1) ( $n=4$ ,  $n=6$ ) имеют показатели степени соответственно 10 и 21. Установлено, что в случае  $\text{Fe}$  имеет место согласие теоретич. и эксперим. данных [Bozorth R. M., Ferromagnetism,

1951; Potter H. H., Proc. Roy. Soc. (London), 1934]. В случае же Ni энергия анизотропии падает с увеличением  $t$ -ры значительно быстрее, чем предсказывает теория. Н. П.

3289. Изучение роста кристаллов при помощи электронного микроскопа. IV. Образование зародышей и рост кристаллов *n*-пропилового эфира *n*-пентаконтановой кислоты. Андерсон, Досон (The study of crystal growth with the electron microscope. IV. The nucleation and growth of *n*-propyl *n*-pentacontanoate. Anderson N. G., Dawson I. M.), Proc. Roy. Soc., 1955, A228, № 1175, 539—548 (англ.)

Изучен процесс кристаллизации *n*-пропилового эфира *n*-пентаконтановой к-ты (I), начиная с момента образования зародышей. Кристаллы получались из  $p$ -ра I в петр. эфире. Показано, что рост начинается из двумерных зародышей, представляющих собой мономолекулярные пленки площадью от 0,25 до 20  $\mu^2$ . По краям этих зародышей образуются винтовые дислокации. Высота ступенек роста, подтененных сплавом Ni-Pd, равна  $75 \pm 12$  А, что соответствует длине одной молекулы (70 А). Рост спиралей происходит в направлении центра кристаллич. грани. Установлено, что у соединений с длинной цепочкой дислокации возникают не только за счет примесей, но и за счет внутренних деформаций решетки. Из всех изучавшихся соединений лишь у I обнаружено винтовое скольжение. Высказывается предположение, что последнее происходит не в результате деформации готового кристалла, а в стадии зародыша, как результат разрыва двумерного зародыша. В этой же стадии, до появления винтовых дислокаций, часто происходит двойникование. Сообщение III см. РЖХим, 1955, 15890. С. Я.

3290. Необратимый рост кристаллов — физико-химические факторы, влияющие на изменение микрокристаллов гидроксида никеля. Баньо, Лонг-Эскар (Croissance cristalline irreversible — facteurs physico-chimiques intervenant dans l'évolution des microcristaux d'hydroxyde de nickel. Bagnon O., m-lle, Longuet-Escard J., m-me), J. chim. phys. et phys.-chim. biol., 1954, 51, № 9, 434—439 (франц.)

Изучались осадки  $Ni(OH)_2$ , полученные путем приливания 2 н.  $p$ -ра щелочи к 0,2 н.  $p$ -ру  $NiCl_2$  или  $Ni \cdot (NO_3)_2$  в токе  $N_2$ . При длительном выдерживании в исходном маточном  $p$ -ре изменяются хим. состав и рентгеноструктурная характеристика осадков, а также величина pH  $p$ -ра. Свежеосажденные осадки  $Ni(OH)_2$  содержат некоторый избыток ионов  $Ni^{2+}$ , адсорбированных преимущественно на кристаллич. гранях (001); соответствующее кол-во анионов сосредоточивается у поверхности кристалла с образованием двойного слоя. Кол-во адсорбированных ионов  $Ni^{2+}$  и скорость их удаления при старении зависят от относительного кол-ва осадителя. Отмечено, что образование двойного слоя играет решающую роль в ориентации и росте кристалликов, который, по мнению авторов, протекает в две стадии: 1) соединение частичек по граням (001) с захватом молекул из двойного слоя и 2) десорбция двойного слоя с одновременной перегруппировкой и срастанием слипшихся кристаллитов. Как указывают авторы, условия протекания стадии 2 зависят от природы адсорбированного аниона и от pH среды: при  $pH < 8$  и в отсутствие ионов  $CO_3^{2-}$  в  $p$ -ре ионы  $Cl^-$  и  $NO_3^-$  легко десорбируются, причем удаляются эквивалентные кол-ва  $Ni^{2+}$ . При  $pH > 8$  адсорбированные анионы заменяются ионами  $OH^-$  и стадия 2 тормозится. Кипячение ускоряет десорбцию ионов и рост кристаллов в случае анионов  $Cl^-$ ,  $NO_3^-$  и  $CO_3^{2-}$ , но не способствует рекристаллизации в щел.  $p$ -рах. В. В.

3291. Интерферометрическое и рентгенографическое исследование роста кристаллов длинноцепочечных жирных кислот. I. Полиморфизм и полиитинизм в кристаллах пальмитиновой кислоты. Верма (Interferometric and X-ray investigation of the growth of long-chain fatty acid crystals. I. Polymorphism and polytypism in palmitic acid crystals. Verma A. J. R. a m.), Proc. Roy. Soc., 1955, A228, № 1172, 34—50 (англ.)

Интерферометрически и рентгенографически исследовался полиморфизм кристаллов пальмитиновой к-ты. Кристаллы выращивались на стеклянных пластинках, охлажденных до 0°, из разб.  $p$ -ров в бензоле, этиловом спирте и сероуглероде. Применялась спец. острофокусная интенсивная рентгеновская трубка, обеспечивающая высокое разрешение, и спец. камера для получения рентгенограмм качания радиусом 1 см, жестко связанная с трубкой (излучение  $Cu-K_\alpha$ ). Для интерферометрич. исследований кристаллы выращивались на посеребренном покровном стекле и затем серебрились. При помощи полос внутренней интерференции, возникающих в посеребренном с обеих сторон кристалле, исследовались ступени роста и дупреломление. Кристаллы пальмитиновой к-ты растут в виде ромбоидальных и гексагональных пластинок с базисом (001), поперечным сечением 100—200  $\mu$  и толщиной несколько микрон. Было установлено, что при обычной  $t$ -ре кристаллы одновременно образуются по крайней мере в двух модификациях (I и II). Острый угол между ребрами ромбоидальных кристаллов для полиморфной модификации (I) составляет 74°, для (II) 56°. Параметры решетки I:  $a$  5,63,  $b$  7,39,  $c$  45,15 А;  $\beta$  62°2'. II:  $a$  9,68,  $b$  5,05,  $c$  46,86 А;  $\beta$  51°3'. Кристаллы I и II принадлежат к разным федоровским группам. В I и II углеродные цепи наклонены под различными углами по отношению к оси  $c$ . В фазовом микроскопе исследовались спирали роста кристаллов I. Высоты ступенек оказались кратными 40,2 А, что равно  $c \sin \beta$ . Наблюдались переплетающиеся спирали, свидетельствующие о наличии полиитинизма, который рентгенографически не удалось обнаружить. Высказывается предположение, что полиитинизм должны обладать все длинноцепочечные соединения с активными группами. Наблюдается образование больших дислокаций и их движение, проявляющееся в макроскопических явлениях. С помощью интерференционных молос равного хроматич. порядка измерено дупреломление I и II для длин волн видимого спектра. Г. Д.

3292. Рост железных нитей. Кочард, Видер-зих (Growth of iron whiskers. Cochardt A. W., Wiedersich H.), Naturwissenschaften, 1955, 42, № 11, 342 (англ.)

Описывается приготовление тонких нитей Fe восстановлением субимированных окислов или хлорида в атмосфере  $H_2$  при 500—650°. При этом образуются нити длиной до 5 см прямоугольного сечения. Часть из них имеет острые изломы. Железные нити имеют структуру гранецентрированного куба с плоскостями (100) параллельно их оси и сечению. Предполагается, что механизм их роста такой же, как и при образовании волокнистого серебра из  $Ag_2S$  (Kohlschütter H. W., Z. Elektrochem., 1932, 38, 345; Wagner C., Trans. Amer. Inst. Min. Metallurg. Engrs, 1952, 194, 214). Л. Ш.

3293. Протонный резонанс в моногидрате хлората бария. Спенс (Proton resonance in barium chlorate monohydrate. Spence R. D.), J. Chem. Phys., 1955, 23, № 6, 1166 (англ.)

Спектр протонного резонанса  $Ba(ClO_3)_2 \cdot H_2O$  состоит из одного дублета. Это указывает на то, что направление всех векторов  $p - p'$  (протон — протон) одинаковы.

Найдено, что векторы  $p-p'$  параллельны плоскости 010, а расстояние  $p-p'$  равно 1,56 Å. Среднее значение угла между осью  $c$  кристалла и вектором  $p-p'$  равно  $124 \pm 1,5^\circ$  (из других источников  $113,6^\circ$ ). Отмечено слабое взаимодействие между протонами соседних молекул воды.

Л. Ш.  
3294. Тонкая структура спектра парамагнитного резонанса иона  $\text{Cr}^{3+}$  в хромовой корунде. Маненков А. А., Прохоров А. М., Ж. эксперим. и теор. физики, 1955, 28, № 6, 762

Исследовался твердый  $p-p$   $\text{Al}_2\text{O}_3\text{-Cr}_2\text{O}_3$  при конц-н  $\text{Cr}$  0,05% на частотах  $\nu_1 = 11\,970\text{ Мгц}$  и  $\nu_2 = 8960\text{ Мгц}$  при комнатной т-ре. На частоте  $\nu_1$  наблюдаются 3 линии, когда постоянное магнитное поле  $H$  параллельно оси кристалла, и 4 линии, когда  $H$  перпендикулярно оси. На частоте  $\nu_2$  наблюдаются в обоих случаях 2 линии. Это обусловлено тем, что  $h\nu$  меньше, чем начальное расщепление основного энергетич. уровня иона  $\text{Cr}^{3+}$ , вызываемое электрич. полем кристалла в отсутствие магнитного поля. Спектр интерпретировался с помощью обычного спинового гамильтониана с осевой симметрией. При этом найдено, что  $g_{\parallel} = 1,9894 \pm \pm 0,0006$  и  $g_{\perp} = 1,9867 \pm \pm 0,0006$ , а начальное расщепление основного уровня  $0,3824\text{ см}^{-1}$ .

Л. Ш.  
3295. Парамагнитная восприимчивость сплавов Au-Cr. Джансолдати (Paramagnetic susceptibility of Au-Cr alloys. Giansoldati Aldo), Arkiv fys., 1954, 8, № 12, 151-154 (англ.)

В интервале т-р от комнатной до  $800^\circ\text{C}$  исследована парамагнитная восприимчивость  $\chi$  сплавов Au-Cr, содержащих от 2 до 20 ат.% Cr. Для малых конц-н Cr (до 6,75 ат.%) во всем интервале т-р выполняется закон Кюри-Вейсса. При более высоких конц-нях кривые  $\chi/\chi_0$  ( $\chi_0$  — атомная доля Cr в сплаве) имеют излом вблизи  $500^\circ\text{K}$ , так что для этих конц-н можно определить 2 набора постоянных закона Кюри-Вейсса: для  $300-500^\circ\text{K}$  и  $500-900^\circ\text{K}$ , откуда можно вычислить 2 набора значений атомных моментов Cr, в зависимости от его содержания в сплаве. При малых конц-нях обе системы стремятся к одному и тому же значению, совпадающему, в пределах точности измерений, со значением  $\mu = 4,9\text{ }\mu_B$ .

Е. М.  
3296. Релаксационный процесс в явлении ферромагнитного резонансного поглощения. Касуя (The relaxation process in ferromagnetic resonance absorption. Kasuya Tadao), Progr. Theoret. Phys., 1954, 12, № 6, 802-803 (англ.)

Кратко обсуждено отличие проблем ферромагнитного резонанса от резонанса парамагнитного и ядерного. Приведены результаты вычислений времен релаксации для немагнитич. ферромагнетика, выполненных методом элементарных возмущений. Процессы, связанные со столкновением четырех спиновых волн, при учете как обменных, так и дипольных и псевдодипольных взаимодействий дают для времени релаксации  $\tau$  величины  $>10^{-6}$  сек. при комнатной т-ре; зависимость  $\tau$  от т-ры по крайней мере квадратична. Более слабая зависимость от т-ры и значения  $\tau \sim 10^{-8}$  сек. получаются при рассмотрении столкновений трех спиновых волн, если учесть дипольные взаимодействия; другие взаимодействия играют меньшую роль. Последние результаты хорошо согласуются с данными опыта для ферритов.

С. А.  
3297. Новый метод изучения доменной структуры ферромагнетиков. Качер (Nová metoda vyetřování doménové struktury ferromagnetik. Kaceř Jan), Českosl. časop. fys., 1955, 5, № 1, 70-74 (чеш.); Чехосл. физ. ж., 1955, 5, № 2, 239-244 (англ.; резюме русс.)

Предложен метод изучения доменной структуры ферромагнетиков, основанный на изменении потока индук-

ции в пермаллловом зонде, колеблющемся над поверхностью ферромагнетика. Меняющийся поток наводит э. д. с. в катушке, расположенной вокруг зонда, и эти изменения передаются на осциллограф. Метод может быть применен к исследованию ферритов. Он позволяет наблюдать микродефекты поверхности ферромагнетиков, что имеет практич. значение.

Е. М.

См. также: Рентгеногр., электроногр., нейтроногр. исслед. 3621, 3625, 3642, 3674, 3817, 4016, 4028, 4275-4278, 5722. Фаз. превращения 4505. Термодинамика кристаллов 3347, 3378-3383. Спектры и др. оптич. св-ва кристаллов 3177, 3201, 3404, 3405, 3669. Рост кристаллов 3394. Природа хим. связи в кристаллах 3154, 3197. Др. вопр. 3447, 5899

## ЖИДКОСТИ И АМОРФНЫЕ ТЕЛА. ГАЗЫ

3298. Стехиометрическое исследование жидкого состояния. I. Соотношение между скоростью звука и химической структурой. (1). Физическое значение молекулярной скорости звука неассоциированной жидкости. Тюдзё [Stoichiometric investigations of the liquid state. I. The relation between the sound velocity and the chemical structure. (1). The physical meaning of the molar sound velocity of the unassociated liquid. Tyuzyo Kiyoshi], Bull. Chem. Soc. Japan, 1954, 27, № 5, 300-303 (англ.)

Объясняются аддитивность молекулярной скорости звука и независимость ее от т-ры. Для скорости звука  $u$  принимается выражение:  $u = (E_{\text{исп}} \gamma^{1/2}) / C(MRT)^{1/2}$  (Kincaid J. F., Eyring H., J. Chem. Phys., 1938, 6, 620), где  $E_{\text{исп}}$  — энергия испарения,  $R$  — универсальная газовая постоянная,  $\gamma$  — отношение теплоемкости при постоянном давлении  $c_p$  к теплоемкости при постоянном объеме  $c_v$ ,  $M$  — мол. вес,  $T$  — абс. т-ра,  $C$  — коэфф., учитывающий упаковку (для куб. упаковки  $C = 2$ ). Получено для молекулярной скорости звука  $K = u^{1/2} V = V [E_{\text{исп}} \gamma^{1/2} / C(MRT)^{1/2}]^{1/2}$ , где  $V$  — молекулярный объем. Показано, что для неассоциированных жидкостей ( $n$ -октан, бензол, этилбромид, этиленхлорид, хлороформ,  $\text{CCl}_4$ , ацетон, эфир, метилалепат)  $K$  не зависит от т-ры. Вычисленные значения  $K$  совпадают с определенными экспериментально (ошибка  $\sim 5\%$ ).

Б. К.

3299. Стехиометрическое исследование жидкого состояния. II. Соотношение между скоростью звука и химической структурой. (2). Аддитивность молекулярной скорости звука в неассоциированных жидкостях. Тюдзё [Stoichiometric investigations of the liquid state. II. The relation between the sound velocity and the chemical structure. (2). The additivity of the molar sound velocity of unassociated liquids. Tyuzyo Kiyoshi], Bull. Chem. Soc. Japan, 1954, 27, № 5, 303-305 (англ.)

Было показано, что  $K = V(E_{\text{исп}} \gamma^{1/2})^{1/2} / C^{1/2} (MRT)^{1/2}$  (см. реф. 3298). В предположении, что  $K = \Sigma K_a$  (1) ( $K_a$  — атомные или радикальные инкременты  $K$ ),  $\gamma = 1,4$ ,  $C = 2$ ,  $T = 300$ , найдено  $K_a = 5,42 [\Delta E / M_a^{1/2}]^{1/2} V_a$  (2), где  $\Delta E$ ,  $M_a$  и  $V_a$  — соответственно энергия испарения, мол. вес и объем соответствующих атомов или радикалов. С помощью ур-ния (2) рассчитаны значения инкрементов  $K_a$  расч и сравнены с эксперим. величинами  $K_a$  набл. Отношение  $K_a$  расч :  $K_a$  набл равно: для  $-\text{CH}_2-$  0,850;  $-\text{CH}_3$  0,868;  $-\text{O}-$  0,907;  $-\text{Cl}$  0,941;  $-\text{Br}$  1,037;  $-\text{J}$  1,191;  $> \text{C} = 0$  1,103. Величины  $K$ , полученные для 23 неассоциированных жидкостей по



ур-нию (1) с помощью  $K_a$  расч. отклоняются от экспериментально наблюдаемых приблизительно на 10%. Кратко обсуждаются причины отклонения рассчитанных значений  $K$  от наблюдаемых.

Б. К.

**3300.** **Стехиометрическое исследование жидкого состояния. III. Соотношение между скоростью звука и химической структурой. (3). Молекулярная скорость звука и ее аддитивность для ассоциированных жидкостей. Тюдзё (Stoichiometric investigations of the liquid state. III. The relation between the sound velocity and the chemical structure. (3). Molar sound velocity and its additivity for associated liquids. Tuzuo Kiyoshi), Bull. Chem. Soc. Japan, 1954, 27, № 5, 306—309 (англ.)**

Уравнение, примененное автором для расчета молекулярной скорости звука  $K$  в неассоциированных жидкостях (реф. 3299), используется для аналогичных расчетов в случае ассоциированных жидкостей. Предлагается различать ассоциированные жидкости первого (спирты, карбоновые к-ты) (I) и второго (вода, этиленгликоль, глицерин и т. п.) (II) рода. Для I коэфф., учитывающий упаковку, равен  $\sim 2$ ; для II он много больше. Рассчитанные значения  $K$  совпадают с наблюдаемыми экспериментально для I и расходятся для II. Вычисленные радикальные инкременты  $K$  и полученные с их помощью по правилу аддитивности величины молекулярной скорости звука совпадают с определенными экспериментально для I (отклонения  $\sim 15\%$ ). Обсуждается вопрос о структуре I и II метода изучения ассоциации жидкостей.

Б. К.

**3301.** **Поведение жидкостей с квазисферическими молекулами. III. Поверхностное натяжение. Хаман, Ламберт (The behaviour of fluids of quasi-spherical molecules. III. Surface tensions. Haman S. D., Lambert J. A.), Austral. J. Chem., 1954, 7, № 3, 219—224 (англ.)**

Ранее было показано (Сообщение I, II, РЖХим, 1955, 48424, 48425), что для многоатомных жидкостей и газов, состоящих из квазисферич. молекул (КСМ), наилучшее описание свойств достигается применением потенциала межмолекулярного взаимодействия типа Леннарда-Джонса  $U = \lambda/R^n - \mu/R^m$  при  $n = 28$ ,  $m = 7$ , а для одно- и двухатомных газов при  $n = 12$ ,  $m = 6$ . В предположении, что поверхностное натяжение равно поверхностной энергии, выведено выражение для поверхностного натяжения при абс. нуле для обоих типов потенциалов. Для них вычислены также значения приведенной поверхностной энергии ( $\Omega^\circ$ ), по соотношению ( $\Omega^\circ$ )<sub>r</sub> =  $\Omega^\circ V_{кр}^{1/3}/T_{кр}$ , где  $V_{кр}$  и  $T_{кр}$  — крит. объем и т-ра. При этом для крит. констант использованы значения, полученные из ячеечной теории Леннарда-Джонса и Девоншайра, из 2-го и 3-го вириальных коэфф. и из опыта. Проведено сравнение с опытными данными для одно- и двухатомных жидкостей (Ne, N<sub>2</sub>, O<sub>2</sub>, CO, Cl<sub>2</sub>) и жидкостей КСМ (CCl<sub>4</sub>, C<sub>6</sub>H<sub>6</sub>). Показано, что разница поверхностных энергий обоих классов жидкостей правильно предсказывается теорией, в особенности в случае, когда для крит. величин берутся эксперим. данные. Б. С.

**3302.** **Коэффициенты вязкости жидкости в магнитном поле и во вращающейся системе. Хойман, Мазур, Грот (Coefficients of viscosity for a fluid in a magnetic field or in a rotating system. Hoyma G. J., Masur P., Groot S. R. de), Physica, 1955, 21, № 5, 355—359 (англ.)**

Линейные соотношения между компонентами вязкого тензора напряжений и скоростями деформаций для случая изотропной жидкости, находящейся во внешнем магнитном поле, и эквивалентного случая вращающейся жидкости исследованы в связи с термодинамикой

необратимых процессов. Поведение таких систем характеризуется, как показано, 8 коэфф., между которыми существует одно соотношение Онзагера. Из 7 свободных коэфф. линейная комбинация из 5 описывает обычную вязкость, а 2 других — объемную вязкость и «поперечные» явления между той и другой. В частном случае отсутствия объемной вязкости ур-ние согласуется с полученными из кинетич. теории (Chapman S., Cowling T. G., The mathematical theory of non-uniform gases. University Press, Cambridge, 1939, 338).

**3303.** **Вязкость и молекулярный вес. Умштеттер (Viskosität und Molekulargewicht. Umstätter H.), Kolloid-Z., 1954, 139, № 1/2, 120—124 (нем.)** Реферат доклада на конгрессе памяти Герберта Фрейндлиха в Берлине в 1954 г. Приведена дискуссия.

**3304.** **О молекулярной скорости звука в жидкостях и о жидком состоянии. Лион (On the molar sound velocity in liquids and the liquid state. Leon Herman I.), J. Chem. Phys., 1955, 23, № 5, 983—984 (англ.)**

На основе термодинамич. равенств найдено отношение температурного коэфф. ( $\alpha$ ) скорости звука  $v$  к температурному коэфф. плотности  $\rho$ . Правило Рао  $v^{1/3}\rho^{-1}M = \text{const}$  ( $M$  — мол. вес) выполняется, если  $\alpha$  равно 3. С помощью таблиц (Watson K. M., Ind. Eng. Chem., 1943, 35, 398) показано, что  $\alpha$  близко к 3 только при давлениях, близких к атмосферному, и т-рах, близких к комнатной. При более высоких т-рах и давлениях  $\alpha$  существенно больше 3. Правило Рао нельзя получить при помощи ур-ния состояния  $PV_a = 3RT$ , в котором  $P$  — давление,  $T$  — абс. т-ра,  $R$  — газовая постоянная,  $V_a$  — так называемый доступный объем, равный разности между действительным объемом жидкости и объемом при плотной упаковке молекул.

Б. К.

**3305.** **К вопросу о теории скорости звука в жидкостях. Лепендин Л. Ф. В сб.: Применение ультразвуки к исследованию вещества. М., Изд. МОН, 1955, № 1, 31—34**

С помощью ур-ния состояния  $P = kT/v - d\phi/dv$ , в котором  $P$  — давление,  $T$  — абс. т-ра,  $v$  — объем,  $\phi$  — функция потенциальной энергии парных взаимодействий молекул и  $k$  — постоянная Больцмана, получено выражение для скорости звука  $C$ . Показано, что молярная скорость звука  $C^{1/3}M\rho^{-1}$  ( $M$  — мол. вес,  $\rho$  — плотность) не постоянна, как утверждает правило Рао, но изменяется с т-рой пропорционально корню 6 степени из отношения  $\gamma$  теплоемкости при постоянном давлении к теплоемкости при постоянном объеме. Она также может быть выражена через крит. параметры. Вычислены значения  $\gamma$  для  $n$ -гексана,  $n$ -гептана и этилового спирта в интервале т-р от  $-60^\circ$  до  $280^\circ$ .

Б. К.

**3306.** **Скорость распространения звука в жидкости.**

**Кудрявцев Б. Б., Ж. физ. химии, 1955, 29, № 4, 671—676**

Для скорости звука  $a$  в жидкости термодинамически получено ур-ние  $\gamma n m \Phi_0 = a^2 - T d a^2 / d T$ , где  $T$  — абс. т-ра,  $\gamma$  — отношение теплоемкости при постоянном давлении  $c_p$  к теплоемкости при постоянном объеме  $c_v$ ,  $\Phi_0$  — энергия потенциального взаимодействия молекул жидкости.  $\Phi_0 = AV^{-n} - BV^{-m}$ , где  $V$  — молекулярный объем,  $A$ ,  $B$ ,  $n$ ,  $m$  — постоянные.  $\Phi_0$  отождествляется со скрытой теплотой испарения  $\lambda$ ; найдено приближенно верное выражение для скорости звука  $a^2 = \gamma n m \lambda$  (1) с использованием ориентировочной оценки  $n$  и  $m$  и при  $\gamma = 1$  рассчитаны значения скоростей звука в некоторых органич. жидкостях, отличающиеся от наблюдаемых на 10—20%. Ур-ние (1) неприменимо к ассоциированным жидкостям, поскольку

ку присутствие ассоциированных молекул изменяет величину  $\lambda$ , не влияя практически на скорость звука.

**3307. О соотношении между скоростью звука и межмолекулярным свободным пробегом в жидкостях. Вада** (On the relation between sound velocity and intermolecular free length of liquids Wada Y. J. Phys. Soc. Japan, 1954, 9, № 4, 641—642 (англ.).

Показано, что соотношение  $uL^{1/2} = \text{const} = K$  ( $u$  — скорость звука в жидкости,  $L$  — свободный пробег,  $d$  — плотность), можно получить, если считать жидкость состоящей из несжимаемых сфер, движущихся подобно молекулам идеальных газов. В этом случае  $K = (6/\pi N)^{1/2} (\gamma RT)^{1/2} V^{-1/2}$  ( $N$  — число Авогадро,  $\gamma$  — отношение теплоемкостей при постоянном давлении к теплоемкости при постоянном объеме,  $R$  — универсальная газовая постоянная,  $T$  — абс. темп.,  $V$  — молекулярный объем). Произведение  $\gamma^{1/2} V^{-1/2}$  мало изменяется при переходе от одной жидкости к другой, чем и объясняется постоянство  $K$ .

**3308. Наклон  $\lambda$ -кривой жидкого гелия. Аткинс** (Slope of the  $\lambda$ -curve of liquid helium. Atkins K. R., Phys. Rev., 1955, 98, № 2, 319—320 (англ.).

В теории жидкого гелия Л. Д. Ландау (J. Phys. U.S.S.R., 1947, 11, 91) содержатся параметры  $\Delta$ ,  $\rho_0$  и  $\mu$ , связанные с энергией ротонов  $\epsilon$  и его импульсом  $p$  соотношением  $\epsilon = \Delta + (p - \rho_0)^2/2\mu$ . С использованием эксперим. данных о коэфф. расширения, полученных автором и Эдвардсом, и изменении скорости первого и второго звука в гелии с давлением (Пешков В. П., Зиновьева К. Н., Ж. эксперим. и теор. физика, 1948, 18, 438) найдены величины  $(\rho/\Delta) \partial\Delta/\partial\rho = -0,57$ ,  $(\rho/\rho_0) \partial\rho_0/\partial\rho = +0,26$ ,  $(\rho/\mu) \partial\mu/\partial\rho = -1,8$ , где  $\rho$  — плотность гелия. Вычислен наклон  $\lambda$ -кривой:  $(\rho/\lambda) \partial\lambda/\partial\rho = -0,42$ , при эксперим. значении  $-0,37$ . Расхождение автор объясняет пренебрежением взаимодействием ротонов.

**3309.  $\lambda$ -Переход жидкого гелия. Хар** (Lambda transition of liquid helium. Haar D. ter, Phys. Rev., 1954, 95, № 4, 895—897 (англ.).

При пренебрежении некоммутативностью операторов кинетич. и потенциальной энергий на основе метода Крамерса вычислена статистич. сумма взаимодействующих бозе-частиц, весьма сходная с полученной ранее (РЖХим, 1955, 36812, 36813). Системы, описываемые такой функцией, испытывают в  $\lambda$ -точке фазовый переход третьего рода; обсуждаются возможности вычисления точной функции, дающей правильный (второй) порядок перехода.

**3310.  $\lambda$ -Переход жидкого гелия. Кикучи** ( $\lambda$ -Transition of liquid helium. Kikuchi Ryoichi, Phys. Rev., 1954, 96, № 3, 563—568 (англ.).

Показано, что для простой куб. решетки при учете геометрич. корреляции функция распределения жидкого гелия, полученная ранее (РЖХим, 1955, 36812, 36813), приводит к правильному (второму) порядку  $\lambda$ -перехода. Вычисленная темп. перехода равна  $T = 2,9 m/m' K$ , где  $m$  — масса атома гелия,  $m'$  — так называемая эффективная масса, введенная Фейнманом в той же работе. При вычислениях использован метод Бете расчета решеток Изинга.

**3311. Термодинамика двухжидкостной модели жидкого гелия II. Херивел** (Thermodynamics of the two-fluid model of liquid helium II. Herivel J. W., Nature, 1954, 174, № 4424, 322—323 (англ.).

Как показано ранее (Gorter C. J., Physica, 1949, 15, 523), применение правила фаз к двухжидкостной модели He II приводит к наличию единственной трой-

ной точки сосуществования газовой и двух жидких фаз, в то время как существует целая область таких точек. Эта трудность устраняется, если предположить, что имеет место хим. равновесие между нормальной и сверхтекучей компонентами. Тогда в выражении  $du = (p/\rho^2) dp + T ds + (\phi_1 - \phi_2) dc_1$ , где  $u$ ,  $s$  и  $1/\rho$  — уд. энергия, энтропия и объем,  $\phi_1$  и  $\phi_2$  — хим. потенциалы обеих компонент,  $c_1$  — конц-ия нормальной компоненты, последний член исчезает, так что внутренняя энергия  $U = mu(p, s) = mu(m/V, S/m)$  не зависит от масс отдельных компонент  $m_1$  и  $m_2$ , а только от их общей массы  $m = m_1 + m_2$ ; поэтому жидкость имеет термодинамич. свойства однокомпонентной системы. Указанная гипотеза приводит также к правильной ф-ле для термомеханич. эффекта.

**3312. Об отношении теплоемкостей  $\gamma$  для метана под давлением. Нури, Лакам** (Sur le rapport  $\gamma$  des chaleurs spécifiques du méthane sous pression. Nouri J., La cam A., J. phys. et radium, 1954, 15, № 10, 698 (франц.).

Сопоставляются данные об отношении теплоемкостей  $\gamma$  в метане при давл. 10—150 атм, вычисленные на основании акустич. измерений (I) (РЖХим, 1955, 5253), с полученными термодинамич. путем (Левченко Г. Т., Ж. физ. химии, 1944, 18, 453—465) (II). I расположены несколько выше II, пересекаясь с последними вблизи 120 атм. Подтверждается существование незначительной дисперсии.

**3313. Уравнение жидкого состояния для нормальных парафинов. Дулиттл** (Liquid-state equation for normal paraffins. Doolittle Arthur K., Nature, 1954, 174, 369 (англ.).

На основании измерений плотности и теплоты испарения предложено ур-ние жидкого состояния для  $n$ -парафинов:  $(\rho - \rho_{кр})/(\rho_0 - \rho_{кр}) = [1 + \alpha T] (-E/V) \times (-V/E_0)^{1/2}$ , где  $\rho$  — плотность, крит. значения которой брались по данным, полученным ранее (Doss M. P., Physical constants of the principal hydrocarbons, New York, Texas Co., 1943),  $\epsilon/V$  — удельная энергия сгущения жидкости; индекс  $(0)$  относится к полученным экстраполированием величинам при абс. нуле;  $\alpha$  — постоянная. Для  $n$ -парафинов  $\alpha = 0,00125$ . Ур-ние проверено для парафинов с мол. в. 44—283 при атмосферном давлении в области темп. от  $-190$  до  $+345^\circ$ . Средняя ошибка для 73 точек составляет 0,57%. Е. С.

**3314. Об электрических моментах полярных газов и жидкостей. Волокобинский Ю. М.**, Докл. АН СССР, 1954, 97, № 5, 813—816

На основе теории поляризации дипольных жидкостей Кирквуда найдено, что среднее значение квадрата электр. момента макроскопич. объема жидкости  $\bar{M}^2$  равно  $N(\mu_x M_x + \mu_y M_y + \mu_z M_z)$ , где  $\mu$  — дипольный момент молекулы, а  $N$  — число молекул в данном объеме. Из теории Онзагера получена ф-ла:  $\mu_x M_x = [(e - v^2)(2\epsilon + 1)/(2\epsilon - v^2)] (kT/4\pi n) (E_x/E_{0x})$ , где  $\epsilon$  — диэлектрич. проницаемость жидкости,  $v$  — показатель преломления,  $n$  — число молекул в  $1 \text{ см}^3$ ,  $E_x$  — поле, действующее в жидкости,  $E_{0x}$  — внешнее поле. Зная  $\bar{M}^2$ , можно рассчитать, напр., среднее значение квадрата флюктуационной э. д. с., наводимой на обкладках конденсатора с жидким или газообразным диэлектриком, а также излучение объема жидкого диэлектрика. Ориентировочный подсчет показывает, что водяной шар объемом  $1 \text{ км}^3$  должен терять при  $T = 300^\circ \text{K}$   $4 \cdot 10^3$  ккал/сек. Указаны и другие вопросы, для которых окажется полезным знание величины  $\bar{M}^2$ . Отмечена неправильность определения индуцированного электр. поля момента молекулы в теории Кирквуда.

**3315. Критические температуры у легкоплавких стекол по данным теплоемкостей.** Мюллер Р. Л., Ж. физ. химии, 1954, 28, № 12, 2189—2194

Все многообразие легкоплавких стеклообразующих в-в подразделяется на две группы. В первую группу, близкую к тугоплавким неорганич. кислородным стеклообразующим соединениям, входят продукты полимеризации органич. соединений, S/Se и им подобные элементы. Во вторую группу входят все полярные молекулярно-дисперсные соединения, органич. и неорганич., включая сольваты и р-ры. На основании качественных соображений о характере теплового движения в легкоплавких стеклах первой группы, в которых атомы или радикалы образуют цепи, делается предположение, что при понижении т-ры в крит. области происходит «затормаживание» валентных колебательных степеней свободы. Соединения второй группы имеют молекулярное строение (переохлажденные легкоплавкие жидкости, содержащие молекулы со значительными дипольными моментами). В крит. области у них, по мнению автора, происходит «замораживание» крутильных степеней свободы колебаний молекул и радикалов.

Н. Ч.

**3316. Вязко-упругие свойства аморфных веществ.**

Сугита (無定形物質の粘弾性について. 杉田元宣), 物性論研究, Буэсайрон кэнкю, 1953, № 66, 31—39 (япон.)

Критический разбор теории, предложенной автором ранее (Субуцу кидзи, 1943, 25, № 6). Показано, что теория неприменима при больших деформациях, в частности в высокомолекулярных в-вах. Ц.-Ч.-Д.

**3317. Химия стеклообразующих тугоплавких веществ по данным теплоемкостей.** Мюллер Р. Л., Ж. физ. химии, 1954, 28, № 10, 1831—1836

На основании эксперим. данных по теплоемкостям органич. соединений, сложных бороалюмосиликатов и т. п. автор считает доказанным существование при 300°K жестких координационно-валентных связей у атомов элементов второго периода системы Менделеева, связанных друг с другом или с атомами других элементов. Склонность к стеклообразованию кислородных соединений элементов III, IV и V, а также отчасти VI групп периодической системы Д. И. Менделеева объясняется наличием в них в твердом состоянии жестких валентных хим. связей с соответствующим числом замороженных степеней свободы колебательного движения. Тугоплавкие стеклообразующие в-ва обладают пространственным сеткоподобным каркасом прочных валентных связей между атомами. Эти связи сохраняют прочность и при т-рах, соответствующих расплавленному состоянию, что является причиной заторможенности процессов кристаллизации. Для валентных колебаний в таких системах характерна высокая энергия активации. С. Д.

**3318. Вирнальный ряд идеального бозе-эйнштейновского газа.** Уайдом (The virial series of the ideal Bose-Einstein gas. Widom B.), Phys. Rev., 1954, 96, № 1, 16—17 (англ.)

В качестве модели реального газа берется идеальный бозе-газ, поскольку усмотрены (РЖХим, 1955, 11286) некоторые общие черты в явлении конденсации для реального и бозе-газа. Используется то обстоятельство, что для идеального бозе-газа безразмерные плотность  $x_1 = (h^2/2\pi mkT)^{3/2} \rho$  и давление  $x_2 = (1/kT) \times (h^2/2\pi mkT)^{5/2} p$  суть первые два члена ряда  $x_s = \sum_{l=1}^{\infty} (-1)^{s+l/2} \exp(n_l/kT)$ , для членов которого существует известное рекуррентное соотношение. Рядом преобразований автор приводит это соотношение к виду  $x_{s+1} = x_s [1 + \sum_{l=1}^{\infty} (-1)^l D_n x_l^2 / (n+1)!]$ , где  $D_n$  —

численные коэфф. (дается их общее выражение в виде детерминанта). При  $s=1$  получается вирнальный ряд (связь между давлением и плотностью). Приводятся оценки нижней границы радиуса сходимости этого ряда и высказывается предположение, что этот радиус является бесконечным. В. У.

**3319. Статистическая теория процессов переноса.** VIII. Квантовая теория переноса в газах. Росс, Керквуд (The statistical-mechanical theory of transport processes. VIII. Quantum theory of transport in gases. Ross John, Kirkwood John G.), J. Chem. Phys., 1954, 22, № 6, 1094—1103 (англ.)

Ур-ние Пуассона — Больцмана для процессов переноса в газах малой плотности получено из квантовомеханического ур-ния движения в фазовом пространстве функции Вигнера (Wigner E. P., Phys. Rev., 1932, 40, 749). При выводе найдены функции преобразования для фазового пространства, представляющие собой условные вероятности, формально аналогичные подобным функциям, встречающимся в других стохастич. проблемах. Предположение о малой плотности газа позволяет проводить все расчеты в приближении бинарных столкновений. При учете столкновений в борновском приближении результаты согласуются с теорией явлений переноса в бозе-и ферми-газах (Uhlenbeck G. E., Phys. Rev., 1933, 43, 552). Развиваемая теория проц. предложенной ранее [Mori H., Ono S., Progr. Theoret. Phys. (Japan), 1952, 8, 327] и является более общей. Сообщение VII см. РЖХим, 1955, 39650. С. Ф.

**3320. Вариационные принципы кинетической теории газов.** Оно (氣體運動論における變分原理について. 小野周), 物性論研究, Буэсайрон, кэнкю, 1954, № 73, 22—31 (япон.)

Обсуждается решение ур-ния Больцмана с математич. точки зрения в связи с термодинамикой необратимых процессов. А. А.

**3321. Расширение газов. I.** Брур (Expansiever-schijnselen in gassen. I. Broer L. J. F.), Nederl. tijdschr. natuurkunde, 1954, 20, № 9, 205—220 (голл.). Движение расширяющейся массы газа рассмотрено с точки зрения классич. газовой динамики. К. Г.

**3322. Влияние взаимодействия ионов на их равновесные концентрации в случае многократной термической ионизации газа.** Тиман Б. Л., Ж. эксперим. и теор. физики, 1954, 27, № 6, 708—711

Рассматривается термически полностью ионизованный газ, в котором сохраняется равновесие между  $n$ -и  $(n-1)$ -кратно ионизованными атомами. При помощи метода Дебая — Хюккеля показано, что кулоновские взаимодействия ионов проявляется в смещении ионизационного равновесия в сторону увеличения числа атомов, ионизованных до наибольшей кратности. А. А.

**3323. Уравнение политропного процесса реальных газов.** Малиц (The equation of polytropic process of real gases. Malic Dragomir), J. Franklin Inst., 1955, 259, № 3, 235—238 (англ.)

На основе первого начала термодинамики получено ур-ние политропы для вав-дер-ваальсового газа в виде  $(p_s + a/v^2)(v-b)^n = \text{const}$ , или, в более общем случае,  $[p_s + 427(\partial u/\partial v)_T](v-b)^n = \text{const}$ , где  $427(\partial u/\partial v)_T$  представляет «внутреннее» давление, так что  $427(\partial u/\partial v)_T dv$  равно работе, которую необходимо произвести при расширении газа против действия межмолекулярных сил,  $p_s$  — внешнее давление, а остальные обозначения имеют обычный смысл. В. У.



3324. Межмолекулярные силы и эффективные диаметры молекул, выведенные из подвижности молекул. Шеффер (Fuerzas intermoleculares y sectores eficaces halladas mediante los fenomenos de transporte. Schaeffer Klaus), An. Real soc. española fis. y quim., 1954, A50, № 9-10, 201—214 (исп.)

Величины эффективных диаметров молекул, выведенные по данным диффузии и вязкости, не совпадают, что объясняется трудностью расчета межмолекулярных сил. Предлагается упрощенный расчет этих сил с помощью модели прямоугольной потенциальной ямы.

К. Г.

3325. Эмпирическое уравнение газового состояния с тремя постоянными. Лу Цзя-си, Тянь Чжао-у (一個含有三個常數的氣體經驗方程. 盧嘉錫, 田昭武), 化學學報, Хуасюэ сюэбао, Acta chim. sinica, 1955, 21, № 1, 1—13 (кит.; резюме англ.)

Указано, что полуэмпирич. ур-ние Ван-дер-Ваальса, в частности, неудовлетворительно вблизи крит. точки; это следует из того, что экспериментально наблюдаемое отношение  $\tau = RT_{кр}/P_{кр}V_{кр}$  редко согласуется с теоретич. значением  $\frac{8}{3}$ . Также замечено, что величина  $\tau$  может служить удовлетворительной мерой (по крайней мере в первом приближении) отклонения закона соответственных состояний в применении к газам при больших плотностях. Предложено эмпирич. ур-ние газового состояния с тремя постоянными, следствием которого является значение  $\tau$ , совпадающее с наблюдаемым. Для определения трех постоянных необходимо знание лишь крит. величин. Ур-ние согласовано с известными данными о связи объема, давления и  $T$ -ры в крит. точке; при малых плотностях оно сводится к ур-нию состояния идеального газа и к более простой форме, чем ур-ние Ван-дер-Ваальса. Численный расчет, выполненный для газов с различными значениями  $\tau$ , указывает на вполне удовлетворительное согласие с эксперим. данными даже при высоких плотностях. Обсуждена обоснованность использования величины  $\tau$  в качестве выбранного параметра как в ур-нии газового состояния, так и в законе соответственных состояний.

А. А.

3326. Простая корреляция растворимостей газов. Гильдебранд (A simple correlation of gas solubilities. Hildebrand J. H.), J. Phys. Chem., 1954, 58, № 8, 671—672 (англ.)

Если нанести по оси ординат логарифмы растворимостей газов (выраженные в молях газа на литр  $p$ -рителя), а по оси абсцисс параметр  $\delta$ , характеризующие неполярные  $p$ -рители (Hildebrand J. H., Solubility of nonelectrolytes, 1924, p. 135), то каждому газу соответствует прямая линия. Для  $N_2$ ,  $CO$ ,  $Ar$ ,  $CH_4$ ,  $C_2H_6$  эти линии почти точно параллельны, а расстояния между линиями соответствуют их относительным упругостям паров в жидком состоянии. Для  $Ne$ ,  $H_2$  и  $He$  наклон линий уменьшается в указанном порядке. А. Л.

3327. Сжимаемости озона, кислорода и смесей озон-кислород и термодинамические величины для чистого озона. Бердсэлл, Дженкинс, Ди-Паоло, Битти, Ант (Compressibilities of ozone, oxygen and ozone-oxygen mixtures and the thermodynamic quantities for pure ozone. Birdsall C. M., Jenkins A. C., DiPaolo F. S., Beattie J. A., Apt C. M.), J. Chem. Phys., 1955, 23, № 3, 441—452 (англ.)

На основе определенных ранее авторами (J. Chem. Phys., 1952, 20, 1158) крит. величин озона и уточненных крит. величин для  $O_2$  вычислены сжимаемости и другие характеристики смесей  $O_3 - O_2$  с содержанием  $O_3$ : 0, 20, 40, 60, 80, 100%. Для смесей приводятся следующие данные: 1. Параметры ур-ния состояния Битти—Бриджмена; найдено, что последние могут быть

выражены через параметры чистых газов по методу «комбинации констант» (Beattie J. A., Chem. Revs., 1949, 44, 141). 2. Виральные параметры для  $T$ -р —112; —100; —75; —50; —25; —12,1; 0; 25; 50; 75; 100; 125°. 3. Значения  $p$  и  $p_0/RT$  для тех же  $T$ -р при плотностях от 0,5 до 10,0 моль/л (данные этих таблиц приведены также графически). Кроме того, вычислены давление, объем и  $p_0/RT$  насыщенного пара  $O_3$  при  $T$ -рах от —25 до —112° и значения величин, определенных ранее (см. предыдущую ссылку)  $(H-H_0)/T$ ,  $S$ ,  $-(F-H_0)/T$  и  $C_p$  при  $p=1$  атм и  $T$ -рах от 150 до 550° К (с интервалом 50°; также при 298,15° К) для  $O_3$ , рассматриваемого как идеальный газ, и те же величины при  $p=1, 5, 10$  атм и 200, 298, 15, 350° К для  $O_3$  как реального газа.

В. У.

3328. Вискозиметрия. Сопротивление менисков в капиллярном течении жидкостей. Колдервуд, Мардлс (Viscometry—the meniscus resistance in capillary flow of liquids. Calderwood G. F. N., Mordles E. W. J.), Proc. Phys. Soc., 1954, B67, № 5, 395—400 (англ.)

Продолжение работ (РЖХим, 1955, 8928) по исследованию влияния поверхностного натяжения в вискозиметрии. Подтверждено влияние смачивающего действия капилляра жидкостью на скорость истечения в стандартных вискозиметрах. Обнаружено, что при добавлении смачивающих агентов сопротивление менисков (особенно вогнутых) уменьшается и увеличивается с увеличением угла контакта. Сопротивление, вносимое мениском, также зависит от степени чистоты поверхности капилляра. Опыты, проведенные с маслами разных хим. составов и с различными поверхностными характеристиками на стандартных вискозиметрах и со стандартными методиками, давали воспроизводимость вязкости 0,5%, что превышает ошибки, получаемые для одного масла.

А. С.

3329. Зависимость вязкости воды от температуры в интервале 0—40°. Вебер (Die Temperaturabhängigkeit der Viskosität des Wassers zwischen 0° und 40° C. Weber Wolf), Z. angew. Phys., 1955, 7, № 2, 96—98 (нем.)

В целях доказательства неточности предложенной ранее ф-лы (1) (Kampmeier, Pt. M., J. Appl. Phys., 1952, 23, 99) для зависимости вязкости воды  $\eta$  от  $T$ -ры использованы собственные опыты автора, а также новейшие исследования других авторов и показано, что ф-ла (1) дает неточные значения  $\eta$  в интервале  $T$  0—20°. Приведена таблица наиболее достоверных значений динамич. и кинематич. вязкости воды и отношения  $\eta_1:\eta_{20}$  в интервале 0—40°; для  $\eta_{20}$  принято значение 1,002 *спуаз*. Показано также, что найденное ранее (Tindal C. H., Mason J. B., Amer. J. Phys., 1951, 19, 382) влияние содержания воздуха (в частности, кислорода) на вязкость воды настолько мало, что не может иметь практич. значения.

И. Г.

3330. О вязкости растворов, компоненты которых взаимодействуют между собой химически. Соломонов В. П. В сб.: Строение и физические свойства вещества в жидком состоянии, Киев, Изд-во ун-та, 1954, 97—108

Исследованы плотность  $d$ , вязкость  $\eta$  и крит.  $T$ -ры  $T$ -р-ров этилового (I), пропилового (II) спиртов, уксусной (III) и масляной (IV) к-т в воде, а также  $T$ -р-ров I, II и бутанола в ряде четных к-т: III, IV и капроновой. Эти  $T$ -ры составлены из компонентов различной молекулярной структуры (Голик А. З., Укр. хим. ж., 1949, 14, 39), способных к хим. взаимодействию друг с другом.  $T_{кр}$  водн.  $T$ -р-ров линейно изменяется с конц-ией. Изотермы  $\eta$  и  $d$  имеют максимумы, а кривые концентрационной зависимости энергии активации вязкого течения ( $B$ ) и предэкспонента ( $A$ ) —

соответственно максимум и минимум.  $\eta$  и  $d$   $p$ -ров спирт—к-та изучались в условиях, исключающих заметное влияние этерификации ( $\Delta$ ) на величину этих свойств. Таким образом, изотермы свойств отображают только взаимодействие между компонентами до начала  $p$ -ции  $\Delta$ . Зависимость  $T_{\text{кр}}$  этих  $p$ -ров от концентрации изображается плавными линиями, выпуклыми к оси составов. Для всех систем спирт—к-та изотермы  $\eta$  имеют сложный вид. Изотермы  $d$  изображаются прямыми линиями. Сложный вид изотерм  $\eta$  связывается, с одной стороны, с взаимодействием между спиртом и кислотой, которое осуществляется за счет водородной связи, с другой, с тем, что при смешении компонентов может сохраняться преимущественная ассоциация одноименных молекул без нарушения в микрообластях ближнего порядка, свойственного чистым компонентам. С этой точки зрения делается попытка объяснить скорость  $p$ -ции  $\Delta$ . Рассчитаны значения  $B$  и  $A$  и приведена их концентрационная зависимость. Показано, что рост  $\eta$  не обязательно связан с ростом  $B$ . Для данных систем исключена возможность получения изовязкозных  $p$ -ров. В. С.

**3331.** Диэлектрическая постоянная трифторуксусного ангидрида и аналогичных соединений. Теддер (The dielectric constant of trifluoroacetic anhydride and related compounds. Tedder J. M.), J. Chem. Soc., 1954, July, 2646—2647 (англ.)

Определены электропроводности ( $k$ ) и диэлектрические постоянные ( $\epsilon$ ) ряда ангидридов  $(\text{RCO})_2\text{O}$  при 25°. Для сравнения приведены  $k$  и  $\epsilon$  соответствующих к-т. Ниже перечислены  $R$ ,  $k \times 10^7$  в  $\text{Мом}$  и  $\epsilon$  ангидридов:  $\text{CF}_3$ , < 0,001, 2,7;  $\text{CCl}_3$ , 0,002, 5;  $\text{CHCl}_2$ , 0,4, 15,8;  $\text{CH}_3$ , 3,4, 21. Для  $\text{CF}_3\text{COOH}$  найдены при 25°:  $k \times 10^7$  3,5;  $\epsilon$  8,2;  $k$  и  $\epsilon$  других к-т имеются в литературе. Сделана попытка определения  $\epsilon$  для смеси  $(\text{CF}_3\text{CO})_2\text{O}$  (I) и  $(\text{CH}_3\text{CO})_2\text{O}$ . Найдено, что равновесие устанавливается медленно и, повидимому, между ангидридами происходит хим.  $p$ -ция. Изучены две смеси: 1) с молярной долей I 0,82;  $\epsilon$  и  $k$  дают в течение 2 час. постоянные значения ( $\epsilon_{23}$  4,4,  $k_{23}$   $1 \times 10^{-8}$   $\text{Мом}$ ); 2) с молярной долей I 0,26; значения  $\epsilon$  и  $k$  сильно растут со временем. Л. Я.

**3332.** Новый метод измерения дисперсии звука в жидкостях. Шмид, Шмидт (Ein Beitrag zur Messung der Schalldispersion in Flüssigkeiten. Schmidt G., Schmidt W.), Naturwissenschaften, 1955, 42, № 5, 123 (нем.)

Описан чувствительный метод изучения дисперсии звука в жидкостях. Исследуемая жидкость вместе с приемным кварцем помещается в прозрачную для звука кювету, погруженную в большой сосуд, наполненный жидкостью, в которой дисперсии звука не наблюдается (напр.  $p$ -ром  $\text{NaCl}$ ). Кварцевый излучатель находится в жидкости вне кюветы и возбуждает возникновение одновременно двух ультразвуковых волн: первой соответствующей основной частоте кварцевой пластинки и второй — одной из высших гармонических частот. Приемник разделяет падающие на него колебания, подавая их соответственно на горизонтальные и вертикальные пластины осциллографа. Кювета с исследуемой жидкостью перемещается при неизменном расстоянии между излучателем и приемником. При наличии дисперсии перемещение кюветы вызывает изменение фигур Лиссажу на экране осциллографа. Последнее позволяет изучать дисперсию звука в жидкостях. В. К.

**3333.** Скорость и поглощение ультразвука в жидкой сере. Прайор, Ричардсон (Velocity and absorption of ultrasonics in liquid sulfur. Pryor A. W., Richardson E. G.), J. Phys. Chem., 1955, 59, № 1, 14—16 (англ.)

Для изучения вязко-упругих свойств жидкой серы в интервале  $t$ -р 111—250° измерены скорости ультра-

звука  $C$  и коэфф. поглощения  $\alpha$ . При частоте 4  $\text{Mc}$   $C$  плавно уменьшается с ростом  $t$ -ры, а при частоте 0,4  $\text{Mc}$  наблюдается скачок скорости ( $\sim 20$   $\text{м/сек}$ ) при 160°, имеющий характер гистерезиса. Поглощение ультразвука частотой 5,8; 12 и 15  $\text{Mc}$  возрастает с ростом  $t$ -ры, начиная с 160°. Возрастание прекращается при  $\sim 200^\circ$ . Принимается, что  $\alpha$  обусловлено только вязкостью жидкости; вычислены коэфф. вязкости (ультразвуковая вязкость). Изученный интервал  $t$ -р охватывает переходную область изменения структуры серы от 8-членных колец к цепочкообразным полимерам. Для сравнения измерена сдвиговая вязкость серы обычным вискозиметром. Ниже переходной области сдвиговая вязкость составляет  $1/3$  ультразвуковой вязкости, а выше превосходит последнюю  $\sim$  в 1000 раз. Предложена модель, объясняющая акустич. свойства жидкой серы. В. К.

**3334.** Влияние акустического импеданса и вязкости газов на электрические константы кварца. Партахасаратхи, Нарасимхан (Effect of acoustic impedance and viscosity of gases on the electrical constants of quartz. Parthasarathy S., Narasimhan V.), Ann. Physik, 1954, 15, № 1, 6—14 (англ.)

Экспериментально определены эквивалентное сопротивление  $R'$ , емкость и добротность  $Q$  кварцевого кристалла, колеблющегося в различных газообразных средах.  $R'$  в согласии с теорией изменяется линейно с изменением акустич. импеданса  $\rho c$  ( $\rho$  — плотность газа,  $c$  — скорость звука в нем). Величина, обратная эквивалентной емкости кварцевого кристалла, теоретически — линейная функция  $\rho c$ ; экспериментально это требование теории не подтверждается. В исследованном узком интервале изменения вязкости  $Q$  уменьшается линейно с уменьшением вязкости, что, как считает автор, не противоречит экспоненциальной зависимости между этими величинами для больших интервалов вязкости. В. К.

**3335.** Скорости ультразвука и адиабатические сжимаемости смесей спиртов с этиленгликолем. Данаусо (Velocità ultrasonora e compressibilità adiabatica di miscele di alcoli con glicol etilenico. Danusso F., Atti Accad. naz. Lincei. Rend. Cl. sci. fis., mat. e natur., 1954, 17, № 5, 234—239 (итал.))

Приводятся результаты измерения плотностей и скорости звука в смесях метилового, изоамилового, октилового спиртов, а также циклогексанола, глицерина и воды с этиленгликолем в качестве общего всем смесям второго компонента. Рассчитаны коэфф. адиабатич. сжимаемости для всех изученных смесей. Вычислены отклонения наблюдаемых величин скоростей ультразвука, молекулярных объемов и молекулярной адиабатич. сжимаемости от значений, полученных расчетом в предположении идеальности изученных смесей. В изученных смесях преимущественно наблюдаются значительное уменьшение молекулярного объема при смешении и, соответственно, положительные отклонения скорости звука и отрицательные отклонения сжимаемости. Наблюдаемые отклонения меньше у  $n$ -спиртов, чем у соответствующих изоспиртов. В. К.

**3336.** Об измерении скорости звука в жидкостях с помощью радиоактивных индикаторов. Оуанг Де-Чжао (Sur la mesure de la vitesse des ultrasons dans les liquides par des indicateurs radioactifs. Ouang Tchea O., J. phys. et radium, 1954, 15, № 10, 697 (франц.))

Предлагается новый метод измерения скорости звука, основанный на применении радиоактивных индикаторов. К исследуемой жидкости примешивается небольшое кол-во индикатора, не влияющее на скорость звука, создается стоячая волна, и с помощью счетчика

или аутофотографии определяются расстояния между узлами стоячей волны, в которых концентрируется индикатор. Большое значение имеет выбор соответствующего радиоактивного индикатора, не растворимого в исследуемой жидкости и обладающего периодом полураспада, удобным для эксперим. исследования. Для получения большей контрастности между узлами и пучностями предпочтительны  $\beta$ - или  $\beta$ - и  $\gamma$ -эммитеры ( $S^{35}$ ,  $P^{32}$ ,  $Na^{24}$ ,  $J^{131}$ ...). Предварительные опыты, произведенные с водой, к которой был подмешан порошок  $UO_2$ , и аутофотографическим фиксированием узлов стоячей волны (экспозиция в ультразвуковом поле 20 мин. и выдерживание в темноте 3 дня) дали для скорости звука в воде значение  $\sim 1420$  м/сек. Б. К.

**3337. Новый метод определения длины волны ультразвука в жидкости. Я м а м о т а** (New method of determining ultrasonic wavelength in liquid. Y a m a m o t o Nobuyoshi), Rev. Scient. Instrum., 1954, 25, № 10, 949—950 (англ.)

Описан метод быстрого измерения скорости звука в жидкостях. Монохроматич. пучок света фиксируется на щели с плавно изменяющейся шириной, расположенной в главном фокусе объектива. Прошедший через объектив параллельный пучок лучей диффрагирует на ультразвуковой решетке. Диффракционный спектр фокусируется вторым объективом в фокальной плоскости микроскопа. Увеличивая ширину щели  $x$ , добиваются совмещения спектра  $k$ -го порядка с отмеченным ранее положением спектра  $(k+1)$ -го порядка. В этом случае для разных жидкостей выполняется условие  $xV = \text{const}$ , где  $V$  — скорость звука. Приняв для воды при  $20^\circ V = 1481,2$  м/сек, автор определил скорости звука в 6 органич. жидкостях. Полученные данные удовлетворительно согласуются с величинами, определенными другими методами, хотя точность описанного метода невысока. Б. К.

**3338. Влияние формы и материала рабочего сосуда на действие ультразвуков. Доньон, Симоно** (Influence de la forme et de la nature du vase d'expérience dans l'action des ultrasons. Dognon André, Simonot Yvonne, m-lle), C. r. Acad. sci., 1955, 240, № 7, 737—739 (франц.)

Исследовано влияние высоты столба озвучиваемой жидкости, формы сосуда и материала стенок на действие ультразвука. При непрерывном увеличении высоты жидкости действие ультразвука изменяется периодически, достигая максимума в том случае, когда на длину столба жидкости укладывается целое число полуволн звука. Этого не наблюдается, если сосуд представляет собой железную трубку. Повидимому, большое значение имеют колебания всего сосуда как единой колеблющейся системы. Действие ультразвука сильно зависит от материала боковых стенок. Скорость гемолиза под действием ультразвука сильно уменьшается, если стенки кюветы окружить с внутренней стороны тонкой пленкой ацетата целлюлозы. Последнее объясняется уменьшением отражения акустич. энергии стенками сосуда. Большое значение имеет концентрация газа, растворенного в озвучиваемой жидкости. Игнорирование указанных факторов обуславливает расхождение результатов исследований действия ультразвука. Б. К.

**3339. Поглощение ультразвуковых волн в жидкостях. Партхасаратхи, Типнис, Панчол** (Dämpfung von Ultraschallwellen in Flüssigkeiten. Parthasarathy S., Tipnis C. B., Pancholy M.), Z. Phys., 1955, 140, № 2, 156—159 (нем.)

Описано видоизменение оптич. метода определения коэфф. поглощения ультразвука в жидкостях. Из широкого пучка параллельных, монохроматич. световых лучей с помощью диафрагмы выделяются два узких луча, пересекающих стеклянную кювету с исследуе-

мой жидкостью на расстояниях  $x_1$  и  $x_2$  от колеблющейся кварцевой пластинки. Изменяя величину переменного напряжения  $V$ , приложенного к электродам, укрепленным на кварцевой пластинке определяют минимальные напряжения  $V_1$  и  $V_2$ , при которых появляются диффракционные спектры нулевого порядка соответственно в первом и во втором световых лучах. Коэфф. поглощения  $\alpha$  находится из соотношения  $\alpha = \ln(V_2/V_1)(x_2 - x_1)^{-1}$ . Приведены результаты измерения  $\alpha$  в 10 органич. жидкостях описанным методом. Полученные величины удовлетворительно согласуются с данными, полученными другими методами. Б. К.

**3340. Распространение ультразвуковых волн в перегретых парах органических жидкостей. Позд-рев В. Ф.** В сб.: Применение ультразвука к исследованию вещества, М., Изд. МОПИ, 1955, № 1, 5—22

Методом диффракции света измерены скорости ультразвука  $C$  в перегретых парах  $n$ -гексана,  $n$ -гептана, этилацетата и этилового спирта в интервале  $t$ -р  $\sim 90$ — $320^\circ$  и давлений до  $\sim 27$  атм при частотах от 450 кГц до  $\sim 3$  МГц. Вычислены адиабатич. сжимаемости паров  $n$ -гексана при разных  $t$ -рах и постоянной плотности, а также отношение теплоемкости при постоянном давлении к теплоемкости при постоянном объеме в парах  $n$ -гексана (от  $187,5$  до  $322,6^\circ$ ) и  $n$ -гептана (от  $247$  до  $311^\circ$ ). Измерения  $C$  при различных частотах обнаружили дисперсию в парах  $n$ -гексана в интервале частот  $940$ — $1950$  кГц. Дисперсия вызвана задержкой в перераспределении энергии между различными степенями св-боды движения молекул. Ее изучение дает возможность исследовать внутримолекулярные процессы в сложных молекулах органич. соединений. Ориентировочно время релаксации в парах  $n$ -гексана  $\tau = 6,5 \cdot 10^{-7}$  сек. Б. К.

**3341. О методе измерения скорости ультразвука в жидких и твердых веществах в широкой области температур. Шульц** (Über eine Meßmethode zur Bestimmung der Ultraschallgeschwindigkeit von flüssigen und festen Substanzen in einem weiten Temperaturbereich. Schulz Arno K.), Z. angew. Phys., 1955, 7, № 3, 144—148 (нем.)

Описано видоизменение импульсного метода, делающее возможным измерение в интервале  $t$ -р от  $+100$  до  $-130^\circ$ . Ультразвуковые импульсы, создаваемые кварцевой пластинкой, передаются в исследуемую жидкость с помощью стеклянного усеченного конуса. В силу малой теплопроводности стекла между поверхностью конуса, граничащей с исследуемой жидкостью, и поверхностью, к которой прикрепляется кварцевая пластинка, возникает перепад  $t$ -р, достигающий  $\sim 150^\circ$ . Благодаря этому даже при низких  $t$ -рах исследуемой жидкости контакт кварца со стеклянным конусом не нарушается. Описанным методом измерены скорости ультразвука в жидком, стеклообразном и кристаллич. глицерине. Указаны особенности распространения ультразвука, которые необходимо учитывать при определении предложенным методом коэфф. поглощения ультразвука в жидкостях. Б. К.

**3342. Определение коэффициента поглощения ультразвука в бензоле термометрическим методом. Гроссетти** (Determination of the ultrasonic absorption coefficient of benzol with thermal method. Grossetti E.), Nuovo cimento, 1955, 1, № 4, 525—526 (англ.; резюме итал.)

Термометрич. методом измерен коэфф. поглощения ультразвука ( $1,8$  МГц) в бензоле.  $\alpha = 2,72 \cdot 10^{-2} \pm \pm 0,17 \cdot 10^{-2}$ , т. е. в 100 раз больше величины, следующей из классич. теории. Добавочное поглощение вызвано влиянием объемной вязкости. Б. К.

**3343. Скорость ультразвука в расплавленной сере. Баккаредда, Бутта** (La velocità degli ul-



trasuoni nello zolfo fuso. Baccaredda Mario, Butta Enzo, Ann. chimica, 1955, 45, № 1, 50—53 (итал.)

Оптич. методом измерены скорости ультразвука (частота 4 Мгц) в расплавленной сере в интервале  $t$ -р 120—143°. В исследованном интервале  $t$ -р скорость ультразвука  $u$  уменьшается линейно с возрастанием  $t$ -р согласно уравн.  $u = [1571 \pm 1,85 t] \pm 2$  м/сек ( $t$ — $t$ -ра). Молекулярная скорость звука  $R = u^{1/2} \rho^{-1/2} M$  ( $M$ —мол. вес,  $\rho$ —плотность) практически не зависит от  $t$ -р. Результаты исследования подтверждают стабильность циклич. молекулы  $S_8$  в изученном интервале  $t$ -р. В отличие от расплавленных металлов, адiabатическая сжимаемость расплавленной серы, вычисленная на основании значений  $u$  и  $\rho$ , больше сжимаемости  $\alpha$ -серы при обычной  $t$ -ре. Б. К.

3344. Измерение скорости распространения ультразвука в органических жидкостях вблизи температур их затвердевания. Авдусь З. И. В сб.: Применение ультразвука к исследованию вещества, М., Изд. МОПИ, 1955, № 1, 43—60

Оптич. методом (диффракция света) измерены скорости ультразвука  $v$  (частота 3—9·10<sup>6</sup> гц) при разных  $t$ -рах в бензоле, хлорбензоле, бромбензоле,  $CCl_4$ ,  $n$ -гексане,  $n$ -гептане,  $n$ -октане, метил-, пропил-, бутил-, ацетатах,  $n$ -бутиловом и технич. этиловом спиртах.  $v$  линейно возрастает при понижении  $t$ -р. Для бензола, хлорбензола, нитробензола,  $CCl_4$  и в пределах ошибок измерения для бромбензола эта линейность нарушается вблизи  $t$ -р затвердевания, что делает невозможным нахождение значений скорости звука вблизи  $t$ -р затвердевания с помощью линейной экстраполяции данных, полученных при более высоких  $t$ -рах. Проверено правило Рао о постоянстве молекулярной скорости звука  $R$  ( $R = v^{1/2} V_M$ ;  $V_M$ —молекулярный объем) и указаны границы его применимости. На основании вычисленных значений  $R$  определены изменения относительной ассоциации исследованных жидкостей. Во всех жидкостях обнаружено отсутствие дисперсии при всех исследованных частотах. Б. К.

3345. Скорости ультразвука в системах из ограниченно-смешивающихся жидкостей. Чеволани, Петралиа (Velocità di ultrasuoni in sistemi di liquidi parzialmente miscibili. Cevolani M., Petralia S.), Nuovo cimento, 1955, I, № 4, 705—716 (итал.; резюме англ.)

С помощью ультразвукич. интерферометра измерены скорости ультразвука  $V$  (частота 3 Мгц) в смесях ограниченно-смешивающихся жидкостей: фенол-вода, циклогексан-метилловый спирт, сероуглерод-метилловый спирт и анилин-циклогексан, с точностью  $\pm 1\%$ . Для тех же смесей измерены плотности  $\rho$  и рассчитаны адабатич. сжимаемости  $\beta$  и молекулярные скорости звука  $R = M \rho^{-1/2} V^{1/2}$  ( $M$ —мол. вес.) Наблюдаемые значения плотности и сжимаемости сравниваются со значениями, полученными расчетом в предположении аддитивности этих величин. Наблюдаемые сжимаемости вообще больше величин, ожидаемых для идеальных смесей, что объясняется уменьшением энергии молекулярного сцепления. В системе анилин-циклогексан  $\beta$ —линейная функция состава, выраженного в мол.%. В системе фенол-вода при малой конц-ии фенола наблюдается небольшой минимум  $\beta$ . Наблюдаемые значения  $R$  аддитивны в отношении состава смеси и весьма близки к величинам, рассчитанным теоретически. Б. К.

3346. Вращение гелия II при больших скоростях. Андроникашвили Э. Л., Каверкин И. П., Ж. эксперим. и теор. физики, 1955, 28, № 1, 126—127 По теории Л. Д. Ландау, сверхтекучая компонента жидкого гелия не может совершать вихревых движений.

Поэтому в отличие от обычных жидкостей форма мениска вращающегося жидкого гелия должна зависеть от плотности нормальной компоненты, т. е. от  $t$ -р. Наблюдалось вращение жидкого гелия в цилиндрич. сосуде при линейной скорости вращения 4—40 см/сек. Оказалось, в согласии с аналогичными наблюдениями Осборна, что глубина мениска жидкого гелия не отличается от глубины мениска нормальных жидкостей. Обнаружены, однако, явления, указывавшие на то, что жидкий гелий ведет себя при вращении не как нормальная жидкость. Так, при 5 об/сек в центре наблюдалось конич. углубление, иногда переходившее в вихрь. Необычно протекал также процесс раскручивания и торможения жидкости. Авторы считают, что эти явления возникают ввиду перехода в область критич. скоростей, где сверхтекучее состояние хотя и искажается, но не исчезает полностью. С целью проверки этого предположения измерялась величина термомеханич. эффекта, оказавшаяся не зависящей от скорости вращения вплоть до 136 см/сек. Приведены фотографии мениска жидкого гелия при вращении и торможении и таблица зависимости величин термомеханич. эффекта от скорости вращения при различных  $t$ -рах. А. А.

3347. Низкотемпературные теплоемкости стеклообразного и кристаллического кремнезема. Дунк, Барбер (Low-temperature specific heats of vitreous and crystalline silica. D ank M., Barber S. W.), J. Chem. Phys., 1955, 23, № 3, 597—598 (англ.)

Определенный экспериментально (Westrum E. F.) температурный ход теплоемкости стеклообразного кремнезема и кристаллита хорошо согласуется с теоретич. ф-лой (Тарасов З. В., Ж. физ. хим., 1950, 24, 111), если принять для кремнезема состав  $Si_2O_6$ ; если же принять состав  $SiO_2$ , то вытекающая из ф-лы Тарасова величина характеристич. частоты, необходимая для согласования с эксперим. значениями теплоемкости, противоречит спектроскопич. данным. Обсуждается вопрос об анизотропии в структуре стеклообразного кремнезема. В. У.

3348. Изучение связи ионов натрия в сетке стекла при помощи радиоактивных индикаторов. Ле-Клер (Etude de la liaison des ions sodium dans un réseau vitreux au moyen de traceurs radioactifs. Le Clerc Pierre), C. r. Acad. sci., 1955, 240, № 3, 306—308 (франц.)

Стеклообразная пробирка разрезалась на две части и часть, имеющая дно, подвергалась действию тепловых нейтронов из атомного котла. Затем обе части спаивались. Пробирка наполнялась смесью  $NaNO_2$  и  $NaNO_3$  немного выше уровня спая и погружалась в расплавленную соль того же состава. Между платиновыми электродами, помещенными в расплавленную соль внутри и снаружи пробирки, устанавливалась разность потенциалов 240 в/см. Периодически производилось определение радиоактивности пробирки. Весь радиоактивный натрий должен вытесняться из стекла после пропускания 202 м.ч. Однако после того, как конц-ия радиоактивного натрия в стекле снизилась до 1,7%, дальнейший выход его прекратился. Этот факт подтверждает предположение о различном характере связей ионов натрия в стекле. В. В.

3349. Изменение скорости ультразвука в метане в зависимости от температуры и давления. Лакан (Variations de la vitesse des ultrasons dans le méthane en fonction de la température et de la pression. L a c a m A.), J. phys. et radium, 1955, 16, № 1, 72—73 (франц.)

Оптическим методом (диффракция света) измерены скорости ультразвука  $V$  (частота 3,2 Мгц) в метане при  $t$ -рах 25—200° и давл. 100—1000 атм. Изотермы скорости звука пересекаются в интервале давл. 200—

500 атм. При малых давлениях скорость звука растет с возрастанием т-ры, при давл.  $> 450$  атм — падает. С помощью соотношения между давлением, объемом и т-рой (Kvalnes, Gaddy, J. Amer. Chem. Soc., 1931, 53, 394) найдена зависимость  $V$  от плотности  $\rho$  при постоянной т-ре. Соответствующие изотермы — семейство парабол, описываемых уравнением:  $V_p^2 = A + B\rho + C\rho^2$ . Приведены значения постоянных  $A$ ,  $B$  и  $C$  для разных т-р. Б. К.

3350. Поглощение и скорость звука в парах. Ричардсон (Absorption and velocity of sound in vapors. Richardson E. G.), Revs. Mod. Phys., 1955, 27, № 1, 15—25 (англ.)  
Обзор. Библ. 100 назв. Б. К.

См. также: Термодинамика 3375, 3379, 3384—3386.  
Межмолек. взаимодействие 3178, 3190—3195.

# ОБЩИЕ ВОПРОСЫ ХИМИИ ИЗОТОПОВ

3351. Получение и выделение радиоактивных изотопов без носителей. Мурин А. Н., Нефедов В. Д., Ютландов Н. А., Успехи химии, 1955, 24, № 5, 527—574  
Обзор. Библ. 128 назв. В. Ш.

3352. Новые работы по получению и применению соединений, содержащих радиоактивный углерод. Брода (Nowe prace nad otrzymywaniem i zastosowaniami promieniotworczych związków węgla. Broda Engelbert), Kosmos (Warszawa), 1955, B1, № 1, 47—58 (польск.)  
Обзор. Библ. 37 назв. В. Ш.

3353. Изучение поведения ультрамалых количеств элементов. Сообщение 1. Лаврушина А. К., Ж. аналит. химии, 1955, 10, № 4, 203—210  
Исследовано сосаждение радиоактивных изотопов (РИ):  $\text{Ca}^{45}$ ,  $\text{Mn}^{54}$ ,  $\text{Co}^{56}$ ,  $\text{Cu}^{64}$ ,  $\text{Sr}^{89}$ ,  $\text{Y}^{91}$ ,  $\text{Zr}^{95}$ ,  $\text{In}^{111}$ ,  $\text{In}^{113}$ ,  $\text{Sn}^{113}$ ,  $\text{I}^{131}$ ,  $\text{Ce}^{141+143}$ ,  $\text{Nd}^{147}$ ,  $\text{Bi}^{210}$ ,  $\text{Pb}^{212}$ ,  $\text{Ra}^{224}$ ,  $\text{Ac}^{228}$  и  $\text{Th}^{234}$  с осадками  $\text{AgBr}$ ,  $\text{AgI}$ ,  $\text{Ag}_2\text{CrO}_4$ ,  $\text{PbBr}_2$ ,  $\text{HgBr}_2$ ,  $\text{BaSO}_4$ ,  $\text{AgIO}_3$ , гидроксидами  $\text{Bi}^{3+}$ ,  $\text{Fe}^{3+}$ ,  $\text{Th}^{4+}$ ,  $\text{La}^{3+}$ ,  $\text{Cr}^{3+}$ ,  $\text{Cd}^{2+}$ ,  $\text{Cu}^{2+}$ ,  $\text{Ce}^{3+}$ ,  $\text{Al}^{3+}$ ,  $\text{Y}^{3+}$ ,  $\text{Zr}^{4+}$ ,  $\text{Sc}^{3+}$ ,  $\text{Mg}^{2+}$  и сульфидами ряда этих элементов. Показано, что при р-циях осаждения РИ в большей или меньшей степени сосаждаются с выделяемыми осадками. Это сосаждение полное, когда РИ образуют соединения, изоморфно или изоморфно кристаллизующиеся с соответствующими соединениями макрокомпонентов, или малорастворимые соединения с ионом осадка противоположного знака. В остальных случаях сосаждение РИ неполное. Сосаждение может быть уменьшено переосаждением, созданием достаточно кислой среды и введением комплексобразователей. Сосаждение РИ с гидроксидами и сульфидами различных металлов не зависит от молярной растворимости последних, а определяется только величиной молярной растворимости соответствующего соединения РИ. Сосаждение РИ элементов, образующих нерастворимые гидроксиды, мало зависит от условий осаждения гидроксидов. В. А.

3354. Радиохимическое разделение при помощи изотопного обмена: быстрый, высокоэффективный метод для серебра. Сандерман, Мейнк (Radiochemical separations by isotopic exchange: A rapid, high-decontamination method for silver. Sunderman Duane N., Meinke W. Wayne), Science, 1955, 121, № 3152, 777 (англ.)

Предложен быстрый метод отделения радиоактивного  $\text{Ag}$  от других радиоактивных примесей (кроме галогенов) путем изотопного обмена р-ра, содержащего радиоактивное  $\text{Ag}$  с осадком  $\text{AgCl}$ , нанесенным на  $\text{Pt}$ -сетку. Обмен протекает за 2—5 мин. при комнатной

т-ре. Выход превышает 97—98%. Кислотность р-ра сильно влияет на обмен (оптимальные условия — 0,1—4  $\text{M HNO}_3$ ,  $< 0,6 \text{ M HCl}$ ). Фактор обогащения радиоактивного  $\text{Ag}$  достигает 1—2  $\cdot 10^4$ . Простота, скорость и эффективность метода позволяют применять его для выделения короткоживущих изотопов  $\text{Ag}$ , а также для определения  $\text{Ag}$  в продуктах деления и для получения препаратов  $\text{Ag}$  с высокой уд. активностью. В. Ф.

3355. Обогащение изотопными молекулами в тлеющем разряде постоянного тока. IV. Первичный эффект. Определение концентраций атомов при разряде в водороде и дейтерии. Беккей, Варнек (Anreicherung isotoper Moleküle in der Gleichstrom-Glimmentladung. IV. Der Primäreffekt. Bestimmung der Atomkonzentration in Wasserstoff- und Deuterium-Entladungen. Beckey H. D., Warneck P.), Z. Naturforsch., 1955, 10a, № 1, 62—67 (нем.)

Описана установка для определения конц-ий атомов в тлеющем разряде постоянного тока шелевым методом (Wrede E., Z. Phys., 1929, 54, 53; Hartek P., Z. phys. Chem., 1929, A139, 98). Изучена зависимость конц-ий атомов  $\text{H}$  от давления при значениях силы тока 20, 40, 60, 80 и 100  $\text{ma}$  и соответствующая зависимость для атомов  $\text{D}$  ( $\text{D}_2$  содержал примесь 8,5%  $\text{H}_2$ ) при значениях силы тока 20 и 40  $\text{ma}$ . Дан подробный вывод ф-лы, связывающей конц-ию атомов  $\text{H}$  в разряде с давлением (РЖХим, 1955, 36825). Сравнением теоретич. зависимости с эксперим. данными показано, что молекулы  $\text{H}_2$  диссоциируют под действием электронного удара преимущественно с образованием нейтр. невозбужденных атомов. Сообщение III см. РЖХим, 1955, 20729. Л. Г.

3356. Применение статистических методов при измерении радиоактивности. — (Statistical designs in radioactivity.—), Lab. Practice, 1954, 3, № 2, 80—81 (англ.)

Краткое описание метода, позволяющего исключать систематич. ошибки, которые могут появляться при большой длительности измерения относительной активности образцов, необходимой для достижения заданной статистич. точности. В. М.

3357. О новом методе точного сравнения излучений ампул с радием. Кюри (Sur une nouvelle méthode pour la comparaison précise du rayonnement des ampoules de radium. Curie Irène), J. phys. et radium, 1954, 15, № 12, 790—795 (франц.)

Для точного сравнения излучений ампул с радием определялось время компенсации токов в двух ионизационных камерах, в одной из которых помещались поочередно (в порядке уменьшения интенсивности излучения) испытываемые ампулы, а во второй — ампула с радоновым эталоном. Сконструированы спец. ионизационные камеры, обеспечивающие точность измерения тока ионизации порядка  $0,5 \cdot 10^{-4}$  эл.-ст. ед. Ошибка за счет определения времени компенсации ( $\pm 50$  сек.) не превышала  $10^{-4}$  эл.-ст. ед. Ошибка за счет поглощения излучения стеклом и в самой соли радия и за счет поглощения радона в образце повышала общую ошибку измерения до 0,4%. Для увеличения точности (до 0,1%) излучения ампул отфильтровывались слоем свинца толщиной 5—10  $\text{mm}$ . Метод дает возможность сравнения проникающих излучений ампул с радием, различающихся по содержанию радия даже на два порядка, с точностью 0,5%. Радоновые эталоны могут быть использованы для сравнения излучений ампул с радием и при помощи одной ионизационной камеры. Б. К.

3358. Сцинтилляционный метод определения природного радиоактивного углерода. Фант, Собринг, Прингл, Терчинец (Scintillation techniques for the detection of natural radiocarbon. Funt B. L., Sobering S., Pringle R. W., Turchinets W.), Nature, 1955, 175, № 4467, 1042—1043 (англ.)

Описана методика определения природного радиоактивного углерода, заключающаяся во введении углерода исследуемого образца в состав жидкого сцинтиллятора (р-р 4 г/л терфенила и 1 г/л дифенилоксалола в толуоле), а именно, в метильную группу толуола, при помощи способа, аналогичного описанному ранее (Dauben W. G. и др., *Analyt. Chem.*, 1947, 19, 828) способу получения меченой безводной к-ты. Счетчик состоял из толуолового сцинтиллятора (20 см<sup>3</sup>) и фотоумножителя (диаметр фотокатода 25,4 мм), экранированных Pb и Hg (толщина соответственно 127 и 38 мм). Импульсы с фотоумножителя после усиления попадали на широкополосный дифференциальный дискриминатор, регистрирующий импульсы только в пределах 40—100 кэв, что способствовало дальнейшему уменьшению фона, и далее — на позитивной частоте. При применении «старого» толуолового сцинтиллятора (нефтяного происхождения) фон составлял 3,3 имп/мин. В случае синтезированного толуола с «современным» углеродом скорость счета равнялась 16 имп/мин, эффективность счета 50%. Путем смешивания современного толуола со старым были имитированы образцы разного возраста, найденная активность этих образцов соответствовала их возрасту. Метод позволяет определять возраст образцов в пределах до 45 000 лет. А. Г. 3359. Радиационная дозиметрия <sup>132</sup>. Эмери, Вилл (Radiation dosimetry of iodine-132. Emery E. W., Veall N.), *Nature*, 1954, 174, № 4436, 889—890 (англ.).

<sup>132</sup> ( $T_{1/2}$  2,259 ± 0,003 часа) получается при распаде <sup>Te</sup><sup>132</sup>, образующегося при делении U. При помощи ионизационной камеры с активными стенками показано, что препарат в 1 мкюри на расстоянии 1 см дает мощность дозы 12,1 рентген/час; средняя энергия β-спектра равна 0,45 Мэв. К. А. 3360. Применение естественного трития для определения возраста, аналогичное применению <sup>14</sup>C. Убиш (Naturlig tritium og aldersbestemmelse, en parallell til kull-14 metoden. Ubiš Hans v o n), *Fra fys. verden*, 1953 (1954), 15, № 4, 174—177 (норв.).

Обзор. Библ. 6 назв.

В. Л.

См. также: Радиоактив. св-ва 3096, 3099, 3100, 3103—3108, 3112. Введение в молекулу 3724. Изотопные эффекты 3152, 3168, 3172, 3176. Изотопный обмен 3422, 3446—3449, 3464, 3465. Измерения активности 4253—4256, 4260, 4279, 4280. Применения: в исслед. кинетики и механизма р-ций 3426, 3437, 3440, 3660; в физик. процессах 3245, 3336; в биохимии 1020Бх, 1131Бх, 1180Бх, 1208—1213Бх, 1219Бх, 1247Бх, 1275Бх, 1287Бх, 1303Бх, 1307Бх, 1368Бх, 1370Бх, 1426Бх, 1458Бх, 1461Бх, 1462Бх, 1466Бх, 1469 Бх, 1480—1482Бх, 1486Бх, 1490Бх, 1494Бх, 1497Бх, 1514Бх, 1515Бх, 1517Бх—1519Бх, 1532Бх, 1555Бх, 1562Бх, 1565Бх, 1566Бх, 1581Бх, 1582Бх, 1593Бх, 1595Бх, 1624Бх, 1644Бх, 1662Бх, 1675Бх, 1728Бх, 1733Бх, 1766Бх, 1767Бх, 1770Бх, 1821Бх, 1840Бх; в пром-сти 4938, 5688—5690, 5808, 5809; в аналитич. химии 3692, 4076, 4084, 4102, 4103, 4154, 4190, 4226; в геохимии 3682, 3692. Др. вопр. 3028, 3097, 3098, 3101, 3111, 3348, 3484, 3678, 4075, 4315, 5687, 5954

#### ТЕРМОДИНАМИКА. ТЕРМОХИМИЯ. РАВНОВЕСИЯ. ФИЗИКО-ХИМИЧЕСКИЙ АНАЛИЗ. ФАЗОВЫЕ ПЕРЕХОДЫ

3361. Термодинамика необратимых процессов и обобщение соотношений Онзагера. Грот (Termodinamica dei processi irreversibili e generalizzazioni delle relazioni di Onsager. Groot S. R. de). *Nuovo cimento*, 1954, 12, suppl., № 1, 5—16 (итал.).

В упрощенной форме изложены основные результаты, опубликованные автором ранее (РЖХим, 1955, 54595). Рассматривается явление теплопроводности в одном и трех измерениях и показывается, что в обоих случаях локальное изменение энтропии определяется произведением потока на обобщенную «силу». Выведены соотношения симметрии для феноменологических коэфф. при наличии магнитного поля и без него. Получен баланс энтропии для системы в целом. Даны ф-лы усреднения по времени произведений флюктуаций различных термодинамич. величин.

А. А. 3362. Выводы соотношений взаимности Онзагера.

Вигнер (Derivations of Onsager's reciprocal relations. Wigner Eugene P.), *J. Chem. Phys.*, 1954, 22, № 11, 1912—1915 (англ.).

Существуют две группы выводов соотношений Онзагера. В первой, относящейся в сущности к процессам выравнивания обычных флюктуаций, предполагается, что макроскопич. законы движения пригодны для величин, усредненных по макроскопич. координатам (таких, как градиент т-ры или конц-ии), даже если эти величины по природе микроскопические. Во второй группе предполагаются справедливыми определенные статистич. законы для траекторий системы в фазовом пространстве. Вводятся пространство Г макроскопич. координат (напр., компонент градиента т-ры) и пространство γ микроскопич. координат (пространственных координат и импульсов частиц). Так как макроскопич. координаты зависят от микроскопич., то между объемами пространств Г и γ должна существовать определенная зависимость. Эти представления использованы для вывода соотношений взаимности Онзагера и при обсуждении обоснованности обеих групп выводов. Показано также, что для получения принципа детального равновесия в пространстве γ достаточно теоремы Лиувилля, независимости гамильтониана от времени и инвариантности гамильтониана и макроскопич. координат по отношению к изменению знака времени и что изменение состояния системы со временем может быть представлено как броуновское движение в пространстве Г.

А. А.

3363. К термодинамике необратимых процессов при постоянных температуре и давлении. Попов (Sur la thermodynamique des processus irréversibles dans le cas où la température et la pression restent constantes. Popoff Kyrille), *C. r. Acad. sci.*, 1953, 237, № 14, 698—700 (франц.).

В серии статей (*Z. angew. Math. und Phys.* 1952, 3, 42, 440; РЖФиз, 1954, 4814) автором было дано общее рассмотрение термодинамики необратимых процессов. В данной работе разбирается важный частный случай процесса при постоянных т-ре и давлении. Вычисляется отклонение термодинамич. потенциала от своего равновесного значения.

К. Г.

3364. Термодинамика необратимых процессов и теория фаз. Попов (La thermodynamique des processus irréversibles et la théorie des phases. Popoff Kyrille), *C. r. Acad. sci.*, 1954, 238, № 3, 331—333 (франц.).

На основе работы автора, опубликованной ранее (реф. 3363), найдены ур-ния, определяющие изменение со временем массы одной компоненты двухфазной неравновесной системы и соответствующие феноменологическим соотношениям симметрии Онзагера.

А. А.

3365. Математические основы теории необратимых термодинамических процессов. Попов Кирилл, Ж. эксперим. и теор. физики, 1955, 28, № 3, 257—282

Показано, что феноменологические ур-ния Онзагера  $x_i = \sum_{k=1}^n L_{ik} X_k$  ( $i = 1, 2, \dots, n$ );  $L_{ik} = L_{ki}$  для необратимых термодинамич. процессов являются первыми



интегралами более общей системы дифференциальных уравнений второго порядка  $d^2x_i/dt^2 = X_i (i=1, 2, \dots, n)$  (при ограничении членами второй степени по переменным, определяющим неравновесность). В общем случае, когда  $\Delta S$  содержит все члены разложения по степеням переменных, существенных изменений в результатах не происходит. Доказана симметрия кинетич. коэфф. с точностью до членов второго порядка. Рассмотрены следующие приложения теории: 1) Передача тепла от одной системы к другой. Получена ф-ла, соответствующая ф-ле Фурье  $Q_1 = -[2(m_1c_1 + m_2c_2)/m_1c_1m_2c_2]^{1/2} \cdot [m_1c_1\lambda_1m_2c_2\lambda_2/(m_1c_1\lambda_1 + m_2c_2\lambda_2)] (T_1 - T_2)/T_0$  (индексы 1, 2 — номера системы,  $m, c, T$  — соответственно масса, уд. теплоемкость, т-ра,  $T_0$  — общая т-ра системы после установления равновесия,  $\lambda$  — константы). 2) Распространение тепла в однородном стержне. 3) Найдена система дифференциальных уравнений 2-го порядка, описывающая процесс установления равновесия в системе пар — жидкость.

А. А. 3366. О феноменологических соотношениях Онзагера. Караниколов Христо, Ж. эксперим. и теор. физики, 1955, 28, № 3, 283—286

Опираясь на работу Попова (реф. 3365), автор алгебраическим путем доказывает симметрию кинетич. коэфф. для систем, неравновесное состояние которых определяется тремя переменными.

А. А. 3367. К вопросу о термодинамике необратимых процессов. III. Попов (Sur la thermodynamique des processus irréversibles. Poroff Kygille), Z. angew. Math. und Phys., 1954, 5, № 1, 67—83 (франц.; резюме нем.)

Часть работы, опубликованной на русс. языке (см. реф. 3365). Часть II см. Z. angew. Math. und Phys., 1952, 3, 440—448.

О. П. 3368. Релятивистская термодинамика необратимых процессов. I. Теплопроводность, диффузия, вязкое течение и химические реакции. Формальная часть. Клейтенберг, Грот, Мазур (Relativistic thermodynamics of irreversible processes. I. Heat conduction, diffusion, viscous flow and chemical reactions; formal part. Kluitenberg G. A., Groot S. R. de, Mazur P.), Physica, 1953, 19, № 8, 689—704 (англ.)

На основе теории Эккарта (Eckart C., Phys. Rev., 1940, 58, 919) в рамках спец. теории относительности развивается релятивистская термодинамика необратимых процессов для изотропных смесей с произвольным числом  $n$  хим. компонент. Масса покоя частиц считается постоянной. Определен 4-тензор энергии импульса и через него и 4-векторы плотности потока каждой компоненты выражены вектор потока тепла, 4-тензор напряжений и вязкий тензор напряжений. Сформулированы закон сохранения массы покоя и ур-ние баланса энергии-импульса, из которого получено 1-е начало термодинамики. В ур-нии баланса энтропии, помимо обычных нерелятивистских членов, получены члены, обусловленные наличием диффузии, теплопроводности, обычной и второй вязкости и хим. р-ций. Феноменологич. соотношения вводятся из требования, что тензорный характер какого-либо определенного потока должен быть таким же, каков тензорный характер сил, определяющих этот поток. Всего в теле  $n$  потоков  $n$ -ва и один поток тепла, каждый из них имеет 4 составляющие, так что потоки в теле могут быть описаны  $4n+4$  ур-ниями. Показано, что  $n+4$  из них независимы. Доказана лоренц-инвариантность симметрии кинетич. коэфф. Теория предсказывает появление дополнительного потока тепла, диффузии и вязко-хим. эффекты при ускорении материи. В частности теория согласуется с теорией Эккарта. Примененность теории ограничивается малостью длины свободного пробега по сравнению с

областями изменения макроскопических переменных.

А. А. 3369. Релятивистская термодинамика необратимых процессов. II. Теплопроводность и диффузия; физическая часть. Клейтенберг, Грот, Мазур (Relativistic thermodynamics of irreversible processes. Heat conduction and diffusion; physical part. Kluitenberg G. A., Groot S. R. de, Mazur P.), Physica, 1953, 19, № 11, 1079—1094 (англ.)

Результаты релятивистской термодинамики необратимых процессов в изотропных смесях с произвольным числом хим. компонент (реф. 3368) применены к теплопроводности и диффузии и согласованы с трехмерной формулировкой, используемой в нерелятивистской теории. 3-векторы потоков энергии и тепла оказываются связанными между собой через трехмерную часть введенных ранее (см. ссылку) 4-тензоров. Найдены трансформационные свойства потоков и обобщенных сил. Формализм, развитый в предыдущей работе (см. ссылку), применен к выводу баланса энергии и энтропии; плотность энтропии при этом, как показано, является четвертой компонентой 4-вектора, а энтропия лоренц-инвариантна в малых объемах  $n$ -ва при отсутствии теплопроводности и диффузии. При наличии потоков тепла или диффузии энтропия таких объемов незначительно меняется при преобразованиях Лоренца. Установлены соотношения, описывающие теплопередачу, и их трансформационные свойства. Феноменологич. ур-ния получены как в обычной форме линейных соотношений между потоками и обобщенными силами, так и с использованием релятивистского существующего разложения обобщенных сил на составляющие, параллельные и перпендикулярные вектору скорости центра инерции. Конечн. хим. компонент оказываются почти лоренц-инвариантными величинами.

А. А. 3370. Релятивистская термодинамика необратимых процессов. III. Системы без поляризации и намагничивания в электромагнитном поле. Клейтенберг, Грот (Relativistic thermodynamics of irreversible processes. III. Systems without polarization and magnetization in an electromagnetic field. Kluitenberg G. A., Groot S. R. de), Physica, 1954, 20, № 4, 199—209 (англ.)

Четырехмерные ур-ния движения зарядов в поле записаны с помощью введенного в сообщении I (реф. 3368) аппарата и использованы для формулировки первого начала термодинамики и баланса энтропии. Получены феноменологич. ур-ния в трехмерной и четырехмерной тензорной форме и соотношения симметрии между феноменологич. коэфф.; обобщенные силы содержат при этом специфически релятивистские члены. Релятивистский закон Ома оказывается частным случаем общего ур-ния, описывающего диффузию заряженных компонент в электромагнитном поле, и электрич. ток зависит не только от векторов электрич. и магнитного поля, парциального потенциала Гиббса хим. компонент на единицу объема и градиента т-ры, но и от производных по времени двух последних величин и ускорения центра инерции. Теория сформулирована также на основе введенного ранее (реф. 3368, 3369) понятия относительного потока  $n$ -ва.

А. А. 3371. Релятивистская термодинамика необратимых процессов. IV. Системы с поляризацией и намагничиванием в электромагнитном поле. Клейтенберг, Грот (Relativistic thermodynamics of irreversible processes. IV. Systems with polarization and magnetization in an electromagnetic field. Kluitenberg G. A., Groot S. R. de), Physica, 1955, 21, № 3, 148—168 (англ.)

Релятивистская термодинамика необратимых процессов применена к изотропным (по отношению к поля

ризации и намагничению) средам. Для таких систем с помощью введенного ранее (реф. 3368) аппарата сформулированы и использованы при обсуждении рассматриваемого круга явлений первое и второе начала термодинамики и ур-ния баланса энергии — импульса и массы покоя. Указано на связь между ур-нием баланса энтропии и пондеромоторными силами в системе. Получены феноменологич. ур-ния и соотношения Онзагера для величин с различной тензорной размерностью. Скалярные потоки описываются в системе центра инерции ур-ниями и соотношениями симметрии, не отличающимися от нерелятивистских. Для векторных потоков с помощью введенных в первой части тензоров феноменологич. ур-ния получены в виде, формально аналогичном нерелятивистскому выражению потоков как линейных функций сил. Феноменологические коэфф. в этих ур-ниях удовлетворяют соотношениям симметрии, формально аналогичным соотношениям нерелятивистской теории. Для тензорных потоков также найдены соотношения симметрии и получена зависимость вязкого тензора напряжений от ранее введенных тензоров. Рассмотрен случай изотропии по отношению к вязко-хим. эффектам. А. А.

**3372. Релятивистская термодинамика необратимых процессов.** V. Тензор энергии-импульса в макроскопическом электромагнитном поле, макроскопические силы, действующие на вещество, и первое и второе начала термодинамики. Клейтенберг, Грот (Relativistic thermodynamics of irreversible processes. V. The energy-momentum tensor of the macroscopic electromagnetic field, the macroscopic forces acting on the matter and the first and second laws of thermodynamics. Kluitenberg G. A., Groot S. R. de, Physica, 1955, 21, № 3, 169—192 (англ.)) Из общих выражений, найденных в сообщении IV (реф. 3371), получен в явном виде, т. е. в зависимости от тензоров поля и 4-скорости центра инерции, симметрич. тензор энергии-импульса для электромагнитного поля в анизотропной (по отношению к поляризации и намагничению) среде. Нediагональные компоненты этого тензора совпадают с nediагональными компонентами тензора Абрагама. Введен тензор, описывающий совместно в-во и поле; он использован для формулировки законов сохранения энергии, импульса и момента. Пондеромоторные силы, действующие на в-во, разбиты на составляющие обусловленные наличием поляризации, намагничения, электрич. и магнитного поля; вычислена в явном виде зависимость каждой составляющей от величины поля и скорости центра инерции. Получены явные выражения для первого и второго начал термодинамики. Показано, что при описании рассматриваемого круга явлений тензор Абрагама предпочтительнее тензора Минковского. А. А.

**3373. Нелинейное интегродифференциальное уравнение термодинамики.** Бауман (Eine nichtlineare Integrodifferentialgleichung der Thermodynamik. Baumann Volker, Proc. Internat. Congr. Math. 1954, 2, Amsterdam, 1954, 319—321 (нем.)) Рассматривается вопрос о решении нелинейного интегродифференциального ур-ния для распределения т-ры  $T(x)$  как функции точки при наличии теплопроводности и теплового излучения — при заданных условиях на границах. Обсуждаются частные случаи (при спец. выборе констант и добавочных ограничениях, налагаемых на параметры ур-ния). В. У.

**3374. К теории соотношений взаимности между необратимыми процессами. Статистические основы термодинамической теории флуктуаций в движущихся средах.** Влигер, Грот (On the theory of reciprocal relations between irreversible processes. Statistical foundations of thermodynamical fluctuation theory in moving media. Vlieger J., Groot

S. R. de, Physica, 1954, 20, № 7, 372—382 (англ.))

Если пространство переменных, определяющих состояние системы, разбито на большое число ячеек, то (РЖХим. 1955, 54594) распределение вероятностей нахождения системы в какой-либо определенной ячейке  $\mu$  дается ф-лой  $P = \exp \{ \Delta S(\alpha_i^\mu, \beta_k^\mu) / k \}$ , где  $\alpha_i^\mu$  и  $\beta_k^\mu$  — отклонения от равновесных значений величин, являющихся соответственно четными и нечетными функциями скоростей частиц, а  $\Delta S$  — отклонение энтропии от ее равновесного значения. Эта ф-ла выведена при таком выборе переменных, когда скорости центров инерции, составляющих систему элементов, могут считаться не флюктуирующими. Показано, что в случае, когда скорости центров инерции считаются переменными, распределение вероятностей может быть выражено в зависимости от нахождения переменных в одной или двух ячейках в виде  $P_1 \sim \exp(\Delta S_1^0 / k)$ ,  $P_{12} \sim \exp \{ (\Delta S_1^0 + \Delta S_2^0) / k \}$ , где  $\Delta S_1^0$  — квадратичная форма переменных, включая скорости центров инерции, в  $i$ -й ( $i = 1, 2$ ) ячейке. Полученное большое канонич. распределение использовано для вывода средних значений произведений флуктуаций различных величин. А. А.

**3375. Статистическая механика гелия II вблизи 1°K.** Райс (Statistical mechanics of helium II near 1°K. Rice O. K., Phys. Rev., 1954, 96, № 6, 1460—1463 (англ.))

Рассматривая роторные возбуждения в He II как совместное движение небольших групп атомов, каждая из которых целиком находится в возбужденном квантовом состоянии, автор на основе решеточной теории жидкостей вычисляет энтропию смещения роторной и обычной компонент He II, свободную энергию всей жидкости и ее роторной части, а также роторную часть уд. теплоемкости. Обсуждается изменение термодинамич. свойств нормальной жидкости между 0° K и л-точкой. Рассматриваются свойства коэфф. термич. расширения в свете теории двух жидкостей. А. А.

**3376. К теории переходов 2-го рода.** Мюнстер (Zur Theorie der Umwandlungen II. Ordnung. Münster Arnold, Z. phys. Chem. (Frankfurt), 1954, 1, № 5-6, 259—274 (нем.))

Кратко изложена феноменологич. теория кооперативных явлений при фазовых переходах Гуттенгейма. Показано, что в рамках этой теории переход 2-го рода формально в нулевом приближении может быть описан как чисто энтропийное явление. С этой точки зрения обсуждено явление плавления высокополимеров. А. А.

**3377. Фазовые переходы второго рода у бозе-газа.** Румер Ю. Б., Докл. АН СССР, 1955, 100, № 5, 887—888

Как показано ранее (РЖФиз. 1955, 8839), в присутствии поля тяготения у идеального бозе-газа т-ра начала эйнштейновской конденсации  $\theta$  является точкой фазового перехода второго рода. Здесь дается более общее рассмотрение этого вопроса. Получена ф-ла скачка теплоемкости. Для газа свободных бозонов  $\Delta C = 0$ ; для газа бесспиновых заряженных бозонов в магнитном поле  $\Delta C$  есть универсальная функция параметра  $\mu H / \theta$ . В. У.

**3378. Теплоемкость при низких температурах и энтропия подиого кадмия.** Дворкин, Сасмор, Ван-Артедален (The low temperature heat capacity and entropy of cadmium iodide. Dworkin A. S., Sasmor D. J., Van Artsdalen E. R., J. Amer. Chem. Soc., 1955, 77, № 5, 1304—1306 (англ.))

В ранее описанном адиабатном калориметре (Oliver G. D., Grisard J. W., J. Amer. Chem. Soc., 1951, 73,

1688) определена теплоемкость  $\text{CdJ}_2$  в интервале  $t$ -р 15—300° К. Погрешность измерений выше 50° К меньше 0,2% и при 15° К не более 0,5%. Эксперим. данные и вычисленные значения  $S^0$ ,  $-(F^0 - H^0)/T$  и  $(H^0 - H^0)/T$  представлены в интервале 10—300° К в таблице. При 298,16° К  $C_p = 19,11$  кал/моль град;  $S^0 = 38,50$  энтр. ед., из которых 1,5 энтр. ед. приходится на долю экстраполяции ниже 15° К. При 269,5° К на кривой теплоемкости обнаружена очень слабая аномалия типа  $\lambda$ -превращения; теплота превращения составляет не более 3 кал/моль и энтропия превращения  $\sim 0,01$  энтр. ед. Причина аномалии не выяснена. В интервале 15—50° К зависимость  $C_p$  от  $T$  удовлетворяется  $T^{1,4}$ , т. е. не следует ни закону Дебая, ни пропорциональности  $T^2$ , что должно выполняться для слоистых структур (Тарасов В. В., Ж. физ. химии, 1950, 24, 111). Это, вероятно, объясняется менее отчетливо выраженной анизотропностью решетки  $\text{CdJ}_2$ , чем в случае графита и нитрида бора, для которых при низких  $t$ -рах  $C_p$  пропорциональна  $T^2$  (РЖХим, 1954. 39254).

3379. Термодинамические свойства трехфтористого азота от 12° К до его точки плавления. Энтропия из молекулярных и спектроскопических данных. Пирс, Лейс (Thermodynamic properties of nitrogen trifluoride from 12°K to its boiling point. The entropy from molecular and spectroscopic data. Pierce Louis, Расе E. L.), J. Chem. Phys., 1955, 23, № 3, 551—555 (англ.).

Измерена теплоемкость  $\text{NF}_3$  от 12 до 144° К. Теплота превращения при 56,62° К найдена равной 361,8 кал/моль. Теплота плавления при  $t$ -ре тройной точки (66,37° К) равна 95,1 кал/моль. Теплота парообразования в нормальной точке кипения (144,15° К) равна 2769 кал/моль. Измерена также температурная зависимость давления пара, которая может быть выражена ф-лой  $\lg P = -673,5828/T + 1,869858 \lg T - 0,00783355 T + 4,64615$ . На основании полученных калориметрич. данных с помощью теоремы Нерста вычислена энтропия  $\text{NF}_3$  при 144,15° К, она равна 54,50 энтр. ед., что хорошо согласуется с значением 54,61 энтр. ед., вычисленным из спектроскопич. данных при структурных параметрах, отвечающих пирамидальной модели молекулы. В. У.

3380. Теплоемкость солей аммония под давлением. Злуницын С. А., Тр. Харьковск. инж.-экон. ин-та, 1954, 5, 125—140

Описаны аппаратура, методика измерения, и приведены данные (в виде таблиц и графиков) о теплоемкости  $\text{NH}_4\text{Cl}$ ,  $\text{NH}_4\text{Br}$  и  $\text{NH}_4\text{I}$  при низких  $t$ -рах и высоких давлениях (до 1425 кг/см<sup>2</sup>). Статья полностью повторяет содержание прежних статей автора (Ж. эксперим. и теор. физики, 1938, 8, 724; 1939, 9, 72). Результаты (наличие острых максимумов  $C_p$ ) трактуются в духе теории Л. Д. Ландау о фазовых переходах второго рода. В. У.

3381. Энтальпия и энтропия окиси и гидроксидов лития при высоких температурах. Шомейт, Коэн (High temperature heat content and entropy of lithium oxide and lithium hydroxide. Shomate C. Howard, Cohen Alvin J.), J. Amer. Chem. Soc., 1955, 77, № 2, 285—286 (англ.). Измерена энтальпия  $\text{Li}_2\text{O}$  (I) от 424,7 до 1045° К и  $\text{LiOH}$  (II) от 418,3 до 878,6° К с помощью калориметра, аналогичного описанному (Kelley K. K. и др. Bur. Mines. Tech. Paper, 1946, 686, 12). Препарат I готовили из чистой (99,9%)  $\text{Li}_2\text{O}_2$  методом Ковна (Cohen A. J., J. Amer. Chem. Soc., 1952, 74, 3762). Навеска I выдерживалась в золотой ампуле в токе сухого гелия в течение 24 час. при постепенном повышении  $t$ -ры до 550°. Она содержала 0,8% II, на что вводилась поправка при

обработке эксперим. данных. Препарат II получался растворением чистого металлич. Li в дистиллированной воде. Тщательно обезвоженный препарат (путем нагревания Li в токе сухого свободного от  $\text{CO}_2$  He в течение 24 час. при повышении  $t$ -ры до 350°) содержал лишь следы карбоната, поправки на который не вводились. Для выражения изменения энтальпии и энтропии с  $t$ -рой найдены у-ния по методу Шомейта (Shomate C. H., J. Amer. Chem. Soc., 1944, 66, 928): для I:  $H_T - H_{298,16} = 14,939 T + 0,00304 T^2 + 338\,000 T^{-1} - 5858$  кал/моль;  $C_p = 14,939 + 0,00608 T - 338\,000 T^{-2}$  кал/моль град;  $S_T - S_{298,16} = 34,398 \lg T + 0,00608 T + 169\,000 T^{-2} - 88,830$  энтр. ед.; для II (крст.):  $H_T - H_{298,16} = 11,988 T + 0,00412 T^2 + 226\,700 T^{-1} - 4701$ ;  $C_p = 11,988 + 0,00824 T - 226\,700 T^{-2}$ ,  $S_T - S_{298,16} = 27,603 \lg T + 0,00824 T + 113350 T^{-2} - 72,035 T^{-2}$ ; для II (жидк.):  $H_T - H_{298,16} = 20,74 T - 3638 (744 - 900^\circ \text{K})$ ;  $C_p = 20,74$ ;  $S_T - S_{298,16} = 47,76 \lg T - 116,859$ . Приведена таблица вычисленных значений энтальпии и энтропии I от 400 до 1050° К и II от 400 до 900° К через каждые 50°. Измерены  $t$ -ра плавления II (744,30° К) и теплота плавления II (5010 кал/моль).

Е. Б. 3382. Энтальпия закиси никеля при высоких температурах. Томлинсон, Домаш, Хэй, Монтгомери (The high temperature heat content of nickel oxide. Tomlinson J. R., Domash L., Hay R. G., Montgomery C. W.), J. Amer. Chem. Soc., 1955, 77, № 4, 909—910 (англ.). В калориметре, аналогичном описанному ранее (Ginnings G. C., Corruccini R. J., J. Research Natl. Bur. Standards, 1947, 38, 583), определена энтальпия  $\text{NiO}$  (I) (примесь Si меньше 0,1%) в интервале 0—800°С, причем особенно подробно изучалась температурная область 200—300°С аномалии магнитной восприимчивости (Foex M., La Blanchetais C. H., C. r. Acad. sci., 1949, 228, 1579) и других свойств I. Обнаружена аномалия теплоемкости с максимумом  $C_p$  вблизи 523° К; эта  $t$ -ра рассматривается как точка Кюри антиферромагнетика I. Ниже 523° К энтальпия I выражена у-нием  $H_T - H_{273,16} = 0,4257T + 1,42 \cdot 10^{-2} T^2 - 1,46 \cdot 10^4 T^{-1} - 641,3$  кал/моль (0,24%), выше 620° К  $H_T - H_{273,16} = 12,91T - 3494$  кал/моль (0,20%). Величины энтальпии I, полученные в данной работе, значительно достовернее данных Капустянского и Новоселова (Ж. физ. химии, 1938, 11, 61). Использовав данные по теплоемкости I при низких  $t$ -рах (Seltz H. и др., J. Amer. Chem. Soc., 1940, 62, 88), авторы составили таблицы термодинамич. функций I [ $H_T - H_0$ ,  $C_p$ ,  $S_T - S_0$ ,  $-(F_T - H_0)/T$ ] в интервале 273,16—1100° К. И. Л.

3383. Термодинамические свойства безводной двойной соли  $\text{Li}_2\text{SO}_4 \cdot \text{K}_2\text{SO}_4$  при высоких температурах. Воскресенская Н. К., Банашек Е. И., Изв. Сектора физ.-хим. анализа ИОНХ АН СССР, 1955, 26, 111—116

Измерено изменение энтальпии  $\text{Li}_2\text{SO}_4 \cdot \text{K}_2\text{SO}_4$  от 350 до 1130° К методом смешения с помощью калориметров, описанных ранее (Авосов В. Я., Воскресенская Н. К., Ж. прикл. химии, 1945, 18, № 11—12, 638; РЖХим, 1955, 23243). Найдены у-ния изменения энтальпии  $\Delta H_{293,16}^T$ ,  $C_p$  и энтропии  $\Delta S_{293,16}^T$  с  $t$ -рой. Для твердой фазы:  $\alpha$ -модификация:  $\Delta H_{293,16}^T = 37,93T + 37,84 \cdot 10^{-2} T^2 - 19,63 \cdot 10^4 T^{-1} - 13\,825$  кал/моль (293,16—695°К);  $C_p = 37,93 + 75,68 \cdot 10^{-2} T - 19,63 \cdot 10^4 T^{-2}$  кал/моль град;  $\Delta S_{293,16}^T = 87,34 \lg T + 75,68 \cdot 10^{-2} T + 981,65 T^{-2} - 238,78$  энтр. ед.;  $\beta$ -модификация:  $\Delta H_{293,16}^T = 91,27T - 30\,318$  кал/моль (695—1002° К);  $C_p = 91,27$  кал/моль град;



$\Delta S_{293,16}^T = 210,16 \lg T - 531,36$  энтр. ед. Для жидкой фазы  $\Delta H_{293,16}^T = 112,42T - 37\,350$  кал/моль (1002—1300°K);  $C_p = 112,42$  кал/моль град;  $\Delta S_{293,16}^T = 258,9 \lg T - 633,3$  энтр. ед. Теплота превращения ( $T_{пр} = 695^\circ$  K) 2584 кал/моль; теплота плавления ( $T_{пл} = 1002^\circ$  K) 14161 кал/моль. Энтропия превращения 3,7 и плавления 14,1 энтр. ед. Увеличение теплоемкости при плавлении, в результате которого она становится больше аддитивной, связывается с изменением структуры соли.

**3384. Непосредственное измерение изотермического коэффициента Джоуля — Томсона для газов.** Чарли, Айлес, Таунли (The direct measurement of the isothermal Joule — Thomson coefficient for gases. Charney A., Isles G. L., Townley J. R.) Proc. Roy. Soc., 1953, 218, № 1132, 133—143 (англ.)

Описывается новая аппаратура для определения изотермич. коэфф. Джоуля — Томсона (и. к. Д — Т), усовершенствованная с целью получения дальнейших сведений о межмолекулярных силах. Исходят из того, что в диапазоне низких давлений имеется возможность определения энергии взаимодействия между молекулами путем эксперим. определения различных коэфф. или других эквивалентных величин, таких как адиабатич. коэфф. или и. к. Д — Т, если определение последних производится в достаточно широком диапазоне т-р. Указывается, что для непосредственного определения и. к. Д — Т необходимо точно измерить перепад давлений при протекании газа через дросселирующее устройство, скорость газового потока и кол-во тепла, подведенного к газу для поддержания постоянства т-ры. Необходимо также иметь чувствительный метод, контролирующий изотермичность. Одним из главных преимуществ изотермич. метода является то, что градиент т-р может быть ограничен малой областью и тогда скорость потока и время достижения постоянства т-ры могут быть значительно снижены. Эти требования учтены в конструкции прибора. На установке было произведено определение и. к. Д — Т в интервале т-р 0—45° до 45 атм для азота, окиси азота, этилена, углекислого газа. Отмечено, что величины энергий взаимодействия молекул не могут быть получены непосредственно из этих результатов, так как диапазон исследованных т-р очень мал. Однако доказана точность метода и получены результаты, которые хорошо согласуются с результатами, найденными путем измерения адиабат. коэфф. Джоуля — Томсона.

**3385. Критическое состояние и его описание уравнением состояния.** Бер (Der kritische Zustand und seine Darstellung durch die Zustandsgleichung. Baehr Hans Dieter), Abhandl. math.-naturwiss. Kl. Akad. Wiss. und Liter., 1953, № 6, 1—101 (нем.)

Излагаются термодинамика крит. состояния и методы его эксперим. изучения. Дается обзор различных теорий крит. состояния, предлагавшихся ранее, и указывается, что феноменологич. описание крит. состояний на основании ур-ния непрерывности и новые молекулярные теории ассоциаций не противоречат друг другу, но ограничено описывают явления. Рассматриваются различные возможности представления ур-ний состояния в алгебраич. форме; предлагается классификация таких ур-ний.

**3386. Давление пара  $\text{FeBr}_2$ .** Мак-Ларен, Грегори [The vapor pressure of iron (II) bromide. MacLaren R. O., Gregory N. W.], J. Phys. Chem., 1955, 59, № 2, 184—186 (англ.)

Давление пара  $\text{FeBr}_2$  между 400 и 689° измерено методом потока (приведено описание аппаратуры). Скорость потока сухого Ar (12—40 мл/сек) устанавливалась капил-

лярным вентилем. Кол-во  $\text{FeBr}_2$ , увлеченное потоком определялось колориметрированием  $\text{Fe}^{2+}$  в виде комплекса с о-фенантролином или титрованием с бихроматом. По эксперим. данным найдено  $\lg p_{\text{мм}} = -(10294/T) + 12,045$ , теплота возгонки  $\Delta H = 47,1 \pm 0,5$  ккал/моль. При низких т-рах (350—445°) применен эффузионный метод; для определения коэфф. аккомодации измерения производились в камерах из различных материалов с различной величиной отверстий; совпадение результатов для всех камер показало, что коэфф. аккомодации равен единице. Зависимость давления пара от т-ры представлена ур-нием  $\lg p_{\text{мм}} = -(10300/T) + 11,88$ ;  $\Delta H = 47,1 \pm 1$  ккал/моль. При т-рах выше 625° (до 909°) давление измерялось манометром с кварцевой диафрагмой; данные выражены ур-ниями: для возгонки  $\lg p_{\text{мм}} = -(12\,100/T) + 13,90$ ;  $\Delta H = 55 \pm 10$  ккал (620—689°) и для испарения  $\lg p_{\text{мм}} = -(6\,912/T) + 8,450$ ;  $\Delta H = 31,6 \pm 1$  ккал (689—909°), откуда теплота плавления равна  $15 \pm 2$  ккал. Тройная точка, рассчитанная из данных по давлению пара (691°), согласуется со значением  $689 \pm 2$ , полученным при анализе кривой охлаждения. Экстраполяцией найдена т-ра кип. 967°. Признаков диспропорционирования  $\text{FeBr}_2$  (на Fe и  $\text{FeBr}_3$ ) не обнаружено.

**3387. О законах Рауля.** Дармуа, Дюмениль (Sur les lois de Raoult. Darmonis Eugène), C. r. Acad. sci., 1955, 240, № 6, 620—622 (франц.)

Отмечено, что законы тонометрич. ( $p_0 - p$ ) /  $p_0 = n_2 / (n_1 + n_2)$  и криометрич. ( $\Delta T = [RT^2 / J_L] n_2 / n_1$ ) не вполне эквивалентны один другому: оба дают сведения о мол. весе растворенного в-ва, но первый, в отличие от второго, дает, кроме того, сведения о мол. весе р-рителя. Показано, на основании эксперим. данных Бренстеда (Brönsted, Z. Physik. Chem., 1910, 68, 693), что парц. давление водяного пара в слабых р-рах  $\text{H}_2\text{SO}_4$  подчиняется ур-нию  $(p_0 - p) / p = 2x_2 / (x_2 + 1)$  ( $x_2$  — молярная доля  $\text{H}_2\text{SO}_4$ ), выведенному в предположении полной диссоциации  $\text{H}_2\text{SO}_4$  на 2 иона. Это ур-ние, соблюдающееся при  $x_2 = 0,02175$ , при  $x_2 = 0,04255$  уже не соблюдается.

**3388. Равновесная упругость окислов азота над нитрозами.** Черепков И. Ф., Хим. пром-сть, 1953, № 10, 14—15

Указано, что причиной расхождения между опытными данными различных авторов, особенно значительного при сравнении нитроз (I), полученных в производстве и приготовленной в лаборатории, является наличие в лабораторной I свободной  $\text{HNO}_3$ , что резко повышает давление пара окислов азота (II). Измерено равновесное давление II над I, не содержащими свободной  $\text{HNO}_3$ , в широком интервале изменения состава I и т-ры. Методика измерения описана ранее (Хим. пром-сть, 1950, № 5, 146). На основании полученных данных построена номограмма.

**3389. Равновесие пар — жидкость в бинарных системах:** водород с этиленом, этаном, пропаном и пропаном. Вильямс, Кац (Vapor liquid equilibria in binary systems. Hydrogen with ethylene, ethane, propylene, and propane. Williams Richard B., Katz Donald L.), Industr. and Engng Chem., 1954, 46, № 12, 2512—2520 (англ.)

Равновесие достигалось циркуляцией паров через жидкую фазу в стальном цилиндре. Т-ра поддерживалась и измерялась с точностью до  $\pm 0,56^\circ$  при  $-167^\circ$  и  $\pm 0,056^\circ$  при комнатной т-ре, давление измерялось с точностью до 0,5%. Состав определялся масс-спектрометрически и ИК-спектрометрией (ошибка 3—0,015%). Результаты для бинарных систем:  $\text{H}_2 - \text{C}_2\text{H}_4$  (в интервале т-р от 139 до 0° при давл. 176—281 кг/см<sup>2</sup>),  $\text{H}_2 - \text{C}_2\text{H}_6$  (от —153 до 27,8° и 17,6—562,5 кг/см<sup>2</sup>),  $\text{H}_2 -$

—  $C_2H_6$  (от —153 до 41,7° и 17,6—562,5  $\kappa\Gamma/\text{см}^2$ ).  $H_2$  —  $C_2H_6$  (от —167 до 41,7° и 17,6—562,5  $\kappa\Gamma/\text{см}^2$ ) представлены в виде диаграмм: давление — состав жидкой фазы, давление — состав пара, константа равновесия  $K$  — давление и т-ра — давление. Для тройных систем  $H_2$  —  $C_2H_6$  —  $C_2H_4$  и  $H_2$  —  $C_2H_6$  —  $C_3H_8$  равновесие исследовалось при —55,6° и давл. 70,3  $\kappa\Gamma/\text{см}^2$  и 562,5  $\kappa\Gamma/\text{см}^2$ . Эксперим. значения  $K_{H_2}$  для тройной смеси определенного состава совпадают со значениями, рассчитанными из  $K_{H_2}$  в бинарных смесях. Сопоставление данных по зависимости  $K_{H_2}$  от т-ры при 281  $\kappa\Gamma/\text{см}^2$  для 4 систем показало, что растворимость  $H_2$  в углеводородах уменьшается при понижении т-ры. При низких т-рах  $H_2$  больше растворим в олефинах, чем в парафинах, при более высоких — наоборот. При высоких давлениях  $K$  углеводорода в системе  $H_2$  — углеводород меньше, чем в  $C_2H_4$  — углеводород. Авторы указывают на зависимость  $K_{H_2}$  от  $T_R = T/T_{кр}$  ( $T_{кр}$  — крит. т-ра углеводорода,  $T$  — т-ра в системе). Л. Б.

**3390. Равновесие жидкость — пар в системах изобутанол — *n*-бутанол, метанол — *n*-бутанол и диэтиловый эфир — *n*-бутанол.** Кей, Доцем (Liquid — vapour equilibria in the iso-butanol — *n*-butanol, methanol — *n*-butanol and diethyl ether — *n*-butanol systems. K a y W. B., D o n h a m W. E.), Chem. Engng Sci., 1955, 4, № 1, 1—16 (англ.; резюме франц.)

В интервале от т-ры кипения при атмосферном давлении до крит. т-ры и давлений определены давление пара, равновесные концентрации и плотности жидкости и пара чистых компонентов и смесей в бинарных системах изобутанол — *n*-бутанол (I), метанол — I и диэтиловый эфир — I. Определены также крит. т-ры и давления чистых компонентов и смесей. Эксперим. данные приводятся в виде таблиц и графиков. Путем сопоставления величин  $K = y/x$  ( $y$  и  $x$  — конц-ии компонента в паре и в жидкости), найденных по эксперим. данным и рассчитанных по уравнениям для идеальных р-ров, определены отклонения бинарных систем от идеального поведения. При низких давлениях системы приближаются к идеальным; с увеличением давления возрастает величина отклонений. I обнаруживает наименьшее отклонение от идеального поведения в системе изобутанол — I и наибольшее в системе диэтиловый эфир — I. В. К.

**3391. Азеотропная смесь четыреххлористый углерод — уксусная кислота. Влияние давления на состав азеотропной смеси.** Хогтон (Carbon tetrachloride/acetate acid azeotrope. The effect of pressure on the composition of the azeotrope. H a u g h t o n C. O.), Chem. Engng Sci., 1955, 4, № 2, 97—99 (англ.)

Путем ректификации в колонке смесей различного состава определены т-ры кипения (от 90 до 18,7°) и составы (от 3 до 0,72 вес. %  $CH_2Cl_2$ ) азеотропных смесей  $CCl_4$  и  $CH_3CO_2H$  при давлениях от 1400 до 90 мм рт. ст. В. К.

**3392. Отставание во времени спонтанного образования ядер конденсации.** Вакешима (Time lag in the self-nucleation. W a k e s h i m a H i r o m u), J. Chem. Phys., 1954, 22, № 9, 1614—1615; J. Phys. Soc. Japan, 1955, 10, № 5, 374—380 (англ.)

Решается нестационарная задача спонтанного образования ядер конденсации на основе общего дифференциального уравнения Зельдовича — Френкеля (Зельдович Я. Б., Ж. эксперим. и теор. физики, 1942, 12, 525, Френкель Я. И., Кинетическая теория жидкостей. М., изд-во АН СССР, 1945, стр. 359) для скорости образования зародышей. При некоторых упрощающих предположениях показано, что: 1) скорость образования ядер несколько меньше скорости, полученной ранее для нестационарного процесса (Probstein R. F.,

J. Chem. Phys., 1951, 19, 619), но имеет тот же порядок величины; 2) если ввести эффективное время отставания, то для обычных условий образования ядер оно получается равным  $\sim 0,4 \cdot 10^{-8}$  сек. Таким образом, отставание во времени образования не может быть причиной расхождений между теорией и опытом, наблюдаемых для быстрых нестационарных процессов образования ядер во влажном воздухе при сверхзвуковых скоростях. Л. Р.

**3393. Об особенностях теплообмена при сублимации льда в вакууме.** Гухман А. А., Ермакова Е. А., Ж. техн. физики, 1953, 23, № 8, 1367—1378

Изучение сублимации льда проводилось на установке, состоящей из сублиматора с куском льда, подвешенного на пружинных весах, и конденсатора, где производились охлаждение и конденсация паров при непрерывной откачке насосом. Измерялись т-ра льда в разных точках, т-ра в конденсаторе и давление пара в системе. За ходом испарения следили по убыли веса льда. Получены кривые сублимации при различной т-ре конденсации (—28° и —70°) и при постоянном давлении в сублиматоре (0,5 мм Hg). Из опыта следует, что испарение протекает с постоянной скоростью. Найдено, что скорость сублимации обратно пропорциональна давлению. Для данного давления скорость сублимации тем выше, чем ниже т-ра конденсации. Процесс проходит без отвода тепла вглубь образца. Во всех случаях найдено, что т-ра куска льда на несколько градусов превышает равновесную т-ру сублимации, отвечающую давлению в камере, т. е. имеет место перегрев образца. Наблюдаемая интенсивность испарения в  $10^3$  раз превосходит расчетную. В пространстве сублиматора происходит сложное интенсивное движение пара в связи с бурным его выделением. Пока еще преждевременно предлагать общие колич. соотношения для теплоотдачи, но можно приблизительно считать, что коэфф. теплоотдачи составляет 20—30  $\kappa\text{кал}/\text{м}^2\text{час град}$  и, следовательно, на несколько порядков превосходит значения при расчете по обычным ф-лам. Л. Р.

**3394. Исследование процесса замерзания переохлажденной воды.** Оути (過冷却水の凍結機構の研究. 大内浩), Кисёсюси, Ж. метеорол. Soc. Japan, 1954, Ser. II, 32, № 5—6, 119—128 (япон.; резюме англ.)

Теоретическое исследование процесса замерзания переохлажденной воды проведено на основе следующих допущений: 1) свободная энергия в промежутке между водой и льдом выражается соотношением  $\alpha - kT \cdot \ln 2$ , где  $\alpha = 1/2$  {(внутренняя энергия воды на молекулу) — (внутренняя энергия льда на молекулу)} =  $1/2$  {(теплота испарения льда на молекулу) — (теплота испарения воды на молекулу)}; 2) замерзание начинается с образования ледяного ростка в форме гексагональной призмы, главная ось которой перпендикулярна к поверхности зародыша, считая, что росток получается на поверхности «зародыша замерзания» в переохлажденной воде; 3) росток льда вырастает на тех частях поверхности зародышей, где может происходить адгезия молекул, лежащих на основании ледяной призмы. Размер ледяной призмы растет до радиуса действия адгезионных сил, который может быть вычислен из структурных данных обеих решеток. Найдены следующие величины: а) увеличение свободной энергии  $\Delta F$ , обусловленное образованием ледяного ростка; б) т-ра, при которой будет образовываться росток данного размера, согласно условиям  $\partial(\Delta F)/\partial t = 0$ ;  $\partial(\Delta F)/\partial x = 0$ , где  $l$  — средний радиус ростка в числе молекулярных слоев,  $x$  — длина ростка в тех же единицах, в) скорость образования зародышей ростков в юдояной капле; г) максим. радиус ростка по структурным данным решеток различных в-в. Вычисленные значения т-ры

согласуются с крит. т-рами образования ледяного кристалла, наблюдавшимися в камере расширения ( $-41^\circ$ ,  $-32^\circ$  и др.), а также с т-рами начала замерзания переохлажденной водной капли с различными сортами ядер ( $\text{AgI}$ ,  $\text{PbJ}_2$ ,  $\text{CdJ}_2$ ,  $\text{NaNO}_3$ ,  $\text{CuJ}$ ,  $\text{NH}_4\text{J}$ ,  $\text{KJ}$ ,  $\text{NaCl}$ ,  $\text{MgO}$ ,  $\text{NaF}$ ,  $\text{CdO}$ ,  $\text{J}_2$ ,  $\text{CsJ}$ ) по данным многих авторов. Автор считает, что т-ра  $-41^\circ$  соответствует образованию ростка из 6 или 24 молекул в капле переохлажденной воды. Т-ра  $-32^\circ$  соответствует эвтектич. точке тонкого слоя р-ра  $\text{NaCl}$ , который окружен вновь сконденсированной водой и который обволакивает кристалл  $\text{NaCl}$ , служащий центром замерзания. Л. Р.

**3395. Влияние ионов на процессы образования зародышей в жидкостях. I. Жидкости в устойчивом термодинамическом равновесии. Мартелли** (Influence of ions on the nucleation processes in liquids. I. Liquids in stable thermodynamical equilibrium. Martelli G.), Nuovo cimento, 1954, 12, № 2, 250—259 (англ.; резюме итал.)

Известно (Glaser D. A., Phys. Rev., 1952, 87, 665; РЖФиз, 1954, 3522), что сильная ионизация, которой подвергнута жидкость в состоянии метастабильного равновесия, вызывает резкие нарушения последнего вследствие образования центров разрыва. Теор. изучено влияние ионизации на процесс образования зародышей пузырьков пара в жидкостях, находящихся в устойчивом термодинамическом равновесии. Оценен вклад, вносимый электрич. зарядом в общую энергию заряженного пузырька, содержащего данное кол-во ионов. Отсюда получается условие равновесия заряженного пузырька. Показано, что работа обратимого процесса образования пузырька как функция его радиуса проходит через минимум в случае, когда пузырек заряжен. Обсуждение этого результата приводит к выводу, что ионизация дает увеличение числа устойчивых пузырьков, вследствие чего общее число пузырьков в жидкости возрастает, пока статистич. равновесие между ионизацией и рекомбинацией ионов обоих знаков еще не достигнуто. Показано, таким образом, что роль ионизации в процессе образования зародышей в жидкостях пренебрегать нельзя. Л. Р.

**3396. Растворимость водорода в уране при низких давлениях. Матро** (Low pressure hydrogen solubility in uranium. Matro H. C.), J. Phys. Chem., 1955, 59, № 1, 93—94 (англ.)

Измерена растворимость  $\text{H}_2$  в порошкообразном уране при  $295^\circ$  и при давл.  $P_{\text{H}_2} = 26\text{—}150$   $\mu$  рт. ст. Найдена зависимость  $S = KVP$ , где  $S$  — растворимость в см<sup>3</sup>  $\text{H}_2$  на 1 г урана,  $P$  — давление в  $\mu$  рт. ст.,  $K$  — константа, равная при  $295^\circ$   $3,30 \pm 0,22 \cdot 10^{-3}$ . Опыты при других т-рах показывают, что теплота растворения  $\text{H}_2$  в  $\alpha$ -уране равна  $\sim -13$  (для бесконечно разб. р-ра) и  $\sim -20$  ккал/моль  $\text{H}_2$  (для состава, отвечающего началу выделения  $\text{UH}_3$ ), в противоположность  $\beta$ - и  $\gamma$ -урану, для которых она положительна. В. Ф.

**3397. Термическое разложение перхлората аммония. I. Введение, эксперимент, анализ газообразных продуктов и опыты по термическому разложению. Беркумшоу, Ньюман** (The thermal decomposition of ammonium perchlorate. I. Introduction, experimental, analysis of gaseous products, and thermal decomposition experiments. Bircumshaw L. L., Newman B. H.), Proc. Roy. Soc., 1954, A227, № 1168, 115—132 (англ.)

Термическое разложение  $\text{NH}_4\text{ClO}_4$  исследовалось в интервалах  $220\text{—}280^\circ$  и  $380\text{—}450^\circ$ . При низшей т-ре — в вакууме, при высокой, чтобы избежать сублимации, — под небольшим заданным давлением  $\text{N}_2$ . Описаны техника эксперимента по определению степени термич. разложения и хим. анализ продуктов диссоциации. Степень разложения  $\text{NH}_4\text{ClO}_4$  определялась

по росту в процессе разложения давления образующихся газов ( $\text{N}_2$  и  $\text{O}_2$ ). Остальные газообразные продукты конденсировались в ловушке, помещенной в жидкий кислород, и затем анализировались.  $\text{NH}_4\text{ClO}_4$  при нагревании до  $300^\circ$  в вакууме или в токе инертного газа разлагается только на 28—30%, твердый остаток приобретает аморфную пористую структуру и обладает способностью к сублимации, но теряет способность к термич. разложению. Разложение  $\text{NH}_4\text{ClO}_4$  в этом интервале т-р идет в твердой фазе. Обнаружено, что остаток от термич. разложения перхлората аммония, имеющий тот же хим. состав  $\text{NH}_4\text{ClO}_4$ , полностью разлагается при нагревании при  $400^\circ$  и налпчи в системе небольшого кол-ва инертного газа для предотвращения сублимации. Обработка пористого остатка от разложения  $\text{NH}_4\text{ClO}_4$  парами р-рителей ( $\text{H}_2\text{O}$ ,  $\text{CH}_3\text{OH}$ ,  $\text{C}_2\text{H}_5\text{OH}$ ,  $\text{CH}_3\text{OCH}_3$ ) переводит его снова в кристаллы, способные к дальнейшему разложению при низкой т-ре ( $220\text{—}300^\circ$ ). Исследовано влияние на термич. разложение  $\text{NH}_4\text{ClO}_4$  ряда факторов: 1) перехода  $\text{NH}_4\text{ClO}_4$  при  $240^\circ$  из орторомбич. решетки в куб., 2) введения в реагирующую смесь ряда примесей, могущих рассматриваться, как промежуточные продукты разложения, 3) добавления некоторых металлич. окислов ( $\text{Al}_2\text{O}_3$ ,  $\text{CaO}$ ,  $\text{Fe}_2\text{O}_3$ ,  $\text{MnO}_2$ ), действующих каталитически. Г. Р.

**3398. Химическая реакционная способность и термодинамические свойства некоторых углеводородов. Реакции изомеризации и термического разложения. Киреев В. А., Успехи химии, 1954, 23, № 8, 921—942**

На основании имеющихся данных по термодинамич. свойствам углеводородов сделаны обобщения в отношении термодинамики р-ции изомеризации и термич. разложения некоторых углеводородов. В соответствии с ур-нием  $-\Delta Z/T = R \ln K = \Delta S - \Delta H/T$  течение р-ции и положение равновесия определяются изменением двух факторов — энергетического ( $\Delta H/T$ ) и энтропийного ( $\Delta S$ ). Уменьшение  $Z$  при р-ции может проходить как за счет выделения энергии (убыль  $H$ ), так и за счет роста энтропии. Выделение энергии связано с взаимодействием частиц (стремление к агрегации), рост энтропии — с дезагрегацией (напр., с увеличением объема). Так как теплоты образования углеводородов с нормальной цепью меньше, чем их изомеров, то первые менее устойчивы, но по энтропии они более устойчивы, а ввиду того, что с ростом т-ры относительное влияние энтропийного фактора ( $T\Delta S$ ) в величине  $\Delta Z$  растет, то с т-рой возрастает и относительная устойчивость нормальных углеводородов. Рассмотрение этих соотношений проведено на примере бутанов, октанов и гексанов. Сопряжение связей (рассмотрены бутadiены и пентадиены) и циклизация (изомерные н-пентан и циклопентан, а также углеводороды с 6 и 7 углеродными атомами) сильно повышают устойчивость углеводорода по сравнению с изомерными ему углеводородами за счет энергетич. фактора (при сопряжении связей выделяется 12,8 ккал/моль), особенно при невысоких т-рах. С ростом т-ры увеличивается устойчивость разветвленных углеводородов благодаря наличию у них большей энтропии в связи с меньшей симметрией. На примере сопоставления относительного содержания пропилбензола и его изомеров в равновесной газовой смеси показано, что для ароматич. углеводородов при низких т-рах основная роль принадлежит энергетич. фактору (наибольшее кол-во тепла выделяется при образовании наиболее симметричного изомера — мезитилена, хотя он обладает наименьшей энтропией по сравнению с метилэтилбензолом и особенно пропилбензолом). При повышении т-ры относительное содержание изомеров выравнивается вследствие усиления роли энтропийного фактора. На примере термич. разложения этана  $\text{C}_2\text{H}_6 \rightarrow \text{C}_2\text{H}_4 \rightarrow \text{C}_2\text{H}_2$  показано, что с ростом т-ры

№ 2  
относ  
водор  
эффе  
и мал  
чение  
личн  
пни  
начи  
На ц  
струк  
3399.  
рех  
пер  
Е п  
zög  
Vil  
Пр  
четве  
става  
тетра  
длос  
расче  
3400.  
Р  
mi  
A.  
977  
Ис  
Кри  
при с  
точк  
Из к  
плав  
пен  
год н  
1955  
миру  
с ин  
пер  
кой с  
равн  
чае  
AlCl  
лонн  
3401  
хл  
В  
ch  
tet  
a f  
tra  
И  
SeCl  
В о  
1:1  
Пос  
В с  
ческ  
В с  
при  
TeCl  
чел  
обо  
3402  
е  
ли  
Ж  
Д  
Ti  
мето



относительно сильнее уменьшается устойчивость углеводородов с большим содержанием водорода. Тепловой эффект этой р-ции неблагоприятен для ее протекания и мало меняется с т-рой. Однако р-ция идет с увеличением объема, что приводит к значительному по величине и благоприятному по знаку изменению энтропии, а потому уже при 1060° К в газообразной смеси начинает преобладать этиден, а при 1385° К — ацетилен. На примере изомерных соединений показано влияние структуры на величину энтропии. Т. Р.

3399. Новый метод изображения равновесия четырехкомпонентных систем. Холло, Эмбер (Quarter rendszerek új ábrázolási módszere. Holló János, Ember György), Budapesti műszaki egyetem mezőgazd. kem. technol. tansektének évk., 1952, III—1954, VII (1954), 54—67 (венг.; резюме русс., англ.)

Приведен обзор существующих методов изображения четверных систем. Предложено для изображения состава четверной системы использовать две проекции тетраэдра, лежащие на взаимно перпендикулярных плоскостях и позволяющие однозначно производить расчеты кони-пй путем соответствующих построений.

3400. Двойные системы  $\text{NOCl} - \text{AlCl}_3$ . Хаутграф, Рое (The binary system of nitrosyl chloride with aluminium chloride. Houtgraaf H., Roos A. M. d e), Recueil trav. chim., 1953, 72, № 11, 963—977 (англ.)

Исследована диаграмма плавкости  $\text{NOCl} - \text{AlCl}_3$ . Кривая ликвидуса имеет ясно выраженный максимум при составе 1 моль  $\text{NOCl}$  на 1 моль  $\text{AlCl}_3$ . Конгруэнтная точка плавления соединения  $\text{NOCl} \cdot \text{AlCl}_3$  равна  $180^\circ$ . Из кривой плавления  $\text{NOCl} \cdot \text{AlCl}_3$  вычислена теплота плавления  $\sim 2$  ккал/моль в предположении, что степень диссоциации соединения при плавлении мала. Метод приготовления  $\text{NOCl} \cdot \text{AlCl}_3$  описан ранее (РЖХим, 1955, 42822). В высоком вакууме это соединение сублимируется, не разлагаясь. Найдено другое соединение с неконгруэнтной точкой плавления  $2\text{NOCl} \cdot \text{AlCl}_3$  (точка перехода  $17,5^\circ$ ). Найдена область расслаивания в жидкой фазе между 84 и 99 мол. %  $\text{AlCl}_3$  [t-ра трехфазного равновесия  $\text{AlCl}_3$  (Тв) +  $L_1$  +  $L_2 \sim 195,2^\circ$ ]. Отмечается трудность точного определения точки плавления  $\text{AlCl}_3$ , которая может быть объяснена превращением ионной решетки в молекулярную. В. С.

3401. Двойные системы четыреххлористый селен — хлористый алюминий и четыреххлористый теллур — хлористый алюминий. Хаутграф, Ранг, Волбрахт (The binary system of selenium tetrachloride with aluminium chloride and of tellurium tetrachloride with aluminium chloride). Houtgraaf H., Rang H. J., Vollabracht L., Recueil trav. chim., 1953, 72, № 11, 978—988 (англ.).

Изучены диаграммы плавкости двойных систем  $\text{SeCl}_4 - \text{AlCl}_3$  (от 0 до 50 мол. %  $\text{SeCl}_4$ ) и  $\text{TeCl}_4 - \text{AlCl}_3$ . В обоих системах обнаружены соединения состава 1 : 1; т. пл.  $\text{SeCl}_4 \cdot \text{AlCl}_3$  163,8°,  $\text{TeCl}_4 \cdot \text{AlCl}_3$  149,3°. Последнее соединение перегоняется в высоком вакууме без разложения. В системе  $\text{SeCl}_4 - \text{AlCl}_3$  эвктической точке отвечает т-ра 100° и 34,8 мол. %  $\text{SeCl}_4$ . В системе  $\text{TeCl}_4 - \text{AlCl}_3$  две эвктические точки: при 108° и 37,5 мол. %  $\text{TeCl}_4$  и при 114° и 60,5 мол. %  $\text{TeCl}_4$ . Указанным ранее способом (см. реф. 3400) вычислены приближенные значения теплот плавления обоих соединений, равные 3,5 — 4 ккал/моль. С. К.

3402. Сингулярная необратимо-взаимная система с расселением из хлоридов и сульфатов лития и таллия. Бергман А. Г., Шолохович М. Л., Ж. общ. химия, 1955, 25, № 3, 451—458

Диаграмма ликвидуса тройной взаимной системы  $\text{Li}_2\text{Ti} \parallel \text{Cl}_2\text{SO}_4$ , изученной авторами визуально-политермич. методом, представлена пятью полями кристаллизации,

из которых одно принадлежит соединению  $\text{Li}_2\text{SO}_4 \cdot \text{Ti}_2\text{SO}_4$  (I), конгруэнтно плавящемуся ( $577^\circ$ ) в двойной системе и являющемуся — в тройной. Линия совместной кристаллизации компонентов системы сходится в трех новариантных точках (состав в экв. %): 1) эвктик.  $E_1$   $326^\circ$ , 65%  $\text{Ti}_2\text{Cl}_2$  (II), 1%  $\text{Li}_2\text{SO}_4$  (III) 34%  $\text{Li}_2\text{Cl}_2$  (IV); эвктик.  $E_2$   $330^\circ$ , 66% II, 3% III и 31%  $\text{Ti}_2\text{SO}_4$  (V); 3) переходная  $P$ ;  $338^\circ$ ; 68% II, 2% III и 30% V. Стабильному триангулирующему сечению отвечает сечение II—III, компоненты которого имеют ограниченную взаимную растворимость в жидком состоянии. Линия совместной кристаллизации II и III проходит под областью расслаивания и представляет собой прямую, по которой проходит четырехфазный монотектич. процесс. Хребет в поле кристаллизации I с понижением  $t$ -ры становится полусингулярным.

Е. Б.

3403. Необратимо-взаимная система из хлоридов и сульфатов лития и стронция. Голубева М. С., Бергман А. Г., Ж. общ. химии, 1955, 25, № 3, 458—463

Исследован визуально-политермич. методом ликвидус системы  $\text{Li, Sr} \parallel \text{Cl, SO}_4$ . Все двойные системы эвтектич. Из них системы  $\text{SrCl}_2 - \text{SrSO}_4$  изучена впервые; эвтектика  $E$  при  $762^\circ$  и 14 мол. %  $\text{SrSO}_4$ . Диаграмма ликвидуса тройной системы представлена четырьмя полями кристаллизации. Квадрат состава системы триангулируется диагональным стабильным сечением  $\text{Li}_2\text{Cl}_2 - \text{SrSO}_4$  на две простые тройные системы: 1)  $\text{Li}_2\text{Cl}_2 - \text{Li}_2\text{SO}_4 - \text{CaSO}_4$ ;  $E_1$  при  $457^\circ$ ; 2)  $\text{Li}_2\text{Cl}_2 - \text{CaSO}_4 - \text{CaCl}_2$ ;  $E_2$  при  $454^\circ$  (состав эвтектических точек не приведен). Направление сдвига  $r$ -ции обмена в системе не соответствует условному термич. эффекту. Сходство диаграмм ликвидуса систем  $\text{Li, Sr} \parallel \text{Cl, SO}_4$  и  $\text{Li, Co} \parallel \text{Cl, SO}_4$  (РЖХим, 1955, 34031) авторы объясняют близостью значений величин радиусов ионов  $\text{Ca}$  и  $\text{Sr}$  при наличии одинакового заряда и аналогичного строения из внешних электронных слоев. Е. В.

3404. Растворимость системы  $\text{BaCl}_2 - \text{K}_4[\text{Fe}(\text{CN})_6] \cdot \text{H}_2\text{O}$ . Рахимов Х. Р., Садыкова Г. Я., Докл. АН УЗССР, 1954, № 10, 37—41 (резуме узб.). Изучены растворимость и уд. вес в системе  $\text{BaCl}_2 - \text{K}_4[\text{Fe}(\text{CN})_6] \cdot \text{H}_2\text{O}$  при 25°. Выделены кристаллы конгруэнтно растворимой двойной соли состава  $\text{BaK}_2[\text{Fe}(\text{CN})_6] \cdot 3\text{H}_2\text{O}$ , одноосные, тетрагональной системы, показатель преломления 1.626. С. Р.

3403. Двойные соли в системах:  $\text{Ca}(\text{NO}_3)_2 - \text{KNO}_3 - \text{H}_2\text{O}$ ,  $\text{Ca}(\text{NO}_3)_2 - \text{RbNO}_3 - \text{H}_2\text{O}$  и  $\text{Ca}(\text{NO}_3)_2 - \text{CsNO}_3 - \text{H}_2\text{O}$ . Сарновский, Кравчик, Зыгадло [Sole podwójne w układach:  $\text{Ca}(\text{NO}_3)_2 - \text{KNO}_3 - \text{H}_2\text{O}$ ,  $\text{Ca}(\text{NO}_3)_2 - \text{RbNO}_3 - \text{H}_2\text{O}$  i  $\text{Ca}(\text{NO}_3)_2 - \text{CsNO}_3 - \text{H}_2\text{O}$ . Sarnowski M., Krawczyk J., Zygałdło J.], *Przem. chem.*, 1955, 11, № 4, 171—174 (подск.; резюме русс., англ.).

Методом изотермич. кристаллизации в эксикаторе над  $\text{CaCl}_2$  при  $16-18^\circ$  выделены и подвергнуты кристаллоопт. изучению двойные соли  $\text{Ca}(\text{NO}_3)_2 \cdot \text{KNO}_3 \cdot 3\text{H}_2\text{O}$ ,  $\text{Ca}(\text{NO}_3)_2 \cdot \text{RbNO}_3 \cdot 3\text{H}_2\text{O}$  и  $\text{Ca}(\text{NO}_3)_2 \cdot 2\text{CsNO}_3 \cdot 2\text{H}_2\text{O}$ . Состав этих солей определялся методом Шрейнемакера и аналитически. Е. Б.

3406. Изотермы растворимости 0 и 55° системы Са, Mg || CO<sub>3</sub>, SO<sub>4</sub> — H<sub>2</sub>O. Янатьева О. К., Изв. Сектора физ.-хим. анализа ИОНХ АН СССР, 1955, 26, 266—269

Исследована растворимость в системе  $\text{Ca, Mg} \parallel \text{CO}_2, \text{SO}_4 - \text{H}_2\text{O}$  в области насыщения р-ров доломитом  $\text{CaCO}_3 \cdot \text{MgCO}_3$  при  $t$  от 5 до 55°, что вместе с данными при 25°, полученными автором ранее (Изв. Сектора физ.-хим. анализа, 1952, 20, 252), позволяет построить полтерму растворимости при  $P_{\text{CO}_2} \sim 1 \text{ атм.}$  На основании приведенных эксперим. данных для 25 р-ров установлено, что в изученном интервале  $t$ -р в этой области системы

доломит находится в парагенезе с гипсом, кальцитом и магнезитом.

**3407. Система окись лития — борный ангидрид — вода.** Реберн, Гейл (The system lithium oxide-boric oxide-water. Reburn, William T. Gale William A.), J. Phys. Chem., 1955, 59, № 1, 19—24 (англ.)

Представлены изотермы для тройной системы  $\text{Li}_2\text{O} - \text{B}_2\text{O}_3 - \text{H}_2\text{O}$  при т-рах от 10 до 80°. Приведены данные по растворимости для двойных систем  $\text{Li}_2\text{B}_4\text{O}_7 - \text{H}_2\text{O}$  и  $\text{LiBO}_2 - \text{H}_2\text{O}$  при т-рах от 0 до 100° и для двойной системы  $\text{Li}_2\text{B}_{10}\text{O}_{16} - \text{H}_2\text{O}$  при т-рах от 45 до 80°.  $\text{Li}_2\text{B}_{10}\text{O}_{16} \cdot 10\text{H}_2\text{O}$  растворяется инкогнито, устойчив при т-рах выше 40,5°. Показаны области существования соединений  $\text{Li}_2\text{B}_4\text{O}_7 \cdot 3\text{H}_2\text{O}$  и  $\text{LiBO}_2 \cdot 2\text{H}_2\text{O}$ , не указанных в литературе.

**3408. Изучение реакций в твердом состоянии системы  $\text{TiO}_2 - \text{Cr}_2\text{O}_3 - \text{Al}_2\text{O}_3$  при высоких температурах.** Амлен (Étude des réactions dans l'état solide à hautes températures, du système  $\text{TiO}_2 - \text{Cr}_2\text{O}_3 - \text{Al}_2\text{O}_3$ . Hamelin Michelle, m-lle), C. r. Acad. sci., 1955, 240, № 1, 79—81 (франц.)

Изучена тройная система  $\text{TiO}_2 - \text{Cr}_2\text{O}_3 - \text{Al}_2\text{O}_3$  в твердом состоянии. Нагревание смеси окислов проводилось от 10 мин. до 3 час. при т-рах от 1400 до 1600°. Приводится диаграмма тройной системы (3-часовой обжиг при 1600°). На основании рентгенографич. анализа и исследования под поляризационным микроскопом продуктов р-ций авторы приходят к выводам, что в указанной тройной системе: 1) не образуется определенное тройное соединение, 2) выделены две новые фазы, одна из которых Y, вероятно, является твердым тройным р-ром и вторая W, образующаяся при добавке  $\text{Al}_2\text{O}_3$  (1—4 мол.%) к смеси  $\text{TiO}_2 + \text{Cr}_2\text{O}_3$ , может быть или также твердым тройным р-ром или молекулярным соединением  $\text{TiO}_2 \cdot \text{Cr}_2\text{O}_3$ , образование которого катализируется  $\text{Al}_2\text{O}_3$ . Фаза W встречается во многих областях тройной диаграммы.

**3409. Плотности тройной системы азотная кислота — азотноватый ангидрид — вода.** Спрейг, Кауфман (Densities of ternary system nitric acid-dinitrogen tetroxide — water. Sprague Robert W., Kaufman Ethel), Industr. and Engng Chem., 1955, 47, № 3, part 1, 458—460 (англ.)

Дилатометрическим методом в интервале 35—65° измерены плотности тройной системы  $\text{HNO}_3 - \text{N}_2\text{O}_4 - \text{H}_2\text{O}$ , которая содержит более 75 вес.%  $\text{HNO}_3$ . Плотность смеси линейно зависит от ее состава ( $\rho = f(c)$ ) для смесей, содержащих все три компонента. Для смесей  $\text{HNO}_3 + \text{H}_2\text{O}$  кривая  $\rho = f(c)$  носит S-образный характер, а для смесей  $\text{HNO}_3 + \text{N}_2\text{O}_4$  имеет параболич. форму. Получены эмпирич. ф-лы, связывающие плотность смеси с т-рой и составом. При пользовании ф-лами наименьшее расхождение с опытными данными (0,0005 г/см³) наблюдается у смесей с содержанием >4,5 вес.%  $\text{N}_2\text{O}_4$ . При уменьшении содержания  $\text{N}_2\text{O}_4$  в смеси до нуля и одновременном увеличении содержания воды до 20 вес.% (смесь  $\text{HNO}_3 + \text{H}_2\text{O}$ ) это расхождение достигает 0,009 г/см³. Вычисленные значения плотности согласуются в пределах 0,001 г/см³ с данными других авторов.

**3410. Физико-химический анализ системы аллиловое горчичное масло — этиловый спирт.** Козленко Ф. Н., Мускиджян С. П., Ж. общ. химии, 25, № 1, 35—40

Исследование системы аллиловое горчичное масло — этиловый спирт проводилось с целью выяснения характера электролитич. диссоциации в неводных системах. Изотермы вязкости, плотности, поверхностного натяжения, показателя преломления и электропроводности указывают на образование соединения  $\text{C}_3\text{H}_5\text{NCS} \cdot 2\text{C}_2\text{H}_5\text{OH}$ . При длительном стоянии электропроводность смесей

возрастает от  $16 \cdot 10^{-5} \text{ ом}^{-1} \text{ см}^{-1}$  (через 2 месяца) до  $100 \cdot 10^{-5} \text{ ом}^{-1} \text{ см}^{-1}$  (через 8 месяцев). Высокая проводимость связана с диссоциацией  $\text{C}_3\text{H}_5\text{NCS} \cdot 2\text{C}_2\text{H}_5\text{OH}$ , дающего анион  $\text{CNS}^-$ , обнаруженный качеств. р-циями.

**3411 К. Термодинамические свойства воздуха и продуктов сгорания топлив.** Ривкин С. Л. М.—Л., Госэнергоиздат, 1955, 40 стр. с граф., 2 р. 85 к.

**3412 К. Курс термодинамики.** Микрюков В. Е. М., Изд-во МГУ, 1955, 248 стр. с черт., 10 р. 95 к.

**3413 Д. Исследование диэлектрической проницаемости двойных жидких систем в критической области.** Азимов М. Автореф. дисс. канд. физ.-матем. н. МГУ. М., 1955

См. также: Фазовые переходы 3216, 3221, 3222, 3232, 3233, 3247, 3248, 3289, 3291. Термохимия 3601. Термодинамика: кристаллов 3241; аморфных тел, жидкостей и газов 3311, 3312, 3327, 3347. Ур-ния состояния 3313, 3323, 3325. Равновесия 3418, 3419, 3653—3656, 3658, 3659. Физ.-хим. анализ систем: металлич. 3217, 3224, 3277, 5721; неорганич. 3464, 3509, 3625; органич. 3345, 3530, 3597, 3638, 3644, 3651, 3652, 3660. Приборы 4286. Др. вопр. 3147, 3191, 3326, 3549, 3621, 3674, 4024, 4027, 4769, 5460, 5845, 5848

## КИНЕТИКА. ГОРЕНИЕ. ВЗГРЫВЫ. ТОПОХИМИЯ. КАТАЛИЗ

**3414. Теория скорости реакции. Гомогенные реакции.** Гарвин (Rate theory and homogeneous reactions. Garvin David), Industr. and Engng Chem., 1955, 47, № 3, part 2, 594—599 (англ.)

Годичный обзор. Библ. 138 назв. X. Б.

**3415. Молекулярный перенос жидкостей.** Джонсон (Molecular transport properties of fluids. Johnson Ernest F.), Industr. and Engng Chem., 1955, 47, № 3, part 2, 599—604 (англ.)

Годичный обзор. Библ. 91 назв. X. Б.

**3416. О начальной скорости в системе из двух последовательных конкурирующих реакций.** Иверно (Sur la vitesse initiale dans un système de deux réactions consécutives concurrentes. Yvernauld Théophile), Bull. Soc. chim. France, 1954, № 10, 1290—1292 (франц.)

Рассмотрена начальная скорость следующей системы двух р-ций второго порядка:  $A + R \rightarrow B + D$ ;  $A + B \rightarrow E$ .

**3417. Кинетика быстрых реакций, состоящих из двух пар последовательных стадий второго порядка.** Хиггинс, Вильямс (Kinetics of rapid reactions involving two pairs of consecutive second order steps. Higgins H. G., Williams E. J.), Austral. J. Chem., 1953, 6, № 3, 195—206 (англ.)

Рассмотрена кинетика системы р-ций:  $A + B \rightarrow AB$ ,  $AB + B \rightarrow BAB$ ,  $A + B \rightarrow BA$ ,  $BA + B \rightarrow BAB$ . А реагирует с В двумя способами с образованием промежуточ. АВ и ВА, каждый из которых способен реагировать с В, образуя ВАВ.

**3418. Химическая кинетика и равновесие. Закон целых показателей степеней в кинетике.** Кристиансен. (Chemical kinetics and equilibrium. The law of integral powers in kinetics. Christensen J. A.), J. Chem. Phys., 1954, 22, № 9, 1612 (англ.)

Автор, исходя из трех принципов: 1) кинетика является более фундаментальной, чем (равновесная) термодинамика, и поэтому условия равновесия должны выводиться из кинетики; 2) показатели степеней кон-ций (активностей), входящих в выражения для скорости элементарных р-ций, всегда являются целыми числами

и 3) принципа микроскопической обратимости, считает ошибочной точку зрения Манеса (Manes и др., J. Chem. Phys., 1950, 18, 1355) о том, что в выражении  $p_+^q = p_-^q$  показатель  $q$  может быть любым числом, в частности дробью ( $p_+$  и  $p_-$  — составленные по закону действия масс произведения, соответствующие левой и правой частям ур-ния хим. р-ции в состоянии равновесия). З. В.

3419. Ответ на письмо Кристиансена «Химическая кинетика и равновесие». Мейнс, Хофер, Уэллер (Reply to Christiansen's letter «Chemical Kinetics and Equilibrium». Manes Milton, Hofer L. J. E., Weller Sol), J. Chem. Phys., 1954, 22, № 9, 1612—1613 (англ.)

Дискуссионная статья (см. реф. 3418). Авторы считают, что показатели степени при  $p_+$  и  $p_-$  могут быть равными  $1/2$ . З. В.

3420. Исправление к статье «Квантовомеханическое уравнение скорости химической реакции». Ясумори, Фуэки (Erratum. Yasumori Iwao, Fueki Kenji), J. Chem. Phys., 1955, 23, № 2, 398 (англ.)

В статье и реферате (РЖХим, 1955, 13372) ошибочно записаны: 1-й член ур-ния (1) —  $(h^2/2m)(d^2/d\rho^2)$  и выражение  $E_c/\cos h^2(\pi r/l)$ . Должно быть  $-(h^2/2\mu) \times (d^2/d\rho^2)$  и  $E_c/\cos h^2(\pi r/l)$ . Э. Б.

3421. Температурные градиенты в реакционных системах. Бенсон (Temperature gradients in reacting systems. Benson Sidney W.), J. Chem. Phys., 1954, 22, № 1, 46—50 (англ.)

Для стационарных р-ций, протекающих в сферич. сосудах, учитывается теплопередача только теплопроводностью. Выведены ф-лы для расчета трех параметров (в предположении, что т-ра на стенке сосуда задана и постоянна):  $\Delta T_m$  — температурного градиента между центром сферы и стенками сосуда,  $\Delta T_{cp}$  — среднего по объему сосуда температурного градиента и  $\tau$  — времени, необходимого для установления  $\Delta T_m$ .

$\Delta T_m = RH_0^2/6K$ ,  $\Delta T_{cp} = RH_0^2/15K$ ,  $\tau = \rho C_p r_0^2/\pi^2 K$  ( $R$  — скорость р-ции,  $H$  — теплота р-ции,  $r_0$  — радиус сосуда,  $K$  — коэфф. теплопроводности,  $\rho$  — плотность,  $C_p$  — теплоемкость при постоянном объеме). Температурные градиенты для обычных р-ций, протекающих в жидкой фазе, пренебрежимо малы, а в газовой фазе составляют величины порядка  $2^\circ$  и выше. При учете теплопередачи свободной конвекцией  $\Delta T_{cp} = RH/r_0/3h$ , где  $h$  — средний коэфф. теплопередачи. Н. С.

3422. Кинетика изотопного обмена. Изотопный обмен в динамических условиях. Рогинский С. З., Докл. АН СССР, 1955, 100, № 5, 939—942

Рассмотрена кинетика изотопного обмена в незамкнутом потоке для случая эквивалентности всех обменивающихся атомов в молекуле. Обычное ур-ние 1-го порядка для кинетики обмена в статич. условиях остается в силе, если заменить в нем время от начала опыта временем контакта потока в реакционном сосуде. Изучение обмена в динамич. условиях позволяет находить кинетику и выяснять механизм таких быстрых обменных р-ций, для которых неприменим статич. метод. Этих возможностей не дают опыты в циркулирующем замкнутом потоке, которые по кинетике приближаются к статич. условиям. А. Б.

3423. Решение кинетических уравнений для ферментных реакций с помощью преобразования Лапласа. Ян Цзя-чжи (Solution of enzyme kinetics by the reversion method. Cui a-Chih Yang), Arch. Biochem. and Biophys., 1954, 51, № 2, 419—427 (англ.)

Описан метод нахождения приближенных решений систем кинетич. ур-ний типа  $dx_i/dt + \sum_{r=1}^n k_{ir}x_r = \sum_{r=1}^m \times$

$\times \sum_{s=1}^n a_{irs}x_sx_r$ , описывающих, в частности, ферментные р-ции. Функции  $x_i$  ищутся в виде разложений типа  $x_i = \lambda_1 x_i' + \lambda_2 x_i'' + \lambda_3 x_i''' + \dots$  ( $i = 1, 2, \dots, n$ ), где  $\lambda_i$  — параметры, зависящие от начальных условий;  $x_i$  удовлетворяют системе  $dx_i'/dt + \sum_{r=1}^n k_{ir}x_r' = 0$ ,  $x_i'$  удовлетворяют системе неоднородных линейных ур-ний  $dx_i'/dt + \sum_{r=1}^n k_{ir}x_r' = \sum_{r=1}^n \sum_{s=1}^n a_{irs}x_r'x_s'$  и т. д. Решения этих систем находятся с помощью преобразования Лапласа, применяемого ко всем функциям  $x_i'$ ,  $x_i''$ :  $X_i' = s \int_0^\infty e^{-st} \times x_i' dt$  и т. д., причем для отыскания образа преобразования Лапласа от произведений вида  $x_r'x_s'$  используется ф-ла  $\int_0^\infty e^{-st} x_i x_k dt = A_k X_i (s + s_k)$  (предполагается, что  $X_k = A_k/s + s_k$ ). Изложенный метод иллюстрируется спец. примером расчета кинетики ферментной р-ции  $E + S \rightarrow ES$ ,  $ES \rightarrow E + P$  ( $E$  — фермент). Расчет произведен в третьем приближении (включая  $x_i'''$ ). Сравнение с результатами численного интегрирования показывает, что найденная описанным методом ф-ла дает хорошую точность на всей стадии р-ции. Метод применим только для стационарных р-ций, для которых используемые разложения достаточно быстро сходятся. Ю. С.

3424. Стерические факторы обратимой реакции связывания атомарного водорода пропиленом. Степухович А. Д., Брусиловская Ю. С., Уч. зап. Саратовск. ун-та, 1954, 36, 41—49

На основании геометрич. моделей и частот колебаний молекул пропилена и пропана методом переходного состояния рассчитаны стерич. факторы  $S$  обратимой р-ции  $(CH_3)_2CH \rightleftharpoons C_3H_6 + H$ . Для р-ции между  $H + C_3H_6$  вычисленное значение  $S$  хорошо согласуется с найденным экспериментально (Melville H. W., Robb J. C., Proc. Roy. Soc., 1949, A196, 445). Из констант скоростей прямой и обратной р-ций и констант равновесия, вычисленной по приближенному ур-нию Нерста, авторы находят величину трансмиссионного коэфф. для распада  $(CH_3)_2CH$ . Большая величина энергии диссоциации  $(CH_3)_2CH$  является причиной его устойчивости при высоких т-рах. А. С.

3425. Стерические факторы элементарных обратимых реакций взаимодействия  $H$ -,  $CH_3$ -радикалов с простейшими олефинами. Степухович А. Д., Этингер Е. И., Докл. АН СССР, 1954, 99, № 5, 815—818

Методом активированного комплекса при сделанных ранее допущениях (РЖХим, 1955, 28490) вычислены стерич. факторы (СФ) для прямых и обратных р-ций атомов  $H$  и радикала  $CH_3$  с  $C_2H_4$ ,  $C_3H_6$  и  $C_4H_8$ . Результаты расчета показывают, что СФ и р-циях отрыва атома  $H$  от молекулы олефинов при помощи атома  $H$  имеют один и тот же порядок величины, равный  $10^{-3}$ ; СФ обратных р-ций имеет порядок  $10^{-4}$ . Переход от атома  $H$  к радикалу  $CH_3$  приводит к снижению СФ на 2—3 порядка. Заметна тенденция к уменьшению СФ при переходе к более сложным молекулам. СФ обратных р-ций имеют приблизительно такую же величину, как и в случае прямых р-ций. Из значений СФ следует, что при высоких т-рах радикалы  $CH_3$  не так активны, как атомы  $H$ , и могут конкурировать с последними лишь при условии, что р-ции с участием  $CH_3$ -радикалов имеют энергию активации, на 8—10 ккал/мол более низкую, чем аналогичные р-ции с  $H$ -атомами. СФ для р-ций сложных радикалов с простыми молекулами имеют более низкие значения, чем СФ р-ций простых радикалов со сложными молекулами. А. С.



3426. Скорость разложения этана на метильные радикалы. Ли, Шварц, Бигелейзен (The rate decomposition of ethane into methyl radicals. Leigh C. H., Szwarc M., Bigeleisen J.), J. Amer. Chem. Soc., 1955, 77, № 8, 2193—2194 (англ.)

Изучалась скорость образования радикалов  $\text{CH}_3$  из  $\text{C}_2\text{H}_6$ , меченого  $\text{C}^{14}$ , по кол-ву образующегося  $\text{C}^{14}\text{H}_4$ . Опыты проводились в условиях струи с применением толуола в качестве газа-носителя при 766—836°, давл. 6,3—17,4 мм рт. ст. и времени контакта 0,25—0,79 сек. Установлен первый порядок р-ции: при изменении парц. давления  $\text{C}_2\text{H}_6$  в 4 раза константа скорости р-ции при 803° меняется от  $52 \cdot 10^{-4}$  до  $53,5 \cdot 10^{-4}$  сек. $^{-1}$ . Оценены энергия активации р-ции (85—89 ккал/моль) и предэкспоненциальный множитель ( $7 \cdot 10^{14}$ — $5 \cdot 10^{15}$  сек. $^{-1}$ ).

З. М.

3427. Пиролиз металлоорганических соединений. Часть 2. Ди-*n*-пропилртуть. Чилтон, Гауэнлок (The pyrolysis of organometallic compounds. Part 2. Mercury Di-*n*-Propyl. Chilton H. T. J., Gowenlock B. G.), Trans. Faraday Soc., 1954, 50, № 8, 824—829 (англ.)

Пиролиз ди-*n*-пропилртути (II) изучался в струе с  $\text{N}_2$  и смесью ( $\text{N}_2 + \text{NO}$ ). В продуктах р-ции экспериментально определялось кол-во Hg и углеводородов фракции  $\text{C}_2$  и расчетным путем — кол-во углеводородов  $\text{C}_2$  и  $\text{C}_6$ . Константа скорости р-ции 1-го порядка  $k = 10^{15,52}$  exp [47 100/RT] сек. $^{-1}$  не зависит от времени контакта при 374—378°, от изменения парц. давления I в пределах 0,7—0,9 мм рт. ст. и от увеличения поверхности реакционного сосуда. При увеличении общего давления от 4,4 до 7,6 мм рт. ст.  $k$  незначительно возрастает. В присутствии NO скорость р-ции не меняется, на основании чего авторы принимают механизм р-ции, сходный с предложенным ранее (часть I, РЖХим, 1955, 28494) для пиролиза диэтилопропилртути. В согласии с полученным значением энергии активации первым актом процесса считается разрыв обеих связей Hg—C. Состав продуктов пиролиза указывает на следующие р-ции:  $2 \text{ n-C}_3\text{H}_7 \cdot \rightarrow \text{C}_3\text{H}_6 + \text{C}_3\text{H}_8$  (1);  $2 \text{ n-C}_3\text{H}_7 \cdot \rightarrow \text{C}_6\text{H}_{14}$  (2);  $\text{ n-C}_3\text{H}_7 \cdot \rightarrow \text{CH}_3 \cdot + \text{C}_2\text{H}_5$ ;  $2 \text{CH}_3 \cdot \rightarrow \text{C}_2\text{H}_6$ . Р-ция (2) протекает быстрее, чем р-ция (1), р-ция  $\text{CH}_3 \cdot + \text{ n-C}_3\text{H}_7 \cdot \rightarrow \text{C}_4\text{H}_{10}$  не происходит.

З. М.

3428. Термическая стабильность орто-, пара- и метаксильных радикалов и образование хинодиметанов. Фармер, Марсен, Лоссинг (Thermal stability of ortho-, para-, and meta-xylyl radicals and the formation of quinodimethanes. Farmer J. B., Marsden D. G. H., Lossing F. P.), J. Chem. Phys., 1955, 23, № 2, 403—404 (англ.)

Продукты термич. разложения подстих ксильлов (I) исследовались масс-спектрометрически. При 825° I почти целиком распадаются на ксильльные радикалы (пик 105) и атомы J. При более высоких т-рах в случае о- и п-1 пик 105 снижается и появляется пик 104. При 1000° почти целиком образуются в-ва с массой 104; для м-ксильла пик 104 становится значительным только выше 1050°. Высказано предположение, что пик 104 соответствует о- или п-хинодиметану. Образование м-хинодиметана энергетически невыгодно, поэтому в-во с массой 104, образующееся из м-1 выше 1050°, является результатом изомеризации м-ксильльного радикала в о- или п-форму.

А. Р.

3429. Добавление к статье «Механизм окисления формальдегида». Вание (Note complémentaire concernant «Le mécanisme d'oxydation du formaldéhyde». Vanpré M.), Bull. Soc. chim. belges, 1953, 62, № 10—12, 661—663 (франц.)

К РЖХим, 1954, 35646.

Э. Б.

3430. Обмен водородом как электрофильное ароматическое замещение. Меландер (Väteuthyte

såsom elektrofil aromatisk substitution. Melander L. A. S.), Svensk kem. tidskr., 1955, 67, № 2, 51—58 (швед.)

Обзор. Библ. 15 назв.

Х. Б.

3431. Элементарный акт органических гетеролитических реакций в жидкой фазе. Превост (Le processus élémentaire de la réaction organique hétérolytique en phase liquide. Plévoist Charles), Cahiers phys., 1954, № 52, 58—68 (франц.)

Критическое рассмотрение некоторых положений теории английской школы относительно р-ций типов  $\text{SN}_1$ ,  $\text{SN}_2$ ,  $\text{SE}_2$ .

Д. К.

3432. О реакции Ландольта. VII. Новые данные о типах I, II, и III реакции Ландольта. Эггерт, Рор (Über die Landolt-Reaktion. VII. Weitere Befunde an Typ I, II und III der Landolt-Reaktion. Eggert J., Ror Th.), Rev. chim. acta, 1953, 36, № 4, 855—868 (нем.)

Кинетика р-ции Ландольта  $\text{JO}_3^- + 3\text{R} \rightarrow \text{J}^- + 3\text{Ox}$  (1);

$\text{JO}_3^- + 5\text{J}^- + 6\text{H}^+ \rightarrow 3\text{J}_2 + 3\text{H}_2\text{O}$  (2);  $\text{J}_2 + \text{R} + \text{H}_2\text{O} \rightarrow 2\text{J}^- + 2\text{H}^+ + \text{Ox}$  (3) (R — восстановитель, Ox — продукт его окисления) изучалась по времени  $t_u$  появления синей окраски крахмального комплекса для трех типов р-ций (часть VI, Helv. chim. acta, 1949, 32, 692). При окислении  $\text{S}_2\text{O}_3^{2-}$  (тип I) выявлена закономерность:  $t_u = \text{const} [\text{JO}_3^-]^{-1}$  и  $t_u = \text{const} [\text{JO}_3^-]^{-2}$ , которая объясняется механизмом р-ций: окисление периодатом:  $\text{JO}_3^- + \text{S}_2\text{O}_3^{2-} \rightarrow \text{J}^- + \text{SO}_4^{2-} + \text{SO}_3$ , затем образование  $\text{J}_2$  из  $\text{JO}_3^-$  и  $\text{J}^-$ ; окисление податом:  $2\text{JO}_3^- + \text{S}_2\text{O}_3^{2-} \rightarrow \text{JO}_2^- + \text{JO}^- + \text{SO}_4^{2-} + \text{SO}_3$ ;  $\text{JO}_2^- + \text{JO}^- + \text{S}_2\text{O}_3^{2-} \rightarrow \text{SO}_4^{2-} + \text{SO}_2 + 2\text{J}^-$ , затем окисление  $\text{SO}_2$  и р-ция (2). Параллельное образование тетратионата происходит в стадии (3). Из р-ций типа II изучалось окисление  $[\text{Fe}(\text{C}_2\text{O}_4)_2]^{2-}$  и комплексного иона  $\text{Fe}^{2+}$  с этилендиаминном и  $\text{CH}_3\text{COOH}$ . Найдено, что  $t_u$  имеет минимум в определенной области pH. В р-циях типа III выявлено 3 вида функциональной зависимости  $t_u$  от  $[\text{R}]$  и  $[\text{JO}_3^-]$  с соответствующими кинетич. кривыми: выпуклыми (пирокатехин, п-фенилендиамин, гидразин, л-аминофенол, моноэтил-п-фенилендиамин, диэтил-п-фенилендиамин), вогнутыми (монометил-п-аминофенол) и прямыми (гидрохинон, гидроксиланин), что объясняется конкурирующей р-ций (1) и (3). Л. П.

3433. О реакции Ландольта. VIII. Теоретическое рассмотрение данных предыдущей работы. Эггерт (Über die Landolt-Reaktion. VIII. Theoretische Betrachtungen zu den Befunden der vorangehenden Arbeit. Eggert J.), Helv. chim. acta, 1953, 36, № 4, 868—875 (нем.)

Уравнение для скорости образования иода в р-ции Ландольта  $d[\text{J}_2]/dt = k_2 [\text{JO}_3^-] [\text{J}^-]^2$  путем замены переменных приведено к виду:  $dz/(1-z)^2 (k_1/k_2 + z)^2 = ak_2 k_2^2 dt$ , где  $z$  — доля окисленного по типу III (см. реф. 3432) р-ции Ландольта в-ва;  $a$  — исходная конц-ия  $\text{JO}_3^-$  и R;  $k_1$ ,  $k_2$  и  $k_3$  — константы скорости первой, второй и третьей стадий р-ции Ландольта соответственно. Дано решение этого ур-ния, хорошо описывающее все три вида кривых, различающихся по величине параметра  $k_1/k_2$ .

Л. П.

3434. Промежуточные стадии при окислении органических соединений перманганатом калия. Часть IV. Окисление малоновой кислоты и ее аналогов. Драмид, Уотерс (Stages in oxidations of organic compounds by potassium permanganate. Part IV.

Oxidation of malonic acid and its analogues. Drummond Alan Y., Waters William A.), J. Chem. Soc., 1954, July, 2456—2467 (англ.).

Малоновая к-та (I) в отсутствие  $O_2$  взаимодействует с пирофосфатом  $Mn^{3+}$  по суммарному ур-нию:  $I + 6Mn^{3+} + 2H_2O \rightarrow 2CO_2 + HCOOH + 6Mn^{2+} + 6H^+$ . Промежуточными продуктами являются, повидимому, тартроновая (II) и мезоксалева к-ты. Кинетика р-ции изучалась при 30° путем нодометрич. или колориметрич. определения  $Mn^{3+}$  по ходу р-ции. Предложена схема процесса:  $[Mn(H_2P_2O_7)_3]^{3-} + I \rightleftharpoons [Mn(I)(H_2P_2O_7)_2]^-$  (III) +  $H_2P_2O_7^{2-}$  (1) (быстро); III  $\rightleftharpoons [Mn(H_2P_2O_7)_2]^{2-} + H^+$  +  $\cdot HC(COOH)_2$  (IV) [прямая р-ция (2) и обратная (3) измеримо медленно]; IV +  $Mn^{3+} + H_2O \rightarrow Mn^{2+} + H^+$  + II (4); II быстро взаимодействует последовательно с четырьмя ионами  $Mn^{3+}$ , давая  $CO_2$  и  $HCOOH$ . Схема приводит к выражению для начальной скорости р-ции —  $d[Mn^{3+}]/dt = 2k_1k_2k_4[I][Mn^{3+}]^3 / \{([H_2P_2O_7^{2-}] + K_1[I])\{k_3[Mn^{2+}] + k_4 \times [Mn^{3+}]\}\}$  [ $K_1$  — константа равновесия р-ции (1),  $k_2, k_3, k_4$  — константы скорости р-ций (2), (3) и (4), которое находится в соответствии с наблюдаемыми на опыте зависимостями скорости от [I],  $[Mn^{2+}]$  и  $[Mn^{3+}]$ ]. Р-ция индуцирует окисление пирофосфатом  $Mn^{3+}$  спиртов, эфиров и непредельных соединений, непосредственно им не окисляемых. Это объясняется взаимодействием указанных в-в с радикалом IV, напр., по схеме  $HOCH_2-CH_2OH + IV \rightarrow I + HOCH_2\cdot$ ;  $HOCH_2\cdot + Mn^{3+} \rightarrow CH_2O + H^+ + Mn^{2+}$ . В присутствии  $O_2$  процесс идет по суммарному ур-нию  $I + O_2 + 4Mn^{3+} + H_2O \rightarrow 4Mn^{2+} + 4H^+ + 3CO_2$ , причем р-ция ускоряется. Предложена схема процесса: р-ция (1), (2), (3) и далее  $IV + O_2 \rightarrow \cdot O_2HC(COOH)_2$  (V) (5);  $V + Mn^{3+} \rightarrow (COOH)_2 + CO_2 + H^+$ ;  $(COOH)_2 + 2Mn^{3+} \rightarrow 2CO_2 + 2Mn^{2+} + 2H^+$ , причем р-ция (5) значительно быстрее, чем (4), этим и объясняется изменение направления процесса в присутствии  $O_2$ . Этилмалоновая и бензилмалоновая к-ты при окислении пирофосфатом  $Mn^{3+}$  дают менее активные радикалы, стабилизирующиеся в гидроперекись. Р-ция  $KMnO_4$  с I идет с периодом индукции, который уменьшается при добавлении  $MnSO_4$  и возрастает в присутствии в-в, комплексно связывающих  $Mn^{3+}$ . Повидимому, первичным актом является образование по р-ции I с  $Mn^{3+}$  радикала IV, который реагирует с  $MnO_4^-$ , давая  $MnO_4^{2-}$ , далее переходящий в  $Mn^{3+}$ . Этот обусловлен автокаталитич. характер процесса. Часть III см. РЖХим, 1955, 25813.

Д. К.

3435. Изучение кинетики реакции пропаргилового спирта с водным раствором формальдегида. Кияма, Осуги, Судзуки, Кометани (Studies on the kinetics of the reaction of propargyl alcohol with aqueous formaldehyde solution. Kiyama Rio, Osugi Jiro, Suzuki Keizo, Kometani Yutaka), Rev. Phys. Chem. Japan, 1953, 23, № 2, 73—80 (англ.).

В водн. р-ре при атмосферном давлении и т-ре 70—100° в присутствии медно-висмутового катализатора при перемешивании стехиометрически протекает р-ция  $HC \equiv CCH_2OH(I) + HCHO(II) \rightarrow HON \equiv CCH_2OH(III)$ . В области конц-ий II 7—30% образование III идет по нулевому, а ниже 7 и выше 30% — по первому порядку относительно II, энергия активации E равна 17,8 ккал/моль и не зависит от конц-ии II. При конц-ии I выше 2% р-ция идет по нулевому, ниже 2% — по первому порядку относительно I. Уменьшение pH и прибавление  $CH_3OH$  увеличивают E до 29,7 ккал/моль при pH —3,0 и до 32,2 ккал/моль при 40%  $CH_3OH$ . Добавление III в исходную смесь влияет на скорость р-ции при конц-ии III 20% и выше; при pH 3,0 р-ция ускоряется, при pH 4,3 — замедляется. Принимают, что стадией, лимитирующей скорость процесса, является

поверхностная р-ция на катализаторе. Изменение порядка р-ции при низких конц-иях II и I объясняется насыщенностью их адсорбции, а для конц-ий II выше 30% — изменением природы полимера II при этих конц-иях. Изменение pH и добавки  $CH_3OH$  замедляют р-цию в силу адсорбции протона и молекул  $CH_3OH$  на активных местах поверхности катализатора. А. Р. 3436. Кинетика расщепления Hg-дифенила под действием HCl и HBr в водно-метанольных растворах Циммер, Маковер (Die Kinetik der Spaltung von Hg-Diphenyl mittels HCl und HBr in wäßrig-methanolischer Lösung. Zimmer Hans, Makower S.), Naturwissenschaften, 1954, 41, № 23, 551—552 (нем.).

Дифенилртуть в 0,01 н. водно-метанольном р-ре HCl или HBr количественно распадается по ур-нию  $(C_6H_5)_2Hg + nHX \rightarrow C_6H_5HgX + C_6H_6 + (n-1)HX$  (1). При больших конц-иях к-ты образуется также  $HgX_2$ . Скорость р-ции (1) подчиняется ур-нию второго порядка. Расщепление не имеет места с к-тами  $H_2SO_4$ ,  $HClO_4$ ,  $HNO_3$ ,  $HF$ ,  $CH_3COOH$ ,  $CH_2ClCOOH$ ,  $CHCl_2COOH$ ,  $CCl_3COOH$ , применявшимися в конц-иях, равных соответствующим конц-иям HCl и HBr. Р-ция не катализируется ни ионами  $H^+$ , ни анионами типа  $NO_3^-$ ,  $ClO_4^-$ ,  $SO_4^{2-}$ ,  $Cl^-$ ,  $Br^-$ .

И. М.

3437. Образование молекулярных комплексов в реакциях свободных радикалов. Бузер, Хаммонд (Molecular complex formation in free radical reactions. Booser Charles E., Hammond George S.), J. Amer. Chem. Soc., 1954, 76, № 14, 3861—3862 (англ.).

При окислении кумола  $C_6H_5NHCN_3$  и  $C_6H_5NDCH_3$  оказывают одинаковое ингибирующее действие. Отсутствие изотопного эффекта противоречит схеме, по которой ингибитор обрывает цепи окисления, заменяя радикал  $RO_2\cdot$  на малоактивный радикал:  $RO_2\cdot + ArNHR \rightarrow ArN\cdot R + RO_2H$ . Эффективным ингибитором окисления тетралина является тетраметил-п-фенилендиамин, не имеющий лабильных атомов Н. В ходе окисления в присутствии In наблюдается образование катиона Вурстера  $In^+$ . В частности, при окислении в двухфазной системе  $C_6H_5Cl - H_2O$  в начальной стадии р-ции цвет  $In^+$  появляется в водном слое. Полученные результаты объясняются предположением, что ингибирующее действие является результатом образования комплекса  $RO_2\cdot$  с молекулой ингибитора.

Д. К.

3438. О некоторых особенностях инициированного автоокисления о- и п-цимолов. Ерофеев Б. В., Чирко А. П., Уч. зап. Белорус. ун-та, 1954, № 20, 17—42.

Автоокисление о- (I) и п-цимолов (II) изучалось при 95° и атмосферном давлении в присутствии стеаратов, бутиратов, ацетатов и формиатов Mn, Co и Pb (в кол-ве 0,125—8% от веса цимола) по поглощению  $O_2$  и по образованию перекисей. В качестве продуктов р-ции выделены гидроперекиси I и II, а также о- и п-метилацетифеноны, являющиеся продуктами распада перекисей. Активность добавки зависит не только от содержащегося в ней металла, но и от кислотного остатка. Наиболее активными являются бутираты и стеараты Mn и Co, наименее активными — формиаты Mn и Co; формиат Pb практически неактивен. Чем активнее добавка, тем сильнее разрушаются образующиеся перекиси. Положение изопропилольной группы влияет на скорость автоокисления: I окисляется в 2 раза быстрее, чем II. Скорость автоокисления увеличивается приблизительно пропорционально конц-ии добавки при малых добавках и практически не зависит от нее при больших добавках. Показано, что изученные добавки являются не катализаторами, а ингибиторами окисления, так как уменьшение скорости окисления связано с зарас-

ходованием взятой добавки, а введение новой порции добавки вызывает резкий рост скорости окисления.

**3439.** Каталитическое действие органических перекисей на полимеризацию этиленовых соединений. III. Действия  $\alpha$ - и  $\beta$ -нафтоилперекисей на полимеризацию стирола. Такебаяси, Сингаки, Мадзуи (The catalytic action of organic peroxides on the polymerization of ethenoid compounds. III. The effects of  $\alpha$ - and  $\beta$ -naphthoyl peroxide on the polymerization of styrene. Takebayashi Matsui, Shingaki Tadao, Matsui Hisashi), Bull. Chem. Soc. Japan, 1954, 27, № 6, 371—374 (англ.)

Кинетика разложения  $\alpha$ - (I) и  $\beta$ -нафтоилперекисей (II) изучалась подометрически при 35 и 60°. Установлено, что I разлагается быстрее, чем II. По составу продуктов распада установлено, что образуются радикалы нафтоил и нафтил, причем  $\alpha$ - и  $\beta$ -нафтоилы друг в друга не изомеризуются. Добавки диметиланилина, этилбензиламина и уротропина значительно ускоряют распад нафтоилперекисей. Обе перекиси инициируют полимеризацию стирола, причем I в большей степени. В присутствии указанных третичных аминов скорость полимеризации, инициированной I, уменьшается; в случае II добавки диметиланилина или этилбензиламина ускоряют полимеризацию. Пиридин и хинолин не ускоряют распада нафтоилперекисей и не влияют на скорость полимеризации стирола, инициированной I или II. Часть II см. РЖХим, 1955, 330.

**3440.** Кинетическое изучение гидролиза пирофосфатов. Кемпбелл, Килпатрик (A kinetic study of the hydrolysis of pyrophosphates. Campbell David Owen, Kilpatrick Mary L.), J. Amer. Chem. Soc., 1954, 76, № 3, 893—901 (англ.)

Так как при гидролизе пирофосфата  $H_4P_2O_7 + H_2O \rightarrow 2H_2PO_4$  происходят изменения концентрации  $H^+$ , катализирующих р-цию, то для сохранения постоянства  $[H^+]$  применялись малые конц-ии пирофосфата ( $2 \cdot 10^{-4} M$ ), мененного  $P^{3-}$ . Р-ция изучалась в присутствии сильных к-т (HCl,  $HClO_4$ , конц-ия  $4,7 \cdot 10^{-4}$ — $1,52 M$ ) и в буферных р-рах. Анализ смесей пирофосфат-ортофосфат производился путем осаждения пирофосфата в виде  $Zn_2P_2O_7$ . Для различных ступеней гидролиза получены следующие значения энергии активации (ккал/моль первая цифра) и  $lg A$  ( $A$  в л/моль·час):  $H_3P_2O_7^- + H_3O^+ 23,6; 15,4; H_2P_2O_7^- + H_2O 30,2; 16,0; H_2P_2O_7^{2-} + H_3O^+ 27,1; 17,7; H_2P_2O_7^{2-} + H_2O 29,0; 15,3$ . В буферных р-рах, содержащих  $COOH$ -группы, скорость гидролиза  $H_2P_2O_7^{2-}$  уменьшается при увеличении конц-ии буфера при сохранении постоянства отношений компонентов буферной смеси и ионной силы. Это явление объяснено образованием комплексов между  $H_2P_2O_7^{2-}$  и карбоксильными к-тами.

**3441.** Влияние растворителя на скорость реакции. VIII. Щелочной гидролиз этилформата в смесях этанол-вода и ацетон-вода. Томмилла, Малтамо (The influence of the solvent of reaction velocity. VIII. Alkaline hydrolysis of ethyl formate in ethanol-water and acetone-water mixtures. Tommila Eero, Maltamo Sylvio), Suomen kem., 1955, B28, № 1, 73—79 (англ.)

Гидролиз этилформата (I) изучался при 0—15° в водн. р-рах этанола (II) и ацетона (III) различной конц-ии в присутствии разного кол-ва NaOH. Поведение I отличается от других эфиров. Его энергия активации  $E$  и предэкспоненциальный множитель  $A$  непрерывно увеличиваются с уменьшением содержания  $H_2O$  в р-ре

II или III. Найдена линейная зависимость  $lg A$  от  $E$  в области конц-ий 0—50% для II и 0—56% для III с наклоном 0,64 ( $E$  в ккал/моль). Для обоих р-рителей логарифм константы скорости линейно зависит от  $1/D$  ( $D$  — диэлектрич. постоянная р-ра) с отрицательным наклоном прямой. Часть VII см. Acta chem. scand., 1952, 8, 1152.

**3442.** Влияние заместителей на гидролиз замещенных цианамидов в растворе серной кислоты. Мукайяма, Охиси, Такамура (The effects of substituents on the hydrolysis of substituted cyanamides in sulfuric acid solution. Mukaiyama Teruaki, Ohishi Shin, Takamura Hiroshi), Bull. Chem. Soc. Japan, 1954, 27, № 7, 416—421 (англ.)

Измерены dilatометрически скорости гидролиза монозамещ. и дизамещенных цианамидов при  $t$ -ре 5—85° в р-ре диоксана (3 : 1), содержащем 20 вес. %  $H_2SO_4$ . Начальные конц-ии цианамидов составляют 0,1 M. При постоянной конц-ии к-ты р-ция подчиняется ур-нию первого порядка. Скорость гидролиза возрастает в следующем ряду цианамидов: диизопропил < диэтил < фенил < трет-бутил < незамещ. цианамид < изопропил < этил < гептил. Вычисленные значения теплот активации для цианамидов, замещ. алкилами нормального строения, составляют 13,1—15,9 ккал/моль, замещ. алкилами изостроения 16,6—20,2 ккал/моль замещенных бензильных и ароматич. группами 19,0—20,5 ккал/моль. Монозамещ. цианамиды требуют меньшей теплоты активации, чем дизамещ. Предложен механизм р-ции, в котором лимитирующей стадией является присоединение протона цианамидсульфату с образованием дисульфата, гидролизующегося затем водой.

**3443.** Сравнение механизмов реакций сольволиза гидролиза уксусного ангидрида и хлористого бензоила. Голд, Хилтон, Джефферсон (A comparison of the mechanisms of the solvolytic hydrolysis reactions of acetic anhydride and benzoil chloride. Gold V., Hilton J., Jefferson E. G.), J. Chem. Soc., 1954, Aug., 2756—2764 (англ.)

Механизм р-ции гидролиза уксусного ангидрида (I) и хлористого бензоила (II) изучался в водн. р-рах ацетона в присутствии различных кол-в ароматич. амина,  $o$ -хлоранилина или  $o$ -нитроанилина, который конкурирует с водой в р-ции ацилирования. Влияние амина на скорость расходования ацилирующего агента и на относительные кол-ва продуктов р-ции (авилянда и к-ты) определялось титрованием. Показано, что добавленный амин проявляет незначительный солевой эффект. Найдено, что I в 50%-ном р-ре  $(CH_3)_2CO$  и II в 80%-ном р-ре  $(CH_3)_2CO$  ацилируют  $H_2O$  и амин по бимолекулярному механизму. При гидролизе II в 50%-ном р-ре  $(CH_3)_2CO$  около половины всей р-ции протекает по мономолекулярному механизму, в котором процесс, определяющий скорость р-ции, связан с изменениями в молекуле II и не затрагивает ацилируемого в-ва. Механизм р-ции сольволиза, промежуточный между механизмами  $S_N 1$  и  $S_N 2$ , состоит в одновременном протекании двух процессов: моно- и бимолекулярного. Показано, что нелинейность зависимости  $lg k$  от  $(\epsilon - 1)/(2\epsilon + 1)$  (где  $k$  — экспир. константа скорости, деленная на молярность  $H_2O$  в р-рителе,  $\epsilon$  — диэлектрич. постоянная р-ра) при сольволизе в смешанном р-рителе не является достаточным доказательством того, что р-ция протекает в этом случае по другому механизму, чем при наличии линейной зависимости.

**3444.** Природа и поведение ионных пар при ацетонлизе. Уинштейн, Клиппингер, Фейнберг, Робинсон (The nature and behaviour of ion pairs in acetolysis. Weinstein S., Clippinger E., Fainberg A. H., Robinson



G. C.), Chemistry and Industry, 1954, № 23, 664—665 (англ.)

По мнению авторов, галоген, органич. соединения и бензолсульфонаты (RX) при диссоциации превращаются вначале в ионные пары, не разделенные молекулами р-рителя (состояние А, константа скорости превращения  $k_1$ ), затем в связанные кулоновским взаимодействием сольватированные ионы ( $B, k_2$ ) и, наконец, в обычные диссоциированные ионы ( $C, k_3$ ). Продукты сольволиза могут возникать из В (константа скорости сольволиза  $k_s^B$ ) или С ( $k_s^C$ ) в зависимости от условий и природы RX. При ацетоллизе бензолсульфонатов: 2-фенил-1-пропил-(I), *эко*-норборнил-(II), *трео*-3-п-анизил-2-бутил-(III), 2-(2,4-диметоксифенил)-этил-(IV)-бромбензолсульфонатов и толуолсульфонатов *трео*-3-фенил-2-бутил-(V), 2-п-анизил-1-пропил-(VI), холестерил-(VII), добавление солей Li с соответствующим общим ионом  $X^-$  понижает скорость сольволиза IV и VII и не влияет на скорость сольволиза I, II, III, V и VI. Последнее объясняется малой продолжительностью жизни карбониевых ионов, получающихся при ионизации этих соединений, и высоким значением отношения  $k_s^B/k_s^C$ . В присутствии  $LiClO_4$  значение наблюдаемой константы скорости сольволиза ( $k$ ) возрастает по ур-нию  $k = k_{пред}^0 (1 + b [LiClO_4])$ ,  $k_{пред}^0$  — значение  $k$  при экстраполяции на  $[LiClO_4] = 0$ . Отношение  $k_{пред}^0/k^0$  ( $k^0$  — эксперим. константа в отсутствие  $LiClO_4$ ) для I, II и V равно единице, для III, IV, VI и VII близко к 2,4. Полиметрически и кинетически установлено, что для III и VI значения  $k_1$  связаны с конц-ей  $LiClO_4$  ур-нием  $k_1 = k_1^0 (1 + b [LiClO_4])$ , а  $k_1/k^0 = 4,1$  и 3,9. В присутствии LiBr эфиры сульфонов превращаются в более инертные бромиды. Образование бромида из III подчиняется ур-нию первого порядка, значение константы скорости  $r$ -ции при экстраполяции на нулевую конц-ю LiBr совпадает с соответствующим значением  $k_{пред}^0$ , полученным в опытах с  $LiClO_4$ . Полученные данные интерпретированы на основе представлений о различных состояниях RX при ионизации и влиянии солей на эти состояния и взаимные переходы. Влияние  $LiClO_4$  объясняется замещением иона  $X^-$  в состоянии В ионом  $ClO_4^-$ , что подтверждается одним и тем же значением  $k_{пред}^0$  для VII в опытах с  $LiClO_4$ ,  $HClO_4$ , перхлоратом и ацетатом дифенилгуанидина и Li ( $CH_3COO$ ) при разных значениях  $b$ .

И. М. 3445. Электронное строение и скорость реакций производных пиридина. Часть I. Симонетта, Фавини (Struttura elettronica e velocità di reazione in derivati della piridina. — Nota I. Simonetta Massimo, Favini Giorgio), Gazz. chim. ital., 1954, 84, № 5—6, 566—572 (итал.)

Кинетика щел. гидролиза  $\alpha$ -,  $\beta$ - и  $\gamma$ -пиридилкарбинол-ацетатов (I) и бензилацетата (II) изучалась в водн. и водно-диоксановых р-рах NaOH. Бимолекулярная константа скорости  $k$  при 20° ( $л/моль \cdot сек$ ) и энергия активации ( $кал/моль$ ) в водн. р-ре равны для  $\alpha$ -I 0,216 и 9,46, для  $\beta$ -I 0,266 и 11,43, для  $\gamma$ -I 0,317 и 12,13. В водно-диоксановой смеси (5:1)  $k$  при 20° равны для  $\alpha$ -I 0,209, для  $\beta$ -I 0,252, для  $\gamma$ -I 0,318 и для II 0,1175. Параметр  $\rho$  Гаммета для щел. гидролиза карбинол-ацетатов в водно-диоксановом р-ре равен  $\sim 0,52$ . Д. К.

3446. К вопросу об изотопном обмене водорода в насыщенных углеводородах. Варшавский Я. М., Вайсберг С. Э., Ложкина М. Г., Ж. физ. химии, 1955, 29, № 4, 750—751

Показано, что р-ры  $AlBr_3$  в жидком HBr и р-ры  $BF_3$  в жидком HF, а также жидкий HF могут быть использованы для систематич. исследования изотопного об-

мена водорода в насыщ. углеводородах. В системе циклогексан — HBr при каталитич. действии  $AlBr_3$  быстро достигается равновесие обмена. Опыты, проведенные в условиях, исключающих присутствие окислителей, подтвердили полученные ранее данные (Шатенштейн А. И., Варшавский Я. М., Докл. АН СССР, 1952, 85, 157) о водородном обмене в метилциклогексане, декалине и других насыщ. углеводородах в среде жидкого DF. Высказано предположение, что наблюдаемый изотопный обмен водорода в кислых средах протекает через стадию присоединения  $D^+$  к молекуле насыщ. углеводорода. Я. В.

3447. Изотопные обмены между селеном и ионами полиселенидов и автодиффузия селена. Так, Хайсинский (Echanges isotopiques entre le sélénium et les ions polyséleniures et autodiffusion dans le sélénium. Tuck D. G., Haissinsky M.), J. chim. phys. et phys.-chim. biol., 1954, 51, № 10, 577—580 (франц.)

Продолжено изучение изотопного обмена между различными аллотропич. модификациями Se и его ионами (Haissinsky M., Pappas A., J. Chim. Phys., 1940, 47, 506). 300 мг красной аморфной модификации Se обменивается с 20  $см^3$  0,1 M  $Se_2^{2-}$  ( $y$  — в среднем 2,4) при 18° медленнее, чем при 0°. Эта аномалия связана с контактным аллотропич. превращением аморфного Se в черную кристаллич. модификацию, ускоряющимся при повышении т-ры. Кристаллич. Se обменивается с полиселенидами значительно медленнее, чем аморфный. Кинетика аллотропич. перехода исследовалась визуально при помощи микроскопа. Изотопный обмен между  $Se_{2,4}^{2-}$  и кристаллич. Se, приготовленным путем 60-часового нагревания аморфной модификации при 110°, протекает значительно быстрее, чем следовало бы ожидать для процесса, скорость которого определяется автодиффузией. Кроме того, скорость обмена зависит от «возраста» кристаллич. Se. Чем больше времени прошло от момента его приготовления, тем медленнее протекает обмен. Авторы объясняют это явление тем, что указанная процедура приготовления кристаллич. Se дает недостаточно совершенную кристаллич. структуру, и его изотопный обмен сводится к поверхностным процессам кристаллизации и перекристаллизации. Рентгенографич. исследования согласуются с этим объяснением. Кристаллич. Se, приготовленный другими методами (медленным охлаждением расплавленного Se и медленным окислением р-ра полиселенидов), обменивается с  $Se_{2,4}^{2-}$  медленнее, чем вышеупомянутая модификация, но и в данных случаях обмен, повидимому, ускоряется поверхностными процессами. Исследована автодиффузия  $Se^{79}$  в селеновый цилиндр, состоящий из неупорядоченных кристаллов диам.  $< 0,01$  мм. Характер автодиффузии устанавливался по распределению продиффундировавшей активности вдоль цилиндра (Fisher J., J. Appl. Phys., 1951, 22, 71; Hoffman R., Turnbull D., там же). При т-рах 175—195° автодиффузия протекает смешанным образом междуглавно и в объем. Коэфф. диффузии в объем при этих т-рах  $D_v = 2,75 \cdot 10^{-7} \exp(-13300/RT) \text{ см}^2/сек$ . При 105° автодиффузия протекает, в основном, междуглавно с коэфф.  $D = 1,82 \cdot 10^{-11} \text{ см}^2/сек$ . Б. К.

3448. Кинетика изотопного обмена тиосульфат-трифитонат. Фаван, Паяро (Cinétique de l'échange isotopique thiosulfate-trithionate. Fava Antonio, Pajaro Gastone), J. Chim. phys. et phys.-chim. biol., 1954, 51, № 10, 594—599 (франц.)

Изотопный обмен S между полифитонатами и тиосульфатом протекает неизмеримо быстро, исключая трифитонат (I) (РЖХим, 1954, 46105). Показано, что одновременно идущее частичное разложение I не влияет на

кинетику его обмена с  $S^{35}SO_3^{2-}$  (II). Скорость обменной р-ции  $R = k [I] [II]$  не зависит от pH и от величины поверхности стенок сосуда.  $lgk = 5,3-12750/2,3 RT$ . Добавки солей увеличивают  $R$  тем сильнее, чем выше валентность катиона.  $k$  линейно увеличивается при увеличении  $[Na^+]$  и  $[Sr^{2+}]$  независимо от общей ионной силы. При этом энергия активации не изменяется. Обмен S идет путем замены группы  $SO_3$  в I на II с промежуточным образованием тетраионата, как видно по появлению последнего, если  $SO_3^{2-}$  связывать в бисульфит или формальдегидный комплекс. Из влияния катиона следует, что в обмене участвует свободный II, а его комплекс с катионом, напр.  $NaSO_3^-$ ,  $SrSO_3$ . Изотоп  $S^{35}$  определяется в виде  $BaSO_4$ . II отделялся осаждением в виде  $BaSO_3$ . А. Б.

**3449.** Изотопный обмен иода между свободным иодом и четырехиодистым кремнием. Назаренко Ю. П., Вовк Т. В., Укр. хим. ж., 1955, 21, № 1, 16—20

Обмен I между элементарным  $I^{131}$  и  $SiI_4$  в ксиловом р-ре не идет за 1 час при  $100^\circ$  и имеет полупериод 140 мин. при  $130^\circ$ ; в расплаве обмен доходит до равновесия за 60 мин. при  $130^\circ$ . Для измерения активности I смесь обрабатывалась Hg, затем  $HgI_2$  кипятился с Zn пылью и осаждался  $AgNO_3$ . Из  $SiI_4$  иод выделялся гидролизом и осаждением  $AgI$  из водного слоя. Затрудненный обмен галогидных соединений C, Si и Sn с галоидами объяснен плотной упаковкой ионов галоида вокруг центрального иона, не позволяющей приближение к последнему обменивающегося иона галоида. В подтверждение этого сопоставлены скорости обмена с отношениями радиусов ионов. А. Б.

**3450.** Электрофильное замещение водородом в ксилолах. Кинетика кислотного расщепления триметилсилилксилолов. Бенкесер, Крысяк (Electrophilic substitution by hydrogen in the xylenes. The kinetics of acid cleavage of the trimethylsilylxylenes. Benkeser Robert A., Krysiak Henry R.), J. Amer. Chem. Soc., 1954, 76, № 24, 6353—6357 (англ.)

Кинетика кислотного расщепления шести изомерных триметилсилилксилолов паратолуолсульфокислотой изучалась в  $CH_3COOH$  при  $25^\circ$ . Ход р-ции определялся дилатометрически. Полученные псевдомомолекулярные константы скорости уменьшаются с увеличением кол-ва  $H_2O$  и увеличиваются при добавлении солей, в особенности LiCl. По скоростям расщепления изомеры располагаются в ряд  $[R = (CH_3)_3Si]$ : 5-R-м-ксилол < 4-R-о-ксилол < 2-R-п-ксилол < 3-R-о-ксилол < 4-R-м-ксилол < 2-R-м-ксилол. Для изученных р-ций авторы предлагают механизм электрофильного замещения через образование промежуточного протонизированного комплекса. Это подтверждается линейной зависимостью логарифмов констант скоростей расщепления от логарифмов относительных скоростей известных р-ций электрофильного замещения водорода в соответствующих положениях ксилолов. Наблюдающиеся отклонения от линейности объясняются стерич. эффектами, особенно сильными для 2-R-м ксилола. Действие  $H_2O$  связано с уменьшением функции кислотности. Положительный солевой эффект объясняется уменьшением конц-ии свободной  $H_2O$  в результате сольватации. А. Ш.

**3451.** Поглощение олефинов кислотами. Рустамов Х. Р., Чирков Н. М., Докл. АН УзССР, 1954, № 7, 43—47

Выведены ур-ния для расчета константы скорости и константы равновесия поглощения олефинов жидкой к-той при отсутствии диффузионных помех и при малой степени алкилирования к-ты. М. В.

**3452.** Разрыв связей метил — кремний в некоторых замещенных карбоксикислотах в серной кислоте. Кинетика и механизм. Шорр, Фрейсер, Спейер (Methyl-silicon cleavage of certain substituted carboxylic acids in sulfuric acid. Kinetics and mechanism. Shorr Leonard M., Freiser Henry, Speier John L.), J. Amer. Chem. Soc., 1955, 77, № 3, 547—551 (англ.)

По скорости выделения  $CH_4$  исследована кинетика отрыва метильной группы от  $\beta$ -триметилсилилпропионовой к-ты (I) в водн. р-рах  $H_2SO_4$  (85—97,2%) при 15 и  $25^\circ$ . Р-ция первого порядка по отношению к I в  $H_2SO_4$ . Добавка  $NaHSO_4$  не влияет на скорость р-ции. С  $\gamma$ -триметилсилилмасляной к-той (II) р-ция второго порядка по отношению к  $H_2SO_4$  и первого по отношению к II. Выделение  $CH_4$  неполное.  $NaHSO_4$  замедляет р-цию. С разбавлением  $H_2SO_4$  водной скоростью р-ции падает и при 76%  $H_2SO_4$  р-ция не идет. Предполагается, что механизм р-ции включает неуклеофильную атаку атома Si и электрофильную атома C, связанного с ним. Энергия активации для р-ции с I и II равна 20,5 и 19,3 ккал/моль, энтропия активации равна —6,4 и —14,0 энтр. ед. Т. К.

**3453.** Разрыв связей C — S. Кинетика реакции между тиобензойной кислотой и анилином. Хоккинс, Тарбелл, Нобл (Cleavage of the carbon-sulfur bond. Kinetics of the reaction of thiobenzoic acid with aniline. Hawkins Peter J., Tarbell D. Stanley, Noble Paul, Jr.), J. Amer. Chem. Soc., 1953, 75, № 18, 4462—4465 (англ.)

Изучалась кинетика р-ции между тиобензойной к-той (I) и анилином:  $C_6H_5COSH + C_6H_5NH_2 \rightarrow C_6H_5CO-NHC_6H_5 + H_2S$  в р-рах хлорбензола при конц-ях I и анилина  $\sim 0,25 M$  и т-рах  $50-70^\circ$ . Скорость р-ции описывается ур-нием второго порядка, но константа скорости  $K$  зависит от образца I (в атмосфере  $N_2$  разброс меньше). Энергия активации  $E = 7,4$  ккал/моль. Добавки бензойной к-ты увеличивают, а добавки  $H_2S$  уменьшают  $K$ . Дибензолсульфид и аскардиол не влияют на  $K$ . В водн. р-рах  $CH_3COOH$   $K$  сохраняется только в начале процесса, а с увеличением степени превращения наблюдаются отклонения от бимолекулярности. В р-рах анилина скорость р-ции  $W_1 = K_1(C_6H_5COSH)^2$ . Добавки солинокислого анилина увеличивают  $W$  незначительно. М. В.

**3454.** О некоторых особенностях кинетики бромирования ароматических углеводородов в нитрометане. Иллуинати, Марино (Nota su alcune proprietà cinetiche della bromurazione aromatica in nitrometano. Illuminati Gabriello, Marino Gianlorenzo), Gazz. chim. ital., 1954, 84, № 11, 1127—1134 (итал.)

Относительные скорости бромирования изодурола, дурола, бромдурола в  $CCl_4$ ,  $CH_3COOH$ ,  $C_6H_5OH$ , 85%-ной  $CH_3COOH$  и  $CH_3NO_2$  равны соответственно 1, 36, 1200, 2700, 29 000 (в темноте при  $30^\circ$ ). Скорость бромирования толуола в интервале конц-ий 0,01—0,04 M при степени превращения до 10%, т. е. в отсутствие заметного каталитич. влияния  $HBr$ , выражается ур-нием  $\sim k [A] [Br_2]$  (A — ароматич. соединение). Сделан вывод, что механизм р-ции одинаков в р-ре  $CH_3COOH$  и  $CH_3NO_2$  и заключается в действии на ароматич. соединение  $Br_2$  (а не иона  $Br^+$ ). Отмечается значительное ускоряющее действие света на скорость р-ции. В. Ш.

**3455.** Кинетика реакции 2,4-динитрохлорбензола с некоторыми известными нуклеофильными реагентами. Баннетт, Дейвис (Kinetics of reactions of 2,4-dinitrochlorobenzene with some familiar nucleophilic reagents. Bunnett J. F., Davis George T.), J. Amer. Chem. Soc., 1954, 76, № 11, 3011—3015 (англ.)





энергия активации равна 16,0 ккал/моль для I и 12,7 для II и не зависит от [HCl]. Наблюдаемые закономерности объясняются предположением, что скорость р-ции определяется переходом электрона от  $TiCl_3$  к катиону  $C_6H_5NH^+NH^+C_6H_5$  (III). Действие  $Cl^-$  объясняется стабилизацией анионами катиона III. Характер зависимости  $k$  от [HCl] при малых [HCl] указывает, что  $TiCl_3$  реагирует в частично гидролизованной форме. Д. К.

**3460. Специфические эффекты при кислотном катализе ионообменными смолами. III. Некоторые наблюдения по действию многовалентных катионов. Берихардт, Гарфилд, Хамметт** (Specific effects in acid catalysis by ion exchange resins. III. Some observations on the effect of polyvalent cations. Bernhard Sidney A., Garfield Eugene, Hammett Louis P.), J. Amer. Chem. Soc., 1954, 76, № 4, 991—992 (англ.)

Каталитическое действие слабо поперечно связанной полистиролсульфокислоты в р-ции гидролиза этиловых эфиров уксусной (I) и капроновой (II) к-т изучалось путем определения мономолекулярной константы скорости гидролиза при 40° в 70%-ном водн. ацетоне. Константа  $k$  (л/моль мин), отнесенная к числу молей иона  $H^+$  в смоле, принимающих участие в процессе, на 1 л р-ра, равна в случае исходной смолы для I и II соответственно  $12,2 \cdot 10^{-6}$  и  $2,62 \cdot 10^{-5}$ . Замещение части  $H^+$  на  $Mg^{2+}$  не меняет  $k$ ; замена части  $H^+$  на  $[(CH_3)_3N^+CH_2]_2$  значительно снижает  $k$ . В случае более сильно поперечно связанной смолы  $IR = 120$  замена примерно половины  $H^+$  на  $Na^+$  заметно снижает, а замена на  $Ba^{2+}$  несколько увеличивает каталитич. свойства смолы. Часть II см. РЖХим, 1955, 23302.

**3461. Об уточнении понятий «энергия активации» и «элементарный акт» для твердого состояния вещества. Ахаров В. И., Тр. Ин-та физики металлов Уральского фил. АН СССР, 1955, № 16, 40—52 См. РЖХим, 1955, 9228.**

**3462. Реакции с активированными твердыми веществами. Хедвалл** (Reactions with activated solids. Hedvall I. A.), Chalmers tekn. högskol. handl., 1954, № 151, 23 (англ.)

**3463. Образование и растворение сульфидов металлов. Пол** (The formation and dissolution of metal sulfides. Pohl Herbert A.), J. Amer. Chem. Soc., 1954, 76, № 8, 2182—2184 (англ.)

Показано, что скорость растворения сульфидов Fe, Zn и Cd в HCl является р-цией 1-го порядка по  $[H^+]$ , из чего сделан вывод, что р-ция образования сульфидов протекает по следующему механизму:  $M^{2+} + HS^- \rightarrow (M-SH)^+ \rightarrow MS + H^+$ . Б. З.

**3464. Исследование реакции обмена брома в системе: кристаллическая  $Hg_2Br_2$  — газообразный бром с применением радиоактивных индикаторов. Дерень, Хабер, Хальперн, Полячек** (Badanie reakcji wymiany bromu w układzie: krystaliczny bromek rtęciowy — brom gazowy z zastosowaniem wskaźników promieniotwórczych. Derén J., Haber J., Halpern A., Polaczek A.), Roczn. chem., 1954, 28, № 4, 673—675 (польск.; резюме англ.) Исследован изотопный обмен между осажденной  $Hg_2Br_2$  меченой радиоактивным бромом (полученным по методу Сциларда—Чалмерса) и газообразным бромом. Закономерной зависимости степени обмена от т-ры (70—190°) не установлено. Повидимому, обмен протекает как на поверхности, так и внутри кристаллов. Б. К.

**3465. Изотопный обмен между тетраэтилсвинцом и радиоактивным металлическим свинцом. Джента, Ансалоки** (Scambio isotopico tra piombo tetraetile e piombo metallico radioattivo. Genta Vinicio, Ansaloni Antonietta), Gazz. chim. ital., 1954, 84, № 9, 921—926 (итал.)

Исследование изотопного обмена между тетраэтилсвинцом (I) и содержащим RaD металлическим Pb и его соединениями ( $PbO$ ,  $PbS$  и  $PbSO_4$ ) в интервале т-р 25—180° и времени контакта 0,5—450 час. Обмен не идет с  $PbO$ ,  $PbS$  и  $PbSO_4$ . С металлическим Pb обмен протекает при 80—150°, наиболее быстро (до 96% за 30 час.) при 105—130°; выше 150° идет быстрое разложение I. Предполагается, что процесс обмена происходит не только за счет образования свободных этильных радикалов, но и в результате перестройки молекулы I. Щ. В.

**3466. Кинетика оксосинтеза. Сообщение II. Натта, Эрколи, Каstellано** (Cinetica dell'ossosintesi. Nota II. Natta G., Ercoli R., Castellano S.), Chimica e industria, 1955, 37, № 1, 6—17 (итал.; резюме англ., франц., нем.)

Исследована кинетика оксосинтеза на примерах гидроформилирования циклогексена, 2-этилгексена-1 и пропилена при 110 и 120° в присутствии  $[Co(CO)_4]_2$ . При постоянном давлении  $CO$  ( $P_{CO}$ ) и при давлениях  $H_2$  ( $P_{H_2}$ ) 25—110 *atm* р-ция имеет 1-й порядок; при постоянном  $P_{H_2}$  скорость р-ции имеет максимум при 110—120° при  $P_{CO}$  8—12 *atm*. При дальнейшем повышении  $P_{CO}$  скорость р-ции падает обратно пропорционально  $P_{CO}$ . Р-ция первого порядка также по olefinу, тогда как кажущийся порядок р-ции, считая на кол-во растворенного Co-катализатора изменяется в зависимости от  $P_{CO}$ . При соотношении  $H_2 : CO = 1$  скорость р-ции не зависит от общего давления в интервале 30—400 *atm*. Изучение условий равновесия между  $[Co(CO)_4]_2$  и  $[Co(CO)_3]_4$  и  $CO$  показало, что наличие максимума скорости р-ции при давлении  $CO$  8—12 *atm* связано с оптимальным соотношением между тетра- и трикарбонилем Co в реакционной смеси. На основании полученных данных предложен механизм синтеза с участием Co-гидрокарбонила, наиболее медленной стадией, определяющей скорость р-ции, предполагается взаимодействие комплекса  $HCo(CO)_3 \cdot C_6H_{12}$  с  $HCo(CO)_4$  с образованием альдегида и  $[Co(CO)_3]_2$ . Отмечается практическое значение показанной в работе возможности при больших  $P_{H_2}/P_{CO}$  проводить каталитический оксосинтез при более низких давлениях (40—60 *atm*) с большей скоростью, чем при высоких давлениях при  $P_{H_2}/P_{CO} = 1$ . Сообщение I см. Chimica e industria, 1952, 34, 503.

**3467. Исследования в области кинетики и механизма парофазного окисления ароматических углеводородов. Иоффе И. И., Шерман Ю. Г., Ж. физ. хим., 1954, 28, № 12, 2095—2106**

Кинетика окисления нафталина (I) во фталевый ангидрид (II) на смешанном ванадиево-кальево-сульфатном катализаторе изучалась при 260—400°. Для обеспечения изотермичности во всей массе катализатора наносился тонким слоем на шарик ртутного термометра. В продуктах р-ции определялись II, 1,4-нафтохинон,  $CO_2$ ,  $CO$  и малеиновый ангидрид. Скорость р-ции в кинетич. области (до 300°) описывается приближенным уравн-ем  $d(C_{10}H_8)/dt = k_1 [O_2] / \{1 + k_2 [Pr]\}$ , где  $[C_{10}H_8]$ ,  $[O_2]$  и  $[Pr]$  — конц-ии в моль/л I,  $O_2$  и продуктов р-ции,  $t$  — время контакта в сек. Для констант  $k_1$  и  $k_2$  найдены выражения:  $k_1 = 5,13 \cdot 10^6 \exp(-27400/RT)$ ;  $k_2 = k_2^0 + B \exp(Q/RT)$  ( $k_2^0 = 0,9 \cdot 10^7$  — предельное значение, к которому стремится  $k_2$  с ростом т-ры,  $B = 2 \cdot 10^{12}$  не зависит от т-ры,  $Q = 47,5$  ккал/моль — среднее значение теплоты адсорбции продуктов р-ции, вычисленное графически из зависимости  $\lg(k_2 - k_2^0)$  от  $1/T$ ). При 300—400° р-ция переходит в диффузионную область и кажущийся порядок р-ции понижается до 0,5. Нижняя температурная граница перехода повышается с ростом исходной конц-ии I. Авторы предполагают,

что факторами, определяющими скорость процесса, являются десорбция продуктов р-ции и скорость окисления поверхностного слоя катализатора, восстанавливающегося при взаимодействии с молекулами I. З. М. 3468.

**Кинетика обмена водорода с натрием на монофункциональных катионообменных смолах, содержащих карбоксильные группы. Конуэй, Грин, Рейкенберг** (The kinetics of sodium-hydrogen exchange on a monofunctional cation exchange resin containing carboxyl groups. Conway D. E., Green J. H. S., Reichenberg D.), Trans. Faraday Soc., 1954, 50, № 377, 511—520 (англ.)

Кинетика обмена водорода на натрий в амберлите IRC-50 (слабокислая катионообменная смола, содержащая карбоксильные группы) изучалась на сферич. зернах диам.  $d = 250-300$  и  $d = 500-600$  м (до набухания) при конц-ях  $\text{Na}^+$  0,01, 0,1 и 1 н. Скорость обмена не зависит от конц-ии  $\text{Na}^+$  и обратно пропорциональна  $d^2$ . Полученные результаты указывают, что суммарный процесс лимитируется диффузией ионов  $\text{H}^+$  в зернах. Эффективный коэфф. диффузии  $D_i = 3,92 \cdot 10^{-9} \text{ см}^2/\text{сек}$  и на 2—3 порядка меньше, чем  $D_i$  в сульфокислотных смолах. Поскольку содержание  $\text{H}_2\text{O}$  в набухшем состоянии у обоих типов смол одного порядка, резкие отличия в  $D_i$  могут быть объяснены, по мнению авторов, лишь низкой конц-ией  $\text{H}^+$  в амберлите из-за низкой диссоциации групп  $\text{COOH}$ . С этим хорошо согласуется величина  $10^{-3}$  для степени диссоциации, найденная в предположении, что процесс диссоциации в смоле подчиняется закону действующих масс.

**Д. К. 3469. Свойства поверхности и активность катализаторов. Папе** (Propriétés de surface et activité catalytique. Papée Denis), Bull. soc. chim. France, 1954, № 11—12, 91—101 (франц.)  
Обзор. Библ. 123 назв.

**Л. М. 3470. О температуре пламени. Кауко, Эздурмус** (Über die Flammentemperatur. Vorläufige Mitteilung. Kauko Yrjö, Özdurmus S.), Suomen kem., 1955, 28, № 3, 110 (нем.)

Отмечается совпадение т-ры пламени горелки, вычисленной (как адиабатической т-ры) из соотношения горючее : воздух и измеренной оптическим пирометром по свечению тонкой Pt-проволоки.

**А. С. 3471. Влияние турбулентности на начальный период распространения пламени. Олсен, Гейхарт** (Effect of turbulence on incipient flame propagation. Olsen H. L., Gayhart E. L.), J. Chem. Phys., 1955, 23, № 2, 402—403 (англ.)

Исследовалось влияние турбулентности (Т) потока на скорость распространения пламени (СРП) в сравнении с ламинарным потоком с помощью скоростной пленки-киносъемки. Установлено, что Т изменяет форму пламени и что изотропич. Т не повышает СРП. Повышение СРП связано с увеличением эффективности источника Т и с определенным положением последнего по отношению к направлению пламени.

**А. Б. 3472. Окисление сероуглерода в газовой фазе. Уэбстер, Уолш** (Gas phase oxidation of carbon disulphide. Webster P., Walsh A. D.), Fuel, 1955, 34, № 2, 244—245 (англ.)

Исследование окисления  $\text{CS}_2$  кислородом, проведенное статич. методом, подтвердило наличие нижнего  $P_H$  и верхнего  $P_b$  пределов воспламенения (Загунин А. В., Z. phys. Chem. 1928, В—1, 275). С уменьшением конц-ии  $\text{CS}_2$  до 1%  $P_H$  и асимптотич. т-ра  $T'$  понижаются, а при дальнейшем обеднении смеси повышаются.  $P_b$  с обеднением смеси повышается. Миним. значение  $T' \approx 80^\circ$ . Воспламенению смеси обязательно предшествует свечение. Возможность его в смесях с 1%  $\text{CS}_2$  указывает на взрывную опасность даже при

незначительных утечках паров  $\text{CS}_2$ . Период индукции для свечения сокращается с давлением по гиперболич. закону и почти равен периоду индукции взрыва. Увеличение диаметра сосуда понижает  $P_H$  для взрыва и свечения и повышает  $P_b$ , что отличает от влияния диаметра на верхний предел взрыва смеси  $\text{H}_2 + \text{O}_2$ . Примесь инертных газов понижает  $P_b$  для свечения и повышает  $P_H$  для взрыва, что указывает на его тепловую природу. Добавка  $\text{SO}_2$  слегка повышает  $P_H$  свечения, значительно  $P_H$  взрыва и резко снижает  $P_b$ ;  $\text{SO}_2$  уничтожает влияние диаметра сосуда на  $P_b$  и на свечение выше  $P_b$ . Предполагается, что такое же торможение оказывает и  $\text{SO}_2$ , образующийся в процессе окисления  $\text{CS}_2$ .

**А. С. 3473. Влияние начальной температуры смеси на скорость распространения пламени в смесях воздуха-метан, воздух-пропан и воздух-этилен. Даггер** (Effect of initial mixture temperature on flame speed of methane-air, propane-air and ethylene-air mixtures. Dugger Gordon L.), Aircraft Engng, 1953, 25, № 291, 150 (англ.)

По внешней кромке тени, отбрасываемой конусом ламинарного пламени бузеновской горелки, определены в функции от состава смеси скорости распространения пламени (СРП) в метано-воздушных смесях (начальные т-ры от  $-132$  до  $+342^\circ$ , а также в пропано-воздушных и этилено-воздушных смесях (начальные т-ры от  $-73$  до  $+344^\circ$ ). Максим. СРП прогрессивно возрастает с т-рой. Процентное изменение СРП с начальной т-рой у всех трех топлив располагается (в порядке убывания) в ряд от  $\text{CH}_4$  к  $\text{C}_3\text{H}_8$  и  $\text{C}_2\text{H}_4$ . Выведены эмпирич. ур-ния между максимальной СРП и начальной т-рой в исследованном для каждого топлива диапазоне т-р. Теневые фотографии в фиксированном луче параллельных лучей для всех топлив дают постоянное отношение СРП измеренных по внешней и внутренней кромкам конуса пламени, не зависящее ни от т-ры, ни от состава смеси. СРП в пропано-воздушных смесях не зависит от диаметра трубки (10—22 мм) и чисел Рейнольдса (1500—2100). Наблюдаемая зависимость СРП от т-ры для каждого топлива хорошо объясняется как тепловой теорией Семенова, так и теорией Танфорда и Пиза. На роль активных радикалов в распространении пламени указывает линейная зависимость между максимальной СРП и равновесными конц-иями радикалов у всех трех топлив.

**А. Е. 3474. Реакционная зона в газовой детонации. Кистяковский, Кидд** (The reaction zone in gaseous detonations. Kistiakowsky G. B., Kydd Paul H.), J. Chem. Phys., 1954, 22, № 11, 1940—1941 (англ.)

Для подтверждения теории Зельдовича — Неймана методом абсорбции Х-лучей (Kistiakowsky, J. Chem. Phys., 1951, 19, 1611) определялось изменение плотности  $d$  от фронта ударной волны (УВ) до завершения хим. равновесия при детонации смеси 70%  $\text{H}_2 + 30\%$   $\text{O}_2$  с примесью Хе. При давл.  $< 115$  мм рт. ст. регистрируется зона р-ции конечной протяженности с резким повышением  $d$  во фронте УВ и последующим ее снижением. Длительность реакционной зоны примерно обратно пропорциональна квадрату давления реагирующей смеси. Регистрируемое значение  $d$  в УВ меньше расчетного, составляющего 5,4—4,8  $d_0$  в УВ и 1,7  $d_0$  в равновесной точке, что объясняется недостаточной разрежающей способностью метода. Реакционная зона не регистрируется при более высоких давлениях и при добавке к смеси вместо 12 мм рт. ст. Хе 309 мм Аг. А. С.

**3475. Обобщенные уравнения горения углеродного канала. Адамекко С. П., Ж. физ. химии, 1954, 28, № 12, 2081—2087**

Выводятся ур-ния для изменения вдоль канала усредненных по сечению конц-ий  $\text{CO}_2$  и  $\text{O}_2$  с учетом гомог. р-ции  $\text{CO}$  и  $\text{O}_2$ . Предполагается, что г-ра постоянна в каждом сечении, но меняется вдоль канала; процесс считается квазистационарным, спец. предположений об изменении коэфф. диффузии по сечению не делается. Автор выражает коэфф. ур-ний через безразмерные параметры и формулирует неравенства, характеризующие диффузионную и кинетич. области процесса горения при совместном протекании р-ций  $\text{C} + \text{O}_2$  и  $\text{C} + \text{CO}_2$ . Решение ур-ний, полученное в предположении изотермичности процесса, отсутствия гомог. р-ций и при частном виде распределения конц-ий по сечению, совпадает по форме с полученным ранее (Колодцев Х. И. В сб.: Горение углерода. Ред. Предводителев. Изд-во АН СССР, 1949, стр. 374). А. Г.

3476. Воспламенение капели топлива при падении их в окислительной атмосфере. Вуд, Чарвония (The ignition of fuel droplets descending through an oxidizing atmosphere. Wood H. L., Charvonia D. A.), Jet Propuls., 1954, 24, № 3, 162—165 (англ.)

В связи с проблемой сгорания жидких ракетных топлив исследовался механизм воспламенения одиночных капелек триэтилamina (I), аллиламина (II) и циклогексана (III) при свободном их падении в парах дыма-щейся 97%-ной  $\text{HNO}_3$ . Азотная к-та поступала по каплям в испарительную колбу при 350° и после перегрева паров до 550° — в вертикальную реакционную трубу из пирекса прямоугольного сечения, помещенную в обогревательную рубашку. Горючее вводилось по каплям через капилляр с оттянутым концом различного диаметра. Эквивалентный диаметр капли эллипсоидальной формы  $d = (a^2b)^{1/3}$ , где  $a$  и  $b$  — большой и малый диаметр капли, определяемые фотографированием. С помощью кинокамеры с частотой съемки 2000 кадров в 1 сек. определялся момент возникновения пламени в смеси паров горючего и  $\text{HNO}_3$  (воспламенение пара) на значительном расстоянии от капли, затем регистрировалось распространение пламени вплоть до момента достижения им падающей капли (воспламенение капли). Т-ра паров  $\text{HNO}_3$ , необходимая для воспламенения, и задержка воспламенения  $\tau$  минимальна для I (<350) и максимальна для III. При понижении темп-ры  $\tau$  для II и III возрастают, но при  $t$ -рах >500°  $\tau$  остается постоянной. Изменение диаметра капли в пределах 2,6—4,2 мм не дало определенного эффекта в отношении  $\tau$ , что авторы приписывают неопределенности подлинного размера капли, вследствие распада капелек большого диаметра при отделении от капилляра. А. С.

3477. Исследование пламени жидкого гидразина. Грей, Кей (Stability of the decomposition flame of liquid hydrazine. Gray Peter, Kay J. C.), Research, 1955, 8, № 1, S3—S5 (англ.)

Изучался процесс горения жидкого  $\text{N}_2\text{H}_4$  в стеклянной трубе диам. 3—30 мм при воспламенении с верхнего конца трубы. Разложение пламени идет в парах по ур-нию:  $\text{N}_2\text{H}_4(\text{ж}) = \frac{1}{2}\text{N}_2 + \text{NH}_3 + \frac{1}{2}\text{H}_2$ . По мере выгорания уровень  $\text{N}_2\text{H}_4$  снижается и пламя разделяется на две зоны. Внутри трубы, ближе к мениску, происходит разложение пламени, в результате чего  $\text{H}_2$  и  $\text{NH}_3$  диффундируют и сгорают в воздухе над отверстием трубы желтоватым диффузионным пламенем. Изучен механизм тушения пламени  $\text{N}_2\text{H}_4$  в условиях повышенного давления и разрежения. Установлена тепловая природа процесса. А. Б.

3478 К. Реакция атомов и свободных радикалов. Изд. 2-е. Стивен (Atomic and free radical reactions. Steacie Edgar William Richard. 2 ed., New York, Reinhold; London, Chapman and

Hall, 1954, 11 ф. 4 s.; vol. 1, X, 485 p.; vol. 2, III, 486—901 p.) (англ.)

3479 Д. Некоторые вопросы кинетики разложения перекиси водорода солями железа. Богданова-Березовская И. В. Автореф. дисс. канд. техн. н., Ленингр. политех. ин-т, Л., 1955

См. также: Реакционная способность и строение 3135, 3145, 3398, 3531, 3727—3732, 3740. Кинетика и механизмы реакций 3140—3144, 3480, 3735, 4036—4038, 4040, \*4042, 4043, 4055, 4730. Гетерогенный катализ 3652. Др. вопр. 5006

## ФОТОХИМИЯ. РАДИАЦИОННАЯ ХИМИЯ. ТЕОРИЯ ФОТОГРАФИЧЕСКОГО ПРОЦЕССА

3480. Реакция гидрогенизации пропилена, фотосенсибилизированная парами ртути, и энергия активации реакции  $\text{C}_3\text{H}_7 + \text{H}_2 = \text{C}_3\text{H}_8 + \text{H}$ . Хой, Ле-Рой (The mercury photosensitized hydrogenation of propylene and the activation energy of the reaction  $\text{C}_3\text{H}_7 + \text{H}_2 = \text{C}_3\text{H}_8 + \text{H}$ . Hoesy G. R., Le Roy D. J.), Canad. J. Chem., 1955, 33, № 4, 580—588 (англ.)

Реакция, инициируемая возбужденными атомами Hg в смеси  $\text{C}_3\text{H}_6 + \text{H}_2$ , изучалась в интервале т-р от комнатной до 320°. Приближительно до 75% начального давления  $\text{C}_3\text{H}_6$  давление смеси при р-ции падает с постоянной скоростью. Средний состав продуктов при комнатной т-ре и давлениях  $\text{C}_3\text{H}_6$  от 10 до 53,6 мм и  $\text{H}_2$  от 115 до 380 мм: 2,3-диметилбутан 46,0%,  $\text{C}_3\text{H}_8$  36,6%,  $\text{CH}_4$  4,9%,  $\text{C}_4\text{H}_{10}$  1%,  $\text{C}_4\text{H}_8$  1%, неидентифицируемые продукты фракции  $\text{C}_6$  4,5%, фракция  $\text{C}_8$  2,3%. Соотношение между кол-вами образующихся продуктов не зависит от состава исходной смеси. Исключение составляет 4-метилпентен-1, кол-во которого возрастает при увеличении относительных кол-в  $\text{C}_3\text{H}_6$ . При 320° основными продуктами являются  $\text{C}_3\text{H}_8$  и 2,3-диметилбутан, наряду с ними образуются:  $\text{C}_2\text{H}_6$ ,  $\text{C}_2\text{H}_4$ ,  $\text{C}_4\text{H}_8$ ,  $\text{C}_4\text{H}_{10}$ ,  $\text{CH}_4$  и фракция  $\text{C}_6$ . Скорости образования  $\text{C}_3\text{H}_8$  и падения давления в системе при 320° линейно возрастают с увеличением давления  $\text{H}_2$ . Этот факт объяснен р-цией  $\text{C}_3\text{H}_7 + \text{H}_2 = \text{C}_3\text{H}_8 + \text{H}$  (1). Из данных по влиянию  $\text{H}_2$  на скорость падения давления при 260—320° и отношении  $\text{H}_2 : \text{C}_3\text{H}_6$  порядка 20:1 получено значение энергии активации р-ции (1) ~12,5 ккал/моль. По проведенной оценке при комнатной т-ре отношение константы скорости рекомбинации к константе скорости диспропорционирования изопропильных радикалов равно приблизительно 2.

И. Ш.  
3481. Светочувствительность внутрикомплексных соединений железа. Хилл-Коттингем (Photosensitivity of iron chelates. Hill-Cottin-gham D. G.), Nature, 1955, 175, № 4451, 347—348 (англ.)

Растворы внутрикомплексных соединений Fe с этилендиаминтетрауксусной (I), диэтилентриаминпентауксусной и N-ксилилэтилендиаминтриуксусной к-тами, будучи вполне устойчивыми в темноте, заметно разлагаются на дневном свете. В результате фотохим. разложения образуется коллоидная  $\text{Fe}(\text{OH})_3$ , что соответствует предложенной ранее схеме разложения комплексов  $\text{Fe}^{3+} - \text{I}$  (Jones S. S., Long F. A., J. Phys. Chem., 1952, 56, 25). Все 3 комплекса Fe были испытаны в качестве источника питания для растений. Предположено, что корни усваивают комплексную молекулу целиком и переносят ее к листьям в неизменном виде. В листьях, вследствие большой светочувствительности, комплекс восстанавливается, образуя устойчивое соединение  $\text{Fe}^{2+} - \text{I}$ , из которого Fe может извлекаться или за счет более сильного комплексобразования



ния с белками, или замещаться другими ионами, напр. Cu и Zn. Аналогичные внутрикомплексные соединения Cu и Ni не обладают светочувствительностью. А. Г. 3482. Тушение флуоресценции флавоноидами и другими веществами. Мак-Лафлин, Сент-Джёрдь (The quenching of fluorescence by flavonoids and other substances. McLaughlin Jane A., Szent-Györgyi Albert), *Enzymologia*, 1954, 16, № 6, 384—391 (англ.; резюме нем.)

Высказано предположение, что биологич. активность флавоноидов (в частности, защитное действие по отношению к ионизирующему излучению) связана с их способностью поглощать падающую или вторичную радиацию или дезактивировать возбужденные молекулы. В связи с этим исследовано тушение флуоресценции р-ров хризена и родамина Б флавоноидами и другими органич. соединениями с близким строением. Установлено, что тушение флуоресценции ароматич. углеводородов различными флавоноидами и нитрофенолами является динамическим и происходит с разной эффективностью. Тушение же галлоидфенолами флуоресценции основных красителей типа родамина является статическим и связано с образованием комплексов. А. Т. 3483. Окисление ферросульфата ионизирующими лучами. Опыты с лучами 31 Мэв и 180 кэв. Фриц Ниггли, Шмидлин-Месарош (Die Oxydation von Ferrosulfat mit ionisierenden Strahlen Experimente mit 31 MeV- und 180 keV-Strahlen. Fritz Niggli Hedi, Schmidlin-Mészáros J.), *Strahlentherapie*, 1954, 95, № 4, 551—555 (нем.; резюме англ., франц.)

Исследовано окисление  $Fe^{2+}$  в  $0,895 \cdot 10^{-3}$  M р-ре  $FeSO_4$  в ацетатном буфере при pH 4 под действием рентгеновского излучения с энергией 31 Мэв и 180 кэв. Р-ры  $FeSO_4$  насыщались воздухом или кислородом. Облучение проводилось в плексигласовых сосудах. Доза определялась ионизационной наперстковой камерой. Кол-во неокисленного железа определялось фотометрически в виде орто-феррофенантрадинового комплекса при длине волны 431 и 477 мμ. Содержание  $Fe^{2+}$  в облученных р-рах падает линейно с дозой и при 90 000 рентген наступает почти полное окисление. Наиболее точные результаты получены при дозе 25 000 рентген, когда выход для обоих излучений одинаков и равен 4,02 на 32,5 эв. С. Б. 3484. Количественное изучение реакций, вызванных излучением. Часть II. Окисление ферросульфата α-частицами. Миллер, Уилкинсон (Quantitative studies of radiation-induced reactions. Part 2. The oxydation of ferrous sulphate by alpha-particles. Miller N., Wilkinson J.), *Trans. Faraday Soc.*, 1954, 50, № 7, 690—710 (англ.)

Исследовалось действие α-лучей  $Po^{210}$  и γ-лучей  $Co^{60}$  на разб. водн. р-ры  $FeSO_4$ . Растворенный сульфат Po содержал 5 мк ри/мл. В качестве внешнего источника α-лучей использовались 20 мкюри Po, осажденного электролитически на платиновом диске и покрытого слоем слюды толщиной 1,5 мг/см<sup>2</sup>. Мощность дозы определялась ионизационной камерой, заполненной Ag. Значение энергии, необходимой для образования одной пары ионов, принято равным 26,3 эв. При использовании внешнего источника при конц-ии  $FeSO_4$  меньше 0,001 M выход  $G_{Fe^{2+}}$  зависит от перемешивания. Выход окисления  $FeSO_4$  в 0,8 н.  $H_2SO_4$ , насыщенном воздухом, равен  $5,94 \pm 0,1$  иона на 100 эв. В р-ре, насыщ. воздухом,  $G_{Fe^{2+}}$  не зависит от конц-ии  $FeSO_4$  в интервале  $5 \cdot 10^{-3} - 5 \cdot 10^{-4}$  M. При уменьшении конц-ии  $FeSO_4$  ниже  $5 \cdot 10^{-4}$  M  $G_{Fe^{2+}}$  падает.  $G_{Fe^{2+}}$  не зависит от конц-ии  $H_2SO_4$  (0,8—0,005 н.) для 0,001 M  $FeSO_4$ . При уменьшении конц-ии к-ты ниже 0,005 н.  $G_{Fe^{2+}}$  падает. В дегазированных р-рах  $G_{Fe^{2+}}$  в 1,7 раза меньше, чем

в присутствии воздуха. В этом случае  $G_{Fe^{2+}}$  не зависит от конц-ии  $FeSO_4$  в интервале  $4 \cdot 10^{-4} - 7 \cdot 10^{-3}$  M и от конц-ии  $H_2SO_4$  в интервале 0,8—0,01 н. (для 0,001 M  $FeSO_4$ ). Большое влияние дегазации и независимость выхода от pH в дегазированных р-рах объясняется конкуренцией между р-циями  $H + H = H_2$  и  $H + H^+ = H_2^+$ . При добавлении к р-ру 0,001 M  $FeSO_4$  в 0,8 н.  $H_2SO_4$ , насыщенному воздухом, 0,0006 M  $C_2H_5OH$   $G_{Fe^{2+}}$  возрастает в 1,64 раза, но при последующем добавлении 0,001 M NaCl принимает прежнее значение. Образование  $H_2$  происходит с выходом, равным для α-лучей 0,262, для γ-лучей  $Co^{60}$  0,0274 от величины  $G_{Fe^{2+}}$  (для γ-лучей  $Co^{60}$   $G_{Fe^{2+}}$  в 0,8 н.  $H_2SO_4$  принят равным 15,5). Считая, что разложение  $H_2O$  при действии ионизирующего излучения происходит по двум суммарным р-циям  $H_2O \rightarrow H + OH$  (1) и  $2H_2O \rightarrow H_2 + H_2O_2$  (2), авторы нашли долю каждой р-ции для использованных видов излучения. Для α-лучей  $Po^{210}$  доля р-ции (1) равна 0,815, для γ-лучей  $Co^{60}$  0,188. Для общего числа молекул  $H_2O$ , распавшихся по р-циям (1) и (2), авторы получают для α- и γ-лучей, соответственно, 3,82 и 4,51. Авторы считают, что их результаты подтверждают теорию горячих точек (Allene, Faraday Soc. Discussion, 1952, 12, 79). Часть I см. Faraday, Soc. Discussion, 1952, 12, 50. Л. Б.

3485. Новые работы Митчелла по образованию скрытого изображения в кристаллах галлоидного серебра. Клейн (Die neuen Arbeiten von Mitchell über die Entstehung des latenten Bildes in Silberhalogenidkristallen. Klein E.), *Photogr. Korresp.*, 1954, 90, № 4, 52—58 (нем.)

Обзор работ Митчелла (РЖХим, 1953, 4329; 1954, 16069, 19632). Библ. 9 назв. А. Х.

3486. Регрессия центров скрытого фотографического изображения. Казанцев Б. И., Мейкляр П. В., Ж. эксперим. и теор. физики, 1955, 28, № 1, 70—76

Исследована регрессия центров и субцентров скрытого изображения в диапозитивных, репродукционных и изортохроматич. пластинках. Эмульсионному слою сообщали через оптич. клин постоянную экспозицию (H) либо непрерывно в течение 100 сек. ( $t_0$ ), либо в два приема  $t_1$  и  $t_2$ , так что  $t_1 + t_2 = t_0$ , с темновой паузой ( $\tau = 1-30$  суток) между ними. Величина регрессии оценивалась по смещению ( $\Delta \lg H$ ) характеристич. кривой для слоя с прерывистой экспозицией относительно кривой для слоя с непрерывной экспозицией при постоянном значении оптич. плотности ( $D = 1$  или 1,5). Анализ кривых зависимости регрессии ( $\Delta \lg H$ ) от  $\tau$  показывает, что скорость регрессии не может быть представлена ур-ниями скорости мономолекулярной или бимолекулярной р-ций, а является потому же гиперболич. законом, что и спадание фотопроводимости (Мейкляр П. В., Ж. эксперим. и теор. физики, 1951, 21, 42) или затухание люминесценции (Голуб С. И., Тр. Одесск. ун-та, 1951, 3, 41) в кристаллах галлоидного Ag. Сделан вывод, что кинетика регрессии скрытого изображения подобна кинетике последних двух процессов, т. е. она определяется электронным бимолекулярным рекомбинационным процессом, напр., комбинацией атомов Br и Ag. Непригодность ур-ния мономолекулярной р-ции указывает, по мнению авторов, на неправильность окислительной теории регрессии, а ускоряющее действие  $O_2$  и  $H_2O$  на регрессию приписано влиянию этих в-в на кинетику электронных процессов. Обработка пластинок бурой сильно замедляет регрессию. А. Х.

3487. Энергия активации фотографического химического проявления. Сугай, Фуручи (On the activation energy of photographic chemical development. Sugai Shintaro, Furuichi Ji-

го), J. Fac. Sci. Hokkaido Univ., 1953, ser. 2, 4, № 4, 253—267 (англ.)

Исследована температурная зависимость (в интервале  $0^\circ - 35^\circ$ ) времени проявления  $t$ , необходимого для увеличения оптич. плотности  $D$  от 0,1 до 0,4 или от 0,2 до 0,5. Зависимость  $\lg t$  от  $1/T$  выражается прямыми, из наклона которых определена энергия активации  $U$ . При проявлении метоловым проявителем период индукции отсутствует и для эксперим.  $\text{AgBr-AgI}$ -эмульсий, содержащих 0, 2,5, 7 и 40 мол. %  $\text{AgI}$ ,  $U$  равна соответственно 0,52, 0,63, 0,66 и 0,91 эв; для фабричной  $\text{AgBr-AI}$ -эмульсии  $U = 0,64$  эв. С ростом концентрации  $\text{AgI}$  период индукции увеличивается. При проявлении гидрохиноновым или метоловым проявителем того же состава, но содержащим 4 г  $\text{KBr}$ , наблюдается значительный период индукции и значения  $U$  на  $\sim 0,1$  эв выше приведенных. Отмечена близость величин  $U$  для проявления чистого  $\text{AgBr}$  и для ионной проводимости крупных кристаллов  $\text{AgBr}$ . А. Х.

3488. Исследование процесса проявления фотографических слоев оптическим методом. Броун Ж. Л., Нестерова Е. А., Сб. физ.-матем. фак. и Н.-и. ин-та физики Одесского ун-та, 1954, 5, 57—60

Дифференциальный метод исследования центров тонкой структуры (Кириллов Е. А., Изв. АН СССР, сер. физ., 1948, 12, 533; 1950, 14, 525) применен для исследования проявления эксперим. мелкозернистой  $\text{AgBr}$ -эмульсии. Пластины засвечивали нефильтовым излучением  $\text{Hg}$ -лампы, разрезали на две половины, одну из которых проявляли и измеряли ее поглощение относительно непроявленной половины в области 370—780 мμ. Результаты представлены кривыми  $I_n/I_p = f(\lambda)$ , где  $I_n$  и  $I_p$  — интенсивности света, прошедшего соответственно через непроявленную и проявленную половины. Спектр поглощения проявленного слоя обладает тонкой структурой, аналогичной структуре спектра поглощения фотохим. окраски и скрытого изображения (см. ссылку). Средние спектральные положения максимумов поглощения во всех указанных спектрах совпадают в пределах точности измерения (0,05%). По мере увеличения времени проявления увеличивается кол-во центров тонкой структуры, т. е. центров атомарно распределенного  $\text{Ag}$ . Одновременно образуются более крупные колл. частицы  $\text{Ag}$ , дающие широкие полосы поглощения. Таким образом, действие проявителя аналогично действию света. А. Х.

3489. Влияние различных условий эксперимента на действие ультразвука. Доньон, Симоно (Importance de diverses conditions expérimentales dans l'action des ultrasons. Dognon André, Simonot Yvonne, m-lle), C. r. Acad. sci., 1955, 240, № 6, 608—610 (франц.)

Для выяснения влияния формы и материала стенок сосуда, содержащего озвучиваемую жидкость, природы окружающей фазы и высоты столба озвучиваемой жидкости на действие ультразвука изучался гемолиз красных кровяных шариков и окисление  $p$ -ра  $\text{KJ}$  под действием ультразвука (960 кГц). Указывается значение полного внутреннего отражения ультразвуковых волн на границе с воздухом. Замена свободной границы жидкости с воздухом поглотителем снижает или совсем прекращает хим. действие ультразвука, последнее понижается и при замене свободной поверхности металлическим рефлектором. Высказываются предположения о механизме обнаруженного влияния условий эксперимента на хим. действие ультразвука. Б. К.

См. также: Фотохимия 4035. Теория фотографич. процесса 3253—3255

## РАСТВОРЫ. ТЕОРИЯ КИСЛОТ И ОСНОВАНИЙ

3490. Теория равновесных свойств растворов электролитов. Лендье (Elektrolitoldatok egyensúlyi tulajdonságainak elmélete. Lengyel Sándor), Magyar tud. akad. kém. tud. oszt. közl., 1953, 3, № 3, 367—408 (венг.)

Сделана попытка разработки общей теории  $p$ -ров электролитов (Э), которая позволила бы определить коэфф. активности, увеличение плотности  $p$ -рителя вокруг иона и растворимость. Теория использует модель, которая включает центральный ион (любой ион), прилегающую ему оболочку ионов, а также дипольные молекулы  $p$ -рителя. Молекулы  $p$ -рителя расположены равными по величине долями вокруг отдельных ионов в радиальносимметрич. порядке. Предполагается, что диэлектрич. постоянная  $\epsilon$   $p$ -рителя является функцией расстояния от центрального иона. В непосредственной близости от иона значение  $\epsilon$  близко к значению квадрата показателя преломления, при некотором же удалении от него (6—10 Å)  $\epsilon$  приближается к статич. значению  $\epsilon$   $p$ -рителя. Относительно расположения остальных ионов принимаются основные предположения теории Дебая — Гюккеля. Показана возможность развития теории сольватации ионов на основе указанной модели. Чисто теоретич. путем установлена связь между конц-ией и коэфф. активности Э, однако рассчитанные величины согласуются только качественно с эксперим. данными. Дается ур-ние, при помощи которого можно вычислить растворимость определенных Э в данном  $p$ -рителе при определенной  $t$ -ре, если известны энергия решетки и молекулярный объем Э, работа сольватации и средние коэфф. активности ионов. Установлена функциональная зависимость между плотностью  $p$ -рителя и расстоянием от центра иона. Э. С.

3491. Координационное число и размещение иона  $\text{NO}_3^-$  в структуре разбавленного водного раствора. Липилин Н. И., Докл. АН СССР, 1955, 102, № 3, 525—528

Координационное число (КЧ) иона  $\text{NO}_3^-$  определено термохимич. методом по ф-ле  $\beta = K [n_k / (r_k + 1,38) - n_a / (r_a + 1,38)]$ , где  $n_k$  и  $n_a$  — КЧ катиона и аниона растворяемой соли,  $r_k$  и  $r_a$  — их кристаллохим. радиусы,  $K$  — константа (Самойлов, Изв. АН СССР, Отд. хим. н., 1952, № 3, 398). Из эксперим. данных найдено, что в водн.  $p$ -рах  $\text{HNO}_3$   $K = 4,47 \cdot 10^3$ ,  $\beta = -858$ ; из рассмотрения конфигурации иона  $\text{NO}_3^-$  сделан вывод, что расстояние  $r_a + 1,38$  лежит в пределах 3,2—4,0 Å. Подстановка этих величин в ф-лу дает для КЧ иона  $\text{NO}_3^-$  в разб. водн.  $p$ -рах электролитов среднее значение 5,8, т. е. близкое к 6. Принимается, что в воде имеется в «размытом» виде структура льда; эта же структура служит основой структуры разб. водн.  $p$ -ров электролитов. С учетом его размеров ион  $\text{NO}_3^-$  может иметь КЧ 6, по мнению автора, в том случае, если этот ион вытеснит две молекулы воды и займет их место, внедряясь при этом частично в три прилегающие пустоты в структуре воды. Получающаяся структура  $p$ -ра является своеобразной, так как представляет собою одновременно как структуру замещения, характерную для ряда одноатомных ионов (Капустинский, Самойлов, Ж. физ. химии, 1952, 26, 918), так и структуру внедрения, обнаруженную ранее в  $p$ -рах, содержащих трехатомный ион  $\text{UO}_2^{2+}$  (РЖХим, 1955, 13652). И. Л.

3492. Геометрическая модель ионного раствора. Драк и С. И., Ж. физ. химии, 1954, 28, № 9, 1698—1700

Проведены модельные опыты по определению объема равномерно составленной смеси шариков. В качестве

«р-рителя» было взято более 2000 шарикоподшипников диам. 2 мм, «вторым компонентом» служила дробь разных размеров (диам. 1—3,4 мм). Кажущийся объем одного шарика «второго компонента» в смеси  $\phi$  находился делением прироста общего объема смеси на число приравненных шариков. Результаты выражены  $\phi$ -лой:  $\phi^{1/2} = -0,292 + 1,538V^{1/2} - 0,0792V^{3/2}$ , где  $V$  — объем шарика, и представлены в виде кривой  $\phi(V)$ . При сопоставлении полученных результатов с соответствующими объемными соотношениями для ионных р-ров использованы размеры ионов в р-рах, найденные ранее (РЖХим, 1953, 6151). Отмечается, что для ионов большого размера ( $\text{Cl}^-$ ,  $\text{Br}^-$ ,  $\text{J}^-$ ,  $\text{K}^+$ ,  $\text{Rb}^+$ ,  $\text{Cs}^+$ ) кривая  $\phi(V)$  идет симбатно кривой, полученной из модельных опытов; для ионов небольшого размера ( $\text{H}^+$ ,  $\text{Li}^+$ ,  $\text{Na}^+$ ) наблюдается отклонение.

И. Л.

**3493. Образование аквоионов. Катзин, Геберт** (Formation of aquo ions. Katzin Leonard I., Gebert Elizabeth), Nature, 1955, 175, № 4453, 425—426 (англ.)

Авторы выражают несогласие с мнением Бьеррума и Йергенсена (РЖХим, 1954, 37473; 1955, 15996) относительно образования аквоионов в водно-спиртовых р-рах солей Co и Ni и отстаивают свою прежнюю точку зрения об образовании анионных комплексов (Katzin L. I., Gebert E., J. Amer. Chem. Soc., 1950, 72, 5457; Katzin L. I., J. Chem. Phys., 1950, 18, 789). Спектры поглощения р-ров  $\text{Co}(\text{NO}_3)_2$  и  $\text{Co}(\text{ClO}_4)_2$  в воде, этаноле (содержание  $\text{H}_2\text{O}$  1,3%) существенно различны, в то время как спектр р-ра  $\text{Co}(\text{ClO}_4)_2$  в воде, этаноле мало отличается от спектра поглощения  $\text{Co}^{2+}$  аq. Для спектров поглощения этанольных р-ров  $\text{Ni}(\text{ClO}_4)_2$  с добавкой и без добавки  $\text{LiNO}_3$  наблюдаются соотношения, аналогичные приведенным выше.

К. Я.

**3494. Образование аквоионов. Йергенсен, Бьеррум** (Formation of aquo ions. Jørgensen Christian Klixbüll, Bjerrum Janik), Nature, 1955, 175, № 4453, 426—427 (англ.)

Авторы отстаивают свою первоначальную точку зрения относительно образования аквоионов в этанольных р-рах (см. реф. 3493). Спектры поглощения этанольных р-ров  $\text{Co}(\text{ClO}_4)_2$ ,  $\text{Co}(\text{C}_2\text{H}_5\text{COO})_2$  и  $n$ -толуолсульфоната кобальта одинаковы. Изменения спектров поглощения этих р-ров при добавлении небольших кол-в воды также одинаковы. В нитратных комплексах Co на один ион металла приходится один или два иона  $\text{NO}_3^-$ . При наличии значительных кол-в воды в этанольных р-рах (конц-ия  $\text{H}_2\text{O}$  в этаноле  $>4M$ ) нитратные комплексы Co не образуются. Устойчивость последних увеличивается с повышением т-ры.

К. Я.

**3495. О катионах — производных Mo ( $6^+$ ). Шово, Шаль, Суше** (Sur les cations dérivés de  $\text{MoVI}$ . Chauveau Françoise, m-lle, Schaal Robert, Souchay Pierre), C. r. Acad. sci., 1955, 240, № 2, 194—196 (франц.)

Спектрофотометрически исследованы р-ры молибденовой к-ты, где она ведет себя, как тетрамолибденовая к-та  $\text{Mo}_4\text{O}_{13}\text{H}_2$  ( $4\text{MoO}_3 \cdot \text{H}_2\text{O}$ ). При этом в сильнокислой области образуются катионы, что обнаруживается, напр., реактивом на молибденовую к-ту. Кривые зависимости оптич. плотности  $d$  от длины волны получены при добавлении различных кол-в  $\text{HClO}_4$ . В области небольшой длины волны при переходе от тетрамолибдата к к-те  $d$  медленно растет, достигая максимума при конц-ии  $\text{HClO}_4$ ,  $C = 0,05M$ ; при этом, как предполагают авторы, присутствует  $\text{Mo}_4\text{O}_{13}\text{H}_2$ , монизация которой уменьшена под влиянием  $\text{HClO}_4$ . В области более сильной кислотности  $d$ , наоборот, начинает уменьшаться вплоть до  $C = 5M$ , выше которой уменьшение  $d$  прекращается; в этих условиях идет образование катиона  $X \text{ Mo}_4\text{O}_{13}\text{H}_2 + x\text{H}^+ \rightleftharpoons y(X)$ . Оно практически заканчи-

вается при  $C = 5M$ . Показано, что  $x = 2$  и  $y = 2$ . Образованный катион, следовательно, димеризован и имеет основной характер, что согласуется со слабосновными свойствами  $\text{MoO}_3$ .

Ф. М.

**3496. Константы диссоциации в смешанных растворителях. Часть 1. Бензойная кислота в смесях диоксана с водой. Дансмор, Спикман** (Dissociation constants in mixed solvents. Part 1.— Benzoic acid in dioxan + water. Dunsmore Helen S., Speakman J. C.), Trans. Faraday Soc., 1954, 50, № 3, 236—249 (англ.)

Определены термодинамич. константы диссоциации бензойной к-ты при  $25^\circ$  в воде, 20, 30, 40 и 50%-ном диоксане (I) по электропроводности, по методу э. д. с. в цепях без переноса и по измерению рН со стеклянным электродом в цепи с переносом. Средние величины  $pK$ , полученные первыми двумя методами для соответствующих р-рителей, соответственно равны 4,202; 4,869; 5,282; 5,794 и 6,38. Величины  $pK$ , полученные третьим методом, совпадают с приведенными только для воды. Для р-ров I значения  $pK$  прогрессивно уменьшаются с ростом конц-ии I. Введение поправки на активность воды в р-рах I еще более увеличивает разницу между приведенными величинами  $pK$  и определенными по измерениям рН. При стандартизации величин рН по отношению к бесконечно разбавленному р-ру в данном р-рителе, а не к воде, получены значительные поправки, учет которых при подсчете  $pK$  привел к цифрам, совпадающим с приведенными. Авторы полагают, что влияние р-рителей на величину  $pK_s - pK_w$  не может быть сведено только к влиянию изменения диэлектрич. постоянной или основности р-рителя, а зависит от образования определенных соединений между недиссоциированной к-той и р-рителем (Измайлов Н. А., Ж. физ. химии, 1950, 24, 321), что сказывается на величине члена  $\lg P_{\text{HA}}$ , входящего в ур-ние для  $\Delta pK$ , выведенного Ларсоном (Bjerrum, Larsson, Z. Phys. Chem., 1927, 127, 358).

Ю. Ш.

**3497. Сольвосистема сульфурилхлорид. I. Растворы электролитов. II. Ионные реакции с образованием комплексов хлора. Гутман** (Das Solvosystem Sulphurylchlorid. I. Elektrolytlösungen. II. Ionenreaktionen unter Bildung von Chlorokomplexen. Gutmann V.), Monatsh. Chem., 1954, 85, № 2, 393—416 (нем.)

Сообщение I. Исследовано поведение р-ров электролитов и ионные р-ции в безводн. сульфурилхлориде (I). Электропроводность  $I$  ( $2 \cdot 10^{-8}$  ом $^{-1}$  см $^{-1}$ ) связана с его собственной диссоциацией; происходящие в I-р-ции кислотно-основного характера сводятся к переносу ионов хлора (хлоридотропия):  $\text{SO}_2\text{Cl}_2 + \text{SO}_2\text{Cl}_2 \rightleftharpoons \text{SO}_2\text{Cl}^+ + \text{SO}_2\text{Cl}^-$ . Безводн. I является плохим р-рителем для типичных гетерополярных соединений, но растворяет с заметной диссоциацией большое число преимущественно ковалентных соединений. Растворенные хлориды в зависимости от характера электролитич. диссоциации относятся к сольвокислотам (акценторы иона хлора) или к сольвооснованиям (доноры иона хлора). Приведены данные о группе сильных сольвокислот:  $\text{TiCl}_4$ ,  $\text{ZrCl}_4$ ,  $\text{VCl}_4$ ,  $\text{SnCl}_4$ , хорошо растворимых в I и способных, несмотря на очень низкую молярную электропроводность  $\lambda$ , к ионным р-циям (напоминающим р-ции в тионилхлориде). Кривая зависимости  $\lambda$  от  $V_c$  (с — конц-ия) показывает, что в области выше  $10^{-4}$  моль/л  $\lambda$  очень мала; в связи с малыми значениями  $\lambda$  р-ров и малой диэлектрич. постоянной I, при дальнейших разбавлениях степень диссоциации может быть лишь грубо оценена для разведенных порядков  $10^2$ — $10^6$  л/моль. Электролитич. диссоциации вышеуказанной группы сольвокислот может происходить в несколько



ступеней ( $\text{TiCl}_4 + 2\text{SO}_2\text{Cl}_2 \rightleftharpoons 2\text{SO}_2\text{Cl} + \text{TiCl}_6^{2-}$ ;  $\text{TiCl}_6^{2-} + \text{Cl}^- \rightleftharpoons \text{TiCl}_7^{3-}$ ;  $\text{TiCl}_7^{3-} + \text{Cl}^- \rightleftharpoons \text{TiCl}_8^{4-}$ ), причем координационное число для V, Ti, Sn по отношению к хлору доходит до 8; по убывающей силе кислотности в-ва располагаются в следующий ряд: нейтр. к-ты,  $\text{SbCl}_5$ ,  $\text{SbCl}_3$ ,  $\text{AsCl}_3$ ,  $\text{TiCl}_4$ ,  $\text{VCl}_4$ ,  $\text{SnCl}_4$  и анионокислоты  $\text{VCl}_6^{2-}$ ,  $\text{TiCl}_6^{2-}$ ,  $\text{SnCl}_6^{2-}$ ,  $\text{SbCl}_6^-$  или  $\text{AsCl}_4^-$ . Амфотерность соединений проявляется, напр., в том, что гептахлорионы титана, ванадия, олова могут реагировать в качестве сольвооснований:  $\text{VCl}_6^{2-} \rightleftharpoons \text{VCl}_5^{2-} + \text{Cl}^-$ . Сольвооснованиями в системе I являются плохо растворимые хлориды тетраалкилзамещенных аммония,  $\text{PCl}_5$ ,  $\text{TeCl}_4$ , пиридин.

Сообщение II. Методом электропроводности исследованы кислотно-основные р-ции в I, являющиеся в основном хлоридотропными. В результате взаимодействия сольвооснований (доноров иона хлора) — хлорида тетраметиламмония (II) и тетраэтиламмония,  $\text{PCl}_5$ ,  $\text{TeCl}_4$  и пиридина — с сольвокислотами (акцепторами иона хлора) —  $\text{SbCl}_5$ ,  $\text{TiCl}_4$ ,  $\text{VCl}_4$ ,  $\text{SnCl}_4$ ,  $\text{AsCl}_3$  и  $\text{SbCl}_3$  — образуются хлорокомплексы с большим координационным числом центрального иона по отношению к хлору. В р-ции  $\text{SbCl}_5$  с р-ром II образуется гептахлороанионат:  $2(\text{CH}_3)_4\text{NCl} + \text{SbCl}_5 \rightleftharpoons [(\text{CH}_3)_4\text{N}]_2\text{SbCl}_7^-$ ; при дальнейшем добавлении  $\text{SbCl}_5$  возникает тетраметиламмоний гексахлороанионата:  $\text{SbCl}_7^{2-} + \text{SbCl}_5 \rightleftharpoons 2\text{SbCl}_6^-$ , который в р-циях с более сильными сольвооснованиями II приобретает сольвокислоту р-цию  $\text{SbCl}_6^- + \text{Cl}^- \rightleftharpoons \text{SbCl}_7^{3-}$ . Сходство между  $\text{TiCl}_4$  и  $\text{VCl}_4$  проявляется в аналогии их поведения в сольвосистеме I. Р-цией  $\text{TiCl}_4 + 4\text{Cl}^- \rightleftharpoons \text{TiCl}_8^{4-}$  получается  $\text{TiCl}_8^{4-}$ , реагирующий как слабое основание:  $3\text{TiCl}_8^{4-} + \text{TiCl}_4 \rightleftharpoons 4\text{TiCl}_7^{3-}$ , который при дальнейшем добавлении  $\text{TiCl}_4$  реагирует по ур-нию:  $2\text{TiCl}_7^{3-} + \text{TiCl}_4 \rightleftharpoons 3\text{TiCl}_6^{2-}$ . В р-ции с хлористым теллуром образуется соединение типа:  $\text{VCl}_4 \cdot 2\text{TeCl}_4$ . При сольвонейтрализации р-ра II четыреххлористым оловом образуются соединения  $\text{R}_4\text{SnCl}_4$ ,  $\text{R}_4\text{SnCl}_7$ ,  $\text{R}_4\text{SnCl}_9$ ; аналогично ведут себя  $\text{TiCl}_4$  и  $\text{VCl}_4$ ; нейтр-ция с  $\text{AsCl}_3$  дает  $\text{R}_4\text{AsCl}_6$ ,  $\text{R}_4\text{AsCl}_5$  и  $\text{RAsCl}_4$ . В противоположность описанным выше хлоридам,  $\text{SiCl}_4$  не способен к ионным р-циям с образованием комплексов, не ведет себя как к-та, не образует хлоросиликатов. Ф. М.

3498. Исследования системы треххлористого мышьяка. III. Константы диссоциации некоторых электролитов в безводном  $\text{AsCl}_3$ . Г у т м а н (Untersuchungen in Arsentrichlorid III. Dissoziationskonstante einiger Elektrolyte in wasserfreiem Arsentrichlorid. G u t m a n n V.), Monatsh. Chem., 1954, 85, № 3, 491—498 (нем.)

Измерениями электропроводности при титровании исследовано поведение сильно разб. р-ров иодида тетраметиламмония (I),  $\text{SbCl}_5$  (II) и пиридина (III) в безводн.  $\text{AsCl}_3$ , апротонном р-рителе, отнесенном к хлоридотропной сольвосистеме. В связи с очень малой диэлектрич. постоянной  $\text{AsCl}_3$  ( $\epsilon = 12,8$ ) можно ожидать применимости ф-лы Онзагера лишь при конц-ях ниже  $3 \cdot 10^{-4}$  моль/л. Сольвосоли I ведет себя как сильный, практически полностью диссоциированный, электролит с наблюдением соотношений Дебая — Гюккеля — Онзагера. II является 1, 1-электролитом с сольвокислотными свойствами:  $\text{SbCl}_5 + \text{AsCl}_3 \rightleftharpoons \text{AsCl}_4^+ + \text{SbCl}_6^-$  (при этом полной диссоциации, как показывает сравнение рассчитанных и эксперим. коэфф. Онзагера, нет). II является сольвокислотой средней силы с константой диссоциации  $K_0 = 0,936 \cdot 10^{-3}$  при 18°; таким образом,

II в  $\text{AsCl}_3$  является более сильной сольвокислотой, чем фтористая к-та в воде. III ведет себя как сольвооснование с  $K_0 = 4,99 \cdot 10^{-5}$  в 3 раза более сильное, чем аммиак в воде. Взаимодействие III в  $\text{AsCl}_3$  с сольвокислотами может быть представлено ур-нием:  $2[\text{C}_5\text{H}_5\text{NAsCl}_2]\text{Cl} + \text{SnCl}_4 \rightleftharpoons [\text{C}_5\text{H}_5\text{NAsCl}_2]_2\text{SnCl}_6$ . Часть II см. РЖХим, 1954, 44538. Ф. М.

3499. Данные по активности водных растворов гликолямида при 25°. С т о к е (Activity data for aqueous glycolamide solutions at 25°. Stokes R. H.), Trans. Faraday Soc., 1954, 50, № 6, 565—567 (англ.) Изопиестическим методом определены осмотич. коэфф. и коэфф. активности 0,2—5 М водн. р-ров гликолямида при 25° с точностью до  $\pm 0,001$ . В качестве эталонов использовались водн. р-ры KCl. Полученные коэфф. сопоставляются с литературными данными для глицина (Smith, Smith, J. Biol. Chem., 1937, 117, 209). Из сравнения видно, что разность логарифмов коэфф. активности  $\Delta \lg f = \lg f(\text{глицина}) - \lg f(\text{гликолямида})$  нелинейно зависит от объемной конц-ии глицина, но в области конц-ий меньше 0,5 М она приближается к прямой с наклоном  $-0,066$ . Это удовлетворительно согласуется с теоретически вычисленным значением наклона ( $-0,053$ ) (Cohn и др., J. Phys. Chem., 1939, 43, 169). При больших конц-ях согласие теории и эксперимента отсутствует. Е. И.

3500. Коэффициенты активности водных растворов бромистоводородной кислоты до 4-мольальной концентрации. Бирман, Ямасаки (Activity coefficients of aqueous hydrobromic acid solutions to four molal. Biermann Wendell J., Yamasaki Roy S.), J. Amer. Chem. Soc., 1955, 77, № 1, 241 (англ.)

Определены коэфф. активности бромистоводородной к-ты при 20, 25 и 30° и конц-ях от 0,5 до 3 М посредством измерения э. д. с. цепи  $\text{Pt}(\text{H}_2) | \text{HBr} | \text{AgBr} | \text{Ag}$ . Точность измерений  $\pm 0,05$  ме. При высоких конц-ях к-ты равновесие устанавливается очень медленно и выше 3 М не достигается в течение 3 дней. Это объясняется увеличением растворимости AgBr в более концентрированных р-рах HBr. При вычислении коэфф. активности использованы стандартные потенциалы (Harned H. S., Donelson J. G., J. Amer. Chem. Soc., 1937, 59, 1280). Для указанных конц-ий и т-р вычислены также парц. молярные свободные энергии. В. М.

3501. Поглощение ультразвука в растворах ацетатов. Барретт, Бейер, Мак-Намара (Ultrasonic absorption in acetate solutions. Barrett R. E., Beyer R. T., McNamara F. L.), J. Acoust. Soc. America, 1954, 26, № 6, 966—969 (англ.)

На основании измерения звукового давления определены коэфф. поглощения ультразвука в интервале частот 6,8—45,0 Мгц в водн. р-рах  $\text{Cu}(\text{C}_2\text{H}_3\text{O}_2)_2$  (I);  $\text{Na}_2\text{C}_2\text{H}_3\text{O}_2$  (II);  $\text{KC}_2\text{H}_3\text{O}_2$  (III) с конц-ией от 0,005 до 0,50 М при т-рах 5—50°. Ошибка измерений  $\pm 10\%$ . В р-рах I обнаружено существование релаксационных явлений с частотой релаксации  $\sim 18$  Мгц. Энергия активации, характеризующая релаксационный процесс,  $\sim 15$  ккал/моль. Максим. избыточное поглощение, рассчитанное на длину волн, уменьшается с увеличением т-ры. В р-рах II и III при высоких частотах поглощение звука меньше, чем в чистой воде. Указывается на ошибку, которую вносит предположение о том, что поглощение в р-рах электролитов складывается из поглощения в чистом р-рителе и поглощения, обусловленного каким-то процессом, происходящим с растворенным веществом. Б. К.

3502. Поглощение ультразвука и ассоциация в растворах фенола в  $\text{CCl}_4$  и  $\text{C}_6\text{H}_{12}$ . Майер, Мец (Ultraschallabsorption und Assoziation in Lösungen von Phenol in  $\text{CCl}_4$  und  $\text{C}_6\text{H}_{12}$ . Maier Wilhelm,

Mez Arthur), Z. Naturforsch., 1955, 10a, № 2, 167—168 (нем.)

Оптическим методом измерена температурная зависимость коэфф. поглощения ультразвука  $\alpha$  (частота  $\nu = 20$  Мгц) в р-рах фенола в  $\text{CCl}_4$  (I);  $\text{C}_6\text{H}_{12}$  (II);  $\text{C}_6\text{H}_5\text{Cl}$  (III) и толуола в  $\text{CCl}_4$  (IV),  $\text{C}_6\text{H}_5\text{Cl}$  (V). Ошибка измерения величины  $\alpha/\nu^2 \pm 5 \cdot 10^{-17} \text{ см}^{-1} \text{ сек}^2$ . В р-рах I и II наблюдается максимум  $\alpha$  соответственно при 2,5 и 1,5 мол. % фенола, уменьшающийся с повышением температуры и исчезающий при температуре  $\sim 40^\circ$ . В р-ре III наблюдается лишь тенденция к максимуму, а в р-рах IV и V максимум  $\alpha$  отсутствует. В основном (более 90%) поглощение ( $\alpha/\nu^2$ ) обусловлено релаксационными явлениями, вызванными двумя причинами: задержкой в возбуждении колебательных состояний молекул (преимущественно р-рителя) и нарушением равновесия между ассоциированными и неассоциированными молекулами фенола. Поглощение, вызванное первой причиной, уменьшается с ростом концентрации фенола, второй — возрастает, обуславливая возникновение максимума  $\alpha/\nu^2$ . Указан метод разделения двух составляющих поглощения на основании эксперим. изучения температурной зависимости поглощения. Предложенный метод проверен расчетом второй составляющей поглощения на основании данных об ассоциации молекул фенола, полученных оптич. методом (ИК-спектры).

Б. К.

3503. Поглощение ультразвука в растворах сахарозы. Верма (Ultrasonic absorption in sugar solutions. Verma G. S.), J. Chem. Phys., 1955, 23, № 5, 876—877 (англ.)

На основании «дырочной» теории жидкости вычислены коэфф. поглощения и частоты, при которых наблюдается максимум поглощения в водн. р-рах сахарозы, глюкозы и лактозы. При вычислении принято, что поглощение звука обусловлено нарушением при прохождении ультразвуковой волны квазикристаллич. структуры жидкости и изменением равновесного при данной температуре числа «дырок». Вычисленные частоты релаксации р-ров сахарозы заключены в интервале 95—724 Мгц, т. е. лежат за пределами, доступными в настоящее время экспериментальному исследованию.

Б. К.

См. также: Растворимость 3326, 3396, 3404, 3406, 3407, 3506, 3672. Диффузия 3245, 3447. Структура р-ров 3159, 3160, 3163, 3192, 3202, 3330, 3331, 3410, 3506, 3507, 3530. Др. вопр. 3190, 3368—3372, 3409, 3335, 3340

## ЭЛЕКТРОХИМИЯ

3504. Конвенции о применении некоторых электрохимических терминов. Хор, Уормвелл (Conventions for the use of certain electrochemical terms. Hoar T. P., Wormwell F.), Chemistry and Industry, 1955, № 23, 642—643 (англ.)

Н. П.

3505. Ионная электропроводность разбавленных растворов KCl в сантиметровом диапазоне. Литтл, Смит (The ionic conductivity of dilute potassium chloride solutions at centimetric wavelengths. Little V. I., Smith V.), Proc. Phys. Soc., 1955, B68, № 2, 65—74 (англ.)

Описан дифференциальный метод измерения электропроводности ( $\Delta$ ) р-ров при высокой частоте. Измерена  $\Delta$  р-ров KCl и NaCl (0,005—1 н.) при частоте  $3 \cdot 10^9$  пер/сек. Две сравниваемые жидкости (исследуемый р-р и дистил. вода) при одинаковой температуре поступали к двухканальному крану, который попеременно пропускал обе жидкости через фиксированные промежутки времени по кварцевой трубке, вставленной в объемный резонатор. Протекание жидкости по кварцевой трубке

изменяло свойства резонатора. Увеличение  $\Delta$  при высокой частоте по сравнению с  $\Delta$  при низкой частоте для разбавленных р-ров KCl и NaCl достигало 30%. При более высоких концентрациях ( $>0,5$  н. для KCl и  $>0,1$  н. для NaCl)  $\Delta$  при высокой и низкой частотах совпадают. В соответствии с литературными данными (Pople J. A., Proc. Roy. Soc., 1951, 205, 163) предполагается, что каждый ион окружен тремя слоями молекул воды, содержащими соответственно 4; 12 и 22—36 молекул. Наличие дисперсии  $\Delta$  при высокой частоте истолковано за счет возмущающего действия электр. поля на третий слой молекул воды, расположенный вокруг иона на расстоянии 6 А.

А. В.

3506. Физико-химическое исследование диоксано-водных растворов. VI. Диоксановые растворы хлористого водорода. Меженный Я. Ф., Ж. общ. химии, 1954, 24, № 11, 1945—1949

Исследована растворимость HCl в диоксане (I) и электропроводность р-ров HCl в I. Установлено, что HCl хорошо растворим в I (при  $20^\circ$  45 мол. %, при  $12^\circ$  52 мол. %). Эквивалентная электропроводность  $\Lambda$  р-ров HCl в I (до 5,610 н.) меньше  $10^{-7} \text{ ом}^{-1} \text{ см}^2$ , для 7,670 н. HCl  $\Lambda = 0,336 \cdot 10^{-3} \text{ ом}^{-1} \text{ см}^2$ , причем  $\Lambda$  падает с разбавлением р-ра. Методом криоскопии показано, что наблюдаемый мол. вес HCl в I превышает теоретич. По мнению автора, это связано с ассоциацией HCl в I. Установлено, что прибавление HCl (в интервале от 3,78 до 11,5 мол. %) к I снижает температуру кристаллизации р-ра. Предыдущее сообщение см. Ж. общ. химии, 1949, 19, 404.

В. Ш.

3507. Физико-химическое исследование диоксано-водных растворов. VII. Электропроводность диоксано-водных растворов хлористого водорода. Меженный Я. Ф., Ж. общ. химии, 1954, 24, № 12, 2127—2132

Путем определения эквивалентной электропроводности  $\Lambda$  диоксано-водн. р-ров HCl с различными значениями диэлектрич. постоянной (ДП) исследована зависимость  $\Lambda$  от ДП диоксано-водн. среды. Показано, что при уменьшении ДП среды от 80 до 2,1  $\Lambda$  р-ров уменьшается, причем значение  $\Lambda^0$ , определенное путем экстраполяции кривых ( $\Lambda$ ,  $V$ ), стремится к нулю при ДП  $\rightarrow 1$ . Этот эффект объясняется автором сдвигом равновесия  $\text{H}^+ + \text{Cl}^- \rightleftharpoons \text{HCl}$  вправо при уменьшении ДП даже в очень разб. р-рах. Значения  $\Lambda$ , вычисленные по уравнению  $\lg(\Lambda_c/\Lambda_p) = k(1/D)$ , предложенному на основе предположений о молизации ионов, удовлетворительно совпадают с эксперим. данными, что, по мнению автора, подтверждает правильность предположения о молизации ионов сильного электролита в средах с низкими значениями ДП.

Н. П.

3508. Полиэлектролиты. XI. Электрофорез в растворах поли-4-винил-N-н-бутилпиридиниобромида. Финдджералд, Фуосс (Polyelectrolytes. XI. Electrophoresis in solutions of poly-4-vinyl-N-n-butylpyridinium bromide. Fitzgerald Emeric B., Fuoss Raymond M.), J. Polymer Sci., 1954, 14, № 76, 329—339 (англ.; резюме франц., нем.)

В аппарате Тизеллуса методом движущейся границы определена подвижность и поляризация поли-4-винил-N-бутилпиридиниобромида (I) в присутствии KBr с применением р-ра KBr в качестве второго р-ра;  $u_1$  тем больше, чем больше отношение I : KBr. Путем экстраполяции к нулевой концентрации I найдено, что  $u_1 = 4 \cdot 10^{-5} \text{ см}^2/\text{в.сек.}$  В опытах с р-рами 0,03 М I (на мономер) и 0,013 н. KBr, имеющими одинаковую уд. электропроводность, найдено, что для катодной границы  $u_K = 15 \cdot 10^{-4} \text{ см}^2/\text{в.сек.}$ , а для анодной границы, остающейся все время очень резкой,  $u_A = 5,5 \cdot 10^{-5} \text{ см}^2/\text{в.сек.}$ , от-

куда следует, что между электролитом и полимером существует сильное взаимодействие. Величина  $u_1$  не зависит от мол. веса полимера. В опытах с 0,005 н. LiBr (верхний p-p) и p-ром I в интервале конц-ий  $c_1$  от 0,0088 до 0,135 M при  $c_1 > 0,05$  M катодная граница опускается и поднимается только при более близких значениях  $c_1$ , а анодная граница разделяется на две, сливающиеся в одну только в наиболее разбавленных p-рах. Наблюдающееся увеличение  $u_A$  при уменьшении  $c_1$  и постоянной конц-ии LiBr объясняется уменьшением кол-ва противоионов у поликатионов, увеличение же при этом  $u_K$  — ослаблением взаимодействия I с LiBr, в результате чего  $u_K$  приближается к  $u_{Li^+}$ . Сообщение X, Strauss U. P., Fuoss R. M., J. Polymer Sci., 1952, 8, 593. А. Г.

**3509.** Электропроводность расплавленных солей изоконцентрационного разреза (10 весовых %  $MgCl_2$ ) системы  $MgCl_2 - CaCl_2 - KCl - NaCl$ . Стрелец Х. Л., Десятников О. Г., Ж. прикл. химии, 1955, 28, № 3, 268—274.

Измерена электропроводность (Э) расплавленных солей системы  $CaCl_2 - KCl - NaCl - MgCl_2$  при содержании  $MgCl_2$  10 вес. % при различных конц-иях остальных компонентов и при различных t-рах. Измерения Э производились по схеме моста с применением переменного тока звуковой частоты. Точность измерений составляла 0,5—0,8%. Найдено, что при 750° при изменении содержания  $CaCl_2$  от 0 до 90% Э сначала падает, а затем возрастает. Наиболее резкий минимум Э наблюдается в отсутствие NaCl; он находится в области конц-ий 48—52%  $CaCl_2$  и отвечает образованию соединения  $KCl - CaCl_2$ . С увеличением конц-ии NaCl минимум Э сдвигается в сторону более богатого  $CaCl_2$  расплава. В. Ф.

**3510.** К локальному определению химических потенциалов в электрохимических системах. Дефэ, Мазур (Sur la définition locale des potentiels chimiques dans les systèmes électrochimiques. Defay R., Mazur P.), Bull. Soc. chim. belges, 1954, 63, № 11—12, 562—579 (франц.; резюме англ.) См. РЖХим, 1955, 16010

**3511.** Простой способ изготовления некоторых электродов второго рода и поведение этих электродов в нетипичной среде. Томасси, Подзевич (O łatwym sposobie wytwarzania niektórych elektrod drugiego rodzaju i o zachowaniu się tych elektrod w środowisku nietypowym. Tomassi W., Jodziewicz W.), Przem. chem., 1955, 11, № 3, 129—132 (польск.; резюме русск., англ.)

Установлено, что электрод (Э)  $Ag/AgCl$  не обладает постоянством потенциала в p-ре, содержащем ионы  $Fe^{2+}$  и  $Fe^{3+}$ , из-за протекания p-ции  $Fe^{2+} + Ag + Cl^- \rightarrow Fe^{3+} + AgCl$ . Последняя является особенно вредной в случае, если Э состоит из тонкого слоя электролитического  $Ag$  на  $Pt$ . Более хорошие результаты получаются с Э, представляющим собой  $Ag$ -проволоку, покрытую слоем  $AgCl$ . Недостатки Э  $Ag/AgCl$  могут быть устранены двумя способами: либо погружением Э в p-р, содержащий металл.  $Ag$  (на ~2 часа), либо в результате обменного взаимодействия ( $AgCl + Br^- = AgBr + Cl^-$ ) в p-рах, содержащих  $KBr$ . В. С.

**3512.** Исследование влияния растворителя на электродвижущую силу гальванического элемента, в котором протекает реакция  $2Ag(тв.) + Hg_2Cl_2(тв.) = 2Hg(жидк.) + 2AgCl(тв.)$ . Томасси, Седлецкая (Badanie wpływu rozpuszczalnika na siłę elektromotoryczną ogniwa galwanicznego, w którym zachodzi reakcja  $2Ag(s) + Hg_2Cl_2(s) = 2Hg(c) + 2AgCl(s)$ ). Tomassi Witold, Siedlecka Zofia),

Roczn. chem., 1955, 29, № 2-3, 578—585 (польск.; резюме русск., англ.)

Измерена э. д. с. гальванич. элемента  $Ag, AgCl | p-p KCl$  в смеси ( $C_2H_5OH$  и  $H_2O$ )  $| Hg_2Cl_2, Hg$  при 25° для p-ров с различным содержанием  $C_2H_5OH$ . Значения э. д. с. начинают хорошо воспроизводиться лишь через 10 суток после изготовления элемента и не зависят от состава p-рителя, что находится в соответствии с термодинамич. выводами. Значения э. д. с. колеблются в пределах (мв) 44,7—46,9; 45,0—46,2; 44,70—45,73; 44,93—45,45 для смесей, содержащих соответственно 100; 87,5; 75 и 50%  $C_2H_5OH$ . В. С.

**3513.** Электрометрические измерения напряжения при определении pH. Гомишчек, Стройник (Elektrometričko merenje napona u pH-metriji. Gomišček Sergej, Strojnik Aleš), Elektrotehn. vesp., 1954, 8, № 5-6, 173—178 (хорв.) Обосновываются необходимые пределы точности измерения напряжения при определении pH потенциометрическим методом с заданной точностью ( $\pm 0,01$  pH). Описаны методы измерений и градуировки электроизмерительных приборов по стандартным p-рам с точно известными значениями pH. В. С.

**3514.** К установке для потенциометрического определения pH. Котелков Н. З., Котелков В. Н., Завод. лаборатория, 1955, 21, № 4, 501

Описана видоизмененная компенсационная схема для потенциометрич. измерения pH, исключающая необходимость применения двух элементов Вестона (ЭВ) при измерении малых э. д. с. Это достигается использованием двойного переключателя, при одном положении которого ЭВ используется обычным образом, а при другом включается последовательно с измеряемой э. д. с., в результате чего точка компенсации сдвигается к середине реохорда. С. Ж.

**3515.** Емкость двойного слоя на ртутном аноде. Эль-Ваккад, Салем (The capacity of the double layer at a mercury anode. Wakkad S. E. S. El, Salem T. M.), J. Chem. Soc., 1955, May, 1489—1492 (англ.)

Емкость  $C$  двойного слоя на  $Hg$ -аноде (поверхность  $22,9 \text{ см}^2$ ) в 0,1 н.  $NaOH$ , определенная по наклону снятых путем потенциометрич. измерений кривых заряжения при плотностях тока  $8,7 \cdot 10^{-8}$  и  $1,74 \cdot 10^{-7} \text{ а см}^{-2}$ , равна соответственно 105 и  $127 \text{ мф см}^{-2}$ . При помощи осциллографич. кривых заряжения, снятых в том же p-ре при плотностях тока 15 и  $45 \text{ масм}^2$ , получено значение  $C = 98 \text{ мф см}^{-2}$ . Эти результаты согласуются с принятым ранее (Wakkad El. Emara, J. Chem. Soc., 1952, 461; РЖХим, 1955, 36963, 36964, 36965) значением  $C = 100 \text{ мф см}^{-2}$ . Вычисление по Ф-ле плоского конденсатора (радиус гидратированного иона  $OH^-$  принимался равным  $3 \cdot 10^{-8} \text{ см}$ , диэлектрич. постоянная 34—38) дает значение  $C = 100,2 - 111,9 \text{ мф см}^{-2}$ , хорошо согласующееся с найденными опытными значениями. А. Г.

**3516.** Об электродвижущей силе фильтрации. Коллет (Sur la force électromotrice de filtration. Collet Luc-Henry), C. r. Acad. sci., 1955, 240, № 19, 1889—1891 (франц.)

Утверждается, что явление возникновения потенциала течения (при фильтрации p-ра электролита сквозь мембрану) может трактоваться как простое следствие общих законов переноса заряженных сферических частиц различной формы, увлекаемых потоком содержащей их вязкой среды, т. е. без привлечения теории двойного электрич. слоя и, следовательно,  $\zeta$ -потенциала. Написаны соответствующие общие ур-ния, однако указано, что их решение в таком виде не может быть проведено из-за математич. трудностей. И. З.

**3517.** Зависимость текстуры электроосажденных металлов от условий электролиза. Кочергин С. М., Тр. Казанск. хим.-технол. ин-та, 1954, № 18, 48—58



Обзор. Рассмотрено влияние строения поверхности катода, состава электролита, плотности тока, т-ры, pH, поляризации электрода, рассеивающей способности ванны, толщины осадка и др. факторов на ориентацию кристаллов в электролитич. осадках. Библ. 26 назв.

Ю. П.  
3518. О механизме влияния переменного тока на строение осадков меди. Горбунова К. М., Сутягина А. А., Ж. физ. химии, 1955, 29, № 3, 542—546

Изучены структура и свойства осадков Cu, полученных при электроосаждении Cu из р-ров 0,3—1,0 н.  $\text{CuSO}_4 + 1$  н.  $\text{H}_2\text{SO}_4$  с наложением переменного тока различной частоты (20—8000 гц) на постоянный ток. Плотность постоянного тока менялась в пределах 1—5 а/дм<sup>2</sup>; величина амплитудных значений переменного тока — в пределах 1—12, 5 а/дм<sup>2</sup>. Контроль результирующей кривой тока проводился при помощи шлейфового осциллографа. На основании металломикроскопич. исследования шлифов поверхности и поперечного среза осадков установлено, что при наложении переменного тока (20—50 гц) с амплитудой, равной величине постоянного тока, происходит сглаживание поверхности, хотя величина кристаллов остается прежней. При наложении переменного тока с большей амплитудой наблюдается образование рыхлых мелкокристаллич. осадков. Влияние переменного тока уменьшается с увеличением частоты и исчезает при частоте ~5000 гц. Показано, что при наложении переменного тока потенциал Cu-электрода сдвигается в положительную сторону. Рентгенографич. исследование показало, что рыхлые осадки, полученные при наложении переменного тока, состоят из чистой Cu и не включают  $\text{Cu}_2\text{O}$ . Образование такого рода осадков связано, по мнению авторов, с р-цией  $2\text{Cu}^+ \rightarrow \text{Cu} + \text{Cu}^{2+}$ , протекающей которой способствует увеличение конц-ии ионов  $\text{Cu}^+$  в слое, прилегающем к электроду, в период его работы в качестве анода.

Ю. П.  
3519. Анодное поведение меди в HCl. Стивенсон, Бартлетт (Anodic behavior of copper in HCl. Stephenson Lee, Bartlett J. H.), J. Electrochem., 1954, 101, № 11, 571—581 (англ.)

В развитие предыдущих работ авторов (J. Electrochem. Soc., 1952, 99, 504) исследовались явления, сопровождающие анодную поляризацию Cu. На ячейку, состоящую из вертикально расположенного Cu-анода и Pt-катода в 2,0 н. HCl, накладывалась постоянная разность потенциалов и исследовались зависимость силы тока ( $i$ ) и потенциала анода ( $\varphi_A$ ) от времени, а также (при помощи оптич. методов) физич. изменения на поверхности анода и в прилегающем к нему слое электролита. Показано, что  $i$  и  $\varphi_A$  меняются со временем неравномерно. От исходного значения  $i_0$ , устанавливающегося через  $\sim 10^{-4}$  сек. после начала поляризации, ток довольно быстро уменьшается до некоторого значения  $i_1$ , которое затем в течение заметного промежутка времени остается практически неизменным (первая задержка). Заряд ( $Q$ ), который пропускался через систему прежде чем ток достигал новой постоянной величины  $i_1$  (вторая задержка), связан с  $i_0$  (в ма) эмпирич. ур-нием  $Q = 24(i_0 - 0,70)^{-0,53}$ . Продолжительность второй задержки возрастает при увеличении шероховатости поверхности. При дальнейшем смещении к стационарному значению  $i$  проходит через минимум, величина которого ( $i_{\text{мин}}$ ) зависит от  $i_0$  и способа предварительной обработки поверхности электрода. При  $i = 0$ ,  $\varphi_A = -0,44$  в (0,1 в. к. э.). Замыкание цепи сопровождается скачкообразным изменением

$\varphi_A$  до  $-0,35$  в. Уменьшение тока от  $i_0$  до  $i_1$  и от  $i_1$  до  $i_1$  обуславливается возрастанием  $\varphi_A$  соответственно от  $-0,35$  до  $-0,27$  в и от 0,27 до  $-0,05$  в. Переход от  $i_1$  к  $i_{\text{мин}}$  вызывается ростом омич. сопротивления ( $r$ ) между поверхностью анода и р-ром, которое оставалось практически неизменным до наступления второй задержки. Сразу после начала электролиза на беспорядочно расположенных точках анодной поверхности делается заметным образование слоя продуктов анодного растворения, повидимому,  $\text{CuCl}$ . Момент полного покрытия поверхности этим слоем (толщина  $10^{-4}$  см) совпадает с возрастанием  $\varphi_A$  от  $-0,27$  до  $-0,05$  в, что автор связывает с изменением природы анодной р-ции. Величина  $\varphi_A = -0,27$  в отвечает р-ции  $\text{Cu} + \text{Cl}^- \rightarrow \text{CuCl} + e$ , протекающей в тот пор, пока сохраняется непосредственный контакт между поверхностью анода и р-ром. При  $\varphi_A = -0,05$  в первичной р-цией является, повидимому, образование ионов  $\text{Cu}^+$ , которые затем реагируют с диффундирующими из р-ра ионами  $\text{Cl}^-$  с образованием  $\text{CuCl}$ . В начальной стадии электролиза наблюдается образование значительного градиента конц-ий электролита у поверхности анода, снижающегося, однако, по мере уменьшения величины  $i$ . После выключения тока в системе, достигшей устойчивого состояния ( $i = i_\infty$ ),  $\varphi_A$  падает мгновенно до  $+0,11$  в (омич. падение), а затем довольно быстро достигает значения, равного  $-0,05$  в (спад перенапряжения), которое в течение продолжительного времени остается неизменным. Одновременно, повидимому, в результате воздействия  $\text{Cl}^-$  на внешнюю часть анодного слоя, наблюдается уменьшение сопротивления  $r$ . После того как спад закончился примерно на 96%, целостность слоя нарушается и  $\varphi$  уменьшается до  $-0,27$  в. По мере уменьшения градиента конц-ий электролита у поверхности  $\varphi_A$  медленно сдвигается до  $-0,35$  в, а затем и до  $-0,44$  в.

Я. К.  
3520. Об анодном поведении тройных сплавов меди, палладия и серы. Ключко М. А., Миронова М. Е., Изв. Сектора физ.-хим. анализа ИОНХ АН СССР, 1955, 26, 75—81

Изучено анодное поведение в 2н. HCl (I) при комнатной т-ре при плотностях тока 200 и 300 а/м<sup>2</sup> 9 тройных сплавов Cu, содержащих Pd и S (от 1 до 20% S) и в 2н.  $\text{H}_2\text{SO}_4$  (II) одного тройного сплава (19,38% S) с целью выяснения влияния S на анодный процесс. Измерены потенциалы сплавов в I, а также сняты анодные поляризационные кривые сплавов в I. Показано, что при анодном растворении в I сплавов с малым содержанием S (1,1—1,4 вес.%) у анода получается от 70 до 80% окисленного шлама с преобладанием Cu. Pd и S этих сплавов полностью переходят из анода в шлам. Сплавы с большим содержанием S (более 11,57%) дают от 16 до 41% шлама от убыли веса анода, при этом значительная часть Pd и S переходит в р-р. Анодный выход по току у сплавов, содержащих до 1,4% S, составляет 65—70%, у сплавов с содержанием S выше 11,57%—100%. При анодном растворении в II сплава с 19,38% S в р-р переходит только Cu. Выход шлама составляет в этом случае 16%, и он обогащен Pd и S по сравнению с исходным анодом. На поляризационных кривых отражаются происходящие у анода явления. Потенциалы растворения тройных сплавов в I близки по величине к потенциалу растворения Cu и мало меняются во времени при анодном растворении. Показано, что при высоких плотностях тока анодная поляризационная кривая для сплава, содержащего 19,61% S, близка к поляризационной кривой для чистой Cu, и этот сплав растворяется при более низком потенциале, чем сплавы Cu-Pd, Pd-S и чистый Pd (РЖХим, 1955, 5985).

З. М.

**3521. Электрохимическое строение поверхности электрополированного алюминия.** Шиголов П. В., Акимов Г. В., Докл. АН СССР, 1955, 100, № 3, 499—502

Проведены сравнительные опыты по выявлению электрохимически активных участков и разделению их на анодные и катодные на поверхности механически полированного и электрополированного Al (99,995%). Общее число электрохимически активных участков (катодных и анодных совместно) определялось методом катодной поляризации образцов Al в р-ре 1 н.  $\text{CuSO}_4$  ( $i = 5 \text{ ма/см}^2$ ,  $t = 20^\circ$ , время — 5 мин.) с последующим подсчетом числа выделений Cu при помощи микроскопа; анодные участки выявлялись путем анодной поляризации в р-ре, содержащем индикатор ионов Al (ализарин красный S). Установлено, что число электрохимически активных участков на поверхности Al, подвергнутого электрополировке в щел. электролите ( $\text{Na}_2\text{CO}_3 + \text{Na}_2\text{PO}_4$ ), примерно в 30 раз меньше, чем на поверхности механически полированного Al, за счет образования компактной окисной пленки.

**3522. О новом объяснении влияния ингибиторов на электродные процессы.** Швабе (Über eine neue Deutung des Einflusses von Inhibitoren auf Elektrodenvorgänge. Schwaabe K.), Naturwissenschaften, 1955, 42, № 4, 93 (нем.)

Измерялась величина поляризации (П) при пропускании тока через Zn-электрод в зависимости от плотности тока  $i$  ( $0-30 \text{ ма/см}^2$ ) и состава электролита [ $0,5 \text{ M ZnCl}_2$ ,  $\text{ZnSO}_4$ ,  $\text{Zn}(\text{ClO}_4)_2$  с различным содержанием соответствующей к-ты; pH 2—4] в водн. и водно-этаноловых р-рах в присутствии дибензилсульфоксида (I) при сильном перемешивании электролита при  $25^\circ$ . Величина П при одинаковой  $i$  как при анодном растворении, так и при катодном осаждении Zn растет с уменьшением pH и с увеличением содержания этанола; в водн. р-рах уже следы I вызывают рост П. Величина П (ингибирующее действие) всегда уменьшается в ряду  $\text{ClO}_4^- > \text{SO}_3^{2-} > \text{Cl}^-$ . В чистых водн. р-рах солей Zn при pH 4 величина П не зависит от природы аниона. Повидимому, эта доля П зависит не от состава р-ра, а от металлич. фазы, поскольку на амальгмированном Zn-электрод в тех же р-рах при  $i \leq 4 \text{ ма/см}^2$  П вообще отсутствует; в этом случае добавки к-ты, спирта или I вызывают П, также убывающую в ряду  $\text{ClO}_4^- > \text{SO}_3^{2-} > \text{Cl}^-$ . Автор приходит к выводу, что анионам нельзя приписать ингибирующего действия; последнее вызывается другими составными частями р-ра, но сильно зависит от аниона; повидимому, ингибиторы тормозят такие стадии электродного процесса, в которых участвуют анионы.

**3523. Изменение равновесного потенциала электрода в зависимости от состояния его поверхности.** Бонне (Evolution du potentiel d'équilibre d'une électrode en fonction de son état superficiel. Bonnet M.), J. rech. Centre nat. rech. Scient., 1954, 5, № 27, 392—395 (франц.)

Влияние, которое различные посторонние в-ва, по мнению автора, могут оказывать на равновесные и стационарные значения электродных потенциалов ( $\phi$ ), рассмотрено с точки зрения неоднородности электродной поверхности. Исходя из предположения о зависимости энергии активации разряда ( $W$ ) и ионизации ( $W'$ ) от координат данной точки на поверхности электрода, автор в первом приближении заменяет рассмотрение непрерывной функции  $W-W'$  рассмотрением кол-ва ( $\mu$ ) микроучастков, на которых  $W > W'$  («центры ионизации») и кол-ва ( $\theta$ ) микроучастков, на которых  $W < W'$  («центры разряда»), различие между которыми сводится, в сущности, к различию в электронной плотности (в целях упрощения не рассматриваются такие возможные участки, на которых  $W = W'$ ). Допускается, что

участки обоих типов равномерно распределены по поверхности электрода. При равновесии

$$k\theta \exp [-(W-\alpha F\phi)/RT] = k'\mu \exp [-(W'+\beta F\phi)/RT]. \quad (1)$$

Теория развивается применительно к случаю отравлений электродов небольшими кол-вами ( $p$ ) добавок (ядов). Если введение добавки  $p$  изменяет  $\mu$  и  $\theta$  соответственно на  $\Delta\mu$  и  $\Delta\theta$ , то, как следует из (1), изменение  $\phi$  ( $\Delta\phi$ ) приближенно оценивается как  $\Delta\phi \approx [(\Delta\mu/\mu) - (\Delta\theta/\theta)] \times (RT/nF)$  (2). Так как  $\mu > 0$  и  $\theta > 0$ , если  $\Delta\phi > 0$ , то возможны комбинации:  $\Delta\mu > 0$ ,  $\Delta\theta > 0$ ;  $\Delta\mu > 0$ ,  $\Delta\theta < 0$ ; и, как предельные случаи,  $\Delta\mu > 0$ ;  $\Delta\theta = 0$ ; рассмотрены также возможные комбинации при  $\Delta\phi < 0$ . Если  $\Delta\mu$  и  $\Delta\theta$  пропорциональны  $p$ , т. е.  $\Delta\mu = ap$  и  $\Delta\theta = a'p$ , то в первом приближении  $\Delta\phi = [(ap/\mu) - (a'p/\theta)] (RT/nF)$ , а в самом общем случае  $(d\Delta\phi/dp) = [(a/\mu) - (a'/\theta)] (RT/nF) + p[(a^2/\theta^2) - (a'^2/\mu^2)] \times (RT/nF)$ , что позволяет из эксперим. данных по зависимости  $\Delta\phi$  от  $p$  находить величины отношений  $a/\mu$  и  $a'/\theta$ , а следовательно, и знаки  $\Delta\mu$  и  $\Delta\theta$ . Эти выводы справедливы при условии, что вводимая добавка не влияет или очень мало влияет на константы  $\alpha$  и  $\beta$  и на энергии активации  $W$  и  $W'$ . Автор полагает, что исследование с развитой точки зрения различных случаев влияния добавок на  $\phi$  позволит сделать новые выводы о неоднородности структуры различных электродных поверхностей.

**3524. Влияние брома на поведение водородного электрода на платинированной платине.** Бонне (Action du brome sur le comportement de l'électrode de platine platine comme électrode à hydrogène. Bonnet M. Maurice), J. rech. Centre nat. rech. Scient., 1955, № 30, 194—198 (франц.)

Исследовалось влияние нанесения небольших кол-в Br на поверхность электрода из платинированной Pt ( $8 \text{ см}^2$ ) на перенапряжение водорода ( $\eta$ ) на этом электроде в р-рах HCl. Отравление электрода бромом осуществлялось электролитически — путем предварительной анодной поляризации электрода в р-рах NaBr ( $0,02-1 \text{ н.}$ ) током  $i$  в течение времени  $\tau$  при различных  $\tau$ -рах. Изменение  $\tau$ -ры от 20 до  $60^\circ$  при прочих равных условиях не влияло на  $\eta$ . При постоянной  $i$   $\eta$  возрастает с ростом  $\tau$ , стремясь к пределу. При постоянном  $\tau$   $\eta$  возрастает с ростом  $i$ , по сути, в обоих случаях  $\eta$  зависит только от кол-ва осажденного Br. Далее  $\eta$  уменьшается при уменьшении конц-ии р-ра NaBr (при постоянном  $i$ - $\tau$ ), что автор объясняет уменьшением выхода по току процесса выделения Br. Изменение величины активной поверхности электрода ( $S$ ), найденное путем экстраполяции кривых перенапряжения к  $\eta = 0$  при допущении, что ток обмена пропорционален  $S$ , выражается ф-лой  $S = S_0 e^{-bp}$  ( $b$  — константа,  $p$  — кол-во Br, высеченного на электрод) справедливой для малых  $p$ . Расчет коэфф.  $a$  и  $a'$  (реф. 3523) дает для данного случая  $a' = -3 \cdot 10^2$ ;  $a = 4 \cdot 10^2$ , т. е. по мере накопления Br на поверхности электрода конц-ия центров ионизации возрастает, а конц-ия центров разряда убывает. Сопоставление с данными для других галогенов приводит к выводу об убывании их «отравляющего» действия в ряду:  $\text{Cl} > \text{F} > \text{Br}$  (при постоянном  $i$ ).

**3525. Перенапряжение водорода (катодный потенциал) на титане в кислых и щелочных растворах.** Страуманис, Шн, Шлектен [Hydrogen overvoltage (cathodic potential) on titanium in acidic and basic solutions. Straumanis M. E., Shih S. T., Schlechten A. W.], J. Phys. Chem., 1955, 59, № 4, 317—321 (англ.)

В продолжение работы одного из авторов (РЖХим, 1955, 3513) с помощью прямого метода измерения изучена зависимость между плотностью катодного тока ( $i$ )

№ 2  
и по  
HCl,  
разл.  
сфере  
от 1  
образ  
ное  
не бы  
набл.  
шени  
чины  
шени  
тель  
в 1,0  
прив  
тель  
чины  
вывод  
что  
на ан  
на по  
иссле  
соотв  
водор  
прово  
сител  
— 0,4  
коэфф  
Повы  
ным  
для  
шени  
1,0 н.  
ветст  
щелоч  
с — 1,3  
для  
В р-р  
покры  
ние  
дах,  
в слу  
па, от  
ности.  
р-рах  
лич. Т  
рода.  
(напр.  
зависи  
С дру  
лия Ti  
линей  
велич  
соких  
исход  
По м  
суютс  
относ  
сочета  
3526.  
ток  
тер  
des  
den.  
R.),  
(нем  
Мет  
ция Н  
2 н.  
ном р  
элект  
6 Зак

и потенциалом ( $\varphi$ ) Ti-электрода в водн. р-рах HF, HCl, HBr,  $H_2SO_4$ ,  $CF_3COOH$ ,  $CH_3COOH$ , KOH и NaOH различных конц-ий. Измерения проводились в атмосфере воздуха при  $t$ -рах 24–32° в области значений  $i$  от 1 до 200  $ma/cm^2$ . Электроды готовились из двух образцов металла с содержанием Ti 99,99 и 97%. Катодное и анодное пространства поляризационной ячейки не были разделены. В р-рах HF (от  $5 \cdot 10^{-3}$  до 1,0 н.) наблюдается линейная зависимость между  $\varphi$  и  $i$ . Повышение конц-ии HF сопровождается уменьшением величины наклона ( $d\varphi/di$ ) соответствующих прямых и сменением начального значения  $\varphi$  (при  $i=0$ ) в отрицательную сторону (от  $-0,774$  в в 0,1 н. HF до  $-0,812$  в в 1,0 н. HF). Показано, что замена воздуха водородом приводит к сдвигу поляризационной кривой в отрицательную сторону на 0,01–0,02 в без изменения величины наклона. На основании этого результата сделан вывод, распространенный на все исследованные р-ры, что воздух (так же, как и кислород, выделяющийся на аноде в  $H_2SO_4$ ) оказывает незначительное влияние на перенапряжение водорода на Ti. В р-рах других исследованных электролитов зависимость между  $\varphi$  и  $i$  соответствует ур-нию  $\varphi = a + b \lg i$ . В случае галлоидо-водородных к-т повышение конц-ии с 0,1 до 1,0 н. сопровождается изменением коэфф.  $a$  [величины  $\varphi$  (относительно н. в. э.) при  $i=1$   $ma/cm^2$ ] с  $-0,534$  до  $-0,447$  в для HCl и с  $-0,564$  до  $-0,464$  в для HBr; коэфф.  $b$  остается при этом практически неизменным. Повышение конц-ии  $H_2SO_4$  сопровождается аналогичным изменением коэфф.  $a$  (с  $-0,601$  в для 0,02 н.  $H_2SO_4$  до  $-0,480$  в для 1,0 н.  $H_2SO_4$ ) при одновременном уменьшении коэфф.  $b$  (соответственно с 0,241 до 0,165). Для 1,0 н. р-ров  $CF_3COOH$  и  $CH_3COOH$  коэфф.  $a$  равен соответственно  $-0,596$  в и  $-0,760$  в. Повышение конц-ии щелочи с 0,1 до 1,0 н. приводит к изменению коэфф.  $a$  с  $-1,338$  до  $-1,290$  в для KOH и с  $-1,351$  до  $-1,267$  в для NaOH при одновременном уменьшении коэфф.  $b$ . В р-рах HF поверхность Ti-электрода во время опыта покрывалась темной пленкой. В р-рах  $H_2SO_4$  образованные видимой пленки было отмечено только на электродах, приготовленных из менее чистого образца металла; в случае электродов, приготовленных из чистого образца, отмечено только небольшое потускнение поверхности. Наличие линейной зависимости между  $\varphi$  и  $i$  в р-рах HF связано, повидимому, со способностью металла Ti растворяться в этих р-рах с выделением водорода. При уменьшении скорости этого растворения (напр., в результате разбавления HF) рассматриваемая зависимость меняется с линейной на логарифмическую. С другой стороны, при увеличении скорости растворения Ti в HCl, в результате увеличения конц-ии до 4,0 н., линейная зависимость между  $\varphi$  и  $\lg i$  с постоянной величиной коэфф.  $b$  сохраняется только в области высоких поляризаций: при значениях  $i < 20$   $ma/cm^2$  происходит переход к линейной зависимости между  $\varphi$  и  $i$ . По мнению авторов, полученные результаты согласуются с каталитич. теорией перенапряжения, так как относительно высокое перенапряжение водорода на Ti сочетается с его малой каталитич. активностью. Я. К.

**3526. Измерения в области анодного предельного тока на электродах из благородных металлов. Брейтер, Кнорр, Мерге** (Messungen im Bereiche des anodischen Grenzstromes an Edelmetallelektroden. Breiter M., Knorr C. A., Meggle R.), Z. Elektrochem., 1955, 59, № 3, 153–159 (нем.)

Методом поляризационных кривых изучалась ионизация  $H_2$  на электродах из Pt, Ir, Rh, Pd и Au в р-рах 2 н.  $H_2SO_4$  и 1 н. NaOH при ламинарном и турбулентном режимах размешивания. Показано, что в случае электродов из Pt, Ir и Rh анодные предельные токи  $i_{пр}$

практически совпадают с соответствующими значениями токов обмена  $i_0$ , вычисленными из наклона кривых перенапряжения  $\eta$  по ф-ле  $i_0 = (RT/2F)(di/d\eta)_{i=0}$ , тогда как в случае Au-электрода отношение  $i_{пр} : i_0$  составляет 1,77–3,3. Следовательно, на всех исследованных электродах, кроме Au-электрода, кинетика ионизации  $H_2$  носит диффузионный характер. Поляризационные кривые прямого и обратного хода совпадают друг с другом и удовлетворяют ур-нию концентрационной поляризации. Заметный гистерезис поляризационных кривых наблюдается только в случае Au-электрода, на котором вследствие сильного кинетич. ограничения ток ионизации  $H_2$  не зависит от интенсивности размешивания р-ра. На Pt-электроде в 2 н.  $H_2SO_4$  при одинаковой интенсивности размешивания  $i_{пр}$  заметно выше, чем на Ir- и Rh-электродах. Авторы полагают, что такое отличие может быть вызвано формой электродов, а также тем, что степень шероховатости гладких металлов группы Pt неодинакова. При величине  $\eta$ , равной  $875 \pm 25$  мВ,  $i_{пр}$  на Pt-электроде резко падает, снижаясь в интервале 50 мВ до  $1/7$  своего максим. значения, а при более высоких  $\eta$  — до  $1/88$  исходного значения и в некотором интервале потенциалов остается постоянным. Аналогичный эффект наблюдается также на Ir- и Rh-электродах. В случае Au-электрода спад  $i_{пр}$  наступает уже при значениях  $\eta$  порядка 200 мВ. По мнению авторов, при потенциалах падения  $i_{пр}$  начинается окисление поверхности электродов, вследствие чего расщепление  $H_2$  на атомы либо сильно затормаживается, либо прекращается. Предполагается, что  $H_2$  частично реагирует с поверхностными окислами, которые вновь образуются вследствие разряда ионов  $OH^-$ . При турбулентном режиме размешивания между  $i$  и скоростью протекания р-ра мимо электрода наблюдается зависимость, близкая к линейной, что согласуется с теорией (Левич В. Г., Disc. Faraday Soc., 1947, 1, 37). Показано, что  $i_{пр}$  на Pt-электроде в 2 н.  $H_2SO_4$  и на Pd-электроде в 1 н. NaOH зависит соответственно от степени платинирования и палладирования. Стапонарные диффузионные токи на гладких Pt- и Ir-электродах в 1 н. NaOH не были получены. По мнению авторов, в р-ре щелочи поверхность гладкой Pt покрывается некоторым слоем, препятствующим процессу расщепления  $H_2$ . Э. А.

**3527. Исследование образования и разложения фазы палладий — водород посредством измерения импеданса фазовой границы и потенциала палладиевого электрода при омывании водородом или азотом, содержащим кислород. Брейтер, Каммермайер, Кнорр** (Untersuchung des Aufbaues und Abbaues der Palladiumwasserstoffphase durch Messung der Phasengrenzimpedanz und des Potentials der Palladiumelektrode bei Bepulung mit Wasserstoff bzw. mit sauerstoffhaltigem Stickstoff. Breiter M., Kammermaier H., Knorr C. A.), Z. Elektrochem., 1954, 58, № 9, 702–709 (нем.)

Активированная Pd-проволока (диам. 0,1 мм), погруженная в 2 н.  $H_2SO_4$ , омывалась  $H_2$  или  $N_2$ , содержащим небольшое кол-во  $O_2$ . Измерялся импеданс  $R$  ячейки в переменном токе (35–1000  $\mu$ ч) и сдвиг фаз, а также потенциал электрода  $\eta_k$  в зависимости от времени  $t$  пропускания газа.  $R$  рассматривалось как последовательное соединение омического и емкостного сопротивлений. Полученная в отсутствие поляризации кривая ( $\eta_k t$ ) характеризует растворение водорода в чистом Pd, образование фазы с появлением резкой границы между областью, в которой образуется фаза, и областью, которая состоит из чистого Pd, и растворение водорода в образовавшейся фазе (спад  $\eta_k$ ). При  $\eta_k$ , соответствующем



началу образования фазы,  $R$  имеет миним. значение, затем при  $\eta_k = \text{const}$   $R$  растет и достигает максимума, после чего уменьшается с уменьшением  $\eta_k$ . С ростом амплитуды переменного напряжения  $R$  уменьшается. Экстремумы более четко выражены при низких частотах. Показано, что омическая составляющая  $R$  значительно превышает ёмкостную составляющую, особенно при низких частотах. При данном  $\eta_k$   $R$  больше в токе  $N_2$ , чем в токе  $H_2$ , причем наблюдаются колебания  $R$  во времени. На активных электродах  $R$  меньше и экстремумы отсутствуют. Авторы считают, что  $R$  определяется кол-вом водорода, растворенного в тонком слое поверхности электрода. По мере растворения водорода в Pd  $R$  уменьшается до минимума. После начала фазообразования и его дальнейшего развития кол-во фазового водорода уменьшается и  $R$  растет, достигая максимума. Растворение водорода в фазе обуславливает повторное уменьшение  $R$ . Это уменьшение невелико, хотя конца растворенного водорода при изменении потенциала от фазового до нулевого возрастает приблизительно в 10 раз. А. Ф.

**3528. Об электролизе уксусной кислоты. Мерль** (Au sujet de l'électrolyse de l'acide acétique. Merle L.), Bull. Union physiciens, 1955, 49, № 422, 360—361 (франц.)

В отличие от прежних работ (Prenner, Z. phys. Chem., 1907, 56, 670), в которых было найдено, что при электролизе р-ров  $CH_3COOH$  на аноде выделяются  $C_2H_4$  и  $CO_2$ , автор обнаружил при электролизе 10%-ного р-ра  $CH_3COOH$  выделение кислорода на аноде при напряжении 260 в и силе тока 0,037 а. А. Г.

**3529. Остаточные токи. Ньюберри** (Residual currents. Newbery E. G.), Trans. Roy. Soc. S. Africa, 1954, 34, № 1, 25—41 (англ.)

С целью выяснения природы остаточных токов (ОТ), протекающих через р-ры электролитов между двумя одинаковыми инертными электродами при приложении к ним внешней э. д. с.  $E$ , меньшей, чем напряжение разложения  $E_p$  соответствующих р-ров, проведены измерения ОТ в р-рах  $H_2SO_4$ ,  $HCl$  и  $CuSO_4$  между различными электродами (гладкая и платинированная Pt, Au). Регистрировалось изменение ОТ во времени при ступенчатом (на 0,1 в) увеличении и последующем снижении  $E$ , а в отдельных опытах также изменение электродных потенциалов. По мнению автора, во всех случаях наблюдающиеся величины ОТ не могут быть объяснены только электром. р-циями на электродах, напр., выделением газов при очень малых давлениях с их последующей диффузией в объем р-ра или процессами заряжения двойного слоя. Эти «частично обратимые» (в смысле возможности получения обратного — разрядного тока) процессы составляют не более 25% от всего ОТ. Остальные 75% ОТ связаны с таким прохождением тока через р-р электролита, которое не подчиняется закону Фарадея и, по гипотезе автора, объясняется особой электронной проводимостью, связанной с возникновением на поверхности электродов явления, аналогичного термоэлектронной эмиссии в вакууме. Описанные эффекты чувствительны к величине истинной поверхности электродов. Перемешивание электролита увеличивает ОТ только в тех р-рах, где наблюдается газоразделение. Замена гладкой Pt на гладкое Au и изменение формы электролитич. ячейки и расстояния между электродами почти не изменяют ОТ. И. З.

**3530. Электролитическая диссоциация в неводных системах. III. Система анилин — уксусная кислота. Мискиджян С. П.**, Ж. физ. химии, 1955, 29, № 5, 855—859

С целью выяснения механизма электролитич. диссоциации обнаруженного ранее (Коновалов Д. П., ЖРФХО,

1912, 24, 240; 1913, 25, 192) комплексного соединения  $C_6H_5NH_2 \cdot 2CH_3COOH$  проведен электролиз между Pt-электродами смесей анилина (I) и  $CH_3COOH$  (II) при плотностях тока 2,2—8,8  $ma/cm^2$  с последующим хим. анализом католита и анолита. На катоде выделяется водород в соответствии с законом Фарадея; р-р у анода приобретает черный цвет (осмоление). В катодном пространстве после электролиза наблюдается увеличение содержания I и убыль II; содержание II в анолите после электролиза возрастает. По мнению автора, полученные результаты можно истолковать на основе следующей схемы диссоциации комплексного соединения:  $C_6H_5 \cdot NH_2(CH_3COOH)_2 \rightleftharpoons C_6H_5NH_3^+ + CH_3COOH \cdot CH_3COO^-$ .

Наличие катиона  $C_6H_5NH_3^+$  было также подтверждено опытами, в которых католиком служил водн. р-р II: после электролиза в католите обнаружено заметно большее кол-во I, чем то, которое поступало в результате диффузии. Предыдущее сообщение см. РЖХим, 1955, 36948. Б. М.

**3531. Анодное окисление некоторых активных металлов в пиридине. Рауш, Мак-Юэн, Клейнберг** (The anodic oxidation of some active metals in pyridine. Rausch Marvin D., McEwen William E., Kleinberg Jacob), J. Amer. Chem. Soc., 1955, 77, № 8, 2093—2096 (англ.)

В продолжение работы по изучению анодного окисления Mg (РЖХим, 1955, 16026) тем же методом измерения среднего начального значения валентности  $V_i$  исследовано анодное окисление Mg, Cd, Be и Al в р-рах NaJ (0,5 M) и LiCl (2,0 M) в пиридине при 40° и при плотности тока 0,004—0,007  $a/cm^2$ . В чистых р-рах без добавок все 4 металла дают значения  $V_i$ , соответствующие анодному растворению до нормальной, устойчивой степени окисления этих металлов. Понижение значений  $V_i$  наблюдается только тогда, когда в анолите находятся в-ва, являющиеся акцепторами электронов (или когда сам р-ритель легко восстанавливается). Из исследованных 8 добавок 4 (бензофенон, бромбензол, бензонитрил и этилбензоат) вызывали понижение  $V_i$  для Mg (соответственно 1,45; 1,68; 1,72; 1,90) и Al (2,68; 2,86; 2,87; 2,92) и не вызывали понижения  $V_i$  в случае Be и Cd; нитробензол снижал  $V_i$  для Be (1,63) и Cd (1,71), а бензальдегид для Al (2,38), Be (1,78) и Cd (1,90), причем р-ры после электролиза не растворяли металлы; нитробензол снижал  $V_i$  для Mg и Al, а бензальдегид для Mg (в этом случае р-ры после электролиза растворяли металлы). Показано, что в тех же условиях, но в отсутствие анодной поляризации, изученные металлы не взаимодействуют с р-рами. Предположено, что любой активный металл, способный к образованию нескольких степеней окисления, при анодной поляризации переходит в р-р во всех возможных степенях окисления. Когда в р-ре нет в-в, способных к восстановлению, неустойчивые ионы низшей степени окисления отдают свои избыточные валентные электроны электроду, превращаясь в устойчивые ионы. В присутствии в-в, способного присоединять электроны, неустойчивые ионы низшей валентности отдают свои электроны молекулам акцептора. На основании величины снижения  $V_i$ , исследованные добавки можно расположить в ряд в порядке убывания сродства к электрону: нитробензол > бензальдегид > бензофенон > бромбензол > бензонитрил > этилбензоат > транс-стильбен ~ 1-гептин. Активность металлов при анодном растворении в пиридиновом р-ре убывает в ряду Mg > Al > Be > Cd. В случае растворения In и Tl (для которых низшие степени окисления являются относительно устойчивыми) значения  $V_i$  в пиридиновом р-ре LiCl без добавок были ниже 3 (для Tl 1,05; для In 2,4). Д. К.

3532.  
м е  
132  
Ди  
3533.  
М.  
29  
От  
3534.  
вол  
реа  
ска  
одв  
Su  
601  
См  
3535.  
при  
ти  
Ж  
При  
47884  
нов л  
вост  
и Ti  
высо  
соот  
→ Nb  
3536.  
на  
ка  
Ж  
На  
E<sub>1/2</sub>  
с E<sub>1/2</sub>  
части  
виях  
— 1,0  
като  
ленн  
соот  
с E<sub>1/2</sub>  
а вод  
При  
V(3-  
скол  
KCl  
от 1,  
конн  
3537.  
п  
J  
28  
В  
5-10  
соот  
Mo(2  
конн  
дел  
вая  
Сум  
конн  
опре  
конн  
уме  
проп  
сум  
вате

3532. Заметка по теории пористых электродов. Коулмен Дж. Дж., Ж. физ. химии, 1955, 29, № 7, 1323—1324

Дискуссионная статья (РЖХим, 1954, 47886). В. Л.

3533. Ответ Дж. Дж. Коулмену. Кочергинский М. Д., Луковцев П. Д., Ж. физ. химии, 1955, 29, № 7, 1325

Ответ на замечания Коулмена (см. реф. 3532) В. Л.

3534. Температурная зависимость потенциала полуволны для некоторых обратимых и необратимых реакций. Камецкий, Суский (Zależność potencjału półfali od temperatury dla niektórych reakcji odwracalnych i nieodwracalnych. Kamiecki Julian, Suski Leszek), Roczn. chem., 1954, 28, № 4, 601—610 (польск.; резюме англ.)

См. РЖХим, 1955, 5358.

3535. Определение числа электронов, участвующих при электрохимическом восстановлении ниобия и титана. Крылов Е. П., Колыватова В. С. Ж. физ. химии, 1955, 29, № 5, 818—821

При помощи описанного ранее метода (РЖХим, 1954, 47884) микрокулометрически определено число электронов  $n$ , соответствующих первым волнам полярографии, восстановления Nb(5+) из р-ра в 70%-ной  $H_2SO_4$  ( $n = 2$ ) и Ti(4+) из р-ра в 66%-ной  $H_2SO_4$  ( $n = 1$ ). Сравнением высот первой и второй волн показано, что вторые волны соответствуют одноэлектронным процессам:  $Nb^{3+} + e \rightarrow Nb^{2+}$  и  $Ti^{3+} + e \rightarrow Ti^{2+}$ . С. Ж.

3536. Изучение процессов восстановления ванадия на канальном ртутном катоде на фоне хлористого калия. Золотавин В. Л., Кузнецов В. К., Ж. общ. химии, 1955, 25, № 5, 895—898

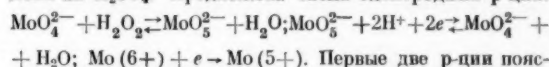
На фоне 1 н. KCl ион  $VO^{2+}$  дает четкую волну с  $E_{1/2} = -1,0$  в (насыщ. к. э.);  $V(5+)$  дает две волны с  $E_{1/2} = -0,32$  и  $-1,0$  в. Р-р, содержащий ионы  $V^{3+}$ , частично окислившись до  $VO^{2+}$ , дает в тех же условиях две хорошо выраженные волны с  $E_{1/2} = -0,52$  и  $-1,0$  в. Р-р, содержащий ионы  $V^{2+}$ , на фоне 1 н. KCl катодных волн не дает. Отмечена анодная волна окисления  $V^{2+}$ . Авторы считают, что волна с  $E_{1/2} = -0,32$  в соответствует восстановлению  $V(5+)$  до  $V(4+)$ , волна с  $E_{1/2} = -1,0$  в — восстановлению  $V(4+)$  до  $V(2+)$ , а волна с  $E_{1/2} = -0,52$  в — восстановлению  $V^{3+}$  до  $V^{2+}$ . При конц-ях KCl меньше 1 н. при восстановлении  $V(3+)$  и  $V(5+)$  на полярограммах наблюдается несколько очень нечетких волн. При уменьшении конц-и KCl от 1 до 0,05 н.  $E_{1/2}$  восстановления  $VO^{2+}$  смещается от 1,0 до  $-0,88$  в. Показано, что  $i_{пр}$  пропорционален конц-и  $VO^{2+}$  на фоне 1 и 0,1 н. KCl. С. Ж.

3537. Замечание к полярографии молибдена. Бенеш (Príspevok k polarografii molybdénu: Beneš Jaroslav) Chem. zvesti, 1955, 9, № 5, 283—287 (словац.; резюме русс., нем.)

В 0,05—1 М  $H_2SO_4$  даже при низких конц-ях (до  $5 \cdot 10^{-5}$  М)  $MoO_4^{2-}$  (I) наблюдаются три катодные волны, соответствующие, повидимому, восстановлению до  $Mo(3+)$ . Суммарная величина  $i_{пр}$  пропорциональна конц-и I. При повышении конц-и I первая волна разделяется вначале на две, а затем на три волны. Первая из этих волн очень мала и практически постоянна. Сумма  $i_{пр}$  всех трех волн прямо пропорциональна конц-и I, тогда как сумма  $i_{пр}$  первых двух волн при определенной конц-и I (тем более высокой, чем выше конц-и  $H_2SO_4$ ) достигает максим. значения, а затем уменьшается. Сумма  $i_{пр}$  трех волн до их разделения пропорциональна  $Vh$  ( $h$  — высота столба Hg), тогда как сумма  $i_{пр}$  первых двух волн пропорциональна  $h$ . Следовательно, первые две волны адсорбционные. С. Ж.

3538. Полярографическое исследование восстановления ионов молибдата в сернистых растворах в присутствии перекиси водорода. Бенеш (Polarografické štúdium redukcie molybdatových iónov v roztoku kyseliny sírovej za prítomnosti peroxidu vodíka. Beneš Jaroslav), Chem. zvesti, 1955, 9, № 5, 277—282 (словац.; резюме русс., нем.)

Показано, что в согласии с литературными данными (Kolthoff I. M., Parry E. P., J. Amer. Chem. Soc., 1951, 73, 5315) при достаточно большом избытке  $H_2O_2$  в  $H_2SO_4$  ионы  $MoO_4^{2-}$  (I) дают кинетич. волну (ее высота не зависит от высоты столба Hg) с отчетливым максимумом при потенциалах от  $-0,05$  до  $-0,25$  в (относительно насыщ. ртутносulfатного электрода) в зависимости от конц-и  $H_2SO_4$ . Предложена схема электродных р-ций:



Первые две р-ции поясняют механизм возникновения кинетич. волны, а третья, которая идет при более отрицательных потенциалах, чем вторая, и приводит к уменьшению кол-ва I, способного реагировать с  $H_2O_2$  с образованием пермолибдата, поясняет механизм возникновения максимума. Зависимость кинетич. тока  $i_k$  от периода капания  $\tau$  при постоянной скорости вытекания Hg не линейная.  $i_k$  пропорционален конц-и  $H_2O_2$  с до 0,037 М  $H_2O_2$ ; при более высоких значениях  $i_k$  пропорционален  $V\tau$ . Такая сложная зависимость  $i_k$  от  $\tau$  и  $\tau$  с объясняется частичной адсорбцией (реф. 3537), что подтверждается также формой кривых ( $i$ ,  $t$ ), измеренных осциллографически. Это исключает возможность вычисления константы скорости р-ции  $H_2O_2$  с I по методу Коутенко. С. Ж.

3539. Полярографическое восстановление трехвалентного мышьяка в некомплексообразующей среде. Эверест, Финч (The polarographic reduction of trivalent arsenic in non-complex-forming media. Everest D. A., Finch G. W.), J. Chem. Soc., 1955, March, 704—707 (англ.)

В 0,1 н. р-рах HCl,  $HNO_3$ ,  $HClO_4$  и  $H_2SO_4$  наблюдаются две волны восстановления  $As(3+)$  с двумя частично перекрывающимися друг друга полярографич. максимумами. Наличие максимумов доказано визуальным наблюдением турбулентных потоков р-ра с помощью индифферентных порошков, а также действием поверхностно-активных в-в (ПАВ) желатин (I) метилового голубого (II) и метилового красного (III). При конц-и  $As(3+)$   $2 \cdot 3 \cdot 10^{-3}$  М первая волна достигает предельной высоты. Так как при потенциалах первой волны наблюдается образование элементарного As, то первая волна соответствует процессу  $As(3+) + 3e \rightarrow As$ . As создает пленку, тормозящую дальнейшее протекание процессов. Высота второй волны пропорциональна конц-и  $As(3+)$ , но в отсутствие ПАВ эта волна неудобна для аналитич. целей. Обнаружено возникновение  $AsH_3$  при потенциалах второй волны; сделан вывод, что вторая волна отвечает процессу  $As(3+) + 6e \rightarrow As(3-)$ . Оба процесса, судя по величине наклона прямой  $[lg(i/i_{пр} - i), E]$  (0,11 в), необратимы. Добавка I не только устраняет максимумы, но и снижает волну. В присутствии 0,001% III максимумы подавляются не полностью, и, кроме того, волна почти лишена горизонтальной площадки диффузионного тока. В качестве подавителя максимумов более удобен II (0,001%). Однако в 0,1 н.  $HNO_3$  в присутствии II  $As(3+)$  дает плохо выраженные волны, а добавка II к 0,1 н.  $HClO_4$  приводит к выпадению алого осадка. В буферном р-ре  $CH_3COONa + HCl$   $As(3+)$  ( $10^{-4}$  М) дает сравнительно простую волну. При возрастании pH высота волны уменьшается; одновременно  $E_{1/2}$  смещается в отрица-

тельную сторону (от  $-0,765$  в против насыщ. к. э. при pH 1,4 до  $-0,905$  в при pH 2,6). При pH 2,6 точные измерения волны становятся невозможными из-за наложения волны  $H^+$ , а при pH 4,2 волна  $As(3^+)$  сливается с волной  $H^+$ . В щел. р-ре  $As(3^+)$  не восстанавливается.

С. Ж.

**3540. О полярграфическом поведении некоторых арил-алифатических кетонов. Кальцолари** (Sul comportamento polarografico di alcuni chetoni aril-alifatici. Calzolari C., Ist. chim. Univ. studi Trieste Fac. sci., 1954, № 1, 16 p. (итал.))

С целью выяснения влияния ароматич. радикалов на восстановление  $C=O$  группы в арил-алифатич. кетонах, а также выяснения существования кето-енольной таутомерии у этих кетонов изучено полярграфич. поведение тетрагидроафтил-2-метилкетона (I), 2-нафтилметилкетона (II) и 3,4-диметоксиацетофенона (III) в 10%-ном р-ре изопропанола на фоне буферных р-ров Бриттона — Робинсона. I—III восстанавливаются в две стадии.  $E_{1/2}$  для I при pH 2,00 равен  $-1,080$  в (насыщ. к. э.) и изменяется на  $75$  мВ на единицу pH (до pH 6); при pH выше 6 появляется вторая волна; ее  $E_{1/2}$  равен  $-1,510$  в и изменяется на  $44$  мВ на единицу pH (до pH 13);  $E_{1/2}$  первой волны в интервале pH от 6 до 13 изменяется на  $37$  мВ на единицу pH. Обе волны имеют диффузионный характер. В области pH  $> 10,5$  для I отмечается небольшая адсорбционная предволна с  $E_{1/2} = -1,460$  в.  $E_{1/2}$  первой волны для II равен  $-0,985$  в при pH 1,90 и изменяется на  $75$  мВ на единицу pH (до pH 6) и на  $43$  мВ на единицу pH в интервале pH 6—13; вторая волна для II существует в пределах от pH  $> 4$  до pH 6,30 и имеет  $E_{1/2}$  от  $-1,400$  до  $-1,410$  в; обе волны имеют диффузионный характер. Для III  $E_{1/2}$  первой волны равен  $-1,175$  в при pH 2,10 и изменяется на  $75$  мВ на единицу pH (до pH 6); при pH 7,5 первая волна исчезает; вторая волна III возникает при pH 6,10  $E_{1/2} = -1,70$  в и практически не зависит от pH. Обе волны III имеют диффузионный характер.  $E_{1/2}$  I—III не меняются с конц-ией. Соотношение высот первой и второй волн I—III изменяется с pH. Определены коэфф. наклона кривой  $[E, \lg(i/i_{pr} - i)]$  для I—III при различных pH. Согласно кулонометрич. определениям в кислой среде на восстановление I и II расходуется один электрон, в щел. среде на восстановление I—III затрачивается два электрона. Повышение конц-ии изопропанола в смеси ведет к уменьшению  $i_{pr}$ . На основании полученных результатов авторы приходят к выводу, что аналогично ацетофенону I—III существуют в кето-енольном равновесии:  $RCOCH_3 \rightleftharpoons RC(OH) = CH_2$ ; I и II восстанавливаются легче ацетофенона.

Л. Я.

**3541. О полярграфическом поведении ароматических и арил-алифатических оксидов. Кальцолари, Фурлани** (Sul comportamento polarografico delle ossime aromatiche e aril-alifatiche. Calzolari C., Furlani C., Boll. scient. Fac. chim. industr. Bologna, 1954, 12, № 2, 50—55 (итал.))  
На основании предыдущих работ авторов (Boll. Soc. Adr. Sci. Nat., 1949, 14, Annali Triestini, 1951, 21, 2) в настоящей работе установлено, что полярграфич. поведение ароматич. и арил-алифатич. кетонов одинаково: в кислой среде образуется одна диффузионная волна,  $E_{1/2}$  которой с возрастанием pH сдвигается в отрицательную сторону примерно на  $70$  мВ на единицу pH. В нейтр. области высота волны уменьшается вплоть до исчезновения и образуется вторая диффузионная волна, высота которой увеличивается с ростом pH и достигает высоты первой волны в щел. области; при высоких pH вторая волна уменьшается и исчезает при pH 11—13;  $E_{1/2}$  этой волны не меняется с pH. При поля-

рографич. восстановлении оксидов расходуется всегда 4 электрона, причем сразу образуется соответствующий первичный амин. Образование двух волн обусловлено, по мнению авторов, не существованием двух форм оксидов в равновесии, а двумя различными типами восстановления: в кислой среде  $>C = NOH + 2e + 2H^+ \rightarrow >CH - NHOH + 2e + 2H^+ \rightarrow >CH - NH_2 + H_2O$ ; в щел. среде  $>C = NOH + 2e + H_2O \rightarrow >CH = NH + 2e \rightarrow >CHNH_2$ . Анион  $R'R''C = NO^-$ , который возникает в сильнощел. среде, полярграфически неактивен, чем объясняется исчезновение второй волны в сильнощел. среде. Гидролиз оксидов проходит ограниченно с малой скоростью и, следовательно, почти не влияет на их полярграфич. поведение. В кислой среде оксиды восстанавливаются легче кетонов. Приведены значения  $E_{1/2}$  первой и второй волн восстановления оксидов в 30%-ном изопропаноле (для первой волны при pH 0):  $C_6H_5C(=NOH)CH_3 - 0,850; -1,820$ ;  $C_6H_5 - C_6H_4 - C(=NOH)CH_3 - 0,669; -1,524$ ; оксим бензофенона  $-0,595; -1,600$ ;  $C_6H_5 - C_6H_4 - C(=NOH)C_6H_5$  (син)  $-0,507; -1,466$ ; (анти)  $-0,485; -1,438$ ; оксим дифенилкетона  $-0,434; -$ ; оксим бензилфенилкетона  $-0,805; -1,660$ ; оксим дибензилкетона  $-0,815; -$ .

Л. Я.

**3542. Полярграфия ароматических гетероциклических соединений. II. Полярграфическое поведение изоникотиновой и пикотиновой кислот. Фольке, Фолькова** (Polarografie aromatických heterocyklických sloučenin. II. Polarografické chování kyseliny isonikotinové a pikolinové. Völke Jifi, Völková Věra, Chem. listy, 1955, 49, № 4, 490—496 (чеш.))

При полярграфии, восстановлении изоникотиновой (I) и пикотиновой (II) к-т при малых значениях pH наблюдается одна волна A (в случае II ей сопутствует волна при более отрицательном потенциале), высота которой с ростом pH понижается. При pH  $> 9$  высота волны не зависит от высоты столба Hg (кинетич. ток). В случае II при pH  $> 7$  волна разделяется на две волны ( $A_1, A_2$ ), для которых измерена общая высота. При использовании буферного р-ра, содержащего многозарядные катионы ( $Ca^{2+}, Ba^{2+}, Mg^{2+}, La^{2+}$ ) при pH  $> 7$  наблюдается более отрицательная волна B. С ростом pH общая высота волн A + B остается постоянной, несмотря на уменьшение более положительной волны A; в щел. р-рах обнаруживается лишь волна B. Эта волна наблюдается также на фоне  $0,1$  M  $N(C_2H_5)_4OH$ . Кроме описанных волн, обнаружена каталитич. волна ( $-1,8$  в по норм. к. э.) при pH 6,5—8. В кислой среде высота волны A пропорциональна конц-ии ( $1 \cdot 10^{-4} - 2 \cdot 10^{-3}$  M). Ее  $E_{1/2}$  с ростом pH сдвигается в отрицательную сторону и не зависит от pH при pH  $> 8,5$ .  $E_{1/2}$  I положительнее, чем  $E_{1/2}$  II на  $100$  мВ во всей области pH (для I при pH 3  $E_{1/2} = -0,9$  в для волны A).  $E_{1/2}$  волны B не зависит от pH и равен  $-1,72$  в для I и  $-1,78$  в для II. Отмечается, что в более ранних работах (РЖХим, 1955, 28597) наблюдалась лишь первая волна. По мнению авторов, снижение волны A обусловлено влиянием на диссоциацию процесса рекомбинации; волна A соответствует восстановлению недиссоциированной формы  $C_5H_4N \cdot COOH$ , а волна B — восстановлению аниона  $C_5H_4N \cdot COO^-$ . Характер зависимости предельного тока от pH согласуется с теоретическим (РЖХим, 1954, 14311; 1955, 3497). По ур-нию из последней работы рассчитаны константы скорости рекомбинации для I ( $1,3 \cdot 10^{12}$  моль $^{-1}$  л сек $^{-1}$ ) и для II ( $3,0 \cdot 10^{11}$  моль $^{-1}$  л сек $^{-1}$ ). Порядок величин этих констант находится в соответствии со значениями, найденными полярграфически для других слабых к-т. Сообщение 1 см. РЖХим, 1955, 25895. Р. Зуман.

**3543. О полярграфических потенциалах восстановления  $\alpha$ -альдегидов пиррола, тирфена и фурана. Каппеллина, Друзиани** (Sul potenziale



polarografico di riduzione delle  $\alpha$ -aldeidi del pirrolo, del tiofene e del furano. Carpellina Franco, Drusiani Annamaria, Gazz. chim. ital., 1954, 84, № 10, 939—947 (итал.)

Определены  $E_{1/2}$  (насыщ. к. э.) для  $\alpha$ -пирролальдегида ( $-1,70$  в),  $\alpha$ -тиофенальдегида (I) ( $-1,42$  в), фуффура ( $-1,46$  в) при полярографировании на фоне  $0,1$  М  $(\text{CH}_3)_4\text{NBr}$  в 50%-ном р-ре метанола (рН 7,1) при  $23-27^\circ$ . В этих условиях для  $\text{C}_6\text{H}_5\text{CHO}$   $E_{1/2} = -1,48$  в, для  $\text{C}_2\text{H}_5\text{CHO} - 2,07$  в. У I наблюдается вторая волна с  $E_{1/2} = -1,7$  в, высота которой составляет  $1/5$  высоты первой. Л. Я.

3544. Высокочастотный зонд для масс-спектроскопического определения концентраций ионов. Бойд, Моррис (A radio-frequency probe for the mass-spectrometric analysis of ion concentrations. Boyd R. L. F., Morris D.) Proc. Phys. Soc., 1955, A68, № 1, 1—10 (англ.)

Описан высокочастотный масс-спектроскопич. зонд для определения конц-ий ионов в газовом разряде, который может работать при давл. до  $1$  мм рт. ст. и представляет собой модификацию предложенного ранее прибора (Boyd R. L. F., Nature, 1950, 165, 142). Принцип действия прибора основан на ускорении ионов с определенным значением отношения заряда  $e$  к массе  $m$  в ВЧ-поле, причем только ионы, получившие ускорение в ВЧ-поле, могут достигнуть коллектора. По величине коллекторного тока при различных частотах можно судить о наличии в плазме разряда ионов с определенным значением отношения  $e/m$ . Приводится упрощенная теория действия зонда. Рассматривается влияние величины начальной энергии ионов и распределения ионов по энергиям на действие зонда. Приведены предварительные результаты исследования с помощью зонда тлеющего разряда в He; изучена зависимость отношения токов на стенки ионов  $\text{He}_2^+$  и  $\text{He}^+$  от давления. Ю. Е.

3545. Молекулярные ионы в разрядах в инертных газах. Моррис (Molecular ions in discharges in the inert gases. Morris D.) Proc. Phys. Soc., 1955, A68, № 1, 11—17 (англ.)

С помощью описанного ранее (реф. 3544) ВЧ-зонда изучено образование молекулярных ионов (МИ) инертных газов ( $\text{He}_2^+$ ,  $\text{Ne}_2^+$ ,  $\text{Ar}_2^+$ ,  $\text{Kr}_2^+$  и  $\text{Xe}_2^+$ ) в разряде с накаленным катодом при давл. до  $1$  мм рт. ст. и токе через разрядную трубку от  $50$  до  $500$  ма. Образование МИ и ионов атомов сравнивалось по токам ионов на стенку трубки. Подробно изучено образование МИ в зависимости от давления и тока через трубку для He, Ne и Ar; для Kr и Xe получены лишь отдельные значения токов МИ при более низких давлениях. Во всех случаях ток МИ не превышал 8% от тока атомных ионов. В случае He отношение токов МИ и ионов атомов линейно возрастает с давлением, в случае Ne и Ar — сначала линейно растет, а затем падает. Для всех изученных газов отношение ионных токов почти не зависит от тока через разрядную трубку. Поиск сложных МИ  $\text{KrXe}^+$  не дали положительного результата. Наблюдалось образование ионов примесей:  $\text{OH}^+$ ,  $\text{H}^+$ ,  $\text{N}_2^+$  и  $\text{C}^+$ . Обсуждены различные возможные процессы образования МИ в разряде, и на основании сравнения с эксперим. данными как наиболее вероятный выбран процесс образования МИ при столкновениях нормальных и возбужденных атомов. Ю. Е.

3546. Эффективные поперечные сечения ионов и атомов в плазме различных газов. Меккер, Петерс, Шенк (Ionen-und Atomquerschnitte im Plasma verschiedener Gase. Maecker H., Peters Th., Schenk H.), Z. Phys., 1955, 140, № 2, 119—381 (нем.)

Получено ур-ние для расчета эффективного поперечного сечения (ЭПС) ионов  $Q_{\text{eff}} = [e^4 / (kT)^2] \ln (kT / e^2 n_e^{1/2}) \pm 15\%$  ( $e$  — заряд электрона,  $n_e$  — конц-ия электронов), которое отличается от предложенного ранее ур-ния (Гвоздовер С. Д., Phys. Z. Sowjet., 1937, 12, 164) на коэфф. 0,55. ЭПС атомов определялись при помощи ур-ния для электропроводности плазмы в дуговом разряде. Радиальное распределение плотности электронов и т-ры определялось экспериментально. Определено ЭПС атомов H в дуге, горящей внутри трубки диам.  $8$  мм и длиной  $5$  см (охлаждаемой водой) при силе тока  $50$  а и градиенте напряжения  $35$  в/см ( $130 \cdot 10^{-16}$  см $^2 \pm 25\%$ ). ЭПС атомов H, измеренное в дуге высокого давления в парах воды при давл.  $50-300$  атм и силе тока  $100-150$  а, имеет ту же величину. ЭПС атомов O, N и C трех элементов получено одинаковое значение ( $20 \cdot 10^{-16}$  см $^2 \pm 15\%$ ). ЭПС атомов Fe равно  $35 \cdot 10^{-16}$  см $^2 \pm 30\%$ . Ю. Е.

3547. Замечка о «пробивном потенциале» при разряде в озонаторе и об его зависимости от поверхности электродов. Рамая (A note on the «threshold potential» of ozonizer discharge and its dependence on electrode surface. Ramia N. A.), J. Scient. and Industr. Res., 1954, B13, № 8, 583—585 (англ.)

Понижение пробивного напряжения, наблюдавшееся в разряде в  $\text{O}_2$ , а также в парах Hg, в озонаторе Сименса при покрытии стенок трубки адсорбированным слоем KCl или водяного пара, автор объясняет тем, что эти слои, при сравнительно невысоких напряжениях, являются источником испускания вторичных электронов, необходимых для поддержания разряда. А. Ш.

3548 К. Электрохимия. Изд. 4-е. Дингеманс (Electrochemie. Dingenans P. — Delft. Uitg. Waltman, 1955, 195 bl Geill. 9.75 gld) (голл.)

См. также: Электроосаждение мет. 4463, 4465, 4466, 4473—4476, 5884. Коррозия 5716—5718, 5720, 5723, 5765, 5766. Полярография 3616, 3644, 3720, 3721, 4096—4098, 4100, 4101, 4136, 4164, 4176, 4234. Хим. источники тока 4457—4459, 4479. Электропроводность 3410, 3496—3498, 3640, 3643, 3650. Методика электрохимических измерений 4094, 4291, 5720, 5779, 5784. Др. вопр. 3080, 3490\*, 4083, 4088, 4092, 4093, 4099, 4456, 4460, 4478, 4512, 5779, 5950

## ПОВЕРХНОСТНЫЕ ЯВЛЕНИЯ. АДСОРБЦИЯ. ХРОМАТОГРАФИЯ. ИОННЫЙ ОБМЕН

3549. К термодинамике поверхностных явлений. Поверхностное натяжение, адсорбция и адсорбционный гистерезис. Флад (Some thermodynamic considerations of surface regions. Surface tension, adsorption, and adsorption hysteresis. Flood F. A.), Canad. J. Chem., 1955, 33, № 5, 979—1001 (англ.)

Обсуждены в общем виде условия термодинамич. равновесия между двумя взаимодействующими телами, рассматриваемыми как ансамбли бесконечно малых объемов чистых компонентов. Полученные результаты применены к двум частным случаям: 1) равновесию между простой жидкостью и ее паром (жидкая поверхность раздела между двумя фазами одного и того же в-ва); 2) адсорбции газа на твердом теле (жидкая поверхность раздела между разными в-вами). С рассматриваемой точки зрения дана термодинамич. интерпретация явлений поверхностного натяжения, физ. адсорбции и адсорбционного гистерезиса. З. В.

3550. О произвольном выборе поверхности раздела в неравновесных капиллярных слоях. Дефе (Du choix arbitraire de la surface de division dans les

couches capillaires non en équilibre. Defay R a y m o n d, Bull. cl. sci. Acad. roy. Belgique, 1955, 41, № 2, 138—150 (франц.; резюме англ.)

Показано, что при использовании Гиббсовой поверхности раздела (ПР) в термодинамике плоского капиллярного слоя полученные выводы не всегда применимы к любой ПР. Произвол в выборе ПР допустим лишь в том случае, если хим. потенциалы удовлетворяют двум условиям, соблюдающимся при равновесии, но не в неравновесных условиях. Н. Ф.

3551. Сферическая поверхность раздела. II. Молекулярная теория. Баффа (Spherical interface. II. Molecular theory. Buff Frank P.), J. Chem. Phys., 1955, 23, № 3, 419—427 (англ.)

На основе теоремы вириала и предложенных Гиббсом механич. и термодинамич. определений поверхностного натяжения разработана статистико-механич. теория плоской и сферич. поверхностей раздела фаз. Выражения для соответствующих термодинамич. величин в функции молекулярных параметров использованы для решения вопроса о зависимости поверхностного натяжения от кривизны поверхности. Получено асимптотич. разложение большой функции распределения (выраженной через геометрич. параметры, характеризующие поверхность раздела), позволяющее судить о пределах применимости макроскопич. представлений в капиллярной физике. Часть I см. J. Chem. Phys., 1951, 19, 1591. Н. Ф.

3552. Статистическая механика поверхностного натяжения на кривой поверхности раздела. I. Сагава, Тэрамото (Statistical mechanics of surface tension of curved interface. I. Segawa Tomio, Teramoto Ei), Progr. Theoret. Phys., 1954, 11, № 6, 528—536 (англ.); 物性論研究, Буссейрон канкю, 1954, № 72, 86—97 (япон.)

Статистико-термодинамич. и кинетич. определения поверхностного натяжения применены к цилиндрич. поверхности раздела жидкость — пар. Показано, что в известных условиях эти два определения эквивалентны друг другу и обычному термодинамич. определению. При этом используются методы Харасимы, Мак Лейлана, Керквуда и Баффа. Указано на возможность применения этих методов к сферич. поверхностям. Н. Ф.

3553. Статистико-механическая теория поверхностного натяжения кривой поверхности. I. Кондо (A statistical-mechanical theory of surface tension of curved surface layer. I. Kondo Sohei), J. Phys. Soc. Japan, 1955, 10, № 5, 381—386 (англ.)

Комбинируя статистико-механич. метод вычисления поверхностного натяжения (ПН) плоской поверхности, предложенный Харасимой, с термодинамич. определением ПН, автор получил общие выражения для ПН цилиндрич. и сферич. поверхности. Введено понятие «поверхности натяжения», и с его помощью ф-ла Кельвина выведена более строго, чем обычным путем. Показано, что выводы Толмана, касающиеся зависимости ПН от кривизны поверхности, требуют пересмотра. Н. Ф.

3554. О поверхностной энергии твердых материалов. Ауэрбах (Über die Oberflächenenergie fester Werkstoffe Auerbach Rudolf), Werkstoffe und Korrosion, 1954, 5, № 6, 208—212 (нем.; резюме англ., франц.)

Рассмотрены различные методы вычисления поверхностного натяжения твердых в-в: 1) по теплоте возгонки; и параметрам кристаллич. решетки в-ва; 2) по параволу; 3) по скорости звука (Auerbach R., Kolloid-Z., 1949, 113, 97). Приведена таблица найденных различными методами значений  $\sigma$  для ряда металлов, неорганич. в-в и органич. полимеров. Н. Ф.

3555. Поверхностное натяжение растворов, содержащих молекулы различной величины. Саролеа

(Sur la tension superficielle des solutions de molécules de dimensions différentes. Saroléa L.), Bull. cl. sci. Acad. roy. Belgique, 1954, 40, № 11, 1120—1130 (франц.; резюме англ.)

Описан метод вычисления поверхностного натяжения р-ров в-в с молекулами различной величины, отличающийся от метода Флори — Хаггинса (Ф. Х.) тем, что принимается во внимание корреляция между вероятностями вхождения определенной молекулы в данный узел и в соседние узлы квазикристаллич. решетки. Показано, что метод Ф. — Х. дает завышенные значения для избыточной поверхностной энергии. Это объясняется тем, что в методе Ф. — Х. учитываются некоторые нереализуемые конфигурации и получается слишком большое значение для уменьшения энтропии р-ра в поверхностном слое. При большой степени полимеризации эффект этот, впрочем, мал по сравнению с огромной разностью между энтропиями реального и идеального р-ров, и расхождение между методами Ф. — Х. и Гуггенгейма соответственно уменьшается. Н. Ф.

3556. Исследование мономолекулярных пленок. I. Измерение низких поверхностных давлений монослоев белка. Тварога Б. Сб. чехосл. хим. работ, 1955, 20, № 3, 691—696  
См. РЖХим, 1954, 46182.

3557. Экспериментальное доказательство существования структуры в пленке гелия II. Кнудсен, Диллингер (Experimental evidence for structure in the helium II film. Knudsen W. C., Dillinger J. R.), Phys. Rev., 1954, 95, № 1, 279—280 (англ.)

Измерена скорость движения пленки He II по медной спирали. Показано, что пленки He II более устойчивы при некоторых определенных толщинах, что указывает на наличие структуры в пленке. И. С.

3558. Течение в пленках He II и образование сплошного столба жидкого He в капиллярах. Дыба, Лейн, Блейквуд (Film flow and bulk formation of helium II in capillaries. Dyba R. V., Lane C. T., Blakewood C. H.), Phys. Rev., 1954, 95, № 6, 1365—1368 (англ.)

Обнаружено образование сплошного столба жидкого He II в капиллярах (K), расположенных вертикально над поверхностью жидкого He II и соединенных с ней твердой поверхностью, на которой образуется подвижная пленка He II. Опыты с плоскопараллельными, круглыми и кольцеобразными K показали, что для образования сплошного столба жидкости необходимо, чтобы толщина K не превосходила некоторой крит. величины, зависящей от формы K. Однако уже образовавшийся столб жидкости сохраняется при наличии соединительной пленки даже при толщине K выше критической. Измерения скорости течения пленки и величины равновесного капиллярного подъема в K дали результаты, согласующиеся с данными других авторов, полученными в других условиях опыта. Описанные выше явления обсуждены, исходя из известных специфич. свойств He II. Н. Ф.

3559. Образование сплошного жидкого He II в капиллярах. Таконис (Bulk formation of helium-II in capillaries. Taconis K. W.), Phys. Rev., 1955, 97, № 4, 1176—1177 (англ.)

Давно объяснение явлениям, описанным ранее (реф. 3558). Найдена связь между высотой  $h_1$  капилляра (K) над уровнем жидкости и крит. радиусом  $r_{кр}$  K, при котором возможно образование в нем сплошного столба жидкости. Вследствие кривизны стенок K пленка He II стремится увеличить свою толщину, так как при этом уменьшается ее поверхностная энергия. Условие образования сплошного жидкого столба в K заключается в том, что это уменьшение энергии должно быть больше, чем рост

потен  
в К.  
3560.

на  
в п  
sion  
п  
le  
438

Пр  
скле  
ности  
знака  
тивле  
делит  
отры  
ла П  
раве  
предс  
чем  
высот  
налич  
ся с  
стати  
щей  
элект  
межд  
в ста  
торы  
и не

3561.

рас  
ик  
Ко

Дав  
тонко  
още  
ваем  
тич.  
ющи  
ные,  
от пр  
давл  
отли  
же н  
гран  
давл  
щест  
этих  
для  
лени

и те  
P(h)  
толщ  
прил  
случ  
тонк  
с уч  
шин  
цини  
вия  
раск  
во в  
и ст  
участ  
3562

ок  
ны  
an  
sta

потенциальной энергии, связанный с подъемом жидкости в К. Отсюда следует условие  $r_{кр} < \sigma / \rho g h_1$ . А. К.

3560. Электрические явления в адгезии. I. Электронная атмосфера в диэлектриках. Скиннер, Савидж, Рацлер (Electrical phenomena in adhesion. I. Electron atmospheres in dielectrics. Skinner Selby M., Savage Robert L., Rutzler John E., Jr), J. Appl. Phys., 1953, 24, № 4, 438—450 (англ.)

При быстром отрыве двух металлич. пластинок, склеенных слоем полимера (П), на разделенных поверхностях возникают электрич. заряды противоположного знака. Если пластинки замкнуты через высокое сопротивление, то по разрядной осциллограмме можно определить поверхностную плотность зарядов  $\sigma$  в момент отрыва. Если разрыв происходит по поверхности раздела П — металл (М),  $\sigma$  значительно больше, чем при разрыве внутри П. Эти явления рассмотрены, исходя из представления об электронной атмосфере в прилегающем к М слое П (диэлектрика). Величина  $\sigma$  определяется высотой энергетич. барьера между М и П. Благодаря наличию электронного облака в П на соприкасающийся с последним М действует аттракционная электростатич. сила, составляющая определенную часть общей адгезионной силы. Обсуждается порядок величины электростатич. силы и ее зависимость от толщины слоя П между металлич. пластинками. Показано, что развитая в статье теория находится в качеств. согласии с некоторыми наблюдениями, сделанными другими авторами и не получившими удовлетворительного объяснения. Н. Ф.

3561. К вопросу об определении понятия и величины расклинивающего давления и его роли в статике и кинетике тонких слоев жидкостей. Дерягин Б. В., Коллоид. ж., 1955, 17, № 3, 207—214

Дано определение расклинивающего давления (РД) тонкого плоскопараллельного слоя жидкости, разделяющего два твердых тела. РД равно давлению, оказываемому слоем (в дополнение к нормальному гидростатич. давлению) в состоянии равновесия на ограничивающие его тела. РД может принимать как положительные, так и отрицательные значения. Оно зависит только от природы обоих твердых тел и жидкости в слое, т-ры, давления в системе и толщины слоя  $h$ . РД заметно отличается от нуля для  $h \leq 10^{-4} - 10^{-5}$  см. Дано также наиболее общее определение РД слоя жидкости, граничащего с двумя любыми фазами: оно равно скачку давления  $P_e - P_i = P(h)$ , который надо принять существующим на поверхности раздела слоя с любой из этих фаз (в которой гидростатич. давление равно  $P_e$ ) для того, чтобы в состоянии равновесия системы давление в слое  $P_i$  удовлетворяло ур-ниям гидростатики и теории капиллярности. При этом скачок давления  $P(h)$  должен зависеть для данной системы только от толщины  $h$  данного участка слоя. Приведены примеры приложения вышеуказанного определения к различным случаям равновесия гетерогенных систем в присутствии тонких слоев и выведены ур-ния гидродинамики слоев с учетом их РД. Показано, что при неравномерной толщине слоя жидкость течет в сторону увеличения толщины, если РД возрастает с  $h$ , и в сторону уменьшения толщины в обратном случае. В первом случае расклинивающее давление действует стабилизирующе, во втором слой находится в неустойчивом состоянии и стремится распасться на более тонкие и толстые участки. С. Б.

3562. Сорбция и реакционная способность закиси и окиси азота на кристаллических и аморфных силикатных сорбентах. Аддисон, Баррер (Sorption and reactivity of nitrous oxide and nitric oxide in crystalline and amorphous siliceous sorbents. Addi-

son W. E., Barrer R. M.), J. Chem. Soc., 1955, March, 757—769 (англ.)

Исследована сорбция  $\text{Ag}$ ,  $\text{O}_2$  и  $\text{NO}$  на обогащенных калием и натрием разновидностях шабазита (I), фюзита (II), морденита, синтетич. цеолитах с морденитоподобной структурой, пористом стекле (III), Na-содержащем алюмосиликатном геле (IV) и силикагеле (V) и сорбция закиси азота на I.  $\text{N}_2\text{O}$  стабильна на I до  $350^\circ$ . Изостерич. теплоты адсорбции и избыточная энтропия адсорбированной  $\text{N}_2\text{O}$  понижаются при возрастании адсорбированного объема.  $\text{NO}$ , сорбированная кристаллич. цеолитами (напр., I и II, обогащенными Ca и Na) очень легко и почти полностью распадается по ур-нию  $4\text{NO} \rightarrow \text{N}_2\text{O} + \text{N}_2\text{O}_3$ . На III, IV и V адсорбция менее значительна, и ограниченное разложение  $\text{NO}$  наблюдается только на III и IV при  $0^\circ$ , что указывает на большое различие каталитич. активности между аморфными и кристаллич. сорбентами. Адсорбция  $\text{NO}$  на I на 30—40% уменьшает одновременно адсорбируемые кол-ва  $\text{Ag}$  и  $\text{O}_2$ . В более слабой форме (15—26% при  $-183^\circ$  и 760 мм) то же наблюдается на III и IV.  $\text{NO}$ , адсорбированная на I, III или IV, полностью инертна по отношению к  $\text{O}_2$ .  $\text{N}_2\text{O}_3$ , образуясь при разложении  $\text{NO}$ , вытесняет последнюю с I при  $150^\circ$ , но  $\text{N}_2\text{O}$  прочно удерживается до  $200^\circ$ . Установлено присутствие межкристаллитных  $\text{NO}_2^-$  и  $\text{NO}_3^-$ , образующихся при побочной р-ции  $\text{N}_2\text{O}_3$  и  $\text{NO}_2$  с остаточной межкристаллитной водой. При сорбции на древесном угле  $\text{NO}$ , повидимому, разлагается по ур-нию  $4\text{NO} \rightarrow \text{N}_2 + 2\text{N}_2\text{O}$ . Адсорбция  $\text{O}_2$  гораздо больше на Ca- замещ. I и II, чем на Na-замещенных. В. Ш.

3563. О характере адсорбционного гистерезиса паров бензола и форме пор у глины. Цицишвили Г. В., Барнабишвили Д. Н., Докл. АН СССР, 1955, 101, № 4, 711—714

При адсорбции паров бензола на образцах активированной  $\text{H}_2\text{SO}_4$  и неактивированной аскаковой глины и гумрина наблюдается обратимый гистерезис, причем у неактивированных образцов эксперим. и вычисленные по ф-ле Кельвина изотермы адсорбции не совпадают, а площадь, ограничиваемая эксперим. кривой, больше, чем для вычисленной кривой, что объясняется наличием бутылкообразных пор. У активированных глин подобного расхождения между эксперим. и вычисленными данными нет, поэтому автор предполагает, что в процессе кислотной активации бутылкообразные поры переходят в открытые, чем и объясняется повышение отбеляющей способности глины. В. Ш.

3564. Измерение адсорбции паров азота на кристаллах хлористого натрия при помощи кварцевых весов высокой чувствительности. Беринг Б. П., Серпинский В. В., Пробл. кинетики и катализа, 1955, 8, 243—247  
См. РЖХим, 1954, 41026.

3565. Абсолютные изотермы адсорбции паров нормального бутана на стекле и силикагелях разной структуры. Киселев А. В., Эльтеков Ю. А., Ж. физ. химии, 1955, 29, № 5, 904—916

На основании литературных данных определены абс. (т. е. рассчитанные на  $1 \text{ см}^2$  поверхности) изотермы адсорбции ( $\alpha$ ) паров  $n$ -бутана (I) при т-ре  $0^\circ$  на в-вах, хим. основой которых является  $\text{SiO}_2$ . Авторы получили для мономолекулярной области (до  $p/p_s = 0,3$ ) совпадение абс. изотерм адсорбции паров I на непористом кремнеземе, приготовленном сжиганием кремнийорганич. соединений, и стеклянных шариках «пирекс», и на крупнопористых стекле и алюмосиликагеле с небольшим содержанием  $\text{Al}_2\text{O}_3$ . Абс. изотермы адсорбции паров I на тонкопористых силикагелях (диаметр пор  $18 \text{ \AA}$ ) идут в начальной области выше и круче. При переходе от непористых и крупнопористых кремнезёмов к тонко-



пористым наблюдается увеличение теплоты адсорбции паров I на 2,5 ккал/моль при  $\alpha = 1,6 \mu\text{M}/\text{M}^2$  и изменение констант ур-ния БЭТ:  $c$  и  $\omega_0$ ;  $c$  растет от 5,5 до 13,  $\omega_0$  изменяется от 55  $\text{\AA}^2$  до 40  $\text{\AA}^2$ . Из сопоставления абс. изотерм адсорбции паров I на непористых адсорбентах разной хим. природы видно, что адсорбируемость I на единицу поверхности растет от кремнезема к саже. Вычислены термодинамич. функции адсорбции паров I на непористых и крупнопористых кремнеземах для начальной области изотерм адсорбции.

Ю. Э.

**3566. Разделение газов посредством сорбционных процессов.** Вирт (Die Trennung von Gasen durch Sorptionsvorgänge. Wirth H.), Sitzungsber. Österr. Akad. Wiss. Math.-naturwiss. Kl. Abt. IIb, 1953, 162, № 1—2, 156—168 (нем.)

См. РЖХим, 1953, 2894.

**3567. Определение дипольного момента по поверхностному потенциалу адсорбционного слоя на металле.** Миньоле (On the definition of the dipole moment from the surface potential of a film on a metal. Minjolet J. C. P.), Bull. Soc. chim. belges, 1955, 64, № 3-4, 122—125 (англ.; резюме франц.)

Показано, что для определения дипольного момента  $\mu$  атомов, адсорбированных на поверхности металла, следует пользоваться ур-нием  $V = 4\pi\sigma$  (1), где  $V$  — поверхностный потенциал адсорбционного слоя,  $\sigma$  — число атомов, приходящихся на единицу поверхности. Ур-ние Ленгмюра (Langmuir I., J. Amer. Chem. Soc. 1932, 54, 2798), отличающееся от (1) коэфф. 2 вместо 4 в правой части, дает фиктивный момент, соответствующий модели электр. зеркала изображения. И. С.

**3568. Исследование вещества в физически адсорбированном состоянии путем измерения диэлектрических свойств.** Чаннен, Мак-Интош (Investigation of the physically adsorbed state by means of dielectric measurements. Channen E. W. McIntosh R.) Canad. J. Chem. 1955, 33, № 2, 172—183 (англ.)

Обсуждены полученные автором литературные данные о диэлектрич. свойствах различных в-в ( $\text{H}_2\text{O}$ ,  $\text{C}_2\text{H}_6\text{Cl}$ ,  $\text{C}_4\text{H}_{10}$ ,  $\text{NH}_3$ ,  $\text{SO}_2$ ), адсорбированных на пористом силикагеле и непористом рутиле. Проанализированы 4 метода расчета поляризуемости  $\alpha$  и диэлектрич. постоянной  $\epsilon$  (2 метода Бэттера для порошков и р-ров, двухстепенный метод Бэттера для вторичных агрегатов и метод Камиони). Все эти методы, содержащие произвольные допущения, в лучшем случае являются полумпирическими и не позволяют предсказывать разумные значения  $\alpha$  и  $\epsilon$ . Поэтому применение первичных опытных данных (зависимости инкремента емкости от адсорбированного объема для расчетов с целью использования диэлектрич. свойств адсорбированного в-ва невозможно впрямь до усовершенствования методов расчета  $\epsilon$  и  $\alpha$ .

З. В.

**3569. О кинетике хемосорбции.** Эрлик (On the kinetics of chemisorption. Ehrlich Gert), J. Phys. Chem., 1955, 59, № 5, 473—477 (англ.)

Исходя из того, что необходимой предпосылкой для хемосорбции является физ. адсорбция, и что скорость  $v$  хемосорбции лимитируется не числом газовых молекул, соударяющихся с поверхностью в единицу времени, а числом благоприятных соударений предвременно физически адсорбированных молекул (ФАМ) с поверхностью, авторы вывели новое ур-ние кинетики хемосорбции для случая адсорбции двухатомной молекулы на совершенной кристаллографич. плоскости в предположении, что ФАМ представляют собой двумерный газ. Уравнение имеет вид:  $(N_s/2)(d\theta/dt) = [p/(2\pi m\beta^{-1})^{1/2}] \{1 + k_1 v_1 \exp[(E_2 - E_1)\beta]/(1 - \theta)^2 k_2 v_2\}^{-1}$  (1), где  $N_s$  — число доступных мест решетки на едини-

цу поверхности;  $\theta$  — степень покрытия поверхности хемосорбированными молекулами;  $p$  — давление,  $m$  — масса молекулы,  $\beta = 1/kT$ ,  $k_1$  — вероятность удачных столкновений, приводящих к десорбции ФАМ;  $v_1$  — частота колебаний, перпендикулярных поверхности адсорбента;  $k_2$  — вероятность удачных соударений ФАМ со свободными местами поверхности, приводящих к хемосорбции;  $v_2$  — число столкновений ФАМ с поверхностью;  $E_2$  — энергия активации процесса хемосорбции,  $E_1$  — энергия активации процесса десорбции ФАМ. В отличие от кинетич. уравнения Ленгмюра и ему подобных ф-л из ур-ния (1) следует, что: (1) зависимость  $\theta$  от  $T$  определяется не  $E_2$ , но разностью  $E_2 - E_1$ ; (2)  $v$  в значительном интервале может быть нечувствительной к изменениям  $\theta$ ; (3) в случае заметной «деактивации» ФАМ вследствие двойных столкновений зависимость  $v$  от  $p$  может быть нелинейной. Ур-ние качественно согласуется с опытными данными также при учете неоднородности поверхности, обусловленной наличием ФАМ, т. е. при учете реально наблюдающейся зависимости физ. адсорбции от  $\theta$ .

З. В.

**3570. Сравнение сорбционных характеристик некоторых минералов, обладающих слоистой структурой.** Калоусек (A comparison of sorption characteristics of some minerals having a layer structure. Kalousek G. L.) J. Phys. Chem., 1955, 59, № 3, 287 (англ.)

Показано, что плотность различным образом приготовленных образцов хризотила, измеренная в полярной  $\text{H}_2\text{O}$  и неполярной  $\text{CCl}_4$ , практически одинакова. На этом основании автор оспаривает точку зрения Янга и Хали (РЖХим, 1955, 34 179), что повышенная по сравнению с  $\text{N}_2$  адсорбция  $\text{H}_2\text{O}$  и  $\text{NH}_3$  на волокнистых минералах (хризотил и родственные ему тоберморит и антитерит) объясняется закупоркой входов в капилляры полярными молекулами  $\text{H}_2\text{O}$ , пропускающей внутрь капилляров только мелкие и сильно полярные молекулы ( $\text{H}_2\text{O}$ ,  $\text{NH}_3$ ) и задерживающей неполярные молекулы.

З. В.

**3571. Об адсорбции и десорбции на жидких поверхностях. II. Адсорбция растворов лауриновой кислоты. Проверка уравнения Гиббса.** Тер-Минасян-Сарага (Etude de l'adsorption et de la désorption aux surfaces liquides. II. Adsorption des solutions d'acide laurique. Vérification de l'équation de Gibbs. Terminassian-Saraga Lisbeth), J. chim. phys. et phys.-chim. biol., 1955, 52, № 2, 99—107 (франц.)

С помощью тензиометра Доннана — Абриба исследована адсорбция лауриновой к-ты в интервале конечных  $c$  0,06—1,3 мек/л при  $t$ -ре  $21 \pm 1^\circ$ . Получена кривая адсорбции  $p = f(c)$ , где  $p$  — поверхностное давление. Показано, что энергия адсорбции жирной к-ты на поверхности р-ра в гомологич. ряду к-т — от уксусной до лауриновой — меняется линейно с увеличением числа групп  $\text{CH}_2$  в углеводородной цепи. Проведена проверка ур-ния Гиббса двумя методами: графическим — путем вычисления  $\Gamma$  с помощью эксперим. кривой  $p = f(c)$  и методом автора. Оба метода проверки ур-ния дали удовлетворительные результаты. Часть I, см. РЖХим, 1955, 48599.

М. Л.

**3572. Хинон-гидрохинонный характер структуры активированного угля и сажи.** Гартен, Уэйсс (The quinone-hydroquinone character of activated carbon and carbon black. Garten V. A., Weiss D. E.), Austral. J. Chem., 1955, 8, № 1, 68—95 (англ.)

Экспериментально исследована структура окисленных — так называемых Н-углей (I) — и восстановленных — Л-углей (II). Угли готовились из сахарозы и активировались воздухом при  $t$ -рах 400—800°. Изучена адсорбция к-т и щелочей, рН суспензий углей в воде, уд. поверхность, кривые потенциометрич. титро-

вани  
ция  
лись  
ства  
гидр  
подр  
теор  
(Ш  
лож  
сво  
шей  
гидр  
груп  
обра  
ката  
дон  
спос  
Гид  
спос  
сво  
сти  
ся у  
соот  
чащ  
го м  
рам  
357  
357  
Н  
de  
b  
1  
ны  
фаз  
вал  
ни  
Ф  
пол  
нук  
мая  
что  
ней  
пов  
чес  
Ф  
пов  
соо  
Пр  
поп  
явл  
(с  
ны  
357  
Ф  
р  
(с  
то  
ка  
ро  
же  
во  
ри  
ра  
на  
ж  
ри  
и

вания, способность к восстановлению  $\text{AgNO}_3$ , адсорбция воды и магнитные свойства углей. Восстанавливались в II электрохим. методом. Показано, что хим. свойства I и II весьма сходны с хим. свойствами хинона и гидрохинона соответственно. Полученные результаты подробно обсуждены в связи с предложенными ранее теориями, объясняющими строение и свойства углей (Шилова и Чмута, Фрумкина и Стенберга). Предложена новая общая теория, согласно которой все свойства I объясняются его хинонной структурой, имеющей неопределенный характер, а свойства II — ароматич. гидрохинонной структурой, содержащей фенольные группы. Так, хинонная структура I позволяет объяснить образование перекисных комплексов, способность I катализировать ионизацию кислорода в присутствии донора электронов, окислительные свойства I и его способность быть активным наполнителем каучука. Гидрохинонное строение II позволяет объяснить его способность к поглощению щелочи, восстановительные свойства и способность уяливать фотографияч. пластинку. Между этими двумя крайними типами находятся угли с промежуточной структурой и свойствами, соответствующими семихинонам. Эти угли встречаются чаще, и их свойства являются результатом электронного взаимодействия между сосуществующими структурами I и II.

**3573. Количественное рассмотрение электростатических эффектов при адсорбции заряженных частиц. Неттер, Оленбуш** (Quantitative Behandlung der elektrostatischen Einflüsse bei der Adsorption geladener Teilchen. Netter Hans, Ohlenbusch Hans-Dieter), Naturwissenschaften, 1954, 41, № 24, 570—571 (нем.).

Рассмотрена адсорбция высокомолекулярных жирных к-т на границе между водн. и жидкой липондой фазами. В водн. фазе растворен сильный одно-одно-валентный электролит. Адсорбция жирной к-ты на границе приводит к возникновению граничного потенциала  $\phi_0$  и к образованию диффузного двойного слоя. Предполагая непрерывное распределение зарядов и постоянную диэлектрич. проницаемость водн. фазы и принимая, что внутри водн. р-ра потенциал равен нулю и что для всей системы действительно условие электро-нейтральности, получено выражение для  $\phi_0$  в функции поверхностной плотности заряда. При  $37^\circ \text{C}$  к изотоническому р-ру  $\text{NaCl}$  применима приближенная ф-ла:  $\phi_0 = -1.82 \cdot 10^{-12} \gamma' e$  ( $\gamma'$  — число анионов к-ты на  $1 \text{ см}^2$  поверхности). Данные ур-ния адсорбции жирных к-т, соответствующие изотерме адсорбции Ленгмюра. При помощи ур-ния Гиббса получено выражение для поверхностного натяжения  $\sigma$ , из которого видно, что  $\sigma$  является функцией рН водн. фазы. Вычисленная кривая ( $\sigma$ , рН) находится в хорошем согласии с эксперим. данными.

**3574. Применение солилизаторов при газовой разделительной хроматографии. Пернелл, Спенсер** (Use of solubilizing agents in gas-phase partition chromatography. Purnell J. H., Spencer M. S.), Nature, 1955, 175, № 4466, 988—989 (англ.).

Чтобы повысить эффективность разделения компонентов смеси паров  $\text{CH}_3\text{Cl}$ ,  $\text{CH}_2\text{Cl}_2$ ,  $\text{CHCl}_3$  и  $\text{CCl}_4$  на колонках из кизельгура, пропитанного водой (при элюировании азотом), не прибегая к повышению т-ры и снижению скорости элюирования, авторы добавляют к водн. фазе типол, значительно увеличивающий растворимость указанных в-в. Опыт подтверждает целесообразность этой меры. Еще большая четкость разделения на кизельгуре достигается при применении неводн. жидкой фазы — парафинового масла с добавкой стеариновой к-ты, играющей в этом случае ту же роль, что и типол в водн. фазе. Таким образом, применение в-в

(«солибилизаторов»), увеличивающих р-римость разделяемых компонентов в неподвижной фазе при распределительной хроматографии, позволяет использовать более короткие колонки и сокращает продолжительность опыта.

В. А.

**3575. Неподвижная фаза при хроматографии на смеси кремневой кислоты с целитом. Роль воды в процессе проявления. Кей, Трублад** (Immobile phase in chromatography on silicic acid-celite. Role of water in the mechanism of development. Kay Lois M., Trueblood Kenneth N.), Analyt. Chem., 1954, 26, № 10, 1566—1572 (англ.).

Исследована зависимость сорбционных свойств кремневой к-ты (в смеси с целитом) от наличия в ней «структурной» и «свободной» воды (Киселев А. В., Коллоид. ж., 1936, 2, 17) при хроматографии динитрофенолов с применением высокополярных р-рителей (спирты, к-ты и их тройные смеси с углеводородами). Установлено, что наблюдаемое повышение сорбционной емкости адсорбента с увеличением содержания в нем воды (образующей неподвижную фазу) вызвано образованием водородных связей с полярными молекулами. Исследование скоростей движения фронтов спиртов и к-т в колонках адсорбента указывает на сосуществование двух механизмов: чисто адсорбционного и распределения между жидкими фазами. Последний играет главную роль при повышенной влажности адсорбента. Связывание водой спиртов и к-т автор объясняет исключительно высокой способностью  $\text{H}_2\text{O}$  к образованию водородных связей.

В. А.

**3576. Модифицированная техника хроматографии. Кришнамурти, Дхарешвар** (Modified technique in chromatography. Krishnamurti K., Dhareshwar B. V.), Research, 1955, 8, № 5, S26 (англ.).

Для устранения размытия зон при хроматографии неорганич. в-в на бумаге рекомендуется перед опытом погружать бумажные полоски (длина 15 см, ширина 1—5 см) в горячий 2—4%-ный р-р агара, содержащий соответствующие аналитич. реагенты ( $\text{KJ}$ ,  $\text{NH}_4\text{CNS}$ , диметилглиоксим и т. п.), и затем высушивать. Хроматографияч. зоны  $\text{Cu}$ ,  $\text{Pb}$ ,  $\text{Ag}$ ,  $\text{Fe}$ ,  $\text{Co}$  и  $\text{Ni}$  на таких полосках хотя расположены теснее, но разграничены более четко, чем при обычном способе без описанной обработки бумаги.

В. А.

**3577. Хроматография на древесном угле в колонке со ступенчатым изменением адсорбционной способности. Порат** (Charcoal chromatography with a step-graded adsorption column. Porath J.), Arkiv kemi, 1955, 7, № 6, 535—537 (англ.).

В развитие ранее опубликованных работ по хроматографии на обработанном «сатуратором» активном угле (РЖХим, 1954, 49789; 1955, 20895) описана ступенчатая градиентная колонка, состоящая из нескольких секций. Смешанный с цеолитом уголь в последовательных секциях колонки содержит убывающее (сверху вниз) кол-во сатуратора (стеариновая к-та). В такой колонке адсорбционная способность изменяется дискретными ступенями. В качестве иллюстрации описан хроматографияч. анализ экстракта горохового корня. После проявления хроматограммы колонка разбиралась на секции, с которых смывалось в-во, и полученные р-ры исследовались с помощью хроматографии на бумаге и электрофореза.

А. К.

**3578. Влияние концентрации и сорбции на миграцию катионов при электрохроматографии на бумаге. Сато, Норрис, Стрейн** (Effect of concentration and sorption upon migration of cations in paper electrochromatography. Sato Takuya R., Norris William P., Strain Harold H.), Analyt. Chem., 1955, 27, № 4, 521—525 (англ.).

Исследована зависимость значений  $R_f$  для  $Pb^{2+}$  и  $Bi^{3+}$  (меченных смесью дочерних продуктов  $Rn - Pb^{210}$ ,  $Bi^{210}$  и  $Po^{210}$ ) от их концентрации в пределах 0,0001—0,01 M при электрофорезе на длинных (до 2 м) бумажных полосах, пропитанных 0,1 M р-ром молочной к-ты. У таких сильно сорбируемых бумагой катионов  $R_f$  возрастает с их конц-ией, стремясь к определенному пределу, зависящему от общей ионной конц-ии основного пропитывающего р-ра, как это наблюдается и при обычной хроматографии (Frierson W. J., Jones J. W., *Analyt. Chem.*, 1951, 23, 1447). Объясняется это тем, что с ростом конц-ии относительное кол-во сорбированных бумагой ионов уменьшается, а  $R_f$  становится прямо пропорциональным конц-ии свободных, несорбированных ионов. Подобной зависимости не наблюдается у щел.-зем. металлов, меченных изотопами  $Ca^{45}$ ,  $Sr^{90}$  (с дочерним  $Y^{90}$ ),  $Ba^{140}$  (с дочерним  $La^{140}$ ) и Ra, очевидно, вследствие того, что присутствующие в бумаге относительно большие кол-ва кальция служат для щел.-зем. металлов носителем. Поэтому предварительная промывка бумаги способствует разделению компонентов. Для эффективного отделения Ra от Ba и Ba от Sr рекомендуется применять низкие конц-ии р-ров и работу вести на хорошо промытой бумаге. При этих условиях Ba не служит носителем для Ra и Sr в отличие от обычных хим. способов разделения.

В. А.

**3579.** Новый метод обнаружения белков на бумажных электрофореграммах. Предварительное сообщение. **Бон** [Een nieuwe methode voor het aantonen van eiwit in papier bij de papierelectrophorese (Voorlopige mededeling). **Бон** W. F. J., *Chem. weekbl.*, 1954, 50, № 8, 131—132 (голл.)]

Предложен метод, с помощью которого могут быть обнаружены полосы белков при электрофорезе на бумаге, не прерывая процесса. С этой целью с влажной бумаги делаются контактные отпечатки на бромистой фотобумаге с применением ультраконтрастного проявителя. Белки обнаруживаются в виде темных пятен на белом фоне. Метод позволяет открывать белки при конц-ии  $1 \gamma/\text{мм}^2$ .

Н. Ф.

**3580.** Кинетика ионного обмена между двумя адсорбентами. III. Системы из водородного и гидроксильного ионов. **Кришнамурти, Десаи** (Kinetics of ion exchange between two adsorbents: III. Hydrogen and hydroxyl systems. **Krishnamoorthy C., Desai A. D.**, *Soil. Sci.*, 1955, 79, № 3, 215—220 (англ.)]

Кинетика обмена металлич. катионов между двумя различными ионитами («ион X» и IR-100) следует ур-нию диффузии через граничную жидкую пленку. В случае же, когда одним из обменивающихся ионов является  $H^+$ , наблюдаются заметные отклонения от подобной закономерности. Предположение, что это происходит вследствие неполноты диссоциации H-формы катионита, подтверждается анализом опытных данных: при замене в кинетич. ур-ниях полного кол-ва сорбированного  $H^+$  на кол-во только электровалентно-связанного  $H^+$ , наблюдается удовлетворительное согласие с теорией диффузии через жидкую пленку. Подобным же образом показано, что и кинетика сорбции  $OH^-$  анионитом IR-400 следует тому же механизму, но на анионите IR-4B, отличающемся огромной прочностью связи с  $OH^-$ , наблюдается кинетика переходного типа от механизма диффузии через жидкую пленку к диффузии внутри гели. Часть II, см. РЖХим, 1955, 54791.

В. А.

**3581.** Исследование ионообменных смол. XI. Коэффициенты активности диффундирующих ионов в сильноосновных анионитах. **Готтлиб, Грегор** (Studies on ion exchange resins. XI. Activity coef-

ficients of diffusible ions in a strong base anion-exchange resin. **Gottlieb Melvin H., Gregor Harry P.**, *J. Amer. Chem. Soc.*, 1954, 76, № 18, 1639—1641 (англ.)]

Исходя из концепции донавного равновесия, по ур-нию:  $\gamma_{\pm}^r = (m_{\pm}^2 \gamma_{\pm}^i / m_{\pm}^+ \cdot m_{\pm}^-)^{1/2}$  ( $m$  — моляльности,  $r$  означает принадлежность фазе ионита) определены коэфф. активности  $\gamma_{\pm}^r$  для KCl, HCl,  $CH_3COOK$ ,  $CCl_3COOK$ , KJ, KCNS и NaOH в сильноосновном анионите даукс-2. Методика аналогична описанной ранее (РЖХим 1953, 8313; 1955, 20 903). Как и на катионитах,  $\gamma_{\pm}^r$  приближаются к  $\gamma_{\pm}^i$  при высоких конц-иях внешнего р-ра.

В области низких конц-ий  $\gamma_{\pm}^r$  резко падают.

$\gamma_{HCl}^r$  меньше, чем  $\gamma_{KCl}^r$ , возможно вследствие наличия в ионите около 3% слабоосновных групп, выделяющих при гидролизе HCl, что приводит к кажущемуся снижению  $\gamma_{HCl}^r$ . По этой причине HCl не укладывается в схему зависимости  $\gamma_{\pm}^r$  от способности аммониевых групп анионита к образованию ионных пар с обменными анионами. Константы, характеризующие образование ионных пар, располагаются в той же последовательности, как и коэфф. избирательности анионита относительно ацетат-иона, равные соответственно для:  $OH^-$  1,3,  $Cl^-$  6,8,  $J^-$  85,  $CCl_3COO^-$  130 и  $CNS^-$  136. При образовании пары  $\gamma_{\pm}^r$  уменьшается, перекрывая обратный эффект возрастания этой величины за счет снижения конц-ии несвязанных ионов. Параллельно величинам  $\gamma_{\pm}^r$  изменяется и содержание  $H_2O$  в ионите. Уменьшение  $\gamma_{\pm}^r$  с разведением внешнего р-ра есть лишь результат способа изображения: в координатах  $(\gamma_{\pm}^r / \gamma_{\pm}^i, m^r)$  кривые имеют тот же характер, как и для свободного р-ра. Сообщение X РЖХим, 1955, 31372. В. А.

**3582.** Исследование ионообменных смол. XII. Набухание в смешанных растворителях. **Грегор, Нобел, Готтлиб** (Studies on ion-exchange resins. XII. Swelling in mixed solvents. **Gregor Harry P., Nobel Deana, Gottlieb Melvin H.**, *J. Phys. Chem.*, 1955, 59, № 1, 10—13 (англ.)]

В развитии ранее опубликованных исследований (РЖХим, 1954, 39336), изучено набухание даукса-50 в  $NH_4^+$ -,  $(CH_3)_4N^+$ -,  $(C_2H_5)_4N^+$ -,  $(C_4H_9)_4N^+$ - и Ag-формах в водн. р-рах метанола, этанола и диоксана. Во всех случаях установлено избирательное поглощение  $H_2O$  из смешанных р-ров с возрастанием процента поглощенной  $H_2O$  при низких молярных долях ее во внешнем р-ре. Эта избирательность усиливается с уменьшением диэлектрич. проницаемости  $\epsilon$  р-ра. Для величины относительного обогащения поглощенного р-ра водой найден ряд:  $(CH_3)_4N^+ \approx (C_2H_5)_4N^+ > NH_4^+ > (C_4H_9)_4N^+$ . Причиной сжатия объема набухшей смолы при переходе к менее полярным р-рителям является образование ионных пар между катионом и фиксированным анионом смолы. Это вытекает из сопоставления объема поглощенного р-рителя  $V_s$  с теоретич. кривыми Бьеррума для образования ионных пар в зависимости от  $\epsilon$ . В ряду аммониевых оснований величина  $V_s$  уменьшается от  $NH_4^+$  до  $(C_4H_9)_4N^+$ ; образование ионных пар в этом случае определяется ван-дер-ваальсовыми силами.  $Ag^+$ -форма катионита набухает значительно менее, чем  $NH_4^+$ -форма. Это согласуется с данными Хеймана и О'Доннелла о значительной ионной ассоциации солей  $Ag^+$  (Heymann E., O'Donnell I. J., *J. Colloid Sci.*, 1949,



4, 405). Сходные данные получены для набухания анионита дауекс-2.  $\text{Cl}^-$  и  $\text{CH}_3\text{COO}^-$  формы столь же избирательно поглощают воду из смешанных р-рителей, но значительно менее, чем  $\text{SO}_4^{2-}$ -форма. С повышением процента  $\text{H}_2\text{O}$  во внешнем р-ре уд. вес влажной смолы проходит через максимум. В. А.

3583. Электрохимическое исследование ионитов. Часть 5. Нагамацу, Сэйяма, Сакаки (イオン交換体の電気化学的研究. 第5報. 永松政俊, 清山哲郎, 坂井渡), 電気化学, Дэнки кагаку, J. Electrochem. Soc., Japan, 1953, 21, 270—274 (япон.).

Диффузионные потенциалы  $\text{BaCl}_2$ ,  $\text{CaCl}_2$  и  $\text{AgNO}_3$  соответственно в р-рах аргинатов Ва, Са и Аг определены с помощью концентрационных ячеек, например  $\text{Hg}|\text{HgCl}_2, \text{KCl}(\text{насыщ.})|\text{BaCl}_2(\text{C}_1)|\text{аллигат Ва}|\text{BaCl}_2 \times \times (\text{C}_2)|\text{KCl}(\text{насыщ.}), \text{HgCl}_2|\text{Hg}$  с отношением кон-ий  $\text{BaCl}_2 \text{ C}_1:\text{C}_2 = 2:1$ . Часть 4 см. Дэнки кагаку, J. Electrochem. Soc., Japan 1952, 20, 203.

Chem. Abstrs, 1953, 47 № 22, 12061., М Тsuboi

3584. Электрохимическое исследование ионитов. Часть 6. Мембранные потенциалы смол-катионитов сульфокислотного типа и типа На-цеолита (I). Нагамацу Сэйяма, Сакаки (イオン交換体の電気化学的研究. 第6報. ゴルфオン酸系陽イオン交換樹脂の膜電位<sup>(1)</sup>. 永松政俊, 清山哲郎, 井渡), 電気化学, Дэнки кагаку, J. Electrochem. Soc. Japan, 1954, 22, № 3, 117—121 (япон.; резюме англ.).

Измерены диффузионные потенциалы ( $E$ ) с мембранами (Мб), изготовленными из катионитов сульфокислотного типа или На — цеолита (60% вес.) и полистирольного пластика (40%), в качестве связующего, по схеме:  $\text{Hg}|\text{HgCl}_2, \text{KCl}(\text{насыщ.})|\text{MCl}(\text{C}_1)|\text{M-Мб}|\text{MCl}(\text{C}_2)|\text{KCl}(\text{насыщ.})|\text{HgCl}_2|\text{Hg}$ . Кон-ий электролита  $\text{C}_1$  и  $\text{C}_2$  (хлориды Ва, Са, Сд, N а или HCl) изменялись в пределах 0,001—0,1 н. Цеолитовая Мб исследована только в р-ре NaCl. Найдено, что, кроме N-формы сульфоновых и Na-формы цеолитовой Мб, во всех остальных случаях постоянное значение  $E$  устанавливалось в течение 1 часа. Линейной зависимости  $E$  от  $\lg(\text{C}_1/\text{C}_2)$  не наблюдалось. Значение  $E$  зависит от толщины Мб и от числа обменных групп на единице поверхности Мб. Chem. Abstrs, 1954, 48, № 22, 13489; J. Nakagawa,

3585. Электрохимическое исследование ионитов. Часть 7. Мембранный потенциал смол-катионитов сульфокислотного типа (II). Часть 8. Электропроводность и ионная концентрация в мембранах. Нагамацу Сэйяма, Сакаки (イオン交換体の電気化学的研究. 第7報. ゴルфオン酸系陽イオン交換樹脂の膜電位(II). 第8報. ゴルфオン酸系陽イオン交換樹脂膜の電導度及び膜内のイオン濃度. 永松政俊, 清山哲郎, 坂井渡), 電気化学, Дэнки кагаку, J. Electrochem. Soc. Japan, 1954, 22, № 6, 292—296; № 7, 362—366 (япон.; резюме англ.).

Часть 7. С помощью указанной в части 6 концентрационной цепи исследован диффузионный потенциал  $E$  описанных там же мембран (Мб) при отношении  $\text{C}_1/\text{C}_2 = 2/1$ ,  $\text{M} = \text{Ва}, \text{Са}, \text{Сд}, \text{K}, \text{Na}, \text{H}$ . С помощью нернстовского ур-ния для  $E$  определены числа переноса  $U_{\text{M}}$  и  $U_{\text{Cl}}$ . Так же, как в случае Мб из аллигатов (см. реф. 3583) линейной зависимости между  $1/U_{\text{Cl}}$  и  $1/C = (1/C_1 + 1/C_2)/2$  не наблюдается. В разбавленных р-рах измеренные значения  $E$  больше, нежели ожидаемые по ур-нию Нернста.

Часть 8. Мб, изготовленные из катионитов с поли-

стиролом в качестве связующего в-ва, исследованы в отношении их электропроводности (между ртутными электродами) и величины средних коэфф. активности ионов в Мб, вычисленных по измеренным кон-иям пропитывающего р-ра. Найдено, что Мб в состоянии доннановского равновесия с внешним р-ром низкой кон-ии, обладают большей уд. электропроводностью  $\kappa$ , нежели внешний р-р; так как  $\kappa$  Мб растет с кон-ией медленнее, чем  $\kappa$  внешнего р-ра, то при больших кон-иях наблюдается обратное соотношение. Подвижность ионов в Мб значительно меньше, чем в свободном р-ре. Прочность связи катионов с отрицательными радикалами катионита убывает в последовательности:  $\text{Ba}^{2+} > \text{Cd}^{2+} > \text{Ca}^{2+} > \text{K}^+ > \text{H}^+$ . Средний коэфф. активности ионов в Мб возрастает с повышением кон-ии внешнего р-ра. В. А.

3586 Д. Исследования по сорбции. Эберт (Studien über Sorption. Ebert Klaus Heinrich. Phil. Diss., Wien, 1953), Oesterr. Bibliogr., 1955, № 4, 11 (нем.).

См. также: Адсорбция 4235 4437; 5894—5896. Поверхн. натяжение 3301. Хроматография, ионный обмен 3468, 3663; 4100—4108, 4190, 4226, 4236, 4245, 4295, 4296; 1641Бх. Электрофорез 3508, 4227, 4242, 4243; 996—999Бх, 1059Бх, 1060Бх, 1157Бх, 1307Бх, 1499Бх, 1501Бх, 1643Бх, 1646Бх, 1716Бх, 1977Бх. Тонкие пленки, монослои 3161, 3271. Др. вопр. 4145

## ХИМИЯ КОЛЛОИДОВ. ДИСПЕРСНЫЕ СИСТЕМЫ

3587. Структурные изменения в некоторых растворах, обладающих структурной вязкостью. Накагакки, Сакаки (Structural change in some solutions having structural viscosity. Nakagaki Masayuki, Sakata Shigeo), Bull. Chem. Soc. Japan, 1954, 27, № 8, 548—551 (англ.).

Реологические свойства золь (3) пятиокси ванадия и сульфосалицилата ртути изучены при помощи вискозиметра Оствальда с переменным уровнем в приемной камере. Изучение влияния механ. воздействий на свойства этих 3 проводилось путем встряхивания пробирок и ультразвукового облучения образцов. Одновременно производилось электронномикроскопич. изучение структуры 3. Установлено, что оба 3 при малых напряжениях сдвига обладают структурной вязкостью; при увеличении давления 3 приобретают свойства ньютоновских жидкостей. Найдена линейная зависимость между относительной вязкостью 3 и скоростью течения. Ньютоновская вязкость  $\eta_N$  и предельное напряжение сдвига  $P_0$  3 линейно зависят от кон-ии последних. Механ. встряхивание и облучение ультразвуком приводит к снижению  $\eta_N$  и  $P_0$ . Как показывает электронномикроскопич. изучение, при этом наблюдается разрушение структурной сетки в 3. При отдыхе одновременно восстанавливается структура и реологич. свойства 3. Изучение реологич. свойств затруднялось скольжением исследованных систем по стенкам капилляра. С. В.

3588. Упруговязкие свойства водных гелей мыл. Пилпел (The viscoelastic properties of aqueous soap gels. Pilpel N.), Trans. Faraday Soc., 1954, 50, № 12, 1369—1378 (англ.).

Изучены механ. свойства водн. гелей мыл при помощи вискозиметра Оствальда и реонометра Вейсберга — Робертса (Roberts, 2-nd Int. Congr. Rheology (Butterworths, London, 1954), 1953, 91). Оценка упругих свойств гелей производилась путем измерений распределения давления в жидкостях, деформируемой с постоян-

ной скоростью  $\leq 20 \text{ сек.}^{-1}$  в зазоре между пластинками реонометра. Для характеристики упруговязких свойств исследуемых систем использованы: относительная вязкость  $\eta_{\text{rel}}$ , время релаксации  $\tau$ , обратимая деформация  $C$  и отчасти модуль упругости  $\gamma$ . Установлено, что  $\eta_{\text{rel}}$  и  $\gamma$  возрастают с увеличением конц-ии мыла, уменьшаются при добавлении небольших кол-в спиртов с числом атомов  $C$  в молекуле менее 16 и почти не изменяются при добавлении небольших кол-в многоатомных мыл или спиртов.  $C$  и  $\tau$  мало зависят от конц-ии мыла, но сильно изменяются в зависимости от длины цепей радикалов мыла, а также при добавлении небольших кол-в многоатомных в-в. Такие же явления наблюдались в неводн. гелях полимеров. Очевидно, в обоих случаях образование геля происходит вследствие переплетения длинных шнуровидных мицелл мыл или полимеров. Конц-ия электролитов ( $E$ ), при которой имеет место наибольшее гелеобразование мыл, зависит только от валентности анионов. Она не зависит от вида мыла, его конц-ии в определенных пределах и одинакова для всех  $E$  с анионами одинаковой валентности. Молярные конц-ии  $E$  с одно-, двух- и трехвалентными анионами, вызывающие наибольшее гелеобразование, относятся как 1,4 : 1,0 : 0,9.

**В. С. 3589. Влияние условий осаждения на текучесть коллоидных суспензий силикагеля. Сирианин, Пуддингтон** (The effect of precipitation conditions on the flow properties of silica dispersions. Siriani A. F., Puddington I. E.), Canad J. Chem., 1955, 33, № 2, 391—395 (англ.)

Суспензии ( $C$ ) силикагеля ( $I$ ) в углеводородах готовились ступенчатой заменой р-рителя (промежуточный р-ритель—ацетон) или переводом  $I$  в аэрогель и диспергированием последнего в углеводородах. На реологию, свойства получаемых  $C$  оказывает существенное влияние pH среды, в которой получался  $I$ . Изучение зависимости текучести  $C$  от pH среды при образовании  $I$  проведено в диапазоне pH 1,0—8,6. Для определения вязкостных свойств использован капиллярный вискозиметр.  $C$  продавливалась через капилляр сжатым  $N_2$ . Из результатов измерений получены кривые зависимости эффективной вязкости от скорости деформации; кроме того, вычислены бингамовское предельное напряжение сдвига  $\tau_{\text{пр}}$  и остаточная вязкость  $\eta_{\text{ост}}$ . Установлено, что  $\tau_{\text{пр}}$  имеет наибольшую величину (порядка  $10^4 \text{ да/см}^2$  для 5%-ных  $C$ ) при pH 5. Уменьшение и увеличение pH приводит к реактому падению  $\tau_{\text{пр}}$ .  $\eta_{\text{ост}}$  зависит от pH значительно слабее. Скорость осаждения  $C$  также зависит от pH, однако максимум скорости соответствует pH 8. Спец. опытами показано, что изменение реологич. свойств  $C$  связано не с формой первичных частиц  $I$ , а с изменением их поверхностных свойств.

**В. С. 3590. Вязкостные свойства углеводородных смазок. Синицын В. В., Виноградов Г. В., Коллоид, ж., 1955, 17, № 3, 255—260**

Вязкостные свойства углеводородных смазок (УВС) изучались методами капиллярной вискозиметрии. Основной объект изучения — маловязкое масло МВП, загущенное 24% перезина (смазка ГОИ-54). Установлено, что УВС в сильной степени проявляют эффект пристенного скольжения, поэтому обработка результатов измерений проводилась описанным ранее способом (РЖХим, 1955, 37019) с использованием ур-ния  $D_{\text{эфф}} = D_{\text{об}} + \sigma R^{-1}$ , где  $D_{\text{эфф}}$  и  $D_{\text{об}}$  — эффективные и объемные скорости деформации,  $\sigma$  — скорость пристенного скольжения и  $R$  — радиус капилляра. На основании проведенных опытов сделан вывод, что деформация течения развивается при малых напряжениях сдвига только в отграниченном от объема пристенном слое

с последующим распространением сдвига в объеме смазки. Реология, свойства пристенного слоя характеризуются увеличенной вязкостно-температурной зависимостью и уменьшением аномалии вязкости по сравнению со свойствами системы в объеме. Поэтому пристенный эффект ухудшает суммарную вязкостно-температурную и вязкостно-скоростную характеристику смазок. Установлено, что для систем, обнаруживающих пристенный эффект, зависимость вязкости от  $t$ -ры имеет минимум при некоторых средних скоростях деформации. Отмечается сходство реологич. свойств мыльных и углеводородных смазок.

**В. С. 3591. Скорость коагуляции как мера устойчивости золей подлистого серебра. Реринк, Овербек** (The rate of coagulation as a measure of the stability of silver iodide sols. Reerink H., Overbeek J. Th. G.), Disc. Faraday Soc., 1954, № 18, 74—84 (англ.)

Если в золе действует сила отталкивания между частицами, то из всех столкновений к слипанию двух частиц ведет лишь  $1/W$ -я часть; величина  $W$  может служить показателем устойчивости.  $W$  можно рассчитать, сравнивая кинетику быстрой и медленной коагуляции. Пользуясь теорией Фервея и Овербека, авторы рассматривают взаимодействие двух шарообразных частиц в монодисперсном золе. В этом случае в первом приближении должны соблюдаться соотношения:  $W = k_1 \exp V_m (1) \text{ и } \lg W = -k_2 \lg c_e + k_3 (2)$ , где  $k_1$ ,  $k_2$ ,  $k_3$  — постоянные;  $V_m$  — энергетич. барьер при сближении частиц;  $c_e$  — конц-ия противоиона в золе. Для водн. золей при  $25^\circ \text{ d} \lg W / \text{d} \lg c_e = -2,15 \cdot 10^7 \text{ а} \gamma^2 / v^2 (3)$ , где  $\gamma = (e^{z/2} - 1) / (e^{z/2} + 1)$ ,  $z = ve\psi_8 / kT$ ,  $a$  — радиус частиц,  $v$  — валентность противоиона,  $\psi_8$  — потенциал диффузной части двойного слоя (потенциал Штерна). Для проверки теории измерена по нарастающему мутности  $E$  скорость коагуляции ряда золей AgI с частицами 200—2000 Å в присутствии различных электролитов.  $1/W$  пропорционально  $(dE/dt) / (c_e^2 d)$ , где  $t$  — время,  $c_e$  — конц-ия золя и  $d$  — длина пути луча в золе. Коэфф. пропорциональности определяется по скорости быстрой коагуляции, когда  $W = 1$ . Показано, что в широком интервале значений  $W$  ( $1-10^4$ ) соблюдается линейная зависимость (2) и  $k_2 = 2-14$ , но требуемая ур-нием (3) пропорциональность между  $\text{d} \lg W / \text{d} \lg c_e$  и  $a$  не подтверждается опытом, особенно при коагуляции одновалентным электролитом. Авторы считают, что расхождение можно объяснить неферич. формой частиц или несовершенством общей теории взаимодействия двойных слоев. Рассчитанные по (3) значения  $\psi_8$  того же порядка ( $10-400 \text{ мВ}$ ), что и получаемые другими методами, но для более грубодисперсных золей полученные значения  $\psi_8$  явно занижены. Расчет по постоянной взаимодействия Ван-дер-Ваальса  $A$  по  $W$  и  $\psi_8$  дает величину порядка  $10^{-12} \text{ эрг}$ , в удовлетворительном согласии с теорией.

**И. С. 3592. Коагуляция несферических частиц. Бут** (The coagulation of non-spherical particles. Booth F.), Disc. Faraday Soc., 1954, № 18, 104—112 (англ.)

При распространении классич. теории Смолуховского на коагуляцию несферич. частиц математич. анализ усложняется вследствие того, что 1) граничные условия диффузионной задачи теряют сферич. симметрию, 2) коэфф. диффузии частицы зависит от ее ориентации и 3) вращательное броуновское движение непрерывно меняет ориентацию частиц. Точное решение может быть получено лишь для случая взаимной коагуляции больших и малых частиц, когда можно пренебречь броуновским движением больших частиц. Коагуляция

большого сфероид — эллипсоид вращения — с малыми шариками идет быстрее, чем шарообразной большой частицы. Если отношение осей эллипсоида равно  $p$ , а его объем равен объему шара с радиусом  $R_0$ , то по кол-ву коагулирующих при столкновении с ним малых частиц эллипсоид эквивалентен шару с радиусом  $R_e$ ,

большим, чем  $R_0$ :  $R_e/R_0 \rightarrow p^{2/3}/\ln 2p$ ,  $p \gg 1$ . Рассматривается влияние ван-дер-ваальсовых и электростатич. сил на кинетику коагуляции. И. С.

**3593. Устойчивость и электрофоретическое осаждение суспензий в неводных средах.** Кулманс, Овербек (Stability and electrophoretic deposition of suspensions in non-aqueous media. Koelmanans H., Overbeek J. Th. G.), Disc. Faraday Soc., 1954, № 18, 52—63 (англ.)

Рассматривая взаимодействие частиц суспензии (СП) в органич. неполярном р-рителе, исходя из закона Кулона для отталкивания и ур-ния Лондона—Гамакера (Hamaker, Physica, 1937, 4, 1058) для притяжения, авторы делают вывод о том, что электростатич. заряд даже при небольших значениях  $\zeta$ -потенциала может стабилизировать СП из крупных, с радиусом  $r > 1 \mu$ , частиц. Мелкие ( $r < 10^{-6}$  см) частицы не должны стабилизироваться зарядом из-за малости сил отталкивания. Стабилизация СП неомогенными в-вами за счет стерич. препятствий при адсорбции молекул с длинными цепями, напротив, возможна лишь для весьма малых частиц,  $r$  которых близок к длине цепи стабилизатора. Экспериментально изучена устойчивость грубых, с  $r \approx 1 \mu$ , СП  $Fe_2O_3$ ,  $Al_2O_3$ ,  $HgS$ ,  $BaSO_4$ ,  $CaCO_3$ ,  $SiO_2$  (кварца),  $TiO_2$  (рутила),  $C$  (графита) и  $Se$  в ксилоле. Неомогенными стабилизаторами в ксилоле являются олеиновая и бензойная к-ты и насыщ. жирные к-ты  $C_6—C_{18}$ . Эти к-ты не увеличивают электропроводности ксилота. Неомогенные стабилизаторы лишь немного повышают устойчивость СП — время оседания возрастает с 1 мин. до нескольких минут или 1 часа. Хорошо стабилизируется к-тами только СП  $Fe_2O_3$  и  $Al_2O_3$  за счет образования мыл. Стабилизирующая способность жирных к-т  $C_6—C_{18}$  растет с ростом длины цепи. С ростом адсорбированного кол-ва к-ты устойчивость проходит через максимум, а затем уменьшается из-за адсорбции второго слоя к-ты. Ионные стабилизаторы: олеат  $Na$ , аэрозоль ОТ (диоктилсульфосукцинат  $Na$ ), триизоамиламмонийпикрат, диизопропилсалицилат  $Ca$ , спан 80 (моноолеат сорбитана) и спан 40 (моноолеат сорбитана) — полностью стабилизируют СП. Крит. значение  $\zeta$ -потенциала исследованных СП, как показывают электрофоретич. измерения,  $\sim 30$  мВ. Изучено электрофоретич. осаждение СП  $MgCO_3$  в метаноле в присутствии  $KCl$  и  $SiO_2$  в ацетоне в присутствии  $LiCl$ . Показано, что крит. время  $t^*$ , по прошествии которого образуется твердый осадок на электроде, зависит от силы тока  $I$ , напряжения  $V$  и уд. электропроводности  $k$  так, что  $t^* = p/q^2 = qV^2/k^2$ , где  $p$  и  $q$  — постоянные. Эта зависимость подтверждает флокуляционную теорию электроосаждения. Под влиянием электрич. поля частицы скапливаются у электрода. Вследствие идущего в системе электролиза вблизи электрода растет конц-ия электролита. По прошествии крит. времени  $t^*$  конц-ия электролита достигает величины, достаточной для флокуляции СП и происходит отложение осадка частиц на электроде. И. С.

**3594. Влияние ортокINETической коагуляции на разрушение грубодисперсных суспензий.** Серегин А. В., Фигуровский Н. А., Коллоид. ж., 1955, 17, № 3, 247—254

Описан видоизмененный и дополненный авторами метод Туорилы (Tuoriga, Koll. Beihette, 1926, 22, 191; 1927, 24, 122) для определения степени быстрой ортокINETич. коагуляции суспензий (С). Полидисперсная С

условно рассматривается как бидисперсная система, в которой из седиментационных кривых до и после коагуляции С аналитически определяются приведенные радиусы крупных  $R$  и мелких  $r$  частиц, а также их масс. Величина аттракционного объема крупных частиц вычисляется по ф-ле:  $B = 1965 KMr(2 + S - 2S^3 - S^9)$ , где  $M$  — масса твердой фазы в 1 см<sup>3</sup> С;  $S = R/r$ ;  $K$  — коэфф., значение которого возрастает с повышением кол-ва введенной соли до некоторой постоянной величины при конц-ии электролита, вызывающей максим. коагуляцию С. Значения  $K$  для трех С стекла разной дисперсности и с различными соотношениями масс и размеров частиц мелкой и крупной фракций оказались близкими. При проверке метода получена сходимость расчетных и эксперим. данных. Показана также возможность использования этого метода для оценки интенсивности медленной ортокINETич. коагуляции С. Л. К.

**3595. Исследование коллоидной сульфосалициловой кислоты. Часть I. Комплексообразование с трехвалентным железом.** Сингх, Пракаш (Untersuchungen über kolloidale Sulfosalicylsäure. Teil I: Komplexbildung mit dreiwertigem Eisen. Singh Rajendra Sen, Prakash Satya), Kolloid-Z., 1955, 142, № 1, 24—27 (нем.)

Изучена при 32° электропроводность  $\kappa$  смесей колл. р-ров ртутисульфосалициловой (I) (РЖХим, 1954, 33968) и сульфосалициловой (II) к-т в воде с водн. р-рами  $FeCl_3$  (III) или  $Fe_2(SO_4)_3$  (IV), взятых в переменных соотношениях при различных исходных конц-иях (от  $M/17$  до  $M/30$ ). При всех разбавлениях ход кривых  $\kappa$  — содержание соли  $Fe$  более или менее резко изменяется при молярных отношениях I : III, I : IV и II : III, равных 1 : 1, что свидетельствует об образовании комплексов с указанным соотношением компонентов. Изученные к-ты являются двуосновными ( $H_2X$ ), и р-цию комплексообразования авторы изображают ур-нием:  $H_2X + FeCl_3 \rightarrow (FeX)^+ + Cl^- + 2HCl$ . В системе I — III в отличие от других систем наблюдается еще одна точка перелома на кривой  $\kappa$  при соотношении I : III, близком к 5 : 1,8. Это объясняется специфич. р-цией I с образующимися по вышеприведенному ур-нию ионами  $Cl^-$  (1 молекула I связывает 1 ион  $Cl^-$ ), по завершении которой  $\kappa$  возрастает более быстро. Б. Т.

**3596. Осаждение сульфата бария из водных растворов.** Коббетт, Френч (The precipitation of barium sulphate from aqueous solutions. Cobbett W. G., French C. M.), Disc. Faraday Soc., 1954, № 18, 113—119 (англ.)

Кондуктометрическим методом изучена скорость осаждения  $BaSO_4$ .  $K \sim 0,001$  н.  $Ba^{2+}$  при 25° при непрерывном перемешивании прибавляя  $\sim 0,01$  н.  $SO_4^{2-}$  и по изменению сопротивления  $R$  а-ра  $R$  со временем  $t$  исследовали кинетику образования осадка. Вначале после сливания р-ров  $R$  быстро растет, а затем через 50—200 мин. достигает равновесного значения. В течение большей части процесса осаждения соблюдается зависимость  $\ln R = at^b + c$ , где  $a$ ,  $b$  и  $c$  — постоянные,  $b \approx 0,67$ . По зависимости  $R(t)$  построены кривые скорости убывания конц-ии ионов  $Ba^{2+}$  —  $(\Delta n / \Delta t)$  в функции остаточной конц-ии  $B^{2+}$  в р-ре  $n_r$ . Эти кривые проходят через максимум, а затем через две точки перегиба. Первый перегиб соответствует моменту прекращения образования зародышей. Далее следует линейная часть кривой — осаждение  $BaSO_4$  на зародышах по р-ции первого порядка. После второго перегиба кинетика осаждения следует формально ур-нию р-ции третьего порядка. Максимум  $-(\Delta n / \Delta t)$  тем выше и достигается тем раньше, чем выше начальная конц-ия  $Ba^{2+}$ , чем больше ионная сила р-ра (добавка  $NaCl$ ) и



чем больше отношение  $[Ba^{2+}]:[SO_4^{2-}]$  отличается от единицы. При  $[Ba^{2+}]:[SO_4^{2-}] \approx 1$  осаждение  $BaSO_4$  начинается, когда произведение молярных конц-ий  $[Ba^{2+}][SO_4^{2-}]$  достигает  $1,59 \cdot 10^{-8}$ , а образование зародышей — при произведении конц-ий  $1,02 \cdot 10^{-8}$ , т. е. значительно большем, чем произведение растворимости  $BaSO_4$  ( $0,962 \cdot 10^{-10}$ ). Добавление желатины замедляет образование осадка  $BaSO_4$ . И. С. 3597.

**Системы: мыло + вода + амфифильное вещество.** Хайд, Лангбридж, Лоренс (Soap + water + amphiphile systems. Hyde A. J., Langbridge D. M., Lawrence A. S. C.), Disc. Faraday Soc., 1954, № 18, 239—258 (англ.).

Систематически изучена растворимость органич. в-в, содержащих полярные группы  $COOH$ ,  $OH$ ,  $NH_2$ , в р-рах карбоксильных, акилсульфатных и катионных мыл. Тройные системы мыло + вода + амфифильное в-во сходны при всех перестановках полярных групп в молекулах мыла и добавляемого в-ва. Имеются лишь колич. различия, которые и можно было ожидать из-за различия в растворимостях. Из более конц. р-ров мыл выделяются смектические жидкокристаллич. фазы; исследователи, ранее изучавшие подобные системы, ошибочно считали, что при этом наступает насыщение р-ра мыла амфифильным в-вом. В действительности растворится еще примерно вдвое большее кол-во последнего; объем жидкокристаллич. фазы увеличивается, достигает максимума, и при дальнейшем прибавлении амфифильного в-ва жидкие кристаллы растворяются. Наконец, при добавлении 3—4 молекул в-ва на 1 молекулу мыла, система расслаивается на 2 жидких слоя. Фазовое равновесие в р-рах типа (алкилсульфат Na с разветвленной углеводородной цепью) с добавками различных амфифильных в-в изучено с помощью измерений электропроводности, вязкости, поверхностного натяжения и показатели преломления. Изучено влияние полярных групп и размера и формы неполярных частей молекулы. Смектическую фазу можно считать трехкомпонентным жидкокристаллич. аналогом твердого р-ра. Так называемые «кислые мыла» не отличаются от тройных систем, в которых амфифильным в-вом является спирт или амин. И. С. 3598.

**Свойства абьетата натрия из американской капи-фоли по опытам ученых Мак-Бейна (1923—1926).** Мак-Бейн [Properties of sodium abietate from american colophony. From experiments of J. W. McBain's students (1923—1926). McBain M. E. L., J. Colloid Sci., 1955, 10, № 2, 219—222 (англ.)]

Водные р-ры абьетата Na (I) при охлаждении расслаиваются на два слоя — изотропный и анизотропный, а при повышенной т-ре гомогенны и изотропны. При конц-ии I 1,0; 0,5; 0,25; 0,20 и 0,15 н. т-ра расслоения равна соответственно 89, 61, 45, 41 и 35°; 0,1 н. р-р гомогенен при комнатной т-ре. При 90° эквивалентная электропроводность  $\lambda$  1,0; 0,5; 0,2; 0,1 и 0,05 н. р-ров I равна соответственно 81,21; 113,0; 168,7; 189,7 и 212,9. При этой же т-ре осмотический коэфф.  $g$  (определенный по точке росы) для 1,0; 0,75 и 0,50 н. I равен 0,44; 0,45; 0,55. Большая величина  $\lambda$  при малом  $g$  показывает, что I является колл. электролитом. И. С. 3599.

**Поверхностная и межфазная вязкость растворов мыл.** Блейки, Лоренс (The surface and interfacial viscosities of soap solutions. Blakey B. C., Lawrence A. S. C.), Disc. Faraday Soc., 1954, № 18, 268—276 (англ.)

Методом колеблющегося диска (Wilson, Ries, Colloid Sympos. Monograph., 1923, 1, 145) измерена поверхностная вязкость  $\eta_s$  р-ров мыл на поверхности р-р/воздух и р-р/толуол. Необходимые для таких измерений особо чистые препараты мыл, не содержащие поверхностноак-

тивных примесей, получены фракционированием с помощью пенообразования: через р-ры мыл в вертикальной трубке продувают воздух, и все примеси удаляются с пеной. Показано, что тщательно очищенные алкилсульфаты Na и катионные мыла (алкилтриметиламмонийбромиды) не обладают заметной  $\eta_s$  на поверхности р-р/воздух. Мыла жирных к-т от  $C_{14}$  и выше содержат, вследствие гидролиза, примесь свободной к-ты и в нейтр. р-рах обладают  $\eta_s$ . При  $pH > 10-11$ , когда гидролиз подавлен,  $\eta_s$  отсутствует. В трехкомпонентных системах вода + мыло + нормальный спирт обнаруживается большая  $\eta_s$ , если углеводородные цепи мыла и спирта имеют не менее 14 атомов C. Поверхностный слой ведет себя как неньютоновская жидкость: измеряемая  $\eta_s$  зависит от скорости сдвига.  $\eta_s$  растет с увеличением конц-ии мыла, достигает максимума при конц-ии, несколько меньшей, чем крит. конц-ия мицеллообразования ( $c_{кр}$ ), а затем резко падает, так как спирт переходит из поверхностного слоя в массу жидкости, сольбилизируясь мицеллами мыла. Высокая  $\eta_s$  является чрезвычайно чувствительным показателем примеси амфифильных в-в в р-ре мыла при конц-ии  $< c_{кр}$ . На поверхности раздела р-ров мыл с толуолом, а также с р-рами алифатич. спиртов в толуоле не обнаружено  $\eta_s$ . Лишь р-ры мыл тяжелых металлов (Zn и Cu) обладают большой  $\eta_s$  на границе с толуолом. В этом случае образуются полимолекулярные адсорбционные слои на поверхности раздела. Межфазная вязкость не играет роли в стабилизации эмульсий типа M/B. Для алкилсульфатов и спиртов от  $C_{12}$  до  $C_{18}$  найдено соответствие между  $\eta_s$  на поверхности раздела р-р — воздух и устойчивостью стабилизированных этими смесями эмульсий: наибольшая  $\eta_s$  и устойчивость наблюдается при равенстве длин цепей спирта и мыла. В дискуссии Блоккер привел ряд примеров получения стабильных эмульсий типа B/M и M/B при ничтожно малых  $\eta_s$ . По сообщению Дархама и Кэмпна водн. р-ры, содержащие 0,04% додецилсульфата Na и 2% додеканола, обладают высоким  $\eta_s$ , но дают неустойчивую пену, а в р-рах этих же в-в конц-ией  $> c_{кр}$   $\eta_s \approx 0$ , а пена устойчива. И. С. 3600.

**Взаимодействие белков с фторокислотами.** Альбумин бычьей сыворотки — перфтороктановая кислота. Клевент, Элленбоген (Protein-fluoroacid interaction. Bovine serum albumin — perfluorooctanoic acid. Klevens H. B., Ellenbogen E.), Disc. Faraday Soc., 1954, № 18, 277—288 (англ.)

Перфторокислоты являются весьма эффективными осадителями белков и полипептидов. Для осаждения бычьего сывороточного альбумина из 1%-ного р-ра при  $pH$  4 и ионной силе 0,1 на 1 молекулу альбумина (I) требуется 5000 молекул трихлоруксусной к-ты, 2000 — перфторуксусной, 500 — перфтормасляной, 150 — перфторгексановой, 20 — перфтороктановой к-ты (II) и 8—10 — перфтордекановой к-ты. Авторы изучили взаимодействие I и II методами равновесного диализа и ультрацентрифугирования. Молярное отношение (MO) — кол-во молекул II, связываемых одной молекулой I, не зависит от  $pH$  при  $MO \leq 28-29$ . При  $MO > 28-29$  связывание сильнее при  $pH$  выше изоэлектрич. точки (ИТ). Кривая зависимости MO от равновесной конц-ии свободной I  $c_f$  напоминает изотерму адсорбции и описывается ур-нием  $[(MO)/c_f] - (n/K) = (MO)/K$ , где  $n$  — число мест в молекуле I, по которым осуществляется взаимодействие, и  $K$  — константа диссоциации для р-ции взаимодействия, равная  $3,1 \cdot 10^{-3}$ .  $n$  обратимо меняется с конц-ией; для 0,5; 1; 2 и 4%-

ного  $p$ -ра  $n$  равно соответственно 150, 85, 60 и 45. При уменьшении  $t$ -ры от 37 до 4° связывание  $\Pi$  несколько растет. При  $MO \leq 28-29$  связывание не зависит от ионной силы  $p$ -ра, а при  $MO > 28-29$  растет с ионной силой. Измерение константы седиментации показывает, что в  $p$ -ре  $I$  в присутствии  $\Pi$  образуются агрегаты: димеры, тримеры и т. д. вплоть до октамеров. Группы  $F-C-F$  служат мостиками между молекулами белка. В молекуле  $I$  имеется 27-28 мест, по которым взаимодействие особенно сильно. При  $pH < IT$  образуются крупные, быстро осаждающиеся агрегаты. При  $pH > IT$  в  $p$ -ре могут находиться даже октамеры с мол. весом порядка 600 000.

И. С.

**3601. Теплота смачивания и связанная вода.** Думанский А. В., Некряч Е. Ф., Коллоид. ж., 1955, 17, № 3, 168-170

Предложен новый способ проверки ранее установленной пропорциональности между теплотой смачивания  $q$  сухого гидрофильного в-ва водой и кол-вом связываемой воды. Показано, что средние дифференциальные  $q$  для большого числа природных гидрофильных в-в близки к 80 кал на 1 г воды, что указывает, повидимому, на общий характер механизма связывания воды различными в-вами.

З. В.

**3602. Исследование гидрофильных свойств дисперсных систем методом насыщения их водой в неполярном углеводороде.** Войцеховский Р. В., Демченко П. А., Коллоид. ж., 1955, 17, № 3, 261-263

Изучено поглощение гидрофильными в-вами (крахмал, вата, агар, стеарат и пальмитат Na) воды ( $I$ ) из насыщенной ею неполярной жидкости (НЖ) — ксилола, толуола или бензола. В эксикатор наливались  $I$  (нижний слой) и НЖ. Образцы помещались в НЖ так, чтобы контакт их с  $I$  исключался. НЖ непрерывно размешивалась мешалкой, введенной через отверстие в крышке эксикатора. Часть опытов проведена в специально сконструированном приборе. Опыты длились до 30 суток. Кол-во поглощенной  $I$  определялось методом Дина и Старка. При изучении в-в, имеющих доступные для смачивания гидрофильные группы, насыщение достигается легко и получаются величины, близкие к рассчитанным по ур-нию Думанского из значений теплоты смачивания (Думанский А. В. и др., Коллоид. ж., 1947, 9, 355), а также к найденным по индикаторному методу. В отличие от других исследованных в-в для ваты полного насыщения водой не достигается даже за 30 суток, что, по мнению авторов, объясняется неравноценностью гидрофильных групп в целлюлозе.

Б. Т.

**3603. Влияние диэлектрических свойств на структуру гелей.** Бузаг, Сёны (A dielektromos saját-ságok befolyása a gél szerkezet kialakulására. Buzágh Atadár, Szönyi Jolán K.), Magyar kém. folyóirat, 1953, 59, № 11, 345-347 (венг.)

В опытах по коагуляции коллагена при действии электролитов (НЭ) найдена связь между эффективностью флокулирующего действия НЭ и его диэлектрич. проницаемостью  $\epsilon$ . Эффективны лишь НЭ с  $\epsilon < 35$ . Гели коллагена с волокнистой структурой образуются при тем меньшей конц-ии НЭ, чем ниже его  $\epsilon$ , но при  $\epsilon < 20$  структура геля не зависит от  $\epsilon$ .

Н. Ф.

**3604. О времени застывания при обратимом переходе золь-гель.** Кацуран, Иноуэ (Bemerkung über die Erstarrungszeit der umkehrbaren Sol-Gel-Umwandlung. Katsuragi Tominosuke, Inoue Katsuya), Kolloid-Z., 1955, 142, № 2/3, 162-163 (нем.)

При охлаждении 0,3-0,4%-ного золя агара получается гель, не вытекающий при персвертывании пробирки. При встряхивании гель переходит в золь. Последний может быть переведен в гель двумя методами: а) нагреванием и последующим охлаждением и в) выдержива-

нием при комнатной  $t$ -ре. Время гелеобразования в первом случае  $T_a$  в десятки раз меньше, чем во втором  $T_b$ . Для золь желатины  $T_a$  в 2-3 раза меньше, чем  $T_b$ ; такое же соотношение обнаружено для золь кремнекислоты.

И. С.

**3605. Значение факторов формы и их применение в дисперсионном анализе.** Робинс (The significance and application of shape factors in particle size analysis. Robins W. H. M.), Brit. J. Appl. Phys., 1954, suppl. № 3, S82-S85 (англ.)

Измерив при помощи предложенного автором метода [Nature, (London), 1952, 170, 583] толщину мелких частиц под микроскопом, а также размеры изображений частиц, можно вычислить поверхностный и объемный факторы формы (ФФ) частиц. Выведены ф-лы для отношения диаметра изображения частиц к их стоксовскому диаметру в функции этих ФФ. Исследование частиц каменноугольной пыли обнаружило значительные колебания в величине ФФ у различных частиц; это, повидимому, относится и к другим пылям. При сопоставлении результатов, полученных различными методами дисперсионного анализа с помощью ФФ, следует учитывать непостоянство последних. Описан метод применения ФФ при сравнении размеров частиц, найденных путем микроскопии и седиментационного анализа. Этот метод сопоставлен с обычно применяемым способом, использующим средние значения ФФ. Получаются расхождения, объясняющие некоторые упомянутые в литературе затруднения при сравнении различных методов дисперсионного анализа. В порошках, проходящих через самые частые сита, частицы максим. размера обладают ФФ, отличными от ФФ более мелких частиц.

Н. Ф.

**3606. Эмульсии. Контроль размера капель и непрерывности фазы в прозрачных дисперсиях масло — вода, стабилизированных мылом и спиртом.** Боукотт, Шульман (Emulsions. Control of droplet size and phase continuity in transparent oil-water dispersions stabilized with soap and alcohol. Bowcott J. E., Schulman J. H.), Z. Elektrochem., 1955, 59, № 4, 283-288 (англ.); Diskuss. 289-290 (нем.)

Дан краткий обзор прежних работ Шульмана с сотрудниками по строению солюбилизированных щел. мылами масел, превращающихся в прозрачные системы в присутствии определенных кол-в алифатич. спиртов. Приведены новые эксперим. данные о составе непрерывной фазы и защитных монослоев, полученные из фазовых диаграмм, дающих зависимость между молярным отношением спирта к мылу, требующимся для образования прозрачных эмульсий из бензола, и молярным отношением бензола к мылу. На примере эмульсий воды в бензоле, содержащей гексанол и олеиновую к-ту, показано, что измеренная скорость седиментации капель в ультрацентрифуге удовлетворительно совпадает с вычисленной из физ. свойств системы. В дискуссии затронут ряд вопросов, касающихся главным образом проблемы двух поверхностных натяжений в случае межфазных монослоев.

Л. К.

**3607. Поведение пузырьков воздуха в водных растворах.** Хелсеби, Тьюсон (Behaviour of air bubbles in aqueous solutions. Helsby F. W., Tuson K. R.), Research, 1955, 8, № 7, 270-275 (англ.)

Изучено образование пузырьков при вдувании воздуха в жидкость. Форма и размер получающихся пузырьков зависит от скорости воздуха, диаметра сопла и вязкости жидкости. При больших скоростях подачи воздуха получают пузырьки весьма сложной формы. Приведены фотографии.

И. С.

**3608. Влияние дефицита влажности на процессы коагуляции и слияния жидких капель.** Прохоров (The effects of humidity deficit on coagulation processes

and the coalescence of liquid drops. Prokhorov P. S.), Disc. Faraday Soc., 1954, № 18, 41—51 (англ.) Краткое изложение ранее опубликованных работ (Докл. АН СССР, 1946, 54, № 6; 1951, 81, № 4; Коллоид. ж., 1948, 10, № 2; 1952, 14, № 1). Н. Ф.

3609. Электрические свойства грубодисперсных аэрозолей. Ютци (Beitrag zur Kenntnis der elektrischen Eigenschaften grobkolloider Aerosole. Jutzi Wernger, Staub, 1954, № 36, 165—212 (нем.)

Рассмотрен вопрос о происхождении зарядов частиц аэрозолей (А), получаемых различными методами. Дан обзор методов измерения величины и знака зарядов частиц А и описан новый вариант известного метода Уэллса и Герке. Приведены результаты изучения электрич. свойств А этим методом. В А, полученном распылением кварцевой пыли, около 95% частиц с радиусом  $r = 0,3—3,0 \mu$  заряжены биполярно и почти симметрично. Величина заряда пропорциональна поверхности частиц, причем на  $1 \text{ см}^2$  поверхности приходится в среднем  $1 \cdot 10^8$  элементарных зарядов. В А, полученном распылением анатазовых пыли ( $r = 0,3—1,4 \mu$ ), установлено преобладание положительно заряженных частиц независимо от их размеров. В туманах гексадекана, полученных механич. распылением ( $r = 0,2—2,0 \mu$ ), в начальной стадии жизни частицы обладают в среднем единичным элементарным зарядом; заряжены лишь 6,3% частиц, причем биполярно и симметрично. Р-ция между сухими HCl и  $\text{NH}_3$  приводит к незаряженному дыму  $\text{NH}_4\text{Cl}$  ( $r = 0,2—1 \mu$ ), но при старении он заряжается биполярно и симметрично и в стационарном состоянии 78% частиц заряжено, причем они несут по одному элементарному заряду. Во всех опытах А получались в сухом нормально ионизованном воздухе. Л. Р.

3610. Электрические заряды частиц в содержащем газовой ионы электрическом поле. Потенье (La charge électrique des particules dans les champs électriques ionisés. Pauthenier, Técnica, 1955, 29, № 248, 227—237 (франц.)

Изложена теория зарядки аэрозольных частиц газовыми ионами в электрич. поле, в значительной части уже опубликованная автором ранее (С. г. Acad. sci., 1934, 199, 189, 1193), и применение ее к электрофильтрам. Н. Ф.

3611. Захват ионов поляризованными каплями. Мюллер-Хиллебранд (The ion capture on polarised drops. Müller-Hillebrand D.), Arkiv geofys., 1954, 2, № 3, 197—225 (англ.)

Подробное математич. исследование вильсоновской теории зарядки водяных капель движущимися в электрич. поле ионами. Вычислены траектории ионов вблизи неподвижных или движущихся с малой скоростью капель. Расчеты сделаны для следующих случаев: 1) заряд находится в центре капли, 2) заряд равномерно распределен по поверхности капли. Учтены также зеркальные силы, вызванные зарядами, индуцированными в капле близлежащими ионами. Н. Ф.

3612. Статистическая электризация аэрозолей диффузией ионов. Гани (The statistical electrification of aerosols by ionic diffusion. Gunn Ross), J. Colloid Sci., 1955, 10, № 1, 107—119 (англ.) Рассмотрен процесс электризации аэрозоля в биполярной ионной атмосфере. Принимая, что распределение зарядов капелек (К) подчиняется закону Гаусса, выведена ф-ла:  $F_x = (F_e/V \cdot 2\pi a k T) \exp \{ -[x - (a k T/e^2) \ln(\lambda_+/ \lambda_-)]^2 / 2 (a k T/e^2) \}$  (1) (при  $a k T/e^2 \gg 1$ ), где  $F_x$  — число К с зарядом  $x e$ ;  $e$  — заряд электрона;  $F_e$  — общее число К;  $a$  — радиус К;  $\lambda_+$  и  $\lambda_-$  — положительная и отрицательная проводимости ионной атмосферы. При  $\lambda_+ = \lambda_-$  число незаряженных К  $F_0 = F_e V e^2 / 2\pi a k T$ ; при  $a > 10^{-2} \text{ см}$  99% К имеют заряд  $\geq e$ .

В типичных случаях распределение зарядов обоих знаков симметрично; почти все К заряжены, а некоторые имеют заряд более  $20 e$ . Если столкновения частиц происходят редко, то средний заряд положительной и отрицательной фракций аэрозоля (при  $\lambda_+ = \lambda_-$ )  $q_+ = q_- = V \pi a k T / 2$ . Для монодисперсного аэрозоля при  $L < r < 2 \cdot 10^{-4} \text{ см}$  ( $L$  — длина свободного пробега молекул) диффузионная электризация увеличивает начальную скорость коагуляции на ~20%. В опытах по диффузионной электризации К производилась интенсивная ионизация облака радием, и на всех К создавался равновесный заряд. Измерены заряды 250 К; результаты согласуются с ур-нием (1). В. Д.

3613. Образование аэрозолей при электрическом распылении жидкостей. Дрозин (The electrical dispersion of liquids as aerosols. Drozin Vadim G.), J. Colloid Sci., 1955, 10, № 2, 158—164 (англ.)

Подробно исследованы явления, наблюдающиеся при наложении возрастающего напряжения на медленно вытекающую из стеклянного капилляра жидкость — вытягивание капель, образование жидкой нити, распадение ее на несколько нитей и, наконец, образование сравнительно монодисперсного тумана. Выведено выражение для электростатич. давления на поверхности мениска  $p = (1/8\pi) (\epsilon - 1) [E^2 + (\epsilon - 1) E_n^2] - (1/8\pi) E^2 \rho d (\epsilon - 1) / d \rho$  (1), где  $E$  и  $E_n$  — сила поля и ее нормальная составляющая,  $\epsilon$  — диэлектрич. проницаемость  $\rho$  — плотность жидкости. При этом принято, что проводимость жидкости исчезающе мала и что  $\epsilon$  изменяется непрерывно в поверхностном слое, толщина которого принята равной длине молекулярного диполя. Приняв, что капелька на конце капилляра — идеальная полусфера, можно пренебречь тангенциальной составляющей  $E$  и написать  $p = C f(\epsilon) E_n^2$ . Исходя из предложенного Анрикезом выражения для  $\epsilon$  в функции  $\rho$  (Henriquez P. C., Recueil trav. chim., 1935, 54, 574), автор вычисляет  $C f(\epsilon)$  для ряда жидкостей. В первом приближении  $C f(\epsilon) = U/r_c$ , где  $U$  — наложенное напряжение, а  $r_c$  — радиус капилляра. Эти выражения позволяют сравнить электростатич. давления для разных жидкостей при данном  $U$ . Даются следующие объяснения описанным явлениям. На обеих сторонах поляризованной капли возникает электростатич. давление, находящееся в равновесии с поверхностным натяжением  $\sigma$ . В достаточно сильном поле поверхность разрывается, радиус кривизны уменьшается. Это увеличивает электростатич. давление и вызывает образование струйки на положительном конце капли (на отрицательном этого не бывает). Неустойчивый конец струйки распадается на капельки тумана. При крит. потенциале, при котором начинается образование монодисперсного аэрозоля, электрич. силы и рекрывают  $\sigma$ , основная струйка разделяется на несколько более тонких, которые, становясь неустойчивыми, распадаются на заряженные маленькие капельки. Показано, что не могут распыляться в-ва с уд. электропроводностью меньшей чем  $10^{-13} \text{ ом}^{-1} \text{ см}^{-1}$  и большей чем  $10^{-8} \text{ ом}^{-1} \text{ см}^{-1}$  (неорганич. к-ты, соли), и в-ва, имеющие дипольные моменты  $< 1 D$ . Если  $C f(\epsilon) > 1$ , жидкость можно распылить. Н. Р.

3614 Д. Гидрофильность глин. Овчаренко Ф. Д. Автореф. дисс. докт. хим. н., Ин-т общ. и неорганич. химии АН УССР, Киев, 1955

См. также: Структурно-механич. св-ва 4498—4500. Аэрозоли 3229, 5813—5816, 5863, 5864. Макродисп. системы 5818



## НЕОРГАНИЧЕСКАЯ ХИМИЯ. КОМПЛЕКСНЫЕ СОЕДИНЕНИЯ

3615. Общегосударственная конференция по неорганической химии. Зикмунд (1. Celá tátna konferencia o anorganickéj chémii. Zikmund M.), Chem. zvesti, 1955, 9, № 6, 390—396 (словац.)

Перечень докладов, сделанных на конференции по неорганической химии, проведенной Словацкой академией наук 2—5 мая 1955 г. в гор. Смоленицы, а также решения конференции. А. Н.

3616. Строение неорганических веществ и их полярнографическое поведение. Корыта (Konstutace anorganických látek a jejich polarografické chování. Koryta Jiří), Chem. zvesti, 1955, 9, № 7, 459—467 (чеш.)

Обзорный доклад. Библ. 101 назв. А. Н.

3617. О разделении редкоземельных элементов при помощи этилендиаминтетрауксусной кислоты. Брунисхольц (Sur la séparation des terres rares à l'aide de l'acide éthylènediamine-tétracétique. Brunisholz G.), Helv. chim. acta, 1955, 38, № 2, 455—459 (франц.)

Редкоземельные элементы (R) (в работе изучены La, Pr, Nd и Sm) образуют комплексы с этилендиаминтетрауксусной к-той ( $H_4Y$ ). Они получают при добавлении  $Na_4Y$  или лучше  $(NH_4)_4Y$  к р-ру  $RCl_3$  или  $R(NO_3)_3$  при pH 2—4. На холоду они выпадают медленно, при нагревании быстрее. Растворимость к-т  $H[RY]$  увеличивается от La к Sm. Они легко растворяются в  $NH_3$  или  $NaOH$ , разлагаются при прибавлении  $HCl$ . Щел. соли  $H[RY]$  существуют в двух формах:  $\alpha$ -форма образуется при низких t-рах в виде пирамидальных кристаллов,  $\beta$ -форма — при комнатной t-ре в виде иголок.  $Na[PrY]$ ,  $Na[NdY]$  и  $Na[SmY]$  получены лишь в  $\alpha$ -форме,  $NH_4[LaY]$  — лишь в  $\beta$ -форме. Растворимость натриевых и аммониевых солей  $H[RY]$  уменьшается от La к Sm. Комплексы R с  $H_4Y$  используют при разделении смесей R. Предложены три метода разделения. 1. Фракционированное осаждение  $H[RY]$ . К р-ру  $RCl_3$  или  $R(NO_3)_3$  прибавляют  $(NH_4)_4Y$ , устанавливают pH 2—3 и нагревают до 80°. Выпадает осадок  $H[RY]$ , и pH растет до 5. Осадок отделяют, фильтрат подкисляют  $HCl$  и вновь повторяют осаждение и т. д. В первых фракциях преобладает La, а в последних — Nd и Sm. 2. Фракционированная кристаллизация комплексных солей  $Na[RY]$  в присутствии избытка  $R^{3+}$ . К р-ру  $RCl_3$  прибавляют при нагревании  $Na_4Y$  в кол-ве, достаточном для связывания лишь 30%  $R^{3+}$ , доводят pH до 4,5, прибавляют  $NaCl$  и дают кристаллизаться первой фракции  $Na[RY]$ , обогащенной Sm и Nd. Из фильтрата, добавляя  $Na_4Y$ , получают следующие фракции, содержащие больше La. 3. Фракционированная кристаллизация солей  $NH_4[RY]$ . К р-ру  $RCl_3$  добавляют при нагревании  $(NH_4)_4Y$  для связывания 70%  $R^{3+}$ , устанавливают pH 4,5 и после охлаждения до 0° отделяют кристаллы, обогащенные Nd и Sm. И. С.

3618. Приготовление олова высокой чистоты. Шмироус (Připrava velmi čistého cinu. Šmírouš Karel), Časop. pěstov. fys., 1953, 3, № 2, 187 (чеш.) См. РЖХим, 1954, 44530.

3619. Отделение железа от церия путем распределения между двумя растворителями. Шпеккер, Кухтнер (Trennung des Eisens von Cer durch Verteilen zwischen zwei Lösungsmitteln. Specker Hermann, Kuchtnér Mathilde), Z. analyt. Chem., 1955, 144, № 1, 25—27 (нем.)

Для колич. разделения Fe и Ce предложено применять метод распределения между несмешивающимися р-рителями (РЖХим, 1955, 23486).  $K \sim 40$  мл р-ра солей  $Fe^{3+}$

и  $Ce^{3+}$  в 4 н.  $HCl$  прибавляют 15 мл 50%-ного р-ра  $NH_4SCN$  и затем при охлаждении прибавляют 60 мл смеси диэтилового эфира с тетрагидрофураном. После встряхивания в течение 1—2 мин. органич. фазу удаляют и к р-ру вновь добавляют 10 мл р-ра  $NH_4SCN$  и по 20 мл  $(C_2H_5)_2O$  и  $C_4H_8O$ , после чего операцию встряхивания повторяют. Fe в виде роданидного комплекса количественно переходит в органич. фазу. Следы  $(C_2H_5)_2O$  и  $C_4H_8O$  из водн. фазы удаляют встряхиванием с  $CHCl_3$ . При использовании  $CHCl_3$  или  $CCl_4$  вместо  $C_4H_8O$  операцию встряхивания для полного извлечения Fe надо производить трижды. Потери Ce не превышают 1—2%. Описанным способом Fe можно отделить от Al, Mn, Ni, Ca, Mg и других элементов. В. Р.

3620. Ответ на замечание к статье о чистом железе. Беднарж, Брож, Шмироус, Троусил (Reply to the comment on the work on pure iron. Bednář Jan, Brož Jaromír, Šmírouš Karel, Trousil Zdeněk), Чехосл. физ. ж., 1955, 5, № 1, 107—109 (англ.)

Ответ на замечание (РЖХим, 1955, 51702) по поводу предложенного авторами (РЖХим, 1955, 3588) метода оценки чистоты железа. В. С.

3621. Получение и некоторые свойства гидрида магния. Эллингер, Холли, Мак-Интир, Пейвон, Поттер, Старицкий, Захарнасен (The preparation and some properties of magnesium hydride. Ellinger F. H., Holley C. E., Jr, McInteer B. B., Pavone D., Potter R. M., Staritzky E., Zachariasen W. H.), J. Amer. Chem. Soc., 1955, 77, № 9, 2647—2648 (англ.)

Гидрид магния  $MgH_2$  получали действием на металл. Mg водорода под давл. 4—70 атм при t-рах 350—480°. Величина константы скорости р-ции изменялась в пределах  $5 \cdot 10^{-5}$ — $5 \cdot 10^{-3}$  в интервале t-р 380—450°. Графически определена теплота образования  $MgH_2$ , равная при 450° 16 ккал/моль (если не образуется твердый р-р). Энергия активации равна 53 ккал/моль.  $MgH_2$  — светлосерого цвета, не изменяется на воздухе, медленно реагирует с водой с выделением  $H_2$ . Кристаллизуется в тетрагональной решетке,  $a$  4,516 Å,  $c$  3,020 Å,  $\rho$  1,45 ± 0,03,  $\rho_{\text{теор}}$  1,419,  $n = 2$ , ф. гр.  $P4/mnm$ . В. К.

3622. О цианиде бора. Шенью (Sur le cyanure de bore. Chaigneau Marcel), C. r. Acad. sci., 1954, 239, № 19, 1220—1222 (франц.)

Безводный  $BCl_3$  при комнатной t-ре не реагирует с  $AgCN$ . Анализ смеси  $BCl_3$  с  $AgCN$  после хранения в запаянном сосуде в течение 40 лет показал присутствие в ней  $B(CN)_3$ , т. пл. 146,5°,  $d^{20} = 2,23$ .  $B(CN)_3$  растворяется в бензоле, эфире,  $CHCl_3$ ,  $CCl_4$ ,  $BCl_3$  и  $CS_2$ , образуя 3—4%-ный р-р.  $B(CN)_3$  вступает в р-ции с многочисленными органич. жидкостями. При t-рах  $> 60^\circ$  скорость р-ции между  $BCl_3$  и  $AgCN$  значительно возрастает. При дальнейшем нагревании р-ция сопровождается образованием окрашенных полимерных продуктов, почти черных при 130°. Н. П.

3623. Образование недокиси алюминия при взаимодействии алюминия с окисью алюминия. Кокран (Aluminum suboxide formed in reaction of aluminum with alumina. Cochran C. Norman), J. Amer. Chem. Soc., 1955, 77, № 8, 2190—2191 (англ.)

Установлено, что отношение Al : O (в ат.%) в летучих продуктах над смесью  $Al_2O_3$  и Al, нагретой до 1500—1700° в вакууме ( $p > 1$  мм рт. ст.), близко к 2. Это позволяет предположить существование летучей недокиси  $Al_2O$ , образующейся согласно ур-нию:  $4Al$  (пар) +

+Al<sub>2</sub>O<sub>3</sub> (тв) = 3Al<sub>2</sub>O (пар). Эмиссионные спектры Al в атмосфере N<sub>2</sub>, Ar или O<sub>2</sub> характеризуются отсутствием в области длин волн 2700—8700 Å линий, приписывавшихся ранее AlO (Mulliken R. S., Phys. Rev., 1925, 26, 561). Спектры поглощения паров над смесью Al<sub>2</sub>O<sub>3</sub> и Al, нагретой до 2200°, в интервале длин волн 2800—7500 Å содержат линии Al и гидроксида алюминия и не содержат никаких линий, которые могли бы быть интерпретированы как линии AlO. Результаты измерения т-р плавления смесей Al<sub>2</sub>O<sub>3</sub> и Al различного состава, по мнению автора, указывают на присутствие нелетучей недокиси алюминия в твердой фазе. Н. К.

**3624. Образование моносulfид кремния.** Шам, Бернард (The formation of silicon monosulfide. Schumb Walter C., Bernard Walter J.), J. Amer. Chem. Soc., 1955, 77, № 4, 904—905 (англ.)

Установлено, что при получении SiS<sub>2</sub> из Si и S по описанному ранее методу (Gabriel H., Alvarez Tostado C., J. Amer. Chem. Soc., 1952, 74, 262; Malatesta L., Gazz. chim. ital., 1948, 78, 702) главным продуктом р-ции является моносulfид кремния SiS. Он образуется за счет взаимодействия SiS<sub>2</sub> (полученного из Al<sub>2</sub>S<sub>3</sub> и SiO<sub>2</sub>) с избытком Si (р-ция протекает количественно при 850° в вакууме), но не при прямой р-ции Si с S (атомное отношение S : Si = 1—2), приводящей лишь к образованию SiS<sub>2</sub>. М. В.

**3625. Система уран—кислород: UO<sub>2.5</sub> до U<sub>3</sub>O<sub>8</sub>.** Хокстра, Сигел, Фуке, Кац (The uranium-oxygen system: UO<sub>2.5</sub> to U<sub>3</sub>O<sub>8</sub>. Hoekstra H. R., Siegel S., Fuchs L. H., Katz J. J.), J. Phys. Chem., 1955, 59, № 2, 136—138 (англ.)

При исследовании окислов урана в интервале составов UO<sub>2.5</sub>—U<sub>3</sub>O<sub>8</sub> отношение O : U определялось или ранее предложенным методом взаимодействия с BrF<sub>3</sub> (РЖХим, 1955, 43275) или окислением окислов до U<sub>3</sub>O<sub>8</sub> при 750°. Нижней границей однофазной области ниже U<sub>3</sub>O<sub>8</sub> является UO<sub>2.55</sub>. Границами существования ромбич. фазы являются окислы UO<sub>2.55</sub> и UO<sub>2.45</sub>. Нагреванием U<sub>3</sub>O<sub>8</sub> на воздухе при 1100—1500° получены глобулярные или гексагональные монокристаллы UO<sub>2.64</sub>, при нагревании которых в атмосфере O<sub>2</sub> при 750° получены монокристаллы U<sub>3</sub>O<sub>8</sub>. Рентгенограммы полученной U<sub>3</sub>O<sub>8</sub> не всегда соответствовали обычной модификации. Эта новая β-модификация имеет ромбич. решетку,  $a$  7,04,  $b$  11,40,  $c$  8,27 кХ,  $n = 4$ ,  $\rho_{\text{рент}}$  8,38. Повторением температурного цикла (до 750°) достигается превращение β-модификации в обычную α-форму U<sub>3</sub>O<sub>8</sub>. При нагревании α-U<sub>3</sub>O<sub>8</sub> в открытом или закрытом капилляре до 975° образования β-формы или превращения в UO<sub>2.64</sub> не наблюдается. Авторы полагают, что β-U<sub>3</sub>O<sub>8</sub> появляется вблизи т-ры разложения U<sub>3</sub>O<sub>8</sub> (~1150°). Однако методом высокотемпературной рентгенографии установлены изменения рентгенограмм U<sub>3</sub>O<sub>8</sub> при повышении т-ры. В интервале 25—365° параметр  $a$  увеличивается,  $a$  и  $b$  с уменьшаются с повышением т-ры. При 365° отношение  $a : b$  достигает 0,577. В интервале 445—600° рентгенограммы становятся более отчетливыми. Образующаяся новая гексагональная фаза характеризуется параметрами:  $a$  6,801 ± 0,001,  $c$  4,128 ± 0,001 кХ,  $n = 1$ ,  $\rho_{\text{рент}}$  8,41. Существования U<sub>3</sub>O<sub>8</sub> установить не удалось. Н. П.

**3626. Об устойчивости бромоватистой кислоты.** Суриссо (Contribution à l'étude de la stabilité de l'acide hypobromeux. Sourisseau Gabriel), Ann. chimie, 1953, 8, mai-juin, 349—409 (франц.)

Устойчивость HOBr исследовалась путем изучения взаимодействия смесей Br<sub>2</sub> и солей Ag с анионами

RAg, где R = CH<sub>3</sub>COO<sup>-</sup>, NO<sub>3</sub><sup>-</sup>, SO<sub>4</sub><sup>2-</sup>, BrO<sub>3</sub><sup>-</sup>, в водн. р-ре. Автор рассматривает 2 этапа: 1) образование HOBr и HR и выпадение AgBr согласно р-ции Br<sub>2</sub> + HOH + AgR → AgBr + HOBr + HR (1) и 2) р-цию диспропорционирования 3HOBr ⇌ 2HBr + HBrO<sub>3</sub>. Установлено, что окисляющая способность HOBr остается приблизительно постоянной в кислой среде, а в щел. среде уменьшается тем более, чем слабее к-та, анион которой входит в состав AgR; значительный избыток AgR также снижает окисляющую способность HOBr, что, по мнению автора, объясняется осаждением AgBrO<sub>3</sub>; при избытке Br<sub>2</sub> к-та HOBr весьма устойчива до испарения избытка Br<sub>2</sub>; добавочное подкисление р-ра приводит к разложению HOBr. Потенциометрически определена константа диссоциации HOBr, найдено значение 1,6 + 0,4 · 10<sup>-9</sup> при 20°. Д. Т.

**3627. О переменном химическом составе закиси железа.** Обри, Марьон (Sur les variations de la composition chimique du protoxyde de fer. Aubry Jacques, Marion Fernand), C. r. Acad. sci., 1955, 240, № 18, 1770—1771 (франц.)

Изучен хим. состав закиси Fe (I), получаемой нагреванием 0,2 г Fe, или оксидов Fe, в атмосфере H<sub>2</sub> + H<sub>2</sub>O при 570° с последующим быстрым охлаждением (Chaudron G., Ann. Chimie, 1921, 16, 221). Показано, что состав I не зависит от степени окисления исходного продукта и определяется лишь т-рой  $t$  и составом (P<sub>H<sub>2</sub></sub> : P<sub>H<sub>2</sub>O</sub>) газовой смеси. Процент Fe в I растет с ростом  $t$  и P<sub>H<sub>2</sub></sub> : P<sub>H<sub>2</sub>O</sub>. Построены проекции объемной диаграммы равновесия:  $t$  — состав газовой смеси — состав I. Предельные равновесные значения хим. состава I соответствуют ф-лам Fe<sub>0,916</sub>O и Fe<sub>0,88</sub>O. В наиболее богатых кислородом препаратах I, получаемых при  $t > 900^\circ$  и P<sub>H<sub>2</sub></sub> : P<sub>H<sub>2</sub>O</sub> > 4, содержится более 0,2% магнетита. В системе идут р-ции: H<sub>2</sub>O + (1 -  $x$ ) Fe ⇌ Fe<sub>(1-x)</sub>O + H<sub>2</sub> и (1 - 4 $y$ ) H<sub>2</sub>O + 3Fe<sub>(1-y)</sub>O ⇌ (1 -  $y$ ) Fe<sub>3</sub>O<sub>4</sub> + (1 - 4 $y$ ) H<sub>2</sub>, где  $x_{570^\circ} = 0,065$ ;  $x_{1300^\circ} = 0,054$ ;  $y_{570^\circ} = 0,065$ ;  $y_{1300^\circ} = 0,12$ . И. С.

**3628. Соединения бора и теория химических форм.** Васильев А. М., Уч. зап. Казанск. ун-та, 1954, 114, № 9, 89—92

Соединения бора — бороводороды и их производные — систематизированы согласно теории хим. форм Ф. М. Флаукиного. Ф. Л.

**3629. Химия гидридов бора.** Стоун (Chemistry of the boron hydrides. Stone F. G. A.), Quart. Revs. London Chem. Soc., 1955, 9, № 2, 174—201 (англ.)

Обзор. Библ. 113 назв. В. Ш.

**3630. Работы кафедры неорганической химии в области химии редких элементов.** Новоселова А. В., Спицын Викт. И., Уч. зап. Моск. ун-та, 1955, № 174, 157—170

Обзор работ кафедры. Библ. 73 назв. В. Ш.

**3631. Тиохлориды кремния.** Шам, Бернард (The thioclides of silicon. Schumb Walter C., Bernard Walter J.), J. Amer. Chem. Soc., 1955, 77, № 4, 862—863 (англ.)

Хлорид SiCl<sub>4</sub> начинает медленно реагировать с H<sub>2</sub>S только выше 500°. Сначала образуется трихлорсилантиол Cl<sub>3</sub>SiSH (I), далее превращающийся в SiS<sub>2</sub> — твердый полимер неопределенного состава, и небольшое количество октахлориклотетрасилтиана (SSiCl<sub>2</sub>)<sub>4</sub> (II). Из 65 г SiCl<sub>4</sub> и H<sub>2</sub>S при 650° за 14,5 часа образуется 40% I (бесцветная крайне легко окисляющаяся жидкость с т. кип. 95,0°/768 мм). Пиролиз чистого I при 650° в атмосфере He дает преимущественно SiCl<sub>4</sub> и нелетучее твердое в-во, близкое по составу к Si<sub>2</sub>S<sub>2</sub>Cl<sub>2</sub>, а также II и гексахлордидсилтиан SSi<sub>2</sub>Cl<sub>6</sub> (III). Чистый III, также полученный с 30%-ным выходом р-цией Cl<sub>3</sub>SiJ с Ag<sub>2</sub>S

в запаянной трубке при 230—250° — бесцветная жидкость с т. пл. —45°, т. кип. 100—100,5°/50 мм. С целью идентификации продуктов р-ции изучены спектры комб. расщ. чистого III и 40%-ного р-ра II в  $C_6H_6$ . Найдены частоты (в  $cm^{-1}$ ): III 118, 136, 191, 228, 266, 397, 546, 592, 631; II 135, 175, 215, 280, 433. Р-ция разбавленного гелима хлора с  $SiS$  при 170° приводит к образованию  $SiCl_4$ ,  $Si_2Cl_6$ ,  $SiCl_2$  и  $Si_2Cl_4$ . При действии хлора на  $SiS_2$  при 700° образуются  $SiCl_4$ , II, S и следы III.

3632. Неорганические соли высокомолекулярных анионов, растворенных и в твердом состоянии. Тило (Anorganische Salze hochmolekularer Anionen im gelösten und im festen Zustand. Thilo Erich), Forsch. und Fortschr., 1955, 29, № 6, 161—169 (нем.). Обзор. Библ. 37 назв. В. Ш.

3633. Химия нитрозильной группы (NO). Аддисон, Льюис [The chemistry of the nitrosyl group (NO). Addison C. C., Lewis J.], Quart. Revs. London Chem. Soc., 1955, 9, № 2, 115—149 (англ.). Обзор. Библ. 165 назв. В. Ш.

3634. О сере и ее соединениях. Фехер (Über den Schwefel und seine Verbindungen. Fehér F.), Angew. Chemie, 1955, 67, № 13, 337—344 (нем.; резюме англ., франц.). Обзор. Библ. 72 назв. В. Ш.

3635. Международная конференция по координационным соединениям. — (Internationale Konferenz über Koordinationsverbindungen. Amsterdam, 28. April bis 3. Mai 1955.—), Angew. Chemie, 1955, 67, № 14/15, 401—405 (нем.).

Краткие реф. докладов, сделанных на Международной конференции по координационным соединениям, состоявшейся 28 апреля — 3 мая 1955 г. в Амстердаме.

3636. Метиламинные комплексы хлорида иттрия. Уэндландт (Methylamine complexes of yttrium chloride. Wendlandt Wesley W.), Science, 1955, 122, № 3161, 197—198 (англ.).

При взаимодействии безводн.  $YCl_3$  с  $CH_3NH_2$  образуются комплексные соединения типа  $Y(CH_3NH_2)_nCl_3$ . Последние исследовались методом термич. разложения при постоянном давлении. Были обнаружены 4 соединения с  $n = 1-4$ . Т-ры разложения этих соединений равны соответственно >360, 232, 180 и 82°. Соединения с  $n = 5$ , найденные для хлоридов редкоземельных элементов, не были обнаружены даже при 0°. Е. Т.

3637. Комплексы железа с цистеином. Танака, Кольтгофф, Стрикс (Iron-cysteinate complexes. Tanaka Nobuyuki, Kolthoff I. M., Stricks W.), J. Amer. Chem. Soc., 1955, 77, № 7, 1996—2004 (англ.).

Определены значения pH и равновесные содержания  $Fe^{2+}$  и цистеина (I) в отсутствие  $O_2$  в смесях  $FeCl_2$ , хлоргидрата I и щелочи. При pH 5—7 образуется малорастворимый  $FeRS$  (обозначает— $OCCCNH_2CH_2S-$ ); произведение растворимости  $FeRS$  равно  $2,6 \cdot 10^{-11}$  при 25°. При pH 10—12 обнаружены  $Fe(OH)RS^-$  и  $Fe(RS)_2^{2-}$ , полные константы диссоциации которых при 25° равны:  $a_{Fe^{2+}}OH^-a_{RS^-}/a_{Fe(OH)RS} = 1,7 \cdot 10^{-13}$  и  $a_{Fe^{2+}}a_{RS^-}^2/a_{Fe(RS)_2} = 1,7 \cdot 10^{-12}$ . Спектрофотометрически изучена скорость восстановления флюоретового комплекса  $Fe^{3+}$  с I, протекающего по р-ции второго порядка. Скорость обесцвечивания при постоянной кон-ции I уменьшается с ростом pH, а при постоянном pH уменьшается с ростом кон-ции I. Произведение константы скорости на кон-цию несвязанного  $RS^-$  остается постоянным. Ион  $Fe^{3+}$  катализирует окисление I до цистива воздухом. Молекулярный коэфф. активации комплекса  $Fe^{3+}$  с I при 580 мк равен  $3,05 \cdot 10^8$  моль $^{-1}cm^{-1}$ . Из растворимости

$Fe(OH)_3$  в р-рах цистеината аммония и  $NH_3$ , экстраполированных к нулевому времени (т. е. к отсутствию восстановления комплекса  $Fe^{2+}$  с I), и из результатов спектрофотометрич. измерений в р-рах, содержащих  $NH_3$ , цистеинат- и этилендиаминтетраацетат-ионы, выведено, что при pH 10—11 существуют комплексы  $Fe(OH)(RS)_2^{2-}$

и  $Fe(RS)_3^{3-}$  с полными константами диссоциации при 25° соответственно  $5 \cdot 10^{-24}$  и  $8 \cdot 10^{-23}$ .

И. Р.  
3638. Тройные комплексы в системе ион меди — пиридин — салицилат. II. Зависимость состава комплексов от pH раствора. Бабко А. К., Тананайко М. М., Ж. общ. химии, 1953, 23, № 9, 1459—1464

Изучалось комплексобразование в системе ион  $Cu^{2+}$  — пиридин (Py) — салицилат (Sal) в зависимости от pH р-ра. В исследовании, которое велось по методу физ. хим. анализа тройных окрашенных комплексов в р-ре, разработанному ранее (Бабко А. К., Ж. общ. химии, 1948, 18, 1607), использовались как водн. р-ры, так и хлороформные экстракты пиридинсалицилатных комплексов  $Cu(2+)$ : Измерена оптич. плотность водных р-ров и светопоглощение экстрактов. Установлено, что при pH водн. фазы 4—4,5 образуется комплекс  $CuPy_2Sal_2$ , а при pH 5—5,5 — комплекс  $CuPy_2Sal$ . Данные о составе комплексов подтверждены выделением и анализом твердых соединений. На основании результатов опытов по экстракции комплексов  $Cu(2+)$  с Py и метиловым эфиром салициловой к-ты, а также с метоксибензойной к-той, установлено, что в комплексе  $CuPy_2Sal_2$  медь связана с группой  $COOH$  салициловой к-ты; для комплекса  $CuPy_2Sal$  принято наличие связей с группами  $COOH$  и  $OH$  салициловой к-ты. Предыдущее сообщение см. Изв. Сектора платины ИОНХ АН СССР, 1951, 26, 162.

В. Т.  
3639. Взаимодействие четырехокиси осмия и нитрата калия в водном растворе. Хатем (La réaction du tétraoxyde d'osmium et de l'iodure de potassium en solution aqueuse. Hatem Simone), C. r. Acad. sci., 1955, 240, № 9, 977—978 (франц.).

Спектрофотометрически установлено, что при смешении водн. р-ров KJ и  $OsO_4$  образуется комплексное соединение состава  $[OsO_4J(H_2O)]K$ . Если разбавление р-ра KJ больше или равно разбавлению р-ра  $OsO_4$ , то смесь устойчива и не выделяет свободного иода. Р-ция образования комплекса протекает не полностью, так как в УФ-спектре р-ра отмечено наличие полос  $OsO_4$ . Если разбавление р-ра KJ меньше разбавления р-ра  $OsO_4$ , то смесь окрашивается в коричневый цвет, обусловленный образованием иона  $J^{3-}$ .

Н. К.  
3640. О действии glutaminной и аспарагиновой кислот на хлороплатинит калия. Гринберг А. А., Кац Н. Н., Изв. Сектора платины ИОНХ АН СССР, 1955, № 29, 37—44

Твердую glutaminную к-ту (4 моля) добавляли при нагревании на водяной бане к р-ру  $K_2[PtCl_4]$  (1 моль). К-та полностью растворялась, и окраска р-ра постепенно ослабевала. Через ~45 мин. после начала нагревания (при постоянном уровне жидкости) начиналось выделение серебристо-белых кристаллов. После отделения первой фракции нагревание продолжалось, и выделялось еще некоторое кол-во кристаллов. Они последовательно промывались 2 н. HCl, водой, спиртом и эфиром и сушились при 100—105°. Выход продукта 40—50%. Данные анализа соответствовали ф-ле диглутаминоплатины  $[Pt(HOOC-CH_2-CH_2-CHNH_2-COO)_2]$  (I). Соединение I имеет характер к-ты и может титроваться щелочами по фенолфталеину. При добавлении р-ра  $AgNO_3$  к нейтрализованному щелочью р-ру I выпадает объемистый белый мелкокристаллич. осадок. Данные анализа после промывки водой и сушки над  $H_2SO_4$  в темноте удовлетворительно согласуются



с ф-лой:  $\text{Ag}_2[\text{Pt}(\text{OOC}-\text{CH}_2-\text{CH}_2-\text{CHNH}_2-\text{COO})_2]$ . При взаимодействии с конц.  $\text{HCl}$  к-та I сначала растворялась, а затем, при упаривании, начиналось выпадение желтого кристаллич. осадка дихлоридглютаминолатина (II), выход 73,2%. В-во обладало кислотными свойствами. На основании р-ции II с этилендиаминном II, а также I, приписана *транс*-конфигурация. Диаспарагиноплатина (III) получалась нагреванием твердой аспарагиновой к-ты (4 моля) с р-ром  $\text{K}_2[\text{PtCl}_4]$  (1 моль). После охлаждения р-ра выделялась непрозрачивавшая аспарагиновая к-та с примесью III. Собирая отдельные фракции, удалось выделить чистую III, выход ~20%. Измерены мол. электропроводность ( $\mu$ ) и рН р-ров I и III. Установлено, что величины  $\mu$  комплексов I и III немного ниже, чем для соответствующих аминокислот. Е. Т.

**3641.** О новом классе реакций индия. Бевиллар (Sur une nouvelle classe de réactions de l'indium. Bévillard Pierre), C. r. Acad. sci., 1955, 240, № 18, 1776—1778 (франц.)

Образование кислотных комплексов In с окрашенными *о*-дифенолами сопровождается характерным изменением окраски. В аммиачном р-ре In и Ga образуют с пирокатехином (I) соединения типа  $\text{M}(\text{OC}_6\text{H}_4\text{O})_2(\text{NH}_4)_2 \cdot 1,5\text{H}_2\text{O}$ . В пиридиновых и пиридиновых р-рах оба металла образуют с I соединения типа  $\text{M}(\text{OC}_6\text{H}_4\text{O})_2 \cdot \text{H}_2(\text{C}_5\text{H}_4\text{N})_2$  и  $\text{M}(\text{OC}_6\text{H}_4\text{O})_2 \cdot \text{H}_2(\text{C}_5\text{H}_5\text{N})_2$ . Выделение последних связано с большими трудностями. Образование солей In указанного состава автор считает свидетельством в пользу возможного существования фенолидных к-т в р-рах солей In и *о*-дифенолов. Эти к-ты осаждаются фенантролином  $\text{Fe}(2+)$ , и в определенных условиях выделяются черные иголки  $\text{In}(\text{OC}_6\text{H}_4\text{O})_2 \cdot \text{HFe}(\text{C}_5\text{H}_5\text{N})_2$ . Выделение комплексов In с пирогаллолом связано с значительными трудностями. Из аммиачных р-ров выделен осадок вероятного состава  $\text{In}_2[\text{OC}_6\text{H}_4(\text{OH})\text{O}]_3 \cdot 3,5\text{NH}_4\text{OH} \cdot \text{nH}_2\text{O}$ . В аммиачных р-рах солей In и аллизаринсульфоната Na (II) или гистазарина, содержащих добавки глюкозы, автор допускает образование соответствующих комплексных анионов. В нейтр. среде постоянно выделяются фиолетовые осадки. Водн. р-р II в присутствии борной к-ты и следов In окрашивается винтисинивный пурпурно-розовый цвет. Эта р-ция представляет аналитич. интерес. Подобную р-цию дают сульфопурпурин, дисульфозализарин и, повидимому, другие сульфированные антрахиноны, содержащие гидроксильные группы в *о*-положении. Динитрогистазарин осаждают In и Ga, но не осаждают Al. Н. П.

**3642.** Фторокомплексы рутения. Вейзе, Клемм (Fluorokomplexe des Rutheniums. Weise Eberhard, Klemm Wilhelm), Z. anorgan. und allgem. Chem., 1955, 279, № 1—2, 74—83 (нем.)

При действии фтора на смеси  $\text{RuCl}_3$  и хлоридов K, Rb, Cs или Ba, взятых в различных отношениях, образуются фторокомплексы  $\text{Ru}(5+)$ . При отношениях  $\text{M}:\text{Ru} = 1:1$  ( $\text{M} = \text{K}, \text{Rb}, \text{Cs}, \text{Ba}$ ) и действии фтора в течение 2 час. при  $350^\circ$  образуются светлоголубоватые  $\text{MRuF}_6$ , быстро чернеющие на воздухе, особенно при повышенной т-ре. Свойства их, за исключением цвета, сходны с описанными ранее (РЖХим, 1955, 13789). При отношениях  $\text{M}:\text{Ru} = 2:1$  получались в-ва переменного состава (от  $\text{K}_2\text{RuF}_7$  до  $\text{K}_2\text{RuF}_8$ ), обладавшие одинаковыми рентгенограммами и являвшиеся смесями  $\text{KRuF}_6$  и  $\text{KF}_x$ . Магнитные восприимчивости  $\text{MRuF}_6$  (обнаруживалась слабая зависимость от напряженности поля) измерены при  $90-295^\circ \text{K}$ . Значения эффективных магнитных моментов  $\mu_{\text{эфф}}$  при  $295^\circ \text{K}$  равны для  $\text{KRuF}_6$ ,  $\text{RbRuF}_6$  и  $\text{CsRuF}_6$  3,48; 3,70 и 3,60 магнетона Бора, что немного ниже ожидавшегося для  $\text{Ru}(5+)$ ; авторы полагают, что препараты были частично разложены. Для препаратов  $\text{K}_2\text{RuF}_8$   $\mu_{\text{эфф}} = 4,06$  магнетона Бора, что исклю-

чает возможность наличия  $\text{Ru}(6+)$  и соответствует смеси  $\text{KRuF}_6$  и  $\text{KF}_x$ . Смесь  $\text{BaCl}_2$  и  $\text{RuCl}_3$  (1:1) при действии фтора при  $350^\circ$  превращается в  $\text{BaRuF}_6$ ;  $\mu_{\text{эфф}} = 3,08$  соответствует наличию двух неспаренных электронов при незначительном участии орбитальных моментов.  $\text{KRuF}_6$ ,  $\text{RbRuF}_6$ ,  $\text{CsRuF}_6$  и  $\text{BaRuF}_6$  кристаллизуются в ромбоэдрич. типе  $\text{BaGeF}_6$  с параметрами решетки  $a$  (в кХ) и  $\alpha_1$ , равными соответственно 4,96 и  $97,5^\circ$ , 5,08 и  $97,0^\circ$ , 5,25 и  $96,2^\circ$ , 4,87 и  $98,0^\circ$ . Молярные объемы равны соответственно 72,1; 77,3; 85,9 и  $69,5 \text{ см}^3$ . Межатомные расстояния (в кХ) равны:  $\text{F}-\text{F}$  2,66,  $\text{Ru}-\text{F}$  1,90—1,91,  $\text{K}-\text{F}$  2,77,  $\text{Rb}-\text{F}$  2,86 и  $\text{Cs}-\text{F}$  2,98. При длительном хранении  $\text{MRuF}_6$  превращаются в  $\text{M}_2\text{RuF}_6$ , идентичные по структуре аналогичным соединениям Rb. Для  $\text{K}_2\text{RuF}_6$   $a$  5,76 и  $c$  4,65 Å. Для  $\text{Cs}_2\text{RuF}_6$  наблюдается только тригональная структура. И. Р.

**3643.** Изонитрильные комплексы кобальта. Сообщение II. Пентаарилзонитрилкобальтоперхлораты. Сакко (Complessi isonitrilici del cobalto. — Nota II. Perclorati di pentaarilisonitrilo-cobalto (II). Sacco Adriano), Gazz. chim. ital., 1954, 84, № 3-4, 370—372 (итал.)

$\text{Co}(\text{ClO}_4)_2$  образует с некоторыми изонитрилами зеленые кристаллич. комплексы типа  $(\text{RNC})_5\text{Co}(\text{ClO}_4)_2$ , где R — фенил (I), *n*-толил (II) и *о*-толилизонитрил (III), полностью диссоциированные и устойчивые только в холодных р-рах. Эти комплексы представляют собой легко восстанавливающиеся соединения  $\text{Co}(2+)$  с координационным числом 5. Комплекс I получен осторожным прибавлением рассчитанного кол-ва спирт. р-ра фенилизонитрила к р-ру  $3 \text{ г } \text{Co}(\text{ClO}_4)_2 \cdot 6\text{H}_2\text{O}$  в 60 мл 95%-ного  $\text{C}_2\text{H}_5\text{OH}$ . Молярная магнитная восприимчивость I при  $20^\circ$   $\chi_M = 1270 \cdot 10^{-6}$ . Аналогичным способом получены II ( $\chi_M = 1293 \cdot 10^{-6}$ ) и III ( $\chi_M = 1286 \cdot 10^{-6}$ ). Электропроводность III ( $\lambda$ ) в нитробензоле при  $20^\circ$  равна: при 0,015 моль/л 10,7; при 0,00092 моль/л 23,2; при 0,00023 моль/л 28,8. Предыдущее сообщение см. РЖХим, 1955, 31441. И. Р.

**3644.** Образование и свойства различных меркапто-тиогликолятов двухвалентной ртути, образующихся при реакциях между двухвалентной ртутью и тиогликолевой кислотой. Стрикс, Кольтофф, Хендрикс (Formation and properties of various mercuric mercapto thioglycolates formed in reactions between mercuric mercury and thioglycolic acid. Stricks W., Kolthoff I. M., Hendrickx A.), J. Amer. Chem. Soc., 1954, 76, № 6, 1515—1519 (англ.)

Методами, описанными ранее (РЖХим, 1955, 31449), изучены р-ции в системе: тиогликолевая к-та (TSH) —  $\text{Hg}^{2+} \cdot 10^{-3} \text{ M}$  TSH титровали 0,05 M  $\text{Hg}(\text{CH}_3\text{COO})_2$  и после каждой порции снимали полярографич. кривые. Анализ полярограмм показывает, что вначале образуется меркаптит  $\text{Hg}(\text{TS})_2$ . При отношении  $\text{Hg}:\text{TSH} > 1:2$  образуется малорастворимый  $\text{Hg}_2(\text{TS})_2$ , в котором один атом Hg прочно связан с группой SH, а второй, гораздо слабее, — с группой COOH. При  $\text{Hg}:\text{TSH} > 1:1$  в р-ре появляются свободные ионы  $\text{Hg}^{2+}$ , а при  $\text{Hg}:\text{TSH} = 1,5:1$  выпадает белый осадок. При р-ции в присутствии 1M KCl в аптатом буфере с pH 5,54 образуется лишь  $\text{Hg}(\text{TS})_2$ , а затем ионы  $\text{Hg}^{2+}$  связываются в комплексе  $\text{HgCl}_4^{2-}$ . По значениям э. д. с. Hg-электрода в р-рах, содержащих  $\text{Hg}^{2+}$  и избыток TSH, при ионной силе 1 при разных pH и конц-ях рассчитаны константы диссоциации  $\text{Hg}(\text{TS})_2$ . Для р-ции  $\text{Hg}(\text{SCH}_2\text{COOH})_2 \rightleftharpoons \text{Hg}^{2+} + 2 \text{SCH}_2\text{COOH}$   $K_1 = 2,2 \cdot 10^{-46}$  и  $4,9 \cdot 10^{-45}$  соответственно при 12 и  $25^\circ$ ; для р-ции  $\text{HOOCCH}_2\text{SHgSCH}_2\text{COO} \rightleftharpoons \text{Hg}^{2+} + \text{SCH}_2\text{COOH} + \text{SCH}_2\text{COO}^-$   $K_2 = 1,4 \cdot 10^{-46}$  и  $4,7 \cdot 10^{-46}$ ; для р-ции  $\text{Hg}(\text{SCH}_2\text{COO})_2 \rightleftharpoons \text{Hg}^{2+} + 2 \text{SCH}_2\text{COO}^-$   $K_3 = 3,0 \cdot 10^{-46}$  и  $1,5 \cdot 10^{-44}$ . Сравнение констант устой-

чивости меркаптидов, образуемых  $\text{Hg}^{2+}$  с TSH, цистеином и глутатионом, показывает, что устойчивость меркаптидов определяется почти исключительно прочностью связи  $\text{Hg}-\text{S}$ , влияние групп  $\text{NH}_2$ ,  $\text{COO}^-$  и  $\text{COOH}$  незначительно. По изменению  $K$  с  $t$ -рой рассчитаны свободные энергии, энтальпии и энтропии образования  $\text{Hg}(\text{TS})_2$ :  $\Delta H_1 = -40,2$ ;  $\Delta H_2 = -45,5$ ;  $\Delta H_3 = -50,6$  ккал;  $\Delta S_1 = 18$ ;  $\Delta S_2 = 50$ ;  $\Delta S_3 = 30$  энтр. ед. И. С.

**3645. Ион тетраминнатрия. Леонард, Липпинкотт, Нелсон, Селлерс** (The tetramminnesodium ion. Leonard Cuy William, Jr., Lippincott Ellis R., Nelson Richard D., Sellers Douglas E.), J. Amer. Chem. Soc., 1955, 77, № 7, 2029 (англ.)

Жидкий  $\text{Na}(\text{NH}_3)_4\text{J}$  (I) получен взаимодействием безводн.  $\text{NaJ}$  и  $\text{NH}_3$ ; т. пл.  $13^\circ$ , давление диссоциации при  $25^\circ$  равно 420 мм. УФ-спектр I ( $\lambda_{\text{мин}} = 309$ ,  $\lambda_{\text{макс}} = 330$ ) отличен от спектров  $\text{NaJ}$  и  $\text{NH}_3$ . ИК-спектр и спектр комб. расщ. I показывают, что характеристич. деформационные частоты  $\text{NH}_3$  ( $950$  и  $1627 \text{ см}^{-1}$ ) смещены в I до  $1105$  и  $1525 \text{ см}^{-1}$ , что близко к деформационным частотам  $\text{CH}_3$  в  $\text{Pb}(\text{CH}_3)_4$  ( $1148$  и  $1448 \text{ см}^{-1}$ ). Основные валентная и деформационная частоты связи  $\text{Na}-\text{NH}_3$  (полосы  $435$  и  $103 \text{ см}^{-1}$ ) близки к соответствующим частотам в  $\text{Zn}(\text{NH}_3)_4^{2+}$  и  $\text{Pb}(\text{CH}_3)_4$ ; силовые константы валентных колебаний этих соединений (в  $10^8 \text{ дин/см}$ ) соответственно равны  $1,85, 1,9$  и  $1,87$ . Не исключается образование ионов  $\text{Na}(\text{NH}_3)_3^+$  и  $\text{Na}(\text{NH}_3)_2^+$ . Прочность иона  $\text{Na}(\text{NH}_3)_4^+$  авторы объясняют частичным переносом электрона с неподеленной пары атома N в  $\text{NH}_3$  к иону  $\text{Na}^+$ . Ион-дипольное взаимодействие в  $\text{Na}(\text{NH}_3)_4^+$  имеет большее значение, чем в аммиачных комплексах переходных металлов. И. Р.

**3646. Комплексные соли N-оксифталонимида с полипептидами. Ванга Э., Ванга Г., Ж. общ. химии, 1954, 24, № 11, 1998—2001**

Получен ряд комплексов N-оксифталонимида (2-оксип-1,3,4-триоксотетрагидрохинолина) (I) с полипептидами общей ф-лы  $\text{A}_{2n} \cdot 2\text{M} \cdot \text{J} \cdot \text{J}_{n+1}$ , где A—I, M—однозарядный катион. I получен изомеризацией 2-нитроиндиандиона-1,3 (РЖХим, 1953, 6429). При обработке I ( $0,5 \text{ г}$ ) р-ром  $\text{J}_2$  в КJ (нагревание и последующее охлаждение) получена соль ( $0,4 \text{ г}$ ) состава  $\text{A}_{12} \cdot 2\text{KJ} \cdot \text{J}_7$ , растворимость в воде  $\sim 1 \text{ г/л}$ , дает синее окрашивание с крахмалом и осадки с ионами  $\text{Ag}^+$  и  $\text{Pb}^{2+}$ . Аналогично получены соли  $\text{A}_{12} \cdot 2\text{NaJ} \cdot \text{J}_7$ ;  $\text{A}_{12} \cdot 2\text{NH}_4\text{J} \cdot \text{J}_7$ ;  $\text{A}_{12} \cdot \text{BaJ}_2 \cdot \text{J}_7$ ;  $\text{A}_{12} \cdot \text{CaJ}_2 \cdot \text{J}_7$ ;  $\text{A}_{12} \cdot \text{NiJ}_2 \cdot \text{J}_7$ . Соли Ba, Sr, Ca и Ni при длительном стоянии на воздухе (3—4 недели) теряют 1 атом, а соль  $\text{Zn}$  2 атома J, превращаясь в комплексы состава  $\text{A}_{12} \cdot \text{NiJ}_2 \cdot \text{J}_6$ ;  $\text{A}_{10} \cdot \text{SrJ}_2 \cdot \text{J}_5$ ;  $\text{A}_{10} \cdot \text{ZnJ}_2 \cdot \text{J}_4$ . Соль Ca может быть получена в виде геля, тогда ее состав  $\text{A}_{10} \cdot \text{CaJ}_2 \cdot \text{J}_4$ . При обработке I р-ром этилендиамина в NJ в присутствии J образуется комплекс  $\text{A}_{26} \cdot \text{En} \cdot 2\text{HJ} \cdot \text{J}_{14}$ . М. Б.

**3647. О некоторых комплексах урана с производными азометина и формазила. Сейхан** (Über einige Urankomplexe der Azomethin- und der Formazyl-Reihe. Seyhan Muvaffak), Chem. Ber., 1954, 87, № 3, 396—399 (нем.)

Взаимодействие спирт. р-ра  $50 \text{ мг}$  3-метилхинолинальдегид-(2)-о-оксанила со спирт. р-ром  $80 \text{ мг}$  уранил-ацетата при  $t$ -ре водяной бани ведет к осаждению красного комплекса состава  $\text{C}_{16}\text{H}_{16}\text{O}_5\text{N}_2\text{U}$  (I). Аналогично получают комплекс урана с 3-метилхиноксалинальдегид-(2)-о-оксанилом, состав которого отвечает ф-ле  $\text{C}_{18}\text{H}_{16}\text{O}_5\text{N}_3\text{U}$ . (II). Комплекс II выпадает в виде микрокристаллов темнокрасного цвета. I и II не растворимы в воде, плохо растворимы или почти не растворимы в обычных органич. р-рителях, хорошо растворимы в  $\text{C}_6\text{H}_6\text{N}$ . Растворение I и II в горячих конц.  $\text{H}_2\text{SO}_4$ ,  $\text{HCl}$  и

лед.  $\text{CH}_3\text{COOH}$  сопровождается расщеплением комплексов. Подобно описанным ранее соединениям (РЖХим, 1954, 41215), в комплексах I и II атом N гетероцикла занимает 1 координационное место, и для заполнения всех 6 координационных мест атом U присоединяет 1 ацетоксигруппу. Азот хинолинальдегид-(4)-о-оксанила (III) из-за стерич. препятствий не может занимать координационного места, и его занимает второй анион азометина. Комплексы U с III получают кипячением с обратным холодильником спирт. р-ров  $50 \text{ мг}$  III и  $40 \text{ мг}$   $\text{UO}_2(\text{CH}_3\text{COO})_2$  в течение 4 час. Данные определения N в комплексе удовлетворительно согласуются с ф-лой  $\text{C}_{32}\text{H}_{22}\text{O}_4\text{N}_4\text{U}$ . Координационно ненасыщ. комплекс U, в котором центральный атом присоединяет всего 5 аддендов, получают кипячением спирт. р-ра  $50 \text{ мг}$  N-фенил-N'-[2-карбоксифенил]-C-[хинолил-(2)]-формазана и  $50 \text{ мг}$   $\text{UO}_2(\text{CH}_3\text{COO})_2$ . Р-р кипятят в течение 1 часа и после ночи стояния отсасывают темнокрасные микрокристаллы состава  $\text{C}_{23}\text{H}_{15}\text{O}_4\text{N}_5\text{U}$ , плавящиеся выше  $320^\circ$ . Приведены предполагаемые структуры комплексов. Н. П.

**3648. О солеобразующей способности семиксамазона. I. Семиксамазон салицилового альдегида (салицилиденсемиксамазон). Говорка, Край** [O solitvornosti semioxamazonu. I. Semioxamazon salicylaldehydu (salicyliden-semioxamazon)]. Novorka Václav, Král Milan, Chem. listy, 1954, 48, № 10, 1515—1525 (чеш.)

Аммиачный раствор салицилиденсемиксамазона,  $\text{o-C}_6\text{H}_4(\text{OH})\text{CH}=\text{NNHCCC}(=\text{NH})\text{CON}(\text{H})$  (I) [1 моль насыщ. водн. р-ра семиксазона встрихивают с 1 молекул салицилового альдегида, т. пл.  $255^\circ$  (разл., из сп.)] осаждают из разб. водн. р-ров солей Pb (2+) и Mn (2+) в присутствии винной к-ты (II) и из водн. разб. р-ров солей Ca, Sr и Ba желтые или желто-оранжевые внутрикомплексные соли с координационным числом (KЧ) центрального атома, равным 3 (координация с двумя атомами O и одним атомом N молекулы I). Из водн. р-ров солей Cu (2+) аммиачный р-р I осаждает зеленые кристаллы моногидрата амминокомплекса Cu (KЧ=4, координация с двумя O и одним N молекулы I и одним N молекулы  $\text{NH}_3$ ). В тех же условиях Cd образует желтые кристаллы моногидрата аквокомплекса. Р-р I в ацетоне осаждают из разб. водн. р-ра Co (2+) желто-коричневый моногидрат аквокомплекса (для комплексов Cd и Co KЧ=4, координация с двумя O и одним N молекулы I и одной молекулой  $\text{H}_2\text{O}$ ).  $\text{UO}_2^{2+}$  в ацетоновом р-ре в присутствии  $\text{CH}_3\text{COOH}$  образует при действии ацетонового р-ра I красный полугидрат аквокомплекса и соль с соотношением  $\text{UO}_2 : \text{I} = 1 : 2$ . Соли Bi (3+) (р-р в разб.  $\text{HNO}_3$ , в присутствии II) образуют с аммиачным р-ром I комплекс с KЧ=4, а соли Al (водн. р-р, II)—амминокомплекс с KЧ=6. В присутствии II или сульфосалициловой к-ты Fe (3+) дает с аммиачным р-ром I комплекс с отношением  $\text{Fe} : \text{I} = 1 : 2$ —темнокоричневые кристаллы; в присутствии NaF образуется комплекс с отношением  $\text{Fe} : \text{I} = 2 : 2$ —коричневые кристаллы. И. К.

**3649. О соединении молибдата с ализарином S. Назарчук Т. Н.,** Укр. хим. ж., 1954, 20, № 4, 417—423

Установлено, что  $\text{Na}_2\text{MoO}_4$  образует с ализарином S (I) растворимое в воде ярко окрашенное соединение коричневатого-красного цвета. Спектрофотометрически при различных pH и различных отношениях компонентов р-ра установлено, что комплекс устойчив в интервале pH 2—5 и что состав его (определенный при pH 2 и 5) отвечает отношению  $\text{MoO}_4^{2-} : \text{I}$ , равному  $1 : 1$ , т. е. что комплекс образуется в результате р-ции одного

иона  $\text{MoO}_4^{2-}$  с одной молекулой I. Опыты по переносу ионов показали, что образующееся соединение является комплексным анионом. Автор считает, что р-ция иона  $\text{MoO}_4^{2-}$  с I может быть применена для колориметрич. определения Mo. Молибдат-ализариновый комплекс разрушается оксалат-, цитрат- и тартрат-ионами. Присутствие ионов  $\text{F}^-$  не вызывает изменения окраски комплекса.

H. M.

**3650.** Образование комплексных соединений мочевины с галогенидами щелочноземельных металлов. Часть III. Система  $\text{BaCl}_2 - \text{CO}(\text{NH}_2)_2 - \text{H}_2\text{O}$ . Реохор, парахор и молекулярная рефракция. Часть IV. Система  $\text{BaBr}_2 - \text{CO}(\text{NH}_2)_2 - \text{H}_2\text{O}$ . Электропроводность и вязкость. Панде, Бхатнагар [Formation of complex compounds between urea and alkaline earth halides. Part III. The system:  $\text{BaCl}_2 - \text{CO}(\text{NH}_2)_2 - \text{H}_2\text{O}$  (Rheochor, parachor and molecular refraction). Part IV. The system:  $\text{BaBr}_2 - \text{CO}(\text{NH}_2)_2 - \text{H}_2\text{O}$  (Conductivity and viscosity). Pande C. S., Bhatnagar M. P.], Z. Phys. Chem., 1954, 203, № 5/6, 369—379 (англ.)

Часть III. В результате измерений вязкости, поверхностного натяжения, показателя преломления и вычисления из полученных данных реохора, парахора и мол. рефракции для водн. р-ров, содержащих  $\text{BaCl}_2$  и  $\text{CO}(\text{NH}_2)_2$ , установлено образование комплексных соединений:  $2\text{BaCl}_2 \cdot \text{CO}(\text{NH}_2)_2$ ,  $\text{BaCl}_2 \cdot \text{CO}(\text{NH}_2)_2$ ,  $\text{BaCl}_2 \cdot 2\text{CO}(\text{NH}_2)_2$ ,  $\text{BaCl}_2 \cdot 4\text{CO}(\text{NH}_2)_2$ .

Часть IV. Результаты измерений электропроводности и вязкости водн. р-ров, содержащих  $\text{BaBr}_2$  и  $\text{CO}(\text{NH}_2)_2$ , указывают на образование комплексных соединений:  $2\text{BaBr}_2 \cdot \text{CO}(\text{NH}_2)_2$ ,  $\text{BaBr}_2 \cdot \text{CO}(\text{NH}_2)_2$ ,  $\text{BaBr}_2 \cdot 2\text{CO}(\text{NH}_2)_2$ ,  $\text{BaBr}_2 \cdot 4\text{CO}(\text{NH}_2)_2$ . Часть II см. РЖХим, 1955, 31435.

Д. К.

**3651.** Образование комплексных соединений мочевины с галогенидами щелочноземельных металлов. Часть V. Система  $\text{BaBr}_2 - \text{CO}(\text{NH}_2)_2 - \text{H}_2\text{O}$ . Поверхностное натяжение и показатель преломления. Панде, Бхатнагар [Formation of complex compounds between urea and alkaline earth halides. Part V. The system  $\text{BaBr}_2 - \text{CO}(\text{NH}_2)_2 - \text{H}_2\text{O}$ : Surface tension and refractive index. Pande C. S., Bhatnagar M. P.], J. Indian Chem. Soc., 1954, 31, № 7, 536—538 (англ.)

На основании результатов измерений поверхностного натяжения и показателя преломления р-ров системы  $\text{BaBr}_2 - \text{CO}(\text{NH}_2)_2 - \text{H}_2\text{O}$  построены кривые, подтверждающие прежние данные (реф. 3650) об образовании в системе молекулярных соединений с отношениями  $\text{BaBr}_2 : \text{CO}(\text{NH}_2)_2$ , равными 2 : 1, 1 : 1, 1 : 2 и 1 : 4.

K. M.

**3652.** Образование комплексных соединений мочевины с галогенидами щелочноземельных металлов. Часть VIII. Система  $\text{BaJ}_2 - \text{CO}(\text{NH}_2)_2 - \text{H}_2\text{O}$ . Показатель преломления и точка замерзания. Панде, Бхатнагар [Formation of complex compounds between urea and alkaline earth halides. Pt. VIII. The system:  $\text{BaJ}_2 - \text{CO}(\text{NH}_2)_2 - \text{H}_2\text{O}$  (Refractive index and freezing point). Pande C. S., Bhatnagar M. P.], Z. Phys. Chem. (Leipzig), 1955, 204, № 3/4, 183—187 (англ.)

На основании результатов измерений показателя преломления и понижения точки замерзания р-ров системы  $\text{BaJ}_2 - \text{CO}(\text{NH}_2)_2 - \text{H}_2\text{O}$  построены кривые, указывающие на образование комплексов  $2\text{BaJ}_2 \cdot \text{CO}(\text{NH}_2)_2$ ,  $\text{BaJ}_2 \cdot \text{CO}(\text{NH}_2)_2$ ,  $\text{BaJ}_2 \cdot 2\text{CO}(\text{NH}_2)_2$ ,  $\text{BaJ}_2 \cdot 3\text{CO}(\text{NH}_2)_2$  и  $\text{BaJ}_2 \cdot 4\text{CO}(\text{NH}_2)_2$ .

В. Ш.

**3653.** Изучение координационных соединений. IX. Устойчивость в растворах внутрикомплексных соединений с рядом органических аддендов. X. Корреляция констант устойчивости для растворов внутри-

комплексных соединений с аддендами, координированными через азот и кислород. Ван-Эйтерт, Фернелиус (Studies on coordination compounds. IX. The solution stabilities of the chelate compounds of a number of organic ligands. X. Correlation of the solution stabilities of the chelate compounds of ligands coordinating through nitrogen and oxygen. Van Uitert LeGrand G., Fernelius W. Conrad, J. Amer. Chem. Soc., 1954, 76, № 2, 375—383 (англ.)

Часть IX. Потенциометрич. титрованием по описанному ранее методу (РЖХим, 1953, 2945) ряда органич. к-т и их смесей с солями металлов определены константы диссоциации к-т и ступенчатые константы образования внутрикомплексных соединений в р-рах. Все измерения выполнены в смеси 25 об. %  $\text{H}_2\text{O}$  и 75 об. % диоксиана; данные сведены в таблицы. В одной из прежних работ (РЖХим, 1954, 21491) отмечалось, что отрицательные логарифмы констант образования  $\text{pK}_f$  для комплексов металлов с  $\beta$ -дикетонами приблизительно являются линейной функцией электроотрицательности металла; показано, что такое же соотношение проявляется и для других аддендов, образующих внутрикомплексные соединения с ионами  $\text{Cu}^{2+}$ ,  $\text{Ni}^{2+}$ ,  $\text{Zn}^{2+}$ ,  $\text{Mn}^{2+}$ ,  $\text{Mg}^{2+}$  и  $\text{Ca}^{2+}$ . Угловые коэфф. этих прямых зависят от природы адденда; они имеют наибольшее значение для аддендов, образующих связи через два атома N (напр., для этилендиамина), и наименьшее — для аддендов, образующих связи через два атома O (напр., для салицилового альдегида). В р-рах существуют различные типы внутрикомплексных соединений двухвалентных металлов: с Ch образуются  $\text{MCh}^{2+}$  и  $\text{MCh}_2^{2+}$ , с  $\text{HCh} - \text{MCh}^+$ ,  $\text{MCh}_2$  и  $\text{MCh}_3^-$ , с  $\text{H}_2\text{Ch} - \text{MCh}$  и  $\text{MCh}_2^{2-}$ , с  $\text{H}_3\text{Ch} - \text{MCh}$  и  $\text{MCh}^-$  (M обозначает лон металла, а Ch — адденд, образующий цикл во внутрикомплексном соединении).

Часть X. Используя высказанные ранее соображения (Walsh A. D., J. Chem. Soc., 1948, 398), авторы приходят к выводу, что прочность связи в газообразных в-вах зависит главным образом от трех факторов: а) произведения относительных электроотрицательностей ( $\Sigma$ ) партнеров  $X_a$  и  $X_b$ ; б) дипольного характера связи, определяемого разностью  $X_a - X_b$ ; в) роста  $X_a - X_b$  уменьшает прочность связи; г) эффекта расталкивания ядер; в случае весьма электроотрицательных атомов (N, O) он может влиять сильнее, чем фактор а и уменьшать «эффективную» электроотрицательность ( $\Sigma$ ). Учитывается влияние характера гибридизации на  $\Sigma$  (Паулинг. Природа хим. связи, 1947). Предположено, что характеристич.  $\Sigma$  растет в порядке  $-\text{N} < (\text{напр.,}$

амины),  $\gg \text{N}$  (напр., пиридин),  $-\text{N} = \text{N} -$  и  $-\text{O}^-$ ,

$\text{O} -$  и  $=\text{O}$ ; вследствие роста отталкивания ядер, способность этих атомов координироваться ионами металлов с высокой  $\Sigma$  должна падать в том же порядке. В полярной среде прочность присоединения адденда уменьшается и зависит от отношения конц-ий р-рителя и адденда и отношения их  $\Sigma$ . Мерой  $\Sigma$  адденда может служить сродство к протону, которое растет в ряду (Cordy W., Stanford S. C., J. Chem. Phys., 1940, 8, 170): нитросоединения < сложные эфиры < альдегиды и кетоны < эфиры < амины. Если энтропия р-ции мала, то  $RT \ln K_f$  ( $K_f$  — константа образования) может служить для измерения прочности связи. Следовательно,  $\ln K_f = f[X'_m X_c, (X'_m - X_c), \psi_0]$ , где  $X'_m$  —  $\Sigma$  иона металла при данной гибридизации,  $X_c$  —  $\Sigma$  образующего внутрикомплексную связь адденда при данной гибри-



дизации,  $\phi_0$  — член, учитывающий эффект расталкивания ядер. Для связывания одного и того же адденда рядом ионов металлов  $\Delta \lg K_f = f(X'_m)$ , так как  $\phi_0$  зависит главным образом от  $X_c$ .  $X'_m$  является функцией произведения  $X_m V_m$ , где  $X_m$  — характеристич. Э металла, а  $V_m$  — параметр, пропорциональный степени окисления металла. Использованы литературные данные для первых констант образования  $K_f$  комплексов Ca, Mg, Mn, Co, Zn, Ni и Cu с  $\text{NH}_3$  и двадцатью семью аддендами в смеси диоксид-вода с 75 об. % диоксида. Зависимость  $\lg K_f$  для комплексов ряда металлов с данным аддендом от  $\lg K_f$  комплексов тех же металлов с  $\text{NH}_3$  в воде р-ре выражается прямой линией; менее четкая зависимость от  $X_m$ . Угловые коэфф. прямых для разных аддендов зависят от их природы; в частности, они зависят от  $X_c$ , которая может рассматриваться как функция координационной емкости адденда ( $N$ ), характеристич. значения Э координируемого атома ( $X_a$ ) и среднего эффекта индуктивного влияния на этот атом ( $X_r$ ). Для зависимости  $\lg K_f$  в воде р-рах комплексов металлов с  $\text{NH}_3$ , этилендиамином, диэтилентриамином и триэтилентетраамином от  $\lg K_f$  комплексов с  $\text{NH}_3$  получены прямые линии с отношением угловых коэфф., близким к 1:2:3:4, т. е. к отношению величин  $N$ . Величины  $\lg K_f$  для комплексов с азосоединениями типа:  $\text{o-O'-m-RC}_6\text{H}_4\text{N} = \text{NC}_6\text{H}_4\text{O'-o}$ , где  $R = \text{H, Cl, NO}_2$ , линейно зависят от  $\lg K_f$  для случая  $R = \text{H}$ ; для этих случаев  $N$  и  $X_a$  постоянны, изменяется  $X_r$ ; угловые коэфф. указывают на незначительное уменьшение устойчивости комплекса при увеличении Э заместителя R. Сопоставление зависимости  $[\lg K_f \text{ для Ni} - \lg K_f \text{ для Mg}]$  от  $\lg K_f$  для Ni дает представление об относительных величинах  $X_a$  для разных аддендов; порядок изменения их соответствует предположенному. Линейная зависимость  $\lg K_f$  комплексов одного и того же металла с разными  $\beta$ -дикетонами от  $pK$  адденда объясняется ролью расталкивания ядер; угловые коэфф. этих прямых растут в ряду  $\text{Ba} < \text{Ni} < \text{Cu}$ , т. е. с возрастанием Э металла. Часть VIII см. РЖХим. 1955, 54897.

**3654. Изучение координационных соединений. XI.** Константы образования комплексов некоторых трехвалентных металлов и четырехвалентного тория с ацетилацетонат-ионом. Айзатт, Фернелиус, Хас, Блок [Studies on coordination compounds. XI. Formation constants of some trivalent ions and the thorium (IV) ion with the acetylacetonate ion. Izatt Reed M., Fernelius W. Conrad, Haas C. G., Jr, Block B. P.), J. Phys. Chem., 1955, 59, № 2, 170—174 (англ.).

Ступенчатые термодинамич. константы образования ( $K_f$ ) комплексов ряда 3-валентных металлов и Th(4+) с ацетилацетоном вычислены из результатов потенциометрич. титрования р-ром NaOH соответствующих водн. р-ров. На гидролиз солей вводилась поправка, если гидролиз не подавлялся (как в случае  $\text{Th}^{4+}$ ,  $\text{Ga}^{3+}$  и  $\text{Al}^{3+}$ ) добавлением стандартного р-ра  $\text{HClO}_4$ . Значения  $\lg K_f$ ,  $\lg K_1$  и  $\lg K_2$  для ацетилацетонатных комплексов при 30° равны соответственно:  $\text{La}^{3+}$  5,1; 3,8; 2,9;  $\text{Nd}^{3+}$  5,6; 4,3; 3,2;  $\text{Sm}^{3+}$  5,9; 4,5; 3,2;  $\text{Eu}^{3+}$  6,1; 4,6; 3,4;  $\text{Y}^{3+}$  6,4; 4,7; 2,8;  $\text{Sc}^{3+}$  8,0; 7,2; —;  $\text{In}^{3+}$  8,0; 7,1; —;  $\text{Al}^{3+}$  8,6; 7,9; 5,8;  $\text{Ga}^{3+}$  9,5; 8,4; 5,7;  $\text{Fe}^{3+}$  9,8; 9,0; 7,4. Значения  $\lg K_f$  ацетилацетонатных комплексов Th(4+) при 30° равны соответственно 8,8; 7,4; 6,3 и 4,2. Вели-

чины  $\lg K_f$  для комплексов 2- и 3-валентных металлов линейно возрастают с величиной электроотрицательности металла. При этом прямая для  $\text{M}(3+)$  проходит выше прямой для  $\text{M}(2+)$  и почти параллельна ей. Точка для Th(4+) лежит значительно выше прямой для  $\text{M}(3+)$ . Величины  $\lg K_f$  находятся также в линейной зависимости от 2-го ионизационного потенциала для 2-валентных и от 3-го ионизационного потенциала для 3-валентных металлов. Значения  $\lg K_f$  для ацетилацетонатов редкоземельных элементов линейно возрастают с величиной их порядкового номера, причем разность  $\lg K_f$  для соседних элементов сохраняет почти постоянное значение.

**3655. Изучение координационных соединений. XII.** Вычисление термодинамических констант образования при меняющейся ионной силе. Айзатт, Хас, Блок, Фернелиус (Studies on coordination compounds. XII. Calculation of thermodynamic formation constants at varying ionic strengths. Izatt Reed M., Haas Charles G., Jr, Block B. P., Fernelius W., Conrad), J. Phys. Chem., 1954, 58, № 12, 1133—1136 (англ.).

Для вычисления коэфф. активности ионов, образующих ацетилацетонатные комплексы, использовано уравнение Дебая—Гюккеля; для междоугольного расстояния  $a^0$  принято значение 10 Å. Потенциометрич. измерения с р-рами, содержащими перхлораты  $\text{Ni}^{2+}$ ,  $\text{Zn}^{2+}$ ,  $\text{Pr}^{3+}$ , или  $\text{Ce}^{3+}$ , и ацетилацетон, проведены при 30° и различной ионной силе (от 0,002 до 0,24). Вычислены концентрационные константы устойчивости образующихся комплексов, а затем с использованием значений коэфф. активности найдены термодинамич. константы. Значения последних, вычисленные по данным для различной ионной силы, сохраняют удовлетворительное постоянство. Найдены средние значения  $\lg K_f$ ,  $\lg K_1$  и  $\lg K_2$  соответственно для комплексов следующих металлов с ацетилацетоном:  $\text{Zn}^{2+}$   $4,98 \pm 0,05$ ;  $3,83 \pm 0,07$ ; —;  $\text{Ni}^{2+}$   $5,92 \pm 0,05$ ;  $4,46 \pm 0,11$ ; —;  $\text{Ce}^{3+}$   $5,28 \pm 0,11$ ;  $3,98 \pm 0,20$ ; —;  $\text{Pr}^{3+}$   $5,43 \pm 0,13$ ;  $4,13 \pm 0,10$ ;  $2,96 \pm 0,13$ .

**3656. Изучение координационных соединений. XIII.** Константы образования соединений двухзарядных ионов металлов с ацетилацетонат-ионом. Айзатт, Фернелиус, Блок (Studies on coordination compounds. XIII. Formation constants of bivalent metal ions with the acetylacetonate ion. Izatt Reed M., Fernelius W. Conrad, Block B. P.), J. Phys. Chem., 1955, 59, № 1, 80—84 (англ.).

Из результатов потенциометрического титрования мелочью смесей перхлоратов ряда двухвалентных металлов с ацетилацетоном вычислены следующие средние значения логарифмов констант равновесия  $K_1$  и  $K_2$ , соответствующих процессам  $\text{M}^{2+} + \text{Ac}^- \rightleftharpoons \text{MAc}^+$  и  $\text{MAc}^+ + \text{Ac}^- \rightleftharpoons \text{MAc}_2$  при 30° ( $\text{Ac}^-$  — анион ацетилацетоната):  $\text{Cu}^{2+}$  8,22; 6,71;  $\text{Be}^{2+}$  7,83; 6,71;  $\text{UO}_2^{2+}$  7,73; 6,38;  $\text{Co}^{2+}$  5,40; 4,11;  $\text{Fe}^{2+}$  5,07; 3,60;  $\text{Mn}^{2+}$  4,18; 3,07;  $\text{Cd}^{2+}$  3,83; 2,76;  $\text{Mg}^{2+}$  3,63; 2,54. При 30° и ионной силе 0,5 величина  $\lg \{[\text{HgAc}_2]/[\text{Hg}^{2+}][\text{Ac}^-]^2\} = 21,6$  при кон-ции  $\text{Cl}^-$  от 0,20 до 0,50 M. Для исследованных ионов, кроме  $\text{UO}_2^{2+}$ ,  $\text{Be}^{2+}$  и  $\text{Hg}^{2+}$ , существует прямая пропорциональность между  $\lg(K_1 \cdot K_2)$  и электроотрицательностью ионов металлов (использованы данные Haissinsky, J. phys. et radium, 1946, 7, 7) или вторым ионизационным потенциалом газообразных атомов. Устойчивость комплексных ионов Be и Hg выше ожидаемой по этим зависимостям. Устойчивость ацетилацетонатов комплексов возрастает в ряду  $\text{Ba} < \text{Sr} < \text{Ca} < \text{Mg} < \text{Cd} < \text{Zn} < \text{Be} < \text{Hg}$ . Обсуждена связь

устойчивости комплексов с радиусом и строением электронной оболочки центрального атома. И. Р.

**3657. Спектрофотометрическое исследование комплекса трехвалентного железа с диметилглиоксимом. Сундарам, Шарма, Банерджи (Spectrophotometric study of ferric dimethylglyoxime complex. Sundaram A. K., Scharma Hari D., Banerjee S.), Current Sci., 1955, 24, № 3, 82—83 (англ.)**

На образование комплекса Fe (3+) с диметилглиоксимом (I) указывает то, что соли Fe (3+) не осаждаются в присутствии I при больших значениях pH. УФ-спектр поглощения с максимумом при 320 мμ, характерный для комплекса Fe(3+) с I и отличный от соответствующего комплекса Fe(2+), снят в спирт. р-ре, содержащем FeCl<sub>3</sub> и NH<sub>3</sub>. Во избежание осаждения Fe(OH)<sub>3</sub> р-р содержал большой избыток I. Поглощение комплекса подчиняется закону Бера. И. С.

**3658. Изучение комплексообразования салициламида с уранил-ионом и колориметрический метод определения урана. Чакрабурти, Сен, Рай (A study of the complex formation of salicylamide with uranyl ion and a colorimetric method for the estimation of uranium. Chakraburty Amiya Kumar, Sen Debabrata, Ray Priyadarganjan), J. Indian Chem. Soc., 1953, 30, № 7, 491—495 (англ.)**

Методом потенциометрич. титрования с измерением pH установлено, что UO<sub>2</sub><sup>2+</sup> образует с салициламидом (HSal) комплекс [UO<sub>2</sub>Sal<sub>2</sub>]. В результате исследования р-ров методом Бьеррума установлено, что р-ция между UO<sub>2</sub><sup>2+</sup> и HSal протекает в 2 стадии: UO<sub>2</sub><sup>2+</sup> + HSal ⇌ [UO<sub>2</sub>Sal]<sup>+</sup> + H<sup>+</sup> (1) и [UO<sub>2</sub>Sal]<sup>+</sup> + HSal ⇌ [UO<sub>2</sub>Sal<sub>2</sub>] + H<sup>+</sup> (2). Для ступенчатых констант нестойкости найдены значения pK<sub>1</sub> = 6,40; pK<sub>2</sub> = 4,97 и для полной константы нестойкости pK = 11,37. Желтый р-р комплекса может использоваться для колориметрич. определения U. Чувствительность метода ~ 2γ. Д. Т.

**3659. Физико-химическое изучение комплекса иона серебра с гистидином в нейтральной среде. Вальлада-Дюбуа (Étude physicochimique d'un complexe de l'ion argent et de l'histidine en milieu neutre. Valladas-Dubois Suzanne), C. r. Acad. sci., 1953, 237, № 2, 164—166 (франц.)**

В зависимости от pH р-ра, гистидин (I) существует в р-ре в четырех формах: HAN<sub>2</sub><sup>2+</sup>, HAN<sup>+</sup>, AN и A<sup>-</sup>, где A<sup>-</sup> — анион I. Взаимодействие I с Ag<sup>+</sup> изучено при pH 5,5—7, когда форма AN преобладает над A<sup>-</sup>. В результате применения метода непрерывных изменений при измерении светопоглощения установлено образование комплексного иона [Ag(AN)<sub>2</sub>]<sup>+</sup> с константой нестойкости K = 0,70·10<sup>-7</sup>. Из измерений pH р-ров показано методом функций образования Бьеррума (Maley L. E., Mellor D. P., Austral. J. Scient. Res., 1949, A2, 579; Kroll H., J. Amer. Chem. Soc., 1952, 74, 2034), что образуется только [Ag(AN)<sub>2</sub>]<sup>+</sup>; при ионной силе 0,45 константа нестойкости K = 1,6·10<sup>-7</sup>. Отличие от приведенного выше значения объяснено влиянием ионной силы р-ра. И. Р.

**3660. Система бериллий — лимонная кислота. II. Исследование методом ионного обмена. Фелдман, Торибара, Хавилл, Нейман (The beryllium — citrate system. II. Ion-exchange studies. Feldman Isaac, Toribara T. Y., Havill Jean R., Neuman W. F.), J. Amer. Chem. Soc., 1955, 77, № 4, 878—881 (англ.)**

Методом ионного обмена (Schubert J., J. Phys. Chem., 1952, 56, 114) с применением смол даукс-50 и даукс-1 изучено образование комплексов в системе Be — лимонная к-та (H<sub>3</sub>Cit) при 34° и ионной силе 0,15. Относи-

тельные конц-ии Be определялись с помощью радиоактивного Be<sup>7</sup> описанным ранее способом (Feldman I., Havill J. R., J. Amer. Chem. Soc., 1952, 74, 2337). При pH 3—4 в системе образуются комплексы BeH<sub>2</sub>Cit<sup>+</sup>, BeHCit<sup>0</sup>, BeCit<sup>-</sup>, константы нестойкости которых равны соответственно 4·10<sup>-2</sup>; 6·10<sup>-3</sup>; 3·10<sup>-5</sup>. При pH > 4 начинается образование многоядерных комплексов, содержащих различное кол-во к-ты и диссоциирующих по ур-нию: {Be<sub>2</sub>(HCit)<sub>2</sub>}<sup>0</sup> ⇌ {Be<sub>2</sub>HCit}<sup>2+</sup> + HCit<sup>2-</sup>. Комплексы, образующиеся при pH > 7, имеют заряд более отрицательный чем —1. И. С.

**3661. Цис-транс-изомеризация [Co(En)<sub>2</sub>Cl<sub>2</sub>]Cl в 2-метоксипантоле. Тримбл (The cis-trans isomerization of [Co(en)<sub>2</sub>Cl<sub>2</sub>]Cl in 2-methoxyethanol. Trimble R. F., Jr., J. Amer. Chem. Soc., 1954, 76, № 24, 6321—6322 (англ.)**

Кинетика изомеризации *цис*-[Co(En)<sub>2</sub>Cl<sub>2</sub>]Cl в 2-метоксипантольном р-ре в более устойчивую *транс*-форму изучена спектрофотометрически при λ = 530 мμ. Вслед за этой р-цией протекает более медленная р-ция *транс*-изомера с р-рителем, природа которой осталась невыясненной. С метанолом *транс*-изомер не реагирует. Изомеризация является р-цией первого порядка; скорость ее не зависит от ионной силы р-ра. Константы скорости при 30, 38, 44 и 50° соответственно равны (в единицах 10<sup>-3</sup> мин.<sup>-1</sup>) 1,04; 2,68; 5,58 и 9,05. Энергия активации равна 21,3 ± 2,7 ккал/моль; предэкспоненциальный фактор равен (2,8 ± 0,5)·10<sup>12</sup> мин.<sup>-1</sup>, т. е. значительно больше найденного ранее (РЖХим, 1956, 639, 640) для метанольного р-ра. И. Р.

**3662. О различии в поведении геометрических изомеров кобальт(II)аминов. I. Взаимодействие солей *цис*- и *транс*-динитротетраамминкобальта с галогеноводородными кислотами. Аблова А. В., Лобанов Н. И., Изв. Сектора платины ИОНХ АН СССР, 1955, № 29, 127—132**

Изучалось взаимодействие *цис*-[Co(NH<sub>3</sub>)<sub>4</sub>(NO<sub>2</sub>)<sub>2</sub>] (флаво-соль) (I) и *транс*-[Co(NH<sub>3</sub>)<sub>4</sub>(NO<sub>2</sub>)<sub>2</sub>] (кропео-соль) (II) с HBr. При нагревании II с HBr замещается только одна NO<sub>2</sub>-группа с образованием катиона [Co(NH<sub>3</sub>)<sub>4</sub>(NO<sub>2</sub>)Br]<sup>+</sup>. Разб. HBr<sub>2</sub> дает с хорошим выходом [Co(NH<sub>3</sub>)<sub>4</sub>(NO<sub>2</sub>)Br]Br, 25%-ная HBr — полибромид состава [Co(NH<sub>3</sub>)<sub>4</sub>(NO<sub>2</sub>)Br]Br·Br<sub>2</sub> (коричнево-красные кристаллы). При действии конц. HBr на I получается полибромид *транс*-дибромтетраамминкобальта [Co(NH<sub>3</sub>)<sub>4</sub>(Br)<sub>2</sub>]Br·Br<sub>2</sub> (черно-коричневые кристаллы). При действии разб. HBr на I происходит вытеснение только одной NO<sub>2</sub>-группы и выпадает [Co(NH<sub>3</sub>)<sub>4</sub>(NO<sub>2</sub>)Br]Br·H<sub>2</sub>O (мелкие розово-красные пластинки). Соединение теряет воду при 90—100°. Действие HBr на I и II протекает согласно требованию закономерности *транс*-влияния И. И. Черяева. Во флаво-солях две нитрогруппы взаимодействуют с HBr, в отличие от HCl, не одновременно, а независимо друг от друга, как этого и требует закономерность *транс*-влияния. Сравнительная легкость замещения первой NO<sub>2</sub>-группы в I и II, видно, что р-ция в II протекает значительно легче, чем в I, т. е. связь NO<sub>2</sub>-группы с Co в II ослаблена вследствие сильного *транс*-влияния второй NO<sub>2</sub>-группы, находящейся в *транс*-положении к первой. При действии конц. HBr на I и II происходит восстановление Co(3+) в Co(2+). При действии разб. HBr выпадают труднорастворимые флаво- и соответственно кропео-полииды. А. А.

**3663. О хроматографическом расщеплении рацематов. I. Оптически активные комплексы кобальта с дитиокидотами. Кребе, Рахе (Über die chromatographische Spaltung von Racematen. I. Optisch aktive Kobaltkomplexe von Dithiosäuren. Krebs H., Rasche R.), Z. anorg. und allgem. Chem., 1954, 276, № 5—6, 236—246 (нем.)**

Описаны синтез и хроматографическое расщепле-

ние ряда рацемич. внутрикомплексных солей  $\text{Co}(3+)$  и дитиокислот. Комплекс дитиокарбоната  $\text{Co}(3+)$  с *l*-борнеолом расщеплен на диастереометры хроматографированием в колонке из  $\text{Al}_2\text{O}_3$  с применением смеси бензил-лигроиин (1 : 12) с последующей фракционной кристаллизацией полученных фракций. Найдены значения молекулярного вращения от  $-1260^\circ$  до  $-1400^\circ$ . Период полурасщепления (ПП) при  $60^\circ$  равен 2 час. Разделить комплекс дитиокарбоната  $\text{Bi}$  с *l*-борнеолом таким путем не удалось. Комплексы дитиокарбоната  $\text{Co}(3+)$  с  $\beta$ -оксизтансульфонатом калия и дитиокарбамината  $\text{Co}(3+)$  с 4-метиламинофенолом легко хроматографировались на крахмале соответственно в водн. и аммиачном р-рах с 50- и 150-кратным избытком крахмала. Получены значения молярного вращения  $[\text{M}]_{589} = -21600, +21100$  и  $-16500, +19100$ . ПП равны соответственно 5 и 4 дням. Комплекс  $\text{Co}$  с  $\alpha$ -триглицоколем и триэтилендиаминкобальтилхлорид также разделялись на крахмале, последний на 10% за одно прохождение. ПП равны соответственно 2 час. при  $100^\circ$  и 12 час. при  $120^\circ$ . Сравнение ПП показывает, что скорость рацемизации комплексов  $\text{Co}(3+)$  с 4-членными циклами сходна со скоростью рацемизации комплексов  $\text{Co}$ , в которых аденды склонны к обмену при хим. р-циях. Д. К.

**3664. Кондуктометрическое исследование осаждения солей одновалентной ртути феррицианидом калия. Саксена, Бхаргава** [Konduktometrische Untersuchung der Fällung von Quecksilber(I)-salzen mit Kaliumhexacyanoferrat (III). Saxena Ram Sahai, Bhargava B. P., Z. anorgan. und allgem. Chem., 1954, 276, № 3—4, 204—207 (нем.)]

Проведены опыты по кондуктометрич. титрованию р-ра  $\text{K}_4[\text{Fe}(\text{CN})_6]$  р-ром  $\text{Hg}_2(\text{NO}_3)_2$ , а также по обратному титрованию. В первом случае кривые титрования имеют одну эквивалентную точку (ЭТ), соответствующую образованию  $\text{K}(\text{Hg}_2)[\text{Fe}(\text{CN})_6]$ . При обратном титровании получены 2 точки перегиба, соответствующие образованию  $(\text{Hg}_2)_2[\text{Fe}(\text{CN})_6]_2$  и  $\text{K}(\text{Hg}_2)[\text{Fe}(\text{CN})_6]$ . Из полученных кривых следует, что при прямом и обратном титровании в водн. среде ЭТ несколько смещена по сравнению с теоретич. значением. Это явление, по мнению авторов, связано с адсорбцией ионов  $\text{Hg}_2^{2+}$  и  $[\text{Fe}(\text{CN})_6]^{3-}$  образовавшимся осадком. При увеличении содержания  $\text{C}_2\text{H}_5\text{OH}$  в р-ре ЭТ приближается к теоретич. значению. Н. М.

**3665. Изучение осаждения и получение некоторых гексахлоро- и гексабромтитанатов органических оснований. Хегги** (Etude de la précipitation et de l'obtention de quelques hexachloro- et hexabromotitanates de bases organiques. Haegi Willy), Bull. Soc. chim. France, 1955, № 4, 490—494 (франц.)

Гексахлоро- и гексабромтитанаты получают взаимодействием эквимольных хлороформных р-ров галогенидов  $\text{Ti}$  и галогенидов органич. оснований. Смесь р-ров встряхивают в течение 2 час., отфильтровывают осадок без доступа влаги, промывают его  $\text{CHCl}_3$  и высушивают в токе сухого воздуха и затем в течение 2 дней в вакуум-экзикаторе над  $\text{P}_2\text{O}_5$ . При смешении различных объемов 0,34  $\text{M}$   $\text{TiCl}_4$  (I) и 0,34  $\text{M}$  хлоргидрата диметиламина при конц-ии I в смеси  $< 20$  мол.% образуется кристаллич. осадок, которому автор приписывает состав  $\text{TiCl}_4 \cdot 3(\text{CH}_3)_2\text{NH}_2\text{Cl} \cdot \text{CHCl}_3$  (II). Дальнейшее повышение молярной конц-ии I до 33,3% ведет к повышению относительного содержания  $\text{Cl}^-$  в осадке. Из р-ра с молярной конц-ией I от 33,3 до 85% выпадает желтый осадок  $(\text{TiCl}_6)[(\text{CH}_3)_2\text{NH}]_2$  (III), в отличие от II кристаллизующийся без р-рителя. В системе I — диэтиламмонийхлорид —  $\text{CHCl}_3$  при конц-ии I от 6 до 70 мол.% образуется гексахлоротитанат, аналогичный III. Аналогичное II соединение выделить не удалось. Взаимодействием хлороформных

р-ров  $\text{TiBr}_4$  (IV) и диэтиламмонийбромид при конц-ии IV от 8,5 до 60 мол.% выделен гексабромтитанат диэтиламмония. Смешением теоретич. кол-в хлороформных р-ров тетрагалогенидов  $\text{Ti}$  и галогенидов органич. оснований получены, кроме того, гексахлортитанаты триэтиламмония, триэтиламмония, тетраэтиламмония и этиланилина и гексабромтитанаты триэтиламмония и хинолина. Из нитробензольных р-ров выделен гексахлоротитанат бензилпиридина. Как правило, гексахлоро- и гексабромтитанаты — кристаллич. в-ва, первые — желтого, вторые — красного цвета. Они не растворимы в инертных р-рителях и разлагаются под действием атмосферной влаги, безводных спирта и ацетона. Комплексы триэтиламмония, анилина и хинолина растворяются при нагревании в нитробензоле. Взаимодействием р-ров I и хлористого анилина в спирте, насыщенном хлористым водородом, выделено два комплекса:  $\text{TiCl}_4 \cdot 4\text{C}_6\text{H}_5\text{NH}_2\text{Cl}$  и  $\text{TiCl}_6(\text{C}_6\text{H}_5\text{NH}_2)_2$ . Они образуются при конц-ии I в смеси соответственно 9—20 мол.% и 35—75%.

Н. П.

**3666. Изучение осаждения некоторых смешанных хлоробромтитанатов в хлороформных растворах. Хегги** (Etude de la précipitation de quelques chlorobromotitanates mixtes en milieu chloroformique. Haegi Willy), Bull. Soc. chim. France, 1955, № 4, 494—498 (франц.)

Длительным перемешиванием смеси 0,47  $\text{M}$  р-ров  $\text{TiCl}_4$  и диэтиламмонийбромид в  $\text{CHCl}_3$  получены хлоробромтитанаты состава  $\text{TiCl}_{6-x}\text{Br}_x$ , где  $x$  изменяется от 0 до 6. С увеличением атомной доли  $(\text{AD})_{\text{Cl}}$  в р-ре от 0,23 до 0,67 АД хлора в осадке остается неизменно равной 0,66 ( $\text{AD}_{\text{Cl}} = \text{Cl}/(\text{Cl} + \text{Br})$ ). Образующийся в этом интервале конц-ий оранжево-красный осадок представляет собой тетрахлордибромтитанат диэтиламмония  $(\text{TiCl}_4\text{Br}_2)[(\text{C}_2\text{H}_5)_2\text{NH}_2]_2$ . При более высоких значениях  $\text{AD}_{\text{Cl}}$  в р-ре образуются смешанные титанаты с таким же относительным содержанием  $\text{Cl}$  (0,66—0,95), как и в самом р-ре. Все исследованные осадки содержат  $\sim 3$  молекулы амина на 1 атом суммы галогенов. Смешанные хлоробромтитанаты очень чувствительны к действию влаги воздуха; все они плавятся с разложением. Аналогичные продукты с аналогичными закономерностями образования получены при взаимодействии хлороформных р-ров  $\text{TiCl}_4$  и тетраэтиламмонийбромид. При взаимодействии 0,465 и 0,100  $\text{M}$  р-ров  $\text{TiBr}_4$  и диэтиламмонийхлорида получен ряд смешанных гексахлоробромтитанатов. Последние содержат не более 4%  $\text{Br}$  (в ат. % от общего содержания галогена), если  $\text{AD}_{\text{Br}}$  в р-ре не превышает 0,40. С дальнейшим увеличением  $\text{AD}_{\text{Br}}$  в р-ре его содержание в осадке быстро возрастает. Состав образующихся осадков не зависит от конц-ий реагирующих в-в, но зависит только от их отношения. Аналогичные результаты были получены при взаимодействии  $\text{TiBr}$  с тетраэтиламмонийхлоридом. На основании рентгенографич. изучения гексахлортитаната, гексабромтитаната и смешанных хлоробромтитанатов автор приходит к заключению, что последние представляют собой смешанные кристаллы. Н. П.

**3667. Исследование причины неосаждения в некоторых условиях небольших количеств свинца сероводородом. Новые комплексные соединения свинца. Спаку, Лупан** (Cercetări asupra cauzei neprecipitării cu hidrogen sulfurat micilor cantități de plumb în anumite condiții. Noi combinații complexe de plumb. Spacu G., Lupan S. A.), Commun. Acad. R. P. R., 1955, № 3, 555—560 (рум.; резюме русс., франц.)

Путем обработки р-рами  $[\text{Co}(\text{NH}_3)_6]\text{Cl}_3$  и  $[\text{Cr}(\text{NH}_3)_6]\text{Cl}_3$  слабых разб. р-ров, в которых ионы свинца



более не осаждаются  $\text{H}_2\text{S}$ , выделены соединения  $[\text{PbCl}_2]_2[\text{Co}(\text{NH}_3)_6]$  и  $[\text{PbCl}_2]_2[\text{Cr}(\text{NH}_3)_6]$ . По мнению авторов, в разб. солянокислых р-рах ионы свинца имеют комплексную форму  $[\text{PbCl}_3]^-$  и не разлагаются  $\text{H}_2\text{S}$  с образованием  $\text{PbS}$ . В. Ш.

**3668.** О видоизменении метода функций образования для изучения комплексов металлов с аминокислотами. Кюрио (Sur une modification de la méthode de la fonction de formation dans le cas de l'étude des complexes métalliques des acides aminés. C. r. Acad. sci., 1955, 241, № 3, 303—305 (франц.))

Метод функций образования Бьеррума видоизменен с учетом того, что аминокислота может существовать в р-ре в четырех разных формах и того, что комплексы могут образоваться двумя разными ионами: биполярным ионом  $\text{R}^\pm$  и отрицательным  $\text{R}^-$ . Приведены выражения для функций образования и констант ионов и указаны методы вычисления констант равновесия. И. Р.

**3669.** О свойствах и синтезе некоторых урансодержащих минералов. Биньян (Sur les propriétés et les synthèses de quelques minéraux uranifères. Bignand Claude, Bull. Soc. franç. minéral. crystallogr., 1955, 78, № 1—3, 1—26 (франц.))

Изучены условия образования и свойства урансодержащих минералов: янгинита, скупита, беккерелита, фурмарерита, кюрита, ванденбрандита, ципеита, уранопилита, парсонита и ренардита. Осуществлен синтез этих минералов различными методами в запаянной трубке и при разных т-рах, уточнен их хим. состав и определены физ.-хим. и кристаллооптич. свойства. Т. Ш.

**3670.** О механизме термического разложения нитрида натрия под действием метафосфата натрия. Салих-Хисар (Sur le mécanisme de la décomposition thermique de l'iodure de sodium sous l'action du métaphosphate de sodium. Salih Hisar Remziye, m-me, Bull. Soc. chim. France, 1955, № 2, 229—231 (франц.))

Изучался механизм термич. разложения  $\text{NaJ}$  в присутствии эквимольных кол-в  $\text{NaPO}_3$ . Процесс, который, как было показано ранее (Bull. Soc. chim. France, 1952, 19, 308), описывается суммарным ур-нием:  $2\text{NaX} + \text{Na}_2\text{P}_2\text{O}_6 + \frac{1}{2}\text{O}_2 \rightarrow \text{Na}_4\text{P}_2\text{O}_7 + \text{X}_2$  ( $\text{X} = \text{F}, \text{Cl}, \text{Br}, \text{J}$ ), по мнению автора, осуществляется за счет последовательных р-ций:  $2\text{NaJ} + \text{Na}_2\text{P}_2\text{O}_6 + \frac{1}{2}\text{O}_2 \rightarrow \text{Na}_4\text{P}_2\text{O}_7 + \text{J}_2$  (1);  $2\text{NaJ} + \text{Na}_4\text{P}_2\text{O}_7 + \frac{1}{2}\text{O}_2 \rightarrow 2\text{Na}_3\text{PO}_4 + \text{J}_2$  (2);  $2\text{Na}_3\text{PO}_4 + \text{Na}_2\text{P}_2\text{O}_6 \rightarrow 2\text{Na}_4\text{P}_2\text{O}_7$  (3). Аргументы, титрованием показано, что при  $500^\circ$  образуется продукт присоединения  $\text{NaJ}$  к метафосфату, не дающий при растворении иона  $\text{J}^-$ , а также аналогичные соединения с  $\text{NaBr}$  и  $\text{NaCl}$ . При т-рах  $< 600^\circ$  идет, в основном, р-ция (1), а выше  $600^\circ$  — также и р-ция (2), при этом скорость разложения растет.  $\text{KJ}$  и, особенно,  $\text{CaJ}_2$  в смеси с метафосфатом разлагаются быстрее, чем  $\text{NaJ}$ . Пары воды ускоряют р-цию. И. С.

**3671.** Действие газообразного аммиака на нитрат магния и его дигидрат. Хейбель (Action du gaz ammoniac sur le nitrate de magnésium anhydre et sur son bihydrate. Heubel Joseph, Bull. Soc. chim. France, 1954, № 2, 244—248 (франц.))

При пропускании тока  $\text{NH}_3$  над  $\text{Mg}(\text{NO}_3)_2$  образуется  $\text{Mg}(\text{NO}_3)_2 \cdot 6\text{NH}_3$  (I), легко теряющий  $\text{NH}_3$  даже при комнатной т-ре. Р-ция экзотермична и сопровождается увеличением объема твердой фазы. I кристаллизуется в гранецентрированной куб. решетке с  $a$  11 Å. Термогравиметрич. кривая показывает, что разложение I при нагревании в токе  $\text{NH}_3$  выше  $110^\circ$  приводит к образованию  $\text{Mg}(\text{NO}_3)_2 \cdot 4\text{NH}_3$  (II), а нагревание выше  $170^\circ$  сопровождается образованием  $\text{Mg}(\text{NO}_3)_2 \cdot 2\text{NH}_3$  (III),

разлагающегося по схеме:  $\text{Mg}(\text{NO}_3)_2 \cdot 2\text{NH}_3 = \text{MgO} + 3\text{H}_2\text{O} + 2\text{N}_2\text{O}$ . Выше  $300^\circ$  разложение идет исключительно с образованием  $\text{MgO}$ . Продукт нагревания до  $400^\circ$  представляет собой чистую  $\text{MgO}$ . Кривая потери  $\text{NH}_3$  в вакууме при  $0^\circ$  имеет перегиб, соответствующий образованию II, который, теряя в вакууме при  $42^\circ$   $\text{NH}_3$ , дает III. Рентгенографич. и термогравиметрич. изучение взаимодействия  $\text{Mg}(\text{NO}_3)_2 \cdot 2\text{H}_2\text{O}$  и  $\text{NH}_3$  позволяет сделать вывод, что р-ция протекает по схемам:  $\text{Mg}(\text{NO}_3)_2 \cdot 2\text{H}_2\text{O} + 2\text{NH}_3 \rightarrow 2\text{NH}_4\text{NO}_3 + \text{Mg}(\text{OH})_2$ ;  $2\text{NH}_4\text{NO}_3 + \text{Mg}(\text{OH})_2 + 4\text{NH}_3 \rightleftharpoons \text{Mg}(\text{NO}_3)_2 \cdot 6\text{NH}_3 + 2\text{H}_2\text{O}$ . Длительное пропускание  $\text{NH}_3$  полностью сдвигает равновесие в сторону образования I. Взаимодействие водяного пара с  $\text{Mg}(\text{NO}_3)_2 \cdot 2\text{NH}_3$  приводит к образованию  $\text{Mg}(\text{NO}_3)_2 \cdot 6\text{H}_2\text{O}$ . Существование соединений  $\text{Mg}(\text{NO}_3)_2$  с 6 и 2 молекулами  $\text{NH}_3$  и  $\text{H}_2\text{O}$ , устойчивость гидратов и аммиакатов, трудность превращения соли, наименее богатой  $\text{NH}_3$  и  $\text{H}_2\text{O}$ , в  $\text{Mg}(\text{NO}_3)_2$  — все это, по мнению автора, свидетельствует о существовании аналогии между аммиакатами и гидратами  $\text{Mg}(\text{NO}_3)_2$ . Н. К.

**3672.** Осаждение гидроокиси цинка щелочами и растворимость гидроокиси цинка в водном растворе аммиака. Венкатесварлу (Precipitation of zinc hydroxide with alkali and its solubility in aqueous ammonia. Venkateswarlu K. S., J. Indian Chem. Soc., 1953, 30, № 1, 30—32 (англ.))

Изучалось осаждение  $\text{Zn}(\text{OH})_2$  из р-ра  $\text{ZnSO}_4$  при постепенном прибавлении р-ра  $\text{NaOH}$  при  $30^\circ$ . Установлено, что сначала осаждается основной сульфат  $\text{Zn}$  вместе с различными кол-вами  $\text{Zn}(\text{OH})_2$ . После добавления 80% рассчитанного кол-ва  $\text{NaOH}$  цинк полностью выделяется из р-ра; дальнейшее прибавление  $\text{NaOH}$  приводит к превращению осажденного основного сульфата в  $\text{Zn}(\text{OH})_2$ . Растворимость  $\text{Zn}(\text{OH})_2$  в р-ре  $\text{NH}_3$  зависит от кол-ва  $\text{NaOH}$ , использованной для осаждения, и максимум растворимости наблюдается у осадка  $\text{Zn}(\text{OH})_2$ , образованного прибавлением 80% рассчитанного кол-ва  $\text{NaOH}$ . Д. Т.

**3673.** Термическое разложение нитрита кадмия. Часть I. Разложение в вакууме и на воздухе. Дипали, Дани (Thermal decomposition of cadmium-nitrite. Part I: Decomposition in vacuo and in air. Dipali N. L., Dani V. R., J. Univ. Bombay, 1954, 23, № 3, 21—28 (англ.))

Изучалось разложение  $\text{Cd}(\text{NO}_2)_2$  при нагревании до  $150\text{—}230^\circ$  в течение 30 мин. — 3 час. в вакууме и на воздухе. При разложении  $\text{Cd}(\text{NO}_2)_2$  образуются  $\text{CdO}$  и  $\text{Cd}(\text{NO}_3)_2$  и выделяются  $\text{NO}$ ,  $\text{N}_2\text{O}$  и  $\text{NO}_2$  в различных отношениях в зависимости от т-ры, длительности нагревания и величины исходной навески. Авторы считают, что при разложении  $\text{Cd}(\text{NO}_2)_2$  в вакууме вначале идет р-ция  $\text{Cd}(\text{NO}_2)_2 \rightarrow \text{CdO} + \text{NO} + \text{NO}_2$ . Образующийся  $\text{NO}_2$  реагирует с неразложившимся нитритом:  $\text{Cd}(\text{NO}_2)_2 + 2\text{NO}_2 \rightarrow \text{Cd}(\text{NO}_3)_2 + 2\text{NO}$ . Часть  $\text{NO}_2$  не успевает прореагировать и выделяется, а также образует  $\text{N}_2\text{O}$  с  $\text{NO}$ . В присутствии воздуха идет также р-ция  $\text{NO} + \text{NO}_2 + \frac{1}{2}\text{O}_2 \rightarrow 2\text{NO}_2$ , и кол-во  $\text{NO}_2$  в газах и  $\text{Cd}(\text{NO}_3)_2$  в остатке увеличивается. И. С.

**3674.** Термокинетика регидратации продуктов регулируемого термического разложения различных тригидратов окиси алюминия. Сообщение I. Кальве, Тибон (Thermocinétique de la réhydratation des produits de la décomposition thermique ménagée de divers trihydrates d'alumine. Note 1. Calvet Édouard, Thibon Honoré, Bull. Soc. chim. France, 1954, № 11-12, 1343—1346 (франц.))

В микрокалориметре, описанном ранее (Calvet E., C. r. Acad. sci., 1948, 226, 1702), сняты кривые выделения тепла при гидратации в соприкосновении с водой при  $35^\circ$  различных препаратов активированной окиси алюминия (I) и рентгенографически определены струк-

туры получаемых продуктов. Изучены препараты I, полученные из разных тригидратов  $Al_2O_3$  и активированные в разных условиях. На калориметрич. кривых имеются, как правило, два максимума, соответствующие адсорбции  $H_2O$  и хим. гидратации с образованием байерита. Активирование в вакууме дает препараты I, которые гидратируются легче, чем полученные на воздухе. Увеличение т-ры активирования снижает способность I к регидратации. Так же действует нагрев на воздухе при  $350-450^\circ$  высокоактивных образцов I, полученных в вакууме при  $180-200^\circ$ .

И. С.

### 3675. Кинетика дегидратации некоторых силикатов.

Сабатье (Cinétique de la déshydratation de quelques silicates. Sabatier G.), J. chim. phys. et phys.-chim. biol., 1955, 52, № 1, 60—64 (франц.)

С помощью термовесов сняты кривые зависимости степени дегидратации  $g$  от времени  $t$  при постоянной т-ре  $\theta$  для талька (I), каолинита (II), пиррофиллита (III) и мусковита (IV). Кривые  $g(t)$  для I и II сходны между собой и отличаются от кривых для III и IV. При дегидратации I и II происходят местные изменения кристаллич. решетки, и кинетика процесса описывается уравнением р-ции первого порядка. При дегидратации III и IV кристаллич. решетка лишь деформируется, и молекулы воды диффундируют из кристалла. Зависимости  $g(t)$  для каждого минерала при разных  $\theta$  ложатся на одну кривую, если только для каждой  $\theta$  изменить масштаб по оси  $t$  в  $K$  раз, причем  $K = k_0 \exp(-a/\theta)$ , где  $k_0$  и  $a$  — постоянные. По изменению скорости дегидратации с  $\theta$  определена энергия активации для I, II, III и IV соответственно 95, 44, 50, 94 ккал/моль. По кривым  $g(t)$  рассчитан ход дегидратации при равномерно увеличивающейся т-ре. Опыты по дегидратации III при скорости нагрева  $300^\circ$  в 1 час подтверждают теоретич. расчеты.

И. С.

### 3676. О реакциях окисления и восстановления окислов и гидроокисей титана в различных средах. Пти, Руассон (Sur les réactions d'oxydation et de réduction des oxydes et des hydroxydes titaniques dans divers milieux. Petit Jean, Poisson Raymond), C. r. Acad. sci., 1955, 240, № 3, 312—314 (франц.)

Установлено, что окислительное и восстановительное действие окислов или гидроокисей Ti на некоторые органич. в-ва непосредственно связано со степенью гидратации окислов Ti и зависит от присутствия гидроокисных групп. В водн. среде переход  $Ti^{4+}$  в  $Ti^{3+}$  протекает под действием органич. восстановителей (формальдегида, глицерина, альдегидов и т. п.) на свету или при действии УФ-света. При низких pH (0—1) или в присутствии ионов  $F^-$  р-ция не имеет места. Подсушенная при  $105^\circ$  гидроокись Ti в безводн. средах вызывает окрашивание бесцветных производных красителей трифенилметанового ряда. В присутствии окиси Ti р-ция протекает медленнее. Органич. в-ва, способные к образованию перекисей, вызывают появление желто-оранжевой окраски вследствие образования пе-

рекисных соединений Ti, которые, в свою очередь, оказывают окислительное действие на окружающую органич. среду.

Н. К.

### 3677. Реакция хлорамина с аммиаком в чистой воде и в других растворителях. Сислер, Ботман, Нет, Смит, Шелман, Келмерс (The chloramine-ammonia reaction in pure water and in other solvents. Sisler Harry N., Boatman Claude E., Neth Floyd T., Smith Robert, Shellman Richard W., Kelmers Donald), J. Amer. Chem. Soc., 1954, 76, № 15, 3912—3914 (англ.)

Получение  $N_2H_4$  из  $NH_2Cl$  и  $NH_3$  в отсутствие связанной щелочи исследовано в следующих р-телях: воде,  $C_2H_5OH$ ,  $(C_2H_5)_2O$  и целлольве. В насыщ. р-р  $NH_3$  при  $0^\circ$  пропускался  $NH_2Cl$  до нужной конц-ии. Реакционная смесь выдерживалась при комнатной т-ре и анализировалась на содержание  $N_2H_4$  и  $Cl^-$ . В водн. р-ре р-ция заканчивается за  $\sim 5$  мин. Уменьшение исходной конц-ии  $NH_2Cl$  от 0,25 до 0,025 M вызывает увеличение выхода  $N_2H_4$  от 30 до 80%. В целлольве выход  $N_2H_4$  максимален ( $\sim 22\%$ ) при выдерживании реакционной смеси в течение 1 часа при  $25^\circ$ ; изменение исходной конц-ии  $NH_2Cl$  слабо влияет на выход  $N_2H_4$ . В  $C_2H_5OH$  в двух опытах получен выход  $N_2H_4$  14,1 и 33,7%. В  $(C_2H_5)_2O$  обнаружены лишь следы  $N_2H_4$ . Гидразин получен также при пропускании разб. азотом  $Cl_2$  в насыщ. водн. р-р  $NH_3$  после выдерживания реакционной смеси в течение 48 час. при комнатной т-ре. В зависимости от исходной конц-ии  $Cl_2$  в р-ре выход  $N_2H_4$  изменяется от 3,7 до 18,4%. Авторы считают, что  $NH_2Cl$  является промежуточным продуктом в синтезе  $N_2H_4$  по Рашигу.

В. Р.

### 3678 К. Актиниды. Сиборг, Кац [The actinide elements (National nuclear energy series-division 4. Vol. 14 A). Seaborg Glenn T., Katz Joseph J. XXX + 870 p., ill., London, McGraw-Hill, 1954, 94 s.] (англ.)

3679 К. Краткое руководство к лабораторным работам и лекционным опытам по неорганической химии. Кожухаров, Комфорт (Кратко руководство за лабораторни упражнения и лекционни опити по неорганична химия. Кожухаров М., Комфорт Т. София, Земиздат, 1954, 175 стр., 6.60 лв.) (болг.)

### 3680 Д. Термическое разложение серноазотных смесей. Любимова В. А. Автореф. дисс. канд. хим. н., Ивановск. хим.-технол. ин-т, Иваново, 1955

См. также: Элементы и простые в-ва 3234. Строение и св-ва молекул и кристаллов 3168, 3217, 3224, 3227, 3228, 4103. Кинетика и механизмы неорг. реакций 3458, 3463, 3464. Комплексные соед. 3162, 3163, 3203, 3204, 3219, 3220, 3222. Системы: солевые и др. 3400, 3401, 3405, 3407

## КОСМОХИМИЯ. ГЕОХИМИЯ. ГИДРОХИМИЯ

### 3681. О некоторых гидротермальных экспериментах.

Хитаров Н. И. В кн.: Вопросы петрографии и минералогии, Изд-во АН СССР, 1953, 2, 191—198. Описываются эксперименты в области взаимодействия воды с горными породами при повышенных т-ре и давлении. Порода, измельченная до размера частиц 3—7 мм, помещалась совместно с водой в автоклав-экстрактор (навеска 50 г), где нагревалась в течение 6 час. до  $430^\circ$  и выдерживалась при этой т-ре 4—4,5

часа. Давление по расчету достигало 400—500 атм. В р-р перешли следующие в-ва из гранодиорита (в мг/г):  $K^+$  2,0,  $Na^+$  46,5,  $Ca^{2+}$  25,5,  $Mg^{2+}$  36,3,  $Cl^-$  18,7,  $HCO_3^-$  91,5,  $CO_3^{2-}$  36,0,  $HSiO_3^-$  232,0;  $SO_4^{2-}$  не обнаружен, сумма солей 625,0. Из аркозового песчаника:  $K^+$  1,9,  $Na^+$  90,0,  $Ca^{2+}$  23,7,  $Mg^{2+}$  нет;  $Cl^-$  9,3;  $HCO_3^-$  9,0;  $CO_3^{2-}$  27,0;  $SO_4^{2-}$  нет;  $HSiO_3^-$  293,0, сумма солей 588,0. Отмечается большая подвижность

кремнезема; плагиоклазы отдают относительно легко Na; K из ортоклаза выщелачивается труднее. Замечена более легкая растворимость кислого плагиоклаза. Биотит растворяется слабо, поэтому Mg отсутствует в р-ре после обработки аркозового песчаника. Растворимость карбоната кальция в гидротермальных условиях повышается. Опыты по взаимодействию аркозового песчаника с 0,1 и 1,0 н. р-рами  $\text{NaHCO}_3$  показали еще большую подвижность в этих условиях кремнезема и появление заметных кол-в K. Микроскопически отмечены отчетливые изменения породы. Количественно характеризуется масштаб возможных миграций  $\text{SiO}_2$  и других в-в. Реагирующая способность р-ров, возникающих в результате взаимодействия воды с породой, с развитием процесса может усиливаться. В участках зон разрушения может развиваться существенное хим. перерождение. Н. Х.

3682. Об изотопах метеоритного аргона. Трофимов А. В., Рик К. Г., Докл. АН СССР, 1955, 102, № 5, 911—914

Определен изотопный состав аргона в 7 каменных метеоритах. Аргон выделяется обычным методом: прокаливанием образца в вакууме с последующей очисткой. В масс-спектрометре объем пропускной системы уменьшен до  $\sim 100 \text{ см}^3$ . Примесь изотопа  $\text{Ar}^{36}$  к основному  $\text{Ar}^{40}$  во всех случаях по сравнению с воздушным аргонном очень невелика, но колеблется в значительных пределах: от 0,022 (Никольское и Еленовка) до 0,106% (Саратов). Отношение  $\text{Ar}^{36}$ :  $\text{Ar}^{38}$  также нарушено и в метеорите Никольское опускается до 1,0. Автор дает этому следующее объяснение: изотопы  $\text{Ar}^{38}$  и  $\text{Ar}^{36}$  целиком возникли в метеоритах в результате ядерных превращений под действием космич. облучения; часть этих изотопов в нормальном (атмосферном) отношении (5,3) захвачена из газовой фазы при затвердевании метеорита, а относительный избыток  $\text{Ar}^{38}$  образовался позднее вследствие космич. облучения. Возраст метеоритов определялся по отношению Ar: K. Если принять, что метеориты в отличие от земных пород хорошо адсорбируют воздушный аргон и что примесь  $\text{Ar}^{36}$  целиком атмосферного происхождения, можно допустить максим. поправки к полученным цифрам, которые все же не изменяют общей картины, подтверждающей тем самым достоверность аргонового метода определения возраста метеоритов. Г. В.

3683. Геохимия ванадия в Румынской Народной Республике. VII. Олигоценовые сланцы нефтематеринской породы. VIII. Ванадий в природных асфальтах. Савула (Geochimia vanadiului in Republica Populară Română. VII. Şisturile oligocene, roce mune de petrol. VIII. Vanadiul in asfalturile naturale. Savu I. M. Ircea.), Studii şi cercetări stiinţ., 1954, 5, № 3—4, 143—146; 147—152 (рум.; резюме русс, франц.)

Сообщение VII. Исследованы 3 вида нефтематеринских пород олигоценового возраста Восточных Карпат: горючие мергели (среднее содержание V 0,005%), мелнилитовые сланцы (0,0042% V) и дисидилевые сланцы (0,0288% V). В золе горючих сланцев Слэника 0,0868% V, т. е. в 5,42 раза больше, чем среднее содержание V в земной коре. Отсутствие V в мергелях объясняется содержанием Са, а в мелнилитовых сланцах — кремнезема. В дисидилевых сланцах присутствие глины и битуминоз в-ва — причина усиленной конц-ии V.

Сообщение VIII. Асфальтовые породы из Матца содержат в золе 0,0038—0,0187% V. С увеличением летучих и горючих в-в увеличивается содержание V. Последний связан с органич. в-вом и фиксирован глинистой массой. Петролейная вытяжка асфальта из Дерна после выпаривания и прокаливании дает зольный остаток с содержанием 0,264% V (как и в золе нефтей Румынской Народной Республики). М. Г.

3684. К вопросу об изучении геохимии титана в глинистых горных породах. Жемличка (Hšípěvek k poznání geochemie titanu v jílových horninách. Žemlička Jan), Věst. Ustřed. ústavu geol., 1954, 29, № 5, 225—233 (чеш.)

Произведен хим., гранулометрич., термографич., рентгенографич. анализы и изучены адсорбционные свойства [методом измерения флуоресценции после насыщения р-ром  $\text{ZnUO}_2(\text{CH}_3\text{COO})_2$ ] образцов глины на шахты вблизи Билины, залегающих на различных глубинах. Установлено, что изучавшаяся глина состоит из каолинита с небольшой примесью сидерита. Среднее содержание  $\text{TiO}_2$  в глине составляет 5,79%. В составе фракции глины с размером зерен больше 10  $\mu$  содержится 69,7% всего  $\text{TiO}_2$ , от 1 до 10  $\mu$  — 27% и с размером зерен меньше 1  $\mu$  — только 3,3%. Предложена возможная схема генезиса изученных титаносодержащих глини. Согласно ей, при выветривании горных пород образовались суспензии и коллоид. р-ры  $\text{Al}_2\text{O}_3$ ,  $\text{SiO}_2$  и  $\text{TiO}_2$ -н  $\text{H}_2\text{O}$ , которые путем последней коагуляции превратились в глину, где Ti находится в форме анатаза. При этом процессе  $\text{TiO}_2$ -н  $\text{H}_2\text{O}$  являлся материалом, связывающим частицы каолина, благодаря чему дисперсность глины тем меньше, чем больше содержание в ней Ti. В. С.

3685. Геохимия мышьяка. Ониси, Санделла (Geochemistry of arsenic. Onishi Hiroshi, Sandell E. B.), Geochim. et cosmochim. acta, 1955, 7, № 1—2, 1—33 (англ.)

Приводятся данные предыдущих исследователей, начиная с 1914 г., указывающие на большую конц-ию As в осадочных породах по сравнению с изверженными. Методика определения As описана ранее (ГЖХим, 1954, 22170). Приводятся результаты определения As в 200 образцах изверженных пород. Средние величины (в мг/кг): для вулканит. пород 3,5; вулканит. стеклов 5,9; гранитов 1,5; промежуточных пород 2,4; базальтов и диабазов 2,0; габбро 1,4; перидотитов и дунитов 1,0; серпентинитов 2,8. Средняя величина для изверженных пород 2,0 мг/кг. Из данных для отдельных минералов следует, что большие конц-ии As наблюдаются в железных минералах 3—10 мг/кг и в особенно в сульфидных (в пирите до 450 мг/кг), но в силикатных минералах, в том числе и в кварце тоже всегда содержится As (кварц 0,5 мг/кг, полевые шпаты 1—2 мг/кг). Основная масса As изверженных пород содержится в силикатных минералах, где As может замещать  $\text{Al}^{3+}$ ,  $\text{Fe}^{3+}$ ,  $\text{Ti}^{4+}$  и  $\text{Si}^{4+}$ . Некоторый параллелизм наблюдается для As и Mo, но характерное для Mo увеличение содержания с увеличением щелочности пород для As не наблюдается. Аналогичные результаты получены при анализе метеоритов. Среднее содержание As (в мг/кг): в хондритах 2,2; в силикатной фазе 2,0, в железной 12 и в троилитовой 10. В метаморфич. породах наблюдается большой разброс значений: 0,5 в гнейсах, 17 в кристаллич. сланцах. Осадочные породы — глинистые сланцы и глубоководные осадки — содержат 5—15 мг/кг. В известняках и песчаниках 1—2 мг/кг. При выветривании изверженных пород As адсорбировался глинистыми минералами. Общее кол-во As в осадочных породах в 3—4 раза больше, чем в изверженных. Наличие этого избыточного As объясняется отделением As вместе с другими легко летучими элементами при кристаллизации магмы. Делением избыточного кол-ва данного летучего элемента (в осадочных породах, гидросфере и атмосфере) на кол-во его в 60-км слое изверженных пород авторы получают относительные величины, характеризующие тенденцию данного элемента к улетучиванию: для Cl 2,0; H ( $\text{H}_2\text{O}$ ) 1,2; N 1; B 0,5; C 0,4; S 0,05; As 0,03; Zn 0,002; Cu 0,002. В современных горячих источниках наблюдается закономерное изменение содержания As с изменением кол-ва Cl и Na + K



Из данных для хондритов, предполагая, что при их образовании улетучивания As не происходило, авторы получают космич. атомное соотношение  $As : Si = 5 \cdot 10^{-6}$  и делают вывод, что As менее распространен, чем его соседи с четными номерами Ge и Se. Величины распространенности для этих элементов в мг/кг: Ge 70; As 2,2; Se 7.

С. Н. 3686. Инфракрасные спектры поглощения каменного угля и обугленных углеводов. Фридел, Пелипец (Infrared spectra of coal and carbohydrate chars. Friedel R. A., Pelipetz M. G., J. Opt. Soc. America, 1953, 43, № 11, 1051—1052 (англ.))

Получены ИК-спектры поглощения антраксилона (компоненты битуминозного угля) и обугленных углеводов (целлюлозы и сахара). Сопоставление спектров указывает на близость хим. строения этих продуктов, что, по мнению авторов, подтверждает теорию генезиса каменного угля, в которой целлюлоза играет роль исходного материала.

Ю. Е. 3687. Бериллий в вулканических породах. Пацал (Beryllium ve vulkánických porodách. Pácal Z., Vesmir, 1955, 34, № 1, 15 (чеш.))

Указывается, что в некоторых видах вавеллита содержится 0,3—1% Be и что спектральный метод определения дает в среднем более высокие результаты, чем флуоресцентный.

Н. Т. 3688. Закарпатский кертисит и сопутствующие ему органические соединения. Малеев Т. П., Минералог. сб. Львовск. геол. о-ва, 1954, № 8, 85—94

Кертисит—минерал, имеющий состав, близкий к  $C_{24}H_{18}O$ . Ему сопутствуют битумы. Эти органич. соединения находятся в тесном парагенезе с типично жильными низкотемпературными минералами, что указывает на их связь с изверженными породами. Образование комплекса органич. соединений относится к последней стадии гидротермального процесса. Представляется вероятным, что кертисит с сопутствующими битумами является продуктом дистилляции органич. в-в, входящих в состав осадочной толщи.

В. К. 3689. Исследование боксита месторождения Нежа прибором Габихт по методу терморасщепления. Гедеои (A nézsai bauxit vizsgálatá habicht-készülékkel. Gedéon Tihamér, Föld. közl., 1953, 83, № 4—6, 149—155 (венг.; резюме русс.))

Подробными минералогич. и физ. методами (в том числе термич. анализом) установлено, что основными минеральными компонентами, содержащими глинозем в бокситах д. Нежа, на левой стороне Дуная, являются диаспор и каолин. Гидратиллит присутствует в ничтожном кол-ве.

Г. Н. 3690. Соотношения устойчивости микроклина-санидина. Голдемит, Лавес (The microcline-sandine stability relations. Goldsmith Julian R., Laves Fritz, Geochim. et cosmochim. acta, 1954, 5, № 1, 1—19 (англ.))

Описываются промежуточные структурные состояния между двумя модификациями калиевого полевого шпата: микроклина и санидина. Эти полиморфные разновидности объясняются различным распределением в них Al—Si, подчиняющимся определенному порядку в микроклине и беспорядочным в санидине. Промежуточные состояния между микроклином и санидином были получены при сухом нагревании микроклина более 1000°, а также наблюдались в природных полевых шпатах. При гидротермальных условиях превращение микроклина в санидин происходит при значительно более низких  $t$ -рах (наименьшая 525°). Механизм гидротермального превращения состоит в растворении микроклина с последующим выпадением санидина. Приводится сравнение процессов полиморфного превращения K и Na полевых шпатов.

В. К. 3691. О содержании и методах определения меди в почвах Латвийской ССР. Пейве Я. В., Иванова Н. Н. Почвоведение, 1953, № 11, 3—13

Усвояемая растениями Cu определялась колориметрически в HCl-вытяжке с помощью 8-меркаптохинолина в хлорбензольном р-ре при разбавлениях до 1 : 10 000 000. Определению мешает только Pt-группа металлов. Одно определение занимает 3 часа. Приведено подробное описание методики определения Cu и синтеза 8-меркаптохинолина. Почвы Латвийской ССР разделяются на 5 групп по содержанию Cu: 1) Типично подзолистые, подзолисто-болотные и болотные на приморском песке до 1,5 мг Cu на 1 кг почвы. 2) Дерново-подзолистые, дерново-глеевые и болотные почвы на песках и суглинках 0,8—2,3; 3) дерново-подзолистые, дерново-глеевые и болотные почвы на легких и средних суглинках 1,8—3,0; 4) дерново-подзолистые, дерново-глеевые и подзолистые болотные почвы в районе Видземе 2,0—4,6; 5) дерново-карбонатные типичные, выщелоченные, оподзоленные и дерново-глеевые почвы на пылеватых безвалунных суглинках и глинах 3,0—6,0. Cu-удобрения в виде пиритных огарков дали на почвах 2-го типа прибавку урожая по пшенице 2—5 ц/га и по овсу 4—9 ц/га.

С. Н. 3692. Об изотопном обмене поглощенного кальция карбонатных почв. Барбье, Тышкевич (Etude par échange isotopique du calcium diffusible des sols calcaires. Barbier Georges, Tyszkiewicz Edwige, m-lle, C. r. Acad. sci., 1953, 236, № 21, 2105—2106 (франц.))

Сравнивались результаты определения поглощенного кальция в 8 образцах карбонатных почв методом изотопного обмена и вытеснением NaCl по Гиссинку. На основании полученных удовлетворительных данных автор рекомендует метод изотопного обмена, который позволяет определять поглощенный Ca без замещения его другими катионами и без разрушения карбонатов. Метод состоит в следующем: 4 г почвы встряхивают 24 часа с 100 мл р-ра  $CaCl_2$  радиоактивностью 5  $\mu$ кюри на 1 г Ca, с содержанием известного кол-ва Ca. Расчет обменного Ca ведется по ф-ле: общее кол-во радиоактивного Ca: Ca обменный почвенный + Ca прибавленный = радиоактивный Ca в растворе: Ca общий в растворе.

Л. Л. 3693. Ускоренный метод определения обменных оснований в глинах. Филатов С. С. В сб.: Исследование минерального сырья, М., Гостеолтехиздат, 1955, 94—98

Метод основан на связывании Ca и Mg олеиновой к-той в малорастворимые соли. Определяется общая сумма обменных катионов глины и отдельно обменных щел.-зем. катионов титрованием глинистой суспензии водно-спиртовым р-ром 0,05 н. олеата калия. Одновременно можно определить кол-во растворимых солей щел.-зем. металлов, присутствующих в глинах. Присутствие в глине соединений Ca и Mg завышает результаты титрования, поэтому суспензию глины отстаивают. Результаты определения обменных оснований ускоренным методом согласуются с данными, полученными по обычным методам.

М. Г. 3694. Физико-химические методы и техника подготовки осадочных пород для пылецевого анализа. Ситлер (Méthodes et techniques physico-chimiques de préparation des sédiments en vue de leur analyse pollinique. Sittler C.), Rev. Inst. franç. pétrole, 1955, 10, № 2, 103—114 (франц.; резюме англ., нем.)

Обзор. Библ. 21 назв. В. К. 3695. Новые достижения в области минералогического изучения тонкозернистых осадочных горных пород. Алексанян, Руж, Ватан (Progrès récents dans l'étude minéralogique des roches sédimen-

aires a grain fin. Alexanian C., Rouge P. E., Vatan A.), Rev. Inst. franç. pétrole, 1954, IX, № 6, 243—261 (франц.)

Обзор принципов, методики и областей применения рентгеноструктурного анализа тонкозернистых осадочных горных пород. Библи. 14 назв. Н. П.

**3696. Соотношение углерода : азот в поверхностных и нижележащих слоях морских донных отложений. Бейдер** (Carbon and nitrogen relations in surface and subsurface marine sediments. Bader Richard G.), Geochim. et cosmochim. acta, 1955, 7, № 5/6, 205—241 (англ.)

Произведены анализы 65 проб морских донных отложений (43 поверхностных слоеви 13 подповерхностных), собранных с разных мест в береговом районе заливов Майн и Пьюджет Саунд. В поверхностных слоях отложений содержание C в 43 пробах колебалось (в %): 0,24—4,7, среднее 1,61; N 0,02—0,58, среднее 0,19; величина отношения C : N менялась от 5,1 до 25,5. Соотношение логарифмов величин содержания C и N представляет линейную функцию, и наклон прямой (тангенс угла) в среднем равен 0,91 (по оси X — lg N, а по оси Y — lg C). С увеличением содержания органич. в-ва происходит небольшое уменьшение величины C : N. По данным других исследователей, величина наклона указанной прямой в поверхностных слоях отложений разных морей меняется от 0,86 до 1,28. В подповерхностных слоях отложений содержание C и N в большинстве случаев уменьшается с глубиной, а величина C : N возрастает. Величина C : N меняется от 5,3 до 18,4, а наклон прямой логарифмич. отношений C : N для залива Майн в среднем для всех колонок грунта составляет 0,36, а для залива Пьюджет Саунд 3,49. По данным других исследователей, величина C : N в подповерхностных слоях отложений в разных районах и в разных морях различна, что обусловлено различием в кол-ве поступающего органич. в-ва, различием в скорости его разложения и т. д. Величина отношения C : N в подповерхностных слоях морских осадков должна рассматриваться отдельно для каждого района и по ней можно восстановить картину прошлой окружающей обстановки. К. И.

**3697. Распределение органического углерода в осадках Берингова моря. Лиенцын** А. П., Докл. АН СССР, 1955, 163, № 2, 290—302

В течение 1950—1954 гг. Ин-том океанологии АН СССР собраны и анализированы осадки Берингового моря (БМ). По сравнению с другими морями осадки БМ богаты органич. в-вом (углерод определялся по Кюппу). Отдельные максим. величины содержания  $C_{органич.}$  (до 2,56%) отмечены для алевроитово-глинистых илов, а минимальные (0,08%) для крупных алевроитов; максим. средняя величина  $C_{органич.}$  1,87% приходится на мелкоалевритовые илы, а минимальная 0,23% на мелкие пески. Низкие величины  $C_{органич.}$  (< 0,5%) наблюдаются на материковой отмели, а высокие (> 1,5%) во внешней части материковой отмели и у основания склона. Главным источником  $C_{органич.}$  осадков БМ являются диатомовые водоросли. Зоны максим. содержания  $C_{органич.}$  смещены от зон интенсивного развития фитопланктона в сторону моря и ограничены со стороны берега областью грубых осадков. Распределение C в осадках связано не только с расположением его источников, а также с размером частиц органич. остатков, разбавлением их минеральными частицами и с условиями разложения планктона и переноса детрита. В колонках осадков БМ длиной до 16,5 м содержание  $C_{органич.}$  колеблется от 1,20 до 0,20%, закономерно уменьшаясь с глубиной в глинистых грунтах. Также уменьшается вниз по колонке кол-во желтых

и зеленых растительных пигментов, особенно в верхнем 4-м слое. К. И.

**3698. О некоторых общих закономерностях формирования химического состава природных вод. Вальшко** М. Г., Гидрохим. материалы, 1954, 22, 60—70

Состав природных вод определяется распространенностью отдельных элементов в литосфере и растворимостью образующихся соединений. Рассмотрение относительной роли главных ионов ( $SiO_2$ ,  $HPO_4$ ,  $CO_3$ ,  $SO_4$ , Cl, Ca, Mg, Na) в формировании солевого состава природных вод различной минерализации показывает, что постепенное повышение минерализации природных вод осуществляется за счет появления в р-ре более растворимых соединений, образованных главными ионами, причем главные антропогенные элементы по возрастающей степени устойчивости в растворенном состоянии образуют ряд: P, Si, C, S, Cl, а из главных катионных элементов K наименее устойчив, Mg мало меняет свою относительную роль в формировании солевого остатка природных вод различной минерализации, Ca и Na оспаривают первое место. Основными хим. типами природных вод являются карбонатный (содовый), сульфатный (с двумя подтипами) и хлоридный (хлоркальциевый), которые в процессе метаморфизации могут переходить друг в друга. Наиболее распространенным в настоящее время является сульфатный тип вод. Основным фактором, обуславливающим формирование хим. типа природных вод, является Ca и его миграционная способность в данных условиях. В. К.

**3699. Окисление и восстановление в гидрохимии, Эристави** Д. И., Тр. Груз. политехн. ин-та. 1953, № 28, 31—42 (резюме груз.)

Влияние т-ры на окислительно-восстановительный потенциал (ЕН) незначительно, изменение конц-ии реагирующих в-в значительно влияет на изменение ЕН. Литературные данные и собственные результаты измерения ЕН в природных условиях укладываются в предсказанные теоретич. пределы (ЕН с рН, близким к 8, должны лежать между —0,48 и +75 е). Приведены данные по содержанию свободной  $CO_2$ ,  $Fe^{2+}$  и рН для минеральных вод типа Боржоми. Разобран процесс образования осадка и частичной метаморфизации углекислой минеральной воды: при стоянии на воздухе, вследствие нарушения газового режима (десорбции  $CO_2$  и абсорбции  $O_2$ ), выпадает осадок  $Fe(OH)_3$ ,  $CaCO_3$ ,  $MgCO_3$  и  $SiO_2$ . М. Г.

**3700. О некоторых теоретических вопросах гидрогеологии. Ланге** О. К., Бюлл. Моск. о-ва испытателей природы. Отд. геол., 1955, 30, № 2, 3—12

Ведущие вопросы науки о подземных водах определяют самостоятельное место гидрогеологии среди других наук, но в тесной связи с ними. Происхождение, режим, баланс, динамика и хим. состав подземных вод обладают своеобразными чертами, не проявляющимися в поверхностных водах. Подвижность воды отличает ее от твердых природных тел, составляющих земную кору; подземная вода является геологич. фактором, преобразующим земную кору. Миграция элементов, их рассеивание в земной коре или их конц-ия (при рудообразовании) происходят при участии подземной воды. Распределение подземных вод подчиняется сложным закономерностям сочетания литологич. состава, геоморфологич. особенностей, геологич. структур и климатич. факторов. Идея зональности нашла широкое применение в гидрогеологии. М. Г.

**3701. Об ожидаемой минерализации воды Сталинградского и Куйбышевского водохранилищ. Кризенов** М. И., Гидрохим. материалы, 1954, 22, 3—19

Предложена новая методика расчета минерализации воды водохранилищ (ВХ) для определенных пунктов

и для каждого месяца (а для весны и осени для каждой декады) с учетом водного режима ВХ, минерализации воды, поступающей в ВХ, потери воды из В-Х на испарение, влияния образования и таяния льда и выщелачивания солей с периодическим обнажением ложа ВХ. Вычислена минерализация воды Куйбышевского ВХ у его плотины, Волги у с. Рудник (верховье Сталинградского ВХ) и Сталинградского ВХ у его плотины для среднего по водности года и для маловодного года. По полученным данным построены хронографы минерализации воды. Отмечено, что в ВХ по сравнению с р. Волгой до зарегулирования произойдет сдвиг на более поздние сроки периодов высшей и наименьшей минерализации воды; увеличится продолжительность периодов наименьшей минерализации воды с более медленным ее увеличением, в то время как периоды наибольшей минерализации станут более короткими; будет происходить выравнивание величины минерализации воды в нижних ВХ в течение года. В маловодные годы отмеченные явления будут еще несколько усилены по сравнению со средним по водности годом.

**3702. О качественных нормах водопотребления в условиях пустыни.** К у н и н В. Н., В сб.: Пустыни СССР и их освоение. № 2, М.—Л., Изд-во АН СССР, 1954, 465—487

Для пустынных районов Туркмении выработаны нормы содержания солей в питьевых водах в  $мг/л$ : Na 400—800, Ca 150—350, Mg 75—150, Cl 600—900, SO<sub>4</sub> 600—1000, сухой остаток 1500—3000. Для водопоя пригодны более минерализованные воды (от 6—7 до 12—15  $г/л$  солей, в зависимости от сезона и состояния кормов). Следует испытать орошение минерализованными водами (от 6—8  $г/л$  и выше) для создания микроаэзисов. Подробное изучение местных вод и приемов водопользования позволит максимально использовать малые водные ресурсы пустыни для развития животноводства и мелкоаэзисного земледелия.

**3703. К использованию минерализованных вод на орошение в Кизил-Арванской предгорной равнине Юго-Западного Туркменистана.** Г р а ж д а н П. Е., Изв. АН ТуркмССР, 1954, № 6, 30—36

Почвенно-мелиоративные условия предгорной равнины Юго-Западного Туркменистана (Большие Балханы) благоприятны для орошения водой повышенной минерализации (не превышающей 2,0—2,5  $г/л$  и с содержанием Cl<sup>-</sup> до 1  $г/л$ ). Засоление не представляет опасности ввиду хорошей водопроницаемости пород. Орошение будет связано с большими потерями на фильтрацию, почвы будут нуждаться в учащенных поливах, внесении удобрений. Необходимо повысить солеустойчивость растений. Вопросы использования минерализованных вод на орошение требуют организации комплексных исследований.

**3704. О формировании сероводородных вод юго-западной окраины Русской платформы.** С а й д а к о в с к и й С. З., Докл. АН СССР, 1955, 103, № 2, 303—304

В основании тортоновских отложений (миоцен), протянувшихся от г. Немирова до г. Хотина (переходная зона от Русской платформы к Предкарпатскому краевому прогибу), залегает гипсово-ангидритовый горизонт, к полосе развития которого приурочены выходы минер. сероводородных вод (СВ). Сульфатная минерализация СВ связана с выщелачиванием подземными водами гипсов. Общая минерализация СВ порядка 2—2,5  $г/л$ , а содержание H<sub>2</sub>S в них колеблется от десятков до 150—200  $мг/л$ . Исследования показали, что вмещающие минер. воды известково-гипсовые породы верхнего тортона и перекрывающие их глины содержат маслянистые и легкие битумы. Подземные воды тортоновских отложений, циркулируя по битуминозным породам и обогащаясь органич. в-вом, вступают в соприкосновение с гипсами в обогащаются сульфатами; последние в присутствии органич. в-ва восстанавливаются биохим. путем до H<sub>2</sub>S.

**3705. Микрофлора вод и нефтей районов Второго Баку.** Колесник З. А., Тр. Всес. н.-и. геол.-развед. ин-та, 1955, № 82, 175—181

Исследование имело целью не только выяснить наличие микрофлоры, но и установить основной характер биохим. процесса восстановления сульфатов. Жизнедеятельная микрофлора выявлена в каменноугольных и пермских отложениях; в девонских не обнаружена (за исключением единичных проб). Микрофлора выявлена, в основном, в пробах из обводненных скважин, в безводных нефтях бактерии наблюдались лишь в единичных пробах. Десульфуризирующие бактерии из обводненных скважин каменноугольных и пермских отложений наиболее биохимически активны; бактерии, выделенные из нефтей девонских отложений и из проб безводных скважин, мало активны. В пластовых водах каменноугольных и пермских отложений штаммы десульфуризирующих бактерий неодинаково реагируют на различную конц-ию NaCl.

**3706. Механизм и формы отложений CaCO<sub>3</sub> в горных источниках. Часть 2. Образование CaCO<sub>3</sub> в особых условиях.** К и т а н о (温泉に産出する炭酸カルシウム沈積物の形. その2. 特殊の条件下で生ずるもの. 北野康), Япон. хим. журн., 1953, 74, № 10, 789—792 (япон.)

Исследованы осадки CaCO<sub>3</sub> и Fe<sub>2</sub>O<sub>3</sub>·nH<sub>2</sub>O, образующиеся вблизи минерального источника Футомата. При стоянии воды из источника Fe<sub>2</sub>O<sub>3</sub>·nH<sub>2</sub>O выпадает вследствие окисления железа кислородом, причем, вследствие большой тяжести и достаточно большой величины крупинок, этот осадок очень легко оседает. CaCO<sub>3</sub> выпадает на поверхности воды, где происходит выделение CO<sub>2</sub> в атмосферу, и оседает значительно труднее, а в природных условиях может уноситься водой дальше. Такое раздельное выпадение указанных осадков подтверждается тем, что на опущенной в воду доске через 10 час. на нижней стороне образуется налет яркого красно-коричневого цвета, присущего железистым осадкам, а на верхней стороне, находящейся на поверхности воды, образуется осадок белого цвета, присущего CaCO<sub>3</sub>. Там, где вода источника спокойно отстаивается, на поверхности ее появляются пластинчатые стяжения, похожие на матовое стекло. Эти пластинки состоят из зернышек CaCO<sub>3</sub>, которые соединились друг с другом и образовали пленку, мешающую им затонуть. Верхняя сторона такой пленки, находящаяся в соприкосновении с воздухом, гладкая, блестящая, нижняя — шероховатая и, если в воде содержится Fe, — коричневого цвета. Кроме того, на дне углублений, где интенсивно происходит выделение CO<sub>2</sub> мелкими пузырьками, автор обнаружил среди мелких железистых стяжений твердые шарики белого цвета с блестящей поверхностью. Эти шарики представляют собой горошинообразные стяжения CaCO<sub>3</sub>, образующиеся вокруг железистых ядрышек в результате выделения CO<sub>2</sub>. Дальнейшее выделение CaCO<sub>3</sub> может цементировать горошинообразные стяжения в большие весьма твердые глыбы. Часть 1 см. РЖХим, 1954, 44554.

**3707. Связь между химическим составом природных вод и окружающей средой. (2). Связь между химическим составом речных вод и геологической средой в Японии.** Х а н з я (天然水の化学的性質と地質環境との相關に関する考察. 第2報. 本邦地質と河川成分との關係の検討. 半谷高久)



日本化学雑誌, Нихон кагаку дзасси, 1953, 74, № 6, 450—452 (япон.)

Геологическая структура изучавшихся районов была разделена на пять формаций: палеозой (1), мезозой (2), вулканические породы (3), плутонические породы (4) и третичные (5). Для определения свойств речных вод взяты эквивалентные соотношения:  $Mg/Ca$  (a),  $Si_2O/Ca + Mg + Na + K - Cl$  (e),  $Ca + Mg/Ca + Mg + Na + K - Cl$  (c),  $SO_4/ExB$  (d). Для  $1a < 0,4$ ;  $e < 1,0$ ,  $c > 0,78$  в  $SO_4/Ca + Mg + Na + K - Cl < 0,3$ , т. е. воды 1 отличаются от вод других формаций. Воды 2 и 3 одинаковы по соотношениям ионов.  $SiO_2$  оказалась не стабильной составной частью. Вода рек, протекающих в 4, занимает промежуточное положение между рек в 1 и в 3. Для 5 характерна большая величина (d), но этот район включает также 3. Здесь  $c = 0,9$ . Хотя конция ионов не рассматривалась, автор считает, что по вышеуказанным соотношениям устанавливается связь между свойствами воды и геологич. формациями. (Часть 1 см. РЖХим, 1955, 37120. М. Г.

**3708. Колебание содержания углекислоты в грунтовой воде и его причины.** Хельб (Schwankungen des Kohlensäuregehaltes im Grundwasser und seine Ursachen. Helb Woldemar), Geol. Bl. NO-Bayern, 1955, 5, № 3, 121—126 (нем.)

В грунтовых водах, используемых для снабжения города Эрланген, содержание свободной  $CO_2$  периодически меняется от  $\sim 13$  до  $40$  мг/л от минимума (зимой) к максимуму (летом). На основе данных предшествующих исследований показывается, что обогащение грунтовых вод  $CO_2$  происходит в делювиальной террасе и в аллювии долины Регниц. Обычно максимум содержания  $CO_2$  наблюдается после обильных летних атмосферных осадков, когда повышается уровень грунтовых вод. Делается вывод, что в летнее время в теплых удобренных почвах идет интенсивный процесс разложения органич. в-ва. Содержание  $CO_2$  в почвенном воздухе достигает до 40%. Воды атмосферных осадков, просачиваясь через почву, обогащаются  $CO_2$  и минеральными солями, затем, смешиваясь с грунтовыми водами, поднимают их уровень, и содержание в них  $CO_2$  и растворенных солей увеличивается. К. И.

**3709. К вопросу о химическом составе и бактерицидных свойствах эстонских лечебных грязей.** Дербенева Н. А., Хованова А. М., Изв. АН ЭССР, 1955, 4, № 1, 122—133

Исследованы грязи из Хаапсалуского грязехранилища. Содержание в % от веса абсолютно сухого в-ва грязи составляет: карбонатов  $\sim 2,49$ , хлоридов 1,10,  $H_2S$  0,09, общего азота 0,62, общего углерода 4,26, органич. в-ва 7,35, легкогидролизующих в-в (гемипеллозы) 1,39, трудногидролизующих в-в (клетчатка) 0,16, лигнинно-гумусового комплекса (негидролизуемый остаток) 5,98 и битумоподобных в-в (спирто-бензольный экстракт) 1,64. В составе органич. в-ва до 22,4% занимают битумы. Легкогидролизующие в-ва составляют 16,4%, трудногидролизующие — 2,2% и лигнинно-гумусовый комплекс — 59%. При высушивании грязи при  $90^\circ$  и нагревании ее на водяной бане происходит уменьшение органич. в-в и увеличение кол-ва легкогидролизующих в-в и  $H_2S$ . Приводится таблица динамики изменения хим. состава грязи, в зависимости от времени взятия пробы, условий обработки и хранения. Бактерицидные свойства грязи незначительны, но после пастеризации ее в термостате при  $37^\circ$  в течение 24 час. усиливаются. Прибавление органич. в-в значительно усиливает бактерицидные свойства грязи и при этом во всех посевах появляются стерильные зоны. Органич. р-рителями из грязи извлечены 4 фракции комплексных в-в: 1) спирто-ацетоновая, 2) хлороформная, 3) спирто-бензиновая и 4) остаток, не растворимый в хлороформе и бензине. Все фракции обладают сильным бактерицидным действием. К. И.

**3710. Исследование солёности в приливо-отливных эстуариях.** Рибе, Баску (Étude sur la salinité des estuaires à marée. Ribes G., Bascou J.), Ann. ponts et chaussées, 1955, 125, № 2, 169—192 (франц.)

Подчеркивается важность изучения солёности вод эстуарий. Описываются два вида поступления солёной воды в эстуарий: 1) клинообразный, при котором солёная вода поступает по дну эстуария, а по поверхности растекается пресная вода и 2) фронтальный, когда солёные воды поступают по всему фронту одинаково по всей вертикали и изогалины (линии одинаковой солёности) расположены вертикально. Рассмотрены в общей форме условия оседания взвешенных частиц, методы анализа гидродинамич. явлений и дана ф-ла скорости проникновения солёных вод в эстуарий. Описано распределение солёности в эстуарии Жиронда, в котором сделано несколько разрезов в течение апреля и мая 1950 г. На разрезе, близком к морю, максимум солёности (23 г/л) наблюдался за высшей точкой прилива и минимум — за низшей точкой отлива. Амплитуда колебаний солёности в самом эстуарии на отдельных разрезах составляла 5, 12 и 16 г/л. Рассмотрены условия для установления вертикальной стратификации и изменения солёности, и к этим явлениям применена ф-ла Аронса-Стоммеля. К. И.

**3711. Анализ воды источника в Плозе (Брессаноне).** Карретта [Analisi dell' acqua della Plose (Bressanone). Carretta Umberto], Ann. chimica, 1954, 44, № 12, 1043—1049 (итал.)

Постоянство т-ры и состава водн. источника и незначительные изменения дебета показывают, что вода поступает по сети длинных потоков, расположенных большей частью ниже уровня, до которого достигает влияние внешних термич. изменений. Качеств. и спектроскопич. анализы показали незначительные кол-ва  $Ca$ ,  $Mg$ ,  $Na$ ,  $HCO_3$ ,  $SO_4$  и  $SiO_2$ ; миним. кол-ва  $K$ ,  $Al$ ,  $Fe$ ,  $PO_4$ ,  $F$  и  $Cl$ ; следы  $Li$ ,  $Sr$ ,  $Cu$ ; наличие  $CO_2$ ,  $O_2$ ,  $N_2$  и благородных газов. Сухой остаток 0,02 г/л. Органич. в-в почти нет. Радиоактивность непостоянная, в среднем  $4,76$  мк кури при среднем дебете 3320 л/час. Р-ция воды на лакмус нейтр. Даны таблицы хим., физ. и физ.-хим. анализов. Н. Х.

**3712. Об определении солёности морской воды.** Гунц, Пере (Sur la détermination de la salinité de l'eau de mer. Guntz Antoine A., Perez J. J.), Bull. Inst. océanogr., 1955, 52, № 1057, 21 (франц.)

Рассмотрены методы определения солёности воды по показателям рефракции и уд. весу. Показатель рефракции и уд. вес с солёностью воды увеличиваются, однако прямой зависимости между этими величинами нет. Большое влияние на эти определения оказывает изменение т-ры, особенно в интервале  $25-15^\circ$ . При изменении на  $1^\circ$  уд. вес изменяется приблизительно на  $30 \cdot 10^{-5}$  и показатель преломления на  $10 \cdot 10^{-5}$ , что в пересчете на солёность соответственно 1 и 1,5%. Быстрота определений солёности при помощи рефрактометра, отсутствие случайных ошибок, удобство применения прибора в любых условиях (на земле, в море), незначительное кол-во воды для определения составляют преимущество этого прибора. Обычно к прибору прилагается таблица для пересчета показаний (с учетом т-ры) на солёность. Уд. вес определяется ареометром. Необходимо следить за тем, чтобы колебания т-ры при калибровании ареометра и самом определении уд. веса были бы незначительными. Предлагается простая конструкция более точного ареометра, подвешенного на цепочках. Для определения уд. веса обычно требуется  $\sim 200$  мл воды. В. Б.

3713. Определение содержания индия в минеральных водах. Икада (温泉中のインジウムの定量法について・池田長生), Японская химическая литература, Нихон кагаку дзасси, J. Chem. Soc. Japan. Pure Chem. Sec., 1953, 74, № 2, 91—93 (япон.).

Для определения In в минеральных водах применен спектральный метод с предварительным концентрированием с помощью дитизона. 1—10 л и более воды подкисляли до pH 5—6 в присутствии виннокислого K—Na и экстрагировали р-ром дитизона в  $\text{CCl}_4$  (при наличии  $\text{H}_2\text{S}$ , последний удалялся кипячением). Экстракт выпаривали в кварцевой чаше, к остатку добавляли азотную к-ту и 10 мг  $\text{NaNO}_3$  для разрушения органич. в-в. Выпаривали досуха, остаток равномерно смешивали и в нем определяли In спектральным методом (дуговой спектр) путем сравнения со стандартным в-вом. Колич. определение In указанным методом в восьми источниках показало содержание его 0,02—1,00 γ/л. В кислых источниках, содержащих  $\text{H}_2\text{S}$ , кол-во In 0,1—1,0; в источниках, не содержащих  $\text{H}_2\text{S}$ , In также обнаружен; геохимия In сходна с геохимией Al.

3714. Определение нитритов в природных и сточных водах. Войцеховская (Oznaczenie azotynów w wodzie i cieku. Wojciechowska W.), Gaz, woda, techn. sanit., 1955, 29, № 4, 127 (польск.). Описано определение нитритов по широко известному методу Грисса; устойчивость окраски образующегося комплекса — 3 часа. Определению мешают: цветность выше 20°,  $\text{Fe}^{2+} > 20 \text{ мг/л}$  и  $\text{Fe}^{3+} > 5 \text{ мг/л}$ . Вместо шкалы стандартов можно пользоваться имитирующей шкалой, состоящей из смеси щелочного фуксина и фиолетового генциана.

3715. Микрометод для химического определения органически связанного углерода в морской воде. Кай (Eine Mikromethode zur chemischen Bestimmung des organisch gebundenen Kohlenstoffs im Meerwasser. K. a. u. H. a. n. s.), Kieler Meeresforsch., 1954, 10, № 1, 26—36, Taf. 16—17 (нем.).

Описан микрометод определения органич. C в морской воде и в других р-рах, содержащих хлориды, путем окисления без предварительного выпаривания органич. в-ва смесью  $\text{K}_2\text{Cr}_2\text{O}_7$  и крепкой  $\text{H}_2\text{SO}_4$  в присутствии  $\text{Ag}_2\text{Cr}_2\text{O}_7$  для связывания хлоридов без удаления  $\text{AgCl}$ . Продукты окисления очищаются от галогенов р-ром KJ и металлич. Sb. Полнота окисления органич. C в газообразных продуктах сжигания обеспечивается катализом действием накалиной Pt. Образовавшаяся  $\text{CO}_2$  поглощается 0,05 н.  $\text{Ba}(\text{OH})_2$ ; кол-во ее определяется титрованием 0,025 н.  $\text{HCl}$  в присутствии смешанного индикатора (тимоловый синий + фенолфталеин). Чтобы избежать загрязнений исследуемого материала, все операции ведутся в одном замкнутом приборе, описание которого приводится. Введение в аппарат исследуемой воды (10 или 5 мл) и спуск отработанных в-в производится без доступа воздуха. Неорганич. соединения C после подкисления удаляются в вакууме при нагревании. Чувствительность метода — до 1 γ C, точность определения 3—6% (при содержании в морской воде 3 мг C/л).

3716. Исследование содержания фтора в питьевых и речных водах Грузии. Моссевиц Я. П., Угулава М. М. (გორის მუნიციპალიტეტის სასახლე და მდ. ნარეთა წყლებში. ფოსფორის, ფტორისა და მანганის შემცველობის გამოკვლევა, ჟ. თბილის. უნივერსიტეტის შრომები, ტ. 7. თბილის. უნ-ტა, 1954, 54, 81—87 (груз.; резюме русс.).

Фтор определяли в 44 образцах питьевых и речных вод колориметрич. методом Моссева—Райнека. Проверка метода для питьевых вод дала хорошие результаты, для речных вод метод применим после удаления органич. в-в по методу биогеохим. лаборатории.

Содержание F (в мг/л): в питьевых водах 0,06—0,015, в речных 0,04—0,12, т. е. ниже допустимой нормы. М. Г.

3717. Определение кальция и магния в минеральных водах. Коброва (Stanovení vápníku a hořčíku v minerálních vodách. Koberová M.), Chem. listy, 1954, 48, № 8, 1255—1257 (чеш.).

Исследовано влияние совместного присутствия  $\text{Ca}^{2+}$  и  $\text{Mg}^{2+}$  на результаты их колич. определения в минеральных водах с помощью комплексометрич. титрования. Недостаток метода, при определении  $\text{Ca}^{2+}$  в присутствии большого кол-ва  $\text{Mg}^{2+}$ , устраняется способом, при котором не возникает необходимости в отделении  $\text{Ca}^{2+}$  от  $\text{Mg}^{2+}$ . При определении  $\text{Ca}^{2+}$  к 50—100 мл минеральной воды прибавляют 1—2 г  $\text{Na}_2\text{C}_2\text{H}_4\text{O}_4 \cdot 2\text{H}_2\text{O}$  и избыток комплексона III (К III). Р-р кипятят для удаления  $\text{CO}_2$ . Затем прибавляют 250—300 мл воды, мурексид (I) до светлорозового окрашивания, 2 г  $\text{NaOH}$ , и избыток К III оттитровывают р-ром  $\text{Ca}^{2+}$ . Ион  $\text{Mg}^{2+}$  определяют по разности при титровании с использованием I и эриохромового черного Т (II). В последнем случае к 50—100 мл минеральной воды прибавляют 300 мл воды и после нагревания до 50° на каждые 100 мл титруемого р-ра 5 мл буфера (5 г  $\text{NH}_4\text{Cl}$  и 250 мл 35%-ного  $\text{NH}_4\text{OH}$  в 1 л р-ра), II до появления розовой окраски и избыток К III. После кратковременного нагревания до 90—100° избыток К III титруют р-ром  $\text{Ca}^{2+}$ . Этим методом нельзя определять  $\text{Mg}^{2+}$  при большой его конц-ии в р-ре.  $\text{Fe}^{2+}$  и  $\text{CO}_2$  мешают определению  $\text{Ca}^{2+}$  и  $\text{Mg}^{2+}$ . Для устранения влияния первого прибавляют  $\text{Na}_2\text{C}_2\text{H}_4\text{O}_4 \cdot 2\text{H}_2\text{O}$ ; для устранения влияния  $\text{CO}_2$  р-р кипятят.

3718. Полумикрометод определения содержания сульфатных ионов в полевых условиях. Чаяги, Толнаи (A víz szulfátion tartalmának félmikromet helyszíni meghatározása. Csajágyi Gábor, Tolnay Vera), Hidrol. közl., 1954, 34, № 11—12, 511—515 (венг.; резюме русс., нем.).

Ионы  $\text{SO}_4$  осаждают в 10 мл воды  $\text{BaCl}_2$  (известное кол-во и конц-ия) в присутствии метилового красного и подкисления  $\text{HCl}$  до pH 5, избыток его титруют комплексом III (КIII); определяют жесткость воды. Титруют в колбе емк. 50 мл, pH р-ра 10—11. Буферный р-р: 0,6 мл насыщ.  $\text{Na}_2\text{B}_4\text{O}_7 \cdot 10\text{H}_2\text{O}$  0,5 мл конц.  $\text{NH}_4\text{OH}$  на 10 мл воды. Перед титрованием к р-ру добавляют 1 мл 96%-ного спирта. Индикатор: 5 вес. ч. фталенового комплексона, 1 ч. метилового красного и 1,25 ч. зеленого диализа, растворенных в смеси подкисленной  $\text{NH}_4\text{OH}$ , воды и спирта. Р-р в точке эквивалентности светлозеленый. Стандартный р-р: р-р 3,32 г КIII, в смеси 400 мл дистилл. воды и 100 мл спирта, долитый до 1 л дистилл. водой. Р-р  $\text{BaCl}_2$ : 2,18 г  $\text{BaCl}_2 \cdot 2\text{H}_2\text{O}$  в 50 мл спирта и 450 мл дважды дистилл. воды. Титрование жесткости и р-ра  $\text{BaCl}_2$ , использованного на осаждение, проводится так же, как обратное титрование. Воды с жесткостью выше 15° смягчают. Кол-во ионов  $\text{SO}_4$  подсчитывается по ф-ле:  $\text{SO}_4 (\text{мг/л}) = (n + n_1 - n_2) \cdot 85,64$  ( $n_2$  — объем одной капли,  $f$  — фактор стандартного р-ра К III,  $n$  — число капель р-ра КIII, расходуемых при титровании жесткости,  $n_1$  — то же для титрования  $\text{BaCl}_2$ , использованного при осаждении,  $n_2$  — то же при обратном титровании). Точность метода  $\pm 1 \text{ мг/л}$ .

3719. Определение растворенного кислорода в присутствии солей железа. Опарина О. П., Митягина О. В., Гидрохим. материалы, 1953, 20, 92—97.

При определении  $\text{O}_2$  в водах, содержащих соли  $\text{Fe}^{2+}$ , обычный иодометрич. метод дает неточные результаты. Ошибка соответствует кол-ву  $\text{O}_2$ , необходимому для окисления присутствующих в воде солей  $\text{Fe}^{2+}$ . Если точно известно содержание солей  $\text{Fe}^{2+}$ , то в отсутствие других восстановителей можно применять обыч-





$C_6H_5NH_2$  и III (схему р-ции I с III см. выше). Поскольку синтез VII из бензилиденпировиноградной к-ты и III приводит к VI, анил бензилиденпировиноградной к-ты действительно является промежуточным при получении VI из I и III. К р-ру 0,02 моля метилового эфира  $\beta$ -фенил- $\beta$ -фениламинопропионовой к-ты (получена с выходом 86,5% кипячением ~12 час. 1,4-дифенилазетидинона с насыщ. метанольным HCl, т. пл. 105—106° из  $CH_3OH$ ) в 50 мл дихлорэтана + 15 мл сухого пиридина прибавляют по каплям 3 мл метоксалилхлорида, через 3 часа, разбавляют 50 мл эфира, промывают 100 мл воды, из органич. слоя выпариванием в вакууме выделяют метиловый эфир  $\beta$ -фенил- $\beta$ -N-метоксалил-N-фениламинопропионовой к-ты (VIII), выход 95%, т. пл. 75,5—76° (из бзл.-петр. эф.). Смесь  $CH_3ONa$  (0,07 г Na, 20 мл абс.  $CH_3OH$ ) и 0,9 г VIII оставляют на 4 часа, нейтрализуют рассчитанным количеством  $CH_3COOH$  в 50 мл воды, извлекают эфиром, получают 0,5 г 4-карбометокси-1,5-дифенилпирролидиндиона-2,3, (IX), т. пл. 196—199° (разл.; из  $CH_3OH$  при 0°). IX получен также из метилового эфира метоксалилуксусной к-ты и бензилиденанилина в эфире (см. Simon, Conduché, Ann. chim. phys., 1907(8), 12, 1), ИК-спектры обоих препаратов IX идентичны. 0,125 моля  $CH_3(C^{14}N)_2$  перемешивают 2 часа при 70—80° с  $CH_3COBr$ , разгонкой выделяют нитрил 1- $C^{14}$ -пировиноградной к-ты, выход 54,3%, т. кип. 87—91°, который омыляют (конц. HCl, 70°, 2 часа) до 1- $C^{14}$ -пировиноградной к-ты (X), выход 38%, т. кип. 40—60° (18 мм). Из X по Реймеру (Reimer, J. Amer. Chem. Soc., 1924, 46, 785) действием бензальдегида в присутствии 10%-ного NaOH (не более 12°, 50 мин.) получена 1- $C^{14}$ -бензилиденпировиноградная к-та (XI), выделена в виде Na-соли, выход 46%; подкислением водн. р-ра соли конц. HCl выделена XI, выход 47% (на соль), т. пл. 68—69°. К р-ру 0,0038 моля XI в 15 мл абс. спирта добавляют по каплям р-р 0,0039 моля  $C_6H_5NH_2$  в 5 мл абс. спирта, перемешивают 30 мин., добавляют 25 мл абс. спирта, кипятят 1 час, получают 2- $C^{14}$ -I, выход 80%, т. пл. 158—160° (разл.). Аналогично с использованием  $C_6H_5^{15}N_2$  приготовлен 1- $N^{15}$ -I. 0,01 моля 1- $N^{15}$ -I, 0,0104 моля III + 4 капли лед.  $CH_3COOH$  кипятят в абс. спирте 30 мин., через 12 час. (~20°) кипятят еще 1 час, добавляют 70 мл воды, получают VI, выход 79%, т. пл. 154—155° (разл.; из хлф.-петр. эф.). J. H.

3725.  $\zeta$ - и  $\eta$ -1,1,2,3,4,5,6-Гептахлорциклогексан. Рейтлер, Землер ( $\zeta$ -и  $\eta$ -1,1,2,3,4,5,6-Heptachlor-cyclohexan. (Kurze Mitteilung). Reutler Hans, Semmler Fritz), Monatsh. Chem., 1954, 85, № 2, 460—461 (нем.).

Ранее Римшнейдером (см. Angew. Chem., 1952, 64, 597; РЖХим, 1954, 26971) было определено пространственное строение изомеров 1,1,2,3,4,5,6-гептахлорциклогексанов (I) с т. пл. 154° ( $\zeta$ -I) и 101° ( $\eta$ -I). Для  $\zeta$ -I определена конфигурация ЭП. Э. П. Э. П. Э. П. для  $\zeta$ -I ЭП. Э. П. Э. П. Э. П. Для подтверждения конфигурации произведено определение дипольных моментов для  $\zeta$ -I и  $\eta$ -I. Последние получены хлорированием с-1,2,3,4,5,6-гексахлорциклогексана.  $\zeta$ -I, т. пл. 153—154°, найден дипольный момент 1,2 D. Для  $\eta$ -I, т. пл. 100°, дипольный момент 0,7 D. Определение вели в  $C_6H_6$  при 24—25° (см. Hettand E., Acta Chem. Scand., 1948, 2, 679) в приборе, описанном ранее (РЖХим, 1955, 51285). По этим определениям  $\zeta$ -I соответствует конфигурация ЭП. Э. П. Э. П. Э. П. а  $\eta$ -I ЭП. Э. П. Э. П. Для первого вычислен дипольный момент 1,4 D, а второго 0,8 D. Результаты согласуются с определениями конфигурации для  $\zeta$ -I и  $\eta$ -I, произведенными Римшнейдером. Г. Г.

3726. Стереохимия некоторых 2,5-дизамещенных диоксанов. Саммербелл, Стивене (The stereo-

chemistry of several 2,5-disubstituted dioxanes. Summerbell Robert K., Stephens James R.), J. Amer. Chem. Soc., 1954, 76, № 24, 6401—6407 (англ.).

Описанный в предыдущем сообщении (см. реф. 3877) 2,5-бис-(подметил)- $\eta$ -диоксан (I) действием  $CH_3COOK$  превращен в 2,5-бис-(ацетоксиметил)- $\eta$ -диоксан (II) и затем в 2,5-бис-(оксиметил)- $\eta$ -диоксан (III). III действием конц.  $HNO_3$  окислен в  $\eta$ -диоксандикарбоновую-2,5 к-ту (IV). IV при помощи горячего 22%-ного р-ра KOH превращена с 10%-ным выходом в стереоизомерную  $\eta$ -диоксандикарбоновую-2,5 к-ту (V). Обратный переход V — IV происходит в тех же условиях с 64%-ным выходом, т. е. IV является более устойчивым стереоизомером. Изомеризовать диметилловые эфиры IV и V (VI и VII соответственно) с помощью  $CH_3ONa$  не удалось. IV и V не изомеризуются при кипячении с конц.  $HNO_3$  или HCl (к-той). Показано, что V является *цис*-, а IV — *транс*-изомером, так как только V удалось разложить на оптические антиподы. Цис-конфигурация V подтверждена образованием V при гидролизе мономерного ангидрида (VIII). IV при кипячении с  $(CH_3CO)_2O$  образует смешанный ангидрид IV и  $CH_3COOH$  (IX), дающий при гидролизе IV. IX при 100° превращается в полиангидрид *транс*-кислоты (X). По аналогии с известными работами (Marckwald W., Ber., 1904, 37, 1045) сделан вывод, что III, как и IV, является *транс*-изомером. Отсюда I и II тоже приписаны *транс*-конфигурации, так как в р-циях, связывающих их с III, не затрагиваются C-атомы, ответственные за геометрическую изомерию. Цис-2,5-бис-(подметил)- $\eta$ -диоксан (XI) получен восстановлением VII с помощью  $LiAlH_4$  в *цис*-2,5-бис-(оксиметил)- $\eta$ -диоксан (XII), превращенный в тозилат, который при действии NaI дал XI. Таким же рядом р-ций IV превращена в I. Отсутствие общих промежуточных продуктов и равные конечные продукты (XI и I) этих двух рядов превращений доказывает отсутствие изомеризации в них и подтверждает конфигурации исследуемых в-в. Некоторые из синтезированных в-в *транс*-ряда оказались идентичными или родственными в-вам, ранее полученным взаимодействием глицерина (XIV) с конденсирующими средствами. Так показано, что продукт конденсации XIV с  $CH_3COOH$  «диглицериндишцетат» (Battogay M. и др., C. r. Acad. Sci., 1929, 188, 796) идентичен с II, а полученный из него «диглицерин» с III. «Диглицеринхлоридрин», полученный при действии HCl на XIV (Fauconnier M., Sanson J., Bull. Soc. Chim. France, 1887, [2], 48, 237), является *транс*-2,5-бис-(хлорметил)- $\eta$ -диоксаном, так как может быть превращен в I (Stochr C., J. prakt. Chim., 1887, [2], 55, 78) и оба они в один и тот же *транс*-2,5-бис-(аминометил)- $\eta$ -диоксан (XV). Высказано предположение, что при конденсациях XIV образуются все возможные структурные и геометрические изомеры. Показано, что *бис*-(нитрат-меркуриетил)- $\eta$ -диоксан (XVI) и *бис*-(подмеркуриетил)- $\eta$ -диоксан (XVII), служащие исходными для I, тоже обладают *транс*-строением. Р-ция образования XVI и XVII из аллилового спирта (XVIII) и Hg-солей в противоположность конденсациям XIV стереоспецифична. Более высокие т-ры плавления *транс*-изомеров 2,5-дизамещенных  $\eta$ -диоксанов объяснены тем, что для этого ряда именно *транс*-изомеры обладают ПП- или ЭЭ-конфигурациями. XVI получают взаимодействием 2,16 моля HgO в 300 мл конц.  $HNO_3$  и 1000 мл воды с 300 мл XVIII. XVI растворяют в 10%-ной NaOH и действием водн. р-ра KJ превращают в XVII. Из XVII кипячением с 700 г J и 1000 г KJ в 2500 мл воды в присутствии  $C_6H_6$  (24 часа) получают I, выход 90%. т. пл. 158° (из бзл.). 1,27 моля I нагревают 9 дней с 8,72 моля  $CH_3COOK$  и 3 г лед.  $CH_3COOK$  в присутствии KJ и получают II, выход 50%, т. пл. 124° (из воды).

0,62 моля II кипячением с 600 мл 3%-ного р-ра HCl-газа в  $\text{CH}_3\text{OH}$  (1 час) превращают в III, выход 82%, т. пл.  $90^\circ$  (из бэл.-изопропилового сп.). 0,32 моля III окисляют с помощью 665 мл конц.  $\text{HNO}_3$  ( $d$  1,42) до IV- $\text{H}_2\text{O}$ , выход 92%, т. пл. безводн.  $275^\circ$ . При окислении  $\text{KMnO}_4$  или  $\text{K}_2\text{Cr}_2\text{O}_7$  выход IV ниже. IV получают также окислением I с помощью конц.  $\text{HNO}_3$ , выход 28%. 0,45 моля IV изомеризуют в V, нагревая ( $100^\circ$ , 24 часа) с 2250 мл 22%-ного водн. р-ра KOH, т. пл. V  $178^\circ$  (из ацетона). V в тех же условиях ( $100^\circ$ , 19 час.) дает IV- $\text{H}_2\text{O}$ . 4,14 ммоль V частично разделяют на оптические антиподы с помощью 1,14 ммоль бруцина (XIX) в ацетоне. Первая порция соли V с XIX после обработки конц. р-ром  $\text{NH}_4\text{OH}$  и удаления XIX с помощью  $\text{CHCl}_3$  дает р-р  $\text{NH}_4$ -соли V,  $\alpha = -1,02^\circ \pm 0,05^\circ$ ; из второй порции соли V с XIX получают  $\text{NH}_4$ -соль с  $\alpha + 0,2^\circ \pm 0,05^\circ$ . VI, т. пл.  $143^\circ$ , получают, действуя на IV  $\text{CH}_3\text{OH}$  и HCl (газом) или  $\text{CH}_3\text{N}_2$  в эфире. VII, т. пл.  $92^\circ$ , получают аналогичным путем из V. IX синтезируют, растворяя 0,0678 моля IV в 100 мл кипящего  $(\text{CH}_3\text{CO})_2\text{O}$ , выход 80%, т. пл.  $151^\circ$  (из  $[\text{CH}_3\text{CO}]_2\text{O}$ ). Нагреванием IX ( $170^\circ$ , 15 мин., под конец вакуум 5 мм) получают X; не плавится, при гидролизе дает IV. При перегонке 3,27 г X в вакууме (5 мм) получают VIII, выход 72% (неочищ. в-во), т. пл.  $75-77^\circ$  (осажден из  $\text{C}_6\text{H}_6$  пентаном), легко гидролизуются и полимеризуются. 0,013 моля VII, восстанавливают 0,052 моля  $\text{LiAlH}_4$  в 350 мл эфира, выход XII 0,23 г (некристаллизующееся масло). Из X по методу Типсона (Tipson R. S., J. Organ. Chem., 1944, 9, 235) получают XIII, выход 12%, т. пл.  $88^\circ$  (из бэл.-лигр.). Из 0,94 ммоль XIII и 0,013 моля NaI в 20 мл ацетона (кипение 4,25 часа) синтезируют XI, выход 94%, т. пл.  $97^\circ$  (из  $\text{CH}_3\text{OH}$ ). VI с помощью  $\text{LiAlH}_4$  превращают в III (кипение 19 час.). Тозилят III, т. пл.  $205^\circ$ , с помощью NaI в ацетоне переводят в I (кипение 14 час.). Из 0,054 моля I, 0,127 моля  $\text{CH}_3\text{COOK}$  и 35 мл лед.  $\text{CH}_3\text{COOH}$  (кипение 17 час.) получают транс-2-подметил-5-ацетоксиметил-п-диоксан, выход 24%, т. пл.  $68^\circ$  (из воды). Транс-2-подметил-п-диоксанкарбоновая-5 к-та, т. пл.  $148^\circ$  (из толуола), получена с выходом 1% при окислении I по методу Фишера (Fischer H. O. Z. и др., Helv. chim. acta, 1937, 20, 1227). Транс-2,5-бис-(фениламинотетил)-п-диоксан, т. пл.  $166-169^\circ$  (из бэл.-сп. с примесью NaOH) и транс-2-подметил-5-фениламинотетил-п-диоксан, т. пл.  $72^\circ$  (из сп.-водн. с примесью NaOH), получают из 0,014 моля I и 0,14 моля анилина в 50 мл ксилола (кипение 8 час.). 0,0034 моля I действием 80 мл конц.  $\text{NH}_4\text{OH}$  ( $140^\circ$ , 3 часа) превращают в XV, выход 63%, т. пл.  $134^\circ$  (после возгонки при 11 мм); дибензамид, т. пл.  $235^\circ$ .

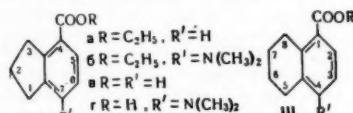
3727. Заторможенное внутреннее вращение и реакционная способность в ряду аминопроизводных бифенила. Литвиненко Л. М., Цукерман С. В., Греков А. П., Докл. АН СССР, 1955, 101, № 2. 265-268

С целью установления взаимосвязи между пространственной конфигурацией и реакционной способностью в ряду аминопроизводных бифенила, которые содержат в 2,2'-положениях карбометоксильные группы (КГ), затрудняющие внутреннее вращение ароматич. ядер в молекулах этих соединений, изучена кинетика р-ции ацилирования п-нитробензилхлоридом 4-аминобифенила (I), 4-амино-4'-нитробифенила (II), 4-амино-2,2'-дикарбометоксифенила (III), 4-амино-4'-нитро-2,2'-дикарбометоксифенила (IV) и метилового эфира м-аминобензойной к-ты (V) в бензольном р-ре при 25 и  $50^\circ$ . За ходом р-ции, которая протекает по у-нию второго порядка, следили по расходу аминов, определяя их конц-ию потенциометрич. титрованием  $\text{NaNO}_2$ . Ниже приводятся соответственно кон-

станты скорости при 25 и  $50^\circ$  ( $K_1$ ,  $\text{л.моль}^{-1} \text{сек}^{-1}$ ), предэкспоненты ( $\text{л.моль}^{-1} \text{сек}^{-1}$ ), энергии ( $\text{ккал.моль}^{-1}$ ) и энтропии ( $\text{кал.град}^{-1} \text{моль}^{-1}$ ) активации: I:  $0,533 \pm 0,010$ ;  $1,11 \pm 0,02$ ;  $7,1 \cdot 10^3$ ; 5,6;  $-42,8$ ; II:  $0,0505 \pm 0,0011$ ;  $0,118 \pm 0,003$ ;  $2,9 \cdot 10^3$ ; 6,5;  $-44,7$ ; III:  $0,257 \pm 0,012$ ;  $0,458 \pm 0,012$ ;  $4,5 \cdot 10^2$ ; 4,4;  $-48,5$ ; IV:  $0,0661 \pm 0,0021$ ;  $0,130 \pm 0,003$ ;  $4,1 \cdot 10^3$ ; 5,2;  $-48,6$ . К при  $25^\circ$  для V =  $0,257 \pm 0,012$ . Влияние КГ на реакционную способность исследуемых аминов обусловлено конкурирующим взаимодействием двух эффектов: 1) электроакцепторным действием КГ, которое ведет к уменьшению скорости ацилирования; 2) их пространственным влиянием, изменяющим геометрию конфигурации молекулы и ограничивающим внутреннее вращение в системе бифенила, что является причиной ослабления сопряжения между группами  $\text{NO}_2$  и  $\text{NH}_2$  и, значит, увеличения скорости ацилирования. Сравнение скоростей ацилирования I, II, III, IV и V показывает, что пространственный эффект КГ в небольшой степени перекрывает их электроакцепторное действие. Вводится понятие о пространственном факторе ослабления сопряжения (F), равном  $(k_1/k_{II}) / (k_{III}/k_{IV})$  и являющимся мерой пространственного влияния 2,2'-заместителей, ослабляющих взаимодействие между 4,4'-заместителями. Для КГ в данной серии р-ций  $F_{25^\circ} = 2,71$ ,  $F_{50^\circ} = 2,65$ . Предыдущее сообщение см. РЖХим, 1955, 51791.

3728. Пространственное влияние метиленовых групп. VII. Фентон, Де-Уолд, Арнольд (The steric effect of methylene groups. VII. Fenton Stuart W., DeWald Arthur E., Arnold R. T.), J. Amer. Chem. Soc., 1955, 77, № 4, 979-984 (англ.)

Изучена кинетика щел. гидролиза этиловых эфиров бензойной (I), гидриденкарбоновой-4 (IIa) (гидриден = Г), 5,6,7,8-тетрагидронафталинокарбоновой-1 (IIa) (5,6,7,8-тетрагидронафталин = ТГН) к-т и 7-диметил-



аминопроизводного (IIb и IIIb) в 69, 98%-ном (по весу) этаноле. За ходом р-ции, протекающей по у-нию второго порядка, следили титметрически. Ниже для каждого из эфиров приводятся соответственно значения констант скоростей при 25 и  $55^\circ$  ( $k \cdot 10^3 \text{ л.моль}^{-1} \text{сек}^{-1}$ ) логарифмов предэкспоненты ( $\text{л.моль}^{-1} \text{сек}^{-1}$ ), энергии ( $\text{ккал.моль}^{-1}$ ), энтропии ( $\text{кал.град}^{-1} \text{моль}^{-1}$ ) и энтропии ( $\text{кал.моль}^{-1} \text{град}^{-1}$ ) активации: I, 59,2  $\pm$  1,0; 750  $\pm$  12; 10,9; 16,5  $\pm$  0,2; 15,8  $\pm$  0,2;  $-19,3$ . IIa, 8,55  $\pm$  0,16; 121  $\pm$  2; 10,5; 17,2  $\pm$  0,2; 16,5  $\pm$  0,2;  $-20,8$ . IIa, 2,69  $\pm$  0,09; 41,1  $\pm$  0,5; 10,4; 17,7  $\pm$  0,2; 17,0  $\pm$  0,2;  $-21,4$ . IIb, 1,68  $\pm$  0,04; 29  $\pm$  1,1; 10,8; 18,5  $\pm$  0,4; 17,8  $\pm$  0,4;  $-19,7$ . IIIb, 1,16  $\pm$  0,05; 19,5  $\pm$  0,5; 10,5; 18,3  $\pm$  0,4; 17,7  $\pm$  0,4;  $-20,8$ . Наблюдающиеся неравенства  $k_{IIa} > k_{IIIa}$  и  $k_{IIb} > k_{IIIb}$  являются свидетельством того, что метиленовые группы (МГ) пятичленного кольца (МГ-5) в орто-положении по отношению к группе  $\text{COOC}_2\text{H}_5$  оказывают на ее реакционную способность меньший стeric эффект (СЭ), чем аналогичные группы шестичленного кольца (МГ-6). МГ IIb и IIIb играют двоякую роль: о-МГ по отношению к группе  $\text{COOC}_2\text{H}_5$  вследствие СЭ затрудняют ее гидролиз, а СЭ, вызываемый МГ в орто-положении к  $\text{N}(\text{CH}_3)_2$ -группе, приводящей к ослаблению ее взаимодействия с ароматич. кольцом, способствует увеличению скорости гидролиза. Это с учетом большей вели-





чие крекинга перфторуглеродов от крекинга парафинов. В. В.

**3730.** Электрический эффект диэтоксифосфинильной группы. Фридман, Джаффе (The electrical effect of the diethoxyphosphinyl group. Freedman L. D., Jaffe H. N.), J. Amer. Chem. Soc., 1955, 77, № 4, 920—921 (англ.)

Остаток арилфосфиновых к-т  $\text{PO}(\text{OH})_2$  снижает активность бензольного ядра по отношению к электрофильному замещению. Измерение вызываемого им электрического эффекта затруднено сильной диссоциацией арилфосфиновых к-т (I). Поэтому ориентацию в бензольном ядре I изучали на их диэтиловых эфирах (II). Диэтоксифосфинильный остаток относится к электропритягивающей группе заместителей. Определены константы диссоциации ( $pK$ ) синтезированных II, отвечающих общей ф-ле  $\text{Y}_6\text{C}_6\text{H}_4\text{PO}(\text{OC}_2\text{H}_5)_2$ , где Y — заместители кислотного или основного характера. Даны Y, выход в %, т. кип. в °C/мм, т. пл. в °C,  $pK$  и значение  $\sigma$  — вычисленной константы замещения, описанной Хамметтом (Hammett L. P., Physical Organic Chemistry, N. Y., 1940):  $n\text{-COCH}_3$ , 93, —, —, 105—107, 3,60, 0,60;  $m\text{-COOH}$ , 92, —, —, 85—86, 3,65, 0,55;  $n\text{-NH}_2$ , 76, —, —, 115—119, 2,22, 0,84;  $m\text{-NH}_2$ , 95, —, —, 47—50, 3,09, 0,53;  $n\text{-OH}$ , 47, —, —, 93—94, 8,28, 0,73;  $m\text{-OH}$ , 15, —, —, 67—69, 8,66, 0,56;  $n\text{-COOC}_2\text{H}_5$ , 79, 137—149/0,3, —, —, —;  $m\text{-COOC}_2\text{H}_5$ , 80, 143—147/0,3, —, —, —;  $n\text{-NO}_2$ , 88, 139—144/0,3, —, —, —;  $m\text{-NO}_2$ , 79, 133—137/0,2, —, —, —. Ю. З.

**3731.** Реакционная способность арилциклоалкенов. III. Молекулярные соединения тринитрофлуоренона с некоторыми замещенными нафталинами. Клемм, Спрейг (Chemical reactivities of arylcycloalkenes. III. Molecular compounds of trinitrofluorenone with some substituted naphthalenes. Klemm L. H., Sprague J. W.), J. Organ. Chem., 1954, 19, № 9, 1464—1471 (англ.)

С целью изучения реакционной способности циклоалкенилнафталинов была исследована копланарность 1-(1'-нафтил)-1-циклогексена (I), 1'-(1'-нафтил)-1-циклопентена (II), 1-(2'-нафтил)-1-циклопентена (III), 1-(2'-нафтил)-1-циклогексена (IV), 2-метилнафталина (V) и 1-метилнафталина (VI). В качестве меры копланарности авторы приняли кажущийся коэфф. устойчивости (K) комплексов I—VI с 2,4,7-тринитрофлуореноном (ТНФ). K измерен по интенсивности поглощения света при 460 м.к. р-ром комплексов 1:1 в лед.  $\text{CH}_3\text{COOH}$  при разных относительных кол-вах углеводородов и ТНФ в р-ре методом непрерывных вариаций. II—VI дают с ТНФ хорошо кристаллизующиеся комплексы (из  $\text{CH}_3\text{COOH}$ ), т. пл. II-ТНФ, 124—125°; III-ТНФ, 147,5—148,5°; IV-ТНФ, 128—129°; V-ТНФ, 125—126°, VI-ТНФ 161—162°; I твердого комплекса не дает. В пределах конц-ий 0,01—6,27 молей углеводорода на 1 л и разных конц-ях ТНФ получены следующие K: I 16,0; II 21,6; III 64; IV 50,5; V 27,6; VI 27,5. Величина абсорбции комплексов ( $A_c$ ) связана с K молярной конц-ией ТНФ ( $C_{\text{ТНФ}}$ ), молярной долей не вошедшего в комплекс углеводорода ( $N_n$ ) и молярным коэфф. поглощения ( $\epsilon_c$ ) комплекса у-нием  $A_c/N_n \cdot C_{\text{ТНФ}} = K \epsilon_c - K(A_c/C_{\text{ТНФ}})$ , хорошо согласующимся с эксперим. данными. Авторы предложили модели комплексов. Даны спектры поглощения комплексов в ТНФ в пределах 330—600 м.к. Сообщение II см. РЖХим, 1955, 45771.

**3732.** Реакционная способность арилциклоалкенов. IV. Некоторые vicинальнодизамещенные циклопентены и циклогексены с метильными и нафтильными заместителями. Клемм, Зиффер (Chemical reactivities of arylcycloalkenes. IV. Some vicinal

disubstituted cyclopentenes and cyclohexenes bearing naphthyl and methyl groups. Klemm L. H., Ziffer H. M.), J. Organ. Chem., 1955, 20, № 2, 182—189 (англ.)

С целью изучения природы олефинов, образующихся при дегидратации 1-арил-2-метилциклоалкенов-1, с помощью  $\text{HCOOH}$  были дегидратированы 2-метил-1-(1'-нафтил)-циклогексанол-1 (I), 2-метил-1-(1'-нафтил)-циклопентанол-1 (II), 2-метил-1-(2'-нафтил)-циклопентанол-1 (III) и 2-метил-1-(2'-нафтил)-циклогексанол-1 (IV). При этом получены 3-метил-2-(1'-нафтил)-циклогексен-1 (V), 3-метил-2-(1'-нафтил)-циклопентен-1 (VI), 3-метил-2-(2'-нафтил)-циклопентен-1 (VII) и 3-метил-2-(2'-нафтил)-циклогексен-1 (VIII). Термич. дегидратация 1-метил-2-(1'-нафтил)-циклогексанола (IX) приводит к 2-метил-1-(1'-нафтил)-циклогексену-1 (X). Строение V—VIII установлено озонированием в этилацетате, продукты которого дали положительную пробу Толленса на альдегидную группу и положительную р-цию с 2,4-динитрофенилгидразином (XI), но не образовали осадка с  $\text{NaOJ}$ ; после озонирования X дал положительные р-ции с XI и  $\text{NaOJ}$ , но отрицательную пробу Толленса. При обработке V—VIII озном (10% избытка) озонирование V прошло на 54, VI на 70, VII на 94 и VIII на 75% (по р-ции с XI). V—VIII были гидросилированы 10%-ным избытком надбензойной к-ты (45 мин. 20°, 24 часа 0°; в хлф-бал.; 9:1) с последующим кипячением 50—60 час. с 1,3%-ной  $\text{H}_2\text{SO}_4$ . 2-Метилциклопентанон (XII) приготовлен из 2-карбэтоксикилопентанола (XIII) метилированием, размыканием цикла, омылением и пиролизом продукта в присутствии  $\text{Ba}(\text{OH})_2$ . 2-Метилциклогексанон (XIV) получен окислением 2-метилциклогексанола (см. Adams, Johnson, Laboratory Experiments in Organic Chemistry, New-York, 1949, 249), выход 54%, т. кип. 163—166°. Неочищ. I—IV получены взаимодействием гриньяровских реактивов из 74 и 1- и 2-бромнафталинов и 41 и XIV или 36 и XII. Нагревание I—IV с безводн.  $\text{HCOOH}$  дает соответственно V, выход 44%, т. кип. 137—142°/1 мм, тринитробензолат (ТНБ), т. пл. 89—110° (из  $\text{CH}_3\text{OH}$ ), пикрат, т. пл. 55—120° (из абс. сп.); VI, 40%, т. кип. 133—134°/1,2 мм, т. пл. 53,5—54° (из  $\text{CH}_3\text{OH}$ ), ТНБ, т. пл. 95—96°; VII, 21%, т. кип. 133—134°/1,2 мм, комплекс с 2,4,7-тринитрофлуореноном, т. пл. 123—124°; VIII, 29%, т. кип. 144—146°/1,4 мм, ТНБ, т. пл. 83—84°. Чистые V—VIII выделены из комплексов пропусканием их р-ров в  $\text{C}_6\text{H}_6$  через колонку со смесью силициловой к-ты и целита (1:1). К эфир. р-ру  $\text{CH}_3\text{MgI}$  (из 0,32 г Mg, 0,9 мл  $\text{CH}_3\text{I}$  и 25 мл абс. эф.) прибавлен р-р 2,73 г 2-(1'-нафтил)-циклогексанола (т. пл. 85—86°) в смеси 10 мл эфира и 15 мл  $\text{C}_6\text{H}_6$ , после кипячения 7 час., экстрагирования, сушки и упаривания неочищ. IX прогрет 40 мин. при 170°, получен X, выход 64%, т. кип. 128—130°/0,85 мм, т. пл. 56—57° (из  $\text{CH}_3\text{OH}$ ). К смеси 110 г гидрида натрия и 3,5 л  $\text{C}_6\text{H}_6$  за 2 часа прибавлено 900 г диэтилового эфира адипиновой к-ты, а через 2 дня 20 мл лед.  $\text{CH}_3\text{COOH}$  и 3 л 10%-ной  $\text{HCl}$ , при перегонке бензольного экстракта получен XIII, выход 81%, т. кип. 90—95°/5—6 мм. Смесь 337 г 2-метил-2-карбэтоксикилопентанола (см. Russelberge van, Bull. ci. sci. Acad. roy. Belgique, 1926, [5] 12, 171), 100 г  $\text{NaOH}$  и 1,5 л воды кипятят 12 час. и еще 12 час. с 227 мл конц.  $\text{HCl}$ , выпаривают досуха с 40 г  $\text{Ba}(\text{OH})_2 \cdot 8\text{H}_2\text{O}$ , при пиролизе (300°) получают XII, выход 42%, т. кип. 134—135°.

**3733.** Активность водородных атомов различного положения при хлорировании  $n$ -алканов  $\text{C}_6$ — $\text{C}_9$ . Галанина Р. С. Некрасов А. С., Докл. АН СССР, 1955, 100, № 4, 701—703

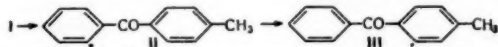
В развитие предыдущих исследований (РЖХим, 1955, 45787.) по термич. хлорированию  $n$ -алканов при

изучении кинетики этой р-ции с *n*-гексаном (I), *n*-гептаном (II), *n*-октаном (III) и *n*-нонаном (IV) в прочной системе установлено, что скорость замещения хлором первичных атомов H растёт с *t*-рой, достигая максимума при 235° для I, 260° для II, 250° для III и 240° для IV. Активность первичных атомов H к замещению на Cl (принимая активность вторичных атомов H равной единице) составляет при этих *t*-рах 2,4, 3,4, 3, 2,7 соответственно. При оптимальных *t*-рах, отвечающих хлорированию в паровой фазе, р-ция идет против правила Марковникова с образованием преимущественно первичных монохлоридов, выход которых в случае I 65%, II 67%, III 60%, IV 54%. Понижение *t*-ры вызывает падение активности первичных атомов H и активирование вторичных. Предложена ф-ла для определения активности атомов H в отношении замещения их хлором:  $a = H_2/H_1/H_2$ , где  $a$  — относительная активность первичных атомов H;  $H_2$  — число вторичных атомов H;  $H_1$  — число первичных атомов H;  $e_1$  — выход первичных хлорпроизводных в %;  $e_2$  — выход вторичных хлорпроизводных в %.

С. С. 3734. Обмен водорода в тиофене индуцированный кислотой. Хальварсон, Меландер (Acid-induced hydrogen exchange in thiophene. Halvarson K. Jell, Melander Lars), Arkiv. kemi, 1955, 8, № 1, 29—32 (англ.).

Измерена относительная скорость (OC) обмена T на H в тиофене (I), содержащем T в положении 2 или 3. 10 мл I и 9 мл 59,4%-ной  $H_2SO_4$ , содержащей T, взбалтывают 80 мин. при 25°, продукт перегоняют, разбавив неактивным I до желаемой активности. Получают образец (Ia) со следами T в положении 2; 3 мл Ia взбалтывают 2 раза с 20 мл 59,4%-ной неактивной  $H_2SO_4$  и перегоняют. Потери 2,2% активности соответствуют содержанию в Ia производного I с T в положении 3; 10 мл I и 6 мл 69%-ной  $H_2SO_4$ , содержащей T, взбалтывают 26,5 часа при 40°. Продукт обрабатывают, как указано выше, получают образец (Ib) со следами T в положении 3; 2 мл Ia или Ib взбалтывают с 20 мл 59,4%-ной неактивной  $H_2SO_4$  при 25° в течение различных промежутков времени. Р-цию прерывают прибавлением льда. Продукт р-ции сжигают и определяют содержание T (см. Melander, Arkiv. kemi, 1950, 2, 211, 257—260). OC обмена T (в направлении от I к к-те) в положении 2 в  $955 \pm 140$  (максим. ошибка) раз больше OC обмена T в положении 3.

Е. К. 3735. Новый тип реакции переноса цепи. Рильи, Де-Тар (A new type of chain transfer reaction. Relyea Douglas I., DeTar De Los F.), J. Amer. Chem. Soc., 1954, 76, № 4, 1202 (англ.). Ранее (DeTar, Sagmanli S., J. Amer. Chem. Soc., 1950, 72, 965) были получены данные, указывающие на то, что разрыв связи C—N в солях диазония происходит в кислой среде гетеролитически (A), а в щел. среде — гомолитически (Б). При изучении р-ции диазотированного 2'-амино-4-метилбензофенона (I) установлено, что в протекающих по пути Б р-циях имеется стадия внутримолекулярного переноса цепи (II) → (III).



Перемешиванием I (в виде фторбората) с  $CCl_4$  и NaOH с последующим хроматографированием получена маслянистая фракция, содержащая 3-метилфлуоренон (IV) (выход 10%), 2'-хлор-4-метилбензофенон (V) (10%), а также 2-хлор-4-метилбензофенон (VI) (10%), образовавшийся при взаимодействии III с  $CCl_4$ . В-ва идентифицированы и определены количественно по ИК-спектру, который сравнивался с ИК-спектрами чистых в-в: IV ( $\lambda_{\text{макс}}$  10,88  $\mu$ ), V (10,78  $\mu$ ) и VI (10,69  $\mu$ ),

т. пл. 51—52°. В водн. р-ре NaCl при наличии кислой р-ции I дает смесь 2'-окси-4-метилбензофенона (выход 21%), V (14%) и IV (60%), не содержащую, однако, VI, так как в ИК-спектре отсутствует  $\lambda_{\text{макс}}$  10,69  $\mu$ . Аналогично I с NaBr в качестве единственного галоидо-производного образует 2'-бром-4-метилбензофенон (VII) отсутствует  $\lambda_{\text{макс}}$  10,71  $\mu$ . В противоположность этому при р-ции Зандмейера I с  $Cu_2Br_2$  получается смесь VII и 2-бром-4-метилбензофенона (VIII), что установлено сравнением ИК-спектров смеси и заводских VII ( $\lambda_{\text{макс}}$  10,79  $\mu$ ) и VIII ( $\lambda_{\text{макс}}$  10,71  $\mu$ ), т. кип. 171—172°/3 мм. Делается заключение, что р-ция протекает по крайней мере частично по пути Б. При взаимодействии I с NaI при pH 1 или 7 образуется только одно иодпроизводное — 2'-иод-4-метилбензофенон (IX) ( $\lambda_{\text{макс}}$  для чистого IX 10,80  $\mu$ , т. пл. 52—53°), а при pH 11, при меньшем выходе иод-производных как IX, так и 2-иод-изомер, так как в ИК-спектре содержатся  $\lambda_{\text{макс}}$  10,69, 10,80 и 10,88  $\mu$ .

Г. П.

3736. Присоединение аминорадикала  $\cdot NH_2$  к бензолу, толуолу и циклогексену. Симан, Тейлор, Уотерс (Addition of the amino-radical,  $\cdot NH_2$ , to benzene, toluene, and cyclohexene. Seaman H., Taylor P. J., Waters William A.), J. Chem. Soc., 1954, Dec., 4690—4691 (англ.).

Исследована ранее описанная р-ция (Davies и др., J. Chem. Soc., 1951, 2463), в которой было показано, что свободный радикал  $\cdot NH_2$ , образующийся при восстановлении  $NH_2OH$  Ti-солями, реагирует с  $C_6H_6$ , давая небольшие кол-ва нестойкого продукта (I), разлагающегося при кипячении с разб. к-той с образованием дифенила (II). I является основанием, медленно разлагающимся уже при 18—20°, и быстрее при нагревании, с образованием  $NH_3$ , анилина и II, а при каталитич. восстановлении — анилин,  $NH_3$ , и, вероятно,  $C_6H_6$ , наряду с другими в-вами, годящим, повидимому, диаминоциклогексидиен  $CH = CH - CH(NH_2) - CH =$

$= CH - CHNH_2$  (III) и бис-аминоциклогексидиенил  $(H_2NC_6H_4)_2$  (IV). К-ты и щелочи превращают IV в II, а III в анилин. В условиях той же р-ции  $CH_3C_6H_5$  дает следы продукта аналогичного I, а не  $C_6H_5CH_2NH_2$ ; это показывает, что  $\cdot NH_2$ -радикал преимущественно взаимодействует с ароматич. ядром, а не с  $CH_3$ -группой. С циклогексеном (V) получено масло, содержащее циклогексилламин (VI); первичным продуктом р-ции является аддукт — радикал  $\cdot CH(CH_2)_4CHNH_2$  (VII), ко-

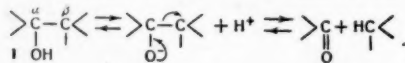
торый далее восстанавливает в VI. К эмульсии 50 мл  $C_6H_6$  и 200 мл воды прибавляют одновременно в атмосфере  $N_2$  в течение 45 мин. 250 мл 1 н. р-ра  $NH_2OH \cdot HCl$  и ~0,9 н. р-р  $TiCl_3$  в кол-ве, рассчитанном на 80% образования  $\cdot NH_2$ -радикалов, отделяют слой  $C_6H_6$ , добавляют к водн. слою для осаждения  $Ti^{++}$  30 г  $H_3BO_3$  и 150 мл  $NH_4OH$  (d 0,88) и отфильтровывают осадок. Проба фильтрата с  $Ca(OCl)_2$  на анилин отрицательная. Прибавляют к фильтрату 100 мл 40%-ного NaOH, экстрагируют 12 × 60 мл эфира и по испарении экстракта (без нагревания) получают 0,8 г I, дающего характерные р-ции первичного алифатич. амина и разлагающегося в течение 2 недель на  $NH_3$ , анилин и II. При кипячении I с к-тами или щелочами отгоняют II с водяным паром; в водн. р-ре присутствует анилин. I обесцвечивает на холоду водн. р-р  $KMnO_4$  и присоединяет  $H_2$  в спирт. р-ре в присутствии Ni-катализатора при 18—20° под давлением; катализат содержит  $NH_3$ , анилин и  $C_6H_6$ . Из свежеприготовленного I и 1%-ного р-ра  $o$ -НОС $_6$ H $_4$ СНО, получено в-во, т. пл. 143—147°, отличающееся по со-

ставу от дисалицилиденовых производных III и IV. Из толуола с  $\text{NH}_2\text{OH}$  и  $\text{TiCl}_4$  получают основание (VIII), подобное I, салицилиденное производное, т. пл.  $174^\circ$  (разл.); при кипячении VIII образуется *п*-толуидин. Р-ция с V дает красновато-коричневое масло, выделяющее  $\text{N}_2$  при обработке  $\text{HNO}_3$  и образующее нитрозамины; 1,2-диамин не обнаружено. Перегонкой при  $31^\circ/13$  мм ( $130^\circ/760$  мм) выделен VI, идентифицированный в форме *N*-циклогексил-*N'*- $\alpha$ -нафтилтиомочевины, т. пл.  $142^\circ$ ; при  $120-130^\circ/13$  мм перегоняется смесь VI и вторичного амина, который, как и неперегоняющийся остаток, т. пл.  $\sim 75^\circ$ , по-видимому, является полимерами VII. О. Ч.

**3737.** Теоретические основы окислительно-гидролитических превращений органических соединений. Шемякин М. М., Щукина Л. А. В сб.: *Вопр. хим. кинетики, катализа и реакционной способности*. М., Изд-во АН СССР, 1955, 757—764

Статья содержит теоретич. обоснование открытого и изученного авторами нового типа превращений органич. молекул — окислительно-гидролитич. расщепления связи C—C. Приводятся ссылки на 23 эксперим. работы авторов, подтверждающих развиваемые ими взгляды. Расщепление связи C—C при окислении органич. в-в рассматривается как процесс, происходящий в две стадии: образование вначале в результате окисления группировки атомов, способной к гидролитич. расщеплению, и затем расщепление связи C—C под

действием гидролизующих средств. Сам окислитель во многих случаях оказывается неспособным расщепить связи C—C. Изучение причин, характера и механизма гидролитич. расщепления связи C—C привело к выводу, что эта р-ция возможна у всех соединений, имеющих группировку атомов типа (I) по схеме:



При наличии у  $\alpha$ -атома C электронодонорных (напр.,  $\text{CH}_3$ ,  $\text{O}^-$  и др.), а у  $\beta$ -атома C электроноакцепторных (напр.,  $\text{COOH}$ ,  $\text{CHO}$ ,  $\text{NO}_2$  и др.) заместителей под воздействием рН среды и т-ры водород гидроксильной группы приобретает заметную склонность к диссоциации, а связь C—C, подлежащая расщеплению, оказывается поляризованной в достаточно сильной степени. Особенно сильно это проявляется при наличии эффекта сопряжения  $\sigma$ - и  $\pi$ -связей, напр. у  $\beta$ -оксикарбонильных соединений (II) и у  $\beta$ -оксинитросоединений (III), расщепляющихся чрезвычайно легко. При одинаковых в отношении электронного характера заместителях у группировки I влияние их на процесс расщепления взаимно парализуется и расщепление оказывается затруднено или вовсе невозможно. Таким образом, гидролитич. расщепление становится возможным при окислении молекулы до определенного состояния. Это положение иллюстрируется авторами на ряде примеров. Л. П.

**3738.** Механизм гидролитического расщепления углерод-углеродных связей. III. Гидролиз  $\alpha$ -нитро- и  $\alpha$ -сульфонилкетов. Пирсон, Андерсон, Алт (Mechanism of the hydrolytic cleavage of carbon-carbon bonds. III. Hydrolysis of  $\alpha$ -nitro and  $\alpha$ -sulfonyl ketones. Pearson Ralph G., Anderson David H., Alt Leslie L.), J. Amer. Chem. Soc., 1955, 77, № 3, 527—529 (англ.)

Исследована кинетика щел. гидролиза 3-кетоди-гидро-бензотиофен-4-диоксида (I), щел. и нейтр. гидролиза нитроацетона (II) и  $\omega$ -нитроацетофенона (III). Для I и

II р-ция проводилась в водн. р-ре, а для III — в воде, содержащей 4% диоксана. За ходом р-ции следили полярографич. (для I) и спектрофотометрич. (для II и III) методами. Р-ция в основном имеет псевдопервый порядок. В случае I на 1 моль кетона расходуется 2 моля иона  $\text{OH}^-$  и р-ция описывается ур-нием:  $\text{скорость} = k \cdot [\text{кетон}] [\text{OH}^-]^2$ . При щел. гидролизе II и III с 1 молем кетона реагирует только 1 моль иона  $\text{OH}^-$  и р-ция описывается ур-нием:  $\text{скорость} = k \cdot [\text{кетон}] [\text{OH}^-]$ . Предполагается, что гидролиз протекает по следующему механизму:  $\text{RCOCH}_2\text{X} + \text{OH}^- \rightleftharpoons \text{RC}(\text{O}^-)(\text{OH})\text{CH}_2\text{X}$  (а);  $\text{RC}(\text{O}^-)(\text{OH})\text{CH}_2\text{X} + \text{B} \rightleftharpoons \text{RC}(\text{O}^-)_2\text{CH}_2\text{X} + \text{BH}^+$  (б);  $\text{RC}(\text{O}^-)_2\text{CH}_2\text{X} \rightarrow \text{RCOO}^- + \text{CH}_2\text{X}$  (в) (B — ион  $\text{OH}^-$ , или молекула какого-либо другого основания). В случае I стадии (а) и (б) быстрые, а (в) — медленная. Специфика механизма гидролитич. расщепления I, II и III зависит от степени стабильности образующихся в стадии (в) промежуточных карбанионов. При гидролизе II и III в стадии (а) существенное значение играет галитация кетона и в отсутствие щелочи здесь имеет место диссоциация гидрата:  $\text{RC}(\text{OH})_2\text{CH}_2\text{NO}_2 \rightleftharpoons \text{RC}(\text{O}^-)(\text{OH})\text{CH}_2\text{NO}_2 + \text{H}^+$ . В нейтр. среде  $k$  в ходе гидролиза нитрокетов уменьшаются вследствие ингибирующего действия образующихся в результате р-ции ионов  $\text{H}^+$ . Предыдущие сообщения см. J. Amer. Chem. Soc., 1954, 73, 926, 930. С. Ц.

**3739.** Строение ацилнитратов. Бертон, Прейла (The structure of acyl nitrates. Burton H., Praill P. F. G.), J. Chem. Soc., 1955, March, 729—731 (англ.)

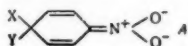
Для выяснения, участвуют ли в хим. р-циях ацилнитратов  $\text{RCONO}_2$  ионы ацилия  $\text{RCO}^+$ , исследовали р-ры, приготовленные взаимодействием  $\text{AgNO}_3$  и  $\text{RC}=\text{OCl}$  в безводн.  $\text{CH}_3\text{CN}$  ( $\epsilon \sim 39$ ). Полученные р-ры ацилнитратов обрабатывали соответствующими к-тами, что в присутствии ионов  $\text{RCO}^+$  должно было вызвать образование ангидридов:  $\text{RCO}^+\text{NO}_3^- + \text{RCOOH} \rightleftharpoons (\text{RCO})_2\text{OH}^+\text{NO}_3^- \rightleftharpoons (\text{RCO})_2\text{O} + \text{HNO}_3$ , но, как правило, ангидриды при этом не образуются. При взаимодействии р-ров ацилнитратов с аниолом, вместо ожидаемых кетов  $\text{C}_6\text{H}_5\text{CCH}_3 + \text{RCO}^+ \rightarrow \text{RCOC}_6\text{H}_5\text{OCH}_3 + \text{H}^+$  получен нитроанизол. Таким образом эксперим. данные не подтверждают участия  $\text{RCO}^+$  в р-циях ацилнитратов. Обсуждается возможность другого типа ионизации:  $\text{RCOONO}_2 \rightleftharpoons \text{RCOO}^- + \text{NO}_2^+$ . А. К.

**3740.** Реакции нуклеофильного замещения в ароматических системах. Часть IV. Кинетика реакции *о*- и *п*-галогеннитробензолов с пиперидином и морфолином. Чапман, Паркер, Соус (Nucleophilic displacement reactions in aromatic systems. Part IV. Kinetics of the reactions of *o*- and *p*-halogenonitrobenzenes with piperidine and with morpholine. Chapman N. B., Parker R. E., Soanes P. W.), J. Chem. Soc., 1954, June, 2109—2114 (англ.)

Изучалась кинетика р-ции *о*- и *п*-галогеннитробензолов  $\text{XC}_6\text{H}_4\text{NO}_2$ , где X = *n*-F (I), *о*-F (II), *п*-Cl (III), *о*-Cl (IV), *п*-Br (V), *о*-Br (VI), *п*-J (VII), *о*-J (VIII) с пиперидином (IX) и морфолином (X) в спирт. р-ре при  $40-90^\circ$ . В случае I и II прекращали р-цию добавкой HCl (к-ты), экстрагировали неизменившиеся I и II  $\text{C}_6\text{H}_6$ , водн. р-р подслащивали, добавляли небольшое кол-во литионата натрия (для разрушения летучих *N*-нитрофенилпиперидинов). IX или X отгоняли с паром и оттитровывали к-той. В остальных случаях р-цию прекращали добавлением  $\text{H}_2\text{SO}_4$  и кол-во ионов галогенов определяли потенциометрически с Ag-электродом. На каждый моль I—VIII потребляется 2 моля амина, так как образующаяся соль амина р-ция не подвергается. В случае I и II потребляется несколько меньше 2 молей, однако разница эта мала и при вы-



числения константы скорости ( $k$ ) ею пренебрегают. Р-ция бимолекулярна  $k = [2,303/2t(0.5a - b)] \cdot \lg [b \times (0.5a - x) / 0.5a(b - x)]$ , где  $t$  — время,  $a$  и  $b$  — начальные конц-ии,  $x$  — кол-во прореагировавшего в-ва. Перечисляются нитропроизводное, амин, найденные значения  $E_{\text{ккал}}$  и  $\lg A$ : II, IX, 14,8, 7,0; II, X, 13,8, 5,4; IV, IX, 18,1, 6,4; VI, IX, 18,3, 6,8; VI, X, 17,7, 5,6; VIII, IX, 19,2, 6,9; I, IX, 13,2, 5,3; I, X, 12,9, 4,0; III, IX, 17,1, 5,3; V, IX, 16,8, 5,2; V, X, 17,7, 5,1; VII, IX, 18,0, 5,5. Величина  $E$  определена с точностью  $\pm 0,5$  ккал,  $A \pm 0,5$ . Реакционная способность для пара-производных убывает в ряду  $F > Cl \sim Br > J$ . В среднем  $E$  для орто-соединений больше, чем для пара-соединений на 1—1,5 ккал, однако величина предэкспонента для них значительно выше. Это ведет к тому, что в области исследованных т-р скорость



р-ции с орто-соединениями больше. Авторы полагают, что реакция идет по простому бимолекулярному механизму через переходный комплекс хиноидной структуры типа (A). Основное условие для нуклеофильного ароматич. замещения — это искажение делокализованной  $\pi$ -орбиты группой  $NO_2$ ; индуктивные эффекты атомов галогена имеют сравнительно мало значения. Р-ции орто-соединений осложнены стерич. эффектами. Часть III см. РЖХим, 1956, 701.

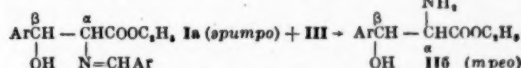
5741. Изучение условий области применения и механизма реакции Рихтера. Баннетт, Раухат, Кнутсон, Бассел (Studies on the conditions, scope and mechanism of the von Richter reaction. Bunnett J. F., Rauhat Michael M., Knutson David, Bussell George E.), J. Amer. Chem. Soc., 1954, 76, № 22, 5755—5761 (англ.)

На примере ряда галоидопроизводных нитробензола (I) изучена р-ция с KCN по Рихтеру, протекающая с образованием галоидбензойных к-т. Проведение этой р-ции в разных р-рителях (водн. спиртах —  $CH_3OH$ ,  $C_2H_5OH$ ,  $n-C_4H_9OH$ ,  $iso-C_4H_9OH$ ,  $n-C_6H_{13}OH$ , глиперине, пинаколе, диэтиленгликоле, 2-метил-2-гексаноле, 5-метил-5-деканоле,  $C_6H_6$ , пиридине, диоксане, ацетонитриле) при разных кол-вах KCN, т-рах и продолжительностях показало, что превращение  $n-BrC_6H_4NO_2$  в  $m-BrC_6H_4COOH$  и  $p-ClC_6H_4NO_2$  в  $m-ClC_6H_4COOH$  проходит полнее (% превращения соответственно 37 и 42) в водн.  $C_2H_5OH$  с большим избытком KCN при относительно низкой т-ре (кипение р-ра и продолжительности 48 час. При аналогичной р-ции в запаянной трубке с 2 молями KCN на 1 моль I при  $150^\circ$  за 1 час превращение составило (даны исходное производное нитробензола (II), конечное производное бензойной к-ты (III), % превращения): 4-нод-II, 3-нод-III, 40; 3,5-дихлор-II, 2,4-дихлор-III, 30; 3,5-дибром-II, 2,4-дибром-III, 18; 3,4-дибром-II, 2,3-дибром-III, 16; 2,5-дибром-II, 2,5-дибром-III, 7. В тех же условиях превращение 2-бром-II в 3-бром-III и 2,4-дибром-II в 3,5-дибром-III проходит всего на 2%, а 2,3-дибром-II в 3,4-дибром-III на 1%. 3-Фтор-II, 4-фтор-II, 4-динитро-II и 2,6-дибром-II карбоновых к-т (KK) не дают. Эти данные показывают, что  $COOH$ -группа обычно вступает не в пара-, а в орто-положение к месту, освобождаемому  $NO_2$ -группой. Относительно малые выходы I:K в указанных р-циях объясняются гидролизом или алкогolisом CN-ионов, восстановлением нитросоединений щел.-спирт. средой или CN-ионами и образованием аморфных побочных продуктов, содержащих  $COOH$ -группы. Несмотря на неудачу выделения промежуточно образующихся нитрилов, их непродолжительное существование экспериментально обосновано быстротой гидролиза, например,  $m$ -хлорбензонитрила

в условиях р-ции Рихтера. Опыты с соединениями, содержащими дейтерий, показали, что при действии спирт. р-ра KCN на 4-хлор-II или на II, наряду с образованием соответственно  $m$ -хлор-III и III, происходит обмен водородами между ароматич. соединениями и растворителем. К. Х.

3742. О реакции перекискарбонилирования среди  $\beta$ - $\alpha$ -нитрофенилсеринов. Ефимова-Фелкина, Фелкин, Велварт (Sur une réaction de trans-hydroxycarbonylation dans la série des  $\beta$ - $p$ -nitrophénylsérines. Elphimoff-Felkin I., m-me, Felkin H., Welvart Z.), Bull. Soc. chim. France, 1955, № 1, 143—146 (франц.)

Рассмотрен механизм ранее изученной р-ции (С. г. Acad. sci, 1952, 234, 1627; РЖХим, 1954, 32315), которая рассматривается как пример р-ции перекискарбонилирования, имеющих значение при биогенезе некоторых природных соединений. Ввиду того, что р-ция окискарбонилирования, напр.,  $RCHO + CH_3(R')COR \rightleftharpoons RCH(OH)CH(R')COR$  (в общем виде  $A + B \rightleftharpoons AB$ ) обратима, можно предполагать, что образовавшееся соединение АВ будет частично распадаться в присутствии реактивов  $A'$  или  $B'$ , способных вступать в р-цию с составными частями (А или В). Если вновь образовавшееся соединение ( $A'B$  или  $AB'$ ) будет в свою очередь окискарбонильным производным, то происходящая р-ция может быть названа р-цией перекискарбонилирования. Рассмотрены и экспериментально изучены следующие возможные пути вышеуказанного превращения шиффова основания строения (Ia) в эфир оксиминокислоты (IIb); 1) прототипный механизм обращения конфигурации у  $C_\beta$  без разрыва



$C_\beta - C_\alpha$ -связи, ведущий к переходу 1-эритро- в D-трео-форму; 2) механизм перекискарбонилирования в двух вариантах: а) с разрывом  $C_\beta - C_\alpha$ -связи и с комбинацией освобожденного альдегида с избытком присутствующего эфира глицина  $NH_2CH_2COOC_2H_5$  (III) в эфир оксиминокислоты — при этом должна происходить полная рацемизация; б) без предварительного разрыва  $C_\beta - C_\alpha$ -связи путем прямого нуклеофильного воздействия  $C_\alpha$  реактива на  $C_\beta$  в шиффове основании. В этом случае должна происходить инверсия из 1-эритро- в 1-трео-форму. Эксперим. проверка показала, что при воздействии на Ia метилового эфира гликокола образуется смесь производных метиловых и этиловых эфиров  $\alpha$ -нитрофенилсерина и что, следовательно, р-ция происходит одновременно и с разрывом и без разрыва  $C_\beta - C_\alpha$ -связи. Исследование оптических свойств Ia после р-ции с III выяснило, что образующийся эфир оксиминокислоты сильно рацемизован, но содержит преобладающее кол-во D-трео-формы. Рацемизация Ia происходит с заметной скоростью также под влиянием других оснований, напр., анилина, что говорит о неустойчивости связи между  $C_\beta$  и  $C_\alpha$  в щел. среде. Основным выводом из опытов сводится к тому, что прототипный механизм играет лишь подчиненную роль при переходе Ia (эритро-форма) в IIb (трео-форма). В основном происходит перекискарбонилирование благодаря тому, что в щел. среде существует равновесие между исходным окискарбонильным производным и его составными частями (А и В). Введение избытка реактива, напр. III, способного реагировать с одной из них, нарушает равновесие и приводит к образованию рацемич. эфира оксиминокислоты. Е. К.

3743. Реакция пропиолактона с ариламидами и с сульфамидами. Херд, Хайо (Reaction of pro-

piolactone with arylamines and with sulfonamides. Hurd Charles D., Hayao Shin, J. Amer. Chem. Soc., 1954, 76, № 21, 5562—5563 (англ.).

Исследован механизм синтеза N-(2-карбоксиэтил)-сульфаниловой к-ты (I) из пропиолактона (II) и сульфаниловой к-ты (III). Вопреки ранее высказанному мнению (J. Amer. Chem. Soc., 1952, 74, 5889) показано, что II реагирует непосредственно с амином, а не с сульфогруппой III, и промежуточный  $\beta$ -карбоксиэтиловый эфир сульфаниловой к-ты (IV) не образуется. Объяснить невозможность выделения IV его нестойкостью нельзя, так как при взаимодействии II с Na-солью *п*-аминобензойной к-ты (V) образуется N-(*п*-карбоксибензил)- $\beta$ -аланин (VI), а не  $\beta$ -карбоксиэтиловый эфир *п*-аминобензойной к-ты (VII), который достаточно устойчив и не обнаруживает тенденции к алкилированию аминогруппы. Продукт взаимодействия II и Na-соли бензолсульфокислоты не алкилирует *п*-броманилин, что также доказывает путь синтеза I. Na-соли сульфамидов легко реагируют с II: из *п*-броманилида *п*-толуолсульфокислоты (VIII) получают N-(2-карбоксиэтил)-N-(*п*-бромбензил)-*п*-толуолсульфамид (IX), идентичный полученному из N-(*п*-бромбензил)- $\beta$ -аланина (X) и *п*-толуолсульфохлорида (XI). Приведены новые р-ции: из *п*-тиоциананилина (XII) и II получают N-(*п*-тиоцианбензил)- $\beta$ -аланин (XIII); акрило-*п*-толуидид (XIV) (полученный через гидракрило-*п*-толуидид) при р-ции с Br<sub>2</sub> дает 2,3-дибромипропионо-*п*-толуидид (XV); N,N-дифенил- $\beta$ -аланин (XVI) при р-ции с Cl<sub>2</sub> дает N,N-бис-(трихлорфенил)- $\beta$ -аланин (XVII). 0,15 моля II прибавляют при 0° по каплям к 0,1 моля V в 100 мл воды, смесь перемешивают 1 час при 0° и 3 часа при 25°; подкислением HCl (к-той) выделяют VI, выход 73%, т. пл. 197—198,5° (разл., из водн. CH<sub>3</sub>OH). 0,15 моля II приливают в течение 5 мин. при размешивании к р-ру 35,9 г VIII в 200 мл воды с 5,6 г NaOH, перемешивают 1 час и оставляют при 25° на 12 час. Подкислением HCl (к-той) выделяют осадок, растворяют его в C<sub>6</sub>H<sub>6</sub> и бензольный р-р извлекают водн. р-ром NaHCO<sub>3</sub>. Щел. р-р извлекают эфиром, эфирный р-р смешивают с бензольным, удаляют р-ритель и остаток размешивают с р-ром NaHCO<sub>3</sub>, из которого подкислением HCl (к-той) получают IX, выход 40,5%, т. пл. 133—134° (из водн. CH<sub>3</sub>OH), выделяют 59,5% исходного VIII, нерастворимого в NaHCO<sub>3</sub>. Кипячением 3 часа р-ра 11,6 г X и 9,1 г XI в 30 мл C<sub>6</sub>H<sub>5</sub>N и 150 мл C<sub>6</sub>H<sub>6</sub> получают 9 г IX. К р-ру 56,4 г *п*-нитроанилида *п*-толуолсульфокислоты (XVIII) и 7,8 г NaOH в 500 мл воды при ~50° прибавляют по каплям 14 г II, смесь при 50° перемешивают 1,5 часа и оставляют на 12 час. при 25°; дальнейшая обработка аналогична описанной при получении IX, выделяют N-(2-карбоксиэтил)-N-(*п*-нитрофенил)-*п*-толуолсульфамид, выход 21,4%, т. пл. 150—151° (из водн. CH<sub>3</sub>OH) и 77% исходного XVIII. Р-р 0,04 моля II и 0,04 моля XII в 60 мл ацетона кипятят 3 часа, отгоняют р-ритель и остаток обрабатывают описанным выше способом, получают XIII, выход 61%, т. пл. 159—160° (из водн. CH<sub>3</sub>OH), и 32% исходного XII. Через р-р 4,9 г XVI в 50 мл CHCl<sub>3</sub> пропускают при 10° в течение 1 часа Cl<sub>2</sub>, р-р промывают водой и встряхивают с 10%-ным р-ром NaOH, вытеслившиеся 2,75 г Na-соли XVII обрабатывают разб. HCl и получают 1,4 г XVII, т. пл. 169,5—170° (из CH<sub>3</sub>OH). Р-р 4,2 г Br<sub>2</sub> в 30 мл CH<sub>3</sub>COOH приливают в течение 15 мин. к р-ру 4,2 г XIV в 70 мл лед. CH<sub>3</sub>COOH при 90°, после размешивания (1 час) при 100° охлаждают и оставляют на 12 час. при 20°, разбавлением водой выделяют XV, выход 87,5%, т. пл. 152° (из водн. ацетона). Т. К.

3744. К изучению механизма синтеза производных хинолина. Мошев, Жанковская-Ясени-ская (Ze studiów nad przebiegiem syntezy połączeń

grupy chinoliny. Moszew Jan, Żankowska-Jasińska Wanda, Roczn. chem., 1955, 29, № 2-3, 541—548 (польск.).

Конденсация ариалкилкетонов с тиокарбамидом теоретически может протекать в двух направлениях с образованием либо 3,4-, либо 2,4-производных хинолина. Обнаружено образование только 2,4-производных, что, вероятно, связано с пространственным влиянием заместителей. 10 г 1,1-дифенилбутанона-2 и 15 г тиокарбамида нагревают 7 час. (150—290°) и разбавляют смесь 50 мл C<sub>6</sub>H<sub>6</sub>. Выделяют 2-бензгидрилметил-4-анилинохинолин (I), выход 7 г, т. пл. 189—190° (сп.), т. пл. пикрата 252° (сп.), т. пл. HCl-соли 125—130° (сп. + HCl-к-та). 5 г I, 10 г KOH и 75 мл C<sub>6</sub>H<sub>5</sub>OH нагревают 4 часа при 200°, разбавляют 20 мл воды и подкисляют HCl (к-той). Выделяют 2-бензгидрилметил-4-оксихинолин (II), выход 100%, т. пл. 252—253° (сп.), т. пл. пикрата — 189° (сп.), т. пл. HCl-соли 108—110° (сп. + HCl-к-та). 1 г II нагревают 15 мин. с 5 мл POCl<sub>3</sub>, разбавляют 50 мл воды и подщелачивают NaOH. Выделяют 2-бензгидрилметил-4-хлорхинолин (III), выход колич., т. пл. 253—254° (лед. CH<sub>3</sub>COOH), т. пл. пикрата 155—156° (сп.), т. пл. HCl-соли 105—106° (сп.). 1 г III и 30 г Zn-пыли нагревают в атмосфере CO<sub>2</sub>, сначала осторожно, а затем до красного каления. Продукт отгонки — 2-бензгидрилметилхинолин, т. пл. 119—121°, т. пл. пикрата 217°. Б. В.

3745. Изомеризация алканов и цикланов. Новиков С. С., Тимофеева Е. А., Успехи химии, 1955, 24, № 4, 471—507

Обзор работ по контактной изомеризации алканов и цикланов и по изучению механизма изомеризации. Библи. 186 назв. О. О.

См. также: Строение органич. соед. 3130—3135, 3145—3147, 3154, 3155, 3157, 3167, 3169—3172, 3193, 3194, 3223, 4003, 4012, 4016, 4027, 4113, 4114, 4159, 4244. Реакционная способность 4775. Механизм и кинетика р-ций 3424—3431, 3434—3439, 3442—3446, 3450, 3453—3457, 3459, 3466, 3467, 3480, 4037—4049, 4055

## СИНТЕТИЧЕСКАЯ ОРГАНИЧЕСКАЯ ХИМИЯ

3746. Новые методы в химии ацетиленов и олефинов. Реппе (Modern methods of acetylene and olefin chemistry. Reppe W.), Riv. combust., 1955, 9, № 6, 501—558 (англ.).

Доклад на 4-м Всемирном нефтяном конгрессе, посвященный в основном работам автора в области р-ций винилирования, этилирования, карбонилирования и циклополимеризации ацетилена. М. В.

3747. Катализируемая натрием миграция двойной связи в моно- и диолефиновых углеводородах. Дегидрирование *d*-лимонена в *п*-цимол. Пайнс, Вессели, Пяттее (Migration of double bonds in olefinic and diolefinic hydrocarbons catalyzed by sodium. Dehydrogenation of *d*-limonene to *p*-cymene. Pines Herman, Vesely J. A., Prattieff V. N.), J. Amer. Chem. Soc., 1955, 77, № 2, 347—348 (англ.).

Установлено, что в присутствии Na и *о*-хлортолуола (I) или антрацена (II), образующих Na-органич. соединения, бутен-1 (III) переходит в бутен-2 (IV), а *l*-децен (V) — в смесь *цис*-(VI) и *транс*-децинов (VII) общей ф-лы R'CH = CHR". В этих условиях *d* лимонен (VIII) изомеризуется в ментаден (IX,  $\lambda_{\text{макс}}$  (в изооктане) 244 м $\mu$ ), дегидратации которого получен *п*-цимол (X). Смесь охлажд. до —78° I, 22—25 г III, 3,5 г Na и 39—43 г циклогексана (A) или бензола (B) нагревают 3,5—4 часа при 100° (18—21 ат) (B) или

150° (27—33 ат) (Г) и получают IV, выход 1% (А, Б или Б, В, без I), 9% (Б, Г без I), 10% (А, Б, 1 и I), 20% (Б, В, 1 и I), 28% (А, Г без I) и 88% (А, Г или Б, Г, 1 и I). Кипячением 20 час. смеси 20 г V, 2 г Na и 0,5 г I (или II) получают VI, выход соответственно 15 и 9%, ИК-спектр 11,0 и 14,3 м; VII, выход 84 и 19%, ИК-спектр 10,3 м. При кипячении той же смеси без I (или II) выход смеси VI и VII 4%. С. К. 3748.

**Каталитическое действие новообменных смол при конденсации карбонильных производных. Мастагли, Дюрр** (Action catalytique des échangeurs d'ions sur les condensations des dérivés carbonyles. Mastagli Pierre, Durr Georges V.), Bull. Soc. chim. France, 1955, № 2, 268—272 (франц.)

Изучено каталитич. действие новообменных смол: слабощелочной [аминированная смола типа фенол-формальдегидной (АФ); сильнощелочной (типа полиалкилполиамидной (ПА) и сильнокислой (типа сульфированного полистирола (СП)] при конденсации алифатич. альдегидов (I), отдельно и в смесях с бензальдегидом (II) и фурфуролом (III) при повышенной т-ре (Тв) и ~20°. При повышенной т-ре р-цию проводили с удалением воды по мере ее образования, при ~20° р-цию проводили либо при перемешивании (П), либо пропусканием через колонку (К). По увеличивающейся трудности р-ции альдегиды располагаются в ряд: III + I < I, реагирующие каждый в отдельности < бензальдегид + I. Новообменные смолы по активности располагаются в противоположных рядах в зависимости от т-ры р-ции: при Тв, ПА < АФ < СП; при Тн, СП < АФ < ПА. Опыты со слабощелочной смолой (содержащей группы COOH) не дали удовлетворительных результатов. Перечисляются исходное в-во, катализатор, т-ра р-ции в °С, продолжительность р-ции в час., продукты р-ции, выход в %: энантол (IV), АФ, 130; 1, энантиденэнантол (V), 40,2; IV, СП, 150, 1, V, 57; IV, ПА, 145; 1, V, 16,2; IV, ПА, ~20 (К), —, V, 28,7; IV, АФ, ~20 (К), —, V, 17,5; IV, СП, ~20 (К), р-ция не прошла; бутанол (VI), АФ, 130; 3, 2-этилгексен-2-ал (VII), 54,3; VI, СП, 150; 3, VII, 51,3; VI, ПА, 145; 3, осмоление; VI, ПА, ~20 (К), —, VII, 43,4; VI, ПА, ~20 (П), —, VII, 30,8 и бутиралдоль (VIII), 30; VI, АФ, ~20 (К), —, VII, 14,8; VI, АФ, ~20 (П), —, VII, 20,5 и VIII, 24; VI, СП, ~20 (К; П), —, р-ция не прошла; СН<sub>3</sub>CHO (IX), АФ, 130; 3, ацетальдоль (X), 16 и метилакролеин (XI), 12,6; IX, СП, 135; 3, осмоление; IX, ПА, ~20 (П), —, XI, 18,8 и X, 8; IX, АФ, ~20 (П), —, XI, 8,8 и X, 19; IX, СП, ~20 (П), —, паральдегид, 56; IX, ПА, ~20 (К), —, 2-бутил-октен-2-ал-2 (XII), 15,4 и гексальдоль 2—3; гексанал (XIII), АФ, 130; 2, XII, 61,5; XIII, СП, 150; 2, XII, 41,7; октанал, АФ, 130; 3, 2-гексил-децен-2-ал, 47,2; деканал, АФ, 130; 3, 2-октил-додецен-2-ал, 39,3; II + VI, АФ, 110—125; 3, VII, 52,5 и этилкоричный альдегид (XIV), 5,3; II + VI, СП, 130—140; 3, VII, 34,3 и XIV, 16,5; II + VI, ПА, 115—125; 4, р-ция не прошла; II + гептанал (XV), АФ, 110—125; 3, V, 48,8 и амилкоричный альдегид (XVI), 2,4; II + XV, СП, 130—140; 3, V, 27,1 и XVI, 12,5; II + XV, ПА, 115—125; 4, р-ция не прошла; II + IX, АФ, 110—115; 2, XI, 12,5 и коричный альдегид, 12,8; II + IX, СП, 110—115; 3, XI, 8,6; II + IX, ПА, 110—115; 4, р-ция не прошла; II + VI, ПА, ~20 (К), —, VII, 45,7 и XIV, 29,8; II + VI, АФ, ~20 (К), —, VII, 32; II + VI, СП, ~20 (К), р-ция не прошла; II + XV, ПА, ~20 (К), —, V, 7,4; II + XV, АФ, ~20 (К), —, р-ция не прошла; II + XV, СП, ~20 (К), —, р-ция не прошла, II + IX, ПА, ~20 (К), —, XI, 12,3 и X, 9,4; II + IX, АФ, ~20 (К), —, XI, 10,7 и X, 6,3; II + IX, СП, ~20 (К), —, паральдегид, 24,3. О р-ции I с III см. РЖХим, 1954, 28776.

Г. П.

**3749. Взаимодействие сложных эфиров с солями органических оснований. Кламанн** (Die Reaktionsweise von Estern mit Salzen organischer Basen. Klamann Dieter), Liebigs Ann. Chem., 1953, 583. № 1, 63—80 (нем.)

Изучено взаимодействие сложных эфиров жирных и ароматич. моно- и дикарбоновых к-т и сульфокислот фенолов и спиртов с солями первичных и вторичных органич. оснований (ср. Monatsch. Chem., 1952, 83, 1398). При взаимодействии фенилацетата (I) с хлоргидратом анилина (II) происходит отщепление ацильной группы и образуются ацетанилид (III) и фенол (IV). При взаимодействии же I с (C<sub>2</sub>H<sub>5</sub>)<sub>3</sub>N·HCl (V) происходит перегруппировка Фриса и образуется о-оксиацетофенон (VI). Присутствие воды в обоих случаях ведет к омылению I. Взаимодействие II с бутилацетатом (VII), циклогексилацетатом (VIII) и бензилбензоатом (IX), т. е. соединениями общей ф-лы R'COOR'' (где R' = CH<sub>3</sub> или C<sub>6</sub>H<sub>5</sub>, а R'' = C<sub>4</sub>H<sub>9</sub>, C<sub>6</sub>H<sub>11</sub> или C<sub>6</sub>H<sub>5</sub>CH<sub>2</sub>), протекает с образованием R'Cl, R'COOH, R'CONHC<sub>6</sub>H<sub>5</sub> и C<sub>6</sub>H<sub>5</sub>NHR''. Из ди-н-бутилфталата (X) и II кроме н-C<sub>4</sub>H<sub>9</sub>Cl и N-н-бутиламин (XI) получен фталанил (XII). (Показано, что образование амидов происходит за счет вторичной р-ции между образующейся к-той и II). При взаимодействии малонового эфира (XIII) с II наряду с C<sub>2</sub>H<sub>5</sub>Cl, N-этиламин (XIV) и дианилидом малоновой к-ты (XV) образуется также III, этилацетат (XVI) и CH<sub>3</sub>COOH. При р-ции XIII с XIV образуется N,N'-диэтилдианилид малоновой к-ты (XVII) и XV. Фениловый эфир n-толуолсульфокислоты (XVIII) и фениловый эфир этансульфокислоты (XIX) реагируют с II аналогично I, причем образуется анилид и IV (в тех же условиях XVIII не реагирует с анилином, а с хлоргидратом диэтиламина (XX) не дает сульфамида). Из 2,4-динитрофенилового эфира n-толуолсульфокислоты (XXI) и II получены 2,4-динитрофенол (XXII), n-толуолсульфанилид (XXIII) и бис-(2,4-динитрофенил)-амин (XXIV). Взаимодействие n-толуолсульфонатов алифатич. спиртов с солями аминов приводит к образованию соответствующих галоалкилов; побочно протекает алкилирование солей аминов. Приводится механизм р-ции для случая эфиров карбоновых к-т, справедливый также для эфиров сульфокислот. Взаимодействие эфиров алифатич. спиртов с солями аминов не является анионоидной бимолекулярной р-цией, а основано на катонной реакционной способности: сначала происходит присоединение катиона X (где X — протон или замещ. ион аммония) к молекуле сложного эфира с образованием комплексного катиона (XXV), от которого или отщепляется алкил в виде криптокатиона, реагирующего затем с анионом или с какой-либо молекулой со свободной электронной парой RCOOR' + HCl·NHR''R''' ⇌ [RCOO (← X)R']<sup>+</sup> Cl<sup>-</sup> XXV ⇌ RCOO → X + R'<sup>+</sup> + Cl<sup>-</sup>; R'<sup>+</sup> + Cl<sup>-</sup> ⇌ R'Cl или R'<sup>+</sup> + NHR''R''' ⇌ R'NR''R''' + H<sup>+</sup> или XXV вступает в бимолекулярную анионоидную р-цию с хлор-ионом, ведущую прямо к образованию алкилхлорида. При взаимодействии эфиров фенола с солями аминов к молекуле эфира сначала присоединяется катион, затем в XV рвется связь между мостиковым кислородом и карбонилем (или сульфониальной группой), и ацильная (или сульфониальная) группа отщепляется в виде катиона. В случае первичных и вторичных аминов ацильная группа присоединяется к ним с образованием амидов: XXV ⇌ [RCO → N(R''R''')—H] + C<sub>6</sub>H<sub>5</sub>OH]<sup>+</sup> Cl<sup>-</sup> ⇌ RCONR''R''' + C<sub>6</sub>H<sub>5</sub>OH + HCl, а в случае третичных аминов происходит присоединение ацила к ядру (перегруппировка Фриса). XXI реагирует иногда по схеме эфиров фенола, иногда по схеме эфиров спиртов, т. е. в зависимости от условий и радикалов происходит расщепление по одну или по другую сторону

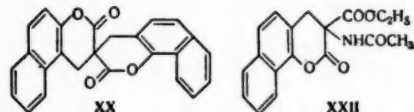
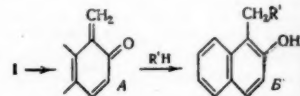


мостикового кислорода. Р-ция эфиров сульфокислот и их механизм в основном подобны р-циям эфиров карбоновых к-т. Различие в том, что карбонильная группа может присоединять анионы или молекулы со свободными электронными парами, а сульфонильная группа не может. Поэтому эфиры фенола и карбоновых к-т в присутствии воды омыляются, а эфиры сульфокислот нет. При действии анионов на эфиры сульфокислот и спиртов происходит отщепление группы  $\text{RSO}_3^-$ , а в случае эфиров сульфокислот и фенолов — группы  $\text{C}_6\text{H}_5\text{O}^-$ . Исходя из наблюдений о взаимодействии сложных эфиров фенола с солями аминов, сделан вывод, что механизм перегруппировки Фриса заключается в присоединении катиона или анионной кислоты ( $\text{X}^+$ ) к сложному эфиру фенола и отщеплении ацильного остатка, который затем вступает в ядро той же молекулы, образуя оксикетон, или в ядро другой молекулы с образованием ацилфенилового эфира. Таким образом, перегруппировка Фриса может быть и меж- и внутримолекулярной. Смесь 3,4 г I и 6,5 г II нагревают при  $200^\circ$  30 мин., обрабатывают водой, получают эфиром, эфир. р-р промывают разб.  $\text{HCl}$ , р-ром  $\text{NaOH}$  и водой и получают III, выход 80%. 3,4 г I и 7,0 г V нагревают при  $260^\circ$  13 час. и получают IV и VI. При нагревании 11,6 г VII и 19,5 г II ( $200^\circ$ , 5 час.) получают  $\text{m-C}_6\text{H}_4\text{Cl}$  (16,3%), XI, (71,2%) и 1,7 г III. 14,2 г VIII и 19,5 г II нагревают при  $200^\circ$  7 час., после перегонки на колонке получают 28,1% циклогексена и 17,2% циклогексилхлорида. Из воды, слоя выделяют 42,3% N-циклогексиланилина и 1,0 г III. При нагревании 10,6 г IX и 13,0 г II ( $200^\circ$ , 1,5 часа) получают 44,2% хлористого бензила, 45,8% N-бензилаанилина, 72,2% бензойной к-ты и 23,3% бензанилида. При нагревании 14 г X и 13 г II ( $200^\circ$ , 5 час.) получают 61,9%  $\text{m-C}_6\text{H}_4\text{Cl}$ , 19,5% XI и 98,6% XII. Нагреванием ( $190^\circ$ , 3 часа) 16 г XIII и 26 г II получают 60,1%  $\text{C}_6\text{H}_5\text{COOH}$ ,  $\text{CH}_3\text{COOH}$ , XVI, 52,4% XV, 0,55 г III и 1,4 г XIV. При нагревании ( $220^\circ$ , 3 часа) 4 г XIII и 8 г хлоргидрата XIV получают 55,8%  $\text{C}_6\text{H}_5\text{Cl}$ , XV и 2,4 г смеси  $\text{CH}_3\text{COOH}$  и XVI. Нагреванием ( $200^\circ$ , 4 часа) 3,05 г  $\text{C}_6\text{H}_5\text{COOH}$  и 6,5 г II получают бензанилид, выход 73,1%. При кипячении (16 час.) 13 г амилацетата, 15 г II и 25 мл лед.  $\text{CH}_3\text{COOH}$  получают 4,7 г III. Из 6,5 г  $\text{m}$ -октилового спирта и 13 г II при нагревании ( $175$ – $200^\circ$ , 5 час.) получают 16,2%  $\text{m}$ -октилхлорида, 14,2% октена-1 и 45,8%  $\text{N-m}$ -октилаанилина. Из 12,5 г XVIII и 13 г II ( $200^\circ$ , 5 час.) получают 7,5% XXIII и 90,5% исходного XVIII. XIX получают из 13 г этилсульфохлорида, 9,4 г IV и 20 мл ацетона путем добавления 30 мл 20%-ного р-ра  $\text{NaOH}$  при  $15^\circ$ , выход 93%,  $n_D^{20}$  1,5122. При нагревании 3,75 г XIX и 6,5 г II ( $200^\circ$ , 5 час.) получают 0,16 г этилсульфанилида, т. пл.  $57$ – $58^\circ$  (из водн. сп.). При взаимодействии этилового эфира  $\text{p}$ -толуолсульфокислоты с  $\text{NH}_4\text{Br}$ ,  $\text{m}$ -бутилового эфира  $\text{p}$ -толуолсульфокислоты (XXVI) с II, XXVI  $\text{CNH}_4\text{Cl}$ ,  $\text{m}$ -тексилового эфира  $\text{p}$ -толуолсульфокислоты с  $(\text{CH}_3)_2\text{NH} \cdot \text{HCl}$  и  $\text{m}$ -октилового эфира  $\text{p}$ -толуолсульфокислоты с XX получают соответственно:  $\text{C}_6\text{H}_5\text{Br}$  (51,8%),  $\text{m-C}_6\text{H}_4\text{Cl}$  (86,0%),  $\text{m-C}_6\text{H}_4\text{Cl}$  (13,0%),  $\text{m-C}_6\text{H}_4\text{Cl}$  (91,6%),  $\text{m-C}_6\text{H}_4\text{Cl}$  (90,8%). При нагревании ( $170^\circ$ , 1,5 часа) 13,6 г XXI и 10,4 г II получают 11,6% XXIV, 77% XXII и 70% XXIII. Н. М.

**3750. Реакции тиолов и сульфидов. Часть II. Некоторые реакции сернистых аналогов оснований Манниха. Поппелсдорф, Холт (Reactions of thiols and sulphides. Part II. Some reactions of sulphur analogues of Mannich bases. Poppeledorf F., Holt S. J.), J. Chem. Soc., 1954, Dec., 4094–4101 (англ.)**

Для дальнейшего доказательства общности свойств оснований Манниха и их сернистых аналогов осуществлен ряд р-ций замещения и алкилирования с

помощью последних. Эти процессы протекают очень гладко для 1-этилтиометил-2-нафтола (I), хуже — для 3-этилтиометилиндола (II) и не удаются в случае применения 4-этилтиометилантипирина (III) или соответствующего сульфона. Р-ция I и частично II с пиперидином (IV), морфолином (V), тиофенолом (VI), толуол- $\omega$ -тиолом (VII), фталимидом (VIII), сукцинимидом (IX),  $\text{NaCN}$ , 2-нитропропаном (X), индолом (XI), антипирином (XII),  $\text{p}$ -крезолом (XIII),  $\text{p}$ -бензилфенолом (XIV) и 2-нафтолом (XV) протекают по схеме:  $\text{RCH}_2\text{SC}_2\text{H}_5 + \text{R}'\text{H} \rightarrow \text{RCH}_2\text{R}' + \text{C}_2\text{H}_5\text{SH}$  (1). Возможно, что эта р-ция проходит в две стадии: отделение тиола от сульфида под каталитич. влиянием находящегося в реакционной смеси основания и образование конъюгированного ненасыщ. соединения (A), которое и реагирует с  $\text{R}'\text{H}$  с образованием соединения (B). Пониженная активность II и отсутствие ее у III объяснена затрудненным образованием A для этих соединений. Благодаря высокой алкилирующей способности I является активным алкилирующим агентом фенольного ряда, имеющим общий характер в противоположность слабо алкилирующим свойствам фенольных оснований Манниха. Лишь р-ция с IV и V протекает одинаково для I и 1-диметиламинометил-2-нафтола; та же аналогия отмечена и в катализируемой щелочью р-ция I и оснований Манниха с VIII. Р-ция I с  $(\text{CH}_3\text{CO})_2\text{O}$  дает ацетильное производное (XVI), которое с VI уже не реагирует, а с IV взаимодействует по схеме (1) лишь при одновременном омылении ацетильной группы. Не реагирует с IV,  $\text{NaCN}$  и VI также и тетрагидро-2'-пириновый эфир I (XVII), получаемый из I и дигидропирана (XVIII). Поведение XVI и XVII подтверждает высказанные соображения о механизме р-ции. Р-ция I с этило-



вым эфиром мягловой к-ты (XIX) дает спиро-3,3'-бис-(3,4-дигидро-5,6-бензокумарин) (XX), а с этиловым эфиром апетамидомалоновой к-ты (XXI) — смесь 3-ацетамидо-3-карбэтоксис-3,4-дигидро-5,6-бензокумарина (XXII), гидролизующегося в  $\beta$ -(2-окси-1-нафтил)-аланин (XXIII), и диэтилового эфира 2-окси-1-нафтилметил-ацетамидомалоновой к-ты (XXIV). По своему поведению в р-циях с тиоацетамидом (XXV), протекающей с образованием ди-(2-окси-1-нафтилметил)-сульфида (XXVI), и с кипящей щелочью, приводящей к получению ди-(2-окси-1-нафтил)-метана (XXVII), I подобен соответствующим кето- и фенольным основаниям Манниха. II слабее I реагирует с IV,  $\text{NaCN}$  и VIII и не реагирует с VI, X и XXI. Аналогичные р-ции проведены с  $\beta$ -этилтио- $\beta$ -фенилпропиофеноном (XXVIII), с IV и VI они также протекают по схеме (1). 0,01 моля I нагревают 2 часа в токе сухого  $\text{N}_2$  с 0,05 моля IV, V, VI или VII и получают (даны соответственно т-ра р-ции, полученное в-во, выход, т. пл.): кипячение, 1-пиперидинометил-2-нафтол (XXIX), 85%,  $93$ – $94^\circ$  (из сп.); кипячение, 1-морфолинометил-2-нафтол, 58%,  $116$ – $117^\circ$  (из сп.);  $130^\circ$ , 1-фенилтиометил-2-нафтол, 65%,  $126$ – $127^\circ$  (из толуола);  $130^\circ$ , 1-бензилтиометил-2-нафтол, 41%,  $89^\circ$  (из циклогексана). Смесь 0,01 моля I, 0,01 моля VIII и  $\sim 40$  мг  $\text{KOH}$  нагревают 1 час в вакууме при  $180^\circ$ , охлажд. массу смешивают с горячим

спиртом, содержащим 5 капель  $\text{CH}_3\text{COOH}$ , и получают 1-фталимидометил-2-нафтол, выход 61%, т. пл. 203° (из сп.). Смесь 0,02 моля I, 0,03 моля IX и ~80 мг КОН нагревают 1 час в вакууме (150 мм) при 150°, смешивают с водн. спиртом, содержащим 9 капель  $\text{CH}_3\text{COOH}$ , и выделяют 1-сукцинимидометил-2-нафтол, выход 65%, т. пл. 141° (из  $n$ - $\text{C}_3\text{H}_7\text{OH}$ ). К 0,115 моля NaCN в горячей смеси 44,5 мл спирта и 11 мл воды прибавляют 0,023 моля I, кипятят 80 час., затем разбавляют 56 мл воды, упаривают в вакууме и прибавлением твердой  $\text{CO}_2$  выделяют 2-цианметил-2-нафтол (XXX), выход 29%, т. пл. 177° (из водн. сп.); бензольное производное, т. пл. 143° (из сп.). При щел. гидролизе XXX, а также при подкислении фильтрата после удаления XXX образуется 2-окси-1-нафтилуксусная к-та, выход соответственно 88 и 29%, т. пл. 147°. Смесь 5 г I, 20 мл свежеперегнанного X и 0,92 г NaOH кипятят в токе сухого  $\text{N}_2$ , через час прибавляют еще 10 мл X, нагревают еще 1,5 часа, охлаждают, подкисляют 25 мл 10%-ной  $\text{CH}_3\text{COOH}$  и взбалтывают со 100 мл эфира; эфирный слой промывают 4 × 35 мл воды, удалением в вакууме р-рителя выделяют 1-(2-метил-2-нитропропил)-2-нафтол, выход 56%, т. пл. 175–176° (разл., из 90%-ного сп.); ацетильное производное, т. пл. 105° (из сп.). Смесь 0,02 моля I, 0,02 моля XI и катализич. кол-ва КОН нагревают 1 час при 150°/150 мм и получают 3-(2-окси-1-нафтилметил)-индол, выход 52%, т. пл. 151–152° (из водн. сп.). Нагревание смеси 0,02 молей I, 0,02 молей XII и ~80 мг КОН в вакууме в течение 1 часа при 150–160° и 2 час. при 190–200° дает 4-(2-окси-1-нафтилметил)-антипирин, выход 82%, т. пл. 201° (из сп.); ацетильное производное, т. пл. 133–134° (из водн. сп.). Аналогичные р-ции 0,02 моля I с 0,03 моля XIII или XIV или с 0,02 моля XV дают соответственно 1-(2-окси-5-метилбензил)-2-нафтол, выход 48%, т. пл. 227–228° (разл., из водн.  $n$ - $\text{C}_3\text{H}_7\text{OH}$ ), дибензоильное производное, т. пл. 194° (из этилацетата); 1-(5-бензил-2-оксибензил)-2-нафтол, выход 38%, т. пл. 220,5° (разл., из лед.  $\text{CH}_3\text{COOH}$ ), дибензоильное производное, т. пл. 189–190° (из этилацетата + сп.), бис-3,5-динитробензоильное производное, т. пл. 251–252° (из этилацетата); и XXVII, выход 77%, т. пл. 200° (из лед.  $\text{CH}_3\text{COOH}$ ). XXVII получают также кипячением 1 час 0,02 моля I с 1,38 г NaOH в 10 мл воды, выход 0,78 г. По аналогии с р-цией между I и XV, грамин дает с XV 3-(2-окси-1-нафтилметил)-индол, выход 45%, т. пл. 151–152° (из водн. сп. + 5 капель  $\text{CH}_3\text{COOH}$ ). 2 г XVI, т. пл. 82° (из сп.), полученного нагреванием при 100° 5 г I и 5,8 мл  $(\text{CH}_3\text{CO})_2\text{O}$  в течение 3 час., при р-ции с 3,9 г IV дают 1,56 г XXIX. К 40 г I в 650 мл сухого эфира прибавляют 70,7 г XVIII, перемешивают, прибавляют 15 капель конц. HCl и оставляют на 6 суток при 20°, затем эфирный р-р промывают последовательно 3 × 200 мл 5%-ного р-ра NaOH и 2 × 200 мл воды, фильтруют, упаривают досуха, нагревают 30 мин. при 100°/100 мм и 30 мин. при 100°/1 мм и выделяют XVII, выход 35%, т. пл. 58° (из петр. эф. и сп.). Смесь 0,02 моля I, 0,03 моля XIX и ~80 мг КОН нагревают 1 час в вакууме при 160–170° и получают XX, выход 68%, т. пл. 314° (из диметилформамида + сп.); аналогичная р-ция 0,07 моля I и 0,07 моля XXI при 190–200° дает после разделения XXII, выход 42%, т. пл. 226° (из диметилформамида + этилацетат), и XXIV, выход 8,3%, т. пл. 183,5–184° (разл., из сп.). Кипячение 0,01 моля XXII с 10 мл конц. HCl и 7,5 мл воды в течение 18 час. с последующим многократным упариванием досуха и разбавлением водой, а затем пересаживанием к-той из  $\text{NaHCO}_3$  р-ра дает XXIII, выход 46%, т. пл. 286–288° (разл., из 15%-ного  $\text{NH}_4\text{OH}$ ). Смесь 2,18 г I, 0,83 г XXV и ~40 мг КОН нагревают 45 мин. в вакууме при 135–140° и получают 0,76 г XXVI, т. пл. 160° (из толуола). Смесь 2 г II,

10 мл IV и ~40 мг КОН кипятят 24 часа и получают 3-пиперидинометилиндола, выход 49%, т. пл. 159°. Кипячение 5 г II, 4,60 г NaCN, 51,5 мл спирта и 12,9 мл воды в течение 80 час. дает 3-индолацетамид, выход 21%, т. пл. 148–150° (из сп. + эф.); после отделения амида из подкисленного фильтрата выделяют 3-индолилукусную к-ту, выход 42%, т. пл. 167–168° (из дихлорэтана). Нагревание при 180°/150 мм в течение 2,5 часа смеси 0,02 моля II, 0,02 моля VIII и ~80 мг КОН дает 3-фталимидометилиндола, выход 15,4%, т. пл. 182–183° (из сп.); при применении вместо II 3-бензилтиометилиндола, выход понижается до 7,8%. Смесь 0,02 моля XXVIII и 0,1 моля IV кипятят 1 час в токе сухого  $\text{N}_2$ , оставляют на 12 час. при 0° и выделяют β-пиперидино-β-фенилпропиофенон, выход 77%, т. пл. 94° (из петр. эф.). Смесь 0,01 моля XXVIII и 0,05 моля VI при нагревании 1 час в токе  $\text{N}_2$  при 130° дает β-фенил-β-фенилтиопропиофенон, выход 89%, т. пл. 120–121° (из сп.). Окислением III в  $\text{CH}_3\text{COOH}$  действием  $\text{KMnO}_4$  получают 4-этилсульфонилметилантипирин, т. пл. 172–173° (из  $\text{CH}_3\text{OH}$ ). Часть I см. РЖХим, 1955, 23749. К. Х.

**3751. Разложение  $n$ -бутана в присутствии кислорода.** Апаби, Эйверс, Мерботт, Сартор (The decomposition of  $n$ -butane in the presence of oxygen. Appleby W. G., Avery W. H., Meerbott W. K., Sartor A. F.), J. Amer. Chem. Soc., 1953, 75, № 8, 1809–1814 (англ.)

Изучалось разложение  $n$ -бутана в присутствии  $\text{O}_2$  в статич. и динамич. условиях при объемных конц-циях  $\text{O}_2$  от 0 до 25% и  $t$ -рах 486–526°. Отмечено катализич. ускорение разложения  $n$ -бутана уже небольшими кол-вами  $\text{O}_2$ . Реакторы из стекла пирекс были покрыты изнутри KCl. Влияние на состав продуктов р-ции начальной конц-ции  $\text{O}_2$  в статич. системе при начальном давлении  $n$ -бутана 380 мм, 500°, времени р-ции 30 сек. и 100%-ном использовании  $\text{O}_2$  видно из следующего (перечисляются начальная конц-ция  $\text{O}_2$  в % (объемн.), % прореагировавшего  $\text{C}_4\text{H}_{10}$  и число молей  $\text{CO}$ ,  $\text{H}_2$ ,  $\text{CH}_4$ ,  $\text{C}_2\text{H}_2$ ,  $\text{C}_2\text{H}_4$ ,  $\text{C}_2\text{H}_6$ ,  $\text{C}_3\text{H}_6$ ,  $\text{C}_3\text{H}_8$  и  $\text{H}_2\text{O}$ , образовавшихся на 100 молей прореагировавшего  $n$ - $\text{C}_4\text{H}_{10}$ , и отношение молей прореагировавших  $n$ - $\text{C}_4\text{H}_{10}$  и  $\text{O}_2$ ): 0,00, 2,22 (время р-ции 3600 сек.) 0, 1, 67, 25, 55, 3, 15, 0, —; 0,48, 8,8, 0, 0, 32, 16, 15, 39, 0, 43, 11, 15,5; 2,03, 13,4, 0, 0, 52, 22, 21, 42, 1, 34, 25, 6,3; 5,10, 18,2, 0, 3, 46, 28, 13, 38, 4, 36, 52, 3,3; 8,57, 21,3, 0, 3, 49, 29, 13, 38, 3, 35, 79, 2,2; 12,29, 27,9, 5, 0, 44, 28, 12, 39, 6, 28, 95, 2,0; 15, 73, 34,3, 12, 5, 42, 32, 13, 37, 3, 27, 98, 1,8; 22,54, 50,8, 24, 6, 53, 42, 12, 42, 5, 15, 91, 1, 8. Скорость разложения  $n$ - $\text{C}_4\text{H}_{10}$  уже при 0,5%  $\text{O}_2$  была в 100 раз больше, чем без  $\text{O}_2$ . При конц-ции  $\text{O}_2$  меньше 10% число молей  $n$ - $\text{C}_4\text{H}_{10}$ , прореагировавших на каждый моль вступившего и р-цию  $\text{O}_2$ , было обратно пропорционально  $2/3$  степени конц-ции  $\text{O}_2$ . Кроме  $\text{CO}$ , углеводистых соединений, содержащих  $\text{O}$ , не обнаружено. Добавка  $\text{O}_2$  к  $n$ - $\text{C}_4\text{H}_{10}$  снижала при пиролизе выход насыщ. углеводородов, особенно метана и этана, а также пропилена, и увеличивало выход этилена и бутилена. В опытах со смесью  $n$ -бутана и  $\text{O}_2$  состава 10:1 в проточном реакторе при 503° увеличение времени контакта ( $t$ ) с 0,5 до 5,7 сек. вызвало рост степени превращения бутана с 4,1 до 19,7%, а использования  $\text{O}_2$  с 20,9 до 97,8%. Содержание в продуктах р-ции бутилена упало при этом с 32,5 до 11,4%, а метана возросло с 5,8 до 16,8%. Выход этилена и пропилена также увеличился, однако число молей  $n$ - $\text{C}_4\text{H}_{10}$ , прореагировавших на каждый моль  $\text{O}_2$ , вошедшего в р-цию, оставалось постоянным. Экстраполяцией к  $t = 0$  определен следующий состав продуктов р-ции:  $\text{C}_4\text{H}_8$  37,  $\text{H}_2\text{O}$  46,  $\text{C}_2\text{H}_4$  5,  $\text{C}_2\text{H}_6$  5,  $\text{C}_3\text{H}_6$  3,  $\text{CH}_4$  3,  $\text{CO}$  1,  $\text{H}_2$  1%. Из этого следует, что  $\text{O}_2$  действует как дегидрогенизирующий агент. Добавка 10% бутилена снизила конверсию  $n$ - $\text{C}_4\text{H}_{10}$  на 20%,

добавка воды не влияла. Повышение т-ры р-ции снижало выход бутилена и увеличивало выход низших углеводородов. При р-ции в стекле без KCl состав продуктов р-ции практически был такой же, лишь кол-во  $\text{C}_4\text{H}_{10}$  увеличилось с 8,5 до 14,4% и появились следы перекисей. Скорость р-ции выражена ур-нием:  $-d[\text{C}_4\text{H}_{10}]/dt = K[\text{C}_4\text{H}_{10}]^{1/2}[\text{O}_2]^{1/2}$ . Кажущаяся энергия активации найдена равной 21 ккал. Предполагаются следующие первичные р-ции:  $\text{C}_4\text{H}_{10} + \text{O}_2 \rightarrow \text{C}_4\text{H}_9 + \text{HO}_2$ ;  $\text{C}_4\text{H}_9 + \text{O}_2 \rightarrow \text{C}_4\text{H}_8 + \text{HO}_2$ ;  $\text{HO}_2 + \text{C}_4\text{H}_{10} \rightarrow \text{H}_2\text{O}_2 + \text{C}_4\text{H}_9$ ;  $2\text{HO}_2 \rightarrow \text{H}_2\text{O}_2 + \text{O}_2$ ;  $\text{H}_2\text{O}_2 \xrightarrow{\text{стенка}} \text{H}_2\text{O} + 1/2\text{O}_2$ ;

$2\text{HO}_2 \xrightarrow{\text{стенка}} \text{H}_2\text{O} + 1 1/2\text{O}_2$ ;  $\text{C}_4\text{H}_9 \rightarrow \text{CH}_3 + \text{C}_3\text{H}_6$ ;  $\text{CH}_3 + \text{C}_4\text{H}_{10} \rightarrow \text{CH}_4 + \text{C}_4\text{H}_9$ ;  $\text{C}_4\text{H}_9 \rightarrow \text{C}_2\text{H}_5 + \text{C}_2\text{H}_4$ ;  $\text{C}_2\text{H}_5 + \text{C}_4\text{H}_{10} \rightarrow \text{C}_2\text{H}_6 + \text{C}_3\text{H}_8$ . И. Б.

**3752. Получение первичных галогидридов изостроения  $\text{RR}'\text{CHCH}_2\text{X}$  пиролизом галогидридов иминоэфиров. Фелкин** (Préparation d'halogénures d'alcyle primaires ramifiés  $\text{RR}'\text{CHCH}_2\text{X}$  par pyrolyse des halohydrates d'imino-éthers. Felkin Hugh), C. r. Acad. sci., 1955, 240, № 24, 2322—2324 (франц.).

Показано, что можно получать первичные галогидриды изостроения  $\text{RR}'\text{CHCH}_2\text{X}$  (где  $\text{X} = \text{Cl}, \text{Br}$ ) без примеси вторичных и третичных изомеров пиролизом соответствующих галогидридов иминоэфиров. Последние получают из первичных спиртов действием нитрилов в присутствии галогидридов к-ты:  $\text{RR}'\text{CHCH}_2\text{OH} + \text{C}_6\text{H}_5\text{CN} + \text{HX} \rightarrow \text{RR}'\text{CHCH}_2\text{O}=\text{C}(=\text{NH}_2\text{X}) \times \text{C}_6\text{H}_5 \rightarrow \text{RR}'\text{CHCH}_2\text{X} + \text{C}_6\text{H}_5\text{CONH}_2$ . Указанным методом синтезированы соединения:  $(\text{CH}_3)_2\text{CHCH}_2\text{Cl}$  (разложением соответствующего галогидрида иминоэфира при 110—180°), выход 48% (по спирту), т. кип. 67,5—68,5°,  $n_D^{20}$  1,3982;  $(\text{CH}_3)_2\text{CHCH}_2\text{Br}$  (при 120—200°), выход 37%, т. кип. 90,9—91,6°,  $n_D^{21}$  1,4360;  $(\text{C}_2\text{H}_5)_2\text{CHCH}_2\text{Br}$  (при 100—160°/50 мм), выход 48%, т. кип. 64—64,1°/49 мм,  $n_D^{22}$  1,4512; бромметилциклогексан (при 135—210°/20 мм), выход 40%, т. кип. 67,9—68,1°/14 мм,  $n_D^{21}$  1,4925.

Г. М.

**3753. Применение 4-хлорбутен-2-ола-1 в органическом синтезе. Действие на магниорганические соединения. Колонж, Пуалаи** (Utilisation du chloro-4 butène-2 ol-1 en synthèse organique. Action sur les composés organomagnésiens. Colonge Jean, Poillane Georges), Bull. Soc. chim. France, 1955, № 7-8, 953—955 (франц.).

Действием  $\text{SOCl}_2$  на бутендиол (I) в присутствии пиридина получен *цис*-4-хлорбутен-2-ол-1 (II). С комплексом Гриньяра II образует с выходами 60—80%  $\alpha$ -этиленовые спирты:  $2\text{RMgX} + \text{ClCH}_2\text{CH}=\text{CHCH}_2\text{OH} \rightarrow \text{RH} + \text{MgXCl} + \text{RCH}_2\text{CH}=\text{CHCH}_2\text{OH}$ . Конфигурация *цис* исходного II сохраняется у образующихся непредельных спиртов.  $\alpha$ -Этиленовые спирты путем каталитич. гидрогенизации превращаются в предельные первичные спирты. К смеси 200 г I, 150 мл пиридина, 350 мл безводн. эфира в течение 2,25 часа прибавляли 164 мл  $\text{SOCl}_2$  (т-ра от -5° до 5°), через 2 часа гидролизуют, выход II 41% (теор.), т. кип. 79—81°/11 мм, 51—52°/3 мм,  $n_D^{25}$  1,4837,  $d_4^{25}$  1,154. Из II и соответствующего  $\text{RMgX}$  получены: *цис*-пентен-2-ол-1, выход 80%, т. кип. 137—139°. Динитробензоат (ДНБ), т. пл. 60° (из сп.); *цис*-гексен-2-ол-1, выход 72%, т. кип. 94—97°/65 мм, 156—158°; ДНБ, т. пл. 52° (из сп.). *цис*-гептен-2-ол-1, выход 68%, т. кип. 82—84°/20 мм;  $n_D^{20}$  1,4442,  $d_4^{20}$  0,851, ДНБ, т. пл. 45° (из сп.); *цис*-октен-2-ол-1, выход 71%, т. кип. 87—89°/11 мм,  $n_D^{20}$  1,4470,  $d_4^{20}$  0,850, ДНБ, т. пл. 45° (из сп.); *цис*-6-метилоктен-2-ол-1, выход 60%, т. кип. 93—95°/12 мм, ДНБ, т. пл. 33° (из сп.). Гептадиен-2,6-ол-1 (III), выход 76%, т. кип. 75—76°/12 мм,

$n_D^{20}$  1,4626,  $d_4^{20}$  0,873. Из III каталитич. гидрогенизацией получен гептанол-1, т. кип. 173°, фенилуретан г. пл. 60° (из сп.). *Цис*-4-фенилбутен-2-ол-1, т. кип. 125—126°/11 мм, выход 80%, ДНБ, т. пл. 104° (из сп.). Для получения 1-бромоктена-2 (IV) смесь 140 г амилвинилкарбинола и 15 г пиридина прибавляют в течение 3 час к 100 г  $\text{PBz}_2$ , промывают 200 мл воды, извлекают эфиром, выход 89%, т. кип. 73—77°/14 мм. Продукт представляет собой смесь первичных (80%) и вторичных (20%) бромидов. Ацетат октен-2-ола-1 (V) получают, нагревая 2 часа смесь 115 г IV, 100 г плавл.  $\text{CH}_3\text{COONa}$ , 250 мл  $\text{CH}_3\text{COON}$ ;  $\text{CH}_3\text{COON}$  отгоняют в вакууме, остаток обрабатывают 500 мл воды и извлекают эфиром. Выход ацетатов 70%. Разгонкой выделяют 10 г ацетата вторичного спирта, т. кип. 79—80°/12 мм, и 77 г ацетата первичного спирта, т. кип. 90—94°/12 мм. Омыляют 44 г V р-ром 10 г соды в 200 мл спирта. Выход *транс*-октен-2-ола-1 75%, т. кип. 83—87°/10 мм,  $n_D^{20}$  1,4452,  $d_4^{20}$  0,843; ДНБ, т. пл. 60° (из сп.). А. О.

**3754. Термическая конденсация изобутилена с формальдегидом. Бломкунет, Вердол** (The thermal isobutylene-formaldehyde condensation. Blomquist A. T., Verdol Joseph A.), J. Amer. Chem. Soc., 1955, 77, № 1, 78—80 (англ.).

При термич. конденсации олефинов с  $\text{CH}_2\text{O}$  образуются главным образом непредельные первичные спирты (Bain J. P., J. Amer. Chem. Soc., 1946, 68, 638; Arnold R. T., Dowdall J. F., там же, 1948, 70, 2590; Arnold R. T., Amidon R. W., Dodson R. M., там же, 1950, 72, 2871). С целью получения в-в этого типа, могущих служить промежуточными продуктами для синтеза соединений, способных превращаться в полимеры в результате полимеризации или поликонденсации, изучено взаимодействие  $\text{CH}_2\text{O}$  с изобутиленом в среде  $\text{CH}_3\text{COOH} + (\text{CH}_3\text{CO})_2\text{O}$ . Основными продуктами р-ции являются 3-метилбутен-3-ол-1 (I) и его ацетат (II), а также 3-метилпентадиол-1,5 (III), его моноацетат (IV) и диацетат (V). Побочными продуктами являются  $\text{CH}_3\text{OH}$ , метилацетат, диацетат 3-метилбутандиола-1,3 (VI) и высококипящие в-ва, строение которых не установлено. При конденсации  $\text{CH}_2\text{O}$  с II главным продуктом р-ции является V (примесь III и IV); среди побочных продуктов найден VI. Нагреванием при 190° смеси 4 молей параформальдегида, 4 молей лед.  $\text{CH}_3\text{COOH}$ , 0,8 моля  $(\text{CH}_3\text{CO})_2\text{O}$ , 6 молей изобутилена и последующей обработкой получают фракции (а), т. кип. 132—143°; (б), т. кип. 84—107°/10 мм; (в), т. кип. 100°/1,8—2 мм. Фракцию а, содержащую I и II, нагревают на паровой бане с 102 г  $\text{CH}_3\text{COOH}$  и 4 мл безводн. пиридина и получают II, выход 62,5% (на  $\text{CH}_2\text{O}$ ), т. кип. 143—144°,  $n_D^{20}$  1,4201; ИК-спектр: 5,75; 6,05; 11,25  $\mu$ . Строение II доказано превращением его в изомиллапелат (гидрированием) и в  $\text{CH}_2\text{O}$  (восстановительным озонлизом). Обработкой 12,8 г II 25%-вым спирт. KOH получают 6,0 г I, т. кип. 131—132°,  $n_D^{20}$  1,4340,  $d_4^{20}$  0,8533; *п*-фенилазобензоат, т. пл. 70—71° (испр., из разб. сп.). Пиролизом II при 550° получают изопрен, выход 73,5%. Из фракции б после ацетилирования получают 18 г VI, т. кип. 84°/4 мм,  $n_D^{20}$  1,4258, который метанолизом превращают в изопренглицерин, т. кип. 80°/5 мм,  $n_D^{20}$  1,4420. Фракцию в обрабатывают аналогично а и получают V, выход 13% (на  $\text{CH}_2\text{O}$ ), т. кип. 100°/1,8 мм,  $n_D^{20}$  1,4457,  $d_4^{20}$  1,042; ИК-спектр: 5,75; 6,05; 11,25  $\mu$ . Конденсацией 0,5 моля II с 0,5 моля параформальдегида в присутствии 0,5 моля  $\text{CH}_3\text{COOH}$ , 0,15 моля  $(\text{CH}_3\text{CO})_2\text{O}$  при 165—170° получают V, выход 51,6% (на  $\text{CH}_2\text{O}$ )—64,3% (на II). Строение V доказано превращением его в  $\text{CH}_2\text{O}$  (вос-



становительным озонлизом) и в диацетат 3-метилпентадиола-1,5 (VII) (гидрированием), выход 95,8%, т. кип. 98—99°/1,8 мм,  $n_D^{20}$  1,4308,  $d_4^{20}$  1,012. Метаполизо VII получают 3-метилпентадиол-1,5 (VIII); выход 85%, т. кип. 111—113°/1 мм,  $n_D^{20}$  1,4535,  $d_4^{20}$  0,9726; бис-*n*-фенилазобензоат, т. пл. 118—119° (испр.). VIII получен также восстановлением  $\beta$ -метилглutarовой к-ты при помощи  $LiAlH_4$ . Метаполизо V (330 г V, 328 мл абс.  $CH_3OH$ , 1 г Na) получают III, выход 86%, т. кип. 110—111°/0,5—0,8 мм,  $n_D^{20}$  1,4785,  $d_4^{20}$  1,012; бис-*n*-фенилазобензоат, т. пл. 110—111° (испр. из разб. сп.). А. Т. 3755.

Исследования в области ацетиленов. IX. Присоединение альдегидов к ацетилену под каталитическим действием радикалов Шлубах, Францен, Даль (Untersuchungen über Acetylene. IX. Die radikal-katalysierte Anlagerung von Aldehyden an Acetylene. Schlubach Hans Heinrich, Franzen Volker, Dahl Ernst, Liebigs Ann. Chem., 1954, 587, № 2, 124—131 (нем.). При р-ции  $CH_3CHO$  с  $HC \equiv CH$  в присутствии перекиси бензола (I) образуется ацетилацион (II). Р-ция протекает в две стадии: сначала  $CH_3CHO$  присоединяется к  $HC \equiv CH$  с образованием метилвинилкетона (III), который присоединяет вторую молекулу  $CH_3CHO$ , образуя II, III, а также метилацетилацетон (IV) (который мог образоваться при несимметричном присоединении  $CH_3CHO$  к III), в продуктах р-ции не обнаружены. Наряду с р-цией присоединения  $CH_3CHO$  к  $HC \equiv CH$  происходит образование альдоля (V); УФ-свет или нитрил азидомасляной к-ты не вызывают альдолизации. Р-ция  $HC \equiv CH$  с  $CH_3CH_2CHO$  в присутствии I ведет к октадиону-3,6 (VI). Показано, что  $n-C_4H_9C \equiv CH$  при 80° в присутствии I или УФ-света не полимеризуется. Взаимодействие  $n-C_4H_9C \equiv CH$  с  $CH_3CHO$  в присутствии I приводит только к продуктам различной степени конденсации  $CH_3CHO$ . Из смеси  $n-C_4H_9C \equiv CH$  и  $CH_3CH_2CHO$ , облученной УФ-светом, выделен 4-н-бутилоктадион-3,6 (VII). Симметричное присоединение альдегида и образование 1,4-дикетона доказано превращением VII в соответствующий замещ. пиррол (Knorr L., Liebigs Ann. Chem., 1886, 236, 305), а также гидрированием в р-ре  $CH_3COOH$  над  $PtO_2$ . При р-ции бутин-2-диола-1,4 (VIII), с надуксусной к-той (IX) образуется малоновая к-та (X); бутанон-2-диол-1,4 при р-ции с IX не дает X; X также не образуется при р-ции диацетата VIII или 1,4-дихлорбутин-2 с IX. Р-ция VIII с  $H_2O_2$  в присутствии  $V_2O_5$  ведет к  $\omega$ -окситетроловой к-те. 100 г  $CH_3CHO$  и 6 г I в автоклаве насыщают  $HC \equiv CH$  при 0° и 3 ат, подают  $N_2$  до 8 ат; необходимо внимательно следить за тем, чтобы все стальные капилляры, которые присоединяются к автоклаву, были заполнены  $N_2$  и  $HC \equiv CH$ ; смесь выдерживают 48 час. при 65°. После удаления  $CH_3CHO$  V и  $C_6H_5COOH$  (удаляют при 10<sup>-4</sup> мм), получают 5 г II, т. кип. 76—78°/13 мм,  $n_D^{20}$  1,423,  $d_4^{20}$  0,9740; диоксим, т. пл. 135° (из бал.); семикарбазон, т. пл. 223°. При нагревании 1 г II с 5 г  $HNO_3$  ( $d$  1,45) получают соединение с т. пл. 127° (Angeli A., Ber., 1891, 24, 1205). При нагревании II со спиртовым  $NH_3$  при 150° получают 2,5-диметилпиррол; из II и  $C_6H_5NH_2$  получают *N*-фенил-2,5-диметилпиррол, т. пл. 47—49°. Аналогично из 200 г  $CH_3CH_2CHO$ , при  $PCN \equiv CH$  4—5 ат и  $P_N$  10 ат и 60° получают продукт, из которого, после освобождения от непрореагировавшего  $CH_3CH_2CHO$ ,  $C_6H_5COOH$  и пропональдоля (5 г, т. кип. 86—92°/15 мм; динитрофенилгидразон, т. пл. 153°), выделяют 2,5 г VI, т. кип. 96°/14 мм, т. пл. 32°; диоксим, т. пл. 153° (из сп.). Из VI и спиртового  $NH_3$  при 140° получают 2,5-диэтилпиррол, т. кип. 184—192°; из VI и  $C_6H_5NH_2$

$NH_2$  получают *N*-(фениламино)-2,5-диэтилпиррол, т. пл. 64°. Смесь 20 г  $n-C_4H_9C \equiv CH$  и 15 г I нагревают 72 часа при 80°, получают обратно 18,2 г  $n-C_4H_9C \equiv CH$ ; при 72-часовом облучении УФ-светом  $n-C_4H_9C \equiv CH$  также возвращается неизменным. Смесь 190 г  $CH_3CHO$ , 35 г  $n-C_4H_9C \equiv CH$  и 10 г I нагревают в автоклаве 48 час. при 70°, получают обратно 135 г  $CH_3CHO$ , 10 г смеси воды и  $CH_3CH = CHCHO$ , остаток освобождают от  $C_6H_5COOH$  ( $Na_2CO_3$ ) и разгоняют на колонке; получают фракции (приведены т. кип. в °C/14 мм, кол-во в-ва в мл,  $n_D^{20}$ ): 1) 66—69, 2, 1,4565; 2) 81—84, 3, 1,4580; 3) 86—88, 2, 1,4620; 4) 90—93, 3, 1,4602; 5) 96—98, 3, 1,4507; 6) 100—108, 5, 1,4500; 7) 140—142, 2, 1,4790; фракция 1 состоит из альдоля; фракция 2 содержит продукт  $(CH_3CHO)_2 - H_2O$ , присоединяет бром, дает семикарбазон, т. пл. 172°; фракция 3 содержит продукт  $(CH_3CHO)_3 - H_2O$ ; фракция 5 содержит продукт  $(CH_3CHO)_4 - H_2O$ . Смесь 250 г  $CH_3CH_2CHO$  и 35 г  $n-C_4H_9C \equiv CH$  облучают УФ-светом 48 час., при разгонке получают обратно 219 г  $CH_3CH_2CHO$ ,  $n-C_4H_9C \equiv CH$ , пропональдол, т. кип. 82°/13 мм,  $n_D$  1,4450, динитрофенилгидразон, т. пл. 156°, и VII, т. кип. 113°/0,3 мм  $n_D$  1,4540. Смесь 20 г VIII с 3 молями 10—12%-ной IX, свободной от  $H_2SO_4$ , (при смешивании т-ра не выше 40°) оставляют при 20° на 3 дня, удаляют  $CH_3COOH$ , остаток оставляют стоять при 0°, получают 7,9 г X. Сообщение VIII см. РЖХим, 1955, 16256.

Г. Ш. 3756. Исследования в области ацетиленов. X. Об окислах ацетиленов. II. Шлубах, Рихау (Untersuchungen über Acetylene. X. Über Acetylenoxyde. II. Schlubach Hans Heinrich, Richau Wolfgang, Liebigs Ann. Chem., 1954, 588, № 3, 195—199 (нем.).

При действии надуксусной к-ты (I) на дибутилацетилен (II) образуется окись II (III); последняя при гидрировании над  $PtO_2$  поглощает 1 моль  $H_2$  и превращается в бутиламилкетон, который образует семикарбазон и гидантонин (Henze H. R., Speer R. J., J. Amer. Chem. Soc., 1942, 64, 522). Взаимодействие I с дипропилацетиленом (IV) ведет к окиси IV (V); V при гидрировании поглощает 1 моль  $H_2$  и переходит в пропилбутилкетон, который также образует семикарбазон и гидантонин. ИК-спектры III и V имеют характерные полосы при 1632, 1685 и 1695  $cm^{-1}$ . Смесь 0,2 моля 11%-ной I и 0,2 моля II оставляют на 3 дня при 20°, отгоняют  $CH_3COOH$  в вакууме при 20°, остаток смешивают с водой, органич. слой промывают 3 раза р-ром  $Na_2CO_3$  и фракционируют на колонке, получают III, т. кип. 35°/0,1 мм,  $n_D^{20}$  1,4500. Смесь 0,2 моля 11%-ной I и 0,2 моля IV оставляют на 3 дня при 20° (повышение т-ры р-ции до 30 и 40° и прибавление I по частям не улучшает выход), обрабатывают как для III; так как фракционирование на колонке не приводит к продукту удовлетворительной чистоты, фракции с  $n_D^{20}$  около и выше 1,4400 хроматографируют на силикагеле, смоченном  $CH_3OH$ , вымывают петр. эф., получают ~580 мг V, т. кип. 52°/3,5 мм,  $n_D^{20}$  1,4446. Г. Ш. 3757. Превращение ацетиленовых  $\alpha$ -гликолей. Венус-Данилова Э. Ф., Павлова Л. А., Серкова В. П. и Бричко Е. П., Тр. Ленингр. технол. ин-та им. Ленсовета, 1954, № 30, 38—52. Обзор. Библ. 15 назв.

М. А.

3758. Синтез 1,2,5-триолов конденсацией  $\alpha$ -ацетиленовых спиртов с  $\alpha$ -оксикетонами. Колонж, Клерк (Condensation des alcools  $\alpha$ -acétyléniques vrais avec les  $\alpha$ -hydroxycétones; passage aux triols-1,2,5. Colonge Jean, Clerc Georges),

Bull. Soc. chim. France, 1954, № 11—12, 1454—1457 (франц.)

Конденсацией  $\alpha$ -оксикетонов общего вида  $(R)(R')\text{CONCOR''}$  (I) с  $\alpha$ -ацетиленовыми спиртами,  $\text{CH} \equiv \text{CCH}_2\text{OH}$  (II) или  $\text{CH} \equiv \text{CCON}(\text{CH}_3)_2$  (III) синтезированы трехатомные ацетиленовые спирты  $(R)(R')\text{CONCOR''} - \text{C} \equiv \text{CCH}_2\text{OH}$  (IV) или  $(R)(R')\text{CONCOR''} - \text{C} \equiv \text{CCON}(\text{CH}_3)_2$  (V) соответственно. Показано, что триолы IV и V образуются в виде своих К-производных и, следовательно, роль КОН, употребляемого в данной р-ции в качестве конденсирующего агента, не является, вопреки существующему мнению, каталитической. Триолы типа IV и V не поддаются перегонке; гидрирование над скелетным Ni их превращают в соответствующие предельные триолы. Оксикетоны I получены гидролизом  $\alpha$ -бромкетонов при кипячении их с водн. р-ром  $\text{K}_2\text{CO}_3$  в течение 30—45 мин. (перечисляются R, R', R'', выход в %, т. кип. в °C/мм):  $\text{H}$ ,  $\text{H}$ ,  $\text{C}_2\text{H}_5$ , 35, 70/35;  $\text{H}$ ,  $\text{CH}_3$ ,  $\text{CH}_3$ , 52, 58/35;  $\text{H}$ ,  $\text{CH}_3$ ,  $\text{C}_2\text{H}_5$ , 84, 57/19;  $\text{H}$ ,  $\text{H}$ ,  $(\text{CH}_3)_2\text{C}$ , 63, 69/33. Кроме того I ( $\text{R} = \text{R}' = \text{R}'' = \text{CH}_3$ ) получен гидратацией 3-метилбутин-1-ола-3, выход 74%, т. кип. 140°/750 мм, и I ( $\text{R} = \text{H}$ ,  $\text{R}' = \text{R}'' = \text{C}_2\text{H}_5$ ) — р-цией Буво и Локена из метилпропионата, выход 48%, т. кип. 71°/24 мм. Для получения IV и V суспензию, состоящую из 1 моля I, 1 моля II (или III), 1000 мл сухого эфира и 70 г КОН, взбалтывают 8 час., через 12 час. стояния реакционную массу разлагают смесью льда и HCl (к-ты), отделяют эфир. слой, водн. слой точно нейтрализуют, отгоняют в вакууме воду и остаток экстрагируют спиртом. Если хотят изолировать IV или V (в неочищ. виде), спирт отгоняют в вакууме; описан полученный таким способом IV ( $\text{R} = \text{R}' = \text{R}'' = \text{CH}_3$ ), неперегоняющаяся жидкость; фенилуретан, т. пл. 133° (из воды). При превращении IV и V в предельные триолы в выделении IV и V нет нужды; их спирт. р-ры разбавляют немного водой и гидрируют над скелетным Ni, упаривают водно-спирт. р-р досуха и перегоняют продукт р-ции в вакууме. Таким образом получены следующие предельные триолы общей ф-лы  $(R)(R')\text{CONCOR''} - (\text{R}'')\text{CH}_2\text{CH}_2\text{CON}(\text{CH}_3)_2$  (перечисляются R, R', R'', выход в %, т. кип. в °C/мм):  $\text{H}$ ,  $\text{H}$ ,  $\text{C}_2\text{H}_5$ , 10, 156—160/3;  $\text{CH}_3$ ,  $\text{H}$ ,  $\text{CH}_3$ , 24, 164/4; диэфир *п*-нитробензойной к-ты, т. пл. 101° (из  $\text{CH}_3\text{OH}$ );  $\text{CH}_3$ ,  $\text{CH}_3$ ,  $\text{CH}_3$ , 52, 142/3, т. пл. 70° (из эф.); эфир *п*-нитробензойной к-ты, т. пл. 95° (из смеси петр. эф.-бзи., 9:1);  $\text{CH}_3$ ,  $\text{H}$ ,  $\text{C}_2\text{H}_5$ , 48, 158—160/4; диэфир *п*-нитробензойной к-ты, т. пл. 161° (из  $\text{CH}_3\text{OH}$ );  $\text{C}_2\text{H}_5$ ,  $\text{H}$ ,  $\text{C}_2\text{H}_5$ , 35, 145—147/2; диэфир *п*-нитробензойной к-ты, т. пл. 121° (из  $\text{CH}_3\text{OH}$ );  $\text{H}$ ,  $\text{H}$ ,  $(\text{CH}_3)_2\text{C}$ , 8, 152/2, т. пл. ~30°. Этим же путем синтезированы триолы общей ф-лы  $(R)(R')\text{CONCOR''} - \text{CH}_2\text{CH}_2\text{CON}(\text{CH}_3)_2$  (перечисляются R, R', R'', выход в %, т. кип. в °C/мм):  $\text{CH}_3$ ,  $\text{H}$ ,  $\text{CH}_3$ , 9, 170—175/5;  $\text{CH}_3$ ,  $\text{CH}_3$ ,  $\text{CH}_3$ , 13, 120—125/3, т. пл. 60°;  $\text{CH}_3$ ,  $\text{H}$ ,  $\text{C}_2\text{H}_5$ , 14, 145—150/2. А. Т.

3759. Получение диметоксиметана. Рамбо, Бессерр (Préparation du diméthoxyméthane (Note de laboratoire). Rambaud René, Besserre Daniel), Bull. Soc. chim. France, 1955, № 1, 45 (франц.)  
Предложен улучшенный лабор. метод синтеза  $(\text{CH}_3\text{O})_2\text{CH}_2$  (I) (хороший р-гент для ведения конденсации кетонов с  $\text{CH} \equiv \text{CH}$  в присутствии порошка КОН и для др. р-ций). Смесь 200 г параформальдегида, 200 г сухого  $\text{CaCl}_2$  и 425 г  $\text{CH}_3\text{OH}$  (содержит 2% HCl) нагревают до начала р-ции, через 20 мин. начинают отгонять I, за 2—3 часа получают ~450 г I, т. кип. 41—42°/736 мм. Л. И.

3760. Исследования в области взаимодействия виниловых и полифункциональных соединений. Сообщение 4. О взаимодействии винилалкиловых эфиров с глицерином, 1,2-глицерином и 1,3-глицеринацетатами. Шоастковский М. Ф., Жебров-

ский В. В., Медеяновская М. А., Изв. АН СССР, Отд. хим. н., 1955, № 2, 350—353  
Изучены р-ции винилалкиловых эфиров (ВА) с глицерином (I), 1,2-глицерином (II) и 1,3-глицеринацетатами (III) в присутствии следов HCl (к-ты). При взаимодействии ВА с I при соотношении 3:1 наряду с другими ацетатами образуются смешанные ацетаты I и одноатомных спиртов. Смешанный ацетат I (IV) превращается затем в II с выделением свободного спирта, а II реагирует с ВА с образованием сложного ацетата глицерина (V). Образование в этих условиях ацетата I, у которого все три OH-группы замещены алкоксильными группами исключено, так как скорость р-ции циклизации после образования IV больше, чем скорость присоединения ВА ко всем трем гидроксилам I. Для подтверждения правильности предложенного механизма образования V при взаимодействии ВА с I были синтезированы ацетаты, исходя из винилэтилового (VI) и винилбутилового (VII) эфиров II и III. При взаимодействии VI и VII с II были выделены 1,2-глицеринацеталь-3-этоксинацеталь (VIII) и 1,2-глицеринацеталь-3-бутоксинацеталь (IX). При взаимодействии VII с III получен 1,3-глицеринацеталь-2-бутоксинацеталь (X). Из 0,2 моля I и 0,6 моля VI в присутствии 0,08 г HCl (к-ты) получают VIII, выход 23,9%, т. кип. 86—87°/7 мм,  $n_D^{20}$  1,4255,  $d_4^{20}$  1,0088. VIII синтезируют также из 7 г II, 4,27 г VI, 0,014 г HCl (к-ты), выход 20,4%. Взаимодействием 0,125 моля I, 0,375 моля VII, 0,012 г HCl (к-ты) (4 часа, 50°) получают IX, выход 27,2%, т. кип. 105—106°/5 мм,  $n_D^{20}$  1,4312,  $d_4^{20}$  0,9816. IX синтезируют также из 8,85 г II, 7,5 г VII, 0,014 г HCl (к-ты), выход 66,6%, т. кип. 115—117°/8—9 мм. Нагреванием на водяной бане 5 г IX и 20 мл 2%-ной  $\text{H}_2\text{SO}_4$  получают 1,1 г бутилового спирта. Из 4,1 г III, 3,47 г VII и капли HCl (к-ты), получают X, выход 35,6%, т. кип. 106—107°/3—4 мм,  $n_D^{20}$  1,4410,  $d_4^{20}$  1,0025. Сообщение 3 см. РЖХим, 1955, 21363.

С. В. 3761. Исследование в области взаимодействия виниловых и полифункциональных соединений. Сообщение 5. О взаимодействии тривинилглицеринового эфира с одноатомными спиртами. Шоастковский М. Ф., Жебровский В. В., Медеяновская М. А., Изв. АН СССР, Отд. хим. н., 1955, № 2, 354—358

Исследовано взаимодействие тривинилглицеринового эфира (I) с этиловым (II) и бутиловым (III) спиртами в присутствии следов HCl (к-ты). Основными продуктами данной р-ции являются соответствующие ацетаты одноатомных спиртов, смешанные ацетаты глицерина и одноатомных спиртов (IV) и триацеталь глицерина (V). Из продуктов р-ции были также выделены 1,2-глицеринацеталь-3-этоксинацеталь (VI) (т. кип. 83—84°/6 мм,  $n_D^{20}$  1,4260,  $d_4^{20}$  1,0098) и 1,2-глицеринацеталь-3-бутоксинацеталь (VII) (т. кип. 108—108,5°/6 мм,  $n_D^{20}$  1,4310,  $d_4^{20}$  0,9810). V и ацетаты одноатомных спиртов могут получаться в результате диспропорционирования VI и VII. Выход IV и V зависит от соотношения исходных в-в. Эквивалентное соотношение I и II или I и III благоприятствует образованию ацетата моновинилового эфира глицерина, который, реагируя с 1,2-глицеринацеталем, дает V. Увеличение кол-ва II или III с 1 до 3 молей на 1 моль I приводит к образованию ацетата соответствующего спирта, IV и V, причем выход V уменьшается. Из I, II и III получаются те же ацетаты, что и при взаимодействии винилэтилового и винилбутилового эфиров с глицерином.

С. В. 3762. Ацетаты гликоля. Дермер, Юк (Glyoxal acetals. Dermer O. C., Vuk James P.), J. Amer. Chem. Soc., 1955, 77, № 5, 1285—1286 (англ.)

В соответствии с опубликованными ранее данными (Duval B. и др., J. Appl. Chem., 1952, 2, 544) при нагревании продажного глиоксала (в виде водн. р-ра) (I) с бутанол-1 (II) в присутствии  $H_2SO_4$  получают 2,3-ди-*n*-бутокси-1,4-диоксан (III), 1,1,2,2-тетра-*n*-бутоксизан (IV) и 2,3,5,6-тетра-*n*-бутоксизан-1,4-диоксан (V). Образование III зависит от наличия в I этиленгликоля; прибавление последнего к реакционной смеси увеличивает выход III. Смесь 200 мл 30%-ного I, 400 мл II и 1 мл конц.  $H_2SO_4$  подвергают перегонке, возвращая в реакционную смесь отгон II до тех пор, пока в дистиллате появится водн. фаза; остаток отмыкают от к-ты водой и фракционируют, собирая фракции (а) 140°/65 мм, (б) 177°/65 мм и (в) 187—188°/5 мм. При повторной перегонке из фракции а выделяют III, выход 1%,  $n_D^{20}$  1,4324,  $d_4^{20}$  0,984; из фракции б — IV, выход ~20%, т. кип. 139—140°/10 мм,  $n_D^{20}$  1,4350,  $d_4^{20}$  0,954; из фракции в — V, выход 14%, т. кип. 198°/10 мм,  $n_D^{20}$  1,4315,  $d_4^{20}$  0,957. При применении в аналогичных условиях  $CH_3OH$  вместо II не удалось получить 1,1,2,2-тетраметоксизан. Для получения 1,2-дихлор-1,2-ди-*n*-пропоксизана (VI) 150 мл продажного I упаривают до половины объема, добавляют 250 мл пропанола-1, р-р при размешивании и охлаждении насыщают HCl (газом), выливают в смесь воды и льда, отделяют нижний слой, сушат и фракционируют; фракция с т. кип. 106—107°/15 мм,  $n_D^{20}$  1,4420,  $d_4^{20}$  1,083, повидимому, представляет собой не вполне чистый VI, который, как и другие 1,2-дигалоидо-1,2-диалкоксизаны, неустойчив и отщепляет HCl. Попытка получить нагреванием IV с параформом 1,3-диоксолано-(4,5-д)-1,3-диоксолан не удалась. А. Т.

**3763. Взаимодействие алкилазидов с карбонилсоединениями в присутствии кислотных катализаторов.** Бойер, Хеймер (The acid-catalyzed reaction of alkyl azides upon carbonyl compounds. Boyer J. H., Hamer J.), J. Amer. Chem. Soc., 1955, 77, № 4, 951—954 (англ.)

Исследуются р-ция β- и γ-азидогидринов (I, II) с ароматич. альдегидами в присутствии кислотных катализаторов с образованием при низких т-рах ариламинов, при высоких — соответственно Δ<sup>2</sup>-оксазолинов (III) и дигидрооксазинов (IV):  $ArC^+HON \rightleftharpoons ArCHO + H^+$ ;  $ArC^+HON + RCH_2N^- \rightleftharpoons N \rightleftharpoons ArCH(OH)N(CH_2R)N^+ \rightleftharpoons N \rightarrow \rightarrow ArCH(OH)-N^+-CH_2R \rightarrow \rightarrow ArCH(OH)N = CHR + + ArC(OH) = NCH_2R$ . Указывается, что механизм этой р-ции аналогичен р-ции Шмидта. Азиды получают способом Хенкель — Вейганда (Ber., 1943 76, 812). Получены: *n*-бутилазид, выход 90%, т. кип. 106,5°/1 мм,  $n_D^{20,5}$  1,4152,  $d_4^{20,5}$  0,8649, β-фенилэтилазид (V), выход 65%, т. кип. 68°/0,5 мм,  $n_D^{20}$  1,5302, бензилазид, выход 86%, т. кип. 96°/43 мм, этиленазидогидрин (VI), выход 60%, т. кип. 75°/40 мм. Получение амидов: к смеси 50 мл  $C_6H_5CHO$  и 5 мл конц.  $H_2SO_4$  прибавляют по каплям 0,02 моля V (т-ра ниже 75°), после полного выделения газа отгоняют в вакууме  $C_6H_5CHO$  остаток растворяют в  $C_6H_6$ , промывают р-ром  $Na_2CO_3$  и  $NaHSO_4$ , сушат в вакууме и после отгонки  $C_6H_6$  масло кристаллизуют из  $C_2H_5OH$ , выход *N*-β-фенилэтилбензамида 10%, т. пл. 115°. Аналогично получают *N*-(β-оксипропил)-*N*-нитробензамид, выход 63%, т. пл. 134° (вода). К смеси 0,03 моля ароматич. альдегида в 50 мл  $C_6H_6$  и 5 мл конц.  $H_2SO_4$  прибавляют по каплям 0,03 моля VI при слабом кипении. Через 5 мин. прибавляют 50 мл ледяной воды, нейтрализуют  $Na_2CO_3$ , осадок III отделяют фильтрованием, IV — экстракцией эфиром. Получены 2-замещ. III (указаны соответственно заме-

ститель, выход в % т. пл. в °C, т. пл. пикрата в °C): фенил, 77, —, 177; 2-оксифенил, 15, 39, 158; 4-оксифенил, 25, 187, 186; 2,4-диоксифенил, следы, —, —; 4-хлорфенил, 75, 85, 190—191; 4-диметиламинофенил, 10, —, 235—236; 4-нитрофенил, 70, 180, 169; 3-нитрофенил, 71, 119, 143.

**3764. Исправления к статье «Производные ацетоксуксусной кислоты» (Части I, III, VI, VII и VIII). Лейс и (Errata), J. Chem. Soc., 1954, Nomenclature rep. indexes and title-pages (англ.)**

РЖХим, 1955, 3681, 3683, 9520, 9521, 11672. В реф. 3681 на строке 20 от начала реферата вместо «α,γ-диметилвалериановый альдегид» должно быть «α,α,γ-триметилвалериановый альдегид». В реф. 11672 на строке 15 от конца реферата вместо «0,3» должно быть «3,0».

**3765. Новый синтез этилового эфира этантетракарбонной кислоты.** Тронов Б. В., Самарин А. С., Литвиненко С. Ю., Тр. Томск. ун-та, 1954, 126, 115—118

Изучено взаимодействие этилового эфира броммалоновой к-ты (I) с NaJ (II), приводящее к образованию этилового эфира этантетракарбонной к-ты (III). Механизм образования III можно представить следующим образом:  $CHBr(COOC_2H_5)_2 + NaJ \rightarrow CHJ(COOC_2H_5)_2 + NaBr$ ;  $2CHJ(COOC_2H_5)_2 + J^- \rightarrow (C_2H_5OOC)_2CHCH(COOC_2H_5)_2 + J^-$ . Этиловый эфир подмалоновой к-ты (IV) выделить не удалось, однако выделение свободного вода на солнечном свете после промывки продуктов р-ции воды. р-ром  $Na_2S_2O_3$  можно объяснить только присутствием IV. Авторы делают заключение, что при взаимодействии подкислых солей с хлор- и бромзамещ. органич. соединениями образующиеся подпроизводные распадаются не произвольно, а при действии под-иона. 70 г I и 100 г II нагревают 2 часа на водяной бане. Реакционную смесь промывают водой и растворяют в  $C_6H_6$ . Бензольный р-р промывают 15%-ным водн. р-ром  $Na_2S_2O_3$ ; выход III 82%, т. пл. 75°. С. В.

**3766. Синтез диаллилового эфира γ-кетопимелиновой кислоты.** Шур А. М., Соколовская А. Е. Ж. прикл. химии, 1955, 28, № 4, 444—445

Описан синтез диаллилового эфира γ-кетопимелиновой к-ты (I). I полимеризуется при 98—100° в присутствии 1%-ной перекиси бензола в течение 38 час. и превращается в твердый стеклообразный полимер желтого цвета, стойкий к действию р-рителей. Через р-р 0,1 моля фурилакриловой к-ты в 0,58 моля аллилового спирта при 70° пропускают 30 мин. ток HCl (газа), после чего реакционную массу нагревают 2 часа при кипении; выход I 31,5%, т. кип. 210°/20 мм,  $n_D^{20}$  1,463,  $d_4^{20}$  1,0861, 2,4-динитрофенилгидразон, т. пл. 54°. С. В.

**3767. О восстановлении этиловых эфиров замещенных циануксусных кислот.** Восстановление алкогидридом лития. Сообщение VIII. Дорнов, Фуст (Über die Reduktion substituierter Cyanessigsäure-athylester. Reduktionen mit LiAlH<sub>4</sub>, VIII. Mitteil. Dornow Alfred, Fust Klaus Jürgen), Chem. Ber., 1954, 87, № 7, 985—990 (нем.)

В поисках путей синтеза аналогов хлорметицина изучено восстановление этиловых эфиров моно- и дзамещ. циануксусных к-т в соответствующие аминоспирты действием  $LiAlH_4$ . Из этилового эфира бензилциануксусной к-ты (I) образуется 1-амино-2-бензилпропанол-3 (II). Р-ция затрудняется наличием в I активного H-атома у замещ. метиленовой группы, что способствует образованию трудно растворимого в эфире комплекса с  $LiAlH_4$ ; замещение этого H-атома второй  $C_6H_5CH_2$ -группой способствует восстановлению. Так, восстановлением этилового эфира дибензилциануксусной к-ты (III) получают 1-амино-2,2-дипропанол-3 (IV) и ди-(2,2-дипропанол-3-окси)-пропан-1-амин (V). В бензоил-

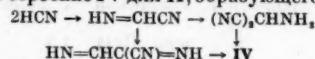


цианкусуном эфире (VI), вследствие легкой энолизации кето- и карбоксильной группы восстанавливаются до  $\text{CH}_2$ - и  $\text{CH}_3$ -групп соответственно и образуются 1-амино-2-метил-3-фенилпропан (VII), а бензоилбензилцианкусуновый эфир (VIII) восстанавливается только до 1,3-дифенил-2-оксиметил-2-аминометилпропанола-1 (IX). Аналогично этиловый эфир  $\beta$ -метокси- $\alpha$ -цианкоричной к-ты (X) восстанавливается в 1-амино-2-оксиметил-3-метокси-3-фенилпропан (XI), а фурфурилдицианкусуновый эфир (XII) — в 1-амино-2-фурфурилпропанол-3 (XIII). При восстановлении этиловых эфиров замест. цианкусуновых к-т, содержащих  $\text{NO}_2$ -группу, действием  $\text{LiAlH}_4$  в тетрагидрофуране при  $t$ -ре от  $-10$  до  $-15^\circ$  и при более высокой  $t$ -ре образуются азосоединения;  $\text{CN}$ -группа не восстанавливается. К  $p$ -ру 1,8 г  $\text{LiAlH}_4$  в 100 мл эфира приливают в течение 1 часа 8 г I в 100 мл абс. эфира, через 1 час ( $20^\circ$ ) кипятят 1 час, добавляют 2–3 мл воды, фильтруют, экстрагируют эфиром и выделяют оксалат II, т. пл.  $150$ – $152^\circ$  (из абс. сп.), из которого обычным методом получают основание II, выход 54%. Аналогично восстанавливают III и выделяют IV, выход 76%, т. пл.  $114^\circ$  (из лигр.-бзл.); оксалат, т. пл.  $205^\circ$  (разл., из эф.), и оксалат V, выход 10%, т. пл.  $184^\circ$  (разл., из  $\text{CH}_3\text{OH}$ ); 1 г IV в 5 мл  $\text{C}_6\text{H}_6$  смешивают с  $p$ -ром 1 г дианитро бензола в 5 мл  $\text{C}_6\text{H}_6$  и кипятят 15 мин.,  $\text{C}_6\text{H}_6$  отгоняют, остаток промывают небольшим кол-вом эфира и получают  $N$ -бензоилпроизводное IV, т. пл.  $129^\circ$  (из лигр.-бзл.). Восстановлением VI получают VII, выход 64%, т. кип.  $111$ – $113^\circ/15$  мм, оксалат, т. пл.  $139^\circ$  (из абс. сп.); хлоридрат,  $161^\circ$  (из абс. сп.-эф.). К  $p$ -ру 20 г I в 200 мл абс. эфира в течение 1,5 часа добавляют 2,3 г Na, при охлаждении приливают по каплям  $p$ -р 14 г  $\text{C}_6\text{H}_5\text{COCl}$  в 50 мл абс. эфира, кипятят 2 часа, эфирную суспензию промывают водой ( $2 \times 100$  мл), упаривают и получают VIII, выход 60%, т. пл.  $94^\circ$  (из  $\text{CH}_3\text{OH}$ ). Аналогично из  $\text{CNCH}_2\text{COOC}_2\text{H}_5$  и  $4\text{-NO}_2\text{C}_6\text{H}_4\text{COCl}$  (XIV) получают этиловый эфир  $n$ -нитробензоилцианкусуновой к-ты (XV), выход 71%, т. пл.  $159$ – $160^\circ$ , а из I и XIV — этиловый эфир  $n$ -нитробензоилбензилцианкусуновой к-ты, выход 58%, т. пл.  $131^\circ$  (из бзл.-лигр. или эф.). Восстановлением VIII получают IX, выделяемый в виде оксалата, выход 64%, т. пл.  $80^\circ$  (разл., из абс. сп.); эфирный  $p$ -р 10 г VI смешивают с эфирным  $p$ -ром  $\text{CH}_2\text{N}_2$ , упаривают, нагревают 3 часа при  $130$ – $140^\circ$  и получают X, т. пл.  $101$ – $102^\circ$  (из  $\text{CH}_3\text{OH}$ ). Аналогично из XV получают этиловый эфир  $n$ -нитро- $\beta$ -метокси- $\alpha$ -цианкоричной к-ты, т. пл.  $136^\circ$  (из  $\text{CH}_3\text{OH}$ ). X восстанавливают в XI, выделяемый в виде оксалата, выход 65%, т. пл.  $147$ – $149^\circ$  (из абс. сп.), а XII восстанавливают в XIII, также выделяемый в виде оксалата, выход 30%, т. пл.  $135$ – $137^\circ$  (из абс. сп.). Сообщение VII см. РЖХим, 1955, 11560. А. Е.-С.

**3768. О три- и тетрамере синильной кислоты. Руске** (Über tri- und tetramere Blausäure. Ruske W.), Chem. Technik, 1954, 6, № 9, 489–494 (нем.).

Изложение доклада на съезде хим. о-ва. Найдено, что продукт полимеризации  $\text{HCN}$  с т. пл.  $180$ – $184,5^\circ$ , считавшийся ранее тримером (I), является тетрамером (II). Нагреванием II с  $\text{Ba}(\text{OH})_2$  или  $\text{HCl}$  (к-той) получают  $\text{NH}_3$ ,  $\text{CO}_2$  и гликоколь. Основываясь на результатах  $p$ -ций II с глюкокалем (получен 2,3-дицианоприн), с хлористым бензоилом, альдегидами,  $\text{HNO}_3$  приводящих к образованию 4,5-дицианотриазола-1,2,3, (III) и на измерениях мол. веса, II приписывают следующие структуры:  $\text{HCN}\cdot\text{H}_2\text{NCH}(\text{CN})_2$ , *цис*- $\text{H}_2\text{NC}(\text{CN})=\text{C}(\text{CN})\text{NH}_2$ ,  $\text{NCCH}(\text{NH}_2)\text{N}=\text{CHCN}$ ,  $\text{NCCH}(\text{NH}_2)\text{C}(\text{CN})=\text{NH}$  (IV). Наличие асимметрического C-атома в IV установлено расщеплением соли  $\delta$ -камфарсульфокислоты на 2 оптич. антипода, гидролизующихся водой с образованием  $d,l$ -оснований. Для III, существующего в двух таутомерных формах, более вероятна

структура  $\text{NCC}=\text{NN}=\text{NCHCN}$ . Наиболее вероятным признается строение IV для II, образующегося по схеме:



I и II являются промежуточными продуктами при синтезе аминокислот из  $\text{CH}_4$ ,  $\text{NH}_3$ ,  $\text{H}_2$  и  $\text{H}_2\text{O}$  под действием электрич. разряда. Обсуждается механизм цел. гидролиза II, протекающего по схеме:  $\text{IV} \rightarrow \text{H}_2\text{NCH}(\text{CN})\cdot\text{COCN} \rightarrow \text{H}_2\text{NCH}(\text{CN})\text{COOH} \rightarrow \text{H}_2\text{NCH}(\text{COOH})_2$ . Продукт с т. пл.  $82$ – $85^\circ$  (V), полученный из  $\text{H}_2\text{NCH}(\text{CN})\cdot\text{HCl}$  (VI) (или из  $\text{HCl}\cdot\text{HN}=\text{CHOC}_2\text{H}_5$ ,  $\text{H}_2\text{NCH}=\text{S}$ , хлорметилформамидина) и считавшийся ранее димером  $\text{HCN}$ , является, повидимому 1,3,5-триазином (VII). Взаимодействием VI с мезитилом и последующим омылением доказано строение VI. Строение V установлено по сходству его УФ- и ИК-спектров со спектрами триакилтриазинов и хим. методом. Бромированием V получен бромидат 1,3-дибромтриазина, даю-

щий с  $\text{C}_6\text{H}_5\text{NH}_2$  (VIII)  $\text{C}_6\text{H}_5\text{NHC}=\text{NC}(\text{NH}_2\text{C}_6\text{H}_5)=\text{NCH}=\text{N}$  (IX). Действием VIII на 1,3,5-трихлор-триазин получен  $\text{C}_6\text{H}_5\text{NHC}=\text{NC}(\text{NH}_2\text{C}_6\text{H}_5)=\text{NCCl}=\text{N}$ ,  $p$ -цией которого с  $\text{CH}_3\text{SNa}$  получен  $\text{CH}_3\text{SC}=\text{N}$ , переходящий при

действии скелетного Ni в IX. При кипячении хлоргидрата формамидина (X) с диформамидом натрия в эфире получен продукт, идентичный V; V получен нагреванием X с диаметамидом натрия или же нагреванием X в хинолине. Обсуждается механизм образования V. Образование  $\text{C}_6\text{H}_5\text{CHO}$ ,  $\text{HCOOH}$  и  $\text{NH}_3$  при действии  $\text{C}_6\text{H}_5\text{MgJ}$  на VII объясняется получением  $\text{N}(\text{MgJ})\text{CH}(\text{C}_6\text{H}_5)\text{N}=\text{CHN}=\text{CH}$ , который затем гидролизуется.

Отмечается отсутствие ароматич. характера у V. J. K. 3769. Синтез некоторых алифатических соединений с длинной цепью. Кирман, Гейгер-Бершанди (Synthèse de quelques composés aliphatiques à longue chaîne. Kirrmann Albert, Geiger-Berschandy Suzanne, m - te, Bull. Soc., chim. France, 1955, № 7–8, 991–994 (франц.)).

Взаимодействием  $\text{C}_{18}\text{H}_{37}\text{MgBr}$  (I) или  $\text{C}_{16}\text{H}_{33}\text{MgBr}$  (II) с  $\text{C}_6\text{H}_{11}\text{CN}$  (III),  $\text{C}_{16}\text{H}_{33}\text{CN}$  (IV),  $\text{C}_6\text{H}_5\text{O}(\text{CH}_2)_3\text{CN}$  (V) (т. пл.  $41$ – $42^\circ$ ) или  $\text{CH}_3\text{O}(\text{CH}_2)_4\text{CN}$  (VI) (синтезирован из  $\text{ClCH}_2(\text{CH}_2)_3\text{CN}$  и  $\text{CH}_3\text{ONa}$ , т. кип.  $80$ – $81^\circ/15$  мм,  $n_D^{20} 1,4142$ ,  $d_4^{20} 0,9027$ ; наряду с ним образуется  $\text{CH}_2=\text{CH}(\text{CH}_2)_3\text{CN}$ , т. кип.  $39$ – $40^\circ/15$  мм,  $n_D^{19} 1,4210$ ,  $d_4^{19} 0,8379$ ) получают  $\text{C}_{18}\text{H}_{37}\text{COC}_6\text{H}_{11}$  (VII), т. пл.  $64^\circ$ , оксим, т. пл.  $41^\circ$ , ( $\text{C}_{16}\text{H}_{33}$ ) $\cdot\text{CO}$  (VIII),  $\text{C}_{16}\text{H}_{33}\text{CO}(\text{CH}_2)_3\text{OC}_6\text{H}_5$  (IX) и  $\text{C}_{16}\text{H}_{33}\text{CO}(\text{CH}_2)_3\text{OCH}_3$  (X). VII и VIII восстановлены Na в спирте до тетракананола-6 (XI) и три-трикананола-17 (XII). Восстановлением по Клемменсену из VII и VIII получены тетраканозан (XIII) и три-триканозан (XIV). По ранее известному методу (Stekhaugen, Rec. Tr. Chim. Pays – Bas, 1940, 59, 933) из IX и X получены феноксидоканозан (XV) (выход 75%, т. пл.  $58^\circ$ ) и метокситриканозан (XVI) (выход 90%, т. пл.  $51^\circ$ ; из сп., ацетона, этилацетата). Заменой  $\text{C}_6\text{H}_5\text{O}$ - и  $\text{CH}_3\text{O}$ -групп в IX, XV и XVI на Br получены: 1-бромдоканозан-4 (XVII) (восстановлен затем в доканозан, т. пл.  $44^\circ$ ), докозилбромид (выход 75%, т. пл.  $43,5^\circ$ ) и трикозилбромид (выход 90%, т. пл.  $51^\circ$ ).  $p$ -р 63 г IV в 150 мл кипящего сухого эфира вводят постепенно к II (из 114 г  $\text{C}_{16}\text{H}_{33}\text{Br}$  и 15 г Mg), кипятят 7 час., получают 74 г VIII, т. пл.  $81$ – $82^\circ$  (из сп., диизопропилового эфира, изобутанола и этилацетата), оксим, т. пл.

58° (из сп.). Из маточного спирт. р-ра разгонкой выделяют 15 г гексадекана. После обработки сырого VIII реактивом Жирара Т получают немного дитриаконтана. Эфир. р-р I (25%-ный избыток) прибавляют постепенно к эфир. р-ру V, кипятят 3 часа, получают IX, выход 50%, т. пл. 67° (из изобутанола, смеси  $\text{CCl}_4$ -сп., циклогексана и хлф.), оксим, т. пл. 48°. Охлаждением разб. р-ра неочищ. IX в ацетоне выделяют гексатриаконтан. Аналогично IX получают X, выход 50%, т. пл. 61° (из лигр.-ацетона), оксим, т. пл. 47—48°. К р-ру I в VII в 100 мл кипящего  $\text{C}_6\text{H}_{11}\text{OH}$  прибавляют небольшими порциями 3 г Na, получают XI, т. пл. 65° (из сп. и ацетона), ацетат XI ( $\text{CH}_3\text{COOH}$ , кипячение 8 час.), т. пл. 29—31° (из  $\text{CH}_3\text{OH}$ ). Аналогично получают XII, т. пл. 86°, ацетат, т. пл. 48—51°. 1/300 моля VII (или VIII), 18 г амальгамы Zn и 48 г HCl (к-ты) кипятят 6 час., продукт вновь кипятят с 10 г свежей амальгамы Zn и 48 г HCl (к-ты) (операцию повторяют еще раз), продукт кристаллизуют из спирта, нагревают 2 часа при 100° с 75%-ной  $\text{H}_2\text{SO}_4$ , фильтруют, промывают водой, обесцвечивают кипячением с углем в  $\text{C}_6\text{H}_6$ , получают XIII, т. пл. 51° или (соответственно) XIV, т. пл. 71—72°. К р-ру 2,7 г IX в 250 мл  $\text{CH}_3\text{COOH}$  прибавляют 30 мл 40%-ного водн. р-ра HBr, кипятят 24 часа, продукт осаждают водой, получают 2 г XVII, т. пл. 57,5—58,5°.

3770. О первичных бромиде аллифатических соединений с длинной цепью. Образование магнийгалоид-алкилов. Гейгер-Бершанди (Sur les bromures primaires aliphatiques à longue chaîne. Formation des magnésiens. Geiger-Berschandi Su- z a n n e, m - m e), Bull. Soc. chim. France, 1955, № 7—8, 994—996 (франц.)

Аналогично предыдущему (см. реф. 3769)  $\text{C}_{18}\text{H}_{37}\text{MgBr}$  (из 14 г  $\text{C}_{18}\text{H}_{37}\text{Br}$ ) и 6,5 г  $\text{CH}_3\text{O}-(\text{CH}_2)_{10}\text{COOCH}_3$  (т. кип. 162—165°/12 мм,  $d_4^{20}$  1,4418,  $n_D^{20}$  0,8827) образуют  $\text{C}_{18}\text{H}_{37}\text{CO}(\text{CH}_2)_{10}\text{OCH}_3$  (I) (7,5 г, т. пл. 73°, оксим, т. пл. 42—48°) и побочно гексатриаконтан. Из 4,5 г I восстановлением получают  $\text{C}_{20}\text{H}_{41}\text{OCH}_3$  (II) (т. пл. 66°). 3 г II кипятят 48 час. с 800 мл  $\text{CH}_3\text{COOH}$  и 15 мл 40%-ной HBr, отделяют 2,5 г продукта, на который вновь действуют HBr и получают  $\text{C}_{20}\text{H}_{41}\text{Br}$ , т. пл. 63—64°. Трудность образования  $\text{RMgX}$  [(где  $\text{R}-\text{C}_{18}\text{H}_{37}$ -(III),  $\text{C}_{22}\text{H}_{45}$ -(IV),  $\text{C}_{24}\text{H}_{47}$ -(V) и  $\text{C}_{26}\text{H}_{49}$ -(VI)] возрастает от III к VI, наряду с III побочно возникает гексатриаконтан, выход 10%, т. пл. 76°, наряду с IV — тетрагексадекан, т. пл. 86°, наряду с V-гексатетрадекан, т. пл. 88°, трикозан, т. пл. 47°, и трикозанол, выход 36%, т. пл. 73°, фенилуретан, т. пл. 85—86°; наряду с VI — октагексадекан, выход 17%, т. пл. 99—100° и понакозан, выход 66%, т. пл. 62—63°. IV, V и VI не вступают в р-цию с нитрилами. Из VI и  $\text{CH}_3\text{OCH}_2\text{Cl}$  (двойное кол-во от теории) получают  $\text{C}_{30}\text{H}_{61}\text{O}-\text{CH}_3$ , т. пл. 62—63° (р-цию ведут в дибутиловом эфире, 4 часа при 70° и 24 часа при кипении р-ра).

3771. Получение и свойства некоторых чистых жирных и смоляных аминов. Звейниекс (Preparation and properties of some pure fatty and rosin amines. Zvejnieks Andrejs), Svensk kem. tidskr., 1954, 66, № 11, 316—322 (англ.)

Для изучения свойств чистых аминов и эффективности их в качестве добавок к битуминозным связующим в-вам, из смеси жирных аминов (с-зда по производству стеарина) перегонкой выделены октил-(I), децил-(II), лаурил-(III), миристил-(IV), цетил-(V), стеарил-(VI) амины, 1-аминоэйкозан (VII), 1-аминодокозан (VIII), *цис*-1-амино-5-тетрадецен (IX), *цис*-1-амино-9-гексадецен (X), олеиламин (XI), эруциламин (XII), дегидроабетиламин (XIII). Смесь фракционировалась ( $\text{C}_8-\text{C}_{10}$  без вакуума) на колонке с автоматич. головкой для отбора дистиллата при

флегмовом числе 1:5 — 1:10 и временем полного отбора ~1 сек. Фракции, отобранные в пределах 1°, в случае насыщ. соединений являлись почти чистыми индивидуальными аминами и очищаются кристаллизацией из 99,5%-ного спирта ( $\text{C}_{12}-\text{C}_{16}$ ) или из этилацетата ( $\text{C}_{18}-\text{C}_{22}$ ). Фракции, соответствующие ненасыщ. аминам, кипятили со спиртом и  $\text{NH}_4\text{Cl}$  для получения хлоридов замещ. аммония, которые очищались фракционной кристаллизацией из этилацетата до тех пор, пока показатель преломления амина, выделенного в результате гидролиза производного  $\text{NH}_4\text{Cl}$ , не достигал постоянной величины. XIII был получен гидрированием нитрила дегидроабетиновой к-ты и очищен таким же образом. Перечисляются шифр амина,  $n_D^{30}$ ,  $n_D^{40}$ ,  $n_D^{50}$ ,  $n_D^{60}$ ,  $n_D^{70}$ , т. пл., т. кип. °C/мм: I, 1,4258, 1,4209, 1,4158, 1,4110, 1,4060, — 0,4, 178,0/752; II, 1,4333, 1,4289, 1,4244, 1,4197, 1,4152, 15,0, 218,0—218,5/747; III, 1,4384, 1,4335, 1,4295, 1,4247, 1,4210, 28,0, 116,0—116,1/6,0; IV, —, 1,4385, 1,4337, 1,4293, 1,4255, 37,9, 144,0—144,1/6,0; V, —, —, 1,4373, 1,4331, 1,4288, 46,2, 162,5/5,2; VI, —, —, —, 1,4372, 1,4328, 51,8, 183,0—183,1/5,0; VII, —, —, —, 1,4385, 1,4341, 57,8, 196,2—196,3/4,0; VIII, —, —, —, 1,4363, 62,7, 216,8—217,3/4,0; IX, 1,4591, —, 1,4504, —, 1,4416, —, 146,7—147,0/8,0; X, 1,4542, 1,4500, 1,4458, 1,4411, 1,4375, —15,0, 162,0—162,5/6,0; XI, 1,4565, 1,4524, 1,4483, 1,4441, 1,4400, —9,5, 171,6—171,8/3,5; XII, 1,4588, 1,4545, 1,4504, 1,4462, 1,4419, 11,2, 216,8—217,3/4,0; XIII, 1,5498, 1,5462, 1,5425, 1,5389, 1,5353, 41,0, ~ 250/12. Приведен УФ-спектр XIII.

3772. Взаимодействие гексаметилендиамина с сероуглеродом. Штаудингер, Ниссен (Umsetzung von Hexamethylen-diamin mit Schwefelkohlenstoff. Staudinger Hermann, Nissen Günter), Makromolek. Chem., 1955, 15, № 2/3, 95—97 (нем.)

При конденсации гексаметилендиамина (I) с  $\text{CS}_2$  получено не 9-членное кольцо, как можно было ожидать по аналогии с другими  $\omega$ ,  $\omega'$ -диаминами, а полимер —  $[\text{NHCSNH}(\text{CH}_2)_6]_x$  — (II) со средним мол. в. 6000—7000. При прибавлении на каплях р-ра I в  $\text{CH}_3\text{OH}$  к избытку  $\text{CS}_2$  образуется производное дитиокарбаминной к-ты  $\text{H}_2\text{N}(\text{CH}_2)_6\text{NHCSNH}$ . Для получения II  $\text{CS}_2$  конденсируют с I при 170° и 1—2 мм (45 час.) в атмосфере  $\text{Na}$ . II растворим в диметилформамиде, м-крезоле и частично в пиридине; вытянутые из II нити после повторной обработки в условиях проведения конденсации перестают растворяться и лишь слегка набухают в р-рителях, что, повидимому, объясняется ориентацией молекул вдоль оси волокна при вытягивании с образованием сетчатой структуры при дальнейшей обработке.

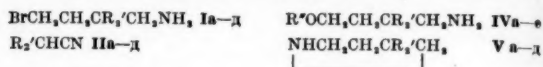
3773. Получение гем-замещенных 4-бромбутиламинов. I. 4-бромбутиламин и 4-бром-1,1-диметилбутиламин. Браун, Гьюлик (The preparation of geminally substituted 4-bromobutylamines. I. 4-Bromobutylamine and 4-bromo-1,1-dimethylbutylamine. Brown Ronald F., Gulick Norman M. v a n), J. Amer. Chem. Soc., 1955, 77, № 5, 1079—1083 (англ.)

Для изучения влияния гем-заместителей на скорость циклизации 4-бромбутиламинов в пирролидине синтезированы бромгидрат 4-бромбутиламина (I) и бромгидрат 4-бром-1,1-диметилбутиламина (II). Лучший метод получения I — нагревание 4-феноксидутиламина (III) с HBr (к-той). Восстановлением  $\text{LiAlH}_4$  метилового эфира  $\beta$ -дианпропионовой к-ты получено лишь 20% 4-оксибутиламина, затем превращенного действием HBr (к-ты) в I. Из метилового эфира 4-метил-4-нитропентаиновой к-ты (IV) через 4-окс-1,1-диметилбутиламин (V) получен II. Также синтезировано

4-этокси-1,1-диметилбутиламин (VI) из 3-этоксипропилового спирта (VII) через 3-этоксипропилбромид (VIII) и 5-этокси-2-метилпентанол-2 (IX). Получен 1,1-диметилбутиламин (X), бензолсульфонильное производное которого не растворимо даже в горячей щелочи. Вследствие легкой циклизации I, II и IX в соответствующие пирролидины пробы на амины с  $C_6H_5SO_2Cl$  (XI) или с Ni-реактивами (Duke F. R., Industr. and Engng. Chem. Analyt. Ed., 1945, 17, 196) в этих случаях ненадежны. Некоторая неустойчивость II в водн. р-ре (5% циклизация за 2 дня), повидимому, определяется влиянием геминально расположенных алкилов. Из р-ра 49,5 г III в 330 мл конц. HBr отогнаны за 4 часа 250 мл HBr, остаток упарен досуха, экстрагирован ацетоном и I осажден этилацетатом, выход 73%, т. пл. 157—158° (из этилацетата- $CH_3CN$ ). Действием пикрата Ag I превращен в пикрат, т. пл. 110—112° (из  $CH_2Cl-CH_2Cl$ ). Из I и XI получен N-бензолсульфонилпирролидин, т. пл. 51,5—52,0° (из  $CCl_4$ ). 44 г IV в 125 мл эфира прибавляли по каплям при кипении к 23,7 г  $LiAlH_4$  в 700 мл эфира. После кипячения (30 мин.) и разложения 192 мл *и*- $C_3H_7OH$  прибавлено 156 мл насыщ. р-ра NaCl, осадок промывает смесью *и*- $C_3H_7OH$  и эфира (2:3) и из фильтрата выделен неочищ. V, выход 74%. Для очистки V превращен в оксалат (XII), выход 63%, т. пл. 206,7° (разл.), который разложен действием  $CH_3OMg$ ; получен чистый V, т. кип. 108°/15 мм, т. заст. 42,5°. Из XII, 1 или 2 молей XI и водн. р-ра KOH получены N-бензолсульфонил-2,2-диметилпирролидин (XIII), т. пл. 62—63° (из  $CH_3OH$ ) и N-(4-окси-1,1-диметилбутил)-бензолсульфамид, т. пл. 93—94° (из водн.  $CH_3OH$ ). Аналогично получению I из III, при действии конц. HBr на XII синтезирован II, выход 87%, т. пл. 179—180°. Из II и XI получен XIII. Обработкой водн. р-ром NaOH II превращен в 2,2-диметилпирролидин (XIV), выход 61%, бромгидрат, т. пл. 172—174°. Из XIV (полученного из 1 г II) и 3 мл  $C_6H_5Br$  в течение недели при периодич. подщелачивании р-ром NaOH по фенолфталеину получен бромгидрат N-бутил-2,2-диметилпирролидина, выход 0,3 г, т. пл. 146—147° (из этилацетата-аcetона). Из 247 г VII 47,5 мл пиридина и 90 мл  $PBr_3$  получен VIII, выход 71%, т. кип. 145—155°. К эфир. р-ру 3-этоксипропилмагний-бромид, приготовленному из 161 г VIII, прибавлено в течение 30 мин. 1,2 моля ацетона в 85 мл эфира, получен IX, выход 75%, т. кип. 175—188°. Из IX с 4,32 моля конц. HCl получен 2-хлор-5-этокси-2-метилпентанол, выход 37%, т. кип. 164—176° (разл.). Для получения VI к смеси 36,5 г IX, 13 г 95%-ного NaCN и 31 мл  $CH_3COOH$  прибавляли постепенно смесь 34 мл конц.  $H_2SO_4$  и 31 мл  $CH_3COOH$ ; после подщелачивания, кипячения (5 час.) и перегонки с паром выделен VI, выход 55%, т. кип. 170—180°, пикрат, т. пл. 118—120° (из хлф.) Из VI действием конц. HJ и затем XI получен XIII. Для получения X к смеси 136 мл конц.  $H_2SO_4$  и 125 мл  $CH_3COOH$  прибавляли (30 мин., 50—60°) смесь 126 мл 2-метилпентанола-2, 125 мл  $CH_3COOH$  и 51,8 г 95%-ного NaCN; после подщелачивания, кипячения (7 час.) и перегонки с паром выделено 75 г X, т. кип. 99—104°, хлоргидрат, т. пл. 207—208° (из этилацетата), бензолсульфонильное производное (XV), т. пл. 89—90° (из гексана). Из XV обработкой конц. HBr при 150° получен 2-бром-2-метилпентан, т. кип. 131° (разл.). А. Т.

**3374. Получение гем-замещенных 4-бромбутиламинов. II. 4-бром-2,2-диалкил- и диарилбутиламины. Браун, Гьюлик** (The preparation of geminally substituted 4-bromobutylamines. II. 4-bromo-2,2-dialkyl- and diarylbutylamines. Brown Ronald F., Gulick Norman M. van), J. Amer. Chem. Soc., 1955, 77, № 5, 1083—1089 (англ.)  
С целью изучения влияния характера и расположе-

ния гем-заместителей на скорость циклизации в пирролидины (см. сообщение I, реф. 3773) получены 4-бром-2,2-диалкил- и диарилбутиламины (I) и их бромгидраты (БГ). Нитрилы (II) р-дией с  $R'OCH_2CH_2Br$



$R'OCH_2CH_2CR_2'CN$  IIIa-e

a  $R'=CH_3$ ; б  $R'=C_2H_5$ ; в  $R'=C_6H_5$ ; г  $R'=n-C_4H_9$ ;

д  $R'=и$ - $C_3H_7$ ; III a-d, IV a-d  $R'=C_6H_5$ ; IIIe, IVe

$R'=CH_3$ ,  $R'=и$ - $C_3H_7$ ,

в присутствии  $(C_2H_5)_2NLi$  по методу Циглера (Ziegler K., Ohlinger H., Liebigs Ann. Chem., 1932, 495, 84) превращают в алкокси-, арилоксинитрилы (III). При использовании NaH выход III заметно ниже. IIIa — г восстанавливаются  $LiAlH_4$  (в эфире) до алкокси-, арилоксиаминов (IVa — г). При действии  $LiAlH_4$  на IIIд образуется не IVд, а пирролидин (Vд) (выходы в эфире или тетрагидрофуране соответственно 9 и 26%). В отличие от этого IIIе, имеющий менее подвижную  $CH_3O$ -группу, восстанавливается в IVе. Расщепление IV р-ром HBr происходит без изомеризации и приводит к I-HBr, причем IVa, б легко превращаются в Ia, б, IVе наряду с Id (47%) образует Vд (36%), а IVд лишь в незначительной мере переходит в Id; IVв, г дают в основном Vв, г и немного Ib, г. I-HBr в воде легко циклизуются в V-HBr (см. сообщение I). Все I дают отрицательную Ni-пробу (см. сообщение I) на первичные амины и положительную — на вторичные амины. Ia — д при действии реактива Гинсберга циклизуются в 1-фенилсульфонил-3,3-диалкилпирролидины (Vla — д). Строение VI подтверждено на одном примере тем, что восстановление асимм-диметилсукцинимид (VII) приводит к Va, бензолсульфамид которого идентичен с Vla. IIIa при восстановлении Na и бутанолом-2 дает IVa (62%), а IIIв расщепляется до 1-фенокси-3,3-дифенилпропана (выход 91%, т. пл. 85—86° (из этилацетата)); IIIд в этих условиях, оставаясь на 76% неизменным, образует Vд (0,5%) и нейтр. в-во, т. пл. 114—115°. IIIд не гидрируется со скелетным Ni-катализатором (100°, 100 ат., 4 часа). Для построения углеродного скелета I без успеха были испробованы другие пути: гидролиз этилового эфира 2-диан-3,3-диметил-4-нитробутановой к-ты (VIII), расщепление по Гофману моноамида 3,3-диметилглутаровой к-ты (IX) и его метилового эфира (X). К 0,5 моля  $(C_2H_5)_2NLi$  (из  $C_6H_5Li$  и  $(C_2H_5)NH$ , высушенного над  $CaH_2$ ) в эфире прибавляют 5 мин. р-р 0,5 моля II в 100 мл эфира (или  $C_6H_6$  для IIв, г). К кипящему р-ру по каплям добавляют (0,5 часа для IIa, б, д и 5—10 мин. для II в, г) 0,5 моля феноксиэтилбромид, кипятят 2 часа, промывают водой и разб. HCl и получают III, причем алифатич. III очищают перегонкой (последовательно приведены выходы в %, т. кип. в °C/1 мм и т. пл. в °C): IIIa, 88, 91—95, 37—39; IIIб, 75, 110—113, —; IIIв, 87, —, 86—87; IIIг —, —, 18—20°; IIIд, 25, 124—128, —. Аналогично получен IIIе, выход 31%, т. кип. 129—132°/24 мм. Если IIIa синтезируют в присутствии  $NaNH_2$  в жидком  $NH_3$ , то выход составляет 59%. 1 моль IIIa — г в 400 мл эфира ( $C_6H_6$  для IIIв) прибавляют 30 мин. к кипящей смеси 1,25 моля  $LiAlH_4$  в 1,8 л эфира, нагревают еще 30 мин., разлагают 5 молями *и*- $C_3H_7OH$  и смешивают с 310 мл насыщ. р-ра NaCl. IVa, б перегоняют, IV в, г выделяют в виде БГ из эфирного р-ра добавлением 125 мл конц. HBr и кристаллизацией из  $CH_3OH$ . БГ IVa, б кристаллизуют из  $CH_2ClCH_2Cl$ . Получены (последовательно указаны выходы в %, т. кип. IV в °C/20 мм и т. пл. БГ в °C): IVa, 81, 158—162, 121—122; IVб, 80, 183—187, 140—141; IVв, 90, —, 215—216;



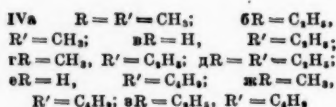
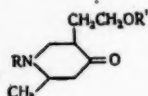
IVr, 88, —, 246—247. Восстановлением IIIe (эф. р-р, нагревание 16 час.) получают IVe, выход 92%, т. кип. 132—136°/24 мм. Расщеплением IVa и IVb под действием конц. HBr (см. сообщение I) получены Ia-HBr, выход 93%, т. пл. 188—189° (из  $\text{CHCl}_3$  и  $\text{CH}_3\text{CN}$ ) и IVb, выход 63%, т. пл. 170—171° (из  $\text{CHCl}_3$  и  $\text{CH}_3\text{CN}$ ). IVd с HBr образует Id-HBr, выход 40%, т. пл. 186—187° (из  $\text{CH}_2\text{Cl}_2$ , добавлением гексана), и Vd-HBr, выход 36%. Смесь 1 г IV в HBr, 2 мл  $\text{CH}_3\text{CH}_2\text{COOH}$  и 2,7 мл конц. HBr кипятят 48 час., р-ритель отгоняют в вакууме, остаток обрабатывают этилацетатом и получают Vb-HBr, выход 72%. Из р-ра в этилацетате выделяют Ib-HBr, выход 3%, т. пл. 194—195° (разл., из этилацетата- $\text{CH}_2\text{Cl}_2$ ). Аналогично IVr дал Vg-HBr, выход 59%, и Ir-HBr, выход 3%, т. пл. 240—241°. Циклизацией I получены следующие V (последовательно приведены т. кип. в °C, т. пл. в °C, т. пл. в °C): Va, 114—115, 103—105, 49—50; Vb, 169—170, 61—62, 37—38; Vg, масло, 251—252, 127—128; Vg, т. пл. 41—42°, 230—231, 100—101; Vd, 206—208, 124—125, 88—89. 86 г асимм-диметилглютарного ангидрида (получен по улучшенной методике (Smith P. A. S., Horwitz J. P., J. Amer. chem. Soc., 1949, 71, 3418). выход 67%, т. кип. 110—118°/18 мм), в 100 мл эфира приливают к смеси 300 мл эфира и 46 г жидкого  $\text{NH}_3$ , р-ритель удаляют, остаток кипятят с 500 мл ксилола с отгонкой воды. Через 30 мин. р-р фильтруют горячим, охлаждают и получают VII, выход 73%, т. пл. 107—109° (из этилацетата). 57,2 г VII восстанавливают при помощи 61 г  $\text{LiAlH}_4$  в 1,5 л тетрагидрофурана, выход Va 79%, т. кип. 114—115°, сульфамид, т. пл. 49—50° (из водн.  $\text{CH}_3\text{OH}$ ). При восстановлении VII Na и бутанол-2 в 1,2-диэтоксигетане образуется в-во с т. кип. 78—81°, а в толуоле — в-во состава  $(\text{C}_6\text{H}_5\text{NO}_2)_2$ , т. кип. 232—233°. IIa (выход 89%, т. кип. 102—104°), IIb (выход 88%, т. кип. 141—143°) и IIг (выход 94%, т. кип. 160°/3 мм, т. пл. 46,5—47°) получают дегидратацией соответствующих амидов к-т нагреванием (4—8 час.) с  $\text{SOCl}_2$  в  $\text{CHCl}_3$  (IIг в дихлорэтане). IIд синтезирован (ср. Marshall F. C. B., J. Chem. Soc., 1930, 2754) алкилированием  $\text{CNCH}_2\text{COOC}_2\text{H}_5$  при помощи *изо*- $\text{C}_3\text{H}_7\text{J}$  в присутствии *изо*- $\text{C}_3\text{H}_7\text{ONa}$ , гидролизом эфира, выход 93%, т. кип. 120—125°/17 мм, и декарбоксилированием к-ты; выход 83%, т. кип. 169—170°. Смесь 81 мл ацетона, 106 мл циануксусового эфира и 2,3 г  $\text{CH}_3\text{COONH}_4$  оставляют на 3 дня и отгоняют воду с добавкой  $\text{C}_6\text{H}_6$ . Добавляют 1 г  $\text{CH}_3\text{COONH}_4$  и 30 мл ацетона и через 2 дня повторяют отгонку воды, получают изопропилдипиануксусный эфир (XI), выход 78%, т. кип. 116—132°/20 мм. Присоединением  $\text{CH}_3\text{NO}_2$  к XI в присутствии  $\text{CH}_3\text{ONa}$  в абс.  $\text{CH}_3\text{OH}$  (ср. Kohler E. P., Engelbrecht H., J. Amer. Chem. Soc., 1919, 41, 764) получают VIII, выход 74%, т. кип. 107—115°/2 мм. VIII при нагревании 19 час. в водн. NaOH превращается в смолу, а при кислот гидролизе [в смеси конц. HCl (к-ты) и  $\text{CH}_3\text{OH}$ , 19 час. кипячения, или в смеси конц. HCl и диоксана, 100 час. кипячения] образуются  $(\text{NH}_4)_2\text{CO}_3$  и асимм-диметилглютарная к-та.  $\text{NH}_4$ -соль 3,3-диметилглютаровой к-ты при действии  $\text{Cl}_2$  в водн. р-ре NaOH превращается в 4-4-диметилглютаридон-2, т. кип. 150—155°/18 мм. Расщеплением IX по Гофману бромом в присутствии  $\text{CH}_3\text{ONa}$  в абс.  $\text{CH}_3\text{OH}$  получено в-во с т. кип. 140—145°/2 мм, гидролиз которого (30%-ный р-р NaOH, 4 часа нагревания) и последующее бензоилирование приводит, повидимому, к 4-бензоиламино-3,3-диметилглютаровой к-те, т. пл. 117—120° (из  $\text{CH}_3\text{OH}$ , затем гексана- $\text{CHCl}_3$ ). X (т. кип. 110—115°/2 мм) при аналогичной р-ции дал в-во с т. пл. 269°, содержащее бром, и 3,3-диметилглютаримид. При расщеплении по Курциусу моноамида 3,3-диметилглютаровой к-ты (нагревание в смеси  $\text{CH}_3\text{COOH}$  и *н*- $\text{C}_4\text{H}_9$  эфира) образуется в-во с т. пл. 50—55°. В. З.

3775. Трихлораминоспирты. II. 1,1,1-трихлор-2-алкокси-3-аминопропаны. Томпсон, Луддес Фулмер, Эванс, Беркетт (Trichloraminoalcohols. II. 1,1,1-trichloro-2-alkoxy-3-aminopropanes. Thompson Ione, Louldudes Spiro, Fulmer Richard, Evans Francis, Burkett Howard, J. Amer. Chem. Soc., 1953, 75, № 20, 5006—5008 (англ.).

Получен ряд соединений типа 1,1,1-трихлор-2-алкокси-3-нитропропана  $\text{CCl}_3\text{CH}(\text{OR})\text{CH}_2\text{NO}_2$  (I), 1,1,1-трихлор-2-алкокси-3-аминопропана  $\text{CCl}_3\text{CH}(\text{OR})\text{CH}_2\text{NH}_2$  (II) и 1,1,1-трихлор-2-алкокси-3-диметиламинопропана  $\text{CCl}_3\text{CH}(\text{OR})\text{CH}_2\text{N}(\text{CH}_3)_2$  (III). Соединения типа I получались нагреванием (100—120°, 1—4 дня) 1 моля 1,1,1-трихлор-3-нитропропана (IV) с 2—4 молями различных спиртов. Получены следующие I (приведены R, выход в %, т. кип. °C/мм,  $n_D$  (т-ра),  $d_4$  (т-ра):  $\text{CH}_3$ , 99,0, 94/18, 1,4822 (22), 1,414 (23);  $\text{C}_2\text{H}_5$ , 95,2, 130/25, 1,4725 (29), 1,334 (24);  $\text{C}_3\text{H}_7$ , 92,5, 136/20, 1,4725 (28), 1,326 (24);  $(\text{CH}_3)_2\text{CH}$ , 52,1, 105/6, 1,4775 (20), 1,396 (20); *н*- $\text{C}_4\text{H}_9$ , 98,1, 101/3, 1,4700 (29), 1,315 (25);  $(\text{CH}_3)_2\text{CHCH}_2$ , 98,1, 106/5, 1,4693 (21), 1,310 (25); *н*- $\text{C}_6\text{H}_{11}$ , 89,0, 117/3, 1,4703 (20), 1,286 (20);  $(\text{CH}_3)_2\text{CHCH}_2\text{CH}_2$ , 98,3, 110/3, 1,4680 (29), 1,308 (25); *н*- $\text{C}_8\text{H}_{17}$ , 92,2, 128/5, 1,4670 (25), 1,240 (25);  $\text{C}_6\text{H}_5\text{CH}(\text{CH}_3)\text{CH}_2$ , 55,4, 124/2, 1,4695 (20), 1,216 (20);  $(\text{C}_6\text{H}_5)_2\text{CHCH}_2$ , 62,3, 109/1, 1,4718 (20), 1,257 (20);  $(\text{CH}_3)_2\text{CHCH}_2\text{CH}(\text{CH}_3)$ , 60,3, 101/2, 1,4748 (20), 1,283 (20); *н*- $\text{C}_2\text{H}_5$ , 90,5, 131/2, 1,4692 (20), 1,213 (20); *н*- $\text{C}_3\text{H}_7$ , 93,0, 121/1, 1,4690 (20), 1,189 (20);  $\text{CH}_3(\text{CH}_2)_5\text{CH}(\text{CH}_3)$ , 60,1, 131/2, 1,4703 (20), 1,200 (20); *н*- $\text{C}_{10}\text{H}_{21}$ , 75,0, 156/1, 1,4651 (31), 1,140 (25);  $\text{C}_6\text{H}_{11}$ , 58,5, 125/2, 1,4998 (20), 1,342 (20);  $\text{C}_6\text{H}_{11}\text{CH}_2$ , 77,6, 127/1, 1,4919 (20), 1,251 (20); 4- $\text{CH}_3\text{C}_6\text{H}_{10}$ , 38,8, 130/2, 1,4948 (20), 1,297 (20);  $\text{C}_6\text{H}_5\text{CH}_2\text{CH}_2$ , 87,5, 147/1, 1,5320 (20), 1,349 (20);  $\text{C}_6\text{H}_5(\text{CH}_2)_2$ , 77,0, 150/1, 1,5183 (28), 1,292 (25);  $\text{C}_6\text{H}_4(\text{CH}_2)_4$ , 66,8, 167/1, 1,5254 (20), 1,281 (20);  $\text{C}_6\text{H}_5\text{OCH}_2\text{CH}_2$ , 14,6, т. пл. 59—60°, —. К кипящему р-ру 0,2 моля I в 250 мл  $\text{C}_2\text{H}_5\text{OH}$  прибавляли за 5 мин. р-р 292 г  $\text{SnCl}_4 \cdot \text{H}_2\text{O}$  в 205 мл конц. HCl. После кипячения 6 час. смесь охлаждалась и добавлялась конц. HCl до образования осадка. Последний смешивался с 400 мл эфира, добавлялся 10%-ный р-р NaOH до растворения  $\text{Sn}(\text{OH})_2$ . Водн. слой отделялся и экстрагировался эфиром. Экстракт промывался конц. HCl. Остаток после удаления эфира содержит хлоридат II. Основную часть продукта выделяют после охлаждения кислотного р-ра. Получены следующие II-HCl (приведены R, выход %, т. пл. °C (из сп.-конц. HCl)):  $\text{CH}_3$ , 53, 220—230 (разл.);  $\text{C}_2\text{H}_5$ , 54, 210—213 (разл.);  $\text{C}_3\text{H}_7$  (V) 38, 233—238 (разл.);  $(\text{CH}_3)_2\text{CH}$ , 28, 265—266 (разл.); *н*- $\text{C}_4\text{H}_9$ , 37, 195—199 (разл.);  $(\text{CH}_3)_2\text{CHCH}_2$ , 65, 230—240 (разл.); *н*- $\text{C}_5\text{H}_{11}$ , 38, 188—189 (разл.);  $(\text{CH}_3)_2\text{CHCH}_2\text{CH}_2$ , 35, 172—175 (разл.); *н*- $\text{C}_6\text{H}_{13}$  (VI) 32, 185—190;  $(\text{C}_2\text{H}_5)_2\text{CHCH}_2$ , 29, 187—189 (разл.);  $(\text{CH}_3)_2\text{CHCH}_2\text{CH}(\text{CH}_3)$ , 17, 225—229 (разл.); *н*- $\text{C}_7\text{H}_{15}$  (VII) 62, 158—159; *н*- $\text{C}_8\text{H}_{17}$ , 47, 116—117;  $\text{CH}_3(\text{CH}_2)_5\text{CH}(\text{CH}_3)$ , 46, 169—171; *н*- $\text{C}_{10}\text{H}_{21}$ , 47, 109—110,5;  $\text{C}_6\text{H}_{11}$ , 64, 216—217 (разл.);  $\text{C}_6\text{H}_{11}\text{CH}_2$ , 40, 206—208 (разл.); 4- $\text{CH}_3\text{C}_6\text{H}_{10}$ , 16, 121—122;  $\text{C}_6\text{H}_5\text{CH}_2\text{CH}_2$ , 62, 165—166;  $\text{C}_6\text{H}_5(\text{CH}_2)_2$  (VIII), 33, 178—179 (разл.);  $\text{C}_6\text{H}_5(\text{CH}_2)_4$ , 47, 149—150. К хлоридату II (0,2 моля) добавлялся 5%-ный р-р NaOH. Водн. слой отделялся и к амину добавлялся р-р  $\text{CH}_2\text{O}$  (0,22 моля), в 90%-ной  $\text{HCOOH}$  (0,5 моля). После 15 мин. стояния и нагревания (5 час., 130°) добавлялось 0,22 моля конц. HCl и смесь выпаривалась досуха. Остаток растворялся в воде, р-р подщелачивался  $\text{NH}_4\text{OH}$ , экстрагировался эфиром. Получены следующие III (приведены R, выход в %, т. кип. в °C/мм,  $n_D$  (т-ра),  $d_4^{25}$ ):  $\text{CH}_3$ , 56, 64/4, 1,4650 (31), 1,239;  $\text{C}_2\text{H}_5$ , 67, 93/14, 1,4607 (25), 1,190;  $\text{C}_3\text{H}_7$ , 66, 111/17, 1,4589

(32), 1,164;  $\text{CH}_3(\text{CH}_2)_3$ , 66, 122/25, 1,4556 (31), 1,131;  $(\text{CH}_3)_2\text{CHCH}_2$ , 61, 125/26, 1,4596 (34), 1,138;  $(\text{CH}_3)_2\text{CHCH}_2\text{CH}_2$  (IX), 30, 106/4, 1,4590 (25), 1,175;  $n\text{-C}_6\text{H}_{13}$ , 71, 108/3, 1,4600 (27), 1,080;  $\text{C}_6\text{H}_5(\text{CH}_2)_3$ , 43, 154/3, —, т. пл. 125—127°. При р-ции IV с  $n\text{-C}_4\text{H}_9\text{SH}$  получен  $\text{CCl}_3\text{CH}(\text{SC}_4\text{H}_9\text{-}n)\text{CH}_2\text{NO}_2$  (X), выход 68%; т. кип. 138°/1 мм,  $n_D^{20}$  1,5138,  $d_4^{25}$  1,345.  $\text{NO}_2$ -группу X не удалось восстановить. Соединения типа II и III испытаны на противосудорожную активность. Наиболее активными соединениями оказались V, VI, VII, VIII и IX. Предыдущее сообщение см. РЖХим, 1953, 4565. Р. С. 3776. Действие аммиака и первичных аминов на алкоксикетоны. Назаров И. Н., Вартанян С. А., Жамагорян В. Н., Ж. общ. химии, 1955, 25, № 6, 1117—1123

Реакция аммонолиза алкоксикетонов с различным положением алкоксигруппы по отношению к карбонилу под действием  $\text{NH}_3$  или первичных аминов (ПА) наблюдается лишь в случае  $\beta$ -алкоксикетонов, содержащих Н-атомы в  $\alpha$ -положении, и приводит к образованию соответствующих  $\beta$ -аминокетонов. Исследование механизма этой р-ции показало, что она протекает через отщепление молекулы спирта с последующим аминированием  $\alpha,\beta$ -непределенных кетонов. 1,7-Диметоксип-3-метилпентен-3-он-5 (I) с  $(\text{CH}_3)_2\text{NH}$  образует 1-метоксип-3-метил-7-диметиламинопентен-3-он-5 (II). При действии на  $\beta,\gamma'$ -диалкоксикетоны  $\text{ROCH}_2\text{CH}_2\text{C}(=\text{CH}_2)\text{COCH}_2\text{CH}(\text{CH}_3)\text{OCH}_3$  (IIIa R =  $\text{CH}_3$ , б R =  $\text{C}_2\text{H}_5$ , в R =  $\text{C}_4\text{H}_9$ ) водн. р-ров  $\text{NH}_3$  и ПА образуются 2-метил-5- $\beta$ -алкоксипентилпиперидины-4 (IVa—з). Полученный конденсацией диэнопропилкетона (V) с  $\text{CH}_2\text{O}$  2,4,4-триметил-5-оксипентан-он-3 (VI) после метилирования дает 2,4,4-триметил-5-метоксипентанон-3 (VII), причем



последний, также как и 2-метил-2-метоксипентанон-3, не реагирует с  $(\text{CH}_3)_2\text{NH}$ . 5-Метил-1,5-диметоксигексанон-3 (VIII) с  $(\text{CH}_3)_2\text{NH}$  образует 5-метил-1-диметиламиногексан-4-он-3 (IX). 20 г I и 50 мл 25%-ного водн. р-ра  $(\text{CH}_3)_2\text{NH}$  нагревают (здесь и далее — в запаянной ампуле, 65°, 2 часа), смесь нейтрализуют  $\text{HCl}$ , удаляют нейтр. продукты и высаливают поташом, выход II 12,5 г, т. кип. 98—99°/4 мм,  $n_D^{20}$  1,476,  $d_4^{20}$  0,9453, хлоргидрат (ХГ), т. пл. 149—150° (из сп.). 20 г IIIa и 20 г 30%-ного водн. р-ра  $\text{CH}_3\text{NH}_2$  в присутствии пирогаллола нагревают (65°, 2 часа), после обычной обработки выделяют IVa, выход 13,4 г, т. кип. 99,5—102,5°/3 мм,  $n_D^{20}$  1,4715,  $d_4^{20}$  0,9882, 2,4-динитрофенилгидразон (ДФГ), т. пл. 170° (из ацетона), ХГ, т. пл. 165° (из сп.). Р-р 14,2 г IIIa и 9 г 50%-ного  $\text{C}_2\text{H}_5\text{NH}_2$  в 10 мл спирта нагревают (70°, 6 час.), выход IVб 6,4 г, т. кип. 103—105°/4 мм,  $n_D^{20}$  1,4742,  $d_4^{20}$  0,9752, ДФГ, т. пл. 116—117° (из сп.), ХГ, т. пл. 162—163° (из ацетона). Смесь 20,5 г IIIб, 50 г водн. р-ра  $\text{NH}_3$  и 20 мл спирта насыщают  $\text{NH}_3$  при 0° (привес 20 г) и нагревают (60°, 3,5 часа), выход IVв 4,5 г, т. кип. 103—104°/5 мм,  $n_D^{20}$  1,4668,  $d_4^{20}$  0,9807, ДФГ, т. пл. 165—167° (из сп.). Р-р 13 г IIIб и 28 мл 25%-ного водн. р-ра  $\text{CH}_3\text{NH}_2$  в 15 мл спирта нагревают (60°, 3 часа), подкисляют  $\text{HCl}$ , удаляют нейтр. соединения и кислый р-р нагревают с обратным холодильником (50°, 4 часа), выход IVг 8,1 г, т. кип. 109—110°/4 мм,  $n_D^{20}$  1,4689,  $d_4^{20}$  0,9714, ДФГ, т. пл. 188°

(из сп.), ХГ, т. пл. 169—170° (из ацетона). Смесь 15 г IIIб, 11 г 50%-ного  $\text{C}_2\text{H}_5\text{NH}_2$  и 5 мл спирта нагревают (68°, 6 час.) и далее обрабатывают, как при получении IVг, выход IVд 6 г, т. кип. 113—115°/5 мм,  $n_D^{20}$  1,4688,  $d_4^{20}$  0,9605, ДФГ, т. пл. 195° (из сп.), ХГ, т. пл. 156° (из ацетона). Смесь 13 г IIIв, 20 мл спирта и 50 мл водн.  $\text{NH}_3$  насыщают  $\text{NH}_3$  (привес 20 г) и нагревают (60°, 10 час.), выход IVе 1,9 г, т. кип. 129—130°/6 мм,  $n_D^{20}$  1,4668,  $d_4^{20}$  0,9556, ДФГ, т. пл. 145° (из сп.). 6,8 г IIIв, 7 г 24%-ного водн. р-ра  $\text{CH}_3\text{NH}_2$  и 10 мл спирта нагревают (65°, 3 часа), выделяют 4,5 г смеси IVж и 1,2-диметил-5- $\beta$ -бутоксипентил-4-метилиминопиперидина, т. кип. 129—130/5 мм,  $n_D^{20}$  1,4645; к этой смеси добавляют 40 г 10%-ной  $\text{HCl}$ , через 12 час. нагревают 4 часа при 58—63° и выделяют 3,8 г чистого IVж, т. кип. 115—116°/2 мм,  $n_D^{20}$  1,4658,  $d_4^{20}$  0,9504, ХГ, т. пл. 157—158° (из ацетона). 13 г IIIв, 7 г 50%-ного  $\text{C}_2\text{H}_5\text{NH}_2$  и 10 мл спирта нагревают (65—70°, 5 час.) и затем в кислой среде нагревают с обратным холодильником (50°, 4 часа), выход IVа 6,2 г, т. кип. 137—138°/5 мм,  $n_D^{20}$  1,4688,  $d_4^{20}$  0,9445, ХГ, т. пл. 148—150° (из ацетона). В 50 мл  $\text{CH}_3\text{OH}$  растворяют 1,5 г Na, добавляют 50 г V и 20 г параформа, кипятят 6 час., через 12 час.  $\text{CH}_3\text{OH}$  удаляют в вакууме, остаток нейтрализуют  $\text{HCl}$  и выделяют VI, выход 26 г, т. кип. 85—86°/16 мм,  $n_D^{20}$  1,4430,  $d_4^{20}$  0,9293, ДФГ, т. пл. 152—153°. К р-ру 20 г NaOH в 90 мл воды добавляют 35 г VI и (постепенно) 40 г  $(\text{CH}_3)_2\text{SO}_4$ , перемешивают 1,5 часа, через 12 час. перемешивают 3 часа при 40°, добавляют р-р 20 г NaOH в 40 мл воды, нагревают (50°, 4 часа) и выделяют VII, 8 г, т. кип. 90—92°/25 мм,  $n_D^{18}$  1,4300. 20 г VIII и 40 г 24%-ного водн. р-ра  $(\text{CH}_3)_2\text{NH}$  нагревают (70°, 2 часа), выход IX 6,8 г, т. кип. 90—93°/11 мм,  $n_D^{20}$  1,4596, циклат, т. пл. 106° (из сп.); при оставлении смеси тех же кол-в реагентов на двое суток выход IX 7,3 г. С. Г.

3777. Синтез и бактерицидные свойства некоторых четвертичных высших алкил- и алкенилди-(2-оксипропила)-аммониевых солей. Стефанович, Чирич (Synthese und bacterizide Wirkung einiger quaternärer höherer Alkyl- und Alkenyl-bis-(2-Oxyäthyl)-Ammoniumsalze. Stefanović Gjorgje, Ćirić Jovan, Recueil trav. chim., 1954, 73, № 6, 401—409 (нем.)

Взаимодействием алкил-(алкенил)-галогенидов с избытком диэноламина (I) в тетрагидрофуриловом спирте при кипячении с последующим добавлением водн. р-ра NaOH и  $n$ -бутанола получены третичные амины (ТА) общей ф-лы  $\text{RN}(\text{CH}_2\text{CH}_2\text{OH})_2$ ; они не кристаллизуются, как и их хлоргидраты, пикраты, а также ацетильные и бензоильные производные; с водой дают стойкую пену. Для ТА приводятся выход в %, т. кип. в °C,  $n_D^{20}$  и  $d_4^{20}$ : при R — децил, 83, 203—204/12 мм, 1,4675, 0,9214; гексадецил, 86, 254—256/1 мм; октадецен-9-ил, 73, 220—232/0,5—1 мм, 1,4730, 0,8994; 11-циклопентен-2'-ил- $n$ -ундецил, 69, 197—198/0,1 мм, 1,4878, 0,9634; 13-циклопентен-2'-ил- $n$ -тридецил, 73, 217—218/0,1 мм, т. пл. 27°,  $n_D^{20}$  1,4855,  $d_4^{20}$  0,9442. В р-цию с I (в оригинале — с триэтанол-амином) введена также смесь бромидов (33 г) из смеси спиртов, подготовленной восстановлением к-т хаульмугрового масла; получено 26 г смеси аминов (ТАХМ), т. кип. 200—220°/0,1 мм,  $n_D^{20}$  1,4861,  $d_4^{20}$  0,9435. Из 5 г гексадецилди-( $\beta$ -оксипропила)мина и 10 г 3,5-динитробензоилхлорида в 20 мл  $\text{C}_6\text{H}_6$  (кипение, 15 мин.)

получен гексадецилди-[2-(3',5'-динитрофенилкарбон-этил)амин], выход 80%, т. пл. 87° (из бзл.). Взаимодействием ТА с  $C_6H_5CH_2Cl$  в спирте (в автоклаве, 90—95°, 12—22 час.) получены четвертичные аммониевые соли (ЧА) общей ф-лы  $[R(НОСН_2CH_2)_2(C_6H_5 - CH_2)_2N]Cl$ ; их водн. р-ры сильно пенятся и бактерицидны. Для ЧА приводятся: выход, т. пл., а также число мл воды на 1 г ЧА в р-ре, еще убивающем за 2,5 мин. *Staph. aureus* (а) и *B. Gaertner* (б): R-децил, 83%, 106—108° [из этилацетата (II) и эф.], (а) 1000, (б) 1000; гексадецил, 76%, 94—98° (из II), (а) 6000, (б) 5000; октадецен-9-ил, 60%, 11-циклопентен-2'-ил-н-удецил, 75%; 13-циклопентен-2'-ил-н-тридецил, 79%, 120° (из II и эф.), (а) 8000, (б) 2000. Из 35 г ТАХМ и 8,5 г  $C_6H_5CH_2Cl$  в тех же условиях получена смесь ЧА — кристаллич., выход 15 г, т. пл. 113° (из II), (а) 10 000, (б) 4000, и воскообразного, выход 8 г, (а) 10 000, (б) 9000. Для сравнения: фенол — (а) 60, (б) 60; «зефирол» (хлорид алкилдиметилбензиламония с алкильными радикалами, соответств. жирным к-там кокосового масла) — (а) 1000, (б) 1000. В. Н.

3778. β-Цианэтиловые эфиры полиметилеи-бис-дитиокарбаминных кислот и их производные. Делан, Дамьен, Седан-Пени (Sur les polyméthylène bis-(dithiocarbamates de β-cyanoéthyle) et leurs dérivés. Delaby Raymond, Damien Robert, Seyden-Penne Robert, m-me), C. r. Acad. sci., 1954, 239, № 23, 1645—1647 (франц.)

В дополнение к прежним опытам (РЖХим, 1954, 44589) синтезированы β-цианэтиловые эфиры полиметилеи-бис-дитиокарбаминных к-т общей ф-лы  $CNCH_2CH_2SCSNC(CH_2)_nNRCSSCH_2CH_2CN$ , исходя из симметричных алифатич. вторичных диаминов, которые в присутствии NaOH легко присоединяют  $CS_2$  и дают Na-соли полиметилеи-бис-дитиокарбаминных к-т. Взаимодействием последних (без выделения их из реакционной смеси) с акрилонитрилом (2 моля на 1 моль соли) (при 30°) получены β-цианэтиловые эфиры. Гидратацией (конц.  $H_2SO_4$ , 0°, добавление воды) и омылением (разб.  $H_2SO_4$ , 100°, не более 15 мин.) CN-группы получены диамины и дикарбоновые к-ты. Пересчитаны л, R, т. пл. динитрила, т. пл. диамида, т. пл. дикарбоновой к-ты в °C: 2,  $C_2H_5$ , 151, 233,5, 243; 3,  $C_2H_5$ , 93, 152, 132,5; 6,  $C_2H_5$ , 72,5, 141, 103,5; 2,  $C_6H_5$ , 102, 191, 174; 3,  $C_6H_5$ , 56, 199, 96; 6,  $C_6H_5$ , 93,5, 145,5, 87; 2,  $C_6H_5CH_2$ , 119,5, 131, 187; в последнем случае для получения диамида применена смесь равных объемов  $H_2SO_4$  и  $CH_3COOH$ . Все динитрилы перекристаллизованы из спирта (абс. или водн.), к-ты — из воды. Таким же путем из пиразина получены динитрил (т. пл. 140°), диамид (т. пл. 231,5°) и дикарбоновая к-та (т. пл. 196°). Попытки перехода от динитрилов к соответствующим диамидам и диамидоксам (с применением обычных методов) успеха не имели. А. Т.

3779. Синтез сернистых веществ на основе винило-вых эфиров и ацетиленов. Сообщение 11. Ионные превращения винилэтилсульфида. Шостаковский М. Ф., Прилежаева Е. Н., Уварова Н. И., Изв. АН СССР, Отд. хим. н., 1955, № 1, 154—162

Изучено взаимодействие винилэтилсульфида (I) с водой, спиртом (II), HCl-газом (III) и HBr-газом (IV) в присутствии ионных катализаторов. Показано, что присоединение II—IV к I протекает по правилу Марковникова. Гидролиз I под влиянием слабосилового р-ра  $NH_4OH \cdot HCl$  (V) требует значительно более жестких условий, чем в случае винилэтилового эфира. Так, за 2 часа реагирует только 7—10% I, в то время как гидролиз винилалкиловых эфиров в этих условиях протекает количественно. Под действием 5%-ой HCl (к-ты) гидролиз I протекает легче, чем в присутствии V.

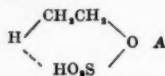
Однако этот метод неприменим для колич. определения I, так как кол-во образующегося  $CH_3CHO$  не отвечает ни одному из ур-ний р-ции. Скорость р-ции I с II очень невелика. Образующийся моноэтиоацеталь (VI) нестойк и склонен к р-циям диспропорционирования и перегерификации. При взаимодействии I с III и IV с хорошими выходами получаются соответствующие α-галогид-диэтилсульфиды (VII). Осуществить присоединение IV к I в среде инертного р-рителя и в присутствии динитрила азонизомасляной к-ты вопреки правилу Марковникова не удалось, что опровергло имеющиеся в литературе указания (Whither C., Reid E. E., J. Amer. Chem. Soc., 1921, 43, 636—638) о легкости «аномального» присоединения IV к тиовиниловым эфирам. Строение VII было доказано гидролизом, в результате которого образуется галогидоводород,  $CH_3CHO$  и диэтилмеркаптан (VIII) с колич. выходом. α-Хлордиэтилсульфид (IX) при хранении более стойк, чем α-бромдиэтилсульфид (X); эфир хорошо стабилизирует эти в-ва. Гидролиз I в присутствии 0,5 н. V проводят аналогично гидролизу винилалкиловых эфиров (Шостаковский М. Ф., Прилежаева Е. Н., Ж. общ. химии, 1947, 17, 1129). 5,24 г I, 10 мл 5%-ой HCl (к-ты), 25 мл диоксана и 25 мл воды нагревают 6 час. при 100° и получают VIII, выход 76%, т. кип. 64—66°/6 мм,  $n_D^{20}$  1,5023. В смесь 0,07 моля I и 0,1 моля II в течение 5 мин. при —10° пропускают слабый ток  $SO_2$ . Т-ру медленно поднимают до 24°, выдерживают при этой т-ре 12 час. и затем нагревают 5 час. при 60° и перегоняют; выход VIII 50%, т. кип. 67—68°/13 мм,  $n_D^{20}$  1,5025,  $d_4^{20}$  0,9706. Понижение т-ры р-ции до 20° и увеличение продолжительности р-ции до 24 час. приводит к понижению выхода VIII до 46,3%. Взаимодействием 5 г I и 2,6 г II в присутствии 0,1 г HCl в диоксане (25—27%-ный р-р) получают VI, т. кип. 66,5—67°/46 мм,  $n_D^{20}$  1,4451,  $d_4^{20}$  0,9038; выход зависит от условий р-ции (пересчитаны мол. соотношение I и II, катализатор в г, продолжительность нагревания в час., т-ра р-ции в °C, выход VI): 1:1, 0,1 г HCl в диоксане, 1,5, 60, 20,0; 1:1,8, 0,1 г HCl в диоксане, 48, 18, 12,0; 1:1,2, 0,1 г 30%-ой HCl (к-ты), 48, 18, 11,0; 1:1,2, 0,1 г  $CH_3CHBrSC_2H_5$ , 48, 18, 10,5. В смесь 0,05 моля VI и 0,1 моля II при 0° пропускают 5 мин.  $SO_2$ , нагревают 1,5 часа при 60—65° и через 2 суток перегонкой выделяют этилмеркаптан и диэтилацеталь. Через 9,3 г I при —10° пропускают ток сухого HCl-газа и получают IX, выход 80,9%, т. кип. 44—47°/30 мм,  $n_D^{20}$  1,4705,  $d_4^{20}$  1,012. Аналогично из 8,5 г I и HBr-газа получают X, выход 77,1%, т. кип. 39—41,5°/5 мм,  $n_D^{20}$  1,5130,  $d_4^{20}$  1,3677. Сообщение 10 см. РЖХим, 1955, 5550. С. В.

3780. Синтез этиленсульфоната натрия из этанола. Бреслоу, Хаф, Фэрклаф (Synthesis of sodium ethylenesulfonate from ethanol. Breslow David S., Hough Robert R., Fairclough James T.), J. Amer. Chem. Soc., 1954, B7, № 21, 5361—5363 (англ.)

Простой метод синтеза этиленсульфоната натрия (I) заключается в нагревании этиновой к-ты (II) с водн. р-ром NaOH. II получен обработкой 1 моля  $C_2H_5ON$  1 молем  $SO_3$  при 0° и последующим добавлением второго моля  $SO_3$  при 50°; выход I 80% (считая на  $C_2H_5ON$ ). Доказано существование равновесия:  $2C_2H_5OSO_3H \rightleftharpoons (C_2H_5)_2SO_4 + H_2SO_4$ . Установлено, что степень чистоты этилсерной кислоты (III) не оказывает влияния на выход II и, что в продуктах синтеза II постоянно присутствует ~20%  $H_2SO_4$ , которая получается, по видимому, дегидрированием II в карбиль-сульфат при действии  $SO_3$ . Авторы считают, что при сульфировании III не образуется  $C_2H_4$ , а происходит



электрофильное смещение Н в молекуле III под влиянием  $\text{SO}_3$  с последующим удалением протона, которое облегчено образованием квази-6-членного цикла А. Исследована устойчивость I по отношению к р-ции полимеризации (в присутствии ингибиторов и без них, при рН р-ра 3 и 10; при 50 и 100°). Найдено, что лучшим ингибитором является  $\text{NaNO}_2$  и что р-р I нестабилен при 100° и рН 10. Кристаллич. I нестабилен при всех условиях. М. К.



**3781. Тетраэтилпирофосфат, меченный  $\text{P}^{32}$ . Робинсон** (Tetraethyl pyrophosphate labeled with phosphorus-32. Robinson J. R., Canad. J. Chem., 1955, 33, № 4, 722—723 (англ.))

Для получения  $(\text{C}_2\text{H}_5)_4\text{P}_2^{32}\text{O}_7$  (I) нагревают 72,4 ммоль  $(\text{C}_2\text{H}_5)_3\text{P}^{32}\text{O}_4$  (II) (с активностью 47  $\mu\text{Ки/г}$ ) (Baldwin W. H., Higgins C. E., J. Amer. Chem. Soc., 1952, 74, 2431) с 55,6 ммоль  $\text{SOCl}_2$  (70—75°, 24 часа, затем 140°, 0,5 часа) и удаляют при 10 мм летучие в-ва. Выход I 49%, т. кип. 95—100°/0,002 мм,  $n_D^{25}$  1,4174, активность I 65  $\mu\text{Ки/г}$ . Ю. З.

**3782. Исследования в ряду цикlopentана. Часть IV. Синтезы изомерных эфиров ряда цикlopentanона. Датта** (Studies in the cyclopentane series. Part IV. Synthesis of isomeric cyclopentanone esters. Dutta Phanindra Chandra, J. Indian Chem. Soc., 1954, 31, № 12, 875—880 (англ.))

Конденсацией этилового эфира  $\alpha, \beta$ -дипиан- $\beta$ -метиладициклопентановой к-ты (I) с акрилонитрилом (II), гидролизом полученного этилового эфира  $\alpha, \beta$ -дипиан- $\alpha$ -( $\beta$ -цианэтил)- $\beta$ -метиладициклопентановой к-ты (III) и последующей этерификацией получен метиловый эфир  $\alpha$ -( $\beta$ -карбометоксизтил)- $\beta$ -метил- $\beta$ -карбометоксидициклопентановой к-ты (IV). С целью получения 2-метил-2- $\beta$ -(карбометоксизтил)-3-карбоксидициклопентанона-1 (V), важного промежуточного продукта в синтезе стероидов, проведена р-ция циклизации IV под действием  $\text{CH}_3\text{ONa}$  в  $\text{C}_6\text{H}_6$ , гидролиз полученного эфира и этерификация. Однако при этом был получен этиловый эфир 2-( $\beta$ -карбометоксизтил)-4-метилциклопентанон-3-карбоновой-1 к-ты (VI), изомерный V. Для получения V конденсируют этиловый эфир 2-метилциклопентанонкарбоновой-3 к-ты (VII) (после защиты метиловой группы) с II в присутствии  $\text{трет-C}_4\text{H}_9\text{OK}$ , полученный нитрил гидролизуют и этерифицируют. Защита осуществлялась путем обработки формального производного VII метиланилином или  $\text{HC}(\text{OC}_2\text{H}_5)_3$ . В последнем случае выход V ниже. При гидролизе V HCl (к-той) получается 2-метил-2-( $\beta$ -карбоксизтил)-циклопентанон-3-карбоновая-1 к-та (VIII), у которой вторичная карбоксильная группа находится в *цис*-положении к четвертичной метильной группе и в *транс*-положении к карбоксильной группе. К р-ру 1,2 г К в 100 мл  $\text{трет-C}_4\text{H}_9\text{OH}$  добавляют 75 г I и 19 г II, оставляют на 12 час. и разлагают разб. HCl, получают III, выход 81 г, т. кип. 210—220° (т-ра бани)/0,4 мм. Смесь 150 г III и 1 л конц. HCl оставляют на 12 час. при ~20°, затем кипятят 2 дня, упаривают в вакууме, растворяют в ацетоне, фильтруют, удаляют ацетон и кипятят 3 дня с 1 л  $\text{CH}_3\text{OH}$  и 120 мл  $\text{H}_2\text{SO}_4$ , получают IV, выход 87 г, т. кип. 175—180°/1 мм. Р-р 68 г IV в 300 мл  $\text{C}_6\text{H}_6$  и  $\text{CH}_3\text{ONa}$  (из 5 г Na в 200 мл  $\text{C}_6\text{H}_6$ ) кипятят в атмосфере  $\text{N}_2$ , одновременно отгоняя и добавляя 500 мл  $\text{C}_6\text{H}_6$ ; продукт р-ции разлагают льдом с к-той, удаляют  $\text{C}_6\text{H}_6$ , остаток кипятят 16 час. с 500 мл HCl (1:1), упаривают и кипятят 20 час. с 200 мл спирта и 25 мл  $\text{H}_2\text{SO}_4$ , получают VI, выход 37 г, т. кип. 135—140°/0,5 мм, семикарбазон, т. пл. 110—112° (из разб. сп.). Приливают 17 г VII и 22 г  $\text{HCOOC}_2\text{H}_5$  к 15 г  $\text{CH}_3\text{ONa}$  в безводн. эфире, оставляют на 12 час., разла-

гают водой, отгоняют эфир от эфирного слоя и остаток формального соединения (IX) (14 г) обрабатывают 20 г  $\text{HC}(\text{OC}_2\text{H}_5)_3$ , 14 мл спирта и 5 каплями конц. HCl, нагревают, оставляют на 12 час., разлагают водн.  $\text{Na}_2\text{CO}_3$  и перегоняют, выход 15,5 г, т. кип. 125—130°/1,5 мм. 11,4 г полученной смеси добавляют к р-ру 0,2 г К в 30 мл  $\text{трет-C}_4\text{H}_9\text{OH}$ , затем добавляют 6 г II, оставляют на 12 час. и разлагают водой, получают 3,2 г продукта с т. кип. 150—160°/0,5 мм, 4,5 г этого в-ва в 30 мл  $\text{CH}_3\text{OH}$  обрабатывают 14 мл HCl (1:1) (3 часа), кипятят с 12 г NaOH в 225 мл воды, обрабатывают 250 мл HCl (1:1) и кипятят 10 час, остаток после отгонки р-рителей кипятят 20 час. с 25 мл спирта и 2,5 мл  $\text{H}_2\text{SO}_4$ , получают V, выход 2,5 г, т. кип. 140—145°/1 мм, семикарбазон, т. пл. 150—152° (из разб. сп.). К 20 г IX в 200 мл  $\text{CH}_3\text{OH}$  добавляют 12 г метиланилина, продукт конденсации (X), т. кип. 210—215°/1 мм, выход 25 г. К р-ру 0,4 г К в 60 мл  $\text{трет-C}_4\text{H}_9\text{OH}$  добавляют 32,5 г X и 12 г II, оставляют на 12 час., подкисляют HCl, упаривают, нагревают при ~100° с 15 мл HCl в 25 мл воды 30 мин., кипятят 30 мин. с 15 г NaOH в 35 мл воды и с 100 мл конц. HCl в 30 мл воды кипятят ~12 час. Остаток после отгонки р-рителей кипятят с 60 мл спирта и 6 мл  $\text{H}_2\text{SO}_4$  20 час., получают V, выход 6 г. Кипятят 2 г V с 8 мл конц. HCl 10 час., получают VIII, т. пл. 160—161° (из разб. HCl или этилацетата). Н. Ш.

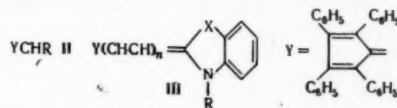
**3783. Синтез и реакции метилового эфира 2-метилциклопентен-1-он-3-карбоновой-1 кислоты. Ньюман, Мак-Ферсон** (Synthesis and reactions of methyl 2-methyl-2-methoxy-1-cyclopentenecarboxylate. Newman Melvin S., McPherson James L., J. Organ. Chem., 1954, 19, № 11, 1717—1723 (англ.))

С целью использования для синтеза стероидов получен метиловый эфир 2-метилциклопентен-1-он-3-карбоновой-1 к-ты (I) по схеме: диамусусный эфир (II), диэтиловый эфир  $\alpha$ -циано- $\beta$ -метилантарной к-ты (III) → диэтиловый эфир  $\alpha$ -циано- $\alpha$ -( $\beta'$ -цианоэтил)- $\beta$ -метилантарной к-ты (IV) → диэтиловый эфир 1-метил-2-карбоксидициклопентановой к-ты (V) → диэтиловый эфир 2-метилциклопентанон-3-дикарбоновой-1,4 к-ты (VI) → этиловый эфир 2-метилциклопентанон-3-карбоновой-1 к-ты (VII) → 2-метилциклопентен-1-он-3-карбоновая к-та (VIII) → I и изучены его р-ции. Показано, что VIII идентична с к-той, выделенной из пикротоксина, для которой ранее, на основании озонирования, была предложена структура VIII (Sutter, Schlitter, Helv. chim. acta, 1949, 32, 1861). Попытки провести диеновый синтез между I и бутадиеном, 2,3-диметилбутадиеном-1,3 и 2-метоксидибутиеном-1,3 не удалось (т-ра от ~20° до 200°; время 10—55 час., соотношение диена и диенофила от 0,1 до 10). Авторы не смогли получить этилкарбинолы из VII и I (Na, жидкий  $\text{NH}_3$ ,  $\text{C}_2\text{H}_5$  либо этилмагнийбромид и  $\text{C}_2\text{H}_5$  под давлением в 1,5 ат). При обработке I  $\text{CH}(\text{OCH}_3)_3$ , этилгликолем (IX) вместо кеталей получены соответственно метиловый эфир 3-метокси-2-метилциклопентадиен-1,3-карбоновой-1 к-ты (X) и метиловый эфир 3-(2'-оксикетон)-2-метилциклопентадиен-1,3-карбоновой-1 к-ты (XI). Положение двойных связей в X и XI не доказано. При действии IX на VII получен нормальный продукт р-ции — циклич. кеталь. Взаимодействие I с гидразином приводит, по мнению авторов, к смеси гидразона I, азина I и гидразона гидразида 2-метилциклопентен-1-он-3-карбоновой-1 к-ты (XII). К р-ру 3 молей  $\text{C}_2\text{H}_5\text{ONa}$  в 1000 мл абс. спирта при перемешивании прибавляют по каплям сначала 3,02 моля II, затем 2,99 моля этилового эфира  $\alpha$ -бромпропионовой к-ты, поддерживая т-ру реакционной смеси несколько ниже т-ры кипения, кипятят 1 час, оставляют на 1 час и получают III, выход 73%, т. кип. 156°/17 мм. К 100 мл абс. спирта, содержащему немного  $\text{C}_2\text{H}_5\text{ONa}$ , прибавляют 0,2 моля III, затем порциями 0,2 моля + 15% избытка акри-

лонитрила при 26—34°, выдерживают 1,5 часа, нейтрализуют  $\text{CH}_3\text{COOH}$  и перегоняют, выход IV 94%, т. кип. 176—179°/2—3 мм. При получении V к неочищ. IV (из 4 молей III, 4,6 моля акрилонитрила и 0,5 г Na) прибавляют при охлаждении, порциями по 500 мл в течение 1 часа 2650 мл конц. HCl, выдерживают 2 часа при ~20°, нагревают до 70—80° выдерживают 2—3 часа без нагревания, затем нагревают при т-ре близ т-ры кипения до прекращения выделения  $\text{CO}_2$  (48—72 часа), упаривают в вакууме при 65—75° почти досуха, прибавляют 1000 мл  $\text{C}_6\text{H}_6$ , перегоняют при атмосферном давлении до тех пор, пока т-ра не достигнет 80°, прибавляют 1800 мл спирта, насыщают HCl (газом) (для полной этерификации с употреблением азеотропного метода удаления воды необходимо 8—10 диев), удаляют избыток спирта и  $\text{C}_6\text{H}_6$ , нейтрализуют к-ту и получают V, выход 93%, т. кип. 150—153°/3 мм. К 4 молям +2% избытка NaH прибавляют 2400 мл сухого эфира, содержащего 5 мл абс. спирта, затем при перемешивании и охлаждении льдом, в течение 20 час. — 4 моля V, обрабатывают 1000 мл 6 н. HCl, отделяют эфирный слой, промывают 10%-ным р-ром  $\text{Na}_2\text{CO}_3$  и получают VI, выход 92,1%, т. кип. 153—156°/6—7 мм. К 3,2 моля VI прибавляют 2000 мл 10%-ной HCl, кипятят 12 час. на водяной бане, перегоняют до тех пор, пока т-ра дистилата не достигнет 95°, охлаждают, насыщают  $(\text{NH}_4)_2\text{SO}_4$ , извлекают эфиром. При этерификации продукта, выделенного из эфирного слоя, получают VII, выход 92,5%, т. кип. 124—125°/16 мм,  $n_D^{25}$  1,4489. К р-ру 3,08 моля VII в 2300 мл сухого  $\text{CCl}_4$  при 0° прибавляют по каплям р-р 3,07 моля  $\text{Br}_2$  в 767 мл  $\text{CCl}_4$ , удаляя НВг малым вакуумом, затем быстро добавляют 435 мл  $(\text{C}_2\text{H}_5)_3\text{N}$ , кипятят 2 часа, фильтруют; из фильтрата отгоняют избыток  $\text{CCl}_4$  и  $(\text{C}_2\text{H}_5)_3\text{N}$ , остаток промывают 10%-ным р-ром  $\text{Na}_2\text{CO}_3$ ; 2-кратная перегонка в малом вакууме и при 16 мм дает смесь VII и этилового эфира 2-метилциклопентанон-3-карбоновой-1 к-ты, которую перемешивают в течение 1 часа с 10%-ным р-ром NaOH, извлекают эфиром, водн. слой насыщают  $(\text{NH}_4)_2\text{SO}_4$ , прибавляют конц. HCl до прекращения выпадения осадка; осадок отфильтровывают и получают VIII, выход 50%, т. пл. 175—175,5° (из воды), семикарбазон, т. пл. 251—276° (разл.), 2,4-динитрофенилгидразон, т. пл. ~205°. Фильтрат концентрируют, насыщают  $(\text{NH}_4)_2\text{SO}_4$ , извлекают эфиром. Возврат 2-метилциклопентанон-3-карбоновой-1 к-ты (XIII) 30%, т. пл. 94° (из петр. эф.). Если исходить из метилового эфира 2-метилциклопентанон-3-карбоновой-1 к-ты, то выход VIII достигает 62%, а выход XIII 22%. К р-ру 1 моля VII в 400 мл сухого  $\text{CCl}_4$  при перемешивании прибавляют р-р 1 моля  $\text{SO}_2\text{Cl}_2$  в 150 мл свежеперегнанного  $\text{CCl}_4$  так, чтобы т-ра была 55°, кипятят 1,5 часа, охлаждают, прибавляют 1 моль  $(\text{C}_2\text{H}_5)_3\text{N}$ , перемешивают 1 час на холоду, кипятят 1 час, фильтруют и быстро перегоняют в вакууме. Фракцию с т. кип. 76—88°/1 мм обрабатывают как описано выше и получают VIII, выход 59%, XIII, выход 28%. При обработке VIII эфирным р-ром  $\text{CH}_2\text{N}_2$  получают I, выход 95%, т. кип. 84°/2 мм, 126—127,5°/16 мм,  $n_D^{25}$  1,4954. К смеси 0,05 моля I и 0,10 моля свежеперегнанного  $\text{CH}(\text{OCH}_3)_2$  прибавляют 8 г абс.  $\text{CH}_3\text{OH}$ , содержащего следы HCl (газа), оставляют на 12 час., помещают над  $\text{Na}_2\text{CO}_3$ , нагревают, фильтруют и получают X, выход 89%, т. кип. 126°/16 мм, т. пл. 29°,  $n_D^{25}$  1,5026. К смеси 0,05 моля I и 0,055 моля свежеперегнанного IX прибавляют 100 мл абс.  $\text{C}_6\text{H}_6$  и 1 г дауэкс-50, кипятят 15 час. с водоотделителем (собранный 1 мл воды), фильтруют и получают XI, выход 83%, т. кип. 133°/16 мм, 93,5°/2 мм,  $n_D^{25}$  1,4895. 0,025 моля I при 0° прибавляют 0,025 моля + 10% избытка безводн. гидра-

зина, выдерживают 12 час. в холодильнике, фильтруют, осадок весом 1 г промывают абс.  $\text{CH}_3\text{OH}$ , экстрагируют с 3000 мл  $\text{C}_6\text{H}_6$ , фильтруют. Из осадка получают XII, выход 0,4 г. Фильтрат хроматографируют на колонке 4 × 30 см, заполненной 400 мл смеси силикагеля-целита (1,55:1), проявление проводят 1000 мл р-ра, содержащего 500 мл эфира, 250 мл  $\text{C}_6\text{H}_6$  и 250 мл петр. эфира (т. кип. 65—110°); выход гидразона I 0,4 г, т. пл. 155—156° (из  $\text{CH}_3\text{OH}$ ). Смесь 0,05 моля I, 0,05 моля + 10% избытка безводн. гидразина и 50 мл абс.  $\text{CH}_3\text{OH}$ , кипятят 12 час., отфильтровывают осадок. Бензольный р-р 0,5 г этого осадка хроматографируют по вышеописанному методу; выход азина I 0,4 г, т. пл. 193—193,5°. При смешении 0,05 моля I с 0,15 моля + 10% избытка безводн. гидразина выделяется 3 г осадка, который отфильтровывают. Фильтрат обрабатывают 10 каплями гидразина, нагревают, охлаждают, отфильтровывают 2,9 г в-ва. В результате 4-кратного повторения этой операции получают 8,4 г смеси гидразона I и XII, которую обрабатывают 3000 мл  $\text{C}_6\text{H}_6$ , фильтруют. Из осадка получают XII, выход 47,6%, т. пл. 217—218° (из пиридина); из фильтрата — гидразон I, выход 50%.

М. К. 3784. Синтез 6-замещенных 1,2,3,4-тетрафенилфульвенов. Тейбер, Пайкус, Беккер, Шнёрри (Syntheses for 6-substituted-1,2,3,4-tetraphenylfulvenes. Taber David, Picus Norman, Becker Ernest I., Spoerri Paul E.), J. Amer. Chem. Soc., 1955, 77, № 4, 1010—1012 (англ.) Конденсацией тетрафенилциклопентадиена (I) с различными альдегидами получен ряд 6-замещ. 1,2,3,4-тетрафенилфульвенов (II). К кипящему р-ру 1,35 ммоль I и 7,3 ммоль альдегида в 25 мл абс.  $\text{CH}_3\text{OH}$  прибавляют (10 мин.) 50 мл 4%-ного р-ра  $\text{CH}_3\text{ONa}$  в  $\text{CH}_3\text{OH}$ , кипятят и отфильтровывают II. Получены следующие II (перечисляются R, выход в %, время кипячения в час., т. пл. в °C разл.):  $\text{C}_6\text{H}_5$ , 73, 4, 203—204°;  $n\text{-CH}_3\text{OC}_6\text{H}_4$ , 88, 2, 199—199,5 (из петр. эф.);  $n\text{-(CH}_3)_2\text{NC}_6\text{H}_4$ , 74, 3, 253—255 (из петр. эф.);  $n\text{-NO}_2\text{C}_6\text{H}_4$ , 32, 2, 227—228 (из бал.-петр. эф.);  $n\text{-ClC}_6\text{H}_4$ , 50, 2, 176—177 (из петр. эф.);  $\text{C}_6\text{H}_5\text{CH}=\text{CH}$ , 37, 2, 193—194 (из  $\text{CH}_3\text{OH}$ );  $n\text{-(CH}_3)_2\text{NC}_6\text{H}_4\text{CH}=\text{CH}$ , 16, 4, 229—231 (из бал.-петр. эф.); 1-нафтил, 49, 4, 209—211 (из  $\text{CH}_3\text{COOH}$ ); 2-фурил, 55,6 4, 187—188 (из петр. эф.); 2-хинолил, 85, 1, 75, 242—243 (из  $\text{CH}_3\text{OH}$ ); 4-хинолил, 79,7, 0,75, 226,5—227,5 (из бал.-петр. эф.); 6-хинолил, 41, 3, 210—210,5 (из бал.-петр. эф.); 2-бензтиазолил, 72,3, 0,5, 229,5—230 (из бал.-петр. эф.). Конденсацией I с четвертичными гетероциклич. соединениями, содержащими потенциальную альдегидную группу, получены 6,6-дизамещ. 1,2,3,4-тетрафенилфульвены (III). Из 4 г иодистого



2-метилмеркапто-3-метилбензтиазолия и 1,8 г I (кипение 16 час. в  $\text{CH}_3\text{OH}$ ) получают III (R =  $\text{CH}_3$ , X = S, n = 0), выход 77,5%, т. пл. 346—350° (из бал.-петр. эф.). 0,87 г иодистого 3-этил-2-(β-ацетанилидовинил)-бензоксазолия и 0,74 г I (кипение 7,25 часа в р-ре  $\text{iso-C}_3\text{H}_7\text{OH}$ ) дают III (R =  $\text{C}_2\text{H}_5$ , X = O, n = 1), выход 9,3%, т. пл. 244,5—255,5° (из  $\text{CH}_3\text{OH}$ -бэл.); из 0,9 г иодистого 3-этил-2-(β-ацетанилидовинил)-бензтиазолия и 0,74 г I (кипение 1 час в  $\text{CH}_3\text{OH}$ ) получают III (R =  $\text{C}_2\text{H}_5$ , X = S, n = 1), выход 56%, т. пл. 277—279° (из бал.-петр. эф.); аналогично из 0,97 г иодистого 3-этил-2-(β-ацетанилидовинил)-бензоселеназолия и 0,74 г I получают III (R =  $\text{C}_2\text{H}_5$ , X = Se, n = 1), выход 50%, т. пл. 278—279°; из 0,89 г

иодистого 1-этил-2-(β-ацетанилидовинил)-хинолина и 0,74 г (кипение 3 часа в  $\text{CH}_3\text{OH}$ ) получили III ( $\text{R} = \text{C}_6\text{H}_5$ ,  $\text{X} = -\text{CH} = \text{CH}-$ ,  $n = 1$ ), т. пл. 283–285° (из бзл.-петр. эф.). Бензтиазол-2-альдегид (т. пл. 75–77°) получен окислением 2-метил-бензтиазола  $\text{SeO}_2$  (Borsche, Doeller, Liebig's Ann. Chem., 1939, 537, 53). При р-ции 0,59 ммоль II ( $\text{R} = 4$ -хинолил) с 7 мл  $\text{CH}_3\text{I}$  (~20°, 2 дня, и кипение 0,5 часа) эфиром осаждают подметилат, выход 91%, т. пл. 264–265° (разл.); аналогично из II ( $\text{R} = 6$ -хинолил) получают подметилат, выход 56%, пластинки и иглы (полиморфизм).

В. К.

**3785.** Исследования в ряду терпенов. XXII, Синтез, физические свойства и каталитическое гидрирование 1-метил-1-этил-1-метил-1-н-пропил- и 1-метил-1-изопропилциклогексанов. Пайнс, Маршалл (Study in the terpene series. XXII. Synthesis, physical constants an catalytic dehydrogenation of 1-methyl-1-ethyl-, 1-methyl-1- n-propyl- and 1-methyl-1-isopropylcyclohexane. Pines Herman, Maréchal Joseph, J. Amer. Chem. Soc., 1955, 77, № 10, 2819–2823 (англ.).

Синтезированные из 1-метил-1-формилциклогексана-3 (I) и  $\text{RMgX}$  1-(1'-метилциклогексен-3'-ил)-этанол (II) и пропанол-1 (III) гидрированы до насыщ. спиртов (IV) и (V), которые затем окислены в соответствующие кетоны (VI) и (VII), 2-(1'-метилциклогексил)-пропанол-2 (VIII) (из IV и  $\text{CH}_3\text{MgI}$ ) дегидратирован до 1-метил-1-изопропилциклогексана (IX) и гидрирован до 1-метил-1-изопропилциклогексана (X); 1-метил-1-этил (XI) и 1-метил-1-н-пропилциклогексан (XII) получены из VI и VII при восстановлении  $\text{H}_2\text{NNH}_2$ . Исследовано дегидрирование X–XII над  $\text{Cr}_2\text{O}_3/\text{Al}_2\text{O}_3$  (промотирован  $\text{Ce}$  и  $\text{K}$ ) при 500° и над 7%-ной  $\text{Pt}/\text{Al}_2\text{O}_3$  при 330°. Найдено, что над  $\text{Cr}_2\text{O}_3/\text{Al}_2\text{O}_3$  преимущественно отщепляются высшие алкильные группы (в продукте 75–80% толуола), тогда как  $\text{Pt}/\text{Al}_2\text{O}_3$  действует менее избирательно. 1,5 моля I и 1,5 моля  $\text{CH}_3\text{MgI}$  (разложение разб.  $\text{HCl}$  до нейтр. р-ции, затем  $\text{NH}_4\text{Cl}$ ) дают II, выход 80%, т. кип. 85,8°/10 мм, 99,4°/20 мм, 114,3°/40 мм, 124°/60 мм, 131,1°/80 мм и 136,7°/100 мм,  $n_D^{20}$  1,4858,  $d_4^{20}$  0,95651, 3,5-динитробензоат, т. пл. 97° (из сп.); аналогично получают III, выход 85%, т. кип. 124,3°/40 мм, 134,95°/60 мм, 142,4°/80 мм и 148,3°/100 мм,  $n_D^{20}$  1,4840,  $d_4^{20}$  0,95044. При гидрировании над  $\text{Ni}/\text{кизельгур}$  (50–60°/120 ат) II дает IV, т. кип. 84,7°/10 мм, 98,4°/20 мм, 113,3°/40 мм, 122,4°/60 мм, 129,4°/80 мм и 134,9°/100 мм,  $n_D^{20}$  1,4716,  $d_4^{20}$  0,93137, 3,5-динитробензоат, т. пл. 106° (из сп.), аналогично при гидрировании III (80–90°/125 ат) получают V, т. кип. 123,2°/40 мм, 133,1°/60 мм, 140,5°/80 мм и 146,1°/100 мм,  $n_D^{20}$  1,4711,  $d_4^{20}$  0,92784, 3,5-динитробензоат, т. пл. 92° (из сп.). IV окисляют  $\text{H}_2\text{CrO}_4$  по описанному ранее методу (Pines и др., J. Amer. Chem. Soc., 1949, 71, 3798); выход VI 80%, т. кип. 101,7°/50 мм, 120°/100 мм, 131,8°/150 мм и 140,4°/200 мм,  $n_D^{20}$  1,4547,  $d_4^{20}$  0,91785, 2,4-динитрофенилгидразон, т. пл. 132° (из сп.), семикристаллич. т. пл. 187° (из сп.). Аналогично из V получают VII, выход 75%, т. кип. 115,3°/50 мм, 134,7°/100 мм, 147,3°/150 мм и 157,5°/200 мм,  $n_D^{20}$  1,4553,  $d_4^{20}$  0,91490, 2,4-динитрофенилгидразон, т. пл. 78,5° (из сп.). VI с  $\text{CH}_3\text{MgI}$  дает VIII, выход 75%, т. кип. 120,4°/40 мм, 131,2°/60 мм, 138,6°/80 мм и 144,3°/100 мм,  $n_D^{20}$  1,4776,  $d_4^{20}$  0,93929. 0,59 моля VIII нагревают до 200° с 0,9 моля α-нафтилизонаната и IX отгоняют в вакууме, выход 65%, т. кип. 172,3°/760 мм,  $n_D^{20}$  1,4630,  $d_4^{20}$  0,84475. При гидрировании IX (аналогично III) по-

лучают X, т. кип. 177,5°/760 мм,  $n_D^{20}$  1,4512,  $d_4^{20}$  0,82615. 0,57 моля VI восстанавливают  $\text{H}_2\text{NNH}_2$  по описанному ранее методу (Pines и др., J. Amer. Chem. Soc., 1951, 73, 5738); выход XI 50%, т. кип. 151,8°/760 мм,  $n_D^{20}$  1,4414,  $d_4^{20}$  0,80652; XI получают также дегидратацией IV при 400° над  $\text{Al}_2\text{O}_3$  с последующим гидрированием (60°/120 ат) над  $\text{Ni}/\text{кизельгур}$ . Аналогично VII при восстановлении  $\text{H}_2\text{NNH}_2$  дает XII, выход 50%, т. кип. 174,3°/760 мм,  $n_D^{20}$  1,4440,  $d_4^{20}$  0,81008. Приведены ИК-спектры IX–XII. Сообщение XXI см. РЖХим, 1955, 37383.

М. К.

**3786.** Первичные реакции разложения циклогексена под действием тепла. Майяр, Гольдер (Sur les réactions primaires de la thermolyse du cyclohexène. Maillard Alfred, Golder Lucien, C. r. Acad. sci., 1953, 237, № 20, 1256–1258 (франц.).

Изучены первичные р-ции циклогексена (I) при 300–420° и разных давлениях. При т-ре ниже 300° в присутствии силикагеля (II) в проточной системе протекает только дегидрирование I, а при более высокой т-ре (350–420°) образуются этан и метан. При проведении р-ции в автоклаве давление тормозит разложение. В присутствии II или в его отсутствие при 420° выход низших углеводородов и содержание непредельных в жидких фракциях уменьшается. При применении автоклава из хромистой стали вместо обычной углеродистой выход непредельных значительно выше: фракция 80–90° продукта р-ции содержит 60% олефинов, 6%  $\text{C}_6\text{H}_6$ , 34% циклогексана; фракция 230–240° — 25% олефинов и ~65% фенилциклогексана (III). Полученные данные указывают на дегидрирование I до  $\text{C}_6\text{H}_6$ , гидрирование I до циклогексана и конденсацию I с  $\text{C}_6\text{H}_6$  до III. Н. П.

**3787.** Изучение реакции Цинке и Зуля. Ньюман, Пинкус (A study of the Zincke and Shul reaction. Newman Melvin S., Pinkus A. G., J. Organ. Chem., 1954, 19, № 6, 978–984 (англ.).

Изучена р-ция Цинке и Зуля — образование 4-метил-4-трихлорметил-2,5-циклогексадиенона (I) из п-крезола (II) и  $\text{CCl}_4$  (Ber., 1906, 39, 4148). С эквимолярным кол-вом  $\text{AlCl}_3$  р-ция не идет, с избытком 25 и 100% разницы в выходе I незначительна (56 и 58% при 50°);  $\text{BF}_3$  и безводн.  $\text{SnCl}_4$  не катализируют р-цию. В качестве р-рителя, необходимого для ведения р-ции, кроме  $\text{CCl}_4$ , весьма подходит  $\text{CS}_2$ ; в  $\text{C}_6\text{H}_5\text{NO}_2$ ,  $\text{C}_6\text{H}_5\text{Cl}$  и петр. эфире р-ция не идет. Механизм р-ции:  $\text{AlCl}_3$  образует с II дихлоралюминиевую соль,  $\text{p-CH}_3\text{C}_6\text{H}_4\text{-OAlCl}_2$  (III) и одновременно активизирует молекулу  $\text{CCl}_4$ , образуя с ней лабильный комплекс, разлагающийся с образованием I и  $\text{AlCl}_3$ . При р-ции  $\text{CCl}_3$ -группа частично выступает в орто-положение к оксигруппе, что приводит к образованию побочных продуктов. Р-р 0,05 моля II в 5 мл  $\text{CS}_2$  прибавляют по каплям к суспензии 0,063 моля безводн.  $\text{AlCl}_3$  в 25 мл  $\text{CS}_2$ , к полученному р-ру прибавляют 0,05 моля  $\text{CCl}_4$ , нагревают 2 часа при 45°, отгоняют в вакууме  $\text{CS}_2$  и разлагают комплекс водой; отгонкой с паром выделяют I, выход 60,3%, т. пл. 103,8–104,2° (из петр. эф.), в ИК-спектре полоса C-группы 5,95 м (в минер. масле). Аналогично получены: 2,6-дибром-4-метил-4-трихлорметил-2,5-циклогексадиенон (0,038 моля  $\text{AlCl}_3$ , 0,026 моля  $\text{CCl}_4$ , 40 мл  $\text{CS}_2$  и 0,025 моля 2,6-дибром-п-крезола, разложение, экстракция смесью  $\text{C}_6\text{H}_6$  и эф.), выход 9,4%, т. пл. 168,7–169,5° (субл.); 2,6-дихлор-4-метил-4-трихлорметил-2,5-циклогексадиенон (0,038 моля  $\text{AlCl}_3$ , 0,03 моля  $\text{CCl}_4$ , 60 мл  $\text{CS}_2$ , 0,03 моля 2,6-дихлор-п-крезола, 2 часа при 50°, отгонка р-рителя в вакууме, разложение, экстракция смесью  $\text{C}_6\text{H}_6$  и петр. эф.), выход 35,5%, т. пл. 165,4–166,0° (из



циклогексана); 4-(1,1-дихлорэтил)-4-метил-2,5-циклогексацикленон, выделенный в виде 2,4-динитрофенилгидразона с выходом 1,6%, т. пл. 151,5—152° (из 95%-ного сп.). Не удалось получить продуктов, аналогичных I при р-ции II с  $C_6Cl_6$ ,  $CHCl_3$ ,  $CH_2Cl_2$ ,  $CH_3Cl$  и  $CH_3I$ , а также использовать р-цию Цинке и Зуля для введения ангильной группы в 5,6,7,8-тетрагидро-2-нафтол. Н. В.

**3788. Применение 1-(1-ацетоксвинил)-циклогексена в реакции Дильса-Альдера. Анселл, Брукс** (The use of 1-(1-acetoxyvinyl)-cyclohexene in the Diels-Alder reaction. Ansell M. F., Brooks G. T.), Chemistry and Industry, 1955, № 29, 916 (англ.)

Взаимодействием 1-ацетилциклогексена и изопропилацетата получен 1-(1-ацетоксвинил)-циклогексан (I), т. кип. 66°/0,7 мм,  $n_D^{20}$  1,4990. I дает с малеиновым ангидридом ангидрид 1-ацетокси- $\Delta^{1(9)}$ -октагидронафталин-3,4-дикарбоновой к-ты, т. пл. 84—86°, с бензохиноном 9-ацетокси- $\Delta^{2,9(14)}$ -декагидро-1,4-диоксофенантрен, т. пл. 118—120°, с 2,6-ксилохиноном аддукт, т. пл. 111—112,5°, который может быть, по мнению авторов, или 9-ацетокси- $\Delta^{2,9(14)}$ -декагидро-3,12-диметил-1,4-диоксофенантрен или 9-ацетокси- $\Delta^{2,9(14)}$ -декагидро-2,11-диметил-1,4-диоксофенантрен. Л. П.

**3789. Исправления к статье «Пурпурогаллин. Часть XI. Некоторые перегруппировки трополонов». Акройд, Хэйуэрт, Джефрис** (Errata), J. Chem. Soc., 1954, Nomenclature rep. indexes and title-pages (англ.)  
R PЖХим, 1955, 430.

**3790. Синтезы и реакции азуленов. Трейбс** (Synthesen und Reaktionen von Azulen. Treib's Wilhelm), Angew. Chemie, 1955, 67, № 2, 76—77 (нем.)

Кратко сообщается об удобном методе синтеза полициклич. азуленов, заключающемся в действии на бензоацетамид гидринден термически расщепленными диазометаном (I) и его гомологами при 170—180° или I и его гомологами, полученными в момент выделения при той же т-ре. Из гидриндена (II) и I получают азулен; из флуорена (III) и I — 1,2-бензазулен, т. пл. 190—191°; из 3,4-бензофлуорена и I — 1,2,7,8-добензазулен, т. пл. 218—219°; из I и фенилдиазометана (IV) — 5-фенилазулен; из II и IV — 5-фенил-1,2-бензазулен; из 1,2,3,4-добензофлуорена и диазоуксусного эфира (V) — первый полностью ароматич. пятициклический азулен, т. пл. 188—189°. Аналогично, а также при действии УФ-света, из гидринденов и диазокетонов получены соответствующие азуленкетоны. Показано, что азулены нитруются  $HNO_3$  в отсутствие следов  $HNO_2$  в ацетоне или этилацетоне, или лучше — нитратом мочевины в тех же р-рителях. Получены следующие нитроазулены: 1-нитроазулен; эфир 1-нитроазуленкарбоновой-5 к-ты, т. пл. 168°; 3-нитро-1,4-диметил-7-изопропилазулен, т. пл. 73—74°; 3-нитро-1,2-добензазулен; эфир 3-нитро-1,2-бензазуленкарбоновой-6 к-ты, т. пл. 189°; эфир 3-нитро-1-метоксиазуленкарбоновой-5 к-ты, т. пл. 164—165°. Специфичность замещения азуленов при их нитровании значительно меньше, чем при других электрофильных р-циях; наряду с 1- и 3-нитроазуленами образуются другие моно- и динитроазулены; 1,2-диметил- и 1,2,3-триметилазулены также легко подвергаются нитрованию. Показано, что большинство эфиров азуленкарбоновых к-т обладают большей реакционной способностью и устойчивостью, чем сами азулены. Это объясняется позитивным влиянием COOR-групп на семичленный цикл, в результате которого происходит накопление электронов у  $C_1$  и  $C_3$  и тем самым облег-

чается электрофильное замещение в этих местах. С целью осуществления радикальных р-ций азуленов они были подвергнуты действию термически расщепленных I и V. Так, при взаимодействии гваязулена и V получен эфир гваязуленуксусной к-ты, который омылением и декарбоксилированием был превращен в метилгваязулен. Найдено, что хлоранил в р-ре  $C_6H_6$ , циклогексана, ацетона или спирта является хорошим дегидрирующим средством для гидроазуленов и азаазуленов 1,2-диазаазулен и 1,2,3-триазаазулен (обладающие сходными УФ-спектрами) получены этим способом из соответствующих дигидропроизводных. В. Я.

**3791. О гидроксильных производных трополона,  $\alpha$ -туяллина и хинокитиола и попытке получить так называемые тропохиноны. Нодзоэ, Сато, Ито, Сато, Катано** (On hydroxyl derivatives of tropolone,  $\alpha$ -thujaplicin, and binokittiol, and the attempted preparation of the so-called tropoquinones. Nozoe Tetsuo, Sato Shūichi, Itō Shō, Satō Masatsune, Katōno Tôru), (東北大学理科学報告, Тохоку дайгаку рика хококу, Sci. Repts. Tohoku Univ., 1953, ser. 1, 37, № 2, 191—240 (англ.))  
Показано, что при окислении  $K_2S_2O_8$  трополон (I), 3-бромтрополон (II),  $\alpha$ -туяллина (III) и хинокитиол (IV) образуют соответствующие 5-оксисоединения (V—VIII), а I, кроме того, дает 3-окситрополон (IX). Положение OH-группы в V—VIII установлено встречным синтезом путем диазотирования соответствующих 5-аминопроизводных (X—XIII); строение IX доказано превращением его с  $SOCl_2$  в 3-хлортрополон (XIV) и перегруппировкой метилового эфира XIV в 2-хлорбензойную к-ту (XV). Исследовано окисление V  $MnO_2$ ,  $FeCl_3$ ,  $H_2O_2$ ,  $(CH_3CO)_2Pb$ ,  $Ag_2O$  и бензохиноном, а также окисление V и X  $K_2Cr_2O_7$ , и выяснено, что «тропохиноны» при этом не образуются. В связи с этим следует считать ошибочными ф-лы «о-» и «м-»-изопропил-н-тропохинонов, предложенные ранее (Nozoe и др., Proc. Japan Acad., 1951, 27, 10, 193) для продуктов диазотирования XII и XIII. R 12,2 и I и 16,8 и KOH в 188 мл воды при 16—20° прибавляют насыщ. р-р 27 г  $K_2S_2O_8$ , через ~12 час. экстрагируют  $C_6H_6$  при pH 4 (a), нагревают при pH < 2 (100°, 1 час) и экстрагируют при pH 4—5  $C_6H_6$  (b) и этилацетатом (c). Из a выделяют 6,4% I и 14,5% IX, из b — еще 0,3 г IX, т. пл. 136—137° (из бал.), Cu-соль, т. пл. > 320° (темнеет при 155°), хлоргидрат, т. пл. 135—137° (разл., при 82°); диметилловый эфир (с  $CH_3N_2$ ), масло, пикрат, т. пл. 83—84°, стифнат, т. пл. 130—131°. Из c выделяют V, выход 30,4%, т. пл. 245° (разл.; из разб. сп.), Fe-соль, т. пл. > 360°, Cu-соль, т. пл. > 360° (темнеет при 305°), хлоргидрат, т. пл. 241—244° (разл.); диметилловый эфир (XVI) (с  $CH_3N_2$ ), масло, пикрат, т. пл. 139—140° (из сп.), стифнат, т. пл. 202° (разл.; из сп.), пикролат, т. пл. 204° (разл.; из сп.); дибромпроизводное (с  $Br_2$  в  $CH_3COOH$ ), т. пл. 188—189° (из  $CH_3OH$ ). 0,2 г V с 2 мл  $(CH_3CO)_2O$  (110—120°, 1 час) дают 0,1 г диацетата V, т. пл. 91—92° (из петр. эф.), который при нагревании с 2 н. KOH (100°, 20 мин.) дает V, а с водой (100°, 30 мин.) дает моноацетат V, т. пл. 110—111°. Cu-соль, т. пл. > 320° (темнеет при 250°); 0,1 г V в 2 мл 2 н. NaOH с 0,4 г  $C_6H_5COCl$  дают 0,1 г дибензоата V, т. пл. 177—178° (из сп.). Аналогично из 0,1 г IX получают 80 мг диацетата IX, т. пл. 86—87° (из циклогексана), или 60 мг дибензоата IX, т. пл. 118,5—119,5°. XVI (из 0,2 г V) нагревают с водой (100°, 1 час), при pH 8 отделяют нейтр. в-ва и  $C_6H_6$  при pH 5 извлекают 5-метокситрополон (XVII), выход 30 мг, т. пл. 102,5—104° (из петр. эф.), Na-соль, т. пл. > 300°. Cu-соль, т. пл. > 310°, Fe-соль, т. пл. > 320°. XVII получают также из 0,5 г X в 30 мл  $CH_3OH$  и 2 мл конц.  $H_2SO_4$  при

диазотировании ( $-10^\circ$ ) р-ром 0,5 г  $\text{NaNO}_2$  в 1 мл воды с последующим нагреванием ( $100^\circ$ , 30 мин.) или из 0,5 г V в 4,5 мл 2 н.  $\text{NaOH}$  и 1,37 г  $(\text{CH}_3)_2\text{SO}_4$ . 5-Этокситрополон получают аналогично из 0,5 г X в 30 мл  $\text{C}_2\text{H}_5\text{OH}$ , 2 мл конц.  $\text{H}_2\text{SO}_4$  и 0,5 г  $\text{NaNO}_2$ , выход 0,1 г, т. пл.  $134-135^\circ$  (из петр. эф.) или из 70 мг V в р-ре 60 мг  $\text{NaOH}$  и 230 мг  $(\text{C}_2\text{H}_5)_2\text{SO}_4$ , выход 10 мг, 0,2 г I нагревают с 3 мл  $\text{SOCl}_2$  ( $100^\circ$ , 30 мин.), упаривают, растворяют в воде и извлекают  $\text{C}_6\text{H}_6$ ; выход 2-хлортропона 10 мг, т. пл.  $66-67^\circ$  (из петр. эф.). Аналогично из 0,2 г V и 2 мл  $\text{SOCl}_2$  ( $100^\circ$ , 15 мин.) получают 0,19 г 5-хлортропона, т. пл.  $184-184,5^\circ$  (из сп.), а из 0,2 г IX — 0,12 г XIV, т. пл.  $102-103^\circ$  (из  $\text{CH}_3\text{OH}$ ), Cu-соль, т. пл.  $> 290^\circ$ . 80 мг XIV метилируют  $\text{CH}_3\text{N}_3$  в эфире и кипятят 12 час. с р-ром 0,1 г Na в 13 мл  $\text{CH}_3\text{OH}$ ; выход XV 50 мг, т. пл.  $139-140^\circ$  (из воды). 40 мг Na-соли XIV и 60 мг п-тиокрезола в 1 мл пиридина (1 час при кипении) дают 3-п-тиолмеркаптолополон, т. пл.  $175-176^\circ$  (из  $\text{CH}_3\text{OH}$ ). 5 г II в 42 мл 10%-ного KOH и 50 мл воды окисляют 8,1 г  $\text{K}_2\text{S}_2\text{O}_8$  и обрабатывают как при получении V; выделяют 2,5 г II и получают VI, выход 46%, т. пл.  $212-213^\circ$  (разл.; из разб.  $\text{CH}_3\text{OH}$ ), хлоргидрат, т. пл.  $205-208^\circ$ . VI получают также из 0,5 г XI в 15 мл конц.  $\text{H}_2\text{SO}_4$  при диазотировании ( $-15^\circ$ ) 0,4 г  $\text{NaNO}_2$  в 1 мл воды, нагреванием ( $100^\circ$ , 30 мин.) с 20 мл воды и экстракцией этилацетатом при pH 5, выход 40%. При гидрировании 0,2 г VI в 20 мл  $\text{CH}_3\text{OH}$  с 0,08 г безводн.  $\text{CH}_3\text{COONa}$  и 0,1 г 5%-ного Pd/C получают 0,1 г V. 60 мг VI с  $\text{CH}_3\text{N}_3$  в эфире дают димеры 3-бром-2,5-диметокситропона (XVIII), т. пл.  $149^\circ$  (из циклогексана), выход 30 мг, т. пл.  $124-125,5^\circ$  (из циклогексана), выход 5 мг; XVIII, т. пл.  $149^\circ$ , образуется также при метилировании  $\text{CH}_3\text{N}_3$  3-бром-5-метокситропона (XIX). 50 мг XVIII нагревают ( $100^\circ$ , 1 час) с 3 мл 5 н. HCl, экстрагируют  $\text{C}_6\text{H}_6$  при pH 5 и возгоняют ( $110^\circ/4$  мм), выход XIX 20 мг, т. пл.  $175^\circ$  (из циклогексана). XIX получают также из 60 мг XVII в 1 мл  $\text{CHCl}_3$  при бромировании 70 мг  $\text{Br}_2$  в 1 мл  $\text{CHCl}_3$  и разложении образующегося в-ва, т. пл.  $171-174^\circ$ , водой; выход XIX 20 мг, 1,5 г III в р-ре 2,1 г KOH окисляют 2,7 г  $\text{K}_2\text{S}_2\text{O}_8$  как при синтезе V; из а выделяют 0,5 г III, т. кип.  $98-100^\circ/4$  мм, из в (экстракция эфиром) получают VII, выход 0,5 г, т. пл.  $155-157^\circ$  (из  $\text{CH}_3\text{OH}$ ), Cu-соль, т. пл.  $> 320^\circ$ , монобензоат, т. пл.  $72-73^\circ$  (из циклогексана). 4,9 г IV и 5,6 г KOH в 56 мл воды аналогично окисляют 9,8 г  $\text{K}_2\text{S}_2\text{O}_8$ ,  $\text{C}_6\text{H}_6$  извлекают 0,2 г IV, т. кип.  $120-121^\circ/4$  мм, Cu-соли, т. пл.  $63-65^\circ$  (из хлф.) и т. пл.  $177-178^\circ$  (из сп.), а из водн. р-ра выделяют при pH 4 1,3 г VIII, т. пл.  $188-189^\circ$  (из разб. сп.), Cu-соль, т. пл.  $> 320^\circ$ , хлоргидрат, т. пл.  $179-184^\circ$ , дибензоат, т. пл.  $188-188,5^\circ$ . 0,27 г V в 4 мл 25%-ной  $\text{H}_2\text{SO}_4$  окисляют ( $0^\circ$ , 1 час) насыщ. р-ром 0,22 г  $\text{K}_2\text{Cr}_2\text{O}_7$ , через  $\sim 12$  час. извлекают  $\text{C}_6\text{H}_6$  30 мг в-ва, т. пл.  $101-102^\circ$  (из бал.), а затем эфиром 30 мг, вероятно, пентадиен-1,4-он-3-дикарбоновой-1,5 к-ты, т. пл.  $230^\circ$  (из разб. сп.). 0,1 г V в 4 мл спирта с 0,2 г бензохинона при  $100^\circ$  дают 10 мг аддукта, т. пл.  $\sim 360^\circ$ .

M. K.

3792. Щелочное раскрытие цикла 2,2-дифенилциклопентанона-1. Кокиль, Рузо, Лиль, Фильдинг, Лиль (Ouverture basique de la diphenyl-2,2-cycloheptanone-1. Cauquil Germaine, mlle, Rouzaud Jacques, Lyle Robert E., Fielding Herbert L., Lyle Gloria G.), Bull. Soc. chim. France, 1955, № 4, 513-518 (франц.).

Раскрытие цикла 2,2-дифенилциклопентанона-1 (I) в процессе перегруппировки Бекмана приводит к образованию нитрила, омыление которого дает 6,6-дифенил-1-карбоксихексен-5 (II). Последний можно косвенным методом превратить в 6,6-дифенилэнантовую к-ту (III), которая оказалась идентичной с продуктом щел.

плавления I (см. Cauquil G., Rouzaud J., C. r. Acad. sci., 1950, 231, 699). Строение III доказано тремя способами: А) II окисляли надуксусной к-той в 6,6-дифенил-5,6-диоксизнантовую к-ту (IV). Пинаколиновая перегруппировка IV дает 6,6-дифенил-5-кетознантовую к-ту (V), которую по Клеменсену превращали в III. Б) III через 7,7-дифенилпентанол-1 (VI) и 7,7-дифенил-1-бромпентан (VII) превращали в 1,1-дифенилпентан (VIII). В) Из этилового эфира III и  $\text{C}_6\text{H}_5\text{MgBr}$  получали 1,1,7,7-тетрафенилпентанол-1 (IX). Последний дегидратированием превращали в 1,1,7,7-тетрафенилпентен-6 (X), который окислением  $\text{CrO}_3$  переводили в 5,5-дифенилпентановую к-ту (XI). Осуществлен встречный синтез XI исходя из метилового эфира  $\omega$ -бензонлвалериановой к-ты (XII) и  $\text{C}_6\text{H}_5\text{MgBr}$  с последующей дегидратацией, гидрированием и омылением. Щел. плавление I ( $10^\circ$  г) проводили с 10 г  $\text{NaOH}$  (или KOH) при  $300-350^\circ$ . III получен с выходом 80%, т. пл.  $105^\circ$  (из сп.), амид III, т. пл.  $104-105^\circ$  (из бал.-петр. эф.). Из 5 г VI и 50 мл  $\text{H}_2\text{SO}_4$  при т-ре от  $-10$  до  $-15^\circ$  (3 часа) получали V, т. пл.  $67-68^\circ$  (из циклогексана). V также получали из IV и  $\text{BF}_3$ . Смесь 1 г V, 0,5 г гидразингидрата (85%-ного) и 4,6 мл диэтиленгликоля нагревали 1,5 часа при  $195^\circ$  и еще 4 часа при  $220^\circ$ . Подкислением выделяли III, выход 63%, т. пл.  $104-104,5^\circ$ . Восстановлением 4 г III  $\text{LiAlH}_4$  (1,3 г) в р-ре эфира и обработкой продукта р-ции  $\text{PBr}_3$  получали VII, выход 58%, т. кип.  $204-209^\circ/4$  мм. Из 3,6 г VII, 2 г Mg, 3 мл  $\text{C}_2\text{H}_5\text{I}$  и 50 мл эфира получали VIII, выход 33%, т. пл.  $6-9^\circ$ , т. кип.  $132-134^\circ/1$  мм,  $n_D^{20}$  1,5466. Из 0,011 моля этилового эфира III (т. пл.  $35-35,5^\circ$ ) и  $\text{C}_6\text{H}_5\text{MgBr}$  (из 0,036 моля  $\text{C}_6\text{H}_5\text{Br}$ ) получали IX, который, не очищая, кипятили 4 часа с 50 мл лед.  $\text{CH}_3\text{COOH}$  и выделяли X, выход 3,88 г, т. кип.  $250-251^\circ/0,6$  мм. 0,005 моля X растворяли в 6,5 мл лед.  $\text{CH}_3\text{COOH}$  и приливали к р-ру 0,01 моля  $\text{CrO}_3$  в 1 мл воды и 5 мл лед.  $\text{CH}_3\text{COOH}$ . Массу оставляли при  $25^\circ$  2 часа, после чего разбавляли и извлекали эфиром. Из водн. вытяжки выделяли XI, выход 0,45 г, т. пл.  $94^\circ$ . Для синтеза XI 36,85 г XII растворяли в 300 мл сухого эфира, прибавляли по каплям р-р  $\text{C}_6\text{H}_5\text{MgBr}$  (из 26,37 г  $\text{C}_6\text{H}_5\text{Br}$  и 4,44 г Mg), массу оставляли на 12 час. и кипятили 2,5 часа. Затем массу разлагали 10%-ной HCl и извлекали эфиром. Эфирный р-р промывали 10%-ным водн.  $\text{Na}_2\text{CO}_3$ . Из эфирного и содового р-ров выделяли 35% XI обратно; метиловый эфир 5,5-дифенил-5-оксипановой к-ты (XIII), выход 40%, т. пл.  $82-83^\circ$ ; 1,1,6,6-тетрафенилгександиол-1,6, выход 6%, т. пл.  $212^\circ$  и 2-бензилциклопентанон-1, выход 1,77 г, т. пл.  $40-44^\circ$ . 12,76 г XIII при нагревании 3 часа в 50 мл лед.  $\text{CH}_3\text{COOH}$  дают 5,5-дифенил-1-карбоксихексен-4 (XIV), выход 90%. Омыление XIV дает 5,5-дифенил-1-карбоксихексен-4 (XV). 0,82 г XV гидрировали (2 часа)  $\text{H}_2$  над 1 г активного Ni при 50 ат и получали XI, т. пл.  $94-95^\circ$ . Тот же результат получается, если сначала гидрировать XIV и затем омылять образующийся метиловый эфир XI.

В. А. 3793. Конденсация хлорпроизводных, полученных фотохимическим хлорированием смеси газообразных алканов с бензолом. Алиев Ш. Б., Шихмамедбекова А. З., Мамедов Т. И., Смирнова В. Е., Изв. АН АЗССР, 1955, № 2, 3-10.

Смесь хлоридов, полученная фотохимич. хлорированием газообразных алканов (см. РИХим, 1955, 34360), использовалась для конденсации с  $\text{C}_6\text{H}_6$  по р-ции Фриделя-Крафта в виде общей смеси и фракций с т. кип. до  $110^\circ$  и до  $118^\circ$ . Кол-во  $\text{AlCl}_3$  4-15% от веса исходных хлоридов, т-ра  $65-85^\circ$ , продолжительность р-ции 4-20 час. На основании сопоставления некоторых физ. констант (т. кип.,  $n_D^{20}$ ,  $d_4^{20}$ ) отдельных фракций

продуктов р-ции с соответствующими константами чистых моноалкилзамещенных  $C_6H_6$  и фенилированных алканов авторы полагают, что ими была получена смесь моноалкилзамещенных  $C_6H_6$ , состоящая из этилбензола, изопропилбензола и главным образом изобутилбензола, а также смесь дифенилпроизводных пропана и бутана.

С. С. 3794. Характеристика алкилбензолов и подобных углеводородов, ацетилирование по Фриделю—Крафту и получение 2,4-динитрофенилгидразонов и семакарбазонов. Пайнс, Шоу (Characterization of alkylbenzenes and related hydrocarbons, Friedel-Crafts acetylation and the preparation of 2,4-dinitrophenyl hydrazones and semicarbazones. Pines Herman, Shaw A. W.), J. Organ. Chem., 1955, 20, № 3, 373—377 (англ.)

Для идентификации алкилбензолов и ароматич. углеводородов применена р-ция Перрье (Ч. Томас, Безводный хлористый алюминий в органической химии, Изд-во ин. лит., М., 1949, 210), заключающаяся в ацетилировании алкилированных  $C_6H_6$  по Фриделю—Крафту, но в отсутствие непосредственного взаимодействия углеводорода со свободным  $AlCl_3$ , во избежание побочных изомеризаций и перегруппировок алкильных групп. Для этого необходимо придерживаться указанного порядка введения реагентов, при соблюдении которого сначала  $AlCl_3$  образует комплексное соединение с  $CH_3COCl$  и лишь затем вступает в р-цию с углеводородом. Диалкилбензолы с третичной алкильной группой в пара-положении (напр., *n*-*трет*-бутилтолуол, *n*-*трет*-амилтолуол и *n*-*трет*-бутилэтилбензол) замещают ее частично или полностью на ацетильную группу; *n*-*трет*-алкилтолуол образует *n*-ацетилтолуол, *n*-*трет*-бутилэтилбензол дает смесь ацетилированных углеводородов. Ацетилированные 2-метил-2-фенил- и 2-метил-3-фенилбутаны образуют семакарбазоны (I) и 2,4-динитрофенилгидразоны (II) с одинаковыми т-рами плавления, а их смеси не дают депрессии т-ры плавления. Смешивают 1,4 г  $AlCl_3$ , 5 мл  $CS_2$  и 0,8 мл  $CH_3COCl$ , спустя 5 мин. вводят р-р 2 мл углеводорода в 5 мл  $CS_2$  и выдерживают при 20° до растворения  $AlCl_3$  (10—15 мин.), после чего выливают на смесь льда и 5 мл конц. HCl, добавляют 5 мл  $CS_2$ , отделяют органич. слой и промывают 3 мл 10%-ной HCl, водой, 5%-ным р-ром  $NaHCO_3$  и водой до нейтр. р-ции на лакмус, сушат  $CaCl_2$  и удаляют  $CS_2$ . Остаток растворяют в спирте и получают I и II (Shriner, Fuson, Identification of organic compounds, Нью-Йорк, 1948). Приведены ароматич. углеводороды и исправленные т-ры плавления II и I их ацетильных производных: этилбензол, 208—209, —; 1,2-диметилбензол, 254,5—256, —; 1,3-диметилбензол, 174,5—176, 192—194; 1,4-диметилбензол, 174—175, 168—170; изопропилбензол, 185—186 (неиспр.), 199—200 (неиспр.); *етор*-бутилбензол, 145—146, —; изобутилбензол, 206,5—209,5, —; *трет*-бутилбензол, 212,5—213,5, —; 1-метил-2-*n*-пропилбензол, 147—149, —; 1-метил-3-*n*-пропилбензол, 119—122, —; 1-метил-3-изопропилбензол, 131—132, —; 1-метил-4-изопропилбензол, —; 146—147,5; 1,2-диметил-3-этилбензол, 222—224, —; 1,2-диметил-4-этилбензол, 166—168, —; 1,3-диметил-2-этилбензол, 218—220, —; 1,3-диметил-4-этилбензол, 197—198, —; 1,4-диметил-2-этилбензол, 180—181, —; 3-метил-1-фенилбутан, 151,5—152 (неиспр.), 203—204 (неиспр.); 2-метил-2-фенилбутан, 179,5—181, 209; 2-метил-3-фенилбутан, 177—178, 201—203; 2,2-диметил-1-фенилпропан, 194—195 (неиспр.), 227—228 (неиспр.); 1-метил-2-*трет*-бутилбензол, 212—215, —; 1-метил-3-*трет*-бутилбензол образует два легко изомеризуемых в-ва с т. пл. 165—166 и 145—146°: 1-метил-4-*трет*-бутилбензол 260—262, —; 2-фенилгексан, 136—137 (неиспр.), 162—163 (неиспр.); 2-метил-2-фенилпентан, 162—163, —; 3-метил-3-фенилпентан, 176—177 (неиспр.), 191—192 (неиспр.); 3-метил-2-фенилпентан,

171—172, —; 3,3-диметил-1-фенилбутан, 198,5—199,5, 222—223,5; 3-*трет*-бутилэтилбензол, 166,5—167,5, 195—197; *n*-*трет*-амилтолуол, 145—147, 145—146; 1-метил-1-фенилциклопентан, 174—175 (неиспр.), —; бензилциклопентан, 168—169, (неиспр.), —; фенилциклогексан, 201—203 (неиспр.), —; *n*-толилциклогексан, 165,5 (неиспр.), —; 1-фенил-1-циклогексилэтан, 167—169 (неиспр.), —; 4-изопропилбифенил, 224—225 (неиспр.), —; 3-этилпентан, 150 (неиспр.), —.

В. И.

3795. Алкилирование дифенила спиртами в присутствии фосфорной кислоты. Ромадан Н. А., Берзин В. К., Ж. общ. химии, 1955, 25, № 2, 282—286

С целью получения моноалкилзамещ. дифенилов с радикалом в пара-положении изучено алкилирование (А) дифенила (I) *n*-, *изо*- и *трет*-бутиловыми спиртами, а также *изо*- и *трет*-амиловыми спиртами в присутствии  $H_3PO_4$  (на 1 моль I 3—3,5 моля спирта и до 4 молей  $H_3PO_4$ ). Лучшие выходы при А амиловыми спиртами получаются при 120—130° и времени нагревания 20 час., а при А бутиловыми спиртами — при 85—100° и времени нагревания 10—20 час. Сделан вывод, что А I спиртами в присутствии  $H_3PO_4$  происходит не эфирными  $H_3PO_4$ , устойчивыми при 90—115°, а ненасыщ. углеводородами, которые получаются при 120—125° отщеплением  $H_3PO_4$  от эфиров, являющихся промежуточными продуктами. Для доказательства предложенного механизма А исследована р-ция между *изо*-амиловым спиртом и  $H_3PO_4$  при различных т-рах. При 90—115° получают эфир  $H_3PO_4$ , который превращают в Ва-соль; ненасыщ. углеводороды не образуются. При 120—125° происходит разделение реакционной смеси на ненасыщ. углеводороды и смесь димеров и тримеров *изо*-амилена; эфир  $H_3PO_4$  не обнаружен. При А *изоспиртами* получают алкилдифенилы с *трет*-радикалами, что указывает на изомеризацию. Получены следующие продукты А I спиртами (перечисляются: продукт А, т. кип. в °С, т. пл. в °С, т. заст. в °С,  $n_D^{20}$ ,  $d_4^{20}$ ): *n*-*трет*-амилдифенил из *изо*- $C_5H_{11}OH$ , 300—305, —, —26, 1,5630, 0,9964; *n*-*трет*-амилдифенил из *трет*- $C_5H_{11}OH$ , 300—305, —, —23, 1,5628, 0,9955; диамилдифенил, 312—316, —, —1,5709, 0,9993; *n*-*трет*-бутилдифенил из *трет*- $C_4H_9OH$ , 280—285, 52, —, —; бутилдифенил из *n*- $C_4H_9OH$ , 292—296, —, —43, 1,5710, 0,9973; дибутилдифенил из *n*- $C_4H_9OH$ , 305—307, —, —30, 1,5700, 0,9977. А. С.

3796. Реакции  $\alpha$ -галогидкетонов с ароматическими соединениями. Часть 1. Реакции хлорацетона или 3-хлорбутанона с фенолом и его эфирами. Захир, Сингх, Бхушан, Бхаргава, Каккер, Рамачандран, Састри, Рао (Reactions of  $\alpha$ -halogeno-ketones with aromatic compounds. Part I. Reactions of chloroacetone and 3-chlorobutanone with phenol and its ethers. Zaheer S. Husain, Singh Baldev, Bhushan Bharat, Bhargava P. M., Kacker I. K., Ramachandran K., Sastri V. D. N., Rao N. Shanmukha), J. Chem. Soc., 1954, Oct., 3360—3362 (англ.)

Для получения соединений типа  $CH_2Cl - C(CH_3)_2R_2$ , обладающих инсектицидными свойствами ДДТ, изучена конденсация  $\alpha$ -галогидкетонов с фенолом и его эфирами в присутствии конц.  $H_2SO_4$  или безвод.  $AlCl_3$ . Р-ция фенола с хлорацетоном (I) в присутствии  $H_2SO_4$  при т-ре от —10° до —5° дает хороший выход *транс*-4,4'-диокс- $\alpha$ -метилстильбена (II); при более высоких т-рах образуются вязкие продукты, содержащие С. Аналогично с I реагируют анизол и фенол с образованием 4,4'-диметокси-(III) и 4,4'-диэтокси- $\alpha$ -метилстильбена (IV), получаемых также алкилированием дифенола (V). II, III и IV получены также в присутст-



нии  $\text{AlCl}_3$  при  $0^\circ$  (с или без петр. эф.), но с меньшими выходами. Применение вместо I 3-хлорбутанола-2 (VI) и конденсация его при  $0^\circ$  с фенолом или анизолом приводит к образованию 2,3-ди-(*n*-оксифенил)-бутена-2 (VII) (в виде дипетилпроизводного) или диметилового эфира VII. Предположено, что сначала СО-группа кетона реагирует с пара-положением ароматич. соединения, затем происходит перегруппировка одного из ароматич. ядер к смежному С-атому и дегидрогалогенирование образовавшегося соединения. 0,3 моля конц.  $\text{H}_2\text{SO}_4$  приливают (1 час) к смеси 0,6 моля фенола и 0,3 моля I при  $-10^\circ$  и размешивают 2—3 часа, полученную пасту выливают на лед с водой, осадок промывают водой, кристаллизацией из водн. спирта и промывкой петр. эфиром выделяют II, выход 66,4%, т. пл.  $182-183^\circ$  (из сп. и бzl.); в присутствии  $\text{AlCl}_3$  выход II 26,6%; диацетат II, т. пл.  $123-124^\circ$  (из сп.); дипропионат II, т. пл.  $107-108^\circ$  (из сп.). Из 2,13 г V, 8,52 г  $\text{CH}_3\text{J}$ , 2,76 г безводн.  $\text{K}_2\text{CO}_3$  и 3,48 г ацетона (кипение 3—4 часа) получают 2,2 г диметилового эфира II, т. пл.  $124^\circ$  (из сп.); аналогично получают диэтиловый эфир II, т. пл.  $105-106^\circ$ ; ди-*n*-пропиловый эфир II, т. пл.  $107-108^\circ$ ; диаллиловый эфир II, т. пл.  $94-95^\circ$  (из ацетона). 0,1 моля конц.  $\text{H}_2\text{SO}_4$  приливают (0,5 часа) к смеси 0,15 моля анизала и 0,075 моля I, размешивают 4—5 час., прибавляют воды, отделяют жидкость и экстрагируют эфиром, вытяжку промывают водой и отгоняют эфир, полученную вязкую жидкость кипятят в спирте и частичной отгонкой р-рителя выделяют III, выход 77,5%, т. пл.  $124^\circ$  (из сп.); в присутствии  $\text{AlCl}_3$  выход III 27,9%. Аналогично из фенола, I и  $\text{H}_2\text{SO}_4$  получают IV, выход 59,4%, т. пл.  $105-106^\circ$ ; в присутствии  $\text{AlCl}_3$  выход IV 18,5%. 0,15 моля конц.  $\text{H}_2\text{SO}_4$  прибавляют (0,5 часа) к смеси 0,1 моля фенола и 0,05 моля VI, размешивают 2—3 часа, выливают на лед с водой, смолообразный продукт обрабатывают эфиром, из эфир. р-ра удаляют р-ритель, после этого паром отгоняют следы фенола, вновь извлекают эфиром, удаляют эфир и остаток ацетируют ( $\text{CH}_3\text{CO}_2\text{O}$  или  $\text{CH}_3\text{COONa}$ ). Полученное масло извлекают эфиром и перегонкой в вакууме из фракции при  $200-210^\circ/2$  мм выделяют кристаллы, промывают эфиром + петр. эфир и получают 2,3-ди-(*n*-ацетоксифенил)-бутен-2 (VIII), выход 8%, т. пл.  $123-124^\circ$  (из сп.); VIII получают также в присутствии  $\text{AlCl}_3$ , 0,15 моля конц.  $\text{H}_2\text{SO}_4$  прибавляют (1 час) к смеси 0,1 моля анизала и 0,05 моля VI, размешивают 4 часа, выливают на лед и извлечением эфиром и перегонкой из фракции  $190-200^\circ/2$  мм выделяют 2,3-ди-(*n*-метоксифенил)-бутен-2 (IX), выход 59%, т. пл.  $129-130^\circ$  (из петр. эф.); в присутствии  $\text{AlCl}_3$  выход IX 41%. Прибавлением к 2 г IX в 30 мл эфира реактива Гриньяра из 2 г Mg и 12 г  $\text{CH}_3\text{J}$  ( $170^\circ$ , 40 мин.) получают VII, т. пл.  $194-195^\circ$ . Е. К.

**3797. Опыты с кониферильным спиртом. Фрейдленберг, Ахтцен** (Versuche mit Coniferylalcohol. Freudenberg Karl, Achthehn Günther), Chem. Ber., 1955, 88, № 1, 10—16 (нем.)

Кониферилметильный эфир (I), описанный ранее (Freudenberg K., Bittner F., Chem. Ber., 1952, 85, 86), получают в кристаллич. состоянии двумя способами: а) взаимодействием 10 г *n*-толуолсульфокониферильного эфира бензойной к-ты (т. пл.  $66^\circ$ ) (Freudenberg K., Bittner F., Chem. Ber., 1950, 83, 600) в 50 мл абс.  $\text{CH}_3\text{OH}$  с р-ром 0,45 г Na в 25 мл  $\text{CH}_3\text{OH}$  ( $0^\circ$ , 6 час.,  $\text{N}_2$ ) получают неочищ. *n*-толуолсульфокониферильный спирт (II), выход 94%; б) 5 г метилового эфира II (Chem. Ber., 1952, 85, 86) в 60 мл абс.  $\text{CH}_3\text{OH}$  обрабатывают 2,2 г КОН в 30 мл абс.  $\text{CH}_3\text{OH}$  ( $35^\circ$ , 20 час.,  $\text{N}_2$ ) и после обработки и перегонки при остаточном давл. 0,001 мм и  $105^\circ$  (в бане) получают I, выход 41%, т. пл.  $52^\circ$ ; б) к смеси р-ров 9 г кониферильного спирта (III)

в 70 мл ацетона и 4,5 г  $\text{NaHCO}_3$  в 100 мл воды прибавляют при  $0^\circ$  9,6 г 2,4-динитрофторбензола в 30 мл ацетона и получают 2,4-динитрофениловый эфир III (IV), выход 16,7 г, т. пл.  $146-146,5^\circ$  (из  $\text{CH}_3\text{OH}$ ), ацетат, т. пл.  $119^\circ$  (из водн.  $\text{CH}_3\text{COOH}$  или после возгонки в вакууме); 11,5 г IV, 6,25 мл  $\text{CH}_3\text{J}$ , 6,2 г  $\text{Ag}_2\text{O}$ , 10 г безводн. гипса и 800 мл абс.  $\text{CH}_3\text{OH}$  взбалтывают 96 час., выход метилового эфира IV (V) 89%, т. пл.  $94^\circ$ ; кипячением 3,6 г V и 1,2 г гексаметилендиамина в 150 мл абс. спирта ( $\text{N}_2$ ) и последующей обработкой получают 1,5 г I, т. пл.  $50-52^\circ$ . Показано, что в результате полимеризации I под влиянием к-т образуется полимер с меньшим содержанием  $\text{CH}_3\text{O}$ -групп по сравнению с I; степень полимеризации 4—5. Взбалтыванием смеси 9 г III, 100 мл безводн. ацетона, 11 г подистого бензола и 17 г безводн.  $\text{K}_2\text{CO}_3$  ( $20^\circ$ , 96 час. и  $40^\circ$ , 2 часа) получают кониферилбензиловый эфир (VI), выход 91%, т. пл.  $89^\circ$ ; ацетат, т. пл.  $50,5^\circ$  (из лед.  $\text{CH}_3\text{COOH}$  и перегонка в высоком вакууме). 8,1 г VI в 50 мл  $\text{CHCl}_3$  и 6 мл пиридина при  $0^\circ$  обрабатывают 3,93 мл хлористого бензола и получают эфир VI и бензойной к-ты (VII — эфир), выход 97%, т. пл.  $96^\circ$ . 9,16 г сухой  $\text{C}_6\text{H}_5\text{COOAg}$ , 5,07 г воды и 60 мл абс.  $\text{C}_6\text{H}_6$  взбалтывают 25 мин., прибавляют 7,49 г VII в 70 мл абс.  $\text{C}_6\text{H}_6$ , нагревают на водяной бане 20 час. и получают полный эфир бензойной к-ты и  $\alpha$ -(3-метокси-4-бензилоксифенил)-глицерина (VIII — эфир), выход 31,5%, т. пл.  $140,5^\circ$ . Взаимодействием 3 г VIII с 2 г NaOH в 300 мл абс.  $\text{CH}_3\text{OH}$  получают  $\alpha$ -(3-метокси-4-бензилоксифенил)-глицерин (IX), выход 69%, т. пл.  $101^\circ$  (из бzl. или ксилола). 0,912 г IX гидрируют в присутствии 0,5 г 10%-ного Pd/ $\text{BaSO}_4$  в 100 мл абс.  $\text{CH}_3\text{OH}$  и получают  $\alpha$ -гваяцилглицерин, выход 94%. Изучена скорость р-ции *o*-нитрофталевого ангидрида со спиртами и фенолами; вопреки литературным данным найдено, что различие в скорости р-ции недостаточно для аналитич. различия первичных спиртов и других гидроксильных соединений. Описан способ криоскопич. микроопределения мол. веса в циклогексаноле.

А. Т.  
**3798. Реакция бензотрихлорида с *n*-крезолом, катализируемая хлористым алюминием. Ньюман, Пинкус** (The aluminum chloride-catalyzed reaction of benzotrichloride with *n*-cresol. Newman Melvin S., Pinkus A. G.), J. Organ. Chem., 1954, 19, № 6, 985—991 (англ.)

В продолжение исследования р-ции Цинке и Зуля (см. реф. 3787) изучено взаимодействие *n*-крезола (I) с  $\text{C}_6\text{H}_5\text{CCl}_3$  в присутствии  $\text{AlCl}_3$ ; в результате выделены 2-оксн-5-метилбензофенон (II), 6,12-дифенил-2,8-диметил-6,12-эпоксн-6Н,12Н-дибензо-[b, f] [1,5]-диоксн (III) и полимер темного цвета; не наблюдается образования замещ. циклогексанидиона. Р-ция идет аналогично образованию 4-метил-4-трихлорметил-2,5-циклогексанидиона из I и  $\text{CCl}_4$ , но благодаря пространственным затруднениям конденсации *n*- $\text{CH}_3\text{C}_6\text{H}_4\text{OAlCl}_2$  с  $\text{C}_6\text{H}_5\text{CCl}_3$  идет в орто-положение к  $\text{OAlCl}_2$ -группе с образованием  $\alpha$ ,  $\alpha$ -дихлор-2-оксн-5-метилдифенилметана (IV), в виде соответствующей дихлоралюминиевой соли; при гидролизе IV образуется II. III получается из IV аналогично образованию дисалицилового альдегида (Adams и др., J. Amer. Chem. Soc., 1922, 44, 1126) р-цией оксигруппы одной молекулы IV с  $\text{CCl}_2$ -группой второй молекулы, гидролизом третичного  $\text{CCl}_2$ -атома и замыканием двух циклов с выделением  $2\text{HCl}$ . Строение III установлено на основании ИК-спектра (отсутствие OH и СО-групп), качеств. р-ций и превращения III в II при растворении в конц.  $\text{H}_2\text{SO}_4$  и выливания в воду, выход 91%. Р-цией фенола с  $\text{C}_6\text{H}_5\text{CCl}_3$  в  $\text{CS}_2$  в присутствии  $\text{AlCl}_3$  получен только *n*-окснбензофенон, выход 90,2%, т. пл.  $133,5-134,5^\circ$  (из петр. эф.). К р-ру *n*- $\text{CH}_3\text{C}_6\text{H}_4\text{OAlCl}_2$ , приготовленному из 0,05 моля I



Получение I:  $C_6H_5C \equiv CMgBr$  (V) в эфир. р-ре (из 7,8 г Mg, 38,5 г  $C_6H_5Br$  и 30,6 г  $C_6H_5C \equiv CH$  в 50 мл эфира) прибавляли к 45 г  $(CH_3CO)_2O$  в 100 мл эфира при  $-60^\circ$ , перемешивали при этой т-ре еще 2,5 часа, оставляли на 12 час., выделяли 4-фенилбутин-3-он-2 (VI), выход 32%, т. кип.  $109-112^\circ/17$  мм. При замене V на  $C_6H_5C \equiv CNa$  [5 г Na, 22,5 г  $C_6H_5C \equiv CH$ , 23 г  $(CH_3CO)_2O$ , т-ра  $-15^\circ$ ], выход IV составляет 52%. VI, очнщ. через семикарбазон, т. пл.  $116-117,5^\circ$ , имел т. кип.  $78-79^\circ/0,2$  мм, т. пл.  $4-4,5^\circ$ ,  $n_D^{20}$  1,5764,  $d_4^{20}$  1,0215, фенилсемикарбазон, т. пл.  $198-199^\circ$  (из сп.-воды), 2,4-динитрофенилгидразон, т. пл.  $190^\circ$  (из сп.). Гидрированием 2,76 г VI в гексане над 1,1 г 5%-ного Pd/CaCO<sub>3</sub> получен I, выход 2,2 г, т. кип.  $67-68^\circ/0,2$  мм, т. пл. от  $-21,5$  до  $-20,5^\circ$ ,  $n_D^{20}$  1,5649,  $d_4^{20}$  1,0152, УФ-спектр  $\lambda_{\max}$  280 мμ, I<sub>g</sub> 4,00 и 220 мμ, I<sub>g</sub> 4,01, семикарбазон, т. пл.  $177,5^\circ$  (из CH<sub>3</sub>OH),  $\lambda_{\max}$  282 мμ, I<sub>g</sub> 4,30 и 224 мμ, I<sub>g</sub> 4,05. I с 2,4-динитрофенилгидразином (солянокислый р-р в CH<sub>3</sub>OH) превращается в 2,4-динитрофенилгидразон III, а с фенилсемикарбазидом образует фенилсемикарбазид-фенилсемикарбазон, т. пл.  $193^\circ$  (из CH<sub>3</sub>OH-воды). IV, полученный перегонкой продажного коричневого альдегида, имел т. кип.  $80^\circ/0,4$  мм,  $n_D^{20}$  1,6195,  $d_4^{20}$  1,0500, УФ-спектр  $\lambda_{\max}$  287 мμ, I<sub>g</sub> 4,35 и 220 мμ, I<sub>g</sub> 4,06, семикарбазон, т. пл.  $210^\circ$  (разл., из хлф.-CH<sub>3</sub>OH),  $\lambda_{\max}$  306 мμ, I<sub>g</sub> 4,63 и 232 мμ, I<sub>g</sub> 4,04, фенилсемикарбазон, т. пл.  $177^\circ$  (из хлф.-CH<sub>3</sub>OH), 2,4-динитрофенилгидразон, т. пл.  $250^\circ$  (разл., из CH<sub>3</sub>COOH). Гидрированием 2,51 г фенилпропилового альдегида (VII), т. кип.  $65^\circ/0,1$  мм,  $n_D^{20}$  1,6057,  $d_4^{20}$  1,0622, фенилсемикарбазон, т. пл.  $186^\circ$  (из хлф.-CH<sub>3</sub>OH) над 9 г 7,8%-ного Pd/CaCO<sub>3</sub> в CH<sub>3</sub>OH, с последующей перегонкой в атмосфере N<sub>2</sub>, получен II, т. кип.  $67-69^\circ/0,4$  мм,  $n_D^{20}$  1,5937,  $d_4^{20}$  1,0436, УФ-спектр  $\lambda_{\max}$  284 мμ, I<sub>g</sub> 4,10 и 220 мμ, I<sub>g</sub> 3,93, семикарбазон, т. пл.  $196^\circ$  (из хлф.-CH<sub>3</sub>OH),  $\lambda_{\max}$  294 мμ, I<sub>g</sub> 4,41 и 228 мμ, I<sub>g</sub> 4,03, фенилсемикарбазон, т. пл.  $187^\circ$  (из хлф.-CH<sub>3</sub>OH). II с 2,4-динитрофенилгидразином (солянокислый р-р в CH<sub>3</sub>OH) превращается в 2,4-динитрофенилгидразон IV. Приведены кривые ИК-спектов I, II, III, IV, VI и VII. Предыдущее сообщение см. РЖХим, 1956, 745. А. Ф.

**3803. Аномальное окисление 1-(*n*-анизил)-1-фенилэтилена перекисью муравьиной и бензойной кислот.** Кертин, Брэдли (Anomalous oxidations of 1-*p*-anisyl-1-phenylethylene with performic and perbenzoic acid. Curtin David Y., Bradley Arthur, J. Amer. Chem. Soc., 1954, 76, № 22, 5777-5779 (англ.))

Реакция 1-(*n*-анизил)-1-фенилэтилена (I) с H<sub>2</sub>O<sub>2</sub> в HCOOH не дает ожидаемого мономуравьиного эфира (МЭ) 1-(*n*-анизил)-1-фенилэтандиола; при этом получены *n*-оксанизол (II) и ацетофенон (III); из 1-(*n*-хлорфенил)-1-фенилэтилена (IV) в аналогичных условиях получен МЭ 1-(*n*-хлорфенил)-1-фенилэтандиола (V). Предполагается, что р-ция идет через присоединение LiAlH<sub>4</sub> или HCOOH к двойной связи олефина с последующей перегруппировкой:  $CH_3OC_6H_4(C_6H_5)C \equiv CH_2 \rightarrow CH_3OC_6H_4(C_6H_5)C(CH_3)OOR$  (где R = CHO или H)  $\rightarrow C_6H_5(C_6H_5)C^+ - OC_6H_4OCH_3 \rightarrow II + III$ . Р-цией 1 с  $C_6H_5COOH$  (VI) получен при  $-10^\circ$  1-(*n*-анизил)-1-фенилацетальдегид ( $CH_3OC_6H_4(C_6H_5)CHCHO$  (VII), при более высоких т-рах образуется 1-окси-1-(*n*-анизил)-1-фенилацетальдегид ( $CH_3OC_6H_4(C_6H_5)C(OH)CHO$  (VIII). Строение VIII подтверждено восстановлением LiAlH<sub>4</sub> до 1-(*n*-анизил)-1-фенил-1,2-этандиола (IX). Щел. гидролиз VIII получен 4-метоксисбензон ( $CH_3OC_6H_4C(=O) - CH(OH)(C_6H_5)$  (X). Р-цией *n*-метоксисацетофенона с  $C_6H_5MgBr$  и последующей обработкой получен-

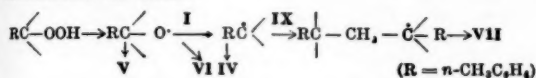
ного карбинола 5-кратным объемом теплой 15%-ной H<sub>2</sub>SO<sub>4</sub> получают I, выход 80%, т. пл.  $74-75^\circ$  (из эф. + лигр., 4:1), аналогично р-цией  $C_6H_5MgBr$  с *n*-хлор-ацетофеноном и перегонкой получают IV, выход 83%, т. кип.  $165^\circ/15$  мм,  $n_D^{20}$  1,6115. К 0,049 моля I в 100 мл 90%-ной HCOOH добавляют при размешивании 9 мл 30%-ной H<sub>2</sub>O<sub>2</sub> в течение 1 часа при  $40^\circ$ ; спустя 1 час остаток H<sub>2</sub>O<sub>2</sub> разлагают 3 г NaHSO<sub>3</sub> и отгоняют HCOOH и воду при 15 мм; из остатка 5%-ным р-ром Na<sub>2</sub>CO<sub>3</sub> извлекают II, выход 16%, т. пл.  $53-55^\circ$ ; перегонкой нейтр. части при 75% мм получен III, выход 55%. Аналогично из 0,14 моля IV получено 0,045 моля V, т. пл.  $85^\circ$  (из хлф. + петр. эф.). Гидролизом V в NaOH при кипячении 10 мин. получен 1-(*n*-хлорфенил)-1-фенилэтандиол, выход 60%, т. пл.  $89-90^\circ$  (из бал. + петр. эф.). К 0,17 моля I в 100 мл CHCl<sub>3</sub> при  $-10^\circ$  быстро добавляют р-р 0,19 моля VI в CHCl<sub>3</sub>; после добавления 10%-ного р-ра Na<sub>2</sub>CO<sub>3</sub> и отгонки р-рителя в вакууме энергично встряхивают 20 мин. с 45 г Na<sub>2</sub>S<sub>2</sub>O<sub>5</sub> в 75 мл воды; через 24 часа разлагают бисульфитное соединение (BC) теплым р-ром Na<sub>2</sub>CO<sub>3</sub> и перегонкой при  $189-190^\circ/10$  мм выделяют VII, выход 40%,  $n_D^{20}$  1,5886; при аналогичной р-ции, но при  $0-5^\circ$ , выделяют VIII, выход 50%, т. пл.  $73-74^\circ$ ; X, выход 20%, т. кип.  $215-225^\circ/12$  мм, т. пл.  $106-107^\circ$  (из бал.). Из бензольного р-ра после отделения от р-ра BC выделен бензойный эфир IX (XI), выход 5%, т. пл.  $142^\circ$  (из хлф. + петр. эф.); гидролизом XI в KOH получен IX, т. пл.  $104-105^\circ$  (из бал. + петр. эф.). 2 г VII оставили стоять 12 час. с 1,6 г VI в 30 мл CHCl<sub>3</sub>; хроматографированием на Al<sub>2</sub>O<sub>3</sub> выделено 0,7 г VII и 0,59 г *n*-метоксисбензилдиола, выход 23%, т. пл.  $68^\circ$  (из бал. + петр. эф.). В. И.

**3804. Окислительная конденсация *n*-цимола, изопропилбензола и хлоризопропилбензола.** Пайне, Кветинькас, Ипатъев (Oxidative condensation of *p*-cymene, isopropylbenzene and chloroisopropylbenzene. Pines Herman, Kvetinskas Bruno, Jpatieff V. N., J. Amer. Chem. Soc., 1955, 77, № 2, 343-346 (англ.))

Пропусканием воздуха (18 час., 12 л в час) через кипятиль *n*-цимол (I) ( $n_D^{20}$  1,4902, 600 г), изопропилбензол (II) (т. кип.  $151^\circ$ ,  $n_D^{20}$  1,4912, 600 г) и смесь *o*-, *m*- и *n*-хлоризопропилбензолов (III) (т. кип.  $185-189^\circ$ ,  $n_D^{20}$  1,5147-1,5157, 180 г), синтезированную описанным методом (Meyer H. и др., Monatsh. Chem., 1929, 53-54, 724), получены: из I — 2,3-диметил-2,3-ди-*n*-толилбутан (IV), т. пл.  $156^\circ$ , *n*-метилацетофенон (V), диметил-*n*-толилкарбинол (VI), синтезированный также из *n*-метил- $\alpha$ -метилстирола (Jpatieff V. N. и др., J. Amer. Chem. Soc., 1948, 70, 2123), и небольшое кол-во 2-метил-2,4-ди-*n*-толилпента (VII), *n*-изопропилбензойной к-ты (VIII), *n*-изопропилтолуола (IX), CH<sub>3</sub>OH, воды, CH<sub>4</sub> (2-5%), C<sub>2</sub>H<sub>4</sub> и CO<sub>2</sub> (по 0,1-1,3%); из II — 2,3-диметил-2,3-дифенилбутан (X), т. пл.  $115-116^\circ$ , ацетофенон (XI), диметилфенилкарбинол (XII); из III — дихлоризопропилбензол (XIII), т. пл.  $166-167^\circ$ , хлорацетофенон и хлорфенилдиметилкарбинол. Изучено влияние т-ры, контактных в-в и добавок [стекло (A) в виде колец длиной 6,35-9,53 мм, 400 г, A + 20 г K<sub>2</sub>CO<sub>3</sub> (B), A + 12 г C<sub>6</sub>H<sub>5</sub>COOH (B), Al в виде стружки такой же длины, как стекло, 400 г (Г), Г + 20 г K<sub>2</sub>CO<sub>3</sub> (Д) и A, ингибированное 3,1 г 2,4-диметил-6-*tert*-бутилфенола (Е)]. Установлено, что выход смеси продуктов р-ции мало изменяется для различных добавок: из I (выход в %), при  $140^\circ-174^\circ$  (A), 13,1 (Г); при  $171^\circ-154^\circ$  (A), 15,2 (Б), 13,7 (В), 13,1 (Г), 17,0 (Д), 8,1 (Е); из II при  $148^\circ-104^\circ$  (A), 10,2 (В); при  $149^\circ-13,7^\circ$  (Б), 10,8 (Г). Выход IV (в %) повышается, а смеси V и VI снижается с повышением



т-ры и при 140° равен соответственно 3,2 и 79,0 (А), 12,1 и 56,7 (Г); а при 171°—22,9 и 48,0 (А), 17,9 и 60,4 (Б), 13,7 и 47,1 (В), 26,9 и 27,8 (Г), 32,5 и 35 (Д), 7,5 и 51,7 (Е). Превращением II при 148° X в смесь XI с XII получены с выходом соответственно 9,1 и 82,6 (А), 26,9 и 60,9 (Б); при 149°—10,8 и 84,1 (Б), 22,4 и 67,9 (Г). Установлено, что введение Mg, Fe, Cu, Zn, Ni, Ag и Al-бронзы повышает (по сравнению с А) и уменьшает (по сравнению с Г) выход IV и способствует (Cd, Ag) образованию в-в с более высокой, чем димеры, т-рой кипения. В присутствии 85%-ной H<sub>3</sub>PO<sub>4</sub>, кислого амидового эфира H<sub>3</sub>PO<sub>4</sub> и суперфилтроя р-ция не идет. O<sub>2</sub> не имеет преимуществ перед воздухом. Предложен радикальный механизм превращения I, II, и III, согласно которому IV—VII возникают по схеме:



Из 4-метил-2,4-ди-п-толилпентанс-2, полученного описанным ранее способом (см. ссылку выше), кипячением с (COONH)<sub>2</sub> в толуоле и гидрированием соответствующего эфира (т. кип. 127—128°/0,3 мм,  $n_D^{20}$  1,5605) при 80°, 100 ат над Cu + Cr<sub>2</sub>O<sub>3</sub>, синтезируют VII, т. кип. 132°/0,4 мм,  $n_D^{20}$  1,5420. С. К.

3805. О строении продуктов конденсации ацетальдегида с пентаном-2 и бутаном-2. Хейльман, Годмари, Арно (Sur la structure des produits de condensation de l'éthanal avec la pentanone-2 et la butanone-2. Heilmann René, Gaudemaris Gabriel de, Arnaud Paul), C. r. Acad. sci., 1955, 240, № 14, 1542—1544 (франц.) Точной разгонкой продуктов дегидратации спиртов, полученных при конденсации ацетальдегида (I) с пентаном-2 (II) и бутаном-2 (III), показано, что наряду с нормальными продуктами р-ции 3-этилпентан-3-он-2 (для II) и 3-метилпентан-3-он-2 (для III) образуются соответственно гептен-2-он-4 (IV), выход 40%, и гексен-4-он-3, выход 15% (V). Следовательно, I частично реагирует с метильной группой, находящейся у карбонильной группы II и III. Константы VI, выделенного точной разгонкой: т. кип. 80,2°/51 мм;  $n_D^{20}$  1,4430,  $\lambda_{\text{макс}}$  222 и 315 мμ,  $\epsilon_{\text{макс}}$  14300 и 41; динитрофенилгидразон, т. пл. 144°; семикарбазон, т. пл. 159°; ИК-спектр 967 см<sup>-1</sup> (характерен для RCH = CHR'). Гидрированием IV в CH<sub>3</sub>COOH над Pt (из PtO<sub>2</sub>) получают дипропилкетон. Константы V, выделенного точной разгонкой: т. пл. 76,2°/85 мм,  $n_D^{20}$  1,4408,  $\lambda_{\text{макс}}$  222 и 312 мμ,  $\epsilon_{\text{макс}}$  13500 и 46; динитрофенилгидразон, т. пл. 170°. Гидрированием V получают гексанон-3. М. Ч.

3806. Синтез несимметричных кетонов восстановлением смеси сложного эфира и кетона. Соболевский (Synthèse de cétons dissymétriques par réduction d'un mélange d'ester gras et d'une cétona. Sobolewski Georges), Ann. Univ. Paris, 1953, 23, № 4, 660—661 (франц.)

Исследована р-ция восстановления смеси ацетофенона (I) и RCOOC<sub>2</sub>H<sub>5</sub> (II) (R = C<sub>15</sub>H<sub>31</sub>, или C<sub>17</sub>H<sub>35</sub>) Na с целью получения C<sub>6</sub>H<sub>5</sub>(CH<sub>2</sub>)<sub>2</sub>C(OH)COR (III). Р-цию проводят с распыленным Na при 130° в атмосфере инертного газа в среде ксилола при перемешивании в 4000 об/мин. Конечная кон-я продуктов 10%. Продукты р-ции гидролизуют к-той и выделяют перегонкой, хроматографией и кристаллизацией. Наряду с III (2,5%), получают фенилметилкарбинол (1,4%), продукты конденсации I (4,4%), β-дикетон (7,4%), полученный в результате конденсации Кляйзена I с II, продукты ацилиновой конденсации (19%), продукты

конденсации II (6,2%). При замене в р-ции I на диэтилкетон получают только продукт дегидратации α-кетола.

М. Б.  
3807. О некоторых кетонах, полученных из 4-хлорпентен-3-овой кислоты. Жулья, Фетизон (Sur quelques cétones dérivées de l'acide chloro-4 pentène-3 oïque. Julia Marc, Fétizon Marc e l), C. r. Acad. sci., 1955, 240, № 10, 1109—1111 (франц.)

Из 4-хлорпентен-3-овой к-ты (I) или ее хлорангидрида (II) получены кетоны типа CH<sub>3</sub>CCl = CHCH<sub>2</sub>COR, где R = CH<sub>3</sub> (III), C<sub>2</sub>H<sub>5</sub> (IV) и C<sub>6</sub>H<sub>5</sub> (V). I и CH<sub>3</sub>Li (в эфире) дали III, выход 12%; II и избыток (CH<sub>3</sub>)<sub>2</sub>Cd в C<sub>6</sub>H<sub>6</sub> дали III с выходом 20%. Из 30,1 г II и 21 г малоновой к-ты, 62 г дигидропирана, 4,5 г порошка Na получили III, выход 35%, т. кип. 77°/18 мм,  $n_D^{20}$  1,4558 (очищен через семикарбазон), семикарбазон, т. пл. 164° (из водн. CH<sub>3</sub>OH), УФ-спектр:  $\lambda_{\text{макс}}$  227 мμ, lg ε 4,19. Из II и (C<sub>2</sub>H<sub>5</sub>)<sub>2</sub>Cd получили IV, выход 26%, т. кип. 76—77°/18 мм,  $n_D^{20}$  1,4669, семикарбазон, т. пл. 140—143° (разл.). Действием C<sub>6</sub>H<sub>5</sub>Li на I или (C<sub>6</sub>H<sub>5</sub>)<sub>2</sub>Cd на II получен крайне неустойчивый V, т. кип. 89—92°/0,8 мм, 102—104°/2 мм,  $n_D^{20}$  1,505, фенилсемикарбазон, т. пл. 210—212° (из изопропанола), УФ-спектр:  $\lambda_{\text{макс}}$  235 и 283 мμ, lg ε 4,42 и 4,25. При действии конц. H<sub>2</sub>SO<sub>4</sub> на холоду III и IV осмолоты, 0,8 г V при действии 10 мл конц. H<sub>2</sub>SO<sub>4</sub> (3 часа, 0°) дали 190 мг 2-метил-5-фенилфурана, т. пл. 42°; 28 мг C<sub>6</sub>H<sub>5</sub>COCH<sub>2</sub>CH<sub>2</sub>COCH<sub>3</sub> и 12 мг 3-фенилциклопентен-2-она, т. пл. 82° (разделены хроматографией на Al<sub>2</sub>O<sub>3</sub>; р-ритель гексан-C<sub>6</sub>H<sub>6</sub>).

Л. И.  
3808. Перегруппировка Фриса. Каллинан, Ллойд, Тауболл (The Fries rearrangement. Cullinane N. M., Lloyd E. T., Tudball J. K.), J. Chem. Soc., 1954, Nov., 3894—3895 (англ.) Изучено применение TiCl<sub>4</sub> в качестве катализатора перегруппировки фенил- и о-толилацетатов (I, II) главным образом в 4-оксиацетофенон (III) и, соответственно, 4-окси-3-метилацетофенон (IV). Р-цию проводят в р-рителе; по эффективности р-рителя располагают в ряд: нитробензол (V) > симм-тетрахлорэтан > C<sub>6</sub>H<sub>5</sub>Cl > C<sub>6</sub>H<sub>6</sub>; кол-во р-рителя почти не влияет. Применяют 1—2 моля TiCl<sub>4</sub> на 1 моль I или II. При р-ции замечено образование значительного кол-ва свободного фенола или крезола. 0,2 моля TiCl<sub>4</sub> вносят при охлаждении в р-р 0,1 моля II в 100 мл V и нагревают 14 час. при 30°, после чего подкисляют разб. HCl, извлекают 2 н. NaOH и из подкисленного р-ра отгоняют с паром 2-окси-3-метилацетофенон (VI), выход 2% 2,4-динитрофенилгидразон, т. пл. 252° (разл.), и о-крезол (выделен в виде 4,6-дибром-о-крезола), выход 13%. Из смолообразного остатка кипящей водой извлекают IV, выход 78%, т. пл. 104°. Аналогично из 0,1 моля I, 0,1 моля TiCl<sub>4</sub> с 50 мл V при 50° за 9 час. получены III, выход 48%, и 2-оксиацетофенон, выход 9%; гидразон, т. пл. 204° (из этилацетата). Из 0,1 моля II с 0,2 моля FeCl<sub>3</sub>, как катализатора, в 50 мл V после 6 час. нагревания при 50° получены IV, выход 60%, и VI, выход 5%; в отсутствие р-рителя выходы соответственно 42 и 3%; с 0,1 моля AlCl<sub>3</sub> после стояния 24 часа при 17° выходы, соответственно, 44 и 4%. При введении в р-цию с TiCl<sub>4</sub> (0,1 моля) вместо II о-крезола (0,1 моля) и ацетилхлорида (0,1 моля) выход IV 48% (30°, 6 час.) или 65% (30°, 15 час.). В. И.

3809. Избирательное бромирование метилкетонов и бромирование бромкетонами. Крэнке, Эллегаст (Selektives Bromieren von Methylketonen und Bromierungen mit Bromketonen. Kröhnke Fritz, Ellegast Konrad), Chem. Ber., 1953, 86, № 12, 1556—1562 (нем.)

В зависимости от условий метил-(метил)-арилкетон-ы избирательно бромруются в  $\text{CH}_3\text{-(CH}_2\text{)-группу}$  (р-ция 1) или в ядро (р-ция 2). Р-ция (1) благоприятствует медленному приливану разб. р-ра  $\text{Br}_2$  в лед.  $\text{CH}_3\text{COOH}$  к охлажд. разб. р-ру метилкетона и присутствие  $\text{HBr}$ ,  $\text{AlBr}_3$  (или  $\text{AlCl}_3$ ), УФ-свет; наряду с монобромсоединениями всегда образуется продукт  $\omega$ -дибромирования и остается эквивалентное ему кол-во неизмененного кетона; р-ция (2) — удаление возникающего  $\text{HBr}$  посредством  $\text{CH}_3\text{COOK}$ . На основании ранее установленного факта термич. диспропорционирования ди- и трибромметилкетонов (Köhne F., Ber. Dtsch. chem. Ges., 1936, 69, 921) в качестве бромующего агента для метоксинацетофенонов и пиритролуолов предложен легко доступный  $\omega$ -трибром-ацетофенон (I). Образующиеся  $\omega$ -монобромпроизводные отдают от дибромпроизводных в виде пиридиниевых солей. Бромированию нитролуолов благоприятствует добавка 2—10 мол. % перекиси бензоила (II). *o*-Нитролуол и его производные не удалось пробромировать в  $\text{CH}_3\text{COOH}$ . Бромирование 2,4-диоксинацетофенона посредством I (83°, 25 час.,  $\text{CH}_3\text{COOH}$ ) привело к 2,4-диокси-3,5-дибромацетофенону, выход 65%. Бромирование циклогексена дало 3-бромциклогексен и дибромциклогексан. 2 ммоль I и 2 ммоль в-ва выдерживают необходимое время при т-ре р-ции (см. ниже), растворяют плав в ацетоне, добавляют пиридин, через 1—2 часа отделили пиридиниевую соль моноброма, промывают ацетоном, для отделения от небольшого кол-ва образующегося метилена-бис-пиридинийбромида (дающего характерную р-цию с  $\text{K}_4\text{Fe(CN)}_6$ ) обрабатывают спиртом, в котором последний не растворим. Ниже даны исходное в-во, т-ра р-ции в °C, время р-ции в час., выделенный пиридинийбромид, выход в %, т. пл. в °C: 4-бромацетофенон, ~ 85, 0,5, 4-бромфенил-, 91 (в лед.  $\text{CH}_3\text{COOH}$ , выход 17%), 229; 4-нитро-ацетофенон, 85, 0,5, 4-нитрофенил-, 80, 246 (разл.); 4-метоксинацетофенон (III), 85, 0,25, 4-метоксифенил-, 86, 204, соль кристаллизуется при растирании с ацетоном; 2,4-диметоксинацетофенон, 100, 4, 2,4-диоксифенил-, 62 (при добавке 2 мол. % II, выход за 2 часа при 100° 35%, в лед.  $\text{CH}_3\text{COOH}$  при 108° за 5 час., выход 12%), 219; 4-нитролуол, 160, 7; 4-нитробензил-, 71 (2 часа 40%; 100°, 2 часа, 0%; 10 мол. % II, 3,5 часа, 150°, 68%; в лед.  $\text{CH}_3\text{COOH}$  бромирование не идет) 218—219; 3,5-динитролуол, 160, 5, 3,5-динитрофенил-, 68 (добавка 4,2 мол. % II, 2 часа, 140°, 66%), 259; 2-хлор-4-нитро-1-толуол, 160, 5,2-хлор-4-нитробензил-, 89, 229; 2,4,6-тринитролуол, 160, 6, 2,4,6-тринитробензил-, 54 (2 мол. % II, 3 часа, 140°, 73%), 173.  $\omega$ -Бромирование III бромом проведено по Бью Хой (J. Chem. Soc., 1951, 256) в  $\text{CHCl}_3$  и  $\text{CH}_3\text{COOH}$  под давлением. Даны выход в % (в  $\text{CHCl}_3$ ; в  $\text{CH}_3\text{COOH}$ ) при 20°: 4-метокси- $\omega$ -бромацетофенон (IV), 50, 28; 3-бром-4-метокси- $\omega$ -бромацетофенон (V), 12, 16; 4-метокси- $\omega$ -дибромацетофенон (VI), т. пл. 93—94° (из сп.), 24, 36. IV, V и VI разделяют в виде пиридиниевых солей при помощи спирта (соль IV имеет растворимость в 6—7 раз выше, чем соль V). Т. пл. пиридиниевых солей: IV 203—204°, V 224—225°, VI 225° (разл.). Используя для бромирования III двойной молярный избыток  $\text{Br}_2$  (в  $\text{CHCl}_3$  или  $\text{CH}_3\text{COOH}$ ) получают 50% VI и ~30% V, 3,75 и III, 5 и безводн.  $\text{CH}_3\text{COOK}$  и 8 г  $\text{Br}_2$  в 30 мл лед.  $\text{CH}_3\text{COOH}$  выдерживают 10 час. при 20°, выливают в воду с бисульфитом и отдают 3-бром-4-метоксинацетофенон, выход 95%, т. пл. 87—88° (из 10 ч. лигр.) Б. М.

3810. Окисление бензойного альдегида и хлористого бензила пергидролем. Голандев В. П., Ж. общ. химии, 1955, 25, № 3, 574—576

Предложен метод получения бензойной к-ты (I) путем прибавления по каплям 35 мл пергидроля (II) к

смеси 4 г  $\text{C}_6\text{H}_5\text{CHO}$  (III), 5 г 50%-ного р-ра  $\text{KOH}$  и 0,3—0,4 мл 6—8%-ного водн. р-ра  $\text{KMnO}_4$  (катализатор), помещенной в колбу с обратным воздушным холодильником. Р-ция начинается на холоду и заканчивается через 40—45 мин. Неокисленный III удаляют нагреванием смеси до кипения. I выделяют подкислением 10—15%-ной  $\text{HCl}$  и перекристаллизуют из спирта; выход I 4 г. При окислении  $\text{C}_6\text{H}_5\text{CH}_2\text{Cl}$  продолжительность окисления увеличивается в 3, а расход II в 2 раза. С. С.

3811. Реакция Фриделя — Крафта в качественном анализе органических соединений. III. Ароилбензойные кислоты ароматических эфиров. Рейнхеймер, Брессон, Холлоуей, Дейли (The Friedel and Crafts reaction in qualitative organic chemistry. III. Aroyl benzoic acids of aromatic ethers. Reinheimer John D., Bresson Clarence R., Holloway Alice J., Dailey C., Raymond C.), J. Amer. Chem. Soc., 1955, 77, № 7, 1909 (англ.)

Изучено применение бензоилирования по Фриделю — Крафту для качеств. анализа ароматич. эфиров (АЭ) с применением фталевого ангидрида (I) и получении ароилбензойных к-т производных эфиров (АБК). Лучшие результаты получены при применении р-рителя, состоящего из смеси 80%  $(\text{CHCl}_3)_2$  и 20%  $\text{C}_6\text{H}_5\text{NO}_2$ . По этому методу получены 19 АБК с удовлетворительными выходами и т-рами плавления, позволяющими легко идентифицировать исходные АЭ. Недостатком является тенденция АБК медленно кристаллизоваться при осаждении из р-ра  $\text{Na}_2\text{CO}_3$ . Метод не пригоден для *m*-крезилметилового эфира и *o*-метоксибензила из-за низких выходов; *n*-этоксидифенила и *n*-метоксидифенила — из-за недостаточной растворимости Na-солей. Сулцилирование АЭ в большинстве случаев имеет преимущество перед бензоилированием; при занятии пара-положения сулцилирование дает низкие выходы (20—25%), бензоилирование при этом вовсе не идет.  $\beta$ -Ароилпропионовые к-ты быстрее кристаллизуются при предварительном их осаждении.  $\beta$ -Нафтиловые эфиры при бензоилировании дают удовлетворительные результаты, тогда как сулцилирование приводит к образованию смеси изомеров. Получены следующие АБК (указаны исходный эфир, выход в % и испр. т. пл. в °C АБК): анизол, 65, 147—148; фенетол, 64, 134; 8—135,5; *n*-крезилметилового эфира, 25, 157,5—158,5; *o*-крезилэтилового эфира, 80, 157—157,7; *m*-крезилэтилового эфира, 80, 121,4—121,7; *n*-крезилэтилового эфира, 31, 153,5—154,5; вератрол, 22, 239—241; *o*-хлорфенетол, 37, 186—186,8; *n*-бутилфенилового эфира, 66, 119—120; диметилового эфира резорцина, 60, 162,5—164,5; *o*-броманизол, 32, 188,5—189,5; *o*-бромфенетол, 29, 179—181; диэтилового эфира резорцина, 63, 174,5—176; дифенилового эфира, 65, 161—162,5;  $\alpha$ -нафтилэтилового эфира, 80, 158—159;  $\beta$ -нафтилэтилового эфира, 82, 203—203,5; дибутилового эфира резорцина, 71, 164—164,5; *n*-бромфенилфенилового эфира, 48, 197,5—199;  $\beta$ -нафтилметилового эфира, 78, 197,5—198,5. Опыты проведены (Reinheimer, Smith, J. Organ. Chem., 1952, 17, 1505) с применением I вместо янтарного ангидрида. Образовавшийся при подкислении содового р-ра маслянистый осадок оставляют стоять в течение 12 час. в холодильнике, твердую к-ту отфильтровывают и кристаллизуют из спирта, разб. спирта, лед. или разб.  $\text{CH}_3\text{COOH}$ . Сообщение II см. РЖХим, 1955, 11623. Е. К.

3812. Действие диазоуксусного эфира на арилалкальные и диалкальные эфиры (предварительное сообщение). Граф, Дейк-Ротхейс, Колк (The action of ethyl diazoacetate on arylalkyl and dialkyl

ethers (Preliminary communication). Graaff G. B. R. de, Dijk-Rothuis J. H. van, Kolk G. van de, Recueil trav. chim., 1955, 74, № 2, 143—154 (англ.).

Р-ция диазоуксусного эфира (I) с  $C_6H_5OCH_3$  ведет к получению этилового эфира 4-метоксициклогепта-триенкарбонной к-ты (II-к-та), этилового эфира феноксиксусной к-ты (III) и небольшого кол-ва этилового эфира 4-метоксифенилуксусной к-ты (IV-к-та); производное норкарadiens (V) не образуется. II при гидрировании над Pt-катализатором превращается в 4-метоксициклогептанкарбонную к-ту (VI). При р-ции I с  $C_2H_5OC_6H_5$ ,  $n-C_3H_7OC_6H_5$  и  $iso-C_3H_7OC_6H_5$  получается II примерно в одинаковых кол-вах; на основании этого авторы предполагают, что р-ция идет через образование бипольного иона (VII) и промежуточного соединения (VIII):  $C_6H_5OCH_3 + CH^+ = C(-O^-)OC_6H_5$  VII  $\rightarrow$   $C_6H_5O^+ + (-O^-)CH = C(-O^-)OC_6H_5$  VIII. В реакции I с  $o-(CH_3O)_2C_6H_4$ ,  $m-(CH_3O)_2C_6H_4$  или  $p-(CH_3O)_2C_6H_4$  образуются этиловые эфиры соответствующих метоксифеноксиксусных к-т с более высоким выходом, чем выход III в р-ции I с  $C_6H_5OCH_3$ . Так как выход этих к-т в случае орто- и пара-соединений значительно выше, чем для  $m-(CH_3O)_2C_6H_4$ , авторы предполагают, что атака VII на алкоксильную группу протекает гораздо легче, если последняя занимает в ядре положение с повышенной электронной плотностью. Действительно, при р-ции I с 1-метоксинафталином (IX) образуется этиловый эфир нафтокси-1-уксусной к-ты (X-к-та), тогда как при р-ции I с 2-метоксинафталином (XI) ожидаемый этиловый эфир нафтокси-2-уксусной к-ты не получается, а образуется этиловый эфир 1-(2-метоксинафтил)-уксусной к-ты (XII-к-та). Авторы предполагают, что образование эфиров IV и XII протекает в результате атаки VII на отрицательно заряженный атом углерода с последующей изомеризацией продукта присоединения, а не через норкардиеновые производные типа V. При р-ции I с 1-метоксигептаном (XIII) получается смесь этиловых эфиров гептоксиксусной (XIV-к-та) и метоксиксусной к-т (XV-к-та). При взаимодействии I с 1-бутоксибутаном (XVI) образуется смесь этилового эфира бутоксиксусной к-ты (XVII), бутена-1 (XVIII) и значительного кол-во высококипящих продуктов состава  $C_{12}H_{22}O_3$ , механизм образования XVII тот же, что и для III. Для идентификации XVII был превращен в 4-фенилфенилловый эфир бутоксиксусной к-ты (XIX), а XVIII через 1,2-дибромбутан (XX) в бутандиол-1,2 (XXI). К 108 г  $CH_3OC_6H_5$  при 140—150° и энергичном перемешивании (под  $N_2$ ) прибавляют смесь 54 г  $CH_3OC_6H_5$  и 34 г I (3 часа), нагревают смесь 2—3 часа при т-ре лежимого выше 150°, после отгонки избытка  $CH_3OC_6H_5$  получают 18 г масла, т. кип. 128—150°/3 мм, которое фракционируют при 5 мм, фракции встряхивают с избытком  $NH_3$  (d 0,9) в течение нескольких дней; из низкокипящей фракции получают 0,2 г амида фумаровой к-ты, из более высококипящей фракции получают 1,1 г амида феноксиксусной к-ты, т. пл. 102—103° (из разб. сп.). Маточный р-р от амидов экстрагируют, получают масло, 2 мл которого кипятят 3 часа с 20 мл 25%-ного KOH (в  $CH_3OH$ ), отгоняют  $CH_3OH$ , подкисляют водн. HCl, получают II, т. пл. 149,5—150° (из  $CH_3OH$  и бзл.). 489 мг II в 20 мл абс. спирта гидрируют над 22 мг восстановленной PtO<sub>2</sub>, получают VI: амид (получают через этиловый эф.), т. пл. 128,5—129° (из бзл.-лигр.); водн. р-р после извлечения амида VI упаривают в вакууме, остаток экстрагируют петр., эфиром, получают амид IV, т. пл. 184—185° (из петр. эф.). Аналогично из I и  $C_2H_5OC_6H_5$  получают III и 4-этоксикциклогепта-триенкарбонную-1 к-ту, т. пл. 187—188° (из бзл.-лигр.); из I и  $n-C_3H_7OC_6H_5$  получают III и 4(?)-прооксикциклогепта-триенкарбонную-1

к-ту, т. пл. 116—117° (из бзл.-лигр.); из I и  $o-(CH_3O)_2C_6H_4$  получают амид 2-метоксифеноксиксусной к-ты, выход 15%, т. пл. 140—141° (из разб. сп.), 3,4(?)-диметоксикциклогепта-триенкарбонную к-ту, выход 1%, т. пл. 177—178° (разл., из бзл.) и амид 3,4-диметоксифенилуксусной к-ты, т. пл. 142—143° (из разб. сп. и из бзл.-лигр.); из I и  $m-(CH_3O)_2C_6H_4$  получают амид 3-метоксифеноксиксусной к-ты, выход 6%, т. пл. 107—108° (из бзл.) [к-та, т. пл. 117—118° (из воды)], и 3,5-диметоксикциклогепта-триенкарбонную-1 к-ту, выход 1—2%, т. пл. 189—190° (из бзл. и абс. сп.); из I и  $p-(CH_3O)_2C_6H_4$  получают амид 4-метоксифеноксиксусной к-ты, выход 18%, т. пл. 114,5—115° (из бзл. петр. эф.). Из 22 г I и 150 г IX получают, как обычно (после обработки водн.  $NH_3$ , d 0,9), амид X, выход 4—5%, т. пл. 156—157° (из разб. сп.) (из которого при омылении получают X, т. пл. 190—191°), и 14,5 г масла, которое омыляют р-ром 5 г KOH в 100 мл 50%-ного  $CH_3OH$ , отгоняют спирт, подкисляют, экстрагируют холодным  $CH_3OH$ , получают в-во  $C_{12}H_{22}O_3$ , т. пл. 201—202° (из бзл.). Из 108 г XI и 17 г I получают 15 г в-ва, т. кип. 180—184°/3 мм; после обработки водн.  $NH_3$  и упаривания р-ра получают амид состава  $C_{12}H_{22}O_3$ , т. пл. 186—187° (разл.), часть в-ва, не реагирующую с  $NH_3$ , омыляют, получают XII, выход 33%, т. пл. 210—211° (из бзл.). 0,1 г XII обрабатывают (1 час) 5 мл водн.  $NH_3$  (d 1,7), получают лактон 2-оксинафталинуксусной к-ты, т. пл. 104—104,5° (из лигр.). Из 0,2 моля I и 1 моля XIII получают фракцию А (166 г), т. кип. 43—45°/11 мм и фракцию Б (15 г), т. кип. 92—105°/0,07 мм; фракцию А встряхивают 3 дня с 200 мл водн.  $NH_3$  (d 0,9), получают 3,8 г амида XV, т. пл. 94—95° (из лигр.); остаток — 161 г XIII; фракцию Б встряхивают несколько дней с 200 мл водн.  $NH_3$ , получают 0,3 г амида XIV (XXII), т. пл. 83—83,5° (из бзл.-петр. эф.); из масла, не реагирующего с  $NH_3$ , получают 15 г в-ва  $C_{12}H_{22}O_3$ , т. кип. 128—130°/20 мм,  $n_D^{20}$  1,4257.

1-Гептоксиксусную к-ту обрабатывают диазоэтаном, получают XIV (т. кип. 129°/20 мм, 123,5°/16 мм,  $n_D^{20}$  1,4248), который действием водн.  $NH_3$  превращают в XXII. Из 125 г XVI и 23 г I обычным путем получают XVII, т. кип. 56—57°/2 мм и XVIII, из которого действием  $Br_2$  в  $CHCl_3$  получают 2,4 г XX, т. кип. 59,5—60°/20 мм; XX превращают в XXI, бисфенилуретан XXI, т. пл. 115—116° (из сп. и бзл.-лигр.); XIX, т. пл. 78—79° (из разб. сп. и лигр.).

3813. Новый «мета» аналог тироксина. Бруйс (A new «meta» analog of thyroxine. B. Ruise Thomas C.), J. Organ. Chem., 1954, 19, № 3, 333—337 (англ.). При замещении в тироксине (I) остатка аланина остатком —  $CH_2CH_2COOH$ , полученное соединение в ~130 раз активнее D1-I на метаморфозе головастика. Для изучения механизма действия I автор синтезировал «мета» аналог I с остатком —  $CH_2CH_2COOH$  — β-[3,5-динод-4-(2',4'-динод-5'-оксифенокс)-фенил]-пропионовую к-ту 4-(3-HO-4,6-J<sub>2</sub>C<sub>6</sub>H<sub>2</sub>O)-3,5-J<sub>2</sub>C<sub>6</sub>H<sub>2</sub>CH<sub>2</sub>CH<sub>2</sub>COOH (II). n-Нитрогидроксикоричную к-ту восстанавливают водородом над скелетным Ni при 40° и давл. 3 ат в спирте. Полученный амин диазотируют в 10%-ной  $H_2SO_4$  обычным путем, после чего разлагают кипячением; смесью эфир- $CHCl_3$  извлекают флоретиновую к-ту (III), выход 78%, т. пл. 128—129° (из воды). 0,1 моля III в 100 мл  $(CH_3CO)_2O$  нитруют конц.  $HNO_3$  (13 мл) при т-ре ниже 20°; смесь выливают на лед, после чего доводят до кипения, получают 3,5-динитро-4-оксигидроксикоричную к-ту (IV), выход 74%, т. пл. 135°. 0,02 моля этилового эфира IV (получен по способу Фишера, HCl, выход 69%, т. пл. 70—72°) нагревают 30 мин. на паровой бане с 0,03 моля тозилхлорида и 10 мл пиридина, полученный тозилат пиридина нагревают 1,5 часа при 150—155° с 0,04 моля мономети-



лового эфира резорцина (V), по охлаждении экстрагируют  $\text{CHCl}_3$ , получают этиловый эфир 3,5-динитро-4-(3'-метоксифенокси)-гидроксиричной к-ты (VI), выход 48%, т. пл. 89—91°; VI восстанавливают в этиловый эфир 3,5-диамино-4-(3'-метоксифенокси)-гидроксиричной к-ты (VII), выход 90%, т. пл. 89—91° (из сп.), легко окисляется воздухом; N,N'-диацетат VII, т. пл. 151—152°. Тетразотированием VII с последующей заменой диазогруппы иодом получают этиловый эфир 3,5-диод-4-(3'-метоксифенокси)-гидроксиричной к-ты (VIII), выход 65%, т. пл. 86—86,5°. VIII омыляют 12-часовым кипячением с 50%-ным р-ром  $\text{CH}_3\text{COOH}$  и HJ (57%-ная водн.) в 3,5-диод-4-(5'-оксифенокси)-гидроксиричную к-ту, которую иодируют при 5° в 20 мл 33%-ного водн. р-ра  $(\text{C}_2\text{H}_5)_2\text{NH}$  избытком иода, растворенного в миним. кол-ве конц. водн. р-ра KJ; получают II, выход неочищ. 50%, т. пл. 213° (после перекристаллизации из 70%-ного спирта + несколько капель  $\text{CH}_3\text{COOH}$  и из спирта + вода). Т-ры плавления везде не исправлены. Расположение атомов иода в фенольном ядре II точно не установлено, но автор считает, что они находятся в положении 2,4, а не 2,6. II обладает 2% активностью *Py-I* при испытании на головастике *Rana catesbeiana*; из этого результата следует, что активность в соединениях типа II не связана с образованием хиноидной структуры и что активность тем меньше, чем отклонение от строения I больше. И. Г.

**3814.** О получении  $\alpha, \alpha$ -дифенилпимелиновой и  $\alpha, \alpha$ -дифениладипиновой кислот. Сальмон-Леганье, Невё (Sur la préparation des acides  $\alpha, \alpha$ -diphénylpimélique et  $\alpha, \alpha$ -diphényladipique. Salmon-Legagneur François, Neveu Célestin m-m-e), C. r. Acad. sci., 1954, 239, № 25, 1809—1811 (франц.).

Внесены изменения в описанные ранее (РЖХим, 1954, 12677, 16257) методы синтеза  $\alpha, \alpha$ -дифенилпимелиновой (I) и  $\alpha, \alpha$ -дифениладипиновой (II) к-т. Действием KCN на 1,4-дихлорбутан получен нитрил 8-хлорвалериановой к-ты, который при конденсации с дифенилацетонитрилом (III) в присутствии  $\text{NaNH}_2$  дает с требуемым выходом динитрил  $\alpha, \alpha$ -дифенилпимелиновой к-ты, т. пл. 73—74°. Последний омылен р-ром KOH в гликоле. Под действием  $(\text{CH}_3\text{CO})_2\text{O}$  или при перегонке в глубоком вакууме I превращается в дифенилциклогексанон, т. пл. 100—101°; оксим, т. пл. 206—207°. Выход II повышен путем увеличения кол-ва  $\text{NaNH}_2$  при конденсации III с нитрилом  $\gamma$ -броммасляной к-ты. Выделенное при этой р-ции в-во состава  $\text{C}_{18}\text{H}_{18}\text{N}_2\text{O}$ , т. пл. 147—148°, является 5-циан-2,2-дифенилциклопентанонимина-1 карбоновой-5 к-ты (VI). Кроме того, при конденсации образуются также V, т. пл. 65—67°, и нитриламид  $\alpha, \alpha$ -дифениладипиновой к-ты, т. пл. 115—116°. Чем больше кол-во  $\text{NaNH}_2$ , тем выше выход IV. Омыление V щелочью в гликоле протекает с трудом и приводит к продуктам разложения. Лучшие результаты дает омыление IV, но и в этом случае выход II недостаточно высок вследствие частичного декарбоксилирования, что доказано выделением 8,8-дифенилвалериановой к-ты (VII), т. пл. 89—90°. Строение последней подтверждено ее синтезом, осуществленным конденсацией 1,1-дифенил-3-бромпропана с нитрамалоновым эфиром. Полученная при этом к-та  $(\text{C}_6\text{H}_5)_2\text{CH}(\text{CH}_2)_2\text{CH}(\text{COOH})$ , т. пл. 186—188°, была превращена в VII. Синтезированы следующие производные II: диметиловый эфир, т. пл. 77—78°;  $\alpha$ -метилвый эфир, т. пл. 105—106°; 8-этиловый эфир, т. пл. 112—113°, и диамид, т. пл. 183—185°.

П. А.

**3815.** Декарбоксилированное ацилирование производных янтарной кислоты. Часть I. Бензамидоантарная кислота. Лосон (The decarboxylative acylation of succinic acid derivatives. Part I. Benzamid succinic acid. Lawson Alexander), J. Chem. Soc., 1954, Oct., 3363—3367 (англ.).

Для получения аминов с ценными фармакологич. свойствами продолжено изучение декарбоксилированного ацилирования ангидрида бензоиласпарагиновой к-ты (I) ангидридами карбоновых к-т общей ф-лы  $(\text{RCO})_2\text{O}$  (II) (см. РЖХим, 1954, 30582); применены следующие II (указаны R): а фенил; б о-ацетоксифенил; в п-метоксифенил; г п-ацетоксифенил; д м-ацетоксифенил; е бензил; ж 3-пиридил; з  $\beta$ -бензамидоэтил; и  $\beta$ -фталимидоэтил. Р-цию проводят с избытком II в кипящем ксилоле или толуоле, при этом происходит выделение  $\text{CO}_2$ . Ацилирование I бензойным ангидридом (IIa) дает в основном 3-бензамидо-4-фенилбутен-3-олид-4,1,  $\text{C}_6\text{H}_5\text{CONHC}=\text{C}(\text{COCH}_2)(\text{Ph})$  (IIIa, R = фенил); одновременно образуется небольшое кол-во 4-бензоил-4,5-дигидро-6-оксо-2-фенил-1,3-оксазина,  $\text{C}_6\text{H}_5\text{C}=\text{NCH}(\text{COR})\text{CH}_2\text{COO}$  (IVa, R = фенил), что подтверждено получением 2-меркапто-4-фенил-5-глиоксилацилилукусовой к-ты  $\text{HS}-\text{C}=\text{NCR}=\text{C}(\text{CH}_2\text{COOH})\text{NH}$

(Va, R = фенил) гидролизом смолы, выделенной из маточного фильтрата, и последующей р-цией с KCNS. При взаимодействии I с другими II получен: из IIв — IIж соответствующие IIIв — IIIж, а также небольшое кол-во IVд и IVе, а в случае IIж, амфотерное в-во  $\text{C}_{18}\text{H}_{14}\text{O}_4\text{N}_2$ ; из IIа и IIи — IVз и IVи. Р-ция I с IIб проходит медленно и происходит образование IIIк (R =  $\text{CH}_3$ ) и IVк, вследствие отщепления от IIб при нагревании  $(\text{CH}_3\text{CO})_2\text{O}$  и взаимодействие его с I. Гидрированием IIIа в присутствии сравнительно большого кол-ва скелетного Ni и гидролизом получают хлоргидрат 3-амино-4-окси-4-фенилбутанолида-4,1 (VI), имеющего строение, родственное норэфедрину. IIIг при обработке разб. HCl или NaOH дает IIIл (R = м-оксифенил), аналогично из IIIд получают IIIм (R = л-оксифенил). Гидрирование IIIл в присутствии  $\text{PtO}_2$  дает 3-гексагидробензамидо-4-окси-4-(л-оксифенил)-бутен-3-олид-4,1 (VII); аналогично из IIIм получают 3-гексагидро-5,5-замидо-4-окси-4-(м-оксифенил)-бутен-3-олид-4,1 (VIII). При обработке IIIл Na-амальгамой получают  $\text{C}_6\text{H}_5\text{CHO}$  и 3-амино-4-окси-4-(л-оксифенил)-бутен-3-олид-4,1 (IX), являющийся аналогом  $\beta$ -амино- $\alpha$ -ангелактолона. IVз гидролизует при кипячении с HCl (к-той) сначала с образованием 3,6-дибензамидо-4-оксогексановой к-ты (X), затем 6-бензамидо-4-оксо-3-аминогексановой к-ты (XI) и 3,6-диамино-4-оксогексановой к-ты (XII). Из XI и XII р-цией с KCNS получают соответствующие Vз и Vи (R =  $\beta$ -аминоэтил). Аналогично при гидролизе IVи и р-цией с KCNS получают Vи. IIд, т. пл. 103° (из этилацетата). Кипячением 2 г I, 6 г IIа и 30 мл ксилола 1 час получают 2 г IIIа, т. пл. 152° (из этилацетата); фильтрат упаривают в вакууме, гидролизуют конц. HCl при 155°, удаляют бензойную к-ту и HCl, обработкой остатка KCNS выделяют Va, т. пл. 244° (разл., из водн. сп.), 1 г IIIа в 100 мл этилацетата гидрируют  $\text{H}_2$  2 часа с 5 г скелетного Ni, получают 3-бензамидо-4-окси-4-фенилбутанолид-4,1 (XIII), выход 100%, т. пл. 182°; 1 г XIII гидролизуют кипячением 1 час с 20%-ной HCl, получают 0,4 г VI, т. пл. 234° (разл., из 90%-ного сп.). 1 г I и 2,5 г IIб кипят 5 час. в 20 мл ксилола, удаляют в вакууме ксилол, остаток растворяют в  $\text{C}_6\text{H}_6$  и промывают экстракт водн.  $\text{NaHCO}_3$ , из бензольного р-ра выделяют IIIк, т. пл. 174°. Обработкой маточного фильтрата 2,4-динитрофенилгидразом в спирте получают 2,4-динитрофенилгидразон этилового эфира бензамидо- $\gamma$ -оксо-

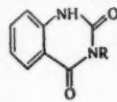
валериановой к-ты; из фильтрата удаляют  $C_6H_6$  и гидролизом остатка и р-цией его с KCNS получают небольшое кол-во Vк ( $R = CH_3$ ). 2 г IIв в 20 мл ксилола кипятят несколько часов с 1 г I, прибавляют  $C_6H_6$ , извлекают воду.  $NaHCO_3$ , затем 1 н. NaOH, из последнего охлаждением твердое  $CO_2$  выделяют IIв, т. пл. 132° (из сп.). 1 г I и 2,6 г IIг в 20 мл ксилола кипятят 6 час., оставляют стоять 16 час. при 0°, после затирания осадка с эфиром получают 1,2 г IIIг, т. пл. 167° (из водн. сп.); гидролизом IIIг с разб. HCl или 3 н. NaOH получают III, выход 100%, т. пл. 212° (из водн. сп.). Гидрирование IIIг или IIIа ( $PO_2$ , 18°, 40 ат, 5 час.) дает небольшое кол-во VII, т. пл. 230°. 1 г IIIа растворяют в 5 мл 3 н. NaOH, охлаждают до 0° и прибавляют в течение 1 часа 50 г 2,5%-ной Na-амальгамы и подкисляют, получают 0,3 г IX, т. пл. 229° (разл., из сп.). Ацилированием IX ( $CH_3CO$ )<sub>2</sub>O в присутствии 1 капли  $H_2SO_4$  получают 3-ацетидамо-4-окси-4-(п-оксифенил)-бутен-3-олид-4,1, т. пл. 250° (разл., из водн. сп.). Из 1 г IIд и 2,5 г I в 20 мл ксилола (кипение 5 час.) получают 0,9 г IIд, т. пл. 135° (из водн. сп.) и небольшое кол-во IVд, т. пл. 176°, получаемого при растворении осадка неочищ. IIд в 3 н. NaOH. Гидролизом IVд и р-цией с KCNS получают Vм ( $R = m$ -оксифенил), т. пл. 300° (разл., из водн. сп.). Гидрирование IIIм (т. пл. 201°, из водн. сп.) в присутствии  $PO_2$  (40 ат) дает VIII, т. пл. 196° (из водн. сп.). Из 5 г IIе и 2 г I в 20 мл ксилола (2 часа) получают 1,6 г IIIе, т. пл. 184° (из этилацетата). 5 г IIж, 2 г I, 30 мл ксилола (кипение 2 часа) дает 0,8 г IIж, т. пл. 234° (разл., из сп.); ксилольный фильтрат экстрагируют 3 н. HCl и нейтрализацией  $NaHCO_3$  до рН 4 выделяют 1,8 г  $C_{16}H_{13}O_4N_2$ , т. пл. 227° (из водн. сп.); фенилгидразон, т. пл. 175° (разл., из сп.); оксим, т. пл. 185° (из сп.). 1 г I, 3 г IIа и 20 мл толуола кипятят 2 часа, на другой день осадок промывают эфиром, извлекают β-бензоил-L-аланин водн.  $NaHCO_3$  и получают 1,8 г IVз, т. пл. 167° (из этилацетата). 4 г IVз кипятят 2 часа с конц. HCl, отфильтровывают бензойную к-ту, фильтрат упаривают в вакууме и выделяют небольшое кол-во X, т. пл. 148° (из этилацетата); маточный фильтрат упаривают в вакууме, остаток растворяют в воде и р-цией с KCNS при 100° получают 2,3 г Vз, т. пл. 205° (разл., из водн. сп.); из Vз при дальнейшем кипячении 2 часа с конц. HCl получают хлоргидрат Vи, т. пл. 258°; прибавлением к р-ру хлоргидрата  $NaHCO_3$  до рН 7 получают Vи, т. пл. 300° (разл., из водн. сп.). Аналогично из IIIи и I получают IVи, т. пл. 91° (из этилацетата); при гидролизе IVи выделяют 3-бензамидо-4-оксо-6-фталимидогексановую к-ту (XIV), т. пл. 216° (из этилацетата); из маточного фильтрата от XIV р-цией с KCNS выделяют Vи, т. пл. 233° (разл., из водн. сп.).

#### 3816. Янтарно- и фталогидроксамовые кислоты.

Херд, Бьюсс, Бауэр (Succino- and phthalohydroxamic acids. Hurd Charles D., Buess Charles M., Bauer Ludwig, J. Organ. Chem., 1954, 19, № 7, 1140—1149 (англ.)).

Для изучения перегруппировки соединений с двумя остатками гидроксамовой к-ты, расположенными у соседних С-атомов, получены бензоильные производные фталогидроксамовой и янтарногидроксамовой (II и II-к-ты). Синтез бензоил-I осуществлен по схеме:  $C_6H_4(COOC_2H_5)_2$  (III) +  $NH_2OH + C_2H_5ONa \rightarrow C_6H_4(CONHONa)_2$  (II) +  $C_6H_5COCl \rightarrow C_6H_4(CONHOCOC_2H_5)_2$ . Побочным продуктом в первой стадии является фталоксим  $C_6H_4(CO)_2NOH$  (V), а во второй — бензо-1-(N-бензооксифталомонил)-гидроксамовая к-та  $O=C_6H_4(CONHOCOC_2H_5)_2COONHOCOC_2H_5$  (VI). Под действием щелочи легко идет перегруппировка бензоил-I с образованием в качестве основного в-ва 3-бензоил-окси-1Н-хинаязолиндина (VII), дающего при щел. гидролизе 3-окси-1Н-хинаязолиндина (VIII), который

под действием гидразина превращается в 3-амино-1Н-хинаязолиндина (IX); строение VIII подтверждено синтезом из о-карботоксифенилуретана (X). При действии HCl (к-ты) на VII получают о-(3-фенилуреидо)-бензойную к-ту  $C_6H_5NHCO-NHC_6H_4COOH$  (XI). При нагревании Na-соли VI или р-ра Na-соли XI происходит образование 3-фенил-1Н-хинаязолиндина (XII). Бензоил-II,  $(CH_3CONHOCOC_2H_5)_2$ , получают аналогично бензоил-I; одновременно идет циклизация с образо-



VII  $R = OCOC_2H_5$   
VIII  $R = OH$   
IX  $R = NH_2$   
XII  $R = C_6H_5$

ванием  $COCH_2CH_2COONHOCOC_2H_5$  (XIII) (возможна таутомерная форма). Получение XIII можно осуществить также превращением  $(-CH_2CONHONa)_2$  (XIV) в Су-соль, последующей обработкой  $H_2S$  и бензоилированием. Строение XIII подтверждено р-цией 3-карбокси-пропионо-(бензоилгидроксамовой) к-ты (XV) с  $C_6H_5COCl$ . При действии  $(CH_3CO)_2O$  на бензоил-II наряду с XIII получают  $COCH_2CH_2CONOCOC_2H_5$  (XVI) (допустима таутомерная форма). При р-ции XIV с  $(CH_3CO)_2O$  получают ацетил-II, которая циклизуется с образованием

$COCH_2CH_2CONCCCH_3$  (XVII). Na-соль бензоил-II при нагревании в воде легко циклизуется с одновременной перегруппировкой в 3-окси-5,6-дигидроурацил (XVIII)  $CONHCH_2CH_2CONH$ , который получен также в виде моноацетильного (XIX) и дибензоильного (XX) производных. Побочными продуктами при циклизации являются сим-дифенилмочевина (XXI) и  $C_6H_5COOH$ . К р-ру 33,3 г III в 200 мл абс. спирта + 7,2 г Na прибавляют при т-ре < 30° в течение ~30 мин. охлажд. р-р  $NH_2OH$  (полученный обработкой кипящего р-ра 21,5 г  $NH_2OH \cdot HCl$  в 500 мл абс. спирта этилатом Na), оставляют на 1 час при 0°, затем прибавляют 250 мл гексана, фильтруют и осадок IV, во избежание образования V, быстро помещают в вакуум-эксикатор и сушат, выход 95%. При пропускании  $CO_2$  через водн. р-р I в 8 мл ледяной воды и (или) подкислении разб. HCl) выпадает V, т. пл. 232° (разл.). К р-ру 17 г IV в 90 мл воды прибавляют при -5° конц. р-р 5,7 г NaOH, затем постепенно 19,5 г  $C_6H_5COCl$  при т-ре < 3°; перемешивают 15 мин. и 30 мл  $C_6H_6$  извлекают бензоил-V, т. пл. 169—170°. Водн. слой охлаждают, подкисляют 15 мл конц. HCl и выделяют 18,2 г смеси бензоил-I, т. пл. 120—125°, и VI, т. пл. 142—144°, которую разделяют экстракцией спиртом. При обработке этой смеси водн. NaOH выделен VII, т. пл. 264—266° (из абс. сп.), а из фильтрата при подкислении — XI, т. пл. 189—190° (из водн. сп.); из очист. бензоил-I получают VII, выход 37%. Гидролиз VII 5%-ным р-ром NaOH, наряду с  $C_6H_5COOH$ , дает VIII, выход 99%, т. пл. 325—326° (разл., из водн. сп.). VIII получают также нагреванием 1,32 г X со спирт. р-ром  $NH_2OH$  и  $C_2H_5ONa$  в течение 2 час., выход 0,39 г. При обработке 100 мг VIII гидразином получают 51 мг IX, т. пл. 287—288°. Кратковременным кипячением 3,03 г VI с р-ром 0,6 г NaOH в 25 мл воды и подкислением бензоил-I получают XI, выход 37%; нагревание аналогичной смеси в течение 15 мин. дает XII, выход 29%, т. пл. 280—281°. Превращение XI в XII под действием р-ра NaOH проходит с выходом 60%. Синтез бензоил-II осуществлен по Шоттен — Бауману с выходом 45%, или кипячением в течение 30 мин. суспензии 5 г XIV в 60 мл эфира с 7 мл  $C_6H_5COCl$ ; выход 55%, т. пл. 135° (разл., из абс. сп.). Превращение XIV в Су-соль, обработкой  $H_2S$  и бензоилирование образовавшегося в-ва в  $C_6H_6$  в присутствии пиридина дает XIII, т. пл. 135—136°. Получение XIII осуществлено еще нагреванием I с XV с 2 мл  $C_6H_5COCl$  при 100° в

течение 15 мин. Нагревание 0,25 г бензоил-П с 5 г  $(\text{CH}_3\text{CO})_2\text{O}$  при 100° в течение 30 мин. наряду с XIII дает 0,08 г XVI, т. пл. 116° (из сп.). К р-ру 2,4 г XIV и 2,8 г  $\text{CH}_3\text{COONa} \cdot 3\text{H}_2\text{O}$  в 12 мл воды при 5° прибавляют следы сапонины и 4 мл  $(\text{CH}_3\text{CO})_2\text{O}$  и затем выделяют 2,3 г ацетил-П, т. пл. 147° (разл., из изопропилового спирта). Кипячение 0,66 г ацетил-П с 5 мл  $(\text{CH}_3\text{CO})_2\text{O}$  дает XVII, выход 83%, т. пл. 131° (из бзл.). При нагревании суспензии 8,57 г бензоил-П в 50 мл абс. спирта с  $\text{C}_2\text{H}_5\text{ONa}$  (из 1,13 г Na) и последующем осаждении эфиром и сушке в вакууме получают Na-соль бензоил-П, выход 96%. Р-р 7,27 г Na-соли бензоил-П в 20 мл воды нагревают в течение 1 часа при 100°, отделяют выделившиеся XXI и  $\text{C}_6\text{H}_5\text{COOH}$ , р-р после очистки упаривают досуха и извлекают изопропиловым спиртом 0,7 г XVIII, т. пл. 210° (из изопропилового сп.); из XVIII получают XIX, т. пл. 162° (из  $\text{CHCl}_3$  + гексан), и XX, т. пл. 245° (разл., из  $\text{CH}_3\text{COOH}$ ). К. Х.

**3817. О линейных олигоэфирах терефталевой кислоты и гликоля.** Цан, Кшикалла (Über lineare Oligoester von Terephthalsäure und Glykol. Zahn Helmut, Krzika Reinhard), Angew. Chemie, 1955, 67, № 3, 108—110 (нем.)

В качестве моделей линейных высокомолекулярных в-в типа поликапролактама, нейлона, терилена получены эфиры терефталевой к-ты (I) и гликоля (II)  $\text{H}(\text{OCH}_2\text{CH}_2\text{OCOC}_6\text{H}_4\text{CO})_n\text{OCH}_2\text{CH}_2\text{OH}$ , где  $n=1$  (III), 2 (IV), 3 (V), 4 (VI); а с помощью  $\text{H}-\text{CH}_2\text{OCOC}_6\text{H}_4\text{COCl}$  (VII);  $\text{CH}_3\text{OCOC}_6\text{H}_4\text{CO}(\text{OCH}_2\text{CH}_2\text{O})_x\text{COC}_6\text{H}_4\text{COCH}_3$ , где  $x=1$  (VIII), 2 (IX), а также  $\text{CH}_3\text{OCOC}_6\text{H}_4\text{COOCH}_2\text{CH}_2\text{OH}$  (X),  $\text{CH}_3\text{OCOC}_6\text{H}_4\text{COOCH}_2\text{CH}_2\text{OCOC}_6\text{H}_4\text{COCH}_3$  (XI),  $\text{NH}_2\text{COC}_6\text{H}_4\text{COOCH}_2\text{CH}_2\text{OCOC}_6\text{H}_4\text{COCH}_3$  (XII),  $\text{NH}_2\text{COC}_6\text{H}_4\text{COOCH}_2\text{CH}_2\text{OCOC}_6\text{H}_4\text{COCH}_3$  (XIII). Перечисляются полученные соединения, т. пл. в °C, исходные в-ва для их синтеза: III, 109 (из водн. сп.), а) I, окись этилена б) диметиловый эфир I (XIV), II, IV, 169—170 (из сп.), III (расплавлением); V, 200—202 (из тетрагидрата), а) III (расплавлением), б) III, XIV, в) III, хлорангидрид I; VI, 216—220 (из тетрагидрата) а) III (расплавлением), б) IV (расплавлением), в) III, VIII; VII, 50—51 (из петр. эф.), монометиловый эфир I (XV), хлористый тинил; VIII, 167 (из сп.), а) II, XV, б) 1,2-дигидроэтан,  $\text{CH}_3\text{OCOC}_6\text{H}_4\text{COOK}$  (XVI); IX, 178—183 (из бзл.), VII, III; X, 79—80 (из бзл.), этиленхлорид, XVI; XI, 63—66, —; XII, 134—136° (из диоксана), метиловый эфир моноамида I, II; XIII, 173—175 (из диэтилбензола), —. Были получены производные III: диангильное, т. пл. 78—79°, дибензойное, т. пл. 102—103°, дифенилуретан, т. пл. 192°. V, VI, VIII, IX дают рентгенограммы, аналогичные рентгенограммам полиэтилентерефталата. С. В.

**3818. Синтез диарилуксусных кислот и их анилидов на основе анилидов диарилгликолевых кислот.** XXII. Петюни П. А., Бердинский И. С., Панферова Н. Г., Ж. общ. химии, 1955, 25, № 1, 189—193

Разработан способ получения диарилуксусных к-т  $(\text{RC}_6\text{H}_4)_2\text{CHCOOH}$  (I) и их анилидов  $(\text{RC}_6\text{H}_4)_2\text{CHCONHC}_6\text{H}_5$  (II) восстановлением анилидов диарилгликолевых к-т  $(\text{RC}_6\text{H}_4)_2\text{C}(\text{OH})\text{CONHC}_6\text{H}_5$  (III) и последующим гидролизом полученных II в I. III получены р-цией Mg-органич. соединений с оксаниловым эфиром (Петюни П. А., Панферова Н. Г., Ж. общ. химии, 1947, 17, 502). В качестве восстановителей для III испытаны  $\text{Zn} + \text{CH}_3\text{COOH}$ ,  $\text{Na}_2\text{S}_2\text{O}_4$ ,  $\text{SnCl}_2 + \text{HCl}$ , лучшие результаты получены с  $\text{J}_2 + \text{красный Р}$  в  $\text{CH}_3\text{COOH}$ . Установлено, что р-ции восстановления и гидролиза протекают последовательно: III  $\xrightarrow{\text{H}_2}$  II  $\xrightarrow{\text{H}_2\text{O}}$  I, и в зависимости от длительности взаимодействия главным продуктом превращения является II или I. Легкость гидролиза II ( $\text{R} = \text{CH}_3$ ) понижается в ряду:  $n\text{-CH}_3 > m\text{-CH}_3 > o\text{-CH}_3$ . К р-ру 1 г III ( $\text{R} = \text{H}$ )

в 10 мл лед.  $\text{CH}_3\text{COOH}$  прибавляют 0,5 г  $\text{J}_2$ , 1 г красного Р и 0,3 мл воды, кипятят 2,5 часа, фильтруют в 50 мл воды, содержащей немного  $\text{Na}_2\text{SO}_3$ , и обрабатывают осадок 10 мл 10%-ной соды, причем отделяют нерастворимый II ( $\text{R} = \text{H}$ ), выход 14,7%, т. пл. 180° (из сп.), а подкислением фильтрата конц.  $\text{HCl}$  выделяют I ( $\text{R} = \text{H}$ ), выход 65,7%, т. пл. 145° (из воды). Аналогично из других III получены следующие II и I (указаны R, длительность кипячения в час., выход II, т. пл. II, выход I, т. пл. I):  $n\text{-CH}_3$ , 0,5, 60,5%, 166,5° (из лед.  $\text{CH}_3\text{COOH}$ ), 22,1%, 144° (из лед.  $\text{CH}_3\text{COOH}$ );  $m\text{-CH}_3$ , 3, 8,4%, 139—140°, 74,5%, 100—102° (из разб.  $\text{CH}_3\text{COOH}$ );  $o\text{-CH}_3$ , 3, 51,2%, 171° (из сп.), 13,8%, 155,5—157° (из лед.  $\text{CH}_3\text{COOH}$ );  $n\text{-Br}$ , 2,5, 23,9%, 194—195,5°, 39%, 186—188°;  $n\text{-Cl}$ , 3, 18,6%, 201—205° (разл., из сп.), 52,1%, 166—167°. Сообщение XXI см. РЖХим, 1955, 18615.

**3819. Присоединение диалкиламино- и алкиламиномагнийгалогенидов к нитрилу  $\alpha$ -фенилкоричной кислоты.** Вавзюк, Неглер (The addition of dialkylamino- and alkylaminomagnesium halides to  $\alpha$ -phenylcinnamionitrile. Wawzouk Stanley, Nagler Robert C.), J. Amer. Chem. Soc. 1955, 77, № 7, 1796—1798 (англ.)

Диметиламиномагнийгидрид (I), диэтиламиномагнийбромид (II), диэтиламиномагнийгидрид III и этиламиномагнийгидрид (IV) присоединяются к нитрилу  $\alpha$ -фенилкоричной к-ты (V) в положении 1,2, образуя амидины  $\text{C}_6\text{H}_5\text{CH}=\text{C}(\text{C}_6\text{H}_5)\text{C}(\text{NHR})\text{NR}'$  (VIa  $\text{R} = \text{R}' = \text{CH}_3$ , б  $\text{R} = \text{R}' = \text{C}_2\text{H}_5$ , в  $\text{R} = \text{H}$ ,  $\text{R}' = \text{C}_2\text{H}_5$ ). Возможно, что III (у авторов VI) присоединяется также в положение 1,4. Строение продуктов р-ции доказано каталитич. восстановлением VIa в 1-диметиламино-2,3-дифенилпропан (VII) и пирилизмом других VI в V. Промежуточные продукты р-ции, содержащие  $-\text{MgX}$ , не алкилируются действием  $\text{C}_2\text{H}_5\text{Br}$  и  $\text{C}_2\text{H}_5\text{I}$  в триалкиламинидины. К р-ру III (из 29,3 г  $(\text{C}_2\text{H}_5)_2\text{NH}$  и 0,3 моля  $\text{C}_2\text{H}_5\text{MgI}$  в 350 мл эф.) добавили 41 г V, смесь кипятят 16 час., после обычной обработки выделенный гидрат VIb, выход 70%, т. пл. 258—260° (разл., из воды); VIb, т. пл. 85—87°, из него получили хлоргидрат, который дробной кристаллизацией из спирта-этилацетата разделили на 2 изомера в отношении 20:1; первый хлоргидрат, т. пл. 220—221°, основание, т. пл. 86—87°,  $\lambda_{\text{макс}}$  (в сп.) 294 мμ (ε 82 900), второй хлоргидрат, т. пл. 251—252°, основание, т. пл. 63—64°. Из I и V аналогично получен гидрат VIa амидина, выход 92%, т. пл. 291—292° (разл., из воды), VIa, т. пл. 99—100° (из водн. ацетона),  $\lambda_{\text{макс}}$  (в сп.) 296 мμ (ε 44 500), хлоргидрат, т. пл. 275—276° (разл., из сп.-этилацетата). Из II, V и  $\text{C}_2\text{H}_5\text{Br}$  получен бромгидрат VIb, т. пл. 233—235° (из воды). Кипячением IV (из 0,3 моля  $\text{CH}_3\text{MgCl}$  и  $\text{C}_2\text{H}_5\text{NH}_2$  в 350 мл эф.) с 41 г V получен гидрат VIв (у авторов нитрила), выход 55 г, т. пл. 183—183,5° (из воды); VIв, т. пл. 124—125°,  $\lambda_{\text{макс}}$  293 мμ (ε 79 400). 85,2 г  $\text{CH}_3\text{J}$  добавили к комплексу, полученному из IV и V, кипятят 20 час., выделили гидрат VIг ( $\text{R} = \text{CH}_3$ ,  $\text{R}' = \text{C}_2\text{H}_5$ ) выход 28 г, т. пл. 269—271° (разл., из воды) (то же в-во получено при действии  $\text{CH}_3\text{J}$  на VIв). Обработкой щелочью выделен VIг, т. пл. 65—68° (из петр. эф.). Гидрированием 5 г VIa (в сп., ~ 3 ат  $\text{H}_2$ ,  $\text{PtO}_2$ ) получено 0,14 г хлоргидрата ди-(β, γ-дифенилпропил)-амина, т. пл. 220—223° (из этилацетата) и 1,85 г VII, пикрат, т. пл. 201—202,5° (из этилацетата), хлорплатинат хлорметилата, т. пл. 244—247° (разл.), Au-соль водметилата, т. пл. 167—169°. При перегонке VIa, VIb, VIг и гидрата VIв (180—200°/10—20 мм) получен V. Основание VIв перегонялось без разложения при 250—280°/30 мм. Т. Д.



**3820. Аномальные реакции Ульмана. Несимметричная конденсация 2,6-дибром-4-нитроидбензола.** Карлин, Суэйкон (Anomalous Ullmann reactions. The unsymmetrical coupling of 2,6-dibromo-4-nitroiodobenzene. Carlin Robert B., Swacon Edward A.), J. Amer. Chem. Soc., 1955, 77, № 4, 966—973 (англ.)

При нагревании 2,6-дибром-4-нитроидбензола (I) с Cu образуются 2,2',6,6'-тетрабром-4,4'-динитробифенил (II), 2,3',6-трибром-2'-иод-4,5'-динитробифенил (III), 2,6-бис-(2,6-дибром-4-нитрофенил)-4'-нитроидбензол (IV) и 3,5-дибромнитробензол (V). Строение II установлено восстановлением его в бензидин, а также известный 2,2',6,6'-тетрабромбензидин (VI) и его дианетильное производ. (VII). Строение III установлено превращением через 2,3',6-трибром-2'-иод-4,5'-диаминобифенил (VIII) и 2,3',6-трибром-2'-подбифенил (IX) бифенил (X), а также через VIII, 2,3',6-трибром-2'-иод-4,5'-дианетилдифенил (XI), 3,4'-дианетилдифенил (XII) в 3,4'-диаминобифенил (XIII). Строение XIII подтверждено синтезом из 3,4'-динитробифенила (XIV). Строение углеродного скелета IV подтверждено восстановлением его в соответствующий амин (XV), гидрогенолизом XV в 3,5-бис-(4-аминофенил)-анилин (XVI) и превращением XVI через триид-м-терфенил (XVII) в м-терфенил (XVIII). Положение заместителей в IV определено сравнением триацетильного производного XVI (XIX) с в-ом, полученным из тринитротерфенила (XX). Образование III и IV происходит с участием атомов Br, несмотря на большую реакционную способность атома J, активированного к тому же п-NO<sub>2</sub>-группой. Образование V объясняется гидрогенолизом I, причем дебромирование I не наблюдается. Разработан метод восстановления NO<sub>2</sub>-группы в галогиднитросоединениях без гидрогенолиза галогена действием H<sub>2</sub> со скелетным Ni в C<sub>6</sub>H<sub>6</sub> в присутствии небольшого кол-ва пиридина. Исходный I получен из 2,6-дибром-4-нитроанилина с выходом 84—88%. Смесь 100 г I, 65 г порошка Cu и 150 г песка нагревают с размешиванием до 180°, выдерживают 30 мин. при 210°, кипятят с C<sub>6</sub>H<sub>6</sub> (4 × 500 мл) и р-р пропускают через Al<sub>2</sub>O<sub>3</sub>, удаляют C<sub>6</sub>H<sub>6</sub>, остаток экстрагируют ацетоном (100 мл) и охлаждают, получают смесь II, III и IV, которую возгоняют при 0,1 μ, при т-ре < 190° возгоняется II, при 190—235° III, в остатке IV. Из ацетонового маточного р-ра после отгонки р-рителя возгонкой выделяют смесь I и V (при < 140°/0,1 μ) и затем отгоняют V с паром; выход II 30,2%, т. пл. 174—175° (из C<sub>6</sub>H<sub>5</sub>OH), возгонкой (175°/10<sup>-5</sup> мм) получают модификацию II, т. пл. 184,5—185,5°; выход III 19,4%, т. пл. 233—233,5° (из бзл.); выход IV 4,8%, т. пл. 388,5—390° (из хлорбензола); выход V 5,2%, т. пл. 103—105,5° (из C<sub>6</sub>H<sub>5</sub>OH). Не прореагировало 10,3% I. К кипящей смеси 2,5 г II, 200 мл C<sub>6</sub>H<sub>6</sub> и 100 г активированного Fe периодически прибавляют при размешивании (24 часа) небольшое кол-во воды; из осадка в-во извлекают C<sub>6</sub>H<sub>6</sub>, получают VI, выход 81,8%, т. пл. 249—250°. Обработкой VI кетеном в C<sub>6</sub>H<sub>6</sub> получают VII, т. пл. 337—339° (разл.; из водн. CH<sub>3</sub>COOH). Аналогично III восстанавливают в VIII, выход 50%, т. пл. 250° (разл., из сп.). VIII также получают гидрогенолизом III (скелетный Ni, C<sub>6</sub>H<sub>6</sub>, несколько мл пиридина, 3 ат H<sub>2</sub>, 4 часа, 20°) с выходом 80%. Из VIII получают N,N'-дифенильное производное, выход 30%, т. пл. 185° (разл.; из C<sub>6</sub>H<sub>5</sub>OH-бзл.) и [действием кетена в C<sub>6</sub>H<sub>6</sub> или (CH<sub>3</sub>CO)<sub>2</sub>O + H<sub>2</sub>SO<sub>4</sub>] XI, вероятно, в двух модификациях, т. пл. 160—180° и 283—284° (из водн. CH<sub>3</sub>COOH). Диазораствор, полученный из VIII, приливают по каплям к кипящему спирту, получают IX, выход 56,5% (считая на III), т. пл. 156,5—158° (из сп.). Гидрированием IX (в спирте, скелетный Ni, 3 ат H<sub>2</sub>, 4 часа, 20°) получают X, выход 75%. Из 5,75 г

XI и 1,5 г NaOH в 125 мл спирта гидрогенованием с 3 г скелетного Ni (3 ат H<sub>2</sub>, 12 час., ~ 20°) получают XII, выход 74%, т. пл. 185—186,5° (из водн. CH<sub>3</sub>COOH). Гидролизом XII водно-спирт. р-ром HCl получают хлоргидрат XIII, выход 99%, т. пл. 280° (разл.), который дает XIII, выход 48%, т. пл. 85,5—86,5° (возгонка при 90°/0,1 μ); N,N'-дифенильное производное, выход 94%, т. пл. 223—224° (из абс. спирта); N,N'-бис-салицилиденное производное (у авторов C<sub>26</sub>H<sub>20</sub>N<sub>2</sub>O<sub>2</sub> вместо C<sub>26</sub>H<sub>20</sub>N<sub>2</sub>O<sub>4</sub>), т. пл. 148—149° (из бзл.-н-гептана). XIV получают нитрованием 4-ацетамидобифенила дымящей HNO<sub>3</sub> с последующим гидролизом и дезаминированием 3,4-динитро-4-аминобифенила (выход 78%) или нитрованием 3-нитробифенила (выход 34%), или конденсацией N-нитрозо-м-нитроацетанилида с C<sub>6</sub>H<sub>5</sub>NO<sub>2</sub> (выход 12,4%), т. пл. 187—188° (из бзл.-CH<sub>3</sub>OH). Восстановлением (в C<sub>6</sub>H<sub>6</sub>, скелетный Ni, 3 ат H<sub>2</sub>, 20°) XIV превращают в XIII, выделяемый в виде XII. Гидрируют IV аналогично III (в присутствии пиридина), получают XV, выход 57%, т. пл. 315° (разл., из бзл.-сп.); триацетильное производное (XXI), т. пл. 341—344° (разл., из водн. CH<sub>3</sub>COOH). XV также получают восстановлением Fe и H<sub>2</sub>O. Гидрируют 3,5 г IV (C<sub>6</sub>H<sub>6</sub>, скелетный Ni, 3 ат H<sub>2</sub>, ~ 20°), продукт р-ции обрабатывают р-ром 0,85 г NaOH в 100 мл спирта и гидроируют (скелетный Ni, 3 ат H<sub>2</sub>, ~ 20°) 12 час., получают XVI, выход 1,2 г. Диазотированием и обработкой NaJ XVI превращают в XVII (выход 98%). При гидрогеновании XVII со скелетным Ni в спирте (70 ат H<sub>2</sub>, 78°, 3 часа) образуется XVIII, выход 22%, т. пл. 86,5—87° (из C<sub>6</sub>H<sub>5</sub>OH после возгонки при 85°/0,1 μ). XVIII синтезируют из N-нитрозо-3-ацетамидобифенила (XXII) в C<sub>6</sub>H<sub>6</sub>, выход 35%. 1,3 г XXI гидроируют в присутствии 1 г NaOH (в 150 мл спирта, со скелетным Ni, 3 ат H<sub>2</sub>, 12 час., ~ 20°), растворяют выделенный продукт р-ции в C<sub>6</sub>H<sub>6</sub> и диацетилируют кетеном, получают XIX, т. пл. 315° (разл.; из водн. CH<sub>3</sub>COOH). Конденсируя N,N'-динитро-1,3-дианетамидо-5-нитробензол с C<sub>6</sub>H<sub>5</sub>NO<sub>2</sub>, синтезируют XX, т. пл. 263—268° (из целлольва). Гидрированием XX с последующим ацелированием получают XIX. Описан также синтез 3,3'-дифенилбифенила (выход 83%, т. пл. 84,5—86°) из 3-нодбифенила (т. кип. 164°/5 мм).

**3821. Нитрование 3-оксибифенила.** Колберт, Фокс, Матушак (Nitration of 3-hydroxybiphenyl. Colbert J. C., Fox Daniel W., Matuszak Charles), J. Amer. Chem. Soc., 1955, 77, № 9, 2447—2450 (англ.)

При нитровании 3-оксибифенила (I) (см. J. Amer. Chem. Soc., 1938, 59, 112) одновременно образуются все 7 возможных нитропроизводных с NO<sub>2</sub>-группами в фенольном ядре: 4-нитро-(II), 2-нитро-(III), 6-нитро-(IV), 4,6-динитро-(V), 2,4-динитро-(VI), 2,6-динитро-(VII) и 2,4,6-тринитро-3-оксибифенил (VIII). Наряду с II—VIII в реакционной смеси всегда присутствуют следы 4,4'-X-тринитро-3-оксибифенила (IX), т. пл. 212°. Изменение условий нитрования: т-ры, р-рителя (лед. CH<sub>3</sub>COOH, диоксан, CH<sub>3</sub>NO<sub>2</sub>) или конц-ии HNO<sub>3</sub> оказывает значительное влияние на относительный выход продуктов р-ции, однако не приводит к полному исчезновению хотя бы одного из них. Проведено подтверждение строения IV—VIII, не описанных в литературе. IV—VIII при окислении CrO<sub>3</sub> в водн. CH<sub>3</sub>COOH образуют C<sub>6</sub>H<sub>5</sub>COOH. Следовательно, NO<sub>2</sub>-группы находятся в фенольном ядре. Строение IV подтверждено переводением V в IV путем метилирования V, парц. восстановления, дезаминирования и деметилирования. При этом по аналогии с динитрофенолом (Auwers K., Rohrig H., Ber., 1897, 30, 995) принимается, что NO<sub>2</sub>-группа восстанавливается в орто-положении к OH. Дополнительным подтверждением строения IV

служит то, что IV при дальнейшем нитровании дает V и VII, но не VI. Строение V доказано превращением его в 4,6-динитро-3-аминобензил (X) и дезаминированием X до известного 2,4-динитробензила (XI). Чтобы показать различие между V и VI, который, так же как и V, может дать XI при этих же превращениях, VI переведен в IV, как описано выше. Кроме того, различие между V и VI подтверждается результатами нитрования II, III и IV: II и IV с высоким выходом превращаются в V, в то время как из III ни в каких условиях не образуется V. Структура VI установлена тем, что VI получен нитрованием II и III, но не может быть получен из IV. Строение VII следует из того, что он образуется из III или IV, но не из II; II—VIII подвергнуты дальнейшему нитрованию. При этом установлено, что из II или IV образуется смесь V, VI и VIII, из IV — смесь V и VIII (с конц.  $\text{HNO}_3$ ) или V и VII (с дымящей  $\text{HNO}_3$ ), из III — смесь VI, VII и VIII, а V—VII при нитровании дают один и тот же VIII. Образование VIII из II—VII служит подтверждением его строения. IX при окислении  $\text{CrO}_3$  образует  $\text{p-NO}_2\text{C}_6\text{H}_4\text{COOH}$ . Это указывает на то, что одна  $\text{NO}_2$ -группа находится не в фенольном ядре. Положение остальных  $\text{NO}_2$ -групп в IX не установлено. Для II и VII определены ИК-спектры (значения не приведены). Разделение II—IX осуществляется хроматографированием на синтетич. силикате магнезия (магнезол) из  $\text{CaH}_2$ . Мощность колонки  $2,5 \times 50$  см составляет от 3—5 г для мононитро- до 25 г для тринитропроизводных. В-ва вымываются  $\text{CaH}_2$  в порядке II—VII, IX, VIII. После вымывания II к  $\text{CaH}_2$  добавляют петр. эфир для более четкого разделения III и IV. V, образующий отдельную оранжево-желтую полосу, удаляют или дальнейшим пропусканием  $\text{CaH}_2$ , или обработкой адсорбента на фильтре спиртом. После этого, VI—VIII перемещают в нижнюю часть колонки 0,5—1,0%-ным р-ром  $\text{CH}_3\text{COOH}$  в  $\text{CaH}_2$  и затем вымывают  $\text{CaH}_2$ . Большую часть VI получают в чистом виде непосредственно выпариванием р-ра в  $\text{CaH}_2$ . Следующую фракцию, содержащую смесь VI и VII, собирают отдельно и концентрируют. Добавлением петр. эфира осаждают VII; VI остается в р-ре. VII, оставшийся в колонке, вымывают  $\text{CaH}_2$ . Затем, 5%-ным р-ром  $\text{CH}_3\text{COOH}$  в  $\text{CaH}_2$  удаляют последовательно IX и VIII. В большинстве случаев в-ва выделяют из р-ра упариванием в присутствии небольшого кол-ва  $\text{CH}_3\text{COOH}$ . Для отделения от неорганич. в-в сухой остаток растворяют в  $\text{CaH}_2$  и снова упаривают. В тех случаях, когда после хроматографирования получаются очень разб. р-ры, их пропускают через короткую колонку с  $\text{CaO}$ . Для выделения фенолов в свободном виде адсорбент растворяют в разб.  $\text{HCl}$ . Р-ры II—IX для хроматографирования готовят экстрагированием  $\text{CaH}_2$  реакционной смеси, разб. водой. Если в качестве р-рителя при нитровании применяют лед.  $\text{CH}_3\text{COOH}$ , то бензольный экстракт для удаления  $\text{CH}_3\text{COOH}$  упаривают несколько раз при добавлении  $\text{CaH}_2$ , толуола или петр. эфира. Для получения II—IV к 0,01 моля I в 17 мл  $\text{CH}_3\text{NO}_2$  по каплям при 2—4° прибавляют 0,008 моля (0,34 мл) дымящей  $\text{HNO}_3$ . Смесь выдерживают 12 час при охлаждении. Затем, как описано выше, готовят р-р в 50 мл  $\text{CaH}_2$  и хроматографируют на магнезоле (колонка  $3,5 \times 60$  см); выход II 30%, т. пл. 104—105° (из сл.); *p*-нитробензоат (A), т. пл. 157°; 3,5 динитробензоат (B), т. пл. 199°; выход III 28%, т. пл. 85—86° (из бэл.); A, т. пл. 196°; 2,4-динитрофениловый эфир (B), т. пл. 165°; выход IV 23%, т. пл. 57—58° (из бэл.); A, т. пл. 135°. Если для р-ции берут 0,015 моля  $\text{HNO}_3$ , то выход III 21%, а IV 30,75%. При использовании 0,033 моля  $\text{HNO}_3$  выделить IV не удалось. Если р-цию ведут с 0,011 моля  $\text{HNO}_3$  в диоксане (15°) или в  $\text{CH}_3\text{COOH}$  (2—4°), то выход II 20 и 21,5%, а III 11 и 10% соответ-

ственно. Для получения V 0,015 моля конц.  $\text{HNO}_3$  в 3 мл  $\text{CH}_3\text{COOH}$  прибавляют к 0,005 моля I в 5 мл  $\text{CH}_3\text{COOH}$ . Через 1 час (~18°), как обычно, готовят р-р в  $\text{CaH}_2$  для хроматографирования, при этом перасторившуюся часть V собирают отдельно. Общий выход V 39%, т. пл. 176—178° (из бэл.); бензоат, т. пл. 157°. К 0,005 моля I в 8 мл  $\text{CH}_3\text{COOH}$  прибавляют 0,010 моля (0,42 мл) конц.  $\text{HNO}_3$ , смесь выдерживают 1 час (~18°) и, как обычно, получают VI, выход 12,5%, т. пл. 126—127° (из бэл.), бензоат, т. пл. 127°; кроме VI образуются также II—V и VII—VIII. Превращение дымящей  $\text{HNO}_3$  в  $\text{CH}_3\text{NO}_2$  не повышает выход VI; получен также действием дымящей  $\text{HNO}_3$  на II (выход 50%) или конц.  $\text{HNO}_3$  на III (29,7%) в  $\text{CH}_3\text{COOH}$ . Оптимальные условия для получения VII: 0,005 моля I, 0,012 моля конц.  $\text{HNO}_3$ , 6,4 мл  $\text{CH}_3\text{COOH}$ , т-ра ~18°; выход VII 40%, т. пл. 214°; бензоат, т. пл. 162°. При использовании дымящей  $\text{HNO}_3$  выход VII 36%. VII образуется также при действии дымящей  $\text{HNO}_3$  на III (выход 35,8%) и IV (38%). К 10 г I в 200 мл  $\text{CH}_3\text{COOH}$  прибавляют 12 мл дымящей  $\text{HNO}_3$  в 30 мл  $\text{CH}_3\text{COOH}$ . Смесь выдерживают 2 часа при ~18° и 2 часа при ~100°, выливают в равный объем кипящей воды и получают VIII, который очищают (без хроматографирования) перекристаллизацией из спирта, выход 80%, т. пл. 168—170°; A, т. пл. 145°. B, т. пл. 212°. Если берут конц.  $\text{HNO}_3$  то при соотношении  $\text{HNO}_3$ : I равном 1:1, выход VIII 2,7%, а при соотношении, равном 3,25:1,0, выход 7,7%. Выходы VIII в %, получаемые при нитровании II—VII, соответственно равны: 4,5, 17,8, 38, 44, 37, 57. V метилированием с помощью N-метил-N-нитрозо-N'-нитрогуанидина в р-ре KOH (McKay A. F., J. Amer. Chem. Soc., 1948, 70, 1974) переводят в 4,6-динитро-3-метоксибензил (XII), выход 90%, т. пл. 148° (возогнан). 0,033 моля XII в 500 мл спирта восстанавливают с помощью 0,039 моля  $\text{Na}_2\text{S}_2$  (Verkade P. E. и др., Recueil l. trav. chim., 1946, 65, 346). Полученный амин в  $\text{HCl}$  (к-те) диазотируют, а затем дезаминируют добавлением 50 мл 30%-ного р-ра  $\text{H}_3\text{PO}_2$ . Через 24 часа (5°) приливают воду и  $\text{CaH}_2$  извлекают 6-нитро-3-метоксибензил (масло после отгонки  $\text{CaH}_2$ ). Последний гидролизуют нагреванием (48 час., ~100°) с 40 мл смеси ( $\text{CH}_3\text{CO}_2\text{O}$  и 48%-ной  $\text{HBr}$  (1:1), добавляя воду и  $\text{CaH}_2$ , из р-ра в  $\text{CaH}_2$  извлечением 5%-ным  $\text{NaOH}$  с последующим подкислением выделяют IV, который очищают хроматографированием из р-ра в  $\text{CaH}_2$ , вымывая среднюю (из трех) полосу, выход 7% (в расчете на V), т. пл. 57—58°. 0,008 моля V нагреванием (запаянная трубка, 180°, 25 час.) с 0,08 моля мочевины превращает в X. Не вошедшую в р-цию мочевины удаляют горячей водой, а V шелочью; выход X 62,5%, т. пл. 137° (возогнан). 0,001 моля X в 3 мл лед.  $\text{CH}_3\text{COOH}$  диазотируют, прибавляя к 0,001 моля  $\text{NaNO}_2$  в 3 мл конц.  $\text{H}_2\text{SO}_4$  (р-ция заканчивается через 2 часа при ~18°), и затем дезаминируют добавлением 2 мл р-ра  $\text{H}_3\text{PO}_2$ . После прибавления воды верхний водн. слой сливают, масло промывают водой и растворяют в  $\text{CaH}_2$ . Полученный р-р высушивают  $\text{Na}_2\text{SO}_4$  и хроматографируют, используя колонку  $1 \times 6$  см с магнезолом. Образуются темно-красная и желтая полосы. Желтую полосу вымывают  $\text{CaH}_2$  и после испарения  $\text{CaH}_2$  получают XI, который промывают гентаном и перекристаллизовывают из  $\text{CH}_3\text{OH}$ , выход 25%, т. пл. 110°. B. 3.

3822. Улучшенный синтез бензилден-бис-ацетамидов и подобных соединений. Полсон, Мерсеро (Improved synthesis of benzylidenedisacetamide and related compounds. Paulson Mark C., Mercereau Mark J.). Trans. Illinois State Acad. Sci., 1955, 47, 94—96 (англ.). Конденсация алифатич. или ароматич. альдегидов с амидами обычно дает низкие выходы алкилиден- или

аллилен-бис-амидов (I). Показано, что выход I по р-ции  $\text{RCHO} + 2\text{R}'\text{CONH}_2 \rightarrow \text{RCH}(\text{NHCOR}')_2 + \text{H}_2\text{O}$  может быть значительно увеличен применением азетропной отгонки образующейся во время р-ции воды с р-рителями типа  $\text{C}_6\text{H}_6$ , толуола или спирта. Р-ция не идет с альдегидами, содержащими фенольные группы. Предполагается, что первая стадия механизма конденсации с образованием  $\text{RCH}(\text{OH})\text{NHCOR}'$  аналогична первой стадии р-ции Лейкарта [образование  $\text{RCH}(\text{OH})\text{NHCOR}$ ]. Образование небольшого кол-ва побочных высокоплавких продуктов р-ции объясняется разложением диформамидов при высокой т-ре. Смесь 0,1 моля альдегида, 0,2 моля апетамид и 100 мл  $\text{C}_6\text{H}_6$  кипятят 48 час. в аппарате Сокслета, содержащем 50 г свежепрокаленного  $\text{MgSO}_4$ . По охлаждению I фильтруют, промывают небольшим кол-вом апетона. Очищают кристаллизацией из спирта и сушат при 100° в вакууме. Таким образом конденсацией  $\text{CH}_3\text{CONH}_2$  с соответствующими альдегидами получены следующие I (перечисляются I, исходный альдегид в скобках, выход I в %, т. пл. в °C):  $\text{C}_2\text{H}_5\text{CH}(\text{NHCOSCH}_3)_2$  (из  $\text{C}_2\text{H}_5\text{CHO}$ ), 48, 183;  $\text{n-C}_6\text{H}_{13}\text{CH}(\text{NHCOSCH}_3)_2$  (из  $\text{n-C}_6\text{H}_{13}\text{CHO}$ ), 49, 189,5;  $\text{C}_6\text{H}_5\text{CH}(\text{NHCOSCH}_3)_2$  (из  $\text{C}_6\text{H}_5\text{CHO}$ ), 72, 239,5;  $\text{n-C}_8\text{H}_{17}\text{CH}(\text{NHCOSCH}_3)_2$  (из  $\text{n-C}_8\text{H}_{17}\text{CHO}$ ), 84,5, 224;  $(\text{C}_4\text{H}_9\text{O})-\text{CH}(\text{NHCOSCH}_3)_2$  ( $\text{C}_4\text{H}_9\text{O}-\alpha$ -фурил) (из фурурола), 67, 206 (разл.);  $3,4\text{-CH}_2\text{O}_2\text{C}_6\text{H}_4\text{CH}(\text{NHCOSCH}_3)_2$  (из 3,4-метилendioксисбензальдегида), 43, 227—228 (разл.);  $\text{C}_6\text{H}_5\text{CH}=\text{CHCH}(\text{NHCOSCH}_3)_2$  (из  $\text{C}_6\text{H}_5\text{CH}=\text{CHCHO}$ ), 33,6, 234;  $\text{m-O}_2\text{NC}_6\text{H}_4\text{CH}(\text{NHCOSCH}_3)_2$  (из  $\text{m-O}_2\text{NC}_6\text{H}_4\text{CHO}$ ), 43,7, 236,8. При р-ции ванилина, салицилальдегида и глюкозы выходы I очень низки или равны нулю.

В. И.

3823. Новый способ получения N-замещенных о-фенилендиамин. Лейн, Вильямс (A new route to N-substituted o-phenylenediamines. Lane E. S., Williams S. C.), J. Chem. Soc., 1955, May, 1468—1470 (англ.)

Описан способ получения N-замещ. о-фенилендиамин, основанный на р-ции  $\text{C}_6\text{H}_5\text{Li}$  (I) с бензо-2,1,3-тиадиазолами или их аналогами типа  $\text{N}=\text{C}_6\text{H}_4=\text{NR}$  (II),

где  $\text{R}=\text{S}$ , Se или O. Из II<sup>+</sup> ( $\text{R}=\text{S}$ ) образуются  $(\text{C}_6\text{H}_5)_2\text{S}$  (III) и N-фенил-о-фенилендиамин (IV), из II ( $\text{R}=\text{Se}$ ) получают  $(\text{C}_6\text{H}_5)_2\text{Se}$  (V) и IV, а из 4,7-дизетоксибензо-2,1,3-селенодиазола (VI)—V и диэтиловый эфир 2-амино-3-анилиногидрохинона (VII). Применение значительного избытка I не приводит к дальнейшему замещению в  $\text{NH}_2$ -группах о-диамин, но II ( $\text{R}=\text{O}$ ) дает с I  $(\text{NC}_6\text{H}_5)_2\text{NC}_6\text{H}_4\text{NHC}_6\text{H}_5\text{-o}$  (VIII) и немного дифенила (IX). Механизм р-ции II с I рассматривается как присоединение органич. остатка I к наиболее положительным атомам II и промежуточных продуктов, напр.:  $\text{NC}_6\text{H}_4\text{NO} + \text{I} \rightarrow \text{C}_6\text{H}_5\text{NC}_6\text{H}_4\text{N}(\text{Li})\text{O} \rightarrow \text{LiO}-$

$(\text{C}_6\text{H}_5)_2\text{NC}_6\text{H}_4\text{NC}_6\text{H}_5\text{Li} \xrightarrow{\text{I}} (\text{C}_6\text{H}_5)_2\text{NC}_6\text{H}_4\text{N}(\text{C}_6\text{H}_5)\text{Li} \rightarrow \text{VIII}$ ; и аналогично из  $\text{NC}_6\text{H}_4\text{NS} + \text{I} \rightarrow \text{C}_6\text{H}_5\text{NC}_6\text{H}_4\text{N}(\text{Li})\text{S} \rightarrow \text{C}_6\text{H}_5\text{S}-$

$(\text{C}_6\text{H}_5)_2\text{NC}_6\text{H}_4\text{NLi}_2 \xrightarrow{\text{I}} (\text{C}_6\text{H}_5)_2\text{S} + \text{C}_6\text{H}_5(\text{Li})\text{NC}_6\text{H}_4\text{NLi}_2 \rightarrow \text{IV}$ . Р-р 27,2 г II ( $\text{R}=\text{S}$ ) в 100 мл эфира приливают при размешивании к р-ру 59 г I в 100 мл эфира в атмосфере  $\text{N}_2$ , приливают через 2 часа 100 мл воды, эфирный слой отделяют и упаривают, перегонкой смолобразного остатка, выделяют 36 г III, т. кип. 132—136°/1 мм, 148,5—149,5°/12 мм,  $n_D^{21} 1,6314$ ,  $n_D^{18,5} 1,635$  (окисление  $\text{H}_2\text{O}_2$  в лед.  $\text{CH}_3\text{COOH}$  дает дифенилсульфон, т. пл. 128°), и 27 г IV, т. кип. 138—140°/0,5 мм, г. кип. 162—166°/1 мм, т. пл. 79—80° (из сп.), хлоридрат, т. пл. 115,5—117° (разл.). Аналогично при

р-ции 18,3 г II ( $\text{R}=\text{Se}$ ) с 29,4 г I выделяют V, т. кип. 120°/2,5 мм, и 10 г IV. Нагреванием (1 час при 100°) равномолекулярных кол-в хлоридрата диэтилового эфира 2,3-дiamoногидрохинона с  $\text{H}_2\text{SeO}_4$  получают с колич. выходом VI. Р-ция 6,4 г VI с 8,4 г I дает 5 г V, т. пл. 152—152,5°, и 2,5 г VII, т. пл. 77—79° (из сп.); монохлорид, т. пл. 153,5—155° (из  $\text{CH}_3\text{COOH}$ -эф.). Аналогично из 8,4 г II ( $\text{R}=\text{O}$ ) с 42 г I получают 13 г VIII, выход 55%, т. кип. 226—230°/2 мм, т. пл. 94,5—95,5° (из сп.) и немного IX.

О. Ч.

3824. Новый путь получения 2-амино-1-фенилпропандиола-1,3. Дорнов, Мюллер (Neuer Weg zur Darstellung des 2-Amino-1-phenyl-propandiol-1,3). Dornow A., Müller Arno), Angew. Chemie, 1955, 67, № 11, 303 (нем.)

ω-Нитроацетофенон или ω-бром-ω-нитроацетофенон (I) в присутствии слабо основных катализаторов конденсируют с  $\text{CH}_2\text{O}$ , затем го-станавливают в 2-амино-1-фенилпропандиол-1,3 (II) либо непосредственно действием  $\text{LiAlH}_4$ , либо лучше обходным путем через α-изонитро-β-апетоксипропиофенон (III) или α-изонитро-β-оксипропиофенон (IV). IV получают взаимодействием продукта конденсации I и  $\text{CH}_2\text{O}$  с расщепленным кол-вом  $\text{SnCl}_2$ . Полученный при этом β-хлор α-изонитро-пропиофенон переводят в III, который омыляют в IV; III или IV переводят в II гидрированием над Pt. Стереизомеры II выделяют в виде нерастворимых оксалатов.

Л. П.

3825. Амнокетоны и аминоспирты, производные дезоксибензоина. Матти, Рено (Amino-cétones et amino-alcools dérivés de la désoxybenzoïne. Matti Jean., Reynaud Pierre), Bull. Soc. chim. France, 1954, № 5, 603—609 (франц.)

Для изучения фармакологич. свойств и их зависимости от строения, главным образом от расстояния между заместителями, синтезированы α-, β-, γ-, δ- и ε-амнокетоны и аминоспирты, производные дезоксибензоина (I), а именно, амнокетоны общей ф-лы  $\text{C}_6\text{H}_5\text{COCH}_2\text{RCH}_2\text{C}_6\text{H}_5$  (II) и аминоспирты общей ф-лы  $\text{C}_6\text{H}_5\text{CHONCH}_2\text{RCH}_2\text{C}_6\text{H}_5$  (III), где  $\text{R}=\text{NH}_2$  (IIa, IIIa),  $\text{N}(\text{CH}_3)_2$  (IIб),  $\text{N}(\text{C}_2\text{H}_5)_2$  (IIв),  $\text{N}(\text{CH}_2\text{CH}_2)_2\text{O}$  (IIг),  $\text{CH}_2\text{N}(\text{CH}_3)_2$  (IIд, IIIд),  $\text{CH}_2\text{N}(\text{C}_2\text{H}_5)_2$  (IIе, IIIе),  $\text{CH}_2\text{N}(\text{CH}_2\text{CH}_2)_2\text{CH}_2$  (IIж, IIIж),  $\text{CH}_2\text{N}(\text{CH}_2\text{CH}_2)_2\text{O}$  (IIз, IIIз),  $\text{CH}_2\text{CH}_2\text{N}(\text{C}_2\text{H}_5)_2$  (IIи, IIIи),  $\text{CH}_2(\text{CH}_2)_2\text{N}(\text{C}_2\text{H}_5)_2$  (IIк, IIIк),  $\text{CH}_2(\text{CH}_2)_2\text{N}(\text{C}_2\text{H}_5)_2$  (IIл, IIIл). II получены восстановлением α-бензилдезоксима (IV) или действием аминов на бромдезоксibenzoин (V) в бензольном р-ре. Уточнены условия синтеза α-фенил-акрилофенона (VI), получаемого с выходом 85—90%, конденсацией 6 молей  $\text{CH}_2\text{O}$  с 1 молем I в присутствии 0,15 моля соды в спиртовой среде. Строение VI установлено восстановлением  $\text{H}_2$  в присутствии скелетного Ni до 1,2-дифенилпропандиола-1 (VII) и сравнением УФ-спектров. VI присоединяет  $\text{Br}_2$ , фенилгидразин и его производные; присоединением аминов к VI получены амнокетоны IIд, IIе, IIж и IIз. Общий способ получения III состоит в восстановлении II  $\text{H}_2$  над скелетным Ni при нормальных т-ре и давлении (IIIд, IIIе, IIIж, IIIз, IIIи или  $\text{LiAlH}_4$  (IIIа, IIIк, IIIл), выход 50%. Кроме того, получены амиды 4-диэтиламино-2-фенил-масляной и 4-диэтиламино-2-фенилглицериновой к-т, бензойнокислые эфиры аминоспиртов IIIд, IIж и IIIи. IIa получен восстановлением IV  $\text{SnCl}_2$  и HCl (к той) в спирт. р-ре, т. пл. 137°; хлоридрат, т. пл. 240° (из сп.). К 1 молю V приливают бензольный р-р 3 молей  $(\text{CH}_3)_2\text{NH}$  при охлаждении, нагревают в запаянной трубке 3 часа при 100° и из остатка после удаления  $\text{C}_6\text{H}_5$  извлекают эфиром IIб, выход 75%, т. пл. 55°, хлоридрат, т. пл. 220° (из сп.). Аналогично получают IIв, выход 76%, т. кип. 168°/2,5 мм, и IIг, выход 70%, т. пл. 198° (разл.). Смешивают р-р 0,9 г соды в 60 мл



воды, 90 мл спирта и 28,5 г триоксиметилена, добавляют 30 г I и нагревают 2 часа при 100°, через 16 час. прибавляют 125 мл воды, нейтрализуют 1 н. HCl, извлекают эфиром и перегонкой выделяют VI, выход 85–90%, лакризатор, т. кип. 180–182°/10 мм,  $n_D^{23}$  1,6038,  $d_4^{23}$  1,100. VI с фенилгидразином дает продукт присоединения, разделяемый кристаллизацией на фракции, т. пл. 132° (предположительно фенилгидразон 1,3,4-трифенил- $\Delta^2$ -пирозолин или 1,4,5-трифенил- $\Delta^1$ -пирозолин), 192 и 202°. Кипячением 0,5 г VI, 1 г 2,4-динитрофенилгидразина в 15 мл спирта и 2 мл конц. HCl получено в-во типа пирозолина, т. пл. 220–222° (из бзл.). Бромирование р-ра VI в CHCl<sub>3</sub> получено дибромпроизводное VI, т. пл. 89,5° (из изопропилового спирта). Восстановлением H<sub>2</sub> 6,5 г VI в 50 мл C<sub>6</sub>H<sub>6</sub> над скелетным Ni при 20°/760 мм и перегонкой выделяют 3,5 г VII, т. кип. 180–182°/14 мм,  $n_D^{18}$  1,5778. Слабым нагреванием смеси VII с пиридином и SOCl<sub>2</sub> получают 1,2-дифенил-1-хлорпропан, т. пл. 139–140° (из сп.). Нагреванием 1 моля VI в 1,5-кратном кол-ве C<sub>6</sub>H<sub>6</sub> с 1 молем (CH<sub>3</sub>)<sub>2</sub>NNH получают Пд, т. пл. 74° (из бзл.); хлоргидрат, т. пл. 195° (разл., из абс. сп.); аналогично в р-ре эфира получают Пж, т. пл. 89,5° (из сп.), и Пз, выход колич., т. пл. 124° (из абс. сп.). Нагреванием 1 моля VI с 0,8 моля (C<sub>2</sub>H<sub>5</sub>)<sub>2</sub>NNH 1,5 часа, нейтрализацией 1 н. HCl, упариванием в вакууме при т-ре не выше 30° получают хлоргидрат Пе, т. пл. 148° (из метилцетилкетона). Р-цией 3-диэтиламино-1-хлорпропана с дианисным бензидом получают нитрил 4-диэтиламино-2-фенилмасляной к-ты (VIII — к-та), выход 51%, т. кип. 167–169°/9,5 мм; из него нагреванием 1,5–2 часа в толуоле или ксилоде с C<sub>6</sub>H<sub>5</sub>MgBr получают Пк, выход 40%, т. кип. 175°/0,1 мм; пикрат, т. пл. 150° (из сп.). Р-цией 115 г 1-бром-4-феноксидбутана, 60 г цианистого бензила в 225 мл C<sub>6</sub>H<sub>6</sub> и 20 г NaNH<sub>2</sub> получают 6-фенокси-2-фенилкапро-нитрил (IX), выход 76%, т. кип. 203°/2,5 мм, т. пл. 56° (из сп.). Р-цией эфирного р-ра 1 моля C<sub>6</sub>H<sub>5</sub>MgBr и 1 моля IX при 40° в безводном р-ре и нагреванием 1 час при 100° получают 6-фенокси-1,2-дифенилгексанон-1 (X), выход 50%, т. пл. 72–73° (из сп.). Р-р 40 г X в 950 мл CH<sub>3</sub>COOH кипятят 2,25 часа с 200 мл 66%-ной HBr, перегонкой выделяют 6-бром-1,2-дифенилгексанон-1 (XI), выход 85%, т. кип. 206–208°/0,4 мм, т. пл. 55° (из сп.). Из XI нагреванием 8 час. при 100° с 2,3 моля (CH<sub>3</sub>)<sub>2</sub>NNH и перегонкой получают Пл, выход 80%, т. кип. 186–188°/0,01 мм; хлоргидрат, т. пл. 131° (из сп.-эф.). Восстановлением 8 г антиформы бензояно-ксима в безводн. среде в 350 мл эфира с 2,9 г LiAlH<sub>4</sub> в токе N<sub>2</sub> при кипячении 4 часа и экстрагированием эфиром выделяют IIIа, выход 52%, т. пл. 165° (из абс. сп.); при восстановлении 3%-ной Na-амальгамой, выход 35%. Из бензольного р-ра 1 моля IIIа и 1,4 моля C<sub>6</sub>H<sub>5</sub>COOCl получают N-бензильное производное IIIа, т. пл. 235° (из сп.), хлоргидрат, т. пл. 252° (разл., из сп.). Восстановлением Пд в спирт. р-ре H<sub>2</sub> при 20°/760 мм над скелетным Ni получают Пд, т. пл. 94,5° (из сп.), хлоргидрат, т. пл. 213° (разл., из сп.); хлоргидрат Пж, т. пл. 129° (разл.); Пж, т. пл. 94° (из сп.), хлоргидрат, т. пл. 263° (разл., из сп.); Пз, т. кип. 189–190°/0,05 мм, хлоргидрат, т. пл. 228° (разл., из сп.). Слабо кипятят 6,2 г Пз в 20 мл эфира с 0,21 г LiAlH<sub>4</sub> в 30 мл эфира, выливают в 75 мл 20%-ного р-ра виннокислого KNa и перегонкой выделяют Пж, выход 85%, т. кип. 188°/0,1 мм; аналогично получают Пл, выход 85%, т. кип. 194°/0,01 мм. Нагревают 61 мл H<sub>2</sub>SO<sub>4</sub> (d 1,84) 6 час. с 21 г нитрила VIII, перегонкой выделяют амид VIII, выход 85%, т. кип. 211°/11 мм, т. пл. 80° (из бзл.). Аналогично из нитрила 5-диэтиламино-2-фенилвалериановой к-ты

(XII — к-та) получают амид XII, выход 90%, т. кип. 206°/11 мм, пикрат, т. пл. 184° (из сп.). Аналогично Пж (Matti J., Reynaud P., Bull. Soc. chim., 1951, 31, 33) получают хлоргидрат 3-диметиламино-1,2-дифенил-1-пропилового эфира бензойной к-ты, т. пл. 158° (из сп.-эф.); также, но в присутствии пиридина, получают 3-(пиридил-1)-1,2-дифенилпропиловый эфир бензойной к-ты, т. пл. 95° (из сп.). Приведены кривые УФ-спектров поглощения I, VI и полимера VI с т. пл. 110° (из абс. сп.). Н. С.

3826. Синтезы с применением метил- $\beta$ -хлорвинилкетона. I. Реакция метил- $\beta$ -хлорвинилкетона с ароматическими аминами. Иноуэ (メチル- $\beta$ -クロルビニルケトンを用いる合成反応 (第1報) メチル- $\beta$ -クロルビニルケトンと芳香族アミン類との反應井上佐郎) Япон. хим. журн., Нихон какагу даасси, J. Chem. Soc. Japan Pure Chem. Sec., 1954, 75, № 7, 732–734 (япон.).

Метил- $\beta$ -хлорвинилкетон (I) реагирует с анилином (II), о-нитроанилином или о-оксанилином, образуя в зависимости от условий р-ции метил- $\beta$ -анилиновинилкетон (III), метил- $\beta$ -о-нитроанилиновинилкетон (IV), метил- $\beta$ -о-оксанилиновинилкетон (V) или соответственно анилы III, IV и V. К смеси р-ра CH<sub>3</sub>ONa (из 1,2 г Na и 30 мл абс. CH<sub>3</sub>OH) и 4,5 г II прибавляют по каплям 5 г I в 5 мл CH<sub>3</sub>OH, через 1 час отгоняют CH<sub>3</sub>OH и остаток перегоняют с водяным паром, получают III, выход 45%, т. пл. 103° (из CH<sub>3</sub>OH). Аналогично синтезированы Iпереселены в-во, выход в %, т. пл. в °C (из CH<sub>3</sub>OH): IV, 75, 123–124; V, 75, 171–172. Смесь 2 г II и 1,5 г I в 10 мл CH<sub>3</sub>OH оставляют на 12 час., добавляют р-р NaOH, получают анил III, выход 45%, т. пл. 181° (из CH<sub>3</sub>OH). Аналогично получены (перечислены в-во, выход в %, т. пл. в °C): анил IV, 20, 135–136 (из бзл.-лигр.); анил V, 22, 163–164 (из ацетона). Л. Я.

3827. Синтез эфиров  $\alpha$ -фенил- $\beta$ -арил- $\beta$ -аминопропионовых кислот из гидрамидов и этилфенилацетата в присутствии безводного хлористого алюминия. Молотов Н. М., Куртв Б. И., Докл. АН СССР, 1955, 102, № 2, 287–290

Взаимодействием гидробензамида (I), п-толилгидра-мида (II) и п-анисгидрамида (III) с этиловым эфиром фенилуксусной к-ты (IV) в среде необезвоженного C<sub>6</sub>H<sub>6</sub> и в присутствии безводн. AlCl<sub>3</sub> (1 моль на 1 моль IV) получены соответствующие эфиры  $\alpha$ -фенил- $\beta$ -арил- $\beta$ -аминопропионовых к-т по схеме: (ArCH = N)<sub>2</sub>CHAr I — III + 2C<sub>6</sub>H<sub>5</sub>CH<sub>2</sub>COOC<sub>2</sub>H<sub>5</sub>  $\xrightarrow{AlCl_3}$  [(C<sub>6</sub>H<sub>5</sub>CH<sub>2</sub>COOC<sub>2</sub>H<sub>5</sub>) CHArNH]<sub>2</sub>CHAr  $\xrightarrow{HCl}$  2HCl · NH<sub>2</sub>CHArCH(C<sub>6</sub>H<sub>5</sub>)COOC<sub>2</sub>H<sub>5</sub> + ArCHO. Для завершения р-ции необходимо нагревать реакционную смесь при подходящей т-ре. К р-ру 0,01 моля I, 0,02 моля IV в 5 мл необезвоженного C<sub>6</sub>H<sub>6</sub> добавляют 0,02 моля AlCl<sub>3</sub>, нагревают 2 часа при 70–75°, охлаждают, прибавляют 20 мл HCl (1:1); через 5–6 час. отделяют хлоргидрат этилового эфира  $\alpha$ ,  $\beta$ -дифенил- $\beta$ -аминопропионовой к-ты (V), выход 56%, т. пл. 226–227° (из сп.). Аналогично р-цией II и III с IV получены хлоргидрат этилового эфира  $\alpha$ -фенил- $\beta$ -п-толил- $\beta$ -аминопропионовой к-ты, выход 32%, т. пл. 224–225° (из сп.), и хлоргидрат этилового эфира  $\alpha$ -фенил- $\beta$ -п-анизил- $\beta$ -аминопропионовой к-ты, выход 30%, т. пл. 235–236° (из сп.). Обработкой хлоргидратов р-ром Na<sub>2</sub>CO<sub>3</sub> выделены соответствующие свободные эфиры  $\beta$ -аминокислот: этиловый эфир  $\alpha$ ,  $\beta$ -дифенил- $\beta$ -аминопропионовой к-ты, выход ~91% (теор.), т. пл. 60–61° (из бзл.), этиловый эфир  $\alpha$ -фенил- $\beta$ -п-толил- $\beta$ -аминопропионовой к-ты, выход ~80% (теор.), т. пл. 45–46° (из бзл.), и этиловый эфир  $\alpha$ -фенил- $\beta$ -п-анизил- $\beta$ -аминопропионовой к-ты, выход ~85% (теор.), т. пл. 63–64° (из бзл.). Для под-

тверждения строения синтезированных в-в из V, щел. гидролизом получен хлоридат  $\alpha$ ,  $\beta$ -дифенил- $\beta$ -аминопропионовая к-та и из него 5,6-дифенилдигидроурацил.

Д. К. 3828. Бигуанидные производные некоторых эфиров  $\beta$ -аминобензойной кислоты. Каттанан, Верчеллоне (Derivati biguanidici di alcuni ester dell'acido  $\beta$ -amminobenzoico. Cattapan Domenico, Vercellone Alberto), Gazz. chim. ital., 1955, 85, № 4, 345—348 (итал.)

В связи с тем, что некоторые производные бигуанида обладают гипотензивной активностью (A) (Dowes, Mott, Brit. J. Pharm., 1950, 5, 65) действием дигуанида (I) на хлоридаты метилового (II) (выход 51%, т. разл. 380—400°), этилового (выход 61%, т. разл. 206—208°),  $n$ -пропилового (выход 83%, т. разл. 195—200°) и  $n$ -бутилового эфира  $\beta$ -аминобензойной к-ты (выход 58%, т. разл. 188—190°) синтезированы хлоридаты метилового (III), этилового (IV),  $n$ -пропилового (V) и  $n$ -бутилового (VI) эфира  $\beta$ -бигуанидобензойной к-ты. Наибольшую А, равную А фенилбигуанида, проявил III. Хлоридаты эфиров  $\beta$ -аминобензойной к-ты получены кипячением 12—18 час.  $p$ -ра этой к-ты в соответствующем спирте, насыщ. сухим HCl. Для получения III  $p$ -р 50 г II в 500 мл абс. спирта кипятят 6 час. с 22,5 г I; выход III 22%; после кристаллизации из смеси  $\text{CH}_3\text{OH} + \text{вода}$  (2:1) из 3%-ного водн.  $p$ -ра III нейтр.-цией 0,5 н. NaOH выделяют свободное основание, т. пл. 172—173°. Аналогично III получены следующие в-ва (указан выход в %, т. пл. и т. пл. свободного основания в °C): IV, 36, 190—193 (обезвожен при 150°), 174—176°; V, 23, 196—198, 164—165°; VI, 13, 189—190, 138—140°.

Л. Я. 3829. Синтез метиловых эфиров 4-амино- и 4-амино-4'-нитробифенилдикарбоновой кислоты. Цукерман С. В., Литвиненко Л. М., Греков А. П., Укр. хим. ж., 1955, 21, № 3, 341—343

Действием насыщ.  $p$ -ра HCl в  $\text{CH}_3\text{OH}$  на 4-амино-4'-нитробифенилдикарбоновую-2,2' (I), 4-аминобифенилдикарбоновую-2,2' (II) и  $m$ -аминобензойную (III) к-ты получены соответствующие метиловые эфиры (МЭ). К кипящему (предварительно нейтрализованному конц.  $\text{NH}_3$ )  $p$ -ру 6 г 4,4'-динитробифенилдикарбоновой-2,2' к-ты в 180 мл  $\text{CH}_3\text{OH}$  прибавляют по каплям 60 мл 1 М  $p$ -ра  $\text{Na}_2\text{S}_2$  в водн. ~25%-ном  $\text{CH}_3\text{OH}$ . Нагревают 45 мин., подкисляют конц. HCl и упаривают почти досуха. Хлоридат I экстрагируют разб. HCl (1:1); выход 75%, т. разл. выше 350° (из разб. HCl). Добавлением к конц. водн.  $p$ -ру хлоридата I 2%-ного  $\text{NH}_3$  осаждают свободную I, т. пл. 249—250°. Этерификацией I (безводн.  $\text{CH}_3\text{OH}$ , насыщ. HCl, 6 час. кипячения, затем выливание в 5%-ный водн.  $\text{NH}_3$ ) получают МЭ I, выход 74%, т. пл. 165—166° (из  $\text{CH}_3\text{OH}$ ). Этерификацией в аналогичных условиях получены МЭ II и МЭ III; выход МЭ II 72%, т. пл. 101—102° (из водн.  $\text{CH}_3\text{OH}$ ; 1:1). МЭ III очищали через хлоридат. Свободное основание выделялось из  $p$ -ра хлоридата МЭ III обработкой водн.  $\text{NH}_3$ , выход почти колич., т. пл. 53—54° [из водн.  $\text{CH}_3\text{OH}$ ; 1:1].

С. Ц. 3830. О реакции формальдегида с  $\alpha$ -монофенилгидразонами  $\beta$ -производных глиоксала. Хан (O reakcji formaldehydu z  $\alpha$ -monofenylohydrazonami  $\beta$ -pochodnych glioksalu. Hahn Witold E.), Roczn. chem., 1955, 29, № 2—3, 937—938 (польск.; резюме нем.)

Получение исходных в-в для синтеза аналогов хлормипетина из соединений общей ф-лы  $\text{RCOCH} = \text{NNHC}_6\text{H}_5$  (I). Соединение I при  $R = \text{CH}_3$  получают действием соответствующих диазосолей на свободные  $\beta$ -кетокислоты (Jarr F. R., Klingemann F., Liebig's Ann. Chem., 1888, 247, 190), при  $R = \gamma$ -пиридил нагреванием (70—80°) этилового эфира  $\alpha$ -фенилаизолико-

тинилюксусной к-ты с конц.  $p$ -ром  $\text{K}_2\text{CO}_3$ . При действии  $\text{CH}_3\text{O}$  на I в присутствии щел. катализаторов получены соединения общих ф-л  $\text{RCOC}(\text{CH}_2\text{OH}) = \text{NNHC}_6\text{H}_5$  (II) и  $\text{RCOC}(\text{CH}_2\text{OH})\text{CH}_2\text{C}(\text{CH}_2\text{OH})\text{COR}$  (III). Приведены R, выход в % и т. пл. в °C для соответствующих I, II, III:  $\text{CH}_3$ , 90, 149—150; 65, 116—118; 10, 205—206;  $\text{C}_6\text{H}_5$ , 88, 113—115; 77, 126—128; 11, 245—246;  $\gamma$ -пиридил, 90, 173—175; 80, 204—205; —, —.

Т. А. 3831. О производных гидразина и гидроксилamina.

Сообщение III. Новый метод превращения оснований Манниха в альдегиды. Тезинг, Мюллер, Михель (Über Hydrazin- und Hydroxylamin-Derivate, III. Mitteil. Eine neue Methode zur Überführung von Mannich-Basen in Aldehyde. Thesing Jan, Müller Alfred, Michel Gerd), Chem. Ber., 1955, 88, № 7, 1027—1037 (нем.)

Описанный ранее (РЖХим, 1955, 2082) способ алкилирования фенилгидроксилamina (I) основаниями Манниха  $\text{RCH}_2\text{N}(\text{CH}_3)_2$  (II) с превращением полученных  $N,N$ -дизамещ. гидроксилamina  $\text{C}_6\text{H}_5\text{N}(\text{OH})\text{CH}_2\text{R}$  (III) через фенилнитроновые соединения  $\text{RCH} = \text{NOC}_6\text{H}_5$  (IV) в альдегиды  $\text{RCHO}$  (V) авторы распространили на II, полученные из кетонов и фенолов (для I — V: а  $R = \text{C}_6\text{H}_5\text{COCH}_3$ ; б  $R = 2$ -оксоциклогексил; в  $R = 2$ -оксо- $\alpha$ -нафтил) в свободном виде или в форме четвертичных оснований. Образование III также из I и фенилвинилкетона (VI) авторы считают доказательством того, что р-ция проходит через стадию отщепления  $(\text{CH}_3)_2\text{NH}$  от IIa с образованием VI. Из IIa и  $(\text{CH}_3)_2\text{SO}_4$  в абс. эфире при ~20° количественно образуется триметил-(3-оксо-3-фенилпропил)аммонийметилсульфат (VII), т. пл. 151—152° (из сп.), который при действии KJ дает подметилат IIa, т. пл. 214—215° (из  $\text{CH}_3\text{OH}$ ). К  $p$ -ру 0,01 моля VII и 0,01 моля I в 10 мл 2 н.  $\text{CH}_3\text{COOH}$  и 20 мл воды прибавлено 20 мл 2 н. NaOH, затем 10 мл воды, через 15 мин. отделили IIIa, выход 100%, т. пл. 125—126° (из 80%-ного сп.). Аналогично из 0,006 моля подметилата IIb и 0,0066 моля I, 20 мл воды, 3,5 мл 2 н.  $\text{CH}_3\text{COOH}$  и 18 мл 1 н. NaOH получен IIIb, выход >90%, т. пл. 105° (из циклогексана). IIa и IIb получены также нагреванием (5 час., 40°) свободных IIa или IIb с эквимолекулярным кол-вом I в спирте, выход соответственно 80 и 85%. 0,01 моля 2-нитро-1,3-бис-(диметиламино)пропана с 0,02 моля I в тех же условиях дают 2-нитро-1,3-бис-(фенилгидроксиламино)пропан, выход 41%, т. пл. 116° (из  $\text{CCl}_4$ ). IIIa получен также конденсацией 2,64 г VI и 2,20 г I в 8 мл спирта (15 мин., ~20°), выход 95,4%. Из  $p$ -ра 0,05 моля IIIa в 350 мл  $\text{CHCl}_3$  после встряхивания 25 мин. с 0,1 моля  $\text{K}_3\text{Fe}(\text{CN})_6$  и 0,1 моля  $\text{NaHCO}_3$  в 180 мл воды выпадают кристаллы IVa, т. пл. 156,5° (из сп.), выход 82%. IIIb (0,015 моля в 75 мл  $\text{CHCl}_3$ ) при аналогичной обработке осадка не дает: после испарения  $\text{CHCl}_3$  в вакууме при 40°, растворения в 35 мл спирта выпало в-во  $\text{C}_{26}\text{H}_{24}\text{O}_4\text{N}_2$ , т. пл. 203° (из этилацетата), выход 13,7% (это в-во образуется с выходом 65%, если окислитель брать в избытке), из маточного  $p$ -ра выделяют IVb (масло, с  $\text{C}_6\text{H}_5\text{NH}_2$  при 80° дает анил Vb, т. пл. 152,5—154° (из сп.)). Дегидрирование IIIa проведено также  $\text{H}_2\text{O}_2$  (2,0 г IIIa, 20 мл лед.  $\text{CH}_3\text{COOH}$ , 0,7 мл перегидроля, ~20°, при охлаждении до 10° через 1 час выпадает 0,4 IVa). Из Na-соли формилацетофенона и I также получается IVa.  $p$ -р 0,01 моля IIv и 0,01 моля I в 15 мл спирта нагревают при 40° в токе  $\text{N}_2$ , 2 раза добавляют по 5 мл спирта, остаток которого затем удаляют в вакууме, получено 69,5% смеси IIIv и IVv (т. пл. 118—135°), превращающейся при кипячении (3 часа) в  $\text{CCl}_4$  (0,64 г в 30 мл) в нитрон IVv, выход 60%, т. пл. 149—149,5° (из  $\text{CCl}_4$ ), который получен также из Vv и I (нагревание 2 часа в сп.). 0,01 моля метилфенилскатиламина (не-

очищ. продукт из индола,  $\text{CH}_2\text{O}$  и метиламина, т. пл. 80—83°) нагревают 3 часа при 40° с 0,02 моля I в 50 мл спирта, добавляют 4 мл  $\text{C}_6\text{H}_5\text{NO}_2$  и 20 мл 2 н. NaOH, после кипячения (1 час) еще 160 мл 2 н. NaOH и отгоняют с водяным паром. Остаток после охлаждения, нейтр-ции лед.  $\text{CH}_3\text{COOH}$  дает  $\beta$ -индолальдегид, выход 55%, т. пл. 194—195° (из воды). Смесь 300 мг IVa, 50 мл  $\text{HCONH}_2$ , 40 мл 5 н.  $\text{H}_2\text{SO}_4$  подвергают вакуум-перегонке с паром при 55—60°, после отгонки 170 мл добавляют по 30 мл 5 н.  $\text{H}_2\text{SO}_4$ . Из 680 мл дистиллата Va осаждают в виде анила, выход 85,8%, т. пл. 137—138°. Смесь 0,25 г IVb, 20 мл  $\text{CH}_3\text{OH}$ , 50 мл 2 н. NaOH кипятят 15 мин., примеси отгоняют с водяным паром, получают Vb, т. пл. 80—81° (из эф.). Строение IIIa и IIIб доказано их перегруппировкой при действии 10%-ной  $\text{H}_2\text{SO}_4$  (соответственно при 70 и 20°) в сульфат N-(3-оксо-3-фенилпропил)-*n*-аминофенола (VIII), т. пл. 172—173° (разл., из  $\text{CH}_3\text{OH}$ ), и N-(2-оксоциклогексил (1)-метил)-*n*-аминофенол, т. пл. 101—102° (из бал.-циклогексана). 0,002 моля сульфата VIII в 200 мл воды и 0,003 моля активного  $\text{PbO}_2$  (Kuhn R., Hammer I., Chem. Ber., 1950, 83, 413) нагревают 1 час при 50—55°, получают хлоргидрат  $\omega$ -аминопропиофенона, выход 30%, т. пл. 124—126°. Предыдущее сообщение см. РЖХим, 1955, 40061. В. П.

**3832. Полиазобензолы. II. Синтез и ультрафиолетовые спектры поглощения полиазобензолов, содержащих нитро-, amino- и оксигруппы. Уэно, Акиёси (Polyazobenzenes. II. Synthesis and ultraviolet absorption spectra of polyazobenzenes containing nitro, amino and hydroxyl groups. Ueno Keihei, Akiyoshi Saburo), J. Amer. Chem. Soc., 1954, 76, № 14, 3667—3670 (англ.)**

Для изучения влияния заместителей на спектры поглощения *n*-полиазобензолов (ПБ) синтезированы ПБ, содержащие нитро-, amino- и оксигруппы, а также некоторые полиазостильбены (АС). ПБ получают конденсацией *n*-нитронитроазобензола (I) с аминосоединениями с последующим восстановлением нитрогруппы или сочетанием диазосоединений с фенолами; АС—конденсацией I или нитроазобензола (II) с *транс*-4-аминостильбеном (III) в лед.  $\text{CH}_3\text{COOH}$ . Ввиду способности азобензолов (АБ), содержащих в пара-положении amino- и оксигруппы, к фототропии, все измерения проводились быстро и в темноте. В УФ-спектрах поглощения *n*-замещ. и незамещ. ПБ в  $\text{C}_6\text{H}_6$  наблюдаются сильная (К) и слабая (Н) полосы в области 200—600 мμ; у высших гомологов слабая полоса маскируется сдвинутой в длинноволновую сторону сильной полосой. Батохромное влияние пара-заместителей убывает в ряду в следующем порядке:  $\text{NH}_2 > \text{OH} > \text{NO}_2$ . В спирт. р-ре наблюдается батохромный сдвиг по сравнению с бензольным р-ром, вероятно, из-за образования водородной связи. Спектры АС сходны со спектрами ПБ. Смешивают горячий р-р 3,8 г 4-амино-АБ в 20 мл лед.  $\text{CH}_3\text{COOH}$  с 3,2 г I в 20 мл лед.  $\text{CH}_3\text{COOH}$  и получают 4,2 г 4-фенилазо-4'-нитро-АБ (IV), оранжевые кристаллы, т. пл. 223,5—224,5° (из  $\text{C}_6\text{H}_5\text{NO}_2$ ),  $\lambda_{\text{макс}}$  376 мμ (ε 44100); аналогично получают IV из 4-нитро-4'-амино-АБ и II; 2 г IV в 20 мл спирта нагревают 15 мин. при 100° с 5 мл 30%-ного NaSH в 5 мл воды, получают 1 г 4-фенилазо-4'-амино-АБ, оранжевые кристаллы, т. пл. 186—187° (из толуола),  $\lambda_{\text{макс}}$  416 мμ (ε 39 000). Аналогично получены 4-фенилазо-4'-*n*-нитрофенилазо-АБ, коричневые кристаллы, т. пл. 272,5—273°,  $\lambda_{\text{макс}}$  399 мμ (ε 64 100); 4-фенилазо-4'-(*n*-аминофенилазо)-АБ, т. пл. 231—232° (из толуола),  $\lambda_{\text{макс}}$  428 мμ (ε 49100). 1,4-бис-(*n*-нитрофенилазо)-бензол (V), красно-фиолетовые кристаллы, т. пл. 253—254° (из  $\text{C}_6\text{H}_5\text{NO}_2$ ),  $\lambda_{\text{макс}}$  377 мμ

(ε 48 300); 1,4-бис-(*n*-аминофенилазо)-бензол, красно-фиолетовые иглы, т. пл. 255—256° (из ксилола),  $\lambda_{\text{макс}}$  430—432 мμ (ε 45 600). Сочетанием 0,4 г диазосоединения из 4-нитро-4'-амино-АБ в водно-пиридиновом р-ре (1:1) с 0,2 г фенола получают 0,42 г 4-(*n*-нитрофенилазо)-4'-окси-АБ (VI), красно-коричневые кристаллы, т. пл. 253—254° (из  $\text{C}_6\text{H}_5\text{NO}_2$ ); восстановлением VI получают 4-(*n*-аминофенилазо)-4'-окси-АБ (VII), темнокоричневые кристаллы, т. пл. 217—218° (из абс. сп.),  $\lambda_{\text{макс}}$  418—420 мμ (ε 42000). Конденсацией II с VII в лед.  $\text{CH}_3\text{COOH}$  получают 4-фенилазо-4'-*n*-оксифенилазо-АБ, темнокоричневые кристаллы, т. пл. 222—224° (из  $\text{C}_6\text{H}_5\text{NO}_2$ ),  $\lambda_{\text{макс}}$  400—401 мμ (ε 49500). Конденсацией I с VII и последующим восстановлением получают 4-(*n*-аминофенилазо)-4'-(*n*-оксифенилазо)-АБ, темнокоричневые кристаллы, т. пл. 253—254° (из бzl.),  $\lambda_{\text{макс}}$  438 мμ (ε 52 500). Сочетанием стехиометрич. кол-в фенилдиазония с *n*-толилазофенолом получают 2-фенилазо-4-(*n*-толилазо)-фенол [коричнево-желтые кристаллы, т. пл. 135—136° (из сп. +  $\text{CH}_3\text{COOH}$ ; 1:1),  $\lambda_{\text{макс}}$  434 и 348 мμ (ε 45 000)] и 2,6-бис-(фенилазо)-4-(*n*-толилазо)-фенол, коричневые кристаллы, т. пл. 207—208° (из  $\text{C}_6\text{H}_5\text{NO}_2$ ),  $\lambda_{\text{макс}}$  434—438 мμ и 344—345 мμ (ε 11200 и 56500). Из III получают 4-стирил-АБ [светлокоричневые кристаллы, т. пл. 191° (из лед.  $\text{CH}_3\text{COOH}$ ),  $\lambda_{\text{макс}}$  372—374 мμ (ε 34 000)] и 4-стирил-4'-фенил-АБ, коричневые кристаллы, т. пл. 213—215° (из  $\text{C}_6\text{H}_5\text{NO}_2$ ),  $\lambda_{\text{макс}}$  394—395 мμ (ε 52 000). Кроме того, определены  $\lambda_{\text{макс}}$  в мμ и ε спектров поглощения следующих азосоединений (указано в-во, т. пл. в °C,  $\lambda_{\text{макс}}$  в мμ/ε): 4-нитро-АБ, 134—135, 425—426/900 и 338/25800; 4-амино-АБ, 123—124, 378/24 000; 4,4'-динитро-АБ, 221—222°, 472/600 и 338/26 800; 4,4'-диамино-АБ, 248—249, 397/28500; 4-окси-АБ, 153,5—154,0, 440—442/800, 346/25000; 4-амино-4'-окси-АБ, 185—186, 379—380/28800; 4,4'-бис-(*n*-нитрофенилазо)-АБ, 282—283°, 402—404/67000; 4,4'-бис-(*n*-аминофенилазо)-АБ, 295—296, 448/51000; 4-(*n*-оксифенилазо)-АБ, 184—185, 383/40800; 2-окси-АБ, 81—82°, 386—387/9800 и 326—327/18800; 2,4-бис-(фенилазо)-фенол, 130—131, 342—343/43300; 2,4,6-трис-(фенилазо)-фенол, 216—216,5, 342/55100; 4-(*n*-толилазо)-фенол, 150—150,5 434/1100, 350/28600; 2-(*n*-толилазо)-4-фенилазофенол, 118—119, 351/45600; 2,4-бис-(*n*-толилазо)-фенол, 169—170, 351—353/47600. И. К.

**3833. Эфиры карбаминных кислот. II. Реакция 2,4-толилендиизоцианата. Гейлорд, О'Брайен (Carbamates. II. Reactions of 2,4 diisocyanatoluene. Gaylord Norman G., O'Brien John J.), Recueil trav. chim., 1955, 74, № 3, 218—219 (англ.)**

Исследована р-ция присоединения спиртов и фенолов к 2,4-толилендиизоцианату (I):  $\text{CH}_3\text{C}_6\text{H}_3(\text{NCO})_2 + 2\text{RON} \rightarrow \text{CH}_3\text{C}_6\text{H}_3(\text{NHCOOR})_2$  (предыдущее сообщение см. РЖХим, 1955, 40064). Простые спирты реагируют быстро и продукты их присоединения легко очищаются. Р-ция с фенолами требует катализатора — триэтиламина, р-рителя и низкой т-ры для избежания образования мочевины. Дикарбаматы, полученные из *трет*- $\text{C}_4\text{H}_9\text{OH}$ , были загрязнены производными мочевины и трудно очищались. Р-ция проведена двумя методами: с р-рителем (А) и без р-рителя (Б). По методу А смесь 1 моля I и 3 молей спирта нагревалась на паровой бане 30 мин. По методу Б смесь 1 моля I, 3 молей спирта или фенола и 100—200 мл толуола готовили при 5—10° и оставляли на 12 час. при ~ 20°. В случае применения фенолов добавлялось несколько капель триэтиламина. Получены следующие дикарбаматы общей ф-лы  $\text{CH}_3\text{C}_6\text{H}_3(\text{NHCOOR})_2$  (перечисляют



ся R, выход в %, т. пл. в °C):  $\text{CH}_3$ , 89, 171,0;  $\text{C}_6\text{H}_5$ , 92, 136,5;  $(\text{CH}_3)_2\text{CH}$ , 90, 136,0;  $\text{C}_{12}\text{H}_{25}$ , 84, 86,0; *втор-* $\text{C}_4\text{H}_9$ , 75, 93,0; *трет-* $\text{C}_4\text{H}_9$ , 74, 148;  $\text{C}_6\text{H}_5$ , 87, 137,0; *м-* $\text{ClC}_6\text{H}_4$ , 76, 120,5; *о-* $\text{ClC}_6\text{H}_4$ , 82, 160,0; 2,4,5- $\text{Cl}_3\text{C}_6\text{H}_2$ , 80, 162,0. И. Л.

**3834. О дифенилдульцине. Рунти, Доминиц** (Sulla dulcinaifenilica. Runti Carlo, Dominici Enrichetta), Gazz. chim. ital., 1955, 85, № 4, 309—313 (итал.)

В продолжение прошлой работы (Ann. Triestini, Ser. II, 1952—1953, 22—23) с целью расширения предыдущих исследований относительно применимости правила Анджели (принцип винилоггии) (см. Colonna M., Runti C., Ann. Chim., 1951, 41, 739) для случая *л*-этоксифенилмочевины (дульцина) синтезирована *л*-этоксидифенилмочевина (I), которая оказалась практически безвкусной. Суспензию 17,65 г 4-этоксидифениламина в 160 мл спирта и 106 мл конц. HCl кипятят 4,5 часа, получают хлоргидрат 4-этоксидифениламина, выход 96,2%, т. пл. ~280° (разл., из сп.); действием на спирт. р-р хлоргидрата NaOH выделяют 4-этоксидифениламин (II), выход 90%, т. пл. 135—136° (из сп.). 7,7 г II в миним. кол-ве лед.  $\text{CH}_3\text{COOH}$  при 30° смешивают с 5,77 г  $\text{KCNO}$ , получают I, т. пл. 170° (из  $\text{CH}_3\text{OH}$ ). 3 г II сплавляют при 130—140° с 3 г мочевины (2 часа), выделяют дигидрат ди-(4-этоксидифенил)-мочевины, т. пл. 313° (из водн. пиридина). К смеси 10 г хлоргидрата II, 20 мл диметиламина и 170 мл абс. спирта добавляют 4,7 мл этилового эфира хлоруксусной к-ты, кипятят 30 мин., выпаривают до 1/3 объема, выливают в 1 л HCl, получают этиловый эфир 4-этоксидифенилкарбаминової к-ты, выход 72%, т. пл. 146° (из сп.). Л. Я.

**3835. Реакция Фриделя—Крафта с некоторыми β-хлорэтилсоединениями. Кламан, Берч** (Friedel—Crafts-Reaktionen einiger β-Chloräthyl-Verbindungen. Klamann Dieter, Bertsch Helmut), Chem. Ber., 1955, 88, № 8, 1226—1233 (нем.)

Конденсацией (β-хлорэтил)-*л*-толилсульфида (I) с  $\text{C}_6\text{H}_6$  в присутствии  $\text{AlCl}_3$  (соотношение молей 1:18:1) образуется β-фенил-*л*-толилсульфид (II) с выходом 87%. II идентифицирован окислением в известный сульфон. При работе с катализич. кол-вами  $\text{AlCl}_3$  превращение идет незначительно. Та же р-ция при соотношении молей 1:11:0,2 дала небольшое кол-во II и в-во  $\text{C}_{10}\text{H}_{18}\text{S}_2$ , идентифицированное с 1,2-ди-*л*-толилмеркаптозаном, полученным из I и *л*-глюкретоза. Аналогично II из (β-хлорэтил)-фенилсульфида (III) получено 10,6% β-фенилфенилсульфида (IV) и немного 1,2-дифенилмеркаптозана. Повидимому, образуется труднорастворимый в  $\text{C}_6\text{H}_6$  комплекс III и  $\text{AlCl}_3$ . Из (β-хлорэтил)-*н*-бутилсульфида (V) в оптимальных условиях получен *н*-бутил-β-фенилсульфид (VI), выход 37,6%. На примере I и V показано, что заметное превращение достигается лишь с эквимольным кол-вом  $\text{AlCl}_3$ . Указана зависимость выходов от времени р-ции и конц-ии. По способности конденсироваться с  $\text{C}_6\text{H}_6$  сульфиды могут быть расположены в ряд  $\text{I} > \text{V} > \text{III}$ . Соответствующие сульфидам эфиры не конденсируются с  $\text{C}_6\text{H}_6$  в заметных кол-вах. Здесь частично происходит выделение HCl (газа) и образуются виниловые эфиры. Показано, что с соответствующими сульфонидами конденсация идет значительно хуже. Исходя из того, что конденсация сульфидов идет лишь с эквимольным кол-вом  $\text{AlCl}_3$  и при этом не наступает изомеризация, а для эфиров нормальная конденсация не происходит, авторы заключают, что р-ция идет через образование этиленсульфониевого комплекса  $[\text{CH}_2\text{CH}_2\text{SR}]^+$

$\text{AlCl}_4^-$ . Получение I, III, V см. РЖХим, 1955, 40114.

Р-р I в  $\text{C}_6\text{H}_6$  прибавляли по каплям к смеси  $\text{C}_6\text{H}_6$  и  $\text{AlCl}_3$ , нагревали до кипения, охлаждали, смешивали с HCl (к-той), экстрагировали  $\text{C}_6\text{H}_6$ , перегонкой выделен II, т. кип. 182—185°/11 мм,  $n_D^{20}$  1,6001; аналогично

получены: IV, т. кип. 178—181°/11 мм,  $n_D^{20}$  1,6060; VI, т. кип. 138—139°/10 мм, 145°/12 мм,  $n_D^{20}$  1,5278. А. Т.

**3836. *л*-Нитрофенил-*л*-ацилфенилсульфиды и родственные соединения. Шмант, Левитт** (*p*-Nitrophenyl *p*-acylphenyl sulfides and related compounds. Szman H. Harry, Levitt George), J. Amer. Chem. Soc., 1954, 76, № 21, 5459—5461 (англ.)

Синтезированы *л*-нитрофенил-*л*-ацилфенилсульфиды (I), где ацил =  $\text{CH}_3\text{CO}$  (Ia) или *н*- $\text{C}_{12}\text{H}_{25}\text{CO}$  (Ib) р-ций хлорангидрида *л*-(4-нитрофенилмеркапто)-бензойной к-ты (II, III — к-та) с диалкил- $\text{Cd}$ . Восстановлением  $\text{NO}_2$ -группы получают соответствующие аминосульфиды, а окислением сульфидов — сульфоны. III получают действием диазотированной *л*-аминобензойной к-ты (IV — к-та) на *л*-нитрофенол (V) в щел. среде в условиях, предотвращающих окисление V атмосферным  $\text{O}_2$  или избытком  $\text{HNO}_3$ . I не могут быть получены ацилированием фенил-*л*-нитрофенилсульфидов в условиях р-ции Фриделя—Крафта, а также нитрованием фенил-*л*-ацилфенилсульфидов. В последнем случае происходит окисление сульфида; так, напр., *л*-фенилмеркаптостеарофенон превращается в фенил-*л*-карбостеарофенилсульфоксид. Легко гидролизующийся *трет*-октил-*л*-(4-аминофенилсульфонил)-бензамид (VI) получен катализич. гидрированием *N*-*трет*-октил-*л*-(4-нитрофенилсульфонил)-бензиамида (VII) в безводн. среде. 23,3 г II в  $\text{C}_6\text{H}_6$  прибавляют к  $(\text{CH}_3)_2\text{Cd}$  (из 45,5 г  $\text{CdCl}_2$ ,  $\text{CH}_3\text{J}$  и 9,7 г Mg) в  $\text{C}_6\text{H}_6$ , кипятят 3 часа, смесь разлагают 10%-ной  $\text{H}_2\text{SO}_4$ , через несколько часов бензольный слой промывают 10%-ной  $\text{H}_2\text{SO}_4$ , водой, 5%-ным NaOH и снова водой; после отгонки части р-рителя, добавлением  $\text{CH}_3\text{OH}$  осаждают продукт, который растворяют в небольшом кол-ве  $\text{C}_6\text{H}_6$  и хроматографируют на  $\text{Al}_2\text{O}_3$ , изопропиловым спиртом вымывают Ia, выход 35%, т. пл. 118—119°; оксим, т. пл. 162° (из  $\text{CH}_3\text{OH}$ ); 2,4-динитрофенилгидразон, т. пл. 216° (из лед.  $\text{CH}_3\text{COOH}$ ). Аналогично исходя из II и  $\text{C}_{12}\text{H}_{25}\text{Br}$  получают воскообразный Ib, причем после упаривания бензольного слоя побочные продукты р-ции отгоняют с паром. 0,2 моля IV диазотируют 0,2 моля  $\text{NaNO}_2$  и 0,5 моля HCl (к-ты) и прибавляют 0,2 моля V и 1,1 моля NaOH в 1 л воды, через несколько часов в осадке получают Na-соль III, которую действием HCl (к-ты) переводят в III, выход 65—70%, т. пл. 236—238; II, т. пл. 126—128° (из бзл.); метиловый эфир III (VIII), т. пл. 94—95° (из  $\text{CH}_3\text{OH}$ ); амид, т. пл. 186° (из *изо*- $\text{C}_3\text{H}_7\text{OH}$ ); гидразид, т. пл. 136° (из водн.  $\text{CH}_3\text{OH}$ ), *N*-*трет*-октиламид (IX), т. пл. 114—115° (из сп.). К 5,5 г III в 50 мл лед.  $\text{CH}_3\text{COOH}$  прибавляют избыток 30%-ной  $\text{H}_2\text{O}_2$ , выдерживают 30 мин., нагревают до 70°, оставляют на 12 час. и получают *л*-(4-нитрофенилсульфонил)-бензойную к-ту (IX), выход 98%, т. пл. 300° (из водн.  $\text{CH}_3\text{COOH}$ ), хлорангидрид, т. пл. 183° (из *изо*- $\text{C}_3\text{H}_7\text{OH}$ ); VII (получен окислением IX посредством  $\text{H}_2\text{O}_2$ ), т. пл. 160—161°; IX получена также окислением *л*-(4-нитрофенилсульфонил)-толуола хромовой к-той в  $\text{CH}_3\text{COOH}$ . Восстановлением 14,5 г VIII 15 г Fe в 400 мл 50%-ной  $\text{CH}_3\text{COOH}$  получают 9 г метилового эфира *л*-(4-аминофенилмеркапто)-бензойной к-ты, т. пл. 129—130° (из водн.  $\text{CH}_3\text{OH}$ ); гидразид к-ты, т. пл. 159,5—160° (из  $\text{CH}_3\text{OH}$ ). Аналогично восстановлением *л*-(4-нитрофенилсульфонил)-ацетофенона, т. пл. 180—181°, получают *л*-(4-аминофенилсульфонил)-ацетофенон, т. пл. 179—180° (из  $\text{CH}_3\text{OH}$ ). Гидрированием 13,3 г VII

в диоксане в присутствии скелетного Ni ( $\sim 4$  ат) получают 11 г VI, т. пл. 118—120°.

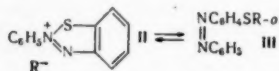
**3837. Синтез и биологические свойства 4,4'-бис-(*n*-диметиламинофенилазо)-фенилдисульфида.** Беркхард, Сеттер, Гросман (The preparation and biological properties of 4,4'-bis-(*p*-dimethylaminophenylazo)-phenyl disulfide. Burkhard R. K., Setter D. E., Grossman R. M., J. Amer. Chem. Soc., 1954, 76, № 19, 4976—4977 (англ.).

В качестве аналога метилоранка, содержащего двухвалентную серу, и для выяснения механизма образования комплексов канцерогенных азокрасителей с белками печени синтезирован 4,4'-бис-(*n*-диметиламинофенилазо)-фенилдисульфид (I). Введением I в рацион белых крыс и дальнейшим исследованием их внутренних органов установлено, что I не включается в белки печени и не является канцерогенным в-вом. Таким образом предположение о возможной *p*-ции дисульфидной связи I с меркаптогруппой белка не подтверждено. Р-р 1,61 г хлоргидрата 4,4'-ди-(аминофенил)-дисульфида в 7 мл конц.  $H_2SO_4$  диазотируют при 0° нитрозилсерной к-той и полученный р-р бисдиазония приливают к р-ру 1,21 г диметиланилина в 200 мл 50%-ного спирта и 60 г  $CH_3COONa$  с прибавлением льда и спирта для разжижения массы. После 30 мин. размешивания и добавления мочевины получают I, выход 82%, красные кристаллы, т. пл. 198—199,5° (из водн. пиридина, затем из дихлорэтана),  $\lambda_{max}$  4300 Å ( $\epsilon$  3,04·10<sup>4</sup>). R. T.

**3838. о-Меркапто-азосоединения. Часть VI. Получение и строение азобензол-2-сульфенилпроизводных.** Буравой, Ливерсидж, Веллинг (о-Mercapto-azo-compounds. Part VI. Preparation and structure of azobenzene-2-sulphenyl derivatives. Burawoy A., Liversedge F., Vellings C. E., J. Chem. Soc., 1954, Dec., 4481—4486 (англ.).

Для выяснения строения бромистого азобензол-2-сульфенила  $C_6H_5N=N-C_6H_4SR$  (I R = Br) обменным разложением с соответствующими к-тами или солями получен ряд производных I (R = Cl, J, SCN, CN,  $ClO_4$  или  $SO_3Na$ ); I (R = галоид) в противоположность другим тиофенилгалоидам устойчивы; в кристаллич. состоянии, а также в водн. и спирт. р-рах ведут себя как настоящие соли. Приведена электропроводность I в воде при 18° (указаны R, конц-ия в молях, электропроводность, pH и степень гидролиза в %): Cl, 1·10<sup>-2</sup>, 86,6, 4,75, 0,18; 1·10<sup>-3</sup>, 96,0, 4,98, 1,0; 1·10<sup>-4</sup>, 123,7, 5,58, 2,6; Br, 1·10<sup>-2</sup>, 88,5, 4,92, 0,12; 1·10<sup>-3</sup>, 96,6, 5,32, 0,47; 1·10<sup>-4</sup>, 120,7, 5,45, 3,4;  $ClO_4$ , 1·10<sup>-3</sup>, 91,5, 5,2, 0,62; 1·10<sup>-4</sup>, 117,1, 5,43, 3,6. I (R = Cl, Br,  $ClO_4$ ) сильные электролиты и степень их гидролиза мало зависит от конц-ии. Определение мол. веса I (R = Cl и Br) показало, что в воде оба соединения диссоциированы.

Спектры поглощения I показали отсутствие азогруппы п, кроме I (R = CN), существование в водн. и спирт. р-рах в качестве истинных солей; в  $C_6H_6$  и  $CHCl_3$  наблюдается равновесие между ионизированными и неионизированными соединениями. Предположено вероятное строение I как катиона 2-фенилбензо-1-тио-2,3-диазония (II) и нейтр. молекулы (III). Степень ионизации зависит от природы р-рителя и меняется в порядке:  $CHCl_3 < C_6H_6 < \text{гексан}$ ; по легкости ионизации I (R = галоид) располагаются в ряд: J < Br < Cl. Изучение строения и свойств I в кристаллич. состоянии показало, что перхлорат и цианид могут быть в форме II и III. 0,4 г I (R = Br) в 30 мл  $C_6H_6$  кипятят 30 мин. с 3 г Zn-пыли, фильтрованием и



упариванием переводят в ди-(*o*-фенилазофенил)-дисульфид, выход 68%, т. пл. 141—142° (из петр. эф.). Р-цией 40 мл конц. HCl с 0,45 г I (R = Br) в 50 мл воды при 45° и извлечением  $CHCl_3$  получают I (R = Cl), выход 92%, т. пл. 227—228° (из воды или  $C_6H_6$ ). Из смеси 0,3 г I (R = Br) в 40 мл воды и 1 г KJ в 10 мл воды при 45° выделяют I (R = J), выход 94%, т. пл. 192—193° (из сп.); аналогично с 0,5 г NaCNS в 10 мл воды получают I (R = CNS), выход 90%, т. пл. 147—148° (из бzl.); из смеси р-ров 1 г  $NaClO_4$  в 20 мл воды и 0,5 г I (R = Br) в 40 мл воды при 45° выделен I (R =  $ClO_4$ ), выход 93%, т. пл. 214—216° (из сп.); из 0,5 г KCN в 10 мл воды и 0,45 г I (R = Br) в 60 мл воды получают 0,4 г I (R = CN), т. пл. 99—100° (из петр. эф.). Часть V, см. РЖХИМ, 1955, 9492. В. И.

**3839. Производные 4-аминофенил-(алкил или арил)-сульфона и итаконовой кислоты.** Нейташ, Томпсон, Кларк (Itaconic acid derivatives of 4-aminophenyl (alkyl or aryl) sulfone. Paytash Peter L., Thompson Malcolm J., Clarke Wilbur B., J. Amer. Chem. Soc., 1954, 76, № 13, 3500—3501 (англ.).

В продолжение работы о конденсации итаконовой к-ты (I) с сульфениламином (Paytash P. L. и др., J. Amer. Chem. Soc., 1952, 74, 4549) изучена конденсация с 4-аминофенил-(алкил или арил)-сульфонами (II), идущая по двум направлениям с образованием 1-(*n*-алкил- или арилсульфонил)-фенил-5-оксо-3-пирролидинкарбоновых (III) и 2-метилен-4'-(алкил- или арилсульфонил)-сукциналиловых (IV) к-т. Производные III приготовлены по методу А конденсацией Na-соли 1-(*n*-сульфенилфенил)-5-оксо-3-пирролидинкарбоновой к-ты (V — к-та) с галоидными алкилами или арилами (ГА) или по методу Б сплавлением I и II. Производные IV приготовлены по методу В конденсацией ангидрида I с II в среде ацетона или метилэтилкетона; метод Г — сплавление I и II, дает плохие выходы. Na-соль V получена р-цией 0,17 моля 1-(*n*-хлорсульфонил)-фенил-5-оксо-3-пирролидинкарбоновой к-ты и 0,24 моля  $Na_2SO_3$  в водн. р-ре, содержащем  $NaHCO_3$ . Обработкой Na-соли V разб. HCl получают V, выход 77%, т. пл. 175—180°. Метод А. 10 г V конденсируют с ГАА (молярное соотношение 1:1) в 75 мл 50%-ного спирта при кипячении в течение 1—8 час. в присутствии  $NaHCO_3$ . III выделяют подкислением разб. HCl и кристаллизуют из воды или разб. спирта. Метод Б. 0,02 моля II прибавляют к 0,04 моля I и нагревают 15 мин. при 180°, горячую смесь вносят в холодную воду для выделения III вместе с IV. При кислотном гидролизе IV отделяют от III, последний устойчив в этих условиях, его кристаллизуют из воды или разб. спирта. Метод В. 0,029 моля ангидрида I кипятят 30—45 мин. с 0,019 моля II в 15 мл ацетона или метилэтилкетона. IV выделяют, внося смесь в холодную воду, и очищают растворением в водн.  $NaHCO_3$ , обработкой активированным углем, осаждением разб. HCl и кристаллизацией из разб. спирта. Метод Г. 0,04 моля I нагревают до расплавления до 180° и прибавляют сразу 0,026 моля II, поддерживают при 180° 2 мин., а затем вносят в холодную воду для выделения IV. Получены следующие III (указаны *n*-алкил или арил, выход по методу А в % и неспр. т. пл. в °C):  $CH_3$ , 70, 209—210; этил, 62, 240—242°; пропил, 75, 205—206; бутил, 80, 167—168; ампл, 63, 159—160; изоамил, 59, 173—175; гексил, 40, 154—155; аллил, 50, 196—198; карбоксиметил, 49, 203—205; карбоксиэтил, 55, 213—215; цианэтил, 85, 195—197; карбоксиметил, 37, 216—218; циклогексилэтил, 50, 167—168; бензил, 85, 227—229; 4-нитробензил, 80, 236—238; фенетил, 60, 185—187; 4-нитрофенил, —, 215—216; 2,4-динитрофенил, 55, 145—147; 1-фенил-5-оксо-3-карбоксипирролидил, —, 297—300. Получены следующие IV (указаны алкил или арил,



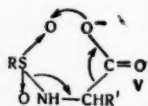


ем 0,1 моля  $\text{Na}_2\text{S} \cdot 5\text{H}_2\text{O}$  и 0,1 моля  $\text{S}$  с 600 мл  $\text{CH}_3\text{OH}$ ), после кипячения (6 час.), охлаждения до  $0^\circ$  и обработки 200 мл конц.  $\text{HCl}$  выделяется осадок неочищ. III, последний экстрагировали диоксаном (500 мл) и высаживали III из экстракта, прибавляя 1500 мл технич. декана. Полученный III имеет т. пл.  $305\text{--}308^\circ$  (разл., из диоксана + бзл.), выход 47%. К насыщ. хлором р-ру III (22 г) в 1250 мл сухого дихлорэтана при кипячении и перемешивании прибавляли 1,5 мл 30%-ного олеума и пропускали сильный ток хлора. Р-ция заканчивается за 20 мин. (при меньших кол-вах III — быстрее). При упаривании р-ра, отделенного от небольшого кол-ва смолы, получен I, т. пл.  $183\text{--}185^\circ$  (из дихлорэтана), выход 65%. Смесь 0,013 моля I в 100 мл дихлорэтана с 10 мл циклогексена после кипячения (10 мин.) и стояния (12 час.) дает 2-хлорциклогексил-2'-нитро-4'-карбоксибензильсульфид, т. пл.  $217\text{--}219^\circ$  (разл., из этилацетата), выход 98%. При взаимодействии транс-бутена-2 с I (6 г в 200 мл этилацетата, 3 часа, давл. 1,2 ат) получен аддукт (IV), т. пл.  $171\text{--}173^\circ$  (из бзл. + хлр.), выход 75%. При стоянии т-ра плавления IV повышается до  $181\text{--}184^\circ$ ; *цис*-бутен-2 в тех же условиях даёт аддукт, т. пл.  $166\text{--}168^\circ$  (из бзл.), выход 83%.

Л. В.

**3844. Разложение замещенных  $\alpha$ -(бензолсульфамидо)-карбоновых кислот и их хлорангидридов, катализируемое основаниями. Уайли, Дейвис (Base-catalyzed decomposition of substituted  $\alpha$ -(benzenesulfonylamido)-carboxylic acids and their acyl chlorides. Wiley Richard H., Davis Richard P.), J. Amer. Chem. Soc., 1954, 76, № 13, 3496—3499 (англ.).**

При нагревании  $\alpha$ -(арилсульфамидо)-карбоновых к-т (I) с пиридином в  $(\text{CH}_3\text{CO})_2\text{O}$  происходит декарбоксилирование по схеме:  $\text{RSO}_2\text{NHCN}(\text{R}')\text{COOH} \rightarrow \text{RSSR}(\text{II}) + \text{CO}_2 + \text{R}'\text{CHO}$  (III), где R — арил. Альдегиды, а в некоторых случаях и небольшие кол-ва арилсульфамидов (IV), получены при  $\text{R}' = \text{C}_6\text{H}_5$  или замещ.  $\text{C}_6\text{H}_5$ , но не при  $\text{R}' = \text{CH}_3$ . Необычный ход р-ции объяснен промежуточным образованием аниона (V). Разложение хлорангидридов I (VI) в водн. щелочью протекает по схеме:  $\text{RSO}_2\text{NHCNHR}'\text{COCl} +$



$\text{NaOH} \rightarrow \text{RSO}_2\text{NH}_2 + \text{R}'\text{CHO} + \text{CO} + \text{NaCl}$ . Р-ция объяснена промежуточной заменой аниона  $[\text{COCl}]^-$  на  $[\text{OH}]^-$  с последующим образованием конечных продуктов р-ции. Синтез I осуществляли взаимодействием соответствующего арилсульфохлорида с аминокрбонной к-той. К р-ру 0,045 моля  $\text{KOH}$  в 25 мл воды прибавляют 0,0225 моля аланина, а затем при охлаждении и перемешивании р-р 0,0225 моля *n*-бромбензолсульфохлорида в 25 мл  $\text{C}_6\text{H}_6$ . Перемешивают 4 часа, оставляют стоять на 15 час., затем прибавляют 15 мл воды, слой отделяют, упаривают в вакууме до 20 мл и подкислением выделяют  $\alpha$ -(*n*-бромбензолсульфамидо)-пропионовую к-ту, выход 70%, т. пл.  $162^\circ$ . Аналогично получены следующие I (даны R, R', выход в %, т. пл. в  $^\circ\text{C}$ ): *n*-нитрофенил,  $\text{CH}_3$ , 76, 175; *n*-толил,  $\text{C}_6\text{H}_5$ , 41, 180; *n*-ацетиамидофенил,  $\text{C}_6\text{H}_5$ , 87, 229; *n*-бромфенил,  $\text{C}_6\text{H}_5$ , 78, 184;  $\beta$ -нафтил,  $\text{C}_6\text{H}_5$ , 66, 165; *n*-нитрофенил,  $\text{C}_6\text{H}_5$ , 70, 213; фенил,  $n\text{-CH}_2\text{OC}_6\text{H}_5$ , 56, 166. Для разложения к 0,005—0,013 моля I прибавляют 0,03—0,078 моля 95%-ного  $(\text{CH}_3\text{CO})_2\text{O}$  и 0,025—0,065 моля пиридина, осторожно кипятят до прекращения выделения  $\text{CO}_2$ . Смесь выливают на лед с  $\text{H}_2\text{SO}_4$ , экстрагируют эфиром и из эфирного р-ра выделяют III в виде 2,4-динитрофенилгидразона, II и в некоторых случаях IV. Для разных исходных I (указаны R и R') при разложении получено  $\text{CO}_2$ , II, III и IV (в %): фенил,  $\text{CH}_3$ , 58—65,5, 40, 0, 0; *n*-толил,  $\text{CH}_3$ , 40—57, 22,6—44, 0, 0;  $\beta$ -нафтил,  $\text{CH}_3$ , 57,8, 31,4, 0, 0;

*n*-бромфенил,  $\text{CH}_3$ , 51,6, 49, 0, 0; *n*-нитрофенил,  $\text{CH}_3$ , 46,6—53, 5,9—15,6, 0, 0; *n*-ацетиамидофенил,  $\text{CH}_3$ , 42—46,2, 0, 0, 0; фенил,  $\text{C}_6\text{H}_5$ , 81, 5, 53, 7; *n*-толил,  $\text{C}_6\text{H}_5$ , 97, 0, 70, 0;  $\beta$ -нафтил,  $\text{C}_6\text{H}_5$ , 46—78,5, 0, 51, 3,4—28; *n*-бромфенил,  $\text{C}_6\text{H}_5$ , 51, 7,9, 58,4, 4,3; *n*-нитрофенил,  $\text{C}_6\text{H}_5$ , 33, 4, 21,5, следы; *n*-ацетиамидофенил,  $\text{C}_6\text{H}_5$ , 58, 5,9, 18,3, 0; фенил,  $n\text{-CH}_2\text{OC}_6\text{H}_5$ , 80, 11,7, 55, 0. Разложение VI, получаемых из I с I и 3—5 мл  $\text{SOCl}_2$ , проводят прибавлением 15 мл кипящего 5%-ного водн.  $\text{NaOH}$ . При этом из разных VI (дано R, R') получено  $\text{CO}$ , III и IV (в %): фенил,  $\text{CH}_3$ , 58, 0, 0; *n*-толил,  $\text{CH}_3$ , 55, 0, 41;  $\beta$ -нафтил,  $\text{CH}_3$ , 30, 0, 5; *n*-бромфенил,  $\text{CH}_3$ , 37, 0, 6, 7; *n*-нитрофенил,  $\text{CH}_3$ , 27, 0, 0; фенил,  $\text{C}_6\text{H}_5$ , 48—98, 22—65, 54—49; *n*-толил,  $\text{C}_6\text{H}_5$ , 80, 80, 46,5;  $\beta$ -нафтил,  $\text{C}_6\text{H}_5$ , 59, 25,3, 58; *n*-бромфенил,  $\text{C}_6\text{H}_5$ , 53, 52, 31; *n*-нитрофенил,  $\text{C}_6\text{H}_5$ , 58, 36, 33.

**3845. Улучшенный синтез реагента «стильбазо». II. Синтезы с комплексными соединениями. Кузнецов В. И., Немодрук А. А., Ж. общ. химии, 1955, 25, № 1, 131—132**

Описан улучшенный способ синтеза диазмониевой соли 4,4'-бис-(3,4-диоксибензолазо)-стильбен-2,2-дисульфокислоты («стильбазо») (I), являющейся реагентом для колориметрич. определения Al и других элементов. Диазотирование диаминоэтилендисульфокислоты (II), последующее сочетание бис-диазосоединения (III) с пирокатехином (IV) и обработка  $\text{NH}_4\text{OH}$  приводит к I. Основываясь на явлении внутримолекулярной диссоциации циклич. солей, азосочетание III с Al-солью IV проводят не в щел. среде, а в кислой; выход I при этом увеличивается и продукт получается более чистым. 0,025 моля II и 5 г  $\text{Na}_2\text{CO}_3$  растворяют в 150 мл воды и смешивают с конц. р-ром 3,8 г  $\text{NaNO}_2$ , полученный р-р вливают в смесь 20 мл  $\text{HCl}$  ( $d$  1,16—1,18), 20 мл воды и льда; III отфильтровывают, промывают водой и суспендируют в 50 мл воды. 0,06 моля IV, 35 г  $\text{KAl}(\text{SO}_4)_2 \cdot 12\text{H}_2\text{O}$  и 10 г  $\text{Na}_2\text{CO}_3$  растворяют в 150 мл воды, затем прибавляют при перемешивании суспензию III и в течение 2 час. 100 мл 20%-ного р-ра  $\text{CH}_3\text{COONa}$ , перемешивают еще 2 часа и приливают 50 мл конц.  $\text{HCl}$ , отфильтровывают осадок и промывают 3%-ным р-ром  $\text{HCl}$  и водой. Осадок суспендируют в 700 мл воды, прибавляют 5 мл конц.  $\text{NH}_4\text{OH}$ , фильтруют и к фильтрату в течение 1 часа приливают 50 мл конц.  $\text{HCl}$ , осадок отфильтровывают и промывают водой. Пасту сушат, растирают и в виде слоя толщиной 5 мм оставляют на 2 часа над 200 мл конц.  $\text{NH}_4\text{OH}$  и получают 97%-ный I, выход 87%, или без сушилки растворяют в 400 мл воды с  $\sim 4,5$  мл  $\text{NH}_4\text{OH}$  ( $d$  0,90), и к р-ру прибавляют при перемешивании 85 г  $\text{NH}_4\text{Cl}$ , получают 83%-ный I, выход 82%. Сообщение I см. РЖХим, 1955, 11644.

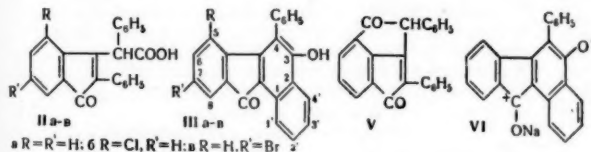
**3846. Взаимодействие некоторых спиртов с 2-нитроиндандионом-1,3. Гудринице Э. Ю., Ван Г. Я., Ж. общ. химии, 1954, 24, № 4, 725—729**

В продолжение прежних работ по изучению взаимодействия 2-нитроиндандиона-1,3 (I) с бензгидролом (Ванаг Г. Я. и др., Ж. общ. химии, 1949, 19, 1535) и с  $\text{CH}_3\text{OH}$  и  $\text{C}_2\text{H}_5\text{OH}$  (Залукаев Л., Изв. АН ЛатвССР, 1952, 5 (58), 71) исследована р-ция I с другими спиртами. Найдено, что течение р-ции зависит от соотношения компонентов. С большим избытком *изо*- $\text{C}_3\text{H}_7\text{OH}$  I образует главным образом изопропиловый эфир  $\omega$ -нитроацетофенон- $\alpha$ -карбоновой к-ты (II, III — к-та), с  $(\text{CH}_3)_2\text{CHCH}_2\text{OH}$  — изобутиловый эфир III (IV). Если применять небольшой избыток *изо*- $\text{C}_3\text{H}_7\text{OH}$ , I восстанавливается в 2-нитроэтилендион-1,3 (V), а *изо*- $\text{C}_3\text{H}_7\text{OH}$  окисляется в ацетон. Аналогичная р-ция протекает с  $\text{C}_6\text{H}_5\text{CH}_2\text{OH}$  и апенафенолом (VI). Смесь 2,3 и I в 33 мл *изо*- $\text{C}_3\text{H}_7\text{OH}$  нагревают на водяной бане до появления темнокрасной окраски, охлаждают, разбавляют 5—10-кратным кол-вом воды и осадок обрабатывают

эфиром, остается неизвлеченным II, выход 33,3%, т. пл. 70—71° (из  $\text{CH}_3\text{COOH} + \text{вода}$ , 1:1); при растворении II в 2 н. р-ре NaOH получают III, т. пл. 122—123°. Аналогично получают IV, т. пл. 89—90°. Нагревание 10 г I и 20 мл *iso*- $\text{C}_6\text{H}_5\text{OH}$  (2 часа) с последующей обработкой, аналогичной указанной при получении II, приводит к V, выход 28,6%, т. пл. 217—218° (из лед.  $\text{CH}_3\text{COOH}$ ) и 201—202° (из воды). Т-ра плавления V зависит от скорости нагревания и р-рителя, примененного для кристаллизации. При нагревании 12 г I и 24 мл  $\text{C}_6\text{H}_5\text{CH}_2\text{OH}$  (30 мин.) V образуется с выходом 72,9%. Смесь 2,3 г I, 2,6 г VI и 15 мл лед.  $\text{CH}_3\text{COOH}$  кипятят 5—10 мин., выход V 82,9%; *бис*-фенилгидразон I, т. пл. 201° (из воды. сп.). При действии бромной воды на I получают 2,2-дибромдигидро-1,3, т. пл. 178° (из лед.  $\text{CH}_3\text{COOH}$ ). При нагревании I с 10%-ным NaOH образуются фталевая к-та и NaCN. Р. Г. 3847.

**О дегидратации  $\alpha, \beta, \gamma$ -триарилзамещенных  $\beta$ -оксиглutarовых кислот.** Новый метод синтеза 4-арил-3-оксиглutarовых кислот. Иванов (Sur la deshydratation des acides hydroxy-2 glutariques triaryl-1,2,3 substitués. Une méthode pour la synthèse des aryl-4-hydroxy-3-benzo-1,2-fluorenone. I v a n o f f T s h.), Докл. Болгар. АН, 1954, 7, № 1, 29—32 (франц.; резюме русс.).

При дегидратации  $\alpha, \beta, \gamma$ -трифенил- $\beta$ -оксиглutarовой к-ты (Ia) действием конц.  $\text{H}_2\text{SO}_4$  при 20° р-ция не останавливается на образовании производного индена (IIa), как в случае арилзамещенных одноосновных  $\beta$ -оксиглutarов (РЖХим, 1955, 13940), а протекает дальше. При разбавлении водой выделяется описанное ранее (Koelsch C., Geissman T., J. Organ. Chem., 1938, 3, 480) в-во с т. пл. 235,5—237° (из см.), которому автор на основании данных анализа и хим. свойств приписывает строение 4-фенил-3-оксиглutarов (IIIa), а высаливанием филтраты NaCl получают Na-соль моносульфокислоты IIIa (IVa), т. пл. тригидрата 302—303° (из см.). Автор отвергает другое возможное строение (V) для продукта дегидратации Ia, так



как аналогичный продукт (IIIb) с т. пл. 225,5—227° (из толуола или см.), для которого подобное строение невозможно, получается, наряду с Na-солью моносульфокислоты IIIb (IVb), т. пл. 272—275°, дегидратацией  $\alpha, \gamma$ -дифенил- $\beta$ -о-хлорфенил- $\beta$ -оксиглutarовой к-ты (Ib). Также из  $\alpha, \gamma$ -дифенил- $\beta$ -н-бромфенил- $\beta$ -оксиглutarовой к-ты (Ia) получается 7-бром-IIIa (IIIa), т. пл. 253,5—255° (из см.), (V автора ошибочно указано 6-бром-IIIa. Прим. ред.), и Na-соль моносульфокислоты IIIa (IVa), т. пл. 326—328°. Положение сульфогруппы в IVa — в автором не установлено. При метилировании IIIa диазометаном получают метиловый эфир IIIa, т. пл. 238—239°, по окраске мало отличающийся от IIIa; IIIa — в, имеющие оранжевую или красную окраску, растворяются в щелочах со значительным углублением окраски — до красновато-фиолетовой. Давлением к IIIa 4%-ного р-ра NaOH и спирта выделяют темнофиолетовую Na-соль IIIa, т. пл. дигидрата 446—450°, которой автор приписывает строение (VI).

Л. Э.

**3848. Синтез бензофульвенов.** Циглер Шредт, Гитцлер (Eine Synthese von Bensulfenolen. Ziegler E., Schredt H., Gitschth-

ler K.), Monatsh. Chem., 1954, 85, № 6, 1234—1239 (нем.).

Взаимодействием пропивовератрона (I) с  $\text{POCl}_3$  нагреванием 3 часа при 40° получен 5,6-диметокси-2,8-диметил-3-вератрилобензофульвен (II), в то время как при 18° образуется фосфорсодержащее в-во, которое лишь при обработке спиртом переходит в II. Строение II доказано получением при гидрировании диизоомегинола (III). Предполагается, что II образуется при выделении 2 молекул воды из 2 молекул енолизированного I. При окислении II  $\text{CrO}_3$  образуется 2,3,6,7-тетраметоксидантрахинон (IV); получение IV из II находится в соответствии с ранее описанным получением IV из III при действии  $\text{CrO}_3$  (Haworth, Mavin, J. Chem. Soc., 1931, 1363; Müller, Gál, Ber., 1944, 77, 159, 345). По аналогии с II получены: 5-метокси-6-хлор-2,8-диметил-3-(3'-хлор-4'-метоксифенил)- (V), 5-метокси-6-бром-2,8-диметил-3-(3'-бром-4'-метоксифенил)- (VI), 4,6-дибром-5-оксиглutarов (VII), 5-метокси-6-хлор-2,8-диметил-3-(3'-хлор-4'-метоксифенил)-бензофульвен (VIII). При окислении V  $\text{CrO}_3$  получается смесь 2,6-диметокси-3,7-дихлорантрахинона, т. пл. 357—358° (из толуола), и 3'-хлор-4'-метоксиглutarов (IX), т. пл. 221,5 (из воды. сп.); IX при нагревании с Zn-пылью до 270—290° в токе  $\text{H}_2$  декарбоксилируется в 3,4'-диметокси-4,3'-дихлорбензофенона, т. пл. 136—137° (из см.). Отмечается, что с удлинением боковой цепи жирноароматич. кетонов способность образовывать бензофульвены уменьшается. Из 3-хлор-4-метоксиглutarов (X), 3,5-динитро-4-оксиглutarов (XI),  $\alpha$ - и  $\beta$ -пропионафтонов соответствующие бензофульвены не получены. 2 г I и 5 мл  $\text{POCl}_3$  нагревают 3 часа при 40°, разлагают льдом, обрабатывают водой, растворяют в спирте, вносят в спирт воду до помутнения и через 2 дня получают II, выход 0,5 г, т. пл. 159—160° (из пиридина). Растворяют 0,5 г II в 10 мл  $\text{CH}_3\text{COOH}$ , приливают при 80° р-р 0,4 г  $\text{CrO}_3$  в 2 мл  $\text{CH}_3\text{COOH}$ , через 30 мин. разлагают водой и получают IV, т. пл. 336° (из хлф.). Восстанавливают спирт. р-р II над скелетным Ni, добавляют воду и получают III, т. пл. 105°. Р-р 30 г о-хлоранизола в 40 мл  $\text{CS}_2$  приливают при охлаждении к смеси 112 г  $\text{AlCl}_3$ , 12 г пропионилхлорида и 350 мл  $\text{CS}_2$ , оставляют на 5 час. при 0°, затем 2 часа при 20°, разлагают HCl (к-той), извлекают эфиром и получают 3-хлор-4-метоксипропиофенон (XI), выход 21 г, т. пл. 89—90° (из см.). 3 г XI и 15 г  $\text{POCl}_3$  нагревают 10 час. при 40°, отгоняют исходный с паром и получают V, выход 0,9 г, т. пл. 171,5° (из ацетона). Аналогично из 2 г 3-бром-4-метоксипропиофенона в 5 мл  $\text{POCl}_3$  получают VI, выход 0,8 г, т. пл. 172° (из см.); из 1 г 3,5-дибром-4-оксипропиофенона, т. пл. 114° (из см.) и 3 мл  $\text{POCl}_3$  получают VII, выход 0,1 г, т. пл. 213—214° (из см.), а из 1 г 3-хлор-4-метоксипропиофенона (т. пл. 74°) и 4 мл  $\text{POCl}_3$  — VIII, т. пл. 152° (из воды. сп.). Р-р 7 г о-хлоранизола и 15 г стеарилхлорида в 20 мл петр. эфира приливают при 0° к суспензии 5 г  $\text{AlCl}_3$  в 20 мл петр. эфира, через 1 час р-ритель удаляют, остаток разлагают HCl (к-той), извлекают эфиром и получают X, выход 2 г, т. пл. 56—57° (из см.). З. М.

**3849. Производные 5-аминонафта-1.** Хираль, Эчеверрия (Derivados del 5-aminonaftol-1. Giral Francisco, Echeverría Gloria), Ciencia, 1953, 13, № 9—10, 204 (исп.; резюме нем.).

В процессе изучения связи между строением и аналитич. действием в-в группы фенацетина приготавливали 5-ацетаминно-1-окси-(I) и 5-ацетаминно-1-этоксинафталин (II). К суспензии 30 г 5-аминонафта-1 в 80 мл воды

при 40° прибавляют 30 г  $(\text{CH}_3\text{CO})_2\text{O}$ , получают 33 г I, т. пл. 171—173° (из воды). К р-ру 32 г I в 120 мл спирта + 6,2 г Na добавляют 32 г  $\text{C}_2\text{H}_5\text{Br}$ , через 3 часа кипятят 1 час, фильтруют, отгоняют спирт, получают 20 г II, т. пл. 201—203° (из 30%-ного сп.). Л. Я.

**3850. Синтез  $\alpha$ -метил- $\gamma$ -(2-нафтил)- $\Delta^{\alpha,\beta}$ -бутенолида и восстановление его алюмогидридом лития.** Рамирес, Рубин (The synthesis of  $\alpha$ -methyl- $\gamma$ -(2-naphthyl)- $\Delta^{\alpha,\beta}$  butenolide and its reduction with lithium aluminum hydride. Ramirez Fausto, Rubin Mordecai B.), J. Amer. Chem. Soc., 1955, 77, № 10, 2905—2907 (англ.)

Синтезирован  $\alpha$ -метил- $\gamma$ -(2-нафтил)- $\Delta^{\alpha,\beta}$ -бутенолид (I) и проведено его восстановление  $\text{LiAlH}_4$  в 2-метил-4-(2-нафтил)-бутен-2-диол-1,4 (II). Путь синтеза I: конденсацией 2-ацетилнафталина (III) с  $\text{CH}_3\text{CHO}$  в присутствии  $\text{CH}_3\text{ONa}$  в  $\text{CH}_3\text{OH}$  получают 2-( $\beta$ -метоксибутирол)-нафталин (IV). Последний при нагревании с  $\text{ZnCl}_2$  отщепляет  $\text{CH}_3\text{OH}$  и переходит в 2-кротонилнафталин (V). V с  $\text{HCN}$  образует  $\alpha$ -метил- $\beta$ -(2-нафтоил)-пропионитрил (VI). Гидролизом VI получают  $\alpha$ -метил- $\beta$ -(2-нафтоил)-пропионовую к-ту (VII), которую циклизуют в I в присутствии  $\text{H}_2\text{SO}_4$  в смеси  $\text{CH}_3\text{COOH}$  и  $(\text{CH}_3\text{CO})_2\text{O}$ . I можно получать без выделения в чистом виде промежуточных продуктов р-ции. Процесс восстановления I протекает так же, как и в случае  $\alpha$ -метил- $\gamma$ -фенил- $\Delta^{\alpha,\beta}$ -бутенолида, что подтверждается сравнением ИК-спектров неочищ. продуктов р-ции. II при окислении пиридинхромтриоксидом дает I, VII с  $\text{NaBH}_4$  в воде. NaOH образует  $\alpha$ -метил- $\gamma$ -(2-нафтил)-бутиролактон (т. пл. 93—93,6°),  $\lambda_{\text{макс}} (\text{CHCl}_3)$  5,55  $\mu$ . I не гидрируется (нормальное давление, спирт. р-р) над  $\text{PtO}_2$ ; его не удалось восстановить до  $\gamma$ -окс- $\alpha,\beta$ -предельного альдегида. Изомерный  $\Delta^{\alpha,\beta}$ -бутенолид не образуется в условиях получения  $\Delta^{\alpha,\beta}$ -бутенолида из  $\beta$ -бензил- $\alpha$ -метилпропионовой к-ты. К 319 г III и 112 г  $\text{CH}_3\text{CHO}$  в 500 мл абс.  $\text{CH}_3\text{OH}$  прибавляют по каплям при охлаждении смесью льда и соли р-р  $\text{CH}_3\text{ONa}$  (из 9 г Na и 180 мл  $\text{CH}_3\text{OH}$ ) и оставляют на 36 час. при той же т-ре. Затем добавляют 24 г  $\text{CH}_3\text{COOH}$  и р-р сгущают до начала выделения осадка, приливают 500 мл воды, масло извлекают эфиром и эфир отгоняют, III, не вошедший в р-цию, отгоняют с паром и из остатка перегонкой на короткой колонке выделяют IV, выход 64 г, т. кип. 149—152°/0,1 мм,  $n_D^{27}$  1,5998,

$d_4^{27}$  1,110; с 2,4-динитрофенилгидразином в воде.  $\text{CH}_3\text{OH}$  в присутствии  $\text{H}_2\text{SO}_4$  образует 2,4-динитрофенилгидразон (ДФГ) V, т. пл. 203—204° (из этилацетата),  $\lambda_{\text{макс}} (\text{CHCl}_3)$  390  $\mu$  (с 32900). 10 г IV нагревают (30 мин., 150°, 30 мм) с 0,1 г  $\text{ZnCl}_2$ , собирая выделяющийся  $\text{CH}_3\text{OH}$  в приемник, охлаждаемый твердой  $\text{CO}_2$  в ацетоне. Остаток перегоняют и получают V, выход 6 г, т. кип. 100°/0,01 мм, т. пл. 57,5—59° (из петр. эф.); ДФГ (вероятно, геометрич. изомер вышеописанного), т. пл. 214,4—214,8° (из этилацетата-сп.),  $\lambda_{\text{макс}} (\text{CHCl}_3)$  390  $\mu$  (с 31200). К 5 г V, 50 мл спирта и 1,7 мл лед.  $\text{CH}_3\text{COOH}$  при 50° прибавляют 3,8 г KCN в 10 мл воды. Через 3 часа выделяется 4,3 г VI, т. пл. 93,8—94,8° (из сп.). 1,3 г VI омыляют нагреванием 2 часа с 20 мл 15%-ного KOH и получают VII, выход 0,8 г, т. пл. 169—170° (из  $\text{CHCl}_3$ ),  $\lambda_{\text{макс}} (\text{CHCl}_3)$  5,90, 5,99  $\mu$  и широкая полоса в области 2,9—3,5  $\mu$ . Если синтез ведут без очистки промежуточных продуктов р-ции, то выход VII 8,2% (в расчете на II), т. пл. 166,2—167,2°. 1 г VII нагревают (2 часа, ~100°) со смесью 4 мл  $(\text{CH}_3\text{CO})_2\text{O}$ , 4 мл  $\text{CH}_3\text{COOH}$  и 1 каплю конц.  $\text{H}_2\text{SO}_4$ , осадок промывают ацетоном и получают I, выход 0,45 г, т. пл. 255,0—256,6° (из  $\text{CHCl}_3\text{-CCl}_4$ ). 1,5 г I вос-

становливают (3 часа, ~18°) 74 мл 0,1 M  $\text{LiAlH}_4$  в эфире, затем добавляют влажный эфир, к осадку, суспендированному в  $\text{CHCl}_3$ , приливают 5%-ную HCl и из р-ра в  $\text{CHCl}_3$  выделяют II, перекристаллизовывают из  $\text{CHCl}_3\text{-CCl}_4$ , выход 0,5 г, т. пл. 159,1—159,5° (из этилацетата- $\text{C}_6\text{H}_{12}$ ). В. З.

**3851. Исправления к статье «Внутримолекулярное ацилирование. Часть I. Циклизация  $\alpha$ -замещенных  $\beta$ -(1-нафтил)-пропионовых кислот».** Анселл (Er-rata), J. Chem. Soc., 1954, 6, № 3, 92—94 (англ.) and title-pages (англ.)  
К РЖХим, 1954, 42943.

**3852. Взаимодействие брома с металлическими солями ароматических кислот.** Нур-Наваз-Лоди, Мофиз-уд-дин-Ахмад (Reaction of bromine with metallic salts of aromatic acids. Nur Nawaz Lodi S. S. M., Mofiz-ud-Din Ahmad), Pakistan J. Sci. Rec., 1954, 6, № 3, 92—94 (англ.)  
Исследовано бромирование Ag-солей 1-нафтоиной (I), нафталевой (II) и мндалевой (III) к-т. При этом из Ag-соли I получено 4,5% 1-бромнафталина, 14,1% 4-бромнафтоиной к-ты и 78,2% I. Из Ag-соли II получено 38,9% 1,8-дибромнафталина, 17,2% 4-бромнафталевой к-ты и 36,6% II. Из Ag-соли III получено 49,1%  $\text{C}_6\text{H}_5\text{CHO}$ , 20,5%  $\alpha$ -бромфенилуксусной к-ты и 14,4% III. По аналогии с предыдущими исследованиями (Barnes, Prochaska, J. Amer. Chem. Soc., 1950, 72, 3188) высказано предположение, что AgBr образуется за счет декабромиллирования промежуточного ацилгипобромита  $\text{AgCOOBg}$ , а бромированные к-ты — за счет бромирования свободных к-т, образовавшихся при взаимодействии HBr и воды с  $\text{AgCOOBg}$ . Следы  $\text{H}_2\text{O}$  благоприятствуют второй р-ции. Показано, что л-нитробензойная к-та (IV) чрезвычайно легко вступает в вышеописанную р-цию. Ag-соль IV дает 57,6% нитробромбензола (V) и 34,6% IV. Hg-соль IV — 49,3% V и 31,6% IV. Na-, Cu-, Ca-, Mg-, Pb- и Al-соли IV не реагируют с бромом. Ag-соли I, III и IV получают по описанной методике (Zingaro и др., J. Amer. Chem. Soc., 1949, 71, 575). Cu-, Hg- и Al-соль IV получены аналогичными методами. Ag-соль II получают, растворяя II в воде, р-ре  $\text{Na}_2\text{CO}_3$  и прибавляя  $\text{AgNO}_3$ . Ca- и Mg-соли IV получают, нагревая к-ту с водой, суспензией CaO или MgO. Na-соль IV получают из IV и NaOH. Ca-, Mg- и Na-соли кристаллизуют из воды. 2 экв  $\text{Br}_2$  в  $\text{CCl}_4$  прибавляют к суспензии исследуемой соли в  $\text{CCl}_4$  и кипятят 2—2,5 часа. Н. В.

**3853. О бромпроизводных 1,1'-динафтил-8,8'-дикарбоновой кислоты.** Галиновский, Святый (O pochodnych bromowych kwasu 1,1'-dwunaf-tylo-8,8'-dwukarbonowego. Galinowski S., Swiatly S.), Przem. chem., 1955, 11, № 3, 140—141 (польск.; резюме русск., англ.)

Новый метод синтеза 4,4'-дибром-1,1'-динафтил-дикарбоновой-8,8'-к-ты (I) прямым бромированием 1,1'-динафтил-8,8'-дикарбоновой к-ты (II). К взвес 1 вес. ч. II в 2,5 вес. ч. сухого  $\text{C}_6\text{H}_5\text{NO}_2$  добавляют 0,01 вес. ч.  $\text{J}_2$  и 1 вес. ч.  $\text{Br}_2$ ; перемешивают 2 часа, доводя т-ру до 130°, и выдерживают при этой т-ре 2 часа, выход I 40%. I при обработке 10 вес. ч. 25%-ного олеума (20—40°) дает 4,10-дибромантрагон (II) (кубовый краситель, яркоокраженный), выход 88%. II идентифицирован сравнением пробных окрасок и спектров поглощения ( $\lambda_{\text{макс}}$  230, 330 и 410 м $\mu$ ) с аутентичными образцами. Т. А.

**3854. О некоторых 1,3-дизамещенных нафталинах. I. Монозамещенные нафтонитрилы и нитронафтилгидразины.** Верталье, Санье (Sur quelques dérivés 1,3-disubstitués du naphthalène. I. Naphtonitriles monosubstitués et nitronaphthylhydrazines. Vertalier S., Sanné C.), Bull. Soc. chim France, 1954, № 2, 234—238 (франц.)



Цель работы заключалась в синтезе 1-нитронафтил-3-гидразина (I), 3-нитронафтил-1-гидразина (II), 1-оксинафталидегид-3 (III) и 1-ацетоксинафталидегид-3 (IV). I и II являются реагентами для определения альдегидов и кетонов. Напр., с ацетофеноном (V) и коричным альдегидом (VI) они реагируют на холоду в спирт. р-ре; 3-нитронафтил-1-гидразон V, т. пл. 195°; 1-нитронафтил-3-гидразон I, т. пл. 210°; 3-нитронафтил-1-гидразон VI, т. пл. 252°; 1-нитронафтил-3-гидразон VII, т. пл. 190°. С помощью I или II можно обнаружить при кипячении р-ра 0,005 м% формалина и бензальдегид при конц-ии до 0,01%. I и II непригодны для идентификации моносахаридов. III и IV могут служить для обнаружения стероидных сапоненинов при их хроматографии на бумаге. I и II были получены из 1,3-динитронафталина (VII). Синтез последнего осуществлен двумя методами: 1) нитрованием β-нафтола (Morgan, Evans, J. Chem. Soc., 1919, 115, 1126) был получен 2,4-динитронафтол, в котором затем гидроксил был замещен на хлор; дегалогенирование 1-хлор-2,4-динитронафталина (VIII) проведено нагреванием 40 г VIII и 10 г  $C_6H_5COOH$  до 160° и прибавлением смеси 40 г  $C_6H_5COOH$  и 20 г  $Si$ -порошка; VII очищен хроматографированием на  $Al_2O_3$ , т. пл. 147—147,5° (из бзл.). 2) Нитрованием тетралина (Schroeter, Liebig's Ann. Chem., 1921, 426, 43) был получен 1,3-динитротетралин, который дегидрировали по ранее известному методу (Vesely, Dvorak, Bull. Soc. chim. France, 1923, 33, 319). Восстановлением VII  $Na_2S$  (Hodgson, Birtwell, J. Chem. Soc., 1944, 75) был получен 3-нитро-1-нафтиламин (IX) с выходом 70%, очищ. кристаллизацией из разб.  $HCl$ . Из маточных р-ров было выделено небольшое кол-во 1-нитро-3-нафтиламина (X). Диазотированием IX и X и восстановлением диазосоединений  $SnCl_2 + HCl$  (к-та) при -5° были получены I- $HCl \cdot H_2O$  и II- $HCl \cdot H_2O$ , т. пл. 200—205° (разл.; из 1 н.  $HCl$ ). Диазотировали 4,5 г IX- $HCl$  и диазосоединение приливали к кипящей смеси 500 г  $H_2SO_4$  и 250 мл воды; выход 3-нитронафтола-1 97%, т. пл. 169° (из хлф.); 3-нитро-1-ацетоксинафталин, т. пл. 172—173° (из сп.). Восстановлением последнего  $H_2$  в этилацетате, в присутствии скелетного  $Ni$  получали 3-амино-1-ацетоксинафталин, т. пл. 156—158°, который при гидролизе  $HCl$  (к-той) дал хлоргидрат 3-аминонафтола-1; 3-аминонафтол-1 легко окисляется и не мог быть очищен. К 3 г фторбората 3-диазонафтола-1 прибавляли при 0° 50 мл р-ра, содержащего 3,5 г  $KCN$  и 3,5 г  $CuSO_4 \cdot 5H_2O$ ; выход 1-ацетоксинафтонитрила-3 (XI) 30%, т. пл. 117—118° (из разб. сп.). Суспензию 0,4 г XI в 20 мл эфира насыщали при 0°  $HCl$  (газом), добавляли 2 г безводн.  $SnCl_2$ , вновь насыщали  $HCl$  и после стояния в холодильнике выделяли 0,7 г хлористата 1-ацетоксинафталидина-3, из которого действием воды получали IV, т. пл. 97—98° (из петр. эф.), семикрбазон, т. пл. 240° (разл.; из сп.). Гидролиз IV 2 н.  $HCl$  дал III, т. пл. 167—169° (из бзл.). Из IX получали 3-нитронафтонитрил-1, т. пл. 180—185° (после хроматографирования на альбумине № 1), восстановление его безводн.  $SnCl_2$  дало 3-аминонафтонитрил-1, т. пл. 116—118°, ацетат, т. пл. 260°. П. А.

3855. О некоторых 1,3-дизамещенных нафталинах. II. Нафторезорцин. Санье, Верталье (Sur quelques dérivés-1,3 substitués du naphthalene. II. Naphtoresorcine. Sanné Ch., Vertalier S.), Bull. Soc. chim. France, 1954, № 2, 238—240 (франц.)

Описан синтез 1,3-диоксинафталина (II) из 1,3-динитронафталина (II). Попытки получения фторбората 1,3-нафталин-бис-дизония (с целью его дальнейшего превращения в 1,3-диацетоксинафталин) не привели к цели. Восстановлением 1-(*n*-толуолсульфонил)-3-нитронафталина в условиях, описанных ранее (см.

сообщение I, реф. 3854) для восстановления 1-ацетоксинафталина получен 1-(*n*-толуолсульфонил)-3-нафтиламин (III). К р-ру 0,5 г III в 2 мл ацетона добавляли 1 мл 33%-ной  $HBF_4$  и, при 0°, р-р 0,125 г  $NaNO_2$  в 0,5 мл воды; осадок промывают  $HBF_4$ , спиртом и эфиром и сушат в вакууме; выход фторбората 1-(*n*-толуолсульфонил)-3-нафтилдизония (IV) 0,5 г. Полученный IV кипятят с 1 мл  $CH_3COOH + 1$  мл  $(CH_3CO)_2O$ , выпаривают в вакууме досуха и остаток растворяют в воде; 1-(*n*-толуолсульфонил)-3-оксинафталин (V) извлекают бензолом и хроматографируют на  $Al_2O_3$ , вымывая эфиром; т. пл. V 109—111° (из сп.), с  $FeCl_3$  дает желтое окрашивание. Аналогичной обработкой фторбората 1-ацетоксинафталина получают 1,3-диацетоксинафталин, т. пл. 52—54°, который при гидролизе спирт.  $NaOH$  дает I; 5 г II восстанавливают  $H_2$  в 100 мл  $(CH_3CO)_2O$  в присутствии скелетного  $Ni$ , промытого  $CH_3COOH$ ; выход 1,3-динитронафталина (VI) 95%, т. пл. 264°. 5 г VI нагревают с 40 мл 1 н.  $H_2SO_4$  2 часа в автоклаве при 160—180° и выделяют I из р-ра высыливанием; выход I 70%, т. пл. 122—123° (из бзл.). А. П.

3856. 2,3-Производные нафталина. Часть I. Нитрование N-ацетил-3-нитро-1-нафтиламина. Уорд, Коулсон, Хоккинс (2,3-derivatives of naphthalene. Part I. The Nitration of N-acetyl-3-nitro-1-naphthylamine. Ward E. R., Coulson T. M., Hawkins J. G.), J. Chem. Soc., 1954, Dec., 4541—4545 (англ.)

N-ацетил-3-нитро-1-нафтиламин (I) с дымящей  $HNO_3$  дает смесь 3,5- (II) и 3,8- (III) динитропроизводных, а не 2,3-динитропроизводное (Hodgson, Turner, J. Chem. Soc., 1943, 635). Их «2,3-динитронафталин» и «3-нитро-2-нафтиламин» являются смесями 1,6- (IV) и 1,7- (V) динитронафталинов и соответственно 5- (VI) и 8- (VII) нитро-2-нафтиламинов, следовательно, константы, данные для 3-нитро-2-нафтиламина, не верны. Нитрованием I дымящей  $HNO_3$  в присутствии  $CH_3COOH$  и  $BF_3$  также получена смесь II и III. Диазотированием II или III и удалением аминогруппы получены IV, т. пл. 164—165°, и V, т. пл. 157—158°. Строение II, III, IV и V подтверждено их ИК-спектрами. Каталитич. восстановлением IV и V получены VI и VII соответственно; из 1,3-динитронафталина (VIII) получены 3-нитро-1- (IX) и 4-нитро-2- (X) нафталины. Можно предполагать, что при растворении в дымящей  $HNO_3$  происходит образование соли у ацетамидогруппы и последующее дезактивирование замест. ядра. Дальнейшее замещение может произойти в активное α-положение (5 или 8) незаемщ. ядра. Кипячением 24 часа 2,5 г VIII с 9 мл циклогексана, 25 мл спирта и 0,25 г 10%  $Pd/C$ , фильтрованием и упариванием получают остаток, из которого кипящей 10%-ной  $HCl$  извлекают смесь IX и X (14%) (см. Hodgson, Hathway, J. Chem. Soc., 1944, 385). Полученную смесь растворяют в 5-кратном кол-ве  $CH_3COOH$  и кипятят 30 мин. с незначительным избытком  $(CH_3CO)_2O$ , охлаждением выделяют I, выход ~80% (от IX); N,N-дитолуолсульфонил-IX, т. пл. 264—266°, из фильтрата разбавлением водой и охлаждением выделяют N-ацетил-X, выход ~20%; N,N-дитолуол-*n*-сульфонил-X, т. пл. 220—221°. 15 г I при сильном размешивании добавляют к 90 мл  $HNO_3$  (d 1,5), после размешивания 1,5 часа при т-ре от -6 до -10° выделяют на 450 г льда и выделяют 14,2 г смеси нитропродуктов; ее гидролизуют кипячением 2 часа с 9 объемами. ч. 50%-ной (по объему)  $H_2SO_4$  и 7 ч. спирта. После этого выделяют на 450 г льда и подщелачиванием  $NH_4OH$  при 0° выделяют смесь динитроаминов, растворяют в  $C_6H_6$  и осаждают их хлоргидраты пропусканием  $HCl$ -газа; из смеси экстракцией лигроином выделяют 2,24 г III, т. пл. 179,5—180,5° (из водн. пиридина), N-ацетил-III, т. пл. 206—

207°; из нерастворенного остатка выделяют 2,47 г II, т. пл. 225—226° (из водн. сп.), N-ацетил-II, т. пл. 260—262° (разл.). Сравнение ИК-спектров чистых II и III со спектром смеси позволило приблизительно оценить состав смеси, как 40% II и 60% III. 3,5-Динитро-N-(*n*-нитробензильден)-1-нафтиламин, т. пл. 309—310° (из  $\text{CH}_3\text{COOH}$ ); 3,8-динитро-N-(*n*-нитробензильден)-1-нафтиламин, т. пл. 263,5—264,5° (из  $\text{CH}_3\text{COOH}$ ); 1-(3,5-динитронафтализо)-2-нафтол, т. пл. 315° (разл., из  $\text{C}_6\text{H}_5\text{NO}_2$ ). В. И.

**3857. 2,3-Производные нафталина. Часть II. Получение 2,3-динитронафталина и 3-нитро-2-нафтиламина. Уорд, Коулсон** (2,3-Derivatives of naphthalene. Part II. Preparation of 2,3-dinitronaphthalene and 3-nitro-2-naphthylamine. Ward E. R., Coulson T. M.), J. Chem. Soc., 1954, Dec., 4545—4547 (англ.)

По общему методу 2,3-динитронафталин (I) и 3-нитро-2-нафталин (II) получают по схеме: 6-ацетил-1,2,3,4-тетрагидронафталин (III)  $\rightarrow$  6-ацетамидо-1,2,3,4-тетрагидронафталин (IV)  $\rightarrow$  6-ацетино-1,2,3,4-тетрагидро-7-нитронафталин (V)  $\rightarrow$  1,2,3,4-тетрагидро-6-нитро-7-нитро-2-нафталин  $\rightarrow$  1,2,3,4-тетрагидро-6,7-динитронафталин (VII)  $\rightarrow$  I  $\rightarrow$  II (см. Van Ruy и др., Recueil trav. chim., 1951, 70, 236); общий выход I 3,55% и II 1,56%. Разработан улучшенный метод получения I и II по этой же схеме. Основные усовершенствования метода заключаются в сокращении кол-ва полифосфорной к-ты на стадии бекмановской перегруппировки до  $\frac{1}{3}$  (см. Horning с сотр., J. Amer. Chem. Soc., 1952, 74, 2680, 5151, 5153), что повысило выход IV, в переводе V в VII диазотированием и заменой диазогруппы на нитрогруппу в одну стадию и улучшением дегидрирования VII; общий выход I увеличен до 14,2% и II до 10%. К р-ру 120 г NaOH в 800 мл воды и 700 г льда прибавляют 100 г  $\text{NH}_2\text{OH} \cdot \text{HCl}$  и 50 г III, затем добавляют  $\sim$  1300 мл спирта; спустя 48 час. нейтрализуют на фенолфталеин HCl (к-той) и разбавляют 10 л воды выделяют метил-5,6,7,8-тетрагидро-2-нафтилтоксим (VIII), выход 95%, т. пл. 106° (из водн. сп.). 100 г VIII размешивают 10 мин. с 1 кг тетрафосфорной к-ты при 105° и выливают в 8 л воды выделяют IV, выход 96%, т. пл. 104—106°. К 5 г IV в 5 мл  $(\text{CH}_3\text{CO})_2\text{O}$  приливают смесь 4,5 мл  $(\text{CH}_3\text{CO})_2\text{O}$  и 4,5 мл  $\text{HNO}_3$ , (д 1,42) при т-ре не выше 40°, размешивают 1 час и после стояния 16 час. получают V; из фильтрата выливанием в 200 мл воды спустя 2 дня выделяют еще V, общий выход 38%, т. пл. 133—135° (из сп.). 60 г V кипятят 30 мин. с 300 мл спирта и 300 мл 50%-ной  $\text{H}_2\text{SO}_4$ , выливают в 6 л ледяной воды и нейтрц-цей  $\text{NH}_4\text{OH}$  при 0° выделяют VI, выход почти колич., т. пл. 126—127°. 10 г VI диазотируют р-ром 4,2 г  $\text{NaNO}_2$  и 21 мл  $\text{H}_2\text{SO}_4$  (д 1,84) при т-ре ниже 20° и выливают в 42 мл  $\text{CH}_3\text{COOH}$  при т-ре ниже 30°; спустя 30 мин. извлекают примеси 3  $\times$  250 мл эфира и отделяют декантацией, после чего пасту растворяют в 100 мл ледяной воды и р-р вводят под поверхность свежереприготовленной смеси р-ров 65 г  $\text{Na}_2\text{SO}_3 \cdot 7\text{H}_2\text{O}$  в 250 мл воды, 65 г  $\text{CuSO}_4 \cdot 5\text{H}_2\text{O}$  в 500 мл воды и 130 г  $\text{NaNO}_2$  в 500 мл воды, при сильном размешивании в течение 1 часа и оставляют стоять до прекращения выделения газа; осадок отделяют, промывают водой и кипящим  $\text{CH}_3\text{OH}$  извлекают VII, кроме того, часть VII дополнительно получают упариванием маточного р-ра, выход 55%, т. пл. 107—108° (из  $\text{CH}_3\text{OH}$ ). К 10 г VII приливают при 100° 4,6 мл  $\text{Br}_2$  до прекращения выделения HBr, нагревают до 170—190° и по охлаждению из остатка извлекают спиртом, выход 74%, т. пл. 172—174°. Из I получают II (Hodgson, Ward, J. Chem. Soc., 1949, 1187; Ward и др., J. Chem. Soc., 1951, 2974), выход 70%, т. пл. 115—116° (из петр. эф.). В. И.

**3858. Взаимодействие 2-бензолсульфамидо-1-бромнафталина с хлором. Белл, Гибсон** (The interaction of 2-benzenesulphonamido-1-bromonaphthalene with chlorine. Bell F., Gibson J. A.), J. Chem. Soc., 1954, Dec., 4635—4638 (англ.)

В развитие предшествующих работ по хлорированию сульфонилпроизводных  $\beta$ -нафталина (РЖХим, 1955, 31606) изучено хлорирование 2-бензолсульфамидо-1-бромнафталина (I). Из реакционной смеси выделены 2-бензолсульфамидо-1,4-дихлор (II), 2-бензолсульфамидо-1-бром-1,3,4-трихлор (III), 2-бензолсульфамидо-1,1,3,4-тетрахлор-1,2,3,4-тетрагидронафталин (IV) и два в-ва неизвестного строения А и Б, устойчивые к действию конц. HCl при нагревании; А восстанавливается Zn до 2-бензолсульфамидо-1-хлорнафталина (V) (т. пл. 131°); при нагревании выше т-ры плавления образует 2-бензолсульфамидо-1,4-дихлорнафталин (VI). При взаимодействии с анилином А дает, вероятно, 2-бензолсульфамидо-1-бром-1,4-дихлор-1,2-дигидронафталин, легко восстанавливающийся до V, а Б — 1-бром-2-сульфамидо-3-анилино-4-хлорнафталин (т. пл. 195—196°), гидролизующийся до 3-анилино-1-бром-4-хлор-2-нафталина; с пиридином А образует соединение, устойчивое к восстановлению и к гидролизу, а Б дает VI. На основании этих р-ций А можно считать 2-сульфобензамид-1-бром-1,3,4,6,7-пентахлор-1,2,3,4,6,7-гексагидронафталином (VII), а Б изомером VII. Для подтверждения строения некоторых продуктов разложения проведено термич. разложение 1-бром-1,3,4-трихлор-2-(*n*-толуолсульфимидо)-1,2,3,4-тетрагидронафталина (VIII) и взаимодействие 1,1,2,3,4-пентахлор-2-ацетино-1,2,3,4-тетрагидронафталина (IX) с анилином, приведшее к 1,1,4-трихлор-2-ацетино-3-анилино-1,4-дигидронафталину (X). 1,1,3,4-тетрахлор-1,2,3,4-тетрагидро-2-(*n*-толуолсульфимидо)-нафталин не способен к дальнейшему присоединению  $\text{Cl}_2$  и  $\text{Br}_2$ ; 2-бензолсульфамидо-1,6-дихлор- и -1,6-дибромнафталин (XI) при хлорировании образуют 1,1,3,4,6-пентахлор-2-(XII), или 1,6-дибром-1,3,4-трихлор-2-бензолсульфамидо-1,2,3,4-тетрагидронафталин (XIII). Из 2-бензолсульфамидо-6-бром-1-хлорнафталина получают 2-бензолсульфимидо-6-бром-1,1,3,4-тетрахлор-1,2,3,4-тетрагидронафталин, т. пл. 186°; из 2-бензолсульфамидо-6-хлорнафталина получают XII, т. пл. 178—180°. Из 1,6-дибром-2-нафталина и  $\text{C}_6\text{H}_5\text{SO}_2\text{Cl}$  в пиридине получают XI, т. пл. 169° (из  $\text{CH}_3\text{COOH}$ ). Вводят 3 моля  $\text{Cl}_2$  в р-р XI в  $\text{CHCl}_3$  и получают XIII, т. пл. 195° (из хлф.). XIII образует с анилином 3-анилино-2-бензолсульфимидо-1,6-дибром-4-хлорнафталин, т. пл. 196° (из  $\text{CH}_3\text{COOH}$ ), а с пиридином — ангидропиридиновое производное, т. пл. 280°. Восстановлением XIII Zn в  $\text{CH}_3\text{COOH}$  при кипячении получают 2-бензолсульфамидо-6-бром-1-хлорнафталин, т. пл. 153° (из  $\text{CH}_3\text{COOH}$ ). При нагревании до 200° XIII выделяет  $\text{Br}_2$ . Р-цией 1,3,4-трихлор-2-нафталина с 2 молями  $\text{C}_6\text{H}_5\text{SO}_2\text{Cl}$  в пиридине получают 1,3,4-трихлор-2-ди-(бензолсульфонил)-аминонафталин (XIV), т. пл. 262° (из  $\text{CH}_3\text{COOH}$ ). Растворением в пиридине XIV превращают в 2-бензолсульфамид-1,3,4-трихлорнафталин, т. пл. 213° (из  $\text{CH}_3\text{COOH}$ ). При пропускании 3,5 моля  $\text{Cl}_2$  в р-р 10 г I в  $\text{CHCl}_3$  на холоду выделяют 2 г А, т. пл. 195° (разл., из хлф. или  $\text{CH}_3\text{COOH}$ ), Б, т. пл. 187°, III, т. пл. 158° (из  $\text{CH}_3\text{COOH}$ ), и IV, т. пл. 145°; последние три в-ва отделяют от А на основе их большой растворимости в  $\text{CHCl}_3$ . А и IV получают также растворением I в  $\text{SO}_2\text{Cl}_2$ , а Б — р-цией I с 3 молями  $\text{SO}_2\text{Cl}_2$  в  $\text{CHCl}_3$ , наряду с небольшим кол-вом третьего в-ва В, т. пл. 161°. Из I, а также из 1,4-дихлор-2-нафталина растворением в  $\text{SO}_2\text{Cl}_2$  получают VI, т. пл. 178° (из  $\text{CH}_3\text{COOH}$ ). Хлорированием хлоргидрата 1-бром-2-нафталина в  $\text{C}_6\text{H}_5$  хлором получают три в-ва, т. пл. 268—272° (из хлф.), 158—161° (из бэл.) и 102—104°

(из бзл.). Нагревают 2 г VIII до т-ры плавления и обработкой остатка по окончании выделения  $\text{Br}_2$  и  $\text{HCl}$  горячей  $\text{CH}_3\text{COOH}$  выделяют 0,2 г 1-бром-1,4-дихлор-2-(*п*-толуолсульфамидо)-нафталина, т. пл. 181—183°, образующего при восстановлении  $\text{Zn}$  в  $\text{CH}_3\text{COOH}$  1,4-дихлор-2-(*п*-толуолсульфамидо)-нафталин. IX прибавляют к охлажд. анилину, реакционную массу растворяют в воде и разложением разб.  $\text{HCl}$  получают X, т. пл. 132° (разл.). Т. К.

3859. Получение  $\alpha$ - и  $\beta$ -нафтилфенилинденонов. Десульфирование индониомоносульфокислот. И в а н о в (Preparation d' $\alpha$ - et  $\beta$ -naphthyl-phenyl-indones. Desulfonation des acides indone-monosulfoniques. Iva n o f f T s h.), Докл. Болгар. АН, 1954, 7, № 1, 33—36 (франц.; резюме русс.)

При дегидратации  $\alpha$ -( $\alpha$ -нафтил)- $\beta$ , $\beta$ -дифенил- $\beta$ -окси-пропионовой к-ты (I), так же как и  $\alpha$ -( $\beta$ -нафтил)- $\beta$ , $\beta$ -дифенил- $\beta$ -окси-пропионовой к-ты (II) действием конц. (92,5—94,5%-ной)  $\text{H}_2\text{SO}_4$  в течение 40 сек. — 5 мин. при 20° образующиеся 3-фенил-2- $\alpha$ -нафтилинденоны (III) (т. пл. 162—163°) или соответственно 3-фенил-2- $\beta$ -нафтилинденоны (IV) (т. пл. 165,5—166,5°) легко сульфировались, вследствие чего они могут быть получены после разбавления водой лишь с небольшим выходом. Высыпанием  $\text{NaCl}$  выделяют Na-соли моносульфокислоты III (V), т. пл. 250—252° (из сп.), или, соответственно, моносульфокислоты IV (VI), т. пл. 264—266°. Положение сульфогруппы в V и VI автором не установлено. Десульфированием V и VI путем нагревания с 27,5—30%-ной  $\text{H}_2\text{SO}_4$  под давлением (205°, 9 час.) получают с хорошим выходом III и IV, которые очищают хроматографированием на  $\text{Al}_2\text{O}_3$  с последующим вымыванием петр. эфиром. III и IV можно получать таким путем с выходом ~65% и без выделения V или VI, разбавляя р-р I или II в 98,5%-ной  $\text{H}_2\text{SO}_4$  водой до получения 30—40%-ной  $\text{H}_2\text{SO}_4$  и нагревая 11 час. при 200°. После кипячения (10 час.) р-ра I и  $\text{SOCl}_2$  в  $\text{CCl}_4$  удается выделить только  $\alpha$ -( $\alpha$ -нафтил)- $\beta$ , $\beta$ -дифенилэтилен, т. пл. 79—81°. Напротив, при дегидратации I или II действием  $\text{POCl}_3$  в среде  $\text{C}_6\text{H}_6$  (Koelsch C. F., Prill E. J., J. Amer. Chem. Soc., 1945, 67, 1296) получают после хроматографирования на  $\text{Al}_2\text{O}_3$  III (выход 56,4%) или соответственно IV (36%). I (т. пл. 177—178°) и II (т. пл. 188—189° (из сп.)) синтезируют с выходом 6% из  $\alpha$ -(и соответственно)  $\beta$ - $\text{C}_{10}\text{H}_7\text{CH}(\text{MgBr})\text{COOMgCl}$  и бензофенона, взятого с избытком 50%. Л. Э.

3860. Конденсация перинафтанона-7 и 8-метилперинафтанона-7 по Штоббе. П а т т о н, Д о б (The Stobbe condensation with perinaphthanone-7 and 8-methylperinaphthanone-7. Patton James W., Daub Guido H.), J. Amer. Chem. Soc., 1954, 76, № 7, 1954—1955 (англ.)

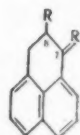
Описано получение  $\beta$ -карбэтокси- $\beta$ -(перинафтилен-7)-пропионовой (I) и  $\beta$ -карбэтокси- $\beta$ -(8-метилперинафтилен-7)-пропионовой (II) к-т конденсацией по Штоббе из перинафтанона-7 (III) и 8-метилперинафтанона-7 (IV). Строение I доказано окислением его до III. Циклизация 0,25 моля  $\beta$ -(1-нафтил)-пропионовой к-ты в присутствии 160 мл безводн. HF получают III, выход 83%, т. кип. 136—140°/0,1 мм, т. пл. 81—82° (из  $\text{C}_6\text{H}_5\text{OH}$ ). Р-р 0,11 моля III в 0,0172 моля диэтилового эфира янтарной к-ты (V — к-та) прибавляют к р-ру 0,0123 г-атома K в 20 мл *трет*- $\text{C}_4\text{H}_9\text{OH}$  в атмосфере  $\text{N}_2$ . кипятят 1 час, по охлаждению подкисляют 2 мл конц.  $\text{HCl}$  в 50 мл воды, отгоняют *трет*- $\text{C}_4\text{H}_9\text{OH}$  в вакууме и извлекают эфиром; из эфирного р-ра извлекают I насыщ. р-ром  $\text{NaHCO}_3$  и подкислением выделяют I, выход 43%, т. пл. 172—173° (из этилацетата),  $\lambda_{\text{макс}}$  (в сп.) 231 и 312 м $\mu$  ( $\lg \epsilon$  4,54 и 4,06). K 1,00 и I в 5 мл 1 н.  $\text{NaOH}$  в 100 мл воды приливают 30 мл  $\text{C}_6\text{H}_6$ , затем при 0° 150 мл 0,66%-ного р-ра  $\text{KMnO}_4$  в течение

2 час. при размешивании, подкисляют по конго и извлекают 30 мл  $\text{C}_6\text{H}_6$ , бензольный слой промывают 10%-ным  $\text{NaHCO}_3$ , выделяют III, выход 61%. Р-р 0,0414 г-атома K в 44 мл *трет*- $\text{C}_4\text{H}_9\text{OH}$  смешивают с 0,0465 моля диметилового эфира V и смесь прибавляют к 0,01 моля IV (сначала вводят

I R = H, R' = C(COOCH<sub>3</sub>)CH<sub>3</sub>COOH

II R = CH<sub>3</sub>, R' = C(COOCH<sub>3</sub>)CH<sub>3</sub>COOH

III R = H, R' = O; IV R = CH<sub>3</sub>, R' = O



10 мл, затем, постепенно остальное при ~50°, 3 часа), нагревают 2 часа, по охлаждении подкисляют соляной к-той и отгоняют *трет*- $\text{C}_4\text{H}_9\text{OH}$ , эфирный экстракт промывают 1 н.  $\text{NH}_4\text{OH}$ , подкислением аммонийного р-ра выделяют II, выход 29%, т. пл. 190—191° (из этилацетата),  $\lambda_{\text{макс}}$  (в сп.) 232 и 312 м $\mu$  ( $\lg \epsilon$  4,53 и 4,04). Т. К.

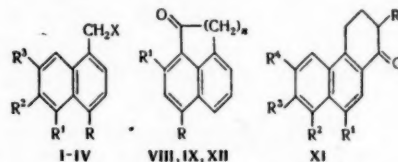
3861. Внутримолекулярное ацилирование. Часть V. Получение и циклизация некоторых метоксизамещенных 1-нафтилуксусной, пропионовой, масляной и  $\alpha$ -этилглютаровой кислот. Г р и н, Х е й (Intramolecular acylation. Part V. Preparation and ring closure of some methoxy-1-naphthyl-acetic, -propionic, -butyric, and - $\alpha$ -ethylglutaric acids. Green A. L., Hey D. H.), J. Chem. Soc., 1954, Dec., 4306—4318 (англ.)

Осуществлен синтез и изучена циклизация ряда 1-нафтилпроизводных алифатич. к-т (Ia—г; IIб—г; IIIа, б; IVа—г). Ia синтезируют из 1-ацетил-4-метоксинафталина (V) через 4-метокси-1-нафтил-тиоацетатморфолид (VI), а IIб—г — из соответствующих метокситетраолонов р-цией с  $\text{CH}_2\text{BrCOOCH}_3$  по Реформатскому с последующими дегидратацией и дегидрированием; аналогично р-цией с  $\text{CH}_2\text{BrCH}_2\text{COOC}_2\text{H}_5$  получают IIг; IIIа (т. пл. 127°) и IIIб (т. пл. 141—142°) получены известными способами (Buchmann и др., J. Amer. Chem. Soc., 1940, 62, 825, 2750). IIб и IIв синтезированы из соответствующих метоксинафтилбромидов через 2-метоксинафтилэтанолы и 2-метоксинафтилэтилбромиды, подвергаемые затем карбоксилированию, а IVа—г получены по описанному методу (J. Chem. Soc., 1950, 1683). Циклизация осуществлена действием полифосфорной к-ты или 85%-ной  $\text{H}_2\text{SO}_4$  на I—IV и  $\text{SnCl}_4$  на хлорангидриды I—IV, в отдельных случаях для циклизации к-т использован  $\text{SnCl}_4$ , а хлорангидридов  $\text{AlCl}_3$ . Применение  $\text{H}_2\text{SO}_4$  допустимо лишь при наличии в молекуле циклизуемого в-ва соответствующего активированного положения, при отсутствии которого преобладает р-ция сульфирования. Для I—III наличие  $\text{OCH}_3$ -группы в положениях 5 и 7 способствует циклизации в положение 8, а наличие  $\text{OCH}_3$ -группы в 6 направляет циклизацию в положение 2. Незамещ. 1-нафтилуксусная к-та (VII) превращается при циклизации в аценафтенон (VIIIa), IIб и IIг — в метоксипроизводные VIIа (VIIб и VIIв), а Ia и IIв не циклизуются. Аналогично IIб и IIг дают метоксиперинафтаноны (IXб и IXв), IIв — 3'-метокси-4,5-бензинданон-1 (X). Из IIIа получен 1,2,3,4-тетрагидро-9-метокси-1-оксофенантрен (XIa), а из IIIб — 8-метоксигомоперинафтанон (XII). Циклизация IVа—г идет только в положение 2 и дает соответствующие производные 1,2,3,4-тетрагидро-1-оксофенантрена (XIб—д). Определены УФ-спектры всех полученных циклич. кетонов. 2 г VI (полученного из V) кипятят 5 час. с 4 мл лед.  $\text{CH}_3\text{COOH}$ , 0,8 мл воды и 0,6 мл  $\text{H}_2\text{SO}_4$  и по охлаждению и разбавлении водой выделяют 4-окси-1-нафтилуксусную к-ту, т. пл. 202—204° (разл., из воды). Суспензию 2 г VI, 2,5 мл воды, 2,5 мл спирта и 2 г КОН кипятят 24 часа, добавляя для поддержания постоянного объема 3 раза по 2 мл 50%-ного спирта; р-р



разбавляют водой и получают Ia, выход 0,7 г, т. пл. 147—148° (из воды). 2-о-Метоксифенилэтанол (т. кип. 98—100°/0,05 мм) превращают в 2-о-метоксифенил-этилбромид и затем в 2-о-метоксифенилэтилмалоновую к-ту (т. пл. 137—139°), декарбоксилирование которой при 175° дает γ-о-метоксифенилмасляную к-ту, выход колич., т. кип. 130—140°/0,03 мм, т. пл. 39°, последняя при циклодегидратации превращается в 5-метокситетралон-1 (XIa), т. пл. 88—89° (из петр. эф.). К 2 г активированной Zn-фольги прибавляют 4,2 г XIa, 28 мл эфира, 28 мл C<sub>6</sub>H<sub>6</sub>, 2 мл CH<sub>2</sub>BrCOOCH<sub>3</sub> и следы J<sub>2</sub>, смесь кипятят 5 час., прибавляя 4 раза через каждые 45 мин. по 2 г Zn, а через 1,5 часа еще 2 мл CH<sub>2</sub>BrCOOCH<sub>3</sub>, обрабатывают обычным методом и образовавшийся оксифир кипятят 20 мин. с 10 мл 90%-ной HCOOH, удаляют HCOOH в токе воздуха, полученный ненасыщ. эфир кипятят 4 часа с 15 мл воды, 15 мл CH<sub>3</sub>OH, 3 г КОН и выделяют 3,5 г ненасыщ. к-ты (XIII), т. пл. 166—168° (из CH<sub>3</sub>OH). Дегидрирование XIII серой при 200—230° в течение 30 мин. дает Ib, выход 60%, т. пл. 195—196° (из водн. CH<sub>3</sub>OH). Аналогично через 7-метокситетралон-1 (XIV) (выход 85%, т. пл. 60—61°), 6-метокситетралон (выход 71%, т. кип. 125—135°/15 мм), 6-метокситетралон-1 (XV) (т. пл. 77,5—78,5°) и ненасыщ. к-ту, изомерную XIII (выход 0,4 г из 2,7 г XV), получают Iv, т. пл. 155—157° (из водн. CH<sub>3</sub>OH). Ig (т. пл. 153—154°) получен аналогично из XIV. Р-р 23,5 г 1-бром-5-метоксинафталина (полученного из 1-бром-5-нитронафталина через 5-бром-1-нафтиламин) и 7,6 мл C<sub>2</sub>H<sub>5</sub>Bг в 150 мл сухого эфира прибавляют за 1 час к 4,9 г Mg-стружки, кипятят 1 час, охлаждают льдом с солью и прибавляют по каплям в течение 30 мин. р-р 14 мл окиси этилена в 25 мл эфира; перемешивают от 0° еще 30 мин. и оставляют на 12 час. при 20°, отгоняют эфир, остаток разлагают льдом и разб. HCl, экстрагируют эфиром и получают 1 г α-C<sub>10</sub>H<sub>7</sub>OCH<sub>3</sub> и 16,5 г 2-(5-метоксинафтил-1)-этанола (XVI), т. кип. 154—156°/0,3 мм, т. пл. 55° (из петр. эф.); XVI превращают в 2-(5-метоксинафтил-1)-этилбромид (XVII), т. кип. 130°/0,17 мм, т. пл. 34°. Р-р 3,9 г XVII и 1,1 мл C<sub>2</sub>H<sub>5</sub>Bг в 30 мл сухого эфира прибавляют к 0,72 г Mg со следами J<sub>2</sub>, смесь кипятят 5 час., эфирный слой быстро выливают на ~10 г твердой CO<sub>2</sub>, оставляют на 2 часа при 20° и обычным методом выделяют IIb, выход 2 г, т. пл. 183—184° (из лед. CH<sub>3</sub>COOH). Аналогично 1-под-6-метоксинафталин (46 г) превращают в 6-метоксизомер XVI (выход 23 г, т. кип. 160°/0,1 мм), затем в соответствующий бромид, т. пл. 56—57° (из сп.), а из 3,47 г последнего получают IIв, выход 1,8 г, т. пл. 159—160° (из лед. CH<sub>3</sub>COOH). Р-р 10 г XIV и 10,3 г CH<sub>2</sub>BrCH<sub>2</sub>COOC<sub>2</sub>H<sub>5</sub> в 100 мл сухого толуола кипятят 3 часа с 1,4 г Mg-стружек, активированных J<sub>2</sub>; р-р охлаждают, разлагают льдом и HCl, отделяют органич. слой, отгоняют р-ритель, остаток кипятят 2 часа с 25 мл воды, 25 мл CH<sub>3</sub>OH и 10 г КОН, и выделяют 1,4 г ненасыщ. к-ты, т. пл. 138—140° (из CH<sub>3</sub>OH-бэл.); дегидрирование 0,11 г к-ты с 0,018 г S при 220—240° в течение 30 мин. дает II, выход 0,06 г, т. пл. 158—160° (из водн. CH<sub>3</sub>OH). 4-Метоксизомер XVI (полученный из 1-бром-4-метоксинафталина) превращают в бромид, а затем в этиловый эфир 2-(4-метоксинафтил-1-этилмалоновой к-ты) (XVIII). К р-ру 4,5 г XVIII в 7 мл трет-С<sub>4</sub>H<sub>9</sub>OH и 0,3 г 30%-ного р-ра КОН в CH<sub>3</sub>OH при 30—35° прибавляют по каплям 0,86 мл CH<sub>2</sub> = CHCN, через 3 часа разбавляют 10 мл воды, нейтрализуют 2 н. HCl, экстрагируют эфиром и получают этиловый эфир α-(2-цианэтил)-α-2-(4-метоксинафтил-1)-этилмалоновой к-ты, который кипятят 2 часа с 4,5 г КОН в 5 мл спирта и 4 мл воды, добавляют 4 мл воды, кипятят еще 3 часа, спирт отгоняют и выделяют трикарбоновую к-ту, декарбоксилирование которой дает IVa, выход 2,0 г, т. пл. 137°

(из C<sub>2</sub>H<sub>4</sub>Cl<sub>2</sub>). Аналогично получены IVб, т. пл. 137°; IVв, т. пл. 148—149°; IVг, т. пл. 162°. Действием глутарового ангидрида на 2-метоксинафталин (получены для сравнения спектров поглощения) γ-(6-метоксинафтил-2)-масляная к-та (XIX), т. пл. 176° (из ацетона), и γ-(2-метоксинафтил-1)-масляная к-та (XX), т. пл. 108° (из CH<sub>3</sub>COOC<sub>2</sub>H<sub>5</sub>-петр. эф.); при окислении Br<sub>2</sub> они дали 6-метоксинафтойную-2 к-ту (т. пл. 195—196°; из CH<sub>3</sub>COOC<sub>2</sub>H<sub>5</sub>) и 2-метоксинафтойную-1 к-ту (т. пл. 175°; из CH<sub>3</sub>COOC<sub>2</sub>H<sub>5</sub>-петр. эф.) соответственно. Циклизацию осуществляют 5 методами. А. К 5—10 мл полифосфорной к-ты прибавляют при 60° 0,5 г VII, медленно нагревают до 100°, через 30 мин. охлаждают льдом, извлекают эфиром и выделяют VIIIa, выход 0,18 г, т. пл. 119—120° (из водн. сп.). Б. К 10 мл 85%-ной H<sub>2</sub>SO<sub>4</sub> при 0—5° прибавляют 0,45 г IIб, через 15 мин. медленно нагревают до 100°, по растворении охлаждают, выливают на лед, экстрагируют эфиром и выделяют IXб, выход 0,35 г, т. пл. 104—105° (из петр. эф.). В. К р-ру хлорангидрида, полученного нагреванием 0,2 г IIб в 2 мл C<sub>6</sub>H<sub>6</sub> с 0,16 г PCl<sub>5</sub>, охлажд. льдом, прибавляют р-р 0,2 мл SnCl<sub>4</sub> в 2 мл C<sub>6</sub>H<sub>6</sub>, через 2 часа разлагают льдом и HCl, экстрагируют эфиром и выделяют IXб, выход 0,13 г. Г. Суспензию 0,5 г IIб в 1 мл сухого толуола нагревают с 1 мл SnCl<sub>4</sub> 1 час на водяной бане, охлажд. смесь разлагают, экстрагируют эфиром и выделяют XII, выход 0,15 г, т. пл. 87—88° (из петр. эф.). Д. К 0,25 г Ib в 1 мл C<sub>6</sub>H<sub>6</sub> прибавляют 0,28 г PCl<sub>5</sub> и через 1 час отгоняют POCl<sub>3</sub> с C<sub>6</sub>H<sub>6</sub> (2 × 5 мл) в вакууме, полученный хлорангидрид растворяют в 3 мл C<sub>2</sub>H<sub>5</sub>Cl<sub>2</sub> и прибавляют при 0—5° к 0,2 г AlCl<sub>3</sub> в 3 мл C<sub>2</sub>H<sub>5</sub>Cl<sub>2</sub>, оставляют на 3 часа при 0—5°, затем на ~16 час. при 20°, разлагают льдом и HCl, экстрагируют эфиром и выделяют VIIIб, выход 0,07 г, т. пл. 143—144° (из петр. эф.). Аналогично получены (приведены исходное в-во, методы циклизации, полученное в-во, т. пл. в °C): VII, Д, VIIIa, 119—120; Ib, А, Д, VIIIб, 143—144; Ig, А, VIIIв, 97—98 (из петр. эф.); IIб, А, Б, В, IXб, 104—105 (из петр. эф.);



I X=COOH; II X=CH<sub>2</sub>COOH; III X=CH<sub>2</sub>CH<sub>2</sub>COOH; IV/X=CH<sub>2</sub>CH(CH<sub>2</sub>CH<sub>2</sub>COOH)COOH; I—IVa R=OCH<sub>3</sub>; R<sup>1</sup>=R<sup>2</sup>=R<sup>3</sup>=H; 6R=R<sup>1</sup>=R<sup>2</sup>=H, R<sup>3</sup>=OCH<sub>3</sub>; в R=R<sup>1</sup>=R<sup>2</sup>=H, R<sup>3</sup>=OCH<sub>3</sub>; г R=R<sup>1</sup>=R<sup>2</sup>=H, R<sup>3</sup>=OCH<sub>3</sub>; VIII n=1; IX n=2; VII, IXa R=R<sup>1</sup>=H; 6 R=OCH<sub>3</sub>, R<sup>2</sup>=H; в R=H, R<sup>2</sup>=OCH<sub>3</sub>; XIa R=R<sup>1</sup>=R<sup>2</sup>=H, R<sup>3</sup>=OCH<sub>3</sub>; 6 R=CH<sub>2</sub>CH<sub>2</sub>COOH, R<sup>2</sup>=OCH<sub>3</sub>, R<sup>3</sup>=R<sup>4</sup>=H; в R=CH<sub>2</sub>CH<sub>2</sub>COOH, R<sup>2</sup>=R<sup>3</sup>=H, R<sup>4</sup>=OCH<sub>3</sub>; г R=CH<sub>2</sub>CH<sub>2</sub>COOH, R<sup>2</sup>=R<sup>3</sup>=H, R<sup>4</sup>=OCH<sub>3</sub>, д R=CH<sub>2</sub>CH<sub>2</sub>COOH, R<sup>2</sup>=R<sup>3</sup>=H, R<sup>4</sup>=OCH<sub>3</sub>; XII n=3, R=OCH<sub>3</sub>, R<sup>1</sup>=H; а R=R<sup>1</sup>=H; 6 R=OCH<sub>3</sub>, R<sup>1</sup>=H; в R=H, R<sup>2</sup>=OCH<sub>3</sub>.

IIв, А, Б, Д, X, 133 (из водн. CH<sub>3</sub>OH); IIг, А, Б, IXв, 80—81 (из петр. эф.); IIIa, Б, XIa, 95—96 (из водн. сп.); IIIб, А, Б, Г, XII, 87—88 (из петр. эф.); IVa, Б, В, XIб, 212 (из водн. диоксана); IVб, Б, XIв, 157—158 (из водн. диоксана); IVв, А, Б, В, XIг, 193 (из водн. диоксана); IVг, Б, XIд, 144 (из водн. диоксана). Приведены кривые УФ-спектров IIIб, VIIб, VIIIв, IXб, IXв, X, XIa, XIб, XIв, XIг, XIд, XII, XIX, XX и метилового эфира XIг. Часть IV см. РЖХим, 1955, 9495, К. X. 3862. Торможение аутоокисления бензальдегида. Часть VI. Действие ряда полициклических ароматических углеводородов, представляющих интерес

по своим карциногенным свойствам. Данн, Уотерс, Ройтт (The retardation of benzaldehyde autooxidation. Part VI. The actions of a number of polycyclic aromatic hydrocarbons of carcinogenic interest. Dunn J. R., Waters William A., Roitt Ivan M.), J. Chem. Soc., 1954, Febr., 580—586 (англ.)

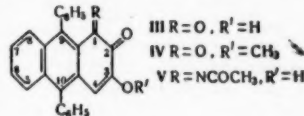
Детальное изучение кинетики торможения антраценом (I) и 1,2,5,6-дибензантраценом (II) р-ции аутоокисления бензальдегида (III), катализируемой перекисью бензоила, показало, что в начальной стадии обрыв цепи осуществляется присоединением к углеводороду радикала  $C_6H_5COO\cdot$ . Судя по дальнейшему течению р-ции, на примере I, II и 16 других полициклических углеводородов оказалось, что их можно разделить на 3 группы: А — углеводороды, обладающие в начальной стадии сильным тормозящим действием, но окисляющиеся в неактивные в-ва: I, 9-метилантрацен, нафтацен; Б — углеводороды, продукты окисления которых также обладают тормозящим действием: 5,6-дихлорантрацен-1,2-бензантрацен, 1,2-бензантрацен, 10-метил-1,2-бензантрацен, 5-метил-1,2-бензантрацен, 10-изопропил-1,2-бензантрацен, 1,2,7,8-дибензантрацен, 3'-метил-1,2,5,6-дибензантрацен, II, 3,4-бензпирен, 20-метилхолантрен; В — углеводороды, которые обладают слабым тормозящим действием, но окисляются в в-ва, являющиеся сильными замедлителями аутоокисления III: пирен (IV) (?), 2-метил-3,4-бензфенантрен, 1,2,3,4-дифенантрен, кризен и фенантрен. За исключением IV, действие которого возможно объясняется не механизмом присоединения радикала, числа макс. свободной валентности  $F_{max}$  (РЖХим, 1953, 1614) находятся в прямой зависимости от логарифма вычисленной реакционной способности углеводорода в начальной стадии р-ции. Найдено, что торможение аутоокисления III в конце р-ции в некоторой степени сопоставимо с величинами окислительно-восстановительных потенциалов хинонов, соответствующих применяемым углеводородам. Так как карциногенным действием обладают преимущественно углеводороды группы Б, то авторы считают возможным отметить связь между этими свойствами указанных в-в и способностью их или продуктов их окисления тормозить аутоокисление III в течение длительного периода. Часть V см. РЖХим, 1955, 45506. Г. П.

3863. Дегидратация мезо-дигидроантраценовых спиртов. I. 9,10-Дигидро-9-антрилкарбинол. Расширение цикла в серии дигидроантраценов. Ригоди, Тардье (Désydratation des alcools mésodihydroanthracéniques. I. Le dihydro-9,10 anthryl-9 carbinol. Extension de cycle dans la série du dihydroanthracène. Rigaudy Jean, Tardieu Pierre), C. r. Acad. sci., 1955, 240, № 12, 1347—1349 (франц.)

Установлено, что при дегидратации 9,10-дигидро-9-антрилкарбинола (I) основными в-вами получается 9-метилантрацен (II), при дегидратации кислыми в-вами происходит расширение цикла и образуется 2,3,6,7-дибензсуберен-4 (III). I получают восстановление 9,10-дигидроантрацен-9-карбиновой к-ты  $LiAlH_4$  в эфире, или гидрированием ее метилового эфира  $LiBH_4$  в тетрагидрофуране. Существуют две формы I: нестабильная с т. пл. 85—86° и стабильная с т. пл. 103—104°. Алетат, т. пл. 61—62°, л-нитробензоат, т. пл. 153—154°, и тозилат, т. пл. 133—134°. При кипячении I с р-ром КОН в  $C_2H_5OH$  или тозилата I с р-ром КОН в  $CH_3OH$  получают II, выход 98%. При нагревании до 150—200° I или тозилата I в  $CH_3COOH$  с  $ZnCl_2$ ,  $KHSO_4$  или  $(COOH)_2$  получают III, выход 80—90%. III при гидрировании дает 2,3,6,7-дибензсуберан.

3864. Полифенолы, фуксоны и орто-хиноны ряда мезодифенилантрацена. Дюфресс, Этьенн, Бурдон (Polyphénols, fuchsones et orthoquinones de la série du mésodiphénylanthracène. Dufrasse Charles, Étienne André, Bourdon Jean), C. r. Acad. sci., 1953, 237, № 19, 1126—1129 (франц.)

С целью получения 9,10-дифенилантрахинона-2,3 (I) был синтезирован 2,3-диокси-9,10-дифенилантрацен (II). Однако I не удалось получить окислением II. Далее были сделаны попытки синтеза 3-окси-9,10-дифенилантрахинона-1,2 (III), приведшие к получению двух его производных: метилового эфира (IV) и 1-ацетилимина (V).



Фенилированием гистазарона (в виде его диацетильного производного) был получен 2-кето-3,9-диокси-9,10-дифенил-2,9-дигидроантрацен (VI), т. пл. 296° (из хлф.). Восстановлением VI  $KI + CH_3COOH$  получен II, довольно быстро изменяющийся на воздухе, т. пл. 226 и 241° (из бзл.). Строение II, а тем самым и VI, доказано его превращением в 2,3-диметокси-9,10-дифенилантрацен. II с  $C_6H_5N_2Cl$  дает 1-фенилазо-2,3-диокси-9,10-дифенилантрацен (VII), т. пл. 274° (из бзл.). Восстановление  $(Zn + CH_3COOH)$  VII дает соответствующий амин (VIII), который не удалось выделить вследствие его легкой окисляемости. Окисление VIII в р-ре хлорным железом не дало ожидаемый III. Однако окисление N-ацетильного производного (IX) привело к получению V. Основываясь на этом, было проведено восстановительное ацетилирование  $VII Zn + (CH_3CO)_2O + CH_3COONa$  в 1-диацетил-амино-9,10-дифенил-2,3-диоксидантрацен (X), т. пл. 222° и 252° (из  $CH_3COOH$ ). Частичное дезацетилирование X р-ром КОН в  $CH_3OH$  на холоду дало IX, т. пл. 285—287° (из эф.). Окисление  $(K_2Cr_2O_7 + CH_3COOH)$  IX привело к получению V, т. пл. 241° (из бзл.). При попытках гидролиза V происходило омыление. Метилированием VI  $CH_3I$  в присутствии  $K_2CO_3$  был получен 2-кето-3,9-диметокси-9,10-дифенил-2,9-дигидроантрацен (XI), т. пл. 254° (из сп.), строение которого подтверждено сравнением его спектра поглощения со спектром VI (приведены кривые). XI был далее подвергнут превращениям, описанным для VI, т. е. из него был получен 2-окси-3-метокси-9,10-дифенилантрацен (XII), т. пл. 199° (из циклогексана), затем 1-фенилазо-2-окси-3-метокси-9,10-дифенилантрацен (XIII), т. пл. 230° (из  $CH_3COOH$ ); восстановлением последнего  $Zn + HCl$  (к-той) в спиртовой среде был получен 1-амино-2-окси-3-метокси-9,10-дифенилантрацен, который (без выделения) был окислен в IV, т. пл. 249—250° (из эф.). Строение IV доказано получением, при конденсации с о-фенилендиаминном 4-метокси-1',4'-дифенил-1,2,2',3'-нафтофеназина, т. пл. 287—288° (из  $CH_3COOH$ ). Строение IV и V подтверждено также сравнением их спектров поглощения со спектрами 9,10-дифенилантрахинона-1,2 и 6-окси-9,10-дифенилантрахинона-1,2 (приведены кривые). П. А.

3865. О химизме реакции дегалонирования в ряду 1-галондопроизводных антрахинона. Сообщение 2. Артемьев Н. П., Кретов А. Е., Ж. прикл. химии, 1953, 26, № 12, 1310—1313

Исследовалась р-ция превращения 1-хлор-(1-бром)-антрахинона (I) в антрахинон (II), которая проводилась при нагревании в органич. р-рителе (нитробензол, трихлорбензол, нафталин или дифенилосид) в присутствии ацетата калия (III) и окиси меди. Показано, что эта р-ция сопровождается распадом III до  $CO_2$  и гликолевой к-ты, выделенной в виде л-бромфенилового эфира, т. пл. 141,8° (из 50%-ного сп.). Предпола-

гается, что восстановление I в II происходит за счет водорода III. Сообщение 1 см. РЖХим, 1955, 51795.

Б. Ф.

**3866. Исследование в ряду полициклических хинонов. II. 1,4-Диарилдиаминоантрахиноны.** Докл. химии, 1955, 25, № 3, 617—622

Для проверки предположения, что нарушение колланарности молекулы сдвигает максимум поглощения в сторону коротких волн, исследованы спектры поглощения 1,4-диарилдиаминоантрахинона и 1,4-диарилдиамино-2,3-диметилантрахинона. Взаимодействием хинizarина (I) с соответствующими аминами синтезированы 1,4-ди-(*n*-толуидо)- (II), 1,4-ди-(*m*-ксилоидо)- (III) и 1,4-димезидидоантрахинона (IV). Бромированием III получен 1,4-бис-(2',4'-диметил-6' бромфениламино)-антрахинон (V). Строение V подтверждено восстановительным расщеплением на I и 4,6-бромкислидин (VI). Из 1,4-диаминоантрахинона (VII) и 6-бром-1,3,5-триэтилбензола (VIII) синтезирован 1,4-бис-(2',4',6'-триэтилфениламино)-антрахинон (IX). Хлорированием 2,3-диметилантрахинона (X)  $\text{SO}_2\text{Cl}_2$  или метилированием лейкохинизарина действием  $\text{CH}_2\text{O}$  и последующим обменом оксигрупп на Cl синтезирован 1,4-дихлор-2,3-диметилантрахинон (XI). Взаимодействием XI с *n*-толуидином (XII) и мезидином (XIII) получены соответственно 1,4-(*n*-толуидо)-2,3-диметилантрахинон (XIV) и 1,4-димезидидо-2,3-антрахинон (XV). В случае IV, V и IX отсутствует поглощение в коротковолновой части видимого спектра и основной максимум сдвинут в сторону коротких волн, у XIV, кроме того наблюдается снижение молярного поглощения. Изменение окраски при наличии пространственных затруднений, вследствие присутствия в *o,o'*-положениях бензольного ядра заместителей, объясняется нарушением сопряжения бензольного и антрахинонового ядер и ослаблением внутренней Н-связи. Приведены кривые поглощения видимого спектра II, III, IV, V, IX, XIV и XV. В смеси 5 г XII, 4,6 г конц. HCl, 10,5 г I и 1,05 г  $\text{H}_3\text{BO}_3$  при 85° и размешивании вносят 0,65 г Zn-пыли, повышая т-ру до 95°, через 5 час. охлаждают до 75°, разбавляют 65 мл  $\text{CH}_3\text{OH}$  и отфильтровывают 15,8 г II (из  $\text{C}_6\text{H}_5\text{Cl}$ ),  $\lambda_{\text{макс}}$  (в  $\text{CCl}_4$ ) 645, 610 и 410 мμ (ε 1,51, 1,42 и 0,65). Смесь 5 г I, 5 г лейкохинизарина, 10 г лед.  $\text{CH}_3\text{COOH}$ , 3,4 г  $\text{B}_2\text{O}_3$ , 5 г хлоргидрата *m*-ксилидина и 45 г *m*-ксилидина перемешивают в точке N. 7—8 час. при 115°, охлаждают до 70—80°, разбавляют 40 мл  $\text{CH}_3\text{OH}$  и отфильтровывают III, выход 72% (из  $\text{C}_6\text{H}_5\text{Cl}$ ),  $\lambda_{\text{макс}}$  (в  $\text{CCl}_4$ ) 635 и 400 мμ (ε 1,34 и 0,47). Аналогично из 2 г I, 2 г лейкохинизарина, 4 г лед.  $\text{CH}_3\text{COOH}$ , 1,36 г  $\text{B}_2\text{O}_3$ , 2 г хлоргидрата XIII и 12 г XIII получают V, выход 36% (очистка хроматографированием на  $\text{Al}_2\text{O}_3$ ),  $\lambda_{\text{макс}}$  (в  $\text{CCl}_4$ ) 630 и 585 мμ (ε 1,69 и 1,52). К смеси 22,25 г III и 190 мл  $\text{CHCl}_3$  приливают при 20° и размешивании 20 г  $\text{Br}_2$ , нагревают реакционную массу до 60° и 1 час перемешивают; разбавлением 500 мл  $\text{CH}_3\text{OH}$  выделяют V, выход 91,7%,  $\lambda_{\text{макс}}$  (в  $\text{CCl}_4$ ) 620 и 575 мμ (ε 1,44 и 1,40). Смесь 4 г VII, 12 г VIII, 10 г нитробензола, 2,5 г  $\text{Na}_2\text{CO}_3$  и 0,05 г  $\text{SnCl}_2$  перемешивают 6 час. при 180—190°, охлаждают, разбавляют 50 мл  $\text{CH}_3\text{OH}$  и выделяют IX, выход 76% (из  $\text{C}_6\text{H}_5\text{Cl}$  и хроматографированием на  $\text{Al}_2\text{O}_3$ ),  $\lambda_{\text{макс}}$  (в  $\text{CCl}_4$ ) 630 и 585 мμ (ε 1,85 и 1,60). Смесь 14,2 г X, 45 г нитробензола, 13 мл  $\text{SOCl}_2$  и 1,5 г  $\text{J}_2$  перемешивают при 90—95° ~12 час., охлаждают и отфильтровывают XI, выход 66,6%, т. пл. 234—237° (из  $\text{C}_6\text{H}_5\text{NO}_2$ ). Смесь 12 г 2,3-диметилхинизарина и 55 мл  $\text{SOCl}_2$  кипятят 10 час. и после отгонки избытка  $\text{SOCl}_2$  выливают в лед.  $\text{CH}_3\text{COOH}$ , отфильтровывают XII и кристаллизуют из лед.  $\text{CH}_3\text{COOH}$ . К смеси 40 г XII, 4 г безводн.  $\text{CH}_3\text{COOK}$  и 0,04 г *Sn*-порошка при

150° и размешивании прибавляют в течение 1 часа 4 г XI, перемешивают 3 часа при 160—170°, охлаждают до 70° и разбавлением до 60 мл  $\text{CH}_3\text{OH}$  выделяют XIV, выход 73,5%, фиолетовые призмы (из  $\text{C}_6\text{H}_5\text{Cl}$  и лед.  $\text{CH}_3\text{COOH}$ ),  $\lambda_{\text{макс}}$  (в  $\text{CCl}_4$ ) 610 и 440 мμ (ε 0,88 и 0,45). Аналогично из 20 г XIII, 2 г безводн.  $\text{CH}_3\text{COOK}$ , 0,04 г *Sn*-порошка и 2 г XI получают XV, выход 51% (из  $\text{C}_6\text{H}_5\text{Cl}$ ),  $\lambda_{\text{макс}}$  (в  $\text{CCl}_4$ ) 655, 620 и 420 мμ (ε 1,41, 1,32 и 0,48). Сообщение 1 см. РЖХим, 1955, 13977. Т. К.

**3867. Синтез многоядерных углеводородов с конденсированным циклопентановым кольцом. Часть III. Применение реакции Дильса — Альдера.** Сен-Гупта, Бхаттачарья (Synthesis of polynuclear hydrocarbons with fused cyclopentane ring. Part III. Application of the Diels — Alder reaction, Sen Gupta Suresh Chandra, Bhattacharyya Anathjiban, J. Indian Chem. Soc., 1954, 31, № 12, 897—903 (англ.).

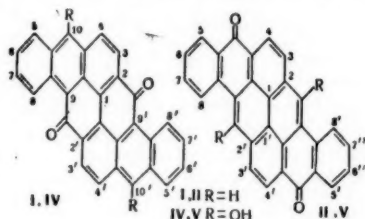
Ангидрид Δ<sup>1</sup>-циклопента-1,2-дикарбоновой к-ты (I) использован для получения соответствующих аддуктов диеновой конденсации с антраценом, 1-винилнафталином, 1,1-дциклогексенилом и 1,1'-дциклопентенилом. При декарбоксилировании и дегидрировании аддуктов получают соответствующие полицикли. углеводороды с конденсированным циклопентановым кольцом. Из смеси 2 г антрацена и 2 г I в 15 мл  $\text{C}_6\text{H}_6$  после нагревания 8 час. на паровой бане и стояния в течение 12 час. при ~20° выделяют 0,8 г соответствующего аддукта, т. пл. 230° (из бzl.). Из смеси 10 г 1-винилнафталина и 11 г I в 15 мл сухого ксилола после нагревания в течение 2 час. при 139—142° и охлаждения в течение 2 дней выделяют аддукт — ангидрид 1,2-циклопентено-1,2,3,10а-тетрагидрофенантрена 1,2-дикарбоновой к-ты (II) с т. пл. 172—173° (из диоксана). После растворения II в кипящем *p*-ре КОН смесь подкисляют HCl и выделяют ангидрид 1,2-циклопентено-1,2,3,4-тетрагидрофенантрена 1,2-дикарбоновой к-ты (III) с т. пл. 183° (разл., из сл.). Получают III также из охлад., насыщ. HCl смеси, полученной при кипячении II с  $\text{CH}_3\text{COOH}$  в течение 1 часа. После нагревания 1,1 г III с 2,5 г Se при 300—320° в течение 24 час., сублимировавшийся продукт экстрагируют эфиром  $\text{C}_4\text{H}_{10}\text{O}$ , т. пл. 163° (из сл.), не окисляется пербензойной к-той. После кипячения 3 г III с конц. *p*-ром КОН до полного растворения, прибавляют CaO и смесь выпаривают, полученную кальциевую соль смешивают с CaO и подвергают сухой перегонке, получают 1,2-сублимата с т. пл. 115—119° (из сл.). 1 г последнего нагревают с 3 г Se 24 часа при 300—320°, экстрагируют эфиром и остаток после удаления эфира перегоняют в вакууме над Na. Из дистиллата, очнщ. через пикрат, получают 1,2-циклопентенофенантрена, т. пл. 136—137° (из сл.), пикрат, т. пл. 133—134° (из сл.), тринитробензольное производное, т. пл. 167° (из сл.). После нагревания 14 г 1,1'-дциклогексенила и 16 г I в 15 мл сухого ксилола при 150° в течение 9 час. отгоняют ксилол с паром и получают ангидрид 9,10-циклопентено-1,2,3,4,5,6,7,8,9,10,9а,10а-додекагидрофенантрена 9,10-дикарбоновой к-ты, выход 8 г, т. пл. 140° (из диоксана). После растворения этого ангидрида в кипящем КОН и обработки смеси HCl получают соответствующую дикарбоновую к-ту с т. пл. 187° (из сл.). При декарбоксилировании и дегидрировании ангидрида с CaO и Se в условиях, указанных для III, получают жидкую и твердую (0,8 г) фракции. Из последней, очнщ. через пикрат, выделяют 9, 10-циклопентенофенантрена, т. пл. 149° (из сл.), пикрат, т. пл. 165—166°, тринитробензольное производное, т. пл. 191° (из сл.), и стифнат, т. пл. 182—183° (из сл.). После нагревания смеси 20 г 1,1'-дциклопентенила с 21 г I в 15 мл сухого ксилола до 140—150° в течение 6 час., стояния при ~20° в течение 12 час. и отгонки ксилола с паром,



из остатка выделяют соответствующий аддукт, выход 20 г, т. пл. 90° (из сп.). Соответствующую аддукту дикарбоновую к-ту получают способом, указанным выше, т. пл. 197° (из сп.). При декарбосилировании и дегидрировании аддукта с CaO способом, указанным для III, получают продукт, при перегонке дающий жидкую с т. кип. 145—150°/8 мм и твердую фракции с т. кип. 200°/8 мм. Твердая фракция представляет собой трициклотриметиленбензол с т. пл. 197—98° (из сп.). Жидкая фракция при дегидрировании с Se при 300—320° также превращается в трициклотриметиленбензол. Часть II см. РЖХим, 1955, 11665. М. Ч.

3868. Непосредственное введение гидроксильных групп в пирантрон и амфи-изопирантрон. Бахаус, Брэдли (The direct hydroxylation of pyranthrone and amphi-isopyranthrone. Backhouse Alan J., Bradley William), J. Chem. Soc., 1954, Dec., 4506—4507 (англ.).

Установлено, что при нагревании со смесью  $MnO_2$ , KOH и  $CH_3COOK$  как амфи-изопирантрона (I), так и пирантрона (II) (хотя и с меньшим выходом) образуется одно и то же диоксипроизводное (III), которое при метилировании дает диметоксипроизводное (IV). Окислением  $CrO_3$  в лед.  $CH_3COOH$  IV превращается в 1,1-диантрахинонил-2,2'-дикарбоновую к-ту (V). Отсутствие  $CH_3O$ -групп в продукте окисления указывает, по мнению авторов, на то, что III является 10,10'-диоксисамфи-изопирантроном (IV) или его изомером — диоксипирантроном (V). Идентичность III, полученного из I



и II, авторы истолковывают с позиций теории резонанса. 3 г I растирают с 3 г  $MnO_2$  и добавляют смесь в течение 15 мин. к 30 г KOH и 3 г  $CH_3COOK$  при 220°. Плав нагревают 1 час при 240°, затем переносят в 500 мл воды, фильтруют и подкисляют фильтрат. Осадок отфильтровывают (2,45 г), растворяют в разб. р-ре KOH и хроматографируют на порошке целлюлозы; вымывая водой и подкисляя, получают III; в-во до 400° не плавится. Нагревая смесь 2 г I, 20 г KOH и 2 г  $CH_3COOK$  1 час при 240°, получают 0,6 г III, а с малым выходом (0,05 г) — путем перемешивания 2 г I, 10 г KOH и 20 мл спирта при нагревании (1 час, 110°) с последующим добавлением 500 мл воды и продуванием воздуха (12 час.). 0,5 г мелко растертого III, 1 г метилового эфира *n*-толуолсульфокислоты, 1 г  $K_2CO_3$  и 50 мл трихлорбензола кипятят 12 час., фильтруют и упариванием получают IV; в-во не плавится до 400°;  $\lambda_{max}$  (в конц.  $H_2SO_4$ ) 227 мμ (ε 53000), 282 мμ (ε 25500), 531 мμ (ε 24000), 630 мμ (ε 38500),  $\lambda_{min}$  255 мμ (ε 32000), 560 мμ (ε 15000). 0,2 г IV, 0,2 г  $CrO_3$  и 10 мл лед.  $CH_3COOH$  кипятят 0,5 часа, добавляют 0,2 г  $CrO_3$  и 2 мл лед.  $CH_3COOH$ , кипятят еще 0,5 часа и фильтруют. Фильтрат разбавляют 100 мл воды, осадок пересаждают из щел. р-ра и получают 0,1 г V, т. пл. 352—355° (из сп.),  $\lambda_{max}$  (в сп.) 271 мμ (ε 59000), 391 мμ (ε 13000),  $\lambda_{min}$  335 мμ (ε 6000). Нагревая  $MnO_2$ , KOH и  $CH_3COOK$  с II, как указано выше для р-ции с I, но с 5-кратным увеличением загрузки реагентов, получают III (0,55 г), который при метилировании дает IV, идентичный с полученным из I. Н. С.

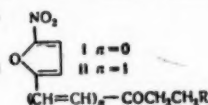
3869. О получении некоторых производных фурана. Онеста, Ферретти (Sulla preparazione di alcuni derivati furanici. Onesta Romeo, Ferretti Aldo), Gazz. chim. ital., 1955, 85, № 3, 288—296 (итал.).

Гидрированием продуктов конденсации фурфурола с уксусным и пропионовым альдегидами в ацетоне синтезированы соответствующие спирты, производные тетрагидрофурана. Последние действием  $SOCl_2$  переведены в хлориды, из которых через Mg-органич. соединения получены соответственно 3-(тетрагидрофурил-2)-пропан (I), 4-(тетрагидрофурил-2)-бутан (II) и 3-(тетрагидрофурил-2)-метилпропан (III). При гидролизе 3-(тетрагидрофурил-2)-пропилмагнийхлорида (Gilman H., Hewlett A. P., Recueil trav. chim., 1932, 51, 93) избытком разб. HCl получен I, выход 75%, т. кип. 139—144°/758 мм,  $n_D^{20}$  1,4242. Действием 119 г  $SOCl_2$  на 144 г 4-(2-тетрагидрофурил)-бутанола-2 в 500 мл абс.  $C_6H_6$  с последующим кипячением синтезирован 4-(тетрагидрофурил-2)-2-хлорбутан (IV), выход 75%, т. кип. 93°/13 мм,  $n_D^{20}$  1,4505. К смеси 12,15 г Mg, активированного иодом, 81,3 г IV в 50 мл абс. эфира прибавлено несколько капель  $C_2H_5Br$ , после кипячения получен 4-(тетрагидрофурил-2)-2-бутилмагнийхлорид, который гидролизом превращен в II, выход 60%, т. кип. 54°/16 мм,  $n_D^{20}$  1,4275. При гидрировании 136 г α-фурфуриленпропионового альдегида в 150 мл спирта над скелетным Ni (170—180°, 170—180 ат) получен 3-(тетрагидрофурил-2)-2-метилпропанол (V), выход 80%, т. кип. 104°/13 мм,  $n_D^{20}$  1,4570,  $d_4^{20}$  0,9836. Действием 119 г  $SOCl_2$  на р-р 144 г V в 500 мл абс.  $C_6H_6$  с последующим кипячением (30 мин.) синтезирован 3-(тетрагидрофурил-2)-2-метилпропилхлорид (VI), выход 83%, т. кип. 90°/11 мм,  $n_D^{21}$  1,4550,  $d_4^{20}$  1,032. При взаимодействии р-ра 81 г VI в 50 мл абс. эфира с 12,15 г Mg с последующим гидролизом получен III, выход 55%, т. кип. 47—48°/13 мм,  $n_D^{21}$  1,4237,  $d_4^{20}$  0,8577. И. К.

3870. Основания Манниха из 2-ацетил-5-нитрофурана и 5-нитро-2-фурфуральацетона. Колдуэлл, Ноблс (Mannich bases from 5-nitro-2-acetylufuran and 5-nitro-2-furfuralacetone. Caldwell H. Cecil, Nobles W. Lewis), J. Amer. Pharmac. Assoc. Scient. Ed., 1955, 44, № 5, 273—275 (англ.).

В связи с предполагаемым фармакодинамическим действием синтезированы основания Манниха (I, II), исходя из 5-нитро-2-ацетилфурана (III) или 5-нитро-2-фурфуральацетона (IV) и вторичных алифатич. или гетероциклич. аминов, причем II синтезированы для изучения влияния винилогиз. Смесь 0,1 моля III или IV, 0,1 моля хлоргидрата амина, 1,5 г параформальдегида (V) и 1—2 капель конц. HCl в 20—25 мл абс. спирта кипятят 50 мин., добавляют 1,5 г V, кипятят 30 мин., теплый р-р выливают в 100 мл ацетона и при охлаждении получают хлоргидрат I или II, который кристаллизуют из смеси спирта-ацетона. Если применяют амин в виде основания, то его растворяют в 20—25 мл спирта и подкисляют конц. HCl до слабокислой р-ции на

а R = диметиламино, б R = диэтиламино,  
в R = 4-морфолинил, г R = 1-наперидил  
д R = 2-метилнаперидил



лакмус. Получены следующие хлоргидраты (перечислены в-во, выход в %, т. пл. °C): Ia, 20, 197—199; Ib, 63, 192; Ic, 51, 194; Id, 50, 202—203°; Ia, 35, 196; IIa, 20, 198—200; IIb, 20, 181; IIc, 58, 196—198; IId, 53, 205—207; IIe, 44, 210—211. Получен также хлор-

гидрат I (R-дибутиламино), выход 25%, т. пл. 177—179°.

**3871. Изучение реакции Принса. Сообщение I.** О взаимодействии бутадиена с формальдегидом. Ханшкее (Zur Kenntnis der Prinsschen Reaktion. I. Mitteilung: Über die Umsetzung von Butadien mit Formaldehyd. H a n s c h k e E r n s t), Chem. Ber., 1955, 88, № 7, 1043—1048 (нем.)

Действием избытка бутадиена (I) на водн. р-р  $\text{CH}_2\text{O}$  в присутствии  $\text{H}_2\text{SO}_4$  или  $\text{HCl}$  (к-ты) получены 4-винил-1,3-диоксан (II), 3-метилтетрагидропиранол-4-формаль (III) и  $\Delta^2$ -дигидропиран (IV). Строение II доказано гидрированием в 4-этил-1,3-диоксан (V), который метанолизом превращен в пентадиол-1,3 (VI); VI действием  $\text{HBr}$  переведен в 1,3-дибромпентан (VII); гидрированием VII получен динитрил (VIII), гидролизированный в  $\alpha$ -этилглютаровую к-ту (IX), идентифицированную в виде моноанилида (X). Образование II и III объясняется первоначальным присоединением гидрата  $\text{CH}_2\text{O}$  к I в 1,2-положение и получением пентен-4-диола-1,3 (XI), переходящего при присоединении 1 моля  $\text{CH}_2\text{O}$  в II, а 2 молей — в III. Это подтверждается получением III при действии  $\text{CH}_2\text{O}$  на XI. IV в тех же условиях дает небольшие кол-ва III, а из II образуются лишь следы III. Метанолизом II превращен в XI с небольшим выходом. Из промежуточной фракции при выделении II и III (фракция А) получен продукт, который приписано строение 4-метилтетрагидропиранол-3-формаль (XII) или его стереоизомера; из остатка после выделения II, III и IV получен 3-метилтетрагидропиранол-4 (XIII). XIII получен также при метанолизе III. Расщеплением XII 2,4-динитрофенилгидразином (XIV) получен 4-метилтетрагидропиранол-3 (XV), ди-4-нитробензоат которого (XVa) отличается от ди-4-нитробензоата XIII (XIIIa). Смесь 19 кг 30%-ного р-ра  $\text{CH}_2\text{O}$ , 2,6 кг конц.  $\text{H}_2\text{SO}_4$  и 18 л I размешивают 6 час. при 80°, охлаждают, нейтрализуют р-ром  $\text{NaOH}$  и разгонкой выделяют IV, выход 2,4%, т. кип. 92—93°/750 мм,  $n_D^{20}$  1,4475,  $d_4^{20}$  0,9354; II, выход 14,2%, т. кип. 142—143°/761 мм,  $n_D^{20}$  1,4440,  $d_4^{20}$  0,9893; III, выход 12,6%, т. кип. 110°/12 мм, т. пл. 55—56°; фракция А, выход 857 г, т. кип. 145—105°/15 мм. Аналогично нагреванием (1 час, 80°) 4 кг 30%-ного р-ра  $\text{CH}_2\text{O}$ , 600 г конц.  $\text{HCl}$  и 1,6 л I получают IV, выход 3,8%; II, выход 23,3%; III, выход 33,2%. 2 моля II гидрируют (100°, 100 ат) в присутствии 1 г скелетного Ni-катализатора и получают V, выход 95,3%, т. кип. 138°/750 мм,  $n_D^{20}$  1,4242,  $d_4^{20}$  0,9562. Из смеси 200 г V, 700 мл воды, 700 мл  $\text{CH}_3\text{OH}$  и 50 г конц.  $\text{H}_2\text{SO}_4$  получают метилаль (выход 66,9%), который нейтрализуют  $\text{NaOH}$ , извлекают эфиром и получают VI, выход 60,8%, т. кип. 120—122°/16 мм,  $n_D^{20}$  1,4659,  $d_4^{20}$  0,9863; ди-4-нитробензоат, т. пл. 89° (из разб.  $\text{CH}_3\text{OH}$ ). Пропусканием сухого  $\text{HBr}$  (газа) в VI при 110° получают VII, выход 75,1%, т. кип. 75—77°/11 мм,  $n_D^{20}$  1,4992,  $d_4^{20}$  1,613. К кипящему р-ру 152 г  $\text{KCN}$  в смеси 500 мл спирта и 250 мл воды приливают по каплям 179,6 г VII, размешивают 5 час., охлаждают, отфильтровывают выпавший  $\text{KBr}$ , р-ритель отгоняют в вакууме, экстрагируют эфиром и получают VIII, выход 71%, т. кип. 110°/0,4 мм,  $n_D^{20}$  1,4410,  $d_4^{20}$  0,9531. Кипячением 30,5 г VIII с  $\text{NaOH}$  получают IX, выход 71,7%; X, т. пл. 153—154° (из толуола). Нагреванием (80° 3 часа) смеси 1 кг 30%-ного р-ра  $\text{CH}_2\text{O}$ , 200 г конц.  $\text{H}_2\text{SO}_4$  и 210 г IV получают III, выход 9,7%. 500 г III, 1500 г  $\text{CH}_3\text{OH}$ , 1500 г воды и 200 г конц.  $\text{H}_2\text{SO}_4$  медленно нагревают, получают метилаль, выход 84,2%; после нейтр-ции остатка  $\text{NaOH}$

и экстракции эфиром получают XI, выход 47,4%, т. кип. 106—109°/10 мм,  $n_D^{20}$  1,4621,  $d_4^{20}$  0,9863. Нагреванием (80°, 6 час.) смеси 100 г XI, 800 г 30%-ного р-ра  $\text{CH}_2\text{O}$  и 100 г конц.  $\text{H}_2\text{SO}_4$  и последующей дистилляцией получают II, выход 60 г, III, выход 22,5 г и 21,8 г обратного XI. Из фракции А выделяют 265 г кристаллич. III и фракцию с т. кип. 93—112°/20 мм, которую обрабатывают  $\text{Br}_2$  в  $\text{CHCl}_3$  до прекращения обесцвечивания, перегоняют, дистиллят обрабатывают (24 часа)  $\text{KOH}$ , фильтруют, фильтрат кипятят (6 час.) с металлич. Na и перегонкой получают III, выход 161 г и XII, выход 283 г, т. кип. 83—84°/8 мм,  $n_D^{20}$  1,4734,  $d_4^{20}$  1,1579. К суспензии 70 г XIV в 500 г 10%-ной  $\text{H}_2\text{SO}_4$  приливают по каплям при 80° 60 г XII, выделившийся 2,4-динитрофенилгидразон формальдегида отфильтровывают, фильтрат нейтрализуют  $\text{NaOH}$ , упаривают, остаток извлекают спиртом и перегонкой, выделяют XV, выход 46,3%, т. кип. 127°/0,08 мм,  $n_D^{20}$  1,4872,  $d_4^{20}$  1,762; XVa, т. пл. 129—130° (из  $\text{CH}_3\text{OH}$ ). Метанолизом III 2%-ной  $\text{HCl}$  получают XIII, выход 83%, т. кип. 147°/1 мм,  $n_D^{20}$  1,4884,  $d_4^{20}$  1,176; XIIIa, т. пл. 154—155° (из  $\text{CH}_3\text{COOC}_2\text{H}_5$ ); диацетат, т. пл. 44,5° (из метилциклогексана-толуола); дибензоат, т. пл. 65,5° (из метилциклогексана-толуола); циклич. сульфид (получен взаимодействием с  $\text{SOCl}_2$  в  $\text{C}_6\text{H}_5\text{N}$ ), т. кип. 80—82°/0,2 мм,  $n_D^{20}$  1,4905,  $d_4^{20}$  1,356; III в разб.  $\text{CH}_3\text{OH}$  подвергают восстановительному расщеплению  $\text{H}_2$  (220°, 300 ат) над  $\text{Cu-Cr-Ni}$ -катализатором в присутствии  $\text{H}_3\text{PO}_4$  и получают XIII, выход 20%. Из 835 г остатка после выделения II, III и IV получают XIII, выход 308 г, т. кип. 118—126°/0,01 мм,  $n_D^{20}$  1,4817,  $d_4^{20}$  1,1436. Из смеси 1140 г II, 2000 г 30%-ного р-ра  $\text{CH}_2\text{O}$  и 200 г конц.  $\text{H}_2\text{SO}_4$  в условиях, аналогичных взаимодействию I с  $\text{CH}_2\text{O}$ , получают III, выход 1,6%, и в-во неясного строения, выход 1,6 г, т. пл. 147—148° (из метилциклогексана).

**3872. Изучение реакции Принса. Сообщение II.** О взаимодействии бутилена с формальдегидом. Ханшкее (Zur Kenntnis der Prinsschen Reaktion. II. Mitteilung: Über die Umsetzung von Butylen mit Formaldehyd. H a n s c h k e E r n s t), Chem. Ber., 1955, 88, № 7, 1048—1053 (нем.)

При взаимодействии смеси бутена-1 (Ia) и бутена-2 (Ib) на водн. р-р  $\text{CH}_2\text{O}$  в присутствии конц.  $\text{H}_2\text{SO}_4$  реагирует только Ib с образованием 4,5-диметил-1,3-диоксана (II), 3-метилтетрагидропиранола-4 (III) и 2-метилтетрагидрофурана (IV), являющегося побочным продуктом. Р-ция изучалась при различных конц-ях  $\text{H}_2\text{SO}_4$ , т-рах и продолжительности. Наибольший выход получен при 80—90° (3 часа) и 20%-ых  $\text{H}_2\text{SO}_4$  (от кол-ва р-ра  $\text{CH}_2\text{O}$ ), а для непрерывного способа: 90° и 12%-ов  $\text{H}_2\text{SO}_4$ . Повышение т-ры снижает выход II и повышает выход III. Строение II доказано превращением в 2-метилбутандиол-1,3 (V). Для доказательства строения III дегидрирован в 3-метил- $\Delta^2$ -дигидропиран (VI), гидрированный в 3-метилтетрагидропиран (VII) и далее превращенный в 2-метил-1,5-дибромпентан (VIII); из VIII действием  $\text{CH}_3\text{COOH}$  получен диацетат 2-метилпентадиола-1,5 (IX), омыленный в 2-метилпентадиол-1,5(X), полученный также встречным синтезом из бутандиола-1,3-(XI) через 1,3-дибромбутан (XII), динитрил  $\alpha$ -метилглютаровой к-ты (XIII) и диэтиловый эфир  $\alpha$ -метилглютаровой к-ты (XIV). Строение IV доказано расщеплением до пентандиола-1,4 (XV). Действием  $\text{HBr}$  IV превращен в 1,4-дибромпентан (XVI), из которого получен динитрил  $\alpha$ -метилглютаровой к-ты (XVII), омыленный в  $\alpha$ -метилглютаровую к-ту (XVIII). Смесь 3 кг 30%-ного р-ра  $\text{CH}_2\text{O}$ , 200 г конц.  $\text{H}_2\text{SO}_4$  и 2 кг технич. бутилена (Ib) (43,2%

Ив, 53—54% I6) нагревают 7 час. от 80° до 100°, после охлаждения нейтрализуют NaOH, избыток Iв удаляют, выход продуктов р-ции (IP) 1166 г. При нагревании в течение 3 час. при 80° выход IP 1286 г. Описано также непрерывное проведение р-ции, максим. выход IP (79,9%) получен при 48 час. и 120°. При разгонке IP получают 4 фракции. Из 1 фракции (41 кг) повторной перегонкой, обработкой Br<sub>2</sub> и перегонкой над Na получают IV, выход 6554 г, т. кип. 80—81°,  $n_D^{20}$  1,4102,  $d_4^{20}$  0,8510, 172 г IV насыщают на холоду HBr, не прекращая тока HBr медленно нагревают до 110° и получают XVI, выход 85,4%, т. кип. 90—93°/19 мм,  $n_D^{20}$  1,5090,  $d_4^{20}$  1,6821, кипячением (12 час.) смеси 230 г XVI с 150 г NaCN в 1 л CH<sub>3</sub>OH и 200 мл воды и экстракцией эфиром получают XVII, выход 20,8 г, т. кип. 153—160°/23 мм,  $n_D^{20}$  1,4410,  $d_4^{20}$  0,950; из водн. слоя кипячением с NaOH, подкислением H<sub>2</sub>SO<sub>4</sub>, экстракцией эфиром получают XVIII, выход 26,2 г, т. пл. 59—60° (из ацетона), диацетид, т. пл. 172° (из толуола). Нагреванием (10 час., 200°) 172 г IV, 204 г (CH<sub>3</sub>CO)<sub>2</sub>O и 2 г безводн. ZnCl<sub>2</sub> получают диацетат XV, выход 43,5%, т. кип. 100—101°/8 мм,  $n_D^{20}$  1,4238,  $d_4^{20}$  1,2171 и ацетат пентен-3-ола-1 (XIX), выход 41,5 г, т. кип. 48°/12 мм, 151°/153 мм,  $n_D^{20}$  1,4202,  $d_4^{20}$  0,9090. Гидролизом диацетата получают XV, выход 89,8%, т. кип. 122—123°/14 мм,  $n_D^{20}$  1,4472,  $d_4^{20}$  0,9817, ди-4-нитробензоат, т. пл. 149° (из CH<sub>3</sub>OH). Гидролизом XIX получают пентен-3-ол-1 (XX), т. кип. 55°/21 мм, 140—141°/758 мм,  $n_D^{20}$  1,4356,  $d_4^{20}$  0,8467. Гидрированием XX получен *n*-C<sub>5</sub>H<sub>11</sub>OH, 3,5-динитробензоат, т. пл. 46—47° (из сп.). К 43 г XX прибавляют (30°) смесь 110 г 30%-ной H<sub>2</sub>O<sub>2</sub> с 100 г 80%-ной HCOOH, через 5 час. обрабатывают 2%-ным р-ром HCl в CH<sub>3</sub>OH и получают 1,3,4-пентагидрокси (XXI), выход 20 г, т. кип. 110—112°/0,2 мм,  $n_D^{20}$  1,4721; окислением XXI, KJO<sub>4</sub> в разб. H<sub>2</sub>SO<sub>4</sub> получают CH<sub>3</sub>CHO. Из 2 фракции выделяют II, т. кип. 134—135°,  $n_D^{20}$  1,4230,  $d_4^{20}$  0,9604; из 116 г II и 300 г 3%-ного р-ра HCl в CH<sub>3</sub>OH получают V, выход 67,1%, т. кип. 114—115°/16 мм,  $n_D^{20}$  1,4464,  $d_4^{20}$  0,9870, дает два ди-4-нитробензоата, т. пл. 103—106° и т. пл. 124°. Из 3 фракции после отгонки с водяным паром не растворимых в воде в-в выделяют III, выход ~60%, т. кип. 92—94°/10 мм,  $n_D^{20}$  1,4603,  $d_4^{20}$  1,0110; ацетат, т. кип. 86—87°/16 мм,  $n_D^{20}$  1,04417,  $d_4^{20}$  1,04400; эфир хлоруксусной к-ты, т. кип. 129—131°/15 мм,  $n_D^{20}$  1,4648,  $d_4^{20}$  1,1727; эфир масляной к-ты, т. кип. 115—116°/14 мм,  $n_D^{20}$  1,4412,  $d_4^{20}$  0,9947; бензоат, т. кип. 115—116°/0,1 мм,  $n_D^{20}$  1,5222,  $d_4^{20}$  1,1047. Окислением III CrO<sub>3</sub> получают 3-метилтетрагидропирон-4, выход 30%, т. кип. 70—72°/20 мм,  $n_D^{20}$  1,4505,  $d_4^{20}$  1,0102, семикарбазон, т. пл. 184—184,5° (из воды), тиосемикарбазон, т. пл. 164° (из CH<sub>3</sub>OH). Дегидратацией III над K<sub>2</sub>PO<sub>4</sub>/C при 240° получают VI, выход 64%, т. кип. 113°/758 мм,  $n_D^{20}$  1,4470,  $d_4^{20}$  0,9035. 200 г XI гидрируют (100°, 100 ат) над 10 г скелетного Ni-катализатора в 100 мл эфира и получают VII, выход 76,2%, т. кип. 109°/733 мм,  $n_D^{20}$  1,4210,  $d_4^{20}$  0,8630. Из 90 г VII и сухого HBr при 110° получают VIII, выход 56,1%, т. кип. 98—99°/11 мм,  $n_D^{20}$  1,5076,  $d_4^{20}$  1,5980. Нагреванием 122 г VIII с 200 г CH<sub>3</sub>COOH и 100 г CH<sub>3</sub>COON при 180° получают IX, выход 67,1%, т. кип. 121—122°/11 мм,  $n_D^{20}$  1,4317,  $d_4^{20}$  1,0072. Омылением 59,5 г IX

42 г KOH в CH<sub>3</sub>OH получают X, выход 64,8%, т. кип. 135—136°/12 мм,  $n_D^{20}$  1,4545,  $d_4^{20}$  0,9735; ди-4-нитробензоат, т. пл. 109° (из сп.). Из 1 кг XI и сухого HBr при 110° получают XII, выход 89,6%, т. кип. 65°/15 мм,  $n_D^{20}$  1,5070,  $d_4^{20}$  1,7611. Смесь 2 кг XII с 1,13 кг NaCN в 3 л CH<sub>3</sub>OH нагревают 24 часа при 100°, после охлаждения разбавляют 2 л воды, отгоняют CH<sub>3</sub>OH в вакууме и экстрагируют эфиром XIII, выход 26,6%, т. кип. 131°/12 мм,  $n_D^{20}$  1,4355,  $d_4^{20}$  0,9548. К смеси 214 г XIII и 1,25 л спирта при кипении приливают 450 г конц. H<sub>2</sub>SO<sub>4</sub>, получают XIV, выход 55%, т. кип. 125°/20 мм,  $n_D^{20}$  1,4265,  $d_4^{20}$  0,9987. К 90 г металлич. Na приливают р-р 65 г XIV в 900 г абс. спирта, охлаждают, приливают 150 мл воды, отгоняют спирт и экстрагируют эфиром X, выход 43,6%, т. кип. 140°/20 мм,  $n_D^{20}$  1,4550,  $d_4^{20}$  0,9751; ди-4-нитробензоат, т. пл. 108—109° (из сп.). 50,6 г VIII смешивают с 93 г CH<sub>3</sub>NH<sub>2</sub> в 250 мл спирта, отгоняют спирт, добавляют NaOH и получают N-метил-β-никоколин, выход 63,9%, т. кип. 124—126°/758 мм; изометилит, т. пл. 195° (из толуола-абс. сп.). Окислением (50°, 5 час.) 30 г VII смесью 200 г 65%-ной HNO<sub>3</sub> и 1,2 г NaNO<sub>2</sub> получают α-метилглутаровую к-ту; анид, т. пл. 173—174°. 117 г XIII кипятят (15 час.) с 75 г NaCN в 75 мл спирта и 150 мл воды, отфильтровывают KBr, отгоняют в вакууме спирт, остаток экстрагируют диоксаном и получают динитрил β-метилнимеиловой к-ты, выход 63,2%, т. кип. 123—127°/0,4 мм,  $n_D^{20}$  1,4469,  $d_4^{20}$  0,9391; анид, т. пл. 131—131°. 38,6 г β-метилнимеиновой к-ты подвергают сухой перегонке с 24,6 г CaO и получают 3-метилциклогексанон, выход 6,9 г, т. кип. 60—64°/21 мм,  $n_D^{20}$  1,4443,  $d_4^{20}$  0,9107; семикарбазон, т. пл. 170° (из CH<sub>3</sub>OH).

Н. П.  
3873. К химии 2,4,6-трифенилпиранола-2. Ц и г л е р, Шредт (Zur Chemie des 2,4,6-Triphenyl-pyranols-2. Ziegler E., Schredt H.), Monatsh. Chem., 1954, 85, № 6, 1191—1195 (нем.)

При взаимодействии ацетофенона (I) с POCl<sub>3</sub> (70°, 3 часа) получается смесь трифенилбензола, т. пл. 173° (из сп.), C<sub>6</sub>H<sub>5</sub>COOH, дипнона (обнаружен по запаху) и двух двойных солей 2,4,6-трифенилпиранола-2 (II), одна из которых содержит P и Cl (IIa), а вторая только P (IIб). На и IIб при кипячении с разб. р-ром щелочи, ацетатов или воды. пиридина превращаются в II, т. пл. 119° (из водн. сп.). В свою очередь IIa может быть получен из II, POCl<sub>3</sub> и воды. II, в виде пирилевой соли (т. пл. 198°), получается нагреванием 3 часа при 70° 5 г I и 1 г C<sub>6</sub>H<sub>5</sub>CHO. Образование C<sub>6</sub>H<sub>5</sub>COOH объясняется присоединением POCl<sub>3</sub> по СО-группе I с последующим отщеплением CH<sub>3</sub>Cl и гидролизом образующегося C<sub>6</sub>H<sub>5</sub>COOPCl<sub>2</sub> (III). Предполагается, что первой стадией образования II является конденсация 2 молекул I в C<sub>6</sub>H<sub>5</sub>COCH=C(CH<sub>3</sub>)C<sub>6</sub>H<sub>5</sub>, который конденсируясь с III дает C<sub>6</sub>H<sub>5</sub>COCH=C(C<sub>6</sub>H<sub>5</sub>)CH=C(OH)C<sub>6</sub>H<sub>5</sub>, перегруппировывающийся во II. При взаимодействии 3-хлор-4-метоксиацетофенона с POCl<sub>3</sub> (10 час., 40°) пирилевых солей выделить не удалось, получен только три-(3-хлор-4-метоксифенил)-бензол, т. пл. 162° (из сп.). В аналогичных условиях из 4-хлорацетофенона получен 4,4'-дихлор-β-метилхалкон, т. пл. 80° (из диоксана); из 3-нитроацетофенона — 3,3'-динитро-β-метилхалкон, т. пл. 116° (из разб. сп.), а ω-хлор-3,4-диоксиацетофенон не реагирует совсем. З. М.

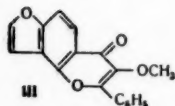
3874. Исследование антикоагулянтов. XXVI. Новый синтез 3-(о-оксibenзоилэтил)-4-оксикумарина. Прохазка (Studie o antikoaagulačních látkách. XXVI. Nová syntéza 3-(o-hydroxybenzoyl-ethyl)-4-hydroxy-



kumarinu. Procházka Želimír, Českosl. farm., 1954, 3, № 6, 221—222 (чеш.; резюме русс., англ.)

Смесь 5 г 3-диметиламино-4-оксикумарина и 8 мл о-оксиацетофенона нагревают 10 мин. при 160° и 2 мин. при 170°, выливают в 200 мл 5%-ного NaOH, извлекают эфиром, водн. р-р нейтрализуют разб. HCl (1:2), извлекают эфиром; водн. слой подкисляют до pH 3, получают 3,2- и 3-(о-оксибензоилэтил)-4-оксикумарина (в-во со свойствами дикумарола), т. пл. 193—195° (из CH<sub>3</sub>COOH-ацетона). Сообщение XXV см. РЖХим-Бх, 1955, 13129. И. К.

**3875. Синтетическое изучение производных бензофурана. Часть I. Новый синтез каранджина. Kawase, Мацумото, Фукуи (Synthetic studies on the benzofuran derivatives. Part I. A new synthesis of karanjin. Kawase Yoshiyuki, Matsumoto Takashi, Fukui Kenji), Bull. Chem. Soc. Japan, 1955, 28, № 4, 273—280 (англ.).** На основе 7-окси-3-метокси-8-формилфлавона (I) (получен из 7-окси-3-метоксифлавона (см. Rangaswami S., Seshadri T. R., Proc. Indian Acad. Sci., 1939, 9A, 7, 259; Limaye S. D., Limaye, Rasayanam, 1939, 1, 161) через 3-метоксифлаво-7,8-фуран-α-карбоную к-ту (II) (для синтеза II использован метод синтеза бензофуранов по Танака) (см. Tanaka S., J. Amer. Chem. Soc., 1951, 73, 872)) осуществлен новый синтез каранджина (III, флаванол, выделенный из масла семян *Pongamia glabra* Vent.), 7,5 г I, 8 г этилового эфира броммалоновой к-ты, 30 г безводн. K<sub>2</sub>CO<sub>3</sub> в 620 мл абс. ацетона кипятят 10,5 часа, ацетон отгоняют, остаток нагревают с 5 г KOH в 50 мл воды

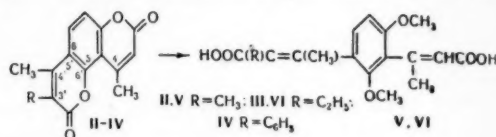


1 час, разбавляют водой, подкисляют разб. H<sub>2</sub>SO<sub>4</sub>, получают II, выход 88,2%, т. пл. 283° (разл., из сп.), метиловый эфир, т. пл. 194,5° (из метанола), этиловый эфир, т. пл. 182° (из сп.); этиловый эфир II образуется также при синтезе II (выделен из остатка после отгонки ацетона) как промежуточный продукт. 10 г II, 4 г Cu-порошка в 140 мл хинолина перемешивают в атмосфере N<sub>2</sub> при 180—190° 40 мин., фильтруют, подкисляют разб. HCl, остаток отделивают, фильтрат подщелачивают, отгоняют хинолин с паром и остаток вновь подкисляют, осадок отделивают, получают III, выход 26,5%, т. пл. 159° (из этилацетата). III нагревают с AlCl<sub>3</sub> в C<sub>6</sub>H<sub>5</sub>NO<sub>2</sub> 1 час., получают 3-окси-флаво-7,8-фуран, т. пл. 200° (из разб. сп.), ацетоксипроизводное (пиридин, (CH<sub>3</sub>CO)<sub>2</sub>O), т. пл. 177°. Щел. разложение III аналогично природному продукту (Manjunath и др., Ber., 1939, 72B, 93) (кипчение с насыщ. метанольным р-ром KOH 4 часа) дает C<sub>6</sub>H<sub>5</sub>COOH, каранджиную к-ту, т. пл. 215—216° (разл.), и метоксиметилкаранджилкетон, т. пл. 95,5°. Л. Я.

**3876. Ацилирование 5-окси-6-ацетил-4-метилкумарина по Костанецкому—Робинсону. Шах, Шах (The Kostanecki—Robinson acylation of 5-hydroxy-6-acetyl-4-methylcoumarin. Shah D. N., Shah N. M.), J. Amer. Chem. Soc., 1955, 77, № 6, 1699—1700 (англ.).**

Установлено, что 5-окси-6-ацетил-4-метилкумарин (I), диущий при ацилировании и бензоилировании по Костанецкому—Робинсону хромоно- и флавоно-2-пироны (Sethna S. M. и др., J. Chem. Soc., 1938, 228), в тех же условиях с ангидридами пропионовой, масляной и фенилуксусной к-т образует 3'-замещ. 4,4'-диметилкумарино-5',6'-(6,5)-α-пироны (II, III, IV). Смесь 5 г I, 4 г безводн. CH<sub>3</sub>CH<sub>2</sub>COONa и 10 мл (CH<sub>3</sub>CH<sub>2</sub>CO)<sub>2</sub>O кипятят при 160—170° 12 час., охлаждают и разлагают ледяной водой, получают II, выход 2 г, т. пл. 225° (из CH<sub>3</sub>COOH). Аналогично из 5 г I, 5 г

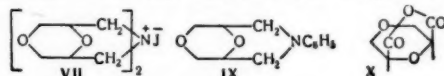
CH<sub>3</sub>(CH<sub>2</sub>)<sub>2</sub>COONa и 12 мл (CH<sub>3</sub>CH<sub>2</sub>CH<sub>2</sub>CO)<sub>2</sub>O получают 3 г III, т. пл. 205°. Из 3 г I, 3 г C<sub>6</sub>H<sub>5</sub>CH<sub>2</sub>COONa и 10 мл (CH<sub>3</sub>CO)<sub>2</sub>O получают 2 г IV, т. пл. >300°. II, III и IV не растворимы в щелочи, не окрашиваются со спирт. р-ром FeCl<sub>3</sub> и не дают бензальпроизводного с C<sub>6</sub>H<sub>5</sub>CHO.



Строение II и III подтверждено превращением их в производные метоксикоричной к-ты (V и VI) при кипячении 4 часа их насыщ. р-ра в ацетоне с 3 н-р-ром KOH и диметилсульфатом; V, т. пл. 285° (из CH<sub>3</sub>COOH); VI, т. пл. 305° (из CH<sub>3</sub>COOH). С IV такого превращения осуществить не удалось. Г. К.

**3877. Конфигурация 3,6-бис-(подметил)-п-диоксанов и 2,6-п-диоксандикарбоновых кислот. Структура диэпинодигидрина. Саммербелл, Стивенс (The configurations of 2,6-bis-(iodomethyl)-p-dioxanes and 2,6-p-dioxandicarboxylic acids. The structure of diepiiodohydrin. Summerbell R. K., Stephens James R.), J. Amer. Chem. Soc., 1954, 76, № 3, 731—734 (англ.).**

При циклизации диаллилового эфира под действием Hg(OCOCCH<sub>3</sub>)<sub>2</sub>, превращении образовавшегося дигривного производного в хлорид и кипячении последнего с р-ром I<sub>2</sub> в CHCl<sub>3</sub> (Несмеянов А. Н., Лущенко И. Ф., Изв. АН СССР, Отд. хим. н., 1943, 296) образуется два изомерных 2,6-бис-(подметил)-п-диоксана (I) и (II). п-Диоксановая структура I и II доказана окислением (HNO<sub>3</sub>) в соответствующие п-диоксандикарбоновые-2,6-к-ты (III) и (IV) и превращением их в диметилловые эфиры (V) и (VI). При действии водн. KOH IV превращается в III. Ранее полученный диэпинодигидрин (Stoehr C., J. prak. Chem., 1897, [2], 55, 78; Fauconnier M., Sanson J., Bull. soc. chim., 1887, (2), 48, 237; Billman E., Ber., 1900, 33, 1644; Sand J., Ber., 1901, 34, 1394) очевидно является 2,5-бис-(подметил)-п-диоксаном. I с NH<sub>3</sub> дает листый бис-(2,6-п-диоксандиметил)-аммоний (VII), а II и NH<sub>3</sub> дают в-во, устойчивое только в р-ре и идентифицированное в виде транс-2,6-бис-(бензамидометил)-п-диоксана (VIII), что согласуется с рассмотрением молекулярных моделей цис- и транс-изомеров. I и C<sub>6</sub>H<sub>5</sub>NH<sub>2</sub> дают 3-фенил-7,9-диокса-3-азабикло-[3,3,1]-нонан (IX); II и C<sub>6</sub>H<sub>5</sub>NH<sub>2</sub> не образуют индивидуального в-ва. При действии кипящего (CH<sub>3</sub>CO)<sub>2</sub>O на III образуется ангидрид п-диоксандикарбоновой-2,6-к-ты (X), который при гидролизе дает



опять III. Таким образом, I, III и V являются цис-, а II, IV и VI транс-2,6-дизамещ. п-диоксана. Т-ры плавления всех цис-изомеров, описанных в этой работе, выше т-р плавления соответствующих транс-изомеров. При рассмотрении молекулярных моделей видно, что геометрия п-диоксанового кольца аналогична геометрии циклогексанового кольца, поэтому для 2,6-дизамещ. диоксанов вполне приложима теория полюсно-экваториального расположения связей. В соответствии с этой теорией цис-конфигурация 2,6-дизамещ. п-диоксанов (как и в 1,3-дизамещ. циклогексанах) является более устойчивой, чем транс-конфигурация. Смесь 3 молей I<sub>2</sub>, 1,7 моля порошкообразного 2,6-бис-(хлорметилметил)-п-диоксана и 3 л CH<sub>3</sub>OH кипятят 24 часа, жидкость

декантируют и выпаривают досуха в вакууме; остаток экстрагируют 2 л горячего  $\text{CHCl}_3$ , р-тель удаляют, к остатку добавляют конц. водн. р-р  $\text{KJ}$  и нагревают смесь (перемешивание) до растворения  $\text{Hg}$ -соли, получают смесь I и II, выход 35%, т. пл. 57—82° (из  $\text{CH}_3\text{OH}$ ). При многократной кристаллизации смеси I и II (из  $\text{CH}_3\text{OH}$ ) получен чистый I, т. пл. 92°; маточные р-ры выпаривают, полученное в-во (т. пл. 56°) растворяют в  $\text{CH}_3\text{OH}$ , р-р оставляют медленно выпариваться, изомеры I и II кристаллизуются раздельно. II, т. пл. 70°. Кривые ИК-спектров поглощения для I, II и диэпилогидрина (в  $\text{CHCl}_3$ ) различны, особенно в пределах от 10,3 до 11,6  $\mu$ . Смесь 7 г I и 110 мл  $\text{HNO}_3$  ( $d$  1,42) нагревают при 100° до образования сиропа, добавляют воду и вновь концентрируют р-р до состояния сиропа; эту операцию повторяют до исчезновения запаха  $\text{HNO}_3$ , смесь упаривают досуха, остаток растворяют в смеси диоксана и  $\text{C}_6\text{H}_6$  (3:1), р-р фильтруют в 3-кратный объем петлана, осадок нагревают 1,5 часа при 100°/5 мм, получают III, выход 69%, т. пл. 177—178°. Аналогично из 0,0472 моля II получают IV, выход 69%, т. пл. 162°. К р-ру 84,7 мг III в 20 мл эфира добавляют избыток эфирного р-ра  $\text{CH}_3\text{N}_2$ , получают V, выход 67%, т. пл. 103° (из лигр.). Аналогично из 19,8 мг IV получают VI, выход 76%, т. пл. 89°. Смесь 288 мг IV, 2 г  $\text{KOH}$  и 7,5 мл воды нагревают 12 час. при 90°, подкисляют конц.  $\text{HCl}$ ; кислый р-р выпаривают досуха, остаток нагревают 15 мин. при 115°; к остатку добавляют 50 мл эфира и избыток эфирного р-ра  $\text{CH}_3\text{N}_2$ , получают 98,3 г V. Смесь 0,00544 моля I и 30 мл конц. водн.  $\text{NH}_3$  нагревают в ампуле 1,5 часа при 140°; р-р выпаривают досуха, остаток сушат при 105° и экстрагируют 100 мл кипящего абс.  $\text{CH}_3\text{OH}$ , спиртовой р-р упаривают до 50 мл, осадок (72%) растворяют в воде и осаждают конц. водн.  $\text{NaOH}$ , осадок нагревают 2 часа при 90°, получают VII, т. пл. 263—267° (разл., из сп.). Смесь 0,00272 моля II и 15 мл конц. водн.  $\text{NH}_3$  нагревают 1,5 часа при 140°; р-р фильтруют, к фильтрату добавляют 3 г  $\text{NaOH}$ , пропускают ток  $\text{N}_2$  до исчезновения запаха  $\text{NH}_3$  и добавляют 1 мл  $\text{C}_6\text{H}_5\text{COCl}$ , смесь встряхивают 5 мин., получают VIII, выход 16%, т. пл. 175° (из лигр.-сп.). Смесь 0,00272 моля I, 0,0136 моля  $\text{C}_6\text{H}_5\text{NH}_2$  и 10 мл ксилола кипятят 5 час.; профильтрованную смесь подвергают перегонке с паром до удаления ксилола и  $\text{C}_6\text{H}_5\text{NH}_2$ , к остатку прибавляют  $\text{H}_2\text{SO}_4$  (до конц.-ии 6 н.) и нагревают при перемешивании 15 мин. при 100°; охлажд. смесь фильтруют, фильтрат подщелачивают ( $\text{NaOH}$ ); осадок сушат и экстрагируют лигроином, из которого получают IX, выход 22%, т. пл. 134° (из лигр.). При аналогичной обработке смеси, полученной при кипячении (5 час.) 0,00272 моля II с 0,0136 моля  $\text{C}_6\text{H}_5\text{NH}_2$  в 10 мл ксилола, получают смолу. Смесь 0,00954 моля III и 50 мл  $(\text{CH}_3\text{CO})_2\text{O}$  кипятят до получения объема в 5 мл, удаляют остаток  $(\text{CH}_3\text{CO})_2\text{O}$  в вакууме при 80°, прибавляют 50 мл гексана, к смеси при перемешивании постепенно добавляют 15 мл  $\text{C}_6\text{H}_6$ ; кристаллы растворяют в 25 мл горячего  $\text{C}_6\text{H}_6$ , р-р выливают в 40 мл гексана, получают X, выход 76%, т. пл. 106°. 0,33 г X растворяют в 5 мл воды и р-р выпаривают досуха при 105°; получают 0,34 г III.

Г. Ш. 3878. Производные бенз-1,4-диоксана. Часть III. Хертье, Нейман-Кнапе, Талема, Фасен (Derivatives of benzo-1:4-dioxan. Part III. Heertjes P. M., (Mrs.), Nijman-Knape A. A., Talsma H., Faasen N. J.), J. Chem. Soc., 1955, Apr., 1313—1316 (англ.)

Нитрованием 6-ацетамидобенз-1,4-диоксана (I)  $\text{HNO}_3$  получают 6-ацетамидо-7,8-динитробенз-1,4-диоксан (II), который получают также аналогичным нитрованием 6-ацетамидо-7-нитробенз-1,4-диоксана. Деацетилюро-

ванием II получен 6-амино-7,8-динитробенз-1,4-диоксан (III). После диазотирования III и разложения диазосоединения выделен 7,8-динитробенз-1,4-диоксан (IV). Нитрование IV  $\text{HNO}_3$  дало 5,7,8-тринитробенз-1,4-диоксан (V), который синтезировали следующим образом: кипячением с водн.  $\text{HBr}$  (к-той) 3,6-динитрогваякол (VI) был переведен в 3,6-динитропропикатехин (VII), при р-ции которого с дибромэтаном получен 5,8-динитробенз-1,4-диоксан (VIII). Нитрование VIII приводит к V. Восстановлением IV  $\text{Sn}$  в  $\text{HCl}$  (к-те) синтезирован 7,8-диаминобенз-1,4-диоксан (IX). Последний дает продукт конденсации с фенантрахиномом, что доказывает орто-положение  $\text{NH}_2$ -групп. Нагреванием IV с водн.  $\text{NH}_3$  в спирте получен 8-амино-7-нитробенз-1,4-диоксан (X). Ацетилированием X получен 8-ацетамидонитробенз-1,4-диоксан (XI). Диазотирование X с последующим разложением диазосоединения привело к 7-нитробенз-1,4-диоксану (XII). При нагревании III с конц.  $\text{HCl}$  и  $\text{NaNO}_2$  в спирте получен 7-хлор-8-нитробенз-1,4-диоксан (XIII). Восстановление XIII скелетным  $\text{Ni}$  или  $\text{Sn}$  в  $\text{HCl}$  (к-те) приводит к 8-амино-7-хлорбенз-1,4-диоксану (XIV), после обработки которого  $(\text{CH}_3\text{CO})_2\text{O}$  выделен 8-ацетамидо-7-хлорбенз-1,4-диоксан (XV). Диазотированием XIV с последующим разложением диазосоединения синтезировали 7-хлорбенз-1,4-диоксан (XVI), нитрованием которого получен 7-хлор-6-нитробенз-1,4-диоксан (XVII). После диазотирования 5-ацетамидо-7-аминобенз-1,4-диоксана (XVIII) и последующего разложения диазосоединения выделен 5-ацетамидо-7-хлорбенз-1,4-диоксан (XIX). 46 г I прибавляют порциями к  $\text{HNO}_3$  (смесь 400 мл,  $d$  1,40 и 100 мл,  $d$  1,52) при 10°. Разбавляют 500 мл воды и выделяют II, выход 76%, т. пл. 230,8—231,0° (из ацетона). 200 г II кипятят 4 часа в 750 мл спирта и 75 мл конц.  $\text{HCl}$  и получают III, т. пл. 215,7—216,3° (из сп.). 20 г III диазотируют (500 мл лед.  $\text{CH}_3\text{COOH}$  17 г  $\text{NaNO}_2$ , 200 мл конц.  $\text{H}_2\text{SO}_4$ , 15°), смесь выливают в 400 мл абс. спирта и прибавляют 1 г порошкообразной  $\text{Cu}$ . Через 24 часа разбавляют водой и отделяют IV, выход 82%, т. пл. 185,6—186,1° (из сп.). Нитрованием 2 г IV (25 мл  $\text{HNO}_3$ ,  $d$  1,52, 10°, 0,5 часа) синтезируют V, т. пл. 180,4—181° (из сп. и  $\text{iso-C}_6\text{H}_5\text{OH}$ ). 5,2 г VI кипятят 0,5 часа с 52 мл 48%-ной  $\text{HBr}$  и после охлаждения и разбавления водой отделяют VII, выход 95%, т. пл. 169,4—169,7° (из водн. сп.). При взаимодействии VII с дибромэтаном (см. часть II, РЖХим, 1955, 18739) после промывки бензольного р-ра 2 н.  $\text{KOH}$  и водой получают VIII, выход 15%, т. пл. 99,6—102,5° (из лигр.). Нитрованием VIII  $\text{HNO}_3$  ( $d$  1,52) синтезируют V, выход 90%. 5 г IV нагревают (2 часа, 90°) с 40 мл конц.  $\text{HCl}$ , 20 мл воды и 10 г  $\text{Sn}$  и выделяют IX, т. пл. 101,9—102,9°. Продукт конденсации IX с фенантрахиномом, т. пл. 292—294°. В запаянной ампуле нагревают (130—150°, 3 часа) 5 г IV, 5,5 мл конц. водн.  $\text{NH}_3$  и 20 мл спирта, охлаждают и отделяют X, выход колич. т. пл. 142,8—143,3° (из сп.). Из 0,5 г X получают  $(\text{CH}_3\text{CO})_2\text{O}$ , 20 мл лед.  $\text{CH}_3\text{COOH}$ , 75°, 0,5 часа XI, т. пл. 185,9—186,7° (из воды). 6 г  $\text{NaNO}_2$  прибавляют (15 мин., 40°) к смеси 20 г III, 200 мл спирта и 20 мл конц.  $\text{HCl}$ , кипятят 0,5 часа и после разбавления выделяют XIII, выход 78%, т. пл. 75,6—76,3° (из водн.  $\text{CH}_3\text{OH}$ ; 1:1). XIII гидрируют над скелетным  $\text{Ni}$  в  $\text{C}_6\text{H}_6$ , пропуская  $\text{HCl}$  (газ) в фильтрат получают хлоридат XIV, выход 97%. XIV получают также при кипячении 10 г XIII с 50 мл конц.  $\text{HCl}$ , 50 мл спирта и 15 г  $\text{Sn}$ . XIV переводят в XV, т. пл. 155,9—156,7° (из бzl.). После диазотирования XIV и кипячения смеси со спиртом получают XVI, т. кип. 98—102°/4 мм. При нитровании XVI выделяют XVII, т. пл. 161,7—162,2°. 0,9 г XVIII в 3 мл конц.  $\text{HCl}$  и 5 мл воды диазотируют (10°) 0,35 г  $\text{NaNO}_2$  в 3 мл воды, выливают в р-р 0,6 г  $\text{Cu}_2\text{Cl}_2$  в 3 мл конц.  $\text{HCl}$  и через 24

часа (20°) отделяют XIX, т. пл. 135,6—136,2° (из воды).  
П. Т.

**3879.** Производные тиафена, представляющие биологический интерес. Часть X. 5-замещенные тиафенальдегида-2 и их производные. Бю Хой, Лави, Сын Нг (Thiophen derivatives of biological interest. Part X. 5-substituted 2-thienaldehydes and derivatives. Buu-Hoi Ng. Ph., Lavit Denise, Xuong Ng. D.), J. Chem. Soc., 1955, May, 1581—1583 (англ.)

Синтезирован ряд 5-замещ. тиафенальдегидов-2 (I), их тиосемикарбазоны (ТСК) и их 4-оксо-Δ<sup>2</sup>-тиазолинил-2-гидразоны (ОТГ) с целью изучения их туберкулостатич. активности и способности к подавлению роста опухолей. Восстановлением 2-алкилтиофенов (II) получают соответствующие 2-алкилтиофены (III), которые при взаимодействии с N-метилформанилидом (IV) дают I (King, Nord, J. Organ. Chem., 1948, 13, 635; J. Chem. Soc., 1952, 4590; РЖХим, 1953, 1673). При конденсации I с изоникотиноилгидразином получают соответствующие изоникотиноилгидразоны (ИНГ). Взаимодействием ТСК I с CH<sub>3</sub>ClCOOH получают соответствующие ОТГ (Chabrier, Bull. Soc. chim. France, 1947, 14, 797; 1950, 17, 48). Из тиафена и хлорагидридов к-т по Фриделю — Крафцу в присутствии SnCl<sub>4</sub> в р-ре CS<sub>2</sub> (РЖХим, 1955, 37295) синтезированы следующие II: 2-гексаилолтиофен, т. кип. 159°/13 мм, n<sub>D</sub><sup>24</sup> 1,5285, семикарбазон (СК), т. пл. 117° (из сп.), 2-н-деканолтиофен, т. кип. 205°/22 мм, n<sub>D</sub><sup>27</sup> 1,5170; СК, т. пл. 114°; 2-гексагидробензоилтиофен, т. кип. 162°/13 мм, т. пл. 44° (из лигр.); СК, т. пл. 152° (из сп.); 2-β-циклогексилпропионилтиофен, т. кип. 188°/13 мм, n<sub>D</sub><sup>18</sup> 1,5542; 2-(4-циклогексилгексаилолтиофен, т. кип. 217°/14 мм, n<sub>D</sub><sup>23</sup> 1,5428; СК, т. пл. 149° (из CH<sub>3</sub>OH); 2-ω-циклопентилтридеканолтиофен, т. кип. 260—263°/13 мм, n<sub>D</sub><sup>25</sup> 1,5205. Из II получены следующие III (указаны заместители, т. кип. в °C/мм и n<sub>D</sub> (t-ра в °C): н-бутил-, 182, 1,5070 (24); изоамил-, 196—198, 1,5040 (24); н-амил-, 204, 1,5055 (20); н-гексил-, 114/14, 1,5026 (24); н-гептил-, 127/18, 1,4998 (24); н-октил-, 139/15, 1,4970 (23); н-децил-, 170/16, 1,4932 (27); 4'-трет-бутилбензил-, 177/14, 1,5635 (26); циклогексилметил-, 129/18, 1,5350 (24); 3'-циклогексил-н-пропил-, 157/13, 1,5272 (21); 4'-циклогексил-н-гексил-, 185—187/15, 1,5220 (21); ω-циклопентил-н-тридецил-, 242—248/20, 1,5045 (24); 2-н-гексил-5-метил-, 116/14, 1,5010 (24); 2-н-гептил-5-метил-, 129/15, 1,4982 (24); 2-циклогексилметил-5-метил 141/22, 1,5330 (20); β-фенил-, 152/15, 1,5854 (24). При взаимодействии III с IV или при нагревании (10—12 час.) с диметилформанидом получают следующие I: н-бутил-, т. кип. 145°/18 мм, n<sub>D</sub><sup>20</sup> 1,5517; ТСК, т. пл. 105°; ОТГ, т. пл. 195° (разл.); ИНГ, т. пл. 148°; изоамил-, т. кип. 152—154°/18 мм, n<sub>D</sub><sup>25</sup> 1,5460; ТСК, т. пл. 121°; ОТГ, т. пл. 198°; ИНГ, т. пл. 162°; н-амил-, т. кип. 150°/14 мм; n<sub>D</sub><sup>19</sup> 1,5480; ТСК, т. пл. 106°; ОТГ, т. пл. 194°; ИНТ, т. пл. 130°; н-гексил-, т. кип. 160°/13 мм, n<sub>D</sub><sup>23</sup> 1,5415; ТСК, т. пл. 99°; ОТГ, т. пл. 178°; ИНГ, т. пл. 121°; н-гептил-, т. кип. 173°/13 мм; n<sub>D</sub><sup>26</sup> 1,5338; ТСК, т. пл. 102°; ОТГ, т. пл. 180°; ИНГ, т. пл. 122°; н-октил-, т. кип. 190°/14 мм, n<sub>D</sub><sup>25</sup> 1,5310; ТСК, т. пл. 94°; ОТГ, т. пл. 168°; ИНГ, т. пл. 122°; н-децил-, т. кип. 210—212°/14 мм, n<sub>D</sub><sup>24</sup> 1,5250; ТСК, т. пл. 92°; ОТГ, т. пл. 157°; ИНГ, т. пл. 124°; фенил-, 208°/14 мм, n<sub>D</sub><sup>24</sup> 1,6165; ТСК, т. пл. 141°; ОТГ, т. пл. 217°; ИНГ, т. пл. 180°; 4'-трет-бутилбензил-, т. кип. 218—220°/13 мм, n<sub>D</sub><sup>24</sup> 1,5910; ТСК, т. пл. 170°

(разл.); ОТГ, т. пл. 238° (разл.); ИНГ, т. пл. 183°; циклогексилметил-, т. кип. 180°/13 мм, n<sub>D</sub><sup>23</sup> 1,5708; ТСК, т. пл. 147°; ОТГ, т. пл. 240° (разл.); ИНГ, т. пл. 187°; 3'-циклогексил-н-пропил-, т. кип. 215°/18 мм, n<sub>D</sub><sup>24</sup> 1,5550; ТСК, т. пл. 150°; ОТГ, т. пл. 218° (разл.); ИНГ, т. пл. 144°; 4'-циклогексил-н-гексил-, т. кип. 236°/17 мм, n<sub>D</sub><sup>23</sup> 1,5470; ТСК, т. пл. 91°; ОТГ, т. пл. 170°; ИНГ, т. пл. 116°; ω-циклопентил-н-тридецил-, т. кип. 270—275°/15 мм, n<sub>D</sub><sup>22</sup> 1,5219; 2,4-динитрофенилгидразон, т. пл. 155° (из CH<sub>3</sub>COOH); п-хлорбензоилгидразон, т. пл. 126° (из сп.); салицилолгидразон, т. пл. 151° (из сп.); 5-хлорсалицилолгидразон, т. пл. 170° (из сп.); ТСК, т. пл. 82°; ОТГ, т. пл. 152° (ТСК и ИНГ кристаллизуются из сп., ОТГ — из сп. или из CH<sub>3</sub>COOH). Часть IX см. РЖХим, 1956, 821.

**3880.** 5-диалкиламино-1-(2-тиенил)-пентен-1-оны-3 и родственные соединения. Бриттон, Колдуэлл, Нобле (5-Dialkylamino-1-(2-thienyl)-1-penten-3-ones and related compounds. Britton Samuel B., Caldwell H. Cecil, Nobles W. Lewis, J. Amer. Pharm. Assoc. Scient. Ed., 1954, 43, № 11, 644—645 (англ.))

С целью изучения фармакологич. активности ви-ниолов 2-(β-диметиламинопропионил)-тиофена, обладающего местноанестетич. (Levy G. A., Nisbet H. B., J. Chem. Soc., 1938, 1053) и спазмолитич. действиями (Denton J. J. и др., J. Amer. Chem. Soc., 1949, 71, 2048, 2050, 2053, 2054) из 4-(2-тиенил)-бутен-3-она-2 (I) по р-ции Манниха получены 5-диалкиламино-1-(2-тиенил)-пентен-1-оны-3 (II). I получают взаимодействием тиофен-2-альдегида (III) с ацетоном (Keskin H. и др., J. Organ. Chem., 1952, 16, 199). При получении III формилированием тиофена диметилформанидом (см. РЖХим, 1953, 4583) авторы для выделения III из реакционной смеси нейтрализовали образовавшуюся HCl (к-ту) р-ром эквивалентного кол-ва CH<sub>3</sub>COONa, что привело к немедленному отделению альдегидного слоя, выход III достигал 65—70%. Р-р 0,1 моля I, 0,1 моля (CH<sub>3</sub>)<sub>2</sub>NH·HCl, 4,5 г параформальдегида в 20—25 мл абс. спирта, содержащего 2—3 капли конц. HCl, кипятят 2 часа, выливают в 100 мл ацетона, медленно охлаждают до ~20°, затем сильно охлаждают и отфильтровывают хлоргидрат 5-диметиламино-1-(2-тиенил)-пентен-1-он-3, выход 65%, т. пл. 172° (из сп. + эф.). Аналогично получают II (приводится название замещ. аминогруппы, выход в %, т. пл.): диэтиламино-, 49, 100—101; диэтилоламино-, 21, 107—108; дипропиламино-, 51, 124—125; диизопропиламино-, 27, 212—214; 4-морфолинил-, 68, 172—173; 1-пирролидил-, 30, 169—170; 1-пиперидил-, 68, 189—190; 1-(2-метилпиперидил)-, 48, 195—196; дибензил-амино-, 22, 213. В случае невозможности получения хлоргидрата вторичного амина в кристаллич. виде, вторичный амин растворяют в 20—25 мл абс. спирта, подкисляют по лакмусу конц. HCl, к р-ру прибавляют I, параформальдегид и далее работают обычным методом.

**3881.** Исследования в области химии гетероциклов. XXVII. α,β-Ацетиленовые кислоты тиафенового ряда и их эфиры. Осбар, Вайтиекунас, Норд (Studies on the chemistry of heterocyclics. XXVII. α,β-Acetylenic acids and their esters in the thiophene series. Osbar A. J., Vaitiekunas A., Nord F. F.), J. Amer. Chem. Soc., 1955, 77, № 7, 1911—1912 (англ.)

Эфиры α,β-ацетиленовых к-т тиафенового ряда RC≡C≡CCOOC<sub>2</sub>H<sub>5</sub> (I) получены взаимодействием Na-производных этилтиофенов с ClCOOC<sub>2</sub>H<sub>5</sub> (II) методом, описанным ранее (см. сообщение XXVI, РЖХим, 1955, 48939) с теми отличиями, что II был дан в избытке



(0,05 моля этилтиофена 0,05 моля  $\text{NaNH}_2$  в 350 мл жидкого  $\text{NH}_3$ , 0,3 моля II в 35 мл абс. эфира, 0—5°), смесь перемешивалась 4 часа при ~200 после удаления  $\text{NH}_3$ . Встряхивание (48 час., ~20°) р-ра I в I в 15 мл  $\text{C}_6\text{H}_6$  с 25 мл 1,5 н.  $\text{NaOH}$  приводит к соответствующим к-там  $\text{RC}\equiv\text{SCOOH}$  (III). Получены I и III (пересчитывая R, выход I в %, т. кип. °C/1 мм., выход III в %, т. пл. °C): тиенил-2, 91, 95—98, 85, 130—133; 5-хлор-тиенил-2, 45, 56—58, 45, 118—120; 3-метилтиенил-2, 70, 65—67, 60, 115—118; 2,5-дихлортиенил-3, 80, 92—95, 79, 139—141. Попытка карбоксилирования Na-производного 2-этилтиофена привела лишь к образованию небольшого кол-ва тиофенкарбоновой-2 к-ты. Г. К.

**3882. Синтез 2,2-дитенолдисульфида.** Бори, Мезанги, Слезьона (Préparation d'un dérivé thiophénique, le disulfure de 2,2'-dithényle. Bory Louis, Mésanguy Maurice, Sleziona Joseph, Ann. pharm. franç., 1954, 12, № 9—10, 673—674 (франц.))

По аналогии с дибензолдисульфидом, получившим применение в медицине, для фармакологич. изучения синтезирован 2,2'-дитенолдисульфид (I). Описаны 2 способа синтеза I: а) 54 г 2-тиоенилхлорида (II), полученного действием  $\text{SOCl}_2$  на тиофенкарбоновую-2 к-ту, прибавляют (за 30 мин., при размешивании) к спирт. р-ру  $\text{KSH}$ , приготовленному из  $\text{H}_2\text{S}$  и 50 г  $\text{KOH}$ , через сутки образовавшийся р-р К-соли тиофенкарбоновой-2 к-ты подкисляют  $\text{HCl}$  (к-той) и обрабатывают 50 мл 30%-ной  $\text{H}_2\text{O}_2$ , с исчезновением желтой окраски р-ра выпадает осадок I, выход 80%, т. пл. 125° (испр., из сп.); б) к р-ру 28,8 г  $\text{Na}_2\text{S}_2\text{O}_3$  в 30 мл воды добавляют р-р 12 мл II в 60 мл спирта, через 48 час. образуется осадок I, выход 52%. А. Т.

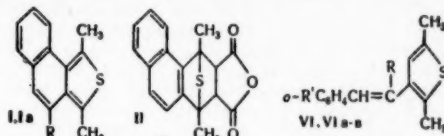
**3883. Конденсация бензолсульфохлорида с тиофенами по Фриделю — Краффеу.** Труе, Лотспейч (Friedel — Crafts condensations of benzenesulfonyl chloride with thiophenes. Truce William E., Lotspeich Frederick J., J. Amer. Chem. Soc., 1955, 77, № 12, 3410—3411 (англ.))

Фенил-2,5-дихлор-3-тиенилсульфон (I) получен конденсацией 2,5-дихлортиофена (II) с бензолсульфохлоридом (III) в присутствии  $\text{AlCl}_3$ . Распространить эту р-цию на тиофен, 2,5-диметилтиофен (IV), 2,5-дииндтиофен и 2-хлор-5-индтиофен не удалось, в присутствии  $\text{AlCl}_3$ ,  $\text{FeCl}_3$ ,  $\text{SnCl}_4$  или  $\text{J}_2$  получают только смолы. К смеси 0,1 моля III и 0,1 моля  $\text{AlCl}_3$  и 50 мл  $\text{CS}_2$  при перемешивании добавили 0,1 моля II, перемешивали 47 час. при ~20°, вылили в смесь льда с  $\text{HCl}$  (к-та), отфильтровали осадок, экстрагировали горячим  $\text{CH}_3\text{OH}$ ; из фильтрата удален  $\text{CS}_2$  и остаток извлечен  $\text{CH}_3\text{OH}$ , общий выход I 7 г, т. пл. 126,5—128° (из метанола). 0,1 моля II медленно добавили при перемешивании к 0,134 моля  $\text{HSO}_3\text{Cl}$  при 10°, вылили на лед, нейтрализовали 10%-ным  $\text{NaOH}$ , упарили, экстрагировали горячим  $\text{CH}_3\text{OH}$ , получили 2,5-дихлор-3-тиофенсульфоновокислый натрий (V), выход 66%. 0,0664 моля V и 0,134 моля  $\text{PCl}_5$  нагревали 8 час. на паровой бане, экстрагировали  $\text{CCl}_4$ , отогнали, полученный сульфохлорид в 50 мл  $\text{C}_6\text{H}_6$  добавили по каплям при перемешивании к 100 мл  $\text{C}_6\text{H}_6$  с 0,075 моля  $\text{AlCl}_3$ , перемешивали 15 час. при ~20° и 2 часа при 80°, вылили в лед с  $\text{HCl}$  (к-та), получили I, выход 56%. Л. В.

**3884. Многоядерные тиофены 1,3-диметил-4,5-бензизотиафен.** Сообщения III. Дани, Дистлер (1,3-Dimethyl-4,5-benz-isothionaphthen (Mehrkernige Thiophene, III. Mitteil.) Danni Otto, Distler H a g g y, Chem. Ber., 1954, 87, № 3, 365—383 (нем.))

Осуществлен синтез 1,3-диметил-4,5-бензизотиафена (I), получен его аддукт с маленновым ангидридом (II) и сделано заключение, что по своему УФ-спектру и поведению в диеновом синтезе он имеет сходство

с карциногенным 9,10-диметил-1,2-бензантраценом. Описан синтез 2-(2-тиенилметил)-имидазолина (III).



I R=H; Ia R=COOH; VI R=COOH, R'=NO<sub>2</sub>; VIa R=COOH, [R'=NH<sub>2</sub>; VIb R=H, R'=NO<sub>2</sub>; VIc R=H, R'=NH<sub>2</sub>

Смесь 10 г 2,5-диметил-3-ацетилтиофена, 18 мл диоксана, 22 мл конц. р-ра  $\text{NH}_3$ , 15 г S и 12 мл р-ра многосернистого аммония нагревают в запаянной трубке до 160° 4 часа (р-ция Вильгердта). Р-р упаривают, получают амид (2,5-диметилтиенил-(3)-уксусной к-ты (IV), выход 70% (в автоклаве 53%), т. пл. 147—148° (из 20%-ной  $\text{CH}_3\text{COOH}$ ). Для омыления одну вес. ч. IV кипятят 12 час. в 10 ч.  $\text{CH}_3\text{OH}$  с 1 ч.  $\text{KOH}$  и 0,5 ч.  $\text{H}_2\text{O}$ , получают (2,5-диметилтиенил-(3)-уксусную к-ту (V), выход 54%, т. пл. 68—70°. Конденсация V (12 г Na-соли V, высушенной при 130°) с 2-нитробензальдегидом (12,7 г) осуществляется при кипячении их в  $(\text{CH}_3\text{CO})_2\text{O}$  (140 мл) за 7 час. при 160—170° в присутствии  $\text{ZnCl}_2$  (2 г; плав., измелчен под  $(\text{CH}_3\text{CO})_2\text{O}$ ). Для гидролиза  $(\text{CH}_3\text{CO})_2\text{O}$  в горячий р-р по каплям вносят 100 мл  $\text{H}_2\text{O}$ , по охлаждению выливают в 1 л  $\text{H}_2\text{O}$  и после стояния в течение 12 час. выделяют сырую 2-нитро-α-(2,5-диметилтиенил-(3)-коричную к-ту (VI). Для очистки растворяют ее в 0,5 л 1 н.  $\text{NaOH}$ , р-р извлекают  $\text{CCl}_4$  и подкисляют, выход 62%, т. пл. 198° (из  $\text{CH}_3\text{COOH}$ ). Восстановление VI солью Мора дает 2-амино-α-(2,5-диметилтиенил-(3)-коричную к-ту (VIa). К 110 г  $\text{Fe}(\text{NH}_4)_2(\text{SO}_4)_2 \cdot 6\text{H}_2\text{O}$  в 0,75 л горячей  $\text{H}_2\text{O}$  вносят 250 мл конц. р-ра  $\text{NH}_3$  и суспензию 10,3 г VI в 100 мл 10%-ного р-ра  $\text{NH}_3$ . При перемешивании и пропускании  $\text{NH}_3$  смесь кипятят 2 часа, фильтруют, охлаждают и доводят до pH 5. Получают хлоридат VIa, выход 66%, т. пл. 215—217° (из 2 н.  $\text{HCl}$ ); свободную к-ту получают нейтр-цией рассчитанным кол-вом соды в воде. Из VIa получена 1,3-диметил-4,5-бензизотиафен-7-карбоновая к-та (Ia). В р-р 70 мл конц.  $\text{H}_2\text{SO}_4$  в 800 мл  $\text{H}_2\text{O}$  внесено 30 г VIa и 20 г  $\text{KOH}$  в 400 мл  $\text{H}_2\text{O}$ . К полученному р-ру при 0° в течение 1 часа каплями добавляют 25 г  $\text{NaNO}_2$  в 150 мл  $\text{H}_2\text{O}$  и смесь еще перемешивают 4 часа при 0—3°. Избыток нитрита удаляют прибавлением 25 г  $\text{NH}_4\text{SO}_3\text{H}$  в 200 мл  $\text{H}_2\text{O}$ , р-р фильтруют и смешивают с пастой меди, полученной из 250 г  $\text{CuSO}_4 \cdot 5\text{H}_2\text{O}$  по Гаттерману (Ber. Dtsch. chem. Ges., 1890, 23, 1219). После 5 час. перемешивания смесь выдерживают в течение 12 час., выделенный серозеленый осадок настаивают с разб. р-ром  $\text{NaOH}$  и из фильтрата, разб.  $\text{H}_2\text{SO}_4$ , высаживают хлопья Ia, выход 60—65%. 0,8 г последней этерифицируют диазометаном в ацетоне. Перегранный в вакууме метиловый эфир омыляют кипячением его 5 час. с 10%-ным метанолным р-ром  $\text{KOH}$ . Ia в запаянной капилляре, т. пл. 226—227° (разл., разб.  $\text{CH}_3\text{COOH}$ ) в открытом — т. пл. 215°. Из VIa приготовлен также I без выделения Ia. Для этого «серозеленый» осадок сушат при 70°, смешивают с небольшим кол-вом порошка Cu (Naturkupper C) и  $\frac{1}{3}$  ч. смеси (≈30 г), при помешивании, порциями по 2—3 г, вносят в 100 мл хинолина, нагретого до 210—230°. По окончании р-ции смесь при ≈180° вносят в холодный р-р 100 мл конц.  $\text{H}_2\text{SO}_4$  в 1 л  $\text{H}_2\text{O}$ . Осадок отфильтровывают, промывают разб.  $\text{H}_2\text{SO}_4$ , отмучивают горячим ацетоном и отфильтрованный ацетоновый р-р смешивают с 1 л бензина (т. кип. 60—70°). Полученный осадок отделяют, а

фильтрат отмыкают 1%-ным  $H_2SO_4$ , 1%-ным  $NaOH$ , водой, сушат и пропускают через колонку с  $Al_2O_3$  высотой 27 см, диам. 4,5 см. I — в желтой зоне; его извлекают бензином (2 л) и последний отгоняют. Такие остатки от переработки всех трех частей перегнаны при 135—150°/4 мм; пикрат I, т. пл. 148—149° (абс. сп.). Последний разлагают обработкой  $NaOH$  в эфире, эфир отгоняют и I перегоняют при 0,4 мм, выход 4%, т. пл. 82,5—83° (из сп.), УФ-спектр (полосы: 229, 254, 265, 272, ~280, 335; ~350 мμ) находится между спектрами 1,2-бензантрацена (VII) и фенантрена, но ближе к первому, чем ко второму, что особенно выступает при сравнении кривых абсорбции в длинноволновой области. Малениновый ангидрид (10 г) и I (1 г в 25 мл ацетона) вступают в диеновый синтез. После 6 час. кипячения реакционную смесь вносят в р-р 2 г  $NaOH$  в 0,5 л  $H_2O$  и извлекают эфиром ангидрид 1,4-диметил-1,4-эндиол-1,2,3,4-тетрагидрофенантрен-2,3-дикарбоновой к-ты II, т. пл. 169—170° (из сп. или метанол-диоксан). Аддукт получен также сплавлением компонентов (50 мл VI и 0,5 г маленинового ангидрида, при 160°, 1 час). УФ-спектр II (полосы 237, 284 мμ) близок к спектру аддукта маленинового ангидрида и VII, чем подтверждается строение II. Декарбоксилированием VI получен β-(2,5-диметилтиенил)-(3)-1-2-нитроэтирол (VIb). Для этого 10 г VI и 1 г медно-хромового катализатора нагревают ≈ 30 мин. при 230° в 30 мл хинолина, вносят в избыток разб.  $H_2SO_4$ , продукт р-ции извлекают ацетоном и очищают добавкой эфира. VIb получен в 8 опытах, всего 10 г, т. кип. 205—212°/1,5 мм, т. пл. 98—99° (из  $CH_3COOH$ -диоксана). Восстановлением 2 г VIb в 25 мл  $CH_3COOH$  посредством 15 мл конц.  $HCl$  и 5 г  $Zn$  (кипячение 2 часа) получен β-(2,5-диметилтиенил)-(3)-2-аминоэтирол (VIв), т. кип. 120—160° (т-ра бани)/0,4 мм; хлоргидрат, т. пл. 191—192° (из 2 н.  $HCl$  и  $H_2O$ ), пикрат, т. пл. 159—160° (из сп.). Найдено, что ранее полученный (Dann O., Distler H., Chem. Ber., 1951, 84, 423) амид тиенил-2-уксусной к-ты (60 г), нагретый до 216—220° с  $P_2O_5$  (65 г) дает тиенил-2-ацетонитрил, выход 45%, т. кип. 105—110°/12 мм,  $n_D^{22}$  1,5436. Нагреванием 10 г этого нитрила с 20 г моно- $\alpha$ -толуолсульфоната этилендиамина 1,5 часа при 200° получают III. (Охлажд. смесь растворяется в разб. щелочи и экстрагируется  $CHCl_3$ .) III имеет т. кип. 166—167°/3 мм, т. пл. 64—65° (из бзн.), пикрат, т. пл. 229—230°; он описан (Пат. США 2457047) как в-во обладающее действием на циркуляцию крови у теплокровных животных и при малярии. Рассмотрены некоторые данные о хим. и физиологич. свойствах производных тиофена, нафталина и бензола. Сообщение II см. РЖХим, 1954, 48063.

**3885. Образование 3,3,5-триметилпирролидона-2 при расщеплении 5-этокси-2,2-диметилвалерофенона амидом натрия. Браун, Гюлик** (The formation of 3,3,5-trimethyl-2-pyrrolidone by the cleavage of 5-ethoxy-2,2-dimethylvalerophenone with sodamide. Brown Ronald F., Gulick Norman M. v. a. n., J. Amer. Chem. Soc., 1955, 77, № 5, 1092—1094 (англ.))

При расщеплении 5-этокси-2,2-диметилвалерофенона (I) действием  $NaNH_2$  (II) в толуоле вместо амида 5-этокси-2,2-диметилвалериановой к-ты получают лактам 4-амино-2,2-диметилвалериановой к-ты (3,3,5-триметилпирролидон-2) (III). Промежуточным продуктом при образовании III является амид 2,2-диметил-4-пентеновой к-ты (IV), что доказывается гладким образованием III при кипячении IV с 0,031 моля II в толуоле в течение 4 час. (выход 75%). Вероятно, при этом происходит непосредственный переход от слабоосновного аниона  $CH_2=CHCH_2C(CH_3)_2CONH^-$  (V) к аниону  $CH_3CHCH_2C(CH_3)_2CONH^-$ . Легкая циклизация IV при дей-

ствии  $NaN$  в лигронине (выход III 72%) исключает возможность протонодонорного действия  $NH^-$  или толуола. N-бензиламид-2,2-диметил-4-пентеновой к-ты (VI) не циклизуется с помощью  $NaN$  (в лигр. или толуоле) из-за отсутствия H при N в ионе, подобном V, либо из-за пространственных затруднений. Отмечается легкое отщепление от I элементов  $C_2H_5OH$ , возможно, при участии  $C_6H_5$  в момент образования последнего. Из  $(C_6H_5)_2O$  и  $NaNH_2$  (кипячение 16 час.) получены лишь следы бутена-1. Смесь 106 мл изобутирофенона с II (из 16,8 г Na) в 560 мл толуола кипятили 1 час, прибавили за 1,5 часа 117 г 3-этоксипропилобромида и кипятили еще 10 час., получен неочищ. I, выход 79%, т. кип. 70—112°/1 мм. 0,55 моля неочищ. I, кипятили с 1,1 моля II в 800 мл толуола до прекращения выделения  $NH_3$  (4 часа); выход неочищ. III 57 г, т. кип. 110—160°/15 мм. Чистый III, т. кип. 240°, т. пл. 90—91° (из гексана, возгонка). Кипячением III с конц.  $HCl$  (24 часа) получен хлоргидрат 4-амино-2,2-диметилвалериановой к-ты (VII), т. пл. 156—157° (из сп.-ацетона). При нейтр-ции VII вновь образуется III. 5 г нитрила 2,2-диметил-4-пентеновой к-ты омыляли (кипячение, 6 час.) р-ром 15 г  $KOH$  в 100 мл  $(CH_3OH)_2$  и 5 мл воды; получена 2,2-диметил-4-пентеновая к-та (VIII), выход 90%, т. кип. 104—108°/20 мм. Из хлорангидрида VIII (IX) получен IV, т. пл. 80—81°, легко возгоняется при 70°/20 мм. Из IX в бензиламина получен VI, выход 81%, т. пл. 56—57° (из воды.  $CH_3OH$ , возгонка).

**3886. О некоторых ди- и тризамещенных индолах. Сообщение 1. Кардани, Пьоцци, Казнати** (Su alcuni indoli bi- e tri-sostituiti. Nota 1. Cardani Cesare, Piozzi Franco, Casnati Giuseppe), Gazz. chim. ital., 1955, 85, № 3, 263—272 (итал.)

По р-ции Фишера и с лучшими результатами по р-ции Маделунга синтезированы 2,5-диметилиндол (I), 2,7-диметилиндол (II) и 2,5,7-триметилиндол (III). Последнее соединение получено как модельное для сравнения его химических и спектроскопич. свойств со свойствами одного из продуктов деградации эхинолина с целью выяснения структуры последнего. I и II имеют синюю флуоресценцию в УФ-свете, а III — зелено-желтую. I — III дают с тринитробензолом (IV) комплексные соединения краснооранжевого цвета, дают положительную р-цию Эрлиха и сочетаются с  $\alpha$ -нитрофенилдиазонием или 2,4-динитрофенилдиазонием, образуя соответственно красные или коричнево-черные азокрасители. 0,1 моля  $\alpha$ -толилгидразина, 0,3 моля ацетона и 120 мл кислоты кипятили до полного отщепления воды, отгоняют 20—30 мл р-ра, добавляют 0,1 моля  $ZnCl_2$  и кипятили 80—90 мин., отгоняют р-ритель, остаток извлекают эфиром, улаляют эфир, отгоняют с паром, получают I, выход 18,3%. Смесь 250 мл диэтиламинина (V), 0,1 моля N-ацетил-2,4-диметиланилина и 20 г  $NaNH_2$  нагревают в токе  $N_2$  4—5 час. при 220°, отгоняют V (240—250°,  $N_2$ ), остаток обрабатывают водой, извлекают эфиром и далее, как описано выше, получают I с выходом 57—58%, т. пл. 115—116° (из гексана). Аналогично из N-ацетил-2,6-диметиланилина получают II, выход 66%, т. кип. 103—105°/0,6 мм; т. пл. 36—37° (из петр. эф.). Из хлоргидрата 2,4-хлорилгидразина, ацетона и  $ZnCl_2$  в ксилоле аналогично I получают III, выход 16%. III образуется также из N-ацетилметиланилина и  $NaNH_2$  в V, выход 63%, т. кип. 104—106°/0,4 мм;  $n_D^{20}$  1,5506, пикрат, т. пл. 150° (из бзн.). Комплексные соединения: I и IV, т. пл. 168° (из сп.); II и IV, т. пл. 161° (из сп.); III и IV, т. пл. 149° (из бзн.). К суспензии сульфата  $\alpha$ -нитрофенилдиазония в спирте при 0° медленно добавляют спирт. р-р 2-метилиндола (VI), I, II или III и выделяют соответственно 2-метил-3-( $\alpha$ -нитроазобен-

зол)-индол, т. пл. 225—226° (с разл.) (из пиридина-воды, 1:2), 2,5-диметил-3-(*n*-нитроазобензол)-индол, т. пл. 236° (разл.) (из пиридина-воды, 2:1), 2,7-диметил-3-(*n*-нитроазобензол)-индол, т. пл. 228° (с разл.) (из пиридина-воды, 1:1) и 2,5,7-триметил-3-(*n*-нитроазобензол)-индол, т. пл. 244—245° (разл.) (из пиридина-воды, 1:1). Аналогично описанному выше при сочетании сульфата 2,4-динитрофенилдиазония с VI, I—III получены соответственно 2-метил-3-(2',4'-динитроазобензол)-индол, т. пл. 137—141° (из пиридина-воды, 1:1), 2,5-диметил-3-(2',4'-динитроазобензол)-индол, т. разл. 171—175° (из пиридина-воды, 1:1), 2,7-диметил- и 2,5,7-триметил-3-(2',4'-динитроазобензол)-индол, которые не удалось перекристаллизовать ни из одного испытанного р-рителя. Л. Я.

**3887. Сульфирование нафтизатинов. Черутти** (Sulfonation des naphthazines. Cérutti Ernest), C. r. Acad. sci., 1955, 240, № 10, 1105—1107 (франц.).

Сульфирование  $\alpha$ - и  $\beta$ -нафтизатинов (I и II) приводит к ожидаемому 5-сульфо-6,7-бензизатину (III) и 3'-сульфо-4,5-бензизатину (IV). Строение III и IV подтверждено сравнением с синтетич. образцами, полученными ранее (РЖХим, 1955, 31635). Р-р 2 г I в 15 г  $H_2SO_4$  (66° Бэ) охлаждают, прибавляют 6 г 60%-ного олеума, через 1,5 часа ( $\sim 20^\circ$ ) выливают в смесь льда с водой, добавляют 250 мл насыщ. р-ра NaCl, осадок дигидрата Na-соли III промывают кипящим спиртом, выход 70%, бензилгуанидиновая соль, т. пл. 242°. Р-р 2 г II в 20 ч.  $H_2SO_4$  (66° Вэ) нагревают 10 час. при 45—50° и выливают в р-р 140 г  $CH_3COONa \cdot 3H_2O$  в 400 мл воды, дигидрат Na-соли IV промывают спиртом, выход 72—75% (из воды), бензилгуанидиновая соль, т. пл. 305—306°. Л. И.

**3888. Этиловый эфир 1-метил-4-бензилпиперидин-карбоновой-4 кислоты и новый синтез 1-метил-4-цианпиперидина. Шмц, Кюнцле** (1-Methyl-4-benzyl-piperidin-4-carbonsäure-äthylester und neue Synthese des 1-Methyl-4-cyano-piperidins. Schmutz J., Künzle F.), Helv. chim. acta, 1955, 38, № 4, 925—930 (нем.).

В развитие работы авторов (см. РЖХим, 1955, 40148) конденсацией этилового эфира (диметиламмоно-этил)-циануксусной к-ты  $(CH_3)_2NCH_2CH_2CN(CH_3)COOC_2H_5$  (Ia) и этилового эфира (бензидметиламино-этил)-циануксусной к-ты  $CH_3(C_6H_5CH_2)NCH_2CH_2CN(CH_3)COOC_2H_5$  (Ib) с этиленбромидом (II) получены соответственно 4-циан-4-карботокс-1,1-диметилпиперидинбромид (IIIa) и 4-циан-4-карботокс-1-бензил-1-метилпиперидинбромид (IIIb). Из IIIa после омыления и пиролиза получен 1-метил-4-цианпиперидин (IV), а из него С-бензилированием в присутствии  $C_6H_5Na$  с последующим омылением — 1-метил-4-бензилпиперидин-карбоновая-4 к-та (V). Физиологич. испытание на крысах этилового эфира V показало, что его спазмолитич. и анагетич. действие заметно ниже, чем для «долантина» (аналог, не содержащий метиленовой группы между ядрами), а токсичности их примерно равны. Выход Ia Huber W. и сотр., J. Amer. Chem. Soc., 1945, 67, 1618) повышен с 39 до 67% введением извлечения Ia холодной HCl. К смеси 0,325 моля Na-производного этилового эфира циануксусной к-ты и 170 мл этилового эфира той же к-ты при  $\sim 100^\circ$  прибавляют (1 час.) р-р 0,325 моля 2-хлорэтилметилбензиламина (получен по Sheeham J. C., Muthaw C. E., J. Amer. Chem. Soc., 1950, 72, 2129) в 80 мл абс.  $C_6H_6$  и размешивают 1 час. После охлаждения извлекают холодной разб. HCl, а из нее после подщелачивания  $Na_2CO_3$  получают 77,2 г неочищ. Ib, масло,  $n_D^{20}$  1,4990. Смесь 131 г Ia и 27,8 г  $NaNH_2$  в 520 мл абс. диоксана кипятят до растворения осадка, затем при 40° прибавляют 134 г II,

размешивают (1 час при 50—55°; 1,5 часа при 90°), осадок извлекают горячим  $CH_3OH$ , из которого эфиром осаждают IIIa, выход 37,6%, т. пл. 175—176° (разл. из сп.). Аналогично из 0,297 моля Ib получают 25 г IIIb, т. пл. 180—182° (из сп. + эф.). Омылением 19,3 г IIIa (50 мл 2 н. HCl, 2 часа), упаривание и сушка в вакууме при 45° получено 18,5 г неочищ. к-ты (т. пл. 178—180° с декарбоксилированием), которая подвергнута пиролизу в вакууме при 230—250°, получен IV, выход 68%, т. кип. 82—85°/12 мм,  $n_D^{20}$  1,4609,

пикрат, т. пл. 244—247° (из  $CH_3OH$  + вода). К 0,213 атома Na-порошка в 60 мл абс.  $C_6H_6$  прибавляют 0,106 моля хлорбензола (40°, ток  $N_2$ ), после экзотермич. р-ции (т-ра не выше 30—36°, 2 часа) размешивают 6 час. при 20° и добавляют за 10 мин. при 20° р-р 0,1 моля IV в 20 мл абс.  $C_6H_6$ , через 45 мин. (при 23°) охлаждают до 8—10° и прибавляют за 20 мин. р-р 0,1 моля  $C_6H_5CH_2Br$  в 30 мл абс.  $C_6H_6$ . Через 12 час. разлагают 5 мл спирта и 80 мл воды, получают 8 г 1-метил-4-бензил-4-цианпиперидина (VI), т. кип. 91—92°/0,07 мм  $n_D^{21}$  1,5389, хлоргидрат, т. пл. 272—273° (разл., из абс.

сп.), пикрат, т. пл. 203—204° (из  $CH_3OH$ ), гидметилат, т. пл. 250,5—252° (из абс. сп.). 4,1 г VI после кипячения 20 час. с 40 мл спирта и 40 мл 6%-ного водн. NaOH, упаривания, извлечения  $CHCl_3$  дают 1,3 г амида V, т. пл. 175—176° (из эф. + петр. эф.). Маслянистый фильтрат после отделения амида V кипятят 20 час. с 30 мл конц. HCl и выделяют 2,6 г аморфной V, которая действием  $SOCl_2$  (30 мл, кипячение 2 часа) превращена в хлорангидрид, последний со спиртом (кипячение 2,5 часа) дает этиловый эфир V, выход 1,55 г, т. кип. 100—102°/0,07 мм,  $n_D^{22}$  1,5136, хлоргидрат, т. пл. 180—182° (из изопропанола + эф.), пикрат, т. пл. 160—161° (из сп.), гидметилат, т. пл. 229—230° (из абс. сп.). Все т-ры плавления определялись в блоке Кофлера; исправлены. В. П.

**3889. Конденсация ароматических альдегидов с 2-этилпипридином и 4-этилпипридином. Филиппс** (The condensation of aromatic aldehydes with 2-ethylpyridine and with 4-ethylpyridine. Phillips Arthur P.), J. Amer. Chem. Soc., 1954, 76, № 15, 3986—3987 (англ.).

Изучена р-ция конденсации 2-этил-(II) и 4-этил-(III) пиперидинов с альдегидами, обладающими различной реакционной способностью CO-группы,  $RC_6H_4CHO$ , где R =  $n$ -NO<sub>2</sub> (III),  $m$ -NO<sub>2</sub> (IV), H (V),  $n$ -CH<sub>3</sub>O (VI),  $n$ -(CH<sub>3</sub>)<sub>2</sub>N (VII). I при конденсации с альдегидами III, IV и V, обладающими высокой реакционной способностью CO-группы, дает хорошие выходы продуктов конденсации; с альдегидами VI и VII, обладающими низкой реакционной способностью, получаются следы продуктов или р-ция совсем не идет. II со всеми изученными альдегидами дает хорошие выходы, уменьшающиеся в последовательности: III > IV > V > VI > VII. Смесь 0,1 моля I или II, 0,1 моля альдегида и 0,12 моля  $(CH_3CO)_2O$  кипятят 5 час. при  $190 \pm 2^\circ$ , быстро отгоняют  $CH_3COOH$  или  $(CH_3CO)_2O$  и непрореагировавший этилпиперидин, остаток выливают в 100 мл воды, доводят рН до 11, полученное в-во кристаллизуют или, если оно жидкое, извлекают эфиром и перегоняют. Приведены выходы, т. пл. или т. кип. продуктов конденсации I с III—VII и р-рители для кристаллизации: 90,95—96°,  $CH_3OH$ ; 70,195—196°,  $CH_3OH$ ;  $CH_3COOC_2H_5$ ; 70,144—145°/1 мм; 5,195—200°/10 мм; 0, —, —, II с III—VII: 90,110—111°,  $C_6H_6$ ,  $C_6H_{14}$ ; 80,114—115°, спирт; 80,72—73°,  $C_6H_{14}$ ; 65,83—84°,  $C_6H_{14}$ ; 60,164—165°,  $CH_3OH$ . Ю. Р.

**3890. Синтез  $\omega$ -(3- и 5-оксипиридил-2)-жирных кислот. Грубер** (Die Synthese von  $\omega$ -(3- und 5-Oxy-



pyridyl-(2)-fettsäuren. Gruber Wilhelm), Chem. Ber., 1955, 88, № 2, 178—186 (нем.)

Изучена р-ция аммонолиза  $\omega$ -фурфуроиллафатич. к-т  $\text{HOOC}(\text{CH}_2)_n\text{COC}=\text{CHCH}=\text{CRO}$  (I а R = H, n = 2;

б R = H, n = 6; в R = H, n = 7; г R = CH<sub>3</sub>, n = 3; д R = CH<sub>3</sub>, n = 7) и  $\omega$ -(5-ацетилфурил-(2)-алифатич. к-т  $\text{HOOC}(\text{CH}_2)_n\text{C}=\text{CHCH}=\text{C}(\text{COCH}_3)\text{O}$  (II а n = 2,

б n = 7) в соответствующие к-ты, производные оксипирадина  $\text{HOOC}(\text{CH}_2)_n\text{C}=\text{CR}'\text{CH}=\text{CR}'\text{CR}=\text{N}$  (III а

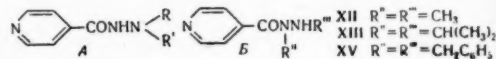
R = R' = H, R'' = OH, n = 2; б R = R' = H, R'' = OH, n = 7; в R = CH<sub>3</sub>, R' = H, R'' = OH, n = 3; г R = CH<sub>3</sub>, R' = H, R'' = OH, n = 7; д R = CH<sub>3</sub>, R' = OH, R'' = H, n = 2; е R = CH<sub>3</sub>, R' = OH, R'' = H, n = 7). I получены алкилированием эфиров фурфуроилуксусных к-т эфирами  $\omega$ -бромкарбоновых к-т с последующим гидролизом и декарбоксилированием. Восстановлением Iб получена  $\omega$ -(фурил-2)-каприловая к-та (IV). Из этилового эфира  $\beta$ -(фурил-2)-пропионовой к-ты (V) и этилового эфира IV по р-ции Фриделя—Крафуса получены IIа и IIб соответственно. III растворимы в воде, дают коричнево-красное окрашивание с FeCl<sub>3</sub> и сочетаются с солями диазотия. IIIе, судя по УФ-спектру (в сл., 0,1 н. спирт. р-ре NaOH и 0,1 н. спирт. р-ре HCl), идентичен продукту дегидрирования капримной к-ты—первого продукта распада каприна из *Carica papaya* L. (РЖХим, 1954, 41246). 6 г Na в 30 мл CH<sub>3</sub>COOC<sub>2</sub>H<sub>5</sub> вносят при 80° в 88 г этилового эфира 5-метилпропильной к-ты (VI), в течение 12 час. при 95° вносят еще 6 раз то же кол-во Na, VI в 30 мл C<sub>6</sub>H<sub>6</sub> охлаждают, выливают на лед с разб. HCl, органич. слой отделяют и получают этиловый эфир (5-метилфурфуроил)-уксусной к-ты (VII), выход 65%, т. кип. 114—116°/0,5 мм. Р-р 42,3 г этилового эфира  $\alpha$ -бромгептиловой к-ты в 100 мл C<sub>6</sub>H<sub>6</sub> приливают к 35 г VII и C<sub>2</sub>H<sub>5</sub>ONa (из 4,1 г I Na и 135 мл абс. сл.), кипятят 12 час. выливают на лед, подкисляют разб. H<sub>2</sub>SO<sub>4</sub>, извлекают эфиром, получают диэтиловый эфир  $\alpha$ -(5-метилфурфуроил)-азелановой к-ты (VIII), выход 57%, т. кип. 215—217°/0,1 мм. Аналогично получают диэтиловые эфиры фурфуроилантарной к-ты, выход 78%, т. кип. 143—146°/0,5 мм;  $\alpha$ -(5-метилфурфур-ил)-глутаровой к-ты, выход 48%, т. кип. 167—170°/0,5 мм;  $\alpha$ -фурфуроилазелановой к-ты, выход 72%, т. кип. 183—185°/0,2 мм;  $\alpha$ -фурфуроилкорковой к-ты, выход 66%, т. кип. 182—184°/0,5 мм. 9 г VIII растворяют в 300 мл 3%-но: о KOH (10 час.), нерастворившийся осадок извлекают эфиром, шел. р-р подкисляют, полученную кетодикарбоновую к-ту извлекают эфиром, эфир удаляют, остаток кипятят с 100 мл 1 н. H<sub>2</sub>SO<sub>4</sub>, извлекают эфиром и получают Id, выход 92%, т. пл. 78—80° (из эф. петр. эф.), этиловый эфир, т. кип. 169—172°/0,3 мм. Аналогично получают Ia, т. пл. 119—121°; этиловый эфир, выход 96%, т. кип. 108—111°/0,3 мм; т. пл. 58—60° (из петр. эф.), Ib, т. пл. 63—65°; Iv т. кип. 135—136°/1 мм, т. пл. 78—80°; метиловый эфир, т. кип. 145—148°/0,1 мм, Ig, т. пл. 104—106°, этиловый эфир, т. кип. 125—126°/0,3 мм, т. пл. 48—50°. 7,9 г триэтилового эфира гептан-1,1,7-трикарбоновой к-ты и 75 мл абс. C<sub>6</sub>H<sub>6</sub> приливают к р-ру C<sub>2</sub>H<sub>5</sub>ONa (из 0,58 г Na), по растворении добавляют 8,1 г C<sub>2</sub>H<sub>5</sub>CH<sub>2</sub>OH и медленно отгоняют спирт (6 час.), по охлаждении приливают р-р 3,25 г фурфуровхлорида в 30 мл C<sub>6</sub>H<sub>6</sub>, кипятят 2 часа, выливают на лед, извлекают C<sub>6</sub>H<sub>6</sub>, удаляют р-ритель, остаток растворяют в абс. спирте и CH<sub>3</sub>COOC<sub>2</sub>H<sub>5</sub> (1:1), гидрируют над 0,5 г 10%-ного Pd/C и 0,5 г 10%-ного Pd/SrCO<sub>3</sub>, получают Iv, выход 49%. Нагревают (12 час., 150°) 34 г Ib, 34 г гидразингидрата (70%-ного), 34 г NaOH и 1200 мл этиленгликоля и получают IV; этиловый эфир VI, выход 43%, т. кип. 118—121°,  $\delta$ -бензилотиурониевая соль, т. пл. 131—133° (из CH<sub>3</sub>OH).

Р-р 20 г V в 12,2 г (CH<sub>3</sub>CO)<sub>2</sub>O приливают при 0° к 1,7 г эфира BF<sub>3</sub>, через 1 час (~20°) выливают на лед и из эфира р-ра выделяют этиловый эфир IIа, выход 25%, т. кип. 106—108°/0,5 мм; п-нитрофенилгидразон эфира IIа, т. пл. 163—165°; омылением 8 г эфира IIа 250 мл 0,5 н. KOH (~20°) получают IIа выход 97%, т. пл. 133—135°. Аналогично из этилового эфира IV получают эфир IIб, выход 18%, т. кип. 153—155°/1 мм; п-нитрофенилгидразон, т. пл. 104—106°. Растворяют 4,1 г этилового эфира Id в 30 мл насыщ. при 0° спирт. р-ра NH<sub>3</sub>, вносят 0,8 г NH<sub>4</sub>Cl и нагревают 15 час. при 165°. Спирт отгоняют в вакууме, остаток обрабатывают 12 час. 100 мл 2 н. NaOH, экстрагируют CHCl<sub>3</sub>. Шел. р-р сильно подкисляют, извлекают эфиром, доводят до pH 5—6, насыщают NaCl, экстрагируют эфиром и получают IIIг, выход 54%, т. пл. 76—78°. При аммонолизе Id водн. NH<sub>3</sub> получают 61% IIIг; этиловый эфир IIIг, т. пл. 51—53°,  $\lambda_{\text{макс}}$  в мк (в скобках lg  $\epsilon$ ) 251 (2,65), 291 (3,82) (в сл.); 248 (3,95), 274 (2,90), 314 (3,85) (0,01 н. NaOH); 256 (0,40), 303 (3,94) (0,2 н. HCl); хлоргидрат этилового эфира IIIг, выход 80%, т. пл. 112—114°. Нагревают (165°, 20 час., 3,0 г IIб, 10 мл конц. NaOH и 0,4 г NH<sub>4</sub>Cl, выпаривают в вакууме, остаток обрабатывают 50 мл 3 н. NaOH (6 час.), извлекают CHCl<sub>3</sub>, подкисляют (pH 1—2) и извлекают эфиром; устанавливают pH 5—6, насыщают NaCl, извлекают эфиром, эфир отгоняют, остаток обрабатывают 50 мл абс. спирта, насыщ. HCl (газом) и через 2 дня получают этиловый эфир IIIе, выход 30%, т. пл. 80—82°,  $\lambda_{\text{макс}}$  в мк 248 (2,77); 288 (3,81) (в сл.); 248 (3,83); 274 (2,0); 312 (3,80) (в 0,01 н. NaOH); 235 (4,05); 252 (2,15); 303 (3,98) (в 0,1 н. HCl). Гидролизом эфира IIIе получают хлоргидрат IIIе, выход 33%, т. пл. 88—89°; хлоргидрат амида IIIа, выход 45%, т. пл. 96—98°. Аналогично из 4,6 г IIа с 30 мл конц. NH<sub>4</sub>OH и следами NH<sub>4</sub>Cl получают хлоргидрат амида IIIд, выход 34%, т. пл. 232—235° (разл.); этиловый эфир IIIд, т. пл. 70—72°,  $\lambda_{\text{макс}}$  в мк 270 (3,73) (в сл.); 248 (4,50); 309 (3,83); 274 (3,11) (в 0,01 н. NaOH); 279 (3,90), 246 (2,95) (0,1 н. HCl); хлоргидрат эфира IIIд, т. пл. 156—158°; гидролизом хлоргидрата амида IIIд получают IIIд, т. пл. 140—142°; IIIд получена и из эфира соответствующей кетокислоты со спирт. NH<sub>3</sub>, выход 48%. Получены также: IIIа, т. пл. 189—194°; IIIб, т. пл. 87—89°; и IIIв, т. пл. 174—176°.

3. М. 3891. Синтетические туберкулостатические средства.

IX. Диалкильные производные гидролиза изоникотиновой кислоты. Фокс, Гибас (Synthetic tuberculostats. IX. Dialkyl derivatives of isonicotinylhydrazine. Fox H. Herbert, Gibas J. John T.), J. Organ. Chem., 1955, 20, № 1, 60—69 (англ.)

Для проверки противотуберкулезной активности синтезированы два ряда (А и Б) диалкильных производных гидролиза изоникотиновой к-ты (I). Соединения ряда А являются структурными аналогами диалкильных и алкилиденных производных I, обладающих высоким



туберкулостатич. действием. А получены двумя методами: а) из хлоргидрата хлорангидрида изоникотиновой к-ты (II) и соответствующего несимметрич. гидролиза в присутствии C<sub>2</sub>H<sub>5</sub>N и б) при действии на 1-изоникотиноил-2-алкилгидразин галлоидными алкилами в присутствии NaOC<sub>2</sub>H<sub>5</sub> (перечисляются R, R' (для А, полученных по методу б, R обозначает радикал галлоидного алкила, вводимого в р-цию), метод получения, т. пл. основания, т. пл. дихлоргидрата в °C: CH<sub>3</sub>, CH<sub>3</sub>а, 120—121 (из бэл.), 210—211 (разл., из CH<sub>3</sub>OH-и-а-С<sub>2</sub>H<sub>5</sub>OH)

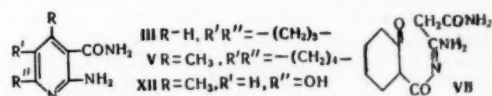
(III);  $C_2H_5$ ,  $C_2H_5$ , а, 89,5—90,5 (из бэл.), 205—208 (разл., из  $CH_3OH$ - $iso$ - $C_3H_7OH$ ) (IV);  $CH_3$ ,  $C_2H_5$ , б, —, 196—197 (разл., из сп.);  $CH_3CH=CH_2$ ,  $CH_3$ , б, —, 162,5—163,5 (разл., из  $iso$ - $C_3H_7OH$ ) (VI);  $CH_3CH(CH_3)_2$ , б, 95—96 (из бэл.), — (VII);  $CH_3CH=CH_2$ ,  $C_2H_5$ , б, —, 176,5—177,5 (разл., из  $CH_3OH$ - $iso$ - $C_3H_7OH$ );  $CH(CH_3)_2$ ,  $CH(CH_3)_2$ , б, 110—111 (из  $CCl_4$ -лигр.), 202—203 (разл., из  $iso$ - $C_3H_7OH$ ) (VIII);  $CH_3CH=CH_2$ ,  $CH(CH_3)_2$ , б, —, 188,5—189,5 (разл., из сп.);  $n$ - $C_4H_9$ ,  $CH(CH_3)_2$ , б, —, 203—205 (разл., из  $CH_3OH$ -ацетона) (IX);  $CH_3C_2H_5$ ,  $CH_3$ , б, —, 183,5—184,5 (разл., из сп.);  $CH_3C_2H_5$ ,  $C_2H_5$ , б, —, 196—197 (из  $CH_3OH$ - $iso$ - $C_3H_7OH$ );  $CH_3C_2H_5$ ,  $CH_3C_2H_5$ , б, 161—162 (из разб. сп.), — (X);  $C_6H_5$ ,  $C_6H_5$ , а, 183,5—184,5 (из бэл.), хлоридрат, т. пл. 208—212 (из  $CH_3OH$ -этил-ацетата);  $RR' = -(CH_2)_5$ , а, 174,5—175,5 (из толуола), — (XI);  $RR' = -CH_2CH_2OCH_2CH_2$ , —, а, 195,5—196,5 (из этилацетата), —. Соединения типа В получают взаимодействием II с симметрич. гидразинами или пирразолами в присутствии  $C_5H_5N$ . Все синтезированные соединения при испытании на мышах, зараженных человеческим штаммом *M. tuberculosis* H37Rv, показали меньшее по сравнению с I туберкулоstatic. действие; особенно низкой активностью обладают соединения ряда В. Пример получения А по методу а. К р-ру 36 г II в 150—200 мл  $C_5H_5N$  прибавляют 18 г N, N-диметилгидразина, по охлаждению  $C_5H_5N$  отгоняют в вакууме, остаток обрабатывают насыщ. р-ром  $K_2CO_3$  и экстрагируют  $CHCl_3$ , получают 20 г III; дихлоргидрат получен при действии на р-р III  $iso$ - $C_3H_7OH$  спирт. HCl. При получении IX и X выделение оснований ведут бн. NaOH. Пример получения А по методу б. К р-ру 15 г 1-изоникотиноил-2-метилгидразина и  $NaOAc \cdot H_2O$  в спирте (2,3 г Na и 100 мл  $C_2H_5OH$ ) прибавляют 8,5 мл хлористого аллила, смесь кипятят 1,5 часа и после охлаждения отделивают NaCl. Остаток после упаривания в вакууме экстрагируют  $CHCl_3$  и VI, выделенный в виде масла, переводят по описанному выше методу в дихлоргидрат. При получении V, VII и VIII после нагревания смеси (1—2 часа) спирт удаляют в вакууме, остаток обрабатывают конц. водн.  $NH_3$  и после упаривания экстрагируют  $CHCl_3$ . VIII приготавливают также из I и  $iso$ - $C_3H_7$ -J в присутствии  $NaOAc \cdot H_2O$  (кипячение 17 час.). При получении IX смесь кипятят 12—16 час. X выпадает сразу при охлаждении реакционной смеси после кипячения (5 мин.); X получают также кипячением (40 мин.). р-р 13,6 г I и 24 мл  $C_5H_5N \cdot HCl$  в 150 мл  $C_5H_5N$ . К 26,6 г дихлоргидрата симм.-диметилгидразина в 300 мл  $C_5H_5N$  прибавляют 17,8 г II в 300 мл  $C_5H_5N$  (30 мин.), после перемешивания (30 мин.) смесь нагревают ( $\sim 100^\circ$ , 30 мин.). Пиридин удаляют в вакууме, остаток обрабатывают конц. водн.  $NH_3$ , упаривают досуха в вакууме, 1-изоникотиноил-1,2-диметилгидразин (XII) экстрагируют  $CHCl_3$ , т. кип.  $130$ — $140^\circ/5$  мм, оксалат, т. пл.  $142$ — $143^\circ$  (из  $iso$ - $C_3H_7OH$ ). К р-ру 7,5 г хлоридрата симм.-диизопропилгидразина в 50 мл горячего  $C_5H_5N$  по частям прибавляют 9 г II. Фильтрат концентрируют в вакууме, экстрагируют  $CHCl_3$  и после удаления р-рителя обрабатывают разб. водн.  $NH_3$ . Последний упаривают в вакууме и остаток растворяют в эфире. При пропускании HCl получают хлоридрат 1-изоникотиноил-1,2-диизопропилгидразина (XIII), т. пл.  $155$ — $156,5^\circ$  (из этилацетата), при обработке которого в  $iso$ - $C_3H_7OH$  спирт. р-ром HCl, повидимому, образуется дихлоргидрат, т. пл.  $119$ — $120^\circ$ . Из 25 г хлоридрата симм.-дibenзилгидразина (XIV), 17,8 г II в 200 мл  $C_5H_5N$  после нагревания ( $\sim 100^\circ$ , 45 мин.), удаления р-рителя в вакууме и обработки водой (200 мл) получают 14 г 1-изоникотиноил-1,2-дibenзилгидразина (XV), т. пл.  $102$ — $103^\circ$  (из бэл.-лигр.), хлоридрат, т. пл.  $220$ — $221^\circ$  (из сп.). При получении 1-изоникотиноил-1-бензил-2-бензиденгидразина (XVI) из N'-бензид- $N$ -2-бензиденгидразина (XVII) и II (нагревание

30 мин.) после удаления  $C_5H_5N$  остаток растворяют в  $iso$ - $C_3H_7OH$  и при действии HCl в спирте получают хлоридрат XVI, т. пл.  $234$ — $239^\circ$  (из 2 н. HCl). Нагреванием в воде его переводят в XVI, т. пл.  $126$ — $127^\circ$  (из водн.  $CH_3OH$ ). XIV, т. пл.  $221$ — $223^\circ$  (из  $CH_3OH$ ) получают каталитич. гидрированием 2 г бензаллазина в 12,5 мл 8 н. спирт. HCl в  $CH_3OH$  над Pt ( $\sim 20^\circ$ , 3,5 ат) до поглощения 2 молей  $H_2$ . При поглощении 1 моля  $H_2$  в этих условиях образуется хлоридрат XVII, т. пл.  $146$ — $148^\circ$  (из бэл.). 1-изоникотиноилпирразол воагоняется  $\sim 300^\circ$ , не плавясь; 1-изоникотиноил-3,5-диметилпирразол (XVIII), т. пл.  $86,5$ — $87,5^\circ$  (из лигр.) получают аналогично XV при действии на II пирразола и соответственно 3,5-диметилпирразола. XVIII получают также при нагревании до растворения смеси 13,7 г I, 10 г ацетилацетона, 0,5 мл 3 н. HCl и 100 мл  $iso$ - $C_3H_7OH$ , удалении р-рителя в вакууме и последующей бромбацией водой. Все т-ры плавления исправлены. Сообщение VIII см. РЖХим, 1955, 16364.

В. Я. 3892. Термическое разложение бис-пиридининовых солей тетраметил- и пентаметилдибромидов Лайл, Гардайки (The thermal decomposition of the bis-pyridinium salts of tetramethylene and pentamethylene dibromides. Lyle Robert E., Gardikes John J., J. Amer. Chem. Soc., 1955, 77, № 5, 1291—1292 (англ.))

Реакцией тетраметил- и пентаметилдибромидов (II) с пиридином (III) получены устойчивые соответствующие кристаллич. бис-пиридининовые соли (Ia и Ib), которые образуются также в том случае, если III взят в молярном отношении; монопиридининовые соли выделены не были. Нагревание Ia или Ib при  $230$ — $270^\circ$  приводит к образованию 2 молей бромгидрата III и бутадиена или соответственно, 1,3-пентадиена (выход 73%, т. кип.  $41$ — $44^\circ$ ,  $n_D^{21}$  1,4310) идентифицированных в виде их тетрабромпропановых. 2 моля сухого III приливают к р-ру 1 моля I в абс.  $CH_3OH$ ; через 48 час. отгоняют  $CH_3OH$  и получают Ia, выход колич., т. пл.  $237$ — $239^\circ$  (из абс. сп. + эф. или ацетон). Т. К. 3893. Синтез азотсодержащих гетероциклов. Сообщение IX. О конденсации амидамина малоновой кислоты с  $\beta$ -дикарбонильными соединениями. Дорноу, Нёйзе (Über die Kondensation von Malonsäureamidamin mit  $\beta$ -Dicarbonyl-Verbindungen. Synthese stickstoffhaltiger Heterocyclen. IX. Mitteilung. Dornow Alfred, Neuse Eberhard, Arch. Pharmazie, 1954, 287/59, № 7, 361—376 (нем.))

Продолжено исследование р-ции конденсации амидамина малоновой к-ты  $H_2NC(=NH)CH_2CONH_2$  (I) с  $\beta$ -дикарбонильными соединениями (см. Chem. Ber., 1951, 84, 296). I с 1-оксиметиленциклопентавоном-2



(II) в спирт. р-ре дает амид 2-аминоциклопентено- (5,6)-пиридинкарбонной-3 к-ты (III), а с 1-ацетилциклопексаном-2 (IV) в водн. р-ре образует амид 2-амино-4-метил-5,6,7,8-тетрагидрохинолинкарбонной-3 к-ты (V). При взаимодействии I с этиловым эфиром циклогексанон-1-карбонной-2 к-ты (VI) образуются ацильное производное (VII), которое легко циклизуется в амид 1-окси-3-амино-5,6,7,8-тетрагидроизохинолинкарбонной-4 к-ты (VIII). Строение V и VIII доказано сравнением их ИК-спектров со спектрами родственных хинолиновых и изохинолиновых соединений, а также превращению VII и VIII действием HCl в 3-амино-5,6,7,8-тетрагидроизохинолон-1 (IX). Для биологич.

испытаний из V, VIII и описанного ранее (см. ссылку выше) амида 2-амино-5,6,7,8-тетрагидрохинолинкарбоновой-3 к-ты (X) действием л-ацетиламинобензолсульфохлорида (XI) получены сульфонамиды. Конденсация I с ацетоуксусным эфиром приводит к образованию амида 6-окси-4-метил-2-аминоникотиновой к-ты (XII), наряду с ним образуется 6-окси-4-метилпиридинил-2-ацетамид (XIII). Доказано, что Пиннер (Взг., 1895, 28, 479) из продуктов этой р-ции выделял только XII, но приписал ему строение XIII. При действии  $\text{HNO}_3$  XII нитрозируется в положение 5, а не по  $\text{NH}_2$ -группе. XII омыляется  $\text{HCl}$  (к-той) в 6-окси-4-метил-2-аминоникотиновую к-ту (XIV), которая действием разб.  $\text{H}_2\text{SO}_4$  превращается в 2,6-диокси-4-метилпиридин (XV). Строение XII подтверждено прямым синтезом этилового эфира XIV (XVI), который так же как и XII под действием  $\text{H}_2\text{SO}_4$  переходит в XV. 0,0224 моля Na-производного II и 0,0225 моля хлоргидрата I в 30 мл абс.  $\text{CH}_3\text{OH}$  кипятят 15 час., горячий р-р фильтруют, от осадка и из фильтрата получают III; промытый водой осадок обрабатывают кипящим  $\text{CH}_3\text{OH}$ , что дает дополнительное кол-во III, общий выход 25%, т. пл. 254° (из  $\text{CH}_3\text{OH}$ ), р-ры III обладают интенсивной синей флуоресценцией, хлоргидрат, т. пл. 288—290° (разл., из разб.  $\text{HCl}$ ). 1,5 г III кипятят 10 час. с 10 мл конц.  $\text{HCl}$ , получают хлоргидрат 2-аминоциклопентено-(5,6)-пиридинкарбоновой-3 к-ты (XVII), т. пл. 259° (разл., из разб.  $\text{HCl}$ ); XVII получен действием  $\text{NaOH}$  и  $\text{CH}_3\text{COOH}$ , выход 80%, т. пл. 311—313° (разл., из 50%-ной  $\text{CH}_3\text{COOH}$ ). При обработке хлоргидрата XVII избытком  $\text{NaNO}_2$  в 15%-ной  $\text{H}_2\text{SO}_4$  с последующим нагреванием (2 часа) получена 2-оксициклопентено-(5,6)-пиридинкарбоновая-3 к-та (XVIII), выход 63%, т. пл. 270° (из воды), которая при нагревании вышл-т-ры плавления декарбоксилируется в циклопентено-(5,6)-пиридон-2, т. пл. 180° (сушка при 100—105°), пикрат, т. пл. 160° (из водн. сп.). Обработкой III избытком  $\text{NaNO}_2$  в  $\text{H}_2\text{SO}_4$  получают амид XVIII, выход 73%, т. разл. 365° (из воды). Из хлоргидрата I, IV и KOH (по 0,05 моля) в 35 мл воды и 10 мл  $\text{CH}_3\text{OH}$  (матродавное состояние при ~20°) получают V, выход 45%, т. пл. 215° (из сп.), пикрат, т. пл. 251° (разл., из сп.). Из V и  $\text{HNO}_3$  получена 2-окси-4-метил-5,6,7,8-тетрагидрохинолинкарбоновая-3 к-та, выход 75%, т. пл. 240° (из сп.), которая при нагревании вышл-т-ры плавления дает 4-метил-5,6,7,8-тетрагидрохинолазол-2, т. пл. 217—218° (из водн. сп.). При обработке V действием XI в присутствии триметиламина (Loop W., Lührs E., Liebigs Ann. Chem., 1952, 530, 225) получают амид 2-(л-ацетиламинобензолсульфамидо)-4-метил-5,6,7,8-тетрагидрохинолинкарбоновой к-ты, выход 62%, т. пл. 258—260° (разл., из воды). Аналогично из X и XI получают сульфамид, выход 80%, т. пл. 308—310° (разл.), гидролизом которого 10%-ным р-ром KOH (кипячение 2 часа) получают 2-(л-ацетиламинобензолсульфамидо)-5,6,7,8-тетрагидрохинолинкарбоновую-3 к-ту, выход 60%, т. пл. 222° (разл., из водн.  $\text{CH}_3\text{OH}$ ). Если гидролиз ведут 30%-ной  $\text{HCl}$ , то получают 2-аминотетрагидрохинолинкарбоновую-3 к-ту, т. пл. 290° (разл., из водн.  $\text{CH}_3\text{COOH}$ ). При смешении (0°) 0,13 моля KOH в 120 мл 50%-ного спирта, 0,12 моля VI и 0,13 моля хлоргидрата I в 100 мл воды получают VII, выход 90—97%, т. пл. 172—173° (разл., из сп.). Растворением VII при нагревании в лед.  $\text{CH}_3\text{COOH}$  получают с почти колич. выходом VIII, т. пл. 200° (из разб.  $\text{CH}_3\text{COOH}$ ). Обработкой VII или VIII конц.  $\text{HCl}$  (кипячение 1 час) получен IX, выход 90—95%, т. пл. 202°, хлоргидрат, т. пл. 300—302° (разл., из воды). Из VIII и XI образуется сульфамид, т. разл. 400°. При взаимодействии I и  $\text{CH}_3\text{COCH}_2\text{COOC}_2\text{H}_5$  в условиях, описанных Пиннером (см. ссылку выше), получают XII, т. пл. 252° (разл., из воды), хлоргидрат,

т. пл. 180—182° (разл.), пикрат, т. пл. 207° (разл., из сп.), сульфат, т. пл. 224° (разл.), О-ацетильное производное, т. пл. 249° (из воды). Из маточных р-ров XII выделен XIII, выход 55—60%, т. пл. 235—237° (разл., из воды). При гидролизе XII (кипячение с 35%-ной  $\text{H}_2\text{SO}_4$ , 8 час.) получен XV, т. пл. 190—191° (из воды), сульфат, т. пл. 218—219° (разл.), пикрат, т. пл. 171—173° (разл., из водн. сп.). При кипячении 8 час. 0,1 моля  $\text{CH}_3\text{COCH}_2\text{COOC}_2\text{H}_5$  и 0,25 моля  $\text{C}_2\text{H}_5\text{OOCCH}_2\text{C}(\text{OC}_2\text{H}_5)=\text{NH}$  в 50 мл  $\text{CH}_3\text{OH}$ , последующим упариванием р-ра и длительном стоянии при 0°, получают XVI, выход 25—30%, т. пл. 242° (из сп.), хлоргидрат, т. пл. 169—171° (разл.). Из спирт. маточного р-ра выделяют 0,5 г в-ва, вероятно, этилового эфира 4-окси-2-амино-6-метилникотиновой к-ты, т. пл. 273° (разл.), хлоргидрат, т. пл. 196—197° (разл.). Кипячением 6 час. XVI в конц.  $\text{HCl}$  получают XIV, выход 60—70%, т. пл. 251—252° (разл., из воды). 30%-ная  $\text{H}_2\text{SO}_4$  (кипячение 5 час.) превращает XIV или XVI в XV. При нитровании 1,67 г XII получают 0,8 г 5-нитрозо-XII, т. пл. 107° (разл., из разб.  $\text{HCl}$ ). Нитрованием XVI ( $\text{NaNO}_2$  в 15%-ной  $\text{H}_2\text{SO}_4$ , 2 дня, ~20°) синтезирован этиловый эфир 2,6-диокси-5-нитрозо-4-метилникотиновой к-ты, т. пл. 158° (разл., из  $\text{CH}_3\text{OH}$ ). Кипячением 30 мин. 1,17 г XIII с 5 мл конц.  $\text{HCl}$  получают хлоргидрат 6-окси-2,4-диметилпиридина, т. пл. 318—320° (разл., из очень разб.  $\text{HCl}$ ), свободная осмонование, т. пл. 194° (из бал.). Смешением 0,012 моля XIII в 10 мл 10%-ной  $\text{H}_2\text{SO}_4$  на холоду с 0,026 моля  $\text{NaNO}_2$  в небольшом кол-ве воды получено изонитрозо-соединение (NO вступает в  $\text{CH}_2$ -группу боковой цепи), выход 85%, т. пл. 234—235° (из воды). В V обнаружена частота 1315  $\text{cm}^{-1}$ , соответствующая частоте 1305  $\text{cm}^{-1}$  в X и хинолине, в то время как в VIII и 1,3-диокси-4-циан-5,6,7,8-тетрагидрохинолине она отсутствует, а в изохинолине частота 1305  $\text{cm}^{-1}$  выражена очень слабо (приведена кривая). Сообщение VIII см. РЖХМ, 1955, 18767. Е. 3.

**3894. Озонолиз хинолина, 6,7-диметилхинолина, 5,8-диметилхинолина и 2,3-диметилхинолина в связи с реакционной способностью связей в циклической системе.** Вибатт, Бур (The ozonolysis of quinoline, 6,7-dimethylquinoline, 5,8-dimethylquinoline, and 2,3-dimethylquinoline in connection with the reactivity of the bonds in the ring system. W. i. b. a. u. t. J. P., Воег Н.), Recueil trav. chim., 1955, 74, № 4, 241—256 (англ.).

При озонировании (см. также Recueil trav. chim., 1951, 70, 509) хинолина (I), 6,7-диметилхинолина (II) и 5,8-диметилхинолина (III) выделены продукты превращений глиоксали (IV) и производных пиридинальдегида-2,3; таким образом, главной р-цией является озонотомия связей 5,6- и 7,8-. Не выделены продукты озонотомии по связям 5,10-, 6,7- и 8,9-. При озонировании 2,3-диметилхинолина (V), наряду с IV обнаружен диметилглиоксаль (VI), что указывает на побочную р-цию озонотомии по связи 3,4-. Из 1,2-диметил-4-аминобензола р-цией Скраупа (см. Minske R. H. F. и др., Canad. J. Research, 1942, 20 B, 133) в среде  $(\text{CH}_3\text{CO})_2\text{O}$  синтезируют II, выход 75%, т. пл. 57—58°. Аналогично получают 5,6-диметил-8-нитрохинолин (VII), выход 49%, т. пл. 163—164°. Восстановлением VII Fe и  $\text{CH}_3\text{COOH}$  получают 5,6-диметил-8-аминохинолин, выход 60%, т. пл. 78°. Из амина-л-кислота, аналогично синтезу II, получают III, выход 65%, т. кип. 158°/34 мм, 166°/42 мм, т. пл. 5,7—5,8°; пикрат, т. пл. 192—193°. Конденсацией о-аминобензальдегида и бутанола получают V, выход 65%, т. пл. 69,5°. Из 6-оксихинолина (см. Rosenheim O., Tafel J., Ber., 1893, 26, 1501) получают 2-ацетилпиридинкарбоновую-3 к-ту (VIII), т. пл. 130°. Взаимодействием VIII с хлоргидратом  $\text{NH}_4\text{OH}$  в присутствии  $\text{HCl}$  (к-той)



получают циклич. ангидрид оксима VIII (IX), т. пл. 171° (из сп.). При перекристаллизации из спирта п-нитрофенилгидразона VIII (X) получают циклич. ангидрид X (XI), т. пл. 270°. В р-р 10 ммоль I в 25 мл  $\text{CHCl}_3$ , высушенного  $\text{P}_2\text{O}_5$ , вводят за 2 часа 30 ммоль  $\text{O}_3$  при  $-25^\circ$ . В реакционной смеси после гидролиза обнаружены: I (получен пикрат); IV [бис-п-нитрофенилгидразон, т. пл. 306° (из пиридина); диоксим, т. пл. 174°]; шавелевая к-та (получена Са-соль); пиридиндальдегид-2,3 (XII), бис-п-нитрофенилгидразон (XIII), т. пл. 250°; при обработке реакционной смеси  $\text{NH}_4\text{OH}$  выделены диоксим имида хинолиновой к-ты (XIV), т. пл. 260° (из сп.) и монооксим имида хинолиновой к-ты, т. пл. 279° (из сп.). При окислении после озонирования  $\text{H}_2\text{O}_2$  получена хинолиновая к-та, т. пл. 186°. При озонировании II в реакционной смеси после гидролиза обнаружены: II; XII (получен XIV, т. пл. 259°); XIII, т. пл. 248°; VI (диоксим, т. пл. 238; бис-п-нитрофенилгидразон, т. пл. 320°). При озонировании III обнаружены после гидролиза реакционной смеси: VIII (получен X, т. пл. 269,5°, и IX; IV (диоксим; бис-п-нитрофенилгидразон) и не обнаружен метилгликоаль. При озонировании V (при  $-40^\circ$ ) в реакционной смеси после гидролиза обнаружены V (получен пикрат), IV и VI (получены диоксими), 2,3-диметилпиридиндальдегид-5,6 (получен диоксим имида 2,3-диметилпиридиндикарбоновой-5,6 к-ты, т. пл. 293° (разл., из сп.). А. Г.

**3895. Реакция анилов с 8-оксихинолином. Филлипс, Кьюэн, Фернандо** (The reaction of anils with 8-quinolinol. Phillips J. P., Keown R. W., Fernando Quintus), J. Organ. Chem. 1954, 19, № 6, 907—909 (англ.)

Реакцией гетероциклич. первичных аминов  $\text{RNH}_2$  (I) с  $\text{C}_8\text{H}_7\text{CHO}$  (II) и 8-оксихинолином (III) получены N-замещ. 7-аминобензил-8-оксихинолины (IV) и измерены их спектры поглощения (в сп.). 2,6-диаминопиридин участвует в р-ции лишь одной аминогруппой. К р-ру 0,02 моля I и 0,02 моля II в 50 мл 95%-ного  $\text{C}_2\text{H}_5\text{OH}$  добавляет 0,02 моля III и оставляют при 20° на 3 недели; выпавший продукт отфильтровывают и перекристаллизовывают из смеси спирта и ацетона (1:1). По этому методу из I получен ряд IV (перечисляются исходный I, время р-ции в днях, brutto-формулы полученных IV, выход в %, т. пл. в °C);  $\lambda_{\text{макс}}$  в мμ (в скобках ε): 2-амино-3-метилпиридин, 18,  $\text{C}_{22}\text{H}_{19}\text{N}_3\text{O}$ , 36, 159°; 248 и 300 (56000 и 9700); 2-амино-4-метилпиридин, 1,  $\text{C}_{22}\text{H}_{19}\text{N}_3\text{O}$ , 87,158°; 249 и 300 (4200 и 8800); 2-амино-5-метилпиридин, 0,3,  $\text{C}_{22}\text{H}_{19}\text{N}_3\text{O}$ , 85,200°; 248 и 310 (54000 и 7500); 2-амино-6-метилпиридин, 0,2,  $\text{C}_{22}\text{H}_{19}\text{N}_3\text{O}$ , 80, 201°; 247 и 305 (52000 и 8800); 2,6-диаминопиридин, 0,05,  $\text{C}_{21}\text{H}_{18}\text{N}_4\text{O}$ , 55, 270°; 2-аминобензотриазол, 7,  $\text{C}_{23}\text{H}_{17}\text{N}_3\text{OS}$ , 30, 219°; 2-аминотриазол, 1,  $\text{C}_{19}\text{H}_{15}\text{N}_3\text{OS}$ , 43, 212°; 2-аминобензимидазол, 0,1,  $\text{C}_{23}\text{H}_{18}\text{N}_4\text{O}$ , 28, 202°; 246 и 284 (34000 и 14000); 3-аминохинолин, 11,  $\text{C}_{25}\text{H}_{19}\text{N}_3\text{O}$ , 36, 200°; 246 и 350 (16800 и 4800), автрапиловая к-та, 7,  $\text{C}_{29}\text{H}_{18}\text{N}_2\text{O}_8$ , 45, 206°; 247 и 340 (49 000 и 6 400). Т. К.

**3896. К вопросу о синтезе ксантуреновой кислоты. Хейрих, Хольт** (Beitrag zur Synthese der Xanthurensäure. Heinrich W. D., Holt C. V.), Hoppe Seyler's Z. physiol. Chem., 1954, 297, № 3-6, 247—248 (нем.)

Улучшен метод синтеза ксантуреновой (4,8-диоксихинолинкарбоновой-2) к-ты (I) (Mellene A., Oroshnik W., J. Amer. Chem. Soc., 1951, 73, 3520; Furst A., Olsen C. J., J. Organ. Chem., 1951, 16, 412). В частности, на стадии циклизации диэтилового эфира 2-метоксифениламиноятарной к-ты (II) применен р-ритель «дифил» (III) [смесь дифенилового эфира (73%) и дифенила (27%)]. Смесь 39 г этилового эфира шавелевоуксусной к-ты, вы-

деленного из 50 г его Na-производного, и 25,7 г о-анилидина (IV) нагревают 2 часа при  $\sim 100^\circ$ ; при охлаждении через 3—5 дней продукт конденсации закристаллизовывается. 8 г его измельчают, суспендируют в 120 мл III, кипятят 7 мин., охлаждают до 60°, прибавляют 900 мл бензина и оставляют на несколько дней при 4°; затем жидкость декантируют, а остаток растворяют в 1 л кипящей воды. Из фильтрата выделяется этиловый эфир 8-метокси-4-оксихинолинкарбоновой-2 к-ты (V), выход 38%, считая на IV. Смесь 8 г V, 19,3 г KJ и 59 г 95%-ной  $\text{H}_3\text{PO}_4$  кипятят 3 часа с удалением образующегося  $\text{CH}_3\text{J}$  и по охлаждению медленно приливают 100 мл воды. Выделившийся осадок через 30 мин. растворяют в кипящей смеси 82,5 мл конц. HCl и 103,5 мл воды и добавляют 495 мл кипящей воды; выход 19%, считая на V, т. пл. 295° (разл.),  $\lambda_{\text{макс}}$  (в  $\text{CH}_3\text{OH}$ ) 243 и 340—42 мμ. В. Я.

**3897. Синтез хлоргидрата 1,4,5,6,13,14-гексагидро-5-метил-8,9-метилendioксифенантридина. Мейсон, Уайлдман** (Synthesis of 1,4,5,6,13,14-hexahydro-5-methyl-8,9-methylenedioxyphenanthridine hydrochloride. Mason L. H., Wildman W. C.), J. Amer. Chem. Soc., 1954, 76, № 23, 6194—6195 (англ.)

В связи с изучением алкалоидов *Amaryllidaceae* синтезирован хлоргидрат 1,4,5,6,13,14-гексагидро-5-метил-8,9-метилendioксифенантридина (I) по ранее разработанному методу (см. реф. 3986), исходя из бутадиена (II) и 3,4-метилendioкси-β-нитростирола (III). При конденсации II и III получают 4-(3,4-метилendioксифенил)-3-нитроциклогексен (IV), который восстановлен  $\text{LiAlH}_4$  до амина (V). V циклизацией с  $\text{CH}_2\text{O}$  (по Пакте—Шпенглеру) и N-метилированием переведен в I. 10 г II, 4 г III, 16 мл сухого толуола и следы гидрохинона постепенно нагревают в бомбе 4 дня до 110° и 8 дней при 110°. Получают IV, светлорозовые призмы, выход 61%, т. пл. 97—99° (из сп.),  $\lambda_{\text{макс}}$  (в сп.) 234 мμ (lg ε 3,68), 288 мμ (lg ε 3,59). 3 г IV восстанавливают  $\text{LiAlH}_4$ , выделяют хлоргидрат V, выход 72%, т. пл. 240—242° (из сп.),  $\lambda_{\text{макс}}$  (в сп.) 238 мμ (lg ε 3,60), 288 мμ (lg ε 3,60). V, полученное из 0,8 г хлоргидрата, и 1,1 мл формалина нагревают 20 мин. при 100° с перемешиванием, экстрагируют  $\text{C}_6\text{H}_6$ , получают маслообразное шиффово основание, к которому добавляют 2 мл 19%-ной HCl и оставляют р-р на 12 час., кристаллизуется хлоргидрат 1,4,5,6,13,14-гексагидро-8,9-метилendioксифенантридина (VI). выход 19%, т. пл. 280—282° (разл., из  $\text{CH}_3\text{OH}$ -этанол),  $\lambda_{\text{макс}}$  (в воде) 234 мμ (lg ε 3,55), 292 мμ (lg ε 3,65). Из 0,489 г VI получен I, выход 62%, т. пл. 240—243° (разл.; из  $\text{CH}_3\text{OH}$ -эф.),  $\lambda_{\text{макс}}$  (в сп.) 238 мμ (lg ε 3,53), 292 мμ (lg ε 3,66).

Т. К.

**3898. Получение спиртов, а также алкилхлоридов основного характера, содержащих 1-гекса-, 1-гепта-, 1-октаметилениминные радикалы. Блик, Доренбос** (The preparation of basic alcohols and basic alkyl chlorides which contain a 1-hexa-, 1-hepta- or 1-octamethyleniminio radical. Blicke F. F., Dorenbos N. J.), J. Amer. Chem. Soc., 1954, 76, № 9, 2317—2322 (англ.)

Восстановлением ε-капролактама (I), 2-метил-7-кетогексаметиленмина (II), 4-метил-2-кетогексаметиленмина (III), 2-кетогептаметиленмина (IV) и 2-кетоктозаметиленмина (V) посредством  $\text{LiAlH}_4$  получены гексаметиленмин (VI), 2-метилгексаметиленмин (VII), 4-метилгексаметиленмин (VIII), гептаметиленмин (IX) и октаметиленмин (X). Взаимодействием VI—X с этилен-(XI), триметилен- или пропиленбромгидрином или конденсацией VI—X с этиловым эфиром α-бромпропионовой к-ты (XII) с последующим восстановлением

образующихся этиловых эфиров  $\alpha$ -(1'-полиметиленимино)-пропионовой к-ты посредством  $\text{LiAlH}_4$  приготовлен ряд спиртов основного характера, из которых действием  $\text{SOCl}_2$  получены соответствующие хлориды. Полученные в-ва могут быть использованы как промежуточные продукты для синтеза местных анестетиков, спазмолитич., антигистаминных и противомалирийных препаратов и т. п. При кипячении р-ров 2-(1'-гептаметиленимино)-этилхлорида (XIII), 2-(1'-октаметиленимино)-этилхлорида (XIV) или 2-(2'-метил-1-гексаметиленимино)-этилхлорида (XV) в изопропаноле образуются соответственно  $\text{N,N,N',N'}$ -дигептаметиленпиперазинийдихлорид (XVI),  $\text{N,N,N',N'}$ -диоктаметиленпиперазинийдихлорид (XVII) и  $\text{N,N,N',N'}$ -ди-(1-метилгексаметилен)-пиперазинийдихлорид (XVIII). При нагревании выше т-ры плавления пикрата 2-метил-2-(1'-гексаметиленимино)-этилхлорида (XIX), пикрата 2-метил-2-(2'-метил-1'-гексаметиленимино)-этилхлорида (XX), хлоргидратов 2-метил-2-(4'-метил-1'-гексаметиленимино)-этилхлорида (XXI), 2-метил-2-(1'-гептаметиленимино)-этилхлорида (XXII) и 2-метил-2-(1'-октаметиленимино)-этилхлорида (XXIII) происходит изомеризация типа  $\text{CH}_3\text{CH(R)CH}_2\text{Cl} \rightarrow \text{CH}_3\text{CH(Cl)CH}_2\text{R}$  и образуются соответственно пикраты 1-метил-2-(1'-гексаметиленимино)-этилхлорида (XXIV), 1-метил-2-(2'-метил-1'-гексаметиленимино)-этилхлорида (XXV), хлоргидраты 1-метил-2-(4'-метил-1'-гексаметиленимино)-этилхлорида (XXVI), 1-метил-2-(1'-гептаметиленимино)-этилхлорида (XXVII) и 1-метил-2-(1'-октаметиленимино)-этилхлорида (XXVIII). 240 г I восстанавливают посредством 100 г  $\text{LiAlH}_4$  в 2 л эфира по методу экстракции за 30 час., добавляют по каплям 100 мл воду при 0°, разгонкой эфирного слоя выделяют VI, выход 81%, т. кип. 136—137°,  $n_D^{20}$  1,4658. К 0,5 моля 2-метилциклогексанола в 250 мл конц.  $\text{HCl}$  быстро добавляют 0,77 моля  $\text{NaNa}_3$  (охлаждение льдом), перемешивают 4 часа, подщелачивают  $\text{Na}_2\text{CO}_3$ , добавляют воду, извлекают  $\text{CHCl}_3$ , разгонкой выделяют II, выход 71%, т. кип. 153—158°/20 мм, т. пл. 91—92°; аналогично из циклогексанола получают IV, выход 87%, т. кип. 147—150°/10 мм; из циклооктанола — V, выход 88%, т. пл. 69—71°. IV получают также добавлением оксима циклогексанола к конц.  $\text{H}_2\text{SO}_4$  при 100—105°. 1,2 моля II в 2 л эфира восстанавливают посредством 1,8 моля  $\text{LiAlH}_4$  в 1 л эфира, получают VII, выход 88%, т. кип. 148—150°/747 мм,  $n_D^{20}$  1,4588, хлоргидрат, т. пл. 202—203° (из изопропанола-эф.). Аналогично получены VIII (без выделения промежуточного III), т. кип. 153—156°/748 мм; IX, выход 79%, т. кип. 57—60°/17 мм,  $n_D^{20}$  1,4721, хлоргидрат, т. пл. 176—177° (из ацетона), N-формил-IX (к IX в  $\text{CHCl}_3$ , при охлаждении льдом, добавляют хлораль, затем кипятят 2 часа) выход 94%, т. кип. 120—123°/11 мм; хлоргидрат N-метилгепт-метиленимина (восстановлением N-формильного производного IX посредством  $\text{LiAlH}_4$ ), выход 91%, т. пл. 163—164° (из метилэтилкетона); X, выход 86%, т. кип. 71—74°/11 мм,  $n_D^{20}$  1,4771, пикрат, т. пл. 150—151° (из сп.), хлоргидрат, т. пл. 163—164° (из ацетона). К охлажд. льдом р-ру 5 г VI в 200 мл абс. эфира добавляют 5 мл  $\text{CS}_2$ , получают гексаметилендитиокарбамат гексаметиленаммония, выход 91%, т. пл. 141—142°; аналогично получены гептаметилендитиокарбамат гептаметиленаммония, выход 75%, т. пл. 134—135° и октаметилендитиокарбамат октаметиленаммония, выход 50%, т. пл. 118—119°. 7,5 г IX, 6 г ацетофенона, 2,3 г параформальдегида и 3 капли конц.  $\text{HCl}$  в 15 мл абс. спирта кипятят 1 час, добавляют 1,5 г параформальдегида, кипятят 2 часа, добавляют кипящий ацетон, охлаждают, получают хлоргидрат фенил-β-

(1-гептаметиленимино)-этилкетона, выход 56%, т. пл. 150—151° (из сп.-ацетона); аналогично получают хлоргидрат фенил-β-(1-октаметиленимино)-этилкетона, выход 47%, т. пл. 145—146°. К 0,25 моля IX по каплям прибавляют 0,12 моля XI, нагревают 14 час. при ~100°, охлаждают на льду, добавляют р-р 6 г  $\text{NaOH}$  в 60 мл воды, извлекают эфиром, разгонкой выделяют 2-(1'-гептаметиленимино)-этанол, выход 87%, т. кип. 109—112°/14 мм,  $n_D^{20}$  1,4829, хлоргидрат, т. пл. 76—77° (из сп.-эф.). Аналогично получены  $\text{RCH}_2\text{CH}_2\text{OH}$  (приведены R, выход в %, т. кип. в °C/мм, соль, т. пл. в °C,  $n_D^{20}$ ): 2-метил-1-гексаметиленимино-, 67, 94—97/7, 1,4790, подметилат, 213—215 (из диизопропилкетона); 1-октаметиленимино-, 72, 112—116/9, 1,4860, хлоргидрат 83—84 (из метилэтилкетона);  $\text{RCH}_2\text{CH}_2\text{CH}_2\text{OH}$ : 1-гексаметиленимино- (XXV), 89, 112—114/9, 1,4825, хлоргидрат, 153—154 (из изопропанола-эф.); 2-метил-1-гексаметиленимино-, 74, 119—122/7, 1,4809, хлоргидрат, 114—115; 4-метил-1-гексаметиленимино-, 66, 123—127/12, 1,4780, хлоргидрат, 115—116; 1-гептаметиленимино-, 79; 121—124/9, 1,4847, хлоргидрат, 102—103 (из ацетона-эф.); 1-октаметиленимино-, 58, 144—148/15, 1,4880, пикрат, 88—89;  $\text{RCH}_2\text{CH}(\text{CH}_3)\text{OH}$ : 1-гексаметиленимино-, 63, 97—100/11, 1,4680, хлоргидрат, 131—132 (из изопропанола-эф.); 2-метил-1-гексаметиленимино-, 59, 96—98/7, 1,4670, подметилат, 180—181 (из метилэтилкетона); 4-метил-1-гексаметиленимино-, 71, 101—104/12, 1,4643, хлоргидрат, 105—106 (из изопропанола-эф.); 1-гептаметиленимино-, 84, 109—112/11, 1,4743, хлоргидрат, 110—111 (из сп.-эф.); 1-октаметиленимино-, 47, 127—129/15, 1,4800, пикрат, 137—138 (из метилэтилкетона-эф.). XXV получен также нагреванием смеси аллилата  $\text{Na}$  (0,17 моля аллилового спирта и 0,061 моля  $\text{Na}$ ) с 0,061 моля VI в течение 90 час. при ~100°, полученную смесь подкисляют 20%-ной  $\text{HCl}$ , промывают эфиром, подщелачивают 20%-ным  $\text{NaOH}$ , извлекают эфиром, разгонкой выделяют XXV, выход 58%. К 0,8 моля VI добавляют по каплям 0,4 моля XII, нагревают 12 час. при 100°, подщелачивают, извлекают эфиром, разгонкой выделяют этиловый эфир  $\alpha$ -(1-гексаметиленимино)-пропионовой к-ты (XXIX), выход 92%, т. кип. 118—120°/16 мм,  $n_D^{20}$  1,4584, хлоргидрат, т. пл. 137—138° (из изопропанола-эф.); аналогично получены  $\text{CH}_3\text{CH(R)COOC}_2\text{H}_5$  (приведены R, выход в %, т. кип. в °C/мм,  $n_D^{20}$ , соль, т. пл. в °C): 2-метил-1-гексаметиленимино-, 78, 111—113/7, 1,4591, хлоргидрат, 127—128 (из изопропанола-эф.); 4-метил-1-гексаметиленимино-, 68, 117—119/10, 1,4574, бромгидрат, 104—105 (из метилэтилкетона); 1-гептаметиленимино-, 89, 116—118/10, 1,4630, хлоргидрат, 118—119 (из изопропанола-эф.); 1-октаметиленимино-, 80, 125—128/10, 1,4882, хлоргидрат, 102—103 (из метилэтилкетона). 0,095 моля XXIX в 70 мл эфира добавляют по каплям к охлажд. льдом р-ру 0,13 моля  $\text{LiAlH}_4$  в 300 мл эфира, кипятят 12 час., разлагают водой, разгонкой выделяют 2-метил-2-(1-гексаметиленимино)-этанол, выход 97%, т. кип. 110—112°/17 мм,  $n_D^{20}$  1,4748, хлоргидрат, т. пл. 111—112° (из изопропанола-эф.); аналогично получают  $\text{RCH}(\text{CH}_3)\text{CH}_2\text{OH}$  (приведены R, выход в %, т. кип. в °C/мм,  $n_D^{20}$ , соль, т. пл. в °C): 2-метил-1-гексаметиленимино-, 94, 113—116/11, 1,4745, хлоргидрат, 121—122 (из диизопропилкетона); 4-метил-1-гексаметиленимино-, 86, 111—113/11, 1,4705, подметилат, 77—78 (из метилэтилкетона); 1-гептаметиленимино-, 70, 109—112/10, 1,4800, хлоргидрат, 78—79 (из сп.-эф.); 1-октаметиленимино-, 92, 134—138/16, 1,4851, 110—111 (из метилэтилкетона-эф.). К 0,034 моля 2-(1-гексаметилен-

имино)-этанола в 25 мл  $C_6H_6$  прибавляют по каплям 0,037 моля  $n-O_2NC_6H_4COCl$ , перемешивают 2 часа, получают хлоргидрат 2-(1-гексаметиленимино)-этилового эфира *n*-нитробензойной к-ты (XXX), выход 92%, т. пл. 176—177° (из изопропанола); аналогично получены *n*- $O_2NC_6H_4COOR \cdot HCl$  (приведены R, выход в %, т. пл. в °C (из изопропанола)): 2-(1-гептаметиленимино)-этил-, 96, 163—164; 2-(1-октаметиленимино)-этил-, 92, 182—183 (из ацетона); 3-(1-гексаметиленимино)-пропил-, 96, 192—193; 1-метил-2-(1-гексаметиленимино)-этил-, 92, 157—158; 2-метил-2-(1-гексаметиленимино)-этил-, 96, 174—175 (из сп.); 2-метил-2-(1-гептаметиленимино)-этил-, 85, 165—166. 0,026 моля XXX в 100 мл абс. спирта гидрируют в присутствии 0,15 г  $PtO_2$  (начальное давл. 3,5 ат), получают хлоргидрат 2-(1-гексаметиленимино)-этилового эфира *n*-аминобензойной к-ты, выход 96%, т. пл. 207—208° (из  $CH_3OH$ ); аналогично получены *n*- $H_2NC_6H_4COOR \cdot HCl$  (приведены R, выход в %, т. пл. в °C (из  $CH_3OH$ )): 2-(1-гептаметиленимино)-этил-, 95, 193—194 (из сп.); 2-(1-октаметиленимино)-этил-, 96, 182—183; 3-(1-гексаметиленимино)-пропил-, 88, 262—263; 2-метил-2-(1-гексаметиленимино)-этил-, 96, 192—193; 2-метил-2-(1-гептаметиленимино)-этил-, 94, 190—191 (из сп.). 0,02 моля 3-(1-гептаметиленимино)-пропанола в 50 мл  $C_6H_6$  добавляют по каплям к 0,022 моля  $SOCl_2$  в 70 мл  $C_6H_6$ , кипятят 2 часа, р-тель удаляют, остаток растворяют в  $CH_3OH$ , обезвреживают (норит), к горячему фильтрату добавляют эфир до помутнения, получают хлоргидрат 3-(1-гептаметиленимино)-пропилхлорида, выход 79%, т. пл. 208—209° (из изопропанола-эф.); аналогично получены (приведены в-во, выход в %, т. пл. в °C): пикрат XV, 80, 127—128 (из метилэтилкетона-гептана); хлоргидрат XIII, 92, 193—194 (из изопропанола-эф.); хлоргидрат XIV, 90, 205—207 (из ацетона); хлоргидраты  $RCH_2CH_2CH_2Cl$  (R, выход в %, т. пл. в °C); 2-метил-1-гексаметиленимино-, 89, 113—114 (из  $CH_3OH$ -эф.); 4-метил-1-гексаметиленимино-, 79, 158—159 (из изопропанола-эф.); 1-гептаметиленимино-, 80, 164—165 (из  $CH_3OH$ -эф.); 1-октаметиленимино-, 67, 147—148 (из  $CH_3OH$ -эф.); хлоргидрат 1-метил-2-(1-гексаметиленимино)-этилхлорида, 74, 198—199 (из изопропанола-эф.); XXIV, —, 127—128 (из метилэтилкетона-гептана); XXV, 88, 102—103 (из метилэтилкетона-гептана); XXVI, 75, 176—177 (из изопропанола-эф.); XXVII, 85, 158—159 (из изопропанола-эф.); XXVIII, 62, 127—128 (из изопропанола-эф.); хлоргидрат, 1-метил-2-(1-гексаметиленимино)-этилхлорида, 88, 198—199 (из изопропанола-эф.); XIX, —, 117—118 (из метилэтилкетона-гептана); XX, 57, 89—90 (из метилэтилкетона-гептана); XXI, 74, 158—159 (из  $CH_3OH$ -эф.); XXII, 67, 132—133 (из  $CH_3OH$ -эф.); XXIII, 65, 115—117 (из  $CH_3OH$ -эф.). Р-р XIII (из 1 г хлоргидрата в 25 мл изопропанола) кипятят 26 час., получают XVI, выход 41%, т. пл. 285—286° (разл.); аналогично получены XVII, выход 20%, т. пл. 275—276° (разл.) и XVIII, выход 49%, т. пл. 276—277° (разл.).

3899. Гидразин. Часть VIII. Некоторые соли 3,5,5-триметил- $\Delta^2$ -пиразолина и иона 3,5,5-триметил-1-изопропилиден- $\Delta^2$ -пиразолия. Пью, Винсент (Hydrazine. Part VIII. Some salts of 3,5,5-trimethyl- $\Delta^2$ -pyrazoline and of 3:5:5-trimethyl-1-isopropylidene- $\Delta^2$ -pyrazolinium ion. Pugh W. Vincent H. C. G.), J. Chem. Soc., 1954, July, 2423—2428 (англ.)

Получены и охарактеризованы новые соли 3,5,5-триметилпиразолина (I) (хлор-, бром- и иод-статнаты), -платинаты, -антимониты и -висмутиты) и показано, что соли I конденсируются с ацетоном (II) в кислой среде, образуя соли иона 3,5,5-триметил-1-изопропилиденпиразолия (III). По мнению авторов, конденсация протекает по месту положительно заряженного атома

азота. Из этих солей легко удаляется гидролизом в водной среде 1 моль II на 1Э соли, но при нагревании до 110° в вакууме II не удаляется. ИК-спектр хлор-статната III не содержит полос, характерной для карбонильной группы II. На основании этих наблюдений и по аналогии с гидразиноном (IV), который образует ион кетазиния (см. часть VII, РЖХим, 1955, 45698) авторы считают, что I реагирует со II в кислых р-рах с образованием III, соли которого образуются при кристаллизации из воды. II или смеси  $CH_3OH$ . Эти соли теряют II при длительном действии к-т или при выпаривании с к-той и дают соли I. Если кислотный ион устойчив (хлор- и бромидстатнаты), то соли дают прозрачный р-р в воде, но соли, содержащие свинец, сурьму и висмут, разлагаются при разбавлении водой, давая нерастворимые гидраты окисей или основные галогениды. Они нерастворимы в петролейном эфире,  $C_6H_6$ ,  $CCl_4$ ,  $CHCl_3$  и эфире, но легко растворяются в спирте и в водном II. Общим методом получения солей, содержащих III, является кристаллизация из водно-ацетоновых р-ров смеси галогенида металла и хлористого 3,5,5-триметилпиразолия (V). Готовят конц. р-ры смеси солей в соответствующей к-те и затем выливают в 4—5-кратный объем II. В результате медленного выпаривания при ~20° в частично закрытых сосудах получают хорошие кристаллы. Кипячением 100 мл сухого II с 50 г дихлоридрата получают 30 г V, т. пл. 175—176°. Соответствующий бромид и иодид получают повторным выпариванием хлорида с HBr или HJ-кислотой. Из 50 мл II, 0,042 моля  $SnCl_4$  (VI) и 0,086 моля (IV) получают гексахлорстатнат бис-(3,5,5-триметил-1-изопропилиденпиразолия), выход 16 г, т. пл. 217—219° (разл.; из II). Эту же соль получают прибавлением II к р-ру 0,3 мл VI и 0,7 г V в 10 мл спирта, содержащего HCl, т. пл. 221° (разл.; из  $CH_3OH$ -II). Кристаллизацией смеси 1 моля VI и 2 молей V получают гексахлорстатнат бис-(3,5,5-триметилпиразолия), т. пл. 198° (разл.). 2 г олова растворяют в избытке  $Br_2$ , избыток брома удаляют, прибавляют 30 мл II, 1 мл 48%-ной HBr (к-ты) и 0,033 моля монобромидрата IV и кипятят 10 час. Неочищ. продукт (13 г) повторно кипятят с II, получают 10 г гексабромстатната бис-(3,5,5-триметил-1-изопропилиденпиразолия) (VII), т. пл. 216—218° (разл.). Кипячением с избытком спирта превращают VII в гексабромстатнат бис-(3,5,5-триметилпиразолия), т. пл. 193°. Эту же соль получают действием эфира на р-р  $SnBr_4$  и бромистого 3,5,5-триметилпиразолия в спирте. Гексахлорплатинат бис-(3,5,5-триметил-1-изопропилиденпиразолия) синтезируют из гексагидрата платинохлористоводородной к-ты (VIII), V и II (10 мл), т. пл. 185° (разл.). Многократным выпариванием VIII и V с HBr (к-той) и действием II на полученный сироп получают гексабромплатинат бис-(3,5,5-триметил-1-изопропилиденпиразолия), т. пл. 219° (разл.). Тетрахлорантимонит 3,5,5-триметил-1-изопропилиденпиразолия получают общим методом, кристаллизуют из II, подкисленного HCl (к-той) и сушат д. постоянного веса при 78°/20 мм, т. пл. 84—85°. Гидраттетрахлорантимонит-3,5,5-триметилпиразолия получают кристаллизацией р-ра 3 г  $Sb_2O_3$  и 3 г V в 15 мл 6 н. горячей HCl, т. пл. 55—56°; при 100° теряет воду. Общим методом из  $Sb_2O_3$ , V, HBr (к-ты) и II синтезируют тетрабромантимонит 3,5,5-триметил-1-изопропилиденпиразолия, после удаления кристаллизационного II выпариванием при 78°/20 мм, т. пл. 94—95°. Тетраантимонит 3,5,5-триметилпиразолия получают кристаллизацией р-ра  $Sb_2O_3$  и V в HBr (к-те), т. пл. 66—67°. Тетраиодантимонит 3,5,5-триметил-1-изопропилиденпиразолия кристаллизуется из р-ра 1 г  $Sb_2O_3$ , 0,3 г KJ, 0,5 мл HJ (к-ты), 0,3 г V в 10 мл II, т. пл. 159° (из водн. II). Тетрахлорвисмутит 3,5,5-триметил-1-изопропилиден

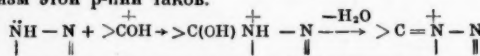


пиразолиния получают общим методом, т. пл. 156°. Тетрахлорвисмутит 3,5,5-триметилпиразолиния получают медленным выпариванием над  $\text{H}_2\text{SO}_4$  р-ра 5,2 г  $\text{BiOCl}$  и 3 г V в 8 мл конц.  $\text{HCl}$  (к-ты). Тетрабромвисмутит 3,5,5-триметилпиразолиния получают кристаллизацией из р-ра  $\text{BiBr}_3$  и V в  $\text{HBr}$  (к-те), после высушивания при 105°, т. пл. 170—171°. Тетрабромвисмутит 3,5,5-триметил-1-изопропилиденпиразолиния получают кристаллизацией смеси 2 молей  $\text{BiBr}_3$  и 1 моля V или его бромистого аналога, после нагревания при 78°/20 мм, т. пл. 149°. Тетрановвисмутит 3,5,5-триметил-1-изопропилиденпиразолиния кристаллизуется из р-ра эквивалентных кол-в  $\text{BiI}_3$  и V в водн. II, содержащем  $\text{HJ}$  (к-ту) и  $\text{KJ}$ , т. пл. 186—188°. При избытке  $\text{BiI}_3$  получают в-во, не содержащее кристаллизационного II, т. пл. 171—172°. Дана оптическая характеристика полученных кристаллич. в-в. Е. К.

3900. Гидразин. Часть IX. Продукты конденсации альдегидов и кетонов с солями некоторых замещенных  $\Delta^2$ -пиразолинов и гидразинов. Ламчен, Пью, Стивен (Hydrazine. Part IX. Condensation products of aldehydes and ketones with salts of some substituted  $\Delta^2$ -pyrazolines and hydrazines. Lamchen M., Pugh W., Stephen A. M.), J. Chem. Soc., 1954, July, 2429—2434 (англ.).

Взаимодействием гексахлорстannата *bis*-(3,5,5-триметилпиразолиния) (I), гексахлорстannата *bis*-(5-метилпиразолиния) (II), гексахлорстannата *bis*-(4,5-диметилпиразолиния) (III) и других хлорстannатов и хлорплатинатов с альдегидами и кетонами получены продукты конденсации, по хим. свойствам и структуре сходные с солями 3,3,5-триметил-1-изопропилиденпиразолиния, описанными ранее (см. часть VIII, реф. 3899). Полученные соли устойчивы при нагревании в вакууме, но выделяют альдегид в водн. или щел. р-ре. N-Замещенные пиразолины в аналогичных условиях не образуют продуктов конденсации. Метилгидразин в присутствии ацетона (IV) и к-т дает соли N-метилдиметилкетазиния. Авторы считают, что конденсация в указанных выше случаях протекает с участием вторичной аминсгруппы. Предположение о том, что новые катионы содержат систему:  $\text{N}^+(\text{C})-\text{C}$ , подтверждается получением солей

изопропилиден-овых или циннамилден-овых производных вторичных аминов (пиперидина, дифениламина и метиламина), содержащих положительно заряженный атом азота, связанный с тремя атомами C, один из которых участвует в образовании двойной связи. Взаимодействие карбонильных соединений с солями пиразолиния рассматривается как р-ция кислотно-каталитич. типа, включающая взаимодействие иона карбония с молекулой свободного основания. Возможный механизм этой р-ции таков:



В процессах алкилирования и бензоилирования свободные пиразолиновые основания ведут себя как вторичные амины и если  $\text{N}_{(1)}$  является незамещенным, то он реагирует с альдегидами в нейтр. или щел. среде, образуя продукты, в которые остатки основания и альдегида входят в отношении 2:1. Р-ция третичных аминов с альдегидами протекает при длительном нагревании при высокой т-ре, причем в конденсации принимают участие 4-метиленовая группа, а не N. Фенилгидразин с к-тами и IV дает соли фенилгидразония, изомеризующихся при длительном кипячении в соли 3,5,5-триметил-1-фенилпиразолиния. Взаимодействие I с карбонильными соединениями: 30%-ный р-р I в спирте обрабатывают избытком альдегида или кетона, выдерживают несколько дней при 0°, затем сфальт-труют кристаллы, промывают спиртом, сухим эфи-

ром и сушат при 100° в вакууме. Продукты конденсации легко гидролизуются в воде и дают с холодным р-ром 2,4-динитрофенилгидразина в 2 н.  $\text{HCl}$  р-цию, характерную для альдегидов и кетонов. При взаимодействии I с  $\text{CH}_3\text{CHO}$  (V) образуется гексахлорстannат *bis*-(1-этилиден-3,5,5-триметилпиразолиния) с хорошим выходом, т. пл. 160—161° (разл.); с  $\text{CH}_3\text{CH}_2\text{CHO}$  образуется гексахлорстannат *bis*-(1-пропилиден-3,5,5-триметилпиразолиния), т. пл. 220—221° (разл.), с масляным альдегидом (VI) — гексахлорстannат *bis*-(1-бутилиден-3,5,5-триметилпиразолиния), т. пл. 190—195° (разл.); с изовалериановым альдегидом — гексахлорстannат *bis*-(1-бутилиден-3'-метил-3,5,5-триметилпиразолиния), т. пл. 214° (разл.); при хранении на воздухе терит альдегид; с кротоновым альдегидом (VII) — гексахлорстannат *bis*-(1-бут-2'-енилиден-3,5,5-триметилпиразолиния), т. пл. 188° (разл.); с тиглиновым альдегидом (VIII) — гексахлорстannат *bis*-(1-(2-метилбут-2'-енилиден)-3,5,5-триметилпиразолиния), т. пл. 176° (разл.); с бензальдегидом (IX) — гексахлорстannат *bis*-(1-бензилиден-3,5,5-триметилпиразолиния), т. пл. 225° (разл.); с коричным альдегидом (X) — гексахлорстannат *bis*-(1-цинамилден-3,5,5-триметилпиразолиния), т. пл. 238° (разл.); с ацетоном (XI) — продукт, идентичный с описанным ранее (см. реф. 3899). Подобные же результаты получают с глиоксалем, м- и п-бензальдегидом, ванилином, ацетилацетоном, терефталевым альдегидом и фурфуролом. Смесь 4,4 мл 5-метилпиразолина, т. кип. 94°/97 мм, полученного из VII и гидрата гидразина и р-ра 8,5 г  $\text{SnCl}_4 \cdot 5\text{H}_2\text{O}$  в 5 мл конц.  $\text{HCl}$  (к-ты), обрабатывают альдегидом или кетоном; осадок промывают и сушат. В результате взаимодействия с IV образуется гексахлорстannат *bis*-(5-метил-1-изопропилиденпиразолиния), т. пл. 196°; с этилметилкетон (XII) образуется гексахлорстannат *bis*-(5-метил-1-этор-бутилиденпиразолиния), т. пл. 155—157°; с VII — гексахлорстannат *bis*-(5-метил-1-бут-2'-енилиденпиразолиния), т. пл. 128—130° (разл.); с IX — гексахлорстannат *bis*-(5-метил-1-бензилиденпиразолиния), т. пл. 203° (разл.); с X — гексахлорстannат *bis*-(5-метил-1-цинамилденпиразолиния), т. пл. 210° (разл.); при р-ции с V и VI твердых продуктов не образуется. Смесь 1 г гидразина (95%) и 2,2 г VIII в 10 мл безводн.  $\text{CH}_3\text{OH}$  кипятят 2 часа, прибавляют к р-ру 4,4 г  $\text{SnCl}_4 \cdot 5\text{H}_2\text{O}$  в разбавленной  $\text{HCl}$  и обрабатывают альдегидом или кетоном, продукт р-ции промывают и сушат. В результате взаимодействия с IV образуется гексахлорстannат *bis*-(4,5-диметил-1-изопропилиденпиразолиния), т. пл. 210—211°; с XII — гексахлорстannат *bis*-(4,5-диметил-1-этор-бутилиденпиразолиния), т. пл. 198—199°; с IX — гексахлорстannат *bis*-(4,5-диметил-1-бензилиденпиразолиния), т. пл. 185° (разл.); с X — гексахлорстannат *bis*-(4,5-диметил-1-цинамилденпиразолиния), т. пл. 193° (разл.). Иодистый 1,3,5,5-тетраметилпиразолиний действием р-ра  $\text{NaOH}$  переводят в основание, которое превращают в хлористый 1,3,5,5-тетраметилпиразолиний; последний обрабатывают  $\text{SnCl}_4$  в IY и получают гексахлорстannат *bis*-(1,3,5,5-тетраметилпиразолиния), т. пл. 196° (из IV-эф.). Гексахлорстannат *bis*-(1,5-диметилпиразолиния) получают действием  $\text{SnCl}_4$  на 1,5-диметилпиразолин в безводн. спирте при избытке  $\text{HCl}$ , т. пл. 207° (разл.). Взаимодействием 5-метилпиразолина с  $\text{CH}_3\text{I}$  получают иодмстил 1,5-диметилпиразолина (XIII), т. пл. 171—172° (из сп.). Обработкой спиртом  $\text{AgCl}$  и  $\text{SnCl}_4$  превращают XIII в гексахлорстannат *bis*-(1,1(?),5-триметилпиразолиния), т. пл. 228—230°. Из хлористого 3,5,5-триметилпиразолиния и X получают хлористый 1-цинамилден-3,5,5-триметилпиразолиний, т. пл. 162° (разл.); обработкой последнего  $\text{SnCl}_4$  в спирте получают гексахлорстannат *bis*-(1-цинамилден-3,5,5-триметилпиразолиния), т. пл. 238°. Гексахлорстannат *bis*-(N-метилдиметилкетазиния) получают из солянокислого метилгид-

разина и безводн.  $\text{SnCl}_4$  в IV, т. пл. 200—203° (разл.). Гексахлоростаннат *бис*-(ацетонфенилгидразония) получают из водн. р-ра, содержащего смесь  $\text{SnCl}_4$  и солянокислого фенилгидразина (XIV) (молярное отношение 1:2) и IV при 0°, т. пл. 155° (разл.) (из IV-HCl (к-ты)). Гексабромостаннат *бис*-(ацетонфенилгидразония) получают из  $\text{SnBr}_4$  и бромгидрата фенилгидразина в смеси IV и HBr (к-ты), т. пл. 158° (разл.). Гексахлорплатинат *бис*-(ацетонфенилгидразония) получают из XIV, IV, воды и  $\text{H}_2\text{PtCl}_6$ , т. пл. 152° (разл.). Гексахлоростаннат *бис*-(3,5,5-триметил-1-фенилпиразолиния) (XV) синтезируют из  $\text{SnCl}_4 \cdot 5\text{H}_2\text{O}$ , XIV, IV и конц. HCl (к-ты), т. пл. 230—231° (разл.); (из IV-разб. HCl). XV обработкой  $\text{H}_2\text{PtCl}_6$  в водн. IV превращают в гексахлорплатинат *бис*-(3,5,5-триметил-1-фенилпиразолиния), т. пл. 180° (разл.). Продукт р-ции гидразина и форона обрабатывают безводн. IV,  $\text{SnCl}_4$  и HCl в  $\text{CH}_3\text{OH}$  и получают гексахлоростаннат *бис*-(3-изобутил-5,5-диметил-1-изопропилиденпиразолиния), т. пл. 189—191° (разл.).

Е. К.

### 3901. Иодирование пиразола. Х ю т т е л ь, Ш е ф е р, Н о х у м (Die Jodierung der Pyrazole. Hüttel Rudolf, Schäfer Otto, Joschum Peter, Liebigs Ann. Chem., 1955, 593, № 3, 200—207 (нем.))

Действием р-ра  $\text{I}_2$  и KJ в присутствии  $\text{CH}_3\text{COONa}$  на пиразол (I) и 3-метилпиразол (II) получены соответственно 4-иод-(III) и 3-метил-4-иодпиразол (IV). Иодирование I в присутствии  $\text{AgNO}_3$  и  $\text{HNO}_3$  приводит к образованию N,3,4-трииодпиразола (V), который обработкой  $\text{H}_2\text{SO}_4$  или Hg переведен в 3,4-диидпиразол (VI). Иодированием VI получен 3,4,5-триидпиразол (VII). Метилирование атома N в I облегчает иодирование. Из 1-метилпиразола (VIII) получен 1-метил-4-иодпиразол (IX) и продукт присоединения молекулы моноидпиразола к молекуле диидпиразола (X). 4-метилпиразол (XI) дает при иодировании 3-иод-4-метилпиразол (XII), а 3,4-диметилпиразол (XIII) — N-иод-3,4-диметилпиразол (XIV). XIV может быть превращен в 3,4-диметил-5-иодпиразол (XV), а иодированием XV и 3,4,5-триметилпиразола (XVI) получены соответственно N,5-диид-3,4-диметилпиразол (XVII) и N-иод-3,4,5-триметилпиразол (XVIII). К кипящему р-ру 0,34 г I и 0,9 г  $\text{CH}_3\text{COONa}$  в 4 мл воды прибавляют по каплям р-р 5 г KJ и 2,5 г  $\text{I}_2$  в 5 мл воды, кипятят 30 мин., по охлаждению добавляют щелочи, экстрагируют эфиром и получают III, выход 98%, т. пл. 108,5° (из бзл.). Аналогично из II получают IV, т. пл. 110,5° (из бзл.). Нагревают при 101° 0,68 г I, 150 мл  $\text{HNO}_3$  и 1,7 г  $\text{AgNO}_3$ , добавляют 2,8 г  $\text{I}_2$ , а затем — 3 раза по 1,7 г  $\text{AgNO}_3$  и 2,8 г  $\text{I}_2$ , к горячему р-ру добавляют 20 мл конц. HCl и отделяют AgJ. Из маточного р-ра выделяют V, выход 54%, т. пл. 122° (разл.). V встряхивают до обесцвечивания с  $\text{H}_2\text{SO}_4$ , экстрагируют эфиром и получают VI, т. пл. 162—163° (из бзл.). Подобно V из 0,8 г VI получают VII, выход 63%, т. пл. 221° (из сп.-бзл.). К р-ру 0,82 г VIII и 5,6 г  $\text{CH}_3\text{COONa}$  в 10 мл воды добавляют р-р 10,2 г  $\text{I}_2$  и 10 г KJ в 20 мл воды, кипятят 30 мин., по охлаждению добавляют щелочи, р-р сливают, а оставшееся масло обрабатывают  $\text{H}_2\text{SO}_4$ ; продукт кипятят с  $\text{C}_6\text{H}_6$  и получают X, т. пл. 137° (из сп.), а из бензольного р-ра — IX, т. пл. 64—65°. К р-ру 0,9 г XI в 40 мл  $\text{CCl}_4$  добавляют 2,57 г  $\text{I}_2$ , кипятят 2,5 часа, по охлаждению встряхивают с разб. р-ром NaOH и получают XII, выход 48%, т. пл. 159° (из  $\text{CH}_3\text{OH}$ ). Кипячением 0,41 г XI, 0,9 г  $\text{CH}_3\text{COONa}$  в 8 мл воды и 1,27 г  $\text{I}_2$  с 2 г KJ в 7 мл воды получают XII с выходом 35%, добавляют 0,96 г XIII к 2,54 г  $\text{I}_2$  в 50 мл  $\text{CCl}_4$ , кипятят 3,5 часа, добавляют разб. р-р NaOH и получают XIV, выход 68%, т. пл. 175—180°. Из 0,48 г XIII и 1,27 г  $\text{I}_2$  при ~20° получают XIV с выходом 80%. К р-ру 3,4 г XIV в разб. HCl прибавляют по каплям  $\text{H}_2\text{SO}_4$ , затем добавляют соды и

выделяют XV, выход 1,3 г, т. пл. 140,5—141° (из водн.  $\text{CH}_3\text{OH}$ ). Кипятят 2 часа суспензию 0,444 г XIV и 0,018 г XIII в 8 мл  $\text{CCl}_4$ , добавляют щелочи и получают XV, выход 63,5%. Подобно XII из 0,237 г XV и 0,3 г  $\text{I}_2$  в 20 мл  $\text{CCl}_4$  (кипчение 1 час) получают XVII, выход 55,2%, т. пл. 209,5° (разл.). Из XVI, аналогично XIV (в р-ре  $\text{CCl}_4$ ) получают XVIII, выход 91%, т. пл. 174—176° (разл.); без р-рителя выход 93%. Р. Ж.

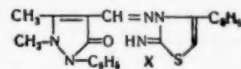
### 3902. Синтез некоторых производных антипирина. Сообщение 5. О синтезе туберкулостатических веществ. К л о з а (Synthese einiger Antipyridinderivate. 5. Mitteilung über Synthese tuberkulostatischer Substanzen. K l o s a J o s e f, Arch. Pharmazie, 1955, 288/60, № 5, 217—220 (нем.))

Синтезированы с целью испытания туберкулостатич. активности тиосемикарбазоны (ТСК) антипиринальдегида (I) и антипиринальацетофенона (II), продукты конденсации  $\omega$ -хлорацетоантипирина-4 (III) с  $\alpha$ -фенилендиаминном (IV), гидразингидратом (V), I с IV, ТСК I (VI) с  $\omega$ -бромацетофеноном (VII). Некоторые из них проявляют туберкулостатич. действие, сравнимое с действием ТСК *п*-ацетиламинобензальдегида. 48 г антипирина (VIII) встряхивают 10 мин. с 24 г ацетилхлорида, затем нагревают 3—4 часа на водяной бане так, чтобы масса не плавилась, летучие в-ва отгоняют в вакууме и получают 30—35 г 4-ацетилантипирина, т. пл. 156—158° (из сп. добавлением бзл.). Из 30 г VIII и 12 г хлорацетилхлорида (12 час., ~20°) получают 7—8 г III, т. пл. 170—171° (из лед.  $\text{CH}_3\text{COOH}$  добавлением воды). Получение III по описанному методу Кауфана и др. (Ber., 1942, 75, 1226) идет неудовлетворительно. 2 г I (получение см. Bodendorf и др. Liebigs. Ann. Chem., 1949, 563, 6) кипятят 1 час. с 1,5 г тиосемикарбазиды (IX) и 10 мл 30%-ной  $\text{CH}_3\text{COOH}$  и получают 1,3 г VI, т. пл. 223—225°, 0,8 г VI при конденсации с 1,4 г VII (в 20 мл абс. спирта, кипячение 1 час.) дают хлоргидрат тиазолового производного (X), т. пл. 195° (разл., из сп.+эфир). Из 0,4 г II и 0,2 г IX (в 15 мл 30%-ной  $\text{CH}_3\text{COOH}$ , кипячение 20 мин.) получают ТСК II, т. пл. 245—247° (из лед.  $\text{CH}_3\text{COOH}$ +вода). Из 1 г III и 0,5 г IX (кипчение 2—4 часа в 17 мл спирта, упаривание до 6—8 мл) получают 2-антипирилхиноксалин, т. пл. 194—196° (из сп.+вода). Кипячением 10 мин. спирт. р-ра 1,5 г I и 1 г IV, затем 1 час с 10 мл нитробензола получают 2-антипирилбензимидазол, т. пл. 202—204° (из сп.). 0,8 г III, 1,6 г V (95%-ного) (40 мл абс. спирта, 10 мин., 40—60°) дают гидразон III (т. пл. 211—213° из сп.), из которого получены далее продукты конденсации с альдегидами и кетонами: коричным (т. пл. 160—162°), ванилином (235°), салициловым (164—166°), ацетофеноном (104°), антипиринальдегидом (226°). Не удалась конденсация с ненасыщ. кетонами — бензальацетаном, фурфурил-иденацетоном, дибензальацетоном. Не удалось получить ТСК III и 4-ацетилантипирина. Сообщение 4 см. РЖХим, 1955, 9451.

В. П.

3903. Исследование в области таутомерных соединений. XVII. Взаимодействие диазосоединений с продуктами конденсации фенилметилпиразолона с кетонами. Порай-Кошиц А. Е., Динабург М. С., Ж. общ. химии, 1954, 24, № 12, 2208—2212

В продолжение работы о способности соединений, содержащих подвижные Н-атомы в  $\text{CH}_2$ -группах, к р-ции сочетания с диазосоединениями (Порай-Кошиц А. Е., Избранные труды, 1949, 229) исследованы производные 1-фенил-3-метилпиразолона-5 (I), содержащие остаток метилкетонов общей ф-лы  $\text{N}=\text{C}(\text{CH}_3)\text{C}(\text{C}(\text{R})\text{CH}_3)\text{CONC}_6\text{H}_5$  (II). Р-ция проходит через стадию

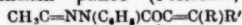


образования ониевой соли за счет мнимого N-пиразолонового кольца и поэтому может быть осуществлена лишь в присутствии сильной минер. к-ты. В спектрах поглощения производных I общей ф-лы  $\text{N}=\text{C}(\text{CH}_3)\text{C}=\text{I}=\text{C}(\text{R})\text{CH}_2\text{N}=\text{NR}'\text{CONC}_6\text{H}_5$  (III), полученных со-

четанием II с диазосоединениями общей ф-лы  $\text{R}'\text{N}_2\text{Cl}$  (IV), обнаруживается значительное углубление цвета по сравнению с производными I, не содержащими остатка метилкетона, и наличие двух  $\lambda_{\text{макс}}$ , как у продуктов конденсации с альдегидами. Положение  $\lambda_{\text{макс}}$  в видимой области спектра определяется характером  $\text{R}'$ ; другой  $\lambda_{\text{макс}}$  250 мк остается постоянным для всех производных I и возникновение его обязано действию пиразолонового кольца. Диазотируют 0,93 г анилина (0,7 г  $\text{NaNO}_2$ , 2 мл конц.  $\text{HCl}$ , 3—4 мл воды, 0°) и приливают диазораствор к 2,14 г II ( $\text{R}=\text{CH}_3$ ) в 25 мл лед.  $\text{CH}_3\text{COOH}$  и 0,7 мл конц.  $\text{HCl}$ ; через 1—1,5 часа отфильтровывают III ( $\text{R}=\text{CH}_3$ ,  $\text{R}'$ -фенил), выход 56,6%, яркокрасные чешуйки, т. пл. 173—174° (из лед.  $\text{CH}_3\text{COOH}$ ). Аналогично получены из соответствующих II и IV следующие III (указаны  $\text{R}$ ,  $\text{R}'$ , выход в %, т. пл. в °C):  $\text{CH}_3$ , 4-нитрофенил, 76, 234—236 (из лед.  $\text{CH}_3\text{COOH}$ );  $\text{CH}_3$ , 2,5-дихлорфенил, 51,4, 194 (из  $\text{CH}_3\text{COOH}$ );  $\text{CH}_3$ , 3-карб-оксифенил, 62, 235—236 (из  $\text{CH}_3\text{COOH}$ ); фенил, 2,5-дихлорфенил, 87, 185—186 (из сп.); фенил, 4-нитрофенил, 73, 235—236 (из лед.  $\text{CH}_3\text{COOH}$ ); фенил, 2-нитро-4-хлорфенил, 47, 226—227 (из лед.  $\text{CH}_3\text{COOH}$ ); фенил, фенил, 69,8, 118—120 (разл., из сп.); фенил, 2-карб-оксифенил, 81,8, 214—215 (из лед.  $\text{CH}_3\text{COOH}$ ); 3-нитрофенил, 4-нитрофенил, 51,5, 231—232 (из разб. пиридина). Приведены спектры поглощения в области 200—500 мк: III ( $\text{R}$ ,  $\text{R}'$ -фенил); III ( $\text{R}=\text{CH}_3$ ,  $\text{R}'$ -фенил); 4-фенил-azo-1-фенил-3-метилпиразолон-5. Сообщение XVI см. РЖХим, 1955, 13849.

Л. Е. 3904. Исследование в области таутомерных соединений. XVIII. Взаимодействие изопропилиден- и арилэтилиденфенилметилпиразолонов с нитрозодиметиланилином и азотистой кислотой. Порай-Кошиц А. Е., Динабург М. С., Ж. общ. хим., 1955, 25, № 1, 151—156

В развитие предыдущих исследований изучалось взаимодействие алкилиденпиразолонов ( $\text{Ia} - \text{Ib}$ ) с *n*-нитрозодиметиланилином (II) и с  $\text{HNO}_2$ . Р-ция I со II протекает очень активно и образуются азометины (IIIa — IIIb). При действии сильных к-т III гидролизуются в альдегиды, из которых изолирован только 4-( $\alpha$ -формилбензаль)-1-фенил-3-метилпиразолон-5 (IV). Из продуктов гидролиза IIIб и IIIв альдегиды в свободном виде не выделены, но получены соответствующие оксимы (V), фенилгидразоны (VI) и семикарбазоны. VI оказались идентичными с продуктами азосочетания, описанными ранее (РЖХим, 1955, 13849).



Ia —  $\text{R}=\text{CH}_3$ ; IIIa —  $\text{R}=\text{CH}=\text{N}(\text{C}_6\text{H}_5)\text{N}(\text{CH}_3)_2$ ; Va —  $\text{R}=\text{CH}=\text{NOH}$ ; VIa —  $\text{R}=\text{CH}=\text{NNHC}_6\text{H}_5$ ; где  $\text{R}'=\text{C}_6\text{H}_5$ ; б  $\text{R}'=\text{CH}_3$ ;  
в  $\text{R}'=\text{C}_6\text{H}_5\text{NO}_2$

При действии  $\text{HNO}_2$  на I получены нитрозосоединения, оказавшиеся идентичными оксимами V, полученным из III или IV с  $\text{NH}_2\text{OH}$ . Ia с  $\text{HNO}_2$  отщепляет кетон и переходит в изонитрозофенилметилпиразолон. Получены следующие III [указаны выход в % и т. пл. в °C (из водн. ацетона)]: IIIa, 68, 181, IIIб, 7, 184—185; IIIв, 90, 185. К 4,08 г IIIa в 40 мл ацетона приливают 2 мл  $\text{HCl}$ ; при разбавлении водой выпадает IV, выход 1,77 г; семикарбазон, т. пл. 227—227,5°; оксим, т. пл. 208° (из  $\text{CH}_3\text{OH}$ ). При взаимодействии III с фенилгидразином в  $\text{CH}_3\text{COOH}$  получают: IVa, выход 55%, т. пл. 118° (из сп.); VI, т. пл. 173—174° (из  $\text{CH}_3\text{COOH}$ ); VIв, выход 61,2%, т. пл. 235—236° (из  $\text{CH}_3\text{COOH}$ ). При дей-

ствии  $\text{NaNO}_2$  на кислые ацетоновые р-ры Ia и Ib получают оксимы альдегидов: Va, выход 82%, т. пл. 208° (из  $\text{CH}_3\text{OH}$ ); Vb, выход 84%, т. пл. 235—236° (из водн. пиридина). Va получают также конденсацией фенилметилпиразолон-5 с изонитрозоацетоном на холоду в  $\text{CH}_3\text{OH}$ . Vb получают также из IIIв и  $\text{NH}_2\text{OH}$  в  $\text{CH}_3\text{COOH}$ .

Л. Э.

3905. Нитрозоациламины и диазоэфир. IX. Синтез индазолов по Якобсону и строение диазоэфиров. Хейсен, Накатен (Nitroso-acyl-amine und Diazo-ester IX. Die Jacobsonsche Indazolsynthese und die Konfiguration der Diazo-ester. Huisgen Rolf, Nakaten Herbert), Liebigs Ann. Chem., 1954, 586, № 1/2, 84—109 (нем.)

Исследовано образование индазолов из нитрозоациламидов и строение образующихся при этом арилдиазоэфиров. Перегруппировка нитрозоациламидов в арилдиазоэфиры проходит с промежуточным образованием 4-членного кольца, вследствие чего получаемые, быстро разлагающиеся арилдиазоэфиры должны обладать *транс*-строением (Huisgen R., Krause L., Liebigs Ann. Chem., 1951, 574, 157). Для подтверждения *транс*-строения диазоэфиров обычные р-ции азосочетания непригодны, так как проходят через стадию образования диазокатиона с возможной изомеризацией. Наоборот, азосочетание ковалентных диазоэфиров с  $\text{CH}_3$ -группой в орто-положении с образованием индазолов, идущее главным образом в неонизирующей р-рителях, механизм которого резко отличен от обычного азосочетания, может явиться доказательством *транс*-строения. Умеренное нагревание нитрозо-бензо-*o*-толуида  $\text{o}-\text{CH}_3\text{C}_6\text{H}_4\text{N}(\text{NO})\text{COC}_6\text{H}_5$  (I) в  $\text{C}_6\text{H}_6$  приводит к образованию индазола (II); при этом в качестве быстро разлагающегося промежуточного продукта получается *o*-толуол-*транс*-диазобензоат  $\text{o}-\text{CH}_3\text{C}_6\text{H}_4\text{N}=\text{NOCOC}_6\text{H}_5$  (III). Существование III доказано выполнением р-ции в присутствии нафтола-2, при котором образуется 1-(*o*-толуолазо)-нафтол-2, выход 94,5%, т. пл. 130°. В случае 2-нитрозоацетида-1-метиллафалина (IV) р-ция проходит через 1-метиллафалин-2-диазоацетат (V) с колич. образованием 4,5-бензиндазола (VI). Обе р-ции первого порядка: скорость 50%-ной изомеризации I  $\rightarrow$  II составляет 30 мин. при 20°; скорость изомеризации IV  $\rightarrow$  V в  $\text{C}_6\text{H}_6$  при 40° измерена фотометрич., весовым и ацидиметрич. методами:  $k_1 = 0,0149$ ,  $0,0154$  мин<sup>-1</sup>. Ароматич. диазоэфиры без  $\text{CH}_3$ -группы в орто-положении в ароматич. р-рителях разлагаются по иному радикальному механизму с отщеплением  $\text{N}_2$ . Выходы II, получаемого пропусканием  $\text{N}_2\text{O}_3$  в р-р бензо-*o*-толуида в смеси лед.  $\text{CH}_3\text{COOH}$  и  $(\text{CH}_3\text{CO})_2\text{O}$  и последующей обработкой полученного I в  $\text{C}_6\text{H}_6$ , увеличены до 95%; существенным при превращении I  $\rightarrow$  II является отсутствие воды во избежание перехода диазоэфира в ионизированную форму. Однако для препаративных целей лучше получать II по аналогичному способу из легкорастворимого ацет-*o*-толуида с выходами 54—62%. Р-ция хлористого *o*-толуодиазона (VII) со щел. ацетатами (в частности с  $(\text{CH}_3)_2\text{N}$ -или Ag-ацетатами) также приводит к получению диазоэфиров, способных к превращению во II; в этом случае при избытке ацетата в результате сочетания с II образуется 5—15% 3-(*o*-толуолазо)-индазола. Выходы II при превращении III в  $\text{C}_6\text{H}_6$  составляют 95%, в тетрагидрофуране 96%, в пиридине 81%, в изопропловом спирте 48%, в других р-рителях (указаны р-тель и выход из III и из VII + ацетат в %):  $\text{CHCl}_3$ , 92,87;  $\text{C}_6\text{H}_6 + \text{CH}_3\text{COOH}$  (10 : 1), 78, 72;  $\text{CH}_3\text{OH}$ , 40, 8;  $\text{C}_2\text{H}_5\text{OH}$ , 9,11; *трет*-бутиловый спирт, 95,82;  $\text{CH}_3\text{COOH}$ , 0,0. Выходы II резко падают с увеличением ионизирующей способности р-рителя. Одновременные выходы II из III и из VII + ацетат показывают, что в последнем случае первоначально образующийся *o*-толуод-



син-диазоацетат исключительно быстро превращается в *транс*-форму. Вследствие резко выраженного ортогонального влияния между 1 и 2 положениями нафталинового ядра IV легко образует VI с выходами 96—99% не только в  $C_6H_6$ , но и в  $C_2H_5OH$ , а равно при определенных условиях плавления или длительном хранении. 1-метилнафталинидiazоний-2 (VIII) обладает пониженной способностью к внутримолекулярному сочетанию с образованием VI и подвергается медленному сольволизу с потерей  $Na$ , поэтому хлористый VIII (IX) при стоянии в течение 16—72 час. образует: а) в спиртовой HCl — 1-метил-2-этоксинафталин, выход 80,5%, т. пл. 46—48°; б) из 1,2-г 85%-ного IX в  $CH_3COOH$  с небольшим конц. HCl — 0,79 г 1-метил-2-ацетоксинафталина (X), т. пл. 64—66° (из петр. эф.); в) из 1,85 г 85%-ного IX в воде — 0,74 г 1-метилацетола-2 (XI) и 0,18 г VI; г) в пиридине — VI, выход 91%. Добавление ацетата при р-ции IX в спирте приводит к образованию V, а затем VI, но так как превращение IX  $\rightarrow$  V проходит через стадию син-диазоэфира активного в азосочетании, наблюдается значительное (до 49%) образование 3-(1'-метилнафталино-2')-4,5-бензидазола, т. пл. 275—278°, и соответствующее снижение выходов VI. Превращение IV и IX + ацетат в среде  $CH_3COOH$  осложняется побочной р-цией образования X вследствие промежуточного образования уксуснокислого VIII и последующего его разложения; приведены кривые разложения IV в  $CH_3COOH$  при 40°. Заместители в бензольном ядре, повышающие электрофильный характер диазогруппы и кислотное орто-состояние  $CN_2$ -группы, в частности нитрогруппа (Nöling E., Ber. Dtsch. chem. Ges., 1904, 37, 2556), способствуют внутримолекулярному сочетанию с образованием соответствующих индазолов. Диазогруппа в орто-положении к  $CN_2$ -группе является такой активирующей группой и по своей силе превосходит другие заместители 2-го рода. Образование индазольного кольца наиболее гладко проходит в неионизирующих р-телях, исключая их первичное отщепление протона и освобождение электронной пары углерода  $CN_2$ -группы. Известная аномалия орто-влияния у 2,3-производных нафталина сказывается на поведении 2-нитробензоиламино-3-метилнафталина (XII) в индазольном синтезе: хотя изомеризация XII в соответствующий диазобензоат протекает нормально, образования 5,6-бензидазола не наблюдается. Исходный 3-метилнафталин-2 (XIII) синтезирован из 2,3-оксинафтойной к-ты через метиловый эфир 2-метокси-3-нафтойной к-ты (XIV; XV — к-та), гидразид XV (XVI), 2-метоксинафталидегид-3 (XVII), 2-метокси-3-метилнафталина (XVIII) и 3-метилнафтол-2 (XIX). 30 г о-толуидина в смеси 30 мл лед.  $CH_3COOH$  и 60 мл  $(CH_3CO)_2O$  подвергают ацелированию с саморазогреванием, охлаждают до 0° и сначала быстро, затем медленно в течение 5 час. пропускают  $N_2O_5$ , выливают на 300 г смеси льда и воды и оставляют стоять 2 часа при 0°, извлекают 200 мл  $C_6H_6$  или толуола маслянистый I, промывают экстракт смесью воды и 10 мл  $CH_3OH$  и оставляют стоять 1 час при 0°, затем промывают 3  $\times$  100 мл воды и сушат над  $CaCl_2$ . Экстракт разбавляют 400 мл  $C_6H_6$  или толуола, нагревают 8 час. на водяной бане при 40—45°, быстро нагревают до кипения, охлаждают и промывают органич. слой 100 мл 2 н. HCl и 3  $\times$  20 мл 5 н. HCl; насыщением  $NH_3$  кислого экстракта и охлаждением 2 часа при 0° выделяют II и перегоняют при 170°/50 мм, выход 60%, т. пл. 148—147° (из б.т.). 60 г XI, 60 мл конц. водн.  $(NH_4)_2SO_3$  и 80 мл 30%-ного водн.  $NH_3$  нагревают под давлением 72 часа при 170°, извлекают  $CHCl_3$ , промывают р-ром NaOH для удаления XI и водой, и перегоняют поч 163—170°/12 мм выделяют 1-метилнафталин-2 (XX), выход 82%; т. пл. производных XX в °C: формильное, 151—152 (из  $CH_3OH$ ); ацетил-

ное (XXI), 193 (из ацетона); пропионильное, 170—171 (из с.п.); изобутирильное, 194—195; бензойное, 226. 1 г XXI растворяют при нагревании в 9 мл лед.  $\text{CH}_3\text{COOH}$  и 3 мл  $(\text{CH}_3\text{CO})_2\text{O}$ , охлаждают до 0° при размешивании и при 0° пропускают 20 мин.  $\text{N}_2\text{O}_5$ ; через 1 час выливанием на 10 г смеси льда с водой выделяют 0,95 г IV, т. пл.  $\sim 90-91^\circ$ . Сочетанием 0,4 г IV с 0,4 г нафтола-2 в 6 мл  $\text{CH}_3\text{OH}$  в течение 10 час. при 40° получают 1-(1'-метилнафталин-2-ао-2')-нафтол-2, интенсивно-красные палочки с бронзовым блеском, т. пл. 212—215° (из бзл. или лед.  $\text{CH}_3\text{COOH}$ ). При стоянии IV в течение 2—3 дней при 20° в  $\text{C}_6\text{H}_6$ , пиридине,  $\text{C}_2\text{H}_5\text{OH}$ ,  $\text{CHCl}_3$ ,  $\text{CCl}_4$  или при нагревании получают VI. Стоянием 0,285 г 96,1%-ного IV в 10 мл сухого  $\text{C}_6\text{H}_6$  (без тиофена) 48 час. при 20° получают VI, выход 98,2%, т. пл. 234—235° (из ацетона). 5 г хлоргидрата XX растворяют в 50 мл горячего абс. спирта, охлаждают и при 0° диазотируют прибавлением 0,5 мл спирт.  $\text{HCl}$  и 5 мл этилнитрита, через 0,5 часа IX осаждают прибавлением абс. эфира. 95 г XIV, 50 г  $\text{N}_2\text{H}_4 \cdot \text{H}_2\text{O}$  и 50 мл спирта кипятят 3 часа, по охлаждению получают XVI, выход 97%, т. пл. 122° и 136° (из с.п.). К 70 г XVI в 400 мл сухого пиридина при охлаждении прибавляют 25 г бензолсульфохлорида, выливают на смесь льда и разб.  $\text{HCl}$ , получают бензолсульфонилгидразид XV (XXII), выход 92%, т. пл. 192° (из  $\text{CH}_3\text{OH}$ ). 95 г XXII в 350 мл сухого этиленгликоля нагревают до 150° и прибавляют 140 г прокаленной и нагретой до 150°  $\text{Na}_2\text{CO}_3$ , через 4 мин. выливают в горячую воду и извлекают эфиром XVII, выход 40%, т. пл. 92° (из с.п.). 18 г XVII и 31 мл 85%-ного  $\text{N}_2\text{H}_4 \cdot \text{H}_2\text{O}$  кипятят 1 час в 130 мл этиленгликоля, прибавляют 16,7 г  $\text{KOH}$  и отгоняют смесь воды, XVIII и небольшого кол-ва этиленгликоля, извлекают эфиром, удалением эфира выделяют 15,3 г XVIII, т. пл. 75—76° (из  $\text{CH}_3\text{OH}$ ). 15 г XVIII, 30 мл лед.  $\text{CH}_3\text{COOH}$  и 30 мл дымящей  $\text{HBr}$  с добавлением небольшого кол-ва красного P кипятят 8 час., охлаждают, выливают в воду и извлекают эфиром, из эфирного р-ра извлекают разб.  $\text{NaOH}$  и выделяют подкислением  $\text{HCl}$  (к-той) 13 г XIX, т. пл. 158° (возгонка). 12 г XIX, 12 мл 40%-ного р-ра  $\text{NH}_4\text{HSO}_4$  и 24 мл конц.  $\text{NH}_4\text{OH}$  нагревают 72 часа при 175°, выпавшие по охлаждению кристаллы извлекают эфиром, эфирный р-р промывают от XIX разб.  $\text{NaOH}$ , осаждают труднорастворимый хлоргидрат XIII, который затем переводят в XII, выход 65%, т. пл. 135° (из бзл. + петр. эф.); ацетильное производное, т. пл. 185° (из с.п.); бензойное производное (XXIII), т. пл. 192° (из с.п.), 1 г XXIII в 5 мл лед.  $\text{CH}_3\text{COOH}$  и 2 мл  $(\text{CH}_3\text{CO})_2\text{O}$  обрабатывают  $\text{N}_2\text{O}_5$  при 0° и получают смесь, содержащую 38% XII (идентифицирован сочетанием с нафтолом-2 с образованием 1-(3'-метилнафталин-2-ао-2')-нафтола-2, т. пл. 192° (из бзл. + с.п.)) и 4-нитро-3-бензоиламино-2-метилнафталин, т. пл. 216° (из бзл.). 0,87 г XXIII в 3 мл лед.  $\text{CH}_3\text{COOH}$  и 1,5 мл  $(\text{CH}_3\text{CO})_2\text{O}$  кипятят с 1,16 г сухого K-ацетата, по охлаждению прибавляют 0,5 г хлорида шпателя  $\text{P}_2\text{O}_5$  и в течение 15 мин. приливают 1,5 мл 25%-ного р-ра  $\text{NOCl}$  в  $(\text{CH}_3\text{CO})_2\text{O}$ , через 1 час выливанием на лед выделяют 0,838 г продукта, содержащего 75% активного XII. 0,688 г XII растворяют в 20 г  $\text{C}_6\text{H}_6$  и выдерживают 3 дня при 20°, выделяют XXIII, 0,128 г  $\text{C}_6\text{H}_5\text{COOH}$  и 3-фенил-2-метилнафталин. В.У.

3906. Изучение строения некоторых производных 5-(о-нитробензильден)-гидантоина. Хенз, Аллен (A study of the structures of some derivatives of 5-(o-nitrobenzylidene)hydantoin. Henze Henry R., Allen George R., Jr). J. Amer. Chem. Soc., 1955, 77, № 2, 461—464 (англ.)

Для установления правильности одной из двух возможных ф-л бромированного 5-(о-нитробензильден)-гидантоина  $\text{OCNHC(ONHC)=CHC}_6\text{H}_4\text{NO}_2$  (I), а именно

$\text{OCNHNCONHC}=\text{CHC}_6\text{H}_4\text{NO}_2\text{-o}$  (II) (Kozak J., *Musial L., Bull. intern. acad. polonaise*, 1930, 1940A, 432), переходящего при окислении  $\text{KMnO}_4$  в *о*-нитробензойную к-ту (III), и предложенной авторами ф-лы  $\text{OCNHNCONHC}=\text{CBrC}_6\text{H}_4\text{NO}_2\text{-o}$  (IV), продукт р-ции I с  $\text{Br}_2$ , выход 78%, т. пл. 245—247,5° (разл.; из  $\text{CH}_3\text{COOH}$ ) был подвергнут озонолу и затем восстановлен  $\text{Zn}$ , причем кроме III получена парабензойная к-та (V)

$\text{OCNHNCONHCO}$ , выход 77%, т. пл. 246—248°. Правильность ф-лы IV подтверждена дополнительно тем, что при одновременном бромировании и озонировании

5-бензилгидантоина  $\text{OCNHNCONHCCH}_2\text{C}_6\text{H}_5$  были получены 5-бензилиденгидантоин  $\text{OCNHNCONHC}=\text{CHC}_6\text{H}_5$ , выход 36%, и 5-( $\alpha$ -бромбензилиден)-гидантоин  $\text{OCNHNCONHC}=\text{CBrC}_6\text{H}_5$ , т. пл. 233—237°. Хлорированием I получены монохлорпроизводное I (VI), выход 69%, т. пл. 245—246° (разл.; из водн. сп.), и дихлорпроизводное I (VII), выход 64%, т. пл. 180—183° (разл.). Показано, что VI является 5-( $\alpha$ -хлор-*о*-нитробензилиден)-гидантоином

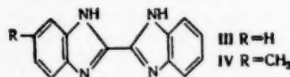
$\text{OCNHNCONHC}=\text{CClC}_6\text{H}_4\text{NO}_2\text{-o}$ , а VII — 3-хлор-5-( $\alpha$ -хлор-*о*-нитробензилиден)-гидантоином  $\text{OCNHNCONHC}=\text{CClC}_6\text{H}_4\text{NO}_2\text{-o}$ . При хлорировании I на солнечном свете в течение 5 час. получена низкоплавкая модификация монохлорпроизводного I (VIII), выход 66%, т. пл. 233—236°. При р-ции VII и VIII с  $\text{KHS}$  (насыщ. р-р  $\text{H}_2\text{S}$  в  $\text{KOH}$  при 0°), получено, вследствие таутомерии, одно и то же меркаптопроизводное 5-( $\alpha$ -меркапто-2-нитробензилиден)-гидантоин

$\text{OCNHNCONHC}(\text{SH})\text{C}_6\text{H}_4\text{NO}_2\text{-o}$ . выход 74 и 83% соответственно, т. пл. 125—126°. При нитровании I конц.  $\text{HNO}_3$  выделен 5-( $\alpha$ -*о*-динитробензилиден)-гидантоин (IX),  $\text{OCNHNCONHC}(\text{NO}_2)_2\text{C}_6\text{H}_4\text{NO}_2\text{-o}$ , выход 8%, т. пл. 225—227°. Строение IX подтверждено тем, что при его озонолу образуется V, выход 64%, а при гидролизе в кислой среде — (*о*-нитрофенил)-нитрометан, выход 27%, т. пл. 73—75°. УФ-спектры всех полученных  $\alpha$ -производных I имеют максимум поглощения при 275 м $\mu$  и минимум при 250 м $\mu$ . С. С.

### 3907. Видоизмененный синтез бензимидазолов.

Часть II. Путь к несимметрично замещенным 2,2'-дibenzимидазолилам и метиленис-2-бензимидазолам. Лейн (A modified benzimidazole synthesis. Part II. A route to unsymmetrically substituted 2:2'-dibenzimidazolyls and methylenebis-2-benzimidazoles. L a n e F. S.), *J. Chem. Soc.*, 1955, Apr., 1079—1081 (англ.)

Показано, что при р-ции *о*-фенилендиамин (I) с оксамидом (II), приводящей к 2,2'-дibenzимидазолилу (III), сначала образуется 2,3-диоксихиноксалин (IV), который с другой молекулой I дает III. Это подтверждается тем, что II с 1 молем I образует IV, а с 2 молями I дает III (См. предыдущую часть РЖХим, 1954, 27033). Аналогичная картина наблюдается и при взаимодействии I с оксаминовой к-той (кипчение 5 час. в этиленгликоле (V), выход IV 64%, т. пл. 386°, с 2 молями I, выход III 51%). IV при нагревании 8 час. с I в V образует III (желтые иглы, не плавятся до 400°); диацетат, светложелтые иглы (из лед.  $\text{CH}_3\text{COOH}$ ).

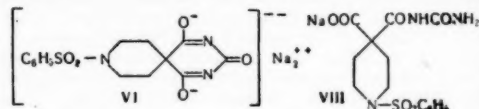


III 51%). IV при нагревании 8 час. с I в V образует III (желтые иглы, не плавятся до 400°); диацетат, светложелтые иглы (из лед.  $\text{CH}_3\text{COOH}$ ).

Превращение IV в III происходит, повидимому, так, что сначала IV (кето-форма) под действием I подвергается аммонолизу, переходя в неустойчивый  $\text{o-NH}_2\text{C}_6\text{H}_4\text{NHCONHC}_6\text{H}_4\text{NH}_2\text{-o}$ , который затем самопроизвольно циклизуется в III. Была сделана попытка использовать найденное превращение хлорсалицилового ядра в бензимидазольное для синтеза несимметрично замещ. III. Однако этот путь оказался мало пригодным. Так, при получении VI (т. пл. 380—390°, разл.) нагреванием 2,3-диокси-6-метилхиноксалина с дихлоргидратом I в V продукт р-ции был загрязнен трудно отделяемыми в-вами. Эти в-ва красного цвета (ср. Hinsberg, *Chem. Ber.*, 1896, 29, 784) отличаются от VI по характеру флуоресценции в УФ-свете. Кроме того, было установлено, что новая р-ция имеет ограниченный применение, поскольку, напр., IV не реагирует с солями 3,4-диаминотолуола или 4-нитро-*о*-фенилендиамин. По аналогии с вышеописанным механизмом р-ции предполагается, что при образовании метиленис-2-бензимидазола (VII) из дихлоргидрата I и диамидо маловой к-ты (см. часть I) промежуточным продуктом р-ции является *о*-фениленмалоамид (VIII). Последний при нагревании (4 часа в V) с 1-2HCl дает VII (т. пл. 380—390°, разл.) дипикрат, т. пл. 246—247°. В отличие от первого, это превращение (7-членного в 5-членный цикл) имеет большее синтетич. значение, так как оно пригодно для синтеза несимметрич. соединений и продукты р-ции не загрязнены окрашенными примесями. Нагреванием (2 часа в V) хлоргидрата диэтилового эфира 2,3-диаминогидрохинона с VIII получен 4,7-диэтоксиметиленис-2-бензимидазолил, т. разл. 270°, дихлоргидрат, т. разл. 270°. В то время как 2,2'-дibenzимидазолилы и метиленис-2-бензимидазолилы способны давать диацетаты и дихлоргидраты, первые из них по отношению к  $\text{HClO}_4$  в лед.  $\text{CH}_3\text{COOH}$  ведут себя как одноосновные амины, что, повидимому, является следствием влияния пространственных факторов. В. З.

3908. Спиро-1'-бензолсульфонилпиперидин-4',5-барбитуровая кислота и родственные ей производные изоникотиновой кислоты. Скиннер, Крысьяк, Перрегрино (Spiro-1'-benzenesulfonylpiperidine 4',5-barbituric acid and related derivatives of isonicotinic acid. Skinner Glenn S., Krysiak Henry R., Perregirino Joseph A.), *J. Amer. Chem. Soc.*, 1955, 77, № 8, 2248—2250 (англ.)

Полученный взаимодействием диэтанолamina (I) и бензолсульфохлорида (II) дибензолсульфонат N-бензолсульфонилдиэтанолamina (III) сконденсирован с натрмалоновым эфиром (IV) в диэтиловый эфир



1-бензолсульфонилпиперидин-4,4-дикарбоновой к-ты (V), последний с  $(\text{NH}_2)_2\text{CO}$  в присутствии  $\text{C}_2\text{H}_5\text{ONa}$  образует натриевую соль спиро-1'-бензолсульфонилпиперидин-4',5-барбитуровой к-ты (VI), из которой выделена соответствующая к-та (VII). При гидролизе VI воды, щелочью образуется вначале 1-бензолсульфонил-4-карбоксизоникотилмочевина (VIII), а затем 1-бензолсульфонилзоникотилмочевина (IX). Дальнейший гидролиз IX ведет к 1-бензолсульфонилзоникотиновой к-те (X), из которой приготовлены ее амид (XI), метиловый (XII) и этиловый (XIII) эфиры и гидразид (XIV). Из хлорангирида X с  $(\text{NH}_2)_2\text{CO}$  получена IX. При гидролизе V выделена 1-бензолсульфонилпиперидин-4,4-дикарбоновая к-та (XV). Кратко охарак-

теризовано фармакологич. действие VII, IX, XI и XIV. К р-ру 0,67 моля I в 8 молях пиридина при 0—5° добавляют по каплям (2 часа) 2,2 моля II, через 12 час. реакционную смесь обрабатывают смесью 500 г льда + 500 мл конц. HCl, III отфильтровывают и промывают ледяной водой, выход 80%, т. пл. 128—129° (из хлф.). К суспензии IV (из 0,8 моля малонового эфира (XVI) и 0,4 г атома Na) в 900 мл C<sub>6</sub>H<sub>6</sub> добавляют 0,2 моля III, кипятят 20 час., нейтрализуют 2 мл конц. HCl, верхний слой декантируют, осадок обрабатывают 200 мл воды и извлекают C<sub>6</sub>H<sub>6</sub> (2 × 25 мл), экстракт упаривают при 1 мм для удаления C<sub>6</sub>H<sub>6</sub> и XVI, остаток растворяют в 100 мл горячего спирта и при охлаждении (лед + соль) отфильтровывают V, выход 85%, т. пл. 70° (из сп.). К р-ру C<sub>2</sub>H<sub>5</sub>ONa (из 3,44 г Na и 60 мл абс. спирта) при 40° добавляют 0,049 моля V и 0,1 моля (NH<sub>2</sub>)<sub>2</sub>CO, перемешивают 1 час, оставляют при 40° на 4 часа и через 12 час. отфильтровывают VI, выход 99%; добавляя VI в смесь льда и HCl, выделяют VII, выход 93%, т. пл. 278—280° (разл.; из лед. CH<sub>3</sub>COOH). Р-р 0,010 моля VII и 0,0125 моля NaOH в 25 мл воды оставляют на 11 дней, подкисляют и выделяют IX, выход 90%, т. пл. 205,5—206° (из сп.). Р-р 0,003 моля VII в 7,5 мл 10%-ного NaOH оставляют на 1 час, пропускают (15 мин.) ток CO<sub>2</sub>, фильтрат подкисляют до pH 3—4; выход VIII 81%, т. пл. 128° (разл.); при нагревании до 140° VIII переходит в IX. При гидролизе 4 г V 60 мл 25%-ного NaOH (кипение 3 часа) выделяют XV, т. пл. 124° (разл.; из воды и сп.), диамид (через хлорангидрид), т. пл. 223—224° (разл.; из сп.). При кипячении (2 часа) 0,3 г IX с 15 мл 20%-ного NaOH + 2 мл спирта выделяют X, т. пл. 160°; X выделяют также при нагревании XV при 170° до окончания выделения CO<sub>2</sub>, выход 87%. 0,0037 моля X и 0,011 моля SOCl<sub>2</sub> нагревают (60—65°, 30 мин.), избыток SOCl<sub>2</sub> удаляют, к остатку добавляют 0,016 моля конц. NH<sub>4</sub>OH, выход XI 92%, т. пл. 206—206,5° (из сп.). Хлорангидрид IX (из 0,0037 моля IX) при охлаждении обрабатывают 0,031 моля CH<sub>3</sub>ONH и нагревают до 70°, осадок растворяют в 2 мл CH<sub>3</sub>ONH и высаживают ледяной водой, выход XII 95%, т. пл. 85° (из CH<sub>3</sub>ONH); аналогично получен XIII, выход 91%, т. пл. 85,5°. К кипящему р-ру 0,24 моля 95%-ного NH<sub>2</sub>NH<sub>2</sub> в 10 мл CH<sub>3</sub>ONH добавляют по каплям р-р 0,054 моля XII в 125 мл CH<sub>3</sub>ONH, смесь кипятят 2 часа, наполовину упаривают, выход XIV 92%, т. пл. 134,5° (из сп.); при получении XIV из XIII выход 50%. Смесь 0,14 моля (NH<sub>2</sub>)<sub>2</sub>CO и хлорангидрида X (из 0,011 моля X) нагревают 1 час при 130°, плав обрабатывают 50 мл горячего спирта, выход IX 3 г. С. Г.

3903. Синтез пиридин-(N)-алкилкарбоновых кислот. Прокофьев М. А., Швачкин Ю. П., Ж. общ. химии, 1955, 25, № 6, 1218—1222

Изучена конденсация гуанидоалфатич. к-т (I) с алкилацетоуксусными эфирами (ср. Докл. АН СССР, 1952, 87, 783), приводящая к [4-оксо-2-имино-6-метил-5-алкилтетрагидропиридин-(3)]-алкилкарбоновым к-там (II), а также конденсация I с малоновым эфиром (III) или с производными III, приводящая к образованию [4,6-дioxo-2-имино-5-алкилгексагидропиридин-(3)]-алкилкарбоновых к-т (IV). Установлено, что при взаимодействии со щелочами II связывают эквимольное кол-во щелочи, что указывает на возможность существования II в таутомерной имино-форме за счет NH<sub>2</sub>-группы в положении 2 пиридинового кольца. IV не растворяется в минер. к-тах, а при взаимодействии со щелочами связывают, как правило, более 1 моля щелочи; подобная кислотность вызвана, очевидно, присутствием в IV наряду с карбоксилатом других кислотных групп, возникающих, повидимому, за счет таутомерии в пиридиновом цикле. К р-ру C<sub>2</sub>H<sub>5</sub>ONa (здесь и далее приготовлен из 1,84 г Na и 50 мл

C<sub>2</sub>H<sub>5</sub>ONH), прибавляют 2,34 г гуанидоуксусной к-ты (V), нагревают до кипения, прибавляют по каплям 8,54 г метилацетоуксусного эфира и кипятят 4 часа; после упаривания в вакууме и подкисления остатка до pH 3 получают [4-оксо-2-имино-5,6-диметилтетрагидропиридин-(3)]-уксусную к-ту, выход 30,5%, т. пл. 233° (из воды). Аналогично из 2,34 г V, 15,8 г этилацетоуксусного эфира (VI) и C<sub>2</sub>H<sub>5</sub>ONa при pH 4 выделяют [4-оксо-2-имино-6-метил-5-этилтетрагидропиридин-(3)]-уксусную к-ту (VII), выход 43,1%, т. пл. 245° (из воды). Аналогично VII из 2,62 г α-гуанидопропионовой к-ты (VIII), 12,64 г VI и C<sub>2</sub>H<sub>5</sub>ONa при кипячении 5 час. получают α-[4-оксо-2-имино-6-метил-5-этилтетрагидропиридин-(3)]-пропионовую к-ту, выход 70%, т. пл. 215° (из воды); из 2,62 г VIII, 9,6 г III и C<sub>2</sub>H<sub>5</sub>ONa получают α-[4,6-диоксо-2-имино-гексагидропиридин-(3)]-пропионовую к-ту, выход 70,1%, т. пл. 201° (разл.); 2,34 г V, 11,28 г этилмалонового эфира и C<sub>2</sub>H<sub>5</sub>ONa при pH 2 выделяют [4,6-диоксо-2-имино-5-этилгексагидропиридин-(3)]-уксусную к-ту, выход 23,9%, т. пл. 213° (разл., из воды); из 2,34 г V, 8,64 г n-C<sub>4</sub>H<sub>9</sub>CH (COOC<sub>2</sub>H<sub>5</sub>)<sub>2</sub> и C<sub>2</sub>H<sub>5</sub>ONa выделяют при pH 2 [4,6-диоксо-2-имино-5-n-бутилгексагидропиридин-(3)]-уксусную к-ту, выход 45,6%, т. пл. 210° (разл., из n-C<sub>4</sub>H<sub>9</sub>OH). Р. Г.

3910. Тримеризация нитрила гликолевой кислоты. Лейк, Лондерган (The trimerization of glycolonitrile. Lake Donald B., Londergan Thomas E.), J. Organ. Chem., 1954, 19, № 12, 2004—2007 (англ.)

Описана тримеризация нитрила гликолевой к-ты (I) с помощью катализатора основного характера и показано, что тример является 4-амино-5-окси-2,6-ди(оксиметил)-пиридином (II). К перегнанному при 65°/4 мм и стабилизированному (5—10 капель H<sub>3</sub>PO<sub>4</sub> на 500 мл безводн. I) прибавляют 10%-ный водн. р-р NaOH до pH 8,0 и оставляют на 12 час. при 0—10°; выход II 47%, т. пл. 90—95°; кристаллы не растворимы в большинстве органич. р-рителей, и растворяются с разложением в горячей воде и спирте или водн. р-ре NaOH. Строение II доказано на основе данных элементарного анализа синтезом ацетильного производного II и гидролизом II. 4-ацетамидо-2,6-диацетоксиметил-5-оксипиридин получают взаимодействием 0,05 моля II в 50 мл ацетона с 0,15 моля (CH<sub>3</sub>CO)<sub>2</sub>O. Полученный продукт очищают фильтрованием р-ра его в диоксане через колонку с активированной Al<sub>2</sub>O<sub>3</sub>, выход 1,0 г, т. пл. 115—117° (из бал.). В результате гидролиза II получают амид гликолевой к-ты, т. пл. 112—114° (из диоксана), гликольамидиновою соль гликолевой к-ты [HOCH<sub>2</sub>COO]<sup>-</sup>[HOCH<sub>2</sub>C(NH)(NH<sub>2</sub>)<sup>+</sup>], повидимому, полимер гликоксила. Образование гликоксила (III) подтверждено гидролизом II и выделением III в виде димедонового производного, выход 79%, т. пл. 192—193° (из CH<sub>3</sub>ONH и воды). Образование III при гидролизе II является наиболее важным доказательством строения II, так как только в этом случае при гидролизе можно ожидать получения III. Л. К.

3911. Приготовление димера кетена и синтез производных пиридина с использованием димера кетена. Ивакура, Нагакубо, Хосоганэ (ケテンダイマーの製造およびケテンダイマーを使用するピリジン誘導体の合成について. 岩倉義男, 長久保國治, 細金忠幸), 工業化学雑誌, Kōgō Kagaku Zasshi, J. Chem. Soc. Japan Industr. Chem. Sec., 1954, 57, № 12, 947—949 (япон.)

Дикетен (I) реагирует с мочевиной (II), тиомочевиной (III), гуанидином (IV) и ацетоамидином (V) с образованием соответственно 4-метилурацила (VI); 4-метилтиоурацила (VII), 2-амино-4-метил-6-оксипиридина (VIII) и 2,4-диметил-6-оксипиридина (IX). 0,3 моля







2, 223/0,4, дихлоргидрат, т. пл. 115° (разл.); Cl, (CH<sub>2</sub>)<sub>5</sub>OH, 2, 240/0,05, дихлоргидрат, т. пл. 173°; Cl, (CH<sub>2</sub>)<sub>5</sub>OH, 2, 243/0,05; Cl, (CH<sub>2</sub>)<sub>10</sub>OH, 2, 268/0,1; Cl, CH<sub>2</sub>C(CH<sub>3</sub>)(C<sub>2</sub>H<sub>5</sub>)CH<sub>2</sub>OH, 2, 232/0,1; Cl, CH<sub>2</sub>CHONCH<sub>2</sub>OH, 2, 240/0,02, дихлоргидрат, т. пл. 120° (разл.); Cl, CH<sub>2</sub>C(CH<sub>3</sub>)(CH<sub>2</sub>OH)CH<sub>2</sub>CH<sub>2</sub>CH<sub>2</sub>CH<sub>2</sub>CH<sub>2</sub>, 2, 258/0,1; Cl,

CH<sub>2</sub>CHONCH(CH<sub>2</sub>)<sub>2</sub>—CH<sub>2</sub>OH, 2, 275/0,05; Cl, CHCH<sub>2</sub>CH<sub>2</sub>—CHONCH<sub>2</sub>CH<sub>2</sub>, 2, 268/0,4; Cl, (CH<sub>2</sub>)<sub>5</sub>OH, 3, 250/0,02;

H, (CH<sub>2</sub>)<sub>5</sub>OH, 2, 185/0,001; H, CH<sub>2</sub>CHON—CH<sub>2</sub>OH, 2, 235/0,01; Cl, CHCH<sub>2</sub>CH<sub>2</sub>CH<sub>2</sub>CH<sub>2</sub>CH<sub>2</sub>CH<sub>2</sub>, 2, 225/0,05, дихлор-

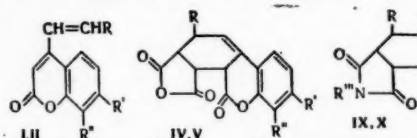
гидрат, т. пл. 196°; Cl, CH<sub>2</sub>CH<sub>2</sub>N(CH<sub>3</sub>)<sub>2</sub>, 198/0,02. Этим же способом, при употреблении для конденсации с XXa меркаптидов, первичных и вторичных аминов (вместо NaOR'), получены соединения общей ф-лы (n-ClC<sub>2</sub>H<sub>4</sub>)(C<sub>2</sub>H<sub>5</sub>)CHN <(CH<sub>2</sub>CH<sub>2</sub>)<sub>n</sub>>NCH<sub>2</sub>CH<sub>2</sub>R''' (перечисляются R''', т. кип. в °C/мм): SCH<sub>2</sub>CH<sub>2</sub>OH, 250/0,01; N(CH<sub>2</sub>CH<sub>2</sub>OH)<sub>2</sub>, 260/0,01; NHCH<sub>2</sub>CH<sub>2</sub>OH, 235/0,05; NHCH<sub>2</sub>CH<sub>2</sub>N(C<sub>2</sub>H<sub>5</sub>)<sub>2</sub>, 210—215/0,005. Эквимолекулярную смесь XXI (R' = (C<sub>2</sub>H<sub>5</sub>)<sub>2</sub>CH) и XIIIa нагревают при 150—160° 3 часа, подщелачивают и извлекают C<sub>2</sub>H<sub>5</sub>, получают III (R = H, R' = CH<sub>2</sub>CH<sub>2</sub>OH), выход 50%, т. кип. 185°/0,005 мм; дихлоргидрат, т. пл. 208°.

Аналогично получены следующие III (перечисляются R, R', n, т. кип. в °C/мм): CH<sub>3</sub>, CH<sub>2</sub>CH<sub>2</sub>OH, 2, 208/0,1; Cl, C<sub>2</sub>H<sub>5</sub>, 2, 210—215/0,005; Cl, n-CH<sub>2</sub>C<sub>2</sub>H<sub>4</sub>, 2, 210/0,005. Смесь 0,1 моля XVa, 0,1 моля XVIII (R' = OH(CH<sub>2</sub>)<sub>5</sub>OCH<sub>2</sub>CH<sub>2</sub>), 0,1 моля XXVI и 100 мл кислоты кипятят 3 часа, по охлаждению фильтруют и промывают водой; получают III (R = CH<sub>3</sub>O, R' = (CH<sub>2</sub>)<sub>5</sub>OH, n = 2), выход 70%, т. кип. 235°/0,2 мм. Аналогично получены III (перечисляются R, R', n, т. кип. в °C/мм): CH<sub>3</sub>O, (CH<sub>2</sub>)<sub>5</sub>OH, 2, 235/0,2; CH<sub>3</sub>O, C<sub>2</sub>H<sub>5</sub>, 2, 235/0,1. Эквимолекулярную смесь XIXa и XXII в толуоле нагревают в автоклаве при 170°, получают IIIa, выход 50%. Аналогично получен III (R = Cl, R' = CH<sub>2</sub>CH<sub>2</sub>OCH<sub>2</sub>CH<sub>2</sub>OH, n = 2), т. кип. 250°/0,1 мм. При фармакологич. изучении I, II и III в виде дихлоргидратов найдено, что по силе и продолжительности антигистаминного действия II значительно слабее, чем I; наиболее интересные соединения найдены среди III.

А. Т. 3915. 4-Стирилкумарины и 2,3-диметилхиноксалин в диеновом синтезе. Мустафа, Камель (4-styrylcoumarins and 2,3-dimethylquinoxaline in diene syntheses. Mustafa Ahmed, Kamel Mohamed, J. Amer. Chem. Soc., 1955, 77, № 7, 1828—1830 (англ.))

Показано, что кислородсодержащие 4-стирил-7-метилкумарины (I) и 4-стирил-7,8-бензкумарины (II), имеющие сопряженные двойные связи, одна из которых является частью гетероциклич. ядра, способны вступать в р-цию Дильса—Альдера в качестве диенового компонента. Так I, присоединя малеиновый ангидрид (III), легко превращается в производные 6Н-дibenzo-(b, d)-пирана (IV), а II в производные 5(6Н)-оксахирина (V). При обработке V (R = n-C<sub>6</sub>H<sub>4</sub>OCH<sub>3</sub>) спирт. NaOH с последующим подкислением получена ба, 7,8, 9-тетрагидро-6-кето-9-(4'-метоксибензил)-5(6Н)-оксахиризендикарбоновая-7,8 к-та (VI), идентичная продукту, полученному действием III на II (R = n-C<sub>6</sub>H<sub>4</sub>OCH<sub>3</sub>). Получены продукты присоединения N-фенил-(VII) и N-л-толиламида (VIII) малеиновой к-ты к I и II (IX, X) соответственно. Присоединением VII к 2,3-диметилхиноксалину (XI), который реагирует в диеновой форме, получен аддукт 1,2,3,4,5,10-гексагидро-N-фенил-2,3-феназиндикарбоксимид (XIIa) или 1,2,3,4,4a,10a-гексагидро-N-фенил-2,3-феназиндикарбоксимид (XIIb). I и II получены конденсацией соот-

ветствующих 7-метил- или 7,8-бензкумарины-4-уксусных к-т (XIIIa, б) с ароматич. альдегидами в присутствии C<sub>2</sub>H<sub>5</sub>N и C<sub>2</sub>H<sub>5</sub>N<sub>3</sub>. Смесь 0,02 моля XIIIa или XIIIb и 0,03 моля альдегида в 30 мл сухого C<sub>2</sub>H<sub>5</sub>N и 10 капель C<sub>2</sub>H<sub>5</sub>N<sub>3</sub> нагревают постепенно до 125—130°, выдерживают 6 час., прибавляют воду до помутнения, охлаждают, выпавший I или II промывают спиртом



I, IV, IX R' = CH<sub>3</sub>, R'' = H; II, V, X R' R'' = —CH=CHCH=CH—

(~30 мл) и кристаллизуют из лед. CH<sub>3</sub>COOH. Получены I (перечисляются R, выход в %, т. пл. в °C): C<sub>2</sub>H<sub>5</sub>, 33, 130—131 (из сп.); n-C<sub>6</sub>H<sub>4</sub>CH<sub>3</sub>, 45, 186—187; n-C<sub>6</sub>H<sub>4</sub>OH, 40, —; n-C<sub>6</sub>H<sub>4</sub>OCH<sub>3</sub>, 52, —; 4',3'-C<sub>6</sub>H<sub>3</sub>(OH)OCH<sub>3</sub>, 42, —; 3',4'-(OCH<sub>2</sub>O)—C<sub>6</sub>H<sub>3</sub>, 45, 208. Получены II: C<sub>2</sub>H<sub>5</sub>, 62, 176; n-C<sub>6</sub>H<sub>4</sub>CH<sub>3</sub>, 65, 212—213; n-C<sub>6</sub>H<sub>4</sub>OCH<sub>3</sub>, 63, —; 4',3'-C<sub>6</sub>H<sub>3</sub>(OH)OCH<sub>3</sub>, 65, 212; 3',4'-(OCH<sub>2</sub>O)—C<sub>6</sub>H<sub>3</sub>, 45, 196, Р-р 0,5 г I или II и 1 г III в 20 мл сухого ксилола кипятят несколько часов, полученный IV или V промывают ~20 мл C<sub>6</sub>H<sub>6</sub>. Получены IV (перечисляются R, время р-ции, выход в %, т. пл. в °C (разл., р-ритель): n-C<sub>6</sub>H<sub>4</sub>OCH<sub>3</sub>, 3, 92, 248, ксилол; n-C<sub>6</sub>H<sub>4</sub>OH, 3, 81, 322, C<sub>2</sub>H<sub>5</sub>NO<sub>2</sub>. Получены V: C<sub>2</sub>H<sub>5</sub>, 5, 90, 268, C<sub>2</sub>H<sub>5</sub>NO<sub>2</sub>; n-C<sub>6</sub>H<sub>4</sub>OCH<sub>3</sub>, 2, 94, 274 (CH<sub>3</sub>CO)<sub>2</sub>O; 3',4'-C<sub>6</sub>H<sub>3</sub>=O<sub>2</sub>CH<sub>2</sub>, 3, 71, 260, лед. CH<sub>3</sub>COOH. Р-р 0,66 г V (R = n-C<sub>6</sub>H<sub>4</sub>OCH<sub>3</sub>) и 1 г NaOH в 24 мл CH<sub>3</sub>OH кипятят 15 мин., при 0° подкисляют HCl (к-той и получают 0,45 г VI, т. пл. 266° (разл.; из сп.). Р-р 0,5 г VI в 10 мл (CH<sub>3</sub>CO)<sub>2</sub>O кипятят 4 часа и получают вновь V. Смесь 0,5 г II (R = n-C<sub>6</sub>H<sub>4</sub>OCH<sub>3</sub>), 1 г III и 30 мл сухого ксилола кипятят 6 час. и получают VI, выход 90%. Присоединение 0,8 г VII и VIII к 0,5 г I и II проводят аналогично присоединению III. Получены IX (перечисляются R, R'', время кипячения, выход в %, т. пл. °C, разл., р-ритель): n-C<sub>6</sub>H<sub>4</sub>OCH<sub>3</sub>, C<sub>2</sub>H<sub>5</sub>, 3, 80, 305, CHCl<sub>3</sub>; n-C<sub>6</sub>H<sub>4</sub>OH, C<sub>2</sub>H<sub>5</sub>, 3, 62, 322, ксилол; 4',3'-C<sub>6</sub>H<sub>3</sub>(OH)OCH<sub>3</sub>, C<sub>2</sub>H<sub>5</sub>, 4, 60, 272, C<sub>2</sub>H<sub>5</sub>NO<sub>2</sub>; n-C<sub>6</sub>H<sub>4</sub>CH<sub>3</sub>, n-C<sub>6</sub>H<sub>4</sub>CH<sub>3</sub>, 3, 81, 270—271, диоксан. Получены X: C<sub>2</sub>H<sub>5</sub>, C<sub>2</sub>H<sub>5</sub>, 5, 92, 308, ксилол; n-C<sub>6</sub>H<sub>4</sub>CH<sub>3</sub>, C<sub>2</sub>H<sub>5</sub>, 5, 89, 312, ксилол; n-C<sub>6</sub>H<sub>4</sub>OCH<sub>3</sub>, C<sub>2</sub>H<sub>5</sub>, 3, 95, 318—319, C<sub>2</sub>H<sub>5</sub>NO<sub>2</sub>; 4',3'-C<sub>6</sub>H<sub>3</sub>(OH)OCH<sub>3</sub>, C<sub>2</sub>H<sub>5</sub>, 4, 62, 296, ксилол; C<sub>2</sub>H<sub>5</sub>, n-C<sub>6</sub>H<sub>4</sub>CH<sub>3</sub>, 4, 84, 286, ксилол; n-C<sub>6</sub>H<sub>4</sub>CH<sub>3</sub>, n-C<sub>6</sub>H<sub>4</sub>CH<sub>3</sub>, 3, 90, 304, ксилол; n-C<sub>6</sub>H<sub>4</sub>OCH<sub>3</sub>, n-C<sub>6</sub>H<sub>4</sub>CH<sub>3</sub>, 3, 87, 308, диоксан; 4',3'-C<sub>6</sub>H<sub>3</sub>(OH)OCH<sub>3</sub>, n-C<sub>6</sub>H<sub>4</sub>CH<sub>3</sub>, 3, 63, 290, ксилол. Р-р 0,5 г XI и 0,5 г VII в 15 мл сухого ксилола кипятят 6 час., на другой день упаривают и получают 0,12 г XIIIa или XIIb, т. пл. 184° (из C<sub>6</sub>H<sub>6</sub>-петр. эф.). Ю. Е.

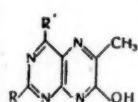
3916. Синтезы 2,4-диамино-7-оксиптеридина и его 6-карбоновой кислоты. Осден, Тиммис (The synthesis of 2 : 4-diamino-7-hydroxypteridine and its 6-carboxylic acid. Osden T. S., Timmis G. M.). J. Chem. Soc., 1955, June, 2038—2039 (англ.)  
3,1 г 2,4,6-триамино-5-нитропиридина и 25 мл диэтилмалоната прибавляют к р-ру 1 г Na в 200 мл 2-этоксизанола и кипятят 4 часа, выпавший из р-ра осадок и остаток, полученный при выпаривании маточного р-ра, растворяют в кипящей воде и фильтруют в избыток горячей 2 н. HCl, получают 2,5 г 2,4-диамино-7-оксиптеридина-6-карбоновую к-ту (I), которую очищают растворением в горячей HCl (к-те), т. пл. > 360°, λ<sub>макс</sub> (0, 1 н. NaOH) 350 (ε 14900) 260 (ε 11300), 226 (ε 38000) мμ. 0,4 г I возгоняют при 340—360°/0,05 мм, получают 0,25 г 2,4-диамино-7-оксиптеридина, который очищают растворением в разб.



$\text{NH}_4\text{OH}$ , т. пл.  $> 300^\circ$ ,  $\lambda_{\text{макс}}$  (в 0,1 н.  $\text{NaOH}$ ) 341 ( $\epsilon$  14100), 255 ( $\epsilon$  10900), 224 мк ( $\epsilon$  40300). Л. П. 3917.

Полиазанафталины. Часть II. Попытки синтеза некоторых аналогов птерониновой кислоты. Ландор, Райндор (Polyazanaphthalenes. Part II. Attempted synthesis of some analogues of pteronic acid. Landor Phyllis D., Rydon H. N.), J. Chem. Soc., 1955, Apr., 1113—1117 (англ.).

Для выяснения влияния  $\text{NH}_2$  и  $\text{OH}$ -групп на биологич. активность птерониновой (I) и фолиевой (Ia) к-т в качестве полупродуктов для получения аналогов I и Ia конденсацией соответствующих пириимидинов с шавелевоуксусным эфиром синтезирован ряд производных 7-окси-6-метилптеридина (IIa—ж). Бромированием



IIa  $\text{R} = \text{H}$ ,  $\text{R}' = \text{OH}$ ; IIб  $\text{R} = \text{NH}$ ,  $\text{R}' = \text{H}$ ;

IIв  $\text{R} = \text{H}$ ,  $\text{R}' = \text{NH}$ ; IIг  $\text{R} = \text{CH}_3$ ,

$\text{R}' = \text{OH}$ ; IIд  $\text{R} = \text{NH}$ ,  $\text{R}' = \text{CH}_3$ ;

IIе  $\text{R} = \text{OH}$ ,  $\text{R}' = \text{NH}$ ; IIж  $\text{R} = \text{SH}$ ,  $\text{R}' = \text{NH}$ .

IIa и IIб в последующей конденсации с  $\alpha$ -аминобензойной к-той (III) получены аналоги I:  $\alpha$ -N-(4,7-диоксиптеридил)-6-метил (IV) и  $\alpha$ -N-(2-амино-7-оксиптеридил)-6-метиламинобензойные (V) к-ты. Удалить  $\text{OH}$ -группу в положении 7 в IV и V не удалось. Отмечается, что птеридины не удается получить конденсацией  $\alpha$ , $\beta$ -дигидропропионового альдегида с 4,5-диамино-6-окси-(VI), 4,5-диамино-6-окси-2-метил-(VII), 4,5,6-триамино-2-окси-(VIII) и 4,5,6-триамино-2-метилптеридином (IX) даже в присутствии  $\text{Na}_2\text{Cr}_2\text{O}_7$ , из диоксиацетона (X) с VI, VII, VIII, 2,4,5-триамино-(XI) и 2,4,5-триамино-6-метилптеридинами (XII), из 2,4-диамино-6-окси-5-нитропириимидина (XIII) с этилацеталем пропионового альдегида и  $\beta$ -хлорпропионового альдегида, а также из XIII с Na-производным ацетоксуксусного эфира. При взаимодействии 2,4,5-триамино-6-оксиптеридина (XIV) с оксиминоацеталом (XV) в водн.  $\text{Na}_2\text{SO}_4$  получен 2,6-диамино-4-окси-7-метилптеридин (XVI) вместо ожидаемого 2-амино-4-окси-6-метилптеридина. Предполагается вначале образование 2-амино-4-окси-7-метил-6-оксиптеридина, а затем его восстановление до XVI. Строение XVI доказано неидентичностью продуктам деаминации XVI и 2-амино-4,7-диокси-6-метилптеридина (XVII); XVII получен известным способом (Eliot и др., J. Amer. Chem. Soc., 1950, 72, 78). При взаимодействии XIII с X вместо ожидаемого 2-амино-4-окси-6-оксиптеридина получен 2-амино-4-окси-7-оксиптеридин, что доказано окислением его до 2-амино-4-оксиптеридинкарбоновой-7 к-ты (XVIII). Нагревают 1 час ( $100^\circ$ ) 2,5 г VI, 4,5 г Na-шавелевоуксусного эфира (XIX) и 20 мл  $\text{CH}_3\text{COOH}$ , добавляют 20 мл воды, нагревают 30 мин. и получают IIa, выход 70%, т. пл.  $345^\circ$  (разл.),  $\lambda_{\text{макс}}$  в мк 227 (23140), 327 (11200). Аналогично из 1,0 г сульфата XI, 1,2 г XIX в 8 мл  $\text{CH}_3\text{COOH}$  получают IIб, выход 62%, т. пл.  $> 360^\circ$ ,  $\lambda_{\text{макс}}$  в мк 227 (20180), 342 (18380); из 4,35 г сульфата 4,5,6-триаминоптеридина, 5,0 г XIX в 60 мл  $\text{CH}_3\text{COOH}$  — IIв, выход 70%, т. пл.  $> 360^\circ$ ,  $\lambda_{\text{макс}}$  в мк (при pH 2) 292 (7370), 327 (7530); (при pH 7) 282—291, 336 (7940); из 0,6 г сульфата VII, 0,6 г XIX в 7 мл  $\text{CH}_3\text{COOH}$ , выход 75%,  $\lambda_{\text{макс}}$  в мк 227 (41180), 328 (13310); из 0,4 г XII, 0,8 г XIX в 7 мл  $\text{CH}_3\text{COOH}$  — IIд, выход 46%,  $\lambda_{\text{макс}}$  в мк 264 (7640), 343 (16230); из 2,15 г сульфата VIII, 2,5 г XIX в 30 мл  $\text{CH}_3\text{COOH}$  — IIе, выход 90%,  $\lambda_{\text{макс}}$  в мк (при pH 2) 272 (15400), 330 (6030); (при pH 9) 272 (12460), 336 (6830); (при pH 13) 254 (8800), 339 (10400); из 2,15 г хлоргидрата IX и 3,7 г XIX в 60 мл  $\text{CH}_3\text{COOH}$  — IIж, выход 40%,  $\lambda_{\text{макс}}$  в мк (при pH = 2) 261 (10300)

349 (14000). К р-ру 0,49 г IIa в 20 мл  $\text{HCOOH}$  приливают 0,15 мл  $\text{Br}_2$  при  $\sim 20^\circ$ , через 12 час. удаляют  $\text{HBr}$  в вакууме в токе  $\text{N}_2$ , приливают р-р 0,7 г III в 10 мл  $\text{HCOOH}$ , через 48 час. фильтруют, разбавляют 400 мл воды, осадок (0,7 г) растворяют в  $\text{NH}_4\text{OH}$  (d 0,880), разбавляют кипящей водой до 1200 мл, подкисляют 2 н.  $\text{HCl}$  (до pH 5) и получают IV, выход 25%, т. пл.  $> 360^\circ$ ;  $\lambda_{\text{макс}}$  в мк 251 (16270); 257 (16270); 280 (19270); 290 (19270); 324 (17210). Аналогично из IIб получают V, т. пл.  $> 360^\circ$ ,  $\lambda_{\text{макс}}$  в мк 228 (27770); 251 (10290); 268 (13730); 280 (13730); 346 (17780). Растворяют при нагревании 0,025 моля сульфата XIV в р-ре 60 г  $\text{Na}_2\text{SO}_3$  в 200 мл воды, охлаждают до  $30^\circ$ , добавляют 2,5 г XV и получают XVI, выход 70%, т. пл.  $> 360^\circ$  (из воды),  $\lambda_{\text{макс}}$  в мк 257 (16130), 378 (7680). XVI растворяют при  $0^\circ$  в 12 мл конц.  $\text{H}_2\text{SO}_4$  и 2 мл воды, приливают 1,2 г  $\text{NaNO}_2$  в 8 мл конц.  $\text{H}_2\text{SO}_4$ , через 10 мин. выливают на лед, через 2 часа фильтруют, осадок кипятят с 70 мл воды, приливают 2 н.  $\text{NaOH}$  до полного растворения, подкисляют 2 н.  $\text{HCl}$  и через 12 час. получают 2,4,6-триокси-7-метилптеридин, т. пл.  $> 360^\circ$ ,  $\lambda_{\text{макс}}$  в мк 227 (18430), 280 (7760), 290 (7760), 343 (10670). Аналогично из XVII получают 2,4,7-триокси-2-метилптеридин, т. пл.  $> 360^\circ$ ,  $\lambda_{\text{макс}}$  в мк 264 (6210); 330 (12220), 0,75 г XIII в 10 мл 1 н.  $\text{NaOH}$  кипятят 2 мин. с димером X, в-во, полученное после подкисления  $\text{CH}_3\text{COOH}$ , окисляют в щел. р-ре  $\text{KMnO}_4$  и получают XVIII; XI получают восстановлением 1,3 г 2,4-диамино-5-нитропириимидина (XX) над скелетным Ni в 130 мл спирта ( $100^\circ$ , 120 ат, 3 часа), выход 66%, т. пл.  $130^\circ$ ; XX получают нагреванием 3,7 г 2,4-дихлор-5-нитропириимидина с 6 г  $\text{NH}_3$  в 30 мл спирта ( $100^\circ$ , 3 часа), выход 82%, т. пл.  $355^\circ$ . Кипятят 11,5 г 2,4-диокси-6-метил-5-нитропириимидина с 16 мл  $\text{POCl}_3$  и 15 мл  $\text{C}_6\text{H}_5\text{N}(\text{CH}_3)_2$  (3 часа), унаривают в вакууме, выливают на лед, извлекают эфиром и получают 2,4-дихлор-6-метил-5-нитропириимидин (XXI), выход 67%, т. кип.  $78^\circ/0,8$  мм, т. пл.  $51^\circ$ ; 9,4 г XX нагревают с 8 г  $\text{NH}_3$  в 30 мл спирта (3 часа,  $100^\circ$ ), и получают 2,4-диамино-6-метил-5-нитропириимидин (XXII), выход 60%, т. пл.  $232^\circ$  (из воды). XXII восстанавливают над скелетным Ni и получают XII, выход 62%, т. пл.  $242^\circ$ . УФ-спектры сняты в 0,1 н.  $\text{NaOH}$ ; исключения оговорены. Часть I см. РЖХим, 1956, 862.

З. М. 3918. Кислородные аналоги птерониновой кислоты. Фэрберн, Магерлейн, Стабберфилд, Стейперт, Уэйблат (Oxygen analogs of pteronic acid. Fairburn E. I., Magerlein B. J., Stubbfield L., Stapert E., Weisblat D. I.), J. Amer. Chem. Soc., 1954, 76, № 3, 676—679 (англ.).

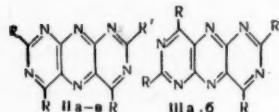
Синтезирован ряд аналогов птерониновой и птероил-глутаминовой к-т, у которых  $\text{N}_{10}$  заменен на О. Р-цией  $\alpha$ -ацетоксibenzoилхлорида (I) с диэтиловым эфиром  $\alpha$ -глутаминовой к-ты (II) приготавливают диэтиловый эфир  $\alpha$ -ацетоксibenzoил- $\alpha$ -глутаминовой к-ты III, которую перэтерификацией с  $\text{C}_2\text{H}_5\text{OH}$  превращают в диэтиловый эфир  $\alpha$ -оксibenzoил-глутаминовой к-ты (IV). Алкилированием IV с помощью диэтилацетата 2,3-оксидпропионового альдегида (V) синтезируют диэтиловый эфир  $\alpha$ -оксibenzoил-3,3-диэтоксипропокси-бензоил- $\alpha$ -глутаминовой к-ты (VI). Аналогично этиловый эфир  $\alpha$ -оксibenzoил- $\alpha$ -глутаминовой к-ты (VII) преводят в этиловый эфир  $\alpha$ -(2-оксibenzoил-3,3-диэтоксипропокси)-бензойной к-ты (VIII). VI и VIII при окислении с  $\text{Na}_2\text{Cr}_2\text{O}_7$  дают соответственно диэтиловый эфир  $\alpha$ -(2-кето-3,3-диэтоксипропокси)-бензоил- $\alpha$ -глутаминовой к-ты (IX) и этиловый  $\alpha$ -(2-кето-3,3-диэтоксипропокси)-бензойной к-ты (X) наряду с небольшим количеством  $\alpha$ -карбостифеоксуксусной к-ты (XI). Взаимодействием IX или X с 2,4,5-триамино-6-оксипириимидином (XII), с последую-

щим гидролизом синтезируют соответственно N-( $\alpha$ -(2-амино-4-окси-6-птеридил)-*п*-анисойл)-*l*-глутаминовую к-ту (XIII) или  $\alpha$ -(2-амино-4-окси-6-птеридил)-*п*-анисовую к-ту (XIV). При р-ции IX или X с 2,4,5,6-тетрааминопиримидином (XV) и последующим омылением получают соответственно N-( $\alpha$ -(2,4-диамино-6-птеридил)-*п*-анисойл)-*l*-глутаминовую к-ту (XVI) или  $\alpha$ -(2,4-диамино-6-птеридил)-*п*-анисовую к-ту (XVII). Показано, что XIII, XIV, XVI и XVII являются антагонистами фолевой к-ты. На саркому 180, карциному крыс 256 Валькера и лимфосаркому крыс ингибиторного действия не оказывают. К смеси I (из 18 г *п*-анетоксибензойной к-ты) и 24 г хлоргидрата II в 190 мл  $C_2H_5Cl_2$  прибавляют р-р 22,2 г  $(CH_3)_3N$  в 60 мл  $C_2H_5Cl_2$  (20°), выход III 60%, т. пл. 75–76,5° (из *н*- $C_3H_7OH$ ). Кипячением (40 мин.) р-ра 10 г III и 3 г *п*-толуолсульфокислоты в 200 мл абс.  $C_2H_5OH$  приготавливают IV, выход 8,2 г, т. пл. 90–91° (из *н*- $C_3H_7OH$ ),  $[\alpha]_D^{25} -14,4^\circ$  (сп.). К плаву 332 г VII прибавляют 299 г V и нагревают в присутствии 1 мл пиридина при 155–160° 2 часа, выход VIII 73,5%, т. кип. 171–175°/0,6–0,65 мм, т. пл. 30–33,5° (из технич. гексана). Аналогично из 6,46 г IV и 3,2 г V при 135° получают 8,6 г маслообразного VI. К 275 г  $Na_2Cr_2O_7$  в 1210 мл воды и 361 мл  $H_2SO_4$  прибавляют 163 г VIII в 2 л  $C_2H_5Cl$  при 5–8°, выход X 75%. Выделено также небольшое кол-во XI, т. пл. 130–132,5°. Аналогично 8,6 г VI при окислении дают 6,6 г маслообразного IX. К смеси 0,42 г  $NaOCONH_2$  и 0,55 г дихлоргидрата XII прибавляют р-р 0,8 г X в 14,8 мл лед.  $CH_3COOH$ , перемешивают при 25° в атмосфере  $N_2$  и в темноте 30 мин. и 20 мин. при 118–120°. Выделяют 0,58 г в-ва, которое омыляют 10% NaOH и подкисляют до pH 3, выход XIV 0,49 г,  $\lambda_{max}$  (0,1 н. NaOH) 257 мк, 364 мк ( $E$  880, 224). Аналогично из 2,7 г IX приготавливают 1,57 г в-ва, омылением которого с NaOH получают 0,24 г XIII,  $\lambda_{max}$  (0,1 н. NaOH) 258, 364 мк ( $E$  889, 185). К смеси 6,36 г бисульфита XV и 120 мл 65%-ного  $C_2H_5OH$  при pH 3 прибавляют р-р 8,91 г X в 40 мл  $C_2H_5OH$ . После нагревания (90°, 2 часа) прибавляют 3 мл HCl, кипятят 15 мин. при 100°, доводят pH до 4,5 и выделяют 7,39 г продукта р-ции. Омыление 2 г этого в-ва 10%-ным NaOH приводит к 1,1 г неочищ. XVII,  $\lambda_{max}$  (0,1 н. NaOH) 256, 364 мк ( $E$  751, 200). Аналогично из 6,28 г IX получают 3,95 г масла, которое при омылении дает XVI,  $\lambda_{max}$  (0,1 н. р-р NaOH) 259, 368 мк ( $E$  729, 167).

Г. С.

**3919. Образование пиримидоптеридинов при окислительной самоконденсации аминопиримидинов.** Тейлор, Лу, Фалко, Хитчингс (Pyrimidopteridines by oxidative self-condensation of aminopyrimidines. Taylor E. C., Jr, Loux Harvey M., Falco Elvira A., Hitchings George H.), J. Amer. Chem. Soc., 1955, 77, № 8, 2243–2248 (англ.)

Установлено, что малорастворимые флуоресцирующие окрашенные побочные продукты, образующиеся в ряде р-ций некоторых 4,5-диаминопиримидинов (I), являются смесью изомерных пиримидо-(5,4 г)-птеридинов (II) и пиримидо-(4,5 г)-птеридинов (III). Так, при пропускании воздуха через теплый водн. р-р 2,4,5,



6-тетрааминопиримидина (IV) образуется смесь 2,4,5,7-тетрааминопиримидо-(5,4 г)-птеридина (IIa, главный изомер, желтый) и 2,4,6,8-тетрааминопиримидо-(4,5 г)-

IIa R=R'=NH<sub>2</sub>  
 IIb R=R'=OH  
 IIa R=OH, R'=NH<sub>2</sub>  
 IIIa R=NH<sub>2</sub>  
 IIIb R=OH

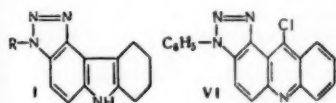
птеридина (IIIa — красный), разделение которых достигнуто благодаря их различной растворимости в  $CH_3COOH$ . Строение IIa доказано дезаминированием его в известные (РЖХим, 1955, 16472) 2,4,5,7-тетраокспиримидо-(5,4 г)-птеридин (IIб) и 2-амино-4,5,7-триокспиримидо-(5,4 г)-птеридин (IIв). Доказательство строения IIIa основано на дезаминировании его в 2,4,6,8-тетраокспиримидо-(4,5 г)-птеридин (IIIб), щел. распаде IIIб в 2,5-диаминоптеридиндикарбоновую-3,6 к-ту (V) и декарбоксилировании V в 2,5-диаминоптеридин (VI), а также метилировании IIIб  $CH_3I$  в 1,3,5,7-тетраметил-2,4,6,8-(1H, 3H, 5H, 7H)-пиримидо-(4,5 г)-птеридинтетраон (VII) и превращении VII в диамид-2,5-бис-(метиламино)-N-метил-N'-метилптеридиндикарбоновую-3,6 к-ты (VIII). Изучение УФ-спектров показало, что II имеют характерный  $\lambda_{max}$  380–390 мк, III —  $\lambda_{max}$  430–450 мк. Установлено, что в ряде случаев для превращения I в II и III необходим pH > 7. На основании полученных данных предложен механизм превращения. 20 г сульфата IV в 100 мл воды прибавлением 0,5 н. NaOH переводят в основание IV, через р-р которого при нагревании (48 час, ~100°) пропускают воздух, после охлаждения получают 6,6 г смеси IIa и IIIa, которую кипятят с 1 л лед.  $CH_3COOH$ , отсасывают из горячего р-ра желтый ацетат IIa (5,1 г), растворяют его в 0,1 н. HCl и разб.  $NH_4OH$  осаждают IIa (не темнеет при нагревании до 360°); фильтрат упаривают до 500 мл и через 12 час. получают ацетат IIIa (1,1 г), который растворяют в разб.  $CH_3COOH$  и аналогично IIa выделяют IIIa (также не темнеет до 360°). К р-ру 250 мг IIa в 40 мл 1 н. HCl прибавляют р-р 1,5 г  $NaNO_2$  в 25 мл воды, нагревают (3 часа, ~100°) и получают IIб, который очищают пересаживанием из 10%-ного  $NH_4OH$  разб. HCl. Аналогично при дезаминировании IIa эквивалентным кол-вом  $HNO_2$  получают IIв. К р-ру 50 мг IIIa в 20 мл 1 н. HCl прибавляют р-р 150 мг  $NaNO_2$  в 5 мл воды, нагревают (3 часа, ~100°), вновь прибавляют 150 мг  $NaNO_2$  и после нагревания (12 час.) получают IIIб (не темнеет при нагревании до 360°). Смесь 7 г IIб, 40 мл воды и 5 мл NaOH нагревают (170°, 3 часа) в стальной бомбе, отсасывают коричневый осадок, обрабатывают его (30 мин.) 0,1 н. NaOH, вновь фильтруют и после подкисления 6 н. HCl объединенных щел. р-ров получают V, выход 63%, т. разл. ~220°. Сублимация V дает VI, 10 г сульфата 4,5-диаминоурацила (IX) в 200 мл воды аналогично IV (рН 7) превращают в смесь IIб и IIIб с основанием IX, которое удаляют при обработке (15 мин.) смесью 1 н. HCl. Смесь 10 г IIб, 100 г  $K_2CO_3$ , 300 мл абс. ацетона и 135 мл  $CH_3I$  кипятят 24 часа, прибавляют двойной объем воды, фильтруют и промывают VII разб.  $NH_4OH$ , выход 19%, после сублимации (200°, 0,5 мм), т. пл. 358–360°. Суспензию I в VII, 30 мл 1 н. NaOH и 5 мл спирта кипятят 3 часа и получают VIII, выход 34%, после сублимации (140°, 0,7 мм), т. пл. 253–254°.

**3920. Опыты по получению индолкарбазолов. Часть VII. Некоторые производные 5-амино-1-фенилбензотриазола.** Картер, Катрицкий, Плант (Experiments on the preparation of indolocarbazoles. Part VII. Some derivatives of 5-amino-1-phenylbenzotriazole. Carter P. H., Katritzky A. R., Plant S. G. P.), J. Chem. Soc., 1955, Febr., 337–340 (англ.)

Описано получение ряда 5,6,7,8-тетрагидро-1'-арилтриазоло-(4',5'—3,4)-карбазолов (I), а также 2-метил-1'-фенилтриазоло-(4',5'—5,6)-хинолона-4 (II), 2-метил-6-(бензотриазол-ил-1)-хинолона-4 (III), 4-хлор-2-метил-(IV), 2-хлор-4-метил-1'-фенилтриазоло-(4',5'—5,6)-хинолина (V) и 5-хлор-1'-фенилтриазоло-(5',4'—3,4)-акридина (VI). Для получения I конденсируют 1 г

5-амино-1-арилбензотриазола (VII, R' = H) с 0,6 г 2-оксидогексанола в 5-(2-оксидогексанола)-амино-1-арилбензотриазола (VII, R' = CH<sub>2</sub>(CH<sub>2</sub>)<sub>5</sub>COCH=), ко-

торые при нагревании с несколькими каплями конц. HCl образуют I. Для получения VII (R' = H) превра-



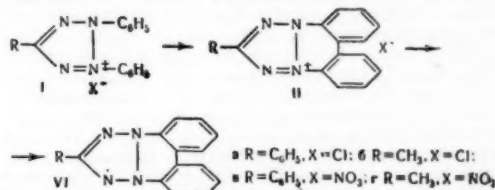
1912, 389, 350) в 5-нитро-1-арилбензотриазола, которые затем восстанавливают (Beretta, Gazz. chim. ital. 1925, 55, 788) до VII (R' = H). Получены (приведены т. пл. °C) VII (R' = H): R = n-ClC<sub>6</sub>H<sub>4</sub>, 170—171° (из водн. сп.); R = o-CH<sub>3</sub>OC<sub>6</sub>H<sub>4</sub>, 149 (из водн. сп.); R = m-CH<sub>3</sub>OC<sub>6</sub>H<sub>4</sub>, 108—109 (из сп.), R = o-CH<sub>3</sub>C<sub>6</sub>H<sub>4</sub>, 93 (из сп.); VII (R' = COCH<sub>3</sub>, R = o-CH<sub>3</sub>C<sub>6</sub>H<sub>4</sub>), 204 (из CH<sub>3</sub>COOH); 2-амино-2'-метоксип-4-нитродифениламин, 146—147 (из CCl<sub>4</sub>); 1-о-метоксифенил-5-нитробензотриазол, 152—153 (из сп.), 2-амино-3'-метоксип-4-нитродифениламин, 151—152 (из сп.), 1-м-метоксифенил-5-нитробензотриазол, 201 (из сп.). Получены следующие VII (R' = CH<sub>2</sub>(CH<sub>2</sub>)<sub>5</sub>

COCH=) (указаны R, т-ра р-ции в °C, выход в %, т. пл. в °C):

C<sub>6</sub>H<sub>5</sub>, 132, 55, 169 (из циклогексанола), n-ClC<sub>6</sub>H<sub>4</sub>, 150, 53, 200—201 (из циклогексанола и сп.); o-CH<sub>3</sub>OC<sub>6</sub>H<sub>4</sub>, 140, 55, 129—130 (из сп.); m-CH<sub>3</sub>OC<sub>6</sub>H<sub>4</sub>, 145, 46, 178 (из сп.); n-CH<sub>3</sub>OC<sub>6</sub>H<sub>4</sub>, 145, 45, 178—179 (из сп.); o-CH<sub>3</sub>C<sub>6</sub>H<sub>4</sub>, 140, 51, 106—107 (из сп.). Получены следующие I; указаны R, т-ра р-ции в °C, выход в %, т. пл. в °C: C<sub>6</sub>H<sub>5</sub>, 145—150, 221—222 (из сп.); n-ClC<sub>6</sub>H<sub>4</sub>, 180, 70, 251—252 (из сп.); o-CH<sub>3</sub>OC<sub>6</sub>H<sub>4</sub>, 150, 16, 193 (из сп.); m-CH<sub>3</sub>OC<sub>6</sub>H<sub>4</sub>, 180, 30, 203—204 (из сп.); n-CH<sub>3</sub>OC<sub>6</sub>H<sub>4</sub>, 170, 8, 245—246 (из сп.); o-CH<sub>3</sub>C<sub>6</sub>H<sub>4</sub>, 160, 53, 226—227 (из сп.). 5 г VII (R' = H, R = C<sub>6</sub>H<sub>5</sub>) с 5 мл ацетоуксусного эфира и несколькими каплями конц. HCl (~20°, 12 час.) образуют 0,5 г этилового эфира β-(1-фенилбензотриазол-5-иламино)-кетоновой к-ты (VIII), т. пл. 127—128° (из сп.). Из 6 г VIII (265°, 5 мин.) получают 2,7 г II, т. разл. 325—335°. Из 1,2 г II, 10 мл POCl<sub>3</sub> и 2 г PCl<sub>5</sub> (кипение 1,5 часа) получают 0,8 г IV, т. пл. 183—184° (из водн. сп.). Из 1-п-аминофенилбензотриазола получают этиловый эфир β-(п-бензотриазол-1-иламино)-кетоновой к-ты, выход 66%, т. пл. 130° (из бал.) и III, выход 45%, т. разл. 320—340° (из C<sub>6</sub>H<sub>5</sub>NO<sub>2</sub>). 1,1 г VII (R' = H, R = C<sub>6</sub>H<sub>5</sub>) с 0,7 г ацетоуксусного эфира (180°, 2 мин.) образуют 1,2 г VII (R' = COCH<sub>3</sub>COCH<sub>3</sub>, R = C<sub>6</sub>H<sub>5</sub>, т. пл. 210° (разл.). Из 2,5 г последнего при кипячении 4 часа с 12 мл POCl<sub>3</sub>, разбавлении 150 мл HCl и обработке 150 мл NH<sub>4</sub>OH в течение 30 мин., получают 0,2 г V, т. пл. 180° (из сп. и петр. эф.). 5 г VII (R' = H, R = C<sub>6</sub>H<sub>5</sub>), 3,5 г o-ClC<sub>6</sub>H<sub>4</sub>COOH, 4,5 г K<sub>2</sub>CO<sub>3</sub> в присутствии Си кипятят 3 часа с 30 мл C<sub>2</sub>H<sub>5</sub>NOH. После отгонки р-рителя и подкисления кипятят осадок 2 часа с 12 мл POCl<sub>3</sub>, добавляя 150 мл HCl и смесь выливают в 500 мл NH<sub>4</sub>OH с 300 г льда, получают 1,5 г VI, т. пл. 219—221° (из бал.). При 200° получают полиморфную форму, т. пл. 229—230°. Часть VI см. РЖХим, 1953, 1692. С. П.

3921. Соли 2,3-дифенилтетразолия и получающиеся из них радикалы. Ерхель, Фишер (2,3-Diphenyltetrazoliumsalze und daraus entstehende Radikale, J. chem. Phys. 1954, 590, № 3, 216—231; Druckfehlerberichtigung, 1955, 591, № 1/2 (нем.)) Показано, что при облучении р-ров 2,3,5-трифенилтетразолийхлорида (Ia) дневным светом (ср. Chem. Ber.,

1949, 82, 195) образуется 2,3-дифенил-5-фенилтетразолийхлорид (IIa). Однако при облучении спирт. р-ра УФ-светом получают наиболее высокие выходы IIa. Эта р-ция исследована на ряде в-в типа I. Применение тока N<sub>2</sub> и добавка небольшого кол-ва HNO<sub>3</sub> дают возможность переводить большие кол-ва I в фотопродукты типа II. При этом облучение продолжают до тех пор, пока при щел. восстановлении пробы с Na<sub>2</sub>S<sub>2</sub>O<sub>4</sub> красный формазан (III) будет образовываться только в небольшом кол-ве, дальнейшее облучение приводит к уменьшению выхода II. Легкость образования II зависит от заместителей в кольце тетразола. Найдено, что 2-ди-



фенил-3,5-дифенилтетразолийхлорид, 2-(α-нафтил)-3,5-дифенилтетразолийбромид, 2-(β-нафтил)-3,5-дифенилтетразолийбромид, 2-(п-нитрофенил)-3,5-дифенилтетразолийхлорид, 5-фенил-2,3-ди-(п-нитрофенил)-тетразолийхлорид и 2,3,5-три-(п-метоксифенил)-тетразолийхлорид неспособны к р-ции фотодегидрирования. Гидрирование II в спирте над скелетным Ni приводит к соответствующим феназам (FA), по которым судят о чистоте полученных II. Так, 2-(м-дихлорфенил)-3,5-дифенилтетразолийнитрат (IV) и 2-(м-метоксифенил)-3,5-дифенилтетразолийнитрат (V) при фотореакции дают нечистые соединения типа II. Обработкой Na<sub>2</sub>S<sub>2</sub>O<sub>4</sub> II переводят в радикалы типа (VI). Однако для II (R = H, X = Cl), IIb удобнее применить Na<sub>2</sub>SnO<sub>2</sub>; IIb также и при гидрировании над скелетным Ni дает VIb. VI дают в р-ре C<sub>6</sub>H<sub>6</sub> характерные окраски: VI (R = C<sub>6</sub>H<sub>5</sub>) — зеленую; VI, содержащие в дифениленовой группе — COOH, а также VI (R-алкил) — синюю. Радикалы, полученные из IV или 2-(п-хлорфенил)-3,5-дифенилтетразолийнитрата (VII) при длительном стоянии в р-ре C<sub>6</sub>H<sub>6</sub> переходят в соединения, окрашенные в темнотойодовый цвет и являющиеся, по видимому, продуктами димеризации. Эти димеры обработкой J<sub>2</sub> или к-тами улетучиваются в II. VI (R = H) в р-ре и твердом виде постепенно превращается в желтый димер (VIII), устойчивый к к-там. Гидрирование VIII дает соответствующий FA. Выход VI определен йодометрич. титрованием, а также измерена магнитная проницаемость (p) VI. Показано, что простейшие тетразольные производные этого типа при действии J<sub>2</sub> или Br<sub>2</sub> дают пергалогениды, являющиеся средствами галогенирования или дегидрирования. Р-р 5 г Ia в 500 мл водн. спирта (4:1) в присутствии 20 мл 2 н. HNO<sub>3</sub> облучают УФ-светом 24 часа в токе N<sub>2</sub>. Остаток после упаривания р-рителя промывают изо-C<sub>3</sub>H<sub>7</sub>OH, получают IIa, выход 80%, т. пл. 322° (из сп.-эф.), FA, т. пл. 154°. IIa (14 час.), выход 80%, т. пл. 360—361°. Аналогично из IIb через 8 час. готовят IIг, выход 42%, т. пл. 318° (из сп.-эф.), FA, т. пл. 154°; из I (R = H, X = Br) через 40 час. синтезируют II (R = H, X = NO<sub>2</sub>), выход 69%, т. пл. 335° (разл., из сп.-эф.), FA, т. пл. 154°. Обработкой р-ра 4 г п-толилгидразона п-толилальдегида в 40 мл пиридина и 60 мл спирта диазониевой солью (из 2 г п-толуидина) получают 2,4 г три-п-толилпроизводного III (IX), т. пл. 178° (из водн. ацетона). Дегидрирование IX с изо-C<sub>3</sub>H<sub>7</sub>ONO (и HCl (к-той)) приводит к 2,3,5-п-толилтетразолийхлориду, выход 70%, т. пл. 221—223° (из сп.-этилацетата). Облучением последнего готовят 2,3-(5,5'-диметилдифенил)-5-(4-толил)-тетразо-



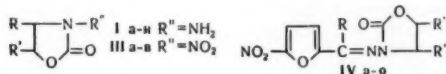
лийхлорид (X) с т. пл. 285°. К р-ру 12 г *N*-хлорфенил-*N'*, *C*-дифенилформазона в 100 мл этилацетата при 45° прибавляют по каплям 2 мл  $\text{HNO}_3$  (д 1,42). Эфиром высаживают VII, выход 95%, т. пл. 224—225° (из сп.-этилацетата). Облучением VII (30 час.) синтезируют 2,3-(5-хлордифенилен)-5-фенилтетразолийнитрат (XI), выход 73%, т. пл. 291—292°, 3-хлорфеназон, т. пл. 211° (из сп.). Р-цией фенилгидразона бензальдегида (XII) с диазотированным *m*-хлоранилином получают *N*-*m*-хлорфенил-*N'*, *C'*-дифенилформазан (XIII), т. пл. 161—162°. 4 г XIII дегидрируют  $\text{HNO}_3$  в этилацетате. Выделяют 2-(*m*-хлорфенил)-3,5-дифенилтетразолийнитрат (XIV), выход 90%, т. пл. 191—192° (из сп.-эф.). Облучением (15 час.) из XIV готовят 2,3-[4(6)-хлордифенилен]-5-фенилтетразолийнитрат (XV), выход 85%, т. пл. 289—291° (из сп.). Гидрирование 0,5 г XV над скелетным Ni дает 2-хлорфеназон, выход 90 мг, т. пл. 141—142° (из сп.). Взаимодействие XII и диазотированного *m*-дихлоранилина приводит к *N*-*m*,*m*-дихлорфенил-*N'*, *C'*-дифенилформазану, т. пл. 157°. Последний дегидрированием  $\text{HNO}_3$  в этилацетате переводят в IV, выход 94%, т. пл. 202—203° (из сп.-эф.). Облучением IV (60 час.) получают 2,3-[4,5(6)-дихлордифенилен]-5-фенилтетразолийнитрат (XVI), выход 40%, т. пл. 295° (разл., из сп.-этилацетата). Гидрирование XVI над скелетным Ni приводит к смеси 2,3- и 3,4-дихлорфеназонов с т. пл. 152—188°. Взаимодействием *m*-хлорфенилгидразона бензальдегида с диазотированным *m*-хлоранилином синтезируют *N*,*N'*-ди-(*m*-хлорфенил)-*C*-фенилформазан, т. пл. 160°. Дегидрированием его  $\text{HNO}_3$  в этилацетате готовят 2,3-ди-(*m*-хлорфенил)-5-фенилтетразолийнитрат, выход 90%, т. пл. 185—186° (из сп.-эф.). Последний превращают облучением (40 час.) в 2,3-[4,4'(4,6')-дихлордифенилен]-5-фенилтетразолийнитрат (XVII), выход 35%, т. пл. 272° (разл., из сп.-эф.). 0,3 г XVII при гидрировании над скелетным Ni дают 85 мг смеси, из которой выделяют 2,7-дихлорфеназон (XVIII), т. пл. 248° (из лед.  $\text{CH}_3\text{COOH}$ ). XVIII получают также гидрированием над скелетным Ni 2,2'-динитро-4,4'-дихлордифенила. Дегидрированием *N*-(*m*-метоксифенил)-*N'*, *C*-дифенилформазана, т. пл. 131—132° (из сп.-ацетона), переводят в V, выход 90%, т. пл. 185—187° (из сп.-эф.). Облучение V (80 час.) приводит к 2,3-[4(6)-метоксидифенилен]-5-фенилтетразолийнитрату (XIX), выход 40%, т. пл. 226—230° (из сп.-этилацетата). Гидрированием 80 г XIX над скелетным Ni готовят 21 мг смеси 2- и 4-метоксифеназонов с т. пл. 130—142° (из водн. сп.). *N*-(*p*-карбоксифенил)-*N'*, *C*-дифенилформазан, т. пл. 211° (из сп.), при обработке бромуксинимидом в этилацетате дает 2-(*p*-карбоксифенил)-3,5-дифенилтетразолийбромид, выход 80%, т. пл. 241° (из сп.-этилацетата). Облучением (24 часа) из него синтезируют 2,3-(5-карбоксидифенилен)-5-фенилтетразолийбромид (XX), выход 65%, т. пл. 374° (разл., из пиридина-эф.). 0,7 г XX в р-ре 30 мл 0,1 н. NaOH гидрируют над скелетным Ni, получают 0,15 г феназонкарбоновой-3 к-ты (XXI), т. пл. 362° (из водн. сл.). Декарбоксилированием ее с су-порошком готовят ФА, т. пл. 154°. Дегидрирование *N*-(*p*-карбоксифенил)-*N'*, *C*-дифенилформазана, т. пл. 144° (из сп.), в этилацетате с помощью  $\text{HNO}_3$  приводит к 2-(*p*-карбоксифенил)-3,5-дифенилтетразолийнитрату, выход 90%, масло. Облучением (8 час.) его УФ-светом получают 2,3-(5-карбоксидифенилен)-5-фенилтетразолийнитрат (XXII), выход 83%, т. пл. 313—314° (из сп.-эф.). 1 г XXII при гидрировании в  $\text{CH}_3\text{OH}$  над скелетным Ni дает метиловый эфир XXI, выход 0,5 г, т. пл. 179° (из водн. сп.). К р-ру 150 мг II в 20 мл воды прибавляют 25 мл  $\text{C}_6\text{H}_6$ , 3 мл 2 н. NaOH и избыток  $\text{Na}_2\text{SnO}_2$ , слой  $\text{C}_6\text{H}_6$  промывают 1%-ым р-ром  $\text{NaHCO}_3$  и упаривают в вакууме при 40°, получают VI ( $\text{R} = \text{CH}_3$ ), выход 72%, т. пл. 125—127°,  $\lambda_{\text{макс}}$  610 мк,  $p \sim 1000 \cdot 10^{-6}$ . Гидрированием II в воде над ске-

летным Ni также получают VI ( $\text{R} = \text{CH}_3$ ), выход 92%. Восстановлением II ( $\text{R} = \text{H}$ ,  $\text{X} = \text{Br}$ )  $\text{Na}_2\text{SnO}_2$  синтезируют VI ( $\text{R} = \text{H}$ ), выход 75%, т. пл. 119—122°,  $\lambda_{\text{макс}}$  625 мк,  $p = 1060 \cdot 10^{-6}$ . При восстановлении с  $\text{Na}_2\text{S}_2\text{O}_4$  выход 45%. Этот радикал при хранении переходит в VIII, т. пл. 206—207° (из сп.). Гидрированием над скелетным Ni в  $\text{CH}_3\text{OH}$  или обработкой  $\text{Na}_2\text{S}_2\text{O}_4$  в  $\text{C}_2\text{H}_5\text{OH}$  VIII переводят в феназон. Действием  $\text{Na}_2\text{SnO}_2$  на 20 мг X синтезируют 2,3-(5,5'-диметилдифенилен)-5-(4-толил)-тетразолий-радикал, выход 13 мг. Аналогично из XI при отовляют 2,3-(5-хлордифенилен)-5-фенилтетразолий-радикал, выход 60%, т. пл. 310° (разл., из бэл.-биз.),  $\lambda_{\text{макс}}$  690 мк,  $p = 1460 \cdot 10^{-6}$ ; из XV обработкой  $\text{Na}_2\text{S}_2\text{O}_4$  синтезируют 2,3-[4(6)-хлордифенилен]-5-фенилтетразолий-радикал, выход 78%, т. пл. 193—196° (из бэл.-биз.),  $\lambda_{\text{макс}}$  680, 505 мк,  $p = 1090 \cdot 10^{-6}$ . XVI дает 2,3-[4,5(или 5,6)-дихлордифенилен]-5-фенилтетразолий-радикал, выход 55%, т. пл. 375°,  $\lambda_{\text{макс}}$  538, 570 мк,  $p = 950 \cdot 10^{-6}$ . Этот радикал при стоянии дает димер. Взаимодействием XVII с  $\text{Na}_2\text{S}_2\text{O}_4$  приводит к 2,3-[4,4'(или 4,6')-дихлордифенилен]-5-фенилтетразолий-радикалу, выход 59%, т. пл. 172—175° (разл., из бэл.-биз.),  $p = 1090 \cdot 10^{-6}$ . Аналогично из XIX синтезируют 2,3-[4(или 6)-метоксидифенилен]-5-фенилтетразолий-радикал, выход 55%, т. пл. 129—139°,  $\lambda_{\text{макс}}$  650 мк,  $p \sim 1000 \cdot 10^{-6}$ , из XX получают водн. р-р 2,3-(5-карбоксидифенилен)-5-фенилтетразолий-радикала, который не удалось выделить в виде соли; XXII дает 2,3-(5-карбоксидифенилен)-5-фенилтетразолий-радикал, выход 60%, т. пл. 143—146°,  $\lambda_{\text{макс}}$  715 мк,  $p = 1205 \cdot 10^{-6}$ ; из II в получают 2,3-дифенилен-5-фенилтетразолий-радикал, выход 75%, т. пл. 160—161°,  $\lambda_{\text{макс}}$  500, 660 мк,  $p = 1300 \cdot 10^{-6}$ . Р-цией 10 г *p*-метоксифенилгидразона *p*-метоксibenзальдегида с диазотатом (из 5 г ангидрина) готовят *N*,*N'*,*C*-три-(*p*-метоксифенил)-формазан (XXIII), выход 9,5 г, т. пл. 140° (из ацетона  $\text{CH}_3\text{OH}$ ). Аналогично из 12 г *p*-нитрофенилгидразона бензальдегида и 7 г *p*-нитроанилина получают 13 г *N*,*N*-ди-(*p*-нитрофенил)-*C*-фенилформазан (XXIV), т. пл. 222° (из ацетона). Дегидрированием XXIII с помощью изомилнитрита — HCl (к-ты) в этилацетате синтезируют 2,3,5-три-(*p*-метоксифенил)-тетразолийхлорид, выход 82%, т. пл. 168° (из сп.-этилацетата). Аналогично XXIV с помощью бромуксинимида переводят в 2,3-ди-(*p*-антрофенил)-5-фенилтетразолийбромид, выход 85%, т. пл. 195° (из сп.-этилацетата). Водн. р-р Ia обрабатывают 5%-ым р-ром  $\text{J}_2$  в р-ре KJ. Выпадает периодид I ( $\text{R} = \text{C}_6\text{H}_5$ ,  $\text{X} = \text{J}$ ), выход 69%, т. пл. 137° (из сп.). Аналогично Ia переходит в пербромид I ( $\text{R} = \text{C}_6\text{H}_5$ ,  $\text{X} = \text{Br}$ ), выход 87%, т. пл. 134° (из  $\text{CH}_3\text{OH}$ ); II дает периодид II ( $\text{R} = \text{C}_6\text{H}_5$ ,  $\text{X} = \text{J}$ ), выход 90%, т. пл. 211—213° (из сп.); пербромид, выход 94%, т. пл. 225—227° (из сп.); из I ( $\text{R} = \text{CH}_3\text{CO}$ ,  $\text{X} = \text{Cl}$ ) синтезируют пербромид I ( $\text{R} = \text{CH}_3\text{CO}$ ,  $\text{X} = \text{Br}$ ), выход 85%, т. пл. 165° (из  $\text{CH}_3\text{OH}$ ). Дегидрирование *N*,*N'*-дифенил-*C*-бензилформазана с бромуксинимидом в этилацетате приводит к I ( $\text{R} = \text{C}_6\text{H}_5\text{CH}_2$ ,  $\text{X} = \text{Br}$ ), выход 92%, т. пл. 194—195° (из сп.-этилацетата). Последний дает пербромид, выход 78%, т. пл. 124° (из сп.). В статье приведены кривые УФ-спектров полученных I и II. Г. С.

3922. Нитрофураны, обладающие химиотерапевтическим действием. I. Некоторые производные 3-амино-2-оксазолидона. Геве, О Киф, Дрейк, Эбеттино, Мэйкелс, Хейс (Chemotherapeutic nitrofurans. I. Some derivatives of 3-amino-2-oxazolidone. Gever Gabriel, O'Keefe Charles, Drake Gordon, Ebetino Frank, Michels Julian, Hayes Kenyon), J. Amer. Chem. Soc., 1955, 77, № 8, 2277—2281 (англ.)

Ряд 3-амино-2-оксазолидонов (Ia—п) получен циклиза-

дией 2-(2-оксалил)-семикарбазидов  $H_2NN(CH_2CHONH-CONH_2)$  (IIa  $R=CH_3$ , IIб  $R=H$ ) конденсацией β-гидразиноспиртов с производными  $H_2CO_3$ , а также катализом или электровосстановлением 3-нитро-2-оксазолидонов (IIIa — в). На основе I получены различные производные 5-нитро-2-ацетилфурана (IVa — p).



Г Iа  $R=R'=H$ ; б  $R=H, R'=CH_3$ ; в  $R=CH_3, R'=H$ ; г  $R=C_2H_5, R'=H$ ; д  $R=H, R'=C_2H_5$ ; е  $R=C_2H_5, R'=H$ ; ж  $R=H, R'=C_2H_5$ ; з  $R=R'=CH_3$ ; и  $R=CH_3, R'=H$ ; IIа  $R=R'=H$ ; б  $R=C_2H_5, R'=H$ ; в  $R=H, R'=C_2H_5$ ; г  $R=C_2H_5, R'=H$ ; д  $R=H, R'=C_2H_5$ ; е  $R=C_2H_5, R'=H$ ; ж  $R=H, R'=C_2H_5$ ; з  $R=R'=CH_3$ ; и  $R=CH_3, R'=H$ ; IIIа  $R=R'=H$ ; б  $R=C_2H_5, R'=H$ ; в  $R=H, R'=C_2H_5$ ; г  $R=C_2H_5, R'=H$ ; д  $R=H, R'=C_2H_5$ ; е  $R=C_2H_5, R'=H$ ; ж  $R=H, R'=C_2H_5$ ; з  $R=R'=CH_3$ ; и  $R=CH_3, R'=H$ ; IVа  $R=R'=H$ ; б  $R=H, R'=CH_3$ ; в  $R=CH_3, R'=H$ ; г  $R=C_2H_5, R'=H$ ; д  $R=H, R'=C_2H_5$ ; е  $R=C_2H_5, R'=H$ ; ж  $R=H, R'=C_2H_5$ ; з  $R=R'=CH_3$ ; и  $R=CH_3, R'=H$ ; Vа  $R=R'=H$ ; б  $R=H, R'=CH_3$ ; в  $R=CH_3, R'=H$ ; г  $R=C_2H_5, R'=H$ ; д  $R=H, R'=C_2H_5$ ; е  $R=C_2H_5, R'=H$ ; ж  $R=H, R'=C_2H_5$ ; з  $R=R'=CH_3$ ; и  $R=CH_3, R'=H$ ; VIа  $R=R'=H$ ; б  $R=H, R'=CH_3$ ; в  $R=CH_3, R'=H$ ; г  $R=C_2H_5, R'=H$ ; д  $R=H, R'=C_2H_5$ ; е  $R=C_2H_5, R'=H$ ; ж  $R=H, R'=C_2H_5$ ; з  $R=R'=CH_3$ ; и  $R=CH_3, R'=H$ ; VIIа  $R=R'=H$ ; б  $R=H, R'=CH_3$ ; в  $R=CH_3, R'=H$ ; г  $R=C_2H_5, R'=H$ ; д  $R=H, R'=C_2H_5$ ; е  $R=C_2H_5, R'=H$ ; ж  $R=H, R'=C_2H_5$ ; з  $R=R'=CH_3$ ; и  $R=CH_3, R'=H$ ; VIIIа  $R=R'=H$ ; б  $R=H, R'=CH_3$ ; в  $R=CH_3, R'=H$ ; г  $R=C_2H_5, R'=H$ ; д  $R=H, R'=C_2H_5$ ; е  $R=C_2H_5, R'=H$ ; ж  $R=H, R'=C_2H_5$ ; з  $R=R'=CH_3$ ; и  $R=CH_3, R'=H$ ; IXа  $R=R'=H$ ; б  $R=H, R'=CH_3$ ; в  $R=CH_3, R'=H$ ; г  $R=C_2H_5, R'=H$ ; д  $R=H, R'=C_2H_5$ ; е  $R=C_2H_5, R'=H$ ; ж  $R=H, R'=C_2H_5$ ; з  $R=R'=CH_3$ ; и  $R=CH_3, R'=H$ ; Xа  $R=R'=H$ ; б  $R=H, R'=CH_3$ ; в  $R=CH_3, R'=H$ ; г  $R=C_2H_5, R'=H$ ; д  $R=H, R'=C_2H_5$ ; е  $R=C_2H_5, R'=H$ ; ж  $R=H, R'=C_2H_5$ ; з  $R=R'=CH_3$ ; и  $R=CH_3, R'=H$ ; XIа  $R=R'=H$ ; б  $R=H, R'=CH_3$ ; в  $R=CH_3, R'=H$ ; г  $R=C_2H_5, R'=H$ ; д  $R=H, R'=C_2H_5$ ; е  $R=C_2H_5, R'=H$ ; ж  $R=H, R'=C_2H_5$ ; з  $R=R'=CH_3$ ; и  $R=CH_3, R'=H$ ; XIIа  $R=R'=H$ ; б  $R=H, R'=CH_3$ ; в  $R=CH_3, R'=H$ ; г  $R=C_2H_5, R'=H$ ; д  $R=H, R'=C_2H_5$ ; е  $R=C_2H_5, R'=H$ ; ж  $R=H, R'=C_2H_5$ ; з  $R=R'=CH_3$ ; и  $R=CH_3, R'=H$ ; XIIIа  $R=R'=H$ ; б  $R=H, R'=CH_3$ ; в  $R=CH_3, R'=H$ ; г  $R=C_2H_5, R'=H$ ; д  $R=H, R'=C_2H_5$ ; е  $R=C_2H_5, R'=H$ ; ж  $R=H, R'=C_2H_5$ ; з  $R=R'=CH_3$ ; и  $R=CH_3, R'=H$ .

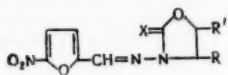
Полученный из 1-гидразинопропанола-2 (V) и  $KCN O$  хлоридат IIa с 5-нитрофураном (VI) дает 2-(2-оксипропил)-семикарбазон (VII), наряду с которым выделен также IVa. IVб получают из 2-гидразиноэтанолла (VIII) через IIб. Катализом гидрирования IIIa и IIIб ведет соответственно (после обработки VI) к IVa и IVб; при электровосстановлении IIIa, б, в соответственно получены IVa, в, г, причем побочным продуктом является 2-оксазолидон (IX). I получают взаимодействием соответствующих II с  $(C_2H_5O)_2CO$ , причем большинство I выделяли обработкой VI. Р-цию IIб с  $ClCOOC_2H_5$  дает Ia, та же р-ция в присутствии  $C_6H_5CHO$  ведет к образованию N-бензилиден-3-амино-2-оксазолидона (X); при действии  $SOCl_2$  на 2-оксипропил-гидразон ацетона (XI) получают IVб. Из Ia и Ib с 5-нитро-2-фурилакромным получены соответственно XII и XIII. При обработке X диацетатом VI выделен IVб. В р-цию с Ia вступают также метил- и этил-5-нитро-2-фурилкетоны. Соответствующие IV получены при взаимодействии Ib с VI и XII, а также Ic с VI. Обработка IV и  $SOCl_2$  приводит к IVг. Р-р 58 г V в 300 мл воды доводит до pH 20%-ной HCl, добавляют 60 г  $KCN O$  в 75 мл воды, оставляют на 3 дня, подкисляют HCl, получая 590 мл р-ра хлоридата IIa; к 90 мл р-ра добавляют 60 мл воды и р-р 10 г VI в 20 мл спирта, выход VII 7,9 г, т. пл. 195—196° (из диоксана), растворимость 0,6 г/а при 25°, УФ-спектр  $\lambda_{max}$  3850 и 2700 Å (E 16100 и 12400); 360 мл р-ра упаривают при 15 мм до клейкой массы, растворяют в 150 мл воды, обрабатывают 10 г VI в 15 мл воды, осадок кипятят в 100 мл диоксана, из фильтрата выделяют 7 г VII, осадок (5 г) представляет собой IVa, т. пл. 255° (из диоксана); IVa выделяют также при кипячении (4 часа) сильноокислого р-ра VII (с последующей обработкой VI). Смесь 38 г VIII в 200 мл воды и 40,5 г  $KCN O$  в 200 мл воды оставляют на 44 часа, нейтрализуют конц. HCl, воду удаляют в вакууме при ~20°, из сухого остатка горячим абс. спиртом извлекают IIб, выход 31%, т. пл. 110° (из абс. сп.), хлоридат, т. пл. 136°. Р-р 10 г хлоридата IIб в 150 мл воды + 50 мл конц. HCl кипятят 15 мин., обрабатывают 5 г VI в 100 мл спирта, выход IVб 3 г, т. пл. 255° (из  $CH_3NO_2$ ); при замене VI на  $C_6H_5CHO$  получают X, т. пл. 142°. Все III получают нитрованием соответствующих 2-оксазолидонов (Franchimont A., Lublin A., Resueil trav. chim., 1902, 21, 45), т. пл. IIIб 124° (из сп.). Восстановление III ведут при 1—3 ат и низкой т-ре над  $PtO_2$  в кислой среде; сравнительные выходы Ia с 1 н. HCl, 1 н.  $H_2SO_4$ , 1 н.  $(COOH)_2$ , 15%-ной  $CH_3COOH$  и водой в качестве р-рителей

при 25°—17, 10, 6, 5, 2 и 0% соответственно; выходы Ia в 1 н. HCl при 50, 30, 24 и 2° следующие: 5, 12, 17 и 55%; Ia обрабатывают VI, получают IVб. Суспензию 8 г IIб в 90 мл 1 н. HCl гидрируют при ~20° над 0,3 г  $PtO_2$ , после удаления непрореагировавшего IIIб фильтрат обрабатывают VI, выход IVв 67%; аналогично получают N-бензилиден-3-амино-4,4-диметил-2-оксазолидон, т. пл. 77,5—78,5°. 5 г IIIa в 160 мл 10%-ной  $H_2SO_4$  восстанавливают электролитически (Hg — катод, Pb — анод, анолит — 10%-ная  $H_2SO_4$ , 0,2 а/см², 1 час, 5—10°), к катоду добавляют р-р 5,5 г VI в 15 мл спирта, выход IVв 43%; из обработанного эфира и подщелоченного содой фильтрата после упаривания досоха горячим  $CHCl_3$  извлекают IX, выход до 50%, т. пл. 87—88° (из бzl.). Аналогично восстанавливают в соответствующие I (удлинив время р-ции) IIIв и IIIб с выходами II 20 и 45%. Смесь 0,08 моля  $CH_3ONa$  в 25 мл  $CH_3OH$ , 0,63 моля VIII и 0,74 моля  $(C_2H_5O)_2CO$  кипятят 3 часа, разбавляют 375 мл спирта, подкисляют 25 мл конц. HCl и добавляют р-р 75 г VI в 750 мл спирта, выход IVб 79%. Выходы I, выделенных в виде IV (перечисляются I, выход в %): б, 70; в, 36; г, 46; д, 42; е, 62; ж, 20; з, 45, оксалат, т. пл. 125—126° (из сп.); и, 34. К р-ру 0,13 моля VIII в 48 мл воды добавляют (26—29°, 30 мин.) 0,14 моля  $C_6H_5CHO$  в 40 мл спирта, затем 41,7 г  $CH_3COONa$  и приливают (20—22°, 80 мин.) 1,18 моля  $ClCOOC_2H_5$ , перемешивают 15 мин., добавляют 7,4 г NaOH в 50 мл воды и через 1 час выделяют X, выход 90%, т. пл. 143—145° (из сп.). В р-р 0,11 моля XI (из 50 г ацетона и 29 г VIII, выход 42 г, т. кип. 107—108°/10 мм) в 100 мл ацетона пропускают 0,081 моля  $SOCl_2$  (20—25°, 20 мин.), через 2 часа избыток ацетона удаляют в вакууме, остаток растворяют в 200 мл теплой воды, к фильтрату приливают р-р 0,11 моля VI в 50 мл  $iso-C_3H_7OH$ , выход IVб 62%, т. пл. 255°. Смесь 21,2 г X, 212 мл воды, 8,9 г  $H_2SO_4$  и 30,1 г диацетата VI перегоняют с паром 90 мин., к остатку добавляют 50 мл  $iso-C_3H_7OH$ , кипятят несколько минут и выделяют IVб, выход 93%. В некоторых случаях IV получают нагреванием I с VI в 30%-ной  $CH_3COONa$  или в абс. спирте в присутствии J; получены следующие IV (перечисляются IV, т. пл. в °C,  $\lambda_{max}$  в мμ,  $E_{max}$ ): а, 255; 365, 16400; б, 255, 367, 16800; в, 151—153, 367,5, 16000; г, 196—197, 364, 16200; д, 200, 367,5, 16200; е, 151, 367,5, 16500; ж, 194, 367,5, 17200; з, 242—243, 367, 15300; и, 215—216, 367,5, 17300; к, 143—144, 365; 17000; л, 142—143, 367,5, 16500; м, 133, 350, 10600; н, 120—122, 350, 11200; о, 102, 345, 10300; аналогичные данные для XII: 268—269, 395, 22100 и XIII: 258—259, 395, 22200. К смеси 22 г IVз и 400 мл  $CHCl_3$  добавляют 20 мл пипидина и (100 мин.) 62 мл  $SOCl_2$ , через 12 час. реакционную массу выливают в 2 л воды и собирают IVг, выход 85%.

С. Г. 3923. Нитрофураны, обладающие химиотерапевтическим действием. II. Образование и некоторые реакции производных 3-амино-2-иминооксазолидина. Хейс, Эбеттино, Гевьер (Chemotherapeutic nitrofurans. II. The formation and some reactions of derivatives of 3-amino-2-iminooxazolidine. Hayes Kenyon, Ebettino Frank, Geyer Gabriel, J. Amer. Chem. Soc., 1955, 77, № 8, 2282—2283 (англ.))

2-(2-Оксалил)-семикарбазоны 5-нитрофуранола (I) (см. сообщение I реф. 3922) при действии  $SOCl_2$  переходят в хлоридаты N-(5-нитро-2-фуридил)-3-амино-2-иминооксазолидонов (IIа — г), которые легко выделяют свободные основания (IIIа — г). Обработка II  $HNO_2$  или гидролиз II или III разб.  $H_2SO_4$  ведет к соответствующим N-(5-нитро-2-фуридил)-3-амино-2-оксазолидонам (IVа — г). Наряду с хлоридатами III получены также сульфаты и β-нафталинсульфонаты III. Полученный при

действию  $\text{SOCl}_2$  на 2-(2-оксизтил)-семикарбазон 5-нитро-фурфуrolа (V) на переведен в IIIa, а также в IVa. Обработка  $\text{SOCl}_2$  2-(2-оксизтил)-семикарбазона  $\beta$ -(5-нитро-2-фурил)-акролеина (VI) дает хлоргидрат N- $\beta$ -(5-нитро-2-фурил)-акриаль-3-амино-2-иминооксазолидина (VII), вы-



II X = NH·HCl, III X = NH,  
IV X = O; a R = R' = H;  
b R = H, R' = CH<sub>3</sub>; в R = H,  
R' = n-C<sub>4</sub>H<sub>9</sub>; г R = CH<sub>3</sub>, R' = H

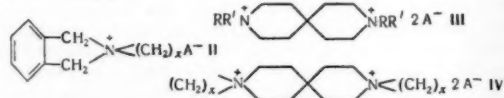
деленное из последнего свободное основание (VIII) с разб. к-той образует N- $\beta$ -(5-нитро-2-фурил)-акриаль-3-амино-2-оксазолидон (IX) с примесью VI. К нагретой до 40° суспензии 2,32 кг V в 7 л абс. C<sub>6</sub>H<sub>6</sub> приливают 4,9 кг  $\text{SOCl}_2$  в 5 л C<sub>6</sub>H<sub>6</sub> (пенообразование), по окончании бурной р-ции смесь нагревают 1 час при 55–65° и выделяют IIa, выход 96%, т. пл. 190° (разл.),  $\lambda_{\text{макс}}$  355 мμ (ε 17000). IIIa осаждают из конц. водн. р-ра IIa 10%-ным р-рсм соды, т. пл. 170–171° (из сп.),  $\lambda_{\text{макс}}$  356 мμ (ε 16200), сульфат, т. пл. 203° (разл.),  $\lambda_{\text{макс}}$  355 мμ (ε 16000),  $\beta$ -нафталинсульфонат, т. пл. 222–224°,  $\lambda_{\text{макс}}$  355 мμ (ε 16000). К профильтрованному и охлажденному 5–7° р-ру 900 г IIa в 10 л воды приливают 1,5 л лед. CH<sub>3</sub>COOH и добавляют (30 мин.) 3,4 кг NaNO<sub>2</sub>, через 4 часа отфильтровывают IVa, выход 60%, т. пл. 253–256° (из лед. CH<sub>3</sub>COOH); р-р 1,8 кг IIa в 38 л воды нагревают (90–100°, 1,5 часа) и при 70° центрифугируют, выход IVa 49%, из охлажден. до 10° маточного р-ра выделяют V (32%), 41,6 г VI быстро обрабатывают 250 мл  $\text{SOCl}_2$  и через 12 час. выделяют VII, выход 100%, т. пл. 229° (разл.). VIII получают обработкой водн. р-ра VII р-ром соды до pH 9, выход 82,5%, т. пл. 182° (из абс. сп.),  $\lambda_{\text{макс}}$  392,5 мμ (ε 22100). Р-р 28 г VIII в 1250 мл воды + 13 мл конц. HCl кипятят 30 мин., выпавший осадок отфильтровывают от горячего р-ра и с фильтратом повторяют то же самое до окончания образования осадка при кипячении 30 мин.; собранный сырой продукт (23,2 г) — смесь IX и VI — обрабатывают  $\text{SOCl}_2$  в C<sub>6</sub>H<sub>6</sub>, переводя VI в VII; после 4 циклов этого процесса выход IX 72%, т. пл. 270° (разл., из CH<sub>3</sub>NO<sub>2</sub>). Аналогичным образом получены (перечисляются т. пл.,  $\lambda_{\text{макс}}$ ,  $\epsilon_{\text{макс}}$ ): IIIb, 170–173, 356, 15600; IIg, 139–140, 355, 17000; IIr, 202–203, 355, 16700. С. Г. 3924.

**Нитрофураны, обладающие химиотерапевтическим действием.** III. N-(5-нитро-2-фурурилен)-3-аминотетрагидро-1,3-оксазин-2. Хейс (Chemotherapeutic nitrofurans. III. N-(5-nitro-2-furfurylidene)-3-aminotetrahydro-1,3-oxazine-2-one. Hayes K., J. Amer. Chem. Soc., 1955, 77, № 8, 2333–2334 (англ.))

Взаимодействием 3-гидразинопропанола-1 (I) с (C<sub>2</sub>H<sub>5</sub>O)<sub>2</sub>CO в присутствии CH<sub>3</sub>ONa получен 3-аминотетрагидро-1,3-оксазин-2, последний без выделения из реакционной смеси действием 5-нитрофурурола (II) переведен в N-(5-нитро-2-фурурилен)-3-аминотетрагидро-1,3-оксазин-2 (III). Р-р CH<sub>3</sub>ONa (из 1,5 г Na и 15 мл CH<sub>3</sub>OH) добавляют к смеси 1 моля I и 1,27 моля (C<sub>2</sub>H<sub>5</sub>O)<sub>2</sub>CO, кипятят 2 часа, отгоняя образующийся спирт через 50-см дефлегматор, остаток нагревают при 85° с 600 мл 3%-ной HCl, смешивают с р-ром 0,75 моля II в 300 мл горячего спирта и выделяют III, выход 46%, т. пл. 267,5° (из CH<sub>3</sub>NO<sub>2</sub>), т. возг. выше 220°, растворимость в воде при 25° 80 мг/л,  $\lambda_{\text{макс}}$  (2%-ный водн. р-р диметилформамида) 366 мμ (ε 16500). С. Г.

**3925. Полициклические четвертичные соли аммония.** III. Блик, Хотеллинг (Polycyclic quaternary ammonium salts. III. Blicke F. F., Hotelling Eric B., J. Amer. Chem. Soc., 1954, 76, № 20, 5099–5103 (англ.))

Для испытания в качестве гипотензивных средств получены бициклические (CH<sub>2</sub>)<sub>x</sub>N<sup>+</sup> < (CH<sub>2</sub>)<sub>y</sub>A<sup>+</sup> (I, x = 4, 5, 6; y = 4, 5, 6, 7, 8), трициклические (II, x = 6, 7, 8), спирочетвертичные соли аммония и некоторые соли 4,4'-бипиридила (III), (IV, x = 4, 5). Соли типа I получены по методу Брауна (Ber., 1906, 39, 4347; Ber., 1916, 49, 966) тремя путями (A, B, C) конденсацией полиметилениминов или морфолина (V) с полиметиленибромидами. В некоторых солях I в полиметилениминогруппах имеются CH<sub>3</sub>-заместители. Соли



II получены по методу Шольца (Ber., 1891, 24, 2402; Ber., 1898, 31, 414) р-цией o-ксилиленбромида с полиметилениминами. Соли III и IV получены из 4,4'-бипиридила (VI). Каталитич. восстановление дибромметилата VI дает дибромгидрат N,N'-диметил-4,4'-бипиридина (VII). Основание VII р-цией с метил- или аллилбромидами переходит в дибромид III. Каталитич. восстановление дихлоргидрата VI дает 4,4'-бипиридин (VIII), который с полиметиленибромидами дает дибромиды типа IV. Соли типа I в небольшой степени понижают, типа II — повышают кровяное давление, III и IV — не активны. Метод А. В кипящую смесь 0,2 г тетраметиленибромида, 0,2 моля NaOH и 200 мл воды добавляют 30 мин. 0,2 моля гексаметиленмина, перемешивают еще 30 мин., охлаждают и добавляют 100 мл охлажденного льдом 40% NaOH. Все извлекают  $\text{CHCl}_3$ , добавленным эфиром осаждают бромид N,N-гексаметиленпирролидина (VIII), выход 93%, г. пл. 259–260° (разл.; пересаживание из сп. эфиром). Метод В. Смесь 0,1 моля гексаметиленмина, 0,1 моля пентаметиленибромида и 0,1 моля NaOH в 100 мл воды обрабатывают аналогично методу А. При добавлении 50 мл 40% NaOH выпадает масло, которое вскоре застывает. Его отфильтровывают, промывают ацетоном. Выход бромида N,N-гептаметиленипирролидина 72%, т. пл. 266–268° (разл.; из о-С<sub>3</sub>H<sub>7</sub>ОН). Метод С (применен для спирочетвертичных солей аммония с 7-членным циклом). К смеси 0,1 моля гексаметиленбромида, 0,125 моля NaOH в 1 л изопропилового спирта при 60° добавляют 2 часа 0,1 моля р-ра пирролидина в 100 мл изопропилового спирта, перемешивают 15 час. при 60°, охлаждают, упаривают до 50 мл. Горячий р-р фильтруют, охлаждают, получают бромид N,N-гексаметиленпирролидина (41% теорет.), т. пл. 261–263° (из о-С<sub>3</sub>H<sub>7</sub>ОН), который переведен в хлорид, 43 мл 0,995 н. спирт-р-ра KOH добавляют к р-ру 0,0429 моля бромида VIII в 50 мл абс. спирта. KBr отфильтровывают, фильтрат упаривают в вакууме до 20 мл и добавляют 50 мл абс. эфира. Р-р фильтруют и нейтрализуют эфиром, насыщенным HCl. Выход хлорида N,N-гексаметиленпирролидина 3,0 г, т. пл. 266–267° (разл.). Из хлорида в водн. р-ре обычным путем получены хлорид платинат и хлораурат. Пикрат VIII получен из бромида VIII. Получены соли I (перечисляются: x, y, A<sup>+</sup>, (метод получения), т. пл., выход в %): 4,4, бромид (A), 250–252° (разл.; гигроскопич.), 55; 4,4, хлорид, 277–279° (разл.; гигроскопич.), —; 4,4, хлораурат, 254–256° (разл.), —; 4,4, хлорид платинат, 236–238° (разл.), —; 4,5, бромид (A), 248–250° (разл.; гигроскопич.), 98; 4,5 хлорид, 279–280° (разл.; гигроскопич.), —; 4,5, иодид, 188–189° (разл.; гигроскопич.), —; 4,5, нитрат, 131–132° (разл.; гигроскопич.), —; 4,5, хлораурат, 234–235° (разл.), —; 4, 5, хлорид платинат, 221–222° (разл.), —; 4, 5 (2 — CH<sub>3</sub>), бромид (A), 294–295° (разл.; гигроскопич.), 91; 4,5 (2 — CH<sub>3</sub>),



пикрат, 274—277°, —; 4,5 (3 —  $\text{CH}_3$ ), бромид, (В), 276—277°, 61; 4,5 (3 —  $\text{CH}_3$ ), пикрат, 166—168°, —; 4,5 (4 —  $\text{CH}_3$ ), бромид, (А), 211—213°, 50; 4,5 (4 —  $\text{CH}_3$ ), пикрат, 140—142°, —; 4,6, бромид, А, 259—260° (разл.), 93; 4,6, хлорид, 266—267° (разл.), —; 4,6, хлораурат, —, 4,6, хлороплатинат, 245—246° (разл.), —; 4,6 (2 —  $\text{CH}_3$ ), бромид, (А), 209—211°, 93; 4,6 (2 —  $\text{CH}_3$ ), пикрат, 191—194°, —; 4,6 (4 —  $\text{CH}_3$ ), бромид, (В), 263—264° (разл.), 42; 4,6 (4 —  $\text{CH}_3$ ), пикрат, 104—106°, —; 4,7, бромид, (В), 253—255°, 62; 4,7, пикрат, 154—156°, —; 4,8, бромид, (А), 236—238°, 74; 4,8, пикрат 124—126°, —; 5,5 бромид, (В), 311—312° (разл.), 93; 5,5, хлорид, 310—311° (разл.), —; 5,5, хлораурат, —; 5,5, хлороплатинат, 249—250° (разл.), —; 5,5 (2 —  $\text{CH}_3$ ), бромид, (А), 248—250°, 80; 5,5 (2 —  $\text{CH}_3$ ), пикрат, 227—229°, —; 5,5 (3 —  $\text{CH}_3$ ), бромид, (В), 321—322° (разл.), 31; 5,5 (3 —  $\text{CH}_3$ ), пикрат, 140—141°, —; 5,5 (4 —  $\text{CH}_3$ ), бромид, (В), 313—314° (разл.), 83; 5,5 (4 —  $\text{CH}_3$ ), пикрат, 130—132°, —; 5,6, бромид, (В), 277—278° (разл.), 81; 5,6, хлорид, 270—272° (разл.), —; 5,6, хлораурат, т. пл. неопред., —; 5,6, хлороплатинат, 246—247° (разл.), —; 5,6 (2 —  $\text{CH}_3$ ), (В), бромид, 215—217°, 50; 5,6 (2 —  $\text{CH}_3$ ), пикрат, 141—144°, —; 5,6 (4 —  $\text{CH}_3$ ), бромид, (А), 281—282° (разл.), 82; 5,6 (4 —  $\text{CH}_3$ ), пикрат, 88—90°, —; 5,7, бромид, (В), 266—268° (разл.), 72; 5,7, пикрат, 136—138°, —; 5,8, бромид, (А), 247—248°, 85; 5,8, пикрат, 94—95°, —; 6,6, бромид, (С), 281—282° (разл.), 48; 6,6 пикрат, 147—149°, —; 6,6 (4 —  $\text{CH}_3$ ), бромид, (С), 280—282° (разл.), 42; 6,6 (4 —  $\text{CH}_3$ ), пикрат, 91—93°, —; 6,7, бромид, (С), 276—277° (разл.), 24; 6,7, пикрат, 125—127°, 6,8, бромид, (С), 263—264° (разл.), 11; 6,8, пикрат, 134—135°.

Соли I типа  $[(\text{CH}_2)_x\text{NCH}_2\text{CH}_2\text{OCH}_2\text{CH}_2]\text{A}^-$  (пересаливаются  $x$ ,  $\text{A}^-$ , в скобках метод получения, т. пл., выход в %): 4, бромид, (В), 199—201°, 20; 4, пикрат, 241—242°, —; 5, бромид, (В), 235—238°, 20; 5, пикрат, 221—223°, —. В кипящую смесь 119 г  $\text{SOCl}_2$  и 200 мл бензола прикапывают 129 г N-( $\gamma$ -оксипропил)-пирролидина, кипятят 1 час. Из охлажденного р-ра выпадает гидрохлорид N-( $\gamma$ -хлорпропил)-пирролидина (IX), т. пл. 139—141° (гигроскопич.). Основание IX, т. кип. 88—89°/22 мм. Из IX не удалось получить хлорид N,N'-триметиленпирролидина. Получены соли II аналогично методу (С) (пересаливаются  $x$ ,  $\text{A}^-$ , т. пл., выход %): 6, бромид, 240—242° (разл.); пересаживание из воды *изо*- $\text{C}_3\text{H}_7\text{OH}$  и эф.), 44; 6, пикрат, 135—137° (пересаживание из ацетона водой), —; 7, бромид, 208—210° (пересаживание из воды *изо*- $\text{C}_3\text{H}_7\text{OH}$  и эф.), 63; 7, пикрат, 135—137° (из ацетона водой), —; 8, бромид, 204—206° (из ацетона водой), 60; 8, пикрат, 140—142°, —. Дибромид N,N',N'-диэтилендиаминпирролидина получают аналогично методу (В) из пиперидина и тетраметиленбромида, выход 24%, т. пл. 344—345° (разл.). Суспензию 15,3 г дибромметилата VI в 75 мл  $\text{CH}_3\text{COOH}$  гидрируют в присутствии 0,7 г  $\text{PtO}_2$  при 35 атм и 65°. Катализатор отфильтровывают, отгоняют  $\text{CH}_3\text{COOH}$ , остаток растворяют в воде, добавляют щелочь до сильно щел. р-ции. Выпадающий осадок извлекают  $\text{CHCl}_3$ . Перегонкой получают VII (84%), т. кип. 137—138°/14 мм, т. пл. 54—55°, дихлоргидрат, т. пл. 312—314° (разл.). К р-ру 3 г VII в 20 мл  $\text{CH}_3\text{OH}$  добавляют 3,7 г бромистого аллила. Через 24 часа добавляют сухой эфир, получают III ( $\text{R} = \text{CH}_3$ ,  $\text{R}' = \text{CH}_2\text{CH}=\text{CH}_2$ ,  $\text{A}' = \text{Br}$ ) (76%), т. пл. 246—248° (разл.); из водн. р-ра добавлением *изо*- $\text{C}_3\text{H}_7\text{OH}$  и ацетона). К р-ру 4 г VII в 25 мл абс. спирта добавляют 9,5 г  $\text{CH}_3\text{Br}$ . Через 24 часа при комнатной т-ре (в ампуле) получают III ( $\text{R} = \text{R}' = \text{CH}_3$ ,  $\text{A}' = \text{Br}$ ), выход 100%, т. пл.  $\sim 360^\circ$  (из водн. р-ра пересаживают изопропил. сп.). VIII получен с выходом 78% гидрированием VI над  $\text{PtO}_2$ ; дихлоргидрат VIII, т. пл.  $\sim 360^\circ$  (IV) ( $x = 4$ ,  $\text{A}' = \text{Br}$ ), полу-

чен по методу (В), выход 48%, т. пл. 328—329° (разл.), аналогично получен IV ( $x = 5$ ,  $\text{A}' = \text{Br}$ ), выход 40%, т. пл. 356—357° (разл.). Сообщение II см. РЖХим, 1955, 34523. М. Р.

**3926. 2,3-Дигидро-3-оксобенз-1,4-оксазины.** Лаудон, Огг (2,3-Dihydro-3-oxobenz-1:4-oxazines, Loudon J. D., Ogg J.), J. Chem. Soc., 1955, March, 739—744 (англ.)

Описано получение 2,3-дигидро-3-оксобенз-1,4-оксазинов и некоторых оксигосинидов, а также 3,4-дигидрокарбостирола и 2,4-диметоксинитробензола. Гидрируют *о*-нитрофеноксиуксусную к-ту (р-р в  $\text{CH}_3\text{COOH}$ ) над Pd, получают 2,3-дигидро-3-оксобенз-1,4-оксазин (I), выход колич., т. пл. 171—172° (из воды),  $\lambda_{\text{макс}}$  (в сп.) 2550, 2860 А (lg  $\epsilon$  3,73, 3,59).

I получают также сплавлением хлорацет-*о*-анизида с  $\text{AlCl}_3$  при 180° в течение 1 часа. Если нагревают при 80—100° (30 мин.), то получают *о*-хлорацетамидофенол, т. пл. 135,5—136,5° (из бзл.). 1,5 г I нагревают с 1,1 г  $\text{C}_6\text{H}_5\text{CHO}$  и 3,1 г  $(\text{CH}_3\text{CO})_2\text{O}$  в присутствии  $\text{CH}_3\text{COONa}$  и обрабатывают водой, получают 2-бензилден-2,3-дигидро-3-оксобенз-1,4-оксазин (II), т. пл. 260—261° (из сп.),  $\lambda_{\text{макс}}$  (в сп.) 2570, 3350 А (lg  $\epsilon$  4,19, 4,29).

При каталитич. гидрировании II в  $\text{CH}_3\text{COOH}$  над Pd получают 2-бензил-2,3-дигидро-3-оксобенз-1,4-оксазин (III), т. пл. 159° (из бзл.),  $\lambda_{\text{макс}}$  (в сп.) 2520, 2810 А (lg  $\epsilon$  3,83, 3,66). При N-метилировании I по общему способу описанному ниже, через  $\alpha$ -хлор-N-метилацет-*о*-анизид (т. пл. 49—50°), который сплавляют с  $\text{AlCl}_3$  при 180° в течение 1 часа, получают 2,3-дигидро-4-метил-3-оксобенз-1,4-оксазин (IV), выход 90%, т. пл. 58° (из бзл.),  $\lambda_{\text{макс}}$  (из сп.) 2540, 2850 А (lg  $\epsilon$  3,78, 3,64). 0,8 г IV нагревают с 0,53 г  $\text{C}_6\text{H}_5\text{CHO}$  в течение 12 час. в 25 мл  $\text{C}_6\text{H}_6$  с 0,3 г  $\text{NaNH}_2$ , получают 2-бензилден-2,3-дигидро-4-метил-3-оксобенз-1,4-оксазин, т. пл. 155—156° (из сп.),  $\lambda_{\text{макс}}$  (в сп.) 2700, 3370 А (lg  $\epsilon$  4,15, 4,28). 5 г IV восстанавливают 2 г  $\text{LiAlH}_4$  в 200 мл абс. эфира в течение 3 дней, получают 2,3-дигидро-4-метилбенз-1,4-оксазин, т. кип.  $61^\circ/5 \cdot 10^{-2}$  мм, пикрат, т. пл. 149—150° (из сп.), хлоргидрат, т. пл. 168—169° (из сп.),  $\lambda_{\text{макс}}$  (в сп.) 2580, 2980 А (lg  $\epsilon$  3,82, 3,56), гидметилат, т. пл. 198—200° (разл.; из  $\text{CH}_3\text{OH}$ ). 3 г  $\alpha$ -хлор-N-метилацетат-*о*-анизида сплавляют с 4 г  $\text{AlCl}_3$  при 220° в течение 1 часа. О-метилирование проводят в ацетоне и выделяют 4-метокси-1-метилоксиндол (V), т. пл. 137°,  $\lambda_{\text{макс}}$  2510, 2810 А (lg  $\epsilon$  3,67, 3,32) и 7-метокси-1-метилоксиндол (VI), т. пл. 102°,  $\lambda_{\text{макс}}$  2530, 2950 А (lg  $\epsilon$  3,95, 3,50). 0,2 г V сплавляют с 0,4 г  $\text{AlCl}_3$  (120°, 30 мин.), получают 4-окси-1-метилоксиндол, т. пл. 230—232° (из воды),  $\lambda_{\text{макс}}$  (в сп.) 2520, 2800 А (lg  $\epsilon$  3,83, 3,37). Также из VI получают 7-окси-1-метилоксиндол, т. пл. 275—277°,  $\lambda_{\text{макс}}$  (в сп.) 2450, 2860 А (lg  $\epsilon$  3,82, 3,52). 34 г  $\alpha$ -хлорпропион-*о*-анизида, полученного из *о*-анизида и  $\text{CH}_3\text{CHClCOCl}$ , сплавляют с 30 г  $\text{AlCl}_3$  (120°, 30 мин.), растворяют в 250 мл разб. NaOH, получают 2,3-дигидро-2-метил-3-оксобенз-1,4-оксазин (VII), т. пл. 143—144° (из бзл.). При N-метилировании VII получают 2,3-дигидро-2,4-диметил-3-оксобенз-1,4-оксазин (VIII), т. пл. 49,5—50° (из бзл.),  $\lambda_{\text{макс}}$  (в сп.) 2550, 2860 А (lg  $\epsilon$  4,01, 3,9). 5 г VIII сплавляют с 10 г  $\text{AlCl}_3$  (220°, 1 час), очищают 4,5 г полученного фенольного продукта в  $\text{CH}_3\text{OH}$  на угольной колонке, получают 7-окси-1,3-диметилоксиндол (IX), т. пл. 224—226° (из  $\text{CH}_3\text{OH}$ ),  $\lambda_{\text{макс}}$  2490, 2970 А (lg  $\epsilon$  3,87, 3,57). При O-метилировании IX в ацетоне и перегонке при 145—148°/9,8  $\cdot 10^{-2}$  мм получают 7-метокси-1,3-диметилоксиндол (X), т. пл. 65—66° (из бзл.),  $\lambda_{\text{макс}}$  2520, 2930 А (lg  $\epsilon$  3,92, 3,5). 0,5 г X

восстанавливают 0,2 г  $\text{LiAlH}_4$  (5 час.  $\sim 20^\circ$ ) в 25 мл абс. эфира, промывают водой и разб.  $\text{HCl}$ , получают 7-метоксиг-1,3-диметилиндола (XI), т. пл. 68—69° (из бзн.),  $\lambda_{\text{макс}}$  2260, 2730, 2880, 3000 А ( $\lg \epsilon$  4,69, 3,74, 3,78, 3,78), пикрат, т. пл. 163—164° (из сп.). Из кислых промывных вод выделяют в виде пикрата 7-метоксиг-1,3-диметилиндолин, т. пл. 135—136° (из сп.). К р-ру 0,29 г К в 25 мл жидкого  $\text{NH}_3$ , содержащего  $\text{Fe}(\text{NO}_3)_3$ , прибавляют р-р 1,2 г 7-метоксиг-3-метилиндола в 10 мл эфира, затем р-р 1,1 г  $\text{CH}_3\text{I}$  в 10 мл эфира, через 45 мин. испаряют  $\text{NH}_3$  и р-р остатка в петр. эфире пропускают через колонку с  $\text{Al}_2\text{O}_3$ , получают XI, 10 г м-диметоксигбензола вносят в смесь 10 г  $\text{Cu}(\text{NO}_3)_2$  и 30 г  $(\text{CH}_3\text{CO})_2\text{O}$  при 25°, через 4 часа прибавляют к 300 мл воды, экстрагируют  $\text{C}_6\text{H}_6$  и р-р пропускают через колонку с  $\text{Al}_2\text{O}_3$ , получают 2,4-диметоксигнитробензол (XII), выход 70%, т. пл. 74°. Гидрируют XII в  $\text{CH}_3\text{COOH}$  над Pd, получают 2,4-диметоксиганилин (XIII), т. кип. 75—80°/6·10<sup>-3</sup> мм. Из XIII по описанному методу (Heidelberger, Jacobs, J. Amer. Chem. Soc., 1919, 41, 1469) получают  $\alpha$ -хлор-2,4-диметоксигацетанилид (XIV), т. пл. 90°. 2 г XIV сплавляют с 10 г  $\text{AlCl}_3$  и 4 г  $\text{NaCl}$  (140°, 15 мин.), получают  $\alpha$ -хлор-2,4-диоксигацетанилид (XV), т. пл. 179—180° (из воды). XV растворяют в разб.  $\text{NaOH}$ , через 1 час подкисляют, насыщают  $(\text{NH}_4)_2\text{SO}_4$  и экстрагируют эфиром 2,3-дигидро-7-оксиг-3-оксобенз-1,4-оксазин, т. пл. 208—209° (из воды),  $\lambda_{\text{макс}}$  2860 А ( $\lg \epsilon$  3,91); 7-ацетоксигпроизводное, т. пл. 216—217° (из воды). 2,4-диметоксиг-N-метилацетанилид, полученный N-метилированием 2,4-диметоксигацетанилида, гидролизуют горячей 30%-ной  $\text{H}_2\text{SO}_4$ , получают 2,4-диметоксиг-N-метиланилин (XVI), т. кип. 66—68°/3·10<sup>-4</sup> мм; бензильное производное, т. пл. 173—174° (из сп.). 2 г хлорацетилов производного XVI (неочищ.) сплавляют с 10 г  $\text{AlCl}_3$  и 4 г  $\text{NaCl}$  (140°,  $\sim 30$  мин.), получают 2,3-дигидро-7-оксиг-4-метил-3-оксобенз-1,4-оксазин, т. пл. 180—182° (из воды),  $\lambda_{\text{макс}}$  (в сп.) 2640, 2890 А ( $\lg \epsilon$  3,90, 3,78). Из  $\alpha$ -хлор-2,5-диметоксигацетанилида, т. пл. 76—77° (из бзн.), полученного из 2,5-диметоксиганилина и  $\text{ClCH}_2\text{COCl}$ , или из  $\alpha$ -хлор-2,5-диоксигацетанилида, т. пл. 196—197° (из воды) и эфир. р-ра  $\text{C}_6\text{H}_5\text{N}_3$  получают 2,3-дигидро-6-оксиг-3-оксобенз-1,4-оксазин, т. пл. 249—250° (из воды),  $\lambda_{\text{макс}}$  (в сп.) 3020 А ( $\lg \epsilon$  3,69); 6-ацетоксигпроизводное, т. пл. 162° (из воды). Из 2,5-диметоксиг-N-метиланилина, т. кип. 70°/1,8·10<sup>-4</sup> мм, полученного из продукта N-метилирования 2,5-диметоксигацетанилида и последующего гидролиза, и  $\text{ClCH}_2\text{COCl}$  получают  $\alpha$ -хлор-2,5-диметоксиг-N-метилацетанилид (XVII), т. пл. 67—68° (из бзн.). 1 г XVII сплавляют с 5 г  $\text{AlCl}_3$  и 2 г  $\text{NaCl}$  (140°, 15 мин.), получают 2,3-дигидро-6-оксиг-4-метил-3-оксобенз-1,4-оксазин, т. пл. 209° (из воды),  $\lambda_{\text{макс}}$  (в сп.) 3030 А ( $\lg \epsilon$  3,72); 6-ацетоксигпроизводное, т. пл. 93—94° (из воды); 6-метоксигпроизводное, т. пл. 77—78° (из бзн.),  $\lambda_{\text{макс}}$  (в сп.) 3000 А ( $\lg \epsilon$  3,73). 14,6 г  $\text{ClCH}_2\text{COOH}$  прибавляют к кипящему р-ру 21,5 г 2-нитро-м-крезола (XVIII) и 12,4 г  $\text{NaOH}$  в 200 мл воды, через 3 часа избыток XVIII удаляют с паром и подкисляют, получают 3-метил-2-нитрофеноксиуксусную к-ту (XIX), т. пл. 194—196° (из воды). XIX гидрируют в  $\text{CH}_3\text{COOH}$  над Pd, получают 2,3-дигидро-5-метил-3-оксобенз-1,4-оксазин (XX), т. пл. 188—190° (из воды). При метилировании получают 2,3-дигидро-4,5-диметил-3-оксобенз-1,4-оксазин, т. пл. 86—87° (из бзн.). Из о-анилидина и  $\text{ClCH}_2\text{CH}_2\text{COCl}$  получают  $\beta$ -хлорпропион-о-анилид (XXI), т. пл. 68° (из бзн.). XXI сплавляют с  $\text{AlCl}_3$  (130°, 10 мин.), получают о- $\beta$ -хлорпропионамидофенол (XXII), т. пл. 122—123° (из бзн.). Р-р XXII в разб. водн. р-ре  $\text{NaOH}$  через 2 часа подкисляют, экстрагируют эфиром. Полученное

масло растирают с  $\text{C}_6\text{H}_6$  и отфильтровывают о-акриламидофенол, т. пл. 122—123° (из бзн.),  $\lambda_{\text{макс}}$  (в сп.) 3000 А ( $\lg \epsilon$  3,9), (в  $\text{NaOH}$ ) 2330, 3280 А ( $\lg \epsilon$  4,6, 3,78), (в сп.- $\text{C}_6\text{H}_5\text{ONa}$ ) 2400, 3000 А ( $\lg \epsilon$  3,89, 3,82). 5 г XXI и 10 г  $\text{AlCl}_3$  сплавляют (220°, 1 час) и получают 3,4-дигидро-8-оксикарбостирил (XXIII), т. пл. 194°, 3,4-дигидро-8-метоксикарбостирил, т. пл. 97—98° (из бзн.),  $\lambda_{\text{макс}}$  (в сп.) 2500, 2840 А ( $\lg \epsilon$  4,00, 3,58). 0,6 г XXIII восстанавливают 0,3 г  $\text{LiAlH}_4$  в 50 мл эфира (2 часа), получают 1,2,3,4-тетрагидро-8-метоксиганилин; бензильное производное, т. пл. 132°. К 2 г  $\beta$ -хлор-N-метилпропионанизида, полученного из N-метил-о-анилидина и  $\text{ClCH}_2\text{CH}_2\text{COCl}$ , прибавляют 4 г  $\text{AlCl}_3$ , нагревают (110°, 1 час) и получают 3,4-дигидро-8-оксиг-1-метилкарбостирил, т. пл. 195—196° (из бзн.),  $\lambda_{\text{макс}}$  (в сп.) 2490, 2890 А ( $\lg \epsilon$  3,96, 3,67). 3,4-дигидро-8-метоксиг-1-метилкарбостирил (XXIV), т. пл. 86° (из бзн.),  $\lambda_{\text{макс}}$  (в сп.) 2510, 2900 А ( $\lg \epsilon$  4,07, 3,73). 0,5 г XXIV восстанавливают 0,3 г  $\text{LiAlH}_4$  в 75 мл эфира (5 час.), получают 1,2,3,4-тетрагидро-8-метоксиг-1-метилхинолин; хлорплатинат, т. пл. 198° (разл.; из воды). Общие способы. N-ацилирование аминов. К р-ру 0,1 моля амина и 0,1 моля  $\text{C}_6\text{H}_5\text{N}$  в 500 мл  $\text{C}_6\text{H}_6$  прибавляют 0,1 моля хлористого ацила, через 24 часа получают амид. N-метилирование амидов. К кипящей суспензии 0,25 моля  $\text{KOH}$  в 350 мл ацетона, содержащей 0,1 моля амида, прибавляют за 2 приема (через 10 мин.) 0,15 моля  $\text{CH}_3\text{I}$ , нагревают 20 мин., упаривают и прибавляют воду. O-Метилирование фенольных амидов проводят с 0,25 моля  $\text{K}_2\text{CO}_3$  вместо  $\text{KOH}$  и кипятят 6 часов.

Н. П.

3927. 2,5-Диарилоксазолы и 2,5-диарил-1,3,4-оксадиазолы. Хейс, Роджерс, Отт (2,5-Diaryloxazoles and 2,5-diaryl-1,3,4-oxadiazoles. Hayes F. Newton, Rogers Betty S., Ott D. G.), J. Amer. Chem. Soc., 1955, 77, № 7, 1850—1852 (англ.)

Действием хлорангидридов к-т типа  $\text{Ar}'\text{COCl}$  на соединения типа  $\text{Ar}''\text{COCH}_2\text{NH}_2 \cdot \text{HCl}$  синтезируют ряд 1,4-диарил-2-аза-1,4-дикетонатов  $\text{Ar}'\text{COCH}_2\text{NHCORAr}''$  (I). Аналогично к  $\text{Ar}'\text{COCl}$  и гидразидам типа  $\text{Ar}'\text{CONHNH}_2$  приготавливают ряд 1,2-диарилгидразинон  $\text{Ar}'\text{CONHNHCORAr}''$  (II). Циклизацией в-в типов I и II действием  $\text{POCl}_3$  получают ряд новых 2,5-диарилоксазолов (III) и 2,5-диарил-1,3,4-оксадиазолов (IV), которые могут быть сцинтилляторами в р-рах. К р-ру 0,123 моля хлорангидрида терефталевой к-ты в 300 мл сухого пиридина медленно прибавляют 0,25 моля  $\text{C}_6\text{H}_5\text{COCH}_2\text{NH}_2 \cdot \text{HCl}$ . Смесь кипятят 15 мин. и разбавляют водой, выпадает N,N'-дифенилптерeftаламид (V), выход 58%, т. пл. 262—268° (из пиридина). Аналогично получают следующие I (приведены  $\text{Ar}'$ ,  $\text{Ar}''$ , т. пл. в °C): 2- $\text{FC}_6\text{H}_4$ ,  $\text{C}_6\text{H}_5$ , 116—117; 3- $\text{FC}_6\text{H}_4$ ,  $\text{C}_6\text{H}_5$ , 128—129; 4- $\text{FC}_6\text{H}_4$ ,  $\text{C}_6\text{H}_5$ , 134—135; 4- $\text{ClC}_6\text{H}_4$ ,  $\text{C}_6\text{H}_5$ , 148—148,5; 2,4-дихлор- $\text{C}_6\text{H}_3$ ,  $\text{C}_6\text{H}_5$ , 122,5—123; 3,4-дихлор- $\text{C}_6\text{H}_3$ ,  $\text{C}_6\text{H}_5$ , 146,5—147; 2- $\text{BrC}_6\text{H}_4$ ,  $\text{C}_6\text{H}_5$ , 115,5—116,5; 3- $\text{BrC}_6\text{H}_4$ ,  $\text{C}_6\text{H}_5$ , 129—130; 4- $\text{BrC}_6\text{H}_4$ ,  $\text{C}_6\text{H}_5$ , 164—165; 2- $\text{JC}_6\text{H}_4$ ,  $\text{C}_6\text{H}_5$ , 111,5—112,4; 3- $\text{JC}_6\text{H}_4$ ,  $\text{C}_6\text{H}_5$ , 146—147; 4- $\text{JC}_6\text{H}_4$ ,  $\text{C}_6\text{H}_5$ , 163—165; 2- $\text{CH}_3\text{OC}_6\text{H}_4$ ,  $\text{C}_6\text{H}_5$ , 102—103; 3- $\text{CH}_3\text{OC}_6\text{H}_4$ ,  $\text{C}_6\text{H}_5$ , 80—81;  $\text{C}_6\text{H}_{11}$ ,  $\text{C}_6\text{H}_5$ , 113—114; 2- $\text{C}_{10}\text{H}_7$ ,  $\text{C}_6\text{H}_5$ , 148; 4- $\text{C}_6\text{H}_5\text{C}_6\text{H}_4$ ,  $\text{C}_6\text{H}_5$ , 181—182; 2-тиенил,  $\text{C}_6\text{H}_5$ , 140—141; 2-фурил,  $\text{C}_6\text{H}_5$ , 138; 2-(5-фенилксазол),  $\text{C}_6\text{H}_5$ , 198—200; 4- $\text{C}_6\text{H}_5\text{C}_6\text{H}_4$ , 4- $\text{C}_6\text{H}_5\text{C}_6\text{H}_4$ , 257—259; 1- $\text{C}_{10}\text{H}_7$ , 1- $\text{C}_{10}\text{H}_7$ , 144—145; 4- $\text{C}_6\text{H}_5\text{C}_6\text{H}_4$ , 1- $\text{C}_{10}\text{H}_7$ , 131—132; 1- $\text{C}_{10}\text{H}_7$ , 2- $\text{C}_{10}\text{H}_7$ , 140—141; 2- $\text{C}_{10}\text{H}_7$ , 2- $\text{C}_{10}\text{H}_7$ , 203—204; 2- $\text{C}_{10}\text{H}_7$ , 4- $\text{C}_6\text{H}_5\text{C}_6\text{H}_4$ , 204—205; 4- $\text{CH}_3\text{OC}_6\text{H}_4$ , 2- $\text{C}_{10}\text{H}_7$ , 154—155; 4- $\text{CH}_3\text{OC}_6\text{H}_4$ , 4- $\text{C}_6\text{H}_5\text{C}_6\text{H}_4$ , 185—187, N,N'-ди-(фенилфенил)-терефталамид, т. пл. 250. Смесь 0,034 моля V и 500 мл  $\text{POCl}_3$  кипятят 12 час., после отгонки  $\text{POCl}_3$  остаток разбавляют водой, отфильтровывают 1,4-ди-[2-(5-фенил-

оксазолил)-бензол, выход 84%, т. пл. 237—238° (из пиридина). Аналогично получают следующие III (приведены Ar', Ar'', т. пл. в °C): 2-FC<sub>6</sub>H<sub>4</sub>, C<sub>6</sub>H<sub>5</sub>, 84—85; 3-FC<sub>6</sub>H<sub>4</sub>, C<sub>6</sub>H<sub>5</sub>, 69—70; 4-FC<sub>6</sub>H<sub>4</sub>, C<sub>6</sub>H<sub>5</sub>, 81—82; 4-ClC<sub>6</sub>H<sub>4</sub>, C<sub>6</sub>H<sub>5</sub>, 115—116; 2,4-Cl<sub>2</sub>C<sub>6</sub>H<sub>3</sub>, C<sub>6</sub>H<sub>5</sub>, 116—116,5; 3,4-дихлор-C<sub>6</sub>H<sub>3</sub>, C<sub>6</sub>H<sub>5</sub>, 124,5—125; 2-BrC<sub>6</sub>H<sub>4</sub>, C<sub>6</sub>H<sub>5</sub>, 71—72; 3-BrC<sub>6</sub>H<sub>4</sub>, C<sub>6</sub>H<sub>5</sub>, 86—87; 4-BrC<sub>6</sub>H<sub>4</sub>, C<sub>6</sub>H<sub>5</sub>, 115—116; 2-JC<sub>6</sub>H<sub>4</sub>, C<sub>6</sub>H<sub>5</sub>, 78,5—79,5; 3-JC<sub>6</sub>H<sub>4</sub>, C<sub>6</sub>H<sub>5</sub>, 112—113; 4-JC<sub>6</sub>H<sub>4</sub>, C<sub>6</sub>H<sub>5</sub>, 130—131; 2-CH<sub>3</sub>OC<sub>6</sub>H<sub>4</sub>, C<sub>6</sub>H<sub>5</sub>, 145—146; 3-CH<sub>3</sub>OC<sub>6</sub>H<sub>4</sub>, C<sub>6</sub>H<sub>5</sub>, 79—80; C<sub>6</sub>H<sub>11</sub>, C<sub>6</sub>H<sub>5</sub>, 87; 2-C<sub>10</sub>H<sub>7</sub>, C<sub>6</sub>H<sub>5</sub>, 110—111; 4-C<sub>6</sub>H<sub>5</sub>C<sub>6</sub>H<sub>4</sub>, C<sub>6</sub>H<sub>5</sub>, 112—113; 2-тиенил, C<sub>6</sub>H<sub>5</sub>, 67—68; 2-фурил, C<sub>6</sub>H<sub>5</sub>, 68—69; 2-(5-фенил)оксазолил, C<sub>6</sub>H<sub>5</sub>, 242—243; 4-C<sub>6</sub>H<sub>5</sub>C<sub>6</sub>H<sub>4</sub>, 4-C<sub>6</sub>H<sub>5</sub>-C<sub>6</sub>H<sub>4</sub>, 232—233, 1-C<sub>10</sub>H<sub>7</sub>, 1-C<sub>10</sub>H<sub>7</sub>, 90—91; 1-C<sub>10</sub>H<sub>7</sub>, 4-C<sub>6</sub>H<sub>5</sub>C<sub>6</sub>H<sub>4</sub>, 163—164; 1-C<sub>10</sub>H<sub>7</sub>, 2-C<sub>10</sub>H<sub>7</sub>, 127—128; 2-C<sub>10</sub>H<sub>7</sub>, 2-C<sub>10</sub>H<sub>7</sub>, 187—188; 2-C<sub>10</sub>H<sub>7</sub>, 4-C<sub>6</sub>H<sub>5</sub>C<sub>6</sub>H<sub>4</sub>, 197—198; 4-CH<sub>3</sub>OC<sub>6</sub>H<sub>4</sub>, 2-C<sub>10</sub>H<sub>7</sub>, 114—115; 4-CH<sub>3</sub>OC<sub>6</sub>H<sub>4</sub>, 4-C<sub>6</sub>H<sub>5</sub>-C<sub>6</sub>H<sub>4</sub>, 166—167, 1,4-ди-[2-(5-бифенило)оксазолил]-бензол, т. пл. 292—294°. К р-ру 0,074 моля *n*-фенилбензоилхлорида в 100 мл пиридина прибавлено 0,074 моля бензоилгидразина, смесь кипятят 20 мин., по охлаждению разбавляют водой, получают II (Ar'=C<sub>6</sub>H<sub>5</sub>, Ar''=C<sub>6</sub>H<sub>5</sub>C<sub>6</sub>H<sub>4</sub>), выход 57,7%, т. пл. 222—224° (из толуола). 0,24 моля II (Ar'=C<sub>6</sub>H<sub>5</sub>, Ar''=C<sub>6</sub>H<sub>5</sub>C<sub>6</sub>H<sub>4</sub>) в 200 мл POCl<sub>3</sub> кипятят 12 час., отгоняют избыток, POCl<sub>3</sub> разбавляют водой, получают IV (Ar'=C<sub>6</sub>H<sub>5</sub>, Ar''=C<sub>6</sub>H<sub>5</sub>C<sub>6</sub>H<sub>4</sub>), выход 73%, т. пл. 166—167° (из толуола). Аналогично получают следующие IV (приведены Ar', Ar'', т. пл. в °C): 2-фурил, C<sub>6</sub>H<sub>5</sub>, 103—103,5; 2-тиенил, C<sub>6</sub>H<sub>5</sub>, 117—118; 1-C<sub>10</sub>H<sub>7</sub>, C<sub>6</sub>H<sub>5</sub>, 120; 2-C<sub>10</sub>H<sub>7</sub>, C<sub>6</sub>H<sub>5</sub>, 122—124; 2-C<sub>10</sub>H<sub>7</sub>, 4-CH<sub>3</sub>OC<sub>6</sub>H<sub>4</sub>, 148; 1-C<sub>10</sub>H<sub>7</sub>, 4-CH<sub>3</sub>OC<sub>6</sub>H<sub>4</sub>, 142—143, 4-CH<sub>3</sub>OC<sub>6</sub>H<sub>4</sub>, 4-CH<sub>3</sub>OC<sub>6</sub>H<sub>4</sub>, 155; 4-JC<sub>6</sub>H<sub>4</sub>, 4-JC<sub>6</sub>H<sub>4</sub>, 276; 4-FC<sub>6</sub>H<sub>4</sub>, 4-FC<sub>6</sub>H<sub>4</sub>, 200—202; 4-ClC<sub>6</sub>H<sub>4</sub>, 4-ClC<sub>6</sub>H<sub>4</sub>, 242—243; 4-CH<sub>3</sub>OC<sub>6</sub>H<sub>4</sub>, 4-CH<sub>3</sub>OC<sub>6</sub>H<sub>4</sub>, 161—162; 2-фурил, 2-фурил, 141—142; 2-тиенил, 2-тиенил, 117—118;  $\omega$ -стирил,  $\omega$ -стирил, 151—152; 1-C<sub>10</sub>H<sub>7</sub>, 1-C<sub>10</sub>H<sub>7</sub>, 175—177; 2-C<sub>10</sub>H<sub>7</sub>, 2-C<sub>10</sub>H<sub>7</sub>, 187—189; 4-C<sub>6</sub>H<sub>5</sub>C<sub>6</sub>H<sub>4</sub>, 4-C<sub>6</sub>H<sub>5</sub>C<sub>6</sub>H<sub>4</sub>, 229—230; 1,4-ди-[2-(5-фенил)-1,3,4-оксадиазолил]-бензол, т. пл. 308—309°. Смесь 0,02 моля метилового эфира *n*-толуолсульфокислоты и 0,01 моля III (Ar'=Ar''=4-C<sub>6</sub>H<sub>5</sub>C<sub>6</sub>H<sub>4</sub>) нагревают при 100° 36 час. растворяют в небольшом кол-ве CH<sub>3</sub>OH. Сухим эфиром высаживают *n*-толуолсульфонат III Ar'=Ar''=4-C<sub>6</sub>H<sub>5</sub>C<sub>6</sub>H<sub>4</sub>, выход 99%, т. пл. 214—216°. Аналогично получают следующие соединения: хлорат III (Ar'=Ar''=C<sub>6</sub>H<sub>5</sub>), т. пл. 177—188°, *n*-толуолсульфонат III (Ar'=Ar''=C<sub>6</sub>H<sub>5</sub>), т. пл. 170—172°, *n*-толуолсульфонат III (Ar'=1-C<sub>10</sub>H<sub>7</sub>, Ar''=C<sub>6</sub>H<sub>5</sub>), т. пл. 144—145°. Г. С.

**3928. Получение 2-аминотиазола из циклических ацеталей. Астл, Пирс** (The preparation of 2-aminothiazole from cyclic acetals. Astle Melvin J., Pierce James B., J. Organ. Chem., 1955, 20, № 2, 178—181 (англ.).

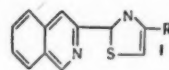
Предложен метод синтеза 2-аминотиазола (I) из циклич. ацеталей хлорцетальдегида ClCH<sub>2</sub>CH—O—CH<sub>2</sub>CH<sub>2</sub>O (II), ClCH<sub>2</sub>CH—O—CH<sub>2</sub>CH<sub>2</sub>OCH<sub>2</sub>CH<sub>2</sub>O (III) и тиомочевны (см. Markees и др. Helv. chim. acta, 1947, 30, 303; Britton и др., пат. США 237112, 16.10.45) в ряду с I образуются этиленгликоль (IV) или диэтиленгликоль (V) соответственно. Хлорирование  $\beta,\beta'$ -дихлордиэтилового эфира при 30° приводит к получению ClCH<sub>2</sub>CHNClOCH<sub>2</sub>CH<sub>2</sub>Cl (VI), который при дальнейшем хлорировании переходит в (ClCH<sub>2</sub>CHNCl)<sub>2</sub>O (VII). VI реагирует с IV с образованием II и этиленхлоргидрина. Из VI и V получают III. II может быть получен и из VII. Для получения I непосредственно из VI и тиомочевны требуется избыток последней вследствие протекания побочной р-ции HOCH<sub>2</sub>CH<sub>2</sub>Cl + HN=C(SH)NH<sub>2</sub> → HOCH<sub>2</sub>CH<sub>2</sub>SC(=NH)NH<sub>2</sub>·HCl. Кипячением эквимолекулярной смеси IV и VI при

200 мм (95°) с отгонкой безводн. HOCH<sub>2</sub>CH<sub>2</sub>Cl, который может быть также выделен отгонкой при атмосферном давлении в виде азеотропической смеси с толуолом, получают II, выход 87%. 0,25 моля II, 0,25 моля тиомочевны, 9 мл конц. HCl в 100 мл ацетона кипятят 4 часа и охлаждают сухим льдом, выпавший хлоргидрат I промывают ацетоном, выход 91%. Г. С. **3929. Синтез цианиновых красителей-тиазолостирилов. Банерджи, Банерджи** (Synthesis of thiazolo-styryl cyanine dyes. Banerji J. C., Banerjee Kalidas, J. Indian Chem. Soc., 1954, 31, № 7, 509—512 (англ.).

Конденсацией *n*-(CH<sub>3</sub>)<sub>2</sub>NC<sub>6</sub>H<sub>4</sub>CHO (I) с подметилатами 2-метил-4-(*n*-толил)-тиазола (II), 2-метил-4-(*n*-хлорфенил)-тиазола (III), 2-метил-4-(*n*-бромфенил)-тиазола (IV) и 2-метил-4-(*n*-подфенил)-тиазола (V) получены красители-стирилы. 8,4 г *n*-CH<sub>3</sub>C<sub>6</sub>H<sub>4</sub>COCH<sub>2</sub>Cl и 3,8 г CH<sub>3</sub>CSNH<sub>2</sub> нагревают на водяной бане, 2-метил-4-(*n*-толил)-тиазол извлекают конц. HCl, выход 4 г, т. пл. 63° (из сп. + вода). Аналогично из 4 г CH<sub>3</sub>CSNH<sub>2</sub> и 9 г *n*-ClC<sub>6</sub>H<sub>4</sub>COCH<sub>2</sub>Cl получен 2-метил-4-(*n*-хлорфенил)-тиазол, выход 71%, т. пл. 122° (из сп.). Нагреванием (100°, 24 часа) оснований с CH<sub>3</sub>I получают четвертичные соли (указаны соединения, выход в %, т. пл. в °C): II, 67, 229; III, 100, 238—239; IV, 55, 239—240; V, 60, 245—246. Кипячением (4 часа) 0,6—0,7 г четвертичной соли с 0,3 г I, 10 мл безводн. спирта и 2 каплями пиперидина получены красители-стирилы (указана исходная четвертичная соль, выход в %, т. пл. в °C,  $\epsilon_{\text{макс}} \cdot 10^{10}$ , максимум сенсibilизации, предел сенсibilизации, кол-во 0,01 HCl, необходимых для обесцвечивания красителя в мл): II, 18, 239 61225, 5500 А, 6250 А, 7,1; III, 30, 217, 60852, 5600 А, 6250 А, 7,9; IV, 20, 223, 62762, 5800 А, 6250 А, 8,1; V, 25, 229 61856, 5600 А, 6200 А, 8,6. Наиболее слабым сенсibilизатором является краситель из V. Ф. Б.

**3930. Аналоги 2,2'-бипиридила с изохинолиновыми и тиазольными кольцами. Часть II. Краун, Бреккенридж** (Analogues of 2,2'-bipyridyl with isoquinoline and thiazole rings. Part II. Grown F. R., Breckenridge J. G., Canad. J. Chem., 1954, 32, № 7, 641—645 (англ.).

Синтезированы аналоги 2,2'-бипиридила строения (I) (R = H, CH<sub>3</sub>, C<sub>6</sub>H<sub>5</sub>), а также 3-(2-хинолил)-изохинолин (II) и 3,3'-дизизохинолил (III). Изучены спектры поглощения комплексов с Fe<sup>2+</sup> и Cu<sup>+</sup> ионами. I (R = H) и III, не имеющие ортозаместителей у атома азота, реагируют с Fe<sup>2+</sup>, а с Cu<sup>+</sup> дают слабо окрашенные комплексы. I (R = CH<sub>3</sub>), I (R = C<sub>6</sub>H<sub>5</sub>) и II реагируют только с Cu<sup>+</sup>. Отмечено, что C<sub>6</sub>H<sub>5</sub>-группа в ортоположении к N сильнее уменьшает интенсивность окраски медного комплекса в сравнении с CH<sub>3</sub>-группой. I (R = H) и III с Fe<sup>2+</sup> образуют комплексы оранжевого цвета.  $\epsilon_{\text{макс}}$  III 14200/445 мμ,  $\epsilon_{\text{макс}}$  2,2'-бипиридила 8700/522 мμ. Изохинолин-3-альдоксим (IV) приготовлен из 3-формилизохинолина и NH<sub>2</sub>OH·HCl в водн. спирте, выход 100%, т. пл. 197—197,5° (из сп.). 19,5 г IV и 25 г (CH<sub>3</sub>CO)<sub>2</sub>O кипятят 2 часа, 3-цианизохинолин (V) извлекают петр. эфиром, выход 80%, т. пл. 127,5—128° (из сп.). 5 г V в 200 мл спирта насыщают NH<sub>3</sub>, потом H<sub>2</sub>S, выход изохинолин-3-тиокарбамида (VI) 100%, т. пл. 198—198,5° (из сп.). 5 г VI, 5 г CH<sub>2</sub>ClCHClOCH<sub>2</sub>C<sub>6</sub>H<sub>5</sub> (VII) в 230 мл 75% спирта кипятят 12 час., добавляя 4 г VII и кипятят еще 8 час., отгоняют до объема 100 мл, подщелачивают, извлекают петр. эфиром, выход I (R = H) 10%, т. пл. 116—117° (из петр. эф.). I (R = CH<sub>3</sub>) и I (R = C<sub>6</sub>H<sub>5</sub>) получают конденсацией VI с CH<sub>3</sub>COCH<sub>2</sub>Cl и C<sub>6</sub>H<sub>5</sub>COCH<sub>2</sub>Cl соответственно в спирте, выход в обоих случаях 80%; I (R = CH<sub>3</sub>), т. пл.





150—151°, пикрат, т. пл. 184,5—185°; I ( $R = C_6H_5$ ), т. пл. 173,5—174°, пикрат, т. пл. 191,5—192°. 11 г V в 600 мл эфира вводят в реактив Гриньяра из 2,6 г Mg и 14,8 г  $CH_3I$ , нагревают, отгоняют большую часть эфира, прибавляют 200 мл  $C_6H_6$ , кипятят 1 час, разлагают льдом с  $H_2SO_4$ , извлекают к-той, подщелачивают, отгоняют с паром, выход 3-ацетилизохинолина (VIII) 60%, т. пл. 92—92,8° (из сп.). 3,4 г о-аминобензальдегида в 25 мл спирта, 4,5 г VIII в 75 мл спирта и 1,5 мл 1 н-ра KOH в спирте кипятят 2 часа, выход II 50%, т. пл. 151,5—152°, пикрат, т. пл. 245,5—246°. III приготовлен по методу, описанному в литературе, из 3-бромизохинолина. Часть I см. РЖХим, 1956, 879.

Ю. Р.

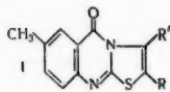
3931. Тиакрибоцианины с арилоксигруппами в 8,10-положениях. Киприанов А. И., Иванова Ж. М., Фридман С. Г., Укр. хим. журнал, 1954, 20, № 6, 641—645

Синтезированы тиакрибоцианины (I) с арилоксигруппами в 8,10-положениях и красители-стирилы (II) с теми же группами в  $\beta$ -положении. Арилоксигруппы в I вызывают смещение  $\lambda_{max}$  в длинноволновую часть спектра на 27—33 мк, а те же группы в II — на 8—10 мк в сторону коротких волн. 2-Арилоксиметилбензотриазолы (III) получают нагреванием (135—140°, 3—4 часа) о- $C_6H_4(SH)NH_2$  с небольшим избытком арилоксиуксусной к-ты, продукт промывают NaOH и кристаллизуют из спирта. Получены следующие III (последовательно указаны арил в арилоксигруппе, выход в % и т. пл. в °C): фенил (IV), 81, 86; п-хлорфенил (V), 71, 118; п-анилил (VI), 71, 123; о-анилил (VII), 79, 80; 1-нафтил (VIII), 76, 111—112; 2-нафтил (IX), 88, 119. Нагреванием (135°—140°, 3 часа) 1 моля III с 1,1 моля п- $CH_3C_6H_4SO_3C_2H_5$  получены этил-п-толуолсульфонаты (порядок обозначений тот же): IV, 27, 157—158; V, 61, 155; VI, 55, 166—167; VII, 47, 165; VIII, 59, 160—162; IX, 61, 181—182. Нагревают (115—120°, 1 час) 1 г четвертичной соли III с 2 молями  $CH_3(CO_2H)_2$  в 5 мл  $C_6H_5N$ , добавляют спирт, I осаждают NaI или  $NaClO_4$ , промывают горячей водой и кристаллизуют из спирта. Получены следующие I (перечислены арил в 8,10-положениях, анион, выход в %, т. пл. в °C,  $\lambda_{max}$  в мк (в спирте): IV, J, 30, 223—224, 589; V,  $ClO_4$ , 20, 230—231, 585; VI, J, 15,5, 196—197, 591; VII, J, 14, 161, 590; VIII,  $ClO_4$ , 36, 236—238, 588; IX, J, 11, 166—168, 588. Нагреванием (135°, 20 мин.) эквимолекулярных кол-в четвертичных солей с п- $(CH_3)_2NC_6H_4CHO$  получают следующие II (указан арил в арилоксигруппе II, порядок других обозначений см. выше): IV, J, 38, 240—241, 520; V,  $ClO_4$ , 97, 223—225, 520; VI,  $ClO_4$ , 85, 196—197, 520; VII,  $ClO_4$ , 91, 212—215, 520; VIII, J, 95, 162—164, 522; IX,  $ClO_4$ , 93, 182—185, 522.

Ф. Б.

3932. Производные тиазолхинозолина. III. Синтез алкил- и арилпроизводных. Дхатт, Наранг (Thiazoloquinazoline derivatives. III. Syntheses of alkyl and aryl derivatives. Dhatt M. S., Narang K. S.), J. Organ. Chem., 1955, 20, № 3, 302—305 (англ.)

В развитие работы (см. сообщение I, РЖХим, 1955, 23771) с целью испытания бактерицидных свойств синтезированы замещ. 7-метил-5Н-тиазоло-(2,3-е)-хинозолин-5-оны (I) и 2,3-дигидро-I ( $R, R' = H$ ) (II). Линейное строение I соответствует данным Траумана (ср. Liebig's Ann. chem., 1888, 249, 47). Хлоргидрат этилового эфира 5-метилантрапилиновой к-ты (III), т. пл. 184° получен методом примененным для эфира антрапилиновой к-ты (см. сообщение I). Смесь 1 моля



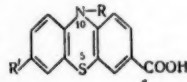
α-галонидокетона (IV) и 1 моля 2-карбозоксип-4-метилфенилтиомочевинины (V) (получена из III и KCNS в воде, т. пл. 106—107° (из 10%-ного сп.)), кипятят 5 час. в миним. кол-ве спирта, р-ритель отгоняют, подщелачивают 20%-ным NaOH и получают I (последовательно указаны исходный IV, R, R', выход в %, т. пл. в °C, в скобках р-ритель): хлорацетон, H,  $CH_3$ , 43, 307—308 (сп.), и изомер, возможно, с угловым стрессом, выход 12%, т. пл. 180—181° (из 30%-ного сп.); метил-α-хлорэтилкетон,  $CH_3$ ,  $CH_3$ , 73, 280 (из 30%-ного сп.); α-бромацетифенон, H,  $C_6H_5$ , 82, 264 (бэл.); п-метил-α-бромацетифенон, H, п- $CH_3C_6H_4$ , 80, 254 (этилацетат); п-метокси-α-бромацетифенон, H, п- $CH_3OC_6H_4$ , 70, 244 (бэл.); п-хлор-α-бромацетифенон, H, п- $ClC_6H_4$ , 70, 326 (сп.). Смесь 10 г V и 100 г  $BrCH_2CH_2Br$  кипятят 1,5 часа, осадок промывают горячей лед.  $CH_3COOH$  и получают бромгидрат II, выход 9,5 г, т. пл. 305° (из сп.); II, т. пл. 270° (из сп.). Бромгидрат II при испытании на цыплятах, зараженных *Plasmodium gallinaceum*, показал противомаларийную активность.

В. З.

3933. Исправления к статье «Гетероциклические производные 1,2-5,6-дибензилкетон-1,3,5-триена. Часть II. 5-арил-2,3-6,7-дибенз-1-тиа-4-азациклогепта-2,4,6-триены и их 1,1-диоксиды». Бродрик, Николсон, Шорт (Errata), J. Chem. Soc., 1954, Nomenclature rep. indexes and title-pages (англ.)

К РЖХим, 1955, 31687.

3934. Синтез гидразидов 10-алкилфенотиазин-карбоновой-3 и 5,5-диоксо-10-алкилфенотиазинкарбоновой-3 кислот. Кокли, Казадевалль, Казадевалль (Synthèse d'hydrazides d'acides alcoyl-10-phénothiazine carboxyliques-3 et dioxo-5,5-alcoyl-10-phénothiazine carboxyliques-3. Cauquil Germaine, m-lle Casadevall M. Andre, Casadevall Eliette, m-m-e), C. r. Acad. sci., 1955, 240, № 20, 1997—2000 (франц.). Синтезированы замещ. фенотиазинкарбоновые-3 к-ты (Ia—e) и соответствующие им 5,5-диоксиды (IIa—e) и для испытания бактериостатич. действия на туберкулезную палочку in vitro получены гидразиды I и II.



Ia  $R = CH_3$ ,  $R' = H$ ; Ib  $R = C_2H_5$ ,  $R' = H$   
 Ic  $R = C_6H_5$ ,  $R' = H$ ; Id  $R = C_6H_5$ ,  $R' = CH_3$   
 Ie  $R = C_6H_5$ ,  $R' = CH_3$

3-формил-10-метилфенотиазин по описанному ранее методу (Pearl, J. Amer. Chem. Soc., 1946, 68, 2180) превращают в Ia, т. пл. 260° (из сп. + ацетон), метиловый эфир, т. пл. 94° (из сп. + ацетон), гидразид, т. пл. 190° (из бэл.). Окислением Ia водн. р-ром  $NaClO$  получают IIa, т. пл. 290° (из сп. + ацетон), метиловый эфир, т. пл. 190° (из сп. + ацетон), гидразид, т. пл. 205°, при перекристаллизации из спирта + ацетон образует с ацетоном гидразон, т. пл. 199°. Из 3-формил-10-этилфенотиазина аналогично Ia или действием  $Ag_2O$  получают Ib, т. пл. 200° (из сп.), метиловый эфир, т. пл. 52° (из сп. + ацетон), гидразид, т. пл. 187° (из сп.). IIb, т. пл. 184° (из ацетона + сп.), гидразид, т. пл. 295° (из сп.), гидразон с ацетоном, т. пл. 232° (из сп. + ацетон). IIc, т. пл. 220° (из сп.), метиловый эфир, т. пл. 130° (из сп. + ацетон), гидразид, т. пл. 177°. IIc, т. пл. 295° (из ацетона + сп.), метиловый эфир, т. пл. 197° (из сп. + ацетон), гидразид, т. пл. 265° (из сп.), гидразон с ацетоном, т. пл. 260° (из сп. + ацетон). Ig, т. пл. 265° (из сп. + ацетон), метиловый эфир, т. пл. 105° (из сп. + ацетон), гидразид, т. пл. 190° (из сп.). IIg, т. пл. 290° (из сп. + ацетон), метиловый эфир, т. пл. 194° (из  $CH_3OH$  + ацетон), гидразид.

т. пл. 278°, гидразон с ацетоном, т. пл. 239° (из сп. 7+ + ацетон). Id, т. пл. 197° (из сп. + ацетон), метиловый эфир, т. кип. 230°/0,7 мм, т. пл. 75° (из сп. + ацетон), гидразид, т. пл. 208° (из сп.). Пд, т. пл. 240° (из сп.), метиловый эфир, т. пл. 150° (из сп.), гидразид, т. пл. 230° (из сп.). Ie, т. пл. 220° (из петр. эф. + бzl.), метиловый эфир, т. кип. 255—257°/1 мм, т. пл. 117° (из ацетона + сп.), гидразон из гидразида Ie с ацетоном, т. пл. 155° (из ацетона). Пе, т. пл. 295° (из сп. + ацетон), метиловый эфир — вязкая масса, гидразон из гидразида Пе с ацетоном, т. пл. 255° (из ацетона).

Е. К.

3935. Синтез кетонов из 10-ацилфеноптиазинов по реакции Фриделя и Крафта. II. Сравнительное изучение ацилирования по Фриделю и Крафту и по реакции с N-метилформанилидом. Кокиль, Казадевалль (Synthèse de cétones à partir d'acyl-10-phénothiazines par réaction de Friedel et Crafts. II. Étude comparée de l'acylation par réaction de Friedel et Crafts et par réaction du N-méthyl formanilide. Cauquil Germaine, m-lle, Casadevall André, C. r. Acad. sci., 1955, 240, № 5, 538—540 (франц.))

Изучено действие на 10-ацилфеноптиазины (I) N-метилформанилида (II) в присутствии  $\text{POCl}_3$  и  $(\text{CH}_3\text{CO})_2\text{O}$  в присутствии  $\text{AlCl}_3$ . В первом случае получается только 10-формилфеноптиазин (III), во втором 2-ацетил-10-ацилфеноптиазин. Показано, что это различие можно объяснить первичной p-цией  $\text{AlCl}_3$  с I, тогда как  $\text{POCl}_3$  реагирует только с II. Из 0,05 моля III, 0,055 моля  $(\text{CH}_3\text{CO})_2\text{O}$  и 0,2 моля  $\text{AlCl}_3$  в 250 мл  $\text{CS}_2$  получают 96% 2-ацетил-10-формилфеноптиазина, т. пл. 184° (из сп.). В аналогичных условиях получены 2-ацетил-10-пропионил-, 2-ацетил-10-бутирил- и 2-ацетил-10-бензоилфеноптиазины; их выходы в т. пл. соответственно: 100%, 128° (из сп. или  $\text{CH}_3\text{COOC}_2\text{H}_5$ ); 73%, 129° (из сп. или  $\text{CH}_3\text{COOC}_2\text{H}_5$ ); 59,5%, 186° (из сп.). Щел. гидролизом 2-ацетил-10-ацилфеноптиазинов получен метилфеноптиазинил-2-кетон с т. пл. 192° (из  $\text{CH}_3\text{COOC}_2\text{H}_5$ ), оксим, т. пл. 243°. Сообщение I см. РЖХим, 1954, 49725.

Ю. Р.

3936. Исправления к статье «Об устойчивости металлоорганических соединений». Джаффе, Док (Erratum. Jaffé H. N., Doak G. O.), J. Chem. Phys., 1953, 21, № 6, 1118 (англ.)

К РЖХим, 1953, 4266.

3937. Металлирование толуола калием и натрием. Клафф, Мортон (The metalation of toluene by potassium and sodium. Claff Chester E. Jr, Morton Avery A.), J. Organ. Chem., 1955, 20, № 4, 440—442 (англ.)

Найдено, что К в присутствии  $\text{Na}_2\text{O}$ ,  $\text{MgO}$  или  $\text{CaO}$  металлирует толуол (I) с выходом 90%:  $2\text{C}_6\text{H}_5\text{CH}_3 + 2\text{K} + \text{Na}_2\text{O} \rightarrow 2\text{C}_6\text{H}_5\text{CH}_2\text{K} + \text{NaH} + \text{NaOH}$ ; натрий, в описанных условиях не эффективен. В отсутствии оксидов К и Na дают низкие выходы; добавление к К или Na КОН выхода не повышает. Взаимодействием 300 мл I, 8,5 г К и 56 г  $\text{Na}_2\text{O}$  (90°, 3 часа) получают после карбоксилирования фенилуксусную к-ту, выход 87%. Приведена таблица результатов с применением других кол-в К и  $\text{Na}_2\text{O}$  и других оксидов.

Н. В.

3938. Действие магния и реактива Гриньяра на некоторые бензильные эфиры. Часть II. Действие реактивов Гриньяра на o-, m- и p-метокси- и феноксиметиланилины. Манн, Стюарт (The action of magnesium and of Grignard reagents on certain benzyl ethers. Part II. The action of Grignard reagents on o-, m-, and p-methoxy- and-phenoxy-methylanilines. Mann Frederick G., Stewart Frederick H. C.), J. Chem. Soc., 1954, Dec., 4127—4134 (англ.)

o-(Метоксиметил)-анилин (I) дает с избытком  $\text{C}_6\text{H}_5\text{MgBr}$  (II) o-(бензил)-анилин (III), наряду с небольшими кол-вами полимерных в-в (ПВ); p-ция протекает предположительно через промежуточное образование o-хинонометанимина,  $\text{H}_2\text{C} = \text{SCH} = \text{CHCH} = \text{NHC} = \text{NH}$

(как продукта разложения первоначально образующегося o-BrMgNHC<sub>6</sub>H<sub>4</sub>CH<sub>2</sub>OCH<sub>3</sub>), частично превращающегося в ПВ, но преимущественно реагирующего в поли-

ризованной форме, o-Н<sub>2</sub>C—C<sub>6</sub>H<sub>4</sub>—NH (IV), со 2-й молекулой II с образованием (при последующем гидролизе) III. n-C<sub>3</sub>H<sub>7</sub>MgBr (V), iso-C<sub>3</sub>H<sub>7</sub>MgBr (VI), C<sub>6</sub>H<sub>5</sub>CH<sub>2</sub>CH<sub>2</sub>MgBr (VII), C<sub>6</sub>H<sub>5</sub>CH<sub>2</sub>MgCl (VIII), 1-нафтилмагнийбромид (IX), 2-нафтилмагнийбромид (X), этилмагнийбромид (XI) и o-бромбензилмагнийбромид (XII) реагируют с I аналогично, образуя соответственно o-(n-бутил)-анилин (XIII), o-изобутиланилин (XIV), o-(3-фенилпропил)-анилин (XV), o-(2-фенилэтил)-анилин (XVI), 1-(o-аминобензил)-нафталин (XVII), 2-(o-аминобензил)-нафталин (XVIII), o-аминобензилмезитилен (XIX) и 2-амино-2'-бромдипенил (XX), наряду с некоторыми кол-вами ПВ. 15 г o-(метоксиметил)-бензонитрила прибавляют при 40—50° к смеси 27 мл спирта, 3 мл 25%-ного NaOH и 42 мл H<sub>2</sub>O<sub>2</sub> (100 об. %), нейтрализуют через 4 часа H<sub>2</sub>SO<sub>4</sub> и упариванием в вакууме выделяют o-(метоксиметил)-бензамид (XXI), выход 97%, т. пл. 101—102° (из воды). 3,9 мл Br<sub>2</sub> и 10,7 г измельченного XXI прибавляют при 0° к p-ру 15,5 г NaOH в 130 мл воды, размешивают до растворения, нагревают 30 мин. при 70—80°, охлаждают, извлекают эфиром и перегонкой выделяют I, выход 76%, т. кип. 106—108°/11 мм; бензоильное производное, т. пл. 74,5° (из сп.). Р-ции I с II, V, VI, VII, VIII, IX, X, XI и XII проводили путем медленного смешения I с 4 молями Mg-органич. соединения в эфире, кипячения (2 часа) и гидролиза водн. р-ром NH<sub>4</sub>Cl; продукты p-ций выделяли фракционированной перегонкой или перегонкой с водяным паром и превращением в хлоргидрат и характеризовали в форме ацетильных (АП) и бензоильных (БП) производных и хлоргидратов (ХГ). Получены (приведены исходные в-ва, в скобках указан выход в %): III, (63), т. кип. 172—176°/11 мм, т. пл. 54—55° (из петр. эф.), ХГ, т. пл. 176—177° (из сп. -эф.), АП, т. пл. 125—126° (из водн. сп.), БП, т. пл. 113—114° (из сп.); XIII, ХГ, т. пл. 139—140° (из разб. HCl), БП, т. пл. 116—117° (из петр. эф.); XIV, (72), т. кип. 110—111°/13 мм, АП, т. пл. 98° (из водн. сп.), БП, т. пл. 126—127° (из петр. эф.); XV, (77), т. кип. 131—135°/0,2 мм, ХГ, т. пл. 198—200° (разл., из сп.), БП, т. пл. 90—91° (из петр. эф.); XVI, (80), т. кип. 193—197°/19 мм, 186—188°/11 мм, ХГ, т. пл. 178—179°, АП, т. пл. 115—116°, БП, т. пл. 159—160° (обработкой диазосоединения XVI H<sub>3</sub>PO<sub>2</sub> получен дибензил); XVII, (52), т. пл. 100—101° (из водн. сп.), ХГ, т. пл. 195—196° (разл., из воды); XVIII, (33), т. кип. 204—206°/0,2 мм, т. пл. 62—63° (из сп.), ХГ, т. пл. 187—188° (разл., из сп.-эф.), БП, т. пл. 160—161° (из сп.); XIX, (84), т. пл. 89—89,5° (из сп.), ХГ, т. пл. 208° (разл., из сп.-эф.); XX, (68), т. кип. 156—160°/0,2 мм, т. пл. 50—51°, ХГ, т. пл. 179—180° (из сп.-эф.), АП, т. пл. 157—158° (из сп.), БП, т. пл. 156—157° (из сп.). При обработке I LiAlH<sub>4</sub> образуется o-толуидин, БП, т. пл. 140—141° (из сп.), что объясняется промежуточным образованием IV по схеме:  $\text{I} \rightarrow \text{o-CH}_3\text{OCH}_2\text{C}_6\text{H}_4\text{NH}^- \rightarrow \text{IV} \rightarrow \text{o-CH}_2\text{C}_6\text{H}_4\text{NH}^- \rightarrow \text{o-CH}_2\text{C}_6\text{H}_4\text{NH}_2$ . Диазотированием XIV и XX в разб. H<sub>2</sub>SO<sub>4</sub> и действием на диазосоединения насыщ. p-ра КJ получены соответственно o-(изобутил)-иодбензол (XXII), выход 57%, т. кип. 112—115°/11 мм, и 2-бром-2'-иоддипенил, т. пл. 84—85° (из сп.), а действием на Mg-соединение XXII твердой CO<sub>2</sub> при 18—20°—o-(изо-

бутил)-бензойная к-та, выход 30%, т. пл. 64–65° (из воды). Подобно I, *o*-(феноксиметил)анилин дает с VI также XIV, выход 43%. Р-циями *n*-(метоксиметил)-анилина (XXIII) с II и VI получены соответственно *n*-(бензил)-анилин, выход 44%, т. кип. 182–192°, ХГ, т. пл. 210° (из сп. -эф.; разл.), пикрат, т. пл. 178–180° (разл., из сп.), АП, т. пл. 125–126°, БП, т. пл. 159–160° (из сп.), и *n*-(изобутил)-анилин, выход 62%, т. кип. 122–126°/15 мм, АП, т. пл. 130–131° (из водн. сп.), БП, т. пл. 127–128° (из сп.), что позволяет предполагать в этих р-циях образование *n*-аналога IV и считать механизмы р-ций I и XXIII аналогичными. *m*-(Метоксиметил)-анилин (XXIV) дает с II соединение, не способное к дальнейшему образованию *m*-аналога IV и разлагающееся при гидролизе с выходом 97% обратного XXIV. *n*-(Метоксиметил)-нитробензол (XXV) получен по методу Ромео (Gazz. chim. ital., 1905, 35, 111), выход 46% (наряду с 40% 4,4'-динитротильбена, т. пл. 286–288°). Кипятят 30 мин. смесь 20 г мелкой чугунной стружки и 100 мл 5%-ного р-ра NaCl, прибавляют в течение 1 часа 10 г XXV, кипятят еще 3 часа, охлаждают, фильтруют, эфиром экстрагируют шлам в фильтрат и перегонкой выделяют XXIII, выход 55%, т. кип. 131–132°/11 мм, 147–148°/23 мм, БП, т. пл. 108–109°. Смесь р-ров 18,5 г *m*-нитробензоилхлорида в 125 мл CH<sub>3</sub>OH и 2,6 г Na в 65 мл CH<sub>3</sub>OH кипятят 2 часа, упаривают, выливают в воду, экстрагируют эфиром и перегонкой выделяют *m*-(метоксиметил)-нитробензол (XXVI), выход 72%, т. кип. 138–140°/11 мм. Восстановлением XXVI (аналогично XXV) получают XXIV, выход 82%, т. кип. 130–131°/11 мм, БП, т. пл. 76–77° (из бал.-петр. эф.). Установлено, что аналогично р-циям аминотетиленовых эфиров, (R)<sub>2</sub>NCH<sub>2</sub>OR', с Mg-органич. соединениями, приводящим к образованию третичных аминов типа (R)<sub>3</sub>NCH<sub>2</sub>R" (Robinson G. M., Robinson R., J. Chem. Soc., 1923, 123, 532), *n*-метоксиметил-N,N-диметиламин (XXVII) дает с II *n*-бензил-N,N-диметиламин (XXVIII). Предполагаемый механизм р-ции включает стадию промежуточного

образования двух форм катионов, (CH<sub>3</sub>)<sub>2</sub>N<sup>+</sup>:C<sub>6</sub>H<sub>4</sub>:CH<sub>2</sub> и

(CH<sub>3</sub>)<sub>2</sub>N-C<sub>6</sub>H<sub>4</sub>-CH<sub>2</sub><sup>+</sup>, что подтверждается одновременным образованием, наряду с XXVIII, небольших кол-в 2,6-бис-(диметиламино)-9,10-дигидроантрацена (XXIX). В противоположность XXVII *o*-метоксиметил-N,N-диметиламин (XXX) не реагирует с II, что объясняется пространственными причинами. 64 г метилового эфира N,N-диметиламинотрииловой к-ты в 100 мл эфира восстанавливают 7,5 г LiAlH<sub>4</sub> в 220 мл эфира, гидролизуют водн. р-ром сегнетовой соли и перегонкой выделяют *o*-(диметиламино)-бензиловый спирт (XXXI), выход 89%, т. кип. 123–124°/11 мм, нодметилат, т. пл. 131° (из CH<sub>3</sub>OH-эф.), метоникрат, т. пл. 147–148° (из сп.). К охлажд. р-ру 10 г XXXI в 40 мл C<sub>6</sub>H<sub>6</sub> прибавляют 30 мин. р-р 8 г SOCl<sub>2</sub> в 20 мл C<sub>6</sub>H<sub>6</sub>, размешивают 1 час при охлаждении, кипятят 1 час, охлаждают, осторожно добавляют р-р 4 г Na в 120 мл CH<sub>3</sub>OH, кипятят 4 часа, упаривают, разбавляют водой, извлечением эфиром и перегонкой выделяют XXX, выход 75%, т. кип. 106–108°/13 мм, пикрат, т. пл. 133–134° (из сп.). Из *n*-(диметиламино)-бензинового спирта аналогично XXX получают XXVII, выход 65%, т. кип. 133–136°/15 мм, водметилат, т. пл. 184–185° (из CH<sub>3</sub>OH-эф.), метоникрат, т. пл. 131–132°. Действием II на XXVII и последующей обработкой (в условиях р-ций I с Mg-огранич. соединениями) выделяют XXVIII, выход 84%, т. кип. 194–198°/15 мм, водметилат, т. пл. 196–197° (из CH<sub>3</sub>OH-эф.), метоникрат, т. пл. 99–100°, наряду с XXIX, т. пл. 154–155° (из сп. и петр. эф.), идентичным с в-вом, полученным гидрированием суспензии I в 2,6-бис-(диметиламино)-антрацена в 20 мл жидкого NH<sub>3</sub>

действием 0,2 г Na и извлечением остатка (после испарения NH<sub>3</sub> из реакционной массы, обработанной избытком NH<sub>4</sub>NO<sub>3</sub>) спиртом. Часть I см. РЖХим, 1955, 2148.

О. Ч.

3939. Реактивы Гриньяра и ненасыщенные эфиры. III. Реакция гриньяровских реагентов с ненасыщенными циклическими эфирами. Хилл, Сентер, Хейнс, Хилл (Grignard reagents and unsaturated ethers. III. Reaction of Grignard reagents with cyclic unsaturated ethers. Hill Carl. M., Senter Gilbert W., Haynes Lonnie, Hill Mary E.), J. Amer. Chem. Soc., 1954, 76, № 18, 4538–4539 (англ.)

Показано, что при действии алкил- и арил-гриньяровских реагентов на 2,3-дигидропиран (I), 4-метил-3,4-дигидро-2H-пиран (II), 2-метилфуран (III) и 2,5-диметилфуран (IV) происходит разрыв цикла у эфирной группы и образуются непредельные спирты и альдегиды или же кетоны. После прибавления к *n*-октилмагнийбромиду (1 *г-моль*), приготовленному обычным способом в атмосфере азота, 0,8 *г-моля* свежеперегнанного 2,3-дигидропирана в равном объеме абс. эфира в течение 5 час., кипячения смеси в течение 40 час., разложения насыщ. р-ром NH<sub>4</sub>Cl, экстрагирования водн. слоя в течение 36 час. эфиром, удаления эфира и перегонки остатка на колонке Подбильяна получают тридецен-4-ол-1 (V), выход 36% (в тексте, в таблице же указано 48%), т. кип. 127–128°/9 мм,  $n_D^{20}$  1,4480,  $d_4^{20}$  0,8710, 3,5-динитробензоат, т. пл. 50–51°. Точно таким же образом проводят р-цию и в дальнейших случаях. Из I и *n*-анилилмагний бромида получают 5-*n*-анилилпентааль, выход 30%, т. кип. 108–111°/750 мм,  $n_D^{20}$  1,4610,  $d_4^{20}$  0,9932, 2,4-динитрофенилгидразон, т. пл. 107–107,2°. Из II и *n*-гексилмагнийбромида получают 3-метилундецен-4-ол-1 (VI), выход 31%, т. кип. 92–95°/10 мм,  $n_D^{20}$  1,4250,  $d_4^{20}$  0,7939; 3,5-динитробензоат, т. пл. 58–59°. Из II и *n*-анилилмагнийбромида получают 3-метил-5-(*n*-анилил)-пентен-4-ол-1 (VII), выход 40%, т. кип. 89–92°/13 мм,  $n_D^{20}$  1,5550,  $d_4^{20}$  1,4069; 3,5-динитробензоат, т. пл. 233–234°. Из III и *n*-гексилмагнийбромида получают ундецен-4-он-2 (VIII), выход 36%, т. кип. 62–63°/649 мм,  $n_D^{20}$  1,4018,  $d_4^{20}$  0,7748, 2,4-динитрофенилгидразон, т. пл. 95°. Из IV и *n*-гексилмагнийбромида в среде ди-*n*-бутилового эфира получают 5-метилундецен-4-он-2 (IX), выход 30%, т. кип. 200–203°/750 мм,  $n_D^{20}$  1,4298,  $d_4^{20}$  0,8050, 2,4-динитрофенилгидразон, т. пл. 80–81°. При встряхивании 5 г V в 50 мл 95%-ного спирта с 5 г палладия на угле в течение 6 час. при 225° под давлением H<sub>2</sub> 106 ат получают тридеканол-1, выход 63%, т. кип. 201–204°/750 мм. При встряхивании 2,1 г IX в 40 мл 95%-ного спирта с 6 г скелетного Ni-катализатора в течение 4 час. при 150° и давлении H<sub>2</sub> 50 ат получают 5-метилундеканол-2, выход 47%, т. кип. 205–208°/750 мм,  $n_D^{20}$  1,4260,  $d_4^{20}$  0,800. При озонировании 4–7 г (VI, VII, VIII, IX и V) в 50–125 мл петр. эфира или CHCl<sub>3</sub> 5%-ным озонем в течение 12–24 час. при 0°, последующим разложением первых четырех соединений смесью воды, цинка, следов азотнокислого серебра и гидрохинона, V–6%-ной H<sub>2</sub>O<sub>2</sub> и экстрагирования смеси эфиром получают: из V пеларгоновую к-ту, из VI *n*-гептиловый альдегид, из VII анисовый альдегид и 4-оксн-2-метилмасляный альдегид, из VIII *n*-гептиловый альдегид и из IX октаон-2. Сообщение II см. РЖХим., 1955, 54987.

М. Ч.  
3940. Реактивы Гриньяра и ненасыщенные эфиры. IV. Синтез и реакции некоторых виниловых эфиров с гриньяровскими реагентами. Хилл, Пригмор, Мур (Grignard reagents and unsaturated ethers.



IV. The synthesis and reaction of several vinyl ethers with Grignard reagents. Hill Carl M., Prigmore Ruby M., Moore George J., J. Amer. Chem. Soc., 1955, 77, № 2, 352—354 (англ.)

Установлено, что при взаимодействии незамещенных виниловых эфиров типа:  $R-CH=CH-OR'$  с алкил- и арил-гриньярскими реагентами разрывается связь C—O винилового эфира и образуются кетоны. Виниловые эфиры получают по методу Лавэр и Спилмана (J. Amer. Chem. Soc., 1931, 53, 1533) ( $R=C_6H_{13}$ ,  $R'=n-C_5H_{11}$ ,  $R''=C_2H_5$ ) (I), выход 66%, т. кип. 132—135°/11 мм,  $n_D^{20}$  1,4397,  $d_4^{20}$  0,7995; ( $R=n-C_5H_7$ ,  $R'=n-C_6H_{13}$ ,  $R''=C_2H_5$ ) (II), выход 52%, т. кип. 107—111°/19 мм,  $n_D^{20}$  1,4346,  $d_4^{20}$  0,8117; ( $R=CH_3$ ,  $R'=n-C_6H_{13}$ ,  $R''=C_2H_5$ ) (III), выход 77%, т. кип. 89—92°/11 мм,  $n_D^{20}$  1,4256,  $d_4^{20}$  0,8111, ( $R=H$ ,  $R'=n-C_5H_{15}$ ,  $R''=n-C_4H_9$ ) (IV), выход 24%, т. кип. 109—112°/17 мм,  $n_D^{20}$  1,4433,  $d_4^{20}$  0,8301; ( $R=n-C_5H_{11}$ ,  $R'=n-C_5H_{11}$ ,  $R''=n-C_4H_9$ ) (V), выход 45%, т. кип. 126—129°/6 мм,  $n_D^{20}$  1,4438,  $d_4^{20}$  0,8328; ( $R=H$ ,  $R'=n-C_5H_{11}$ ,  $R''=n-C_4H_9$ ) (VI), выход 40%, т. кип. 89—92°/1 мм,  $n_D^{20}$  1,4440,  $d_4^{20}$  0,8341; ( $R=n-C_5H_{11}$ ,  $R'=n-C_4H_9$ ,  $R''=n-C_4H_9$ ) (VII), выход 30%, т. кип. 98—101°/2 мм,  $n_D^{20}$  1,4400,  $d_4^{20}$  0,8310. Строение полученных виниловых эфиров подтверждено озонированием. Для озонирования берут 2—7 г любого винилового эфира, растворяют в 75—200 мл петр. эфира, обрабатывают смесью озона с кислородом в течение 12—30 час., разлагают озониды 3%-ной  $H_2O_2$  или  $Zn$ -пастой, продукты озонирования перегоняют и получают из I энантовую к-ту и этиловый эфир капроновой к-ты, из II — масляную к-ту и этиловый эфир энантовой к-ты, из III —  $CH_3COCH_3$ ; из V — капроновую к-ту и бутиловый эфир капроновой к-ты, из VII — капроновый альдегид и бутиловый эфир валериановой к-ты. В колбу, снабженную капельной воронкой, механич. мешалкой и тремя отводами, соединенными с приемниками, помещают 0,36 моля  $n-C_4H_9MgBr$ . Первый приемник охлаждают ледяной водой, второй смесью ацетона и сухого льда, в третий помещают 5%-ный р-р  $Br_2$  в  $CCl_4$ , после постепенного прибавления к содержимому колбы, в атмосфере  $N_2$ , 0,18 моля VII в 200 мл эфира нагревания (24 часа), разложения смеси насыщ. р-ром  $NH_4Cl$  экстрагируют эфиром, получают ундеканон-5, выход 76%, т. кип. 104—106°/11 мм,  $n_D^{20}$  1,4359,  $d_4^{20}$  0,8338. Во втором приемнике собран  $n$ -бутан. Аналогично получают из II и  $C_2H_5MgBr$  ундеканон-4, выход 55%, т. кип. 85—88°/4 мм,  $n_D^{20}$  1,4291,  $d_4^{20}$  0,8100; из I и  $n-C_6H_{13}MgBr$  получают тридеканон-6, выход 65%, т. кип. 110—113°/4 мм, т. пл. 17°,  $n_D^{20}$  1,4352,  $d_4^{20}$  0,8200. В опыте с 0,12 молями I и 0,2 молями  $n-C_6H_{13}MgBr$  получено 4,3 г  $n$ -гексана и около 0,08 моля этана. При взаимодействии  $n$ -бутилвинилового эфира и фенилмагнибромидом выделено 60%  $n$ -бутанола и 35% стирола.

3941. Алкоголиз триарилборанов. Рондестведт, Скрибнер, Вулфман (Alcoholysis of triarylboranes. Rondstedt Christian S., Jr., Scribner Richard M., Wulfman Carl E.), J. Organ. Chem., 1955, 20, № 1, 9—12 (англ.)

Изучено расщепление трифенилбора (I) и три- $\alpha$ -нафтилбора (II)  $HBr$ -газом (III),  $CH_3COOH$  (IV) и  $CH_3OH$  (V). В отличие от расщепления галогенводородами триалкилборанов, приводящего к образованию диалкилборалогенидов при действии III или IV на II расщепление не останавливается на отщепле-

нии одной нафтильной группы. Наблюдаемое различие в поведении алкил- и арилборанов авторы объясняют большей электродонорной способностью арильных групп в переходном состоянии, благодаря чему становится возможным дальнейшее расщепление диарилборалогенидов даже при введении электроноакцепторной группы (галоида, алкокси- или аниоксигруппы). При действии на I и II этаноламина (VI) образуются эфиры этаноламина и диарилборной к-ты, устойчивые к действию спиртов, вероятно, благодаря замыканию кольца с образованием внутрикомплексного циклич.  $\beta$ -аминоэтилового эфира диарилборной к-ты.  $Ar_2B + HOCH_2CH_2NH_2 \rightarrow Ar_2B : NH_2CH_2CH_2O$ . Из 0,015 моля II и 0,045 моля свежеперег-

нанного VI в 100 мл безводн.  $C_6H_6$  получают  $\beta$ -аминоэтиловый эфир ди- $\alpha$ -нафтилборной к-ты, выход 64%, т. пл. 205° (разл., из бэл.) и нафталин. Аналогичным путем из I и VI получают  $\beta$ -аминоэтиловый эфир дифенилборной к-ты, выход 68%, т. пл. 188—190° (разл.). Взаимодействием 2 г II (кипятили с 100 мл V) получают метиловый эфир борной к-ты, нафталин и непрореагировавший II. Кипячением р-ра 10,8 г I в 100 мл V (137 час.,  $N_2$ ) получают 5,5 мл в-ва (VII) с т. кип. 168—171°/2 мм, и после обработки его р-ра в петр. эфире аммиаком выделяют комплекс фенилового эфира дифенилборной к-ты с аммиаком, т. пл. 152—153° (из бэл.-петр. эф.). При действии воды на VII образуется фенол; в присутствии  $CCl_4$  образуется фенол и окись трифенилбора, выход 34%, т. пл. 214—216°. При действии V на II получается смесь триацетоксибора, нафталина и II. Взаимодействием безводн. III с 2 г II получают 0,95 г нафталина, 0,54 г II и 0,30 г  $\alpha$ -нафтилборной к-ты.

3942. Реакции трехфтористого бора с тетраметиламиноборином. Берг, Банус (The reaction of boron trifluoride with tetramethylaminoborane. Burg Anton B., Banus Joan), J. Amer. Chem. Soc., 1954, 76, № 15, 3903—3905 (англ.)

Тетраметиламиноборин (I) при низкой т-ре образует с  $BF_3$  (II) твердый продукт присоединения  $(CH_3)_2NB(CH_3)_2 \cdot BF_3$  (III), устойчивый при —78,5°. При более высокой т-ре от III отщепляется II (в вакууме) или III превращается в  $(CH_3)_2BF$  (IV) и  $(CH_3)_2NBF_2$  (V). Эта р-ция обмена фтора проходит количественно в присутствии II, который препятствует обратной диссоциации и предотвращает образование маслянистых и кристаллич. побочных продуктов. Чистый V устойчив при 25°, но в эфирном р-ре медленно разлагается с образованием ряда продуктов, в том числе, повидимому,  $BN$ ,  $(CH_3)NBF_2$  и  $(CH_3)_3NBF_2$  (VI) (т. пл. 145—147°). При нагревании V с  $(CH_3)_3N$  образуются VI и  $[(CH_3)_2N]_2BF$  (VII), который легко распадается с образованием ряда в-в, состав которых еще изучается; VII с избытком II дает V. I был получен р-цией  $(CH_3)_2NH$  с  $(CH_3)_2BBBr$  или  $(CH_3)_4B_2H_2$  или  $(CH_3)_3B$  (14 час., 300°, 3 ат) с последующей дистилляцией на колонке при —78°. Выход по второму методу 89% (третий наиболее удобен), т. кип. 65°, т. пл. —92,2°. В запаянной трубке при 20° устойчив, на воздухе окисляется без воспламенения. Р-ция II с I проходит количественно, если смесь медленно нагревают от —196° до —78,5°. Поглощение II сопровождается уменьшением давления при —120°. При наличии избытка II образование продукта присоединения может быть завершено нагреванием до —60°. После р-ции II и I (по 28,5 см<sup>3</sup> в виде газа, все объемы газов приведены к н. у.) осталось 0,54 см<sup>3</sup> газа; полученный твердый III, устойчивый при —78,5°, быстро нагрели до 0° и через два часа удалили газообразный IV, выход 99% (28,2 см<sup>3</sup>); при этой р-ции чистый V образуется лишь в присутствии избытка II. Смесь 65,1 см<sup>3</sup> I

с 11,2 см<sup>3</sup> II оставили на 13 час. при —23° и затем нагрели до 20°. Получен V, т. пл. 165—168°. Для анализа V был очищен возгонкой в высоком вакууме при *t*-ре не выше 40° и гидролизован в присутствии KCl и CaCl<sub>2</sub> при 100°/14 час.). В таблице приведены результаты определения давления паров I, V и VII (т. пл. —44,3°; т. кип. 106°). Г. К. 3943.

Михайлов Б. М., Вавер В. А., Докл. АН СССР, 1955, 102, № 3, 531—534

Действием C<sub>6</sub>H<sub>5</sub>MgBr (I) на триизобутилборат (II) получен изобутиловый эфир дифенилборной к-ты (III). Показано, что III устойчив к действию воды и разб. минер. к-т. При длительном нагревании с р-ром к-ты III дает фенолборную к-ту. Водн. р-ры едких щелочей не омыляют III, но растворяют его. Авторы считают, что при этом образуются соли комплексной к-ты, которая обозначена в работе, как дифенилдибутоксисборенная к-та [(C<sub>6</sub>H<sub>5</sub>)<sub>2</sub>B(OH)(OC<sub>4</sub>H<sub>9</sub>)]<sup>+</sup> (IV) IV содержит 4-ковалентный отрицательно заряженный В. Найдено, что при подкислении р-ров солей IV неустойчивая IV разлагается по двум направлениям: с отщеплением H<sub>2</sub>O и с отщеплением *изо*-C<sub>4</sub>H<sub>9</sub>OH, давая 58% III и 17% ангидрида дифенилборной к-ты (V). Авторы считают, что омыление эфиров борорганич. к-т всегда идет через стадию образования комплексных соединений. При действии 7 мл 20%-ного водн. р-ра NH<sub>3</sub> на 2,1 г III получен дифенилдиоксисбораммоний [(C<sub>6</sub>H<sub>5</sub>)<sub>2</sub>B(OH)<sub>2</sub>]<sup>+</sup> (VI), выход 87%, т. пл. 109—110° (разл. из бал.). Показано, что при подкислении (1,5 мл конц. HCl, 15 мл воды) 2 г VI в 20 мл воды образуется 1,3 г дифенилборенной к-ты [(C<sub>6</sub>H<sub>5</sub>)<sub>2</sub>B(OH)<sub>2</sub>]<sup>+</sup> (VII), т. пл. —35—33°. В вакууме при слабом нагревании (5 мин., 70—80°) VII дает V, выход 92,8%, 1,1314 г V при растворении в 7,62 мл 1 н. р-ра KOH и упаривании р-ра в вакууме дает 1 г К-соли VII, т. пл. 66—67° (из бал.-сп. 20 : 1). III получают, действуя 0,5 моля II в 200 мл эфира на 1 моль I в 800 мл эфира (6—7 час. —70—75°, ~12 час. 15—20°), выход 51—57%, т. кип. 129,5—130°/2,5 мм. Кроме того, образуется 12—18% ангидрида фенолборной к-ты, т. пл. 190—192°. На-соль IV получают, растворяя 0,00984 моля III в 9,83 мл 1 н. р-ра NaOH, упаривая р-р в вакууме и перекристаллизовывая в-во из C<sub>6</sub>H<sub>6</sub>-спирта, 20 : 1, выход 1,5 г. 10 г III растворяют в 20 мл 10%-ного р-ра NaOH, р-р подкисляют 5 мл конц. HCl и масло извлекают эфиром, получают III и V, т. пл. 130°—132° (из бал.). И. В. 3944.

О полиборилформальде и кремниевых эфирах полиборной кислоты. Хенглейн, Ланг, Шейношт (Über Polyborylformale und Polybor-säuresilylester. Henglein F. A., Lang R., Scheinost K.), Makromolek. Chem., 1955, 15, № 2/3, 177—187 (нем.).

Взаимодействием B(OC<sub>2</sub>H<sub>5</sub>)<sub>3</sub> (I) и избытка CH<sub>2</sub>(OCO-CH<sub>3</sub>)<sub>2</sub> (II) (110—120°, ~200 час., через каждые 12—24 часа удаление образовавшегося этилацетата (III) при 30°/30 мм) получены полиборилформали (ПБФ) — серо-коричневая вязкая масса. В качестве катализатора употреблялся C<sub>2</sub>H<sub>5</sub>ONa (2% от веса реакционной массы) в избытке спирта или HCl (газ) в толуоле:  $2I + 1,5 II \rightarrow [B(OC_2H_5O)]_x + 3 III$ . Найдено, что ПБФ легко гидролизуются горячей водой до B(OH)<sub>3</sub> и полиоксиметилена (IV), устойчивы в высоком вакууме до 120°, а выше разлагаются, выделяя IV и губчатую массу (20,2% —26,5% В, 0,65—1,4% СН<sub>2</sub>О). Сделана попытка взаимодействием I с диметилдиэтоксисилоном (V) или триацетата бора (VI) с диметилдиэтоксисилоном (VII) получить кремниевые эфиры полиборной к-ты (КПБ);  $VI + VII \rightarrow OB(O-OSi(CH_3)_2O) + III$ . Получить чистые

КПБ (5,65% В, 29,4% Si) не удалось. При взаимодействии 0,3 моля V и 0,3 моля I (катализатор 1,93 г C<sub>2</sub>H<sub>5</sub>ONa, избыток спирта 3,92 г, кипячение 35 час. во всех опытах периодич. удаление III) получено вязкое желтое масло (I КПБ) (3,24% В, 32,3% Si, мол. в. ~670), что соответствует замене на В каждого четвертого Si-атома. При взаимодействии в тех же условиях (кипячение 40 час.) 0,3 моля V и 0,9 моля I получена желто-коричневая вязкая, пластич. масса (II КПБ) (6,78% В, 34,54% Si, мол. в. ~864), что тоже говорит о недостаточной замене Si на В. I КПБ и II КПБ устойчивы термически до 400—450°, легко растворимы в циклогексане, эфире, ацетоне и диоксане. Взаимодействием  $\frac{2}{3}$  моля VII с  $\frac{1}{3}$  моля VI в 150 мл толуола (3,59 г C<sub>2</sub>H<sub>5</sub>ONa, избыток спирта 7,28 г, кипячение 56 час.) получена еще более вязкая эластичная и пластич. масса (III КПБ) (6,72% В, 35,32% Si, мол. в. 1425). Взаимодействием  $\frac{1}{3}$  моля VII с  $\frac{1}{3}$  моля VI в 75 мл толуола (катализатор HCl (газ), кипячение 41 час.) получена твердая смолообразная масса (IV КПБ) (10,94% В, 24,25% Si), что говорит о высокой степени полимеризации и замене каждого второго Si-атома на В-атом. Р-римость IV КПБ ниже, чем II КПБ и III КПБ. На примере I КПБ, II КПБ и IV КПБ показано, что полученные в-ва устойчивы к действию холодной воды, гидролизуются — горячей. С увеличением содержания В гидролизуемость усиливается. Щелочи гидролизуют сильнее, чем к-ты. Сделан вывод, что полученные КПБ ближе к сложным эфирам, чем к простым. Высказано предположение, что вследствие большой склонности Si-компонента к изополимеризации получить вышеописанным способом чистые КПБ не удастся. Н. В.

3945. Циклические кремнийорганические соединения. II. Размер кольца и реакционная способность силиконов при гидролизе, катализируемом щелочью. Уэст (Cyclic organosilicon compounds. II. Ring size and reactivity in the alkali-catalyzed hydrolysis of silanes. West Robert), J. Amer. Chem. Soc., 1954, 76, № 23, 6015—6017 (англ.).

Установлено, что реакционная способность циклич. органосиланов при гидролизе, катализируемом щелочью является функцией размера кольца и уменьшается в следующем порядке: (CH<sub>3</sub>)<sub>2</sub>SiH<sub>2</sub>>(CH<sub>2</sub>)<sub>6</sub>—SiH<sub>2</sub>>n-(C<sub>2</sub>H<sub>5</sub>)<sub>2</sub>SiH<sub>2</sub>>(CH<sub>2</sub>)<sub>5</sub>SiH<sub>2</sub>. При гидролизе водород силана, связанный с Si, замещается гидроксидом со скоростью, которая может быть легко измерена при 20° по кол-ву выделяемого водорода. Для наблюдения были взяты продукты, кипящие в пределах меньше 0,5°, р-цию проводили при постоянной *t*-ре в абс. спирте. Постоянную скорость р-ции высчитывали из логарифмич. кривой первого порядка, построенной по изменению конц-ии силана во времени. Были измерены термодинамич. величины: теплота активации и относительная энтропия активации, которая оказалась для 5- и 6-звенного кольца больше, чем для (C<sub>2</sub>H<sub>5</sub>)<sub>2</sub>CH<sub>2</sub>SiH<sub>2</sub>, взятого для сравнения. Сообщение I см. РЖХим, 1955, 55171. Б. В.

3946. Синтез кремнийсодержащих простых эфиров. Исследование расщепления этих соединений хлористым ацетилом в присутствии хлористого цинка. Кала, Дюффо, Валад (Préparation d'éthers oxydes silicés. Etude de la scission de ces composés par la chlorure d'acétyle en présence de chlorure de zinc. Calas Raymond, Duffaut Norbert, Valade Jacques), Bull. Soc. chim. France, 1955, № 6, 790—792 (франц.).

Присоединением HSiCl<sub>3</sub> к CH<sub>2</sub> = CHOC<sub>2</sub>H<sub>5</sub>, CH<sub>2</sub> = CHCH<sub>2</sub>OCH<sub>3</sub> и CH<sub>2</sub> = CHCH<sub>2</sub>O-C<sub>2</sub>H<sub>5</sub> (кипячение, облучение УФ-светом 48 час.) получены соответственно Cl<sub>3</sub>SiCH<sub>2</sub>CH<sub>2</sub>OC<sub>2</sub>H<sub>5</sub> (I), выход 53%, т. кип.

146—147°/764 мм,  $n_D^{20}$  1,4310,  $d_4^{20}$  1,1975;  $Cl_3SiCH_2-CH_2CH_2OCH_3$  (II), т. кип., 159°/756 мм,  $n_D^{20}$  1,4420,  $d_4^{20}$  1,2160;  $Cl_3SiCH_2CH_2CH_2OC_2H_5$  (III), выход 84%, т. кип. 178°/760 мм,  $n_D^{20}$  1,4402,  $d_4^{20}$  1,1812. Взаимодействием I, II и III с избытком  $CH_3MgBr$  с выходом ~85% получены соответственно  $(CH_3)_3SiCH_2CH_2OC_2H_5$  (IV), т. кип. 131—132°/768 мм,  $n_D^{20}$  1,4054,  $d_4^{20}$  0,7810;  $(CH_3)_3SiCH_2CH_2CH_2OC_2H_5$  (V), т. кип. 139°/762 мм,  $n_D^{20}$  1,4105,  $d_4^{20}$  0,7907;  $(CH_3)_3SiCH_2CH_2CH_2OC_2H_5$  (VI), т. кип. 155°/760 мм,  $n_D^{20}$  1,4136,  $d_4^{20}$  0,7921. Гидролиз I, II и III ведет к кремнийсодержащим в-вам, растворимым в этилацетате. Найденно, что полученные Si-содержащие эфиры не реагируют с  $PCl_5$  (в  $CCl_4$ , кипячение 2 часа). Показано, что при взаимодействии 0,1 моля IV с 0,125 моля  $CH_3COCl$  (VII) в присутствии 0,025 моля  $ZnCl_2$  (—15° до 15—20°) р-ция идет по

уравнению:  $2 IV + 2 VII \xrightarrow{ZnCl_2} (CH_3)_3SiCH_2CH_2Cl + C_2H_5Cl + CH_3COOCH_2CH_2Si(CH_3)_3 + CH_3COOC_2H_5$ , но и  $(CH_3)_3SiCH_2CH_2Cl$  и  $CH_3COOCH_2CH_2Si(CH_3)_3$  распадаются с образованием этилена (определен в виде дибромидов) и  $(CH_3)_3SiCl$  или  $CH_3COOSi(CH_3)_3$  (определены в виде  $(CH_3)_3SiOSi(CH_3)_3$ , образующегося при гидролизе). VI реагирует с VII так же, но в этом случае образуется циклопропан (определен в виде дибромидов) и, судя по ИК-спектру, небольшая примесь пропилена. Сделан вывод, что электроположительный характер Si-атома не позволяет получить сложные эфиры с Si-атомом в  $\beta$ - и  $\gamma$ -положениях к сложноэфирной группе.

**3947. Получение *n*-бутоксихлорсиланов.** Фейгин, Томашевич, Жолендзевский (Otrzymywanie *n*-butoksychlorosilanów. Fejgin J., Tomaszewicz M., Żołędzowski W.), Przem. chem., 1955, 11, № 4, 198—201 (польск.; резюме русск., англ.)

В процессе исследования условий синтеза гликоловых масел изучено влияние молярного соотношения  $SiCl_4$ : $n$ - $C_4H_9OH$  на выход и состав *n*-бутоксихлорсиланов (I). Синтез проводился по описанному ранее методу (Her R., Ind. Eng. Chem., 1947, 39, 1384) без разбавления  $SiCl_4$  бензолом. При соотношениях  $SiCl_4$ : $n$ - $C_4H_9OH$ , равных от 1:0,5 до 1:2,3, реакционная смесь содержит все возможные I. Суммарный выход I при соотношении от 1:1 до 1:2 составляет 70—75% (на  $SiCl_4$ ). Маким. выходы  $C_4H_9OSiCl_3$  (43,5% на  $SiCl_4$ ) и  $(C_4H_9O)_2SiCl_2$  (35,6%) достигнуты при соотношениях 1:0,9 и 1:1,6.

Т. А.

**3948. Тетрабензилвинил и ортогаллодозамещенные бензильные соединения 4- и 3-валентного свинца.** Бер, Цохе (Bleitetraabvinyl und o-halogen-substituierte Benzylverbindungen des 4- und «3»-bindigen Bleies. Bähr Gerhard, Zöche Günter), Chem. Ber., 1955, 88, № 4, 542—550 (нем.) Синтезированы тетрабензилвинил  $Pb(C_6H_5CH_2)_4$  (II), его ортогаллодозамещ.  $Pb(o-FC_6H_4CH_2)_4$  (III),  $Pb(o-Cl-C_6H_4-CH_2)_4$  (III),  $Pb(o-Br-C_6H_4-CH_2)_4$  (IV) и орто-Cl- и Br-замещ. трибензилвинил (гексабензилдиплюмбана),  $[Pb(o-Cl-C_6H_4CH_2)_3]_2$  (V) и  $[Pb(o-Br-C_6H_4CH_2)_3]_2$  (VI). Получение самого гексабензилдиплюмбана и его F-производного не удалось осуществить вследствие их быстрого диспропорционирования. I, II, III и IV резко отличаются от аналогичных тетрабензилвинильных соединений Sn, Ge, Si и C, а также от галлодозамещенных тетраалкилсвинца и от тетрафенилсвинца своей чувствительностью к  $O_2$  и повышенной т-рой плавления. Их легко окисляют  $J_2$ ,  $AgNO_3$  и  $KMnO_4$ . Низкая растворимость

V и VI в обычных р-рителях не позволяет определить их мол. вес. Из диамагнитности их кристаллов следует, что (по крайней мере в твердом состоянии) V и VI димерны. Это согласуется и с их малой растворимостью. V и VI в отличие от триалкильных соединений Pb интенсивно окрашены, однако прямые доказательства существования части V и VI в мономерной форме радикального характера пока отсутствуют. Образование I, II, III и IV протекает через промежуточную стадию неустойчивых трибензилвиниловых производных и требует избытка гриньяровского реагента. При синтезе же V и VI применяют, наоборот, избыток  $PbCl_2$  (или  $PbBr_2$ ). Устойчивость V и VI к диспропорционированию и устойчивостью их, а также I, II, III и IV к окислению возрастает с увеличением объема атома галоида. Все эти в-ва синтезируют взаимодействием гриньяровских соединений соответствующих ортогаллодозамещ. с сухим, тонкоизмельченным  $PbCl_2$ . Все стадии синтезов ведутся в отсутствие прямого света, в атмосфере  $N_2$  и проводятся возможно более быстро при интенсивном перемешивании реагентов. К суспензии 50 г  $PbCl_2$  в смеси 50 мл эфира и 50 мл  $C_6H_6$  добавляют (10 мин., охлаждение) гриньяровский р-р из 30 г  $BrC_6H_4CH_2Br$  и 3,3 г Mg в 150 мл эфира перемешивают 1 час при 20° и 5 мин. при кипячении на водяной бане. Смесь разлагают (при охлаждении) 100 мл холодной предварительно прокипяченной дистилл. воды, отгоняют в вакууме эфир и  $C_6H_6$  (до начала отгонки воды), отсасывают серо-зеленый осадок, промывают его спиртом и эфиром, сушат в вакууме и кипятят с 50 мл  $C_6H_5Br$ . Кипящий красный р-р фильтруют в 500 мл  $CH_3OH$ . Осадок обрабатывают дополнительными кол-вами  $C_6H_5Br$  до прекращения появления интенсивно-красного окрашивания, добавляя в-е вытяжки в  $CH_3OH$ . Выпадает оранжево-красный порошок VI, выход 14%. Применяя по той же прописи o- $ClC_6H_4CH_2Br$  получают 22% V, который, как и VI, при т-ре выше 170° разлагается не плавясь. К суспензии 32 г  $PbCl_2$  в 100 мл эфира добавляют при охлаждении гриньяровский р-р (из 64 г  $C_6H_5CH_2Cl$  и 14 г Mg в 300—400 мл эфира), перемешивают 1 час при 20°, кипятят несколько минут и охлаждают (быстро, во избежание затвердевания). Для разложения медленно добавляют 200 мл воды, декантируют яржежелтый эфир. р-р, добавляя к нему еще две эфирные вытяжки из осадка и стогняют эфир, воду и побочные продукты (бензальдегид, толуол) под давл. 20 мм. Остаток перекристаллизовывают из  $CH_3OH$ ; выход I 41%, т. пл. 65,5—66,5°, легко растворим в органич. р-рителях. Получение II, III и IV отличается от получения I лишь т-рой и продолжительностью стадии разложения водой.  $FC_6H_4CH_2Br$  (VII) получают при 110—130° и облучении ртутной лампой, бромлируя парами  $Br_2$  o- $FC_6H_4CH_2Br$ ; выход VII 45—50%, т. кип.  $81 \pm 1^\circ/12$  мм. Из 23,5 г VII 3,5 г Mg и 8 г  $PbCl_2$  получено II, выход 30%, т. пл. 74—75° (из  $CH_3OH$ ). Из реактива Гриньяра (из 25,5 г o- $ClC_6H_4CH_2Br$  и 3,5 г Mg) и 8 г  $PbCl_2$  получают III, выход 33%, желтые призмы, т. пл. 99,5° (из  $CH_3OH$ ). Разложение водой ведется при кипячении (15 мин.). Из реактива Гриньяра (из 31 г o- $BrC_6H_4CH_2Br$  и 3,5 г Mg) и 8 г  $PbCl_2$  получают IV, выход 18%, желтые призмы, т. пл. 122°. 907,6 мг IV в эфире обрабатывают эфир. р-ром  $J_2$  до исчезающей окраски, получают 86,5%  $PbJ_2$  и  $BrC_6H_4CH_2J$ . 618,7 мг IV в 100 мл ацетона окисляют добавкой 2,2 г  $KMnO_4$ , после обычной обработки получают 89,2% o- $BrC_6H_4COOH$ , т. пл. 149,5° (из воды). Магнитные измерения: III  $\chi_{mol}$  —347 (выч.—356), VI,  $\chi_{mol}$  —588 (выч.—614). Значения  $\chi$  умножены на  $10^6$ .

Б. М.



3949. Исправления к статье «Химия органических соединений фосфора. Часть I. Новые методы получения галлоидных алкилов». Ландауэр, Райдон (Errata), J. Chem. Soc., 1954, Nomenclature rep. indexes and titlepages. (англ.)  
К РЖХим, 1954, 21656.

3950. Исправления к статье «Получение и свойства 2-фенилизотиазолидина. Новый класс координационных металлических соединений». Манн, Миллар, Стюарт (Errata), J. Chem. Soc., 1954, Nomenclature rep. indexes and titlepages (англ.)  
К РЖХим, 1955, 26268.

3951. К исследованию β-галондированных эфиров ортофосфорной кислоты. Азар, Шабрие, Карейон-Жанти, Фьеве (Contribution à l'étude des éthers orthophosphoriques β-halogénés. Hazard René, Chabrier Pierre, Carayon-Gentil Abigaël, m-me, Fiévet Yvonne, m-me), C. r. Acad. sci., 1955, 240, № 9, 986—988 (франц.)  
Взаимодействием  $(C_6H_5O)_2POCl$  и  $HOCH_2CH_2X$  ( $X = Cl$  и  $Br$ ) в пиридине (0°, 24 часа) получены соответственно β-хлор-(I) и β-бромэтилдифениловые эфиры ортофосфорной к-ты (II). I, выход 70%, т. кип.  $165—175^\circ/0,5—0,1$  мм; II не перегоняется, очищен повторным растворением в эфире. Исследован гидролиз I и II с целью найти условия, позволяющие омылять  $C_6H_5O$ -группы, не затрагивая Cl-атома. Найдено, что у I в 2 M водноспирт. р-ре NaOH омыляется (%  $C_6H_5O$ -групп, % Cl-атомов) при 20° за 5 мин. 47%, —; 15 мин. 54, —; 30 мин. 60, 1,3; 2 часа 65,7; 2; 4 часа 72, —; при 78° за 5 мин. 72, 3,1; 15 мин. 78, 6; 30 мин. 82,7, 8; 2 часа —, 36,3; 4 часа —, 49. В 4 M водноспирт. р-ре NaOH у I гидролизует (%  $C_6H_5O$ -групп, % Cl-атомов) при 18° за 5 мин. 72, —; 15 мин. 85, 21; 30 мин. 87, 25; 6 час. —, 70. У II в 2 M водноспирт. р-ре NaOH омыляется (%  $C_6H_5O$ -групп, % Br-атомов) при 20° за 5 мин. 31, —; 15 мин. 46,2, 1; 30 мин. 54,5, 5,4; 2 часа 60, 8,9; 48 час. 82,20; при 78° за 5 мин. 75,17; 15 мин. 81,7, 26; 2 часа 82,4, 70. В одном опыте (48 час. 15°, 2 M р-р NaOH) образующийся при гидролизе фенол был удален и  $(NaO)_2(O)POCH_2CH_2Cl$  выделен в чистом виде. Сделан вывод, что в I и II  $C_6H_5O$ -группы легко омыляются и оба в-ва могут служить для введения  $(OH)_2POOCH_2CH_2$ -группы в органич. молекулы. Особенно пригоден II, так как галонд в нем подвижнее. Взаимодействием II с теофилином в водноспиртовой среде получено производное последне-го с  $(C_6H_5O)_2POOCH_2CH_2$ -группой у N-атома, т. пл.  $165^\circ$ . II. В.

3952. Дихлорангидриды алкилсульфонамидофосфорных кислот. Кирсанов А. В., Егорова Н. Л., Ж. общ. химии, 1955, 25, № 6, 1140—1141

Дихлорангидриды алкилсульфонамидофосфорных к-т (I) удобно получать по схеме  $RSO_2N = PCl_3 + HCOOH \rightarrow CO + HCl + RSO_2NHPOCl_2$ . Р-ция проходит при  $\sim 20^\circ$  с очень хорошими выходами, во многих случаях почти количественно. I легко реагирует с водой, спиртами, алкогелятами, фенолятами, аммиаком, аминами и другими в-вами, содержащими активные атомы водорода, с образованием соответствующих производных алкилсульфонамидофосфорных к-т. 0,01 моля трихлорфосфазосульфидилхлора ( $RSO_2N = PCl_3$ ) смешивают с р-ром 0,01 моля безводн.  $HCOOH$  в 5 мл сухого  $C_6H_6$ , через 5—10 мин. начинается выделение  $CO$  и  $HCl$ . Реакционную смесь оставляют на 12 час. I ( $R = CH_3$ ,  $iso-C_3H_7$ ,  $C_6H_5CH_2$ ) выпадают в виде кристаллов. Для выделения I ( $R = C_2H_5$ ,  $C_4H_9$ ,  $цикло-C_6H_{11}$ ) в вакууме отгоняют р-ритель и остаток перекристаллизовывают из  $CCl_4$  или петр. эфира I ( $R$ , выход в %, т. пл. в  $^\circ C$ ):  $CH_3$ , 98, 78—81;  $C_2H_5$ , 96, 65—68;  $iso-C_3H_7$ , 85, 114—116;  $n-C_4H_9$ , 88,5, 70—72;  $C_6H_5CH_2$ , 92, 123—125;  $цикло-C_6H_{11}$ , 98, 90—92. См. РЖХим, 1954, 42935; 1955, 26261. М. Э.

3953. Из области органических инсектофунгицидов. ХУП. Синтез амидов и гидразидов диалкокси-фосфорных кислот. Мельников Н. Н., Зенькевич А. Г., Ж. общ. химии, 1955, 25, № 4, 828—831

Синтезирован ряд амидов, гидразидов и фенилгидразидов диалкилтиофосфорных к-т (I). I получены перемешиванием при охлаждении раствора диалкилхлортиофосфата (II) в органическом р-рителе с соответствующим амином или гидразином, либо пропусканием  $NH_3$  или газообразных аминов в р-р II. Получены следующие I (перечисляются: т. кип. в  $^\circ C/mm$ ,  $d_{20}^{20}$ ,  $n_D^{20}$ ):  $(CH_3O)_2PSNH_2$  105—108°/10, 1,2649, 1,4982;  $(C_2H_5O)_2PSNH_2$  112—115°/9, 1,1456; 1,4828;  $(C_3H_7O)_2PSNH_2$ , 82°/0,3, 1,0883, 1,4798;  $(iso-C_3H_7O)_2PSNH_2$ , 82°/0,025, 1,0563, 1,4670;  $(C_4H_9O)_2PSNH_2$  93—96°/0,1, 1,0407, 1,4715;  $(CH_3O)_2PSN(CH_3)_2$  77—78°/9, 1,1712, 1,4766;  $(C_2H_5O)_2PSN(CH_3)_2$  97—100°/3, 1,0622, 1,4635;  $(C_3H_7O)_2PSN(CH_3)_2$  79—82°/0,36, 1,0222, 1,4640;  $(iso-C_3H_7O)_2PSN(CH_3)_2$  71°/0,6, 1,0070, 1,4585;  $(C_4H_9O)_2PSN(CH_3)_2$  132°/9, 0,9958, 1,4622;  $(CH_3O)_2PSN(C_2H_5)_2$  88—91°/9, 1,0905, 1,4780;  $(C_3H_7O)_2PSN(C_2H_5)_2$  81—82°/0,45, 1,0029, 1,4628;  $(iso-C_3H_7O)_2PSN(C_2H_5)_2$  100°/0,9, 1,0210, 1,4620;  $(C_4H_9O)_2PSN(C_2H_5)_2$  91—93°/0,3, 0,9799, 1,4610;  $(CH_3O)_2PSN(C_2H_5)_2$  87—93°/0,05, 1,1904, 1,5565;  $(C_2H_5O)_2PSN(C_6H_5)(C_2H_5)$  99—107°/0,7, 1,1378, 1,5499;  $(C_3H_7O)_2PSN(C_6H_5)(C_2H_5)$  104—108°/0,01, 1,0864, 1,5272;  $(iso-C_3H_7O)_2PSN(C_6H_5)(C_2H_5)$  81° (т. пл.) —, —,  $(C_4H_9O)_2PSN(C_6H_5)(C_2H_5)$  115°/0,025, 1,0697, 1,5245;  $(CH_3O)_2PSN(CH_2CH_2OH)_2$  136°/0,15, 1,2470, 1,5090;  $(C_2H_5O)_2PSN(CH_2CH_2OH)_2$  143—145°/0,035, 1,1742, 1,4945;  $(C_3H_7O)_2PSN(CH_2CH_2OH)_2$  149—151°/0,03, 1,1313, 1,4900;  $(iso-C_3H_7O)_2PSN(CH_2CH_2OH)_2$  103—110°/0,05, 1,1292, 1,4820;  $(C_4H_9O)_2PSN(CH_2CH_2OH)_2$  156—163°/0,05, 1,0916, 1,4850;  $(CH_3O)_2PSNHNH_2$  103—109° —, —;  $(C_2H_5O)_2PSNHNH_2$  83—86° —, —;  $(C_3H_7O)_2PSNHNH_2$  76—80°/0,04, 1,1031, 1,4896;  $(iso-C_3H_7O)_2PSNHNH_2$  123—129° —, —;  $(C_4H_9O)_2PSNHNH_2$  110—115°/0,04, 1,0598, 1,5410;  $(C_6H_5O)_2PSNHNH_2$  62—65° —, —;  $(C_3H_7O)_2PSNHNH_2$  57—62° —, —;  $(iso-C_3H_7O)_2PSNHNH_2$  42—45° —, —;  $(C_4H_9O)_2PSNHNH_2$  19—21° —, —. Испытания синтезированных соединений на амбарном долгоносики показали, что они имеют слабое контактно-инсектицидное действие. Системным действием обладают только амиды диалкилтиофосфорных к-т и диметил- и диэтиламиды диметокситиофосфорной к-ты. Однако по силе и продолжительности действия указанные инсектициды уступают шрадану. Сообщение XVI см. РЖХим, 1954, 46341. Б. К.

3954. Приготовление и инсектицидное действие некоторых эфиров тиофосфорной и дитиофосфорной кислот. Драбек, Тихий (Příprava a insekticidná účinnost některých esterů kyseliny tiosforečné a ditiostforečné. Drábek J., Tichý V.), Chem. zvesti, 1955, 9, № 5, 230—295 (словац.; резюме русс., нем.)

Исследовано влияние некоторых хим. изменений в молекуле O,O-диалкил-S-[(1,2-дикарбэтоксен)-этил]-дитиофосфатов (I), а именно: замена атома семиполярно-связанной серы на кислород и замена (1,2-дикарбэтоксен)-этилгруппы на карбэтоксиметилгруппу. В первом случае получаются соединения типа O,O-диалкил-S-[(1,2-дикарбэтоксен)-этил]-тиофосфатов (II), во втором — типа O,O-диалкил-S-[(1,2-карбэтоксен)-метил]-дитио- и тиофосфатов (III). Все изменения в молекуле I приводят к снижению инсектицидной активно-

сти. II были получены конденсацией Na-соли диэтилтиофосфорной к-ты (IV) с алкилфторидами монобромантарной к-ты. III были получены конденсацией IV с этиловым эфиром хлоруксусной к-ты в смеси  $\text{CH}_3\text{CO}-\text{CH}_3$  и  $\text{C}_6\text{H}_5\text{CH}_3$ . Получены новые II  $(\text{RO})_2\text{P}(\text{R}')-\text{R}'\text{CH}(\text{COOR}')\text{CH}_2\text{COOR}'$  (указаны соответственно  $\text{R}, \text{R}', \text{R}'', \text{R}'''$ , выход в %, т. кип. в  $^\circ\text{C}/\text{мм. рт.ст.}$ ):  $\text{C}_2\text{H}_5$ , S, O,  $\text{C}_2\text{H}_5$  91, не указана, 1,4910;  $\text{C}_2\text{H}_5$ , S, O,  $\text{C}_2\text{H}_5$ , 56, 143—148/0,03, 1,4635;  $\text{C}_2\text{H}_5$ , R=R''=S,  $\text{CH}_3$ , 80, не указана, 1,4990;  $\text{C}_2\text{H}_5$ , S, O,  $\text{CH}_3$ , 52, 127—129/0,08, 1,4689;  $\text{CH}_3$ , R'=R''=S,  $\text{CH}_3$ , 92, не указана, 1,4995;  $n\text{-C}_3\text{H}_7$ , R'=R''=S,  $\text{C}_2\text{H}_5$ , 70, не указана, 1,4868. Получены новые III  $(\text{RO})_2\text{P}(\text{R}')\text{R}'\text{CH}_2\text{COOR}''$ :  $\text{C}_2\text{H}_5$ , R'=R''=S,  $\text{CH}_3$ , 82, 110/0,05, 1,5002;  $\text{C}_2\text{H}_5$ , O, S,  $\text{CH}_3$ , 60, 98—100/0,04, 1,4630;  $\text{CH}_3$ , R'=R''=S,  $\text{CH}_3$ , 84, 118/0,4, 1,5110;  $n\text{-C}_3\text{H}_7$ , R'=R''=S,  $\text{CH}_3$ , 71, 114/0,95, 1,4935. Б. В.

3955. Некоторые *п*-мышьякзамещенные производные фенилаланина. Бреслер, Церешко (Some *p*-arsenic-substituted derivatives of phenylalanine. Bressler W. L., Ciereszko Leon S.), J. Amer. Chem. Soc., 1955, 77, № 8, 2330—2331 (англ.)

Получены новые производные  $\beta$ -фенилаланина, содержащие в пара-положении группы — $\text{AsO}_2\text{H}_2$ , — $\text{AsO}$  или — $\text{As}$ . Описываемые соединения обладают токсичным действием. Р-р 0,074 моля *N*-ацетил-*п*-нитрофенилаланина (I) (т. пл. 190—192°) в разб. р-ре  $\text{NaOH}$  гидрировали (45 мин.) на скелетном Ni-катализаторе при 3,16 ат. При подкислении фильтрата HCl получили хлоргидрат  $\alpha$ -*N*-ацетил-*п*-аминофенилаланина (II), выход 79%, т. пл. 235—240° (разл., из сп.-эф.). При гидрировании 26,6 г *N*-бензил-*п*-нитрофенилаланина (т. пл. 200—202°) получили 23,3 г хлоргидрата  $\alpha$ -*N*-бензил-*п*-аминофенилаланина (III), т. пл. 218° (из ацетона-эф.). К охлажд. до 0—5° р-ру 0,02 моля III в разб. HCl постепенно добавили р-р 0,02 моля  $\text{NaNO}_2$  в 18 мл воды. Полученную соль диазония при т.-ре ниже 15° постепенно прибавили к р-ру 4,6 г ( $\text{Na}_2\text{AsO}_3$  и 0,5 г  $\text{CuSO}_4$ ). Затем т-ру р-ра повысили до 50° и р-р подкислили разб. HCl. Выход  $n\text{-H}_2\text{O}_3\text{AsC}_6\text{H}_4\text{CH}_2\text{CH}(\text{NH}_2\text{COOH})\text{COOH}$  (IV) 67%, т. пл. 258—260° (из водн. сп.). При гидролизе IV 6 н. HCl получили  $n\text{-H}_2\text{O}_3\text{AsC}_6\text{H}_4\text{CH}_2\text{CH}(\text{NH}_2\text{COOH})\text{COOH}$ , выход 87%, т. пл. 265° (разл.; из водн. сп.). Из II, в условиях получения IV, выход  $n\text{-H}_2\text{O}_3\text{AsC}_6\text{H}_4\text{CH}_2\text{CH}(\text{NHCOCH}_3)\text{COOH}$  (V) 52%, т. пл. 242—245° (из водн. сп.). В перемешиваемую суспензию 0,01 моля IV и 0,2 г KJ в 100 мл 2 н. HCl при 20° пропускали (2 часа)  $\text{SO}_2$ . Продукт отфильтровывали, растворяли в разб. NaOH и при действии разб.  $\text{CH}_3\text{COOH}$  осаждали  $n\text{-OAsC}_6\text{H}_4\text{CH}_2\text{CH}(\text{NHCOCH}_3)\text{COOH}$  (VI), выход 75%, т. пл. 270—272°. При гидролизе VI 6 н. HCl получили  $n\text{-OAsC}_6\text{H}_4\text{CH}_2\text{CH}(\text{NH}_2\text{COOH})\text{COOH}$ , выход 89%, т. пл. 282—284° (разл.). При восстановлении 0,01 моля V посредством  $\text{SO}_2$  выделили  $n\text{-OAsC}_6\text{H}_4\text{CH}_2\text{CH}(\text{NHCOCH}_3)\text{COOH}$ , выход 88%, т. пл. 250—252°. Р-р 0,01 моля IV и 10 мл 2 н. NaOH в 100 мл воды прибавили к 50 г  $\text{NaHSO}_3$  и 10 г в 400 мл воды и смесь перемешивали (2 часа) при 60°. После прибавления разб. HCl получили  $[\text{AsC}_6\text{H}_4\text{CH}_2\text{CH}(\text{NHCOCH}_3)\text{COOH}]_2$  (VII), выход 63%, т. пл. 294—295°. При гидролизе VII 6 н. HCl образуется  $[\text{AsC}_6\text{H}_4\text{CH}_2\text{CH}(\text{NH}_2\text{COOH})\text{COOH}]_2$ , выход 79%, т. пл. 282—285° (разл.). При восстановлении V посредством  $\text{NaHSO}_3$  выделили  $(\text{AsC}_6\text{H}_4\text{CH}_2\text{CH}(\text{NHCOCH}_3)\text{COOH})_2$ , выход 47%, т. пл. 272—277° (разл.). М. Э.

3956. Двойные диазониновые соли арилдихлоретибинов типа  $\text{ArSbCl}_2 \cdot \text{Ar}'\text{N}_2\text{Cl}$ . Реутов О. А., Птицына О. А., Докл. АН СССР, 1955, 102, № 2, 291—294

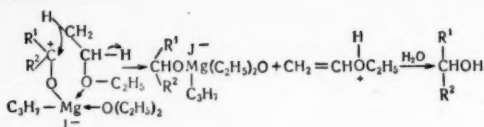
Взаимодействием ацетоновых р-ров двойных диазониновых солей  $\text{FeCl}_3$  с р-рами арилдибиноксидов в спирту, насыщ. HCl-газом, получен ряд двойных диазониновых солей арилдихлоретибинов типа  $\text{ArSbCl}_2 \cdot \text{Ar}'\text{N}_2\text{Cl}$ ;  $\text{ArSbX}_2 + \text{Ar}'\text{N}_2\text{Cl} \cdot \text{FeCl}_3 \rightarrow \text{ArSbCl}_2 \cdot \text{Ar}'\text{N}_2\text{Cl} + \text{FeCl}_3$ . В чистом виде выделены соли, где  $\text{Ar} = o\text{-CH}_3\text{OC}_6\text{H}_4$ ,  $\text{Ar}' = \text{C}_6\text{H}_5$ , выход 89%, т. пл. 77—78°;  $\text{C}_6\text{H}_5$ ,  $o\text{-C}_2\text{H}_5\text{OC}_6\text{H}_4$ , 50%, 82°;  $\text{C}_6\text{H}_5$ ,  $o\text{-CH}_3\text{OC}_6\text{H}_4$ , 50%, 99—100°;  $\text{C}_6\text{H}_5$ ,  $\text{C}_6\text{H}_5$ , 68%, 71—72°;  $n\text{-(NH}_2)_2\text{O}_2\text{SC}_6\text{H}_4$ ,  $n\text{-C}_2\text{H}_5\text{OC}_6\text{H}_4$ , 14%, 114°;  $n\text{-O}_2\text{NC}_6\text{H}_4$ ,  $n\text{-CH}_3\text{COC}_6\text{H}_4$ , 63%, 98—99°;  $n\text{-O}_2\text{NC}_6\text{H}_4$ ,  $\text{C}_6\text{H}_5$ , 48%, 74—75°;  $n\text{-O}_2\text{NC}_6\text{H}_4$ ,  $n\text{-CH}_3\text{C}_6\text{H}_4$ , 67%, 95°;  $n\text{-O}_2\text{NC}_6\text{H}_4$ ,  $n\text{-CH}_3\text{OC}_6\text{H}_4$ , 25%, 111—112°. В смеси с двойными солями типа  $\text{ArSbCl}_2 \cdot (\text{Ar}'\text{N}_2\text{Cl})_2$  получены соли:  $\text{Ar} = \text{C}_6\text{H}_5$ ,  $\text{Ar}' = n\text{-CH}_3\text{C}_6\text{H}_4$ ;  $\text{C}_6\text{H}_5$ ,  $n\text{-CH}_3\text{OC}_6\text{H}_4$ ;  $\text{C}_6\text{H}_5$ ,  $n\text{-(CH}_3)_2\text{NC}_6\text{H}_4$ ;  $\text{C}_6\text{H}_5$ ,  $n\text{-C}_2\text{H}_5\text{OC}_6\text{H}_4$ ;  $n\text{-CH}_3\text{C}_6\text{H}_4$ ,  $n\text{-CH}_3\text{C}_6\text{H}_4$ ,  $n\text{-CH}_3\text{OC}_6\text{H}_4$ ,  $n\text{-CH}_3\text{C}_6\text{H}_4$ ,  $n\text{-(CH}_3)_2\text{NC}_6\text{H}_4$ ;  $n\text{-(H}_2\text{N)}_2\text{O}_2\text{SC}_6\text{H}_4$ ,  $\text{C}_6\text{H}_5$ ;  $n\text{-(H}_2\text{N)}_2\text{O}_2\text{SC}_6\text{H}_4$ ,  $n\text{-(CH}_3)_2\text{NC}_6\text{H}_4$ ;  $n\text{-O}_2\text{NC}_6\text{H}_4$ ,  $n\text{-(CH}_3)_2\text{NC}_6\text{H}_4$ . Следующие соли вообще не образовались:  $\text{Ar} = n\text{-O}_2\text{NC}_6\text{H}_4$ ,  $\text{Ar}' = n\text{-O}_2\text{NC}_6\text{H}_4$ ,  $m\text{-O}_2\text{NC}_6\text{H}_4$ ,  $n\text{-C}_2\text{H}_5\text{OCOC}_6\text{H}_4$ ,  $\text{Ar} = n\text{-(H}_2\text{N)}_2\text{O}_2\text{SC}_6\text{H}_4$ ,  $\text{Ar}' = n\text{-O}_2\text{NC}_6\text{H}_4$ ,  $m\text{-O}_2\text{NC}_6\text{H}_4$ ,  $n\text{-C}_2\text{H}_5\text{OCOC}_6\text{H}_4$ ,  $n\text{-CH}_3\text{COC}_6\text{H}_4$ ,  $\text{Ar} = \text{C}_6\text{H}_5$ ,  $\text{Ar}' = n\text{-O}_2\text{NC}_6\text{H}_4$ ,  $n\text{-O}_2\text{NC}_6\text{H}_4$ ,  $n\text{-C}_2\text{H}_5\text{OCOC}_6\text{H}_4$ ,  $n\text{-CH}_3\text{COC}_6\text{H}_4$ ,  $\text{Ar} = n\text{-CH}_3\text{C}_6\text{H}_4$ ,  $\text{Ar}' = n\text{-O}_2\text{NC}_6\text{H}_4$ ,  $m\text{-O}_2\text{NC}_6\text{H}_4$ ,  $n\text{-C}_2\text{H}_5\text{OCOC}_6\text{H}_4$ ,  $n\text{-CH}_3\text{COC}_6\text{H}_4$ ,  $\text{C}_6\text{H}_5$ , вместо них образуются производные 5-валентной сурьмы типа  $\text{ArAr}'\text{SbCl}_3$ . Из полученных данных сделан вывод, что заместители I рода в Ar понижают устойчивость двойных солей, а II рода — повышают. Заместители II рода в Ar' понижают устойчивость. Авторы считают, что эту зависимость можно объяснить только признав разложение двойных диазониновых солей не радикальной р-цией, как это в настоящее время принято считать, а гетеролитич. р-цией. Тогда устойчивость двойной соли можно объяснить зависимостью от влияния заместителя в Ar на свободную электронную пару Sb-атома и заместителя в Ar' на частичный положительный заряд на С-атоме, связанном с диазогруппой.

Н. В.  
3957. Тетраацетилселениды в синтезе кетонов ряда селенофена. Юрьев Ю. К., Езяков Г. Б., Докл. АН СССР, 1955, 102, № 4, 763—766.

Взаимодействием селенофена (I) с тетраацетилселенидами в присутствии  $\text{SnCl}_4$  получены этил-(II), втор-бутил-(III), *n*-бутил-(IV), циклопентил-(V) и фенил-2-селениенилкетоны (VI). 4,6 г Пропионовой к-ты, 30 мл  $\text{C}_6\text{H}_6$  и 3,4 г  $\text{SnCl}_4$  нагревают (60—100°) до прекращения выделения HCl-газа, вносят (охлаждение) 3,9 г  $\text{SnCl}_4$  и затем 4 г I (10 мин., 15—20°, 15 мин., 60—70°), выход II 70%, т. кип. 110°/10 мм,  $n_D^{20}$  1,5840,  $d_4^{20}$  1,4657; 2,4-динитрофенилгидразон (ДНФГ), т. пл. 214—215°. III получают так же из 6,12 г метилэтилуксусной к-ты, 3,4 г  $\text{SnCl}_4$ , 4 г I и 3,9 г  $\text{SnCl}_4$ , выход 62%, т. кип. 118—119°/9 мм,  $n_D^{20}$  1,5600,  $d_4^{20}$  1,3308; ДНФГ, т. пл. 137,2—137,8°. IV получают из 6,12 г валериановой к-ты, 3,4 г  $\text{SnCl}_4$ , 4 г I и 3,9 г  $\text{SnCl}_4$ , выход 80%, т. кип. 129,5°/8 мм,  $n_D^{20}$  1,5615,  $d_4^{20}$  1,3350; ДНФГ, т. пл. 156,2—157°. V получают из 2,7 г циклопентанкарбонной к-ты, 1,5 г  $\text{SnCl}_4$ , 1,6 г I и 1,6 г  $\text{SnCl}_4$ , выход 82%; т. кип. 149°/8 мм,  $n_D^{20}$  1,5885,  $d_4^{20}$  1,3916; ДНФГ, т. пл. 157,2—158,2°. VI получают из 7,32 г бензойной к-ты, 3,4 г  $\text{SnCl}_4$ , 4 г I и 3,9 г  $\text{SnCl}_4$ , выход 7%, т. кип. 110°/162°/9 мм, т. пл. 57,5—58°; ДНФГ, т. пл. 229—230°.

Н. В.  
3958. Исправление к статье «Перфторалкильные реактивы Гриньяра. Часть II. Реакция гетифторпропилмагнийиодида с карбонильными соединениями и механизм восстановления при реакции Гриньяра» Хасельдине (Errata). J. Chem. Soc., 1954, Nomenclature rep. indexes and title-pages (англ.)

К РЖХим, 1954, 12746. Ф-ла в конце реферата должна быть:



3959. Исправления к статье «Изучение  $\alpha$ -трифторметакриловой кислоты,  $\alpha$ -трифторметилпропионовой кислоты и некоторых их производных». Бакстон, Стейси, Татлоу (Errata), J. Chem. Soc., 1954, Nomenclature rep. indexes and title-pages (англ.)

К РЖХим, 1954, 44672.

3960. Дальнейшие исследования трифторметилпропионовых дифенилов. Петтит, Татлоу (Further investigations of trifluoromethylpropionic derivatives. Pettit M. R., Tatlow J. C.), J. Chem. Soc., 1954, March, 1071—1076 (англ.)

Описано получение трех изомерных трифторметилдифенилов (Ia, Ib и Ic) диазотированием соответствующих трифторметиланилинов (IIa, IIb и IIc) и гомолитического замещением при р-ции полученных диазосоединений с  $\text{C}_6\text{H}_5$ , а также получение симметричных бифторидифенилов (IIIa, IIIb и IIIc) по р-ции Ульмана из соответствующих подбензотрифторидов (IVa, IVb и IVc).

$\text{RC}_6\text{H}_4 - \text{C}_6\text{H}_4\text{R}'$  I, III, VI, XIX  $\text{RC}_6\text{H}_4\text{R}'$  II, IV  
I  $\text{R} = \text{CF}_3$ ,  $\text{R}' = \text{H}$ ; II  $\text{R} = \text{CF}_3$ ,  $\text{R}' = \text{NH}_2$ ; III  $\text{R} = \text{R}' = \text{CF}_3$ ;  
IV  $\text{R} = \text{CF}_3$ ,  $\text{R}' = \text{J}$ ; VI  $\text{R} = \text{COOH}$ ,  $\text{R}' = \text{H}$ ; XIX  $\text{R} = \text{R}' = \text{COOH}$ ;  
а — орто-, б — мета-, в — пара-положение

IVb). При диазотировании IIa образуется также небольшое кол-во 2,2'-бис-(трифторметил)-диазоаминобензола (V). Гидролиз Ia конц.  $\text{H}_2\text{SO}_4$  через стадию циклизации образующейся дифенилкарбоновой-2 к-ты (VIa) приводит к 9-оксофлуорену (VII). При нитровании Ib образуется 2-нитро-3'-трифторметилдифенил (VIII) и 4-нитро-3'-трифторметилдифенил (IX). Строение VIII установлено восстановлением до 2-амино-3'-трифторметилдифенила (X); окислением IX получена м-трифторметилбензойная к-та (XI), что указывает на расположение  $\text{NO}_2$ - и  $\text{CF}_3$ -групп в различных бензольных ядрах; при гидролизе VIII получают 2-нитродифенилкарбоную-3' к-ту (XII). При дальнейшем нитровании VIII получают 2,4,4'-тринитро-3'-трифторметилдифенил (XIII); при нитровании IX или 4-нитро-3-трифторметилдифенила (XIV) также получают XIII. Нитрованием п-ацетамидобензотрифторида (XV) или диазотированием IIb и разложением полученных продуктов в присутствии  $\text{C}_6\text{H}_5$  синтезируют Ib. При нитровании Ib получают 4-нитро-4'-трифторметилдифенил (XVI), превращающийся при гидролизе в 4-нитродифенилкарбоную-4' к-ту (XVII). При нагревании IV с Cu-бронзой получают соответствующие III. При гидролизе IIIa  $\text{H}_2\text{SO}_4$  получают 9-оксофлуоренкарбоную-4 к-ту (XVIII) вместе с небольшим кол-вом нейтр. в-ва, отличного от XVIII. При гидролизе IIIb и IIIc получают соответствующие дифенилкарбонные к-ты (XIXb и XIXc), охарактеризованные в форме своих эфиров. Нитрование IIIa дает 4,4'-динитро-2,2'-бис-(трифторметил)-дифенил (XX), IIIb — 4,4'-динитро-3,3'-бис-(трифторметил)-дифенил (XXI) и IIIc — 2,2'-динитро-4,4'-бис-(трифторметил)-дифенил (XXII). Диазотируют 25,1 г 3-амино-4-нитробензотрифторида в р-ре 25 мл конц.  $\text{H}_2\text{SO}_4$  и 100 мл лед.  $\text{CH}_3\text{COOH}$  при 10° насыщ. р-ром  $\text{NaNO}_2$ , затем приливают 80 мл 30%-ной фосфорноватистой к-ты, выдерживают 5 час. при 15° и 15 мин. при 100°, охлаждают, выливают в воду, фильтруют и перегонкой с паром выделяют п-нитробензотрифторид,

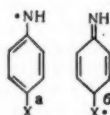
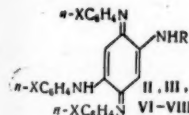
выход 67%, т. пл. 37—39°. Аналогично из 5-амино-2-нитробензотрифторида получают о-нитробензотрифторид (XXIII), выход 69%. Восстанавливают 22 г XXIII в 100 мл диоксана  $\text{H}_2$  в присутствии скелетного Ni (20 ат, 180°), после перегонки получают 14,7 г IIa, т. кип. 72—74°/21 мм. Диазотируют 24,4 г IIa в 45 мл конц.  $\text{HCl}$  (к-ты) и 25 мл воды 40%-ным р-ром  $\text{NaNO}_2$ , фильтрованием выделяют небольшое кол-во V, желтый, т. пл. 170—171,5° (из петр. эф.); фильтрат размешивают при 0—5° с 200 мл  $\text{C}_6\text{H}_5$  и медленно приливают р-р 70 г  $\text{CH}_3\text{COONa} \cdot 3\text{H}_2\text{O}$  в 150 мл воды, размешивают 2 часа при 0° и 46 час. при 10—15°, бензольный слой отделяют и перегонкой из него выделяют 12,6 г Ia, т. кип. 114°/19 мм, т. пл. 15°. Аналогично из IIb получают Ib, выход 39%, т. кип. 115—118°/13 мм, 0,58 г Ia размешивают с 0,7 мл конц.  $\text{H}_2\text{SO}_4$  при 100° 1 час, выливают в 30 мл воды и извлекают эфиром, эфирный р-р промывают р-ром  $\text{NaOH}$  и перегонкой выделяют 0,12 г VII, желтый, т. пл. 81—83° (из бzl. + петр. эф.). К р-ру 22,5 г Ib в 30 мл лед.  $\text{CH}_3\text{COOH}$  при 0° приливают смесь 6,2 мл  $\text{HNO}_3$ , d 1,5, и 5 мл конц.  $\text{H}_2\text{SO}_4$ , сначала нитромассу медленно нагревают, затем кипятят 45 мин., охлаждают и выливают на 250 мл воды, после чего извлекают эфиром и удалением р-рителя получают 10,8 г IX, т. пл. 83—85° (из сп.). Из спиртового фильтрата после кристаллизации IX выделяют VIII, желтоватые призмы, т. пл. 60—61,5° (из петр. эф.). 2,25 г VIII нагревают при размешивании с 5 мл конц.  $\text{H}_2\text{SO}_4$  при 130—150° в течение 1 часа, по охлаждению разбавляют 100 мл воды и выделяют 1,95 г XII, т. пл. 208—209° (из водн. сп.). 11,4 г IVb нагревают с 8 мл конц.  $\text{H}_2\text{SO}_4$  45 мин. при 120°, затем приливают 50 мл спирта и кипятят 30 мин., р-р выливают в воду, нейтрализуют  $\text{NaHCO}_3$  и извлекают  $\text{CHCl}_3$ , перегонкой выделяют 6,9 г этилового эфира м-подбензойной к-ты (XXIV), т. кип. 164—165°/23 мм. Нагреванием 6,8 г XXIV, 6,4 г о-бромнитробензола и 12 г Cu-бронзы (Adams, Gairns, J. Amer. Chem. Soc., 1939, 61, 2179) получают 1,49 г XII, т. пл. 206—208°. 0,69 г VIII кипятят с 4 г Sn, 15 мл  $\text{HCl}$  (к-ты), 5 мл воды и 5 мл спирта и получают 0,54 г X; окисление 0,43 г X (2 мл конц.  $\text{H}_2\text{SO}_4$ , 5 мл воды и 3,44 г  $\text{KMnO}_4$ ) выделяют 0,1 г XI, т. пл. 103—104°. 0,233 г VIII кипятят с 1 мл конц.  $\text{H}_2\text{SO}_4$  и 1 мл конц.  $\text{HNO}_3$  40 мин., разбавлением смеси водой и извлечением эфиром получают 0,231 г XIII, т. пл. 152—154° (из сп.). 5 г XV растворяют в 25 мл лед.  $\text{CH}_3\text{COOH}$  и при 10° пропускают  $\text{N}_2\text{O}$  около 4 час., р-р выливают в воду, осадок отфильтровывают, сушат и размешивают 24 часа при 15° с 50 мл  $\text{C}_6\text{H}_5$ , отделяют фильтрованием непрореагировавший XV, а из бензольного экстракта выделяют 1,5 г Ib, т. пл. 70° (из сп.). К смеси 1,8 мл  $(\text{CF}_3\text{CO})_2\text{O}$  и 0,95 мл этилнитрита при —15° прибавляют 1,48 г XV, р-р размешивают при 10—15° 24 часа с 25 мл  $\text{C}_6\text{H}_5$ , при 100° в вакууме удаляют р-ритель и остаток перегоняют с водяным паром, из отгона эфиром извлекают 0,37 г Ib, 1,8 г IIb в 2,5 мл  $\text{CF}_3\text{COOH}$  и 1 мл воды диазотируют 40%-ным р-ром  $\text{NaNO}_2$ , затем размешивают 24 часа при 25° с 25 мл  $\text{C}_6\text{H}_5$ , отделяют органич. слой и перегонкой выделяют 0,41 г Ib, 0,92 г Ib, 5 мл  $\text{CH}_3\text{COOH}$ , 0,3 мл  $\text{HNO}_3$ , d 1,5 и 0,5 мл конц.  $\text{H}_2\text{SO}_4$  кипятят 30 мин. и выделяют 0,45 г XVI, т. пл. 121—122° (из водн. сп.). 0,12 г XVI при 120—130° размешивают 45 мин. с 0,4 мл конц.  $\text{H}_2\text{SO}_4$ , выливают в воду и извлекают эфиром, 0,035 г XVII, т. пл. 338—340° (из водн. сп.). 11,9 г IVa кипятят 12 час. с 4,2 г Cu-бронзы, минер. осадок отфильтровывают и промывают эфиром, перегонкой выделяют 4,8 г IIIa, т. кип. 236—237°, т. пл. 32—33° (из водн. сп.). Аналогично, из 23,5 г IVb и 8,15 г Cu-бронзы (кипчение 19 час.) получают IIIb, т. кип. 237—240°, т. пл. 24,5—26° (из водн. сп.), и из 2,3 г IVc и 0,78 г Cu-бронзы (24 часа)



получают 0,51 г IIIв, т. пл. 92—93° (из водн. сп.). 0,88 г IIIа и 0,9 мл конц. H<sub>2</sub>SO<sub>4</sub> нагревают 1 час при 100°, разбавляют 70 мл воды и извлекают эфиром 0,42 г 9-оксо-4-трифторметилфлуорена (XXV), т. пл. 125—126° (из сп.), оксим, т. пл. 165—166° (из водн. сп.); из подкисленного щел. экстракта выделяют 0,14 г XVIII, т. пл. 226—227°. При гидролизе 0,06 г XXV (1 мл 85%-ной H<sub>2</sub>SO<sub>4</sub>, 1 час, 120—130°) выделяют 0,011 г XVIII и 0,028 г XXV. 0,91 г IIIа размешивают при 20° с 6 мл конц. H<sub>2</sub>SO<sub>4</sub> и приливают 0,4 мл HNO<sub>3</sub>, d 1,5, перемешивают еще 16 час., выливают в 40 мл воды и извлекают эфиром 0,63 г XX, желтые кристаллы, т. пл. 137,5—138,5° (из водн. сп.). Аналогично из 1,40 г IIIб получают 0,98 г XXI, т. пл. 180—181° (из сп.), и из 0,086 г IIIв — 0,082 г XXII, т. пл. 121,5—123° (из сп.). Гидролизом 1,13 г IIIб (0,7 мл конц. H<sub>2</sub>SO<sub>4</sub>, 1 час, 130—150°) получают 0,38 г XIXб, т. пл. 346—348°, этиловый эфир XIXб, т. пл. 68°, и из 0,051 г IIIв (100°)—0,037 г XIXв, т. пл. выше 360°, метиловый эфир XIXв, т. пл. 214° (из бэл.). Л. Е. 3961.

**Изучение действия пероксидазы. Часть IX.** Реакции, включающие расщепление C—F, C—Br и C—J-связей в ароматических аминах. Хьюз, Сандерс (Studies in peroxidase action. Part. IX. Reactions involving the rupture of the C—F, C—Br and C—J links in aromatic amines. Hughes G. M. K., Saunders B. C.), J. Chem. Soc., 1954, Dec., 4630—4634 (англ.).

Аналогично окислению п-хлоранилина H<sub>2</sub>O<sub>2</sub> в присутствии пероксидазы изучено окисление п-фторанилина (I). При этом выделены ди-п-фторанил-2,5-ди-п-фторанилино-п-бензохинона (II), ди-п-фторанил-2-амино-5-п-фторанилино-п-бензохинона (III) и, в противоположность случаю хлорпроизводного, только следы 4,4'-дифторазобензола (IV). Достаточно высокая концентрация F<sup>-</sup> (7·10<sup>-3</sup> моля), развивающаяся при р-ции, тормозит действие пероксидазы, что обуславливает низкий выход продуктов окисления. При окислении броманилина (V) наряду с аналогичными анилами (VI и VII) получают 17,5% 4,4'-дибромазобензола (VIII). Окисление п-иоданилина (IX) осложняется тем, что выделяющийся при р-ции J<sup>-</sup> окисляется до J<sub>2</sub>, который, взаимодействуя с неизменным IX, дает 2,4-диоданилин (X). Основными же продуктами р-ции являются 4,4'-диодазобензол (XI) и анил (XII). Образование подобных продуктов объясняется симметричным и несимметричным соединением первоначально образующихся свободных радикалов (а и б), что



II R = n-C<sub>6</sub>H<sub>4</sub>, X = F;  
III R = H, X = F;  
VI R = n-C<sub>6</sub>H<sub>4</sub>, X = Br;  
VII R = H, X = Br;  
VIII R = H, X = J

может давать начало соответственно азопроизводным или анилам. Отношение этих продуктов зависит от степени локализации свободного электрона у С или N. I получен из п-фторнитробензола гидрированием над скелетным Ni (40°, 50 ат) или восстановлением Sn + HCl с выходом 80—85%. 10 г I в ацетатном буферном р-ре (рН 4,73) окисляют порциями по 2 мл H<sub>2</sub>O<sub>2</sub> и 1 мл пероксидазы из хрена, так что общий объем H<sub>2</sub>O<sub>2</sub> составляет 40 мл. Получают 2,5—3,5 г красно-коричневого осадка, 5,4 г которого извлекают последовательно петролевым эфиром и эфиром. Из экстракта петролевым эфиром получено 3,37 г в-ва, 2,15 г которого после хроматографирования на Al<sub>2</sub>O<sub>3</sub> в бензоле дали 35 мг II, т. пл. 261—262° и 1,30 г III, т. пл. 191—192° (из CH<sub>3</sub>OH-C<sub>6</sub>H<sub>6</sub>). Из эфирного р-ра получено 1,26 г в-ва, 885 мг которого при хроматогра-

фировании дали фракцию (1 мг), содержащую следы IV, 10 мг II и 306 мг III; ацетильное производное III, т. пл. 211° (из сп.). При нагревании 98 мг III с 10 мл CH<sub>3</sub>COOH, 5 мл H<sub>2</sub>O и 1 мл I получают 75 мг неочищ. II. Строение II подтверждено синтезом его безазофураноксида нагреванием смеси 405 мг II с 4 мл I и 450 мг хлоргидрата I в течение 20 мин. при 150—155°. В аналогичных условиях подвергнуты окислению 17,6 г V и получено 2,83 г в-ва из петролейного эфира и 0,5 г из эфира, 1,53 г первого после хроматографирования в C<sub>6</sub>H<sub>6</sub>-петр. эф. (1:1) на Al<sub>2</sub>O<sub>3</sub> дали 0,27 г VIII, 30 мг VI, т. пл. 256° и 740 мг VII, т. пл. 217° (из сп.). Нагревание 98 мг VII в 25 мл CH<sub>3</sub>COOH и 25 мл H<sub>2</sub>O с 0,5 г V дает VI. Строение VI подтверждено аналогично II. Окисление IX в аналогичных условиях дало 0,46 г XI, т. пл. 237—238° (субл.), 3,45 г XII, т. пл. 214—215° (из хлф.-сп.), ацетильное производное, т. пл. 218° (из сп.) и 0,20 г X, выделенного из маточных р-ров от XII. Строение X подтверждено получением его при гидролизе анилина. К 0,02 моля дихлорамината-T в 100 мл CH<sub>3</sub>COOH медленно прибавляют 0,02 моля NaJ. Полученный р-р по каплям прибавляют в р-р 0,02 моля анилина в 50 мл CH<sub>3</sub>COOH. После разбавления водой получают 70% X, т. пл. 94—96° (из сп.). Часть VIII см. РЖХим, 1954, 37643.

B. B.

3962 Д. Исследования в ряду оксиндола. Рид (Studies in the oxindole series. Reid Theodore L esile. Abstr. doct. thes. Chem., Iowa State Coll., 1953—1954, Iowa State Coll. J. Sci., 1955, 29, № 3, 483—484 (англ.).

Исследование ИК- и УФ-спектров алкилированных оксиндолов показало, что в ряде случаев алкил присоединяется не к атому О (как предполагалось), а к атому С. Соединение, описанное как 1-метил-2-(β-диметиламиноацетокси)-индол (Palazzo J., Rosnati V., Gazz. chim. ital., 1952, 82, 584—594), полученное взаимодействием 1-метилоксиндола (I) с β-диметиламиноэтилхлоридом, в присутствии NH<sub>3</sub>Na обнаруживает в ИК-спектре характерную для карбонила линию и представляет 1-метил-3-(β-диметиламиноэтилокси)-оксиндол (II). 2,3-дигидро-8-метилфуро-[2,3-в]-индол, полученный внутримолекулярным О-алкилированием (Julian P. L. и др., J. Amer. Chem. Soc., 1948, 70, 174—179), представляет 1-метил-3,3-диметиленоксиндол (III) — продукт С-алкилирования. Автор считает, что при алкилировании 3-изопропилоксиндола (IV) Шварц (Monatsh. chem., 1903, 24, 568—578) исходил не из IV, а из анилида изовалериановой к-ты и получил О-алкилированный анилид, а не оксиндол. Na-соль 1-метил-3-оксиметилениоксиндола с CH<sub>3</sub>I образует 1-метил-3-метоксиметилениоксиндол (V), который при восстановлении дает 1-метил-3-метоксиметилениоксиндол. Химически эта ф-ла подтверждена озонированием V с образованием 1-метилинанина. В-во, полученное при расщеплении алкалоидов группы оксиндола (Barger и др., J. Organ. Chem., 1939, 4, 418—427) с эмпирич. ф-лой C<sub>16</sub>H<sub>16</sub>ON, представляет собой 3,3-диметилениоксиндол. 3-изопропилдиоксиндол и 3-этилдиоксиндол были синтезированы из изатина и соответствующего металлоорганич. соединения. Получить оксиндолы каталитич. восстановлением диоксиндолов не удалось. Диазометан с 1-метил-3-оксиметилениоксиндом в эфир. р-ре образует 1-метил-2-метокси-3-формилиндол; в р-ре CH<sub>3</sub>OH образует V. Усовершенствованный общий метод получения 3-алкилпровазодных 1-алкилоксиндолов. При взаимодействии оксиндола с эквивалентным кол-вом NaN в C<sub>6</sub>H<sub>6</sub> образуется анион, который вступает в р-цию с соответствующим галогид-алкилом. Этим методом получены 1,3-диметилениоксиндол, 1-метил-3-(β-бромтил)-оксиндол и II. Дать общий

метод синтеза 2-галоидонидолов не удалось. IV при действии  $\text{PCl}_5$  образует 3-хлор-3-изопропилоксиндол. I с  $\text{SOCl}_2$  дает яркоокрашенный, повидимому, димерный продукт.

Н. Г.

См. также раздел *Промышленный органический синтез и рефераты*: Соединения алифатич. 3654, 3656, 3657, 3663, 4004, 4005, 4419, 4748, 4750, 4760, 5009, 5011, 5032, 5033, 5040—5042, 5232; алициклич. 3644, 5039, 5064, 5117; ароматич. 3641, 3643, 3646, 3648, 3649, 3653, 3658, 4440, 4445, 4449, 4910—4914, 4915—4928, 4930—4933, 4979, 5032, 5034, 5038, 5042, 5048, 5054; гетероциклич. 3647, 4934, 4979, 5031, 5036, 5039, 5043—5047, 5117, элементарганич. 3450, 5033, 5037; с мечеными атомами 4042, 4043

#### ПРИРОДНЫЕ ВЕЩЕСТВА И ИХ СИНТЕТИЧЕСКИЕ АНАЛОГИ

**3963.** Окисление углеводов периодатом в респирометре Варбурга. Перлин (Oxidation of carbohydrates with periodate in the Warburg respirometer. Perlin A. S.), J. Amer. Chem. Soc., 1954, **76**, № 16, 4101—4103 (англ.)

Исследована скорость окисления углеводов периодатом в р-ре  $\text{NaHCO}_3$  ( $<0,02\text{ M}$ ) в атмосфере  $\text{CO}_2$  в респирометре Варбурга (объем сосуда 15—16 мл); измеряется избыточное давление  $\text{CO}_2$ , вытесняемой образующейся  $\text{HCOOH}$ . Навеска моно- и олигосахаридов 0,2—2 мг. Редуцирующие дисахариды с 1,6-связями (мальтоза, лактоза) дают избыточное кол-во  $\text{CO}_2$ . Окисление происходит при pH 5,7 в течение 20—40 час.; для полисахаридов оно протекает в 4 раза быстрее, чем при обычном методе с титрованием (pH 4,5). Измерения можно проводить при более низких pH (применяя сосуды большего объема), а также при pH 7,5—8, когда обычный метод не применим. В. З.

**3964.** Фосфаты углеводов. Часть I. Синтез производных некоторых фосфорилированных альдегидо-сахаров. Баркли, Фостер, Оверенд (Carbohydrate phosphates. Part I. Synthesis of derivatives of some aldehyde-sugar phosphates. Barclay J. L., Foster A. B., Overend W. G.), J. Chem. Soc., 1955, July, 2505—2511 (англ.)

Осуществлен синтез 6-дифенилфосфатов диэтилмеркапталей 2,3,4,5-тетраацетил-(I) и 2,3,4,5-тетрабензоил-D-галактозы (II), 3,4,5-триацетил-2-дезоксид-галактозы (III) и 3,4,5-триацетил-2-дезоксид-D-глюкозы (IV). I—IV получены из соответствующих 6-третилных производных (V—VIII) путем избирательного отщепления третилной группы HBr и последующего ацилирования образующихся 6-оксисоединений (IX—XII)  $(\text{C}_6\text{H}_5\text{O})_2\text{POCl}$  (XIII); при обессеривании I  $\text{HgCl}_2 + \text{CdCO}_3$  получен 6-дифенилфосфат 2,3,4,5-тетраацетил-альдегид-D-галактозы (XIV). Обнаружено, что при действии избытка HBr VII и VIII расщепляются, не образуя 6-бромпроизводных. 20 г 6-ацетата IX в водн. ацетоне обессеривают 3,6 моля  $\text{HgCl}_2$  и избытком  $\text{CdCO}_3$  (Wolfgram, J. Amer. Chem. Soc., 1930, 52, 2464), выход этилата 2,3,4,5,6-пентаацетил-альдегид-D-галактозы 75%, т. пл. 126—128°. V и VI обрабатывают HBr в  $\text{CH}_3\text{COOH}$  при 0°, как описано ранее (Wolfgram и др., J. Amer. Chem. Soc., 1935, 57, 713), и получают IX и X, выход 67%, т. пл. 96°,  $[\alpha]_D^{20} = -6^\circ$  (с 2). 3 г IX в 12 мл пиридина и 2 г XIII (0°, 12 час.) дают I, выход 93%, т. пл. 82° (из  $\text{CH}_3\text{OH}$ ),  $[\alpha]_D^{18} = -6^\circ$  (с 2). К 11,6 г I и 17 г  $\text{CdCO}_3$  в 50 мл ацетона и 17 мл воды прибавляют за 1 час 15 г  $\text{HgCl}_2$  в 45 мл ацетона, перемешивают 20 час.,

добавляя  $\text{CdCO}_3$ , фильтруют, упаривают, экстрагируют 200 мл теплого  $\text{CHCl}_3$ , промывают 10%-ным KJ и водой, упаривают и кристаллизуют из  $\text{CH}_3\text{OH}$ ; выход метилата XIV 49%, т. пл. 97° (из ацетона эф.-петр. эф.),  $[\alpha]_D^{18} + 24^\circ$  (с 2), семикарбазон, т. пл. 152° (из  $\text{CH}_3\text{OH}$ ). 2 г X в 10 мл пиридина и 1 г XIII (35°, 48 час.; затем 60°, 30 мин.) дают II, выход 56%, т. пл. 60—62° (из сп.-н-амилового сп.),  $[\alpha]_D^{17} - 4^\circ$  (с 2). 1 г диэтилмеркапталей 2-дезоксид-D-галактозы (XV),  $[\alpha]_D^{18} + 45^\circ$  (с 0,8; сп.); в 80 мл пиридина и 1,03 г трифенилхлорметана (~20°, 30 час.) дают 6-третилное производное XV, выход 46%, т. пл. 92° (из  $\text{CH}_3\text{OH}$ ),  $[\alpha]_D^{17} + 24,8^\circ$  (с 1,29). 19 г XV в 80 мл пиридина обрабатывают 19,6 г трифенилхлорметана (35°, 30 час.), а затем 106 мл  $(\text{CH}_3\text{CO})_2\text{O}$  (35°, 30 час.); выход VII 66%, т. пл. 91° (из  $\text{CH}_3\text{OH}$ ),  $[\alpha]_D^{18} - 10,7^\circ$  (с 3). Аналогично из 10 г диэтилмеркапталей 2-дезоксид-D-глюкозы в 63 мл пиридина, 10,4 г трифенилхлорметана и 56 мл  $(\text{CH}_3\text{CO})_2\text{O}$  получают VIII, выход 78%, т. пл. 104° (из водн.  $\text{CH}_3\text{OH}$ ),  $[\alpha]_D^{18} + 43,3^\circ$  (с 3). К р-ру 10 г VII в миним. кол-ве  $\text{CH}_3\text{COOH}$  при 0° прибавляют 0,95 моля 10%-ного HBr в  $\text{CH}_3\text{COOH}$ , через 1 мин. фильтруют, немедленно разлагают льдом +  $\text{NaHCO}_3$ , извлекают  $\text{CHCl}_3$ , упаривают, водой и  $\text{CH}_3\text{OH}$  отделяют 0,2 г VII, а XI выделяют перегонкой, выход 79%, т. кип. 200—205° (баня)/0,1 мм,  $n_D^{18} 1,5004$ ,  $[\alpha]_D^{20} + 23,3^\circ$  (с 3,18). Аналогично из 10 г VIII получают 0,63 г VIII и XII, выход 62%, т. кип. 190—200° (баня)/0,01 мм,  $n_D^{17} 1,5159$ , т. пл. 73° (из водн.  $\text{CH}_3\text{OH}$ ),  $[\alpha]_D^{21} + 38,7^\circ$  (с 3). 0,6 г XII с 3 мл  $(\text{CH}_3\text{CO})_2\text{O}$  в 5 мл пиридина дают 0,48 г 6-ацетата XII, т. пл. 76°,  $[\alpha]_D^{18} + 35^\circ$  (с 2;  $\text{CH}_3\text{OH}$ ); 0,9 г XII в 5 мл пиридина и 0,3 г  $\text{CH}_3\text{SO}_2\text{Cl}$  при 0° дают 0,63 г 6-мезилата XII,  $[\alpha]_D^{17} + 36^\circ$  (с 1,82). К 2,5 г VII в 15 мл  $\text{CH}_3\text{COOH}$  прибавляют 2 моля 20%-ного HBr в  $\text{CH}_3\text{COOH}$ , через 5 мин. при 20° фильтруют, разлагают льдом +  $\text{NaHCO}_3$  и экстрагируют  $\text{CHCl}_3$ ; получают 0,9 г этилтрифенилметилсульфида, т. пл. 127° (из  $\text{CH}_3\text{OH}$ ). Аналогично из 2,5 г VIII получают 0,5 г в-ва, т. кип. 170—175° (баня)/0,01 мм, т. пл. 73° (из  $\text{CH}_3\text{OH}$ ). 10 г XI в 40 мл пиридина с 6,8 г XIII (0°, ~12 час.) дают III, выход 79%,  $n_D^{18} 1,5196$ ,  $[\alpha]_D^{15} + 12^\circ$  (с 2), а 3,2 г XII в 15 мл пиридина с 1,23 г XIII дают IV, выход 80%,  $n_D^{18} 1,5195$ ,  $[\alpha]_D^{17} + 32^\circ$  (с 1,1). Все  $[\alpha]_D$  определялись в  $\text{CHCl}_3$ .

М. К.

**3965.** О каталитических превращениях терпенов. V. Каталитическое превращение  $\Delta^2$ -карена над метатитановой кислотой. Рудаков Г. А., Марчевский А. Т. В кн.: Сб. статей по общ. химии, М.—Л., Изд-во АН СССР, 1953, 2, 1432—1445

$\Delta^2$ -Карен (I) в присутствии 1—2% метатитановой к-ты в атмосфере  $\text{CO}_2$  при 130—140° (нагревают до тех пор, пока  $[\alpha]_D$  не достигнет +22,5°, а  $n_D^{20}$  1,477) частично изомеризуется в  $\Delta^4$ -карен (II). На основании разгонок найдено, что продукт изомеризации состоит из: II 15% (т. кип. 167,5—168°,  $n_D^{20}$  1,4747,  $d_4^{20}$  0,8617,  $\alpha_D + 77,0^\circ$ ,  $[\alpha]_D + 89,37^\circ$ ); I 53%; моноциклич. терпенов (III) 27%; полимеров 5%. В числе III имеется 1-метил-3-изопропилиден- $\Delta^4$ -циклооксен ~2% (т. кип. 188,5°,  $n_D^{20}$  1,5142,  $d_4^{20}$  0,8644,  $[\alpha]_D$  0°), дипентен 4—5%, терпинолен (неочищенный) 8—10%, l-лимонен и  $\alpha$ -терпинен. Строение II доказано окислением его в среде ацетона  $\text{KMnO}_4$  (—3°, —8°, 14 час.); получена 1,1-диметил-2-

γ-кетобутилкаклопропан-3-карбоновая к-та (IV),  $n_D^{20}$  1,4730,  $d_4^{20}$  1,058,  $[\alpha]_D + 29,9^\circ$  (с 6,67, сп.), очнщ. через семикарбазон (т. пл. 182—182,5°). Дальнейшее окисление IV с помощью NaBrO дало 3-карбокситетрагидроциклопропан-2β-пропионовую к-ту, т. пл. 103—103,5° (из H<sub>2</sub>O),  $[\alpha]_D + 29^\circ$  (с 6,5, хлф.), эквивалент нейтр-ции 95,6. Гидрированием II в присутствии Pt-черни получен каран (V), т. кип. 166°/779 мм,  $n_D^{20}$  1,44902,  $d_4^{20}$  0,8317,  $[\alpha]_D - 15,48^\circ$ . Таким же гидрированием из I получен V, т. кип. 168,5°/760 мм,  $n_D^{20}$  1,4552,  $n_D^{20}$  1,45324,  $n_D^{20}$  1,46148,  $d_4^{20}$  0,8398,  $[\alpha]_D - 4,88^\circ$ ; разница констант V, полученного из II и I, объяснена *cis-trans* изомерией. Из скипидара *Pinus sylvestris* выделен чистый Δ<sup>3</sup>-карвен,  $n_D^{20}$  1,4722,  $d_4^{20}$  0,8644,  $[\alpha]_D + 17,7^\circ$ . С. Е.

3966. Исследования в ряду камфоры. II. Лактоны, родственные по структуре камфоре. Кюэнье (Recherches dans la série du camphre: II.— Lactones de structure apparentée au camphre. Cuignnet Etienne), Bull. Soc. chim. France, 1955, № 2, 221—224 (франц.)

В связи с интересными физиологич. свойствами природных лактонов осуществлен синтез замещ. бутиролактонов, близких по структуре к камфоре. Действием CO<sub>2</sub> на Mg- (или лучше Na-) производное 2-этинилборнеола-2 получена 3- (мет.-борнеол-2')-пропин-2-овая-1 к-та (I). Полное гидрирование I (на Pt из PtO<sub>2</sub>) дало спиро-4(2)-борнилбутиролактон (II); частичное гидрирование I (над Pd) привело к Δ<sup>2</sup>-спиро-4(2)-борнилбутиролактону (III). При действии (CH<sub>3</sub>)<sub>2</sub>NH (IV), (C<sub>2</sub>H<sub>5</sub>)<sub>2</sub>NH или пиперидина на метиловый эфир I (V) проходит р-ция присоединения по тройной связи (аминный остаток вступает в положение 3) с одновременной циклизацией (отщепление CH<sub>3</sub>OH) и образуются Δ<sup>2</sup>-спиро-4(2)-борнил-3-диметиламинобутиролактон (VI), Δ<sup>2</sup>-спиро-4(2)-борнил-3-диэтиламинобутиролактон (VII), и соответственно Δ<sup>2</sup>-спиро-4(2)-борнил-3-пиперидинобутиролактон (VIII).



III R=H, VI R=N(CH<sub>3</sub>)<sub>2</sub>,

VII R=N(C<sub>2</sub>H<sub>5</sub>)<sub>2</sub>,

VIII R=N-пиперидин,

IX R=CH<sub>3</sub>OH,

X R=CONHNH<sub>2</sub>,

Структура II подтверждена восстановлением посредством LiAlH<sub>4</sub> до насыщ. гликоля (IX), образованием гидразида 2-(мет.-борнеол-2')-пропионовой к-ты (X) при действии гидразингидрата (XI) на II, медленным щел. гидролизом II в водно-спирт. р-ре. VI—VIII не обладают основными свойствами. К р-ру C<sub>2</sub>H<sub>5</sub>MgBr (28 г C<sub>2</sub>H<sub>5</sub>Br, 6 г Mg, 50 мл абс. эфира) добавляют по каплям 10 г 2-этинилборнеола-2 (XII) в 100 мл сухого C<sub>6</sub>H<sub>6</sub>, отгоняют эфир, кипятят 1 час, перемешивают 24 часа в автоклаве с 100 г сухого льда, через 48 час. смесь разлагают разб. H<sub>2</sub>SO<sub>4</sub>, извлекают эфиром, упаривают, обрабатывают насыщ. р-ром NaHCO<sub>3</sub>, промывают эфиром, осаждают разб. H<sub>2</sub>SO<sub>4</sub>, получают I, выход 28%, т. пл. 164° (из эф.-циклогексана). В 400 мл жидкого NH<sub>3</sub> + 0,3 г Fe(NO<sub>3</sub>)<sub>3</sub> растворяют 1 г Na, пропускают ток сухого воздуха до исчезновения синей окраски и затем растворяют еще 14 г Na порциями по 0,5 г, понемногу добавляют р-р 44 г XII в 200 мл сухого эфира, перемешивают 2 часа, через 24 часа отгоняют NH<sub>3</sub> в токе N<sub>2</sub>, разбавляя смесь 200 мл эфира, добавляя понемногу 100 г сухого льда, на следующий день извлекают 5%-ным р-ром соды, из щел. р-ра осаждают I HCl (к-той), выход 87%, бензилизотиурониевая соль, т. пл. 181—182° (из этилацетата-CH<sub>3</sub>OH); V (I, абс.

CH<sub>3</sub>OH, 5 капель конц. H<sub>2</sub>SO<sub>4</sub>, кипячение 10 час.), выход 90%, т. кип. 123—126°/1 мм, т. пл. 58,5° (из петр. эф.), этиловый эфир I (аналогично V), выход 92%, т. кип. 112—115°/0,5 мм, амид I (1,2 г V, насыщ. р-р NH<sub>3</sub> в CH<sub>3</sub>OH, 48 час.), выход 0,9 г, т. пл. 153° (из сп.); гидразид I (V, 95%-ный XI), выход колич., т. пл. 167—168°, затем 204° (разл.; из этилацетата). 2,2 г I гидрируют в абс. спирте над 5%-ным Pd/C, выделяют разгонкой 1,2 г III, т. кип. 120°/1 мм, т. пл. 87,5° (из петр. эф.); при гидрировании I над скелетным Ni получают 0,8 г III. 2,2 г I гидрируют в абс. спирте над Pt (из PtO<sub>2</sub>), разгонкой выделяют II, т. кип. 120—122°/1 мм, т. пл. 85,5°. 2,08 г II в 20 мл эфира восстанавливают 50%-ным избытком р-ра LiAlH<sub>4</sub>, нагревают 1 час при 40°, обычно выделяют 1,8 г IX, т. пл. 118° (из циклогексана), 0,5 г II, 0,5 мл XI нагревают 4 часа на водяной бане, получают 0,5 г X, т. пл. 131° (из этилацетата-циклогексана). При стоянии смеси 1 г V с 1,5 г безводн. IV при обычной т-ре получают 0,95 г VI, т. пл. 129° (из циклогексана, возгонка при 125—127°/1 мм); аналогично (стояние 8 дней) получают VII, т. кип. 153—155°/1 мм, т. пл. 85° (из петр. эф.); 1,8 г VIII из 2,3 г V, т. пл. 121° (из циклогексана, возгонка при 118—119°/1 мм). Сообщение I см. РЖХим, 1955, 45992. Л. Я.

3967. О реакции d-3,4-эпоксикарана с порошкообразным натрием. Кучинский, Хабудзинский (O reakcji d-3,4-epoksykaranu ze sproszkowanym sodem. Kuczyński Henryk, Chabudziński Zenon), Roczn. chem., 1955, 29, № 2—3, 437—449 (польск.; резюме нем., англ., русс.)

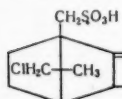
При р-ции d-3,4-эпоксикарана (I) с Na-порошком (II) выделены кислородсодержащие соединения ряда карана. К 300 мл сухого C<sub>6</sub>H<sub>6</sub> добавляют 23 г II и, по каплям, 0,5 моля I, кипятят 24 часа, осадок трижды кипятят с C<sub>6</sub>H<sub>6</sub>, соединенные бензольные р-ры промывают водой до исчезновения щел. р-ции и разгоняют в вакууме, выделяя фракция: углеводородную, выход 11%, т. кип. 163—164°/750 мм,  $[\alpha]_D^{20} + 5,60^\circ$ , 1,89 двойных связей (более подробно не изучалась); кетонную (КФ), выход 62,6%, и спиртовую (СФ), выход 8,3%. КФ состоит главным образом из l-карана-3 (III), выделенного через семикарбазон III (IV), т. пл. 201° (из сп.). Смесь 48 г IV, 1,5 л пентана и 1 л I в H<sub>2</sub>SO<sub>4</sub> встрихивают до исчезновения кристаллов IV, органич. слой промывают р-ром NaHCO<sub>3</sub>, после отгонки р-рителя перегоняют с паром, выход III 30,5 г, т. кип. 98—99°/19 мм,  $[\alpha]_D^{20} - 139 - 140^\circ$ . Нагреванием смеси 0,4 моля IV, 400 мл свежеперегнанного (CH<sub>3</sub>OH)<sub>2</sub>, 50 г KOH и 35 мл N<sub>2</sub>H<sub>4</sub>·H<sub>2</sub>O получают после обычной обработки 30 г d-карана, т. кип. 168—168,5°,  $[\alpha]_D^{20} + 25,57 \cdot 10^\circ$ . III нагревают 2 часа с 50 мл 10%-ной H<sub>2</sub>SO<sub>4</sub>, перегоняют с паром, извлекают пентаном, получают карвенон (идентифицирован в виде оксима и продукта конденсации с бензальдегидом). 26 г III в 200 мл абс. спирта восстанавливают при помощи 20 г Na, получают смесь стереоизомерных спиртов, из которых выделены фракции: т. кип. 109,5—110°/20 мм (3,1 г),  $[\alpha]_D^{20} - 36,7^\circ$ , и т. кип. 110—111°/20 мм (18,1 г),  $[\alpha]_D^{20} - 37,4^\circ$ . 19 г полученного спирта нагревают с 25 г n-NO<sub>2</sub>C<sub>6</sub>H<sub>4</sub>COCl (V) и 10 мл пиперидина, выделяют соответствующий эфир, выход 36,2 г, т. пл. 53—54°, при перекристаллизации из CH<sub>3</sub>OH выделяют 0,6 г эфира с т. пл. 63—64°,  $[\alpha]_D^{20} + 5,6^\circ$  (с 1,3; бзл.), и 2,7 г эфира с той же т-рой плавления,  $[\alpha]_D^{20} + 1,2^\circ$  (с 1,3; бзл.); остальные фракции эфира (левовращающие) омыляют спирт. р-ром щелочи, выделяют спирт с  $[\alpha]_D^{20} - 40,20^\circ$ ; 7 г этого спирта нагревают 3 часа со смесью 10 г свежеевозо-



гнанного  $\alpha$ -C<sub>6</sub>H<sub>4</sub>(CO)<sub>2</sub>O (VI) и 12 мл безводн. пиридина, получая кислый фталат (VII), выход неочищ. 13,5 г, т. пл. 151,5° (дважды из CH<sub>3</sub>OH),  $[\alpha]_D^{20}$  — 60,4° (с 1; хлф.); при омылении VII (нагревание с 10%-ным KOH) получают 1-карнол-3, т. кип. 110°/20 мм,  $[\alpha]_D^{20}$  — 67,1°. 18 г CF нагревают 3 часа с 25 г VI и 30 мл сухого пиридина, фильтруют, перегоняют с паром, из остатка после многократной кристаллизации получают 2,4 г продукта, аналогичного VII (по т-ре плавления); из дистиллата получают 11,6 г фракции с т. кип. 87,5—88,5°/8 мм, т. пл. 28°,  $[\alpha]_D^{20} + 20^\circ$  (с 1; бзд.), которая не окисляется смесью Бекмана, с V дает эфир, т. пл. 108°,  $[\alpha]_D + 1^\circ$ , при омылении (10%-ный р-р KOH) дает спирт, т. пл. 32°,  $[\alpha]_D^{20} + 22^\circ$  (с 1, бзд.).

3968. Синтезы производных камфоры. VIII. Изомеризация дигаллоид- $\alpha$ , $\pi$ -D-камфоры при помощи дымящей серной кислоты. (Дополнение 2).  $\alpha$ -транс- $\pi$ -Дигаллоид-D-камфор- $\omega$ -сульфоновая кислота. Нисикава, Хагизара (樟腦誘導體の合成研究. 第8報.  $\alpha$ ,  $\pi$ -Dihalo-camphor の發烟硫酸による異性化. 補遺. その 2.  $\alpha$ -trans- $\pi$ -Dihalo- $\alpha$ -camphor- $\omega$ -Sulfonic Acid について. 西川正元, 萩原彦一), 藥學雜誌, Якугаку дадзеси, J. Pharmac. Soc. Japan, 1954, 74, № 1, 81—84 (япон.; резюме англ.).

В продолжение предыдущей работы (см. сообщение 7, РЖХим, 1956, 927) установлено, что при действии дымящей H<sub>2</sub>SO<sub>4</sub> на  $\alpha$ , $\pi$ -дихлор-D-камфору (I) или  $\alpha$ -хлор- $\pi$ -бром-D-камфору (II) (поним) 6-транс- $\pi$ -дихлор-D-камфоры (III) или 6-хлор- $\pi$ -бром-D-камфоры (IV) и

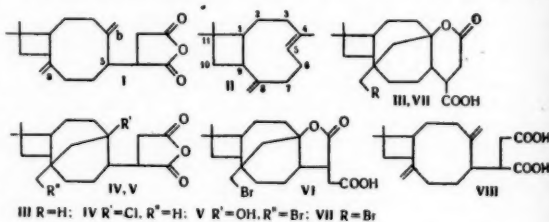


$\alpha$ , $\omega$ -дихлор-D-камфор- $\pi$ -сульфоновой к-ты (или  $\alpha$ -хлор- $\omega$ -бром-D-камфор- $\pi$ -сульфоновой к-ты) образуются  $\alpha$ -транс- $\pi$ -дихлор-D-камфор- $\omega$ -сульфоновая к-та (V) (соответственно  $\alpha$ -хлор-транс- $\pi$ -бром-D-камфор- $\omega$ -сульфоновая к-та (VI)). Выход V и VI увеличивается при уменьшении кол-ва дымящей H<sub>2</sub>SO<sub>4</sub>, используемой для изомеризации. В отличие от  $\pi$ -сульфоновых к-т V и VI не отщепляют SO<sub>3</sub>H-группы при нагревании в водн. р-ре; однако  $\alpha$ -транс- $\pi$ -дихлор-D-камфор- $\omega$ -сульфобромид (VII) при нагревании в ксилоле теряет SO<sub>2</sub> и превращается в  $\alpha$ -транс- $\pi$ -дихлор- $\omega$ -бром-D-камфору (VIII). V при длительном нагревании с разб. H<sub>2</sub>SO<sub>4</sub> (1:1) образует хлорсульфолактон (IX), который при восстановлении (Zn-CH<sub>3</sub>COOH) дает сульфолактон (X). 100 г измельченной I постепенно растворяют в 140 мл охлажд. 10%-ного олеума, через 24 часа (холодильник) выливают на лед, отделяют 20 г III, маточный р-р (~1,5 л) извлекают эфиром, из эфирного слоя выделяют 100 г неочищ. сульфокислоты, растворяют в воде, нейтрализуют NaHCO<sub>3</sub>, р-р выпаривают, получают 55 г Na-соли V, т. пл. 305° (разл., из сп.)  $[\alpha]_D^{25} + 67,5^\circ$  (0,5%-ный спирт, р-р); 2 г Na-соли V восстанавливают в 10 мл лед. CH<sub>3</sub>COOH 2 г Zn (нагревание на водяной бане 2 часа), получают 1,2 г Na-соли транс- $\pi$ -хлор-D-камфор- $\omega$ -сульфоновой к-ты, т. пл. 260° (из метанола),  $[\alpha]_D^{30} + 55,8^\circ$  (1,03%-ный спирт, р-р). Аналогично Na-соли V из 100 г II получена Na-соль VI, выход 17 г (одновременно получено 47 г IV), т. пл. > 300°,  $[\alpha]_D^{25} + 62,6^\circ$  (1%-ный спирт, р-р). К смеси 50 мл C<sub>6</sub>H<sub>6</sub>, 12 г PBr<sub>3</sub> и 7,5 г Br<sub>2</sub> прибавля-

ют 9 г Na-соли V, через 7 час. выдвигают на лед, извлекают эфиром, получают 8 г VII, т. пл. 112° (из эф.),  $[\alpha]_D^{30} + 74,5^\circ$  (1%-ный спирт, р-р). 2 г VII в 10 мл ксилола кипятят до прекращения выделения SO<sub>2</sub> (~1,5 часа), отгоняют ксилол, получают 1 г VIII, т. пл. 84° (из метанола),  $[\alpha]_D^{30} + 58,8^\circ$  (1%-ный спирт, р-р).  $\alpha$ -хлор-транс- $\pi$ -бром-D-камфор- $\omega$ -сульфохлорид (8 г Na-соли VI, PCl<sub>5</sub>, C<sub>6</sub>H<sub>6</sub>, кипячение 2 часа), выход 7 г, т. пл. 115° (из петр. эф.),  $[\alpha]_D^{31} + 72^\circ$  (1%-ный р-р в хлф.). 20 г K-соли V, 20 г конц. H<sub>2</sub>SO<sub>4</sub> и 20 мл воды нагревают 3 дня на водяной бане, кипятят 1 час, добавляют воды, получают 5 г IX, т. пл. 216° (из метанола),  $[\alpha]_D^{13} + 6,2^\circ$  (1%-ный р-р в хлф.). 5 г IX восстанавливают в 60 мл CH<sub>3</sub>COOH 8 г Zn (нагревание 2 часа), получают X, т. пл. 222° (из метанола),  $[\alpha]_D^{16} - 26,8^\circ$  (1%-ный спирт, р-р),  $[\alpha]_D^{14} - 27,7^\circ$  (1%-ный р-р в хлф.).

3969. Строение «аддукта» карифиллена и малеинового ангидрида. Никсон (The structure of the caryophyllene-maleic anhydride «adduct». Nickson A. I. et al., J. Amer. Chem. Soc., 1955, 77, № 5, 1190—1196 (англ.).

Установлено строение «аддукта» (I) карифиллена (II) и малеинового ангидрида (Ruzicka L., Zimmerman W., Helv. chim. acta, 1935, 18, 219). Циклогидратация I под влиянием HCl (к-ты) приводит к насыщ. трицичл. лактонокислоте (III), полученной также присоединением HCl к I и кислотным гидролизом образовавшегося при этом хлорпроизводного (IV). Под влиянием N-бромсукцинимиды в водн. диоксане I присоединяет HOBr, образуя оксидбромид (V) и бром- $\gamma$ -лактонокислоту (VI). При кислотном гидролизе в мягких условиях V дает VI, в более жестких условиях как V, так и VI изомеризуются в одну и ту же бром- $\delta$ -лактонокислоту (VII). Каталитич. гидрогенолиз VII или восстановление VII Zn-пылью приводят к III. Строение I подтверждено следующими данными: при окислении по Кун-Роту I дает 0,16 моля CH<sub>3</sub>COOH, а II—1,11 моля CH<sub>3</sub>COOH. При озонлизе I образуется 64% CH<sub>2</sub>O, при озонлизе окиси карифиллена — 30% CH<sub>2</sub>O. ИК-спектр двусоединной к-ты (VIII), образующейся при гидролизе I, указывает на наличие двух экзациклич. двойных связей. На основании аналогии с другими р-циями II можно предположить, что заместитель при C<sub>(5)</sub> в I,



(а, следовательно, и в продуктах его превращения III—VIII) расположен (в проекции) под плоскостью чертежа. Авторы предполагают, что механизм превращения I в III или IV состоит в присоединении электрофильного агента (H<sup>+</sup> или Br<sup>+</sup>) к связи а, за которым следуют внутримолекулярная циклизация и присоединение нуклеофильного агента (OH<sup>-</sup> или Cl<sup>-</sup>) к связи б-100 г II и 200 г малеинового ангидрида в 230 мл C<sub>6</sub>H<sub>6</sub> кипятят 22 часа, р-ритель удаляют, остаток обрабатывают 2 л CCl<sub>4</sub>, фильтруют, упаривают, остаток растворяют в C<sub>6</sub>H<sub>6</sub>, р-р экстрагируют теплой водой, из C<sub>6</sub>H<sub>6</sub>-р-ра получают I, выход 28 г, т. пл. 93—94°

(из petr. эф.), ИК-спектр 1890, 1790, 886  $\text{см}^{-1}$ . При кипячении 1 30 мин. с диоксаном-2 н. HCl (1:1) и последующей обработке получают III, выход 80%, т. пл. 204—206° (из хлф.-петр. эф.),  $[\alpha]_D -27^\circ$  (с 1,12), ИК-спектр 1712, 1734  $\text{см}^{-1}$ , метиловый эфир, т. пл. 157—158° (из водн. сп.),  $[\alpha]_D -33^\circ$  (с 1,12), ИК-спектр 1742  $\text{см}^{-1}$ . Через р-р 5,0 г I в  $\text{CHCl}_3$  пропускают HCl (газ) (—10°, 30 мин.), оставляют на 12 час. при 0°, удаляют р-ритель и получают IV, выход 4,6 г, т. пл. 148—149,5° (разл., из petr. эф.),  $[\alpha]_D -20^\circ$  (с 1,05), ИК-спектр (в  $\text{CCl}_4$ ) 1870, 1790  $\text{см}^{-1}$ . 0,1 г IV дает при нагревании на паровой бане (1 час) с 3 мл диоксана и 1,5 мл 12%-ной HCl 0,094 г III. К 0,5 г I в 4 мл водн. диоксана добавляют при 20° N-бромсукцинимид (0,3 г). Когда KJ-крахмальная р-ция становится отрицательной (через ~1 час) смесь вливают в воду, экстрагируют эфиром, эфирный р-р разделяют экстракцией 5%-ным р-ром  $\text{Na}_2\text{CO}_3$  на кислую и нейтр. фракции. Из последней выделяют V, выход 0,118 г, т. пл. 209—210° (из хлф. — petr. эф.),  $[\alpha]_D +17^\circ$  (с 1,02), ИК-спектр 1870, 1784  $\text{см}^{-1}$ , ИК-спектр (хлф.) 1863, 1778, 3620  $\text{см}^{-1}$ . Из кислой фракции получают VI, выход 0,27 г, т. пл. 193—194° (из водн. сп.) в виде смеси двух модификаций, т. пл. 214—215° (разл.) и 187—188° (разл.), превращающихся друг в друга при внесении соответствующей затравки в водно-спирт. р-р,  $[\alpha]_D +25^\circ$  (с 0,9), ИК-спектр (парафиновое масло) 1758, 1705  $\text{см}^{-1}$ , метиловый эфир (эфирный р-р  $\text{CH}_2\text{N}_2$ , 20°, очищен. хроматографированием на  $\text{Al}_2\text{O}_3$ ), т. пл. 121,5—122,5°,  $[\alpha]_D +27^\circ$  (с 0,88), ИК-спектр 1775, 1740  $\text{см}^{-1}$ . 500 мг неочищ. V дают при нагревании на паровой бане (15 мин.) с 7 мл диоксана, содержащего 5 мл 12%-ной HCl, 0,3 г VII, т. пл. 188,5—189° (из хлф.),  $[\alpha]_D -18^\circ$  (с 1,16), ИК-спектр (хлф.) 1720  $\text{см}^{-1}$ , метиловый эфир, т. пл. 165° (из petr. эф.),  $[\alpha]_D -18^\circ$  (с 1,1), ИК-спектр ( $\text{CCl}_4$ ) 1744  $\text{см}^{-1}$ . Гидрирование 0,1 г VII с 0,1 г 10%-ного Pd/CaCO<sub>3</sub> в 15 мл безводн. спирта, содержащего 0,2 мл  $(\text{C}_2\text{H}_5)_3\text{NH}$  приводит к III, выход 77 мг. При восстановлении 0,1 г VII с помощью 0,7 г Zn-пыли в 2 мл лед.  $\text{CH}_3\text{COOH}$  (кипение, 1,5 часа) получают 46 мг III. Смесь 30 мг V, 1 мл диоксана, 0,25 мл воды и 0,1 мл р-ра, полученного из 0,1 мл конц. HCl и 5 мл диоксана, выдерживают 1,5 часа при 35°, после обработки выделяют 14 мг неизмененного V и 15 мг VI. 90 мг VI дают при нагревании 20 мин. на паровой бане с 2,5 мл диоксана и 1 мл 12%-ной HCl 87 мг VII. Суспензию 2 г I в 40 мл 2 н. р-ра  $\text{Na}_2\text{CO}_3$  нагревают 15 мин. на паровой бане, добавляют ледяную воду и 5 мл лед.  $\text{CH}_3\text{COOH}$ , выпавший осадок экстрагируют эфиром, из эфирного р-ра получают VIII, выход 1,86 г, т. пл. 164—165,5° (из водн.  $\text{CH}_3\text{OH}$ ),  $[\alpha]_D +63^\circ$  (с 1,11), ИК-спектр 3200—3000, 1714, 886  $\text{см}^{-1}$ . При кипячении 0,134 г VII 1,5 часа с 1 г Zn-пыли и 0,03 г  $\text{ZnCl}_2$  в 3 мл  $\text{CH}_3\text{COOH}$  получают 40 мг III.  $[\alpha]_D$  определены в  $\text{CHCl}_3$ . ИК-спектры — в  $\text{CS}_2$ , исключения оговорены. Л. Б.

3970. О некоторых успехах химии сесквитерпенов. Шорм (Über einige Fortschritte der Chemie der Sesquiterpene. Šorm František), Сб. чехосл. хим. работ, 1954, 19, Suppl. 2, 68—80 (нем.).

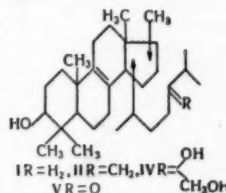
Для выделения сесквитерпенов из эфирных масел рекомендуют применять перегонку в вакууме в сочетании с контролируемой по ИК-спектру хроматографией р-ра в petr. эфире на  $\text{Al}_2\text{O}_3$  (10:1, шел., активность 1—2 для углеводородов; малоактивная в большом избытке для кислородсодержащих в-в) или на угле и силикагеле (без р-рителя, применяя для промывания бензильный спирт). Этим путем из масла хмеля и гвоздики выделены фарнезен (I), гмулен (II), идентичный дидумокарпену и карифиллен (III); из масла

ромашки — I, 1-бизаболол; из бальзама тополя — d-бизаболол; из масла иланг-иланга — I—III, γ-, δ- и ε-кадины (IV, V, VI) (дигидрохлорид, выход колич. (IV, V) и из VI — 30% и трициклич. углеводород неизвестного строения; из масла бергамота — III и 1-β-бизаболол (VII); из масла аира — II, III, V, элемен, куркумен (VIII), гвайен (IX), селинен, каламен (X), калакорен (XI), акорон (XII), изоакорон (XIII), трициклич. каладен и углеводород неизвестного строения; из масла имбиря — цингиберен (XIV); из масла пачули — IX; из каротенового масла — каротол (XV) и даукол (окись XV), а из полынного масла — III, окись бизаболола, моноциклич. дитерпеновые углеводороды состава  $\text{C}_{20}\text{H}_{30}$  (XVI) и  $\text{C}_{20}\text{H}_{28}$  (XVII) и углеводород состава  $\text{C}_{15}\text{H}_{20}$ , типа фульвенов. По ИК-спектру исследуемых в-в и продуктов их гидрирования в сочетании с озонированием и дегидрированием определено строение I — VIII, X—XV, элемола (XVIII) и хамазулена. Приведены кривые ИК-спектров III (из гвоздичного, полынного и бергамотового масел), IV, V — из цитронеллового и VI из иланг-илангового масел, кадиена, (XIX) регенерированного из дигидрохлорида, тетрагидро-γ-, δ- и ε-кадинов и тетрагидро-XIX; а также методики определения строения XI, XV, XVI, XVII и XVIII. С. К.

3971. Смоляные кислоты. Фаулер (The resin acids. Fowler W. Frank, Jr), Organ. Chem. Bull., 1954, 26, № 3, 1—5 (англ.)  
Обзор. Библ. 11 назв. М. А.

3972. К изучению тритерпенов. Сообщение 179. О взаимосвязи элемадиеновой кислоты, тирукаллидиенола и эйфорбадиенола. Аригони, Вилер, Егер (Zur Kenntnis der Triterpene. 179. Mitteilung. Über die gegenseitigen Beziehungen bei Elemadienol-säure, Tirucalladienol und Euphorbadienol. Arigoni D., Wyler H., Jeger O.), Helv. chim. acta, 1954, 37, № 5, 1553—1558 (нем.).

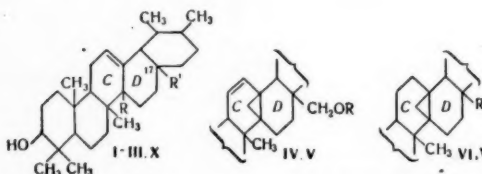
Показана идентичность тирукаллиенола (I), т. пл. 144—145° (испр.),  $\alpha_D -4,8^\circ$  (с 0,945;  $\text{CHCl}_3$ ), ацетат, т. пл. 144—145° (испр.),  $\alpha_D -3,8^\circ$  (с 1,06;  $\text{CHCl}_3$ ), с Δ<sup>3</sup>-3β-оксизолеменом, полученным из элемадиеновой к-ты (ацетат,  $\alpha_D -3,6^\circ$ ; с 1,37;  $\text{CHCl}_3$ ) описанным ранее способом (Ruzicka L., Häusermann H., Helv. chim. acta, 1942, 25, 439). Установлена взаимосвязь I с эйфорбадиенолом (II), а также элементарный состав II ( $\text{C}_{51}\text{H}_{82}\text{O}$ ), на основании данных анализа трибромацетата метилового эфира эпилемеоловой к-ты (III). Эйфорбадириол (IV), полученный окислением II  $\text{OsO}_4$ , реагируя с  $(\text{CH}_3\text{COO})_4\text{Pb}$ , дает  $\text{CH}_2\text{O}$  и нор-эйфорбенолин (V), который восстановлением по Кижнеру переводят в I. Получение  $\text{CH}_2\text{O}$  свидетельствует о присутствии  $>\text{C}=\text{CH}_2$ -группы в боковой цепи, положение которой, также как и одной  $\text{CH}_3$ -группы, не выяснено. Смесь 152 мг V, 3 мл спирта, 10 мл этиленгликоля и 1 мл гидразингидрата кипятят 2 часа, добавляют 1 г KOH, отгоняют спирт и нагревают 2 часа при 200—210°, обрабатывают и получают I, выход 140 мг (неочищ.), т. пл. 144—145° (испр., из  $\text{CH}_2\text{Cl}_2$  с  $\text{CH}_3\text{OH}$ ),  $\alpha_D -4,6^\circ$  (с 1,00;  $\text{CHCl}_3$ ), ацетат, т. пл. 142—143° (испр., из  $\text{CH}_2\text{Cl}_2$ - $\text{CH}_3\text{OH}$ ),  $\alpha_D -5^\circ$  (с 0,72;  $\text{CHCl}_3$ ). Смесь охлажд. р-ров 140 мг метилового эфира эпилемеоловой к-ты, 5 мл сухого  $\text{C}_6\text{H}_6$ , 3 капли пиридина и 140 мг  $\text{CBr}_3\text{COBr}$  в 3 мл  $\text{C}_6\text{H}_6$ ,



выдерживают 12 час., обрабатывают и получают III, т. пл. 155—156° (испр., из  $\text{CH}_2\text{Cl}_2\text{-CH}_3\text{OH}$ ), С. К. 3973. К изучению тритерпенов. Сообщение 180.

**Превращение хиновой кислоты в филлантол и уваол.** О строении урсоловой кислоты и уваола. Цю р х е р, Ег е р, Р у ж и ч к а (Zur Kenntnis der Triterpene. 180. Mitteilung. Überführung der Chinovasäure in Phyllanthol und Uvaol. Über die Konstitution der Ursolsäure und des Uvaols. Zürcher A., Jeger O., Ruzicka L.), Helv. chim. acta, 1954, 37, № 7, 2145—2152 (нем.).

Доказана принадлежность хиновой к-ты (I) к группе  $\alpha$ -амиринурсоловой к-ты (II). Хиновентриол (III), полученный описанным ранее способом (Helv. chim. acta, 1950, 33, 896), обработкой  $\text{CH}_3\text{SO}_3\text{Cl}$  преводят в 13,27-цикло- $\Delta^1$ -урсендиол(метилсульфонат)-3 $\beta$ ,28 (IV), а восстановлением  $\text{LiAlH}_4$  в 13,27-цикло- $\Delta^1$ -урсендиол-3 $\beta$ ,28 (V). Гидрированием V получен 13,27-циклоурсандиол-3 $\beta$ ,28 (VI); окислением моноацетата VI (VII)  $\text{CrO}_3$ -ацетат 3 $\beta$ -13,27-циклоурсанала-28 (VIII), восстановлением которого по Кижнеру — Вольфу получен филлантол (IX), идентичный выделенному из коры плодов *Phyllanthus engleri*. Превращение VI при обработке  $\text{HCl}$  (к-той) в уваол (X), идентичный полученному из листьев *Arctostaphylos uva ursi*, или восстановлением II, доказывает, что  $\text{CH}_2\text{OH}$ - и  $\text{COOH}$ - группы соответственно в X и II связаны с C<sup>(17)</sup>. Предположено, что циклизация III в IV активируется двойной связью и, вероятно, аналогична циклизации *n*-толуолсульфоната холестерина (см. РЖХим 1956, 3444). Для получения IV



I R = R' = COOH; II R = CH<sub>3</sub>, R' = COOH; III R = R' = CH<sub>2</sub>OH;  
IV R = CH<sub>2</sub>OSO<sub>2</sub>; V R = H; VI R = CH<sub>2</sub>OH; VII R = CHO;  
IX R = CH<sub>3</sub>; X R = CH<sub>3</sub>, R' = CH<sub>2</sub>OH

р-р 10 г III в 50 мл сухого пиридина смешивают при 0° с 15 мл  $\text{CH}_3\text{SO}_3\text{Cl}$  и выдерживают 5 мин. при охлаждении и 2,5 часа при 20°. Разбавив 100 мл  $\text{C}_6\text{H}_6$  и 150 г льда, перемешивают 30 мин. при  $\sim 20^\circ$  экстрагируют  $\text{C}_6\text{H}_6$  и промывают разб.  $\text{HCl}$  и  $\text{Na}_2\text{CO}_3$ , выход 9,9 г, т. пл. 136° [испр., из эф.-гексан и из  $\text{CH}_2\text{Cl}_2$  с  $\text{CH}_3\text{OH}$  после хроматографирования на  $\text{Al}_2\text{O}_3$  и промывания смесью  $\text{C}_6\text{H}_6$ -петр. эф. (1:1) и высушивания при 65° в высоком вакууме (ВВ)],  $\alpha_D + 5^\circ$  (с 1,25;  $\text{CHCl}_3$ ). Смесью 2,2 г IV, 110 мл абс. диоксана и 1,1 г  $\text{LiAlH}_4$  кипятят 3 часа, после обычной обработки получают V, выход 1,7 г (неочищ.), т. пл. 237—239° (испр., из  $\text{CH}_3\text{OH}$  после многократного хроматографирования на  $\text{Al}_2\text{O}_3$  и промывания смесью (1:1)  $\text{C}_6\text{H}_6$  с эфиром и эфиром, высушен при 100° в ВВ),  $\alpha_D + 21^\circ$  (с 1,16;  $\text{CHCl}_3$ ); диацетат  $[(\text{CH}_3\text{CO})_2\text{O}$  пиридин], т. пл. 167—169° (испр., из гексана, высушен в ВВ при 70°),  $\alpha_D + 9^\circ$  (с 1,0;  $\text{CHCl}_3$ ),  $\lambda_{\text{макс}}$  224 мк,  $l_{\text{г}}$  3,64. Р-р 500 мг V в 25 мл лед.  $\text{CH}_3\text{COOH}$  гидрируют 1 час при  $\sim 20^\circ$  над Pt (из 250 мг  $\text{PtO}_2$ ) и получают VI, т. пл. 233—234° (испр., из  $\text{CH}_2\text{Cl}_2\text{-CH}_3\text{OH}$ ),  $\alpha_D + 36,5^\circ$  (с 0,88;  $\text{CHCl}_3$ ); диацетат (XI), т. пл. 183—184° (испр., из  $\text{CH}_2\text{Cl}_2\text{-CH}_3\text{OH}$ , высушен при 100° в ВВ), ИК-спектр, 1742 и 1242  $\text{cm}^{-1}$  (— $\text{OCOCH}_3$ ), 1632 и 678  $\text{cm}^{-1}$  (цис-двойная связь), 996  $\text{cm}^{-1}$  ср., (3-членное кольцо),  $\alpha_D + 36^\circ$  (с 1,03;  $\text{CHCl}_3$ ). Смесью 2,95 г XI, 10 мл  $\text{CH}_2\text{Cl}_2$ ,

10 мл абс. спирта и 13,5 мл 0,5 н. KOH в спирте выдерживают 36 час. при 20°, после обычной обработки хроматографируют на 90 г  $\text{Al}_2\text{O}_3$  и, промывая смесью (4:1 и 1:1) петр. эфира с  $\text{C}_6\text{H}_6$ ,  $\text{C}_6\text{H}_6$ , смесью  $\text{C}_6\text{H}_6$  с эфиром (9:1 и 1:1) и эфиром выделяют 220 мг XI, 750 мг VII (т. пл. 283° испр., из  $\text{CH}_2\text{Cl}_2$  с ацетоном, сублимирован при 200° в вакууме),  $\alpha_D + 43^\circ$  (с 1,35;  $\text{CHCl}_3$ ) и 1,1 г VI (т. пл. 230°). Смесью 104 мг VII, 40 мл лед.  $\text{CH}_3\text{COOH}$ , 4 мл сухого  $\text{CHCl}_3$ , 6 мл воды и 1,15 мл р-ра  $\text{CrO}_3$  в лед.  $\text{CH}_3\text{COOH}$  (27 мг мл активного  $\text{O}_3$ ) выдерживают 2,5 часа при 20°, после обычной обработки хроматографируют и получают VIII, выход 100% (неочищ.), т. пл. 242° (испр., из  $\text{CH}_2\text{Cl}_2$  с  $\text{CH}_3\text{OH}$ , высушен при 100° в ВВ),  $\alpha_D + 49^\circ$  (с 0,62;  $\text{CHCl}_3$ ). Смесью 72 мг VIII, 7 мл спирта, 1 мл гидразингидрата и 530 мг  $\text{C}_2\text{H}_5\text{ONa}$  нагревают 16 час. в запаянной трубке при 180°, обрабатывают, хроматографируют и получают IX, выход 45 мг, т. пл. 229—230° (испр., из  $\text{CH}_3\text{OH}$ , высушен при 100° в ВВ),  $\alpha_D + 42^\circ$  (с 1,2;  $\text{CHCl}_3$ ); ацетат  $[(\text{CH}_3\text{CO})_2\text{O}$  с пиридином,  $\sim 20^\circ$ ], т. пл. 266—268° (испр., из  $\text{CH}_2\text{Cl}_2\text{-CH}_3\text{OH}$ , высушен при 100° в ВВ),  $\alpha_D + 50^\circ$  (с 1,05;  $\text{CHCl}_3$ ). Смесью 120 мг VI, 24 мл лед.  $\text{CH}_3\text{COOH}$  и 3,8 мл конц.  $\text{HCl}$  кипятят 1 час., обрабатывают  $(\text{CH}_3\text{CO})_2\text{O}$  и пиридином и получают диацетат X, т. пл. 148—150° (испр., из  $\text{CH}_2\text{Cl}_2\text{-CH}_3\text{OH}$ , высушен при 100° в ВВ),  $\alpha_D + 51^\circ$  (с 1,24;  $\text{CHCl}_3$ ). Кипячением с 2 н. KOH в  $\text{CH}_3\text{OH}$  выделяют X, т. пл. 222—224° (испр., из  $\text{CH}_2\text{Cl}_2\text{-CH}_3\text{OH}$ , сублимирован при 200° в вакууме),  $\alpha_D \pm 72^\circ$  (с 0,93;  $\text{CHCl}_3$ ). Все три плавания определены в заплавленном капилляре. Приведены кривые ИК-и УФ-спектров XI и диацетата V.

3974. К изучению тритерпенов. Сообщение 181. О перегруппировках в кольце C урсоловой кислоты. Аригонн, Босшард, Дрейдинг, Егер (Zur Kenntnis der Triterpene. 181. Mitteilung. Über Umlagerungen im Ring C der Ursolsäure. Arigoni D., Bosshard H., Dreiding J., Jeger O.), Helv. chim. acta, 1954, 37, № 7, 2173—2184 (нем.; резюме англ.).

Изучены некоторые превращения ацетоксикетолантонов (I) и (II), (ИК-спектр (в парафиновом масле), 1724 (— $\text{OCOCH}_3$ ), 1672/1605 (дублет,  $\alpha,\beta$ -ненасыщ. CO-группа), 1767  $\text{cm}^{-1}$  (оч. с.,  $\gamma$ -лактон), полученных окислением  $\text{SeO}_2$  метилового эфира 3 $\beta$ -ацетокси- $\Delta^9$ -урсенов-12-овой к-ты-28 продукта превращения урсоловой к-ты. Гидролизом I в зависимости от условий р-ции получены оксикетолантон (III) и оксикетокислота (IV), метиловый эфир, V). Гидрированием ацетат V (VI) превращают в смесь (VII) и (VIII), что свидетельствует о наличии в IV пентациклич. C-скелета и группировки из CO-группы и двух двойных связей в одном кольце, которая, по мнению авторов, возникает по схеме данной на стр. 217. Со смесью  $(\text{CH}_3\text{CO})_2\text{O}$  и лед.  $\text{CH}_3\text{COOH}$  VI дает ацетат енола (IX), из которого гидролизом получают IV; а с той же смесью и  $\text{H}_2\text{SO}_4$  или  $n\text{-SO}_3\text{H}\cdot\text{C}_6\text{H}_5\text{CH}_3$  — ацетат метилового эфира оксикислоты (ИК-спектр 1760  $\text{cm}^{-1}$ ) и после гидролиза метиловый эфир диоксикислоты состава  $\text{C}_{33}\text{H}_{46}\text{O}_4$  (X), строение которых не выяснено. Окислением  $\text{OsO}_4$  (стереоспецифич. воздействие на двойную связь, находящуюся в  $\gamma,\delta$ -положении к CO-группе) VI переводит в  $\alpha$ -глицерол (XI), который взаимодействуя с  $(\text{CH}_3\text{COO})_4\text{Pb}$  (2—3 моля на 1 моль XI, 100°) дает ряд с кислотной частью, далее не исследованной, ацетоксикетон (XII), идентичный полученному из  $\alpha$ -амирина (Rüegg R. и др., Helv. chim. acta, 1950, 33, 889) и озонлизом VI. Обработкой VI  $\text{KMnO}_4$  получено в-во состава  $\text{C}_{33}\text{H}_{46}\text{O}_8$ , имеющее, вероятно, строение (XIII). Кипячением 3 часа 0,2 г I с 30 мл 5%-ного KOH в



$\text{CH}_3\text{OH}$  получают III, т. пл. 344—346° (испр., из  $\text{CH}_2\text{Cl}_2$  с  $\text{CH}_3\text{OH}$ , сублимирован при 280° в высоком вакууме (ВВ)), ИК-спектр (в  $\text{CHCl}_3$ ) 1672, 1618 ( $\alpha, \beta$ -ненасыщ.

т. пл. 200° (испр., высушен при 100° в ВВ),  $\alpha_D + 47^\circ$  (с 0,89,  $\text{CHCl}_3$ ),  $\lambda_{\text{макс}}$  (в сп., 270 м $\mu$ , I $\epsilon$  4,4 (скрещивающиеся двойные связи), ИК-спектр (в нуйоле)

1733 (СО-группа в  $-\text{COOCH}_3$ ), 1761 и 1222/1215  $\text{см}^{-1}$  (енолацетат). Кипячением 1 час 100 мг IX с 15 мл 5%-ного КОН в  $\text{CH}_3\text{OH}$  получают V, выход 100 мг (неочищ.). Смесь 400 мг VI, 10 мл лед.  $\text{CH}_3\text{COOH}$ , 10 мл  $(\text{CH}_3\text{CO})_2\text{O}$  15 капель конц.  $\text{H}_2\text{SO}_4$  выдерживают без влаги 24 часа при 20°, разбавляют водой, экстрагируют эфиром, промывают NaOH и водой, остаток (200 мг) после отгонки р-рителей 2 дня при 20° обрабатывают 20 мл 5%-ного КОН в  $\text{CH}_3\text{OH}$  и получают X, выход 248 мг, т. пл. 229—230° (испр., из ацетона с гексаном, высушен при 100° в ВВ),  $\alpha_D - 35^\circ$  (с 0,86,  $\text{CHCl}_3$ ),  $\lambda_{\text{макс}}$

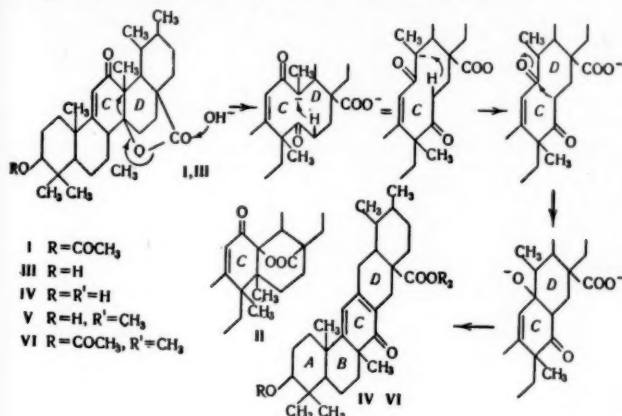
в сп. 288 м $\mu$ , I $\epsilon$  3,52; ИК-спектр (в нуйоле) 3450, 3200 (2—ОН), 1706 (с.,  $-\text{COOCH}_3$ ), 1615, 1603  $\text{см}^{-1}$  (сл., ароматич. кольцо). Для получения XI смесь 2,06 г VI, 50 мл пиридина и 1 г  $\text{OsO}_4$  выдерживают 10 дней при 20°, отгоняют р-ритель при уменьшенном давлении и остаток кипятят 3 часа с р-ром 4 г  $\text{Na}_2\text{SO}_3$  в 150 мл водн. спирта (1:1), выливают в 2 л

воды, фильтруют, осадок промывают водой и высушивают. Пропустив р-р этого в-ва в смеси  $\text{CHCl}_3$  +  $\text{CH}_3\text{OH}$  через  $\text{Al}_2\text{O}_3$ , концентрируют фильтрат, выход 2 г, т. пл. 340° (испр., из  $\text{CHCl}_3$  +  $\text{CH}_3\text{OH}$ , высушен при 120° в ВВ),  $\alpha_D - 12^\circ$  (с 0,97,  $\text{CHCl}_3$ ),  $\lambda_{\text{макс}}$  (в сп.) 240 м $\mu$ , I $\epsilon$  3,90. Смесь 250 мг XI, 5 мл  $\text{C}_6\text{H}_6$ , 5 мл пиридина и 10 мл  $(\text{CH}_3\text{CO})_2\text{O}$  выдерживают при 20° и обрабатывают. Р-р остатка (250 мг) в  $\text{C}_6\text{H}_6$  хроматографируют на 7,5 г  $\text{Al}_2\text{O}_3$  (активность I/II). Промывая 300 мл  $\text{C}_6\text{H}_6$ , выделяют дианетат, выход 130 мг, т. пл. 230° (испр., из  $\text{CHCl}_3$  с  $\text{CH}_3\text{OH}$ , сублимирован при 200° в ВВ),  $\alpha_D - 21^\circ$  (с 0,46,  $\text{CHCl}_3$ ). Смесь 550 мг XI, 150 мл лед.  $\text{CH}_3\text{COOH}$  и р-ра 400 мг  $(\text{CH}_3\text{COO})_4\text{Pb}$  в 12 мл лед.  $\text{CH}_3\text{COOH}$  нагревают 24 часа при 100° и еще 48 час., добавив р-р 800 мг  $(\text{CH}_3\text{COO})_4\text{Pb}$  в 24 мл лед.  $\text{CH}_3\text{COOH}$ , и получают 100 мг кислого и 415 мг нейтр. в-ва (неочищ.). Р-р последнего в петр. эфире хроматографируют на 12,5 г  $\text{Al}_2\text{O}_3$  (активность I/II) и, промывая 100 мл смеси петр. эфира с  $\text{C}_6\text{H}_6$  (4:1) после 250 мл такой же смеси (9:1), выделяют 13 мг XII, т. пл. 129—130° (испр., из  $\text{CH}_2\text{Cl}_2$  с  $\text{CH}_3\text{OH}$ , сублимирован при 100° в ВВ). Для получения XII через р-р 2 г VI в 150 мл  $\text{CCl}_4$  при 0° пропускают 30 мин.  $\text{O}_3$ , упаривают досуха при уменьшенном давлении и 40—50° и остаток кипятят 3 часа со 100 мл воды, прибавляют 100 мл  $\text{CH}_3\text{OH}$ , 5 г  $\text{Ag}_2\text{O}$ , кипятят еще 3 часа, фильтруют, промывают осадок  $\text{CH}_2\text{Cl}_2$  и эфиром, упаривают и, обработав HCl (с-той) и 2 н. NaOH, экстрагируют фильтрат эфиром, выход 1,05 г (неочищ.), т. пл. 128—129° (испр., из  $\text{CH}_2\text{Cl}_2$  с  $\text{CH}_3\text{OH}$ , эф. + петр. эф., сублимирован в ВВ). Смесь 200 мг VI и 30 мл лед.  $\text{CH}_3\text{COOH}$ , несколько капель  $\text{H}_2\text{SO}_4$  и 20 мл 0,1 н.  $\text{KMnO}_4$  выдерживают 15 мин. при 20°, обрабатывают и получают 200 мг нейтр. в-ва, р-р которого в 250 мл петр. эфира с  $\text{C}_6\text{H}_6$  (1:1) хроматографируют на 6 г  $\text{Al}_2\text{O}_3$  (активность I/II). Промывая 600 мл  $\text{C}_6\text{H}_6$  и 300 мл  $\text{C}_6\text{H}_6$  с эфиром (1:1), выделяют XIII, выход 170 мг (неочищ.), т. пл. 248—249° (испр., из  $\text{CH}_2\text{Cl}_2$  с  $\text{CH}_3\text{OH}$ , высушен при 100° в ВВ). Приведены кривые УФ-(IV, IX—XI) и ИК-(I—III, V, IX—XI) спектров. Все т-ры плавления определены в заплавленном капилляре.

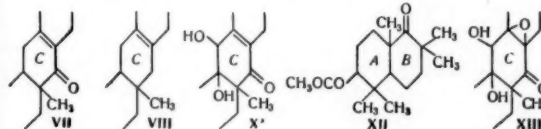
C. K.

3975. К изучению тритерпенов. Сообщение 182.

Строение и конфигурация айфола и изо-айфола. Аригони, Витербо, Дюниенбергер, Егер, Ружичка (Zur Kenntnis der Triterpene. 182. Mitteilung. Konstitution und Konfiguration von



СО-группа) и 1736  $\text{см}^{-1}$  (с.,  $\gamma$ -лактоны); I (пиридин и  $(\text{CH}_3\text{CO})_2\text{O}$ , ~20°), т. пл. 329—330° (испр.). Нагреванием 48 час. при 150° в запаянной трубке смеси 4 г I, 20 мл  $\text{C}_6\text{H}_6$  и 180 мл 10%-ного КОН в спирте получа-

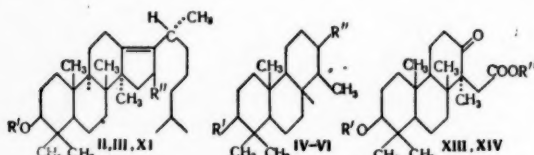


ют IV, выход 3,95 г (неочищ.), т. пл. 287—288° (испр., из эф., сублимирована при 250° в ВВ),  $\alpha_D + 134^\circ$  (с 0,93,  $\text{CHCl}_3$ ),  $\lambda_{\text{макс}}$  (в сп.) 315 м $\mu$ , I $\epsilon$  3,80; V (4 г IV, 50 мл смеси ацетона с эфиром (1:1),  $\text{CH}_2\text{N}_2$ , 0°), т. пл. 254—255° (испр., из  $\text{CH}_2\text{Cl}_2$  с  $\text{CH}_3\text{OH}$ , высушен при 100° в ВВ),  $\alpha_D + 149^\circ$  (с 0,63,  $\text{CHCl}_3$ ), ИК-спектр (в нуйоле) 3550 (с., —ОН), 1718 ( $-\text{COOCH}_3$ ), 1634/1600  $\text{см}^{-1}$  (дублет, СО-группа, конъюгированная с одной (минимум) двойной связью); ацетат IV (1 г IV, 5 мл  $\text{C}_6\text{H}_6$ , 5 мл пиридина, 15 мл  $(\text{CH}_3\text{CO})_2\text{O}$ , 12 час., ~20°), выход 1 г (неочищ.), т. пл. 289—290° (испр., из  $\text{CH}_2\text{Cl}_2$  с  $\text{CH}_3\text{OH}$ , сублимирован при 250° в ВВ); VI (4 г V, 20 мл  $\text{C}_6\text{H}_6$ , 20 мл пиридина, 40 мл  $(\text{CH}_3\text{CO})_2\text{O}$ , 12 час.), выход 4 г (неочищ.), т. пл. 252—253° (испр., из  $\text{CH}_2\text{Cl}_2$  с  $\text{CH}_3\text{OH}$ , сублимирован при 200° в ВВ),  $\alpha_D + 148^\circ$

(с 0,89,  $\text{CHCl}_3$ ). Р-р 1 г VI в 30 мл лед.  $\text{CH}_3\text{COOH}$  гидролизуют 96 час. над 250 мг Pt (из  $\text{PtO}_2$ ) при ~20° и обрабатывают. Растворив в 250 мл лед.  $\text{CH}_3\text{COOH}$ , смешивают с 1,5 мл р-ра в том же р-рителе  $\text{CrO}_3$  (93 мг/мл), выдерживают 4 часа при ~20° и, обработав, получают 1 г в-ва, т. пл. 265—267°. Р-р 200 мг этого в-ва в 300 мл смеси петр. эфира с  $\text{C}_6\text{H}_6$  (11:1) хроматографируют на 6 г  $\text{Al}_2\text{O}_3$  (активность I/II), промывая 700 мл указанной смеси р-рителей и 300 мл (1:1) и выделяют 40 мг VIII, т. пл. 224° (испр., из  $\text{CH}_2\text{Cl}_2$  с  $\text{CH}_3\text{OH}$ , сублимирован в ВВ) и 60 мг VII, т. пл. 275—276° (испр., из  $\text{CH}_2\text{Cl}_2$  с  $\text{CH}_3\text{OH}$ , сублимирован при 240° в ВВ),  $\alpha_D + 15^\circ$  (с 1,00,  $\text{CHCl}_3$ ),  $\lambda_{\text{макс}}$  250 м $\mu$ , I $\epsilon$  4,08. Смесь 200 мг VI, 10 мл лед.  $\text{CH}_3\text{COOH}$  и 10 мл  $(\text{CH}_3\text{CO})_2\text{O}$  кипятят 6 час., отгоняют р-ритель при уменьшенном давлении, кристаллизуют из смеси эфира с гексаном и выделяют 60 мг VI и 100 мг IX,

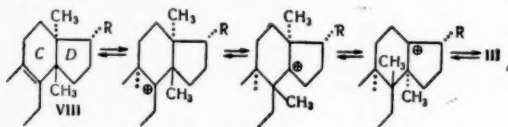
Euphol und iso-Euphenol. Arigoni D., Viterbo R., Dünneberger M., Jeger O., Ruzicka L., *Helv. chim. acta*, 1954, **37**, № 7, 2306—2322 (нем., резюме англ.)

Ацетоксидикетон (I), полученный из ацетата изо-эйфенола (II, изо-эйфенол III), описанным ранее методом (*Helv. chim. acta*, 1952, **35**, 1756), расщеплением по Михаэлю превращают в оксикетон (IV) и диол (V), окисляемые  $\text{CrO}_3$  в дикетон (VI), и 3,7-диметилгексано-2 (VII). Получение IV, V и VII, определяя положение 29 C-атомов в молекуле III, свидетельствует о перемещении  $\text{CH}_3$ -группы к  $\text{C}_{(8)}$  при изомеризации эйфенола (VIII) в III, а также о наличии 1,5-дикетогруппировки и образовании ее из кольца D. Окислением II *трет*-бутилхроматом получены окись (IX), окись кетона (X) и кетон (XI). Озонид XI обработкой Zn с  $\text{CH}_3\text{COOH}$  переводят в метиловый эфир D-(—)-2,6-диметилгексано-2 к-ты (XII) и метиловый эфир ацетоксикетокислоты (XIII), омылением которого получена соответствующая к-та (XIV) и после ацетилирования ацетат  $\gamma$ -лактона енола (XV). Отсутствие перегруппировки при образовании XV, указывающее на то, что в кольце C XIV в  $\alpha$ -положении к CO-группе находится  $\text{CH}_3$ -или  $\text{CH}_2$ -группа, а также ИК-спектр X свидетельствуют о положении двойной связи между  $\text{C}_{(13)}$ — $\text{C}_{(17)}$  атомами. Конденсацией XI с  $\text{CH}_2\text{O}$  получено в-во со свойствами оксиметиленового соединения, из чего следует, что  $\text{C}_{(15)}$  присутствует в виде  $\text{CH}_2$ -группы.



II R' =  $\text{COCH}_3$ , R'' = H; III R' = R'' = H; IV R' = OH, R'' = O;  
V R' = R'' = OH; VI R' = R'' = O; XI R' =  $\text{COCH}_3$ , R'' = O;  
XIII R' =  $\text{COCH}_3$ , R'' =  $\text{CH}_3$ ; XIV R' = R'' = H.

Различие в знаке вращения D-(—)- XII и L-(+)- XII, полученной взаимодействием оксиметиленового соединения I (XVI) с  $\text{H}_2\text{O}_2$  дает основание предполагать, что при разрушении XVI возникает  $\alpha$ -дикетон, енолизация которого вызывает обращение в частичную рацемизацию  $\alpha$  и  $\text{C}_{(20)}$ . Перемещение  $\text{CH}_3$ -группы от  $\text{C}_{(13)}$  к  $\text{C}_{(14)}$  и от  $\text{C}_{(14)}$  к  $\text{C}_{(1)}$  при изомеризации VIII в III по мнению авторов происходит по указанной схеме



и возможно лишь в случае  $\alpha$ -конфигурации  $\text{CH}_3$ -группы и боковой цепи у  $\text{C}_{(13)}$  и  $\text{C}_{(17)}$ . Различие в отношении VIII и ланостерина к минер. к-там указывает на  $\beta$ -конфигурацию  $\text{CH}_3$ -группы у  $\text{C}_{(14)}$ . Смесь 800 мг I, 800 мг KOH и 20 мл диэтиленгликоля нагревают 1 час. при 180° в атмосфере  $\text{N}_2$  и концентрируют при 35 мм. Дистиллят перегоняют с паром, летучие экстрагируют эфиром и получают VII, выход 70 мг (неочищ.), т. кип. 77—80°/11 мм,  $n_D^{20}$  1,422,  $\alpha_D^{20} \pm 0^\circ$  (с 1,632,  $\text{CHCl}_3$ ); семякарбазон, т. пл. 94—95° (испр., из  $\text{CH}_3\text{OH}$ ). Остаток, нелетучий с паром, экстрагируют эфиром, промывают водой и, отогнав р-ритель, хроматографируют на 20 г

$\text{Al}_2\text{O}_3$  (активность II). Промывая бензолом (а), смесью бензола с эфиром (9:1) (б), 4:1 (в), эфиром (г) и  $\text{CH}_3\text{OH}$  (д), получают: IV (фракция 1—9, 100 мл (а) и 125 мл (б)), выход 214 мг, т. пл. 144° (испр., из гексана и эф. с гексаном) после фильтрования р-ра в  $\text{C}_6\text{H}_6$  с эфиром через  $\text{Al}_2\text{O}_3$  (30:1, активность III, высушен в высоком вакууме (BB) при 65°),  $\alpha_D + 54^\circ$  (с 0,77,  $\text{CHCl}_3$ ), ИК-спектр (в  $\text{CS}_2$ ) 3500 (сл., —OH), 1710  $\text{cm}^{-1}$  (с., 6-членное кольцо); оксим (из фракции 1—4 нагреванием с  $\text{NH}_4\text{OH} \cdot \text{HCl}$  и пиридином), т. пл. 189—199° (испр., из  $\text{CH}_3\text{OH}$ ); 2,4-динитрофенилгидразон (ДНФГ), т. пл. 221—222° (испр., из  $\text{CHCl}_3$  с  $\text{CH}_3\text{OH}$ ); V (фракция 10—14, 125 мл (в)), выход 106 мг, т. пл. 208—209° (испр., из  $\text{CHCl}_3$  с гексаном, высушен при 130° в BB),  $\alpha_D \pm 0^\circ$  (с 1,03,  $\text{CHCl}_3$ ); оксидикетон состава  $\text{C}_{30}\text{H}_{52}\text{O}_2$ , выход 298 мг (фракция 19—21, 100 мл (д) после 100 мл (г)), т. пл. 308—310° (испр., из ацетона с гексаном, высушен при 130° в BB),  $\alpha_D + 36^\circ$  (с 0,49, в пиридине). Р-р 250 мг неочищ. V в 5 мл лед.  $\text{CH}_3\text{COOH}$  добавляют по каплям к р-ру 170 мг  $\text{CrO}_3$  в 20 мл 90%-ной  $\text{CH}_3\text{COOH}$ , выдерживают 12 час. при  $\sim 20^\circ$ , обрабатывают и хроматографируют на 6 г  $\text{Al}_2\text{O}_3$  (активность II). Промывая петр. эфиром, выделяют VI, выход 50 мг (неочищ.), т. кип. 160—170°/0,1 мм (т-ра бани), т. пл. 116—117° (испр.),  $\alpha_D + 74^\circ$  (с 1,27,  $\text{CHCl}_3$ ); бис-2,4-ДНФГ, т. пл. 290—291° (испр., разл., из  $\text{CHCl}_3$ , высушен при 65° в BB). Смесь р-ров 340 мг неочищ. IV в небольшом кол-ве лед.  $\text{CH}_3\text{COOH}$  с р-ром 283 мг  $\text{CrO}_3$  в 26 мл 90%-ной  $\text{CH}_3\text{COOH}$ , выдерживают 12 час. обрабатывают, хроматографируют на 9 г  $\text{Al}_2\text{O}_3$  (активность II) и, промывая петр. эфиром, получают VI, выход 162 мг (неочищ.), т. кип. 160—170°/0,1 мм (т-ра бани), т. пл. 115—117° (испр., из  $\text{CH}_3\text{OH}$ ). К р-ру 1 г II в 15 мл сухого  $\text{C}_6\text{H}_6$  и 8 мл лед.  $\text{CH}_3\text{COOH}$  прибавляют 3 дня, при  $\sim 20^\circ$  17,6 мл р-ра *трет*-бутилхромата, содержащего 140 мл  $\text{CrO}_3$  на 1 мл, выливают в воду и экстрагируют эфиром. Эфирный р-р (от двух опытов) промывают разб.  $\text{Na}_2\text{SO}_4$ ,  $\text{Na}_2\text{CO}_3$ , водой и, отогнав р-ритель, хроматографируют на 60 г  $\text{Al}_2\text{O}_3$  (активность II). Промывая петр. эфиром (а), смесью петр. эфира с  $\text{C}_6\text{H}_6$  ((9:1) (б) и (1:1) (в)),  $\text{C}_6\text{H}_6$  (г), смесью (9:1)  $\text{C}_6\text{H}_6$  с эфиром (д) и смесью (9:1) спирта с  $\text{CH}_3\text{OH}$  (е) выделяют: IX (фр. 4—5, 100 мл (б) после 150 мл (а)), выход 262 мг, т. пл. 136—137° (испр., из водн.  $\text{CH}_3\text{OH}$ , высушен при 110° в BB),  $\alpha_D + 8^\circ$  (с 0,97,  $\text{CHCl}_3$ ); XI (фр. 6—15, 250 мл (б) и 250 мл (в)), выход 849 мг, т. пл. 82—84° (испр., из водн.  $\text{CH}_3\text{OH}$ , высушен при 20° в BB),  $\alpha_D - 2^\circ$  (с 0,6,  $\text{CHCl}_3$ ),  $\lambda_{\text{макс}}$  243 мμ,  $\lg \epsilon$  4,1, ИК-спектр (в нуйоле) 1734 (— $\text{OSOCCH}_3$ ) и 1692/1637  $\text{cm}^{-1}$  (дублет,  $\alpha,\beta$ -ненасыщ. CO-группа); оксим, т. пл. 181—182° (испр., из водн.  $\text{CH}_3\text{OH}$ , высушен в BB при 90°); X (фр. 19—21, 150 мл (д) после 150 мл (г)), выход 139 мг, т. пл. 161—162° (испр., из водн.  $\text{CH}_3\text{OH}$ , высушен в BB при 100°),  $\alpha_D + 33,5^\circ$  (с 0,89,  $\text{CHCl}_3$ ), ИК-спектр (в  $\text{CS}_2$ ) 1735 (— $\text{OSOCCH}_3$ ), 1706  $\text{cm}^{-1}$  (CO-группа в 6-членном кольце). Через р-р 1,023 г IX в 50 мл лед.  $\text{CH}_3\text{COOH}$  при  $-60^\circ$  пропускают ток  $\text{O}_3$  (27 мг  $\text{O}_3$  на 1 мл), отгоняют р-ритель и р-р остатка в 50 мл лед.  $\text{CH}_3\text{COOH}$  нагревают 2 часа на водяной бане с 1,5 г Zn-пыли. Упаривают при уменьшенном давлении, экстрагируют эфиром и, промыв экстракт разб.  $\text{Na}_2\text{CO}_3$ , выделяют XI, который вновь озонируют. Из содового р-ра после обработки  $\text{CH}_3\text{N}_3$  и хроматографирования на 19 г  $\text{Al}_2\text{O}_3$  (активность II), промывая смесью (9:1) петр. эфира с  $\text{C}_6\text{H}_6$  (а),  $\text{C}_6\text{H}_6$  (б) и смесью (9:1)  $\text{C}_6\text{H}_6$  с эфиром (в) выделяют: XII (25 мл (а)), выход 24 мг, т. кип. 70—80°/12 мм (т-ра бани)  $n_D^{20}$  1,420,  $\alpha_D - 17,2^\circ$  и  $-16,8^\circ$  (с 0,65 и 0,61,  $\text{CHCl}_3$ ); XIII (50 мл (б) и 25 мл (в)),

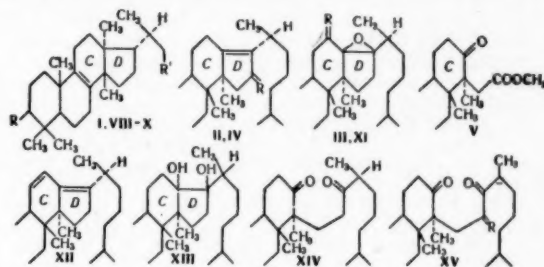
выход 126 мг, т. пл. 195—196° (испр., из  $\text{CHCl}_3$  с петр. эф., высушен в ВВ при 110°),  $\alpha_D +23^\circ$  (с 1,04,  $\text{CHCl}_3$ ), ИК-спектр (в нуйоле), 1708  $\text{см}^{-1}$  (СО-группа); бензилтиуроиевая соль, т. пл. 143° (испр.). Кипячением 2 часа 100 мг XIII с 15 мл 5%-ного КОН в спирте получают XIV, выход 87 мг (неочищ.), т. пл. 264—265° (испр., разл., из сл., высушен при 80° в ВВ). Смесь 70 мг XIV с 10 мл  $(\text{CH}_3\text{CO})_2\text{O}$  и 5 мг безводн.  $\text{CH}_3\text{COONa}$  кипятят 4,5 часа, отгоняют р-ритель при уменьшенном давлении, остаток экстрагируют эфиром и водой. Эфирный р-р промывают разб.  $\text{Na}_2\text{CO}_3$  и, отогнав р-ритель, получают XV, выход 74 мг (неочищ.), т. пл. 231—232° (испр., из  $\text{CH}_2\text{Cl}_2$  с гексаном, сублимирован при 170° в ВВ),  $\alpha_D +24^\circ$  (с 0,50,  $\text{CHCl}_3$ ), ИК-спектр (в нуйоле) 1710 ( $\text{C}=\text{O}$ -группа), 1740 ( $-\text{O}-\text{C}(\text{OCH}_3)-$ ) и 1812  $\text{см}^{-1}$  ( $\gamma$ -лактон енола). Омылив 5%-ным КОН в  $\text{CH}_3\text{OH}$ , получают XIV. Смесь 1 г 1,50 мл сухого эфира, 2 г  $\text{C}_6\text{H}_5\text{ONa}$  и 10 мл этилформата выдерживают 10 дней при  $\sim 20^\circ$ . После обработки получают XVI, выход 707 мг (неочищ.); 2,4-ДНФГ, т. пл. 251—252° (испр., из  $\text{CH}_3\text{OH}$ ). Смесь 1 г XVI, 20 мл 2 н. NaOH, 15 мл  $\text{CH}_3\text{OH}$  и 5 мл 30%-ной  $\text{H}_2\text{O}_2$  выдерживают 12 час. при  $\sim 20^\circ$ . Обычным путем выделяют 3,757 г кислой части (из 4 опытов), из которой обработкой  $\text{CH}_3\text{N}_3$  получают L-(+)-XII, выход 186 мг, т. кип. 76—80°/12 мм (т-ра бани), после хроматографирования р-ра в пентане на 7 г  $\text{Al}_2\text{O}_3$  (активность III) и промывания 20 мл пентана,  $\alpha_D +5,65$  и  $+6,10^\circ$  (с 2,9 и 1,4,  $\text{CHCl}_3$ ). Кипячением 3 часа смеси 120 мг L-(+)-XII с 8 мл 2 н. NaOH и 2 мл  $\text{CH}_3\text{OH}$  получают L-(+)-2,6-диметилэтановую к-ту (XVII), т. кип. (т-ра бани) 130°/12 мм,  $n_D 1,428$ ,  $\alpha_D +7,25^\circ$  (с 1,75,  $\text{CHCl}_3$ ); амид (рацемат), т. пл. 99—100° (испр., из эфира с петр. эф.). Смесь 2,022 г XVII (рацемат), 2 г  $\text{SOCl}_2$  и 20 мл сухого  $\text{C}_6\text{H}_6$  кипятят 2,5 часа, избыток  $\text{SOCl}_2$  отгоняют с  $\text{C}_6\text{H}_6$  при уменьшенном давлении, прибавляют 45 мл сухого  $\text{C}_6\text{H}_6$  и приливают по каплям к р-ру  $(\text{CH}_3)_2\text{Cd}$  (из 0,61 г Mg, 5 г  $\text{CH}_3\text{Br}$  и 2,3 безводн.  $\text{CdCl}_2$ ), кипятят еще 2 часа и разлагают охлажд. 2 н.  $\text{H}_2\text{SO}_4$ . Нейтр. часть кипятят 3 часа с 10%-ным КОН в  $\text{CH}_3\text{OH}$  и получают VII, т. кип. 80—82°/12 мм,  $n_D 1,420$ ; семикарбазон, т. пл. 97—98° (испр., из водн.  $\text{CH}_3\text{OH}$ ). Приведены кривые ИК-спектров IV (в  $\text{CS}_2$ ) и XV (в нуйоле). Все т-ры плавления определены в капиллярах, запечатленных в ВВ.

### 3976. К изучению тритерпенов. Сообщение 183.

О строении и конфигурации тирукаллола, эйфорбола и алемадиеновой кислоты. Аригони, Егер, Ружичка (Zur Kenntnis der Triterpene. 183. Mitteilung. Über die Konstitution und Konfiguration von Tirucallol, Euphorbol und Elemadiensäure. Arigoni D., Jeger O., Ruzicka L., Helv. chim. acta, 1955, 38, № 1, 222—230 (нем.).

Ацетат тирукаллола (I), взаимодействуя со смесью HCl (к-ты) и лед.  $\text{CH}_3\text{COOH}$  стереоспецифически изомеризуется в ацетат изотирукаллола (II), содержащего двойную связь  $\text{C}_{(13)}-\text{C}_{(17)}$ . Окислением II *трет*-бутилхроматом получены окисл кетона (III) и  $\alpha,\beta$ -ненасыщ. кетон (IV), озонид которого взаимодействуя с Zn и  $\text{CH}_3\text{COOH}$ , после обработки  $\text{CH}_3\text{N}_3$  дает метиловый эфир ацетоксикетокислоты (V) и метиловый эфир L-(+)-2,6-диметилэтановой к-ты (VI). Возникновение L-(+)-VI в отличие от D-(—)-VI, полученной аналогичным путем из ацетата изойефенола (VII), а также одинаковые условия изомеризации I и ацетата эйфорбола, в ходе которых происходят преобразования не только при  $\text{C}_{(13)}$  и  $\text{C}_{(14)}$ , но, вероятно, и  $\text{C}_{(17)}$  (см. сообщение 182, реф. 3975), дают основание предполагать, что II и VII различаются лишь конфигурацией при  $\text{C}_{(20)}$ . Предполагается, что алемадиеновая, алемадиево-к-ты и эй-

форбол, имея соответственно строение (VIII, IX и X) (положение  $\text{CH}_2$ -группы в боковой цепи установлено не точно), отличаются от тирукаллола конфигурацией при  $\text{C}_{(20)}$  (VIII и IX) и  $\text{C}_{(17)}$ . Взаимодействием с надбензойной



I R =  $\text{OCOCH}_3$ , R' =  $(\text{CH}_3)_2\text{CHCH}_2$ ; II, XI R =  $\text{H}$ ; III, IV R =  $\text{O}$ ; VIII R =  $\text{O}$ , R' =  $(\text{CH}_3)_2\text{C}=\text{CH}$ ; IX R =  $\text{OH}$ , R' =  $(\text{CH}_3)_2\text{C}=\text{CH}$ ; X R =  $\text{OH}$ , R' =  $(\text{CH}_3)_2\text{CHC}(\text{CH}_3)=$ ; XV R =  $\text{CHON}$ ; H<sub>2</sub>

к-той II превращают в окись (XI), которую обработкой  $\text{H}_2\text{SO}_4$  переводят в ацетоксидиен (XII), УФ-спектр которого соответствует спектру ацетоксидиена, полученного из VII. Окислением II  $\text{OsO}_4$  и разложением комплекса  $\text{LiAlH}_4$  получают триол (XIII), который, взаимодействуя с  $(\text{CH}_3\text{COO})_2\text{Pb}$ , дает оксидикетон и после ацетилирования — ацетоксидикетон (XIV). Оксиметиленовое соединение, полученное из XIV, обработкой  $\text{H}_2\text{O}_2$  и этерификацией переводят в L-(+)-VI. Получение этого в-ва из VII аналогичным путем объясняется, по мнению авторов, идентичностью иона карбония (XV), возникающего при р-ции, который присоединяет протон, как при асимметрич. синтезе. Величина вращения и знак определяют, повидимому, положение боковой цепи при  $\text{C}_{(17)}$ . Для получения II смесь 500 мг I, 10 мл лед.  $\text{CH}_3\text{COOH}$  и 0,4 мл конц. HCl нагревают 4 часа на водяной бане, выход 500 мг (неочищ.),  $\alpha_D -1,4^\circ$  (с 0,88;  $\text{CHCl}_3$ ), после перекристаллизации из  $\text{CH}_2\text{Cl}_2$  с  $\text{CH}_3\text{OH}$  и высушивания при 60° в высоком вакууме (ВВ)). К охлажд. смеси 1 г II, 15 мл сухого  $\text{C}_6\text{H}_6$  и 8 мл лед.  $\text{CH}_3\text{COOH}$  приливают по каплям 17,6 мл р-ра *трет*-бутилхромата в  $\text{C}_6\text{H}_6$ , содержащего 160 мг  $\text{CrO}_3$  в мл, и выдерживают 2 дня при  $\sim 20^\circ$ . Вылив в воду, экстрагируют эфиром и промывают разб.  $\text{NaHSO}_3$ ,  $\text{Na}_2\text{CO}_3$  и водой. Остаток (940 мг) после отгонки эфира хроматографируют на 30 г  $\text{Al}_2\text{O}_3$  (активность II) и, промывая смесью (1:1) петр. эфира с  $\text{C}_6\text{H}_6$  (а) и  $\text{C}_6\text{H}_6$  с эфиром (9:1) (б), выделяют: IV (150 мл а), выход 403 мг, т. кип. 200°/0,01 мм,  $\alpha_D +8^\circ$  (с 1,07;  $\text{CHCl}_3$ ); III (50 мл б), выход 42 мг, т. пл. 131—132° (испр., из водн.  $\text{CH}_3\text{OH}$ , высушен при 75° в ВВ),  $\alpha_D +8^\circ$  (с 0,76;  $\text{CHCl}_3$ ). Через р-р 356 мг IV в 50 мл этилацетата пропускают при  $-70^\circ$  т к  $\text{O}_3$  (27 мг  $\text{O}_3/\text{мл}$ ), при уменьшенном давлении отгоняют р-ритель и р-р остатка в 50 мл лед.  $\text{CH}_3\text{COOH}$  нагревают 2 часа при 80° с 1,5 г Zn-пыли н, упарив при  $\sim 20^\circ$ , разделяют на нейтр (выход 167 мг; неочищ.) и кислую часть, выход 207 мг (неочищ.). Последнюю после обработки  $\text{CH}_3\text{N}_3$  хроматографируют на 15 г  $\text{Al}_2\text{O}_3$  (активность III) и, промывая петр. эфиром (а) и смесью (1:1) петр. эфира с  $\text{C}_6\text{H}_6$  (б), выделяют: VI (50 мл а), выход 20 мг, т. кип. 75—80°/12 мм (т-ра бани),  $\alpha_D +18^\circ$  (с 1,18;  $\text{CHCl}_3$ ) и V (75 мл б), выход 85 мг, т. пл. 195—196° (испр., из  $\text{CH}_2\text{Cl}_2$  с петр. эф., высушен при 70° в ВВ),  $\alpha_D +21^\circ$  (с 0,78;  $\text{CHCl}_3$ ). Смесь 600 мг II, 5 мл  $\text{CHCl}_3$  и 6 мл р-ра  $\text{C}_6\text{H}_5\text{CO}_2\text{H}$  (7 мг активного O в 1 мл), выдерживают 12 час. и

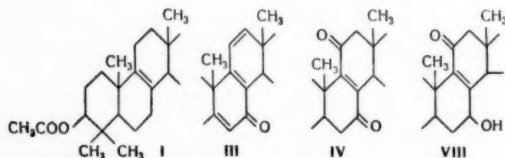


обработав, получают **XI**, т. пл. 55—56°; (испр., из  $\text{CH}_2\text{Cl}_2$  с  $\text{CH}_3\text{OH}$  и водн.  $\text{CH}_3\text{OH}$ ),  $\alpha_D -13^\circ$  (с 0,1  $\text{CHCl}_3$ ). Нагреванием 2 мин. при 80° смеси 300 мг **XI**, 8 мл лед.  $\text{CH}_3\text{COOH}$ , 2 мл 4%-ного р-ра конц.  $\text{H}_2\text{SO}_4$  в лед.  $\text{CH}_3\text{COOH}$  после обычной обработки получают **XII**, выход 280 мг (неочищ.), т. пл. 90° (испр., из  $\text{CH}_2\text{Cl}_2$  с  $\text{CH}_3\text{OH}$ , высушен в ВВ при  $\sim 20^\circ$ ),  $\alpha_D +69^\circ$  (с 1,03,  $\text{CHCl}_3$ ). Смесь 309 мг **II**, 5 мл пиридина и 317 мг  $\text{OsO}_4$  выдерживают 4 дня при  $\sim 20^\circ$ , при уменьшенном давлении отгоняют пиридин и р-р остатка в 30 мл сухого  $\text{C}_6\text{H}_6$  приливают по каплям с суспензией 1 г  $\text{LiAlH}_4$  в смеси 20 мл сухого эфира с  $\text{C}_6\text{H}_6$  (1:4). Обработав при охлаждении разб.  $\text{H}_2\text{SO}_4$ , получают **XIII**, выход 289 мг (неочищ.), т. пл. 161—162° (испр., из  $\text{CH}_3\text{OH}$ ), высушен в ВВ при 70°,  $\alpha_D +22^\circ$  (с 0,88;  $\text{CHCl}_3$ ). Для получения **XIV** смесь р-ров 99 мг **XIII** в 3 мл лед.  $\text{CH}_3\text{COOH}$  и 210 мг  $(\text{CH}_3\text{COO})_4\text{Pb}$  в 6 мл лед.  $\text{CH}_3\text{COOH}$  выдерживают 2 дня при  $\sim 20^\circ$ , обрабатывают и остаток (100 мг) ацетилируют (12 час., при охлаждении) смесью  $(\text{CH}_3\text{CO})_2\text{O}$  и пиридина, т. пл. 116—117° (испр., из  $\text{CH}_3\text{OH}$ , высушен при 70° в ВВ),  $\alpha_D +16^\circ$  (с 0,90;  $\text{CHCl}_3$ ); диоксим, т. пл. 192° (испр., из водн.  $\text{CH}_3\text{OH}$ ),  $\alpha_D -34^\circ$  (с 0,81;  $\text{CHCl}_3$ ); моно-2,4-динитрофенилгидразон, т. пл. 172° (испр., из  $\text{CH}_2\text{Cl}_2$  с  $\text{CH}_3\text{OH}$ ). Смесь 1 г **XIV**, 50 мл сухого эфира, 2 г  $\text{C}_2\text{H}_5\text{ONa}$  и 10 мл этилформиата выдерживают 5 дней при  $\sim 20^\circ$ , обрабатывают: и, смешав полученное в-во (выход 875 мг,  $\lambda_{\text{макс}} 288 \text{ мк}$ ,  $\lg \epsilon 4,1$ ) с 20 мл 2 н.  $\text{NaOH}$ , 15 мл  $\text{CH}_3\text{OH}$  и 5 мл 30%-ной  $\text{H}_2\text{O}_2$ , выдерживают еще 12 час. и разделяют на нейтр (выход 116 мг неочищ.) и кислоту части, (выход 700 мг неочищ.). Последнюю этерифицируют  $\text{CH}_2\text{N}_2$ , перегоняют при т-ре бани 80—120°/12 мм, хроматографируют на  $\text{Al}_2\text{O}_3$  (активность III) и, промывая пентаном, получают **VI**, выход 42 мг, т. кип. 80°/11 мм (т-ра бани),  $\alpha_D +7^\circ$  (с 1,44;  $\text{CHCl}_3$ ).

С. К.

**3977. Исследования в группе эйфадиенола. Найт, Мак-Ги** (Studies in the euphadienol group. Knight S. A., McGhie J. F., Chemistry and Industry, 1953, № 35, 920—921 (англ.).

Озонолизом ацетата  $\Delta^8$ -эйфадиенола (**I**) получают ацетат  $\Delta^8$ -эйфенол-3 $\beta$ -она-7 (**II**), т. пл. 169—170°,  $[\alpha]_D +35^\circ$  (с 0,9),  $\lambda_{\text{макс}} 255 \text{ мк}$  ( $\lg \epsilon 4,05$ ). Дегидрированием с  $\text{SeO}_2$  **II** переведен в ацетат  $\Delta^{5,8,11}$ -эйфатриенол-3 $\beta$ -она-7 (**III**), т. пл. 188—189°,  $[\alpha]_D -12^\circ$  (с 0,2),  $\lambda_{\text{макс}} 256, 326 \text{ мк}$  ( $\lg \epsilon 3,9; 3,9$ ). Строение **III** подтверждено окислением его хромовой к-той в известный ацетат  $\Delta^{5,8}$ -эйфадиенол-3 $\beta$ -триона-7,11,12 (Barbour, Bennett, Warren, J. Chem. Soc., 1951, 2540). Восстановление по Кижверу бензоата  $\Delta^8$ -эйфенол-3 $\beta$ -диона-7,11 (**IV**) или бензоата эйфанол-3 $\beta$ -диона-7,11 (**V**), т. пл. 186—187°,  $[\alpha]_D -90^\circ$  (с 0,4), дает после ацетилирования изомерный **II** ацетат  $\Delta^8$ -эйфенол-3 $\beta$ -она-11 (**VI**), т. пл. 130—131°,  $[\alpha]_D +28^\circ$  (с 0,3),  $\lambda_{\text{макс}} 255 \text{ мк}$  ( $\lg \epsilon 3,95$ ), ИК-спектр 1673  $\text{см}^{-1}$ . Образование двойной связи



при восстановлении **V** происходит, повидимому, вследствие окисления воздухом, ускоряемого щел. средой. При восстановлении **VI** Li в жидком  $\text{NH}_3$  (РЖХим, 1954, 10600) и последующем ацетилировании получен

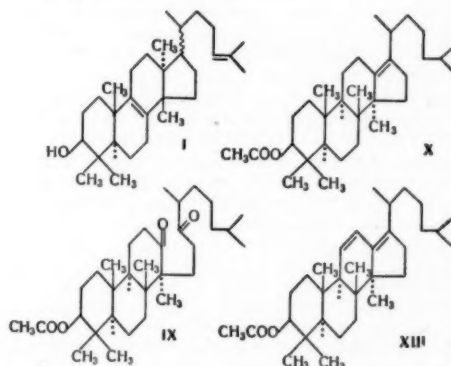
ацетат эйфанол-3 $\beta$ -она-11, т. пл. 141°,  $[\alpha]_D -51^\circ$  (с 0,3). При действии  $\text{NaBH}_4$  или каталитич. восстановления ацетата  $\Delta^8$ -эйфенол-3 $\beta$ -диона-7, 11 (**VI**) получен 3-ацетат  $\Delta^8$ -эйфадиенол-3 $\beta$ -она-11 (**VIII**), т. пл. 204—205°,  $[\alpha]_D -3,5^\circ$  (с 1,3),  $\lambda_{\text{макс}} 257 \text{ мк}$  ( $\lg \epsilon 3,9$ ); ацетат, т. пл. 127—128°,  $[\alpha]_D \pm 0^\circ$  (с 0,2),  $\lambda_{\text{макс}} 257 \text{ мк}$  ( $\lg \epsilon 3,9$ ). Поскольку **VIII** восстанавливается Zn в  $\text{CH}_3\text{COOH}$  в **VI**, из трех возможных структур этого в-ва наиболее вероятна **VIII**. При действии *mpem*- $\text{C}_4\text{H}_9\text{OK}$  на **VIII** после ацетилирования выделен **IV**. Оптическое вращение определено в  $\text{CHCl}_3$ , УФ-спектры — в спирте. Ю. С.

**3978. Строение и стереохимия эйфола. Бартон, Мак-Ги, Прадхан, Найт** (The constitution and stereochemistry of euphol. Barton D. H. R., McGhie J. F., Pradhan M. K., Knight S. A., J. Chem. Soc., 1955, March, 876—886 (англ.).

Предложена новая пространственная ф-ла эйфола (**I**), которая основана на следующих данных. Р-ция, затрагивающие кольца В и С, у **I** и ланостерина протекают аналогично. Боковая цепь **I** является изооктеиновой (доказано окислением ацетата эйфен-8-ола-3 $\beta$  (**II**) до 6-метилгептаноа-2 (**III**)). **I** имеет 8  $\text{CH}_3$ -групп (определены по Куну-Роту и сравнением ИК-спектров эйфола и ланостерина при 1380  $\text{см}^{-1}$ ) и, следовательно, кольцо В в **I** должно быть пятичленным. Эйфадиен-8,24 (**IV**) при дегидрировании Se дает 1,2,8-триметалфенатрен (**V**); это, а также невозможность бромирования ацетата эйфадиен-5,8-трион-7,11,12-ола-3 $\beta$  (**VI**), указывает на наличие в **I**  $\text{CH}_3$ -групп при  $\text{C}_{(13)}$  и  $\text{C}_{(14)}$ . Дегидрирование изозейфадиена (**VII**) приводит к 1,2,5-триметилнафталину (**VIII**). Дикетон, получающийся при озонировании изозейфенилацетата, дает диоксим, имеет 2  $\text{CH}_3\text{CO}$ -группы (определены у соответствующего оксидикетона по интенсивности полосы 1412  $\text{см}^{-1}$ ) и образует пентабромпроизводное; следовательно он имеет строение (**IX**), а изозейфенилацетат — (**X**). Перегруппировка **IV**  $\rightarrow$  **VI** происходит путем одновременных  $\text{C}_{(14)} \rightarrow \text{C}_{(8)}$  и  $\text{C}_{(13)} \rightarrow \text{C}_{(14)}$  миграций *транс*-расположенных  $\text{CH}_3$ -групп вследствие напряжения в циклах В и С, имеющих конформацию «полувана». Эти группы должны находиться в 13 $\alpha$ - и 14 $\beta$ -положении, так как гидрирование ацетата эйфен-8-дион-7,11-ола-3 $\beta$  (**XI**) протекает аномально и приводит к ацетату эйфадиенол-7,11-ола-3 $\beta$  (**XII**), **II** не реагирует с  $\text{OsO}_4$  в обычных для  $\Delta^8$ -стенолов условиях, а р-ция 11-кетогруппы у производных **I** пространственно затруднены. Конфигурация же кольца А установлена ранее (см. РЖХим, 1955, 26289). На основании УФ- и ИК-спектров изозейфадиенил ацетата для него предложена ф-ла (**XIII**). **I** и **II** в 25 мл этилацетата обрабатывают 4%-ным  $\text{OsO}_4$  2 часа при  $-5^\circ$ , промывают р-ром  $\text{FeSO}_4$ , упаривают, адсорбируют на  $\text{Al}_2\text{O}_3$  (12 $\times$ 1 см) и вымывают  $\text{C}_6\text{H}_6$ -петр. эфиром (7:1); выход ацетата эйфен-8-он-7-ола-3 $\beta$  (**XIV**) 0,17 г, т. пл. 169—170° (из водн.  $\text{CH}_3\text{OH}$ ),  $[\alpha]_D +35^\circ$  (с 0,9),  $\lambda_{\text{макс}} 255 \text{ мк}$  ( $\lg \epsilon 4,05$ ). 0,5 г ацетата эйфадиен-7,9(11)-ола-3 $\beta$  (**XV**) в 2,5 мл  $\text{CHCl}_3$  и 25 мл 100%-ной  $\text{HCOOH}$  нагревают до 60°, прибавляют к 1 мл 30%-ной  $\text{H}_2\text{O}_2$ , перемешивают 2 часа и хроматографируют на  $\text{Al}_2\text{O}_3$ , выход **XIV** 50 мг. 0,5 г **XV** окисляют (7 суток,  $\sim 20^\circ$ ) 1,5 молями надфталевой к-ты в эфире и получают 0,24 г в-ва  $\text{C}_{28}\text{H}_{42}\text{O}_5$ , т. пл. 119—120° (из  $\text{CH}_3\text{OH}$ ),  $[\alpha]_D -4^\circ$  (с 0,3). 0,5 г этого в-ва в 15 мл  $\text{CH}_3\text{COOH}$  и 2 капли  $\text{H}_2\text{SO}_4$  кипятят 10 мин., вых. **XIV** 0,3 г. 88,5 мг **XIV** и 60 мг  $\text{SeO}_2$  в 10 мл  $\text{CH}_3\text{COOH}$  кипятят 3 часа; выход ацетата эйфатриен-5,8,11-он-7-ола-3 $\beta$  (**XVI**) 50 мг, т. пл. 188—189° (из водн.  $\text{CH}_3\text{OH}$ ),  $[\alpha]_D -12^\circ$  (с 0,2),  $\lambda_{\text{макс}} 256$  и 327  $\text{мк}$  ( $\lg \epsilon 3,9$  и 3,9). 27 мг

XVI в 5 мл  $\text{CH}_3\text{COOH}$  и 27 мг  $\text{CrO}_3$  в 5 мл  $\text{CH}_3\text{COOH}$  нагревают 90 мин. при  $65^\circ$  и получают VI, т. пл.  $184-185^\circ$  (из  $\text{CH}_3\text{OH}$ ),  $[\alpha]_D^{20} -18^\circ$  (с 0,1),  $\lambda_{\text{макс}}$  283 мк ( $lg \epsilon$  3,85). 0,29 г XIV в 0,4 мл 100%-ного  $\text{H}_2\text{NNH}_2 \cdot \text{H}_2\text{O}$  в 12 мл  $(\text{HOCH}_2\text{CH}_2)_2\text{O}$  нагревают ( $185^\circ$ , 1 час), обрабатывают при  $70^\circ$  0,3 г Na в 5 мл  $(\text{HOCH}_2\text{CH}_2)_2\text{O}$  и снова нагревают ( $210-220^\circ$ , 5 час.); продукт ацетируют 5 мл  $(\text{CH}_3\text{CO})_2\text{O}$  и 2 мл пиридина при  $100^\circ$ , хроматографируют на  $\text{Al}_2\text{O}_3$  ( $6 \times 1$  см) и вымывают петр. эфиром, получают ацетат эйфен-7-ола-3 (XVII), т. пл.  $92-94^\circ$  (из  $\text{CH}_3\text{OH}$ -су.),  $[\alpha]_D -60^\circ$  (с 0,5). 50 мг XVII и 30 мг  $\text{SeO}_2$  в 7 мл  $\text{CH}_3\text{COOH}$  кипятят 3 часа, хроматографируют на  $\text{Al}_2\text{O}_3$  ( $5 \times 0,5$  см) и вымывают петр. эфиром, получают XV, т. пл.  $109-110^\circ$ ,  $[\alpha]_D -75^\circ$  (с 0,2),  $\lambda_{\text{макс}}$  232, 239 и 248 мк ( $lg \epsilon$  4,2, 4,3 и 4,15). К 30 мг Li в 40 мл жидкого  $\text{NH}_3$  прибавляют 200 мг XIV в 4 мл эфира и через 10 мин. приливают 5 мл  $(\text{CH}_3)_3\text{COH}$ -эфира (1:1); после ацетилирования  $(\text{CH}_3\text{CO})_2\text{O}$  в пиридине, хроматографирования на  $\text{Al}_2\text{O}_3$  ( $7 \times 0,5$  см) и вымывания  $\text{C}_3\text{H}_8$  получают 40 мг ацетата эйфанон-7-ола-3, т. пл.  $116-117^\circ$  (из  $\text{CH}_3\text{OH}$ ),  $[\alpha]_D -72^\circ$  (с 0,4). К 1 г бензоата эйфен-8-дион-7,11-ола-3 (XVIII), т. пл.  $186-187^\circ$ ,  $[\alpha]_D +54^\circ$  (с 1,1),  $\lambda_{\text{макс}}$  272 мк ( $lg \epsilon$  4,12), в 20 мл кипящей  $\text{CH}_3\text{COOH}$  прибавляют за 15 мин. 2 г Zn-пыли, получают бензоат эйфандион-7,11-ола-3, т. пл.  $176-177^\circ$  (из  $\text{CH}_3\text{OH}$ ),  $[\alpha]_D -90^\circ$  (с 0,4). При омылении (3 часа) спирт. КОН XVIII и XI дают эйфен-8-дион-7,11-ола-3, т. пл.  $119-120^\circ$  (из водн.  $\text{CH}_3\text{OH}$ ),  $[\alpha]_D +26^\circ$  (с 0,3),  $\lambda_{\text{макс}}$  272 мк ( $lg \epsilon$  3,9). 0,5 г XII в 20 мл  $\text{CH}_3\text{COOH}$  при кипячении (90 мин.) с 0,25 г  $\text{SeO}_2$  в миним. кол-ве воды, хроматографирования на  $\text{Al}_2\text{O}_3$  ( $10 \times 1$  см) и вымывания петр. эфиром дают XI. 3 г XI в 150 мл  $(\text{HOCH}_2\text{CH}_2)_2\text{O}$  восстанавливают 3 мл 100%-ного  $\text{H}_2\text{NNH}_2 \cdot \text{H}_2\text{O}$  и 3 г Na в 30 мл  $(\text{HOCH}_2\text{CH}_2)_2\text{O}$  как при синтезе XVII, ацетируют 10 мл  $(\text{CH}_3\text{CO})_2\text{O}$  и 5 мл пиридина, хроматографируют на  $\text{Al}_2\text{O}_3$  ( $15 \times 1$  см) и вымывают 500 мл петр. эфира и 800 мл  $\text{C}_3\text{H}_8$ -петр. эфиром; выход ацетата эйфен-8-он-11-ола-3 (XIX) 1,5 г, т. пл.  $130-131^\circ$  (из  $\text{CH}_3\text{OH}$ ),  $[\alpha]_D +28^\circ$  (с 0,4),  $\lambda_{\text{макс}}$  255 мк ( $lg \epsilon$  3,99). При восстановлении 0,2 г XIX Na в 20 мл  $(\text{CH}_3)_3\text{COH}$  и ацетилировании ( $100^\circ$ , 2 часа) 5 мл  $(\text{CH}_3\text{CO})_2\text{O}$  и 2 мл пиридина получают XV; при окислении 0,1 г XIX в 5 мл  $\text{CH}_3\text{COOH}$  0,1 г  $\text{CrO}_3$  в 5 мл 90%-ной  $\text{CH}_3\text{COOH}$  ( $50^\circ$ , 1 час) получают XI. К 10 мг Li в 25 мл жидкого  $\text{NH}_3$  прибавляют 0,5 г XIX в 5 мл эфира и 40 мг Li, перемешивают еще 10 мин. и разлагают 4 г  $\text{NH}_4\text{Cl}$ ; после ацетилирования 10 мл  $(\text{CH}_3\text{CO})_2\text{O}$  и 3 мл пиридина ( $100^\circ$ , 2 часа), хроматографирования на  $\text{Al}_2\text{O}_3$  ( $6 \times 0,5$  см) и вымывания петр. эфиром- $\text{C}_3\text{H}_8$  (4:1) получают ацетат эйфанон-11-ола-3, т. пл.  $140-141^\circ$  (из  $\text{CH}_3\text{OH}$ ),  $[\alpha]_D -51^\circ$  (с 0,3). 1 г XI в 40 мл  $\text{CH}_3\text{OH}$  восстанавливают 0,7 г  $\text{NaBH}_4$  в 10 мл  $\text{CH}_3\text{OH}$  ( $\sim 20^\circ$ , 24 часа), получают 3-ацетат эйфен-8-он-11-диола-3, т. пл.  $204-205^\circ$  (из водн.  $\text{CH}_3\text{OH}$ ),  $[\alpha]_D -3^\circ$  (с 0,7),  $\lambda_{\text{макс}}$  257 мк ( $lg \epsilon$  3,9), который при ацетилировании 8 мл  $(\text{CH}_3\text{CO})_2\text{O}$  и 2 мл пиридина ( $\sim 20^\circ$ , 14 час.) дает диацетат (XXI), т. пл.  $127-128^\circ$  (из  $\text{CH}_3\text{OH}$ ),  $[\alpha]_D \pm 0^\circ$  (с 0,2),  $\lambda_{\text{макс}}$  257 мк ( $lg \epsilon$  3,9). XXI получают также из 1 г XI в 10 мл диоксана и 6 г изопропила Al в 25 мл  $(\text{CH}_3)_3\text{COH}$  кипячением (14 час.) (с отгонкой ацетона), с последующим ацетилированием, хроматографированием на  $\text{Al}_2\text{O}_3$  ( $12 \times 1$  см) и вымыванием  $\text{C}_3\text{H}_8$ -петр. эфиром (1:2). 0,5 г XX и 3 г Zn-пыли в 80 мл  $\text{CH}_3\text{COOH}$ - $(\text{CH}_3\text{CO})_2\text{O}$  (1:1) кипятят 15 мин.; выход XIX 0,3 г. 0,5 г XX и 0,57 г K в 40 мл  $(\text{CH}_3)_3\text{COH}$  кипятят 1 час, ацетируют 15 мл  $(\text{CH}_3\text{CO})_2\text{O}$  и 3 мл пиридина ( $100^\circ$ , 2 часа), хроматографируют на  $\text{Al}_2\text{O}_3$  и вымывают петр. эфиром; выход XI 0,15 г. К 10 г бензоата эйфандиен-7,9(11)-ола-3 в 1 л  $\text{CH}_3\text{COOH}$

прибавляют за 1 час при  $55^\circ$  20 г  $\text{CrO}_3$ , в 150 мл 90%-ной  $\text{CH}_3\text{COOH}$ , после перемешивания (1,5 часа) выливают в разб.  $\text{H}_2\text{SO}_4$  осадок растворяют в эфире и разб. р-ром КОН извлекают 3,8-бензоксид-7,11-дикетотриснорэйфен-8-овую к-ту (XXII) (оксикислота — XXIII), т. пл.  $202-203^\circ$  (из  $\text{CH}_3\text{OH}$ ),  $[\alpha]_D +44^\circ$  (с 0,5),  $\lambda_{\text{макс}}$  272 мк ( $lg \epsilon$  4,1), метиловый эфир (XXIV) (с  $\text{CH}_3\text{N}_3$ ), т. пл.  $164-165^\circ$ ,  $[\alpha]_D +44^\circ$  (с 0,5). К 4 г XXIV в 100 мл кипящей  $\text{CH}_3\text{COOH}$  прибавляют за 15 мин. 10 г Zn-пыли и через 20 мин. получают метиловый эфир 3,8-бензоксид-7,11-дикетотриснорэйфановой к-ты (оксикислота — XXV), т. пл.  $191-192^\circ$  (из хлф.- $\text{CH}_3\text{OH}$ ),  $[\alpha]_D -98^\circ$  (с 0,4), который дегидрируется  $\text{SeO}_2$  (аналогично XII) до исходного XXIV. 7 г XXII в 25 мл  $\text{CH}_3\text{OH}$  кипятят 3 часа с 300 мл 7%-ного р-ра КОН в  $\text{CH}_3\text{OH}$ , выход XXIII 4 г, т. пл.  $232-233^\circ$  (из этилацетата),  $[\alpha]_D -9^\circ$  (с 0,7; пиридин),  $\lambda_{\text{макс}}$  271 мк ( $\epsilon$  9500). Метиловый эфир XXIII обрабатывают Zn-пылью как при восстановлении XXIV и получают метиловый эфир XXV (XXVI), т. пл.  $166-168^\circ$ ,  $[\alpha]_D -142^\circ$  (с 0,9); аналогично получают ацетат XXVI, т. пл.  $216-218^\circ$ ,  $[\alpha]_D -116^\circ$  (с 0,4), и бензоат XXV, т. пл.  $195-197^\circ$ ,  $[\alpha]_D -100^\circ$  (с 0,2). 0,5 г XXIII в 25 мл  $\text{CH}_3\text{OH}$  восстанавливают 0,4 г  $\text{NaBH}_4$  в 15 мл  $\text{CH}_3\text{OH}$  ( $\sim 20^\circ$ , 24 часа) и получают 3,8,7,с-диоксид-11-кетотриснорэйфен-8-овую к-ту (XXVII), т. пл.  $232-233^\circ$  (из водн.  $\text{CH}_3\text{OH}$ ),  $[\alpha]_D -44^\circ$  (с 0,7; пиридин),  $\lambda_{\text{макс}}$  257 мк ( $lg \epsilon$  3,85). 0,13 г XXVII и 0,5 г Zn-пыли в 15 мл  $\text{CH}_3\text{COOH}$  ( $100^\circ$ , 2 часа) дают 3,8-оксид-11-кетотриснорэйфен-8-овую к-ту (XXVIII), т. пл.  $224-226^\circ$  (из водн. ацетона),  $\lambda_{\text{макс}}$  256 мк ( $lg \epsilon$  3,8); XXVIII получают также при восстановлении XXIII  $\text{H}_2\text{NNH}_2$  аналогично XI. 0,65 г XXVIII и 0,45 г  $\text{SeO}_2$  в 15 мл диоксана ( $180^\circ$ , 4 часа) дают 0,25 г 3,8-оксид-7,11,12-трикетотриснорэйфандиен-5,8-овой к-ты, т. пл.  $202-203^\circ$  (из водн. ацетона),  $[\alpha]_D -20^\circ$  (с 0,4),  $\lambda_{\text{макс}}$  285 мк ( $lg \epsilon$  3,85). К кипящему р-ру 20 г II в 160 мл  $\text{CH}_3\text{COOH}$  прибавляют за 1 час 60 г  $\text{CrO}_3$  в 180 мл 80%-ной  $\text{CH}_3\text{COOH}$  и 14 г  $\text{K}_2\text{S}_2\text{O}_8$  в 100 мл воды, а затем 150 мл 50%-ной  $\text{CH}_3\text{COOH}$ , каждый раз отгоняя равный объем; дистиллат нейтрализуют 30%-ным КОН, перегоняют с паром, обрабатывают при  $0^\circ$  2,4-динитрофенилгидразином и хроматографированием на  $\text{Al}_2\text{O}_3$  выделяют 2,4-динитрофенилгидразон III, т. пл.  $77-78^\circ$ ,  $\lambda_{\text{макс}}$  366 мк ( $lg \epsilon$  4,36). 19 г IV и 38 г Se нагревают ( $350^\circ$ , 48 час.), извлекают 250 мл кипящего петр. эфи-



ра, адсорбируют на  $\text{Al}_2\text{O}_3$  ( $25 \times 2$  см), вымывают 900 мл петр. эфира, кристаллизуют из спирта, хроматографируют повторно и очищают через пикрат (выход 0,45 г);

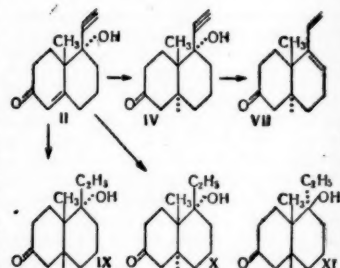
получают V, т. пл. 145—146°,  $\lambda_{\text{макс}}$  215, 226, 262, 283, 294 и 306 мк ( $\epsilon$  35100, 18500, 44000, 57000, 12500, 12800 и 15700). 2 г IV в 75 мл лед.  $\text{CH}_3\text{COOH}$  и 2 мл 2 н.  $\text{H}_2\text{SO}_4$  кипятят 2 часа, извлекают петр. эфир, адсорбируют на 50 г  $\text{Al}_2\text{O}_3$  и вымывают 300 мл петр. эфира; выход VII 1 г, т. пл. 64—66° (из  $\text{CH}_2\text{Cl}_2 = \text{CH}_3\text{OH}$ ),  $[\alpha]_D^{20} -30^\circ$  (с 1,7). VII при озонировании ( $-70^\circ$ ) в  $\text{CH}_2\text{Cl}_2$  и разложении озонида  $\text{Zn} + \text{CH}_3\text{COOH}$ , (10°, 3 часа) образует апегон (выделен в виде 2,4-динитрофенилгидразона). 12 г VII нагревают с 24 г Se и обрабатывают как при дегидрировании IV; вымывают 250 мл петр. эфира, перегоняют и превращают в пакрат VIII, выход 0,14 г, т. пл. 139—140° (из сп.), из которого получают VIII,  $\lambda_{\text{макс}}$  230, 278, 289 и 324 мк ( $\epsilon$  115 000, 7500, 8600 и 1500). При бромировании IX 2%-ным  $\text{Br}_2$  в  $\text{CH}_3\text{COOH}$  при 37° расходуется 4,52—5,05 молей  $\text{Br}_2$ /моль IX (за 1—5 суток); продукт бромирования при восстановлении  $\text{Zn} + \text{CH}_3\text{COOH}$  дает IX. 0,5 г X в 45 мл  $\text{CH}_3\text{COOH}$  и 0,25 г  $\text{SeO}_2$  в миним. кол-ве воды кипятят 3 часа, хроматографируют на  $\text{Al}_2\text{O}_3$  и вымывают  $\text{C}_6\text{H}_6$ -петр. эфиром (1:3); получают XIII, т. пл. 92—94° (из  $\text{CH}_3\text{OH}$ ),  $[\alpha]_D^{20} +18^\circ$  (с 0,4),  $\lambda_{\text{макс}}$  246, 255 и 264 мк ( $\lg \epsilon$  4,25, 4,35 и 4,15). 0,2 г XIII в 20 мл лед.  $\text{CH}_3\text{COOH}$  гидрируют (80°, 1 час) с  $\text{PtO}_2$ , получают 0,14 г X, т. пл. 110—111° (из абс. сп.),  $[\alpha]_D^{20} -9^\circ$  (с 2,3), который с  $\text{LiAlH}_4$  в эфире дает изоэфеол, т. пл. 98—100° (из  $\text{CH}_3\text{NO}_2$ ),  $[\alpha]_D^{20} -17^\circ$  (с 2,55). Все  $\lambda_{\text{макс}}$  определялись в спирте,  $[\alpha]_D^{20}$  — в  $\text{CHCl}_3$ .

M. K.

**3979. Синтез стероидных соединений и родственных им веществ. XXVIII.** Конденсация ацетилен с 9-метил-1,6-дикето- $\Delta^5$ -октагидронафталином. Синтез и превращения 9-метил-1-этинил-1-окси-6-кето- $\Delta^5$ -октагидронафталина. Назаров Н. Н., Гурвич И. А., Ж. общ. химии, 1955, 25, № 5, 956—969

Конденсацией 9-метил- $\Delta^{5(10)}$ -окталиндина-1,6 (I) с  $\text{HC} \equiv \text{CLi}$  в жидком  $\text{NH}_3$  (ж.  $\text{NH}_3$ ) получен 9-метил-1-этинил- $\Delta^{5(10)}$ -окталинол-1-он-6 (II). При частичном гидрировании II получен 9-метил-1-винил- $\Delta^{5(10)}$ -окталинол-1-он-6 (III). При восстановлении II, III и I Li в ж.  $\text{NH}_3$  получены соответственно: 9-метил-1-этинил-трансдекалол-1-он-6 (IV), 9-метил-1-винил-трансдекалол-1-он-6 (V) и 9-метил-трансдекалиндина-1,6 (VI). Дегидратацией V получен 9-метил-1-винил- $\Delta^1$ -трансдекалол-6 (VII). Гидрированием II получен 9-метил-1-этил- $\Delta^5$ -окталинол-1-он-6 (VIII), дальнейшее гидрирование VIII дает смесь *цис*- и *транс*-9-метил-1-этилдекалол-1-он-6 (IX и X) (7:5). X получен также при гидрировании IV и V. Восстановлением III, IX и  $\text{C}_{(1)}$ -эпимера IX (XI) металл. Li в ж.  $\text{NH}_3$  в присутствии спирта получены соответственно: 9-метил-1-винил-трансдекалиндина-1,6 (XII), 9-метил-1-этил-трансдекалиндина-1,6 (XIII) и  $\text{C}_{(1)}$ -эпимер XIII (XIV). При гидрировании II в спирте с  $\text{PtO}_2$  выделен 9-метил-1-этил-трансдекалиндина-1,6 (XV), при окислении которого получен X, последний, однако, не гидрируется в XV. Предполагается, что промежуточным продуктом при переходе II в XV является соответствующий  $\Delta^{5(10)}$ -1,6-диол. XV получен также при гидрировании XII. Дегидратацией и последующим гидрированием IX и XI получен один и тот же 9-метил-1-этил-трансдекалон-6 (XVI). Аналогично из X получен 9-метил-1-этил-трансдекалон-6 (XVII). Этим, а также отличием VII от известного изомерного диена *цис*-ряда доказана принадлежность IV, V, X, XII, XV к ряду *транс*-декалина. Показано также, что II и ацетиленовый спирт, полученный ранее конденсацией  $\text{HC} \equiv \text{CN}$  с 9-метил-6-метокси- $\Delta^5$ -окталоном-1 имеют различное пространственное расположение заместителей

при  $\text{C}_{(1)}$ . Отмечено влияние заместителей при  $\text{C}_{(1)}$  на направленность гидрирования  $\Delta^5$ -6-окталонов. Во всех опытах применялся ж.  $\text{NH}_3$ , перегнанный через колонку с твердым  $\text{KOH}$ .  $\text{C}_2\text{H}_2$  предварительно пропускался через р-р  $\text{NaHSO}_3$ , хромовую смесь, конц.  $\text{H}_2\text{SO}_4$ , ватронную известь,  $\text{CaCl}_2$  и силикагель. Все р-ции с ж.  $\text{NH}_3$  велись при  $-70^\circ$ . К 0,5 л ж.  $\text{NH}_3$  при пропускании тока  $\text{C}_2\text{H}_2$  и перемешивании постепенно добавляли 2 г тонконарезанного Li. После обезвреживания суспензии к ней за 1 час добавляли р-р 25 г I в 400 мл абс. эфира. После 3,5 час. перемешивания при токе  $\text{C}_2\text{H}_2$  реакционную массу выливают в р-р 20 г  $\text{NH}_4\text{Cl}$  в 150 мл воды и II извлекают  $\text{CHCl}_3$ , получают II, выход 70%, т. пл. 171,5—172,5° (из этилацетата),  $\lambda_{\text{макс}}$  (в сп.) 310, 240 мк ( $\epsilon$  60, 15 000), 2,4-динитрофенилгидразон (ДНФГ), т. пл. 217,5—218,5° (из сп.). При замене Li на Na получаются трудно воспроизводимые результаты. 20,4 г II в 100 мл диоксана гидрируют с 5%-ным  $\text{Pd/CaCO}_3$  до исчезновения р-ции на  $\text{C}_2\text{H}_2$  с аммиачным р-ром  $\text{AgOH}$ , получают III, выход 93%, т. пл. 76,5—77° (из эф.), ДНФГ, т. пл. 167—167,5° (из сп.),  $\lambda_{\text{макс}}$  (в изоктане) 369 мк. В аналогичных условиях 2 г II гидрируют до резкого замедления скорости поглощения  $\text{H}_2$  (2 моля  $\text{H}_2$ ), получают VIII, выход 75%, т. пл. 139—139,5° (из сп. с эф.),  $\lambda_{\text{макс}}$  (в  $\text{CH}_3\text{OH}$ ) 313, 245 мк ( $\epsilon$  80, 14 800), ДНФГ, т. пл. 191—192° (размягчение  $\sim 110^\circ$ ).  $\lambda_{\text{макс}}$  (в изоктане) 359, 374 мк. 1,5 г VIII в спирте гидрируют с  $\text{Pd/CaCO}_3$  до поглощения 1 моля  $\text{H}_2$ , выделяют IX, выход 0,7 г, т. пл. 106,5—107° (из эф.-петр. эф.), ДНФГ, т. пл. 207—208° и 0,5 г X, т. пл. 105,5—106,5° (из эф.-петр. эф.), ДНФГ, т. пл. 205—206° (из сп.),  $\lambda_{\text{макс}}$  (в изоктане) 346 мк. Р-р 0,2 г II в спирте исчерпывающе гидрируют с  $\text{PtO}_2$ , выделяют XV, т. пл. 155,5—156° (из бэл.-эф.). Окислением XV  $\text{CrO}_3$  в лед.  $\text{CH}_3\text{COOH}$  получают X. В 180 мл ж.  $\text{NH}_3$  вносят при перемешивании 0,5 г тонконарезанного Li и тотчас приливают р-р 3 г III в 100 мл абс. эфира. Через 2 часа добавляя кристалл  $\text{Fe}(\text{NO}_3)_3 \cdot x\text{H}_2\text{O}$  и после исчезновения синей окраски смесь выливают в 90 мл 10%-ного р-ра  $\text{NH}_4\text{Cl}$  получают V, выход 65%, т. пл. 97—97,5° (из эф.), ДНФГ, т. пл. 180—181°. Аналогично из II получают IV, выход 50%, т. пл. 158,5—159,5° (из бэл. с петр. эф.), ДНФГ, т. пл. 199,5—200,5°. Р-р 0,2 г V в спирте гидрируют с  $\text{PtO}_2$  до поглощения 1 моля  $\text{H}_2$ , получают X. Аналогично с  $\text{Pd/CaCO}_3$  из IV получен X, а из XII—XV. Восстановление I Li в ж.  $\text{NH}_3$  и хроматографирование продукта р-ции дает VI, выход 150 мг, т. пл. 53,5—54,5° (из эф.), *бис*-ДНФГ, т. пл. 241—242°,  $\lambda_{\text{макс}}$  (в изоктане) 363 мк, дисемикарбазон т. пл. 238—239°. Внесение в р-цию безводн.  $\text{NH}_4\text{Cl}$  до прибавления Li не изменило выход VI. К р-ру 0,27 г Li в 200 мл ж.  $\text{NH}_3$  при перемешивании добавляют р-р 1,3 г III в 40 мл эфира через 75 мин. по каплям 15 мл безводн.  $\text{CH}_3\text{OH}$  и 0,18 г Li, получают 0,9 г неочищ. XII, т. пл. чистого 137—137,5° (из эф.-бэл.). Аналогично из 0,7 г IX получают XIII, т. пл. 118—119° (из бэл.-эф.), а из XI получают XIV, выход 1,2 г, т. пл. 231—232° (из сп.), частично возгоняется в капилляре. Смесь 1,9 г V, 1 г мелкорастертого  $\text{KHSO}_4$  и 0,5 г пирогаллола нагревают в вакууме (60 мм)





40 мин. при 140—145°, получают 0,9 г VII, т. кип. 118,5—120°/5 мм, т. пл. 46—47° (из эф.), семикарбазон, т. пл. 200,5—201,5° (из  $\text{CH}_3\text{OH}$ ). 2 г *цис*-9-метил-1-винил- $\Delta^1$ -октало-6 гидрируют в спирте с  $\text{PtO}_2$ , получают 1,5 г XVI т. кап. 104—105°/2 мм,  $n_D^{20}$  1,5010,  $d_4^{20}$  0,9907, семикарбазон, т. пл. 127—127,5° (из сп.), ДНФГ, т. пл. 144—145° и 148—149° (из сп.). Р-р 0,8 г XI в 20 мл абс. толуола кипятят с 24 мг  $n\text{-CH}_3\text{C}_6\text{H}_4\text{SO}_3\text{H}$  с водоотделителем. После гидрирования продукта р-ции и хроматографирования получают 250 мг XVI, в остатке XI. Аналогично из 0,7 г IX получают 340 мг XVI. Из 0,7 г X аналогично получают 200 мг XVII,  $n_D^{21}$  1,5050, семикарбазон, т. пл. 200—201° (из водн. сп.), НФГ, т. пл. 156—157° (из сп.),  $\lambda_{\text{макс}}$  (в изоктане) 347 мк. Сообщение XXVII см. РЖХим, 1955, 9568. И. Г.

**3980. Изучение двух бистерондов, выделенных из реакции Сальковского с холестерином.** Шопен (Étude de deux bistéroides isolés de la réaction de Salkowski du cholestérol. Chopin Jean, Ann. chimie, 1954, 9, nov. déc., 605—648 (франц.))

При действии конц.  $\text{H}_2\text{SO}_4$  на р-р холестерина (I) в  $\text{CHCl}_3$  (р-ция Сальковского) выделены: 3,3'-бисхолестатетраен-2,4,2',4' (II) и его изомер 3,3'-бисхолестатетраен-3,5,3',5' (III). Смесь II и III получена также нагреванием I с  $(\text{CH}_3\text{CO})_2\text{O}$  и  $\text{H}_2\text{SO}_4$ . Установлена идентичность II с  $\alpha$ -холестериленом (Liebigs Ann. Chem., 1848, 66, 5), а III с продуктом дегидратации пинакона  $\Delta^4$ -холестенона-3 (IV) (Ber., 1940, 73, 893; 1906, 39, 518). Из II получен продукт неустановленного строения, сравнимый по антирахилич. активности с витаминами  $\text{D}_2$  и  $\text{D}_3$  (см. С. г. Acad. Sci., 1952, 235, 1439). Строение IV доказано расщеплением его  $\text{Pb}(\text{CH}_3\text{COO})_4$  (V) до  $\Delta^4$ -холестенона-3 (VI). Расположение двойных связей в III следует из его УФ-спектра и спектра 3,3'-бисхолестатексаена-3,5,7,3',5',7' (VII), полученного действием N-бромсукцинимиды (VIII) на III. Дегидрированием II и III получены  $\gamma$ -метилциклопентановые антрацен (IX) и углеводород  $\text{C}_{25}\text{H}_{44}$  (X), которые образуются также из I (Liebigs Ann. Chem., 1927, 459, 1). При гидрировании II и III образуется 3,3'-бисхолестан (XI). Расположение двойных связей во II следует из УФ-спектра и из факта присоединения ко II 2 молей малеинового ангидрида. Действием  $\text{C}_6\text{H}_5\text{COOOH}$  (XII) на III в р-ре  $\text{CHCl}_3$  выделена триоксид III (XIII), к-та  $\text{C}_{25}\text{H}_{42}\text{O}_3$  (XIV) в продукт частичного омыления XIII — в-во  $\text{C}_{24}\text{H}_{40}\text{O}_5$  (XV). При действии смеси  $\text{H}_2\text{SO}_4$  и  $\text{CH}_3\text{COOH}$  на II получен неизвестный ангидрид  $\text{C}_{25}\text{H}_{40}\text{O}_5$  (XVI), который получается в тех же условиях из I. Действием VIII на II с последующей обработкой пиридином получены углеводороды состава  $\text{C}_{25}\text{H}_{42}$  (XVII), содержащий, судя по УФ-спектру, две двойные связи в разных циклах (XVIII), (XIX), а также VII. Дан обзор р-ций конденсации и хим. активации стеринов и приведена зависимость антирахилич. активности от строения боковой цепи витаминов D. К р-ру I в  $\text{CHCl}_3$  добавляя конц.  $\text{H}_2\text{SO}_4$  (1/3 от объема  $\text{CHCl}_3$ ). Через 10 мин. слой  $\text{CHCl}_3$  отделяют, промывают водой и спиртом, высаживают II, выход 10—15%, т. пл. 395° (из бзл.), размягч. от 365° ( $[\alpha]_{578}^{17}$  мк —41° (с 0,00109; хлф.),  $\lambda_{\text{макс}}$  (в хлф.) 272, 280 (с 419), 293 мк (в эф.), 275 мк; тетрабромид, т. пл. 130—134°; продукт конденсации с 2 молями малеинового ангидрида, т. разл. 258—260°. Из маточного р-ра после отделения II и хроматографирования на  $\text{Al}_2\text{O}_3$  (вымывание смесью петр. эф. и эф.) выделен III, выход 3%, т. пл. 375° (из бзл.), ( $[\alpha]_{578}^{18}$  мк —243° (с 0,00134; хлф.),  $\lambda_{\text{макс}}$  (в хлф.) 299,312 (lg с 4,71), 327 мк, изгиб 288 мк. II получен также действием 80%-ной  $\text{H}_2\text{SO}_4$  на I. К р-ру 1,27 г I в 20 мл  $\text{CH}_3\text{COOH}$  добавляют 1,27 г  $(\text{CH}_3\text{CO})_2\text{O}$  и 1 г  $\text{H}_2\text{SO}_4$ . Смесь нагревают при 85° 3 часа. Осадок

отфильтровывают и хроматографируют, получают 107 мг смеси II и III,  $\lambda_{\text{макс}}$  290, 280—286, 305—310 мк. Р-р  $10^{-3}$  моля IV в 100 мл абс.  $\text{C}_6\text{H}_6$  смешивают с р-ром  $1,02 \cdot 10^{-3}$  моля V в 100 мл абс.  $\text{C}_6\text{H}_6$ , через 1,5 часа р-р промывают водой, получают VI, выход 100%, т. пл. 81° (из ацетона). При взаимодействии III и VIII в горячем  $\text{C}_6\text{H}_6$  и последующем кипячении продукта р-ции с пиридином несколько минут получают VII, выход 30%, ( $[\alpha]_D^{19} + 204^\circ$  (с 0,0011; хлф.),  $\lambda_{\text{макс}}$  385,398 мк. При дегидрировании II с  $\text{Pd/C}$  (340—350°) получен X, т. пл. 220°,  $\lambda_{\text{макс}}$  283, 290, 305, 323 мк. При дегидрировании II с Se (340—360°) получены X и IX, т. пл. 120°. Дегидрирование III дало некристаллизующую смесь с УФ-спектром IX и X. Действием XII на II при —8° 18 час. и 96 час. при 20° из фракции, нерастворимой в ацетоне после хроматографии, получено 5% XIII, т. пл. 336—339° (из бзл.-эф.), ( $[\alpha]_D^{23} + 32^\circ$  (с 0,00383; хлф.), XV, т. пл. 236°. Из фракции, растворимой в NaOH получена к-та XIV, выход 3%, т. пл. 201—202° (из бзл.-эф.), ( $[\alpha]_D^{20} + 40^\circ$  (с 0,0025; хлф.). К суспензии 1 г II в 100 мл кипящего  $(\text{CH}_3\text{CO})_2\text{O}$  постепенно добавляют 10 мл конц.  $\text{H}_2\text{SO}_4$ . После разбавления и хроматографирования выделен XVI, т. пл. 57—57,5°  $\lambda_{\text{макс}}$  250 мк. К 2 г II в 250 мл абс.  $\text{C}_6\text{H}_6$  добавляют 1 г 93%-ного VIII. Тотчас после появления красной окраски прибавляют 5 мл  $\text{C}_6\text{H}_5\text{N}$  и кипятят 30 мин., получают 80 мг XVIII, т. пл. 285—290° (из бзл.), ( $[\alpha]_D^{20} 0$  (с 0,0013; хлф.),  $\lambda_{\text{макс}}$  (в циклогексане) 243, 248, 315, 328 и 375 мк ( $E_{1\text{см}}^{1\%}$  248, 244, 140, 150). Хроматографией маточного р-ра на  $\text{Al}_2\text{O}_3$  получено 40 мг XVII, т. пл. 210—212°, ( $[\alpha]_D^{20} + 53^\circ$  (с 0,0038; хлф.),  $\lambda_{\text{макс}}$  (в циклогексане) 240 мк (с 4,01), XIX, т. пл. 266—268° (из бзл.-этилацетата), ( $[\alpha]_D^{20} + 83^\circ$  (с 0,0009; хлф.),  $\lambda_{\text{макс}}$  (в хлф.) 338, 352 мк (с 400,414) и VII. Кипячением II в смеси  $\text{CH}_3\text{COOH}$  и дихлорэтана получена смесь в-в с  $\lambda_{\text{макс}}$  265 мк и антирахилич. активности 300 000 м. е. в 1 г. Из этой смеси после омыления 5%-ным KOH в  $\text{CH}_3\text{OH}$  и хроматография выделено в-во с т. пл. 244° и активностью близкой к витамину  $\text{D}_2$  и  $\text{D}_3$ . И. Г.

**3981. Исправления к статье «Стероиды. XIII. Превращение эргостерина в прогестерон».** Джонсон, Ньюболд, Спринг (Errata), J. Chem. Soc., 1954, Nomenclature rep. indexes and title-pages (англ.)

К РЖХим, 1955, 37398.

**3982. Исправления к статье «Стероиды. Часть XIV. 7,8-оксипроизводных  $\alpha$ - и 9  $\beta$ -эргостанов-11».** Грегор, Лэрд, Маклей, Ньюболд, Спринг (Errata), J. Chem. Soc., 1954, Nomenclature rep. indexes and title-pages (англ.)

К РЖХим., 1955, 40233.

**3983. К получению 21-эфиров  $\Delta^5$ -прегнениол-3 $\beta$ , 21-она-20 из  $\Delta^5$ -прегнениол-3 $\beta$ -она-20.** Рунг (Zur Darstellung von 21-Estern des Pregnen-(5)-diol-(3 $\beta$ ,21)-ons-(20) aus Pregnen-(5)-ol-(3 $\beta$ )-on-(20). Ruschig Heinrich), Chem. Ber., 1955, 88, № 6, 878—883 (нем.)

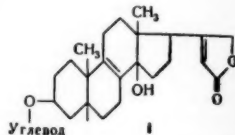
Описано превращение  $\Delta^5$ -прегнениол-3 $\beta$ -она-20 (I) в 21-эфиры  $\Delta^5$ -прегнениол-3 $\beta$ , 21-она-20 (II-спирт). I дает при конденсации с  $(\text{COOC}_2\text{H}_5)_2$  в присутствии  $\text{C}_2\text{H}_5\text{ONa}$  и последующем омылении  $\Delta^5$ -прегнениол-3 $\beta$ -он-20-оксалиловую-21 к-ту (III), соли которой при нагревании в водн. р-ре распадаются с образованием I. При действии  $\text{J}_2$  на соли енольной формы III образуется 21-иод- $\Delta^5$ -прегнениол-3 $\beta$ -он-20-оксалиловая-21 к-та, превращающаяся в щел. среде в 21-иод- $\Delta^5$ -прегнени-3 $\beta$ -ол-он-20

(IV). При взаимодействии IV с  $\text{CH}_3\text{COOK}$  в гомог. среде (водн. ацетон, доведенный лед.  $\text{CH}_3\text{COOH}$  до pH 6,5) получают 21-ацетат II. Аналогично синтезируют другие эфиры II. К р-ру 0,6 г Na в 55 мл спирта добавляют 6,32 г I, а затем 5,84 г  $(\text{COOC}_2\text{H}_5)_2$  в 8 мл спирта, смесь кипятят 6 час., оставляют при 20° на 12 час. и получают Na-соль енольной формы этилового эфира III (V), выход 8,3 г, 95%, образующего при омылении со спирт. КОН III, выход 5,9 г, т. пл. 225° (разл., из  $\text{CH}_3\text{OH}$ ). 2,19 г V кипятят 1 час со спирт. р-ром КОН (0,28 г КОН), добавляют при охлаждении р-р 1,27 г  $\text{J}_2$  в 30 мл  $\text{CH}_3\text{OH}$  (20 мин.), выливают смесь в воду, добавляют КОН и получают IV, выход 1,64 г, т. пл. 153° (разл., из водн.  $\text{CH}_3\text{OH}$ ). 43,8 г V обрабатывают р-ром  $\text{J}_2$  в  $\text{CH}_3\text{OH}$ , через 30 мин. добавляют р-р 2,5 г Na в 136 мл  $\text{CH}_3\text{OH}$ , перемешивают 1 час, добавляют 2 л воды, выпавший IV фильтруют и добавляют к р-ру 60,4 г  $\text{CH}_3\text{COOK}$  в 3 л ацетона, 0,76 л воды и 35 мл лед.  $\text{CH}_3\text{COOH}$ , кипятят смесь 5 час., упаривают и получают 21-ацетат II, выход 75%, считая на I, т. пл. 182—183° (из ацетона). 4,44 г  $\text{C}_2\text{H}_5\text{COOH}$  нейтрализуют 1 н. КОН, добавляют 300 мл ацетона, 16 мл воды, 5,5 мл  $\text{C}_2\text{H}_5\text{COOH}$  и затем 2,21 г IV. После кипячения 2,5 часа выделяют 21-пропионат II, выход 1,16 г, т. пл. 161°. Аналогично получают: 21-бутират II, т. пл. 125—126°, 21-триметил-ацетат II, т. пл. 177—179°, 21-полусукцинат II, т. пл. 214°.

**3984. Конфигурация гидроксильных групп в гитогенине.** Дьерасси, Хай, Гросникл, Эрлик, Мур, Скотт (The configuration of the hydroxyl groups in gitenin. Djerassi Carl, High L. B., Grossnickle T. T., Ehrlich R., Moore J. A., Scott R. B.), Chemistry and Industry, 1955, № 17, 474—476 (англ.). Установлено, что гидроксильные группы в гитогенине (I) обладают ориентацией 2 $\alpha$ ,3 $\beta$ , т. е. что I является 5 $\alpha$ ,22 $\alpha$ -спиростандиолом-2 $\alpha$ ,3 $\beta$ . Ранее было показано, что I отличается от полученных синтетически 5 $\alpha$ ,22 $\alpha$ -спиростандиолов-2 $\alpha$ ,3 $\beta$  (II) и его 2 $\beta$ ,3 $\alpha$ -изомера (Pataki J. и др., J. Amer. Chem. Soc., 1951, 73, 5375). Теперь синтезирован последний стереоизомер этого ряда. 5 $\alpha$ ,22 $\alpha$ -спиростандиол-2 $\alpha$ ,3 $\beta$  (III), и показано, что он также не идентичен I. Из гитогенина получен  $\Delta^5$ -5 $\alpha$ ,22 $\alpha$ -спиростен, образующий при гидроксильровании с реактивом Прево в водн.  $\text{CH}_3\text{COOH}$  (Winstein S. и др., J. Amer. Chem. Soc., 1942, 64, 2784) III, т. пл. 223—224° (из гексана-ацетона), ит. пл. 235—237° (из  $\text{CH}_3\text{OH}$ ),  $[\alpha]_D^{20}$  -49°, диацетат, т. пл. 202—205°,  $[\alpha]_D^{20}$  -40°. III дает ацетонид, т. пл. 239—241°,  $[\alpha]_D^{20}$  -31°, и образует гитогениновую к-ту при окислении с помощью  $\text{CrO}_3$ . При окислении I, II и III  $\text{Pb}(\text{CH}_3\text{COO})_2$  получены следующие значения  $k$  в л. моль $^{-1}$ . сек $^{-1}$ : для III 31,9·10 $^{-3}$ , для II 13,2·10 $^{-3}$ , для I 1,65·10 $^{-3}$ , для дигитогенина 1,63·10 $^{-3}$ . Полученные данные доказывают также 2 $\alpha$ ,3 $\beta$ -ориентацию для дигитогенина, комогенина и юкагенина (IV), генетически связанных с I. Ранее было найдено, что образцы I, выделенные из *Agave schottii* и *A. techugilla* дают красную окраску с конц.  $\text{H}_2\text{SO}_4$ . Проверкой на тщательно очищ. образцах I, полученных из указанных растений, из *Digitalis purpurea* и *Acrospira asphodeloides*, а также каталитич. восстановлением IV, установлено, что I не дает эту цветную р-цию, а что она, повидимому, вызывается наличием следов IV. Л. Б.

**3985. О сердечных ядах растительного происхождения.** Сообщение XXV. О строении адинерина и о положении двойной связи в сциллагениде. Ченге, Гриммер (Über pflanzliche Herzgifte. XXV. Mitteil. Zur Konstitution des Adynerins und ein Beitrag zur Stellung der Doppelbindung im Scillirosid. Tschesche Rudolf, Grimmer Gernot), Chem. Ber., 1954, 87, № 3, 418—423 (нем.).

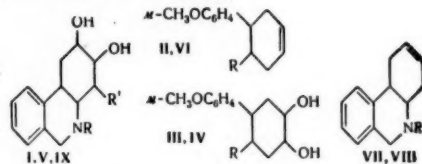
Для адинерина (I), гликозида *Nerium oleander* ранее (Tschesche R., Bohle K., Ber., 1938, 71, 654) принималось, что углеводный остаток является метиловым эфиром 2-дезоксигексаметилозы. В результате гидролиза изоадинерина (II) 0,1 н. HCl выделена  $\alpha$ -дигиноза, т. пл. 88—91°,  $[\alpha]_D^{20} + 52^\circ \pm 3^\circ$  (вода), идентифицированная сравнением с заводским образцом. В I и II двойная связь находится в  $\Delta^{8,9}$ , что подтверждается



положительной р-цией Торпелли-Йффе (Т.-Я.) (Westphal U., Ber., 1939, 72, 1243). Так как продукт гидролиза I-адинеригенина (III) дает отрицательную р-цию Т.-Я., то, повидимому, при гидролизе I двойная связь под действием к-ты в III перемещается из положения 8,9 в положение 7,8. Перемещение в положение 9,11 исключается, так как в этом случае двойная связь должна гидрироваться в лед.  $\text{CH}_3\text{COOH}$ , что для III не наблюдается. Таким образом, истинный агликон I еще не известен. Агидроадинеригенина, тетрагидроагидроадинеригенина также показывают отрицательную р-цию Т.-Я. и, следовательно, содержат двойную связь в положении 7,8, а не в 8,9 и не в 8,14. Авторы предполагают ранее, что отсутствие сердечного действия у I и II объясняется наличием в них связи 8,9, но сциллагенид (IV), содержащий такую связь, оказался активным, тогда как III не активен. Поэтому отсутствие активности III, а следовательно и I и II, повидимому, вызывается тем, что 3-ОН-группа в III находится в  $\alpha$ -положении. Все высказанные соображения подтверждаются ИК-спектрами III (даны кривые), ацетата  $\Delta^7(8)$ , 14(15)-агидроадинеригенина, II и IV. Последний дает отрицательную р-цию Т.-Я., что не согласуется с наличием в нем  $\Delta^{8(9)}$ -связи, в этом случае предполагают, что 12-ОН-группа оказывает разрушительное влияние на окраску при р-ции Т.-Я. Получен ацетат III, т. пл. 163—164° (из хлф.-эф.),  $[\alpha]_D^{20} + 42,4^\circ$  ( $\text{CH}_3\text{OH}$ ). Сообщение XXIV см. РЖХимБх, 1955, 12583. В. М.

**3986. Десетилликорамин.** Уайлдман, Нортон (Desethyllicoramine. Wildman W. C., Norton W. T.), J. Amer. Chem. Soc., 1954, 76, № 1, 152—155 (англ.).

Десетилликорамин (I) синтезирован по схеме: (II)  $\rightarrow$  (III)  $\rightarrow$  (IV)  $\rightarrow$  (V)  $\rightarrow$  I. Проверен другой путь синтеза: II  $\rightarrow$  VI  $\rightarrow$  (VII)  $\rightarrow$  (VIII). Однако гидроксильрование VIII пермуравьиной к-той не дало I. Структура полученных соединений подтверждается изучением их ИК-спектров в области 2—15  $\mu$ .



I R=CH $_3$ , R'=H; II, III R=NO $_2$ ; IV, VI R=NH $_2$ ; V R=R'=H; VII R=H, VIII R=CH $_3$ ; IX R=CH $_3$ , R'=C $_2$ H $_5$ .

На основании работ по окислению ликорамина (IX) (Kondo H., Ishiwata S., Ber., 1937, 70, 2427) и легкости гидроксильрования II надмуравьиной к-той, авторы предполагают транс-конфигурацию гидроксильных групп у C $_2$  и C $_3$  в молекуле IX. К р-ру 0,34 г 30%-ной  $\text{H}_2\text{O}_2$  в 15 мл 88%-ной HCOOH добавляли небольшими порциями 2,33 г II, смесь оставляли на 12 час. при 20°.

упаривали в вакууме, остаток растворяли в 20 мл спирта, содержащего 3 мл конц. HCl, нагревали 50 мин, обесцвечивали углем, выливали в 100 мл горячей воды, выход III 78%,  $C_{13}H_{17}O_3N$ , т. пл. 118–118,5° (из воды). При гидрировании 2,083 г III в 30 мл лед.  $CH_3COOH$  над  $PtO_2$  получили 1,81 г IV,  $C_{13}H_{19}O_3N$ , т. пл. 177–178° (из воды), хлоридрат т. пл. 263–265° (из сп.); со скелетным Ni в спирте выход IV 82%. Р-р 0,716 г хлоридрата IV в 5 мл воды подщелачивали 10%-ным NaOH, добавляли 0,3 мл формалина, оставили на 30 мин., периодически встряхивая, выделили хлоридрат V выход 73%,  $C_{14}H_{20}NO_3Cl$ , т. пл. 274,5–275° (разл.; из сп.); V безводн. и тригидрат, т. пл. 212–213° (из воды). Р-р 0,416 г V в 3 мл воды подщелачивали 10%-ным NaOH, нагревали 16 час. с 4 мл формалина и 6 мл 88%-ной  $HCOOH$ , выход I 86%,  $C_{13}H_{21}O_3N \cdot H_2O$ , т. пл. 100–120° (из воды), хлоридрат 223–225° (разл.; из сп.), иодметилат, т. пл. 210–212°, затвердевает и разл. 227°. 10 г II в 170 мл безводн. эфира добавляли к 9 г  $LiAlH_4$  в 300 мл безводн. эфира, кипятили 2,5 часа, выход смеси *цис*- и *транс*-изомеров VIa и VIb 89%. Хлоридраты VIa и VIb разделяли по растворимости в ацетоне. Хлоридрат VIa, выход 55%,  $C_{13}H_{18}NOCl$ , т. пл. 215–217° (разл.; из  $CH_3OH$ -эф.), бензамид VIa, т. пл. 142–142,5 (из бэл.-петр. эф.). Хлоридрат VIb, выход 8%, т. пл. 150–152° (разл.; из  $CH_3OH$ -эф.). Водн. р-р 5,15 г VIa подщелачили 5%-ным NaOH, основание извлекли эфиром, нагрели с 4 мл формалина, 20 мин., 100°, образовавшееся шиффово основание экстрагировали  $CH_6$ , растворили в 12 мл HCl (1:1), выход хлоридрата VII 64%,  $C_{14}H_{18}NOCl$ , т. пл. 240–242° (разл.; из  $CH_3OH$ -эф.), фенилтиоуреид  $C_{21}H_{22}N_2OS$ , т. пл. 176–178° (из  $CH_3OH$ ). Из маточного р-ра после выделения VII получено 0,81 г (7%) изомерного в-ва, т. пл. 222–228° (разл.). Основание из 1,33 г хлоридрата VII метилировали 1,5 мл 88%-ной  $HCOOH$  и 1,5 мл формалина, 19 час. кипения, приливали 2 мл HCl (1:1), упаривали, растирали с ацетоном, выход хлоридрата VIII 96%,  $C_{15}H_{20}NOCl$ , т. пл. 211,5–213° (разл.; из изопропанола или  $CH_3OH$ -эф.). А. Б.

**3987. Строение иодметилата протопина. Поправка. Анет, Марион** (The structure of protopine methiodide: A correction. Anet F. A. L., Marion Léo), Canad. J. Chem., 1954, 32, № 4, 452–455 (англ.). Установлено, что в-во, которое ранее считалось иодметилатом протопина (РЖХим, 1955, 54959), идентично с иодгидратом протопина. ✓ вновь синтезированного иодметилата протопина (т. пл. 213–215° с разл.) имеется полоса  $C=O$ , поэтому ему приписано строение, аналогичное строению иодметилата криптопина (РЖХим, 1954, 30 492). При этом отпадает необходимость постулирования равновесия разных форм в р-ре. Найдено, что СО-группа сильно взаимодействует с соседним бензольным кольцом, что приводит к смещению полосы  $C=O$  в ИК-спектре до  $1667\text{ см}^{-1}$ ; одновременно наблюдается bathochrome смещение длинноволновой полосы в УФ-спектре. В. А.

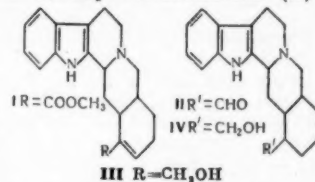
**3988. β-Нохимбин из корней Rauwolfia canescens L.** 6. Сообщение об алкалоидах Rauwolfia. Гофман (β-Yohimbine aus den Wurzeln von Rauwolfia canescens L. 6. Mitteilung über Rauwolfia-Alkaloide. Hofmann A.), Helv. chim. acta, 1955, 38, № 2, 536–538 (нем.).

Из корней Rauwolfia canescens L. выделен β-нохимбин (I) ( $C_{21}H_{29}O_3N$ ), выделенный ранее из коры Yohimbe (Heinemann H., Ber., 1934, 67, 15). 45 г смеси легко растворимых в  $CHCl_3$  алкалоидов, выделенных из 6,8 кг корней (см. РЖХим, 1955, 14083) хроматографируют на 6 кг  $Al_2O_3$ . Вымывают  $CHCl_3$  аималиция (δ-нохимбин),  $CHCl_3$ , 0,5% спирта — канесцин, резерпин, псевдонохимбин, нохимбин, коринантин;  $CHCl_3$  с 1% спирта

вымывают I (1,79 г), т. пл. 246–249° (разл., из  $CH_3OH$ , сп., ацетона, хлф., бэл.),  $\alpha_D^{20} -48^\circ$  (с 0,5, в пиридине),  $\alpha_D^{20} -16^\circ$  (с 0,5, в сп.), УФ-спектр:  $\lambda_{max}$  226 мμ (lg ε 4,56), 283 мμ (lg ε 3,88), 290 мμ (lg ε 3,81). Хлоридрат I, т. пл. 294–299° (разл.),  $\alpha_D^{20} +37 \pm 2^\circ$  (с 0,5, в воде). Предыдущее сообщение см. РЖХим, 1955, 40245. В. Р.

**3989. Восстановление апо-нохимбина алюмогидридом лития. Брюш, Каррер** (Reduktion des Aroyohimbins mittels Lithiumaluminiumhydrid. Bruesch J., Karrer P.), Helv. chim. acta, 1955, 38, № 4, 905–908 (нем.).

При восстановлении апо-нохимбина (I)  $LiAlH_4$  получены два продукта: дигидро-апо-нохимбаль (II) и апо-нохимбиловый спирт (III). Аналогичные случаи восстановления  $LiAlH_4$  эфиров α, β-ненасыщ. к-т в литературе не описаны. При каталитич. гидрировании II с  $PtO_2$  получен дигидро-апо-нохимбиловый спирт (IV). В тех же условиях при гидрировании III поглощается 1,4 моля  $H_2$ . К 13,5 мл 0,66 М р-ра  $LiAlH_4$  в тетрагидрофуране (V) прибавляли р-р из 30 мл V и кипятили 5,5 часа, получено 250 мг II,  $C_{20}H_{24}ON_2$ , т. пл. 192–195°, n-нитрофенилгидразон, т. разл. 230° (из водн. сп.). Из маточного р-ра после выделения II получена смесь II и III, из которой II отделяли в виде n-нитрофенилгидразона. III,  $C_{20}H_{24}ON_2$ , т. пл. 178–181° (из сп.), ацетат, т. пл. 209–213° (из сп.). 96 мг II в 10 мл  $CH_3COOH$  гидрировали с 80 мг  $PtO_2$ , получено IV,  $C_{20}H_{26}ON_2$ , т. пл. 202–205° (из сп. ацетат, т. пл. 209–213° (из сп.)). Т. П.

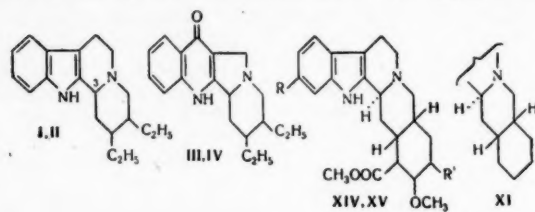


**3990. Конфигурация 3-го углеродного атома дигидрокоринантеана, коринантеана, нохимбана и аллонохимбана. Жано, Гутарель, Ле-Ир, Цацас, Прелог** (Konfiguration des Kohlenstoff-Atoms 3 von Dihydrocorynanthean, Corynanthean, Yohimban und Allo-yohimban. Janot M.-M., Goutarel R., Le Hir A., Tsatsas G., Prelog V.), Helv. chim. acta, 1955, 38, № 4, 1073–1078 (нем.).

Дигидрокоринантеан (I) (Helv. chim. acta, 1951, 34, 1207) и коринантеан (II) (РЖХим, 1955, 14086) являются диастереомерами и получают из дигидрокоринантеина и коринантеина. При озонировании I и II выделены пиррохинолоны (III и IV). Из нохимбана был получен пиррохинолон (V) (РЖХим, 1954, 34203). Данные об УФ- и ИК-спектрах III, IV, V, приведенные в таблице, указывают на их близость. При окислении I и II  $Pb(CH_3COO)_4$  получены тетрагидропроизводные, выделенные в виде нитратов (VI, VII) и перхлоратов (VIII, IX). При окислении нохимбана (X) и аллонохимбана (XI) в аналогичных условиях авторы выделили перхлорат тетрагидронохимбана (XII) и тетрагидроаллонохимбана (XIII). Асимметрич.  $C_{(3)}$  у I, II, X и XI имеет одинаковую конфигурацию, поскольку наблюдаются близкие сдвиги величин молекулярного вращения ( $\Delta M_D$ ) вправо при превращении этих в-в в перечисленные выше соединения, не имеющие асимметрии у  $C_{(3)}$  или содержащие измененные заместители в окружении  $C_{(3)}$ . Найдены величины  $\Delta M_D$ : I → III = 218°, II → IV = 242°, I → VI = 387°, II → VII = 352°, I → VIII = 407°, II → IX = 401°, X → XII = 597°, XI → XIII = 316°. Поскольку абсолютная конфигурация X определена (РЖХим, 1955, 554), то этим определяет-



ся также абсолютная конфигурация  $C_{(a)}$  у I, II, XI. Авторы предлагают новые пространственные ф-лы XI, резерпина [XIV, R = OCH<sub>3</sub>, R' = 3,4,5-(OCH<sub>3</sub>)<sub>3</sub>C<sub>6</sub>H<sub>2</sub>COO]



и дезерпида [XV, R = H, R' = 3,4,5-(OCH<sub>3</sub>)<sub>3</sub>C<sub>6</sub>H<sub>2</sub>COO]. В р-р 282 мг I (т. пл. 188,5°,  $[\alpha]_D^{20} - 33^\circ$  (с 1,20; CH<sub>3</sub>OH)) в 10 мл CH<sub>3</sub>COOH и 2,5 мл воды при 0° пропускали избыток O<sub>2</sub> 4 мин., получено 168 мг III, C<sub>16</sub>H<sub>23</sub>O<sub>4</sub>N<sub>2</sub>, при 145° сжимается, при 228° плавится,  $[\alpha]_D^{20} + 42^\circ$  (с 0,36; CH<sub>3</sub>OH). Аналогично из 282 мг II (т. пл. 155—156°,  $[\alpha]_D^{20} - 95^\circ$  (с 1,46; CH<sub>3</sub>OH)) получено 170 мг IV, т. пл. 218—221°,  $[\alpha]_D^{20} - 12^\circ$  (с 0,663; CH<sub>3</sub>OH). К р-ру 400 мг XI в 5 мл CH<sub>3</sub>COOH прибавлено частями при 60—80° 3 г тетраацетата Pb, смесь разбавлена 200 мл воды, подщелочена р-ром Na<sub>2</sub>CO<sub>3</sub> до pH 8 и промыта эфиром. Водн. слой сильно подщелочен NaOH и извлечен CHCl<sub>3</sub>, выделено 128 мг перхлората XIII, C<sub>19</sub>H<sub>21</sub>O<sub>4</sub>N<sub>2</sub>Cl, т. пл. 217°,  $[\alpha]_D^{20} - 43^\circ$  (с 1,13, ацетон). Т. П.

**3991. Способ получения 6-аминоанабазина и лупинина из технической смеси анабазина и лупинина.** Хромов-Борисов Н. В., Ваткина Э. Г., Ж. общ. химии, 1955, 25, № 6, 1161—1162. 6-аминоанабазин (I) образуется при обработке смеси анабазина (II) и лупинина (III) NaNH<sub>2</sub> с выходом 41%, аминирование чистого II дает I с выходом 22—29%. 50 г смеси II (80%) и III (20%) нагревали в 30 г NaNH<sub>2</sub> и 300 г диметиланилина (IV) (130—135°, 5 час.; 140—145°, 6 час.), разлагали ледяной водой, экстрагировали эфиром. Остаток после отгонки эфира разгоняли (7 мм рт. ст.): с т. кип. до 100°—IV; с т. кип. 125—128°—3,8 г II и 6,8 г III, с т. кип. 185—195°—16 г I, т. пл. 109° (из толуола), и 2 г III. А. Б.

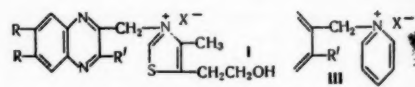
**3992. О кураре-алкалодах.** Бодендорф, Шейбе (Über Curarealkaloide. Bodendorf K., Scheibe W.), Arch. Pharmazie, 1954, 287/59, № 9-10, 555—561 (нем.)

Алкалоиды из образца калебасс-кураре (KK) разделены на фракции: (а) третичных оснований; (б) четвертичных оснований. Фракция а содержала *d*-хондокурин, при обработке ее CH<sub>3</sub>I был получен иодид *d*-хондокурарина (I—основание). Фракция б содержала новый моночетвертичный алкалоид *d*-протохондокурин (II); нитрат C<sub>27</sub>H<sub>40</sub>O<sub>6</sub>N<sub>2</sub>·2HNO<sub>3</sub>·0,5H<sub>2</sub>O, т. пл. 265° (разл.),  $[\alpha]_D^{20} + 175^\circ$  (с 2; H<sub>2</sub>O). При действии на II CH<sub>3</sub>I метилируется третичный азот и образуется иодид I. После действия на сумму алкалоидов из KK CH<sub>3</sub>I с выходом 50% выделен иодид I; из маточного р-ра были изолированы также новые алкалоиды—*l*-изохондокурин (III) (выход 5%) и *d*-неохондокурин (IV) (выход 1%). I, IV и *d*-тубокурарин (V) содержат по 2 CSH<sub>3</sub> и 2 фенольных OH, при метилировании последних из I, IV и V образуется диметиловый эфир *d*-тубокурарина (VI). Курареподобное действие проявляется в дозах: нитраты I—35 γ и II—45 γ, хлориды III—600 γ, IV—8 γ и V—100 γ. 1 мг KK извлекают водой. Из экстракта алкалоиды осаждают HgCl<sub>2</sub>. Осадок суспензируют в метаноле, насыщают H<sub>2</sub>S. Фильтрат упаривают, остаток растворяют в метаноле и р-р подвергают обработке HgCl<sub>2</sub>.

Из осадка выделяют ~100 г алкалоидов, которые растворяют в 1 л безводн. CH<sub>3</sub>OH, добавлением K<sub>2</sub>CO<sub>3</sub> устанавливают pH 7,5, фильтруют и нагревают фильтрат с 75 г CH<sub>3</sub>I 2 часа при 40°. Продукт р-ра растворяют в метаноле, добавляют AgNO<sub>3</sub> до удаления I', выделяют нитрат I, т. пл. 264° (разл., из метанол-ацетона, 1:4),  $[\alpha]_D^{20} + 182^\circ$  (с 2; H<sub>2</sub>O); хлорид I, т. пл. 265° (разл.),  $[\alpha]_D^{20} + 175^\circ$  (с 2; H<sub>2</sub>O). Маточные р-ры после выделения нитрата I упаривают. Остаток (50 г) растворяют в метаноле; из р-ра алкалоиды осаждают HgCl<sub>2</sub>. Из осадка комплексной соли обработкой H<sub>2</sub>S получают метанольный р-р хлоридов алкалоидов, из которого при упаривании в стоянии остатка выкристаллизовывается хлорид III, C<sub>28</sub>H<sub>42</sub>O<sub>6</sub>N<sub>2</sub>·2HCl·0,5H<sub>2</sub>O, выход 5 г, т. пл. 278° (разл.; из метанола-ацетона),  $[\alpha]_D^{20} - 150^\circ$  (с 2; H<sub>2</sub>O). Сухой остаток из маточного р-ра после выделения хлорида III растворяют в 150 мл воды, из р-ра дробно осаждают иодиды при добавлении конц. водн. р-ра KI. Последнюю фракцию, светложелтый осадок, превращают в нитрат, выделяют 1 г нитрата IV, C<sub>28</sub>H<sub>42</sub>O<sub>6</sub>N<sub>2</sub>·2HNO<sub>3</sub>,  $[\alpha]_D^{20} + 185^\circ$  (с 2; H<sub>2</sub>O); хлорид IV, т. пл. 268° (разл., в статье приведена также т. пл. 427°),  $[\alpha]_D^{20} + 179^\circ$  (с 2; H<sub>2</sub>O). Иодид VI, т. пл. 256—257°,  $[\alpha]_D^{20} + 155^\circ$  (с 0,75; H<sub>2</sub>O),  $[\alpha]_D^{20} + 162^\circ$  (с 2; метанол); хлорид VI, т. пл. 234—235°,  $[\alpha]_D^{20} + 155^\circ$  (с 0,75; H<sub>2</sub>O),  $[\alpha]_D^{20} + 162^\circ$  (с 2; метанол). Диметиловый эфир III, т. пл. 246°,  $[\alpha]_D^{20} - 129^\circ$  (с 2; метанол). К. Д.

**3993. Хиноксалиныламинины и их структурные аналоги.** Грин, Делэби (Sur les quinoxalothiamines et dérivés à structure analogue. Green Arthur, Delaby Raymond.), Bull. Soc. chim. France, 1955, № 5, 704—707 (франц.)

Описаны хиноксалиновые соединения, подобные по структуре витамину В<sub>1</sub>, двух видов: у одних (I) хиноксалиновый радикал связан (через метиленовое звено,



в виде четвертичной соли) с молекулой 4-метил-5-оксэтил-тиазола (II), у других (III) — с молекулой пиридина (IV). Синтез I и III осуществлен по следующей схеме: действием BrCH<sub>2</sub>COCOON (V) на IV или гидролизом четвертичной бромистой соли N-(γ-бром-фталимидацетонил)-IV (Va) получают соответствующие бромистые четвертичные соли N-(β-карбоксы-β-кетоэтил)-IV (VI) или N-(β-формил-β-кетоэтил)-IV (VII). Аналогичным образом, применяя II вместо IV, получают соответствующие производные тиазола. Конденсацией *o*-диаминнов с VI или VII получают III, а при употреблении вместо VI и VII аналогичных производных тиазола — I. Смесь 16,2 г V, 9 г безводн. IV и 80 мл бутанола нагревают до кипения и прибавляют 10,8 г *o*-фенилендиамина (VIII). Получают III (R = H, R' = OH, X = Br), выход 55%, т. пл. 255° (из сп.); последний взаимодействием с KJ превращает в иодид, т. пл. 220°. Р-р 2,2 г Va, 2,16 г VIII и 0,41 г CH<sub>3</sub>COONa в 30 мл спирта кипятят 45 мин., упаривают и прибавляют ацетон; получают III (R = R' = H, X = Br), выход 80%, т. пл. 201° (из абс. сп.); иодид, т. пл. 196° (из воды). Аналогично получают другие III (перечисляются R, R', выход в %, т. пл. в °C при X = Br, т. пл. при X = J): CH<sub>3</sub>, OH, 45, 273, 263; CH<sub>3</sub>, H, 71, 234, 222; Cl, OH, 52, 235, 228; Cl, H, 88, 218, 210; I, H, OH, 22, 227, 214; CH<sub>3</sub>, OH, 24, 240, 137.

229; Cl, OH, 20, 224, 205. Приведены максимумы поглощения в УФ-спектрах для солянокислой и щел. среды.

**3994. Структура витамина В<sub>12</sub>.** Кристаллический лишенный нуклеотидов продукт гидролиза витамина В<sub>12</sub>. Каннон, Джонсон, Тодд (Structure of vitamin B<sub>12</sub>. A crystalline nucleotide-free degradation product of vitamin B<sub>12</sub>. Cannon J. R., Johnson A. W., Todd Alexander R.), Nature, 1954, 174, № 4443, 1168—1169 (англ.)

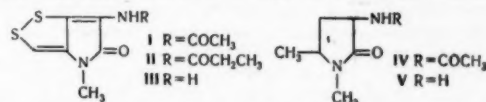
Смесь кобальтсодержащих к-т, полученных при щел. гидролизе витамина В<sub>12</sub> (I), и свободных нуклеотидов разделяют электрофорезом на спец. ватманской бумаге толщиной 1,5 мм. Преобладает фракция, соответствующая шестисновной к-те (II). Аммонийную соль II адсорбируют на колонке с нитратом дэуке 1×2 и вымывают 0,6 M р-ром CH<sub>3</sub>COONH<sub>4</sub>. Р-р подкисляют HCl, экстрагируют II фенолом, разбавляют экстракт эфиром и II вымывают водой. Водн. р-р II упаривают, остаток растворяют в водн. ацетоне и разбавляют эфиром. Через несколько недель выделяются красные кризисы II. При дальнейшем разбавлении маточного р-ра эфиром образуются красные иглы II состава C<sub>47</sub>H<sub>80</sub>O<sub>16</sub>N<sub>6</sub>CoCl. Подкисленный HNO<sub>3</sub> водн. р-р II содержит Cl<sup>-</sup>. УФ-спектры поглощения II и I в воде и 0,1 M KCN сходны (даны кривые). Различие в области 280 мμ вызвано отсутствием нуклеотида 5,6-диметилбензимидазола в II. Аналогичные батохромные сдвиги в спектрах II и I в р-ре KCN указывают на близость строения хромофоров I и II. В ИК-спектре поглощения II (суспензия в парафиновом масле) обнаружены максимумы при 4,67, 4,73 (сл.), 5,77, 5,85, 6,01, 6,15, 6,30, 6,64, 7,74, 8,64, 8,98, 9,15, 9,40, 9,53, 9,85, 10,25, 12,30 мμ. Максимум при 4,67 мμ обусловлен наличием CN<sup>-</sup>. ИК-спектр соответствует поликарбоксильной природе II.

**3995. Строение и синтез анемонина.** Аккерман, Янка (Konstitution und Synthese des Anemonin. Askermann B., Janka R.), Hoppe-Seyser's Z. physiol. Chem., 1954, 294, № 2—3, 93—97 (нем.). Анемонин (I), выделенный из активной *Anemionis calata* (см. РЖХимБх, 1955, 16480) и из ракушки *Arca Noae*, был синтезирован следующим образом: гистидин (II) с NaNO<sub>2</sub> превращен в β-имидазолилмолочную к-ту (III), которая по Кнопсу с Ва(МnO<sub>4</sub>)<sub>2</sub> (IV) дает имидазолилуксную к-ту (V). Метилированием V диметилсульфатом (VI) получен I, идентичный природному. Таким образом было окончательно подтверждено, что I является диметилбетанимидазолилуксной к-той. Фармакологич. действие I незначительно. 16 г хлоргидрата II (в воде) в 30 мл воды смешивают с 50 мл 2 н. H<sub>2</sub>SO<sub>4</sub> и дезаминируют 4,6 г NaNO<sub>2</sub> в 40 мл воды (проба с нингидрином), удаляют избыток HNO<sub>2</sub> в вакууме, осаждают Cl<sup>-</sup> Ag<sub>2</sub>CO<sub>3</sub>, насыщают H<sub>2</sub>S, фильтруют и фильтрат обрабатывают Ва(OH)<sub>2</sub> до слабосильной р-ции и наконец упаривают фильтрат в вакууме и экстрагируют III CH<sub>3</sub>OH. Р-р III после упаривания смешивают с 40 мл воды и 85 мл 2 н. H<sub>2</sub>SO<sub>4</sub>, прибавляют при охлаждении 12 г IV в 170 мл воды, фильтрат обрабатывают фосфорновольфрамовой к-той в присутствии 5%-ной H<sub>2</sub>SO<sub>4</sub>, осадок отфильтровывают, промывают 5%-ной H<sub>2</sub>SO<sub>4</sub> и разлагают Ва(OH)<sub>2</sub>, избыток Ва<sup>2+</sup> удаляют H<sub>2</sub>SO<sub>4</sub>, упаривают до начала кристаллизации, отфильтровывают и промывают CH<sub>3</sub>OH, получают 0,76 г V. Р-р V в 25 мл воды смешивают с избытком ВаСО<sub>3</sub> и встряхивают с 5 мл VI (до исчезновения диазореакции по Паули), прибавляют избыток HCl-к-ты, упаривают на водяной бане почти досуха и из фильтрата осаждают Ва<sup>2+</sup> точным кол-вом H<sub>2</sub>SO<sub>4</sub>, р-р вновь упаривают, прибавляют конц. HCl и осаждают 30%-ным H<sub>2</sub>SO<sub>4</sub>, получают хлораурат I, т. пл. 137—138° (из конц. HCl). Из хлораурата I по Дадли

с порошком Ag выделяют хлоргидрат I, т. пл. (безводн.) 180—184°. Основание I, R<sub>f</sub> 0,17 (бутанол, диоксан, вода, 4:1:5), R<sub>f</sub> 0,11 (бутанол, CH<sub>3</sub>COOH, вода, 4:1:1).

**3996. Строение тиолютина и ауэротрицина — антибиотиков, содержащих пирролинондитиоловое ядро.** Селмер, Соломонс (The structures of thiolutin and aureothricin, antibiotics containing a unique pyrrolinonodithiolo nucleus. Selmer Walter D., Solomons I. A.), J. Amer. Chem. Soc., 1955, 77, № 10, 2861—2865 (англ.)

Тиолютин (I) (см. Selmer и др., J. Amer. Chem. Soc., 1952, 74, 6304) при расщеплении кипячением с 20%-ным NaOH образует CH<sub>3</sub>NH<sub>2</sub>, NH<sub>3</sub> и CH<sub>3</sub>COOH. При гидролизе как I, так и ауэротрицин (II) дают слабое основание — пирротин (III). Восстановление III (Zn + HCl-к-та) переводит 93,1% S в H<sub>2</sub>S. При восстановлении I



получен дестилолутин — 3-ацетамидо-4,5-диметил-2-пирролидон (IV), не имеющий антибиотич. активности. При гидролизе IV образуется DL-3-амино-4,5-диметил-2-пирролидон (V) и далее DL-α-амино-γ-N-метилсинальдегидная к-та (VI). При ацетилировании V дает IV. Осуществлен синтез IV, чем подтверждено строение I и II. УФ-спектр I: λ<sub>макс</sub> 250, 311, 388 мμ (ε 6300, 5700, 11000). I количественно возгоняется при 200°/0,1 мм. Из 0,02 г I и 0,2 мл HCl (к-ты) в 1 мл диоксана (кипятище 30 мин.) получено 0,012 г гидрата хлоргидрата III C<sub>6</sub>H<sub>8</sub>ON<sub>2</sub>S<sub>2</sub>·HCl·H<sub>2</sub>O (VII), т. разл. 200° (из разб. HCl), pK<sub>a</sub> 2,9; УФ-спектр λ<sub>макс</sub> 229, 309, 381 мμ (ε 5400, 6100, 11000). Свободный III имеет т. пл. 191—195° (разл.), ε-карбометоксикапроилпирротин C<sub>14</sub>H<sub>18</sub>O<sub>4</sub>N<sub>2</sub>S<sub>2</sub> [из 0,5 г VII и 3 г ε-карбометоксикапроилхлорида в 25 мл CHCl<sub>3</sub> + 1 мл пиридина; после растворения смесь извлекают гексаном, выход 0,5 г], т. пл. 163,5—164° (из хлф. + гексан). Из 0,5 г VII и 5 г (CH<sub>3</sub>CO)<sub>2</sub>O в 50 мл воды (10 мин.) получено 0,55 г I. Аналогично из VII и пропионового ангидрида получен II, УФ-спектр λ<sub>макс</sub> 248, 312, 388 мμ (ε 6100, 3900, 11000). Характерные полосы ИК-спектров (в μ): I — резкие 12,1, 12,5, преобладающая 13,45, частично размытая 13,6; II — резкие 12,2, 12,6, частично размытая 13,45, преобладающая 13,6. Р-р I в водн. р-ре NaHS сохраняет лишь 11% микробиол. активности I; УФ-спектр λ<sub>макс</sub> 360 мμ (ε 1085); подкисление количественно регенерирует I. Из суспензии 50 г I и 350 г скелетного Ni в 1,9 л этанола (кипятище 3 часа в токе H<sub>2</sub>) получен IV, выход 70%, т. пл. 132,0—132,8° (из CCl<sub>4</sub>). Р-р 2 г IV в 20 мл горячего диоксана + 5 мл конц. HCl кипятили (2 часа), нижний слой упарен, остаток разложен 40%-ным NaOH, V извлечен эфиром, т. кип. 68°/0,2 мм, n<sub>D</sub><sup>20</sup> 1,4835, пикрат т. пл. 195—196°, pK<sub>a</sub> 7,4. Р-р 3 г IV в 9 мл 20%-ной HCl нагревали в запаянной трубке (150—170°, 3 часа), выход дихлоргидрата VI 0,8 г, т. пл. 185—187° (разл., из сп. + ацетон). Синтез IV. Этиловый эфир ацетамидометилаллилалилоновой к-ты, CH<sub>2</sub>=C(CH<sub>3</sub>)CH<sub>2</sub>C(NHCOCH<sub>3</sub>)(COOC<sub>2</sub>H<sub>5</sub>)<sub>2</sub> (VIII) получен по Албертсону и Арчеру (J. Amer. Chem. Soc., 1945, 67, 308), т. пл. 95—96° (из воды). 128 г VIII в 300 мл этанола омылено 650 мл 5 н. NaOH (кипятище 30 мин.), выход ацетамидометилаллилалилоновой к-ты (IX) 73 г, т. пл. 127—128°, при хранении теряет CO<sub>2</sub> за 7 дней. Нагреванием IX (72,6 г) при 155—158° (30 мин.), получена DL-2-ацетамидо-4-метилпентен-4-овая к-та (X) (в оригинале DL-2-ацетамидо-4-пентеновая

к-та), выход 47,1 г, т. пл. 158—159° (из хлороформа + гексан, затем из этилацетата). 17,1 г X озонированы в 100 мл абс. этанола (0°, 2,5 часа); после удаления O<sub>3</sub> воздухом смесь гидрирована с 5 г Pd/C (25°, 75 мин., 1,76 ат H<sub>2</sub>), выход DL-α-ацетиламидоэулиновой к-ты (XI) 9 г, т. пл. 125,5—126,5° (из этилацетата). При кипячении XI с 20%-ной HCl образуется хлоргидрат DL-β-ацетилаланина. Р-р 8,65 г XI в 50 мл этанола + 100 мл спиртового 10,5 н. CH<sub>3</sub>NH<sub>2</sub> (смешаны при 0°) гидрирован в автоклаве с 3 г Pd/C (75°, 3 часа, 8,4 ат H<sub>2</sub>), выход DL-α-ацетиамидо-γ-N-метиламиноэулирановой к-ты (XII) 8 г, т. пл. 80—100°, вероятно смесь стереоизомеров. При нагревании XII в вакууме образуется IV, выход 50% веса, т. кип. 145°/1,2 мм. Приведены кривые УФ-спектра I и ИК-спектров (в KBr) I, II, IV и VII. Все УФ-спектры измерены в метанольных растворах. В. Н.

3997. Пуромидин. Синтетические исследования. VII. Частичные синтезы аминокислотных аналогов. Бейкер, Джозеф, Вильямс (Puromycin. Synthetic studies. VII. Partial synthesis of amino acid analogs. Baker B. R., Joseph Joseph P., Williams James H.), J. Amer. Chem. Soc., 1955, 77, № 1, 1—7 (англ.)

Как сообщалось ранее (см. предварительное сообщение, РЖХим, 1956, 974), пуромидин (I) с C<sub>6</sub>H<sub>5</sub>NCS (II) дает N-фенилтиокарбаминное производное (III), которое при кипячении с NaOCH<sub>3</sub> или NaOH с CH<sub>3</sub>OH образует 6-метиламино-9-(3'-амино-3-дезоксид-β-D-рибофуранозил)-пурин (IV). Непосредственно при кипячении с NaOCH<sub>3</sub> (20 час.) I также превращается в IV. Ацилирование IV (CH<sub>3</sub>CO)<sub>2</sub>O (V) в воде дает N-ацетильное производное (VIa), а в пиридине (VII) — триацетильное производное (VIb). При деацетилировании NaOCH<sub>3</sub> VIb переходит в VIa, дальнейший гидролиз которого 0,5 н. Ba(OH)<sub>2</sub> приводит к IV. IV с хлорангидридом N-фталил-(VIII) или смешанным ангидридом карбонкис- и N-карбобензоксип-метоксип-7-фенилаланина (IX) образует соответственно N-фталил-I (Xa) и N-карбобензоксип-I (Xб). Xa был также получен при сплавлении I с фталевым ангидридом (XI). Xa с NH<sub>2</sub>NH<sub>2</sub>·H<sub>2</sub>O и последующим расщеплением 20%-ной CH<sub>3</sub>COOH (XII) дает I. Гидрогенолиз Xб Pd/C в XII приводит также к I. Подобная реакция IV в HCON(CH<sub>3</sub>)<sub>2</sub> (XIII) с (C<sub>2</sub>H<sub>5</sub>)<sub>3</sub>N (XIV) и фталилглицил-(XV) или N-карбобензоксиглицилхлоридом (XVI) дает соответственно N-фталилглицил-IV (XVIIa) и N-карбобензоксиглицил-IV (XVIIб). Гидрогенолиз XVIIб Pd/C в CH<sub>3</sub>OCH<sub>2</sub>CH<sub>2</sub>OH (XVIII) дает глицил-IV (XIX), который получен также из XVIIa, как описано для Xa. Защитная карбобензоксигруппа наиболее удобна и в дальнейшем употреблялась во всех случаях. Смешанные ангидриды дают более низкие выходы. Аналогично получены следующие карбобензоксип-, а после гидрогенолиза аминокислотные производные IV (аналог I) (последовательно указаны значения выход в %. [α]<sub>D</sub><sup>25</sup> (в VII 2—3%), т. пл. °C (из сп.), в скобках для карбобензоксипроизводных): L-фенилаланил-, (71), 72, (—28), —49, (213—214), 176—178 (из хлф.-гектана); L-тирозил-, (62), 90, (—20), —54, (199—201), 203—205; L-триптофил-, (63), 83, (—7,2), —49, (233—234), 219—221 (разл.); L-лейцил-, (59), 58, (—34), —8,4, (213—215), 173—175; D-метоксип-7-фенилаланилглицил- (IVa), (56), 74, (—10), —34, (160—161) (из хлф.), 170—172; L-лизил-(IVб), (54), 82, (—27), —15, (213—215), стеклование; β-аланил-(69), 95, (—16), —10,7, (197—199), 110—115 (из влажного этилацетата (XX) (как полугидрат); глицил-D-метоксип-7-фенилаланил-, (IVв) (50), 88, (—23), —26, (193—195) (из CH<sub>3</sub>OH), 186—188 (разл.); бис-D-метоксип-7-фенилаланил-, (IVг) (56), 81, (—23), —37, (193—196 сексвигидрат), 157—159 (из CH<sub>3</sub>OH как сексвигидрат, т. пл.

113—115). IVa и IVб получены через азиды. Для IVa азидный метод наиболее удобный. IVв и IVг получены ацилированием I с помощью IX и XVI. О бактериальном спектре полученных соединений см. ссылку выше. L-тирозин (XXI) с V и при последующем метилировании (CH<sub>3</sub>O)<sub>2</sub>SO<sub>2</sub> дает N-ацил-D-метоксип-7-фенилаланин (XXII), который при омылении 6 н. HCl образует хлоргидрат D-метоксип-7-фенилаланина (XXIII). Получены метиловые эфиры XXII и XXIII. N-фталил-D-метоксип-7-фенилаланин (XXIV) с SOCl<sub>2</sub> дает VIII, который образует анид (XXV). N-карбобензоксип-D-метоксип-7-фенилаланин (XXVI) получен из XXIII и карбобензоксиглицилхлорида (XXVII). Этиловый эфир N-карбобензоксип-D-метоксип-7-фенилаланилглицина (XXVIII) получен из XXVI с C<sub>2</sub>H<sub>5</sub>OCOSi и NH<sub>2</sub>CH<sub>2</sub>COOCN<sub>2</sub> (XXIX), который при омылении NaOH дает к-ту (XXX), а с NH<sub>2</sub>NH<sub>2</sub>·H<sub>2</sub>O гидразид (XXXI). С HNO<sub>3</sub> XXXI превращен в азид (XXXII). N-карбобензоксип-7-лейцин (XXXIII) и XXX с PCl<sub>5</sub> в эфире при 0° дают соответствующие хлорангидриды (XXXIIIa) и (XXXa). 200 г дихлоргидрата I, 100 мл спирта и 9,4 мл изопропиламина (XXXIV) нагревают до растворения, оставляют на 1 час при 0°, отфильтровывают и промывают водой, получают I, выход 77%, т. пл. 172—173°. 50 г дихлоргидрата I, 500 мл абс. спирта, 26 мл XIV и 12 мл II кипятят 1 час, выливают в 4 мл льда с водой, отфильтровывают и сушат, получают III, выход 87%, т. пл. 174—175° (из XX), [α]<sub>D</sub><sup>25</sup> —46° (2% в ацетоне). К 5,9 г NaOCH<sub>3</sub> в 390 мл CH<sub>3</sub>OH при перемешивании прибавляют 57 г неочищ. III, нагревают до растворения, кипятят 1 час, фильтрат охлаждают 2 часа в бане со льдом, отфильтровывают, промывают охлажд. CH<sub>3</sub>OH, получают IV, выход 66% на дихлоргидрат I, т. пл. 215—216° (из абс. сп.), [α]<sub>D</sub><sup>25</sup> —24,6° (3% в воде), λ<sub>max</sub><sup>IR</sup> 269 мк (ε 18 600); λ<sub>max</sub><sup>UV</sup> 276 мк (18 900); λ<sub>max</sub><sup>IR</sup> 275 мк (17 000). 5 мл 1 н. NaOH в CH<sub>3</sub>OH и 500 мг I кипятят 20 час., охлаждают в бане со льдом, отфильтровывают и промывают спиртом, получают IV, выход 60%. 100 мг VIa, 5 мл 0,5 н. Ba(OH)<sub>2</sub> нагревают 1 час на водяной бане, прибавляют 5 мл воды и сухой CO<sub>2</sub>. Фильтрат упаривают досуха в вакууме, растворяют в 3 мл воды, фильтрат вновь упаривают, растирают с 3 мл XX и получают IV, выход 80%. 3,0 г IV, 17 мл VII, 9 мл V оставляют в закрытой колбе на 21 час, выливают в 150 мл ледяной воды, экстрагируют CHCl<sub>3</sub>, экстракты упаривают в вакууме досуха и остаток растирают с 25 мл эфира, получают VIб, выход 93%, т. пл. 189—191° (из XX), [α]<sub>D</sub><sup>25</sup> +24° (1,7% в хлф.). К 500 мг IV в 2,5 мл воды прибавляют 0,24 мл V, встряхивают 2 мин., упаривают в вакууме досуха, растирают с горячим XX. После охлаждения получают VIa, выход 85%, т. пл. 190—191° (из сп.), [α]<sub>D</sub><sup>25</sup> —7,4° (4,3% в VII). 45 г XXI, 500 мл воды и несколько капель 60% Аеросол ОТ нагревают до 90°, прибавляют по каплям (15 мин.), 190 мл V, перемешивают 10 мин. и упаривают в вакууме досуха, растворяют в теплом р-ре 30 г NaOH в 140 мл воды, прибавляют по каплям 41 мл (CH<sub>3</sub>O)<sub>2</sub>SO<sub>2</sub> (15 мин.), прибавляют 41 мл 10%-ного р-ра NaOH, нагревают 20 мин. на водяной бане, охлаждают, подкисляют и экстрагируют CHCl<sub>3</sub>, оставляют на несколько часов при 0°, отфильтровывают и промывают CHCl<sub>3</sub>, получают XXII, выход 50%, т. пл. 144—145°. 14 г XXII в 70 мл 6 н. HCl кипятят 2 часа, охлаждают и отфильтровывают, получают XXIII, выход 79%, т. пл. 230—232° (разл.). К 2,0 г XXII в 20 мл CH<sub>3</sub>OH прибавляют по каплям при энергичном перемешивании 1 мл CH<sub>3</sub>COCl, кипятят 30 мин., упаривают в вакууме досуха и растирают с водн. NaHCO<sub>3</sub>, получают метиловый эфир XXII, выход 86%, т. пл. 104—106° (из



толуола). К 1,00 г XXIII в 10 мл  $\text{CH}_3\text{OH}$  прибавляют 1 мл  $\text{CH}_3\text{COCl}$ , как указано выше. После упаривания в вакууме получают метиловый эфир XXIII, выход 95%, т. пл. 180—182° (разл., из  $\text{CH}_3\text{OH}$ -хлф.); сумат 5 час. в высоко вакууме при 80°; идентичен выделенному из I. 250 мг XXIV, 5 мл  $\text{SOCl}_2$  кипятят 1 час, упаривают в вакууме досуха (в бане 50°); к некристаллич. остатку VIII прибавляют 0,29 мл анилина в 5 мл ацетона, а затем 5 мл воды, получают XXV, выход 81%, т. пл. 180—181° (из абс. сп.),  $[\alpha]_D^{25} - 107^\circ$  (1,5% в хлф.). Р-р VIII в 5 мл ацетона, приготовленный, как описано выше, прибавляют по каплям при 0° к р-ру 250 мг IV и 250 мг  $\text{Na}_2\text{CO}_3$  в 5 мл ледяной воды, через 30 мин. при 0° разбавляют 20 мл воды и отфильтровывают, получают Ха, выход 80%, т. пл. 230—231° (из XVIII),  $[\alpha]_D^{24} - 140^\circ$  (0,8% в VII). 1 г I, 0,35 г XI и 5 мл  $(\text{C}_2\text{H}_5\text{OCH}_2\text{CH}_2)_2\text{O}$  нагревают 7 мин. в бане при 160—165°, охлаждают до 0°, отфильтровывают и промывают спиртом, получают Ха, выход 60%. К 10 г XXIII в 45 мл 10%-ного NaOH и 19 мл воды прибавляют 15 мин. при 5—8° 17 мл 70%-ного XXVII, перемешивают 1 час, подкисляют к экстрагируют  $\text{CHCl}_3$ . Из  $\text{CHCl}_3$  экстрагируют воды.  $\text{NaHCO}_3$ , вновь подкисляют, экстрагируют  $\text{CHCl}_3$ , сумат  $\text{MgSO}_4$  и упаривают в вакууме досуха, получают XXVI, выход 87%, т. пл. 104—109°. К 2,0 г дихлоргидрата I, 1,5 г  $\text{Na}_2\text{CO}_3$ , 5 мл воды и 5 мл ацетона прибавляют по каплям 0,95 мл 70%-ного XVII. Через 30 мин. отфильтровывают, промывают 50%-ным ацетоном, водой, получают Хб, выход 50%, т. пл. 208—210° (из сп.). Р-р 300 мг XXVI в 2 мл XIII, 0,13 мл XIV охлаждают и прибавляют 0,09 мл  $\text{C}_2\text{H}_5\text{OCOC}_2\text{H}_5$ . 190 мг IV в 3 мл XIII и 0,19 мл XIV нагревают до растворения, быстро охлаждают до 0° и смешивают, оставляют до 20 час. при 3°, упаривают в вакууме до 1/3 объема, разбавляют водой и отфильтровывают, получают Хб с т. пл. 208—210°, выход 64%. 230 мг Ха, 0,022 мл 100%-ного  $\text{NH}_2\text{NH}_2 \cdot \text{H}_2\text{O}$  и 1,2 мл XVIII нагревают на водяной бане 7 мин., упаривают в вакууме досуха, остаток нагревают 10 мин. с 1,15 мл XVIII и 0,23 мл XII, упаривают в вакууме досуха, растирают с 5 мл воды, фильтрат упаривают в вакууме досуха, растворяют в 2 мл спирта, нейтрализуют 0,12 мл XIV, оставляют на 18 час. при 3° и отфильтровывают, получают I, выход 48%. 500 мг Хб в 50 мл XII и 250 мг 50%-ного Pd/C 5 мин. встряхивают с  $\text{H}_2$  при атмосферном давлении, фильтруют через целит, упаривают в вакууме досуха, растворяют в 3 мл теплого спирта, нейтрализуют 0,2 мл XXIV, оставляют на несколько часов при 0° и отфильтровывают, получают I, выход 68%. К быстроохлажденному до 15—20° р-ру 300 мг IV, 0,22 мл XIV в 5 мл XIII прибавляют 0,25 г XV, через 2 мин. выливают в 50 мл льда с водой и отфильтровывают, получают XVIIa, выход 76%, т. пл. 282—284° (разл., из XVIII),  $[\alpha]_D^{24} + 43^\circ$  (1% в 9:1 VII:вода). К быстроохлажденному до 20° р-ру 500 мг IV, 0,99 мл XIV в 20 мл XIII прибавляют 450 мг свежеприготовленного XVI в 2 мл XIII, через 10 мин. разбавляют 150 мл воды, прибавляют 5 мл  $\text{CHCl}_3$ , перемешивают 12 час. и отфильтровывают, получают XVIIb, выход 63%, т. пл. 170—172° (из абс. сп.),  $[\alpha]_D^{24} - 7,5^\circ$  (2—3% в VII). 4,0 г XVII в 30 мл XVIII на водяной бане перемешивают 20 мин. с 0,3 г угля (норит), к фильтрату прибавляют 0,8 г 10%-ного Pd/C и восстанавливают  $\text{H}_2$  при 60—70° до прекращения выделения  $\text{CO}_2$  (1,5 часа), фильтруют через целит и упаривают в вакууме досуха, получают XIX, выход 93%, т. пл. 209—211° (разл., из абс. сп.),  $[\alpha]_D^{23} - 8,4^\circ$  (3% в воде). К 1,0 г XXXIII в 10 мл эфира при 0° прибавляют 0,87 г  $\text{PCl}_5$ , через 2 часа эфир упаривают в вакууме

при 0° (в бане), прибавляют 25 мл охлажд. петр. эфира (20—40°), вновь упаривают и промывают декантацией, получают XXXIIIa в виде масла. К 3,6 г XXVI в 10 мл  $\text{CHCl}_3$  и 1,5 мл XIV при 5° прибавляют 1,1 мл  $\text{C}_2\text{H}_5\text{OCOC}_2\text{H}_5$ , через 15 мин. приливают 1,54 г хлоргидрата XXIX в 10 мл XIII и 1,5 мл XIV, еще через 15 мин. разбавляют 50 мл воды, экстрагируют  $\text{CHCl}_3$ , и  $\text{CHCl}_3$  упаривают в вакууме досуха, получают XXVIII, выход 73%, т. пл. 132—134° (из абс. сп.),  $[\alpha]_D^{24} 0,0^\circ$  (2% в хлф.). К 200 мг XXVIII в 6 мл спирта прибавляют 0,24 мл 20%-ной воды. NaOH, через 15 мин. подкисляют XII, упаривают в вакууме, разбавляют водой и отфильтровывают, получают XXX, выход 73%, т. пл. 157—159° (из хлф.),  $[\alpha]_D^{24} - 17^\circ$  (1,5% в VII). 1,6 г XXX, 15 мл эфира и 1,0 г  $\text{PCl}_5$  перемешивают 1 час при охлаждении, получают XXXa, выход 95%, т. пл. 88—92° (разл.). 5,5 г XXVIII, 2,1 мл 100%-ного  $\text{NH}_2\text{NH}_2 \cdot \text{H}_2\text{O}$  в 15 мл абс. спирта кипятят 2 часа, упаривают в вакууме досуха и растирают с гептаном, получают XXXI, выход 91%, т. пл. 158—160° (из 50%-ного сп.),  $[\alpha]_D^{24} - 10,9^\circ$  (2% в VII). 1,18 г XXXI, 11,8 мл воды, 2,4 мл XII, 5 мл  $\text{CHCl}_3$  и 2,4 мл 5 н. HCl охлаждают до 5° и прибавляют по каплям при перемешивании 0,24 г  $\text{NaNO}_2$  в 5 мл воды (10 мин.). Перемешивают после растворения еще 15 мин. при 0°,  $\text{CHCl}_3$  отделяют, промывают ледяной водой до pH 4, сумат  $\text{MgSO}_4$  и получают р-р XXXII в  $\text{CHCl}_3$ , который прибавляют к 0,87 г IV в 20 мл XIII, и оставляют на 18 час. при ~20°, выливают в 150 мл  $\text{H}_2\text{O}$ , перемешивают 90 мин., отфильтровывают и промывают XX, получают Iva. К 5,8 г дихлоргидрата I в 25 мл XIII и 7,2 мл XIV прибавляют р-р XVI (полученный из 2,68 г к-ты) в 5 мл XIII, оставляют на 18 час. при ~20°, выливают в 150 мл воды и экстрагируют  $\text{CHCl}_3$ , промывают 0,1 н. HCl, затем  $\text{NaHCO}_3$  упаривают в вакууме досуха, получают IV в. К р-ру IX из 5,04 г XXVI, 2,2 мл XIV и 1,52 мл  $\text{C}_2\text{H}_5\text{OCOC}_2\text{H}_5$  в 25 мл XIII (см. приготовление Ха) прибавляют 7,0 г дихлоргидрата I в 35 мл XIII и 5,4 мл XIV, оставляют на 18 час. при ~20°, выливают в 250 мл воды и через 1 час отфильтровывают, получают IVг. Сообщение VI см. ГЖХим, 1955, 49058. М. Л.

### 3998. Пурамицины. Синтетические исследования. VIII.

Синтез производных 3-амино-3-дезоксид-рибозофуранозидов. Второй синтез 3-амино-3-дезоксид-рибозы. Бейкер, Шоб, Вильямс (Puromycin. Synthetic studies. VIII. Synthesis of 3-amino-3-deoxy-d-ribofuranoside derivatives. A second synthesis of 3-amino-3-deoxy-d-ribose. Baker B. R., Schaub R. Robert E., Williams James H.), J. Amer. Chem. Soc., 1955, 77, № 1, 7—12 (англ.).

Описано приготовление 3-амино-3-дезоксид-рибозы (I), промежуточного продукта для синтеза пурамицина. D-Ксилоза (II) с  $\text{CH}_3\text{OH}$  в присутствии HCl дает смесь  $\alpha$ - и  $\beta$ -метил-D-ксилофуранозидов (III), которая с ацетоном в присутствии  $\text{CuSO}_4$  и  $\text{H}_2\text{SO}_4$  образует легко разделимую смесь метил 3,5-О-изопропилиден-D-ксилофуранозидов (IV) (IVa —  $\alpha$ -аномер; IVb —  $\beta$ -аномер). При этом уточнены условия, данные ранее (Percival, Zobrist, J. Chem. Soc., 1952, 4306). IVa с  $\text{CH}_3\text{SO}_2\text{Cl}$  (V) в пиридине (VI) дает метил-2-О-мезил-3,5-О-изопропилиден- $\alpha$ -D-ксилофуранозид (VIIa), который гидролизуетсся раб.  $\text{CH}_3\text{COOH}$  (VIII) в 2-метил- $\alpha$ -D-ксилофуранозид (IXa). Последний без выделения с  $\text{NaOCH}_3$  при 0° превращается в метил-2,3-ангидро- $\alpha$ -D-липсофуранозид (Ха). При действии  $\text{NH}_4\text{OH}$  на Ха получают метил-3-амино-3-дезоксид- $\alpha$ -D-арабинофуранозид (XIа), который с ацетоном образует кристаллич. N-изопропилиденовое производное (XIIa); связь  $\text{C} = \text{N}$  в XIIa подтверждена поглощением в ИК-спектре (6,0  $\mu$ ). Гидролиз XIIa приводит к хлоргидрату 3-амино-3-дезоксид-D-арабинозы (XIII),

которая дает отрицательную р-цию с нингидрином. При ацилировании XIIa ( $\text{CH}_3\text{CO})_2\text{O}$  (XIV) в воде получен метил-3-ацетиамидо-3-дезоксид- $\alpha$ -D-арабинофуранозид (XVa), который с V дает метил 2,5-ди-O-метил-3-ацетиамидо-3-дезоксид- $\alpha$ -D-арабинофуранозид (XVIa), а с  $\text{C}_6\text{H}_5\text{COCl}$  (XVII) — метил-3-ацетиамидо-3-дезоксид-5-O-бензоил- $\alpha$ -D-арабинофуранозид (XVIIIa). При действии V на XVIIIa получен метил-2-O-метил-5-O-бензоил-3-ацетиамидо-3-дезоксид- $\alpha$ -D-арабинофуранозид (XIXa). В  $\text{CH}_3\text{OCH}_2\text{CH}_2\text{OH}$  (XX) и  $\text{CH}_3\text{COONa}$  XVIa при вальдемовском обращении через оксазолин и замену метильных остатков ацильными при последующем ацилировании XIV и VI дает метил-2,5-ди-O-ацетил-3-ацетиамидо-3-дезоксид- $\alpha$ -D-рибофуранозид (XXIa), гидролиз которого 1%-ной HCl дает хлоргидрат I. Аналогичные превращения проведены с  $\beta$ -аномером. 11 г II и 250 мл  $\text{CH}_3\text{OH}$ , содержащего 0,5% HCl, перемешивают 5 час., прибавляют 6 г  $\text{Ag}_2\text{CO}_3$ , перемешивают 5 час., фильтруют через целит, упаривают в вакууме до сиропа (т-ра бани 40°), получают неочищ. III, прибавляют 125 мл ацетона, 0,25 мл 1 н.  $\text{H}_2\text{SO}_4$ , 25 г безводн.  $\text{CuSO}_4$  и встряхивают 17 час., фильтрат нейтрализуют 0,2 мл конц.  $\text{NH}_4\text{OH}$ , упаривают в вакууме досуха (т-ра бани 70°), растворяют в 12 мл воды, экстрагируют  $\text{CHCl}_3$  и  $\text{CHCl}_3$  упаривают в вакууме.  $\alpha$ -Аномер IVa отгоняют на полумикролонке, выход 33%, т. кип. 85–88°/0,1 мм,  $[\alpha]_D^{25} + 17,6^\circ$  (2% в воде).  $\beta$ -Аномер IVb отгоняют без колонки, выход 21%, т. кип. 108–110°/0,1 мм,  $[\alpha]_D^{25} - 64,2^\circ$  (2% в воде), ИК-спектр 2,90 и 7,25  $\mu$ . Если проводить ацетонирование в присутствии п-толуолсульфонической кислоты в течение 60 час., выходы равны 41%  $\alpha$ - и 31%  $\beta$ -аномера. К 14,6 г IVa в 40 мл VI прибавляют при 20–25° 8,7 мл V и оставляют на 13–20 час., выливают в 200 мл воды со льдом и экстрагируют  $\text{CHCl}_3$ , упаривают в вакууме досуха, растворяют в 50 мл толуола и вновь упаривают, получают VIIa, выход 92%,  $[\alpha]_D^{25} + 65,7^\circ$  (1,3% в  $\text{CH}_3\text{OH}$ ), ИК-спектр 7,28 и 8,48  $\mu$ . Из 8,0 г IVb, как описано для VIIa, получают VIIb, выход 100%,  $[\alpha]_D^{25} - 34,5^\circ$  (1,4% в  $\text{CH}_3\text{OH}$ ). 13,0 г VIIa в 26 мл VIII и 11 мл воды нагревают 2 часа при 50° в бане, упаривают в вакууме досуха, прибавляют 30 мл толуола и абс. спирта до получения одного слоя, вновь упаривают. Операцию повторяют до полного удаления VIII. Остаток IXa растворяют в 21 мл  $\text{CH}_3\text{OH}$ , прибавляют при 0° 2,9 г  $\text{NaOCH}_3$  в 29 мл  $\text{CH}_3\text{OH}$ , оставляют при 0° на 3 дня, прибавляют 3 г целита, фильтраты подкисляют 2 мл VIII, упаривают в вакууме досуха, растворяют в 6,5 мл воды и экстрагируют  $\text{CHCl}_3$ ; сушат  $\text{MgSO}_4$  и упаривают в вакууме; перегоняют, получают Xa, выход 76%, т. кип. 98–100°/0,1 мм, т. пл. 80–82° (из бэл.),  $[\alpha]_D^{25} + 67^\circ$  (2% в воде); Xb, выход 71%, т. кип. 98–100°/0,1 мм, т. пл. 74–75° (из эф., гигроскопичен),  $[\alpha]_D^{25} - 102^\circ$  (2% в воде). 2,9 г Xa в 15 мл конц.  $\text{NH}_4\text{OH}$  нагревают в бомбе 22 часа при 100°, встряхивают с углем, фильтруют через целит, упаривают в вакууме досуха, растворяют в 20 мл абс. спирта и вновь упаривают, прибавляют 30 мл горячего ацетона, охлаждают до 0° и отфильтровывают, получают XIIa, выход 52%, т. пл. 157–159° (из ацетона),  $[\alpha]_D^{25} + 98,5^\circ$  (2% в воде), ИК-спектр 7,25, 6,02 и 2,93  $\mu$ ; XIIb т. пл. 155–157° (из ацетона),  $[\alpha]_D^{25} - 96,0^\circ$  (2% в воде). 300 мг XIIa в 6 мл 1%-ной и 0,16 мл конц. HCl кипятят 3 часа, упаривают в вакууме досуха (при 40° в бане) и растворяют с 2 мл VIII, получают XIII, выход 64%, т. пл. 159° (разл., из 0,5 мл воды + 5,5 мл VIII),  $[\alpha]_D^{25} - 112^\circ$  (2% в воде). К 25 г XIIa в 125 мл воды

прибавляют при перемешивании 18 мл XIV и через 7 мин. упаривают в вакууме досуха, получают XVa, выход 90%, т. пл. 115–116° (из этилацетата-абс. сп.),  $[\alpha]_D^{25} + 102^\circ$  (2% в воде); XVb, выход 98%, т. пл. 155° (из этилацетата-абс. сп.),  $[\alpha]_D^{25} - 119^\circ$  (1,7% в воде). К 3,0 г XVa в 15 мл VI и 15 мл дихлорэтана при 3° прибавляют 1,86 мл XVII; через 19 час. при 3° смесь промывают водой (120 мл). Промывные воды экстрагируют дихлорэтаном. Объединенные экстракты сушат  $\text{MgSO}_4$ , упаривают в вакууме досуха, дважды растворяют в толуоле, вновь упаривают, прибавляют 10 мл влажного этилацетата и 10 мл гептана, получают XVIIIa, выход 58%, т. пл. 107–108° (из этилацетата-гептана),  $[\alpha]_D^{25} + 86^\circ$  (3% в  $\text{CHCl}_3$ ). К 2,6 г XVIIIa в 26 мл VI прибавляют при охлаждении 1,3 мл V, через 43 часа разбавляют 3 объемами воды и экстрагируют  $\text{CHCl}_3$ , промывают  $\text{NaHCO}_3$  и упаривают в вакууме досуха, получают XIXa, выход 92%. К 15 г XVa в 254 мл VI прибавляют при 10–20° 15 мл V, через 48 час. прибавляют воды до растворения хлоргидрата VI, упаривают в вакууме до 1/3 объема при 50° в бане, разбавляют 200 мл воды, оставляют на 2 часа при 0° и отфильтровывают, получают XVIa, выход 84%, т. пл. 125–126° (из абс. сп.),  $[\alpha]_D^{25} + 104^\circ$  (2% в VI); XVIb, выход 84%, т. пл. 169–170° (из сп.),  $[\alpha]_D^{25} - 88^\circ$  (2% в VI). 3,0 г XVIIa, 3,4 г безводн.  $\text{CH}_3\text{COONa}$  и 36 мл XX, содержащего 5% воды, кипятят 21 час, охлаждают, фильтрат упаривают в вакууме досуха, прибавляют 30 мл VI и 30 мл XIV, нагревают 1 час на водяной бане, разбавляют 150 мл ледяной воды и экстрагируют  $\text{CHCl}_3$ ; сушат  $\text{MgSO}_4$ , обезбечивают углем и упаривают в вакууме досуха. Для удаления VI растворяют дважды в 20 мл толуола и упаривают в вакууме получают XXIa, выход 98%, т. пл. 90–91° (из бэл.-гептана; 1:1),  $[\alpha]_D^{25} + 135^\circ$  (2% в хлф.); XXIb, выход 94%, т. пл. 98–99° (из бэл.-гептана),  $[\alpha]_D^{25} + 34,6^\circ$  (2% в хлф.). 330 мг XXIa в 7 мл 1%-ной и 0,1 мл конц. HCl гидролизуют, как описано для XIII, получают хлоргидрат I, выход 57%, т. пл. 159° (разл., из 0,2 мл воды + 0,3 мл конц. HCl). XXIb дает идентичный хлоргидрат I. Предварительное сообщение см. РЖХим, 1956, 975.

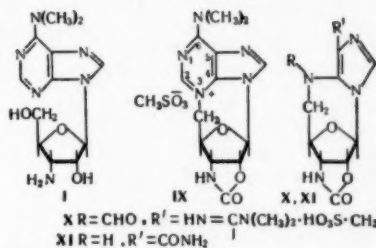
М. И. 3999. Пуромидин. Синтетические исследования. IX. Полный синтез. Бейкер, Шоб, Джозеф, Вильямс (Puromycin. Synthetic studies. IX. Total Synthesis. Baker B. R., Schaub Robert E., Joseph Joseph P., Williams James H.), J. Amer. Chem. Soc., 1955, 77, № 1, 12–15 (англ.)

Метил-2,5-ди-O-ацетил-3-ацетиамидо-3-дезоксид- $\beta$ -D-рибофуранозид (Ib) (см. реф. 3998) с  $\text{NaOCH}_3$  деацетилируется, а затем с  $\text{C}_6\text{H}_5\text{COCl}$  (II) в пиридине (III) дает метил-2,5-ди-O-бензоил-3-ацетиамидо-3-дезоксид- $\beta$ -D-рибофуранозид (IVb), который при расщеплении конц. HCl в  $\text{CH}_3\text{COONa}$  (V) (3:10) превращается в 2,5-ди-O-бензоил-3-ацетиамидо-3-дезоксид-D-рибозу (VIb). (Ia —  $\alpha$ -аномер, Ib —  $\beta$ -аномер). Аналогичные превращения проведены с Ia. При расщеплении IVa лучшие выходы (VIa) достигнуты с 30%-ной HBr в V. 6-диметиламино-9-(3'-ацетиамидо-3'-дезоксид- $\beta$ -D-рибофуранозил)-пуриин (VII), выделенный из природного пуромидина (VIII) с II дает 2',5'-ди-O-бензоильное производное VII (IX), которое при гидролизе 2 н. HCl в дихлорэтано (X) также дает VI, что является дополнительным доказательством конфигурации VI. При ацилировании VI ( $\text{CH}_3\text{CO})_2\text{O}$  (XI) в III образуется смесь 1-O-ацетил-2,5-ди-O-бензоил-3-ацетиамидо-3-дезоксид- $\alpha$  (и  $\beta$ )-D-рибофуранозидов (XII), из которых, вероятно,  $\beta$ -форма кри-

сталич. XII с  $\text{TiCl}_4$  образует комплексное соединение, которое с хлормеркурипроизводным 2-метилмеркапто-6-диметиламинопурина (XIII) дает нуклеозид (XIV), десульфирование которого со скелетным Ni приводит к IX. После удаления О-бензоильных групп с  $\text{NaOCH}_3$  получен VII, что завершает полный синтез VIII, так как ранее уже было осуществлено превращение VII в VIII (см. сообщение VII, реф. 3997). К 5,1 г I в 100 мл  $\text{CH}_3\text{OH}$  прибавляют 1,8 мл 1 н.  $\text{NaOCH}_3$  в  $\text{CH}_3\text{OH}$ , кипятят 30 мин., упаривают в вакууме досуха, растворяют в 50 мл III, прибавляют по каплям при  $5-7^\circ$  5,1 мл II, оставляют на 68 час. при  $3^\circ$ , разбавляют 200 мл воды и экстрагируют  $\text{CHCl}_3$ , промывают  $\text{NaHCO}_3$ , сушат  $\text{MgSO}_4$ , обесцвечивают углем и упаривают в вакууме досуха. Получают IVb, выход 64%, т. пл.  $139-141^\circ$  (из бзд.-гептана до помутнения),  $[\alpha]_D^{25} + 83^\circ$  (1,5% в хлф.). К 11,2 г VII в 100 мл III прибавляют при  $7-9^\circ$  9,6 г II, оставляют на 17 час. при  $\approx 20^\circ$ , выливают в 400 мл воды со льдом, экстрагируют  $\text{CH}_2\text{Cl}_2$  и упаривают в вакууме досуха, получают IX, выход 101%. Получение VI. а) К 50 г IVb в 50 мл V прибавляют 15 мл конц.  $\text{HCl}$ , перемешивают 25 мин. при  $50^\circ$ , разбавляют 175 мл воды со льдом, экстрагируют  $\text{CHCl}_3$ , упаривают в вакууме досуха, получают VIb, выход 52%, т. пл.  $153-154^\circ$  (из этил. ацетата-гептана),  $[\alpha]_D^{25} + 108^\circ$  (2% в III); б) к 46,6 г IVa в 93 мл  $\text{CH}_2\text{Cl}_2$  прибавляют 233 мл 30%-ной  $\text{HBr}$  в V, через 2 часа разбавляют 116 мл  $\text{CH}_2\text{Cl}_2$ , промывают ледяной водой, затем  $\text{NaHCO}_3$ , обрабатывают последовательно 460 мл ацетона, 4,6 мл воды и 46 г  $\text{Ag}_2\text{CO}_3$ , перемешивают 30 мин., фильтруют через целит и упаривают в вакууме досуха, получают VIa, выход 58%, т. пл.  $142-150^\circ$  (из этилацетата-гептана); в) к 6,0 г IX в 60 мл X и 60 мл 2 н.  $\text{HCl}$ , кипятят 4 часа, воды. слой экстрагируют и выделяют VI, как описано в а), выход 41%, 2,5 г VI в 5 мл III и 5 мл XI нагревают 1 час на водяной бане, разбавляют 25 мл ледяной воды, экстрагируют  $\text{CHCl}_3$  и упаривают в вакууме досуха, получают XII (смесь  $\alpha$ - и  $\beta$ ), выход 98%; после перекристаллизации из 8 мл этилацетата + 8 мл гептана получают XII (один аномер), т. пл.  $152-154^\circ$ , 54%,  $[\alpha]_D^{25} + 63^\circ$  (с 1,5; III). После упаривания фильтрата от кристаллизации получают смолу (40%),  $[\alpha]_D^{25} + 85^\circ$  (с 2; III). К 990 мг XII (смесь) в 8,5 мл X прибавляют 0,30 мл  $\text{TiCl}_4$  в 4,4 мл X, кипятят 1 час, прибавляют при перемешивании к смеси 1,25 г XIII, 1,35 г целита и 90 мл X, которую сушили предварительной отгонкой 20 мл X, кипятят 18 час., прибавляют 45 мл воды, перемешивают 15 мин., отфильтровывают, промывают горячим  $\text{CHCl}_3$ , органич. слой упаривают в вакууме, растворяют в 25 мл  $\text{CHCl}_3$ , промывают 25 мл 30%-ного  $\text{KJ}$  водой, сушат  $\text{MgSO}_4$ , обесцвечивают углем и упаривают в вакууме досуха, получают XIV, выход 100%, стекловидное в-во с  $\lambda_{\text{max}}$  282,5 мк (с 17000) в  $\text{CH}_3\text{OCH}_2\text{CH}_2\text{OH}$  (XV). 1,28 г XIV в 75 мл XV с двумя ложками скелетного Ni нагревают 40 мин. на водяной бане, фильтруют через целит, промывают XV и упаривают в вакууме досуха. Получают IX, выход 60%, стекловидное в-во с  $\lambda_{\text{max}}$  275 мк (с 16900) в XV. 690 мг IX в 15 мл абс.  $\text{CH}_3\text{OH}$  и 0,14 мл 1 н.  $\text{NaOCH}_3$  в  $\text{CH}_3\text{OH}$  кипятят 30 мин., упаривают в вакууме досуха, получают VII, выход 30%, т. пл.  $187-188^\circ$  (из сп. с углем). М. Л.

4000. Пуromицин. Синтетические исследования. X. Новый вид замыкания пуриновой кольцевой системы. Бейкер, Джозеф (Puromycin. Synthetic studies. X. A novel breakdown of the purine ring system. Baker B. R., Joseph Joseph P.), J. Amer. Chem. Soc., 1955, 77, № 1, 15-18 (англ.)

6-диметиламино-9-(3'-амино-3'-дезоксид-β-д-рибофуранозил)-пури́н (I) имеет высокую активность против первичной аденокарциномы молочных желез мышей. В связи с этим было интересно приготовить некоторые функциональные аналоги I. Р-ция I с  $\text{C}_6\text{H}_5\text{CH}_2\text{NCOCl}$  (II) и  $(\text{C}_2\text{H}_5)_3\text{N}$  в  $\text{HCON}(\text{CH}_3)_2$  (III) дает 3'-карбобензоксипроизводное (IV), которое с каталитич. кол-вом  $\text{NaOCH}_3$  образует 6-диметиламино-9-(3'-амино-3'-дезоксид-β-д-рибофуранозил)-пури́н 2',3'-карбонат (V). 5'-гидроксильная группа V в пиридине (VI) с  $\text{CH}_3\text{SO}_3\text{Cl}$  (VII) легко метилируется. Полученное соединение (VIII), нерастворимое в воде и легко растворимое в  $\text{CHCl}_3$ , при кипячении в  $\text{CHCl}_3$  переходит в растворимую в воде и нерастворимую в  $\text{CHCl}_3$  циклич. четвертичную соль — 3,5'-цикло-6-диметиламино-9-(3'-амино-3'-дезоксид-β-д-рибофуранозил)-пури́н 2',3'-карбонат метансульфонат (IX). Последняя неустойчива к щелочам и с 0,1 н.  $\text{Ba}(\text{OH})_2$  при расщеплении 1,2-связи пурина дает новую соль — 5'-N'-цикло-3-(2',3'-карбонил-3'-амино-3'-дезоксид-β-д-рибофуранозил)-4-формамидоимидазол-5-(N,N-диметил)-карбоксамид метансульфонат (X). Продолжительное действие 0,1 н.  $\text{NaOH}$  на IX приводит к 5'-N'-цикло-3-(2',3'-карбонил-3'-амино-3'-дезоксид-β-д-рибофуранозил)-4-аминоимидазол-5-карбоксамиду (XI), что подтверждает структуру X. При взаимодействии IV с VII получают 5'-метильное производное (XII), которое при нагревании в  $\text{CHCl}_3$  также переходит в циклич. четвертичную соль (XIII). При действии на XIII  $\text{HBr}$  получают с отщеплением карбена-



оксигруппы бромгидрат 3,5'-цикло-6-диметиламино-9-(3'-амино-3'-дезоксид-β-д-рибофуранозил)-пури́н бромид (XIV). Биологич. активностью против *Typhlocyba equiperdum* XIV не обладал. Для полученных соединений даны ИК-и УФ-спектры. К 1,00 г I и 1,0 мл  $(\text{C}_2\text{H}_5)_3\text{N}$  в 50 мл III при  $5^\circ$  прибавляют 0,65 мл 93%-ного II, перемешивают 15 мин., выливают в 250 мл воды, получают IV, выход 78%, т. пл.  $192-194^\circ$  (из  $\text{CH}_3\text{OH}$ ),  $[\alpha]_D^{25} - 19,6^\circ$  (2% в VI),  $\lambda_{\text{max}}$  5,87, 6,30 мк (CONH); 2,98, 3,10, 3,19 мк (—OH и —NH); 6,18 мк (C = N). 3,5 г IV, 0,53 мл метанольного 1 н.  $\text{NaOCH}_3$  в 20 мл III нагревают 2 часа на водяной бане, упаривают в вакууме досуха и растирают с 5 мл абс. спирта, получают V, выход 88%, т. пл.  $245-246^\circ$  (из абс. сп.),  $[\alpha]_D^{25} - 92^\circ$  (2% в VI),  $\lambda_{\text{max}}$  5,62 мк (—CONH), 3,07, 3,15 мк (—OH и —NH), 6,23 мк (C = N), 8,48 мк (сульфонат). К 1,00 г V в 6 мл VI при охлаждении прибавляют 0,36 мл VII, оставляют при  $5^\circ$  на 18 час., выливают в 30 мл воды со льдом, экстрагируют  $\text{CHCl}_3$  и упаривают  $\text{CHCl}_3$  в вакууме досуха ( $50^\circ$  в бане), получают VIII, выход 80%. VIII растворяют в 25 мл  $\text{CHCl}_3$  и кипятят 2 часа, получают IX, выход 91%, т. пл.  $281-283^\circ$  (разл. из абс. сп.),  $[\alpha]_D^{25} - 18,2^\circ$  (2% в воде),  $\lambda_{\text{max}}$  5,63 мк (C = O), 6,09, 6,18 мк (C = N), 8,43 мк (сульфонат);  $\lambda_{\text{max}}$  ( $\text{H}_2\text{O}$ ; pH 1; pH 14) 288; 288; 230 мк (с 17500, 17500, 11900). 500 мг IX в 25 мл



0,1 н.  $\text{Ba}(\text{OH})_2$  оставляют на 5 мин. при  $\sim 20^\circ$ , нейтрализуют твердой  $\text{CO}_2$ , фильтрат упаривают в вакууме досуха, растворяют в 5 мл воды, фильтруют и вновь упаривают, добавляют 5 мл горячего абс. спирта, получают 40% неизмененного IX, конечный фильтрат упаривают в вакууме досуха, получают X, выход 30%, т. пл.  $243-244^\circ$  (разл.; из  $\text{CH}_3\text{OH}$ ),  $\lambda_{\text{макс}}$  5,67  $\mu$  (C=O в цикле), 5,95  $\mu$  (C=O, формил), 6,19  $\mu$  (C=N), 2,88, 3,05, 3,25  $\mu$  (NH), 8,50  $\mu$  (сульфонат); 9,53  $\mu$  (C—O—C);  $\lambda_{\text{макс}}$   $\text{H}_2\text{O}$ , pH 1, pH 14 288, 278, 235 м $\mu$  ( $\epsilon$  10 900, 10 250, 14 300). 200 мг IX в 10 мл 0,1 н. NaOH оставляют на 20 час. и отфильтровывают, получают XI, выход 50 мл, т. пл.  $> 300^\circ$ ,  $[\alpha]_D^{25} + 78^\circ$  (1% в 4:1 вода: VI);  $\lambda_{\text{макс}}$  2,85, 2,98  $\mu$  (NH), 5,67  $\mu$  (C=O в цикле), 6,04, 6,58  $\mu$  (—CONH<sub>2</sub>), 6,17 (C=N), 6,31  $\mu$  (ковьюгированная C=C);  $\lambda_{\text{макс}}$  pH 1,  $\text{H}_2\text{O}$ , pH 14 259, 271, 272  $\mu$  ( $\epsilon$  12 200, 10 600, 12 300). К 3,90 г IV в 24 мл VI прибавляют при  $0-5^\circ$  0,78 мл VII, оставляют на 4 дня при  $3^\circ$ , выливают в 120 мл воды со льдом, экстрагируют  $\text{CHCl}_3$ ,  $\text{CHCl}_3$  упаривают в вакууме досуха при  $50^\circ$  в бане, растворяют в 10 мл толуола и вновь упаривают, получают XII, выход 96%. 4,40 г XII в 80 мл  $\text{CHCl}_3$  кипятят 4 часа, упаривают в вакууме досуха, экстрагируют горячей водой, декантируют и фильтруют через целит. Водн. р-ры упаривают в вакууме досуха, получают XIII, выход 63%, т. пл.  $101-104^\circ$  (из абс. сп. гептана);  $\lambda_{\text{макс}}$  pH, 1,7 291  $\mu$  ( $\epsilon$  16 600), 2,83, 3,12 и 3,20  $\mu$  (OH—NH), 5,89  $\mu$  (—CONH), 6,18  $\mu$  (C=N) и 8,53  $\mu$  (сульфонат). К 2,00 г XIII в 8,8 мл лед.  $\text{CH}_3\text{COOH}$  прибавляют 3,3 мл 30%-ного HBr в  $\text{CH}_3\text{COOH}$ , через 1,5 часа разбавляют 10 мл сухого эфира, отфильтровывают, на фильтре осадок смешивают с 10 мл абс. спирта, промывают ацетоном, получают XIV, выход 74%, т. пл.  $216-218^\circ$  (разл.),  $[\alpha]_D^{24} - 53,9^\circ$  (1,7% в воде),  $\lambda_{\text{макс}}$  pH 1,7 290 м $\mu$  ( $\epsilon$  18 000),  $\lambda_{\text{макс}}$  pH 14 275 м $\mu$  ( $\epsilon$  6470), 2,92  $\mu$  (OH—NH), 3,75, 3,87, 4,10 и 5,04  $\mu$  (N<sup>+</sup>), 6,07 и 6,15  $\mu$  (C=N).

M. JI.

4001. Пуромидин. Синтетические исследования. XI. *p*-Рибофуранозилпроизводные 6-диметиламинопурина. Кисман, Пайдэкс, Бейкер (Pugmyn, J. Amer. Chem. Soc., 1955, 77, № 1, 18—24 (англ.)).

Для выяснения зависимости биологической активности от строения синтезированы некоторые аналоги пуромидина. Необходимая 1,2,3,5-тетра-О-ацетил-*p*-рибофураноза (I) получена ацилированием *p*-рибозы по Циннеру, но разделение смеси  $\beta$ -*p*-рибофуранозы (II) и  $\beta$ -*p*-рибопиранозы (III) авторы проводили не фракционной кристаллизацией, а хроматографированием на колонке с целитом (II). Несмотря на достигнутые результаты I остается труднодоступной. Более доступна 1-О-ацетил-2,3,5-три-О-бензоил-*p*-рибоза (IV), полученная с некоторыми изменениями по Флетчеру. I и IV с HCl в эфире дают хлорацетильные производные Ia и IVa. Меркурхлорид 2-метилмеркапто-6-диметиламинопурина (V) с IVa при кипячении в ксилоле образует 2-метилмеркапто-6-диметиламино-9-(2',3',5'-три-О-бензоил- $\beta$ -*p*-рибофуранозил)-пурин (VI). О-дебензоилирование VI с каталитическими количествами  $\text{NaOCH}_3$  дает 2-метилмеркапто-6-диметиламино-9- $\beta$ -*p*-рибофуранозилпурин (VII), после десульфирования которого получают 6-диметиламино-9- $\beta$ -*p*-рибофуранозилпурин (VIII) с общим выходом на IV 39%. Из V и I после десульфирования получен 6-диметиламино-9-(2',3',5'-три-О-ацетил- $\beta$ -*p*-рибофуранозил)-пурин (IX), который превращен в VIII с общим выходом на I 26%. Меркурхлорид 6-ди-

метиламинопурина (X) при конденсации с IVa после О-дебензоилирования неожиданно также образует VIII с лучшим выходом (на IV 46%). X с Ia после О-ацетилирования дает VIII с 25%-ным выходом. Ранее было показано (РЖХим, 1955, 34604), что X и меркурхлорид 2,8-бис-метилмеркапто-6-дилетиламинопурина (XI) при конденсации с тетра-О-ацетил-*p*-гликопиранозилбромидом дают 7-замещенные производные пурина. XI с IVa образуют смесь 7- и 9-замещенных пурина, которая после десульфирования и О-дебензоилирования может быть разделена фракционной кристаллизацией или распределительной хроматографией на VIII и 6-диметиламино-7- $\beta$ -*p*-рибофуранозилпурин (XII). Биологические испытания VII, VIII и XII показали, что они не активны против *Trypanosoma equiperdum*. Против перевивной аденокарциномы молочных желез мышей был активен только VIII. Приведены данные по УФ-спектрам VII, VIII и XII и ИК-спектрам VII и VIII. 0,5 г смеси II и III растворяют в 6 мл вымываемой смеси вода-метанол-гептан-бензол 1:2:3:0,6 по объему (ВМГБ) с небольшим количеством избытка  $\text{CH}_3\text{OH}$ , тщательно смешивают с 12 г Ц. и помещают на верх колонки 2,1/57 см, наполненной 75 г Ц. смоченного 37,5 мл ВМГБ, вымывают ВМГБ и собирают фракции по 5 мл; фракции с 1—70 не содержат твердого вещества; фракции 70—113 дают 237 мг I с т. пл.  $77,5-80^\circ$ ; фракции 114—125—78 мг смеси и фракции 126—150—116 мг пипразы с т. пл.  $107-110^\circ$ ; выход 86%, т. пл. I  $81-82^\circ$  (из метанола)  $[\alpha]_D^{24,5} - 12,9^\circ$  ( $\epsilon$  2,05; в хлф.).

Лит. т. пл.  $82^\circ$ ,  $[\alpha]_D^{24} - 12,6^\circ$  ( $\epsilon$  12,83 в хлф.). В первых опытах получения I была выделена низкокалорийная I, выход 23%, т. пл.  $56-57^\circ$  (из метанола)  $[\alpha]_D^{24} - 12,04^\circ$  ( $\epsilon$  2,16; в хлф.).  $[\alpha]_D^{24} - 15,22^\circ$  ( $\epsilon$  2,10; в метаноле); после хранения около года т. пл. стала  $74-80^\circ$ . К 825 мл абс.  $\text{CH}_3\text{OH}$  прибавляют 0,25 моля *p*-рибозы и II мл сухой метанольной HCl (3,3 HCl) перемешивают 90 минут при  $\approx 20^\circ$ , прибавляют 75 мл безвод. пиридина (XIII), упаривают в вакууме при  $t$ -ре бани ниже  $45^\circ$ , прибавляют еще 75 мл XIII и вновь упаривают, растворяют в 200 мл  $\text{CH}_2\text{Cl}_2$  и 400 мл XIII; при охлаждении и перемешивании прибавляют (10 мин.) 1,25 моля  $\text{C}_6\text{H}_5\text{COCl}$ , оставляют на 48 часов при  $3^\circ$  и выливают в 1000 мл воды. Полученные слои разделяют, водн. р-р экстрагируют  $\text{CHCl}_3$  и  $\text{CHCl}_3$  упаривают, удаляя следы XIII отгонкой толуола. Остаток (166 г) растворяют в 500 мл 30%-ной HBr в  $\text{CH}_3\text{COOH}$  (XIV). Перемешивают 30 мин. при  $\approx 20^\circ$ , прибавляют 350 мл XIV, охлаждают до  $8^\circ$  и вносят по каплям 250 мл воды (37 мин.), охлаждение убирают, перемешивают 23 мин., выливают в 4 л воды, экстрагируют  $\text{CHCl}_3$  (5 раз по 300 мл  $\text{CHCl}_3$ ), упаривают до 300 мл, прибавляют равный объем XIII и 70 мл  $(\text{CH}_3\text{CO})_2\text{O}$ , оставляют на 2 дня при  $\approx 20^\circ$ , упаривают в вакууме до 150 мл ( $t$ -ра бани ниже  $40^\circ$ ), выливают в 500 мл воды и 200 мл  $\text{CHCl}_3$ , экстрагируют  $\text{CHCl}_3$ , объединенные экстракты упаривают в вакууме, прибавляют 300 мл спирта и оставляют на холоду до следующего дня. Получают IV: выход 57%, т. пл.  $126-128^\circ$  (из сп.-ацетацетата (XV) 5:2 с углем)  $[\alpha]_D^{25} + 35,4^\circ$  ( $\epsilon$  1,38; в хлф.),  $[\alpha]_D^{23} + 23,8^\circ$  ( $\epsilon$  2,10; в XIII). 10 ммоль IV прибавляют к 150 мл охлажд. р-ра HCl в эфире (насыщ. при  $0^\circ$ ) оставляют при  $-3^\circ$  на 7 дней, упаривают в вакууме при  $\approx 20^\circ$ , прибавляют 30 мл абс. бензола и вновь упаривают (повторяют 2 раза), растворяют в 35 мл бензола и прибавляют к суспензии V, осаждаемого на Ц. (10 ммоль V в 9,2 г смеси) в 125 мл ксилола (XVI), удаляют 45 мл смеси растворителей, кипятят 3 часа, фильтрат упаривают в вакууме, прибавляют 50 мл  $\text{CHCl}_3$  и р-р  $\text{CHCl}_3$  от промывки на фильтре Ц. горячим  $\text{CHCl}_3$  (3 раза по 30 мл),

фильтрат промывают дважды 15 мл 30%-ного р-ра KJ и 15 мл воды, сушат и обезбесивают  $MgSO_4$  и углем; упаривают в вакууме, растворяют в 150 мл эфира, декантируют, обезбесивают углем и упаривают в вакууме. Получают VI 85%-ной чистоты, выход 88% на IV. 6,7 г VI растворяют в 50 мл абс.  $CH_3OH$ , содержащего 1,5 мл 1 н.  $NaOCH_3$ , кипятят 70 мин. на водяной бане, упаривают в вакууме досуха, экстрагируют кипящим  $CHCl_3$  (3 раза по 70 мл), обезбесивают углем, упаривают в вакууме и растирают с эфиром. Получают VII, выход 63% на IV, т. пл. 173–174° (из 1,2-диметоксизтана).  $[\alpha]_D^{24} = -43,4^\circ$  (с 1,63; в  $CH_3OH$ ),  $\lambda_{\max} 248$  и 288 мμ (ε 21 300 и 17 600) при pH 7, 247 и 288 мμ (ε 20 350 и 17 050), при pH 14 6,24 мμ (C=N) и 2,97 мμ (ОН) 10 ммоль I в 75 мл безв. HCl в эфире, насыщ. при 0°, оставляют на 3 дня при –3°. Обрабатывают, как описано для IV, и прибавляют к суспензии V на Ц (8,65 ммоль V в 8 г смеси) в 70 мл XVI, кипятят 3,5 часа и выделяют, как описано для VI. Продукт конденсации (3,72 г 68%-ной чистоты), растворяют в 200 мл  $CH_3OH$ , кипятят с 9 г скелетного Ni 1 час, фильтруют через Ц, промывают кипящим  $CH_3OH$  3 раза по 50 мл и упаривают в вакууме. Получают IX, выход 2,42 г 63%-ной чистоты,  $\lambda_{\max}$  сп. 267 мμ (pH 1), 273 мμ pH 7, 276 мμ (pH 14). Пикрат т. пл. 172–173° (из сп.). IVa из 5 ммоль IV, как описано для VI, прибавляют в 20 мл абс.  $C_6H_6$  к суспензии X на Ц (5 ммоль X в 3,24 г смеси) в 60 мл XVI, отгоняют 15 мл смеси; при перемешивании кипятят еще 3 часа и выделяют, как описано для VI. 2,57 г растворяют в 100 мл абс.  $CH_3OH$ , содержащего 1 мл 1 н.  $NaOCH_3$ , кипятят 50 мин., упаривают в вакууме, растворяют в 100 мл горячего ацетона, декантируют, упаривают в вакууме до 20 мл, прибавляют эфир до муты, после стояния отфильтровывают, после упаривания фильтрата получают VIII, выход 46%, т. пл. 183–184° (из ацетона).  $\lambda_{\max}^{sp.} 268$  мμ (ε 18 460) при pH 1, 274 мμ (ε 18 750) при pH 7, 276 мμ (ε 18 520) при pH 14), 2,91 мμ и 3,02 мμ (ОН) и 6,17 мμ (C=N).  $[\alpha]_D^{25} = -62,6^\circ$  (с 2,63; в воде). IVa из 5 ммоль IV в 25 мл абс. бензола прибавляют к суспензии XI на Ц. (5 ммоль XI в 4,2 г смеси), в 60 мл XVI; отгоняют 30 мл смеси, кипятят 3,5 часа и выделяют, как описано для VI. Получают 2,1 г, растворяют в 30 мл XV, прибавляют 150 мл спирта, 9 г скелетного Ni, кипятят 3 часа, фильтруют через Ц, упаривают в вакууме, растворяют в 100 мл  $CHCl_3$ , промывают 15 мл воды (два раза), упаривают в вакууме, растворяют в 60 мл абс.  $CH_3OH$ , содержащего 1,2 мл 1 н.  $NaOCH_3$ , кипятят 65 мин., упаривают в вакууме, растирают с эфиром, твердый остаток нагревают с 180 мл абс. ацетона, фильтрат обезбесивают углем и упаривают. Получают смесь VIII и XII, выход 25%, считая на IV. Вода и XV насыщаются один в другом. 124 мг VIII и XII растворяют при 35° в 7 мл водной фазы, смешивают с 15 г Ц, помещают на верх колонки (3 × 60 см), наполненной 150 г Ц, смешанного с 75 мл водной фазы, в вымывают влажный XV. Собирают фракции по 20 мл. Фракции 5–30 дают 27,2 мг VIII, фракции 40–80–61 мг XII, т. пл. 200–201° из XV  $CH_3OH$ , сушат в вакууме при 110° 3 часа.  $[\alpha]_D^{24,5} 85,5^\circ$  (с 0,415; в 60%-ном сп.);  $\lambda_{\max}$  сп. 291 мμ (ε 22 400 при pH 1), 298 мμ (ε 17 720 при pH 7), 298 мμ (ε 17 480 при pH 14). М. Л.

4002. Пуромидин. Синтетические исследования. XII. Синтез α-аномера 6-диметиламино-9-(3'-амино-3'-дезоксид-р-рибофуранозил)-пурина. Бейкер, Шоб (Purumycin. Synthetic studies. XII. Synthesis of the α-anomer of 6-dimethylamino-9-(3'-amino-3'-deoxy-d-ribofuranosyl)-purine. Baker B. R., Schaub

Robert E.), J. Amer. Chem. Soc., 1955, 77, № 9, 2396–2399 (англ.)

3-ацетаминно-3'-дезоксид-α-метил-д-арабинофуранозид (α-р-I) превращен в 2,5-дибензоат (α-р-II) и гидролизован до 2,5-дибензоил-3-ацетаминно-3'-дезоксид-д-арабинозы (вероятно, β-форма) (III), которая также получена из (β-р-I) через β-р-II. I-а-апетильное производное III (IV) при конденсации с  $TiCl_4$  и 2 метилмерканто-6-диметиламино-9-хлормеркурпуринном (V), обезбесивании Ni и метаболизе дало 6-метиладель-9-(3'-ацетаминно-3'-дезоксид-α-д-арабинофуранозил)-пурин (VI) наряду с соответствующим α-д-рибофуранозилпуринном (VII); последний образуется вследствие инверсии C<sub>2</sub> при циклизации VI в промежуточный оксазалин, гидролизующийся при дальнейшей обработке. VII получен также из 2',5'-диметилата VI (VIII) с  $CH_3COONa$  и после очистки через 2',5'-диацетат (IX) гидролизован  $Ba(OH)_2$  до 6-диметиладель-9-(3'-амино-3'-дезоксид-α-д-рибофуранозил)-пурина (X), выделенного в виде ванилиденового производного (XI). В противоположность β-аномеру, XI не активно против *Trypanosoma equiperdum* и пересаженной аденокарциномы у мышей. 9,6 г α-р-I в 96 мл пиридина бензоилируют 13,6 г  $C_6H_5COCl$  (3°, 3 суток), выливают в 400 мл воды и извлекают  $CH_2Cl_2$  выход неочищ. α-р-II 110%,  $[\alpha]_D^{25} + 4,0^\circ$  (с 1,5; хлф.). 21,5 г неочищ. α-р-II в 215 мл  $CH_3COONa$  и 64 мл 12 н. HCl нагревают (50°, 30 мин.), разбавляют 800 мл воды, извлекают  $CHCl_3$  и получают III, т. пл. 152–153° (из бал.),  $[\alpha]_D^{22} 25,6^\circ$  (с 2; хлф.); в-во из маточных р-ров гидролизуют повторно и получают еще III, общий выход 54% (на α-р-I). Аналогично из β-р-I получают β-р-II, выход 97%, т. пл. 152–153° (из этилацетата-гептана),  $[\alpha]_D^{25} - 58,2^\circ$  (с 2; хлф.), который при гидролизе дает III, выход 55%, 4 г III в 20 мл пиридина и 20 мл  $(CH_3CO)_2O$  (100°, 1 час) дают IV, выход 75%, т. пл. 121–122° (из бал.-гептана),  $[\alpha]_D^{24} + 29,1^\circ$  (с 2; хлф.). От 3,6 г IV, 4,55 г V и 5 г целита в 325 мл дихлорэтана отгоняют 25 мл р-тиеля, кипятят при перемешивании 21 час с 1,1 мл  $TiCl_4$  и 15 мл дихлорэтана, разбавляют 150 мл воды, через 15 мин. фильтруют и упаривают, остаток растворяют в 50 мл  $CHCl_3$ , промывают 30%-ным KJ и водой; выход неочищ. 2',5'-дибензоата 2-метилмеркантопроизводного VI (XII) 98%, 4,7 г неочищ. XII в 250 мл метилцеллосольва обезбесивают (100°, 35 мин.) ~ 25 мл скелетного Ni (Mozingo и др., J. Amer. chem. Soc., 1943, 65, 1013), упаривают, растворяют в 67 мл  $CH_3OH$ , кипятят 35 мин. с 1,2 мл 1 н.  $CH_3ONa$ , поддерживая pH > 10, упаривают, смешивают с 4 г песка и экстрагируют кипящим этилацетатом; выход VI 39% (на IV), т. пл. 189–191° (из абс. сп.-этилацетата гептаном),  $[\alpha]_D^{25} + 102^\circ$  (с 1,7; вода); в ИК-спектре полосы ОН—NH при 2,94 и 3,15 мμ; CONH при 5,94 мμ и C=N при 6,17 мμ. Если 3,3 г IV и 1 мл  $TiCl_4$  в 43 мл дихлорэтана нагревают (100°, 1 час), прибавляют к 4,15 г V и 4,5 г целита в 300 мл дихлорэтана и обрабатывают как описано выше, то после обезбесивания и метаболиза получают осадок, из которого извлекают этилацетатом: на холоду VI, выход 6%, при кипении VII, выход ~ 0,1 г. 0,5 г VI в 10 мл пиридина и 0,5 мл  $CH_3SO_2Cl$  (~ 20°, 48 час.) дают неочищ. VIII, выход 85%, 0,602 г неочищ. VIII и 0,5 г безводн.  $CH_3COONa$  в 5,3 мл 95%-ного метилцеллосольва кипятят 24 часа, фильтруют, упаривают и апетилируют 4 мл  $(CH_3CO)_2O$  в 4 мл пиридина (100°, 1 час); выход IX 84%, 0,4 г IX в 8 мл  $CH_3OH$  и 0,18 мл 1 н.  $CH_3ONa$  (30 мин. при кипении) дают VII, выход 82%, т. пл. 239–240° (из  $CH_3OH$ )  $[\alpha]_D^{25} + 115^\circ$  (с 0,5; вода),  $\lambda_{\max}$  (при pH 1, 7 и 14)

268, 275  $\mu$  ( $\epsilon$  19600, 20000 и 19800) [в ИК-спектре полосы  $\text{OH}-\text{H}$  при 2,93, 3,02 и 3,15  $\mu$ ,  $\text{CONH}-$  при 5,99  $\mu$  и  $\text{C}=\text{N}$  при 6,18  $\mu$ ], 0,85  $\epsilon$  VII в 40 мл 0,5 н. Ва (ОН), нагревают (100°, 30 мин.), обрабатывают твердой  $\text{CO}_2$ , фильтруют и упаривают. Неочищенный X растворяют в 25 мл 75%-ного спирта, кипятят 1 час с 0,58 г ванилина, упаривают и встряхивают с 20 мл этилацетата и 20 мл воды; в-во из водн. р-ра гидролизуют и обрабатывают ванилином повторно. Общий выход XI 56%, т. пл. 237–237,5°,  $[\alpha]_D^{25} = -45^\circ$  ( $c$  1,5; пиридин) [в ИК-спектре полоса  $\text{OH}$  при 3,12  $\mu$ ,  $\text{C}=\text{N}$  (анила) при 6,04  $\mu$  и  $\text{C}=\text{N}$  (пурина) при 6,18  $\mu$ ]. При гидролизе (2 часа) выделяют промежуточный X, выход 80%, т. пл. 235° (разл.). М. К.

4003. Структуры двух полиацетиленовых антибиотиков. Бу'Лок, Джонс, Мансфилд, Томпсон, Уайтинг (The structures of two polyacetylenic antibiotics. Bu'Lock J. D., Jones E. R. H., Mansfield G. H., Thompson J. W., Whiting M. C.), Chemistry and Industry, 1954, № 32, 990–991 (англ.)

Доказано строение двух полиацетиленовых антибиотиков: выделенного из *Clitocybe diatreta* (I) (Anchell, J. Amer. Chem. Soc., 1952, 74, 1588) и агрицибина (II), выделенного из *Agrocycbe dura* (Kavanagh, Hervey, Robbins, Proc. Nat. Acad. Sci., U. S. A., 1950, 36, 102). Из двух возможных структур, предложенных для I ранее (РЖХим, 1954, 28884) путем измерения  $pK_a$  ( $pK_a$  3,5  $\pm$  0,1; вода, 25°) выбрана одна структура, истинность которой подтверждена ИК-спектром (подтверждена *транс*-конфигурация двойной связи) и синтезом по схеме [выход промежуточного продукта, 6-метилового эфира гексен-1-дин-3,5-дикарбоновой-1,6 к-ты (III) 10%, т. пл. 134–135°]:  $\text{HC} \equiv \text{CCOCH}_3 + \text{HC} \equiv \text{CCN} = \text{NH}_2\text{Cl}, \text{CuCl}, \text{O}_2 \rightarrow \text{HOCH}_2\text{CH} = \text{CHC} \equiv \text{CC} \equiv \text{CCOCH}_3$

$\xrightarrow{\text{водн. NH}_3} \text{HOCH}_2\text{CH} = \text{CHC} \equiv \text{CC} \equiv \text{CCONH}_2$  I. При гидрировании I получают кислый амид пробковой к-ты, выход колич. Ранее (РЖХимБх, 1955, 15693) для II было предложено строение  $\text{CH}_2\text{CH} = \text{CC} \equiv \text{CC} \equiv \text{CCONH}_2$  (IV). Это в-во синтезировано по схеме:

$\text{HC} \equiv \text{CC} \equiv \text{CCH}_2\text{OH} + \text{C}_4\text{H}_9\text{MgBr} \xrightarrow{\text{CH}_3\text{CHO}} \text{CH}_3\text{CHONHC} \equiv \text{CC} \equiv \text{CCH}_2\text{OH} \xrightarrow{\text{SOCl}_2, \text{NaNH}_2} \text{CH}_3\text{C} \equiv \text{CC} \equiv \text{CC} \equiv \text{CH} \xrightarrow{\text{C}_4\text{H}_9\text{MgBr}, \text{CO}} \text{CH}_3\text{C} \equiv \text{CC} \equiv \text{CC} \equiv \text{CCOONH}_2$

IV. УФ-спектры IV и II очень близки, IV присоединяет спирт аналогично II, но в случае IV эта р-ция идет быстрее и ИК-спектры продуктов присоединения различны. Авторы предложили для II другую структуру, доказанную синтезом по схеме:  $\text{CH}_2\text{ONHC} \equiv \text{CC} \equiv \text{CH} + \text{NH}_2\text{Cl}, \text{CuCl}, \text{O}_2 \rightarrow \text{CH}_2\text{ONHC} \equiv \text{CC} \equiv \text{CC} \equiv \text{CCOONH}_2$

$\xrightarrow{\text{водн. NH}_3} \text{CH}_2\text{ONHC} \equiv \text{CC} \equiv \text{CC} \equiv \text{CCONH}_2$  II. Синтетич. и природный II имеют идентичные УФ- и ИК-спектры и одинаково реагируют со спиртом в присутствии щелочи. Строение II подтверждено также изучением коэфф. распределения IV, синтетич. II и природного II в системах вода–эфир (20; 1,9; 2,0) и вода–этилацетат (34; 6,5; 7,1). При гидрировании II над Pd /  $\text{CaCO}_3$  в спирте получено в-во с т. пл. 76–78° (вероятно, 8-оксикетанамид), которое дает депрессию т-р плавления с V и отличается от него крystalлографически и по ИК-спектру:  $\lambda_{\text{max}}$  980, 1027, 1045–1055  $\text{cm}^{-1}$ . В. А.

4004. Новые способы образования аланина. Хейнс, Вальтер, Штумме (Neue Bildungsweisen des Alanins. Heyns K., Walter W., Stumme W.), Angew. Chemie, 1954, 66, № 20, 640 (нем.)

Показано, что взаимодействие пировиноградной к-ты (I) с  $\text{NH}_4\text{Br}$  при 140° и оксацетона (II) с жидким  $\text{NH}_3$  (во втором случае с последующим окислением продуктов р-ции  $\text{H}_2\text{O}_2$ ) приводит к образованию аланина (III). Образование III идет через иминопроизводное  $\text{CH}_2\text{C}(\text{NH})\text{COOH}$ , которое восстанавливается за счет окисления побочно образующегося ацетальдегида. Взаимодействие II с  $\text{NH}_3$  аналогично действию  $\text{NH}_3$  на кетозы (см. РЖХим, 1954, 37735). Образование III установлено также при взаимодействии метилглиоксала с 1 н.  $\text{NH}_4\text{Br}$  при 140°. В. В.

4005.  $\alpha$ -Метил- $\alpha$ -аминокислоты. I. Гомологи глутаминовой кислоты, метионина и диаминопимелиновой кислоты. Пфистер III, Линза, Конбе, Беккер, Маук, Роджерс ( $\alpha$ -Methyl- $\alpha$ -amino acids. I. Homologs of glutamic acid, methionine and diaminopimelic acid. Pfister 3rd K., Leanza W. J., Conbere J. P., Becker H. J., Matzuk A. R., Rogers E. F.), J. Amer. Chem. Soc., 1955, 77, № 3, 697–700 (англ.)

$\alpha$ -Метилглутаминовая к-та (I),  $\alpha$ -метилметионин (II) и  $\alpha, \alpha'$ -диметил- $\alpha, \alpha'$ -диаминопимелиновая к-та (III) синтезированы из метилкетонов,  $\text{NaCN}$  (IV) и  $(\text{NH}_4)_2\text{CO}_3$  (V) через соответствующие гидантоины. I охарактеризована рядом N-ацильных производных (VI). Показано, что  $\alpha$ -фенилглутаминовая к-та (VII) превращается в  $\alpha$ -фенилпрогилутаминовую к-ту (VIII). К р-ру 500  $\epsilon$  левулиновой к-ты в 500 мл воды прибавляют 1810  $\epsilon$  V и затем р-р 320  $\epsilon$  IV в 600 мл воды, выдерживают 18 час. при 58–60°, нагревают 3–5 час. на кипящей водяной бане, подкисляют конц.  $\text{HCl}$ , кипятят 20 мин. и упаривают; выход  $\beta$ -[5-(5-метилгидантоин)-пропионовой к-ты (IX) 700  $\epsilon$ , т. пл. 159–160° (из сп.). Р-р 700  $\epsilon$  IX и 800  $\epsilon$  NaOH в 1,5 л воды кипятят 20 час., подкисляют конц.  $\text{HCl}$  сначала на лакмус, затем до pH 3, концентрируют в вакууме, остаток обрабатывают 200 мл воды и 800 мл спирта и нейтрализуют анилином, выход I 400  $\epsilon$ , т. пл. 168–170° (из воды);  $pK_a$  2,2; 4,4; 9,7 получены: VI (R =  $\text{NH}_2\text{CO}$ ) (16,1  $\epsilon$  I, 9,0  $\epsilon$   $\text{KCNO}$ , 25 мл 4 н. KOH, 1 час при  $\sim 20^\circ$ ), выход 6,3  $\epsilon$ , т. пл. 152–153° (разл.). VI (R =  $n\text{-O}_2\text{NC}_6\text{H}_4\text{CO}$ ) (48,3  $\epsilon$  I в 600 мл I н. NaOH, 56  $\epsilon$   $n$ -нитробензоилхлорида в дioxane и 150 мл 2 н. NaOH (1 час при охлаждении), выход 42,4  $\epsilon$ , т. пл. 183–185° (из воды). VI (R =  $\text{C}_6\text{H}_5\text{CO}$ ), т. пл. 200–201°. VI (R =  $\text{C}_6\text{H}_5\text{CH}_2\text{OCO}$ ) (9,7  $\epsilon$  I, 7,4  $\epsilon$   $\text{MgO}$  в 100 мл воды, 10,2  $\epsilon$  карбобензоксихлорида в 70 мл  $\text{C}_6\text{H}_5\text{CH}_3$ , встряхивание 16 час. при  $\sim 20^\circ$ , извлечение этилацетатом после подкисления), выход 14,1  $\epsilon$ , т. пл. 148,5–149° (из воды).  $\alpha$ -Метилпрогилутаминовая к-та (35  $\epsilon$  I, нагревание при 185°, обработка этилацетатом), выход 90%, т. пл. 145–146° (из ацетона-петр. эф.). Хлоргидрат  $\gamma$ -метилового эфира I (16,1  $\epsilon$  I, 8,5 мл хлористого ацетила, 100 мл абс.  $\text{CH}_3\text{OH}$ , 24 часа при  $\sim 20^\circ$ , упаривание в вакууме при 35°, кристаллизация из хлф.-эф. р-ра), выход 18  $\epsilon$ , т. пл. 165–167° (разл.). Хлоргидрат диметилового эфира I (15  $\epsilon$  I, 100 мл абс.  $\text{CH}_3\text{OH}$ ,  $\text{HCl}$ -газ, кипячение 3 часа), выход 81%, т. пл. 142–143° (разл.; из хлф.-эф.). К р-ру 29  $\epsilon$   $\alpha$ -ацетамидобензилцианида и 5 мл 40%-ного гидрата окиси триметиленбензиламмония в 60 мл диоксана прибавляют 10  $\epsilon$  акрилонитрила в 10 мл диоксана, выдерживают 2 часа при 37–40°, разбавляют водой и извлекают  $\text{CHCl}_3$ ; выход  $\alpha$ -ацетамидо- $\alpha$ -фенилглутаронитрила (X) 13,4  $\epsilon$ , т. пл. 154–155° (из этилацетата). При кипячении 10  $\epsilon$  X с 900 мл 6 н.  $\text{HCl}$ ,  $\sim 12$  час. получают 2,2 VIII, т. пл. 207–208° (из воды), и из фильтрата после нейтр-ции анилином 6,5  $\epsilon$  VII, т. пл. 170°, которая превращается в VIII при высушивании в вакууме при  $\sim 20^\circ$ . Газообразный метилмеркаптан (40 мл) пропускают через смесь 26,2  $\epsilon$  метилвинилкетона, 0,2  $\epsilon$  ацетата меди и 0,2  $\epsilon$  гидрохинона при 35–40° и перемешивают 12 час.



при  $\sim 20^\circ$ , выход метилтиобутанона-3 (XI) 77%, т. кип.  $75^\circ/14$  мм,  $n_D^{25}$  1,4772. 5- $\beta$ -метилмеркапто-этил-5-метилгидантоин (XII) получают аналогично IX из 33,8 г XI, 28,6 г KCN и 132,2 г V в водно-спиртовом р-ре, выход 82%, т. пл.  $109-110^\circ$  (из эф.-петр. эф.). 40,3 г XII и 217,4 г  $Ba(OH)_2$  и 150 мл воды кипятят до полного удаления  $NH_3$ , пропускают  $CO_2$  и ударивают после подкисления; выход II 45%, т. пл.  $283-284^\circ$  (с разл.); из водн. сп.).  $\alpha, \alpha'$ -Диметилгомоцистин (8,5 г II, 70 мл 18 н.  $H_2SO_4$ , 8 час. при  $125-135^\circ$ , разбавление 1200 мл воды, нейтр-ция  $Ba(OH)_2$ , выход 1,1 г т. пл.  $278^\circ$  (разл.).  $\alpha$ -Метилметилонийметилсульфонид (4,9 г II, 49 мл 88%-ной  $HCOOH$ , 15 мл лед.  $CH_3COOH$ , 7,5 мл  $CH_3$ , 6 дней в темноте, отгонка р-рителя в вакууме, обработка  $CH_3OH$  и эфиром) выход 5,6 г, т. пл.  $95^\circ$  (разл.; из сп.). 5-метил-5-(8-оксигептанон)-гидантоин (XIII) получают аналогично IX из 47 г 6-оксигептанона-2, 50 г IV и 200 г V в 500 мл 30%-ного спирта, выход 77%, т. пл.  $131^\circ$  (из этилацетата). 5-метил-5-(8-кетомил)гидантоин (XIV) (40 г XIII, 24 г  $Na_2Cr_2O_7$ , 28 г  $H_2SO_4$ , 500 мл воды, 18 час. при  $60^\circ$  и 12 час. при  $5^\circ$ ), выход 88%, т. пл.  $155-157^\circ$  (из этилацетата). 5,5'-диметил-5,5'-триметилбензигидантоин (XV) получают аналогично IX из 43 г XIV, 25 г IV и 250 г V, выход 45 г, т. пл.  $293^\circ$  (из воды). III получен из 30 г XV, 40 г  $NaOH$ , 300 мл воды, кипячение 22 часа), выход 10,1 г, т. пл.  $350^\circ$  (разл.). I замедляет действие декарбоксилазы глутаминовой к-ты у млекопитающих, II блокирует действие D-аминоксидазы на фенилаланин, III не заменяет диаминопимелиновую к-ту при недостаточности лизина у штаммов *E. coli*. В. А.

**4006. Фенилкарбаминовые производные инсулина.** Андерсен (Phenylcarbamoyl derivatives of insulin. Andersen William), Acta chem. scand. 1954, 8, № 9, 1723-1725 (англ.)

Изучались синтез и разложение фенилкарбаминовых производных инсулина (I). Водн. р-р 60 м.молей свиного I (мол. в. 5777, содержащего по 1 цепи А и В) при взаимодействии с фенилизотиоцианатом (42 м.молей) при pH 8,50 и  $40^\circ$  дает частичное замещение I. При хроматографировании на колонке (Hyflo Super-Cel) в системе 2 бутанол — 0,01 н. трихлоруксусная к-та получается 3 пика. Первый — отвечает неизменному I, остальные 2 пика ( $D_1$  и  $D_2$ ) соответствуют одно- и двумазец. I. Выделенные компоненты гидролизуются 5 н. HCl при  $100^\circ$ , 18 час., с одновременным образованием соответствующих производных гидантоина (II). II извлекали эфиром и определяли спектрофотометрически в 0,1 н. NaOH; молекулярная экстинкция  $1,60$  и  $1,65 \cdot 10^4$  для II глицина и фенилаланина. Гидантоины были идентифицированы хроматографией на бумаге в 2 системах р-рителей (кислота —  $CH_3COOH$  — вода (3:2:1) и пентанол, насыщ. водой). Пятна проявлялись пульверизацией 1 н. NaOH, с последующим фотографированием в УФ. Отношение гидантоинов между собой установлено по оптич. плотности при 239 м. Отношение гидантоина глицина к гидантоину фенилаланина для  $D_1$  10:1; для  $D_2$  — 1:3. Надо учесть, что гидантоин глицина менее стоек при гидролизе. Обсуждается значение полученных результатов в связи с вопросом о строении инсулина. С. Б.

**4007. Изучение специфического химического расщепления пептидной связи. Часть I. Прерывания пептидов аспарагиновой и глутаминовой кислот. Баттерсби, Робинсон** (Studies on specific chemical fission of peptide links. Part I. The rearrangement of aspartyl and glutamyl peptides. Battersby Alan R., Robinson J. C.), J. Chem. Soc., 1955, Jan., 259-269 (англ.)

При действии избытка 0,1 н. NaOH или горячего 0,28 н. р-ра  $Na_2CO_3$  на эфиры  $\alpha$  или  $\beta$ -пептидов аспа-

рагиновой к-ты в мягких условиях происходит омыление эфирной группы и образование смеси  $\alpha$ - или  $\beta$ -пептидов аспарагиновой к-ты с преобладанием  $\alpha$ -изомера. Р-ция протекает через ступень образования имидазного кольца с последующим его раскрытием. Образующиеся имидазы могут быть выделены при действии на эфиры пептидов 0,5 экв. щелочи или  $C_2H_5ONa$  в спирте или при преждевременном прекращении р-ции с  $Na_2CO_3$ . В кислых условиях эфиры пептидов аспарагиновой к-ты в имидазы не превращаются. Эфиры  $\alpha$ - и  $\gamma$ -пептидов глутаминовой к-ты несколько более устойчивы к действию  $Na_2CO_3$ , но с 0,1 н. NaOH также превращаются в смесь изомерных пептидов. В этом случае промежуточные имидазы не выделены, так как они очень легко гидролизуются с раскрытием кольца. Щел. гидролиз оптически активного этилового эфира  $\alpha$ -бензоил-N-ацетилглицил- $\alpha$ -L-глутамилглицина (I) привел к аналогичным результатам с образованием оптически неактивного соединения. Аспарагинилпептиды оказались устойчивыми к действию 0,1 н. NaOH и 0,25 н.  $Na_2CO_3$ .  $\beta$ -Этиловый эфир N-бензоил-DL-аспарагиновой к-ты (II) был получен из хлоргидрата  $\beta$ -этилового эфира аспарагиновой к-ты (0,05 моля) и бензоилхлорида (7 г) при  $0^\circ$  в присутствии безводн.  $K_2CO_3$  (3 экв) в водн. диоксане; экстрагируют эфиром, подкисляют и экстрагируют этилацетатом ( $3 \times 100$ ); выход II 75%, т. пл.  $105-107^\circ$  (из 10%-ного сп.). От  $\alpha$ -изомера II очищают методом противотоочного разделения между этилацетатом и буферным р-ром из 0,5 М  $KH_2PO_4$  (20 объемов) и 0,5 М  $K_2HPO_4$  (1 объем).  $\gamma$ -Этиловый эфир N-бензоил-DL-глутаминовой к-ты (III) получен аналогично из  $\gamma$ -этилового эфира глутаминовой к-ты (J. Chem. Soc., 1950, 3159) с выходом 67%, т. пл.  $114-115,5^\circ$  (из 10%-ного сп.). Для получения этилового эфира N-бензоил-DL-изоаспарагина (IV) 5,3 г II, 2,8 мл триэтиламина в 250 мл диоксана и 50 мл  $CHCl_3$  обрабатывают при  $0^\circ$  2 мл  $C_2H_5OCOC$  и через 20 мин. добавляют 4 мл (d 0,880) водн. р-ра  $NH_3$ . Через 5 час. добавляют 50 мл воды, подкисляют на лакмус, упаривают до 50 мл, добавляют воды и повторяют упаривание. Доводят до pH 8  $K_2CO_3$ , осадок промывают суспендированием в 0,01 н. HCl; выход IV 83%, т. пл.  $151-153^\circ$  (из 10%-ного сп.). Таким же методом получен этиловый эфир N-бензоил-DL-аспарагина (V) с выходом 80%, т. пл.  $152-154^\circ$  (из воды). Смесь N-бензоил-DL-аспарагина (VI) и N-бензоил-DL-изоаспарагина (VII) образуется при пропускании тока сухого  $NH_3$  в р-р 3,6 г ангидрида N-бензоил-DL-аспарагиновой к-ты (VIII) в 160 мл горячего сухого диоксана. Диоксан сливают с осадка аммонийных солей. Осадок растворяют в 50 мл  $H_2O$  и подкисляют. Для разделения VI и VII полученную смесь растворяют в 0,2 н.  $Na_2CO_3$  и подкисляют 1,15 н. HCl 3 порциями: 11,7, 2,25 и 5 мл. Первая фракция после повторного пересаживания содержит VII, т. пл.  $208-209^\circ$ ; последняя фракция содержит VI, т. пл.  $189-190^\circ$ . Образование VI и VII происходит также при нагревании ( $40^\circ$ , 3 дня) р-ра 0,61 г II в 40 мл водн.  $NH_3$  (d 0,88). Продукт р-ции содержит  $\sim 60\%$  VI и  $40\%$  VII. Нагревание 2,1 г VIII в 50 мл абс. спирта, 3 часа приводит к образованию смеси, состоящей из II, диэтилового эфира N-бензоил-DL-аспарагиновой к-ты (IX) и  $\alpha$ -этилового эфира N-бензоил-DL-аспарагиновой к-ты (X), т. пл.  $111-112,5^\circ$  (из воды). IX с выходом 84% получают из N-бензоил-DL-аспарагиновой к-ты, абс. спирта и HCl, т. пл. IX  $75-77^\circ$  (эф. + легкий биз.). Имид N-бензоил-DL-аспарагиновой к-ты (бензоиламиносукцинимид) (XI) может быть получен следующими путями: из VI по ранее известному методу (Cherbuliez, Chambers, Helv. chim. acta, 1925, 8, 395), из IV — при обработке спирт. р-ра IV 0,5 экв 1 н. NaOH (18 час.,  $\sim 20^\circ$ ). Подкисляют 1,15 н. HCl, упаривают, добавляют 10 мл воды и  $K_2CO_3$  до

pH 7,5; выход XI 43 %, т. пл. 224—225° (из сп.); нагревание 0,132 г IV в абс. спирте с 0,1 экв  $C_2H_5ONa$  до 50°, 8 час. и 30 час. при ~20° приводит к образованию XI, выход 19%. Обработка XI водн.  $NH_3$  приводит к диамиду N-бензоил- $\beta$ -L-аспарагиновой к-ты с выходом 88%, т. пл. 270—271° (из  $H_2O$ ). Смесь VI и VII получают действием 1 н. NaOH (1,05 экв) на р-р XI в 20%-ном спирте (16 час., ~20°) или нагреванием до 50° 3 часа с 0,28 н.  $Na_2CO_3$  (3 экв). Смесь содержит главным образом VI. Разделение проводят дробным осаждением из р-ра Na-солей, подкисляя 1,16 н. HCl. Нагревание IV с 0,28 н. NaOH (3 экв) 2 часа при 40° или обработка при ~20° с 0,41 н. NaOH 1 час приводит также к смеси VI и VII. Смесь разделяют на колонке (1  $\times$  15 см) со смолы IR 4B, промывая 1 н. HCl и водой. Выводят сначала  $CH_3COONH_4$  VII, а затем 1 н. HCl VI; выход VI 65%. К р-ру 6 г хлорангидрида фталоглицина в 100 мл диоксана и 20 мл  $CHCl_3$  при 0° добавляют р-р 6,28 г *n*-гексилamina в 30 мл диоксана. Через 40 мин. упаривают, добавляют 200 мл 0,5%-ного р-ра  $NaHCO_3$ . Выход *n*-гексилamид фталоглицина (XII) 64%, т. пл. 166—167° (из 50%-ного сп.). Спирт. р-р XII кипятят 1 час с гидразингидратом, фильтруют и упаривают досуха. Обрабатывают 1 н. HCl (600 мл), фильтруют, упаривают и сушат над  $P_2O_5$ . Выход хлоридрата *n*-гексилamид глицина (XIII) 52%, т. пл. 249° (из этанола-этилацетата). К 21,7 г карбобензоксиглицилглицина и 12 мл триэтиламина в 240 мл  $CHCl_3$  при 0° приливают 7,8 мл  $C_2H_5OCOSi$  и через 25 мин. р-р 2,4 г  $\gamma$ -этилового эфира glutaminовой к-ты в 118 мл 0,1 н. NaOH и размешивают 2 часа при 0° и 2 часа при ~20°. Слой  $CHCl_3$  отделяют, промывают 1,5%-ным водн. р-ром  $NH_3$ , водн. слой объединяют и подкисляют. После очистки противоточным методом (этор-бутанол и фосфатный буфер из 0,5 М  $KH_2PO_4$  — 9 объемов и 0,5 М  $K_2HPO_4$  — 1 объем)  $\gamma$ -этиловый эфир карбобензоксиглицилглицил-L-глутаминовой к-ты (XIV) плавится при 151—153° (из воды),  $R_f$  0,61 (этор-бутанол, 3%-ный р-р  $NH_3$ ; 5:2), выход 24%. *n*-Гексилamиды дипептидов из глицина и моноэфиров аспарагиновой или glutaminовой к-ты были получены следующим общим методом: р-р 5 ммоль моноэфира в 80 мл диоксана и 15 мл  $CHCl_3$  при 0° смешивают с 0,7 мл  $(C_2H_5)_3N$  и 0,48 мл  $C_2H_5OCOSi$ . Через 20 мин. добавляют 0,7 мл  $(C_2H_5)_3N$  и р-р 5 ммоль хлоридрата *n*-гексилamид глицина (XV) в 15 мл диоксана и 1 мл  $H_2O$ . Смесь размешивают 2 часа при 0° и 2 часа при ~20°, подкисляют HCl до pH 6, добавляют 50 мл  $H_2O$  и упаривают. Остаток экстрагируют этилацетатом (3  $\times$  100). Экстракт промывают HCl, р-ром  $NaHCO_3$  и  $H_2O$ . Из содового р-ра получают исходный моноэфир (25%), а из этилацетата пептид. Получены (указан выход в %, т. пл. в °C, в скобках р-ритель для кристаллизации): этиловый эфир *n*-гексилamид N-бензоил- $\alpha$ ,DL-аспарагилглицина (XVI), 80, 106—107 (водн. сп.); этиловый эфир *n*-гексилamид N-бензоил- $\beta$ -DL-аспарагилглицина (XVII), 60, 82—87; этиловый эфир *n*-гексилamид N-бензоил- $\alpha$ -DL-глутамилглицина (XVIII), 84, 110—112 (водн. сп.); этиловый эфир *n*-гексилamид N-карбобензоксиглицил- $\alpha$ -DL-глутамилглицина (XIX), 76, 142—147 (водн. сп.),  $[\alpha]_D^{25} +3,6$  (с 4,88; в сп.). Из маточных р-ров от кристаллизации XVI выделен *n*-гексилamид N-карбобензоксиглицина (XX). XX был получен также из XV и  $C_2H_5OCOSi$  с т. пл. 94—95°, сублимация при 85° 0,01 мм. Нагреванием VIII с  $H_2O$ ,  $(C_2H_5)_3N$  в смеси диоксана и  $CHCl_3$  до 40° 4 часа была получена смесь *n*-гексилamидов N-бензоил- $\alpha$ -(XXI) с т. пл. 179—180° (из  $H_2O$ ) и N-бензоил- $\beta$ -DL-аспарагилглицина XXII с т. пл. 163—164° (из  $H_2O$ ). XXI и XXII разделяют противоточным методом со смесью: этилацетат (8 объемов), *n*-бутанол (2 объема), водн. фосфатный буфер (11,2 объема)

из 0,5 М  $KH_2PO_4$  (11 объемов) и 0,5 М  $K_2HPO_4$  (1,6 объема). *n*-Гексилamид N-бензоил DL-аспарагилглицина (XXIII) был получен аналогично IV, выход 66%, т. пл. 186—187° (водн. сп.). Гидрирование XIX над PdO, последующее ацетилирование  $(CH_3CO)_2O$  приводит к этиловому эфиру *n*-гексилamид N-ацетилглицилглицил- $\alpha$ -DL-глутамилглицина (XXIV), выход 65%, т. пл. 193,5—194,5° (из  $H_2O$ ). Для синтеза *n*-гексилamидов N-бензоил- $\alpha$ -(XXV) и N-бензоил  $\gamma$ -DL-глутамилглицина (XXVI) безводн. N-бензоил- $\gamma$ -глутаминовую к-ту нагревают до растворения с  $(CH_3CO)_2O$  при 100°, охлаждают до 0° и отфильтровывают ангидрид N-бензоил-DL-глутаминовой к-ты (XXVII), выход 87%, т. пл. 154—155° (из  $(CH_3CO)_2O$ ). Взаимодействие XXVII и XV приводит к смеси XXV (т. пл. 184—186°) и XXVI (т. пл. 128—130°). При размешивании XVI или XVII с 0,28 н.  $Na_2CO_3$  (4 экв) при 40° через 2 часа образуется *n*-гексилamид-DL-бензоилamиносукцинилглицин (т. пл. 149—150°) в виде масла, которое отделяют, растворяют в спирте и снова размешивают с реакционным р-ром. Через 4 часа охлаждают, доводят до pH 7, экстрагируют этилацетатом и подкисляют. Выделившийся осадок состоит из XXI и XXII. При взаимодействии XXIII с 0,1 н. NaOH или при 50° с 0,25 н.  $Na_2CO_3$  выделяют основную массу исходного XXIII и небольшое кол-во XXII. Взаимодействие XVIII с 0,1 н. NaOH через 4 часа приводит к образованию смеси XXV и XXVI, которые разделяют противоточным методом со смесью этилацетата (4 объема), *n*-бутанола (1 объем) и водн. буфера из 0,5 М  $KH_2PO_4$  (4 объема) и 0,5 М  $K_2HPO_4$  (2,8 объема). Действие 0,1 н. NaOH 6 час. при ~20° на XXIV приводит к смеси *n*-гексилamид N-ацетилглицил- $\gamma$ -DL-глутамилглицина, т. пл. 194,5—195,5° (из воды),  $[\alpha]_D^{25} 0$  (с 12,4 в 1,2 экв р-ра NaOH),  $pK_a$  345.

Е. Ч.

**4008. Синтез  $\gamma$ -поли-L-глутаминовой кислоты.** Брукнер, Вейн, Надь, Кайтар, Ковач (Synthesen der  $\gamma$ -Poly-L-glutaminsäure. Bruckner V., Wein J., Nagy H., Kajtár M., Kovács J.), Naturwissenschaften, 1955, 42, № 8, 210 (нем.)

$\gamma$ -Поли-L-глутаминовая к-та (I) синтезирована тремя методами. Метод А иллюстрируется схемой: (II)  $\rightarrow$  (III)  $\rightarrow$  (IV)  $\rightarrow$  (V). В отличие от описанного ранее (РЖХим, 1955, 26353), синтез проводили в чистом диметилформамиде и удаляли  $CO_2$ , выделяющийся при гидролизе и полимеризации. Метод Б. К-ту II превращали в смешанный ангидрид III, который при взаимодействии с  $C_6H_5SH$  давал тиоэфир (VI), т. пл. 134—135°;

$R-[NH(COOR')CH(CH_2R'')CO-]_nNH(COOR')CH(CH_2R'')COR'$   
I  $R=R'$ ; II  $n=1$ ,  $R=C_6H_5CH_2OOC$ ,  $R'=CH_3$ ,  $R''=OH$ ;  
III  $n=1$ ,  $R=C_6H_5CH_2OOC$ ,  $R'=CH_3$ ,  $R''=OCOOC_2H_5$ ; IV  $n=1$ ,  
 $R=H$ ,  $R'=CH_3$ ,  $R''=OCOOC_2H_5$ ; V  $R=H$ ,  $R'=CH_3$ ,  $R''=OH$ ; VI  $n=1$ ,  
 $R=C_6H_5CH_2OOC$ ,  $(R'=CH_3, R''=SC_2H_5)$ ; VII  $n=1$ ,  $R=H$ ,  $R'=CH_3$ ,  
 $R''=SC_2H_5$ ; VIII  $n=1$ ,  $R=H$ ,  $R'=CH_3$ ,  $R''=OH$ ; IX  $n=1$ ,  
 $R=C_6H_5CH_2OOC$ ,  $R'=CH_3$ ,  $R''=OH$

из VI обычным способом получали продукт омыления (VII), выделенный в виде бромгидрата и полимеризующийся при действии  $(C_2H_5)_3N$ . Метод В. Из к-ты (VIII) с фениловым эфиром хлортоугольной к-ты получали к-ту (IX), полимеризующуюся в горячем р-ре  $C_2H_5N$  +  $C_6H_6$  в V. Гидролизом V получена I, выделенная в виде Cu-соли или вымораживанием водн. р-ра. Р. Ж.

**4009. Оксипролин и устойчивость коллагенов.** Густавсон (Hydroxyproline and stability of collagens. Gustavson K. H.), Acta chem. scand., 1954, 8, № 7, 1298—1299 (англ.)

Ранее установлено (РЖХим, 1954, 32513), что существует зависимость между содержанием оксипролина (I) в различных типах коллагена и его гидролитической устойчивостью, измеряемой т-рой мгновенного сокра-

щения волокон (Ts) и высказано предположение, что межмолекулярные связи в коллагене млекопитающих осуществляются при помощи поперечных связывающих пептидные цепи водородных связей. С целью уточнения зависимости между содержанием I и Ts применен улучшенный метод выделения I и пролина из гидролизатов кожи быка, трески и щуки путем последовательного хроматографирования на колонке из крахмала и колонке из дауэкс-50. Найдено, что с увеличением содержания I в коллагене Ts повышается (приведена таблица). Обсуждается возможное участие I в образовании водородных межмолекулярных связей в соответствии с предложенными ранее структурными моделями коллагена.

Г. Р.

4010. Исправления к статье «Успехи в химии белка». Г. Р. Грострам (Correction.), Research, 1954, 7, № 8, 330 (англ.)

К РЖХим, 1955, 31778.

4011. Природные полиацетиленовые соединения. Боляман (Die natürlich vorkommenden Polyacetylen-Verbindungen. Bohlmann F.), Angew. Chemie, 1955, 67, № 14—15, 389—394 (нем.)

Обзор свыше 30 природных ацетиленовых (преимущественно полиацетиленовых) соединений  $C_8$ — $C_{12}$  (в т. ч. ряда антибиотиков), выделенных главным образом из растений семейства сложноцветных, а также — некоторых зонтичных, грибов и бактерий. Приведены УФ-спектры и литература.

В. Н.

4012. Структура терреина. Гров (The structure of terrein Grove John Frederick), J. Chem. Soc., 1954, Dec., 4693—4694 (англ.)

Автор доказывает, что терреин (I) [оптически активный циклич. кетоспирт, продуцируемый *Penicillium raistrickii*, т. пл. 127° (из бал.),  $[\alpha]_D^{19} + 192^\circ$  (с 0,2035, вода)] имеет строение 4,5-диокси-3-пропенилциклопентен-2-она-1, поскольку в УФ-спектре поглощения I имеются полосы с  $\lambda_{\text{макс}}$  (в см.) 276 м $\mu$  (с 25 000),  $\lambda_{\text{макс}}$  (вода), 282,5 м $\mu$  (с 26 500), обусловленные наличием диеновой системы. В ИК-спектре I (в хлф.) обнаружены частоты двойных связей в области 1703 см $^{-1}$  ( $\Delta^{4,5}$ -дициклопентенон) и 1639 см $^{-1}$  (сопряженная связь C:C); в парафиновом масле наблюдались полосы 3390 (ОН), 3215 (связанная группа ОН), 1697 и 1636 см $^{-1}$ . I с избытком малеинового ангидрида (в кипящем бал.) образует 1:1 аддукт (определен по титрованию избыточной малеиновой к-ты). Автор полагает, что его данные о структуре I исправляют структурную флу. предложенную ранее (Glutterbuck и др., Biochem. J., 1937, 31, 987).

Л. С.

4013. Строение фенолов, выделенных из смол, и их биогенетическая взаимосвязь. XVIII. Превращение  $\alpha$ -конидендрина в гальбулин. Карпмалм (Constitution of resin phenols and their biogenetic relations. XVIII. Conversion of  $\alpha$ -conidendrin to galbulin. Carpmalm Bernt), Acta chem. scand., 1954, 8, № 10, 1827—1829 (англ.)

При хроматографировании на бумаге было обнаружено, что гваяковая смола содержит ряд неизвестных

соединений, часть из которых является, повидимому, лигнанами. С целью исследования этих соединений проведено восстановление диметилового эфира  $\alpha$ -конидендрина (I) и диметилового эфира  $\beta$ -конидендрина (II) при помощи  $LiAlH_4$  в ранее описанные диолы (см. предыдущее сообщение. РЖХим, 1955, 31786), превращение их в *n*-толуолсульфокислые эфиры и восстановление последних при помощи  $LiAlH_4$ . Продукт, полученный таким путем из I (III), оказался идентичным с гальбулином — новым лигнаном, выделенным из *Himantandra baccata* Bail. Строение III и его  $\beta$ -изомера было подтверждено каталитич. дегидрированием в диметил-эфир дегидрогваяретовой к-ты (IV). 2 г диола (продукт восстановления I) в 30 мл пиридина обрабатывают 6 г хлорангидрида *n*-толуолсульфокислоты и получают эфир  $\alpha$ -диола *n*-толуолсульфокислоты (V), выход 2,8 г, т. пл. 158,5—159,5° (из сп.)  $[\alpha]_D^{20} + 4,1^\circ$  (с 1,95; хлф.). Из 2 г диола (из II) аналогичным путем получают эфир  $\beta$ -диола и *n*-толуолсульфокислоты (VI), выход 2,9 г, т. пл. 117,5—118,5° (из  $CH_3OH$ ),  $[\alpha]_D^{20} + 53,8^\circ$  (с 1,80; хлф.). 1 г V в 20 мл абс.  $C_6H_6$  восстанавливают нагреванием 1 г  $LiAlH_4$  в 20 мл абс. эфира и получают III, выход 0,45 г т. пл. 129,5—130,5 (из  $CH_3OH$ )  $[\alpha]_D^{20} - 7,6^\circ$  (с 2,6; хлф.); из VI получен аналогичным способом продукт с т. пл. 85—85,5 (из  $CH_3OH$ )  $[\alpha]_D^{20} + 45^\circ$  (с 2,0; хлф.). 100 мг III кипятят с Pd/C (10%, 25 мг) в 1 мл диэтиленгликоля и получают 90 мг IV, т. пл. 176—177° (из лед.  $CH_3COOH$ ).

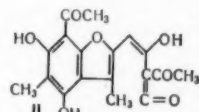
Л. П.

4014. Исправления к статье «Фталевые альдегиды и родственные им соединения. Часть III. Синтез дезоксиглудиоловой кислоты и опыты по изучению строения дигидрогладдиоловой кислоты». Браун, Ньюболд (Errata), J. Chem. Soc., 1954, Nomenclature rep. indexes and title-pages (англ.)

К РЖХим, 1955, 26361

4015. Рацемизация усниновой кислоты. Сторк (The racemization of usnic acid. Stork Gilbert), Chemistry and Industry, 1955, № 29, 915—916 (англ.)

Для объяснения легкости рацемизации и других превращений усниновой к-ты (I) допускается, что I в результате размыкания 6-членного кольца образует в условиях



р-ций изомерный ей кетен(II), который и участвует в дальнейших превращениях.

В. Н.

См. также: Терпены 4771, 4854. Стероиды 5014, 5058—5062; 1231Бх, 1244Бх, 1256Бх, 1257Бх, 1397Бх, 1478Бх. Алкалоиды 1392—1394Бх. Витамины 994Бх, 1006Бх, 1039Бх, 1251Бх, 1253Бх, 1287Бх. Антибиотики 5072, 5075; 1300Бх, 1305Бх. Аминокислоты и белки 3640, 4834, 4835, 5056; 992Бх, 1052Бх, 1053Бх, 1064—1067Бх. Др. природн. в-ва 991Бх

## ХИМИЯ ВЫСОКОМОЛЕКУЛЯРНЫХ ВЕЩЕСТВ

4016. Картины рентгеновского рассеяния под малыми углами от коллагена. Уэртингтон, Томлин (Small-angle X-ray diffraction patterns of collagen. Worthington C. R., Tomlin S. G.), Nature, 1955, 175, № 4462, 811 (англ.)

Получены дифракционные картины рассеяния под малыми углами от волокна коллагена вакуумно-сухого (КС) и влажного (КВ) и определены интенсивности

соответствующие 25 порядкам для КВ и 23 — для КС. Большой период для КС равен 635 А и для КВ 670 А. Интересная черта дифракционных картин — появление относительно сильных рефлексов для 19 и 20 порядков отражения для КС и для 20 и 21 порядков для КВ. Авторы полагают, что распределение электронной плотности имеет заметный максимум в области 31—34 А с центром при 32,8 А, откуда следует, что хотя



большие периоды коллагена могут заметно изменяться, имеется постоянная структурная единица, протяженностью  $\sim 32,8$  А. Обработка  $\text{AgNO}_3$  заметно изменяет картину рассеяния, в то время как обработка  $(\text{CH}_3\text{COO})_2\text{Pb}$  не вносит изменений в рассеяние. Дифракционная картина изменяется также и при обработке волокон  $\text{p-ром J}_2$  в  $\text{NaJ}$ . Ю. Л.

**4017. О растворах линейных полиэлектролитов.** Осава, Имаи (Note on solutions of linear polyelectrolyte molecules. Oosawa Fumio, Imai Nobuhisa), J. Chem. Phys., 1954, 22, № 12, 2084—2085 (англ.)

Предложен простой метод рассмотрения  $\text{p-ров}$  полиэлектролитов, основанный на принципе хим. равновесий. При этом принимается, что  $\text{p-р}$  объема  $V$  содержит  $N$  молекул полиэлектролита и  $\nu$  молекул низкомолекулярной соли; каждая молекула полиэлектролита содержит  $n$  ионизированных групп с зарядом  $-e_0$  и занимает объем  $v$ . Концентрация противоионов, удерживаемых в этом объеме вследствие кулоновского притяжения, равна  $n_+/v$ , тогда как вне  $v$  их средняя концентрация равна  $[I + (n - n_+)N]/(V - Nv)$ . Разность потенциалов внутри и вне объема  $v$  приблизительно равна  $(n^*e_0/DkTa)$ , где  $D$  — диэлектрич. постоянная,  $a = (3v/4\pi)^{1/3}$ ,  $n^* = n - n_+ + n_-$  ( $n$  — число кононов в  $v$ ). Поэтому в условиях равновесия  $n_+/v = [I + (n - n_+)N]/(V - Nv) \exp(n^*e_0^2/DkTa)$ ;  $n_-/v = [I - n - N]/(V - Nv) \times \exp(-n^*e_0^2/DkTa)$ . Все основные свойства  $\text{p-ров}$  полиэлектролитов могут быть выведены из этих уравнений. В дальнейшем авторы анализируют эти свойства, а также характер сил, действующих между макромолекулами, получая выражения, аналогичные полученным другими авторами и другими методами и согласующиеся с эксперим. данными. С. Ф.

**4018. Молекулярно-весовые распределения бензилцеллюлозы.** Рой (Molecular weight distribution of benzylcellulose. Roy Hitendra Bhusan), J. Indian Chem. Soc., 1954, 31, № 9, 677—682 (англ.)

Изучены молекулярно-весовые распределения бензилцеллюлозы (I), приготовленной двумя способами: а) Methods of Cellulose Chemistry, Chapman and Hall, Ltd, London, 1947) и б) Nakashima, J. Soc. Chem. Ind. Japan, 1929, 32, 10B с двумя модификациями: 1) проведением  $\text{p-ции}$  обработанной щелочью целлюлозы с хлористым бензолом в атмосфере  $\text{N}_2$ , 2) проведением обработки целлюлозы хлористым бензолом при  $140^\circ$  в присутствии разбавителя — толуола. Фракционирование I по мол. весам произведено путем осаждения из  $\text{p-ра}$  в  $\text{CHCl}_3$  этиловым спиртом, причем узость фракций контролировалась нефелометрически. Мол. вес  $M$  каждой фракции определялся вискозиметрически. Хим. состав фракций I одинаков: C 69%, H 6,3%. Кривые распределения  $dG/dM = f(M)$  ( $G$  — процент растворимого полимера) имеют острый максимум для I, полученного по способу а), при  $M = 6 \cdot 10^5$ , а для I, полученного по способу б), при  $M = 30 \cdot 10^5$ . Кроме того, кривая распределения для случая б) меняется в зависимости от условий проведения процесса. При фракционировании I из бензольно-спиртовой смеси бензином получены вполне устойчивые гомог. фракции, но с пиками на кривой распределения при 17 000 и 30 000. Этот же образец, фракционированный в  $\text{CHCl}_3$  спиртом, имел один пик при 15 000. В. К.

**4019. Исследование молекулярно-весовых распределений полимеров с помощью ультрацентрифуги.** Бреслер С. Е., Френкель С. Я., Ж. техн. физики, 1953, 23, № 9, 1502—1520

Предложен метод исследования молекулярно-весовых распределений полимеров, основанный на комбинации

фракционирования и седиментации в ультрацентрифуге. Исходный полимер предварительно разбивается на ряд достаточно узких фракций, полидисперсность которых исследуется методом седиментационных скоростей. Считая, что наиболее вероятное распределение (численное) по мол. весам для узкой фракции описывается гауссовой фракцией, авторы доказывают: 1) численные распределения по константам седиментации ( $s$ ) и диффузии, а также эксперим. диаграммы (распределения в радиальном направлении кюветы ультрацентрифуги) описываются гауссовыми функциями; 2) различные средние веса таких фракций должны приблизительно совпадать; 3) в первом приближении весовые распределения по мол. весам, константам седиментации и т. д. должны быть гауссовыми, с теми же значениями стандартных отклонений, что и у численных распределений; 4) диффузия компонентов относительно центридной координаты вносит дополнительное расширение в седиментационную диаграмму, но форма ее остается гауссовой. Эти теоремы представляют собой сущность так называемого метода эквивалентных гауссовых распределений, позволяющего произвести численный расчет стандартных отклонений по данным опыта. Истинное распределение по константам седиментации при этом замещается эквивалентным ему гауссовым распределением и стандартное отклонение этого распределения  $\sigma$  непосредственно вычисляется по стандартным отклонениям седиментационных диаграмм. Основная ф-ла метода имеет при этом вид:  $M_0^2 = (x_m \omega^2 a)^2 + 2D\omega t$ , где  $M_0^2$  — дисперсия седиментационной диаграммы,  $x_m$  — расстояние максимума этой диаграммы от оси вращения,  $\omega$  — угловая скорость,  $t$  — время с момента образования седиментирующей границы,  $D$  — средневесовой коэфф. диффузии.  $\sigma$  находится путем графич. построения или непосредственной подстановкой  $D$ . Мол. веса фракции  $M$  определяются по ф-ле Сведберга, после чего строится график зависимости  $\lg s$  от  $\lg M$ , из которого находится показатель  $\alpha$  в ф-ле  $s = AM^{1-\alpha}$ , необходимый для расчета стандартного отклонения  $\mu$  распределения данной фракции по мол. весам. Соответствующая ф-ла имеет вид:  $\mu = \sigma (M_w/s_w)(1-\alpha)^{-1}$ , где  $M_w$  и  $s_w$  — средневесовые значения  $M$  и  $s$ . После того, как получены значения  $\mu$  для всех фракций, их функции распределения, с учетом весовых долей, могут быть графически просуммированы, что даст исходное молекулярно-весовое распределение полимера в целом. Рассмотрены способы исключения концентрационных эффектов, позволяющие значительно сократить эксперим. процедуру. С. Ф.

**4020. Распределение заряженных полимеров при равновесии в центробежном поле.** Джонсон, Краус, Скотчард (Distribution of charged polymers at equilibrium in a centrifugal field. Johnson James S., Kraus Kurt A., Scatchard George), J. Phys. Chem., 1954, 58, № 11, 1034—1039 (англ.)

Теория седиментационного равновесия полиэлектролитов (Svedberg T., Pedersen K. O., The Ultracentrifuge, Oxford, 1940; Lamm O., Arkiv. Kemi, Mineral. Geol., 1944, 17A, № 25) дополнена для случая больших отношений заряд: мол. вес. Рассматривается система, состоящая из  $\text{p-рителя}$ , полимера и «поддерживающего электролита» при следующих ограничениях: 1. Полиэлектролит  $\text{PX}_z$  диссоциирует на полимерный катион  $\text{P}^{z+}$  и  $z$  анионов  $\text{X}$ ; заряд  $z$  не меняется в течение опыта. 2. Полимер монодисперсен. 3. Парц. уд. объемы  $\text{PX}_z$  и поддерживающего электролита  $\text{VX}$  постоянны. 4. Плотность  $\text{p-ра}$  постоянна. 5. Произведения коэфф. активности всех компонентов постоянны. Аналогично

рассматривается 4-компонентная система с двумя поддерживающими электролитами. Даны ф-лы для расчета степени полимеризации 3- и 4-компонентных систем.

С. Ф.

**4021. Аномальная вязкость разбавленных водных растворов Na-соли карбоксиметилцеллюлозы. Фудзита, Хома (Non-newtonian viscosities in dilute aqueous solutions of sodium-carboxymethyl-cellulose. Fujita Hiroshi, Homma Terutake), J. Polymer Sci., 1955, 15, № 79, 277—295 (англ.; резюме франц., нем.)**

Определена приведенная вязкость  $\eta_{уд}/c$  разб. водн. р-ров Na-соли карбоксиметилцеллюлозы (I) в присутствии различных кол-в NaCl. В р-рах I в чистой воде получаются кривые, показывающие резкое возрастание  $\eta_{уд}/c$  с уменьшением  $c$ . С ростом конц-ии NaCl величина  $\eta_{уд}/c$  уменьшается и кривая, характеризующая зависимость  $\eta_{уд}/c - c$ , выпрямляется. При конц-иях NaCl выше 0,01 M кривые превращаются в прямые, несколько подвижющиеся с ростом конц-ии I в р-ре. Эта зависимость объясняется ионными взаимодействиями и выпрямлением макромолекул в р-рах. Константа  $k'$  уравнения Хаггинса растет прямо пропорционально обратной величине ионной силы р-ра. Величины  $\eta_{уд}/c$  в разб., особенно в чистой воде, р-рах или в р-рах, содержащих мало NaCl, зависят также от усилия сдвига  $G$ , причем зависимость  $\eta_{уд}/c$  от  $G$  выражается кривой, имеющей различную форму в зависимости от конц-ии I и NaCl в р-ре. С ростом конц-ии I наклон кривых  $\eta_{уд}/c - G$  увеличивается. Характеристич. вязкость не зависит от величин  $G$ .

А. П.

**4022. О растворах целлюлозы в тетраэтилгидроокиси аммония. Крессиг, Зиферт (Über Lösungen von Cellulose in Tetraäthylammoniumhydroxyd. Krässig H., Siefert E.), Makromolek. Chem., 1954, 14, № 1, 1—14 (нем.; резюме англ.)**

Исследована вязкость р-ров целлюлозы (I) (лигнере, древесная целлюлоза) в медноаммиачном р-ре (II) и в водном р-ре тетраэтилгидроокиси аммония (III). I растворяется до молярной дисперсности только в области конц-ий III от 2 до 2,7 н. В этой области вязкость р-ров I не зависит от конц-ии III. В опытах применялся 2,3 н. р-р III. Для р-ров II и III найдена линейная зависимость  $\eta_{уд}/c$  от конц-ии I. Предельное значение вязкости ( $Z_n$ ) найдено по расчету (Schulz G. V., Elschke F., J. prakt. Chem., 1941, 158, 130). Так как в области растворения отношение  $Z_n(III)/Z_n(II)$  не зависит от конц-ии и величины молекул I и от конц-ии III, то сделан вывод об одинаковом состоянии р-ров I в II и в III. Связь между мол. весом и вязкостью р-ров в II и в III выражается штаудингеровским законом вязкости.  $K_m$  равно для III  $5,8 \cdot 10^{-4}$ , для II  $4,3 \cdot 10^{-4}$ . Молекулярная дисперсность р-ров I в III доказывается незначительным изменением вязкости при различных температурах и независимостью отношений  $Z_n(40^\circ)/Z_n(20^\circ)$  и  $Z_n(60^\circ)/Z_n(20^\circ)$  от молекулярного веса. Отмечается высокая устойчивость растворов I в III по отношению к  $O_2$  и к воздуху.

Р. К.

**4023. Вязкость водных растворов Na-карбоксиметилцеллюлозы при больших разведениях. Фудзита, Хома (Viscosity behavior of sodium carboxymethyl cellulose in water at high dilutions. Fujita Hiroshi, Homma Terutake), J. Colloid. Sci., 1954, 9, № 6, 591—601 (англ.)**

Исследована вязкость при 25° водн. р-ров образцов Na-карбоксиметилцеллюлозы средней степени полимеризации 180—1050 и степени этерификации 0,6—0,7. Для образцов степени полимеризации 180 и 320

$\eta_{уд}/c$  сначала возрастает с уменьшением конц-ии  $c$ , достигает максимума при  $c = 0,005$  г/дл. и затем резко падает. При степени полимеризации 760 и 1050  $\eta_{уд}/c$  в области  $c = 0,03—0,01$  г/дл. остается приблизительно постоянной и затем также падает. Для объяснения полученных данных авторы предлагают учитывать эффекты, связанные с междионным взаимодействием при больших разведениях (взаимодействие полииона с полиионом или с противоионом). На основании обсуждения результатов в сопоставлении с аналогичными данными на других полиэлектролитах (РЖХим, 1955, 3580) сделан вывод о большой роли междионных взаимодействий, которые определяют вязкостное поведение р-ров полиэлектролитов в чистой воде в отсутствие посторонних солей при очень низких конц-иях.

Ю. Л.

**4024. Разделение на фазы растворов виниловых полимеров. Керн, Слоком (Phase separation in solutions of vinyl polymers. Kern R. J., Slocombe R. J.), J. Polymer Sci., 1955, 15, № 79, 183—192 (англ.; резюме франц., нем.)**

Исследованы факторы, определяющие образование двух и более фаз в р-рах двух или нескольких виниловых полимеров в общем р-рителе. Разделение на фазы, имеющее место при центрифугировании р-ров, наблюдалось авторами более чем на 20 различных системах, причем даже в тех случаях, когда полимерные пары были очень близки друг к другу химически, напр. полиметилакрилат — полиэтилакрилат. Явление расслаивания не ограничивается образованием двух фаз. Поливинилацетат, полистирол, поли-2-метил-5-винилпиридин и полиметилвинилкетон в диоксане образуют четырехфазную систему. Связь между расслаиванием и хим. природой полимера не обнаружена. Расслаивание р-ра начинается тогда, когда общая конц-ия растворенных в-в превышает предельное значение. Выше этого значения начинается образование второй фазы, объем которой с дальнейшим ростом конц-ии сначала возрастает и затем остается постоянным. Относительные объемы фаз расслоившегося р-ра зависят от весового отношения кол-в растворенных в-в. При понижении т-ры нижний предел конц-ии, при которой начинается расслаивание, понижается. Величина предельной конц-ии изменяется с изменением р-рителя. При изменении р-рителя в ряде случаев наблюдается инверсия фаз. Так в случае р-ра поливинилацетата и полиметилвинилкетона в ацетоне в верхнем слое находится последний, а для р-ра в этилацетате — первый. Явление инверсии при переходе от одного р-рителя к другому указывает, по мнению авторов, на то, что имеет место взаимодействие полимеров с р-рителем с образованием сольватных слоев. Различную сольватацию молекул полимера в р-ре авторы рассматривают как одну из причин, приводящих к расслоению системы на две фазы, предполагая различие в плотностях сольватированных молекул. Влияние мол. веса полимеров сводится к более полному разделению образцов и понижению предельной конц-ии для образцов большего мол. веса. Несмешиваемость полимеров в р-рах авторы объясняют очень малой энтропий смешения (по расчету близка к нулю). Поскольку при расслоении свободная энергия имеет положительное значение, то, принимая изменение энтропии за малую положительную величину изменение теплоты содержания также величина положительная. Авторы объясняют это более сильным взаимодействием молекулы полимера с себе подобными, чем с «чужими» молекулами. С учетом этих предположений развиты представления о механизме образования фаз.

Ю. Л.

**4025. Исследование строения тунниина. Крессиг (Untersuchungen zur Konstitution des Tunicins.**

Krässig H.), Makromolek. Chem., 1954, 13, № 1, 21—29 (нем.; резюме англ.)

Туниция (I) получалась из измельченных покровных оболочек *Phallusia mammillata Cuvier* путем обработки сначала р-ром  $\text{NaClO}_2$  (с добавкой пиридина) в течение 7 дней, затем 2%-ным р-ром  $\text{NaOH}$  при  $90^\circ$  в атмосфере  $\text{N}_2$  в течение 4 дней, промывки водой и метанолом, высушивания в вакууме при  $40^\circ$ . Данные хим. анализа соответствовали составу целлюлозы со степенью полимеризации (СП) 3400—4000. При гидролизе 1,0 н.  $\text{HCl}$  в течение 15—720 мин. получены полимеромологи I со СП от 700 до 2100. Измерение вязкости их в медноаммиачном р-ре показало, что связь между величиной мол. веса и вязкостью аналогична этой связи у целлюлоз растительного происхождения. На основании определения мол. веса полимераналогичных нитратов I по осмотич. способу для р-ров I в медноаммиачном р-ре  $K_m$  найдена равной  $5,0 \cdot 10^{-4}$ . Для р-ров нитратов этих полимеромологов (12,7%  $\text{N}$ ) в ацетоне  $K_m = 11,0 \cdot 10^{-4}$ . Найденная для I и его нитратов зависимость вязкости от мол. веса указывает на линейное строение молекулы I, как и для растительных целлюлоз (Husemann E., Schulz G. V., Z. phys. Chem., 1942, B52, 1). Исследование функции распределения фракций нитратов I со средней СП 1200 показало, что максимумы наблюдаются в областях СП, приблизительно равных 500, 1000, 2000. Высказано предположение, что в I, как это имеет место и для целлюлозы, через каждые примерно 500 структурных единиц встречаются связи, которые чувствительнее к гидролизу, чем нормальные  $\beta$ -гликозидные связи. Р. К.

4026. Рассеяние света кристаллизующимися полимерами. Прайе (Light scattering from crystallizing polymers. Price Fraser P.), J. Phys. Chem., 1955, 59, № 2, 191—192 (англ.)

Начальная стадия кристаллизации полихлортрифторэтилена исследована методом светорассеяния. Величина асимметрии светорассеяния ( $D$ ), связанная по теории Дебая (Debye P., J. Phys. Chem., 1947, 51, 18) со средним квадратичным радиусом  $r^2$  рассеивающей области, уменьшается при данной  $t$ -ре с увеличением времени кристаллизации. Уменьшение  $D$  указывает на уменьшение средних размеров рассеивающих свет кристаллич. областей в течение процесса кристаллизации. Результаты объясняются на основании механизма кристаллизации полимеров, развитого ранее (Dole M. и др., J. Chem. Phys., 1952, 20, 781). Показано, что размер рассеивающих свет областей лежит в пределах 0,4—0,7  $\mu$ . Ю. Л.

4027. Термодинамика кристаллизации высокополимеров. Натуральный каучук. Робертс, Манделкерн (Thermodynamics of crystallization in high polymers: Natural rubber. Roberts Donald E., Mandelkern Leo), J. Amer. Chem. Soc., 1955, 77, № 3, 781—786 (англ.)

Для того чтобы установить, существует ли равновесная  $t$ -ра плавления ( $T_{\text{пл}}^0$ ) НК как термодинамич. величина, исследована dilatометрич. методом зависимость уд. объема от  $t$ -ры для трех образцов НК — нефракционированного и фракций молекулярного веса 119 000 и 280 000. Опыты проводились при нагревании образцов со скоростью  $1^\circ$  за 12—48 часа. Исследованные образцы подвергались кристаллизации при  $t$ -рах —  $18,0$ ;  $+48$  и  $+14^\circ$ .  $T$ -ра плавления, определяемая как точка перегиба на кривых зависимости уд. объема от  $t$ -ры в пределах ошибки эксперимента, оказалась не зависящей от  $t$ -ры кристаллизации и равной  $\sim 22^\circ$ . Для образца, закристаллизованного при  $+14^\circ$ ,  $T_{\text{пл}}$  была найдена равной  $28^\circ$ , что, по мнению авторов, объясняется большей совершенностью кристаллич. областей, достигаемой при более медленной кристал-

лизации. Поэтому  $t$ -ру  $28^\circ$  авторы принимают за равновесную  $t$ -ру плавления НК. Рассматривая полученную  $t$ -ру как термодинамич. величину, авторы определяют понижение  $t$ -ры плавления НК, вызываемое присутствием низкомолекулярных в-в. Были исследованы смеси НК с метилолеатом,  $n$ -додеканом и  $n$ -тетрадеканом в интервале объемных долей р-рителя от 0,10 до 0,40. Из полученных данных на основании ур-ния Флори (РЖХим, 1954, 42811) была определена теплота плавления НК, равная  $15,3 \pm 0,5$  кал/г и вычислена энтропия плавления 3,46 кал на 1 звено. Используя полученные значения и комбинируя их с рядом литературных данных, была оценена степень кристалличности исследованных образцов, которая оказалась равной 0,262. Применением ур-ния Клапейрона — Клаузиуса найдено изменение  $t$ -ры плавления с изменением гидростатич. давления, равное  $0,0465$  град/атм. В свете полученных данных рассмотрена зависимость напряжения от деформации и  $t$ -ры при растяжении каучуков и сделан вывод, что изменение внутренней энергии НК при больших удлинениях обусловлено процессами кристаллизации. Ю. Л.

4028. О фазовом состоянии гидратцеллюлозных пленок. Каргин В. А., Карпов В. Л., Липатов Ю. С., Маркова Г. С., Корецкая Т. А., Докл. АН СССР, 1955, 101, № 4, 707—709

Исследованы электронами 90  $\text{kV}$  препараты гидратцеллюлозы (I), полученные из медноаммиачного р-ра отбеленного хлопка, денатрацией коллоксилина и омылением ацетилцеллюлозы. В отличие от данных Зайдес и Стояновой-Синицкой (РЖХим, 1954, 26880), которые получили на электронограммах резкие дифракционные линии, истолкованные ими как доказательство кристалличности препаратов I, авторы наблюдали на электронограммах только три диффузных гало. В случае загрязненных препаратов (контроль осуществлялся электронномикроскопически) на электронограммах наблюдались резкие линии, обусловленные наличием загрязнений. Авторы считают, что аморфные пленки I не вызывают сомнений и объясняют появление картин с резкими линиями при исследовании I в ряде работ наличием загрязнений. Ю. Л.

4029. Взаимодействие полидиметилсилоксанов с агентами, вызывающими набухание. Бьюк (Interaction of polydimethylsiloxanes with swelling agents. Bueche A. M.), J. Polymer Sci., 1955, 15, № 79, 97—103 (англ., резюме франц., нем.)

Исследовано при  $25^\circ$  набухание спитого высокомолекулярного полидиметилсилоксана (I) (мол. вес по светорассеянию 780 000) в ряде силоксановых жидкостей, содержащих от 5 до 11 атомов Si в 1 молекуле (криоскопич. мол. вес от 422 до 875). По ур-нию для равновесного набухания спитого полимера (Flory P. J., Rehner J., J. Chem. Phys. 1943, 11, 521) определен параметр взаимодействия  $\chi_1$ , имеющий для исследованных жидкостей значения в пределах от 0,19 до 0,25%. Из литературных данных (Wilcock D. F., J. Amer. Chem. Soc., 1946, 68, 691) вычислен параметр растворимости  $\delta_1$  силоксановых жидкостей в зависимости от мол. веса и показано, что  $\delta_1$  возрастает с уменьшением его. Оценены также параметр растворимости  $\delta_2$  полимера при помощи полуэмпирического ур-ния:  $\chi_1 = \chi_s + KV_1(\delta_1 - \delta_2)^2 / RT$ , где  $V_1$  — молярный объем растворителя,  $K$  — константа и  $\chi_s$  — член, зависящий от энтропии смешения. Путем сопоставления с различными данными, имеющимися в литературе, установлено, что значение параметра  $\delta_2$  зависит от агента, вызывающего набухание, и от метода определения  $\delta_2$ , колеблясь в пределах от 7,7 до 5,3. Ю. Л.



4030. Диэлектрическое поведение смешанных высокополимерных систем. I. Бренс, Мюллер (Dielektrisches Verhalten hochpolymerer Mischsysteme. I. Broens O., Müller F. H.), Kolloid-Z. 1955, 140, № 2/3, 121—149 (нем.).

Исследованы смеси поливинилацетат-дифенилметан и полистирол-бензилбензоат различного состава. Диэлектрич. постоянные и диэлектрич. потери ( $\text{tg}\delta$ ) определены при  $t$ -рах от  $-50$  до  $150^\circ$  и при частотах  $\nu$  от  $177,8$   $\text{гц}$  до  $316,2$   $\text{кгц}$  ( $\text{lgv}$  от  $2,25$  до  $5,50$ ). Приведен обширный эксперим. материал по диэлектрич. свойствам изученных смесей. Определены также показатели преломления и плотности смесей в зависимости от  $t$ -ры. Подробно описаны применявшиеся схемы измерений и их расчет. На конкретных схемах измерений проведена оценка ошибок измерений; относительная ошибка в определении диэлектрич. постоянных составляет для двух примененных схем измерения  $0,98\%$  и  $2,16\%$ , ошибка в определении  $\text{tg}\delta$  соответственно равна  $0,315$  и  $1,79\%$ . Проведено феноменол. рассмотрение возможности описания диэлектрич. свойств исследованных систем с применением только одного времени релаксации и с применением набора времен. Ю. Л.

4031. Влияние молекулярного веса на механические свойства кристаллических полимеров. Каргин В. А., Соголова Т. И. Ж. физ. хим., 1955, 29, № 3, 469—475

Исследовано влияние мол. веса (26 500 и 5000) на механич. свойства полиэтилена (ПЭ). Методом исследования являлось одноосное растяжение при  $20^\circ$ . Образцы ПЭ готовились путем термодеструкции исходного ПЭ в среде вазелинового масла в присутствии и в отсутствие воздуха. Вид кривых зависимости усилия от удлинения для различных образцов одного мол. веса различен, что связано, как полагают авторы, со степенью разветвленности. Рост разветвленности снижает степень кристалличности полимера и его модуль упругости, а следовательно, и высоту горизонтальной площадки на кривой усилие — удлинение. По мере уменьшения разветвленности кривые стремятся к верхнему пределу, который представляет кривую, характерную для линейного полимера. Поэтому для оценки влияния мол. веса сравнивались лишь предельные кривые с наибольшей высотой горизонтальной площадки. Предельные кривые ПЭ различных мол. весов практически накладываются друг на друга, отличаются лишь протяженностью кривой по оси удлинений, т. е. положением точки разрыва. Эта кривая названа авторами характеристической. Совпадение кривых образцов различного мол. веса с характеристик. кривой указывает на то, что даже самые низкомолекулярные образцы обладают высоким начальным модулем упругости, определяемым природой полимерных кристаллов. Аналогичная картина наблюдалась также при исследовании деформации смешанных полиамидов. Исследование трех групп ПЭ, полученных полимеризацией в различных условиях, показало, что в пределах каждой группы графики зависимости удлинения от усилия совпадают с характеристик. кривой, но различаются по протяженности по оси удлинений; для каждой из трех групп обнаружена своя зависимость протяженности кривой от мол. веса. Различные протяженности кривых у полимеров одного мол. веса из трех разных групп авторы объясняют возможностью возникновения различных пространственных связей, возникающих в ПЭ при его охлаждении из расплава и при хранении. На основании полученных данных авторы делают вывод о наличии у линейных кристаллических полимеров в полимероморфологическом ряду характеристик. зависимости усилия от удлинения, причем снижение мол. веса приводит к уменьшению разрывных удлинений. Авторы считают, что механич. свойства полимерных

кристаллов, размеры которых малы по сравнению с длиной цепи, не зависят от мол. веса, разрывные же характеристики определяются мол. весами, поскольку взаимная связь между кристаллами определяется длиной цепи. В свете развитых представлений рассмотрен вопрос о  $t$ -ре хрупкости кристаллич. полимеров и связи ее с мол. весами, а также вопрос об условиях ориентации полимеров различных мол. весов. Ю. Л.

4032. Температурная зависимость релаксации механических и электрических свойств полимеров. Вильямс (The temperature dependence of mechanical and electrical relaxations in polymers. Williams Malcolm L.), J. Phys. Chem., 1955, 59, № 1, 95—96 (англ.).

Исследована температурная зависимость механич. свойств при динамич. деформации, релаксации напряжения, вязкого течения и диэлектрич. свойств 17 индивидуальных полимеров и смесей. Проанализированы отношения ( $K_T$ ) значений каждого из этих свойств при  $t$ -ре  $T$  к его значению при произвольно выбранной  $t$ -ре  $T_0$  (взято  $T_0 = 298^\circ\text{K}$ ). Установлено, что для каждой системы имеется характеристич.  $t$ -ра  $T_g$  и что зависимость  $K_T$  от разности  $T - T_g$  одинакова для всех перечисленных свойств и всех исследованных систем.  $T_g$  приблизительно на  $50^\circ$  выше  $t$ -ры стеклования, определенной по термич. расширению полимера. Л. Н.

4033. Кинетическая интерпретация реологического поведения высокополимеров. Фурукава (A kinetic interpretation of the rheological behavior of high polymers. Furukawa Junji), J. Polymer Sci., 1955, 15, № 79, 193—202 (англ.; резюме франц., нем.).

Предложена теория вязко-упругого поведения высокополимеров, основанная на введении лабильной сетки, образованной межмолекулярными силами. Реология поведения образца объясняется изменением числа сшивков, обусловленным тепловым движением и внешним напряжением. Тогда, в соответствии с обычной теорией упругости полимеров, упругая сила в образце равна  $S = \nu k T A' (\lambda - \lambda^{-2})$ , где  $\nu$  — число сшивков в единице объема,  $\lambda$  — относительная длина цепи в образце,  $A'$  — «исправленная» площадь сечения, не включающая изменение сечения из-за высокоэластич. деформации. Пренебрегая членом  $\lambda^{-2}$  и пользуясь тем, что  $\alpha/\lambda = A_0/A'$  ( $\alpha$  — относительная длина образца,  $A_0$  — начальное сечение), автор получает ур-ние  $S = \nu k T \alpha A'^2/A_0$ . Предполагается, что  $\nu$  подчиняется кинетич. ур-нию первого порядка  $d\nu/dt = -k'\nu + k(N_0 - \nu)$ , где константы скоростей рекомбинации и разделения сегментов  $k$  и  $k'$  изменяются при валожении на образец внешнего напряжения  $S$  в соответствии с теорией Эйринга:  $k_S = k \cdot \exp(-SD^2/2\nu kT)$ ,  $k'_S = k' \exp(+SD^2/2\nu kT)$  ( $D$  — диаметр сегмента). Указанные ур-ния применены к рассмотрению следующих случаев: запаздывание деформации при постоянном напряжении, релаксация напряжения при постоянной деформации, упругость в момент начала деформации, вязкость при установившемся течении. Рассмотрено также влияние пластификации на упругость и вязкость полимера. Указанным путем получен ряд эмпирич. ур-ний: ур-ния четырехэлементной модели для зависимостей  $\alpha = \alpha(t)$  при  $S = \text{const}$  и  $S = S(t)$  при  $\alpha = \text{const}$ , ур-ние для температурной зависимости модуля упругости (Dienes G. J., Dexter F. D., Ind. Eng. Chem., 1948, 40, 2319), ур-ние для структурной вязкости (Rabinovitch B., Z. Phys. Chem., 1929, A145, 1; 1933; A166, 257) и др. О. П.

4034. Взаимодействие, возникающее между двумя телами, погруженными в высокомолекулярный раствор. Асакура, Осава (巨大分子溶液中の2物體間に働く相互作用. 朝倉昌, 大澤文

夫), 科学, Кагаку, 1954, 24, № 6, 307 (япон.); Chem. Abstrs, 1954, 48, № 21, 12513g. Между двумя телами, погруженными в высокомолекулярный р-р, повидимому, возникает взаимодействие вследствие специфики среды. Рассмотрены 3 случая: 1) две большие параллельные пластинки, погруженные в р-р жестких макромолекул; 2) две параллельные пластинки в р-ре тонких стержневидных макромолекул длиной  $l$ , где  $l^2$  значительно меньше площади пластинок и 3) два сферич. тела в р-ре жестких сферич. макромолекул. Такие силы оказывают большое влияние на поведение суспензированных частиц и, возможно, играют важную роль в проблемах биофизики.

С. Ш.

**4035. Полимеризация винилацетата при низких температурах.** Бернетт, Джордж, Мелвилл (Polymerization of vinyl acetate at low temperatures. Burnett G. M., George M. H., Melville H. W.), J. Polymer Sci., 1955, 16, № 81, 31—44 (англ.; резюме франц., нем.).

При фотополимеризации винилацетата при  $-25$  и  $-38^\circ$  (сенсibilизатор — динитрил азодизомасляной к-ты (I)) наблюдаются те же закономерности, что и при проведении р-ции при более высоких т-рах ( $27^\circ$ ); полная энергия активации равна  $6,4$  ккал/моль. При понижении т-ры полимеризации осмотич. мол. веса образующихся полимеров сначала возрастают, проходят через максимум при  $+6^\circ$ , после чего снова падают. Линейная зависимость между мол. весом и среднеквадратичным расстоянием между концами цепи (определенным методом светорассеяния), свидетельствующая о линейном строении полимерной молекулы, соблюдается только в случае полимеров, полученных при т-ре ниже  $-30^\circ$ . На меньшую степень разветвленности полимеров, полученных при низких т-рах, указывает также и уменьшение константы  $\mu$  в уравнении Хаггинса при понижении т-ры полимеризации. Определенные активности полимера, полученного при фотополимеризации под действием I, содержащего радиоактивный изотоп углерода  $C^{14}$ , показало увеличение содержания «осколков» инициатора в полимерных молекулах при понижении т-ры полимеризации (от 1,6 до 6), что, возможно, связано с внедрением в полимер метакрилонитрильных групп, образовавшихся при диспропорционировании радикалов, возникших при распаде I.

А. П.

**4036. Четвертичная соль анилина как инициатор для виниловой полимеризации.** Фуэно, Цурута, Фурухива (Quaternary anilinium salt as an initiator for vinyl polymerization. Fueno Takayuki, Tsuruta Teiji, Furukawa Junji), J. Polymer Sci., 1955, 15, № 80, 594—595 (англ.).

Смесь диметиланилина (I) и бензилхлорида (II) иницирует полимеризацию метилметакрилата в атмосфере  $N_2$ . Еще более эффективным инициатором является четвертичная соль диметилбензилфениламмоний хлорид. Пара-замещение II (при иницировании бинарной смесью) электронодонорными заместителями увеличивает скорость полимеризации, электроноакцепторные заместители оказывают обратное действие. Смесь I + II не иницирует полимеризации метилакрилата, винилацетата и стирола.

Л. Я.

**4037. Совместная полимеризация по карбанионному и радикальному механизмам.** Дэнли, Кей (Copolymerization by carbanion and radical mechanisms. Dannley Ralph L., Kay Edward L.), J. Amer. Chem. Soc., 1955, 77, № 4, 1046—1048 (англ.).

Определен состав полимеров, образующихся при совместной полимеризации стирола и метилметакрилата под действием металл. Na, и Na-органич. соединений и

перекисей. Найдено следующее содержание стирола в полимерах (в зависимости от примененного катализатора или инициатора): Na  $0,6 \pm 0,1\%$ ,  $(C_6H_5)_3CNa$   $0,80 \pm 2,79\%$ ,  $(C_6H_5COO)_2$   $50, 19\%$  ( $n-C_4H_9COO$ )  $48,70\%$  ( $мет-C_4H_9O$ )  $49,04 \pm 1,80\%$ . Высказано предположение, что полимеризация под действием металл. Na протекает по карбанионному механизму. Предложена схема р-ций, протекающих при этом процессе. При передаче электрона от атома Na к молекуле мономера образуется ион-радикал  $[CH_2 - \dot{C}(CH_3) - COOCH_3]^-$ , возможно также присоединение второго электрона к этому иону-радикалу:  $[CH_2 - \dot{C}(CH_3) - COOCH_3]^{2-}$ . Присоединение молекул мономера к образовавшемуся таким образом активному центру приводит к образованию полимерных продуктов следующего строения:  $[CH_2 - OCO\dot{C}(CH_3) - CH_2 - CH_2 - \dot{C}(CH_3) - COOCH_3]^-$  или  $[CH_2 - OCO\dot{C}(CH_3) - CH_2 - CH_2 - \dot{C}(CH_3) - COOCH_3]^{2-}$ .

А. П.

**4038. Некоторые особенности кинетики совместной каталитической полимеризации. Совместная полимеризация систем: изопрен-бутадиен, стирол-бутадиен.** Гантмахер А. Р., Медведев С. С., Докл. АН СССР, 1955, 100, № 2, 275—278.

Проведено сравнительное изучение кинетики полимеризации в хлористом этиле в присутствии  $SnCl_4$  систем изопрен (I) — бутадиен (II), стирол (III) — II и каждого из мономеров в отдельности. II в этих условиях не полимеризуется при  $0^\circ$  и  $20^\circ$ ; раздельная полимеризация I и III протекает с ускорением. Добавление больших кол-в II к I увеличивает скорость иницирования I, добавление II к III понижает скорость иницирования III. Различие между скоростью иницирования при совместной полимеризации и суммой скоростей раздельного иницирования объясняется различной активностью комплексов  $SnCl_4$  с мономерами в р-ции иницирования.

А. Л.

**4039. Реакционная способность акриловой кислоты при совместной полимеризации.** Бурде (Réactivité de l'acide acrylique dans les copolymérisations. Bourdais Jacques), Bull. Soc. chim. France, 1955, № 4, 485—489 (франц.).

Исследована совместная полимеризация акриловой к-ты (I) и акрилата Na (II) с винилацетатом (III) в р-ре бензола или в водно-спиртовом р-ре при  $70^\circ$  и с акриламидом (IV) в водн. р-ре при  $25^\circ$ ; инициаторы — перекись бензоила и  $K_2S_2O_8$  с метабисульфитом К. Из данных о составе полученных полимеров рассчитаны константы совместной полимеризации: I—III  $r_1 = 10 \pm 1$ ,  $r_2 = 0,01 \pm 0,003$ , такие же значения получены и для системы II—III; I—IV  $r_1 = 1,43 \pm 0,03$ ,  $r_2 = 0,60 \pm 0,02$ ; II—IV  $r_1 = 0,35 \pm 0,03$ ,  $r_2 = 1,10 \pm 0,05$ . Скорость полимеризации I+III в  $\sim 100$  раз выше, чем II+III, что объясняется, по мнению автора, большей скоростью распада III с образованием ацетальдегида в случае системы II—III по сравнению с системой I—III. Скорости полимеризации I—IV и II—IV практически одинаковы при конц-ях I и II  $\sim 12,5$ —25%; увеличение конц-и II в системе II—IV выше 25—50% приводит к резкому уменьшению скорости р-ции II+IV, что, повидимому, связано с меньшей реакционной способностью ионизированного акрилатного радикала по сравнению с неионизированным.

А. П.

**4040. Образование поперечных связей при полимеризации изопрена.** Мортон, Кала, Пинрма (Crosslinking in isoprene polymerization. Morton Maurice, Cala J. A., Piirma Irja), J. Polymer Sci., 1955, 15, № 79, 167—182 (англ.; резюме нем., франц.).

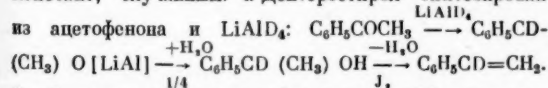
Исследована кинетика эмульсионной полимеризации изопрена (I) при  $60$ — $80^\circ$  (инициатор —  $K_2S_2O_8$ , эмуль-

гатор — К-соли жирных к-т. регулятор — смесь *трет*-додецилмеркаптанов) и определены характеристики вязкости образующихся полимеров. Из полученных данных о кинетике расхождения меркаптана в ходе р-ции, о глубине превращения в точке геля и о величине отношения мономер: полимер в полимерно-мономерных частицах (равного 0,97 при 60° и 0,82 при 80°) рассчитана величина отношения  $k_x/k_p = 3,4 \cdot 10^{-8}$  и разности  $E_x - E_p = 5$  ккал/моль ( $k_x$ ,  $k_p$  и  $E_x$ ,  $E_p$  — соответственно константы скоростей и энергии активации р-ции, приводящей к образованию поперечных связей и р-ции роста цепи). Полученные значения для  $k_x/k_p$  и  $E_x - E_p$  сопоставлены с соответствующими значениями, найденными для бутадиена (Morton M. и др., J. Polymer Sci., 1952, 8, 215). Выказано предположение, что меньшая скорость образования поперечных связей в случае I объясняется стерич. затруднениями при р-ции взаимодействия полимерного радикала с остаточными двойными связями молекулы полиизопрена. Расчетным путем показано, что скорость полимеризации в расчете на одну частицу для I в ~3 раза выше, чем для бутадиена. А. П.

4041. Исследование кинетики полимеризации изопрена в водных растворах эмульгатора и эмульсиях. Шейнкер А. П., Медведев С. С., Ж. физ. химии, 1955, 29, № 2, 250—262 (англ.; резюме франц., нем.). См. РЖХим, 1955, 31409. Л. Я.

4042. Пиролиз полимеров  $\alpha$ - и  $\beta$ -деутеростирола. Уолл, Браун, Харт (Pyrolysis of  $\alpha$ - and  $\beta$ -deuterostyrene polymers. Wall L. A., Brown D. W., Hart V. E.), J. Polymer Sci., 1955, 15, № 79, 157—166 (англ.; резюме франц., нем.).

Проведено сравнительное изучение пиролиза поли- $\alpha$ -деутеростирола (I), поли- $\beta$ -деутеростирола (II) и полистирола (III) при 334—390° с целью оценки роли р-ции передачи цепи на основании изотопного эффекта при замещении водорода дейтерием. Сравнивались выходы мономеров (в % от разложенного полимера) и изменения мол. весов, рассчитанных из вискозиметрич. данных. Выходы мономеров: I 70,2%, II 42,2%, III 42,6%. Падение мол. веса при распаде I менее резкое, чем при распаде III, и соответствует уменьшению константы скорости межмолекулярной передачи в 2 раза. Скорости распада I и III одинаковы, II — в 3 раза больше. Принят цепной механизм распада, предложенный ранее, с учетом внутри- и межмолекулярной передачи цепей, последняя осуществляется путем отщепления атома Н от полимерной цепи в  $\beta$ -положении по отношению к фенильной группе полистирола. При распаде I благодаря изотопному эффекту скорость передачи уменьшается в два раза, а скорость отщепления молекул мономера от полимерного радикала увеличивается на 60% по сравнению с III. При распаде II скорости обоих процессов увеличиваются на 60%, однако этим нельзя объяснить трехкратное увеличения общей скорости распада при неизменном механизме иницирования и обрыва цепей. Поэтому авторы считают совпадение выходов мономеров при пиролизе II и III, на основании которых производился подсчет констант, случайным.  $\alpha$ -Дейтеростирол синтезирован



$\beta$ -деутеростирол получен из  $\beta$ -стирilmагнийбромид гид-ролизом его оксидом дейтерия:  $\text{C}_6\text{H}_5\text{CH}=\text{CHBr} \xrightarrow{\text{D}_2\text{O}} \text{C}_6\text{H}_5\text{CH}=\text{CHMDgBr} \xrightarrow{\text{D}_2\text{O}} \text{C}_6\text{H}_5\text{CH}=\text{CHD}.$  Т. Г.

4043. Использование дейтерия при исследовании разветвленности полистирола. Уолл, Браун (Use

of deuterium to investigate extent of branching in polystyrene. Wall Leo A., Brown D. W.), J. Polymer Sci., 1954, 14, № 78, 513—520 (англ.; резюме франц., нем.).

Поли- $\alpha$ -деутеростирол и поли- $\beta$ -деутеростирол получены полимеризацией соответствующих мономеров при 70° в отсутствие инициатора. Показано, что зависимость между мол. весами полимеров (определенными по светорассеянию в р-ре метилэтилкетона) и их характеристич. вязкостями может быть описана уравнением, найденным для обычного полистирола, полученного при тех же самых условиях:  $[\eta] = 1,7 \cdot 10^{-4} M^{0,69}$  (Outer P. и др., J. Chem. Phys., 1950, 18, 830), т. е. разветвленность обычных и дейтерированных полистиролов практически одинакова, в то время как можно было бы ожидать меньшей степени разветвленности в случае  $\alpha$ -дейтерированных полимеров. Влияние изотопного эффекта на скорость р-ции передачи цепи проверено на примере полимеризации стирола в присутствии S-дейтеробутилмеркаптана (I) и обычного бутилмеркаптана (т-ра 60°) и показано, что скорость передачи через первое соединение в 4 раза ниже, чем через второе. Полученные результаты позволяют сделать вывод о крайне низкой разветвленности полистиролов, полученных при термич. полимеризации при 70°.  $\alpha$ -Дейтеростирол был приготовлен дегидратацией карбинола, полученного восстановлением ацетофенона дейтеридом Li и Al;  $\beta$ -деутеростирол — по р-ции Гриньяра из  $\beta$ -бромстирола. I получен гидролизом меркаптида Na в присутствии DCl в р-ре D<sub>2</sub>O. А. П.

4044. Полимеризация 4-винилпиридина. Ойон (The polymerization of 4-vinyl pyridine. Oyon P. F.), Trans. Faraday Soc., 1955, 51, № 3, 400—412 (англ.).

Вискозиметрич. методом (Bamford, Dewaz, Proc. Roy. Soc., 1949, A197, 356) исследована кинетика термич. и фотополимеризации 4-винилпиридина (I) ( $\lambda > 3500 \text{ \AA}$ ) при 25°; в ряде опытов скорость р-ции определялась dilatометрически. Термич. полимеризация I протекает в начальной стадии с непрерывно уменьшающейся скоростью, постоянная скорость устанавливается только через ~20 час. после начала р-ции. Вращение реакционного сосуда (5—12 об/мин.) или наполнение его стеклянным порошком заметно увеличивает скорость полимеризации. Эти результаты свидетельствуют, по мнению автора, о каталитич. влиянии поверхности на скорость р-ции иницирования. Мол. веса образующихся полимеров рассчитаны из вискозиметрич. данных по уравнению  $[\eta] = 3,055 \cdot 10^{-4} M^{1,20}$ . Принимая, что полимеризация иницируется монорадикалами и что обрыв цепей осуществляется при рекомбинации полимерных радикалов, из данных о кинетике фотополимеризации рассчитаны константы скоростей ( $\text{л/моль сек}$ ) роста 12, обрыва  $3 \cdot 10^6$  и передачи цепи  $8 \cdot 10^{-3}$ . При расчетах принято, что иницирование происходит как в гомогенной фазе, так и на поверхности сосуда, причем предположено, что иницирование на поверхности осуществляется в результате бимолекулярной р-ции, аналогичной р-ции термич. иницирования. Отмечается, что при хранении I в вакууме при ~20° в течение длительного времени на поверхности над жидкостью образуется  $\omega$ -полимер, что, по мнению автора, связано с активными свойствами поверхности. А. П.

4045. Полимеризация под действием электрических разрядов. Отодзай, Куме, Нагати, Ямамото, Фукусима (Polymerization by electric discharge. Otodai Kiyoteru, Kume San-shiro, Nagai Shobun, Yamamoto Tai, Fukushima Shouzow), Bull. Chem. Soc. Japan, 1954, 27, № 7, 476—477 (англ.).



При действии электрич. разрядов от трансформатора Тесла на полиэтиленоксид (т-ра 60°) на его поверхности образуется пленка, нерастворимая в горячей воде. Стирол полимеризуется при 11° с образованием низкомолекулярного растворимого в  $C_6H_6$  полимера (мол. в. 15 000); при проведении р-ции при т-ре сухого льда образующийся полимер нерастворим в  $C_6H_6$ . Глицин полимеризуется с образованием полимера, нерастворимого в воде (т-ра р-ции 0,13 и 160°). А. П.

4046. Механизм эмульсионной полимеризации стирола с персульфатом как активатором в отсутствие и в присутствии меркаптана и замедлителя. Кольтофф, О'Коннор, Хансен (Mechanism of emulsion polymerization of styrene with persulfate as activator in the absence and presence of mercaptan and a retarder. Kolthoff I. M., O'Connor P. R., Hansen J. L.), J. Polymer Sci., 1955, 15, № 80, 459—473 (англ.; резюме франц., нем.)

Исследована эмульсионная полимеризация стирола (I) под действием радиоактивного  $K_2S_2O_8$  ( $S^{35}$ ) при т-рах 30—80° и при 5,25° с использованием окислительно-восстановительной системы ( $S_2O_8^{2-} + Fe^{2+}$ ) и определено число атомов  $S^{35}$ , входящих в молекулу полимера. Полимеры, полученные при 5,25°, содержат 2 атома  $S^{35}$  на молекулу полимера. В присутствии додецилмеркаптана (II) (0,25—1 г на 100 г I) число атомов  $S^{35}$  на молекулу полимера снижается до 0,01, но в расчете на 1 г полимера остается постоянным. На основании этих данных сделан вывод, что в отсутствие II обрыв цепей осуществляется соединением двух растущих полимерных радикалов, II действует только как передатчик цепи и не влияет на скорость иницирования в результате окислительно-восстановительной р-ции с  $K_2S_2O_8$ . Полимеры, полученные в присутствии м-динитробензола (1 ммоль на 100 г I), имеют меньший мол. вес и содержат меньше двух атомов  $S^{35}$  на молекулу полимера. В этом случае обрыв цепей, повидимому, осуществляется путем диспропорционирования. Путем сопоставления литературных данных показано, что при 30—90° в присутствии эмульгатора скорость иницирования равна скорости термич. распада  $K_2S_2O_8$ . Отвергнуто, высказанное ранее (Bovey F. A., Kolthoff I. M., J. Polymer Sci., 1950, 5, 569) предположение о р-ции эмульгатора с  $K_2S_2O_8$ . Действие эмульгатора заключается в повышении растворимости I в водн. слое, благодаря чему все свободные радикалы, образующиеся из  $K_2S_2O_8$ , принимают участие в иницировании полимеризации. Л. Я.

4047. Из области высокомолекулярных соединений. Сообщение 69. О зависимости свойств полиамидов от количества водородных связей. Коршак В. В., Фрунзе Т. М., Изв. АН СССР, Отд. хим. н., 1955, № 1, 163—171

На примере смешанных полиамидов, полученных поликонденсацией гексаметилендиамина (I) со смесями к-т янтарной и адипиновой (II), пробковой и II, азелаиновой (III) и II, себацдиновой (IV) и II, и с III и IV рассмотрен вопрос о влиянии водородных связей на свойства полиамидов (ПА). Показано, что вследствие наличия пространственных затруднений значительная часть амидных связей в смешанных ПА не образует водородные связи. Изучено изменение т-ры плавления и растворимости смешанных ПА в смеси спирта с  $CHCl_3$  в зависимости от состава полимеров. Установлено, что чем ниже т-ра плавления ПА, тем выше растворимость. Показано, что у смешанных ПА из различных диаминов и одной и той же дикарбоновой к-ты т-ра плавления изменяется по ломаной линии, причем т-ра плавления у ПА с четным числом атомов углерода в диаминах выше, чем у ПА из диаминов с нечетным числом атомов углерода в молекуле. Найдено, что для т-ры плавления и кол-ва амидных или водородных связей

у ПА из дикарбоновых к-т с четным числом атомов углерода сохраняется линейная зависимость и предложен график. способ определения кол-ва водородных связей в смешанных ПА. Сообщение 68 см. РЖХим, 1956, 991.

А. С.  
4048. Из области высокомолекулярных соединений. Сообщение 70. Об особенностях роста цепи в реакции поликонденсации в присутствии катализатора. Колесников Г. С., Коршак В. В., Смирнова Т. В., Изв. АН СССР, Отд. хим. н., 1955, № 1, 172—178

Показано, что р-ция поликонденсации (II) 1,2-дихлорэтана (I) с бензолом (III) в присутствии  $AlCl_3$  (III) является равновесной и состояние равновесия определяется соотношением всех исходных в-в. Изучена II с II при молярных соотношениях II : I, равных 1,2; 1,3; 1,5; 2,0 и конц-ия III от 0,53 до 6,63 мол. % от I. Выходы полифениленэтила (IV) составляли 5,4—75,5% от теоретич.; мол. веса IV изменялись от 1460 до 6740. Установлено, что для каждого соотношения II : I существует оптимальная конц-ия III, дающая макс. выход, а также, что миним. конц-ия III, дающая IV высокого мол. веса и с хорошим выходом уменьшается с увеличением соотношения II : I. Предполагают, что при II с II вначале образуется комплексное соединение I с III, которое реагирует с II с образованием тройного комплекса. Внутрь этого комплекса и происходит р-ция между I и II с образованием нового тройного комплекса «дифенилатан — III — HCl»; из этого комплекса выделяется HCl (газ) и оставшийся двойной комплекс вновь реагирует с I и II. Показано, что IV при действии II в присутствии III претерпевает разрушение. Определены влияние на процесс разрушения продолжительности р-ции, соотношения II : IV и конц-ия III. А. С.

4049. Исследование в области химических превращений непредельных и высокомолекулярных соединений. Сообщение 4. Сополимеризация некоторых виниловых соединений с моновиниловым эфиром этиленгликоля. Шостаковский М. Ф., Хомутов А. М., Изв. АН СССР, Отд. хим. н., 1955, № 1, 126—132

Исследована сополимеризация моновинилового эфира этиленгликоля (I) с метакриловой к-той (II), метилметакрилатом (III), стиролом (IV). I сополимеризуется с II и III и не дает сополимера с IV. С увеличением содержания I в реакционной среде выход сополимера уменьшается. Перечисляются а) соотношение II и I в мол. %, выход сополимера в %, содержание в сополимере (в %)  $-CH_2C(CH_3)COONH-$ ,  $-CH_2CH(OCH_2CH_2OH)-$ : 100 : 0, 91,5, 100, 0; 95 : 5, 78,63, 96,82, 3,18; 75 : 25, 71,07, 88,82, 11,18; 50 : 50, 57,35, 75,05, 24,95; 25 : 75, 41,24, 66,85, 33,15; 5 : 95, 13,14, 41,64, 58,36; 0 : 100, 0; б) мол. соотношение III и I в %, выход сополимера в %, содержание в сополимере (в %)  $CH_2C(CH_3)(COOCH_3)-$ ,  $-CH_2CH(OCH_2CH_2OH)-$ : 100 : 0, 97,00, 100, 0; 95 : 5, 88,2, 84,06, 15,94; 75 : 25, 70, 12, 81,3, 18,7, 50 : 50, 62,00, 50,66, 79,34; 25 : 75, 29,00, 48,20, 51,8; 5 : 95, 10,23, 31,10, 68,90; 0 : 100, 0. В отличие от сополимеров II с простыми виниловыми эфирами (РЖХим, 1955, 14124), сополимеры I с II и III, полученные из равномолярных кол-в I и II или при избытке I представляют собой нерастворимые набухающие в р-рителях в-ва. Образование трехмера при сополимеризации I с II может протекать за счет р-ции карбоксила II с гидроксилом I в полимерных цепях или за счет участия в сополимеризации дивинильного соединения, образовавшегося в результате р-ции мономерных I и II. При сополимеризации I с III трехмер может получаться в результате р-ции алкоголиза, протекающей между полимерными цепями или же за счет участия в сополимеризации дивинильного соединения,

образовавшегося в результате р-ции мономерных I и III. Сополимеризацию I с II—IV проводили при  $60 \pm 1^\circ$  (100 час.) в присутствии 0,2% перекиси бензоила. Сообщение 3 см. РЖХим, 1955, 37441. С. В. 4050.

Исследование в области химических превращений непредельных и высокомолекулярных соединений. Сообщение 5. Сополимеризация метилового эфира акриловой кислоты и простых виниловых эфиров. Шостаковский М. Ф., Хомутов А. М., Изв. АН СССР, Отд. хим. н., 1955, № 1, 133—139.

Исследована сополимеризация простых виниловых эфиров (ВЭ) (винилэтилового (I), винил-*n*-бутилового (II), винилфенилового (III)) с метиловым эфиром акриловой к-ты (IV). С увеличением в реакционной смеси конц-ии ВЭ выход сополимера понижается и содержание звеньев ВЭ в цепи сополимера увеличивается. Перечисляются: а) содержание исходных IV и I в мол. %, выход сополимера в %, содержание в сополимере в мол. % —  $\text{CH}_2\text{CH}(\text{COOCH}_3)$  —, —  $\text{CH}_2\text{CH}(\text{OC}_2\text{H}_5)$  —, 100, 0, 92, 100, 0; 75, 25, 87, 8, 87, 14, 12, 86; 50, 50, 72, 2, 71, 8, 28, 2; 25, 75, 45, 3, 55, 9, 44, 1; 0, 100, 0; б) содержание исходных IV и II в мол. %, выход сополимера в %, содержание в сополимере в мол. % —  $\text{CH}_2\text{CH}(\text{COOCH}_3)$  —, —  $\text{CH}_2\text{CH}(\text{OC}_4\text{H}_9)$  —: 100, 0, 92, 0, 100, 0; 75, 25, 86, 84, 84, 9, 15, 1; 50, 50, 72, 0, 67, 3, 32, 7; 25, 75, 39, 2, 59, 1, 40, 9; 0, 100, 0; в) содержание исходных IV и III в мол. %, выход сополимера в %, содержание в сополимере в мол. % —  $\text{CH}_2\text{CH}(\text{COOCH}_3)$  —, —  $\text{CH}_2\text{CH}(\text{OC}_6\text{H}_5)$  —: 100, 0, 92, 0, 100, 0; 75, 25, 77, 6, 85, 1, 14, 9; 50, 50, 58, 8, 72, 4, 27, 6; 25, 75, 33, 2, 57, 9, 42, 1; 0, 100, 0. Соплимеры I и ВЭ содержат в своем составе большее число звеньев ВЭ, чем сополимеры метилметакрилата и тех же ВЭ. Соплимеры I с винилалкиловыми эфирами обладают большей эластичностью чем полиметакрилат (V). Введение же в цепь V винилфенилового эфира снижает его эластичность. По степени эластичности сополимеры и полимеры I располагаются следующим образом: —  $\text{CH}_2\text{CH}(\text{COOCH}_3)\text{CH}_2\text{CH}(\text{OC}_6\text{H}_5)$  — > —  $\text{CH}_2\text{CH}(\text{COOCH}_3)\text{CH}_2\text{CH}(\text{OC}_2\text{H}_5)$  — > —  $\text{CH}_2\text{CH}(\text{COOCH}_3)$  — > —  $\text{CH}_2\text{CH}(\text{COOCH}_3)\text{CH}_2\text{CH}(\text{OC}_4\text{H}_9)$  —. Соплимеры ВЭ с IV получают нагреванием мономеров в ампуле при  $60 \pm 1^\circ$  (40 час.) в присутствии 0,05% перекиси бензоила. С. В. 4051.

Исследование в области полимеризации виниловых соединений. Сообщение I. Ступенчатый синтез поливинилбутилового эфира. Шостаковский М. Ф., Гладышевская В. А., Изв. АН СССР, Отд. хим. н., 1955, № 1, 140—145.

Для доказательства ступенчатого характера полимеризации винилбутилового эфира (I) в присутствии  $\text{C}_4\text{H}_9\text{OH}$  синтезированы 1, 1, 3-трибутоксигексан (II), 1, 1, 3, 5-тетрабутоксигексан (III) и 1, 1, 3, 5, 7-пентабутоксигексан (IV). Показано, что II, III и IV реагируют с I, образуя более сложные соединения с соответствующим код-вом буюксигрупп. Гидролизом буюксисоединений и выделением альдегидов доказано наличие в буюксисоединениях конечных ацетальных групп. II синтезируют прибавлением 0,5 моля I к смеси 1 моля дибутилового ацетала и 4 г 5%-ного р-ра  $\text{FeCl}_3$  в  $\text{C}_4\text{H}_9\text{OH}$  при  $48-50^\circ$ . Перегонкой выделяют II, т. кип.  $134-135^\circ/3$  мм,  $n_D^{20}$  1,4255,  $d_4^{20}$  0,8655, а также III, т. кип.  $175-177^\circ/3$  мм,  $n_D^{20}$  1,4345,  $d_4^{20}$  0,8886. Взаимодействием 0,335 моля II с 0,11 моля I получают III, выход 12,8 г, т. кип.  $173-175^\circ/3$  мм,  $n_D^{20}$  1,4347,  $d_4^{20}$  0,8892, и IV, выход 8,3 г, т. кип.  $195-197^\circ/3$  мм,  $n_D^{20}$  1,4435,  $d_4^{20}$  0,9033. Взаимодействием 0,334 моля III с 0,165 моля I получают IV, выход 21,8 г, т. кип.  $195-197^\circ/3$  мм,  $n_D^{20}$  1,4440,  $d_4^{20}$  0,9032, и 0,6 г

в-ва с т. кип.  $215-220^\circ/3$  мм,  $n_D^{20}$  1,4520, в котором предполагают наличие 1, 1, 3, 5, 7, 9-гексабутоксидекана. Определена степень гидролиза II—IV в %: II 96,0—96,5; III 97,2—96,8, IV 97,6—96,9. А. С. 4052.

Исследование в области полимеризации виниловых соединений. Сообщение 2. Ступенчатый синтез поливинилэтилового эфира. Шостаковский М. Ф., Гладышевская В. А., Изв. АН СССР, Отд. хим. н., 1955, № 2, 344—349.

Описан синтез индивидуальных продуктов полимеризации винилэтилового эфира: 1, 1, 3-триэтоксигексана (I), 1, 1, 3, 5-тетраэтоксигексана (II), 1, 1, 3, 5, 7-пентаэтоксигексана (III), 1, 1, 3, 5, 7, 9-гексаэтоксидекана (IV), 1, 1, 3, 5, 7, 9, 11-гептаэтоксидекана (V), осуществляемый ступенчатым присоединением винилэтилового эфира (VI) к диэтилацеталу (VII), I, II, III и IV, соответственно. Наличие в I—V концевых ацетальных групп было доказано гидролизом I—V; образующийся альдегид количественно определяли бисульфитным методом (Шостаковский М. Ф., Прилежаева Е. Н., Ж. общ. химии, 1947, 17, 6). Условия гидролиза I—V различны и этоксисоединения большего мол. веса требуют более мягких условий гидролиза. I и II гидролизуют 2%-ной  $\text{H}_2\text{SO}_4$  при  $\sim 20^\circ$ , а гидролиз III—V протекает при взаимодействии с бисульфитом натрия. Скорость гидролиза I—V возрастает с увеличением коэфф. полимеризации. 1 моль VII смешивают с 2 г 5%-ного р-ра  $\text{FeCl}_3$  в бутиловом спирте и при  $45-50^\circ$  прибавляют 0,5 моля VI, получают I, т. кип.  $60^\circ/3$  мм,  $n_D^{20}$  1,4073,  $d_4^{20}$  0,8743, вязкость 1,273 *спуаз*, и одновременно получают II, т. кип.  $104^\circ/3$  мм,  $n_D^{20}$  1,4202,  $d_4^{20}$  0,9010, и III, т. кип.  $136-138^\circ/3$  мм,  $n_D^{20}$  1,4280,  $d_4^{20}$  0,9160. Взаимодействием 0,5 моля I с 0,25 моля VI (условия р-ции как при синтезе I) получают: 28,4 г II, т. кип.  $103-104^\circ/3$  мм,  $n_D^{20}$  1,4200,  $d_4^{20}$  0,9004, вязкость 3,253 *спуаз*; 10,3 г III, т. кип.  $137-139^\circ/3$  мм,  $n_D^{20}$  1,4280,  $d_4^{20}$  0,9170; 8,4 г IV, т. кип.  $168-170^\circ/3$  мм,  $n_D^{20}$  1,4360,  $d_4^{20}$  0,9338, вязкость 17,846 *спуаз*. Взаимодействием 0,5 моля II с 0,33 моля VI получают: 27,3 г III, т. кип.  $137-139^\circ/3$  мм,  $n_D^{20}$  1,4283,  $d_4^{20}$  0,9166, вязкость 7,650 *спуаз*; 15,6 г IV, т. кип.  $168-170^\circ/3$  мм,  $n_D^{20}$  1,4365,  $d_4^{20}$  0,9340; 12,3 г V, т. кип.  $190-192^\circ/3$  мм,  $n_D^{20}$  1,4390,  $d_4^{20}$  0,9407. С. В. 4053.

Полимеры типа полибензила. Хас, Линнигстон, Сондерс (Polybenzyl type polymers. Haas Howard C., Livingston Daniel I., Saunders Martin), J. Polymer Sci., 1955, 15, № 80, 503—514 (англ.; резюме франц., нем.).

Описано получение и свойства полимеров типа полибензила (ПБ), синтезированных из фтористого бензила (I), бензилового спирта (II), хлористого бензила (III), хлористого *n*-изопропилбензила (IV), хлористого *m*-метоксигбензила (V), бромистого *n*-метилбензила и хлористого 2, 3, 5, 6-тетраметилбензила (VII). На основании изучения физ. свойств ПБ, их термич. деградации (20,45 мг полимера III выдерживают в платиновой чашке 2 часа в вакууме при  $100^\circ$ , затем нагревают 50 мин. до  $418^\circ$  и выдерживают при этой т-ре 30 мин., собирая летучие продукты; жидкая фракция состоит из 20,4 мол. % бензола, 78,6 мол. % толуола и 1,0 мол. % ксилола), окисления (1 г полимера II или III кипятят 26 час. с 20%-ной  $\text{HNO}_3$ ; пленки окисленного полимера (из диоксана) исследуют методом ИК-спектроскопии), данных рентгеноструктурного анализа

(полимера I) и ИК-спектроскопии (полимеров I—III), рассматривается вопрос о строении ПБ. Авторы отвергают структуры ПБ, предложенные Шрейнером и Бергером (Shriner R. L., Berger L., J. Organ. Chem., 1941, 6, 305) Хенном и Лейкестером (Henne A. L., Leicester H. M., J. Amer. Chem. Soc., 1938, 60, 864). Структура неупорядоченного разветвления Флори (Flory P. J., Principles of Polymer Chemistry, Cornell University Press, Ithaca, New York, 1953, 363) также оказывается не в состоянии объяснить результаты деградации ПБ и данные ИК-спектроскопии. Авторы считают, что ПБ содержат в своей молекуле относительно небольшое число высокозамещ. колец и значительно большее число монозамещ. бензильных колец в виде боковых бензильных групп. I получают из  $\text{HgF}_2$  и бромистого бензила (Bernstein J. и др., J. Amer. Chem. Soc., 1948, 70, 2310). Полимеризуют I в присутствии конц.  $\text{H}_2\text{SO}_4$ . Полимер I размягчается при  $75-80^\circ$ , дает рентгенограмму, характерную для аморфного в-ва, растворим в  $\text{C}_6\text{H}_6$ , диоксане,  $\text{CHCl}_3$ ,  $\text{CCl}_4$ , нерастворим в ацетоне,  $\text{CH}_3\text{OH}$ , петр. эфире. Полимер из II получают в присутствии  $\text{H}_2\text{SO}_4$  по Шрейнеру и Бергеру, он размягчается при  $75-80^\circ$ , растворим в диоксане. Полимеры III—VII получают нагреванием III—VII при  $100^\circ$  (катализатор  $\text{Fe}_2\text{O}_3$ ). По скорости полимеризации в присутствии  $\text{Fe}_2\text{O}_3$  III—V располагаются:  $\text{V} > \text{IV} > \text{III}$ . В присутствии  $\text{H}_2\text{SO}_4$  I и V полимеризуются значительно быстрее III. Хлористый пентаметилбензил (VIII) и VII получают хлорметилированием соответствующего углеводорода (Fuson R. C., McKeever C. H., Organic Reactions, vol 1, Wiley, New York, 1942, Chap. 3). Нагревание VIII с  $\text{Fe}_2\text{O}_3$  при  $100^\circ$  не приводит к образованию полимера VIII, что объясняется отсутствием атома H в бензольном ядре. С. В.

4054. О синтезе бензильных эфиров поливинилового спирта. Ушаков С. М., Лаврентьева Е. М., Ж. прикл. химии, 1955, 28, № 4, 407—413. Исследованы условия получения простого бензильного эфира поливинилового спирта (I) взаимодействием щел. производного поливинилового спирта (II) (II — поливиниловый спирт) с хлористым бензилом (III). Побочной р-цией в этом случае является омыление III до бензилового спирта и дибензилового эфира. При  $\sim 20^\circ$ ,  $30-35^\circ$ ,  $40-45^\circ$ ,  $50-55^\circ$ ,  $55-60^\circ$  р-ция бензилирования II практически не идет. При  $60-65^\circ$  она начинается сразу же; при повышении т-ры до  $90-95^\circ$  получаются резинообразные продукты темного цвета. Конц-ия щелочи, при прочих равных условиях, определяет величину степени замещения групп OH в II на бензокислые группы. Были получены I со степенью замещения  $10-80$  мол.%. Максим. замещение достигается при конц-ии NaOH 40%. Р-ция бензилирования протекает быстро в первые 6—10 час., после чего скорость ее медленно снижается. При применении щелочи низкой конц-ии (5—10%) р-ция омыления III быстро заканчивается; при обработке 30—40%-ным р-ром щелочи бензилирование продолжается 100—130 час. и III омыляется до 70%. Бензилированием II, проведенным в присутствии спирта как разбавителя, были получены I с низкой степенью замещения, а с увеличением кол-ва разбавителя степень замещения уменьшается с 40 до 17%. При бензилировании II, обработанного 34,5%-ным р-ром щелочи, в среде разбавителя, р-ция направляется, главным образом, в сторону образования этилбензильного эфира, выход  $\sim 85\%$ . Т-ра стеклования II повышается по мере увеличения степени замещения от  $85$  для II до  $83^\circ$  для I со степенью замещения  $\sim 10$  мол.% и до  $13^\circ$  для I со степенью замещения 80 мол.%. Понижение т-ры стеклования можно объяснить уничтожением сильных водородных связей II при его эфиризации, а также уменьшением межцепного взаимодействия за счет большого объема вводимых бен-

зокислых групп. Разрывная крепость пленки II  $230 \text{ кг/см}^2$ , удлинение при разрыве 30%. Пленка I со степенью замещения 30 мол.% имеет разрывную крепость  $172-187 \text{ кг/см}^2$  и удлинение при разрыве 20%. Относительно меньшую проницаемость паров воды показывают I со степенью замещения 50 мол.%. II, применяемый в работе, был получен щел. алкоголизом поливинилацетата в абс.  $\text{CH}_3\text{OH}$  и имел  $[\eta] = 0,76$  и 1,3 моль% неомыленных ацетатных групп. С. В.

4055. Кинетика реакции полиэстерификации кислых эфиров этиленгликоля и фталевой кислоты. Школьник Е. Е., Зейдлер И. И., Ж. прикл. химии, 1953, 26, № 11, 1205—1212.

Изучена кинетика полиэстерификации этиленгликоля (I) с фталевым ангидридом (II). Постановка эксперимента, методы анализов и расчетов аналогичны описанному ранее (РЖХим, 1955, 42622, 42623). Процесс полиэстерификации является бимолекулярной р-цией. Определены константы скорости ( $K_2$ ) при эквивалентном соотношении компонентов для т-р  $150$ ,  $160$  и  $170^\circ$ . Вычислены температурный коэфф. р-ции (1,6) и энергия активации ( $17500 \pm 800 \text{ ккал/моль}$ ). Показано, что величина  $K_2$  изменяется различно при различных соотношениях I и II: с ростом отношения II:I наблюдается увеличение  $K_2$  за счет уменьшения влияния р-ции гидролиза. Параллельно с процессом полиэстерификации в небольшой степени имеет место образование простых эфирных связей. Установлено, что по мере развития процесса полиэстерификации происходит увеличение содержания свободного II в реакционной смеси за счет деструкционных процессов. Т. З.

4056. Циклические олигомеры капролактама. Роте, Роте (Über die ringförmigen Oligomere des Caprolaktams. Rothe Ilse, Rothe Manfred), Chem. Ber., 1955, 88, № 2, 284—289 (нем.).

Указан воспроизводимый метод колич. выделения циклич. олигомеров  $\epsilon$ -капролактама (I) из экстракта поликапролактама горячей водой, основанный на различиях в летучести и растворимости. Определением мол. весов криоскопией в различных р-рителях доказано, что в состав экстрагируемых продуктов входят циклич. ди-(II) три-(III) и тетрапептиды (IV)  $\epsilon$ -аминокапроновой к-ты. При применении в качестве р-рителей лактама гексагидро- $\alpha$ -аминобензойной к-ты (V) и ацетанилида (VI) найдено, что выделенный ранее « $\alpha$ -димер» (РЖХим, 1954, 34179) является циклич. II, « $\beta$ -димер» имеет тройной, а «тример» учетверенный мол. вес I. Для подтверждения полученных данных синтезированы N-ацетилированные олигомеры I кипячением олигомеров с  $(\text{CH}_3\text{CO})_2\text{O}$  (VII) и определены их мол. веса, которые оказались соответствующими полностью N-ацетилированным II, III и IV. Циклич. олигомеры разделяют возгонкой  $120^\circ$  с тонкоизмельченного и высушенного вода. экстракта из полимера I порциями по 40 г при полном отсутствии влаги воздуха, остаточном давл.  $10^{-2}-10^{-4}$  мм и т-ре бани до  $250^\circ$ . После 3—5-кратного повторения операция отделяется большая часть II и весь I. Остаток растворяют в 50-кратном кол-ве горячей воды. В р-р переходит весь III, немного II и IV; нерастворимыми остаются IV и немного II. Р-р выпаривают, остаток подвергают возгонке и многократной перекристаллизации из 30-кратного кол-ва воды, диметилформамида и вновь воды, а затем р-р опять выпаривают, получают 2 г препарата с т. пл.  $244-245^\circ$ . Сухой остаток, содержащий IV и II, измельчают и нагревают 1—2 раза до  $250^\circ$  при остаточном давл.  $10^{-2}$  мм до тех пор, пока возгонки более не происходит. 3-кратной перекристаллизацией из 60-кратного, а затем 150-кратного кол-ва воды выделено 10 г кристаллич. IV, т. пл.  $240^\circ$ . Выход II после экстракции  $\text{C}_6\text{H}_6$  и перекристаллизации из 120-кратного



кол-ва воды 36 г, т. пл. 348°. II получают также кипячением экстракта из полимера I с 7-кратным кол-вом VII, причем высшие олигомеры превращаются за это время в растворимые N-ацетилпроизводные; нерастворимый II отделяют и перекристаллизуют из 120-кратного кол-ва воды, выход 18%. N-ацетилпроизводные II, III и IV получают нагреванием 3 г олигомера с 20 г VII; N-ацетилпроизводное II, т. пл. 162° (из диоксана). N-ацетилпроизводное IV, т. пл. 143° (из петр. эф. или диоксана). Проведено измерение мол. весов олигомеров в V ( $E=40,0$ ), в VI по Матео ( $E=6,93$ ) и в феноле ( $E=7,2$ ), а ацетилпроизводных — в камфоре по Раути ( $E=40,0$ ).

**4057. О строении продуктов конденсации мочевины с формальдегидом.** Штаудингер, Вагнер (Zur Konstitution der Harnstoff-Formaldehyd-Kondensate. Staudinger Hermann, Wagner Kuno), Makromolek. Chem., 1953, 11, № 1, 79—80 (нем.).

Выяснение строения продуктов конденсации (ПК) мочевины с формальдегидом (I) было затруднено, так как для этих ПК не было известно ни одного р-рителя. Их строение доказано определением мол. веса ПК тиомочевины с I. Эти ПК являются смесью неустойчивых метилолсодержащих продуктов, из р-ра которых в диметилформамиде после обработки тиомочевинной можно выделить более устойчивый продукт ( $\text{NH}_2\text{CSN}=\text{CH}_2$ )<sub>x</sub> (II). По данным анализа и определением мол. веса криоскопич. методом (в капиллярке) установлено, что  $x=4$ . Это подтверждено определением мол. веса продукта присоединения хлора к II. Сделан вывод, что ПК мочевины с I не являются в-ми очень высокого мол. веса.

**4058. Алкилдикосилиполисилоксаны. II. Этилизпропоксиполисилоксаны.** Окава, Неймару (Alkylalkoxy polysiloxanes. II. Ethylisopropoxy polysiloxanes. Okawara Rokuo, Ishimaru Iwao), Bull. Chem. Soc. Japan, 1954, 27, № 9, 582—585 (англ.).

Из  $\text{C}_2\text{H}_5\text{SiCl}_3$  (I) действием изопропанола (II) приготовлены этилизпропоксидихлорсилан (III) и этилдипропоксидихлорсилан (IV). Для получения III смесь I и II (по 0,25 моля) перемешивали 1 час при 3—5°, после чего 40 минут продували воздух до полного удаления HCl. После фракционирования на колонке в 20 теорет. тарелок выход III ~ 30%, т. кип. 66—67/59 мм,  $n_D^{20}$  1,4115;  $d_4^{20}$  1,0508. Аналогично из 0,25 моля I и 0,5 моля II получен IV, выход 50%, т. кип. 76°/48 мм,  $n_D^{20}$  1,4018;  $d_4^{20}$  0,9361. При длительном нагревании (64,112, 144 час при 205—210°) из I (1 моль) и II (2,3—2,5 моля) синтезированы линейные и циклич. этилизпропоксиполисилоксаны ф-л  $\text{RO}(\text{C}_2\text{H}_5-\text{SiO}-\text{OR})_n \text{R}(\text{A})$  и  $(\text{C}_2\text{H}_5-\text{SiO}-\text{OR})_n$  (Б), где в обоих случаях  $\text{R}=\text{CH}(\text{CH}_3)_2$ ,  $n(\text{A})=1-3$ ,  $n(\text{B})=3$ . Описанным методом получены триизпропоксиэтилсилан (V), тетраизпропокси-1,3-диэтилдисилоксан (VI) и пентаизпропокси-1,3,5-триэтилтрисилоксан (VII), а также триизпропокси-1,3,5-триэтилхлортрисилоксан (VIII), для которых приведены характеристики т. кип. °C/мм,  $n_D^{20}$ ,  $d_4^{20}$ : V, 65,4/8, 1,3938, 0,8607; VI, 73/0,8, 1,4038, 0,9091; VII, 112—113/0,8, 1,4120, 0,9444; VIII, 96—97/0,8, 1,4131. В результате термич. р-ции IV с изопропоксиполисилоксанами получены этилизпропоксиполисилоксаны ф-лы  $\text{C}_2\text{H}_5(\text{RO}-\text{SiO}-\text{OR})_n \text{R}$ , где  $\text{R}=\text{CH}(\text{CH}_3)_2$ ;  $n=2-3$ : пентаизпропоксиэтилдилоксан, т. кип. 82—83°/0,8 мм,  $n_D^{20}$  1,3962,  $d_4^{20}$  0,9193, и гептаизпропокси-1-этилтрисилоксан, т. кип. 114—115°/0,8 мм,  $n_D^{20}$  1,4027;  $d_4^{20}$  0,9570; 141,941,9; 563; 15,21. Сообщение 1 см. РЖХим, 1955, 52082.

**4059. Вулканизация силиконового каучука перекисью бензоила.** Бьюк (The curing of silicone rubber with benzoyl peroxide. Bueche A. M.), J. Polymer Sci., 1955, 15, № 79, 105—120 (англ.).

Исследована вулканизация силиконового каучука (полидиметилсилоксана) перекисью бензоила; наполнитель —  $\text{SiO}_2$ . Вулканизация проводилась в прессах при 125° в течение 20 мин., после чего образец обдувался горячим воздухом (150°) в течение 24 час. Степень вулканизации (число поперечных связей) оценивалась или по степени набухания образца, или по величине напряжения при деформации 50%. Найдено, что при увеличении конц-ии перекиси ее эффективность как вулканизирующего агента уменьшается; от кол-ва наполнителя эффективность перекиси бензоила не зависит. Исследование влияния степени вулканизации на величину взаимодействия полимер—наполнитель показало, что для более полного использования усиливающего действия наполнителя необходимо создание достаточно высоких конц-ий поперечных связей. Отмечается, что прогрев вулканизата при 150° на воздухе в течение 17—94 час. не изменяет числа поперечных связей в образце. Измерена плотность каучука при 25° (0,975 г/см³).

А. П.

**4060. Исследование окисления эластомеров с помощью инфракрасной спектроскопии.** Филд, Вудфорд, Геман (Infrared study of oxidation of elastomers. Field J. E., Woodford D. E., Gehman S. D.), J. Polymer Sci., 1955, 15, № 79, 51—67 (англ.; резюме франц., нем.).

С помощью ИК-спектров поглощения исследовано окисление полибутадиена, полиизопрена, неопрена, бутилкаучука, бутадиенстирольного сополимера, полученных различными способами. Окисление происходило при различных условиях и длилось на воздухе: до 70 дней при комнатной т-ре, до 107 дней при 55°, несколько часов при 100°. Отдельные образцы облучались УФ-светом. При окислении полимеров во всех спектрах обнаружено появление новых полос у 3 м и 5,8 м в результате образования гидроксильных и карбонильных групп. Интенсивность полосы, соответствующей двойной связи  $\text{C}=\text{C}$ , не изменяется, а увеличение и расширение полосы 9,3 м указывает на образование сложных углеродно-кислородных групп. Установлено, что при добавлении определенных кол-в кислорода (до 5%) образование карбоксильных и карбонильных групп обнаруживается только после поглощения значительного кол-ва  $\text{O}_2$ , что объясняется или образованием в небольшом числе многочисленных различных групп с  $\text{O}$  или малым поглощением характеристич. полос. Изменение физ. свойств наблюдается при меньшем окислении, чем это необходимо для заметных изменений в ИК-спектре. Авторы считают, что их результаты согласуются с теорией самоокисления, несмотря на то, что образование гидроперекисей в спектре не наблюдается, очевидно, из-за малого кол-ва последних. Предполагается, что изменения в спектрах связаны с наличием вторичных продуктов р-ции. Е. П.

**4061. Гидроперекиси в окислении полиэтена.** Бернетт, Миллер, Уиллис (Hydroperoxides in oxidized polythene. Burnett J. D., Miller R. G. J., Willis H. A.), J. Polymer Sci., 1955, 15, № 80, 592—594 (англ.).

При нагревании полиэтилена до 150° на воздухе в его ИК-спектре появляется полоса 2,81 м (группа  $\text{OH}$  в гидроперекисях). Однако при охлаждении полимера интенсивность этой полосы резко уменьшается; одновременно увеличивается поглощение в области 2,97 м. Выказано предположение, что в окисленном полиэтилене существует равновесие между ассоциированными (2,97 м) и свободными (2,81 м) гидроперекисными группировками, причем при повышении т-ры это равнове-

сие сдвигается в сторону свободной гидроперекиси. При длительном нагревании окисленного полимера в отсутствие воздуха полоса 2,81  $\mu$  полностью исчезает; в то же время в спектре появляются полосы 3,0 и 3,1  $\mu$ , соответствующие, по видимому, спиртовой и карбоксильной группам ОН.

А. П. 4062. Изучение комплекса этилендиамин-целлюлоза.

1. Разложение комплекса растворителями. Лоб, Сигал (Studies of the ethylenediamine-cellulose complex. I. Decomposition of the complex by solvents. Loeb Leopold, Segal Leon), J. Polymer Sci., 1955, 15, № 80, 343—354 (англ.; резюме франц., нем.)

Исследована устойчивость комплекса этилендиамин-целлюлоза по отношению к действию ряда р-рителей. Комплекс получен обработкой сухого хлопкового волокна в безводном этилендиамина при 20° в атмосфере азота. Устойчивость комплекса по отношению к действию р-рителей исследовалась путем экстрагирования 1 г образца в 200 г р-рителя в течение 5 час. в приборе Сокслета и последующего определения содержания диамина титрованием. Изменения в кристаллич. структуре, вызываемые такой обработкой, исследовались по интенсивности дифракционных колец рентгеновских лучей. Найдено, что неиолирные р-рители, не содержащие кислорода (гексан,  $\text{CCl}_4$ ,  $\text{CHCl}_3$ ), незначительно уменьшают содержание диамина в комплексе и не изменяют тонкой кристаллич. структуры комплекса. Кривые интенсивности интерференции имеют одинаковый вид как для необработанного, так и для подвергнутого экстрагированию комплекса. Р-рители, содержащие кислород (метилловый и изопропиловый спирты, этилацетат, ацетон, диэтилкетон, вода и др.), удаляют диамина из комплекса почти полностью и вызывают переход в кристаллич. модификацию целлюлозы I. Показано, что эффективность действия р-рителя на комплекс связана с полярностью р-рителя и с т-рой, при которой это воздействие производится.

Р. К. 4063. Влияние инклюдирования на реакционную способность целлюлозы с сетчатой структурой и без нее. Крессиг, Шротт (Der Einfluß der Inclusion auf die Reaktivität unvernetzter und vernetzter Zellwolle. Krässig Hans, Schrott Erwin), Makromolek. Chem., 1954, 13, № 2-3, 179—193 (нем.; резюме франц.)

Исследована ацетилируемость целлюлозы (I) в зависимости от степени инклюдирования (СИ), т. е. число молей инклюдированного в-ва, приходящееся на 1 моль структурных звеньев целлюлозы. I с разной СИ получалась обработкой пиридином,  $\text{CH}_3\text{COOH}$ ,  $\text{C}_6\text{H}_6$  предварительно набухшей I в различного соотношения смесей метанол-вода. СИ линейно зависит от степени предварительного набухания обработанной I. СИ подсчитывалась из процентного содержания инклюдированного в-ва, остающегося в I после 10 минутного центрифугирования (3000 об/мин). I, содержащая пиридин, ацетилировалась в смеси пиридин-уксусный ангидрид-бензол при 60°. I, содержащая бензол, а также I с включением  $\text{CH}_3\text{COOH}$ , ацетилировалась в смеси бензол-уксусный ангидрид-хлорная к-та. После ацетилирования пробы промывались  $\text{CH}_3\text{OH}$  и просушивались в вакууме при 40°. При низких СИ ацетилируемость незначительна, но с увеличением СИ она сильно возрастает. Наименьшее значение СИ («порог»), начиная с которого ацетилируемость резко возрастает, для пиридина,  $\text{C}_6\text{H}_6$  и  $\text{CH}_3\text{COOH}$  равна 0,5. По видимому, это обусловлено приблизительно одинаковой величиной молекул инклюдированного в-ва. Но скорость и достигаемая степень ацетилирования зависят от полярности инклюдированных в-в. Исследовалось влияние инклюдирования на ацетилирование I с сетчатой структур. Различные степени сшивания достига-

лись обработкой I при 80° в течение 12 час. в пиридине гексаметилендиизоцианатом с разным соотношением компонентов. Для всех исследуемых степеней сшивания СИ пиридина превышала порог, равный 0,5. СИ  $\text{C}_6\text{H}_6$  только в одном случае была близка к 0,5. Показано, что ацетилируемость I с сетчатой структурой и без нее зависит только от СИ. 17-дневное ацетилирование I с сетчатой структурой и без нее при одинаковом содержании инклюдированного пиридина показало, что тормозящее влияние мостиков, связывающих молекулы I, незначительно по сравнению с влиянием СИ. Содержание  $\text{CH}_3\text{CO}$  в обоих случаях почти одинаково и близко к теоретически возможному, рассчитанному на основании кол-ва уретановых мостиков.

Р. К. 4064. Ультразвуковая деструкция нитроцеллюлозы: соотношение между усредненными исходной и конечной степенью полимеризации и ее распределением. Томас, Александер (Ultrasonic degradation of cellulose nitrate: Relation between initial and final average and distribution of DP. Thomas Berwyn B., Alexander W. J.), J. Polymer Sci., 1955, 15, № 80, 361—370 (англ.; резюме франц., нем.)

Исследовалась деструкция р-ров нитроцеллюлозы со средней степенью полимеризации (СП) от 134 до 2400 в ацетоне под действием ультразвука (частота 400 кГц, мощность, поглощенная в р-ре,  $\sim 15 \text{ вт}$ ) при т-ре 20°. Исследовалась как фракционированный, так и нефракционированный продукт. Фракционированные образцы более стойки к действию ультразвука, чем нефракционированные с той же средней СП. Предельное уменьшение СП у первых выше, чем у вторых. Миним. длина цепочкообразной молекулы, еще подвергающейся деструкции, равна  $\sim 980$  глюкозных единиц. Ультразвуковая деструкция приводит к более монодисперсному продукту, чем получаемый при старении в течение 20 час. при 30°. В первом случае 60% обрабатываемого в-ва имеет СП от 700 до 1200, а во втором меньше 40% с одновременным увеличенным содержанием продуктов более глубокой деструкции. Эксперим. данные не подтверждают предположения (Schulz G. V., J. Polymer Sci., 1948, 3, 365) о существовании в молекуле целлюлозы слабых связей, отделенных одна от другой интервалами в 500 единиц.

Б. К. 4065. Химические превращения высокомолекулярных соединений. Сметс (Chemische Umwandlungen an hochpolymeren Substanzen. Smets G.), Angew. Chemie, 1955, 67, № 2, 57—60 (нем., резюме англ., франц.)

Обзорная статья, в которой рассматриваются возможности получения из известных природных или синтетич. полимеров производных с новыми свойствами, а также получение полимеров, которые ни полимеризацией, ни поликонденсацией не могут быть получены. Библ. 14 назв.

А. М. 4066. О синтезе сложных эфиров поливинилового спирта. Ушаков С. Н., Кононова Т. А., Изв. АН СССР, Отд. хим. н., 1955, № 1, 117—125. Описано получение поливинилформиата (I), поливинилацетата (II), поливинилпропионата (III), поливинилбутирата (IV) и поливинилизобутирата (V), содержащих различное кол-во свободных ОН-групп и обладающих одинаковым средним мол. весом и полидисперсностью. I—V получают из поливинилового спирта (VI), содержащего 1,8 мол. % ацетатных групп, характеристич. вязкость которого  $[\eta] = 0,74$ . Полностью замещ. I получают выдерживанием VI с 6-кратным кол-вом (по весу) 100%-ной  $\text{HCOOH}$  (VII) при 16—18° в течение 50 час. Р-р разбавляют ацетоном (VIII) (до 5—6%-ной конц-ии I) и осаждают I спиртом. Для достижения 100% замещения формилирование проводят последовательно 4 раза. Для получения I, содер-

жащих менее 80 мол. % эфирных групп, для формилирования VI применяют как 100%-ную, так и разб. VII. Перечисляются конц-ны VII в %, модуль ванны, т-ра р-ции в °C, продолжительность р-ции в час., содержание в I форматных групп в мол. %, р-рителя для получения пленок: 100, 1 : 6, 18, 24, 78,0, VIII; 78, 1 : 10, 18, 30, 68,7, 80%-ный водн. VIII; 100, 1 : 6, 18, 4, 53,8, 75%-ный водн. VIII; 78, 1 : 10, 0,15, 48,1, 85%-ный водн. VIII; 78, 1 : 10, —2,6, 36,3, 50%-ный водн. VIII; 35, 1 : 20, 18, 2, 10,4. Для получения II, содержащего 96,5 мол. % эфирных групп, 4 г VI в 35 мл пиридина (IX), выдержанных при ~ 20° 12 час. и обрабатывают 30 мл (CH<sub>3</sub>CO)<sub>2</sub>O при 100°. После охлаждения и прибавления 50 мл VIII осаждают полимер водой. Неполностью замещ. II получают омылением II в абс. CH<sub>3</sub>OH при ~ 20° различными кол-вами КОН (модуль ванны 1 : 6). Перечисляются кол-во КОН в %, продолжительность р-ции в час., разбавитель, содержание ацетатных групп в полимере в мол. %: 0,05, 14, VIII, 70,8; 0,15, 14, VIII, 66,0; 0,25, 15, 66%-ный водн. VIII, 58,5; 0,32, 15, 50%-ный водн. VIII, 45,5. Полностью замещ. III (98,5 мол. % эфирных групп) получают эфиризацией VI пропионовым ангидридом (X) в IX: 4 г VI в 30 мл IX выдерживают при ~ 20° 12 час. и обрабатывают 15 мл X при 100°. После охлаждения разбавляют 60 мл VIII и осаждают полимер водой. III с различным содержанием эфирных групп получают омылением эфира (98,5 мол. %) в абс. CH<sub>3</sub>OH различными кол-вами КОН при ~ 20°. Перечисляются кол-во КОН в %, продолжительность р-ции в час., р-ритель, содержание эфирных групп в полимере в мол. %: 0,2, 13, VIII, 72,8; 0,3, 16, VIII, 53,4; 0,4, 14, 50%-ный водн. CH<sub>3</sub>OH, 34,7; 1,0, 24, вода, 1,2. Полностью замещ. (99,95 мол. %) IV получают эфиризацией VI и-масляным ангидридом (XI) в IX. Перед охлаждением полимера реакционную смесь разбавляют CH<sub>3</sub>OH. IV с различным содержанием эфирных групп получают омылением 100%-ного эфира в абс. CH<sub>3</sub>OH различными кол-вами КОН при ~ 20°. Перечисляются кол-во КОН в %, продолжительность р-ции в час., разбавитель, содержание в полимере эфирных групп в мол. %: 0,5, 14, VIII, 76,4; 0,6, 14, CH<sub>3</sub>OH, 67,0; 1,0, 12, 50%-ный водн. спирт, 35,4; 2,0, 15, вода, 1,0. V, содержащий 96,7 мол. % эфирных групп, получают аналогично IV, применяя вместо XI изомасляный ангидрид; р-ция оканчивается через 9 час. V с различным содержанием эфирных групп синтезируют омылением 96,7%-ного эфира КОН в абс. CH<sub>3</sub>OH при ~ 20°. Перечисляются кол-во КОН в %, продолжительность р-ции в час., разбавитель, содержание эфирных групп в полимере в мол. %: 0,75, 14, спирт, 77,70; 1,0, 18, 50%-ный водн. спирт, 56,0; 2,0, 20, 80%-ный водн. CH<sub>3</sub>OH, 34,7; 4,0, 48; вода, 1,4. Характеристич. вязкости VI, полученного омылением различных полимеров (I—V), колебалась в пределах  $[\eta] = 0,72—0,78$ . С. В.

4067. Сульфирование хитина хлорсульфоновой кислотой в дихлорэтано. К у ш и н г, Дейвис, Кратович, Мак-Коркодейл (The sulfation of chitin in chlorosulfonic acid and dichloroethane. Cushing I. B., Davis R. V., Kratochvil E. J., MacCorquodale D. W.), J. Amer. Chem. Soc., 1954, 76, № 18, 4590—4591 (англ.). Действием хлорсульфоновой к-ты (I) в дихлорэтано (II) на хитин (III) получена Na-соль хитинсульфата (IV). В процессе сульфирования происходит уменьшение мол. веса III, что авторы связывают с частичным понижением его токсичности. К 100 мл II и 20 мл I при 10° добавляют 8 г сухого III и перемешивают 2 часа при 25°. Затем III и неиспользованную I декантируют в токе N<sub>2</sub>, остаток последовательно обрабатывают двумя порциями по 100 мл II, сливая его, охлаждают до 0° и постепенно добавляют 70 мл триэтиламина при

т-ре не выше 20°, затем еще 40 мл воды и 320 мл изопропилового спирта (V), вязкий низший слой отделяют декантированием или центрифугированием, остаток растирают со 150 мл V, растворяют в 240 мл 75%-ного водн. спирта и добавляют 20 мл 5 н. NaOH. Выделившуюся IV растворяют в воде и освобождают от Na<sub>2</sub>SO<sub>4</sub> диализом через целлофановую мембрану. Водн. р-р нейтрализуют 1 н. NaOH, концентрируют до 100 мл и осаждают 400 мл смеси C<sub>2</sub>H<sub>5</sub>OH-CH<sub>3</sub>OH (95 : 5) (VI) и 0,6 мл насыщ. р-ра NaCl. Осадок промывают 200 мл VI и 50 мл эфира; выход IV 11—12 г. Для повышения устойчивости водн. р-ров IV к сконцентрированному диализированному р-ру добавляют 1 н. NaOH до pH 11,0—11,5 и высаживают спиртом, или IV растворяют в 100 мл воды, прибавляют 400 мл VI и 0,6 мл насыщ. р-ра NaCl. При обработке под давлением 1 ат 5%-ного водн. р-ра IV в течение 20 мин. pH р-ра уменьшается от 8,5 до 6,5, причем антикоагулянтная активность падает на 5%; pH нестабилизированного р-ра уменьшается в этих условиях от 8,6 до 1,8 с полной потерей антикоагулянтной активности. Для обеспечения водн. р-ров хитинсульфата к 240 мл р-ра триэтиламинной соли в 75% спирте добавляют 4 мл 30%-ной H<sub>2</sub>O<sub>2</sub>. Спустя 30 мин. перемешивают 10 мин. с 5 г угля (Darko G-60). Продукт высаживают из фильтра 5 н. NaOH в виде сиропа и или диализируют, или стабилизируют описанным способом. В УФ-спектре в интервале 220—600 мμ не обнаружено ни максимумов, ни минимумов. Мол. вес, определенный осмометрически, 12 100—17 100, среднее содержание S 13,2—14,5%, N 2,5—3,2%, вязкости 1%-ного р-ра в воде 0,3—0,35 сантиу, в 0,9%-ном р-ре NaCl 0,14—0,25 сантиу. Л. П.

4068. Исправления к статье «О химической природе альгиновых кислот. II. Природа связанных карбоксильных групп альгины». Евтушенко В. А., Коллоид. ж., 1955, № 1, 80  
К РЖХим, 1955, 37443.

4069. Получение галондсодержащих производных пектина. К р у з е (Über die Darstellung halogenierter Pektinderivate. K r u s e E.), Makromolek. Chem., 1953, 9, № 2, 109—115 (нем.).

Конденсацией пектиновой к-ты (I), ацетил-1 (II), нитрат-1 (III) с эпигалондидринами получены иод-, бром- и хлорсодержащие производные I. Попытки заместить в молекуле I OH-группу на хлор (с HCl, PCl<sub>3</sub>, PCl<sub>5</sub>, SOCl<sub>2</sub>) остались безрезультатными. Все эфиры получают по одному и тому же методу. Наилучший выход (71—73%) эфира эпигалондидрина (IV) и I получают, выдерживая смесь I, IV и воды (0,1 : 1 : 4) 7 дней при 45°. Дальнейшее повышение т-ры сопровождается расщеплением цепей I. Эфиры I и IV нерастворимы в обычных полярных и не полярных р-рителях, при освещении солнцем или кратковременном нагревании их эмульсий с водой или 1%-ным р-ром NaOH происходит отщепление иода с образованием эфира глицерина и I. При действии конц. р-ров NaOH образуется пектат, глицерин, NaCl. Конц. р-р NH<sub>3</sub> расщепляет эфир на пектат аммония и подгидрин глицерина. Эфиры эпигалондидринов с II или III получают: а) приготавливая эмульсию эпигалондидрина в воде, затем суспендируя в ней II или III; б) растворяя соответственно II или III при слабом нагревании на бане, в смеси 96%-ного CH<sub>3</sub>OH и 94%-ного CH<sub>3</sub>COCH<sub>3</sub>, добавляя эпигалондидрин и, на каждые 100 мл гомог. р-ра, 20 мл воды. Все эфиры сходны между собою по свойствам. Эфиры III легко воспламеняются. Е. Л.

4070. Исследования искусственных гуминовых кислот. Шеффер, Вельте, Цихман (Über Untersuchungen an künstlichen Huminsäuren. Scheffer F. von, Welte E., Ziehmman W.),



Z. Pflanzenernähr., Düng., Bodenkunde, 1955, 69, № 1—3 (нем.)

Приведены результаты изучения гуминовых к-т, изготовленных из простейших многоатомных фенолов, мол. в. которых 600—1000 (определен по Рау в расплавленной мочеvine, по вязкости р-ров, по коэфф. диффузии и микрометодом мол. дистилляции); форма частиц близка к шарообразной;  $\bar{M}_n$  — 124 (по анализу ауматов Ва и метилированных продуктов). В процессе аутоокислации фенолов и последующей поликонденсации (или полимеризации) образуются  $\text{CO}_2$ ,  $(\text{COOH})_2$

и немного  $\text{CH}_3\text{COOH}$ . По изменению скорости поглощения  $\text{O}_2$  можно различить 4 фазы процесса: процесс ингибируется промежуточными продуктами разрушения бензольного кольца. Полученные гуминовые к-ты неоднородны; они, как и природные к-ты, могут быть разделены на фракции посредством хроматографирования или электрофореза на бумаге. Детали опытов будут опубликованы позднее.

В. Н.

См. также: Физ. св-ва высокополимеров 153, 154. Полимеризация 445, 767, 909. Др. вопр. 1003

## АНАЛИТИЧЕСКАЯ ХИМИЯ

### ОБЩИЕ ВОПРОСЫ

4071. Замечания к статье Крейвена «Статистическая оценка точности анализов». Фишер (Statistical estimation of the accuracy of assaying. Contributed remarks on paper by Craven C. A. U. Fisher E. A.), Bull. Instn Mining and Metallurgy, 1955, 64, № 578, 187—188 (англ.)

Автор считает опубликованную статью Крейвена (РЖХим, 1955, 34629) весьма ценной, так как статистич. метод определения точности анализов крайне необходим как для рядовых аналитиков и исследователей, так и для руководителей лабораторий. Крит. замечания касаются вопросов о влиянии на точность анализов металлов приготовления проб и степени чистоты стеклянной посуды.

А. Г.

4072. Обсуждение получения однозначных результатов при анализе силикатов. Часть II. Мильдс, Шеринг (Diskussion zur Vereinheitlichung der Silikatanalyse. II. Teil. Mields Martin, Schering, Gerhard), Silikattechnik, 1955, 6, № 6, 241—247 (нем.; резюме англ., русс.)

Для унификации методов анализа силикатов приведено подробное описание подготовки пробы и методы определения потери при прокаливании, разложения сплавлением с содой, определения  $\text{SiO}_2$ ,  $\text{Fe}_2\text{O}_3$ ,  $\text{Al}_2\text{O}_3$ ,  $\text{TiO}_2$ ,  $\text{CaO}$ ,  $\text{MgO}$  и щел. металлов. Часть I см. РЖХим, 1956, 1182.

М. Ш.

4073. Постановка межлабораторных анализов силикатов. Бланке (Stellungnahme zur Gemeinschaftsanalyse von Silikaten. Blanke Martin), Silikattechnik, 1955, 6, № 6, 247 (нем.)

В целях выявления расхождений результатов анализов силикатов и накопления данных для выбора рациональных методов анализа, дающих воспроизводимые результаты, 18 исследовательскими и производственными лабораториями керамич. пром-сти Германии были произведены межлабор. анализы различных видов керамич. сырья. Установлено, что даже при применении одинаковых методов анализа наблюдаются заметные расхождения результатов различных лабораторий. Разработаны 3 вида нормальных сырьевых бюллетеней: DIN 51070, заполняемый данными, относящимися к анализам огнеупорных сырья и изделий с высоким содержанием  $\text{SiO}_2$ ; DIN 51071, заполняемый данными, относящимися к анализам сырья со средним и высоким содержанием  $\text{Al}_2\text{O}_3$ ; и DIN 51072, заполняемый данными, относящимися к анализам  $\text{Fe}_2\text{O}_3$ . Рекомендуется использование искусств. смесей, содержащих в соответствующей пропорции известные кол-ва всех 8 компонентов, определяемых при полном хим. анализе огнеупорных в-в. См. также РЖХим, 1956, 1182; реф. 4072.

А. Г.

4074. Гомогенное осаждение. Агтерденбос (Neerslaan uit homogene oplossing. Agterden-

bos J.), Chem. weekbl., 1955, 51, № 32, 571—576 (голл.)

Обзор. Библ. 74 назв.

А. Б.

4075. Органические соосадители в аналитической химии. Кузнецов В. И. Сессия АН СССР по мирному использованию атомной энергии, 1955. Заседания Отд. хим. н. М., Изд-во АН СССР, 1955, 301—319 (резюме англ.)

Современное состояние вопроса.

А. Б.

4076. Удостоенная «Премии прогресса» работа Фудзивара «Изучение реакции выделения и анализа родственных элементов». — (進歩賞藤原鐵男君(電気通信大學助教教授理學博士)『業績』類縁元素の分離分析反應に関する研究), 化學と工業 Kagaku to kōgō, 1953, 6, № 5, 208—211 (япон.)

Исследованы аналитич. методы определения родственных элементов, трудно разделяемых хим. путем, и предложен новый метод разделения элементов [метод извлечения плава (МИП)]. Кратко описаны работы автора данного метода. 1. Для определения Hf в цирконии; Hf оценивают по разности между суммарным кол-вом Hf + Zr, определяемым в форме пирофосфатов, и кол-вом окисей Hf и Zr. 2. Для разделения Hf и Zr пирофосфаты Hf и Zr растворяют в HBr, прибавляют NaOH и полученные гидраты окисей обрабатывают конц.  $\text{H}_2\text{SO}_4$ . Прибавляют вновь разб. р-р HBr и слегка нагревают; Hf выделяют в форме осадка. 3. Исследованием соединений купферона с Zr и Hf установлено, что коэфф. светопоглощения купфероната Zr при конц-ии  $\text{Zr} > 7 \cdot 10^{-2}$  моль/л заметно увеличивается; при конц-ии  $\text{Hf} > 4 \cdot 10^{-3}$  моль/л осаждается купферонат Hf. 4. Для определения Hf в присутствии Zr спектрофотометрируют, прибавляя небольшими порциями купферон. В точках эквивалентности коэфф. светопоглощения резко повышаются (сначала для Hf, затем для Zr). Hf и Zr определяют по кол-ву израсходованного купферона. 5. Исследованием соединений Zr и Hf с металлоидами установлено, что окись Zr легче превращается в карбид, чем окись Hf, но труднее в нитрид. 6. Изучен процесс поглощения  $\text{N}_2$  в Zr; получена кривая, показывающая зависимость поглощения  $\text{N}_2$  от т-ры в интервале от комнатной до 1100°. 7. Изучено выделение родственных элементов при охлаждении расплавов солей; при постепенном охлаждении расплава, содержащего Na, K, Sr, Ba, Ra, Mo и W, элементы распределяются различным образом в центре и по окружности расплава. 8. Для разделения Zr и Hf спеканием пирофосфаты спекают с  $\text{CaSO}_4$  и  $\text{NH}_4\text{Cl}$  при 500—900°. Пирофосфат Zr превращается в окись, а пирофосфат Hf не изменяется. После спекания пирофосфат Hf растворяют в разб. HBr. 9. Выведено ур-ние для вычисления т-ры плавления неорганич. соединений типа MXOT (M — катион, XOT — анион);

$T(a_+ - a_-)^{1/2} = a - b[r_-(r_+)]$ , где  $T$  — т-ра плавления;  $a_+$ ,  $a_-$  — поляризуемости ионов;  $a$ ,  $b$  — константы. Вычислены величины  $a$ ,  $b$  для ряда хим. соединений. 10. МПН имеет два варианта: а) разделение, основанное на различной растворимости солей, и б) разделение, основанное на различии в поведении элементов, присутствующих в сплаве, по отношению к реактивам. Растворимость солей  $S$  выражается ур-нием:  $S = A \exp(-\Delta F/kT) = A \exp(-\Delta E - T\Delta S)/kT$ , где  $k$  — постоянная Больцмана;  $T$  — абс. т-ра;  $\Delta F$ ,  $\Delta E$  и  $\Delta S$  — разности свободной и внутренней энергии и энтропии солей, находящихся в расплавленном и кристаллич. состояниях.  $\lg S = a - b/T$ , где  $a$  и  $b$  — постоянные для каждой соли (определены величины  $a$ ,  $b$  для 48 неорганич. соединений). Значение  $a$  зависит в основном от энтропии,  $b$  — от внутренней энергии в-ва.

11. Для разделения Ra и Ba исследован процесс спекания хроматов Ra и Ba с NaCl. 12. Nb и Ta разделяют, пользуясь плавами их боратов, сульфатов и фосфатов. 13. Изучена взаимосвязь между растворимостью солей, коэфф. лучеисрощения и радиусом ионов; для некоторых солей щел.-зем. металлов (фосфаты, ванадаты и т. п.) установлена обратная зависимость между радиусом иона и растворимостью; для галогенидов, сульфатов и т. д. — прямая. 14. На основе различной растворимости солей проведено разделение солей Zr и Hf, ванадатов щел.-зем. металлов, сульфатов, боратов и фосфатов Nb и Ta. 15. Из метаванадата K описанным методом выделен K<sup>40</sup>. Ц. ч.-д. 4077. Техника измерений с помощью ядерного магнитного резонанса в зернистых гигроскопических материалах. Шоу, Э. Л. (Techniques for nuclear magnetic resonance measurements on granular hygroscopic materials. Shaw T. M., E. L. Shen R. H.), J. Appl. Phys., 1955, 26, № 3, 313—317 (англ.).

Наблюдение протонного резонанса (ПР) позволяет быстро определять влажность исследуемого материала, не нарушая его структуры. Точность таких измерений ограничивается тем, что исследуемые образцы, как правило, неоднородны и состоят из отдельных частиц, и неизбежны неоднородности постоянного магнитного поля (МПМ) ухудшают точность и воспроизводимость результатов. При опытах использовали спектрометр с постоянным магнитом на 6380 гс с полюсами диам. 15,2 см и зазором 44,5 мм. Поле модулировалось с частотой 50 гц. Катушка, в которой помещали образцы, имела длину 20 мм и внутренний диам. 10 мм. Для повышения однородности поля были использованы Ni-пластинки толщиной 0,025 мм, форму и положение которых подбирали эмпирически [при этом ширина линии ПР в 0,02 н. Fe(NO<sub>3</sub>)<sub>3</sub> составляла ~ 100 гц]. В качестве образцов использованы порошок картофеля и зерна пшеницы. Сигналом ПР служила первая производная от кривой поглощения. Влажность (В) определяли по величине сигнала ПР, построив соответствующую калибровочную кривую. Опыты показали, что для образцов с массой 0,1—0,5 г при диапазоне В 7—16% погрешность составляет 0,3%. При большем содержании воды результаты неудовлетворительны, так как ширина линии ПР становится сравнимой с неоднородностью МПМ. Л. Ш.

4078. Применение смешанных цветов при титровании окрашенных растворов. Линднер (Anwendung von Mischfarben bei Titration farbiger Lösungen. Lindner Károly), Z. Lebensmittel-Untersuch. und Forschung., 1955, 102, № 1, 37—39 (нем.).

При определении аскорбиновой к-ты титрованием 2,6-дихлорфенолинодофенолом в окрашенных пищевых продуктах (томаты, розовый картофель, переработанный с кожурой и т. д.) добавляют р-р, окрашенный в

дополнительный цвет (при пурпурных и оранжевых экстрактах синий и зеленый; при синих или зеленых — красный). Погрешность определения  $\pm 3\%$ . Метод применим для определения аскорбиновой к-ты в кондитерских товарах, мармеладах, ликерах и т. д. Добавляемые красители не должны изменять своей окраски при титровании. М. П.

4079. Титрование в неводной среде. I. Определение пиридиновых оснований в некоторых продуктах переработки каменноугольной смолы. Минчевский, Лада (Miareczkowanie w środowisku niewodnym. I. Oznaczanie zasad pirydynowych w niektórych produktach przerobu smoly węglowej. Minczewski Jerzy, Łada Zygunt), Roczn. chem., 1955, 29, № 2-3, 948—949 (польск.; резюме англ.).

Пиридиновые основания, наряду с аммиаком и кислотными составляющими, в среднем смоляном масле определяют методом потенциометрич. титрования в неводн. р-ре. Образец растворяют в смеси лед. CH<sub>3</sub>COOH—CHCl<sub>3</sub> и титруют 0,1 н. р-ром HClO<sub>4</sub> в лед. CH<sub>3</sub>COOH. Электродом сравнения служат Ag/AgCl-электрод, погруженный в насыщ. р-ре KCl в лед. CH<sub>3</sub>COOH, индикаторным — стеклянный электрод. Первый изгиб кривой титрования соответствует содержанию аммиака, второй — общему содержанию пиридино-вых оснований. Г. М.

4080. Титрование в неводной среде. II. Определение фенолов в некоторых продуктах переработки каменноугольной смолы. Минчевский, Лада (Miareczkowanie w środowisku niewodnym. II. Oznaczanie fenoli w niektórych produktach przerobu smoly węglowej. Minczewski Jerzy, Łada Zygunt), Roczn. chem., 1955, 29, № 2—3, 950 (польск.; резюме англ.).

Метод потенциометрич. титрования в неводн. среде применен для определения фенолов в продуктах перегонки каменноугольной смолы, содержащих аммиак и пиридиновые основания. Пробу растворяют в безводн. пиридине или анилине и титруют 0,1 н. CH<sub>3</sub>OK в смеси CH<sub>3</sub>OH—C<sub>6</sub>H<sub>6</sub> (1:6). При титровании применяют Ag/AgCl-электрод, погруженный в 10%-ный р-р LiCl в CH<sub>3</sub>OH, и Sb-электрод. Г. М.

4081. Комплексометрическое титрование (хелатометрия). I. Объемный метод визуального микроопределения этилендиаминтетрауксусной кислоты с применением окислительно-восстановительных индикаторов. Вебер (Chelatometrie. I. Maßanalytische Mikrobestimmung der Äthylendiamintetraessigsäure (EDTA) mit visueller Redoxindikation. Weber Peter), Mikrochim. acta, 1955, № 4, 812—820 (нем.; резюме англ., франц.).

Этилендиаминтетрауксусную к-ту (I) титруют солянокислым р-ром FeCl<sub>3</sub> (II) в присутствии ванилина В (III) и 2,2'-дипиридила (IV) в качестве индикатора. Если титровать забуференный ацетатной смесью 0,01 М р-р I 0,01 М р-ром II с добавкой 1 капли 1%-ного р-ра III в 0,1 н. HCl, то III медленно окисляется в эквивалентной точке (ЭТ); четкость перехода окраски повышается добавлением IV, который связывает ионы Fe<sup>3+</sup> в ЭТ, что ведет к повышению потенциала системы Fe<sup>3+</sup>/Fe<sup>2+</sup>. Благодаря этому избыточная капля р-ра II быстро окисляет III. Окраска III в присутствии IV обратимо изменяется от слабо желтой до фиолетовой. Для определения I к 50 мл анализируемого р-ра добавляют 5 капель 0,25%-ного р-ра IV в NH<sub>4</sub>OH 1:1 и опр. деленное кол-во 10%-ного CH<sub>3</sub>COONa, зависящее от расхода титрующего 0,01 М р-ра II в HCl 1:50. Приливанием HCl рН р-ра доводят до 5, нагревают его до 50°, добавляют при взбалтывании каплю р-ра III и титруют р-ром II до появления фиолетовой окраски.

В конце титрования pH не должен быть  $< 4$ . С поправкой на индикаторную ошибку (0,025 мл 0,01 M p-ра II) 0,37—36 мг этилендиаминтетраацетата Na в большинстве случаев определены с ошибкой  $< 2\%$ . Описанный метод применим для косвенного определения большого числа элементов, прежде всего Al. Определяемый элемент связывают избытком I и непрореагировавший I оттитровывают p-ром II. При титровании солей  $\text{Fe}^{3+}$  p-ра I следует добавлять III перед концом титрования.

Н. П.  
4082. Применение соли Бендера — соединения со скртыо связанным сероводородом — в качестве реактива в качественном и количественном анализе. Фишер, Фесслер (Das Bendersche Salz, eine Verbindung mit latent gebundenem Schwefelwasserstoff als Reagens in der qualitativen und quantitativen Analyse. Fischer R., Fessler G.), Pharmazie, 1955, 10, № 6, 349—362 (нем.)

В качестве заместителя  $\text{H}_2\text{S}$  предложена соль Бендера (I) ( $\text{O} = \text{C} \cdot \text{SK} \cdot \text{OC}_2\text{H}_5$  или  $\text{S} = \text{C} \cdot \text{OK} \cdot \text{OC}_2\text{H}_5$ ), легко разлагающаяся с выделением  $\text{H}_2\text{S}$ . I не имеет запаха, не требует вентиляционных установок и безвредна. Выделение металлов группы  $\text{H}_2\text{S}$  происходит при кислотности 0,2—0,5 н. по HCl; Cd — при 0,1—0,2 н.; Zn осаждают при кипячении (среда 0,5—0,1 н. по HCl). При избытке I (проба со свиновой бумажкой в парах) щел.-зем. металлы не выпадают. Приведены прописи для колич. выделения металлов группы  $\text{H}_2\text{S}$  и  $(\text{NH}_4)_2\text{S}$  и метод получения I.

М. III.  
4083. Образование комплексных ионов, используемых в аналитической химии. IX. Комплексные соли меди, цинка и кадмия с ионом  $\text{CN}^-$ . Судауки (分析化学に用いられる錯イオンの生成について. 第9報. 銅, 亜鉛及びカドミウムのシアノ錯塩について. 鈴木進), 日本化学雑誌, Нихон кагаку дзасси, J. Chem. Soc. Japan. Pure Chem. Sec., 1954, 75, № 9, 962—964 (япон.)

Для определения константы диссоциации комплексной соли  $\text{Cu} [\text{Cu}^+ + 4\text{CN}^- \rightleftharpoons \text{Cu}(\text{CN})_4^{3-}]$  составлен следующий гальванич. элемент:  $\text{Cu} - \text{Hg} | \text{CuSO}_4 || \text{KCl} || \text{KCN}, \text{CuSO}_4 | \text{Cu} - \text{Hg}$ ; электроды состоят из Cu—Hg (5% Cu); один из них погружен в 0,05 M  $\text{CuSO}_4$ , другой в смесь из 20 мл 0,10438 M KCN (Grandadam M., C. r. Acad. sci., 1925, 180, 1598) и измеренного кол-ва 0,01 M  $\text{CuSO}_4$ . Э.д.с. определяют компенсационным методом при  $25 \pm \pm 0,007^\circ$ .  $K_1 = [\text{Cu}^+][\text{CN}^-]^4 / [\text{Cu}(\text{CN})_4^{3-}] = 2,84 \cdot 10^{-28}$ . При конц-ии KCN 0,07997 M  $K_2 = 2,69 \cdot 10^{-28}$ . Среднее значение  $K = 2,77 \cdot 10^{-28}$ . Для определения константы диссоциации комплексной соли Zn гальванич. элемент составляли следующим образом:  $\text{Zn} - \text{Hg} | \text{ZnSO}_4 || \text{KCl} || \text{KCN}, \text{ZnSO}_4 | \text{Zn} - \text{Hg}$ ; электроды состоят из Zn—Hg (7% Zn); один из них погружен в 0,05 M  $\text{ZnSO}_4$ , другой в смесь из 20 мл 0,04257 M KCN и измеренного кол-ва 0,01 M  $\text{ZnSO}_4$ . Измерив э.д.с., вычисляют константу диссоциации  $K_1 = [\text{Zn}^{2+}][\text{CN}^-]^4 / [\text{Zn}(\text{CN})_4^{2-}] = 2,04 \cdot 10^{-17}$ . При конц-ии KCN 0,0689 M  $K_2 = 1,45 \cdot 10^{-17}$ . Среднее значение  $K = 1,75 \cdot 10^{-17}$ . Для определения константы диссоциации комплексной соли Cd пользовались схемой  $\text{Cd} - \text{Hg} | \text{CdCl}_2 || \text{KCl} || \text{KCN}, \text{CdCl}_2 | \text{Cd} - \text{Hg}$ ; электроды состоят из Cd—Hg (12,5% Cd); один погружен в 0,05 M  $\text{CdCl}_2$ , другой в смесь из 20 мл 0,05412 M KCN и 0,01 M  $\text{CdCl}_2$ .  $K_1 = [\text{Cd}^{2+}][\text{CN}^-]^4 / [\text{Cd}(\text{CN})_4^{2-}] = 2,04 \cdot 10^{-17}$ . Для конц-ии KCN 0,07734 M  $K_2 = 1,03 \cdot 10^{-18}$ . Среднее значение  $K = 9,09 \cdot 10^{-17}$ . Сообщение VIII см. РЖХим, 1955, 37456.

Ц. Чд.

4084. Изучение экстракции комплексов металлов. VI. Об образовании комплексов тория с 8-оксихинолином и купферонам. Дюрссен (Studies on the extraction

of metal complexes. VI. On the complex formation of thorium with oxine and cupferron. Dyrssen David), Svensk kem. tidskr., 1953, 65, № 3, 43—56 (англ.)

Изучена экстракция 8-оксихинолината и купфероната Th при помощи  $\text{CHCl}_3$  и метилизобутилкетона при  $25^\circ$  и постоянной ионной силе водн. фазы, равной 0,1 M ( $\text{HClO}_4$ ,  $\text{NaClO}_4$  и  $\text{NaOH}$ ). Работа велась с небольшими кол-вами Th с использованием радиоизотопа  $\text{Th}^{231}$  ( $\text{UX}_1$ ). Полученные данные нельзя интерпретировать, если предположить, что Th присутствует только в виде  $\text{Th}^{4+}$  и  $\text{ThX}_4$ , где X — анион оксихинолина или купферона. Показано, что кривые могут быть описаны предложенными ур-ниями с двумя параметрами для системы с образованием комплекса. Принимается, что присутствуют все одноядерные комплексы  $\text{ThX}^{3+}$ ,  $\text{ThX}_2^{2+}$  и  $\text{ThX}_4$ , а отношения между соседними константами комплексообразования  $K_n/K_{n+1}$  равны. Приведены приближенные значения констант  $K_n$ , а также произведение величин констант комплексообразования и коэфф. распределения незаряженных комплексов  $\text{ThX}_4$ . Сообщение V см. РЖХим, 1956, 642.

Д. С.

4085. Изучение экстракции комплексов металлов.

VII. Колориметрическое определение урана путем экстракции 8-оксихинолином (оксинном). Хёк (Studies on the extraction of metal complexes. VII. Colorimetric determination of uranium by extraction with 8-hydroxyquinoline (oxine). H ö k Brita), Svensk kem. tidskr., 1953, 65, № 6, 106—113 (англ.)

Изучены условия экстракции с помощью p-ра 8-оксихинолина (I) в  $\text{CHCl}_3$  и возможность колориметрич. определения U. Оптимальная экстракция наблюдается при pH 4—9. Экстрагирование можно проводить без добавления буферного p-ра, поскольку сама система I —  $\text{CHCl}_3$  — вода является буфером (pH 3). Для получения калибровочной кривой 2 мл стандартного p-ра  $\text{UO}_2^{2+}$ , 0,05 M по  $\text{HClO}_4$  и содержащего 0,05—0,60 мг U, взбалтывают с двумя порциями по 5 мл каждая 0,1 M p-ра I в  $\text{CHCl}_3$ . Оптич. плотность p-ра измеряют на спектрофотометре при 425 мμ, относительно  $\text{CHCl}_3$ , вводя поправку на нулевой p-р, приготовленный в аналогичных условиях с 0,05 M  $\text{HClO}_4$ . При определении 0,297 и 0,371 мг U найдено соответственно  $0,300 \pm 0,005$  и  $0,368 \pm 0,007$  мг U. Распределение между двумя фазами изучалось как функция конц. анионов различных органич. к-т НХ (напр. ацетилацетон, тиофенкарбонилтрифторацетон, коричная, салициловая, динитробензойная к-ты). Опыты проводились следующим образом:  $10^{-3}$ — $10^{-4}$  M p-р  $\text{UO}_2^{2+}$  взбалтывают при различном pH с равным объемом p-ра к-ты НХ, растворенной в несмешивающемся с водой p-рителе, и определяют конц-ию в каждой из фаз. Установлено, что I является более сильным комплексообразующим реактивом, чем все приведенные выше органич. к-ты. Описаны методы определения U в органич. и водн. фазах при помощи роданида и трифторацетона.

В. III.

4086. Изучение экстракции комплексов металлов.

VIII. Экстракция La, Sm, Hf, Th и U ( $6+$ ) в присутствии 8-оксихинолина и купферона. Дюрссен, Дальберг (Studies on the extraction of metal complexes. VIII. The extraction of La, Sm, Hf, Th, and U (VI) with oxine and cupferron. Dyrssen David, Dahlberg Viktoria), Acta chem. scand., 1953, 7, № 8, 1186—1196 (англ.)

Изучена экстракция оксихинолинов и купферонатов  $\text{La}^{3+}$ ,  $\text{Sm}^{3+}$ ,  $\text{Hf}^{4+}$ ,  $\text{Th}^{4+}$  и  $\text{UO}_2^{2+}$  хлороформом и метилизобутилкетонами (I). Экстракцию производили при  $25^\circ$  из p-ров с постоянной ионной силой (0,1 M), достигаемой добавлением  $\text{HClO}_4$ ,  $\text{NaClO}_4$  и  $\text{NaOH}$ . Конц-ии в-в в обеих фазах равного объема определяли радио-



метрически или спектрометрически  $[U(6+)]$ . Растворимость в  $CHCl_3$  оксихинолинов  $Th^{4+}$ ,  $UO_2^{2+}$  и  $Sr^{2+}$ , купфероната  $La^{3+}$  и растворимость в I оксихинолинов  $Th^{4+}$  и купфероната  $La^{3+}$  составляет  $10^{-4}$  моль/л; в связи с чем конц-ия металлов в исходных р-рах не должна превышать  $10^{-3}$  моль/л во избежание выпадения осадков (оксихинолин и купферон были взяты соответственно в конц-иях 0,1—0,5 и 0,005—0,010 М. Оксихинолины изученных элементов извлекаются  $CHCl_3$  несколько лучше, чем I. За исключением  $U(6+)$  последовательность перехода элементов в органич. фазу определяется величинами зарядов и радиусов ионов;  $lg[A^-]$  (рА, отвечающий 100%-ному извлечению элемента) для Hf, Th, Sm и La равен ~12; 9; 6 и 5,5 соответственно; рА для  $UO_2^{2+}$  равен ~10. Th и  $UO_2^{2+}$  при рА < 4 экстрагируются в водн. фазу, что, вероятно, объясняется образованием отрицательно заряженных комплексов; константа нестойкости комплекса  $[UO_2A_3^-] = 10^{-23,76}$ . Купферонаты значительно лучше извлекаются I, хотя сам купферон более растворим в  $CHCl_3$ . I извлекает на 100% лишь Hf и Th; максим. степень извлечения  $U(6+)$ , Sm и La составляет соответственно ~60, 90 и 80%; рА максим. извлечения Hf, Th,  $U(6+)$ , Sm и La равен ~8; 7; 6; 4 и 3 соответственно. Установленные различия в экстрагируемости изученных элементов позволяют применять экстракционное разделение их смесей.

4087. Изучение органических реактивов для анализа. I.  $\alpha$ -Фурилдиоксим. Спир, Нейкава (有機分析試薬に関する研究. 第一報. L-フルンジオキシムについて. 新良宏一郎, 石川光二) 日. 本化学雑誌, Нихон кагаку дзасси, J. Chem. Soc. Japan. Pure Chem. Sec., 1953, 74, № 4, 271—273 (япон.)

Для получения  $\alpha$ -фурилдиоксида (I), используемого для определения  $Ni^{2+}$ , фуруин (Fischer E., Ann., 1891, 211, 214) окисляют  $NH_4NO_3$  в присутствии соли Cu, обрабатывают р-ром  $NH_2OH \cdot HCl$  в  $CH_3OH$  (Maspair D. S., Ann., 1882, 258, 226) и полученный р-р выпаривают под вакуумом (Reed S. A., Bank C. V., J. Organ. Chem., 1947, 12, 792). Сырообразный р-р выливают в кипящую воду и полученный I несколько раз перекристаллизовывают (кристаллич. I при 90—100° терит кристаллизационную воду и затвердевает, а при 167—168° плавится). В полученном I присутствует 50% анти-формы, образующей с  $Ni^{2+}$  нерастворимый комплекс.

4088. Амальгамы в качестве вспомогательного средства при косвенных определениях с помощью этилендиаминтетрауксусной кислоты. Вебер (Amalgams als Hilfsmittel indirekter Mikrobestimmungen mit Äthylendiamintetraessigsäure. Weber Peter), Mikrochim. acta, 1955, № 4, 911 (нем.; резюме англ., франц.)

Автор предлагает амальгамы в качестве восстановителей для определения ряда элементов, которые не могут быть непосредственно определены комплексометрич. титрованием (Schwarzenbach G., Die komplextometrische Titration, Stuttgart, Enke, 1955, 84). При восстановлении соответствующих элементов до определенной валентности или до металлч. состояния без доступа воздуха, в слабоокисл. анализируемый р-р переходит эквивалентное кол-во ионов металла-восстановителя ( $Zn^{2+}$  в случае Zn-амальгамы,  $Cd^{2+}$  — в случае кадмиевой). Полученный р-р отделяют от амальгамы и титруют этилендиаминтетрауксусной к-той.

4089. Применение системы  $Tl^{3+}/Tl^{+}$  в качестве индикатора рН. Ранке-Мадсен, Кергор (On

the use of a thallic-thalious system as a pH indicator. Ranke-Madsen E., Kjaergård T.), Acta chem. scand., 1955, 9, № 2, 293—298 (англ.)

Применение р-ра смеси солей  $Tl^{3+}$  и  $Tl^{+}$  как индикатора рН основано на том, что образующаяся в результате гидролиза  $Tl_2O_3$  мало растворима и выпадает в осадок, вследствие чего конц-ия  $Tl^{2+}$ , а следовательно и окислительно-восстановительный потенциал системы  $Tl^{3+}/Tl^{+}$  зависит от рН, в то время как конц-ия  $Tl^{+}$  от рН не зависит. В качестве редокс-индикатора добавляли р-р смеси KI и крахмала. При титровании р-ра, состоящего из смеси 0,2 мл 0,0642 М  $Tl(NO_3)_3$  и 0,2 мл 0,060 М  $TlNO_3$ , 0,5 мл 0,01078 М KI и 1%-ного р-ра крахмала при помощи 0,1 н.  $HNO_3$ , первый переход окраски из желтой в синюю соответствует рН 7,27. Этот переход хорошо воспроизводим со средним отклонением в 0,06 ед. рН. Второй переход окраски р-ра (в бесцветную) при рН 4,21 менее точно и труднее воспроизводим, чем первый. Исследовано влияние конц-ии компонентов р-ра на рН первого и второго переходов окраски. Показано, что предлагаемая система может служить индикатором при титровании карбонатов; первая ступень титрования:  $CO_3^{2-} \rightarrow HCO_3^-$ . А. Г.

4090. Применение некоторых органических соединений для амперометрического титрования. Мусни Т. К., Сонгина О. А., Уч. зап. Алма-Атин. гос. пед. ин-та, 1955, 6, 125—131

На капельном Hg-катоде в аммиачном р-ре в присутствии  $Na_2SO_4$   $\alpha$ -бензоинноксим дает ясно выраженную волну восстановления с двумя перегибами. Область диффузионного тока начинается при потенциале 1,4 и 1,6 в относительно меркуриодидного электрода. На Pt-катоде бензоинноксим не восстанавливается.  $\alpha$ -Нитро- $\beta$ -нафтол восстанавливается на капельном Hg-катоде в присутствии аммиака, а на Pt-электроде он дает лишь слабовыраженную волну. 8-оксихинолин восстанавливается на капельном Hg-катоде при  $E_{1/2}$  —1,14 в (рН 2,8) и —1,61 в (рН 12). Получить волну восстановления на Pt-Au-, W- и Ta-электродах не удалось. Пирогаллол на капельном Hg-электрод в катодной области не дает волны; при анодной поляризации наступает окисление самой ртути. На Pt-электроде получены вполне отчетливые анодные кривые, соответствующие окислению пирогаллола. Окисление пирогаллола происходит в слабоаммиачной среде, причем область диффузионного тока пирогаллола лежит при потенциале +1,0 в. Антралиловая к-та и бензидин не проявляют полярографич. активности ни на Pt-, ни на Hg-электроде в катодной и анодной областях.

4091. О применении простых индикаторного электрода и электрода сравнения для потенциометрического титрования в неводных растворителях. Цейдлер (Über die Verwendung einfacher Indicator- und Bezugselektroden bei potentiometrischen Titrationen in nichtwässrigen Lösungsmitteln. Zeidler Hans), Z. analyt. Chem., 1955, 146, № 4, 251—253 (нем.)

Для потенциометрич. титрования аминов в метаноле, этаноле, пропаноле, бутаноле, ацетонитриле, уксусном ангидриде и лед.  $CH_3COOH$  в качестве индикаторного электрода применяют золотую пластинку с общей поверхностью ~1 см<sup>2</sup>. Pt, Sb, Bi и Ni менее пригодны, а Ag, Sn, Fe, Zn, Al и Cu вообще непригодны. В качестве электрода сравнения используют цилиндрич. сосуд, заканчивающийся снизу пластинкой из пористого стекла диам. 1 см, и заполняемой насыщ. р-ром ацетата меди в лед.  $CH_3COOH$ ; в сосуд вставлен угольный стержень из батарей для карманного фонаря. Описанный электрод пригоден для потенциометрич. полумикротитрования. Если скачок потенциала имеет место в присутствии значительных кол-в нейтрализованного амина, то в титруемый р-р целесообразно вводить

добавки хингидрона. Добавки хингидрона необходимы также при определении окиси этилена потенциометрич. титрованием свободного основания, образующегося при взаимодействии окиси этилена с избытком амингидрохлорида.

Н. П. 4092. Предусматривание кривых потенциометрических определений. Курье (Prévision des courbes de dosages potentiométriques. Coursier J.), *Analyt. chim. acta*, 1954, 10, № 2, 182—191 (франц.)

Путем изучения кривых поляризации можно объяснить явления, наблюдаемые вблизи конечной точки при потенциометрических определениях, а также аномалии, наблюдаемые в некоторых случаях. Эксперим. определение окислительно-восстановительных потенциалов позволяет интерпретировать роль медиаторов, т. е. окислительно-восстановительных систем, способных быстро фиксировать электродные потенциалы и приходящих с большой скоростью в хим. равновесие с другими системами, электродные потенциалы которых (более или менее постоянные) устанавливаются только после продолжительного времени.

П. А. 4093. Применение метода поляризованных электродов для решения некоторых задач аналитической химии. Филибер (Application de la méthode des électrodes polarisées à la résolution de quelques problèmes de chimie analytique. Philibert H.), *Méd. trop.*, 1955, 15, № 3, 356—365 (франц.)

Метод титрования с заторможенной конечной точкой применен для определения  $Hg^{2+}$  и  $J^-$ . В обоих случаях в качестве электрометрич. индикатора конца титрования использована система  $J_2 - 2J^-$ . К анализируемому р-ру перед началом титрования добавляют 1 каплю свежеприготовленного 10%-ного спирт. р-ра  $J_2$ . При определении  $Hg^{2+}$  на 100 мл анализируемого р-ра добавляют 2 г  $NaNO_3$  или  $Na_2SO_4$  в качестве индифферентного электролита. К Pt-электродам во время титрования приложена разность потенциалов 10 мв. Р-р  $Hg^{2+}$  титруют при перемешивании магнитной мешалкой 0,1 н. р-ром  $KJ$ . Против окисления, до наступления конечной точки титрования (КТТ) в системе протекает заметный ток, объясняемый повышенной растворимостью и диссоциацией  $HgJ_2$  в момент ее образования. Кривая титрования, построенная в координатах сила тока—объем добавленного р-ра  $KJ$ , имеет максимум, появление которого совпадает с образованием видимых следов осадка  $HgJ_2$ . Соответствующее этому моменту ионное произведение  $HgJ_2$  ( $2 \cdot 10^{-10}$ ) значительно превышает общепринятую величину. Непосредственно перед КТТ ток в системе резко падает и, достигнув минимума, резко возрастает. Во избежание преждевременного образования осадка  $HgJ_2$  при действии индикатора титрования ведут в слабоокислительном р-ре, а каплю р-ра  $J_2$  вводят в воду, используемую для разбавления анализируемого р-ра. При соблюдении этих условий 5—200 мкг  $Hg$  определяют с погрешностью  $\leq 0,4\%$ . Описанный метод титрования дает удовлетворительные результаты при argentометрич. определении  $J^-$  в присутствии или в отсутствие  $Br^-$ . К анализируемому р-ру добавляют 40 мл 20%-ной  $H_2SO_4$  и разбавляют его до 100 мл; электроды поляризуют при разности потенциалов 25 мл. 10—490 мкг  $KJ$  определены с погрешностью  $\leq 0,3\%$ . Примерно та же погрешность отмечена при титровании смесей, в которых кол-во  $J^-$  превосходит кол-во  $Br^-$ . Если основным компонентом смеси является  $Br^-$ , погрешность определения  $J^-$  составляет 0,9%. Добавление декстрина в обоих случаях увеличивает погрешность. Оксидиметрич. определение  $J^-$  методом титрования с заторможенной конечной точкой основано на его окислении р-ром хлорамина Т в сильнокислой среде. В начале титрования ток не проходит через систему, но постепенно возрастает до максимума по мере выделения свободного

$J_2$ . Справа от КТТ появляется второй максимум, отвечающий превращению  $J_2$  в  $JCl$ . По положению этого максимума рассчитывают содержание  $J^-$ . Для определения  $Br^-$  метод титрования хлорамином Т непригоден. Метод поляризованных электродов применим для титрования  $Fe^{3+}$  и  $Fe(CN)_6^{4-}$  р-ром  $K_2Cr_2O_7$ . Предыдущее сообщение см. РЖХим, 1955, 16534. Н. П. 4094. Кондуктометрическое титрование с применением измерительного моста с непосредственным отсчетом типа ГМ 5536. Хаасе (Conductimetric titration with the direct-reading measuring bridge GM 5536. Haase M.), *Philips Serv. Sci. and Ind.*, 1955, 2, № 2, 1—5 (англ.; резюме нем., франц.)

Прибор питается от промышленной сети и состоит из: 1) мостовой цепи, двумя плечами которой являются электроды, погруженные в р-р, а двумя другими — два спаренных переменных конденсатора, 2) лампового генератора синусоидальных колебаний частоты 4000 кГц, 3) 4-каскадного усилителя, 4) полосового фильтра с полосой пропускания 2000—6000 кГц, 5) фазочувствительного кольцевого детектора, 6) стрелочного измерительного прибора типа микроамперметра со шкалой на 500 мкА. Диапазон измерения разбит на 6 переключаемых поддиапазонов. Усиление регулируется омич. аттенуатором. Питующее мост напряжение можно ступенчато изменять при помощи переключателя. Мостовая схема включения при двух электродах в р-р обеспечивает необходимую температурную компенсацию. Прибор применим для микроопределений без спец. микроэлектродов и обладает большой чувствительностью. Конечная точка эквивалентности в самом чувствительном диапазоне определяется по перемене знака отклонения стрелки.

Ф. Б. 4095. Влияние металлической пластинки на результаты высокочастотного титрования. Масуи [イノ型高周波分析器に於ける金属板 (S板) の効果. 梶井雅一郎], *薬學雜誌*, Якутаку дзэсэи, J. Pharm. Soc. Japan, 1954, 74, № 5, 530—534 (япон.)

При применении ВЧ-генератора и введении пробы в катушку, помещенную в ячейку одного из концов катушки, как правило, приводит к увеличению чувствительности и исчезновению максимумов и минимумов, наблюдаемых обычно на кривой конца-и-сила тока. Приведены кривые, у которых понижение кривой, наблюдаемое при 5—6 н., обусловлено уменьшением проводимости при  $\sim 20$  мкВ. Применение указанной С-пластинки дает возможность вести титрование с изменением конца-и-п-ров.

Chem. Abstr., 1954, 48, № 16, 9114; K. Kitsuta. 4096. Анализ при помощи электронного поляроскопа. Гейровский (Analysis with the electronic polaroscope. Heyrovský J.), *Analyt. chim. acta*, 1955, 12, № 6, 600—609 (англ.; резюме франц., нем.)

С помощью электронного поляроскопа Гейровского получают кривые зависимости  $dV/dt$  от  $V$ , где  $V$  — напряжение,  $t$  — время. Игечка соединена с катодолучевой трубкой цепью, включающей конденсатор ( $C' = 0,005$  мкФ) и сопротивление (100 ом). Напряжение  $V$  меняется от 0 до  $-2$  в. Искомая кривая и кол-во деполаризатора, прошедшего через ячейку, в интервале напряжений ( $V_2 - V_1$ ) пропорциональны величине:  $\Delta \Delta' (V_2 - V_1) C'$ , где  $\Delta$  и  $\Delta'$  — площади зубца и ее дополнения на диаграмме  $(dV/dt) - V$ . При измерениях применяют струйчатый или капельный  $Hg$ -электрод; в последнем случае получают менее воспроизводимые результаты. При помощи описанного прибора определяют компоненты лекарственных смесей, напр. сульфамиды ( $6-8 \cdot 10^{-4}$  М в 1 М  $H_2SO_4$ ), местные наркотики в ацетатном буферном р-ре. В 1 н. LiOH папава

рин, коденн и пиллокарпин дают зубец при  $-1.6$  в. Полярографически неактивные вещества, напр. пенициллин, определяют благодаря изомеризации при положительных потенциалах в пенициллиновую к-ту (зубец при  $-1.0$  в). Во избежание быстрого уноса этих соединений применяют капельной электрод. Метод пригоден для определения в смесях витаминов группы В и антибиотиков (на фоне  $1$  М  $H_2SO_4$ ,  $1$  М  $KOH$ ,  $1$  М  $NaOH$ ). При определении кетостероидов добавляют  $20\%$  спирта. Минимально определяемая конц-я  $2 \cdot 10^{-5}$  М.

Я. Г.

4097. Полярографический анализ. XV. Влияние мало-растворимых солей на чувствительность полярографического анализа (1). Иебаси, Фудзинага, Мацуока [ポーラログラフ法による分析化学の研究. 第15報難溶性塩の溶解に基づく妨害についての基礎研究(その1) 石橋雅義, 藤永太一郎, 松岡學], 日本化学雑誌, Нихон кагаку дайсин, J. Chem. Soc. Japan. Pure Chem. Sec., 1953, 74, № 9, 750—752 (япон.).

Присутствие в индифферентном электролите мало-растворимых солей As, Bi, Sb, Sn, Pb и Cd ведет в некоторых случаях к появлению волн восстановления и мешает полярографич. определению других металлов.  $E_{1/2}$  (насыщ. к. э.) следующие: в  $0.1$  н. KCl для As —  $1.1$ , Bi —  $0.8$ ; Sb —  $0.16$ ; Sn $^{2+}$  —  $0.65$  и  $-1.05$ ; в  $1$  н.  $H_2SO_4$  для Pb —  $0.485$ ; в  $1$  н. NaOH для Bi —  $0.73$ , Cd —  $0.80$ ; в  $1$  н.  $NH_4OH$  +  $NH_4Cl$  для As —  $0.8$ ; Sb —  $-0.91$ , Sn $^{2+}$  —  $0.8$ ; Pb —  $0.48$  в.

Chem. Abstr., 1954, 48, № 6, 3183; K. Yamasaki.

4098. Применение полярографического метода для анализа нефтяных вод. Определение некоторых анионов (иодид-, бромид- и сульфид-ионов). Гемала, Марек, Валчикова [Použití polarografických metod pro rozbor vod naftových ložisek. Stanovení některých aniontů (jodidu, bromidu a siričiku). Hemala M., Marek J., Valčíková Z], Sb. prací v. zkmn. úst., 1955, E, № 4—8, 111—123 (чеш.; резюме русс., нем.).

Ионы  $I^-$  и  $Br^-$  в нефтяных водах определяют окислением соответственно до  $IO_3^-$  и  $BrO_3^-$  и полярографированием последних. Иодиды окисляют гипобромитом в щел. среде ( $0.05$  М  $NaBrO$  в  $2.5$  М  $NaOH$ ) и разлагают избыток окислителя добавлением насыщ. р-ра  $Na_2SO_3$ . Бромиды окисляют в незабуферном слабощел. р-ре гипохлорита ( $1$  М  $NaClO$  в  $0.1$  М  $NaOH$ ) и последующим упариванием р-ра досуха разрушают непрореагировавший избыток окислителя. Непосредственно после окисления, ион  $IO_3^-$  определяют полярографически на фоне  $0.2$  М  $NaOH$ . Остаток от выпаривания р-ра бромата растворяют в слабоподкисленном HCl  $0.1$  М  $CaCl_2$ , чтобы окончательный р-р имел нейтр. или слабощел. р-нцию. В этом р-ре определяют бромат полярографич. методом. Описанные способы позволяют определять  $Br^-$  и  $I^-$  при любом избытке остальных галогенидов. Сульфиды определяют количественно по высоте анодной волны на фоне  $0.1$  М  $NaOH$ . Методы специфичны и позволяют определить до  $0.1$  м.г. указанных элементов без их предварительного концентрирования или отделения.

Н. П.

4099. Новый метод электрохимической сепарации минералов. Рожкова Е. В., Щербак О. В. В сб.: Исследование минерального сырья. М., Госгеолтехиздат, 1955, 67—74

Разработан метод разделения на основе электропроводности циркон, граната, пирита, перуссита, галенита, медного колчедана и других минералов с большим уд. весом. В качестве катода используется Hg, которая с Fe, осаждающимся на поверхности ми-

нералов-проводников (МП), образует амальгаму, способствующую смачиванию Hg этих материалов; последние в результате этого погружаются под поверхностную пленку Hg. Полупроводники (ПП) и непроводники (НП), не смачивающиеся Hg, остаются на поверхности последней. Основной частью прибора являются стеклянный сосуд диам.  $\sim 50$  мм и высотой  $65$ — $75$  мм с краном. Отрицательный полюс источника постоянного тока присоединяют к Pt проволоке, впаянной в дно сосуда. Анодом служит Fe-спираль, расположенная в верхней части сосуда. В сосуд наливают электролит (р-р  $FeCl_3$ ,  $300$  г/л и  $CaCl_2$ ,  $230$ — $250$  г/л), содержащий минералы в кол-ве, необходимом для покрытия катода примерно в один слой. Продолжительность действия тока при  $D_k = 5$  а/дм $^2$  для МП с  $\rho = 10^{-6}$ — $10^{-1}$  составляет  $1$ — $1.5$  мин., для МП с  $\rho = 10^{-1}$ — $10^1$   $3.5$ — $5$  мин и для НП  $15$ — $25$  мин. при  $D_k$  до  $10$  а/дм $^2$ . По окончании процесса сливают в отдельные стаканы «нижнюю» часть ртути, электролит и «верхнюю» часть ртути, насыщенную МП вместе с НП на ее поверхности. Из этой ртути отмывают водой НП, а затем МП. Извлечение МП производят путем окисления Fe-пленки на их поверхности при помощи  $H_2SO_4$  ( $1:20$ ), или  $4$ — $6\%$ -ной  $HNO_3$ , или выдерживанием в воде. Минералы всплывают на поверхность Hg, с которой их смывают водой на фильтр и промывают  $0.05$ — $0.1$  н. HCl и водой. Метод применим при исследовании состава руд, шлаков или дробленых пород и для выделения пирита из тяжелой фракции осадочных пород.

И. М.

4100. Хромато-полярографические исследования. III. Разделение смеси изомеров нитросоединений методом распределительной хроматографии. Кемуля, Сибильская, Гейслер (Badania chromatopolarograficzne. III. Rozdzielanie mieszanin izomerów związków nitrowych metodą chromatografii podziałowej). Kemula Wiktor, Sybilska Danuta, Geisler Jan, Roczn. chem., 1955, 29, № 2—3, 643—652 (полсек.; резюме англ., русс.).

При разделении  $m$ -,  $o$ - (по  $0.8$  мг) и  $p$ - ( $0.4$  мг) нитроанилинов применяли колонку высотой  $290$  мм с внутренним диам.  $5.5$  мм, наполненную поробобменной смолой, насыщ.  $C_6H_6$  (соотношение смола:  $C_6H_6 = 1:1.8$ ). Р-ритель  $0.2$  М KJ в  $30\%$  ном водн. р-ре  $CH_3OH$ ; скорость вытекания  $16$  мл/час. Для  $p$ -,  $m$ - и  $o$ -нитрофенолов (1) (по  $0.8$  мг) применяли колонку высотой  $280$  мм с внутренним диам.  $5.5$  мм (соотношение смола:  $CHCl_3 = 1:4.4$ ). Скорость вытекания  $8$  мл/час. Р-ритель для  $p$ - и  $m$ -I служил водн. р-р фосфатного буфера (pH 7.2),  $0.2$  М по KJ, а для  $o$ -I карбонатный буферный р-р (pH 10). Для  $o$ - и  $p$ -хлорнитробензолов (по  $1.7$  мг) применяли колонку длиной  $545$  мм с внутренним диам.  $9.5$  мм (соотношение смола: гептан =  $1:1.4$ ). Скорость вытекания  $20$  мл/час. Р-ритель  $77.5\%$ -ный водн. р-р  $CH_3OH$ . Показана возможность разделения смеси 1-хлор-2,4-динитробензола,  $o$  и  $p$ -хлорнитробензолов и 1,4-дихлор-5-нитробензола в продуктах нитрования хлорбензола. Применяли колонку высотой  $870$  мм с внутренним диам.  $9.5$  мм. Соотношение смола: гептан =  $1:1.4$ . Скорость вытекания  $18.5$  мл/час. Все вытекающие р-ры полярографировали при  $-0.9$  в на микрополярографе Гейерского или на спец. аппарате, автоматически регистрирующем напряжение тока во времени. Сообщение II см. Roczn. Chem., 1952, 26, 696.

Э. М.

4101. Хромато-полярографические исследования. IV. Использование каталитического эффекта для определения в вытекающем растворе веществ, не восстанавливающихся на капельном электроде. Разделение бруцина и стрихнина. Кемуля (Badania chromatopolarograficzne. IV. Wyzyskanie efektu katalitycznego do oznaczania w wycieku substancji nie reduku-



jących się na kropłowej elektrodzie. Rozdzielenie brucyny i strychniny. Kęmala Wiktor, Roczn. chem., 1955, 29, № 2—3, 653—655 (польск.; резюме англ., русс.)

Полярграфическое определение алкалоидов (бруцина и стрихнина) основано на их свойстве вызывать каталитическую волну Н на Hg-электрод. 0,276 мг бруцина и 0,232 мг стрихнина предварительно разделяли хроматографич. методом на колонке длиной 40 мм с внутренним диам. 8 мм, наполненной 0,75 г ионообменной смолы, насыщ.  $C_6H_6$ . Р-рителем служил 30%-ный р-р  $C_2H_5OH$ , насыщ.  $C_6H_6$  и содержащий 0,05 М боратный буферный р-р (рН 8) и 0,01 М КЖ. Скорость вытекания 8,3 мл/час. Э. М.

4102. Электрохроматографические ряды. Сато, Норрис, Стрейн (Electrochromatographic sequences. Sato T. R., Norris William P., Strain Harold H.), *Analyt. Chem.*, 1954, 26, № 2, 267—271 (англ.)

На примере электрохроматографич. разделения смесей  $Ag^+$ ,  $Ni^{2+}$  и  $Cu^{2+}$  на простой или пропитанной кремневой к-той целлюлозной бумаге толщиной 0,75—1,25 мм (несколько опытов проведено на бумаге из стеклянного волокна и на замше) показано, что последовательность расположения ионов в электрохроматографич. рядах зависит от природы и состава электролита и сорбируемости ионов бумагой. Разделение смеси  $Sc$  и  $Se$  при электрохроматографии в молочной к-те (I) зависит от их селективной сорбции бумагой. Разделяемость повышается с понижением конц-ии I; при низких конц-иях I разделяемость ухудшается. В 4 М  $NH_4OH$  с барьером, содержащим KCN (полоска бумаги, пропитанная KCN), наблюдаются следующие ряды: Ba, Sr, Ca и Ag, Ni, Cu. Ионы  $Cu^{2+}$  сильно сорбируются бумагой в аммиачных р-рах, но  $Cu(CN)_2$  в этих условиях не сорбируется. Добавление комплексообразователей может изменить направление движения ионов и облегчить отделение некоторых ионов от других, например Cu от щел.-зем. Для радиоактивных ионов в 0,1 М I найдены следующий ряд:  $Cs^{137} + Rb^{86}$ ,  $Sr^{90} + Ca^{45}$ ,  $Co^{60}$ ,  $Cu^{64}$ ,  $Ce^{144}$ ,  $U^{232}$ ,  $Hg^{203}$ ,  $Nb^{95}$ ,  $Zr^{95}$  в 0,1 М I не перемещаются.  $U^{232}$ ,  $Pu^{239}$  и  $Th^{230}$  медленно разделяются в последовательности U, Pu, Th. 0,01 М U отделяется от 0,01 М Th (1 час, напряжение 22 в/см); оба иона отделяются от Zr и Hf. Электрохроматография в I может быть использована для отделения Ra от продуктов его распада. Добавка органич. к-т изменяет ряд разделения Th,  $UO_2^{2+}$  и  $ZrO_2^{2+}$ . В 0,1 М  $HCOOH$ , гликолевой, гликолевой, I, малоновой, янтарной и хлоруксусной к-тах  $UO_2^{2+}$  движется к катоду быстро, Th медленно,  $ZrO_2^{2+}$  не движется или образует диффузную зону в направлении анода. В винной к-те  $ZrO_2^{2+}$  и Th дают диффузные зоны в направлении анода, в  $H_2C_2O_4$  наблюдается перемещение в сторону анода в последовательности  $ZrO_2^{2+}$ ,  $UO_2^{2+}$ , Th. Л. Я.

4103. Хроматография на бумаге неорганических ионов. Х. Изучение перенатов и пертехнеатов и некоторых других неметаллических ионов. Ледерер (Paper chromatography of inorganic ions. X. A study of rhenium, technetium and some other non-metals. Lederer M.), *Analyt. chim. acta*, 1955, 12, № 2, 146—150 (англ.; резюме франц., нем.)

Изучена хроматография на бумаге (с применением радиоактивных изотопов)  $ReO_4^-$ ,  $TcO_4^-$ ,  $MoO_4^{2-}$ ,  $SO_4^{2-}$ ,  $SeO_3^{2-}$ ,  $PO_4^{3-}$ ,  $TeO_3^{2-}$ ,  $J^-$  и  $SCN^-$  (продолжительность проявления 17 и 4 часа в зависимости от периода полураспада) в бутиловом спирте, насыщ. 1 н. HCl, 1 н.  $HNO_3$ , 1,5 н.  $HNO_3$  или 1,5 н.  $NH_4OH$ . В предыдущих опытах было установлено, что величина  $R_f$  не зависит

от р-рителя, если между данным ионом и анионом р-рителя не образуется комплекса, и что при хроматографировании в бутиловом спирте, насыщ. (при встряхивании) 1,5 н.  $NH_4OH$ ,  $R_f$  многовалентных анионов равно нулю, тогда как одновалентные анионы перемещаются с различной скоростью. Первое наблюдение подтверждено опытами с  $ReO_4^-$ ,  $TcO_4^-$ ,  $MoO_4^{2-}$ ,  $TeO_3^{2-}$ ,  $SeO_3^{2-}$ ; второе — опытами с  $J^-$ ,  $SCN^-$ ,  $TeO_3^{2-}$ ,  $SeO_3^{2-}$ ,  $MoO_4^{2-}$ . Последовательность перемещения анионов:  $J^- < SCN^- < ReO_4^- < TcO_4^-$ . Сообщение IX см. РЖХим, 1955, 37470. Н. С.

4104. Анализ неорганических соединений методом хроматографии на бумаге. Часть VI. Дальнейшее изучение процессов разделения и определения лантанидов. Поллард, Мак-Оми, Стивенс (The analysis of inorganic compounds by paper chromatography. Part VI. Further studies on the separation and detection of lanthanons Pollard F. H., McOmie J. F. W., Stevens H. M.), *J. Chem. Soc.*, 1954, Oct. 3435—3440 (англ.)

Исходные р-ры нитратов готовили следующим образом: 2—3 мг оксида или нитрата растворяли в нескольких каплях 2 н.  $HNO_3$ , р-р упаривали досуха и остаток растворяли в 0,25—0,5 мл воды. Были приготовлены р-ры смесей La-Ce, La-Pr, La-Sm и др. Высушенные на полосках фильтровальной бумаги ватман № 1 пробы р-ров опрыскивали 1) 2 %-ным спиртовым р-ром пирогаллол-4-карбоновой к-ты ( $Pu-CO_2H$ ), а затем насыщ. р-ром  $NaHCO_3$ ; полоски выдерживали на воздухе несколько минут или осторожно нагревали, а затем исследовали; 2) водн. р-ром пурпура аммония (мурекида); полоски исследовали после выдержки в парах  $NH_3$ ; 3) ~ 1 %-ным р-ром 8-оксихинолина в 50 %-ном спирте; 4) р-ром тетраоксифлавонола (морина) в 50 %-ном спирте. Высушенную полоску наблюдали в УФ-свете. С  $PuCO_2H$  и мурекидом лантаниды меньшего атомного веса немедленно дают различную окраску; элементы большего атомного веса дают более слабую окраску. Последние, будучи более слабыми основаниями, с большей легкостью осаждаются в щел. среде и не дают качеств. р-ций. С 8-оксихинолином и морин флуоресцируют лантаниды, имеющие наиболее устойчивую электронную конфигурацию (La, Gd, Lu). Все перечисленные выше реактивы могут применяться для открытия отдельных лантанидов и для отличия цариной и итриевой подгрупп. Описано разделение лантанидов на колонках и применявшиеся р-рители. Сообщение V см. *J. Chem. Soc.*, 1952, 4730. Е. Т.

4105. Градиент и скорость в хроматографии на бумаге. Аккерман, Кассиди (Gradient and rate aspects in paper chromatography. Ackerman Betty-Jean, Cassidy Harold G.), *Analyt. Chem.*, 1954, 26, № 12, 1874—1876 (англ.)

Измерения градиента конц-ии проявителя при восходящей и нисходящей хроматографии на 10 сортах кондиционированной бумаги (18 час) [Kowkabany G. N., Cassidy H. G., *Analyt. Chem.*, 1952, 24, 643] показали, что градиент, выражаемый отношением веса жидкости к весу сухой бумаги, уменьшается в направлении от поверхности жидкости к переднему краю напр., согласно кривым (имеющим S-образную форму) от 2 и 1,6 соответственно до 0,4 и 0,65. На 141 жидкости (по 6 полос для каждой из них) было проверено наличие связи между структурой в-ва и скоростью проникновения жидкости в бумагу ватман № 1. Измерения производили по установке Рокленда и Данна (Rockland L., Dunn M., *Science*, 1949, 109, 539) на полосках  $132 \times 10 \times 18$  мм (широкий край обращен вверх), при 23—28°, восходящим методом. Были выявлены качеств. закономерности без их колич. выражения: кривые зависимости  $h^2$  от  $t$  представляют собой прямые; у быстро

перемещающихся жидкостей — выпуклые по отношению к оси времени. Для данной группы гомологов скорость подъема уменьшается с увеличением числа атомов С; этой закономерности не подчиняются первые члены рядов, имеющие 1—3 атома С. Н. С.

4106. Неорганическая хроматография на бумаге. XX. Разделение солей урана, ванадия и хрома и их использование при систематическом анализе редких металлов. Харасава, Сакамото (無機ペーパークロマトグラフィに関する研究. 第20報. ウラン、バナジウム、クロム塩の分離と稀有金属の系統的分析法への応用. 原澤四郎, 坂本隆), Япон. Chem. Soc. Jap. Pure Chem. Sec., 1953, 74, № 4, 258—259 (япон.).

Хромат и ванадат  $\text{Na}$  и карбонат  $\text{UO}_2^{2+}$  могут быть разделены проявлением при помощи смеси ацетон- $\text{CH}_3\text{COOH}$ -вода. Смесь ацетон- $\text{HCl}$ -вода более предпочтительна. Описываемым р-ром  $\text{K}_4[\text{Fe}(\text{CN})_6]$ , а затем  $\text{HCl}$  соль уранила и ванадат фиксируются в виде бурого ферроцианида уранила и зеленовато-желтого ферроцианида ванадия. Сообщение XIX см. J. Chem. Soc. Jap. Pure Chem. Sec. 1952, 73, 614—618.

Chem. Abstrs, 1953, 47, № 19, 9855, K. Yamasaki. 4107. Разделение и анализ газов и летучих жидкостей газовой хроматографией. Паттан, Льюис, Кей (Separation and analysis of gases and volatile liquids by gas chromatography. Patton H. W., Lewis J. S., Kaye W. I.), Analyt. Chem., 1955, 27, № 2, 170—174 (англ.).

Для хроматографич. разделения применяли стеклянную колонку (высота 110 см, diam. ~ 0,5 см), наполненную активированным древесным углем, силикагелем или  $\text{Al}_2\text{O}_3$  (30—50 меш.). Пробу жидкости (0,01—0,1 мл) выписывали шприцем через резиновый колпачок, газы (<15 мл) переводили из особых сосудов, газ ( $\text{N}_2$ ,  $\text{H}_2$ ,  $\text{CO}_2$ ) пропускали через счетчик с игольчатым клапаном со скоростью 50 мл/мин, при определенной т-ре (25—250°), в зависимости от адсорбента и в-ва, при постоянном давлении. Газ проходил через выходящий индикатор (Gow-Mac Instrument Co., Madison N. J.), работающий на основе изменения теплопроводности и представляющий четырехплечий мост сопротивления Уитстона, соединенный с потенциометром (0—6 и 0—30 мв), автоматически отмечающим изменение напряжения во времени при прохождении через индикатор газа, выходящего из колонки. Результаты разделения и анализа представлены кривыми; по ординате отложено напряжение в мв, по абсциссе — время в мин., зависящее для каждого компонента от степени его удерживания адсорбентом. Анализируемые в-ва идентифицируют по времени, прошедшему между введением образца в систему и моментом пика в индикаторе с поправкой на время прохождения через систему. Кол-во компонента определяют по площади, ограниченной пиком. Чувствительность метода для  $\text{H}_2$ ,  $\text{CH}_4$  и  $\text{C}_2\text{H}_6$  ~ 0,01%, для углеводородов с 3 и 4 атомами С ~ 0,2%. Погрешность 1—2%. Н. С.

4108. Облегчение чтения хроматограмм в свете Вуда. Савойя (Facilitazione per la lettura in luce di Wood di cromatogrammi. Savoiia F.), Boll. Soc. Ital. Biol. sperim., 1954, 30, № 1—2, 33—34 (итал.). Обозначения на хроматограммах на бумаге наносят флуоресцирующими в свете Вуда чернилами следующего состава: 0,25 мг сульфата хинина растворяют в 20 мл воды и добавляют 25 мл глицерина и 2,5 мл  $\text{H}_2\text{SO}_4$ . Б. А.

4109. Автоматическое спектрофотометрическое титрование с кулометрической генерацией иона 3-валентного титана. Определение ванадия в тетрахло-

риде титана. Мальмстадт, Роберте (Automatic spectrophotometric titration with coulometrically generated titanous ion. Determination of vanadium in titanium tetrachloride. Malmstadt H. V., Roberts C. B.), Analyt. Chem., 1955, 27, № 5, 741—744 (англ.).

Разработан метод подготовки пробы для анализа и точный метод определения V. 10 мл  $\text{TiCl}_4$  гидролизуют с 60 мл конц.  $\text{HCl}$  в трехгорлой колбе, погруженной в лед и соединенной с обратным холодильником и ловушкой. Техника пипетирования пробы и промывание холодильника водой из ловушки (40 мл) обеспечивает почти полное отсутствие потерь. Р-р из колбы, 7,5 М по  $\text{HCl}$ , переносят в кювету автоматич. спектрофотометра, в крышку которой смонтированы электроды и мешалка. Для восстановительного титрования V использован  $\text{Ti}^{3+}$ , генерируемый кулометрически. В качестве катода применяют  $\text{Ti}$ -стержень, на котором независимо от кислотности р-ра не выделяется водород, либо  $\text{Pt}$ -фольгу при кислотности > 7 М по  $\text{HCl}$ . Анодом служит  $\text{Pt}$ -фольга, помещенная в стеклянную трубку с пористым дном, содержащую 1 н.  $\text{H}_2\text{SO}_4$ . Сила тока не превышает 100 ма, выход по току составляет 100%. Восстановление присутствующих в исходном р-ре V (5+) и V (4+) проходит в 2 стадии: 1)  $\text{V}(5+) \rightarrow \text{V}(4+)$  и 2)  $\text{V}(4+) \rightarrow \text{V}(3+)$ . Спектрофотометрич. титрование проводили при 490 либо 760 мμ; в первом случае сильно поглощает  $\text{V}(5+)$ , во втором максимум поглощения дает  $\text{V}(4+)$ . Время восстановления определяли как разность ординат эквивалентных точек на кривой светопоглощения — время. Метод проверен на пробах тетрахлорида титана, содержащих 0,01—0,2% V; средняя погрешность < 0,00016%. Изучено влияние примеси Fe; присутствие Fe несколько снижает точность определения V, так как затрудняет выявление 2-й эквивалентной точки. Л. Х.

4110. Анализ по спектрам поглощения в ближней инфракрасной области при помощи УФ-спектрофотометра Бекмана. Груневеге, Вюхт (Analytische Anwendungen des Infrarots unter Zuhilfenahme des Beckmanschen UV-Spektrophotometers. Groenewege M. P., Vucht H. A. van), Mikrochim. acta, 1955, № 2—3, 471—480 (нем.; резюме англ., франц.).

Для измерения поглощения обертонов валентных колебаний  $\text{CH}$ -,  $\text{OH}$ - и  $\text{NH}$ -групп в области 0,8—1,5 мμ применен УФ-спектрофотометр Бекмана (модель DU). Источником служит обычная вольфрамовая лампа, приемником — фотоэлемент, чувствительный в красной области; в цепь усиления введено сопротивление в 10 000 Мом. Ширина щели постоянная (0,05 мм). Спектры жидкостей получены от слоев толщиной 1 см. Твердые в-ва исследовались в 10%-ном р-ре в  $\text{CCl}_4$  или  $\text{CS}_2$  при толщине слоя 10 см. Для учета потерь на отражение использованы подобные же кюветы, наполненные р-рителем. В случае полимеров с достаточной оптич. однородностью рекомендуется толщина слоя 1 см. На основании изучения спектров большого числа соединений установлено положение второго обертона  $\text{OH}$ - (0,99 мμ),  $\text{NH}$ - (1,015 мμ), ароматич.  $\text{CH}$ - (1,15 мμ) и алифатич.  $\text{CH}$ - (1,21 мμ) групп. Для практич. целей предложен коэфф., равный отношению ароматич. и алифатич. групп, независимый от молекулярного и уд. весов продуктов. Приведены кривые поглощения ряда соединений в указанной области спектра. Т. Я.

4111. Инфракрасные лучи в анализе газов. Михилсен (Analyse van gassen door infrarode straling. Michielsen J.), Electronica, 1955, 8, № 178, 105—107 (голл.).

Обзор.

А. Б.

4112. Инфракрасная спектроскопия и спектроскопия комбинационного рассеяния как аналитический

метод. К и н и ц (IR- und Ramanspektroskopie al analytische Hilfsmittel. K i e n i t z H.), Mikrohchim. acta, 1955, № 2—3, 728—733 (нем.)

Для качеств. анализа при средних и больших конц-ях преимущество имеют спектры комб. расс., так как дискретные линии последних определяют молекулярную структуру более надежно, чем широкие, часто перекрывающиеся полосы поглощения ИК-спектров. Для колич. анализа чаще применяются ИК-спектры поглощения, для которых в большинстве случаев справедлив закон Бера. Чувствительность аналитического определения по ИК-спектрам составляет около 0,5%, а по спектрам комб. расс. 2—3%. Поэтому определение примесей лучше производить по ИК-спектрам поглощения, а состав сложных смесей устанавливать по спектрам комб. расс. В работе приведены примеры анализа сложных смесей методами спектроскопии.

Т. Я.

4413. Количественный анализ смесей по инфракрасным спектрам. М а к - Д о н а л д (Quantitative infrared analysis of mixtures. M e D o n a l d I. R. C.), Nature, 1954, 174, № 4432, 703—704 (англ.)

Двухлучевой ИК-спектрофотометр использован для колич. анализа смесей изомеров или близких по строению соединений. В случае перекрывающихся полос мешающий компонент вводят в компенсационную кювету. Произведено определение *транс*-изомеров ненасыщ. жирных к-т ( $C_{18}$ ) в присутствии их *цис*-изомеров и насыщ. жирных к-г (по полосе  $965\text{ см}^{-1}$ ) и анализ смеси *нл*-ДДТ, *он*-ДДТ и  $\gamma$ -ВНС (по полосам 686, 806, 910 и  $1015\text{ см}^{-1}$ ).

Р. В.

4414. Инфракрасные спектры гидроперекисей алилов. Вильямс, Мёшер (Infrared spectra of alkyl hydroperoxides. Williams Homer R., Mosher Harry S.), Analyt. Chem., 1955, 27, № 4, 517—521 (англ.)

С помощью двухлучевого ИК-спектрофотометра Перкина — Эльмера 21 получены в области 2—15  $\mu$  спектры гидроперекисей (ГП) *n*-пропила, *n*-бутила, изоамила, *n*-амила, *n*-гексила, *n*-гептила, *n*-октила, *n*-нонила, *n*-децила, *втор*-бутила, циклопентила, 2-пентила, 3-пентила, 2-гексила, 3-гексила, 2-гептила, 2-октила и *трет*-бутила. Для сравнения сняты спектры соответствующих спиртов. В области 2—5,6  $\mu$  спектры ГП и соответствующих спиртов почти идентичны. Все ГП и спирты поглощают при 6,80  $\mu$  ( $\delta_{CH_2}$ ), первичные ГП имеют дополнительные слабые полосы при 6,72 и 6,98  $\mu$ ; последние обусловлены взаимодействием атома водорода  $\alpha$ - $CH_2$ -группы с несимметричным ООН-радикалом. Сильная полоса при 7,20  $\mu$  ( $\delta_{CH_3}$ ) отмечена у всех изученных в-в, кроме ГП циклопентила и циклопентанола; вторичные ГП, кроме того, имеют более слабую полосу при 7,40—7,50  $\mu$ . В области 8—10  $\mu$  все в-ва имеют по несколько полос, которые не удалось однозначно идентифицировать. Все ГП имеют полосы малой и средней интенсивности при 11,4—11,8  $\mu$ , однако и некоторые спирты поглощают в этой области. Все ГП поглощают в диапазоне 12,0—12,5  $\mu$ ; при этом в ряду ГП *n*-алкилов в-ва с четным числом С — атомов имеют дублет (при 12,1 и 12,4  $\mu$ ), с нечетным — одну полосу (при 12,3  $\mu$ ). Р. В.

4415. Применение спиртовых растворов в пламенно-фотометрическом анализе. Ф и н к (Die Verwendung alkoholischer Lösungen bei der flammenphotometrischen Analyse. F i n k A.), Mikrohchim. acta, 1955, № 2-3, 314—328 (нем.; резюме англ., франц.)

При пламенно-фотометрии, определениях щел. и щел.-зем. металлов рекомендуется применять спирт. р-ры солей этих металлов, так как при этом достигается тройное увеличение силы фототока, а также лучшая разделяемость солей. Установлено, что увеличение теплоты сгорания спиртов повышает эмиссию. Отме-

чена взаимосвязь между светоизлучением, точной кп-ния и величиной поверхностного натяжения. Для определения Са и Mg в качестве р-рителя рекомендован изоамиловый спирт. Опыты вели с пламенным фотометром Ланге модель II и устройством, состоящим из распылительной камеры, соединений, сосуда с анализируемым р-ром и сосуда для остатков р-ра. К прибору подводили воздух под давл. 0,4 ат и ацетилен под давл. 30—40 мм вод. ст. Са переводили в р-р, встряхивая нитрат или хлорид с безводн. изоамиловым спиртом. При определении Са в чистых металлах, органич. в-вах или солях его предварительно переводили в нитрат или хлорид. Эмиссия линий Са прямо пропорциональна его конц-ии в интервале 2,5—25 мг/мл.  $KNO_3$  и  $NaNO_3$  определению Са не мешают, так как эти соединения в изоамиловом спирте нерастворимы. При одновременном присутствии Са и Mg смесь их солей обрабатывают смесью из 80% изоамилового спирта и 20%  $H_2SO_4$ , в котором  $MgSO_4$  растворим, а  $CaSO_4$  нерастворим. При  $\leq 1,0\text{ мг/мл}$  Mg фототок прямо пропорционален содержанию Mg.

Н. Д.

4416. Координированный анализ почв и растений. II. Точность и воспроизводимость результатов пламенно-фотометрического метода определения катионов. Мак-Кей, Де-Лонг (Coordinated soil-plant analysis. II. Accuracy and precision of flame photometric methods for cation analysis. M a c K e y D. C., De Long W. A.), Canad. J. Agric. Sci., 1954, 34, № 5, 451—459 (англ.)

Определение К, Са и Mg в почвах и растениях производили с применением фотоумножителя, в спектрофотометре Бекмана, модель DU, с приставкой 9200. Установлено, что при применении фотоумножителя получают, в основном для Mg, более воспроизводимые результаты, чем с обычным фотоэлементом; в присутствии  $PO_4^{3-}$  результаты для Са и, в меньшей степени для Mg занижены; на определение К присутствие  $PO_4^{3-}$  не влияет. Разрушение органич. в-ва следует вести мокрым способом (с  $HNO_3$  и HCl); в вытяжке, полученной экстракцией р-ром  $CH_3COONH_4$ ,  $PO_4^{3-}$  не обнаруживается. Предложены 2 аналитич. прописи. Для определения К, Са и Mg в почвах к 5 г неизвестковой почвы (2 мм) прибавляют 15 мл 1 н.  $CH_3COONH_4$  и смесь периодически взбалтывают в течение 1 часа; через ~18 час. суспензию фильтруют через бумагу ватман № 30, покрытую слоем песка (3—4 г), промывают к-той, в тигель Гуча емк. 25 мл и выщелачивают 4 порциями по 15 мл р-ра  $CH_3COONH_4$ . Вытяжку упаривают до малого объема, повторно обрабатывают  $HNO_3$ , HCl и 5 мл конц. HCl, упаривая каждый раз досуха, выдерживают 2 часа при 75—80°; остаток обрабатывают 25 мл 0,2 н. HCl, нагревают 2 мин. и жидкость над осадком распыляют в пламенном фотометре. Для определения катионов в растениях 0,25 г сухого в-ва обрабатывают 10 мл конц.  $HNO_3$ , упаривают до малого объема, прибавляют 10 мл  $HNO_3$  + 5 мл конц. HCl и упаривают досуха. Остаток обрабатывают 5—10 мл HCl и упаривают досуха на водяной бане; остаток растворяют в HCl (25 мл 0,2 н.) и охлаждают. В 10 мл р-ра определяют фотометрически К; другие 10 мл пропуская через колонку ( $4 \times 80\text{ мм}$ ) дауэкс-50 в  $NH_4$ -форме, колонку промывают водой и вымывают катионы 50 мл 5 н.  $NH_4NO_3$  со скоростью 1 мл/мин, проверяя фотометрически полноту вымывания. Для удаления излишка солей  $NH_4^+$  вытекающий р-р обрабатывают  $HNO_3$  + HCl, упаривают досуха; соли переводят в хлориды, растворяют в 10 мл 0,2 н. HCl и определяют фотометрически Mg и Са. Среднее отклонение от дан-



ных хим. метода составляет для  $\text{Ca} + 1\%$ , для  $\text{Mg} - 5\%$ . Сообщение I см. РжБюл, 1954, 14246. Н. С.

4117. Значение микрохимии для спектрального анализа. Горбах (Die Bedeutung der Mikrochemie für die Spektralanalyse. Gorbach G.), Mikrochim. acta, 1955, № 2-3, 336-344 (нем.; резюме англ., франц.)

Применение методов микрохимии для предварительной подготовки проб повышает чувствительность абсорбционного и эмиссионного спектрального анализа. Примерная схема обогащения пробы для эмиссионного анализа включает разделение катионов бензоатом аммония, экстракцию р-ром дитизона (с предварительной маскировкой) и экстракцию р-ром оксихинолина. Отдельные фракции после удаления р-рителя минерализуют в кварцевом тигле хлорной к-той. Избыток к-ты выпаривают, остаток растворяют в капле разб.  $\text{HCl}$ . Пробу и промывную жидкость (подкисленная дистилл. вода) засасывают в мембранную микропипетку и доводят до 0,2 мл. К пробе добавляют из мембранной микропипетки 20  $\mu\text{л}$  р-ра  $\text{Be}$  (внутренний стандарт): 1  $\mu\text{г}$   $\text{Be}$  ( $\text{BeCl}_2$ ) на 1 л бидистиллата ( $\text{H}_2\text{O}$ ), слабо подкисленного  $\text{HCl}$ , с добавкой 10%-ного р-ра соли  $\text{K}$  — спектрографического буфера. С помощью весовой микропипетки, взвешиваемой на торсионных микровесах, 20  $\mu\text{л}$  р-ра (пробы) наносят на предварительно обскринный и нагретый ( $110^\circ$ ) угольный электрод. Подобный метод позволяет определять в 1 л воды 25 элементов, содержащихся до 1  $\mu\text{г}$ . Е. Г.

4118. Снижение погрешности количественного спектрального анализа в дуге путем введения фактора веса в логарифм относительной интенсивности. Хольдт (Fehlerrückbildung bei der quantitativen Spektralanalyse im Bogen durch Gewichtsverteilung am Logarithmus des Intensitätsverhältnisses. Holdt Gottfried), Mikrochim. acta, 1955, № 2-3, 286-297 (нем.; резюме англ., франц.)

Погрешности колич. спектрального анализа в дуге в ряде случаев могут быть снижены введением в обычное выражение для относительной интенсивности некоторого дополнительного множителя — фактора веса ( $\Phi\text{В}$ )  $\Delta Y_w = Y_z - wY_b$ , где  $Y = \lg I$ , индексы  $z$  и  $b$  относятся соответственно к анализируемому элементу и элементу сравнения,  $w = \Phi\text{В}$ . Простым преобразованием может быть получен другой вид этого выражения, в котором представлены колебания интенсивностей отдельно для каждой линии аналитич. пары при многократной съемке одного образца  $\Delta Y_w = \Delta \bar{Y}_w + \{(Y - \bar{Y})_z - w(Y - \bar{Y})_b\}$ , где  $(Y - \bar{Y})_z$  — отклонение  $\lg I$  от среднего значения для линии анализируемого элемента,  $(Y - \bar{Y})_b$  — то же для элемента сравнения. Для такой многократной съемки может быть построен прямолинейный график отклонений  $(Y - \bar{Y})_z$  в зависимости от  $(Y - \bar{Y})_b$ . Для того чтобы в последующем свести расхождение результатов анализа к минимуму, следует  $w$  в двух предыдущих выражениях принять равным наклону графика отклонений. В большинстве приведенных из аналитич. практики примеров введение  $\Phi\text{В}$  позволяет снизить среднюю квадратичную относительную погрешность анализа на 2-3%. В одном из примеров при определении  $\sim 1\%$   $\text{Sn}$  в  $\text{Nb}_2\text{O}_5$  по паре линий  $\text{Sn I } 2863 - \text{Pb I } 2873$  введение  $\Phi\text{В}$  ( $w = 0,55$ ) снизило погрешность анализа от 20,9 до 7,1%. В искровых режимах  $w \approx 1$  и учет  $\Phi\text{В}$  не дает эффекта. Теоретич. необходимость введения  $\Phi\text{В}$  автор вместе с Шефером относит за счет различной для примеси и элемента сравнения температурной зависимости константы  $\rho$ -ции или давления пара  $A$ .  $\lg I$  связывается с  $A$  прямой пропорциональностью. Е. Г.

4119. Электрический контроль при спектральном анализе. Ганцков (Elektrische Überwachung bei der spektrochemischen Analyse. Gantzkow H.), Metall, 1953, 7, № 13/14, 517-519 (нем.)

Предложен способ наблюдения за условиями возбуждения при спектральном анализе, основанный на связи между электрич. процессами в разрядном контуре источника света и характером спектра. Для этого служит вспомогательный контур, содержащий катушку индуктивности, выпрямитель и стрелочный гальванометр. Этот контур индуктивно связан с разрядной цепью гримевского генератора. По показаниям гальванометра вспомогательного контура можно судить о воспроизводимости условий возбуждения и корректировать их. Описано применение способа при работе с генераторами конденсированной искры, дуги переменного тока и низковольтной искры. Н. С.

4120. Влияние графита при спектральном анализе сплавов. Козлова А. В., Корж П. Д., Изв. АН СССР, сер. физ., 1955, 19, № 1, 119-120. Смесь порошка сплава, соли ванадия  $(\text{NH}_4)_2\text{VO}_4$ , как внутреннего стандарта, и порошка графита тщательно перемешивают в отношении 1:1:2 и загружают в канал нижнего электрода угольной дуги переменного тока; глубина канала 1,5 мм, диам. 1,5 мм, толщина стенки 0,2-0,3 мм; экспозиция 1,5-2 мин. (время полного сгорания смеси); сила тока 7а. Градуировочные графики строятся в координатах  $\Delta S - \lg C$ . Аналитич. пара линий:  $\text{Cr } 2967, 64 - \text{V } 2942, 35 \text{ Å}$ . Метод позволяет определять  $\text{Cr}$  в нержавеющей стали, никроме и хромоалюминиевом сплаве по одному графику и с хорошим расположением точек на прямой, что без введения графита невозможно. Т. Г.

4121. Спектральный анализ неэлектропроводных порошков и, в частности, окиси кремния и силикатов в УФ- и ИК-областях спектра. Монно (Analyse spectrale des poudres non conductrices, et en particulier de la silice et des silicates par émission ultraviolette et absorption infra-rouge. Monnot G. A.), Mikrochim. acta, 1955, № 2-3, 446-466 (франц.; резюме англ., нем.)

По методу эмиссионного анализа определяли в золе и сланцах:  $\text{SiO}_2$  в пределах конц-ий от 20 до 50%,  $\text{Fe}_2\text{O}_3$  от 5 до 30%,  $\text{Al}_2\text{O}_3$  от 20,5 до 40%,  $\text{CaO}$  от 1 до 10%,  $\text{MgO}$  от 0,5 до 5% и щел. металлы в конц-иях  $< 5\%$ . Основой для приготовления эталонов служили хим. анализированные природные минералы. 1  $\mu\text{г}$  смеси из 1 ч. золы и 2 ч. порошка графита пропитывали 1,5 мл 0,01 н.  $\text{Ni}(\text{NO}_3)_2$ , применявшегося как внутренний стандарт, и высушивали. Условия анализа: генератор ARL при емкости 20  $\mu\text{ф}$ , самондукция 350  $\mu\text{м}$ ; сопротивление 50  $\text{ом}$ , напряжение 940 в и сила тока 1,2 а; спектрограф с дифракционной решеткой 960 штрихов на 1 мм; эмульсия Kodak 5357; обжиг 5 сек; время экспозиции 20 сек.; щель 60  $\mu$ . Градуировочные графики строились в координатах  $I_{\text{ан}}/I_{\text{сп}} - \lg C$ . Применены аналитич. линии:  $\text{Si } 2549, \text{Fe } 2546, \text{Mg } 2780, \text{Al } 3082, \text{Ca } 3158, \text{Ni } 3002 \text{ и } 3012 \text{ Å}$ . Ошибка определения от  $\pm 5$  до  $\pm 15\%$  в зависимости от элемента. Обнаружено влияние  $\text{K}$ , который повышает интенсивность линий  $\text{Fe}$  и  $\text{Al}$  и понижает  $\text{Si}$ . При определении щелочных металлов 500  $\mu\text{г}$  образца обрабатывали  $\text{HF}$  и  $\text{HClO}_4$ , выпаривали досуха и вновь растворяли в разбавленной  $\text{HCl}$ . Спектры возбуждались в пламени пропана. В ИК-области спектрометром Hilger D209 исследовались: каолин, тальк, кизельгур, зола, карбонаты и др. 5-10  $\mu\text{г}$  пробы, в форме тонкого порошка, полученного седиментацией (зерно  $< 10 \mu$ ), прессуется при давл. 36  $\text{кг/мм}^2$  с 795  $\mu\text{г}$  порошка  $\text{KBr}$  (смесь 50% с зерном  $< 35 \mu$  и 50% с зерном  $< 10 \mu$ ). Приведены кривые поглощения различных в-в. Исследованию поглощения в

УФ-области подвергались, кроме жидкостей биогенного происхождения, производные битумов и гудронов, а также р-ры кремневых к-т различного приготовления. Поглощение исследовалось при помощи спектрографа с кварцевой призмой, водородной лампы и кварцевой кюветы длиной 1 см. Установлено, что поглощение в р-рах к-т является функцией полимеризации и для к-т, мало полимеризованных, поглощение практически равно нулю до 2500 Å. Повышая pH от 2,3 до 7,4, вызывают полимеризацию к-т, и в среднем они содержат от 3 до 9 атомов Si на 1 молекулу. Т. Г. 4122.

О полуколичественном спектральном анализе по Гарвею со спектрографом средней дисперсии. Голлинг (Über das halbquantitative Analysenverfahren nach Harvey und seine Durchführung mit einem Spektrographen mittlerer Dispersion. Golling E.), Mikrochim. acta, 1955, № 2-3, 305—313 (нем.; резюме англ., франц.)

Метод Гарвея (Harvey C. E., A method of semi-quantitative spectrographic analysis. Publ. by Applied Res. Labs, Glendale, California), предусматривающий применение спектрографа большой дисперсии, приспособлен для кварцевого спектрографа средней дисперсии (Fuess 110 с). Метод основан на прямой пропорциональности между интенсивностью спектральной линии и конц-ией искомого примеси, что экспериментально подтверждено для ряда элементов. Коэфф. пропорциональности между этими величинами найдены Гарвеем для 40 элементов в различных 40 в-вах, но они требуют корректировки при получении спектров на приборе меньшей дисперсии. Проба в кол-ве 10 мг помещается в углубление угольного электрода, служащего анодом дуги. Экспозиция должна быть такой длительности, чтобы произошло полное испарение пробы. При коротком замыкании цепи дуги ток устанавливается в 13 а. Внутренним стандартом является фон спектра. Условия фотографирования спектра подбираются так, чтобы почернение фона в средней УФ-области спектра составляло 0,2. На примере определения примесей в Al экспериментально показано, что поправки к коэфф. Гарвея меняются с длиной волны от 1,7 для коротковолновой до 7 для длинноволновых областей спектра и могут быть определены по предварительно построенному графику с точностью 10%. Для проб с меняющимся основным в-вом погрешность определения этой поправки возрастает до 50%. Градуировочные графики для определения меди в угле, сурьме и алюминии имеют параллельное смещение и сохраняют линейность при изменении конц-ии более чем в 15 раз. Градуировочные графики для определения меди, вводимой в виде чистого металла, CuO и CuSO<sub>4</sub> показали влияние анионов. По линии 3247,54 Å для сернистой меди отклонение от линейности больше, чем для окиси меди или чистого металла. Если не принимать во внимание влияние анионов, то следует считать линейными участки градуировочных кривых только при 10-кратном изменении конц-ии. Н. С.

4123. Количественный спектральный анализ посредством угольной дуги постоянного тока. Аддинг, Дикгофф, Схиппер, Витмер, Грот (Quantitative Spektrochemische Analyse mittels des Gleichstrom Kohlebogens. Addink N. W. H., Dikhoff J. A. M., Schipper C., Witmer A., Groot T.), Spectrochim. acta, 1955, 7, № 1, 45—59 (нем.)

Предполагается, что при испарении малого кол-ва пробы (5 мг) существует линейная зависимость между интенсивностью спектральных линий и конц-ией искомого элемента. Зная коэфф. пропорциональности между этими величинами  $K$ , можно определять конц-ии по измеренным интенсивностям. Приведены таблицы значений  $K$  для 235 линий 38 элементов. Проба в виде по-

рошка помещается в концы углубление нижнего угольного электрода (анода) диам. 10 мм. Межелектродный промежуток 8,5—9 мм, ток дуги 10—12 а. Малое кол-во пробы, перемешивание ее с угольным порошком или другими добавками, форма электродов, способствующая поступлению в дугу большого кол-ва углерода, — все это приводит к стабилизации условий возбуждения в средней части столба дуги. Чтобы подчеркнуть последнее обстоятельство, а также отличить предлагаемый способ от аналогичного метода Гарвея (Harvey C. E., A method of semi-quantitative analysis. Glendale (Calif.), 1947), введен термин «дуга постоянной температуры». Для освещения щели спектрографа излучением от средней части дуги на расстоянии 34 мм от дуги устанавливается экран с прямоугольным вырезом высотой 0,5 мм. Осветительная линза дает изображение источника на призме спектрографа. Применялись автоколлимационные спектрографы (фирмы Хильгер) Е 492 и Е 478. Для регулирования скорости испарения пробы вводятся добавки различных в-в (С, Ni, H<sub>2</sub>BO<sub>3</sub>, BaCO<sub>3</sub>, SiO<sub>2</sub>). Указана рецептура подготовки пробы в зависимости от анализируемого в-ва. При анализе Cr, Fe, Mo, V, Ti проба перемешивается с добавкой. Для анализа Ag, Cu, Ni, Pb, Sb проба и добавка помещаются в углубление электрода слоями, проба сверху. Таким же образом поступают при анализе W, Zn, силикатов и сульфатов, но пробу помещают под добавкой. Для некоторых интенсивных линий даны поправки на самопоглощение. В качестве примеров описаны анализ хромоникелевой стали и определение Na в боросиликатном стекле. Н. С.

4124. Измерение изменений интенсивностей линий сравнения при анализе легированных сталей и сплавов на железной, никелевой или кобальтовой основе (квантометрия). Марти (Messung des Intensitätsverlaufes der Bezugslinien für die Analyse der Legierungen mit Eisen-Nickel- oder Kobaltbasis. Marti W.), Mikrochim. acta, 1955, № 2-3, 657—661 (нем.; резюме англ., франц.)

Для использования в качестве элемента сравнения в-ва основы с изменяющимся содержанием необходимо знать зависимость относительной интенсивности (ОИ) линии этого в-ва от конц-ии. При работе с квантометром изменение интенсивности может быть скомпенсировано потенциометром. С этой целью приводятся графики для ОИ линий Fe, Co и Ni к Cr, содержание последнего в свою очередь колеблется в интервале 1,00—1,10%. Для учета колебаний конц-ии Cr определялась зависимость ОИ Cr от его конц-ии для каждой основы. По полученным графикам определялось значение ОИ, соответствующее истинному содержанию Cr в образце, и образец обискивался до тех пор, пока не достигалось найденное значение ОИ линии Cr. Тогда после переключения канала с линии Cr на Fe, Ni и Co квантометр давал непосредственно искомого ОИ линии основы в этом образце. По этим усредненным значениям строились графики, имеющие в масштабе lg ОИ—lg конц-ии вид прямых с наклоном 0,85. Использовались линии: Fe 2714,4; Co 3627,8; Ni 3080,8; Cr 2677,2 Å. Спектры возбуждались генератором ARL с параметрами: 1000 а, 10 мкф, 5 ом, 120 мкс. В качестве регистрирующего устройства применялся квантометр ARL. Б. Л.

4125. Спектральный анализ порошков по одному эталону. Шаврип А. М., Изв. АН СССР, сер. физ., 1955, 19, № 1, 122

Порошки эталонов, с содержанием ванадия в пределах 0,025—0,2%, помещались в отверстия медных электродов дуги переменного тока. Ширина щели 0,03 мм, время экспозиции 30 сек., пластинки диапозитивные, сила тока 5 а. Аналитич. пара линий: V 3110,71 и Mo 3112,12 Å. Градуировочный график, построенный в

координатах:  $\lg(I/I_0)$ .  $\lg c$  с учетом фона, имеет угол наклона  $45^\circ$ . Установлено отсутствие реабсорбции в пределах указанных конц-ий. Привытый на основании этого метод одного эталона проверялся при определении  $V$  в медистых песчанниках. Ошибка не более  $\pm 10\%$ .

Т. Г. 4126. Анализ легких металлов на квантометре. В и н к л е р (Die quantometrische Analyse von Leichtmetallen. Winkler G., Mikrophim. Acta, 1955, № 2—3, 610—613 (нем.; резюме англ., франц.))

Обсуждается использование квантометров в практике заводской лаборатории алюминиевого завода. Спектры возбуждались между металлич. электродами в случае анализа чистых металлов и между графитовым и металлич. электродами в случае сплавов. Для металлов применен разряд высоковольтной искры (950 в, 3 а, 57  $\mu\text{с}$ , 50 ом) для сплавов разряд высоковольтной искры (20 кВ; 7,3 а; 720 мкс). Ошибка анализа колеблется от 1 до 10% в зависимости от содержания определяемого элемента. При градуировке квантометра в верхнем эталонном высируется максимально возможная конц-ия компонента сплава. В качестве нижнего эталона берется электрич. нуль измерительной системы. При этом нуль градуировочного графика имеет положительную величину, равную сумме темнового тока и фона. Эта величина может быть определена при обескисливание образца из чистой основы и скомпенсирована. Темновой ток составляет всего несколько делений, тогда как фон колеблется для различных элементов и составляет несколько делений для Si, Fe, Cu, Mn + Mg, 10—15 делений для Ti, Pb, Cr, Ni и около 30 делений для Zn и Sn. При малом усилении темновой ток и фон малы. Для анализов каждой группы сплавов можно пользоваться старшим эталоном и очисл. основой для установления нуля градуировочного графика. Для изготовления эталонов 21—40 кг металла плавится в тигельной печи и отливается в форме прутков и стержней. На прутках проверяется хрупкость, после чего стержни пресекуются в проволоку диам. 6 мм, которая используется в качестве эталона.

Б. Л. 4127. Определение примесей в смазочных маслах амиссионным спектроскопическим методом. Г у н н (Determination of additive elements in lubricating oils by emission spectrographic methods. G u n n E. L., Analyt. Chem., 1954, 26, № 12, 1895—1899 (англ.))

Для возбуждения использовались искровой высокого напряжения; опыты вели со спектрографом ARL с дисперсией  $\sim 7 \text{ \AA/мм}$ ; в качестве внутреннего стандарта при определении Ba и Ca использован Co (1 г олеата Co, содержащего 1% Co, на 5 г смазочного масла). 2—3 капли смеси вводили в графитовый порошок, полученную массу помещали в углубление (диам. 0,16, глубина  $\sim 0,3 \text{ см}$ ) нижнего электрода длиной  $\sim 0,3 \text{ см}$ ; верхний электрод — угольный стержень длиной  $\sim 0,3 \text{ см}$ , сточен; первоначальное напряжение 80 в, в цепь включена емкость 0,007  $\mu\text{ф}$ , индуктивностью 80  $\mu\text{гн}$ ; предварительное обескисливание 5 сек., экспозиция 30 сек., расстояние между электродами 2 мм, ширина щели 40  $\mu$ . Для Ba была использована аналитич. пара Ba 3891,8 — Co 3894,1 А, для Ca — пара Ca 3179,3 — Co 3409,6 А; для съемки спектров применена эмульсия SA-1, проявитель D-19; проявление 3 мин. при  $(8 \pm 2)^\circ$ . Поправку на фон не вводили. Для перевода показаний фотометра в величины, выражающие относительную интенсивность, предварительно получали спектральную характеристику эмульсии для двух диапазонов. При определении Р верхним электродом служила пористая чашка из х. ч. угля; диам. 0,63 см, длиной 2,5 см, глубиной 0,4 см; нижний электрод — сточенный на конус ( $45^\circ$ ) угольный стержень длиной 0,4 см; расстояние между электродами 3 мм, ширина щели 40  $\mu$ , емкость и индуктивность те же, что и при определении Ba и Ca. Предварительное об-

ескисливание 20 сек., экспозиция 180 сек. Аналитич. пара Р 2535,6 — С 2582,9; была измерена плотность фона справа от каждой спектральной линии на расстоянии 2—4 А. Метод применен к анализу синтетич. смесей, продуктового и отработанного масел и для контроля на содержание Р (продолжительность этого анализа  $\leq 1$  часа). Среднее отклонение для Ba 4,7%, для Ca 6%; среднеквадратичная погрешность для Р 5,5%. Н. С.

4128. Использование  $(W_1/W_2)$ -диаграммы для рентгено-спектрального анализа. В а й н ш т е й н Э. Е., Ш е в а л е е в с к и й П. Д., Ж. аналит. химии, 1955, 10, № 3, 184—188

$(W_1/W_2)$ -диаграмма представляет собой график, связывающий величины «условной фотоплотности» —  $W_1$  и  $W_2$  для двух линий, сравниваемых при проведении рентгено-спектрального анализа. Величина  $W = \lg(1 - T) \cdot T$ , где  $T$  — коэфф. пропускания. Изучены свойства  $(W_1/W_2)$ -диаграммы и показана возможность применения этого графика для определения относительной интенсивности рентгеновских спектральных линий.

Э. В.

4129 К. Аналитическая химия. Часть I. Качественный анализ. Ч х е н к е л и А. З. (ანალიტიკური ქიმიის, მკვრივ გამოცემა. ჩხენკელი ა. ზ. სამცხე-ჯავახეთი, 1954, 208 გვ., სპ. სსრ თბილისი, გრუამედნი, 1954, 224 სტ., 4 რუბ.) (რუს.)

См. также: Хроматография 3575, 13576. Измерение pH 5313, 3514. Др. вопр. 3019, 3353, 3596

## АНАЛИЗ НЕОРГАНИЧЕСКИХ ВЕЩЕСТВ

4130. Применение пламенной фотометрии для определения щелочных металлов и кальция в солевых растворах для вливания. Л у н д г р е н (Applications of flame photometry to the analysis of alkalis and calcium in saline solutions for infusion. L u n d g r e n P e r), J. Pharmacy and Pharmacol., 1953, 5, № 5, 511—527 (англ.)

Цель работы — изучение взаимного влияния Na, K и Ca и природы анионов солей этих металлов на результаты их определения в солевых р-рах методом пламенной фотометрии. При конц-ии Na 10—100  $\gamma/\text{мл}$  лактат, пикрат, бикарбонат, ацетат, иолид нитрат, сульфат-двуамесный фосфат и хлорид при 589 м $\mu$  обнаруживают одинаковую амиссию (Э). В более конц. р-рах, содержащих 1000  $\gamma/\text{мл}$  Na, Э ацетата, иодида, сульфата и двуамес. фосфата на несколько процентов меньше, чем у хлорида. Подобные отклонения установлены при 768 м $\mu$  и конц-ии K 1000  $\gamma/\text{мл}$  только для иодида, нитрата и сульфата. В качестве эталонов во всех случаях применяют хлориды. Присутствие  $\leq 0,1 \text{ н.}$  HCl, H<sub>2</sub>SO<sub>4</sub>, HNO<sub>3</sub> и лимонной к-ты, а также H<sub>3</sub>PO<sub>4</sub> или молочной к-ты в конц-ии  $\leq 0,01 \text{ н.}$ , как правило, не влияет на величину Э. При конц-ии Na 100  $\gamma/\text{мл}$  добавление равных или больших кол-в K вызывает увеличение Э р-ров NaCl. При 5- и 10-кратном избытке K по отношению к Na Э увеличивается соответственно на 5 и 8%. Ca более слабо, но в том же направлении влияет на Э NaCl и KCl. Добавление NaCl оказывает значительно большее влияние на Э KCl, чем KCl на Э NaCl. Разбавление р-ра во всех случаях ослабляет мешающее влияние примесей. Примеси не влияют на излучение фона. Добавление спирта увеличивает, а декстрозы уменьшает Э NaCl и KCl. Калибровочную кривую (KK) зависимости силы фототока для линии Na при 589 м $\mu$  и линии K при 768 м $\mu$  при конц-ии соответственно 0—1 и 0—10  $\gamma/\text{мл}$  почти прямолинейна. При больших конц-иях K и Na KK вогнуты, что объясняется само-



поглощением. Измеряя Э для линий Na при 589 и 589,6 мμ и линий K при 766,5 и 769,9 мμ, определяют по Э  $\leq 100$  γ/мл Na и 200 γ/мл K. Ca определяют по Э по лосы при 554 мμ. Добавление 0,01—0,1 н. HCl увеличивает Э CaCl<sub>2</sub> при конц-ии Ca 500 γ/мл, но не влияет на Э при конц-ии Ca 50 γ/мл. При конц-ии Ca 200 γ/мл равные или большие кол-ва Na или K значительно уменьшают Э Ca. В присутствии мешающих элементов поправка на фон увеличивается. КК при конц-ии Ca 0—100 γ/мл прямолинейна. Описанный метод применен для определения Na в физиологии. р-ре NaCl, в 1,3%-ном р-ре NaHCO<sub>3</sub>, в р-ре цитрата Na с добавками лимонной к-ты и глюкозы и без добавок, в р-ре NaCl с добавками глюкозы, в р-ре смеси солей Na, в р-рах смеси солей Na и K. Мешающее влияние K устраняют, вводя K в р-р NaCl, используемый в качестве эталона. При определении K в р-рах смеси солей в эталонный р-р KCl вводят NaCl. Подобный прием использован для анализа р-ров смеси солей Na, K и Ca (например, р-ра Рингера). Н. П.

**4131. К вопросу определения обменного калия в почвах.** Балабанов Б. Г., Почвоведение, 1953, № 9, 98—99

Уточнена методика определения обменного K в почвах; продолжительность определения сокращается до 2,5 дня (вместо 5—6 дней) при значительном повышении точности. При определении обменного K в почвах применяется 1 н. CH<sub>3</sub>COONH<sub>4</sub> при pH 7. Отношение почвы к р-ру составляет 1 : 8 (50 г почвы и 400 мл р-ра) для почв, содержащих < 20 мг обменного K, и 1 : 20 (20 г почвы и 400 мл р-ра) для почв, содержащих > 20 мг K. Вытяжку выпаривают и разлагают CH<sub>3</sub>COONH<sub>4</sub> и часть органич. в-в — на специально устроенной воздушной электрич. бане. Осадок K<sub>2</sub>NaCo(NO<sub>2</sub>)<sub>6</sub> отфильтровывают через фарфоровый тигель с сетчатым дном через специально приготовленный асбест и титруют перманганатом в фарфоровых чашках емк. 300—400 мл. В. С.

**4132. Сравнение различных аналитических методов определения калия и фосфора в почве на базе полевых опытов.** Семб, Улен (A comparison of different analytical methods for the determination of potassium and phosphorus in soil based on field experiments. Sem b Gunnar, Uhlen Gotfred Acta agric. scand., 1954—1955, 5, № 1, 44—68 (англ.)) Установлена корреляция между результатами определения K и P в почвах различными методами и урожайностью почв. В. Т.

**4133. Быстрый и удобный способ отделения меди от никеля и точного несоевого определения этих двух элементов.** Спаку Г., Георгиу Констанца, Хим. ж. Акад. РНР, 1954, 3, 5—8

К нейтр. анализируемому р-ру по каплям при непрерывном перемешивании приливают небольшой избыток H<sub>2</sub>SO<sub>4</sub> и NH<sub>4</sub>SCN. Осадок CuSCN отфильтровывают и промывают разб. H<sub>2</sub>SO<sub>4</sub>, H<sub>2</sub>O, C<sub>2</sub>H<sub>5</sub>OH и безводн. эфиром, сушат в вакууме в течение 10 мин. и взвешивают. Фактор пересчета 0,52261. Затем из филтрат (50—70 мл) кипячением удаляют избыток H<sub>2</sub>SO<sub>4</sub>, добавляя ~ 0,5 г NH<sub>4</sub>SCN, нейтрализуют пиридином (I), нагревают почти до кипения, добавляют 1 мл I, и охлаждают при перемешивании. Через несколько минут выпадают лазурно-голубые кристаллы Ni(C<sub>5</sub>H<sub>5</sub>-N)<sub>4</sub>(SCN)<sub>2</sub>. Осадок отфильтровывают и промывают р-ром 4 г NH<sub>4</sub>SCN и 6 мл I в 1 л воды, водой с 100 мл 35%-ного C<sub>2</sub>H<sub>5</sub>OH, 1,5 мл I и 0,1 г NH<sub>4</sub>SCN, 2 мл безводн. C<sub>2</sub>H<sub>5</sub>OH с 5 мл I на 100 мл C<sub>2</sub>H<sub>5</sub>OH, 5—6 порциями безводн. эфира с 10 каплями I на 100 мл эфира и сушат в вакууме при комнатной т-ре. Фактор пересчета 0,1195, продолжительность анализа 1 час. Погрешность определения Cu и Ni  $\leq 0,06\%$  (абс.). В. П.

**4134. Применение некоторых органических веществ как характерных реактивов на магний.** Алессандро (Impiego di alcune sostanze organiche come reattivi specifici del magnesio. Alessandro A., Boll. chim. farmac., 1955, 94, № 5, 181—185 (итал.; резюме англ.))

1,2-нафтохинон-4-сульфонат Na (I) в присутствии гидрозофалазина (II) дает в щел. среде с Mg<sup>2+</sup> синее-зеленое окрашивание или, при больших кол-вах последнего, синий осадок. I в присутствии гидрозида изоникотиновой к-ты (III) дает с Mg<sup>2+</sup> фиолетово-красную окраску или фуксиново-красный осадок. 1-амино-2-нафтол-4-сульфонокислота (IV) дает с Mg<sup>2+</sup> в присутствии II зеленое окрашивание или осадок, а в присутствии III — оранжево-красное окрашивание или карминово-красный осадок. Наиболее отчетливой является р-ция с I и II. К испытываемому р-ру прибавляют несколько капель реактива (10 мг I, 10 мг II, 5 мл 30%-ного NaOH разбавляют до 100 мл) и р-р NaOH до явно щел. р-ции. В присутствии Mg<sup>2+</sup> тотчас появляется синее-зеленая окраска или синий осадок. Аналогично проводятся и остальные р-ции. Витамины K дают с III и Mg<sup>2+</sup> аналогичную р-цию, что может быть использовано для его открытия. В. А.

**4135. Спектральный метод определения магния в чугунах с шаровидным графитом.** Чайкувна (Spektrograficzna metoda ilościowego oznaczania magnezu w żelazie sferoidalnym. Czajkówna Zofia), Przegl. odlewn., 1955, 5, № 2, 46, 47—50 (польск.))

Спектры фотографировались на среднем кварцевом спектрографе ИСП-22 при помощи генератора Фейснера (напряжение 15 000 в, емкость C = 0,005 мф, самонадукция 0,3 мэн). Ширина щели 0,03 мм. Конденсорная линза (F = 75 мм) ставится на расстоянии 355 мм от электродов и 81,5 мм от щели; расстояние между электродами 4 мм, время экспозиции 180 сек. Графитовый верхний электрод заточен на полусферу, нижний электрод — плоский. 2 г стружек пробы чугуна растворяют на водяной бане в 30 мл HCl (1 : 1). После растворения приливают 10 мл конц. HNO<sub>3</sub> и разбавляют H<sub>2</sub>O до 100 мл. Концы электродов смачивают каплей анализируемого р-ра и сушат на воздухе. Фотометрирование производят по линиям: Mg 2802,7 — Fe 2767,5 Å. Эталонные р-ры готовят растворением 20 г стружек чугуна (не содержащего Mg) в 300 мл р-ра HCl (1 : 1). К р-рам прибавляют 100 мл конц. HNO<sub>3</sub> и разбавляют до 1 л (р-р А). Затем растворяют 2 г металлич. Mg (99,9% Mg) в 30 мл HCl (1 : 1), прибавляют 10 мл конц. HNO<sub>3</sub> и разбавляют до 1 л (р-р В). Из р-ров А и В составляют эталоны с конц-ией Mg 0,03; 0,05; 0,1; 0,3 и 0,5%. Градуировочный график строят в координатах ΔS — lg C. Анализ производят в пределах конц-ий Mg от 0,03 до 0,5%. Погрешность метода ± 13%. Продолжительность анализа одного образца 5 час., 5 образцов 7,5 часа. Э. Т.

**4136. Определение кальция и магния в озерных водах при помощи вращающегося дискового серебряного электрода.** Меллош, Шапиро (Determination of calcium and magnesium in lake waters by means of a rotating silver disk electrode. Melosche V. W., Shapiro R.), Analyt. Chem., 1954, 26, № 2, 347—350 (англ.))

При спектральном методе определения 0,1—30 γ/мл Ca и Mg в озерных водах с использованием вращающегося дискового Ag-электрода в качестве внутреннего стандарта использован Mn. Дисковый электрод вращался со скоростью ~ 50 об/мин., искровой промежуток 3 мм. Средняя квадратичная погрешность для отдельного измерения зависит от выбранной пары спектральных линий и от конц-ии определяемого элемента; для Ca она составляет 4—10%, для Mg 2—10%

Постоянная конц-ия Mn в р-ре равна 45  $\gamma$ /мл. Ополаскивание электродов конц. HCl обеспечивает очистку их от пленки окислов и от остатков после предыдущих анализов.

4137. Носители пламенных спектров щелочноземельных металлов. Лагерквист, Хулдт (Die Träger der Flammenspektren der Erdalkalimetalle. Lagerqvist Albin, Hult Lennart), Naturwissenschaften, 1955, 42, №12, 365—366 (нем.). Для выяснения природы носителя пламенного спектра расплавили водн. р-р  $\text{Sr}(\text{NO}_3)_2$  в воздушно-ацетиленовом пламени и наблюдали спектр с помощью решетки с большой разрешающей способностью и дисперсией. Значительная дисперсия решетки (0,80  $\text{\AA}/\text{мм}$ ) позволяла разрешать ротационные структуры. На каждую пластинку делали 2 снимка, один из которых представлял собой спектр р-ра  $\text{Sr}(\text{NO}_3)_2$  в тяжелой воде. Спектр состоит из ряда полос, первые края которых находятся при 6114,2; 6111,9; 6109,8; 6107,9; 6107,5 и 6105,2  $\text{\AA}$ . При экспонировании с тяжелой водой, кроме того, появляются слабые, но ясно заметные края полос при 6117,8; 6115,4; 6113,7; 6113,3, 6111,3 и 6109,0  $\text{\AA}$ . Отсюда вытекает, что носитель спектра содержит водород и представляет собой, повидимому,  $\text{SrOH}$  или  $\text{SrOD}$ . Поскольку спектр Са аналогичен вышеописанному, полосы Са должны принадлежать СаОН. Система полос пламенного спектра Ва в интервале 8000—10 000  $\text{\AA}$  приписана ВаОН.

4138. Хроматографическое разделение смеси хлоридов кальция, стронция, бария и магния. Барнабас, Бадве, Барнабас (The chromatographic separation of a mixture of the chlorides of calcium, strontium, barium and magnesium. Barnabas T., Badve M. G., Barnabas J.), Analyt. chim. acta, 1955, 12, № 6, 542—543 (англ.; резюме франц., нем.).

Для разделения хлоридов Са, Sr, Ва и Mg методом радиальной хроматографии с наилучшими результатами в качестве подвижных р-рителей применены смеси спиртов, содержащие метанол (I): I + этанол (II) (1 : 1), изопропанол + I (2 : 3), бутанол + I (3 : 7) и пентанол + I (3 : 7). 200 мг хлоридов в 10 мл анализируемого р-ра наносят на диск из бумаги ватман № 1 diam. 24 см и готовят хроматограмму ранее описанным методом (Giri K.V., Rao N. A. N., J. Indian Inst. Sci., 1952, 34, 95). Хроматограмму высушивают на воздухе и обрабатывают для выявления пятен р-ром 0,2 г 2,6-дихлорофенолидофенола + 3 г  $\text{AgNO}_3$  в 100 мл II. После высушивания хлориды образуют бледно-розовые пятна, которые на солнечном свете становятся интенсивно коричневыми. При использовании смеси I+II в качестве подвижного р-рителя найдены следующие значения  $R_F$ : 0,80 (Mg), 0,62 (Ca), 0,49 (Sr) и 0,28 (Ba).

4139. Новый метод определения цинка в кадмии. Троицкая М. И., Пац Р. Г., Позднякова А. А., Сб. науч. тр. Гос. н.-и. ин-та цвет. мет., 1955, № 10, 345—352

Метод основан на отделении Zn эфиром от основной массы Cd в виде роданидного комплекса и полярографирования Zn с принудительным отрывом капли ртути. Метод дает возможность определять с достаточной точностью тысячные, сотые и десятые доли процента Zn в Cd и является более быстрым, чем другие методы (исключая спектральный).

4140. Потенциометрический метод определения цинка в рудах и продуктах их обогащения. Троицкая М. И., Сараева Н. Ф., Сб. науч. тр. Гос. н.-и. ин-та цвет. мет., 1955, № 10, 331—337

Описан потенциометрич. метод определения  $\text{Zn}^{2+}$  титрованием р-ром  $\text{K}_4\text{Fe}(\text{CN})_6$  в рудах и продуктах их обогащения, а также в продуктах цинкового и не-

которых продуктах свинцового произ-ва без отделения  $\text{Fe}^{3+}$  и других элементов; последние связывают пирофосфатом Na. Метод является ускоренным в сравнении с обычным методом, требующим отделения Mn и Fe. Определение Zn в двух навесках выполняется за 2,5 часа (вместо 4,5—5 час.).

4141. Открытие цинка в сульфате меди. Лангеян, Пинкстерен (Het aantonen van zink als verontreiniging van kopersulfaat. Langejan M., Pinxteren J. A. C. van), Pharmaz. weekbl., 1955, 90, № 10, 333—356 (голл.; резюме англ.).

После отделения Zn от Cu при помощи  $\text{H}_2\text{S}$  удается открыть только > 2% Zn. При отделении едким натром часть Zn теряется вследствие захватывания осадком  $\text{Cu}(\text{OH})_2$ . Соосаждение уменьшается при увеличении отношения  $\text{NaOH} : \text{Cu}$ . После добавления к р-ру 0,1 г  $\text{CuSO}_4$  (в 10 мл) и 2 мл 4 н. NaOH в фильтрате можно открыть 0,25 мг  $\text{ZnSO}_4$  при помощи  $\text{K}_4\text{Fe}(\text{CN})_6$ . Более удобно выделять Cu алюминиевой фольгой; в остающемся р-ре открывают Zn при помощи  $(\text{NH}_4)_2\text{Hg}(\text{SCN})_4$ . Чувствительность метода  $\sim 0,1\%$  Zn в сульфате меди.

4142. Новые методы количественного определения кадмия. IV. Кондуктометрическое титрование кадмия ферроцианидом лития. Басинский, Орыльский (Nowe metody ilościowego oznaczania kadmu. IV. Konduktometryczne miareczkowanie kadmu za pomocą żelazocyjanku litowego. Basiński A., Orylski Z.), Przem. chem., 1955, 11, № 4, 203—204 (польск.; резюме русс., англ.).

Аликвотную порцию 5 или 10 мл 0,2974 н.  $\text{Li}_4\text{Fe}(\text{CN})_6$  разбавляют до  $\sim 50$  мл и титруют р-рами  $\text{CdSO}_4$ ,  $\text{Cd}(\text{NO}_3)_2$ ,  $\text{CdCl}_2$  и  $\text{Cd}(\text{CH}_3\text{COO})_2$  при напряжении 0,5—0,6 в и сопротивлении 60—130 ом. Источник тока — генератор (0 — 18 000 ом); опыты ведут при 2000  $\text{cm}^2$ . Р-р  $\text{Li}_4\text{Fe}(\text{CN})_6$  готовят по прописи Басинского и Якубовского (РЖХим, 1953, 7089), титр его устанавливают перганометрически (Treadwell F. P., Lehrbuch der analytischen Chemie. II. Wien, 1941). Конц-ию Cd в р-рах устанавливают электролитически. Мешают: Zn, Cu, Pb,  $\text{NH}_4^+$ , K. При применении  $\text{Na}_4\text{Fe}(\text{CN})_6$  вместо  $\text{Li}_4\text{Fe}(\text{CN})_6$  хорошие результаты получены только при титровании р-ром  $\text{Cd}(\text{CH}_3\text{COO})_2$ . Расхождение между результатами описанного метода и полученными электролизом  $\leq 1\%$ . Сообщение III см. РЖХим, 1956, 1114.

4143. Новый фотометрический метод определения кадмия в меднокадмиевых сплавах. Нильш, Бельц (Neue photometrische Bestimmung des Cadmiums in Kupfer-Cadmium-Legierungen. Nielsch Walter, Böltz Gerhard), Chemiker-Ztg, 1955, 79, № 11, 364—370 (нем.; резюме англ., франц., итал.).

Cd отделяют от Cu осаждением в виде  $\text{CdS}$  с переводом последнего в Cd-соль 4-окси-3-нитрофениларсиновой к-ты. Навеску стружки сплава 1 г растворяют в 10 мл  $\text{HNO}_3$  (1 : 1) при нагревании. Р-р разбавляют до 100 мл; 25 мл полученного р-ра вносят в центрифужную пробирку и приливают в нее 20%-ный NaOH до начала помутнения за счет  $\text{Cu}(\text{OH})_2$ , после чего прибавляют 5 мл тартратно-цианидной смеси (р-р 100 г KCN и 50 г  $\text{Na}_2\text{C}_4\text{H}_4\text{O}_6$  в 500 мл воды) для осветления р-ра. К прозрачному р-ру приливают 5 мл 20%-ного  $\text{Na}_2\text{S}$ , кипятят в течение 2 мин., охлаждают и центрифугируют. Осадок промывают 3 порциями промывной воды № 1 (через 1 л дистилл. воды в течение 1 мин. пропускают ток  $\text{H}_2\text{S}$ ). Промытый осадок  $\text{CdS}$  растворяют при нагревании в 5 мл  $\text{HNO}_3$  (1 : 1), нейтрализуют р-р 20%-ным NaOH до начала помутнения, после чего добавляют 2 мл 10%-ной  $\text{CH}_3\text{COOH}$  (при выполнении данной прописи рН конечного р-ра составляет 3—6). В центрифужную пробирку вводят 20 мл р-ра 4-окси-

**3-нитрофениларсиновой к-ты** (3,5 г в 1 л воды) и нагревают в течение 1—2 мин.; осадок центрифугируют и промывают 5 порциями (по 20 мл) промывной воды № 2 (к 2 л дистилл. воды прибавляют 1 мл 10%-ной  $\text{CH}_3\text{COOH}$ ). Промытый осадок растворяют небольшими порциями аммиачного р-ра комплексона III (2 г комплексона III растворяют в 4 л воды, содержащей 100 мл конц.  $\text{NH}_4\text{OH}$ ), объединяют р-ры, разбавляют до 250 мл р-ром комплексона III. Полученный р-р вносят в 1-см кювету фотоколориметра Элько II Цейс и фотометрируют, употребляя для сравнения воду со светофильтром S42E или Hg405. Погрешность определения Cd 0,5—2%. А. Г.

**4144. Определение ионов двухвалентной ртути каталитическим разложением ферроцианида. Пинтер, Дреснер** [Über die quantitative Bestimmung von Quecksilber (II) Ionen durch katalytische Zersetzung von Ferrocyanid. Pinter Tomislav, Dresner Hedi], Mikrochim. acta, 1955, № 4, 803—805 (нем.; резюме англ., франц.)

Реакция  $8\text{K}_4\text{Fe}(\text{CN})_6 + 28\text{HCl} + \text{O}_2 = 28\text{KCl} + 24\text{HCN} + 2\text{H}_2\text{O} + 4\text{KFe}(\text{CN})_6$  происходит в слабодиссоциирующей среде при каталитическом действии  $\text{Hg}^{2+}$ ; кол-во образующейся берлинской лазури пропорционально кол-ву  $\text{Hg}^{2+}$ . Исследуемый р-р должен содержать 1—50  $\gamma/\text{мл}$   $\text{Hg}^{2+}$ . К смеси 2 мл 0,01 н.  $\text{HCl}$  с 7 мл воды прибавляют последовательно 1 мл исследуемого р-ра и 5 мл 0,001 М р-ра  $\text{K}_4\text{Fe}(\text{CN})_6$  (свежеприготовленного). Полученный р-р, вместе с контрольным (1 мл р-ра  $\text{HgCl}_2$  заменен 1 мл воды), выдерживают 20 мин. при 60°, затем 10 мин. в холодной воде, и немедленно фотометрируют при 6600 Å. Для построения калибровочной кривой готовят серию р-ров  $\text{HgCl}_2$  с содержанием 5, 10, 20, 30, 40, 50  $\gamma/\text{мл}$ . Ввиду того, что ионы  $\text{Hg}^{2+}$  сорбируются стеклом, посуду промывают 5%-ным р-ром  $\text{Na}_2\text{CO}_3$  или 4%-ным  $\text{NaOH}$  и затем разб.  $\text{HCl}$ . Проверка метода на 30 объектах показала, что максим. погрешность составляет  $\pm 5\%$ , средняя — 0,637%. Метод применим для микроопределения Hg в воздухе. Н. В.

**4145. Отделение ртути от золота ионным обменом. Мак-Невин, Ли** (The separation of mercury from gold by ion exchange. MacNevin W. M., Lee I. L.), Analyst. chim. acta, 1955, 12, № 6, 544—546 (англ.; резюме франц., нем.)

На основании большого различия между константами устойчивости комплексных анионов,  $\text{HgCl}_3^-$  и  $\text{AuCl}_4^-$  (соответственно  $8,3 \cdot 10^{-16}$  и  $5 \cdot 10^{-22}$ ), предполагается возможность выбора такой конц-ии  $\text{Cl}^-$  в р-ре, при которой Hg будет еще присутствовать в виде  $\text{Hg}^{2+}$  и, следовательно, будет задерживаться катионитом, а Au будет присутствовать уже в виде  $\text{AuCl}_4^-$  и, следовательно, ионитом не будет задерживаться. Опыты вели с колонкой высотой 100 см и диам. 55 мм, содержащей 800 г катионита дауэкс-50 в H-форме, отмытой дистилл. водой до pH 5. Через колонку пропустили р-р 400 г Au и 8 г Hg в 1800 мл 2 н.  $\text{HCl}$ , со скоростью 10 мл/мин и затем ~1500 мл дистилл. воды для отмывки колонки от исходного р-ра; при этом было достигнуто полное разделение Au и Hg. Ни в одной из 100-мл порций вытекающего р-ра и промывных вод не было обнаружено Hg (с помощью р-ра KJ, а также спектрографически в объединенном вытекающем р-ре). В последнем не было обнаружено никаких металлов, кроме Au. Процесс разделения Au и Hg продолжался 6 час. Hg была извлечена из колонки с помощью 2 н.  $\text{HCl}$ , после чего колонка могла быть использована снова. А. Г.

**4146. Новый метод весового определения ртути. Спаку Г., Лупан Сауда**, Хим. ж. Акад. РНР, 1954, 3, 55—61

К р-ру, содержащему ртутную соль, добавляют KJ до растворения осадка (образуется  $\text{K}_2\text{R}$ , где R —  $[\text{Hg}_4\text{I}_4]$  и насыщ. водн. р-р (~0,6%-ный) реактива  $\text{R}'\text{J}_6$ , где  $\text{R}' = [\text{Cr}_4(\text{OH})_6(\text{CH}_2\text{NHC}_2\text{H}_4\text{NH}_2)_6]$ , до перехода окраски р-ра в яркорозовую (избыток реактива 15—20 мл). Взабалтывают 2—3 мин. и оставляют на 2 часа для кристаллизации. Осадок  $\text{J}_2\text{R}_2\text{R}'$  промывают 2—3 порциями воды, 50%-ным спиртом, затем спиртом, эфиром и высушивают в вакууме над  $\text{P}_2\text{O}_5$ . Фактор пересчета (ФП) 0,1714. Оптимальное кол-во ртути 0,0079—0,0721 г, погрешность  $\leq 0,1$  мг. Из р-ров, предварительно подкисленных 2 н.  $\text{HNO}_3$  (1 мл на 20 мл р-ра), по выщипываемой методике получено комплексное соединение  $(\text{NO}_3)_2\text{R}_2\text{R}'$  (I). ФП = 0,1815; погрешность  $\leq 0,3$  мг. Аналогично может быть осажден  $\text{Cl}_2\text{R}_2\text{R}' \cdot 5\text{H}_2\text{O}$  (II) (кристаллизационная вода теряется при 105°, но не удаляется в вакууме над  $\text{P}_2\text{O}_5$ ); ФП = 0,1785; погрешность  $\leq 0,2$  мг. I и II получены впервые. В. П.

**4147. Гетерометрическое микроопределение ртути или меркаптобензотиазола. Бобтельский, Юнгрейе** (The heterometric microdetermination of mercury or mercaptobenzthiazole. Bobtelsky M., Jungreis E.), Analyst. chim. acta, 1955, 12, № 6, 562—571 (англ.; резюме франц., нем.)

Гетерометрический метод определения  $\text{Hg}^{2+}$  при помощи меркаптобензотиазола (I) (или I при помощи  $\text{Hg}^{2+}$ ) является весьма чувствительным. Титрование производят в воде, или разб. спирт. ( $\leq 50\%$  спирта) р-ре при pH 2—10. При определении I получают две конечные точки: первая (начало осаждения) дает приближенную величину, вторая (первая точка максим. оптической плотности) — более точную. Во всех случаях образуется нерастворимый комплекс  $\text{HgI}_2$ . Присутствие больших кол-в сильных к-т мешает. Значительные кол-ва  $\text{CH}_3\text{COOH}$  мешают в водн. р-ре. При определении  $\text{Hg}^{2+}$  в кислом р-ре получена горизонтальная линия максим. оптич. плотности, тогда как в щел. р-ре наблюдается точка максимума, что объясняется растворением  $\text{HgI}_2$  в щел. р-ре с образованием  $\text{HgI}_4^{2-}$ . 1—2 мг  $\text{Hg}^{2+}$  или I могут быть определены в 20—30 мл р-ра с погрешностью  $\leq 3\%$ . Продолжительность титрования 10—20 мин. В. М.

**4148. Гетерометрическое микроопределение ртути в присутствии избытка посторонних металлов при помощи меркаптобензотиазола. Бобтельский, Юнгрейе** (The heterometric microdetermination of mercury with mercaptobenzthiazole in the presence of an excess of foreign metals. Bobtelsky M., Jungreis E.), Analyst. chim. acta, 1955, 13, № 1, 72—78 (англ.; резюме франц., нем.)

Для определения  $\text{Hg}^{2+}$  в присутствии различных катионов 20 мл анализируемого р-ра, содержащего 1 мл 1 М  $\text{CH}_3\text{COOH}$  и ~2 мг  $\text{Hg}^{2+}$ , титруют гетерометрически 0,005—0,01 М спирт. р-ром меркаптобензотиазола (I).  $\leq 0,2$  М Ca, Ba, Mg, Zn, Mn, Ni, Co и Cd мешают. Конц-ия Pb должна быть  $< 0,1$  М, а Al, Cr и Fe  $< 0,05$  М. При выполнении этих условий погрешность определения  $\text{Hg} \leq 3\%$ , хотя в присутствии Ca, Ba, Al, Cr максим. значение оптич. плотности титруемого р-ра снижается. В присутствии  $\text{Bi}^{3+}$  и  $\text{Cu}^{2+}$  титрование выполняют после введения комплексобразователей, напр. при значительном избытке  $\text{Bi}^{3+}$  вводят четырехзамещ. этилендиаминтетраацетат натрия (II), а для  $\text{Cu}^{2+}$  II или трехзамещ. цитрат натрия (III). Для определения 1—2 мг Hg в присутствии Bi к 20 мл анализируемого р-ра добавляют II для связывания Bi и избыток  $\text{CH}_3\text{COONa}$ , связывающего сильноую к-ту. Полученный р-р титруют спирт. р-ром I и по кривой титрования определяют конечную точку. Погрешность определения  $\text{Hg} \leq 3\%$ , даже если кол-во Bi составляет 98% от общего содержания металлов в р-ре. Ана-



логичным способом определяют Hg в присутствии  $\text{Cu}^{2+}$ , но титрование ведут в уксуснокислом р-ре. Погрешность определения Hg 1—2%. При применении III в качестве комплексобразователя для Cu титрование ведут в водно-спирт. р-рах с добавкой 15—30% спирта. К анализируемому р-ру, содержащему  $\leq 2$  мг  $\text{Hg}^{2+}$  и избыток  $\text{Cu}^{2+}$ , добавляют III (молярное отношение III: Cu должно быть  $\geq 1$ ), 2 мл 1 M  $\text{NH}_4\text{NO}_3$ , 2 мл 1 M  $\text{NH}_4\text{OH}$ , 5—10 мл спирта, разбавляют до 30 мл и титруют р-ром I. Титрование продолжается 10—15 мин.; погрешность определения  $\text{Hg} \leq 2\%$ . Н. П. 4149. **Определение ртути в моче.** Юханссон, Урнелль (Determination of mercury in urine. Johansson Axel, Uhrnell Hans), Acta chem. scand., 1955, 9, № 4, 583—586 (англ.).

Метод определения Hg в моче заключается во влажном сожжении органич. в-ва под действием кислого р-ра  $\text{KMnO}_4$  (I), восстановлении избытка I, экстракции Hg р-ром дитизона (II) в  $\text{CHCl}_3$  (III) и спектрофотометрировании полученного экстракта. К 500 мл мочи порциями добавляют 50 мл конц.  $\text{H}_2\text{SO}_4$ , а затем 25 г твердого I. Смесь взбалтывают, нагревают с обратным холодильником до кипения и кипятят 8 час. Если весь I будет израсходован, смесь охлаждают, добавляют еще  $\sim 10$  г I и снова кипятят (общая продолжительность кипячения 8 час.). Охладив смесь до  $\sim 20^\circ$ , промывают холодильник  $\sim 15$  мл воды и при взбалтывании добавляют порциями (по 2—3 мл) 1%-нук  $\text{H}_2\text{O}_2$  до обесцвечивания р-ра. Затем добавляют небольшой избыток 4%-ного р-ра I и восстанавливают I 0,5 M р-ром  $\text{H}_2\text{C}_2\text{O}_4$  (+ избыток 2—3 мл). Измеряют объем полученного р-ра и отбирают 20 мл для предварительной экстракции. После добавления 1 мл  $\sim 0,0007\%$ -ного р-ра II в III смесь встряхивают и изучают в рассеянном свете. При постепенном обесцвечивании р-ра II к оставшемуся после отбора 20 мл р-ру добавляют небольшой избыток 4%-ного р-ра I и обесцвечивают р-р 5%-ным р-ром  $\text{H}_2\text{O}_2$ ; затем приливают еще 2 мл р-ра  $\text{H}_2\text{O}_2$  и в течение 1 часа кипятят смесь с обратным холодильником. Для экстракции Hg к р-ру, разб. до 1,6 л (рН 0—1), добавляют 25 мл р-ра II в III, смесь встряхивают 100 раз и фильтруют органич. слой через стеклянную вату. Часть р-ра используют для измерения светопоглощения, а остаток встряхивают с насыщенной III смесью 50 мл 0,1 н.  $\text{H}_2\text{SO}_4$  и 10 мл 1,5%-ного р-ра  $\text{Na}_2\text{S}_2\text{O}_3$ . Освобожденный от Hg р-р II в III фильтруют через стеклянную вату и используют в качестве р-ра сравнения при спектрофотометрировании (при 490 мμ). Вносят поправку на следовые кол-ва Hg, присутствующие в реактивах. Добавки различных соединений Hg (10—50 γ) к воде или моче определены описанным методом с погрешностью  $\leq 20\%$ . Н. П.

4150. **Отделение и открытие иона алюминия в качественном анализе.** Смит, Шут (Separation and detection of the aluminum ion in qualitative analysis. Smith Sterling B., Shute John M.), J. Chem. Educ., 1955, 32, № 7, 380—382 (англ.).

Осадок гидроокисей Fe, Al, Cr на бумажном фильтре растворяют в 1 мл 3 M HCl и фильтр промывают 1 мл  $\text{H}_2\text{O}$ . К р-ру добавляют 2 мл 6 M р-ра NaOH, 2 мл бромной воды и нагревают 3—4 мин. на водяной бане. Р-р фильтруют, нейтрализуют 12 мл HCl и добавляют одну каплю к-ты в избыток. Добавляют 5 капель 10%-ного р-ра моноватриевой соли N,N-диоксизилглицина, р-р нейтрализуют 6 M  $\text{NH}_4\text{OH}$  и добавляют две капли  $\text{NH}_4\text{OH}$  в избыток. Осадок отфильтровывают, промывают 2 мл  $\text{H}_2\text{O}$ , растворяют в 1 мл HCl и фильтр промывают 1 мл  $\text{H}_2\text{O}$ . К р-ру добавляют 1 мл 3 M ацетата аммония и 3 капли р-ра алюминия. После перемешивания добавляют 6 M  $\text{NH}_4\text{OH}$  до щел. р-ции по лакмусу и нагревают 2—3 мин. на водяной бане. Яр-

красный хлопьевидный осадок указывает на присутствие Al. Л. Ч.

4151. **Новый метод определения алюминия и кальция в растворах ацетата алюминия DAB. 6. Шмиц** (Eine neue Bestimmung des Aluminium- und Kalziumgehaltes in Liquor Aluminiumi aceticici DAB. 6. Schmitz B.), Dtsch. Apoth.-Ztg., 1955, 95, № 27, 637—640 (нем.).

Метод определения Al представляет собой видоизменение ранее описанного способа, основанного на связывании  $\text{Al}^{3+}$  избытком 0,1 M р-ра этилендиаминтетраацетата натрия (I) и на обратном оттитровывании непрореагировавшего I 0,1 M р-ром  $\text{ZnSO}_4$  (II) при рН 8—10 и  $40^\circ$ . Ввиду невысокой устойчивости комплекса Al с I в этих условиях и вытекающей отсюда возможности обмена связанного Al на Zn, автор предлагает оттитровывать избыток I р-ром II при 2—5°. При низкой т-ре значительно замедляется образование комплекса Al с эриохром черным T(III), благодаря чему конец титрования можно точно установить по изменению окраски от голубовато-стальной до вишнево-красной, устойчивой в течение 0,5—1 мин. Для определения Al + Ca, 25 г анализируемого р-ра ацетата Al разбавляют до 200 мл, отбирают пробу объемом 20 мл, разбавляют ее до 200 мл и добавляют к ней 20 мл 0,1 M р-ра I. Если при этом появляется муть, то р-р нагревают до  $80^\circ$  до просветления, быстро охлаждают, добавляют 10 мл буферного р-ра, охлаждают до 1—3°, вводят немного III и титруют избыток I р-ром II. Если отношение Al:Ca в анализируемом р-ре не ниже 3:1, то Ca титруют отдельно по мурексиду. Для определения Ca к пробе анализируемого р-ра, приготовленной вышеописанным способом, добавляют 3 мл 25%-ной HCl и 10 мл 5%-ного р-ра буры. Введением последней удается предотвратить осаждение  $\text{Al}(\text{OH})_3$  в щел. среде, создаваемой добавлением 15 мл 15%-ного р-ра NaOH. К щел. р-ру добавляют немного мурексида и немедленно титруют 0,1 M р-ром I до появления пурпурно-фиолетовой окраски. В конце титрования р-р I добавляют медленно и при энергичном помешивании, наблюдая окраску анализируемого р-ра при дневном свете. Наибольшее отклонение отдельных результатов определения 7,56% Al и 1,39% Ca в р-ре продажного ацетата Al от среднего арифметич. не превышает соответственно 0,076 и 0,01%. Н. П.

4152. **Сравнение различных аналитических методов определения общего алюминия в сталях.** Лаккомб, Дор (Comparaison des méthodes analytiques et spectrales du dosage de l'aluminium total dans les aciers. Lacombe M., Dor L.), Rev. univers. mines, 1955, 11, № 2, 86—97; Rev. métallurgie, 1955, 52, № 3, 190—200 (франц.).

Общее содержание Al в сталях многократно определялось весовым, хим., колориметрич. и спектральным методами. Полученные результаты подверглись подробной математич. обработке и в итоге было установлено, что наибольшую воспроизводимость дает спектральный метод. Наибольшая ошибка характерна для весового метода. Техника спектрального анализа не описана. Т. Г.

4153. **Определение галлия и индия в пылях свинцового, цинкового и медного производства флуоресцентным методом.** Гурьев С. Д., Гинзбург Л. Б., Шибаренкова А. П., Сб. науч. тр. Гос. н.-п. ин-та цвет. мет., 1955, № 10, 387—397. Сотые и тысячные доли процента Ga и In в пылях свинцового, цинкового и медного произ-ва (навеска 0,1—0,5 г) определяют по флуоресценции их 8-оксихинолинов в  $\text{CHCl}_3$  в УФ-свете (ртутнокарбидная лампа СВДШ-250 и фильтр из увиолевого стекла). Ca отделяют от большинства мешающих элементов экстракцией  $\text{GaCl}_3$  из 6 н. HCl после восстановления  $\text{Fe}^{3+}$ , а также

$\text{Sn}^{2+}$ ,  $\text{As}^{3+}$ ,  $\text{Cu}^{2+}$ ,  $\text{Pb}^{2+}$  металлич. кадмием. 8-оксихинолинат Ga экстрагируют хлороформом из р-ра (рН 2,6), содержащего фталатный буфер и 1 мл 0,1%-ного р-ра 8-оксихинолина. Кол-во Ga находят методом визуального флуориметрич. титрования в затемненной комнате или камере. Метод позволяет определять 0,5—10  $\gamma$  Ga в пылях свинцового и цинкового произ-ва. 5—30  $\gamma$  In полностью экстрагируются из водн. р-ра объемом 25 мл с рН 3,5 (фталатный буфер) при помощи 5 мл 0,2%-ного р-ра 8-оксихинолина в  $\text{CHCl}_3$ . Сравняют интенсивность флуоресценции экстракта и серии стандартов, не отделяя водн. фазы, в цилиндре Эггерца или же применяя флуориметрич. титрование. Интенсивность желтой флуоресценции экстракта в УФ-свете увеличивается с конц-цией In (0—30  $\gamma$  In в 5 мл  $\text{CHCl}_3$ ). Вредное влияние небольших кол-в Al, Sn и Mo можно устранить добавкой цитрата натрия в водн. р-р до прибавления оксихинолина. Так как цитрат слегка уменьшает интенсивность флуоресценции In, то в р-р для сравнения вводят примерно такое же кол-во цитрата. Влияние небольших кол-в Cu устраняют добавлением  $\text{CS}(\text{NH}_2)_2$ . Индий отделяют от большинства мешающих элементов экстракцией  $\text{InBr}_3$  эфиром из 5 н.  $\text{HBr}$  в присутствии восстановителя и рекстракции из эфирной фазы при помощи 6 н.  $\text{HCl}$  в присутствии окислителя. После такой обработки из обычно встречающихся в пылях элементов в р-р вместе с индием переходят небольшие кол-ва лишь Cu, Zn и Fe, влияние которых легко устраняется. В. С.

#### 4154. Органические соосаждатели. 3. Соосаждение таллия. Кузнецов В. И., Мясоедова Г. В., Ж. аналит. химии, 1955, 10, № 4, 211—216

Метод отделения Tl от других элементов [Sb (5+), Au (3+), Fe (3+), Mo (6+) и W (6+)] основан на несоосаждаемости  $\text{Tl}^+$  с осадком, образующимся при взаимодействии *N*-диметиламиноазобензола (I) с метиловым оранжевым (II). Несмотря на значительные различия нормальных окислительно-восстановительных потенциалов систем  $\text{Fe}^{3+}/\text{Fe}^{2+}$  (0,77 в) и  $\text{Tl}^{3+}/\text{Tl}^+$  (1,22 в), почти все Fe в анализируемом р-ре должно быть 2-валентным, чтобы Tl находился в неосаждаемом одновалентном состоянии. Перед отделением мешающих элементов к анализируемому р-ру добавляют гидроксид (III).  $\text{Fe}^{2+}$  подобно  $\text{Tl}^+$  не соосаждается с осадком, образующимся при взаимодействии I с II. При последующем соосаждении Tl органич. осадком увеличиваются окисленные формы Tl и Fe. Дальнейшее отделение Tl от Fe осуществляют гидролитич. осаждением  $\text{Fe}(3+)$  нагреванием с  $\text{CO}(\text{NH}_2)_2$ . Для определения Tl в граните 1,5 г тонкоизмельченного порошка, предварительно меченого изотопом  $\text{Tl}^{204}$ , смачивают несколькими каплями воды, добавляют 0,5 мл конц.  $\text{H}_2\text{SO}_4$ , 5 мл  $\text{HF}$  и выпаривают смесь досуха сначала на водяной, а затем на песчаной бане. Повторив обработку 2—3 раза, добавляют к остатку 5 мл  $\text{HCl}$  (уд. в. 1,12), нагревают на водяной бане и смывают р-р в стакан 10 мл горячей  $\text{HCl}$  (уд. в. 1,12). Р-р нагревают в течение часа на водяной бане с 20—50 мг твердого III, разбавляют его до кислотности 0,2—0,3 н. по  $\text{HCl}$  и прибавляют 20 мл р-ра 6 г I в 97 мл спирта + 3 мл конц.  $\text{HCl}$ . При перемешивании добавляют по каплям 20 мл насыщ. р-ра II. Через 30—40 мин. осадок отфильтровывают и промывают 40—80 мл промывной жидкости (к 150 мл воды добавляют 5 мл 6 н.  $\text{HCl}$  и по 0,5 мл р-ров I и II).  $\text{Tl}^+$  в фильтрате переводят в  $\text{Tl}^{3+}$ , добавляя профильтрованный насыщ. р-р белильной извести до перехода окраски в желтую. Через 1 час добавляют 25 мл р-ра I и (по каплям) 25 мл р-ра II. Через 30—40 мин. осадок отфильтровывают, промывают 40—80 мл промывной жидкости, подсушивают, переносят с фильтром в тигель, смачивают 0,5 мл разб.  $\text{H}_2\text{SO}_4$  (1:1) и обугливают под ИК-лампой. Затем тигель с

осадком помещают в холодный муфель, в течение 3—4 час. повышают т-ру до 350—400° и изолируют при этой т-ре 1,5—2 часа. 0,1—1·10<sup>-6</sup> % Tl выделяют описанным методом на ~92%. Неполнота выделения объясняется самопоглощением излучения  $\text{Tl}^{204}$ , поправку на которое не вводили. Даже при разбавлении Tl 1:1·10<sup>10</sup> ионы  $\text{TlCl}_4^-$  количественно соосажаются из р-ров в 0,2 н.  $\text{HCl}$  с органич. осадком, образующимся при взаимодействии I с II. Сообщение 2 см. РЖХим, 1955, 21373. Н. П.

#### 4155. Колориметрический метод определения таллия по реакции с метилфлюоретом. Гурьев С. Д., Сб. науч. тр. Гос. н.-и. ин-та цвет. мет., 1955, № 10, 371—377

Новый колориметрич. метод определения Tl основан на образовании окрашенного соединения с метилфлюоретом и на последующем извлечении полученного соединения толуолом. Максимум поглощения лежит в интервале 540—620 мμ. Молярный коэфф. поглощения равен 48 000 при 570 мμ и 64 000 при 620 мμ. Интервал конц-ции Tl, доступный измерению, при  $l = 10$  мм лежит в пределах 0,8—40  $\gamma$  в 10 мл толуола. Описанным методом определяют тысячные и десятитысячные доли процента Tl в навеске 0,2—0,5 г. В. С.

#### 4156. Фотоколориметрическое определение титана в чистом алюминии при помощи сульфосалициловой кислоты. Штэйер, Дункель (Die photometrische Bestimmung des Titans mit Sulfosalicylsäure in Reinaluminium. Steuer E., Dunkel H.), Aluminium (Düsseldorf), 1955, 31, № 5, 205—207 (нем.; резюме англ., франц.)

Для определения Ti в чистом и легированном Al использована р-ция между Ti и сульфосалициловой к-ты в солянокислом р-ре. Для получения устойчивой окраски берут минимально 5 г сульфосалициловой к-ты на навеску 0,4 г. Фотометрирование ведут при 405 мμ. Мешающее влияние  $\text{Fe}^{3+}$  устраняют добавлением тигликолевой к-ты, восстанавливающей  $\text{Fe}^{3+}$  до  $\text{Fe}^{2+}$ . V, Si, Mg, Ca, Zn не мешают. В присутствии  $\leq 0,1\%$  Cu добавляют свинцовую соль диэтилдитиокарбаминовой к-ты и извлекают диэтилдитиокарбамат меди при помощи  $\text{CHCl}_3$  при рН 3,5. Метод дает воспроизводимые результаты; определение продолжается 40 мин.; при навеске 1 г  $\pm 0,005\%$  Ti среднее расхождение составляет  $\pm 3-5\%$ . Н. Д.

#### 4157. Химия тория. II. Объемное определение тория. Датт, Чаудхури (Chemistry of thorium II. Volumetric determination of thorium. Dutt N. K., Choudhury A. K.), Analyt. chim. acta, 1955, 12, № 6, 515—518 (англ.; резюме франц., нем.)

*m*-Нитробензоат тория  $[\text{Th}(\text{C}_6\text{H}_4\text{NO}_2)_4]$  осаждают по методу описанному ранее (Neish A. C., J. Amer. Chem. Soc., 1904, 26, 780). Осадок промывают спиртом до удаления следов к-ты, фильтр с осадком переносят в колбу и обрабатывают 25 мл 40%-ной  $\text{H}_2\text{SO}_4$  и 25 мл воды. К р-ру добавляют р-р  $\text{TiCl}_3$  и избыток его оттитровывают р-ром железо-аммониевых квасцов (при установлении титра р-ра  $\text{TiCl}_3$  в колбу помещают бумажный фильтр, смоченный спиртом). Титрованием определяют кол-во  $\text{NO}_2$ -групп, по которому рассчитывают кол-во Th. Сообщение I см. J. Indian Chem. Soc. 1951, 28, 86—88. Е. Т.

#### 4158. Быстрое объемное определение тория при помощи фторида по индикатору SPADNS. Банерджи и (Rapid titrimetric determination of thorium with fluoride using SPADNS. Banerjee G. Gururadha), Z. analyt. Chem., 1955, 146, № 6, 417—422 (англ.)

Окраска устойчивого в кислой среде комплекса Th с 2-(*n*-сульфофенилазо)-1,8-диоксинафталин-3,6-дисульфоновой к-той (SPADNS) (I) при титровании

р-ром  $F^-$  резко изменяется в конечной точке из синефиолетовой в багряно-красную. I готовят следующим образом: 2 г сульфаниловой к-ты растворяют в 20 мл воды, содержащей 0,6 г безводн.  $Na_2CO_3$ . К этому р-ру прибавляют р-р 0,7 г  $NaNO_2$  в 5 мл воды. Смесь охлаждают во льду и приливают 30 мл 12 н.  $HCl$  при перемешивании. Затем к смеси прибавляют 4,6 г  $Na$ -соли хромотроповой к-ты, растворенной в 80 мл воды, и по окончании р-ции сочетания — 140 г  $CH_3COONa \cdot 3H_2O$ . Через 1 час. отделяют  $Na$ -соль красителя и сушат ее при отсасывании. Краситель растворяют в 60 мл горячей воды, р-р фильтруют и при кипячении добавляют 100 мл горячего спирта. Охлаждают, фильтруют, осадок промывают небольшим кол-вом спирта и сушат при  $110^\circ$ . Выход  $Na$ -соли I составляет 9 г. К аликвотной порции анализируемого р-ра ( $<100$  мг  $Th$ ) добавляют 10 мл ацетатного буферного р-ра pH 3,09 (100 мл 1 н.  $CH_3COONa$  и 97 мл 1 н.  $HCl$  разбавляют до 500 мл), 2 мл 0,02%-ного водн. р-ра индикатора, разбавляют до 50 мл и титруют 0,1385 M  $NaF$  по свидетелю (к 10 мл ацетатного буферного р-ра и 2 мл 0,02%-ного р-ра индикатора добавляют воду до объема, равного общему объему титруемого р-ра). Приведена калибровочная кривая титрования проб, содержащих от 5 до 88 мг  $Th$  в 50 мл.  $Zr$ ,  $Hf$  и другие элементы, образующие нестворимые фториды, а также  $PO_4^{3-}$ ,  $MoO_4^{2-}$ ,  $C_2O_4^{2-}$  мешают;  $Cl^-$ ,  $NO_3^-$  и  $NH_4^+$  не мешают. Б. Б.

4159. Спектрофотометрическое определение тория при помощи тринатриевой соли 2-(2-окси-3,6-дисульфо-1-нафтилазо)-фениларсиновой кислоты и некоторые свойства полученных комплексов. Берд (Spectrophotometric determination of thorium with the trisodium salt of 2-(2-hydroxy-3,6-disulfo-1-naphthylazo)-benzenearsonic acid and some properties of complexes involved. Byrd Carol Hunter, Abstr. doctoral thesis Chem., Iowa State Coll., 1953—1954; Iowa State Coll. J. Sci., 1955, 29, № 3, 389—390 (англ.))

Изменение спектра поглощения тринатриевой соли 2-(2-окси-3,6-дисульфо-1-нафтилазо)-фениларсиновой к-ты (I) с pH р-ра показывает, что по мере отщепления водорода группой  $AsO(OH)_2$  равновесие смещается в сторону образования гидразоновой формы красителя. При низких значениях pH р-ры I устойчивы, но они изменяются с течением времени в нейтр. и щел. средах. Исправленные значения  $pK$  диссоциации водородов арсиновой к-ты соответственно равны 3,36 и 7,92. В присутствии избытка I наибольшее различие светопоглощения I и  $Th$ -комплекса при 540 мμ имеет место при pH ~ 1. При низких значениях pH светопоглощение р-ра не изменяется с течением времени. Методом непрерывных изменений установлено, что в р-ре преобладает комплекс с отношением I:Th = 3:2. Возможно образование и других комплексов. Предположено, что все образующиеся комплексы являются анионными. Выделенный осадок (высушенный при  $105^\circ$ ), по данным анализа, содержит 2 молекулы кристаллизационной воды и представляет собой комплекс с отношением I:Th = 1:1. Установлены оптимальные условия спектрофотометрич. определения  $Th$  и разработаны методы определения 20—2000 γ  $ThO_2$ . Определению мешают  $Fe^{3+}$ ,  $Bi^{3+}$ ,  $U(4+)$ ,  $U(6+)$ ,  $Ti(4+)$ ,  $Cr(3+)$ , катионы редкоземельных элементов,  $PO_4^{3-}$  и  $SO_4^{2-}$ . Для быстрого определения  $Th$  в монаците последний сплавляют с кислым фторидом калия и отделяют фториды  $Th$  и редких земель центрифугированием, осадок растворяют в подкисленном  $HNO_3$  насыщ. р-ре  $Al(NO_3)_3$ , экстрагируют  $Th$  окисью мезитила и реэкстрагируют водой и спектрофотометрически определяют  $Th$  в форме комплекса с I. Н. П.

4160. Фотоколориметрическое определение германия с фенилфлуороном в пылях свинцового и цинкового производства. Гинзбург Л. Б., Гурьев С. Д., Шибаренкова А. П., Сб. науч. тр. Гос. н.-и. ин-та цвет. мет., 1955, № 10, 378—386

Исследована р-ция  $Ge$  с фенилфлуороном. Р-ры фенилфлуороната  $Ge$  поглощают свет преимущественно в участке спектра с длиной волны до 500 мμ. Молярный коэфф. поглощения равен 77 000 при 490 мμ и 30 500 при 530 мμ. Интервал конц-ии  $Ge$ , доступный измерению при  $l = 1$  см и 530 мμ, лежит в пределах 1—50 γ в объеме 25 мл. Разработан фотоколориметрич. метод определения  $Ge$  при помощи фенилфлуорона применительно к продуктам, содержащим значительные кол-ва тяжелых металлов. Высокая чувствительность р-ции позволяет исходить из навески 0,1—0,2 г при содержании  $Ge > 0,005\%$  и из навески 0,5—1,0 г при содержании  $Ge < 0,005\%$ , что значительно упрощает анализ. Продолжительность определения составляет 3—4 часа. В. С.

4161. Фотометрическое определение германия после его отделения методом хроматографии на бумаге. Ладенбауэр, Слама (Photometrische Bestimmung des Germaniums nach papierchromatographischer Abtrennung. Ladenbauer Inge-Maria, Slama O.), Mikrochim. acta, 1955, № 4, 903—910 (нем.; резюме англ., франц.)

Количественное определение  $Ge$  в минералах основано на его отделении методом хроматографии на бумаге и последующем колориметрировании комплекса  $Ge$  с фенилфлуороном (I). В качестве подвижных р-рителей испытаны смеси  $n$ -бутанол (II)-10%-ная  $HNO_3$  (III) и II-10%-ная  $HBr$ . При использовании последней смеси получены заниженные результаты вследствие улетучивания  $GeBr_4$  во время высушивания хроматограммы. Поэтому при хроматографич. отделении  $Ge$  от других элементов, присутствующих в цинковой обманке (IV), подвижным р-рителем служит смесь II-III. Для определения  $Ge$  0,1 г IV, содержащей 0,03—0,05%  $Ge$ , сплавляют с 10—20-кратным кол-вом  $Na_2O_2$ , выплавляют плав водой, осторожно нейтрализуют охлажденным льдом р-р серной к-той и подкисляют его  $H_2SO_4$  до 6 н. конц-ии. Через подкисленный р-р пропускают на холоду в течение 45 мин. ток  $H_2S$  и оставляют на ночь под колоколом рядом с чашечкой, наполненной сероводородной водой. Осадок отфильтровывают через фильтровальную трубочку, промывают его 6 н.  $H_2SO_4$ , насыщенным  $H_2S$ , и растворяют  $GeS_2$  в виде сульфосоли осторожным кипячением с аммиаком (V). После стояния в течение ночи р-р пересасывают в Рт-игель, выпаривают досуха, растворяют остаток в конц. III и снова выпаривают, удаляя остаток III осторожным нагреванием на открытом пламени. Остаток растворяют в V, р-р кипятят, упаривают до небольшого объема и наносят микропипеткой пробу на фильтровальную бумагу Шлейхер-Шюльц № 2043 б. Пробу и стандартный р-р наносят на полоску шириной соответственно 12 и 4 см, высушивают капля, хроматографируют 20 час. и через час проявляют хроматограмму сравнения р-ром I. Затем вырезают из хроматограммы анализируемой пробы участок соответствующей длины, элюируют  $Ge$  водой и в аликвотной части элюата колориметрируют  $Ge$  с I, следуя ранее опубликованной прописи (Cluley H. J., Analyst, 1951, 76, 523). Средняя ошибка определения ~ 38 γ  $Ge$  в IV, содержащей 0,034%  $Ge$ , составляет 9,41%.  $Bi$  и  $Ti$  при хроматографировании не отделяются от  $Ge$  и, кроме того, мешают его колориметрич. определению. Не мешают:  $Hg^{2+}$ ,  $Pb^{2+}$ ,  $Cu^{2+}$ ,  $Cd^{2+}$ ,  $Ag^+$ ,  $Co^{2+}$ ,  $Ni^{2+}$ ,  $Fe^{3+}$ ,  $Al^{3+}$ ,  $Cr^{3+}$ ,  $Zn^{2+}$ ,  $Mn^{2+}$ ,  $As(3+)$ ,  $Sb(3+)$ ,  $Sn(4+)$ ,  $As(5+)$  и  $Sb(5+)$ . Н. П.



**4162. Весовое определение свинца двузамещенными дитиокарбаматами.** Бреманис, Шайбле, Бергнер (Die gravimetrische Bestimmung von Blei mit disubstituierten Dithiocarbaminaten. Bremenis E., Schaible L., Bergner K. G. L. analyt. Chem., 1955, 145, № 1, 18—23 (нем.))

Двузамещенные дитиокарбаматы в присутствии пива щел. металла количественно осаждают лишь  $Pb^{2+}$  и  $Tl^{+}$ . Соединения  $Pb + Pb[SC(S)NR_2]_2$  являются новой удобной весовой формой для определения Pb. Для определения 2—300 мг Pb при помощи пиперидин-N-дитиокарбамата натрия  $[(CH_2)_5 = N - C(S)SNa]$  в присутствии As, Sb, Sn, Cu, Fe, Zn, Co, Ni к р-ру соли  $Pb^{2+}$  или сплава Pb на каждые 0,1 г металла или сплава добавляют 1 г винной к-ты, нейтрализуют по фенолфталеину 33%-ным NaOH и на каждые 100 мл р-ра добавляют 10 мл р-ра щелочи. Затем вводят р-р 1—2 г KCN в небольшом кол-ве воды и при помешивании приливают на каждые 0,1 г Pb ~ 10 мл свежеприготовленного 10%-ного водн. р-ра осадителя. Через 10 мин. фильтруют через фарфоровый фильтрующий тигель A2, осадок промывают 8—10 порциями 1%-ного водн. р-ра осадителя и 3 порциями воды. Осадок сушат 1 час при 110—130°. Фактор пересчета на Pb 0,3926. Метод позволяет проводить определение быстрее, чем классич. сульфатный. Погрешность определения — обычная при весовом анализе.  $CH_3COO^-$ ,  $NO_3^-$ ,  $SO_4^{2-}$ ,  $Cl^-$  не мешают; Ti, Cd, Ag, Bi, Hg, Mg мешают. При одновременном присутствии Cd и Ag осадок, полученный по вышеприведенному методу, отфильтровывают и промывают 10 порциями 1%-ного водн. р-ра осадителя, фильтр с осадком кипятят с 30%-ной  $HNO_3$  до удаления окислов азота. Р-р фильтруют, бумажную массу промывают водой и Pb снова осаждают. При осаждении Pb в присутствии Bi применяют 10%-ный р-р осадителя в 1 г. NaOH. В остальном определение ведут, как в случае с Cd и Ag. В. Л.

**4163. Непосредственное фотометрическое определение ванадия, хроматографированного на бумаге.** Лакур (La photométrie directe sur papier du vanadium chromatographié. Lacourt A.), Mikrochim. acta, 1955, № 4, 824—838 (франц.; резюме нем., англ.)

Метод определения V(5+) основан на фотометрировании черного комплекса, образуемого 8-оксихинолином с ванадатом. Предварительно измеряют светопоглощение бумаги ватман № 4, кондиционированной над  $P_2O_5$  в течение нескольких дней. Определенный объем анализируемого солянокислого р-ра наносят на полосу такой бумаги (12,5×1 см) и высушивают под ИК-лампой 10 мин. при 38—40°. Поскольку V(5+) восстанавливается бумагой при комнатной т-ре в присутствии  $Cl^-$ , пятно дважды выдерживают (по 20 сек.) перед проявлением над бромной водой. Перед второй обработкой пятно выдерживают над конц.  $NH_4OH$  и после испарения  $NH_3$  и  $BH_3$  проявляют уксуснокислым р-ром 8-оксихинолина. Пятно высушивают под ИК-лампой 30 мин. при 40° и немедленно фотометрируют. Интенсивность окраски пятна хроматографированного V почти не изменяется во времени. Интенсивность окраски пятна хроматографированного V снижается в отсутствие Cr на 17—18% по прошествии 2 суток. В присутствии Cr интенсивность окраски пятна за 1 сутки снижается на 51%. На результаты измерения влияет объем взятой для анализа пробы, вследствие чего для анализа и построения калибровочной кривой употребляют пробы одинакового объема. Для получения воспроизводимых результатов следует наносить круглые пятна; их форма сохраняется и после хроматографирования. В присутствии примесей, мешающих проявлению хроматограммы, пользуются

стандартными р-рами. Средняя квадратичная погрешность 12 определений 3 γV(5+) после хроматографирования в отсутствие мешающих элементов составляет ± 2,76%. Большие кол-ва Ni, Ti и Cr мешают проявлению и измерениям, вследствие чего описанный метод не может быть использован для определения V в легированных сталях. Н. Н.

**4164. Пересмотр полярографических методов определения катионов.** Агуаш да Сильва (Revisão de métodos polarográficos de dosagem de cationes. Aguiar da Silva Maria Teresa), Tecnica, 1955, 29, № 249, 287—294 (порт.)

Установлены оптимальные условия для полярографич. определения Ti, Nb и Ta. Ti определяют при pH 0,4—0,6, фон 0,1 M  $K_2C_2O_4$  + 0,005% желатин + 0,6 M  $H_2SO_4$ . Присутствие Fe, Al, Nb и Ta не препятствует определению. Nb и Ta определяют при pH 5,6—5,8, фон 0,1 M  $K_2C_2O_4$  + желатина 0,1%. Еи, Nb и Ta практически совпадают (—1,75 в), почему их раздельное определение при совместном присутствии невозможно. Ti не мешает определению Nb и Ta. Б. А.

**4165. Новый вариант колориметрического определения висмута в свинцовых концентратах.** Красильникова Л. Н., Сб. науч. тр. Гос. н.-и. ин-та цвет. мет., 1955, № 10, 363—370

Разработан новый вариант колориметрич. метода определения Bi тиомочевой. Bi отделяют от мешающих элементов (Fe и Sb) тиосульфатом натрия. Метод рекомендован для определения тысячных долей процента Bi в свинцовых концентратах. Метод обеспечивает удовлетворит. точность и воспроизводимость результатов. Продолжительность определения 6—7 часов. В. С.

**4166. К аналитической химии висмута. Качественная реакция и новый весовой метод определения висмута.** Поп (Contribuții la chimia analitică a bismutului. O reacție calitativă și o nouă metodă gravimetrică pentru determinarea bismutului. Pop Augustin), Studii și cercetări chim., 1954, 2, № 3—4, 245—251 (рум.; резюме русс., франц.)

Метод качеств. и колич. определения Bi основан на его осаждении в виде  $[Co(NH_3)_6][BiCl_6]$  из солянокислого р-ра, могущего содержать и другие к-ты. В присутствии щел. и щел.-зем. металлов, Cu, Al, Co, Ni, Cr, Fe, Mn, Hg и Zn пересаживания не требуется; продолжительность определения 1 ч. 30 м. В присутствии Cd, Sb и Sn необходимо пересаживание; продолжительность определения в этом случае составляет 2½—3 часа. В. С.

**4167. Решение химикоаналитической задачи.** Блох (De oplossing van een chemisch-analytisch raadsel. Bloch L.), Chem. weekbl., 1955, 51, № 30, 548 (голл.; резюме англ.)

Следы витрозилсерной к-ты  $HO-SO_2-ONO$  в концентрированной  $H_2SO_4$ , применяемой для растворения сурьмяных сплавов, мешают титрованию Sb(3+) броматом. Чтобы избежать этого затруднения, к р-ру образца сплава прибавляют воду. В. С.

**4168. Колориметрическое определение хрома в бронзе по реакции с триловом.** Горюшина В. Г., Гайлис Е. Л., Завод. лаборатория, 1955, 21, № 6, 642—644

Навеску бронзы (0,4—1,3% Cr) 0,5 г растворяют при нагревании в 25 мл смеси к-т (60 мл  $HNO_3$  1 : 1 и 40 мл  $H_2SO_4$  1 : 1); нагревание ведут до выделения паров  $SO_3$ . После охлаждения р-р разбавляют до 70—75 мл, нагревают до 60—70° и выделяют Cu электролизом при 2,0—2,5 а. По окончании электролиза р-р разбавляют до 100 мл. К аликвотной части р-ра 20 мл прибавляют 2 мл 5%-ного р-ра трилового Б (комплексона III), 4—5 капель р-ра фенолфталеина и добавляют разб.  $NH_4OH$  (1 : 1) до перехода окраски р-ра в блед-

морозовую, после чего добавляют 5 мл 2 н.  $\text{CH}_3\text{COOH}$ . Р-р кипятят 5 мин., охлаждают и разбавляют до 50 мл и колориметрируют с зеленым светофильтром в 5-см кювете электрофотоколориметра ФЭК-М. Стандартные р-ры содержат 0,1—2,0 мг Cr в 50 мл р-ра (с интервалом в 0,2 мг). Наиболее интенсивная окраска наблюдается при pH 3—5. Окраска устойчива более трех недель. Закон Бера выполняется в интервале 5—80  $\mu\text{мг}$  Cr. Избыток трилона Б не влияет на оптич. плотность. По точности разработанный метод не уступает обычному объемному методу.

А. И. 4169. **Определение алюминия и молибдена в алюминий-молибденовых сплавах.** Ферден (Bestemmelse av aluminium og molybden i aluminium-molybden legeringer. Foerden Arne), Tidsskr. kjemi, bergves. og metallurgi, 1955, 15, № 3, 44—45 (норв.) К навеске 0,2—0,5 г измельченного сплава прибавляют 10—20 мл конц. HCl и нагревают до кипения. После прекращения выделения  $\text{H}_2$  для сплавов, содержащих  $\leq 50\%$  Mo, прибавляют 30%-ный р-р  $\text{H}_2\text{O}_2$ ; сплавы, содержащие  $\geq 50\%$  Mo, обрабатывают конц.  $\text{HNO}_3$  (большой избыток  $\text{HNO}_3$  вызывает образование  $\text{Al}_2\text{O}_3$ , затрудняющее растворение металлич. зерен; при продолжительном нагревании р-ра или без последующего разбавления выпадает окисл. молибдена).  $\text{HNO}_3$  удаляют выпариванием с  $\text{H}_2\text{SO}_4$ . Р-р разбавляют и Mo осаждают при помощи  $\text{H}_2\text{S}$  по ранее описанному методу (Biltz H., Biltz W., Ausführung quantitativer Analysen. Leipzig, 1942, 8. 72). Осадок отфильтровывают,  $\text{H}_2\text{S}$  удаляют кипячением и фильтр выпаривают до соответствующего объема. Al определяют в уксуснокислом р-ре в виде оксихинолината по методу Берга, высушивая осадок при  $135 \pm 5^\circ$  в течение 3 час. Сульфид Mo растворяют в  $\text{HNO}_3$ , свободной от  $\text{Cl}^-$ , и Mo осаждают в горячем р-ре  $\text{AgNO}_3$ ; осадок промывают 0,5%-ным р-ром  $\text{AgNO}_3$ , а затем 5—10 мл 96%-ного  $\text{C}_2\text{H}_5\text{OH}$ . Погрешность определения Al и Mo составляет 0,1—0,2%. Коэфф. пересчета оксихинолината алюминия на Al 0,0587, а для пересчета молибдата серебра на Mo 0,2560.

Е. Я. 4170. **Определение молибдена в рудах и бедных продуктах обогащения.** Геркен Е. Б., Полякова В. В., Сб. науч. тр. Гос. н.-и. ин-та цвет. мет., 1955, № 10, 410—415  
Описан спектральный метод определения Mo по линии 3132,59 Å. Спектр возбуждают в дуге переменного тока. В качестве внутреннего стандарта взят W в качестве буферного в-ва применен  $\text{Sr}(\text{NO}_3)_2$  или  $\text{Na}_2\text{CO}_3$ . Пробу вводят в дугу на медной движущей пластинке.

В. С. 4171. **Спектральный анализ жаропрочных чугунов на вольфрам и титан.** Грикит И. А., Завод. лаборатория, 1954, 20, № 1, 77—78

Анализ производился на спектрографе ИСП-22 в пределах конц-ий W 0,3—1,1% и Ti 0,1—0,3%. При определении W применена дуга переменного тока; время обжига 10 сек., экспозиции 40 сек.; сила тока 4 а, дуговой промежуток 2 мм; верхний электрод — уголь, заточенный на конус. Аналитич. линии: W 2405,256 и Fe 2389,971 Å. ошибка одного измерения 2,6%. При определении Ti применен искровой разряд от генератора ИГ-2 по схеме Райского; емкость конденсатора 0,01  $\mu\text{ф}$ , самовозбуждения выключена; время обжигания 30 сек., экспозиции 30 сек.; сила тока 1,6 а, искровой промежуток 2 мм. Спектры фотографировались на диапозитивных пластинках чувствительностью 0,25. Аналитич. линии: Ti 3361,213 — Fe 3465,863 или Ti 3349,406 — Fe 3465,863 Å. Средняя квадратичная ошибка 4,8 и 6,8%. Анализ проводился по методу фотометрич. интерполирования.

Н. С. 4172. **Новый метод открытия уранил-иона, основанный на его окислительно-восстановительных свой-**

ствах. Лусена-Конде, Прат (A new test for uranyl ions based on its redox properties. Lucena-Conde F., Prati L.), Mikroschim. acta, 1955, № 4, 799—802 (англ.; резюме нем., франц.)

Ион  $\text{UO}_2^{2+}$  восстанавливают до  $\text{U}(4+)$ , который окисляют р-ром  $\text{FeCl}_3$  (I) и образовавшиеся  $\text{Fe}^{2+}$  обнаруживают 1,10-фенантролином (II). К 1 мл слабнокислого анализируемого р-ра добавляют немного порошка Al или 0,5 мл амальгамы Zn и перемешивают. Затем помещают несколько капель р-ра на капельную пластинку, добавляют каплю 1%-ного I, каплю 5%-ного  $\text{NH}_4\text{F}$  (для маскировки  $\text{Fe}^{3+}$ ), каплю насыщ.  $\text{CH}_3\text{COONa}$  и каплю насыщ. р-ра II. Появление красной окраски указывает на присутствие иона  $\text{UO}_2^{2+}$ . Р-ция довольно чувствительна (pD 4,7). При отношении 100:1 Ag, Tl, Cd, Sb, As, Bi, Ni, Mn, Al, La, Ce, Er, Th, Zr, Zn, Pb, Hg, шел. и шел.-зем. металлы не мешают.  $\text{Cu}^{2+}$  и  $\text{Co}^{2+}$  при отношении 10:1 уменьшают чувствительность до pD 3.  $\text{Fe}^{3+}$ ,  $\text{Fe}^{2+}$ ,  $\text{Cr}^{3+}$ ,  $\text{Sn}^{2+}$ ,  $\text{MoO}_4^{2-}$ ,  $\text{VO}_3^-$ ,  $\text{WO}_4^{2-}$  и  $\text{Ti}(4+)$  мешают. Для повышения специфичности р-ции,  $\text{U}(4+)$ , образовавшийся при восстановлении амальгамой Zn, соосаждают с Th(4+) в виде фторида. Осадок  $\text{ThF}_4(\text{UF}_4)$  центрифугируют, промывают водой с добавкой  $\text{NH}_4\text{F}$  и приливают 2 капли 1%-ного I, 2 капли 5%-ного  $\text{NH}_4\text{F}$ , 2 капли насыщ.  $\text{CH}_3\text{COONa}$  и 1 каплю насыщ. р-ра II. pD в этих условиях также равен 4,7. Однако в присутствии ионов  $\text{MoO}_4^{2-}$ ,  $\text{VO}_3^-$ ,  $\text{Ti}(4+)$ ,  $\text{WO}_4^{2-}$  в отношении 10:1, pD снижается до 3,0. Остальные вышеперечисленные ионы (в том числе  $\text{Fe}^{2+}$ ,  $\text{Fe}^{3+}$ ,  $\text{Cr}^{3+}$ ) не мешают.

Н. П. 4173. **Амперометрическое определение марганца и молибдена в ферромарганце и ферромolibдене.** Дегтерев Н. М., Завод. лаборатория, 1955, 21, № 8, 917

Определение Mo. 2,5 г ферромolibдена растворяют в 20—25 мл  $\text{HNO}_3$  (1:1), к р-ру прибавляют 40 мл HCl (1:1) и упаривают до начала обильного выпадения солей; после охлаждения приливают 10—15 мл HCl (1:1), 150—200 мл воды и р-р фильтруют через вату в мерную колбу емк. 500 мл. Избыток к-ты осторожно нейтрализуют в мерной колбе 30%-ным р-ром NaOH до образования  $\text{Fe}(\text{OH})_3$ , затем приливают 100 мл того же р-ра щелочи, охлаждают и доводят объем до метки водой. После отстаивания выпавшего  $\text{Fe}(\text{OH})_3$  (10—15 мин.) 50—60 мл полученного р-ра молибдата натрия фильтруют через вату, отбирают пипеткой 20 мл, приливают 10—15 мл HCl (1:1), добавляют 4—5 г  $\text{NH}_4\text{Cl}$  и доливают воду до 70—80 мл. Р-р титруют 0,05 н.  $\text{K}_4\text{Fe}(\text{CN})_6$  при потенциале 0,8 в. Определение Mn. 1 г ферромарганца растворяют при нагревании в 30 мл HCl (1:1), прибавляют несколько капель конц.  $\text{HNO}_3$  и отфильтровывают р-р через вату в мерную колбу емк. 500 мл. Большую часть к-ты осторожно нейтрализуют 20%-ным р-ром KOH до слабнокислой р-ции, а затем прибавляют  $\text{BaCO}_3$  до полного осаждения  $\text{Fe}(\text{OH})_3$ , доливают р-р водой до метки и после 5—10 мин. отстаивания 50—100 мл р-ра фильтруют через бумажный фильтр. 15 мл фильтрата разбавляют водой до 75 мл и титруют 0,05 н.  $\text{K}_4\text{Fe}(\text{CN})_6$  при 1,6 в. Титр  $\text{K}_4\text{Fe}(\text{CN})_6$  устанавливают по стандартному образцу ферромolibдена или ферромарганца.

В. С. 4174. **Количественное спектральное определение марганца в почвах.** Назарова Л. В., Розенберг А. Я., Уч. зап. Кишиневск. ун-та, 1954, 14, 53—55

Определение Mn в пределах конц-ий 0,042—0,104% производилось по линиям Mn 2949,2 — Ni 2943,9 Å на спектрографе ИСП-22 при помощи дугового разряда

переменного тока. Внутренний стандарт в виде спирт. р-ра соли Ni вводился каплями в предварительно пропитанный коллодием угольный электрод с диаметром отверстия 2 мм, глубиной 6 мм и внешним diam. 3,5 мм. Проба почвы занимала 4/5 объема отверстия, сверху насыпался угольный порошок, масса цементировалась кушфером. Применены диапозитивные пластинки, экспозиция 3 мин., дуговой промежуток 4 мм, сила тока 9 а, щель 0,025 мм, промежуточная диафрагма 3,6 мм. Градуировочный график строился в координатах  $\Delta S - \lg C$ . Кроме Ni, внутренним стандартом может служить фон. Вероятная ошибка анализа  $\pm 5\%$ . Г. К.

**4175. Определение малых количеств никеля. Сообщение I. Эльзслегер** (Bestimmung kleinster Nickelgehalte. I. Mitteilung. Oelschläger W.), Z. analyt. Chem., 1955, 146, № 5, 339—345 (нем.)

При определении Ni(2+) в среде HCl окисляют до Ni(4+) при помощи  $(\text{NH}_4)_2\text{S}_2\text{O}_8$  (I). В присутствии Mn добавляют  $\text{NH}_4\text{OH} \cdot \text{HCl}$  (II). В делительную воронку (ДВ) вносят измеренное кол-во анализируемого р-ра, добавляют 10 мл 20%-ного р-ра цитрата натрия, 2 мл 10%-ного р-ра II, 2 мл 1%-ного спирт. р-ра диметилглиоксима (III), 1—2 капли 0,1%-ного р-ра фенолфталеина, добавляют избыток (3 капли) конц.  $\text{NH}_4\text{OH}$ , разбавляют до  $\sim 60$  мл, добавляют 20 мл  $\text{CHCl}_3$ , перемешивают и сливают органич. слой во вторую ДВ и промывают 2 порциями (по 10 мл) разб.  $\text{NH}_4\text{OH}$  (1 : 50). К органич. слою добавляют 15 мл 0,5 н. HCl, смесь переносят в колбу, ДВ смывают 2 порциями (по 1 мл) воды и добавляют 2 мл 2,5%-ного р-ра III в 1 н. NaOH, 1 мл 10 н. NaOH, 0,3 мл 10%-ного р-ра I. После перемешивания р-р разбавляют до 25 мл и фотометрируют в 5-см кювете при 460 мμ. Для построения калибровочной кривой употребляют стандартный р-р: 0,4050 г  $\text{NiCl}_2 \cdot 6\text{H}_2\text{O}$  растворяют в воде и разбавляют до 1000 мл; 10 мл этого р-ра разбавляют до 1000 мл. 1 мл полученного р-ра содержит 1 γ  $\text{Ni}^{2+}$ . Описанный метод проверен на синтетич. р-ре минеральных составляющих сена. Н. М.

**4176. Полярографическое определение никеля на фоне хлористого кальция. Привалова К. П., Аврутова Х. З., Хлопин Н. Я.,** Завод. лаборатория, 1955, 21, № 6, 670—671

Полярографирование проводят на фоне 30%-ного р-ра  $\text{CaCl}_2$  и устанавливают надичие и конц-ию присутствующих катионов. Затем добавляют р-р KSCN или пиридина и повторно полярографируют на полярографе М-8 Одесского филиала Гирелмет, употребляя зеркальный гальванометр Ленинградского ин-та физ. приборостроения с характеристикой: 1 мм соответствует  $1,423 \cdot 10^{-3}$  мμ; геометрич. характеристика капилляра на фоне 0,1 н. KCl при  $-1,0$  в;  $m^{2/3} \tau^{1/6} = 2,747$  при  $23^\circ$ . Наилучшие результаты при определении Ni получены при добавлении 0,05 мл 1 М KSCN или 0,05 мл 0,5 М пиридина на 1 мл 30%-ного  $\text{CaCl}_2$ . Cd мешает определению Ni при добавлении KSCN, так как волны Cd и Ni сливаются. При добавлении до 2 молей пиридина Cd (волну которого пиридин почти полностью подавляет и тем значительнее, чем выше конц-ия Cd) не мешает. Пиридин снижает высоту волны Ni, но при конц-ии 25—75 γ/мл Ni сохраняется линейная зависимость между конц-ией Ni и высотой полярографич. волны, если полярографируют немедленно после введения пиридина. Задержка приводит к понижению высоты полярографич. волны Ni. При этом  $E_{1/2}$  сдвигается до  $-0,82$  или  $-0,84$  в (насыщ. к. э.). А. С.

**4177. Титрование кобальта феррицианидом с применением этилендиамина. Дил, Батлер** (Ferricyanide titration of cobalt using ethylenediamine.

Diehl Harvey, Butler John P.), Analyt. Chem., 1955, 27, № 5, 777—781 (англ.)

Метод потенциометрич. титрования  $\text{Co}^{2+}$  феррицианидом (I) (Dickens P., Maassen G., Arch. Eisenhüttenwesen, 1935, 9, 487; Tomicek O., Freiburger F., J. Amer. Chem. Soc., 1935, 57, 801) модифицирован путем замены аммиака этилендиаминном (II). Восстановительный потенциал комплекса  $\text{Co}^{2+}$ -II на 0,5 в больше потенциала соответствующего аммиачного комплекса. Титруемый р-р освобождают от  $\text{O}_2$ .  $\text{Fe}^{3+}$  маскируют лимонной (III), винной или сульфосалициловой (IV) к-тами. В присутствии IV из одной навески определяют Co и Mn ( $\text{Co} : \text{Mn} \leq 1 : 40$ ). 4—5-кратный избыток Fe по отношению к Mn допустим. В присутствии III или IV Ni и Cu не мешают. Влияние  $\text{Cr}(6+)$  устраняется восстановлением его до  $\text{Cr}^{3+}$  перекисью водорода. В присутствии хромата, вольфрамата, молибдата и ванадата (по отдельности или попарно) применяют метод обратного титрования. При наличии трехкомпонентной системы кислотность р-ра перед прибавлением III должна соответствовать pH 2—2,5. Влияние Ag устраняют прибавлением II после I. Описанный метод применен к Be-Co-бронзам, содержащим Ag, нержавеющей и Cr-Mo-V-сталим и сталиту. Навески этих материалов, содержащие 5—30 мг Co, растворяют в смеси  $\sim 5$  мл  $\text{HNO}_3$  + 5 мл  $\text{HClO}_4$  (бронза) или 5 мл  $\text{HNO}_3$  + 5 мл HCl (стали) и р-р упаривают до паров  $\text{HClO}_4$ . Р-р разбавляют до 30 мл. В присутствии Ag (бронза) р-р кипятят, пропускают в течение 10 мин.  $\text{N}_2$ , прибавляют по каплям конц. р-р NaOH до помутнения, 5 г лимоннокислого Na, избыток стандартного 0,01 н. р-ра I, 2 г II и титруют стандартным р-ром  $\text{Co}^{2+}$ . В случае нержавеющей стали прибавляют 4 мл 15%-ного  $\text{H}_2\text{O}_2$ , р-р кипятят, прибавляют 3 г IV, пропускают  $\text{N}_2$ , прибавляют 5 мл II и титруют 0,01 н. р-ром I. J. X.

**4178. Титрование кобальта в этилендиаминных растворах. Батлер** (Titrations involving cobalt in ethylenediamine solution. Butler John P. Parkman. Abstr. doct. thes. Chem., Iowa State Coll., 1953—1954), Iowa State Coll. J. Sci., 1955, 29, № 3, 388—389 (англ.)

Метод потенциометрич. определения Co основан на использовании  $\text{K}_3[\text{Fe}(\text{CN})_6]$  (I) в качестве титрующего реактива и этилендиамина (II) для связывания Co. В отличие от соответствующего аммиачката, комплекс Co с II является значительно более сильным восстановителем. Поэтому скачок потенциала в эквивалентной точке более резкий при титровании этилендиаминных р-ров  $\text{Co}^{2+}$ . Титруемый р-р помимо II должен содержать его соль; тогда потенциал быстро достигает постоянного значения. Для определения Co анализируемый образец растворяют в  $\text{HNO}_3$  и HCl, выпаривают р-р с  $\text{HClO}_4$  до появления дыма и удаления  $\text{HNO}_3$ , охлаждают, разбавляют и кипятят остаток несколько минут. Cr восстанавливают  $\text{H}_2\text{O}_2$ , удаляют ее избыток кипячением и к охлажденному р-ру добавляют цитрат (III) или сульфосалицилат (IV). В отсутствие Mn образование осадков гидроокисей в щел. среде предотвращают добавлением III. С Mn III образует комплекс, титруемый I вместе с Co, и потому в присутствии Mn, вводят IV. В этом случае в одном и том же р-ре последовательно титруют Co и Mn, последний до 3-валентного состояния. После добавления III или IV через р-р пропускают  $\text{N}_2$  в течение 15 мин., добавляют к нему II и титруют 0,01 н. р-ром I, используя Pt индикаторный электрод и каломельный электрод сравнения. Метод позволяет определять Co в нержавеющей стали и кобальтовых бронзах, не содержащих Ag. В присутствии Ag добавляют избыток I и оттитровывают его обратно р-ром  $\text{CoSO}_4$ . В легированной стали, содержащей макроколичества Cr, V, Mo, W, Co и немного Mn и P, Co определяют добавлением избытка I и титрованием



р-ром  $\text{CoSO}_4$  в присутствии III. Комплекс  $\text{Co}^{2+}$  с II можно использовать в качестве восстановителя некоторых неорганич. и органич. соединений. Однако, несмотря на низкое значение формального потенциала пары  $\text{Co}^{2+}/\text{Co}^{+}$  в этилендиаминном р-ре (около  $-0,25$  в), комплекс  $\text{Co}^{2+}$  с II не восстанавливает хромат-, молибдат-, ванадат-, станат-, уранат- и арсенат-анионы, а также катионы  $\text{Cu}^{2+}$  и  $\text{Hg}^{2+}$ . Н. П.

4179. Спектрографическое определение малых концентраций кобальта в солях никеля. Чута, Раушер (Spektrografické stanovení malých množství kobaltu v nikelnatých solích. Čižba František, Rauscher Karel), Chem. listy, 1954, 48, № 11, 1616—1622 (чеш.); Сб. чехосл. хим. работ, 1955, 20, № 1, 160—167 (нем.; резюме рус.).

Для определения  $0,007$ — $0,436\%$  Со в солях никеля использованы три пары линий: Со 2580,3 — Ni 2551,0 А; Со 2580,3 — Ni 2557,7 А; Со 2378,6 — Ni 2379,7 А. Погрешность определения от  $\pm 3$  до 6%. Угольные электроды очищают экстракцией тепловой разведенной  $\text{H}_2\text{SO}_4$  (1 : 1) и 20%-ной  $\text{HCl}$ . 1М р-р соли Ni наносят на электроды в кол-ве по  $0,006$  мл (дважды или несколько раз) при помощи платиновой проволоки и высушивают. Определения проводились на спектрографе Хильгера в разряде конденсированной искры при постоянной емкости агрегата  $0,005$  мкф и самовоспалении от 0 до  $0,5$  Мв. Ширина щели спектрографа  $0,025$  мм; расстояние между электродами  $2,85$  мм, время экспозиции 2—4 мин. Чистые нитрат и сульфат никеля изготовлены из гидроокиси Ni, полученной из бромид гексаамминникеля, кристаллизованного из горячего  $\text{NH}_4\text{OH}$  (уд. в.  $0,910$ ). Чистые нитрат и сульфат кобальта изготовлены из гидроокиси, полученной гидролизом хлористого пентаамминкобальта, кристаллизованного из горячей  $\text{HCl}$  (уд. в.  $1,17$ ). При использовании пары Со 2378,6 — Ni 2379,7 А, определение мещает  $0,4\%$  Fe (ошибка до 12%); такое же кол-во Cu и Mn почти не влияет на результаты анализа. Н. Т.

4180. Пробирное определение палладия. Фрейзер, Биммиш (Fire assay for palladium. Fraser J. G., Beamish F. E.), Analyst. Chem., 1954, 26, № 9, 1474—1477 (англ.).

Изучено поведение Pd на различных стадиях пробирного анализа. Произведено извлечение Pd свинцовым корольком при разных флюсах. Установлено, что ни один из флюсов не обеспечивает полного извлечения Pd. Из образцов, содержащих большое кол-во Pd, наиболее пригоден флюс с монокобором. Такие металлы, как Fe, Cu, Ni, вызывают потери Pd. Потери особенно велики в присутствии Ni. В этих случаях рекомендуется пользоваться флюсами, содержащими больше кол-ва Pb. В противоположность другим платиновым металлам потери Pd при купелляции незначительны. В. Ш.

4181. Разделение смесей трития и водорода с помощью насосов Герца. Дани, Мозли, Поттер (Separation of mixtures of tritium and hydrogen using Hertz pumps. Dunn Frank J., Mosley John R., Potter Robert M.), Analyst. Chem., 1955, 27, № 1, 63—64 (англ.).

Описан метод получения 99,9%-ного трития из его смесей с водородом, при более высоких давлениях, чем было описано ранее. Разделение производили с помощью 12 диффузионных насосов (Sherr R. J. Chem. Phys., 1938, 6, 251), соединенных последовательно. Начальный и конечный насос соединены со стеклянными баллонами (емк.  $400$ — $1000$  мл). Для питания системы газ получали из свежеприготовленного тритида урана. Подачу газа из печей с гидридом урана осуществляли автоматически действующими насосами Теплера. Условия опыта: продолжительность 2,5—3 часа, давл. (в середине линии)  $20$ — $25$  мм, электро-

обогрев насоса  $300$  вт, производительность  $25$  мл обогащенного трития. Применяли также непрерывно действующую систему из 16 насосов, в которой стеклянный баллон у конечного насоса заменяли керамич. ответвлением, позволяющим подавать ток газа на анализ или в урановую печь. В керамич. соединениях с помощью насосов Теплера поддерживали остаточное давл. в  $20$ — $25$  м. Анализ производили 2 способами: измерением теплопроводности и масс-спектрометром. Калибровку приборов производили по искусств. смесям при давл.  $\sim 140$  мм. Воспроизводимость результатов  $\pm 0,02\%$ . В статич. системе из 12 насосов можно получить  $50$  мл трития в сутки; в непрерывно действующей системе из 16 насосов получено  $150$  мл в сутки; рабочее давл. ( $8$ — $9$  мм) вдвое меньше, чем в статич. системе. О. П.

4182. Научение методов анализа борной кислоты. I. Визуальное и потенциометрическое титрование борной кислоты. Шарра, Запотоцкий (A study of methods of analysis for boric acid. I. Visual and potentiometric titration of boric acid. Sciarra John J., Zapotosky Joseph A.), J. Amer. Pharmac. Assoc. Scient. Ed., 1955, 44, № 6, 370—372 (англ.).

$\text{H}_3\text{BO}_3$  (I) визуально титровали в присутствии жидких заменителей глицерина (II) [инвертный сахар (III), пропиленгликоль (IV), этиленгликоль (V), жидкая глюкоза, полиоксипропилен сорбитан моноауринат, полиоксипропилен сорбитан моноолеат], смешиваемых с водой, и твердых заменителей [маннит (VI), фруктоза (VII), декстроза (VIII), мальтоза, лактоза, крахмал и декстрин], растворимых в  $1/2$  объема воды, предназначенной для титрования, и смешиваемых с I, растворенной в другой  $1/2$  объема воды. Заменители предварительно нейтрализовали по фенолфталеину. Установлено, что III, IV, VI и VII вполне удовлетворительно заменяют II при визуальном титровании I. VI и IV дают резкую конечную точку. V также удовлетворительно заменяет II, но должен применяться в большом кол-ве. Другие перечисленные в-ва непригодны. При потенциометрич. титровании  $40$  г I растворяют в 1 л воды. К аликвотной части  $50$  мл прибавляют углеводы или производные полиоксипропилен, растворенные в  $50$  мл воды с pH 7 (установленным  $1,075$  н. NaOH) и титруют потенциометрически  $1,075$  н. NaOH в приборе Фишера, снабженном стеклянными и  $\text{Hg}_2\text{Cl}_2$ -электродами, установленным по буферному р-ру с pH 7. Установлено, что I определяют потенциометрически, применяя II, IV, VI, VII, VIII или III. Лучшие результаты получены с III, IV, VI и VII. Этиловый и изопропиловый спирты, полиэтиленгликоль, производные полиоксипропилен, мальтоза и лактоза, а также крахмал и декстрин непригодны. Э. Н.

4183. Количественное определение борафтористоводородной кислоты в присутствии свободной борной кислоты с помощью цетиламинотриметиламмонийхлорида. Шах, Вагнер (Die quantitative Bestimmung von Borfluorwasserstoffsäure neben freier Borsäure mit Hilfe von Cetyl-trimethyl-ammonium-chlorid. Schaack Heinz-Jürgen, Wagner Walter), Z. analyt. Chem., 1955, 146, № 5, 326—338 (нем.).

Осаждают  $\text{HBF}_4$  (I) избытком  $0,1$  н. р-ра цетиламинотриметиламмонийхлорида (II) и определяют непрореагировавший осадитель. Образующийся осадок состава  $\text{C}_{16}\text{H}_{33}\text{NBF}_4$  (III) не может служить весовой формой для определения I: высушивание III при  $105^\circ$  ведет к его спеканию и частичному разложению. Осадок III в 10 раз менее растворим, чем продукт взаимодействия I с нитроном. При осаждении III из сильноокисленных растворов получаются заниженные результаты. Для получения воспроизводимых и достаточно точных результатов, после добавления осадителя к анализируемо-

му р-ру, pH смеси доводят до 7 прибавлением 0,1 н. NaOH. Для получения хорошо фильтрующегося осадка смесь осторожно нагревают до 50—60° до его полного растворения, а затем охлаждают, отфильтровывают выделившийся III и из подкисленного  $H_2SO_4$  фильтра выделяют непрореагировавший II добавлением избытка 0,1 н.  $K_4[Fe(CN)_6]$  (Hintermaier A, Fette und Seifen, 1950, 52, 692). Выделившийся осадок  $(C_{10}H_{12}N)_2H_2[Fe(CN)_6]$  отфильтровывают и в фильтрате определяют непрореагировавший  $K_4[Fe(CN)_6]$  титрованием 0,1 н.  $KMnO_4$ . Из большого числа изученных катионов только  $Hg^{2+}$ ,  $Ce^{4+}$  и  $Sn^{2+}$  при конц-ии 10—25 г/л дают осадки с II. Кроме того, в водн. р-рах дают осадки с II метаванадат, молибдат, вольфрамат, силикат, метафосфат,  $[Fe(CN)_6]^{4-}$ ,  $SCN^-$ ,  $S_2O_8^{2-}$ ,  $ClO_3^-$ ,  $ClO_4^-$ ,  $J^-$ ,  $JO_4^-$ ,  $Cr_2O_7^{2-}$ ,  $MnO_4^-$  и  $[Fe(CN)_6]^{3-}$ . В присутствии анионов  $NO_3^-$  и  $Br^-$  образуются прозрачные студни. Метод пригоден для определения I в гальванич. ваннах. Промежуточные продукты р-ции взаимодействия  $H_2BO_3$  с HF, напр.,  $HBF_4(OH)$ ,  $HBF_2(OH)_2$  или  $HBF(OH)_3$  р-ром II не осаждаются. Н. П.

4184. Определение кремния во фтористых солях спектральным методом. Кошелева М. М., Чернецова В. И., Завод. лаборатория, 1955, 21, № 4, 460—461

Проба (0,1 г) прессуется в таблетки в смеси с 0,9 г порошка  $Si$ . Спектр возбуждается в конденсированной искре от генератора ИГ-2 по сложной схеме при самодуляции 0,01 мкс, емк. 0,01 мкф и одним разряде за полупериод. Искровой промежуток 2,5 мм, вспомогательный 3 мм. Ширина щели спектрографа ИСП-22 0,02 мм, время обжига 40 сек, экспозиции 50 сек. Верхний электрод из угля. Спектры фотографируются на диапозитивных пластинках, градуировочный график вычерчивается в координатах  $\Delta S - \lg C$  по паре линий Si 2516, 123 —  $Cu$  2492, 146 А. Эталоны приготовлены синтетически из предварительно анализированных солей с диапазоном конц-ий  $SiO_2$  6—30%. Г. К.

4185. Количественное выделение и определение двуокиси кремния с применением ионообменной колонки. Браун, Хейс (The quantitative collection and recovery of silica using an ion-exchange column. Brown E. G., Hayes T. J.), Mikrochim. acta, 1954, № 5, 522—531 (англ.; резюме нем., франц.). Смолу амберлит-400 (I), в OH-форме, очищают от  $SiO_2$  (II): к 30 г I прибавляют 2 н.  $H_2SO_4$  до перехода окраски I в желтую, добавляют 100 мл 0,5 н.  $H_2SO_4$  и 0,5 г  $Na_2MoO_4$ , смесь нагревают до 80° и выдерживают при этой т-ре 15 мин., декантируют, промывают I водой, отсасывают в тигле Гуча. Перед анализом I обрабатывают 10%-ным NaOH, промывают и сушат на воздухе. 15 г I вводят в полиэтиленовую трубку (длина 20 см), закрытую снизу резиновой пробкой, пропитанной парафином; узкая полиэтиленовая трубка, S-образной формы, проходит через пробку, верхний конец ее расположен на 2 см выше уровня I; над пробкой расположена тонкая Pt-сетка. Сверху пропускают 40 мл 10%-ного NaOH (3 мл/мин), промывают водой до тех пор, пока на нейтрализацию 100 мл вытекающей жидкости не будет израсходовано 0,2 мл 0,1 н. HCl (по бромтимоловому синеуму). Аликвотную порцию испытуемого р-ра, содержащую 40—200 γ II с pH 8—10, пропускают через колонку (2 мл/мин), промывают колонку 2 порциями воды по 25 мл (5 мл/мин), вводят в колонку 25 мл 2,5 н. NaOH, щел. р-р спускают со скоростью 2 мл/мин в полиэтиленовый стакан емк. 80 мл, покрытый часовым стеклом с отверстием в центре, промывают колонку 50 мл воды, прибавляют в стакан 6,5 мл 10 н.  $H_2SO_4$ , охлаждают и прибавляют жидкость до 100 мл. 6 мл р-ра переводят в пробирку и определяют II по

ранее описанному методу (Milton R. F., J. Appl. Chem., 1951, 1, suppl. issue № 2, 126; Analyst, 1951, 76, 431). При контрольном опыте: 25 мл 2,5 н. NaOH наливают в полиэтиленовый стакан, р-р разбавляют до 70 мл, прибавляют 6,5 мл 10 н.  $H_2SO_4$  и определяют II. Метод применен для анализа р-ра альгината Na и пригоден для анализа р-ров метасиликатов и фторосиликатов. Н. С.

4186. Количественный газовый анализ при помощи масс-спектрометра. III. Разделение окиси углерода и азота. Хаягава (質量分析計による定量ガス分析の研究. 第3報. 一酸化炭素と窒素との分離定量. 早川晃雄), 日本化学雑誌, Нихон кагаку дзасси, J. Chem. Soc. Japan. Pure Chem. Sec., 1953, 74, № 9, 752—754 (япон.). Произведен масс-спектрометрич. анализ смеси CO с  $N_2$  с окислением и без окисления CO до  $CO_2$  при помощи нагретой  $CuO$ . При описанном методе устраняется погрешность, обусловленная перекрытием массовых спектров. Сообщение II см. J. Chem. Soc. Japan. Industr. Chem. Sec., 1951, 54, 311—313.

Chem. Abstrs, 1954, 48, № 6, 3197 K. Yamasaky. 4187. Определение углерода в металлах. Улучшенный кондуктометрический метод. — (Determination of carbon in metals Improved conductimetric method.—), Brit. Steelmaker, 1955, 21, № 1, 30 (англ.). Навеску в-ва 0,5—1 г сжигают в трубке из муллита при 1100—1300°. Газы проходят через гранулированную  $MnO_2$  и поступают в кондуктометрич. ячейку перспекс с р-ром NaOH (45 мл), где для более полного поглощения  $CO_2$  проходит по спирали длиной 140 см. Электропроводность измеряют мостиком Уитстона при 50 гц с вибрационным гальванометром в качестве нуль-инструмента. При сжигании сплавов рекомендуют добавление металлич. Pв и Sn. Метод применен к стандартным сталям и чугунам; результаты совпадали с полученным весовым методом. Н. С.

4188. Заметка об окислении гидразина щелочным феррицианидом. Дешмукх, Бай (A note on the oxidation of hydrazine by alkaline ferricyanide. Deshmukh G. S., Bai Susheela B.), J. Indian Chem. Soc., 1954, 31, № 8, 641—642 (англ.). Изучена возможность колич. окисления гидразина щел. феррицианидом с использованием в качестве первичного стандарта  $As_2O_3$ . К р-ру  $N_2H_4 \cdot H_2SO_4$  добавляли избыток  $K_3[Fe(CN)_6]$ , затем 10 мл 5%-ного NaOH. По окончании р-ции окисления щелочь нейтрализовали 2 н. HCl; р-р подкисляли 2 мл 2 н. HCl и добавляли 10 мл 10%-ного р-ра KJ, р-р 2 г  $ZnSO_4$  в 20 мл воды и боратный буферный р-р. Выделившийся  $J_2$  оттитровывали стандартным р-ром  $As_2O_3$  при pH 4—9. 1 мл 0,1 н.  $As_2O_3$  эквивалентен 0,003249 г  $N_2H_4 \cdot H_2SO_4$ . Преимущество метода состоит в удобстве определения конечной точки. В. П.

4189. Спектральное определение фосфора и углерода в сталях по методу «профиляжа». Бреккот, Ханнский (Détermination spectrale du phosphore et du carbone dans les aciers par la méthode de profilage. Breckpot R., Hainiski Z.), Mikrochim. acta, 1955, № 2—3, 646—656 (франц.; резюме англ., нем.).

Для анализов в далекой УФ-области применен спектрограф с кварцевой призмой Корню (основание 58 мм), с дисперсией 3,8 А на 1 мм в области 2136 А. Входная щель смонтирована на картке, совершающей движение перпендикулярно оптич. оси прибора. В результате движения всего изображения спектра вдоль фокальной плоскости излучение спектральных линий попадает через широкие выходные щели на фотоэлементы. При этом отпадает необходимость в весьма сложной установке щелей для их совмещения с максимумами

линий. Фототоки усиливаются при помощи фотоумножителя и регистрируются. Установка снабжена дугой постоянного тока, низковольтной искрой и конденсированной искрой. Р и С определяют в дуговом разряде постоянного тока по линиям: Р 2136,19 А, С — 2296,86 А. Средняя ошибка определения  $P \pm 0,0038\%$  абс.,  $C \pm 0,021\%$ . Большая дисперсия прибора позволяет делать анализы даже в том случае, когда мешающие линии отстоят от аналитич. на 0,2—0,3 А. Т. Г.

#### 4190. К анализу промышленных триполифосфатов.

Определение ортофосфата в присутствии  $P^{32}$  методом хроматографии на бумаге. Готье (Contribution à l'analyse des tripolyphosphates industriels. Dosage de l'orthophosphate par chromatographie sur papier en présence de  $P^{32}$ . Gauthier P.), Bull. Soc. chim. France, 1955, № 7-8, 981—983 (франц.)

Метод колич. определения ортофосфата (I) в технич. триполифосфатах (II), содержащих 1—2%  $Na_2HPO_4$ , основан на его хроматографич. отделении и последующем колориметрировании молибденовой сини в элюате. Процентное содержание I в элюате от его первоначального кол-ва в анализируемой пробе рассчитывают по результатам измерения активности  $P^{32}$ . Несколько капель анализируемого р-ра II, меченного  $Na_2P^{32}O_4$ , с общим объемом 0,5 мл, наносят на расстоянии 3 см от нижнего края на полосу бумаги ватман № 30 размером  $50 \times 35$  см. После высушивания нижний конец полосы помещают в подвижный р-ритель и хроматографируют смесь I+II 15—16 час. Подвижный р-ритель представляет собой смесь 150 мл диоксана + 50 мл изопропанола + 100 мл воды + 0,5 г  $Na_2BO_3 + NaOH$  (до pH 7,2—7,3). В этих условиях значения  $R_F$  I, II и пирофосфата (III) соответственно равны 0,4; 0,02 и 0,06. После высушивания хроматограммы вырезают продольную полосу, с помощью счетчика определяют распределение активности и находят участок ее наибольшего скопления. Последний вырезают и используют для элюирования (Э) I. К Э приступают после проявления нижней части хроматограммы смесью 5 мл 60%-ной  $HClO_4$  + 10 мл 1 н.  $HCl$  + 1 г молибдата аммония + 85 мл воды. Проявитель выпаривают, помещают хроматограмму в атмосферу  $H_2S$  и наблюдают II+III в виде синего пятна на коричневом фоне. В случае нормального строения хроматограммы, I элюируют из вырезанного участка в 50 мл воды, применяя для Э экстрактор непрерывного действия. Элюат упаривают до 10 мл и добавляют к нему 20 мл реактива, который готовят смешением 25 мл 2,5%-ного р-ра  $Na_2MoO_4 \cdot 2H_2O$  в 10 н.  $H_2SO_4$ , 10 мл 0,15%-ного р-ра сульфата гидразина и 65 мл воды. Пробу разбавляют до 50 мл и выдерживают 10 мин. на кипящей водяной бане. Сравнивают активность и светопоглощение (при 830 мμ) пробы и стандарта. Точность определения I ~ 4%. Н. П.

#### 4191. К анализу моющих средств и средств для очистки.

Х. Поведение поверхностноактивных амфолитов по отношению к фосфатам. Ней (Beitrag zur Analyse der Wasch- und Reinigungsmittel. X: Das Verhalten ampholytiktiver oberflächenwirksamer Synthetika gegenüber Phosphaten. Neu Richard), Fette und Seifen, 1953, 55, № 1, 17—19 (нем.)

Исследована р-ция взаимодействия 10%-ного водн. р-ра лактата  $(C_2H_5NHCH_2CH_2)_2NCH_2CO_2H + RNH_2CH_2CH_2NHCH_2CO_2H \cdot HCl$  (где R — алкил) с метафосфатами (на 1 мл р-ра требуется 20 мг метафосфата) в присутствии  $CH_3COOH$ ,  $Na_4P_2O_7$ ,  $Na_3PO_4$  и  $Na_5P_3O_{10}$  не мешают. Сообщение IX см. Fette und Seifen, 1952, 54, 682. Ч. С.

#### 4192. К анализу моющих средств и средств для очистки. XI. Взаимодействие некоторых алкилированных ди-(аминоэтил)-аминокислот с полифосфатами различной степени конденсации. Ней, Х-а-

гедорн [Beitrag zur Analyse der Wasch- und Reinigungsmittel. XI: Das Verhalten einiger verschieden alkylierter Di-(aminoäthyl)-aminoessigsäuren gegenüber Polyphosphaten verschiedener Kondensationsgrade. Neu R., Hagedorn P.], Fette und Seifen, 1954, 56, № 5, 298—302 (нем; резюме англ., франц., исп.)

Для изучения возможности применения поверхностноактивных алкилированных ди-(аминоэтил)-аминокислот для анализа фосфорных к-т различной степени конденсации исследованы р-ции взаимодействия синтетич. хлоргидрата октил-ди-(аминоэтил)-глицина (I), хлоргидрата ди-октил-ди-(аминоэтил)-глицина (II) и хлоргидрата лаурил-ди-(аминоэтил)-глицина (III) с 1—0,05%-ными р-рами полифосфатов натрия с различным содержанием  $P_2O_5$ : [ $Na_5P_3O_{10} \cdot 6H_2O$ ,  $Na_5P_3O_{10}$  с 57,88%  $P_2O_5$ ,  $Na_6P_4O_{13}$  с 60,40%  $P_2O_5$ ,  $Na_7P_5O_{16}$  с 62,07%  $P_2O_5$ ,  $Na_8P_6O_{22}$  с 64,06%  $P_2O_5$ ,  $Na_{12}P_{10}O_{31}$  с 65,61%  $P_2O_5$ ,  $Na_{22}P_{20}O_{61}$  с 67,55%  $P_2O_5$ ,  $(NaPO_3)_x$  с 69,60%  $P_2O_5$ ]. Р-ции проводили при различном разбавлении (10 мг соли в 1—5—20 мл воды); объем реактива составлял 1 мл, кол-во  $CH_3COOH$  для подкисления 1 мл. Установлено, что I дает помутнение или осадок со всеми перечисленными полифосфатами во всех разведениях с подкислением и без подкисления, за исключением 1%-ного р-ра  $Na_5P_3O_{10} \cdot 6H_2O$ . II осаждает все полифосфаты во всех трех разведениях с подкислением и без подкисления. III без подкисления осаждает все полифосфаты во всех разведениях. В присутствии  $CH_3COOH$  в 1%-ном и 0,2%-ном р-рах не осаждаются  $Na_5P_3O_{10} \cdot 6H_2O$ ,  $Na_6P_4O_{13}$ ,  $Na_7P_5O_{16}$  и  $Na_8P_6O_{22}$ ; в 0,05%-ном р-ре не осаждаются два первых, остальные осаждаются. Во всех условиях с каждым из реактивов степень помутнения и кол-во осадка возрастает с увеличением мол. веса фосфата. Для выяснения возможности обнаружения малых кол-в высокомолекулярных фосфатов в присутствии  $Na_5P_3O_{10}$  к 10 мг последнего в виде 1%-ного р-ра прибавляли по 1 мг каждого из более высокомолекулярных полифосфатов, также в виде 1%-ного р-ра и к полученной смеси прибавляли 1 мл I, II и III с подкислением 1 мл 10%-ной  $CH_3COOH$  и без подкисления. Найдено, что I и II как в присутствии, так и в отсутствие  $CH_3COOH$  дают помутнение или осадок. III вызывает помутнение, степень которого возрастает с увеличением мол. веса фосфата. С помощью III можно обнаружить примесь 5% полифосфата, начиная с  $Na_6P_4O_{13}$ . I и III применимы для обнаружения примеси полифосфатов к пирофосфату —  $Na_4P_2O_7$ . Н. В.

#### 4193. Обнаружение As методом восстановления в щелочной среде. Фукамаути, Обата (アスカリ性還元法による砒素検出の鋭敏度. 深間内久雄, 小幡幸子), 藥學雜誌, Якугаку дзаси, J. Pharmac. Soc. Japan, 1954, 7i, № 8, 881—882 (япон.; резюме англ.)

К одной или нескольким каплям анализируемого р-ра прибавляют 5 капель 30%-ного р-ра NaOH и немного Zn и нагревают. В присутствии As бумажная полоска, смоченная 5%-ным р-ром  $AgNO_3$  и подвешенная над нагреваемой смесью, чернеет. Предельная чувствительность соответствует 0,1 γ As в 0,2 мл р-ра.  $NH_3$  не мешает. Ч. Ч.-д.

#### 4194. Определение кислорода в железе и стали методом вакуумной плавки. Енэдзак (Determination of oxygen in iron and steel by the vacuum fusion method. Yonezaki Shigeru), 東北大學理科報告, Тохоку дайгаку рика хококу, Sci. Repts. Tohoku Univ., 1953, ser. 1, 37, № 1, 89—95 (англ.)

Определение кислорода проводится в высоковакуумной печи, нагреваемой током высокой частоты.



Установка для анализа состоит из высокочастотной индукционной печи (35 кка), системы двух графитовых тиглей, кварцевой трубчатой печи, вакуумного масляного насоса, двух ртутных диффузионных насосов, манометра и аппарата Орса. Для приготовления образцов использовалась изложница из меди. Поверхностная окалина образца удаляется наждаком, и после промывки в бензине образцы взвешиваются и устанавливаются в спец. держатель. Система откачивается до давл.  $10^{-4}$  мм рт. ст. с одновременным нагреванием графитовых тиглей до  $1900^\circ$ . При достижении этого давления устанавливается рабочая т-ра  $1650-1700^\circ$ . Сначала анализируется контрольный стандартный образец, а затем исследуемый. В статье приводятся выводы относительно поведения кислорода в процессе ставления.

Н. В. 4195. Определение озона при высоких разбавлениях электрометрическим и колориметрическим методами.

П р и н г (The estimation of ozone at high dilutions by electrometric and colorimetric methods. P r i n g J. N.), J. Appl. Chem., 1955, 5, № 7, 338—347 (англ.)

Разработан высокочувствительный метод определения  $O_3$  при больших разбавлениях, основанный на измерении окислительного потенциала электрода  $Bg_2 - HBr$ . При продувании воздуха с примесью  $O_3$  через электролитич. ячейку, содержащую  $KBr$ , выделяется  $Bg_2$ . При непрерывном пропускании воздуха с  $O_3$  через ячейку в р-ре устанавливается равновесие между скоростями образования и испарения  $Bg_2$ . Процесс измерения потенциала при достижении равновесия не требует полного поглощения  $O_3$  реагентом и не зависит от объема пропущенного воздуха. На точность метода не оказывают заметного влияния окислы азота или другие окислители при конц-ях, встречающихся в атмосфере. Л. Ч.

4196. Быстрое определение серной кислоты в присутствии уксусной кислоты кондуктометрическим методом нейтрализации. З о м м е р (Die rasche Bestimmung von Schwefelsäure neben Essigsäure mittels konduktometrischer Neutralisationsanalyse. S o m m e r E.), Chem. Technik, 1954, 6, № 2, 83, 101 (нем.)

Смесь  $H_2SO_4$  и  $CH_3COOH$  ( $\sim 0,1$  н.) титруют р-ром  $Ba(OH)_2$  в присутствии фенолфталеина и определяют электропроводность оттитрованного р-ра при 1% без отделения  $BaSO_4$ . Кол-во  $CH_3COOH$  находят либо графически — по кривой, полученной титрованием чистой  $CH_3COOH$  р-ром  $Ba(OH)_2$  при той же т-ре и измерением электропроводности в течение титрования, либо по таблице, составленной по показателям электропроводности, соответствующим различным кол-вам  $(CH_3COO)_2Ba$  (или  $CH_3COON$ ), выраженным в мг-эв. Кол-во  $H_2SO_4$  в смеси к-т определяют по разности. При расчетах учитывают разбавление первоначального р-ра за счет титрования. Максим. погрешность  $\sim 0,5\%$ . Приведены кривая и таблица зависимости электропроводности от конц-ии  $CH_3COOH$ . П. А.

4197. Титрование сульфатов хлористым барием с применением адсорбционного индикатора. Г е й е р (Sulfattitration mit Bariumchlorid und Adsorptions-indicator. G e y e r R.), Z. analyt. Chem., 1955, 146, № 3, 174—181 (нем.)

Объемный метод определения сульфатов (I) основан на образовании золь  $BaSO_4$  в слабых водно-спиртовых, водно-метаноловых или водно-ацетоновых р-рах и на обнаружении конечной точки титрования (КТ) по адсорбционному индикатору — ализаринсульфонату Na (II). При титровании уксуснокислых водно-метаноловых (1 : 1) р-ров I р-ром  $BaCl_2$  в КТ окраска II изменяется от бледножелтой до светлорозовой. Наиболее четко КТ обнаруживается при титровании р-ров с рН 3,0—3,6. Увеличение кислотности неблагоприятно сказывается на результатах титрования. На-

гревание титруемого р-ра выше  $50^\circ$  ведет к завышенным результатам анализа. На точности определения сказывается, кроме того, содержание II в титруемом р-ре и состав р-рителя. На 50 мг  $SO_4^{2-}$  в 50 мл р-ра вводят 0,20 мл 0,1%-ного р-ра I. В качестве р-рителей используют смеси воды с 40—70 об. % метанола, этанола или ацетона. Обычно титруют р-ры I в смесях равных объемов воды и метанола. 2—10 мг  $SO_4^{2-}$  определяют в 10 мл р-ра с добавкой 1 мл 25%-ной  $CH_3COOH$  (III) и 0,1 мл 0,1%-ного II. 10—50 мг  $SO_4^{2-}$  определяют в 50 мл р-ра с добавкой 2 мл 25%-ной III и 0,25 мл 0,1%-ного II. 50—250 мг  $SO_4^{2-}$  определяют в 250 мл р-ра с добавкой 10 мл 25%-ной III и 1 мл 0,1%-ного II. В первом случае титруют 0,05 н., в двух последующих — 0,1 н. р-ром  $BaCl_2$ . Титр  $BaCl_2$  с наибольшей точностью определяют по результатам титрования  $\sim 150$  мг  $NiSO_4$  и  $MnSO_4$  (погрешность 0,2%). Ошибка титрования сульфатов щел. металлов гораздо больше и достигает в случае  $K_2SO_4$  6,6%. Метод наиболее пригоден для титрования чистых солей. Однако и в этом случае для каждой соли в отдельности определяют титр  $BaCl_2$ . Метод пригоден и для обратного титрования  $BaCl_2$  сульфатами щел. металлов и  $NH_4^+$ . Ионы  $Cu^{2+}$ ,  $Fe^{3+}$ ,  $Al^{3+}$  и других трехвалентных элементов, образующих с II окрашенные соединения, мешают титрованию. Нитраты и хлориды щел. металлов не мешают, если их содержание в 200 мл р-ра не превосходит 0,1 г. При больших содержаниях солей нужно повысить четкость перехода окраски в КТ введением 2,5 мл 0,1%-ного р-ра  $Th(NO_3)_4$  на 250 мл титруемого р-ра. Определение I после щел.-окислительного сплавления природных или технич. сульфидов не всегда дает удовлетворительные результаты. Н. П.

4198. Электролитический метод получения аналитических концентратов для определения примесей в меди. Б а б к о А. К., Марченко П. В., Назарчук Т. Н., Завод. лаборатория, 1955, 21, № 6, 662—664

Для получения аналитич. концентратов при анализе меди высокой чистоты применен метод анодного растворения с выделением Cu на Hg-катоде. Разработаны метод определения примесей Bi, Sn и Pb с применением Hg-катада для выделения растворяющейся на аноде Cu. При определении Fe и Ni в меди предложено применять Pt-катод. А. И.

4199. Аналитические методы в металлургии алюминия. У р е х (Analytische Methoden in der Metallurgie des Aluminiums. U r e c h P.), Aluminium Suisse, 1955, 5, № 4, 139—141 (нем., франц.)

Популярное изложение принципов важнейших физ.-хим. методов определения примесей в алюминии и его сплавах. Н. П.

4200. Определение некоторых примесей в свинце и свинцово-оловянных сплавах. Делаею (Étude sur le dosage de quelques impuretés contenues dans le plomb et les alliages plomb-étain. D e l a s s u s G.), Chim. analyt., 1955, 37, № 7, 241—242 (франц.)

Примеси Cu, Cd и Zn в свинце и Pb-Sn-сплавах определяют полярографически после их отделения от Pb и Sn. 0,5—0,8 г анализируемого в-ва обрабатывают 10 мл 10%-ного р-ра  $Bg_2$  в HBr, по окончании р-ции осторожно кипятят и выдерживают 2 мин. при умеренной т-ре. К полученному р-ру добавляют 5 мл конц.  $H_2SO_4$ , кипятят до белых паров, охлаждают, добавляют 25 мл воды и снова доводят до кипения. После охлаждения отфильтровывают осадок  $PbSO_4$ , промывают его подкисленной водой, подделачивают фильтрат р-ром NaOH (уд. в. 1,38) и добавляют 25 мл 50%-ного р-ра  $Na_2S$ . Р-р быстро нагревают, отстаивают.

вают выделившийся осадок сульфидов Cu, Cd и Zn, отфильтровывают его и промывают подшоченной водой. Осадок сульфидов обрабатывают на фильтре малым кол-вом  $\text{HNO}_3$  (уд. в. 1,38), фильтруют р-р, промывают фильтр и из полученного азотнокислого р-ра удаляют кипячением нитрозные пары. Р-р охлаждают, нейтрализуют р-ром NaOH до pH 7, добавляют 25 мл 12 н.  $\text{NH}_4\text{OH}$ , 10 г  $\text{NH}_4\text{Cl}$ , 2 мл насыщ. р-ра  $\text{Na}_2\text{SO}_4$ , 1 мл свежеприготовленного 2%-ного р-ра тилоты и разбавляют до 150 мл.  $\text{E}^{1/2}$  (в в): для Cu — 0,24 и —0,50; Cd — 0,81; Zn — 1,43. 10 мл р-ра полярографируют и определяют содержание примесей сравнением со стандартными р-рами Cu, Cd и Zn. Описанным методом определяют  $\leq 0,001\%$  перечисленных элементов с относительной погрешностью  $\sim 1\%$ . Н. П. 4201.

**Определение следов элементов в магнии и его сплавах спектрографическим путем. Прайс** (The determination of trace elements in magnesium and its alloys by spectrographic procedures. Price W. J.), Spectrochim. acta, 1955, 7, № 2, 118—127 (англ.)

Описаны условия определения большого числа примесей в магнии. Если пробы не содержат редкоземельных элементов и Th, то можно пользоваться спектрографом средней дисперсии; для работы со сложными спектрами необходим автоколлимационный прибор (напр., Е 482 или Е 742). Определяются: Be по линиям Be 3130,4 — Mg 3074,0 от 0,001%, Ca по линиям Ca 3933,7 — Mg 3329,9 от 0,002% и Ba по линиям Ba 4554,0 — Mg 4703,0 от 0,0002%. Спектр возбуждается конденсированной искрой при следующих условиях: напряжение 15 кВ, емкость 0,005 мкФ, индуктивность 0,05 мГн, межэлектродный промежуток 4 мм. Бор по линиям В 2497,7 — Mg 2660,8 или Mg 2776,7 от 0,001%, барий по линиям Ba 4554,0 — Mg 4703,0 от 0,01%; бериллий по линиям Be 3130,4 — Mg 3074,0 от 0,0003% и литий по линиям Li 6707,8 — Mg 5528,5 от 0,002% определяют в конденсированной искре при 8 кВ, 0,005 мкФ, 0,35 мГн, межэлектродный промежуток 2 мм. Бор, барий, бериллий и литий определяются из р-ров методом пористого электрода (Feldman C., Analyt. Chem., 1949, 21, 1041). Для определения малых содержаний бария индуктивность уменьшается до 0,005 мГн. На линию бария 4554,0 накладываются кант циановой полосы 4553,1, поэтому для определения малых содержаний бария искру заключают в стеклянную трубку diam.  $\sim 25$  мм и высотой 60 мм, через которую пропускают ток кислорода; против межэлектродного промежутка трубка имеет открытое окно. В токе кислорода интенсивность циановой полосы сильно уменьшается. Свыше 20 примесей при концентрации от 0,00005 до 0,02% определяются при возбуждении спектра низковольтной искрой. Применяется генератор Британского ин-та цветных металлов (Walsh A., Metal Ind. 1946, 68, 235—245, 263—265, 293—294). Параметры разрядного контура: емкость 200 мкФ, индуктивность 0,50 мГн, сопротивление 7 ом, межэлектродный промежуток 4 мм. Рекомендованы известные аналитич. линии, которые сравниваются с линиями Mg 3074,0; 3329,9; 2736,5 А. Для более редких примесей выбраны следующие аналитич. линии: Ce 3201,7 — Mg 3074,0; La 3949,1 — Mg 4057,6; Zr 3392,0 — Mg 3329,9. Употреблялись парные электроды diam. 6 мм, концы которых стачивались до diam. 4 мм, и массивные образцы с плоской площадью и вторым угольным электродом. В последнем случае образец служил катодом. За немногими исключениями (Ni, Pb, Si, Zn), чувствительность определений выше при парных электродах. При вычислении интенсивностей спектральных линий во всех случаях учитывается фон спектра. Н. С. 4202.

**Анализ медных и свинцовых изделий, найденных среди обломков кораблекрушения возле рифа**

**Гран Конглюе. Вейльз** (Analyse de pièces métalliques en cuivre et en plomb provenant de l'épave romaine, dite du Grand-Congloué. Weill Adrienne R.), Rev. métallurgie, 1954, 51, № 7, 459—466 (франц.)

На основании литературных данных, спектральных и рентгенографич. исследований пластинок и кусков гвоздей, обнаруженных в обломках после кораблекрушения, относящихся к III в. до н. э., обсуждены перспективы определения первоначального состава этих изделий, даты и места их происхождения. Н. С. 4203.

**Ускоренный химический анализ боксита. Илимническая В. Т., Абразны, 1955, № 12, 24—30**

Бокситы разлагают спеканием их в течение 30 мин. при  $1000^\circ\text{C}$  с  $\text{Na}_2\text{CO}_3$  (1 : 1).  $\text{SiO}_2$  выделяют конц. HCl с добавкой 0,1 г мелконарезанной желатины. Продолжительность определения 3—3,5 часа. Погрешность  $\leq 0,2\%$ . Расхождение с классич. методом от  $\pm 0,0\%$  до  $\leq -0,21\%$ . В отсутствие высокотемпературных печей бокситы сплавляют с тройной смесью и выделяют  $\text{SiO}_2$  90%-ной HCl с добавкой 0,25 г желатины. Расхождение с классич. методом от +0,14 до —0,19%.  $\text{Al}_2\text{O}_3$  определяют: 1) по методу Чиркова, основанному на электрометрич. некомпенсационном титровании  $\text{Al}^{3+}$  р-ром NaF в забуференной ( $\text{CH}_3\text{COONa} - \text{HCl}$ ) среде при pH 3,5—4,5 в присутствии избытка NaCl. Продолжительность определения  $\sim 2,5$  часа, погрешность  $\pm 0,45\%$ ; 2) по ускоренному оксихинолиновому методу прямого определения  $\text{Al}_2\text{O}_3$ , основанному на сплавлении боксита в Ag-или Fe-тигле с расплавленным NaOH в течение 10—15 мин. при  $600-650^\circ\text{C}$ . Плав охлаждают, выщелачивают водой; к р-ру прибавляют немного 3%-ной  $\text{H}_2\text{O}_2$ , осадок отфильтровывают, в фильтрате определяют  $\text{Al}_2\text{O}_3$  по методу MT 70-11. Продолжительность определения 3—3,5 часа. Отклонения от метода ГОСТ до 55%.  $\text{Fe}_2\text{O}_3$  определяют иодометрически в аликвотной части фильтрата после определения  $\text{SiO}_2$ : прибавляют р-р  $\text{KMnO}_4$  до розовой окраски, избыток  $\text{KMnO}_4$  разрушают кипячением, р-р нейтрализуют  $\text{Na}_2\text{CO}_3$  или  $\text{NH}_4\text{OH}$ , прибавляют избыток HCl (уд. в. 1,19) в 1 мл и прибавляют 2—3 г KJ. Через 5—10 мин. выделившийся  $\text{I}_2$  титруют р-ром  $\text{Na}_2\text{S}_2\text{O}_4$ . Продолжительность определения 20—30 мин. Отклонения от метода ГОСТ — 0,35%.  $\text{CaO}$  определяют по ГОСТ 992—51 из отдельной навески в фильтрате после 2-кратного выделения  $\text{R}_2\text{O}_3$  объемным оксалатным методом. А. С. 4204.

**Скорый метод определения органических и неорганических восстановителей в растворах от выщелачивания вельюкиса, возгонов и вылей. Солицев Н. И., Милаев С. М., Сб. науч. тр. Гос. н.-и. ин-та цвет. мет., 1955, № 10, 320—324** Метод основан на применении р-ра  $\text{KMnO}_4$  (при кипячении) для определения общего содержания восстановителей в р-ра  $\text{K}_2\text{Cr}_2\text{O}_7$  (на холоду) для определения содержания неорганич. восстановителей. Метод дает удовлетворительную воспроизводимость и точность и требует меньше времени, чем известные методы. В. С. 4205.

**Метод дистилляции для удаления примесей из продажного хлора. Маттьюс, Уоррен** (A distillation method for the separation of impurities in commercial chlorine. Matthews F. W., Warren G. G.), Canad. J. Technol., 1954, 32, № 6, 193—198 (англ.)

Описан прибор для фракционирования отделения примесей из  $\sim 10$  л жидкого  $\text{Cl}_2$ . Дистилляции ведут в 2 ступени: 1) в аппарате с колбой емк. 12 л и 5-тапельчатой колонкой и 2) с колбой емк. 500 мл и колонкой. В остатке получают примеси, кипящие при  $t$ -ре выше  $t$ -ры кипения жидкого  $\text{Cl}_2$ , при атмосферном давлении ( $-34^\circ$ ); примеси анализируют методом ИК-спектрометрии, по дифракции рентгеновских лучей

или масс-спектрометрически. Колонки имеют насадку из стеклянных спиралей ( $\sim 0,3$  см), снабжены рубашками Дьюара и соединены с ректификационными колонками с соленоидным управлением. Дефлегматоры охлаждаются до  $-60^\circ$ . У входного и выходного концов колонок установлены термодатчики. Большая колба, в которую введена стеклянная трубка с нагревательным элементом из нихрома, помещена на пружинящую подставку. Через 4—6 час. после начала дистилляции жидкость переводят через соединительную трубку в меньшую колбу, из которой отгонка  $\text{Cl}_2$  продолжается 4—6 час. при флегмовом числе 1 : 1 до повышения т-ры до  $\sim 20^\circ$ . Остаток во второй колбе делит на 2 фракции: летучие жидкости отгонкой при 20 мм рт. ст., твердые в-ва сублимацией при 1 мм рт. ст., при  $70^\circ$ . Метод применен к 5 продажным образцам. В качестве примесей были обнаружены  $\text{CCl}_4$ ,  $\text{CHCl}_3$ ,  $\text{CH}_2\text{Cl}_2$ ,  $\text{Br}_2$ ,  $\text{C}_2\text{Cl}_6$ ,  $\text{C}_6\text{Cl}_6$ ,  $\text{FeCl}_3$ . Н. С.

**4206. Совместная экстракция и химическое определение легко растворимых в почвах составляющих микроудобрений: бора, железа, кобальта, меди, марганца, молибдена и цинка. Барон (Gemeinsame Extraktion und chemische Bestimmung des leichtlöslichen Anteils der Mikronährstoffe Bor, Eisen, Kobalt, Kupfer, Mangan, Molybdän und Zink im Boden. Baron H.), Landwirtsch. Forsch., 1955, 7, № 2, 82—89 (нем.)**

Легко растворимые в почвах микроудобрения В, Fe, Co, Cu, Mn, Mo и Zn экстрагируют буферным ацетатным р-ром (I) с pH 4,0, 1 н. по  $\text{CH}_3\text{COOH}$  и  $(\text{NH}_4)_2\text{SO}_4$ . Высушенную, измельченную пробу (сито  $< 2$  мм) 50 г встряхивают 2 часа с 250 мл I и фильтруют. В фильтрате (150—220 мл) колориметрически определяют указанные элементы. 0,1—15  $\gamma/\text{мл}$  В определяют с 1,1'-диантримидом (РЖХимБх, 1955, 14176). Для определения 5—100  $\gamma/\text{мл}$  Fe пользуются методом с  $\alpha, \alpha'$ -дипиридилем. Co (0,05—6  $\gamma/\text{мл}$ ) определяют при помощи  $\beta$ -нитрозо- $\alpha$ -нафтола. Cu (0,3—6  $\gamma/\text{мл}$ ) определяют при помощи диэтилдитиокарбамата Na; Mn (10—200  $\gamma/\text{мл}$ ) определяют в форме  $\text{MnO}_4^-$  после удаления иона  $\text{CH}_3\text{COO}^-$ ; Mo (0,03—0,24  $\gamma/\text{мл}$ ) — при помощи KSCN в восстановительной среде; Zn (0,5—10  $\gamma/\text{мл}$ ) — в форме дитизоната. С. Б.

**4207. Применение этилендиаминететрауксусной кислоты при анализе почв. I. Экспериментальная часть. Виро (Use of ethylenediaminetetraacetic acid in soil analysis: I. Experimental. Viro P. J.), Soil Sci., 1955, 79, № 6, 459—465 (англ.)**

Изучена применимость аммонийной соли этилендиаминететрауксусной к-ты (I) для извлечения ряда ионообменно связанных микроэлементов почвы (Cu, Zn, Mo). 0,05 М р-р аммонийной соли I для экстракции готовят добавлением к I  $\text{NH}_4\text{OH}$  до определенного значения pH. К навеске анализируемой подзолистой почвы 15 г добавляют 25 мл р-ра I с pH 7 или 9. Смесь взбалтывают 15 мин., центрифугируют и фильтруют. Эту обработку повторяют еще 2 раза, после чего экстракт выпаривают в Рт-чашке досуха, сжигают на пламени и прокалывают при  $550^\circ$ . Для удаления  $\text{SiO}_2$  остаток выпаривают досуха с  $\text{HCl}$ , дважды выпаривают с конц.  $\text{HCl}$ , растворяют соли в 1 н.  $\text{HCl}$ , разбавляют р-р до 50 мл и в аликвотной части определяют  $\text{Cu}^{2+}$ ,  $\text{Zn}^{2+}$ , Mo (6+),  $\text{Ca}^{2+}$  и  $\text{PO}_4^{3-}$ . Для сравнения такие же образцы почвы обрабатывают вдвое большим, чем в предыдущем случае, объемом 1 М  $\text{CH}_3\text{COONH}_4$  с pH 7. Во всех случаях р-р аммонийной соли I с pH 9 экстрагирует из почвы больше кол-ва микроэлементов, чем р-р с pH 7. Последний является значительно более активным, чем р-р  $\text{CH}_3\text{COONH}_4$  по отношению ко всем перечисленным элементам, кроме Ca. Р-р I с pH 9 выщелачивает 100% введенной в почву Cu, 72% Mo и 100% Zn.

Даже Ca выделяется р-ром I с pH 9 в несколько больших кол-вах, чем р-ром  $\text{CH}_3\text{COONH}_4$  с pH 7. Из образцов почвы, обработанных до насыщения р-ром  $\text{SrCl}_2$  (меченным  $\text{Sr}^{89}$ ) с pH 3,5, промытых и высушенных при  $100^\circ$ , 3 порции 1 М  $\text{CH}_3\text{COONH}_4$  (pH 7) или  $\text{NH}_4\text{Cl}$  (pH 5) по 10 мл извлекают  $\sim 40\%$   $\text{Sr}^{89}$ . В результате аналогичной обработки 0,05 М р-р I с pH 7 извлекает  $\sim 70\%$   $\text{Sr}$  из высушенной при  $100^\circ$  почвы и 100%  $\text{Sr}$  из образцов, не подвергавшихся высушиванию. Большая активность р-ров I объясняется их способностью десорбировать микроэлементы почвы не только за счет ионного обмена, но и благодаря комплексобразованию. Р-ры аммонийной соли I применимы для экстракции ионообменно связанных микрокомпонентов из кислых почв. В то же время метод, повидимому, неприменим для анализа известковых почв, так как I растворяет водонерастворимые карбонаты. Н. П.

**4208. Быстрое определение общей жесткости воды с комплексом Шварценбаха. Ферро-Люцци (Determinazione rapida della durezza totale delle acque con i complessi di Schwarzenbach. Ferro-Luzzi Giovanni), Calore, 1953, 24, № 12, 575—576 (итал.)**

К 100 мл анализируемой воды добавляют индикатор эриохром черный, 1 мл конц.  $\text{NH}_4\text{OH}$  и титруют р-ром комплексона до ясного перехода красной окраски в зеленую. Отклонения от среднего значения в пробах  $\pm 3\%$ . Д. К.

**4209. Применение нонитов и трилона Б в анализе воды. Скавина, Яничек (Zastosowanie wymienników jonowych oraz kompleksonu III do analizy wody. Skawina Tadeusz, Janiczek Stanislaw), Gaz, woda, techn. sanit., 1954, 28, № 10, 298—302 (польск.)**

Изложение принципа и методики определения в воде суммы анионов сильных к-т и суммы всех анионов и катионов с использованием нонитов и конц-ии  $\text{Ca}^{2+}$  и  $\text{Mg}^{2+}$  при помощи трилона Б. О. Л.

**4210. Пикнометрический метод определения влажности. Куриленко О. Д., Яковкина Е. А., Тр. Киевск. технол. ин-та пищ. промсти, 1954, № 14, 106—108**

Для определения влажности производят 2 взвешивания при  $20^\circ$ : пикнометра с внесенной навеской и пикнометра с навеской и водой, доведенной до метки. Расчет производят по ур-нию  $W = 100 [1 - (g_p - g_v) / K g_k]$ , где  $g_p$  — вес суспензии, образованной навеской влаги в-ва и водой, в объеме пикнометра,  $g_v$  — вес воды в объеме пикнометра,  $W$  — относительная влажность в-ва,  $K$  — постоянная для каждого в-ва (выражает гидроstatic. вес 1 г абсолютно сухого в-ва),  $g_k$  — навеска сухого в-ва. Метод пригоден для гидрофильных в-в, не набухающих в воде, с постоянным составом. Он был проверен на картофельном крахмале, силикагеле и дрожжах; для этих в-в  $K$  соответственно равна 0,392; 0,561; 0,348. Результаты удовлетворительно совпадают с результатами, полученными методом высушивания в вакууме. Н. С.

См. также: 3619, 3658, 3691, 3714, 3717—3719

## АНАЛИЗ ОРГАНИЧЕСКИХ ВЕЩЕСТВ

**4211. Микрометод химического определения органически-связанного углерода в растворах, содержащих хлориды. Кай (Mikromethode zur chemischen Bestimmung organisch gebundenen Kohlenstoffs in chlo-ridhaltigen Lösungen. Kay H. A. n. s.), Chem.-Ingr-Techn., 1954, 26, № 3, 156 (нем.)**



Для определения органически-связанного С (20—400 γ) в р-рах, содержащих  $\leq 2\%$   $\text{Cl}^-$ , 5—10 мл р-ра (освобожденного под вакуумом, после подкисления  $\text{H}_2\text{SO}_4$ , от  $\text{CO}_2$ ) сжигают в токе  $\text{O}_2$  с 5—10 мл смеси  $\text{H}_2\text{SO}_4$ ,  $\text{K}_2\text{Cr}_2\text{O}_7$  и  $\text{Ag}_2\text{Cr}_2\text{O}_7$  при  $130^\circ$  (автоматическая регулировка нагрева). Выделившуюся СО окисляют в трубке для сжигания (обогреваемой газовой горелкой) на Pt-контакте до  $\text{CO}_2$ , окислы S и галогенид связывают  $\text{Ag}$ .  $\text{CO}_2$  определяют в поглотительном сосуде с  $\sim 8$  мл 0,05 н.  $\text{Ba}(\text{OH})_2$  обратным титрованием 0,025 н.  $\text{HCl}$  со смешанным индикатором (тимоловый синий-фенолфталеин). Прибор из пенского стекла герметичен в отношении попадания извне  $\text{CO}_2$  и  $\text{H}_2\text{O}$ . Чувствительность определения  $\sim 1\%$ , погрешность 3—6%. Метод применим для определ. С в морской воде. М. Щ.

**4212. Электронагреватель к аппарату Ван-Слайка-Фолча для сжигания угля.** Ханке (Electric heater for Van Slyke-Folch carbon combustion apparatus. Hanks L. V.), *Analyt. Chem.*, 1955, 27, № 1, 166—167 (англ.)

Описан электронагреватель (110 *вт*, 115 *с*), регулируемый при помощи лабораторного автотрансформатора или реостата. Н. С.

**4213. О методе Кьельдаля.** Бит (Laboratory hazards — the Kjeldahl method. Beet A. E.), *J. Roy. Inst. Chem.*, 1955, 79, May, 298—299 (англ.)

При добавлении к 100 мл воды 10—30 мл конц.  $\text{H}_2\text{SO}_4$  и последующем приливании 100 мл 12 н.  $\text{NaOH}$  имеет место значительное повышение т-ры смеси (примерно от  $54$  до  $129^\circ$ ). Такое разогревание может повести к перебросу р-ра, даже если он не подвергается дополнительному нагреванию. При добавлении щелочи к разб. и охлажденному после разбавления кислому р-ру могут иметь место значительные потери  $\text{NH}_3$ , если дистилляционная аппаратура не была собрана. Для обеспечения безопасности работы охлажденный кислый р-р разбавляют 15-кратным объемом холодной воды. Щелочь добавляют после охлаждения и только после этого начинают нагревание. См. также РЖХим, 1955, 55426. Н. П.

**4214. Определение нитратного азота по методу Кьельдаля.** Брадстрит (Determination of nitro nitrogen by the Kjeldahl method. Bradstreet R. B.), *Analyt. Chem.*, 1954, 26, № 1, 235—236 (англ.)

Ранее описанные методы (Lake G. R. и др., *Analyt. Chem.*, 1951, 23, 1634; Ogg C. L., Willits C. C., *J. Assoc. Offic. Agric. Chemists*, 1950, 33, 100—3, 179—188) видоизменены за счет уточнения оптимального кол-ва  $\text{K}_2\text{SO}_4$  и замены салициловой к-ты смесью 1-нафтола с пирогаллолом (1 : 1) (I). К навеске исследуемого в-ва 0,1—0,15 г добавляют 35 мл конц.  $\text{H}_2\text{SO}_4$ , содержащей 1 г смеси I, и выдерживают 0,5 часа (или до полного растворения) на паровой бане. Добавляют 5 г  $\text{Na}_2\text{S}_2\text{O}_3$  и через 0,5 часа осторожно нагревают смесь до обугливания. Охлаждают, добавляют 18 г  $\text{K}_2\text{SO}_4$  и 0,25 г смешанного катализатора ( $\text{FeSO}_4 \cdot 7\text{H}_2\text{O}$  — Se), энергично нагревают до осветления смеси и осторожно кипятят 1 час. Охлаждают, разбавляют водой и определяют N обычным методом. Описанный метод в некоторых случаях дает теоретич. значения для N или очень близкие к ним. Н. П.

**4215. Определение хлора и брома в 5-хлор-7-под-8-оксихинолине.** Пинкстерен, Верлоп (De bepaling van chloor en jood in jodochloro-oxychinolin. Pinxteren J. A. C. van, Verloop M. E.), *Pharmaz. weekbl.*, 1955, 90, № 5, 145—149 (голл.; резюме англ.)

Метод U. S. P. XIV определения Cl и J в 5-хлор-7-под-8-оксихинолине не дает удовлетворительных результатов. Разработан следующий метод. 0,1 г образца растворяют в 20 мл  $\text{H}_2\text{SO}_4$  (1 : 1) в дистилляционной колбе и осторожно прибавляют смесь 40 мл 1 н.  $\text{KMnO}_4$

и 10 мл воды. После умеренного кипячения в течение 30 мин.  $\text{Cl}_2$  полностью отгоняется в приемник и абсорбируется 20 мл щел. р-ра  $\text{SO}_2$  (16 мл 1 н.  $\text{NaOH}$  и 4 мл насыщ. р-ра  $\text{SO}_2$ ). Восстановившийся до иона  $\text{Cl}^-$  хлор титруют обычным методом после удаления избытка  $\text{SO}_2$  азотной к-той и  $\text{H}_2\text{O}_2$ . Оставшийся в дистилляционной колбе р-р содержит весь J в форме иодата и избыток  $\text{KMnO}_4$ . После восстановления  $\text{KMnO}_4$  азотистой к-той и удаления избытка последней мочевиной определяют иодат обычным методом. Препарат должен содержать 38,0—41,5% J и 11,4—12,2% Cl. В. С.

**4216. Об определении алкоксильных групп.** Кирстен, Эрлих-Рогозинская (On the determination of alkoxy groups. Kirsten Wolfgang, Ehlich-Rogozinsky Sara), *Mikrochim. acta*, 1955, № 4, 786—798 (англ.; резюме нем., франц.)

Улучшенный метод определения алкоксильных групп основан на их иодировании р-ром  $\text{HI}$  в большом избытке органич. р-рителя. Отгонне образовавшегося иодистого алкила, окисления связанного иода бромом до  $\text{JO}_3$ , выделении иода из последнего действием  $\text{KJ}$  и оттитровывании выделившегося  $\text{J}_2$  р-ром  $\text{Na}_2\text{S}_2\text{O}_3$ . Для приготовления иодирующей смеси 2 г красного P + 60 г фенола + 100 г  $\text{HI}$  (уд. в. 1,70) + 5 мл пропионовой к-ты кипятят 30 мин. в токе  $\text{N}_2$  с обратным холодильником. Затем подачу воды в холодильник отключают и слабо кипятят смесь 15 мин. Полученная смесь устойчива при хранении. Присутствие P в смеси делает ее устойчивой к окислителям. Навеску анализируемого в-ва в капилляре и 2 мл иодирующей смеси вводят в пробирку со шлифом. Кончик капилляра отламывают стеклянной палочкой и закрывают пробирку пробкой, смазанной силиконовой смазкой. Пробирку со смесью помещают на 30 мин. в кипящую водяную баню, охлаждают и переносят в аппаратуру для отгонки иодистого алкила. В промывную склянку вводят 1 мл р-ра  $\text{KHCO}_3$  (15 г в 50 мл воды), а в поглотительную 5 мл р-ра 10 г  $\text{CH}_3\text{COOK}$  в 100 мл лед.  $\text{CH}_3\text{COOH}$  и 10 капель  $\text{Br}_2$ . Для отгонки иодистого метила смесь кипятят 18 мин.; для отгонки этила 30 мин., пропуская ток  $\text{N}_2$  со скоростью 25 мл/мин. Отгонка полумикроколичеств продолжается дольше. По окончании отгонки содержимое поглотительной склянки и промывные воды переносят в коническую колбу, добавляют 2 мл 3 M  $\text{CH}_3\text{COONa}$ , 10 капель 99—100%-ной  $\text{HCOOH}$  и, после встряхивания, через 2 мин., вводят 3 мл  $\sim 9\%$ -ного  $\text{KJ}$  с добавкой небольшого кол-ва  $\text{KOH}$ . Выделившийся  $\text{J}_2$  титруют р-ром  $\text{Na}_2\text{S}_2\text{O}_3$  по крахмалу. Метод применен для определения алкоксильных групп в весьма летучих и труднорастворимых в-вах, в серу-содержащих в-вах, а также в пробах, содержащих большие кол-ва окислителей. Погрешность анализа  $\leq 1\%$ ; для данного соединения погрешность обычно постоянна по знаку и величине, что объясняется влиянием состава и строения анализируемого в-ва на результаты определения алкоксильных групп. Описанный метод пригоден для серийных определений. Н. П.

**4217. Метод количественного определения связи SiH.** Фриц (Eine Methode zur quantitativen Bestimmung der SiH-Bindung. Fritz G.), *Z. anorgan. und allgem. Chem.*, 1955, 280, № 1-3, 134—142 (нем.)

Установлено, что р-р  $\text{HgCl}_2$  количественно абсорбирует  $\text{SiH}_4$ , который при этом количественно окисляется до  $\text{SiO}_2$  с образованием  $\text{HgCl}_2$ :  $\text{SiH}_4 + 8\text{HgCl}_2 + 4\text{H}_2\text{O} = \text{Si}(\text{OH})_4 + 4\text{Hg}_2\text{Cl}_2 + 8\text{HCl}$ . Окисление образовавшейся  $\text{Hg}_2\text{Cl}_2$  иодом позволяет определять кол-во  $\text{SiH}_4$ . Аналогично взаимодействуют  $(\text{C}_2\text{H}_5)_2\text{SiH}_2$ ,  $\text{HSiCl}_3$  и другие соединения, имеющие Si—H-связь. Разработанный метод пригоден для анализа газообразных и легколетучих соединений. В. С.

4218. Об определении метилимидов. Сообщение 5. Возможные аппаратурные погрешности при микроопределении алкилимидов; описание упрощенной конструкции. Францен, Паули (Beiträge zur Methylimidbestimmung. 5. Mitteilung. Die geräte-technische Seite als mögliche Fehlerquelle der Mikro-Alkylimidbestimmung; gleichzeitig Angabe eines neuen vereinfachten Gerätes. Franzen Fr., Pauli H.), Mikrochim. acta, 1955, № 4, 845—850 (нем.; резюме англ., франц.)

Цель работы — устранение погрешностей при определении алкилимидов, связанных с особенностями используемой аппаратуры. Применение длинного дефлегматора в ранее описанной аппаратуре (Friedrich A., Die Praxis der quantitativen organischen Mikroanalyse. Wien, F. Deuticke, 1933) обуславливает отрицательные погрешности. В этом дефлегматоре всегда задерживаются Н<sub>2</sub> и подистый алкил, подвергающиеся частичной термич. диссоциации (ТД). В присутствии Н<sub>2</sub> ТД подистого алкила усиливается. В новом приборе погрешности за счет ТД устранены. Описываемый прибор состоит из перегонной колбы, снабженной боковой трубкой со шлифом для ввода навески и пропускания CO<sub>2</sub>, поглотительного сосуда для отгоняющей Н<sub>2</sub>, 2 промывалок и ловушки. Промывалки, содержащие по 4 мл промывной жидкости, соединены шлифами с поглотительным сосудом и (с другой стороны) с ловушкой, заполненной р-ром Br<sub>2</sub> в смеси лед. CH<sub>3</sub>COOH с этилацетатом. Небольшой общий объем аппаратуры позволяет значительно сократить продолжительность отгонки. Для учета кол-ва алкила, связанного через N, производят 3 отгонки продолжительностью 15 мин. каждая. Для анализа применяют Н<sub>2</sub> уд. в. 1,7. В перегонную колбу добавляют 10-кратное по сравнению с навеской кол-во NH<sub>4</sub>I и помещают колбу в баню со сплавом Вуда. За 5—7 мин. отгоняют Н<sub>2</sub>, а затем нагревают остаток в колбе до 300° в течение 15 мин. Затем колбу вынимают из бани, пропускают 5 мин. CO<sub>2</sub> (200 пузырьков в 1 мин.), снова переливают Н<sub>2</sub> в перегонную колбу и повторяют отгонку. Во время отгонки поглотительный сосуд нагревают до 70—80°. Описанным методом определены теобромин, креатин, повонан и креатинин. Сообщение IV см. РЖХим, 1955, 49246. Н. П.

4219. Качественный анализ полифенилбутадиенов по инфракрасным спектрам. Радзичкий, Вилде, Сметс (Qualitative infrared analysis of polyphenylbutadienes. Radzitzki P. de, Wilde M. C. de, Smets G.), J. Polymer Sci., 1954, 13, № 71, 477—485 (англ.; резюме франц., нем.)

Качеств. анализ полифенил-1-бутадиена (I) и полифенил-2-бутадиена (II) выполнен по ИК-спектрам поглощения на спектрометре Перкина — Эльмера 12 С в области 9—15  $\mu$ . Данные спектрального анализа полностью подтвердили результаты хим. исследования образцов, полученных путем полимеризации при облучении мономера УФ-светом, с Na, SnCl<sub>4</sub> и при эмульсионной полимеризации (РЖХим, 1954, 46221). Наблюдались следующие полосы при полимеризации в УФ-свете ( $\mu$ ): I, 6,03; 6,25; 6,33; 6,70; 6,91; 6,95; 7,34; 9,70; 9,99; 10,21; 10,37; 10,99; 11,41; 11,90; 13,23; 13,42; 14,36; 14,47; II 6,09; 6,25; 6,33; 6,70; 6,86; 6,91; 7,26; 7,35; 9,29; 9,72; 9,99; 10,21; 10,97; 11,53; 11,90; 13,16; 14,35. Анализ велся для полимеров, соответствующих присоединению мономерных звеньев в положения 1,2; 3,4 и 1,4. Характеристич. частоты расположения: 1,2 (I и II) у 10 и 11  $\mu$ ; 3,4 (II) у 11,20  $\mu$ ; 1,4 (II) у 11,90  $\mu$ ; 1,4 и 3,4 (I) у 14,13—14,34  $\mu$ . Образцы исследовались в р-рах в CCl<sub>4</sub> и CS<sub>2</sub> при конц-ии 400 мг на 1 см<sup>3</sup>. Толщина слоя 0,1 мм. Установлено, что способ полимеризации сильно влияет как на тип присоединения, так и

на положение полос поглощения. Присутствие ароматич. кольца в положениях 1 или 2 также сильно влияет на частоты характеристич. полос. По этой причине методика колич. анализа, разработанная для подобных полимеров, не была применена (РЖХим, 1954, 11273; 1955, 2313). Е. П.

4220. Цветные реакции на ненасыщенные карбонильные соединения. Сообщение I. Азобензолгидразисульфокислота-(4) в качестве реактива. Хюниг, Утерман (Farbreaktionen auf ungesättigte Carbonylverbindungen. I. Mitteil.: Azobenzol-hydrazinsulfonsäure-(4) als Farbreaens. Hünig Siegfried, Utermann Jasper), Chem. Ber., 1955, 88, № 3, 423—429 (нем.)

На примере полиеновых альдегидов и кетонов фуранового ряда изучена цветная р-ция на карбонильную группу. Полученные данные (окраска) табулированы в зависимости от числа винильных групп в боковой цепи. Найденно, что скорость образования окрашенного в-ва (I) повышается с ростом конц-ии азобензолгидразисульфокислоты. Максим. интенсивность окраски достигается для отдельных карбонильных соединений за различный период времени (особенно медленно для фурурола). Показано, что наиболее медленно образующееся I наиболее устойчиво; наименьшей устойчивостью обладает I высоко ненасыщ. альдегидов. Данные по устойчивости представлены в виде таблиц. Сняты спектры поглощения и приведены кривые поглощения. Найденно положение ( $\lambda$  в  $\mu$ ) полос поглощения I и вычислена разность  $\Delta\lambda$  у гомологов. С ростом числа  $n$  винильных групп в боковой цепи наблюдается сдвиг  $\lambda$  от 515  $\mu$  для  $n = 0$  у фурилполиенкетона до 615  $\mu$  для  $n = 5$  у фурилполиенальдегида. Различия между гомологами обнаруживаются сильнее в побочном максимуме (по высоте пика), чем в более длинноволновом главном, т. е. первый лучше характеризует сопряженные двойные связи. На основе сравнения положения максимумов поглощения свободных фурилполиенальдегидов и кетонов с их окрашенными производными сделан вывод, что  $\Delta\lambda$  для двух гомологов. I не только меньше, чем у свободных карбонильных соединений, но и быстрее обращается в нуль. Наблюдаемый у I батохромный сдвиг 200—300  $\mu$  объясняется усилением полиенового характера соединений (с окрашенных р-ров выше, чем у свободных альдегидов). Разобран пример по использованию цветной р-ции для установления строения неизвестных альдегидов или кетонов. Предложены полярные структуры ионов I. О. Г.

4221. Цветные реакции на ненасыщенные карбонильные соединения. Сообщение II.  $\alpha$ -Аминодиметиланилин в качестве реактива. Хюниг, Утерман, Эрлеман (Farbreaktionen auf ungesättigte Carbonylverbindungen. II. Mitteil.:  $\alpha$ -Amino-dimethylanilin als Farbreaens. Hünig Siegfried, Utermann Jasper, Erlemann Gustav), Chem. Ber., 1955, 88, № 5, 708—712 (нем.)

В качестве реактива на карбонилсодержащие непредельные соединения применяют метаноловый р-р сравнительно устойчивой к окислению двойной соли SnCl<sub>4</sub> с солянокислым  $\alpha$ -аминодиметиланилином (I). Последняя выпадает в осадок при сливании горячих спирт. р-ров эквимолекулярных кол-в SnCl<sub>4</sub> и солянокислого I. Реактив готовят растворением 39,87 мг C<sub>8</sub>H<sub>12</sub>N<sub>2</sub> · H<sub>2</sub>SnCl<sub>4</sub> в 100 мл CH<sub>3</sub>OH. При добавлении избытка реактива к непредельным альдегидам или кетонам образуются цветные продукты, окраска которых постепенно углубляется с увеличением числа двойных связей в карбонильных соединениях. Области поглощения смещены в сторону более коротких волн по сравнению с аналогичными окрашенными продуктами взаимодействия с азобензолгидразисульфоновой к-той. Скорость образования окрашенных продуктов взаимодействия I





1955, № 4, 882—887 (нем.; резюме англ., франц.)  
Для определения малых кол-в фенола (I) использована р-ция Джиббса (Gibbs H. D., J. Biol. Chem., 1927, 71, 455; 72, 649). Оптич. измерения производили со спектрофотометром Уинкам-SP-600, фотометрич. — микрофотометром с капиллярными юветами (толщина слоя 10 см, диам. 3 мм, объем 0,7 мл). Микрофотометр оборудован источником света 6е, 30 ат и Se-фотоэлементом. Максимум поглощения синего индофенолового красителя, образующегося при р-ции I с 2,6-дибромхинон-4-хлоримидом (II), лежит при 590—610 мк. К 1 мл исследуемого р-ра приливают 200 мл боратного буферного р-ра (0,2 M  $\text{Na}_2\text{B}_4\text{O}_7$ , доведенный 0,1 н. NaOH до pH 9,40) и 10 мл реактива (0,4 г II растворяют в 100 мл  $\text{C}_2\text{H}_5\text{OH}$  и фильтруют; в темноте, при низкой т-ре, р-р устойчив  $\leq 4$  суток). Пробирку закрывают притертой пробкой и выдерживают  $\frac{1}{2}$  часа в темноте, параллельно ведут контрольный опыт. Поглощение р-ров измеряют при 590—610 мк. Метод пригоден для определения 0,01—0,5  $\gamma/\text{мл}$  I. Погрешность составляет  $\leq 2,5\%$ . М. П.

4229. Потенциометрическое определение хлоргидратов N-метил-2,2'-дихлорэтиламина, 2,2'-трихлорэтиламина и N,N-диметил-2-хлорэтиламина. Челье, Малатеста [Dosaggio potenziometrico dei cloridrati di N-metil-2,2'-dicloro-dietilammina (Dema), di 2,2'-2''-trichloro-trietil-ammina e di N,N-dimetil-2-cloro-etil-ammina. Ceglie A., Malatessa P., Farmaco. Ed. scient., 1955, 10, № 5, 257—262 (итал.; резюме англ.)]  
30—160 мг анализируемых хлоргидратов N-метил-2,2'-дихлорэтиламина, 2,2'-трихлорэтиламина или N,N-диметил-2-хлорэтиламина растворяют на холоду в 40 мл лед.  $\text{CH}_3\text{COOH}$ , прибавляют 10 мл 6%-ного р-ра ( $\text{CH}_3\text{COO}$ ) $_2\text{Hg}$  и титруют потенциометрически 0,1 н.  $\text{HClO}_4$ . Погрешность  $< 3\%$ . Б. А.

4230. Качественный и количественный анализ смесей сульфамидов. VIII. Редер (Qualitative and quantitative analysis of mixtures of sulfonamides. VIII. Reeder P. L. de), Analyt. chim. acta, 1954, 10, № 5, 413—421 (англ.)

Изучены два варианта ацидиметрического и аргентометрического методы анализа смеси сульфамидов (I), основанные на использовании кислотных свойств ароматич. группы  $\text{SO}_2\text{NH}$ , объемные методы определения ароматич. группы  $-\text{NH}_2$ , а также весовой и объемных методы определения амидных групп  $-\text{NH}-\text{R}$  после гидролиза I. Удовлетворительные результаты получены при ацидиметрич. методе определения  $\text{SO}_2\text{NH}$ -групп. Аргентометрич. метод анализа смеси I неприменим в присутствии солосептазина, иргифена, септазина, сульфогуанидина, сульфаниламида и сульфациетамида. Сообщение VII см. РЖХим 1955, 16637. Ю. X.

4231. Качественный и количественный анализ смесей сульфамидов. IX. Редер (Qualitative and quantitative analysis of mixtures of sulfonamides. IX. Reeder P. L. de), Analyt. chim. acta, 1954, 11, № 1, 68—73 (англ.; резюме франц., нем.)

Определение смеси сульфамидов (I) без их предварительного разделения было описано ранее (РЖХим, 1954, 50257). Растворимые натриевые соли I определяют по содержанию Na. Навеску 0,5—1 г анализируемой смеси увлажняют несколькими каплями конц.  $\text{H}_2\text{SO}_4$ , осторожно и медленно нагревают 1—2 часа до удаления  $\text{SO}_3$ , после чего нагревают остаток до разложения органич. соединений и переводят  $\text{S}_2\text{O}_7^{2-}$  в  $\text{SO}_4^{2-}$  на горелке Мекера. Остаток должен быть чисто белым; в противном случае его обрабатывают еще несколькими каплями конц.  $\text{H}_2\text{SO}_4 + 2$  капли конц.  $\text{HNO}_3$ , снова нагревают и взвешивают в виде  $\text{Na}_2\text{SO}_4$ . При анализе чистых натриевых солей I определяют 98,6—101,7%

Na от теоретич. При определении отдельных I в смеси их предварительно разделяют хроматографией на бумаге (РЖХим, 1954, 13276);  $\sim 0,1\%$ -ный р-р анализируемого материала в ацетоне наносят на бумагу ватман № 2. Вымывание производят смесями бутиловый спирт-пиридин и бутиловый спирт-аммиак-вода. Хроматограмму опрыскивают разб. р-ром л-диметиламинобензальдегида и измеряют площадь пятен. Определяемый предел  $\leq 8 \gamma$  I на пятно. М. П.

4232. Хроматография сульфата галегина на бумаге. Колоушек, Кутачек, Билек (Papřová, chromatografie síranu galeginu. Koloušek Jaroslav, Kutáček Milan, Bílek Jiří), Českosl. farmac., 1955, 4, № 4 188—190 (чеш.; резюме русс., англ.)

Хроматографич. определение галегина (I) [4-гуанидино-2-метилбутена-(2)] было произведено на бумаге ватман № 4 в насыщ. водяным паром атмосфере. Хроматографирование сульфата I производят с применением изопропанола на протяжении 12—14 час. Определяемый минимум 3  $\gamma$  I. Для выявления пятен употребляют два р-ра Сакагучи: 1) 0,14%-ный р-р  $\alpha$ -нафтола в 0,5 н. NaOH; 2) р-р 2 г брома в 100 мл 5%-ного р-ра NaOH. Смачивая ими последовательно хроматограммы, получают при этом красно-бурые пятна ( $R_F$  0,75). Вместо первого р-ра лучше применять 0,1%-ный р-р 8-оксихинолина в ацетоне, причем получают кирпично-красные пятна. При нанесении на бумагу 0,06 мл экстракта из семян Galega (2 г семян минеруют с 5 мл 95%-ного этанола или 10 мл воды при 20° на протяжении 24 час.) получают, кроме пятна, отвечающего I, другое, более светлое пятно ( $R_F$  0,65) неустановленного в-ва. Метод может служить для полуколич. определения 5—45  $\gamma$  сульфата I. Н. Т.

4233. Количественное определение дикетониперазинов в продуктах поликонденсации эфиров  $\alpha$ -аминокислот. Порошин К. Т., Козаренко Т. Д., Хурган Ю. И., Изв. АН СССР, Отд. хим. н., 1955, № 4, 773—774

Дикетониперазины в присутствии пептидов определяют по кол-во образовавшихся дипептидов при щел. гидролизе. Титрование р-ром  $\text{CuSO}_4$  и измерение увеличения аминного N дают сходящиеся результаты. Найдено содержание дикетониперазинов в продуктах поликонденсации: этилового эфира глицина 10% и этилового эфира d,l-аланина 61%.

В. С.  
4234. Определение гистидина. I. Полярографическое изучение и определение динитрофторбензола. Венгер, Монье, Фараджи (Dosage de l'histidine. I. Etude polarographique et dosage du dinitrofluorobenzène. Wenger P. E., Monnier D., Faraggi S.), Analyt. chim. acta, 1955, 13, № 1, 89—99 (франц.; резюме англ., нем.)

Цель исследования — разработка метода полярографич. определения гистидина (I), основанного на образовании ди-N-динитрофенилгистидина при действии на I 1-фтор-2,4-динитробензола (II). Поскольку  $\text{H}^+$ -ионы мешают полярографич. восстановлению нитропроизводных, р-ры II полярографируют в забуференных средах с pH 5 или 10. При pH 3—7 полярографич. восстановление II характеризуется 2 волнами; отношение высот первой и второй волн равно 5:4. В щел. среде (pH 8—10) появляются 3 волны, общая высота которых равна суммарной высоте обеих волн полярографич. восстановления в кислых и нейтр. р-рах. Следовательно, на восстановление II в интервале pH 3—10 расходуется одно и то же кол-во электронов. Волны, полученные при pH 10, в течение 24 час. постепенно изменяются, пока не останутся 2 волны, которые на протяжении следующих 24 час. остаются неизменными. Если р-р II с pH 10 полярографируют после нагревания до 60° в течение 15 мин., то на полярограмме обнаруживают

ся 2 волны. Авторы допускают возможность гидролиза II до динитрофенола при pH 10. Максимумы на полиграммах наблюдаются только при полирографировании р-ра II с pH 5. Для построения калибровочных кривых 120 и 180 мг II растворяют в небольшом кол-ве абс. спирта (III) и разбавляют III до 100 мл. К 10 мл полученного р-ра добавляют 10 мл III, 50 мл буферного р-ра с pH 5 и разбавляют до 100 мл. Полученный стандартный р-р содержит 20%  $C_2H_5OH$  и 50% (по объему) буферного р-ра с pH 5. Разбавляя стандартный р-р смесью того же макросостава (но без II), получают пробы с содержанием II 9, 6, 3 и 1 мг на 100 мл, добавляют к каждой из них по 2 капли 0,5%-ного р-ра поливинилового спирта (для подавления максимума), пропускают 10 мин. ток  $H_2$  и полирографируют. В интервале конц-ий  $5,37 \cdot 10^{-6}$ — $4,35 \cdot 10^{-5}$  М ур-ние Ильковича выполняется. Стандартный р-р для полирографирования при pH 10 готовят растворением 100 мг II в 90 мл смеси равных объемов бидистиллата и буферного р-ра с pH 10. Р-р нагревают 30—45 мин. до 60°, охлаждают и разбавляют до 100 мл смесью того же состава (но без II). В этих условиях II определяют полирографически при конц-ии  $5,37 \cdot 10^{-6}$ — $4,29 \cdot 10^{-5}$  М. Погрешность определения 4—7%. Восстановление II в слабосильной или шел. среде требует 9 электронов. Из них 4 расходуется на восстановление первой нитрогруппы до гидроксилламина, а 5 — на восстановление второй нитрогруппы до гидразогруппы, конденсирующейся с такой же группой другой восстановленной молекулы II. Электроны р-ции необратимы. Значения  $E_{1/2}$  при полирографировании р-ра II с pH 10 соответственно равны 0,68 и 1,03 в.  $E_{1/2}$  для р-ров II с pH 5 соответственно равны 0,59 и 0,91 в. Отношение величины предельного тока  $i_d$  второй волны к  $i_d$  первой волны равно соответственно 0,76 (pH 5) и 1,23 (pH 10). Н.П.

**4235. Адсорбция алкалоидов. Бьёрлинг, Бергрен** (On adsorption of alkaloids. Björling C.O., Berggren A.), Acta chem. scand., 1955, 9, № 4, 567—571 (англ.)

Водные р-ры солей алкалоидов (I) и сходных в-в обменивают свои катионы на  $K^+$  искусств. пермутита «Decalco F» (II). Одновалентные анионы проходят через колонку II, а многовалентные анионы удерживаются более прочно. Бромидат гиосцина практически количественно (на 99%) вымывается из колонки II 15 мл воды. На вымывание сульфата атропина расходуется 40 мл воды; наблюдаются некоторые потери аниона. На вымывание фосфата кодеина затрачено 300 мл воды, выделено 83% аниона. Последующим промыванием 0,2 н. HCl выделено еще 7% фосфата. При пропускании через колонку бромидата гиосцина в вытекающем р-ре обнаружен только  $K^+$ , причем содержание его на 20—30% превышает эквивалентное кол-во I. Это объясняется возможностью некоторого разрушения решетки II. II количественно сорбирует I в форме свободных оснований из эфирных или хлороформных р-ров. Кодеин и хинин количественно поглощаются из обоих р-рителей, а стрихнин и 2-аминопиридин из р-ров в  $CHCl_3$ . Присутствие воды в р-рителях или в колонке не мешает поглощению I. Однако последние сорбируются II тем хуже, чем больше содержание аммиака в органич. р-рителе. Вымывание I осуществляют 0,2 н. р-рами HCl или  $CH_3COOH$ . Из р-ров в органич. р-рителях II сорбирует полностью молекулы солей некоторых I; в этом случае вода вымывает только анионы. В противоположность вышеуказанным основаниям с  $pK_b$  3,3—6,9 (атропин, хинин, кодеин, стрихнин и т.д.) более слабые основания ( $pK_b$  7,4—10,0), напр. N-диэтиланилин, пиридин и 1-нафтиламин, слабо или совсем не сорбируются II. Н.П.

**4236. Хроматография на бумаге некоторых алкалоидов колхицина (вещества, родственные колхицину и их производные). Сообщение XLII. Мачак, Бартошова, Шантавий** (Chromatographie sur papier de quelques alcaloïdes des colchicées. [Substances tirées du colchique et leurs dérivés. Communication XLII.]. Macak V., Bartosova I., Santavy F.), Ann. pharmac. franç., 1954, 12, № 7—8, 555—561 (франц.)

Для разделения алкалоидов колхицина использован метод нисходящей хроматографии на бумаге (ватман № 1). В качестве р-рителей применяли следующие смеси: 1)  $C_2H_5-CH_2COOH-H_2O$  (10:3:7); 2)  $n-C_4H_9OH-CH_2COOH-H_2O$  (5:1:4); 3) этилацетат-пиридин- $H_2O$  (2:1:2). Алкалоиды идентифицировали в УФ-свете под лампой Вуда. Флуоресцирующие пятна отмечали и вычисляли значения  $R_f$ . Для идентификации неизвестных в-в пользовались эталонами. Установлено, что методом хроматографии с применением указанных р-рителей алкалоиды колхицина можно разделить на три группы: 1) нейтр.,  $R_f$  которых легко определяется; 2) алкалоиды, дающие в результате обычной хроматографии близкие значения  $R_f$ , разделяемые на фенольные и основные в-ва; 3) гетерогликозиды. В в-вах с низким значением  $R_f$  последние могут быть определены после алкилирования, ацилирования и т.д. Во избежание разложения алкалоидов все операции следует производить в темноте. М.Щ.

**4237. Открытие алкалоидов в некоторых редких колхицинах (вещества, родственные колхицину, и их производные). Сообщение XLIII. Потешилова, Бартошова, Шантавий** (Identification d'alcaloïdes dans quelques colchicées très rares [Substances tirées du colchique et leurs dérivés]. Communication XLIII. Potesilova H., Bartosova I., Santavy F.), Ann. pharmac. franç., 1954, 12, № 9—10, 616—622 (франц.)

Исследовано 18 растений, полученных из ряда стран. Высушенные цветы, листья или луковички экстрагировали  $CH_3OH$  или  $C_2H_5OH$ , р-ритель отгоняли под вакуумом ( $\sim 35^\circ$ ). Остаток растворяли при взбалтывании в течение 3 час. в 5—10 мл 0,1 н. HCl, фильтровали и промывали фильтр 2—5 мл воды. Фильтрат экстрагировали пятью порциями (по 5 мл)  $CHCl_3$ . Органич. экстракт промывали 2 мл воды, высушивали над  $Na_2SO_4$  и отгоняли  $CHCl_3$ . Получен аморфный остаток, содержащий, кроме колхицина, нейтр. и фенольные в-ва. К водн. р-ру, полученному после экстракции  $CHCl_3$ , приливали  $NH_4OH$ , извлекали  $CHCl_3$  и высушивали над  $K_2CO_3$ . В экстракте находились основания. Оба экстракта (0,1%-ный р-р в  $CHCl_3$ ) исследовали методом хроматографии на бумаге ватман № 1 (в темноте) нисходящим или восходящим способом. Р-ритель — смесь  $C_2H_5-CH_2COOH-H_2O$  (10:3:7). Найдены колхицин и в-во В (N-формилдезацетилколхицин); в-ва С, Е и F обнаружены путем сравнения с эталонами. В *Colchicum vatiagatum*, *C. luteum*, *Cloriosa superba* и *Androcymbium gramineum* в-во F не было обнаружено. После отделения в-в С или Е (в основных экстрактах в-ва F) обнаружены неизвестные в-ва, содержащие тропиное ядро; в *Ornithogallum caudatum* колхицин не найден. М.Щ.

**4238. Фотометрическое определение кофеина в настоях кофе. Рихтер** (Über eine photometrische Bestimmung von Coffein in Kaffee-Aufgüssen. Richter J.), Z. Lebensmittel-Untersuch. und Forsch., 1954, 98, № 2, 107—110 (нем.)

К 10 мл настоя кофе (содержание кофеина  $< 40$  мг%) прибавляют 0,5 мл 15%-ного р-ра NaOH и 20 мл  $CHCl_3$  и взбалтывают в течение 1 мин. К 10 мл хлороформного экстракта добавляют 5 мл воды и выпаривают  $CHCl_3$ . Водн. р-р охлаждают и фильтруют через увлажненный

водой фильтр, который промывают 1 мл 16%-ной  $H_2SO_4$ . В стеклянный тигель № 4 вносят в указанной последовательности 2 мл 16%-ной  $H_2SO_4$  и 2 мл 0,1 н.  $J_2$  и переносят в тигель фильтр при помощи 1 мл воды. Через 1 мин. р-р отсасывают и через осадок периодида кофеина ( $C_8H_{10}O_2N_4 \cdot HJ \cdot J_4$ ) просасывают воздух в течение 2 мин. для удаления  $J_2$ . Фильтр с осадком помещают над чистой колбой для отсасывания и обрабатывают осадок 25 мл  $CH_3OH$  (небольшими порциями). Тигель промывают 25 мл воды и желтую окраску водно-спиртового р-ра фотометрируют с фильтром S47. В качестве р-ра сравнения употребляют смесь реактивов. Калибровочная кривая, построенная при опытах с чистыми р-рами кофеина (20 и 40 мг%), прямолинейна до Е 0,900. Присутствие сахара, молока и суррогата кофе не мешает. Поглощение постоянно в течение 10 мин. Однократное взбалтывание с  $CHCl_3$  достаточно для получения колич. результатов. Осадок периодида кофеина выделяется количественно через 1 мин.; просасывание воздуха через осадок в течение 2 мин. полностью освобождает его от  $J_2$ . Небольшие колебания в конц-ии  $H_2SO_4$  и в продолжительности просасывания воздуха почти не влияют на результаты. Максим. поглощение наблюдается при фильтре S42, но работа с фильтром S47 приводит к более точным результатам. П. А.

**4239. Селективное открытие эфедрина и адреналина каплевыми реакциями. Фейгль, Фейгль** (Selektive Nachweise von Ephedrin und Adrenalin durch Tropfenreaktionen. Feigl F., Feigl H. E.), *Helv. chim. acta*, 1955, 38, № 2, 459—462 (нем.)

При нагревании эфедрина (I) и адреналина (II) с водн. р-ром щелочи выделяется монометиламин (III), конденсирующийся с 2,4-динитрохлорбензолом (IV) с образованием желтого соединения, растворимого в органич. р-рителях. Специфич. определение I основано на различной растворимости I и II в эфире. II открывают в форме фиолетового продукта р-ции с о-динитробензолом (V). В гильзу аппарата (Feigl F., Spot test. Vol. II, New York, 1954, p. 40) вносят небольшое кол-во твердого образца (или слабокислого р-ра) и 1 каплю 2 н. NaOH, затем наносят каплю спирт. р-ра IV на пробку аппарата и нагревают 10 мин. на водяной бане. В присутствии I или II образуется желтый продукт конденсации; при малых кол-вах III продукт р-ции смывают 1—2 каплями  $CHCl_3$ , добавляют такое же кол-во разб.  $CH_3COOH$  и встряхивают. Образование желтого органич. слоя указывает на присутствие I или II. Предел чувствительности при капле 0,05 мл 7 γ I или 8 γ II. При открытии только I последний выделяют в форме р-ра в эфире. Кислый р-р хлорида подщелачивают и встряхивают с эфиром. При наличии эфирных р-ров в отсутствие аминов расщепление щелочью ведут в присутствии IV и получают желтый продукт конденсации. 1 каплю эфирного р-ра смешивают с 1 каплей 5 н. NaOH, добавляют 1 каплю спирт. р-ра IV и выдерживают 5 мин. в водяной бане. По охлаждению прибавляют 1—2 капли  $CHCl_3$ , встряхивают, прибавляют немного разб.  $CH_3COOH$  и снова встряхивают. I открывают по медовожелтой или светложелтой окраске органич. слоя. Предел чувствительности 5 γ I. Для селективного открытия II кислый р-р обрабатывают спирт. р-ром V, подщелачивают и слегка нагревают. Появление фиолетовой окраски указывает на присутствие II. Предел чувствительности 5 γ II. Е. Ч.

**4240. Колориметрическое определение яблочной кислоты в вине, плодово-м, виноградном и фруктово-м соках. Кильхёфер, Ауманн, Шпехт** (Die colorimetrische Bestimmung der Äpfelsäure in Wein, Obstwein, Traubensaft und Obstsaft. Kie-

höfer E., Aumann H., Specht M.), *Z. Lebensmittel-Untersuch. und Forsch.*, 1955, 100, № 6, 449—458 (нем.)

Метод колич. определения яблочной к-ты (I) основан на образовании окрашенного продукта конденсации между I и α-нафтолом (II). Подобную р-цию дают другие двух- и многоосновные оксикислоты. I отделяют от ряда мешающих ее определению в-в путем осаждения яблочнокислого бария (III) из водно-спиртовых или водно-ацетоновых р-ров. Таким путем отделяют I от глицерина, сорбита, молочной и лимонной к-ты. Если анализируемая проба содержит винную к-ту (IV), то ее осаждают в виде битартрата K (V). Оставшаяся в р-ре IV соосаждается с III. Поэтому при определении I вводят поправку на соосадившуюся IV. Осадок III адсорбиционно захватывает заметные кол-ва инвертированного сахара, мешающего последующему определению I. Сахар и дубильные в-ва (ДВ), также мешающие определению I, отделяют от I методом анионного обмена. Для определения I в винах, содержащих небольшие кол-ва ДВ и менее 5—10 г/л сахара, из 100 мл вина осаждают V, отфильтровывают осадок и доводят объем фильтрата до 250 мл. Пробу фильтрата объемом 50 мл подщелачивают по фенолфталеину прозрачным насыщ. р-ром Ba(OH)<sub>2</sub>. Через 30 мин. фильтруют пробу через плотный фильтр и отбрасывают первые 10 мл фильтрата. Затем отбирают в пробирку для центрифугирования 5 мл фильтрата, добавляют 25 мл ацетона, выдерживают смесь в холодильнике при 0° 2 часа, центрифугируют и сливают жидкость над осадком III. Растворяют III в воде, пересаждают тем же способом, центрифугируют и сушат 1 час 30 мин. при 100°. Если необходимо предварительное отделение ДВ и сахара, то анализируемое вино или сок фильтруют через технич. анионообменную пермунит ЕЗ в гидрокислой форме, промывают колонку объемом 50 мл водой (а при большом содержании ДВ и спиртом) и элюируют 1 н. КОН. Первые 15 мл элюата отбрасывают, а затем собирают 90 мл, доводят рН пробы добавлением 6 н. HCl до ~3,4 и осаждают V добавлением 8 г KCl. К аликвотной части фильтрата от отделения V добавляют насыщ. BaCl<sub>2</sub> и 6 н. NaOH до нейтр. р-ции, затем осаждают III вышеописанным методом, заменяя, однако, ацетон спиртом. К высушенному осадку III добавляют 3 мл свежеприготовленного 2,7%-ного р-ра II в конц.  $H_2SO_4$  и выдерживают центрифужную пробирку с полученным р-ром в парафиновой бане при 100° в течение 2 час., охлаждают и добавляют 2 порции воды по 5 мл. Вторую порцию воды добавляют после охлаждения р-ра. Р-р немного разбавляют водой, нейтрализуют 4 н. NaOH до появления красной окраски, затем приливают 1 н. HCl до перехода окраски в желтую, доводят объем смеси до 50 мл и центрифугируют. К 10 мл центрифугата добавляют 15 мл 2%-ного р-ра буры, измеряют с фильтром S53 коэфф. погашения р-ра и по калибровочному графику после введения поправки на IV находят содержание I в пробе. При конц-ии I 0—8 г/л закон Бера выполняется. Коэфф. погашения р-ра продукта конденсации I с II достигает максимума при pH 8,8, а затем не изменяется до pH 9,4. При хранении кислого р-ра продукта конденсации в темноте коэфф. погашения уменьшается за 18 час. не более, чем на 6%. При низком содержании I в пробе относительная погрешность определения I меньше 4%.

Н. П.  
**4241. Быстрый метод определения бензидина в моче людей, работавших с ним. Скьярини, Махью** (A rapid technique for estimating benzidines in industrial exposure. Sciarini Louis J., Mahew John A.), *Arch. Industr. Health*, 1955, 11, № 5, 420—421 (англ.)

Предложен быстрый метод определения бензидина



(I) и его 3,3'-дизамещенных аналогов [дихлорбензидина (II), *o*-толидина (III) и дианизидина (IV)] в моче людей, работавших с этими в-вами. 15 мл мочи (свежей или хранившейся в холодильнике) подщелачивают 20%-ным NaOH до pH 8,5—10 и экстрагируют 20 мл смеси этилацетат-ацетон (10:9). К 5 мл органич. слоя, промытого водой (7 мл на 8 мл экстракта), добавляют лед.  $\text{CH}_3\text{COOH}$  до осветления р-ра. По этому р-ру устанавливают на нуль колориметр Клетта — Саммерсона (голубой фильтр 400—465 мμ; максимум 440 мμ). Затем добавляют 0,04—0,06 г хлорамина Т и производят отчет. Поглощения р-ров с равными конц-иями I, II, III и IV относятся как 1:1,08:1,33:0,78. Воспроизводимость результатов при 2—10γ I  $\pm 10\%$ . В моче людей, не подвергавшихся воздействию I, как правило, присутствует  $\leq 10 \gamma/\text{л}$  I. Один лаборант в течение 3 час. может проанализировать до 24 образцов.

В. П.

4242. Об электрофорезе на бумаге лекарственных препаратов. Сообщение 2. Кребс, Ванкмюллер (Zur Papierelektrophorese von Arzneimitteln. 2. Mitteilung. Krebs K. G., Wankmüller A.), Dtsch. Apoth.-Ztg., 1954, 94, № 10, 192—194 (нем.)

На середину бумажной полоски, помещенной между электродами (ток 110 в,  $\sim 2$  ма), наносят 1 каплю (0,02 мл) анализируемого р-ра, опрыскивают полоску электролитом (как правило, буферным р-ром) и помещают в камеру на 2—3 часа. Ионы растворенного в-ва перемещаются к аноду или к катоду (в зависимости от типа препарата и условий опыта) и идентифицируются. Исследованы производные кумарина — эскулин, эскуletin, фраксия, скополлин, скополетин, 7-оксикумарин, 4-метил-7-оксикумарин; ионы их, за исключением скополина, в буферном р-ре из веронала, pH 8,6 (9,81 г диэтилбарбитуровокислого натрия + 6,476 г  $\text{CH}_3\text{COONa} \cdot 3\text{H}_2\text{O} + 90$  г 0,1 н. HCl разбавляют до 1 л), перемещаются к аноду. Скорость перемещения для 4-метил-7-оксикумарина 0,9 см за 3 часа. В нейтральной среде (2%-ный р-р NaCl) или слабокислой (цитратно-фосфатный буфер, pH 5,6) 4-метил-7-оксикумарин не перемещается. Тинктуры лекарственных растений, содержащие производные кумарина, показали в пределах погрешности опыта ту же скорость и направление перемещения, что и соответствующие чистые в-ва. Скорость перемещения и длину пути ионов можно увеличить, если начальную точку их переместить от середины бумажной полоски к катоду (или к аноду при противоположном направлении движения ионов). Скорость ионов 4-метил-7-оксикумарина увеличивается при этом с 0,9 до 1,9 см за 3 часа, эскулина — с 1,6 до 2,0 см за 3 часа. Из группы соединений, направляющихся при электрофорезе к катоду, изучены синтетич. в-ва, расслабляющие мышечную ткань [сукцинил-бис-холинхлорид, 1,2,3-три-(β-триэтиламмоний-этокси)-бензолтрииноид, бромиды гексаметония и тетраэтиламмония], и производные фенотиазина (метиленовая синь, мегафен, латибон и др.). Перемещение их происходит в кислой среде, pH 5,6, в цитратно-фосфатном буферном р-ре (580 мл 0,2 н.  $\text{Na}_2\text{HPO}_4 + 420$  мл 0,1 М лимонной к-ты) со скоростью: для первой группы в-в от  $\sim 5$  до 6 см за 3 часа, для второй (производные фенотиазина) от 0 до  $\sim 4$  см за 3—4 часа. Обнаружение катионов той и другой группы после электрофореза производят с помощью модифицированного реактива Драгендорфа; производные фенотиазина, кроме того, обнаруживают по флуоресценции в УФ-свете. Сообщение 1 см. РЖХим, 1955, 53413.

Н. В.

4243. Об электрофорезе на бумаге лекарственных препаратов. Сообщение 3. Кребс, Ванкмюллер (Zur Papierelektrophorese von Arzneimitteln (3. Mitteilung). Krebs K. G., Wankmüller A.), Dtsch. Apoth.-Ztg., 1954, 94, № 12, 234—236 (нем.)

Изучены условия электрофореза на бумаге производных кумарина, фенотиазина и других применяемых в медицине препаратов (см. реф. 4242). Установлено, что при введении добавок скорость и направление передвижения ионов изменяются. Испытаны р-ры миксали (0,25—1,5%-ный), зефиролы (10%-ный), прекутана (3,3%-ный) и др. Полоску бумаги обрабатывают, кроме буферного р-ра, одним из названных р-ров и на середину ее наносят каплю анализируемого р-ра. 4-метил-7-оксикумарин в буферном р-ре из веронала, pH 8,6, перемещается в течение 3 час. по направлению к аноду на 0,9 см; тот же р-р, в присутствии того же буферного р-ра, но с обработкой бумажной полоски 1,5%-ным или 1,25%-ным р-ром миксали, перемещается по направлению к катоду на 5,9 см за 3 часа. Скополетин, перемещавшийся в том же буферном р-ре к аноду со скоростью 1,3 см за 3 часа, при добавке 1,5%-ного р-ра миксали перемещается к катоду со скоростью 5,3 см за 3 часа. В нейтральной (электролит 2%-ный р-р NaCl) и кислой средах (электролит цитратно-фосфатный буферный р-р, pH 5,6) ионы 4-метил-7-оксикумарина остаются неподвижными, но при обработке 1,5%-ным р-ром миксали начинают перемещаться к аноду со скоростью 5,4 и 5,1 см за 3 часа соответственно. Аналогичные закономерности отмечены и для группы соединений, ионы которых перемещаются в кислой среде (pH 5,6) по направлению к катоду — сукцинил-бис-холинхлорид и производные фенотиазина. Указанные добавки стимулируют также перемещение недиссоциированных молекул. Фенотиазин и рутин, неподвижные в цитратно-фосфатном буферном р-ре, перемещаются в р-ре прекутана (3,3%-ном) по направлению к аноду со скоростью 4,6 и 3,6 см за 4 часа соответственно. Отмечено, что присутствие прекутана мешает открытию производных фенотиазина по флуоресценции в УФ-свете. При применении р-ра миксали неприменима реакция Драгендорфа.

Н. В.

4244. Исследование в ряду ретена. XXIII. Анализ хлороретенного масла методом инфракрасной спектроскопии. Шёберг, Карман (Retene investigations. XXIII. Analysis of chlororetene oil by means of infrared light absorption. Sjöberg Bertil, Karmann K. J.), Svensk kem. tidskr., 1954, 66, № 4, 117—122 (англ.)

Произведен спектрофотометрич. анализ компонентов хлороретенного масла (I): 1-, 2-(II), 3-, 4-(III), 6-, 7-8-(IV) и 9-(V) хлороретен; получены их ИК-спектры в р-рах  $\text{CS}_2$  (5 мг/мл). Измерения проводили со спектрофотометром Бекмана IR2: 1-мм кюветой и с соляной оптикой, с самописцем, снабженным электрокомпенсатором. При длинах волн 8,0; 9,0; 10,0; 11,0; 12,0; 13,0; 14,0 и 15,0 м ширина щели соответственно 0,190; 0,273; 0,385; 0,53; 0,72; 0,96; 1,26 и 1,61 мм. В I обнаружено 4% II (12,40 м), 12% III (8,94 м), 1—2% IV и 50% V (10,38 и 11,51 м); указанные величины могут быть не вполне точны вследствие поглощения 5- и 10-хлороретен при этих длинах волн, но поглощение II + III + V при 11,30 м согласуется с полученными величинами. В спектре I установлены максимумы поглощения неизвестных компонентов при 9,20; 9,56; 12,07 и 12,61 м. Сообщение XXII см. РЖХим, 1954, 19800.

Н. Л.

4245. Новые растворители для разделения желчных кислот посредством хроматографии на бумаге. Желчные кислоты и стероиды. 30. Шёвалль (New solvents for the separation of bile acids with paper chromatography. Bile acids and steroids 30. Sjövall Jan), Arkiv kemi, 1955, 8, № 4, 299—301 (англ.)

В качестве подвижной фазы при разделении желчных к-т методом хроматографии на бумаге рекомендуют смеси амиллацетат-гептан (I) или очищ. этилен-

хлорид-гептан (II). Стационарной фазой является 70%-ная  $\text{CH}_3\text{COOH}$ . Хроматографируют при  $23^\circ$ , восходящим методом.  $R_f$  таурохолевой к-ты при соотношении компонентов смеси I 70 : 30 составляет 0,01, 80 : 20 — 0,06, 85 : 15 — 0,18; таурохенодезоксихолевой к-ты 85 : 15 — 0,29; тауродезоксихолевой к-ты 70 : 30 — 0,04, 80 : 20 — 0,16, 85 : 15 — 0,32; гликохолевой к-ты 40 : 60 — 0,01, 50 : 50 — 0,03, 60 : 40 — 0,12, 70 : 30 — 0,31, 80 : 20 — 0,51; гликохенодезоксихолевой к-ты 30 : 70 — 0,01, 40 : 60 — 0,05, 50 : 50 — 0,13, 60 : 40 — 0,32, 70 : 30 — 0,52, 80 : 20 — 0,68; гликодезоксихолевой к-ты 20 : 80 — 0,01, 30 : 70 — 0,02, 40 : 60 — 0,07, 50 : 50 — 0,17, 60 : 40 — 0,34, 70 : 30 — 0,55, 80 : 20 — 0,68; холевой к-ты 20 : 80 — 0,02, 30 : 70 — 0,06, 40 : 60 — 0,16, 50 : 50 — 0,28, 60 : 40 — 0,43, 70 : 30 — 0,59, 80 : 20 — 0,79; гиодезоксихолевой к-ты 10 : 90 — 0,01, 20 : 80 — 0,07, 30 : 70 — 0,16, 40 : 60 — 0,31, 50 : 50 — 0,44, 60 : 40 — 0,60; хенодезоксихолевой к-ты 10 : 90 — 0,07, 20 : 80 — 0,17, 30 : 70 — 0,29, 40 : 60 — 0,46, 50 : 50 — 0,58, 60 : 40 — 0,66; дезоксихолевой к-ты 10 : 90 — 0,09, 20 : 80 — 0,21, 30 : 70 — 0,33, 40 : 60 — 0,50, 50 : 50 — 0,58, 60 : 40 — 0,66, 70 : 30 — 0,75, 80 : 20 — 0,80. Дезоксихолевые и хенодезоксихолевые к-ты разделяют нисходящим способом за 30 час. смесью I 90 : 10. Их глициновые сопряженные производные разделяются за 36 час. смесью I 40 : 60. Разделение таурохенодезоксихолевой и тауродезоксихолевой к-т достигается за 46 час., нисходящим методом, смесью I 80 : 20. Смесью II 20 : 80 разделяют дезоксихолевую и хенодезоксихолевую к-ты, нисходящим методом, применяя смесь этилхлорид-бутанол 90 : 10 — 80 : 20 в качестве подвижной фазы. Тауродезоксихолевую и таурохенодезоксихолевую к-ты разделяют за 48 час. нисходящим способом, применяя этилхлорид-бутанол 95 : 5. Смесью этилхлорид-гептан- $\text{CH}_3\text{COOH}$  рекомендуется в тех случаях, когда разделение связано с определением желчных к-т с  $\text{H}_2\text{SO}_4$ .

Э. Н.

4246. Открытие и определение средства для борьбы с вредителями E605 в судебной химии. Деркош, Майер (Über den Nachweis und die Bestimmung des Schädlingsbekämpfungsmittels E 605 in der gerichtlichen Chemie. Derkosh J., Mayer F. X.), Mikrochim. acta, 1955, № 2—3, 495—504 (нем.; резюме англ., франц.)

Для открытия *O*,*N*-нитрофенилового эфира *O*,*O*-диметил- или *O*,*O*-диэтилтиофосфорной к-ты содержащее желудка или кровь подвергают отгонке с водяным паром, прибавляя липную к-ту или танни (эмульгатор при этом не перегоняется). Отгон наклоняют эфиром, последний выпаривают, остаток растворяют в спирте и спектрофотометрируют в УФ-области ( $\lambda_{\text{макс}}$  273 мμ). В дистилляте обнаруживают лишь 0,1—0,2 ч. введенного в организм кол-ва; значительная часть яда адсорбируется организмом без омыления и лишь медленно разлагается. Наименьшее определяемое кол-во 0,3 мμ%. Показано, что при низких конц-ях легче удается исключить путем расчета влияние загрязнений. Эфиры идентифицируют в ИК-области при  $>10 \mu$ .

М. Ш.

4247. Об экстрагировании хинолином красителей из пищевых продуктов и их идентификации хроматографией на окиси алюминия. Мотье, Поттера (De l'extraction des colorants pour denrées alimentaires avec la quinoline et de leur identification par chromatographie sur plaque d'alumine. Mottier M., Potterat M.), Analyt. chim. acta, 1955, 13, № 1, 46—56 (франц.; резюме англ., нем.)

Для экстрагирования водорастворимых красителей

(К) из пищевых продуктов предложен хинолин. Эффективность его проверена для 43 К и превышает эффективность применявшегося для этой цели изоамилового спирта и других р-рителей. Извлечение ведут при рН 3 в присутствии ацетатного буферного р-ра (3,5 г  $\text{CH}_3\text{COONa} \cdot 3\text{H}_2\text{O}$  растворяют в воде, добавляют 50 мл лед.  $\text{CH}_3\text{COOH}$  и разбавляют до 1 л). Предварительной обработкой исследуемого продукта получают его водн. р-р, вытяжку или суспензию, содержащие К (подробности обработки для разных групп пищевых продуктов приведены в таблице). К равным объемам полученной жидкости и буферного р-ра (всего 10—200 мл) прибавляют 10—20 мл хинолина, перемешивают, центрифугируют, отделяют органич. слой. Перемешиванием и центрифугированием 1 объема р-ра с 3 объемами эфира и 1—2 мл воды К переводят в водн. фазу и хроматографируют. Некоторые К при этом частично остаются в органич. слое. Для их извлечения прибавляют небольшое кол-во  $\text{Al}_2\text{O}_3$ , активированной нагреванием в течение 45—60 мин. при 300—500°, взбалтывают, центрифугируют, декантируют жидкость, промывают  $\text{Al}_2\text{O}_3$  эфиром и высушивают. Жирорастворимые К экстрагируют пентаном и также сорбируют на активированной  $\text{Al}_2\text{O}_3$ : 5г окрашенного жира растворяют в 50 мл пентана и прибавляют ~0,5г  $\text{Al}_2\text{O}_3$ , взбалтывают, декантируют жидкость. Во всех случаях К идентифицируется либо в виде водн. р-ра, либо сорбированный на  $\text{Al}_2\text{O}_3$ . Хроматографирование ведут на тонком слое (0,5 мм) активированной  $\text{Al}_2\text{O}_3$ , нанесенной на стеклянную пластинку. Р-ритель — смеси воды,  $\text{C}_2\text{H}_5\text{OH}$  и  $n\text{-C}_4\text{H}_9\text{OH}$  в соотношениях: 10 : 10 : 90; 20 : 20 : 80; 30 : 40 : 70; 40 : 40 : 60; 50 : 50 : 50, а также 80%-ный и 60%-ный  $\text{C}_2\text{H}_5\text{OH}$ . Каплю водн. р-ра К (10—30 мμ) наносят на пластинку и высушивают при  $104^\circ$  в течение ~3 мин. Если К чувствителен к нагреву, то 0,2 или 0,1 мл его р-ра смешивают с 0,8—0,9 г  $\text{Al}_2\text{O}_3$ , на кончике шпателя наносят окрашенный порошок на пластинку. Аналогично поступают с К, сорбированным из пентана на  $\text{Al}_2\text{O}_3$ . На ту же пластинку наносят подготовленные идентичным образом известные К-эталон. Нижний край пластинки, наклоненной под углом 15—20°, погружают в р-ритель. Через 20—30 мин. пластинку высушивают и сравнивают полученные пятна и величину  $R_f$  с пятнами и  $R_f$  эталонов. Открываемые пределы при нанесении капли ~0,1 γ, при смешивании с  $\text{Al}_2\text{O}_3$  0,5—1 γ. Полученные хроматограммы могут быть фиксированы на пластинке парафином или петловым спиртом.

Н. В.

4248. Анализ газойля и масла каталитического крекинга. Чарлет, Ланно, Джонсон (Analysis of gas oil and cycle stock from catalytic cracking. Charlet E. M., Lanneau K. P., Johnson F. B.), Analyt. Chem., 1954, 26, № 5, 861—871 (англ.)

Метод хроматографии применяли в комбинации с дистилляцией и спектрофотометрией (поглощение в УФ-и ИК-областях). Ароматич. углеводороды отделяли от жирных адсорбцией на силикагеле Дэвисона 28—200 меш. При опытах с тяжелым маслом 175 мл пробы разбавляли 350 мл *n*-гептана и подавали по каплям на кусок фильтровальной бумаги, положенной на силикагель. Жирные углеводороды вымывали из колонки в течение 2,5 часа ~2500 мл *n*-гептана; ароматич. десорбировали ~2500 мл ацетона и отгоняли соответственно *n*-гептан и ацетон. Результаты метода воспроизводимы в пределах 1%. Ароматич. фракцию разделяли перегонкой при абс. давл. 0,08—0,15 мм рт. ст. на 9 фракций, которые порознь или комбинированно пропускали через колонку активированного  $\text{Al}_2\text{O}_3$  ( $t-20$ ). К пробе 25 мл добавляли 25 мл *n*-гептана и подавали жидкость в колонку под давлением; через колонку пропускали ~300 мл

н-гептана до резкого изменения показателя преломления вытекающего р-ра. После разбора колонки ароматич. фракцию вымывали ~80 мл ацетона, который затем отгоняли. Для измерения поглощения в УФ-области применяли спектрофотометр Бекмана DU с фотоумножителем RCA 1 P28, кювету 10 мм; кон-ция в-ва 0,002—0,003 г/мл; в ИК-области спектрофотометр Перкина—Эльмера с призмой из  $\text{CaF}_2$ . Всего было изучено 80 фракций, 6—чистого типа: 1) соединения бензольного типа характеризуются широкой полосой в области 270 мμ; 2) нафталины имеют пик у 230 мμ и широкую полосу при ~285 мμ; 3) фенантроны характеризуются пиком у 255 мμ и крутым падением у 300 мμ; 4) пирены имеют пик вблизи 245 мμ и полосы у 325 и 340 мμ; 5) хрилены, бензофенантроны и бензантрацены имеют основной максимум при ~270 мμ и характеризуются резким падением интенсивности при ~300 мμ; 6) бензопирены не дают пика; наблюдается резкое понижение при ~290 мμ. Для установления структуры 6 указанных типов получены данные об их мол. весе, отношении C:H; анализом в ИК-области установлено кол-во неза-

мещ. ароматич. и алкилированных углеводородов. Полученные данные тѣбулированы.

Н. С. 4249. Анализ газогенераторного дегтя. Ёсида, Накагава (發生爐ターンの分析に就て. 吉田高年, 中川元吉), *コールター*, Kory taru, J. Japan Tar Ind. Assoc., 1953, 5, № 6, 7—11 (япон.)

Различные пробы газогенераторного дегтя исследовали путем центробежной сепарации и экстракцией при помощи толуола и крезола и определяли содержание воды, угольной пыли и остатка после сжигания. Неорганич. компоненты каждой фракции определяли спектроскопич. методом. Во фракции дегтя, отделенной от угольной пыли, подтверждено присутствие ~1% Ge (из расчета на общее кол-во золы).

Chem. Abstrs, 1953, 47, № 21, 11701. T. Amemiya

См. также: 992Бх; 1001Бх, 1003—1006Бх, 1015Бх, 1016Бх, 1031Бх

## ОБОРУДОВАНИЕ ЛАБОРАТОРИЙ. ПРИБОРЫ, ИХ ТЕОРИЯ, КОНСТРУКЦИЯ, ПРИМЕНЕНИЕ

4250. Микровесы без коромыслового рейтера. Пфундт (Eine Mikrowaage ohne Balkenreiter. Pfundt O.), *Mikrochim. acta*, 1954, № 5, 539—544 (нем.; резюме англ., франц.)

Описаны микровесы без рейтера для максим. груза 20 г типа MPR 5/11 и 10 г типа MPR 5/1, изготовленные фирмой Сартorius, имеющие механич. устройство для нагрузки весов разновесами 1 мг и больше и проекционную шкалу 0—1 мг.

А. С. 4251. Способ непрерывного взвешивания образцов, нагреваемых при различных режимах. Азаров К. П., Бердова Г. В., *Тр. Новочеркас. политехн. ин-та*, 1954, 25, 185—188

Приводится описание установки с весами из спиральной пружины, обеспечивающей непрерывное взвешивание и наблюдение за изменением веса пробы, а также проведение нагрева при переменных режимах. Описываются приемы работы на установке.

И. К. 4252. Изготовление стеклянных чашечек для кварцевых микровесов. Болдырев В. В., Сакович Г. В., Яковлев Л. К., Трушкин Н. М., *Завод. лаборатория*, 1954, 20, № 1, 115

Предложен новый метод изготовления стеклянных чашечек для кварцевых микровесов выдуванием их из трубок диам. 5—6 мм в разъемную форму, изготовленную из угля или графита. Метод позволяет изготавливать чашечки цилиндрич. формы диам. 10 и высотой 5 мм, весом до 12 мг.

Ю. Т. 4253. Сцинтилляционный счетчик как измерительный прибор в ядерной физике. Кек (Der Szintillationszähler als Meßinstrument der Kernphysik. K e c k C h r i s t i a n), *Wiss. Ann.*, 1955, 4, № 2, 84—101 (нем.)

Кратко изложен принцип действия сцинтилляционного счетчика (СС). Приведена таблица основных характеристик кристаллич. фосфоров. Для антрацена и  $\text{NaJ(Tl)}$  указаны области энергии, в которых существует пропорциональность между энергией регистрируемых частиц и интенсивностью световых вспышек. Дано краткое описание нескольких типов фотоумножителей. Рассмотрено влияние различных факторов на коэфф. усиления умножителя и разрешающую способность СС. Описано применение СС для регистрации ча-

стиц и в качестве спектрометров  $\gamma$ -излучения и нейтронов, а также для измерения очень коротких промежутков времени.

Ю. Х. 4254. Увеличение эффективности торцового счетчика Гейгера для  $\gamma$ -лучей. Хоккер, Уилкинсон (Obtaining increased  $\gamma$ -sensitivity in an end-window Geiger tube. Hoescker Frank, Wilkinson Paul N.), *Nucleonics*, 1953, 11, № 9-64, 66 (англ.)

В ряде случаев для регистрации  $\gamma$ -лучей желательно использование эффективного Г.-М. счетчика торцового типа. Обычные счетчики торцового типа не обладают достаточной чувствительностью к  $\gamma$ -лучам. В счетчике спец. типа торцовое окно имеет диам. ~8 мм. Эффективность счетчика может быть увеличена путем наложения на окно счетчика тонкой свинцовой фольги. Толщина ее должна быть выбрана с учетом энергии регистрируемых  $\gamma$ -лучей и тормозной способности окна счетчика. В случае  $\gamma$ -лучей  $^{131}\text{I}$  оказалось, что максим. увеличение эффективности (в 1,9 раза) имеет место при толщине фольги 125 мг/см<sup>2</sup>.

Р. Ф. 4255.  $\gamma$ -Спектрометр с пропорциональным счетчиком. Миллер (Proportional gamma spectrometer. Miller D. G.), *Nucleonics*, 1955, 13, № 2, 58, 60 (англ.)

Описывается конструкция цилиндрич. счетчика с бериллиевым окошком толщиной 0,05 мм в стенке цилиндра. Для трех различных смесей (98%  $\text{Ag} + 2\% \text{CO}_2$ ; 90%  $\text{Ag} + 10\% \text{CO}_2$ ; 90%  $\text{Ag} + 10\% \text{CH}_4$ ) приводятся зависимости амплитуды импульса от напряжения на электродах счетчика, а также зависимости величины импульса от энергии  $\gamma$ -кванта. Приводятся спектры  $\gamma$ -излучения, снятые с помощью описанного счетчика. Подобные счетчики удобно применять, например, для анализа рентгеновского или  $\gamma$ -излучения малой энергии (до 100 кэв) в присутствии излучения большой энергии.

В. Л. 4256. Сцинтилляционный счетчик природного радиоуглерода. I. Счетный метод. Арнолд (Scintillation counting of natural radiocarbon: I. The counting method. Arnold James R.), *Science*, 1954, 119, № 3083, 155—157 (англ.)

Описаны метод и аппаратура, позволяющие измерять содержание природного  $\text{C}^{14}$  с точностью  $\pm 0,46\%$  в



48 час. (измерения проводились на сцинтилляционном счетчике с усилителем и анализатором). Фотоумножители и образец окружены ртутным экраном, с внутренней стороны поддерживается охлаждение  $-20^{\circ}$ . Использовались умножители типа K1192, характеризующиеся низким шумом при высокой чувствительности, если экран связан с первым диодом. Изменяя высокое напряжение, при постоянном напряжении дискриминатора 7 в и ширине канала 60 в, можно установить рабочее напряжение, при котором наименьшему фону будет соответствовать наибольшая скорость счета  $C^{14}$ . Эта рабочая «балансная точка» характеризуется наилучшей чувствительностью и наибольшей стабильностью. В качестве фосфора используется смесь р-ра 0,4% дефинилоксалола в толуоле, с дифенилгексатриеном. Эта смесь показывает хорошую смешиваемость с различными органич. жидкостями при  $-20^{\circ}$ . Увеличение эффективности фосфора достигается продуванием  $N_2$  или  $O_2$ . Л. К.

**4257. Спектроскопия гамма-пар с промежуточной фокусировкой изображения.** Олбергер (Gamma-ray pair spectroscopy with intermediate-image focusing. Alburger D. E.), Rev. Sci. Instrum. 1954, 25, № 10, 1025 (англ.)

Приводится схема прибора для регистрации пар электрон — позитрон, связанных с  $\gamma$ -излучением высокой энергии. Прибор представляет собой видеоизменную конструкцию Даниеля и Боте (РЖФиз 1955, 4197) с промежуточной фокусировкой электронных пар перед попаданием частиц на детекторы излучения. В. Д.-К.

**4258. Международная калибровка нейтронных источников.** Хьюз (International neutron-source calibrations. Hughes D. J.), Nucleonics, 1954, 12, № 12, 26—28 (англ.)

Обсуждается возможность международной калибровки нейтронных источников по нескольким, многократно и точно измеренным, источникам, взятым в качестве стандартов. Р. Ф.

**4259. Поправка на ограниченную разрешающую способность спектрографа в случае сплошного  $\beta$ -спектра.** Фёвре, Юаза (Correction des spectres continus  $\beta$  due au pouvoir de résolution limité du spectrographe. Feuvrais Louis, Yuasa Tosiko m-Ile), C. r. Acad. sci., 1954, 239, № 23, 1627—1629 (франц.)

Рассматривается поправка, которую следует вводить для сплошного  $\beta$ -спектра вследствие конечной разрешающей способности спектрографа. Принято, что монокроматич. линии соответствуют гауссово распределение. Расчеты в случае спектрографа с толстой магнитной линзой и разрешающей способностью 3% показывают, что поправка пренебрежимо мала для всего спектра, за исключением верхней границы. Р. Ф.

**4260. Просчеты, обусловленные конечным разрешающим временем счетчиков и триггерных схем.** Деймон, Уинтерс (Resolution losses in counters and trigger circuits. Damon Paul E., Winters Paul N.), Nucleonics, 1954, 12, № 36—39 (англ.)

Авторы приводят теорию потерь счета для схемы, которая во время своего восстановления не может быть вновь приведена в действие и разрешающее время которой не зависит от скорости счета. Разбираются 3 случая:  $T_1 > T_2$ ;  $T_1 < T_2 \leq 2T_1$ ;  $T_2 > 2T_1$  ( $T_1$  и  $T_2$  — мертвые времена счетчика и измерительной цепи соответственно). Результаты вычислений потерь счета совпадают с экспериментально наблюдаемыми для случая  $T_2 \gg T_1$  вплоть до 99% потерь. Л. Э.

**4261. Метод быстрого получения спектрограмм ядерного магнитного резонанса.** Тейлор (A rapid method of obtaining nuclear magnetic resonance spectrograms. Taylor K.), Nature, 1953, 172, № 4381, 722—723 (англ.)

Описан способ быстрого получения спектрограммы

ядерного магнитного резонанса, являющийся видеоизменением обычного метода модуляции постоянного магнитного поля. Постоянное магнитное поле изменялось по линейному закону со скоростью 100—1000  $gc/sec$ . Это достигалось коротким замыканием сопротивления в цепи электромагнита. Частота переменного поля  $3 \cdot 10^6$   $gc$ . Сигнал подавался на вертикальные пластины осциллографа, напряжение развертки на горизонтальных пластинах изменялось также линейно. На экране наблюдались дисперсионные кривые. Приведены осциллограммы квадрупольного расщепления резонансной линии  $Al^{27}$  в монокристалле синтетич. сапфира, линии  $Na^{23}$  в монокристалле нитрата натрия, и спектр р-ра бромид натрия. К. В.

**4262. Компенсационная система для инфракрасной спектрофотометрии.** Ричардсон, Фаулер, Кофман (An intensity-compensating system for infrared spectrophotometry. Richardson H. M., Fowler R. G., Coffman M. L.), J. Opt. Soc. America, 1953, 43, № 10, 873—876 (англ.)

Свет от выходной щели ИК-источника разделяется на два пучка: один проходит через исследуемый образец, а второй — через вращающиеся дисковые диафрагмы. Последние представляют собой два диска с вырезанными в противоположных сторонах  $90^{\circ}$  секторами. Диски вращаются двумя независимыми моторами переменного тока. Оба пучка попадают на приемник через вращающееся секторное зеркало, вследствие чего приемник воспринимает пучки последовательно. Переменный сигнал усиливается и после выпрямления и фильтрации создает постоянное смещение на сетке лампы фазосдвигающей схемы, которая через усилитель мощности управляет фазой одного из моторов двухдисковой диафрагмы. Таким образом, различные интенсивности пучков изменяют относительное положение дисковых диафрагм. Вспомогательный пучок видимого света, проходящий через те же диафрагмы, падает на фотозлемент и регистрирует взаимное расположение диафрагм. Результаты фиксируются на ленте самописца в виде зависимости пропускной способности образца от длины волны. Приведена схема фазосдвигающей цепи, а также схема, преобразующая переменную длительность импульсов света вспомогательного пучка в переменную амплитуду. Отмечаются преимущества описанной схемы перед существующими. К. Г.

**4263. Новая микрокювета для инфракрасной спектрометрии.** Дейвисон (New infrared microcell. Davison W. H. T.), J. Opt. Soc. America, 1955, 45, № 3, 227 (англ.)

Описана новая конструкция микрокюветы для ИК-спектрометрии, представляющая собой 2 диска из каменной соли, сложенные вместе. На поверхности одного из дисков вырезан замкнутый канал с вертикальными стенками и плоским дном. Слой исследуемой жидкости при помощи капилляра наносится на ограниченную каналом поверхность, площадь которой у различных образцов колеблется в пределах 0,4—0,65  $cm^2$ . Желаемая толщина слоя исследуемой жидкости (от 1 до 10  $\mu$ ) достигается установкой между дисками прокладок или снятием слоя каменной соли с рабочей поверхности диска, ограниченной каналом, при помощи резца или путем растворения спиртом. Ю. Т.

**4264. Линии равной плотности в их применении для спектрофотометрии.** Лау (Die Äquidensiten in der Verwendung für spektroskopische Photometrie. Lau E.), Exptl. Techn. Phys., 1953, 1, № 4/5, 199—201 (нем.)

Разработан метод двумерного фотометрирования фотографич. изображений. Линии равного почернения для данного изображения могут быть получены фотографич. методом (РЖФиз, 1955, 12511) путем наложения негатива на позитив. При этом наибольшую про-

зрачность имеют места с совершенно определенной степенью почернения. (Метод также может быть применен, если использовать эффект Сабатье.) Этот простой способ может быть применен и для получения кривых, аналогичных обычным в спектрофотометрии кривым почернения. Для этого обычную одномерную спектрофотограмму нужно преобразовать в двумерную. Последнее может быть осуществлено путем растягивания изображения спектра при его фотоувеличении в направлении высоты щели с помощью цилиндрич. линзы и наложения серого клина в плоскости изображения.

В. Д.-К.

**4265. Приготовление прессованных дисков из очищенного хлористого натрия с заключенными в них твердыми образцами для инфракрасной спектроскопии.** Хейлс, Кинастон (The preparation of pressed discs of purified potassium chloride containing solid samples for infrared spectrometry. Hales J.L., Kynaston W.), Analyst, 1954, 79, № 944, 702—706 (англ.)

Для получения ИК-спектров твердых тел использован метод прессования в таблетки или ленты тщательно измельченных порошков исследуемых в-в с чистым NaCl. Чистый NaCl получали осаждением кристаллов из смеси его насыщ. водн. р-ра и конц. HCl с последующей просушкой под вакуумом и многократным прокаливанием при  $t$ -рах 120—450°. В конечной стадии поглощение остатками HCl в области 3—5,5 и 8—10,5  $\mu$  не превышало 1% для таблеток, толщиной 1 мм, а поглощение воды при 2,90 и 6,05  $\mu$  при этом не превышало соответственно 11 и 3%. Для дозировки исследуемого порошка использовали торсионные микровесы, изготовленные на основе механизма обычного чувствительного миллиамперметра. Взвешиваемый образец нагружал стрелку миллиамперметра, которую затем пропусканием тока через рамку возвращали в исходное положение. Вес образца считывали по величине этого тока. Ошибка при взвешивании образцов весом 0,3—3 мг не превышала 0,007 мг. Воспроизводимость значения оптич. плотности, полученная с дисками, приготовленными описанным способом, не ниже 3%.

В. Д.-К.

**4266. Поляризация инфракрасного излучения и измерение показателя преломления селена.** Баршевиц, Анри (Polarisation du rayonnement infrarouge et mesure de l'indice du sélénium. Barchevitz P., Henry L.), J. Phys. et Radium, 1954, 15, № 7-9, 639—640 (франц.)

Описаны два селеновых поляризатора для ИК-излучения. Поляризатор, в котором используется отраженный под углом Брюстера луч, поляризует свет селеновой пленкой толщиной  $\sim 30 \mu$ , напыленной под вакуумом на подложку из каменной соли, предварительно отожженную и отполированную, что делает поляризатор нечувствительным к атмосферной влаге. Использование каменной соли устраняются селективность отражения и деполаризация света, отраженного от задней поверхности пленки, вплоть до  $\lambda = 60 \mu$ . Два дополнительных зеркала позволяют совместить оси падающего и поляризованного пучков, причем одно из них может быть использовано для вторичной поляризации света. Максимальное сечение пучка  $25 \times 25 \text{ мм}^2$ , поляризация  $P = 0,997$ , прозрачность  $T = 0,22$  (в области  $\lambda = 1-40 \mu$ ). Поляризующие свойства сохраняются в течение 1 года. Поляризатор, работающий на пропускание, состоит из стопки селеновых пленок толщиной  $3-8 \mu$ , наклоненных к оси пучка под углом Брюстера (68,5°). Селен нанесен напылением на пленки из коллоидной толщиной  $\sim 500 \text{ \AA}$ . Последние получают на поверхности воды из р-ра нитроклетчатки в спиртоэфире методом испарения р-рителя. В области  $\lambda = 1-15 \mu$  поляризатор имеет  $P = 0,99 \pm 1$ ,  $T = 0,97$ , за исключением участков

$\sim 3,5$  и  $7,8 \mu$ , где наблюдается несколько большая деполаризация и уменьшение прозрачности. В области  $\lambda = 15-37 \mu$   $P = 0,97$ ,  $T = 0,95$ . Интерференционным методом измерен показатель преломления  $n$  селена для  $\lambda = 5-15 \mu$ . В этом интервале  $n$  меняется от  $2,42 \pm 0,02$  до  $2,38 \pm 0,02$  для свежей пленки. С течением времени  $n$  несколько возрастает (за 60 час. на 0,04), что связывается с аллотропич. превращением селена.

Л. Р.

**4267. Метод весовой пипетки для приготовления газозовых стандартов спирта и эфира для инфракрасной спектроскопии.** Пристера, Кастелли (Weighing pipet method for preparing infrared gas standards for ether and alcohol. Pristera Frank, Castelli Alexander), Analyt. Chem., 1955, 27, № 3, 457—459 (англ.)

Для приготовления эталонов воздуха с различным содержанием паров эфира или спирта, требующихся для ИК-спектроскопии, использована весовая пипетка. Предварительно взвешенную пипетку заполняют  $\sim 1 \text{ мл}$  эфира или спирта, кол-во которых находят после запаивания пипетки по привесу. Заполненную и запаянную пипетку вводят внутрь газовой кюветы ИК-спектрометра и разбивают с помощью нагретого ( $\sim 50^\circ$ ) стержня, вводимого в кювету через маленькое отверстие и извлекаемого через  $\sim 1$  мин. (отверстие после этого закрывают). Через  $\sim 1/2$  часа жидкость полностью испаряется, и газовый стандарт может быть использован при снятии ИК-спектров. Результаты испытаний метода, основанные на измерениях ИК-поглощения при 6,9 и 8,0  $\mu$ , показали его удовлетворительную точность.

В. Д.-К.

**4268. Влияние ширины щели.** Бродерсен (Slit-width effects. Brodersen Svend), J. Opt. Soc. America, 1954, 44, № 1, 22—25 (англ.)

Рассмотрено влияние конечной ширины щели спектрального прибора на наблюдаемый контур линий поглощения и испускания, а также на сплошной спектр поглощения. В основе расчета лежит предположение о треугольной аппаратной функции:  $z = s_g^2 / s_{\text{эфф}} \cdot (1 - |v_1 - v| / s_{\text{эфф}})$  для  $|v_1 - v| \leq s_{\text{эфф}}$  и  $z = 0$  при  $|v_1 - v| > s_{\text{эфф}}$ , где  $s_g$  — геометрич. ширина щелей,  $v_1$  — частота, заданная монохроматором, а  $s_{\text{эфф}}$  — (эффективная ширина щели) определяется ур-нием:  $s_{\text{эфф}}^2 = s_g^2 + s_0^2$ , где  $s_0$  — функция частоты, характерная для данного спектрального прибора. При этих предположениях для линий испускания или поглощения, имеющих гауссовский контур и полуширину  $l$ , наблюдаемая полуширина  $L$  может быть найдена из ур-ния:  $L^2 = l^2 + s_0^2 + s_g^2$ . При поглощении этот результат годится лишь для небольших оптич. плотностей  $D$ , для которых справедливо приближение:  $10^{-D} = 1 - 2,30 D$ . Математич. трудности мешают найти общее выражение, верное и для больших  $D$ . Показано, что законы Ламберта — Беера для полученного экспериментально коэфф. поглощения, как правило, не выполняются. Для сплошного спектра поглощения расчет произведен для случая, часто встречающегося на практике, когда  $\lg D$  как функция  $v$  в  $\text{см}^{-1}$ , в пределах  $2s_{\text{эфф}}$ , представляется прямой линией. В этом случае закон Ламберта — Беера выполняется практически при  $s_{\text{эфф}}$  вплоть до  $50 \text{ см}^{-1}$ , а при  $D$ , близких к 0,43, и при гораздо больших  $s_{\text{эфф}}$  функцию  $s_0$  предлагается определять экспериментально, наблюдая расширение спектральных линий по мере увеличения  $s_g$ . Величиной  $l$  часто можно пренебречь по сравнению с  $s_g$ . В противном случае ее сле-

дует оценивать с помощью прибора высокой разрешающей силы.

4269. Исследование источников света для спектрального анализа. Генератор искрового разряда с электронным управлением. Бардоц (Untersuchungen über Lichtquellen für Spektralanalyse. Ein Elektronisch Gesteuerter Funkenerzeuger. Bardocz A.), Acta phys. Acad. sci. hung., 1954, 4, № 2, 91—120 (нем.; резюме рус.)

Обзор различных генераторов электрич. разрядов, применяемых для спектрального анализа. В. Д.-К.

4270. Фильтры для выделения узких участков в видимой и близких к ней областях спектра. Уитроу, Прайс (Filters for the isolation of narrow regions in the visible and near-visible spectrum. Withrow Robert B., Price Leonard), Plant Physiol., 1953, 28, № 1, 105—114 (англ.)

Описана лабор. техника изготовления желатиновых фильтров (Ф) большой площади (60 см<sup>2</sup>). Приведены кривые пропускания света окрашенными Ф и Ф из р-ров CuSO<sub>4</sub>·5H<sub>2</sub>O и Fe(NH<sub>4</sub>)<sub>2</sub>(SO<sub>4</sub>)<sub>2</sub>·6H<sub>2</sub>O. Указан способ использования систем Ф, выделяющих относительно узкие участки видимого спектра и близких к нему УФ- и ИК-областей. В. П.

4271. Новые специальные пластинки фабрики AGFA Wollen для спектров комбинационного рассеяния.

Мор (Neue Spezialplatten der Filmfabrik AGFA Wollen für die Raman-Spektroskopie. Mohr H.), Exptl. Techn. Phys., 1953, 1, № 4/5, 201—205 (нем.)

Почернение пластинки связано с интенсивностью действующего света и временем освещения следующей зависимостью:  $S = \lg It^p$ , где  $S$  — почернение пластинки,  $I$  — интенсивность света,  $t$  — время освещения,  $p$  — постоянная, которая обычно меньше единицы. Из этой зависимости следует, что повысить чувствительность пластинки можно путем увеличения коэфф.  $p$ . На этой основе создан новый тип пластинок для исследования спектров комб. расc. (Raman-Platte orthochrom и Raman-Platte panchrom). Первые чувствительны в области до 600 мд, вторые — до 680 мд. Употребление этих пластинок уменьшает время экспозиции в 6—8 раз, а для длительных экспозиций и больше по сравнению с обычно применявшимися пластинками Fluorapilplatte, Spectral rot rapid и Spectral rot extra hart. Зернистость пластинок при повышении чувствительности не увеличивается. О. С.

4272. Спектроскопия комбинационного рассеяния газов с большой разрешающей способностью. Камминг, Стансбери, Уэлш (Spectroscopie Raman des gaz à grande résolution. Cumming C., Stansbury E. J., Welsh H. L.), J. Phys. et Radium, 1954, 15, № 7—8—9, 615—616 (франц.)

Рассмотрены пути усовершенствования спектроскопии комб. расc. газов. Интенсивность возбуждающего света от ртутных ламп может быть повышена увеличением силы проходящего через них тока, благодаря охлаждению не только электродов, но всего корпуса ламп. Световой поток может быть увеличен системой из четырех вогнутых зеркал, установленных на концах рассеивающей трубки. Цель спектрографа располагается в промежутке между двумя передними зеркалами и находится в фокальной плоскости задних зеркал. В эксперим. установке авторов использовались две лампы из стекла «Пирекс» длиной 150 см, работающие при 30 а. Рассеивающая трубка имела длину 150 см, диам. 8 см, на концах ее крепились зеркала, а все устройство окружали экраны с отражающей поверхностью из MgO. Для работы в УФ-области применялись лампы и сосуд из кварца длиной 100 см, диам. 3,3 см. Все устройство позволяло увеличить интенсивность рассеянного света в 15 раз в видимой и в 6 раз —

в УФ-областях спектра и работать на спектрографах Литтрова с линейной дисперсией 10,5 см<sup>-1</sup>/мм в видимой и 27 см<sup>-1</sup>/мм в УФ-областях. Вращательный спектр O<sub>2</sub> при давлении 4 атм получался на установке за 20 мин. Предложенная методика может быть использована при исследованиях зависимости ширины линий от давления газа, изучении тонкой структуры полос и т. п. Ю. Е.

4273. Интерферометрический метод определения дисперсии жидких и твердых веществ. Шкляревский И. Н., Милославский В. К., Ж. техн. физики, 1954, 24, № 8, 1387—1391

Описывается интерферометрич. метод измерения дисперсии жидких и твердых в-в, разработанный авторами. Точность измерения показателя преломления этим методом ограничивается четвертым десятичным знаком. Достоинства метода: 1) простота; 2) измерение дисперсионной кривой производится в течение нескольких минут; 3) для проведения измерений требуется очень малое количество жидкости — 0,25 капли; 4) величина показателя преломления исследуемых в-в не ограничивается. Определение дисперсии производится с помощью так называемых обостренных интерференционных линий равного хроматич. порядка. Основной частью прибора являются две интерферометрич. стеклянные пластины, образующие клинообразный зазор, ширину которого можно плавно менять с помощью микрометрич. винта. В этот зазор помещается изучаемое в-во. Внутренние поверхности пластин покрыты полупрозрачными слоями алюминия. Интерференционная картина, возникающая в зазоре, проектируется линзой на щель спектроскопа (использовался монохроматор УМ-2), причем ребро клина и щель должны быть параллельны. Для измерения дисперсии нужно сначала установить острие указателя спектроскопа на длину волны  $\lambda_0$ , для которой показатель преломления  $\mu_0$  известен. Затем плавным перемещением интерферометрич. пластины линия  $m$ -го порядка совмещается с острием указателя, после чего измеряются длины волн остальных линий равного хроматич. порядка. Показатель преломления  $\mu_i$ , соответствующий длине волны  $\lambda_i$ , находится по ф-ле  $\mu_i = \mu_0 (m + i) \lambda_i / m \lambda_0$ , где  $i = \pm 1, 2, \dots k$ . Приведены кривые дисперсии нескольких в-в и в том числе поглощающих жидкостей, полученные с помощью описанного метода. Авторы указывают, что в случае поглощающих жидкостей данный метод пра той же точности измерения значительно проще других. Т. М.

4274. О некоторых способах использования резонансной полости в парамагнитном резонансе. Иберфельд (Sur quelques modes d'utilisation des cavités résonnantes en résonance paramagnétique. Uebersfeld Jean), J. phys. et Radium, 1955, 16, № 1, 78—79 (франц.)

Рассмотрена нагруженная парамагнетиком резонансная полость, связанная с волноводом. С помощью эквивалентной схемы установлена связь между коэфф. отражения и характеристиками полости (добротность, коэфф. связи, коэфф. заполнения) и в-ва (минимая и действительная части восприимчивости). Найдены условия, при которых чувствительность на поглощение максимальна, а также условия, при которых производятся наиболее правильные измерения дисперсии и поглощения. Л. Ш.

4275. Быстрый цифровой вычислитель для суммирования рядов Фурье. Робертсон (A fast digital computer for Fourier operations. Robertson J., Monteaath), Acta crystallogr., 1954, 7, № 12, 817—822 (англ.)

Описывается счетная машина для вычисления одно-, двух и трехмерных рядов электронной плотности, представленных в виде выражений типа:  $\Sigma F \cos 2\pi h x / a$ ;



$\Sigma f \sin 2\pi x/a$ . Машина построена по аналогии с числовыми полосками (штрипсами), употребляемыми в структурном анализе. Большая скорость действия машины (~6000 об/мин) обеспечивает высокую скорость суммирования.

Д. Х.

4276. Недорогие рентгеновские детекторы. А р и д т (Inexpensive X-ray detectors. Arndt U. W., J. Scient. Instrum., 1954, 31, № 5, 192—193 (англ.)) Описывается способ измерения интенсивности рентгеновских лучей Г.-М. счетчиком с применением высоковольтной сухой батареи и зеркального гальванометра. Высокое напряжение подается на счетчик через сопротивление 5 м.ом. При скорости счета 100 имп/сек сила тока составляет ~0,1 м.а, при этом отклонения гальванометра при скорости счета до 1000 имп/сек линейны (с точностью до нескольких процентов). При измерении больших интенсивностей следует включать напряжение ниже гейгеровского, при этом показания гальванометра линейны до 100 000 имп/сек. Длина катода счетчика 10 см, диам. 2 см, диаметр проволоки 0,1 мм. Наполнителями служат аргон и этиловый спирт.

М. У.

4277. Применение рентгеновского диффрактометра с гейгеровским счетчиком для высокотемпературных исследований. К ъ о т т и (Adaptation of a Geiger-counter x-ray diffractometer for high-temperature investigations. Chiotti P., Rev. Scient. Instrum., 1954, 25, № 7, 683—688 (англ.))

Описано спец. приспособление [вакуумная коробка, нагреватель и держатель образцов] к спектрометру Норелко, позволяющее регистрировать рентгеновскую дифракционную картину при  $t$ -ре до 1600° и в вакууме порядка  $10^{-6}$ — $10^{-7}$  мм. Танталовый нагревательный элемент окружен тремя танталовыми же экранами. В экранах имеются вырезы для первичного и «отраженных» лучей. Размер образца  $5 \times 8 \times 80$  мм. Малые образцы вставляются в спец. держатель из графита. В тех случаях, когда графит взаимодействует с исследуемым в-вом, употребляется прослойка из карбида тантала или из металлического тантала. Вакуумная коробка имеет окошко для прохода рентгеновских лучей, закрытое алюминиевой фольгой. Вакуумные уплотнения — резина и частично пачина Piezoon wax W. Мощность, потребляемая нагревателем при  $t$ -ре 1600° — 900 вт. Смена образца ~10 мин. Измерения  $t$ -ры до 900° термомпарой, от 800° и выше — оптическим пирометром. Скорости записи на самописце 2 и  $1/2$  в 1 мин. Несмотря на большую площадь образца, исследование крупнокристаллич. образцов затруднено. Автор отмечает значительное влияние величины зерна, наблюдавшееся для титана и циркония после нагрева до 1500°. Приведены примеры записи для тантала при  $t$ -ре 1430°.

М. У.

4278. Острофокусная импульсная рентгеновская трубка. К р и с к у о л о, О' К о н н о р (The development of a fine-focus flash X-ray tube. Criscuolo E. L., O'Connor D. T., Rev. Scient. Instrum., 1953, 24, № 10, 944—948 (англ.))

Рассматриваются причины, вызывающие нерезкость изображений на рентгенограммах. Показано, что при импульсной рентгенографии основной причиной нерезкости рентгенограммы являются большие размеры фокуса. Так, в слэковской трубке (WL = 389) площадь фокусного пятна порядка 200 мм<sup>2</sup>. Движение объекта со скоростями >7500 м/сек мало влияет на резкость изображения. Описана отягнутая трубка с эффективной площадью фокуса ~1 мм<sup>2</sup>, работающая при напряжении порядка 100 кВ. Анодом трубки является 30° W-конус, катодом служат 2 тонких Та-диска, расположенных на расстоянии ~0,5 мм один от другого и имеющих в центре отверстия, в которые входит острый конус анода. Плоскость дисков перпендикулярна оси ко-

нуса анода. Отверстия в дисках имеют острые грани, поэтому уже при 30 кВ наступает холодная эмиссия. Электроны движутся в плоскости, перпендикулярной оси конуса анода. Катод имеет спец. форму двух цилиндров, защищающую стеклянную оболочку трубки от загрязнений испаренным W. Даже после 100 импульсов трубка имеет весьма малое загрязнение W. Указана методика откочки трубки.

М. У.

4279. Воспроизводимость изготовления твердых образцов соединений  $\text{Cl}^{36}$  для измерений радиоактивности. С о р е н с е н (Reproducibility of mounting of solid samples of chlorine-36 compounds for radioactivity measurements. Sorensen P. O. I., Analyt. Chem., 1955, 27, № 3, 391—392 (англ.))

Исследован разброс результатов при измерении радиоактивных образцов соединений  $\text{Cl}^{36}$  приотготовленных 3 операторами различной квалификации. Образцы изготовляли путем равномерного нанесения навесок в  $50 \pm 5$  мг кристаллич. в-в с различными физ. свойствами, содержащих радиоактивный  $\text{Cl}^{36}$  на Al-пластинки диам. 14 мм, толщиной 2 мм. Активность образцов составляла 1000—2000 имп/мин на 50 мг. Для каждого образца было сделано по ~20 000 отсчетов, т. е. относительная активность была определена со статистич. погрешностью счета 0,61%. Рассчитывают относительную активность образцов; исправленную активность рассчитывали по ф-ле:  $a_{50} = (50a_x/x) + (x-5) \cdot 0,0060$ , где  $a_x$  — относительная активность образца ( $x$  мг),  $a_{50}$  — относительная активность образца, исправленная из расчета на вес образца 50 мг. Последний член выражения является поправкой на собственное поглощение излучения в слое. Найдено, что единичное определение активности дает среднеквадратичную погрешность 0,79%. Малое отклонение от статистич. погрешности счета показывает, что другие факторы на оказывают серьезного влияния при счете.

В. Д.

4280. Масс-спектрометр для очень точных определений изотопного отношения. У а н л е с с, Т о д (A mass spectrometer for high precision isotope ratio determinations. Wanless R. K., Thode H. G., J. Scient. Instrum., 1953, 30, № 11, 395—398 (англ.))

Описано видоизменение обычного масс-спектрометра для точного определения изотопного отношения. Прибор подобен масс-спектрометру Юри и др. (Urey H. C. and others, Rev. Scient. Instrum., 1950, 21, 724). Ионный источник типа Нира 1947 г., упрощенный, ширина выходной щели 0,25 мм. Коллекторная система рассчитана для приема на два коллектора ионов с массами 64 ( $\text{S}^{32}\text{O}^{16}\text{O}^{16}$ ) и 66 ( $\text{S}^{34}\text{O}^{16}\text{O}^{16}$ ). Одна из двух коллекторных щелей, на которую пучок точно сфокусирован, имеет ширину 1 мм. Другая щель, на которую попадает уже несколько расходящийся пучок, имеет ширину 2 мм. Исследуемый газ и эталон подаются в ионный источник попеременно через два Ni-капилляра внутренним диам. 0,17 и длиной 350 мм, нужная скорость натекания через которые достигается их сплющиванием. Попеременная подача газов, вытекающих из капилляров, осуществляется с помощью двух магнитных кранов двойного действия. Два электрометрич. усилителя включены по компенсационной схеме, в качестве нуля прибора используется автопотенциометр. Разница показаний последнего при выпуске эталона исследуемого образца является мерой изотопного отношения. Воспроизводимость результатов  $\pm 0,02\%$ .

В. Т.

4281. Применение сверхвысоких частот к химическим процессам. М а р и н - Г о р р и с, М о н т у л - М а с и п (Sobre la aplicacion de frecuencias ultraelevadas a procesos quimicos. Marin Górriz A., Montull Masip F.), An. Real soc. española fis. y quim., 1954, B50, № 11, 909—910 (исп.)

Описано применение ВЧ-установки, состоящей из двух генераторов с частотой  $\sim 380$  Мгц, смесителя с максим. частотой биений 150 кгц и регистрирующего частотомера с линейной шкалой на 200 кгц, для объемного определения  $\text{HCl}$ ,  $\text{NaCl}$  и  $\text{H}_2\text{O}_2$  в р-рах с высокой степенью точности. В. Ш.

4282. Физические основы импульсного метода исследования распространения ультразвуковых колебаний. Яковлев В. Ф. В сб.: Применение ультразвука к исследованию вещества, М., Изд. МОПИ, 1955, № 1, 79—100

Рассматриваются общие вопросы измерений импульсным методом при отсутствии дисперсии. Вычисляются возможные относительные ошибки в измерении скорости и поглощения ультразвука импульсным методом и указываются требования, предъявляемые к отдельным узлам соответствующих установок: измерительной камеры, кварцедержателю, кварцевой кристаллич. пластинке, генератору, приемнику, осциллографу. Описывается видоизменение импульсного метода, при котором расстояние между кварцем и рефлектором поддерживается неизменным, и приводятся результаты измерения этим способом коэф. поглощения (КП) ультразвука в бромбензоле. В интервале от 4 до 43° величина КП линейно возрастает с ростом т-ры. Описанный метод особенно удобен в тех случаях, когда требуется герметизация рабочего сосуда или когда перемещение рефлектора затруднено (затвердевание в-ва). Б. К.

4283. Прибор для экспериментального исследования в области высоких давлений и высоких температур. Лифт-Зураковский (An apparatus for the experimental exploration of the high temperature-high pressure region. Luft-Zurkowski Ludwig), Trans. Kansas Acad. Sci., 1953, 56, № 3, 382—386 (англ.)

Описан прибор для эксперим. определения отношения  $P, V$  и  $T$  газов при т-рах до 1000° и давл. до 1000 атм, состоящий из стальной бомбы (СБ), внутри которой помещена вторая бомба (ВБ), имеющая электр. нагреватель и теплоизоляцию. СБ и ВБ соединяются затвором из расплавленного металла, служащего одновременно индикатором разности давлений в них. Исследуемый газ вводится в СБ; одновременно в ВБ создается соответствующее противодействие. Давление и т-ра исследуемого газа измеряются термопарой, опущенной в СБ, и манометром на наружной бомбе. Ю. Т.

4284. Определение упругости пара динамическим методом при небольших количествах жидкости. Торонов А. П., Никонович Г. В., Докл. АН УзССР, 1955, № 3, 23—25 (резюме узб.) См. реф. 4285.

4285. Прибор для определения давления насыщенного пара динамическим методом для малых количеств жидкости. Торонов А. П., Никонович Г. В., Ж. физ. химии, 1955, 29, № 4, 615—619

Описан прибор для определения давления пара индивидуальных в-в и гомог. смесей. Кол-во жидкости, необходимое для опыта, не превышает 4,5 мл. Продолжительность опыта 30 мин. Т-ра жидкости не более чем на 0,1° ниже т-ры термостата. Исследование системы 1,2-дихлорэтан — этиловый спирт показало хорошее совпадение с литературными данными. В. Ф.

4286. Автоматическое измерение удельной теплоемкости. Хироне, Маэда, Цубокава, Цуя (The automatic measurement of specific heat. Hirone T., Maeda S., Tsubokawa I., Tsuya N.), Engng' Digest, 1954, 15, № 6, 239—240 (англ.)

Описана установка для автоматич. измерения и записи уд. теплоемкости  $c_p$  сплавов и других соединений и ее температурной зависимости. Приведена общая схе-

ма установки и конструкция вакуумного аднабатич. калориметра типа Сайкса (Sykes C., Proc. Roy. Soc., 1935, A148, 422). Авторы полагают, что по скорости измерений описанный метод превосходит прочие, не уступая им в точности определений  $c_p$ . Указано, что метод непригоден для точных определений скрытых теплот. Исследуемый образец (О) помещается внутри нагреваемой с постоянной скоростью камеры (К). Дифференциальная термопара, измеряющая разность т-р между О и К, включена в цепь гальванометра, отображающего зайчик на фотозаэлемент. Фототок фотозаэлемента после усиления непосредственно используется для нагрева О, т-ра которого таким образом автоматич. поддерживается равной т-ре К. Ток нагревателя регистрируется самописцем. Т-ра О измеряется с помощью другого самописца. Постоянная скорость нагрева К обеспечивается применением схемы, аналогичной использованной для регулирования нагрева О и управляемой разбалансировкой между э.д.с. термопары, измеряющей т-ру К, и э. д. с., снимаемой с вращающегося с постоянной скоростью потенциометра. И. С.

4287. Новый вискозиметр для непрерывного определения вязкости жидкости. Ташпулатов Х., Завод. лаборатория, 1955, 21, № 5, 612—613

Описан прибор для непрерывного определения вязкости жидкости, состоящий из основной трубы, через которую насосом при постоянном расходе прокачивается исследуемая жидкость, предварительно проходящая через теплообменник. К основной трубе присоединены 2 пьезометрические трубки, шкала которых предварительно проградуирована по жидкости с известной вязкостью и при непрерывной работе насоса показывает абсолютное значение вязкости. Для обеспечения постоянства т-р прибор помещен в термостат, снабженный подогревателем. Приведена схема присоединения прибора для автоматич. контроля вязкости. Ю. Т.

4288. Простой электромагнитный микровискозиметр для полупрозрачных жидкостей. Харт (A simple electromagnetic microviscometer for semi-transparent liquids. Hart J.), J. Scient. Instrum., 1954, 31, № 5, 182—184 (англ.)

Стеклообразная трубка длиной 1,2 см, с внутренним диам. 2,0 мм зажата в струбцинке из упругой бронзовой полоски, на концах которой имеются конусы, входящие в просвет трубки и закрывающие ее. Трубка установлена вертикально под полюсом электромагнита перед экраном из матового стекла с нанесенной шкалой, на который проектируется изображение трубки, увеличенное в 4 раза. Стальной шарик диам. 0,4 мм помещают в трубку и измеряют время его поднятия (5—20 сек.) при включении электромагнита. Вискозиметр пригоден для жидкостей с вязкостью 100—1000 пуаз. К. Г.

4289. Измерение, контроль и непрерывная регистрация вязкости жидкостей. Ультразвуковой вискозиметр Жобена и Ивона. Фуже (Mesure, contrôle et enregistrement continu de la viscosité des fluides. Viscosimètre ultra-viscoson de Jobin et Jvon. Fouché R.), Chim. analyt., 1955, 37, № 2, 56—57 (франц.)

Описан вискозиметр, принцип работы которого основан на затухании ультразвуковых колебаний в жидкости. Металлич. зонд, помещенный в испытываемую жидкость, снабжен на конце стальным лезвием длиной 50 мм, шириной 3,5 мм и толщиной 0,2 мм. Лезвие подвергается действию магнитных импульсов, даваемых обмоткой внутри зонда. Эти импульсы вызывают в лезвиях магнитострикционные продольные колебания частотой 28 000 гц. Волны, вызываемые внутри жидкости колебаниями лезвия зонда, затухают пропорционально вязкости жидкости. Связь между затуханием и вязкостью автоматически переводится в показаниях стрелки электронного индикатора. Шкала

индикатора градуирована от 0 до 50  $\text{спузг/см}^3$ , но пределы измерения могут быть увеличены при помощи коммутатора в 10, 100 и 1000 раз. Два варианта этого прибора имеют следующие пределы измерения: 0—5, 0—50, 0—500, 0—5000  $\text{спузг/см}^3$  или 0—500, 0—5000, 0—50 000, 0—500 000  $\text{спузг/см}^3$ . Электронный индикатор является одновременно источником питания зонда. Питание прибора требует 100  $\text{вт}$  и 100—240  $\text{в}$  при 50—60 периодах. Точность ультразвукового вискозиметра  $\pm 2\%$  до 1000  $\text{спузг}$  и  $\pm 5\%$  свыше этой величины. Воспроизводимость результатов во всех случаях лучше  $\pm 2\%$ . Область применения прибора по давлению до 50  $\text{атм}$  и по  $t$ -ре 120—+360°. Прибор может применяться для коррозионных и взрывчатых жидкостей. Миним. кол-во жидкости, необходимое для работы прибора,  $\sim 2 \text{ см}^3$ . В случае изменения в известных пределах  $t$ -ры испытуемой жидкости вискозиметр может быть связан с корректором, состоящим из термометра сопротивления, помещаемого вблизи лезвия зонда. Корректор  $t$ -ры автоматически переводит показания вязкости к произвольно заданной  $t$ -ре.

С. Д.  
4290. О конденсационном психрометре. Качури Л. Г., Метеорол. и гидрология, 1955, № 2, 41—42

Подвергнута критике методич. основа психрометра Кирюхина (Метеорол. и гидрология, 1946, № 4), который предложил смачивать батист психрометра  $r$ -рами солей. Автор утверждает, что ф-ла Кирюхина является ошибочной, а принцип конденсационного психрометра необоснованным.

Ю. Т.  
4291. Прибор для определения электропроводности. Воробьев Н. И., Завод. лаборатория, 1955, 21, № 4, 499—500

Описана конструкция стеклянного прибора для определения электропроводности  $r$ -ров с конц-ней солей 1—0,001  $n$ . по ранее предложенному принципу (РЖХим, 1954, 21513). Прибор состоит из двух сосудов с электродами, соединенных двумя сифонами, один из которых снабжен прерывателем контакта. Это дает возможность измерять сопротивление  $r$ -ра при одном и двух включенных сифонах и таким образом исключать влияние положения электродов, сопротивления жидкости в сосудах и других факторов на результат измерения. Отклонения отдельных измерений не превышают 0,2—0,3%.

С. Ж.  
4292. Заметка о сравнении нормальных элементов Вестона. Уоррелл (Note on the comparison of Weston cells. Worrell Francis T.), Amer. J. Phys., 1955, 23, № 5, 295—297 (англ.)

Описана потенциометрич. схема, предназначенная для измерения разности э.д.с. двух подлежащих сравнению нормальных элементов Вестона (в отличие от обычных схем, дающих значение отношения обеих э.д.с.). Оба сравниваемых элемента включаются последовательно, навстречу друг другу. Точность измерения  $\sim 5 \mu\text{в}$ .

И. З.  
4293. Сорбированные газы и высоковакуумные системы. — (Sorbed gases and high-vacuum systems.), Nucleonics, 1953, 11, № 2, 37 (англ.)

Проведены измерения проницаемости газа через А-отливки двумя способами: а) одна сторона отливки находится в вакууме, а другая на воздухе под атмосферным давлением; при этом обнаружено натекание  $\sim 2 \cdot 10^{-8} \text{ в/см}^2 \text{ час}$ ; б) воздух заменен  $\text{He}$ ; в этом случае гелиевый течеискатель натекания не обнаружил. Таким образом, кажущаяся течь, обнаруженная в первом случае, обусловлена выделением окислированных, абсорбированных и адсорбированных газов, поглощенных отливкой во время литья и пребывания на воздухе.

С. Ф.  
4294. Некоторое улучшение стеклянной аппаратуры. Мак (Some glass apparatus improvements. Mac K

Arthur D.), Science, 1955, 121, № 3133, 66—67 (англ.)

Описаны конструкции контейнеров для твердых адсорбентов, представляющие собой стеклянные трубки со вставными в них дисками из пористого стекла. Диски обеспечивают легкий доступ газа и предохраняют адсорбирующее  $v$ -о от высыпания. Конструкция обеспечивает легкость монтажа и возможность прокалывания адсорбента вместе с трубкой. Описана также улучшенная конструкция стеклянного гомогенизатора Тен-Броэка, к которому для охлаждения припаяна стеклянная рубашка, через которую циркулирует охлаждающая жидкость.

Ю. Т.  
4295. Хроматография газов и паров. Часть IV. Применение метода потенциала поверхности. Гриффитс, Филиппс (The chromatography of gases and vapours. Part IV. Applications of the surface-potential detector. Griffiths J. H., Phillips C. S. G.), J. Chem. Soc., 1954, Oct., 3446—3453 (англ.)

Описан прибор (П) для определения конц-ий паров  $v$ -в в токе  $\text{N}_2$  в газовой хроматографии. Действие П основано на возникновении э. д. с., вызванной различными поверхностными потенциалами между колеблющейся и неподвижной пластинами, имеющими различные поверхности (Phillips G., J. Scient. Instrum., 1954, 28, 342). Колебания к одной из пластин передаются от телефонной трубки питаемого от RC генератора с частотой 200—500  $\text{гц}$ . Э. д. с. пластин усиливается в начале электрометрич. триодом, а затем трехкаскадным усилителем и подается на самописец. Подробно описаны электронные схемы П. Поверхность одной из стальных пластин обработана стеариновой  $k$ -той или октодеканом описанным ранее методом (Menter, Tabor, Proc. Roy. Soc., 1951, A204, 514). Для измерения конц-ий между пластинами пропускался  $\text{N}_2$ , содержащий пары соответствующих  $v$ -в при  $t$ -рах, близких к комнатным. Описывается использование П для определения скрытых теплот испарения и упротности пара. Применение П в газовой хроматографии позволяет работать в области низких конц-ий, контролировать разделение термически неустойчивых  $v$ -в при низких  $t$ -рах и анализировать небольшие кол-ва. Недостатки метода: значительная инерция, частичная необратимость и отсутствие линейной зависимости между потенциалом и конц-ней. Часть III см. РЖХим, 1955, 37005.

М. Я.  
4296. Приспособления для градиентного вымывания в хроматографии. Бок, Лин Нань-син (Devices for gradient elution in chromatography. Bock Robert M., Ling Nan-Sing), Analyt. Chem., 1954, 26, № 10, 1543—1546 (англ.)

Описываются приспособления — смесители (С), позволяющие постепенно увеличивать конц-ию элюэнта (Э), что сокращает длину заднего фронта хроматографич. полосы и позволяет значительно уменьшить кол-во Э (Alm R. S., Williams R. J. P., Tiselius A., Acta chem. scand., 1952, 6, 826). С состоит из нескольких сосудов переменного сечения, заполненных  $r$ -рами Э различной конц-ии и имеющих общую выводную трубку В обьем случае для  $n$  сосудов с конц-иями  $C_1, C_2, C_n$  в каждом после того, как уровень в них понизится на  $\Delta h$ , конц-ия смеси определяется ур-нием:  $c = \sum_{i=1}^n c_i A_{nh} \Delta h_n / \sum_{i=1}^n A_{nh} \Delta h_n$ , где  $A_{nh}$  — площадь сечения сосуда  $i$  на высоте  $h$ . Описываются комбинации из 2—3 сосудов, позволяющие задавать любую зависимость конц-ии Э как функцию протекшего объема:  $c = f(v)$  (1). Теория хроматографии не может пока предсказать вид кривой (1), поэтому для каждой отдельной системы оптимальные условия выбираются эмпирически. Описанные С успешно использовались для разделения смесей нуклеидов, аминокислот и органич.  $k$ -т.

М. Я.



4297. Прибор для измерения скорости тока раствора в лабораторных хроматографических колонках. Чм у тов К. В., Гапон Т. Б., Ю д и л е в и ч М. Д., Завод, лаборатория, 1955. 21, № 5, 627—628.

Для непрерывной регистрации малых скоростей тока жидкости предложен ротаметр, корпус которого, сделанный из органич. стекла, имеет вертикальный, конич., суживающийся книзу канал, в котором перемещается шарик, сделанный из материала с плотностью большей, чем у исследуемой жидкости. При движении жидкости снизу вверх шарик, свободно плавая в струе, поднимается на высоту, зависящую от скорости подачи жидкости. Средняя величина ошибки при измерении скорости жидкости в интервале от 1 до 50 мл/мин не превышает 5%. Ю. Т.

4298. Ультразвуковое туманообразование — новый путь для получения аэрозолей. П и к р о т, Ш п и т ц е н б е р г (Ultraschallvernebelung ein neuer Weg zur Erzeugung von Aerosolen. Pickroth G., Spitzenberg F.), Dtsch. Gesundheitswesen, 1954, 9, № 43, 1279—1285 (нем.) См. РЖХим, 1955, 3571.

4299. Новые приборы, химические продукты и приемы работы. Водяной термостат «Précistat». — (Appareils, produits et procédés nouveaux. Bain-marie thermostatique «Précistat». —), Chem. analyt., 1954, 36, № 2, 58 (франц.)

Кратко описывается новый водяной термостат, формы OSI-France с автоматич. регулировкой т-ры при помощи электронного реле (точность  $\pm 0,001^\circ$ ). П. А.

4300. Новый полумикробуллиометр для определения молекулярного веса. Б о б р а н с к и й (O nowy półmikrobułiometr do oznaczania ciężaru cząsteczkowego. Bobrański Bogusław), Roczn. chem., 1955, 29, № 2—3, 461—467 (польск.; резюме англ., русс.)

Описан новый полумикробуллиометр, конструкция которого отличается от описанной ранее (Chem. Ztg., 1927, 51, 568) применением электрич. нагревателя и сепараторных трубок, что позволяет пользоваться растворителями с более высокой т-рой кипения. Для измерения мол. веса достаточно наливка 0,04—0,06 г в-ва и 6 мл р-рителя. Точность измерений  $\pm 5\%$ . Ю. Т.

4301. Микрогазометрический анализ. I. Простая аппаратура для микрогазометрического анализа с прямым отсчетом. Л а з а р о в (Microgasometric analysis. I. A simple direct-reading microgasometric apparatus. Lazarow Arnold M. D.), Lab. Invest., 1953, 2, № 1, 22—48 (англ.)

Подробно описана аппаратура, предназначенная для газометрич. анализа крови и лимфы, требующая для проведения каждого анализа 20 мл исследуемой жидкости. Прибор состоит из камеры р-ции, которая заполняется через капилляр исследуемой жидкостью и газоосвобождающим реагентом, индикаторной камеры (ИК), служащей для определения давления в системе и заполняемой для этого точно определенным объемом воздуха, и контрольной камеры, служащей для создания разрежения в системе и представляющей собой стеклянный цилиндр с поршнем (П). Все камеры соединяются друг с другом через 3-ходовой кран. Прибор производит непосредственное измерение объема газов, освобождающихся из исследуемой жидкости при стандартном разрежении 0,1 атм. При измерениях давление приводится к стандартному значению перемещением П определенным величинами объема воздуха в ИК. Величина линейного перемещения последнего определяет объем освободившихся газов, который отсчитывается непосредственно по шкале связанным с П указателем. Прибор отличается простотой операций, экономией реагентов, высокой точностью и воспроизводимостью результатов измерений. Ю. Т.

4302. Конструкция трансмиссионного флуориметра (модель V). Ф л е т ч е р, Мей, Андерсон (The design of the model V transmission fluorimeter. Fletcher Mary H., May Irving, Anderson Joseph W.), Geol. Survey Bull., 1954, № 1006, 93—95 (англ.)

Разработана конструкция трансмиссионного флуориметра (Ф), модель V, для измерения флуоресценции урана в сплаве с фторидами. Механич. конструкция этого Ф более совершенна по сравнению с ранее описанными (РЖХим, 1955, 37674). Корпус Ф цилиндрич. формы, из бронзы. Прибор прочен, компактен, светонепроницаем, с незначительным светорассеянием; отдельные части его легко заменяемы. Приложены детальные чертежи. Л. А.

4303. Упрощенный прибор для количественного гидрирования. П а р р е т т (Simplified apparatus for quantitative hydrogenation. Parrette Richard L.), Analyt. Chem., 1954, 26, № 1, 237—239 (англ.)

Отличительной чертой прибора по сравнению с ранее описанным (Catterman L., Wieland H., Laboratory methods of organic chemistry. London, Macmillan Co., 1943, p. 376; Vandenhoevel F. A., Analyt. Chem., 1952, 24, 847) является эластичное (упругое) соединение (даны рис. и описание), позволяющее встряхивать реакционный сосуд и ртутный затвор, препятствующий утечке  $H_2$ . Конструкция обеспечивает также амортизацию небольших колебаний газового давления. Средняя квадратичная погрешность 0,88% при расходе  $H_2$  140 см<sup>3</sup>. В. М.

4304. Мешалка для перемешивания реакционной смеси через герметичный затвор. С к и д м о р (Apparatus for stirring a reaction mixture through a vapor-tight seal. Skidmore J. Russell), Analyt. Chem., 1954, 26, № 4, 789—790 (англ.)

Мешалка, выполненная в виде стержня, введенного в реакционную колбу через сферич. шлиф, приводится во вращение с помощью кривошипа (центр вращения в шлифе). При работе мешалки конец стержня описывает окружность, радиус которой легко регулировать. Испытана при вакууме 0,05 мм и давл. 34 мм. рт. ст. Н. Л.

4305. Лабораторный озонизатор. А н д р о с, Микел, Классен (A laboratory ozonizer. Andrews A. C., Mickel B. L., Klassen K. C.), J. Chem. Educ., 1955, 32, № 3, 154—155 (англ.)

Описана простая, конструкция лабор. озонизатора, состоящего из стеклянной, снабженной водяной охлаждающей рубашкой трубы, через которую пропускается предварительно осушенный кислород. Внутри трубы помещен электрод, представляющий собой стеклянную трубку, заполненную ртутью. Второй электрод из Pt-проволоки проходит внутрь водяной рубашки. Напряжение переменного тока, подаваемое на электроды, равно 12 000 в при силе тока 30 ма. Средний выход озона составляет 4% от кол-ва кислорода, пропущенного через прибор. Ю. Т.

4306. Водяной предохранительный клапан для газового или электрического нагревателя. Х а р п е р (Water-flow safety switch for gas or electric heaters. Harper R. P.), Analyt. Chem., 1955, 27, № 1, 168 (англ.)

Описана простая конструкция водяного предохранительного клапана для нагревателя ртутного диффузионного насоса, состоящего из поплавковой камеры в виде стеклянной трубы, в которой помещается пробковый поплавок, соединенный стержнем с кнопкой микро-выключателя. При достаточном кол-ве воды, проходящей через поплавок камеру и холодильник, уровень ее в трубе таков, что цепь нагрева замкнута. При уменьшении кол-ва воды уровень ее в трубе пони-

жается, что вызывает опускание поплавка и размыкание цепи нагрева.

Ю. Т. 4307. Поверхностный испаритель с дистанционным управлением для рядовых аналитических работ. Терк, Маркхейм (Remotely controlled surface evaporator for routine analytical work. Turk Elton H., Markheim Leon S.), *Analyt. Chem.*, 1954, 26, № 10, 1668—1669 (англ.)

4308. Аппарат для экстракции твердых тел. Дроздовский В. Ф., Завод. лаборатория, 1955, 21, № 6, 747

Для экстракции больших кол-в твердых тел предложен экстрактор без сифона. Конденсат р-рителя из холодильника по спец. трубке с воронкой поступает под слой в-ва, находящегося на внутреннем сетчатом дне, поднимается вверх и перетекает по U-образной трубке в колбу-кипятильник. Корпус — из белой жести с нижним спуском. На трубке имеется кран для отбора проб перетекающего р-ра.

В. П. 4309. Видоизмененный нитрометр. Холт (Modified nitrometer. Holt B. D.), *Analyt. Chem.*, 1955, 27, № 2, 334 (англ.)

Внесенные изменения в стандартный нитрометр Du Pont сводятся к следующему: бюретка и компенсирующая трубка вкладываются рядом в общий водяной кожух и связываются только через манометр. Обе трубки имеют собственные уравнивающие сосуды. Реакторный баллон уменьшен (200 мл), также изменена емкость бюретки с 240.36 до 100 мл и уменьшен ртутный напорный резервуар. Верхний двойной кран реакторного баллона заменен тройным. После обычного превращения азота исследуемого в-ва в NO последняя переводится в бюретку. Уравнительным сосудом бюретки по манометру устанавливается давление, равное давлению в компенсирующей трубке. Измерения проводятся при стандартных условиях, когда давление и т-ра равны в обеих трубках. Видоизмененный прибор компактен, облегчен, удобен в обращении.

Д. К. 4310. Установка для автоматической регистрации pH. Нейленде, Каннон (Automatic recording pH instrumentation. Neillands J. B., Cannon M. D.), *Analyt. Chem.*, 1955, 27, № 1, 29—33 (англ.)

Описаны электрич. схема и ячейка установки, предназначенной для автоматич. регистрации в контроля pH в процессе титрования. Установка позволяет как регистрировать зависимость изменения pH от времени, так и осуществлять титрование при постоянном pH. Главное назначение установки — биохим. исследования энзимов.

И. З. 4311. Новый способ определения точки плавления высокомолекулярных веществ. Рыбникарж (Nový způsob stanovení bodu tání vysokomolekulárních látek. Rybníkář F.), *Chem. listy*, 1954, 48, № 10, 1575—1576 (чеш.)

Готвальдовский н.-и. ин-т применения пластмасс (Чехословакия) разработал метод определения т-р плавления высокополимеров (преимущественно кристаллических, подверженных окислению  $O_2$  воздуха при повышенных т-рах, напр. полиамидов и полиэфиров) под слоем ртути. Несколько кусочков (крупинки) испытуемого в-ва помещают в запаянную с одного конца тонкостенную стеклянную пробирку диам. 8 мм и длиной 18—20 см; на расстоянии 4—5 см от дна пробирку оттягивают до образования шейки меньшего диаметра, чем размер крупинки, и заполняют ртутью на 2 см выше шейки (при этом крупинки всплывают до нижнего уровня шейки). После удаления пузырьков воздуха в трубку вставляют термометр и помещают ее в баню или железный блок. Постепенно повышая т-ру бани, наблюдают за местом соприкосновения крупинки со стенками пробирки. Если испытуемый обра-

зец — пленка, из нее высверливают кружок диам. 6 мм с отверстием и насаживают непосредственно на термометр так, чтобы образец находился под слоем ртути; образцы в виде волокон или струн наматывают на термометр (при испытании пленок и волокон оттягивать трубку не нужно). Т-ры плавления, определенные с доступом воздуха и описанным способом, равны соответственно (в °C): для силона (пленки) 200—205; 215; для силона (струны) 197—202; 214; для игамида А 235—245; 265; для дакрона и терилена 235—240; 253—254.

Л. П. 4312. Очистка органических веществ методом фракционной кристаллизации. Киниц (Reinigung organischer Substanzen durch fraktionierendes Kristallisieren. Kienitz Hermann), *Z. Elektrochem.*, 1955, 59, № 3, 168—172 (нем.)

Прибор для очистки органич. в-в методом фракционированной кристаллизации (ФК) из расплавов состоит из двустенного сосуда для ФК с введенными в него мешалкой и Pt-термометром сопротивления. Внутри сосуда находится стеклянный фильтр, с помощью которого отделяют жидкий расплав от выделившихся кристаллов (К). Жидкая фаза поступает в электрич. обогреваемую стеклянную трубку, вплавленную в нижнюю часть сосуда для ФК, а оттуда — в приемник. В случае необходимости фильтр также обогревается. Для иницирования кристаллизации склоновых к переохлаждению в-в в тонкую стеклянную трубку, заканчивающуюся помещаемой в расплав Pt-проволочкой, вводят жидкий азот. Скорость теплообмена во время кристаллизации регулируют изменением давления  $H_2$  или  $N_2$ , которыми заполняют кожух сосуда для ФК. Сосуд для ФК помещают в сосуд Дьюара, который заполняют, в зависимости от т-ры плавления очищаемого в-ва, жидким азотом или смесью твердого  $CO_2$  с ацетоном. Для охлаждения подлежащей очистке сухой жидкости кожух сосуда для ФК сначала заполняют  $H_2$  под давлением в несколько мм, а затем постепенно понижают давление по мере понижения т-ры, устанавливая его таким образом, чтобы за 30 мин. при помешивании выкристаллизовывалось 50 % в-ва. Эвакуируя кожух сосуда для ФК, прерывают кристаллизацию, отсасывают жидкость, К расплавляют, обогревая фильтр и трубочку для отсасывания, и затем снова повторяют кристаллизацию. Непрерывно контролируя т-ру расплава, судя по ней за ходом очистки. 3—4-кратная кристаллизация позволяет понизить содержание загрязнений от 10—20 мол. % до долей процента. Этим способом получены препараты стирола и пиридина, содержащие не более 0,2% загрязнений. Метод можно применить для очистки твердых в-в и газов.

Н. П. 4313. Простой электрический нагреватель для воспламеняющихся жидкостей. Чарлетт (A simple electric heater for inflammable liquids. Charlett S. M.), *Lab. Practice*, 1955, 4, № 2, 70—71 (англ.)

Описан электрич. нагреватель для легковоспламеняющихся жидкостей, представляющий собой установленный на подставке металлич. цилиндр, внутри которого помещается обычная осветительная лампа нужной мощности. Колба с нагреваемой жидкостью устанавливается сверху на цилиндр и изолируется снаружи асбестовым шнуром.

Ю. Т. 4314. Простой газосмесительный насос. Джонсон (A simple gas-mixer pump. Johnson W. T. M.), *J. Chem. Educ.*, 1955, 32, № 4, 208 (англ.)

Описана простая конструкция центробежного насоса с магнитным приводом, предназначенного для использования с Г.-М.-счетчиком при исследовании радиоактивных газов. Насос состоит из стеклянного корпуса, на дне которого находится слой ртути. На поверхности последней плавает стеклянная чаша с вставленным в нее

постоянным магнитом. На чаше закреплен алюминиевый диск с лопастями. Привод осуществляется с помощью вращающегося постоянного магнита, помещенного под насосом. Ю. Т.

**4315 П. Прибор для разделения изотопов. Паркинс** (Isotope separating apparatus. Parkins William E.) [United States Atomic Energy Commission]. Пат. США 2647213, 28.07.53

Предложен прибор для электромагнитного разделения изотопов, состоящий из эвакуированной камеры с направленным магнитным полем. Внутри камеры помещен источник ионов. Выход ионов осуществлен через щель, вытянутую в направлении магнитного поля. Прибор отличается применением двух электродов, расположенных перед источником ионов. Электроды вогнуты относительно источника ионов и имеют щели, по-

добные щели ионного источника, так же ориентированные относительно магнитного поля. В. М.

**4316 П. Вискозиметр. Миллер** (Viscosimeter. Miller Elmer P. Irvington, N. Y.). Пат. США 2638778, 29.07.1948

Вискозиметр представляет собой металлич. чашу, имеющую выступающий вниз коаксиальный измерительный цилиндр. Прибор свободно опускается на поверхность исследуемой жидкости. Вязкость определяется по времени заполнения цилиндра жидкостью через спец. отверстие. Ю. Т.

См. также: Анализ: химич. 3065; физ.-хим. 3694. Ядерн. магнитн. резонанс 4077; масс-спектрометрия 3544; кристаллография 3239, 3297; электрофорез 3579; хроматография 3576, 3577; вискозиметрия 3328; звук в жидкостях 3336—3338, 3341

## ХИМИЧЕСКАЯ ТЕХНОЛОГИЯ. ХИМИЧЕСКИЕ ПРОДУКТЫ И ИХ ПРИМЕНЕНИЕ

### ОБЩИЕ ВОПРОСЫ

**4317. Важное значение технологии и основные исследования в промышленности. Черуэлл** (The importance of technology and fundamental research to industry. Cherwell Lord), Chemistry and Industry, 1954, № 31, 940—943 (англ.)

**4318. Первый конгресс европейского объединения инженеров-химиков. Фишер** (Der erste Kongress der europäischen Föderation für Chemie-Ingenieur-Wesen. Fischer Ernst), Chemiker-Ztg, 1955, 79, № 15, 497—498 (нем.)

**4319. О флотации как одном из процессов (в химической технологии). Хасэ** (單位操作としての浮遊法について・長谷治雄), 化学工学, Kagaku kogyo, Chem. Engng (Tokyo), 1955, 19, № 1, 37—41 (япон.)

Обзор. Библ. 23 назв.

В. Ж.

### СЕРНАЯ КИСЛОТА, СЕРА И ЕЕ СОЕДИНЕНИЯ

**4320. Опыт наращивания мощности по выпуску серной кислоты. Васильев В. Т.**, Хим. пром-сть, 1955, № 2, 45—46

Для увеличения мощности цеха контактной  $H_2SO_4$  и снижения расходных коэфф. на Воскресенском хим. комбинате им. Куйбышева проведены следующие мероприятия: для печей применены зубья из жаростойкого высокохромистого чугуна; снижено гидравлич. сопротивление системы, гидравлич. переключатели мокрых электрофильтров заменены винипластовыми задвижками, ангидридные холодильники включены параллельно, газоходы выпрямлены и их диаметр увеличен; контактные аппараты реконструированы в четырехслойные; для улучшения орошения моногидратного абсорбера установлены форсунки с боковыми щелями и отношение высоты насадки к diam. абсорбера увеличено до 2,4, проведена автоматизация контроля и управления процессом — установлены концентратомеры к-ты, задвижки дистанционного управления, автоматич. регуляторы конц-ии моногидрата и т. д. Достигнута интенсивность работы печей 235 кг на  $1 м^2$  пода печи, объем к-ты 7,5 кг/сутки на 1 кг контактной массы и степень контактирования выше 97,5%. Г. Р.

**4321. Новое объединение по добыче серы по способу Фраша, возникшее в Мексике. Керри** (A new empire of Frasch process sulphur is rising from

the jungles of Mexico. Kearney John H.), Engng and Mining J., 1955, 156, № 1, 72—77 (англ.)

Описывается способ добычи элементарной S по методу Фраша путем подземной выплавки перегретой водой и перекачки на поверхность сжатым воздухом. Приведены условия снабжения водой этих предприятий, установки котлов для перегретой воды, а также коммуникации перегретой воды, расплавленной S и транспортировки продукции. С. Ю.

**4322. Как получить чистую серу из флотационных концентратов. Дессевр** (Come ottenere zolfo puro partendo dai concentrati di flottazione. Dessere J.), Ind. mineraria, 1954, 5, № 10, 593—597 (итал.)

Сравнение методов получения чистой S из концентратов показывает, что наиболее экономичным и удобным является Лангедокский метод, по которому влажный концентрат расплавляется в котле с паровым обогревом (при давлении пара 14 ат) и энергично перемешивается, а затем частицы породы удаляются из расплава путем флотации спец. флотореагентами. Агломерированные частицы удаляются фильтрованием. Этот метод несколько сложнее фильтрационным, но дает хорошие результаты в концентратах со средним 74—80%-ным содержанием S, не очень чувствителен к колебаниям конц-ии, не требует высоких давлений (кроме пара в меевике котла) и дает выхода до 99% S. Фильтрационный метод применим на очень богатых (выше 95%) концентратах и дает выхода порядка 95%. З. Б.

**4323. Мероприятия для достижения экономии при использовании серы. Шварц** (12 ways to save on sulfur. Schwartz Seymour), Chem. Engng, 1953, 60, № 11, 208—210 (англ.)

Для снижения стоимости серной к-ты рекомендуются следующие мероприятия: фильтрование расплавленной серы перед сжиганием на контактных з-дах для уменьшения сопротивления системы и числа ее остановок для чистки и для просивания катализатора. Металлизация хромом-алюминием газоходов, контактных аппаратов и теплообменников для предупреждения коррозии при возможной влажности газа и уносе к-ты из сушильных башен. Установка каплеуловителей различного типа после сушильных башен. Снижение потерь и уменьшение загрязнения серы при хранении на открытом складе покрытием ее запасов слоем расплавленной серы. Использование  $H_2S$  с близлежащих нефтеперерабатывающих з-дов, для чего на з-дах, работающих по обычному «сухому» способу, устанавливают дополнительно башню, орошаемую 20%-ным олеумом



причем происходит р-ция  $\text{SO}_2 + \text{H}_2\text{S} = \text{SO}_2 + \text{S} + \text{H}_2\text{O}$ . Получается расплавленная S, отделяемая в декантаторе от разб. к-ты, и  $\text{SO}_2$ . Использование низкосортной серы и отработанной газоочистительной массы, содержащей 50–60% S. Использование отработанной  $\text{H}_2\text{SO}_4$  (от процессов алкилирования нефти), которая может быть расщеплена при сжигании S на существующих контактных з-дах, работающих по «мокрому» способу. Использование более чистой (до 99,97%) и не содержащей пыли серы, получаемой из  $\text{H}_2\text{S}$  в печах Клауса (некоторые з-ды получают ее в виде чешуек охлаждением расплавленной серы на спец. машинах: горизонтальной ленте, проходящей над мелким резервуаром с водой или в машине, имеющей несколько подов с водяными рубашками внизу, которые укреплены на вертикальном, медленно вращающемся валу). Повышение степени контактирования до 99% (и выше) и экономия электроэнергии при многоступенчатых контактных аппаратах, работающих без теплообменников, с промежуточным охлаждением добавлением воздуха после каждой ступени; при этом газ на входе в контактный аппарат содержит ~12%  $\text{SO}_2$ , на выходе 0,2%  $\text{SO}_2$ , ввиду чего санитарная очистка не нужна. Уменьшение сопротивления системы и экономия электроэнергии при увеличении размера частиц катализатора с 4,8 до 9,5 мм, несмотря на увеличение общего объема и стоимости катализатора. Использование огарка на з-дах, сжигающих колчедан.

**4324. Транспортировка серы конвейером.** Торнтон (Sulfur via the belt line. Endless conveyors move product from converters to storage in Mexican sulfur-from-gas plant. Thornton D. P., Jr, Petrol. Process., 1953, 8, № 3, 389–391 (англ.))

Описана передача конвейером продукта от конверторов к складу на з-де в Мексике, производящем S из  $\text{H}_2\text{S}$ . Производительность з-да 120 т S в день.

**4325. Цинковый метод обогащения сернистого ангидрида.** Пейсахов Н. Л. В сб.: Обогащение и металлургия цветных металлов, М., Металлургияздат, 1953, 20–33

Для извлечения  $\text{SO}_2$  из отбросных газов металлургич. з-дов предложена промывка таких газов (с практич.еки любой конц-ией  $\text{SO}_2$ ) пульпой, содержащей ZnO. Образующийся  $\text{ZnSO}_4$ , остающийся в твердой фазе, отделяют и разлагают при 300–350° с получением конц.  $\text{SO}_2$  и ZnO, возвращаемой в процесс. Частично образующийся  $\text{ZnSO}_4$  (за счет окисления  $\text{SO}_2$  до  $\text{SO}_3$ ) переходит в р-р и извлекается отдельно. Потеря ZnO с  $\text{ZnSO}_4$  восполняется периодич. добавкой в пульпу окисленной Zn-пыли. Метод не требует предварительного охлаждения газов и очистки их от Se, As и т. п. примесей. При конц-ии  $\text{SO}_2$  в газах 0,2–0,6% и 200–350° установлена возможность практически полного поглощения  $\text{SO}_2$  в двух последовательно расположенных скрубберах, орошаемых пульпой с отношением твердых составных частей к жидким от 1:20 до 1:5, при рН р-ров в первом скруббере 4–5, а втором 5,5–6. При поглощении  $\text{SO}_2$  20–28%  $\text{ZnSO}_4$  окислялось до  $\text{ZnSO}_4$ . После отстаивания стуженная пульпа отфильтровывалась; выделившийся кек подвергали сушке в барабанной сушилке при ~100° до 5–9%-ной влажности помола и разлагали в горизонтальной шнековой печи. Подсос воздуха был исключен, так как он приводил к окислению значительной части  $\text{ZnSO}_4$  до  $\text{ZnSO}_4$ . Полученный газ содержал (без  $\text{H}_2\text{O}$ ) >95%  $\text{SO}_2$ . На основании работы опытной установки предложена полная технологич. схема производственного осуществления процесса.

**4326. Образование серного ангидрида в колчеданных печах.** Клецль (Die Bildung von Schwefeltrioxyd im Kiesofen. Kletzl Karl, Wochenbl. Papierfabr., 1954, 82, № 23, 949–953 (нем.))

Рассмотрен вопрос о создании условий для уменьшения кол-ва  $\text{SO}_3$ , образующегося из  $\text{SO}_2$ , при обжиге колчедана в произ-ве целлюлозы. Приведена диаграмма Шварца — Бергкампа (в координатах %  $\text{SO}_3$ —1/T) для расчетов кол-ва  $\text{SO}_3$  в зависимости от т-ры и катализаторов, в том числе колчеданного огарка (КО). Установлено, что в интервале 371–553° каталитич. действие КО возрастает, от 553 до 670° падает, а при т-ре >670° практически прекращается. Для уменьшения образования  $\text{SO}_3$  рекомендуется обжиг колчедана осуществлять во взвешенном состоянии (в псевдоожигенном слое) при т-рах 900° и выше вместо проведения его в обычных механ. печах.

С. Ю.

**4327 П. Экстракция серы растворителями.** Мацукки, Тамекунни (Solvent extraction of sulfur. Matsuki Tokutaro, Tamekuni Jiro, Япон. пат. 4607, 16.09.53 [Chem. Abstrs, 1954, 48, № 19, 11742 (англ.)])

Патентуется способ извлечения S из руд органич. р-рителями. Раздробленная серная руда (100 кг), содержащая 75% S, экстрагируется три раза смесью 150 кг  $\text{CHCl}_3$  и 350 кг  $\text{CS}_2$  под давл. 0,3 ат при т-ре 40°. При первой экстракции извлекается 53%, при второй 38%, а при третьей 9% всей S. S выделяется при охлаждении отфильтрованного от руды р-рителя.

Л. Ю.

**4328 П. Способ производства тонкодисперсной серы** (Method for manufacturing finely divided sulphur) [Mathieson Chemical Corp.]. Англ. пат. 702304, 13.01.54 [Rubber Abstrs, 1954, 32, № 4, 171–172 (англ.)]

Тонкодисперсную серу, большая часть которой не растворяется в сероуглероде, особенно пригодную для применения в резиновых смесях, получают растворением обычной измельченной природной серы в жидком 100%-ном  $\text{NH}_3$  под давлением в присутствии небольшого кол-ва  $\text{CCl}_4$ . Распылением этого р-ра в теплой атмосфере получается сухая сера.  $\text{NH}_3$  и  $\text{CCl}_4$  улавливаются и возвращаются в цикл.

Г. Р.

**4329 П. Обработка газа, содержащего двуокись серы.** Фуруфудзи, Ито, Койке (Treatment for sulfur dioxide gas. Furufuji Isao, Ito Hiroshi, Koike Junichi) [East Asia Synthetic Chemical Industries Co.]. Япон. пат. 1665, 20.04.53 [Chem. Abstrs, 1954, 48, № 7, 4190 (англ.)]

$\text{SO}_2$ , непрореагировавший при контактом произ-ве  $\text{H}_2\text{SO}_4$ , поглощают р-ром  $\text{NH}_4\text{HSO}_4$ . Р-р (4500 л), содержащий (в %):  $\text{NH}_4\text{HSO}_4$  51,84,  $(\text{NH}_4)_2\text{SO}_4$  3,94,  $(\text{NH}_4)_2\text{SO}_4$  4,03, воды 40,19 и подают в денитрационную башню камерной установки  $\text{H}_2\text{SO}_4$  производительностью 101 т/сутки к-ты 50° Вё. Получается к-та, содержащая (в %):  $\text{H}_2\text{SO}_4$  68,62,  $(\text{NH}_4)_2\text{SO}_4$  2,74,  $\text{H}_2\text{SO}_4$  0,0083,  $\text{HNO}_3$  0,0022,  $\text{HNO}_2$  0,0027 и остатка при выпаривании 0,006.

Г. Р.

**4330 П. Способ обжига сернистых материалов в псевдоожигенном слое** (Procédé pour griller des matières sulfurées en couche tourbillonnante) [Metallgesellschaft A.-G.]. Франц. пат. 1069849, 13.07.54 [Chimie et industrie, 1954, 72, № 6, 1209 (франц.)]

Скорость восходящего газового потока, создающего псевдоожигенный слой, понижают над слоем настолько, чтобы она приближалась к скорости опускания частиц, находящихся в слое и даже под ним.

Г. Р.

**4331 П. Производство газов, содержащих трехокись серы** (Production of gases containing sulphur trioxide) [Badische Anilin- und Soda-Fabrik]. Англ. пат. 698165, 7.10.53

При произ-ве газов, содержащих  $\text{SO}_2$ , каталитич. окислением обжигового газа (ОГ) в несколько ступеней (с промежуточным охлаждением реакционных газов

добавлением холодного газа) часть ОГ подогревается и вводится в I ступень. Охлаждение производится добавлением нового кол-ва ОГ между ближайшими ступенями и добавлением холодных содержащих  $O_2$  газов, напр. воздуха, между конечными ступенями, причем для последнего промежуточного охлаждения содержащие  $O_2$  газы применяются одни, без добавления ОГ. ОГ должен иметь  $\geq 10\%$   $SO_2$ , а воздух или  $O_2$  может быть добавлен для инициирования каталитич. р-ции. ОГ можно подогреть различными способами: непрямым теплообменом с горячим неочищ. ОГ или с горячим огарком в печи или вне ее; смешением с горячим газом, полученным при сжигании серы; теплообменом с реакционным газом между I и II ступенями или с газом после последней ступени. Стенки контактного аппарата можно охлаждать.

Г. Р.  
4332 П. Приготовление серной кислоты и хлористого натрия из водных растворов сульфата и бисульфата натрия. Гард (Manufacture of sulphuric acid and sodium chloride from aqueous solutions of sodium sulphate and sodium bisulphate. Garde G. M.). Инд. пат. 48452, 10.02.54

Для приготовления  $H_2SO_4$  и  $NaCl$  используется р-ция сухого  $HCl$  (газ) под давлением и при  $t_{ре} > 32^\circ$  с водн. р-ром  $Na_2SO_4$  или  $NaHSO_4$ .

Н. А.  
4333 П. Способ и установка для очистки обжигового газа от мышьяка (Procédé et installation pour la désarsénification de gaz de calcination) [Metallgesellschaft A.-G.]. Франц. пат. 1066140, 2.06.54 [Chimie. et industrie, 1954, 72, № 4, 704 (франц.)]

Газ промывают к-той, циркулирующей в замкнутом цикле и поглощающей  $Al_2O_3$ , который выделяют затем из загрязненной к-ты непрерывным и постепенным охлаждением при перемешивании. Примеси отделяют, напр. центрифугированием, а очищ. к-ту возвращают в цикл.

Г. Р.

См. также: 3634, 3680

## АЗОТНАЯ ПРОМЫШЛЕННОСТЬ

4334. Современный способ производства аммиака.— (Ammonia—how it's made today.—), Chem. Engng, 1954, 61, № 5, 140, 142 (англ.)

4335. К вопросу об оптимальном соотношении компонентов реакции при окислении аммиака. Атрощенко В. И., Засорин А. П., Тр. Харьковск. политехн. ин-та, 1954, 4, № 2, 115—123

Определено оптимальное время контактирования  $t$  воздушно-аммиачной смеси с катализатором  $[Pt = Rh (90:10)\text{-сетки}]$ , соответствующее максим. степени контактирования (СК) при 600, 800, 1000 и  $1200^\circ$ . Исследовано влияние соотношения  $O_2 : NH_3$  на СК. При увеличении конц-ии  $NH_3$  при постоянных  $t$ -рах и  $t$  СК постоянна до конц-ии 13—13,5%  $NH_3$ , а затем резко падает. С повышением  $t$ -ры оптимальное соотношение  $O_2 : NH_3$  уменьшается от 1,5 при  $600^\circ$  до 1,3 при  $1200^\circ$  и СК падает. При  $800^\circ$  с увеличением линейной скорости газовой смеси оптимальное соотношение  $O_2 : NH_3$  увеличивается, а СК падает. Максим. допустимая конц-ия  $NH_3$  12,5%. Подтверждена возможность ведения процесса окисления  $NH_3$  при высоких  $t$ -рах, при которых возможно достижение большой скорости р-ции и высокой СК, путем повышения конц-ии  $NH_3$  в газовой смеси до 11,5—12%. При окислении  $NH_3$  на менее активном катализаторе ( $Co_3O_4 + 15\% Al_2O_3$ ) для обеспечения высокой СК отношение  $O_2 : NH_3$  должно быть выше. Предложен следующий механизм р-ции:  $NH_3$  и  $O_2$  диффундируют к поверхности катализатора, где имеются атомы со свободными валентно-

стями и в первую очередь происходит активированная адсорбция  $O_2$ , определяемая электронной связью. Ввиду хим. р-ции  $O_2$  с поверхностью катализатора ослабляется связь между атомами молекулы и образуется переходящий комплекс адсорбции катализатор— $O_2$ . В следующей стадии активированной адсорбции  $NH_3$  образуется новый переходящий комплекс катализатор— $O_2-NH_3$ . Ввиду высокого хим. средства  $H_2$  к  $O_2$  молекула  $NH_3$  распределяется атомами Н к поверхности катализатора. Затем происходит перераспределение электронной связи: атомы Н и N, соединяясь с атомами О, дают  $H_2O$  и NO, которые обладают малой адсорбционной способностью и удаляются с поверхности катализатора. При избытке  $O_2$  на поверхности катализатора образуется NO, при недостатке  $O_2$  образуется  $N_2$ .

Г. Р.  
4336. Тепловые свойства технической белой дымящей азотной кислоты. Бамп, Пейджри, Керри, Файф, Сент-Клар, Сиббитт (Thermal properties of commercial white fuming nitric acid. Bump T. R., Pagerey P. F., Kern J. P., Fyfe D. W., St. Clair C. R., Sibbitt W. L.). Jet. Propuls, 1955, 25, № 4, 170—172, 180 (англ.)

Приведены данные (графики) авторов и других исследователей о теплопроводности, вязкости, теплоемкости, плотности, общем давлении паров, критерии Прандтля при  $t$ -рах от  $-34,5$  до  $+149^\circ$  для конц.  $HNO_3$  (94—99,01 вес. %  $HNO_3$ ) с различными содержаниями  $NO_2$  и  $H_2O$ .

Г. Р.

4337 П. Способ получения бикарбоната аммония.

Бальц, Бец (Verfahren zur Herstellung von Ammonbicarbonat. Balz Otto, Bätz G. G. t. wald) [Badische Anilin- und Soda-Fabrik A.-G.]. Пат. ГФР 910409, 3.05.53 [Chem. Zbl., 1955, 126, № 9, 2044 (нем.)]

Для получения  $NH_4HCO_3$  (I) из  $NH_3$ ,  $CO_2$  и  $H_2O$  в водн. р-р I, предпочтительно полученный от предыдущей операции и отфильтрованный от твердого I, пропускают  $NH_3$  до получения аммиачного р-ра  $(NH_4)_2CO_3$ , далее связывают свободный  $NH_3$  пропусканьем  $CO_2$  почти до образования  $(NH_4)_2CO_3$ . Затем под давлением пропускают еще  $CO_2$  для превращения  $(NH_4)_2CO_3$  в I и отделяют осадок I.  $NH_3$  и  $CO_2$  пропускают при охлаждении р-ра.

Г. Р.

4338 П. Способ и установка для получения карбоната и бикарбоната аммония из слабой аммиачной воды и углекислоты. Шмидт (Verfahren und Vorrichtung zur Herstellung von Ammoniumcarbonat und-bicarbonat aus schwachem Ammoniakwasser und Kohlen-säure. Schmidt Josef) [Fa. Carl. Still]. Пат. ГФР 893645, 19.10.53 [Chem. Zbl., 1954, 125, № 11, 2647 (нем.)]

Исходную разбавл.  $NH_3$ -воду нагревают в колонне с обратным холодильником. К парам добавляют  $CO_2$  в кол-ве, достаточном для связывания всего  $NH_3$  по крайней мере в  $(NH_4)_2CO_3$ . Далее охлаждают эту смесь и получают конц. р-р  $(NH_4)_2CO_3$  и частично  $NH_4HCO_3$ .

З. М.

См. также: 3680

## СОДОВАЯ ПРОМЫШЛЕННОСТЬ

4339 П. Перемещение влажных кристаллов соды в аммиачно-содовом производстве. Брамбо, Спрингер (Transportation of wet ammonia-soda crystals. Brumbaugh Chester C., Springer Robert A.) [Diamond Alkali Co.]. Пат. США 693403, 2.11.54

Патентуется улучшение в транспортировке сырого  $\text{NaHCO}_3$ , заключающееся в применении конвейера из гидрофобного материала (искусств. смолы) для увеличения сырых кристаллов  $\text{NaHCO}_3$  из шлама и подачи их в зону конверсии в  $\text{Na}_2\text{CO}_3$ . Гидрофобным материалом для конвейера могут служить материалы, имеющие в основном неполярные группы и углеродный скелет, в котором атомы С связаны с неметаллическими группами.

### МИНЕРАЛЬНЫЕ СОЛИ. ОКИСЛЫ. КИСЛОТЫ. ОСНОВАНИЯ

4340. Калийный завод компании Дювал. — (Duval potash plant.—), Farm. Chemicals, 1954, 117, № 2, 15—18 (англ.)

Описано оборудование калийной шахты, производительностью 2500 т/сутки сильвинита, около г. Карлсбада (Нью-Мексико, США), принадлежащей компании Дювал. Г. Р.

4341. Теоретические основы гидротермического метода получения сернистого калия. Шаргородский С. Д., Шор О. И. В сб.: Местные минер. удобрения УССР. Вып. 1, Киев, Изд-во АН УССР, 1954, 334—348

Исследование условий гидротермич. переработки (ГП) калийно-магниевых солей Прикарпатья показало, что при нагревании до 800° отдельных минералов, входящих в состав породы и их смесей, происходит главным образом дегидратация, а хим. состав солей, и в том числе  $\text{MgSO}_4$ , ощутимо не изменяется. Наличие примесей в виде  $\text{SiO}_2$ ,  $\text{Fe}_2\text{O}_3$  и  $\text{Al}_2\text{O}_3$  также не оказывает заметного влияния на степень разложения солей при нагревании до указанной т-ры. В присутствии водяного пара процесс разложения солей ускоряется, особенно в том случае, когда нагреву подвергается смесь хлоридов и сульфатов щел. металлов; степень конверсии при этом в 2,5—4 раза выше, чем в отсутствие водяного пара. Продуктами конверсии  $\text{MgSO}_4$  и хлоридов щел. металлов является окись магния, сульфат соответствующего щел. металла и  $\text{HCl}$  (газ). Легучесть  $\text{MgSO}_4$ ,  $\text{KCl}$  и  $\text{NaCl}$  в присутствии трещела незначительна и не может неблагоприятно повлиять на ход ГП. Основной суммарной р-ции ГП является:  $\text{MgSO}_4 + 2 \text{MeCl} + \text{H}_2\text{O} = \text{Me}_2\text{SO}_4 + \text{MgO} + 2 \text{HCl}$ , где  $\text{Me} = \text{K}$  или  $\text{Na}$ . Расчет констант равновесия данной р-ции при 600, 800 и 1000° показывает, что для ведения технологич. процесса вполне достаточно нагревание до 800°. Ю. К.

4342. Решение проблемы обработки атомарным кислородом загрязненной щелочи. — (Atomic oxygen treating process solves caustic pollution problem.—), World Petrol., 1954, 25, № 8, 104 (англ.)

Описан процесс регенерации отработанного р-ра каустика (после очистки сырого бензина от S) атомарным кислородом. Приведены условия получения и применения кислорода, технология процесса регенерации и его технико-экономическая характеристика. В. Ш.

4343. Взаимодействие хлористого калия со смесью сернистого газа, воздуха и водяного пара. Марголис Ф. Г., Луиская З. Н., Вольфович С. И., Ж. прикл. химии, 1955, 28, № 5, 453—458

Проведены лабор. опыты по конверсии  $\text{KCl}$  в смеси с  $\text{K}_2\text{SO}_4$  (воздействием газовой смеси, содержащей 8—10%  $\text{SO}_2$  и пары воды) в  $\text{K}_2\text{SO}_4$  в присутствии катализатора — колчеданного огарка (1%) и (для уменьшения спекания) каолина (3%), являющегося слабым катализатором. В неподвижном слое (подача газа сверху) или слабо перемешиваемом слое (подача газа снизу) при 570° (максим. т-ре, при которой не происходит плавление смеси солей) степень конверсии составляла

95—96% при продолжительности р-ции до 2 час. При однократном прохождении газа через зону р-ции в течение 1 сек. степень использования  $\text{SO}_2$  составляла 30—40%. В псевдоожиженном слое высотой 60—70 мм при величине частиц соли 0,35—0,5 мм и 570° степень конверсии составляла 98—99%. Продолжительность р-ции 1 час, но степень использования  $\text{SO}_2$  при прохождении через зону р-ции в течение 0,15 сек. составляла только 1—2,7%. Тепловой расчет показывает, что конверсия  $\text{KCl}$  в  $\text{K}_2\text{SO}_4$  может быть осуществлена за счет тепла газов, выходящих из печи для обжига колчедана (~700°) без подвода тепла извне. Г. Р.

4344. Потери в производстве хлористого калия в зависимости от состава сырой соли. Крокер (Die Verluste der Kaliumchloridherstellung in Abhängigkeit von der Zusammensetzung des Rohsalzes. Kroker U.), Chem. Technik, 1955, 7, № 2, 82—87 (нем.) Даны анализ потерь  $\text{KCl}$  при его произ-ве в зависимости от состава сырой соли и несколько типовых балансов. А. М.

4345. Лабораторная разработка способа получения фторосиликата кальция и технического фтористого кальция (плавикового шпата) из фторсодержащих газообразных продуктов суперфосфатных заводов. Каптаноглу (Süperfosfat fabrikalarında flor bileşigi gazlerinden kalsiyum flor silikat ve teknik kalsiyum florür (fluspat) istihsaline dair laboratuvar araştırması. Kaptanoğlu İnsan), Demir ve çelik, 1953, 2, № 8, 182—184 (турец.)

Приводятся технологич. схема и описание метода получения  $\text{CaSiF}_6$  и  $\text{CaF}_2$  из содержащих  $\text{HF}$  газообразных продуктов суперфосфатных и других за-дов. П. А.

4346. О разложении карбида кальция при нагревании. Нюландер (Über den Zerfall von Kalziumkarbid bei Erhitzung. Nylander Rune), Chemiker Ztg., 1954, 78, № 24, 834—838 (нем.; резюме англ., франц., итал.)

При нагревании выше 300° технич.  $\text{CaC}_2$  частично разлагается с выделением С, ввиду чего при произ-ве  $\text{CaCN}_2$  выход последнего снижается. Дан критич. обзор теорий, объясняющих разложение  $\text{CaC}_2$ : 1) диссоциацией на элементы; 2) разложением с образованием субкарбида  $\text{CaC}$ ; 3) разложением содержащегося в технич.  $\text{CaC}_2$  ацетилида  $\text{Ca}(\text{HC}_2)_2$  или  $\text{CaC}_2 \cdot \text{C}_2\text{H}_2$ ; 4) разложением за счет влаги, поглощенной при измелении. Последняя теория общепринята, однако указан ряд фактов, которые до сих пор не были достаточно изучены. Г. Р.

4347. К вопросу образования основной азотнокислой соли свинца при производстве силиката свинца. Банных З. С., Полякова Е. М., Тр. Уральского н.-и. хим. ин-та, 1954, № 1, 81—84

Микроскопический анализ осадков силиката  $\text{Pb}$  (близкого по составу к ф-ле  $\text{PbO} \cdot 2\text{SiO}_2$  и с трудом отмываемого от  $\text{NO}_3^-$ -ионов), полученных осаждением из 20%-ного р-ра  $\text{Pb}(\text{NO}_3)_2$  (I) р-ром  $\text{Na}_2\text{SiO}_3$  при различных избытках I, показал наличие в осадках кристаллов, близких по составу и растворимости к основной соли  $\text{Pb}(\text{OH})\text{NO}_3$ . II, полученной осаждением из 20%-ного р-ра I 9%-ным р-ром  $\text{NaOH}$ . Так как кол-во кристаллов II увеличивается с увеличением избытка I и растворимость II повышается с повышением т-ры, то для уменьшения кол-ва кристаллов II силикат  $\text{Pb}$  следует осаждать из более разб. р-ров и промывать осадок горячей водой. Г. Р.

4348. Переработка промышленных отходов. Шарпен (De l'utilisation de quelques sous-produits industriels. Charrin V.), Génie civil, 1954, 131, № 17, 332—334 (франц.)

Получаемые в больших кол-вах отходы глиноземного произ-ва в виде красных шламов (I) (при переработке



бокситов по так называемому мокрому способу) могут быть частично использованы как красящие в-ва. В Италии изучался способ взаимодействия I с содой, в результате чего получается алюминат и феррит Na; алюминат выщелачивается, а феррит разлагается с образованием каустич. соды и гидрата окиси Fe. Наряду с этим обеспечивается извлечение из I некоторого кол-ва Ti. Имеются сведения, что пущен з-д по переработке I указанным способом производительностью 10 т/сутки. Использование I как сырья для металлургич. пром-сти возможно для выплавки чугуна при добавлении извести, причем I предварительно подвергают агломерации с небольшими кол-вами угольной пыли. Шлаки состоят из алюмината Ca, который обработкой содой переводят в алюминат Na, возвращаемый в нормальный цикл произ-ва глинозема. Исследован также способ прямой выплавки стали из I, предварительно агломерированных и шихтованных с колчеданными огарками или другими железосодержащими материалами, содержащими 5—20% Si. Использование колчеданных огарков (II) возможно для переработки их на железо и цементный клинкер. Процесс, осуществленный на цементном з-де в Барселоне, заключается в прокаливании во вращающейся печи шихты из II, угля, известковых и глинистых материалов. Некоторый интерес представляет переработка II на красящие в-ва, а также использование II в с. х. в качестве в-в, улучшающих структуру торфянистых почв и пр. Газоочистительная масса (III) по мере накопления в ней соединения серы может быть использована как заменитель желтой серы, применяемой для борьбы с вредителями виноградников, но только в том случае, если III не содержит цианистых соединений. Заслуживает внимания использование III как сырья для сернокислотной пром-сти путем дозированной добавки III к пириту. Отходы, получаемые при переработке сланцев, с успехом используются для произ-ва строительных материалов, для этой же цели могут быть использованы отходы каменноугольной пром-сти. Красные и черные шламы, являющиеся отходами анилинового произ-ва, используются в настоящее время в основном для очистки светилного газа. Ю. К.

**4349. Химическая обработка низкокачественных марганцевых руд. Переработка  $MnO_2$  в  $MnSO_4$ . Блумберг, Морган** (Chemical treatment of low-grade manganese ores: Conversion of manganese dioxide into manganese sulphate. Blumberg Ruth, Morgan T. D., J. Appl. Chem., 1953, 3, № 5, 223—233 (англ.))

**4350. Разделение экстракцией жидкостью — жидкостью. Экстракция соляной кислотой из смеси кетонов. Уэрнинг, Хигби** (Separation by liquid-liquid extraction. Hydrochloric acid extraction from mixed ketones. Werning Joseph R., Higbie Kenneth B., Industr. and Engng Chem., 1954, 46, № 12, 2491—2494 (англ.))

Разработан процесс разделения Ta и Nb в бедных рудах экстракцией 12 н. HCl из смеси алифатич. кетонов. Для исследования брались Ta и Nb, регенерированные из оловянных шлаков, богатых Fe и кремнием, последний легко удалялся предварительным хлорированием руды. Хлориды Ta, Nb и Fe растворялись в кетонах с конц-ией от 10 до 50 г/л. Исследовалась экстракция неочищ. хлоридов (I) (примесь Fe больше суммы Ta + Nb) и очищ. хлоридов (II) (содержание Fe 0,1%). Найдено, что лучшим экстрагентом является 12 н. HCl, а лучшим р-ителем пентахлоридов Ta и Nb диизобутилкетон (III). Добавка ряда других кетонов, особенно метилизобутилкетона (IV), диизопропилкетона, бутилглицетона снижает экстракцию Nb. Объемное отношение IV к III, равное 0,4, дает оптимальное разделение для II, для I — при отношении 0,8—1,0. Экстракция Ta и Nb из смеси кетонов увеличивается с ростом

начальной конц-ии металлов в III как для I, так и для II. Солянокислый экстракт Ta содержит 0,1% Fe, а Nb, очищ. от Fe промывкой 14—20% серной к-той, содержит 0,1% Fe. При осаждении из р-ра серной к-ты 28% аммиаком получается Fe с содержанием Nb от 1,0 до 2,0%. Кетон регенерируется промывкой 3 н. HCl. При однократной операции перемешивание (встряхивание) продолжается 55 мин. и отстаивание для расслаивания 1 час. Экстракт содержит 84,4% Ta и 15,6% Nb, в кетонах остается 2,4% Ta и 97,6% Nb для II. При трехкратной экстракции из того же самого начального р-ра получается экстракт, содержащий 98,8% Ta и 1,2% Nb, а в кетонах остается 1,0% Ta и 99,0% Nb при отношении фаз 1 : 1. Процесс может быть непрерывным и применяться к более богатым рудам Л. Ю.

**4351 П. Выделение солей в мелкокристаллической форме из больших количеств горячих растворов. (Procédé pour la précipitation de sels en fins cristaux à partir de grandes masses de lessives chaudes) [Didier Werke A.-Ges.]. Франц. пат. 1026646, 29.04.53 [Chem. Zbl., 1954, 125, № 29, 6557 (нем.)]**

Горячий р-р смешивают с холодным р-ром, содержащим зародыши кристаллов (маточный р-р), и смесь разбрызгивают через насадки в камеру, в которой она отбрасывается струей холодного воздуха на спец. поверхности. Оба р-ра можно разбрызгивать раздельно, но параллельно. А. С.

**4352 П. Стабилизация смесей твердых гранулированных веществ (боратов и хлоратов). Найт** (Stabilization of mixtures of granular solids such as borates and chlorates. Knight Harold P.) [Borax Consolidated, Ltd]. Пат. США 2700604, 25.01.55

Патентуется способ обработки многих сложных гранулированных твердых в-в для понижения выделения из них отдельных компонентов, один из которых водорастворим, относительно сильно гидратирован и сохраняет свою стабильность в присутствии других водорастворимых компонентов при т-ре ниже фактич. т-ры превращения гидратов из одной формы в другую. Обработку производят нагреванием смеси до т-ры выше фактич. т-ры превращения гидратов. При этом выделяется гидратационная вода и понижается ее содержание в первом компоненте; остальные компоненты также частично переходят в р-р. Затем смесь охлаждают до т-ры ниже действительной т-ры перехода гидратов, в результате чего гидратационная вода вновь абсорбируется и растворенные в-ва выделяются. В. Я.

**4353 П. Производство перекиси водорода. МакФейдъен, Джаффа** (Production of hydrogen peroxide. MacFadyen Kenneth W., Jaffa Ned E.) [Food Machinery and Chemical Corp.]. Пат. США 2661268, 1.12.53

Усовершенствование способа произ-ва  $H_2O_2$  р-цией  $BaO_2$ ,  $CO_2$  и  $H_2O$  при повышенном давлении и охлаждении состоит в том, что р-цию проводят под давлением  $CO_2$  не менее 8,75 ат в присутствии  $H_3PO_4$  (не менее 0,1%, считая на  $P_2O_5$ ). Е. Р.

**4354 П. Метод получения твердых растворов гидридов металлов в галогенидных соединениях металлов. Гибб** (Method for preparing solid solutions of metal hydrides in metal halides. Gibb Thomas R. P., Jr) [Metal Hydrides Inc.]. Пат. США 2702281, 15.02.55

Предлагается метод получения твердого р-ра гидрида щел. металла (Na, K, Rb, Cs) в галогенидах щел. и щел.-зем. металлов, состоящий в нагревании галогенидов до т-ры плавления в смеси со щел. металлами в присутствии  $H_2$ . Нагревание продолжается до тех пор, пока масса не абсорбирует требуемого кол-ва  $H_2$  для образования гидрида металла в галогениде. Последний должен иметь более высокую т-ру плавления, чем т-ра,

при которой давление продуктов диссоциации свободного гидрида металла будет  $\sim 1$  атм. Б. Т.

4355 П. Очистка растворов едкого натра. Ньюбауэр, Элмор, Элерс, Туайхаус (Purification of sodium hydroxide solutions. Neubauer Joseph A., Elmore Frank R., Ehlers Nelson J., Twiehaus Herbert C.) [Columbia-Southern Chemical Corp.]. Канад. пат. 507749, 30.11.54

Предложен метод очистки р-ра, содержащего 45—60 вес. % NaOH, от находящейся в нем примеси NaCl. Очистка производится введением загрязненного р-ра NaOH в верхнюю часть колонны, в которую снизу противотоком выпускают водн. раствор  $\text{NH}_3$  концентрацией не менее 88 вес. %. Впускаемый снизу аммиачный р-р, при поднятии вверх, образует первую (верхнюю) жидкую фазу, содержащую большую часть  $\text{NH}_3$  и весь NaCl. Спускающийся вниз очищ. от NaCl р-р NaOH образует вторую жидкую фазу с преобладанием в ней NaOH. Процесс экстрагирования протекает при 60° под давл. 28 атм. Выделение  $\text{NH}_3$  из жидких аммиачной и щел. фаз производится под давл. 10,5 атм при нагревании. Продукты отгонки из обеих фаз смешиваются для получения р-ра, содержащего 88 вес. %  $\text{NH}_3$ , используемого для очистки новой порции водн. р-ра едкого натра. Усовершенствование метода состоит в постепенном ступенчатом снижении давления как при процессе очистки, так и при выделении аммиака из обеих фаз. Скорость стекания жидких аммиачной и щел. фаз регулируется так, чтобы граница раздела между ними поддерживалась выше точки введения в колонну аммиака, но не менее, чем на 60% и не более, чем на 90% расстояния между точками введения аммиачного р-ра и водн. едкого натра. Вводимые в колонну весовые кол-ва  $\text{NH}_3$  и NaOH должны относиться между собой как 5,370 : 13,084. Б. Т.

4356 П. Способ получения карбоната калия (Verfahren zur Herstellung von Kaliumcarbonat) [Soc. d'Etudes Chimiques pour l'Industrie et l'Agriculture]. Австр. пат. 178911, 25.06.54 [Chem. Zbl., 1955, 126, № 9, 2045 (нем.)]

На KCl и первичный или вторичный аммиак или их смесь, не содержащую триметилamina, воздействуют  $\text{CO}_2$  (газом). Напр. в 200 мл 25%-ного р-ра моноэтиламина пропускают  $\text{CO}_2$  при достаточном охлаждении. Затем в этот р-р добавляют 68 г KCl и обрабатывают  $\text{CO}_2$  в автоклаве под давл. 3 атм при обычной т-ре. Через 2 часа отделяют осадок  $\text{KHCO}_3$ . Г. Р.

4357 П. Продукт, содержащий цианамид щелочного металла (Product containing an alkali metal cyanamide) [American Cyanamid Co.]. Австрал. пат. 153112, 24.09.53

Способ получения состоит в том, что смесь  $\text{CaCN}_2$  (I), воды (II) и гидроокиси щел. металла (III) в мол. соотношениях I : II  $\cong$  1 : 1—2 и I : III  $\geq$  1 : 1 нагревают при 90—110° в течение, по меньшей мере, 1 часа. Я. К.

4358 П. Метод получения сульфата калия. Форбургер, Хоффер (Verfahren zur Herstellung von Kaliumsulfat. Vorburger André Joseph, Hoffer Oscar) [Potasse et Produits Chimiques Soc. An.]. Австр. пат. 180065, 10.11.54 [Chem. Zbl. 1955, 126, № 14, 3226 (нем.)]

Предложен метод получения  $\text{K}_2\text{SO}_4$  из KCl и  $\text{CaSO}_4$  в присутствии  $\text{NH}_3$ . KCl и  $\text{CaSO}_4$  могут быть взяты в виде технич. солей — KCl с содержанием NaCl до 11% и  $\text{CaSO}_4$  в виде гипса, полугидрата или ангидрита. Соли подвергают измелению под давлением в присутствии конц. водн. р-ра  $\text{NH}_3$  концентрацией 415 г/л (50%) или больше. Процесс может быть циклическим, с рекуперацией тепла и  $\text{NH}_3$ . К. Э.

4359 П. Способ получения сульфата натрия, легко восстанавливаемого водородом до сульфида натрия.

Циргибль (Verfahren zur Herstellung eines mit Wasserstoff leicht zu Natriumsulfid reduzierbaren Natriumsulfats. Zirngibl). Пат. ГДР 6592, 6.02.54

Способ получения  $\text{Na}_2\text{SO}_4$ , свободного от Fe и легко восстанавливаемого  $\text{H}_2$  до  $\text{Na}_2\text{S}$ , состоит в том, что смесь  $\text{Na}_2\text{SO}_4$  с катализатором (колчеданные огарки) смачивают 35%-ной  $\text{H}_2\text{SO}_4$ , брикетируют и прокачивают во вращающейся печи при 700° с доступом воздуха. Напр. 100 кг 99%-го  $\text{Na}_2\text{SO}_4$  смешивают с 1,5 кг огарков и 18 л  $\text{H}_2\text{SO}_4$  (уд. в. 1,25), формируют в брикеты и обжигают. З. Л.

4360 П. Получение гипосульфита щелочного металла (Preparation of alkali metal hyposulphite) [Ethyl Corp.]. Англ. пат. 717207, 20.10.54 [Chem. Abstrs, 1955, 49, № 5, 3489 (англ.)]

Гипосульфиты щел. металлов (Na, K, Li) получают, пропуская  $\text{SO}_2$  в продукт присоединения щел. металла (I) к эфиру (II) многоатомного спирта, предпочтительно при т-ре от  $-10$  до  $+30^\circ$ . I получают при введении токодиспергированного металла в инертном р-рителе, напр., ксилоле, толуоле или бензине, в II, который получают из n-алкендиолов, напр.,  $\text{C}_2\text{H}_4(\text{OH})_2$  и  $(\text{HOCH}_2\text{CH}_2)_2\text{O}$  замещением H-атома одной или нескольких OH-групп углеводородным радикалом, напр., алкилом (предпочтительно) с прямой или разветвленной цепью или циклоалкилом. II содержит алкил-, арил-группы или те и другие. Напр.,  $\text{SO}_2$  (газ) пропускают непрерывно через смесь 100 ч. 50%-ной дисперсии Na в ксилоле с 500 ч.  $\text{C}_2\text{H}_4(\text{OCH}_3)_2$  при 10°; полученный белый осадок  $\text{NaHSO}_2$  отделяют центрифугированием, промывают с помощью  $\text{C}_2\text{H}_5\text{OH}$  и  $(\text{C}_2\text{H}_5)_2\text{O}$  и высушивают. Г. Р.

4361 П. Способ и аппаратура для получения гипосульфитов. Бенкер, Шле (Verfahren und Vorrichtung zur Herstellung von Hyposulfiten. Bencker Franz, Schlee Richard) [Farbenfabriken Bayer A.-G.]. Пат. ГФР 900336, 21.12.53 [Chem. Zbl., 1954, 125, № 34, 7722 (нем.)]

Водный р-р, содержащий сульфит и бисульфит, пропускается вместе с амальгамой через реактор со скоростью в 5—15 раз большей скорости движения амальгамы. Во всех частях реактора pH почти не меняется (4,5—6,5). После полного или частичного отделения образовавшегося гипосульфита (с помощью NaCl, спирта и др.) вне зоны восстановления в р-р подается  $\text{SO}_2$  при охлаждении. Затем р-р вновь обрабатывается амальгамой. Соединений  $\text{H}_2\text{S}$  при этом не образуется. Продукт не содержит Hg. Амальгама может содержать 0,1% Na. З. Л.

4362 П. Усовершенствования в производстве гипосульфитов щелочных металлов (Improvements in the manufacture of alkali-metal hydrosulphites) [Soc. An. des Manufactures des Glaces et Produits Chimiques de Saint-Gobain, Chauny et Cirey]. Инд. пат. 50539, 3.03.54

Патентуется способ получения гидросульфитов щел. металлов путем взаимодействия амальгамы щел. металла с р-ром бисульфита щел. металла в водно-спирт. среде. А. С.

4363 П. Способ и установка для получения раствора поваренной соли с одновременным получением дистиллированной воды. Нисоль (Verfahren und Anlage zur Gewinnung von in Lösung befindlichem Kochsalz unter gleichzeitiger Erzeugung von destilliertem Wasser. Nissolle Léon) [Centre National de la Recherche Scientifique]. Пат. ГФР 899937, 17.12.53 [Chem. Zbl., 1955, 126, № 12, 2741—2742 (нем.)]

Патентуется способ и установка для получения р-ра NaCl с одновременным получением дистилл. воды. Морская вода испаряется в следующих друг за другом на-

мерах испарения и концентрирования, причем в каждой камере происходит нагревание с помощью тепловой воды, взятой с поверхности моря. Для частичного испарения р-ра в камере создается вакуум. Образующийся при этом пар отсасывается и конденсируется в дистилл. воду путем теплообмена с холодной водой, взятой из глубины моря. Затем частично упаренный р-р подается в следующую испарительную камеру и т. д., пока не выделится NaCl. Дана схема установки. З. М.

**4364 П.** Способ получения хлоритов щелочного или щелочно-земельного металла. Эрбе (Verfahren zur Herstellung von Alkali- oder Erdalkalichloriten. Erbe Friedrich) [Farbwerke Hoechst A.-G., vormals Meister Lucius and Brünig]. Пат. ГФР 892890, 12.10.53 [Chem. Zbl., 1954, 125, № 41, 9365 (нем.)]

Патентуется способ получения хлоритов щел. или щел.-зем. металлов действием нагретых газов, содержащих  $\text{ClO}_2$ , на водн. суспензию Zn-пыли. Р-ция обмена получаемого  $\text{Zn}(\text{ClO}_2)_2$  с водн. р-ром гидроокиси щел. или щел.-зем. металла и отделение выпавшей  $\text{Zn}(\text{OH})_2$  от р-ра хлорита осуществляется в щел. среде при т-ре 20—40° (лучше 30—35°). З. Л.

**4365 П.** Получение окиси бериллия (Procédé de récupération de l'oxyde de béryllium) [The Council of Scientific and Industrial Research]. Франц. пат. 1042241, 29.10.53 [Chem. Zbl., 1955, 126, № 13, 2980 (нем.)]

Предложен метод получения  $\text{BeO}$  из р-ров Na-Берторидов, подвергая последние электролизу с графитовыми электродами при комнатной т-ре в камере с диафрагмой из пористого материала или асбестовой ткани. В качестве побочного продукта получают хлор. З. К.

**4366 П.** Получение безводного хлористого бериллия. Егер (Verfahren zur Herstellung von wasserfreiem Berylliumchlorid. Jaeger Gustav) [Deutsche Gold- und Silber-Scheideanstalt vormals Roessler]. Пат. ГФР 886596, 17.08.53 [Chem. Zbl., 1954, 125, № 6, 1328 (нем.)]

Патентуется способ получения безводн.  $\text{BeCl}_2$  действием  $\text{Cl}_2$  или  $\text{Cl}_2$ -содержащими газами на сформованную смесь  $\text{BeO}$  и С и нагреванием последней электрич. током до т-ры р-ции. Напр. осажденный  $\text{Be}(\text{OH})_2$  смешивают с непроводящим ток С (древесный уголь) и связующим в-вом (нек или смола), формируют смесь в брикеты и нагревают. З. Л.

**4367 П.** Способ и аппаратура для термического разложения сульфата магния и других сульфатов и хлоридов (Verfahren und Vorrichtung zur thermischen Zersetzung von Magnesiumsulfat und anderen Sulfaten, sowie von Chloriden) [Metallgesellschaft A.-G.]. Пат. ГФР 878801, 5.06.53 [Chem. Zbl., 1954, 125, № 45, 10320—10321 (нем.)]

Патентуется способ и аппаратура для разложения  $\text{MgSO}_4$ , а также сульфатов и хлоридов других металлов обработкой тонкоизмельченного материала горячими газами. Материал с целью измельчения и разложения продувается горячими газами через сопла, направленные вдоль аппарата для разложения. Температура газов на выходе должна быть близка к т-ре разложения обрабатываемых солей. Отделение образующихся окислов от газов происходит после частичного охлаждения вне реакционного пространства. З. Л.

**4368 П.** Способ и аппарат для гашения обожженной извести. Беккенбак (Process and apparatus for the slaking of burnt lime. Bessenbach K.). Англ. пат. 702001, 6.01.54 [J. Appl. Chem., 1954, 4, № 4, 319 (англ.)]

Известь (с размером частиц 0,5—2 мм) подается шнековым транспортером в нижнюю часть аппарата трапециoidalной формы, куда также подается вода для гашения. Материалы непрерывно смешиваются; гашеная

известь накапливается в верхней части аппарата, причем превращается поднимающимся водяным паром в рассыпчатый порошок, и выгружается вверх. Г. Р.

**4369 П.** Получение стабильной, сухой порошкообразной хлорной извести. Карстен, Фёсте (Herstellung von haltbarem, wasserarmem, pulverförmigem Chlorkalk. Karsten Otto, Voeste Max) [Deutsche Solvay-Werke G. m. b. H.]. Пат. ГФР 887037, 20.08.53 [Chem. Zbl., 1954, 125, № 41, 9364—9365 (нем.)]

Хлорирование извести производится периодически, причем после каждого периода хлорирования продукт продувается сухим воздухом: горячим для отгонки влаги или холодным для охлаждения реакционной массы. З. Л.

**4370 П.** Усовершенствования производства карбида кальция. Вильямс, Берни (Perfectionnements à la fabrication du carbure de calcium. Williams Audley O., Burney Walter G. Mc.) [American Cyanamid Co.] Франц. пат. 1066029, 1.06.54 [Chimie et industrie, 1954, 72, № 5, 952 (франц.)]

Известь и кокс нагревают в электрич. печи, отличающейся тем, что в открытой ванне между электродами установлены охлаждаемые подвижные зонты (которые можно по желанию опускать и поднимать) покрывающие значительную часть поверхности шихты и служащие для отсоса выделяющихся при р-ции газов и пыли, для чего в зонтах поддерживают разрежение. Г. Р.

**4371 П.** Способ получения растворов гидрида алюминия или комплексных соединений гидрида алюминия с галогенидами алюминия. Хертинг (Verfahren zur Herstellung von Aluminiumwasserstofflösungen bzw. von Auflagerungsverbindungen des Aluminiumwasserstoffs an Aluminiumhalogenide. Hertwig Askani) [Riedel-de Haën A.-G.]. Пат. ГФР 911131, 10.05.54 [Chem. Zbl., 1954, 125, № 46, 10561 (нем.)]

Предложен метод получения р-ров  $\text{AlH}_3$  или сложных гидридов Al и металлов I, II и III групп периодич. системы (соответственно металлы с порядковыми номерами 11—55, 4—56, 31—81) с галогенидами Al проведением р-ции между галогенидами Al (взятыми в точно рассчитанном кол-ве), растворенными в безводн. органич. жидкостях, и соответствующими гидридами или их смесью. Г. Р.

**4372 П.** Способ производства окиси алюминия. Кирсебум, Шёstrand (Procédé de fabrication d'oxyde d'aluminium. Kirsebom G. N., Sjöstrand E.-E.). Франц. пат. 1036182, 4.09.53 [Chimie et industrie, 1953, 70, № 6, 1109 (франц.)]

Для получения  $\text{Al}_2\text{O}_3$  сухим путем алюминиевую руду, напр. боксит, сплавляют с сернистым сырьем (колчедан, пирит), взятым в кол-ве, достаточном для превращения соединений Al в  $\text{Al}_2\text{S}_3$  в присутствии углерода.  $\text{Al}_2\text{S}_3$  отделяют и нагревают при высокой т-ре в присутствии воздуха, причем  $\text{Al}_2\text{S}_3$  возгоняется и сгорает, образуя  $\text{Al}_2\text{O}_3$  и  $\text{SO}_2$ . Продукты сгорания охлаждают и пропускают через фильтр для отделения  $\text{Al}_2\text{O}_3$ , который получается в виде тонкого порошка. Г. Р.

**4373 П.** Производство частиц глинозема определенной формы. Меррей, Мол (Manufacture of shaped alumina particles. Murray Maurice J., Moehl Reno W.) [Universal Oil Products Co.]. Пат. США 2703315, 1.03.55

Патентуемый процесс произ-ва частиц  $\text{Al}_2\text{O}_3$  определенной формы отличается введением диспергированных пузырьков газообразного  $\text{NH}_3$  в золь  $\text{Al}_2\text{O}_3$  до достижения рН смеси ~5, после чего в смесь добавляют органич. основной гелеобразующий агент, поддерживая т-ру выше т-ры желатинизации. Затем смесь пропускают в виде капелек в водн. суспендирующую среду с т-рой 50—105°, где эти капли находятся в течение периода, достаточного для образования из них частиц гидрогеля. Б. З.



**4374 П.** Способ осаждения гидроокиси алюминия из растворов алюминатов щелочных металлов. Штрассен, Нихуе, Цирнгибль (Verfahren zur Fällung von Tonerdehydrat aus Alkalialuminatlösungen. Strassen Heinrich Zur, Niehuus Hans, Zirngibl Hans). Пат. ГДР 7794, 9.08.54

Патентуется способ осаждения углекислотой  $Al(OH)_3$  (I) из р-ров щел. алюминатов. Процесс ведут до получения суспензии  $I \geq 100$  г/л (лучше 200—500) в аппаратах (один или несколько соединенных последовательно), снабженных внутренним открытым цилиндром. В последний сверху непрерывно поступает по трубам р-р алюмината и  $CO_2$ ; осветленный р-р отбирается с наружной стороны цилиндра, а образующийся I осаждается и отбирается из конусной части аппарата. Величина частиц I регулируется скоростью подачи  $CO_2$ . Общее время нахождения I в аппарате 1—2 часа. Приведены чертеж аппарата и примеры. Н. С.

**4375 П.** Способ приготовления затравки для получения гидроокиси алюминия в тонкодиспергированной форме из растворов щелочных алюминатов с применением перемешивания. Блок, Грининг (Verfahren zur Erzeugung eines für das Ausrühren von äußerst feinkörnigem Tonerdehydrat aus Alkalialuminatlösungen geeigneten Impfstoffes. Bloch Ernst, Griesing Fritz) [Aluminium-Industrie A.-G.]. Пат. ГФР 897843, 26.11.53 [Chem. Zbl., 1954, 125, № 15, 3305 (нем.)]

Разбавляют 1—6-кратным (лучше 2—3-кратным) объемом воды при нормальной т-ре и перемешивании и насыщ. р-р алюмината щел. металла, в котором мол. отношение  $M_2O: Al_2O_3 < 1,1:1$ . Образовавшийся осадок фильтруют без промывания или отделяют декантацией. Осадок суспендируют в воде и перемешивают течение длительного времени слабощел. суспензию при 30—70° (лучше 35—60°). Н. С.

**4376 П.** Способ получения хлористого алюминия (Procédé pour la production de chlorure d'aluminium) [Badische Anilin- und Soda-Fabrik]. Франц. пат. 1069243, 10.02.54 [Chimie et industrie, 1954, 72, № 6, 1209 (франц.)]

Для получения  $AlCl_3$  проводят р-цию между  $Al_2O_3$  тонкого помола или содержащими его соединениями и хлорирующими и восстанавливающими газами. Р-ция проводится в псевдооживленном слое порошка  $Al_2O_3$ . В качестве газовой смеси может быть использована смесь  $CO$  и  $Cl_2$ , которая, проходя через катализатор, превращается в  $COCl_2$ , которым обрабатывают  $Al_2O_3$ . З. М.

**4377 П.** Способ выделения хлористого алюминия из газов. Гроуте (Process for separating aluminium chloride from gases. Grothe Hans) [Soc. Anon. pour l'Industrie de l'Aluminium]. Англ. пат. 713192, 4.08.54 [Chem. Zbl., 1955, 126, № 11, 2509 (нем.)]

Пары  $AlCl_3$  пропускают при 200—250° через смесь из двух или нескольких твердых хлоридов Na, K, Li, Ca или Mg с некоторым кол-вом  $AlCl_3$ . Полученный плав, обогащенный  $AlCl_3$ , смешивают с плавом из смеси хлоридов щел. и щел.-зем. металлов и (или) Mg и ~10%  $AlCl_3$  и выдерживают при ~700°. При этом образуются два слоя, из которых отделяют слой, более богатый  $AlCl_3$ , и применяют его, напр. для электролиза. Г. Р.

**4378 П.** Аппаратура для производства трифтористого бора (Appareillage de fabrication de trifluorure de bore) [Soc. d'Electro-Chimie et d'Electro-Metallurgie et des Acieries Electriques d'Ugine]. Франц. пат. 1072716, 15.09.54 [Chimie et industrie, 1955, 73, № 1, 100 (франц.)]

Для произ-ва  $BF_3$  р-цией между фторсульфоновой и борной к-тами части аппаратуры, соприкасающейся с продуктами, изготовляют из материала, содержа-

щих кремнезем: стекла, пирекса, керамики, фарфора, кварца. Последний является наиболее подходящим материалом. Г. Р.

**4379 П.** Способ изготовления высокодисперсной кремневой кислоты. Клёппер (Verfahren zur Herstellung von hochdisperser Kieselsäure. Kloepper Harry) [Deutsche Gold- und Silberscheideanstalt vormals Roessler]. Пат. ГФР 940574, 28.12.53 [Chem. Zbl., 1954, 125, № 21, 4694 (нем.)]

Высокодисперсную  $SiO_2$  получают при разложении паров галогенидов Si в пламени горящей смеси горючих газов вместе с инертными газами. Размер частиц  $SiO_2$  можно регулировать содержанием  $O_2$  в пламени. В. С.

**4380 П.** Синтетический рутил и способ его получения. Уэйнер (Synthetischer Rutil und Verfahren zur seiner Herstellung. Wainer Eugene) [National Lead Co.]. Пат. ГФР 887623, 24.08.53 [Ber. Dtsch. keram. Ges., 1953, 30, № 12, P48 (нем.)]

Патентуется способ получения диэлектрика для конденсаторов из кристаллич. рутила в зернах (величина 1—2  $\mu$ ), содержащего  $Cl$ , 0—0,3%  $Al_2O_3$  (от веса  $TiO_2$ ). З. Л.

**4381 П.** Приспособление для получения солей гидроксиламина. Шуберт (Vorrichtung zur Herstellung von Hydroxylammoniumsalzen. Schubert Friedrich) [Badische Anilin- und Soda-Fabrik]. Пат. ГФР 884357, 27.07.53 [Chem. Zbl., 1954, 125, № 8, 1803 (нем.)]

Соли гидроксиламина получают при р-ции  $SO_2$  с охлаждаемым водн. р-ром нитрита и бисульфита, причем р-р непрерывно пропускается через наполненный  $SO_2$  удлиненный графитовый реактор-холодильник. Н. А.

**4382 П.** Метод раздельного получения синильной кислоты и аммиака из газов и паров. Верхейм, Беккер, Кронахер (Verfahren zur getrennten Gewinnung von Blausäure und Ammoniak aus Gasen und Dämpfen. Wehrheim Werner, Becker Erich Heinz, Kronacher Hermann) [C. Otto und Co. G. m. b. H.]. Пат. ГФР 912690, 3.06.54 [Chem. Zbl., 1954, 125, № 46, 10629 (нем.)]

$NH_3$  поглощается при 20—30° и малом времени контакта между газом и жидкостью в присутствии достаточного кол-ва  $CO_2$ , снижающей растворимость  $HCN$  в промывной жидкости. Из последней путем дальнейшего прибавления  $CO_2$  выделяют кислые составные части и затем  $NH_3$ .  $HCN$  выделяется из промытых газов с помощью соответствующего абсорбента. А. М.

**4383 П.** Способ выделения  $HCN$  из газовой смеси, содержащей  $HCN$ ,  $CO_2$ ,  $NH_3$  (Process for the recovery of hydrocyanic acid from a gaseous mixture comprising the same together with carbon dioxide and ammonia) [Deutsche Gold- und Silberscheideanstalt vormals Roessler]. Англ. пат. 697505, 23.09.53 [Chem. Zbl., 1954, 125, № 16, 3564—3565 (англ.)]

Способ состоит в том, что к газовой смеси, состоящей из  $HCN$ ,  $NH_3$  и  $CO_2$ , добавляют при 40—80° в промывной башне такое кол-во воды. р-ра  $NH_4OH$ , что все наличие  $CO_2$  выделяется в виде  $(NH_4)_2CO_3$ .  $HCN$  отгоняют из промывных вод введением нерастворимых газов. З. М.

**4384 П.** Способ производства хлористого тионила. Фрик (Process for making thionyl chloride. Fricke Edwin F.) [Allied Chemical & Dye Corp.]. Канад. пат. 496769, 13.10.53

Описано несколько вариантов способа получения  $SOCl_2$  (I) из  $SO_2$ ,  $Co$  и  $Cl_2$ . 1. Смесь  $SO_2$ ,  $Co$  и  $Cl_2$  пропускают через ряд зон с активированным углем (II), т-ра которых от зоны к зоне повышается в пределах 160—220°. Т-ру каждой зоны регулируют пропуска-

нием через нее дозируемых кол-в реагирующих в-в. После выделения I из продуктов р-ции остаток смешивают с  $\text{SO}_2$ , смесь пропускают через зону с II при т-ре 280—350° и из продуктов р-ции выделяют дополнительно I. 2. Смесь почти эквимолекулярных кол-в  $\text{SO}_2$ , CO и  $\text{Cl}_2$  пропускают через II с т-рой 160—180°, продукты р-ции смешивают со свежим кол-вом исходной смеси, пропускают через II с т-рой 180—220° и выделяют I из продуктов р-ции, причем т-ру каждой зоны регулируют введением в нее реагирующих газов в различных ее точках. 3. Смесь почти эквимолекулярных кол-в  $\text{SO}_2$ , CO и  $\text{Cl}_2$  пропускают через II при ~170°, продукты р-ции смешивают со свежим кол-вом исходной смеси и пропускают сначала через II с т-рой ~20° (т-ру обеих зон регулируют, как в первом способе), а потом через зону с т-рой 10—15°, жидкий конденсат разделяют дробной перегонкой на I и  $\text{SO}_2$ , а несконденсированные пары и газы смешивают с  $\text{SO}_2$  и пропускают через 3-ю зону с II при ~310°, продукты р-ции по выходе из 3-й зоны охлаждают до т-ры ниже -30° и жидкий конденсат фракционируют на I,  $\text{SO}_2$ ,  $\text{SOCl}_2$  и  $\text{COCl}_2$ , из которых  $\text{SO}_2$  возвращают на 1-ю стадию процесса,  $\text{COCl}_2$  в 3-ю зону, а  $\text{SOCl}_2$  вместе с  $\text{SO}_2$  из 1-й и 2-й зон приводят во взаимодействие с  $\text{SO}_2$  и выделяют I. Я. К.

**4385 П.** Активированная двуокись урана и процессы ее приготовления. Полиссар (Activated uranium dioxide and processes of producing the same. Polissar Milton J.) [United States Atomic Energy Commission]. Пат. США 2678257, 11.05.54  $\text{UO}_2$  восстанавливают газом, содержащим  $\text{CH}_4$ , при т-ре 400—500°, при этом получают пирофорную  $\text{UO}_2$ . В. Ш.

**4386 П.** Способ приготовления фосорофтористоводородной кислоты. Мюлдер, Смитхейсен (Werkwijze ter bereiding van hexafluorofosforzuur. Mulder Albertus Johan, Smithuysen Willem Carel B.) [N. V. De Bataafsche Petroleum Maatschappij]. Голл. пат. 73991, 15.01.54 [Chem. Abstrs, 1954, 48, № 21, 13179—13180 (англ.)] См. РЖХим, 1955, 19179.

**4387 П.** Способ удаления фтористых соединений из отходящих газов (Procédé d'élimination du fluor combiné dans des émanations) [American Zinc, Lead and Smelting Co.]. Швейц. пат. 289677, 1.07.53 [Chem. Zbl., 1954, 125, № 40, 9115 (нем.)]

Отходящие газы пром-сти, содержащие  $\text{SiF}_4$ , HF и  $\text{H}_2\text{SiF}_6$  пропускаются через увлажненный порошок природного  $\text{MgSiO}_3$ . При этом образуется  $\text{MgSiF}_6$ . З. Б.

**4388 П.** Способ получения хлористого водорода. Черноцкий (Verfahren zur Herstellung von Chlorwasserstoff. Czernotzky Adolf). Пат. ГДР 7039, 10.05.54 (нем.)

Патентуется способ получения HCl (газ) из  $\text{Cl}_2$  и  $\text{H}_2$  с возвращением обратно в процесс избытка  $\text{H}_2$  и наличием давления в отводной системе на 2% больше, чем в водородной магистрали. Для переработки стходящего газа предусмотрена особая печь, в результате чего с отходящим газом теряется в 6 раз меньше  $\text{H}_2$ , чем в обычном способе. При проникновении  $\text{Cl}_2$  в отводную систему последняя автоматически отключается от главной водородной магистрали. З. Л.

**4389 П.** Способ и аппаратура для абсорбции газов жидкостью, особенно для получения соляной кислоты (Verfahren zur Absorption von Gasen durch Flüssigkeiten, insbesondere zur Erzeugung von Salzsäure, und Vorrichtung zur Ausführung dieses Verfahrens) [Elektrochemische Werke Rheinfelden]. Швейц. пат. 295386, 1.03.54 [Chem. Zbl., 1954, 125, № 43, 9832 (нем.)]

Патентуется способ абсорбции газов, в котором через абсорбер, выполненный в виде вертикальной трубы, со-

ставленной из секций переменного диаметра, протекает тонкой струей жидкость. В каждой секции размещены друг над другом полые изнутри охлаждаемые тарелки. Если, напр., вводить в абсорбер снизу со скоростью 2000 г/мин газовую смесь 85% HCl, а сверху подавать 3,6 л/мин  $\text{H}_2\text{O}$ , то можно получить 4,3 л/мин HCl (к-та) с содержанием HCl 463 г/л при 38°. Дана схема. З. Л.

**4390 П.** Очистка растворов соляной кислоты. МакГарви (Purification of hydrochloric acid solutions. McGarvey Francis X.) [Rohm and Haas Co.]. Пат. США 2695875, 30.11.54

Описан циклич. процесс очистки р-ров соляной к-ты (с конц-ией ниже 5 M) от примеси соединений железа. Исходный р-р к-ты обрабатывают анионообменными смолами, содержащими полярные группы четырехзамещенного хлорида аммония, с последующим отделением смол от к-ты. Отработанные смолы регенерируют, промывая водой, объем которой составляет ≥90% от объема смол. Н. С.

**4391 П.** Способ выделения хлоридов из их газообразных смесей. Фрей, Вебер (Process for separating chlorides from gaseous mixtures thereof Frey Walter, Weber Robert) [Saufabrik Schweizerhall]. Пат. США 2675890, 20.04.54

Способ разделения смеси, полученной хлорированием оксидов металлов при высокой т-ре в присутствии восстановительного углеродистого материала, состоящей из паров хлоридов металлов, из которых по крайней мере один в нормальных условиях жидкий (ЖХМ), а другой твердый (ТХМ), конденсирующийся в том же интервале т-р, что и ЖХМ. Способ состоит из следующих ступеней: охлаждение горячей газовой смеси до т-ры несколько выше точки росы ЖХМ; в этом случае конденсируется в твердом виде большая часть ТХМ, которая отделяется от газа при этой же т-ре; охлаждение газа в нескольких холодильниках для конденсации хлоридов, причем весь ТХМ растворяется в ЖХМ. Г. Р.

**4392 П.** Невзрывающийся гидрат двуокиси хлора и метод его приготовления. Вильямсон, Хампел (Nonexplosive chlorine dioxide hydrate composition and process for producing same. Williamson Hilding V., Hampel Clifford A.) [Cardox Corp.]. Пат. США 2683654, 13.07.54

Патентуется процесс приготовления невзрывающего гидрата  $\text{ClO}_2$ , не содержащего жидкой  $\text{ClO}_2$ . Поглощают  $\text{ClO}_2$  из газовой смеси, состоящей из пара  $\text{ClO}_2$  и инертного газа-разбавителя, насыщ. водн. р-ром  $\text{ClO}_2$  при т-ре ниже ~15°, но выше т-ры замерзания водн. фазы. Парц. давление  $\text{ClO}_2$  в газовой смеси должно быть по меньшей мере равно давлению пара  $\text{ClO}_2$  в водн. фазе, измеренному над гидратом  $\text{ClO}_2$ , и должно лежать в пределах 100—500 мм рт. ст. Получающийся гидрат  $\text{ClO}_2$  выделяют в виде сплошной массы, содержащей до ~24,9 вес.%  $\text{ClO}_2$ . В. Ш.

**4393 П.** Устойчивый состав, содержащий жидкую двуокись хлора. Стоун (Stable liquid chlorine dioxide composition. Stone William A.) [Mathieson Chemical Corp.]. Пат. США 2678922, 18.05.54 Смесь состоит преимущественно из жидких  $\text{ClO}_2$  и  $\text{Cl}_2$ , причем на каждые 2 вес. ч.  $\text{Cl}_2$  приходится не более 1 вес. ч.  $\text{ClO}_2$ , а кол-во жидкой  $\text{ClO}_2$  в смеси равно ~5 вес.%. Н. С.

**4394 П.** Получение бромистого водорода. Чжао Цзай-сян (Preparation of hydrogen bromide. Chao Tsai Hsiang) [American Cyanamid Co.]. Пат. США 2705670, 5.04.55

Для получения чистого безводн. газообразного HBr из бромидов щел. металла и конц.  $\text{H}_2\text{SO}_4$  реакционную смесь, содержащую воду, HBr и бромид щел. металла при весовом соотношении воды к бромиду (в виде бромидов)

в пределах от 1 : 15 до 1 : 1, нагревают при 100—130° с обратным холодильником и постепенно добавляют к ней конц.  $H_2SO_4$ , которая реагирует с бромидом, причем выделяется безводный газообразный  $NH_3$ . Г. Р. 4395 П. Способ приготовления водных растворов, содержащих марганец. Д и н (Procédé de préparation de solutions aqueuses contenant du manganèse. D e a n R. S.). Франц. пат. 1031157, 22.06.53 [Chimie et industrie, 1953, 70, № 5, 914 (франц.)]

Водный р-р содержит кроме  $H_2O$  равновесную смесь трех компонентов —  $Mn(OH)_2$ ,  $NH_4OH$  и  $HX$  ( $X$  — анион, образующий соль  $Mn$ , с растворимостью в воде, подобной  $MnSO_4$ ). Содержание  $Mn$  в р-ре выше 10 г/л в расчете на  $Mn(OH)_2$ , причем  $Mn$  присутствует главным образом в форме аниона. Содержание свободного  $NH_4OH$  составляет по крайней мере 40% от веса всех трех компонентов (кроме  $H_2O$ ) и достаточно для предотвращения образования осадка, что достигается путем добавки 1 см<sup>3</sup> насыщ. р-ра  $(NH_4)_2CO_3$  на 10 см<sup>3</sup> р-ра, содержащего  $Mn$ . Р-р содержит в целом свыше 150 г/л всех трех компонентов и кол-во аниона  $X$ , стехиометрически эквивалентное содержанию  $Mn$ . Для получения такого р-ра обрабатывают в-во, содержащее  $Mn$ , с помощью воды. р-ра  $NH_4OH$ , содержащего необходимое кол-во  $NH_4X$ . Последний р-р содержит 50—300 г/л  $NH_3$  и кол-во к-ты  $HX$  по крайней мере стехиометрически эквивалентное извлекаемому кол-ву  $Mn$ . А. И.

4396 П. Способ получения исходного материала для производства карбонила железа (Procédé pour l'obtention d'une matière de départ pour la production de fer carbonyle) [Badische Anilin- und Soda-Fabrik]. Франц. пат. 1061739, 14.04.54 [Chimie et industrie, 1954, 72, № 1, 100 (франц.)]

Материал, образованный сплавлением во вращающейся печи мелких металлич. стружек и остатка сульфида железа, полученного при произ-ве карбонила железа, быстро охлаждают в тонком слое толщиной  $\leq 3$  см. Г. Р.

4397 П. Способ получения и отделения никеля и кобальта из кислых растворов. Робертс, Мак-Голи, Шауфель-Бергер (Verfahren zur Gewinnung und Abtrennung von Nickel und Kobalt aus Säurelösungen. Roberts Edward Sherrill, McGauley Patrick John, Schaufelberger Felix Alfred) [Chemical Construction Corp.]. Пат. ГФР 899557, 14.12.53 [Z. Erzbau und Metallhüttenwesen, 1954, 7, № 3, 123 (нем.)]

Способ заключается в раздельном осаждении при различных величинах рН  $Ni$  и  $Co$  из р-ров соединений этих металлов, получаемых частичным растворением руд при различных величинах рН р-ров. З. М.

4398 П. Конверсия черной окиси железа в красную. Суэйни (Processes for converting black iron oxide to red iron oxide. Swaney William A.) [United States Steel Corp.]. Пат. США 2705188, 29.03.55

В водную суспензию тонкоизмельченной черной окиси  $Fe$  вводится  $SO_2$  в конц-ии, еще не способной вызвать заметную р-цию с окисью  $Fe$ ; далее добавляют газообразный  $SO_2$  до образования в суспензии отдельных местных очагов с конц-ией  $H_2SO_4$  выше 20%, что вызывает резко выраженную экзотермич. р-цию во всей суспензии с образованием сульфата  $Fe$ . Общее кол-во введенного  $SO_2$  равно 10—20% стехиометрич. кол-ва, необходимого для получения сульфата  $Fe$ . Полученный промежуточный продукт прокалывают при 482—815°, в результате чего образуется красная окись  $Fe$ . И. А.

4399 П. Гидролиз газообразного хлорного железа. Рив (Hydrolysis of gaseous ferric chloride. Reeve L.) [United Steel Co., Ltd.]. Англ. пат. 701797, 6.01.54 [J. Appl. Chem., 1954, 4, part 4, 376 (англ.)]

$Fe_2O_3$  получают в результате гидролиза  $FeCl_3$  с небольшо-

шим избытком пара (англ. пат. 677645) при 400—800° на поверхности горячих частиц огнеупорного материала ( $Fe_2O_3$  или другие окислы  $Fe$ ,  $SiO_2$ ,  $Al_2O_3$  и т. п.), расположенных в виде одного или нескольких псевдо-оживленных слоев. В. Ш.

См. также: Окислы 5368, 5369. Кислоты 3680. Соли 5370. Др. вопр. 5380

## УДОБРЕНИЯ

4400. Будущее промышленности удобрений. Майерс (The future of the fertilizer industry. Myers Harold E.), Farm Chemicals, 1954, 117, № 5, 51—54 (англ.)

4401. Вопросы химии и технологии минеральных удобрений в Средней Азии. Вольфович С. И., Изв. АН СССР, Отд. хим. н., 1953, № 3, 448—458

4402. Очередные задачи промышленности фосфатных удобрений СССР. Каратаев Н. И., Хим. пром-сть, 1953, № 3, 3—6

4403. Опыты с неорганическими удобрениями в Южной Австралии. Прескотт (South Australian experience with inorganic fertilizers. Prescott J. A.), Proc. Nat. Inst. Sci., India, 1953, 19, № 1, 27—28 (англ.)

4404. Аммиак как удобрение. — (Ammonia as a fertiliser.—), Chem. Age, 1953, 68, № 1766, 727—728 (англ.)

4405. Безводный аммиак. Снабжение и распределение для агрономических целей. Райт (Anhydrous ammonia: Supply and distribution for agricultural use. Wright L. H.), Butane-Propane News, 1954, 16, № 12, 76—79 (англ.)

Приведены данные о развитии произ-ва  $NH_3$  в США и потреблении его непосредственно в качестве удобрения, об установках для отпуска  $NH_3$  потребителям и внесении его в почву. Е. Б.

4406. О наличии фосфоритов и производстве суперфосфата в Южной Африке. Майберг (A review of the availability of phosphates and production of superphosphate in South Africa. Myburgh A. C.), S. Afric. Industr. Chemist, 1953, 7, № 3, 47—50 (англ.)

Описываются работающие в настоящее время два суперфосфатных з-да общей мощностью 660 000 т, приводится подробная схема принятого технологич. процесса и указывается, что основным сырьем для суперфосфата является импортный марокканский фосфорит (в связи с отсутствием своего высококачественного сырья). Благодаря применению тонкого помола и новой технологии з-ды смогли выпустить 20%-ный суперфосфат с очень хорошими физ. свойствами из марокканского фосфорита. Л. Л.

4407. Обработка щелочами фосфоритной руды. I. Обработка едким натром фосфоритной руды под давлением. Мацумаэ, Матида, Миёси (磷礫石のアルカリ處理に関する研究. 第1報. 加壓下に於ける磷礫石の苛性ソーダ溶液處理について. 松前卓爾, 町田和夫, 三好千八, ) , 工業化學雜誌, Koré kagaku zasshi, J. Chem. Soc. Japan. Industr. Chem. Sec., 1953, 56, № 10, 752—754 (япн.)

Приведены новые методы произ-ва цитратнорастворимого фосфорно-кислого удобрения, получаемого путем нагревания под давлением фосфоритной руды в р-ре  $NaOH$  (I). Авторами было установлено, что при применении автоклава удается понизить конц-ию I на 200 г/л по сравнению с конц-ией при применении метода нормального давления, благодаря чему появилась возможность обойтись без процесса концентри-



рования при использовании циркулирующего р-ра I. Дальнейшие исследования авторов будут производиться без давления при конц-ях ниже 700 г/л I.

4408. Производство удобрений путем термической обработки фосфатных минералов. Джагьяман, Кришнаасвами (Production of fertilizers by thermal processing of phosphatic minerals. Jagayaman N., Krishnaswami K. R.), J. Scient. and Industr. Res., 1953, B12, № 3, 106—117 (англ.)

4409. Исследование отношения некоторых фосфатов к действию фторидов в водном растворе. Шаррер, Гереке, Юнг (Untersuchungen über das Verhalten einiger Phosphate gegenüber der Einwirkung von Fluoriden in wässriger Lösung. Scharrer K., Gericke S., Yung W.), Z. Pflanzenernähr., Düng., Bodenkunde, 1953, 60, № 3, 250—268 (нем.)

4410. Изготовление суперфосфата; влияние различных факторов на скорость реакции и состав готового продукта. Нунн, Дин (Superphosphate production: the influence of various factors on the speed of reaction and the composition of the product. Nunn R. J., Dee T. P.), J. Sci. Food and Agric., 1954, 5, № 6, 257—265 (англ.)

Факторами, влияющими на скорость р-ции между  $H_2SO_4$  (I) и фосфоритной мукой (II), являются: природа фосфоритной руды, тонина ее помола, конц-я применяемой I, весовое соотношение I к весу II и т-ра р-ции. Р-ция между I и II продолжается также в период созревания. Описываются две серии опытов по изготовлению суперфосфата из марокканских фосфоритов. Первая серия опытов велась с II тонины помола, 68% которой проходило через сито 100 меш. Весовое соотношение изменялось от 60 до 45 ч. I к 100 ч. II. Конц-я I менялась от 70% до 45%. Смешение I с II проходило при т-ре от 78 до 105°. Масса перемешивалась до тех пор, пока ее консистенция не становилась равной той, которая получалась в опыте при обработке II в течение 3 мин. 70%-ной I. Физ. и хим. свойства полученного суперфосфата определялись через 21 день после выгрузки продукта из камеры. Во второй серии опытов весовое соотношение I к II во всех опытах было одинаковое: 60 ч. I на 100 ч. II. Конц-я I в одних опытах была 70%-ная, а в других 78%-ная. Тонина помола I менялась в пределах от 21 до 93% прохождения через сито 100 меш. Для определения скорости и хода р-ции брались пробы для анализа в различные промежутки времени хранения продукта, начиная с 5 мин. после выгрузки из камеры до 3 недель. Приведены таблицы, из которых видно, что наилучшие результаты (при любом соотношении I к II) дали опыты с 70%-ной I. Далее из полученных данных видно, что с повышением наличия свободной  $H_2PO_4$  в продукте повышается процентное содержание водорастворимого  $P_2O_5$ . При повышении весового соотношения I с 50 до 65 ч. на 100 ч. II процентное содержание водорастворимого  $P_2O_5$  (в  $P_2O_5$  общем) повышается с 72 до 94,7%. Из тех же данных видно, что с понижением конц-и I повышается процент влаги в суперфосфате.

В. Я.

4411. Грануляция суперфосфата. Сунгун (Superphosphat granülasyonu. Sungun Kemâl, Demir ve Çelik, 1953, 2, № 12, 270—273 (турец.)

Кратко рассматриваются основные методы грануляции суперфосфата и производится сопоставление основных свойств гранулированного суперфосфата с пчлывидным, причем отмечается большее превосходство первого.

Н. И.

4412. Влияние добавок на температуру модификационного превращения аммиачной селитры. На-

биев М. Н., Крылова Н. И., Докл. АН УзССР, 1954, № 11, 19—22 (резюме узб.)

С помощью dilatометрического анализа изучалось модификационное превращение  $NH_4NO_3$  под влиянием следующих добавок (в вес.%): 1) 1,68 Ca ( $NO_3$ )<sub>2</sub> + 0,5 Mg ( $NO_3$ )<sub>2</sub> + 0,2 Ca ( $H_2PO_4$ )<sub>2</sub> 2) 1,62 Ca  $HPO_4$  + 2,1 Ca ( $PO_4$ )<sub>2</sub> + 3,22 ( $SiO_2$  + остаток); 3) 1-я добавка + +1/2-й добавки; 4) 1,73 Ca ( $NO_3$ )<sub>2</sub>; 5) 0,78 Mg ( $NO_3$ )<sub>2</sub>; 6) 2,8 Ca ( $H_2PO_4$ )<sub>2</sub>. Установлено, что указанные добавки смещают т-ру модификационного превращения  $NH_4NO_3$  в сторону увеличения, причем водонерастворимые добавки влияют слабее водорастворимых. Процесс торможения модификационного превращения выражается резче для 1-й добавки.

А. И.

4413 П. Получение первичных, вторичных и смешанных фосфатов натрия, калия и аммония. Мохаджир, Датар, Захир (Production of (primary, secondary, tertiary and mixed) sodium, potassium and ammonium phosphates. Mohajir A. Miss, Datar D. S., Zaheer S. H.) Инд. пат. 49178, 15.02.54

Фосфат из минерала, кости или какого-либо другого, содержащего  $Ca_3(PO_4)_2$ , материала приводят во взаимодействие с соответствующим кислым сульфатом, и получающийся первичный или вторичный фосфат затем обрабатывают необходимым кол-вом гидроксида. Н. А.

4414 П. Способ стабилизации удобрения. Уолш, Хос, Фаулгер (Method of soil stabilization. Walsh Conrad Lawrence, Hawes William Bernard, Foulger Frank) [A. S. P. Chemical Co. Ltd]. Пат. США 2661297, 1.12.53

С целью повышения механич. прочности исходный материал (удобрение, порода или почва) измельчают до размера 100 меш, увлажняют до консистенции, при которой он обладает наибольшей сопротивляемостью к механич. сжатию и смешивают с 3—5% несодержащей крахмала молотой (до размера 50 меш) растительной шелухи и тонкоизмельченным в-вом, содержащим  $Me_2(SO_4)_2$ . Кол-во  $Me_2(SO_4)_2$  составляет 0,75% от веса исходного материала. Полученную массу сжимают до уменьшения ее объема на 10%. При этом  $Me_2(SO_4)_2$  образует нерастворимые комплексные соединения с белками и пектиновыми в-вами растительной шелухи.

Н. С.

## ПЕСТИЦИДЫ

4415. Испытание фторацетата бария в широком поле опыте приманочной борьбы с малым сусликом. Фенюк Б. К., Мамонтов И. М., Попов А. В., Кондрашкин Г. А., Демяшев М. П., Камнев П. И., Найденов П. Е., Рыжкова М. Н., Черноногов Н. Ф., Шейкина М. В., Грызуны и борьба с ними. Вып. 4, Саратов, 1955, 157—172

Приманки из овса, пшеницы и кукурузы, содержащие 0,3—1% фторацетата Ba или 20% фосфида Zn, эффективны в борьбе с малым сусликом. Предпочтительнее применять кукурузу, так как в этом случае не происходит массовой гибели зерноядных птиц. Необходимо дальнейшая разработка метода в отношении повышения привлекательности приманок с фторацетатом Ba для сусликов и подбора приманочных продуктов, которые не привлекают других животных.

Ю. Ф.

4416. Исследования пригодности варфарина для дератизации. Пшиборовский (Badania nad przydatością warfarinu dla celów deratyzacyjnych. Przyborski Tadeusz), Przegl. epidemiol., 1955, 9, № 2, 133—140 (польск.; резюме рус., англ.)

Лабораторные и полевые испытания варфарина показали, что в приманках он не отпугивает крыс и наиболее эффективен из всех применяемых в виде отравленных приманок средств против грызунов. Л. В.

4417. Химия растительных инсектицидов. Доминга (Chimia insecticidelor vegetale. Dominica S. H.). Rev. chim., 1955, 6, № 6, 282—286 (рум.; резюме русс.)

Обзор растительных инсектицидов, которые могут явиться заменителями синтетич. инсектицидов, к которым отмечено привыкание насекомых. Некоторые растительные инсектициды нетоксичны для человека и не ожигают растений даже при применении в значительных количествах. Библ. 32 назв. К. Ш.-Ш.

4418. Улучшенные остатки инсектицидов для борьбы с насекомыми вне помещений. Салливан, Хорнштейн, Йеоманс, Цзао Цзин-си (Improved deposits for controlling insects outdoors. Sullivan W. N., Hornstein Irwin, Yeomans A. H., Tsao Ching-Hsi). J. Econ. Entomol., 1955, 48, № 2, 153—155 (англ.)

Изучена остаточная активность ДДТ, линдана (I) и алдрина (II) одних и в комбинации с хлорированным терфенилом (III) (арохлор 5460). Р-рами инсектицидов и их смесей с III в метилэтилкетоне (IV) обрабатывались ветки сосны (в природных условиях), которые периодически испытывались в лаборатории путем пощипки комнатных мух *Musca domestica* L., III значительно увеличивает продолжительность действия I и II (100%-ная смертность мух до 102 дней после обработки веток), но не ДДТ. Остатки ДДТ из р-ра в IV действуют более продолжительное время, чем из р-ра в топливном масле. Проблема обработки инсектицидами растворенными в сильно летучих р-рителях была разрешена благодаря применению очень конц. р-ров инсектицидов и III (по 0,454 кг на 3,78 л р-рителя). В результате испарения небольшого кол-ва р-рителя образовывались «полутвердые» сферы, частицы размером около 100 м, которые хорошо диспергировались и надежно прилипали, не проникая, внутрь обработанной поверхности. Ю. Ф.

4419. Производство хлорпикрина — важного продукта для борьбы с сельскохозяйственными вредителями. Минцер, Добреску (Fabricarea unui important produs pentru combaterea daunatorilor agricoli: cloropirina. Mințer I., Dobrescu C.). Rev. chim., 1955, 6, № 5, 238—240 (рум.; резюме русс.)

Описан метод произ-ва и применения в Румынии хлорпикрина (I). Разработан и опробован на опытной установке метод получения I из пикриновой к-ты. К. Ш.-Ш.

4420. К вопросу о производстве дустов ДДТ и ГХЦГ на местных наполнителях. Носков И. Г., Вяльцева Т. В., Докл. АН УзССР, 1955, № 3, 31—35 (резюме узб.)

В лабор. опытах установлена возможность получения эффективных дустов ДДТ и ГХЦГ с частичной заменой (20—40%) талька глиной кувайских месторождений. Л. В.

4421. Дуст ДДТ с местными наполнителями. Нурмухамедов Ф. Н., Докл. АН УзССР, 1955, № 3, 37—40 (резюме узб.)

В качестве наполнителей для дуста ДДТ изучены кувайские глины, оталькованная порода Шаматалказы, бентонит агланинский и агалматалит (пиррофилит) акташский. Все изученные породы можно использовать в качестве наполнителей для изготовления дустов ДДТ. Исследована термич. устойчивость 30%-ных дустов ДДТ. Установлено, что наличие определенного кол-ва железа (0,92—3,88%  $Fe_2O_3$ ) вызывает разложение ДДТ в дусте при 110—115° (на 32—54%) и под влиянием солнечного освещения. Наилучшую термич. устойчивость по-

казали дусты ДДТ на пиррофилите (0,28%  $Fe_2O_3$ ) и оталькованной породе № 8, включающей в свой состав карбонат кальция. Смертность тли, обработанной 30%-ными дустами на указанных наполнителях, через 72 часа составляет 99—100% по сравнению с заводским 5,5%-ным дустом ДДТ. Л. В.

4422. Физиологический синергизм ДДТ и арсенита кальция при действии на насекомых. Берин Н. Г., Зап. Ленингр. с.-х. ин-та, 1955, № 9, 118—122

Установлен синергизм ДДТ и арсенита кальция (I) при действии на гусениц кольчатого шелкопряда и наличие прямой зависимости величины синергич. эффекта (СЭ) от содержания в смеси I. Достаточно высокий СЭ может быть получен при содержании в смеси миним. 2,5% I. 100%-ная смертность насекомых может быть получена и при действии одного ДДТ, но скорость действия смеси почти в два раза больше. Л. В.

4423. Опыты по применению эмульсии ГХЦГ в борьбе с вредителями, повреждающими древесину сосны в штабелях. Беккер (Tests with BHC emulsion sprays to keep boring insects out of pine logs in Massachusetts. Becker W. B.). J. Econ. Entomol., 1955, 48, № 2, 163—167 (англ.)

Однократная обработка отдельных стволов нешукерной сосны 0,2%-ной эмульсией γ-ГХЦГ почти полностью ликвидирует возможность поражения древесины вредителями, при концентрации 0,4% поражение предотвращается полностью (расход 7,5 л на штабель объемом 1,8 м³). 0,4%-ная эмульсия не повреждает живых сосен и листопадных деревьев; не было повреждений и на некоторых вечнозеленых при опрыскивании в период вегетации. Однако широколиственные при опрыскивании по листьям 0,1, 0,2 и 0,4%-ными эмульсиями повреждались. Ю. Ф.

4424. Новый инсектицид «малатион». Боденштейн, Бастген, Каут, Мадел (Malathion, ein neues Insektizid. Bodenstein G., Bastgen G., Kauth H., Madel W.). Anz. Schädlingskunde, 1955, 28, № 6, 84—90 (нем.)

Малатион (I) — технич. продукт с 85—95%-ным содержанием S-1,2-дихлорбензоатэтил-0,0-диметилдитиофосфата представляет собой жидкость темно или светлорозового цвета, уд. в. 1,23 при 25°, т. пл. 2,9°, давление пара при 30° 0,00004 мм рт. ст., растворимость в воде 145 мг/л. Выдерживает длительное хранение в таре из стекла и нержавеющей стали и таре, футерованной полиэтиленом или искусств. смолой; в таре из железа, черной жести, олова, свинца и меди быстро разлагается. I разлагается в кислой и щел. средах; р-ры I гидролизуются при pH > 12. I выпускается в виде 25 и 50%-ных концентратов эмульсий, 25,30 и 50%-ных порошков для суспензий и 4—10%-ных дустов. Токсичность I для теплокровных колеблется в широких пределах (500—2866 мг/кг). I применяют для защиты растений от сосущих насекомых (тлей, трипсов, цикад, белой мухи), паутинного клещика, гусениц пилильщика и бабочек, а также против устойчивых мух. В виде эмульсий I применяют в кон-ях 0,1—0,2% по действующему началу, расход эмульсии 600—1000 л/га. Продолжительность действия 7—10 дней. I не обладает фитотоксичным действием. А. Г.

4425. Овицидное действие малатиона на яйца виноградной цикадки. Барнс, Аш (Ovicidal action of malathion on grape leafhopper eggs Barnes M. M., Ash C. R.). J. Econ. Entomol., 1955, 48, № 2, 220—221 (англ.)

В лабор. условиях в результате опыливания листьев винограда с яйцекладками цикадки *Erythroneura variabilis* Ватер 4%-ным дустом малатиона ≤ 0,5% яиц остались жизнеспособными и дали личинки. На необработанных листьях выход личинок превышал 80%. Ю. Ф.

4426. Содержание шрадана в горохе полевой культуры и борьба с тлями. Дейвич, Аппл (Schradan content in field grown peas in relation to pea aphid control Davich T. B., Apple J. W.), J. Econ. Entomol., 1955, 48, № 2, 180—181 (англ.)

При опрыскивании гороха шрадано (I) в дозах 4,48 и 8,96 кг/га получена чрезвычайно высокая начальная гибель тли. Через 2 дня хим. анализом в растениях найдено 109,2 и 266,8 мг/кг I соответственно. Через 14 дней кол-во тли начало возрастать, хотя по дозе 8,96 кг/га в растениях найдено 19,8 мг/кг I. Лучший горох, убранный на 21 день после обработки, содержал 3,2 и 6,5 мг/кг I соответственно. При обработке гороха I в дозе 1,12 кг/га в луговом горохе остатков не обнаружено, хотя эта доза давала 90%-ную смертность тли через 9 дней после обработки, когда хим. анализ показал содержание I 31,5 мг/кг. При дозе 0,28 кг/га через 2 дня в горохе обнаружено 19,9 мг/кг I, а смертность тли была неудовлетворительной. Ю. Ф.

4427. Влияние опрыскиваний маслом и паратионом на содержание растворимых веществ в апельсинах. Крессман (Effect of oil and parathion sprays on soluble solids of oranges. Cressman A. W.), J. Econ. Entomol., 1955, 48, № 2, 216—217 (англ.)

В результате опрыскивания апельсиновых деревьев 1—1,8%-ными эмульсиями «среднего» масла происходит снижение содержания растворимых в-в в плодах на 0,6% по сравнению с контролем. Опрыскивание спец. легким маслом не сказывается на содержании растворимых в-в. Добавление к маслу паратиона также не оказывает влияния на содержание растворимых в-в. Ю. Ф.

4428. Борьба с гороховой тлей с помощью деметона с учетом степени созревания гороха. Аппл, Мартин (Pea aphid control with demeton in relation to pea plant maturity. Apple J. W., Martin Ronald), J. Econ. Entomol., 1955, 48, № 2, 193—195 (англ.)

Проведена обработка гороха деметоном (I) с учетом фаз развития растений. Не более чем за 8 дней до уборки горох обрабатывался I в дозе 70 г/га. Горох за 18 дней до уборки или перед самым цветением обрабатывался I в дозе 140 г/га и в результате обеспечивалась защита от тлей в течение 10 дней. Дозами 280 и 560 г/га обрабатывался горох в стадии 10 и 3 узлов соответственно, благодаря чему получен очень хороший эффект, исчезнувший, однако, через 18 дней. После чего возобновление заселения растений тлей происходило незначительно и медленнее, чем при такой же дозе паратиона. Через три часа после обработки дозами 70, 140 и 280 г/га на растениях обнаружено соответственно 4,3, 11,5 и 21,5 мг/кг I. Вследствие малых размеров растений, обработанных дозой 560 г/га, анализ остатков сразу после обработки не проводился, однако через 8 дней обнаружено 14 мг/кг I. Анализ растений через 5—7 дней после обработки показал, что сохраняется только половина первоначального кол-ва остатков I. Убранный горох после консервирования и замораживания содержал в среднем менее 0,3 мг/кг I. Ю. Ф.

4429. Обработка почвы в борьбе с долгоносиками рода *Brachyrhinus* на землянике. Эйрд (Soil treatments for brachyrhinus control in strawberries. Eide Paul M.), J. Econ. Entomol., 1955, 48, № 2, 207—208 (англ.)

Внесение в почву альдрина (I), дильдрана (II) и хлордана в дозах 5,56, 8,4 и 16,8 кг/га соответственно эффективно защищает землянику от *B. ovalis* в течение длительного времени. В борьбе с *B. sulcatus* хороший эффект получается только при дозе I или II 8,4 кг/га. Токсафен, ДДТ, ГХЦГ и метоксиклор в испытанных дозах (5,56—11,2; 11,2—22,4; 1,12—7,84 и 11,2—16,8 кг/га соответственно) не эффективны. Ю. Ф.

4430. Предварительные опыты по борьбе с хлопковой совкой на кукурузе. Хоккинс (Preliminary experiments in corn earworm control. Hawkins John H.), J. Econ. Entomol., 1955, 49, № 2, 199—201 (англ.)

Эмульсии ДДТ и эмульсии ДДТ с добавлением мие-масла одинаково эффективны в борьбе с хлопковой совкой. *Heliothis armigera* Hbr на кукурузе. Смесь пиретринов с пиперонилбутоксидом несколько менее эффективна, но может применяться в ограниченном масштабе в случаях, когда нежелательно наличие остатков ДДТ. По предварительным данным опрыскивание кукурузы в конце июля или в начале августа против стеблевой мотылька способствует повышению численности хлопковой совки. Ю. Ф.

4431. Борьба с клеверным корневым долгоносиком на люцерне и замечания о биологии вредителя. Аидерхилл, Тернер, Гендерсон (Control of the clover root curculio on alfalfa with notes on life history and habits. Underhill G. W., Turner E. C., Jr., Henderson R. G.), J. Econ. Entomol., 1955, 48, № 2, 184—187 (англ.)

Предпосевное внесение в почву или осеннее обработки почвы альдрином, дильдрином и хлорданом в дозах 1,12—4,48; 1,12—4,48 и 5,56—11,2 кг/га соответственно дают хороший эффект в борьбе с долгоносиком *Sitona hispidula* (F.) на люцерне. При обработке почвы весной эти же инсектициды дают слабый, а гентахлор (4,48—8,96 кг/га) хороший эффект. Осенью наблюдается активность и миграция долгоносика, с чем и связана высокая активность препаратов в этот период обработки. Имеются также указания на то, что в ранневесенний период обработка будет более эффективна, чем в поздний. Ю. Ф.

4432. Токсичность хлорированных инсектицидов для человека. Мак-Ги (Chlorinated insecticides: Toxicity for man. McGee Lemuel C.), Industr. Med. and Surg. 1955, 24, № 3, 101—109 (англ.)

Хлорированные инсектициды обладают схожим конвульсивным действием на теплокровных животных. Их токсичность для большинства млекопитающих сравнительно низка. Ранним симптомом острого отравления ДДТ является парестезия губ, языка и лица, позже головокружение и слабость, склонность к опенению, звон в ушах и гиперестезия конечностей. Тошнота и рвота не во всех случаях. Затем следуют судороги, продолжающиеся несколько минут, период ослабления с затрудненным дыханием и снова судороги. Циклы повторяются до смерти или выздоровления. На коже ДДТ вызывает дерматиты. Токсич. действие ДДТ может усиливаться р-рителами, другими инсектицидами и болезнями. Обсуждается механизм токсич. действия ДДТ и дан обзор случаев острого и хронич. отравления людей. Из изомеров ГХЦГ наиболее токсичен для теплокровных γ-изомер. Приведен обзор случаев отравления ГХЦГ, хлорданом, альдрином, дильдрином и токсафеном. Обсуждается возможность отравления хлорированными инсектицидами рабочих. К. Б.

4433. Химические наименования действующих начал фунгицидных препаратов. Мак-Каллан, Миллер, Мейгилл (Chemical names for active ingredients of fungicides. McCallan S. E. A., Miller Lawrence P., Magill Mary A.), Phytopathology, 1955, 45, № 6, 295—302 (англ.)

4434. Аэрозольный метод применения фунгицидов в борьбе с мильдью. Баранецкий А. В., Петрухина М. Г., Виноделие и виноградарство СССР, 1955, № 4, 39—41

Проверлась возможность применения аэрозольного аппарата АГ-16 для борьбы с мильдью. Этим аппаратом в течение 8 мин. можно обработать 1 га виноградника. Аппарат установлен на автомашине, для его об-



служивания необходимы механик и шофер. Испытаны нафтенат меди в соляровом масле и препарат № 78 ВЗР. Установлено, что эти препараты, использованные в виде аэрозоля, по своей токсичности не уступают бордосской жидкости, нанесенной обычным способом.

Л. В.

4435. Испытания фунгистатической активности новых производных жирных кислот и салициланилида. Матта, Нунеш (Ensaio de actividade fungostática com novos derivados de ácidos gordos e de salicililânido. Matta Gerardo, Nunes Luis a M.), Anais azevedos, 1953, 5; № 1, 9—27 (итал.; резюме англ.)

Против *Trichophyton gypsum* in vitro испытаны соли металлов и органич. оснований с жирными к-тами. Соединения в спирт. р-ре помещались в постепенно уменьшающихся конц-ях в пробирки с питательной средой. Добавлялась семидневная культура грибка и производилась выдержка при 25° в течение 2 недель. Галогенпроизводные салициланилида и 8-оксихинолилдид-циленат более активны, чем салициланилид и удециленовая к-та. Су-салициланилид менее активен.

З. Н.

4436. Влияние фунгицидов на конидии и вегетативный рост грибов. Занова (Jakost vliv fungicidních látek na konidie a na vegetativní růst plísní. Zánová Valerie), Průmysl potravin, 1955, 6, № 3, 154—155 (чеш.; резюме русс., нем., англ.)

Изучено влияние на грибки в стадии конидий и в вегетационной стадии соединений меди, хлористого кадмия, нафталин-2-сульфокислоты, 8-нафтохинона, хлористого цинка, сульфосалициловой к-ты, 8-оксихинолина, фтористого натрия, фенола и салициловой к-ты.

К. Б.

4437. Адсорбция активного хлора и четвертичных аммониевых оснований из дезинфекционных растворов хлопчатобумажными и шерстяными изделиями. Голдсмит, Латлиф, Фридл, Стюарт (Adsorption of available chlorine and quaternary for cotton and wool fabrics from disinfecting solutions. Goldsmith M. T., Latlief M. A., Friedl J. L., Stuart L. S.), Appl. Microbiol., 1954, 2, № 6, 360—364 (англ.)

Определены конц-ии активного хлора (I) гипохлорита Na (С<sub>2</sub>—С<sub>18</sub>)-алкилдиметилбензиламмонийхлорид (II), дезинфицирующие 3-е хлопчатобумажных (XI) или шерстяных (XII) изделий, зараженных *Escherichia coli* и *Micrococcus pyogenes* var. aureus 209, в 100 мл р-ра гербицида при различных т-рах и различной экспозиции. Для дезинфекции XII необходимо 8—20 мг/л I и от 200—2000 мг/л II, для дезинфекции XII 41—800 мг/л I и 100—600 мг/л II. Избыток I разрушает XII. При небольших конц-ях I на XII адсорбируется 70—90% его, при обработке XII высокими конц-ями I 98% его улетучивается. При низких конц-ях II XII адсорбируют до 75% II, при высоких конц-ях адсорбция мала. XII адсорбирует от 25—75% II при конц-ях 10—100 мг/л. Дезинфекция XII и XII, зараженных *M. pyogenes* требует большей конц-ии гербицида, чем зараженных *E. coli*.

С. И.

4438. Заметки для химиков, работающих для сельского хозяйства. Стокман (Typical notes for the agricultural chemist. Stockman), Chemist and Druggist, 1955, 163, № 3930, 672—673 (англ.)

Кратко описывается механизм гербицидного действия производных 2,4-дихлор- и 2,4,5-трихлорфенокси-γ-масляных к-т. Установлено, что они безвредны для люцерны, клевера и огородных культур, активны против курчавого шавеля и дикой горчицы. Для уничтожения однолетних сорняков целесообразно применять масляные р-ры пентахлорфенола. Сообщается также об актив-

ных родентицидах — варфарине и дикумароле в сравнении с фосфидом цинка, сульфатом таллия и др. М. Г. 4439. О стимулирующем влиянии ДДТ на развитие и урожайность растений. Белосельская З. Г., Зап. Ленингр. с.-х. ин-та, 1955, № 9, 123—134

Установлено, что при опылинии 5%-ным dustом ДДТ помимо инсектицидного проявляется и стимулирующее действие его на развитие и урожайность растений. Однократное опыливание (15 кг/га) красного одноукосного клевера в период стеблевания в начале формирования цветоносных почек вызывает дружное цветение и ускоряет созревание семян на 10—12 дней, что обеспечивает уборку семян без потерь и повышает урожай семян клевера до 120%. Двукратное опыливание земляники (первое в период выдвижения цветоносных кистей и второе в период обособления бутонов (25 кг/га при каждой обработке) вызывает дружное цветение и ускоряет созревание ягод на 5—15 дней и повышает урожай до 158% и сахаристость до 8,21%. Посыпка почвы вокруг клубней, а также опыливание цикламенов 5%-ным dustом ДДТ в период выдвижения бутонов (1—2 г dustа на одно растение) ускоряет и вызывает более дружное цветение цикламенов, повышая выход кондиционной продукции и декоративные качества этой культуры.

Л. В.

4440. Строение и физиологическая активность алкил- и арилфеноксиуксусных кислот и их производных. Мельников Н. Н., Турецкая Р. Х., Баскаков Ю. А., Физиол. растений, 1955, 2, № 3, 267—270

Изучено стимулирование корнеобразования у черенков фасоли с помощью различных производных алкил- и арилфеноксиуксусных к-т. Синтезировано 72 соединения. Установлены следующие закономерности зависимости физиол. активности органич. соединений от их строения. 1. При введении в молекулу феноксиуксусной к-ты фенила активность соединения несколько повышается. 2. Галоидирование фенилфеноксиуксусных к-т вызывает небольшое повышение активности соединения. Введение второго галоида понижает активность. Тригалоид активнее дигалоидпроизводных. 3. 2-фенил-4-галоидфеноксиуксусные к-ты более активны, чем изомерные им 4-фенил-2-галоидфеноксиуксусные к-ты. 4. 2-фенил-6-галоидфеноксиуксусные к-ты менее активны, чем 4-галоидкислоты. 5. Амиды менее активны, чем к-ты. 6. Галоидзамещенные нафтоксиалкилкарбоновые к-ты менее активны, чем не содержащие галоидов. 7. Алкилфеноксиуксусные к-ты, содержащие углеводородный радикал в положении 4 и их галоидпроизводные менее активны, чем соединения, содержащие алкил в положении 2. 8. Ацетилфеноксиуксусные к-ты мало активны.

Л. В.

4441. Предварительное изучение сравнительной гербицидной активности 2-метил-4-хлор- и 2-метил-6-хлорфеноксиуксусных кислот, примененных в чистом виде или в смесях. Пуаньян, Ришар (Premières recherches sur l'activité phytocide comparée des acides 2-méthyl-4-chloro et 2-méthyl-6-chloro phénoxyacétiques utilisés seuls et en mélanges. Poignant Pierre, Richard Raymond), C. r. Acad. sci., 1954, 239, № 23, 1660—1662 (франц.)

Испытания, проведенные в оранжерее и в поле на белой горчице, показали, что 2-метил-6-хлорфеноксиуксусная к-та (I) способна деформировать листья горчицы, однако в 10 раз слабее чем 2М-4Х. Гербицидным действием I не обладает даже в дозах 10 кг/га. Смесью I и 2М-4Х в отношениях 95 : 5 и 90 : 10 более активны, чем чистая 2М-4Х в дозе, равной общему ее количеству в смеси. Смесь, содержащая 30% I, также более активна, чем чистая 2М-4Х. 50%-ная смесь менее активна.

К. Б.

**4442 П. Родентицидный состав (Rodenticide composition)** [Wisconsin Alumni Research Foundation]. Австрал. пат. 160357, 13.01.55

Родентицидный состав, применяемый в виде водн. приманок, содержит шел. соль 3-( $\alpha$ -ацетонилбензил)-4-оксинукарбина, нанесенную на поверхность частиц наполнителя. Последний несъедобен, безвкусен, не имеет запаха, нерастворим в воде и биологически и химически устойчив

Ю. Б.

**4443 П. Аллетриновые инсектициды.** Нисимура (Allethrin insecticides. Nishimura Wataru, et al) [Sumitomo Chemical Industries Co.]. Япон. пат. 2100, 19.04.54 [Chem. Abstrs, 1955, 49, № 5, 3464 (англ.)]

Для увеличения инсектицидной активности аллетрина к нему прибавляют  $C_8H_7CH(OH)C \equiv CH$ , (т. кип.  $64^\circ/30$  мм);  $C_8H_5C(CH_3)(OH)C \equiv CH$ , (т. кип.  $119-121^\circ$ );  $C_8H_7C(CH_3)(OH)C \equiv CH$ , (т. кип.  $136-138^\circ$ );  $C_8H_5C(CH_3)(OH)C \equiv CH$ , (т. кип.  $150-158^\circ$ );  $C_8H_{11}C(CH_3)(OH)C \equiv CH$ , (т. кип.  $68-90^\circ/28$  мм);  $C_8H_5C(CH_3)(OH)C \equiv CH$ , (т. кип.  $75-78^\circ/11$  мм);  $(C_8H_5)_2C(OH)C \equiv CH$ , (т. пл.  $45-48^\circ$ );  $C_6H_5CH = CHC(CH_3)(OH)C \equiv CH$ , (т. пл.  $50-51^\circ$ ) или  $CH_3(CH_2)_5C(OH)C \equiv CH$ , (т. пл.  $21,5-23^\circ$ )

К. Ш. Ш.

**4444 П. Инсектициды.** Пфафф, Эрленбах, Финкенбринк (Insektenbekämpfungsmittel. Pfaff Kaspar, Erlenbach Michael, Finkenbrink Walter) [Farbwerke Hoechst, vormals Meister Lucius Brüning] Пат. ГФР 885326, 3.08.53 [Chem. Zbl., 1954, 125, № 8, 1813 (нем.)]

Инсектициды содержат  $\alpha$ ,  $\alpha$ -диарил- $\beta$ ,  $\beta$ ,  $\beta$ -тригалоидэтан, в которых оба арильных остатка отличаются друг от друга ( $\alpha$ -фенил- $\alpha$ -толуил;  $\alpha$ -фенил- $\alpha$ - $p$ -хлорфенил- $\beta$ ,  $\beta$ ,  $\beta$ -трихлорэтана и др.). Составы применяются вместе с другими инсектицидами или фунгицидами, а также с добавками смачивающих или распыляющих в-в.

И. М.

**4445 П. Инсектицидное и фунгицидное средство защиты растений и способ его приготовления.** Шотте, Шёлкопф, Эберт, Гёрниц, Харнак (Insecticides und fungicides Pflanzenschutzmittel und Verfahren zu seiner Herstellung. Schotte Herbert, Schöllkopf Karl, Ebert Robert, Görnitz Karl, Harnack Willy) [Schering A.-G.]. Пат. ГФР 895672, 5.11.53 [Chem. Zbl., 1954, 125, № 29, 6573 (нем.)]

Чтобы избежать образования, наряду с активными растворимыми в уксусной к-те (I) в-ами, неактивных нерастворимых в I продуктов, получающихся при прямом нитровании N-фенил-1-нафтиламина (II), его замещенных, гомологов и других производных нитропроизводное II получают не прямо, а через нитрозоамин.

И. М.

**4446 П. Инсектицид, содержащий амылид 3,6-эндометилен-4-циклогексендикарбоновой-1,2 кислоты.** Боскуэт (Insecticide containing an amyliide of 3,6-endomethylene-4-cyclohexene-1,4-dicarboxylic acid Bousquet Euclid W.). [E. I. du Pont de Nemours and Co.]. Канад. пат. 500692, 16.03.54

Состав для опрыскивания против мух содержит р-р  $n$ -амылида 3,6-эндометилен-4-циклогексендикарбоновой-1,2-к-ты (I) и пиретрума (II) в углеводородном р-рителе. Наименьшее кол-во I равно  $10(100X - P)$  мг на 100 мл, где P — (мг II на 100 мл)  $\geq 5$ , а X — (об. отношение жидкости для опрыскивания к концентрату) миним. равно 1/1. В другом составе кол-во I равно по крайней мере  $10(100 - P)$  мг на 100 мл, где P колеблется от 5 до 100.

К. Б.

**4447 П. Способ приготовления жидкого инсектицида на основе хлорированных фенолов** (Procédé de préparation de liquides insecticides à base de phénols chlorés) [Union Chimique Belge, Soc. An.]. Франц. пат.

1024090, 27.03.53 [Chem. Zbl., 1955, 126, № 10, 2285 (нем.)]

Пентахлорфенол растворяют в тетрагидрофуруровом спирте и нагревают, чтобы активировать в-во. Полученный р-р смешивается с водой, не воспламеняется и не кристаллизуется при  $-10^\circ$ . Препарат может применяться с разбавителями (органич. р-рители, льняное или соевое масла, углеводороды сухой перегонки каменного угля), бутилфталатом, целлюлозными лаками и искусств. смолами.

А. Г.

**4448 П. Фунгицидные и фунгистатические средства.** Расс, Гофман, Шуэйцер, Далби (Fungicidal and Fungistatic Agents. Russ Walter R., Hoffman Charles, Schweitzer Thomas R., Dalby Gaston) [Warg Baking Co.]. Канад. пат. 491210, 10.03.53

Для подавления роста патогенных микроорганизмов на живых тканях предложен состав, содержащий смесь каприловой к-ты и ее соли (в сумме  $>1\%$ ) в среде разбавителя, pH состава 4,5—10,5. Разбавителем может быть вода. р-р полиэтиленгликоля с мол. весом  $\geq 1500$  или тонкоизмельченное твердое в-во, инертное к действующему началу. Состав может содержать соединения цинка.

К. Ш. Ш.

**4449 П. Гексахлорбензол (Hexachlorobenzene)** [Imperial Chemical Industries Ltd.]. Австрал. пат. 161681, 17.03.55

Способ произ-ва гексахлорбензола заключается в обработке ГХЦГ избытком  $O_2$  или газа, содержащего  $O_2$ , при повышенной т-ре. В реакционной зоне находится катализатор, способствующий окислению HCl (газ) до  $Cl_2$ . Образующийся гексахлорбензол удаляется из сферы р-ции.

Л. В.

**4450 П. Фунгицидные составы (Fungicidal compositions)** [Imperial Chemical Industries Ltd.]. Австрал. пат. 161677, 17.03.55

Метод произ-ва фунгицидных составов, способных легко диспергироваться в воде, заключается в смешении небольших кол-в хлорида или сульфата щел. металлов или аммония или смеси таких солей с окисью меди не менее чем с 5% водорастворимого диспергатора. Полученную смесь очень тонко измельчают.

К. Ш. Ш.

**4451 П. Дезинфекционное средство.** Кеттенбах (Desinfektionsmittel. Kettenbach August) Пат. ГФР 891136, 24.09.53 [Chem. Zbl., 1954, 125, № 36, 8172 (нем.)]

Добавлением бензоата Na или бензоата другого щел. металла (в любом кол-ве) к четвертичному аммониевому соединению, известному как дезинфицирующее средство, достигается повышение дезинфекционного и понижение корродирующего действия. Смеси применяют в виде порошков, паст или р-ров.

Л. Ф.

**4452 П. Дезинфекционные средства.** Кулон (Nouveau produit d'assainissement. Coulon Maurice Albert). Франц. пат. 1066994, 11.06.54 [Chem. Zbl., 1955, 126, № 10, 2260 (нем.)]

Р-ры инсектицидного, фунгицидного, бактерицидного или дезинфицирующего в-ва ( $\gamma$ -ГХЦГ, ДДТ) или смеси подобных в-в в неполярном хлороорганич. р-рителе с добавкой неионного эмульгатора-этиленоксипроизводного применяют для обработки декоративных покрытий.

И. М.

**4453 П. Сухой протравитель для семян** (Mélanges fongicides perfectionnés pour la désinfection des graines destinées à l'ensemencement) [Soc. Belge de l'Azote et des Produits Chimiques du Marly]. Франц. пат. 1036416, 8.09.53 [Chem. Zbl., 1955, 126, № 12, 2759 (нем.)]

Для сухого протравливания семян применяется смесь, содержащая в качестве действующего начала 2-нафтол (I) и 1-хлор-2-нафтол (II) с наполнителями, а также с добавками других фунгицидных в-в. Пример: 7,5% I;

7,5% II; 5% канифоли или гуммиарабика; 5% минер. масла; 75% талка. На 1 т протравливаемых семян берется 1—2 кг смеси.

И. М.  
4454 П. Метод борьбы с болезнями семян. Хилл (Verfahren zur Bekämpfung von Saatkrankheiten. Hill William H.) [Koppers Co., Inc.]. Пат. ГФР 895673, 5.11.53 [Chem. Zbl., 1954, 125, № 17, 3786 (нем.)]

Семена обрабатывают ртутноорганич. пертиоциана-  
тами общей ф-лы  $RHg - S - C \equiv N - S - C(SHgR) = N$ ,  
где  $RHg$  — ртутноорганич. радикал. Даны примеры: этилмеркурпертиоцианат, изопропилмеркурпертиоцианат. В-ва могут применяться на глине и в виде суспензий со смачивателями или эмульгаторами.

И. М.  
4455 П. Способ защиты растений от морозов с помощью туманов. Ашенбреннер, Роте (Verfahren zur Frostschutzvernebelung pflanzlicher Kulturen. Aschenbrenner Josef, Rothe Adolf) [Anorgana]. Пат. ГФР 883160, 16.07.53 [Chem. Zbl., 1954, 125, № 18, 4016 (нем.)]

Биологически безвредные гипроскопич. испаряющиеся высококипящие многоатомные спирты или их сложные и простые эфиры дают туманы в струе сгорающего газа. Можно брать гликоли, полигликоли, их простые и сложные эфиры или соответствующие соединения глицерина. При добавлении  $NH_3$  к этим соединениям образуется  $(NH_4)_2CO_3$  за счет  $CO_2$  горящего газа. К смеси могут быть прибавлены вода и фунгициды, бактерициды или инсектициды в р-ре, эмульсиях или суспензиях. Образующаяся смесь переводится в мелко раздробленное состояние сильной струей газа и представляет собой слабо пахнущий почти нейтр. туман, безвредный для растений и легко смываемый дождем или росой.

И. М.

См. также: Родентициды: ИК-спектры 1912Бх; синтез 3874. Инсектициды: анализ 4246; синтез 3781; 3953, 3954; получение 4845—4848, 4885. Бактерициды и фунгициды: синтез 3777, 3800, 3912; получение 4683, 5084, 5085; антибакт. св-ва 1295Бх; 1296Бх; антисептики 5431, 5585, 5675; механизм действия 1850Бх; техника безопасности 5638. Регуляторы роста: анализ 1030Бх; получение 4867; действие 1414—1425Бх

## ЭЛЕКТРОХИМИЧЕСКИЕ ПРОИЗВОДСТВА.

### ЭЛЕКТРООСАЖДЕНИЕ.

#### ХИМИЧЕСКИЕ ИСТОЧНИКИ ТОКА

4456. 6-й национальный конгресс по вопросам электрохимии и электротермии. Гелиссен (Zesde Nationale Congresdag voor Electrowarmte en Electrochemie, gehouden bij de N. V. Willem Smit. and Co. Transformatorenfabriek te Nijmegen. G e l i s s e n H. C. J. H.), Electro-techniek, 1954, 32, № 8, 143—145 (голл.). Конгресс состоялся 26.II.1954 г. в Неймегене, Голландия.

М. М.

4457. Топливные элементы. I. Принцип действия. Первые элементы. Высокотемпературные элементы. Адамс (Fuel cells. I. Principles, early fuel cells, high temperature cells. Adams A. M.), Chem. and Process Engng, 1954, 35, № 7, 199—203 (англ.)

Обзор. Описаны топливные элементы с расплавленным твердым электролитом. Библ. 30 назв. Р. Б.

4458. Получение электрической энергии в топливных элементах. Кетелар (Rechtstreekse electriciteitsopwekking door middel van brandstofelementen. Ketelaar J. A. A.), Ingenieur (Utrecht), 1954, 66, № 34, E85—E91 (голл.; резюме англ.)

Автор считает, что оптимальная мощность кислородно-водородного элемента, где в качестве электролита служит 27%-ный р-р КОН, а в качестве электродов — пластины из пористого Ni, должна быть значительно

меньше максим. При создании топливных элементов, работающих на твердом топливе, основные трудности состоят в необходимости обеспечения постоянного контакта между топливным электродом и электролитом в связи с необходимостью непрерывного удаления золы. В описанном элементе в качестве электролита использовалась пористая масса ( $MgO$ ), пропитанная на глубину в несколько мм различными солями, в том числе смесью карбонатов и фосфатов. Автор считает, что рабочая т-ра может быть снижена ниже  $600^\circ$  благодаря специально подобранным смесям, однако есть опасность, что при этом будет наблюдаться значительная полиризация. Автору удалось сконструировать элементы, которые могут работать на светильном газе,  $CO$  и водяном газе, давая мощность 2—5  $вт/дм^2$  при к. п. д. 50—60% без значительных отклонений от нормы в течение недели.

А. Х.

4459. Последние достижения в области щелочных аккумуляторов. Хосано, Мацуи (アルカリ蓄電池の最近の進歩. 細野富造, 松井正好,) 電気化学. Дзюкагаку, J. Electrochem. Soc. Japan, 1955, 23, № 3, 110—116 (япон.)

Обзор. Библ. 33 назв.

М. М.

4460. Значение катода в процессе непрерывного получения кристаллического надсернокислого аммония. Василевский, Кобылич (Znaczenie katody w procesie ciągłego otrzymywania krystalicznego nadsiarczanu amonowego. Wasilewski L., Kobylczyk A.), Przem. chem., 1955, 11, № 5, 247—251 (польск.; резюме рус., англ.)

Исследовано действие разных материалов, применяемых в качестве катода, на электролиз  $(NH_4)_2SO_4$  (I) без диафрагмы. Установлено, что материал катода может ускорять распад образовавшегося  $(NH_4)_2S_2O_8$  (II) независимо от электровосстановительных процессов на катоде. Опыты проводились путем измерений кол-ва II, остающихся спустя определенные промежутки времени в стакане с насыщ. р-ром II в  $NH_4HSO_4$ , в который помещалась плитка определенного размера из исследуемого материала (Pt блестящая, Pt-чернь, Pb, Al, Ni, Ag, сталь марок V4A и V2A, монель-металл). Наибольшее каталитич. влияние на распад II как в нейтр. (I 500  $г/л$ , II 94,2  $г/л$ ), так и в кислых (I 500  $г/л$ ,  $H_2SO_4$  (III) 600  $г/л$ , II 65,0,1  $г/л$ ) р-рах оказывает Ag, наименьшее Pb. Влияние Pt в нейтр. р-рах, сильное «начало», уменьшается со временем. В кислых (I 125  $г/л$ , III 600  $г/л$ , II 156  $г/л$ ) р-рах наибольшим каталитич. действием обладают Ni, Pt-чернь и Ag, наименьшим Pb, блестящая Pt и Al. В случае предварительной активации катода, напр., водородом в течение 7 час. при  $D 0,34 а/см^2$ , наименьшее действие оказывают блестящая Pt, больше — Al, Pb и Ni. Ряд опытов, проведенных с целью определения оптимального соотношения поверхностей катода и анода ( $s_k:s_a$ ), показал, что при расстоянии между электродами 5 мм  $s_k:s_a$  должно равняться 4:1, при увеличении же расстояния между электродами оно должно соответственно увеличиваться. Меньшее соотношение  $s_k:s_a$  усиливает электровосстановительные процессы на катоде, большее же увеличивает каталитич. действие катода.

В. Л.

4461. Электроосаждение целлюлозы. Мантелла, Коццарецци (Electrodeposition of cellulose. Mantella C. L., Cozzarelli Frank), J. Electrochem. Soc., 1955, 102, № 3, 110—112 (англ.)

Описан способ электроосаждения целлюлозы (II) на аноде из щел. цинкового р-ра, содержащего 1% Ц. Состав р-рителя (в вес. %):  $ZnO$  4,5, щелочь 10, мочевины 10;  $H_2O$  остальное. Ц осаждалась на Cu-, Pb- и бронзовом анодах. Напряжение на ванне 1,1—1,28 в;  $D \sim 0,0113—0,11 а/дм^2$ . При большей D на катоде



начинается осаждение Zn и Ц не сцепляется с поверхностью анода. Выход по току увеличивается с уменьшением  $D$  и составляет в среднем 1,99—3,3%. Средняя скорость осаждения 3,30—5,46 г/а-мин. Электролиз прекращается, когда весь анод покрыт Ц. Снятие Ц производится после промывки в  $\text{CH}_3\text{OH}$  и сушки. Слой Ц имеет толщину  $\sim 0,015$  см и отличается хрупкостью. Введение различных добавок с целью увеличения пластичности получаемой Ц (шеллак, казеин, глицерин) не дало положительных результатов. З. С.

**4462. Электрохимическая полировка и травление урана. Андреотти** (Metodi di lucidatura elettrolitica ed attacco chimico dell' uranio. Andreotti A. m a n d o, Riv. ingegneria, 1954, 4, № 2, 138—140 (итал.))

Приводятся рецепты различных р-ров, рекомендуемых для электрополировки и травления урана. З. С.

**4463. Особенности катодного процесса в медно-пиррофосфатной ванне. Укше Е. А., Левин А. И., Ж. прикл. химии, 1955, 28, № 4, 388—393**

Изучено влияние пиррофосфатного электролита на выход по току (ВТ) и качество Cu-осадков. Показано, что ВТ возрастает с увеличением конц-ии Cu в электролите и повышением т-ры и уменьшается или не меняется при увеличении  $D$ . Увеличение конц-ии  $\text{Na}_4\text{P}_2\text{O}_7$  может несколько увеличивать или уменьшать ВТ в зависимости от условий добавления его в ванну. Осадки Cu меняются от блестящих, розовых и мелкокристаллич. до коричневых и красно-губчатых в зависимости от  $D$  и конц-ии Cu и  $\text{Na}_4\text{P}_2\text{O}_7$ . Изучена катодная поляризация (КП) Cu в пиррофосфатных электролитах и показано, что величина КП велика, причем предельный ток на кривых  $E - i$  отсутствует. Отмечается образование видимых пленок на поверхности катодного осадка, толщина которых увеличивается с понижением скорости осаждения и уменьшением конц-ии р-ра. На основании измерения КП и ВТ высказывается мнение о механизме образования катодной пассивной пленки, состоящей, согласно автору, из  $\text{Cu}_2\text{P}_2\text{O}_7$ . По мнению автора, причина высокой поляризации Cu связана с прохождением ионов металла через пассивную катодную пленку и с большим отрицательным зарядом пиррофосфатных комплексных анионов. З. С.

**4464. Блестящее никелирование. Шэнь Нин-и** (光彩性鍍銀. 沈寧一), 化學世界. Хуасюэ шицзе, 1954, 9, № 9, 407—408 (кит.)

Обзор электролитов для блестящего никелирования. Библ. 4 назв. М. Б.

**4465. Получение электролитических осадков железа из щелочных ванн. Фоли, Линфорд, Мейер** (Iron plating from an alkaline bath. Foley Edward F., Jr., Linford Henry B., Meyer Walter R.), Proc. Amer. Electroplaters Soc., 1953, 40, 41—47 (англ.)

**4466. Деполяризация при электроосаждении сплавов Co-Ni с высоким содержанием кобальта. Черняловская А. И., Цыганов Г. А., Докл. АН УзССР, № 3, 27—30 (резюме узб.)**

Изучена зависимость катодного потенциала (КП) от т-ры при электроосаждении сплава Co-Ni с высоким содержанием Co (85 ат.%) из смешанного р-ра сульфатов Ni и Co. Показано, что при относительной конц-ии Co в р-ре, равной 1, и т-ре выше  $40^\circ$  КП имеет менее отрицательное значение, чем при осаждении чистого Co, и нарушается линейная зависимость КП от т-ры. Высказывается мнение, что явление деполяризации связано с частичной дегидратацией ионов Co в результате перераспределения гидратной воды в сторону Ni. Аналогичное явление наблюдалось при введении в р-р значительного кол-ва  $\text{Na}_2\text{SO}_4 \cdot 10\text{H}_2\text{O}$ , что, по мнению автора, подтверждает высказанную точку зрения. З. С.

**4467. Оценка подготовки поверхности перед электроосаждением. 4-я международная конференция «Электроосаждение и обработка металла». Грехам** (Valeur des préparations de surface avant dépôt électrolytique. Quatrième Conférence internationale «Electrodeposition and metal finishing. Graham A. Kenneth), Galvano, 1954, 23, № 214, 15 (франц.)

Описан способ оценки качества подготовки поверхности перед нанесением гальванич. покрытия с целью определения условий оптимальной технологии. Способ основан на измерении сцепляемости осадка с основой методом отрыва. З. С.

**4468. Испытание гальванических осадков на сцепляемость. Штриккеллинг** (Prüfung galvanischer Niederschläge auf ihre Haftfestigkeit (Vorschlag für ein praktisches neues Verfahren). Strickeling Th.), Metallwaren-Ind. und Galvanotechn., 1955, 46, № 2, 70—71 (нем.)

Покрытые образцы подвергаются катодной поляризации в 5%-ном р-ре NaOH и наблюдается образование пузырей. Покрытие имеет хорошую сцепляемость, если на образцах при указанной обработке продолжительное время (более 15 мин.) пузырей не появляются. Н. Б.

**4469. Об испытании равномерности цинковых покрытий на стальной проволоке по медносульфатному способу. Шикорр** (Über die Prüfung der Gleichmäßigkeit von Zinküberzügen auf Stahldrähten nach dem Kupfersulfatverfahren. Schikorr Gerhard), Draht, 1954, 52, № 6, 217—219 (нем.)

Описан способ определения равномерности покрытия стальной проволоки при погружении в р-р  $\text{CuSO}_4$ . Н. Б.

**4470. Вольт или ампер? Нозе** (Volt oder Ampère? Eine kritische Betrachtung über den Geltungsbereich der Formeln zur Schichtdickenberechnung. Nohse Walter), Metallwaren-Ind. und Galvanotechn., 1955, 46, № 3, 114—123 (нем.)

Приводится анализ ф-л, выведенной на основе закона Фарадея, для расчета толщины покрытий, а также анализ входящих в нее величин, с указанием их точности, и на основании учета возможных отклонений и практич. данных выводятся поправочные коэф. уточняющие расчет. Н. Б.

**4471. Автомат для высококачественного блестящего никелирования и блестящего хромирования (Vollautomat für die Hochglanzvernickelung und Glanzverchromung.) Aluminium (Düsseldorf), 1955, 31, № 5, 235—236 (нем.)**

Описывается автомат из 21 ванны с полной автоматизацией всех процессов для блестящего никелирования и хромирования, отличающийся отсутствием цепного подъемно-транспортного механизма и приводящийся в действие от электрически управляемых гидравлических цилиндров. Длина автомата 20,5 м, ширина 3,6 м, высота 3,2 м, вес  $\sim 85\,000$  кг. Производительность автомата 280 000  $\text{см}^2/\text{час}$  рабочей поверхности деталей при толщине высококачественного блестящего слоя Ni 0,02 мм и блестящего Cr 0,0005 мм. В. Б.

**4472. Способ нагрева раствора для травления.** (Heating of acid pickling liquor by submerged combustion. (Reproduced from report No 536/53 of the Industrial Gas Development Committee of the Gas Council Information supplied by the Eastern Gas Board.)—), Industr. Finish. (London), 1953, 6, № 66, 366, 368, 372 (англ.)

Нагрев сернокислого р-ра для травления проволоки осуществляется с помощью вертикально расположенной в ванне горелки, которая питается газо-воздушной смесью, подаваемой компрессором под давл. 0,28 ат. Камера сгорания горелки — труба из нержавеющей

стали (ТНС), снабженная огнестойким покрытием, в верхней части которой установлено газовое сопло и электроды для поджигания газо-воздушной смеси, а также окно для наблюдения. Вокруг ТНС установлена стальная труба (СТ). Продукты сгорания газа пробуживают в пространстве между стенками ТНС и СТ, захватывая при этом электролит, и попадают в разделительную камеру, откуда газы уходят в вентиляцию, а жидкость по Pb-трубам поступает в верхнюю часть ванны.

С. О.  
4473. Электролитическое получение молибдена из расплавленных солей. I. Изучение электролиза. Сендерофф, Бреннер (The electrolytic preparation of molybdenum from fused salts. I. Electrolytic studies. Senderoff Seymour, Brenner Abner, J. Electrochem. Soc., 1954, 101, № 1, 16—27 (англ.))

Изучалось электролитич. получение Mo из расплавленных солей, содержащих  $K_2MoCl_6$  и хлориды щел. металлов в атмосфере инертного газа (Ar) при 600—900° и различных D. Для получения чистого (99,9%-ного) Mo рекомендуются два электролита, состава (в %): 1) KCl 50, NaCl 50,  $K_2MoCl_6$  50 при 900° и 2) KCl 54,5, LiCl 45,5,  $K_2MoCl_6$  33 при 600—900°. D может применяться до 100 а/дм<sup>2</sup>. Катодный выход по току получен до 100%. При Mo-анодах электролиз идет при напряжениях 0,45 и 1,5 в при  $D_K$  3 и 100 а/дм<sup>2</sup> соответственно. Порошок Mo получают при высоких D из обоих электролитов; из 2-го электролита при 600° и  $D=3$  а/дм<sup>2</sup> получен плотный слой Mo толщиной 0,5 мм.

К. Г.  
4474. Электролитическое получение молибдена из расплавленных солей. II. Получение низковалентных хлоридов молибдена. Сендерофф, Бреннер (The electrolytic preparation of molybdenum from fused salts. II. The preparation of reduced molybdenum halides. Senderoff Seymour, Brenner Abner, J. Electrochem. Soc., 1954, 101, № 1, 28—30 (англ.))

Описан усовершенствованный метод получения  $K_2MoCl_6$  и новый метод получения  $(MoCl_5)_x$ . Молибдат K растворяется в 12 н. HCl (к-та) и подвергается электролизу. Для получения  $K_2MoCl_6$  через катодит пропускается HCl (газ). Дихлорид молибдена  $(MoCl_2)_x$  получается из  $MoCl_5$ . Сначала  $MoCl_5$  восстанавливается металлом. Мо до  $MoCl_3$ , а из последнего нагреванием и термич. диссоциацией получают  $(MoCl_2)_x$ .

К. Г.  
4475. Электролитическое получение молибдена из расплавленных солей. III. Изучение электродных потенциалов. Сендерофф, Бреннер (The electrolytic preparation of molybdenum from fused salts. III. Studies of electrode potentials. Senderoff Seymour, Brenner Abner, J. Electrochem. Soc., 1954, 101, № 1, 31—38 (англ.))

Измерение электродных потенциалов в расплавленных солях производилось относительно электрода сравнения Ag/AgCl при D до 100 а/дм<sup>2</sup>, t-рах 600, 700, 800 и 900°, молибденовых катодах и анодах и в расплавленном электролите, содержащем 4,1 мол.%  $K_2MoCl_6$  в эвтектич. смеси KCl — LiCl. Определены следующие величины равновесных потенциалов некоторых металлов в указанном электролите при 600° по отношению к Ag/AgCl-электроду: Zn 1,277 в, Fe 1,033 в, Cu 0,626 в, Mo 0,349 в и Ag 0,312 в. Изучение потенциалов и поляризуемости катода показало невозможность получить чистые осадки Mo из расплавов, содержащих соли кислородных к-т. Разряд кислородсодержащих соединений происходит при потенциалах на 0,3—0,4 в более благородных, чем восстановление до металла. В результате этого даже незначительное загрязнение электролита воздухом, влагой или кислородсодержащими соединениями приводит к большим загрязнениям осадка

окислами даже при работе с высокими D. Катодная поляризация меньше при высоких t-рах и несколько больше при 600°. Это является доказательством того, что механизм катодного процесса при 600° отличается от механизма при высоких t-рах. Величины потенциалов Zn, Fe, Cu, Mo, Ag в расплавленной смеси солей LiCl — KCl эвтектич. состава показывают, что эти металлы склонны к образованию комплексов в этом р-рители и в большинстве случаев образуют хлорметаллич. анионы.

К. Г.  
4476. Металлургия циркония. II. Развитие электролитического способа получения циркония из  $K_2ZrF_6$ . Стейнберг, Сайберт, Уайнер (Extractive metallurgy of zirconium by the electrolysis of fused salts. II. Process development of the electrolytic production of zirconium from  $K_2ZrF_6$ . Steinberg M. A., Sibert M. E., Wainer E., J. Electrochem. Soc., 1954, 101, № 12, 634—635 (англ.))

Дополнительно к основной статье (РЖХим, 1954, 46981) сообщается, что при электролизе не наблюдалось заметных потерь графита и заметных изменений в пористости графита. Имели место загрязнения электролита графитом в результате разрушения защитной графитовой втулки на катодном токоподводе. Для хранения Zr-порошка не требуется защитной атмосферы.

К. Г.  
4477. Электролитический метод получения подшипникового сплава. Маслянка-Орманова (Produkcja łożyskowego stopu z Ca metoda elektrolityczną. Maślanka-Ormanowa Z.), Prace inst. Min-wa hutn., 1954, 6, № 6, 305—314 (польск.; резюме русс., англ., франц.)

Исследовалось получение электролизом подшипникового сплава состава (в вес.%): Ca 0,75—1,1, Na 0,65—0,95, Pb — остальное. Оптимальные составы электролитов (в вес.%): 1) NaCl 40, KCl 30,  $CaCl_2$  10; 2) NaCl 25,  $CaCl_2$  60, KCl 5, NaF 10. Учитывая значения потенциалов разложения  $CaCl_2$ , NaCl и KCl можно предположить, что для получения сплавов Pb-Na в составе электролита не должно быть  $CaCl_2$ , присутствие же KCl не будет влиять на результат процесса. Проведенные опыты позволили получить сплав Pb-Na из электролита состава (в вес.%): NaCl 62, KCl 13, NaF 25 при  $D$  0,5 а/см<sup>2</sup> и t-ре 630—660°. Сплавы Pb-Na (спектрографич. анализ показал наличие лишь следов K) очень нестойкие и при содержании Na выше 2 вес.% бурно реагируют с влагой воздуха и разлагаются. Техноэкономич. показатели процесса: выход по току 50—60%, расход электроэнергии 14—15 кет-ч на 1 кг выделяемых электролитически Ca и Na.

В. Л.  
4478 К. Электрохимические процессы в химической промышленности (Учеб. для высшей школы). Регнер (Elektrochemické pochody v anorganickém průmyslu. Celost. vysokoškolská učebnice. Regner Albert, Praha, SNTL, 1954, 2+362 s., il., 42 Kčs.) (чеш.)

4479 К. Кислотные аккумуляторы. Свойства и недостатки. Креушмар Перев. с нем. (Akumulatory kwasowe. Własności użytkowe i niedomagania. Kretschmar Friedrich Edmund, Tłum. z niem. Warszawa, Państw. Wydawn. Techn., 1954, 288 s., il., 15 zł) (польск.)

4480 К. Промышленный электролиз без выделения металла. Биллитер (Die technische Elektrolyse der Nichtmetalle. Billiter Jean, Wien, Springer, 1954, XII + 401 S., ill., 414 DM) (нем.)

4481 П. Сухая гальваническая батарея. Мак-Фарланд (Dry cell battery. MacFarland Allison M.) [General Dry Batteries, Inc.]. Пат. США 2677716, 4.05.54

Патентуется сухая марганцово-цинковая батарея галетной конструкции, отрицательные электроды у которой выполнены в виде плоских чашек; бортики последних утоплены в каркасе из электродитонепроницаемого изоляционного материала.

**В. Л. 4482 П. Щелочной аккумулятор. Фридман** (Alkaline storage battery. Friedman Maurice) [Galvanic Products Corp.]. Пат. США 2681945, 22.06.54

Патентуется щел. аккумулятор, в котором для предотвращения токов короткого замыкания на внутренней поверхности бака предусмотрены пазы, заполняемые сепараторной лентой из волокнистого материала, разбухающего под влиянием электролита.

**В. Л. 4483 П. Герметический аккумулятор** (Perfectionnements apportés aux accumulateurs électriques hermétiquement étanches) [Bureau Technique Gautrat]. Франц. пат. 1030672, 16.06.53 [Chem. Zbl., 1954, 125, № 40, 9112 (нем.)]

Патентуется герметич. аккумулятор, в котором для использования водорода, выделяющегося при заряде, имеется вспомогательный водородный электрод из Pt, Pd или Rh. Последний включается против положительного электрода основного элемента.

**Р. Б. 4484 П. Аккумуляторные сепараторы. Страусс** (Electric storage battery separators. Strauss H. J.) [Electric Storage Battery Co.]. Англ. пат. 717814, 3.11.54 [Rubber Abstrs, 1955, 33, № 2, 72 (англ.)]

Сепараторы состоят из матрицы из микропористого материала, напр. поливинилхлорида, полистирола или полиэтилена, и целлюлозного наполнителя, содержащего поры субмолекулярных размеров. В качестве наполнителей патентуется целлюлоза и ее нитрат; матрицу пропитывают ксантогенатом или колл. р-ром целлюлозы и обрабатывают р-ром  $H_2SO_4$  для регенерации целлюлозы.

**В. Л. 4485 П. Электролизер яичного типа. Кент** (Electrolytic cells of the tank type. Kent Donald W.). Пат. США 2647082, 28.07.53

Патентуется электролизер яичного типа с крышкой, края которой лежат на бортах ящика и которая выполнена из тонкого листа сжатого так, что получен ряд параллельных складок, между которыми расположены аноды и катоды (взаимно параллельные и располагающиеся между складками центрально и симметрично). Электролизер содержит ряд таких трубок из листового материала, поддерживающих диафрагмы. В горизонтальном сечении каждая трубка окружает электрод. Трубки по ширине соответствуют расстоянию между двумя смежными складками и образуются двумя частями, расположенными поверх плоской поверхности. Каждая такая часть расположена в одной из смежных складок и закреплена внутри нее.

**В. М. 4486 П. Получение электролитическим путем чистого цинка из растворов сульфата цинка. Вейсс** (Förfaringssätt vid framställning av elektrolyt finzink ur zinksulfatlutur. Weiss E.) [Klöckner-Humboldt-Deutz Akt.-Ges.]. Швед. пат. 147878, 30.11.54

Патентуемый метод электролитич. получения чистого Zn из сульфатных р-ров его, с помощью анодов из Pb или сплавов Pb-Ag, которые регулярно очищаются в одной или нескольких ваннах путем их катодной обработки, отличается тем, что эти ванны подключаются параллельно с непрерывно действующими, осаждающими Zn, ваннами и что в любой момент какая-то часть анодов в них очищается.

**М. Г. 4487 П. Способ перемешивания электролита в ванне** (Circulation of cell electrolyte) [Babcock and Wilcox Co.]. Англ. пат. 696383, 26.08.53

Патентуется способ перемешивания электролита, состоящий в пропускании газа через боковое отверстие

трубки, установленной вертикально вблизи стенки ванны, что уменьшает в этой зоне среднюю плотность электролита и вызывает его перемешивание.

**В. Л. 4488 П. Способ приготовления уплотняющего (прокладочного) материала для гальванического нанесения металлического покрытия. Холмс** (Verfahren zur Herrichtung von Dichtungsmaterial für das galvanische Aufbringen eines Metallüberzuges. Holmes Horace Arnold) [Turner Brothers Asbestos Co., Ltd.]. Пат. ГФР 923404, 7.02.55 [Metallüberfläche, 1955, 9, № 5, B79 (нем.)]

В данном патенте предлагается наносить уплотняющий материал в виде слоя, состоящего из основного толстого слоя и двух тонких покровных (верхних) слоев. Содержание сажи в основном слое должно составлять 4—10%, а в покровных слоях 8—15%. При содержании сажи в основном слое в кол-ве 5% не возникает никаких трудностей при уплотнении и можно получать при этом прочные пластинки. В материале покровного слоя наиболее благоприятным является содержание сажи 10%. Соединяют основной и покровные слои вместе и затем проводят гальванич. осаждение металла. Посредством сажи достигается особенно хорошая электропроводность слоя. Целесообразно соединять с материалом сажу, смешанную с графитом. Кол-во графита + сажи не должно превышать 30% в основном слое и 35% — в покровном слое. Напр., основной слой состоит (%): из асбестового 67,5 волокна, крепкаучука 12,5, вулканизатора 3,75, барита ( $BaSO_4$ ), 1,5 ацетиленовой сажи 4,9 и графита 9,85 и покровный слой — из асбестового волокна 40, крепкаучука 15, барита 15, ацетиленовой сажи 10 и графита 10. Изготовленный из этих составных частей уплотняющий материал с толщиной основного слоя в 1,1 мм и двух покровных толщевой каждый по 0,05 мм имеет электрич. сопротивление 28 ом/см.

**П. Ш. 4489 П. Получение гладких покрытий. Бэр** (Production of smooth electrodeposits. Bair Robert R.) [E. I. du Pont de Nemours and Co.]. Канад. пат. 494419, 14.07.53

Электролитическая обработка с переменной направленной тока медных покрытий в пианистых р-рах, содержащих (в г/л):  $NaOH$  и  $NaCN$  6—48 или  $CuCN$  48—132,  $NaOH$  и  $NaCNS$  6—48 и  $NaCN$  в кол-ве, равном отношению  $NaCN : CuCN = 1 : 1,25$ .

**В. П. 4490 П. Осаждение никеля** (Deposition of nickel) [The Udylyte Corp.]. Австрал. пат. 160353, 13.01.55

Патентуется добавка к электролиту для блестящего никелирования, содержащая по крайней мере один блескообразователь из числа органич. ароматич. сульфонамидов, сульфониамидов и сульфониевых к-т и растворимое соединение имеющее флу:  $R'x - BN^+RA^+$ , где BN обозначает соединение из числа С-метил и С-этил гомологов пиридина, хинолина и изохинолина. А-анион растворимой в воде к-ты, R — алифатич. радикал, содержащий 1—4 атома С, R' — галоген и x — целое число от 0 до 2.

**И. Е. 4491 П. Гальваническое покрытие железа. Харр** (Electroplating of iron. Harr Russell E.) [Western Electric Co., Inc.]. Пат. США 2710832, 14.06.55

Патентуется гальванич. ванна, содержащая водн. р-р к-ты, включающий в качестве основного компонента  $[Fe(NH_4)_2(SO_4)_2]$  с дополнительной добавкой небольшого кол-ва  $(NH_4)_2BF_4$  в конц-ии, достаточной для предотвращения образования илестых осадков.

**Я. Л. 4492 П. Хромирование. Штольц** (Verchromungsverfahren. Stolz Karl) [Dr. Hesse und Co.]. Пат. ГФР 923405, 10.02.55 [Metallüberfläche, 1955, 9, № 6, B91 (нем.)]



Патентуется метод хромирования в электролите на основе тетрахромата, улучшающий полируемость осадка и заключающийся в периодич. прерывании тока или оставлении детали в электролите без тока. Напр. в электролите, содержащем  $H_2CrO_4$  300 г/л,  $Na_2O$  2 моль/л и  $H_2SO_4$  0,2% по отношению к  $H_2CrO_4$ , при  $D$  50 а/д<sup>2</sup> хромирование ведется в течение 10 сек., перерыв тока 10 сек, после чего деталь опять хромируется. При длительном хромировании необходимо прерывать ток несколько раз. В. З.

4493 П. Метод электроосаждения покрытий. Коке (Method of electrocoating Cox George Chandler). Пат. США 2687993, 31.08.54

Патентуется получение на черных металлах прочностных покрытий из нерастворимых в воде соединений Fe, Mg и Ca путем катодной обработки в р-ре морской воды, содержащей соли Fe (0,02—0,4% растворимого Fe); pH р-ра доводится до 2,8—4,1 путем добавления минер. к-ты. В. П.

4494 П. Подвеска для деталей в гальванических ваннах. Рес (Waregehänge für Galvanisierungsanlagen. Rees Franz) [Deinert und Co.]. Пат. ГФР 923633, 17.02.55 [Metalloberfläche, 1955, 9, № 6, B91 (нем.)]

Патентуется приспособление, предназначенное для зацепления в гальванич. ваннах частично закрытых полых деталей, которые должны быть покрыты снаружи и внутри; приспособление облегчает наполнение и опорожнение полового пространства электролитом и его промывку; состоит из рамы с несколькими подвижными штангами, управляемыми одним рычагом. Ток к деталям подводится гибким кабелем. В. З.

4495 П. Приспособление для контроля или автоматического управления гальваническими ваннами. Мюллер (Einrichtung zur Überwachung oder selbsttätigen Steuerung von galvanischen Bädern. Müller Josef) [Siemens-Schuckertwerke A.-G.]. Пат. ГФР 923408, 10.02.55 [Metalloberfläche, 1955, 9, № 6, B91 (нем.)]

Патентуется метод контроля и автоматич. регулирования толщины гальванич. осадка, заключающийся в том, что параллельно покрываемым деталям с известной поверхностью подключается через счетчик  $a$ -час дополнительная пластина с определенной поверхностью. Считая, что толщина покрытия на деталях и на пластине равна, вычисляют ее по  $a$ -час счетчика. Счетчик соединяется с приспособлением, которое по достижении рассчитанного кол-ва тока сигнализирует или автоматич. отключает ток. В. З.

4496 П. Способы и приспособления для улучшения поверхности при обработке в гальванических ваннах. Бурмейстер (Verfahren und Vorrichtung zur Behandlung von Massenteilen in Bädern, insbesondere zur galvanischen Oberflächenveredlung. Burmeister Werner). Пат. ГФР 920886, 2.12.54 [Metalloberfläche, 1955, 9, № 3, B46 (нем.)]

Равномерность покрытия и повышение производительности вследствие применения высоких  $D_k$  при обработке мелких деталей достигается движением электролита и деталей. Встряхивание деталей рекомендуется производить, применяя импульсные движения двух импульсных компонентов высокой частоты примерно 5000—60 000 об/мин. Движение деталей зависит от частоты амплитуды и угла наклона генератора. Указывается на применение магнитного встряхивания и сочетания обоих методов вместе, что дает короткие импульсы, способствующие более частым поворотам различных частей деталей к линиям тока. Магнитное качение даже при нормально-периодном токе в 50 гц дает 3000—6000 кол/мин. Н. Б.

См. также: 3016, 3516, 3517, 3524, 3528, 3548, 5784

## СИЛИКАТЫ. СТЕКЛО. КЕРАМИКА. ВЯЖУЩИЕ МАТЕРИАЛЫ

4497. IV Международный конгресс по керамике.— (IV Congrès céramique international.—), Ind. céram., 1954, № 459, 309—320 (франц.)

Конгресс состоялся во Флоренции в сентябре 1954 г. Приведены краткие рефераты докладов. Д. Т.

4498. Основные исследования свойств глин. XIII. Поведение при сушке и пластичные свойства. Кингери, Франкл (Fundamental study of clay: XIII, Drying behavior and plastic properties. Kingery W. D., Frankl J.), J. Amer. Ceram. Soc., 1954, 37, № 12, 596—602 (англ.)

Исследовано влияние поверхностного натяжения (ПН) р-ров различных поверхностноактивных добавок на предел текучести, пластичность, воздушную и огневую усадку, об. веса воздушно-сухих и обожженных образцов в скорость сушки глиняных масс. ПН водн. р-ров при введении различных поверхностноактивных в-в составляло 16—60,3 дин/см и 71 дин/см для воды. На спец. установке Нортон определялись кривые напряжение — деформация (на срезах) глиняных образцов, на основании которых подсчитывались значения предела текучести, предельной деформации и максим. прочности образцов. Дается описание конструкции и принципа действия этой установки. Пластичность образцов оценивалась по формуемости глины, которая определяется как произведение предела текучести на предельную деформацию. При увеличении ПН дисперсионной среды имеют место следующие явления: предел текучести и формуемость образцов возрастают по прямой зависимости, при этом формуемость равна  $13,3 \cdot 10^{-8} \sigma$ , где  $\sigma$  — поверхностное натяжение; снижается кол-во воды, соответствующее так называемой крит. точке воздушной усадки, которая соответствует миним. кол-ву воды, ниже которого воздушная усадка резко уменьшается; уменьшается скорость сушки; возрастает воздушная усадка и об. вес. сухих образцов по прямой зависимости; уменьшается огневая усадка. Об. вес обожженных образцов и общая усадка не зависят от величины ПН. Эти результаты и другие эксперим. данные подтверждают теорию, согласно которой пластичность водно-глиняных масс зависит в первую очередь от электрокинетич. репульсионных и капиллярных сил поверхностного слоя воды. Важными факторами, влияющими на пластичные свойства и поведение глиняных систем при сушке, являются дисперсность глины, ионный обмен, поверхностное натяжение и содержание воды. Сообщение XII см. J. Amer. Ceram. Soc., 1952, 35, № 2, 41—43. В. З.

4499. Влияние на текучесть глинистых суспензий добавки соды и экстракта квебрахо и воздействие добавки экстракта квебрахо на сопротивление изгибу высушенных отлитых изделий. Леман, Марке (Die Beeinflussung der Gießbarkeit von Tonsuspensionen bei Zusatz von Soda und Quebracho-Extrakt und die Auswirkung des Zusatzes von Quebracho-Extrakt auf die Trockenbiegefestigkeit gegossener Körper. Lehmann Hans, Marx Günther), Tonind — Ztg., 1954, 78, № 19/20, 323—325 (нем.)

Суспензия из экстракта квебрахо (0,2 г/см<sup>3</sup> воды) добавлялась к разжиженным содой глинистым суспензиям из пластичной и тощей глины. Измерения текучести производились на вискозиметре Лемана (по принципу истечения) с площадью отверстия 16 мм<sup>2</sup>. Показателем вязкости служил градус Энглера  $E = t_1/t_0 =$  время истечения массы/время истечения воды при постоянной  $t$ -ре 20°. Кроме того, исследовано влияние добавки экстракта квебрахо на сопротивление изгибу высушенных до постоянного веса (сушка в течение 2

дней при 110°) литых изделий размером 10 × 20 × 150 мм. Один экстракт квебрахо не оказывает самостоятельного разжижающего действия, но при добавке не < 0,3% его к уже разжиженному содой глинистым суспензиям наблюдается падение кажущейся вязкости примерно на 25% и расширение области стабильности. Оптимальное водосодержание снижается на 18—25%. Предел прочности при изгибе в изученном интервале (0,2—1,0% экстракта) возрастает линейно примерно на 5,0% на каждые 0,1% добавляемого экстракта. Добавка экстракта повышает тиксотропию и увеличивает коагуляционную способность глинистых суспензий. М. К.

**4500.** Влияние вытяжки квебрахо на тиксотропию и вязкость материалов и масс, содержащих глинистые минералы. Уайт (Die Beeinflussung der Thixotropie und Viskosität tonmineralhaltiger Rohstoffe und Massen durch Quebracho-Extrakt. White Theodore), Tonind.-Ztg, 1953, 77, № 11/12, 195—197 (нем.)

При обработке глинистых суспензий вытяжкой квебрахо связьность у глинистых частиц уменьшается, поэтому, несмотря на значительное содержание твердой фазы, система глина — вода сохраняет текучесть. При невысоком содержании твердой фазы и соответствующем рН добавка вытяжки квебрахо может снизить вязкость системы примерно в два раза. При добавке 1% вытяжки квебрахо к глинистой суспензии, применяемой в Германии при бурении скважин, происходит уменьшение сопротивления последнего сдвигу до 5% от его первоначальной величины при соответствующем понижении вязкости. При большем содержании твердой фазы (напр., портландцементный шлам с содержанием 60% твердого в-ва) в системе глина — вода действие вытяжки квебрахо менее эффективно. При обработке глинистой массы вытяжкой квебрахо происходит диспергирование твердой фазы на более тонкие частицы, осаждение которых на стенках скважины в виде плотного слоя, замедляющего дальнейшую фильтрацию воды, наблюдается в процессе водоотдачи. Диспергирующее действие вытяжки квебрахо значительно возрастает при добавке щелочей, особенно при рН 10—11, при этом происходит значительное снижение вязкости. Введение растворимых солей (напр., NaCl) в систему глина — вода при высоком рН уменьшает заряд глинистых частиц и, следовательно, их гидратацию, что благоприятствует образованию фильтрационного слоя. Содержание в таком глинистом р-ре 1% вытяжки квебрахо препятствующий вредному коагулирующему действию кальциевых солей, что является очень ценным при бурении гипсовых и ангидритовых пород. Такая система может содержать 1—2% NaCl без существенно увеличения модуля сдвига, тиксотропии и вязкости. При высоком рН (более 11) вытяжка квебрахо в присутствии  $\text{Ca}^{2+}$  обладает сильным диспергирующим действием на иллитовые и бентонитовые глины, образуя при этом весьма стойкие системы, не коагулирующиеся даже при полном насыщении их солями. Тиксотропия этих систем незначительна. Н. П.

**4501.** Влияние химической обработки на свойства некоторых английских глин. Гилберт, Джерман (Effect of chemical treatment on the properties of certain British clays. Gilbert W., German W. L.), Trans. Brit. Ceram. Soc., 1955, 54, № 2, 83—93 (англ.)

Изменением рН глин путем кислотной или щел. обработки можно изменять их свойства. Приводятся примеры такой обработки ряда строительных и огнеупорных английских глин. Обработка жирных глин к-той ведет к коагуляции колл. частиц, ускорению сушки, снижению деформации. Добавление соды к тощим глинам значительно увеличивает их пластичность. С. Т.

**4502.** Термические характеристики составов системы серицит-кремнезем. Фундаментальное исследование синтеза керамических горных пород. Сираки, Фукуи (絹雲母珪酸系の熱的性質: 陶石の合成に關する基礎研究. 素木洋, 福井博), 窯業協會誌, Eri kōkai, J. Ceram. Assoc. Japan, 1954, 62, № 699, 579—584 (япон.)

**4503.** Факторы, определяющие сопротивление термическим напряжениям керамических материалов. Кингери (Factors affecting thermal stress resistance of ceramic materials. Kingery W. D.), J. Amer. Ceram. Soc., 1955, 38, № 1, 3—15 (англ.)

Приводятся расчеты напряжений, возникающих в телах простейшей формы, для некоторых условий охлаждения тела, в том числе для термич. удара. Определяются максим. перепады т-ре, не приводящие еще к разрушению. Разбирается влияние формы и размеров тела, констант теплопередачи, коэфф. термич. расширения, упругих свойств и прочности, а также их комплекса на сопротивление керамич. материалов термич. напряжениям. В заключение коротко обсуждается методика испытаний материалов на сопротивление термич. напряжениям. В. Я.

**4504.** О константах уравнения прессования А. С. Бережного. Стрелов К. К., Огнеупоры, 1955, № 3, 132—136

Указано, что ур-ние прессования Бережного подтверждается лабор. опытами. Однако, физ. смысл констант ур-ния и их взаимосвязь установлены недостаточно. Описаны опыты, в результате которых выявлена общая зависимость пористости прессовок от твердости прессуемого материала: более твердый материал дает при прочих равных условиях, более пористую прессовку. В качестве масс для опытов использовались: тальк, глина, сырой магнезит, электроплавленный периклаз, шамот, кварцит и корунд. Установлено, что способность масс к прессованию, оцениваемая по относительному уплотнению, обратно пропорциональна отношению констант ур-ния прессования Бережного  $a:b$ . Обе константы прессования  $a$  и  $b$  зависят от пористости массы и твердости или других характеристик прочности материала. Н. П.

**4505.** К вопросу о поведении акташского диаспора при нагревании. Демикова Т. В., Изв. АН КазССР, сер. горн. дела, металлург. и обогащения стройматериалов, 1955, № 5, 92—97 (резюме казах.)

Исследовалась кинетика процесса дегидратации при нагревании диаспорового концентрата Акташского месторождения (содержит > 70% диаспора) в интервалах 300—1000°. Дегидратация проходит в основном при т-ре ~ 500° и заканчивается при 900—1000°, при нагревании сопровождается изменением уд. веса и относительного удлинения образцов и вызывает изменение структуры кристалла диаспора (угол оптич. осей меняется от +84 до -25°, а показатель светопреломления от 1,750 до 1,591). Изменение кристаллооптич. и рентгенографич. показателей объясняется постепенным переходом диаспора в корунд. Е. Ш.

**4506.** Кварц как компонент стекольной шихты. Попов Э. И., Тр. Всес. н.-и. ин-та стекла, 1955, № 35, 43—52

См. РЖХим, 1955, 19385.

**4507.** Исследование некоторых чешских фонолитов в качестве сырья для стекольного производства. Часть II. Вольдан (Některé české znečce jako sklářské suroviny (II část). Voldán Jan), Skláf a keramik, 1954, 4, № 10, 270—275 (чеш.)

Отношение содержания щелочей к содержанию глинозема и окиси Fe в фонолитах делает их пригодным сырьем для произ-ва бутыльного стекла. Часть I см. РЖХим, 1955, 29494. Е. С.

## 4508. Каолины Ново-Селицкого месторождения.

Зегжда Д. П., Огнеупоры, 1955, № 3, 108—112  
Описаны результаты испытаний 2400 буровых проб, полученных при детальной разведке Ново-Селицкого месторождения каолинов. Полученные данные указывают на то, что более 60% разведанных запасов относятся к высококачественным разностям каолинов, содержащим на прокаленное ве-во свыше 45%  $Al_2O_3$ . Недостатком этих каолинов является некоторая засоренность единичными крупными включениями пирита.

Н. П.

## 4509. Молекулярная структура стекла на основе теории высших силикатов. Кнапп (Az üveg molekularis szerkezete a leg magobb szilikatok elemlete alapján. Knapr Oszkar), Eptőanyag, 1953, 5, № 12, 420—422 (венг.)

Рассмотрены различные гипотезы молекулярного строения стекла, которые, по мнению автора, являются неправильными. Излагается гипотеза высших силикатов, согласно которой стекло как жидкое, так и твердое состоит из силикатов и оксидов. Последние присутствуют в стекле не всегда. Молекулярные компоненты стекла могут находиться в стекле в любой концентрации. Между молекулярным составом стекла и его свойствами существует связь, позволяющая математически определить значение того или иного свойства. Автор предполагает, что каждый основной оксид в стекле связывает максим. кол-во  $SiO_2$ . Исходя из этой предпосылки, дается пример расчета молекулярного состава. Стекло состава (в %):  $SiO_2$  75,  $Na_2O$  10,  $K_2O$  6,  $CaO$  5,  $MgO$  3,  $Al_2O_3$  1—имеет молекулярный состав (в %):  $Na_2Si_2O_6$  37,7,  $K_2Si_2O_6$  22,94,  $MgSi_2O_6$  17,58,  $CaSi_2O_6$  15,0,  $Al_2Si_2O_7$  2,34,  $SiO_2$  4,4. Рассматривается пример двух стекол с одинаковым кол-вом щелочи и разных других компонентов. Показано на основании гипотезы почему определенная экспериментально хим. стойкость указанных стекол является разной. Автор указывает, что с помощью гипотезы высших силикатов найдена линейная зависимость между молекулярным составом стекла и следующими свойствами: хим. стойкость, чувствительность к пятнам, оптич. свойства и коэфф. расширения. Стекло, представляющее, по автору, р-р силикатов, в отношении хим. устойчивости его молекулярных компонентов делится на три группы: легкорастворимые щел. силикаты, труднорастворимые щел.-зем. и другие силикаты и нерастворимая двуокись кремния и свинцовые силикаты. Хим. стойкость вычисляется по ф-ле:  $lg H = aT + bmg$ , где  $T$  — коэфф. стойкости, определяемый из отношения легко- и труднорастворимых силикатов  $T = R_2(SiO_3)_n / R(SiO_3)_n$  а и  $b$  — постоянные, зависящие от молекулярного состава стекла (моно-, ди- или трисиликат).

Н. П.

## 4510. Изучение древних стекол и процесса стеклования. Часть II. Составы, отношение к выветриванию и исторические данные о некоторых ассирийских стеклах VI—VIII столетий до н. э. Тернер (Studies of ancient glasses and glass-making processes. Part II. The composition, weathering characteristics and historical significance of some Assyrian glasses of the eighth to sixth centuries B. C. from Nimrud. Turner W. E. S.), J. Soc. Glass. Technol., 1954, 38, № 184, 445T—456T (англ.)

Исследованы куски стекла (части сосудов, ваз и т. д.), найденного проф. Меллованом во время раскопок в Нимраде в 1951 и 1952 гг. Установлено, что стекла относятся к VI—VIII веку до н. э. и имеют сложный состав. Один из образцов имел состав (в %):  $SiO_2$  68,0,  $Fe_2O_3$  +  $Al_2O_3$  +  $TiO_2$  2,48,  $CaO$  8,28,  $MgO$  4,20,  $Na_2O$  14,02;  $K_2O$  2,70. Стекла голубой окраски содержали  $CuO$ , красной —  $Cu_2O$ . Цветные стекла не отличались по составу от египетских стекол XVIII династии, за исклю-

чением того, что они содержали 22,8%  $PbO$ . Проведен анализ выветрившегося слоя стекла, который показал, что за 2700 лет вода практически нацело извлекла из стекла все щелочи, 7/8  $CaO$  и  $MgO$ , и в результате выветрившийся слой содержит относительно большое кол-во  $SiO_2$ ,  $Al_2O_3$ ,  $Fe_2O_3$ ,  $MgO$ . Часть I см. РЖХим, 1955, 26849.

Н. П.

4511. Определение оптической постоянной упругости некоторых промышленных и трехкомпонентных стекол. Колбасникова А. И., Тр. Вses. н.и. ин-та стекла, 1955, № 35, 94—98  
См. РЖХим, 1955, 19398.4512. Гальванический потенциал силикатных расплавов. I.—(Galvani potentials in silicate melts. I.—), Glass Ind., 1954, 35, № 8, 433—436, 454 (англ.)  
Обзор работ по определению гальванич. потенциала в разных силикатных расплавах и стеклах.

Н. П.

## 4513. Плотность стекла боросиликатного крона в области перехода. Ритленд (Density phenomena in the transformation range of a borosilicate crown glass. Ritland Harold N.), J. Amer. Ceram. Soc., 1954, 37, № 8, 370—378 (англ.)

Методом закалки изучено влияние тепловой обработки в области перехода на плотность стекла боросиликатного крона. Предложено эмпирическое уравнение, объясняющее достижение состояния равновесия при трех т-рах. Теоретически и экспериментально рассмотрена зависимость плотности от т-ры при постоянной скорости охлаждения. При достаточно высокой начальной т-ре зависимость плотности от т-ры при различных скоростях охлаждения будет одинаковой за исключением смещения по линии равновесия плотность — т-ра на величину, пропорциональную логарифму скорости охлаждения. Константа пропорциональности при этом может быть получена на основании данных при постоянной т-ре. Предельная плотность, достигаемая после охлаждения во всей области перехода, также показана линейной зависимостью от логарифма скорости охлаждения. В связи с полученными результатами рассмотрены некоторые положения основ процесса стабилизации.

А. Ч.

## 4514. Драгоценные камни из глины. Штенан (Drahokamy z hlíny. Štěpán Miroslav), Svět techn., 1953, 4, № 6, 349 (чеш.)

Искусственные сапфиры и рубины изготавливают из мелкого глинистого порошка, подвергаемого плавлению при 2000° с помощью кислородно-водородной горелки. Расплавленные капли сливаются в формы, где застывают.

Е. С.

## 4515. Венецианское стекло. Самасса (Venetian glass. Samassa M. G.), S. Afric. Industr. Chemist., 1953, 7, № 4, 67—70 (англ.)

## 4516. Добавление в шихту стекла боя опавшего стекла, влияющие его на состав прозрачного стекла и на огнеупорный материал. Йохманн (Das Einschmelzen opaküberfangener Abfallscherben, der Einfluß derselben auf die chemische Zusammensetzung des hellen Grundglases und auf das feuerfeste Material. Jochemann Fritz), Glas-Email-Keramik-Technik, 1955, 6, № 5, 160—162 (нем.; резюме франц., англ.)

Расчеты показывают, что добавление в шихту отходов опавшего стекла улучшает хим. состав стекла. Предположение, что при плавке весь F улетучивается, опровергается анализом, показывающим после плавки содержание в стекле 1% F. Единственным отрицательным моментом этой добавки является более ускоренное разрушение огнеупорного расплава.

С. Т.

## 4517. Технологические основы воздухоустойчивого охлаждения стекла при его закалке. Лиозиян



ская С. Г., Тр. Всес. н.-и. ин-та стекла, 1955, № 35, 71—77.

См. РЖХим, 1955, 16936.

4518. Сползание глазури. Даниэлсон (The crawling of glazes. Danielson R. R.), Amer. Ceram. Soc. Bull., 1954, 33, № 3, 73—74 (англ.)

Сборка глазури характеризуется участком изделия, не покрытым глазурью. На разрыв глазурной пленки влияют: степень адгезии глазури к необожженному черепку, усадка при сушке и обжиге, прочность необожженной глазурной пленки. Адгезия глазури зависит от характера черепка. Для увеличения адгезии применяются гуммиарабик, крахмал, а также некоторые смолистые в-ва. Применение глины с высокой усадкой вызывает сборку глазури. Для обеспечения прочности глазурной пленки важен выбор сырьевых материалов и их гранулометрия. Чрезмерное измельчение глазурной шихты ведет к сборке глазури. Глазури, применяемые для санитарных изделий, должны быть измельчены до остатка 0,1—0,2% на сите 325 меш. Для фриттованой глазури этот процент может быть увеличен до 0,3—0,4. Состав глазури оказывает влияние на ее поверхностное натяжение, вязкость и способность смачивать поверхность черепка. Особенно чувствительны к сборке хромо-алюминиевые цинковые глазури, требующие больших кол-в окисл. цинка. Высокое содержание глинозема в полевошпатных глазури часто вызывает сборку глазури, особенно у острых краев изделия. Окислы свинца и бария, а также плавиковый шпат улучшают смачивающие свойства глазури. Метод установления тенденции глазури к сборке заключается в проведении опытов по вытягиванию глазурных образцов при 870—980° с интервалами в 40° до полной готовности глазури. Метод дает наглядные результаты и позволяет рекомендовать составы связок для предотвращения сборки глазури.

4519. Японский способ эмалирования «Шиппо». Гордон (Japanese Shippo-art enameling. Gordon D. V. van), Amer. Ceram. Soc. Bull., 1954, 33, № 2, 37—41 (англ.)

Приводится очерк мировой истории эмалировочного искусства и его развитие в Японии. Дается классификация изделий, эмалированных по способу «Шиппо» (клуазон). Описывается процесс эмалирования по этому способу (приготовление эмалей, изготовление металлич. заготовок, нанесение и обжиг эмалей, полировка эмалированных изделий).

4520. Эксплуатация эмалировочного цеха. Сондерс (Maintenance in the enamelling shop. Saunders M. F. S.), Australas. Manufacturer, 1953, 38, № 1960, 49—52 (англ.)

Сообщение на Австралийской конференции эмалировщиков, содержащее рекомендации по эксплуатации эмалировочных печей периодич. действия.

4521. Эмалевые покрытия. Эбел (Enamel finishes. Ebel W. T.), Foundry Trade J., 1954, 97, № 1983, 275—276 (англ.)

Обзор последних достижений в области эмалирования (улучшение конструкций изделий, одноразовое покрытие, повышение качества окраски, новые способы подготовки эмалируемой поверхности металла).

4522. Методы эмалирования способствующие снижению стоимости изделий. Джексон (Montag enameling methods aid in cutting costs. Jackson Howard E.), Western Metals, 1953, 11, № 1, 48—50 (англ.)

Введение поточного метода изготовления эмалированных печей, стандартизация и сокращение числа деталей последних, а также применение усовершенствованной технологии (удаление ржавчины с эмалируемой поверхности электровибратором, центрифугирование и магнитная сепарация эмалевого шликера,

сушка ИК-лучами, обжиг в конвейерных печах) снизило стоимость изделий более, чем на 10 процентов. Приводится описание применяемого технологич. процесса.

4523. Эмалирование бачков для горячей воды. Готчис (Guideposts in the enameling of hot water tanks. Goetchius D. R.), Ceramic Age, 1955, 65, № 2, 18—19, 29 (англ.)

Рассматриваются факторы, обуславливающие качество эмалированных изделий: форма, качество стали, ее подготовка, качество эмали, слой ее нанесения, сушка и обжиг изделий.

4524. Одноразовое покрытие белой эмалью. Семпла (One-coat white enamel. Sempia J.), Foundry Trade J., 1954, 96, № 1966, 533—537 (англ.)

Приводятся состав и свойства сверхзагущенной белой эмали для одноразового покрытия стальных изделий, содержащей 15—20%  $TiO_2$ . Сообщаются данные об уменьшении расхода материалов и топлива, о росте производительности, снижении брака и повышении качества покрытия при употреблении рекомендуемой эмали. Приведены итоги дискуссии по статье.

4525. Холодные глазури. Шпет (Kaltglasuren. Speth K. A. G.), Keram. Z., 1955, 7, № 6, 290 (нем.)

Холодные глазури не являются подлинными глазуриями, а представляют собою лакокрасочные или цементные покрытия. К первым относятся различные лаки, ко вторым быстро твердеющие материалы типа цемента Сорелля.

4526. Огнеупорные материалы для эмалировочной промышленности. Слосон, Клементс (Refractory materials for the vitreous enamelling industry. Slawson R. J., Clements J. F.), Foundry Trade J., 1953, 95, № 1927, 179—186 (англ.)

Рассмотрены условия службы огнеупорной футеровки в эмалеплавильных и обжигательных печах эмалировочной пром-сти. Приводятся требования к огнеупорам для различных элементов кладки. Описаны свойства огнеупорных материалов (шамотных, диносовых, силлиманитовых, цирконовых, карборундовых и из плавного глинозема), а также различных типов теплоизоляционного кирпича. Даны рекомендации по выбору огнеупоров для кладки печей эмалировочной пром-сти.

4527. Глушенные титаном пудровые эмали для вывесок вместо ядовитых свинцово-мышьяковых эмалей. Фибиг (Titangetrübte Schilderpudremails statt giftiger Blei-Arsen-Emails. Fiebig F. W.), Glas-Email-Keramo-Technik, 1954, 5, № 3, 89 (нем.; резюме англ., франц.)

Приводятся состав, метод получения свинцово-мышьяковых эмалей и способ их нанесения. Отмечаются недостатки таких эмалей (сложность произ-ва, дороговизна, ядовитость). Указываются преимущества титановых эмалей и рекомендуется следующий состав (в вес. %):  $Na_2O$  7,40,  $B_2O_3$  17,90,  $SiO_2$  45,00,  $K_2O$  6,96,  $TiO_2$  20,65,  $MgO$  1,09,  $Li_2O$  1,00. Эмаль такого состава растекается при 750—760°.

4528. Эмалирование легких металлов. — (L'émailage des métaux légers.—), Génie civil, 1954, 131, № 19, 373—374 (франц.)

Эмали для качеств. эмалирования Al и Al-сплавов должны обладать следующими свойствами: т-рой плавления ниже т-ры плавления Al (648°); высоким коэфф. расширения; устойчивостью к воздействиям воды; высокой твердостью и неизменяемым блеском. Рекомендуемый состав эмали (в вес. %):  $PbO$  17,1,  $SiO_2$  52,3,  $Na_2O$  17,7,  $K_2O$  1,9,  $Li_2O$  7,3,  $Na_2SiF_6$  3,2,  $Sb_2O_3$  0,5. Перед эмалированием детали обезжириваются в парах трихлорэтилена или в р-ре, содержащем (в %) алкиларилсульфонат Na 1%, гексаметафосфат Na 0,5%, метасиликат Na 1% и спирт 1%; обезжиривание ведет-

ся при 50—60°. Для хорошего сцепления эмали с металлом применяется обработка в р-ре состава (в вес. ч.): сернокислого Cr, хромовой к-ты 98, едкого Na 117 и воды 783. Грунтовый слой наносится пульверизацией из расчета 160—220 г/м<sup>2</sup>. Обжиг производится в течение 5 мин. при 525°. Затем на деталь наносится таким же путем покровная эмаль, общее кол-во эмали (обоих слоев) колеблется в пределах 400—700 г/м<sup>2</sup>. Д. Н. 4529. Влияние сподумена на некоторые свойства фарфора. Безбородов М. А., Михалевич П. Ф., Сб. науч. работ. Белорус. политехн. ин-та, 1955, № 47, 59—72

Приводятся результаты исследования фарфоровых масс со сподуменом, вводимым в их состав для снижения температуры обжига. Подбор состава оптимальной фарфоровой массы производился при помощи треугольной диаграммы, на одной стороне которой откладывались глинистые материалы — каолин + бентонит, на второй — кварцевый песок, на третьей — перматит + сподумен. На диаграмме огнеупорности смесей перматита + сподумена установлена эвтектич. точка при 1194°. Введение в массу плавней в эвтектич. соотношении дает составы с пониженными т-рами обжига. Получен фарфор с т-рой обжига 1250°, отвечающий требованиям техн. условий на хозяйственную посуду. Подобрана глазурь, содержащая сподумен в кол-ве 2%, обладающая хорошим разливом и блеском и имеющая достаточный близкий к черенку коэфф. термич. расширения. Глазурованный сподуменный фарфор после 11 теплосмен цека не обнаружил. Опробование его в промышленных условиях дало положительные результаты и не вызвало каких-либо технологич. осложнений. Г. М.

4530. Производство столового фарфора в Лимузене Рено (Fabrication de la porcelaine de table en Limousin. Visite à l'usine Bernardaud. Renault P i e g r e), Ind. céram. 1955, № 463, 97—107 (франц.) Приводится краткое описание приготовления массы и процессов для формования плоских и полых изделий. Более подробно описывается литье полых и плоских изделий с применением вращающихся столов. С. Т.

4531. Производство кирпича в Болгарии. Шърбанов (Производство на тухли в България. Шърбанов М.), Техника, 1953, № 6, 26—30 Приведены характеристики плотного и пористого кирпича и рассмотрены ближайшие задачи кирпичной пром-сти.

4532. Теоретические рассуждения о сушке во влажной среде крупных кирпичных блоков. Шинер (Theoretische Betrachtungen über die Feuchtluft-Trocknung empfindlicher, großformatiger Ziegelformlinge. Schiener N.), Ziegelindustrie, 1955, 8, № 7, 261—266 (нем.)

Приводятся физ. свойства глиняного сырья (теплопроводность, уд. теплоемкость, уд. вес и температурный перепад) в зависимости от его влагосодержания. Дается расчет продолжительности прогрева керамич. образцов в зависимости от их размеров. Приведены графики процесса остывания и прогрева для сырого образца диам. 125 мм при сушке его горячим воздухом с т-рой 80° и температурный перепад в сечении образца. Дается практич. вывод, что прогрев материалов, чувствительных к сушке, нужно начинать с т-ры 40—45° и затем медленно (в течение 4 час.) повышать до максим. т-ры. Д. Ш.

4533. Керамическая промышленность Южной Африки. Вильямсон (The vigorous ceramic industries of South Africa. Williamson W. O.), Clay Prod. J. Australia, 1954, 21, № 10, 15, 17, 19 (англ.)

Дается описание состояния керамич. пром-сти в районе Йоханнесбурга. С. Т.

4534. Изготовление многодырчатого кирпича. Шленкер (Die Herstellung von Hochlochziegeln. Schlenker Rolf), Silikattechnik, 1955, 6, № 4, 167 (нем.)

При переводе ленточных прессов кирпичной пром-сти на выпуск многодырчатого кирпича с объемным весом 1,2 г/см<sup>3</sup> необходимо обеспечить: гомогенизацию массы путем тщательной подготовки ее; ввод в шихту выгорающих добавок; оптимальную конструкцию мунштука с соответствующим расположением скоб, на которых прикреплены керны. При изготовлении кирпича размером 250 × 190 × 104 следует осуществить их автоматич. опрокидывание после резки глиняного бруса. Это мероприятие позволит использовать существующие сушилки. Д. Ш.

4535. Исследования повреждений от воздействия мороза. — (Versuche zur Klärung von Frostschäden. —), Ziegelindustrie, 1954, 7, № 21, 889—893 (нем.)

Исследования показали зависимость морозостойкости керамич. изделий как от структуры капилляров, так и от содержания извести в глине и ряда других факторов. И. К.

4536. Предупреждение образования невидимых волосных трещин в кирпиче. Хиссемёллер, Воксёйл (Bestrijdingswijze van blinde Scheuren in stenen. Hisschemöller F. W., Voskuil J.), Klei, 1955, 5, № 3, 95—97, 99—110 (голл.)

Образованию невидимых трещин (НТ) способствуют: высокая жирность глины, быстрый подъем т-ры при подсушке сырья в камере печи и поглощение воздушно-сухим сырым влагой, конденсирующейся из дымовых газов на поверхности сырья. Для предупреждения НТ рекомендуется: медленный подъем т-ры с 50 до 120° со скоростью 4—5° в час, контроль и регулирование т-ры и правильное размещение штабеля кирпича в камере, обеспечивающее равномерный нагрев. Опыты показали, что наибольшее кол-во кирпича с НТ было в стороне штабеля, обращенной к той стенке камеры печи, в которой проходит дымоход. К. Г.

4537. Сравнение выдавливания в прессах со шнеком и в прессах с поршнем. Бущ (Extrusion relationships of the auger and the ram. Bush R a l p h R.), Brick and Clay Rec., 1954, 125, № 4, 94, 97—98 (англ.)

Формовка керамич. изделий методом выдавливания посредством шнека имеет преимущество по сравнению с поршневым выталкивателем, так как дает непрерывный брус. Однако в ряде случаев трудно продавливать глину шнеком и эта операция лучше производится поршневым устройством. И. К.

4538. Испытание огнеупоров на термостойкость. Хегберг, Хеден (Provning av eldfast materia, genom temperaturväxlingar. Högberg Erik Hedén Sven), Tekn. tidskr., 1953, 83, № 42, 887—889 (швед.)

Установлено, что термостойкость огнеупоров, определенная по методу ASTM C 38-49, C 180—49 и DIN 1068, не связана с другими свойствами огнеупора, такими как напр., пористостью, об. весом и т-рой размягчения. К. Г.

4539. Легковесный динас из кварцевого песка. Каннаровский Н. С., Лесниченко С. Л., Стекло в керамика, 1955, № 4, 27—30

При изготовлении легковесного динаса по методу выгорающих добавок в качестве основного сырьевого компонента используется мелкокомолтый овручский кварцит с размером зерен 0,4—0,1 мм. В качестве выгорающих добавок служили древесные опилки, антрацит и отходы от просева коксика на газогенераторных станциях. Установлено, что об. вес и предел прочности при сжатии легковесного динаса, изготавливаемого из

песка по методу выгорающих добавок, зависит как от зернового состава кварцевой составляющей, так и от кол-ва выгорающей добавки. Варьируя технологич. факторы указанным способом, можно получить высококачественный легковесный ди́нас. Разработан способ изготовления легковесного ди́наса путем отливки сырца из шликера, при этом основным порообразователем является вода. Шликер готовят, смешивая в воде мелкозернистый кварцевый песок природной зернистости, тонкомолотый кварцевый песок и гипсовое вяжущее (алебастр или эстрих-гипс). Шликер должен содержать 50—60 об. % воды и до 12% гипсового вяжущего к весу кварцевой составляющей. Высушивание образца производится при т-ре, не превышающей 65—70°, а обжиг — при 1300—1350°. Качество легковесного ди́наса, изготовленного методом отливки без выгорающей добавки, характеризуется следующими показателями: огнеупорность 1720°, т-ра деформации под нагрузкой 1 кг/см<sup>2</sup> 1670°, об. в. 0,95—1,15 г/см<sup>3</sup>, предел прочности при сжатии 30—80 кг/см<sup>2</sup> и может применяться при 1550—1600°.

Г. М.  
4540. Пароувлажнение огнеупорных и грубокерамических масс. Ленц (Heiaufbereitung feuerfester und grobkera­mischer Massen. Lenz C.-J., Ber. Dtsch. keram. Ges., 1955, 32, № 3, 72—75 (нем.).

Приводятся данные производственной практики по применению пароувлажнения огнеупорных и грубокерамич. масс, которое рентабельно на предприятиях, имеющих малые производственные площади и источники пара. Приводятся преимущества и недостатки применения пароувлажнения масс.

Г. М.  
4541. Магнезиальные огнеупоры из солей морской воды. Трофимов М. Г., Рыбников В. А., Огнеупоры, 1955, № 3, 113—120

Рапная MgO Крымских озер позволяет получить огнеупоры, для которых характерна высокая плотность (об. в. до 3,19 г/см<sup>3</sup>), высокое начало деформации (выше 1700°), повышенная прочность (сопротивление сжатию до 1200 кг/см<sup>2</sup>), небольшая дополнительная усадка (кажущаяся пористость до 2,9%), термостойкость в 3,5—4 раза выше обычных магнезитовых. Дано описание технологии, схем произ-ва MgO из морской воды, применяемых на трех иностранных з-дах.

Н. П.  
4542. Опыт применения кварцевых, высокоглиноземистых и каолиновых брусев в ваннах стекловаренных печей. Леонов К. Ф., Огнеупоры, 1955, № 3, 121—124

Описано использование кварцевых брусев для выкладки верхнего ряда бассейна печи в сочетании с выкладкой стен бассейна в районе сыпного кармана из высокоглиноземистых брусев. В условиях обычной работы ванной печи указанные брусья служили около 11 месяцев. Применение этих брусев позволило ликвидировать ранее наблюдавшийся основной порок стекла — свиль и способствовало повышению светопрозрачности стекла до 90,5% на 1 см хода луча. К недостатку кварцевых брусев автор относит наличие в них внутренних полостей, что уменьшает их службу. Описан опыт применения каолинового бруса в стенах ванной печи для вертикального вытягивания стекла. По предварительной оценке износа эти брусья могут выдержать двухгодичную работу печи при максим. т-ре 1425° между 2 и 3 парами горелок. Указывается, что каолиновые брусья достаточно термостойки, уменьшают кол-во пузырей и камней в стекле и позволяют повысить светопрозрачность с 86 до 87,3%. Однако применение каолиновых брусев увеличивает свиль в стекле, что является недостатком этих огнеупоров.

Н. П.  
4543. Воздействие клинкера на шамотный кирпич. Джушкэ (Aciunea clincherului asupra crmizilor de mot. Giuc Dan), Bul. tiin. Acad. R. P.

Romne. Sec. biol., agron., geol. i geogr., 1954, 6, № 4, 1207—1216 (рум.; резюме русс., франц.)

Разрушение шамотного кирпича вызывается проникновением в него образующейся на поверхности и контакта с клинкером жидкости, по составу близкой к эвтектич. смеси псевдоволластонит — геленитанортита, имеющей т-ру плавления более низкую, чем т-ра печи. Корродирующее действие усиливается механич. действием клинкера. При применении муллитового или высокоглиноземистого кирпича образующаяся жидкая фаза менее активна.

Е. С.  
4544. Изготовление стопорных трубок, гнездового кирпича и воронок методом полусухого прессования.

Старун В. Р., Майхровский Ю. В., Полонская Н. М., Огнеупоры, 1955, № 3, 99—108

Описано произ-во стопорных трубок, гнездового кирпича и воронок методом полусухого прессования на Запорожском огнеупорном з-де, который ранее применял метод пластичной формовки. Приведены сравнительные данные, из которых следует, что изделия полусухого прессования по сравнению с изделиями пластичной формовки имеют ряд преимуществ. Эти изделия более правильной формы и лучшей структуры, их пористость на 2—3% ниже, чем у изделий пластичной прессовки, износ трубок в 2—3 раза меньше вследствие более высокой термич. и хим. стойкости.

Н. П.  
4545. Устранение структурных пороков в стопорных и литниковых трубках, изготовленных методом пластического формования. Грицаенко В. Я., Смилко М. К., Огнеупоры, 1955, № 3, 137—139

На кондратьевском огнеупорном з-де «Красная звезда» ввиду большого брака стопорных трубок применен новый состав вакуумированной массы, в которой увеличено содержание шамота и разрежена садка изделий при сушке. В результате этого ликвидирован брак по расслоению, улучшена структура материала и резко уменьшен брак после обжига. Состав новой массы (в %): часовъярской глины 20, владимирского каолина 25, шамота 55, состоящего из равных частей глины и каолина. Влажность массы 19,6—20,0%, т-ра воды затворения 28—36°, разрежение в камере вакуум-пресса при прессовании 680 мм рт. ст. После сушки в паровых камерных сушилках стопорные трубки обжигаются в кольцевой печи.

Н. П.  
4546. Исследование абразивов из глинозема, абра­ботанного жирными кислотами. Ямагути, Такабэ (アルミナ質油脂研磨材の研究. 山口啓郎. 田邊漢), 窯業協會誌. Eg kkai, J. Ceram. Assoc. Japan, 1954, 62, № 691, 34—38 (япон.)

Смесь глинозема, приготовленного по способу Байера и обожженного при 1100—1250°, с 26% жирной к-ты, плавящейся при 56°, является хорошим отделочным абразивом для Ni, нержавеющей стали, Cu, бронзы и Al. Давление 5% Na<sub>2</sub>CO<sub>3</sub> или талка уменьшает его эффективность. Замена глинозема обожженным бокситом или глиноземистым шлаком при обработке Al уменьшает отделочное действие, но не уменьшает абразивное.

В. Я.  
4547. Сушка керамических изделий в зональных сушилках. Куп (Drying ceramics with space heaters. Coupe George H.), Amer. Ceram. Soc. Bull., 1954, 33, № 9, 277 (англ.)

Дается описание четырех случаев применения зональных сушилок для сушки изделий, отливаемых из глиняного шликера в гипсовые формы, и указываются преимущества этих сушилок. Во всех случаях продолжительность сушки была значительно сокращена, в результате чего на одном з-де оказалось возможным организовать работу дополнительной 8-часовой рабочей смены; на другом з-де выпуск продукции увеличился на 200%, в третьем случае были освобождены рабочие



и производственная площадь для других целей. В. З. 4548. Теория расчета тоннельной печи и скоростной процесс обжига «Сандвич». Часть I. Теоретические расчеты моделей тоннельной печи. Корах (Theorie du four-tunnel et cuisson rapide «Sandwich»). I. Partie. Essais sur modèles de fours-tunnel théoriques. K o r a c h M.), Acta techn. Acad. sci. hung., 1955, 11, № 1—2, 161—184 (франц.; резюме русс., нем., англ.)

Разработана общая теория расчета тоннельных печей для моделей, работающих в идеальных условиях. Доказано, что во всех случаях между длиной печи и ее производительностью существует прямая пропорциональная зависимость. При условии достижения у обжигаемых изделий полного равновесия т-ры длина печи зависит только от производительности. Для повышения производительности печи целесообразно увеличивать не сечение печи, а ее длину; поперечное сечение следует сокращать до возможного минимума. В. З.

4549. Новое издание стандарта DIN1060 на строительную известь. Гримме (Neufassung der DIN 1060 «Baukalk». Grimme H.), Silikattechnik, 1955, 6, № 3, 135—137 (нем.)

В 1954 г. были опубликованы новые германские нормы для строительной извести (И), согласно которым И подразделяются на воздушную и гидравлич. В отличие от старых норм к воздушной И причисляется карбидная И. Существенно изменились требования к хим. составу И. Для воздушной И (белая И, доломитовая И) содержание  $\text{CaO} + \text{MgO}$  должно быть  $>80\%$ ,  $\text{CO}_2 < 5\%$ . Для гидравлич. И (гидравлич. И, тяжелая гидравлич. И, романцемент) допустимое содержание  $\text{CO}_2$  составляет 7—15%.  $R_{28}$  на сжатие при твердении на воздухе для различных видов гидравлич. И колеблется от 10 до 50  $\text{кг/см}^2$  и более, а на изгиб — от 5 до 10  $\text{кг/см}^2$ . Выход известкового теста должен быть не меньше 2,4 л/кг для воздушной И и 1,8 для гидравлич. Об. вес воздушной И в рыхлонасыпанном состоянии должен быть 0,5—0,7 и гидравлич. — 0,7—1,0  $\text{кг/л}$ . Равномерность изменения объема оценивается ускоренной и обычной пробой, методика которых приводится. Е. Ш.

4550. Исследование, проведенное национальным объединением по производству извести. Бойнтон (Post-war research by the national lime association. Boynton Robert S.), Rock Prod., 1955, 58, № 1, 118, 120—121, 123, 128 (англ.)

Автоклавные изделия, приготовленные на известке с добавкой золы — унос или кварцевого порошка, не уступают изделиям, приготовляемым на цементе. Из вспученных шлаков, известки и золы — унос получают в автоклавах блоки более высокой прочности и меньшей стоимости, чем блоки, приготовленные на цементе и твердевшие в нормальных условиях. Поэтому известь можно заменить часть цемента, расходуемого на приготовление бетонных блоков. П. З.

4551. Интенсификация процесса автоклавного твердения. Кржеминский С., Строит. материалы, 1955, № 3, 27—30

Установлена зависимость между длительностью автоклавной обработки силикатных материалов при постоянном давлении пара, их прочностью и объемным весом. Кривая твердения этих материалов состоит из левой и правой части. В левой части — от начала кривой до первого максимума — длительность выдерживания пропорциональна прочности материалов. Правая часть кривой характеризует неустойчивую область процесса твердения, в которой отсутствует зависимость, имеющаяся в левой части. Известково-кремнеземистые материалы целесообразно запаривать до достижения первого максимума прочности. Увеличение давл. с 8 до 16 атм без применения тонкодисперсных добавок

сокращает время запаривания с 12 до 3 час. со снижением прочности лишь на 15%. Наиболее целесообразно запаривать изделия при давл. 16 атм при одновременном введении в состав сырьевой смеси 10% активных тонкодисперсных добавок к общему весу силикатной массы (молотых — боя силикатного кирпича, глины, трепела, кварцевого песка, доменного гранулированного шлака и др.). Е. Ш.

4552. Гипсоцементные и гипсошлаковые вяжущие вещества. Волженский А., Ивановский Р., Строит. материалы, 1955, № 4, 13—16

Для повышения водостойкости гипса рекомендуется вводить гранулированный шлак в кол-ве 20—40% от веса смеси (гипсошлаковое вяжущее) или портландцемент в кол-ве 20% (гипсоцементное вяжущее). Для предотвращения сульфаталюминатного разрушения изделий из гипсоцементного вяжущего, необходимо, чтобы конц-ия окиси кальция в водн. р-ре не превышала 0,7—0,8 г/л, что достигается введением гидравлич. добавок (трепел, диатомит, золы и др.). Введение гидравлич. добавок предотвращает также разрушение изделий на гипсошлаковом вяжущем. Коэфф. размягчения р-рных образцов на гипсоцементном вяжущем с гидравлич. добавками после 3—6 месячного твердения во влажной среде составляет 0,5—0,7 вместо 0,3—0,35 для гипсовых р-ров. При применении в гипсоцементном вяжущем вместо гипса эстрих-гипса прочность р-ров повышается и вяжущее соответствует цементам марок «150—200». Коэфф. размягчения при применении эстрих-гипса составляет 0,9—0,95. Е. Ш.

4553. Новое в технологии советита. Каменецкий С. П., Сб. материалов о новой техн. и передовом опыте в стр-ве, 1955, № 3, 29—31

Описаны мероприятия по улучшению произ-ва советита: пофракционный обжиг доломита, повышение конц-ии  $\text{CO}_2$  для карбонизации изделий. П. З.

4554. О долговечных штукатурках на исторических сооружениях. Золотухин В. Ф., Белик Я. Г., Папкова Л. П., Тр. Харьковск. политехн. ин-та, 1954, 4, 233—239

Исследовались древние штукатурки Киевских Золотых ворот (возраст 915 лет), Харьковского Покровского собора (возраст 300 лет) и колокольной Харьковского кафедрального собора (возраст 45 и 100 лет). Все эти штукатурки хорошо сохранились, несмотря на значительную пористость (26,3—46,6%). Хим. и минералогич. состав и физ.-мех. свойства штукатурок колеблются в широких пределах. Главные минералогич. составляющие: карбонаты кальция и магния, в отдельных случаях гипс или глинистое в-во. Наиболее стойким оказался известково-цемяночный штукатурный р-р (Киевские Золотые ворота). Е. Ш.

4555. Классификация и характеристика шлаков как строительного сырья. Сиверцев Г. Н., Научн. сообщ. Центр. н.-и. ин-та пром-сти сооружений, 1955, № 18, 119 стр.

Излагаются данные о природе шлаков СССР и об их хим. и морфологич. свойствах; дана характеристика металлургич. и топливных шлаков, их классификация; приведены некоторые особенности шлаков как строительного материала. Е. Ш.

4556. Керамзит на базе местного сырья. К а с к К. И., Изв. АН ЭССР, 1955, 4, № 1, 77—87

Установлена возможность изготовления керамзита на основе некоторых четвертичных глин ЭССР, содержащих в своем составе  $\geq 7-8\%$  окислов железа, миним. кол-во карбо атов и песка. Обязательно наличие достаточного кол-ва органич. соединений (в пересчете на  $\text{CO}_2 \geq 4-5\%$ ). Глина формируется в виде шариков diam. 25—35 мм, высушивается до остаточной влажности 4—5% при конечной т-ре 150—200°, прогревается в интервале 250—700°, обжигается в течение короткого

времени (15—20 мин.) при 1050—1080° и медленно охлаждается. Об. вес керамзита в куске составляет 0,25—1,25 г/см<sup>3</sup>, прочность при сжатии 8—100 кг/см<sup>2</sup> и более, морозостойкость ≥ 25 циклов. Е. Ш.

4557. Проходка подземной галереи в кварцитовых пльвунах. Русселя (Traversée d'un banc de quartzites fluents et sous pression par la galerie de Malgouvert. Rousselle J. H.), Ann. Inst. techn. bâtim. et trav. publics, 1955, 8, № 85, 55—79 (франц.; резюме англ.)

При проходке 150 м галереи в третичных, насыщ. водой кварцитовых пльвунах, закрепление их было осуществлено инъектированием тремя р-рами. Сначала подавали р-р из 60 л силиката Na в 38° Вё, сернистого Al 30 кг, воды 940 л при давл. 25—40 кг/см<sup>2</sup>, затем тонкомолотый цемент 100 кг, воды 100 л при давл. 100 кг/см<sup>2</sup> и, наконец, р-р жидкого стекла и фосфорной к-ты, состоящий из 110 л силиката Na в 38° Вё, 11 л фосфорной к-ты в 35° Вё, воды 879 л при давл. 10—20 кг/см<sup>2</sup>. Расход цемента на 1 м<sup>3</sup> грунта составил 163—176 кг, химикатов 144—221 л, коэфф. заполнения пустот составлял 38—44%. Описана конструкция отдели галереи. И. С.

4558. Контроль производства пластичного плакового цемента. Рошак (Kontrola produkci cementu żółto-plastycznego. Roszak Wojciech), Mater. budowl., 1955, 10, № 5, 114—119 (польск.)

4559. К микроскопическому исследованию зернового состава гетерогенных смесей. Мозебах (Zur mikroskopischen Bestimmung der Zusammensetzung heterodisperser Korngemische. Mosebach Rudolf), Erdöl und Kohle, 1954, 7, № 4, 199—203 (нем.)

В качестве диспергирующей и одновременно иммерсионной жидкости предлагается применять этиленгликоль (нейтр. жидкость по отношению к цементу, применяется при седиментационном анализе цемента по Андреасену). Капля жидкости, извлеченная непосредственно после перемешивания при седиментационном анализе, наносится на предметное стекло и покрывается покровным стеклом. После 2-часового выдерживания препарата делается микротофоснимок. Е. Ш.

4560. Определение теплоты гидратации пуццолановых цементов методом теплот растворения. Рио, Бальдассе (La determinazione del calore d'idratazione dei cementi pozzolanici con il metodo del calore di soluzione. Rio A., Baldass F.), Ind. ital. cemento., 1955, 25, № 3, 59—63 (итал.)

Рассмотрены методы определения теплот гидратации цементов, применяемые в различных странах. И. С.

4561. Основные вопросы исследований по цементу в 1954 г. Гашпар (Az 1954. évi cementkutatók főbb kérdései. Gáspár Géza), Építőanyag, 1955, 7, № 1, 16—21 (венг.)

Характеристика цементов, исследование свойств цементов, действие сульфатов на цементы, опыты по ускоренному воздействию паром и действие пластификаторов. П. Д.

4562. Сульфатостойкость цементов, погруженных в агрессивный раствор в ранние сроки. Ташпулатов Ю. Т., Глекель Ф. Л., Докл. АН УССР, 1955, № 7, 25—30 (резюме узб.)

Исследовано влияние добавки глиниста и трепела на стойкость портландцемента в 5% р-ра Na<sub>2</sub>SO<sub>4</sub>. Интенсивное связывание извести происходит только при большой величине добавки (40%) и в большей степени при глинисте, что объясняется наличием активного глинозема, способствующего образованию гидросульфата алюмината кальция (ГК). В присутствии трепела образование ГК замедляется. Кинетика образования гипса и ГК различна в зависимости от вида цемента. У цемента без добавки и с добавкой трепела в ГК связывается за

сутки около половины всего кол-ва CaSO<sub>4</sub>, а при добавке глиниста — в основном вся масса CaSO<sub>4</sub>. При более позднем погружении образцов в агрессивный р-р кол-во ГК увеличивается. Раннее погружение отрицательно сказывается для цемента без добавки и с 20%-ной добавкой. При 40%-ной добавке глиниста или трепела образцы являются сульфатостойкими. Таким образом, основной причиной разрушения цемента без добавки и с недостаточным кол-вом добавки является быстрое образование ГК в присутствии большого кол-ва свободной извести. Е. Ш.

4563. Изучение влияния повторного нагревания и охлаждения на прочность затвердевшего цементного камня. Нагаи, Танно, Асахара (セメント硬化物の冷熱試験. 永井彰一郎, 丹野直和, 淺原真一), 窯業協会誌, Еге кёкайси, J. Ceram. Assoc. Japan, 1954, 62, № 703, 785—789 (япон.; резюме англ.)

В японских стандартах на электр. изоляторы предусматривается испытание фарфоровых изоляторов по методу повторного нагревания и охлаждения. Приведены результаты испытаний затвердевшего цементного камня, причём цементное тесто приготавлилось без добавки и с добавкой порошка электр. изолятора. Значительное уменьшение прочности цементного камня наблюдалось при нагревании образцов в водяной бане при 80—100° и незначительное при 40—50°. Уменьшение прочности образцов при нагревании их при высокой т-ре обусловлено изменением содержания кристаллизационной воды в гидратированных новообразованиях (x CaO·SiO<sub>2</sub>·y H<sub>2</sub>O, m CaO·Al<sub>2</sub>O<sub>3</sub>·n H<sub>2</sub>O) затвердевшего цементного камня. П. З.

4564. Об испытании зубоорачебных цементов. Абрамов Н. М., Карпенко Г. Б., Стоматология, 1955, № 4, 10—14

Сравнивается степень истираемости и растворимости различных зубоорачебных цементов, определявшаяся по потере в весе при испытании в полости рта и в жидких средах, приближающихся по составу к слюне. Указывается на целесообразность применения фосфат-цемента. Наибольшей стойкостью обладает силикат-цемент. Эркодонт-цемент занимает промежуточное положение между силикат-цементом и фосфат-цементом. Е. Ш.

4565. К вопросу о шлако-портландцементях с высоким содержанием окиси магния. Шуман (Einiges über Schlackenemente mit hohem MgO-Gehalt. Schumann G.), Zement-Kalk-Gips, 1955, 8, № 5, 171—173 (нем.; резюме англ., франц.)

Исследован шлак следующего состава (в %): SiO<sub>2</sub> 27,5, Al<sub>2</sub>O<sub>3</sub> 12,5, Fe<sub>2</sub>O<sub>3</sub> 4,15, CaO 37,55, MgO 13,50, MnO 2,30, S 1,45, SO<sub>3</sub> 0,46. Испытания по Ле-Шателье показали увеличение объема при холодной пробе в 5 мм, при горячей 1 мм, и при автоклавной 0,003%. По мнению Блонди при быстром охлаждении шлака водой исключается возможность образования периклаза. Допущение 10% содержания MgO в шлако-портланд-цементе одобрено рядом специалистов цементников в Англии, Бельгии и др. странах. Отмечается, что в прошлом ряд сооружений в США (в том числе мосты через р. Тенесси) строились на натуральных цементях, содержащих 13—15% MgO. Предполагается, чтобы в американские нормы были внесены изменения, допускающие содержание 15% MgO в шлаках и 10% MgO в шлако-портландцементе. Е. Ш.

4566. Измерение пылеседания на цементных заводах. Кноп (Staubmengen-Messungen in Zementfabriken. Knoop W.), Zbl. Arbeitsmed. und Arbeitsschutz, 1955, 5, № 3, 72—75 (нем.)

Описаны приборы, применяемые для измерения кол-ва пыли на цементных заводах. Е. Ш.

4567. О методике контроля черной сырьевой муки. Оганджанова С. С., Зендельская Е. А., Денисова А. Т., Цемент, 1953, № 6, 25—26

Определение кол-ва угля в сырьевой «черной муке» для автоматич. шахтных печей по методике Гипроцемента («Хим. и петрографич. контроль произ-ва цемента») дает завышенные результаты (1,2—1,8%) вследствие недоучета органич. примесей и конституционной воды в материале. В лаборатории Амвросиевского з-да установлено с учетом местных условий, что разница между потерей при прокаливании сырьевой муки без горючей части угля и рассчитанным по титру черной муки кол-вом  $\text{CO}_2$  составляет ~1,3%. Н. Л.

4568. Лёссы Чуйской впадины как сырьё для цементной промышленности. Вахрушев В. А., Рахматуллин Ф. А., Изв. Киргиз. фил. АН СССР, 1954, 3—13, 51—56

Предварительные лабор. испытания некоторых образцов лёссов указывают на возможность использования их в качестве сырья для произ-ва цемента. Из смеси обожженного при 750° лёсса и портландцемента в соотношении 70 : 30 получено гидравлич. вяжущее в-во, устойчивое в 5%-ном р-ре  $\text{Na}_2\text{SO}_4$ . Обожженный лёсс без добавок портландцемента не обладает вяжущими свойствами. П. З.

4569. Совместный или раздельный помол. Бирхельмер (Gemeinsame oder getrennte Vermahlung. Birthelmer Lothar), Silikattechnik, 1955, 6, № 2, 76—77 (нем.)

При совместном помоле сырья (известняк, глина, доменный шлак) наряду с измельчением достигается и интенсивное перемешивание компонентов, что особенно важно для получения клинкера высокого качества. При получении цемента из клинкера применяя сухой и мокрый помол, последний только при немедленном использовании цементного теста. При помоле портландцемента, учитывая незначительное содержание в нем гипса (2—5%), допускается совместный помол клинкера и гипса. При произ-ве шлако-портландцементов более целесообразно применять раздельный помол клинкера и шлаков с их последующим перемешиванием. Добавка гипса при раздельном помоле может быть произведена тремя способами: 1) путем одновременного помола клинкера с дробленным гипсом; 2) поступлением в смесительную мельницу гипса, предварительно размолотого в отдельной небольшой мельнице; 3) поступлением гипсового порошка со склада. Е. Ш.

4570. О новом виде цемента на базе алуниста Заглинского месторождения. Багбанлы И. Л., Зейналова Х. Л., Мирзоева Т. Р., Докл. АН АзССР, 1955, 11, № 4, 249—253 (резюме азерб.)

Предлагается новая схема комплексной переработки алуниста с получением, в частности, одного из видов расширяющегося цемента. Глиноземистый остаток, полученный от неполного обжига алуниста и содержащий 9,41%  $\text{SiO}_2$ , 30,98%  $\text{Al}_2\text{O}_3$  и 26,48%  $\text{SO}_3$ , спекается совместно с известняком (соотношение 1 : 1) при т-ре 1250—1300° в течение 1,5 час. Свойства цемента: остаток на сите № 0085 9,6%; нормальная густота теста 37,5%; начало схватывания 30 мин., конец 35 мин.; выдерживает испытание на равномерность изменения в объеме; предел прочности р-ра через 3 суток при сжатии 293,4  $\text{кг/см}^2$ , при растяжении 25,6  $\text{кг/см}^2$ . Е. Ш.

4571. О влиянии слюды на свойства цементных растворов. Каллаунер, Канцлирж (Über die Wirkung von Glimmer auf die Eigenschaften von Zementmörteln. Kallauner Oskar, Kanclif Edmund), Silikattechnik, 1955, 6, № 5, 203—205 (нем.)

Слюда, даже в небольших кол-вах, снижает прочность цементных р-ров. Влияние слюды зависит от ее крупности и кол-ва. Так, наличие 1% слюды крупностью

0,2—2 мм уже понижает прочность р-ра, а 5% — снижает прочность на 50%. Мелкие фракции слюды (<0,088 мм) снижают прочность р-ра при ее содержаниях в 5% и более. Е. Ш.

4572. Добавление пылевидных зол к цементу. Ферье, Венюа (De l'addition de quelques cendres volantes au ciment. Feret Louis, Venuat Michel), Rev. mater. constr. et trav. publics, 1955, № 475, 87—98 (франц.; резюме англ.)

Изучены пуццоланич. свойства четырех образцов тоноколотых зол электростанций. Образцы готовили на цементах двух типов, содержание золы в смеси составляло 20,40 и 60%. Для сравнения к цементу добавляли в тех же соотношениях молотый кварцевый песок, уд. поверхность которого по Блейну 3510  $\text{см}^2/\text{г}$ . При замене цемента золой до 30%, прочность образцов в 7-дневном возрасте уменьшается примерно на 30%, но с течением времени выравнивается и к 3—6 месяцам становится даже несколько выше прочности образцов на чистом цементе. Зола не оказывает заметного влияния на усадку образцов. И. С.

4573. Влияние цементных поясов на капиллярный подсос кладки. Кок (Der Einfluß des Zementrahmens auf die lotrechte Kapillarität der Mauern. Kok J.), Ziegelindustrie, 1954, 7, № 22, 915—923 (нем.)

В Голландии, в районах с высоким уровнем грунтовых вод, 10 рядов кладки стен (а именно 5 рядов ниже уровня земли и 5 рядов выше) выкладываются из клинкера на плотном цементном р-ре. Приводятся результаты исследования капиллярности материалов. И. К.

4574. Устранение недостатков, ухудшающих качество цемента. Градский (Odstranění závad, které zhoršují jakost cementu. Hradský J.), Stavivo, 1955, 33, № 1, 17—22 (чеш.; резюме рус., нем.)

Описаны мероприятия по улучшению произ-ва цемента (обжиг, размол и порядок отбора проб). Е. С.

4575. Пластичный шлаковый цемент. Рессе, Ролек (Cement żużlowy plastyczny. Riess Henryk, Rolek Mieczysław), Cement. Warno. Gips, 1954, 10, № 12, 253—259 (польск.)

Мокрый помол шлака позволяет полнее использовать его гидравлич. свойства; последние зависят от хим. состава и в меньшей степени — от способа гравуляции. Гидравлич. активность в основном зависит от тонкости помола шлака, достигающей уд. поверхности 4000—4500  $\text{см}^2/\text{г}$  (по Блейну), что позволяет получить вяжущее марки 350—400. Твердение молотого шлака, затрудняющее его хранение, объясняется повышенной т-рой во время помола. Влияния хранения шлака на его активность установить не удалось. Пластичный шлаковый цемент с содержанием 20—30% портландцемента схватывается и твердеет медленнее, чем портландский и шлако-портландцемент. Е. С.

4576. Защитные свойства цементов. Артамонов В. С., Цемент, 1955, № 2, 9—13

Защитные свойства цементов и процесс коррозии стали в них изучались путем исследования изменения потенциалов стальных электродов, изменения электродных потенциалов и силы тока работающей пары, потери в весе и определения защитных свойств покрытий по результатам внешнего осмотра коррозионных повреждений, изменения силы тока в локальном элементе (в паре с цинковым электродом). Наибольшее отрицательное значение потенциала по абсолютной величине имеют электроды в расширяющемся и гипсо-глиноземистом цементах. Потенциал электродов в портландцементе и пуццолановом портландцементе сдвигается в положительную сторону. Таким образом защитные свойства портландцемента и пуццоланового портландцемента значительно выше, чем гипсо-глиноземистого и расширяющегося. Рекомендован ряд мероприятий по дополнительной защите металла от коррозии. Е. Ш.



4577. Пути получения быстротвердеющего портланд-цемента. Дятлов И. П., Пагниева С. Ш., Цемент, 1955, № 3, 24—26

На Кузасском цементном з-де был получен быстротвердеющий цемент двумя способами: 1) при  $KH = 0,90$ , содержания  $C_3S$  и  $C_2A$ , равным 63%, и при тонкости помола, соответствующей проходимости через сито № 0085 93—96%; 2) за счет увеличения удельной поверхности цемента путем добавления к цементу до 30% цементной пыли, улавливаемой электрофильтрами. Е. Ш.

4578. Об ошибочной теории подбора состава бетона на мелких песках. Сизов В. П., Бетон и железобетон, 1955, № 3, 109—112

Анализируется предложенный И. А. Киреевко метод проектирования состава бетона на любых мелких песках. Указывается, что предложенные величины коэф. смачивания значительно выше действительных физ. величин; «универсальная» ф-ла для определения  $B/C$  неточна; экономия цемента достигается за счет резкого снижения прочности бетона; пользование предложенным методом приводит к значительному снижению прочности бетона по сравнению с общепринятым методом. Е. Ш.

4579. Высокопрочный бетон на базе местных материалов (Ашхабадской области). Родов Г. С., Изв. АН ТуркмССР, 1955, № 1, 69—71

Для получения высокопрочных бетонов были применены горный (карбонатный) и каракумский пески, щебень крупностью 5—7 мм, полученный дроблением гравия из плотного известняка. В качестве вяжущего использован портландцемент марки «400». Предел прочности гравия в кубиках  $5 \times 5 \times 5$  см составлял от 700 до 1100  $кг/см^2$ .  $B/C$  изменялось от 0,28 до 0,60. Уплотнение бетонной смеси производилось вибрацией. Прочность кубов с ребром 10 см в возрасте 28 суток составляла от 663 до 250  $кг/см^2$ . Опыты указывают на активную роль крупного заполнителя в высокопрочном бетоне и также подтверждают возможность применения мелкозернистых каракумских песков для изготовления высокопрочных бетонов при относительно невысоком расходе цемента. П. З.

4580. Вакуумированный бетон. Гуч (Vacuum concrete. G o o c h J. N.), Civil Engng and Public Works Rev., 1955, 50, № 586, 409—411 (англ.)

При выборе состава вакуумированного бетона следует учитывать, что при принятом исходном значении  $B/C$  прочность вакуумированного бетона будет на 25% выше прочности обычного бетона. В вакуумированном бетоне кол-во мелких частиц должно быть по возможности меньше. Величина вакуума зависит от размеров конструкции и от ряда технологич. факторов. Описываются приемы вакуумирования различных конструкций. Так, напр., плиты толщиной 40 см вибрируются и вакуумируются в два приема на половину высоты в каждый прием. П. З.

4581. По вопросу о термическом расширении составляющих бетона. Блом (What about «Thermal Compatibility»? Bloem Delmar L.), Cement, Lime and Gravel., 1955, 29, № 9, 465—471 (англ.) Дискуссионная статья о возможности разрушения бетона от воздействия мороза, вследствие различных термич. коэфф. расширения крупного заполнителя и п. р. а. Автор считает маловероятным разрушение бетона вследствие различных термич. коэфф. расширения материалов. П. З.

4582. О выборе морозостойких цементов и бетонов для гидротехнических сооружений. Горчаков Г. И., Тр. Всес. н.-и. ин-та цемент. пром-сти, 1954, № 8, 50—115

Описаны результаты исследования морозостойкости бетонов в лабор. и естественных условиях. Бетоны изготавливались на сульфатостойком, безалюминатном,

белитовом и высококремнеземистом портландцементе. В качестве заполнителей применялись мелкие пески, известковый и гранитный щебень. Изучалось влияние добавок гидрофобных и гидрофильных поверхностно-активных в-в на морозостойкость бетонов. Число циклов замораживания и оттаивания при испытании превышало 500. Испытание в естественных условиях производилось в течение двух лет. Бетон для этих испытаний изготавливали на шести цементах. Расход цемента составлял 322—446  $кг/м^3$ ,  $B/C = 0,50—0,55$ . Наиболее благоприятные результаты получены для бетона на белитовом портландцементе. Изучалось влияние кол-ва воды затворения и расхода цемента на морозостойкость бетона. Бетонные образцы изготавливали с расходом цемента 285  $кг/м^3$ , расход воды менялся в пределах 140—220  $л/м^3$ . 240 циклов замораживания и оттаивания не уменьшали прочности и не изменили внешнего вида образцов с расходом воды 140—170  $л/м^3$ . Изучая влияние расхода цемента в пределах 246—387  $кг/м^3$ , оставляли неизменным (190  $л/м^3$ ) расход воды. После 240 циклов замораживания и оттаивания образцы бетон с  $B/C = 0,49—0,53$  не имели заметных разрушений. На основании результатов исследования рекомендуется бетон для особо суровых условий службы, выдерживающий  $\geq 1000$  циклов замораживания и оттаивания. И. С.

4583. Влияние физических факторов на долговечность гидротехнического бетона. Стольников В. В., В сб.: Коррозия бетона и меры борьбы с ней, М., Изд-во АН СССР, 1954, 52—62

Долговечность бетона (Б), т. е. стойкость против агрессивных вод и мороза, зависит от состава цемента и колл. структуры цементного камня (ЦК) и Б и от коэфф. фильтрации воды, а не от прочности Б. Кол-во дефектов структуры должно быть миним. как в зоне контакта ЦК с заполнителями, так и в самом ЦК. Перемещение воды в Б увеличивает структурные недостатки в местах с наименьшей сопротивляемостью. Так, малая морозостойкость Б объясняется в ряде случаев его повышенным водонасыщением и пенетрирующим влиянием воды на кристаллы гидроалюминатов, легко расщепляющихся по плоскостям спайности. Капиллярный подсос, приводящий к одностороннему попеременному увлажнению и высыханию Б, обуславливает появление значительных знакопеременных усилий и поверхностной трещиноватости. ЦК обычно находится в напряженном состоянии вследствие явлений контракции и неравномерного распределения в массиве Б т-ры и влажности. Это обуславливает появление в отдельных местах ЦК микрощелей и последующее понижение прочности Б. Наиболее эффективным способом уменьшения водонепроницаемости Б и, следовательно, повышения его стойкости, является предотвращение образования сети капилляров седиментационного происхождения в зоне контакта ЦК с заполнителями. Размер этих капилляров (50—100  $\mu$  и более) значительно превышает размер капилляров ЦК (1—25  $\mu$ ), что облегчает проникновение воды в Б. Отмечается положительное влияние на морозостойкость добавок, в частности поверхностно-активных, уменьшающих расслоение цементной пасты и п. р. а. Рассматривается влияние мелкозернистых песков, в частности барханских, на физ.-мех. свойства Б и возможность нейтрации их отрицат. влияния введением гидрофилизирующих и гидрофобизирующих поверхностно-активных добавок. Е. Ш.

4584. Бетонирование «холодным бетоном» и распалубка в зимнее время. Симеонов (Бетонпране със «студен бетон» и декофриране през зимата. Симеонов Н.), Техника (София), 1955, 4, № 1, 13—15 (болг.)

Изложение советского опыта по зимнему бетонированию с применением р-ров  $CaCl_2$  и  $NaCl$ . Е. С.

4585. Влияние добавки поверхностно-активных веществ на некоторые физико-технические свойства цементного раствора. Решетников М. А., Евфимовский И. В., В сб.: Коррозия бетона и меры борьбы с ней, М., Изд-во АН СССР, 1954, 208—217

Изучалась кинетика всасывания воды пластифицированными строительными р-рами и разрабатывался метод ее измерения. Исследовалось всасывание воды р-рами состава 1 : 3 пластичной консистенции (подвижность 79—85 мм). Пластифицирующие добавки (мыло-нафт и жидкий концентрат сульфитно-спиртовой барды) вводили в кол-ве 0,1—0,5% от веса цемента. До испытания образцы твердели на воздухе. Установлено, что введение в строительный р-р мылонафта вызывает уменьшение константы всасывания, а сульфитно-спиртовой барды — увеличение этой константы. Автор рассматривает увеличение константы всасывания как следствие ухудшения структуры затвердевшего р-ра. Изучалось также влияние содержания добавок на изменение пористости цементного р-ра. Наблюдаемое сравнительно малое водопоглощение свидетельствует о том, что в строительных р-рах при испытании на водопоглощение остается много капиллярного воздуха, не вытесненного водой. Капиллярный воздух, создавая «воздушные мешки» в порах материала, обуславливает ложный эффект увеличения водонепроницаемости и коррозионной стойкости под влиянием поверхностно-активных добавок. При длительной службе бетона в подводных гидротехнич. сооружениях неизбежно должно установиться термодинамич. равновесие системы атмосферный воздух — вода — капиллярная вода — капиллярный воздух. Так как в рассматриваемой системе давление капиллярного воздуха больше атмосферного, то имеющийся в системе капиллярный воздух будет постепенно растворяться. Выказано предположение, что введение рассмотренных поверхностно-активных воздухововлекающих в-в в строительный р-р и бетон, предназначенный для длительной службы на границе раздела вода — бетон — вода или вода — бетон — грунт, может снизить долговечность гидротехнич. сооружения. И. С.

4586. Исследование влияния воздухововлекающих добавок. Кокубу (各種 AE 材の使用法に關する研究, 國分正胤), 土木學會論文集, Добоку каккай ромбусю, Trans. Japan Soc. Civil Engrs, 1955, № 23, 1—19 (япон.; резюме англ.) В бетон вводились 5 различных добавок, обычно применяемых в Японии — винсол, Protex, Darex, Spuma и Pozzolith. Для первых 4 добавок желаемые свойства бетона достигаются при одинаковом содержании вовлекаемого ими в бетон воздуха, но кол-во вводимых добавок различно. Воздухововлекающая добавка Pozzolith наиболее целесообразна при бетонировании больших массивов. П. З.

4587. Расчет бетонных смесей. Фултон (The design of concrete mixes. Fulton F. S.), J. Afric. Engr, 1955, 45, № 441, 34—39, 41 (англ.) Расчет бетонных смесей должен обеспечить выбор наиболее экономичного состава, удовлетворяющего требованиям удобоформируемости и прочности. Выбор В/Ц может быть произведен либо по графику  $R_b = f(\text{Ц/В})$ , либо на основании опытов, проведенных на конкретных материалах. Для работы назначается В/Ц, обеспечивающее получение прочности бетона на 35 кг/см<sup>2</sup> более требуемой марки. Выбор расхода цемента производится по приведенным в таблице данным для разных значений В/Ц, рассчитанным на максим. крупность заполнителя 19 мм. При использовании более крупного заполнителя даны рекомендации по уменьшению расхода цемента. Выбор соотношения между

мелким и крупным заполнителем рекомендуется производить также по данным таблицы с учетом максим. размера крупного заполнителя. Приведены примеры расчета бетонных смесей. П. З.

4588. Некоторые вопросы производства автоклавного ячеистого бетона. Кудряшев И. Т., Строит. пром-сть, 1955, № 8, 26—28

При сравнении структур пенобетона и газобетона указывается на ряд недостатков последнего. Отмечается необходимость выдерживания отформованных изделий до запарки и ускорения твердения массы на воздухе, желательность увеличения тонкости помола песка с применением мокрого измельчения и введения интенсификаторов твердения, целесообразность повышения рабочего давления в автоклавах до 12—16 атм и увеличения их размеров, а также необходимость установки вакуумнасосов для создания разрежения внутри автоклавов и целесообразность калибровки изделий. Е. Ш.

4589. Легкие и ячеистые бетоны автоклавного твердения для крупноразмерных изделий. Туркин В. С., Строит. пром-сть, 1955, № 8, 29—32

Кратко описаны различные ячеистые и легкие бетоны с указанием объектов их использования. Е. Ш.

4590. Проектирование состава гидротехнического бетона. Атанасов (Проектиране състава на хидротехнически бетон. Атанасов Трощин). Электроэнергия, 1955, № 5, 11—17 (болг.)

Приводятся требования к исходным материалам и бетону и описывается подбор состава гидротехнич. бетона по методике, принятой в СССР. Е. Ш.

4591. Опыт применения «холодного» бетона. Пуляков К. П., Бетон и железобетон, 1955, № 4, 145—147

Описывается опыт изготовления в зимнее время бетонных конструкций марок 90—140. При приготовлении бетонной смеси вводится р-р поваренной соли в кол-ве 7—10% от воды затворения (в пересчете на сухую соль). После окончания укладки поверхность бетона закрывалась на 1—2 суток слоем опилок или песка. Твердение бетона происходит медленно: в 30-суточном возрасте прочность образцов составляла 33—40% от марки бетона и в 90-суточном 65—80%. Е. Ш.

4592. Огнеупорная бетонная футеровка в печах для обжига. Янкев Л. Ф., Строит. пром-сть, 1955, № 5, 46—47

Описаны конструктивные особенности футеровки печи, предусматривающие соединения огнеупорной футеровки с кладкой из обычного глиняного кирпича. Указано, в каких случаях целесообразно применять блоки из огнеупорного бетона или монолитного армированного огнеупорного бетона и какие необходимо проводить особые мероприятия при использовании армированных блоков. Приведены данные о составе огнеупорного бетона, укладке его, твердении и сушке. П. З.

4593. Производство глазурированных легкогобетонных камней. — (Glazed lightweight block now being produced. —), Brick and Clay Rec., 1954, 25, № 1, 62—63, 102 (англ.)

Бетонные камни на легком заполнителе после пропаривания покрывают промежуточным слоем глазури. Для этого лицевая поверхность камня сперва посыпается глазуриным порошком, который разравнивается и вдавливается спец. прибором, и затем в расплывчатой камере образгивается жидкой глазуриной массой. Камни после этого поступают в туннельную печь, где происходит обжиг глазури при 627—649°, затем на промежуточный слой наносят посредством разбрызгивания отделочный цветной слой жидкой глазуриной массы (эмали) и камни вторично подвергаются обжигу. И. К.

4594. Повышение водонепроницаемости, механической прочности, морозостойкости и стойкости бетона к агрессивным средам. Корниенко М. А., Сергеева В. С., Полтавцева А. И., Тр. Харьковский инж.-строит. ин-та, 1955, № 4 183—192

Предлагается повышение качества бетонных изделий путем нанесения защитно-изоляционной пленки из перхлорвиниловой смолы; пропитки р-ром перхлорвиниловой смолы в дихлорэтаноле или воде. р-ром карбамидной смолы; затвердения бетонной смеси на водн. р-ре карбамидной смолы. Е. Ш.

4595. К вопросу о водонепроницаемости бетона в тоннелестроении. Голубков А. И., Бетон и железобетон, 1955, № 4, 147—148

Абсолютная водонепроницаемость (В) бетона не может быть достигнута, вследствие неизбежной пористости бетона. Однако практич. степень В в условиях тоннелестроения вполне удовлетворяет требованиям гидроизоляции. Достаточная В может быть обеспечена при совместном введении оптимального кол-ва фракции песка  $< 0,15$  мм (в условиях опытов  $\sim 20\%$ ) и хим. ускорителей твердения при расходе цемента  $\leq 350$  кг/м<sup>3</sup> бетона. В случае введения ускорителей твердения отмечается наличие высокой В также и пропаренного бетона. Е. Ш.

4596. Исследование отвалных доменных шлаков как заполнителей жароупорного бетона. Красов К. Д., Оймаа Э. Г., Науч. сообщение Центр. и.и. ин-та пром. сооружений, 1955, № 19, 54

Описываются результаты исследования отвалных доменных шлаков как заполнителей жароупорного бетона (ЖБ) при длительном воздействии высоких т-р. Приведены характеристики жароупорных свойств цементного камня и физ.-мех. свойств ЖБ. Указаны оптимальные составы и условия применения ЖБ на керченском, магнитогорском и днепропетровском шлаках. Е. Ш.

4597. Экспериментальное исследование влияния воздуха в порах бетонных образцов на их водонепроницаемость. Вербецкий Г. П., Изв. Тбилис. и.и. ин-та сооруж. и гидроэнергетики, 1954, 7, 57—76

Установлено, что значительные колебания значений коэфф. фильтрации отдельных образцов объясняются главным образом присутствием воздуха в порах бетона. Водонепроницаемость образцов, содержащих воздух в порах, повышена. Чем выше степень насыщения образцов водой, тем больше их коэфф. фильтрации. Для получения устойчивых и сравнимых результатов необходимо, чтобы при испытании на водонепроницаемость степень насыщения образцов была одинакова и практически равна полному насыщению. Испытание образцов необходимо производить на приборах, в которых исключена или затруднена возможность дополнительного растворения газов в воде. Для заправки прибора пригодна водопроводная вода при продолжительности испытания образцов не свыше одного месяца. В случае проведения спец. опытов, в особенности при изучении процессов самоуплотнения бетона, необходимо применять деаэрированную воду. И. С.

4598. Применение хлористого кальция в бетонных смесях. Лёнрот (Kalsiumkloridin käyttö betoni-seoksissa. Lönroth A. B.), Rakennustaito, 1955, 50, № 2, 28—30 (фин.)

Приводятся результаты опытов по применению в бетонных смесях  $\text{CaCl}_2$  в кол-ве 2% от веса цемента. Бетон с  $\text{CaCl}_2$  схватывается быстрее, особенно при низкой т-ре. Через 3—5 лет прочность бетона на сжатие оказалась на 6—11% выше, пластичность бетонной смеси с  $\text{CaCl}_2$  увеличилась, плотность возросла, сопротивление истиранию увеличилось в 2 раза. В железобетонных сооружениях через 4 года не обнаружено ржавчины. М. Т.

бетонных сооружениях через 4 года не обнаружено ржавчины. М. Т.

4599. Морозостойкость бетона и его заполнителей. Мионов С. А. В сб.: Коррозия бетона и меры борьбы с ней, М., Изд-во АН СССР, 1954, 74—85

Описаны результаты длительных испытаний на морозостойкость бетонов и крупных заполнителей. Бетон изготавливали на цементах различного минералогич. состава. В качестве крупного заполнителя применяли известняки и доломиты. Бетонные образцы испытывали на морозостойкость (25—600 циклов) в возрасте 7—300 дней. Изучалось также влияние на морозостойкость бетона различных тонкомолотых добавок,  $\text{CaCl}_2$  и различных режимов твердения бетона. Из цементов наиболее морозостойким оказался портландцемент и наименее стойким — гипсо-шлаковый цемент. Морозостойкими были не только бетоны на щебне из изверженных пород, но и бетоны на щебне из плотных и доломитизированных известняков, имеющих водопоглощение до 4—5%. Добавка 2%  $\text{CaCl}_2$  увеличивает морозостойкость бетона. Бетон на портландцементе после пропаривания или автоклавирования обладает высокой морозостойкостью. Испытание гидротехнич. бетона на морозостойкость должно продолжаться до полного разрушения образцов и, во всяком случае, не менее чем до 200 циклов замораживания и оттаивания. И. С.

4600. Распространение влаги в бетоне. Бертранди, Кезерг, Меригу (Mouvement de l'humidité dans les mortiers. Bertrand R., Caizergues R., Mérigoux R.), J. phys. et radium, 1954, 15, № 12, 68s—69s (франц.)

Распространение влаги в бетоне изучалось путем периодич. измерения электрич. сопротивления бетона в нескольких точках, с отсчетом времени, прошедшего с начала пропитывания бетона водой под давлением. Для этой цели в блок бетона был заделан фланец для подачи воды под давлением и три пары медных электродов. Каждая пара электродов располагалась на определенном, постепенно увеличивающемся расстоянии от того торца бетона, откуда подавалась вода. Между электродами одноименной пары расстояние составляло 10 мм. Определение электрич. сопротивления осуществлялось путем кратковременного подведения напряжения к каждой паре электродов и измерения тока, проходящего по бетону через 10-мм зазоры. По показаниям гальванометра определялось сопротивление бетона. По мере проникновения в бетон влаги проводимость данного участка бетона постепенно увеличивается и достигает максимума, когда бетон полностью насыщен влагой. Чем больше расстояние каждой пары электродов от места подачи воды, тем позднее происходит увеличение проводимости, что служит мерой, определяющей скорость распространения влаги. Приведены результаты проведенных определений для бетонов двух марок. Измерения производились через 7 и 28 суток после формирования бетона. В. 3.

4601. О сцеплении с бетоном оцинкованной и черной круглой стали. Бродбек (Über die Haftfestigkeit von verzinkten und schwarzen Rundstählen in Beton. Brodbeck M.), Schweiz Bauzeitung, 1954, 72, № 18, 256—257 (нем.)

В результате хим. взаимодействия цинка с клинкерными минералами оцинкованная сталь значительно лучше сцепляется с бетоном, чем черная. С уменьшением диаметра стали эффект оцинковки возрастает. Е. Ш.

4602. Исследование причин внезапного обрыва высокопрочной стальной арматурной проволоки, примененной в параболических железобетонных фермах. Бельш (Recherche des causes de la rupture spontanée des fils d'acier à haute résistance utilisés comme tirants dans des portiques en béton armé, à travers



parabolique. Belche L.), Precontrainte, 1954, 4, № 2, 65—75 (франц.)

Исследовали образцы 7-мм проволоки, взятой из затяжек железобетонных ферм с предварительно напряженной арматурой, в которых на протяжении нескольких недель произошло три случая внезапного обрыва арматуры. Оказалось, что применялась проволока двух типов, отличающаяся по хим. составу и структуре: закаленная из кремне-марганцовистой стали и холоднокатаная из высокоуглеродистой стали. Оборвавшаяся проволока относится к первому типу и содержит (в %): С 0,65, Мн 0,65, Si 1,50, S 0,02 и Р 0,04. Характер трещин приводит к выводу о влиянии атмосферной коррозии вследствие недостаточной толщины защитного слоя бетона, наличии поверхностных дефектов и возникновении повышенных напряжений на растяжение в частях затяжек, где проволока огибала конец ферм. Исследование высокоуглеродистой проволоки показало ее полную сохранность. И. С. С.

4603. Поточное производство железобетонных настилов перекрытий. Левин С. Л., Бетон и железобетон, 1955, № 4, 143—145

Описывается агрегатно-поточная схема произ-ва длиномерных ребристых настилов и иных ребристых элементов, осуществленная на одном из ленинградских заводов железобетонных изделий. Приведены рекомендации по конструированию металлич. форм. Е. Ш.

4604. Предварительно напряженный железобетон в промышленном строительстве Польши. Кузь Станислав, Зелинский Зенон, Бетон и железобетон, 1955, № 4, 149—150

Описываются отдельные виды предварительно напряженных железобетонных конструкций, изготовляемых в Польше, и приводятся характеристики применяемых сталей и бетонов. Е. Ш.

4605. Некоторые вопросы технологии заводского производства сборного железобетона. Балатъев П., Строит. материалы, 1955, № 6, 12—15

Обзорная статья, посвященная новейшим результатам научно-исследовательских работ в области технологии сборного железобетона. Е. Ш.

4606. Сравнительное исследование методов пропаривания и электропрогрева бетона и стыков железобетонных балок. Саталкин А. В., Сб. Ленингр. ин-та инж. ж.-д. трансп., 1955, вып. 148, 149—179

Приводятся результаты параллельных исследований по пропариванию и электропрогреву бетона как при лаборатор. испытаниях образцов, так и при испытании моделей стыков сборных железобетонных подкрановых балок. В лабор. условиях исследовалось влияние на прочность бетона и величину сцепления арматуры с бетоном интенсивности и начала прогрева при разных температурах, увлажнения бетона в процессе электропрогрева, условий охлаждения бетона после электропрогрева и пропаривания. При испытании железобетонных балок сравнивались два типа стыков: стыки в нахлестку и сварные стыки. Опыты показали, что потенциальные возможности способа пропаривания больше, чем способа электропрогрева, ибо у последнего имеется один существенный недостаток — неизбежность испарения воды и опасность высушивания бетона, не считая, безусловно, большей неоднородности температурного режима бетона в разных частях конструкции. Данные опытов по прогреву стыков показывают, что если при изготовлении конструкций применяется пропаривание, целесообразно пропаривать и стыки. Если же все сборные конструкции изготавливаются на строительстве с применением электропрогрева, то и для прогрева стыков целесообразно применить также электропрогрев. Б. З.

4607 К. Огнеупорные строительные материалы. Преславский (Огнеупорные строительные материалы. Преславский Недко. София, Наука и искусство, 1954, 180 стр., 5,40 лв.) (болг.)

4608 К. Лабораторный практикум по общему курсу строительных материалов (Учеб. для инж.-строит. ин-тов и фак.). Воробьев В. А. М., Промстройиздат, 1955, 296 стр. с илл., 7 р. 80 к.

4609 К. Технология производства кварцевых пластин. М.—Л., Госэнергиздат, 1955, 195 стр. с илл., 7 р. 25 к.

4610 Д. Исследование структуры и свойств металлокерамических композиций на основе серебра и окиси кадмия для электрических контактов. Мещенко И. П. Автореф. дисс. канд. техн. н., Ин-т М-ва электротехн. пром-сти СССР, М., 1955

4611 Д. Структурно-механические свойства узбекского керамического сырья. Еременко В. В. Автореф. дисс. канд. техн. н., Ин-т сооруж. АН УзССР, Ташкент, 1955

4612 Д. Некоторые особенности поверхностного разрушения бетона в условиях континентального сухого и жаркого климата. Невский В. А. Автореф. дисс. канд. техн. н., Моск. инж.-строит. ин-т, М., 1955

4613 Д. Новые строительные характеристики битумов и цементов по структурно-механическим свойствам. Михайлов Н. В. Автореф. дисс. докт. техн. н., Ин-т физ. химии АН СССР, М., 1955

4614 Д. Самоуплотнение цементов при твердении и его количественная характеристика. Куницын Л. С. Автореф. дисс. канд. техн. н., Ин-т сооруж. АН УзССР, Ташкент, 1955

4615 П. Стекло, поглощающее ультрафиолетовые лучи. Барнс, Фрейзер (Glass. Barnes Robert Bowling, Fraser Walter A.) [American Optical Co.]. Пат. США 2676109, 20.04.54

Стекло, поглощающее УФ-лучи и имеющее нейтр. окраску, состоит из 14—20% щел. окислов, 60—72% кремнезема, 9—11% окиси кальция, до 0,4% окиси меди и некоторого кол-ва поглощающего УФ-лучи окисла, который берется из группы, состоящей из окиси ванадия, окиси церия или их смесей. Вместе с красителем, взятым из группы окислов марганца, никеля, кобальта или их смеси, получается при добавке окиси меди стекло со следующей характеристикой пропускания (при толщине 6 мм): для 400 мμ 45—70%, для 500 мμ 58—76%, для 600 мμ 50—71% для 700 мμ 67—80%, а для излучения с длиной волны меньше 360 мμ не более 13%. Содержание отдельных окислов в стекле (в %): окиси ванадия ≤ 0,15, окиси церия ≤ 5,0, окиси марганца ≤ 1,4, окиси никеля ≤ 0,01, окиси кобальта ≤ 0,003; окиси серебра ≤ 0,3. С. И.

4616 П. Оптические стекла. Де-Паолис (Optical glass. De Paolis Paul F.) [Canadian Kodak Co., Ltd]. Канад. пат. 493137, 26.05.53

Патентуются следующие составы оптич. стекол: 1. Стекло с показателем преломления  $n_d$  1,62—1,70 и числом Аббе 53—60 состоит из 40—56% стеклообразующих окислов, в том числе не менее 36%  $B_2O_3$ , остальные же из группы  $Al_2O_3$ ,  $BeO$  и  $SiO_2$ ; 25—45% окислов редких металлов из группы  $La_2O_3$ ,  $ThO_2$  и  $Ta_2O_5$ , в том числе не менее 19%  $La_2O_3$  и 5%  $ThO_2$ ; 13—25% окислов других металлов. 2. Стекло с показателем преломления  $n_d$  1,63—1,68 и числом Аббе 53—57 состоит из 45—56% стеклообразующих окислов, в том числе не менее 36%  $B_2O_3$  и 10%  $Al_2O_3$ ; более 40% окислов La, Th и Ta, в том числе более 25%  $La_2O_3$ ; не более 15% окислов двухвалентных металлов. 3. Стекло с показателем преломления  $n_d$  1,62—1,65 и числом Аббе 55—60 состоит из

45—55% стеклообразующих окислов, в том числе 35%  $B_2O_3$  и 5%  $BeO$ ; 25—30% ( $La_2O_3 + ThO_2$ ), в том числе 20%  $La_2O_3$ ; 25% окислов двухвалентных металлов.

С. И.

**4617 П.** Способ получения фтористого стекла. Сунь Гуань-хань (Method of making fluorine glass. Sun Guan-Han) [Canadian Kodak Co., Ltd]. Канад. пат. 502892, 25.05.54

Метод избежания заглупления стекол, состоящих из фторидов, заключается в добавлении к расплаву шихты пятихлористого или пятифтористого фосфора в кол-ве 0,5—5,0%. Фтористые стекла содержат:  $MgF_2$  один из фторидов Ca, Ba или Sr, а также один из фторидов La, Ce, Th. Фторид Al, фторид Be и указанное кол-во галогенного фосфора.

Н. П.

**4618 П.** Фторо-фосфатные стекла. Сунь Гуань-хань (Fluorophosphate glass. Sun Guan-Han) [Canadian Kodak Co., Ltd]. Канад. пат. 507137, 9.11.54

Фторо-фосфатные оптич. стекла, имеющие высокую стойкость к плавиковой к-те, получают из шихты (в % по весу): метафосфата алюминия 19—40, фтористого магния 0,3—0,4, фтористого кальция 0,5—14,0, фтористого цинка 0,3—1,0, фтористого стронция 0,3—0,7, фтористого бария 31—57,1, фтористого лантана 0,5—3,0.

Н. П.

**4619 П.** Способ производства стеклянного волокна. Лабиньо (Method for producing glass fibers and bonded mat. Labino Dominick) [Glass Fibers, Inc.]. Пат. США 2663903, 29.12.53

Способ получения штапельного стекловолокна, свободного от «слезок», заключается в том, что большое кол-во концов нитей стекловолокна подается в струю газа с высокой т-рой. Концы волокон расплавляются и увлекаются с большой скоростью, превращаясь в штапельное волокно равномерной тонины. Газовая струя содержит от 1 до 4 об. % CO для обеспечения восстановительной среды.

С. И.

**4620 П.** Способ приготовления керамической пасты. Шенель (Procédé de préparation de pâte céramique. Chenel Emile) [Manufacture de Carrelages Céramiques]. Франц. пат. 1030926, 15.06.53 [Ind. céramique, 1953, № 446, 23D (франц.)]

До составления окончательной композиции готовят отдельно, с одной стороны, возможно более густое тесто, содержащее наиболее жирные составные части, с другой стороны, порошок, содержащий наиболее тощие компоненты; затем смешивают это тесто с порошком для получения, без прохождения через фильтрпресс, плиток требуемого состава.

С. И.

**4621 П.** Высокая диэлектрическая проницаемость диэлектрических материалов. Рашман, Страйвенс (High permittivity dielectric material. Rushman Douglas F., Strivens Maurice A.) [Philips Lamps Ltd]. Канад. пат. 507817, 30.11.54

При изготовлении смешанных мета-титановых диэлектрич. материалов, в которых средний ат. вес металлов превышает 130, состоит из совместного осаждения по крайней мере двух металлич. окислов (или соединений, которые при термич. обработке дают эти окислы) из р-ров растворимых солей соответствующих металлов, перемешивание смеси металлич. окислов (или эквивалентных соединений), полученных таким путем с двуокисью титана, и, наконец, обжиг смеси. Смесь металлич. окислов и двуокиси титана предварительно обжигается до т-ры, достаточной для получения мета-титаната металла, затем предварительно обожженный продукт размалывается и подвергается окончательному обжигу. Смесь можно составлять из мета-титаната бария как основного материала с одним или более мета-титанатами Ca, Sr, Pb, Zn, Cd и Mg; обжиг производится при т-ре между 1000° и 1400°. Способ изготов-

ления смешанных мета-титановых диэлектрич. материалов, в которых средний ат. вес металлов превышает 130, состоит из совместного осаждения карбонатов Ba и Sr, превращения этих карбонатов в соответствующие окислы, добавления двуокиси титана к смеси окислов Ba и Sr и обжига смеси до т-ры примерно 1250° до образования смешанного Ba-Sr мета-титаната.

Г. М.

**4622 П.** Спекшиеся титановые массы. Биллинг, Меррей (Sintered titania masses. Billing J. F., Murray P.) [National Research Development Corp.]. Англ. пат. 713527, 11.08.54 [Trans. Brit. Ceram. Soc., 1955, 54, № 1, A12—A13 (англ.)]

Плотная масса  $TiO_2$  с добавками до 2% флюса спекается при 1500° в среде  $O_2$  и охлаждается до 1200° в этой же среде. Подходящий флюс — вайомидский бевитит, также может быть добавлен воск. Пористость спекшейся массы <5%.

В. Р.

**4623 П.** Способ изготовления синтетической, расплавленной с большой поверхностью слюды особо пригодной для получения неорганических изоляционных материалов (Verfahren zur Herstellung eines großflächigen, spaltbaren, insbesondere für die Gewinnung von anorganischen Isolierstoffen geeigneten synthetischen Glimmers) [Siemens-Schuckertwerke A.-G.]. Пат. ГФР 907886, 29.03.54 [Glastechn. Ber., 1954, 27, № 4, P19 (нем.)]

Синтетическая слюда получается из расплава фторосиликата K с соединениями Mg или Ca и Al и  $SiO_2$ , в котором двух и трехвалентные металлы находятся в молекулярном соотношении 4 : 1, причем  $F_2$  как минерализатор вводится исключительно в форме фторосиликата K.

С. Т.

**4624 П.** Способ покрытия поверхностей слоем мелкого порошка. Томсон-Андерсон, Уорд (Verfahren zum Verkleiden von Flächen mit einer anhaftenden Schicht eines feinen Pulvers. Thomson Anderson James, Ward Harold Francis) [British Thomson-Houston Co. Ltd]. Пат. ГФР 876059, 7.05.53 [Chem. Zbl., 1954, 125, № 43, 9829—9830 (нем.)]

Патентуется способ нанесения покрытий из порошкообразных флуоресцентных материалов (ФМ) на стекло и т. п. путем одновременного осаждения порошка ФМ и связующего в виде суспензии. Напр., катодную трубку заливают  $CH_3OH$  и в него вводят суспензию состава (в см<sup>3</sup>): колл.  $SiO_2$  10 (может быть заменена р-ром силиката или фосфата шел. металла с добавкой  $CaSO_4$  или бората Ca);  $CH_3OH$  40; ФМ 0,7;  $Na_2B_4O_7 \cdot 10H_2O$  5. Полученная суспензия имеет конц-ию 0,01 г/см<sup>3</sup>. В течение 3 час. суспензия осаждается на стекло, затем жидкость сливают, полученный слой сушат и прокалывают.

В. З.

**4625 П.** Приготовление металлокерамических изделий. Хаузер (Verfahren zur Herstellung metallkeramischer Formkörper. Hauser Max). Пат. ГФР 880213, 18.06.53 [Chem. Zbl., 1954, 125, № 21, 4711 (нем.)]

Приготавливается пластичная масса из порошкообразного металла, окиси металла или руды и гидрата силиката. Для удаления воды из гидрата и для восстановления образовавшейся окиси отформованное из массы изделие нагревается в восстановительной среде и затем т-ра поднимается до желаемой степени спекания.

С. Т.

**4626 П.** Способ изготовления металлокерамических прессованных изделий из порошка мягкого железа с частицами шарообразной формы. Незер (Verfahren zur Herstellung von metallkeramischen Preßkörpern aus kugelförmigem Weicheisenpulver. Naezer Gerhard) [Mannesmann A.-G.]. Пат. ГФР

897712, 23.11.53 [Stahl und Eisen, 1954, 74, № 16, 1027 (нем.)]

При электролизе солей Fe при высокой плотности тока на катоде отлагается тонкодисперсный порошок Fe с частицами шарообразной формы, который хорошо прессуется. С. Т.

4627 П. Высокотемпературная печь для обжига в окислительной или нейтральной среде (Four à haute température à atmosphère de cuisson oxydante ou neutre) [Cie Gle de Télégraphie Sans Fil.]. Франц. пат. 1081173, 16.12.54 [Ind. céram., 1955, № 461, d 4 (франц.)]

Печь для обжига на 1400—1800° и выше характеризуется применением вольфрамовых нагревательных элементов, заключенных в плотные огнеупорные кожухи с восстановительной газовой средой. Газовая среда печи может быть окислительной или нейтральной. С. Т.

4628 П. Материал из кремний-карбидных масс для турбинных лопаток (Werkstoff aus Siliciumcarbidsmassen für Turbinenschaukeln) [Gerb. Böhler und Co. A.-G.]. Пат. ГФР 897220, 19.11.53 [Chem. Zbl., 1954, 125, № 18, 4012 (нем.)]

Применяется кремний-карбидная масса, которая в качестве связующего не содержит алюмосиликата. Напр., такую массу готовят из смеси (в %): SiC 90, кремнекислоты 8 и извести 2, которая после обжига в пределах 1300—1400° дает прочно спекшуюся массу, которая только при высоких т-рах склонна к размягчению. Эта масса пригодна для турбинных лопаток. С. Т.

4629 П. Приготовление керамических шликеров, особенно шликеров из окисных масс. Микви (Aufbereitung von keramischen Schlickern, insbesondere von Oxydmassenschlickern. Mickwitz Alexander v.). [Siemens-Schuckertwerke A.-G.]. Пат. ГФР 897067, 16.11.53 [Chem. Zbl., 1954, 125, № 18, 4012 (нем.)]

Для пептизации окисных шликеров применяется  $\text{H}_2\text{SO}_4$ , при этом содержащийся как примесь в глиноземе алюминат Na переходит в  $\text{Na}_2\text{SO}_4$  и  $\text{Al}_2(\text{SO}_4)_3$ , которые при последующем обжиге разлагаются.  $\text{Na}_2\text{SO}_4$  образует опять алюминат Na, который как малая примесь к глинозему не улетучивается даже при т-рах ~1800°, и продукты сублимации в незначительном кол-ве могут образоваться только при более высоких т-рах. Сернокислотный шликер обладает лучшими литейными свойствами. С. Т.

4630 П. Огнеупорные керамические изделия. Лукс (Feuerfester keramischer Formkörper. Lux Elisabeth) [Heinrich Koppers Gesellschaft mit beschränkter Haftung]. Пат. ГФР 905237, 1.03.54 [Ber. Dtsch. keram. Ges., 1954, 31, № 5, P14 (нем.)]

С-неупорные керамич. изделия с высокой термостойкостью состоят из содержащих кварцевое стекло керамич. масс, в которые входят примерно 60—70% измельченного расплавленного кварца или т. п. с величиной зерен ~3 мм, формирующиеся в смеси с мало изменяющейся в объеме связкой, напр. кислой глиной, с добавкой воды, высушиваются и обжигаются при сравнительно низкой т-ре. Г. М.

4631 П. Литеые огнеупорные изделия. Фулчер, Филд (Aus dem Schmelzfluß gegossenes feuerfestes Erzeugnis. Fulcher Gordon S. Field Theodore E.) [L'Electro-Réfractaire Société Anonyme]. Пат. ГФР 897222, 19.11.54 [Ber. Dtsch. keram. Ges., 1954, 31, № 1, P3 (нем.)]

Литеые огнеупорные изделия состоят главным образом из кристаллич.  $\text{ZrO}_2$ , которая входит в основную массу, состоящую из шёл., шёл.-зем. окислов,  $\text{SiO}_2$  или их смеси, и содержащую  $\text{Al}_2\text{O}_3$  в качестве примеси. Г. М.

4632 П. Вакуумплотные твердоспаянные соединения керамики с металлом. Добке (Vakuumdichte hartgelötete Verbindung von Keramikteilen mit Me-

tallteilen. Dobke Günther) [Licentia Patent-Verwaltungs-G. m. b. H.]. Пат. ГФР 904158, 15.02.54 [Ber. Dtsch. keram. Ges., 1954, 31, № 5, P13 (нем.)]

Вакуумплотные твердоспаянные соединения керамич. деталей с металлич. осуществляются посредством промежуточного слоя из низших окислов тяжелых металлов VII и VIII групп периодической системы, напр. из закисей Mn, Fe, Co, Ni и других. Г. М.

4633 П. Производство огнеупорных боридов металлов. Купер (Manufacture of refractory metal borides. Cooper Hugh S.) [Walter M. Weil]. Пат. США 2678870, 18.05.54

Метод изготовления состоит в вводе в нагретую в пределах 1000—2000° водородную печь тесной смеси элементарного В и гидрида металла из группы Ti, Zr, Th, Nb и Ta, который разлагается и обеспечивает связь В с металлом. С. Т.

4634 П. Огнеупорная отражательная керамика. Лаффито (Céramique réflectrice-réfléctrice. Laffitau A. A.). Франц. пат. 1056439, 26.02.54 [Ind. céram., 1954, № 453, 12d (франц.)]

В эмаль добавляют материал, образующий светящийся экран. Светящиеся отражение получают с помощью гранитовидной или мозаичной поверхности. С. Т.

4635 П. Хромосодержащий огнеупор и способ его получения. Фей (Chromoxydhaltiger feuerfester Stoff, seine Verwendung und Herstellung. Fey Richard) [Ges. für Elektrometallurgie m. b. H.]. Пат. ГФР 923955, 26.02.55 [Keram. Z., 1955, 7, № 3, 123 (нем.)]

Способ получения огнеупора, содержащего окись Cr, отличается тем, что металлич. Cr в порошке смешивают с молотой окисью Cr, добавляют соли шёл. и шёл.-зем. металлов и спекают при т-ре >1000°. Высокая огнеупорность этого материала (>1700°) обусловлена образованием соединения  $\text{CrO} \cdot \text{Cr}_2\text{O}_3$ . К. Г.

4636 П. Необоженный огнеупорный кирпич и способ его получения. Хьюэр (Obränt, eldfast tegel samt förfarande för dess framställning. Heuer R. P.). Швед. пат. 148204, 21.12.54

Необоженный огнеупорный кирпич из обоженного магнезита и (или) плавленного магнезита или смеси обоих или смеси обоженного магнезита или плавленного магнезита с хромитом и содержащий ≥5%, преимущественно >10% MgO, отличающийся тем, что кирпич содержит в качестве связки углекислые соединения Mg, образующиеся в отформованном кирпиче. К. Г.

4637 П. Гибкие абразивные изделия. Хисли (Flexible abrasive article. Heasley Charles K.) [Minnesota Mining and Manufacturing Co.]. Канад. пат. 494871, 28.07.53

Абразивное изделие характеризуется тем, что его поверхность покрыта абразивными зёрнами, прикрепленными к листовому подкладочному материалу связующим в-вом, состоящим в основном из животного клея и канифоли (древесная смола). Составные части этого связующего находятся в отношении 75 ч. клея примерно к 25 ч. канифоли или 85—65 ч. клея к 15—35 ч. канифоли, которая в основном состоит из частиц крупностью <60 м с преобладанием частиц в ней <12 м. Другим связующим является в-во, состоящее из 80—65 ч. животного клея и 20—35 ч. нерастворимой в воде термoplastич. органич. смолы нормальной плотности. Вышеуказанная смола состоит в основном из частиц крупностью <60 м, большинство из которых имеют размер 2—12 м, растворимого в воде колл. белкового связующего в-ва и нерастворимой в воде термoplastич. органич. смолы, размягчающейся примерно при 160—210°; вышеуказанные составные части находятся в отношении 85—65 ч. белкового связующего в-ва и 15—35 ч. смолы, которая в основном состоит из частиц круп-



ностью  $< 60 \mu$  и преимущественно с размером частиц  $< 12 \mu$ .

**4638 П.** Непроницаемый в эластичный цемент. Маррокин (Cemento impermeabilizante y elastico. Magroquin Carlos F.) [Cementos Anahuac, S. A.]. Мексик. пат. 53330, 27.02.53

Патентуемый цемент состоит из тонкомолотых компонентов, напр., портландцемента с высоким содержанием трехкальциевого алюмината, лейцина, глутаминовой к-ты, аминокислот, алюмосиликата, напр., каолина. При смешении с водой получается непроницаемое и эластичное покрытие.

**4639 П.** Способ ускорения изготовления бетонных изделий. Хойер (Verfahren zur beschleunigten Herstellung von Betonkörpern. Hoyer Ewald). Пат. ГФР 906427, 15.03.54 [Chem. Zbl., 1954, 125, № 44, 10083 (нем.)]

Бетонные изделия, изготовленные на основе высокопрочного цемента, сразу после формовки подвергаются нагреву до  $t$ -ры ниже  $100^\circ$ . Подача тепла прекращается постепенно или когда достигается максим.  $t$ -ра в связи с выделением тепла при схватывании бетона.

**4640 П.** Способ получения дорожного строительного материала (Fremgangsmåde til fremstilling af byggematerialer til veje) [Firmaet Zeller & Gmelin]. Дат. пат. 79128, 12.04.55

Способ получения дорожного строительного материала из инертного материала, битумной эмульсии и  $p$ -ра фенолята отличается тем, что инертный материал сначала покрывают фенолятом, а затем битумной эмульсией. Пример: 100 л заполнителя с величиной зерна 3–8 мм смешивают с 2 л  $p$ -ра фенолята и после смачивания заполнителя добавляют 10 л 60%-ной битумной эмульсии. После разрушения эмульсии и отделения воды материал укладывают. Преимущество описанного способа состоит в повышении адгезии битума к поверхности смоченной фенолятом и уменьшении расхода битума.

**4641 П.** Пористые формы из гипса и кремнезема. Касима, Мики (Porous molds from gypsum and silica. Kashima Jiro, Miki Masamitsu). Япон. пат. 1490, 20.03.54 [Chem. Abstr., 1955, 49, № 1, 582 (англ.)]

Формуется смесь: 25% полуводного гипса, 25% песка фракций 70–100 меш и 50% воды. Сформованная деталь оставляется на сутки, затем нагревается в течение 2 час. до  $105$ – $106^\circ$  в 17%-ном водн.  $p$ -ре NaCl. Затем форма промывается водой, выдерживается в течение трех суток и подогрывается в течение 3 час. до  $80$ – $120^\circ$  и один час до  $400^\circ$ .

**4642 П.** Производство изделий методом литья. Шателен (Procédé de fabrication d'un corps moulé. Châtelain André). Швейц. пат. 297242, 17.05.54 [Chem. Zbl., 1955, 126, № 9, 2050 (нем.)]

Масса, состоящая преимущественно из цемента, молотого мела, казенна, наполнителя, пигмента и воды, заливается с помощью дозирующего приспособления в формы, в которых по крайней мере дно имеет гладкую поверхность. Получается изделие, имеющее одну гладкую и блестящую поверхность, которая покрывается уплотняющим материалом, напр. лаком на базе силикона.

См. также: Силикаты 3675. Стекло 5692. Строительная керамика 5222, 5223, 5931. Электрокерамика 3276. Огнеупоры 5691. Вязущие материалы 5940

## ПОЛУЧЕНИЕ И РАЗДЕЛЕНИЕ ГАЗОВ

**4643.** Газовый сепаратор, построенный по принципу селективной диффузии. Мерча Виктор, Греку Эмилия, Наука в Рум. Нар. Респ., 1953, 2, 25–31

Рассмотрено течение газа через стенку цилиндра из пористого материала с внутренним радиусом  $r_1$  и наружным  $r_2$  при разности давлений  $\Delta p$  с обеих сторон. Получена ф-ла для подсчета колич. диффундирующего через стенку газа  $G = \Delta p / (lg r_2/r_1) (1/2\pi \cdot L \cdot \rho)$ , где  $\rho$  — «кажущаяся проводимость» пористого материала. Явление диффузии газа через пористую стенку исследовалось экспериментально. Оказалось, что  $G$  в данном цилиндре линейно изменяется с  $\Delta p$ , а при неизменном  $\Delta p$  прямо пропорционален длине цилиндра  $L$ . Установлено, что при диффузии метана через фарфоровую стенку  $\rho = 4,43 \cdot 10^{-9}$ ; при протекании воздуха через  $1 \text{ м}^2$  стенки из пористого фарфора толщиной  $1 \text{ см}$  при  $\Delta p = 1 \text{ атм}$   $G = 14,3 \text{ м}^3$  воздуха в 1 час. Измерения с  $H_2$ ,  $CH_4$  и  $CO_2$  подтверждают молекулярный характер течения газов в порах цилиндра. На эксперим. установке проверена возможность использования явления селективной диффузии для разделения газовых смесей. Построен двухступенчатый газовый сепаратор с трубками из пористого фарфора диам. 20 мм и длиной 285 мм. Общая поверхность одной ступени 268  $\text{м}^2$ . При  $\Delta p = 730 \text{ мм рт. ст.}$  общая скорость диффузии составляет 26,8  $\text{м}^3$ . Если разделению подвергается смесь из равных кол-в  $H_2$  и  $CH_4$ , то после первой ступени содержание  $H_2$  увеличивается до 73%, а после второй до 87%.

**4644.** Обследование работы регенераторов больших кислородных установок. Вейсхаупт (Messungen an regeneratoren von Groß-Sauerstoff-Anlagen. Weisshaup J.), Kältetechnik, 1953, 5, № 4, 99–103 (нем.)

Произведено сопоставление регенераторов: заполненных насадкой из камней (I) и обычных регенераторов с алюминиевой гофрированной лентой (II), основанное на опытных данных. Установлено: I) в I кол-во насадки составляет 1,5  $\text{кг/м}^2 \cdot \text{час}$ , а в II 0,38; скорость газа, отнесенная к полному сечению, в I равна 0,95  $\text{м/сек}$ , а в II 2,4  $\text{м/сек}$ ; периодичность переключения для I 7–15 мин., для II 3 мин. Стоимость I оказывается на 60–65% ниже, чем II, несмотря на большие размеры I (в 1,6 раза). Приведены некоторые опытные данные о распределении  $t$ -р и профилях скоростей в различных сечениях I.

**4645.** Новые материалы для изготовления уплотнений кислородной арматуры. Кель, Бруншвилер (Neue Stoffe für die Herstellung von Dichtungskörpern an Sauerstoff-Armaturen. Keel C., Brunschwiler P.), Z. Schweisstechnik, 1954, 44, № 6, 126–128 (нем.; франц.)

В качестве заменителей резины для уплотнений кислородной арматуры применяют эластичные, износостойкие и негорючие материалы, относящиеся к группе полиамидных соединений: нейлон, тефлон, гриллон, кель-F и др. Для уплотнения кислородных вентиляций, клапанов, запорных клапанов, предлагается применять нейлон марки FM 10'001 т. пл.  $250^\circ$ , тефлон т. разл.  $327^\circ$ , гриллон т. пл.  $214^\circ$ ; кель-F употребляют при  $t$ -рах от  $-160^\circ$  до  $+200^\circ$ . Опыт применения этих материалов для уплотнения кислородной арматуры высокого давления показал, что разрушения прокладок резко сократились.

**4646 П.** Очистка инертных газов (Purification of inert gases) [Imperial Chemical Industries, Ltd]. Англ. пат. 690198, 15.04.53 [Abstridgms Specific. Invent., Group III, 186 (англ.)]

Инертные газы (He, Ne, Kr, Xe) очищаются от примесей  $O_2$  или  $N_2$  пропусканием их через расплавленный Mg,  $t$ -ра которого такова, что  $O_2$  и  $N_2$  реагируют преимущественно с парами Mg. Инертные газы могут быть пропущены также над расплавленным Mg, давление

паров которого достаточно для протекания р-ции це-  
ликом в паровой фазе. Н. К.

4647 П. Процесс для разделения компонентов газо-  
вых смесей (Process for the separation of the consti-  
tuents of gaseous mixtures) [Standard Oil Developments  
Co.]. Англ. пат. 707264, 14.04.54

Гиперсорбционный метод разделения газовой смеси,  
содержащей легко- и трудноадсорбируемые компоненты  
(напр., метан, углеводороды с  $C_2$ ,  $C_3$  и выше,  $N_2$  и  $H_2$ ),  
осуществляется в противоточном аппарате, состоящем  
из 3 секций: адсорбции (I), ректификации (II) и десорб-  
ции (III). Газовая смесь вводится в нижнюю часть I,  
метан, азот и водород отводятся сверху;  $C_2$  отбирается  
из средней, а  $C_3$  и выше — из нижней части (II). В III  
адсорбент обрабатывается паром и нагревается посред-  
ством змеевика, после чего газлифтом через холодиль-  
ник возвращается на верх колонны. Процесс может  
быть также применен для разделения парафинов, оле-  
финов, диолефинов и ароматиков, используя в качестве  
адсорбента силикагель; для разделения смеси  $CH_4$ —  
 $N_2$ , извлечения ацетилена из газов процесса Вулфа,  
сероводорода и фракции легких масел из коксового газа.

Ю. С.

См. также: 3566

## ПОДГОТОВКА ВОДЫ. СТОЧНЫЕ ВОДЫ

4648. Качество воды р. Влтавы в районе Праги.  
Буличек (Die Qualität des Moldauwassers  
in Prag und die diese beeinflussenden Faktoren.  
B u l i c e k J.), Acta techn. Acad. sci. hung., 1953, 7,  
№ 3—4, 293—311 (нем.; резюме русс., англ.,  
франц.)

Приводятся данные, характеризующие ухудшение  
качества воды р. Молдавы (Влтавы) за последние 35 лет.  
Анализируются факторы, вызывающие это явление, и  
намечаются пути их устранения с целью санации  
водоемов. О. М.

4649. Новая аппаратура для дозирования раствора  
хлора. Кунц (Über ein neues Chlorlauge-Dosier-  
gerät. K u n z P.), Gesundh.-Ingr, 1954, 75, № 15—  
16, 249—250 (нем.)

Краткое описание двух типов капельной аппаратуры  
(для небольших и крупных установок) для дозирова-  
ния р-ра хлора при обеззараживании питьевой воды.

П. Ф.

4650. Опреснение морской воды. Найт (Dricksvat-  
ten ur oceanen. K n i g h t M.), Industria (Stockholm),  
1954, 50, № 10, 34—35, 78 (швед.)

В настоящее время наиболее крупные топливные  
дистилляционные опреснители (ТДО) работают в Сау-  
ловской Аравии (4000  $m^3/сутки$ ) и на о. Кюрасао  
(10 000  $m^3/сутки$ ). В США ТДО обслуживали во время  
войны ~1 млн. человек на безводн. о-вах Тихого океа-  
на по цене 0,25 доллара за 1  $m^3$  пресной воды (ПВ).  
В условиях Калифорнии солнечные опреснители дают  
~40  $m^3/сутки$  ПВ с площади 1 га. Для индивидуальных  
нужностей обессоливание морской воды (МВ) произ-  
водится брикетированными хим. реагентами, расхо-  
дуемыми в кол-ве 1 вес. ч. на 7 вес. ч. ПВ. Особенно  
многообещающими являются методы: 1) электроонитно-  
го опреснения (стоимость 1  $m^3$  ПВ 0,03—0,06 доллара  
для засоленных вод и ~0,25 доллара для МВ;  
вероятна перспектива почти 10-кратного удешевления);  
2) термич. опреснения с использованием разности т-р  
поверхностных и глубинных слоев МВ, особенно для  
тропиков, где между поверхностной водой океана и  
водой на глубине 500 м разность т-р  $\geq 9^\circ$ . Опытные  
установки этого типа, дающие ПВ по цене 0,01—

0,08 долл. за 1  $m^3$ , имеются во Франции, Бельгии и США.  
О. Л.

4651. Реконструкция старой станции фильтрования.  
Мартин (How we remodeled an old filter plant.  
M a r t i n G. E.), Water and Sewage Works, 1954,  
101, № 12, 524—527 (англ.)

Описан процесс произ-ва работ по демонтажу, сбор-  
ке и загрузке фильтров на станции фильтрования в  
г. Вайнесбурге. С. К.

4652. Обезжелезнение и обезмарганцевание воды на  
опытном скором фильтре в Познани. Рынаржев-  
ский (Odzęzanie i odmanganianie wody na doświadczalnym  
filtrze pospiesznym w Poznaniu. R y n a r z e w s k i J ó z e f), Gaz, woda, techn. sanit.,  
1954, 28, № 9, 274—279 (польск.)

Излагаются результаты исследования процесса обез-  
железнения и обезмарганцевания подземной воды с  
исходной конц-ей  $Fe^{2+}$  0,25—2,0  $mg/l$  и  $Mn^{2+}$  0,25—  
0,9  $mg/l$  по схеме аэрирование — фильтрование. Пло-  
щадь открытого опытного фильтра 66  $m^2$ , высота слоя  
песка 1550 мм, размер зерен 1,0—1,38 мм при коэфф.  
равномерности 1,23, высота слоя гравия 400 мм, высота  
слоя воды над песком 170 мм, рабочий напор 2120 мм,  
промывка с продувкой воздухом. Установлено, что по-  
вышение скорости фильтрования (СФ) с 4 до 10  $m/час$   
практически не влияет на конечный эффект обезжелез-  
нения. При конц-ии  $Fe^{2+}$  в воде, поступающей на фильтр,  
0,75  $mg/l$  снижение ее до 0,3  $mg/l$ , требуемой нормами,  
достигается при прохождении слоя песка толщиной  
700 мм. Дальнейшее снижение конц-ии  $Fe^{2+}$  проте-  
кает значительно медленнее, и она достигает 0,12—0,08  
 $mg/l$  лишь в основании слоя гравия. Процесс обез-  
марганцевания приводит к практически полному уда-  
лению  $Mn^{2+}$ , но сильно зависит от СФ. При СФ 4  $m/час$   
он заканчивается на глубине 600 мм, при СФ 10  $m/час$ —  
на глубине 1000 мм. Существенную роль при обезже-  
лезнении и обезмарганцевании играют адсорбционные  
процессы в толще песка. Адсорбция  $Mn^{2+}$  носит ясно  
выраженный избирательный характер по слоям филь-  
трующей загрузки. О. Л.

4653. Фторидирование воды. Рёдер (Tandbederf-  
fluor-Waterfluoridierung. Technische aspecten.  
R ö d e r J. G. L.), Water, 1954, 38, № 23, 278—280,  
281—282 (голл.)

Описаны способы введения солей F на водопроводных  
станциях и установка фторидирования воды в Тиле  
(Нидерланды). К. Г.

4654. Подъем воды из глубоких колодцев с помощью  
погруженных центробежных насосов с турбинным  
приводом. Вейсее (Die Wasserförderung aus  
Tiefbrunnen durch Unterwasser-Kreiselpumpen mit  
Turbinenantrieb. W e i ß e r C.), Z. Vereines dtsh.  
Ingr, 1953, 95, № 34, 1147—1150 (нем.)

Расчет и описание схемы устройства для подъема воды  
из скважин, состоящего из центробежного насоса, смон-  
тированного на одном валу с гидротурбиной и опу-  
щенного ниже динамич. горизонта воды в скважине.  
Вода, вращающая гидротурбину, подается в скважину  
центробежным насосом, находящимся на поверхности  
земли. Общий к. п. д. установки ~70%. В. К.

4655. Отложения легкорастворимых солей при ин-  
тенсивном парообразовании. Резников М. И.,  
Тр. Моск. энерг. ин-та, 1953, № 11, 173—197

Проводилось эксперим. исследование условий, оп-  
ределяющих возможность выпадения легкорастворимых  
солей ( $Na_2SO_4$ ,  $NaCl$ ) на испарительной поверхности  
нагрева при давл. 36, 61 и 101  $kg/cm^2$  и уд. тепловых  
потоках до  $0,5 \cdot 10^6$   $kcal/m^2$  час. Отложения солей при  
исследованных давлениях зафиксированы при конц-  
ях, близких к насыщению. Подсчитанные на основе  
полученных данных кратности циркуляции в погранич-  
ном слое оказались достаточно большими, чтобы

исключить, возможность образования конц. пленки у поверхности нагрева. Установлено, что интенсивность теплоотдачи к кипящим воды. р-рам  $\text{NaCl}$  и  $\text{Na}_2\text{SO}_4$  меньше, чем к кипящей воде. Предложена расчетная ф-ла для оценки относительного снижения коэфф. теплоотдачи к р-ру  $\text{Na}_2\text{SO}_4$  в зависимости от его конц-ии.

Н. С.

4656. Электроподготовка воды для предупреждения образования накипи. Фриборн (Electrical pretreatment of water. Freeborn A. G.), Power and Works Engng, 1953, 48, № 559, 28—29, 33 (англ.)

В аппарате под фирменным названием «Аквастат», или «Гидротрон» вода подвергается воздействию электронного потока. Такая обработка препятствует кристаллизации и выделению солей жесткости на стенках котлов, теплообменников и т. п. в виде твердой накипи и способствует переходу их в тонкодисперсный шлам, удаляемый продувкой. Отмечается незначительный расход электроэнергии на обработку воды.

О. Л.

4657. Из опыта подготовки воды для нужд Яблонского района промышленности. Бирда (Pokusy v úpravou vody pro potřeby jabloneckého průmyslu. Burda Josef), Sklár a keramik, 1955, 5, № 1, 17—21 (чеш.)

4658. Потребление кислорода сточными водами. II. Применение логарифмической формулы к расчету скорости потребления кислорода бытовыми сточными водами. Орфорд, Инграм (Deoxygenation of sewage. II. The logarithmic formula as applied to sewage. Orford Harold E., Ingram William T.), Sewage and Industr. Wastes, 1953, 25, № 4, 424—434 (англ.)

Установлено, что скорость потребления  $\text{O}_2$  бытовыми сточными водами (СВ) является линейной функцией логарифма времени:  $\text{БПК}_t = S[0,85 \lg at + 0,41]$ , где  $\text{БПК}_t$  — биохимич. потребление  $\text{O}_2$  СВ за  $t$  суток,  $S$  и  $a$  — постоянные параметры для данной СВ ( $S$  — параметр, характеризующий конц-ию органич. примесей данной СВ,  $a$  — относительная скорость их окисления по сравнению со скоростью окисления, принятой в качестве стандарта, бытовой СВ). Предложенное логарифмич. ур-ние проверялось на ряде бытовых СВ, причем расхождения между вычисленными и экспериментально найденными значениями  $\text{БПК}$  за время 2—18 суток в среднем составляли 1,3%. Для параметра  $a$  предложена следующая ф-ла зависимости его от т-ры  $T$  (в интервале  $t$ -р 10—30°):  $a_T = a_{20} \cdot 1,072^{(T-20)}$ .

Параметр  $S$  остается постоянным при изменении т-ры. Сообщение I см. РЖХим, 1954, 11502.

В. К.

4659. Потребление кислорода сточными водами. III. Применение логарифмической формулы к расчету хода потребления кислорода в средах, отличных от бытовых сточных вод. Орфорд, Инграм (Deoxygenation of sewage. III. The logarithmic formula applied to oxidations other than sewage. Orford Harold E., Ingram William T.), Sewage and Industr. Wastes, 1953, 25, № 5, 566—575 (англ.)

Предложенная авторами логарифмич. ф-ла для расчета  $\text{БПК}$  бытовых сточных вод (СВ), проверенная на ряде других объектов, показала также хорошую сходимость вычисленных и экспериментально полученных данных. Параметры  $a$  и  $S$  имеют соответственно следующие значения: речная вода: (т-ра 9°) 0,25 и 4,2; (т-ра 20°) 0,50 и 4,93; (т-ра 30°) 1,0 и 4,83; СВ бумажных фабрик 0,83 и 4,21; СВ сахарного з-да 0,67 и 5,90; смесь бытовых СВ и СВ сахарного з-да 1,67 и 5,65; осадок бытовых СВ 0,40 и 5,10; активный ил: (т-ра 14°) 3,0 и 15,60; (т-ра 20°) 4,75 и 16,10; (т-ра 28°) 7,50 и 15,50.

В. К.

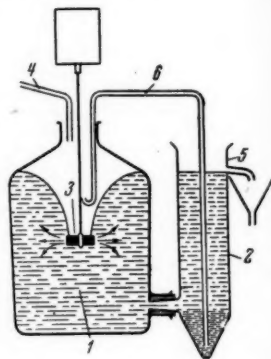
4660. Определение  $\text{БПК}$  сточных вод. Малацзинский (Oznaczenie biochemicznego zapotrzebowania tlenu w sciekach. Małaczynski Wła-

dysław), Roczn Państw zakł. hig., 1954, 5, № 2, 157—169 (польск.)

Описан метод быстрого определения  $\text{БПК}$  сточных вод (СВ) методом разбавления непосредственно в 300-милликубических склянках без применения спец. аппаратуры. Метод применим для определения  $\text{БПК}$  бытовых СВ, а также некоторых промышленных СВ; он непригоден в случае СВ, содержащих токсичные примеси. Расхождения результатов параллельных определений могут достигать 20%.

О. Л.

4661. Лабораторный прибор для непрерывной очистки сточных вод активным илом. Фор, Кагей (Een



eenvoudig laboratorium apparaat voor continu-behandeling van afvalwater met geactiveerd slib. Fohr P. G., Kagei E.), Chem. weekbl., 1954, 50, № 42, 726—727 (голл.)

Прибор (см. рис.)

состоит из 10-л бутылки 1, соединенной с цилиндром 2, имеющим коническое дно; диаметр 2 7 см, высота 35 см. В 1 опущена мешалка 3. Сточные воды поступают в 1 по трубке 4, аэрируются, перетекают в 2, откуда удаляются через перелив 5; ил, осевший в конусе 2, возвращается сифоном 6 в 1. Производительность прибора 1,5 л/час.

К. Г.

4662. Опыт применения контрольно-измерительной аппаратуры на станции биохимической очистки бытовых сточных вод. О'Хара (Instrumentation experience at an activated-sludge plant. O'Hara John W.), Instruments and Automat., 1954, 27, № 10, 1630—1632 (англ.)

Станция очистки бытовых вод г. Лос-Анжелос производительностью ~1,1 млн.  $\text{м}^3/\text{сутки}$  имеет аппаратуру для контроля т-ры, расхода сырого и сброженного осадка, а также для измерения уровня осадка в метантенке. Т-ра в метантенке контролируется термопарами, заключенными в трубы из нержавеющей стали. Расход сырого осадка измеряется вставками Вентури. Для измерения уровня осадка в метантенках используются две группы устройств. Одна группа, размещенная внутри метантенков, представляет собой мембранные аппараты, измеряющие статич. давление на глубинах от 0 до 9 м. Другая измеряет уровень на глубинах 4,5—9 м по поднятию пузырьков воздуха. Даны указания по эксплуатации контрольной аппаратуры.

С. К.

4663. Современное состояние вопроса очистки сточных вод в Швейцарии. Адам (Der heutige Stand der Abwasserfrage in der Schweiz. Adam Fritz), Textil-Rundschau, 1954, 9, № 11, 563—569 (нем.)

Указывается на необходимость скорейшего издания уже подготовленного закона об охране водоемов, учитывая не только интересы рыбоводства, но также интересы культурного, промышленного, с-х. и питьевого водоснабжения. Водоснабжение больших городов осложняется в связи со строительством гидроэлектростанций и плотин, так как вследствие подпора русла рек замедляется скорость течения, тормозится процесс самоочищения водотоков и создаются условия для возникновения анаэробных процессов. В Швейцарии имеется большое число станций, применяющих коагуляцию сточных вод (СВ) солями  $\text{Fe}^{3+}$ , при этом  $\text{Fe}(\text{OH})_3$  обра-



зается в результате контакта СВ, предварительно подкисленных  $\text{CO}_2$  или  $\text{HCl}$ , с железными стружками при интенсивной продувке воздухом. Вода, содержащая растворенные  $\text{Fe}$ -соли, обрабатывается известковым молоком. Приведены также данные об очистке некоторых других промышленных СВ. С. К.

4664. Ветеринарно-гигиенические вопросы орошения почвы сточными водами. Кёзер (Veterinärhygienische Fragen der Abwasserlandbehandlung. Köser A.), *Gesundh.-Ingr.* 1954, 75, № 23/24, 392—395 (нем.).

Были проведены обследования городских сточных вод (СВ), СВ больниц, кожевенных и молочных заводов с целью обнаружения в них патогенных микробов и, в частности, возбудителей туберкулеза и сибирской язвы. Для обнаружения последних проводилось заражение морских вилок, а также пробное кормление скота на специально выделенных пастбищах, орошаемых зараженной водой. Наиболее частые случаи обнаружения бактерий зафиксированы в СВ больниц и санаториев. В толстых слоях воды, не освещаемых солнцем, патогенные микроорганизмы выживали до 5 месяцев, на пастбищах, освещенных солнцем, они гибли через 40 час. При орошении лугов и пастбищ СВ должны предварительно осветляться и распределяться тонким слоем по поверхности. Выгон скота на пастбища допустим через 12 дней после орошения. С. К.

4665. Проектирование и строительство станции очистки сточных вод в Хирфорде. Марджерисон (Design and construction of the Hereford Sewage Disposal Works. Margerison F.), *Civil Engng and Public Works Rev.*, 1953, 48, № 569, 1048—1050 (англ.). Описание очистных сооружений станции полной биохим. очистки сточных вод г. Хирфорд с населением 40 000 человек. О. Л.

4666. Эксплуатация новой станции очистки бытовых сточных вод. Феррелл (Operating a new sewage plant. Ferrell James K.), *Water and Sewage Works*, 1954, 101, № 12, 555—556 (англ.).

Дано описание станции очистки бытовых сточных вод, работающей в условиях недогрузки. Для обеспечения нормальной работы аэрофильтров применялась рециркуляция сточных вод и смешение части очищ. вод со свежими. Работа насосов производилась периодически через каждые 10 минут. С. К.

4667. Проблемы эксплуатации метантенков. Енчко (Digester problems. Yenchko John), *Water and Sewage Works*, 1954, 101, № 12, 559—560 (англ.). Важнейшими причинами нарушения работы метантенка является его перегрузка и наличие токсичных примесей. Резкие изменения температурного режима метантенков, колебания pH и недостаточная щелочность среды представляют угрозу для организмов, населяющих метантенк. Перегрузка и изменение т-ры могут быть причиной вспенивания и кислой р-ции. Для борьбы с вспениванием можно повысить pH введением в метантенк фильтрата после вакуумфильтров. С. К.

4668. Формулы для расчета оплаты за сброс промышленных сточных вод в городскую канализацию. Саймоне (Rate formulas for industrial wastes. Symons James M.), *Water and Sewage Works*, 1954, 101, № 12, 540—545 (англ.).

Приводятся ф-лы, основанные на учете: а) объема произ-ва, б) объема и состава СВ и в) стоимости обработки СВ. С. К.

4669. Экспериментальные работы по выявлению схемы сооружений на очистке бытовых сточных вод в Ридинге. Биохимическое окисление сточных вод и обезвоживание осадка (Experimental work for Reading's new sewage disposal scheme. Biological sewage filtration and vacuum dewatering of sludge), *Surveyor*, 1954, 113, № 3274, 1067—1068 (англ.).

Описана работа полупроизводственной установки

для очистки смеси бытовых и производственных сточных вод (газогенераторных, кондитерской пром-сти, пивоваренных, консервных, крахмальных заводов). В состав установки входят обычные биофильтры, «дублированные» биофильтры, биофильтры с рециркуляцией и высоконагруженные биофильтры. Лучшие результаты получены на «дублированных» биофильтрах и биофильтрах с рециркуляцией. Опыты по обезвоживанию осадка на вакуум-фильтрах показали, что наличие синтетич. детергентов в сточных водах уменьшает влажность осадка и увеличивает производительность фильтров. С. К.

4670. Проблемы обезвреживания сточных вод. Шмиц-Лендерс (Einige Probleme um unser Abwasser. Schmitz-Lenders Franz), *Bauwirtschaft*, 1954, 88, № 39, 1083—1088 (нем.).

Очистка ряда промышленных сточных вод (СВ) совместно с бытовыми предпочтительнее очистки их на местных сооружениях на заводах, так как общие сооружения менее чувствительны к изменениям в качестве и кол-ве СВ. Применение высоконагруженных аэротенков, рассчитанных на неполную (50%) очистку, надежнее по сравнению с высоконагруженными биофильтрами. В случае каких-либо нарушений в процессе очистки в аэротенке имеется возможность быстрого и автоматич. его восстановления, что затруднено при применении биофильтров. Особенно устойчивы в работе двухступенчатые аэротенки. Для обезвоживания сброшенного осадка вакуум-фильтрам отдается предпочтение перед подсушивающими площадками. Методы хим. очистки промышленных СВ должны применяться лишь в случае невозможности их биохим. очистки. Следует признать совершенно недопустимым использование неочищенных СВ (даже бытовых) для орошения полей, так как оно ведет к заражению овощей, грунтовых вод и к возникновению инфекционных заболеваний среди населения. С. К.

4671. Удаление фенолов из сточных вод заводов газификации кокса и других подобных предприятий. Бейер (Das Entfernen von Phenolen aus Abwässern von Kokereien und ähnlichen Anlagen. Beier Ernst), *Bergbau-Rundschau*, 1954, 6, № 6, 295—303 (нем.).

Обзор существующих методов обесфеноливания сточных вод. Основное внимание уделяется методу выпарки и экстракции, для которых приведены расходные коэфф. и экономич. показатели. С. К.

4672. Удаление нефти и осадков на заводе Скелли в Эль-Дорадо. Перселл, Фергусон (Oil and sludge removal at Skelly's El Dorado plant. Pursell W. L., Ferguson T. W.), *Oil and Gas J.*, 1954, 53, № 14, 114—117 (англ.).

Канализование сточных вод (СВ) завода производится по следующим системам сетей: 1) ливневой; 2) производственных СВ, содержащих нефтепродукты; 3) бытовых СВ; 4) СВ от установки водоподготовки; 5) оборотных вод. Кол-во СВ, сбрасываемых в реку, составляет 300 м<sup>3</sup>/час. В схеме очистных сооружений имеется нефтеловушка, 2 секции которой отведены для производственных и 4 — для ливневых СВ. Нефтеловушка снабжена скребковыми механизмами для удаления осадка и трубами с прорезями для сбора нефти. Оборотные воды проходят спец. нефтеловушку. По мере накопления в нефтеловушке эмульсии последние собираются в спец. емкости, из которых всплывшая нефть подается в произ-во, а остающаяся эмульсия подвергается дезэмульгации. В составе сооружений по доочистке предусмотрен биофильтр и окислительный пруд для совместной очистки бытовых и производственных СВ, содержащих нефтепродукты. С. К.

4673. Обследование сточных вод нефтеперерабатывающих заводов. Денис (Refinery waste-stream

survey. Dennis A. P., Jr), Oil and Gas J, 1954, 53, № 15, 110—114 (англ.)

На з-дах по переработке нефти введено полное обследование общего стока и основных составляющих его стоков для контроля кол-ва загрязнений, поступающих из отдельных цехов. Описана методика постановки соответствующих работ и приведена схема конструкции прибора для отбора проб сточных вод в местах с глубиной потока  $>40$  см и с глубиной от 10 до 40 см, а также для автоматич. отбора проб, пропорциональных по времени.

С. К. 4674. Отходы промышленности обработки металлов.

Эванс (Effluents in the metal finishing industries. Evans V.), Metal Ind., 1954, 85, № 11, 211—214 (англ.)

Рассматриваются вопросы обезвреживания и использования промывных вод и отработанных р-ров электролитич. ванны (ЭВ) гальванич. цехов. Обработка р-ров к-т, щелочей и солей (за исключением Ni) может быть произведена совместно добавкой известкового молока до pH 7,5—9. Соли 6-валентного Cr восстанавливают  $\text{FeSO}_4$ . Цианиды обрабатывают  $\text{FeSO}_4$  и известью. Другой способ обезвреживания цианидов — хлорирование их щел. р-ров, приводящее к образованию нетоксичных цианатов. Извлечение ионов металлов возможно также при помощи ионитов.

Е. З. 4675. Санитарная оценка пруда-отстойника для очистки производственных сточных вод металлургического завода. Кушаковский Л. Н., Стефановская З. Ф., Гигиена и санитария, 1954, № 1 51—52

Описаны результаты изучения работы пруда-отстойника, предназначенного для удаления из сточных вод одного металлургич. з-да грубодисперсных примесей и нефтяных пленок. При исходной концентрации 1030—2933 мг/л удаление грубодисперсных примесей вначале составляло 98%. В дальнейшем эффект работы пруда-отстойника ухудшился, что объясняется его возрастающим заиливанием и уменьшением времени отстоя сточных вод. Рекомендуется периодич. очистка пруда с помощью землечерпалок, экскаваторов и т. д.; железо, содержащееся в осадке, может быть использовано в промышленных целях. Для удаления органич. примесей должна применяться биохим. очистка.

С. Я. 4676. Предотвращение случайных сбросов цианосодержащих растворов в водоемы. Пул, Холтзе, Белтер (Control of accidental discharge of cyanide solutions. Poole B. A., Holtje R. H., Belter W. G.), Sewage and Industr. Wastes, 1954, 26, № 11, 1382—1387 (англ.)

В июле 1952 г. в канализацию г. Лафайет (США) и через нее в реку Вабаш произошел аварийный сброс р-ров гальванич. ванн, содержащих 1,5 т  $\text{NaCN}$ . Жизнь в реке была подавлена на протяжении 4,8 км ниже выпуска сточных вод; окисление цианидов, попавших в водоток, закончилось на расстоянии 96 км от места их сброса. Во избежание возможного отравления воды открытых водотоков при аварийных сбросах цианосодержащих р-ров в канализацию, предлагается осуществлять одно из следующих защитных мероприятий: 1) устраивать под резервуарами с цианосодержащими р-рами поддоны или запасные баки, имеющие объем, равный объему самого большого резервуара с р-ром, 2) делать двойные стенки у резервуаров с цианосодержащими р-рами.

В. К. 4677. Проблемы сброса сточных вод небольших сульфат-целлюлозных и бумажных фабрик в Новой Англии. Гем (Waste disposal problems of small New England mills. Gehm Harry W.), Tappi, 1954, 37, № 1, A124—A126 (англ.)

Рециркуляция воды после осветлительных машин приводит к снижению БПК на 30—60%. Периодич. коа-

гуляция варочных щелоков  $\text{AlCl}_3$  и  $\text{CaCl}_2$  снижает БПК на 10—25% и устраняет цветность воды. Применению выпаривания (как метода очистки) препятствует сильное вспенивание и выделение дурнопахнущих газов. Очистка на биофильтрах при доавлении аммонийных солей дает хороший эффект, но требует больших капитальных и эксплуатационных затрат. Продувка воздухом в течение 12—24 час. снижает БПК на 90%. При выпуске сточных вод в мелкие реки с быстрым течением процесс самоочищения последних заканчивается уже на расстоянии 10 км ниже пункта сброса, в глубоких реках — на расстоянии  $\sim 200$  км.

С. К. 4678. Обработка и утилизация промышленных сточных вод. Грейвер, Бартон (Disposal and utilization of wastes. Graver Kenneth M., Barton A. M.), Canad. Food Inds, 1954, 25, № 6, 20—22 (англ.)

Обзор проблемы очистки сточных вод (СВ) и утилизации отходов, главным образом, пищевой пром-сти.

С. К. 4679. Пути улучшения биохимической очистки сточных вод сахарных заводов. Скальский (Jak usprawnić działanie biologicznej oczyszczalni ścieków cukrowni. Skalski Kazimierz), Gaz. cukrown., 1954, 56, № 7, 8, 9, 24—25 (польск.)

При биохимич. очистке сточных вод одного сахарного з-да в Польше имеет место недостаточное снижение окисляемости, загнивания и  $\text{B}_{\text{ПК}}$  диффузионных и жомовых стоков, что обусловливается следующими причинами: недостатком известкования, малой емкостью очистных прудов, отсутствием полей орошения, невнимательным отношением обслуживающего персонала, недостаточной очисткой сооружений от осадка, приводящей к уменьшению их рабочей емкости. Цел. лаверные воды следует вводить во вторую половину пруда кислото броения.

О. Л. 4680. Очистка промышленных сточных вод, в частности молочной промышленности. Смит (De verwerking van industrieel afvalwater, specialt af van de zuivelindustrie. Smit Jan), Landbouwkund. tijdschr., 1954, 66, № 10, 665—674 (голл.)

Популярное изложение основ биохимич. очистки промышленных сточных вод.

О. Л. 4681. Опыты по очистке сточных вод кожевенных заводов. Шлихтинг (Reihenversuche zur Klärung der Abwässer der Lederwerke in Worms. Schlichting), Leder, 1954, 5, № 9, 214—217 (нем.; резюме англ., франц., исп.)

На основании лабор. опытов и проверки их в производственных условиях показано, что смесь бытовых и сточных вод (СВ) кожевенных з-дов (в соотношении 1:10 по объему) подвергается биохим. очистке в прудах. Через 10 дней после поступления этой смеси в пруды исчез запах, характерный для СВ кожевенных з-дов. У выпуска вода из пруда в реку появились зеленые водоросли, низшие организмы и многообразные формы червей. По истечении 14 дней вода, отобранная из пруда, оказалась вполне пригодной для развития даже наиболее чувствительных пород рыб.

С. К.

4682 П. Аппарат для определения качеств воды с точки зрения содержания в ней важнейших загрязнений. Стритфилд (Apparatus for determining the condition of water as regards its content of predetermined types of impurities. Streetfield E. L.) [Filtrators, Ltd]. Англ. пат. 695638, 12.08.53 [J. Appl. Chem., 1954, 4, № 2, 73 (англ.)]

Патентуется прибор, работающий как фотоэлектрич. нефелометр-колориметр с двумя ячейками, для определения содержания примесей воды. Введением реагентов в воду, поступающую в одну из ячеек, можно устано-

вить их эффективность в отношении удаления из воды тех или иных примесей. Вторая ячейка заполняется исследуемой водой без реагентов и служит эталоном.

В. К.

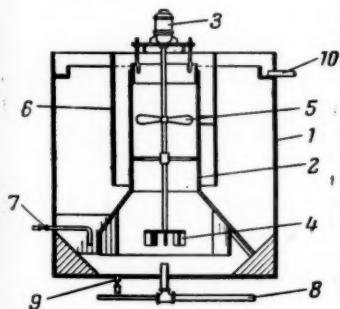
**4683 П.** Способ получения двуокиси хлора для обеззараживания воды (Fremstilling av klordioxyd, spesielt til et befridd vann for kim) [Bran og Lühbe]. Норв. пат. 84502, 8.11.54

Способ получения  $\text{ClO}_2$  отличается тем, что хлорит или хлористую к-ту в р-ре, суспензии или в виде пасты с инертными материалами обрабатывают при 15–25° газами или водн. р-рами, содержащими  $\text{O}_3$ . Обработку пасты хлорита с кизельгуром или асбестом производят в полочных башнях, орошаемых водой при одновременном впуске снизу воздуха, содержащего  $\text{O}_3$ . Обработку воды  $\text{ClO}_2$  можно сочетать с обработкой ее  $\text{O}_3$ , пропускаемая озонированный воздух через воду, к которой прибавлен  $\text{NaClO}_2$ . При таком способе очистки полностью используется  $\text{O}_3$ , а полученный  $\text{ClO}_2$  не содержит  $\text{Cl}$ , придающего воде неприятный привкус.

К. Г.

**4684 П.** Процесс обработки сточных вод. Калинский (Process for treating polluted liquid. Kalinske Anton A.) [Infilco Inc.]. Пат. США 2678915, 18.05.54

Конструкция аэротенка для обработки сточных вод. В цилиндрич. баке 1 смонтирована расширяющаяся



снизу вверх и в кольцевом пространстве между 2 и 6 сверху вниз. Избыток активного ила собирается в нижней части аппарата и удаляется по трубе 9; очищенная вода отводится по трубе 10.

А. Р.

**4685 П.** Аппарат для удаления из сточных вод жиров и грубодисперсных примесей. Калинский, Гиллард (Apparatus for separating grit and grease from waste waters. Kalinske Anton A., Gillard Herbert W.) [Infilco Inc.]. Пат. США 2678912, 18.05.54

Для удаления из сточных вод (СВ) жиров и грубодисперсных примесей их пропускают через аппарат (см. рис.), состоящий из цилиндрич. корпуса 1, снабженного лопастной мешалкой 2, приводимой в действие приводом 3. СВ поступают в аппарат по трубе 4, где в них через трубу 5 подается сжатый воздух. Осажденные грубодисперсные примеси удаляются при помощи шнека 6, всплывшие жиры — через перелив 7, а освобожденные от них СВ — через патрубок 8.

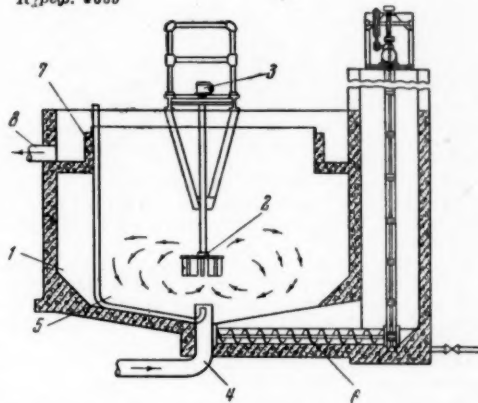
**4686 П.** Способ обработки сточных вод, получающих при газификации и гидрировании топлива. Эйзенлох, Херберт (Verfahren zur Aufarbeitung von Wässern, die bei der Brennstoffveredlung, insbesondere Schwelung oder Hydrierung, entstehen. Eisenlohr Karl Heinz, Herbert Wilhelm). Пат. ГФР 887024, 20.08.53 [Chem. Zbl., 1954, № 39, 8877 (нем.)]

Из сточных вод, содержащих фенол,  $\text{H}_2\text{S}$ ,  $\text{CO}_2$ ,  $\text{NH}_3$

и другие органич. примеси, фенолы экстрагируются р-рителем; остаточное содержание его, а также  $\text{H}_2\text{S}$  и  $\text{CO}_2$  отгоняются. Отгонка ведется таким образом, что отгоняется 5–20%  $\text{NH}_3$ . Конденсат частично возвращается в нижнюю часть дистилляционной колонки.

С. К.

К. реф. 4685



**4687 П.** Обработка сточных вод нефтеперерабатывающих заводов, содержащих отработанный едкий натр. Ноултон (Disposal of spent refinery caustic waste. Knowlton Richard E.) [The Standard Oil Co.]. Пат. США 2679536, 25.05.54

Процесс очистки сточных вод, содержащих отработанный едкий натр, а также соединения S и крезол, основан на введении минер. к-ты в кол-ве, достаточном для доведения pH до 6,5–11,5, с добавлением солей  $\text{Fe}^{2+}$  для частичного осаждения соединений S. Из образовавшегося осадка может быть экстрагирован крезол.

С. К.

**4688 П.** Обработка сточных вод нефтеперерабатывающих заводов, содержащих едкий натр. Шалл, Робертсон, Ноултон (Disposal of spent refinery caustic waste. Shull Karl L., Robertson Donald C., Knowlton Richard E.) [The Standard Oil Co.]. Пат. США 2679537, 25.05.54

Процесс основан на введении в сточные воды солей  $\text{Fe}^{2+}$  при pH не меньшем 12, при этом выделяется часть крезола. После отделения осадка, когда значение pH установится в пределах 8–11, добавляется соль  $\text{Fe}^{2+}$  для частичного осаждения соединений S и образующийся осадок отделяется от жидкости. После второй ступени осаждения и подкисления до pH 3–5 отделяется несмешивающийся с водой крезол.

С. К.

**4689 П.** Обработка сбрасываемых едких щелоков истощенными травильными растворами. Ноултон (Disposal of waste caustic solution by treatment with spent pickle liquor. Knowlton Richard E.) [The Standard Oil Co.]. Пат. США 2679537, 25.05.54

Отработанная едкая щелочь и использованный травильный р-р, содержащий крезол,  $\text{H}_2\text{SO}_4$  и  $\text{FeSO}_4$  могут быть очищены путем взаимного смешения; pH полученной смеси должен лежать в пределах 6,0–11,5. В этих условиях из нее выделяется осадок, который отделяют, а осветленный р-р подкисляют до pH 3,0–6,0 для выделения крезола.

Л. М.

**4690 П.** Очистка отработанных растворов их никелирования. Симатани, Но (Purification of waste liquor from nickel electrolysis. Shimatani



Takao, Iio Toshimasa [Sumitomo Metal Mining Co.]. Япон. пат. 5159, 9.10.54 [Chem. Abstrs, 1954, 48, № 18, 10463 (англ.)]

Куски электролитич. никели размером  $0,3 \times 2,0 \times < 0,5$  см подвергают в течение часа термич. обработке при  $500^\circ$  и помещают в стеклянную трубку. Для очистки отработанных р-ров, сбрасываемых из цехов никелирования, содержащих 39,5 г/л Ni, 24,4 г/л  $H_2BO_3$ , 0,3329 г/л Cu и имеющих pH 4,43, их пропускают через указанную трубку со скоростью 1 л/час в течение 45 час. При этом в выходящем из трубки стоке остается Cu в конц-ии 0,0015 г/л. Остающийся в стеклянной трубке Ni обрабатывают 400 мл 12%  $NH_4OH$  в течение 30 мин.; выходящая из трубки жидкость содержит 0,65 г/л Ni и 8,87 г/л Cu. Регенерированный Ni возвращается в произ-во. С. К.

4691 II. Процесс очистки сточных вод (Waste disposal process) [Du Pont de Nemours and Co. E. I.]. Англ. пат. 694458, 22.07.53 [Chem. Zbl., 1954, 125, № 39, 8877 (нем.)]

Патентуется процесс очистки окислением промышленных сточных вод (СВ), содержащих алифатич. и ароматич. к-ты, спирты, альдегиды, эфиры и углеводороды. СВ с конц-ией  $O_2$ , стехиометрически потребной для окисления органич. примесей, поступают на катализатор, которым может являться окис марганца, хрома и диоксида. Процесс ведется в интервале  $t$  р  $50-350^\circ$  и давл.  $14-175$  кг/см<sup>2</sup>; скорость протока воды через катализатор  $0,3-60$  л<sup>3</sup>/час. С. К.

4692 II. Способ очистки сточных вод, образующихся при разложении соляной кислотой отбелочной глины. Кекуле (Verfahren zur Aufarbeitung der beim Aufschluß von Rohbleicherde mit Salzsäure anfallenden salzsauren Abwässer. Kekulé Franz) [Süd-Chemie A.-G.]. Пат. ГФР 883433, 16.07.53 [Chem. Zbl., 1954, 125, № 20, 4459 (нем.)]

Патентуется способ перемешивания сточных вод в процессе их коагуляции Al-солями посредством поднимающихся пузырьков газов, особенно  $CO_2$ . С. К.

См. также: Анализ 3711, 3720, 4208. Св-ва примесей 3712. Иониты 4209. Коррозия 5730

## ПЕРЕРАБОТКА ТВЕРДЫХ ГОРЮЧИХ ИСКОПАЕМЫХ

4693. Получение доменного кокса равномерного качества. Обуховский Я. М., Сталь, 1954, № 5, 394—401

Получение доменного кокса равномерного качества позволяет вести печи без значительного теплового резерва при высоких технич. показателях доменной плавки. Дан анализ равномерности качества кокса по барабанной пробе, зольности и содержанию S для различных з-дов южных р-нов как с углеобогащающими ф-ками, так и без них. В качестве условно допустимых пределов колебаний в качестве кокса приняты следующие: для барабанной пробы  $\pm 4$  кг, для зольности  $\pm 0,3\%$ , для S  $\pm 0,5\%$ . Установлено, что по барабанной пробе степень равномерности на з-дах без углеобогащающих ф-к очень высока, на з-дах с углеобогащающими ф-ками сравнительно низка; по зольности и S равномерность кокса на большинстве з-дов низкая. Причиной колебаний в качестве кокса для Донбасса является разнообразие разрабатываемых углей в связи с многопластовостью шахт и непостоянством качества угля в пласте. Кроме того, не соблюдаются правила усреднения качества товарных углей на поверхности шахты. Предлагается организовать усреднение качества углей как у поставщика, так и у потребителя; описываются

мероприятия по использованию угольных складов, приемных ям, дозирочных бункеров угольных башен для усреднения углей. Предлагается оборудовать угольные склады, бункеры дозирочных отделений и угольные башни самоходными разгрузочными каретками. Г. С.

4694. Действие хлора на украинские бурые угли. Алексеева В. А., Укр. хим. ж., 1954, 20, № 3, 319—324

Исходные угли (С от 63,0 до 64,2; Н от 5,7 до 6,2; S от 4,7 до 7,0; зола 16,2—28,2; летучие 53,0—60,8%) просеивались через сито 0,15 мм. Проведено хлорирование 3 образцов углей в воде при кипячении (20—50 г угля на 150—200 мл воды) и в  $CCl_4$  (20 г угля на 150 мл  $CCl_4$ ) при  $60-70^\circ$  в течение 15—40 час. пропусканием газообразного хлора при перемешивании. Выход хлорированного угля 60—71%, содержание в нем Cl 19,8—53,8%. Хлорированный уголь представляет собой тонкодисперсный порошок, имеющий окраску от темножелтой до красновато-коричневой, хорошо растворим в спиртах, ацетоне, бензоле, толуоле и частично в воде и дихлорэтаноле. Выход летучих при хлорировании снижается на 44—54%, а выход битумов возрастает в 3—5 раз. Содержание S уменьшается на 46—65%, зола на 24—47%, причем в золе увеличивается кол-во  $SiO_2$ . При полукосовании хлорированного угля часть Cl остается в полукосе, что указывает на вхождение Cl в ароматич. ядро. И. Б.

4695. Содержание серы в британских углях. Вандлесс (The occurrence of sulphur in british coals. Wandless A. M.), J. Inst. Fuel, 1955, 28, № 169, 54—62 (англ.)

В 1952 г. средневзвешенное содержание S в разрабатывавшихся угольных пластах составило 1,5%, из которых 0,8% — органич. S и 0,7% — пиритной S. Сильно преобладали малосернистые угли: 37,7% добычи составили угли с содержанием до 1% S и 61,7% — угли, содержащие до 1,5% S. Начиная с 1938 г., в Англии растет (абсолютно и относительно) добыча углей с повышенным и высоким содержанием S при одновременном сокращении добычи малосернистых углей. Содержание S в углях значительно ниже содержания ее в импортном мазуте. А. И.

4696. Роль поверхностных свойств угля в процессе спекания. Боговлянский В. В., Фельдбрин М. Г., Сталь, 1954, № 10, 877—881

При составлении угольных шихт для коксования необходимо учитывать смачиваемость и адсорбционную способность неспекающихся добавок. Плохая смачиваемость угольных частиц продуктами разложения («жидкой» фазой) приводит к неоднородности и большей газопроницаемости пластич. массы, благодаря чему кокс получается трещиноватым со слабыми механич. свойствами. Авторами установлено, что для получения механич. прочного кокса нужно, чтобы адсорбционная способность неспекающейся добавки была низкой; при добавках с высокой адсорбционной способностью должна подбираться шихта с большим кол-вом связующего в-ва, т. е. с большой толщиной пластич. слоя. Н. К.

4697. Магнетохимический взгляд на петрографические составляющие угля. Хонда, Кимура, Оути (磁気化学的にみた石炭組織成分. 本田英昌, 木村英雄, 大内公耳), 燃料協会誌, Непр. кейкайси, J. Fuel Soc. Japan, 1953, 32, № 320, 669—681 (япон.; резюме англ.)

Анализы петрографич. компонентов угля, разделенных в тяжелых жидкостях, сравнивались по уд. весу, зольности, влаги, летучих и углерода, а также по элементарному составу, теплотворной способности и магнетохимич. постоянным. Приводятся графики связи со-

держания компонентов в угле с аналитич. характеристикой последнего (влага, зольность и др.). Предполагается, что каждый компонент — витрит, кларит, дюрит и др., не являя собой единой структуры, а представляет очень сложную смесь неорганич. и органич. в-в. Эти основные компоненты, по видимому, характеризуют род угля. Четкость различных петрографич. компонентов, обнаруживаемая под микроскопом, является следствием относительного содержания, состояния и формы включений органич. и минер. в-в. Даже так называемый чистый витрит не может считаться полностью органич. агломератом и включает некоторое кол-во минер. в-в. Авторы пришли к определенным выводам на основании данных анализа большого кол-ва углей с содержанием витрита 2,3—87,4%; кларита 9,8—87,6%; дюрита 4,7—90,2%.

**Н. К. 4698.** Новая углеподготовительная установка на газовом заводе в Бругге. Кристен (Die neue Kohlenaufbereitungsanlage im Gaswerk Brugg. Christen E.), Monatsbull. Schweiz. Verein Gas- und Wasserfachmännern, 1953, 33, № 4, 91—99 (нем.)

Описано сооружение новой углеподготовительной установки на модернизированном газовом з-де производительностью 1 300 000 м<sup>3</sup> газа в год (из сырья ~2500 т угля). Имеются 4 силоса емкостью по 160 т, снабженные автоматич. устройством для сигнализации в случае прекращения подачи угля из силоса. Приводятся технологич. схемы хранения, дробления и транспортировки угля, обеспечивающие возможность добавки коксовой пыли. В электр. части предусмотрены предохранение от влаги, пыли и механич. повреждений, а также автоматич. остановка всех моторов при образовании затора в какой-либо точке технологич. схемы. Тушение кокса — сухое, с использованием тепла.

**А. Г. 4699.** Исследование процесса спекания углей. Пермитина К. С., Попова М. Е., Сталь, 1954, № 9, 775—781

Проведено микроскопич. изучение изменения углей в процессе термич. разложения. Уголь нагревался без доступа воздуха в виде кусков и в дробленном состоянии до различных т-р в интервале 300—750°, у поверхности нагрева полученных образцов полукоска изготовлялись аншлифы. Установлено, что полностью в пластик. состояние переходят лишь витрен, витренизированная основная масса и споры. Фюзенированные микрокомпоненты и ксилен являются инертными в процессе спекания и подобны минер. включениям. Ксило-витрен, ксило-витреновый и слабофюзенированный микроатрит обладают слабой спекаемостью и не могут объединяться в одну группу с витренизированным в-вом. При изучении спекаемости зерен угля выявлен характер связи между зернами в процессе спекания. Соединение происходит лишь по поверхности соприкосновения, причем не только на контактах плавкой основы угля и неспекающихся зерен, но и на границах пластик. масс из различных по степени метаморфизма витренов.

**Г. С. 4700.** Опыты по определению расхода тепла в коксовых печах. Сандулли (Prova di consumo su una batteria di forni a coke. Sandulli Domenico), Calore, 1953, 24, № 3, 118—132 (итал.)

Описана техника проведения гарантийных испытаний батарей коксовых печей (после ее реконструкции), с целью определения среднего удельного расхода тепла на 1 кг перерабатываемого угля; приведены результаты испытаний.

**А. И. 4701.** Методы увеличения вязкости сырых дорожных

каменугольных детей (КД) и наличие большого кол-ва неустойчивых фракций препятствуют широкому использованию КД в строительстве автодорог в качестве компонента деттебетонных смесей. Для повышения вязкости сырого КД применялись: длительный подогрев, предварительное окисление, введение наполнителя и повышенный нагрев минер. материалов до 130—150°. Установлено, что вязкость КД увеличивается как при продолжительном подогреве, так и при окислении, причем в последнем случае КД освобождается от определенного кол-ва нафталлина, фенолов и легких фракций, что способствует его стабилизации; в процессе окисления происходит также обезвоживание сырого КД. Используемые методы повышения вязкости КД способствуют значительному уменьшению кол-ва применяемого пека в составленном дорожном детте и даже полному его исключению. Эти методы легко осуществимы в производственных условиях и не требуют больших дополнительных затрат.

**Г. М. 4702.** Хроматографическое разделение на бумаге простых фенолов. Шлееде (Zur papierchromatographischen Trennung von einfachen Phenolen. Schleede D.), Brennstoff-Cehmie, 1955, 36, № 5—6, 78—79 (нем.)

Приводятся значения величин R<sub>f</sub> и специфич. окраска для 19 фенолов, полученные хроматографированием на бумаге. Фенолы в кол-ве 0,06 мг растворялись в бензол-циклогексановой смеси, содержащей 1% метилового спирта. Для фенолов выкипающих до 226°, соотношение бензол:циклогексан составляло 1:12, а для более высококипящих 1:10. В качестве проявляющего реагента применялась диазотированная сульфаниловая к-та. Хроматографирование на бумаге позволяет легко отличить друг от друга  $\alpha$ -,  $\mu$ - и  $\nu$ -крезолы в смеси, а также  $\alpha$ - и  $\beta$ -нафтолы. Труднее разделить диметилфенолы. На основании полученных результатов производилось разделение фенольного экстракта, полученного из воды полукоксования торфа. Фракции фенолов, выкипающие при 40 мм рт. ст. до 135° и выше 135°, растворялись в кол-ве 0,2 мг в указанных выше р-рителях; работа проводилась при 10—15°. Получаемая хроматограмма позволяет путем сравнения с хроматограммой чистых продуктов идентифицировать и количественно определить отдельные компоненты смеси. Для получения лучших результатов рекомендуется работать с гладкой бумагой 2043в фирмы Шлейхер и Шюль, обработанной перед проявлением 4%-ным р-ром соды.

**Б. Э. 4703.** Влияние минеральной части на выход и состав газа при высокотемпературном разложении и газификации прибалтийских сланцев. Безмозгин Э. С., Тр. Всес. н.-и. ин-та по переработке сланцев, 1955, № 3, 76—85

Исследовался процесс дококсовывания полукоска в статич. и проточных условиях с целью проверки предположения о преимущественном протекании р-ций восстановления CO<sub>2</sub> внутри куска кокса, а также выяснения возможности и колич. учета газа, выделяющегося из минер. части. В интервале т-р 700—1000° в статич. условиях одновременно с резким возрастанием выхода CO<sub>2</sub> (от 17,3 до 50,7 л/кг полукоска при размере кусков 3—5 мм), обусловленным интенсивной диссоциацией карбонатов, увеличивается кол-во CO (с 4,5 л/кг до 75,5 л/кг), образующейся за счет восстановления CO<sub>2</sub>. В интервале т-р 1000—1100° обе р-ции протекают с одинаковой скоростью. При переходе от мелкого полукоска к кускам размером 40 мм содержание CO в газе повышается с 47,4 до 60%, а кол-во CO<sub>2</sub> снижается с 46,2 до 28,6%, что указывает на преимущественное протекание р-ции восстановления CO<sub>2</sub> внутри кусков кокса. Это же подтверждает анализы твердого остатка после дококсовывания. В условиях протока (продув-

ка азота через слой полукокса) содержание СО в газе возрастает с 48,5% при 700° до 76,0% при 1100°, а содержание СО<sub>2</sub> снижается соответственно с 41,8% до 7,7%. Показано, что в интервале т-р 700—900° преобладающее кол-во СО<sub>2</sub> выделяется только в условиях протока, а при 900° и при отсутствии этих условий, т. е. в процессе без продувки. Продувка инертного газа через раскаленный сланцевый кокс обеспечивает выделение дополнительного кол-ва СО<sub>2</sub>, образующей при взаимодействии с углеродом кокса СО. В заключение автор излагает замечания обобщающего характера относительно процессов одновременного изменения минер. и органич. частей твердого остатка, происходящих при коксовании в печах и газификации в генераторах.

Б. Э.

**4704. Термический анализ горючего сланца-кукерита. Дилакторский Н. Л., Киррет О. Г., Эйзен Ю. И., Изв. АН ЭССР, 1953, 2, № 1, 103—107**

У органического в-ва горючих сланцев типа кукерита первые признаки газообразования наблюдаются при 70—80°. Термич. разложение керогена становится более заметным при т-ре >170°, достигая максимума при 470—550°. Термич. сторона процесса исследовалась путем получения дифференциальных кривых нагревания. Сущность метода заключается в сравнительном исследовании т-р 2 проб (как называемых нейтр. и испытуемой), нагреваемых в одинаковых условиях. Полученные дифференциальные кривые отражают наиболее существенные изменения в органич. в-ве сланца: 1) выделение воды и начало деструкции, 2) деструкцию и максим. выделение жидких продуктов, 3) выделение конституционной Н<sub>2</sub>О из алюмосиликатов, 4) разложение карбонатов в интервале 600—850°.

Г. С.

**4705. Изменение состава топлива при сгорании. Косицкий (Промена состава горючего за время сгорания. Косицкий Александр), Гласник Хем. друштва, 1954, 19, № 1, 1—7 (серб.; резюме англ.)**

Исследования процесса сгорания молодых углей, особенно бурых (лигнита), показывают, что в ходе сгорания меняется состав топлива. По теории природного процесса карбонизации (Fischer F., Schrader H., Brennstoff-Chemie, 1921, S37, 213; 1922, H5) можно сделать вывод, что процессы карбонизации и сгорания имеют нечто общее. Этому процессу аналогичен также процесс дистилляции топлива (Fischer, Brennstoff-Chemie, 1921, 225). Фишер характеризует эти процессы следующим образом: при нагревании угля выше т-ры, необходимой для его высушивания (т-ра порядка 330°), наблюдается явление, которое можно назвать «искусств. карбонизацией». Автором показано, что при сгорании лигнита остаток обогащается С и обедняется Н<sub>2</sub> и О<sub>2</sub>, причем в этом есть общее с природным процессом карбонизации. Предлагается назвать этот процесс «искусств. созреванием», так как в процессе сгорания происходит созревание топлива. Автор считает, что при подсчете теплового баланса топлива, особенно молодых углей, следует учитывать изменение состава топлива в процессе сгорания, так как оно претерпевает при этом изменения, подобные природному процессу созревания.

А. С.

**4706 П. Метод получения прочных брикетов из каменного угля (Verfahren zur Herstellung druckfester Briketts aus Steinkohle) [Lurgi Ges. für Wärmetechnik m. b. H.]. Пат. ГФР 899641, 14.12.53 [Chem. Zbl., 1954, 125, № 26, 5893 (нем.)]**

Для брикетирования каменных углей под высоким давлением порядка 750—2000 кг/см<sup>2</sup> и при т-ре 300—450° разделяют соответствующим образом просеянный и раздробленный подлежащий нагреву до т-ры прессо-

вания уголь по величине зерен на 2 или несколько фракций, которые нагревают отдельно в разных условиях, а перед прессованием их смешивают вновь. По предложенной схеме фракция, содержащая главным образом тонкую пыль, не подвергается нагреванию. Нагрев разделенных фракций целесообразно проводить в течение 1 мин.

Г. С.

**4707 П. Метод добычи и использования угля. Реринк, Мюшенборн, Нётцольд (Verfahren zur Förderung und Verwertung von Kohle. Reerink Wilhelm, Müschenborn Walter, Nötzold Erich) [Deutsche Kohlenbergbau-Leitung]. Пат. ГФР 878632, 5.06.53 [Chem. Zbl., 1954, 125, № 4, 923 (нем.)]**

Загрязненный пустой породой каменный уголь обрабатывают под землей или на поверхности терриконами при прибавлении воды (напр., рудничной) в-вами, которые окружают частицы угля водонепроницаемым слоем, напр. нефтью, маслами ароматич. или алифатич. характера. Образовавшиеся при этом кашки, способная перекачиваться насосами, немедленно транспортируется к фильтрам или центрифугам, где частицы угля, защищенные пленкой, отделяются от суспензированной в воде пустой породы.

Н. К.

**4708 П. Комбинированные установки для сушки и распыления (Combined drying and pulverising plants) [Metallgesellschaft A.-G.]. Австрал. пат. 155418, 11.03.54**

Способ сушки бурого угля заключается в пропускании измельченного угля через вентилятор вместе с потоком горячих дымовых газов, получаемых в спец. топочном устройстве путем сжигания бурого угля. В. К.

**4709 П. Коксование угля. Пивер, Арнолд, Хесс (Carbonization of coal. Pever Ernest F., Arnold George B., Hess Howard V.) [The Texas Co.]. Пат. США 2664390, 29. 12. 53**

Способ коксования легкоплавкого угля, содержащего летучие, с получением сухого твердого порошкообразного кокса и улавливанием летучих состоит в том, что мелкозернистый уголь перемешивают с жидким углеводородом, растворяющим в-во угля, при т-ре выше той, при которой уголь переходит в пластичное состояние, а именно в пределах 290—370°, благодаря чему уголь становится смешиваемым с р-рителем; полученную практически гомогенную жидкую смесь, содержащую все исходные компоненты угля, распыляют в потоке инертного газа и пропускают образующуюся суспензию снизу вверх через обогреваемую извне зону коксования, поддерживаемую при 480—705°. Суспензия распыленной жидкости находится в зоне коксования в течение времени, достаточного для почти полного испарения р-рителя и летучих компонентов угля и образования сухих твердых частиц кокса, распыленного в парах испаренных продуктов, от которых его затем отделяют.

А. И.

**4710 П. Хорошо воспламеняющееся топливо. Битнер (Heizmittel. Bittner Elisabeth). Австр. пат. 176201, 25.09.53 [Chem. Zbl., 1954, 125, № 4, 927 (нем.)]**

Предлагается хорошо воспламеняющееся и сгорающее без сажи топливо в виде брикетов или пудлы. Оно состоит из высококипящего тяжелого масла, смешанного с кизельгуром. Целесообразно создать покрытие, напр., из искусств. горючего материала. Топливо может быть применено также для разжигания других горючих как, напр., угля.

Б. Э.

**4711 П. Удаление из газов перегонки продуктов, практически нерастворимых в воде, в частности бензола и нафталина (Procédé pour l'élimination, par lavage, de matières d'accompagnement, pratiquement insolubles dans l'eau, contenues dans les gaz, tout particulièrement le benzol et le naphtalène des gaz de**



distillation). [F. J. Collin Akt-Ges.]. Франц. пат. 1067357, 15.06.54 [Chimie et Industrie, 1954, 72, № 5, 935 (Франц.)]

Для промывки газов применяют масло, состоящее целиком или в большей своей части из галоидированных компонентов маслянистого либо кристаллич. характера, в частности, хлорнафталина, которые при обыкновенной т-ре представляют собой маслообразные жидкости. Е. П.

4712 П. Непрерывная разгонка каменноугольной смолы (Continuous distillation of mixtures, especially coal tar mixtures) [Rütgerswerke A.-G.]. Англ. пат. 698277, 14.10.53 [Chem. Abstrs, 1954, 48, № 10, 6103 (англ.)]

Предлагается непрерывный способ фракционной перегонки буроугольной или каменноугольной смолы в несколько последовательных стадий таким образом, чтобы остаточная часть и остаток от перегонки из каждой колонны поступали в нагреватель следующей колонны; т-ра в каждой последующей колонне повышается на 20—40° при соответствующем снижении давления. Из каждой колонны отбирается 1—2 фракции. В. К.

4713 П. Способ переработки каменноугольного бензола. Карабасс, Делассе, Менессье (Method of treating mineral coal distillation benzol. Carabasse Joseph, Delassus Marcel, Menessier André) [Etablissement Public: Houillères du Bassin du Nord et du Pas-de-Calais]. Пат. США 2680707, 8.06.54

Способ выделения чистых углеводородов из сырого каменноугольного бензола заключается: 1) в перегонке с выделением легкой фракции (отгоняется до 80°), бензольной фракции, толуольной фракции и остатка, содержащего ксилолы, высшие гомологи ксилола, полимеризующиеся стирол, индол и кумароновые соединения; 2) в обработке полученных фракций конц.  $H_2SO_4$  и 3) во второй перегонке продуктов, после отделения от них  $H_2SO_4$ , для получения чистых в-в с отклонениями по т-ре кипения для бензола 0,6°; для толуола 0,95°. В. К.

4714 П. Способ пиролиза нефтесодержащих минералов, например, нефтеносных сланцев в псевдоожиженном состоянии в присутствии катализатора крекинга. Кребс (Sätt att pyrolysera oljehaltiga mineral, t. ex. oljeskiffer i fluidiserat tillstånd tillsammans med en krackningskatalysator. K r e b s R. W.) [Standard Oil Development Co.]. Швед. пат. 142262, 22.09.53

Для пиролиза нефтесодержащих минералов, напр., нефтеносных сланцев, способных разлагаться при этом процессе в реакционную зону, содержащую перерабатываемый материал в тонкоизмельченном состоянии, вводится газ, при т-ре пиролиза и при такой скорости, что тонкоизмельченный материал превращается в турбулентную псевдожидкую суспензию твердых частиц в потоке газа. Распределение частиц в слое и их размеры таковы, что обеспечивают псевдоожиженное состояние во время пиролиза, причем тонкоизмельченный исходный материал добавляется в достаточном кол-ве к катализатору крекинга, средний размер частиц которого значительно больше среднего размера частиц исходного сырья после крекинга. Приведена схема установки. С. Г.

4715 П. Обогащение генераторного газа. Парсонс (Enrichment of fuel gas. Parsons W.). Англ. пат. 686472, 28.01.53 [Brit. Abstrs, 1953, B1, 705 (англ.)]

Генераторный газ обогащают путем непрерывного или периодич. инжектирования распыленной нефти, которую сжимают до высокого давления внутри газогенераторной установки при такой т-ре, чтобы нефть находилась постоянно в виде газа, смешиваемого за-

тем с потоком генераторного газа. Поддержание нефти в газообразном состоянии достигается путем использования газогенератора с площадью колосниковой решетки меньше нормальной для данной мощности и применения очень высокого давления (выше 70  $kg/cm^2$ ) для распыления нефти. Дано описание аппаратуры. А. И.

4716 П. Производство водяного газа и аналогичных продуктов (Production de gaz à l'eau et analogues) [Imperial Chemical Industries Ltd.]. Франц. пат. 1071137, 25.08.54 [Chimie et Industrie, 1955, 73, № 1, 86 (Франц.)]

При прокаливании углеродистых материалов, подобных каменному углю, часть образующихся продуктов переводится в зону коксования, куда загружается каменный уголь, подвергающийся здесь сухой перегонке. При взаимодействии с водяным паром получают водяной газ или аналогичную газовую смесь, содержащую  $CO$ . Г. М.

4717 П. Генератор водяного газа и способ его эксплуатации. Шнемилх (Wassergaserzeuger und Verfahren zum Betreiben desselben. S c h n e m i l c h A l f r e d) [Damag A.-G.]. Пат. ГФР 906253, 11.03.54 [Chem. Zbl., 1954, 125, № 35, 8021—8022 (нем.)]

В непрерывно движущийся вниз поток топлива, примерно в середине его, вводится горячее дутье, а в нижнем конце — дутье для газификации, в то время как смесь водяного газа с паром отводится несколько ниже места подачи горячего дутья, так что топливо, при движении вниз, в верхней части шахты подвергается горячему дутью, а в нижней — газификации. Для получения газа, не содержащего  $N_2$ , давление водяного газа на выходе поддерживается более высоким, чем давление на входе горячего дутья, так что часть водяного газа постоянно переходит в зону горячего дутья и там сгорает. А. Г.

4718 П. Электрохимическая система газификации. Горин (Integrated gasification electrochemical system. Gorin Everett) [Pittsburgh Consolidated Coal Co.]. Канад. пат. 505990, 21.09.54

Процесс, осуществляемый в системе, состоящей из зоны газификации (ЗГ) и электрохимич. окислительно-восстановительной зоны (ЭЗ), включает р-цию пара и  $CO_2$  с углем в ЗГ в условиях образования газообразного продукта, содержащего  $CO$  и  $H_2$ , подачу этого продукта и окисляющего газа раздельно в ЭЗ, где  $CO$  и  $H_2$  окисляются соответственно в  $CO_2$  и водяной пар и где часть их теплоты сгорания превращается в электр. энергию; при этом т-ра в ЭЗ поддерживается более высокой, чем в ЗГ. Пар и  $CO_2$ , полученные в ЭЗ, возвращают в ЗГ, где поддерживается необходимая т-ра за счет тепла, вносимого из ЭЗ, устанавливая постоянное соотношение между паром и  $CO_2$  в ЗГ и используют полученную электроэнергию. В другом варианте процесса газообразный продукт, получаемый в ЗГ, и воздух поступают раздельно в ЭЗ, где осуществляется электрохимич. р-ция при непосредственном теплообмене с ЗГ, причем большая часть тепла, требующегося в ЗГ, получается непосредственно из ЭЗ, а большая часть окисленных продуктов из ЭЗ возвращается в ЗГ без принудительного охлаждения. Из оставшейся части после теплообмена с воздухом, поступающим в ЭЗ, удаляются  $CO_2$  и  $H_2O$ , после чего газ, свободный от этих в-в, возвращается в ЭЗ. Соотношение между паром и  $CO_2$  в ЗГ также поддерживается постоянным. Предлагаемый процесс можно вести в серии ЗГ и ЭЗ, для этого несколько ЗГ и несколько ЭЗ соединяются последовательно так, что за каждой ЗГ следует ЭЗ и полученные в каждой ЗГ газообразные продукты, поступающие в соответствующую ЭЗ одновременно с окисляющим газом. Тепло для поддержания необходимой т-ры в каждой ЗГ получается из прилегающей ЭЗ.

Полученная в каждой ЭЗ электроэнергия используется. Приводится схема процесса. Г. Ш.

**4719 П.** Способ газификации угля. Мейленд (Method for gasifying coal. Mayland Bertrand J.) [Phillips Petroleum Co.]. Пат. США 2657501, 3.11.53

Для газификации угля плотная масса материала типа гальки самотеком спускается через зону нагрева, где она нагревается до т-ры выше той, какую галька должна иметь на входе в зону обработки газов, через которую она также самотеком спускается в виде плотной массы, после чего регулируемый поток свободнопадающей гальки пропускается через полую зону коксования, куда в виде газовой суспензии вводят пылевидный уголь, который под влиянием излучаемого галькой тепла превращается в кокс, частицы которого в смеси с галькой самотеком спускаются через зону газификации. В нижнюю часть последней противотоком к спускающейся горячей массе гальки и кокса подают водяной пар, который реагирует с коксом, после чего образующиеся газы проходят через зону коксования и зону обработки газов, где нагреваются от горячей гальки до высокой т-ры, в результате чего большая часть содержащейся в газах органич. S превращается в  $H_2S$ . Обработанные таким образом газы выводятся из зоны обработки. Из нижней части зоны газификации удаляют гальку и подают ее в верхнюю часть зоны нагрева. Приведена схема установки. А. И.

**4720 П.** Способ неполного сжигания углеродистых материалов. Атуэлл (Method for partial combustion of carbonaceous materials. Atwell Harold V.) [The Texas Co.]. Пат. США 2681852, 22.06.54

Способ газификации твердого пылевидного топлива в  $CO$  и  $H_2$  при р-ции с водяным паром и  $O_2$  в условиях т-ры выше  $1095^\circ$  отличается устройством реактора, состоящего из двух камер (реакционных зон). Топливо и  $O_2$  вводятся в I зону с сравнительно малой площадью поперечного сечения, где реагируют весь  $O_2$  и часть топлива; продукты р-ции (газ + неиспользованное топливо) проходят во II зону, отличающуюся большим поперечным сечением, с противоположного конца которой поступает водяной пар, реагирующий с топливом. Образующиеся в I и II зонах газы смешиваются и выводятся из II зоны вблизи ввода в нее первичных продуктов р-ции из I зоны. В. К.

**4721 П.** Гидрирование пылевидного угля (Hydrogenation of powdered carbonaceous material such as coal) [Standard Oil Development Co.]. Англ. пат. 693582, 1.07.53 [Brit. Coal Utilis. Res. Assoc. Monthly Bull., 1953, 17, № 9, 402—403 (англ.)]

Для гидрирования пылевидного угля в псевдооживленном состоянии потоком водорода предложено нанести на уголь катализатор ( $FeCl_2$  или  $SnCl_2$ ) путем опрыскивания, а затем смешивать с абсорбирующим материалом, таким, как кокс, песок, глина. В. К.

**4722 П.** Способ брикетирования мелкозернистого топлива, руды и др. Вебер (Verfahren zur Herstellung von Briketten aus feinkörnigen Brennstoffen, Erzen u. dgl. Weber Ludwig). Пат. ГФР 885089, 3.08.53 [Chem. Zbl., 1954, 125, № 8, 1864—1865 (нем.)]

Способ брикетирования предварительно высушенных до влажности ниже 1,5% исходных материалов заключается в смешении последних со связующей смесью, состоящей из каменноугольного и древесного пеков, и последующем нагревании с таким расчетом, чтобы перед прессованием т-ра массы была, по крайней мере, на  $30^\circ$  выше точки размягчения каменноугольного пека. Брикеты дополнительно нагревают до т-ры  $\sim 300^\circ$  с целью более полного или частичного оококовывания древесного пека. Р. К.

**4723 П.** Процесс переработки торфа. Гардиль (Procédé pour le traitement de la tourbe. Gardille

G. M. F.). Франц. пат. 1025351, 14.04.53 [Chimie et Industrie, 1953, 70, № 2, 220 (франц.)]

Способ обработки торфа отличается проведением двухступенчатой экстракции, сначала органич. р-рителем, предпочтительно нерастворимым в воде и кипящим ниже  $200^\circ$  (бензол, толуол, легкий бензин, уайт-спирт, дихлорэтан, монохлорбензол и т. д.), для извлечения воскоподобных в-в, которые отделяются с последующей обработкой лигноцеллюлозного остатка водн. р-ром щелочи для экстрагирования в-в, используемых в качестве удобрений. Органич. р-ритель регенерируется. И. А.

См. также: 3013, 4079, 4080

## ПЕРЕРАБОТКА ПРИРОДНЫХ ГАЗОВ И НЕФТИ. МОТОРНОЕ ТОПЛИВО. СМАЗКИ

**4724.** Пути дальнейшей химизации нефтепереработки. Похোжаев В. Д., Нефтяное х-во, 1953, № 6, 53—55

Обсуждение некоторых вопросов дальнейшего развития технологии нефтепереработки (подготовка сырья, катализаторы и др.). В. Г.

**4725.** Подготовка дистиллятного сырья на каталитических крекинг-установках. Бондаренко Б. И., Нефтяное х-во, 1953, № 10, 40—45

Рассматриваются схемы подготовки дистиллятного сырья для каталитич. крекинга. Приводятся 6 вариантов технологич. оформления секций подготовки сырья, которые можно разделить на две группы: 1) подготовительные секции низкого нагрева жидкофазного типа, характеризующиеся резким скачком т-ры сырья в зоне смешения его с горячим регенерированным катализатором, и 2) подготовительные секции высокого нагрева с парожидкофазным или парофазным питанием реактора. Б. Э.

**4726.** О термокаталитической очистке нефтепродуктов. Некрасов А. С., Каричева В. Н., Тр. Ин-та нефти АН СССР, 1955, 6, 89—99

Для обессеривания различных нефтепродуктов в присутствии Fe-контактов были использованы: восстановленная халиловская руда, содержащая 69,62%  $Fe_2O_3$ , болотная руда, к которой перед восстановлением добавлялось 0,5%  $NiO$ , и хромовые квасцы из расчета 1,5%  $Cr_2O_3$ , невосстановленная, а также восстановленная халиловская руда с добавками окислов  $Cr$ ,  $Ni$ ,  $Al$ ,  $Mn$ ,  $Ca$ . Сырьем для обессеривания служили: керосин, газойль и мазут туймазинской нефти, отбензиненные туймазинская и ишимбайская нефти, а также специально приготовленные керосиновые концентраты и искусств. смеси тиофена в  $C_8H_6$  и в газойле, не содержащем S. Содержание S в сырье варьировало в пределах от 0,15 до 2,64%. Обессеривание проводилось при  $300—510^\circ$ , а большая часть опытов при  $440—460^\circ$ , в автоклаве под давл. 66—114 ат (в основном на остаточном сырье) и в трубе при атмосферном давлении (на дистиллятном сырье). Показано, что в паровой фазе в присутствии восстановленного Fe-контакта содержание S в газойле снижается на 62%, в керосине на 70%. В присутствии невосстановленного Fe-контакта с добавкой окислов металлов содержание S в керосине снижается на 60%, в сернистом концентрате на 80% и в дистиллате после обессеривания в автоклаве на 20%. При работе в автоклаве в присутствии восстановленного Fe-контакта содержание S снижается в газойле и мазуте на 47—60%, а в присутствии невосстановленного контакта на 41—46%. При доочистке автоклавного дистиллата  $H_2SO_4$  содержание S снижается с 0,72 до

0,39%. В процессе обессеривания происходит крекинг, в результате которого образуется до 50% фракций, выкипающих до 200° (в автоклавных опытах) и содержащих 0,3—0,4% S в случае туймазинского сырья и 0,5—0,6% в случае ишимбайского сырья. Во фракции 200—300° содержание S соответственно составляет 1—1,4% и 1,8—1,9%. Авторы делают заключение, что в присутствии Fe-контактов удаляются не содержащие S в цикле сернистые соединения; соединения, имеющие атом S в цикле, разрушению не подвергаются. Б. Э.

4727. Расчет количества метанола, необходимого для предупреждения образования гидратов в природном газе. Джейкоби (Calculation of methanol requirements to prevent formation of gas hydrates. Jacoby Robert H.), Gas (Los Angeles), 1955, 31, № 2, 112—114 (англ.)

Уточнен ранее опубликованный метод расчета кол-ва метанола, необходимого для предупреждения образования гидратов. Составлены диаграммы для ускорения вычислений, приведен пример пользования предложенным методом расчета. П. Б.

4728. Спирто-бензиновая смесь как моторное топливо. Мухаммед Афзал Фазили (Power alcohol-petrol as fuel. Muhammad Afzal Fazili), Pakistan J. Sci., 1954, 6, № 2, 113—116 (англ.)

Рассматривается проблема произ-ва спирта в Пакистане на основе мсласы — отхода сахарных задов с целью использования его в смеси с бензином в качестве топлива для двигателей внутреннего сгорания. Возможность произ-ва спирта на основе посевных площадей под сахарным тростником в 1952—53 гг. оценивается в 41000 м<sup>3</sup>. Предлагается законодательным порядком внести добавку к бензину спирта в кол-ве 20—25%. Приводятся характеристики эксплуатационных качеств моторных топлив, полученных путем смешения бензина со спиртом, а также со стабилизаторами. Е. С.

4729. Стабильность топлив для турбореактивных авиадвигателей. Джонсон, Финк, Никсон (Stability of aircraft turbine fuels. Johnson C. R., Fink D. F., Nixon A. C.), Indust. and Engng Chem., 1954, 46, № 10, 2166—2173 (англ.)

Потребность в топливах (Т) для турбореактивных двигателей (ТД) в США исчисляется на 1956 г. в 12 млн. т. При значительном увеличении этого кол-ва в военное время потребуется расширение пределов выкипания до 65—260° и вовлечение крекинг-компонентов. Т должно содержать ограниченное кол-во растворимых и нерастворимых смол и свободно проходить через фильтр к форсункам при эксплуатационных т-рах. Кроме стабильности при длительном хранении, возникает проблема стабильности при высоких т-рах, так как в некоторых типах самолетов Т используется для охлаждения масла, нагреваясь при этом до т-р порядка 150°. Для оценки стабильности Т используется ускоренное окисление его под давлением O<sub>2</sub> ~15 ат при 100° в течение 16 час. (ASTM D-873-49), с последующим определением смол; в стабильном Т их не должно образоваться более 20 мг/100 мл. Учитывая, что по спецификации на Т допускается только 10 мг/100 мл, предпочитают модификацию метода определения смол с продувкой паром при 230°, а не воздухом при 205°. Исследования, проведенные на дизельном топливе, показали, что наиболее плохо влияют в смысле образования растворимых и нерастворимых смол полисульфиды, затем высшие алифатич. меркаптаны, тиофенол и низшие алифатич. меркаптаны; S-соединения других типов практически инертны. Из N-соединений оказывает влияние только пиррол. Какой-либо зависимости между кол-вом смол в Т и изменением его т-ры застывания

не обнаружено. Растворимые смолы мало влияют на фильтруемость Т, а нерастворимые снижают фильтруемость, но колич. соответствия не установлено; в последнем случае наличие даже малых кол-в воды вызывает ухудшение фильтруемости. Стабильность Т при высокой т-ре изучалась на стенде, включающем насос, теплообменник, 2-микронный фильтр и измерительные устройства. Т, предварительно профильтрованное через грубый фильтр и нагретое в теплообменнике до 120—200°, прокачивалось через фильтр в течение 2,5 час., причем регистрировался перепад давлений. Для стабильных Т он составлял 0,14—0,7 ат, для малостабильных более 2,8 ат. Оценка Т, по предлагаемому методу, соответствует их поведению в реальном двигателе. Применение рециркуляции давало расхождения с однократным прокачиванием малостабильных Т при наиболее высоких т-рах. Фильтрация на стенде холодного Т, а также нагретого и затем охлажденного Т с исследованием размера частиц с помощью электронного микрофотографирования приводит к заключению, что в процессе нагревания топлива происходит укрупнение мелко диспергированных смолистых частиц до размеров 0,1—1 м в диаметре, мешающее их прохождению через фильтр. В составе смолистых отложений обнаружены ароматич. кольца и преобладание карбоксильных и альдегидных групп. Действие присадок: более высококипящие Т вообще менее чувствительны к антиокислителям типа аминов и аминофенолов, чем бензины; обычные антиокислители и деактиваторы металлов мало влияют на стабильность Т для ТД при высокой т-ре, но хорошие результаты получены при применении моющих присадок, которые также улучшают фильтруемость Т при низких т-рах. В статье сведены результаты работ нескольких исследовательских организаций. З. С.

4730. Тетраэтилсвинец. Врбашский. (Tetraethylovo. Vrbaski Teodor), Kemija i industriji, 1954, 3, № 1, 5—10, 56 (хорв.; резюме англ., франц., нем.)

Обзор развития технологии произ-ва тетраэтилсвинца (I) за последние 10 лет, применения I в качестве антидетонатора для горючего, катализатора для некоторых р-ций и ингредиента нового взрывчатого в-ва. Изложены теоретич. представления о механизме антидетонирующего действия I и данные по токсичности I, симптомах интоксикации I и терапии. Л. П.

4731. Определение октанового числа автобензинов. Грант (Octane determination of automotive gasoline. Grant J. A.), J. Instn. Automot. and Aeronaut. Engrs, 1954, 14, № 4, 68—73 (англ.)

Описание стандартных методов определения октанового числа автобензинов, в том числе с применением детонатора нефтяной компании Филлипс. А. С.

4732. Улучшение качества смазки 1-13. Облеухов О. С., Нефтяное х-во, 1953, № 1, 55—57

В стандарт на смазку 1-13 (ГОСТ 1632-42) внесены изменения. Новая смазка мягкой консистенции удлиняет срок службы подшипников более чем в 4 раза. Приведены сравнительные таблицы свойств смазок и продолжительности работы подшипников на испытываемых смазках. И. Ш.

4733. Факторы, влияющие на поведение высокотемпературных консистентных смазок. Армстронг (Factors affecting performance of high temperature greases. Armstrong Eldon L.), Iron and Steel Engr, 1954, 31, № 9, 167—176 (англ.)

От хорошей консистентной смазки, эксплуатирующейся при высоких т-рах, требуется полная стабильность. Сюда относятся устойчивость смазки против чрезмерного размягчения либо затвердевания, окислительная стабильность, наличие и степень выпотевания масла, степень испарения масла или применяемой



синтетич. жидкости и др. Установление температурных пределов, в которых применяются различные смазки, дает возможность выделить три типа этих продуктов: Са-смазки, другие смазки на масляной основе и смазки на синтетич. основе. Кроме того, применяются твердые смазки типа графита и  $\text{MoS}_2$ . Кальциевые смазки можно применять при  $t$ -рах до  $70-95^\circ$ , другие смазки на аналогичной основе, загущенные мылом и немывные, могут быть использованы при  $t$ -рах до  $155-175^\circ$ , а из числа смазок на синтетич. основе, работоспособных в пределах  $t$ -р до  $230-290^\circ$ , только 1—2 силиконовые смазки выдерживают длительную работу; при еще более высоких  $t$ -рах приходится применять твердые смазки. К числу факторов, влияющих на поведение высокотемпературных смазок, автор относит элементы состава, т. е. типы загустителя и жидкой фазы, типы антиокислителей и других присадок, а также физ.-хим. свойства. Наиболее употребительными присадками в смазках являются ингибиторы окисления, представляющие собой  $\nu$ -ва фенольного типа, ароматич. амины, диалкилселениды. Коллоидальная структура загустителя — дисперсной фазы в смазке, определяет структуру последней. Устойчивость смазок против разрушения в условиях эксплуатации является функцией величины и формы частиц дисперсной фазы. У смазок с масляной дисперсионной средой выделение масла тем ниже, чем меньше волокна дисперсной фазы и чем выше вязкость дисперсионной среды. М. Х.

**4734. Регенерация масел, загрязненных консистентными мазями, Колотенко Ф. В.,** Нефтяное х-во 1953, № 7, 53—54

Обработанные масла, загрязненные смазками, обрабатываются 5% жидкого стекла уд. в. 1,3 при  $80-90^\circ$ . Смазки коагулируют и оседают на дно, после чего масло фильтруется и, в случае необходимости, дополнительно регенерируется обычными методами. В. С.

**4735 К. Каталитическая полимеризация олефинов в моторное топливо. Паушкин Я. М.,** Изд-во. АН СССР, 1955, 184 стр. с илл., 8 р. 50 к.

**4736 П. Обработка жидких углеводородов в присутствии твердых катализаторов. Томас (Process for the treatment of fluid hydrocarbon reactants with solid contact materials. Thomas Charles L.)** [Universal Oil Products Co.]. Канад. пат. 499243, 12.01.54

Предлагается усовершенствование процесса обработки углеводородов, находящихся в парообразном состоянии, в слое твердых частиц катализатора. Этот слой тугоплавкого порошкообразного катализатора поддерживается в реакционной зоне в псевдооживленном состоянии путем пропуска углеводородного сырья, а затем регенерирующего агента; указанные  $\nu$ -ва проходят вверх через слой частиц с линейной скоростью, препятствующей осаждению последних из плотного слоя с высокой конц-ией катализатора. К этому слою примыкает дисперсная фаза с более низкой конц-ией катализатора. Потоки продуктов конверсии и регенерирующего агента, соответственно, удаляются из указанной дисперсной фазы в точке, лежащей выше линии раздела между плотной и дисперсной фазами. Сравнительно малые кол-ва катализаторного порошка, усвоенного названными потоками, отделяются и возвращаются в плотный слой. Продукты конверсии и регенерирующий агент могут быть удалены из зоны  $r$ -ции через разделительную зону, которая непосредственно примыкает к дисперсной фазе в реакционной зоне, а порошок катализатора непрерывно возвращается в псевдооживленный плотный слой в точке ниже его верхнего уровня. В качестве регенерирующего агента могут быть применены жидкости, либо кислородсодержащий газ, с помощью которого выжигаются отложе-

ния, образовавшиеся на частицах катализатора. В этом случае в зоне регенерации поддерживается давление, существенно более низкое, чем в реакционной зоне, в которой процесс конверсии осуществляется под давлением выше атмосферного. Приведена схема установки. Д. С.

**4737. Удаление органически связанного хлора из углеводородных фракций. Хепп (Dechlorination of hydrocarbons containing organic chlorine. Хепп Harold J.)** [Phillips Petroleum Co.]. Пат. США 2673226, 23.03.54

Способ удаления остаточных кол-в органически связанного Cl из продуктов конверсии углеводородов, проводившейся на  $\text{AlCl}_3$  в качестве катализатора, заключается в контактировании отделенных от катализатора хлорсодержащих продуктов с жидким, активированным комплексным ( $\text{AlCl}_3$ +углеводород) катализатором, содержащим свободный  $\text{AlCl}_3$ , который характеризуется теплотой гидролиза  $280-375$  ккал/г. Приведена схема технологич. процесса. Л. О.

**4738 П. Каталитический крекинг углеводородных фракций на алюмосиликатном катализаторе с пораим определенного размера. Кимберлин, Гладроу (Catalytic cracking of hydrocarbon oils with specific pore size silica-alumina catalysts. Kimberlin Charles N., Jr., Gladrow Elroy M.)** [Standard Oil Development Co.]. Пат. США 2694673, 16.11.54

Предложено проводить каталитич. крекинг смеси нафтеновых (I) и парафиновых (II) углеводородов с целью получения более низкокипящих углеводородов на композиции из двух алюмосиликатных катализаторов с разным диаметром пор. Катализатор со средним диаметром пор  $60-100$  А преимущественно способствует крекингу I, оставляя неизменными II, а катализатор со средним диаметром пор  $20-40$  А, наоборот, ускоряет разложение II, не затрагивая I. Необходимое соотношение между кол-вами обоих катализаторов определяется соотношением I и II в сырье. А. К.

**4739 П. Превращение углеводородов с помощью активной катализаторной смеси, содержащей кремнезем. Моррелл (Conversion of hydrocarbons with an active silica composited catalyst mixture. Morrell Jacques C.)** Пат. США 2670321, 23.02.54

Процесс превращения более высококипящих углеводородов в более низкокипящие высокооктановые углеводороды, пригодные в качестве моторного топлива, состоит в конверсии указанного сырья при соответствующих  $t$ -ре и объемных скоростях в присутствии катализатора, представляющего собой тесную и агломерированную смесь активного  $\text{SiO}_2$ , активной окиси титана и дегидрогенизационного компонента гелеобразного окисла, являющегося активной окисью хрома, молибдена или ванадия. Эти окислы берутся в кол-ве  $1-10\%$  от смеси. А. Ч.

**4740 Д. Способ каталитического гидрирования углей, смол, нефтей и аналогичных материалов под давлением. Зимон, Фюнер, Михель, Шнейдер (Verfahren zur katalytischen Druckhydrierung von Kohlen, Teeren, Mineralölen und ähnlichen Stoffen. Simon Walter, Fünner Wilhelm von, Michael Wilhelm, Schneider Wilhelm)** [Badische Anilin- und Soda-Fabrik]. Пат. ГФР 881642, 2.07.53 [Chem. Zbl., 1954, 125, № 10, 2310—2311 (нем.)]

Способ приготовления катализатора для гидрирования углей, смол, нефтей и аналогичных материалов под давлением, содержащего кремневую  $\kappa$ -ту или силикаты и соединения металлов V и VI группы периодич. системы, заключается в том, что золь кремневой  $\kappa$ -ты или ее гель, содержащий воду, смешивается с легко или трудно растворимыми соединениями Mg, в данном

случае с применением волокнистой основы. Полученная смесь полностью или частично высушивается при  $t \sim 200^\circ$ , после чего добавляются упомянутые соединения металлов и вся смесь нагревается до высокой температуры.

**В. Э. 4741 П. Гидроформинг нефтяного сырья (Hydroforming of naphthas)** [Standard Oil Development Co.]. Англ. пат. 714061, 25.08.54 [Petroleum, 1954, 17, № 12, 452 (англ.)]

Предложен двухступенчатый процесс гидроформинга нефтяных фракций. В 1-й ступени смесь сырья с  $H_2$  ароматизируется в отсутствие фтористых соединений на твердом катализаторе, представляющем собой  $MoO_3$  на носителе, содержащем  $Al_2O_3$ , при  $400-565^\circ$  и давл.  $1-70 \text{ ат}$ ; продолжительность обработки в 1-й ступени должна практически обеспечить завершение процесса проматизации значительной части сырья. Продукты 1-й ступени контактируются затем при  $400-620^\circ$  и давл.  $1-210 \text{ ат}$  с катализатором, содержащим окисел или сульфид элемента VI группы, в присутствии фтористых соединений. Процесс обеспечивает наличие большого процента компонентов с высокой детонационной стойкостью в получаемом продукте.

**Н. К. 4742 П. Обессеривание дистиллятов топлив. Арнольд (Desulfurization of distillate fuels. Arnold Robert C.)** [Standard Oil Co.]. Пат. США 2673830, 30.03.54

Процесс очистки нефтяного дистиллята прямой гонки с высоким содержанием S, кипящего в пределах  $165-300^\circ$ , состоит в обработке его при  $t$  от  $+20^\circ$  до  $-40^\circ$  жидким  $SO_2$ , взятым в кол-ве, достаточном для образования отдельной фазы, но не более 400 об. %, считая на дистиллят, а также  $SO_2$  в кол-ве  $1-5 \text{ об. } \%$ . После отделения от экстракта рафинатного слоя и регенерации из него р-рителя получают очищ. дистиллят с существенно сниженным содержанием серы.

**Е. С. 4743 П. Получение простых полиэфиров. Копелли (Production of polyethers. Copelin Harry B.)** [E. I. du Pont de Nemours and Co.]. Пат. США 2694093, 9.11.54

Предложен процесс получения диметоксиоктана или диметоксидекана, включающий р-цию метоксисхлорбутана или метоксисхлорпентана с Mg при  $130-160^\circ$  в р-ре одного из следующих углеводородов: толуола, ксилола, этил-, пропил- или *т-тем*-бутилбензола.

**Е. П. 4744 П. Производство синтез-газа. Хадсон (Manufacture of synthesis gas. Hudson Thomas B.)** -Phillips Petroleum Co.]. Пат. США 2661270, 1.12.53

Улучшение в произ-ве (путем р-ции  $CH_4$  с водяным паром) синтез-газа, содержащего  $H_2$  и CO с молярным избытком  $H_2$  по отношению к CO, заключается в том, что смесь  $CH_4$  с водяным паром пропускают сверху вниз через вертикальную реакционную камеру (РК) прямотоком с массой огнеупорной гальки, предварительно подогретой до  $t$ -ры, достаточной для осуществления требуемой р-ции, в силу эндотермичности которой  $t$ -ра в РК понижается по направлению потока. Одновременно в РК в нескольких точках по ходу газа вводят катализатор таким образом, чтобы повышалась его активность по направлению потока газа, что должно компенсировать неблагоприятное влияние снижения  $t$ -ры на ход р-ции в нижней части РК. Гальку выводят из РК снизу, повторно подогревают и возвращают в цикл через верхнюю часть РК. Катализатор добавляют от гальки, причем часть его регенерируют, а остальное кол-во возвращают в процесс без регенерации. В первой по ходу газа точке подают только нерегенерированный катализатор, в следующих точках (кроме последней) к нему добавляют во все возрастающих кол-вах регенерированный катализатор, а в последней точке подают только регенерированный катализатор, чтобы

повышение активности катализатора по ходу газа обеспечивало одинаковую скорость р-ции во всей РК, несмотря на снижение  $t$ -ры и уменьшение конц-ии реагентов. Приводится схема установки.

**А. И. 4745 П. Способ и аппаратура для производства синтез-газа. Мейланд (Process and apparatus for the manufacture of synthesis gas. Mayland Bertrand)** [Phillips Petroleum Co.]. Пат. США 2655442, 13.10.53

Улучшенный способ произ-ва синтез-газа, состоящего из CO и  $H_2$ , заключается в том, что внутри камеры, футерованной огнеупором, сжигают в горелке природный газ (ПГ) с  $O_2$  при  $t$ -ре выше  $1480^\circ$ ; продукты горения, содержащие CO,  $CO_2$ ,  $H_2O$ ,  $H_2$  и непрореагировавший ПГ, быстро охлаждаются до  $t$ -ры ниже  $1260^\circ$ , но не ниже той, которая нужна для последующей ступени конверсии углеводородов с  $H_2O$ , подаваемой по окружности вокруг горелки так, чтобы она смешивалась с выходящими из горелки горячими газами. Охлажденные газы пропускают через катализатор реформинга, в результате чего непрореагировавшая часть ПГ конвертируется, образуя добавочное кол-во синтез-газа. Усовершенствованный аппарат для произ-ва синтез-газа, содержащего CO и  $H_2$  в соотношении  $1:2$ , состоит из реакционной камеры, представляющей собой металлич. корпус, футерованный внутри огнеупорным материалом, с аксиально расположенными в крышке камеры отверстиями для подачи ПГ и  $O_2$ ; горелки для сжигания ПГ с  $O_2$ ; большого числа охлаждающих устройств, размещенных радиально в крышке камеры вокруг горелки так, чтобы охлаждающий поток в виде конуса окружал выходящие из горелки продукты горения; перфорированной плиты, установленной внизу камеры для размещения твердого катализатора, и отверстия в нижней части камеры для отвода полученного синтез-газа. Приводится схема установки.

**А. И. 4746 П. Способ удаления из газов органических сернистых соединений. Бакли (Process for removing organic sulphur compounds from gases. Buckley James W. A.)** [Gas Council]. Англ. пат. 719159, 24.11.54 [Chem. Abstrs, 1955, 49, № 7, 4974-4975 (англ.)]

Органические S-соединения, содержащиеся в газах, получаемых газификацией угля и конверсией углеводородсодержащих газов с паром в воздухе или  $O_2$ , удаляют путем: а) каталитич. превращения органич. S в  $H_2S$  при  $200-400^\circ$ ; б) каталитич. окисления полученной газовой смеси воздухом или  $O_2$  при  $250-350^\circ$ , с превращением  $H_2S$  в  $SO_2$ , в присутствии щелочи для удаления образующегося  $SO_2$ . В качестве катализатора, способствующего переходу органич. S в  $H_2S$ , применяют соединения Cu, Cr, Ni, Co или Mo, содержащие сульфидную S, или смеси этих соединений; для окисления  $H_2S$  употребляют смеси Mn, Ni, Co или Fe, либо их солей или окислов, с Cr, V или W, либо солями или окислами последних. Катализатор для окисления применяют в смеси со щелочью в соотношении  $1-5 \text{ ч. зерен щелочи на } 1 \text{ объемн. ч. зерен катализатора}$ . Зерна должны быть разной величины, чтобы в отработанном виде их можно было разделить путем просеивания. Каталитич. окисление проводят со скоростью  $1500-5000 \text{ объемов газа на } 1 \text{ объем катализатора в } 1 \text{ час}$ .

**В. У. 4747 П. Моторное топливо. Хейуэрт, Джонак, Хиккок, Матушак (Motor fuel. Haworth Joseph P., Jonach Fredrick Lowell, Hickok John E., Matuszak Alfred H.)** [Standard Oil Development Co.]. Пат. США 2701754, 8.02.55

Для улучшения свойств бензина, обуславливающих приемистость двигателя, к нему добавляется  $0,1-1 \text{ об. } \%$  алифатич. с разветвленной цепью и двумя функциональными группами соединения, состоящего из

углерода, водорода и кислорода и содержащего 6—21 атомов С в молекуле; при этом, по крайней мере, две трети указанного кол-ва атомов С находятся в наиболее длинной цепи молекулы. Наиболее длинная цепь представляет собой алифатич. или оксалифатич. группу, в которой две не смежные функциональные группы присоединены к неконцевым атомам С. Каждая из этих функциональных групп удалена от концов цепи не более, чем на 2 атома С. Функциональные группы представляют собой метильный или гидроксильный радикалы.

А. Ч.  
4748 П. Синтез углеводородов. Мартин (Hydrocarbon synthesis reaction. Martin Homer Z.) [Standard Oil Development Co.]. Пат. США 2662912, 15.12.53

Способ синтеза углеводородов из СО и Н<sub>2</sub> состоит из двух ступеней: приготовления газа для синтеза и превращения его в углеводороды. Исходные метансодержащие газы (I) превращают при соответствующих т-ре и давлении в Н<sub>2</sub> и СО, что осуществляется путем взаимодействия I в зоне приготовления газа для синтеза с порошкообразной окисью металла (II), в псевдооживленном состоянии, которая при этом восстанавливается, хотя бы частично, до металла. Последний переводят в регенерационную зону, где обрабатывают воздухом при т-ре на 40—95° выше, чем в зоне приготовления газа для синтеза. Регенерированную II с добавкой некоторого кол-ва горячего металла (для возмещения тепловых потерь) снова направляют на контактирование с I. Образующиеся газы, содержащие СО и Н<sub>2</sub>, контактируют в зоне синтеза при соответствующих условиях т-ры и давления с порошкообразным катализатором в псевдооживленном состоянии, выводят из этой зоны пары углеводородов и охлаждают их, в результате чего часть паров, представляющих в обычных условиях жидкость, оживается. Несконденсировавшиеся пары частично рециркулируют и направляют обратно в зону синтеза. Из другой части несконденсировавшихся паров отделяют углеводороды С<sub>3</sub> и более тяжелые, а углеводороды, содержащие главным образом С<sub>1</sub> и С<sub>2</sub>, снова рециркулируют в зону приготовления газа для синтеза. Приведена схема установки. Б. М.

4749 П. Получение углеводородов, выкипающих выше 290°, гидрированием окиси углерода. Кёльбель, Аккерман (Verfahren zur Herstellung von vorwiegend oberhalb 290° siedenden Kohlenwasserstoffen durch Kohlenoxydhydrierung. Kölbels Herbert, Ackermann Paul) [Rheinpreußen A.-G. für Bergbau und Chemie]. Пат. ГФР 907648, 29.03.54 [Chem. Zbl., 1954, 125, № 28, 6393 (нем.)]

Окись углерода гидрируется в псевдооживленном слое в присутствии активных Fe-катализаторов, содержащих не менее 95 вес. % окислов Fe и 0,7—5,0 вес. % щел. соединений характера окислов. Наличие щелочи в катализаторе поддерживается путем непрерывного или периодич. введения ее в псевдооживленный слой. Высококипящие продукты синтеза, выходящие из реакционного пространства отдельно от конечного газа, выделяются из катализаторной суспензии фильтрацией либо непрерывно, либо через короткие промежутки времени.

Б. Э.  
4750 П. Способ каталитического получения углеводородов, например изобутана, из окиси углерода и водорода. Фишер, Пихлер, Цизекке (Verfahren zur katalytischen Herstellung von Kohlenwasserstoffen, beispielsweise Isobutan, aus Kohlenoxyd und Wasserstoff. Fischer Franz, Pichler Helmut, Ziesecke Karl-Heinz) [Studien- und Verwertung-G. m. b. H.]. Пат. ГФР 890501, 28.09.53 [Chem. Zbl., 1954, 125, № 40, 9201 (нем.)]

Способ каталитич. получения углеводородов, в частности изобутана, из СО и Н<sub>2</sub>, проводят в одном процессе с применением Th-катализаторов, свободных от элементов группы Fe, а также от V, Cr и Mo, в интервале давлений и т-р, ограниченном, с одной стороны, условиями 10 атм/480°, 100 атм/425° и 1000 атм/350° и, с другой: 10 атм/600°, 100 атм/600° и 1000 атм/600°. Лучшие выхода топлива с высокими о. ч. и содержанием изобутана при однократном пропуске получаются в интервале 10 атм/500°, 100 атм/450° и 1000 атм/400°, а также 10 атм/550°, 100 атм/550° и 1000 атм/550°. В качестве катализатора может служить ThO<sub>2</sub>, осаждаемая на носителях из Th(NO<sub>3</sub>)<sub>4</sub>.

В. Ш.  
4751 П. Метод увеличения выхода водорастворимых химических продуктов при синтезе углеводородов. Крацер (Method for increasing yield of water-soluble chemicals in hydrocarbon synthesis. Kratzer Myron B.) [Stanolind Oil and Gas Co.]. Пат. США 2681924, 22.06.54

Предлагается метод увеличения выхода водорастворимых хим. продуктов в процессе синтеза углеводородов из смеси СО и Н<sub>2</sub> в реакционной зоне, содержащей тонкодисперсный Fe-катализатор. Р-ция интенсифицируется с тем, чтобы превращение СО составило 70—83% от поданного кол-ва путем контактирования указанного катализатора со свежим газом, содержащим, в основном, Н<sub>2</sub> и СО в соотношении 1,5—2 при 315—355° и давл. 19—28 кг/см<sup>2</sup>. Образующиеся газообразные и, в обычных условиях, жидкие углеводороды, а также окисленные органич. соединения выводят из реакционной зоны, причем из потока, содержащего газообразные и жидкие углеводороды, водорастворимые органич. соединения СО<sub>2</sub>, СО и Н<sub>2</sub> выделяют водорастворимые органич. соединения и газообразные углеводородные компоненты, возвращая последние обратно в реакционную зону так, что в общем газовом потоке 1,2—2 объема рециркулированных газов приходится на 1 объем свежего газа.

Д. С.  
4752 П. Способ удаления жирных кислот из реакционных газов и паров процесса гидрирования СО, содержащих углекислоту. Оме (Verfahren zur Entfernung von Fettsäuren aus den Kohlenwasserhaltigen Reaktionsgasen und Dämpfen der Kohlenoxydhydrierung. Ome Wolfram) [Dortmunder Paraffinwerke G. m. b. H.]. Пат. ГФР 894553, 26.10.53 [Chem. Zbl., 1954, 125, № 44, 10151 (нем.)]

Незначительные кол-ва жирных к-т (I), содержащихся в реакционных газах при синтезе подсредним давлением, должны быть удалены из конечного газа перед отделением жидких продуктов. При этом возникает затруднение, состоящее в том, что применяемый для нейтрации р-р Na<sub>2</sub>CO<sub>3</sub> (II) вследствие высокого содержания в газах СО<sub>2</sub> переходит в NaHCO<sub>3</sub>, не совсем пригодный для абсорбции I. Так как превращение II в NaHCO<sub>3</sub>, зависящее от давления и т-ры, идет во времени, то продолжительность соприкосновения паров, содержащих I, с II делают столь коротким, что в конечном щел. р-ре содержится еще не менее 20% (лучше 20—50%) неизменного II. Это достигается проще всего путем ввода II в нижнюю часть газового потока или в нескольких местах его на различной высоте; в последнем случае р-р отводится также из нескольких мест, находящихся на различной высоте.

Б. Э.  
4753 П. Получение железных катализаторов для гидрогенизации окиси углерода. Кёльбель, Рухенбург (Process for the production of iron catalysts for the hydrogenation of carbon monoxide. Kölbels H., Ruschenburg E.) [Rheinpreussen A.-G. fuer Bergbau und Chemie]. Англ. пат. 708953, 12.05.54

Железный катализатор для гидрогенизации СО получают осаждением из водн. р-ра соли Fe, причем кис-



лотный радикал этой соли должен обладать способностью к образованию водорастворимых солей щел.-зем. металлов. Применяемый осадитель является минералом и берется в виде тонкодисперсного порошка, образующего при нагревании окислы щел.-зем. металлов и содержащего не более 1 вес. % силикатов, растворимых в р-ре для осаждения. Соли щел.-зем. металлов осаждаются затем из р-ра путем добавления соответствующего щелочнометаллич. соединения.

И. Р.

**4754 П.** Аппаратура для регулирования реакций с синтез-газом. Хейс (Apparatus for controlling synthesis reactions. Hays George E.) [Phillips Petroleum Co.]. Пат. США 2702238, 15.02.55

Система автоматич. регулирования процесса синтеза углеводородов из CO и H<sub>2</sub>, в котором реакционная смесь получается в результате конверсии CH<sub>4</sub> и отходящих газов кислородом и водяным паром. Система состоит из датчиков, расположенных на линиях подачи пара, O<sub>2</sub>, CH<sub>4</sub>, синтез-газа и отходящих газов синтеза, и связанных с датчиками автоматич. устройств, регулирующих поступление газа в реактор и конвертор. Приводится схема.

В. Ш.

**4755 П.** Способ получения стабильного бензина, не содержащего ароматических меркаптанов. Стрикленд, Льюис, Мак-Клелленн (Process for stabilizing gasoline and for recovering aromatic mercaptans therefrom. Strickland Barney R., Lewis Emil H., McClellenn John K.) [Standard Oil Development Co.]. Канад. пат. 503209, 25.05.54

Способ получения стабильного крекинг-бензина содержит следующие ступени: каталитич. крекинг газойля, кипящего выше 205° и содержащего > 0,8% серы; разгонка продуктов крекинга и выделение бензиновой фракции, практически свободной от H<sub>2</sub>S, но содержащей значительные кол-ва меркаптанов, имеющих, в основном, ароматич. природу. Для получения из дистиллата свободного от меркаптанов и стабильного в отношении смолообразования бензина, дистиллат обрабатывают не содержащим кислорода водн. р-ром щелочи, уд. в. 1,04—1,38, причем кол-во добавляемой щелочи составляет 5—20% от объема бензина каталитич. крекинга; обработка производится также в отсутствие кислорода. Приводится схема установок.

В. З.

**4756 П.** Экстрактивное фракционирование нефтяных углеводородов путем обработки мочевиной (Extractive fractionation of hydrocarbon oils by formation of urea adducts) [Anglo-Iranian Oil Co., Ltd.]. Англ. пат. 704439, 24.02.54 [J. Appl. Chem., 1954, 4, № 8, 183 (англ.)]

Очистка нефтяных фракций, в частности лигроина, бензина, полученного термич. реформингом лигроина, с целью получения высокооктанового топлива производится обработкой пересыщенным 50—80%-ным р-ром мочевины в трехкомпонентном р-рителе, состоящем из воды, водорастворимого одноатомного спирта или кетона и эмульгирующего агента, напр. аминспирта. Получаемая эмульсия разбивается добавлением р-рителя. Верхний рафинатный слой содержит нафты, сильноразветвленные углеводороды и ароматич. углеводороды. Нижний слой (суспензия), содержащий аддукт мочевины с неразветвленными и слабо разветвленными углеводородами, может быть разложен, в результате чего получаются углеводороды, пригодные для реформинга, т. е. получения высокооктановых продуктов, и регенерированная мочевина, возвращаемая в процесс. При мер: 37%-ный р-р мочевины в смеси 3 ч. 80%-ного метанола и 1 ч. этиленгликоля готовится при 37°, охлаждается до 20° и энергично перемешивается с дистиллатом, подвергнутым термич. реформингу,

с пределами кипения 40—200° (100 ч.), в течение 1 часа при 50°. Тиксотропная эмульсия разлагается 90%-ным метанолом с т. кип. 88° (27 ч.), с получением после осаждения рафината с выходом 87 об. % и октановым числом 75,4, по сравнению с 71,4 для исходного сырья. Нижний слой нагревается до 40°, выделяющиеся углеводороды отделяются, после чего остается ненасыщ. р-р мочевины и измененный трехкомпонентный р-ритель; р-р регенерируется для повторного использования.

Е. С.

**4757 П.** Получение бензинов предельного характера с улучшенными антидетонационными свойствами. Динесли (Production of saturated gasolines with increased antiknock properties. Deanesly Richard M.) [Universal Oil Products Co.]. Пат. США 2684325, 20.07.54

Предложен процесс улучшения испаряемости и антидетонационных свойств бензинов, применяемых в двигателях внутреннего сгорания. Газовый бензин фракционировкой разделяется на сравнительно высококипящую (135—205°) и низкокипящую (C<sub>4</sub>—135°) фракции, последнюю подвергают термич. крекингу, причем из продукта крекинга выделяют легкую углеводородную фракцию с концом кипения не ниже 38°, содержащую газообразные и жидкие олефины. Высококипящая фракция подвергается реформингу на катализаторе и из продукта реформинга выделяется средняя фракция с промежуточными интервалами выкипаемости. Эту фракцию смешивают с указанной выше легкой фракцией, содержащей ароматич. углеводороды. Полученную смесь подвергают одновременно полимеризации и алкилированию. Остаточные жидкие фракции из продуктов крекинга, реформинга и полимеризации, выкипающие до ~205°, смешиваются; полученный продукт представляет собой моторное топливо с улучшенными свойствами. Приведена схема технологич. процесса.

Н. К.

**4758 П.** Производство ароматического бензина. Шепардсон (Production of an aromatic gasoline. Shepardson Robert M.) [Standard Oil Development Co.]. Канад. пат. 499930, 9.02.54

Производство компонента авиационного бензина с высоким содержанием ароматич. углеводородов (АУ) методом высокотемпературного скоростного крекинга отличается тем, что фракция 120—205° каталитич. гидроформинга, содержащая 75—85 об. % АУ, нагревается при 650—870° в течение времени от 10 сек. до долей секунды. Для высоких т-р требуется меньшее время контакта с целью превращения неароматич. соединений в олефины и диолефины, а высококипящих АУ в низкокипящие АУ. Продукты р-ции, выходящие из ступени высокотемпературного крекинга, подвергаются мгновенному охлаждению. Затем, из продуктов крекинга извлекаются неароматич. компоненты и выделяется фракция, по т-ре кипения соответствующая авиационному бензину и содержащая по преимуществу АУ. Эта фракция, кипящая в пределах 75—170°, содержит > 95% АУ. Дается принципиальная схема процесса.

П. Т.

**4759 П.** Композиции углеводородных топлив, обладающие антикоррозионными свойствами (Hydrocarbon fuel compositions having antirust properties) [California Research Corp.]. Англ. пат. 717673, 3.11.54 [Corros. Prevent. and Control, 1955, 2, № 3, 62 (англ.)]

Для снижения коррозии линий перекачки к базовому углеводородному топливу с пределами кипения, характерными для бензина, добавляется до 0,01 вес. % растворимого в нефтепродукте сульфоната Pb. Такие

Pb-соли сульфокислот. получают обработкой нефтяных дистиллатов кислотой. Е. С.

**4760 П.** Производство моторного топлива. Мак-Нилл (Production of motor fuel. McNeill Eric) [Anglo-Iranian Oil Co., Ltd]. Канад пат. 495356, 18.08.53

Патентуется непрерывный процесс и аппаратура для алкилирования изопарафина, напр. изобутана или изопентана, олефином при низкой т-ре в пределах от  $-10$  до  $-30^\circ$  путем контактирования в струе в присутствии серной к-ты высокой начальной конц-ии. Олефиновый компонент добавляется частями для создания низкой начальной конц-ии олефина в проточной реакционной смеси. Кратность изопарафина к олефину в циркулирующем потоке поддерживают значительно большую (немного более 300:1), чем в свежем сырье. Поэтому олефин быстро распределяется в смеси и расходуется на алкилирование изопарафина в условиях большого разбавления алкилирующего агента и сильной турбулентности, приводящих к высоким скоростям р-ции. Процесс осуществляется в несколько последовательных ступеней, на каждой из которых имеются циркуляционный насос, реактор, через который непрерывно проходят реагирующие в-ва и к-та, и сепаратор для отстаивания реакционной смеси. Углеводороды, образующиеся при р-ции вместе с непрореагировавшими изопарафинами, отделяются как верхний слой от к-ты, раздельно возвращаясь в цикл для повторного использования на соответствующие ступени процесса. Приводится схема установки. И. А.

**4761 П.** Процесс превращения углеводородов. Меррей, Хенсел (Hydrocarbon conversion process. Murray Maurice J., Haensel Vladimir) [Universal Oil Products Co.]. Пат. США 2689208, 14.09.54

Предложен процесс, в котором бензин, содержащий нафтены, разделяется фракционированием на тяжелую фракцию, выкипающую при  $t_{\text{ре}} > 85^\circ$ , и легкую фракцию с пределами кипения  $65-85^\circ$ , содержащую метилциклопентан и циклогексан. Легкая фракция подвергается реформингу путем пропуска вместе с  $H_2$  через слой катализатора, содержащего  $Al_2O_3$ , галоидные соединения и металл группы Pt, при  $400-540^\circ$  и давл.  $3,5-28$  атм. Пропуск легкой фракции заканчивается, когда активность катализатора падает ниже допустимого предела. После этого через слой катализатора пропускают смесь тяжелой фракции с  $H_2$  при  $400-540^\circ$  и давлении не менее  $35$  атм до тех пор, пока его активность не возрастет достаточно заметно. Приводится схема установки. Н. К.

**4762 П.** Принцип работы пульсирующих реактивных двигателей и парафинистое углеводородное топливо для них. Ширмер, Кунгг, Бриттон (Paraffin hydrocarbon fuel for and method of operating pulse jet engines. Schirmer Robert M., Quigg Harold T., Britton Sylvester C.). Пат. США 2688840, 14.09.54

Предлагается усовершенствованный рабочий процесс пульсирующего реактивного двигателя, в котором топливо совместно с воздухом впрыскивается в переднюю часть первичной зоны; топливо содержит не более 10 об. % изопарафинов, не менее 50 об. % нормальных парафинов, выкипающих в интервале  $65-260^\circ$  и от 5 до 20 об. % нормальных парафинов, выкипающих в интервале от  $-7$  до  $65^\circ$ . Воспламенение топливной смеси происходит от ударной волны, возникающей при взрыве. Повторяющиеся циклы впрыска, сгорания и выхлопа приводят к повышению т-ры в двигателе в пределах  $430-2500^\circ$ . М. П.

**4763 П.** Смазочные составы (Lubricating compositions) [Wakefield and Co., Ltd, C.C.W.]. Англ. пат.

713423, 11.08.54 [Paint, Oil and Colour J., 1954, 126, № 2919, 694 (англ.)]

Патентуются смазочные составы, приготовленные на основе касторового масла и применяющиеся для смазки шестерен и подшипников. К смазкам для предотвращения окисления и смолообразования прибавлены 0,05—2% Sn- или Sb-нефтяных сульфонов и 0,1—5% сложного амина. Может быть добавлен ингибитор коррозии — сложный эфир фосфористой к-ты (англ. пат. 574445) и сложный амин (англ. пат. 588864). Д. С.

**4764 П.** Смазочный состав. Симор, Дьюк (Lubricant composition. Seymour George W., Duke Marshall) [Celanese Corp. of America]. Канад. пат. 506947, 2.11.54

Смазочный состав содержит, в основном, 50—70 (лучше 60) вес. ч. минер. масла с примесью 5—15 (предпочтительно 9) вес. ч. моно-*n*-деканового эфира  $H_2PO_4$ , 10—30 (предпочтительно 20) вес. ч. диэтаноламинозилового эфира лауриновой к-ты, 1—4 (лучше 2) вес. ч. триэтанолamina и 1—4 (лучше 2,5) вес. ч. диамилфеола. Е. П.

**4765 П.** Коллоидальные составы. Виноград, Стросс (Colloidal compositions and derivatives thereof. Vinograd Jerome Rubin, Stross Fred H.) [Shell Development Co.]. Пат. США 2671758, 9.03.54

Маслянистая жидкость органич. происхождения стабилизируется против разложения, ведущего к образованию загрязнений кислого характера, и продуктов распада определенным кол-вом диспергируемой в масле моющей добавки, являющейся фосфатидом, жирным маслом, или подвергнутым действию тихого разряда жирным или минер. маслом, солями многовалентного металла с карбоновой и сульфокислотами, фосфорнокислой солью многовалентного металла или многовалентнометаллич. солью продукта алкилфенол-формальдегидной конденсации. Прибавляется также небольшое кол-во коллоидального металлосодержащего неорганич. основания с размером колл. частиц в пределах  $0,001-1,0$  м, получаемого в результате р-ции неорганич. соли многовалентного металла и алкоголята щел. металла и приготовляемого в органич. р-рителе. Патентуется также усовершенствованный способ получения нефтяных сульфонов путем непосредственной нейтр-ции кислого масла, содержащего в растворенном виде сульфокислоты, безводн. металлосодержащим неорганич. основанием колл. характера, с размерностью частиц от  $0,001$  м до  $0,5$  м. М. Х.

**4766 П.** Масляный состав, предохраняющий от коррозии. Барлетт, Кершенбаум, Рудел (Rust preventive oil composition. Bartlett Jeffrey H., Kirshenbaum Abraham D., Rudel Harry W.). [Standard Oil Development Co.]. Пат. США 2680094, 1.06.54

Предлагается состав, задерживающий коррозию и, в основном, состоящий из 95—99,9 вес. % минер. смазочного масла, 0,05—4,5% растворимых в масле металл. солей нефтяных сульфокислот и 0,005—1% сложных эфиров алифатич. спиртов и этилендииминтетрауксусной к-ты. Эфиры имеют в каждой спиртовой группе не менее 8 и не более 18 атомов С. М. Х.

**4767 П.** Незаморажающие составы. Баркер (Antifreeze compositions. Barker Robert C.) [Gulf Research and Development Co.]. Пат. США 2692860, 26.10.54

Предлагается постоянный антифризный состав, представляющий собой, в основном, этиленгликоль ~0,5 вес. % азотистокислого натрия, 0,2 вес. % пятидесятипроцентного водн. р-ра натрий-меркаптобензотиазола в ~1,0 вес. % циклогексиламина. М. Х.

См. также: 3398, 3745, 3746, 4127, 4248, 5218

## ПРОМЫШЛЕННЫЙ ОРГАНИЧЕСКИЙ СИНТЕЗ

4768. Каталитическая дегидратация этилового спирта до этилена с применением индийских бокситов. Дж о ш и, П а й (The catalytic dehydration of ethanol to ethylene with Indian bauxites. Joshi H. K., P a i M. U.), J. Scient. and Industr. Res., 1954, 13, № 9, 619—625 (англ.)

Испытана активность 7 сортов индийских бокситов и 4 сортов глинозема, при дегидратации  $C_2H_5OH$  до  $C_2H_4$ . Испытания велись в реакторе из мягкой стали с объемом катализатора, пространства 1 л. При т-ре  $\sim 360^\circ$  превращение составило больше 90%, и во многих случаях получаемый газ содержал больше 95%  $C_2H_4$ . 3 сорта бокситов дали наибольшее превращение при скорости больше 1 г спирта на 1 мл объема катализатора в 1 час. 5 сортов катализатора не обнаружили потери активности при непрерывных испытаниях в течение 15 дней. При более низкой т-ре ( $\sim 305\text{—}310^\circ$ ) происходит заметное образование диэтилового эфира, и  $C_2H_4$  получают с плохим выходом. В. У.

4769. Растворимость рицинолеата олова в различных растворителях. Мерз (Solubility of tin ricinoleate in solvents. Merz A.), J. Amer. Oil Chemists Soc., 1955, 32, № 3, 177 (англ.)

$Sn^{2+}$ -рицинолеат (I) представляет собой вязкую жидкость, слегка окрашенную в коричневый цвет, и обладает лишь слабым запахом. I, полученный из технич. рицинолевой к-ты, содержит 12—14% Sn (теоретич. содержание Sn 16,6%) и имеет  $n_D^{20} \sim 1,504$ ,  $d_4^{20} \sim 1,112$ ;  $\eta^{20} \sim 4\,000\text{—}7\,000$  санти-, т-ра всп.  $165^\circ$ . I обладает хорошей растворимостью в полярных и неполярных р-рителях (за исключением гликолей); его предложено использовать для стабилизации галогидсодержащих полимеров против действия тепла и света. Приведена таблица растворимости I в алифатич. и ароматич. углеводородах, терпенах, спиртах, кетонах, сложных эфирах и др. растворителях. М. Л.

4770. Производство алифатических нитрилов. Курц (Quelques nitriles aliphatiques industriels. Kurtz P. et al.), Ind. Chim. belge, 1954, 19, № 4, 381—390 (франц.; резюме голл., англ., нем.)

Указано применение и получение наиболее важных в качестве промежуточных продуктов нитрилов: ацетонитрила, акрилонитрила, адипонитрила и некоторых других алифатич. нитрилов. Кратко указаны способы, предложенные после 1945 г., для получения  $\beta$ ,  $\gamma$ -ненасыщенных нитрилов: винилуксусной, глутароновой, дигидромуконовой и других кислот. В. У.

4771. Диафиры пиновой кислоты (Les diesters de l'acide pinique M. G.), Rev. prod. chim., 1954, 57, № 1207, 405—406 (франц.)

Диафиры пиновой к-ты и нормальных спиртов с 4—10 атомами С применяются в качестве смазывающих в-в для работы при очень низких т-рах, напр. для смазки авиационных моторов в арктических условиях, в качестве пластификаторов, придающих материалам стойкость при пониженных т-рах и т. п. Пиновая к-та, являющаяся первичным продуктом окисления, неустойчива к окислению, вследствие присутствия кетогруппы, и поэтому менее дешева. 2-этилгексильные эфиры пиновой и пиновой к-т имеют точку каплепадения ниже  $-50^\circ$ . При окислении  $\alpha$ -пинена, выделенного из скипидара, получаются, главным образом, пиноновая, пиновая и норпиновая к-ты. Опыты ускоренного термич. окисления при  $125\text{—}150^\circ$  показали, что эфиры пиновой к-ты при этом более устойчивы и, кроме того, легче стабилизируются антиоксидантами, напр., фентиазином. Тем не менее, эфиры пиновой к-ты могут быть использованы для получения пластификаторов и других целей. Дигексильный эфир пиновой к-ты, к которому

прибавлено 0,35% фентиазина, является хорошим смазывающим в-вом. Дигексильные, дигептильные и диоктиловые эфиры можно применять для добавления к минер. маслам, силиконам, другим эфирам, полиэфирам и т. д., для синтеза полимерных соединений, смол и волокон. О. С.

4772. Фталевый ангидрид. Рокоссовский (Bezwodnik ftalowy. Rokossowski Zbigniew) Chemik, 1955, 8, № 3, 73—77 (польск.)

Приведен материал по развитию произ-ва фталевого ангидрида и его применению. Описан технологич. процесс получения фталевого ангидрида из нафталина (катализатор  $V_2O_5$ ). С. В.

4773. Повышение выхода при сульфировании соединений ряда нафталина. Рац (Zvýšení výťažků sulfonací v naftalenové řadě Rác F.), Chem. průmysl, 1955, 5, № 2, 85—86 (чеш.)

Предложено производить измельчение кристаллич. сульфлируемых продуктов при загрузке в сульфуратор с помощью спец. мельницы производительностью 4 000 кг/час, устанавливаемой на трубопроводе. Этот прием увеличивает выход сульфопродуктов (напр., 2-нафтол-1-сульфокислоты на 25%) и делает его более устойчивым. Приведена схема оборудования. С. В.

4774. Применение натрия в новой форме. (Sodium wears a new harness.—), Chem. Engng, 1953, 60, № 6, 270—271 (англ.)

Для применения металл. Na в новой форме покрывают инертные твердые тела с большой поверхностью слоем молекулярного Na. Слой быстро наносит на поверхность горячего сухого твердого тела при  $100\text{—}200^\circ$  в инертной атмосфере. Приготовление слоя и применение в-ва следует проводить в одном аппарате. Новый продукт рекомендуется применять: 1) для удаления S из бензина, 2) для приготовления катализаторов — коллоидальных металлов, 3) для получения металлопроизводных, 4) для катализат. р-ций с тонкодисперсным Na, 5) для получения Na-органич. соединений. Этим продуктом пользуются для восстановления хлористых металлов, а также для очистки нефтепродуктов. Приведена схема аппарата для приготовления продукта. Н. С.

4775 П. Фотоактивация реакций. Нейнхёффер (Photoaktivierung von Reaktionen. Neunhöf-fer Otto). Пат. ГДР 6229, 12.07.54

Способ активации р-ции отличается тем, что применяют световоспускание таких флуоресцирующих в-в, максимум излучения которых лежит в волновой области, благоприятной для ускорения р-ции. Волны поглощаются одним или несколькими компонентами р-ции и (или) промежуточными в-вами. Способ позволяет значительно увеличить квантовый выход, устранить ненужное нагревание и разрушение продуктов р-ции и допускает применение стеклянной аппаратуры вместо кварцевой. П р и м е р: хлорирование толуола в боковую цепь при облучении светом с максимумом излучения при  $370\text{ м}\mu$ , что соответствует полосе поглощения хлора. Аналогично получают гексахлорциклогексан и проводят сульфохлорирование. Е. Д.

4776 П. Способ разделения парафинов и моноолефинов. Бройх, Шеллинг, Штадельман (Verfahren zum Trennen von Paraffinen und Monoolefinen. Broich Franz, Schöllig Alfred, Stadelman Sigmund) [Badische Anilin- und Soda-Fabrik A.-G.]. Пат. ГФР 902008, 18.01.54 [Chem. Zbl., 1954, 125, № 39, 8901 (нем.)]

Смеси парафинов и олефинов разделяют фракционной перегонкой в присутствии  $NH_3$  или низших алкиламинов, которые берут в кол-ве, не большем, чем необходимо для образования низкокипящего азеотропа



Пример: отделение *n*-бутана от 2-бутилена. Приведены таблицы. В. У.

**4777 П.** Способ проведения реакции изопарафинов с олефинами в присутствии концентрированной серной кислоты. Мак-Аллистер, Буллард, Тейлор (Verfahren zum Umsetzen von Isoparaffinen mit Olefinen in Gegenwart konzentrierter Schwefelsäure. McAllister Samner Hatch, Bullard Edwin Francis, Taylor Jack Francis Mahon) [N. V. de Bataafsche Petroleum Maatschappij]. Пат. ГФР 881499, 29.06.53 [Chem. Zbl., 1955, 126, № 10, 2341 (нем.)]

Реакцию изопарафинов (I) с олефинами (II) в присутствии конц.  $H_2SO_4$  проводят при сравнительно низких *т-рах* с применением избытка I, причем II непрерывно вводят в находящуюся в циркуляции диспергированную смесь I, или смесь углеводородов, содержащих I 85—100%-ной  $H_2SO_4$  или олеумом с конц-ией  $SO_3$  до 10% при *т-ре* от 50 до  $-20^\circ$ . Введение II, регулируют так, чтобы отношение II : I в циркулирующей смеси не превышало 1 : 20. Часть прореагировавшей диспергированной смеси непрерывно выводится из цикла в точке, настолько далеко отстоящей от места введения II, чтобы успевало проходить по возможности полное взаимодействие. Из отходящей смеси выделяют нужные продукты и вводят в систему соответствующее кол-во к-ты и I для восполнения удаляемой части. В. У.

**4778 П.** Получение комплексов углеводов с мочевиной и тиомочвиной. Линч (Method of forming urea and thiourea complexes. Lynch Charles S.) [Phillips Petroleum Co.]. Пат. США 2695283, 23.11.54

Продукт присоединения мочевины (I) к углеводородам (II) нормального строения, имеющим >5 атомов C, получают смещением *p-ра* I в  $CH_3OH$  с II при *т-ре* от  $-57^\circ$  до  $+79^\circ$  (т. е. ниже *т-ры* разложения указанного продукта). После добавления *n*-пентана или изопентана отгоняют азеотропную смесь  $CH_3OH$  с пентаном в указанном температурном интервале; остается комплексное соединение I с II. Приведена аппаратурная схема. Е. Р.

**4779 П.** Способ получения ненасыщенных соединений. Бер (Verfahren zur Herstellung von ungesättigten Verbindungen. Bähr Hans) [Badische Anilin- und Soda-Fabrik A.-G.]. Пат. ГФР 895445, 2.11.53 [Chem. Zbl., 1954, 125, № 39, 8901 (нем.)]

Ненасыщенные соединения получают отщеплением HCl от алифатич. или циклоалифатич. хлорированных углеводородов, в частности, в присутствии катализаторов, способствующих отщеплению HCl, в отсутствие воды и в присутствии HCl в качестве разбавляющего газа, целесообразно при 200—800°, в особенности при 450—700°. Из 30 кг монохлорбутана в присутствии 30 мл HCl получают бутен, выход 16,5%; из дихлорбутана — бутadiен; из хлористого бутила — бутен или бутadiен; из  $C_2H_3Cl$  —  $C_2H_4$ ; из хлористого октила — октен; из трихлорбутана — хлорбутadiен + дихлорбутен + кротонил + этилацетилен; из хлористого циклогексила — циклогексен; из хлористого бутенила — бутadiен. В. У.

**4780 П.** Способ выделения чистых олефинов из их смесей с иными углеводородами. Трамм (Verfahren zur Gewinnung von reinen Olefinen aus olefinhaltigen Kohlenwasserstoffgemischen. Tramm Heinrich) [Ruhchemie A.-G.]. Пат. ГФР 886455, 13.08.53 [Chem. Zbl., 1954, 125, № 21, 4717 (нем.)]

Смеси углеводородов, содержащие олефины, разделяют известным образом на отдельные фракции с одинаковым содержанием атомов C. Олефины, присутствующие в отдельных фракциях, *p-цией* с  $ZnCl_2$  и HCl

превращают в монохлоралкилы и полученные смеси перегонкой разделяют на насыщ. углеводороды и монохлоралкиды; последние отщеплением HCl в жидкой фазе в присутствии Al-гидросиликатов превращают в олефины, отщепленный HCl возвращают в цикл. Приведено получение олефинов, содержащих 7 и 10 атомов C. В. У.

**4781 П.** Способ выделения олефинов (Recovery of olefines) [Ruhchemie A.-G.]. Австрал. пат. 156227, 13.05.54

Указано применение способа выделения олефинов (см. реф. 4780) к моноолефинам, которые в жидкой фазе при *т-ре* не выше 100° превращают в хлористые алкилы. В. У.

**4782 П.** Способ перемещения метильных групп в олефинах. Хоган (Process for methyl group shifting of olefin. Hogan John Paul). Пат. США 2653981, 2). 09.53

Предложен способ перемещения  $CH_3$ -групп в молекуле разветвленных олефинов с 8—16 атомами C, содержащих не менее трех  $CH_3$ -групп в виде боковых цепей, из которых не менее двух  $CH_3$ -групп находятся при смежных атомах C главной цепи, а также один с подлежащими сдвигу  $CH_3$ -группами четвертичный атом C должен быть смежным, по меньшей мере, с одним третичным атомом C. Способ состоит в пропускании углеводорода при 25—80° и 1—50 ат над катализатором из силикагеля, промотированного 0,1—10 вес.%  $Al_2O_3$  и 0,1—10 вес.% окиси Ni или Co, со скоростью 0,2—20 об. жидкого углеводорода на 1 об. катализатора в 1 час. Я. Р.

**4783 П.** Способ получения алкилмонохлоридов и применяемый прибор (Verfahren und Vorrichtung zur Herstellung von Alkylmonochloriden) [Ruhchemie A.-G.]. Австр. пат. 176212, 25.09.53 [Chem. Zbl., 1954, 125, № 4, 880 (нем.)]

Алкилмонохлориды получают непрерывным хлорированием углеводородов путем пропускания равных кол-в  $Cl_2$ -газа и хлорируемого углеводорода через освещаемую, содержащую наполнитель стеклянную трубку, которая поставлена вертикально или наклонно. Введение обоих компонентов происходит с одного и того же конца трубки, предпочтительно в затемненной зоне, чтобы *p-ция* не началась уже в месте притока. В. Д.

**4784 П.** Способ получения хлорированных углеводородов, в частности, 1,4-дихлорбутана из эфиров хлоругольной кислоты. Гримм, Шимпфле (Verfahren zur Herstellung von Chlorkohlenwasserstoffen, besonders 1,4-Dichlorbutan aus Chlorkohlen säureestern. Grimm Albert, Schimpfle Hans-Ulrich). Пат. ГДР 7261, 14.05.54

Способ получения хлорированных углеводородов, особенно 1,4-дихлорбутана (I) отличается тем, что эфир хлоругольной кислоты расщепляют при *т-ре* 40—150° с выделением  $CO_2$ , в присутствии катализаторов, напр.  $Al_2O_3$ ,  $ZnCl_2$ ,  $Mo_2O_3$ ,  $Co_2O_3$ ,  $ThO_2$ ,  $CaCl_2$ ,  $MgCl_2$ , активированного угля, силикагеля. *p-ция* протекает с хорошим выходом и в качестве побочных продуктов образуются лишь следы соответствующих ненасыщ. углеводородов. I получают также при пропускании над катализаторами низкомолекулярных кол-в  $C_2H_5OH$  и  $COCl_2$ . Над 80 мл  $Al_2O_3$  пропускают в течение 6 час. при 100° 170 г  $\gamma$ -хлорбутилового эфира хлоругольной к-ты. Из технич. продукта получают 109 г I, т. кип. 50—52°/12 мм. В выделенном  $CO_2$  могут быть обнаружены следы бутadiена. При пропускании над 80 мл активированного угля 150 г изопропилового эфира хлоругольной к-ты при 100° в течение 6 час. получают 2-хлорпропан, выход 81%, т. кип. 35,5°/760 мм. Над 80 мл  $Al_2O_3$  пропускают в тех же условиях 100 г *n*-бутилового спир-

та и  $\text{COCl}_2$  и из конденсата выделяют 1-хлорбутан, выход 76%, т. кип.  $78^\circ/760$  мм.

Ц. Г. 4785 П. Способ получения  $\omega, \omega'$ -дигалондуглеворо-дов из циклических эфиров. Литман, Мейер (Verfahren zur Herstellung von  $\omega, \omega'$ -Dihalogenkohlenwasserstoffen aus zyklischen Äthern. L i t t m a n n E r n s t, Meyer Hermann). Пат. ГДР 8670, 22.11.54

Для проведения р-ции получения  $\omega, \omega'$ -дигалондуглеводородов из циклич. эфиров нагреванием последних со смесью конц. галогидоводородных к-т и конц.  $\text{H}_2\text{SO}_4$  при  $110-180^\circ$  предложено применять автоклавы, покрытые изнутри Bi или Sb-Bi-сплавом, в частности сплавом, содержащим 60-70% Sb и 40-30% Bi. Смесью 500 г тетрагидропирана, 1500 мл 40%-ной  $\text{HCl}$  и 323 мл конц.  $\text{H}_2\text{SO}_4$  нагревают 3 часа в 4-л автоклаве, гомогенно покрытом чистым Bi, при  $180^\circ/15-17$  атм, по охлаждению 1500 мл р-ра к-т отделяют от органич. фазы и из последней выделяют 750 г 1,5-дихлорпента-на (выход 91,4%); тот же процесс можно проводить в автоклаве, покрытом слоем сплава из 68% Sb и 32% Bi. Аналогично можно получать 1,4-дихлорбутан из тетрагидрофурана.

В. У. 4786 П. Дихлориды углеводородов этиленового ряда.

Херд (Dichlorides of the ethylene series. Heard Joseph R., Jr.) [Wyandotte Chemicals Corp.]. Канад. пат. 499598, 26.01.54

Дихлориды углеводородов этиленового ряда получают взаимодействием  $\text{Cl}_2$  с газообразными олефинами в присутствии стабильного жидкого р-рителя для обоих реагентов (в частности, жидкого хлорированного углеводорода при т-ре  $\sim 30-40^\circ$ ) и небольшого кол-ва нитропарафина. Газообразную смесь этилена и пропилена вводят при  $30-40^\circ$  определенными кол-вами одновременно с определенными кол-вами  $\text{Cl}_2$  (последний с меньшей скоростью) в жидкий  $\text{C}_2\text{H}_5\text{Cl}$  или  $\text{C}_3\text{H}_7\text{Cl}$ , содержащие небольшое кол-во нитропарафина, после чего выделяют последний из жидкого дихлорида. Приведена схема процесса.

Я. К. 4787 П. Способ выделения хлорсодержащих органических соединений. Мур, Хесс (Process for recovering oxygenated organic compounds. Moore Frank J., Hess Howard V.) [The Texas Co.]. Пат. США 2653959, 29.09.53

Способ выделения жидких при обычных условиях О-содержащих органич. в-в, главным образом спиртов, из маслянистой фазы синтетич. продукта, содержащей спирты, альдегиды, кетоны, к-ты и сложные эфиры, заключается в том, что маслянистые в-ва в паровой фазе приводят в соприкосновение в адсорбционной зоне при  $95-370^\circ$  с потоком твердых частиц, состоящих из адсорбента и катализатора гидрирования, в результате чего О-содержащие органич. соединения адсорбируются на твердых частицах. Последние затем отделяют от паров маслянистых в-в и пропускают при  $150-425^\circ$  через зону гидрирования — десорбции вместе с  $\text{H}_2$ , в результате чего альдегиды, кетоны, к-ты и эфиры превращаются в спирты при одновременной десорбции с твердых частиц, которые, после отделения от  $\text{H}_2$  и О-содержащих органич. соединений (в основном спиртов), возвращают на стадию адсорбции. Приведена технологич. схема.

Я. К. 4788 П. Конденсация спиртов. Картер (Condensation of alcohols. Carter Clare A.) [Carbide and Carbon Chemicals, Ltd.]. Канад пат. 494202, 7.07.53

Для получения высокомолекулярных алифатич. спиртов один или несколько низкомол. алифатич. одноатомных первичных спиртов с одним или несколькими атомами Н при  $\alpha$ -атоме С, в том числе первичный спирт, содержащий  $\geq 4$  атомов С, кипятят с небольшим кол-вом едкой щелочи, непрерывно удаляя из реакцион-

ной смеси воду по мере ее образования, до тех пор, пока не прореагирует не менее 95% щелочи, после чего добавляют катализатор дегидрирования, продолжают кипячение при непрерывном удалении воды до завершения р-ции конденсации и выделяют высокомолекулярный спирт из реакционной смеси. В другом случае один или несколько алифатич. одноатомных первичных спиртов, содержащих  $\geq 4$  атомов С, нагревают с катализатором дегидрирования и щел. катализатором конденсации (в частности, с алкоголятом щел. или щел.-зем. металла) при непрерывном удалении из реакционной смеси воды и полученную смесь насыщ. и неа-сыщ. спиртов гидрируют в присутствии соответствующего катализатора с последующим выделением высокомолекулярных насыщ. спиртов из реакционной смеси. В частности, смесь одноатомного первичного спирта, содержащего  $\geq 4$  атомов С, и вторичного одноатомного спирта с 2 атомами Н при атоме С, смежного с карбинольной группой, нагревают при т-ре  $120-300^\circ$  и давлении  $\leq 7$  атм в присутствии алкоголята щел. металла исходного первичного спирта и катализатора дегидрирования, содержащего Zn, при непрерывном удалении воды и по завершении р-ции выделяют высокомолекулярный спирт из реакционной смеси.

Я. К. 4789 П. Очистка триметилпропана (Purification of trimethylpropane) [Badische Anilin-und Soda-Fabrik] Англ. пат 709576, 26.05.54 [J. Appl. Chem., 1955, 5, № 1, i81 (англ.)]

$\text{C}_2\text{H}_5\text{C}(\text{CH}_2\text{OH})_2$ , полученный взаимодействием  $\text{CH}_3\text{O}$  с  $\text{C}_3\text{H}_7\text{CHO}$  в присутствии воды.  $\text{Ca}(\text{OH})_2$  или  $\text{NaOH}$ , очищают нагреванием (до или после перегонки) с водой при т-ре выше  $120^\circ$  в течение нескольких часов. Выход очнц. продукта 85%.

И. Ш. 4790 П. Способ перэтерификации. Прайс, Спрулс (Transesterification process. Price Donald, Sprules Francis J.) [Nopco Chemical Co.]. Канад. пат. 508178, 14.12.54

Для выделения глицерина из смеси продуктов, получаемой при нагреве глицеридов жирных к-т с каким-либо спиртом и соединением щел. металла, имеющим щел. р-цию, в результате чего глицерин замещается в глицеридах спиртом, смесь, после добавления к ней  $\text{NH}_4$ -галогенида, подвергают дистилляции. При этом отгоняется непрореагировавший спирт. Отделяют эфиры жирных к-т и остаток перегоняют для получения глицерина.

Н. П. 4791 П. Производство простых оксифиров. Янг (Manufacture of hydroxy ethers. Young D. P.) [Distillers Co., Ltd.]. Англ. пат. 696125, 26.08.53 [J. Appl. Chem., 1954, 4, № 4, 394 (англ.)]

Реакцией 2,4,4-триметил-1,2-эпоксипентана (I) с одно- или многоатомными спиртами, фенолом или нафтолом при  $60-250^\circ$  в присутствии  $\text{H}_2\text{SO}_4$ ,  $\text{H}_3\text{PO}_4$ ,  $\text{BF}_3$  или основного катализатора, напр. фенолятов щел. металлов, получают эфиры общей ф-лы  $(\text{CH}_3)_2\text{CCH}_2\text{C}(\text{CH}_3)(\text{OR})\text{CH}_2\text{OH}$  (R — алкил, оксисил или арил). 50 г I при размешивании постепенно прибавляют к смеси 250 мл спирта и 0,1 г  $\text{H}_2\text{SO}_4$ ; по окончании экзотермич. р-ции смесь нейтрализуют и перегонкой выделяют 19,9 г 2-этокси-2,4,4-триметилпентанола.

В. У. 4792 П. Способ получения смесей изомерных хлорпентениловых эфиров (Process of producing a mixture of isomeric chloropentenyl ethers) [Rohm and Haas Co.]. Англ. пат. 698741, 21.10.53 [J. Appl. Chem., 1954, 4, № 4, 394 (англ.)]

Реакцией не менее 2 молей бутадиена с 1 молем  $(\text{CH}_2\text{Cl})_2\text{O}$  при  $0-50^\circ$  в присутствии малоактивных катализаторов р-ции Фридель-Крафтса ( $\text{ZnCl}_2$ ,  $\text{HgCl}_2$ ,  $\text{FeCl}_3$ ,  $\text{BiCl}_3$ ,  $\text{SbCl}_3$ ) получают смесь изомерных хлорпентениловых эфиров строения  $(\text{CH}_2\text{ClCH}=\text{CHCH}_2\text{CH}_2)_n\text{O}$  и  $(\text{CH}_2=\text{CHCHClCH}_2\text{CH}_2)_n\text{O}$ . Смесь можно разделить фракционной перегонкой, хотя для некоторых целей

это необязательно. Одновременным пропусканием бутадена и постепенным приливанием  $(\text{CH}_3\text{Cl})_2\text{O}$  к  $\text{ZnCl}_2$  в  $\text{CH}_3\text{COOH}$  при 5—15° и нагреванием полученной смеси при 15—25° в течение 3,5 час. получают смесь хлорпентильных эфиров, выход 65%, т. кип. 110—140°/3 мм. В. У.

**4793 П.** Способ получения ацеталей 3-кетобутиральдегида. Франке, Крафт (Verfahren zur Herstellung von 3-Ketobutyraldehydacetale. Franke Walter, Kraft Richard) [Chemische Werke Huls G. m. b. H.]. Пат. ГФР 881941, 6.07.53 [Chem. Zbl., 1955, 126, № 12, 2772 (нем.)]

Для получения ацеталей 3-кетобутиральдегида (I—альдегид) исходят из продукта р-ции диацетиленов со спиртами и обрабатывают его в присутствии или отсутствии воды при умеренном нагревании одно- или многоатомными спиртами в присутствии катализаторов. В качестве катализаторов применяют безводн. к-ты ( $\text{H}_2\text{SO}_4$ , олеум),  $\text{CuSO}_4$ ,  $\text{BF}_3$  или их молекулярные соединения, а также Hg-соединения, напр.,  $\text{HgSO}_4$ . При р-ции диацетиленов со спиртами в зависимости от условий образуются или алкоксивинилацетилены,  $\text{CH}=\text{CCN}=\text{CHOH}$ , или бутинальацетали,  $\text{CH}_3\text{C}=\text{CCN}(\text{OR})_2$ , где R, в частности, —  $\text{CH}_3$ ; при присоединении к ним спиртов в присутствии воды образуются тетраацетали I или в отсутствие воды — диацетали I. Из диметилацетали бутинала,  $\text{CH}_3\text{OH}$  и воды в присутствии  $\text{HgSO}_4$  получают диметилацеталь I, т. кип. 72—74°/22 мм; из метоксивинилацетиленов,  $\text{CH}_3\text{OH}$  и  $\text{HgSO}_4$  — тетраметилацеталь I, т. кип. 83—85°/20 мм. I, неустойчивый в свободном состоянии, применяют в качестве промежуточного продукта, в особенности для р-ций с замыканием циклов. В. У.

**4794 П.** Способ получения продуктов взаимодействия типа ацеталей. Шифнер (Verfahren zur Herstellung von acetalartigen Umsetzungsprodukten. Schifner Rudolf) [Zschimmer und Schwarz vormals Chemnitz]. Пат. ГФР 917488, 6.09.54 [Chem. Zbl., 1955, 126, № 10, 2317 (нем.)]

Из α-галогидалкиловых эфиров и органич. оксисоединений, не содержащих ароматич. связанных оксигрупп и заместителей с основными свойствами, получают продукты типа ацеталей; при этом по крайней мере один из компонентов должен содержать больше 5 атомов C. Р-цию проводят при 80—200°. Для облегчения отщепления HCl можно продувать в реакционную массу инертный газ или работать под вакуумом. Полученные продукты применяют для получения смазок, смазочных масел в качестве пластификаторов для пластич. масс, вспомогательных в-в для лучшего прокрашивания, выравнивающих в-в, моющих в-в, эмульгаторов для минер. и других масел и промежуточных продуктов для синтеза капиллярно-активных веществ. В. У.

**4795 П.** Способ получения альдегидов каталитическим окислением насыщенных углеводородов. Риндторф, Шмитт (Verfahren zur Herstellung von Aldehyden durch katalytische Oxydation von gesättigten Kohlenwasserstoffen. Rindtorff Ermbrecht, Schmitt Karl) [Bergwerksgesellschaft Hibernia A.-G.]. Пат. ГФР 886901, 17.08.53 [Chem. Zbl., 1954, 125, № 17, 3798 (нем.)]

Альдегиды получают пропусканием смеси насыщ. углеводородов и озонированного воздуха (ОВ) при повышенной т-ре над катализатором (перекись щел. или щел.-зем. металла с добавкой окиси благородного металла). Смесь 60 об. %  $\text{CH}_4$  с 30 об. % ОВ при 103° дает 230 г  $\text{CH}_2\text{O}$  на 1 м<sup>3</sup>  $\text{CH}_4$  (при применении озонированного  $\text{O}_2$  в этих условиях получают 130 г  $\text{CH}_2\text{O}$ ). О. С.

**4796 П.** Способ производства кислорододедерживающих соединений. Хейсек (Process for the manufacture of oxygenated compounds with improved catalysts.

Hasek Robert H.) [Eastman Kodak Co.]. Пат. США 2691046, 5.10.54

Способ синтеза низших алифатич. альдегидов отличается тем, что приготовление катализатора —  $\text{Co}(\text{CO})_4$  производят взаимодействием восстановленного  $\text{Co}$  (или его соли) с  $\text{CO}$  в среде первичного спирта, содержащего до 4 атомов C при 100—300° и 35—210 ат. Затем катализатор в среде указанного спирта приводит во взаимодействие с  $\text{CO}$ ,  $\text{H}_2$  и олефином ( $\text{C}_2\text{H}_4$  или  $\text{C}_3\text{H}_6$ ) при 100—200° и 7—14 ат. Ю. Г.

**4797 П.** Получение альдегидов (Preparation of aldehydes) [Standard Oil Development Co.]. Англ. пат. 715390, 15.09.54 [Petroleum, 1955, 18, № 1, 27 (англ.)]

Практически чистые альдегиды (изооктилальдегид) выделяют из продуктов р-ции олефинов (гептеновая фракция) с  $\text{CO}$  и  $\text{H}_2$  в присутствии  $\text{Co}$ -катализатора при высоких т-рах и под давлением. Неочищ. альдегиды отделяют, немедленно охлаждают и пропускают в зону удаления  $\text{SO}_2$ , где поддерживают т-ру 38—66° для предупреждения образования побочных в-в. От альдегидов, освобожденных от  $\text{Co}$ , отгоняют легкокипящие примеси, остаток перегоняют в вакууме при т-ре ниже 220° (~135°) в течение времени, не превышающего 1 час. Н. П.

**4798 П.** Способ производства акролена. Вагнер (Verfahren zur Herstellung von Acrolein. Wagner Hans) [Deutsche Gold- und Silber-Scheideanstalt vormals Roessler]. Пат. ГФР 881503, 29.06.53 [Chem. Zbl., 1954, 125, № 33, 648 (нем.)]

Способ получения акролена из  $\text{CH}_2\text{O}$  и  $\text{CH}_3\text{CHO}$  отличается применением катализатора из пористой кремнекислоты, пропитанной силикатами щел. или щел.-зем. металла (3—15%). Катализатор может также содержать носитель. Н. П.

**4799 П.** Способ получения метакрилового альдегида. Шульц, Вагнер (Verfahren zur Herstellung von Methacrylaldehyd. Schulz Hermann, Wagner Hans) [Deutsche Gold- und Silberscheideanstalt vormals Roessler]. Пат. ГФР 888541, 3.09.53 [Chem. Zbl., 1955, 126, № 1, 213 (нем.)]

Метакриловый альдегид получают при пропускании смеси 1 моля  $\text{CH}_2\text{O}$  и 0,2—1 моля пропионового альдегида (I) при 200—350° над катализатором из активированного крупнопористого  $\text{SiO}_2$ , пропитанного фосфатами или силикатами щел. металлов; скорость пропускания газов 3—100 (5—50) см/сек. Через 100 г крупнопористого  $\text{SiO}_2$ , пропитанного 10%-ным р-ром  $\text{Na}_3\text{PO}_4$ , пропускают при 300—320° 100 кг 30%-ного  $\text{CH}_2\text{O}$  и 58 кг I; водн. и масляный слои продуктов р-ции разделяют, разгоняют и после обезвоживания методом азеотропной дистилляции получают 98—99,5%-ный метакриловый альдегид с выходом 98,5%, считая на I, и выходом 94,8%, считая на  $\text{CH}_2\text{O}$ . Н. П.

**4800 П.** Производство метилвинилкетона. Камлет (Chemical manufacture. Kamlet Jonas) [The Kamlet Lab.]. Канад. пат. 508162, 14.12.54

Метилвинилкетон получают прибавлением водн. р-ра соединения 6-валентного Cr (бихромата щел. металла) и подходящей к-ты ( $\text{H}_2\text{SO}_4$ ) к водн. р-ру α-метилалилового спирта при 0°—60°.

**4801 П.** Способ получения α-алкиламещенных карбоновых кислот. Берндт (Verfahren zur Herstellung von α-alkylsubstituierten Carbonsäuren. Berndt Walter) [Farbwerke Hoechst A.-G. vormals Meister Lucius und Brünning]. Пат. ГФР 895898, 9.11.53 [Chem. Zbl., 1954, 125, № 12, 2708—2709 (нем.)]

α-Алкиламещенные карбоновые к-ты, содержащие не менее 4 атомов C, готовят взаимодействием в жидкой фазе смеси альдегидов (получаемой при частичном восстановлении продуктов альдольной конденсации)



и соответствующих им спиртов с не менее, чем эквивалентным кол-вом сильно шел. агента. Первая стадия р-ции идет без подогрева, вторая — в отсутствие воды при 230—300°, третья — в присутствии воды при т-ре выше 300°. 2-этилбутанол, содержащий 2-этилбутиральдегид, при взаимодействии с 40%-ным NaOH или KOH при 350° дает 2-этилмасляную (диэтилуксусную) к-ту с выходом 88—90%, т. кип. 194°/760 мм,  $d_{40}^{20}$  0,920. Из смеси, содержащей 85% 2-этилгексанаальдегида и 9% 2-этилгексанола-1, получают 2-этилкапроновую к-ту, т. кип. 113—114°/7,5 мм (226—227°/760 мм)  $d_{40}^{20}$  0,9077,  $n_D^{20}$  1,424. Патентуемые соединения являются полупродуктами для получения лекарственных в-в, смазочных и растворителей. Я. Ш.

**4802 П.** Кислоты, получаемые расщеплением соединений ряда полиоксикислот (Acid scission derivatives of polyhydroxy acid compounds) [Kessler Chemical Co. Inc.] Австрал. пат. 159173, 21.10.54

Одно- и двусосновые к-ты получают расщеплением полиоксикислот при постепенном прибавлении последних к твердому NaOH, нагреваемому от т-ры его плавления до 475°. И. Ш.

**4803 П.** Способ получения железно-кальциевых солей лимонной кислоты (Verfahren zur Herstellung von neuen Ferro-calcium-citrat). [Johann G. W. Opfermann und Sohn]. Австр. пат. 174061, 25.02.53 [Chem. Zbl., 1954, 125, № 42, 9578 (нем.)]

Железо-кальциевые соли лимонной к-ты, ф-лы  $\text{CaFe}_2(\text{C}_6\text{H}_5\text{O}_7)_2$  или  $\text{Ca}_2\text{Fe}(\text{C}_6\text{H}_5\text{O}_7)_2$ , получают р-цией водн. р-ров лимонной к-ты с восстановленным Fe, Fe(OH)<sub>2</sub> или Fe<sup>2+</sup>-солями летучих к-т и Ca(OH)<sub>2</sub>, CaCO<sub>3</sub> или Ca-нитратом в стехиометрич. кол-вах в присутствии защитных газов, после чего удаляют воду. Безводн. соли довольно устойчивы к O<sub>2</sub> воздуха, влажные соли способны к окислению. В. У.

**4804 П.** Способ получения 3-кетокрбонновых кислот. Шик (Verfahren zur Herstellung von 3-ketocarbonsäuren. Schick Otto von) [Badische Anilin- und Soda-Fabrik A.-G.]. Пат. GФР 888102, 31.08.53 [Chem. Zbl., 1954, 125, № 7, 1088 (нем.)]

3-кетокрбонновые к-ты получают растворением алифатич. или алициклич. 3-нитрокрбонновых к-т (содержащих у несущего NO<sub>2</sub>-группу атома С по крайней мере 1 атом Н), их эфиров, амидов или нитрилов в водн. р-ре гидроокиси шел. металла и последующим подкислением шел. р-ра. Диэтиловый эфир 3-нитропимелиновой к-ты дает 3-кетопимелиновую к-ту; 3-нитропентан-1,2,4,5-тетракарбонную к-та — 3-кетопентан-1,2,4,5-тетракарбонную к-ту, этиловый эфир 3-нитровалериановой к-ты — леулиновую кислоту. С. С.

**4805 П.** Глиоксеновая кислота и ее эфир. Мауми (Glyoxalic acid or its ester. Maumi Kanu, et al.) [Kureha Chemical Industries Co.]. Япон. пат. 2634, 10.06.53 [Chem. Abstrs, 1955, 49, № 4, 2491 (англ.)]

В смесь 97 г  $\text{CH}_2=\text{CCl}_2$  и 200 мл воды при 40° пропускают 22,4 л O<sub>2</sub> со скоростью 3 л/час, в закрытом сосуде. После удаления воды и HCl получают 83 г СНОСООН. При применении вместо воды CH<sub>3</sub>OH, получают 82 г метилового эфира глиоксеновой к-ты, т. пл. 49—51°. В. У.

**4806 П.** Способ получения дикрбонновых кислот. Шпер (Verfahren zur Herstellung von Dicarbonsäuren. Speer Walter) [Badische Anilin- und Soda-Fabrik A.-G.]. Пат. GФР 893948, 22.10.53 [Chem. Zbl., 1954, 125, № 17, 3803 (нем.)]

Дикрбонновые к-ты получают окислением в жидкой фазе замещ. циклогексанов NO<sub>2</sub> (а также смесью NO<sub>2</sub> с O<sub>2</sub> или O<sub>2</sub>-содержащими газами) при 30—100°. Циклогексанол или циклогексамин при этом дают адипиновую кислоту. С. С.

**4807 П.** Способ получения эфиров карбонновых кислот. Реппе, Крёпер (Verfahren zur Herstellung von Carbonsäureestern. Reppe Walter, Kröper Hugo) [Badische Anilin- und Soda-Fabrik]. Пат. GФР 879987, 18.06.53 [Chem. Zbl., 1954, 125, № 48, 11047 (нем.)]

Эфиры карбонновых к-т получают взаимодействием олефинов, а также смесей их с парафиновыми углеводородами, с СО и спиртами или фенолами в присутствии металлов (или их соединений), способных к образованию карбониллов, а также активаторов, в частности при 120—300° под давлением. Прибавляют СО, сжатый до 70 ат, к 30 ч. α-бутилена, 40 ч. C<sub>2</sub>H<sub>5</sub>OH, 3 ч. NiCl<sub>2</sub> и 2 ч. лед. CH<sub>3</sub>COOH, нагревают 18 час. при 170° и 150 ат и получают этиловый эфир (ЭЭ) изовалериановой к-ты, выход 90%, т. кип. 135°. Аналогично получают: из додецилена — ЭЭ метиллауриновой к-ты, выход ~90%, т. кип. 103—105°/1 мм, и ЭЭ n-тридециловой к-ты, т. кип. 106—108°/8 мм, общий выход ~90%; из октилена (I) — ЭЭ изопеларгоновой к-ты, т. кип. 86—90°/8 мм и ЭЭ n-пеларгоновой к-ты, т. кип. 86—90°/8 мм, общий выход 95%; из бутилена — ЭЭ метилмасляной к-ты, т. кип. 135°, и ЭЭ валериановой к-ты, т. кип. 142—143°, общий выход 95%; из октадецилена — метилстеариновую к-ту (II), т. кип. 185—189°/0,5 мм, и бутиловый эфир II (т. кип. 168—173°/1,4 мм), ЭЭ II, т. кип. 175—180°/0,5 мм; из I, этиленгликоля, скелетного Ni, Cu<sub>2</sub>I<sub>2</sub> и СО — смесь гликолевых эфиров моно- и диметилкаприловой к-ты т. кип. 140—160°/0,4 мм, число омыления 275; из I и фенола — фениловый эфир метилкаприловой к-ты, т. кип. 156—158°/11 мм, число омыления 240. В. У.

**4808 П.** Замещенные амиды (Substituted amides) [American Cyanamid Co.]. Австрал. пат. 159177, 2.10.54

Замещенные амиды общей ф-лы RCONR', где R и R' — органич. радикалы, R' — Н или органич. радикал, получают взаимодействием амина HNR' с со смешанным ангидридом карбонной к-ты и диэфира фосфористой к-ты, имеющим общую ф-лу RCOOP(OZ)(OZ'), где Z и Z' — этерифицирующие радикалы, не имеющие функциональных групп. И. Ш.

**4809 П.** Амиды ацилоксалифатических кислот. Дейвис (Acyloxy-aliphatic amides. Davis Harold S.) [American Cyanamid Co.]. Канад. пат. 505579, 7.09.54

Амиды α- или β-ацетоксипропионовой, α- или β-масляной к-т получают р-цией нитрила соответствующей оксикислоты с лед. CH<sub>3</sub>COOH и HCl в практически безводн. условиях. В частности, амиды α- или β-ацетоксипропионовой к-т получают р-цией лед. CH<sub>3</sub>COOH и HCl с нитрилом молочной к-ты (соответственно, с этилендиангидрином) при 0—50° в указанных условиях, применяя примерно эквивалентные кол-ва реагентов. Б. М.

**4810 П.** Способ получения амидов ацетоксусной кислоты (Procédé de préparation d'amides de l'acide acétylacétique) [Ciba A.-G.]. Франц. пат. 1041889, 27.10.53 [Chem. Zbl., 1955, 126, № 12, 2773—2774 (нем.)]

Амиды ацетоксусной к-ты получают р-цией diketена (I) с солями NH<sub>4</sub> или низших алифатич. аминов, напр., карбонатами или бикарбонатами NH<sub>4</sub> или их технич. смесями, могущими содержать также NH<sub>4</sub>-карбамат. 20 ч. NH<sub>4</sub>HCO<sub>3</sub> смешивают с 10 ч. воды при 10—15° и постепенно прибавляют 21 ч. I; к полученному прозрачному р-ру прибавляют 20 ч. NH<sub>4</sub>HCO<sub>3</sub> и 21 ч. I и, когда все растворится, еще 40 ч. NH<sub>4</sub>HCO<sub>3</sub> и 42 ч. I. Получают прозрачный бесцветный р-р, содержащий почти теоретич. кол-во амида ацетоксусной к-ты. Этот р-р можно непосредственно применять для получения пипразолонов, напр., 1-фенил-3-метилпипразолона-5, т. пл. 126°. Аналогично из NH<sub>2</sub>CH<sub>3</sub>, CO<sub>2</sub> и I получают

70%-ный р-р монометиламида ацетоуксусной к-ты; из  $\text{NH}_2\text{C}_2\text{H}_5$ ,  $\text{CO}_2$  и  $\text{I}$  — 90%-ный р-р моноэтиламида ацетоуксусной кислоты. В. У.

**4811 П.** Производство ненасыщенных амидов. Уэйсгербер (Production of unsaturated amides. Weisgerber Cyrus A.) [Hercules Powder Co.]. Пат. США 2702822, 22.02.55

Указанные в-ва получают отщеплением спирта от соединений общей ф-лы  $\text{H}_2\text{C}(\text{OR})\text{CH}(\text{R}')\text{CONR}''\text{R}'''$ , где  $\text{R}$  — алкил с 1—10 атомами С,  $\text{R}'$ ,  $\text{R}''$  и  $\text{R}'''$  —  $\text{H}$  или алкил, выбранный так, чтобы получаемые амиды содержали 4—20 атомов С. Для этого пары исходного в-ва пропускают над твердым неорганич. щел. катализатором (окиси, гидроокиси или карбонаты щел. или щел.-зем. металлов, или их смеси) при 200—300° и остаточном давл. >100 мм рт. ст. Н. П.

**4812 П.** Получение акриламидов. Стрейн, Белл (Preparation of acrylamides. Strain Daniel E., Bell Clarence D.) [E. I. du Pont de Nemours and Co.]. Пат. США 2690454, 28.09.54

Способ получения метилакриламида (I), состоящий в р-ции ацетонангидрида с избытком конц.  $\text{H}_2\text{SO}_4$  при 90—140°, нейтр-ции сернистой соли  $\text{I}$  р-ром  $\text{NH}_3$  в органич. р-рителе, растворяющем  $\text{I}$  и не растворяющем  $(\text{NH}_4)_2\text{SO}_4$ , и удалении последнего фильтрованием, отличается тем, что  $\text{I}$  извлекают из р-рителя вод. р-ром  $\text{CH}_3\text{CO}$  или  $\text{CH}_3\text{CHO}$ . А. Е.

**4813 П.** Способ получения амидов алифатических дикарбоновых кислот. Тиниус (Verfahren zur Darstellung von Amiden aliphatischer Dicarbonsäuren. Thinius Kurt). Пат. ГДР 7292, 24.05.54

Способ получения амидов алифатич. карбоновых к-т отличается тем, что хлорангидрид к-ты в распыленном состоянии вводят в камеру, наполненную избыточным кол-вом распыленного  $\text{NH}_4\text{OH}$ ; процесс проводят при т-ре ниже 0° и размере реагирующих частиц 1—10  $\mu$ . 1 моль дихлорангидрида адипиновой к-ты охлаждают до —15° и вводят при перемешивании в цилиндрич. камеру, наполненную избыточным кол-вом  $\text{NH}_4\text{OH}$  при т-ре —10°. Во время р-ции т-ра не должна подниматься выше (—5)—(—8°). Дамид постепенно осаждается на дно камеры, откуда его смывают водой. Выход 75—85% (теор.), т. пл. 222°. Приведена схема аппарата. Ж. Л.

**4814 П.** Хлоруретаны (Chlor-urethanes) [Deutsche Gold- und Silber-Scheideanstalt vormals Roessler]. Австрал. пат. 161687, 17.03.55

Вещества, содержащие остатки карбаминной к-ты и хлор, получают р-цией соединений, содержащих не меньше 2 оксигруппы, с  $\text{ClCN}$ . В. У.

**4815 П.** Способ получения монохлорацетилмочевины. Хогберг (Methods of preparing monochloroacetylureas. Hoegberg Erick I.) [American Cyanamid Co.]. Канад. пат. 504099, 6.07.54

Способ получения в-в общей ф-лы  $\text{ClCH}_2\text{CONHCONHR}$  ( $\text{R} = \text{H}$ , алкил или арил) заключается в р-ции  $\text{H}_2\text{NCONHR}$  с  $\text{SOCl}_2$  и  $\text{ClCH}_2\text{COOH}$  или  $\text{ClCH}_2\text{COOM}$  ( $\text{M}$  — щел. металл). В частности, 1-хлорацетил-3-метилмочевину и 1-хлорацетил-3-фенилмочевину получают р-цией  $\text{SOCl}_2$  и  $\text{ClCH}_2\text{COOH}$  соответственно с  $\text{H}_2\text{NCONHCH}_3$  и  $\text{H}_2\text{NCONHC}_6\text{H}_5$ . А. Е.

**4816 П.** Алкилированная метилолмочевина или алкилированный метилолмеламин. Фудзии (Alkylated methylolurea or alkylated methylolmelamine. Fujii Kenzo) [Oriental High Pressure Industries Co.]. Япон. пат. 3826, 10.08.53 [Chem. Abstrs, 1955, 49, № 3, 1826 (англ.)]

Смесь 50 ч.  $(\text{HOCH}_2\text{NH})_2\text{CO}$ , 500 ч.  $\text{CH}_3\text{OH}$  и 5 ч.  $\text{H}$ -ионообменной смолы нагревают 10—60 мин. при 50—60°, затем охлаждают. Продукт отфильтровывают и перекристаллизовывают из  $\text{CH}_3\text{OH}$ . Получают  $(\text{CH}_3\text{OCH}_2\text{NH})_2\text{CO}$ , т. пл. 101°. Аналогично полу-

чают  $\text{C}[\text{N}(\text{CH}_2\text{OCH}_3)_2] = \text{N} - \text{C}[\text{N}(\text{CH}_2\text{OCH}_3)_2] = \text{N} - \text{C}[\text{N}(\text{CH}_2\text{OCH}_3)_2] = \text{N}$  в виде сиропа. И. Ш.

**4817 П.** Способ приготовления нитропроизводных углеводородов. Роттинг (Verfahren zur Herstellung von Kohlenwasserstoff-Nitroverbindungen. Rottig Walter) [Ruhchemie A.-G.]. Пат. ГФР 888241 31.08.53 [Chem. Zbl., 1954, 125, № 1, 187 (нем.)]

Указанные в-ва получают р-цией олефинсодержащих углеводородных смесей с  $\text{HNO}_3$  ( $d_{20} > 1,30$ —1,40) в течение 5—15 мин. при 20—250°. К  $\text{HNO}_3$  могут быть добавлены водоотнимающие в-ва  $[\text{H}_2\text{SO}_4, \text{P}_2\text{O}_5, \text{B}_2\text{O}_3, \text{Na}_2\text{SO}_4 \text{ или } (\text{CH}_3\text{CO})_2\text{O}]$ . Приведено получение нитроциклогексана. Б. Д.

**4818 П.** Способ выделения диметиламина из смесей, содержащих не менее одного из двух других метиламинов (Verfahren zur Abtrennung von Dimethylamin aus Gemischen, die noch mindestens eines der beiden anderen Methylamine enthalten) [Imperial Chemical Industries, Ltd.]. Швейц. пат. 293698, 16.12.53 [Chem. Zbl., 1955, 126, № 4, 925 (нем.)]

Для извлечения диметиламина из смесей, содержащих не менее одного из двух других метиламинов, смесь обрабатывают жидким анилином (I). Диметиламин удерживается I, а не менее чем один из двух других метиламинов отходит в виде пара. Приведены табличные данные о растворимости моно-, ди- и триметиламина в I при 20—60°. Н. П.

**4819 П.** Получение акрилонитрила из ацетилена и цианистого водорода. Йосида, Татикава (Preparation of acrylonitrile from acetylene and hydrogen cyanide. Yoshida Hisataka, Tachikawa Toshihisa) [Bureau of Industrial Technics]. Япон. пат. 1870, 30.04.53 [Chem. Abstrs, 1955, 49, № 1, 368 (англ.)]

Смесь 200 г  $\text{H}_2\text{NCH}_2\text{CH}_2\text{OH}$ , 280 мл конц.  $\text{HCl}$ , 310 г  $\text{Cu}_2\text{Cl}_2$  и 10 г  $\text{Cu}$ -порошка нагревают при 70° до растворения. Р-р при 87° обрабатывают 224 л смеси  $\text{C}_2\text{H}_2$  и  $\text{HCN}$  (их молярное соотношение 9,6 : 1) со скоростью 500 мл/мин. После фракционирования получают 46,5 г акрилонитрила (выход 84,6%, считая на  $\text{HCN}$ ). Р-цию можно проводить и с другими алканаминами. И. Ш.

**4820 П.** Очистка акрилонитрила экстрактивной дистилляцией. Кемп, Тернер (Purification of acrylonitrile by extractive distillation. Kemp Harold S., Turner Gilbert M.) [E. I. du Pont de Nemours and Co.]. Пат. США 2681306, 15.06.54

Акрилонитрил, содержащий низкокипящие, смешивающиеся с водой примеси, очищают перегонкой на фракционной колонне (эффективность ~50 теор. тарелок). В колонну, вблизи верхней ее части, вводят воду так, чтобы ее кол-во составило 95 мол. % на большинство тарелок. Воду и акрилонитрил нагревают и пропускают образующиеся пары, содержащие акрилонитрил, в конденсатор. Вода и все примеси собираются на две колонны. Приведена технологич. схема. И. Ш.

**4821 П.** Очистка технического акрилонитрила. Цунода (Refining of a crude acrylonitrile. Tsunoda Yoshio et al.) [Asahi Chemical Industries Co.]. Япон. пат. 2721, 16.06.53 Chem. Abstrs, 1955, 49, № 4, 2486 (англ.)]

Технический акрилонитрил (I), полученный из  $\text{C}_2\text{H}_2$  и  $\text{HCN}$  и содержащий 80% I, 5% моно- и дивинилacetилена, воду и 5% других примесей, очищают следующим образом: 50 г I обрабатывают 0,25 г  $\text{Ni}$ , в течение 3 час. пропускают  $\text{H}_2$  при 40° со скоростью 4 л/час и продукт перегоняют, получают 43 г 93%-ного I. В. В.

**4822 П.**  $\alpha$ -Ацетокси- $\beta$ -алкоксипропионитрилы. Океда ( $\alpha$ -Acetoxy- $\beta$ -alkoxypropionitrile. Okeda Hi-

de o, et al.) [Nippon Soda Co.]. Япон. пат. 2479, 2.06.53 [Chem. Abstrs, 1955, 49, № 4, 2485 (англ.)] К 180 мл  $C_6H_6$  и 7 г Na постепенно приливают при охлаждении смесь 25 г  $C_2H_5OCH_2CH_2CN$  и 27,1 г этилформиата, нагревают при 40°, прибавляют 150 мл  $C_6H_6$ , безвод и спирт отгоняют, к остатку прибавляют 150 мл  $C_6H_6$  и обрабатывают 35 г  $CH_3COCl$  при 0°, отделяют NaCl и перегонкой выделяют  $C_2H_5OCH_2C(=CHOCOCN)_2CN$ , выход 61,5%, т. кип. 110—114°/5 мм.

**4823 П. Способ получения циангидринов. Хофман, Тиц, Вендландт** (Verfahren zur Herstellung von Cyanhydrinen. Hoffmann Gerhard, Tietz Eberhard, Wendlandt Rudolf) [Deutsche Gold- und Silber-Scheideanstalt vormals Roessler]. Пат. ГФР 889440, 10.09.53 [Chem. Zbl., 1954, 125, № 7, 1588 (нем.)]

Циангидрины получают взаимодействием альдегидов или кетонов с HCN (лучше безвод. газ) в присутствии >1,5 (0,2) мол. % цианата металла I группы периодической системы. Применяют также альдегиды и кетоны, содержащие незначительное кол-во воды с растворенным в ней небольшим кол-вом цианата. Ацетон дает ацетонциангидрин, т. кип. 82°/23 мм, пропионовый альдегид — нитрил оксимасляной кислоты.

**4824 П. Способ получения этиленциангидрина из окиси этилена и синильной кислоты. Кауттер** (Verfahren zur Herstellung von Äthylencyanhydrin aus Äthylenoxyd und Blausäure. Kautter Carl T.) [Röhm und Haas G. m. b. H.]. Пат. ГФР 894113, 22.10.53 [Chem. Zbl., 1954, 125, № 17, 3801 (нем.)]

Этиленциангидрин получают взаимодействием разб. содержащих окись этилена, газов с HCN (или содержащими HCN разб. газами) в присутствии воды с незначительным кол-вом щел. катализатора [NaCN, NaOH, Ba(CN)<sub>2</sub>, Ca(OH)<sub>2</sub> и др.] при 20—70°, лучше при 50—55°.

**4825 П. Способ получения органических изоцианатов. Сломом, Флорес, Кливленд** (Method of making organic isocyanates. Slocombe Robert J., Flores Hector, Cleveland Thomas H.) [Monsanto Chemical Co.]. Пат. США 2680127, 1.06.54

Моно-, ди- или полиизоцианаты получают путем непрерывного введения  $COCl_2$  в р-р первичного моно-, ди- или полиамин в инертном органич. р-рителе при т-ре от —20 до +60° в первой реакционной зоне, где происходит образование промежуточного продукта. При дальнейшем взаимодействии промежуточного продукта с  $COCl_2$  во втором колонном реакторе при 80—320° получают соответствующие азоцианаты. Кол-во  $COCl_2$ , вводимого в первую реакционную зону и второй реактор, должно быть не меньше теоретич. необходимого для превращения аминов в изоцианаты. Приведена технолог. схема.

**4826 П. Способ получения изоцианатов. Шефер-Дрексел** (Method of preparing an isocyanate. Schaefer Frederic C., Drechsel Ehart K.) [American Cyanamid Co.]. Канад. пат. 505435, 31.08.54

Алкилизоцианаты получают пиролизом соответствующих триалкилизоциануратов в присутствии HCl при т-ре выше 120°, но ниже т-ры разложения алкилизоцианатов в безвод. среде (в инертном органич. р-рителе). В частности, аллилизизоцианат получают насыщением р-ра триаллилизизоцианурата в безвод. толуоле сухим HCl; тугоплав отгоняют, остаток, содержащий абсорбированный HCl, нагревают при 180—270° (180—220°) и перегонкой выделяют аллилизизоцианат.

**4827 П. Способ получения органических диизоцианатов. Сломом, Сондерс** (Method of producing organic diisocyanates. Slocombe Robert J., Saunders James H.) [Monsanto Chemical Co.]. Пат. США 2680128, 1.06.54

Органические диизоцианаты, кипящие при 70—175°/10—20 мм, получают р-цией соответствующих первичных органич. диаминов или их галоидгидратов с  $COCl_2$  в низкипящем инертном органич. р-рителе. Усовершенствование способа состоит в том, что к полученному р-ру прибавляют в качестве пластификатора полициклич. ароматич. углеводороды, гидрированные или хлорированные ароматич. углеводороды, кипящие при 270—400°, а затем полученный продукт подвергают фракционированию для выделения диизоцианата.

**4828 П. Цианацетилмочевина. Цуда** (Cyanoacetylurea. Tsuda Tetsu). Япон. пат. 2722, 16.06.53 [Chem. Abstrs, 1955, 49, № 4, 2492 (англ.)]

$CH_2(CN)COOH$ , полученную из 859 ч.  $ClCH_2COOH$ , 510 ч.  $Na_2CO_3$ , 580 ч. NaCN и 500 ч. S, обрабатывают 588 ч. мочевины и 500—1000 ч. лед.  $CH_3COOH$ , а затем приливают постепенно при 53—55° 1487 ч.  $(CH_3CO)_2O$  и получают  $NCCCH_2CONHCONH_2$ , выход 95—98%; листочки с т. пл. 211°.

**4829 П. Способы производства меркаптанов и их производных. Олин, Итон** (Processes for manufacturing mercaptans and the products thereof. Olin John F., Eaton John L.) [Sharpless Chemicals Inc.]. Канад. пат. 499574, 26.01.54

Третьичные алкилмеркаптаны с 8—20 атомами С в алкилах получают конденсацией третичных олефинов с 8—20 атомами С (получены полимеризацией низшего олефина) с  $H_2S$  в присутствии катализатора главным образом типа Фриделя—Крафца ( $HF$ ,  $BF_3$ ,  $AlCl_3$ ,  $BeCl_2$ ,  $ZnCl_2$ ,  $BCl_3$ ,  $PF_5$ ,  $AsF_5$ ,  $SnCl_4$ ,  $TiCl_4$  или  $SbF_5$ , в частности, в присутствии  $BF_3$ ) и в условиях времени, т-ры и давления, способствующих р-ции между олефином и  $H_2S$ , но не инициирующих в значительной мере полимеризацию или деполимеризацию олефинов, в частности, при т-ре ниже 100°. Триизобутилен со стехиометрич. избытком  $H_2S$  при т-ре ниже 0° в присутствии одного из указанных катализаторов дает третичный додецилмеркаптан. Приведена технолог. схема.

**4830 П. Способ непрерывного сульфатирования органических соединений хлорсульфоновой кислотой. Блинов** (Method of sulfonating organic compounds with chlorosulfonic acid in continuous operation. Blinnoff Vsevolod) [Soc. An. D'Innovation Chimiques.]. Пат. США 2673211, 23.03.54

Способ сульфатирования лаурилового спирта хлорсульфоновой к-той состоит во введении жидких реагентов в поток сжатого инертного газа. Компоненты реагируют в виде капель, продукты р-ции охлаждаются и удаляются этим же потоком газа.

**4831 П. Гликолевые эфиры сульфокислот** (Glycol-sulphonic acid esters) [Burrighs Wellcome and Co.]. Австрал. пат. 156398, 27.05.54

Гликолевые эфиры метансульфокислоты общей ф-лы  $RSO_2O(CH_2)_nOSO_2R$  ( $R=CH_3$ ,  $n=2-10$ ) получают р-цией гликоля ф-лы  $HO(CH_2)_nOH$  с метансульфохлоридом в присутствии третичного амина, напр., пиридина или диаметиламина.

**4832 П. Очистка глицина. Дьюрант** (Refining of glycine. Durant Walter W.) [American Cyanamid Co.]. Канад. пат. 494182, 7.07.53

Метод очистки загрязненного глицина состоит в пропускании воды, р-ра, содержащего глицин и примеси ионного характера, напр.,  $(NH_4)_2SO_4$ , через анионоактивный материал, в состав которого входит нерастворимая гуанидинформальдегидная смола, а затем через



катионоактивный материал. Обработанный таким способом р-р почти не содержит ионов примеси. И. Ш.

4833 П. Диазотирование эфиров глицина. Хаммонд (Diazotizing of glycine esters. Hammond John A. S.) [National Distillers Products Corp.]. Пат. США 2691649, 21.10.54

Эфиры глицина общей ф-лы  $H_2NCH_2COOR$ , где R — углеводородный радикал, диазотируют путем постепенного добавления водн. р-ра соли эфира глицина с к-той к перемешиваемой смеси водн. р-ра нитрита щел. или щел.-зем. металла, минер. к-ты и неводн. р-рителя для получаемого продукта диазотирования. И. Ш.

4834 П. Гидантоин метионина (Methionine hydantoin) [Beecham Research Laboratories Ltd]. Австрал. пат. 161447, 10.03.55

Реакцией β-метилтиопропионового альдегида с угле-кислым, двууглекислым или карбаминотокислым  $NH_4$  или с  $NH_3$  и  $CO_2$  и неорганич. цианидом, способным к ионизации, или с HCN в присутствии третичных алкиламинов получают гидантоин метионина. В. У.

4835 П. Разделение DL-треонина и DL-аллотреонина. Шабика (Separation of DL-threonine and DL-allo-threonine. Shabica Anthony) [Merck. and Co., Inc.]. Канад. пат. 500050, 16.02.54

Na-соль DL-треонина получают обработкой смеси DL-треонина и DL-аллотреонина горячим р-ром Na-алкоголята или NaOH в одноатомном низшем алифатич. спирте ( $C_2H_5OH$ ). При охлаждении реакционной массы выпадает Na-соль DL-треонина. И. Ш.

4836 П. Метод получения аминокислот из лактамов. Кох (Process for the preparation of amino carboxylic acids from lactams. Koch Theodore) [Algemeene Kunstzijde Unie N. V.]. Канад. пат. 501063, 30.03.54

Аминокислоты получают гидролизом лактамов, цикл которых содержит 6—10 атомов C, водой (10—50 молей воды на 1 моль лактама) при 150—300° в присутствии  $CH_3COOH$  в качестве катализатора. Аминокислотную к-ту выделяет из продуктов гидролиза. Из капролактама получена ε-аминокапроновая кислота. И. Ш.

4837 П. Способ производства лактамов (Process for the manufacture of lactams) [Inventa A.-G. für Forschung und Patentverwertung] Англ. пат. 703019, 27.01.54 [J. Appl. Chem., 1954, 4, № 5, 570 (англ.)]

Неочищенные лактамы (I), напр. ε-капролактam, полученные бекмановской перегруппировкой оксимов, очищают непрерывным способом, дающим с высоким выходом бесцветные чистые продукты. Водн. р-р неочищ. I (рН 2—12), насыщ. нейтр. солью, напр.  $(NH_4)_2SO_4$ , несколько раз экстрагируют при 15° противотоком органич. р-рителя (4—10-кратным кол-вом от веса неочищ. I) или азеотропной смеси р-рителей (55% бензола и 45% циклогексана), которые растворяют менее 1%  $H_2O$  и до 30% I. Р-р частично очич. таким образом I один или несколько раз экстрагируют р-ром окислителя (0,002 н. р-р  $KMnO_4$  или 0,05%-ный р-р  $H_2O_2$ ) или восстановителя или р-ром, связывающим к-ту или основание. Экстракцию можно заменить адсорбцией твердыми в-вами, обладающими теми же свойствами, что и р-ры, применяемые для экстракции (катион- или анионообменными в-вами). Затем р-ритель удаляют выпариванием. И. Ш.

4838 П. Способ получения амидов кислот перегруппировкой кетоксимов. Велз (Verfahren zur Herstellung von Säureamiden durch Umlagerung von KETOXIMEN. Welz Harry) [Farbenfabriken Bayer A.-G.]. Пат. ГФР 906936, 18.03.54 [Chem. Zbl., 1954, 125, № 24, 5397 (нем.)]

Амиды к-т (лактамы) получают перегруппировкой кетоксимов в присутствии  $SO_3$ , добавляя циклич. моно-

нитроуглеводороды с т. пл. до 65°, в частности нитробензол или 1-нитро-1-метилциклопентан. Выход капролактама 90%. С. С.

4839 П. Способ получения реакционноспособных многоосновных лактамов. Шлак (Verfahren zur Herstellung von leicht reaktionsfähigen mehrwertigen Lactamen. Schlack Paul). Пат. ГДР 3344, 24.06.53

Многоосновные лактамы получают действием многоосновных ацилирующих средств на одноосновные лактамы, имеющие атом Н при атоме N, входящем в цикл, или обработкой лактамообразующих аминокислот или их функциональных производных с открытой цепью атомов ацильных производными многоосновных к-т в присутствии водоотнимающих или конденсирующих средств. Способ дает хорошие результаты также в случае лактамов с более чем 6 атомами C в цикле и если в цикле содержится гетероатом, напр. O или S. Взаимодействием продуктов р-ции с многофункциональными ацилируемыми в-вами, в особенности спиртами и аминами, получают двух- и трехмерные смолы. В качестве ацилирующих средств употребляют хлорангидриды карбоновых и карбаминотокислот, сложные эфиры (в особенности арильные), амиды и свободные к-ты. Можно брать как лактамы, так и их металлич. производные. Предпочтительнее работать в инертном р-рителе, напр.  $CCl_4$ ,  $C_6H_6$  или  $C_6H_5CH_3$ . В случае, если для ацилирования применяют эфиры, добавляют щел. катализатор, напр. щел. металлы, Na-метилмалоновый эфир, Mg-метилмалоновый эфир, олеат или бутират Mg. В случае свободных к-т в качестве р-рителя употребляют фенол. Если исходят из ациламинохлоридов, то в качестве водоотнимающего средства употребляют укусуный ангидрид. 2 моля ε-капролактама (I) в 3 вес. ч. бензола нагревают с 1 молем хлорангидрида адипиновой к-ты до прекращения выделения HCl, отгоняют бензол, и маслянистый остаток охлаждают; получают кристаллы с т. пл. 64°. Нагреванием последних с эквивалентным кол-вом гексаметилендиамина (II) в течение 4 час. при 230—250° в закрытом сосуде готовят плавкую смолу, пригодную для применения. Приведены примеры получения продуктов из I, хлорангидрида себаценовой к-ты и β, β'-диаминодиэтиламина; этилового эфира δ-аминокапроновой к-ты и октаметилендиамина; пиперидина, диамида адипиновой к-ты и 1,3-фенилендиамина; лактама ε-аминоэнантовой к-ты и II; I, смешанного полимера ангидрида малеиновой к-ты с винилэтиловым эфиром и этилендиамин; пиперидона, 1,4-бутандисульфохлорида и диаминов, аминокислот или гликолей; 3-метил-ε-капролактама, хлорангидрида 1,3,5-бензотрикарбоновой к-ты и диэтилендиамина; I, дифенилового эфира себаценовой к-ты и II (ε-аминокапроновой к-ты, хлорангидрида себаценовой к-ты и пентаметилентглицоля; I, II и гексаметилендиамина. Б. Д.

4840 П. Способ прямого синтеза кремнийорганических галогенидов. Калерт (Verfahren zur direkten Synthese von Organo-silicium-halogeniden. Kahlert Max.). Пат. ГДР 7651, 12.07.54

Способ прямого синтеза кремнийорганич. галогенидов р-цией алкил-(арил)-галогенных соединений с Si при высокой т-ре отличается применением смешанного катализатора, напр. Cu-Ni, с одновременным добавлением  $H_2$  или содержащих  $H_2$  газов. Смесь 400 г 80%-ного ферросилиция с 100 г Si-порошка или смесь 50 г Cu и 50 г Ni обрабатывают при 325°  $CH_3Cl$  (1 л/час). Конденсация газообразных продуктов р-ции получено 780 г (в случае смешанного катализатора 825 г) смеси метилкремнийхлоридов, остаток (300 или, соответственно, 400 г) содержит C (9,0% или, соответственно, 0,9%). Н. С.

4841 П. Органические хлорсиланы (Organochlorosilanes) [Dow Corning Corp.]. Австрал. пат. 161538, 17.03.55

Хлорсиланы общей ф-лы  $R(CH_3)_nSiCl_{3-n}$  ( $R - CH_3$ , винил или аллил;  $n = 0$  или 1) или их смеси получают нагреванием хлорсиланов общей ф-лы  $R'(CH_3)_nSiCl_{3-n}$  или их смесей ( $R' -$  циклоалкил) при  $350-800^\circ$ . Р-цию проводят в паровой или жидкой фазе для получения в-в, у которых  $R - CH_3$ , и в паровой фазе — для получения в-в, у которых  $R -$  винил или аллил. В. У.

4842 П. Стабилизация органических силосанов. Ченисек (Stabilization of organo-siloxanes. Chenisek Joseph A.) [Universal Oil Products Co.]. Пат. США 2697114, 14.12.54

Для стабилизации органич. силосанов к ним прибавляют небольшое кол-во фенола содержащего одну ОН-группу, и в орто-положении к ней — алкил с 1—5 атомами С. Н. П.

4843 П. Кремнийорганические дикетоны (Organosilicon diketones) [Dow Corning, Ltd.]. Англ. пат. 710249, 9.06.54 [J. Appl. Chem., 1955, 5, № 1, i87—i88 (англ.)]

Получены кремнийорганич. дикетоны общей ф-лы:  $R(CH_3)_2Si(CH_3)_2COCH_2COX$  (I), где  $R - CH_3$  или  $C_6H_5$ ,  $X -$  одновалентный углеводородный радикал или радикал общей ф-лы  $R'(CH_3)_2Si(CH_3)_2$ . Конденсацией ацетона с  $(CH_3)_2Si(CH_3)_2COOCH_3$  при помощи  $NaNH_2$  получен I, где  $R$  и  $X - CH_3$ , т. кип.  $76^\circ/4,5$  мм,  $n_D^{20}$  1,4628, его комплекс с Cu плавится при  $101-102^\circ$ .

Из соответствующих кетонов получены I, где:  $R - H$ ,  $X - (CH_3)_2Si(CH_3)_2$ , т. кип.  $149^\circ/9$  мм,  $n_D^{20}$  1,4666, внутрикомплексное соединение с Cu имеет т. пл.  $123,5-124,5^\circ$ ;  $R - C_6H_5$ ,  $X - CH_2=CHCH_3$ ;  $R$  и  $X - C_6H_5$ ;  $R - C_6H_5$ ,  $X - C_6H_5CH_2$ ;  $R - C_6H_5$ ,  $X - C_{11}H_{23}$ ;  $R - C_6H_5$ ,  $X - \alpha-C_{10}H_{17}$ ;  $R - C_6H_5$ ,  $X - C_6H_5CH=CH$ . И. Ш.

4844 П. Кремнийорганические амины (Organosilicon amines) [Dow Corning, Ltd.]. Англ. пат. 709691, 2.06.54 [J. Appl. Chem., 1955, 5, № 2, 1239—1240 (англ.)]

Конденсацией сложных эфиров ф-лы  $(CH_3)_2(R)Si(CH_3)_nSiCOOR'$ , где  $R - CH_3$  или  $C_6H_5$ ,  $R' -$  алкил,  $n = 2-5$ , в присутствии Na-алкоголятов или  $(iso-C_3H_7)_2NMgBr$  получают 2-кетозфиры ф-лы  $(CH_3)_2(R)Si(CH_3)_n-1CH(COOR')CO(CH_3)_nSi(R)(CH_3)_2$ , которые гидролизуют и декарибонилируют при помощи крепкой к-ты до кетонов ф-лы  $\{[R](CH_3)_2Si(CH_3)_2CO. Соответствующие оксимы получают р-цией кетонов с  $NH_2OH \cdot HCl$ , амины получают, восстанавливая оксимы  $LiAlH_4$ . Н. П.$

4845 П. Фосфорнокислые эфиры органических соединений и способы их получения. Хогберг (Organic phosphate esters and methods of preparation. Hoegberg Erick I.) [American Cyanamid Co.]. Канад. пат. 494563, 21.07.53

Патентуются фосфорнокислые эфиры общей ф-лы  $X=P(OR^1)(OR^2)X'(CHR)_mCONHCONR^3R^4$  ( $X$  и  $X' - S$  или  $O$ ;  $R - H$  или алкил;  $R^1$  и  $R^2 -$  алкил, аларкил или арил;  $R^3$  и  $R^4 - H$ , алкил, или арил;  $m -$  небольшое целое число), в частности,  $O,O$ -диэтилдитиофосфат меркаптоацетилмочевины, который получают р-цией  $O,O$ -диэтилдитиофосфорной к-ты, соды и хлорацетилмочевины в присутствии кетона.  $O,O$ -диэтилмонотиофосфат меркаптоацетилмочевины образуется при р-ции  $K-O,O$ -диэтилмонотиофосфата и хлорацетилмочевины в присутствии кетона. Н. С.

4846 П. Метод производства фосфорнокислых эфиров. Фортесс, Хониг, Рио (Process for production of phosphate esters. Fortess Fred, Honing Conrad, Jr, Rio Joseph) [Celanese Corp. of America]. Пат. США 2676975, 27.04.54

Эфиры фосфорной к-ты получают р-цией спиртов с дис-

пергированным в минер. масле производным фосфорной к-ты, способным к образованию эфиров, при  $50-100^\circ$  в течение 10—60 мин. И. Ш.

4847 П. Способ получения продукта реакции диэфира дитиофосфорной кислоты с сульфидирующим веществом. Бругман (Reaction product of a diorganie ester of dithiophosphoric acid with a sulfonating agent and the process for making same. Brugman William H., Jr) [Standard Oil Development Co.]. Пат. США 2694084, 9.11.54

Указанный продукт получают р-цией 1 моля  $S=P(SH)(OR)_2$  ( $R -$  углеводородный радикал с 3—30 атомами С, имеющий не менее одного алкила, содержащего по крайней мере 2 атома С) с 1—2,5 молями сульфидирующего в-ва при т-ре от  $-40$  до  $+15^\circ$ . Соответствующие соли получают нейтр-цией сульфированного в-ва гидроокисью металла. Е. К.

4848 П. Тетраэтилпирофосфат. Мицун, Ямамото (Tetraethyl pyrophosphate. Mitsui Nakaba, Yamamoto Toyozo) [Nippon Kagaku Kogyo K. K.]. Япон. пат. 2723, 16.06.53 [Chem. Abstrs, 1955, 49, № 4, 2482 (англ.)]

$K 172 \varepsilon (C_2H_5O)_2PO$  постепенно прибавляют при  $20^\circ$   $182 \varepsilon PCl_3$ , удаляют  $C_2H_5Cl$  и  $POCl_3$  и нагреванием остатка при  $130^\circ$  получают  $(C_2H_5O)_2POCl$  (I), выход 80—90%.  $172 \varepsilon I$  при  $130-140^\circ$  постепенно обрабатывают  $182 \varepsilon (C_2H_5O)_2PO$ , и после нагревания 1 час при  $140-150^\circ$  получают  $(C_2H_5O)_4P_2O_5$ , выход 50—60%. В. У.

4849 П. Получение тетраалкилсвинца. Таннер (Manufacture of tetraalkyl lead compounds. Tanner H. M.) [Ethyl Corp.]. Англ. пат. 707075, 14.04.54 [J. Appl. Chem., 1954, 4, № 11, 577—578 (англ.)]

Тетраалкилсвинец получают с улучшенным выходом при взаимодействии избытка жидкого галоалкила (или алкилсульфата) со сплавом Pb-Na в форме чешуек (средняя толщина 0,25—1,25 мм, максим. размер 3,0—6,5 мм) при  $70-100^\circ$  (время контакта 5—30 мин.). Р-цией 100 ч. Pb-Na в виде чешуек с паробразным  $C_2H_5Cl$  в тонком стеклянном сосуде при  $85^\circ$  в течение 10 мин. получают Pb  $(C_2H_5)_4$  с выходом 68%; при времени контакта 5 мин. выход 30%. Если вместо сплава Pb-Na в виде чешуек применять его в виде кусков, проходящих через сито 4—16 меш, то выход Pb  $(C_2H_5)_4$  уменьшается до 23%. Е. Р.

4850 П. Способ получения циклооктена (Procédé pour l'obtention de cyclooctène) [Badische Anilin- und Soda-Fabrik]. Франц. пат. 1063780, 6.05.54 [Chime et industrie, 1954, 72, № 4, 713 (франц.)]

Циклооктатетраен гидрируют  $H_2$  с помощью обычных металлич. катализаторов без р-рителей при т-ре не выше  $80^\circ$  под давл. 10—100 ат или в присутствии р-рителя при более низкой т-ре и при обычном или повышенном давлении. О. С.

4851 П. Способ одновременного получения циклооктанона, пробковой кислоты и циклооктанолола (Procédé de préparation de cyclooctanone et accessoirement d'acide subérique et de cyclooctanol) [Badische Anilin- und Soda-Fabrik]. Франц. пат. 1070846, 17.08.54 [Chime et industrie, 1954, 72, № 6, 1217 (франц.)]

Циклооктан обрабатывают  $O_2$  при нормальном или несколько повышенном давлении в жидкой фазе при  $80-150^\circ$  и, в случае надобности, в присутствии катализатора окисления. О. С.

4852 П. Способ получения оксимов циклических кетонов. Грудман (Verfahren zur Herstellung von Oximen cyklicher Ketone. Grundmann Christoph) [VEB Schering Adlershof]. Пат. ГДР 8550, 10.11.54

Оксимы циклич. кетонов получают обработкой циклич. (гидроароматич.) углеводородов нитрозирующими средствами при облучении актиничным светом. В качестве нитрозирующих средств можно применять, напр.,

NOCl, NOBr, нитрозилсерную к-ту или нитрозилборфторид; в качестве углеводородов — напр., циклопентан, метилциклопентан, циклогексан, метилциклогексан, декагидроафталин. Р-цию проводят при обыкновенной т-ре или при нагревании, в особенности с применением газообразных нитрозирующих средств и под давлением. Окисмы циклич. кетонов, получаемые с хорошими выходами, используются для приготовления полиамидных смол. 100 ч. циклогексана (I) насыщают NOCl при 10°, полученный красный р-р подвергают действию солнечного света, выпадающее масло отделяют от избыточного циклогексана и промывают разб. р-ром  $\text{Na}_2\text{CO}_3$ , получают циклогексаноксисм, т. пл. 88°. Аналогично из циклопентана получают циклопентаноксисм, т. пл. 56°. Циклогексаноксисм получают также из I и NOBr при облучении солнечным светом и из I и NOCl при облучении светом ртутной лампы. В. У.

4853 П. Гидрирование циклических органических соединений. Бремнер, Старки (Hydrogenation of cyclic organic compounds. Bremner John G. M., Starkey Frederick) [Imperial Chemical Industries Ltd]. Канад. пат. 503137, 25.05.54. Насыщенные алициклич. амины получают гидрированием жидких ненасыщ. ароматич. аминов водородом при 135—170° и 50—500 ат (200—400 ат) в присутствии пористого Ni или Co. Циклогексилламин получают непрерывным гидрированием анилина при 140—160° и 250 ат в присутствии пористого Co—Al в качестве катализатора. И. Ш.

4854 П. Композиция, содержащая осерненный терпен. Айветт (Sulfurized terpene composition. Ivett Reginald W.) [Hercules Powder Co.]. Пат. США 2691648, 12.10.54.

Реакцией 3-карена (по крайней мере 70%-ного и содержащего <5% мирцена, считая на общий вес терпенов) с S при т-ре выше 100° получают слегка окрашенный продукт, содержащий 1—40% S. И. Ш.

4855 П. Очистка бензола. Слай (Purified benzene. Sly G.). Австрал. пат. 155061, 18.02.54.

$\text{C}_6\text{H}_6$  очищают окислением или полимеризацией смолообразующих примесей, содержащихся в легком масле, и отделением  $\text{C}_6\text{H}_6$  от образующихся высококипящих в-в. Неочищ.  $\text{C}_6\text{H}_6$  сначала освобождают от примеси моно- и дициклопентадиена, затем подвергают обработке  $\text{O}_2$  в присутствии воды или пара при повышенных т-ре и давлении, при этом примеси, т-ра кипения которых ниже или близка к т-ре кипения  $\text{C}_6\text{H}_6$ , превращаются в высококипящие в-ва, от которых  $\text{C}_6\text{H}_6$  отделяют перегонкой. Е. К.

4856 П. Выделение ксилола жидким HF и  $\text{TiF}_4$ . Мак-Коли, Лин (Xylene separation with liquid HF and  $\text{TiF}_4$ . McCaulay David A., Lien Arthur P.) [Standard Oil Co.]. Пат. США 2683762, 13.07.54.

Способ разделения смеси, содержащей по крайней мере 2 изомерных ксилола (I), состоит в экстрагировании смеси при т-ре от -32 до +50° жидким HF (5—500 об.%, считая на смесь) и  $\text{TiF}_4$  в кол-ве меньше ~2 молей  $\text{TiF}_4$  на 1 моль I и отделении очист. фракции от экстракционной смеси, содержащей HF,  $\text{TiF}_4$  и I. При этом соотношение между кол-вом изомерных I в экстракционной смеси отлично от такового в очист. фракции и в исходной смеси изомеров. Приведена технологич. схема. О. С.

4857 П. Способ алкилирования ароматических углеводородов. Коллинг, Раппен (Verfahren zur Alkylierung von aromatischen Kohlenwasserstoffen. Kolling Helmut, Rappen Friedrich) [Ruhchemie A.-G.]. Пат. ГФР 897998, 26.11.53 [Chem. Zbl., 1954, 125, № 41, 9437 (нем.)].

Алкилирование ароматич. углеводородов проводят хлористыми алкалами по Фриделю—Крафтсу. Контакт-

ное масло из алкилированных ароматич. углеводородов (в особенности из, образующихся при р-ции моноалкилированных ароматич. углеводородов, содержащих больше 6 атомов C в боковой цепи) и  $\text{AlCl}_3$ , а также с добавлением  $\text{C}_6\text{H}_6$ , получают путем размешивания на холоду. Разделяют 2 слоя, из которых верхний представляет собой избыток углеводорода, нижний — контактное масло, содержащее ~30%  $\text{AlCl}_3$  и около 70% масляной части. В. У.

4858 П. Получение м-дихлорбензола (Manufacture of meta-dichlorobenzene) [Union Carbide and Carbon Corp.]. Англ. пат. 699153, 28.10.54 [J. Appl. Chem. 1954, 4, № 3, 226 (англ.)].

Техническую смесь о- и п-дихлорбензола очищают от примесей нагреванием в течение ≥20 мин. в присутствии конц.  $\text{H}_2\text{SO}_4$  (~5 вес.%) или  $\text{AlCl}_3$  (1—2 вес.%), затем перегоняют и дистиллят нагревают 1—5 час. при 120° с  $\text{AlCl}_3$  (2—15 вес.%) и водой (3—27% от веса  $\text{AlCl}_3$ ). Получают продукт, содержащий 47% м-дихлорбензола. Смесь 80 ч. безводн.  $\text{AlCl}_3$ , 5 ч. воды и 600 ч. перегнанного технич. о-дихлорбензола в течение 2,5 час. доводят до т-ры кипения (176°) и кипятят 30 мин., охлажденный продукт выливают в 10%-ный р-р NaOH. Органич. слой промывают, сушат  $\text{CaCl}_2$  и после перегонки получают продукт, содержащий 80% о-, 10% м- и 10% п-дихлорбензола. Л. Е.

4859 П. Способ получения фенолов. Кемп (Procédé de fabrication de phénols. Kemp John A.) [Soc. des Usines Chimiques Rhone-Poulenc]. Франц. пат. 1070188, 20.07.54 [Chimie et industrie, 1954, 72, № 6, 1217 (франц.)].

Вводят в р-цию гидроперекиси ароматич. углеводорода, содержащего заместители (одну или несколько алифильных или циклоалифильных групп), и кислый катализатор расщепления в присутствии р-рителя, состоящего из фенола и (или) алициклич. кетона; этот р-ритель вводят до начала реакции. О. С.

4860 П. Способ азеотропной очистки фенола от углеводородных примесей. Росс (Azeotropic removal of hydrocarbon contaminants from phenol. Rossi William J.) [California Research Corp.]. Пат. США 2702784, 22.02.55.

Чистый фенол (I) выделяют из смеси продуктов расщепления гидроперекиси кумола методом азеотропной дистилляции. Смесь, содержащую, помимо I и ацетона, алкилированные ароматич. углеводороды (0,05—0,5 вес.%), кипящие в пределах 170—210°, непрерывно подают в середину ректификационной колонны. В патрубок, находящийся между кубом колонны и точкой ввода смеси, подают 90—150 вес.% воды (от весового содержания I в смеси). Отгоняют ацетон, воду, алкилированные ароматич. углеводороды и не более 3 вес.% I (от веса, поданного на дистилляцию I). Из куба колонны отводят чистый I, свободный от воды и содержащий >0,05 вес.% углеводородов, кипящих при 170—210°. Приведена схема установки. Н. П.

4861 П. Способ выделения фенолов. Бехер, Мартинак (Verfahren zur Gewinnung von Phenolen. Becher Willy, Martinak Norbert) [Heinrich Koppers G. m. b. H.]. Пат. ГФР 905015, 25.02.54 [Chem. Zbl., 1954, 125, № 41, 9392 (нем.)].

Из тяжелого масла, полученного перегонкой бурого угля, и подобных продуктов выделяют фенолы экстрагированием воды. конц. р-ром фенолятов щел. металлов и перегонкой пересыщ. р-ра фенолятов с водяным паром. При этом сначала из пересыщ. фенолами и содержащего нейтр. масла р-ра фенолятов отгоняют нейтр. масла, затем из полученного пересыщ. р-ра, не содержащего нейтр. масел, разбавлением водой выделяют избыток фенолов, причем образуется масляный слой, который отделяют. В. У.



4862 П. Способ получения диметоксирезорцина. Гейсман (Method for the preparation of dimethoxyresorcinol. Geissman Theodore A.), Пат. США 2668861, 9.02.54

Соединения общей ф-лы  $\text{ROC}=\text{C}(\text{OCH}_3)\text{C}(\text{OR})=$

$=\text{CHC}(\text{OCH}_3)=\text{CH}$ , где OR — эфирная группа, способная к отщеплению, получают р-цией хинона общей ф-лы  $\text{O}=\text{CC}(\text{OR})=\text{CHC}(=\text{O})\text{CH}=\text{C}(\text{OR})$  с ангид-

ридом низшей алифатич. карбоновой к-ты в присутствии восстановителя с последующей обработкой полученного продукта метиловым эфиром сильной неорганич. к-ты в присутствии щелочи.

4863 П. Хлорированные эфиры. Барбер, Грин (Chlorinated ethers. Barber H. J., Green M. B.) [May and Baker, Ltd]. Англ. пат. 712478, 28.07.54 [J. Appl. Chem., 1955, 5, № 2, 1238 (англ.)]

Соединения общей ф-лы  $\text{ROCH}_2\text{—CH}_2\text{—Cl}_m$  (R — фенил, замещенный 1 или более атомом Cl,  $n = 1-3$ ) полу-

чают р-цией в жидкой фазе при 160–260° в-ва общей ф-лы  $\text{ROCH}_2\text{—CH}_2\text{—Cl}_m$  ( $m = 0-2$ ) с  $\text{Cl}_2$  до поглощения необходимого кол-ва  $\text{Cl}_2$ . При пропускании  $\text{Cl}_2$  через л-хлоранизол и  $\text{PCl}_5$  при 150–195° образуется л-хлорфеноксиметилхлорид (т. пл. 29–30°, т. кип. 105–115°/15 мм). Получены: л-хлорфеноксидихлорметан (т. кип. 116,5–120,5°/13 мм,  $d_{15}^{15} 1,4168$ ,  $n_D^{15} 1,5550$ ); л-хлорфенокситрихлорметан (т. кип. 126,5–127°/13 мм,  $d_{15}^{15} 1,4967$ ,  $n_D^{15} 1,5570$ ); 2,4-дихлорфеноксиметилхлорид (т. пл. 55,5–56,5°), 2,4-дихлорфеноксидихлорметан (т. пл. 37–38°; т. кип. 83–86°/0,3 мм); 2,4-дихлорфенокситрихлорметан (т. кип. 90–95°/0,3 мм); 2,5-дихлорфеноксиметилхлорид (т. пл. 52–54°); 2,4,6-трихлорфеноксиметилхлорид (т. пл. 34–35°, т. кип. 90–95°/0,3 мм); 2,4,6-трихлорфенокситрихлорметан (т. кип. 100–103°/0,3 мм); асимметрично-дихлорфеноксиметилхлорид (т. пл. 93–94°).

Н. П. 4864 П. Ароматические и гидроароматические гидроперекиси (Aromatic and hydroaromatic hydroperoxides) [Farbenfabriken Bayer]. Англ. пат. 712708, 28.07.54 [J. Appl. Chem., 1955, 5, № 2, 1238 (англ.)]

Гидроперекиси ароматич. и гидроароматич. углеводородов получают окислением гидроароматич. или аликизамещ. ароматич. углеводородов ф-лы  $\text{CH}_n\text{R}^1\text{R}^2\text{R}^3$  (R' — арил; R'' — алкил; R''' — H или алкил)  $\text{O}_2$ -содержащим газом в присутствии Ce. Через размешиваемую смесь 0,2 г Се-нафтената (18,6% Се), 17 г  $\text{C}_6\text{H}_6$  и 173 г  $\text{C}_6\text{H}_5\text{C}_2\text{H}_5$  при 90° в течение 6,5 час. пропускают  $\text{O}_2$ . После поглощения 1 л  $\text{O}_2$  (объем при норм. условиях) образуется α-гидроперекись этилбензола (85%). Получены гидроперекиси: изопропилбензола, л-цимола, метилциклогексана, тетрагидронафталина, декагидронафталина, изопропилнафталина и этилизопропилнафталина.

Н. П. 4865 П. Кетимины и способ их получения. Бломберг, Брус (Ketimines and process of preparing same. Blomberg Richard Nelson, Bruce William F.) [American Home Products Corp.]. Пат. США 2700682, 25.01.55

Кетимины получают р-цией первичного низшего алиламина с кетоном ф-лы  $\text{RCOR}'$ , где R' и R'' — арилалкилы (фенил низший алкил, оксифенил низший алкил, низший алкоксифенил низший алкил, низший алкилфенил низший алкил, аминифенил низший алкил, хлорфенил низший алкил и пиперонил; R', кроме того, может быть также алкилом). При этом образуется продукт присоединения, содержащий ОН-группу, который затем дегидратируют при т-ре ниже 80° с помощью КОН, сильно щел. неорганич. солей К или окисей щел.-зем. металлов в условиях, предотвращающих окисление. Патентуются кетимины общей ф-лы  $\text{R}^1\text{CH}_2\text{C}(\text{NR}^2)=$

$\text{CH}_2$ , где R' — алкил с 1–2 атомами С, R'' — фенил, оксифенил или низший алкоксифенил.

Н. П. 4866 П. Способ получения кислородсодержащих ароматических соединений, в частности, бензойной кислоты. Реппе, Шеллер (Verfahren zur Herstellung von Sauerstoffhaltigen aromatischen Verbindungen, insbesondere von Benzoesäure. Reppe Walter, Scheller Heanang) [Badische Anilin- und Soda-Fabrik]. Пат. ГФР 881341, 29.06.53 [Chem. Zbl., 1955, 126, № 12, 2775–2776 (нем.)]

Указанные в-ва, в частности  $\text{C}_6\text{H}_5\text{COOH}$ , получают пропусканием паров циклооктатетраена вместе с  $\text{O}_2$  или  $\text{O}_2$ -содержащими газами при 250–450° (350–400°) над окислами металлов IV–VI групп периодической системы, в особенности, V, Cr, Ti и Mo. Через фарфоровую трубку (длина 70 см, внутренний диам. 2 см) при 370° пропускают струю воздуха, содержащего ~50 моль циклооктатетраена, над катализатором из 13,7%  $\text{MoO}_3$ , 4,9%  $\text{V}_2\text{O}_5$ , 6,4%  $\text{TiO}_2$  и 75% немзы, получают  $\text{C}_6\text{H}_5\text{COOH}$ , выход 70%, т. пл. 122°; из остаточных газов выделяют немного  $\text{C}_6\text{H}_5\text{CHO}$ .

В. У. 4867 П. Получение полихлорфеноксимуксусной кислоты. Гиллис, Чипман (Preparation of polychlorophenoxyacetic acids. Gillies Archibald, Chipman Harold R.) [United States Rubber Co.]. Пат. США 2674622, 6.04.54

Применяемую в качестве регулятора роста растений полихлорфеноксимуксусную к-ту (I) получают прибавлением воды. р-ра гидроокиси щел. металла при перемешивании к р-ру полихлорфенола (II) и монохлоруксусной к-ты (III) в инертной водонерастворимой органич. жидкости (углеводород или галогенированный углеводород) при т-ре не выше 60°, что увеличивает выход I. Относительные кол-ва реагентов, р-рителя, воды и гидроокиси щел. металла должны быть такими, чтобы рН реакционной массы был 8,3–9,3, кол-во р-рителя должно составлять 0,5–3 ч. от веса реагентов, воды должно быть 30–60% от веса реагентов, II берут в избытке по отношению к III. После нагревания реакционной массы в условиях, способствующих образованию соли щел. металла I, выделяют I.

Н. П. 4868 П. Способ получения бензильного эфира мндаловой кислоты. Клагес (Procédé pour la préparation d'ester benzylique de l'acide mandélique et produits conformes à ceux obtenus. Klages A.). Франц. пат. 1072798, 15.09.54 [Chimie et industrie, 1955, 73, № 1, 107 (франц.)]

Бензильный спирт и мндаловую к-ту нагревают в присутствии щел. или щел.-зем. солей мндаловой к-ты, щел.-зем. солей угольной к-ты или других аналогичных катализаторов. Непрерывное удаление образующейся воды повышает выход эфира. Этерификацию проводят при 140–160°.

О. С. 4869 П. Способ получения терефталевой кислоты (Procédé pour la préparation de l'acide téréphthalique) [Vereinigte Glanzstoff-Fabriken A.-G.]. Франц. пат. 1070164, 20.07.54 [Chimie et industrie, 1955, 73, № 1, 113 (франц.)]

α, α'-Дихлоркислоты обрабатывают при т-рах выше его т-ры плавления 20–65% -ной  $\text{HNO}_3$ .

О. С. 4870 П. Способ получения бензолдикарбоновых кислот. Качман (Verfahren zur Herstellung von Benzoldicarbonsäuren. Katschmann Ewald) [Imhausen und Co. G. m. b. H.]. Пат. ГФР 886307, 13.08.53 [Chem. Zbl., 1954, 125, № 17, 3803 (нем.)]

Бензолдикарбоновые к-ты получают окислением толуиловых к-т (I)  $\text{KMnO}_4$ . 158 г смеси I, содержащей ~20% л-I и 80% м-I (содержание I ~7,4%) и образующейся при окислении воздухом технич. смеси л-и м-кислота в присутствии Со-катализатора, растворяют в р-ре NaOH и окисляют при т-ре кипения 65 г  $\text{KMnO}_4$ . Подкислением выделяют 48 г смеси к-т, содержащей

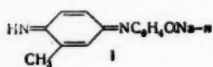
44 г терефталевой и 4 г изофталевой к-ты. Бензолкарбонные к-ты отделяют от не вступивших в р-цию I экстракцией горячей водой. Терефталевую к-ту можно отделить от I также через метиловый эфир. С. С.

**4871 П.** Способ получения алкилнитроароматических кетонов. Олт, Говард (Method of making alkyl-nitro aromatic ketones. Alt Arthur, Howard Robert E.) [Monsanto Chemical Co.]. Пат. США 2674628, 6.04.54

Алкилзамещенные ароматич. в-ва общей ф-лы  $R(R')\text{-CHR''(NO}_2\text{)}$ , где R — H или алкил, R' — алкил, R'' — арил, окисляют газообразным  $O_2$  в отсутствие катализатора при 135—200°, из реакционной массы выделяют кетон общей ф-лы  $R'\text{COR''(NO}_2\text{)}$ . Б. М.

**4872 П.** Выделение индофенола. Като (Separation of indophenols. Kato Takeo) [Mitsubishi Chemical Industries Co.]. Япон. пат. 3470, 22.07.53 [Chem. Abstrs, 1955, 49, № 6, 4021 (англ.)]

10 ч. о-толуидина и 12 ч. n-нитрофенола конденсируют в 86 ч. 84%-ной  $H_2SO_4$  при 13°; продукт обрабатывают 30 ч. NaOH в 110 ч. лед. воды и 55 ч.  $Na_2CO_3$  в 1500 ч. лед. воды; получают Na-индофенолят ф-лы



(I), выход 90%, т. пл. 130° (разл.). В. У.

**4873 П.** Способ получения ароматических нитрилов. Уиллетт, Пейлтроп (Procédé pour la préparation de nitriles aromatiques. Willett Albert V. Jr, Pailthorpe John R.) [E. I. du Pont de Nemours and Co.]. Франц. пат. 1062324, 21.04.54 [Chimie et industrie, 1954, 72, № 3, 476 (франц.)]

Ароматическое соединение, галогенированное в ядре и содержащее 1—3 атома Cl, Br или J, вводят в р-цию по крайней мере с эквимолекулярным кол-вом HCN, необходимым для замещения желаемого числа атомов галогена. Р-цию проводят в паровой фазе в присутствии окиси Al, Ni или Si (катализаторы). Смесь паров пропускают через катализатор с объемной скоростью 250—1200 в 1 час. О. С.

**4874 П.** Способ получения пентахлортиофенола из гексахлорбензола. Краусс, Оле (Verfahren zur Herstellung von Pentachlorthiophenol aus Hexachlorbenzol. Krauss Wilhelm, Ohle Heinz). Пат. ГДР 8668, 22.11.54

Пентахлортиофенол (I) получают нагреванием гексахлорбензола (II) при t-ре выше 150° с гидросульфидом щел. или щел.-зем. металлов в многоатомных спиртах, преимущественно в этиленгликоле. Р-цию можно проводить, исходя из гидрооксидов или оксидов щел. или щел.-зем. металлов, для чего их растворяют или сублимируют в многоатомном спирте и переводят в гидросульфиды пропусканием  $H_2S$ , а затем прибавляют II. Можно также вести р-цию пропуская  $H_2S$  140 г NaHS и 285 г II в 900 мл этиленгликоля нагревают при размешивании при 170—180° в течение 30 мин., охлаждают до 100°, отфильтровывают NaCl, отгоняют гликоль в вакууме, остаток растворяют в возможно малом кол-ве воды, отфильтровывают непрореагировавший II и осаждают I медленным подкислением разб. HCl, выход 80—90%, т. пл. 241—242° (из бал.). Приведен также способ получения I с применением NaOH и  $H_2S$  (в этиленгликоле). В. У.

**4875 П.** Способ получения простых эфиров 4-меркаптоацетофенона. Профт (Verfahren zur Herstellung von Äthern des 4-Mercaptoacetophenons. Profft E I m a r). Пат. ГДР 8671, 22.11.54

Простые эфиры 4-меркаптоацетофенона, применимые в качестве промежуточных в-в для синтеза фармацевт. препаратов, получают нагреванием простых эфиров тиофенолов с  $(CH_3CO)_2O$  в присутствии небольшого

кол-ва  $ZnCl_2$ . 4,5 кг метилового эфира тиофенола (т. кип. 83—87°/17 мм), 8 кг 98%-ного  $(CH_3CO)_2O$  и 0,4 кг безводн.  $ZnCl_2$  кипятят 4 часа, переработкой и перегонкой реакционной массы в вакууме получают метиловый эфир 4-меркаптоацетофенона, выход 67%, т. пл. 74—76°. Аналогично из n-пропилового эфира тиофенола (т. кип. 118°/20 мм) получают n-пропиловый эфир 4-меркаптоацетофенона, выход 55%, т. кип. 180°/18 мм, т. пл. 32—33°; из изоамилового эфира тиофенола (т. кип. 130—131°/15 мм) — изоамиловый эфир 4-меркаптоацетофенона, выход 57%, т. кип. 196—200°/15 мм, светложелтое масло; из n-пропилового эфира o-тиокрезоло (т. кип. 123—124°/20 мм) — n-пропиловый эфир 3-метил-4-меркаптоацетофенона, выход 50%, т. кип. 194—200°/20 мм. В. У.

**4876 П.** Способ получения 6-хлор-2-амино-1-оксibenзол-4-сульфокислоты. Бендль (Verfahren zur Herstellung von 6-Chlor-2-amino-1-oxybenzol-4-sulfonsäure. Bendl Leo) [VEB Farbenfabrik Wolfen]. Пат. ГДР 7899, 18.08.54

6-хлор-2-амино-1-оксibenзол-4-сульфокислоту (I) синтезируют с хорошим выходом из 2,3-дихлор-1-нитробензола (II) (получаемого с 15%-ным выходом как побочный продукт при синтезе 3,4-дихлор-1-нитробензола). II сульфатируют, получая 4,5-дихлор-3-нитробензол-1-сульфокислоту (III), которую затем кипятят с водн. р-ром NaOH для получения 6-хлор-2-нитро-1-оксibenзол-4-сульфокислоты II, не выделяя, восстанавливают до I. В частности, 192 ч. II нагревают при перемешивании с 300 ч. 20%-ного oleума и 100 ч. 65%-ного oleума (6—10 час.) при 100° до полного растворения пробы в воде, разлагают массу смесью воды (400 ч.) со льдом (400 ч.) и высаливают Na-соль III прибавлением 360 ч. 25%-ного р-ра NaCl и 60 ч. твердой NaCl. Отделенную сухую Na-соль III взмучивают с 1520 ч. воды, нейтрализуют NaOH и добавляют 80 ч. NaOH. После 10—14 час. выдержки при 100° и подкисления восстанавливают Fe. Выход I 156 ч. (70%, считая на II). Н. С.

**4877 П.** Способ получения ацетиламида сульфаниловой кислоты. Дори, Диррих (Verfahren zur Herstellung von Sulfanilsäureacetylaminiden. Dohrn Max, Diederich Paul) [VEB Schering Adlershof]. Пат. ГДР 5047, 4.11.54

Ацетиламид сульфаниловой к-ты (I) получают р-цией галогидангирида бензолсульфокислоты, содержащего в пара-положении к сульфогалогидангидридной группе аминогруппу или группу, превращающуюся в нее, с имидоэфиром уксусной к-ты; полученный продукт гидролизуют, а затем (или одновременно) превращают в в-во, содержащее свободную аминогруппу в ядре. 26,4 г хлорангидрида карбэтоксисульфаниловой к-ты нагревают 1 час при 100° с 12,4 г хлоргидрата имидоэфира уксусной к-ты в 25 мл безводн.  $C_6H_5N$ , р-р разбавляют 5-кратным кол-вом воды и подкисляют HCl, выпадает ацетимидоэфир карбэтоксисульфаниловой к-ты (II), т. пл. 113° (из разб. сл.). После короткого нагревания II с избытком спирта. КОН выпадает K-соль ацетиламида карбэтоксисульфаниловой к-ты, нагреванием которой в 150 мл 2 н. КОН до полного растворения пробы в HCl и подкислением р-ра на холоду  $CH_3COOH$  осаждают I, выход выше 80%, т. пл. 181—182°. Вместо хлоргидрата можно применять свободный ацетимидоэфир, а вместо хлорангидрида карбэтоксисульфаниловой к-ты — другие сульфогалогидангидриды с иными группами, способными к превращению в аминогруппу, напр., ацетиламино-, нитро-, нитрозогруппой и т. п. При применении в качестве исходного в-ва хлорангидрида ацетилсульфаниловой к-ты в качестве промежуточного продукта получают ацетамид ацетилсульфаниловой к-ты, т. пл. 252°. В. У.

**4878 П.** Получение аминокислотных эфиров диарила карбинолов. Кьюсик (Production of aminoalkyl

ethers of diaryl carbinols. Cusic John W.) [C. D. Searle and Co.]. Канад. пат. 504331, 13.07.54

Указанные в-ва получают нагреванием при 65–120° 1–1,2 моля галогдаминоалкила ф-лы  $XRR'$ , где X — галогид, R — низший алкилен, R' — ди- или моноалкиламиногруппа (алкил — низший) или 1-пиперидил, с 1–1,2 молями диарилкарбинола ф-лы  $R''C_6H_4CH(OH)C_6H_4R'''$ , где R'' и R''' — H, NH<sub>2</sub> или низший алкил, в присутствии 1–1,2 молей щелочи. В частности, указано получение диалкиламидоалкилового и β-диметиламиноэтилового эфиров бензилола. Н. С. 4879 П. Пропандиолы (Propane diols) [Parke, Davis and Co.]. Австрал. пат. 161342, 10.03.55

1-Фенил-2-дихлорацетамидопропандиол-1,3, общей ф-лы  $n-RC_6H_4CH(OH)CH(NHCOCHCl_2)CH_2OH$  (I) (R — H, галогид, нитрогруппа, низший алкоксил или фенил), получают р-цией дихлорацетонитрила с аминодиолом общей ф-лы  $n-RC_6H_4CH(OH)CH(NH_2)CH_2OH$  в воде, среде при т-ре ниже 100°; большая часть полученного промежуточного продукта при этом подвергается гидролизу с образованием I. В. У.

4880 П. Получение производных 1-нитрофенил-2-аминопропандиола-1,3 (Production of 1-nitrophenyl-2-aminopropane-1,3-diol derivatives) [Parke, Davis and Co.]. Австрал. пат. 161814, 25.03.53

Производные 1-нитрофенил-2-аминопропандиолов-1,3 общей ф-лы  $R'''(NO_2)C_6H_4CHONCH(NHR)CH_2OH$  получают избирательным восстановлением сложноефирной и (или) карбоксильной групп в производных нитрофенилсерии общей ф-лы  $R'''(NO_2)C_6H_4CH(OR')CH(NHRCOOR'')CH_2OH$ , где R и R' — H или алкил (одинаковы или различны); R'' — H, низший алкил, фенил или феналкил; R''' — H, галогид, низший алкил или низший алкоксил. В. У.

4881 П. Способ получения исчерпывающе ацилированных 1-нитрофенил-2-аминопропандиолов-1,3 (Fremgangsmåde till fremstilling af fuldstændig acylerede 1-(nitrofenyl)-2-aminopropan-1,3-diolforbindelser) [Parke, Davis and Co.]. Дат. пат. 76562, 26.10.53

Способ получения исчерпывающе ацилированных 1-нитрофенил-2-аминопропандиолов-1,3, общей ф-лы  $NO_2R'R''C_6H_4O(X)RCH(NHX)CH_2OX$  (I) (R — H или алкил, содержащий не более 4 атомов C; R'R'' — одинаковые или различные заместители: H, галогид, алкил или алкоксил, содержащий не более 4 атомов C; X — алифатич. ацил, содержащий не более 4 атомов C, бензил или бензоил, замещ. одним или несколькими алкилами, алкоксилами, атомами галогена, нитро-, карбоксильными или эфирными группами), заключается в том, что исчерпывающе ацилированный 1-фенил-2-аминопропандиол-1,3 ф-лы  $RR''C_6H_4O(X)RCH(NHX)CH_2OX$  (II), нитруют смесью конц.  $H_2SO_4 + HNO_3$ , 100%-ной или дымящей  $HNO_3$ . В качестве исходного в-ва применяют рацемическую псевдоформу II, в которой R, R', R'' — H. I и II существуют в виде *цис*- и *транс*-форм, обозначаемых *цис*-форма — регулярная форма (рег.) и *транс*-форма — псевдоформа (Ψ); каждая форма состоит из рацемической смеси оптических изомеров. 2 г триацетилового производного (DL)-Ψ-1-фенил-2-аминопропандиола-1,3 вносят порциями в смесь 2,5 мл конц.  $H_2SO_4$  и 2,5 мл конц.  $HNO_3$ . Нитруют при 0° до полного растворения амиодиола и смесь выливают на лед. Р-р несколько раз извлекают этилацетатом, промывают р-ром  $Na_2CO_3$  и р-ритель отгоняют в вакууме. Остаток — триацетиловое производное (DL)-Ψ-1-нитрофенил-2-аминопропандиола-1,3, т. пл. 145° (сп.). Описанным способом получают триацетиловые производные следующих в-в: (DL)-рег-1-нитрофенил-2-дихлорацетамидопропандиола-1,3, т. пл. 134° (сп.); (DL)-рег-1-нитрофенил-2-аминопропандиола-1,3; (DL)-Ψ-1-нитрофенил-2-аминопропандиола-1,3; (DL)-Ψ-1-метокси-1-нитрофенил-2-аминопропандиола-1,3; (DL)-рег-

1-(2'-нитро-4',5',-диметилфенил)-2-аминопропандиола-1,3 (DL)-Ψ-2-амино-3-л-нитрофенилбутандиола-1,3; (DL)-Ψ-1-фенил-2-ацетамидо-3-ацетоксипропанола-1, т. пл. 167–168°. К. Г.

4882 П. Способ получения сульфимидов. Хентрих, Энгельбрехт (Verfahren zur Herstellung von Sulfonamiden. Hentrich Winfried, Engelbrecht Heinz-Joachim) [Dehydro Deutsche Hydrierwerke G. m. b. H.]. Пат. ГФР 914856, 12.07.54 [Chem. Zbl., 1955, 126, № 1, 254 (нем.)]

Способ получения сульфимидов состоит в конденсации ароматич. карбоновой к-ты или галогидангидрида сульфокислоты с ароматич. сульфамидом или его металлпроизводным. При этом по меньшей мере один из компонентов должен иметь остаток, способный к превращению в аминогруппу, для того, чтобы в продукте р-ции образовалась одна или несколько аминогрупп. Продукт р-ции ацилируют ароматич. карбоновой к-той, ее функциональным производным или производным ароматич. сульфокислоты, при этом необходимо взять такие исходные в-ва, чтобы конечный продукт содержал не менее 2 атомов галогена. Водорастворимые соли указанных в-в служат для пропитки шерсти, текстиля, мехов, волоса, перьев, кожи, природного и искусств. волокна с целью защиты от вредителей. 3,3'-динитробензолди-сульфимид (I) получают из 3-нитробензолсульфамида и 3-нитробензолсульфохлорида в р-ре NaOH; 3,3'-диаминодибензолдисульфимид Na (II) — восстановлением I железом в  $CH_3COOH$  с последующим высаливанием бис-[3-(3,4-дихлорбензолсульфониламино)-бензолсульфон]-имид-Na, р-цией II с 3,4-дихлорбензолсульфохлоридом в р-ре Na-ацетата и высаливанием (светлосерый порошок). Аналогично получают: бис-[3-(2,4,5-трихлорбензолсульфониламино)-бензолсульфон]-имид-Na и [3,4-дихлорбензол]-[3-(3-карбоксибензолсульфониламино)-бензолсульфон]-имид-Na. Н. П.

4883 П. N-(n-аминобензолсульфонил)-3,4-диметилбензамиды. Сато [N-(p-Aminobenzenesulfonyl)-3,4-dimethylbenzamide. Sato Tetsuo]. Япон. пат. 3677, 3678, 3.08.53 [Chem. Abstrs, 1955, 49, № 6, 4019 (англ.)]

19,2 г 3,4-(CH<sub>3</sub>)<sub>2</sub>C<sub>6</sub>H<sub>3</sub>C(=NOC<sub>6</sub>H<sub>4</sub>)NH<sub>2</sub>, 25,7 г n-ацетамидобензолсульфохлорида и 11 г NaHCO<sub>3</sub> в 100 мл ацетона кипятят 6 час., отфильтровывают NaCl, удаляют из фильтрата ~66%, содержащегося в нем ацетона, остаток подкисляют HCl, фильтруют, фильтрат подщелачивают, фильтруют и доведением pH фильтрата до 6,5 выделяют 26,5 г n-[3,4-(CH<sub>3</sub>)<sub>2</sub>C<sub>6</sub>H<sub>3</sub>C(=NOC<sub>6</sub>H<sub>4</sub>)NHSO<sub>2</sub>]C<sub>6</sub>H<sub>4</sub>NHCOCH<sub>3</sub> (I), т. пл. 165–175° (т. пл. 191° из CH<sub>3</sub>OH); затем HCl pH доводят до 3 и выделяют 3,5 г n-[3,4-(CH<sub>3</sub>)<sub>2</sub>C<sub>6</sub>H<sub>3</sub>CONHSO<sub>2</sub>]C<sub>6</sub>H<sub>4</sub>NHCOCH<sub>3</sub> (II). К 5 г I в 100 мл 36%-ного CH<sub>2</sub>O постепенно приливают при т-ре ниже 20–25° 50 г конц. H<sub>2</sub>SO<sub>4</sub>, оставляют на 2 дня и затем выливают на 100 г льда. Получают 4,25 г II, т. пл. 238–240°. Омылением II минер. к-той получают n-[3,4-(CH<sub>3</sub>)<sub>2</sub>C<sub>6</sub>H<sub>3</sub>CONHSO<sub>2</sub>]C<sub>6</sub>H<sub>4</sub>NH<sub>2</sub> (III) (пат. 3677). В р-р 10,5 г NaOH в 90 мл воды постепенно вносят 41 г порошкообразного 3,4-(CH<sub>3</sub>)<sub>2</sub>C<sub>6</sub>H<sub>3</sub>C(=NOH)NH<sub>2</sub> и при 25–30° приливают 33 г диметилсульфата, размешивают 30 мин., отфильтровывают продукт и промывают водой, получают 22 г 3,4-(CH<sub>3</sub>)<sub>2</sub>C<sub>6</sub>H<sub>3</sub>C(=NOCH<sub>3</sub>)NH<sub>2</sub> (IV), т. пл. 84–86°. Фильтрат после выделения IV подщелачивают NaOH до pH >10, масляный слой извлекают C<sub>6</sub>H<sub>6</sub> и перегонкой выделяют 17 г 3,4-(CH<sub>3</sub>)<sub>2</sub>C<sub>6</sub>H<sub>3</sub>C(=NH)N(OH)CH<sub>3</sub> (V), т. кип. 133°/5 мм. 35 г n-ацетамидобензолсульфохлорида в 100 мл безводн. ацетона в течение 2 час. прибавляют к кипящей смеси 17,8 г IV, 50 мл ацетона и 16,8 г NaHCO<sub>3</sub>, кипятят 5 час., р-р фильтруют, отгоняют ацетон, остаток обрабатывают 20 мл 35%-ной HCl и 200 мл ледяной воды, оставляют стоять ~12 час., продукт отфильтровывают и обрабатывают смесью 50 мл 35%-ного CH<sub>2</sub>O, 15 мл конц.



$\text{H}_2\text{SO}_4$  и 12 мл конц.  $\text{HCl}$ , оставляют на  $\sim 12$  час. и промывают осадок  $\text{CH}_3\text{OH}$ , получают 21 г II, выход 61%, т. пл.  $236^\circ$ . Гидролизом II получают III, т. пл.  $213-214^\circ$ , гидролизом V получают III, т. пл.  $212-213^\circ$  (3678).

В. У.  
4884 П. Способ получения полупродукта (Verfahren zur Herstellung eines Zwischenproduktes) [Ciba A.-G.]. Швейц. пат. 297018, 17.05.54 [Chem. Zbl., 1955, 126, № 4, 928 (нем.)]

Нагреванием Na-соли 2,4-динитро-1-хлорбензолсульфокислоты с хлорсульфоновой к-той при  $150-155^\circ$  получают хлорангидрид 2,4-динитро-1-хлорбензол-6-сульфокислоты (т. пл.  $105-106^\circ$ ), р-цией последнего с  $\text{NH}_3$  получают 2,4-динитро-1-хлорбензол-6-сульфамид (т. пл.  $188-190^\circ$ ), который кипячением с водн. суспензией  $\text{Ca}(\text{OH})_2$  превращают в 2,4-динитро-1-оксibenзол-6-сульфамид (т. пл.  $231-232^\circ$ ). Нагреванием последнего с водн. р-ром  $\text{NaSH}$  при  $60^\circ$  получают 4-нитро-2-амино-1-оксibenзол-6-сульфамид (т. пл.  $201^\circ$ ), являющийся полупродуктом для синтеза красителей.

Н. П.  
4885 П. Алкилдиариловые эфиры ортофосфорной кислоты (Alkyl diaryl esters of ortho phosphoric acid) [Monsanto Chemical Co.]. Австрал. пат. 155259, 4.03.54

Моноалкилдиарилфосфаты общей ф-лы  $\text{O}=\text{P}(\text{OR})_3$  ( $\text{OR}$ ), где R — алкил с 6—12 атомами C, имеющий разветвленное строение и оканчивающийся группой  $\text{CH}_2-$ , или алкоксизтил, алкил которого имеет 4—12 атомов C; R' — хлорфенил, получающий взаимодействием эквимолекулярных кол-в, соответствующих первичного алифатич. спирта или алкоксизтилового спирта с  $\text{POCl}_3$ . Образующийся моноалкилфосфорилдихлорид добавляют к водн. р-ру Na-хлорфенолята (молярное соотношение 1 : 2). Выделяют чистый моноалкилдиарилфосфат.

И. Ш.  
4886 П. Способ получения  $\alpha$ -(оксифениламино)-антрахинона [Verfahren zur Herstellung eines  $\alpha$ -(Oxyphenylamino)-anthrachinons] [Badische Anilin und Soda-Fabrik A.-G.]. Швейц. пат. 294699, 1.02.54 [Chimia, 1954, 8, № 6, 163 (нем.)]

1-метиламино-4-(4'-оксифениламино)-антрахинон получают обработкой 1-метиламино-4-(4'-метоксифениламино)-антрахинона кислыми в-вами при низкой температуре.

В. У.  
4887 П. Способ получения 2,6-бис-(5'-бензоламино)-антрахинониламино-1'-антрахинона (Procédé de préparation de 2,6-bis-(5'-benzoylamino-anthraquinonylamino-1'-anthraquinone) [American Cyanamid Co.]. Швейц. пат. 294021, 4.01.54 [Chimia, 1954, 8, № 6, 162 (нем.)]

Из 1-галлоид-5-бензоламиноантрахинона и 2,6-диаминоантрахинона в присутствии катализатора, содержащего Cu и J, получают целевой продукт.

В. У.  
4888 П. 3-замещенные 3,4-дигидрокумарины и способ их получения. Коэн, Хит-Браун (3-Substituted-3,4-dihydrocoumarins and process for the manufacture thereof. Cohen A., Heath-Brown B.) [Roche Products, Ltd]. Англ. пат. 701120, 16.12.53 [J. Appl. Chem., 1954, 4, № 5, 582 (англ.)] Соединения общей ф-лы 3'-R 1-ацил-2'-кетопирано-(5',6'-5,4)-пери-нафтазол (R — карбалкокс-, карбо-бензилокси- или CN-группа) получают р-цией 1-ацил-5-диалкиламинометил-4-окси-пери-нафтазола с соединением ф-лы  $\text{CHMRR}'$  (M — щел. металл; R' — карбалкоксигруппа). Из N-ацетил-4-окси-пери-нафтазола, 25%-ного водн.  $\text{NH}(\text{CH}_3)_2$ , 40%-ного  $\text{CH}_3\text{O}$  и спирта при  $100^\circ$  получают N-ацетил-4-окси-5-диметиламино-пери-нафтазол, т. пл.  $178$  (разл.); при взаимодействии последнего с  $\text{CHNa}(\text{COOC}_2\text{H}_5)_2$  в ксйоле при  $100-105^\circ$  в атмосфере  $\text{N}_2$  образуется 3'-карбатокси-1-ацетил-2'-кетопирано-(5',6'-5,4)-пери-нафтазол, т. пл.  $193-$

$195^\circ$ . Аналогично получают N-ацетил-4-окси-5-диметиламинометил- и 3-циан-1-ацетил-2'-кетопирано-(5',6'-5,4)-пери-нафтазол, т. пл.  $\sim 230^\circ$ .

А. Е.  
4889 П. Галоидирование алкилтиофенов. Кларк (Halogenation of alkyl thiophene derivatives. Clarke J. H. T.). [Texaco Development Corp.]. Канад. пат. 495459, 18.08.53

Алкилтиофены (I) галоидируют преимущественно в боковую цепь пропуская I и галоид в р-ционную зону при  $260-400^\circ$  так, чтобы скорость введения I была  $50-200$  об. в 1 час на 1 об. реакционного пространства, а молярное отношение I к галоиду было  $\geq 2$ . Этим способом получен 2-(1,1-диметил-2-хлорэтил)-тиофен.

И. Ш.  
4890 П. Получение 5-бензилокситриптамина. Спектер (Preparation of 5-benzoyloxytryptamines. Specter Merrill E.). [The Upjohn Co.]. Пат. США 2703325, 1.03.55

5-бензилокситриптами и его соли с к-тами получают взаимодействием 5-бензилоксиндола с реактивом Гриньяра; образующийся 5-бензилоксиндолмагнийгалогенид, реагируя с галоидоацетонитрилом, дает 5-бензилокси-3-индолацетонитрил. Восстановлением нитрильной группы последнего гидродами металлов или  $\text{H}_2$  в присутствии катализаторов гидрирования получают 5-бензилокситриптами.

И. Ш.  
4891 П. Метод получения 2-аминопиримидинов. Бенниш, Мицш (Verfahren zur Herstellung von 2-Aminopyrimidinen. Behnisch Robert, Mietzsch Fritz). [Farbenfabriken Bayer]. Пат. ГФР 889445, 10.09.53 [Chem. Abstrs, 1954, 48, № 21, 12813 (англ.)]

2-аминопиримидин или его ацильные, алкильные, арильные, азометиновые производные, являющиеся промежуточными продуктами в произ-ве 2-сульфонпиримидина, получают конденсацией пропаргилового альдегида (I) или его ацеталей или меркапталей с гуанидином (II) или с его ацильными, алкильными, арильными, азометиновыми или цианпроизводными в присутствии обычно применяемых конденсирующих агентов. 45 г карбоната II (или соответствующее кол-во нитрата II) осторожно добавляют при перемешивании к 450 г  $\text{H}_2\text{SO}_4$  (уд. в. 1,835), осторожно прибавляют по каплям 27 г I, затем реакционную массу перемешивают 24 часа при  $\sim 20^\circ$ , выливают на лед, подщелачивают и экстрагируют  $\text{CH}_2\text{Cl}_2$ . После удаления р-рителя и очистки сублимацией в вакууме получают бесцветные кристаллы 2-аминопиримидина, т. пл.  $128^\circ$ . Аналогичным способом получают: 2-бутиламинопиримидин (т-ра плавления пикрата  $128-129^\circ$ ) из сульфата бутилгуанидина (белые иллы, т. пл.  $212-213^\circ$ ) и I; 2-фениламинопиримидин (белые кристаллы, т. пл.  $114-115^\circ$ ) из фенилгуанидина и I.

И. Ш.  
4892 П. Никотиновая кислота из пиридин-2,5-дикарбоновой кислоты. Танабе, Арай (Nicotinic acid from pyridine-2,5-dicarboxylic acid. Tanabe Keisei, Arai Komei). [Showa Synthetic Chemical Industries Co.]. Япон. пат. 2734, 16.06.53 [Chem. Abstrs, 1955, 49, № 4, 2523 (англ.)]

100 г пиридин-2,5-дикарбоновой к-ты и 400 г воды нагревают в автоклаве при  $190^\circ$  и 28 ат в течение 2 час., охлаждают, продукт кипятят со 100 г воды, фильтруют и упариванием фильтрата выделяют никотиновую к-ту, выход 94,7%, т. пл.  $229-230^\circ$ .

В. У.  
4893 П. Способ получения изоциномероновой кислоты и декарбоксилирования последней в  $\beta$ -пиридинкарбоновую кислоту. Эриэс (Process of making isocinchomeronic acid and decarboxylation of same to niacin. Aries Robert S.). Пат. США 2702802, 22.02.55.

$\beta$ -Пиридинкарбоновую к-ту (ниацин) готовят декарбоксилированием изоциномероновой к-ты путем на-

гревания до  $t$ -ры выше  $180^\circ$  в смеси с инертной и не корродирующей жидкостью, напр., водой, конц.  $H_2SO_4$ , циклогексаном или маслом, применяющимся в качестве теплоносителя при высоких  $t$ -рах. Б. М.

4894 П. Получение изоникотиновой кислоты (Preparation of isonicotinic acid) [Aktiebolaget Bofors]. Англ. пат. 709176, 19.05.54 [J. Appl. Chem., 1954, 4, № 12, ii 777 (англ.)]

Изоникотиновую  $k$ -ту получают, окисляя при повышенной  $t$ -ре смесь гомологов пиридина, содержащую 4-метилпиридин, водн.  $HNO_3$  или водн.  $p$ -ром  $HNO_3$  и нитрата. 80 с смеси 4-метилпиридина (42%), 3-метилпиридина (34%) и 2,6-диметилпиридина (24%) нагревают с 1275 и 10%-ной водн.  $HNO_3$  до  $190^\circ$ , поднимают  $t$ -ру до  $235^\circ$  (давл. 40 ат), выдерживают 1 час при 220—230 и 30—40 ат и упаривают до 450 мл. Выпадает 25 с изоникотиновой  $k$ -ты, пригодной для получения гидразида. Б. М.

4895 П. Пиридин-2,5-дикарбоновая кислота из 5-этил-2-пиколина. Танабе, Араи (Pyridine-2,5-dicarboxylic acid from 5-ethyl-2-picoline. Tanabe Keisei, Arai Komei) [Showa Synthetic Chemical Industries Co.]. Япон. пат. 2730, 16.06.53 [Chem. Abstrs, 1955, 49, № 4, 2523 (англ.)]

24,2 с 5-этил-2-пиколина, 200 с  $Cu(NO_3)_2$  и 300 мл воды нагревают 3 часа в автоклаве при  $205^\circ/28$  ат, охлаждают, отфильтровывают и промывают продукт водой; осадок кипятят 1 час с 10%-ным  $p$ -ром  $NaOH$ , удаляют  $CuO$  и подкислением  $p$ -ра до  $pH$  3 выделяют пиридин-2,5-дикарбоновую  $k$ -ту, выход 98,5%, т. пл. 246—247°. В. У.

4896 П. Способ получения 2-[индолил-(3)-метил]-пиперидинов [Procédé pour la préparation de 2-(indolyl-(3)-méthyl)-piperidines] [N. V. Amsterdamse Chininefabriek]. Франц. пат. 1071198, 26.08.54 [Chimie et industrie, 1954, 72, № 6, 1220 (франц.)]

Продукт конденсации изатина с  $\alpha$ -пиколином — 3-[пиридил-(2)-метил]-3-оксиксидол восстанавливают щел. металлом в спирте (предпочтительно  $Na$  в  $C_4H_9OH$ ) и затем для образования целевого продукта алкилируют атом  $N$  в пиридилной группе. Н. П.

4897 П. Способ получения 1-бензилбензотетрагидроизохинолина. Луттер, Кауэр (Procédé pour la production de la 1-benzyl-Bz-tetrahydroisoquinoline. Lutter Clemens, Cauert Ernst) [Farbenfabriken Bayer A.-G.]. Франц. пат. 1032640, 3.07.53 [Chem. Zbl., 1955, 126, № 12, 2727—2728 (нем.)]

Конденсацией 1-фенацетилциклогексана-2 с диан-ацетамидом получают 1-бензилбензотетрагидро-4-циан-изохинолон-3. Омылением и декарбоксилированием последнего получают 1-бензилбензотетрагидроизохинолон-3, образующий при галонидировании 1-бензилбензотетрагидро-3-галонидизохинолина, из которого удаляют галонид восстановлением (напр.,  $H_2$  в присутствии  $Pd$ ) и получают 1-бензилбензотетрагидроизохинолин — масло, т. кип.  $143^\circ/0,3$  мм; пикрат, т. пл.  $132^\circ$ ; кислый сульфат, т. пл.  $214^\circ$ . Продукт применяют в качестве исходного в-ва для синтеза соединений ряда морфина. В. У.

4898 П. Способ получения 1,2,3,4,5,6,7,8-октагидроизохинолина. Луттер, Кауэр (Procédé pour la production de la 1,2,3,4,5,6,7,8-octahydroisoquinoline) Lutter Clemens, Cauert Ernst [Farbenfabriken Bayer]. Франц. пат. 1032650, 3.07.53 Каталитическим гидрированием  $p$ -ра 1-фенацетилциклогексенил-2-ацетонитрила (I) в  $C_2H_5OH$  в присутствии скелетного  $Ni$  при  $80$ — $100^\circ$  и давлении  $H_2$  60 ат получают 1,2,3,4,5,6,7,8-октагидроизохинолин, т. кип.  $140^\circ/0,7$  мм; пикрат, т. пл.  $155$ — $157^\circ$ . I получают  $p$ -цией хлористого фенацетила с циклогексенилацетонитридом в присутствии  $AlCl_3$ . 1-бензилпроизводное I

является полупродуктом для синтеза соединений ряда морфина. В. У.

4899 П. Способ получения азотсодержащих гетероциклических соединений (Heterocyclic nitrogen compounds and methods for obtaining same) [Parke, Davis and Co.]. Англ. пат. 705878, 17.03.54 [J. Appl. Chem., 1954, 4, № 8, 252 (англ.)]

Галондированные 7-замещенные-8-окси-аминометилхинолины или их соли с  $k$ -тами получают конденсацией галондированного 8-оксихинолина с  $CH_2O$  и амином ф-лы  $(R)(R')NH$  ( $R$  и  $R'$  — одинаковые или различные низшие алкилы или оксалкилы или же насыщ. азотсодержащий гетероцикл, образованный этими радикалами), с солью этого амина с  $k$ -той, или со смесью продуктов, полученных при конденсации этого амина (или его соли) с  $CH_2O$ .  $p$ -цией 5-хлор-8-оксихинолина, параформальдегида и диэтиламина в кипящем спирте получают 5-хлор-8-окси-7-диэтиламинметилхинолин (дихлоргидрат, т. пл.  $197$ — $198^\circ$ , получены дибромгидрат и фосфат). Были получены следующие производные хинолина: 5-хлор-7-диметиламинметил- (т. пл.  $232$ — $234^\circ$ , с разл.), 5-хлор-7-пиперидинометил- (т. пл.  $222$ — $224^\circ$ , с разл.). Синтезированы следующие монохлоргидраты производных 8-оксихинолина: 5-хлор-7-морфолинометил-; 5-хлор-7-этил-2'-оксипиридинметил- (т. пл.  $180$ — $182^\circ$ , с разл.); 5-хлор-7-(ди- $n$ -пропил-аминометил-); 5-хлор-7-(ди- $n$ -бутиламинометил-); 5-бром-7-(диэтиламинметил- (т. пл.  $197$ — $198^\circ$ ). Приготовлены дихлоргидраты: 6-хлор-7-пиперидинометил-8-оксихинолина (кристаллизуется с 0,5 моля воды, т. пл.  $198$ — $199^\circ$ ), 5-хлор-8-окси-7-пирролидинометилхинолина, 6-хлор-8-окси-7-диэтиламинметилхинолина. Кроме того, получены монохлоргидраты 6-хлор-8-окси-7-диметиламинметилхинолина и 6-хлор-8-окси-7-диметиламинметилхинолина, дибромгидрат 5-бром-8-окси-7-метилэтиламинметилхинолина и 5-фтор-8-окси-7-диэтиламинметилхинолина (т. пл.  $78$ — $80^\circ$ ). Л. Г.

4900 П. Производство 3-пиразолидонов. Кендалл, Даффи (Production of 3-pyrazolidones. Kendall John David, Duffin George Frank) [Ilford Ltd]. Пат. США 2704762, 22.03.55

3-Пиразолидоны получают нагреванием производных гидразина общей ф-лы  $R^1NHNH_2$  с амидами общей ф-лы  $R^2C=O$  ( $R^2$  —  $C(R^3)CONHR^4$  ( $R^1, R^2, R^3, R^4$  —  $H, CH_3, C_2H_5, C_6H_5, C_4H_9, C_6H_5, C_6H_5, C_6H_5, C_6H_5CH_2, C_6H_4CH_3, C_6H_4Cl$  или  $C_6H_4OCH_3$ )). В. У.

4901 П. Сульфокислоты пиразолина. Кендалл, Даффи (Pyrazoline sulphonic acids. Kendall John D., Duffin George F.) [Ilford Ltd]. Канад. пат. 503992, 29.06.54

Соединения общей ф-лы  $R^1NN=CR^2CH_2CH_2R$  ( $R$  —  $H$ , низший алкил, незамещ. фенил, низший алкокси-фенил или хлорфенил;  $R^1$  — сульфобензил или низший алкилсульфобензил;  $R^2$  — незамещ. фенил, галондифенил, низший алкилфенил или низший алкоксифенил) получают конденсацией в щел. среде кетона,  $R^2COCH=CHR$ , или продукта присоединения  $k$  к нему диалкиламина ф-лы  $R^2COCH_2CHNRNR^4$  ( $R^3$  и  $R^4$  — алкил) с ароматич. гидразинсульфокислотой ф-лы  $R^1NHNH_2$ . Н. С.

4902 П. Оксазолины и методы их производства. Слак, Ашли, Берг (Oxazolines and processes for producing same. Slack R., Ashley J. N., Berg S. S.), [Parke, Davis and Co.]. Англ. пат. 698542, 21.10.53 [J. Appl. Chem., 1954, 4, № 4, 443 (англ.)]

Дихлорметалоксазолины 2-амино-1- $n$ -нитрофенилпропандиола-1,3, общей ф-лы  $CHCl_2C=CH(R')CH(R)O$ , где  $R$  —  $n$ - $NO_2C_6H_4$  и  $R'$  —  $HOCH_2$  или  $R-H$  и

$R' - n\text{-NO}_2\text{C}_6\text{H}_4\text{CH}(\text{OH})$ , получают взаимодействием 2-амино-1-*n*-нитрофенилпропандиола-1,3 с иминоэфиром ф-лы  $\text{HN}=\text{C}(\text{CHCl}_2)\text{XR}$  или с его солью, где  $X - \text{O}$  или  $\text{S}$ , а  $R -$  остаток спирта или меркаптана  $\text{RXH}$ . При взаимодействии  $D(-)-\text{mreo-2-амино-1-}n\text{-нитрофенилпропандиола-1,3}$  с хлоргидратом дихлорацетимидоэфира в сухом пиридине при  $t = 20^\circ$  в течение нескольких часов получают хлоргидрат пиридина и *D-mreo-4-*n*-нитрофенилоксиметил-2-дихлорметил- $\Delta^2$ -оксазолин*,  $\text{C}_{11}\text{H}_{10}\text{O}_4\text{N}_2\text{Cl}_2$ , т. пл.  $143-144^\circ$ .  $[\alpha]_D^{20} = -176,85^\circ$  (в этилацетате), и *D-mreo-5-*n*-нитрофенил-2,2-дихлорметил-4-оксиметил- $\Delta^2$ -оксазолин*,  $\text{C}_{11}\text{H}_{10}\text{O}_4\text{N}_2\text{Cl}_2$ , т. пл.  $132-133^\circ$ ,  $[\alpha]_D^{20} = -13,65^\circ$  (в этилацетате). Получены следующие  $\Delta^2$ -оксазолины: *DL-mreo-4-*n*-нитрофенилоксиметил-2-дихлорметил*,  $\text{C}_{11}\text{H}_{10}\text{O}_4\text{N}_2\text{Cl}_2$ , т. пл.  $163-164^\circ$ ; *DL-mreo-5-*n*-нитрофенил-2-дихлорметил-4-оксиметил*,  $\text{C}_{11}\text{H}_{10}\text{O}_4\text{N}_2\text{Cl}_2$ , т. пл.  $128-129^\circ$ ; *L-эритро-4-*n*-нитрофенилоксиметил-2-дихлорметил*, т. пл.  $143^\circ$   $[\alpha]_D^{25} = -37,0^\circ$  (в ацетоне). рацемич.-эритро-4-*n*-нитрофенилоксиметил-2-дихлорметил, т. пл.  $167-168^\circ$ . И. Ш.

**4903 П. Полиэфиры замещенных оксазолидинов.** Карне (Polyether substituted oxazolidines and the like. C. a. r. n. e. J. o. s. e. p. h. J., [American Cyanamid Co.] Канад. пат. 503542, 8.06.54

Полиэфиры гетероциклич. в-в получают нагреванием соединения общей ф-лы  $(R')(R'')\text{CO}(\text{CR}_2)_m\text{NH}(R - \text{H})$  или алифатич. радикал,  $R' - \text{H}$ , алифатич., ароматич., или гетероциклич. радикал,  $R'' -$  алифатич., ароматич. или гетероциклич. радикал,  $m = 2-3$  с эпокси-соединениями, молекулярное соотношение гетероциклич. в-ва и эпокси-соединения должно быть от 1:1 до 1:100. Патентуются в-ва общей ф-лы  $(R')(R'')\text{CO}(\text{CR}_2)_m\text{NX}$

( $X -$  группа  $-\{(\text{CR}_2)_2\text{O}\}_n\text{H}$  или  $-(\text{CH}_2\text{CHONCHON})_n\text{H}$ ,  $a = 1-4$ ,  $n = 1-100$ ), в частности, 2-фенилоксазолидин ф-лы  $\text{C}_6\text{H}_5\text{CHONCHONCH}_2\text{N}(\text{CH}_2\text{CHONCHONCH}_2)_3\text{CH}_2\text{CHONCHONCH}_2\text{OH}$  и ф-лы  $\text{C}_6\text{H}_5\text{CHONCHONCH}_2\text{N}(\text{C}_2\text{H}_5\text{O})_3\text{C}_2\text{H}_5\text{OH}$ . Е. Р.

**4904 П. 2-Бензил-4-оксиметил-5(4)-оксазолины и метод их получения.** Гаррис, Арт, Гофман, Фолкерс (2-benzyl-4-hydroxymethylene-5(4) oxazolones and process of preparing the same. H. a. r. r. i. s. Stanton A., Arth Glen E., Hoffman Carl H., Folkers Karl) [Merck and Co., Inc.] Канад. пат. 502098, 4.05.54

2-Бензил-4-оксиметил-5(4)-оксазолины, общей формулы:  $\text{ROCH}=\text{CCOOC}(\text{CH}_2\text{C}_6\text{H}_5)=\text{N}$ , где  $R -$  алкил, получают реакцией  $\alpha$ -фенилацетиламино- $\beta,\beta$ -диалкоксипропионовой к-ты, алкоксильная группа которой является производным низшего алкила, с  $(\text{CH}_3\text{CO})_2\text{O}$  в качестве конденсирующего и дегидратирующего средства. Р-цией образующегося 2-бензил-4-алкоксиметил-5(4)-оксазола с гидроокисью щел. металла получают целевой продукт. И. Ш.

**4905 П. Гетероциклические соединения, содержащие меркаптогруппу, и способ их получения.** Хитчингс, Эллион (Mercapto heterocycles and method of making. H. i. t. c. h. i. n. g. s. George H., Elion Gertrude B.) [Burroughs Wellcome and Co. (USA), Inc.] Пат. США 2697709, 21.12.54

Патентуются соединения типа 6-меркаптопурина и 6-пурилиндисульфида. 6-меркаптопурины получают р-цией незамещ. в имидазольном ядре 6-хлорпурина с тиомочевинной и гидросульфидами щел. металлов. Н. П.

**4906 П. 2-Диметиламино-6-( $\beta$ -диэтиламиноэтокси)-бензтиазол.** Уцуми [2-dimethylamino-6-( $\beta$ -diethylaminoethoxy)-benzothiazole. U. t. s. u. m. i. Isamu, and al.] [Tanabe Drug Manufg. Co.]

Япон. пат. 2487, 2.06.53 [Chem. Abstrs, 1955, 49, № 4, 2520 (англ.)]

17 г 2-диметиламино-6-метоксибензтиазола и 57%-ную  $\text{HJ}$  нагревают 5 час. при  $100^\circ$ , охлаждают, отфильтровывают продукт, вносят в горячую воду и подщелачиванием  $\text{NH}_4\text{OH}$  выделяют 14,5 г (91,5%) 2-диметиламино-6-оксисбензтиазола. К полученному продукту в 75 мл безводн.  $\text{CH}_3\text{OH}$  добавляют 1,9 г  $\text{Na}$ , обрабатывают при  $50-60^\circ$  ( $\text{C}_2\text{H}_5$ )<sub>2</sub> $\text{NCH}_2\text{CH}_2\text{Cl}$ , нагревают 6 час. при  $65-70^\circ$ , удаляют  $\text{CH}_3\text{OH}$  и  $\text{NaCl}$ , остаток извлекают бензолом и перегонкой выделяют 2-диметиламино-6-( $\beta$ -диэтиламиноэтокси)-бензтиазол, выход 68%, т. кип.  $195-200^\circ/1$  мм. В. У.

**4907 П. Непрерывный способ производства дитиазидисульфидов.** Долт, Огилви (Continuous process for the manufacture of dithiazyl disulfides. D. o. l. t. Maurice L., Ogilvie Clinton B.) [American Cyanamid Co.] Канад. пат. 504094, 6.07.54

Усовершенствование способа непрерывного производства дитиазидисульфидов (напр., дибензтиазил-2,2'-дисульфида) окислением меркаптоарилентиазолов (напр., 2-меркаптобензтиазола) состоит в том, что смесь водн. щел. р-ра меркаптоарилентиазола и р-ра в-ва, способного образовывать ионы щел. металла (соли слабой к-ты и сильного основания), обрабатывают  $\text{Cl}_2$ , кол-во которого дозируют так, чтобы рН реакционной смеси (не выше 11 в начале процесса) в конце окисления был равен 6,5-7,0. Образовавшаяся суспензия дисульфида непрерывно удаляется из реактора со скоростью, равной сумме скоростей вводимых одновременно растворов. О. Ч.

**4908 П. Аппарат для охлаждения гранулированных контактируемых веществ, в особенности гранулированных катализаторов, используемых при переработке углеводородов.** Бергстром, Иствуд (Verfahren und Vorrichtung zum Kühlen von körnigen Kontaktstoffen, insbesondere von körnigen Katalysatoren bei der Umwandlung von Kohlenwasserstoffen. B. e. r. g. s. t. r. o. m. Eric Victor, Eastwood Sylvander Cecil) [Socony-Vacuum Oil Co. Inc.] Пат. ГФР 900333, 21.12.53 [Chem. Zbl., 1954, 125, № 26, 5896 (нем.)]

Гранулированные катализаторы (ГК) используемые при переработке углеводородов, пропускают в виде компактной массы, которая может разделяться на отдельные потоки и вновь соединяться в один поток, через трубчатый, вертикально расположенный холодильник с охлаждающей жидкостью (вода под давл. 21-24,5 ат, расплавленный  $\text{KNO}_3$ , жидкий металл). Т-ру ГК на выходе из холодильника регулируют скоростью протекания ГК через трубы холодильника, которые снаружи омываются охлаждающей жидкостью. В. И.

**4909 П. Способ получения высокоактивных никелевых катализаторов гидрирования.** Лангенбек, Гиллер (Verfahren zur Gewinnung hochaktiver Nickel-Hydrierkatalysatoren. L. a. n. g. e. n. b. e. c. k. Wolfgang, Giller Arnold) [VEB Deutsches Hydrierwerk Rodleben]. Пат. ГДР 8151, 22.11.54

Высокоактивные  $\text{Ni}$ -катализаторы гидрирования получают нагреванием смешанных кристаллов  $\text{Ni}$ -формата с щел.-зем. форматами (преимущественно  $\text{Mg}$ -форматом) или двойных или комплексных солей  $\text{Ni}$ -формата с щел.-зем. форматами (преимущественно Ва-форматом) при  $t$ -ре выше  $200^\circ$  в струе  $\text{H}_2$ ; из полученной массы катализатора посторонние в-ва можно выщелочить водой или подвергнуть хим. превращениям. 6 г  $\text{Mg-Ni}$ -формата, содержащего 1 г  $\text{Ni}$ , нагревали 30 мин. при  $230^\circ$  в струе  $\text{H}_2$  для удаления кристаллизационной воды, затем нагревают еще 85-100 мин. при  $260-275^\circ$  в струе  $\text{H}_2$ , по охлаждению взбалтывают несколько часов с р-ром 20 г  $\text{NH}_4\text{Cl}$  в 125 мл воды в ат



мосфере  $H_2$ , центрифугируют и промывают. Этот катализатор гидрирует смесь 10 мл циклогексена и 10 мл спирта при  $17^\circ/1$  атм со скоростью  $\sim 40$  мл/мин  $H_2$  на 1 г содержащегося Ni, т.е. равной скорости гидрирования со скелетным Ni; скорость гидрирования с этим же катализатором, но не отмытым от  $MgCl_2$  составляет 40—60 мл/мин  $H_2$  на 1 г Ni. 12 г  $Ni(OOCH)_2 \cdot 2Ba(OOCH)_2 \cdot 4H_2O$  нагревают 50 мин. при  $220-230^\circ$  в струе  $H_2$  для удаления кристаллизационной воды, затем нагревают еще 165 мин. при  $265-275^\circ$  в струе  $H_2$ , по охлаждению взбалтывают с воды. р-ром 2 г  $Na_2SO_4$  в атмосфере  $H_2$ , промывают водой и удаляют воду спиртом, скорость гидрирования с этим катализатором составляет 20—30 мл/мин  $H_2$  на 1 г Ni при  $17^\circ/1$  атм. В. У.

См. также: 3466, 3467, 3680, 3746, 3748, 3757

### ПРОМЫШЛЕННЫЙ СИНТЕЗ КРАСИТЕЛЕЙ

4910. Сравнительное исследование некоторых азокрасителей — производных нафталина и аценафтена. Хотинский Е. С., Красовицкий Б. М., Шанина Р. М., Тр. н.-и. химии и хим. фак. Харьк. ун-та, 1954, 11, 101—107

С целью сравнения колористич. свойств синтезированных азокрасителей (АК),  $RNH_2 \rightarrow R'OH$ , производные аценафтена и нафталина, содержащие ядра этих углеводородов в диазосоставляющей (ДС)  $RNH_2$  (тип I) или в азосоставляющей (АС)  $R'OH$  (тип II). В АК типа I в качестве ДС применялись 5-аминоаценафтен (III) или  $\alpha$ -нафтиламин (IV), а в качестве АС 1-нафтол-4-сульфокислота (V), 2-нафтол-6-сульфокислота (VI), 2-нафтол-3,6-дисульфокислота (VII) или 1-амино-8-нафтол-3,6-дисульфокислота. АК, производные II, дают по шерsti более глубокие окраски, чем производные IV. Все АК типа I непрочны к мокрым обработкам. Из АК типа II исследованы комбинации ДС —  $n$ -нитроанилина (VIII),  $m$ -нитроанилин (IX) или 2-амино-4-хлортолуол (X) и АС — 5-аценафтил-2,3-оксифтойной к-ты (XI) или азотол АНФ (XII), а также  $o$ -оксизаокрасители (ОАК): ДС-VIII (или IX) с АС-5-оксизааценфен (XIII) (или 1-метил-4-нафтол (XIV)). АК из XI несколько прочнее к мокрым обработкам, чем АК из XII. ОАК из XIII дают на хлопке окраски более глубокие оттенков, чем ОАК из XIV, но одинаково непрочны к мокрым обработкам. Приведены  $\lambda_{max}$  спектров поглощения в диоксане следующих АК (указаны ДС и АС и  $\lambda_{max}$  в м $\mu$ ): III  $\rightarrow$  V, 520; IV  $\rightarrow$  V, 510; III  $\rightarrow$  VI, 490; IV  $\rightarrow$  VI, 475; III  $\rightarrow$  VII, 510; IV  $\rightarrow$  VII, 500; XI  $\rightarrow$  VIII, 460; XII  $\rightarrow$  VIII, 450; XI  $\rightarrow$  IX, 500; XII  $\rightarrow$  IX, 490; XI  $\rightarrow$  X 515; XII  $\rightarrow$  X, 510. О. Ч.

4911. Кубовые антрахиноновые красители. Брэдли, Кроновитт (A staff-industry collaborative report. Anthraquinone vat dyes. Bradley Kevin J., Kronowitt Phillip, Industr. and Engng Chem., 1954, 46, № 6, 1146—1156 (англ.) Описан з-д кубовых красителей фирмы Ciba в США с проектной мощностью 1800 т в год пасты кубовых красителей, вырабатывающий  $\sim 35$  различных марок кубовых красителей и большое кол-во полупродуктов. Подробно описаны произ-ва хинizarина, 1,4-диамино-антрахинона, антрахинон-1-сульфокислоты, 1-хлорантрахинона и Цибанон коричневого БР, приготовление выпускных форм и методы контроля. Н. В.

4912. Развитие красителей на основе азотолов. Цитчер (The development of naphthol AS dyes. Zitscher Arthur). J. Soc. Dyers and Colourists, 1954, 70, № 12, 530—539 (англ.)

Дан история, обзор развития азокрасителей на основе ариламинов  $o$ -оксикарбоновых к-т. Рассматривают-

ся вопросы зависимости между хим. строением азотолов и их субстантивностью, а также получения стабилизированных форм диазосоединений. Библи. 9 назв.

О. С.

4913. О влиянии пространственного строения на окраску бензидиновых бисазокрасителей. Красовицкий Б. М., Переяслова Д. Г., Докл. АН СССР, 1954, 98, № 1, 71—74

Для изучения зависимости между субстантивностью и окраской бензидиновых дисазокрасителей (ДАК) от их пространственного строения в воде, р-рах и при фиксации на волокне исследованы ДАК, замещ. электронодонорными или электроноакцепторными группами в 3,3', 2,2', и 2-положениях остатка бензидина (I), полученные с Аш-кислотой, в качестве азосоставляющей. По глубине окраски р-ров ДАК из 3,3'-дизамещ. I (3,3'-ДАК) мало отличаются от ДАК из незамещ. I; заметное влияние оказывают лишь  $CH_3O$ - и  $NO_2$ -группы (указаны заместители в 3,3'-положениях дифенильного остатка и  $\lambda_{max}$  в воде и на целлофане в м $\mu$ ):  $H$ ,  $H$ , 580, 595;  $CH_3O$ ,  $CH_3O$ , 595, 640;  $COOH$ ,  $COOH$ , 575, 605;  $NO_2$ ,  $NO_2$ , 560, 570;  $Cl$ ,  $Cl$  580, 580;  $CH_3$ ,  $CH_3$ , 580, 620. Максимум поглощения 3,3'-ДАК на целлофане сдвигается в длинноволновую область, что подтверждает предположение, что у этих красителей под влиянием заместителей на цепь сопряженных двойных связей бензольные кольца дифенильного остатка принимают при фиксации на клетчатке копланарное расположение. По глубине окраски р-ров ДАК из 2,2'-дизамещ. I (2,2'-ДАК) занимают среднее положение между 3,3'-ДАК и моноазокрасителями из соответственно замещ. анилинов. Максимумы поглощения 2,2'-ДАК (указаны заместители и  $\lambda_{max}$  в воде и на целлофане в м $\mu$ ):  $H$ ,  $H$ , 580, 595;  $F$ ,  $F$ , 555, 585;  $OH$ ,  $OH$ , 550, 600;  $CH_3O$ ,  $CH_3O$ , 560, 590;  $COOH$ ,  $COOH$ , 560, 570;  $NO_2$ ,  $NO_2$ , 535, 550;  $Cl$ ,  $Cl$ , 550, 560;  $CH_3$ ,  $CH_3$ , 550, 565;  $Br$ ,  $Br$ , 550, 565 указывают на наличие пространственных затруднений в молекулах этих красителей, нарушающих копланарность бензольных колец и ослабляющих взаимодействие двух половин красителя. Окраски ДАК из 2,2'-дифтор-, -диокси- и -диметоксизамещ. I на волокне соответствуют по глубине окраскам ДАК из I, но глубже окрасок их р-ров на 30—50 м $\mu$ , что, вероятно, связано с недостаточным тормозящим влиянием их заместителей на образование копланарной структуры на волокне; аналогичное явление отмечено для ДАК из 2-монозамещ. I (2-ДАК) (указаны заместители и  $\lambda_{max}$  в м $\mu$  в воде и на волокне):  $CH_3$ , 560, 605;  $J$ , 550, 590;  $NO_2$ , 560, 585. Предполагается, что у ДАК из незамещ. I угол между кольцами дифенильного остатка имеет миним. величину, такой же или немного больший угол имеют 3,3'-ДАК; величина угла у 2,2'-ДАК и 2-ДАК значительна, в результате при фиксации их на волокне происходит резкое углубление окраски. О. Ч.

4914. Влияние пространственных факторов на свойства красителей, содержащих ядро бифенила. I. Исследование бис-азокрасителей из бензидина и его 2-моно-, 2,2',- и 3,3'-дизамещенных. Красовицкий Б. М., Переяслова Д. Г., Укр. хим. ж., 1954, 20, № 6, 646—660

Продолжена работа по исследованию влияния заместителей на пространственное строение и свойства дисазокрасителей (ДАК) ряда бензидина (I) (реф. 4913). Синтезированы и исследованы ДАК из 2,2'-дизамещ. I (2,2'-ДАК), 3,3'-дизамещ. I (3,3'-ДАК) и 2-монозамещ. I (2-ДАК), в качестве диазосоставляющих (ДС) и Аш-кислоты (II) или 1-нафтол-4-сульфокислоты (III), в качестве азосоставляющих (АС), а также моноазокрасители (МАК) из анилина (IV) или орто- и метазамещ. IV, с теми же АС. Для получения 2,2'-дифторбензидина (V) к р-ру 3,5 г

$m\text{-NO}_2\text{—C}_6\text{H}_4\text{—F}$  в 20 мл спирта добавляли 2 г твердого КОН, кипятили 1,5 часа, упаривали, отфильтровывали и промывали водой осадок азоксифторбензола (VI), выход 60%, т. пл. 50° (из сл.). 1,2 г VI кипятили 10 мин. с 24 мл лед.  $\text{CH}_3\text{COOH}$  и 4,8 г Zn-пыли, к горячему фильтрату прибавляли конц. HCl; при охлаждении выпадает хлоргидрат V. Последний отфильтровывали, растворяли в воде и прибавлением  $\text{NH}_4\text{OH}$  выделяли свободное основание, т. пл. 116° (из бал.). Все ДАК и МАК очищали хроматографированием на  $\text{Al}_2\text{O}_3$  с последующим высаливанием из воды. р-ров Na-ацетатом и отмывкой последним спиртом. Спектры поглощения воды. р-ров МАК показывают, что группы  $\text{CH}_3$ , OH, Cl,  $\text{NO}_2$ ,  $\text{SO}_3\text{H}$  и  $\text{COOH}$  не оказывают значительного влияния на глубину окраски, несколько углубляет окраску  $\text{CH}_3\text{O}$ -группа; все МАК обладают ничтожной субстантивностью. Резкое углубление окраски в водн. р-рах и повышение субстантивности отмечено у замещ. 3,3'-ДАК (указаны ДС, АС,  $\lambda_{\text{макс}}$  в мμ и субстантивность в %): IV, II, 520, 1; I, II, 580, 67; 3,3'-диметоксибензидин (VII), II, 595, 60; бензидин-3,3'-дикарбоновая к-та (VIII), II, 570, 45; 3,3'-динитробензидин (IX), II, 580, 36; 3,3'-дихлорбензидин (X), II, 580, 67; *o*-толидин (XI), II, 580, 56; IV, III, 490, 1; I, III, 540, 55; VII, III, 545, 52; VIII, III, 535, 45; IX, III, 520, 22; X, III, 535, —; XI, III, 540, 52. Электронодонорные  $\text{CH}_3\text{O}$ -группы углубляют, а электроноакцепторные  $\text{NO}_2$ -группы повышают окраску 3,3'-ДАК, что объясняется конкурентным влиянием 3,3'-заместителей в *o,o'*-положениях к азогруппам на цепь сопряженных двойных связей и отклонением дифенильных ядер от копланарности; на клетчатке они принимают планарное строение. По субстантивности большинство 3,3'-ДАК мало отличается от ДАК из I. По глубине окраски водн. р-ров и субстантивности 2,2'-ДАК занимают среднее место между 3,3'-ДАК и МАК (указаны ДС, АС,  $\lambda_{\text{макс}}$  и субстантивность): *m*-толидин (XII), II, 520, 2; XII, III, 490, 1; *m*-толидин (XIII), II, 550, 24; XIII, III, 510, 15; XI, II, 580, 56; XI, III, 540, 52. 2,2'-ДАК из V и 2,2'-диоксибензидина (XIV) (АС=II) более субстантивны, чем остальные 2,2'-ДАК и дают на хлопке столь же глубокие окраски, как и ДАК из I, что указывает на планарность их дифенильных ядер на волокне. 2,2'-ДАК из XIV и II отличается индикаторными свойствами. При pH ниже 7 р-ры этого красителя обладают более высокой окраской ( $\lambda_{\text{макс}}$  550 мμ), чем р-ры незамещ. бензидинового красителя ( $\lambda_{\text{макс}}$  580 мμ), но малейшее увеличение pH выше 7 углубляет окраску ( $\lambda_{\text{макс}}$  580 мμ). Водн. р-ры ДАК из 2,2'-дифтор-, -дихлор- и -дибромзамещ. I (АС=II) близки по глубине окраски; первый более субстантивен и окрашен на волокне глубже прочих. ДАК из 2-нитробензидина (XV), IX и 2,2'-динитробензидина (XVI) с II характеризуются показателями (указаны ДС,  $\lambda_{\text{макс}}$  в воде и на целлофане, субстантивность); XV, 560, 585, 55; XVI, 535, 550, 25; IX, 560, 570, 36, в результате большого гипсохромного эффекта двух  $\text{NO}_2$ -групп в *o,o'*-положениях к азогруппе или большего угла между бензольными кольцами XVI (взаимное отталкивание  $\text{NO}_2$ -групп). ДАК из XI, 2-метилбензидина (XVII) и XIII (АС=II) характеризуются показателями (указаны ДС,  $\lambda_{\text{макс}}$  в воде и на целлофане,  $\epsilon_{\text{макс}}$  и субстантивность): XI, 580, 620, 49630, 56; XVII, 560, 605, 35000, 53; XIII, 550, 565, 21430, 24, т. е. наличие одного заместителя в орто-положении к связи дифенильных ядер (или двух в случае XI) не препятствует плоской структуре красителя на волокне. У 2-ДАК электроотрицательные заместители  $\text{NO}_2$  и I содействуют более высокой окраске на целлофане, чем  $\text{CH}_3$ -группа; меньшая субстантивность J-замещ. ДАК объясняется

большим объемом J по сравнению с  $\text{NO}_2$  и  $\text{CH}_3$ -группами.

**4915 П.** Способ получения азокрасителей. Тёпелъ, Кшикалла (Verfahren zur Herstellung von Azofarbstoffen. Toepel Tim, Krzikalla Hans) [Badische Anilin- und Soda-Fabrik A.-G.]. Англ. пат. 892809, 12.10.53 [Chem. Abstr., 1954, 48, № 21, 13228 (англ.)]

Монооксизазокрасители (I), содержащие не меньше одной незамещ.  $\text{SO}_2\text{NH}_2$ -группы, обрабатывают алифатич. или ароматич. ацилирующими реагентами, не содержащими растворяющих заместителей. Ацилированные I, содержащие  $\text{SO}_2\text{NH}_2$ -группу в орто-положении к азогруппе, можно обрабатывать как таковые или на волокне в-вами, отдающими металл. Ацилированные I обладают лучшей растворимостью в воде, чем исходные, и окрашивают шерсть и родственное шерсти волокно из нейтр. или слабокислой ванны при t-ре ниже 100°. Металлизированные I окрашивают шерсть, хлопок, волокна из регенерированной целлюлозы и ацетилцеллюлозы, бумагу, кожу и лаки. Смесь 60 ч. I из диазотированного сульфаниламида (II) и 2-нафтола (III), 400 ч.  $(\text{CH}_3\text{CO})_2\text{O}$  (IV) и небольшого кол-ва конц.  $\text{H}_2\text{SO}_4$  кипятят 1 час; получают 35 ч. ацилированного I, окрашивающего шерсть в оранжево-красный цвет; при применении  $(\text{C}_2\text{H}_5\text{CO})_2\text{O}$  (V) вместо IV и при ацилировании IV моноазокрасителя из диазотированного 1-амино-6-метил-3-бензолсульфонамида и III получены продукты, обладающие аналогичными свойствами. I из диазотированного II и 1-фенил-3-метил-5-пиразолона, ацилированный IV (или V), окрашивает шерсть в желтый цвет; его Ва-комплекс — нерастворимый в воде пигмент. Ацилированный I из диазотированного *n*-хлоранилина и 2-нафтола-6-сульфамида или бензоилированных I из диазотированного метаниламида и III окрашивают шерсть в оранжево-красный цвет. Е. К.

**4916 П.** Желтые прямые азокрасители и способ их получения (Colorants azoiques substantifs jaunes et procédé pour les obtenir) [Farbenfabriken Bayer]. Франц. пат. 1065326, 24.05.54 [Chimie et industrie, 1954, 72, № 3, 478 (франц.)]

Для получения желтых прямых азокрасителей диазотируют или бисдиазотируют прямые N-аминобензоилированные моно- или полиазокрасители, содержащие группы, способствующие растворимости в воде, и сочетают в цел. или содовой среде с барбитуровой к-той или ее, способными сочетаться, производными. О. С.

**4917 П.** Нерастворимые в воде дисазокрасители и способ их получения (Colorants disazoiques insolubles dans l'eau et procédé de préparation de ces colorants) [Farbwerke Hoechst vormals Meister Lucius und Brüning]. Франц. пат. 1066948, 10.06.54 [Teintex, 1955, 20, № 2, 133 (франц.)]

Нерастворимые в воде дисазокрасители общей ф-лы  $[\text{o}-(\text{RO})\text{C}_6\text{H}_4\text{NHCOSN}(\text{COCH}_3) = \text{N} = \text{N} - \text{o}-\text{ClC}_6\text{H}_4\text{—n}]_2$  (R — алкил или арил) окрашивают пластмассы в желтый цвет, прочный к свету и р-рителям; они пригодны также для полиграфич. и лакокрасочной промышленности и для окраски бумаги. О. С.

**4918 П.** Получение кислотных дисазокрасителей (Production of acid disazo dyestuffs) [Badische Anilin- und Soda-Fabrik]. Англ. пат. 697709, 30.09.53 [J. Soc. Dyers and Colourists, 1953, 69, № 12, 510 (англ.)]

Дисазокрасители для кожи получают бисдиазотированием 2,6-диаминохлорбензол-4-сульфокислоты, сочетанием в среде минер. к-ты с 1 молем 2-амино-8-нафтол-6-сульфокислоты, затем сочетанием в слабокислой или нейтр. среде с 1 молем другой азосоставляющей, содержащей не более одной сульфогруппы, напр. нафтолом-2,2-нафтол-6-сульфокислотой, 1-фенил-3-метилпиразолоном-5, 1-фенил-3-метилпиразолол-5-сульфокислотой.

той-3', 2,4-диоксифениолом или 1,3-дикетоциклогексаном. При применении в качестве 2-й азосоставляющей нафта-2 получают синевато-красный краситель.

М. М.

4919 П. Полупродукты и способ их получения (Produits intermédiaires et procédé pour leur préparation). [Ciba A.-G.] Франц. пат. 1067470, 16.06.54 [Teintex., 1955, 20, № 2, 135 (франц.)]

Для получения азокрасителей предложены полупродукты общей ф-лы  $\text{CH}_2\text{—CO—N}(\text{C}_{n-1}\text{H}_{2n-1})\text{—N}=\text{C}(\text{CONHR})$ , где R — алициклич. или, предпочтительнее, алифатич. остаток, непосредственно связанный с NH-группой одним из своих атомов C, соединенным по крайней мере с одним атомом H, n — целое число, предпочтительно равное 1.

О. С.

4920 П. Способ получения медьсодержащих дисазокрасителей. Флейшхауэр (Verfahren zur Herstellung von kupferhaltigen Disazofarbstoffen. Fleischhauer Richard) [Cassella Farbwerke Mainkur]. Пат. ГФР 880622, 22.06.53 [Chem. Abstrs, 1954, 48, № 21, 13230 (англ.)]

Су-содержащие прямые дисазокрасители, пригодные для окрашивания хлопка, волокон регенерированной целлюлозы и полиамидных из бани, содержащей  $\text{Na}_2\text{SO}_4$ , получают сочетанием (в любой последовательности) 1 моля бисдиазотированного 4,4'-диамино-3,3'-диалкоксидифенила с 1 молем 1-нафтол-3,6- или -3,7-дисульфокислоты и 1 молем 1-нафтол-4- или -5-сульфокислоты и обработкой полученного дисазокрасителя Су-содержащими средствами. 21,8 кг дианизида диазотируют 13,8 кг  $\text{NaNO}_2$  в водн. HCl и сочетают сначала с водн. р-ром 30,4 кг 1-нафтол-3,6-дисульфокислоты в содовой среде, а затем с нейтр. водн. р-ром 23 кг 1-нафтол-5-сульфокислоты. Полученный дисазокраситель высаливают NaCl, отфильтровывают, растворяют в 5000 л воды и кипятят со смесью р-ра 52,5 кг  $\text{CuSO}_4 \cdot 5\text{H}_2\text{O}$  в 200 л воды и 120 л  $\text{NH}_4\text{OH}$ , уд. в. 0,93, в течение ~24 час. в автоклаве при 90—95°. Су-содержащий дисазокраситель — темный растворимый в воде порошок, окрашивающий хлопок в красновато-синий цвет. В. У.

4921 П. Трисазокрасители, их металлические комплексы и способ их получения (Colorants trisazoïques, leurs complexes métalliques et la préparation de ces produits) [Sandoz Soc. An.]. Франц. пат. 1063486, 4.05.54 [Chimieet industrie, 1954, 72, № 3, 478 (франц.)]

Для получения трисазокрасителей сочетают 1 моль бисдиазотированного 4,4'-диамино-3,3'-диалкоксидифенила с 1 молем салициловой к-ты или ее производного и с 1 молем моноазосоединения, полученного сочетанием в кислой среде диазотированной 5-нитро-3-амино-2-оксибензойной к-ты с 2-амино-5-нафтол-7-сульфокислотой.

О. С.

4922 П. Полиметиновые красители. Кендалл, Фрай (Polymethine dyes. Kendall John David, Fry Douglas James) [Hford Ltd]. Пат. США 2705234, 29.03.55

Предложены полиметиновые красители общей ф-лы  $\text{RN—(CH=CH)}_n\text{—C(R}^1\text{)=(CH=CH)}_x\text{CH=C(=NR}^2\text{)—CH(CH=CH)}_y\text{C(R}^3\text{)—(CH=CH)}_m\text{—NR}^1$

и их четвертичные соли общей ф-лы  $\text{XRN}^+=\text{(CH=CH)}_n\text{—C(R}^1\text{)—(CH=CH)}_x\text{CH=C(NR}^2\text{R}^3\text{)—(CH=CH)}_y\text{CH=C(R}^3\text{)—(CH=CH)}_m\text{—NR}^1$  (R и R<sup>1</sup> — алкил, оксипил или аралкил; R<sup>2</sup> — алкил, циклоалкил, аралкил или арил; R<sup>3</sup> — алкил или аралкил; R<sup>1</sup> и R<sup>3</sup> — остаток 5- или 6-членного гетероцикла. N-содержащего кольца, обычного для цианиновых красителей; X — анион; n, m, x и y — 0 или 1)

В. У.

4923 П. Способ получения полиметиновых красителей. Дент, Брукер (Procédé de préparation de nouveaux colorants polyméthiques et produits en résultant. Dent Samuel G., Jr, Brooker Leslie G. S.) [Soc. Kodak-Pathé]. Франц. пат. 1059754, 29.03.54 [Chimie et industrie, 1954, 72, № 1, 107 (франц.)]

Конденсируют четвертичную циклоаммониевую соль, содержащую  $\text{CH}_2$ -группу в активном положении, с карбонилатом диалкоксиметила.

О. С.

4924 П. Антрахиновые красители и способ их получения. Стрейли, Дики (Nouveaux colorants anthraquinoniques et procédé pour leur préparation. Straley James M., Dickey Joseph B.) [Eastman Kodak Co.]. Франц. пат. 1056093, 24.02.54 [Chimie et industrie, 1954, 71, № 5, 972 (франц.)]

Конденсируют 4,5-динитро-1,8-диоксинантрахион и первичный амин, напр. аминифенилэтиловый спирт или его алкиловые эфиры, в присутствии значительного кол-ва инертного р-рителя. Р-цию проводят предпочтительно при 110—170°.

О. С.

4925 П. Способ получения промежуточного продукта для красителя антрахинового ряда (Verfahren zur Herstellung eines Farbstoffzwischenproduktes der Anthrachinonreihe). [Sandoz A.-G.]. Швейц. пат. 290293, 1.08.53 [Chimia, 1953, 7, № 12, 296 (нем.)]

1,4-ди-(2', 4', 6'-триметилфениламино)-антрахинон-дисульфохлорид получают обработкой 1,4-ди-(2', 4', 6'-триметилфениламино)-антрахинона  $\text{ClSO}_2\text{H}$ .

М. М.

4926 П. Способ получения стойких лейкосоединений кубовых красителей. Нестельбергер (Verfahren zur Herstellung haltbarer Leukoverbindungen von Küpenfarbstoffen. Nestelberger Franz). Пат. ГФР 906806, 18.03.54 [Chem. Zbl., 1954, 125, № 34, 7748 (нем.)]

Устойчивые лейкосоединения кубовых красителей получают по пат. ГФР 897992 (РЖХим, 1955, 56516) с тем отличием, что свободные лейкокислоты кубовых красителей или их щел. соли подвергают взаимодействию с органич. четвертичными фосфониевыми, стибненными или арсониевыми основаниями.

В. У.

4927 П. Получение кубовых красителей (Vat dyestuff preparations and a process of producing same) [Badische Anilin- und Soda-Fabrik]. Англ. пат. 694473, 22.07.53 [J. Soc. Dyers and Colourists, 1953, 69, № 10, 387 (англ.)]

Пасты и порошки кубовых красителей, содержащие краситель в мелкодисперсном состоянии (размеры частиц лежат за пределами разрешающей способности оптич. микроскопа), получают осаждением свободного лейкосоединения из гидросульфитного куба подкислением в присутствии диспергатора (напр., продукта конденсации 2-нафталинсульфокислоты с  $\text{CH}_2\text{O}$ ) и замешиванием отфильтрованного лейкосоединения с нефлокулирующим диспергатором (напр., сульфитцеллюлозным щелоком). Разбавляя полученную вязкую массу водой, получают пасту красителя; сушкой и измельчением той же массы получают порошок.

М. М.

4928 П. Получение алкилированных циклических соединений по меньшей мере с четырьмя конденсированными кольцами (Production of cyclic compounds having at least four condensed nuclei and containing alkyl groups) [Badische Anilin- und Soda-Fabrik]. Англ. пат. 694072, 15.07.53 [J. Soc. Dyers and Colourists, 1953, 69, № 10, 385 (англ.)]

Циклические соединения алкилируют обработкой алифатич. спиртами или алколатами щел. металлов в плаве смеси  $\text{AlCl}_3$  и хлорида щел. металла. В течение часа прибавляют 8 ч.  $\text{CH}_3\text{OH}$  к 25 ч. изодибензантрона в плаве 200 ч.  $\text{AlCl}_3$  и 30 ч. NaCl при 130—135°; по окончании р-ции выливанием на воду, выделяют фиолето-



ый кубовый краситель, содержащий ~ 4  $\text{CH}_3$ -групп.  
М. М.

4929 П. Размол кубовых красителей с кислотами (Acid milling of vat dyestuffs) [General Aniline and Film Corp.]. Англ. пат. 710229, 9.06.54 [J. Appl. Chem., 1954, 4, № 11, 636 (англ.)]

Для получения из водонерастворимых красителей (НК) (напр., антрахинонакридионов и антронов) препаратов, обладающих желаемыми размерами частиц, распределением этих размеров, а также определенными свойствами поверхности частиц, смешивают НК, в условиях, исключающих хим. р-ции, с небольшим кол-вом к-ты ( $\text{H}_2\text{SO}_4$ ,  $\text{CH}_3\text{COOH}$ ,  $\text{H}_3\text{PO}_4$  или жидкой органич. к-той, напр.  $\text{CH}_3\text{SO}_3\text{H}$ , с конц-ей 68—100%), размешивают до получения однородной массы и выливают в воду. На 1 ч. НК берут 0,5—5 ч. кислоты. Н. С.

4930 П. Фталоцианиновые красители. Хаддок, Слингер, Вуд (Dyestuffs. Haddock N. H., Slinger F. H., Wood C.) [Imperial Chemical Industries Ltd.]. Англ. пат. 686391, 21.01.53 [Brit. Cotton Ind. Res. Assoc. Summary Curr. Liter., 1953, 33, № 22, 743 (англ.)]

Фталоцианиновые красители, окрашивающие целлюлозные материалы в очень прочные зеленые оттенки, получают нагреванием фталоцианина, содержащего 3,4-(или 3,5)-арилокси- или арилмеркаптогруппы и не меньше 2 галогидметильных групп с тиомочевинной или моно-, ди-, три- или тетраалкилтиомочевинной. М. М.

4931 П. Получение фталоцианинов щелочных металлов (Manufacture of alkali metal phthalocyanines) [Giba Ltd.]. Англ. пат. 712455, 21.07.54 [J. Soc. Dyers and Colourists, 1954, 70, № 10, 464 (англ.)]

Фталоцианины щел. металлов получают при обработке р-ра фталонитрила в спирте (с т. кип. >130°) суспензией гидрида щел. металла в инертном органич. р-рителе (углеводороде). Так, гидрид натрия, суспендированный в ксилоле, добавляют небольшими порциями к фталонитрилу в смеси с амидовым спиртом и кислотом при 95° и затем нагревают с обратным холодильником в течение 3 часов. Е. Р.

4932 П. Способ получения промежуточного продукта синтеза фталоцианинов (Verfahren zur Herstellung eines Zwischenproduktes der Phthalocyaninsynthese) [Farbenfabriken Bayer]. Швейц. пат. 291803, 1.10.53 [Chimia, 1953, 7, № 12, 296 (нем.)]

Промежуточные продукты общей формулы  $\text{R}-\text{C}(=\text{NH})-\text{N}=\text{C}(\text{OR}')(\text{R}-\text{арил или гетероцикл. остаток})$ , применяемые для синтеза фталоцианинов, получают обработкой ароматич. и гетероцикл. о-динитрила щел. алкоholesом. М. М.

4933 П. Тетрациан- и тетракарбокситетрациан- Бак (Tetracyano and tetracarboxy phthalocyanines. Bacc S. A. U. R.) [General Aniline and Film Corp.]. Пат. США 2647908, 4.08.53

Предложены Си-фталоцианины, молекулы которых построены из бензольных и нафталиновых ядер, содержащих  $\text{CN}$ - или  $\text{COOH}$ -группу; кроме того, от 1 до 3 ядер имеют в качестве заместителя моноцикл. арил. М. М.

4934 П. Способ получения медьсодержащего полииминоизоиндоленинового соединения (Verfahren zur Herstellung einer kupferhaltigen Polyiminoisindoleninverbindung) [Farbenfabriken Bayer A.-G.]. Швейц. пат. 297833, 16.06.54 [Chimia, 1954, 8, № 12, 292 (нем.)]

Медьсодержащий полииминоизоиндоленин получают путем взаимодействия Си-фталоцианина с  $\text{Br}_2$  в присутствии метанола и обработки полученного продукта  $\text{NH}_3$  при нагревании. Л. П.

См. также: 3929, 3931

## КРАШЕНИЕ И ХИМИЧЕСКАЯ ОБРАБОТКА ТЕКСТИЛЬНЫХ МАТЕРИАЛОВ

4935. Химия целлюлозы и текстильная промышленность. Клиббенс (Cellulose chemistry and the textile industry. Clibbens D. A.), J. Text. Inst., 1954, 45, № 5, p173—p193 (англ.)

Обзор работ Института Шерли в области химии целлюлозы. Библ. 57 назв. Л. Б.

4936. Влияние обработки хлопкового волокна смачивателями на вязкость медноаммиачных растворов хлопковой целлюлозы. Зосим З. Л., Текстильная пром-сть, 1955, № 3, 34—36

Обработка 0,5%-ным р-ром смачивателя хлопкового волокна перед приготовлением его медноаммиачного р-ра способствует вытеснению воздуха из волокон и вызывает повышение вязкости получаемых р-ров. По эффекту повышения вязкости исследованные смачиватели располагаются в ряд: ОП-7 > игепоп > некаль > контакт. Но обработка хлопка смачивателями не приводит к полному удалению воздуха. Вязкость р-ров хлопка, обработанного смачивателями, ниже аналогичных показателей для образцов, подвергнутых раствору после удаления из волокон воздуха путем откачки. Если в опытах с разрезанием порядка  $10^{-3}$  мм рт. ст. прирост вязкости принять за 100%, то обработка смачивателями обеспечивает прирост вязкости не более чем на 65—90%. Е. Т.

4937. Отчет в Исследовательской ассоциации шерстяной промышленности руководителя научной работы доктора Касси за 1951—52 гг. (Report for 1951—52 of the director of research, Dr. A. B. D. Cassie), Text. J. Australia, 1953, 28, № 1, 116—122 (англ.)

4938. Применение радиохимической техники при изучении взаимодействия волокон волоса с водными растворами. Стам, Уайт (The application of radiochemical techniques to the study of the interaction of hair fibers with aqueous solutions. Stam Paul B., White Howard J. Jr.), Text. Res. J., 1954, 24, № 9, 785—791 (англ.)

Исследован процесс взаимодействия волоса с водн. р-рами с использованием метода меченых атомов. Применялись изотопы  $\text{Br}^{82}$ ,  $\text{S}^{35}$  и  $\text{Na}^{22}$ , из которых приготовлены р-ры  $\text{NaBr}$ ,  $\text{NaBr} + \text{HBr}$ ,  $\text{NaCl}$ , а также синтезированы кислотный краситель антрахиноновый синий (Colour Index N 1088) с  $\text{S}^{35}$  в сульфогруппе. Волокна в форме свободной спирали диам. ~15 мкм прикрепились альбуминовым препаратом к дискам из нержавеющей стали или тантала и затем обрабатывались р-рами. Промывка производилась теми же р-рами, не содержащими меченых атомов; концы сорбированных в-в определялись по излучению (счетными трубками и «нуклеотрами»). Найдено, что волосом сорбируются из р-ра заметные кол-ва  $\text{NaBr}$  и что существует линейная зависимость между равновесным сорбированным кол-вом и молярностью исходного р-ра. В кислотных и щел. р-рах, благодаря амфотерным свойствам кератина, наблюдается добавочная сорбция. В предварительном опыте исследован ход сорбции из красильной ванны, содержащей синтезированный краситель,  $\text{NaBr}$  и  $\text{HBr}$ . Установлено, что волосом было выбрано из р-ра (в мМ/е): в течение 2 час. красителя 0,19;  $\text{Br}$  0,51; в течение 20 час. красителя 0,59,  $\text{Br}$  0,10 и  $\text{Na}^+$  0,24. Л. Б.

4939. Ручная отбелка хлопчатобумажной пряжи. Мао Шан-хуан (手工漂紗工作介紹. 茅善煊). 染化, Жаньхуа, 1954, № 7, 20—21 (кит.)

В связи с применением в Китае на мелких кустарных пром-вах в ряде случаев несовершенных методов ручной отбелки хлопчатобумажной пряжи рекомендуется соответствующий усовершенствованный способ, значительно более эффективный в части достигаемого по-

шения качества, снижения стоимости обработки, улучшения условий труда. К. Ч.

4940. Новые замасливатели для шерсти, не создающие затруднений в крашении. Марсен (The new wool oils no longer the enemy of the dyer. Marsden K. E.), Text. Mercury and Argus, 1954, 130, № 3400, 1002—1005 (англ.)

Новые препараты для замасливания смесей шерсти, напр. «пулвилль WNA», вымываются с ткани легче, чем олеи. В отличие от последнего препараты этого типа сохраняют жидкое состояние в холодной воде, легко эмульгируются и удаляются с ткани непосредственно водой при  $t \sim 33^\circ$ , без добавки эмульгаторов и моющих в-в и при введении лишь р-ра соды малой концентрации в случае содержания в препарате жирных к-т. Но при наличии на ткани дополнительно неомыляемых в-в в моющей р-р добавляют небольшое кол-во спец. препарата: лиссапола N, типолоа, компркса и др. Остаток жирных в-в в образце после промывки составляет не более 0,1—0,2%. Достижимая возможность промывки тканей без применения соды или при значительном уменьшении ее расхода обеспечивает лучшую сохранность шерсти и предупреждает образование ряда пороков в процессах валки, промывки и крашения. Е. Т.

4941. О подборе рецептуры крашения (ч. I). Цзи Эр (漫染配色 (上). 及耳.), 染化, Жаньхуа, 1954, № 8, 8—11 (кит.)

Обзор. Ч. М.-в.  
4942. Развитие красильного производства в Шанхае. Ян Вэнь-сянь (上海染料工業的發展. 羊文賢). 染化, Жаньхуа, 1953, № 9 (87) 10—11 (кит.)

История и перспективы развития красильного произ-ва в Шанхае. Ч. М.-в.

4943. Выравнивание окраски неровноокрашенных материалов (Leveling unevenly dyed material.—), Amer. Dyestuff Reporter, 1954, 43, № 25, 839—875 (англ.)

Исследовалось выравнивающее действие вспомогательных препаратов при воздействии на неровноокрашенные красителями различных групп изделия из шерсти, хлопка, нейлона, динеля, акрила, дакрона и орлона. Дана классификация препаратов с делением на 16 групп по признаку хим. строения (в том числе сульфаты, алкилированные нафталинсульфокислоты, амиды жирных сульфокислот, продукты распада белков, отходы произ-ва целлюлозы, содержащие лигнин-сульфокислоты, неионогенные продукты, сульфированные масла, катионактивные в-в и др.). Лучшая миграция красителя с окрашенного на неокрашенный образец шерсти, нейлона и сходного с ними по способу крашения акрила обеспечивается отдельными представителями неионогенных и катионактивных в-в при определенном значении pH. При крашении целлюлозных волокон кубовыми красителями наиболее эффективными оказались неионогенный неовидин А, катионактивные в-в типа пергалей О и ОК и альбатеок РОК. Даны объяснение выравнивающего действия препаратов, а также систематизированные данные, на основе которых возможно исправление ряда дефектов окраски без проведения предварительного обесцвечивания волокон, связанного со значительными затратами, повреждением волокон и др. Е. Т.

4944. Развитие текстильной техники в области искусственных волокон и отделки. Вебер (Betrachtungen zur Entwicklung der Textiltechnik-Hoffnungen und Enttäuschungen auf dem Gebiete der Kunstfasern und der Textilveredlung. Weber F.), Melland Textilber., 1953, 34, № 11, 1079—1080; № 12, 1161—1165 (нем.)

Обзор. Выбл. 25 назв. З. П.  
4945. Сродство полиамидных волокон к красителям. Ситек (Afinita polyamidových vláken. Sitek

Agnošt), Textil, 1954, 9, № 11, 343—344 (чеш.)

Основными факторами процесса взаимодействия полиамидных волокон с красителями являются: степень взаимно проявляемого сродства, характер и скорость (кинетика) р-ции. Степень проявляемого сродства зависит от числа активных групп у волокон и красителя, от строения красителя и значения pH. Присоединение красителя может осуществляться как за счет водородных связей (дисперсные и отчасти слабокислые красители), так и при помощи ван-дер-ваальсовых сил (у всех красителей, кроме очень кислых). Теория образования твердого р-ра красителя в волокне не подтвердилась. Скорость взаимодействия с волокном не одинакова для различных красителей, что затрудняет крашение смесями красителей и окрашивание смешанных изделий (напр., из полиамидных волокон с шерстью или с шелком). Механизм связывания зависит также от pH р-ра и от длительности крашения. З. Б.

4946. Крашение полиэфирного волокна — терилена.

Барлоу, Ферн (Das Färben von Terylene-Polyester-Faser. Barlow A., Fern A. S.), SVF Fachorgan Textilveredlung, 1954, 9, № 9, 429—447 (нем.)

На крашение полиэфирных волокон оказывают влияние условия предварительной обработки и термофиксации; выбор группы красителей (для ацетатного волокна или нерастворимые азо-) и метода крашения; применение спец. в-в (дифенила, о-фенилфенола), способствующих окрашиванию, в частности за счет повышения набухания волокон и др. Показатели скорости диффузии красителей для ацетатного волокна в волокна терилевого, нейлонового и ацетатного находятся в соотношении 1 : 400 : 700. С повышением т-ры выбираемость дисперсных красителей волокном улучшается, что делает целесообразным применение крашения при повышенном давлении (т-ра  $120^\circ$ ). Приведена рецептура крашения тканей из смесей терилена с вискозным, ацетатным волокном и с шерстью, а также режимы крашения в производственных условиях и данные о светостойкости окрасок этого волокна различными красителями. З. Р.

4947. Повышение прочности окраски к стирке изделий из смесей ацетатного и вискозного волокон. Салвин, Кончятори, Уокер, Уорд, Фортезе (Improved wash fastness of acetate-rayon blends. Salvin V. S., Conciatori A. B., Walker R. A., Ward G. C., Fortess F.), Amer. Dyestuff Reporter, 1954, 43, № 23, P764—P770 (англ.)

Опыты машинной стирки в стандартных условиях при  $50$ — $55^\circ$  образцов изделий из ацетатного волокна и его смесей с вискозным волокном и нейлоном показали, что эти изделия не получают заметных изменений внешнего вида и линейных размеров в течение 20—25 стирок. Повышение прочности окраски к стирке изделий, окрашенных красителями для ацетатного волокна, а также их смесями с прямыми красителями, образующими комплексы с солями меди, достигается путем обработки мочевиноформальдегидными смолами и солями меди. В процессе упрочнения, эффективность которого определяется составом и конц-ией смолы, катализатора и соединения меди, происходит взаимодействие аминок- и алифатич. оксигрупп красителей для ацетатного волокна с метильными группами смол, а также ионов меди с комплексобразующими группами прямых красителей. А. П.

4948. Красильные свойства прямых красителей. Крашение на джиггере. Доминго-Ферре (Propiedades tintóreas de los colorantes directos. Aplicación a la tinte en jigger. Domingo Ferré D. Manuel), Ingeniería, 1954, 21, № 108, 221—226 (исп.)

При использовании прямых красителей следует учитывать их выравнивающую способность. Краснение на роликовой красильной машине создает ряд преимуществ сравнительно с крашением в барке (уменьшение длины ванны, сокращение расхода пара и потерь красителя).

К. Г. 4949. Получение сурьмяной и калиевой соли шавелевой кислоты и ее применение. Бао Гуан-ди (草酸鉍鉀之製造及應用. 包光迪), 染化, Жаньхуа, 1954, № 4 (94), 3—6 (кит.).

Описан способ получения двойной шавелевокислой соли антимонола и калия —  $K_2Sb(C_2O_4)_3$  находящей успешное применение взамен рвотного камня при крашении хлопка основными (сурьмянотаннинными) красителями.

Ч. М.-в. 4950. Применение сурьмяной и калиевой соли шавелевой кислоты. Цин Чжэнь (草酸鉍鉀替代吐酒石的應用. 青爭), 染化, Жаньхуа, 1954, № 4 (94) (кит.).

При крашении хлопка основными (сурьмянотаннинными) красителями обычно применяемый рвотный камень может быть заменен эквивалентным кол-вом двойной шавелевокислой соли антимонола и калия. Ч. М.-в.

4951. Закономерности в процессе крашения шерсти. Вюрц (Zusammenhänge beim Färben von Wolle. Würz Albrecht), Melland Textilber., 1955, 36, № 3, 269—276 (нем.).

Обзор в области теории крашения шерсти и полиамидных волокон.

О. С. 4952. Метахромовые красители для полшерстяных тканей. Лукось (Barwniki metachromowe do polwełny. Łukos Jan), Przem. włókienniczy, 1954, 8, № 6, 187—190 (польск.).

В Польском Институте волокон разработаны методы крашения тканей из смесей шерсти с целлюлозными волокнами так называемыми метахромовыми красителями для полшерстяных тканей. Эти красители представляют собой специально подобранные смеси метахромовых и прямых красителей. Крашение проводится по одному способу, обеспечивая при строгом соблюдении режима равномерное и однотонное окрашивание волокон животного и растительного происхождения и искусств. волокна. Приведены показатели прочности окраски шерсти, хлопка и ацетатного волокна к воздействию воды, стирки, валки, пота и света для 19 метахромовых красителей (для полшерстяных тканей) польского произ-ва.

Р. 4953. Крашение чесаной ленты индантеновыми красителями. Витцель (Färben von Kardenband unter besonderer Berücksichtigung des Färbens mit Indanthrenfarbstoffen. Witzel Karl), Z. ges. Textilind., 1954, 56, № 19, 1178—1180 (нем.).

Крашение хлопка и штапельного волокна в виде чесаной ленты дает более спокойную и равномерную окраску, чем в виде пряжи на навоях и крестовых шпулях, так как неровнота окраски сглаживается при многократных вытяжках. Описаны примерные способы крашения чесаной ленты, в частности, наиболее пригодными для этой цели кубовыми красителями и дан перечень рекомендуемых к использованию красителей. Крашение проводится на обычных универсальных аппаратах из нержавеющей стали, укомплектованных дополнительно установкой для отсоса или отжима, аппаратом для заключительных обработок и спец. сушилкой.

О. С. 4954. Непрерывный метод крашения кубозолями. Кунце (Kontinuierliches Anthrasolfärben. Kunze Helmut), Textil- und Faserstofftechnik, 1954, 4, № 10, 607—610 (нем.).

Для крашения кубозолями в светлые тона по непрерывному методу применен агрегат из плюсовки, компенсатора, второй плюсовки со щелевым V-образным

ящиком (15 л) для проявления, воздушного зрельника ( $l = 7,5$  м) и промывного аппарата для нейтр-ции, промывки, обработки мылом и промывки. Для плюсования подбираются кубозоли одинаковой субстантивности. Снижение субстантивности и предохранение от преждевременного окисления достигаются добавкой соды (1 г/л) или NaOH, хорошее смачивание — добавкой «концентрата W 50» и повышенным т-ром до 70—80°. Непрерывно подается (через перфорированную трубу по ширине полотна на выходе из плюсовки) подкрепляющий р-р с повышенной (против рабочей) конц-цией, содержащий кубозоль и нитрит. Ящик второй плюсовки с р-ром  $H_2SO_4$  (16—18 мл/л) гуммирован, т-ра раствора 60—70°; для непрерывного питания предусмотрен бак с подкрепляющим р-ром емк. ~1000 л. Нейтр-ция производится р-ром  $Na_2CO_3$  8 г/л при 40°. После промывки теплой водой (50°) следует обработка в кипящем р-ре 2 г/л «вофапона АН» или другого аналогичного препарата, промывка теплой и холодной водой. Скорость выпуска ткани 30 м/мин. Агрегат обслуживается тремя рабочими. Приведены образцы крашения и дан технико-экономич. анализ по сравнению с крашением на роликовых красильных машинах. За одну смену (12 000 м) экономия на хим. материалах при крашении по непрерывному методу составляет ~200 марок; на электроэнергии — более 400 кет и на рабочей силе 72 часа; улучшается однородность крашения.

Л. В. 4955. Крашение кубовыми красителями. Динь Сюнь-сян (還原染料の捲染與軋染. 丁訓群), 染化, Жаньхуа, 1954, № 7, 9—14, 15 (кит.).

Описаны различные способы крашения кубовыми красителями (из восстановленного куба, суспензионный и др.), применяемые красители и оборудование. Приведены схемы процессов, дана репертура для различных красителей с включением вспомогательных в-в (напр., дисперсола VL) и окислителей.

К. Ч. 4956. Дополнительное сообщение об экономии гидросульфата при крашении индантеновыми красителями. — (捲染染料節約保險粉補充報告), 染化, Жаньхуа, 1954, № 7, 8 (кит.).

Краткое изложение сообщений представителей отдельных ф-к на совещании секции крашения и печатания Шанхайского отделения китайского общества инженеров-текстильщиков.

К. Ч. 4957. Опыты крашения красителями сернистым синим и кубовым синим по непрерывному способу. — (硫化藍及士林藍續染試驗報告), 染化, Жаньхуа, 1954, № 9, 13—18 (кит.).

В результате опытов крашения по непрерывному способу на ф-ках Тяньцзиня установлено, что этот способ обеспечивает хорошее качество тканей (брак не выше 2%). Приведены реценты крашения, данные проведенных анализов и результаты проверки качества готовой продукции. В числе нерешенных пока вопросов предстоит изыскать лучшие способы анализа состава красильного р-ра, определить наиболее выгодный температурный режим крашения, изыскать способы предотвращения увеличения конц-ии щелочи.

К. Ч. 4958. Сернистый серый и сернистый черный красители. Цао Се-тин (硫化灰與硫化鐵青. 曹慶廷), 染化, Жаньхуа, 1953, № 9, 15—16 (кит.).

Приведена технология крашения тканей красителями сернистым серым и сернистым черным и дана схема хим. изменений красителя в этом процессе. Для избежания дефектов при крашении мерсеризованной ткани на Шанхайских ф-ках сначала проводят крашение, а в мерсеризацию направляют уже окрашенную ткань. К. Ч.

4959. Вытравки для тканей из полиамидных волокон. Крамер (Der Ätzdruck auf Polyamidgeweben. Kramer Bernhard), Melland Textilber., 1955, 36, № 1, 72—74 (нем.).



Для получения вытравок на тканях из полиамидных волокон, окрашенных кислотными красителями, в состав печатной краски вводят декролин, диэтиленгликоль, фенол и загустку. Для получения чисто белого тона рекомендуется добавка двуокиси титана или каолина, а также органич. к-т (в частности, лимонной). Длительность обработки в зрельнике для светлых расцветок 5—7 мин. Приведены также данные и рецептура белевых и цветных вытравок по окраскам кислотными, прямыми и кубовыми красителями. А. П.

4960. Устойчивая отделка тканей. Прадон (L'appret permanent sur étoffes. Pradon M. A.), Teintex, 1954, 19, № 9, 649, 650, 653, 655—656, 659, 661—662, 665 (франц.)

Обзор методов аппретирования тканей синтетич. смолами для придания несминаемости, малосадочности, водоупорности, огнестойкости и др. А. Л.

4961. Отделка эластичных лент. Хюних (Appretur gummi-elastischer Bänder. Hünlich R.), Reyon, Zellwolle und and. Chemiefasern, 1954, № 4, 216—217 (нем.)

Описаны машины для крашения и отделки — блестящей и матовой тесьмы с резиновыми нитями, шнура, рюша и т. д. О. С.

4962. Придание воздухопроницаемости тканям, пропитанным синтетическими смолами. Даниер (La di-aération des tissus enduits et plastiques. Danigère Marcel), Ind. text., 1954, № 807, 121—122 (франц.)

Придание текстильным изделиям, подвергнутым различным пропиткам, воздухопроницаемости за счет искусств. образования в них микропор, трудно осуществимо механич. путем. Значительно более эффективен способ пропускания через материал электрич. тока ВЧ. Дана схема сконструированного для этой цели аппарата с автоматич. регулированием в зависимости от толщины ткани и желаемого диаметра пор. О. С.

4963. Борьба с перерасходом каустической соды на печатных фабриках. Гу Юнь-чэн (全力消滅印染廠燒碱的浪費. 顧允成), 染化, Жаньхуа, 1954, № 8, 18—21 (кит.)

Для устранения перерасхода NaOH требуется собрать и проанализировать данные о фактическом потреблении по отдельным процессам и видам продукции с учетом типов оборудования и его состояния. Причины перерасхода NaOH кроются часто в недостаточном внимании к этому вопросу, в недонапользовании более экономич. способов ее применения, а также в применении неточных колич. расчетов. На основе данных анализа должны быть намечены для каждого конкретного случая соответствующие мероприятия. К. Ч.

4964. Оборудование лабораторий на красильных фабриках. Юэ Чжао (印染廠化驗室的設備. 樂昭), 染化, Жаньхуа, 1953, № 9, 25—29 (кит.)

Подбор для фабричных лабораторий оборудования должен проводиться с учетом масштабов произ-ва и выпускаемого ассортимента. Приложены типовые списки потребного оборудования, посуды и реактивов. Ч. М.-в.

4965. Определение концентрации гидросульфита методом потенциометрического титрования. Хуан Юань-хун (用電位滴定法測定保險粉濃度的建議. 黃元鴻), 染化, Жаньхуа, 1954, № 96, 8—9 (кит.)

Приведены результаты работ по этому вопросу Казанской (См. РЖХим, 1955, 2886) и других исследователей (J. Soc. Dyers and Colourists, 1952, № 8, 289). Автор считает описываемый метод наиболее пригодным для использования на китайских ф-ках. См. РЖХим, 1955, 47308. К. Ч.

4966. Применение красной кровяной соли взамен желтой кровяной соли и их анализ. Сюй Му-цзин

(赤血鹽替代黃血鹽之使用及其分析. 徐穆卿), 染化, Жаньхуа, 1954, № 96, 15—16 (кит.)

Описаны физ. и хим. свойства желтой и красной кровяной соли, способы их получения, данные о применении в процессе крашения и соответствующая рецептура, методы качеств. и колич. определения. К. Ч.

4967. Экспресс-метод анализа нафтолов типа AS. — (關於納夫妥 AS 快速分析法的討論), 染化, Жаньхуа, 1954, № 9, 36—37 (кит.)

Описан метод быстрого анализа азотолов, обеспечивающий результаты с точностью до 95%. К. Ч.

4968. Выявление причин производственных пороков текстильных изделий с помощью микроскопа. Рапп (Die Aufklärung von Textilfehlern aus der Praxis mit dem Mikroskop. Rapp Alfred), Textil-Praxis, 1954, 9, № 1, 46—53 (нем.)

Приведены примеры микроскопич. исследования причин появления пороков (брака) готовых шерстяных, полшерстяных, хлопчатобумажных и вискозных материалов с приложением 30 микрофотографий. Л. Б.

4969. Отделение шерсти от волокна «мериново» путем растворения в реактиве Рампони. Рампони (Separazione della lana dalla merinova per soluzione della lana nel reattivo di Ramponi. Ramponi Gianpiero), Tintoria, 1954, 51, № 9, 331—332 (итал.)

Растворяют 60 г КОН в 500 мл дистилл. воды, добавляют 4 г  $(\text{CH}_3\text{CO}_2)_2\text{Pb}$  и 45 г  $(\text{CH}_3\text{CO}_2)_3\text{Al}$ , нагревают до 50—60°, добавляют, перемешивая, 30 г Игепона-Т, доводят объем до 2 л. Этот р-р гидролизует шерсть, не влияя на волокно «мериново», и потому применяется для их разделения. 5 г смеси кипятят 5 мин. в 200 мл реактива, выливают массу на медную сетку и заливают на 5 мин. смесью из 50 мл  $\text{HCHO}$  — 40% с 150 мл дистилл. воды, затем снова выливают на фильтр из медной сетки и отмывают холодной водой все черные частицы гидролизованной шерсти. Остаток на фильтре высушивают 1 час при 40—50°, затем при 105° до постоянного веса, значение которого умножают на 1,05, чтобы компенсировать потери. Точность метода составляет  $\pm 0.2\%$ . З. В.

4970. Светопрочность и фототропия. Цукригель (Lichtecheit und Phototropie. Zukriegel H.), Melland Textilber., 1954, 35, № 10, 1074—1075 (нем.; резюме англ., франц., исп.)

Исследования светопрочности окрасок с помощью «агелотеста» (Melland Textilber., 1952, 33, 44—46) показали, что при повышенной освещенности наблюдаются обратимые фотохим. изменения кристаллич. решетки красителей на волокне (фототропия), которые в дальнейшем могут привести к необратимым изменениям (выцветание). Фототропия функционально связана со светопрочностью красителей. Обсуждена аналогия явлений фототропии, люминесценции, поглощения квантов и соударений второго порядка. Л. Б.

4971. Физика в красильной, набивной и отделочной отраслях текстильной промышленности. Нелленд (Physics in the dyeing, printing, and finishing industries. Yelland N. W.), J. Soc. Dyers and Colourists, 1954, 70, № 8, 333—346 (англ.)

Обзор применения физ. методов и техники физ. исследований (измерение цвета, блеска, термич. и электр. свойств, влагосодержания, оптические измерения, исследования гравировки, микроскопия и т. п.) в крашении, печатании и отделке. Библ. 18 назв. Л. Б.

4972. Метриколор — новый универсальный прибор для цветовых измерений. Пирингер (Metricolor. Ein neues Universalgerät zur Farbenbestimmung. Piringer F.), Prakt. Chem., 1954, 5, № 11, 257—258 (нем.)

Описан визуальный прибор для измерения цветности жидкостей и окрашенных поверхностей, не требующий

вырезывания образцов (устанавливается на измеряемую поверхность). Снабжен 71 светофильтром и двумя серыми клиньями. Результаты измерений выражаются тремя числами (№ фильтра, кол-во белого и кол-во черного). Л. Б.

**4973 П. Обесклеивание волокнистых растительных материалов.** Бенедек (Degumming of fibrous plant material. Benedek O.), Англ. пат. 706699, 7.04.54 [J. Soc. Dyers and Colourists, 1954, 70, № 6, 254 (англ.)]

Волокнистые растительные материалы, напр. рами или отходы рами, до обработки водн. р-ром или эмульсией поверхностноактивного в-ва, содержащих сульфированное жирное масло или жир и водорастворимый фосфат, обрабатывают при нагревании в нейтр. (по фенолфталеину) разб. водн. р-ре соли щел. или щел.-зем. металла. Пример: 0,5 кг рами кипятят 2,5 часа в 5%-ном р-ре  $MgSO_4$  или  $NaHCO_3$ . Е. Э.

**4974 П. Обработка растительных волокнистых материалов, используемых для производства хирургической ваты.** Бенедек (Treatment of fibrous plant material for the manufacture of surgical wadding. Benedek O.), Англ. пат. 706701, 7.04.54 [J. Soc. Dyers and Colourists, 1954, 70, № 6, 254 (англ.)]

Волокнистые растительные материалы, напр. отходы льна, до сих пор не применявшиеся для получения хирургич. ваты вследствие наличия нецеллюлозных цементирующих в-в, обрабатываются при обычной т-ре водн. р-ром соли металла, имеющей нейтр. р-цию по фенолфталеину, напр. 5%-ным р-ром  $MgSO_4$  или  $NaHCO_3$  в течение 72—120 час. Остающиеся нецеллюлозные в-ва удаляются путем дальнейшей 2—3-часовой обработки в кипящем 6—8%-ном р-ре  $NaOH$ . Полученный продукт может быть переработан в вату по обычно принятому для хлопка способу. Е. Э.

**4975 П. Обработка шелка путем электролиза.** Намба, Нинсоку (Electrolytic treatment of silk. Namba Shogo, Ninsoku Yoshimi), Япон. пат. 137, 14.01.54 [Chem. Abstrs, 1954, 48, № 1, 384 (англ.)]

Шелк подвергают периодич. электролизу по 5 сек. с 15-секундными промежутками в течение 3 час. и затем с 25-секундными промежутками в течение 6 час. в р-ре, содержащем 6% текстильного мыла и 7,2%  $Na_2SiO_3$ . М. К.

**4976 П. Очистка и белиение шелка или изделий из шелка.** Аизава (Refining and bleaching of silk or silk products. Aizawa Kaoru), Япон. пат. 5609, 30.10.53 [Chem. Abstrs, 1954, 48, № 16, 9704 (англ.)]

Шелк-сырец погружают в подогретую воду, содержащую 0,5—1,0% мочевины, для растворения серицина; затем обрабатывают в течение 1 часа в подогретой воде, содержащей 0,5—5,0%  $Na_2SO_3$ ; промывают водой и высушивают. М. К.

**4977 П. Реактив для фиксации серицина.** Такахаши (Sericin fixing agent. Takahashi Masataro), Япон. пат. 108, 14.01.53 [Chem. Abstrs, 1954, 48, № 1, 382 (англ.)]

Раствор, содержащий (в ч.): формалина 35, метилового спирта 10, 2%-ной  $HgCl_2$  20,  $HCl$  (30° по Бэ) 10 и насыщ. р-ра  $NaCl$  10, разводят 10—12-кратным объемом воды. Шелк погружают в этот р-р на 3—5 час. при 20—25° и высушивают. М. К.

**4978 П. Способ применения концентрированной волновой энергии верхней звуковой и ультразвуковой области в промывке текстильных материалов и соответствующая аппаратура.** Гольдвассер (Method and apparatus utilizing compressional wave energy in the upper sonic and Supersonic range for washing textiles. Goldwasser Seymour) [Lever Brothers Co.]. Пат. США 2650872, 1.09.53

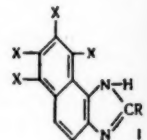
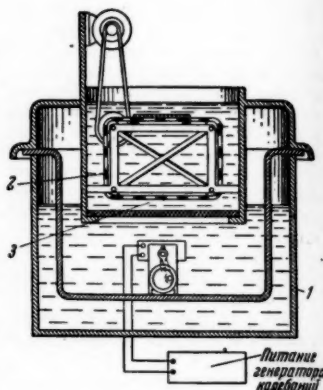
Патентуются способ и аппарат (см. рисунок) для промывки загрязненных текстильных материалов в неинтенсивном поле звуковых (верхняя граница) и ультразвуковых волн, характеризующиеся тем, что все участки перемещающегося

через аппарат 1 материала 2 в развернутом виде располагаются в моющей жидкости в плоской колебательной зоне 3, а конц. волновая энергия распространяется в жидкости вдоль частиц загрязнения, образуя стоячие волны. Стоячие узлы илучности конц. волновой энергии эффективно удаляют частицы загрязнения с участков материала, расположенных на расстояниях, соответствующих длине полуволны. Колебательная зона в аппарате имеет возвратно-поступательное перемещение вдоль линии распространения волновой энергии для последовательного смещения положений этих участков. Л. Б.

**4979 П. Способ синтеза и применения оптических осветляющих и отбеливающих веществ для растительных и животных волокон.** Зейдель, Эсбах (Optische Aufhellungs- und Bleichmittel für pflanzliche und tierische Fasern. Seidel Felix, Esbach Günther). Пат. ГДР 5958, 2.12.53

Патентуется способ синтеза и применения в качестве осветляющих и отбеливающих средств для растительных и животных волокон нафтимидазолов общей ф-лы (I) ( $R$  — радикал фенила или стирила,  $X$  — сульфогруппы), характеризующихся сильней или сине-фиолетовой флуоресценцией и средством к бумаге и текстильным волокнам. Эти в-ва могут быть использованы как добавки к моющим или белящим р-рам, аппретирующим составам, печатной краске при вытравке. Примеры: 1. 72 ч. 2-стирил-(нафто-2',1' : 4,5-имидазола), полученного конденсацией 1,2-нафтилендиаминна с коричневой к-той, сульфированы 30 ч. 12%-ного олеума при 70—80°. После нейтрации щелочью осаждают разб.  $HCl$  моноватриевую соль 2-стирил-(нафто-2',1' : 4,5-имидазол)-дисульфокислоты (выход — 87 ч.). Продукт очищают перекристаллизацией из воды; получают тонкие желтые иглы, растворяющиеся в воде с небесно-голубой флуоресценцией. Ткань из вискозного шелка обрабатывают 30 мин. при 30—40° в р-ре, содержащем 0,1 г/мл продукта. Аналогично проводится обработка полубелых и аппретируемых хлопчатобумажных тканей. 2. 1-( $n$ -нитроанилино)-2-стирил-(нафто-2',1' : 4,5-имидазол)-дисульфокислоту (5')], полученную конденсацией 1-нитробензол-азо-2-аминонафталин-сульфокислоты-(5) с коричным альдегидом, переводят восстановлением порошком  $Fe$  в разб.  $HCl$  в 2-стирил-(нафто-2',1' : 4,5-имидазол)-сульфокислоту-(5') с выделением радикала нитроанилина и затем нейтрацией получают натриевую соль, используемую по предыдущему. Л. Б.

**4980 П. Замазывающие в-ва для пряжи.** Симор, Фортесс, Дьюк (Yarn Lubricant. Seymour



George W., Fortess Fred, Duke Marshall [Camille Dreyfus]. Канад. пат. 507865, 30.11.54

Предлагается состав для замасливания и кондиционирования текстильных волокон, состоящий из смеси (в вес. ч.): 55 минер. масла; 5—12,5 касторового масла; 1,5—5 алкилоламина, напр. триэаноламина; 5—10 жирной к-ты с длинной цепью, напр., олеиновой; 5 алкилфенола, напр., диамилфенола и связующего, состоящего из олеилового спирта и диглицольлаурата. Указанная смесь содержит 0,01—0,1 вес. ч. очищ. от соли безводн. продукта р-ции олеума со смесью жирной к-ты с длинной цепью, напр., олеиновой к-той, растительного масла, напр., масла земляного ореха и минер. масла, нейтрализованной щелочью, напр. NaOH, и алкилоламинам, напр., триэаноламинам, возможно, с добавлением диамилфенола.

О. С.

4981 П. Процесс хлорирования шерсти. Кунс, Дреби (Wool chlorination process. Koons Lloyd O., Dreby Edwin C. 3-rd). [Scholler Brothers, Inc.]. Пат. США 2702737, 22.02.55

Патентуется способ хлорирования шерсти, предусматривающий ее пропитывание р-ром к-ты такой конц-ии, при которой 1 г воздушно-сухого волокна удерживает 0,3—2 мг экв к-ты, и обработку в течение 2 сек.—10 мин. водн. р-ром хлорирующего реагента при pH р-ра 7,2—11,5 и т-ре 0—38°. При этом к-та удерживается волокном в течение хлорирования. Е. Т.

4982 П. Способ крашения волокон, содержащих азот (Procédé de teinture de fibres contenant de l'azote, compositions utilisées dans ce procédé et matières teintes conformes à celles obtenues) [Ciba Soc. An.]. Франц. пат. 1052856, 28. 01. 54 [Teintex, 1954, 19, № 10, 797 (франц.)]

Патентуется обновленный способ крашения азотсодержащих волокон протравными красителями для шерсти в присутствии протравы, отличающийся тем, что в ванну вводят по крайней мере один растворимый в воде продукт р-ции 4 молей  $\alpha$ ,  $\beta$ -алкилена, напр. окиси этилена, окиси пропилена или глицида, с 1 молем органич. соединения, содержащего по крайней мере одну основную аминогенную группу, первичную, вторичную или третичную, или OH и не более двух аминогенных групп, связанных с одним и тем же атомом С, или соль, сернокислый эфир или его соли, или четвертичное аммониевое соединение, образующееся при той р-ции (напр., додециламин, олеиламин, производное триэтилентетрамина, гидрированный абетиламин или ароматич. амины, содержащие алифатич. боковые цепи). Ванна может содержать, кроме того, соли Mg или щел.-зем. металлов, не образующих осадков с находящимися в ванне веществами. О. С.

4983 П. Способ крашения целлюлозных волокон прямыми азокрасителями, содержащими в своем комплексе медь или никель (Process for dyeing cellulose fibres with direct-dyeing azodyestuffs containing copper or nickel in complex union) [Ciba Ltd]. Англ. пат. 708144, 28.04.54 [Dyer, 1954, 112, № 1, 41—42 (англ.)]

Способ крашения целлюлозных волокон прямыми азокрасителями, содержащими в своем комплексе медь или никель, отличающийся введением в красильную ванну алифатич. амина, содержащего не менее 2 атомов азота, каждый из которых связан с двумя атомами углерода, и не менее двух гидроксильных групп. Наиболее подходящими для эт и цели являются соединения, отвечающие ф-ле  $C_nH_{2n} = [NHC(R')(R'')-CH_2OH]_2$ , где  $R'$  — водород или алкильный радикал с числом атомов С не более 3,  $R''$  — водород или метильная группа,  $n = 4$  или 2, напр. 1,2-ди-( $\beta$ -оксипропиламино)-этан. Амины этого ряда оказывают на процесс крашения своеобразное тормозящее действие, обуслов-

ливая быстрое избирание некоторой части красителя и достижение соответствующего равновесия. Наиболее эффективными являются добавки амина в кол-ве 3 г/л, действие его может быть ослаблено добавками  $CH_2O$ . Пример. Красильная ванна содержит 3 ч. медного соединения красителя, образованного сочетанием двух молекул диазотированного амида 2-амино-1-оксипропан-4-сульфокислоты содной молекулой 5,5'-диокси-2,2'-динифтиламин-7,7'-дисульфокислоты и содержащего в комплексе два атома меди на молекулу красителя; 30 ч. кристаллич.  $Na_2SO_4$  и 6 ч. 1,2-ди-( $\beta$ -оксипропиламино)-этана на 6000 ч. воды. 100 ч. замоченного хлопка вносят в кипящую красильную ванну на 15 мин., после чего небольшими порциями вводят 6 объемн. ч. 30%-ного водн. р-ра  $CH_2O$ , продолжая крашение при т-ре кипения еще 45 мин. В той же ванне можно окрасить еще три партии хлопка по 100 ч., после чего для крашения последующих партий в ванну следует добавлять 1 ч. красителя на партию. В. З.

4984 П. Способ крашения и печати волокнистых материалов с помощью специальной эмульсии. Бут (Emulsion und Verfahren zum Färben bzw. Bedrucken von Fasermaterial. Booth Arthur) [Interchemical Corp.]. Пат. ГФР 887637, 24.08.53 [SVF Fachorgan Textilveredlung, 1954, 9, № 1, 31 (нем.)]

Патентуется способ крашения и печати эмульсией, состоящей из двух фаз. Внутренняя водн. фаза содержит водонерастворимую пленкообразующую смолу в диспергированном состоянии. Наружная, несмешивающаяся с водой фаза содержит пигмент, диспергированный в летучем органич. р-рителе, в котором смола внутренней фазы не растворима. Способ обеспечивает повышение прочности окраски без придания ткани жесткости. В качестве пигментов применяются фталоцианины, окислы металлов, сажа, нерастворимые в воде кубовые и азокрасители. Пример: готовят концентрат синей краски следующего состава (в вес. ч.): терпентина 57,6; 50%-ного р-ра метаминформальдегидной смолы (в смеси из равных частей бутанола и ксилола) 9; эфирного соснового масла 3; этилцеллолозы 0,4; фталоцианина синего с содержанием меди 6. Этот концентрат эмульгируют с 24 вес. ч. 50%-ной водн. дисперсии из сополимеризованного этилендихлорида и полисульфида натрия. Полученный концентрат перемешивают со слабой загусткой следующего состава (в вес. ч.): летучего р-рителя из минер. масла 25; 70%-ной высыхающей смолы глинеридалькидофталеовой к-ты 25; при эмульгировании в 45 вес. ч. воды, содержащей 5 вес. ч. NaCl. З. М.

4985 П. Способ закрепления пигментов на волокнистых материалах. Рат, Бестиян, Хейна (Verfahren zum Befestigen von Pigmenten auf Fasergut. Rath Julius, Bestian Herbert, Heyna Hans) [Farbwerke Hoechst A.-G. vormals Meister Lucius und Brüning]. Пат. ГФР 913165, 10.06.54 [Textil-Praxis, 1954, 9, № 11, 1090 (нем.)]

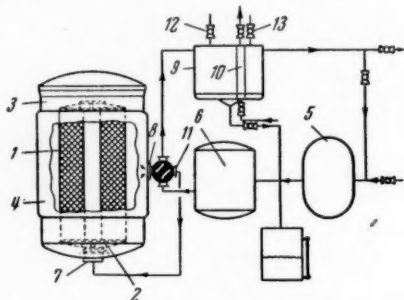
Наносят на волокнистые материалы пигмент, высокомолекулярные соединения с карбоксильными группами и полисульфоалкиленимиды, содержащие в молекуле не менее двух алкилениминогрупп; после промежуточной сушки материалы обрабатываются паром. П. Ч.

4986 П. Сушка текстильных материалов. Тис, Тис, Тис, Тис (Drying textile material. Thies A., Thies A. Jun., Thies P., Thies B., Thies H.). Англ. пат. 712656, 28.07.54 [Dyer, 1954, 112, № 12, 993 (англ.)]

Патентуется аппарат с замкнутой схемой для воздушной сушки пряжи в бобинах крестовой мотки, отличающийся тем, что в первый период сушки газ (воздух) пропускается через подогреватель и высушиваемый материал под давлением выше атмосферного, создавае-



мым за счет подключения сжатого воздуха (влага из циркулирующего воздуха непрерывно извлекается). Во второй период сушки давление воздуха понижается ниже атмосферного, за счет чего снижается т-ра испарения жидкости, содержащейся в материале. Высушиваемый материал (1) (см. рисунок) устанавливается на дер-



жатель (2) в контейнере (3) с наружной стенкой (4), находящейся на некотором расстоянии от внутренней перфорированной стенки. Воздух с помощью вентилятора (5) нагнетается через подогреватель (6) и одну из двух насадок (7) или (8) в контейнер. Пройдя через материал, воздух выходит из другой насадки и поступает во влагоуловитель (9), устроенный по принципу конденсатора и имеющий поверхности охлаждения (10), после чего вновь засасывается вентилятором. С помощью клапана (11) меняется направление циркулирующего воздуха. Кран (12) может соединяться с компрессором, кран (13) — с вакуум-насосом. В. З.

**4987 П. Способ придания извитости гидратцеллюлозному штапельному волокну и искусственному шелку.** Остерман (Verfahren zum Kräuseln von Cellulosehydratzellwolle und -kunstseide. Ostermann Albert von) [Schachenmayr, Mann und Cie]. Пат. ГФР 903208, 4.02.53 [Chem. Zbl., 1954, 125, № 43, 9889 (нем.)]

Пряжу обрабатывают при т-ре  $\sim 20^\circ$  в течение 40—120 сек. 3,3%-ным р-ром NaOH или 6,4%-ным р-ром KOH (или их смесью). Затем промывают, подкисляют, снова промывают и сушат в течение продолжительного времени при 50—80°. В. В.

**4988 П. Способ отделки и печати волокнистых материалов.** Граулих, Леман, Беккер, Байер (Verfahren zum Ausrüsten, insbesondere zum Bedrucken von Faserstoffen. Graulich Wilhelm, Lehmann Wolfgang, Becker Wilhelm, Bayer Otto) [Farbenfabriken Bayer, Leverkusen-Bayerwerk]. Пат. ГФР 883139, 16.07.53 [Textil-Praxis, 1953, 8, № 12, 1091 (нем.)]

Патентуется способ нанесения на ткани поликонденсатов, содержащих трет-аминогруппы, из водн. р-ра или в составе печатной краски. Затем дают им прореагировать с соединениями, содержащими две или более винильных групп при нагревании (если это необходимо). Можно также нанести на ткань полимеры винильных или дивинильных соединений в виде водн. эмульсий или в р-ров в летучих растворителях. З. М.

**4989 П. Обработка тканей, пропитанных растворами продуктов конденсации смол.** Марш, Блэе (Process for the treatment of fabrics with resinous condensation products. Marsh J. T., Blease R. A.) [Tootal Broadhurst Lee Co., Ltd]. Англ. пат. 704143, 17.02.54 [Dyer, 1954, 111, № 7, 501 (англ.)]

При проведении термич. обработки тканей (после нанесения на них синтетич. смол) в атмосфере, содержащей не менее 20% перегретого пара, повышается прочность ткани к истиранию сравнительно с достигаемой

в одинаковых условиях обработки, но в отсутствии пара. При этом не происходит ухудшения качества пропитки и ее устойчивости к стирке. Лучшие результаты получаются при доведении содержания пара до 50% и выше. Процентное содержание пара понимается как парц. давление пара, выраженное в процентах от общего давления пара и воздуха при т-ре термич. обработки. Е. Х.

**4990 П. Способ придания текстильным изделиям огнестойкости.** Гутман, Хербст (Verfahren zum Flammfestmachen von brennbarem Textilgut. Gutmann Walter, Herbst Fritz) [Farbwerke Hoechst A.-G. vormals Meister Lucius und Brüning]. Пат. ГФР 904524, 18.02.54 [Chem. Zbl., 1954, 125, № 39, 8943 (нем.)]

Патентуется способ придания текстильным изделиям огнестойкости, состоящий в их пропитке сульфамидом и  $\text{CH}_2\text{O}$  (или продуктом, выделяющим  $\text{CH}_2\text{O}$ ) в присутствии аминосульфоновой к-ты; затем после предварительной сушки проводят термич. обработку. Напр. штапельные ткани обрабатывают в течение 5 мин. при 20° р-ром, содержащим в 1 л воды, 150 г сульфамида, 20 г мочевины, 200 мл 30%-ного  $\text{CH}_2\text{O}$  и 0,5 г аминосульфоновой к-ты, отжимают, сушат при 70° и затем выдерживают в течение 10 мин. при 120°. З. М.

**4991 П. Аппретирование текстильных изделий.** Уэйкфилд (Finishing of textile fabrics. Wakefield F. W.) [W. Clark and Sons, Ltd]. Англ. пат. 698244, 14.10.53 [J. Text. Inst., 1954, 45, № 9, A576 (англ.)]

Пропитка тканей нейтрализованным р-ром клея или желатины перед их обработкой прекоонденсатом синтетич. смолы (для придания несминаемости) улучшает стабильность размеров особенно льняной канвы, сорочки и другого портновского приклада. Тот же результат получается при замене клея р-рами протеинов (альбумина, казеина или протеина земляного ореха) или крахмалом. О. С.

**4992 П. Способ стабилизации формы изделий из ориентированных синтетических линейных полимеров.** Майлс (Verfahren zum Formfestmachen von Gebilden aus orientierten synthetischen Linearpolymeren. Miles John Blanchard). Пат. 1 ДР 4037, 28.01.54

Для стабилизации формы и размеров изделий, напр. тканей, из линейных синтетич. полимеров, эти изделия в приданной им и механически удерживаемой требующейся форме подвергаются обработке при нагревании органич. в-вами, вызывающими набухание, но не растворение полимера. Наиболее пригодны для такой обработки изделия из полиамидов. В качестве в-в, вызывающих стабилизацию формы изделий, предлагаются алифатич. спирты, напр. метиловый, пропиловый, бутиловый, при т-ре кипения или в парообразном состоянии. Эти в-ва вызывают более прочную фиксацию формы и размеров сравнительно с водн. обработками и при более низкой т-ре. Могут быть применены также этиллактат, диметилтарtrat, этаноламин, этиленгликоль, глицерин, а также органич. амиды (анилин, толуидин, дибутиламин), нитрилы и амиды. А. П.

**4993 П. Придание шерсти малоусадочности (Shrink proofing wool)** [Kroy Unshrinkable Wools Ltd]. Австрал. пат. 157556, 22.07.54

Патентуется способ придания шерсти малоусадочности, отличающийся применением водн. р-ра гипохлорита, содержащего 0,035—0,09% активного хлора от веса волокна, при значении pH р-ра 2,2—3,5, т-ре 4—24° и продолжительности 30—70 сек. Потери к-ты хлора в р-ре, обусловленные взаимодействием их с волокном, непрерывно возмещаются путем соответствующих добавок. Е. Т.

4994 П. **Обработка шерсти для снижения способности к усадке** (Treatment of wool to reduce its tendency to shrink) [Precision Processes (Textiles), Ltd]. Англ. пат. 716888, 13.10.54; 716203, 29.09.54 [J. Soc. Dyers and Colourists, 1954, 70, № 12, 594 (англ.)]

Патентуется способ снижения валкоспособности, отличающийся тем, что шерсть (или ее смеси с другими волокнами) обрабатывается водн. р-ром N-бромантеамида при pH  $\geq 3$  или N-бромсукцинимидом при pH  $\geq 6$ .

Е. Т.

4995 П. **Синтетические смолы, содержащие гидраты окисей металлов. Эймик** (Hydrous oxide containing resinous compositions. A Mick Chester A.). [American Cyanamid Co.]. Пат. США 2702258, 15.02.55

Патентуется способ снижения свойчиваемости и способности к усадке изделий, содержащих шерсть, отличающийся тем, что эти изделия пропитывают водн. дисперсией водорастворимого, стойкого продукта частичной конденсации алкилированного метилолмеламина и нерастворимого в воде колл. гидрата окиси металла в конц-ии, достаточной для закрепления на волокне 2,5—15% первого и 0,025—5% (в пересчете на металл) от веса сухого волокна второго продукта, и подвергают термич. обработке.

Е. Т.

4996 П. **Способ придания волокнистым материалам водоупорности. Зиферт** (Verfahren zum Wasserdichtmachen von Faserstoffen. Siefert Fritz) [Badische Anilin- und Soda-Fabrik]. Пат. ГФР 882241, 6.07.53 [Textil-Praxis, 1953, 8, № 12, 1091 (нем.)]

Патентуется способ придания волокнистым материалам водоупорности, отличающийся тем, что при обработке основными солями 3- или 4-валентных металлов или кислотными гелями окислов этих же металлов в состав пропиточной ванны вводят мочевины или тиомочевины в кол-вах, достаточных для обезвреживания имеющейся в наличии или образующейся в результате гидролиза солей кислоты.

З. М.

4997 П. **Способ придания природным и искусственным волокнам водоупорности. Хуберт, Хейзенберг** (Verfahren, natürliche oder künstliche Fäden und Fasern wasserabweisend zu machen. Hubert Emil, Heisenberg Erwin). Пат. ГДР 5174, 9.01.54

Для придания природным или искусств. волокнам водоупорности, сохраняющей даже при повторных стирках, волокна или ткани обрабатывают гидрофобизирующими в-вами типа:  $\text{OH}-\text{CH}_2-\text{NH}-\text{CO}-\text{R}_4$  или  $(\text{R}_1)(\text{R}_2)(\text{R}_3)(\text{A})\text{NCH}_2\text{NHCOR}_4$  или  $(\text{R}_1)(\text{R}_2)(\text{R}_3)(\text{A})\text{NCH}_2\text{OR}_4$ , а также одновременно в-вами типа:  $(\text{R}_1)(\text{R}_2)(\text{R}_3)(\text{A})\text{NCH}_2\text{N}(\text{COR}_4)(\text{R}_5)$   $(\text{N}(\text{COR}_6)\text{CH}_2\text{N}(\text{A})(\text{R}_3)(\text{R}_2)(\text{R}_1))$ . В этих ф-лах:  $\text{N}(\text{R}_1)(\text{R}_2)(\text{R}_3)$  — пиридин, А — анион одноосновной к-ты;  $\text{R}_4, \text{R}_5, \text{R}_6$  — углеводородные радикалы. Пропитанный материал освобождают от избытка р-ра, высушивают и подвергают термич. обработке при 100—130°. Обработку возможно проводить также для мокрых невсушенных изделий. Кислотность р-ра должна быть отрегулирована добавкой к-ты или буферных в-в до заданного pH. Иногда в р-р добавляют также формалин. Обработка может производиться либо при одновременном введении одного из трех указанных выше веществ, совместно с четвертым, либо при раздельном их применении по 2-ванному способу.

А. П.

4998 П. **Продукты для придания материалам одновременно водоупорности и огнестойкости. Бауер, Валлерно** (Produits destinés à rendre les matières simultanément hydrofuges et ignifuges. Bauer E., Vallernaud, m-me). Франц. пат. 1056692, 1.03.54 [Teintex, 1954, 19, № 11, 865 (франц.)]

Для получения продуктов, придающих тканям одновременно водоупорность и огнестойкость, действуют избытком конц. р-ра мочевины при t-ре  $< 90^\circ$ , напр. при 70—80°, на одну из обычно применяемых для придания тканям водоупорности солей (напр., формат, ацетат, сульфат, хлорид или оксихлорид Cu, Cr или Zr).

О. С.

4999 П. **Способ обработки тканей** (Procédé de traitement de tissus) [Farbenfabriken Bayer]. Франц. пат. 1030923, 18.06.53 [Teintex, 1953, 18, № 12, 805 (франц.)]

Способ обработки тканей, подвергаемых частой стирке, предусматривающий введение в р-р в заключительной части процесса стирки или непосредственно после ее окончания препаратов, придающих волокнам мягкость, в кол-ве  $\sim 1$  г/л. Для этой цели применяют катионактивные в-ва, напр., эфиры триэтанолamina или продукты сульфирования жиров. В случае необходимости их смешивают с эмульгаторами и оптически отбеливающими в-вами. Эта обработка увеличивает устойчивость изделий к износу в процессе повторных стирок; она особенно эффективна для тканей из вискозы и других целлюлозных волокон.

О. С.

5000 П. **Обработка синтетических полимеров** (Treatment of synthetic polymeric materials) [Soc. des Usines Chimiques Rhone-Poulenc]. Англ. пат. 712268, 21.07.54 [J. Soc. Dyers and Colourists, 1954, 70, № 10, 469 (англ.)]

Алифатические или алициклич. первичные или вторичные амины, содержащие  $< 11$  атомов С, применяют в присутствии органич. сульфокислот. Средство к кислотным красителям обработанного полимера быстро уменьшается с увеличением числа атомов С сверх названного предела.

О. С.

5001 П. **Способ получения азотсодержащих продуктов конденсации. Плёц, Датов** (Verfahren zur Herstellung stickstoffhaltiger Kondensationsprodukte. Plötz Ernst, Datow Joachim) [Badische Anilin- und Soda-Fabrik A.-G.]. Пат. ГФР 918984, 11.10.54 [Chem. Zbl., 1955, 126, № 5, 1171 (нем.)]

Текстильные хим. вспомогательные в-ва получают при нагревании 1,2-алкилоламинов, содержащих в молекуле одну или несколько OH-групп (напр., моноэтанолamina, метилэтанолamina, 1,2-пропанолamina, триэтанолamina), с  $\text{CO}_2$  под давлением при t-ре выше 150° (желательно 200—250°) до образования вязкой жидкости со слабой зеленоватой флуоресценцией.

П. Ч.

5002 П. **Новые продукты конденсации гуанилмеламинов, их приготовление и использование** (Nouveaux produits de condensation des guanilmelamines, leur procédé de préparation et leurs applications) [Ciba Soc. An.]. Франц. пат. 1054747, 12.02.54 [Teintex, 1954, 19, № 9, 711 (франц.)]

Способ предусматривает взаимодействие при 50—100°, предпочтительно в водн. среде: а) одного моля гуанилмеламмина, получаемого путем обработки при нагреве р-ра дициандиамида в инертном р-рителе галогидоводородными к-тами (напр., HCl) с последующей добавкой сильной щелочи для выделения свободных аминов и б) 2—6 молей альдегида (напр., формальдегида). Затем дистилляцией удаляют воду и действуют при 50—100° в присутствии р-рителей (алифатич. низших к-т, напр.,  $\text{HCOOH}$ ) на получаемый продукт конденсации водорастворимыми солями аммония или аминов (напр., дихлоргидратом этилендиаммина или хлоргидратом пиридина) или  $\text{NH}_4\text{Cl}$  в присутствии воды и  $\text{HCOOH}$ . Получаемые продукты конденсации могут служить пластификаторами, а также (при наличии водорастворимости) для повышения прочности окрасок прямыми красителями к мокрым обработкам.

А. П.

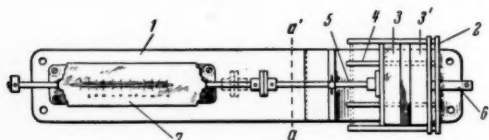
5003 П. **Растворение шелка в смешанных текстильных изделиях из шерсти и шелка. Хирока** (Dis-

solution of silk in mixed wool-silk textile product. Hiraoka Sennosuke). Япон. пат. 4847, 26.09.53 [Chem. Abstr., 1954, 48, № 18, 11074 (англ.)] Испытуемый материал обрабатывают  $H_2O_2$  и затем при высокой т-ре в конц. р-ре соли кальция до полного растворения шелка (без воздействия на шерсть.)

М. К.

5004 П. Прибор для определения прочности окраски к поту с применением сжатия. Милсон, Парсонс, Бейби (Compression tester for determination of fastness to perspiration of dyed textiles. Millson Henry E., Parsons Herbert L., Babey Matthew) [American Cyanamid Co.]. Пат. США 2630710, 10.03.53

Испытуемая ткань закладывается между пластинами 3—3' прибора (рис. 1). Прибор состоит из основания 1;



вертикально укрепленной на нем неподвижной пластины 2; системы направляющих стержней 4, образующих полый цилиндр; винта 5, проходящего через 3, удерживаемого ключом 6, и связанного с 5 динамометра 7. Нижняя часть прибора (по а—а) погружается в соответствующий р-р или паровую среду.

О. С.

#### ВЗРЫВЧАТЫЕ ВЕЩЕСТВА. ПИРОТЕХНИЧЕСКИЕ СОСТАВЫ

5005. Применение некоторых молекулярных соединений в качестве стабилизаторов и желатинизаторов в производстве бездымного пороха. Брандимарте (Sulle combinazioni molecolari degli stabilizzanti e gelatinizzanti usati nelle polveri senza fumo. Brandimarte E.). Chimica e industria, 1954, 36, № 2, 108—110 (итал.)

Исследовались диаграммы состояния бинарных смесей стабилизаторов и желатинизаторов, наиболее применяемых в Италии и Германии, с некоторыми органич. соединениями, а именно: централита (диметилдифенилмочевины) с фталидом, дифенилмочевинной, мононитро-нафталином, пирокатехином, палатинолом-С (дибутилфталатом), этилфенилуретаном, триацетатом метилпентаэритрита и фталида с дифениламино, мононитро-нафталином и триацетатом метилпентаэритрита. Были обнаружены следующие эвтектики: централит — дифениламин 50/50—т. пл. 19°, фталид—дифениламин 40/60 27,5°, фталид — мононитронафталин 35/65 34,5°, централит—мононитронафталин 60/40 40°.

М. Ф.

5006. Чувствительность к инициированию вторичных взрывчатых веществ. Шалль (Die Initiierungsempfindlichkeit von Sekundärsprengstoffen. Schall R.), Z. Naturforsch., 1953, 8a, № 10, 676 (нем.)

Приведена ф-ла для вычисления миним. энергии (Е), необходимой для инициирования вторичных (бризантных) взрывчатых в-в, вызывающей их детонацию,  $E = \frac{1}{6} \rho_0 \cdot a^2 D^2 V^{-1}$ , где  $\rho_0$  — плотность заряжения взрывчатых в-в,  $V$  — начальная скорость инициирующего импульса,  $a$  — глубина реакционной зоны,  $D$  — скорость детонации. Индекс «i» указывает на то, что приводимые величины относятся к стационарной плоской волне. Полученные данные удовлетворительно совпадают с результатами непосредственного измерения.

Л. М.

5007 П. Способ желатинизации жидких нитропарафинов. Мейснер (Process for gelling liquid nitroparaffins. Maisner Herman) [Aerojet-General Corp.]. Пат. США 2690964, 5.10.54

Для получения студнеобразных р-ров нитрометана к 50—90 вес.% нитрометана прибавляют 10—50 вес.% нитроцеллюлозы и в качестве сенсibilизатора анилин, дифенилэтилендиамин, диэтиламин или тетраэтиленпентамин.

В. У.

5008 П. Способ непрерывной нитрации. Франз, Кеплингер (Continuous nitration process. Franz Arvel O., Keplinger Orin C., Jr.) [Olin Industries, Inc.]. Канад. пат. 497792, 17.11.53

Описаны непрерывный способ нитрации для получения тетрила и тринитроглицерина и реактор непрерывного действия, представляющий цилиндрический вертикальный U-образный сосуд с мешалками в обоих коленах оригинальной конструкции. Под действием мешалок (создание многократных чередований подъема и опускания струй в общем потоке реагирующей массы, проходящей через реактор) путь, проходимый жидкостью, и время контактирования значительно увеличиваются. Эффективность отвода выделяющегося тепла обеспечена внешним охлаждением. Исходный материал и нитрующую смесь раздельно вводят в верх одного из колен реактора, а продукт нитрации и отработанную к-ту отводят с верха другого колена. Агрегат может состоять из ряда последовательно работающих реакторов.

Н. П.

5009 П. Получение 1,2,6-гексантриолтринитрата. Бронштейн (Preparation of 1,2,6-hexanetriol trinitrate. Bronstein Jesse B., Jr) [Trojan Powder Co.]. Пат. США 2683164, 6.07.54

1,2,6-гексантриолтринитрат получают действием нитрующей смеси, состоящей из  $HNO_3$  и  $H_2SO_4$ , при т-ре от —5° до +1° на фракцию 1,2,6-гексантриола с т. кип. 175—178°/~5 мм. Смесь выдерживают в указанных условиях, пока нитрование не закончится.

И. Ш.

5010 П. Способ получения пластифицированных гранулированных нитроцеллюлоз (Procédé pour l'obtention de nitrocelluloses plastifiées granulées) [Etat Français (Ministère de la Défense Nationale, représenté par Monsieur le Directeur du Service des Poudres)]. Швейц. пат. 291822, 1.10.53 [Chimia, 1954, 8, № 4, 102 (франц.)]

Водную суспензию измельченной нитроцеллюлозы встряхивают со смесью р-рителя и нерастворимого пластификатора. Полученную гранулированную массу нагревают при размешивании до удаления р-рителя.

Е. К.

#### ЛЕКАРСТВЕННЫЕ ВЕЩЕСТВА. ВИТАМИНЫ АНТИБИОТИКИ

5011. Получение глицерилмоноринценолеата. Боццола (Preparazione del monoricinoleato di glicerile. Bozzola Roberto), Boll. chim. farm., 1954, 93, № 6, 199—202, 203, (итал.; резюме англ.)

Для получения моноглицерида I ринценолиновой к-ты последнюю (40 г) вводят в р-цию с глицерином (14,5 г) при 190—200° и давлении 300 мм в течение 8 час. в присутствии фосфорной к-ты (0,25 г) в качестве катализатора. I имеет желто-коричневый цвет, вкус касторового масла, без запаха; растворим в спирте, эфире хлф., ацетоне, укуссеном эфире; нерастворим в пестр. эф.; с водой образует стойкую эмульсию; т. пл. 372°, уд. в. 0,99—1,01 при 15°,  $\chi_D^{20} 155$ —160; ИЧ 70—75.

Л. М.



5012. Сервокислый атропин или атропиниумсульфат. Байер (Kénsavas atropin vagy atropiniumsulfat. Bayer István), A gyógyszerész, 1954, 9, № 2, 23—24 (венг.).

Исходя из представления о строении солей аммония и его производных как содержащих комплексный ион типа  $[NR_2R_3R_4]^+$ , предложены названия типа атропиниумсульфат для солей алкалоидов. Г. Ю.

5013. Зеленые ранние манго в качестве источника витамина С. Сиддаппа, Бхатия (Tender green mangoes as a source of vitamin C. Siddappa G. S., Bhatia B. S.), Indian J. Hort., 1954, 11, № 3, 104—111 (англ.).

Зеленые незрелые манго более богаты содержанием аскорбиновой к-ты (I), чем зрелые; их мякоть высушить в виде ломтиков после погружения в разбавленный р-р сульфата. (Сухие листья сырые I и хорошо сушатся при 24—30°; содержание I составляет 77% первоначального через 6 месяцев, и 45% через 12 месяцев. При измельчении листьев в порошок первоначальной потеря I, составлявшая 100% к концу первого же года хранения. Л. М.)

5014. Синтез гормонов коры надпочечников. 2. Частичные синтезы из природных стероидов. Финч (The synthesis of adrenocortical hormones. 2—Partial syntheses from naturally-occurring steroids. Finch C. A.), Manufact. Chemist, 1954, 25, № 3, 100—106 (англ.).

Обсуждаются хим. проблемы, связанные с вопросом частичного синтеза кортизона (I) из природных стероидов. Описаны р-ции и приведены схемы получения I, исходя из тестостерона, эристерола (из дубяжей) и стигмастерола (из сосновых б-сов). В пересл. статье по данному вопросу описывались методы полного синтеза I. В аннотируемой статье приведены сбор методов промышленного синтеза I и применения при этих синтезах исходных в-в. Сослечение 1 см. ГЖХим, 1955, 41462. Л. М.)

5015. Об оптических свойствах составных частей кернелина папоротника. II. Ультрафиолетовая абсорбция различных и значительно измененных препаратов Filicis. Херхаммер, Шпаль (Über das optische Verhalten von Bestandteilen des Farnrhizems. II. UV-Absorption verschiedener und verschieden stark veränderter Filixpräparate. Hörterhammer L., Spragl H. R.), Arch. Pharmazie, 1954, 287, 59, № 1, 18—27 (нем.).

С целью разработки физ.-хим. метода оценки препаратов описано определение абсорбции в УФ-спектре компонентами препаратов, присутствующих в кернелина папоротника. Описан также биол. метод испытания препаратов папоротника на черехах. Сослечение 1 см. ГЖХим, 1955, 41487. Л. М.)

5016. Изучение фармакологического метода приготовления раствора хлоркислоты. Ллойд, Клегг (A study of the pharmacological method for the preparation of solution of chloroxylenol. Lloyd John B., Clegg Barbara W.), J. Pharmacy and Pharmacol., 1954, 6, № 11, 797—805 (англ.).

При существующем методе приготовления р-ра хлоркислоты (I) с использованием в качестве индикатора бромтимолблау, очень трудно наблюдать изменение его цвета в желтом р-ре, вследствие чего невозможно установить требуемое кол-во олеиновой к-ты (II), прибавляемой к композиции I для получения фармакологического препарата. Предлагается новый способ приготовления стойкой композиции I, в состав которой входят следующие компоненты: 50 г I, 100 мл триглицерола, 200 мл 95%-ного спирта (III), 63 г касторового масла (IV), 13,6 г КОН, требуемое кол-во II, дистилл. вода до 1000 мл. Способ получения состоит в том, что КОН растворяют в 15 мл дистилл. воды и еще горячий р-р

приливают к р-ру IV в 63 мл III; перемешав, оставляют стоять 10 мин. или до тех пор, пока небольшое кол-во р-ра не будет оставаться прозрачным в течение 10 мин. по разбавлении его 19-кратным кол-вом воды. При помешивании прибавляют достаточное кол-во II до тех пор, пока небольшим объемом мыльного р-ра не перестанет окрашиваться в розовый цвет при его смешивании с равным объемом р-ра фенолфталеина. Прибавляют еще 10 мл II. Затем растворяют I в остальных 137 мл III, смешивают с триглицеролом и прибавляют к вышеупомянутому мыльному р-ру; общий объем р-ра доводит дистилл. водой до 1000 мл. Л. М.)

5017. Эмульсионные свойства полиэтиленгликолевых эфиров стеарилового спирта. Хадграфт (The emulsifying properties of polyethyleneglycol ethers of cetostearyl alcohol. Hadgraft J. W.), J. Pharmacy and Pharmacol., 1954, 6, № 11, 816—829 (англ.).

Приведены данные применения в фармацевтической практике ряда полиэтиленгликолевых эфиров (I) стеарилового спирта (II). Установлено, что низшие члены ряда I с 2 или 4 группами окиси этилена (III) являются более эффективными эмульгаторами для жидкого парафина и арахидного масла, чем высшие члены ряда. Однако I в сочетании с II образуют неводные эмульсионные воски (IV), на эмульгирующую способность которых разница в кол-ве групп III в молекуле не оказывает такого сильного влияния. IV, полученные из членов этого ряда и содержащие 6—10 групп III, весьма эффективно эмульгировали 70%-ый жидкий парафин и арахидное масло. Определена совместимость неводной эмульсионной мази, содержащей цетомакрогол 1000, с рядом дерматологических лекарственных средств. Доказана возможность образования продуктов присоединения между в-вами фенольного характера и производными III. Предложена ф-ла водорастворимой мазевой основы с включением в нее хлорометицином; 60% пропиленгликоля + 40% цетомакрогола 1000 + 1% хлорометицина. Л. М.)

5018. Эмульсии. (Сообщение 4). Основы галеновой фармации I. Шульц (Emulsionen (4. Mitteilung). Grundlagen der galenischen Pharmazie I. Schultz Otto-Erich), Pharmaz. Ind., 1953, 15, № 10, 315—317 (нем.).

Обзор эмульгаторов типов «масло в воде» и «вода в масле», представляющих собой растворимые органич. в-ва (соли и производные высокомолекулярных жирных к-т; мылоподобные соединения — сапонины, четвертичные аммониевые соединения; лецитины; камесмолы и полисахариды — трагакант, декстрин, альгинаты; производные целлюлозы и белковые в-ва типа желатины и альбумина и др.) или нерастворимые неорганич. соединения (гидрат окиси алюминия, каолин). Описаны требования, которым должны удовлетворять хорошие эмульгаторы. Указано, на какие группы могут быть подразделены эмульгаторы по своей способности вступать в комбинации с различными в-вами. Сослечение 3 см. ГЖХим, 1955, 44406. Л. М.)

5019. Лосьоны разного состава в качестве подводящего средства. Скобел, Лиштин (Versatile lotion vehicle. Schobel William L., Lichstein J. Leon), J. Amer. Pharm. Assoc. Pract. Pharmacy Ed., 1954, 15, № 7, 420—421, 430 (англ.).

Наилучшим подходящим средством для лекарственных препаратов, применяемых в дерматологии, практике, являются жидкие композиции (I) лосьоны (Л). Преимущество Л перед мазями состоит в том, что они быстрее втираются и дают меньше остатка на коже. В состав двух Л входят, соответственно, в А и Б: Метилпарабен 0,25; 0,25. Пропилпарабен 0,15; 0,15. Лаурилсульфат Na 10; 10. Пропиленгликоль 120; —.

Стеариловый спирт 25; 21. Легкий жидкий вазелин 250; 400. Дистилл. вода 595; 500. Спэн 20 —; 55. Твин 20—; 25. Для приготовления I А стеариловый спирт расплавляют на водяной бане, прибавляют жидкий вазелин, нагревают до 70°, растворяют метил- и пропилпарабен в горячей воде, прибавляют лаурилеульфат Na и пропиленгликоль. Нагревают водн. р-р до 70°. Выливают водн. смесь тонкой струей, перемешивая, в масляную фазу. Продолжают перемешивание, снижая т-ру до 45°. Для приготовления I Б к расплавленному на водяной бане стеариловому спирту прибавляют спэн 20, вазелин и нагревают до 70°; растворяют метил- и пропилпарабен в горячей воде, прибавляют твин 20 и лаурилеульфат Na. Доводят т-ру водн. р-ра до 70°. Выливают смесь тонкой струей в перемешиваемую масляную фазу и продолжают перемешивание, снижая т-ру до 45°.

Л. М. 5020. Некоторые основные субстраты для масел, их свойства и качество. Попов, Самсонова (Върху някои основни векули за мази, техните свойства и качество. Попов Любен, Самсонова Софийа), Фармация, 1954, 4, № 5, 34—41 (болг.).

Изучены свойства стеариновой мази (СМ) нового типа. Это стойкая эмульсия типа «масло в воде» состава: ~20% высших жирных к-т, 1—2% карбоната щел. металла, 80% воды. СМ нейтральна, совместима со многими лекарственными в-вами, кроме солей, дающих при ионизации сильноокислую р-цию; добавляя к СМ ZnO, глицерин, вазелин, минер. масла и т. д., можно получить высококачественные Zn-мази разнообразными свойствами. Физ. свойства СМ: рН 7,5, т. заст. 48—54°, абсорбция по Грею 23 мл 0,1 н. AgNO<sub>3</sub>.

З. Б. 5021. Анализ липкой массы на основе каучука и окиси цинка, применяемой для приготовления липких пластырей. Циммерман, Чивитареале (Analisi delle paste adesive a base di caucciù ed ossido di zinco, applicate su nastro. Zimmermann P., Civitareale E.), Farmaco. Ed. prat., 1954, 9, № 8, 407—412 (итал.).

Описан систематич. ход анализа, а также р-ции идентификации отдельных смол липкого пластыря. Б.А.

5022. О стабильности аскорбиновой кислоты в суппозиториях. Пончи (Sulla stabilità dell'acido ascorbico nei suppositori. Ponci R.), Farmaco. Ed. scient., 1954, 9, № 9, 473—477 (итал.; резюме англ.) Изучалась стабильность витамина С в суппозиториях в зависимости от основы и условий приготовления и упаковки. Полученные результаты показывают возможность приготовления стабильных препаратов при применении свободной аскорбиновой к-ты, масла какао в качестве основы и избегая доступа воздуха. На стабильность витамина С не оказывает влияния материал форм для отливки и предохраняющие средства, обычно употребляемые для р-ров витамина С.

Л. М. 5023. Исследование разложения цинхокаина. Вачек (Sledování rozkladu cinchokainu. Vacek J. a n), Ceskosl. farm., 1955, 4, № 1, 6—7 (чеш.; резюме русс., англ.).

При гидролизе цинхокаина в кислом р-ре прежде всего отщепляется алкоксильная группа с образованием N-диэтил-амид-2-гидроцинохонидовой к-ты (I), затем гидролизуется амид, освобождая 2-гидроцинохонидовую к-ту (II). Присутствие этих продуктов гидролиза доказано хроматографически (на бумаге) и полярографически. В буферной смеси по Кларку и Любу (рН 5,8) потенциал полувагит для I составляет минус 1,11 в, а для II — минус 1,25 в сравнительно с каломельным электродом. Высота волны I зависит от диффузии; зависимость ее от концентрации в исследуемых пределах является линейной. В присутствии цинхокаина продукты разложения определяются полярографически. Пло-

щадь пята I при хроматографии (сине-зеленая флуоресценция в УФ-свете) пропорциональна нанесенному кол-ву, так что метод применим для полуколичественного анализа. При разложении цинхокаина его токсичность и местное анестезирующее действие снижаются.

З. Б. 5024. О содержании экстрактивных веществ в настойках. Траберт (Über den Extraktgehalt von Tinkturen. Trabert H.), Pharmazie, 1954, 9, № 5, 373—385 (нем.).

Статистич. методом оценки большого материала по определению экстрактивных в-в (I) в лекарственных растениях, как не содержащих определенных действующих в-в, так и содержащих легкоопределяемые действующие начала: алкалоиды, глюкозиды, оксиметилатрахиноны, сантонин и другие, автор выяснил, что между содержанием действующих начал и I нет взаимосвязи и потому содержание I не может служить критерием доброкачественности настоек.

С. Б. 5025. Сравнительное исследование исходных настоек *Aconitum Napellus*. Эрбринг, Грюневальд, Кох, Кнейн (Vergleichende Untersuchungen an Urtinkturen von Aconitum Napellus. Erbring H., Grunewald E., Koch Fr. E., Knein P.), Dtsch. Apoth. Ztg., 1953, 93, № 19, 352—354 (нем.).

Настойки *Aconitum Napellus* получали по способам, описанным в §§ 1 и 2 Германской (гомеопатич.) Фармакопеи, а также по способу Куна-Шефера, и сравнивали их в отношении выходов и содержания алкалоидов. Установлено, что наилучшие результаты как по выходу, так и по содержанию алкалоидов дает способ § 2. Для определения содержания алкалоидов рекомендуется метод, описанный в Швейцарской Фармакопее (5-е изд.).

Л. М. 5026. Данные о стерилизации и хранении фармацевтических растворов. Кедвешши (Adatok gyógyszeres oldatok eltartásához és sterilizéséhez. Kedves György), Gyógyszerész, 1955, 10, № 2, 28—32 (венг.).

В качестве стабилизирующего и дезинфицирующего средства (напр., при стабилизации р-ров мерфена (I), рифена и фамосепта) можно применять фенол-ртуть-борат. В стабилизированном р-ре I 0,17% ртути р-ра находится в диссоциированном состоянии, причем диссоциация в течение 9 месяцев мало меняется. При повышении т-ры р-ра конц-ия ионов ртути заметно увеличивается, но с охлаждением р-ра происходит почти полная ассоциация, так что конц-ия ионов в охлажденном р-ре мало отличается от их первоначальной конц-ии. При хранении р-ра амидозофена на свету, а также при т-рах выше 80° его разложение заметно ускоряется. Можно добиться значительного замедления окисления спирт. р-ра пода, прибавляя к р-ру KJ. Для полной тепловой стерилизации водн. р-ров оказались необходимыми т-ра 107°, при давл. 0,25 атм. Для стерилизации чувствительных к высокой т-ре алкалоидов рекомендуется быстрый нагрев р-ров до 120°. При стерилизации р-ров глюкозы происходит заметные хим. изменения, сопровождающиеся изменением цвета. Последнего можно избежать подкислением р-ров до рН 3,5—4.

Г. Ю. 5027. Резиновые затворы для посуды с инъекционными растворами. I. Влияние температуры и рН на скорость выщелачивания цинковых солей с резиновых затворов, соприкасающихся с (кислыми) растворами. Резнек (Rubber closures for containers of parenteral solutions. I. The effect of temperature and pH on the rate of leaching of zinc salts from rubber closures in contact with (acid) solutions. Reznek Solomon), J. Amer. Pharmac. Assoc. Scient. Ed., 1953, 42, № 5, 288—291 (англ.).

Соли цинка, прибавляемые во время процесса вулканизации, иногда появляются на поверхности формованных резиновых затворов, применяемых для посуды с парентеральными р-рами. Хотя цинк можно смыть с поверхности, все же он встречается в р-ре вследствие соприкосновения р-ра с резиной или благодаря попаданию Zn с внутренней части каучука в р-р, или благодаря проникновению р-ра в резину. Растворенный Zn может достигнуть физиологически недопустимой концентрации в р-ре, или может явиться причиной образования нерастворимых частиц, благодаря взаимодействию с другими компонентами р-ра или сосуда. Исследовалось влияние т-ры и pH на скорость выщелачивания цинковых солей. Результаты опытов показали, что при обычных условиях хранения выщелачивается лишь весьма незначительное кол-во Zn, присутствующего на поверхности затворов. При 45° значительная разница была отмечена через 2 дня. Л. М.

**5028. Стабильность инъекционного раствора сукцинилхолинхлорида.** Эрлс, Фостер, Хардстон, Стюарт (The stability of injection of succinylcholine chloride. Earles M. P., Foster G. E., Hardstone Beryl L., Stewart G. A.), J. Pharmacy and Pharmacol., 1954, 6, № 11, 773—779 (англ.)

Разработан иодометрич. метод определения степени гидролиза сукцинилхолина в инъекционном р-ре сукцинилхолинхлорида (I), заключающийся в том, что точно отмеренные 2 мл р-ра наливают в колбу на 150 мл, прибавляют 10 мл 0,005 н. р-ра тиосульфата Na и 2 мл реактива  $KJO_3/KJ$  (10 г KJ и 0,36  $KJO_3$  растворяют в воде, доводят объем до 100 мл и хорошо перемешивают); оставляют смесь стоять 10 мин., прибавляют 1 мл крахмального клейстера и титруют избыток 0,005 н. тиосульфата Na 0,005 н. р-ром J. Ставят одновременно холостой опыт с реактивом. Каждый 0,005 н. J эквивалентен 0,000295 г ( $CH_3COOH$ )<sub>2</sub>. Степень гидролиза выражают в общей кислотности, рассчитанной на янтарную к-ту. Пользуясь описанным методом, определяли стабильность р-ра I во время хранения при 20° и при 37°. В первом случае через год наблюдали гидролиз I на 20%, во втором случае такой же срок хранения привел к почти полному гидролизу I. Результаты иодометрич. определения были подтверждены хроматографич. анализом и биол. испытанием. Л. М.

**5029. Фармакогнозия некоторых семян строфанта из Индии.** Гупта, Бал (Pharmacognosy of some Strophanthus seeds from India. Gupta B., Bal S. N.), Indian J. Pharmacy, 1954, 16, № 3, 74—77 (англ.)

Описаны фармакогностические и фармакологические свойства семян строфанта *Strophanthus hispidus*, произрастающего в Индии близ Калькутты в диком виде, показывающие незначительное отличие их от семян различных видов строфанта, произрастающих в Африке и используемых в лекарственной практике. Л. М.

**5030. Потенциометрический метод количественного определения *n*-аминосалицилата натрия.** Стоктон, Зуккерман (A potentiometric method of assay for sodium *p*-aminosalicylate (Sodium Pas). Stockton J. Richard, Zuckerman J. Richard), J. Amer. Pharm. Assoc. Scient. Ed., 1954, 43, № 5, 273—275 (англ.)

Предлагается метод колич. определения *n*-аминосалицилата натрия (I) путем потенциометрич. титрования ~0,1 н. р-ра его в смеси вода-этиленгликоль-изопроп. спирта (1:1:1 по объему) ~0,1 н. р-ром  $HClO_4$  (II). Расчет производится по ф-ле:  $(a-2e) \cdot 10^{-3} \cdot N:175 = I$  (в г) *a*—мл всей II, пошедшей на титрование; *e*—мл II, пошедшей на титрование до 1-й точки перегиба кривой, которая строится по координатам показания pH-метра—мл II; *N*—нормальность II. В. П.

**5031 П. Соединения типа эфиров бензгидрола** (Compounds of the benzhydryl-ether type) [Nopco Chemical Co.]. Англ. пат. 688354, 4.03.53 [Brit. Abstrs., 1953, VII, 452 (англ.)]

N-замещенные пиперидилбензгидрилы эфиры (с алкил-, арил-, циклоалкил-группами или гетероциклич. кольцом при N) получают р-цией  $CH(C_6H_5)_2Cl$  (I) с N-замещенным 4-оксипиперидином или его Na- или K-димерами или р-цией I с N-замещенным 4-галондипиридином в присутствии третичного амина. 3 г 4-окси-1-циклогексилпиперидина кипятят с 18,5 г  $CH(C_6H_5)_2Br$ , 9,27 г N-(*n*-C<sub>4</sub>H<sub>9</sub>)<sub>3</sub> и 25 мл  $COCH_3$  (изо-C<sub>4</sub>H<sub>9</sub>) в течение 4 час. и получают 4-бензгидрилокси-1-циклогексилпиперидин (II), т. пл. 53—60°, бромгидрат II, т. пл. 232—234° (после перекристаллизации выход 95%), хлоргидрат II, т. пл. 230—232°. Аналогично получают 4-бензгидрилокси-1-бензилпиперидин (III), т. пл. 77—79°, хлоргидрат III, т. пл. 246—248°, выход 81%; 1-(2'-пиридил)-, 1-циклопентил-, 1-(2'-фенилэтил)- и 1-фенил-4-бензгидрилокси-пиперидин. В-ва обладают антиспазматич. и анестезирующими свойствами. Е. К.

**5032 П. Способ синтеза 2,3-бис-(*n*-оксифенил)-бутadiенов или их гомологов.** Клетте (Verfahren zur Herstellung von 2,3-Di-(*p*-oxyphenyl)-butadienverbindungen oder deren Homologen. Klette Hermann) [Forachemie Ges. für pharmazeutische und chemischtechnische Produkte m. b. H.]. Пат. ГФР 884497, 27.07.53 [Chem. Zbl., 1954, 125, № 35, 7931 (нем.)]

Лекарственные в-ва, являющиеся 2,3-бис-(*n*-оксифенил)-бутadiенами или их гомологами, получают обработкой 2,3-бис-(*n*-оксифенил)-бутан-2,3-диолов или их гомологов ( $CH_2$  в мета-положении к оксигруппе оксифенильного радикала) реагентами, отщепляющими воду и одновременно ацилирующими фенольные OH-группы. *m*-Крезол +  $CH_3COCl$  + безвод.  $AlCl_3$  и  $C_6H_5NO_2$  при 40° → *n*-ацето-*m*-крезол (I), I + 2% Na-амальгама в 5% NaOH → бис-(*n*-окси-*o*-метилфенил)-бутандиол (II), т. пл. 188—193°, нагревание II +  $CH_3COCl$  +  $(CH_3CO)_2O$  дает бис-(*n*-ацетокси-*o*-метилфенил)-бутadiен (III), т. пл. 127—129°, омыление III 5% спирт. NaOH дает 2,3-бис-(*n*-окси-*o*-метилфенил)-бутadiен-1,3, т. пл. 158—164°. Препарат в дозе 1,5 γ обладает гормональной активностью в пробе Аллен-Дюиз на кастрированных крысах. *m*-Крезол +  $CH_3CH_2COCl$  → пропикрезол, т. пл. 114—118°, → диол, т. пл. 182—183°, → 3,4-бис-(*n*-окси-*o*-метилфенил)-гексадиен-2,4-диацетат, т. пл. 166—168° → 3,4-бис-(*n*-окси-*o*-метилфенил)-гексадиен-2,4, т. пл. 187—189°. В. В.

**5033 П. Способ получения четвертичных аммониевых соединений бис-аминоалкоксиланов** (Verfahren zur Herstellung einer quaternären Ammoniumverbindung eines Bis-aminoalkoxyalkanes) [J. R. Geigy A.-G.]. Швейц. пат. 290449, 291680, 17.08.53 [Chimia, 1954, 8, № 1, 23 (нем.)]

Соли четвертичных аммониевых оснований, ф-лы:  $R'(R)_2XN(CH_2)_mO(CH_2)_nO(CH_2)_mN(R)_2R'X$  (*R*—одинаковые или разные низшие алкилы, или же два *R* вместе с одним N-атомом образуют насыщ. гетероцикл;  $R'—CH_3$  или  $C_2H_5$ ; *X* = Cl, Br или J; *m* и *m'* = 2—4; *n*—не меньше 2) получают р-цией двутретичных бис-аминоалкоксиланов с  $R'X$  или третичных аминов  $(R)_3NR'$  с бис-галоидалкоксиланками. Описанные соединения влияют на мышечный тонус. К. М.

**5034 П. Способ получения арилсульфонилтиомочевин.** Шарпантье (Verfahren zur Herstellung von Arylsulfonylthioharnstoffen. Charpentier Paul) [Soc. des Usines Chimiques Rhône-Poulenc]. Пат. ГФР 899037, 7.12.53 [Chem. Zbl., 1954, 125, № 9, 2007 (нем.)]

K арилсульфонилцианамиду в безвод. среде (в частности, в абс. сп.) присоединяют  $H_2S$  в присутствии су-



хого  $\text{NH}_2$  или органич. основания (диэтиламин), а также при участии катализатора (персульфид, перекись). Т-ра поддерживается при 50—100°, в частности 70°. Напр., *л*-аминобензолсульфонилтиомочевина превращают в *л*-аминобензолсульфонилтиомочевину (т. пл. 200° с разл.), обладающую бактерицидным и бактериостатич. действием. О. М.

**5035 П. Стабилизированная 1-сульфанил-2-тиомочевина.** Бениш (Stabilized 1-sulfanilyl-2-thiourea. Behnisch Robert) [Schenley Industries, Inc.]. Пат. США 2694030, 9.11.54

Химиотерапевтич. препарат для применения в ушной практике содержит не менее 50% от веса препарата 1-сульфанил-2-тиомочевину (I) в виде стойкого некристаллизующегося при длительном хранении на холоду водн. р-ра. В состав водн. р-ра препарата входит соль I со смесью вторичного амина, в частности диэтанолamina и *N*-метилглюкамина, причем их суммарный молекулярный эквивалент равен молекулярному содержанию I. О. М.

**5036 П. Способ получения сульфамидных соединений.** Лоренц, Бениш, Мицш (Verfahren zur Herstellung von Sulfonamidverbindungen. Lorenz Walter, Behnisch Robert, Mietzsch Fritz) [Farbenfabriken Bayer A.-G.]. Пат. ГФР 902010, 18.01.54 [Chem. Zbl., 1954, 125, № 39, 8855 (нем.)]

Бензолсульфенгалогенид, в котором в пара-положении находится *N*-замещ. группа, при взаимодействии с циклич. аминами образует *л*-замещ. бензолсульфенамид, который подвергают окислению в мягких условиях.  $\alpha$ -Аминопиридин с *л*-нитробензолсульфенхлоридом (I) в эфире при 30° дает  $\alpha$ -(*л*-нитробензолсульфенамидо)-пиридин, желтые иглы, т. пл. 164°, который в  $\text{CH}_3\text{COOH}$  при охлаждении окисляют 20%-ной  $\text{H}_2\text{O}_2$  в  $\alpha$ -(*л*-нитробензолсульфамидо)-пиридин, листочки, т. пл. 164—165°. 4-толуилид + I  $\rightarrow$  4-(*л*-нитробензолсульфенамидо)-толуол, желтый порошок, т. пл. 74°,  $\rightarrow$  4-(*л*-нитробензолсульфамидо)-толуол, т. пл. 180—181°. 2-(*л*-нитробензолсульфенамидо)-тиазол, т. пл. 166° из  $(\text{CH}_3)_2\text{CO} \rightarrow$  2-(*л*-нитробензолсульфамидо)-тиазол, т. пл. 260° (из  $\text{CH}_3\text{COOH}$ ). 2-(*л*-нитробензолсульфенамидо)-4-метилтиазол, т. пл. 183° (из диоксана)  $\rightarrow$  2-(*л*-нитробензолсульфамидо)-4-метилтиазол, т. пл. 194° (из  $\text{CH}_3\text{COOH}$ ). 2-амино-5-этилтиодиазол + I  $\rightarrow$  2-(*л*-нитробензолсульфенамидо)-5-этилтиодиазол, т. пл. 164°,  $\rightarrow$  2-(*л*-нитробензолсульфамидо)-5-этилтиодиазол, т. пл. 185° (из  $\text{CH}_3\text{OH}$ ). 4,4'-динитродифенилдисульфид +  $\text{Cl}_2$  + 2-амино-4,6-диметилпиримидин  $\rightarrow$  2-(*л*-нитробензолсульфенамидо)-4,6-диметилпиримидин, т. пл. 216°,  $\rightarrow$  2-(*л*-нитробензолсульфамидо)-4,6-диметилпиримидин, серебристые листочки (из 50% сп.), т. пл. 218°. 2-(*л*-нитробензолсульфенамидо)-пиримидин  $\rightarrow$  2-(*л*-нитробензолсульфамидо)-пиримидин, т. пл. 272°. 2-(*л*-нитробензолсульфенамидо)-4-метилпиримидин, т. пл. 192°,  $\rightarrow$  2-(*л*-нитробензолсульфамидо)-4-метилпиримидин, т. пл. 260°. 4-*л*-нитробензолсульфенамидо)-2,6-диметилпиримидин, т. пл. 225° (из диоксана)  $\rightarrow$  4-(*л*-нитробензолсульфамидо)-2,6-диметилпиримидин, светложелтые кристаллы, т. пл. 211°. Полученные в-ва представляют собой лекарственные препараты и промежуточные продукты. О. М.

**5037 П. Способ получения плотной мелкозернистой натриевой соли 3,3'-диамино-4,4'-диоксипарсенбензолметилсульфоксидной кислоты.** Фюрст (Verfahren zur Herstellung von dichtem, griesförmigem Natriumsalz der 3,3'-diamino-4,4'-dioxo-arsenobenzol-methylsulfoxyssäure. Fürst Hans). Пат. ГДР 5988, 23.11.53

Способ состоит в том, что реакционную смесь, получаемую в результате обработки дихлоргидрата 3,3'-диамино-4,4'-диоксипарсенбензола ронгалитом, вводят тонкой струей при непрерывном перемешивании в 4-

кратное кол-во смешивающегося с водой р-рителя (напр. какого-либо спирта, в частности, изопропилового), содержащего 2—5% (в частности, 4—4,5%) воды, в результате чего образуется смолоподобная лепешка или зернистый продукт, из которого после измельчения, промывки и сушки получают плотный мелкозернистый порошок 3,3'-диамино-4,4'-диоксипарсенбензолметилсульфоксидата Na с об. в. 0,5—0,8. Преимущества способа в меньшем объеме производственных чанов, меньшей фильтрующей поверхности, меньшей чувствительности осадка к действию  $\text{O}_2$  воздуха, меньшем расходе р-рителя, повышенном выходе готового продукта; последний не спекается, пересыпается легко и без пылеобразования, легко и точно дозируется. При вакуумизации заполненных им ампул выделяется незначительное кол-во газа, что значительно сокращает время заполнения ампул. Я. К.

**5038 П. Способ получения троповой кислоты, ее производных и аналогов** (Process for the production of tropic acid and derivatives and analogs thereof) [Sterling Drug, Inc.]. Англ. пат. 709585, 26.05.54 [J. Appl. Chem., 1954, 4, № 10, 11, 501—502 (англ.)]

Кислоты общей ф-лы  $\text{CH}_3(\text{OH})\text{CRR}'\text{COOH}$  ( $\text{R} = \text{H}$ , арил с 1—2 циклами, имеющий  $\leq 15$  атомов C, тиенил или алкилированный тиенил с 5—10 атомами C,  $\text{R}' =$  алкил с 1—6 атомами C, алкоксигруппа с 1—6 атомами C, тиенил или алкилированный тиенил с 5—6 атомами C, арил, арилокс, или алралкил, в котором ароматич. часть содержит 1—2 цикла с  $\leq 15$  атомами C), получают действием формальдегида на соль органометаллич. соединения  $\text{XMgCRR}'\text{COOH}$ , где X — галогид, с последующим гидролизом полученного комплекса. Последовательно прибавляют эфир, сухой фенилацетат натрия (предпочтительно кальция или аммония) и Mg в эфире, активированному  $\text{C}_6\text{H}_5\text{Br}$ , и вводят газообразный  $\text{CH}_2\text{O}$  в смесь. Получают троповую к-ту ( $\text{R} = \text{H}$ ,  $\text{R}' = \text{C}_6\text{H}_5$ ), т. пл. 116—117°, выход 59,5%. Указаны следующие соединения:  $\text{R} = \text{H}$ ,  $\text{R}' = 2$ -тиенил, т. пл. 95—96°;  $\text{R} = \text{H}$ ,  $\text{R}' = n$ -дифенил, т. пл. 207—209° (с разл.), выход 77,6%;  $\text{R} = \text{R}' = \text{C}_6\text{H}_5$ , т. пл. 158—159°, выход 90,5%;  $\text{R} = \text{C}_6\text{H}_5\text{CH}_2$ ,  $\text{R}' = \text{C}_6\text{H}_5$ , т. пл. 188—189°, выход 22%;  $\text{R} = \text{C}_6\text{H}_5\text{O}$ ,  $\text{R}' = \text{C}_6\text{H}_5$ , т. пл. 160—161°, выход 26,3%;  $\text{R} = 2'$ -тиенил,  $\text{R}' = \text{C}_6\text{H}_5$ ,  $\text{R} = \text{R}' = 2'$ -тиенил;  $\text{R} = \text{H}$ ,  $\text{R}' =$  фенилпропан;  $\text{R} = \text{H}$ ,  $\text{R}' = 2$ -тиенилгексан;  $\text{R} = \text{C}_6\text{H}_5\text{O}$ ,  $\text{R}' = \text{C}_6\text{H}_5$ ,  $\text{R}' =$  бензил,  $\text{R}' = 1$ -нафтил;  $\text{R} = \text{H}$ ,  $\text{R}' = 3$ -тиенил;  $\text{R} = \text{R}' = n$ -дифенил;  $\text{R} = \text{C}_6\text{H}_5\text{CH}_2$ ,  $\text{R}' = 2'$ -тиенил;  $\text{R} = 2'$ -тиенил,  $\text{R}' = 1$ -нафтил;  $\text{R} = o$ -толилокс,  $\text{R}' = 2'$ -тиенил;  $\text{R} = \text{H}$ ,  $\text{R}' = 5$ -метил-2'-тиенил;  $\text{R} = \text{H}$ ,  $\text{R}' = 3$ -мет-бутил-1-нафтил. О. М.

**5039 П. Способ получения спиро соединений барбитуровой кислоты.** Доран, Ван-Хейнинген (Process of preparing new spiro barbituric acid compounds and the spiro barbituric acid compounds resulting from said process. Doran Wilbur J., Van Heuningen Earle M.) [Eli Lilly and Co.]. Канад. пат. 491728, 31.03.53

Соединения спиротбарбитуровой к-ты общей ф-лы  $(\text{R}_1)\text{CH} = \text{CH}_2 - (\text{R})\text{CH} = \text{CH}(\text{R}') - \text{C} = \text{CO} - \text{NH} - \text{C}(=\text{S}) - \text{N}(\text{X}) - \text{CO}$ , где  $\text{R} = \text{H}$ , когда  $\text{R}'$  и  $\text{R}'' =$

этил и  $\text{R} =$  метил, когда  $\text{R}'$  и  $\text{R}'' =$  метил, X — H, шел. металл, получают взаимодействием 1,1-дикарбоксициклопропана с тиомочевинной. В частности, приводится спиро-(2,5-дизитилциклопентан-1,5'-тиобарбитуровой к-ты) и ее шел. соль. О. М.

**5040 П. Способ получения уретанов** (Verfahren zur Herstellung von Urethanen) [Aktiebolaget Bofors]. Австр. пат. 178907, 25.06.54 [Chem. Zbl., 1954, 125, № 42, 9579—9580 (нем.)]

Уретаны (I) получают р-цией арилизоцианата ф-лы  $\text{R} = \text{RC}_6\text{H}_4\text{NCO} = (o, o = \text{R}', \text{R}'')$  с аминоспиртом в шерт-

ном р-рителе вначале при охлаждении, затем при нагревании до  $\sim 100^\circ$ . 135 ч.  $\beta$ -пиперидиэтилового спирта вносят при размешивании и охлаждении в р-р 203 ч. 2,6-диметил-4-*трет*-бутилфенилизотиона в 200 ч.  $C_6H_6$  и после 2 час. кипячения получают  $\beta$ -пиперидиэтиловый эфир 2,6-диметил-4-*трет*-бутилфенилкарбаминной к-ты, т. пл. 89—90,5°, хлоргидрат, т. пл. 215—216°. Из 3-диэтиламинопропанола-1 и 2,6-диметил-4-н-бутоксифенилизотиона получают  $\gamma$ -диэтиламино-н-пропиловый эфир 2,6-диметил-4-н-бутоксифенилкарбаминной к-ты, масло, хлоргидрат, т. пл. 97—98°. Хлоргидрат диэтиламиноэтилового спирта образует с 2,4,6-триметилфенилизотионам хлоргидрат  $\beta$ -диэтиламиноэтилового эфира 2,4,6-триметилфенилкарбаминной к-ты, т. пл. 40—41,5° хлоргидрат, т. пл. 147—148°. I применяют в качестве анестезирующих средств. В. И.

5041 П. Метод получения 1-(оксифенил)-2-аминобутанов, обладающих болеутоляющими свойствами. Кюльц (Verfahren zur Herstellung von analgetisch wirkenden 1-(Oxyphenyl)-2-aminobutanen. K ü l z F r i t z) [Troponwerke Dinklage und Co.]. Пат. ГФР 904536, 18.02.54 [Chem. Zbl., 1954, 125, № 37, 8402 (нем.)]

1-(оксифенил)-2-аминобутаны, общей ф-лы:  $HO-C_6H_4CH_2CH(C_2H_5)NR'R''$ , где  $R'$  и  $R''$  — H, алкил, алкилен, циклоалкил, циклоалкилен, аралкил или аралкилен, обладают болеутоляющим действием. При кипячении 1-(*н*-метоксифенил)-2-аминобутана с конц. HBr получают 1-(*н*-оксифенил)-2-аминобутан, т. пл. 127—129°, хлоргидрат т. пл. 162—163°; аналогично получают 1-(*н*-оксифенил)-2-метиламинобутан, т. пл. 124—125°; хлоргидрат т. пл. 158—162°; 1-(*н*-оксифенил)-2-н-бутиламинобутан, хлоргидрат т. пл. 134—135°; 1-(*н*-оксифенил)-2-н-амиламинобутанхлоргидрат, т. пл. 122°, 1-(*н*-оксифенил)-2-диметиламинобутан, т. пл. 82—90°, хлоргидрат т. пл. 182—184°; 1-(*н*-оксифенил)-2-диэтиламинобутан, хлоргидрат т. пл. 166—169°; 1-(*н*-оксифенил)-2-ди-*н*-бутиламинобутанхлоргидрат, т. пл. 130—131°; 1-(*н*-оксифенил)-2-пиперидинобутан, хлоргидрат т. пл. 224—226°. Л. Ф.

5042 П. Способ получения производных 1-оксифенил-3-аминобутана, обладающих болеутоляющей активностью. Шёпф, Куц (Verfahren zur Herstellung von analgetisch wirkenden Derivaten des 1-Oxyphenyl-3-aminobutans. Sch ö p f C l e m e n s, K u t z F r i t z) [Troponwerke Dinklage und Co.]. Пат. ГФР 886746, 17.08.53 [Chem. Zbl., 1954, 125, № 11, 2447 (нем.)]

Патентуется способ получения производных 1-оксифенил-3-аминобутана общей ф-лы  $RC_6H_4CH_2CH_2(NHX)CH_3$  (I), где  $R$  — OH, X — алкил, алкилен, циклоалкил или циклоалкилен. Из хлоргидрата 1-(*н*-аминофенил)-3-н-бутиламинобутана, т. пл. 158—160°, диазотированием и последующим гидролизом получен хлоргидрат 1-(*н*-оксифенил)-3-н-бутиламинобутана, т. пл. 170—171°. Синтезированные I обладают болеутоляющей активностью. Л. М.

5043 П. Антигистаминные средства. Спербер, Пана, Шуэнк (Antihistaminic substances. Sperber N., Papa D., Schwenk E.) [Schering Corp.]. Англ. пат. 690274, 15.04.53 [J. Appl. Chem., 1954, 4, № 4, 435 (англ.)]

Антигистаминные в-ва типа  $PyCHR'YR$  получают путем гидролиза и декарбоксилирования цинидов  $PyCR'(CN)YR$  крепкой к-той, напр. 80%-ной  $H_2SO_4$  ( $Py$  — незамещенный или галоидалкил-, или алкоксизамещенный пиридиновый остаток;  $Y$  — алкилен с 2—3 атомами C;  $R$  — диалкиламино, пиперидино, морфолино или гликоксилиногруппа,  $R'$  — алкил, арил, аралкил, циклоалкил, или  $NR_2''$ , где  $R''$  — алкил или остаток пиперидина). 80%-ную  $H_2SO_4$  (2000) при-

бавляют к фенил-(2-диметиламиноэтил)-пирид-2-илметилцианиду (400 г) и смесь нагревают при помешивании до 140—150° в течение 24 час.; после разбавления льдом и водой р-р подщелачивают  $NH_3$  (газ). Выделившееся масло экстрагируют эфиром и экстракт после подсушивания и удаления эфира переговаривают и получают 3-фенил-3-пирид-2'-ил-NN-диметилпропиламин, т. кип. 139—142°/1—2 мм. Подобным же образом получают 3-тиен-2'-ил-3-т. кип. 154°/2 мм; 3-н-метилфенил-3-т. кип. 130—135°/0,5 мм, 3-н-метоксифенил-3-т. кип. 137—142°/0,5 мм, 3-н-изопропилфенил-3-т. кип. 144—147°/1 мм; 3-фенил-3-6-метил-, т. кип. 171—175°/1 мм; 3-н-бромфенил-3-т. кип. 147—152°/0,5 мм; 3-фенил-2-; 3-циклогексил-3-; 3-(5'-бромтиен-2'-ил)-3-; 3-фенил-3-пирид-2'-ил-NN-диэтилпропиламин, т. кип. 156°/1 мм; 4-фенил-3-пирид-2-ил-NN-диметилбутиламин, т. кип.  $\sim 135^\circ/0,5$  мм; 4-тиен-2'-ил-, т. кип. 130—133°/0,1 мм; 4-фенил-4-; 3-циклогексил-4-; 4-(*н*-бромфенил)-3-2'-пиридил-NN-диметилбутиламин и 4-фенил-2-пирид-2'-ил-2-диметиламинобутан. В. С.

5044 П. Синтез лейкоптерина, его промежуточных продуктов, сульфата 2,4,5-триамино-6-оксипиримидина и его щелочных солей. Хейприк, Бат (Processes for the syntheses of leucopterin and the intermediates thereof and of 2,4,5-triamino-6-hydroxy pyrimidine sulfate and the alkali salts thereof. Heinrich Herbert, Buth William F.) [Wickhen Products, Inc.]. Пат. США 2673204, 23.03.54

Для получения Na-производного сульфата 2,4,5-триамино-6-оксипиримидина смешивают 2,4-диамино-5-нитрозо-6-оксипиримидин с сухим  $NaHSO_4$  в кол-ве большем, чем это требуется для обесцвечивания красной окраски смеси, нагревают смесь приблизительно при 100°, пока не исчезнет красный цвет, возмещающий испарившуюся вследствие нагревания воду и охлаждают примерно до 60°. О. М.

5045 П. Замещенные пирролидинпропены и их производство. Адамсон (Substituted pyrrolidinopropenes and their manufacture. Adamson D. W.) [Wellcome Foundation, Ltd]. Англ. пат. 701445, 23.12.53 [J. Appl. Chem., 1954, 4, № 5, 582 (англ.)] Предлагается способ приготовления изомеров 1-н-бромфенил-1-2'-пиридил-3-пирролидинопроп-1-ена и 1-5'-хлор-2'-тиенил-1-2'-пиридил-3-пирролидинопроп-1-ена или р-ров их солей с нетоксичной к-той. В-ва имеют УФ-спектр поглощения, подобный спектру пиридиэтилена. Способ заключается в дегидратации соответствующих карбинолов с разделением в случае наложности изомеров. При постепенном прибавлении эфирного р-ра 2-бромпиридина и *н*-бром- $\beta$ -пирролидинопропифенона к безводн.  $C_4H_9Li$  в эфире образуется 1-н-бромфенил-1-2'-пиридил-3-пирролидинопропан-1-ол, т. пл. 144—146°, который после дегидратации 85% или 98%-ной  $H_2SO_4$  при 180° дает смесь активного с т. пл. 89—90° ( $\lambda_{\max}$  238—280 м $\mu$ , соответственно  $\epsilon$  18300 и 7200) оксалат, т. пл. 178—180° (с разл.) и неактивного 1-н-бромфенил-1-2'-пиридил-3-пирролидинопроп-1-ен ( $\lambda_{\max}$  257 м $\mu$   $\epsilon$  24800) оксалат, т. пл. 164—165° (с разл.), которые разделяют кристаллизацией из низкокипящей нефтяной фракции, или хроматографированием на  $Al_2O_3$ , 1-5'-хлор-2'-тиенил-1-2'-пиридил-3-пирролидинопропан-1-ол, т. пл. 89—91° и соответственно активный и неактивный проп-1-ены; оксалаты: т. пл. 148—149° (разл.) с  $\lambda_{\max}$  240, 278 м $\mu$ , ( $\epsilon$  15000 и 11000) и т. пл. 149—150° (разл.) с  $\lambda_{\max}$  245 м $\mu$  [ $\epsilon$  7600] с широкой полосой 270—300 м $\mu$  [средняя  $\epsilon$  10200]. О. М.

5046 П. Получение гетероциклических соединений. Шорт, Бродрик, Дональдсон (Manufacture of heterocyclic compounds. Short W. F., Brodrick C. I., Donaldson M. L.),

Англ. пат. 696540, 2.09.53 [J. Appl. Chem., 1954, 4, № 1, 43 (англ.)]

Окисляют 2,3,6,7-дибенз-1-тиа-4-азациклопентатриены-2,4,6 (I) в соответствующие 1-диоксиды, применяющиеся в качестве терапевтич. средств. Напр. смесь 0,2 г 5-фенил-2,3,6,7-дибенз-1-тиа-4-азациклопентатриена-2,4,6, 8 мл  $\text{CH}_3\text{COOH}$  и 1 мл 30%-ной  $\text{H}_2\text{O}_2$  выдерживают 2 часа при  $\sim 20^\circ$  и 2 часа при  $50^\circ$ , прибавляют еще 0,5 мл  $\text{H}_2\text{O}_2$  и после 1 часа при  $75^\circ$  и 1 часа при  $90^\circ$  смесь выливают в воду; получают 5-фенил-2,3,6,7-дибенз-1-тиа-4-азациклопентатриен-2,4,6-1-диоксид, т. пл.  $188-190^\circ$  (из  $\text{CH}_3\text{OH}$ ). I получают по англ. пат. 696473 см. РЖХим, 1955, 47361. М. К.

5047 П. Метод получения рацемического и оптически активного трео-2-дихлорметил-4-оксиметил-5-(4-нитрофенил)-оксазолинов-(2). Жакоб, Робер (Verfahren zur Herstellung von racemischen und optisch aktiven threo-2-Dichlormethyl-4-oxymethyl-5-(4'-nitrophenyl)-oxazolin-(2)). Jacob Robert Michel, Robert Jaques Georges [Parke, Davis and Co.]. Пат. ГФР 898900, 7.12.53 [Chem. Zbl., 1954, 125, № 35, 7930 (нем.)]

Трео-2-дихлорацетиламино-1-(4'-нитрофенил)-1-хлор-3-ацилоспропан (I), по оптич. конфигурации соответствующий получаемому продукту, обрабатывают разб. р-ром  $\text{NaOH}$  или  $\text{KOH}$ , причем р-ция проводится преимущественно в органич. р-ителе, способном смешиваться с водой; после прибавления водн. р-ра щелочи реакционную смесь оставляют стоять при  $20^\circ$ , пока р-ция окончится; применяют такой I, в котором ацильный остаток является карбоксиэтильной группой. Растворяют DL-трео-1-(4'-нитрофенил)-1-хлор-2-дихлорацетиламино-3-ацетоспропан (II) в спирте и смешивают на холоду с р-ром  $\text{NaOH}$ , нейтрализуют и выливают в воду; получают DL-трео-2-дихлорметил-4-оксиметил-5-(4'-нитрофенил)-оксазолин-(2) (III), т. пл.  $127-128^\circ$ . Аналогично получают из D-соединения II D-соединения III с т. пл.  $134^\circ$ ; лекарственные препараты. Л. Ф.

5048 П. Получение медных соединений тиосемикарбазонов. Кун, Цилликен (Preparation of copper compounds of thiosemicarbazones. Kuhn Richard, Zilliken Friedrich) [American Home Products Corp.]. Пат. США 2695911, 30.11.54

Содержащие медь соединения тиосемикарбазона (I) бензальдегида, в котором пара-положение замещено на метоксиг- или ацетиламиногруппу, получают взаимодействием р-ра I в низкомолекулярном, кислородсодержащем инертном органич. р-ителе, с аммиачным р-ром  $\text{Cu}$ -соли при т-ре от  $\sim 20^\circ$  до т-ры кипения р-ра, с последующим отфильтровыванием полученного соединения меди. Л. Ф.

5049 П. Метод получения 3-окси-N-метилморфинанов. Хенеска (Verfahren zur Herstellung von 3-Oxy-N-methylmorphinanen. Heneska Hans) [Farbenfabriken Bayer Akt.-Ges.]. Пат. ГФР 940176, 15.02.54 [Chem. Zbl., 1954, 125, № 27, 8404 (нем.)]

Прибавляют р-р 25 г циклогексен-1-ил-этиламина (I) в 200 мл 1 н.  $\text{HCl}$  (доведя водой до 500 мл) к р-ру 50 г бисульфитного производного л-метоксифенилацетальдегида (II) в 500 мл воды, нагревают при помешивании на водяной бане до  $80-90^\circ$ , прибавляют после 1,5 час. и 30 час. по 20 мл 1 н.  $\text{HCl}$  (устойчивое pH р-ра  $\sim 3-4$ ), освещают после 45 час. нагревания встряхиванием с эфиром, выделяют основание при помощи р-ра  $\text{K}_2\text{CO}_3$ , извлекают эфиром, промывают водой, освещают встряхиванием с насыщен. р-ром  $\text{NaCl}$  и получают после упарки и кристаллизации из  $\text{CH}_3\text{COOH}$  10-15 г л-метоксифенил-10-оксидекагидроизохинолина (III), т. пл.  $152^\circ$ . Далее метилируют, напр., восстановлением в р-ре  $\text{CH}_3\text{OH}$  в присутствии 1,1 моля

30%-ного  $\text{CH}_2\text{O}$  со скелетным никелевым катализатором в л-метоксифенил-N-метил-10-оксидекагидроизохинолин (IV), масло, т. кип.  $160-165^\circ/0,01$  мм. Растворяют 20 г этого соединения в 200 мл  $\text{HBr}$ , кипятят 6 час. и избыток  $\text{HBr}$  отгоняют при  $60^\circ/12$  мм. Растворяют остаток в небольшом кол-ве  $\text{CH}_3\text{OH}$ , разбавляют водой, осаждают  $\text{NH}_3$ , извлекают эфиром, упаривают, кипятят с небольшим к-вом  $\text{CH}_3\text{OH}$  и получают 30-40% (считая на IV) 3-окси-N-метилморфинана (V), т. пл.  $251-253^\circ$  (из  $\text{CH}_3\text{OH}$ ). 3-метоксисоединение, т. пл.  $81-83^\circ$ , хлоргидрат, т. пл.  $245-247^\circ$ ; 3-ацетоксисоединение, т. кип.  $145^\circ/0,01$  мм. Из метанольного маточника V получают при помощи фракционной кристаллизации эпитермный по  $\text{C}_{14}$  V, т. пл.  $198-200^\circ$ ; метиловый эфир, т. пл.  $97-99^\circ$ . Если вместо I исходить из соответствующего 4-метилсоединения, то получают 1-(л-метоксифенил)-7-метил-10-оксидекагидроизохинолин, т. пл.  $148^\circ$  (из этилацетата); N-метилпроизводное, т. пл.  $104^\circ$  (из эф.-петр. эф.), дающее с  $\text{HBr}$  3-окси-N-7-диметилморфинан, т. пл.  $233-243^\circ$ . Приведены ф-лы схемы процесса. Конечные в-ва являются болеутоляющими средствами. Л. Ф.

5050 П. Композиция с кураеподобной активностью. Кастильо, Филиппе (Curarizing composition. Castillo Julio C., Phillips Arthur P.) [Burroughs Wellcome and Co.]. Пат. США 2653898, 29.09.53

В состав лечебной смеси входит в-во (I), обладающее кураеподобной активностью и имеющее ф-лу  $[\text{R}'\text{N}^+\text{CH}_2\text{CH}_2\text{OOCCH}_2]_2\text{X}^-$ , где  $\text{R}$  и  $\text{R}'$  — метил, этил;  $\text{X}^-$  — анион нетоксичной к-ты и в-во (II), увеличивающее срок действия I. В-во II принадлежит к группе соединений, имеющих строение  $\text{R}'\text{R}''\text{NCH}_2\text{CH}_2\text{NHCO}(\text{CH}_2)_n\text{CONHCH}_2\text{CH}_2\text{NR}'\text{R}''$  или  $\text{R}'\text{R}''\text{N}^+\text{CH}_2\text{CH}_2\text{NHCO}(\text{CH}_2)_n\text{CONHCH}_2\text{CH}_2\text{N}^+\text{R}'\text{R}''\text{X}^-$ , где  $\text{R}'$  и  $\text{R}''$  — метил или этил, а  $\text{NR}'\text{R}''$  — пирролидин;  $\text{R}'\text{R}''$  — метил, этил, бензил или  $\text{H}$ ,  $\text{X}^-$  — анион нетоксичной к-ты;  $n$  — от 1 до 8. Л. М.

5051 П. Способ получения нейтральных или слабых кислотных растворов замещенных ксантинов. Вейсенбургер, Сабо (Verfahren zur Herstellung neutraler oder schwach saurer Lösungen von substituierten Xanthinen. Weissenburger Helmut, Szabo Ladislaus) [Byk-Gulden Lomberg, Chemische Fabrik G. m. b. H.]. Пат. ГДР 7790, 26.07.54

Для получения нейтр. или слабых кислотных р-ров замещ. ксантинов (I) (теофиллин) применяют способ одновременного растворения I и сульфосалициловой к-ты или ее солей со щел. и щел.-зем. металлами или органич. основаниями (этилендиамин, диэтиламин), а также с их смесями. Повышение растворимости I вызывается также солями никотиновой к-ты и амидом ее. Напр. 20 г теофиллина и 70 г нейтр. сульфосалицилата Na растворяют при нагревании в 150 мл дистилл. воды и полученный р-р доводят до 250 мл добавлением дистилл. воды. В полученных р-ры могут быть введены также другие терапевтически ценные в-ва, напр. глюкоза, или в-ва, плохо растворимые в дистилл. воде (сердечные гликозиды). В. Ш.

5052 П. Очистка витаминных препаратов (Purification of vitamin preparations) [C. Pfizer and Co., Inc.]. Англ. пат. 699384 4.11.53; белг. пат. 505771, 30.01.53 [Chem. Zbl., 1954, 125, № 18, 3990 (нем.)]

Патентуется способ очистки р-ров витамина  $\text{B}_{12}$  (I) основными ионообменными смолами (II), содержащими амино-, гуанидино- или четвертичную аминогруппу. II предварительно обрабатывают водн. щел. р-ром и им адсорбируют примеси, I вымывают чистой водой, pH элюата доводят до 7 с помощью уксусной к-ты и диополизируют. Л. М.



5053 П. **Витамин В<sub>2</sub>. Судзуки (Vitamin B<sub>2</sub>. Suzuki Hikomasu).** Япон. пат. 2646, 10.06.53 [Chem. Abstrs, 1954, 48, № 11, 6657 (англ.)]

Культура, образующая витамин В<sub>2</sub> (I) содержащая сахара и азотистые питательные в-ва, снабжается стерильным воздухом до образования нестойкой комбинации I с белком. Последний отделяют в стерильных условиях нагреванием и охлаждением фильтрата. Из 5 л жидкой культуральной среды получают 100 г кристаллич. I и 100 л концентрата I, содержащего 1—2,5 мг/мл I. Л. М.

5054 П. **Метод производства стойких препаратов витаминов группы В<sub>12</sub> (Process for the manufacture of stable preparations of vitamins of the B<sub>12</sub> group) [Namlooze Vennootschap Organon].** Англ. пат. 692968, 17.06.53 [J. Appl. Chem., 1954, 4, № 4, 463 (англ.)]

Препараты витамина В<sub>12</sub> (I) стабилизируются прибавлением HCN или ее соли (не более 1 моля на 1 моль I) при pH 5—7, без риска вызвать отравление. Так, pH экстракта печени (I), содержащего 10,0 γ I в 1 мл, доводят до 5—6, затем приводят во взаимодействие с 5 мг KCN, пропускают через фильтр Зейтца и ампулируют. После 4-месячного хранения в темноте при 52°, продукт в ампулах содержит 9,3 γ I в 1 мл по сравнению с ~1,0 γ I без обработки KCN. Л. М.

5055 П. **Очистка витамина В<sub>12</sub> эфирами кислот. Мак-Кормик, Маллер (Vitamin B<sub>12</sub> purification using acid esters. McCormick J. Robert D., Muller Siegfried A.)** [American Cyanamid Co.]. Канад. пат. 492952, 19.05.53

Для очистки в-ва, обладающего активностью витамина В<sub>12</sub>, применяя экстракцию среды, содержащей витамин В<sub>12</sub> при t-ре между 0° и 100° полуэфиром дикарбоновой к-ты, содержащей не больше 8 атомов С, и спирта, содержащего не больше 6 атомов С. В качестве полуэфира были использованы монометилловый эфир адипиновой к-ты, монобутиловый эфир тетрафторфталевой к-ты и моноэфир малеиновой к-ты и метилизобутилкарбинола. Л. М.

5056 П. **Синтез 2'-фосфата пантотеновой кислоты. Баддильи, Тейн (Synthesis of pantothenic acid-2' phosphate. Baddiley J., Thain E. M.)** [National Research Development Corp.]. Англ. пат. 635483, 12.08.53 [J. Appl. Chem., 1954, 4, № 4, 449 (англ.)]

2'-Фосфат пантотеновой к-ты (I), применяющийся при лечении кишечного тракта, получают нагреванием пантолактона-2-фосфата (II) с бензиловым или алкиловым эфиром β-аланина при ~100°. II получают из 2-диарилфосфата пантолактона. Напр., 8,5 г (C<sub>6</sub>H<sub>5</sub>O)<sub>2</sub>POCl постепенно прибавляют при 0° и перемешивании к 4 г пантолактона в 40 мл C<sub>5</sub>H<sub>5</sub>N, выдерживают 1 час при 0°, затем 12 час. ~15°, прибавляют 10 мл H<sub>2</sub>O. Водн. р-р выпаривают в вакууме не выше 45°, остаток растворяют в 60 мл CHCl<sub>3</sub>, р-р последовательно промывают разб. H<sub>2</sub>SO<sub>4</sub>, р-ром NaHCO<sub>3</sub>, H<sub>2</sub>O и выпаривают в вакууме. При кристаллизации сиропообразного остатка из бензина получают 10 г 2-дифенилфосфата пантолактона (дифенилфосфат 3,3-диметилбутиро-γ-лактона), т. пл. 70°; 11 г последнего в 200 мл CH<sub>3</sub>COOH восстанавливают H<sub>2</sub> над PtO<sub>2</sub>, получают II, т. пл. 130—140°, 3,8 г которого нагревают с 12,8 г свежеприготовленного бензильного эфира β-аланина 6 час. при 100° в отсутствие влаги и CO<sub>2</sub>. Образуется I, который выделяют посредством солеобразования: охлажд. реакционную смесь растворяют в 50 г H<sub>2</sub>O, прибавляют 60 мл 0,34 н. Ba(OH)<sub>2</sub> (III), выпаривают до малого объема и осаждают 150 мл спирта. Осадок Ba-соли (IV) отделяют, дважды промывают спиртом, затем эфиром и сушат при 100°. Дозавочное кол-во IV получают при прибавлении к маточному р-ру еще 60 мл III. Р-р IV в 60 мл H<sub>2</sub>O обрабатывают CO<sub>2</sub>, отфильтровывают от нерастворимых

загрязнений и разбавляют спиртом. Выпавший осадок (6,9 г, 75%) промывают и сушат как описано выше. 5,7 г растворяют в 100 мл H<sub>2</sub>O, обрабатывают H<sub>2</sub>SO<sub>4</sub>, фильтрат разбавляют 100 мл спирта и восстанавливают H<sub>2</sub> над PdO при ~20°. После отделения катализатора р-р обрабатывают III до pH 8, выпаривают при ~40° в вакууме, разбавляют 150 мл спирта, осадок IV растворяют в 50 мл H<sub>2</sub>O, профильтровывают, снова разбавляют спиртом, выпавший снова осадок IV подвергают описанной обработке и получают чистый I. О. М.

5057 П. **Способ очистки дегидрохолоевой кислоты. Пулан, Кирххофер, Готье (Process of purifying dehydrocholic acid. Poulenc Pierre, Kirchhoffer Georges Marie Emile Aloys, Gauthier Bernard)** [Chimie et Atomistique]. Канад. пат. 495532, 25.08.53

Дегидрохолоевую к-ту (I) растворяют в водн. р-ре щелочи, добавляют галоидалкил (CHCl<sub>3</sub>, дихлорэтан или C<sub>2</sub>H<sub>5</sub>Br). Продукт присоединения галоидалкила к дегидрохолоевой к-те выделяют, разлагают избытком горячей воды и получают в чистом виде I подкислением. А. Е.

5058 П. **Способ получения 17-α-окси-20-кетостероидов. Оливето, Хершберг (Process for preparing 17-α-hydroxy-20-ketosteroids. Oliveto Eugene P., Hershberg Emanuel B.)** [Scherer Corp.]. Пат. США 2677695, 4.05.54

Для получения насыщ. 10, 13-диметил-17-оксистероидов на енольный эфир 10,13-диметил-20-кетостероида действуют перкислотой в смешанной реакционной среде, состоящей из нейтр. р-рителя стероида и второго р-рителя, лишь частично смешивающегося с первым, напр. воды, с последующим выделением из смеси 17-оксистероида. О. М.

5059 П. **Способ получения 17,20-оксикетонов ряда прегнана и новые соединения данного ряда. Мишер, Шмидлин (Process for the preparation of 17,20-hydroxyketones of the pregnane series and new and useful compounds of the said series. Miescher Karl, Schmidlin Julius)** [Ciba Pharmaceutical Products Inc.]. Пат. США 2668816, 9.02.54

Патентуется способ получения 17,20-оксикетона (I) ряда прегнана, основанный на обработке прегнана, имеющего группу CH—CH<sub>2</sub>X в положении 17 (X — свободный, атерифицированный или атерифицированный гидроксил), четырехокисью осмия и H<sub>2</sub>O<sub>2</sub>, перекисью алкила или перкислотой, с последующим выделением образованного I из реакционной смеси. Л. М.

5060 П. **Получение 21-иод-Δ<sup>5</sup>-прегненол-3-он-20. Эрленбах, Зиглиц (Manufacture of 21-iodo-pregnene-(5)-ol-(3)-one-(20). Erlendbach M., Sieglitz A.)** Англ. пат. 700344, 2.12.53 [J. Appl. Chem., 1954, 4, № 4, 451 (англ.)]

Способ получения 21-иод-Δ<sup>5</sup>-прегненол-3-она-20 (I), основанный на том, что щел. соль Δ<sup>5</sup>-прегненол-3-он-20-щавелевой к-ты-21 (II) или ее эфир обрабатывают при ~ —30°—0° иодом в нейтр. органич. р-рителе, смешиваемом с водой; образовавшийся продукт осаждают щел. р-ром электролита; Na-соль этилового эфира II нагревают 1 час с кипящим р-ром КОН в C<sub>2</sub>H<sub>5</sub>OH и загустевшую массу, охлажд. смесью льда с солью, обрабатывают приливаемой по каплям охлажд. смесью CH<sub>3</sub>OH и J. Полученный прозрачный р-р выливают в охлажд. водн. р-р NaCl и прибавляют водн. р-р КОН. Выделяется I, т. пл. 153° (с разлож.). Л. М.

5061 П. **Метод получения Δ<sup>15</sup>-20-кетопрегненов. Джулиан, Карпел (Procedure for the preparation of Δ<sup>15</sup>-20-keto-pregnenes. Julian Percy L., Karpel William J.)** [The Glidden Co.]. Пат. США 2671794, 9.03.54

Для получения Δ<sup>15</sup>-20-кетопрегненов нагревают циклопентан-10,13-диметил-17,21,21-трибром-20-кето-поли-

гидрофенантрен с подистой солью щел. металла в лед. уксусной к-те, чтобы заместить 2 атома Br, связанные с атомом C в положении 21, водородом и образовать 16—17-двойную связь в ядре полигидрофенантрена. Л. М. 5062 П. Способ получения соединения ряда андростена (Verfahren zur Herstellung einer Verbindung der Androsteneihe) [Ciba Aktiengesellschaft]. Швейц. пат. 287861, 16.04.53 [Chimia, 1953, 7, № 6, 144 (нем.)]

Для получения  $\Delta^6$ -3-окси-17-ацетоксандростена окисляют  $\Delta^4$ -3-окси-20-кето-прегнена ароматич. пероксидом при т-ре ниже  $15^\circ$ , защищая двойную связь и применяя кислый катализатор. Л. М.

5063 П. Связанные четвертичными аммониевыми солями эстрогены и их приготовление (Conjugated oestrogenic quaternary ammonium salts and their preparation) [Ayerst, McKenna and Harrison, Ltd]. Англ. пат. 696274, 26.08.53 [J. Appl. Chem., 1954, 4, № 4, 452 (англ.)]

Обработывают мочу беременных кобылиц водн. р-ром л-(1,1,3,3-тетраметилбутил)-феноксиэтоксиптидиметилбензиламмоний-хлорида, связывающим эстрогены, содержащиеся в исходном материале. Отделенный центрифугированием осадок содержит 90% эстрогенной активности мочи. И. С.

5064 П. Метод получения 21-альдегидов цикlopentanополгидрофенантренового ряда. Рейхштейн (Verfahren zur Herstellung von 21-Aldehyden der Cyclopentanopolyhydrophenanthrenreihe. Reichstein Tadeus) [Schering A.-G.]. Пат. GФР 885706, 6.08.53 [Chem. Zbl., 1954, 125, № 31, 7008 (нем.)]

21-галоэнопрегнаны обрабатывают третичными основаниями, образовавшиеся четвертичные аммониевые соединения смешивают с ароматич. нитрозосоединениями, особенно в присутствии в-в, связывающих к-ту, и полученные нитроны разлагают к-той по следующей реакционной схеме:  $\text{Y}-\text{COCH}_2\text{X} + \text{пиридин} \rightarrow \text{Y}-\text{COCH}_2\text{NC}_5\text{H}_4\text{X} + \text{ONR} \rightarrow \text{Y}-\text{COCH}=\text{N}(\text{O})-\text{R} + \text{HX} + \text{C}_5\text{H}_5\text{N} + \text{к-та} \rightarrow \text{YCOCH}=\text{N} + \text{RNHOH}$  (R—арил, X—галоид, Y—ядро цикlopentanополгидрофенантрена). Бром-21-прегненолон, т. пл.  $152-154^\circ$  (получен из диазо-21-прегненолона + HBr) нагревают с пиридином 1/2 часа при  $100^\circ$ , образовавшаяся пиридиневая соль с л-нитрозодиметиланилином в алкоhole и затем с 20%-ной  $\text{H}_2\text{SO}_4$  превращается в прегнен-5-ол-3-он-20-аль-21, т. пл.  $143-144^\circ$ ; хлор-21-прегестерон—пиридинийхлорид  $\rightarrow$  прегнен-4-дион-3,20-аль-21; триоксим, т. пл.  $160-170^\circ$ ; озаон, т. пл.  $175-177^\circ$ ; диметилацеталь, т. пл.  $86-89^\circ$ ; бром-21-прегнадиен-4,17-он-3 (из винилтестостерона по Ружичке и Мюллеру)  $\rightarrow$  пиридиневое соединение  $\rightarrow$  нитрон, т. пл.  $152-155^\circ$   $\rightarrow$  прегнадиен-4,17-он-3-аль-21, т. пл.  $146-152^\circ$  (из водн. ацетона); ацетоксиг-3-прегнадиен-5,20-ол-21 +  $\text{PBr}_3$ -пиридин  $\rightarrow$  бром-21-ацетоксиг-3-прегнадиен-5,17-пиридиневое соединение  $\rightarrow$  нитрон  $\rightarrow$  ацетоксиг-3-прегнадиен-5,17-аль-21 илы, т. пл.  $175-183^\circ$  (из водн. ацетона). Эти соединения оказывают такое же действие, как и гормоны коры надпочечников. Л. Ф.

5065 П. Лечебная культура. Паскаль (Health promoting culture. Pascale Peter P.). Пат. США 2690969, 5.10.54

Способ получения лечебной культуры состоит в тонком измельчении семян клевера, альфа-льфы, пшеницы, ржи, кукурузы и подсолнуха, прибавлении молока, жира, яиц и  $\text{Ca}(\text{OH})_2$  и тщательном перемешивании ингредиентов; 2 г смеси помещают в 4,5 л воды и оставляют стоять 60—90 дней, пока вода не позеленеет и pH среды не станет 6—8. Жидкость отфильтровывают от твердой части и освобождают от запаха. Л. М.

5066 П. Способ получения стимулирующих веществ. Шёнхольцер, Вестфаль (Verfahren zur

Herstellung von Reizstoffen. Schönholzer Gottfried, Westphal Otto) [A. Wander A.-G.]. Пат. GФР 890261, 17.09.53 [Chem. Zbl., 1954, 125, № 13, 2877 (нем.)]

Способ получения неинфекционных раздражающих в-в (I) основан на окислительном раскладе бактериальных полисахаридов (экстрактов из бактерий или бактериальных вакцин, в частности *Bact. coli*, *typhosa*, *dysenteriae*) с помощью  $\text{H}_2\text{O}_2$  в водн. р-ре при  $95^\circ$ , причем в буферном р-ре могут присутствовать каталитически действующие ионы металлов, напр.  $\text{Fe}^{2+}$ . Прозрачный р-р осаждают смесью спирт-ацетон, осадок промывают спиртом, ацетоном, эфиром и сушат. I применяют в терапии, в частности для стимулирования системы гипофиз—кора надпочечников. Л. М.

5067 П. Способ очистки антибиотиков. Пьеротти (Purification process for antibiotics. Pierotti Gino J.) [Shell Development Co.]. Канад. пат. 500778, 16.03.54

Патентуется способ очистки пенициллина (I), основанный на экстракции его из водн. среды, содержащей помимо I его естественные примеси, смешанным органич. р-рителем (II) при pH среды между 1,5 и 5. Особенность способа состоит в том, что сперва фаза II представляет собой смесь извлекающего II (IIa) с избирательным II (IIb), затем в основном только IIa, причем IIa лучше растворит I, чем вода, а IIb, в свою очередь, имеет лучшую избирательную растворяющую способность для I, чем IIa. IIa является полярным органич. соединением, нерастворимым в воде, IIb — неполярное органич. соединение, нерастворимое в воде. Водн. р-р с I сперва обрабатывают IIa + IIb; при этом образуются водн. фаза и фаза II; их разделяют, затем вновь водн. р-р приводят во взаимодействие в основном только с IIa, лучше растворившим I, чем вода, при условии, что IIb обладает более высоким избирательным растворяющим свойством в отношении I, чем IIa. Соотношение IIa и IIb в смешанной фазе II колеблется в пределах 0,05 : 1 и 20 : 1 по объему. В качестве IIa преимущественно используют метилизобутилкетон. Л. М.

5068 П. Выделение окситетрациклина. Энсмистер, Регна, Стиг, Тимрек (Recovery of the antibiotic oxytetracycline. Ensminger Stanley W., Regna Peter P., Stieg William E., Timreck Albert E.) [Chas. Pfizer and Co., Inc.]. Канад. пат. 504172, 6.07.54

Патентуется выделение окситетрациклина (I) в твердом очин. виде из р-ров путем осаждения при pH 7—10 в виде комплексной соли металлов группы Ca, Sr, Ba и группы Mg, Zn, Be, Cd, Hg. Выделение очин. концентрата I из культуральной жидкости, содержащей I  $1-600 \text{ } \mu/\text{мл}$ , производится прибавлением  $\text{Ba}^{2+}$  при pH 8—9, который осаждает смешанную соль Ba и Ca, Mg, нормально содержащихся в культуральной жидкости. О. М.

5069 П. Способ получения хлортетрациклина. Гудман (Process for production of chlortetracycline. Goodman Joseph J.) [American Cyanamid Co.]. Канад. пат. 499649, 2.02.54

Способ получения хлортетрациклина (I) основан на приготовлении питательной среды, содержащей 13,3—80% растворенного крахмала (II),  $\text{CaSO}_4$ , источник органич. N, ионы  $\text{NH}_4^+$  и неорганич. соединений; в эту среду вводят культуру *S. aureofaciens*, которая растет и развивается на ней. Предусмотрена также стадия в процессе получения I, основанная на использовании 30—60% II в ферментативной среде, для чего концентрат, содержащий 12,0—24,0% II, нагревают и стерильно разбавляют до конц-ии 30—60%, заражают культуру *S. aureofaciens* и дают возможность процесса ферментации протекать в р-ре до образования I. Л. М.

**5070 П. Метод получения стрептомицина** (Process for production of streptomycin) [Merck and Co., Inc.]. Англ. пат. 698770, 21.10.53 [J. Appl. Chem., 1954, 4, № 4, 466 (англ.)]

Стрептомицин (I) получают с лучшим выходом при 27—29° (28,5°) в условиях глубоинной аэрированной ферментации при перемешивании и pH ~ 7 (6,5—6,6) в присутствии нового вида *Streptomyces griseus*, белого мутанта (Dulaney Z-38). Питательную среду, содержащую глюкозу (1), энзиматический препарат казеина (1), NaCl (1) и мясной экстракт (0,6%) заражают спорами культуры *S. griseus*, штамм Z-38, и через 48 час. при 28° полученная культура переносится в питательную среду (40 мл), содержащую глюкозу (2,5), соевую муку (4), NaCl (0,25) и высушенную барду (0,5%). Затем смесь подвергают инкубации в течение 5 дней при 28° на вращающейся болтушке (220 об/мин). В результате получают среду, содержащую 2000 г/мл I (по сравнению с 635 г/мл I, когда ферментация ведут в присутствии *S. griseus*, штамм L-118, полученного культивированием спор, воздействием на них УФ-светом λ 2537 Å, и последующими генерациями, путем последовательного воздействия рентгеновскими и УФ-лучами). Л. М.

**5071 П. Способ получения дигидрострептомицина** (Process for producing a dihydrostreptomycin) [Squibb and Sons E. R.]. Англ. пат. 695391, 12.08.53 [J. Appl. Chem., 1954, 4, № 1, 44—45 (англ.)]

Дигидрострептомицин (I) получается с хорошим выходом электролитич. восстановлением стрептомицина при 20—40° (6—110 в и 0,5—15 а) в среде водн. 0,5—80%-ной H<sub>2</sub>SO<sub>4</sub> (напр., 33%-ной). Анод отделен от катода полупроницаемой мембраной, напр. из неглазурованного фарфора, тонкой основой пластинки, спец. корундовых фильтров; катод — Pb, Pt или С. Напр. в ячейку, имеющую свинцовый анод (с примесью 2% Sb), погруженный в 0,5%-ную H<sub>2</sub>SO<sub>4</sub> и пористую корундовую диафрагму, помещают 25%-ный р-р хлоргидрата стрептомицина, который подвергают электролизу при 6 в и 2 а на см<sup>2</sup> при 20—30° в течение 6 час., поддерживая pH катодита при 7 прибавлением по каплям разб. H<sub>2</sub>SO<sub>4</sub>. Полученный после электролиза р-р высушивают в заморозженном состоянии и получают сульфат I с 74% выходом и активностью 756 ед/мг. О. М.

**5072 П. Эритромицин, его соли и способ получения.** Банч, Мак-Гуайр (Erythromycin, its salts, and method of preparation. Bunch Robert L., McGuire James M.) [Eli Lilly and Co.]. Пат. США 2653899, 29.09.53

Патентуется антибиотик эритромицин (I) и его соли; I представляет собой азотистое основание, имеющее мол. в. ~754 ± 7, определенный способом титрования; pK'α 8,7 при титровании в водн. р-ре диметилформамида (2 : 1, по объему) и в 3,14% р-ре хлф (вес/объем); I имеет нижеследующие полосы поглощения в ИК-части спектра в пределах от 2,4 и до 12,0 м: 2,82; 3,32; 5,77; 5,91; 6,86; 7,13; 7,25; 7,42; 7,78; 8,02; 8,54; 8,98; 9,16; 9,32; 9,49; 9,86; 10,23; 10,42; 10,9; 11,17; 11,55 и 11,9. Л. М.

**5073 П. Способ производства полимиксина.** Браун (Method for the manufacture of polymyxin. Brown Annie M.) [The Wellcome Foundation Ltd]. Канад. пат. 495473, 18.08.53

Патентуется способ выделения полимиксина (I) из культуральной жидкости для микроорганизма *Bacillus Acrosporus* Greer и *B. polymyxa* (Prazmowski) Miquela путем нагревания этой среды при pH ниже 6, фильтрования ее, обработки активированным углем для удаления из нее растворенных смолистых примесей, повышения pH до >6,0, адсорбции I активированным углем и выделения из него I в кислой среде обработкой угля подходящим для I р-рителем. В частности, нагре-

вают культуральную среду при 80° в течение 30 мин. с HCl, составляющей 2% веса смеси и имевшей первоначальную крепость 40% по весу. Л. М.

**5074 П. Способ получения D-трео-1-(4'-нитрофенил)-2-дихлорацетамин-1,3-пропандиола** (Fremgingmade til fremstilling af d-treo-1-p-nitrofenyl-2-dikloracetamido-1,3-propandiol) [Parke, Davis and Co.]. Дат. пат. 76674, 16.11.53

Способ получения D-трео-1-(4'-нитрофенил)-2-дихлорацетамин-1,3-пропандиола (I), отличающийся тем, что L-трео-β-(4'-нитрофенил) серин-алкиловый эфир (II) ацетируют ангидридом или хлорангидридом дихлоруксусной (III) к-ты в L-трео-N-дихлорацетамин-β-(4'-нитрофенил) сериналкиловый эфир (IV) и восстанавливают последний в I боргидридом Li. Растворяют 22 ч. II в виде эфирного эфира в 220 ч. CH<sub>2</sub>Cl<sub>2</sub>, ацетируют 4 ч. III в 30 ч. CH<sub>2</sub>Cl<sub>2</sub>. После окончания р-ции р-р промывают водой, добавляют до помутнения нетр. эфир и отделяют 12,7 ч. IV, т. пл. 110—112° (из нетр. эф. + CH<sub>2</sub>Cl<sub>2</sub>), [α]<sub>D</sub><sup>19</sup> IV +15,45° (C=2,046 в CH<sub>2</sub>OH). 10 ч. IV в 100 ч. абс. тетрагидрофурана охлаждают до 0° и добавляют 0,62 ч. боргидрида Li и перемешивают 17 час. при 20°. После отгонки р-рителя к остатку прибавляют 40 ч. 3 н-CH<sub>3</sub>COOH в 200 ч. воды, обесцвечивают углем и упаривают; получают 4,35 ч. I (хлорамфеникола). К. Г.

**5075 П. Способ получения труднорастворимой в воде кристаллической соли пенициллина.** Хильтман, Аухаген, Бауэр (Verfahren zur Herstellung eines in Wasser schwer löslichen kristallisierten Penicillinsalzes. Hiltmann Rudolf, Auhagen Ernst, Bauer Klaus) [Farbenfabriken Bayer]. Пат. ГФР 880303, 22.06.53 [Chem. Zbl., 1953, 124, № 47, 8151 (нем.)]

Труднорастворимая в воде соль пенициллина (I) получается р-цией I с 3-н-бутокс-N-изобутилбензиланином (II) в воде; т. пл. 76—78°, [α]<sub>D</sub><sup>20</sup> +111,4°; II получают конденсацией 3-н-бутоксбензальдегида (т. кип. 120°/3 мм) с изобутиламином и каталитич. гидрированием азометинового соединения. Основание имеет т. кип. 136—138°/2,5 мм, хлоргидрат, т. пл. 124—126°. Препарат обладает пролонгирующим и местноанестезирующим действием. Л. М.

**5076 П. Метод получения седативных средств.** Такино (Process for the manufacture of nerve sedatives. Masuichi Takino M.). Англ. пат. 697351, 23.09.53 [J. Appl. Chem., 1954, 4, № 4, 464 (англ.)]

Для получения р-ра, содержащего продукт, обладающий успокаивающим действием на всю периферическую нервную систему, органы или ткани (кожа, мозг, мышцы, легкие, почки, яичник), животных (коров, телят и др.) заражают коровьей оспой, затем через 3—10 дней диспергируют (после измельчения) в водн. р-ре (физиологич. р-ре, H<sub>2</sub>O, или водн. р-ре глицерина). Дисперсию (после двукратного вымораживания и нагревания до 15—20°) обрабатывают для удаления термокоагулирующего белка (нагреванием в течение 1 часа при 100°), кислотноккоагулирующего белка (напр., добавлением HCl до pH 5) и остаточного белка (фильтрованием через асбест, обработанный Na<sub>2</sub>SiO<sub>3</sub> и MgSO<sub>4</sub>). Полученный прозрачный р-р содержит активный продукт, лишенный белков, жиров и вирусов, применяют для лечения астмы, язвы желудка, рвоты беременных и др. Описан метод выделения указанного продукта из полученного раствора. Л. М.

**5077 П. Способ получения водных растворов азулен со стойкой окраской.** Кольштедт, Лидтке (Verfahren zur Herstellung farbstabiler wässriger Azulenlösungen. Kohlstaedt Erwin, Liedtke Karl-Heinz) [Chemiewerk Homburg A.-G.].



Пат. ГФР 876309, 11.05.53 [Chem. Zbl., 1953, 124, № 46, 7877 (нем.)]

Для получения водн. р-ров азулена стойкой окраски к ним добавляют небольшие кол-ва метионина (I), I-амида, тиомочевины, 2,3-дитиолпропанола (II). Напр. 6 г I-ментоксинускусовой к-ты, 1,5 г монолаурата полиоксизетиленов и 3,4 г триэтианоламина растворяют в 15 мл воды; затем растворяют 0,3 г II и 0,1 г хамазулена и прибавляют воды до 100 мл. Р-р сохраняет синюю окраску.

Л. М.

**5078 II.** Композиция из солей адениловой кислоты и желатин. Харвилл (Adenylic acid salts gelatin composition. Harwill Edward K.) [Ernst Bischoff Co.]. Пат. США 2653901, 29.09.53

Для получения композиции, обладающей свойством продлевать терапевтич. действие препарата адениловой к-ты (I) в организме, смесь I и одноосновной металлич. соли I растворяют в водн. медленно всасываемом р-рителе (II), содержащем желатину и обладающем pH 5—5,5. II имеет твердую консистенцию при нормальной т-ре тела.

Л. М.

**5079 II.** Способ получения пригодных для инъекций водных эмульсий нерастворимых гормональных препаратов (Fremgangsmåde til fremstilling af til injektion bestemt vandige emulsioner af lidet eller ikke i vand opløselige lægemidler med hormonvirkning) [N.V. Organon]. Дат. пат. 76572, 26.10.53

Способ получения водн. эмульсий нерастворимых гормональных препаратов (ГП), в которых дисперсная фаза состоит из р-ра ГП в органич. р-рителе, отличается тем, что ГП растворяют в органич. р-рителе и эмульгируют в воде или водн. р-ре органич. р-рителя. Дисперсная фаза состоит из насыщ. р-ра ГП в органич. р-рителе, а диспергирующая фаза из водн. насыщ. р-ра органич. р-рителя. При разбавлении водой ГП выпадает из р-ра. В качестве органич. р-рителя применяют бензиловый спирт, тимол, ментол. Эмульгаторами служат полиоксидиленовые производные гексифенового эфира высшей жирной к-ты, Na-соль алкилсерной к-ты, триэтианоламинказеинат и др. П р и м е р: 25 мг прогестерона растворяют в 50 мг бензилового спирта, добавляют 10 мг Na-алкилсульфата или триэтианоламинказеината и доводят до 1 мл 50%-ным р-ром глюкозы, насыщенным бензиловым спиртом.

К. Г.

**5080 II.** Получение эмульсий вода в масле, содержащих соли. Даймлер (Herstellung von salzhaltigen Wasser-Öl-Emulsionen. Daimler Karl) [Farbwerke Hoechst A.-G. vormalig Meister Lucius und Brüning]. Пат. ГФР 897246, 19.11.53 [Chem. Zbl., 1954, 125, № 15, 3297 (нем.)]

Способ получения содержащих соль водно-масляных эмульсий (I) основан на тщательном смешении конц. насыщ. или пересыщ. водн. р-ров солей с маслами, содержащими ароматич. ядра с алифатич. замещающими группами. Таким способом получают I из кумаронового смоляного масла или дидецилбензола и водн. р-ров  $\text{Na}_2\text{AsO}_4$ ,  $\text{NaHSO}_4$ ,  $\text{NaHSO}_3$ ,  $\text{NaNO}_2$  или  $\text{NaF}$ . Эти I применяют при приготовлении мазей для ветеринарно-медицинских целей, консервирующих и гербицидных средств для дерева.

Л. М.

**5081 II.** Способ получения синтетических антикоагулянтов. Моррен (Procédé de préparation d'un anticoagulant de synthèse. Morren H.). Франц. пат. 1056772, 2.03.54 [Prod. pharm., 1954, 9, № 8, 454 (франц.)]

Синтетический антикоагулянт состоит из альгиновой к-ты, образующей эфиры с  $\text{H}_2\text{SO}_4$ . Перед введением остатков  $\text{H}_2\text{SO}_4$  альгиновую к-ту подвергают частичному гидролизу; частично гидролизованная альгиновая к-та после введения групп- $\text{SO}_3\text{H}$  образует водорастворимый продукт путем солеобразования.

О. С.

**2 II.** Предохранение легко окисляющихся веществ

(Preservation of oxygen-sensitive substances) [Deltafor N. V.]. Австрал. пат. 151775, 25.06.53

Патентуется способ приготовления препаратов, содержащих легкоокисляющиеся в-ва, в частности витамины или гормоны, основанный на том, что эти в-ва для предохранения от окисления помещают в капсулы из твердых жирных соединений или восков, или тех и других вместе; снижают водоталкивающие свойства поверхности из этого материала смешением последнего с в-вами, обладающими способностью снижать водоталкивающие свойства жирных компонентов и восков, напр., с водн. р-ром алкилцеллюлозы. После высушивания препарату придают, по потребности, форму гранул, пиллюл или таблеток.

Л. М.

**5083 II.** Консервирующие средства. Хентрих, Кайзер (Konservierungsmittel. Hentrich Winfried, Kaiser Wilh. Jakob) [Deutsche Hydrierwerke A.-G.]. Пат. ГФР 881247, 29.06.53 [Chem. Zbl., 1953, 124, № 47, 8154 (нем.)]

В качестве консервирующих средств, в частности для фармацевтич. препаратов, используют водорастворимые соли алкиларилкетонов общей ф-лы  $\text{R}-\text{CO}-\text{Ar}-\text{OH}$ , где R — алифатич. углеводородный остаток, который содержит не больше 4 атомов C и может иметь заместитель, Ar — ароматич. углеводородный остаток, преимущественно остаток бензола, который также может иметь замещающие группы; применяют, напр. Na- или K-соль метил-4-оксифенилкетона.

Л. М.

**5084 II.** Мокющие композиции, обладающие антибактериальными свойствами. Липсич (Cleansing compositions having antibacterial properties. Lipsitz Paul) [E. I. du Pont de Nemours and Co.]. Пат. США 2692862, 26.10.54

Патентуется мокющая композиция, в состав которой входит мыло и в-во с антибактериальной активностью ф-лы:  $\text{R}'\text{R}''\text{NC}(=\text{S})\text{SN} = \text{Z}$ , где R' и R'' — алкильные группы, содержащие каждая не больше 2 атомов C, а N = Z представляет собой  $\text{NH}_2$  или первичный и вторичный алкиламины, имеющий не больше 4 атомов C в каждом алкильном радикале, морфолин и пиперидин.

Л. М.

**5085 II.** Формальдегид (Formaldehyde) [Foromycen Etablissement]. Австрал. пат. 153931, 19.11.53

Способ получения бактерицидных препаратов формальдегида, не отверждающих и не дубящих эпидермиса, а также не способствующих его распаду, отличается тем, что водн. р-р, суспензию или пасту в-в, выделяющих  $\text{CH}_2\text{O}$ , нагревают в присутствии силиката Al, или каолина и кварцевого песка, и собирают отгон.

Н. С.

См. также: Синтетич. соед. 3010, 3824, 3825, 3891, 3898, 3902, 3912—3914, 3916—3919, 3922—3924, 3932, 3934, 4230, 4231; 1866—1868Бх, 1887Бх, 1939Бх. Природные в-ва 3813, 3991, 4235—4243; 994Бх, 1006Бх, 1146Бх, 1149Бх, 1183Бх, 1186Бх, 1223Бх, 1233Бх, 1253—1258Бх, 1300Бх, 1306Бх, 1391—1394Бх, 1396Бх, 1406Бх, 1609Бх, 1686Бх, 1690Бх, 1765Бх.

## ФОТОГРАФИЧЕСКИЕ МАТЕРИАЛЫ

**5086.** О взаимодействии поливинилового спирта с бихроматом аммония в пленках под действием света. Лосев Н. П., Федотова О. Я., Венкова Е. С., Полиграф. произ-во, 1954, № 3, 12—14

Светочувствительные слои с поливиниловым спиртом (I) и бихроматом аммония (II) представляют интерес для фоторепродукционных процессов. Проведено исследование взаимодействия I с II под действием света. 7%-ный водн. р-р I, полученного кислотным гидролизом, содержащий

4% II (от веса I), наносили на пластинки, слой высушивали при 40° в темноте и облучали светом от лампы 2 кет на расстоянии 80 см в течение 6 мин. Экспонированный слой освобождали от непрореагировавшего II путем диализа в течение 30 суток при периодич. смене дистилл. воды. Анализ показал наличие в воде 6-валентного Cr и низкомолекулярных фракций I. После диализа слой имел изумрудный цвет, что указывает на восстановление в нем 6-валентного Cr до 3-валентного. Кол-ва хрома в пересчете на  $\text{Cr}(\text{OH})_3$  (III), определенные анализом и по результатам диализа, близки и составляют, соответственно, 2,54 и 2,4%. В р-циях между I и II происходит восстановление II:  $(\text{NH}_4)_2\text{Cr}_2\text{O}_7 + 2\text{H}_2\text{O} \xrightarrow{6e} 2\text{Cr}(\text{OH})_3 + 2\text{NH}_3 + 3\text{O}$ . Слой после диализа содержит хроморганич. соединение, в котором хром 3-валентен. Возможно, что образуются сложные эфирные связи между III и гидроксильными группами I, что подтверждается увеличением коэфф. омыления и снижением ацетильного числа I в результате р-ции. Под влиянием II происходит также окисление I, сопровождающееся частичной деструкцией слоя. Увеличение экспозиции, как и увеличение содержания II, повышает водоустойчивость слоя. Однако даже при многочасовом облучении слой не теряет способности к набуханию. Слой из I, подвергнутого щел. гидролизу, набухают больше, чем в случае кислотного гидролиза. С. Б.

**5087. Сенсibilизация, гиперсенсibilизация и десенсibilизация негативных материалов. Убертис-Бокка** (Sensibilizzazione, ipersensibilizzazione e desensibilizzazione del materiale negativo. Ubertis Bocca Bernardino), Progr. fotogr., 1955, 62, febr., 59—65 (итал.).

В краткой форме излагается сущность и описываются способы проведения названных процессов. Приводится рецептура р-ров для хим. латенсификации (усиления скрытого изображения) посредством  $\text{SO}_2$ ,  $\text{H}_2\text{O}_2$ , солей золота, гидразина, гидроксилана; рецептура р-ров феносафранина, пинакристола зеленого и желтого для десенсibilизации фотоматериалов. К. М.

**5088 II. Фотографическая пленка. Бойд, Карнес, Бамп** (Photographic film. Boyd Thomas, Cairns Robert E., Bump Charles Kilbourn) [Monsanto Chemical Co.]. Пат. США 2676102, 20.04.54

Фотопленка состоит из основы, подслоя и нанесенного на него светочувствительного эмульсионного слоя. Подслой состоит из в-ва группы полимеров, получаемых конденсацией мономерных тетраорганич. производных ортотитановой к-ты и ее сополимеров с мономерными органич. силами. Указанный конденсированный полимер получается при р-ции одного моля указанного мономера с 0,5—1,5 молями воды при медленном ее добавлении и постоянном перемешивании при условии отсутствия влаги. Л. К.

**5089 II. Фотографическая чертежная калька. Смит** (Photographic tracing cloth. Smith Carl F.) [Eastman Kodak Co.]. Пат. США 2670288, 23.02.54

Патентуется фотографич. чертежная калька с улучшенной прозрачностью. Калька состоит из проклеенной основы, расположенных по обеим сторонам основы слоев гидролизованного поливинилацетата, содержащего 27—40% винилацетата, и нитроцеллюлозных слоев, нанесенных на оба поливинилацетатных слоя. На один из нитроцеллюлозных слоев с помощью желатинового промежуточного слоя нанесен галогеносеребряный эмульсионный слой, на второй — ацетилцеллюлозный. С. Б.

**5090 II. Светочувствительный материал для фотохимического процесса. Чокли** (Photochemical process and product. Chalkley Lyman). Пат. США 2676887, 27.04.54

Патентуется светочувствительный материал, содержащий гомог. смесь цианида аминотрифенилметанового красителя с активатором, напр., 1,2- или 1,3-диметоксбензолом, простым эфиром этиленгликоля, эфиром фосфорной к-ты или монооксисоединения, ароматич. первичным или вторичным амином, ароматич. карбинолом или нитрилом, в котором циангруппа связана с группами  $>\text{CH}-$  или  $-\text{CH}_2-$ . Л. К.

**5091 II. Способ стабилизации водного метабора натрия и содержащих его сухих фотографических проявителей. Хенн, Раш, Крабтри** (Method of stabilizing hydrates of sodium metaborate and single powder photographic developers containing same. Henn Richard W., Rasch Arthur A., Crabtree John I.) [Eastman Kodak Co.]. Пат. США 2685513, 3.08.54

Способ стабилизации водн. метабора натрия, заключающийся в составлении смеси его с 2,5—10 вес. % хорошо измельченного стабилизатора из группы в-в, в которую входят фталевый ангидрид, борный ангидрид и метаборная к-та. Смесь нагревают 4 часа при 70°. К. М.

**5092 II. Фотографический проявитель с моносulfо-натом гидрохинона для получения прямого позитивного изображения. Расселл, Хейет** (Hydroquinone monosulfonate in direct positive photographic developers. Russell Harold D., Haist Grand M.) [Eastman Kodak Co.]. Пат. США 2675318, 13.04.54

Проявляющий р-р для прямого получения позитивного изображения содержит N-метил-п-аминофенолсульфат, арилгидразин и по крайней мере гидрохинонсульфат щел. металла, не имеющий примеси незамещ. гидрохинона. Прямой способ получения позитивного изображения на галогеносеребряном слое заключается в экспонировании слоя, в получении сенситограммы со шкалой интенсивности при времени экспонирования 1/100—1 сек. и проявлении ее в течение 3 мин. при 20° в глубинном проявителе: гидрохинона 15 г, монометил-п-аминофенолсульфата 15 г,  $\text{Na}_2\text{SO}_3$  50 г, KBr 10 г, NaOH 25 г,  $\text{Na}_2\text{S}_2\text{O}_8$  100 г, воды до 1000 мл.  $D_{\text{макс}}$  получается в 5 раз больше  $D_{\text{макс}}$  одинаково экспонированной сенситограммы, проявленной в течение 4 мин. при 20° в поверхностном проявителе: п-оксифенилглицина 10 г, соды 100 г, воды до 1000 мл. В проявителем р-ре, содержащем N-метил-п-аминофенолсульфат, п-(β-метилсульфоаминоэтил)-фенилгидразин и гидрохинонмоносulfо-нат натрия, не имеющий примеси незамещ. гидрохинона, проявляются только неэкспонированные участки галогеносеребряного эмульсионного слоя. Л. К.

**5093 II. Способ нанесения светочувствительных и других слоев фотографических материалов. Гуанье** (Verfahren zur Herstellung von photographischem lichtempfindlichem oder anderem beschichteten Material. Gognier Edgar). Пат. ГДР 6991, 5.04.54

В качестве смачивающих в-в, вводимых в фотографич. эмульсию и другие р-ры при поливе на подложку, предложены нерастворимые или труднорастворимые в воде в-ва (I), содержащие углеродородную цепь не менее чем с 8 атомами С. I могут также препятствовать накоплению статич. электричества и осаждению пыли на пленки в киноаппаратуре. Пригодны алифатич. и циклич. соединения, спирты, эфиры, к-ты, сложные эфиры, напр.  $\text{C}_{10}\text{H}_{20}\text{O}_2$ ,  $\text{C}_{12}\text{H}_{22}\text{OH}$ ,  $\text{CH}_3\text{OC}_2\text{H}_5$ ,  $\text{C}_6\text{H}_5\text{ONC}_2\text{H}_5$ . Эмульгирование большинства I, находящихся в р-ре, проводят в присутствии желатины и небольшого кол-ва эмульгатора. С. Б.

**5094 II. Состав окрашенных слоев сложных эфиров целлюлозы, применяемых в фотографии. Хантер**,





растворения, переноса и восстановления галогенного серебра.

Н. С. 5103 П. Фотографический материал. Ланд (Photographic product. Land Edwin H.) [Polaroid Corp.]. Канад. пат. 508189, 14.12.54

Особенностью фотоматериала является наличие в приемном слое колл. соединений кремния, служащих носителями субмикроскопич. кристаллов в-в, осаждающих серебро из его растворимых комплексов.

Н. С. 5104 П. Светочувствительные диазотипные слои (Light-sensitive diazo type layers) [General Aniline and Film Corp.]. Англ. пат. 705565, 17.03.54 [Brit. J. Photogr., 1954, 101, № 4932, 601—602 (англ.)]

В двухкомпонентные диазотипные слои принято вводить хлористый цинк (I) (обычно в виде двойной соли цинка и диазониевого соединения). Присутствие I в слое связано с обеспечиванием светов отпечатка и уменьшением водостойчивости изображения. Согласно патенту введение дополнительно к I хлорида или сульфата магния в кол-ве 10—40% общего веса солей Zn и Mg устраняет или сильно снижает эти недостатки.

С. Б. 5105 П. Способы получения рельефных матриц на светочувствительных материалах с диазосоединением. Хеффер (Photographic methods of preparing relief matrices and diazo containing light-sensitive materials therefor. Hephher M.) [Kodak Ltd.]. Англ. пат. 711702, 7.07.54 [J. Appl. Chem., 1954, 4, № 12, 766 (англ.)]

Предложен способ получения рельефных матриц для фотомеханич. процессов. Желатиновый слой, содержащий диазосоединение (I), экспонируют и промывают при pH < 2,5 для удаления экспонированных участков слоя. I имеет общее строение  $\text{NRR}'\text{—}[\text{D—CH}_2]_n\text{—D}'\text{—}$  —NH<sub>2</sub>, где R и R'—H, алкильная или арильная группа; D и D'—*n*-фениленовые радикалы, которые могут содержать алкильные группы; *n*=0 или 1. I может быть производным одного из следующих соединений: *n*-фенилендиамин; *N*-алкил-, *NN*-диалкил-, *N*-арил-*n*-фенилендиамин; 4,4'-диаминодифенилметан и его *N*-алкил- и *NN*-диалкилпроизводные. Стекланую пластинку покрывают 20 мл/дм<sup>2</sup> р-ром, содержащим 5% желатин и 1% хромовых квасцов. Высушенную пластинку обрабатывают в течение 1 мин. р-ром диэтил-*n*-толуиленамина (10 г), конц. HCl (100 мл) и NaNO<sub>2</sub> (3,3 г) в воде (200 мл), при 40°. Избыток жидкости с пластинки удаляют, и материал высушивают. После экспонирования отпечаток промывают в проточной воде при 75°, причем экспонированные участки смываются, а неэкспонированные остаются в виде рельефа.

С. Б. 5106 П. Фуорохиноксалины и тиенохиноксалины в качестве катализаторов при отбеливании красителей в цветной фотографии. Мюллер (Furoquinoxalines and thienoxinoxalines as catalysts in dye bleach baths for color photography. Mueller Fritz W. H.) [General Aniline and Film Corp.]. Пат. США 2669517, 16.02.54

Раствор для отбеливания красителя серебром содержит галогенную соль и к-ту из числа неокисляющих минеральных к-т или растворимых в воде органич. к-т, а также ускоритель с общей ф-лой (I), где А—атом О или S, а Z и Z'—атомы, дополняющие углеводное кольцо до бензольного.

К. М. 5107 П. Способ изготовления галогеносеребряных эмульсионных слоев цветных однослойных и многослойных фотоматериалов. Кайрат (Verfahren zur Herstellung von Halogensilberemulsionsschichten für farbbphotographisches Ein- oder Mehrschichtenmaterial. Kainrath) [Dr. C. Schleußner Fotowerke G. m. b. H.]. Пат. ГДР 7125, 21.04.54

Предложено получать недиффундирующие компоненты соединением с помощью длинной алифатич. углеводородной цепи двух или более простых в-в, способных образовывать красители при цветном проявлении. Для образования углеводородной цепи применяют остатки дикарбоновых к-т или алифатич. диамины с числом атомов С более 5, напр. хлорид себациновой к-ты и декаметилендиамин-хлоргидрат. Примеры в-в, способных образовывать красители при цветном проявлении: 1-(4'-аминофенил)-3-(4'-метоксифенил)-, 1-(4'-аминофенил)-3-метил-, 1-(4'-сульфофенил)-3-(3'-аминофенил)- и 1-(3'-аминофенил)-3-метилпразолоны(5); *m*-аминофенол и аминсалициловая к-та (1,2,3); хлориды салициловой и 1-окси-2-нафтойной к-т; 3-аминобензоилацет-анидид и 3-аминобензоилацетанилд-4-карбоновая кислота.

С. Б. 5108 П. Способ преимущественного или селективного проявления отдельных слоев многослойных цветных пленок. Шнейдер, Гангунг (Verfahren zur bevorzugten oder selektiven Entwicklung einzelner Schichten in Mehrschichtenfarbfilm. Schneider Wilhelm, Ganguing Karl-Otto). Пат. ГДР 4266, 14.04.54

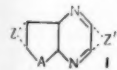
С целью селективного проявления отдельных слоев многослойных пленок к цветному или черно-белому проявителю добавляют в-ва, образующие труднорастворимые соединения с галогенным серебром. Эти в-ва, в зависимости от конц-ии, действуют на один или два верхних слоя, замедляя их проявление. В качестве таких в-в пригодны алифатич., ароматич., изоциклич. и гетероциклич. производные имидзола, которые могут содержать NO<sub>2</sub>, OH-, COOH- и SO<sub>3</sub>H-группы, а также меркапто-диазолы, *t*-риазолы, *t*-тетразолы, *t*-тиазолы, тиогидантоин и подобные соединения. Эти в-ва могут содержать остатки, препятствующие диффузии. Способ применим также для получения серебряного маскирующего изображения. В качестве примера для преимущественного проявления нижнего слоя предложено вводить в цветной проявитель не менее 1 г/л бензамид-азолкарбоновой к-ты, для проявления двух нижерасположенных слоев от 0,6 до 0,8 г/л нитробензимидазола.

С. Б. 5109 П. Фотографические проявители с повышенной растворимостью проявляющих веществ. Виттум, Керридж (Photographic developers of increased solubility. Vittum Paul W., Kerridge George W.) [Canadian Kodak Co. Ltd.]. Канад. пат. 498988, 5.01.54

Проявляющий р-р содержит проявляющее в-во N,N-диалкил-*n*-фенилендиамин (I) и известное кол-во в-ва (II) строения (R)(R')C<sub>6</sub>H<sub>4</sub>SO<sub>3</sub>M, где R и R'—алкильные группы, имеющие не менее 5 атомов С, и атомы, необходимые для замыкания насыщ. карбоциклич. кольца; М—щел. металл или аммоний. Кроме того, проявляющий р-р содержит на 1 л 100 г натривой соли бензолсульфокислоты (III), замещ. в бензольном кольце алкилом с числом атомов С, не менее 5. Для увеличения растворимости I в проявляющем р-ре к последнему добавляют II, а также от 20 до 200 г III на 1 л проявляющего раствора.

Л. К. 5110 П. Галогеносеребряная фотографическая эмульсия, содержащая цветные компоненты с остатком 5-аминоизофталевой кислоты. Мак-Кроссен, Салминен, Уэйсбергер (Silver halide photographic emulsion containing dialkyl 5-(carboxy fatty acid amido) isophthalates. McCrossen Fred C., Salminen Ilmari F., Weissberger Arnold) [Eastman Kodak Co.]. Пат. США 2688544, 7.09.54

Предложен галогеносеребряный эмульсионный слой, содержащий компоненту цветного проявления ф-лы:  $\text{O}, \text{n}-(\text{C}_6\text{H}_{11})_2-\text{C}_6\text{H}_4-\text{O}-(\text{RNHCO})-\text{C}_6\text{H}_4-\text{NHCO}(\text{CH}_2)_n-$



ла, нафталина, антрацена и ацидафена

К. М. 5107 П. Способ изготовления галогеносеребряных эмульсионных слоев цветных однослойных и многослойных фотоматериалов. Кайрат (Verfahren zur Herstellung von Halogensilberemulsionsschichten für farbbphotographisches Ein- oder Mehrschichtenmaterial. Kainrath) [Dr. C. Schleußner Fotowerke G. m. b. H.]. Пат. ГДР 7125, 21.04.54

$\text{CONH}-\text{C}_6\text{H}_4(\text{COOM})_2$ , где R — остаток, содержащий энольную группу и способный к сочетанию с продуктом окисления проявляющего в-ва ароматич. ряда, содержащего первичную аминогруппу; M — щел. металл.

С. Б.

**5111 П.** Способ получения трехцветных изображений при помощи цветного бипака. Фридман (Process of obtaining three-color separation records from a bipack color film. Friedman Joseph S.) [General Aniline and Film Corp.]. Пат. США 2689180, 14.09.54

Для получения цветоделенных изображений в трехцветной фотографии предлагается применять бипак. Передняя пленка имеет три слоя: 1) нижний несенсибилизированный слой, содержащий недиффундирующую цветную компоненту для образования серого красителя или смеси голубой, пурпурной и желтой компонент; 2) средний фильтровой слой и 3) верхний ортохроматич. слой, не содержащий компонент. Вторая пленка имеет один панхроматич. слой с недиффундирующей компонентой серого красителя или смесью трех компонент. После экспонирования внешний слой передней пленки приводит в контакт с вспомогательной пленкой, слой которой содержит в колл. состоянии какие-либо из следующих в-в: серебро, сернистое серебро, золото, сернистое золото, сульфиды щел. металлов и хлористое олово. При определенной продолжительности контакта пленок при наличии проявляюще-фиксирующего р-ра проходит проявление негативного изображения и растворение остаточного галогенного серебра верхнего слоя передней пленки бипака, а также перенос (диффузия) ионов Ag в колл. слой вспомогательной пленки. Далее следует разделение обеих пленок и промывание вспомогательной пленки с изображением, соответствующим верхнему слою передней пленки. Нижний слой передней пленки и вторую пленку обрабатывают путем цветного проявления с обращением, отбеливают и фиксируют. В результате получают цветоделенные позитивные изображения.

К. М.

**5112 П.** Фототермография и печатные краски для этого процесса. Меррей (Photothermography and printing inks therefor. Murray Alexander) [Canadian Kodak Co., Ltd]. Канад. пат. 502022, 4.05.54

Патентуется способ печати изображений на бумагу. На плоскую подложку наносят однородный слой типографской краски (ТК), поглощающей тепловые лучи. Эта краска содержит красящее в-во (I) и органич. р-ритель (II) из группы в-в, включающей бензофенон и метил-о-бензилбензоат, и не должна содержать в-в, плавящихся при т-ре в пределах  $20^\circ$  у т-ры плавления. II. ТК стабильна как в твердом состоянии, так и в жидком состоянии немного выше т-ры плавления, и не должна неблагоприятно действовать на бумагу. Подложку со слоем ТК приводят к однородной т-ре ниже т-ры плавления II (в пределах  $20^\circ$ ) и слой облучают тепловыми лучами через негатив, имеющий пропускающие и не пропускающие тепловой радиации участки. Тепловое излучение должно иметь достаточную интенсивность и действовать в течение времени, достаточного для повышения т-ры ТК на облучаемом участке выше т-ры плавления, причем на необлучаемых участках не должно быть плавления ТК. Слой, содержащий ТК, приводит в тесный контакт с новой бумажной подложкой, имеющей т-ру ниже указанной т-ры плавления. Расплавленная ТК переносится на новую подложку с образованием позитивного изображения, после чего слои разделяют. II имеет резко ограниченную т-ру плавления в пределах  $2^\circ$  при т-ре между  $42^\circ$  и  $52^\circ$ , причем его скрытая теплота плавления не превышает 30 кал/м.г. ТК содержит I и незначительное кол-во мелкораз-

дробленного, включенного в бензофенон в-ва, поглощающего тепловые лучи — Cu, Ag или Ni. С. Б.

## ДУШИСТЫЕ ВЕЩЕСТВА. ЭФИРНЫЕ МАСЛА. ПАРФЮМЕРИЯ И КОСМЕТИКА

**5113.** Некоторые достижения в области душистых веществ в 1954 г. Джейкобс (Some flavor developments in 1954. Jacobs Morris B.), Amer. Perfumer and Essent. Oil Rev., 1954, 64, № 5, 373—374 (англ.)

Сообщается о синтезе цитраля на базе ацетилена, выделении из перченого масла фенилуксусной к-ты, эпоксициклопропанофилилена, криптона, спирта  $\text{C}_{10}\text{H}_{18}\text{O}$ , соединений  $\text{C}_{15}\text{H}_{24}\text{O}$  и  $\text{C}_{15}\text{H}_{22}\text{O}$  (возможно, сесквитерпеновые спирты), азаулена, в-ва  $\text{C}_{15}\text{H}_{22}\text{O}_4$  и других в-в, об исследовании состава жирной части перченого масла. Рассмотрен вопрос о запахе и его восприятии. И. В.

**5114.** Душистые вещества. Белов В. Н., Скворцова Н. И., Природа, 1954, № 11, 33—41

Обзор. Н. Л.

**5115.** Линейная или комплексная парфюмерия. Шмидт (Lineare oder komplexe Parfümerie. Schmidt H.), Fette und Seifen, 1954, 56, № 1, 29—32 (нем.; резюме англ., франц., исп.).

Обсуждается различие между линейной (применение индивидуальных душистых в-в) и комплексной (применение баз) парфюмерией. Предлагается интенсивнее использовать комплексные методы построения парфюмерных масел как более легкие, экономные и быстрые.

А. В.

**5116.** Размачивание и смягчение волос человека в растворе меркаптановых соединений. Хейлинггеттер (Die Quellung und Erweichung von menschlichen Haar in Lösungen von Mercapto-Verbindungen. Heilingötter R.), Fette und Seifen, 1953, 55, № 12, 868—871 (нем.)

Размачивание и смягчение волоса представляет собой процесс разрыва связанных друг с другом сульфидными мостиками полипептидных цепочек кератина ( $\text{RS}-\text{SR}' + \text{H}_2 = \text{RSH} + \text{R}'\text{SH}$ ). Размачивание наступает благодаря восстановлению сульфидных связей. Повторное уплотнение идет при окислении ( $\text{RSH} + \text{HSR}' + \text{O} \rightarrow \text{RS}-\text{SR}' + \text{H}_2\text{O}$ ). Обе р-ции протекают при  $\sim 20^\circ$  и идут только в водн. р-рах солей меркаптокарбонных к-т с максим. значением pH 9.5. Необходимое pH достигается добавлением р-ра аммиака. Для приготовления тиогликолята рекомендуется использовать чистую тиогликолевую к-ту во избежание отрицательного влияния на процессы размачивания и размачивания минер. и других добавок.

Н. Ч.

**5117 П.** Процесс приготовления  $\alpha$ - и  $\beta$ -6-метилнонов (Procédé de préparation des 6-méthylionones  $\alpha$  et  $\beta$ ) [Firmenich et Co. Successeurs de la Soc. An. M. Naer et Cie]. Франц. пат. 1026061, 24. 04. 53 [Ind parfum., 1954, 9, № 1, 31 (франц.)]

Смесь  $\alpha$ - и  $\beta$ -6-метилнонов получают циклизацией 5-метил-2-изопропилдекарбиена-1,5,7-она-9 в присутствии  $\text{H}_2\text{SO}_4$ ,  $\text{H}_3\text{PO}_4$  или  $\text{BF}_3$  в водном растворе при pH  $\sim 5$ .

С. П.

**5118 П.** Вещество с двумя фурановыми кольцами. Фокс (Compounds with two furanic cycles. Fauché Louis Léon Joseph) [Etablissements Lambiotte Freres]. Пат. США 2681917, 22.06.54

Метод приготовления конденсированных соединений общей ф-лы  $[\text{CH}_2-\text{C}=\text{CH}-\text{C}=\text{O}]_2-\text{C}(\text{R}'\text{R}'')$  —  $(\text{R}'$  и  $\text{R}''$  — Н низший алкил, радикал фурфурил или

фенил) заключается во взаимодействии смеси 2 молей метил-2-фурана и 1 моля альдегида или кетона, имеющего по крайней мере одну из вышеуказанных одновалентных групп. Р-ция проводится в кислой среде при 20—250°. Образовавшиеся продукты конденсации могут иметь применение в парфюмерной и пищевой промышленности. Н. Л.

5119 П. Метод экстракции аминокислот из шелка. Жолле, Зендель (Procédé d'extraction des acides aminés de la soie. Joliet H., Zundel A.). Франц. пат. 1039214, 16.10.53 [Ind. parf., 1954, 9, № 2, 67 (франц.)]

Для экстракции аминокислот из вываренного шелка последний подвергают смешанному гидролизу разб. к-тами ( $H_2PO_4$ ). Отделяют нерастворимый порошок шелка, нейтрализуют водн. экстракт, содержащий нужные аминокислоты (как в свободном, так и в связанном состоянии), и упаривают до сиропообразного состояния. Полученный сироп применяют для косметических целей. Е. С.

5120 П. Краска для животных волокон, в частности для волос людей. Эккардт (Teinture pour fibres animales, en particulier pour cheveux humains. Eckardt Wolfgang M. J.) [Kleinol G. m. b. H.]. Франц. пат. 1051605, 18.01.54 [Inds parf., 1954, 9, № 6, 219 (франц.)]

Краска для волос содержит нитрокрасители общей ф-лы:  $(NO_2)_m RR' n (NHR'')_p (R - \text{арил}; R' - NH_2 \text{ или } OH; R'' - \text{алкил, содержащий по крайней мере одну оксигруппу}; m \text{ и } p - \text{числа не менее 1 и } (n + p) \text{ не менее 2})$ . О. С.

5121 П. Крем для кожи на спиртовой основе. Феррарис (Crème pour la peau à base d'alcool amené à la consistance d'une crème. Ferraris Tito). Франц. пат. 1024337, 8.06.53 [Chem. Zbl., 1954, 125, № 19, 4282 (нем.)]

Патентуются кремы для кожи на спиртовой основе, содержащие как связывающее средство Na-стеарат или мыло, полученное из минер. или растительного масла. Напр., крем содержит: 1000 г спирта, 15—17 г Na-стеарата, 3—10 г омыленного оливкового масла, 2—20 г глицерина, 0,7—1,2 г кристаллич. ментола, духи (по желанию) или 1000 г спирта, 25—70 г мыла, 3—6 г  $NaHCO_3$ , 0,7—1,2 г кристаллич. ментола, 0,8—10 г очень чистой стеариновой к-ты, духи (по желанию). Н. Ф.

5122 П. Масло, защищающее от загара. Туссен (Huile brissante écran solaire. Toussaint Sylvain). Франц. пат. 1024465, 8.06.53 [Chem. Zbl., 1954, 125, № 19, 4282 (нем.)]

Масло, защищающее от солнечного загара, содержит эфирное бергамотовое масло (или его производные в форме вытяжек, эссенций и т. п.) и имеет, напр., следующий состав: 1,25 г масла сладкого миндаля, 173 г дудлиана, 50 г защитного средства против солнечного загара (ХФ-лучей), 20 г рыбьего жира, 2 г противоокислительного средства, 530 г вазелинового масла и 10 г бергамотового масла (кол-во бергамотового масла в зависимости от условий употребления может быть равно 50—100 г). Н. Ф.

5123 П. Жиродержащая пенящаяся туалетная вода для волос (Fetthaltige schäumende Haarwässer) [Deutsche Hydrierwerke A.-G.]. Пат. ГФР 895047, 29.10.53 [Chem. Zbl., 1954, 125, № 11, 2515—2516 (нем.)]

Жиродержащая, пенящаяся туалетная вода для волос состоит из водно-спиртового р-ра простого эфира, получаемого из многоосновных алифатич. спиртов и высокомолекулярных жирных спиртов не менее чем с одной свободной гидроксильной группой. Напр., 10 вес. ч. моноглицеринового эфира жирного спирта

с 12—18 атомами С растворяют при нагревании в 40 вес. ч. спирта (96%-ного) и добавляют при помешивании 50 вес. ч. воды. Н. Ф.

5124 П. Косметические препараты, содержащие вещества из рогов. Мацуо, Секи (Cosmetics containing horny substances. Matsuo Bungo, Seki Naomasa). Япон. пат. 1899, 1900, 30.04.53 [Chem. Abstrs, 1954, 48, № 8, 4782 (англ.)]

Патентуется (пат. 1900) применение в качестве эмульгирующего и удерживающего запах агента в косметич. препаратах и духах продукта, полученного из рогов или копыт. Для получения указанного продукта (пат. 1899) 100 г рогов или копыт крупного рогатого скота нагревают в течение 1 часа при т-ре ниже т-ры карбонизации, размалывают и экстрагируют 5 раз спиртом, порциями по 500 мл. После удаления из экстракта спирта получают 7—10 г смолистого в-ва, которое экстрагируют 4 раза эфиром, порциями по 300 мл. После удаления эфира получают 3—5 г пастообразного в-ва, небольшое кол-во которого вводят в кремы, помады и зубные пасты. Н. Л.

5125 П. Емкости для масел, приправ и подобных продуктов (Containers for ointments, condiments and the like) [International Patents Trust, Ltd]. Англ. пат. 694741, 29.07.53 [Soap, Perfum. and Cosmetics, 1953, 26, № 12, 1248 (англ.)]

Распределяющие емкости для паст, вязких жидких и полужидких в-в (в частности, для косметич. кремов, мазей и т. п.) состоят из наружной цилиндрич. коробки с внутренней цилиндрич. гильзой (в которой помещается продукт), способной сплюсчиваться под действием осевого давления, приложенного к ее нижнему концу. Нижний конец гильзы закрыт плунжером, представляющим собой вогнутый диск, который скользит вдоль внутренних стенок внешней коробки. Основание коробки имеет отверстие, позволяющее надавливать пальцем на плунжер, верхний конец емкости — отверстие для выдавливания. Э. С.

См. также: 3970

## КАУЧУК НАТУРАЛЬНЫЙ И СИНТЕТИЧЕСКИЙ. РЕЗИНА

5126. Успехи в области технологии каучука и резины (Международный colloquium в Институте каучука и резины 7—8 октября 1953 г. Дельфт (Голландия) (Fortschritte auf dem Gebiet der Kautschuk-Technologie (Internationales Kolloquium der Rubber-Stiching Delft, am 7. und 8. Oktober 1953), Kautschuk und Gummi, 1954, 7, № 1, Wissen. und Techn., 14—15 (нем.)

См. РЖХим, 1955, 41584.

5127. Коллоидная устойчивость и электрокинетический потенциал латекса. Агравал (Colloidal stability and electrokinetic potential of latex. Agrawal S. R.), Rubber India, 1954 Special Conference Number, 39—40, 83 (англ.)

Электрокинетич. потенциал частиц натурального латекса в зависимости от его истории может колебаться от 20 до 74 мВ. Существующие методы определения механич. и хим. устойчивости латекса неточны и нуждаются в замене. Д. С.

5128. Применение синтетических латексов в асбестотехнической промышленности и требования, предъявляемые к их свойствам. Тараненко И. Т. В сб.: Производство и применение синтетических латексов. Науч.-техн. конференция ВНИТО резинщиков. Госхимиздат, 1953, 71—81

Изучались физ. хим., колл. и технологич. свойства



латексов (Л) ДАБ, ДБП-50 и СК-30 применительно к условиям асбестехнич. пром-сти: конц-ия, содержание сухого каучука, эмульгатора и стабилизатора, щелочность и зольность, рН, поверхностное натяжение на границе с воздухом, вязкость, дисперсность, сорбционная устойчивость, пропитывающие и адгезионные свойства. Технологич. свойства Л изучались на рецептуре наиболее массовых и ответственных изделий. Фрикционные изделия из Л можно получать горячим формованием. Показана нецелесообразность разбавления Л и возможность работы в заводских условиях с Л до 50%-ной конц-ии. Асбестехнич. пром-сти нужны Л с величиной частиц до 0,1—0,2 м, 30—50%-ной конц-ии, с содержанием эмульгатора 10—12% и вязкостью 7—10 *спуаз*. Л должны быть более однородными и стабильными по конц-ии, содержанию эмульгатора и зольности, с поверхностным натяжением порядка 30—40 *дин/см*, стойкими к низким т-рам, не коагулирующие после их охлаждения до  $-25^{\circ}$  и последующего оттаивания при 10—20°. М. Л.

5129. Основные требования к синтетическому латексу для использования его в качестве изоляции на провода и кабели. Нерославский Л. М. В сб.: Производство и применение синтетических латексов. Науч.-техн. конференция ВНИТО резинщиков. Госхимиздат, 1953, 82—87

Описан способ нанесения на опытной установке изоляции на провода в виде тонких пленок из смесей на основе синтетич. латексов (Л). Пленки испытывались на электр. и механич. свойства, а также на старение. К Л предъявляются требования, чтобы изоляционные пленки, полученные из смесей на его основе удовлетворяли требованиям ГОСТ на изоляционную резину. Кроме того, Л должен оставаться стабильными при хранении не менее 2—3 месяцев, быть однородными и не иметь посторонних примесей, снижающих изоляционные свойства. В момент нанесения Л должен иметь хорошую адгезию к медной и стальной проволокам. М. Л.

5130. Применение латексно-битумной эмульсии в дорожном строительстве. Годфруа (Application routière d'émulsion bitume latex. Godefroy B.), Rev. gén. caoutchouc, 1955, 32, № 4, 306—307 (франц.)

5131. Технически классифицированный каучук. Херберт (Т. С. Kautschuk. Herbert H.), Prakt. Chem., 1955, 6, № 6, 153—154 (нем.)

Отнесение НК к различным классам производится на основании биологич. факторов (возраст дерева, обработка почвы, влажность, т-ра, климатич. условия и т. п.), физиологич. факторов (состав латекса, структура каучуковых частиц, хим. устойчивость и т. п.), факторов обработки (подсочка, транспортировка, хранение, коагуляция, копчение). В зависимости от этих факторов каучуки, продаваемые под одним и тем же названием, в вулканизованных стандартных смесях дают различные удлинения под действием одинакового груза: более высокими удлинениями характеризуются медленно вулканизирующиеся каучуки. В технич. классификации приняты следующие основные типы каучуков: с синим, желтым и красным клеем, соответственно характеризующиеся пределами удлинений под действием груза в 2 кг: 55—79, 67—91, 79—103. Эти три класса перекрывают друг друга (напр., удлинение 70 входит во все классы), поэтому необходима классификация, подобно введенной уже для синтетич. каучуков — по всем основным физ.-мех. свойствам вулканизаторов. А. Л.

5132. Технически классифицированный каучук. Хаувинк (Т. С. Kautschuk. Houwink R.), Kautschukanwendungen, 1955, 5, № 1, 2—5 (нем.)

5133. Синтетические каучуки. Плау Беноса (Los cauchos sintéticos. Pla u Benosa Joaquín), Goma, 1955, 3, № 30, 14—22 (исп.)

Обзор. Библ. 24 назв.

Д. С.

5134. Бумага, не склеивающаяся с каучуком. Монкрифф (Paper that is non-adherent to rubber. Moncrieff R. W.), Rubber Age and Synth., 1953, 34, № 8, 357 (англ.)

См. РЖХИМ, 1955, 12929.

М. Л.

5135. Влияние наполнителей на газопроницаемость каучука. Америкен (Der Einfluß von Füllstoffen auf die Gasdurchlässigkeit von Kautschuk. Amerongen G. J. van), Kautschuk und Gummi, 1954, 7, № 6, 132WT—136WT (нем.)

Определялись проницаемость (П), растворимость (Р) и диффузия  $H_2$ ,  $N_2$ ,  $O_2$  и  $CO_2$  через резиновые мембраны из НК, содержащие 50 вес. ч. различных саж (С) или 20 об. ч. светлых наполнителей (Н) на 100 ч. каучука. Методика описана ранее (см. J. Applied Phys. 1946, 17, 972). Для получения воспроизводимых результатов смесь с активной С следует тщательно откачивать при повышенной т-ре. Независимо от сорта С, П уменьшается примерно на 30%, при этом Р и диффузия в сильной степени зависят от сорта С. Р возрастает с увеличением уд. поверхности С. Часть газа адсорбируется С, инактивируется и не принимает участия в процессе диффузии. Высокая адсорбция  $O_2$  в смесях с тонкодисперсной С объясняет их быстрое окисление. Все нормальные Н (мел, окись алюминия, сернокислый барий, бентон-органич. бентонит, хайсил, калсил, дуросил, аэросил, тег Н, силтег А57, ультрасилтег VN<sub>2</sub>S) уменьшают П примерно на 25%. П падает с возрастанием дозировки Н в смеси. Р кислорода в смесях с Н и скорость их окисления меньше, чем в сажевых. Н с пластичными частицами (алюминиевый порошок, слюда, графит, бентонит) уменьшают П приблизительно на 75%. В обоих последних случаях П уменьшается вследствие увеличения пути прохождения газа. П смеси со слюдой при 100° для  $H_2$  и  $N_2$  почти равняется П бутылкаучука. Введение С и Н практически не влияет на температурную зависимость П. Падение П при введении наполнителей обусловлено чисто механич. факторами. Д. С.

5136. Каучук и каучукоподобные вещества, как антикоррозионные материалы. Вильсон (Rubber and allied substances as anticorrosive materials. Wilson B. J.), Corros. Technol., 1955, 2, № 4, 107—112 (англ.)

Обзор применения НК и СК для защиты от коррозии. Библ. 17 назв. В. К.

5137. Исследование диэлектрических свойств синтетических бутадиеновых каучуков в зависимости от температуры и частоты. Веселовский П. Ф., Тр. Ленингр. политехн. ин-та, 1955, № 181, 212—215

Исследование температурных зависимостей  $\epsilon'$  и  $\tan \delta$  для бутадиеновых каучуков: СКБ (отмытого от Na), буна СВ-10, буна С, буна СС и стирола на частотах  $f = 1,5, 10,56$  и  $890$  *кГц* показало наличие релаксационных диэлектрич. потерь дипольно-эластич. характера. Т-ра максимума  $\tan \delta$  повышается с увеличением частоты. На основании зависимости  $\lg f_{\max}$  от  $1/T$  ( $T$  — абс. т-ра,  $f_{\max}$  — частота, при которой наблюдается максимум  $\tan \delta$ ) определена энергия активации ( $\theta$  *кал/моль*): СКБ 30,6; буна СВ-10 26,4; буна С 29,8; буна СС 32,1. С повышением содержания стирола т-ра максимума  $\tan \delta$  повышается. А. Л.

5138. Термопластичность каучука острым паром. Сталинский (Thermoplastification du caoutchouc en vapeur vive. Stalinsky E.), Rev. gén. caoutchouc, 1954, 31, № 2, 95—97, 132, 134—135 (франц.; резюме англ., исп.)

Термопластичность каучука острым паром ведется в автоклавах при 155—160°. Каучук загружается в виде кусков толщиной 10 см. Подъем т-ры 20—

мин., нагревание 1,2 и 6 час. Продукт обладает большей однородностью, чем при пластикации горячим воздухом, отсутствуют осмоление и значительная липкость, в последующем он значительно быстрее пластируется на вальцах. Выигрыш во времени составляет 45—63%, производительность повышается на 85—167%. Увеличение продолжительности термопластикации свыше 2 час. мало эффективно. Возможна обработка цельных кип весом 110—115 кг. Подъем т-ры до 155°—10 мин., нагревание при 155—165°—6 час. При этом пластичность убывает от поверхности к середине кипы, всюду оставшаяся выше пластичности каучука в необработанной кипе. Термопластикация практически не влияет на свойства вулканизатов до и после старения. Д. С.

5139. Пластификаторы каучука. Зелинская (Plastifikatoren für Kautschuk. Zielinska S.), Plaste und Kautschuk, 1955, 2, № 3, 64—67 (нем.).

5140. Химические силы при усилении каучука сажей. Стюдбекек (Chemical forces in the reinforcement of rubber by carbon black. Studebaker Merton L.), Rubber Age, 1955, 77, № 1, 69—72, 129 (англ.).

При нагревании сажки до т-ры вулканизации каучука она реагирует с S. 1 ч. сажки фильблек О нагревают 18 час. при 150° с 9 ч. S; после экстракции одной части смеси толуолом (14 дней) и сушки при 150° оказалось связанным 0,64% S; другая часть смеси также экстрагировалась толуолом (14 дней) и сушилась при 1000° в азоте, при этом было обнаружено 0,49% связанной S. При нагревании 0,5 ч. сажки с 0,3 ч. S в течение 1 часа в минер. масле или в сквалене (10 ч.) кол-во связанной S составило, соответственно, при 100, 125 и 150°: в масле — 0,35; 0,36 и 0,36%, в сквалене — 0,36; 0,38 и 0,46%. Экстракция в толуоле продолжалась 14 дней, сушка в воздушном термостате 4,5 часа. После экстракции 28 дней процент S в сквалене не изменился. На возможность образования хим. связей указывает также ненасыщ. характер саж, присоединяющих бром. Все же до настоящего времени нет опытов, непосредственно указывающих на наличие хим. связи с активной сажей. А. Л.

5141. Резина в напряженном состоянии. Уиллис (Stressed rubber. Willis A. H.), J. Amer. Soc. Naval Engrs, 1954, 66, № 2, 504—515 (англ.). См. РЖХим, 1955, 35969.

5142. Применение резины и пластмасс в изоляции кабелей. Шатцел (Rubber and plastic insulation in cable. Schatzel R. A.), Wire and Wire Prod., 1953, 28, № 11, 1196—1198, 1236—1239 (англ.). Обзор. Приведены данные по произ-ву, потреблению и перспективам применения разных видов каучуков и пластмасс в США, в особенности в кабельной промышленности. М. Л.

5143. Некоторые новейшие применения клеев на основе каучука. Мак-Клеман (Some recent applications of rubber-base adhesives. McClellan J. M.), Rubber Age, 1955, 77, № 3, 385—390 (англ.).

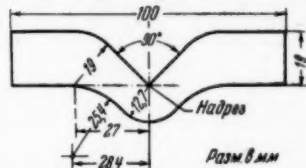
5144. Обувные клеи 1. Вьорал (Obuvnická lepidla. 1. Vyorál František), Kozářství 1955, 5, № 4, 66—67 (чеш.).

Обзор свойств и применения резиновых клеев и натурального латекса в обувной промышленности. \*Л. П.

5145. Определение сопротивления разрастанию порезов по Гравсу. Проект германского стандарта DIN 53515, апрель 1955 г. Эккер (Bestimmung des Weiterreisswiderstandes nach Graves. DIN 53515 Entwurf April 1955. Ecker R.), Gummi und Asbest, 1955, 8, № 4, 188—189 (нем.).

Действующий в Германии стандартный способ испытания на разрастание порезов (DIN 53507) резины и других подобных материалов переработан с целью

устранения имеющих место неопределенных срезывающих усилий. Наиболее воспроизводимые результаты дают образцы по Гравсу (см. рисунок), так как в них точно определено место приложения силы. М. Л.



#### 5146 П. Способ разделения каучукового латекса

на фракции с частицами различных размеров. Хесселье (Verfahren zum Scheiden von Kautschukmilch in Rahmfraktionen mit Kautschukteilchen verschiedenen Durchmessers. Hessels Johan Hubert Egbert). Пат. ГФР 880800, 25.06.53 [Gummi und Asbest, 1954, 7, № 3, 134 (нем.)]

Латекс пропускается через ряд центрифуг, работающих в различных условиях. Действие центрифугирования определяется: скоростью подачи латекса, числом оборотов центрифуги, расстоянием отводящей части от оси и расстоянием между тарелками. Эффективность первого центрифугирования не выше 70%. Д. С.

5147 П. Электрический способ осуществления физических или химических изменений в жидкостях. Нюрон (Electrical method of bringing about physical or chemical alterations in liquids. N y r o n J. E.). Англ. пат. 696813, 9.09.53 [Rubber Abstrs, 1953, 31, № 12, 499 (англ.)]

Электрич. поле вызывает миграцию частиц, распределенных в жидкости; применяется для концентрирования латекса. Д. С.

5148 П. Синтетические каучуковые латексы. Райне (Synthetic rubber latices. Rhines Chester E.), [Dominion Rubber Co., Ltd]. Канад. пат. 497580, 10.11.53

Для получения синтетич. латексов с большим средним размером частиц латекс, содержащий 0,5—10 вес. ч. каприлата натрия и не более 0,5 вес. ч. шел. мыла высших жирных к-т (на 100 вес. ч. сухого в-ва латекса), охлаждается без замораживания до т-ры ниже 11° и выдерживается при ней не менее получаса. После охлаждения латекс подвергается отстаиванию в присутствии гидрофильных колл. в-в. Способ применим к бутадиеновому, бутадиенстирольному и другим сополимерным латексам. Д. С.

5149 П. Концентрированный синтетический латекс. Бейб Роберт Л. (High solids synthetic rubber latex. Bebb Robert L.) [The Firestone Tire and Rubber Co.]. Канад. пат. 501100, 30.03.54

Концентрированный латекс получается полимеризацией эмульсии 100 ч. смеси бутадиена и стирола в 82—108 ч. воды при применении трехкомпонентного эмульгатора состава: 2,9—5 ч. олеата или стеарата натрия, 1—2 ч. фосфата натрия и 0,25—3 ч. водорастворимой соли конденсированной нафталинсульфокислоты. После полимеризации вода отгоняется, в то время как латекс сохраняется в жидком состоянии. В. К.

5150 П. Способ изготовления резиновых изделий из водных дисперсий каучука. Джеймс, Ньюи (Verfahren zur Herstellung von Erzeugnissen, welche aus Kautschuk bestehen oder Kautschuk enthalten, aus wässrigen Kautschukdispersionen. James Robert Gilbert, Newey Bernhard James) [International Latex Processes Ltd]. Пат. ГФР 894160, 22.10.53 [Chem. Zbl., 1954, 125, № 12, 2723—2724 (нем.)]

Дисперсия каучука, если нужно вспененная, содержит соль кремнефтористоводородной к-ты. Прибавлением щелочи pH водной суспензии соли устанавливается >7. М. Л.

5151 П. Способ изготовления материалов с ячеистой структурой. Мишо, Эрбу (Verfahren zur Herstellung von Massen mit zellenartiger Struktur. Michaux Pierre, Herbout Pierre). Пат. ГФР 894622, 26.10.54 [Chem. Zbl., 1954, 125, № 12, 2724 (нем.)]

Протенины дисперсии каучука подвергают частичному гидролизу ферментами или щелочью; массу вспенивают продуванием воздуха и коагулируют без добавления коагулирующих агентов, напр. при нагревании. М. Л.

5152 П. Производство губчатой резины (Production of sponge rubber) [United States Rubber Co.]. Англ. пат. 705454, 10.03.54 [India-Rubber J., 1954, 126, № 18, 28 (англ.)]

Коагуляция латексной пены осуществляется путем диффузии в нее  $\text{CO}_2$ . В. К.

5153 П. Способ изготовления губчатой резины из латекса. Картер (Process for preparing sponge rubber from latex and product. Carter Mitchell). Пат. США 2680140, 1.06.54

Процесс растворения неэмульгированного белего масла в натуральном латексе состоит в том, что в масло вводится 2 вес. ч. олеиновой к-ты (на 100 вес. ч. масла) и смесь растворяется в каучуке латекса. М. М.

5154 П. Губка из латекса. Роджерс, Тен-Брук (Latex sponge. Rogers Thomas H., Jr, Ten-Broock Walter T. L.). [Wingfoot Corp.]. Канад. пат. 498924, 29.12.53

В синтетич. латекс, содержащий не меньше 55% полимера, вводится парафин с т. пл. 42—60° в кол-ве 0,5—5% от веса каучука. При взбивании латекса парафин равномерно распределяется по сетчатой структуре и предохраняет готовое губчатое изделие от загорания при соприкосновении с горящей папиросой. Д. С.

5155 П. Четвертичные аммонийные соли, как вспомогательный материал при получении пенной резины (Quaternary ammonium salts as processing aids in foam rubber) [Firestone Tire and Rubber Co.]. Англ. пат. 717895, 3.11.54 [Rubber J., 1955, 78, № 6, 188 (англ.)]

Для предотвращения спадания пены при желатинировании, уменьшения ее усадки и получения вулканизованной пенной резины с улучшенной структурой и свойствами, а также для усовершенствования способов смещения при ее произ-ве без ухудшения устойчивости к действию  $\text{ZnO}$ , к латексу прибавляют немного четвертичных аммонийных солей, напр. смеси алкилтриметиламмонийхлоридов, причем алкильная группа может в среднем содержать 90% додецила, 9% тетрадецила и 1% октадецила. М. Л.

5156 П. Формование пенной резины. Тала-лай (Moulding foam rubber. Talalay A.). Австрал. пат. 161999, 31.03.55

Латексную пену замораживают в форме, желатинируют в ней и вулканизуют; при этом, до введения пены в форму, т-ру по крайней мере одной из внутренних поверхностей формы понижают настолько, что на ней образуется пленка льда, что облегчает удаление продукта из формы. Для этой цели в форме делается деталь с поллой стенкой со множеством стержней, входящих внутрь формы при ее закрывании; стержни также сделаны полными и содержат жидкость с высокой теплопроводностью. М. Л.

5157 П. Способ изготовления резиновых нитей. (Verfahren zur Herstellung von Kautschukfäden) [Georg Bärner Kautschukwerk]. Пат. ГФР 895374, 2.11.53 [Chem. Zbl., 1954, 125, № 12, 2724 (нем.)]

Латекс коагулирует в двух осадительных ваннах: в первой, кислой (напр., с 5%-ной  $\text{H}_2\text{SO}_4$ ), коагуляция происходит лишь на поверхности, окончательная коагуляция осуществляется в нейтр. или щел. ванне (напр., с ацетатом аммония). В случае термосенсиби-

лизированных смесей окончательная коагуляция идет при нагревании. М. Л.

5158 П. Каучуко-битумные эмульсии. Паркер (Rubber-bitumen emulsions. Parker W. D.). [Expandite, Ltd.]. Англ. пат. 693683, 8.07.53 [Rubber Abstrs, 1953, 31, № 10, 410 (англ.)]

Устойчивая водн. эмульсия для герметизации швов в бетонных конструкциях содержит стабилизированный аммиаком натуральный латекс (80% сухого в-ва), битум и, в качестве эмульгатора, канифоль, нейтрализованную едким натром или кали. Ю. Д.

5159 П. Каучуко-битумные эмульсии. Паркер, Уокер (Rubber-bitumen emulsions. Parker W. D., Walker W. D. C.). [Expandite, Ltd.]. Англ. пат. 693687, 8.07.53 [Rubber Abstrs, 1953, 31, № 10, 410 (англ.)]

Для герметизации швов бетонных сооружений применяют быстро схватывающиеся эмульсии битума и латекса, получающиеся путем введения в эмульсию фталового ангидрида. Для наилучшего смещения его следует растворять в сырых фенолах дегтя — лучше всего в технич. крезоле, который может быть разбавлен нефтеновой к-той, если схватывание идет слишком быстро. Ю. Д.

5160 П. Диагонально нарезанные полосы для брючных поясов и других изделий. Хитон, Хитон (Bias binding for waistbands and other services. Heaton H., Heaton W. S.). [Broadstone Synthetics Ltd.]. Англ. пат. 698251, 14.10. 53 [Rubber Abstrs, 1954, 32, № 1, 10 (англ.)]

Ткань разрезается по диагонали на полосы и на них в продольном направлении выдавливается в один или несколько слоев натуральный или синтетич. латекс или эмульсия поливинилхлорида; для лучшего сцепления натуральный латекс может быть вспенен. Латекс коагулируют при нагревании. При необходимости на ткань могут накладываться несколько латексных пленок и вдавливаться с помощью роликов. Ю. Д.

5161 П. Способ изготовления пористых тел из искусственных водных дисперсий каучука (Verfahren zur Herstellung von porösen Körpern aus künstlichen wäßrigen Kautschukdispersionen) [Gerhard Saffran (Inh.)]. Пат. ГДР 6881, 8.03.54

Для упрочнения пористых тел, получающихся из искусств. водн. дисперсий каучука, применяется лигнин или лигнинные смолы в кол-ве 0,5—10% от сухого остатка. Коагуляция производится водн. пастой из о-толилбигуанидина, метанола, хлористого кальция и сульфата алифатич. спирта. Примерный состав: о-толилбигуанидин 3 ч., метанол 10 ч., вода 10 ч., 3%-ный хлористый кальций 3 ч., сульфат натрия 1,7 ч. и сульфат алифатич. спирта 3,3 ч. М. М.

5162 П. Способ обработки каучука и получаемый продукт. Лафонтан (Method of preparing a rubber product and the product so obtained. Lafontant Jean William). Пат. США 2676194, 20.04.54

Однородная смесь каучука (6—12 вес. %) и керосина подвергается при перемешивании стадийному сульфированию рядом водн. р-ров серной к-ты возрастающих конц-й (начальная конц-я  $\leq 42^\circ\text{Bé}$ ). В качестве ускорителя полимеризации добавляется триоксиметилен или формальдегид. Полученный продукт нейтрализуется, промывается и сушится. В. К.

5163 П. Приготовление пластичных конденсирующихся синтетических каучуков и последующая конденсация их, приводящая к образованию эластичных продуктов. Браун (Preparation of plastic condensable synthetic rubbers and subsequent elastoocondensation thereof. Brown Harold P.). [The B. F. Goodrich Co.]. Пат. США 2662874, 15.12.53

100 вес. ч. пластичного синтетич. каучукоподобного



полимера (I) алифатич. диена, с открытой цепью с сопряженными двойными связями реагируют с карбоксиллирующим агентом в кол-ве, содержащем 1—3 хим. эквивалентов карбоксила (II) в присутствии 0,5—10 вес. ч. перекиси соединения, так что с I связывается 0,001—0,30 хим. эквивалентов II (на 100 вес. ч. I). Полученный пластичный карбоксилсодержащий каучукоподобный материал тщательно смешивается с окислом поливалентного металла в кол-ве, химически эквивалентном по крайней мере половине связанного II и полученная пластичная смесь нагревается при 52—204°, превращаясь в эластичный продукт, вследствие образования солей поливалентного катодона при р-ции между окислом и связанными II в I. Ф. К.

5164. П. Способ получения высокомолекулярного продукта. Виземан, Бок (Verfahren zur Herstellung hochmolekularer Produkte. Wiesemann Wolfgang, Bock Walter) [Farbenfabriken Bayer]. Пат. ГФР 878858, 8.06.53 [Gummi und Asbest, 1954, 7, № 3, 135 (нем.)]

Высокомолекулярный продукт получается путем обмена полимера, содержащего альдегидные группы с первичными моно- или полифункциональными аминами. Пример: продукт эмульсионной полимеризации 75 ч. бутадиена, 25 ч. акрилонитрила и 15—20 ч. кротового альдегида, содержащий 8% этого последнего, смешивается на вальцах с 10 вес. % ZnO и 0,3 вес. % м-фенилендиамина или 0,5 вес. % анилина и 50—60 мин. нагревается в вулканизационном прессе при 3 атм. Твердость продукта обмена зависит от кол-ва амина. Он обладает большей стойкостью к действию р-рителей, чем серные вулканизаты. Д. С.

5165. П. Полимеризация соединений бутадиена-1,3. Сулли (Polymerization of butadiene-1,3 compounds. Sweely James S.) [Sun Oil Co.]. Пат. США 2664415, 29.12.53

Соединения бутадиена-1,3, полимеризуются в водн. эмульсии в присутствии калиевых мыл нафтенных к-т нефти при т-ре ниже 0°. Д. С.

5166. П. Аппарат и способ вулканизации. Бирер (Vulcanizing method and apparatus. Bieger John M.) [Boston Woven Hose and Rubber Co.]. Канад. пат. 498595, 22.12.53

Вулканизационная установка непрерывного действия состоит из вулканизационного барабана, двух прилегающих к нему валков и бесконечной прижимной ленты, облегающей валки, соприкасающейся по дуге с барабаном, причем у одного из валков образуется захват между лентой и барабаном для подачи и натяжения вулканизуемых полос резиновой смеси. У барабана перед захватом расположен механизм с направляющими роликами и устройство для подачи натянутых полос резиновой смеси от указанного механизма на роликовый транспортер и к вулканизационному барабану. Часть роликового транспортера между указанным механизмом и барабаном идет по прямой линии. По обеим сторонам этой части транспортера на передвижных тележках расположены ИК-лампы, нагревающие с обеих сторон вулканизируемую полосу резиновой смеси. М. Л.

5167. П. Смеси каучука с окисленным микрокристаллическим воском. Рамбергер (Rubber compositions with oxidized microcrystalline wax. Rumberger George G.) [Marathon Corp.]. Пат. США 2662864, 15.12.53

СК повышенного качества состоит из бутадиенового полимера и 1—10 вес. % (от веса каучука) окисленного микрокристаллич. воска с перекисным числом 150—330 и с кислотным числом <80. М. Л.

5168. П. Способ вулканизации синтетического каучука. Саффорд, Херд (Verfahren zum Vulkanisieren von künstlichem Kautschuk. Safford

Mayer Marcleu, Hurd Dallas Thane) [General Electric Co.]. Пат. ГФР 892513, 8.10.53 [Chem. Zbl., 1954, 125, № 12, 2723 (нем.)]

При вулканизации СК, напр. хлоропренового или бутадиенакрилнитрильного, применяют 0,01—3% гидроксида бора, в особенности декаборана. М. Л.

5169. П. Покрытия валов текстильных машин (Textile-roll covers) [Armstrong Cork Co.]. Англ. пат. 693641, 1.07.53 [Rubber Abstrs, 1953, 31, № 10, 416 (англ.)]

Увеличение сцепления вытяжных валов с волокном достигается покрытием их резиной из бутадиенакрилнитрильного каучука. Перед изготовлением смеси каучук подвергается нагреванию 5—50 мин. при 121—190° в присутствии кислорода при механич. обработке. Готовая смесь формируется и вулканизуется. Ю. Д.

5170. П. Вулканизация бутылкаучука пара-замещенными двухатомными фенолоспиртами в варочная камера, вулканизованная таким способом. Тоун, Литл (Vulcanization of butyl rubber with para substituted phenol dialcohols, and curing bag produced thereby. Tawney Pliny O., Little Julian R.) [United States Rubber Co.]. Пат. США 2701895, 15.02.55

Каучукоподобный сополимер изоолефина с 4—7 атомами С с 0,5—10,0% диолефина с сопряженными двойными связями и 4—8 атомами С вулканизуется с 3—20 ч. (на 100 ч. полимера) продукта конденсации 2,6-диметилдифенола, содержащего в пара-положении алкильную, циклоалкильную, арильную или арилальную группу. Способ применим для вулканизации сажевых смесей для варочных камер из указанного сополимера. Ю. Д.

5171. П. Ожижение силиконового каучука и получаемые при этом продукты. Хамфри, Уассерман (Liquefaction of silicone rubber gum and products thereof. Humphrey Bingham J., Wasserman Harry H.) [The Connecticut Hard Rubber Co.]. Пат. США 2673843, 30.03.54

Твердый полидиметилсилоксан частично деполимеризуется при ~20° под действием безводн. хлористоводородной, бромистоводородной, иодистоводородной к-т, хлористого тионила, хлористого ацетила, хлористого безовола или фталилхлорида. Полученная вязкая жидкость отделяется фильтрованием от твердых несиликоновых компонентов, а затем вновь полимеризуется с образованием модифицированного твердого полидиметилсилоксана. В. К.

5172. П. Клей из синтетического каучука, пригодные для шпаклевки. Стивенс (Trowelable synthetic rubber adhesives. Stevens Hilbert L.) [Armstrong Cork Co.]. Пат. США 2673845, 30.03.54

Композиция состоит из смолы, придающей клейкости, и СК и содержит 0,01—0,5 вес. % соединения, общей ф-лы:  $\text{CH}_2=\text{CRACR}=\text{CH}_2$ , где R—фенилен, нафтилен или дифенилен, а R'—метил или этил. Смесь растворяется до конц-ии 35—45%, при конц-ии СК 15—25 вес. %. СК может быть полимером бутадиена, изопрена, диметилбутадиена, пиперилена, хлоропрена в сополимером бутадиена. В. К.

5173. П. Пластификаторы каучука (Plasticizing agents for rubber.) [Farbenfabriken Bayer]. Англ. пат. 715314, 15.09.54 [Rubber Abstrs, 1954, 32, № 12, 563 (англ.)]

Для пластификации НК и бутадиеновых полимеров или сополимеров, а также для регенерирования их вулканизатов предложены пентазамещ. тиофенолы или их производные общей ф-лы  $\text{RSX}$ , где R— $\text{C}_6\text{H}_4$  или  $\text{C}_6\text{H}_5$ , R'—алкил с 1—8 атомами С, а X—H, ацил,  $\text{ZnSR}$ ,  $\text{—COSR}$ ,  $\text{—SR}$ ,  $\text{—S}_2\text{R}$  или  $\text{C(R''R''')SR}$ , где R''—H или алкил, а R'''—H, алкил или арил. Пентахлортиофенол, дипентахлорфенилдисульфид, бис-

пентахлорфенилтрисульфид, пентахлортиофенолят цинка и бензоилпентахлортиофенол являются активными пептизаторами при 90°. Они сравнительно мало летучи, не вызывают раздражения, не циклизуются в СК, действуют быстро и не токсичны, в отличие от соответствующих незамещ. тиофенолов. Описано также приготовление этих соединений. Пример: резина из GR-S с 40% сажи регенерируется обработкой пентахлортиофенолом и соответствующими нефтепродуктами при 150° и 4 ат в течение 90 мин. Ю. Д.

**5174 П.** Способ улучшения свойств синтетических каучукоподобных материалов. Ром (Verfahren zur Verbesserung der Eigenschaften von synthetischen kautschukähnlichen Massen. Rohm Alfred) [Farbenfabriken Bayer]. Пат. ГФР 878705, 1.06.53 [Rubber Abstrs, 1954, 32, № 1, 11 (англ.)]

Для улучшения свойств (напр., сопротивления раздиру) синтетич. каучукоподобных материалов, напр., полученных полимеризацией бутадиенов или их смесей с активированными виниловыми соединениями, к водным дисперсиям невулканизованных полимеров до осаждения или одновременно с ним прибавляют неорганич. гидратированные коллоиды. М. Л.

**5175 П.** Продукт реакции монооксида кремния с аммиаком и содержащие его смеси каучука. Серс (Reaction product of silicon monoxide and ammonia and rubber compositions containing the same. Sears Daniel S.) [B. F. Goodrich Co.]. Пат. США 2666754, 19.01.54

В каучук вводят высокодисперсную аморфную смесь, содержащую полимерный оксид кремния. М. Л.

**5176 П.** Ускоритель вулканизации. Дейвис (Accelerator of vulcanization. Davis Arnold R.) [American Cyanamid Co.]. Канад. пат. 505749, 14.09.54

Для предотвращения пыления и комкования арилтиазилдисульфидов, напр. бензотиазилдисульфида, во время приготовления резиновых смесей на горячих вальцах производится предварительное смещение этих в-в с 0,5—2,5 вес. % легкого манер. масла и 0,5—2,5 вес. % цинкового мыла жирной к-ты с 8—22 атомами С или смесей таких к-т; мыло должно обладать способностью образовывать на влажном стекле пленку площадью 15 000—25 000 см<sup>2</sup>/г и равномерно вводиться в смесь. По меньшей мере 50% мыла может состоять из пальмитата цинка при общем кол-ве мыла не более 2,0 вес. % от веса дисульфида. Ю. Д.

**5177 П.** Окрашенные каучуковые частицы. Вессе (Pigmented rubber particle. Vesce Vincent C.) [The B. F. Goodrich Co.]. Канад. пат. 492437, 28.04.53

Для получения немажущихся окрашенных каучуковых частиц из пигмента (напр., сажи) путем добавки воды и диспергирующего агента готовится колл. дисперсия. В дисперсию вводят электролит — водорастворимую соль, напр. поливалентного металла. При этом диспергирующий агент становится почти полностью неактивным, происходит флокуляция и образуется тонкая суспензия частиц пигмента, которую вводят в латекс с последующей коагуляцией смеси. Э. С.

**5178 П.** Смещение каучука с лигнином (Comproounding rubber with lignin) [Dunlop Rubber]. Австрал. пат. 154711, 28.01.54

Каучук механически обрабатывается с влажными хлопьями лигнина, из полученного продукта вода выпаривается. М. Л.

**5179 П.** Губчатая резина. Икута, Като (Sponge rubber. Ikuta Shotaro, Kato Ken) [Domestic and Foreign Rubber Co.]. Япон. пат. 688, 18.02.53 [Chem. Abstrs, 1954, 48, № 3, 1724 (англ.)]

Применяется резиновая смесь состава: каучук 100 ч., динитрозопентаметилентетрамин или тринитрозо-триметилентетрамин 4 ч.,  $\text{ONHC}_4\text{H}_4\text{CO}_2\text{H}$  2 ч., стеарино-

вая к-та 6 ч.,  $\text{ZnO}$  5 ч.,  $\text{S}$  3 ч., ускоритель вулканизации 1 ч.,  $\text{TiO}_2$  5 ч. В. Р.

**5180 П.** Пористые материалы и способ их изготовления. Клиффорд, Уэйсброт, Гейте (Matériaux-mousses et leur procédé de préparation. Clifford Albert M., Waissbrot Samuel W., Gates George H.) [Wingfoot Corp.]. Франц. пат. 1052926, 28.01.54 [Chimie et industrie, 1954, 71, № 5, 975 (франц.)]

В качестве порообразователя применяют органич. карбониллаид. М. М.

**5181 П.** Способ изготовления ячеистой резины (Procédé pour la fabrication d'un caoutchouc cellulaire) [Soc. des Talons Wood-Milne]. Франц. пат. 1052596, 26.01.54 [Chimie et industrie, 1954, 71, № 5, 975 (франц.)]

В сырую резиновую смесь в виде очень тонкой дисперсии почти неосязаемого порошка вводится нитрозопроеводное, выделяющее азот при т-ре несколько ниже т-ры вулканизации. Смесь, содержащая также обычные ингредиенты, целиком заполняет твердую газонепроницаемую форму; вулканизуется при нагреве под дав.  $\sim 115 \text{ кг/см}^2$ . М. М.

**5182 П.** Способ изготовления ячеистых органических пластмасс (Method of making gas-expanded organic plastics) [United States Rubber Co.]. Англ. пат. 693954, 8.07.53 [Rubber Abstrs, 1953, 31, № 10, 426 (англ.)]

Порообразователями для светлых ячеистых резин и пластмасс с порами требуемого размера служат алифатич. сульфонилгидразиды. Производные с несколькими сульфонилгидразидными группами, напр. тетраметилеи-бис-(сульфонилгидразид), дают губку со слабым запахом или вовсе без запаха. Дозировка порообразователя для резины 0,1—5,0 ч. на 100 ч. каучука, для поливинилхлорида 10—40 ч. на 100 ч. полимера. Ю. Д.

**5183 П.** Способ улучшения свойств каучука, в особенности синтетического. Бюре (Verfahren zur Verbesserung der Eigenschaften von Kautschuk, insbesondere synthetischen Kautschuk. Buret Raymond) [Les Usines de Melle]. Пат. ГФР 893583, 19.10.53 [Chem. Zbl., 1954, 125, № 12, 2723 (нем.)]

В резиновую смесь, особенно из СК, вводят 0,5—15% ангидрида или хлорангидрида к-т. Могут применяться ангидриды алифатич. насыщ. к-т, напр. уксусной, масляной; алифатич. ненасыщ. к-т, напр. кротовой; циклич. насыщ. к-т, напр. камфарной; циклич. ненасыщ. к-т, напр. бензойной; насыщ. или ненасыщ. к-т, ангидриды которых образуют циклич. соединения, напр. малеиновой, янтарной, фталевой; к-т с гетероциклич. ядром, напр. пирролидиновой или тетрагидропирролидиновой; или неорганич. к-т, напр. борной, фосфорной или молибдовой; такие хлорангидриды, как хлористый ацетил, оксалил, сукцинил, фталил или хлорангидриды неорганич. к-т, напр. фосфорной. Смеси этих в-в с каучуком целесообразно перед вулканизацией нагреть. М. Л.

**5184 П.** Материалы для формования. Вильсон (Molding materials. Wilson Galen J.) [The National Cash Register Co.]. Канад. пат. 502366, 11.05.54

Формующаяся масса получается соосаждением НК или бутадиенакрилонитрильного каучука с мелким порошком азотнокислого натрия (100 меш и тоньше). В готовом изделии полимер занимает 26—58 об. %. М. М.

**5185 П.** Способ вулканизации синтетического каучука (Procédé pour la préparation de masses vulcanisées de caoutchouc synthétique) [Metallgesellschaft A.-G.]. Франц. пат. 1052639, 26.01.54 [Rev. gén. caoutchouc, 1954, 31, № 7, 600 (франц.)]

Сополимеры бутадиена в виде латекса вулканизуют в таких условиях, что содержащиеся в нем в-ва, за-

медляющие вулканизацию, становятся неактивными и коагуляции не происходит. Хорошие результаты получают при применении двух или большего числа ускорителей типа дитиокарбамата,  $ZnO$  и  $S$  в кол-вах, выше 3%. Продолжительность и т-ра нагревания зависят от исходного латекса. М. Л.

5186 П. Вулканизация каучука. Симосато (Vulcanization of rubber. Shimosato Jyoji) [Nippon Rubber Co.]. Япон. пат. 2990, 29.05.54 [Chem. Abstrs, 1955, 49, № 8, 5879—5880 (англ.)]

Пластины из резиновой смеси (состав: смокед шит 100 ч.,  $ZnO$  5 ч., стеариновая к-та 1 ч.,  $S$  2 ч.) толщиной 1 мм покрывают р-ром в сольвентнафте, содержащем 5% ( $C_4H_9O \cdot CS_2$ ),  $Zn$  и 5% пентаметиленидитиокарбамата пиперидина и через 30 мин. вулканизуют 1 час при 50°. М. Л.

5187 П. Способ изготовления микропористой листовой резины. Улиг, Меррей (Method of making microporous sheet rubber. Uhlig Edwin C., Murray A., Jr) [Dominion Rubber Co., Ltd]. Канад. пат. 502288, 11.05.54

Для получения пластин из микропористого збонита с гладкой поверхностью гладкие листы резиновой смеси, содержащей порообразователь, покрывают по крайней мере с одной стороны тонким гладким слоем воды, кремнезема, являющимся на вулканизационный барабан, причем слой кремнезема препятствует склеиванию листов, рулон бинтуется и вулканизуется до збонита в условиях, исключающих испарение. М. М.

5188 П. Производные диарилметана. Ламберт (Diarylmethane derivatives. Lambert A.) [Imperial Chemical Industries Ltd]. Англ. пат. 719101, 24.11.54 [Rubber Abstrs, 1955, 33, № 3, 121 (англ.)]

В качестве противокислителей разных углеводородов, в частности каучука, применимы 2,2'-диокси-5,5'-диметилдифенилметановые соединения, связанные в положении 3,3' с определенными углеводородными радикалами, напр. 2,2'-диокси-3,5,5'-триметил-3-*тем*-бутилдифенилметан. М. Л.

5189 П. Противостарители для натурального и синтетического каучука. Ламберт, Лейленд (Manufacture of natural and synthetic rubber articles. Lambert A., Leyland B. N.) [Imperial Chemical Industries Ltd]. Англ. пат. 719241, 1.12.54 [Rubber Abstrs, 1955, 33, № 3, 121 (англ.)]

НК, СК и стабилизированные синтетич. латексы содержат 0,25—2% (от веса каучука) 2,2'-диокси-5,5'-диметилдифенилметана, у которого в положении 3 находится третичная алкильная группа с 4—8 атомами  $C$ , а в положении 3' — циклогексил, борнил, изоборнил или не третичная алкильная группа с 1—5 атомами  $C$  (см. реф. 5188). Можно применять также разные соли этих соединений. Приводится их применение в смесях из светлого крепа, в том числе в губчатой и микропористой подошве, а также в смесях бутадиенстирольного каучука со смолами с большим содержанием стирола. М. Л.

5190 П. Получение продуктов конденсации ацетона с дифениламино. Клейтон (Manufacture of acetone-diphenylamine condensation products. Clayton T. A.) [United States Rubber Co.]. Англ. пат. 698362, 14.10.53 [Rubber Abstrs, 1954, 32, № 1, 27 (англ.)]

Усовершенствование способа получения противостарителя для каучука (пат. США 1087355, 1915108, 1975167). Пиролиз ведется при 250—400° в присутствии такого катализатора, как  $Br_2$ ,  $J$ ,  $HBr$ ,  $HJ$ , бромиды и подыды  $Sn$ ,  $Al$ ,  $Co$ ,  $Cu$ ,  $Bi$ ,  $Sb$ ,  $Fe$ ,  $Mo$  или  $Zn$ . Продукт представляет собой подвижную жидкость, практически не содержит избытка дифениламина и легко вводится в резиновую смесь. М. Л.

5191 П. Способ защиты каучука обработкой его твердым смолоподобным араккирированным дигидрохинолиновым противокислителем. Инграм (Method of preserving a rubber which comprises treating the rubber with a solid resinous aralkylated dihydroquinoline antioxidant. Ingram Joseph R.) [Monsanto Chemical Co.]. Пат. США 2684407, 29.12.53

Каучук обрабатывается твердым смолоподобным араккирированным дигидрохинолиновым противокислителем, получающимся нагреванием одного моля 1,2,4-триметил-1,2-дигидрохинолина и около одного моля замещ. фенилметилхлорида, замещенного только у фенила, инданилхлорида или винилзамещ. ароматич. соединения бензольного или нафталинового ряда, содержащего в качестве единственного олефинового заместителя 1 или 2 группы  $CH_2=CH-$ . В качестве катализатора берется 1 моль  $AlCl_3$  или  $ZnCl_2$ . Д. С.

5192 П. Противокислители. Хауленд (Antioxidants. Howland Louis H.) [Dominion Rubber Co., Ltd]. Канад. пат. 495687, 1.09.53

В качестве противокислителей применяется 0,1—5 вес.% 5-пиразолона или его производных: 1-фенил-5-пиразолона, 2-метил-1-фенил-5-пиразолона, 3-метил-5-пиразолона, 4-метил-5-пиразолона, 3,4-диметил-5-пиразолона, 1,3,4-триметил-5-пиразолона, 4-аллил-3,4-диметил-1-фенил-5-пиразолона, 3-бензил-5-пиразолона, 3-метил-4-бутил-5-пиразолона, 1-фенил-3-метил-5-пиразолона, 3-метил-4-лаурил-5-пиразолона, 4-циклопентил-3-метил-1-фенил-5-пиразолона. Д. С.

5193 П. Сохранение синтетического каучука. Хауленд, Хантер (Preservation of synthetic rubber. Howland Louis H., Hunter Byron A.) [Dominion Rubber Co. Ltd]. Канад. пат. 495688, 1.09.53

В качестве противостарителя бутадиенстирольного и бутадиенакрилнитрильного каучука применяются в-ва с общей ф-лой  $R'OAs(OR'')OR'''$ , где  $R'$ ,  $R''$  и  $R'''$  — ароматич. углеводородные группы. Д. С.

5194 П. Резиновая смесь. Словин (Rubber compounding. Slovin D. G.) [United States Rubber Co.]. Англ. пат. 707334, 14.04.54 [India-Rubber J., 1954, 126, № 24, 23 (англ.)]

Введение 0,25—5% 2,5-ди-*тем*-бутилгидрохинона (на каучук) предотвращает появление розовой окраски в изделиях, содержащих в качестве противостарителя 0,25—2% (на каучук)  $\Sigma$  сим-ди- $\beta$ -нафтилпарафенилендиамина. В. К.

5195 П. Формы для получения формовых изделий, например, из дисперсий каучука или пластмассы и способ их изготовления. Клазен (Formen zum Herstellen von Formlingen aus z. B. Dispersionen von Kautschuk oder Kunststoffen und Verfahren zum Herstellen der Formen. Clasen Herman) [Metallgesellschaft A.-G.]. Пат. ГФР 887407, 24.08.53 [Gummi und Asbest, 1954, 7, № 3, 134 (нем.)]

Для получения, в частности, маканых изделий применяют модели из полиэтилена, или его смесей с наполнителями или другими совместимыми с ним материалами, напр. с полиизобутиленом. Модели изготовляются отливкой в формах или в расплавленную массу вдавливают сердечник или полый штамп. Их можно также получать в изготовленных с их помощью формовых изделиях или путем снятия свинцовых копий. М. Л.

5196 П. Регулируемый вулканизационный пресс для починки резиновой обуви или подобных изделий. Гашин (Einstellbare Vulkanisierpresse zur Reparatur von Kautschukschuhwerk oder ähnlichen Gegenständen. Gaschi René Clément Joseph) [Etablissements Roland Dupont et Cie]. Пат. ГФР 877950, 28.05.53 [Gummi und Asbest 1954, 7, № 2, 84 (нем.)]



Нагревательная часть и приспособление для закрепления ремонтируемого изделия расположены на изогнутой в виде лебединой шеи раме таким образом, что их можно передвигать и закреплять на дуге, центр которой находится на свободном конце опоры для ремонтируемого изделия и на линии ее оси вращения. Опорой служит прямой или изогнутый рычаг, вращающийся вокруг оси в подшипнике, находящемся в основе рамы. М. Л.

5197 П. Способ получения высокоэластических изделий из каучука. Майер (Verfahren zur Herstellung hochelastischer Körper aus Kautschuk. Mayer Hermann). Пат. ГФР 878708, 1.06.53 [Rubber Abstrs, 1954, 32, № 2, 56 (англ.)]

Внутренние части изделий изготавливаются из высокоэластического щел. силикагеля. М. Л.

5198 П. Способ изготовления резино-металлических деталей. Эспенель (Verfahren zur Herstellung von Kautschuk-Metalldauteilen. Espenel Marie Pierre Louis). Пат. ГФР 881871, 2.07.53 [Gummi und Asbest, 1954, 7, № 2, 84 (нем.)]

В резино-металлических деталях, в особенности эластических подшипниках, в которых резина между ведущими и ведомыми металлич. частями подвергается предварительному напряжению (вследствие деформации не в направлении движения), между соприкасающимися поверхностями резины и металла помещают пластмассу, полимеризующуюся в течение определенного времени в определенном температурном интервале, причем предварительное напряжение резины остается практически постоянным. Если более высокую удельную поверхностную нагрузку несет только одна соприкасающаяся поверхность металлич. части, то слоем пластмассы обкладывают только ее. Пластмасса получается из плавкого и твердеющего фенольного производного окиси этилена, по крайней мере, с двумя группами окиси этилена в молекуле, или из р-ра мономера или смеси мономеров, полимеризующихся ниже 150° в присутствии щел. или кислого агента отвердевания. М. Л.

5199 П. Защитные покрытия для кабелей, рукавов и других изделий удлиненной формы. Кук, Симмондс (Protective coverings for electric cables, pipes and like elongated articles. Cook J. F., Simmonds G. H.). [British Insulated Callender's Cables Ltd]. Англ. пат. 714987, 8.09.54 [Rubber Abstrs, 1954, 32, № 12, 573 (англ.)]

Покрытие для защиты от коррозии состоит из двух слоев. Один слой изготавливается из сырой резиновой смеси, не содержащей одного или нескольких в-в, необходимых для вулканизации при  $t_{\text{ре}} \sim 20^\circ$  (напр., S и ускорителя). Другой слой представляет собой пластмассовую пленку, напр. из поливинилхлорида, имеющую значительно больший модуль упругости, чем резиновая смесь; в этом слое содержатся недостающие агенты вулканизации, с которыми он обладает меньшим сроком, чем резиновая смесь. Ю. Д.

5200 П. Защита целлюлозных волокон в шинах от теплового старения. Бакуолтер (Protection of tire cellulose fiber against heat aging. Buckwalter Howard M.). [United States Rubber Co.]. Пат. США 2665230, 5.01.54

Для защиты от разрушения вискозного волокна в каркасе покрышки при нагревании во время эксплуатации в резину покрышки вводят твердый адсорбент, пропитанный первичным органич. амином с т. кип. 75—340°, т. пл.  $\leq 150^\circ$ , вызывающим набухание резины  $\geq 1\%$  при испытании в течение 96 час. при 21° по стандартному методу ASTM. Амин диффундирует через резину, приходит в соприкосновение с целлюлозным волокном и защищает его от теплового старения. М. Л.

5201 П. Пластичные изделия, усиленные волокнистыми материалами на основе ароматических полиэфиров. Мейрик, Парри (Plastic articles reinforced with fibrous materials comprising aromatic polyesters. Meyrick T. J., Parry E. G.). [Imperial Chemical Industries, Ltd]. Англ. пат. 714502, 1.09.54 [Rubber Abstrs, 1954, 32, № 12, 568 (англ.)]

Адгезия синтетич. волокна, особенно полиэтилене-рефталатного шинного корда, к резине повышается при предварительной обработке красителями или агентами набухания волокна (или и тем и другим вместе). Для этого пригодны красители для ацетатного шелка и их производные, красители для меха, основные, азидные и оксазиновые красители и др. Пример: 5 ч. шинного корда промывается 20 мин. при 60° в ванне, содержащей 0,02% продукта конденсации алкилфенола с окисью этилена и 0,01% аммиака с последующим отжимом и промывкой 90 мин. при 85° в р-ре 4-нитро-4'-аминоазобензола (0,05 ч. на 250 ч. воды). Затем корд промывается водой, сушится, погружается в 3%-ный р-р л, л'-дикарбимидодифенилметана в хлористом метиле и вновь сушится 30 мин. при 100°. Обработанный корд привулканизовывается к резиновому испытательному образцу (30 мин. при 141°); рецет резины (в вес. ч.): смокел ште 100, ZnO 50, стеариновая к-та 2, сосновая смола 2,5, S 2,75, меркаптобензотиазол 0,75, противостаритель 1. Прочность связи с резиной обработанного описанным способом корда равна 3,6 кг/см, обработанного только диизоцианатом 1,18 кг/см и необработанного 0,90 кг/см. Если крашение производится в присутствии в ванне 1 ч.  $\beta$ -нафтола и окрашенный корд пропитывается латексом, содержащим резорцинформальдегидную смолу, то прочность связи достигает 4,5—5,4 кг/см. Повышенное натяжение корда при пропитке латексом ухудшает адгезию. Ю. Д.

5202 П. Усовершенствование варочных камер (Perfectionnement aux nouyaux pour vulcanisation) [Auto Tyre Services Ltd]. Франц. пат. 1038539, 29.09.53 [Rev. gén. caoutchouc, 1954, 31, № 2, 161 (франц.)]

Варочная камера, представляющая собой резиновую трубу, закрытую с обоих концов металлич. или резиновыми пробками и усиленную расположенными по концам жесткими деталями, расстояние между которыми поддерживается постоянным посредством траверсы, расположенной внутри камеры. Пробки снабжены приспособлением для надувки. Д. С.

5203 П. Тормозные колодки. Гог (Composition brake blocks. G a u g e C. L. E. de) [Johns-Manville Corp.]. Англ. пат. 700181, 25.11.53 [Rubber Abstrs, 1954, 32, № 3, 138 (англ.)]

Тормозные колодки для подвижного состава железных дорог с большой нагрузкой и тяжелых грузовых автомобилей изготавливаются из смеси твердых частиц железа (45—70 вес. %), асбестового волокна (8—15 вес. %) и связующего из теплостойкой смеси из НК или СК, содержащей 60—70 вес. % неорганич. наполнителей и вулканизирующих агентов и вулканизуемой на месте. Смесь может содержать также в-во, отверждающее смолу, абонитовую крошку или жесткую сетку из черного металла (или и то и другое). Колодки обладают высоким коэфф. трения в сухом и влажном состоянии и хорошо сопротивляются износу. Пример: гранулированный чугун 50 ч., абонитовая крошка с 60—70% неорганич. наполнителей 16—24 ч., асбестовое волокно 10—14 ч., GR-S 3—6 ч., жидкая фенольная смола 1,5—2,5 ч., S 1—2 ч., глет 3—7 ч. ZnO 3—5 ч. и сажа 0,7 ч. Ю. Д.

5204 П. Состав для тормозных колодок. Гог (Composition brake blocks. G a u g e C. L. E. de, Jr) [Johns-Manville Corp.]. Англ. пат. 720291,

15.12.54 [Rubber Abstrs, 1955, 33, № 3, 133 (англ.)].  
Доп. к англ. пат. 700181

Формовые тормозные колодки для железнодорожных вагонов с хорошими фрикционными свойствами во влажных и сухих условиях, с тормозящей силой, как у чугунных колодок, при вдвое меньшем давлении воздуха, получают из 30—44,9 или 70,1—75 вес.% чугунных частиц, 8—40 вес.% асбестовых волокон и из связующей массы (теплостойкая смесь из НК или СК с 60—70% неорганич. наполнителей и вулканизирующих в-в). Связующая масса может содержать 3—6% бутадиенстирольного каучука и 1,5—2,5% жидкой терморезистивной фенолальдегидной смолы и наполнители (см. реф. 5203).

М. Л. 5205 П. Аппарат для удаления из бензобаков герметизирующих продуктов (Appareil pour l'élimination des produits d'étanchéité des réservoirs d'essence) [Cee Bee Chemical Co.]. Франц. пат. 1063389, 3.05.54 [Rev. gén. saoutchouc, 1955, 32, № 4, 385 (франц.)]

Для удаления из бензобаков (в особенности, самолетных) герметизирующих обкладок из таких в-в, как, напр., пасты хрома Zn, вулканизированного тиккола, воды, дисперсий тиккола, буна N и т. п., применяют р-ритель удаляемого в-ва, в циркуляционном аппарате с распыляющим соплом, который позволяет рекуперировать растворитель.

М. Л. 5206 П. Устройство для введения порошкообразного материала в фильтрессы. Неколла (Device for incorporation of pulverulent material in filter presses. Nekolla O. E.). Англ. пат. 716965, 20.10.54 [Rubber Abstrs, 1955, 33, № 2, 72—73 (англ.)]

Питательная плита фильтрессы снабжена отверстиями, заполненными порошкообразным материалом, с поперечным сечением, равномерно уменьшающимся в одну сторону. В случае усадки или уплотнения фильтруемый материал концентрируется, не образуя зазоров. Питательная плита формируется предпочтительно из эластомера, не набухающего в минер. маслах, для которых предназначен фильтресс.

М. Л. 5207 П. Способ крепления синтетического каучука к любым материалам. Блёмер, Гартнер (Verfahren zur Verbinden von synthetischen Kautschuk mit Werkstoffen beliebiger Art. Blömer Alfred, Gartner Erich) [Farbenfabriken Bayer]. Пат. ГФР 878848, 8.06.53 [Rubber Abstrs, 1954, 32, № 1, 25 (англ.)]

Для крепления применяют продукты циклизации СК, причем циклизация не доводится до потери растворимости в ароматич. или хлорированных углеводородах. В случае крепления к железу оно очищается пескоструйкой.

М. Л. 5208 П. Способ повышения производительности машин для измельчения вязких и эластичных отходов. Рейх (Verfahren zur Leistungssteigerung von Zerkleinerungsmaschinen für zähe und elastische Abfallstoffe. Reich Hermann Friedrich Heinrich) [Gebr. Eirich]. Пат. ГФР 892676, 8.10.53 [Chem. Zbl., 1954, 125, № 12, 2724 (нем.)]

Перед измельчением в обычных машинах отходы обрабатывают в-вами, вызывающими набухание, напр., трихлорэтиленом, который затем рекуперируется.

М. Л.

См. также: 4060; 1403Бх

## СИНТЕТИЧЕСКИЕ ПОЛИМЕРЫ. ПЛАСТМАССЫ

5209. Успехи в области пластических масс (Fort-schritte auf dem Gebiet der Kunststoffe. H. D.), Ind.-Anz., 1955, 77, № 15/16, 222—224 (нем.)

Обзор общих свойств и областей применения пластических масс.

А. Ж.

5210. Пластические массы как конструкционный материал. Гет (Kunststoffe als Konstruktionselemente. G ä t h R.), Fette und Seifen, 1954, 56, № 6, 430—431 (нем.)

Перечислены области применения пластических масс в пром-сти.

Е. Х.

5211. Новый метод испытания упаковочных материалов на проницаемость паров органических веществ.

Целерин (Nová metoda ke zkoušení propustnosti obalového materiálu pro organické páry. Celeryň Jan), Průmysl potravin, 1954, 5, № 5, 202—204 (чеш.)

Чехословацким н.-и. ин-том упаковочных материалов разработан метод испытания пленок высокополимеров, основанный на проницаемости паров аллилизотиоцианата (I). Метод состоит в том, что прошедшие через пленку пары I поглощаются водн. р-ром  $\text{NH}_4\text{OH}$ , затем образовавшееся аллилпроизводное тиомочевинны осаждают  $\text{AgNO}_3$ , а избыток  $\text{AgNO}_3$  оттитровывают  $\text{NH}_4\text{CNS}$ . Приведена проницаемость паров I, определенная по этому методу для пергамина, ацетилцеллюлозы и поливинилхлоридного пластика.

Л. П.

5212. Пластмассовые корпуса для мотоциклетных аккумуляторов. Валоох (Kunststoff-Gefäße für Motorrad-Batterien. Wallooch H.), Elektro-Technik, 1955, 37, № 9, 63—64 (нем.)

Для корпусов аккумуляторов разработан новый очень прочный на удар сополимер — тенацит (I), который просвечивает настолько, что позволяет видеть уровень к-ты. Испытания образцов (вырезанных из корпусов аккумуляторов) на копре показали, что I имеет уд. ударную вязкость  $>70 \text{ кг-см/см}^2$ , при испытании падающим шариком корпуса из I выдерживали высоту 70 см. I во много раз превосходит полистирол также по стойкости к действию бензина.

С. Ш.

5213. Исследование влагопроницаемости органических материалов для двойного остекления. Соломин Н. В., Ярцев В. Г., Науч.-техн. информ. бюл. Всес. н.-и. ин-та стекла, 1953, № 9, 1—8

Проведено исследование влагопроницаемости некоторых пластмасс и резин, применяемых для двойного остекления, при помощи специально смонтированной установки, условия работы которой приближались к условиям эксплуатации. Определены постоянные влагопроницаемости исследованных материалов в зависимости от кол-ва водяных паров, толщины пленки, площади образца, времени и градиента парц. давления водяных паров, а также выявлено влияние т-ры на скорость диффузии паров воды сквозь пленки. Исследования показали, что из применяемых для двойного остекления органич. материалов бутафоль, полистирол и поливинилхлорид обладают значительно большей влагопроницаемостью, чем морозостойкая резина.

С. И.

5214. Зависимость между потерями в весе и модулем упругости при нагревании поливинилхлоридного пластика для изоляции проводов. Курахаси, Ито (電線用 P. V. C コムパウンドの加熱減量とモジュラスの関係について. 倉橋紀元, 伊藤昭夫), 電気試験所彙報, Дэнки сикэнсё ихо, Bull. Electrotechn. Lab., 1954, 18, № 5, 339—346, 394 (япон.; резюме англ.)

С целью замены испытания (старение в печи Гира) пластикатов поливинилхлорида на потерю в весе при нагревании исследовалась скорость потери в весе пластикатов, вызываемая улетучиванием пластификатора с поверхности образца при т-рах 120 и 130° и зависимость между модулем упругости и потерей в весе. Установлено наличие примерно линейной зависимости между модулем и потерей в весе. При исследовании серии образцов одного и того же состава можно устано-

вить по потере в весе степень ухудшения механич. свойств пластика, однако эту зависимость трудно применять для суждения о качестве образцов различных пластиков. С. Ш.

5215. Некоторые свойства поливинилхлоридных соединений, применяемых для изолирования проводов. Курахаси, Ито (電線用P. V. C. コムパウンドの品質について. 倉橋紀元, 伊藤昭夫) 電気試験所彙報, Дэнки сикэнсё ихо, Bull. Electro-techn. Lab., 1954, 18, № 5, 372—379, 395 (япон.; резюме англ.)

Исследованы различные свойства (зависимость сопротивления от т-ры, морозостойкость, зависимость удлинения от нагрузки и т. д.) пластиков из поливинилхлорида, предназначенных для изоляции проводов на напряжение 600 в. Исследования проводились с целью повышения качества пластиков и пересмотра существующих японских промышленных стандартов. С. Ш.

5216. Полиамидные смолы и их применение в промышленности. Власова К. Н., Хим. пром-сть, 1954, № 8, 470—477

Приведен обзор р-ции образования, строения, методов получения и применения полиамидных смол, а также рассмотрены пути изменения их свойств (увеличение растворимости, повышение эластичности и др.) Л. П.

5217. Полнисилоканы. Кауппи (Silicones. Kauppi T. A.), Mod. Plast., 1954, 32, № 1A, 537—540 (англ.)

Дан обзор основных свойств и областей применения полиорганосилоксанов в качестве электроизоляционных материалов, антикоррозионных термостойких покрытий, для слоистых пластиков и пеноматериалов, для обработки бумаги, ткани, керамики, кожи и других материалов для придания им водостойкости. Библ. 6 назв. А. Ж.

5218. Свойства и применение полиорганосилоксанов. Роз (Silicones. Properties and uses. Rose Kenneth), Mater. and Methods, 1955, 41, № 2, 109—124 (англ.)

Описаны общие свойства и области применения материалов на основе кремнийорганич. полимеров—масел, смазок, электрич. изоляции, каучука. Приведены типовые данные, характеризующие свойства этих материалов и стандарты ASTM на кремнийорганич. каучук. А. Ж.

5219. Катализаторы. Райболт (Catalysts. Rybolt C. H.), Mod Plast., 1954, 32, № 1A, 612, 616 (англ.)

Обзор катализаторов для отверждения термореактивных (в том числе и эпоксидных) смол и инициаторов для полимеризации ненасыщ. мономерных соединений и полиэфиров, модифицированных стиролом. Отмечено, что в последнее время в качестве эффективного катализатора отверждения для эпоксисмол предложен 3-диэтилдиаминопропиламин. Л. П.

5220. Химические и пластические свойства гнили красного кедра. Мак-Лин, Гарднер (Some chemical and plastic properties of western red cedar butt rot. MacLean H., Gardner J. A. F.), J. Forest Prod. Res. Soc. 1953, 3, № 4, 35—37, 72 (англ.)

При замене муки из скорлупы грецких орехов, применяемой в качестве наполнителя в фенолформальдегидных клеях для клеек фанеры, бурой гнилью комлей красного кедрового дерева установлено, что при этом повышается вязкость клея и прочность клеевого шва, причем попытки предупредить повышение вязкости оказались безуспешными. Хим. исследования показали, что в бурой гнили в результате биол. разрушения лиг-

ноцеллолозы содержится много лигнина, хорошо растворяющегося в щелочах и обладающего реакционной способностью вследствие высокого содержания в нем фенольных гидроксильных групп. Растворимая в щелочную часть лигнина (65% от сухого веса) вступает в р-цию с фенолформальдегидной смолой, повышая при этом клеящую способность клеев. Установлено также, что эта растворимая в щелочах часть лигнина может заменить 50% обычно применяемой в клеях фенолформальдегидной смолы без ухудшения качеств (вязкость, прочность, срок службы) клея в сравнении с обычно применяемыми в фанерной пром-сти клеями. Е. Х.

5221. Крупные прессизделия из пластиков. Кемпбелл (Large plastic moldings. Campbell John B.), Mater. and Methods, 1953, 38, № 6, 91—95 (англ.)

В основе современных тенденций к увеличению размеров и веса прессизделий лежат принципы улучшения качества прессматериалов, мощное прессовое оборудование и применение предварительного ВЧ-нагрева. Для изготовления таких изделий применяются исключительно термореактивные материалы. Приведены достоинства и недостатки крупных изделий, сделан краткий обзор основных свойств (механич., тепловых, диэлектрич.) фено-, amino- и меламинопластов и перечислены правила конструирования изделий из пластмасс (22 пункта). Е. Х.

5222. Формы для производства слоистых пластиков на основе стекловолокна и полиэфирных смол. Леже (Quelques aspects de la technologie des moules pour stratifiés verre-plastiques. Leger R.), Ind. plast. mod., 1954, 6, № 8, 25—28 (франц.)

Обзор сравнительных преимуществ (по стоимости, сроку службы, по достижимой точности размеров изделий, по чистоте поверхности, по длительности цикла формирования) форм из гипса, дерева, смол, металлов, специального чугуна для формования слоистых изделий на основе полиэфирных смол и стеклоткани. Е. Х.

5223. Стеклопластики — 1. Конструкционный материал для морского флота. — (Reinforced plastics — 1. A structural material for marine application. —) Ship and Boat Builder, 1955, 8, № 2, 52—56 (англ.)

Описаны методы изготовления и преимущества стеклопластика (С) как конструкционного материала, в частности для постройки корпусов мелких судов, так как С устойчив к воздействию морской воды, отличаются большой продолжительностью срока службы, не подвержены коррозии, не гниют, не повреждаются морскими буравцами. Кроме того, корпуса судов из С очень редко требуют ремонта. Механич. свойства С определяются: ориентацией волокон, содержанием стекла и связующего, наличием воздушных включений, равномерностью распределения смолы и стекла и степенью адгезии между ними. Сопоставление показателей прочности на разрыв и сжатие стали, сплавов титана, магния, алюминия и отдельных видов С показывает, что последние не уступают металлам, обладая в то же время меньшим уд. весом. Проект стандарта на С для морского флота предусматривает 5 групп этих материалов, в зависимости от механич. свойств (прочности на изгиб и модуля изгиба в сухом и влажном состоянии, прочности на растяжение и сжатие). Приведены соображения о креплениях отдельных деталей из С. На графиках показана зависимость прочностей на растяжение и изгиб и модулей упругости и изгиба от содержания стекла в С. При хорошем качестве изготовления деталей и тщательном контроле применяемых материалов отклонения в прочности не должны превышать 15—20%. С. И.

5224. Материалы для конструкций, применяемых при высоких температурах. Кэп (Sandwich mate-



rials for high temperature uses. Katz Irving, Mater. and Methods, 1954, 40, № 5, 92—95 (англ.)

Стеклопластики (С) являются легкими и прочными материалами, сравнительно мало теряющими прочность при повышенных т-рах. В качестве связующих для С применяются модифицированные полиэфирные триаллилциануратов, силиконовые и некоторые фенольные смолы; каждое из этих связующих обладает своими характерными особенностями при отверждении и сообщает С свои специфические свойства. Слоистые конструкции (в виде сэндвича) изготавливаются обычно из листов С, между которыми помещаются пластмассы в виде сотов или имеющие поры. Кратко описаны способы изготовления таких конструкций и методы их испытания.

С. И.

5225. Иониты (ионообменивающие смолы). Браво Орденес (Resinas de intercambio ionico. Bravo Ordenes Raúl), Colegio farmacia., 1954, 11, № 137—138, 85—93 (исп.)

Изложены различные теории механизма ионообмена. Описаны физ. и хим. свойства ионитов. Указаны методы их получения и области применения. Л. П.

5226. Клей и склеивание. Части 17, 18, 19, 20, 21, 22. Хайлер (Glues and gluing. Part 17, 18, 19, 20, 21, 22. Hailer John E.), Southern Lumberman, 1953, 187, № 2336, 59—60, 62, 64, 86; 49—50; 51—52, 54, 56, 86; № 2336-a, 57—58, 60—61; № 2340, 55—57, 60; № 2341, 61—62, 64, 84 (англ.)

Дан обзор ряда фирменных клеев для деревообрабатывающей и фанерной пром-сти, описываемых под их торговыми названиями. Описаны: внешний вид клеев, их упаковка, условия хранения, жизнеспособность, рецептуры, применяемые наполнители, области применения, режим склеивания и способы очистки оборудования. Фенолформальдегидные клеи описаны в частях 17, 18 и 19, резорциновые — в 20 и 21, мочевиноформальдегидные — в 21 и 22. Части 13—16 см. РЖХим, 1955, 38840.

И. Э.

5227. Вопросы склеивания при производстве пианино. Тринкл (Gluing problems in a piano factory. Trinkle Carl), J. Forest Prod. Res. Soc., 1953, 3, № 4, 18—21 (англ.)

Мочевинформальдегидные смолы с успехом заменяют растительные клеи при изготовлении некоторых деталей пианино. Даются указания о способах устранения пятен, появляющихся при склеивании на поверхности деталей, и о мерах, обеспечивающих хорошее качество фанерованных щитов, склеиваемых этими смолами. Описан метод определения момента, когда отверждение смолы в детали достигает 100%, даже в наиболее трудном для отверждения месте.

Е. Х.

5228 Д. Агрегативная устойчивость положительно заряженных латексов полистирола. Кертес Ю. Автореф. дисс. канд. хим. н., Моск. хим.-технол. ин-т, М., 1954

5229 П. Гранулярная полимеризация ненасыщенных органических соединений, содержащих в молекуле группу  $\text{CH}_2=\text{C}$ . Хейуорд, Элли, Хоэнштейн (Pearl polymerisation of unsaturated organic compounds which contain a  $\text{CH}_2=\text{C}$  group in the molecule. Haward Robert N., Ely Joyce, Hohenstein Walter P.). Канад. пат. 499262, 19.01.54

Патентуется процесс гранулярной полимеризации или сополимеризации ненасыщ. органич. соединений, содержащих группу  $\text{CH}_2=\text{C}$  в водн. суспензии в присутствии суспендированных мелкодисперсных частиц нейтр. фосфата Са, имеющего отношение  $\text{СаО}:\text{Р}_2\text{О}_5$  не менее

1,35. Объемное отношение мономера к воде в суспензии поддерживается от 1:3 до 3:2. Фосфат Са получается взаимодействием фосфорной к-ты и водн. суспензии извести (содержащей не более 5 вес. % извести) при т-ре ~90°. До прибавления фосфата Са водн. суспензия мономера или смеси мономеров выдерживается при т-ре полимеризации в течение 10—45 мин.

С. Ш.

5230 П. Эмульсионная полимеризация в присутствии соли железа и водорастворимой перекиси. Бриттон, Ле-Февр (Emulsion polymerization in the presence of an iron salt and a water-soluble peroxide. Britton Edgar C., Le Fevre Walter J.). [The Dow Chemical Co.]. Канад. пат. 494631, 21.07.53

Патентуется метод полимеризации моновинильного органич. соединения, содержащего винильную группу, соединенную с атомом С ароматич. ядра (напр., стирола), или алифатич. диолефина с сопряженными двойными связями в водн. эмульсии. Метод отличается тем, что полимеризация проводится при т-ре 50—150° (напр. при 70—100°) в эмульсии, имеющей рН 1,5—3 (предпочтительно 2—2,8) и содержащей первоначально водорастворимую перекись (напр., 0,1—1,0%  $\text{H}_2\text{O}_2$  от веса стирола) в кол-ве, достаточном для того, чтобы вызвать полимеризацию и иницировать ее в течение всего периода р-ции со скоростью, большей, чем в отсутствие перекиси; эмульсия содержит также соль железа и неорганич. к-ты, совместимую с эмульсией и способную ионизироваться с образованием положительных ионов железа. Эта соль применяется в кол-ве 0,01—500 вес. ч. Fe на 1 млн. ч. полимеризующихся органич. соединений. Процесс проводится до получения полимера желаемого мол. веса. Полимеризацией алифатич. диолефина с сопряженными двойными связями в описанных выше условиях при 50—100°, рН водн. эмульсии 2—2,8 и кол-ве соли Fe 1—500 вес. ч. Fe на 1 млн. ч. мономера получают липкий полимер.

С. Ш.

5231 П. Метод полимеризации и получаемые при этом продукты. Нодзак (Method for polymerization and products produced thereby. Nozaki Kenzie) [Shell Development Co.]. Канад. пат. 499577, 26.01.54

Предварительно полученный высокомолекулярный линейный полимер добавляется к композиции, содержащей не менее одного способного полимеризоваться олефинового соединения, имеющего по крайней мере одну группу  $\text{>C=C<}$ , с последующим механич. перемешиванием образовавшейся жидкой смеси достаточно интенсивным для того, чтобы вызвать разрушение упомянутого полимера. Напр., смесь, содержащая 0,05—2 ч. высокомолекулярного полимера метакрилонитрила на 100 ч. его мономера, для механич. разрушения полимера, освобожденная от  $\text{O}_2$ , пропускается в инертной атмосфере через узкие сопла со скоростью не менее 100 вес. ч. в 1 мин. Способ получения нового типа сополимера включает смешение небольшого кол-ва относительно высокомолекулярного линейного полимера (из мономера, содержащего группу  $\text{>C=C<}$ ) не менее, чем с одним жидким мономером, имеющим группу  $\text{CH}_2=\text{C}$  (последний отличен от мономера, из которого построен упомянутый выше полимер) и механич. перемешивание смеси при встряхивании ее со скоростью 330 раз в 1 мин. Новый тип сополимера может содержать макромолекулы, построенные из двух различных линейных групп звеньев, связанных преимущественно «хвост к хвосту» первичными хим. связями. Первая группа звеньев получается разрывом цепи высокомолекулярного линейного полимера, вторая —

из способного полимеризоваться мономера, содержащего не менее одной группы  $\text{>C}=\text{C}<$ . С. Ш.

5232 П. Полимеризация этилена в присутствии никеля или кобальта на активированном угле. Питерс, Эверинг (Polymerization of ethylene with nickel or cobalt on activated carbon. Peters Edwin F., Evering Bernard L.) [Standard Oil Co.]. Пат. США 2692261, 19.10.54

Этилен полимеризуется в присутствии катализатора состава Ni/C, Co/C или (Ni + Co)/C в среде жидких углеводородов (алканов, содержащих более 3 атомов C, циклоалканов или ароматич. углеводородов), взятых в кол-ве не менее 10 вес. % от смеси, при 10—300° и давлении не менее 3,5 атм. Полимерные продукты с мол. весом не менее 300 выделяют из реакционной смеси. Л. П.

5233 П. Улучшенный способ получения полиэтилена. Фуско (Perfectionnements aux procédés de préparation de polymères d'éthylène. Fusco Victor C.) [Mathieson Chemical Corp.]. Франц. пат. 1064326, 12.05.54 [Chimie et industrie, 1954, 72, № 4, 724 (франц.)]

Этилен полимеризуют в водн. среде, содержащей 0,5—2 вес. % (от воды) калийного мыла, практически не содержащего солей,  $\text{K}_2\text{CO}_3$  в кол-ве (не менее 2 вес. % от воды), достаточном для поддержания щел. р-ции в течение всего процесса полимеризации, и 1—2 вес. % персульфата калия. Р-цию ведут под давлением выше 470 атм при 80—115°. Ю. В.

5234 П. Получение твердого полиэтилена. МакАртур, Логан (Perfectionnements aux procédés de fabrication de polyéthylène à l'état solide. McArthur Richard E., Logan James S.) [Mathieson Chemical Corp.]. Франц. пат. 1058222, 15.05.54 [Chimie et industrie, 1954, 71, № 5, 981 (франц.)]

Полимеризацию  $\text{C}_2\text{H}_4$  проводят в присутствии небольшого кол-ва катализатора — озонида ненасыщ. органич. соединения, под давлением, проводя полимеризацию при общих условиях в отношении давления и т-ры. О. С.

5235 П. Получение эмульсий полиэтилена. Ларсон (Preparation of polymeric ethylene emulsions. Larson Alfred T.) [E. I. du Pont de Nemours and Co.]. Канад. пат. 499162, 12.01.54

Патентуется непрерывный двухступенчатый процесс непосредственного получения эмульсий полиэтилена, по которому в первой стадии получается неэмульгированный полимер путем полимеризации этилена под давл.  $>50$  атм и при т-ре выше 100° в присутствии катализатора. Во второй стадии после образования полимера, но до снятия давления в реакционную смесь, содержащую полимер, вводится эмульсионная среда и эмульгатор, после чего образовавшаяся стойкая эмульсия полимера выгружается при атмосферном давлении. Этим путем может эмульгироваться как высокомолекулярный полиэтилен, так и его сополимеры с другими мономерами. Дисперсионная среда вводится в кол-ве 20—80% от веса полимера, а эмульгатор — в кол-ве 0,5—50% от веса дисперсионной среды. С. Ш.

5236 П. Процесс обработки полиэтилена и образование покрытия. Хортон (Process for treating polyethylene and coated product. Horton Paul V.) [Plax Corp.]. Пат. США 2668134, 2.02.54

Поверхность полиэтилена, предназначенная для склеивания с какой-либо другой поверхностью, предварительно обрабатывается в ванне с  $\text{H}_2\text{SO}_4$  и бихроматом натрия, промывается и склеивается с этой поверхностью полиарным клеем. М. В.

5237 П. Комплексы  $\text{ZrCl}_4$  и простых эфиров как катализаторы полимеризации при низких темпера-

турах. Эрнет, Томас (Zirconium tetrachloride-ether complexes as low temperature polymerization catalyst. Ernst John L., Thomas Robert M.) [Standard Oil Development Co.]. Пат. США 2682531, 29.06.54

Способ полимеризации изоолефинов, содержащих 4—8 атомов C, состоит в том, что исходный мономер полимеризуется при т-ре от —20 до —165° в присутствии катализатора — комплекса  $\text{ZrCl}_4$  и простого эфира ф-лы  $\text{R}-\text{O}-\text{R}'$ , где R и R' — органич. радикалы. А. Ж.

5238 П. Способ получения углеводородных полимеров. Кофи, Пирсон (Process of preparing hydrocarbon polymers. Calfee John D., Pearson John H.) [Allied Chemical and Dye Corp.]. Канад. пат. 497857, 24.11.53

Способ получения линейных углеводородных полимеров путем полимеризации при т-ре от —20 до —150° алифатич. диолефинов с сопряженными двойными связями (напр., бутадиена-1,3) отличается тем, что катализатором является безводн. фтористый водород и полимеризация ведется в присутствии инертного галогенированного алифатич. р-рителя, растворяющего мономер и  $\text{HF}$ , с т-рой кипения не выше 25°, напр. этилденфторида. В процессе р-ции р-р  $\text{HF}$  вводится в р-р мономера, и по завершении процесса полимер извлекается из смеси. Д. С.

5239 П. Полимеры 1,3-бутадиена, способ их получения и композиции на их основе. Миллер (Polymers of butadiene-1,3, process of making them, and compositions containing same. Miller Henry C.) [E. I. du Pont de Nemours and Co.]. Пат. США 2708639, 17.05.55

Патентуется маслоподобный полимер 1,3-бутадиена, который образует пленку, сохраняющую эластичность после 18 час. нагревания при 130°. Полимер получается при полимеризации бутадиена при т-ре от —20 до +20° в присутствии комплекса  $\text{BF}_3$  и диэтилового эфира и воды в кол-ве 0,1—1,4 моля на 1 моль комплекса. А. Ж.

5240 П. Получение высокомолекулярных полимеров. Берг, Мадер (Verfahren zur Herstellung höchstmolekularer Polymerisationsprodukte. Berg Herbert, Mader Herbert.) [Pat. GPF 891450, 28.09.53 [Chem. Zbl., 1954, 125, № 1, 207 (нем.)]

Способ получения полимеров большого мол. веса полимеризацией соединений, содержащих только один атом галоида, связанный с атомом C винильной группы, отличается тем, что исходный мономер для очистки обрабатывают 25—60%-ным  $\text{NaOH}$  или  $\text{KOH}$  в некоторых случаях при повышенной т-ре, и после удаления щелочи мономер или смесь мономеров полимеризуют при умеренной т-ре, не допуская образования низкомолекулярных полимеров или загрязнений, обрывающих растущую полимерную цепь. Полимеризация может проводиться в водн. эмульсии в присутствии водорастворимых производных поливинилового спирта. Получаемые полимеры используются для пластич. масс. А. Ж.

5241 П. Методы полимеризации хлортрифторэтилена (Methods of polymerizing chlorotrifluoroethylene) [British Thomson-Houston Co., Ltd.]. Англ. пат. 703096, 27.01.54 [Rubber Abstrs, 1954, 32, № 5, 210 (англ.)]

Хлортрифторэтилен полимеризуется в суспензии, содержащей воду, мономер, перекисный инициатор (напр., трет-бутилпербензоат), соль металла группы железа, которая растворима в мономере (напр., фосфат, бензоат или стеарат Fe или смесь  $\text{FeSO}_4$  с небольшим кол-вом лимонной к-ты) и водорастворимый восстановитель. Процесс проводится в автоклаве при pH

от 2,3 до 4 при т-ре ниже 35° в течение времени, достаточного для доведения полимеризации до желаемой степени. Образующийся полимер имеет т-ру размягч. выше 220°.

С. III.  
5242 П. Усовершенствование композиций на основе полифторуглеродов. Раднер (Perfectionnements apportés aux produits résineux fluorocarbonés et aux composés contenant ces produits. Rudner Merritt A.) [United States Gasket Co.]. Франц. пат. 1063805, 7.05.54 [Chimie et industrie, 1954, 72, № 3, 487 (франц.)]

Патентуются композиции на основе полифторуглеродов, отличающиеся тем, что часть их поверхности модифицируется введением в смолу металла или неметаллич., напр. кварцевого или керамич. материала.

Ю. П.  
5243 П. Теломеры и способ их получения (Telomers and process of producing same) [Farbenfabriken Bayer]. Англ. пат. 702788, 20.01.54 [Chem. Abstrs, 1954, 48, № 15, 9111 (англ.)]

Способ состоит в облучении УФ-светом смеси трифторхлорэтана и алкильного или арильного эфира кремневой к-ты. Так, после облучения в течение 1—2 час. жидкая смесь из 80 об. % трифторхлорэтана и 20 об. % ( $C_2H_5O$ )<sub>2</sub>Si становится вязкой, а после 36 час. облучения объем вязкой жидкости уменьшается до ~1/3 первоначального объема, и маслянистая масса затвердевает при комнатной т-ре. Полученный продукт облучивается только при т-ре >250°. Образующиеся в-ва применяются в качестве полупродуктов в произ-ве пластика.

Я. К.  
5244 П. Пластические фунгицидные композиции (Compositions plastiques fongistatiques.) [Consortium de Produits Chimiques et de Synthèse]. Франц. пат. 1051728, 19.01.54 [Chem. Zbl., 1955, 126, № 4, 934 (нем.)]

Пластическая масса, устойчивая против грибка, получается из поливинилхлорида или из сополимера винилхлорида в смеси с три-(2 хлорэтил)-фосфатом (25—100%) и диоктилфталатом (75—0%) в качестве пластификатора и фунгицида.

Ю. В.  
5245 П. Процесс стабилизации размеров ориентированных пленок кристаллических сополимеров винилхлорида с винилхлоридом. Аббс (Process for dimensionally stabilizing oriented films of crystalline vinylidene chloride-vinyl chloride copolymers. A b b s A.) [Dow Chemical Co.]. Англ. пат. 692430, 3.06.53 [J. Soc. Dyers and Colourists, 1953, 69, № 8, 312 (англ.)]

Усовершенствованный процесс состоит в нагревании пленки при т-ре на 20—40° ниже ее т-ры размягчения в течение 30—120 сек. в натянутом состоянии для предотвращения усадки, ослабления натяжения до такой степени, чтобы пленка могла скользить, и дальнейшем нагревании 30—120 сек. при т-ре на 100—20° ниже первоначальной с охлаждением до т-ры ниже 100°.

С. III.  
5246 П. Способ изготовления труб с неслипавшимися стенками из поливинилхлорида кристаллической структуры. Айронс (Process for the manufacture of crystalline vinylidene chloride polymer tubing whose walls do not cohere. Irons C. R.) [Dow Chemical Co.]. Англ. пат. 708800, 12.05.54 [Rubber Abstrs, 1954, 32, № 8, 366 (англ.)]

Трубы из поливинилхлорида, пригодные для изготовления упаковочной пленки, получают выдавливанием полимера в охлаждающую ванну, где трубы переохлаждаются, снимаются и наполняются смазывающей жидкостью с последующей вытяжкой для ориентации. В нагретую трубу между муфтишкой и поверхностью смазывающей жидкости вводят тонкоизмельченный порошок (слюду, крахмал, стеарат Zn или тальк), суспен-

дированный в токе газа, подаваемом непрерывно и с постоянной скоростью, который покрывает внутреннюю поверхность стен трубы и частично проникает вглубь материала, препятствуя слипанию.

Ю. П.  
5247 П. Способ получения продуктов конденсации производных фурана (Procédé de préparation d'un produit de condensation de dérivés furaniques et des résines qui en découlent) [E. F. S. I.]. Франц. пат. 1052099, 22.01.54 [J. Appl. Chem., 1954, 4, № 11, ii 686—687 (англ.)]

Фурфуриловый спирт или смесь фурфурола и тетрагидрофурфурилового спирта полимеризуется в присутствии  $FeCl_3$ ,  $AlCl_3$ , минер. или органич. к-т или других кислых катализаторов с образованием полимера растворимого в спирте, этилацетате и диэтиловом спирте и используемого в качестве красок, клеев и т. п.

Ю. В.  
5248 П. Продукты конденсации фурфурилового спирта. Нилсен (Furfuryl alcohol condensate. Nielsen Erik R.). Пат. США 2681896, 22.06.54

Способ конденсации и полимеризации фурфурилового спирта до образования стабильного промежуточного продукта конденсации состоит в нагревании спирта с активированным  $Al_2O_3$  до тех пор, пока основная масса воды не будет удалена из продукта реакции.

А. Ж.  
5249 П. Распределение диспергируемых в воде материалов в термопластичных полимерах. Коннелл (Distribution of water-dispersible material throughout thermoplastic polymers. Connell John A.) [E. I. du Pont de Nemours and Co.]. Канад. пат. 499163, 12.01.54

Процесс равномерного распределения в водонерастворимом термопластичном полимере (напр., полиметакрилате) диспергируемого в воде материала (напр., красящего в-ва), инертного по отношению к полимеру, включает диспергирование материала в воде, в присутствии диспергирующего агента, смешивание воды, дисперсии с полимером, имеющим форму зерен размером 0,1—2 мм при общем содержании воды 0,15—0,9% от веса полимера, и пластификацию полученной смеси при т-ре на 5—83° выше т-ры текучести полимера. Содержание диспергирующего агента рекомендуется 0,1—3% от веса воды и красящего вещества.

С. III.  
5250 П. Гонки для ткацких станков и способ их изготовления (Loom picker and method of making same) [Armstrong Cork Co.]. Англ. пат. 687318, 11.02.53 [J. Text. Inst., 1954, 45, № 1, A45 (англ.)]

Дешевые ткацкие гонки с длительным сроком службы прессыются из композиции, содержащей поливиниловый спирт, пластификатор и стеарат щел.-зем. металлов. Прессовочная композиция нагревается с пластификацией в присутствии воздуха при 160—170°.

Б. К.  
5251 П. Ингибирование полимеризации. Николс (Inhibition of polymerization. Nichols William T.) [Monsanto Chemical Co.]. Пат. США 2683163, 6.07.54

Полимеризация акрилонитрила ингибируется введением моноалкилового эфира гидрохинона (алкильная группа которого содержит 1—8 атомов C), в кол-ве 0,5—1000 ч. на 1 000 000 ч. акрилонитрила.

А. Ж.  
5252 П. Способ производства сополимеров (Procédé pour la production de copolymères) [Badische Anilin und Soda-Fabrik]. Франц. пат. 1032182, 30.06.53 [Chem. Zbl., 1954, 125, № 25, 5638 (нем.)]

Акрилонитрил сополимеризуется с виниловыми соединениями, содержащими в цикле один атом N, обладающий основными свойствами, как, напр., винилимидазол, винилэтилимидазол, в присутствии перекисных соединений. Полимеры хорошо окрашиваются, напр., кислотными красителями, азокрасителями и их комплексными хромовыми солями в трифенилметановыми красителями.

С. В.



5253 П. Полимерные композиции. Д'Алельо (Polymeric compositions. D'Alenio Gaetano F.) [Koppers Co., Inc.]. Пат. США 2683128, 6.07.54

Композиция содержит не менее 80% полиакрилонитрила и замещ. мочевины ф-лы  $(CH_3)_2NCONRR'$ , где R и R' — алкил, содержащий менее 4 атомов С. А. Ж.

5254 П. Полимеризация производных алкилоламов акриловой кислоты. Джонс (Polymerization of alkylolamides of the acrylic acid series. Jones Giffin D.) [General Aniline and Film Corp.]. Канад. пат. 497001, 20.10.53

N-замещенные  $\alpha$ -замещенные акриламиды общей ф-лы  $H_2C=C(R)-C(=O)-N(R')R''$  полимеризуются при обработке мономера водн. р-ром  $H_2SO_4$ ,  $HCl$  или  $H_2PO_4$ , кислотность которого примерно равна кислотности 10%-ного р-ра  $H_2SO_4$ , в присутствии перекисного инициатора ( $K_2S_2O_8$ ). В ф-ле R — алкил, арил, циклоалкил, аракил; R' — алкил; R'' — алкил, алкил, циклоалкил, арил и аракил. В примерах приводятся N-метил-N-этилолметакриламид, N-метил-N-пропилолметакриламид, N-диэтилолметакриламид. В. П.

5255 П. Стабилизированный сополимер изоолефина и полиолефина и метод его получения. Крофорд, Моррисси (Stabilized isooolefin polyolefin interpolymer derivatives and method of producing same. Crawford Richard A., Morrissey Richard T.) [The B. F. Goodrich Co.]. Пат. США 2681899, 22.06.54

Способ стабилизации сополимера изоолефина, содержащего 4—8 атомов С и концевую  $=CH_2$ -группу, и полиолефина, содержащего не менее 0,5 вес. % связанного брома, состоит в том, что в сополимер вводится силикат металла, находящегося во II группе периодической системы. А. Ж.

5256 П. Смешанные полимеры стирола с полимерными производными диолефинов (Interpolymers of styrene with polymeric derivatives of diolefines) [Dow Chemical Co.]. Англ. пат. 714368, 25.08.54 [Pant. Manufact., 1954, 24, № 12, 444 (англ.)]

Продукты, применяемые для покрытий или формирования, получают при смешанной полимеризации стирола с ненасыщ. резиноподобными полимерами алифатич. диолефинов с сопряженными двойными связями (напр., бутадиеном) в закрытом сосуде при т-ре 50—100° до перехода около половины стирола в полимер, после чего т-ра поднимается до 100—175°. Б. К.

5257 П. Смешанные полимеры. Вулф, Никол (Interpolymers. Wolf R. J., Nicola A. A.) [Goodrich Co., B. F.]. Англ. пат. 690076, 8.04.53 [Brit. Plast. Federat. Abstrs, 1953, Ser. 8, № 5, 309 (англ.)]

Сополимеры винилхлорида и стирола получают в присутствии алкилакрилата любым способом полимеризации. Для получения латекса мономер берется в виде эмульсии. Отсутствие воздуха ускоряет реакцию. Ю. В.

5258 П. Способ полимеризации бутадиена и его производных или их смесей с другими полимеризующимися соединениями. Мейзенбург, Денстедт, Цаукер (Verfahren zur Polymerisation von Butadienen oder von Mischungen derselben mit anderen polymerisierbaren Verbindungen. Meisenburg Kurt, Dennstedt Ingolf, Zaucker Ewald). Пат. ГДР 6218, 7.12.53

Полимеризация бутадиена и его производных или их смесей с другими полимеризующимися соединениями (напр., стиролом и акрилонитрилом) в водн. эмульсии в присутствии S-содержащих соединений проводится с небольшим кол-вом растворимых в смеси исходных мономеров диалкилксантогендисульфидов или дибензольного эфира тетрасульфида. Напр., растворяют 0—5 вес. ч. динизопропилксантогендисульфида в 69

вес. ч. бутадиена, р-р эмульгируют в 200 вес. ч. 5%-ного р-ра олеата Na, содержащего 0,3 вес. ч. персульфата аммония. После длительного перемешивания (несколько дней) получают растворимый пластич. полимер; тетрасульфид метилового эфира дибензойной к-ты (0,1 вес. ч.) растворяют в 47,5 вес. ч. хлорбутадиена и 2,5 вес. ч. феноксипропеноксида. Этот р-р эмульгируют в 50 вес. ч. 2%-ного р-ра олеата Na; получают растворимый продукт полимеризации с хорошим выходом, способный легко перерабатываться. Л. П.

5259 П. Сополимеры винилацетата с олефинами и образующиеся при этом пластифицированные виниловые смолы. Денисон, Ступе (Olefin-vinyl acetate copolymers and vinyl resins plasticized therewith. Denison Walter A., Stoops William N.) [Union Carbide and Carbon Corp.]. Канад. пат. 505689, 7.09.54

Жидкие сополимеры получают при сополимеризации винилацетата с моноолефиновыми углеводородами, имеющими 2—4 атома С (напр., этилен, пропилен, изобутилен); указанные сополимеры содержат 60—80 вес. % связанного винилацетата (62—75% в случае этилена, 64—75% для пропилена и изобутилена) и обладают средним мол. в. 350—1200 (500—1200 в случае этилена и 500—1100 для пропилена и изобутилена). А. Д.

5260 П. Улучшение способа получения сополимеров акрилонитрила (Perfectionnements relatifs à un procédé de préparation de copolymères d'acrylonitrile) [Monsanto Chemical Co.]. Франц. пат. 1038665, 30.09.53 [Chemie et industrie 1953, 70, № 6, 1122 (франц.)]

Для получения сополимеров смесь 40—98 вес. % акрилонитрила и 2—60% винилацетата, стирола или  $\alpha$ -метилстирола вводят в водн. среду, нагретую до т-ры кипения и содержащую инициатор и стабилизатор эмульсии. Кол-во добавляемых в-в должно обеспечивать постоянно т-ру кипения в водн. среде. Ю. В.

5261 П. Маслорастворимые сополимеры диалкилфумарата и винилового эфира и способ их получения. Манди, Роджерс (Framställning av oljelösliga sampolymerer av dialkylfumarat och en vinylester samt komposition av nämnda sampolymer och en större halt kolväteolja. Monday J. C., Rogers D. T.) [Standard Oil Development Co.]. Швед. пат. 141791, 25.08.53

Способ получения маслорастворимых сополимеров отличается тем, что виниловый эфир жирной к-ты полимеризуется вместе с диалкиловым эфиром фумаровой к-ты, алкильные группы которого содержат 8—18 атомов С. К. Г.

5262 П. Сополимеры эфиров итаконовой и акриловой кислоты. Ван-Хорн, Неер (Copolymers of itaconates and acrylates. Van Horne William L., Neher Harry T.) [Rohm and Haas Co.]. Пат. США 2684355, 20.07.54

Маслорастворимый сополимер диалкилового эфира итаконовой к-ты и алкилового эфира акриловой к-ты содержит алкильные группы, имеющие 16—18 атомов С, и алкильные группы, имеющие 12 атомов С. Соотношение указанных выше алкильных групп в сополимере составляет соответственно от 1 : 1 до 1 : 5. Кол-во одного из эфиров в сополимере составляет не менее 20%, а кол-во другого эфира дополняет композицию до 100%. А. Ж.

5263 П. Продукты сополимеризации эфиров полимерных многоатомных спиртов и эфиров метакриловой кислоты. Юшка, Ханл (Interpolymerization products of polymeric polyhydric alcohol esters with methacrylic acid ester monomers. Yushka Henry, Hanle John E.) [Interchemical Corp.]. Пат. США 2684345, 20.07.54

Патентуется термопластичная смола, представляющая собой продукт сополимеризации сложного эфира

метакриловой к-ты и одноатомного спирта (содержащего 1—4 атома С) и сложного полиэфира, образующегося в результате этерификации полимерного многоатомного спирта жирной к-той, содержащей олефиновые связи. Молекулярное соотношение спирта и к-ты составляет соответственно 1 к 1—3,5, если к-та содержит сопряженные двойные связи, и 1 к 1—6,8, если к-та содержит несопряженные двойные связи. Полимерный многоатомный спирт содержит чередующиеся алифатич. цепи и ароматич. ядра, соединенные между собой атомом О, и имеет 5—20 ОН-групп в молекуле.

А. Ж.

5264 П. Композиции из синтетических смол, получающиеся из циклических продуктов присоединения диенов с сопряженными связями к  $\beta, \gamma$ -ненасыщенным спиртам. Николс (Synthetic resin compositions prepared from the cyclic adduct of a conjugated diene and a  $\beta, \gamma$ -unsaturated alcohol. Nichols Joseph) [Interchemical Corp.]. Пат. США 2683126, 6.07.54

Способ получения мономерных термореактивных продуктов состоит в том, что смесь  $\alpha, \beta$ -ненасыщенной дикарбоновой к-ты и циклич. продукта присоединения сопряженных диенов к  $\beta, \gamma$ -ненасыщенным спиртам нагревается при перемешивании в среде инертного газа, в присутствии летучей органич. жидкости, которая отгоняется в процессе нагревания в виде азеотропа с водой. Собранный дистиллат разделяют на составные части, летучую органич. жидкость возвращают в реакционную смесь, из которой затем окончательно отгоняют органич. жидкость и не вступившие в р-цию компоненты.

А. Ж.

5265 П. Способ полимеризации и материалы, получаемые при этом (Procédé de polymérisation et matériaux obtenus par ce procédé) [Office National d'Études et de Recherches Aéronautiques]. Франц. пат. 1052268, 22.01.54 [J. Appl. Chem., 1954, 4, part 11, i686 (англ.)]

Полиэфиры, применяемые для покрытий и пропитки в проз-ве стекло- и асбестокстолита, получают при полимеризации или сополимеризации сложных эфиров малеиновой или фумаровой к-ты (диэтиленгликоль-малеиновая) со стиролом в присутствии инициатора и ускорителя (перекиси бензоила) и вторичного или третичного аминоспирта.

Б. К.

5266 П. Способ получения легкорастворимых плавких искусственных смол. Хюгель (Verfahren zur Herstellung von leichtlöslichen schmelzbaren Kunstharzen. Hügel Robert) [Rheinpreußen A.-G. für Bergbau und Chemie]. Пат. ГФР 922244, 5.10.53 [Chem. Zbl., 1954, 125, № 28, 6360 (нем.)]

Способ получения легкорастворимых плавких смол из  $\text{CH}_2\text{O}$  и ненасыщ. кетонов общей ф-лы  $\text{R} - \text{H}_2\text{C} - \text{CO} - \text{C}(\text{R}_1) = \text{CH}_2$  ( $\text{R}$  и  $\text{R}_1 - \text{H}$ , алкил или арил) отличается тем, что 1 моль кетона в щел. р-ре конденсируется с 1—3 молями  $\text{CH}_2\text{O}$  и полимеризуется. Напр., 84 ч. метилизопропенилкетона смешиваются с 100 ч. 30%-ного  $\text{CH}_2\text{O}$  и 100 ч. 2 н.  $\text{NaOH}$  и нагреваются до кипения; светлый продукт р-ции выделяется в виде тяжелого масла. После отделения, нейтр-ции и промывки масло нагревают до 150°, причем образуется твердая, светложелтая, прозрачная смола, растворимая в бzl.

И. Р.

5267 П. Модифицированные продукты конденсации ненасыщенных альдегидов. Баллард, Уэстон (Modified condensation products of unsaturated aldehydes. Ballard Seaver A., Whetstone Richard R.) [Shell Development Co.]. Канад. пат. 505507, 31.08.54

Полимер продукта конденсации  $\alpha, \beta$ -ненасыщенно-го альдегида (полученного конденсацией альдегида при  $t$ -ре выше  $\sim 125^\circ$ ) частично гидролизуют с образованием

группы сложного эфира. Патентуются смолы, содержащие продукты этерификации поликарбоновой к-ты полиатомным спиртом, полученные мягким окислением или восстановлением частично гидролизованного ненасыщ. альдегида.

А. Е.

5268 П. Смеси оксикалированных алкилфенолальдегидных смол. Де Гроуте (Mixtures of oxyalkylated alkyl phenol-aldehyde resins. De Groote Melvin) [Petrolium Corp.]. Пат. США 2626942, 27.01.53

Однородная трехкомпонентная смесь состоит из продуктов оксизилирования плавкой фенолальдегидной смолы, растворимой в органич. р-рителях и нерастворимой в воде. Смола представляет собой продукт взаимодействия дифункционального одноатомного фенола ф-лы  $\text{RC}_6\text{H}_4\text{OH}$  ( $\text{R} -$  углеводородный радикал, содержащий 4—18 атомов С и находящийся в положении 2,4 или 6 в ядре) и альдегида, содержащего не более 8 атомов С. Компоненты смеси содержат в своем составе несколько 2-валентных групп ф-лы  $(-\text{C}_2\text{H}_4\text{O}-)_n$ , причем у первого компонента  $n$  находится в пределах 2,0—2,4, считая на каждую ОН-группу исходной смолы, для второго компонента  $n$  находится в пределах 3,0—3,6 и для третьего — в пределах 4—4,8. Соотношения компонентов определяются областью на диаграмме трехкомпонентной системы, приложенной к описанию патента, и составляют (в вес. %)  $\sim 20 - 60$  первого компонента,  $20 - 60$  второго компонента и  $20 - 60$  третьего компонента. Подобная трехкомпонентная смесь является более эффективным антиэмульгатором, чем любая двухкомпонентная смесь указанных продуктов, или любой из компонентов в отдельности.

И. Р.

5269 П. Оксикалиленовые производные термопластичных смол. Де Гроуте, Кейзер (Certain oxyalkylated derivatives of fusible resins. De Groote Melvin, Keiser Bernhard) [Petrolium Corp.]. Пат. США 2629704, 2629705, 2629706, 24.02.53

Гидрофильная смола представляет собой продукт оксикалирования окисью этилена (I) и окисью пропилена (II) плавкой, растворимой в органич. р-рителях и нерастворимой в воде фенолальдегидной смолы (III), которая является продуктом взаимодействия дифункционального фенола  $\text{RC}_6\text{H}_4\text{OH}$  ( $\text{R} -$  углеводородный радикал, содержащий 4—14 атомов С и находящийся в положении 2 или 4 в ядре) и монофункционального альдегида не более, чем с 8 атомами С. Соотношения компонентов в молекуле конечного продукта составляют  $\sim 50 - 70\%$  I,  $20 - 40\%$  II и  $5 - 20\%$  III (все компоненты полностью реагируют между собой). По пат. 2629705, гидрофильная смола представляет собой аналогичный продукт, но с измененным соотношением компонентов, которое составляет  $10 - 45\%$  I,  $28 - 57\%$  II и  $5 - 50\%$  III. В соответствии с пат. 2629706 патентуется аналогичный продукт, соотношения компонентов в котором составляют  $10 - 18\%$  I,  $78 - 87\%$  II и  $4 - 12\%$  III. Точные соотношения компонентов определяются областями на диаграммах трехкомпонентных систем, приложенных к описаниям патентов.

А. К.

5270 П. Производство линейных полиэфиров. Дривитт, Линколн (Production of linear polyesters. Drewitt J. G. H., Lincoln J.) [British Celanese, Ltd.]. Англ. пат. 707913, 28.04.54 [Brit. Rayon and Silk J., 1954, 31, № 361, 82—84 (англ.)]

Линейные полиэфиры получают при конденсации циклич. карбоната гликоля (этиленгликоля и т. п.) с ароматич.  $n$ -дикарбоновыми к-тами (напр., с терефталевой, дифенокситан-4,4'-дикарбоновой и др.), имеющими высокую  $t$ -ру плавления. Образующийся

26 1962, № 2

полиэфир получается более качеств. за счет хорошего растворяющего действия карбоната гликоля по отношению к к-там, в результате чего реакционная смесь быстро становится гомогенной. В р-ции можно применять избыток циклич. карбоната. Повышение кол-ва карбоната с 1,3 моля до 2 молей на 1 моль терефталевой к-ты снижает т-ру плавления полиэфира по сравнению с полученным из гликоля; при этих соотношениях компонентов полимер еще кристалличен и сохраняет способность к прядению из расплава и ориентации. Для получения полиэфиров можно также применять смесь гликоля и циклич. карбоната.

А. Ф.  
5271 П. Линейные политерефталаты, растворенные в растворителе, содержащем трифторуксусную кислоту. Сунт, Ван-Хори, Ньюсам (Polymeric linear terephthalates dissolved in a solvent comprising trifluoroacetic acid. Sweet Sterling S., Van Horn Maurice H., Newsome Philip T.) [Eastman Kodak Co.]. Пат. США 2710848, 14.06.55

Композиция состоит из полимера, имеющего элементарное звено ф-лы —  $O(CH_2)_nO(O=C)C_6H_4C(=O)-$  ( $n$  — число от 2 до 10) и растворенного в р-ителе, содержащем трифторуксусную кислоту.

А. Ж.  
5272 П. Получение полимеров пространственной структуры при действии полилактамов. Флори (Interlinking polymers with polylactams. Flory Paul J.) [The Goodyear Tire and Rubber Co.]. Пат. США 2682526, 29.06.54.

Способ увеличения мол. веса полиэфиров, содержащих в качестве единственных реакционноспособных групп не менее двух ОН-групп, состоит в обработке полиэфира небольшим кол-вом полилактама, в котором находится не менее двух лактамных групп, связанных между собой по атомам N остатком поликарбонатовой к-ты, и который не содержит других реакционноспособных групп.

А. Ж.  
5273 П. Способ получения модифицированных алкидных смол. Зейферт (Verfahren zur Herstellung modifizierter Alkydharze. Seifert Ernst) [Rohm und Haas G. m. b. H.]. Пат. ГФР 915745, 29.07.54 [Chem. Zbl., 1955, 126, № 3, 705 (нем.)]

Алкидные смолы модифицируются дигидродиклорпентадиенвиниловым эфиром до образования алкида, в процессе р-ции или по ее завершении. Продукты применяют в качестве лаков, клеев, как текстильные вспомогательные материалы, и для изготовления искусств. кожи.

Ю. В.  
5274 П. Отверждающиеся композиции (Zu harztartigen Produkten härtbare Mischung) [N. V. de Bataafsche Petroleum Maatschappij]. Швейц. пат. 289695, 1.07.53 [Chimie, 1953, 7, № 10, 242 (франц.)]

Композиция содержит продукт первичной конденсации, имеющий более одной эпокси группы в молекуле, и отвердитель, имеющий группу  $O=P(OH)_2O-$ .

Ю. В.  
5275 П. Получение полиацеталей. Эйделман (Polyacetal preparation. Adelman Robert L.) [E. I. du Pont de Nemours and Co.]. Пат. США 2682532, 29.06.54

Полиацетали образуются при взаимодействии простых дивиниловых эфиров или дивиниловых эфиров гликоля с гликолями или полиспиртами в присутствии 0,01—5 вес. % сильных минер. к-т или их кислых солей при т-ре не ниже 15°. Полиспирты представляют собой полимерные алифатич. соединения, молекулы которых содержат более 100 атомов С. Углеродный атом, имеющий ОН-группу, соединен с другими атомами С и не имеет других заместителей, кроме атомов водорода.

А. Ж.  
5276 П. Способ получения синтетической смолы. Путцер-Рейберг (Verfahren zur Herstellung von Kunstharzen. Putzer-Reyberg

Alfons V.) [Chemische Werke Albert]. Пат. ГФР 903864, 11.02.54 [Chem. Zbl., 1954, 125, № 21, 4739 (нем.)]

Синтетические смолы получают при взаимодействии метилольных производных фенола с одним или несколькими полимеризующимися соединениями, способными реагировать с ОН-группами с образованием сложных и простых эфирных связей. При повышенной т-ре смесь способна конденсироваться и сополимеризоваться с одним или несколькими полимеризующимися соединениями. Напр., диметилфенол, получаемый из фенола и  $CH_2O$ , нагревается со свободной метакриловой к-той до прекращения выделения воды. Вязкий р-р полимеризуется полностью в течение 42 час. при 80—90° с образованием светлого твердого хорошо формующего продукта.

Б. Р.  
5277 П. Производство термореактивных фенолальдегидных смол. Редферн (Production of thermosetting phenol-aldehyde resin condensation product. Redfern Donald V.) [American-Marietta Co., Adhesive, Resin and Chemical Division]. Пат. США 2631098, 10.03.53

Для получения термореактивной смолы смесь 1 моля одноатомного фенола (т. кип. 175—225°) и 1—1,5 моля альдегида (не содержащего иных функциональных групп) конденсируют в присутствии щел. катализатора. Особенность процесса состоит в том, что р-цию проводят ступенчато, добавляя щелоч. частями и проводя стадию конденсации после каждого добавления щелочи. Конечный продукт р-ции растворим в воде и спирте. Для изготовления пресскмозиции полученную смолу смешивают с термореактивным наполнителем и прессуют в горячем состоянии до перехода наполнителя в неплавленное нерастворимое состояние. Время прессования этой композиции составляет на 10—15% меньшую величину в сравнении с временем, требующимся для прессования композиции, связующее которой состоит из аналогичной смолы, полученной не по ступенчатому процессу.

А. К.  
5278 П. Способ производства материала из фенолформальдегидной смолы с целлюлозным наполнителем. Редферн (Method of producing cellulose mass and product. Redfern Donald V.) [American-Marietta Co., Adhesive, Resin and Chemical Division]. Пат. США 2631097, 10.03.53

Фенолформальдегидная смола для изготовления материала с целлюлозным наполнителем получается при взаимодействии 1 моля фенола с т. кип. 175—225° и 1—3 молей альдегида (не содержащего иных функциональных групп) в присутствии щел. катализатора. Р-цию проводят ступенчато, добавляя щелоч. частями и проводя конденсацию после каждого добавления щелочи. Добавление щелочи прекращают, когда продукт р-ции обладает способностью растворяться в воде, после чего продукт конденсируют до такого состояния при котором вода. р-р смолы будет осаждаться при добавлении к нему спирта. Полученным р-ром смолы обрабатывают целлюлозное волокно, пропитанное водн. р-ром к-ты, в результате чего на волокне осаждается смола, находящаяся в нерастворимом состоянии. Полученную массу обезвоживают и отверждают при нагревании с образованием однородного монолитного продукта.

А. К.  
5279 П. Способ получения стабильных водных дисперсий смол. Лоренц (Verfahren zur Herstellung stabiler wässriger Harzdispersionen. Lorentz Guido) [Farbwerke Hoechst, vormals Meister Lucius und Brünning]. Пат. ГФР 878556, 5.06.53 [Chem. Zbl., 1954, 125, № 4, 10113 (нем.)]

Способ получения стабильных водн. дисперсий ксилолформальдегидных смол отличается тем, что жидкую смолу диспергируют в воде с помощью поливинилового



спирта или его водорастворимого производного, либо воды. р-р поливинилового спирта приливают при перемешивании к жидкой или растворенной смоле; в дисперсию можно добавлять также отвердители и стабилизаторы; таким образом получают стойкие дисперсии, не содержащие мыл. Так к 200 ч. смолы резольного типа медленно приливают при интенсивном перемешивании 75 объема, ч. 5%-ного воды. р-ра поливинилового спирта; получают 50%-ную стабильную водн. дисперсию смолы. Л. П.

**5280 П. Отвердитель для мочевиноформальдегидных смол (Latent curing catalyst for urea-formaldehyde condensates) [Monsanto Chemical Co.] Австрал. пат. 157257, 15.07.54**

Композиция, применяемая в качестве катализатора отверждения водн. р-ров продуктов конденсации мочевины с формальдегидом, содержит преимущественно смесь водорастворимых солей моноэтаноламина и диэтиламина, присутствующих в молярных соотношениях, соответственно, от 3:1 до 1:3, и имеет рН от 7 до 9 при 35%-ной конц-ии. Патентуется также аспретура для текстильных изделий, содержащая катализатор и продукт конденсации. А. Д.

**5281 П. Улучшенный способ приготовления мочевиноформальдегидных смол (Procédé perfectionné de préparation de résines urée-formaldéhyde) [Société Française Beckacite]. Франц. пат. 1038569, 30.09.53 [Chimie et industrie, 1953, 70, № 6, 1122 (франц.)]** Конденсируют с формальдегидом мочевины и уретан многоатомного спирта, содержащий по крайней мере одну свободную ОН-группу. Ю. В.

**5282 П. Получение полиамидов. Линкольн (Production of polyamides. Lincoln James) [Cammille Dreyfus]. Канад. пат. 506700, 19.10.54**

Патентуются линейные полиамиды и способ их получения, отличающийся тем, что β-аминокислоты, в которых α-углеродный атом полностью замещен неакционноспособными группами (напр., аминотриметилуксусная к-та), нагреваются при 150—300° до образования полимера. Патентуются также линейные полиамиды, образующие при гидролизе указанные кислоты. Л. П.

**5283 П. Способ получения полиамидов. Хопф, Уфер, Кохендёрфер (Verfahren zur Herstellung von Polyamiden. Hopff Heinrich, Ufer Hanns, Kochendörfer Gerd) [Badische Anilin- und Soda-Fabrik A.-G.]. Пат. ГФР 895977, 9.11.53 [Chem. Zbl., 1954, 125, № 8, 1839 (нем.)]**

Полиамиды образуются при конденсации солей л-фенилендипропионовой к-ты и диаминов с образующими полиамиды аминокислотными к-тами. Напр., ε-капролактам, соль л-фенилендипропионовой к-ты и гексаметилендиамина и адипиновая к-та конденсируются в водн. среде под давлением при 280°. Получаются водостойкие прессматериалы. И. Р.

**5284 П. Способ получения полиамидов. Хопф, Уфер (Verfahren zur Herstellung von Polyamiden. Hopff Heinrich, Ufer Hanns) [Badische Anilin- und Soda-Fabrik A.-G.]. Пат. ГФР 913475, 14.06.54 [Chem. Zbl., 1955, 126, № 3, 706 (нем.)]**

Полиамиды получают конденсацией двухосновных к-т и диаминов (или) аминокислот или амидообразующих производных этих в-в. Отличие способа состоит в том, что для конденсации применяют диамины, имеющие в цепи по крайней мере 2 атома О, разделенных не менее, чем 6 атомами С. Напр., для получения полиамида используется смесь, содержащая адипиновокислый гексаметилендиамина, ε-капролактам, адипиновую к-ту и соль адипиновой к-ты и 1,6-гександиолди-у-аминопропилового эфира или 1,10-декандиолди-у-

аминопропилового эфира. Продукты применяются для получения пленки и волокна. Ю. В.

**5285 П. Способ получения продуктов конденсации. Хопф, Уфер (Verfahren zur Herstellung von Kondensationsprodukten. Hopff Heinrich, Ufer Hanns) [Badische Anilin- und Soda-Fabrik A.-G.]. Пат. ГФР 896113, 9.11.53 [Chem. Zbl., 1954, 125, № 8, 1840 (нем.)]**

Продукты поликонденсации получают при нагревании соединений, образующих полиамиды, или их продуктов конденсации (или их смесей с бифункциональными соединениями, содержащими подвижный атом Н) не менее чем с эквивалентным кол-вом диизоцианатов. В р-цию могут также вводиться незначительные кол-ва более высокофункциональных полиизоцианатов. Для этой цели используются гексаметилендиизоцианат как таковой или в смеси с диизоцианатодиксилметаном, а также ε-капролактам, адипиновокислый гексаметилендиамина, 4,4'-диаминодициклогексилметан или этан. Полимеры используются для получения пленок, волокон, лаков и т. п. И. Р.

**5286 П. Способ деполимеризации и регенерации синтетических линейных полиамидов. Петерсон (Verfahren zur Depolymerisation und Wiedergewinnung von synthetischen linearen Polymeren, insbesondere von Polyamiden. Peterson Wesley Rasmus) [E. I. du Pont de Nemours and Co.]. Пат. ГФР 910593, 3.05.54 [Chem. Zbl., 1955, 126, № 3, 705—706 (нем.)]**

Регенерируемый материал обрабатывают в присутствии воды или спирта при повышенной т-ре под давлением, полученный ожиженный продукт очищают механически и деполимеризуют при 160—300°, под вакуумом и при продувке инертным газом. Ю. В.

**5287 П. Способ улучшения механических свойств синтетических линейных полиамидов. Вала (Verfahren zur Verbesserung der mechanischen Eigenschaften von synthetischen linearen Polyamiden. Vaala Gordon Theodore). Пат. ГДР 5031, 27.04.54**

В полиамиды вводят для улучшения механич. свойств эфиры многоосновных (двухосновных) к-т и эфироспиртов в кол-ве 1—65% от веса полиамидов (точнее 5—50%) путем погружения пленки из полиамидов в р-р эфира в р-рителе, не растворяющем полиамида или совместным растворением всех компонентов в общем р-рителе. При введении пластификатора (напр., алкиларилсульфоамидов) кол-во эфира уменьшают до 20—35%. Смешанный полимер получают нагреванием до 265—270° в течение часа при давл. 20 кг/см<sup>2</sup> 450 ч. соли адипиновой к-ты и гексаметилендиамина, 300 ч. капролактама и 50 частей воды; удаляют воду и нагревают 3 часа при 100 мм рт. ст. Расплавленный полимер может формироваться в виде пленки или волокна. 80 частей этого полимера и 20 ч. диэфира адипиновой к-ты и гликольмоноэтилового эфира растворяют в 240 г СНСl<sub>3</sub> и 120 ч. СН<sub>3</sub>ОН при т-ре 60° и двухчасовом перемешивании. Из р-ра получают пленку, которая имеет предел прочности при растяжении 280 кг/см<sup>2</sup>, при удлинении 408%. Ю. В.

**5288 П. Пространственные примеры из полимерных первичных аминов и диарилловых эфиров угольной кислоты. Джексон (Cross-linking polymeric polyprimary amines with diaryl carbonates. Jackson Harold L.) [E. I. du Pont de Nemours and Co.]. Пат. США 2682525, 29.06.54**

Патентуется полимер, который представляет собой продукт взаимодействия при т-ре 25—200° полимерного первичного амина с диарилловыми эфирами угольной или тиоугольной к-ты. Исходный амин имеет мол. вес не менее 1000, содержит основную углеродную цепь и не менее трех первичных аминогрупп в боковой цепи.

Соотношения компонентов составляют не менее 0,5 моля эфира на каждую аминогруппу амина. А. Ж.

**5289 П.** Способ получения продуктов поликонденсации. Песта (Verfahren zur Herstellung von Polykondensationsprodukten. Pesta Otto) [Badische Anilin- und Soda-Fabrik A.-G.]. Пат. ГФР 895831, 5.11.53 [Chem. Zbl., 1954, 125, № 8, 1839 (нем.)]

Продукты поликонденсации образуются при взаимодействии полиизоцианатов (напр., 1,6-гексаметилендиизоцианата) с перегоняющимися фракциями остатка от перегонки 1,4-бутандиола, полученного из  $C_2H_2$  и  $CH_2O$  через 1,4-бутиндиол в присутствии соединений Си. Продукты р-ции применяются для получения пленок, пластических масс, лаковых смол, пластификаторов. И. Р.

**5290 П.** Модифицированные полиалкиленгликоли (Modified polyalkylene glycols) [E. I. du Pont de Nemours and Co.]. Австрал. пат. 160697, 3.02.55

Способ получения эластомеров состоит в том, что смесь ароматич. диизоцианата и высокомолекулярного простого полиэфира гликоля подвергается действию т-ры, причем по крайней мере последняя стадия р-ции протекает в присутствии воды. А. Ф.

**5291 П.** Способ получения высокомолекулярных продуктов. Бунге, Кнейп, Тило (Verfahren zur Herstellung von hochmolekularen Produkten. Bunge Wilhelm, Kneip Werner, Thilo Fritz) [Farbenfabriken Bayer A.-G.]. Пат. ГФР 897482, 23.11.53 [Chem. Zbl., 1954, 125, № 22, 4958 (нем.)]

Патентуется способ получения высокомолекулярных продуктов при взаимодействии полиизоцианатов с гидроксилсодержащими продуктами конденсации гидроксилсодержащих сложных эфиров многоатомных спиртов и одноосновных карбоновых к-т с кислородсодержащими продуктами конденсации  $CH_2O$  и алкилированных ароматич. соединений. Напр., льняное масло перэтерифицируется с глицерином и после добавления продукта конденсации кислоты с  $CH_2O$  конденсируется с толуиленидиизоцианатом. Продукты применяются для изготовления покрытий, клеев и замазок. И. Р.

**5292 П.** Способ получения продуктов поликонденсации. Кшикала (Verfahren zur Herstellung von polykondensationsprodukten. Krzikalla Hans) [Badische Anilin- und Soda-Fabrik (I. G. Farbenindustrie A.-G. «In Auflösung»)]. Пат. ГФР 887119, 30.12.53 [Chem. Zbl., 1953, 124, №47, 8220 (нем.)]

Способ получения продуктов поликонденсации состоит в нагревании смеси полиэфиров угольной к-ты и многоатомных спиртов с изоцианатами, изотиоцианатами или аналогично реагирующими соединениями. Для этой цели используются эфиры дихлормуравьиной к-ты и 1,4-бутандиола, гликоля, глицерина, их производных и т. п. Полученные полимеры применяются для прескомпозиций, клеев и т. п. И. Р.

**5293 П.** Получение полиорганосилоксанов. Хайд, Додт (Production of siloxanes. Hyde James F., Daudt William H.) [Corning Glass Works]. Канад. пат. 495019, 4.08.53

Полиорганосилоксаны получают р-цией гексаорганосилоксана (напр., гексаметилдисулоксана) с полидиорганосилоксаном (напр., циклич. полидиметилсилоксаном) в присутствии гидроокиси щел. металла. Среднее число (n) органич. радикалов в смеси составляет 2—2,5 на 1 атом Si, а атомное соотношение Me: Si = x (Me — атом щел. металла) определяется ф-лой  $x < n - 2$ . Н. С.

**5294 П.** Способ получения полисилоксанов. Гиинсан, Ганцберг (Process for producing polysiloxanes. Guillissen Clément Joseph,

Gansberg Abraham) [Union Chimique Belge, S. A.]. Пат. США 2684379, 20.07.54

Способ получения кремнийорганич. полимеров состоит в взаимодействии в безводн. среде органополигалосилоксанов со смесью стабильных мономерных органополиоксисилоксанов и низкомолекулярных кремнийорганич. полимеров, содержащих OH-группы. В реакционной смеси кол-во атомов галоида примерно эквивалентно кол-ву OH-групп. В качестве органич. заместителя может быть алкил, арил или алициклич. углеводородный радикал, содержащий 1—10 атомов С. Р-ция протекает с выделением галоидоводорода и образованием однородного полимера, который содержит по крайней мере одну группировку Si — O — Si и способен к дальнейшей полимеризации. А. Ж.

**5295 П.** Способ получения высокомолекулярных полиорганосилоксанов. Хайд, Джохансон (Verfahren zur Herstellung von hochmolekularen Polymerisaten von Organosiloxanen. Hyde James Franklin, Johansson Oscar Kenneth) [Dow Corning Corp.]. Пат. ГФР 910341, 29.04.54 [Chem. Zbl., 1955, 126, № 3, 706 (нем.)]

Для получения высокомолекулярных полиорганосилоксанов циклич. диалкил- или алкиларилсилоксаны обрабатываются солью щел. металла и триорганосилола при т-ре ниже т-ры разложения. Соль силолано берется из расчета менее 1 атома щел. металла на 25 (предпочтительно 50) атомов Si. Продукты р-ции можно нейтрализовать триорганохлорсиланом. Ю. В.

**5296 П.** Небьющийся слоистый материал на основе кремнийорганического связующего: Хайд (Shatterproof organo-siloxane bonded laminate and adhesive used therefor. Hyde James F.) [Dow Corning Corp.]. Пат. США 2692844, 26.10.54

Слоистый материал, устойчивый к ударам, получается нанесением на листы пластич. материала кремнийорганич. связующего в-ва, из которого затем удаляются летучие продукты; листы складываются в пакет, и склейка отверждается до перехода кремнийорганич. полимера в неплавкое состояние, в результате чего образуется слоистый материал с однородной структурой. Связующее в-во представляет собой смесь растворимой в толуоле, не содержащей к-ты полностью конденсированной кремнийорганич. смолы с вязкостью не ниже 1000 сеп при 25°, содержащей 1,9—2,5 одновалентного углеводородного (или галоидированного углеводородного) радикала на каждый атом Si, и 0,1—5 вес. % нелетучего, растворимого в толуоле полиалкоксисилоксана, алкоксильная группа которого содержит <9 атомов С. А. Ж.

**5297 П.** Водные эмульсии полисилоксанов. Штамм, Аренс (Verfahren zur Herstellung von Polysiloxanen. Stamm Hellmuth, Arens Hugo) [Th. Goldschmidt A.-G.]. Пат. ГФР 894771, 26.10.53 [Chem. Zbl., 1954, 125, № 12, 2721 (нем.)]

Полисилоксаны растворяют в смеси одноатомных спиртов и алкиламинов (летучих ниже 100°) и эмульгируют в воде. М. В.

**5298 П.** Полимерные соединения циркония и способ их получения. Болтис (Polymeric zirconium compounds and method of preparing same. Balthis Joseph H.) [E. I. du Pont de Nemours and Co.]. Пат. США 2681922, 22.06.54

Полимерные соединения циркония получают при взаимодействии органич. эфиров циркония ф-лы  $Zr(OR)_4$  (R — алкил, циклоалкил, арил или аракил) с безводн. алифатич. карбоновой к-той, взятой в кол-ве 0,5 моль-экв на 1 моль эфира. А. Ж.

**5299 П.** Прессованные изделия из смолы на основе фурфуролового спирта и смеси наполнителей различной величины. Харфорд (Molded articles comprising a furfuryl alcohol resin and a mixture of fil-

lers of different mesh sizes. Harford Charles G.) [Arthur D. Little, Inc.]. Пат. США 2653920, 29.09.53.

Плотный химически стойкий материал состоит из минер. наполнителя, отверждаемой смолы и катализатора. Один из компонентов химически стойкого минер. наполнителя проходит через сито 16 меш и удерживается на сите 100 меш, второй компонент (25—80 вес. % от первого) по крайней мере на 95% проходит через сито 200 меш. Содержание смолы на основе фурфуролового спирта в композиции равняется 6—12% от веса композиции.

**5300 П.** Продукты конденсации альдегидов, содержащие азот (Nitrogen-containing condensation products of aldehydes) [Ruhchemie A.-G.]. Англ. пат. 711039, 23.06.54 [Paint, Oil and Colour J., 1954, 126, № 2913, 349 (англ.)].

По данному пат., являющемуся обобщением англ. пат. 609059 и 654443, насыщ. алифатич. альдегиды конденсируются с ароматич. альдегидами, содержащими боковую цепь, в присутствии аммиака (1 моль на 1 моль альдегида), с образованием продуктов конденсации, содержащих азот. Выделяющаяся при конденсации вода удаляется азеотропной перегонкой. Р-ция катализируется силикагелем, промотированным  $Al_2O_3$ . Производные пиридина образуют азотсодержащие альдегидные смолы, а также и другие продукты конденсации, не содержащие азота.

**5301 П.** Приготовление просвечивающих пленок. Хилборн (Preparation of translucent sheeting. Hilborn E. H.) [Kodak, Ltd.]. Англ. пат. 691833, 20.05.53 [Plastics, 1953, 18, № 195, 364—365 (англ.)].

Пленку из целлюлозного материала (винилит, лиофильм) покрывают в-вом, разлагающимся с газовыделением при т-ре ниже т-ры разложения пленки. Освобождающийся газ образует равномерную шероховатую поверхность. Просвечивающая поверхность может частично осветляться р-рителем.

**5302 П.** Способ поверхностной обработки ацетобутиратцеллюлозных пластиков для улучшения их атмосферостойкости. Тамблин, Шулькен (Process of surface treatment for improving weathering resistance of cellulose acetate-butyrate plastics. Tamblin John W., Schulken Roger M.) [Eastman Kodak Co.]. Пат. США 2656288, 20.10.53.

Для улучшения атмосферостойкости прессованных изделий из ацетобутиратцеллюлозных пластиков их погружают на 15 мин. в смесь этилового спирта и диметилового эфира угольной к-ты, взятых в отношении 50 : 50.

**5303 П.** Способ обработки изделий из регенерированной целлюлозы. Досьер (Procédé de traitement de produits fabriqués en cellulose régénérée. Dossier John P.) [Algèmene Kundstzijde Unie N. V.]. Франц. пат. 1058002, 12.03.54 [Teintex, 1954, 19, № 11, 867 (франц.)].

Для уничтожения усадки изделий из регенерированной целлюлозы обрабатывают их 8%-ным р-ром диальдегида, имеющего в основной цепи по крайней мере 5 атомов С, напр. р-ром  $\alpha$ -гидроксинадипинальдегида, в присутствии 0,6 % органич. к-ты (напр., щавелевой). Изделия сушат сначала при 50°, затем 3—4 мин. при 110—120°.

**5304 П.** Способ получения волокнистых плит. Поленц (Verfahren zur Herstellung einer Faserplatte. Pohlenz Reinhold). Пат. ГФР 903672, 8.02.54 [Chem. Zbl., 1954, 125, № 30, 6844 (нем.)]. К смеси из термореактивной или термопластичной смолы, сырого каучука и воды или жидкого стекла добавляется наполнитель, содержащий древесину (опилки) с водой или жидким стеклом; полученную массу прессуют при нагревании в форме. Синтетич. смола

частично может быть заменена лигнитом, лигнином или пылью бурого угля. Смесь целесообразно прессовать при 220—250° и давл. 10—14 кг/см<sup>2</sup>.

**5305 П.** Литые изделия из термопластичных смол (Moulded articles from thermoplastic resins) [British Thomson-Houston Co., Ltd.]. Англ. пат. 702581, 20.01.54 [Rubber Abstrs, 1954, 32, № 5, 232 (англ.)]. Способ произ-ва литых изделий из термопластов с поверхностями, не обладающими свойством накапливать статич. электричество, состоит в нанесении на внутреннюю поверхность прессформы соответствующих соединений, напр. двунатриевой соли полуамида октадецилсульфогантарной к-ты, соли октадециламина и N-октадецилкарбаминовой к-ты, диэтилциклогексил-аминстеарил- или цетиловых сульфатов, или соли амилламина и п-толуолсульфокислоты.

**5306 П.** Полимеры винилхлорида, пластифицированные цианоэтиловыми эфирами S-(2-арилэтил)-2-меркаптоэтанолов. Даззи (Vinyl chloride polymers plasticized with cyanoethyl ethers of S-(2-aryl-ethyl)-2-mercaptoethanols. Dazzi Joachim) [Monsanto Chemical Co.]. Пат. США 2658047, 3.11.53.

Композиция содержит поливинилхлорид, пластифицированный нитрилом общей ф-лы  $RCH_2CH_2SCH_2CH_2OCH_2CH_2CN$ , где R — фенил, нафтил или ксенил, а также моноалкилзамещенные этих радикалов, в которых алкильная группа имеет до 20 атомов С. Кол-во пластификатора составляет 5—50 вес. % от композиции.

**5307 П.** Матирование линейных полимеров (Delustering linear polymers) [Perfogit Soc. per Azioni]. Австрал. пат. 159160, 14.10.54.

Способ получения матированных линейных полимеров отличается тем, что к исходным мономерам добавляют гель гидроокиси титана, получаемый гидратированием  $TiO_2$ , и полимеризуют мономер по непрерывной схеме в присутствии соответствующих катализаторов.

**5308 П.** Термо- и светостойкие виниловые композиции. Хардинг (Heat and light stabilized vinyl resins and composition thereof. Harding James) [Union Carbide and Carbon Corp.]. Канад. пат. 5072264, 9.11.54.

Композиция представляет собой поливинилхлорид с коэфф. лучепреломления 1,51—1,53 или сополимер винилхлорида и винилацетата, в котором диспергирована в качестве термостабилизатора соль карбоновой к-ты и диалкилолова (напр., малеинат дибутилолова) в кол-ве 0,5—5 вес. % от смолы, и в качестве светостабилизатора — Mg-соль фосфорной, угольной или кремневой к-т с коэфф. лучепреломления 1,50—1,54 (напр., основной углекислый Mg) в кол-ве 0,5—10 вес. % от смолы.

**5309 П.** Стабилизированные винилиденгалогенидные смолы. Холмс, Мерфи, Уэркхейзер (Stabilized halogen-containing vinylidene resins. Holmes Roland A., Murphy John F., Werckheiser Robert L.) [Monsanto Chemical Co.]. Пат. США 2681900, 22.06.54.

Композиция, стабильная против обесцвечивающего действия тепла, состоит из поливинилиденгалогенида и моноциклогексилмалеината кадмия.

**5310 П.** Композиции из хлористого винилидена или винилхлорида, стабилизированные к действию света (Light-stabilized compositions of vinylidene chloride or vinyl chloride) [Dow Chemical Co.]. Англ. пат. 688513, 11.03.53 [Brit. Plast. Federat. Abstrs, 1953, 8, № 4, 239 (англ.)].

Полимеры и сополимеры винилхлорида и винилиденхлорида стабилизируются к действию света сложными эфирами 7-оксацикло-(2,2,1)-5-гептан-2,3-дикарбонового ангидрида.

В. П.



**5311 П.** Модифицированные композиции из поливинилацетальных смол. Бамп, Куинн (Modified polyvinyl acetal resin composition. Bump Charles Kilbourne, Quinn Frank J.) [Monsanto Chemical Co.]. Пат. США 2682520, 29.06.54

Композиция содержит поливинилацетальную смолу и 0,2—3 ч. (на 100 ч. смолы) соли 2-валентного тяжелого металла и борофтористоводородной к-ты. Патентуется также р-р указанной композиции, содержащей  $\text{Sn}(\text{BF}_4)_2$  в смеси ксилола и бутилового спирта. А. Ж.

**5312 П.** Прессмасса из древесных волокон. Коалль (Holzfaserpreßmasse. Koall Werner) [Internationale Galalithgesellschaft]. Пат. ГФР 906751, 18.03.54 [Chem. Zbl., 1954, 125, № 36, 8233 (нем.)]

Прессмасса с древесным волокнистым наполнителем состоит из синтетич. смолы, древесной муки и волокон из стружек березового шпона. Компоненты берутся в одинаковых кол-вах. Волокна получают при измельчении и резке стружки. Напр., масса, имеющая хорошую текучесть, состоит из равных кол-в древесной муки, волокон из стружки и синтетич. (напр., фенолформальдегидной) смолы. Образцы из прессмассы обладают высокой ударной вязкостью. Б. К.

**5313 П.** Получение полых формованных изделий из термопластичных материалов. Хейген (Production of hollow moulded articles from thermoplastic material. Hagen R.) [Lacrinoid Products, Ltd]. Англ. пат. 713419, 11.08.54 [Rubber Abstrs, 1954, 32, № 11, 508 (англ.)]

Термопластичный материал (поливинилхлорид, полистирол или полиэтилен) выдавливают в форме трубы более длинной, чем длина готового изделия, и выводящий конец ее проводят через дорн, питаемый жидкостью под давлением. Большую часть длины трубы заключают между частями формы таким образом, что выводящий конец зажат в контакте с дорном, а другой конец — между частями формы. Давление жидкости прилагается через дорн, чтобы плотно прижать раздуваемую трубу к форме; формованное изделие извлекают. Способ в особенности пригоден для формования бутылок. Л. П.

**5314 П.** Метод и аппаратура для формования полых изделий из термопластичных материалов. Коломбо (Method and apparatus for moulding hollow articles from thermoplastic materials. Colombo R.). Англ. пат. 695611, 12.08.53 [Plastics, 1953, 18, № 197, 448 (англ.)]

Концы трубчатой заготовки зажимаются, в ось заготовки вставляется полая игла, через которую под давлением вводится жидкость, заставляющая заготовку принять конфигурацию формы. С. Ш.

**5315 П.** Получение термореактивных слоистых пластинок. Артур (Manufacture of thermoset plastic laminates. Arthur T. J. B.) [Holoplast, Ltd]. Англ. пат. 691412, 13.05.53 [Plastics, 1953, 18, № 195, 364 (англ.)]

Бумага, ткань или другой подобный горючий материал пропитывается фенолформальдегидной смолой и затем фосфатом аммония, смешанным с сульфатом аммония (играпирол DMW), после чего отверждается при нагревании и давлении. При т-рах, которые могут возникнуть при соприкосновении с пламенем, выделяется аммиак, и расплавленная фосфорная к-та образует стекловидное покрытие, замедляющее горение. С. Ш.

**5316 П.** Производство неметаллических слоистых изделий. Уэринг (Manufacture of non-metallic resin-bonded laminar articles. Wareing R. J.) [Imperial Chemical Industries, Ltd]. Англ. пат. 708817, 12.05.54 [J. Appl. Chem., 1954, 4, part 10, ii 539 (англ.)]

При соединении предварительно отформованного жесткого вспомогательного элемента и слоистого изделия, напр. в произ-ве обтекателей самолетных радио-

локационных станций, несколько слоев промазываются или пропитываются смолой, укладываются на форму, куда вставляется жесткий элемент, и прессуются при нагревании для отверждения смолы. С целью улучшения прочности соединения, способного выдерживать заметные перепады давления в широком интервале т-р между поверхностью жесткого элемента и слоистого изделия (до отверждения), помещается слой невулканизованной натуральной или синтетич. резины (в форме листа или р-ра в ацетоне). Б. К.

**5317 П.** Твердое покрытие, стойкое к растрескиванию. Уотт (Hard smooth craze-resistant surface coatings. Watt William T.) [American Cyanamid Co.]. Канад. пат. 506406, 12.10.54

Связующее для слоистого пластика на основе бумажного наполнителя и покрытие, стойкое к растрескиванию, представляют собой отвержденную композицию, состоящую из меламиноформальдегидной смолы, алкилированной спиртом, имеющим 1—4 атома С (метилированная меламиноформальдегидная смола), и совмещаемой полимеризующейся смеси. Смесь состоит из в-ва с т-рой кипения не менее 100°, имеющего группы  $\text{CH}_2=\text{C}<$  (стирол), и ненасыщ. алкидной смолы, получаемой при этерификации гликоля и фумаровой к-ты. Отношение смолы к полимеризующейся смеси лежит в пределах 1:20 и 3:2. Б. К.

**5318 П.** Смолы для прессования при низком давлении слоистого пластика на основе бумажного наполнителя и облицовки древесины. Паттерсон (Resin for low pressure paper base laminates and wood surfacing. Patterson Donald G.) [American Cyanamid Co.]. Канад. пат. 506405, 12.10.54

Гомогенная отверждаемая композиция состоит из отверждаемой алкилированной меламиноформальдегидной смолы и совмещаемой полимеризующейся смеси. Смесь содержит в-во с т-рой кипения не менее 100°, имеющее группы  $\text{CH}_2=\text{C}<$  (стирол), и ненасыщ. алкидную смолу, получаемую при этерификации смеси этиленгликоля или гликоля и фумаровой к-ты. Соотношение смолы и полимеризующейся смеси лежит в пределах 1:20—3:2. Б. К.

**5319 П.** Способ пропитки волокнистых изоляционных плит. Манхейм (Method of impregnating fiber insulation board. Mannheim Carl P.) [The Celotex Corp.]. Пат. США 2702761, 22.02.55

Способ пропитки пористых листовых материалов с различной степенью насыщения в определенных частях состоит в нагревании определенного, предварительно выбранного участка листа без нагрева остальной части его, погружении нагретой части листа в горячее жидкое термопластичное связующее, удалении листа из связующего после периода, достаточного для насыщения материала на желаемую глубину. Б. К.

**5320 П.** Пенопласты из термореактивных смол. Стерлинг (Cellular expanded thermoset resins. Sterling Robert F.) [Westinghouse Electric Corp.]. Пат. США 2629698, 24.02.53

Способ получения пенопластов из термореактивных смол состоит в том, что смоляную композицию, которая содержит 70—97% водн. смолы, 0,1—5% поверхностно-активного в-ва и 1—25% перекипс металла, вспенивают при 110—350°. Смола представляет собой продукт взаимодействия 1 моля одноатомного фенола (фенол, крезол, ксилол, трикрезол или их смеси) и 1—3 молей альдегида (формальдегид, его полимеры, ацетальдегид, гексаметилентетрамин, фурфурол или их смеси) в присутствии 0,05—5% (от веса фенола) щел. катализатора. Р-ция проводится в присутствии воды при 50—115° в течение 0,5—20 час. при рН в пределах 3—11, после чего смола частично обезвоживается до содержания 3—25% воды и в конечном состоянии имеет вязкость 1—250 пуаз. В качестве поверхностно-актив-

ного в-ва используются: щел. соли алкилсульфокислотной кислоты, в которой алкильная группа содержит 4—24 атома С, алкил- или алкиларилсульфокислоты и их соли, алкильная группа которых содержит 4—30 атомов С или 8—30 атомов С для алкилсульфокислот, жирноароматич. простые полиэфиры, содержащие ОН-группы и соли сульфокислот простых полиэфигов, алкильная группа которых содержит 8—24 атома С, щел. мыла жирных к-т, содержащих 12—24 атома С, эфиры сорбитана и к-т, имеющих 12—24 атома С, галлонные соли четвертичных аммониевых оснований, содержащих не менее одной алкильной или алкиларильной группы, имеющей 8—24 атома С, или же сульфированные алкиламины, амиды и их соли, в которых имеется алкильная группа, содержащая 8—24 атома С. В качестве перекисей используются перекиси Ca, Na, K, Pb, Ba, Mg и Zn.

**5321 П.** Получение пенистого полиэтилена. Ансуэрт, Купер, Гудчайлд (Production of cellular polyethylene. Goodworth Alfred K., Cooper Alfred, Goodchild Anthony G.) [Expanded Rubber Co., Ltd]. Канад. пат. 508357, 21.12.54

Для получения пенистого полиэтилена последний смешивают с органич. порообразователем, который разлагается или улетучивается при т-ре, лежащей между т-рой плавления и т-рой разложения полиэтилена (ближе к т-ре плавления), с образованием неразлагающегося остатка более высококипящего в-ва. В течение операций, предшествующих вспениванию, выдерживают смесь при т-рах ниже т-ры разложения порообразователя и затем, приложив давление, повышают ее до т-ры газообразования. Спускают давление при т-ре (или ниже ее) перехода композиции в пластич. состояние и далее подвергают материал вспениванию при подогреве (или после подогрева) до т-ры пластичности. Вспенивание материала может быть произведено также одновременно с понижением давления, после чего он должен быть быстро охлажден. Вспенивание может быть выполнено в цилиндре червячного пресса: в этом случае материал выдавливают во вспененном состоянии и быстро охлаждают. По другому варианту этого способа порообразование происходит при т-рах выше т-ры разложения смеси: смесь нагревают под давлением до т-ры разложения порообразователя и охлаждают до т-ры, при которой материал обладает такой консистенцией, которая удерживает газ перед снятием давления, и затем снимают давление.

**5322 П.** Изоляция из пенопласта (Resinous foam as insulator) [N. V. Philips' Gloeilampenfabrieken]. Австрал. пат. 159992, 9.12.54

Пенопласт, применяемый в качестве изоляционного материала малого уд. веса, для заполнения цоколей ламп накаливания получается при газообразовании в жидкой смеси, содержащей гексаметилентетрамин и продукт конденсации фенола и формальдегида, взятых в отношении 1 к 0,65—0,75. Смесь нагревается без применения давления.

**5323 П.** Метод изготовления губчатых материалов и изделий из них. Вильсон (Method of making sponge material and resulting product. Wilson C. L.). Англ. пат. 715707, 22.09.54 [Rubber Abstrs, 1955, 33, № 1, 27 (англ.)]

Губка, имеющая шероховатую абразивную поверхность, получается при диспергировании пузырьков газа в р-ре поливинилового спирта (содержащего в молекуле менее 10% остаточных гидролизующихся групп) и порообразователя. Смесь реагирует в присутствии кислотного катализатора с гранулированным параформальдегидом, имеющим частицы, проходящие через сито 20—50 меш. Кол-во прореагировавшие ОН-групп спирта в продукте равняется 35—80%. Сравнительно

большая жесткость достигается при повышенном содержании прореагировавших ОН-групп.

**5324 П.** Ионнообменные смолы из винилгетероциклических аминсоединений и винилциклогексена. Д'Алельо (Ion-exchange resins from a vinyl heterocyclic amino compound and a vinyl-cyclohexene. D'Alilio Gaetano F.) [Koppers Co., Inc.]. Пат. С.ША 2683124, 6.07.54

Неплавкая нерастворимая смола представляет собой продукт полимеризации смеси, содержащей 75—98 вес. % винилпиридина или винилхинолина и соответственно 2—25% винилциклогексена.

**5325 П.** Анионообменные смолы и способ их получения. Джонс (Anion exchange resins and method of production. Jones Giffin D.) [The Dow Chemical Co.]. Канад. пат. 499511, 26.01.54

Способ получения анионообменной смолы состоит в том, что твердая галондометилированная в ядре винилароматич. смола, имеющая мол. вес > 50 000, обрабатывается азотсодержащим соединением аммонийного типа в таком соотношении, что в реакционной смеси на каждый галондометильный радикал полимера присутствует не менее одного атома N. Азотсодержащее соединение содержит не менее одного атома H, связанного с атомом N. Р-ция проводится при 25—100°. Исходная смола может содержать в химически связанном виде 0,5—20 вес. ч. поливинилароматич. соединения (напр., дивинилбензола) и 80—99,5 вес. ч. моновинилароматич. соединения (напр., стирола.) Патентуются также продукты, нерастворимые в воде и в бэл., полученные по описанному способу.

**5326 П.** Синтетические клеящие смоляные вещества. Лунденфелсер, Килтейн (Synthetic resin adhesives. Lundenfeller R., Kilthain M.) [British Industrial Plastics Ltd.]. Англ. пат. 689498, 1.01.53 [Brit. Plast. Federat. Abstrs, 1953, Ser. 8, № 5, 321 (англ.)]

Клеящие в-ва состоят из плавких, отверждающихся при нагревании мочевиноформальдегидных смол, модифицированных менее чем 10% гидролизованного полимера сложного винилового эфира или его сополимера с этиленом. Эти смолы обладают длительной жизнеспособностью, растворимы в воде, вначале липкие, при нагреве быстро твердеют, после чего являются водостойкими. До отверждения могут быть увлажнены.

**5327 П.** Склеивающие вещества. Штегер (Adhesives. Stäger R.). Англ. пат. 717595, 27.10.54 [Rubber Abstrs, 1955, 33, № 2, 67 (англ.)]

Склеивающее в-во, особенно пригодное для склеивания пластифицированных смол между собой и с другими материалами, состоит из р-ра винильных сополимеров, содержащих свободные COOH-группы, и до 20 вес. % одного или более моно-, ди- или полиизоцианатов. Соплимеры получают из винилхлорида по крайней мере с одной к-той (малеиновой, акриловой, или метакриловой) в присутствии других винильных мономеров, напр. винилацетата или без них. Клей пригоден для приклеивания подошв из поливинилхлорида к коже.

**5328 П.** Метод нанесения клевого покрытия на подложку (Method for the production of adhesive coatings on backing materials) [Scholl Meg. Co., Inc.]. Англ. пат. 693915, 8.07.55 [Rubber Abstrs, 1953, 31, № 10, 415 (англ.)]

Клеевое покрытие получается при растворении высокополимеризованного каучукоподобного поливинилалкилового эфира, напр. поливинилизобутилового эфира, в поливинилалкиловом эфире меньшей степени полимеризации, имеющем вид масла или смолы. Склейка

осуществляется при нагревании компонентов до т-ры перехода в жидкое состояние.

Б. К.  
5329 П. Светостойкий канифольный клей. Пур, Ланде (Color stabilized rosin size. Poor Edward N., Landes Chester G.). [American Cyanamid Co.]. Канад. пат. 508317, 21.12.54

Светлоокрашенный канифольный клей повышенной светопрозрачности состоит в основном из продукта омыления смеси 85—99% канифоли и 15—1% смолы талового масла, предварительно прогретой в течение 1—3 час. при 121—163° (напр., 2 часа при 149°); вместо прогрева смеси можно нагревать раздельно каждый компонент. Смесь омыляется соединением шел. металла, имеющим шел. р-цию, напр.  $\text{Na}_2\text{CO}_3$ . Патентуется также способ получения клея. Л. И.

См. также: 3748, 4030—4032, 4035, 4038—4041, 4059, 4060, 4065, 4066

#### ЛАКИ. КРАСКИ. ЭМАЛИ. ОЛИФЫ. СИККАТИВЫ

5330. Поглотители УФ-света. Брандт, Нанн (Ultraviolet light absorbers. Brandt Walter R., Nunn Leslie C.), Paint and Varnish Prod., 1954, 44, № 9, 25—28, 69 (англ.)

Сообщается о поглотителях УФ-лучей солнечного света, добавляемых в мебельные (напр., нитроцеллюлозные) лаки с целью предотвращения потемнения или обесцвечивания самого дерева как химически отбеленного, так и неотбеленного. Поглотители типа «Увинул» 400 и 490 являются производными бензофенона. Они растворяются в спиртах, эфирах и кетонах, не растворяются в углеводородах и воде, что очень ограничивает их применение. Эти поглотители не являются универсальными, но успешно защищают многие сорта древесины. Они не разрушаются под действием УФ-лучей и не теряют эффективности при нагревании, напр. при 240°. Предлагается простой способ определения влияния УФ-лучей на обесцвечивание дерева: пленка, полностью поглощающая УФ-лучи (короче 400 мμ), накладывается на испытуемый образец. Изменение цвета последнего говорит о наличии других причин обесцвечивания. Б. Б.

5331. *n*-Трет-бутилбензойная кислота — заменитель фталевой кислоты в сырье для лаков. Герхардт (Paratertiärbutilbenzoesäure, in Substituent für Phthalsäure in Lackrohstoffen. Gerhardt O.), Dtsch. Farben — Z., 1955, 9, № 1, 21 (нем.)

Для алкилирования толуола применяют изобутилен из крекинг-газов. Полученный трет-бутилтолуол окисляется кислородом воздуха, в присутствии Со-катализатора, до карбоновой к-ты. Окисление производится в реакторе из кислото-упорной стали при 160—175° и давл. 3,5—5,5 атм. Р-цию доводят до оптимального содержания карбоновой к-ты 50%. Дальнейшее окисление сопровождается побочными р-циями и выход падает. Выкристаллизованная к-та сдвигается, аналогично фталевой, с жирными к-тами и глицерином и при содержании ее 7—13% дает технически полноценные алкиды. Л. Ф.

5332. Новое связующее, высыхающее на воздухе. Цумштейн (Ein neues lufttrocknendes Lackbindemittel vom Melamintypus. Zumstein H.), Techn. Rundschau, 1954, 46, № 52, 13, 15 (нем.)

Связующее представляет собой полиаллиловый эфир гексаметилолмеламина, который высыхает на воздухе. От добавления сиккативов скорость высыхания увеличивается. Применяется в комбинации с алкидными смолами в соотношении 10—30%: 70—90%. При этом повышается твердость пленки, улучшаются малярные свойства и блеск. Л. Ф.

5333. Применение меламиновых смол в органических защитных покрытиях. Гринфилд (The use of melamine resins in organic protective coatings. Greenfield I.), Prod. Finishing, 1954, 7, № 9, 61—68 (англ.)

Приводятся общие сведения о меламиновых лаковых смолах. Эти смолы применяются в покрытиях для автомобилей, велосипедов, моторов, домашнего и кухонного оборудования, в изоляционных лаках, для электр. оборудования и в термостойких красках для электропечей, радиаторов, водонагревателей и пр. Т. Ф.

5334. Изоперлон — ценное сырье. Бандель, Wirtschaft, 1953, (Экстренный номер), 10

В ГДР разработана рецептура изоперлонового эмалила для обмоточных проводов, дающего изоляционную пленку (как на меди, так и на алюминии) с высокой механич. и электр. прочностью. Изоперлоновый лак готовится на композиционной смоле, содержащей полиакролатам. Провода с изоперлоновой изоляцией, вследствие высокой механич. прочности эмалевого слоя, применяются для обмоток электр. машин вместо медных проводов с волокнистой изоляцией, что позволяет из-за уменьшения толщины изоляции снизить габариты машин. Изоперлоновая изоляция позволяет также применять для обмоток алюминиевые провода, не увеличивая габариты по сравнению с габаритами машин с обмоткой из меди, изолированной хлопчатобумажной пряжей. Для изоперлоновой изоляции допускаются нагревы до 120°, наибольшая мощность двигателей с обмотками из алюминиевого провода с изоперлоновой изоляцией — 250 квт. Эти провода применяются также в радиоаппаратуре, электр. бытовых приборах, подъемных магнитах, ручных сверлах и т. д., в бетоновибраторах, трансформаторах до 200 квт и т. д. С. Ш.

5335. Значение эпоксидных смол для лакокрасочной промышленности. Нарракотт (La place des résines epoxy dans l'industrie des revêtements de surface. Narra c o t t.), Chim. peintures, 1954, 17, № 4, 120—125 (франц.)

См. РЖХим., 1955, 41765.

5336. Развитие антикоррозионных покрытий. Брабан (Une évolution dans les revêtements anticorrosifs. Br a b a n t J.), Techn. eau, 1953, 7, № 81, 45 (франц.)

Для защиты металлич. поверхностей от подземной коррозии, вызываемой канализационными агрессивными жидкостями, газами и электр. токами предлагается краска «Денсо», представляющая р-р друг в друге парафиновых углеводородов с различным мол. весом. Пленка этой краски обладает хорошими диэлектрическими свойствами и стойкостью к микроорганизмам. Т. Ф.

5337. Производство литопона в Австрии. Гилер (Lithopone, ein österreichisches Weißpigment. Gieler Robert), Prakt. Chem., 1954, 5, № 3, 59—60 (нем.)

Сообщается о развитии в Австрии произ-ва пигментов, и, в частности, литопона, получаемого из Zn-соединений, австрийского происхождения и тяжелого шпата,возимого из Италии или Германии. Месторождения Zn-руд недостаточно богаты (3% Zn в виде ZnS), в значительной степени залегают комплексно, переработка затруднительна. Литопон производят при взаимодействии  $\text{ZnSO}_4$  и BaS; для высших сортов применяют  $\text{ZnCl}_2$ . Литопон выпускается с содержанием ZnS 30—60%, для отдельных сортов с 75 и 90% ZnS, или в сочетании с  $\text{TiO}_2$ . Приведены общие свойства покрытий на основе литопона и их применение. Литопон очень ценен для внутренних покрытий, для внешних покрытий применяется только для грунтовок, в сочетании с 30% ZnO; связующее — 9 ч. льняной олифы



и 1 ч. standoil. В последнее время появился спец. сорт литопона для внешних покрытий, содержит 60% литопона, 36% льняной олифы, 3% скипидара и 1% Со-сиккатива. Литопон применяют также в художественных красках — акварельных, масляных, пастельных и темпера.

**Б. Ш. 5338. Металлические мыла и их применение в лакокрасочной промышленности.** Марживаль (Les savons métalliques et leurs applications en peinture Margival F.), Peintures, pigments, vernis, 1953, 29, № 11, 917—921 (франц.)

В таблицах приведены физ.-хим. характеристики каприловой, миристиновой, пальмитиновой, стеариновой к-т и описаны способы получения из них и характеристика наиболее распространенных мыл кальция, магния, бария, стронция, алюминия, хрома, кобальта, меди, марганца, свинца и цинка. **Н. А.**

**5339. Дефекты красочных пленок и методы их предупреждения. Часть I. Тестро** (Paint film defects and their remedies. Alligatoring, checking, cracking. Part. I. Testro H. J.), Prod. finishing, 1954, 7, № 4, 54—58 (англ.)

Рассматриваются причины различных дефектов пленок (сморщивание, образование сетки, растрескивание) и способы предупреждения этих дефектов. **Т. Ф.**

**5340. Декоративные лаки.** Рейхель (Hammerschlagelack ein bedeutender Zweig der Effektlacke. Reichel E.), Dtsch. Farben-Z., 1954, 8, № 9, 355 (нем.)

Краткая заметка о декоративном лаке, придающем покрытой им поверхности вид окалины. **Л. Ф.**

**5341. Испытания и исследование.** Скофилд (Testing and research. Scofield Francis), Amer. Paint. J., 1954, 38, № 19, 86—89, 92, 94 (англ.)

Рассматриваются основные свойства красочных материалов и критически разбираются методы их испытаний, в том числе и эксперсно-методы. Отмечаются проблемы, в области которых необходимо вести теоретич. исследования: вопросы адгезии, механизма сушки, поведения пластификаторов и др. **Т. Ф.**

**5342. Причины образования вздутий на лакокрасочных покрытиях.** Гонкинс, Смарт (New thoughts on paint blistering. Hopkins C. Y., Smart B. C.), Canad. Paint and Varnish Mag., 1953, 27, № 11, 38, 40, 75 (англ.)

На модели деревянной стены в лабор. приборе исследовано влияние на образование вздутий краски вентилирования, задержки паров воды при помощи водонепроницаемых прокладок, окраски внутренней или внешней планок, грунтования. Вентилирование через отверстия в наружной планке, тонкая прокладка вошенной бумаги, окраска наружной планки не препятствуют появлению пузырей. Окраска внутренней стороны внутренней планки двумя слоями масляной краски, плотная вошенная прокладка, грунтование тыльной стороны планок (грунтовка с Al-пудрой) предупреждают (в условиях опыта) вздутие. Образование вздутий меньше на эмалях и лаковых пленках, чем на масляных. Оно не наблюдалось даже при насыщенности дерева влагой, если т-ра тыльной стороны не была выше, чем окрашенной. Вздутие краски объясняется авторами осмосом воды, конденсированной на тыльной стороне деревянной обшивки и проникающей по капиллярам дерева под пленку на наружной окрашенной стороне. Авторы считают, что парциальное давление водяных паров выше на внутренней стороне стены, чем на наружной из-за разницы т-р; вследствие конденсации воды при более низкой т-ре наружной стороны и непроницаемости лакокрасочной пленки на ней появляются пузыри. Начало см. РЖХим, 1955, 25064. **Н. С.**

**5343. О расплывании изображений при глубокой печати.** Киммель (Bemerkungen zur Abbildungsstreuung von Lackabdrucken. Kimmell H.), Naturwissenschaften, 1954, 41, № 8, 186 (нем.)

В некоторых случаях при глубокой печати применяют сильно разб. лаки. В краткой заметке даются обоснования для расчета степени расплывания в зависимости от «фактора сжатия» лаковой пленки (отношение толщины пленки высохшего лака к толщине свеженанесенной пленки лака). **Н. А.**

**5344. Термокраски для глубокой печати.** Мультановская Н. С., Сб. науч. работ Всес. н.-и. ин-та полиграф. пром-сти и техники, 1953, № 6, 216—228

Описаны типовые методы испытаний красок для глубокой печати, как физ., так и технологич., а также работы по испытанию термокрасок, которые по своему составу представляют собой смеси монта-воска с добавками термопластичных фенольных смол. **Н. А.**

**5345 Д. О перетире пигментов с лаковым связующим в шаровой мельнице.** Юнг (Über das Anreiben der Pigmente in Lackbindemitteln mit Kugelmühle. Jung G. Diss. Techn. Hochschule, Maschinensch., Stuttgart, 1954), Z. Vereines dtsch. Ingr., 1954, 96, № 28, 964 (нем.)

**5346 П. Композиции для покрытий и способ их приготовления.** Фрейжер, Кадуэлл (Compositions pouvant être utilisées dans des revêtements, procédé pour leur préparation. Frazier Charles, Cadwell Leonard E.) [Ciba S. A.], Франц. пат. 1048570, 22.12.53 [Peintures, pigments, vernis, 1954, 30, № 5, 410 (франц.)]

Композиции для покрытий состоят из совместимой смеси алкилированной термореактивной карбамидной смолы и термопластичного сополимера из гидроксильного эфира  $\alpha, \beta$ -ненасыщенной двусосновой к-ты и соединения (I), содержащего группу  $\text{CH}_2 = \text{C} < \text{H}$  (или) алкильный эфир  $\alpha, \beta$ -ненасыщенной к-ты. Гидроксильная группа эфира является преимущественно первичной, а I совсем не имеет гидроксильной группы. **Т. Ф.**

**5347 П. Масса для нанесения кистью и шпателем.** Шпидлер, Шермесер (Masse ou matière applicable au pinceau ou à la spatule. Spindler W., Scheermesser W.), Франц. пат. 1063919, 10.05.54 [Peintures, Pigments, Vernis, 1954, 30, № 10, 832 (франц.)]

Диспергируют высокомолекулярные соединения (напр., полиэтилен) в р-ре сложного органич. высокомолекулярного в-ва (напр., полиизобутилен средней степени полимеризации) в органич. р-рителе. Первое высокомолекулярное соединение также может быть р-ром сложных органич. высокомолекулярных соединений в органич. растворителе. **Т. Ф.**

**5348 П. Составы для покрытий из сополимеров стирола и масла** (Styrene-oil interpolymers and coating compositions therefrom) [Lewis Berger and Sons Ltd]. Австрал. пат. 149905, 149906, 26.02.53

В пат. 149905 предложен процесс получения сополимеров стирола с маслом, состоящий в сополимеризации смеси стирола с его производным, содержащим в ядре алкильный радикал, с одним или более частично полимеризованным сложным эфиром многоатомного спирта. Сополимеризация проводится при 250° под давлением выше атмосферного. В пат. 149906 предлагается процесс получения сополимеров стирола с полимерными сложными эфирами жирных к-т, состоящий в сополимеризации стирола с частично полимеризованным сложным эфиром. Последний получают при р-ции одной или более полиосновных органич. к-т с двумя или более полиатомными спиртами и ненасыщ.

жирной к-той высыхающего масла или смесью жирных к-т высыхающих масел, из которых по крайней мере одна ненасыщена. Образующиеся при этом модифицированные сложные эфиры этих полиосновных к-т подвергают частичной полимеризации. Так же получают сополимеры стирола, или замещ. в ядре на алкил или галонд стирола, с модифицированной жирными к-тами, алкидной смолой. Продукты применяют для получения покрытий и печатных красок. И. Р.

5349 П. Покрытия из силиконовой смолы. Хидзава, Нодзимото (Silicone-resin coating materials. Hizawa K., Nojimoto E.) [Sumitomo Chemical Industries Co.]. Япон. пат. 4794, 24.09.53 [Chem. Abstrs, 1954, 48, № 18, 1182 (англ.)]  $\text{CH}_3(\text{C}_6\text{H}_5)_2\text{SiCl}_2$ , —100 ч.,  $[(\text{C}_2\text{H}_5)_2\text{Si}]_2\text{CH}_2$  I — 40 ч. и  $(\text{C}_2\text{H}_5)_2\text{O}$  300 ч. смешивают, выливают в ледяную воду, затем слой серого эфира суют и получают 75 ч. конденсата, который образует пленки, не дающие трещин при нагревании в течение 30 мин. при 200°. Описаны продукты конденсации I, в которых  $\text{C}_2\text{H}_5$  заменен на метиловый, пропиловый, бутиловый и амилловый радикалы. И. Р.

5350 П. Композиция для покрытий, содержащая реагенты, обеспечивающие получение пленки без морщин. Даниенберг (Överdragskomposition innehållande rynkmotverkande medel. Dannenberg H.) [N. V. de Bataafsche Petroleum Maatschappij]. Швед. пат. 138795, 20.01.53

Композиция для покрытий, содержащая высыхающие эфиры, полностью или частично полученные из жирных к-т с сопряженными двойными связями, отличающаяся тем, что в состав композиции вводится соль щел.-зем. металла и продукт конденсации алкилфенола и альдегида. При высыхании покрытия на основе этой композиции получается пленка без морщин. К. Г.

5351 П. Композиция для покрытий. (Composition pour enduits résistants aux rides) [N. V. de Bataafsche Petroleum Maatschappij] Франц. пат. 1024160, 30.03.53 [Chimie et industrie, 1953, 70, № 1, 82 (франц.)] См. реф. 5350.

5352 П. Покровные композиции для металлов, содержащие фенолформальдегидную смолу и фосфат. Стерм (Coating compositions for metals containing a phenol formaldehyde resin and a phosphate. Sturm Robert H.) [Cosmocord Plastics Ltd]. Пат. США 2668158, 2.02.54

Жидкая композиция, применяемая для покрытий по поверхности стали и других черных металлов, цинка, алюминия или их сплавов, состоит из гомогенной смеси термореактивной фенолформальдегидной смолы с модифицирующими агентами из группы натуральных смол, напр., абиеиновой к-ты и метилабнетата, с кислотным фосфатом и фосфорной к-той. Кислый фосфат, попадая на поверхность металла, реагирует с ним, образуя нерастворимый поверхностный фосфатный слой, а также в совокупности с фосфорной к-той служит отверждающим катализатором при горячей сушке. Б. Б.

5353 П. Процесс производства бис-гидроксифенильных соединений (Process for the production of bis (hydroxyphenyl) compounds) [Naamlöze Vennootschap de Bataafsche Petroleum Maatschappij]. Англ. пат. 710479, 16.06.54 [Paint Oil and Colour J., 1954, 126, № 2911, 241 (англ.)]

Процесс произ-ва гидроксифенолов, используемых в красках, пластиках, лаковых смолах, лаках и составах для печатания (имеются в виду бис-гидроксифенильные соединения и, особенно, замещенные алканов, напр., гекс (4-гидроксифенил)-пропан). Кислотный катализатор вызывает взаимодействие в безводн. среде фенольного соединения с ненасыщ. олефиновым али-

фатич. галондопроизводным. По сравнению с обычными процессами патентуемый способ характеризуется большим выходом продукта, меньшим изменением цвета, пониженной коррозионной оборудования и отсутствием образования реакционной воды. Получаемые продукты являются пластификаторами для нефтяных остатков, смол, резин и пластиков. М. Г.

5354 П. Соплимеры модифицированных жирными маслами полиэфиров и виниловых мономеров. (Copolymers of fatty oil modified polyesters and vinyl monomers) [Union Carbide and Carbon Corp.]. Англ. пат. 702675, 20.01.54 [Paint Manufact., 1954, 24, № 3, 102 (англ.)]

Указанные сополимеры образуются при взаимодействии винилового мономера определенной структуры (напр. стирола) и плавкого полиэфира, полученного при р-ции этерификации между многоатомным спиртом и жирной к-той, не содержащей сопряженных двойных связей, и двусосновным аддуктом (по р-ции Дильса — Альдера) циклопентадиена и ненасыщ. двусосновной к-той или ангидридом. Полиэфир содержит не менее 50 вес. % масел. Р-ция полимеризации идет в присутствии перекисного или другого катализатора. Р-ры полученных сополимеров в органич. р-рителях могут быть использованы в качестве хороших лакокрасочных покрытий. М. В.

5355 П. Способ получения маслоподобных высыхающих связующих для лаков. Паннах (Verfahren zur Herstellung von ölartigen, trocknenden Lackbindemitteln. Pannach Ruth) [Badische Anilin- und Soda-Fabrik A.-G.]. Пат. ГФР 889199, 7.09.53 [Chem. Zbl., 1954, 125, № 10, 2279 (нем.)]

Жидкие продукты полимеризации бутадиена или его гомологов, полученные в присутствии щел. металлов, обрабатывают кислородом или кислородсодержащими газами в р-ре ксилола или толуола. Н. А.

5356 П. Метод получения дисперсий поливинилацетата путем применения полиакриловой кислоты и растворимого и нерастворимого в мономере катализаторов. Улрик (Polyvinyl acetate dispersion and method of making utilizing polyacrylic acid monomer soluble and monomer insoluble catalyst. Ulrich Erwin W.) [Minnesota Mining and Manufacturing Co.]. Пат. США 2671065, 2.03.54

Для получения однородной, стабильной, поддающейся распылению водн. эмульсии винилового полимера, полученного из мономеров с преобладанием сложного винилового эфира жирной к-ты с цепью из 2—3 атомов С, диспергируют 100 вес. ч. мономера винилацетата в водн. р-ре, содержащем 2—5 вес. ч. полимеризованной акриловой к-ты. Дисперсионная среда должна иметь рН 3,5—4,5; в качестве катализатора полимеризации применяют перекисный катализатор, растворимый в указанном мономере, и персульфатный, водорастворимый катализатор, нерастворимый в мономере. Катализаторы берут в соотношениях от 1:1 до 10:1. Процесс полимеризации ведут при т-ре выше 45°, но ниже точки кипения эмульсии. Эмульсия при т-ре ~20° образует тонкую, нерастворимую в воде пленку. М. В.

5357 П. Бутадиенстирольный сополимер с высыхающим маслом. Хафф, Клинич (Syrene-butadiene copolymer with drying oil. Huff Curtis E., Kynch James H.) [Dominion Rubber Co., Ltd]. Канад. пат. 504808, 3.08.54

Совместная полимеризация различных высыхающих растительных масел, с ИЧ от 100 до ИЧ льняного масла, с бутадиен 1,3-стирольным каучуком, взятым в кол-ве 5—20 вес. ч. на 100 вес. ч. масла, ведется при 204° в течение времени, необходимого для образования однородной смолистой массы с вязкостью 50, и с вязкостью 800 спузз при 232°. М. В.

5358 П. Состав лакокрасочного покрытия из полимера хлористого винила, диспергированного в смеси простого алкилового эфира моно- или диэтиленгликоля с пластификатором. Шульц (Coating composition comprising a vinyl chloride polymer dispersed in a mixture of plasticizer and an alkyl ether of a mono- or diethylene glycol. Schultz Arthur Charles) [Stoner-Mudge, Inc.]. Пат. США 2668801, 9.02.54

Жидкая дисперсия смолы наносится на поверхность путем распыления, после чего поверхность подвергается нагреванию. В результате расплавления смолы образуется твердое, стабильное, вязкое и прочное покрытие, обладающее сопротивлением истиранию. Дисперсия состоит из твердой, термопластичной поливинилол смолы с мол. весом выше 45 000, состоящей в основном из винилхлорида, соответствующего пластификатора и разбавителя из группы простых алкиловых эфиров моно- или диэтиленгликоля, в которых алкильный радикал содержит 4—10 атомов С. Т-ра кипения разбавителя должна быть выше 205°. Общий вес пластификатора и разбавителя составляет 33—40% от суммарного веса смолы, пластификатора и разбавителя, вес же одного разбавителя составляет 15—85% от общего веса разбавителя и пластификатора. М. В. 5359 П. Способ получения полимеров ароматических виниловых соединений. Хаманн, Эймере (Verfahren zur Herstellung von Polymerisaten aromatischer Vinylverbindungen. Hamann Karl, Eimers Erich) [Farbenfabriken Bayer]. Пат. ГФР 879316, 11.06.53 [Chem. Zbl., 1954, 125, № 17, 3806 (нем.)]

Способ получения полимеров ароматич. виниловых соединений для лаков холодной сушки путем обычной полимеризации, напр., стирола и сложных эфиров многоатомных спиртов, с добавлением в качестве ингибиторов или антиоксидантов в-в, применяемых в резиновой пром-сти. Пример: 250 г древесного масла, 250 г стирола и 5 г  $C_2H_5SH$  нагревают в течение 125 час. и затем добавляют β-нитрозо-стирол, гексахлорэтан, дисульфид диизопропилкаптаногеновой к-ты и циклогексилмеркаптан. Н. А. 5360 П. Маслоподобные сополимеры олефинов с полиолефинами. Лейонмарк, Харди (Oily olefin-polyolefin copolymers. Leionmark George E., Hardy Paul E.) [Standard Oil Development Co.]. Канад. пат. 507837, 30.11.54

Для получения светлоокрашенных высыхающих масел предлагается улучшенный процесс полимеризации, который состоит в применении 70—50% мономера пропилена (I) и 30—50% диолефинов (II) с сопряженными связями, содержащих 4—6 атомов С на молекулу при т-ре процесса 50—110°, давл. 3,5—42  $kg/cm^2$ , в присутствии газообразного  $BF_3$ . Можно применять смесь ~60% I с ~40% бутадиена или 50—70 ч. I с 50—30 ч. II (смесь А) и ~0,5—10 ч. димера изобутилена (III); в последнем случае полимеризацию проводят при т-ре ~65°, давл. 14—42  $kg/cm^2$ , в присутствии безвод.  $BF_3$  и в течение < 2 час. получают светлоокрашенный жидкий полимер с мол. в. < 1000. Продукт растворим в органич. р-рителях, в процессе горячей сушки при т-ре  $\geq 204^\circ$  образует твердую, нежелтеющую, стойкую к мылу пленку. Б. Ш. 5361 П. Связующее для лаков и красок. Альберти, Мейер (Farb- und Lackbinder. Alberti Karl, Meyer Erich). Пат. ГФР 915257, 19.07.54 [Dtsch. Farben. Z., 1955, 9, № 1, 23 (нем.)]

Связующее состоит из водо- и маслорастворимой дисперсии полимеров, получаемой из растворенных в органич. р-рителях поливинилацетата, поливинилхлорида и полистирола, с применением катализатора, в спирт. р-ре  $NH_3$  или  $NaOH$ . Дисперсию целесообразно комбинировать с полимеризованными высыхающими

маслами (штандолями) в присутствии  $Al_2(SO_4)_3$ . Напр. 25 ч. поливинилацетата, 25 ч. поливинилхлорида, 25 ч. полистирола и 10 ч. льняного масла смешивают на дисковой краскотерке со 100 ч. воды, 50 ч. масла и 2 ч.  $Al_2(SO_4)_3$ , растворенного в 10 ч. воды. Н. А. 5362 П. Способ производства окрашенных в коричнево-желтый цвет органических продуктов или материалов (Process of producing brown-yellow coloured organic products or materials) [Farbenfabriken Bayer]. Англ. пат. 705860, 17.03.54 [J. Appl. Chem., 1954, 4, № 8, 293 (англ.)]

Органические продукты или материалы (лаки, пластмассы, искусств. шелк), окрашенные в коричнево-желтый цвет, получают при введении в них (в р-р или плав), до появления окраски, 0,1—10% замещ. или незамещ. алкоголята Fe (в условиях атмосферной влажности алкоголята гидролизуются). Пример: 100 ч. сублимированного безвод.  $FeCl_3$  растворяют в 200 ч. абс. спирта, р-р фильтруют, вводят 150 ч.  $(CH_3)_2O$  при т-ре 10—15° и перемешивают в течение 1 часа. Полученный р-р концентрируют в вакууме при т-ре 80—100°, до содержания 20—22%  $Fe_2O_3$ . 3 ч. коричневого р-ра смешивают с 100 ч. нитроцеллюлозного лака и наносят на Al-фольгу; после испарения р-рителя получается золотистая, прозрачная, светопрозрачная пленка. Б. Ш. 5363 П. Нитроцеллюлоза, пластифицированная ди-(β-феноксиэтил)-дигликолятом. Бранднер (Nitrocellulose plasticized with di-(betaphenoxyethyl) diglycolate. Brandner John D.) [Atlas Powder Co.]. Пат. США 2699400, 11.01.55

Композиция для покрытий содержит 1 вес. ч. растворимой нитроцеллюлозы и 0,1—1,0 вес. ч. ди-(β-феноксиэтил)-дигликолята в качестве пластификатора. Ю. В. 5364 П. Водорастворимые пленки. Лиф, Лиггетт (Water-soluble films. Leaf Clyde W., Liggett Lawrence M.) [Wyandotte Chemical Corp.]. Пат. США 2668120, 2.02.54

Водорастворимая пластичная пленка состоит из 100 ч. водорастворимой соли карбоксиметилцеллюлозы, содержащей по меньшей мере 0,3 остатка гликолевой к-ты на глюкозидный остаток целлюлозы и 30—100 ч. пластификатора, представляющего собой смесь сорбита и глицерина, с содержанием последнего 35—65%. Б. В. 5365 П. Состав для покрытия стеклянных волокон. Стейнман (Composition for coating glass fibers. Steinman Robert) [Libbey-Owens-Ford Glass Co.]. Пат. США 2688007, 31.08.54

По предлагаемому методу покрытия клеем стеклянных волокон, последние приводят в соприкосновение с водой. Эмульсией, для получения которой сначала добавляют к некоторому кол-ву воды винилалкоксилан и затем проводят гидролиз последнего при кислотном pH с целью получения прозрачного гомог. р-ра, после чего получают эмульсию, добавляя к указанному р-ру пленкообразующий эмульгированный смолообразный полимер, полученный из ненасыщ. мономеров с одной двойной связью, которые способны высыхать на воздухе, образуя сплошную пленку. После нанесения эмульсии стеклянные волокна сушат. М. Г. 5366 П. Получение пигментных эмульсий. Ходби, Гудолл (Pigment emulsions, the manufacture thereof and the dyeing of fabrics therewith. Hobbay Cyril, Goodall Frederico L.) [Geigy Co. Ltd.]. Канад. пат. 506445, 12.10.54

Способ получения пигментной эмульсии заключается в диспергировании в водн. среде пигмента с помощью диспергирующего в-ва, состоящего из термопластичной полиэфирной смолы и основного в-ва, в качестве кото-



рого можно применять аммиак и алкилоламины, и в последующем диспергировании в полученной пигментной дисперсии р-ра термореактивных смол (напр., мочевинофенолформальдегидных) в органич. р-рителе, не растворяющем пигмент. Эмульсия представляет собой воду, диспергирующую среду, в которой первая дисперсная фаза содержит пигмент и диспергирующее в-во, вторая — р-р смол.

**Б. Ш.**  
**5367 П. Фталоцианиновые пигментные пасты** (Acid pasting of phthalocyanine pigments) [General Aniline and Film Corp.]. Англ. пат. 711677, 7.07.54 [Paint, oil and colour, J., 1954, 126, № 2913, 349 (англ.)]

Органические пигменты часто получают в виде крупных кристаллов или сильно агломерированной аморфной массы, что понижает интенсивность пигментов. Новый способ получения плотной пигментной пасты на основе фталоцианиновых соединений Cu состоит в применении небольшого кол-ва конц. к-ты (70—100%-ная  $H_2SO_4$ ) при механич. обработке в смесителе Вернер — Пфлейдерера, при 20—50° и соотношении к-ты 2—5 ч. на 1 ч. пигмента.

**Б. Ш.**  
**5368 П. Производство  $TiO_2$ . Олсон, Бург** (Titanium oxide pigment production. Olson Carl M., Booge James E.) [E. I. du Pont de Nemours and Co.]. Канад. пат. 506111, 28.09.54

Процесс получения активированных зародышей для гидролиза  $Ti$ -сульфата в р-ре состоит в смешивании  $Ti$ -соли с одновалентным анионом с шел. р-ром; осаждении воды.  $TiO_2$ , превращении шел. суспензии  $TiO_2$  в кислую и выдержке при 50—100° в течение 10—60 мин. В качестве соли рекомендуется  $Ti$ -хлорид, который можно непрерывно добавлять в виде р-ра к р-ру щелочи.

**Б. Ш.**  
**5369 П. Производство пигментной  $TiO_2$ . Олсон** (Titanium oxide pigment production. Olson Carl M.) [E. I. du Pont de Nemours and Co.]. Канад. пат. 506112, 28.09.54

$TiO_2$  рутильной формы получают в результате коагулирования золя  $H_2TiO_3$  при введении  $SO_4^{2-}$ -содержащего в-ва, очистки, промывки продукта и добавления его в р-р  $Ti$ -сульфата, гидролиза смеси и прокаливания продукта при 750—1000°. Рутильную  $TiO_2$  можно получать из коллоидально-диспергированной суспензии  $H_2TiO_3$  и очист.  $TiO_2$ , в процессе старения диспергированной  $TiO_2$  в присутствии кислого агента пептизации, флокуляции, промывки, введения небольшого кол-ва очист. продукта в р-р  $Ti$ -соли, гидролиза смеси и прокаливания продукта при 750—1000°. Рутильную  $TiO_2$  получают также при гидролитич. расщеплении р-ра  $Ti$ -сульфата, смешивании очист.  $H_2TiO_3$  с 0,2—0,8 н.  $HCl$  к-той, нагревании до 80—100° в течение 15—20 мин, коагулирования пептизированного золя  $TiO_2$  при добавлении  $NaOH$  (конц-ия  $TiO_2$  100—225 г/л), гидролизе смеси и прокаливании очист. продукта при 850—975°.

**Б. Ш.**  
**5370 П. Производство свинцового сурика** (Manufacture of red lead) [Soc. Solumeta]. Англ. пат. 701187, 16.12.53 [Prod. Finishing, 1954, 7, № 2, 104 (англ.)] Непрерывный метод произ-ва свинцового сурика осуществляется путем окисления паров свинца чистым кислородом или кислородом воздуха. При этом реагирующие компоненты проходят через наклонно установленный цилиндрич. сосуд (циклон), в котором охлаждаются до 510° и ниже. Непрореагировавшая часть окисляющего газа сепарируется и возвращается в цикл после охлаждения.

**Б. Я.**  
**5371 П. Камуфляжные краски. Берто, Бернар, Лифшук** (Peintures de camouflage. Bertaut G. A., Bernard René, Liph-schutz Michel) [Compagnie des vernis Valentine S. A.]. Франц. пат. 1033708, 15.07.53 [Chimie et industrie, 1953, 70, № 5, 932 (франц.)]

Патент касается красок, в которых пигмент обладает способностью отражать ИК-лучи.

**Т. Ф.**  
**5372 П. Пигментированная паста для покрытий** (Pigment pastes and coating compositions) [Monsanto Chemical Co.]. Австрал. пат. 157681, 29.07.54

Пигментированная паста для покрытия содержит воду, 100 ч. порошкообразного (пудра) водонерастворимого пигмента и 1—50 ч. соли сополимера стирола с неполным эфиром малеиновой к-ты, в котором эфирная группа состоит из смеси  $CH_2$ — и втор- $C_4H_9$ -группы; солеобразующей группой является  $NH_4$ - или амин летучий при т-ре < 100°; молярное соотношение стирола с неполным эфиром составляет 1:1. **Б. Ш.**

**5373 П. Составы для покрытий. Валле, Барбье** (Compositions de revêtement et produits qui en dérivent. Vallée R. P., A., Barbier E. J. A.). Франц. пат. 1030064, 9.06.53 [Chem. Zbl., 1954, 125, № 25, 5636 (нем.)]

Патентуются краски и массы для покрытий, состоящие из относительно вязкого р-ра одной или нескольких смол в одном или смеси летучих р-рителей, в котором гомогенно взвешены твердые инертные в-ва (кварц, галька, стекло) и наполнители (каолин, мел, металлич. порошок). Пример краски для кирпичной кладки (в %): 5 поливинилацетата, 10 канифоли, 30 метанола, 5 толуола, 50 измельченного кирпича. **Н. А.**

**5374 П. Процесс получения красок и окрашенных пластиков. Арнолд** (Process for manufacturing paints and coloured plastics. Arnold M. H. M.) [Postans, Ltd.]. Англ. пат. 698329, 14.10.53 [J. Soc. Dyers and Colourists, 1953, 69, № 12, 511 (англ.)]

Измельченный в порошок пигмент диспергируется в низковязкой жидкости и дисперсия затем смешивается с более вязкой жидкостью. В результате образуется краска, или, после соответствующей подготовки, требуемый пластик.

**Т. Ф.**  
**5375 П. Способ полимеризации с применением HF. Кростон, Титер, Кауан** (Polymerization process using hydrogen fluoride. Croston Clarence Bradford, Teeter Howard M., Cowan John C.) [United States of America as represented by the Secretary of Agriculture]. Пат. США 2670361, 23.02.54

Полученное из глицеридов высыхающих и полувысыхающих масел и содержащее жирную к-ту в-во, в качестве которого можно взять высокомолекулярную алифатич. ненасыщ. карбоновую к-ту, ее алкильный эфир или смесь к-ты и эфира, подвергают действию полимеризующего агента, состоящего в основном из HF. Полимеризация проводится при 15—100° и при содержании HF 15—65% от веса в-ва, содержащего жирную кислоту.

**Н. С.**  
**5376 П. Средство для растворения, желатинизации и пластификации. Эндрес** (Lösungs-, Gelatinierungs- und Weichmachungsmittel. Endres Rudolf) [Deutsche Hydrierwerke A.-G.]. Пат. ГФР 898943, 7.12.53 [Chem. Zbl., 1954, 125, № 28, 6355 (нем.)]

Для указанной цели предлагаются продукты этерификации к-т, образующихся при плавлении естественных смол, главным образом копалов, или при дистилляции кислых, жидких или полужидких, смоляных масел, копаловых масел или других их составных частей в виде дистиллата или остатка. Этерификацию производят циклич. или ациклич. одно- или многоатомными спиртами.

**Н. А.**  
**5377 П. Растворитель для различных лаков и смол. Цервер, Риттер, Тиниус** (Lösungsmittel für Lackrohstoffe und Kunststoffe aller Art. Zerweck Werner, Ritter Heinrich, Thinius Kurt) [Cassella Farbwerke Mainkur].

Пат. ГФР 888587, 3.09.53 [Chem. Zbl., 1954, 125, № 10, 2279 (нем.)]

Предлагается р-ритель для естественных, искусств. смол, производных целлюлозы, поливиниловых соединений или продуктов на основе каучука, с общей ф-лой

$\text{OCH(R')CH(R)CH}_2\text{CH}_2\text{CH}_2$ , в которой R и R' — H, алкоксигруппа или галогид (кроме тетрагидропирана, как р-рителя для поливинилхлорида). Примеры: тетрагидропиран-2-хлорэтиловый эфир, тетрагидропиран-3-хлор-2-метилэтиловый эфир или тетрагидропиран-2-метилэтиловый эфир.

Н. А. 5378 П. Способ нанесения пластмассовых покрытий, в частности, на металлические поверхности. Мюллер (Procédé pour le revêtement de surfaces en particulier de surfaces métalliques, au moyen de matières plastiques et produits obtenus. Müller A.). Франц. пат. 1033423 10.07.53

Покрытия из пластмасс наносятся распылением из пистолета порошкообразной полиамидной (наилон, рилсан и т. п.) или аналогичной смолы на металлич. поверхность, подвергнутую пескоструйной обработке и нагретую до 180°.

И. Р. 5379 П. Диск для моментальной звукозаписи (Instantaneous recording phonographic disc) [Audio Devices Inc.]. Австрал. пат. 152788, 27.08.53

Диск фонографа для моментальной записи звука состоит из основания, покрытого отфильтрованным под давлением фиксирующим лаком, в котором равномерно диспергирован инертный пигмент. Пигмент предназначен для предотвращения скольжения звукозаписывающей иглы при образовании звуковых дорожек. Пигмент нерастворим в фиксирующем лаке и состоит из колл. частиц размером 10—50 мк. Содержание его в лаке составляет только 0,05—0,2% от веса сухого покрытия. Пигмент должен быть инертным по отношению к компонентам фиксирующего лака, с целью воспрепятствования возникновению р-ций, ухудшающих качество дисков. Фиксирующий лак представляет смесь сложных или простых эфиров целлюлозы, р-рителей, пластификаторов и красителей. Приводится также описание способа изготовления дисков и фиксирующего лака. М. В. 5380 П. Металлизация поверхности диэлектрика. Бут (Metallization of the surfaces of dielectric material. Booth F. O.) [A. H. Hunt, Ltd.]. Англ. пат. 692614, 8.09.49 [Metal Powder Rept., 1953, 8, № 3, 52 (англ.)]

Содержащую металл печатную краску накатывают при помощи сетчатого трафарета на поверхность диэлектрика и затем нагревают, чтобы получить равномерно электропроводную поверхность.

Н. О. 5381 П. Методика покрытия внутренних поверхностей баков. Гросс (Processes for coating the interior surfaces of tanks. Gross Bernard) [Rohr Aircraft Corp.]. Пат. США 2668782, 9.02.54

Метод нанесения сплошного водонепроницаемого покрытия на днище и боковые стенки металлич. бака с закрытой верхушкой, снабженной приемным отверстием и дном со спускным отверстием, состоит в следующем: через спускное отверстие, с помощью насоса накачивается лак, состоящий из органич. смолы, растворенной в летучем р-рителе. Накачивание продолжается до тех пор, пока не покроются дно и боковые стенки бака. Оставшаяся часть лака откачивается через спускное отверстие в дне бака с небольшой скоростью, чтобы обеспечить прилипание лака к стенкам бака, и в то же время такой, чтобы давление внутри бака было ниже атмосферного, для обеспечения быстрого испарения летучего р-рителя через верхнее отверстие. Последующим пропусканием воздуха через нижнее отверстие с выходом его через верхнее, из бака удаляются остатки паров растворителя. М. В.

5382 П. Полирующее средство. Скотт (Poliermittel. Scott New Ferguson) [Monsanto Chemicals Ltd.]. Пат. ГФР 915845, 29.07.54 [Dtsch. Farben-Z., 1955, 9, № 2, 48 (нем.)]

Полирующее средство для грузовиков, мебели и т. д., на основе воска, в виде эмульсии, содержит незначительные кол-ва высокомолекулярных алифатич. силикатов, напр. тетрагексенил-, тетраоктил-, тетрадецил-, тетрадодецил-, диоктилдифенил-, дионилдипропил-, дидодецилдипропилортосиликата. Л. Ф.

5383 П. Метод удаления лакокрасочного покрытия. Джадд (Method for removing paint from painted articles. Judd John S.) [Lyon Inc.]. Пат. США 2689198, 14.09.54

Метод удаления лакокрасочного покрытия состоит в последовательном прохождении окрашенным изделием следующих операций: погружения в ванну с холодным р-рителем (I), опрыскивания холодным I, второго погружения в ванну с холодным I, выдержки изделия в парах нагретого I и затем выдержки в холодной камере, где происходит охлаждение изделия и конденсация паров I.

К. В. 5384 П. Типографская краска, процесс для производства и процесс печатания. Курадо (Printing ink, process of making it and process of printing. Curado Joseph G.) [Sun Chemical Corp.]. Канад. пат. 504343, 13.07.54

Типографская краска содержит в качестве основного ингредиента органич. р-ритель, практически нелетучий при нормальном давлении и t-ре ~20°, смолообразное связующее, в качестве которого может быть взята малеиновоглицириновая алкидная смола, модифицированная высыхающим маслом, или фенолформальдегидная смола, модифицированная канифолью, и пигмент. Р-ритель, составляющий 50—60% от веса краски, является смесью парафиновых углеводородов, не растворяющих связующее и ароматич. углеводородов, являющихся р-рителем для связующего. Кол-во последних должно быть достаточно для того, чтобы все связующее находилось в р-ре и чтобы вязкость краски была 1100—6000 стуаз при 27°. Как парафиновые, так и ароматич. углеводороды должны перегоняться в пределах 301—311°. Кол-во ароматич. углеводородов равно ~10% от всего растворителя.

Б. Б. 5385 П. Типографская краска. Крофте, Роджерс (Printing inks. Crofts H., Rogers L. R.) [Imperial Chemical Industries Ltd.]. Англ. пат. 699513, 11.11.53 [Paint Manufact., 1954, 24, № 2, 67 (англ.)]

Типографская краска, сохнущая в течение 1 мин., состоит из 2—6 ч. средней или тощей модифицированной высыхающим маслом алкидной смолы, 1 ч. фенолформальдегидной смолы, модифицированной естественной смолой и многоатомным спиртом органич. р-рителя, кипящего около 200°, пигментов, сиккативов и обычных добавок. Можно добавить незначительное кол-во воскообразного политена.

Т. Ф. 5386 П. Бесцветная жидкость для печатания. Стейнхардт (Colorless printing fluid. Steinhart David D.) [The National Cash Register Co.]. Пат. США 2654673, 6.10.53

Патентуется бесцветная жидкость для печатания, которая будет маркировать одним цветом лист для записи, сенсibilизированный аттапугитом (attapulgite), и другим цветом — материал для записи, сенсibilизированный силикатом кальция. Указанная жидкость состоит из маслянистого хлорированного дифенила, в котором растворены ксантен-9, о-бензойная к-та, 3,6-бис-диэтиламино-9-н-нитроанилинолактам и соединение, в качестве которого берется 3,3-бис-п-диметиламинофенил-фталид или 3,3-бис-(п-диэтиламинофенил)-фталид.

М. Г.

**5387 П.** Связующее для типографской краски с металлическим порошком. Мацура (Solvent for metal-powder printing ink. Matsuura Kiichiro), Япон. пат. 6110, 27.11.53 [Chem. Abstrs, 1954, 48, № 19, 11812 (англ.)]

Связующее состоит из 10 кг эмульсии соевого масла, 5 кг лака на тунговом масле, 200 г воды. р-ра, содержащего 4% желатины, и 400 г воды. р-ра, содержащего 10%  $\text{Na}_3\text{PO}_4$ .

**5388 П.** Подготовка литографских гравировальных пластин. Мартинсон (Preparation of lithographic printing plates. Martinson Lawrence E.) [Eastman Kodak Co.]. Пат. США 2697039, 14.12.54

Процесс подготовки литографских гравировальных пластин состоит в соответствующей экспозиции слоя сложного эфира коричной к-ты и поливинилового спирта, нанесенного на Zn-поверхность, и обработке экспонированного слоя органич. р-рителем, хорошо растворяющим слой эфира. Обработка р-рителем продолжается до тех пор, пока слой эфира не будет удален с Zn-поверхности в неэкспонированных местах, после чего оставшийся слой очищают с помощью моноэтилового или моноэтилового эфира этиленгликоля.

Б. Ш.

См. также: 5217, 5247, 5256, 5273, 5285, 5289, 5291

## ЛЕСОХИМИЧЕСКИЕ ПРОДУКТЫ. ЦЕЛЛЮЛОЗА И ЕЕ ПРОИЗВОДНЫЕ. БУМАГА

**5389.** Исследования механизма химических методов размягчения древесины. Киссер, Серенчи (Untersuchungen über die Wirkungsweise der chemischen Erweichungsmethoden von Holz. Kisser Josef, Serentschy Wilhelm), Mikroskopie, 1953, 8, № 3/4, 84—95 (нем.; резюме англ.)

При действии фтористоводородной к-ты (I) на древесину происходит выщелачивание и изменение в-ва клеточных стенок, причем изменениям подвергается холоцеллюлоза, но не лигнин. Сильная усадка древесины в результате обработки, не устраняемая продолжительным дополнительным кипячением с водой, указывает на удаление в первую очередь гемичеселлюлоз, имеющих гидрофильный характер. Меньшее значение имеет выщелачивание из древесины минер. компонентов. Возможно использование I для анатомо-микроскопич. исследования грубой структуры (характеристики и идентификации древесины твердых пород). Для изучения тонкой структуры и микроскопич. строения I применяться не может.

В. В.

**5390.** Наблюдения гистерезиса влажной древесины при температурах выше 100°. Мальмквист (Beobachtungen zur hygroskopischen Hysterese von Holz oberhalb 100°C. Malmquist Lars), Holz Roh- und Werkstoff, 1953, 11, № 5, 174—175 (нем.)

В отличие от прежних исследований показано, что при адсорбции и десорбции влаги хвойной древесиной при т-ре выше 100° наблюдаются признаки «элементарного гистерезиса», что отражено на кривых наличием горизонтальных участков. По величине горизонтальные участки соответствуют 2% в изменении относительной влажности воздуха.

А. К.

**5391.** Использование отходов древесины в Чили. Рубенс (El aprovechamiento de desperdicios de maderas Chilenas. Rubens Ernesto), Scientia (Valparaiso), 1953, 20, № 3, 142—152 (исп.)

Сообщение об использовании отходов древесины для

произ-ва (COOH)<sub>2</sub>, дубильных в-в, красителей, чистой целлюлозы путем обработки  $\text{HNO}_3$ , синтетич. смол и пластик. масс, строительных деталей (плит и т. п.) с применением вязких в-в, а также о составе древесины различных пород.

И. З.

**5392.** Основные свойства опилок. Форрейтер (Grundlegende Eigenschaften von Sägespänen. Forreiter Leopold), Holz-Zbl., 1953, 79, № 105, 1127—1128 (нем.)

Изучены физ. и хим. свойства опилок хвойных и лиственных пород от рамной и циркулярной пилы. Первые представляют собой вытянутые в направлении волокна частицы; они обладают меньшим об. весом и поглощают больше воды при насыщении, чем вторые, имеющие кубическую форму. По мере уменьшения размеров частиц и роста их внутренней поверхности, увеличивается кол-во связующего и понижается давление, необходимое для изготовления изделий одинаковой прочности. Мелкие опилки труднее смачиваются и насыщаются водой, чем более крупные. Уменьшение частиц древесины связано с уменьшением pH р-ра, образующегося при смачивании их водой, так как кол-во выделяющейся при этом  $\text{CH}_3\text{COOH}$  увеличивается.

Н. Р.

**5393.** Осахаривание древесины хвойных пород и верхнего слоя торфа. Банайтис (Spygliuociu medienos ir durpyno virutiniu durpiu sluoksniu arcsukrinimas. Banaitis J.), Тр. Литовск. с.-х. акад., 1953, 1, 235—246 (лит.; резюме русс.)

Изучение гидролиза хвойной древесины и верхнего слоя торфа из торфяника Эжерелис II показало, что при осаживании древесины хвойных пород в 6 ступеней возможно получение гидролизного сахара с выходом 55—57%. Сырые 20% древесины (от веса абсолютно сухого в-ва) осаживается 0,1 н. р-ром  $\text{H}_2\text{SO}_4$  при 138,7° и давл. 3 ат в продолжение 45 мин. Каждая последующая ступень дает почти на 1/3 меньше выход сахара. Большой выход сахара достигается при более высоких т-рах (156,4—164°), 0,4 н.  $\text{H}_2\text{SO}_4$  и гидролизе в течение 30—60 мин. за счет меньшего разложения сахара. При одинаковой величине остатка после гидролиза выход сахара больше в случае проведения гидролиза при более высокой т-ре. Древесина ели дает больший выход сахара чем древесина сосны; при гидролизе в одинаковых условиях непрогидролизованый остаток у ели на 1—3% больше, чем у сосны. В первой ступени гидролиза неразложившегося торфа выход гидролизного сахара достигает 36%, на следующих ступенях гидролиза выход сахара уменьшается значительно больше, чем при гидролизе древесины хвойных пород. При гидролизе торфа рационально проведение одноступенчатого гидролиза при 164° в 0,025 н. р-ре  $\text{H}_2\text{SO}_4$ . Остатки торфа после гидролиза дают более калорийное топливо (на 600 кал/кг больше), чем исходный торф.

М. Ш.

**5394.** Поведение свободного фтористого водорода в древесине. Шульце, Мюллер (Über das Verhalten von freiem Fluorwasserstoff im Holz. Schulze Bruno, Müller Rudolf), Angew. Chemie, 1953, 65, № 13, 344—346 (нем.)

При введении газообразного фтористого водорода (I) в древесину, последняя пропитывается им. При хранении такой древесины в закрытом пространстве рядом с необработанной, происходит передача I необработанной древесине. Соли фтористоводородной к-ты, введенные в древесину, выделяют свободный I в сравнительно больших кол-вах и в течение продолжительного времени. Выделение быстродействующего I (газовая фаза) имеет важное значение в борьбе с разрушающими древесину насекомыми. Описываются колич. методы для определения поглощения и отдачи I древесиной: весовой метод,



титрование  $\text{Th}(\text{NO}_3)_4$ , осаждение  $\text{CaF}_2$  из р-ра  $\text{CaCl}_2$ .

В. В. Борг (Om konservering av stängselstolpar. Borg I.), Beten. Vallar. Mossar, 1953, 5, № 9, 139—141 (швед.).

Даны практич. указания по консервированию столбов для изгородей доступными на местах способами (окунание столбов со свежими торцевыми срезами в ванну или бак с защитными составами; обжигание столбов, имеющих остатки коры или луба, с последующим неоднократным обмазыванием их доступными водорастворимыми защитными составами или маслами).

Э. Н. 5396. Краткое описание производства древесно-волоконистых плит. Вежбицкий (Krótki zarys produkcji płyt pilśniowych. Wierzbicki Antoni), Mater. budowl., 1953, 8, № 11, 311—318; 1954, 9, № 4, 105—109 (польск.).

Приведено описание операции обезвоживания массы и высушивания отформованных плит, а также оборудование для прессования и технология прессования.

Л. П. 5397. Производство древесно-волоконистых плит и их применение в польской технике. Вежбицкий (Pyty pilśniowe, nowe materiały w technice krajowej. Wierzbicki A.), Przem. chem., 1953, 9, № 8, 400—404 (польск.).

Краткий обзор. Библ. 20 назв. И. Р. 5398. Нерегулярность в строении целлюлозы. Чентола (Irregolarità nella costituzione della cellulosa. Centola Germano), Ricerca scient., 1953, 23, № 10, 1780—1784 (итал.; резюме англ., франц., нем.).

Проведено хроматографич. определение некоторых монов, полученных в результате полного гидролиза отдельных фракций некоторых отбеленных целлюлоз различного происхождения: хлопкового пуха; сульфитной буковой целлюлозы и целлюлозы из тростника; сульфитной и сульфатной целлюлозы из сосны. Установлена невозможность даже для наиболее очищ. препаратов целлюлозы выделения полимера, состоящего только из ангидридов глюкозы. На основании этих данных следует принять, что некоторые кол-во находящиеся в полизах древесины моноз (преимущественно ксилоза и манноза) вместе с глюкозой входят в состав макромолекул целлюлозы.

И. З. 5399. Водорастворимые метил- и карбоксиметилцеллюлозы. Штавиц (Die wasserlöslichen Methyl- und Carboxymethylzellulosen. Stawitz Julius), Prakt. Chemie, 1953, 4, № 10, 203—204 (нем.).

Перечислены возможные области применения водорастворимых метилцеллюлозы и карбоксиметилцеллюлозы. Предыдущее сообщение см. РЖХим, 1955, 39001.

Е. К. 5400. О сущности процессов, происходящих во время сульфитной варки. П. О стабильности варочной кислоты и ее значениях в процессе сульфитной варки. Элиашберг М. Г., Цыпкина М. Н., Лемберанская М. П., Материалы Центр. н.-и. ин-та целлюлозной и бумажной пром-сти, 1953, № 40, 63—91.

Опыты по окислению варочной к-ты в различных условиях показали, что процесс ее окисления тормозится в присутствии глюкозы и лигнина. При высоких т-рах глюкоза ускоряет процесс окисления, лигнин остается ингибитором р-ции. Устойчивость варочной к-ты к действию кислорода зависит от природы основания, она возрастает с увеличением атомного веса катиона ( $\text{Na} - \text{Mg} - \text{Ca}$ ) и с увеличением содержания основания. Скорость сульфитной варки обратно пропорциональна степени стабильности варочной к-ты,

она увеличивается в присутствии окислителей ( $\text{Cu}^{++}$  и  $\text{O}_2$ ).

М. Ш. 5401. Об отбеливании полуцеллюлоз. Славик, Машура (O bieleni polocelulóz. Slávik I., Mašuga V.), Chem. zvesti, 1955, 9, № 1, 44—53 (словац.; резюме русс., нем.).

При отбеливании полуцеллюлоз из бука, ели и тополя, получаемых при обычной сульфитной или нейтрально-сульфитной варке, наиболее выгодным сырьем из-за низкого расхода хлора и высокого выхода целлюлозы оказались лиственные породы, а из них тополь из-за высокой белизны небеленой полуцеллюлозы. Для экономии отбеливающих в-в рекомендуется варку отбеливаемой полуцеллюлозы довести до получения полуцеллюлоз из бука и из тополя с выходом  $\sim 70-75\%$  и из ели  $\sim 65-70\%$ . При этом понижение выхода небеленой целлюлозы не вызывает понижения выхода целлюлозы после отбелки. Разницы между полуцеллюлозами, получаемыми бисульфитным и моносульфитным способами, не наблюдается. По содержанию в них лигнина, затратам хлора при отбелке и выходам целлюлозы они равноценны. На расход хлора оказывает значительное влияние степень дефибрирования. Оптимальной степенью дефибрирования полуцеллюлозы является  $15-25\%$  Ш. Р. Проверены следующие методы понижения расхода хлора при отбелке полуцеллюлоз: а) предварительное отбеливание с применением гипохлорита перед хлорированием по методу Мак-Миллана и Саннесона; б) обработка щелочью перед хлорированием по методу Риса; в) многоступенчатая отбелка; г) повышение степени помола массы перед отбелкой. Все четыре метода приводят к понижению общего расхода хлора. Лучший материал для выработки бумаги получается при пятиступенчатой отбелке, с двойным хлорированием после дефибрирования и с сортированием неотбеленной полуцеллюлозы.

А. С. 5402. Полухимический способ получения целлюлозы из багассы и других растительных волокон. Атчисон (Mechano-chemical pulp process. Production from bagasse and other vegetable fibres. Atchison Joseph E.), World's Paper Trade Rev., 1954, 142, № 14, 1118, 1120, 1122, 1124, 1126, 1128, 1130, 1132 (англ.).

Из багассы соломы, травы или других волокнистых отходов с.-х. при сульфатной или натронной варке при т-ре  $\sim 100^\circ$  в течение  $\sim 1$  часа при одновременном действии импеллера гидроработателя и атмосферном давлении получена целлюлоза лучшего качества и с выходом на 6—8% выше, чем целлюлоза из этого же сырья, полученная обычным способом.

Н. Р. 5403. Бамбук — важное сырье для целлюлозно-бумажной промышленности. Монография I, II. Дешпанде (Bamboo: an important raw material for pulp and paper industry. A monograph. I and II. Deshpande P. R.), Indian Pulp and Paper, 1954, 8, № 7, 337—340; № 8, 377—383 (англ.).

Приведены данные, характеризующие запасы бамбука в ряде стран и особенности возобновления бамбуковых насаждений. Рассмотрено строение стебля, строение волокон и приведен хим. состав древесины бамбука различных видов. Средняя длина бамбукового волокна 2,73 мм, а толщина  $\sim 30 \mu$ . Приведены результаты опытных щел. преимущественно сульфатных варок бамбука, соотношение  $\text{NaOH} : \text{Na}_2\text{S}$  в варочном щелоке 2 : 1. Продолжительность варки 2 часа при  $108-115^\circ$  и 3 часа при  $153^\circ$ . Выход небеленой целлюлозы до 47%, беленой 40—43%.

М. Б. 5404. Временная методика определения растворимости целлюлозы в щелочи. — (A tentative method for determination of alkali solubility of pulp.—), Svensk papperstidn., 1954, 57, № 4, 119—121 (швед.).

Усовершенствованная методика Аналитического Комитета шведской центральной лаборатории целлюлозной пром-сти заключается в следующем: 1,5 г измельченной целлюлозы помещается в склянку, содержащую 180 г NaOH в 1 л р-ра. После 2 мин. набухания целлюлоза в течение 3 мин. разбивается на мешалке, через 1 час масса фильтруется. Определение к-ва растворившейся части целлюлозы производится путем окисления ее избытком  $K_2Cr_2O_7$ , с последующим определением избытка бихромата, титрованием  $Na_2SO_3$  после добавления К.И. При колориметрич. определении конц-ия неизрасходованного бихромата измеряется в спектрофотометре. 1 мг-экв. бихромата соответствует 685 мг растворившейся целлюлозы. М. Н.

**5405. Определение содержания лигносульфонатов кислот в отработанных сульфитных щелоках и их растворах.** Гончарчик (Oznaczenie zawartości kwasów lignosulfonowych w ługach posiarzynowych i ich roztworach. Gańczarczyk Jerzy). Przegl. papieru, 1955, 11, № 2, 43—44, 53—54 (польск.) В обзоре критически рассмотрены предложенные весовые, объемные, колориметрич. и другие методы определения содержания лигносульфоновых к-т в сульфитных щелоках. Библ. 62 назв. Л. П.

**5406. Быстрое окисление отработанного щелока посредством перекиси водорода для определения в нем неорганических веществ.** Нейман (Schnelle Oxidation von Sulfitaablauge mit Wasserstoffperoxyd zur Bestimmung ihrer anorganischen Bestandteile. Neumann Fritz), Das Papier, 1953, 7, № 19/20, 388—391 (нем.; резюме англ., франц.) Быстрое и полное окисление большого кол-ва отработанного сульфитного щелока производится с перекисью водорода, и смесь после охлаждения медленно выливается в колбу Кьельдаля, содержащую кипящую  $H_2SO_4$ . М. Ч.

**5407. Некоторые результаты исследования дефибрации горбылей и рейки.** Бранналь, Оттар (Noen forsøksresultater fra sliping av bakhon. Brandal J., Ottar H.), Norsk skogind., 1954, 8, № 6, 210—216 (норв.; резюме англ.) Полученная из отходов (горбыли и рейки) древесная масса мало отличалась по качеству от древесной массы, полученной из баланса, но при сортировании в щелочках задерживалось большее кол-во щепы. Снижение производительности машин наблюдалось только в случае работы с мелкими отходами. М. Н.

**5408. Смоляные затруднения, вызываемые сульфитной целлюлозой.** Густафссон (Hartssvärighets försäkrade av sulfitecellulosa. Gustafsson Charles), Norsk skogind., 1954, 8, № 2, 54—59 (швед.) Исследовалось влияние pH среды и различного рода добавок на кол-во «вредной» смолы, отлагающейся на поверхности медной мешалки (1450 об./мин.), при перемешивании суспензий различных, небеленых, сульфитных целлюлоз при 40° в течение 2 час. Кол-во отложившейся смолы определялось растворением ее с последующим испарением р-рителя и сушкой. Для каждого опыта было взято 200 г воздушно-сухой целлюлозы в 6 л воды. Величина pH устанавливалась добавлением к суспензии  $CH_3COOH$  или едкого натра. Установленное pH поддерживалось постоянным в течение каждого опыта. В результате исследований установлено, что в кислой среде выделяется лишь незначительное кол-во «вредной» смолы, но с увеличением pH от ~6 до ~9 кол-во отложившейся смолы резко возрастает, а с дальнейшим повышением pH вновь начинает падать. Кол-во «вредной» смолы, выделявшейся из различных целлюлоз (из 200 г) при pH 6 составляло 20—50 мг, в то время как при pH 7 разница в кол-вах отложившейся «вредной» смолы для раз-

личных целлюлоз резко возросла (50—1400 мг). Наибольшее кол-во «вредной» смолы выделяется из сульфитных целлюлоз при pH среды 7. Добавление увеличивающегося кол-ва  $Al_2(SO_4)_3$  в целлюлозную суспензию при pH 7 снижает кол-во отложений «вредной» смолы. При pH 5 и содержании 50 мг/л  $Al_2(SO_4)_3$  наблюдается максимум смоляных отложений. Было также обследовано влияние солей, обычно присутствующих в жесткой воде. Присутствие ионов кальция и магния неблагоприятно действуют на устранение смоляных затруднений. Добавление в целлюлозные суспензии при pH 7 различных поверхностноактивных в-в снижает смоляные отложения. Определенной зависимости между кол-вом смолы, остающейся в целлюлозе, и кол-вом выделяющейся «вредной» смолы в работе не установлено. М. Б.

**5409. Размол целлюлозы в лабораторной мельнице.** Кенуэрти (Maling av cellulose i laboratoriemølle. Kenworthy I. W.), Norsk skogind., 1954, 8, № 3, 103—105 (норв.; резюме англ.)

Дана характеристика работы мельницы Йокро, принятой в Германии в качестве стандартного размалывающего аппарата. Описано изменение этого аппарата, заключающееся в том, что корпус и цилиндр размалывающих ячеек лишаются обычного рифления. Испытания измененного прибора показали, что степень помола в нем получается меньшая, чем при рифленных ячейках, но прочность отлитых листов бумаги оказалась практически одинаковой как при рифленных, так и при гладких ячейках. Сделанные наблюдения показывают, что по мере срабатывания рифления в стандартной мельнице Йокро степень размала целлюлозы изменяется. Видоизмененная мельница Йокро может быть предложена в качестве стандартного прибора. М. Н.

**5410. Лабораторные исследования изменений прозрачности целлюлозы в процессе ее размала и облагораживания.** Яйме, Поммер (Über durch Mahlung und Veredlung hervorgerufene, an Prüfblättern gemessene Opazitätsänderungen von Zellstoffen. Yajme Georg, Pommer Hildegund), Das Papier, 1954, 8, № 13/14, 259—268 (нем.; резюме англ., франц.)

В результате проведенных исследований установлено, что с увеличением степени размала необлагороженной целлюлозы, ее прозрачность увеличивается. Быстрое увеличение прозрачности наблюдается при разработке волокна до 30° ШР, затем некоторое замедление повышения прозрачности до степени размала 70° ШР; при значениях размального числа, превышающих 70° ШР, вновь возобновляется резкое повышение прозрачности размалываемого волокна. Процессы холодного и горячего облагораживания целлюлозы по-разному влияют на ее оптич. свойства. Условия холодного облагораживания были следующие: конц-ия массы 5%, т-ра обработки 20°, время обработки 60 мин., конц-ия щелочи варьировала 2, 3, 5, 8, 10, 12 и 15%. Горячее облагораживание производилось при конц-ии массы 15%, т-ре обработки 80° и времени обработки 4 часа, конц-ия щелочи 5, 10 и 15%. Установлено, что степень очистки целлюлозы от геммцеллюлоз при холодном облагораживании выше и прозрачность ее ниже, чем целлюлозы, облагороженной горячим способом. Оптимальное снижение прозрачности, при максим. содержании α-целлюлозы в целлюлозе холодного облагораживания, достигается при 10%-ной конц-ии щел. р-ра, повидимому, при этих условиях обеспечивается наибольшее набухание волокна и растворение геммцеллюлоз, расположенных внутри стенок целлюлозного волокна. При размале целлюлозы высокой степени облагораживания с повышением степени размала, наблюдается снижение про-

зрачность целлюлозы. При этом также большое влияние оказывает степень размола волокна. М. Б.

5411. Сортирование бумажной массы. Ранхаген (The screening of paper-making pulp. R a n h a g e n G.), World's Paper Trade Rev., 1953, Nov., 24, 27—2; 30, 32, 34, 36 (англ.)

Изложены современные взгляды и практика работы по сортированию бумажной массы в бумажной промышленности Швеции. Дано разделение оборудования для сортирования на группы (по Стинбергу) согласно его конструктивным особенностям и принципу работы. Описаны различия работы сортировок каждой группы с характеристикой включений, отделяемых из бумажной массы при сортировании на сортировках разных типов. Приведены схемы целесообразного использования сортировок различных групп для сортирования бумажной массы. Основным принципом сортирования является равномерность концентрации и подачи потоков массы, направляемых на сортировку. Сортировочные отделы должны быть обеспечены измерительной и регулирующей аппаратурой (регуляторы объема и концентрации потоков, измерители уровня, регуляторы нагрузки и т. д.). М. Б.

5412. О сортировании небеленой сульфитной целлюлозы. Ранхаген (Sympunkter på silning av obelikt sulfitmassa. R a n h a g e n G u s t a v), Svensk papperstidn., 1953, 56, № 15, 565—576 (швед.)

Даны характеристики различных типов аппаратов для сортирования целлюлозы, типичных загрязнений и примеры комбинирования сортировок с учетом двухступенчатого сортирования. Применяемые сортировки должны образовать единую систему, в которой каждый аппарат работает в наиболее благоприятных для него условиях. Э. Н.

5413. О технологической характеристике сеток бумагоделательных машин. Брехт, Розенлев (Beitrag zur technologischen Kennzeichnung von Papiermaschinensieben. B r e c h t W a l t e r, R o s e n l e w N i l s), Das Papier, 1953, 7, № 19/20, 331—334, 335—338 нем.)

Обозвучивающая способность сеток для бумагоделательных машин обычно характеризуется так называемым «живым сечением» сетки (общей площадью ячеек сетки). Последнее может быть определено замером отдельных ячеек сетки с последующим расчетом открытой поверхности или с помощью оптич. метода. Приведены методы расчета «живого сечения» сеток различного плетения и таблицы, показывающие изменение «живого сечения» в зависимости от номера сетки и формы ее ячеек. Описан оптич. метод определения «живого сечения» сетки (схема и устройство прибора). М. Б.

5414. Качество бумаги и картона применительно к использованию для печати. Олуэй (The quality of paper and board in relation to its usage-printing. A l w a y H. N. T.), World's Paper Trade Rev., 1954, 141, № 23, 1842, 1844, 1846, 1848, 1850 (англ.)

Пригодность бумаги и картона для печати может быть установлена путем определения с помощью приборов белизны, гладкости, лоска, влажности и других свойств бумаги, а также использования для этой цели лабор. печатного пресса. Изложена зависимость скорости высыхания, лоска и качества печати от качества бумаги и pH ее поверхности. Отмечается необходимость дополнительных исследований по вопросу использования печатного пресса для определения печатных свойств бумаги. М. Б.

5415. Лоск бумаг машинной гладкости. II. Зависимость лоска от состава массы. Петерсон (Glans hos MG-papper. II. Glansens beroende av maldens sammansättning. P e t e r s o n V.), Svensk

papperstidn., 1954, 57, № 6, 191—193 (швед.; резюме англ., нем.)

Лоск бумаг односторонней гладкости исследовался с помощью глориметра Ингерсолла, причем было установлено, что: лоск уменьшается с ростом величины отношения кол-ва гемцеллюлозы к лигнину в массе, при неклееной бумаге он несколько уменьшается с увеличением pH; при клееных бумагах pH и кол-во проклеивающих в-в на лоск бумаги существенно не влияют, небольшие добавки крахмала и каолина в бумагу практически не оказывают влияния на ее лоск. Часть I см. РЖХим, 1955, 22629. М. Н.

5416. Опыты с карбоксиметилцеллюлозой в бумажной промышленности. Вурц (Erfahrungen mit Carboxymethylcellulosen in der Papierindustrie. W u r z O t t o), Das Papier, 1953, 7, № 19/20, 377—381 (нем.)

Описаны некоторые важные свойства р-ра натриевой соли карбоксиметилцеллюлозы и действие этого в-ва в произ-ве бумаги. Указаны наполнители и красители и методы определения карбоксиметилцеллюлозы в бумагах. Рассмотрено улучшение поверхности бумаг как результат проклейки. М. Ч.

5417. Изучение мягчителей для бумаг. Кубат (Studier över mjukgöringsmedel för papper. K u b a t J.), Svensk papperstidn., 1953, 56, № 19, 739—744 (швед.)

Исследованы в качестве мягчителей для бумаги некоторые соли алканол- и алкиламинов, N-алканол-амиды и галогениды аммония. Опытные образцы бумаг пропитывались исследуемыми видами мягчителей и высушивались на открытом воздухе, после чего определялась их жесткость на аппарате Кларка. Наиболее эффективными показали себя N-алканол-амиды и хлоргидрат алканол-аминов. Степень жесткости умягченных бумаг зависит от метода обработки и сушки. Э. Н.

5418. Достижения в области обработки бумаг силиконами. Томпсон (New developments in silicone treated papers. T h o m p s o n J. F.), Paper, Film and Foil Converter, 1954, 28, № 3, 22—23 (англ.)

Бумаги, обработанные с одной или с обеих сторон силиконом типа ДС-110, пригодны в качестве прокладок или упаковок липких материалов в резиновой про-сти, при изготовлении защитных лент, для упаковки полированных металлич. изделий, кондитерских и вообще всяких липких и марких материалов, как-то: смол, клеев, восков и т. п. Испытания бумаг, обработанных ДС-1107, на старение дали хорошие результаты. Для склеивания бумаг, обработанных силиконами, используются особые клеи (фирменные). Преимуществом силиконовых бумаг перед другими прокладочными материалами является дешевизна. М. Н.

5419. Перевод бумажного полотна с сетки в прессовую часть с помощью вакуума. Бернетт (Vacuum transfer from wire to press section. B u r n e t t R. W.), Southern Pulp and Paper Manufacturer, 1953, 16, № 8, 36, 37, 38, 41 (англ.)

Предложено вакуумное устройство для перевода полотна бумаги с сетки в прессовую часть бумагоделательной машины и конструкция самой машины, запроектированной для работы на скоростях до 610 м/мин. Освещены особенности хода и работы прессовых суконов, контактирующих с вакуумными камерами передаточных и отсасывающих валов. М. Б.

5420. Измерение и регулирование потоков на целлюлозно-бумажных предприятиях. Ландесман (Flow measurement and control in pulp and paper mills. L a n d e s m a n A. L.), Southern Pulp and Paper Manufacturer, 1954, 17, № 2, 62—64 (англ.)

Изложен принцип работы различных приборов для измерения и регулирования производственных потоков на целлюлозно-бумажных предприятиях. Замер скорости движения потока является основным принципом



работы приборов такого типа. Приведены схемы автоматич. регулирования потоков для варочного отдела крафтцеллюлозного а-да. Представляет интерес регулируемая подача воздуха и расплавленной серы в печи в зависимости от содержания  $\text{SO}_2$  в газе; регулируемая подача воды и слабой к-ты в поглотительные башни для обеспечения однородной к-ты; регулируемая подача к-ты, щепы и пара в котел, сохраняющая однородность выпускаемой целлюлозы. Высокая точность работы приборов по замеру потоков обеспечивается при скоростях потока, не превышающих 50—80% максимальной. В потоках, где можно предвидеть появление коррозии, следует использовать приборы, специально изготавливаемые для работы в этих условиях.

М. Б.  
5421. Измерение веса бумаги с помощью «бетакомпаратора LKB 3265». Ханссон (Ylviksmätning av papper med Betakomparator LKB 3265. Hansson Karl-Filip), Svensk papperstidn., 1953, 56, № 15, 590—597 (швед.)

Исследованы возможность и степень точности непрерывных замеров веса  $1 \text{ м}^2$  бумажного полотна на бумажной машине с помощью  $\beta$ -лучей. Для этой цели конструкция прибора «бетакомпаратор LKB 3265» улучшена путем внесения в него некоторых конструктивных изменений. Чтобы предотвратить забивание окошка источника излучения и ионизационной камеры волюкнистой массой применено спец. вентиляционное устройство. Рассмотрено влияние скорости движения бумажного полотна на точность замеров. Точность определений на этом приборе в пределах веса 50—65 г/м<sup>2</sup> составляет 1,5%.

Э. Н.

5422 Д. Исследование щелочного брожения с целью получения глицерина из гидролизатов древесины. Шихова З. П. Автореф. дисс. канд. биол. н., Ин-т лесохоз. проблем АН ЛатвССР, Рига, 1955

5423 П. Процесс удаления кислоты из древесных смол. Ламбютт (Procédé pour la désacidification de goudrons de bois. Lambiotte Auguste) [Sific A.-G.]. Франц. пат. 1028810, 28.05.53 [Chimie et industrie, 1953, 70, № 5, 901 (франц.)] Через смолу пропускают противотоком, желательно в перегонной колонне, паро-газовую смесь от перегливания древесины, предварительно охлажденную до 80—100°.

Н. Р.

5424 П. Древесный уголь в качестве фильтрующей среды. Пиккард, Гарленд (Charcoal filtering medium. Pickard Joseph Allen, Garland Charles Samuel) [Metafiltration Co., Ltd.]. Пат. ГФР 689779, 8.04.53 [Chem. Zbl., 1954, 125, № 3, 8182 (нем.)]

Измельченная древесина освобождается от летучих в в-в железной реторте при ~500—600° и перегливаются. Строение древесины не нарушается.

Н. Р.

5425 П. Обесцвечивание сосновой живицы (Décoloration de la gemme de pin) [Comptoir G. Denies et Cie]. Франц. пат. 1044053, 13.11.53 [Chimie et industrie, 1954, 71, № 4, 765 (франц.)]

Терпентин, предварительно очищенный общеизвестным способом, пропускают для обесцвечивания один или несколько раз через водн. р-р щавелевой к-ты или ее солей.

Н. Р.

5426 П. Способ осахаривания целлюлозосодержащих материалов разбавленными кислотами в перколяторе. Хюттингер (Verfahren zur Verzuckerung von cellulosehaltigem Material mit verdünnten Säuren im Druckperkalator. Hüttinger Wilhelm) [Holzverzuckerungs—G. m. b. H.]. Пат. ГФР 883280, 16.07.53 [Chem. Zbl., 1954, 125, № 35, 8013 (нем.)]

В начале процесса превращение гемицеллюлоз в мономерные сахара проводится так, что содержащийся в клеточных полостях воздух вытесняется к-той. Перколятор при этом почти доверху наполняется разб. к-той. После нагрева до ~150° в течение 15 мин. компримированный воздух сдувается и перколятор окончательно наполняется кислотой.

Т. И.

5427 П. Осахаривание веществ, содержащих целлюлозу. Кобаяси (Saccharification of cellulose-containing substances. Kobayashi Tatsukichi) [Governor of Hokkaido]. Япон. пат. 1522, 23.03.54 [Chem. Abstrs, 1955, 49, № 1, 618 (англ.)]

Опилки в кол-ве 2,3 кг, содержащие 14,5% влаги, заливают путем распыления 2,938 кг 59%-ной  $\text{H}_2\text{SO}_4$ , перемешивают 20 мин. при 40° и после добавления 8 л воды, нагревают за 10 мин. до 98°. Р-р нагревают 1 час. при 98° в присутствии порошкообразного фосфата, барботируемого воздухом. Осадок фильтруют и промывают 16,5 л воды, насыщенной  $\text{CaSO}_4$ . Полученный фильтрат (21,1 л), содержащий 4,1% сахара и 14%  $\text{H}_3\text{PO}_4$ , смешивают при 90° с 6,3 кг  $\text{Ca}(\text{OH})_2$  в 12 л воды, осадок отфильтровывают и промывают 8,2 л воды. Полученный осадок содержит 7,8 кг  $\text{Ca}(\text{H}_2\text{PO}_4)_2$ , а фильтрат — 0,95 кг сахара.

М. Ш.

5428 П. Отделение сахарного раствора, полученного при осахаривании древесины серной кислотой, от серной кислоты. Дегучи (Separation of sugar solution from sulfuric acid-sugar solution obtained by the saccharification of wood with sulfuric acid. Deguchi Masao). Япон. пат. 2000, 14.04.54 [Chem. Abstrs, 1955, 49, № 1, 618 (англ.)]

Раствор сахара и  $\text{H}_2\text{SO}_4$  обрабатывается 0,25 н.  $\text{NH}_4\text{OH}$  или  $\text{KOH}$  и 0,75 н.  $\text{Al}(\text{OH})_3$  и охлаждается ниже 10°. При этом  $\text{H}_2\text{SO}_4$  отделяется в виде кристаллич. квасцов.

М. Ш.

5429 П. Способ защиты древесины путем пропитки водорастворимыми солями кремнефтористоводородной кислоты. Кокошинский (Verfahren zum Schützen von Holz durch wasserlösliche Silicofluoride mittels. Durchtränkung mit deren Lösungen. Kokoschinski Alfred) [Gemische Werke Albert]. Пат. ГФР 878839, 8.06.53 [Chem. Zbl., 1953, 124, № 46, 7974—7975 (нем.)]

Древесина, пропитанная водн. р-рами солей кремнефтористоводородной к-ты (конц-ией 5—10%), нагревается не менее 1 часа при т-ре выше 40° для закрепления пропиточных солей в древесине и уменьшения их выщелачиваемости.

Н. Р.

5430 П. Предохранение от загнивания древесины бука (Procédé pour empêcher la moisissure du bois de hêtre) [Allgemeine Holzimpregnierung G. m. b. H.]. Франц. пат. 1059353, 24.03.54 [Chimie et industrie, 1954, 71, № 5, 962 (франц.)]

Паренхима растущих или срубленных буковых деревьев убивается введением хлората натрия, хлоральгидрата, крепких спиртов, формальдегида, фтористоводородной к-ты, трихлорфенола и т. д., чем предотвращается возможность закупорки сосудов.

Н. Р.

5431 П. Процесс обработки древесины и получающийся при этом материал. Хидзориан-Яблоков, Делор, Фалинская, Лоти (Process for treating wood and resulting article. Khndorian-lablokoff Arthur, Delord Andre, Falinski Marie, Lautie Raymond) [Office National d'Études et de Recherches Aeronautiques]. Пат. США 2674543, 6.04.54

Процесс изготовления упрочненного листового материала из древесины, лишенной на 85% инкрустов, с сохранением целлюлозы в неизменном состоянии, с заполнением внутриклеточных и межклеточных полостей древесины меламиноформальдегидной смолой,

состоит в вымачивании древесины в течение 12 час. в 10%-ном р-ре NaCl, приблизительно при 60°, причем в волокне образуются свободные полости в результате распада лигнина. Затем древесина извлекается из ванны и обрабатывается суспензией меламиноформальдегидной смолы, заполняющей поры не менее чем на 70% от веса сухой древесины. Смола отвергается путем нагревания обработанной древесины при т-ре, при которой происходит полимеризация меламиноформальдегидной смолы. М. Н.

5432 П. Метод пропитки сухой древесины в закрытом резервуаре (Framgangsmåte til impregnering av torr ved i lukket beholder) [Pechiney Cie de Produits Chimiques et Electrometallurgiques. Progil, S. A.]. Норв. пат. 816619, 13.04.53 [Norsk tidende industr. rettsvern., 1953, № 16, 149 (норв.)]

Изменение метода, предусмотренного норвежским пат. 79670, в применении к пропитке (консервированию) сухой древесины в закрытом резервуаре. Э. Н.

5433 П. Способ получения искусственных изделий (полотниц, трубок, стержней) из гидратцеллюлозы. Беккер, Шёнен, Лаубенбергер (Verfahren zur Herstellung von künstlichen Gebilden, wie endlose Bahnen, Rohre oder Stäben, aus Hydratcellulose. Becker Ernst, Schoenen Franz, Laubenberger Herbert) [Dynamit-A.G., vormals, Alfred Nobel and Co.]. Пат. ГФР 869862, 9.03.53 [Das Papier, 1953, 7, № 15/16, 179 (нем.)]

Хлопок, натронная целлюлоза, сульфитная целлюлоза, гидратцеллюлоза или регенерированная целлюлоза смешиваются в гомогенную массу с ~4 вес. ч. 70% р-ра  $ZnCl_2$ ; масса формуется, нагревается до 80—100°. После охлаждения продукт отмывается от  $ZnCl_2$ , сушится. Сухой материал можно каландрировать, вытягивать, штамповать, строгать. В заготовку можно прибавлять красящие в-ва, графит и т. д. Т. И.

5434 П. Метод удаления воды из волокнистых масс. Гастон (Method of removing water from fibrous masses. Gaston Jack E.) [Armstrong Cork Co.]. Пат. США 2633062, 31.03.53

Метод сушки волокнистых плит с предварительной подготовкой воды. суспензии волокон минер. шерсти, формованием волокнистой массы путем обезвоживания в формах, прессованием с дополнительным удалением воды для получения плит требуемой толщины. Вода, остающаяся в последних после прессования, удаляется при укладке плит их нижней поверхностью на наклонные плоскости (обезвоживающего устройства) с углом наклона от 15 до 90° (к горизонту). Оставшаяся в плитах вода стекает под влиянием силы тяжести, не изменяя толщины или степени уплотненности плит. По окончании обезвоживания, производится сушка, переведенных в горизонтальное положение плит, нагревом. М. Б.

5435 П. Метод получения высоковязкого эфира целлюлозы. Зельман (Verfahren zur Herstellung hochviskoser Celluloseester. Sellmann Rolf). Пат. ГФР 888686, 3.09.53 [Chem. Zbl., 1954, 125, № 1, 224 (нем.)]

Сложный эфир целлюлозы получают с применением  $ZnCl_2$  в качестве катализатора. По окончании атерификации к апилирующей смеси прибавляют эквивалентное  $ZnCl_2$  кол-во Na-соли жирной к-ты, напр. ацетат Na. Осаждение и промывку эфира осуществляют разб. р-ром жирной к-ты, конц-ия к-ты в р-ре не меньше 30%, напр. 40%-ной пропионовой к-той. Таким методом получают сложный эфир целлюлозы, напр. трипропионат целлюлозы. А. С.

5436 П. Приготовление легко фильтрующейся карбоксиметилцеллюлозы из твердой Na-соли карбоксиметилцеллюлозы. Ли ф (Method of preparing solid

non-gelled easily filterable carboxymethylcellulose from solid sodium carboxymethylcellulose. Lea f Clyde W.) [Wyandotte Chemicals Corp.]. Пат. США 2698322, 28.12.54

Метод приготовления карбоксиметилцеллюлозы, образующей легко фильтрующиеся р-ры, состоит в добавлении твердой Na-соли карбоксиметилцеллюлозы, содержащей 0,5 или немного более групп гликолевой к-ты на 1 элементарное звено целлюлозы, к р-ру серной к-ты с конц-ией, по крайней мере, 5%, либо 35% или немного более. А. С.

5437 П. Метод предварительной обработки древесины перед варкой целлюлозы (Framgangsmåte til forbehandling av flis for koking av masse) [Wikmans hytte Bruks Aktiebolag, Wikmanshyttan, Sverige]. Норв. пат. 81594, 81595, 7.04.53 [Norsk tidende industr. rettsvern, 1953, № 16, 144 (норв.)]

Метод предварительной обработки древесины перед варкой целлюлозы с целью создания условий для быстрой пропитки варочной жидкостью заключается в обработке окоренной или неокоренной древесины паром при 80—100° не менее 10 час., предпочтительно 12—16 час., с возможным последующим охлаждением путем подачи воды. По пат. № 81895, обработка паром при 80—100° не менее 3 час. Э. Н.

5438 П. Щелочная варка лигноцеллюлозы в присутствии кислорода для получения целлюлозы, ванилина и других продуктов окисления лигнина. Маршалл, Санки (Alkaline pulping of lignocellulose in the presence of oxygen to produce pulp, vanillin, and other oxidation products of lignin substance. Marshall Harry Borden, Sankey Charles Alfred) [The Ontario Paper Co. Ltd.]. Пат. США 2686120, 10.08.54

Предложен процесс одновременного получения из древесной щепы волокнистой целлюлозы и ванилина, состоящий в варке щепы при 150—200° в присутствии щелочи (в виде NaOH или смеси NaOH и  $Na_2S$ ), при пропускании в варочную смесь газа, в виде мелких пузырьков содержащего свободный кислород. Т. И.

5439 П. Перегонка жирных кислот, таллового масла и т. п. Поттс, Олсон (Distillation of fatty acids, tall oil, and the like. Potts Ralph H., Olson Roy N.) [Armour and Co.]. Пат. США 2627500, 3.02.53

Процесс переработки жирных к-т и таллового масла заключается в перегонке их в несколько ступеней, каждая из которых состоит из зоны дистилляции и зоны конденсации. Из зоны конденсации каждой ступени производится частичный отбор конденсата; в конце этой зоны вводится водяной пар, который вместе с остальной частью материала направляется в зону дистилляции предыдущей ступени. А. Е.

5440 П. Процесс разгонки таллового масла. Поттс (Process for distilling tall oil. Potts Ralph H.) [Armour and Co.]. Пат. США 2674570, 6.04.54

Входящая в состав таллового масла смесь жирных (ЖК) и смоляных (I) к-т, летучих неомыляемых в-в (НВ), а также пека (П) разделяется на компоненты путем фракционированной разгонки в колонне под вакуумом в присутствии водяного пара. Колонна разделена в вертикальном направлении на отдельные зоны, в каждой из которых находится слой жидкости. Для получения фракции I с низким содержанием НВ и П, смесь ЖК и I постепенно вводится в промежуточную зону колонны. В зонах верхней части колонны поддерживается более низкое давление, чем в зонах нижней части, вследствие чего фракция ЖК отделяется и поступает из промежуточной зоны вверх, а смесь I и НВ вниз. Смесь I и П быстро подается в зону быстрого испарения при давлении более низком, чем имевшаяся в колонне в момент выпуска смеси. Неперегретная

часть I и II обрабатывается паром для выделения дополнительного кол-ва I. Фракция I, выходящая из зоны испарения, содержит небольшое кол-во НВ и П. Н. Р.

**5441 П.** Водорастворимые производные несulfированного лигнина. Паттерсон, Балон (Water-soluble derivatives of unsulfonated lignin. Patterson George Harold, Balon Walter Jean) [E. I. du Pont de Nemours and Co.]. Пат. США 2676170, 20.04.54

Водорастворимые производные лигнина, обладающие дубящими свойствами, получают при взаимодействии лигнина с формальдегидом и галоидозамещенной карбоновой к-той алифатич. ряда в щел. р-ре при  $t \sim 20-105^\circ$  с последующим подкислением реакционной массы для выделения продукта р-ции. Н. Р.

**5442 П.** Ванилин из отработанного щелока от сульфатного или натриевого процесса. Канеко, Митобе (Vanillin from waste liquor by use of the sulfate or soda process. Kaneko Kyojo, Mitobe Tokunaki) [Hokuetsu Paper Manufg. Co.]. Япон. пат. 4331, 2.09.53

Обработанный щелок пропускают через верхнюю часть башни, наполненной зернами фарфора. Бутанол вводят противотоком снизу, собирается наверху, перегоняется и возвращается в цикл. Остаток, содержащий  $4,3\text{-NaO}(\text{CH}_2\text{O})_n\text{C}_6\text{H}_5\text{CHO}$ , обрабатывается  $\text{H}_2\text{SO}_4$ , ванилин получается экстракцией р-рителем. М. Ш.

**5443 П.** Способ отбели древесины. Орт (Process for bleaching wood. Orth R.). Англ. пат. 685786, 14.01.53 [J. Soc. Dyers and Colourists, 1953, 69, № 4, 132 (англ.)]

Обработка водн. р-рами NaOH или KOH перед перекисной отбелкой ослабляет микцелярную структуру материала, благодаря чему становится возможной отбелка массы из пораженной синевой хвойной древесины или из другой пораженной плесенью древесины. М. Ш.

**5444 П.** Бумага из длинных синтетических волокон и частично водорастворимой натриевой соли карбоксиметилцеллюлозы и метод ее изготовления. Осборн (Paper from long synthetic fibers and partially water soluble sodium carboxymethylcellulose and method. Osborne Fay H.). [C. H. Dexter and Sons, Inc.]. Пат. США 2626214, 20.01.53

Тонкая, мягкая, чрезвычайно пористая, легковесная, с хорошей абсорбирующей способностью и достаточной прочностью бумага, по существу, состоит из синтетич., искусственно сформованного волокна, длина которого берется в пределах от 6 мм и выше и обычных текстильных волокон. Волокна равномерно распределены и переплетены, образуя между собой многочисленные промежутки (поры). Волокна в бумажном полотне находятся в своей первоначальной форме, не размотаны и не желатинизированы, но прочно связаны между собой водонерастворимой, химически устойчивой натривой солью карбоксиметилцеллюлозы величиной змещения 0,3—0,75, с равномерным распределением ее в бумажном полотне в кол-ве 1%—5% от веса готовой бумаги. М. Б.

**5445 П.** Процесс для обработки бумажных денег, банкнот и аналогичных ценных бумаг. Хаутен (Procédé pour le traitement de papier — monnaie imprimé, bellets de banque et papiers de valeur analogues. Houten H. van). Франц. пат. 1052009, 20.01.54 [Chem. Zbl., 1955, 126, № 2, 484 (нем.)]

Для защиты ценных бумаг от загрязнения их покрывают лаком на основе синтетич. смолы толщиной до 0,01 мм. Такого рода лак готовится (в %), напр., из: 10 винилита VYHN, 10 винилита VMCH, 6 трикрезилфосфата и 74 пропанона. М. Н.

**5446 П.** Способ приготовления смеси для поверхностного покрытия бумаги. Янг, Стилберт (Verfahren zur Herstellung von papierüberzugsmengen. Young Arthur Ernest, Stilbert Elmer King) [Dow Chemical Co.]. Пат. ГФР 898708, 19.12.53 [World's Paper Trade Rev., 1954, 142, № 10, 763 (англ.)]

100 вес. ч. минер. пигмента смешиваются с 8—30 ч. клеящего в-ва, которое состоит из водн. дисперсии клеящего в-ва и смеси 30—50 ч. бутадиена и 70—50 ч. стирола. Смесь полимеров берется в соотношении от 1/3 до 3 ч. на одну часть обычного клеящего вещества. М. Б.

**5447 П.** Способ получения продуктов модификации кератина. Хеннинг (Verfahren zur Herstellung von Keratinumwandlungsprodukten. Hennig Theodor) [Zschimmer und Schwarz vormals Chemnitz]. Пат. ГДР 889594, 10.09.53 [Chem. Zbl., 1954, 125, № 28, 6380 (нем.)]

Продукты модификации кератина получают смешением, при длительном нагревании, 100 ч. 20%-ного щел. р-ра кератина с 20 ч. 40%-ного р-ра  $\text{CH}_3\text{O}$  и 4 ч. крезола или 5 ч. смолы и 2 ч. нафтола, добавляемых при перемешивании и одновременном введении 40%-ного р-ра  $\text{CH}_3\text{O}$ . Полученный продукт пригоден для проклейки бумаги. М. Б.

**5448 П.** Клей для бумаги. Мацуо, Тага (Paper size. Matsuo Ikutaro, Taga Gentaro) [Arakawa Forest Products Chemical Co.]. Япон. пат. 4802, 26.09.53 [Chem. Abstrs, 1954, 48, № 18, 11060 (англ.)]

Канифоль обрабатывается избыточным к-вом щелочи против необходимого для получения абиета. Избыток щелочи нейтрализуется ненасыщ. многоосновной кислотой. Л. М.

**5449 П.** Промасленная бумага. Йосии (Oilpaper. Yoshii Tsune) [Nippon Rosin Co.]. Япон. пат. 4805, 26.09.53 [Chem. Abstrs, 1954, 48, № 18, 11060 (англ.)]

Мыло, отделенное при упаривании обработанного щелока после щел. варки целлюлозы, разлагается к-той. Выделившаяся к-та полимеризуется путем нагревания с одновременным пропусканием через нее воздуха. Полученный продукт обрабатывается окисью металла или гидроокисью и наносится на бумагу. Л. М.

**5450 П.** Аппарат для промывки целлюлозы в сжежах. Квиллер (Apparat til utspyling av cellulosemasse fra massebinger ved cellulosefabrikker. Qviller Oiaf). Норв. пат. 81630, 13.04.53

Аппарат для промывки целлюлозы в сжежах состоит из вертикальной трубы с неподвижным мундштуком у дна сжежи и подвижным мундштуком в верхней части трубы. Вентили для впуска воды в нижний мундштук и выпуска воды через верхний мундштук имеют общий привод от одного штурвала, но независимое друг от друга движение. К. Г.

См. также: 3011, 3598, 3971, 5217, 5226, 5329

## ИСКУССТВЕННОЕ И СИНТЕТИЧЕСКОЕ ВОЛОКНО

**5451.** Новые достижения в химии полимеров. — (New developments in polymer chemistry.—), Text. Manufacturer, 1954, 80, № 959, 595—596 (англ.)

Краткий обзор достижений в химии полимеров, данный проф. Марком в лекции для британских научных работников и технологов текстильной промышленности. В дискуссии затрагивался вопрос об испытаниях по



определению «усталости», отдельных единичных волокон. П. Ч.

5452. Связь между пластическими массами и волокнами. Найк (Relationship between plastics and fibres. Naik K. S. S.), Sci. and Engng, 1954, 7, № 2, 28—29 (англ.)

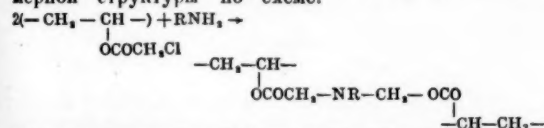
Автор указывает на роль синтетич. смол, которые, являясь источником для получения новых волокон, одновременно находят широкое применение для отделки хлопковых, искусств. волокон и шерсти. П. Ч.

5453. Сырье для текстильных материалов. Шервуд (Textiles dérivés du pétrole. Sherwood Peter), Chimie et industrie, 1953, 70, 886—890 (франц.)

Обзор способов получения из нефти в-в, служащих сырьем для произ-ва синтетич. волокон. С. Б.

5454. Получение волокнообразующих полимеров, обладающих хорошей окрашиваемостью. Реакция взаимодействия сополимера акрилонитрила и винилхлорацетата с аминами. Хэм, Ганн (Preparation of dyeable fiber-forming compositions. Reaction of acrylonitrile-vinyl chloroacetate copolymers with amines. Ham George E., Gann Paul W.), Industr. and Engng Chem., 1953, 45, № 10, 2320—2323 (англ.)

С целью получения волокон из сополимеров акрилонитрила (I), окрашивающихся красителями для шерстяного волокна (в частности, кислотными красителями), исследовалась возможность введения основной группы в сополимер I. Получен сополимер I с 2—15% винилхлорацетата. Из р-ров сополимера в диметилформамиде получалось прочное волокно. 10—17%-ный р-р сополимера в диметилформамиде обрабатывался стехиометрич. кол-вом амина (желательно третичного, напр. триметиламина) с целью замены Cl на аминогруппу. При взаимодействии с третичными аминами получались четвертичные органич. основания. При первичных первичных или вторичных аминах происходила быстрая желатинизация р-ра, благодаря образованию трехмерной структуры по схеме:



Из продукта взаимодействия сополимера, содержащего не менее 3% винилхлорацетата с триметиламином, получались после формования в воду и вытягивания в 6 раз волокна, обладающие хорошими механич. свойствами и окрашивающиеся кислотными красителями. Вместо триметиламина может быть использован пиридин, однако скорость образования четвертичных оснований в этом случае уменьшается. При обработке третичными аминами полимера не в р-ре, а в виде готового волокна требуется применение сополимера, содержащего большое кол-во винилхлорацетата (не менее 8%) и обработка волокна должна проводиться в более жестких условиях (т-ра 80°, время — 10 мин.). Для введения аминогруппы в волокно можно обрабатывать его газообразным  $\text{NH}_3$  при 100° в течение 15 мин. З. Р.

5455. Модифицированные полиакриловые волокна. Улучшение способности к окрашиванию синтетических волокон. Холл (Tailor-made\* polyacrylonitrile fibres. Improving the dyeing properties of synthetics. Hall A. J.), Fibres, 1955, 16, № 3, 89—92, 101 (англ.)

Обзор патентов. П. Ч.

5456. О качестве целлюлозы для производства вискозного шедка. Иванов В. И., Бум. пром-сть, № 2, 5—7

Излагается ряд общих соображений о методах повышения гомогенности древесной целлюлозы, применяемой для произ-ва вискозного волокна. Эта целлюлоза должна содержать миним. кол-во низкомолекулярных фракций и в процессе ее получения необходимо свести до минимума возможность протекания окислительных процессов. З. Р.

5457. Тефлон-волокно из полимера тетрафторэтилена. (Teflon-tetrafluoroethylene-vezel.). Textielwezen, 1954, 10, № 9, 87—89, 91, 93, 95 (флам.)

Приводится описание свойств нового синтетич. волокна, полученного в концерне Дюпон из политетрафторэтилена. Вытянутое волокно тефлон обладает высокой прочностью (на 30—40% ниже, чем волокно найлон, если рассчитывать прочность на 1 мм<sup>2</sup>, а не на денье, так как уд. вес волокна тефлон 2,3, а волокна найлон 1,14). Начальный модуль, примерно, на 70% выше, чем у найлона. Волокно термостойко. При 150° теряет в прочности 80%, но может быть использовано и при 250°, при этой т-ре теряет в прочности 86%. Волокно устойчиво к действию конц.  $\text{H}_2\text{SO}_4$  и  $\text{HNO}_3$  при повышенных т-рах и к р-рам щелочи. З. Р.

5458. Определение фильтрующей способности вискозных растворов. Использование фильтровального материала из синтетических волокон для определения фильтрующей способности. Трейбер, Фекс (Beiträge zur Bestimmung des Filtrationsverhaltens von Viscose. Erfahrungen mit vollsynthetischen Filtermaterialien zur Filterwert-Bestimmung. Treiber E., Fex O. F., Svensk papperstidn., 1955, 58, № 3, 67—77 (нем.; резюме англ., швед.)

Исследовались условия фильтрации прядильных вискозных р-ров через фильтровальные ткани, изготовленные из различных синтетич. волокон (поливинилхлоридное, полиакрилонитрильное, поливинилиденхлоридное и стеклянное волокно) при давл. 5 атм. Для фильтрации применялись вискозные р-ры различной вязкости и зрелости как подвергнутые, так и не подвергнутые обезвоздушиванию. Использование тканей из синтетич. волокон, не набухающих в вискозном р-ре, дает возможность исключить влияние характера фильтровального материала на фильтруемость вискозных р-ров и получить воспроизводимые результаты при исследовании. Наиболее приемлемы для этой цели фильтровальные ткани из поливинилхлоридного волокна. З. Р.

5459. Строение волокна в аспекте его молекулярной структуры. Аллен (Fibre architecture with special reference to molecular constitution. Allen S. J.), Text. Weekly, 1953, 51, № 1315, 1460, 1462, 1464 (англ.)

Влияние формы молекул на св-ва волокна. Описаны попытки создания шерстеподобного волокна. А. В.

5460. Изменение энтропии при растяжении целлюлозных волокон в воде. Брайант, Уэйкем (Entropy changes accompanying the stretching of cellulose fibers in water. Bryant George M., Wakeham Helmut), Text. Res. J., 1955, 25, № 3, 224—235 (англ.)

Определена величина усилия, необходимого для растяжения на определенный процент целлюлозных волокон, погруженных в воду. Пригедены кривые, характеризующие изменение величины растягивающего усилия в зависимости от т-ры (температурный коэфф. усилия). Использовано термодинамич. ур-ние эластичности для установления зависимости температурного коэфф. усилия от энтропии процесса растяжения целлюлозных волокон в воде. Установлено, что при 45° эластич. свойства вискозного волокна при растяжении в воде изменяются: ниже этой т-ры вискозное волокно является застеклованным, выше — имеет каучукоподобные свойства. Набухание вискозного волокна в щелочи

усиливает каучукоподобные свойства и снижает т-ру перехода. Хлопок при растяжении в воде в интервале от 5 до 80° является застеклованным. Мерсеризация не оказывает заметного влияния на характер его поведения. Сравнение опытных образцов высокоориентированного ацетатного волокна до и после омыления показало, что наличие ацетатных групп в макромолекуле уменьшает межмолекулярное взаимодействие и вследствие этого снижает т-ру перехода в каучукоподобное состояние. Характер эластических свойств обычного ацетатного волокна зависит от величины растяжения, что указывает на сложные структурные изменения волокна в процессе его растяжения. А. Р.

**5461 П. Получение окрашенных продуктов полимеризации. Ньюби** (Production of coloured polymerization products. Newby H.) [Chemische Werke Huls]. Англ. пат. 706104, 24.03.54 [J. Soc. Dyers and Colourists, 1954, 70, № 6, 259 (англ.).]

Полимеризация виниловых соединений в водн. суспензии порошкообразного твердого в-ва, не растворимого в виниловых соединениях и в воде, проводится при простом перемешивании в присутствии катализатора, без эмульгатора. Для получения окрашенных продуктов при полимеризации добавляется паста, образованная растиранием пигмента с жирными эфирами алифатич. карбоновых к-т. Подготовленный таким путем пигмент не осаждается при полимеризации. П. Ч.

**5462 П. Получение  $\alpha$ -хлоракриламида и полимеров из него** (Alpha-chloro-acrylamide et produits de polymérisation qui en dérivent) [Cassella Farbwerke]. Франц. пат. 1041375, 22.10.53 [Chem. Zbl., 1954, 125, № 35, 7996 (нем.).]

Вносят 230 ч.  $\alpha$ -хлоракрилонитрила при 0° в течение 2 час. в 520 ч. 85%-ной  $H_2SO_4$ , содержащей 1 ч. гидрохинона. Смесь перемешивают 20 час. при 25°, затем 12 час. при 40° и 2 часа при 60°, полученный продукт осаждают льдом, нейтрализуют и выделяют  $\alpha$ -хлоракриламид с т. пл. 93°. Для получения полимера вносят 50 ч.  $\alpha$ -хлоракриламида в 250 ч. воды, добавляют 1 ч. 25%-ного аммиака и при 80° в течение 0,5 часа прибавляют по каплям 10 ч. 3%-ной  $H_2O_2$ . Полимеризация продолжается 12 час. Полимер раствором в горячем диметилформамиде и в бутиролактоне и из него могут быть сформованы нити и пленки. При охлаждении р-р желатинирует. В конц.  $H_2SO_4$ , пиридине, анилине, уксусном ангидриде полимер нерастворим. А. П.

**5463 П. Способ получения способных окрашиваться полимеров акрилонитрила** (Procédé de préparation de produits de polymérisation du nitrile acrylique aptes à la teinture et produits obtenus selon le procédé) [Bobingen A.-G. für Textil-Faser., Kunstseidefabrik Bobingen U. S. Administration]. Франц. пат. 1065148, 29.10.54 [Chemie et industrie, 1954, 72, № 3, 488 (франц.).]

Полимеризуют в слабощелочной среде акрилонитрил со сложными эфирами акриловой к-ты и (или) амидами акриловой к-ты, содержащими в эфирной или амидной группе третичный аминный атом азота. Полимеризацию ведут в присутствии других полимеризующихся производных винила, используемых преимущественно в качестве эмульгатора. П. Ч.

**5464 П. Соплимеры акрилонитрила** (Acrylonitrile copolymers) [American Cyanamid Co.]. Англ. пат. 695449, 12.08.53

Соплимер содержит акрилонитрил (85—93 ч.) и аллиловый и (или) метиллиловый спирт (15—7 ч.). Из сополимера получают ориентированные волокна, используемые для изготовления изделий с высокой свето- и погодоустойчивостью. З. Р.

**5465 П. Волокнообразующие сополимеры акрилонитрила и изопропенилпиридина. Глусенкэмп, Хэм** (Fiber-forming copolymers of acrylonitrile and

isopropenylpyridines. Gluesenkamp Earl W., Ham George E.) [The Chemstrand Corp.]. Пат. США 2674592, 6.04.54

Получаются сополимеры, содержащие (в вес.%): 85—99 акрилонитрила и 1—15 соединения, содержащего группу  $\alpha$ -,  $\beta$ - и  $\gamma$ -изопропенилпиридина и изопропенилпиридина, имеющие одну метильную группу в гетероциклич. кольце. А. Р.

**5466 П. Получение синтетических волокон. Трентентози, Хэм** (Synthetic fiber preparation. Trentozzi Quirino A., Ham George E.) [Monsanto Chemical Co.]. Пат. США 2687393, 24.08.54

Для получения синтетич. волокон предлагается р-р в N,N-диметилпропионамиде тройного сополимера, состоящего из 80—92% акрилонитрила, не менее 2% соединения, содержащего N-гетероциклич. кольцо и полимеризующийся олефиновый радикал в боковой цепи, и 18% моноолефиновых мономеров, которые полимеризуются с акрилонитрилом. П. Ч.

**5467 П. Растворы полиакрилонитрила** (Acrylonitrile polymer solutions) [British Celanese, Ltd.]. Англ. пат. 712999, 4.08.54 [J. Soc. Dyers and Colourists, 1954, 70, № 11, 518 (англ.).]

Приведены составы смесей р-рителей полиакрилонитрила, которые имеют большую растворимость, чем каждый из компонентов. Хорошую растворяющую способность имеют смеси нитрометана с лактонами алифатич. оксикислот, алкиленциклокарбонатами, циклич. ангидридами насыщ. алифатич. дикарбоновых к-т,  $\beta$ -нитро- и  $\beta$ -цианэтаноллами, нитро- и цианзамещенными высших гомологов этанола (содержащие полярный атом или группу, в которой у каждого углерода находится более двух нитро- или цианозамещенных спиртов), ненасыщ. алифатич. к-тами с константой диссоциации  $K = 2 \cdot 10^{-3}$  при 25° или безводн. смесь нитрометана (50 вес.%) и циклич. ангидрида ненасыщ. алифатич. дикарбоновой кислоты. П. Ч.

**5468 П. Растворы полимеров и сополимеров акрилонитрила** (Solutions of polyacrylonitrile and acrylonitrile copolymers) [British Celanese Ltd.]. Англ. пат. 712990, 4.08.54 [J. Soc. Dyers and Colourists, 1954, 70, № 11, 518 (англ.).]

Патентуются следующие р-рители полиакрилонитрила: безводн.  $HCOOH$ , водн. р-ры  $HCOOH$  с конц-ней  $\leq 70\%$ , смеси этих р-ров с другими р-рителями полиакрилонитрила и водн. смеси  $HCOOH$  и  $(HCOO)_2$ . П. Ч.

**5469 П. Способ получения высокомолекулярных продуктов путем поликонденсации. Шлак** (Verfahren zur Herstellung von hochmolekularen Polykondensationsprodukten. Schlack Paul) [Farbenfabriken Bayer A.-G.]. Пат. ГФР 897625, 23.11.53 [Chem. Zbl., 1954, 125, № 17, 3841 (нем.).]

Патентуется способ получения высокомолекулярных продуктов путем поликонденсации, по которому высокомолекулярные эфиры, содержащие амидные группы, высаживают с диизоцианатами в присутствии или отсутствии р-рителей или при нагревании до т-ры выше т-ры плавления этих в-в. Напр., нагреваются аминановая, адипиновая к-ты, и декаметилециклич. в атмосфере  $N_2$  до 225° и затем полимеризуются с октаметилдиизоцианатом при 200°. Таким путем получают нити, фольгу. Г. С.

**5470 П. N-виниламиды диалкиламинохлоридов. Кэрнс, Сауэр** (Vinyl dialkylaminohydrocarbonamides. Cairns Theodore Le Sueur, Sauer John C.) [E. I. du Pont de Nemours and Co.]. Пат. США 2628224, 10.02.53

Патентуется полимер из N-виниламида аминокислоты, у которой водороды аминогруппы замещены

алкилами с 1—18 атомами С. Третьей валентностью азот связан с углеводородным остатком класса алкиленов, ариленов, циклогексенов. Этот остаток состоит из 2—12 атомов С и связан непосредственно с карбоксимидной или сульфамидной группой, содержащей яннил при азоте. Т. Ш.

5471 П. Способ получения полиамидов (Procédé pour la production de polyamides) [Badische Anilin und Soda-Fabrik]. Англ. пат. 1046281, 4.12.53 [Bull. Inst. text. France, 1954, № 47, 165 (франц.)]

Патентуется способ получения полиамидов из продукта конденсации эквимолекулярных кол-в 1,4-диаминоциклогексанов и дикарбоновых к-т или смеси других диаминов и дикарбоновых к-т с аминокислотными к-тами. Вместо 1,4-диаминоциклогексана можно применить аналогичные продукты или галоген-, алкил-, гидроксилпроизводные. Из дикарбоновых к-т рекомендуются адипиновая, пимелиновая, азелаиновая, субериновая к-ты; из диаминов — гекса-, гепта-, окта- и другие метилendiаминны, 4,4'-диаминодициклогексилметан и др.; из аминокислот применяют  $\epsilon$ -аминокапроновую,  $\omega$ -аминогептановую и  $\omega$ -аминооктадекановую к-ты. Конденсация проводится при 200—300° без доступа  $O_2$  в присутствии стабилизатора под давлением. П. Ч.

5472 П. Способ получения продуктов поликонденсации в виде линейных полиамидов. Хофф, Уфер (Verfahren zur Herstellung von Kondensationsprodukten von der Art der linearen Polyamide. Hopff Heinrich, Ufer Hanns) [Badische Anilin und Soda-Fabrik A.-G.]. Пат. ГФР 902089, 18.01.54 [Chem. Zbl., 1954, 125, № 18, 4048 (нем.)]

Патентуется способ получения продуктов в виде линейных полиамидов конденсацией аминокислотных к-т или их лактамов или сополиконденсацией их с другими соединениями, образующими полиамиды, с добавлением карбоновых к-т или аминосоединений, который заключается в том, что конденсацию производят с добавкой соединений, которые содержат, наряду с одной карбоксильной и аминогруппой, самое малое 2 OH-группы или одну эфирную группу. По такому типу конденсируется адипгексаметилендиамин с  $\epsilon$ -капролактамом и диэтаноломином. Получают нити, фольгу, ленты. Г. С.

5473 П. Получение полиамидов, содержащих  $\alpha$ -аминобензойную кислоту. Уитли, Фишер (Production of polyamides containing a para-aminobenzoic acid component. Wheatley Edward William, Fisher James Wotherspoon). Пат. США 2688011, 31.08.54

Полиамид получается из  $\alpha$ -аминобензойной к-ты или ее производных, способных образовывать амиды, с полиметиленидиаминными и полиметиленидикарбоновыми к-тами. Полиметиленовые компоненты должны иметь четное число  $CH_2$ -групп и в сумме содержать не более 14 атомов С. Кол-ва взятых полиметиленидиамина и дикарбоновых к-т должны быть строго эквимолекулярны, а кол-во взятой аминобензойной к-ты должно составлять 5—25 мол. % от общего кол-ва исходных мономеров. А. П.

5474 П. Способ получения высокомолекулярных поликонденсационных продуктов. Шик, Беймлер, Эбель (Verfahren zur Herstellung hochmolekularer Kondensationsprodukte. Schick Otto von, Bäumler Rudolf, Ebel Friedrich). Пат. ГФР 896412, 12.11.53 [Chem. Zbl., 1954, 125, № 19, 4296 (нем.)]

Поликонденсационные высокомолекулярные продукты получают при нагревании диамида или имида утолщной к-ты или алкилазамещенных этих к-т, содержащих самое наименьшее один атом Н в амидных группах, с диаминами, аминогруппы которых разделены

цепочкой, состоящей больше чем из 3 атомов С, до образования продуктов, способных выпрядаться. Напр. нагревается 1,6-гексаметилендиамин с мочевиной, гидразодикарбонамидом, этилендимочевинной или гуанидином. Вместо гекса-может быть применен также тетра- или пентаметилендиамин. По такому способу получают нити, фольгу, формованные изделия. Г. С.

5475 П. Способ регенерации лактамов из разбавленных водных растворов. Шлак (Verfahren zur Wiedergewinnung von Lactamen aus verdünnten wäßrigen Lösungen. Schlack Paul) [Bodding A.-G. für Textil-Faser]. Пат. ГФР 913172, 10.06.54 [Chem. Zbl., 1954, 125, № 48, 11088 (нем.)]

Водный р-р лактама обрабатывают плохо растворимыми или нерастворимыми в воде одно- или многоатомными фенолами (4,4'-диоксифенилсульфон, фенол) или их р-рами в органич. р-рителях (сложные эфиры или галоидные производные углеводородов), затем лактам (напр.,  $\epsilon$ -капролактан), отделяют дистилляцией. П. Ч.

5476 П. Растворение и очистка полиэфиров. Клейне, Зиггел (Process for dissolving and purifying poly-esters. Kleine Johannes, Siggel Erhard). Канад. пат. 503749, 22.06.54

Патентуется способ растворения и очистки полиэтилентерефталатов, отличающийся тем, что применяемые р-рители являются органич. соединениями, содержащими два цикла, соединенных или непосредственно, или через  $-O-$ ,  $-CO-$ ,  $-(CH_2)_n-$  мостики ( $n$  — целое число от 1 до 4), и (или) частично или полностью гидрированные. Могут применяться и смеси этих р-рителей. Органич. соединения с двумя циклич. кольцами, которые содержат в кольце такие замещающие группы, как  $CH_3-$ ,  $CH_3O-$ ,  $C_2H_5-$ ,  $C_2H_5O-$ ,  $C_3H_7-$  и  $C_3H_7O-$ , также могут служить р-рителями. Полиэфиры растворяются в одном из указанных р-рителей при 160—240° и при охлаждении р-ра полимеры осаждаются. П. Ч.

5477 П. Способ получения из смешанных полиэфиров шелка, способного вытягиваться на холоду. Снайдер (Verfahren zur Herstellung kalt streckbarer Polyesteremischungen. Snyder Mark Dagenkolb) [E. I. du Pont de Nemours and Co.]. Пат. ГФР 874956, 27.04.54 [Chem. Zbl., 1954, 125, № 17, 3841 (нем.)]

Шелк из полиэфиров, способный вытягиваться на холоду, получают путем придания высокомолекулярных линейных смешанных полиэфиров из эфира полиметилентгличколя ациклической дикарбоновой к-ты и одной или нескольких ароматич. дикарбоновых к-т. В качестве к-т пригодны, напр., пробковая, азелаиновая, себаиновая, оксидивалериановая или терефталевая, этилен-ди- $\alpha$ -оксисбензойная или 2,6-нафталиновая к-ты. Полученные полимеры смешиваются в расплавленном виде. Г. С.

5478 П. Получение ацетилцеллюлозы. Ватакабе, Охара (Acetylcellulose. Watakabe Zenichi, Ohara Seisaku) [Dai Nippon Celluloid Co.]. Япон. пат. 3142, 3.07.53 [Chem. Abstrs, 1954, № 14, 8541 (англ.)]

Ацетилирующая смесь  $(CH_3CO)_2O$ ,  $CH_3COOH$  (1:2) встряхивается при  $-22^\circ$  в течение 12 мин. и затем 850 кг этой смеси смешивается с 18 кг  $H_2SO_4$  и 120 кг хлопкового пуха, предварительно обработанного смесью  $CH_3COOH$  и  $H_2SO_4$ . Р-ция ацетилирования начинается при  $(-22^\circ)$ . После 1 часа обработки т-ра реакционной смеси повышается до  $35^\circ$ , а после 1,5 часа составляет  $30^\circ$ . По истечении 2,5 час. не оставалось непрореагировавшей целлюлозы. А. С.

5479 П. Получение ацетилцеллюлозы. Нодзу (Acetylcellulose. Nozu Ryusaburo). Япон. пат.



3495, 22.07.53 [Chem. Abstrs, 1954, 48, № 13, 7900 (англ.)]

Обезжиренный хлопок (50 г) кипятят 15 час. с 1% NaOH, отжимают, промывают водой и сушат. Затем препарат обрабатывают р-ром, содержащим 350 мл  $\text{CH}_3\text{COOH}$ , 350 мл  $(\text{CH}_3\text{CO})_2\text{O}$  и 1 г  $\text{BF}_3$ , и оставляют стоять на 100 час. при 25°. После промывки и сушки получают апетиллюлозу, содержащую 15–16% апетильных групп.

Е. К.  
5480 П. Производство эфиров органической кислоты и целлюлозы (Production of organic acid esters of cellulose) [Celanes Corp. of America]. Англ. пат. 706522, 31.03.54 [Chem. Abstrs, 1954, 48, № 17, 10343 (англ.)]

Ранее описанный в англ. пат. 665725 процесс улучшения следующим образом: целлюлоза, содержащая 5% воды, предварительно обрабатывается в 2 стадии вышней жирной к-той в присутствии 4–9% воды (включая воду, присутствующую в целлюлозе) в течение 2 мин. и затем низшей жирной к-той, содержащей 3–15% катализатора, применяемого для этерификации в течение не более 15 мин. Обработанная таким способом целлюлоза затем этерифицируется. А. С.

5481 П. Способ и устройство непрерывного формирования органических высокополимеров из расплава. Цоллер, Фридрих, Траутман (Verfahren und Vorrichtung zum kontinuierlichen Verformen, insbesondere Verspinnen organischer Hochpolymerer aus dem Schmelzfluß. Zoller Robert, Friederich Alfred, Trautmann Günther) [Phrix-Werke A.-G.]. Пат. ГФР 887691, 27.08.53 [Textil-Praxis, 1954, 9, № 2, 197 (нем.)]

Расплавленную массу по окончании полимеризации или поликонденсации или после быстрого повторного расплавления твердого полимера вносят в сборник, который способен вместить кол-во расплавленной массы, предназначенной для прядения, на большое число часов, и охлаждают до т-ры, немного выше т-ры плавления. Непосредственно перед прядением в прядильном устройстве масса нагревается до требуемой т-ры прядения. Т. С.

5482 П. Прядение полиакрилонитрила. Мартин (Spinning acrylonitrile. Martin Emmett V.) [Eastman Kodak Co.]. Пат. США 2697023, 14.12.54

Патентуется способ прядения полимеров, преимущественно из акрилонитрила, основанный на получении вязкой массы из полиакрилонитрила, которую продавливают через фигурные отверстия в ванну осадительную ванну, не содержащую диссоциирующих солей; после выхода из ванны фигурные нити тотчас сушатся при т-ре  $>70^\circ$ . П. Ч.

5483 П. Волокна из акрилонитрила (Acrylonitrile fibers) [American Cyanamid Co.]. Австрал. пат. 152590, 13.08.53

Усовершенствование произ-ва полиакрилонитрильных волокон, согласно австрал. пат. 147858, заключающееся в обработке волокна во время или после вытяжки жидкой смесью, содержащей антистатич. агент, и постепенном высушивании вытянутого волокна при продвижении его по спиральному пути. Р. М.

5484 П. Получение волокон из полимеров или сополимеров акрилонитрила (Verfahren zur Herstellung von Gebilden aus Polymerisaten oder Mischpolymerisaten des Acrylnitrils) [Phrix-Werke A.-G.]. Австр. пат. 177874, 10.03.54 [Chem. Zbl., 1954, 125, № 34, 7781 (нем.)]

Формование волокон из р-ров полимеров производится по сухому способу с фильерной вытяжкой  $>300\%$ . Полученное волокно подвергается дополнительной горячей обработке. Формование производится из 25%-ных р-ров полиакрилонитрила в диметилформамиде через фильеры с диаметром отверстия 0,2 мм по сухому

методу в обогреваемую шахту. Скорость прядения 350 м/мин. Полученное волокно вытягивается при  $100^\circ$  в 4 раза и разрезается на штапельки. Штапельное волокно обрабатывается горячей водой. З. Р.

5485 П. Способ и приспособление для формирования волокон из полимеров или сополимеров акрилонитрила по сухому способу (Procédé et dispositif pour le filage du polyacrylonitrile de copolymères ou polymérisats mixtes) [Phrix-Werke A.-G.]. Франц. пат. 1046392, 7.12.53 [Chem. Zbl., 1954, 125, № 48, 11089 (нем.)]

Для уменьшения деструкции и окрашивания полиакрилонитрила при формировании по сухому способу вокруг фильеры сделан канал, который предотвращает соприкосновение горячего воздуха или другого газа со свежесформованным волокном. Горячий воздух противотоком омывает волокно лишь на некотором расстоянии от фильеры. П. Ч.

5486 П. Способ получения растворов полиакрилонитрила или его сополимеров с хорошей прядимостью (Procédé de préparation d'une solution facilement filable à base de polyacrylonitrile et de ses copolymères et polymérisats mixtes) [Phrix-Werke A.-G.]. Франц. пат. 1046391, 7.12.53 [Chem. Zbl., 1954, 125, № 48, 11089–11090 (нем.)]

Для получения хороших прядильных р-ров (слабоокрашенных, однородных, хорошо фильтрующихся и обладающих хорошей прядимостью) из полиакрилонитрила или его сополимеров рекомендуется периодически на короткое время повышать и понижать т-ру в процессе получения прядильного р-ра. Целесообразно непосредственно перед прядением нагреть р-р до  $70-80^\circ$ , а затем (в прядильной головке) — до т-ры прядения  $100^\circ$ , особенно рекомендуется циркуляция р-ра насосом. Прядильный р-р, не содержащий пузырьков воздуха, получают так же, если р-р до поступления в фильеру быстро нагреть в тонком слое до  $100^\circ$ . П. Ч.

5487 П. Производство синтетических волокон из полимеров и сополимеров акрилонитрила (Production of synthetic fibres from polymers and copolymers of acrylonitrile) [American Cyanamid Co.]. Австрал. пат. 152104, 16.07.53

Усовершенствование метода получения полиакрилонитрильных волокон, согласно австрал. пат. 147858, заключающееся в том, что волокно вытягивается, двигаясь по касательной между двумя цилиндрич. поверхностями, вращающимися с неодинаковой скоростью, после чего вытянутое волокно высушивается. Р. М.

5488 П. Получение нитей, пленок, способных окрашиваться кислотными красителями (Procédé de fabrication d'un produit formé, tel que film ou fil, susceptible de se teindre par des colorants acides, et produit obtenu par ce procédé) [E. I du Pont de Nemours]. Швейц. пат. 286066, 2.02.53 [Chem. Zbl., 1954, 125, № 9, 2087 (нем.)]

Пленки и нити, способные окрашиваться кислотными красителями, получают из сополимеров акрилонитрила и 2–10% фенилпиридина или его алкилпроизводных. При получении указанных сополимеров в качестве катализаторов применяются:  $\alpha$ -карбамиллазообутиронитрил,  $\alpha\alpha'$ -азо-бис-( $\alpha$ - $\gamma$ -диметилвалеронитрил),  $\alpha\alpha'$ -азо-бис-( $\alpha$ -фенилпропионитрил) или  $\alpha\alpha'$ -азо-бис-( $\alpha$ -циклопропилпропионитрил). Г. С.

5489 П. Прядение волокон из поливинилового спирта по мокрому способу (Wet spinning of polyvinyl alcohol fibres) [Kurashiki Rayon Kabushiki Kaisha]. Англ. пат. 716951, 20.10.54 [Brit. Rayon and Silk J., 1955, 31, № 368, 86 (англ.)]

Для повышения стабильности высоковязких водн. р-ров поливинилового спирта рекомендуется добавлять желатину, клей или другие гидрофильные в-ва

(напр., турецкое красное масло и мыло). Такие р-ры могут применяться при 25°.

**5490 П.** Прядение волокон из поливинилового спирта по мокрому способу. Толяма (Wet spinning of polyvinyl alcohol-type synthetic fibers. Тоуама Ниденари *et al.*) [Mitsubishi Rayon Co.] Япон. пат. 6220, 2.12.53 [Chem. Abstrs, 1954, 48, № 20, 12418 (англ.)]

Прядут 15%-ный водн. р-р поливинилового спирта при 45° в ванну, содержащую 380 г/л  $\text{Na}_2\text{SO}_4$  и 80 г/л  $\text{ZnSO}_4$ , затем нагревают 1 мин. при 60° в ванне, содержащей 380 г/л  $\text{Na}_2\text{SO}_4$ , промывают водой, вытягивают на 250% и нагревают 45 сек. при 100° и 45 сек. при 210°. Прочность волокна в сухом состоянии 4 г/дене, удлинение 24%.

**5491 П.** Формование волокна из сополимера, содержащего основное количество винилиденхлорида. Арита (Spinning of a copolymer composed mainly of polyvinylidene chloride or vinylidene chloride. Arita Hideo) [Asahi Chemical Industries Co.] Япон. пат. 622, 16.02.53 [Chem. Abstrs, 1954, 48, № 3, 1699 (англ.)]

Сополимер винилиденхлорида и винилхлорида (88 : 12) нагревается при 180° и из него формируется волокно пропуская через размятченную массы через сопло диам. 0,8 мм в воду с т-рой 10°. Затем волокно вытягивается в 3,7 раз при 75—85°. Получается волокно с общим титром 880 дене и с прочностью 2,15 г/дене. З. Р.

**5492 П.** Метод получения вискозного волокна. Дриш, Хербак (Process for the production of rayon products. Drisch Nicolas, Herrbach Paul). Пат. США 2705184, 29.03.55

Метод получения вискозного волокна, преимущественно штапельного волокна, путем применения исходной целлюлозы со степенью полимеризации выше 700 без процесса предсозревания. Вискозный р-р имеет вязкость свыше 300 пуаз. На формование поступает вискозный р-р без предварительного созревания. γ ксантогената целлюлозы в прядильном р-ре, поступающем на формование, >70. Состав прядильной ванны: 25 г/л  $\text{H}_2\text{SO}_4$  и свыше 50 г/л  $\text{Na}_2\text{SO}_4$ . З. Р.

**5493 П.** Способ получения искусственного волокна. Кулджан (Verfahren zur Herstellung einer synthetischen Faser. Kuljian Harry Asdour). Швейц. пат. 288365, 16.05.53 [Chem. Zbl., 1954, 125, № 9, 2086 (нем.)]

Для предотвращения отложения серы на вискозном волокне, полученном по мокрому способу, удаляют кислород воздуха из осадительной ванны пропускаям  $\text{CO}_2$  или  $\text{N}_2$ .

**5494 П.** Сушка движущегося жгута искусственных волокон (Trocknen eines laufenden Taues oder Strauges aus künstlichen Fäden) [Courtaulds Ltd]. Пат. ГФР 862644, 12.01.53 [Textil-Praxis, 1953, 8, № 4, 342 (нем.)]

Жгут заправляется на движущийся транспортер. При этом он проходит через сушильную камеру и затем наматывается. Изобретение заключается в том, что высушенный жгут разматывается с внутренней стороны паковки в вертикальном направлении на две непрерывные ленты.

**5495 П.** Метод выделения меди из отработанных вод в производстве медно-аммиачного волокна с помощью новообменных смол. Шюрман, Герстнер (Verfahren zur Rückgewinnung des Kupfers aus Kupferammoniak- oder Kupferammonsalzkomplexlösungen, vornehmlich den Abwässern der Kupferoxydammoniakzellulose-Industrie, mit Harzaustauschern. Schürmann Max-Otto, Gerstner Franz). Пат. ГФР 902773, 28.01.54 [Textil-Praxis, 1954, 9, № 6, 581 (нем.)]

Отработанная прядильная вода, содержащая Cu частично или полностью в виде одновалентного соединения, пропускается через новообменник.

**5496 П.** Способ получения искусственных, хорошо окрашиваемых волокон из сложных эфиров целлюлозы. Хеккерт (Verfahren zur Herstellung von künstlichen, gut anfärbbaren Gebilden aus Celluloseestern. Heckert Winfield Walter) [Deutsche Rhodiaceta A.-G.]. Пат. ГФР 899996, 5.11.53 [Das Papier, 1954, 8, № 11/12, 162—163 (нем.)]

Для получения хорошо окрашиваемых волокон, нитей и других изделий из сложных эфиров целлюлозы, в особенности из ацетатов целлюлозы, в состав эфиров вводятся полимерные аминосоединения или их производные, которые состоят из природных полимерных аминокислот, или из полимеров производных аминокислот.

**5497 П.** Ацетилирование целлюлозных волокон в газовой фазе с применением в качестве катализатора водорастворимых солей. Мацунами, Судзуэ (Vapor-phase acetylation of cellulose fibers with the use of water-soluble salts as catalyst. Matsunami Naohiko, Suzue Kiyoyuki) [Oriental Rayon Co.]. Япон. пат. 1912, 8.05.53 [Chem. Abstrs, 1954, 48, № 8, 4835 (англ.)]

Целлюлозные волокна обрабатывают водн. р-ром  $\text{CH}_3\text{COONa}$  или  $\text{ZnCl}_2$  и затем ацетируют парами  $(\text{CH}_3\text{CO})_2\text{O}$ .

**5498 П.** Водно- и термостойчивый продукт из поливиниловых соединений. Имото, Осима (Water- and heat-resistant molded product from polyvinyl-type compounds. Imoto Eiji, Ohshima Keiji) [Kanagabuchi Textile Co.]. Япон. пат. 3692, 3.08.53 [Chem. Abstrs, 1954, 48, № 13, 7912 (англ.)]

Ацетилированные  $\text{CH}_2\text{O}$  волокна из поливинилового спирта погружаются при 30° в р-р, содержащий 20 ч.  $\text{H}_2\text{SO}_4$ , 10 ч. акролеина и 100 ч. воды, затем промываются и подвергаются тепловой обработке.

**5499 П.** Отбелка и ацетилирование поливиниловых волокон. Омори (Bleaching and acetalization of polyvinyl-type fibers. Ohmori Takashi) [Mitsubishi Rayon Co.]. Япон. пат. 762, 16.02.54 [Chem. Abstrs, 1954, 48, № 22, 14235 (англ.)]

Волокна, полученные после прядильной и тепловой обработки, сначала погружаются в нейтр. или щел. р-р  $\text{NaClO}$ , затем без промывки водой в ацетилирующую ванну для одновременного ацетилирования и отбелки.

**5500 П.** Метод улучшения прядильной способности волокон из регенерированной целлюлозы. Хуссонг (Verfahren zur Verbesserung der Verspinnbarkeit von Fäden oder Fasern aus regenerierter Zellulose. Hussiong Maximilian) [Zschimmer and Schwarz, vormals Chemnitz]. Пат. ГФР 900127, 21.12.53 [Textil-Praxis, 1954, 9, № 5, 481 (нем.)]

Улучшение прядильной способности достигается обработкой волокон водн. р-рами катионоактивных высокомолекулярных соединений, содержащих эмульсию высокомолекулярных, насыщ., ненасыщ. или хлорированных углеводов.

## ЖИРЫ И МАСЛА. ВОСКИ.

### МЫЛА. МОЮЩИЕ СРЕДСТВА. ФЛОТОРЕАГЕНТЫ

**5501.** Возможные ресурсы масла рисовых заводов Индии. Рао (Possibilities of oil resources from rice mills in India. Rao Y. K. Raghunath), Oils and Oilseeds J., 1955, 7, № 9, 14—15, 19 (англ.)

Рассмотрены пути организации экстракционных азов по получению масла из рисовых отрубей и использование масла и других продуктов, полученных из отрубей. Предложен простой способ, обеспечивающий сохранность качества отрубей в процессе их хранения.

В. Б.

**5502.** Из опыта работы дистилляционной установки. Папанов В. А., Маслоб.-жир. пром-сть, 1954, № 4, 23—25

Дана схема и описан режим работы дистилляционной установки, состоящей из трех непрерывно действующих колонн и предназначенной для выделения жирного масла из бензинового экстракта.

Н. З.

**5503.** Химическое исследование масла семян *Cucurbita pepo*. Нараянамурти, Ийер, Гангадхарам, Сирси (Chemical examination of the oil from the seeds of *Cucurbita pepo*. Narayanamurthy N. L., Iyer B. N., Gangadharan P. R. J., Sirsi M.), Indian J. Pharmacy, 1954, 16, № 7, 148—151 (англ.)

Изучалось масло (М) семян бангалорской разновидности *Cucurbita pepo*. Экстракцией измельченных семян четыреххлористым углеродом получают М светложелтого цвета, с приятным запахом, выход 33% от веса семян,  $d_{20}^{25}$  0,9417,  $n_D^{25}$  1,4720,  $\alpha_D +1,47^\circ$ , КЧ 6,79, число омыления 178,4, ацетильное число 10,6, и. ч. (Вийс) 119, число Рейхерта—Мейселя 5,3, число Поленска 2,1, число Геннера 89,8, неомыляемых 1,29%. Найдено, что М содержит 9,51% пальмитиновой, 7,93% стеариновой, 38,99% олеиновой и 43,49% линолевой к-т. Состав глицеридов: тринасыщ. 4,1%; динасыщ. мононасыщ. 12,81% мононасыщ. динасыщ. 14,4% и тринасыщ. 68,69%. Неомыляемые идентифицированы как ситостерин (ацетат, т. пл. 137—138°, из сл.).

Н. Л.

**5504.** Химическое исследование масла и муки семян *Mesua ferrea*. Митра (Chemical examination of nagawar (*Mesua ferrea*) nut oil and meal. Mitra Chittaganjan). Indian Soap J., 1954, 20, № 4, 100—102 (англ.)

Исследовались масло (М) и мука семян *Mesua ferrea* и способ рафинации М. Полученное экстракцией низкокипящим бензином с выходом 70% от веса ядра М имеет сильный неприятный запах, горький вкус,  $d_{20}^{25}$  0,9202,  $n_D^{25}$  1,4721, кислотное число (КЧ) 8,8, число омыления (ЧО) 203,2; и. ч. (Вийс) 81,1; цвет (Ловибонд, 1 см) 28 желтых + 5,6 красных. М освобождают от неглицеридных примесей экстракцией спиртом, после чего производят рафинацию р-ром щелочи. Затем М отбеливают и дезодорируют. Получают почти бесцветное (0,8 желтых + 0,2 красных) не горькое М, со слабым запахом,  $d_{20}^{25}$  0,9064,  $n_D^{25}$  1,4651, КЧ 0,5, ЧО 197,7, и. ч. 76,6. Шрот обрабатывают горячим спиртом и получают муку в виде легкого белого порошка с приятным вкусом и запахом. Мука содержит 7,1% влаги; 34,3% протеинов и 7,05% золы, в которой обнаружено 39,3 вес. %  $P_2O_5$ , 0,64%  $Fe^{3+}$ , Na, K и Ca. Из спирт. р-ра выделено 2,3% сахарозы (т. пл. 184—185°,  $\alpha_D^{25} +74,2^\circ$ , в воде); идентифицирована при помощи хроматографии на бумаге.

Н. Л.

**5505.** Химическое исследование масла семян *Albizia lebbek* Benth. Фарук, Варшней (Etude chimique de l'huile de la graine de *Albizia lebbek* Benth. Farooq M. O., Varshney Ishwar Prasad), Bull. Soc. chim. France, 1954, № 6, 739—741 (франц.)

Исследовано масло, полученное экстракцией петр. эфиром сухих семян *Albizia lebbek* Benth.  $n_D^{25}$  1,47033,  $d_{20}^{25}$  0,9254, содержание жиров в семенах 3,5%, число омыления 193,4, и. ч. 92,6, неомыляемых 9,5%; содержание жирных к-т 78,5%. На основании данных пере-

гонки метиловых эфиров жирных к-т установлено, что они содержат (в %) эфиры: пальмитиновой к-ты 7,26; стеариновой к-ты 9,63; арахисовой к-ты 10,89; олеиновой к-ты 39,28 и линолевой к-ты 32,94. Олеиновая к-та идентифицирована окислением до 9,10-диоксистеариновой к-ты, т. пл. 131°; линолевая — окислением до 9,10,12,13-тетраоксистеариновой к-ты, т. пл. 172—174° и образованием тетрабромидов, т. пл. 113°. Остальные к-ты идентифицированы по т-ре плавления смешанных проб.

Е. С.

**5506.** Химическое исследование масла семян *Albizia odoratissima*, Benth. Фарук, Сиддики (Etude chimique des lipides de la graine d'*Albizia odoratissima*, Benth. Farooq M. O., Siddiqui Saleem), Bull. Soc. chim. France, 1954, № 6, 741—743 (франц.)

Исследовано масло, полученное экстракцией петр. эфиром сухих семян *Albizia odoratissima*, Benth. Содержание жиров в семенах 3,4%,  $n_D^{25}$  1,4730,  $d_{20}^{25}$  0,9116, число омыления 174,9, и. ч. 114,5, неомыляемых 5,7%, содержание жирных к-т 87,5%. На основании данных перегонки метиловых эфиров жирных к-т установлено, что они содержат (в %) эфиры пальмитиновой к-ты 14,33; стеариновой к-ты 6,88; арахисовой к-ты 0,81; олеиновой к-ты 26,56 и линолевой к-ты 51,42. Твердые жирные к-ты идентифицированы по т-ре плавления смешанных проб, а жидкие — окислением до соответствующих оксистеариновых к-т и определением т-ры плавления последних.

Е. С.

**5507.** Спектроскопическое исследование масла, выделенного из семян граната. Алерс, Мак-Тэггарт (The spectroscopic examination of pomegranate seed oil. Ahlers N. H. E., McTaggart N. G.), J. Sci. Food and Agric., 1954, 5, № 2, 75—79 (англ.)

На основании УФ- и ИК-спектров поглощения указано на возможную пространственную конфигурацию (*цис-транс-изомэрию*) молекул пуниковой к-ты (существенной составной части масла, выделенного из семян граната), для которой ранее была установлена октадека-9,11,13-триеновая структура. В ИК-спектрах, кроме частот, характеризующих метиленые и метиленовые группы 3,5  $\mu$ , эфирные группы 5,7  $\mu$ , алифатич. цепочки ~14,0  $\mu$ , присутствуют три частоты, относящиеся к деформационным колебаниям групп СН у групп С=С, а именно (в скобках уд. коэф. экстинкции): 10,67 (0,366); 10,36 (0,159) и 10,11 (0,611)  $\mu$ . При сопоставлении со спектрами  $\alpha$ - и  $\beta$ -элеостеариновых к-т, находящихся в *цис-транс-транс* и *транс-транс-транс* формах, соответственно, можно обнаружить общее подобие частот в последней области в исследуемом в-ве, но с интенсивностью полосы 10,11  $\mu$ , вдвое меньшей, чем в *транс-транс-транс- $\beta$ -элеостеариновой* к-те. Это обстоятельство указывает на присутствие только одной *транс*- и двух *цис*-форм в исследуемой к-те. Интенсивная полоса 10,67  $\mu$  характеризует только одну *цис-транс*-диеновую пару, что соответствует, напр., спектру сопряженного *цис-транс*-линолеата-10,53 и 10,17  $\mu$ . Эти факты позволяют предполагать наиболее вероятным строение молекул исследуемой к-ты, как *цис-цис-транс*. Эти выводы находятся в согласии с данными УФ-спектров, в которых обнаруживается совокупность полос поглощения 265; 274,5; 285,5  $m\mu$ , похожих на соответствующие полосы в туиновом масле, элеостеариновой к-ты которого, как известно, имеет *цис-транс-транс*-триеновую структуру. Большое смещение максимумов полос масла граната в сторону длинных волн может свидетельствовать об увеличении числа *цис*-форм, т. е. подтверждает выводы, сделанные по ИК-спектрам поглощения.

Ю. Е.



5508. Применение метода галогенирования для определения общей ненасыщенности тунговых масел и элестеариновых кислот. Планк, Пак, Голдблатт (A halogenation method for the determination of the total unsaturation of tung oils and of eleostearic acids. Planck Ralph W., Pack Frank C., Goldblatt Leo A.), J. Amer. Oil Chemists' Soc., 1953, 30, № 10, 417—419 (англ.)

Вариант метода Розенмунда — Канхенна определения полной ненасыщенности тунговых масел и элестеариновых к-т (Benham G. H., Klee Leo, J. Amer. Oil Chemists' Soc., 1950, 27, 127, 130) видоизменен путем: 1) добавления катализатора  $(\text{CH}_3\text{COO})_2\text{Hg}$  к исследуемому маслу до введения реактива (пиридин +  $\text{H}_2\text{SO}_4$  +  $\text{Br}_2$  +  $\text{CH}_3\text{COOH}$ ), 2) определения и. ч. при частичной или полной защите от света на отдельных этапах анализа. Определяемые новым видоизмененным методом и. ч. для различных тунговых масел совпадают со значениями, полученными методом колич. каталитич. гидрирования. Для  $\alpha$ - и  $\beta$ -элестеариновых к-т полученные значения и. ч. близки к теоретическим. М. И.

5509. Исследование изомеризации линолевой кислоты в масле из виноградных косточек и соевом масле. Ригамонти, Гроза (Prove de isomerizzazione dei doppi legami dell'acido linoleico negli oli di vinaccioli e di soia. Riganmonti R., Gроза F.), Olearia, 1953, 7, № 7—8, 183—187 (итал.; резюме франц.)

Исследовались 2 метода изомеризации: длительное нагревание с Ni-катализатором или короткое нагревание с J или иодированными соединениями. При первом методе на результаты сильно влияет наличие в масле примесей (липидов и пр.), отравляющих катализатор; однако, пользуясь некоторыми типами активного угля в качестве носителя, можно получить высокое (до 18%) содержание к-т с сопряженными двойными связями. Можно также предварительно удалить примеси из масла, нагревая его до 100° с Ni-катализатором и отфильтровав адсорбированные на последнем примеси. При втором методе изомеризация вредное влияние примесей сказывается гораздо слабее. Оптимальным условием является нагревание в течение 7 мин. до 300° с 0,4% элементарного J; при этом получено до 30% конъюгированных кислот. З. В.

5510. Растворимость твердого гидрированного арахисового масла в жидком арахисовом масле. Мань, Ско, Фриман (Solubility of hydrogenated peanut oil in peanut oil. Manne Frank C., Skau Evald L., Freeman Andrew F.), J. Amer. Oil Chemists' Soc., 1954, 31, № 3, 113—114 (англ.)

Получены данные по растворимости гидрированного арахисового масла (АМ) в жидком рафинированном АМ и изучено поведение смесей при их охлаждении. Для изучения бралось гидрированное АМ с п. ч. (Вайс) 5 и рафинированное отбеленное АМ (и. ч. 93, 2; родановое число 72,5; содержание насыщ. к-т 17,3%; олеиновой к-ты 57,4%; линоленовой к-ты 25,3%). Растворимость определялась следующим методом: отмеренные кол-ва в-в, взятых в желаемых соотношениях, запаивались в стеклянные ампулы, которые закреплялись в движущемся механизме и при постоянном перемешивании выдерживались в бане с назначенной т-рой. Т-рой растворимости считалась средняя из двух т-р, при одной из которых кристаллы твердого жира внезапно исчезали, при другой — несколько кристаллов оставалось нерастворенными даже при длительном перемешивании. Для смесей, содержащих твердое АМ в % 0,63; 1,20; 2,03; 5,28 9,09; 17,76; 25,69; 50,71 и 75,37 определены соответственно т-ры растворимости в °С 42,8; 45,6; 49,5; 52,9; 55,5; 58,4; 60,8; 64,5; 66,2. Выявлены условия превращения низко плавящихся смесей в высоко

плавящиеся модификации. На примере 2,03%-ных и 5,28%-ных смесей показано, что быстро охлад. смеси после выдержки их в течение 30 мин. при 33,6° переходят в высоко плавящуюся модификацию и не проявляют тенденции к расслаиванию при хранении. М. С.

5511. Нейтрализация жиров с водно-солевой подкладкой. Шмидт А. А., Маслоб.-жир. пром-сть, 1954, № 8, 12—16

Метод щел. нейтр-ции жиров с водно-солевой подкладкой ускоряет процесс нейтр-ции и снижает отходы жира, так как при прохождении через водно-солевой р-р пленки соапстока разрушаются. Масло, очищенное гидратацией от примесей, способствующих образованию эмульсионных слоев, нагревают до 95—96°, вводят через распылители сначала 0,75—1,5%-ный р-р NaCl, нагретый до кипения, затем горячий р-р NaOH (конц-ия от 25—30 до 120—160 г/л, размер капли 0,1—0,2 г, избыток 8—10% для получения масла с конечной кислотностью 0,05%), оставляют на 1—2 часа и отделяют отстоявшееся масло. Водно-солевого р-ра берут 800—1000 л на 100 кг свободных жирных к-т. Создание наибольшей границы раздела между жиром и водно-солевой подкладкой способствует улучшению процесса. Высота слоя масла в нейтрализаторе должна обеспечивать наиболее короткий путь для пленок, но достаточный для полноты израсходования капли щелочи и равномерного распределения пленок. С. П.

5512. Некоторые дополнительные данные по рафинации центрифугированием под давлением. Салливан (Some further data on pressure system centrifugal refining. Sullivan Frank E.), J. Amer. Oil Chemists' Soc., 1955, 32, № 3, 121—123 (англ.)

Промышленный лецитин получается при гидратации сырого соевого масла с последующим центрифугированием. Работа открытого сепаратора лимитируется вязкостью выгружаемого продукта. При камеральных исследованиях с закрытым типом центрифуг получен больший выход лецитина: 80% в-в (на абс. сухое), не растворимых в ацетоне, вместо 66% при применении открытых сепараторов. При использовании центрифуг может быть получен для спец. целей продукт с низким содержанием не растворяющихся в ацетоне в-в, если увеличить обратное давление в контрольном клапане, расположенном в месте выгрузки масла. При одинаковом кол-ве не растворимых в ацетоне в-в, извлекаемых из 100 кг сырого масла, использование центрифуг дает дополнительный выход масла 0,58 кг на 100 кг сырого гидратированного масла. При рафинации поташем сырое масло тщательно смешивается с р-ром поташа, подогревается до 71—85° и сепарируется при 85—97°. Отделенное масло обрабатывается едким натром. Использование центрифуг при рафинации хлопкового и соевого масел поташем с последующей нейтр-цией щелочью дает снижение потерь масла и соапсток с большим содержанием общего жира (60%) и более низким содержанием нейтр. жира. При рафинации с применением аммиака его используют в качестве предварительно нейтрализующего агента. Масло после отделения на сепараторе рафинируется дополнительно едкой щелочью. Аммиачный соапсток подвергают нагреванию для сушки и рекуперации аммиака. Полученный продукт содержит жирные к-ты, нейтр. жир и фосфатиды и может быть использован в качестве питательной добавки к шроту. Этот метод также дает снижение потерь масла. При рафинации под давлением как поташем, так и гидроокисью аммония исключается образование пены. В. Б.

5513. Самоокисление. Лундберг (Autoxidation. Lundberg W. O.), J. Amer. Oil Chemists' Soc., 1954, 31, № 11, 523—528 (англ.)

Обзор результатов исследований в области само-окисления жиров и масел, в частности, выполненных спектрофотометрич. методом. М. К.

5514. Фотохимическое окисление эфиров жирных кислот в присутствии хлорофилла и без него. Ультрафиолетовые и инфракрасные спектры изучаемых продуктов. Хан, Толберг, Уилер, Лундберг (Photochemical oxidation of fatty acid esters with and without chlorophyll. Ultraviolet and infrared studies of products. Khan N. A., Tolberg W. E., Wheeler D. H., Lundberg W. O., J. Amer. Oil Chemists' Soc., 1954, 31, № 11, 460—466 (англ.).

Проведено УФ- и ИК-спектрофотометрич. изучение строения перекисей, полученных окислением метилового эфира олеиновой к-ты (I) и метилового эфира линолевой к-ты (II) в различных условиях; при этом особенно тщательно исследованию подвергнуты перекиси, образованные при фотохим. окислении в присутствии хлорофилла (III). I окислен до перекисного числа (ПЧ) 500—700 *мэкв/кг* в следующих условиях: а) на воздухе, 4 месяца при 25—30°; б) в 30%-ном гептановом р-ре на свету, 4 недели при 17—18°; в) в 30%-ном гептановом р-ре, 10 час. при 1—2°, в присутствии III (2 *мг/мл* в-ва) и г) 5 дней при 35° и облучении УФ-светом. II окислен до ПЧ 600 *мэкв/кг* в следующих условиях: 1) на воздухе, 9 недель при 0,3°; 2) в 30%-ном гептановом р-ре на свету, 3 дня при 17—18°; 3) в 30%-ном гептановом р-ре, в присутствии 2 *мг/мл* III при (—1) (—2°) (2 образца: 12 и 33 часа, причем второй достигал ПЧ ~ 5000 *мэкв/кг*); 4) 24 часа при 35° и облучении УФ-светом и 5) в присутствии медных солей жирных к-т майского масла, 36 час. при 25—30°. Продукты окисления в присутствии хлорофилла были освобождены от него адсорбцией последнего на активированном угле и сахаре. Колич. отделение перекисей от исходного материала осуществлено распределением в двухфазной системе вода — спирт — скелдисольв F, взятых в отношениях 7:40:47. Перекиси восстановлены до соответствующих окисосоединений 4—5-кратным избытком 0,5—1%-ного спирт. р-ра SnCl<sub>2</sub> (3 часа, при комнатной т-ре). ИК-измерения проведены с 10%-ными р-рами перекисей в CS<sub>2</sub> или тетрагидроэтаноле. Наиболее детально были исследованы области 10—11  $\mu$  (*цис-транс*-изомерия системы двойных связей), 2—4  $\mu$  (гидроксильные, гидроперекисные и углерод-водородные полосы) и 5—7  $\mu$  (карбонильная группа). Диеновая конъюгация у перекисей изучалась в УФ-свете при 234  $\mu$  (в спирт. р-ре). Были определены также иодные, гидроксильные и водородные числа полученных перекисей. Установлено, что при окислении I кислородом образовывались преимущественно *транс*-гидроперекиси, кол-во которых менялось в зависимости от условий окисления. По интенсивности основной линии определено, что перекиси, полученные в условиях «а», содержали ~ 75%, в условиях «б» — около 90%, а при фотохлорофильном окислении 97—100% *транс*-форм. Автоокисление II при низкой т-ре давало главным образом *цис-транс*-конъюгированные гидроперекиси; автоокисление при 25°, окисление на свету, в УФ-свете, а также в присутствии медной соли при т-ре выше 0° приводило к образованию *транс-транс*-конъюгированных гидроперекисей; в этом случае изомеризация в *транс*-положение происходила независимо от р-ции образования перекисей. При фотохлорофильном окислении II наряду с конъюгированными образовывалось некоторое кол-во перекисей, содержащих изолированные двойные *транс*-связи (снижение абсорбции при 234  $\mu$ , в ИК-спектре интенсивная полоса при 10,36  $\mu$ ). Значения водородных, иодных и гидроксильных чисел показали, что окисление I и

II при всех указанных условиях приводило к образованию мономерных перекисей. М. К.

5515. Коагуляция ядрового мыла и мыльной основы. Вебер (Die Koagulation von Kern- und Grundseifen. Weber K. L., Seifen-Öle-Fette-Wachse, 1955, 81, № 6, 140 (нем.; резюме англ., франц., исп.).

Рассмотрены некоторые вопросы, связанные с высаливанием мыла, которые автор рекомендует называть коагуляцией. Отмечены затруднения, встречающиеся при коагуляции мыла. З. М.

5516. Влияние режима отсаливания на ядровое мыло. Люринг (Beeinflussung der Kernseife durch überlegte Trennung. Lüring W., Seifen-Öle-Fette-Wachse, 1955, 81, № 5, 112 (нем.).

Описано влияние на свойства ядрового мыла трех основных факторов: состава электролитов, концентрации электролитов при высаливании и совместного влияния концентрации, примененной для высаливания щелочи и температуры. З. М.

5517. Определение ланолина в порошкообразных мылах для рук. Бернштейн, Хафтел, Грант (Determination of lanolin in powdered hand soaps. Bernstein R., Haftel M., Grant R., Soap and Chem. Specialties, 1954, 30, № 11, 48—49, 106 (англ.).

Для определения содержания ланолина (Л) в порошкообразных детергентах, состоящих из мыла, Л и измельченного в порошок грубого растительного материала (для механич. удаления загрязнений), предложен следующий метод: 10 г детергента экстрагируют петр. эфиром в аппарате Сокслета, упаривают досуха, остаток растворяют в хлф. и доводят объем до 250 *мл*, разбавляют 10 *мл* р-ра хлф. до 250 *мл*, охлаждают, прибавляют 10 *мл* (CH<sub>3</sub>CO)<sub>2</sub>O и постепенно по каплям 1 *мл* конц. H<sub>2</sub>SO<sub>4</sub> (за 10 мин.), оставляют на 20 мин. в темноте и затем колориметрируют при 640—700 *мк*. Строят калибровочную кривую (для чего применяют порции в 3, 6, 9, 12 и 15 *мл* стандартного р-ра Л — 1 г Л в 1 *мл*) в координатах: содержание Л в *мг* — показания колориметра. Далее проводят аналогичное определение в-в, реагирующих подобно Л («цветообразующих»), содержащихся в мыле и упомянутой порошкообразной составляющей детергента. Процент Л =  $2,5 \{ (A/B) - [(CD/100E) + (FG/100H)] \}$ , где А — *мг* Л в образце детергента (по стандартной кривой), В — вес образца в г, С — *мг* «цветообразующих» в мыльной составляющей, D — % мыла в детергенте, E — навеска мыла для определения С, F — *мг* «цветообразующих» в образце порошкообразного материала, G — % порошка в детергенте и H — навеска порошка для определения F. Точность метода  $\pm 0,14\%$ . М. К.

5518. Стандартизация окиси алюминия для хроматографирования витамина А. Уилки, Джонс (Standardization of alumina adsorbents for vitamin A chromatography. Wilkie J. B., Jones S. W., J. Assoc. Offic. Agric. Chemists, 1954, 37, № 3, 880—887 (англ.).

Проведено измерение адсорбционной активности хроматографической окиси алюминия путем адсорбирования на ней желтого красителя. Методика определения: взвешивают 1 г адсорбента в 50 *мл* стакан, добавляют 5 *мл* петр. эфира, перемешивают и приливают 1 *мл* петр. эфира, содержащего 0,5 *мг* желтого красителя. Все перемешивают 1 мин. и переносят на хроматографию. Колонку (диам. 12 *мм*), применяя для этого 10 *мл* петр. эфира. Колонку проявляют под вакуумом 25 *мл* петр. эфира. В фильтрате определяют содержание красителя спектрофотометрич. путем при 438 *мк*. Вычисляют общий процент красителя, остающегося на 1 г адсорбента — индекс относительной силы адсорбента. Проведено хроматографирование маргарина и определение в нем витамина А по вышеприведенному способу и

различных образцах окиси алюминия. Методом оптической нейтр-ции определено влияние примесей на поглощение витамина А при 325 мμ. Для этого выбрано отношение  $A_{310}/A_{325}$ . Показано, что поглощение при 325 мμ происходит в основном за счет витамина А и что примеси фактически не оказывают влияния на спектрофотометрич. определение витамина А. Т. Р. 5519. Очищающие средства для удаления воска с полов. Уасселл, Берджер (Wax removing floor cleaners. Wassell H. E., Berger L. D. Jr), Soap and Chem. Specialties, 1954, 30, № 11, 127—129, 152—153 (англ.)

Рекомендуемые очищающие средства для удаления воска с полов состоят из олеиновой к-ты, неионогенных моющих средств, триэтаноламина, моноэтаноламина, тринатрийфосфата, углекислой соды, водосмягчающих средств и воды. Приведено несколько подробных рецептов. Ф. Н.

5520. Измерение моющей способности методом стирки искусственно загрязненной ткани. Дил, Кроу (Detergency measurement using artificially-soiled cloths. Diehl F. L., Crowe J. B.), J. Amer. Oil Chemists Soc., 1954, 31, № 10, 404—408 (англ.)

Произведено определение моющей способности мыла и синтетич. моющих средств при помощи стирки в лабор. спиральной машине четырех образцов искусственно загрязненной ткани. Установлена хорошая воспроизводимость опытов, согласующихся с практическими данными по стирке белья с естественными загрязнениями. Ф. Н.

5521. Синтетические моющие средства из животных жиров. Сульфирование жирных спиртов, полученных из жира. Уэйл, Стертон, Байстали (Synthetic detergents from animal fats. The sulfation of tallow alcohols. Weil J. K., Stirton A. J., Bistline R. C. Jr.), J. Amer. Oil Chemists Soc., 1954, 31, № 11, 444—447 (англ.)

Описаны условия сульфирования различными сульфлирующими реагентами ( $\text{NH}_4\text{SO}_3\text{H}$ , серный ангидрид с пиридином, а также с диоксаном, хлорсульфоновая к-та с поваренной солью и с мочевиной, серная к-та с мочевиной). Дана физ.-хим. характеристика р-ров сульфоспиртов, полученных в различных условиях сульфирования. Оптимальным моющим действием обладает олеилсульфат. Ф. Н.

5522. Характеристика разных модификаций тетра-натрийпирофосфата. Цильске (Wirkungsweise verschiedener Modifikationen von Tetranatriumpyrophosphat. Zilske Heinz), Seifen-Öle-Fette-Wachse, 1954, 80, № 17, 434—435 (нем.; резюме англ., франц., исп.)

Описаны результаты сравнительных опытов, поставленных для характеристики трех различных тетра-натрийпирофосфатов (I), которые различались кристаллич. формой. Один состоял из кристалликов среднего размера, другой имел вид блестящих искринок и третий представлял собой нормальный кальцинированный продукт. В отношении скорости растворения лучшие результаты показал кристаллич. I. Он же оказался лучше по сравнению с кальцинированным I и в отношении меньшего содержания минер. в-в, остающихся на выстиранной ткани (зольность). Кристаллич. разновидность I показала очевидные преимущества перед кальцинированной, даже при одинаковом содержании  $\text{P}_2\text{O}_5$ . Даны графики для сравнения скорости растворения. З. М.

5523 П. Улучшенный топлёный свиной жир и способ его изготовления (Saindoux amélioré et son procédé de préparation) [Swift and Co.]. Франц. пат. 1066898, 10.06.54 [Chimie et industrie, 1954, 72, № 5, 973—974 (франц.)]

Способ изготовления улучшенного топлёного свиного жира состоит в нагревании расплавленного жира в присутствии катализатора. Внешний вид, кристаллич. структура жира, физ. свойства, в том числе и спектр X-лучей, становятся такими же как у гидрированного растительного масла. З. М.

5524 П. Гидроксильрование жирных веществ. Логан (Hydroxylation of fatty materials. Logan Roger L.) [Kessler Chemical Co., Inc.]. Пат. США 2688031, 31.08.54

Метод преобразования ненасыщ. жирных в-в, содержащих 11—22 атомов С, в полигидроксильные соединения состоит в том, что 65—75%-ный водн. р-р  $\text{H}_2\text{SO}_4$  подвергают анодному окислению в электролизере до надсерной к-ты, которая реагирует с жирным в-вом при 10—50°. Реакционную смесь перемешивают, отделяют продукт р-ции и подвергают гидролизу. Истощенный р-р надсерной к-ты может быть регенерирован до надсерной к-ты в анодном пространстве электролизера. Приведена схема установок. Г. С.

5525 П. Гидрирование жиров и масел. Уэно (Hydrogenation of fats and oils. Ueno Seichi). Япон. пат. 4231, 28.08.53 [Chem. Abstr., 1954, 48, № 15, 9036 (англ.)]

Способ гидрирования китового жира состоит в том, что смесь 200 г последнего, 9 г  $\text{CuSO}_4$  и 200 г воды 5 час. нагревают в автоклаве при 260° и 80 атм  $\text{H}_2$ ; получают смесь гидрированных жирных к-т, нейтр. масла, т. пл. 48,5—50,2°, и глицериновой воды. Отмечается специфическое действие  $\text{NiCO}_3$ . В. Ч.

5526 П. Непрерывное гидрирование ненасыщенных масел. Миллс (Continuous hydrogenation of unsaturated oils. Mills Victor) [The Procter and Gamble Co. of Canada, Ltd.]. Канад. пат. 504883, 3.08.54

Процесс частичного гидрирования в проточной системе ненасыщ. жиров., жирных к-т и эфиров состоит в том, что материал непрерывно пропускают через зону гидрирования (3Г) при 100—250° и 1,4—35 атм, где он интенсивно перемешивается с  $\text{H}_2$  и высокоактивным катализатором;  $\text{H}_2$  вводится в 3Г в кол-ве, необходимом для достижения желательной степени гидрирования и полностью используется. Катализатор находится в 3Г или пропускается через нее в тонкоизмельченном состоянии, причем часть использованного катализатора заменяют свежим. Степень гидрирования регулируют скоростью пропуска материала. В. Ч.

5527 П. Получение высших жирных спиртов из жиров и масел морских животных (Procédé de préparation d'alcools gras supérieurs à partir de graisses et d'huiles d'animaux marins) [Produits Chimiques du Sidobre]. Франц. пат. 1040468, 15.10.53 [Chem. Zbl., 1954, 125, № 42, 9653 (нем.)]

Для расщепления эфиров жирных спиртов, содержащихся в маслах и жирах, предложено применять алко-голиз, осуществляемый при участии спиртов, которые имеют самое меньшее 6 атомов С (n-гексильный, n-октиловый, изоктиловый спирты). Напр., нагревают в течение 7 час. смесь 500 ч. спермацетового масла, 70 ч. твердой NaOH и 350 ч. n-октилового спирта. Дистилляцией при пониженном давлении получают наряду с 385 ч. октилового спирта 215 ч. гексадецилового спирта и 315 ч. мыла. Аналогично из жира кашалота можно получить цетиловый и олеиловый спирты. Из спермацета—цетиловый спирт и Na-соли жирных к-т. Этот процесс легко протекает при атмосферном давлении. Н. Ф.

5528 П. Метод очистки насыщенных свободных жирных кислот и их производных. Дженесс (Method of purifying saturated free fatty acid and the products thereof. Jeness L. G.) [Humko Co.]. Англ. пат. 702870, 27.01.54 [J. Appl. Chem., 1954, 4, part 7, ii 106 (англ.)]



Патентуется метод очистки продуктов, приготовленных из гидрированных жиров, из перегнанных жирных к-т, полученных расщеплением жиров и масел, из технич. стеариновой к-ты и т. д. Продукты очищают распылением с р-рителем [безазол и (или) гептан (1 объем на объем смеси)], в котором насыщ. к-ты умеренно растворимы, а примеси растворяются в условиях процесса. В высокий вертикальный сосуд, имеющий перфорированное дно, покрытое фильтровальной тканью, вводят, напр., при 24° 18 л гептана и к-ты, полученные из темного гидрированного соевого масла (ИЧ 4,1; цвет 33, кислотность 87% в пересчете на олеиновую к-ту) при 19°. Через 1 час экстракт удаляют и остаток промывают свежей порцией р-рителя (18 л). После высушивания на воздухе получают продукт (цвет 5) с ИЧ 0,6 и содержанием к-т 99,1%. М. К.

**5529 П.** Производство мыла без запаха из низкосортных масел. **А б б и** (Manufacture of odourless soaps from low grade oils. **A b b e y A.**). Англ. пат. 710825, 16.06.54 [J. Amer. Oil Chemists, J., 1954, 31, № 10, 440 (англ.)]

Мыло без запаха, хорошей консистенции готовится (без образования пены) из низкосортных животных или растительных жиров и масел обработкой активированным углем жирных к-т, полученных расщеплением по Твитчелю и сплавлением со щелочью при 360° в отсутствие воды, при атмосферном давлении. Г. М.

**5530 П.** Маргарин с закваской. **Т е р а м о т о** (Fermented margarine. **T e r a m o t o S h i r o**). Япон. п. 188, 13.01.54 [Chem. Abstrs, 1954, 48, № 21, 13126 (англ.)]

Смесь, состоящая из сырых растительных и животных жиров и цельного или обезжиренного молока, заквашивается в анаэробных условиях культурой *Lactobacillus bulgaricus* или *Str. lactis*. В. Н.

**5531 П.** Заменитель копытного масла. **М а н н е с** (Klaueñölersatz. **M a n n e s L u d w i g**) [Henkel und Cie G. m. b. H.]. Пат. ГФР 908174, 1.04.54 [Chem. Zbl., 1954, 125, № 48, 11100 (нем.)]

Заменитель копытного масла состоит из смесей сложных эфиров жирных к-т с разветвленной цепью углеводных атомов или из смеси указанных жирных к-т с органич. соединениями, обладающими разветвленной цепью, состоящей не менее, чем из 10 атомов С и содержащей по крайней мере две ОН-группы. Такую смесь получают из синтетич. жирных к-т, отделяя к-ты с прямой цепью нагреванием Na-мыла со спиртом. Напр., из смеси жирных к-т, полученной из технич. продукта окисления гача по Фишеру после отделения неомыляемых в-в, выделяют фракцию с 10—18 атомами С, переводят ее в Na-мыло и кипятят со спиртом в целях отделения жирных к-т с разветвленной цепью. После разложения солей серной к-той, отгонки воды и спирта этерифицируют с глицерином. Получаемые таким образом продукты обладают большой способностью к сцеплению и свойствами смазок. С минер. смазочными маслами смешиваются во всех отношениях. Н. Ф.

**5532 П.** Заменители воска или смолы (Wachs-bzw. Harzersatzstoffe) [Deutsche Hydrierwerke A.-G.]. Пат. ГФР 876876, 18.05.53 [Chem. Zbl., 1954, 125, № 3, 681 (нем.)]

Масса для наващивания полов, для произ-ва крема, для чистки обуви и средств для полирования получается из алкоголятов металлов, которые могут быть приготовлены при воздействии щел., щел.-зем. или редкоземельных металлов, их амальгам, окисей, гидроксидов или реакционноспособных солей на высокомолекулярные, алифатич., циклоалифатич. или жирноароматич. спирты, напр. лауриловый, миристиловый и другие высокомолекулярные спирты, а также смеси, получаемые из жиров путем их восстановления, и других продуктов, содержащих спирты. Н. Ф.

**5533 П.** Процесс выделения воска из масел. **М а й е р с** (Process for dewaxing oils. **M a y e r s H a r o l d C.**) [Socony-Vacuum Oil Co., Inc.]. Пат. США 2674565, 6.04.54

К р-ру обрабатываемого масла, содержащему воск, добавляют воду в кол-ве 2,5% — 100% (для разных р-рителей), в результате чего получается смесь вода-воск-масло-р-ритель. Эту смесь обрабатывают поверхностноактивным в-вом, взятым в кол-ве, не менее 0,1%, но меньше, чем то, при котором может образоваться эмульсия р-рителя в воде. В результате обработки образуется дисперсия, в которой смесь р-рителя, масла и воска является сплошной фазой, а вода — диспергированной. Затем дисперсию охлаждают; при этом воск выделяется из р-рителя, а вода вымораживается и затем отфильтровывается вместе с воском. Н. З.

**5534 П.** Очищающий состав. **К и н н и** (Detergent composition. **K i n n e y P a u l W.**) [General Aniline and Film Corp.]. Пат. США 2702277, 15.02.55

Очищающий состав содержит растворимое в воде синтетич. неомогенное поверхностноактивное в-во, которое получается из соединения, содержащего по крайней мере 6 атомов С и подвижный атом Н, имеющее не менее 4 оксигенильных групп в полиоксигенильной цепи, и от 5 до 40% водорастворимой соли — сополимера низкомолекулярного алкилвинилового эфира с маленовой к-той. З. М.

**5535 П.** Очищающие составы, улучшающие стойкость пены. **К ю п е р и**, **Ф а н д е р б е р к** (Detergent compositions having improved foam persistence. **S u p e r y M a r t i n E., F u n d e r b u r k G e o r g e O.**) [E. I. du Pont de Nemours and Co.]. Пат. США 2702278, 15.02.55

Патентуется состав для очистки предметов от жировых загрязнений, содержащий пенящееся органич. моющее средство некатионного типа и N-додциламетамид. Кол-во последнего не менее чем 20% от веса указанного моющего средства и не более того кол-ва, которое можно перевести в состояние сопряженного растворения в воде под влиянием находящегося в составе моющего средства. З. М.

**5536 П.** Очищающие составы, повышающие стойкость пены. **Ф а н д е р б е р к**, **Г у р к а** (Detergent compositions having improved foam persistence. **F u n d e r b u r k G e o r g e O., H u r k a V i c t o r R.**) [E. I. du Pont de Nemours and Co.]. Пат. США 2702279, 15.02.55

Состав для очистки предметов от жировых загрязнений, содержащий моющее средство, принадлежащее к группе С-алкилбетаинов и N-алкилбетаинов (алкилрадикалы содержат 10—16 атомов С), и присадку. Не растворимая в воде присадка является продуктом конденсации 1 моля додецилового спирта с 1 молем окиси этилена. Кол-во присадки не менее чем 10% от веса соединения бетаина и не более того кол-ва, которое может перейти в состояние сопряженного растворения в воде под действием соединения бетаина. З. М.

См. также: 3597, 3599, 4191, 4192, 4224, 4225

## УГЛЕВОДЫ И ИХ ПЕРЕРАБОТКА

**5537.** Некоторые вопросы производства чистой глюкозы. **В а н е ч е к**, **Ш п а ч е к** (Některé problémy výroby čisté glukosy. **V a n ě č e k R., Š p a č e k M.**) *Průmysl potravin*, 1955, 6, № 3, 140—144 (чеш.; резюме рус., нем., англ.)

Изложены методика и результаты исследований зависимости окраски антигидридной глюкозы от содержания в ней железа. Определение окраски производилось

на фотоколориметре Ланга и сравнивалось с дистилл. водой. Были установлены отклонения в определениях и результатах с полученными ранее на основе методов, предписываемых чехословацкой фармакопеей. Эти отклонения объясняются тем, что для устранения влияния процесса мутаротации глюкозы, после прибавления к ее р-ру  $\text{NH}_4\text{OH}$ , необходимо поляризацию определять не ранее, чем через 20 мин. Приведен метод подсчета навески ангидридной глюкозы для поляриметра со шкалой Венске, при которой отсчетные градусы поляризации дают непосредственно уд. способность вращения глюкозы. Н. Б.

5538. Гидролизинулина минеральными кислотами. Головин П. В., Герасименко А. А., Тр. Киевск. технол. ин-та пищ. пром-сти, 1954, № 14, 54—57

Исследовались продукты гидролиза чистого инулина (И) георгины при действии минер. к-т различных конц-й. Гидролиз И проводился при конц-ии его от 1,5 до 17,5 г на 100 мл р-ра с 1,48% (0,388 н.) и 2,74% (0,759 н.)  $\text{HCl}$  и 1,21% (0,254 н.)  $\text{H}_2\text{SO}_4$ . В первом случае гидролиз проводился при 80° в течение 30 мин., в третьем — при 80° в течение часа, во втором — при 67—70° в течение 2,5 мин. В продуктах гидролиза определялись общее кол-во редуцирующего сахара, кол-во фруктозы и содержание И в процентах по весу общего сахара. Показано, что р-ры И при низких конц-иях (от 1,5 до 10 г/л) гидролизуются полностью. При повышении конц-ии И кол-во общего сахара (в % по весу И) уменьшается, что объясняется авторами недостаточным кол-вом взятой к-ты. Вид к-ты и условия гидролиза на результаты не влияют. Для производственных условий рекомендуется работа с 10%-ным р-ром И, так как в этом случае происходит наиболее полное выпадение фруктозата кальция. Н. Б.

5539. Определение технологического качества сахарной свеклы. Сироченко (Визначення технологічної якості цукрових буряків. Сіроченко І. А.), Доповіді АН УРСР, 1954, № 4, 267—270 (укр.; резюме русс.)

Для технологич. оценки сахарной свеклы по общепринятой методике требуется получить 25—50 л диффузионного сока, очистить их известью и  $\text{CO}_2$ , выпарить и полученный сироп довести путем кристаллизации до доброкачественности кормовой патоки. Проведенными опытами доказана возможность производить технологию. оценку свеклы более простым способом: 250 г сиропа, полученного после выпаривания очищ. диффузионного сока, высушивают до полного удаления влаги, отщипывают 6,5 г сухого остатка, добавляют к навеске 25 мл насыщенного сахаром смеси из метилового спирта и  $\text{CH}_3\text{COOH}$  (1000 мл 86%-ного метилового спирта + 50 мл крепкой  $\text{CH}_3\text{COOH}$  насыщают в течение 8 суток сахаром при комнатной т-ре) и фильтруют. Осадок на фильтре промывают безводным метиловым спиртом и таким образом полученный сахар-сирец взвешивают и подвергают анализу. На основе полученных данных рассчитывают выход патоки, имея в виду, что насыщенная сахаром смесь метилового спирта и  $\text{CH}_3\text{COOH}$  не растворяла сахара в сухом остатке сиропа. Г. Б.

5540. Качество сахарной свеклы и ее переработка. Драховская, Шандера (Jakost a zpracování cukrovky. Dražňovská M., Šandera K.), Chem. zvesti, 1955, 9, № 2, 108—128 (чеш.; резюме русс., нем.)

Доклад на съезде химиков в Банской Штявнице, июль 1954 г. Рассмотрено влияние семян, агротехники, вирусных заболеваний и т. п. на качество свеклы и значение качества ее на хранение, извлечение сахара, очистку и выпаривание соков и кристаллизацию са-

хара. Отмечена необходимость разработки методов оценки качества свеклы. Е. Ш.

5541. Получение диффузионного сока. (По работам Исследовательского института венгерской сахарной промышленности). Силин П. М., Сахарная пром-сть, 1955, № 3, 7—12

Приведены результаты исследований Г. Оплатка с сотрудниками по разработке теории диффузионного процесса и по ее практич. применению для регулирования работы диффузионных аппаратов. Г. Б.

5542. Кондуктометрический контроль извлечения сока из свеклы. Шандера (Konduktometrická kontrola těžení šťavy. Šandera K.), Listy cukrovarn., 1955, 71, № 2, 32—34 (чеш.; резюме русс., нем.)

Описан кондуктометрич. метод контроля работы диффузионной батареи. Дана схема установки. Показано преимущество метода при выявлении ненормальностей в работе батареи. Приведены примеры применения метода. Е. Ш.

5543. Непрерывная последняя сатурация. Сметана (Nepřetržitá poslední saturace. Smetana Miroslav), Listy cukrovarn., 1955, 71, № 1, 17 (чеш.)

Обсуждается пригодность в сахарном производстве непрерывной последней сатурации, преимущества которой, заключающиеся в ускорении темпа работы на сатурации, экономии труда, снижении амортизационных расходов, возможности механизации, автоматизации, — оправдывают внедрение непрерывнодействующих сатураторов в пром-сть. При условии равномерной работы з-да, хорошего обслуживания сатурации можно и на ней получать хорошие результаты. Во избежание пересатурирования сока — при менее точном соблюдении режима работы — рекомендуется щелочность отсатурованного сока на сатурации держать несколько выше оптимальной. Конструкторам необходимо усовершенствовать непрерывно действующие сатураторы, в особенности в части поступления  $\text{CO}_2$ . Е. Ш.

5544. Применение на сахарном заводе смол, удаляющих известь и красящие вещества. Лабушер (L'emploi des résines décalcifiantes et décolorantes en sucrerie. Labouchère A.), Sucrierie belge, 1954, 74, № 5—6, 135—136 (франц.)

В Голландии применяются различные синтетич. смолы (иониты) как для удаления извести из соков, направляемых на выпарку, так и для обеспечивания клеровок желтых сахаров. Через иониты пропускают сначала мессе, а затем более окрашенные клеровки с Бр 60 при 75°. И. К.

5545. Распределение несахаров в желтом сахаресексе и выбор метода очистки. Силина Н. П., Сахарная пром-сть, 1955, № 3, 17—19

При включении внутрь кристаллов сахара большого кол-ва маточного р-ра следует рекомендовать возможно более полную очистку как клеровки желтого сахара, так и зеленой патоки. Если же большую роль в загрязнении желтого сахара играет маточный р-р, прилипающий к поверхности кристаллов, то аффинация такого сахара даст наилучший эффект очистки. Опытами по измерению электропроводности р-ров аффинированного сахара было установлено, что наибольшее кол-во несахаров желтого сахара находится в пленке маточного р-ра на поверхности кристаллов и, следовательно, внедрение аффинации значительно повысит качество желтого сахара. Г. Б.

5546. О работе Всесоюзной конференции по проблеме «Исследование процессов уваривания и кристаллизации сахаристых веществ». Попов В. Д., Тр. Киевск. технол. ин-та пищ. пром-сти, 1954, № 14, 203—206]

Программа и краткое содержание докладов на Всесоюзной конференции, состоявшейся 25—28 мая 1954 г. в Киевском технологическом ин-те пищевой промышленности.

Г. Б. 5547. Использование хвостиков свеклы на сахарных заводах. Гошпее (Zužitkování kořínkového odpadu v cukrovaroch. Hospes Bohumil), Listy cukrovarn., 1954, 70, № 9, 209—211 (чеш.).

Рекомендуется из хвостиков свеклы получать сброженный корм. Приведена схема произ-ва непосредственно на сахарном з-де. Показана рентабельность способа.

Е. Ш. 5548. Стабилизация свекольного сока, предназначенного для поляризметрического анализа. Ружьё, Сезер (Sur la stabilisation des jus de betterave en vue d'un examen polarimétrique. Rougieux René, Césaire Georges), Compt. rend. Acad. agric. France, 1954, 40, № 19, 762—763 (франц.).

Добавление к свекольному соку, обработанному свиновым уксусом, нескольких капель р-ра диоксида калия предохраняло р-р от почернения. Указанное воздействие объясняется подавлением деятельности ферментов.

И. К. 5549. О неучтенных потерях сахара. Бенин Г. С., Скорбилин С. Ф., Сахарная пром-сть, 1954, № 7, 14—16

Для установления величины неучтенных потерь сахара при переработке свеклы были проведены заводские опыты, при которых, помимо точного анализа продуктов произ-ва и взвешивания свеклы и кормовой патоки, производилось также взвешивание диффузионного сока и густого сиропа. В результате 20-суточного наблюдения было установлено, что для работы з-дов в период сентябрь — декабрь месяцы неучтенные потери на диффузии составляют 0,07%, при очистке и выпаривании сока 0,25% и в продуктовом отделении з-да 0,09% при суммарных неучтенных потерях в размере 0,41% к весу свеклы.

Г. Б. 5550. Получение этерифицированного крахмала из промышленных отходов. Тот (Keményitőszármazékok (éter) előállítására hulladékokból. Tóth Jenő), Budapesti mezőgazd. és élelm. tud. akad. Kém. technol. tanszékének évk., 1952, III—1954. VIII, Budapest, 1954, 202—205 (венг.; резюме русс., англ.).

Для использования отходов крахмального произ-ва низкий сорт (третий) пшеничного крахмала, а также крахмал дикого каштана этерифицировался монохлоруксусной к-той в щел. среде в молярных соотношениях 1:1:2. Получаемые продукты по свойствам аналогичны щел., водорастворимым монохлоруксусным эфирам целлюлозы (тилозе); они применяются в текстильной пром-сти, в с. х. (для защиты растений) и т. п.

Н. Б. 5551. Изучение крахмала. Часть IV. Понятие о структуре. Часть V. Щелочные и кислые процессы фракционирования крахмала. Часть VI. Характеристика фракционированных продуктов. Часть VII. Свойства крахмальных растворов и кинетика дезагрегации крахмала. Бауэр, Пачу (Starch studies. Part IV. Concepts of structure. Part V. Alkali and acid processes of starch fractionation. Part VI. Characterization of fractionation products. Part VII. Properties of starch solutions and the kinetics of starch disaggregation. Bauer Albert W., Pasu Eugene), Text. Res. J., 1953, 23, № 12, 853—877 (англ.).

Часть IV. В разделе, трактующем о структуре крахмала (К), изложены свойства амилозы и амилопектина и современные теории строения крахмального зерна. Приведены различные структурные ф-лы и изложена теория Думацера о его строении. В выводах указывается, что хим. и аналитич. методы не могут доказать

правильности рассмотренных теорий строения К.

Часть V. Изучение щел. и кислотного процессов фракционирования при различных конц-ях суспензии к-ты, щелочи, т-рах и времени нагрева позволили установить оптимальные условия процесса. Для щел. дезагрегации К конц-я щелочи должна быть 0,5—1,0 н., pH 10,0 (начальное), конц-я суспензии ~ 5%. Процесс заканчивается при 60° в течение 3 мин. Для кислотной (HCl) дезагрегации конц-я суспензии 11% и менее, к-ты 0,07 н. и время нагревания 35 мин.

Часть VI. В качестве характеристики продуктов разделения К приведены результаты определения мол. веса обеих фракций, полученных щел. и кислотными методами. Мол. вес устанавливался 3 способами: определением вязкости р-ров, иодным титрованием конечных групп и изменением светорассеивания. Для иодного титрования подробно изложены методика работы и цифровые результаты экспериментов.

Часть VII. Приведены результаты работ по изучению свойств р-ров К с целью установления кинетики распада его молекулы. Опыты проводились со щел. К, р-ры которого были получены при разной т-ре и со смесью амилозы и амилопектина. Изучались влияние ионов на дезагрегацию К и изменение вязкости его р-ров при различных т-рах. Показано, что для дезагрегации К недостаточна его щел. обработка, при нагревании до т-ры 60° и выше наступает гидролиз связей амилозы и амилопектина в К. Изучение вязкости р-ров и термодинамич. расчеты подтверждают концепции авторов.

Н. Б. 5552. Исследование структурной вязкости крахмального клейстера в вискозиметре с катящимся шариком. Куриленко О. Д., Недужий А. А., Тр. Киевск. технол. ин-та пищ. пром-сти, 1954, № 14, 112—115

Исследовалось влияние продолжительности клейстеризации картофельного крахмала (К) на структурную вязкость его клейстера (0,5% К), определявшуюся в вискозиметре с катящимся шариком (видоизмененном Горюновским). Время клейстеризации 5—120 мин. Результаты определений нанесены на 2 графика. При повышении т-ры определения структура клейстера постепенно разрушается и практически исчезает при 70—80°. Условия клейстеризации амилозы и амилопектина К отличаются, и максимум структурообразования у них имеет место при разной продолжительности клейстеризации.

Н. Б. 5553. Производство пектина из цитрусовых отходов. Мак-Криди, Оуэне (Pectin — a product of citrus waste. McCready R. M., Owens H. S.), Econ. Bot., 1954, 8, № 1, 29—47 (англ.).

Количество цитрусовых отходов составляет в США 2 000 000 т в год. Краткий обзор современных познаний в области хим. структуры пектина, физ. свойств и разложения его под влиянием ферментов. Описание технологии произ-ва пектина из кожуры лимонов, апельсинов и грейпфрутов: измельчение кожуры, промывание холодной водой с целью экстрагирования пектина слабым р-ром HCl или H<sub>2</sub>SO<sub>4</sub> при pH 2,0 и т-ре 80—100° в течение 30—60 мин. Отделение полученного р-ра прессованием или на вибрирующих ситах, осветление р-ра фильтрованием или центрифугированием при 60—70° с добавлением 0,5—1,0% диатомита, охлаждение, упаривание в вакууме, сушка в распылительной или барабанной сушилке или сушка на воздухе с предварительным осаждением спиртом. По другому методу концентрат получают путем осаждения р-ра сернокислым алюминием с последующей нейтрацией р-ра содой и аммиаком до pH 4,2—4,4 и прессованием. Для уплотнения полученного густка добавлял небольшое кол-во сульфата меди. Полученные препараты пектина очищают переосаждением спиртом. Низкоме-



токсигированный пектин получают осаждением водн. р-ров разб. р-рами к-ты. Т. С.

5554. Получение патоки из арбузов. Иванченко, Тибенский (Výroba meduzmelónov slovenského pôvodu. Ivančenko D., Tibenský V.), Chem. zvesti, 1954, 8, № 2—3, 106—111 (чеш.; резюме русс., нем.)

Описан способ изготовления из арбузов патоки, разработанный авторами на основе работ советских специалистов. Л. Ш.

5555 П. Процесс очистки сока. Вилкунд (Process for purifying juice. Wiklund Olof) [Svenska Sockerfabriks Aktieföretaget]. Канад. пат. 508210, 14.12.54

Метод очистки свекловичного сока с применением преддефекации, основной дефекации, сатурации  $\text{CO}_2$  и фильтрации отличается тем, что преддефекационный сок подвергается обработке  $\text{CO}_2$  до получения пересатурированного сока; при низком значении щелочности кол-во образующегося осадка должно быть достаточным для образования стабильного агрегатного состояния осажденных в-в с осадком  $\text{CaCO}_3$ . Вслед за преддефекацией осуществляются основная дефекация и вторичная обработка дефекованного сока  $\text{CO}_2$  до оптимальной щелочности с последующей фильтрацией. Щелочность пересатурированного на преддефекации сока должна составлять 0,015 г  $\text{CaO}$  на 100 мл, а оптимальная щелочность при вторичной обработке сока на 1-й сатурации  $\text{CO}_2$  должна быть 0,08 г  $\text{CaO}$  на 100 мл сока. Эти условия сохраняются и при прогрессивной известковой преддефекации непрерывного действия и при частичном возврате на преддефекацию пересатурированного нефильтррованного сока 1-й сатурации, для получения которого часть нормально отгзованного сока подвергается дополнительной обработке  $\text{CO}_2$ . Г. Б.

5556 П. Производство декстрана. Уиммер (Fabrication de dextranes. Wimmer Ernest L.) [The American Sugar Refining Co.], Франц. пат. 1063835, 7.05.54 [Chimie et industrie, 1954, 72, № 3, 492 (франц.)]

Водный р-р декстрана подвергается обработке гидроксидом щел.-зем. элемента в кол-ве, достаточном для осаждения комплекса декстрана и щел.-зем. гидроксидов. Этот комплекс затем обрабатывается к-той для образования не растворимой в воде щел.-зем. соли, после чего осадок ее и р-р декстрана разделяются. Н. Б.

См. также: 4226, 4227, 1003Бх, 1095Бх

## БРОДИЛЬНАЯ ПРОМЫШЛЕННОСТЬ

5557. Экспериментальные работы по непрерывному сбраживанию. Тот, Тенгерди (Folytonos üzemű erjesztési kísérletek. Tóth Jenő, Tengerdy Róbert), Budapesti műszaki egyetem mezőgazd. kőm. technol. tanszékének évk., 1952, III—1954, VIII, Budapest, 1954, 114—125 (венг.; резюме русс., англ.)

Опыты проводились для выяснения влияния на непрерывное брожение конц-ии спирта, сахара, кол-ва дрожжей и интенсивности подачи питательной среды. Установлено, что конц-ия сахара в питательном р-ре должна быть высокой и брожение должно поддерживаться на постоянном и высоком уровне, так как при интенсивном питании происходит обновление дрожжей. Непрерывное брожение дает большие выходы спирта, примерно на 0,4% против периодического (разница в уносе спиртовых паров вместе с  $\text{CO}_2$ ); обсуждается метод произ-ва дрожжей при весьма разведенном питании. И. Б.

5558. Исследование влияния продувания воздуха на процессе сушки, проведенное на пневматической однопрусной сушилке фирмы Мюер. Грюневальд (Untersuchungen über den Einfluß des Luftdurchsatzes auf den Darrvorgang bei pneumatischen Einholdendarren, durchgeführt an einer Mügerdarre. Grünewald Julius), Brauwelt, 1954, № 92B, 1373—1376, № 93—94 B, 1389—1390 (нем.)

Экспериментально показано, что путем уменьшения интенсивности продувания слоя солода после отнятия определенной части влаги на однопрусной пневматич. сушилке можно сократить время сушки с 21 ч. 40 м. до 18 ч. 15 м. Ускорение процесса достигается повышением т-ры за счет просасывания меньшего кол-ва воздуха через калорифер. Такой режим, помимо ускорения сушки, обеспечивает экономии расхода топлива и электроэнергии, предлагаемый режим сушки может применяться и на многоярусных сушилках. С. Ш.

5559. Некоторые взгляды на состав ячменя и его поведение при солодоращении. Прис, Эйткен, Поттер (Some aspects of barley composition and malting behaviour. Preece I. A., Aitken R. A., Potter R. T.), J. Inst. Brew., 1954, 60, № 2, 142—149 (англ.)

Испытан 31 образец ячменя и приготовленного из него солода трех сортов: Фрея, Спратт-Арчер, Карлсберг, полученных из различных районов Англии. В ячмене определялись: азот, вес 1000 зерен, активность целлюлазы; в солоде: экстрактивность, диастатич. активность, показатель разрыхления, вязкость лаб. сусла. Считают, что определение этих показателей целесообразно, но не всегда достаточно для правильной оценки качества ячменя и солода. С. С.

5560. Коллоидная стойкость пива. Вандамм (La stabilité colloïdale de la bière. Vandamme Jean), Petit j. brasseur, 1955, 63, № 2537, 203—205 (франц.)

Рассматриваются основные свойства коллоидов пива. Указывается, что для получения пива с высокой колл. стойкостью необходим тщательный отбор солода и несоложенного сырья. Солод должен быть изготовлен из ячменя с низким содержанием белка, хорошо разрыхленным. Применение риса и кукурузы в кол-ве 30% в виде несоложенного сырья не вызывает никаких затруднений. Кукуруза дает пиво более мягкого вкуса. При затирании pH должен быть равен 5,2. Для лучшей коагуляции кипячение сусла с хмелем должно проводиться при pH, близком к изоэлектрич. точке белков. В. Ж.

5561. Контроль варочного процесса. Джонстон (Scientific control of brewhouse procedure. Johnston J. H. St.), Brewers' Guardian, 1954, 83, № 4, 19—30; Brewers' J. (London), 1954, 90, № 1063, 153—157 (англ.)

Для контроля приготовления сусла предлагается определять: т-ру при затирании, угол оптич. вращения, конечную степень сбраживания, содержание N в сусле по Кьельдалю (осаждением фосфовольфрамовой к-той по Бишопу или трихлоруксусной по Бизерте и Скрибану), pH, выход экстракта, т-ру кипячения (при кипячении под давлением), содержание  $\alpha$ -горькой к-ты хмеля колориметрич. методом с ацетатом свинца, коагуляцию белков при кипячении. Особое внимание должно уделяться контролю коагуляции белков, имеющей важное значение для произ-ва бутылочного пива высокой стойкости. Коагулируемый белок определяется в горячем сусле, состав белков по фракциям — в холодном отстое на всех стадиях охлаждения. Разбираются оптимальные условия для выпадения белков. Л. Ш.

5562. Сульфаминная кислота как средство для удаления пивного камня и очистки в пивоваренной про-

мышленности. Ньюмейстер (Sulfamic acid for beerstone removal and cleaning purposes in the brewing industry. Neumeister J. Fred), Amer. Brewer, 1953, 86, № 10, 43—44 (англ.)

Предлагается новое, высокоэффективное средство для удаления пивного камня  $\text{HO}-\text{SO}_2-\text{NH}_2$ . Эта к-та кристаллич. в-во без запаха, не обладающее летучестью и гигроскопичностью. Растворимость в воде при 25° — 24,2 г на 100 г воды и при 80° — 47,1 г. К-та обладает высокой степенью диссоциации, 0,5 М р-р (4,85%) имеет pH 0,6, в то время как для серной к-ты эта величина составляет 0,25, а для молочной — 2,1. Все соли сульфаминной к-ты хорошо растворимы в воде; соль кальция, основного элемента пивного камня, растворяется в кол-ве 79 г на 100 г воды. Путем однократного нанесения щеткой 3%-ного водн. р-ра на поверхность после одночасового воздействия удаляется 90% слоя пивного камня. При эмалированных танках можно удалить пивной камень еще быстрее горячей к-той при 65—70°. Для удаления пивного камня из стальных или алюминиевых транспортных бочек рекомендуется циркуляция 0,2—2%-ного р-ра и затем мойка на бочкомоечной машине. Паста из 3% сульфаминной к-ты, дрожжей и кизельгура является хорошим средством для чистки меди.

Л. Ш.

5563. Исследования пастеризации пива в потоке. Вейтхауэр (Untersuchungen zur Durchfluß pasteurisation von Bier. Weithauer), Braucerei, 1954, 8, № 6 (нем.)

Биологической лабораторией Стокгольмского пивоваренного о-ва изучалось влияние различных факторов на температурную восприимчивость некоторых микроорганизмов и отсюда был определен режим пастеризации пива в потоке, в пластинчатом теплообменнике. По полученным данным составлена диаграмма наклонных прямых, позволяющая найти необходимую длительность пастеризации для заданной т-ры и вида микроорганизма. Установлено, что различие в конц-ии микроорганизмов не меняет угла наклона прямых. Повышенное содержание  $\text{CO}_2$  в пиве позволяет снизить т-ру пастеризации на 3°. Кол-во живых микроорганизмов после пастеризации относилось к первоначальному числу клеток как 1:10<sup>12</sup>. Для исследованных микроорганизмов повышение т-ры на 1° дает тот же эффект, что и удлинение времени пастеризации на 100%. Делается вывод, что принятая т-ра пастеризации 65° и время 20 сек. могут быть несколько уменьшены. И. О.

5564. Углеводный состав сусла и пива. Гертсе (Carbohydrate composition of wort and beer. Gjersten P.), J. Inst. Brew., 1953, 59, № 4, 296—30 (англ.)

С помощью хроматографии на бумаге были разделены углеводы сусла и пива. Для разделения углеводов более сложного строения, чем трисахариды, была применена новая смесь р-рителей, состоящая из этилацетата, уксусной к-ты, воды и этилового спирта в соотношении 9:3:9:1. В пяти образцах сусла, приготовленных по инфузионному методу из пяти разных образцов солода, были найдены: фруктоза, глюкоза, мальтоза, трисахарид, тетрасахарид, пентасахарид, гексасахарид и гептасахарид. Несмотря на различный режим соложения ячменя и различие по его сорту углеводный состав сусла не отличался значительно по своему составу. Содержание сбраживаемых сахаров хорошо совпало с величиной конечной степени сбраживания. Общее содержание углеводов в сусле составляло 90—92% от величины экстракта сусла. В пиве были найдены: мальтоза, изомальтоза, следы двух неидентифицированных сахаров, два трисахариды и высшие сахара, такие же как и в сусле. Пентозы не были определены ни в сусле, ни в пиве.

Л. Ш.

5565. Эффективность действия бактерицидной лампы БУВ-15. Преображенский А. А., Тр. Всес. н.-и. ин-та пивоваренной пром-сти, 1953, № 3, 95—100

В работе установлена эффективность действия выпускаемых отечественной пром-стью бактерицидных ламп низкого давления из увиолевого стекла (БУВ-15), излучающих максимум энергии в ультрафиолетовой части спектра с длиной волны 2537 А. В микробиологич. исследованиях были использованы микроорганизмы, обычно встречающиеся в пивоваренном и безалкогольном произ-вах — дрожжи, плесневые грибы, молочнокислые бактерии. Рекомендуется применение ламп для дезинфекции воздуха в боксах и посевных комнатах при микробиологич. работах и для дезинфекции минер. вод.

А. П.

5566. Новые достижения в виноделии и хранении вин. Демоломб (Nouveaux progrès dans la vinification et la conservation des vins. Demolombe R.), Agriculture (Paris), 1954, 17, № 155, 131—132 (франц.)

Отмечается прогресс в винодельческой пром-сти районов Руссийона и Н. Лангедока (департамент Восточные Пиренеи), отличающихся разнообразием выделяемых вин. Улучшены технология вина, винодельческие машины и утилизация отходов. Испытываются новые способы обработки вин — оксигенация, ультрафиолет, ультразвуки, электрич. ток.

Н. П.

5567. Показатель качества вина. Гарнио-Каннина (Indice di vinosità. Garino-Canina E.), Italia vinic. ed agrar., 1954, 44, № 5, 101—105 (итал.)

Химико-биологические особенности и различие состава отдельных сортов винограда определяют качество получаемых из них вин. Они могут служить ориентиром при определении назначения сорта без его технологич. испытания, т. е. быть «показателем качества вина». Так, сорта винограда с небольшим содержанием сахара и к-т пригодны для массового произ-ва вин быстрого потребления; сорта с малым содержанием сахара и большой кислотностью, что указывает на неполное созревание винограда, идут на произ-во спирта; сорта с умеренным содержанием сахара и к-т даютординарные вина; сорта с высокой сахаристостью и умеренной кислотностью обеспечивают получение высококачественных вин; сорта с высокой сахаристостью и малой кислотностью дают десертные сладкие вина. Содержание дубильных, красящих, пектиновых и других в-в сильно влияет на органолептич. свойства вина и их состав.

Н. П.

5568. Вина микрорайона Пуркар. Купча (Винариите микрорайонулуй Пуркар. Купча П. И.), Садоводство, виноградарство и виноделие Молдавии, 1954, № 5, 40—43; Грэднэрикул виеритул ши вини ритул Молдовеи, 1954, № 5, 44—48 (молд.)

Установлены лучшая технология и лучший состав виноградных сортов (сепаж) для красных пуркарских столовых вин. Для получения качественных вин целесообразно увеличить насаждения сортов винограда Мерло и Мальбек и перевести на привитую культуру сорт Саперави. Лучшим найдено вино при следующем составе виноградных сортов: Каберне 50%, Пара нягра 30%, Гаме фрео 4%, Мерло 10% и Мальбек 6%. Н. П.

5569. Значение дрожжевых автолизатов для повышения качества вина. Попова Е. М., Виноделие и виноградарство СССР, 1954, № 5, 15—18

Введение в вино дрожжевых автолизатов, как в выдержку вина на дрожжах, имеют целью обогащение среды биокатализаторами и аминокислотами и в связи с этим усиление всех биохим. процессов. Преимущество введения дрожжевых автолизатов заключается в том, что среда (вино) при этом обновляется, обогащается аминным азотом, ферментами, важными ком-

лексными соединениями и эстеразами дрожжей; исключается бактериальное загрязнение вина, повышается его питательная ценность, активность ферментативной системы и процессов обмена в-в. Описываются способы получения дрожжевых автолизатов. Лучшие результаты дали дрожжевые автолизаты, полученные при 48—50°.

Н. П.  
5570. Влияние мезги на образование метанола. Франсо, Жофруа (Influence des matières solides de la vendange sur la formation du méthanol. Francot P., Geoffroy P.), Progr. agric. et vitic., 1954, 142, № 40—41, 197—201 (франц.).

Источником метанола в вине являются пектиновые в-ва мезги (кожицы ягод). Чем дольше продолжается контакт сока с твердыми частями грозди, тем более пектиновых в-в переходит в вино и тем более содержание в нем метанола. В белых винах из белого и красного винограда и в шампанском метанола меньше, чем в красных винах. Найдено следующее содержание метанола в опытных винах, изготовленных из сортов винограда пино черный и гро зеленый, в различных комбинациях (с разным участием гребней и кожицы или без них, при разной длительности настоя на мезге): вино (по белому) 35 мг/л; сусло + один гребень 35 мг/л; сусло + двойное кол-во гребней 61 мг/л; красное сусло на мезге 111 мг/л; красное сусло + одна кожица 100—130 мг/л; красное сусло + двойное кол-во кожицы 143 мг/л, красное сусло + двойное кол-во мезги 143 мг/л.

Н. П.  
5571. Брожение при низких температурах. Заллер (Gekühlte Gärung-Kaltgärung. Saller Walter) Österr. Weinzeitung, 1953, 8, № 4, 20 (нем.). См. РЖХим, 1953, 9879.

5572. Метод непрерывного брожения в первичном виноделии. Карагюз (Метода ферментарий неынтерруте или винизитул примар. Карагюз В. С.), Садоводство, виноградарство и виноделие Молдавии, 1954, № 5, 53; Грэдизитул, вверитул ши винизитул Молдовен, 1954, № 5, 56 (молд.).

Установка состоит из системы сообщающихся бродильных чанов (5—8). Сульфитированное сусло поступает в систему из напорного чана. Для привыкания сусла и дрожжей к повышенной дозе SO<sub>2</sub> и для энергичного брожения перед накачиванием сусла в напорный чан в него ежедневно вводят до 2% дрожжей из 3-го и 4-го чанов. Углекислота брожения отводится по трубам. Температурный режим устанавливается и поддерживать нетрудно. Вина получаются хорошего качества, прозрачные, стойкие при хранении.

Н. П.  
5573. Уход за молодым вином. Рентшлер (Die Behandlung der Jungweine. Rentschler H.), Schweiz. Z. Obst- und Weinbau, 1954, 63, № 24, 497—499 (нем.).

Для предохранения от побурения молодое вино, полученное из винограда, пораженного «благородной гнилью», необходимо хранить в полных бочках, а при склонности к побурению — сульфитировать. При здоровом винограде и соблюдении условий санитарии молодое вино следует снимать с дрожжей возможно скорее. В противном случае вино выдерживается на дрожжах 4—6 недель до завершения биологич. процесса превращения яблочной к-ты в молочную. Сульфитирование молодого вина тормозит этот процесс, нагревание же до 14—18° и прибавление углекислого кальция ускоряет его. Прибавление углекислого кальция необходимо при титровании кислотности молодого вина выше 8,5%. В дальнейшем состоянии молодого вина периодически проверяется дегустацией.

Н. П.  
5574. Десульфитация вина. Кильхёфер (Die Verminderung der schwefligen Säure im Wein. Kiehlhoffer E.), Dtsch. Weinbau, 1954, 9, № 10, 259—262 (нем.).

Десульфитация вина возможна испарением сернистой к-ты или окислением ее в серную. Испарение имеет место лишь в жарких странах. Для десульфитации сильно закуренного с осени сусла применяется способ десульфитации пропусканием пара и других газов с одновременным нагреванием. Для десульфитации вина применимы лишь воздух и кислород. Пропускание воздуха при т-ре подвала не дает хороших результатов из-за незначительной растворимости кислорода воздуха в вине. При пропускании чистого кислорода его растворимость увеличивается в 5 раз. При такой обработке в течение нескольких месяцев содержание SO<sub>2</sub> может быть уменьшено более чем на 100 мг/л. При опытной обработке теплом с продуванием воздуха уже через 3 недели содержание свободной SO<sub>2</sub> снижалось с 120 до 46 мг/л, а общей — с 297 мг/л до 210 мг/л. С установлением равновесия между содержанием свободной и связанной SO<sub>2</sub> десульфитация прекращалась. В этих опытах сколько-нибудь заметного снижения органолепич. свойств вина не наблюдалось.

Н. П.  
5575. Холод и вино. Конье (Le froid et le vin. Cognet R.), Monit. vinic., 1953, 98, № 99, 2 (франц.).

Обработкой вина холодом с соблюдением необходимых условий, его можно своевременно освободить от излишка таких в-в, которые иначе могут потом выпасть в осадок в бутылках. Обработка вина холодом наиболее эффективна в применении ее сразу же по окончании брожения сусла. Предварительная аэрация содействует лучшему осветлению. При большем содержании пектиновых и альбуминовых в-в требуется более сильное и более продолжительное охлаждение, за исключением мало кислотных и купажных вин. До охлаждения или одновременно с ним следует производить оклейку. Если за обработкой холодом следует даже незначительная тепловая обработка, вино предварительно нужно слить с осадка или профильтровать, или провести обе эти операции.

Н. П.  
5576. Химическое определение монобромуксусной кислоты в сусле, плодовом соке, пиве или вине. Хансен (Chemische bestimmung von monobromessigsäure in most, obstsaft, bier oder wein. Hansen Albert), Z. analyt. Chem., 1954, 143, № 1, 17—21 (нем.).

Предлагается метод качеств. и колич. определения монобромуксусной к-ты в соках, пиве и вине. Метод состоит в переводе брома монобромуксусной к-ты в бромид калия, в котором ион брома качественно определяется цветной р-цией с флюоресцином и количественно пометрически.

О. З.  
5577. Исследование горьких компонентов яблочного вина и яблочной водки (I). Нахождение и фотометрическое определение горьких компонентов. Маки (林檎酒及び林檎ブランデーの苦味成分に関する研究 (第1報). 苦味成分の検出及び定量. 横光章), 醸酵工學雜誌, Хакко когаку дзасси J. Ferment Technol., 1953, 31, № 10, 424—427 (япон.; резюме англ.).

Методом хроматографии на бумаге установлено, что одним из горьких компонентов яблочного вина и водки является тирозол. Фотометрич. методом в продажном яблочном вине найдено 22 мг % тирозола.

Н. П.  
5578. Определение возраста вина с помощью трития. Хеннинг (Bestimmung des Alters eines Weines mit Hilfe von Tritium. Hennig K.), Dtsch. Weinbau, 1954, 9, № 22, 678 (нем.).

Определение возраста вина по времени полураспада трития (изотопа водорода), содержащегося в вине, вследствие попадания его в виноград с дождевой водой, в которой он образуется под влиянием космич. лучей.



По мнению автора, этот метод является трудоемким и не дает точных данных. О. 3.

5579. Простой и удобный метод определения яблочно-молочного брожения в винах. Риберио-Гайон (Méthode simple et expressive de caractérisation de la fermentation malolactique des vins. Ribéreau-Gayon Pascal). Progr. agric. et vitic., 1954, 141, № 23—24, 358—361 (франц.)

Завершение процесса яблочно-молочного брожения, имеющее большое значение для произ-ва и хранения качеств. вин, доказывается отсутствием в вине яблочной к-ты, что наиболее удобно и достаточно точно определяется методом хроматографии на бумаге. Н. П.

5580. Определение различных форм кислорода в вине. Кульневич В. Г., Виноделие и виноградарство СССР, 1954, № 6, 12—18

Г. Г. Агабальянц с сотрудниками предложил (1952 г.) разграничивать в вине молекулярно растворенный кислород от активного кислорода органич. перекисей и окисных ионов тяжелых металлов. Автором улучшен разработанный ранее П. В. Кочергой метод определения кислорода по индикатормине (см. П. В. Кочерга, Тр. Краснодарского ин-та пищевой пром-сти № 6, 1949.). Сконструирован переносный аппарат для взятия проб и качеств. определения газа в вине. Разработана техника определения и дана ф-ла расчета содержания кислорода в вине. Для определения активного кислорода лучшими индикаторами найдены индикатормин и нейтр. красный. Н. П.

5581. Опыты в производственных условиях с аферрином, заменяющим желтую кровяную соль. Хеннинг (Großversuche mit Aferrin als Ersatz für Blauschönung Hennig K.), Dtsch. Weinbau, 1954, 9, № 13, 341—342 (нем.)

При обработке вина в производственных условиях аферрином (инозиттетракальцийтетрафосфат) было установлено, что аферрин удаляет железо из вина. Максим. кол-во железа, которое лишь в отдельных случаях оставалось в вине, не превышало 8 мг/л. Предварительные исследования показали, что аферрин безвреден и не влияет отрицательно на органолептические свойства вина. О. 3.

5532. Новые местные расы дрожжей. Богачов А. А. (Новые расы локале де дрожжий. Богачов А. А.), Садоводство, виноградарство и виноделие Молдавии, 1954, № 4, 48—51; Гренидэригул виеригул ши виезригул Молодовей, 1954, 4, 51—54 (молд.)

Выделены 3 местные расы дрожжей: 1) романешты 46/Б из вина типа портвейн — сильная холодоустойчивая и спиртоустойчивая раса; 2) сульфитная из сильно сульфитированного сусла — устойчивая к  $\text{SO}_2$  и к пивной т-ре; 3) фетяска из дрожжевого осадка сухого виаоматериала — сильная, кислотоустойчивая раса. Приводятся морфологич. описания и отмечается превосходство всех новых рас над контрольной Штейнберг 92 и другими коллекционными расами, как в отношении устойчивости к разным факторам, так и в отношении качества приготовленных на них вин. Н. П.

5533. Оценка солода. Клебер (Zur Beurteilung des Malzes. Kleber W.), Brauwelt, 1953, № 93, В, 1223—1227 (нем.)

В оценке степени растворения солода по разности экстрактивности точного и грубого помола за последние 2 года возникли затруднения, усугубляемые заменой грубого помола с 40% содержания муки на помол с 25% муки. Ошибки вызываются трудностью установки мельниц грубого помола, которые необходимо устанавливать по хорошо растворенному солоду с влажностью 4%  $\pm$  0,2, и цветностью 0,20—0,26 индич. Последнее два показателя определяются обычным анализом, а растворение определяется лабораториями по-разному. При помоле с 25% муки рас-

стояние между вальцами настолько увеличивается, что просекаивают целые зерна солода. В дробине было найдено 2—408 целых зерен. Л. Ш.

5584. Сравнительные исследования влияния системы охлаждения (на холодильной тарелке и отстойном открытом или закрытом чане) на свойства сусла и пива. Клебер (Comparative examinations as to the influence of coolship and settling tank-open and closed cooling upon the properties of wort and beer. Kleber Willi), Brewers J. (Chicago), 1953, 109, № 1, 12—14, 54 (англ.)

Проведены сравнительные варки с закрытым и открытым охлаждением сусла. Анализы показали, что сусло после отстойного чана имело лучшие показатели по отделению свернувшихся белковых в-в, изменению цвета и содержанию горьких в-в хмеля. Брожение при закрытом охлаждении продолжалось на один сутки дольше. Собравшие дрожжи после брожения были более светлые и менее загрязнены хлопьями белка. При дегустации лучшую оценку по компактности пены, по вкусу и горечи получило пиво из сусла закрытого охлаждения. Л. Ш.

5585. Кремнефтористоводородная кислота, как дезинфицирующее средство в броидильной промышленности. Штаделман (Kieselfluorwasserstoffsäure als Desinfektionsmittel im Gärungsgewerbe. Stadelmann E.), Brauwelt, 1954, В, № 30, 424—425 (нем.)

Предлагается кислое, жидкое дезинфицирующее средство, основанное на кремнефтористоводородной к-те. Исходный концентрат его должен храниться в деревянной посуде. Рабочий р-р (обычно 1—2%) при правильном использовании может употребляться 20 раз. Незначительное ослабление его активности может происходить за счет разбавления и соприкосновения с металлами. Для предотвращения коррозии металлов к дезинфицирующему средству добавляют антикоррозионные в-ва. При регулярном воздействии конц. р-ра на оштукатуренные сухие стены производственных помещений на них образуется твердый слой, дающий длительную защиту от инфекции и плесени. Для обеспечения глубинного воздействия дезинфектора к нему добавляют поверхностноактивные вещества. В. П.

5586 П. Процесс производства дрожжей из соединений, содержащих пентозу. Бернхауэр (Process of producing yeast from pentose-containing compounds. Bernhauer Konrad) [Aschaffenburg Zellstoffwerke A-G]. Пат. США 2689827, 4.01.55

Процесс выращивания дрожжей *Saccharomyces cerevisiae* в среде пентозы состоит в том, что в содержащую пентозы, значительно свободную от гексозов среду, в которую вводятся дрожжи, добавляют пищевую соль. Эта среда, с содержащимися в ней дрожжами, в течение нескольких часов подвергается усиленной аэрации и, таким образом, дрожжи приобретают способность использовать пентозы как источник углеводов. М. Р.

5587 П. Метод получения уксуса брожением (Verfahren zur Herstellung von Gärungssessig) [Fa. Heinrich Frings]. Пат. ГФР 898134, 26.11.53 [Chem. Zbl., 1954, 125, № 15, 3356 (нем.)]

Способ получения уксуса брожением, при котором опорным материалом для уксусных бактерий являются помещенные в камеру древесные опилки, через которые снизу энергично продувается воздух. Затоп, содержащий этиловый спирт, разбрызгивается сверху. В. Л.

5588 П. Сидр. Ахо (Cider. Aho Kameno). Япон. пат. 3195, 7.07.53 [Chem. Abstrs, 1954, 48, № 14, 8478 (англ.)]

30%-ный водн. р-р ректифицированного спирта смешивается с 0,008%  $\text{KMnO}_4$  и 0,008% активированного

угля и в течение 15 мин. подвергается действию электрич. импульса с частотой в 17—100 Мгц, затем фильтруется для удаления нежелательных запахов. К фильтрату добавляют яблочный сок до содержания спирта 14%, еще раз подвергают действию электрич. импульса в течение 20 мин., затем стерилизуют.

М. Р.

См. также: 3015; 1835—1837Бх

## ПИЩЕВАЯ ПРОМЫШЛЕННОСТЬ

**5589. Расход тепла на испарение влаги из зерна.** Джонсон, Дейл (Heat required to vaporize moisture. Johnson H. K., Dale A. C.), Agric. Engng, 1954, 35, № 10, 705—709, 714 (англ.). Исследованиями установлено, что уд. расход тепла на испарение влаги из пшеницы и зерна кукурузы больше, чем на испарение свободной воды, и в основном зависит от конечной влажности зерна и в малой степени от т-ры сушки и первоначальной влажности. При сушке пшеницы и зерна кукурузы до 14% влажности уд. расход составляет от 1,00 до 1,06 кол-ва тепла на испарение воды. При сушке до меньшей влажности уд. расход тепла увеличивается при доведении влажности зерна до 10% в 1,20 больше, чем на испарение свободной воды. Приведены теоретич. основы и методика исследования, описание и схема примененной при исследовании аппаратуры.

Г. К.

**5590. О развитии химии зерна в XX в., в частности в Западной Европе.** Ле (Betrachtungen über die Entwicklung der Getreidechemie im zwanzigsten Jahrhundert, insbesondere in Westeuropa. Lee J. van der), Brot und Gebäck, 1954, 8, № 11, 169—172 (нем.).

Обзор развития химии зерна за последние 50 лет в связи с изменениями экономич. положения в различных странах Западной Европы. Приведены фотоснимки сортов и типов хлеба, а также статистич. данные о произ-ве и потреблении злаков по странам.

А. У.

**5591. Основные сведения о муке.** Зенкер (Fundamental facts about flour. Zenker John J.), Baking Ind., 1954, 102, № 1282, 46—48 (англ.).

Описывается развитие мукомолья от доисторич. времен до наших дней. Приводятся типы муки, вырабатываемые для макаронной, хлебопекарной и кондитерской пром-стей, в зависимости от сорта пшеницы и содержания клейковины. Даются основная характеристика сортов и качества хлебопекарной муки и рекомендации муки различного качества для отдельных видов изделий, как-то: тортов, пирогов, печеня. В. В. **5592. Причины дефектов, наблюдаемых в тесте и в хлебе.** Гинне (Origines des défauts observés sur les pâtes et les pains. Guinet R.), Meunerie franç., 1954, № 97, 26—32 (франц.).

Перечисляются дефекты теста и хлеба и указываются все возможные причины их появления, зависящие как от свойств муки, так и от ведения технологич. процесса. Изложенное сведено в таблицу-график.

А. У.

**5593. Свойства и особенности простого берлинского хлеба.** Орловский (Charakter und Eigenart des Berliner Landbrottes. Orłowski K.), Brot und Gebäck, 1954, 8, № 11, 179—180 (нем.).

Дана общая характеристика берлинского хлеба и приведены некоторые краткие данные о методах его изготовления. Подчеркивается значение коркообразования, которое с 22,1% доходит до 30,4% при толщине 3—6 мм. Приведены фотоснимки.

А. У.

**5594. Изготовление мелких булочных изделий.** Бансбах (Fragen der Kleingebäckherstellung. Ban-

sch J.), Brot und Gebäck, 1954, 8, № 11, 180—181 (нем.).

Применительно к немецким условиям даются практич. указания для изготовления мелких изделий (весом ниже 100 г с содержанием жиров и сахара не выше 10%) по разделам: исходный материал, улучшители, хлебопекарная проба, жиры, дрожжевые р-ры, приготовление теста. Подчеркивается значение интенсивного замеса; повышенные т-ры увеличивают объем и выход готовой продукции, но отрицательно влияют на качество и т. п.

А. У.

**5595. Применение отхода — сывороточного белка в хлебопечении для повышения питательной ценности хлебо-булочных изделий.** Янковский, Суяк (Zastosowanie odpadkowego białka serwatkowego w piekarstwie w celu podniesienia wartości odżywczej pieczywa. Jankowski S., Sujak S.), Przem. spożywczy, 1955, 9, № 3, 105—108 (польск.).

Исследована возможность применения в хлебопечении сывороточного белка и полактозной мелассы — отходов при получении лактозы из сыворотки. Установлено, что хлеб с этими добавками не уступает по качеству как обыкновенному хлебу, так и выпеченному с добавкой сыворотки. Выход, пористость, устойчивость против черствения лучше, чем у хлеба, выпеченного без добавок. Особенно значительным является обогащение хлеба Са с поведением до нормы отношения Са : Р. Обогащение другими ценными элементами, особенно лизином и рибофлавином, недостаточно. Требуется исследовать усвояемость такого хлеба.

Л. Ш.

**5596. Контрольное приспособление к лабораторным мешалкам, исключающее возможные ошибки при проведении исследований.** Бейдер, Кимбалл, Харрел (Program control attachment for mixers eliminating human errors. Baeder Helen, Kimball Mary, Harrel C. G.), Cereal Chem., 1954, 31, № 6, 483—488.

Описано контрольное приспособление к лабор. мешалкам, исключающее возможные ошибки при определении скорости вращения лопастей и продолжительности сбивания теста для пирожных при заданной рецептуре и ускоряющее проведение таких определений. Даны фотографии мешалки с приспособлениями.

Г. К.

**5597. Теоретическое и практическое рассмотрение схем тестозакаточных машин.** Бостон (Theoretical and practical considerations of moulder designs. Boston J. Albert), Baker's Digest, 1953, 27, № 2, 29—32 (англ.).

Рассмотрены и оценены технологич. схемы закаточных машин с предварительной раскаткой («роспуска») кусков пшеничного теста четырех типов. Приведены схемы этих закаток, подачи кусков теста с конвейера для предварительной расстойки в закатку и загрузки закатанных изделий в формы для выпечки.

Г. К.

**5598. Потемнение консервированного белого хлеба при хранении.** Ларсен, Кох, Мак-Маллен (The browning of canned bread crumb. Larsen R. A., Koch R. B., McMullen J. J.), Food Technol., 1954, 8, № 8, 355—357 (англ.).

Мякиш белого хлеба, консервированного в жестяных банках, при хранении в течение нескольких месяцев темнеет. Исследованиями установлено, что потемнение происходит в результате р-ции сахаров с белковыми

в-вами. Исключение сахара из рецептуры теста значительно замедлило р-цию, но полностью ее не устранило по всей очевидности ввиду того, что тесто содержит соединения, которые под действием ферментов теста превращаются в сахара.

М. Р.

**5599. Рецептуры и производственные методы приготовления конфет с тертым миндалем.** Ричмонд

(Formulas and manufacturing methods for candies made with almond paste. Richmond Walter), Manufact. Confectioner, 1954, 34, № 2, 55—56, 58 (англ.)

Даны 7 рецептов и способы приготовления конфет с тертым миндалем или другими орехами типа заварного марципана, также из помодно-миндальной массы и др. К каждой рецептуре даются описание способа приготовления конфетной массы (варка сиропа отдельно и смешивание его с тертым миндалем) и метод ее формования. Кроме того, описаны группы конфет из помодно-миндальной массы с различными отдушками. Для каждой группы рекомендуются форма и размер отдельных конфет, вид глазури (шоколадная, шоколадная с молоком, помиданная и др.) и упаковка. Т. Е.

5600. Показатели масла какао и методы их определения. Кнапп, Шетти (Die Kakao butter-Kennzahlen und deren Bestimmungsmethoden. Knapp A., Schetty O.), Rev. internat. chocolat., 1955, 10, № 2, 42—46, 48—54 (нем.; франц.)

Описаны методы определения следующих показателей масла какао: т-ры плавления (по Хинтону и Финке, с приложением схем приборов), коэфф. рефракции, уд. веса, кислотного числа и коэфф. омыления, эфирного числа, кол-ва неомыляемых, ИЧ (по Ганусу и по Рауфману), чисел Рейхерта-Мейссля и Поленске, полумикромаслянокислотного числа, полумикрообщего числа низкомолекулярных к-т и полумикроостаточного числа низкомолекулярных к-т. Описанию методов предшествуют определение каждого показателя и перечень необходимых реактивов и посуды. М. А.

5601. Применение инфракрасных лучей в кондитерской промышленности. Равас (Az infravörös hőközlés alkalmazhatósága az édesiparban. Ravasz László), Édesipar, 1955, jan., 7—12 (венг.)

Испытан способ определения влажности с нагреванием ИК-лучами в течение 1 часа. Обзор литературных данных о применении ИК-облучения в кондитерской промышленности. Г. Ю.

5602. Методы и меры достижения лучшей сохранности изделий с кремовой помиданной начинкой и других конфет. Либиг (Méthodes et procédés destinés à augmenter la conservation des articles à intérieur crème ou fondant, et des sucreries. Liebig A. Walter), Rev. internat. chocolat., 1955, 10, № 3, 94, 96—97 (франц.); 97—99 (нем.)

Прадиновые изделия с течением времени подвергаются прогорканию, карамель и конфеты становятся липкими или закристаллизовываются. Применяемые в целях увеличения сохранности изделий практические меры, как добавление сорбита, альгината, дражировка, заливка или упаковка в непроницаемую тару, покрытие влагонепроницаемым слоем и др., не являются решением вопроса. Предлагаются некоторые организационные мероприятия для стимулирования изысканий способа выработки стойких в хранении кондитерских изделий. В. К.

5603. Контроль глянца глазури на твердом жире. Аликонис (The control of gloss on hard butter coatings. Alikonis Justin J.), Manufact. Confectioner, 1954, 34, № 6, 76—82 (англ.)

Употребление твердого (гидрированного) жира для глазури создает трудности для сохранения глянца в изделиях. Рассмотрены методы, способствующие сохранению хорошего глянца при предварительной обработке глазури, ее темперировании, охлаждении и хранении глазированных конфет. Изменение глянца сильно зависит от условий добавления к глазури лецитина и других разжижителей и их свойств. Найдено, что тонкая прозрачная бумага и целлофан способствуют сохранению глянца. Л. В.

5604. Испытание метода ускоренного сбраживания «мисо» (соевого соуса) при добавлении молочной и янтарной кислот. Мацумото, Окуда (乳酸及琥珀酸添加の味噌速醸試験. 松本憲次, 奥田真造), 日本醸造協會雜誌, Нихон дзёдо кёкай дзасси, J. Soc. Brew. Japan, 1953, 48, № 1, 29—33 (япон.)

5605. Вакуумный метод охлаждения овощей. Уэбб (Vegetable cooling by the vacuum method process. Webb Wells A.), Industr. Refrig., 1954, 126, № 5, 15—18 (англ.)

Для салата в США широко применяется охлаждение, вызываемое испарением в вакууме. Разработана спец. вентилируемая тара из теплоизолирующего картона, в которую салат упаковывается перед охлаждением. Выгрузка доставляемых ящиков из автомобилей и их загрузка в вакуум-камеру осуществляются спец. механизмами и тележками с автоматич. подъемником. Контроль т-ры охлаждаемого продукта автоматизирован. Г. Н.

5606. Хранение овощей, охлаждаемых льдом. Остерл, Фосетт (Channel icing for vegetables. Osterle Eric C., Fawcett K. I.), Industr. Refrig., 1954, 126, № 5, 19—23 (англ.)

Для сохранения на витрине свежих овощей рекомендуется размещать их в ящиках с сетчатым дном, располагая между ними сетки со льдом. Размер секции — ширина 76 мм, глубина 178 мм, длина 580 мм. Воздух, охлажденный и увлажненный вследствие таяния льда, циркулирует под фальшивым дном ящика и, направляясь вверх, охлаждает овощи. Этот способ обеспечивает сохранение высокого качества овощей в течение 72 час. и более. Т-ра охлаждения овощей 4—8°. Г. Н.

5607. Применение системы гидравлических транспортеров в линии консервирования бобовых. (Processing beans by hydraulic system.), Canner, 1954, 118, № 24, 18—20 (англ.)

Описание технологии, процесса переработки на американском за-де, выпускающем консервированные и замороженные бобы и горошек, на котором передача сырья с одной производственной операции на другую осуществляется по трубопроводам с водой, подаваемой под давлением. Этим достигается повышение к. п. д. линии и снижение отходов в результате устранения механич. повреждений овощей в процессе их переработки. М. Т.

5608. Исследовательские работы в области пищевой промышленности. Кидд (The work of the food investigation organisation, D. S. I. R. Kidd Franklin), Chemistry and Industry, 1953, № 28, 672—677 (англ.)

Обзор деятельности государственных научно-исследовательских учреждений Англии за 1952 г. по вопросам холодильного и газового хранения плодов и овощей, улучшения методов переработки рыбопродуктов, разработки методов использования китового мяса в пищевых целях и пр. Т. С.

5609. Удлинение сроков хранения плодов манго путем покрытия их слоем парафина. Бос, Басу (Studies on the use of coating for extension of storage life of fresh faji mango. Bose A. N., Basu G.), Food Res. (Chicago), 1954, 19, № 4, 424—428 (англ.)

Проведенными исследованиями установлена возможность регулирования интенсивности дыхания скоропортящихся плодов манго при хранении путем покрытия их слоем парафина. Собранные в нормальной стадии зрелости плоды (Бенгалия) погружали на 10 сек. в расплавленный парафин при 80° или в 50%-ный р-р парафина в петр. эфире и подвергали хранению при 13° и 90% относительной влажности вместе с контролем



ными (необработанными плодами) образцами. Обработанные плоды сохранились в хорошем состоянии в течение 42 дней; контрольные образцы загнили через 14 дней. Приведены 4 таблицы с данными по изменениям интенсивности дыхания, потере в весе и по наружному виду обработанных и контрольных плодов в процессе опытного хранения. Процесс созревания обработанных плодов при вышеуказанных условиях хранения протекал нормально. М. Р.

5610. Затруднения при переработке плодов на соки. Бруннер (Störungen und deren Ursache bei der Verarbeitung von Mostobst. Brunner Hs.), Schweiz. Z. Obst- und Weinbau, 1954, 63, № 25, 515—516 (нем.)

Описываются недостатки оборудования и приемов применяемых при переработке плодов на соки и возможности их устранения. Н. П.

5611. Консервирование ананасного сока. Сил (Pineapple juice canning. Seale P. E.), Food Manufacture, 1955 30, № 3, 111—112, 118 (англ.)

Описан применяемый на Гавайских островах и в Австралии технологич. процесс произ-ва ананасного сока из отходов плодов ананасов, получающихся при их консервировании. Выпускаются соки: неосветленные со завешенными частицами мякоти (15—18%), типа «сквош», и осветленный с осадком менее 1%. Для получения второго вида продукта отжатый сок нагревают до 60—66° с целью инактивации фермента бромелина, пропускают через вибрационное сито, в результате чего кол-во осадка снижается с 18 до 6%, и подвергают центрифугированию, затем сок пропускают через трубчатый пастеризатор, в котором сок нагревается до 85°, и разливают в горячем виде в банки, закатывают и охлаждают до 44° холодными струями воды. При пастеризации инактивируется второй фермент — пектиназа. М. Р.

5612. Прогресс в области автоматического контроля производства консервов. Вальтер (Progress of automatic control in food canning. Walter L e o), Austral. Food Manufact., 1955, 24, № 7, 20—22 (англ.)

Приводятся схемы и описание систем автоматич. контроля работы ряда машин консервированного произ-ва (водяной эксгаустер, автоклав, наполнительная машина, цилиндр, водяной бланширователь, бак с охлаждающей водой). М. Р.

5613. Содержание муравьиной кислоты в фруктах и фруктовых консервах. Седлачек, Прохазка (Obsah kyseliny mravenčí v ovoci a v ovocných výrobkách. Sedláček B. A. J., Procházka S t), Průmysl. potravin, 1954, 5, № 11, 491—493 (чеш.)

В свежих плодах и фруктовых компотах, изготовленных по общепринятой рецептуре в стеклянной и металлической лакированной таре и хранившихся в течение 3—9 месяцев, определяли содержание муравьиной к-ты. В свежих плодах найдено менее 2,5 мг на 100 г муравьиной к-ты; в персиках, поступивших из Румынии, 3,34 мг. Содержание муравьиной к-ты в консервах мало отличалось от кол-ва ее в свежих фруктах и в большинстве случаев не превышало 4 мг. Тара и продолжительность хранения консервов на содержание к-ты существенно не влияли. Е. Ш.

5614. Химическая очистка плодов и овощей. Шпренг (Chemiczne oczyszczanie owoców i warzyw. Spręga O.), Przem., spożywczy, 1955, 9, № 2, 67—70 (польск.); резюме рус., (англ.)

Описание новых методов очистки плодов и овощей при помощи р-ров NaOH и HCl с добавлением моющих средств, дающих возможность понизить конц-ию р-ра, т-ру и продолжительность обработки. Предлагаемый хим. метод снижает потери при очистке на 60%, со-

крашает продолжительность очистки и уменьшает затраты рабочей силы на 90%. Л. Ш.

5615. Новый метод контроля процесса термической стерилизации продуктов в цилиндрической таре. Стумбо (New procedures for evaluating thermal processes for foods in cylindrical containers. Stumbo C. R.), Food Technol., 1953, 7, № 8, 309—315 (англ.)

Приведен упрощенный математич. метод расчета прогреваемости консервов в цилиндрич. таре и обсуждается возможность его применения в производственных условиях для расчета режима стерилизации. Т. Е.

5616. Побочные продукты переработки цитрусовых плодов. Бейер (Citrus by-products and derivatives—an introductory survey. Baier Willard E.), Food Technol., 1955, 9, № 2, 78—80 (англ.)

Рассматриваются с точки зрения рентабельности их произ-ва основные виды указанных продуктов: эфирные масла (лимонное, апельсиновое, и др); пектиновые препараты, в том числе низкометоксильный пектин, получивший широкое применение в диетич. фруктовых продуктах—джемсах, желе и пр.; флавоноиды (гесперидин, нарингин и др.), используемые в фармацевтике, пром-сти; кормовая цитрусовая меласса и мука; лимонная к-та; цитраты, используемые в хим. пром-сти. Указывается на необходимость тщательного удаления применявшихся для обработки плодов инсектицидов, с учетом новых органич. химикатов, могущих проникать в соковые клетки цитрусовых плодов. М. Р.

5617. О применении алюминиевых банок для фруктовых и овощных консервов. Адам (Preliminary report on the possible use of aluminium cans for fruit and vegetables. Adam W. B.), Refrig. J., 1953, 6, № 11, 32, 34, 35 (англ.)

Обсуждаются вопросы, связанные с физ., хим. и механич. свойствами алюминия, с точки зрения использования его в плодоовощной консервной пром-сти для изготовления банок (коррозия внутренней и наружной поверхностей банки, деформация банок во время стерилизации под действием внутреннего давления и др.), с указанием практич. решений этих задач. Предварительные результаты опытов, проводящихся в Англии, показали, что алюминиевые банки пригодны для овощных консервов, причем для некоторых видов (горошек, спаржа) даже без лакировки. Для банок с фруктовыми консервами необходима лакировка внутренней поверхности банок с нанесением дополнительной фосфатхроматфористой пленки, повышающей адгезию лакового покрытия к основному металлу. М. Р.

5618. Безалкогольные напитки, содержащие кофеин. Сообщение I. Постановления пищевого законодательства западноевропейских стран относительно допустимых норм содержания кофеина и фосфорной кислоты. Хамман (Coffeinhaltige Erfrischungsgetränke. I. Mitteilung. Die lebensmittelrechtliche Beurteilung in westeuropäischen Ländern, besonders hinsichtlich des Coffein- und Phosphorsäuregehalts. Hamman Volker), Z. Lebensmittel-Untersuch. und Forsch., 1953, 96, № 4, 253—263 (нем.)

Обзор существующих постановлений относительно допустимых норм содержания кофеина и фосфорной к-ты в безалкогольных напитках, принятых в западноевропейских странах. В большинстве стран содержание кофеина и фосфорной к-ты в безалкогольных напитках не нормируется. Наивысшая допустимая норма содержания кофеина 30 мг/100 мл принята во Франции и Западной Германии. Наиболее низкая норма 5 мг/100 мл принята в Финляндии. В Австрии добавление фосфорной к-ты в безалкогольных напитках не допускается. Т. С.

5619. Термостойчивость штаммов бактерий, встречающихся наиболее часто в порченных мясных кон-

сервах. Михальская (Termoodporność szerepów bakterii najczęściej spotykanych w zepsutych konserwach mięsnych. Michalska I.), Przem. rolny i spożywczy, 1954, 8, № 1, 16—21 (польск.).

В мясном тулье термоустойчивость при 65° штаммов *Saraina flava* ~ 10 мин., *Micrococcus conglomeratus*, *M. candidus*, *M. luteus* ~ 40 мин., спор *Bac. subtilis* ~ 30 мин. при 120°, *Clostridium sporogenes* ~ 20 мин. при 110°, *Cl. lento-putrescens* ~ 10 мин. при 115°, в физиолог. р-р NaCl и фосфорном буфере термоустойчивость большинства штаммов выше чем в натуральной питательной среде.

Л. П.

5620. Рыбная ловля и замораживание рыбы в Норвегии. Лоренцен (La pesca in Norvegia e la refrigerazione. Lorentzen Iorgen), Freddo, 1954, 8, № 5, 3—9 (итал.); 9—12 (англ.).

В Норвегии вылавливается ежегодно до 1 млн. т сельди, до 250 000 т трески, 10 000 т макрели, тунца и т. д. При ловле, для хранения рыбы требуются холодильники, которые в последнее время переходят на искусств. охлаждение. Описано устройство нового холодильника, имеющего площадь 800 м<sup>2</sup> (в том числе 600 м<sup>2</sup> холодильных цехов) и дающего в сутки 20 т мороженой рыбы и 100 т льда. Холодильник работает с аммиачным охлаждением и CaCl<sub>2</sub>-рассолом, особое внимание обращено на термич. изоляцию помещений и на автоматизацию управления холодильной системой.

З. Б.

5621. Физические методы консервирования в рыбной промышленности. Джейсон (Fish preservation and physics. Jason A. C.), Research, 1954, 7, № 1, 10—18 (англ.).

Обзор физ. методов консервирования рыбы и приборов, применяемых для контроля технологич. процессов: копчения, сушки, засолки, замораживания и электронной стерилизации рыбы. Рассматриваются пути создания более совершенной аппаратуры, стандартизации и усовершенствования технологии с целью получения высококачественной и однородной по своим свойствам продукции.

Г. Н.

5622. Аминокислотный состав общего белка коровьего и буйволиного молока. Венкатесвара Рао, Басу (The essential amino acid composition of the total proteins and casein of cow and buffalo milk. Venkatesvara Rao R., Basu K. P.), Proc. Soc. Biol. Chemists (India), 1954, 12, 20—21 (англ.).

Общий белок коровьего и буйволиного молока характеризуется, соответственно, следующим аминокислотным составом (в % от общего белка): триптофан 1,18 и 1,48; лейцин 8,57 и 8,34; изолейцин 3,85 и 3,65; валин 5,67 и 6,29; лизин 6,12 и 9,57; фенилаланин 2,85 и 3,81; метионин 2,44 и 2,54; гистидин 1,86 и 2,16; аргинин 2,17 и 4,74 и треонин 4,40 и 2,49. Определены производились на сухом порошкообразном продукте, полученном в результате осаждения белков из молока избытком 50%-ной треххлоруксусной к-ты, с последующей промывкой осадка 10%-ной треххлоруксусной к-той, удалением избытка к-ты липидов последовательным экстрагированием ацетоном, горячим спиртом, горячим бензолом и эфиром и высушиванием полученного осадка при 105°.

В. Н.

5623. Оценка метода Гербера для определения жира Леновиц (The Gerber fat test method reviewed. Levowitz David), Amer. Milk. Rev. 1954, 16, № 10, 118—119, 153—154 (англ.).

Рассматриваются преимущества метода Гербера перед методом Бэбкок, основными из которых являются: применение приборов (бутирометров) с широким горлом, что исключает потери жидкостей при наполнении, отмеривается всегда определенное кол-во реакти-

вов с помощью автоматич. приборов; не требуется дополнительное приливание горячей воды; приборы закрываются пробками, что позволяет производить быстрое механизированное встряхивание; проводится только одно центрифугирование против 3-кратного по методу Бэбкок. Плоская шкала бутирометра позволяет делать отсчет с точностью до 0,05%.

Н. Б.

5624. О действии разных способов нагревания на микрофлору молока. Кундрат (Über die Keimauslese in Milch bei den verschiedenen Erhitzungsverfahren. Kundrat Walther), Milchwissenschaft, 1955, 10, № 3, 79—84 (нем.; резюме англ., франц., исп.). Обзор работ, относящихся к микрофлоре пастеризованного различными способами молока. Основное внимание в статье уделяется разным видам патогенных и терморезистентных микроорганизмов. Библ. 155 назв.

Г. Т.

5625. Условия нагревания молока в бутылках. Кросли (Heat treatment of milk within the bottle. Crossley E. L.), Roy Sanit. Inst. J., 1954, 74, № 5, 307—316 (англ.).

Нагревание и охлаждение молока непосредственно в бутылках с гигиенич. точки зрения является эффективным методом обработки молока. При этом молоко вначале нагревается до ~64° и поступает тотчас же в разливочную машину, где разливается в горячие бутылки непосредственно после их мойки. Затем бутылки выдерживаются 30 мин. при 63°, проходя через изолированную комнату с нагретым воздухом с контролируемой т-рой. Далее их пропускают через два охлаждаемых резервуара. В первом т-ра молока за 15 мин. снижается до 38° и во втором за 25 мин. с 38 до 10°. Преимущество процесса пастеризации молока в бутылках: устранение возможности послепастеризационного бактериологич. загрязнения молока; сохранение качества молока более длительное время по сравнению с молоком обычной пастеризации; процесс полностью герметизирован. К недостаткам относятся: необходимость значительно больших производственных помещений; затрата большого кол-ва воды для охлаждения; необходимость иметь бутылки несколько большей емкости, чем стандартные. Приводятся новые сведения, связанные с вопросами пастеризации молока, а также высказывания отдельных авторов по обсуждаемой теме.

Л. К.

5626. Молоко с добавлением вкусовых веществ. Лоренс, Понт (Flavoured milk. Lawrence A. J., Pont E. G.), Austral. J. Dairy Technol., 1954, 9, № 4, 165—168 (англ.).

Для выработки шоколадного молока смесь порошка какао и сахара вносится в нагретые до 71° сливки, частично или полностью обезжиренное молоко из расчета содержания 0,93—1,5% какао и 5—8% сахара в готовом продукте. Отстаивание сливок предупреждает гомогенизацией, а седиментация частиц какао-добавлением крахмала, желатины, обезжиренного сухого молока, но лучше всего — 1—2% альгината натрия. Приготовление фруктового молока сводится к получению и сгущению сока или спиртовой вытяжки из фруктов (ежевика, малины, апельсина, бананов и др.) и добавлению их в молоко в виде смеси с сахарным сиропом. Соки малины, ежевики и бананов окрасивают молоко и сливки; фруктовые вытяжки иногда содержат синтетич. в-ва, усиливающие вкус, запах и окраску, а также консервируются бензойной к-той.

Г. Т.

5627. Изготовление эталонов микроскопических препаратов сухого молока. Чарлетт (Standard microscopical preparations of milk powders. Charlett S. M.), Dairy Inds., 1955, 20, № 1, 44 (англ.). Описывается новый метод изготовления эталонов микроскопич. препаратов сухого молока. Для этого

малое кол-во продукта смешивается с равным кол-вом спец. цемента «Дурофикс», смесь быстро размазывается по поверхности предметного стеклышка. После схватывания часть смеси (поверхность  $\sim 10 \text{ мм}^2$ ) переносится на второе предметное стекло, где она тщательно смешивается с четверо большим объемом кол-вом Дурофикса. Препарат покрывается покровным стеклом, на которое помещается небольшая гирька, и ставится для просушки в теплое сухое помещение. Затем он покрывается с краев черным лаком и этикируется. Высокий показатель рефракции и оптич. чистота Дурофикса обеспечивают возможность хорошей дифференциации, тем более, что частицы продукта равномерно диспергированы и расположены в основном в одной плоскости. Это, а также большая стоимость препаратов против увлажнения составляют преимущества описанного метода перед практиковавшимися ранее методом изготовления эталонов с применением скипидара. В. Н.

#### 5628. Непрерывный метод изготовления масла.

Ришой (A system of continuous buttermaking. Rishoi A. N.), J. Dairy Sci., 1955, 38, № 1, 109—113 (англ.)

Дается краткая история развития непрерывного изготовления масла по методу Черри Буррелл с описанием постепенных усовершенствований технологич. процесса и конструкции аппаратуры. В современном виде процесс заключается в следующем: сливки, нагретые до 18—24°, подаются насосом через фильтр в дестабилизатор, где под воздействием лопасти центрального насоса в эмульсию включается воздух и происходит ее дестабилизация. Дестабилизированные сливки доводятся в центробежном подогревателе до 51,5—65,5°, сепарируются с получением высокожирных сливок (88—92% жира), пастеризуются в вакреаторе, нормализуются, охлаждаются и обрабатываются в специальном 2-камерном охладителе-обработнике. При выходе из текстура масла имеет т-ру 4,2—7,7° и может тотчас же поступать в расфасовку или храниться в крупных блоках. В. Н.

#### 5629. Оптимальные расстояния между тарелками в барабанах молочных сепараторов. Липатов Н. Н., Сельхозмашина, 1955, № 3, 10—14

Оптимальные расстояния между тарелками позволяют значительно (на 15—25%) улучшить обезжиривание. Как показали опыты и расчеты, для малых сепараторов они лежат ниже, чем действительная высота шпиконок тарелок, а для больших сепараторов наоборот. Приводятся данные по величине оптимальных расстояний для наиболее распространенных марок сепараторов. Изготовление малых сепараторов с тарелками, имеющими оптимальное расстояние, позволит одновременно за счет увеличения числа тарелок улучшить качество обезжиривания и повысить производительность. У больших сепараторов в целях сохранения их производительности потребуются незначительно увеличить высоту барабана, сохранить принятое в настоящее время число тарелок. Подбор оптимальных расстояний между тарелками можно проводить по ф-лам, позволяющим установить определяющие конструктивные факторы, которые обуславливают величину оптимальных расстояний. А. Т.

#### 5630. Сбивание масла в деревянных машинах и машинах из нержавеющей стали и содержание бактерий в масле, полученном в этих машинах. Самуэльссон А. Магнуссон (Något om betydelsen av att bearbeta smör i kärnåltare av trä och av rostfritt stål med hänsyn till smörets innehåll av mikroorganismer. Samuelsson Ernst-Gunnar, Magnusson Folke), Svenska mejeritidn., 1954, 46, № 29—30, 413—420, 423—425 (швед.)

Источником бактерий в сливочном масле является недостаточно тщательно обмытая рабочая поверхность сбивальных машин как стальных, так и деревянных. Микрофлора масла, изготовленного на деревянных машинах, содержит нередко бактерии группы *Coli* и сбивающие микроорганизмы, не встречающиеся обычно в масле, изготовленном на машинах из стали. К. Г.

#### 5631. Правильность органолептической оценки масла и его стойкости при хранении. Цивинский (O prawidłowości organoleptycznej oceny masła i przewidywaniu jego trwałości. Cywiński Tadeusz), Przegl. mleczarski, 1955, 3, № 4, 17—19 (польск.)

В органолептической оценке вкусовых качеств масла отдельными экспертами наблюдаются значительные расхождения. Из 280 проб только 126 получили одинаковую балловую оценку. Для повышения объективности оценки автор рекомендует: 1) проверить квалификацию экспертов; 2) отменить систему премиальной оплаты при отсутствии рекламаций покупателя; 3) пересмотреть систему балловой оценки; 4) установить т-ру помещения и т-ру масла 10—15° и 5) устроить перегрузку эксперта, до нормы 60—70 проб. В польской молочной промышленности предварительные данные о стойкости масла выводятся на основании балловой оценки и кислотности плазмы. Официально признается, что масло с максим. кислотностью плазмы до 5° по Соксклет-Хенкелю, получившее не менее 43 баллов за вкус и запах, может выдерживать хранение на холодильнике до 9 месяцев. Описываются методы определения стойкости масла по Зайковскому (определение продолжительности индукционного периода окисления жира) и по Кингу (распределение капелек плазмы в масле). В. Н.

#### 5632. Сокращение цикла производства швейцарского сыра. Белоусов О., Молоч. пром-сть, 1955, № 1, 25—26

Описывается технология произ-ва швейцарского сыра, при которой сокращаются время вымешивания зрелого и длительность второго нагревания, что увеличивает оборачиваемость сырных котлов в два раза и позволяет сократить до минимума наличие в сыре пороков, рисунка («рваный») и внешнего вида («вздутый»). Благодаря применению повышенной т-ры воздуха в подвале облегчается дальнейший уход за сыром при созревании и предупреждается возможность образования осповидной плесени. А. Т.

#### 5633. Сыр-мотал (овчинный сыр). Ахундов Д. М., Тр. Азерб. с.-х. ин-та, 1954, 1, 95—102 (резюме азерб.)

Азербайджанский сыр-мотал (типы: Карабахский, Гянджинский и Лезгинский) готовится путем сквашивания сычужным ферментом овечьего молока при 30—33° за 40—50 мин., измельчения полученного сгустка и удаления отделившейся сыворотки. Сырная масса укладывается в бязевые мешки и прессуется в начале 40—50 мин. с грузом 25—30 кг, затем 5—6 час. с грузом 50—60 кг. Отпрессованная масса разрезается на куски по 0,4—0,8 кг и солится в ящиках или бочках. Соленый сыр хранится 5—6 дней в прохладном помещении, затем плотно укладывается в специально приготовленную овчину (медровой стороной наружу), завязывается и выдерживается 3—3,5 месяца при 14—18° для созревания. Гянджинский тип сыр-мотал имеет следующий хим. состав (в%): сухих в-в 60,65, в том числе жира 29, 26, белка 21, 87, поваренной соли 4,97; титруемая кислотность — 340,3° и зрелость по Шилловичу — 119,9. В 4—5 образцах было найдено (в%): общего азота 3,4, растворимого 0,819, азота аминокислот и аммиака 0,59. Отмечается, что сыр-мотал вызывает обильное отделение слюны и желудочного сока у человека. Мотал относится к мягким сы-



рам, но глубина распада белков приравнивает его к твердым.

Г. Т. 5634. Хранение сыра в Голландии и борьба с поражением его клещом. Робертсон (Dutch methods of cheese storage with special reference to the prevention of mite infestation. Robertson Phyllis L., J. Soc. Dairy Technol., 1955, 8, № 1, 41—46 (англ.))

Изучались условия хранения сыра и ухода за ним в центральных кооперативных хранилищах Голландии в связи с тем, что поступающий из Голландии сыр эдамский и гауда в значительно меньшей степени поврежден клещом, чем чеддер из доминионов и заводов метрополи. При ознакомлении с производством сыра на фермах оказалось, что заражение продукции клещом все же имеет место. Не исключается заражение сыра и на а-дах, которые принимают от ферм сыр на ответственное хранение, а через 2—3 недели после изготовления передают в хранилище, где он находится до 9 месяцев. Смазку сыра вазелиновым маслом и очистку его поверхности механич. способом (раз в 10—14 дней), механич. мойку и вошение готового продукта в хранилищах автор считает основными причинами незначительного заражения клещом голландских сыров. Этот вывод подкрепляется еще и тем, что и в голландских сырах и в чеддере обнаружены одни и те же виды клещей (*Tyroglyphus farinae*, *Glycyphagus domesticus*), а также тем, что поверхность чеддера вскоре после выработки недоступна для обработки. В статье даны рисунки внутренних видов завода, хранилища и машин для смазки и чистки, мойки и вошения сыров.

Г. Т. 5635. Определение белка в пище. Калмыков П. Е., Гигиена и санитария, 1953, № 4, 34—40

Для определения белка пищу гомогенизируют нагреванием с конц.  $H_2SO_4$  и по разбавлению водой в мерной колбе отбирают аликвотную часть жидкости, минерализуют нагреванием с  $H_2SO_4$  и  $H_2O_2$ , нейтрализуют, определяют аммиак колориметрически реактивом Несслера.

В. С. 5636. Сохранение ароматичности пряностей при их размалывании в порошок. Гримме (Die Erhaltung der Würzkraft von Gewürzen bei der Feinmahlung. Grimme Glemens), Z. Lebensmittel-Untersuch. und Forsch., 1953, 97, № 3, 191—193 (нем.)

Показано, что при размалывании пряностей в тонкий порошок вследствие неизбежного нагревания происходит улетучивание эфирных масел в кол-ве от 6 до 28% первоначального содержания. Рекомендуется после предварительного грубого измельчения пряностей добавлять к ним 10—20% спец. порошка «амулина», поглощающего эфирные масла и препятствующего их улетучиванию. Потеря ароматич. в-в почти не происходит. Амулин полностью переваривается, безвреден, имеет следующий хим. состав (в %): вода 9,1, белковые в-ва 11,5, жиры 1,7, растворимые углеводы 76,6, клетчатка 0,4, золы 0,7.

Т. С. 5637. Замечания по вопросу витаминизации кондитерских изделий. Лосъ (Uwagi w sprawie witaminizowania wyrobów cukierniczych. L o s W.), Przem. spożywczy, 1955, 9, № 4, 148—151 (польск.; резюме русс., англ.)

Предложены способы обогащения некоторых кондитерских изделий (драже, шоколада и карамели) витамином С, провитамином А и витаминами группы В. В качестве витаминосителей предложены для витамина С плоды шиповника (драже с концентратом шиповника), для провитамина А (каротина) морковь (шоколад с морковным концентратом) и для витаминов группы В дрожжи, одновременно содержащие витамины А и С (карамель с начинкой с добавлением

дрожжей). Приведены данные о содержании этих витаминов после 7 месяцев хранения изделий.

Л. Ш. 5638. Обзор химических материалов, применяющихся в пищевой промышленности. Каплан (A review of chemicals in food. Kaplan Emanuel, Assoc. Food and Drug Offic., 1953, 17, № 3, 102—110 (англ.))

Всего в пищевой промышленности применяется около 700 химикатов, из которых только 428 являются безусловно безвредными, остальные еще недостаточно проверены. Приводятся ряд примеров токсичности химикатов. Остаток трихлорэтилена в соевых бобах после экстракции масла и дегидрацетовая к-та, применявшаяся для обработки упаковочного материала для защиты от плесневения, переходя в пищевые продукты, оказывают болезнетворное действие. Некоторые заменители сахара являются канцерогенными в-вами, так же как и многие синтетич. красители. Признан вредным кумарин, применявшийся в течение 75 лет. Запрещено применение в хлебопечении моноэстера полиоксидиленов и улучшителя муки.

Г. Н. 5639. Химические материалы в пищевых продуктах. Додс (Chemicals in Food. Preservation, control and supervision. Dadds E. C.), Milling, 1953, 121, № 4, 98, 100 (англ.)

Обзор существующих и новейших методов предохранения пищевых продуктов от порчи и развития системы контроля применения химикатов. Г. Н. 5640. Повышение качества сушеных пищевых продуктов в результате хранения их в присутствии влагопоглотителей. Талберт, Хендел, Леголт (Desiccating in the package. Talburt William F., Hendel Carl E., Legault R. R.), Food Engng., 1954, 26, № 4, 79—81, 194, 197 (англ.)

Краткий обзор исследовательских работ, проведенных в США, по применению влагопоглотителей при хранении сушеных продуктов. Приведены таблицы с данными о размерах и интенсивности гидратации различных влагопоглотителей, применяемых для данной цели. Описан стандартный метод определения свойств влагопоглотителей, а также способы укладки их в тару с сушеным продуктом. Библ. 9 назв.

М. Р. 5641. Ферментация яичного белка перед его высушиванием. Орель (Fermentace vajecného bílku před sušením. Orel Vitězslav), Brumysl. potravin, 1953, 4, № 9, 378—382 (чеш.)

Ферментация (Ф) яичного белка делает его более однородным, что содействует большей равномерности последующей сушки и изменяет содержащиеся в ней редуцирующие сахара, которые играют роль антистабилизаторов белка; благодаря этому после Ф сухой белок при хранении становится более стабильным. В естественных условиях Ф длительна, сухой белок заражен бактериями и имеет неприятный запах. При бактериальной Ф (2—3 суток) лучшие результаты дают культуры *Aerobacter Aerogenes* и *Escherichia Freundii*, но у ферментированного с ними сухого белка имеется заметный посторонний запах. Более совершенна Ф дрожжевыми грибами *Saccharomyces cerevisiae apiculatus* и даже обычными хлебопекарными дрожжами, в кол-ве 1% в виде водн. эмульсии, с добавкой слабых к-т, рН 6,5, т-ра 30°. По окончании сбраживания (качественная проба на отсутствие редуцирующих сахаров, процесс короче, чем с бактериями на 3—10 час.) отфильтровывают от дрожжей. После такой Ф у высушенного белка растворимость и стабильность такие же, как после бактериальной Ф, но содержание микрофлоры миним. и отсутствует посторонний запах. Наиболее прогрессивный способ Ф в присутствии  $H_2O_2$  с 0,05% дезоксигеназы, превращающей глюкозу в глюконовую к-ту; длительность Ф 15 час., рН снижается с 7,5 до 6,5. Сухой белок после

Ф с дезоксигеназой — стерилен, совершенно лишен постороннего запаха и при сушке его получается меньше потерь за счет перевода редуцирующих сахаров в глюконовую к-ту, тогда как при Ф с бактериями или дрожжами большая часть редуцирующих сахаров превращается в  $\text{CO}_2$  и  $\text{H}_2\text{O}$ . Л. П.

5642. Выхватка порошка из мороженных яиц. Комлев А., Мясная индустрия, 1955, № 2, 56. Разработана, немного отличающаяся от обычной, технологич. схема получения порошка из мороженных яиц. В 1954 г. подвергнуто такой переработке 900 000 мороженных яиц. Получен продукт, полностью удовлетворяющий требованиям стандарта. Л. Ш.

5643 П. Смесь для кексов. Отаки (Cake mix. Ohtaki Shinshiro). Япон. пат. 685, 9,02.54 [Chem. Abstrs, 1954, 48, № 22, 14039 (англ.)]

Смесь для кексов состоит (в г) из: муки 600, сахара 240, жира в порошке 200, соли 15, химразрыхлителей 6. Жир в порошке готовят путем эмульгирования (при 60°) 27 кг гидрированного жира с т. пл. 40° с 72 кг снятого молока и 1 кг лецитина и сушки распылением в камере при 110—120°. Ф. Г.

5644 П. Жевательная резина и процесс ее изготовления. Канинг (Chewing gum and process of making the same. Canning Franklin V., Canning Paul M.). Канад. пат. 501192, 30.03.54

Входящие в состав жевательной резины нетоксичные перекисы щел.-зем. металлов (в частности, перекисы кальция) предварительно тщательно смешиваются с гидрогенизированным жиром, остающимся твердым при повышенной т-ре, и затем добавляются в основную смесь. Перекисы перестают быть устойчивыми при смазывании. В. К.

5645 П. Получение кверцетина из шелухи лука. Куродо (Quercetin from onion peelings. Kuroda Senriki). Япон. пат. 6649, 23.12.53 [Chem. Abstrs, 1954, 48, № 20, 12184 (англ.)]

Шелуха лука обрабатывается  $\text{C}_2\text{H}_5\text{OCOSCH}_3$ ,  $\text{CH}_3\text{OH}$  или  $(\text{CH}_3)_2\text{CO}$ , полученный экстракт промывается водой, затем  $\text{HCl}$  или  $\text{C}_6\text{H}_6$  для удаления воска и затем концентрируется для получения кверцетина. М. Р.

5646 П. Процесс производства сгущенного фруктового сока с сахаром. Джонсон, Хансен (Preparation of sweetened fruit juice concentrate. Johnson Rom T., Hansen Elwood F.) [C and S Super Corp.]. Пат. США 2701771, 8.02. 55

Процесс произ-ва состоит из получения сока из плодов, удаления из него кислорода и подачи его (одновременно с непрерывной подачей сахарного сиропа и смешивания с ним) на выпарную установку, работающую под вакуумом, в которой сгущение происходит при т-ре ниже точки кипения воды. Все стадии процесса осуществляются в непрерывном потоке. После сгущения сок пастеризуется и расфасовывается. Дана схема технологич. процесса. М. Р.

5647 П. Молочный продукт, обогащенный витаминами. Хосоки, Сунадзава (Milk product fortified with vitamins. Hosoki Noboru, Sunazawa Kiichiro). Япон. пат. 1528, 23.03.54 [Chem. Abstrs, 1955, 49, № 2, 1239 (англ.)] После сепарирования сливки подвергаются УФ-облучению, а обезжиренное молоко вводится культура *Eremothecium ashbyi*. Оба продукта эмульгируются и смешиваются с жидкостью, полученной из культуры *Eremothecium ashbyi*, патокой, моно- или дисахаридом, альгинатом Na и 2-метил-1,4-нафтохиноном и сгущаются под вакуумом. В. Н.

5648 П. Метод изготовления плавленого сыра. Мозман (Procédé de fabrication de fromage fondu. Mosmann Walter) [Fermentata A.-G.].

Франц. пат. 1026834, 5.05.53 [Lait, 1954, 34, № 335—336, 330 (франц.)]

Патентуется метод приготовления массы, добавляемой к плавленому сыру для повышения его вкусовых качеств. Сыворожка, доведенная до pH 3,9—4,1 внесением культуры молочнокислых бактерий, нейтрализуется до pH 5,5—5,8 и вновь сквашивается. Такая процедура повторяется до прекращения кислотообразования. Затем добавляется культура дрожжей для сбраживания содержащегося в массе сахара. После нейтр-ции сыворотки сгущается в 8—10 раз. Готовая масса должна иметь pH 5,1 и не ниже 4,0. Масса в сгущенном виде и по мере надобности добавляется к заранее приготовленному плавленому сыру. В. Н.

5649 П. Способ выделения растворимого в воде альбумина из сычужной сыворотки. Адам (Verfahren zur Gewinnung eines wasserlöslichen Albumins aus Labmolke. Adam Alfred) [M. Töpfer G. m. b. H.]. Пат. ГДР 7967, 25. 10. 54

Патентуется способ выделения растворимого в воде альбумина из сычужной сыворотки путем нейтр-ции ее щелочью до pH 7—7,5, нагревания до 100°, охлаждения (примерно до 40°) и доведения уксусной, лимонной или другими органич. к-тами до изoeлектрич. точки pH 5,5—6. Для лучшего воздействия на полученный таким образом продукт пищеварительных ферментов и более легкого всасывания альбумин может быть подвергнут действию молочнокислых бактерий. Г. Т.

5650 П. Гидролиз казеина. Рейнирс (Hydrolysis of casein. Reuniers James A.) [Amino Acids, Inc.]. Канад. пат. 506924, 2. 11. 54

Патентуется метод получения водорастворимого гидролизата казеина, обладающего высокой усвояемостью и питательной ценностью. Казеин осаждается из обезжиренного молока при 20° в виде мелких хлопьев с частицами одинакового размера путем добавления к-ты. Из полученного осадка изготавливается подкисленный р-р, который нагревается до образования гидролизата, состоящего в основном из продуктов распада, занимающих место между пептонами и свободными аминокислотами. Полученный гидролизат нейтрализуется с последующим удалением нейтрализующей соли и выпаривается до необходимой сухости. Если осаждают казеин при 10°, то большая его часть при нагревании подкисленного р-ра осадка распадается на полипептиды. В. Н.

См. также: 4247, 1094Бх, 1137Бх, 1777Бх, 1779Бх, 789Бх, 1804Бх, 1838Бх, 1842Бх, 1847—1851Бх, 1980Бх

## КОЖА. МЕХ. ЖЕЛАТИНА. ДУБИТЕЛИ. ТЕХНИЧЕСКИЕ БЕЛКИ

5651. Механическая деструкция высокомолекулярных веществ. Барамбойм Н. К., Науч. тр. Моск. технол. ин-та легкой пром-сти, 1954, сб. 4, 104—110

Изучались изменения физ. хим. свойств кератина, подвергнутого механич. деструкции. Измельчали предварительно промытый и обезжиренный конский волос. Продукты деструкции отбирали через 6, 30, 54, 100 и 130 час. размола. В пробах определяли растворимость в воде, в 0,1 н.  $\text{HCl}$ , 0,1 н.  $\text{NaOH}$ , адсорбцию кислотных и основных красителей, кислотную и щел. емкость, вязкость в медно-аммиачном р-ре, смазываемость, содержание цистина, золь и влаги. В результате механич. деструкции в кератине происходит разрыв молекулярных цепочек и образование раство-

римых продуктов. В первую очередь разрушаются поперечные (дисульфидные) связи, причем образующиеся при разрыве хим. группы, возможно, взаимодействуют между собой с образованием новых связей. Разрушение микроструктуры волоса, особенно его поверхностно-гидрофобного чешуйчатого слоя, приводит уже в первый период деструкции к образованию поверхностно-гидрофильных продуктов. И. Э.

**5652. Проблемы консервирования в кожевенной промышленности. Хаузам** (Problèmes de conservation dans l'industrie de la peau brute et du cuir. Hauser W.), Rev. techn. inds. cuir, 1955, 47, № 3, 47-51 (франц.).

Обзор по консервированию кожевенного сырья, кожи, клеев, желатин, яичного белка и желтка, бычьей крови. Библ. 14 назв. И. Э.

**5653. Эффективность мездрения в сырье. Гец, Алпе** (Some effects of green fleshing. Goetz A. W., Alps H. A.), Shoe and Leather Reporter, 1954, 273 № 12, 16-17, 26-27; Leather Manufacturer, 1954, 71, № 2, 7-10 (англ.).

Изучено влияние мездрения в сырье на качество кожи. Сырье (опоек и крупное сырье) разрезалось на половинки. После 30-минутной промывки одни половинки мездрились, а другие не мездрились, после чего те и другие отмачивались и солились отдельно. В промывных и отмочных водах, а также в зольных р-рах, определялось содержание соли и некоагулируемых и коагулируемых белков. Установлено, что свыше 50% соли и белков вымывается из шкуры за первые 10 мин. и свыше 75% соли удаляется после 30 мин. промывки. Мездрение в сырье не оказывает заметного влияния на удаление соли и белков из шкуры. Машинное мездрение снижает способность шкуры к обводнению в отмоке и набуханию в протексе зольния. Мездрение сырье по сравнению с немездренным более плоское и стойкое после отмоки и зольнения. Соответственно уменьшается также отмочный и гольевой вес. Мездрение в сырье не влияет на скорость обезолаживания и на наличие подседа. Следует учитывать влияние давления и растяжения, производимое мездрильной машиной. Мездрение в голье необходимо только при плохой обрядке и для удаления твердых частиц извести, влияющих на кислотную обработку и магчение. Одной из отрицательных сторон мездрения в голье является возможность повреждения волокон лицевого слоя, находящихся в набухшем состоянии, что имеет особое значение для легких кож. М. Л.

**5654. Кожеобразующая способность дубящих веществ. Кутянин Г. И.**, Легкая пром-сть, 1954, № 10, 26-28

Способность дубящих в-в увеличивать объем дермы названа кожеобразующей способностью (КС). Обычно считают, что хромовые соли меньше формируют объем кожи, чем растительные дубители. Однако, если считать увеличение объема дермы на 1 г связанного дубящего в-ва, то получается обратная зависимость. КС хромовых солей в несколько раз превышает КС растительных танинов. Предлагается ф-ла для вычисления коэфф. КС ( $K_{КС}$ ):  $K_{КС} = (v_k - v_s)/v_D$ , где  $v_k$  — объемный выход кожи,  $v_s$  — объем сухой недубленной дермы в см<sup>3</sup> на 100 г гольевого в-ва,  $v_D$  — объем дубящего в-ва, присоединенного к 100 г гольевого в-ва.  $K_{КС}$  легко вымываемых танинов дубового экстракта 0,87, связанных вымываемых 1,62, необратимо связанных 5,70, основных хромовых солей 21,1. Чем прочнее связывается дубитель с коллагеном, тем выше его КС. Величина  $K_{КС}$  может служить характеристикой интенсивности поперечного скрепления цепей коллагена при дублении аналогично показателю  $t$ -ры сваривания. И. Э.

**5655. Применение полифосфатов при изготовлении хромовой кожи. Риее** (Die verwendung polymerer Phosphate bei der Chromlederherstellung. Riee C.), Leder, 1954, 5, № 9, 211-214 (нем.; резюме франц., англ., исп.).

Для повышения полноты и прочности кожи из тонких видов кожсырья крупного рогатого скота и, особенно, пол, применяются маскирующие в-ва, входящие в хромовый комплекс, что связано с укрупнением частицы последнего. Для полноты кожи имеет значение также гидротропный эффект при обработке голья маскирующими в-вами. Наличие в коже избытка солей, особенно NaCl, дает более плоскую кожу. Поэтому вместо пикеля из к-ты и NaCl для тонкого сырья следует применять пикель из солей или к-т, анион которых задерживает кислотное набухание, напр. полифосфаты (колгон, кориаген), которые в кислой среде задерживают, а в слабокислой и нейтр. вызывают легкое набухание шкуры. Прибавление полифосфатов в пикель (~1%) с небольшим кол-вом соли или без нее или в хромовую ванну повышает толщину кожи на 15-35%, а также увеличивает содержание  $Cr_2O_3$  в коже. Влияние полифосфатов на полноту кожи увеличивается с повышением конечного pH пикеля. С этой же целью можно также обработать полифосфатами кожу после дубления, но в этом случае затрудняется дальнейшее крашение кожи. Все марки полифосфатов, отличающиеся между собой величиной частиц, находят значительное применение при выработке разных видов кож. М. Л.

**5656. Замена хромирования юфти хромсульфитцеллюлозной обработкой. Овруцкий М. Ш.**, Широко Ш. Л., Литвинов М. Р., Легкая пром-сть, 1955, № 4, 38-39

Предлагается метод дубления юфти, в котором вместо хромирования голье после пикелевания обрабатывают на отработанный пикельной ванне смесью, состоящей из 5% дубильных сульфитцеллюлозного экстракта и из хромового экстракта с основностью 40-42% (из расчета 0,5%  $Cr_2O_3$  от веса голья). Додубливание производится танинами дубового экстракта или смесью танинов дубового экстракта и дубителя ПЛ. Расход танинов 6% от веса голья. Производственная проверка показала, что предлагаемый метод повышает полноту и толщину периферийных участков кож, дает больший выход по весу, площади и толщине и экономит ~40% растительных танинов путем замены их сульфитцеллюлозным экстрактом. И. Э.

**5657. Комбинированное дубление. Часть II. Одновременное хром-растительное дубление. Наюдама, Ранганатхан** (Combination tannages: Part II. Simultaneous chrome-vegetable tannage. Nayudama Y., Ranganathan T. S.), J. Scient. and Industr., Res. 1954, 13A, № 6, 280-283 (англ.).

Излагаются результаты работ по получению дубильных р-ров путем восстановления хромпика дубильным материалом дивидива. Восстановление производится путем добавления  $H_2SO_4$  к смеси хромпика и дубильного материала. Приводятся хим. характеристики получаемых р-ров, методика произ-ва шевро, велюра и других видов кож с применением дубильных р-ров указанного типа, хим. состав получаемых кож и их органолептическая оценка. Полученные кожи не уступали по качеству козам обычного дубления. Часть I см. РЖХим, 1955, 57203. И. Э.

**5658. Комбинированное дубление. Часть III. Исследование растительно-хромового дубления. Венкатачалам, Наюдама, Дас** (Combination tannages: Part III.— Studies in semichrome tanning. Venkatachalam P. S., Nayudam



ma Y., Das B. M.), J. Scient. and Industr. Res., 1954, AB, № 8, 372—379 (англ.)

Индия экспортирует большие кол-ва кинсов и козлины растительного дубления, из которых в Англию получают кожу для верха обуви путем додубливания их хромовыми солями. Индийской кожевенной промышленностью поставлена задача переработки указанного полуфабриката в готовую кожу. Для этого изучены процессы частичного обездубливания краснотанных кож, их додубливания хромом и дальнейших операций до отделки. Исследовано влияние многократных водн. экстракций по Пейджу измельченного индийского кинса растительного дубления на удаление водовываемых в-в и последующий процесс дубления хромовыми солями. Исследование подтвердило выводы Пейджа в отношении классификации танидов, содержащихся в выдубленной коже, на: а) свободные водовываемые; б) связанные водовываемые; в) связанные таниды. При удалении связанных водовываемых танидов освобождаются пептидные, а также карбоксильные группы белка, но не аминокислоты. При этом повышается связывание катионных и некатионных хромовых комплексов. Получены дополнительные данные, подтверждающие положение, что катионные и некатионные хромовые комплексы реагируют координативно с одними и теми же группами белка независимо от заряда хромового комплекса. М. Л.

5659. Крашение и отделка хромовой перчаточной кожи. Александров А. А., Легкая пром-сть, 1954, № 11, 14—15

Описываются работы по улучшению качества хромовых перчаточных кож. Рекомендуется вместо определения степени нейтр-ции кожи индикатором метилрот точно дозировать бикарбонат натрия: для черных кож 0,2—0,3%, для цветных 0,3% от строгого веса. Для получения сквозного прокрашивания и ровной окраски лицевого слоя надо применять последовательно кислотные и прямые красители, обрабатывая предварительно кожу в течение 10—15 мин. препаратом ОП-10 кол-во красителей надо увеличить до 7—8% от строгого веса. При крашении в коричневый цвет кожа должна быть предварительно обезжирена. Даны указания по механич. отделочным процессам. И. Э.

5660. Простой способ быстрого определения красящих свойств анионных красителей. Отто (Über eine einfache Schnellmethode zur Bestimmung des färbereischen Verhaltens anionischer Farbstoffe. Otto G.), Leder, 1954, 5, № 10, 244—246 (нем.; резюме англ., франц., исп.)

Вместо обычно применяемого метода пробных выкрасок предлагается новый быстрый метод испытания анионных красителей для хромовой кожи. В пробирку помещают ~0,065 г слабохромированного голышевого порошка, добавляют из пипетки 10 мл р-ра  $H_2SO_4$  с рН 3,7 и из пипетки вводят 6 капель р-ра красителя с конц-ией 5 г/л. Встряхивают в течение 0,5 мин., фильтруют через стеклянную вату в другую пробирку, затем снова из второй пробирки в первую и т. д. до получения прозрачного р-ра. В некоторых случаях приходится повторять фильтрацию до 12—20 раз. Окрашенный голышевый порошок обрабатывают в третьей пробирке 10 мл р-ра аммиака с рН 8,3 и фильтруют 2 раза в четвертую пробирку. Полученные фильтраты соответственно сравнивают с двумя эталонными р-рами. Первый эталонный р-р готовят прибавлением к 10 мл р-ра  $H_2SO_4$  с рН 3,7 1 капли р-ра красителя (5 г/л). Второй эталонный р-р готовят прибавлением 1 капли красителя к аммиачному р-ру с рН 8,3. Приводятся примеры применения нового метода параллельно с пробным и выкрасками. Метод дает хорошие результаты. И. Э.

5661. Применение синтетических смол для отделки кож. Шоу (Resins in leather finishes. Shaw Robert), Leather Manufact., 1955, 72, № 3, 60—62 (англ.)

Краткий обзор применения синтетич. смол (акриловых, метакриловых и др.) для отделки кож водн. покрывными красками. И. Э.

5662. Применение кремнийорганических соединений в производстве водостойких кож. Росситер (The use of silicone treatment for water-resistant leathers. Rossiter W. T.), Leather and Shoes, 1954, 128, № 19, 44 (англ.)

Импregnирование хромрастительной кожи, содержащей 12—15% растительных танидов и 6—8% жиров, кремнийорганич. препаратом дау корнинг 1109 снижает водонепроницаемость кожи, увеличивает ее устойчивость к хим. реактивам и поту. Дополнительная смазка кожи жирами снижает эффективность обработки. Так же может влиять отделка лицевой поверхности кожи в зависимости от состава и свойств отделочных материалов. И. Э.

5663. Исследование изменений площади и толщины юфти по стадиям производства. Овечкин Е. С., Эпштейн Р. К., Научн. исслед. тр. Укр. и-и. ин-та кож.-обув. пром-сти, 1954, сб. 6, 116—129

Работа проведена на трех производственных партиях юфти. Голье разрезали по хребту на опытные и контрольные половинки. Площадь и толщину измеряли у необезоленного голья, после хромирования и суточной пролежки, после строгания, после растительного дубления и промывки, после разводки и в готовой юфти. Толщину измеряли в стандартной точке огулка, в точке сбежистости по ГОСТ и на средней линии, перпендикулярной к хребту. Установлено, что наибольшую площадь полуфабрикат имел после хромирования. После растительного дубления площадь несколько уменьшилась, а после разводки была примерно равна площади после хромирования. При сушке в свободном состоянии площадь готовой юфти уменьшается, лишь немного превышая площадь необезоленного голья. Подвялка юфти на шестах с последующим закреплением без растягивания и сушкой ее на рамах увеличивает площадь юфти на ~4,5%. Качество юфти, высушенной на рамах, не отличается от юфти, сушеной в свободном состоянии на шестах. Толщина готовой юфти равна примерно толщине хромированного голья после строгания. В процессе растительного дубления толщина полуфабриката значительно увеличивается, а при прессовании и разводке уменьшается. Сушка юфти на рамах после подвяливания на шестах намного улучшает использование кожевенного сырья. М. Л.

5664. Воздействие звуковых и ультразвуковых упругих колебаний на процессы производства меха.

Фридман В. М., Мешков К. В., Караев Н. М., Легкая пром-сть, 1955, № 4, 42—43

Изучалось действие упругих колебаний на никелевание, дубление, крашение и моечно-обезжиривающие процессы мехового произ-ва. Упругие колебания в реакционной среде получали при помощи электромагнитного и пьезоэлектрич. вибраторов (а для опытов обезжиривания также и гидродинамического). Пикелевание проводили на шкурках кролика, дубление — на меховой и шубной овчинах, крашение на шубной овчине, обезжиривание — на меховой овчине. Для опытных образцов никелевание продолжалось 30—40 мин. вместо 10 час., дубление — 3,5 часа вместо 17 час., крашение — 20—50 мин. вместо 90—180 мин. и обезжиривание — 20—50 мин. вместо 190 мин. для контрольных образцов. В последнем процессе лучшие результаты получаются при применении гидродинамич. вибратора. И. Э.

5665. Мойка овчины в меховом производстве. Пензе (Lavage des peaux de mouton avant l'apprêt. Penze W.), Rev. techn. inds. cuir. 1955, 47, № 4, 75—80 (франц.)

Обсуждается применение анионоактивных и пенообразующих поверхностно-активных в-в при мойке овчины в меховом произ-ве. Приводятся общая характеристика и описание свойств этих в-в с точки зрения их значения для мойки овчины (внешний вид, растворимость в воде, рН водн. р-ра, устойчивость к жесткости воды, к щелочам, к-там и солям, запах, пенообразующая, смачивающая, моющая и эмульгирующая способности, влияние на органолептич. свойства волоса и дермы).

И. Э.

5666. Ступенчатый характер пикелевания шубной овчины. Михеев В. Н., Легкая пром-сть, 1954, № 10, 30—33

При пикелевании шубной овчины поглощение к-ты дермой носит ступенчатый характер и результат пикелевания зависит не от характера применяемой к-ты, а от степени насыщения дермы. Начальная ступень насыщения дермы к-той названа «активной» кислотной емкостью, а следующая ступень насыщения — «слабоактивной». Предложена следующая классификация кислотных емкостей дермы: полное насыщение «активной» емкости дермы органич. или минер. к-той (пикелевание слабыми пикелями, включая хлебное квашение), неполное насыщение дермы минер. к-той с частичным использованием «слабоактивной» емкости (пикелевание минер. к-той при неполном насыщении), полное насыщение дермы минер. к-той (общепринятый способ пикелевания). Органич. к-та в комбинированном минерально-органич. пикеле может играть роль компонента при кислотном насыщении дермы, а при избытке органич. к-ты — непоглощаемого резерва, обеспечивающего бактерицидность пикельного р-ра. При использовании органич. к-ты как непоглощаемого резерва качество кожаной ткани значительно улучшается.

И. Э.

5667. О внедрении нового красителя для шубной овчины. Жуков Г. А., Алатирцева И. Н., Легкая пром-сть, 1954, № 11, 21—25

Указывается на неправильность выводов статьи Т. А. Сергеевой и К. А. Краснова (см. РЖХим, 1955, 10836) по вопросу об условиях применения нового красителя для шубной овчины — кислотного черного М. Описываются результаты работ и рекомендации по применению указанного красителя. Крашение кислотным черным М следует вести при конц-ии не ниже 6 г/л и жидкостном коэфф. 10; в отдельных случаях конц-ию можно повысить до 7—8 г/л, напр., если повышается вес кожаной ткани в общем весе овчины. Крашение следует вести в барабане, так как механич. воздействие способствует более глубокому прокрашиванию. Длительность крашения должна быть не менее 4 час.; т-ра крашения не ниже 55—60°.

И. Э.

5668. Переработка плесневелой коры ивы и ели. Карпман М. И., Легкая пром-сть, 1955, № 3, 26—29

При переработке коры ивы и ели, поврежденных плесенью, для получения сухих дубильных экстрактов встречаются трудности в связи с повышенной вязкостью жидких экстрактов. Для понижения вязкости экстрактов рекомендуется применять р-ры меньшей плотности (80—90° Барометра для ивы и 60—70° для ели). Для улучшения условий упаривания предлагается вводить 1 г машинного масла на 1 л жидкого экстракта. Получаемый при переработке коры, поврежденной плесенью, экстракт удовлетворяет требованиям стандарта. При совместной переработке плесневелой и нормальной коры (1:1) получают обычный сухой экстракт без перерасхода сырья, а также одубину,

пригодную для использования в качестве топлива. Кожевенно-технологич. свойства экстракта из плесневелой коры не отличаются от соответствующего обычного экстракта.

И. Э.

5669. Влияние консервирования сырья на качество желатины. Яницкий, Невярович (Wplyw konserwacji surowca na jakość żelatyny. Janicki J., Niewiarowski A.), Przem. rolny i spożywczy, 1954, 8, № 1, 9—12 (польск.)

Желатина (Ж) из свежих свиных шкур обладала вязкостью при 30° 5,29 *спуаа* и способностью к желатинизации (СЖ) (измеряемой временем, требующимся для желатинизации) 20 мин. Ж из шкур, законсервированных NaCl (технич.) +2% соды +1% нафталина, после 4 недель хранения имела вязкость 4,33 *спуаа* и СЖ 60 мин.; Ж из неконсервированных шкур через 3 недели хранения обладала вязкостью 2,90 *спуаа* и СЖ 90 мин.; Ж из свежих телячьих шкур имела вязкость при 30° 4,51 *спуаа* и СЖ 20 мин., а из шкур, консервированных нафталином, через 3 недели хранения — вязкость 3,83 *спуаа* и СЖ 120 мин.; Ж из телячьих шкур, консервированных техн. NaCl + Na<sub>2</sub>SiF<sub>6</sub>, через 4 недели хранения имела вязкость 3,78 *спуаа* и СЖ 20 мин. Ж из неконсервированных шкур через 3 недели обладала вязкостью 2,54 *спуаа* и СЖ 90 мин. Консервирующие средства замедляют падение вязкости Ж из свиных и телячьих шкур при их хранении; Na<sub>2</sub>SiF<sub>6</sub> способствует также сохранению исходной величины СЖ.

И. П.

5670. Растворение казеина при изготовлении клея. Жени (La dissolution de la caséine lors de la préparation des colles. Génin G.), Lait, 1954, 34, 333—334, 156—162 (франц.)

Растворение казеина (I) в воде представляет трудности, связанные с комкованием, всплыванием отдельных зерен и образованием пены, что затрудняет произ-во клея, особенно в промышленном масштабе. Описан простой лабор. прибор для оценки способности I к образованию пены, основанный на измерении разницы в объеме свежеприготовленной смеси воды и I при атмосферном давлении и при разрежении до 0,5 ат. Даны указания о мерах предосторожности, необходимых при внесении I в воду и при его растворении.

А. Г.

5671. Изучение физических свойств и влияния влаги на физико-механические показатели искусственной подопшени кожи, изготовленной на основе кожевенного волокна. Колосова Г. И., Баданина А. И., Науч.-исслед. тр. Центр. и.и. ин-та заменителей кожи, 1954, сб. 6, 38—50

Изучены теплопроводность, пористость, водонепроницаемость и гигроскопичность, а также влияние воды и паров бензола на физ.-мех. свойства заменителей кожи, изготовленных с применением кожевенного волокна: пласткожи (П), подопшени картона (ПК), материала, изготовленного на латексе СКС-30, и материала, изготовленного смешиванием каучука с волокном на вальцах. Наименьшей теплопроводностью обладает ПК. П занимает промежуточное положение между двумя последними материалами. Исследованные материалы обладают гигроскопичностью (наибольшая у ПК, наименьшая у П). При намокании в воде предел прочности при растяжении уменьшается в большей степени у ПК (на 28,3%), в меньшей у П (на 8,8%), остальные материалы занимают промежуточное положение. Удлинение в начале намокания увеличивается, в дальнейшем снижается. Сопротивление вырыванию винта и расслаиванию в начале намокания несколько повышается, а затем резко снижается у П и у материала, изготовленного смешением на вальцах, у остальных материалов оно непрерывно снижается. Различия в поведении исследованных материалов при

намокании свидетельствует о неодинаковом распределении в них проклеивающих в-в. Наиболее равномерно эти в-ва распределены в II. При выдерживании материалов в парах бензола механич. показатели сжимаются, удлинение вначале увеличивается а затем падает. Наименьшие изменения происходят в II. Установлено, что физ. и физ.-мех. свойства исследованных материалов зависят от характера их микроструктуры.

**5672. Ускоренный метод определения процентного содержания кожноволокна в кожкартонах.** Хорошая Е. С., Лыкова А. Н., Кострюкова Л. И., Баркан М. С., Науч.-исслед. труды (Центр. н.-и. ин-т заменителей кожи), 1954, сб. 6, 102—105

Разработан метод определения содержания кожноволокна в картонах, состоящий в кипячении 1 г измельченного картона 30 мин. с 100 мл 20%-ного р-ра NaOH в конич. колбе (500 мл) с обратным воздушным холодильником. Полученный р-р разбавляют дистилл. водой, фильтруют через медную сетку (с числом отверстий 10 000 на 1 см<sup>2</sup>), промывают до отсутствия р-ции по фенолфталеину, остаток высушивают. Результат вычисляют по формуле  $x = [(a - bK)/a] \cdot 100$ , где  $x$  — содержание кожноволокна в %,  $a$  — навеска в г,  $b$  — вес остатка в г после обработки NaOH,  $K$  — коэфф., зависящий от потерь при анализе. Экспериментально установлено, что при  $b < 0,45$ ,  $K = 1,2$ ; при  $b = 0,48$  и выше,  $K = 1,3$ . Приведена таблица содержания кожноволокна в картоне при величинах  $b$  0,20—0,64.

**5673. Машина для производства искусственной кожи.** Швабе (Kunstleder—aus der Maschine. Schwabe Gottfried), Orion, 1953, выпуск A, 8, № 21/22, 858—865 (нем.)

Дан краткий очерк развития произ-ва искусств. кож и описана современная машина для нанесения покрытий на ткани и для получения пленок из искусств. смол главным образом поливинилхлорида. Описано также получение воздухопроницаемых, водонепроницаемых, металлизированных и прочих материалов.

И. Э.

**5674 Д. Перспективы технического развития производства дубового экстракта.** Преображенская Р. И. Автореф. дисс. канд. техн. н., Моск. техн. ин-т легкой пром-сти. М., 1955

**5675 П. Способ, предупреждения развития вредных бактерий при отмоке животных шкур.** Дамм, Фишер (Verfahren zur Verhinderung einer schädlichen Bakterienentwicklung in Weichfloren für tierische Häute und Felle. Damm Helmut, Fischer Wilhelm) [Böhme Fettchemie G. m. b. H.]. Пат. ГФР 903987, 15. 02. 54 [Chem. Zbl., 1954, 125, № 30, 6874 (нем.)]

В отмочные жидкости вводят антибиотики (I), причем применяют смесь двух или более I. Применяют I, обладающие специфич. действием к протеолитич. бактериям, I, имеющие полипептидную структуру и поверхностноактивные свойства. Применяют I совместно с мягчителями, поверхностноактивными в-вами или р-рителями, а также с известными консервирующими и дезинфицирующими средствами. Пример: консервированные сухой шкуры подвергают отмоке в гашеле с 400% воды или в чане с 1000% воды при 15—20° с добавкой 0,001 актиномицина в смеси с 0,005 ауреомицина. При такой отмоке шкуры не подвергаются порче бактериями.

И. Э.

**5676 П. Способ получения обезволаживающего средства.** Берка (Haarlockungs- und Enthaarungsmittel für Häute und Felle und Verfahren zu ihrer Herstellung. Berka Eduard). Австр. пат.

176286, 10. 10. 53 [Chem. Zbl., 1954, 125, № 6, 1392—1393 (нем.)]

Рыбьи отходы (головы, чешуя, плавники, хвосты) или сухая рыбья мука подвергаются автолизу путем самосбраживания при 15—40°. После разжижения белка к жидкости добавляют р-р кальциевых солей органич. к-т с избытком свободной щелочи (иногда с добавкой карбоната щел. металла). Р-р может быть также превращен в сухой продукт. Шкуры обрабатывают в 1%-ном р-ре (при pH 11,5—11,8) в течение нескольких дней с перемешиванием или без него.

И. Э.

**5677 П. Метод обработки животных шкур** (Process for the preserving treatment of animal skins and hides) [Verband der Deutschen Lederindustrie]. Англ. пат. 720505, 22. 12. 54 [J. Soc. Dyers and Colourists, 1955, 71, № 3, 164 (англ.)]

Голье импрегнируют мономером полимеризующегося соединения, напр. виниловым соединением, которое полимеризуется в процессе пропитки или же впоследствии внутри голье. Получается мягкая кожа с большой водостойкостью.

И. Э.

**5678 П. Способ и раствор для предварительного дубления кожи** (Procédé de prêtannage de cuirs et solution employée) [Union Chimique Industrielle]. Франц. пат. 1042276, 30. 10. 53 [J. Soc. Leather Trades Chemists, 1955, 39, № 3, 102 (франц.)]

Голье обрабатывают в барабане 3—4%-ным р-ром муравьинофосфата (67—70% P<sub>2</sub>O<sub>5</sub>), а затем добавляют муравьиную к-ту. После этого шкуры дубят без промывки.

И. Э.

**5679 П. Способ получения продуктов конденсации афиров.** Хорст (Verfahren zur Herstellung von esterartigen kondensationsprodukten. Horst Karl) [Farbwerke Hoechst, vormals Meister Lucius und Brüning]. Пат. ГФР 888688, 3. 09. 53 [Leder, 1954, 5, № 9, 232 (нем.)]

Ацетали или полиацетали цепочечного строения, выделяемые из остаточного продукта дистилляции при получении ди- и триэтиленгликоля обработкой этого продукта формальдегидом, этерифицируют карбоновыми к-тами с числом атомов С не менее 6. Пример: ацеталь, содержащий 8,2% ОН-групп, этерифицируют при 160—175° смесью жирных к-т с числом С атомов 10—20, получаемых при окислении парафина. Полученный продукт применяется для жирования кожи.

И. Э.

**5680 П. Покрытие для кожи** (Coating of leather) [Badische Anilin und Soda Fabrik]. Англ. пат. 717883, 3. 11. 54 [J. Soc. Dyers and Colourists, 1955, 71, № 1, 69 (англ.)]

Состав для нанесения покрытий на кожу представляет собой колл. р-р в водн. органич. р-рителе аммонийной соли сополимера акрилового или метакрилового эфира, содержащего СООН-группу. Полученное покрытие имеет очень хороший блеск.

И. Э.

**5681 П. Наклейка кож при их сушке.** Шварц, Хуссонг, Хенинг (Aufkleben von Leder beim Klebetrocknungsverfahren. Schwarz Rudolf, Hussion Maximilian, Hennig Theodor) [Zschimmer und Schwarz Chemische Fabrik und Gerbstoffwerk Oberlahnstein A.-G.]. Пат. ГФР 923157, 3. 02. 55 [Leder, 1955, 6, № 3, 69 (нем.)]

Раствор крахмала или декстрина смешивают с мочевиной (менее 12,5%). Для повышения вязкости можно добавлять также небольшие кол-ва производных целлюлозы. Пример: смешивают 5% крахмала с 1% мочевины или 20% декстрина с 20% мочевины или 45 ч. декстрина с 52 ч. мочевины и 3 ч. Na-соли карбоксиметилцеллюлозы.

И. Э.

**5682 П. Очистка танинов канегры при помощи водного метилэтилкетона.** Филаконе, Биг, Гарнье, Лувизи (Purification of canaigre tannin with aqueous methyl ethyl ketone. Fila-



ehione Edward M., Beebe Clarence W., Harris Edward H. Jr., Luvise Fred P.) [United States of America as represented by the Secretary of Agriculture]. Пат. США 2694725, 16. 11. 54

Из материалов, содержащих таниды канегры, последние экстрагируются метилэтилкетонам, в котором содержится не менее 5% воды (от веса метилэтилкетона). Из полученного р-ра выделяют таниды И. Э.

5683 П. Способ получения продуктов конденсации. Мейстер, Мауте (Verfahren zur Herstellung von Kondensationsprodukten. Meister Martin, Mauthe Gustav) [Farbenfabriken Bayer]. Пат. ГФР 872946, 881347, 29. 06. 53 [Leder, 1954, 5, № 6, 144 (нем.)]

Способ получения продуктов конденсации, обладающих дубящими свойствами, состоит в том, что многоатомные фенолы или их смеси (резорцин, пирокатехин, пирогаллол и др.), или смеси многоатомных с одноатомными фенолами конденсируются с ароматич. основаниями или их солями и альдегидами (насыщ. или ненасыщ.). Растворимость конденсатов, не содержащих сульфогрупп, обуславливается наличием основных групп, образующих с минер. к-тами соли. По дополнительному пат. 881347 можно применять также неароматич. основания, а полученные конденсаты можно подвергать дальнейшей конденсации с ароматич. основаниями и альдегидами. И. Э.

5684 П. Способ производства желатины и клея. Кудён (Procédé de fabrication de la gélatine et de la colle. Coudun R. G. H. de). Франц. пат. 1052597, 26. 01. 54 [Chem. Zbl., 1955, 126, № 5, 1188 (нем.)]

Коллагенсодержащий материал (шкура, кости) измельчают и обрабатывают известковым молоком, содержащим 1000 г/м<sup>3</sup> смачивающего в-ва (алкиларилсульфоната). И. Э.

5685 П. Способ производства подошвы. Риншар (Semelle mixte et son procédé de fabrication. Richard J.). Франц. пат. 1021759, 24. 02. 53 [Rev. gén. caoutchouc, 1953, 30, № 7, 519 (франц.)]

Патентуются подошва из кожи, усиленная производными поливинилхлорида или полиамидами, и способ ее произ-ва, допускающий применение охлажд. форм. М. Л.

См. также: 5217, 1051, 1053, 1057

## ПРОЧИЕ ПРОИЗВОДСТВА

5686. Роль химической промышленности в развитии атомной энергии. Гольдшмидт (Le rôle de l'industrie chimique dans le développement de l'énergie atomique. Goldschmidt Bertrand M.). Chimia, 1954, 8, № 12, 269—271 (франц.)

Общие соображения о задачах в области освоения атомной энергии и той роли, какую играет и должна играть в решении этой проблемы хим. пром-сть в различных странах и главным образом во Франции. А. И.

5687. Радиоактивные изотопы. Производство, применение и защита при их использовании. Вильямс, Тейлор (Isotopi radioattivi. Produzione, applicazione e precauzioni di sicurezza nel loro uso). Williams Caterina, Taylor R. M.). Riforma med., 1954, 68, № 41, 1121—1127 (итал.; резюме англ., франц., нем.)

5688. Примеры промышленного применения радиоактивных изотопов. Ван-де-Кастеле (Exem-

ples d'applications industrielles des isotopes radioactifs. Van de Casteele C). Rev. techn. luxembourg., 1954, 46, № 1, 28—35 (франц.)

5689. Испытание материалов радиоактивными изотопами. Андерсен (Materialeundersøgelser med kunstig radioaktiv isotoper. Andersen Rikard). Dansk tekn. tidsskr., 1954, 78, № 8, 209—212, CLVI (дат.)

Изложены принципы γ-радиографии, выбор изотопа и время экспозиции. К. Г.

5690. Применение радиоактивных веществ в промышленности. Левек (Applications industrielles des radio-éléments. Lévêque P.). Ingrs et techniciens, 1954, № 72, 29, 31, 33, 35 (франц.)

Обзор. Библи. 7 назв. А. Н.

5691. Производство карборунда во Франции. Свейства и применение карборунда. Севен (La fabrication du carbure de silicium en France. Fabrication. Propriétés et applications du carbure de silicium. Sevin R.). J. four électr. et inds. électrochim., 1955, 64, № 1, 13—15 (франц.)

Описан технологич. процесс произ-ва карборунда. В качестве шихты применяется смесь песка, кокса и окисл. Процесс происходит в электрич. печах при 1450—2250° по р-ции  $\text{SiO}_2 + 3\text{C} = \text{SiC} + 2\text{CO}$ . З. М.

5692. Кратковременная и продолжительная люминесценция стекловидного кремнезема. Гариньо-Канина (Luminescence à courte et à longue durée dans la silice vitreuse. Garino-Canina Vittorio). C. r. Acad. sci., 1954, 239, № 15, 875—877 (франц.)

В ранее опубликованном сообщении (РЖХим, 1955, 19384) о зависимости люминесценции стекловидного  $\text{SiO}_2$  (I) от т-ры, дополнительно исследована причина ненормального возрастания интенсивности β-полосы. Характер люминесценции зависит от способа получения I. I, полученный в восстановительных условиях, наряду с кратковременной люминесценцией (в спектре которой наблюдаются полосы α и β' при 2800 Å и 3960 Å) обладает затяжной и сильно убывающей с т-рой люминесценцией. В спектре этой люминесценции наблюдается полоса β'' при 9360 Å. При обыкновенной т-ре люминесценция такого I продолжается несколько недель, при 300° ~ 1 мин. В спектре люминесценции I, полученном в окислительных условиях, наблюдались полосы α и β' с максимумами при 2800 и 3960 Å. Это явление автор объясняет действием незначительных кол-в металлич. примесей как люминогенных центров и влиянием физ.-хим. условий плавления I на их расположение в решетке. С. Я.

5693 П. Способ приготовления катализаторов хромосиликатного типа. Таттерсалл, Кемпбелл (Process for the preparation of chromium silicate-type catalysts. Tattersall Harold J., Campbell Thomas F.). [White Ltd., J. and J.]. Англ. пат. 713282, 11. 08. 54 [Chem. Abstrs, 1955, 49, № 4, 2646 (англ.)]

Катализаторы хромосиликатного типа, твердые и стойкие при действии хим. в-в и т-р до 1000° приготовляют, нагревая смесь хромата и  $\text{SiO}_2$  с катализатором. Напр., песок или кварц, измельченный до 200 меш, добавляют к водн. р-ру  $\text{Na}_2\text{CrO}_4$ , содержащему катализатор  $\text{CaCl}_2$  или  $\text{FeCl}_3$ . Рекомендуется смесь (в г):  $\text{SiO}_2$  600,  $\text{Na}_2\text{CrO}_4$  400,  $\text{CaCl}_2$  5 и  $\text{H}_2\text{O}$  100. Продукт перемешивают, выпаривают досуха и нагревают 1—3 часа в печи при 950° до окончания р-ции; степень конверсии хромата 90—95%. Продукт охлаждают, измельчают, промывают водой для удаления свободной щелочи, высушивают и измельчают до желательного размера. Для получения продукта, не содержащего щелочи, вода для промывки может содержать  $\text{H}_2\text{SO}_4$ .

или к реакционной смеси можно добавить реагент для связывания Na.

**5694 П.** Способ получения микросферических частиц кремне-алюминиевого катализатора (Procédé de préparation de microsphères de catalyseur silice-alumine) [The Davison Chemical Corp.]. Франц. пат. 1035927, 1.09.53 [Chimie et industrie, 1953, 70, № 6, 1114 (франц.)]

Непромытая суспензия кремне-алюминиевого катализатора, содержащая растворимые соли, образовавшиеся в процессе его получения, высушивается в распыленном виде. Высушенный продукт должен содержать 3—4% воды.

**5695 П.** Люминесцентные материалы (Luminescent materials) [Thorn Electrical Industries Ltd]. Австрал. пат. 155559, 18.03.54

Патентуется люминофор (Л) и метод его приготовления. Л состоит из пирофосфатов Ca и одного или нескольких металлов из группы: Mg, Sr, Ba и Zn. Мол. отношение окисла металла к  $P_2O_5$  лежит в пределах от 2:0,9 до 2:1,4, а кол-во Ca  $\leq 98$  мол. % от общего кол-ва металла. Л активируется Sn или Sn и Mn, причем кол-во Sn  $> 0,05$  вес. %.

**5696 П.** Приготовление светящихся галогенфосфатов (Preparation of luminescent halophosphates) [Aueres. A.-G.]. Англ. пат. 717653, 27.10.54 [Chem. Abstrs, 1955, 49, № 4, 2196 (англ.)]

Полупродукт для приготовления светящихся галогенфосфатов осаждают из р-ра Ca- и Mn-солей, к которому добавлен другой активатор, напр.  $Sb_2O_3$ , для чего приливают по каплям р-р трет- $NH_4$ -фосфата и  $NH_4F$ . Полупродукт прокалывают известным способом и получают хорошо светящийся галогенфосфат. Напр., 30 г тонкоизмельченной  $Sb_2O_3$  смешивают с р-ром 838 г  $CaCl_2 \cdot 6H_2O$  и 17,8 г  $MnCl_2 \cdot 2H_2O$  в 10 л воды и к полученному р-ру прибавляют по каплям в течение 2—3 час. р-р 314 г  $(NH_4)_2HPO_4$ ,  $NH_3$  в кол-ве, достаточном для образования  $(NH_4)_3PO_4$ , и 28 г  $NH_4F$  в 2,5 л воды. После осаждения и фильтрации продукт сушат при 100° и прокалывают при 1180°. При применении в люминесцентной лампе получают белое свечение с желтоватым тоном.

**5697 П.** Получение люминесцентного состава из кальций-стронций-фосфата и трикальций-фосфата (Produits phosphorescents a base de phosphate de calcium-strontium et de phosphate tricalcique) [Salvania Electric Products, Inc.]. Франц. пат. 1048459 [Chem. Zbl., 1955, 126, № 14, 3222 (нем.)]

Фосфоресцентные составы из Ca-Sr-фосфатов, активированных Sn, при отношении Ca+Sr к  $PO_4$  3:2 и 2:2 (преимущественно 2,98:2,30) и при содержании Sn 10—0,1 мол. % получают прокаливанием смеси  $CaHPO_4$ ,  $SrCO_3$  и SnO в две ступени, причем во 2-й стадии прокалывание проводят в восстановительной атмосфере. Напр. 552,3 г  $CaHPO_4$ , 260,0 г  $SrCO_3$  и 10,8 SnO прокалывают 2 часа при 1204°. После охлаждения и размола смесь снова нагревают при 1204° 30 мин. в токе  $N_2$ , который содержит 2%  $H_2$ , и затем ее охлаждают. Сдвиг спектра люминесценции от оранжевого до красного происходит, если в качестве второго активатора применяется Mn наряду с Sn. Светящийся состав имеет наряду с высокой эмиссионной способностью в красной области спектра высокую устойчивость против окисления при 480°.

**5698 П.** Покрытия для флуоресцентных ламп (Coatings for fluorescent lamps) [International General Electric Co. of New York Ltd]. Австрал. пат. 160366, 20.01.55

Патентуется метод получения покрытий из тонкоизмельченных частиц галогенфосфатного люминофора на стеклянной оболочке флуоресцентной лампы. Сначала смешивают люминофор с борной к-той в кол-ве 0,5—3%

по весу, смесь обжигают при 700—1000°. Затем обработанная таким образом суспензия люминофора в соответствующем связующем наносится на стеклянную поверхность.

**5699 П.** Сульфидное покрытие (Sulfide Coating) [Parkerizing-Bonderizing Rustproofing Pty., Ltd]. Австрал. пат. 155163, 25.02.54

Патентуется метод и р-р для образования сульфидного покрытия на поверхности нержавеющей стали. Р-р имеет pH ниже 6,5 и содержит ионы  $F^-$  и  $\geq 0,03\%$  соединения S, дающего  $S^{2-}$  на поверхности стали.

**5700 П.** Получение поверхностей, обладающих отражательной способностью. Ратерфорд (Production of reflecting surfaces. Rutherford A.C.). Англ. пат. 697625, 23.09.53 [Prod. Finishing, 1953, 6, № 12, 118 (англ.)]

Метод получения поверхностей, обладающих отражательной способностью, заключается в смешении большого числа шаровидных гранул из материала, подобного стеклу, с в-вом, которое при высыхании становится прозрачным и приобретает адгезионные свойства. Обрызгивание прозрачным в-вом производится до образования в-ва, обладающего адгезионными свойствами.

**5701 П.** Устройство для получения покрытий, рассеивающих свет (Device for the production of a light-diffusing coating on surfaces) [Lumalampan A/B]. Англ. пат. 704189, 17.01.54 [Paint Manufact., 1954, 24, № 5, 174 (англ.)]

Патентуется метод покрытия внутренней поверхности сосудов (напр. баллонов электр. ламп) слоем, рассеивающим свет. На внутреннюю поверхность наносят вещество, дающее при термич. разложении мелкие частицы  $SiO_2$ . Этим в-вом может быть этилсиликат.

**5702 П.** Материал для защиты металлов от потускнения. Пру (Material for protecting metals from tarnish. Prew Robert H.) [Nashua Corp.]. Канад. пат. 491890, 7.04.53

Для защиты Ag-изделий от потускнения предлагается материал, который накладывается на изделие. Материал представляет из себя прокладку, с одной стороны покрытую текстильными волокнами различной длины (ворсом), относительно равномерно распределенными по поверхности прокладки. Короткие волокна содержат в-во, более активное по отношению к агентам, вызывающим потускнение Ag, а длинные волокна этого в-ва не содержат. Патентуется также прокладка, короткие волокна которой несут на себе Ag в такой форме, которая более активно взаимодействует с вызывающими потускнение агентами, чем Ag на защищаемой поверхности. Длинные волокна такого серебра не содержат.

**5703 П.** Обработка серебра, задерживающая его потускнение. Маттьюс, Соьер (Treatment of silver to inhibit tarnishing. Matthews Carroll F., Sawyer John C.) [Oneida Ltd]. Пат. США 2684328, 20.07.54

Предметы с поверхностью из Ag или сплавов на основе Ag для предохранения от потускнения обрабатывают водн. р-ром фторбората металла, более электроположительного, чем Ag. Время обработки должно быть достаточным для придания поверхности стойкости к потускнению, но недостаточным для образования заметного слоя. Конц-ция фторбората  $\geq 1\%$ .

**5704 П.** Цеолиты. Мазкава, Куроя (Zeolites. Maskawa Yoshiro, Kuroya Masahiko) [Asahi Glass Co.]. Япон. пат. 5008, 5009, 2.10.53 [Chem. Abstrs, 1954, 48, № 18, 10968 (англ.)]

Гель Na-цеолита готовят из р-ров алюмината Na и жидкого стекла, высушивают при 50° до влаж-

ности 50% и затем обезвоживают при 70—120° 20 л р-ра жидкого стекла, содержащего 6,9 г/л  $\text{Na}_2\text{O}$  и 20 г/л  $\text{SiO}_2$ , обрабатывают 218 г 50%-ной  $\text{H}_2\text{SO}_4$  и 3,8 л р-ра алюмината натрия, содержащего 16,4 г/л  $\text{Na}_2\text{O}$  и 20,4 г/л  $\text{Al}_2\text{O}_3$ . Продукт отфильтровывают и высушивают. Полученный цеолит содержит  $\text{Na}_2\text{O}$ ,  $\text{Al}_2\text{O}_3$  и  $\text{SiO}_2$  в молярном соотношении 1,15 : 4 : 6,45; емкость поглощения 2,95 л  $\text{CaO}$  на 1 л цеолита. В. К.

**5705 П.** Измельчение цеолитов. Маэкава (Crushing of zeolite. Maekawa Yoshiro) [Asahi Glass Co.]. Япон. пат. 5010, 2.10.53 [Chem. Abstrs, 1954, 48, № 18, 10968 (англ.)]

Гель цеолита, приготовленный по вышеописанному патенту (см. реф. 5704) высушивается при 50—120° и затем немедленно погружается в воду для измельчения. В. К.

**5706 П.** Производство синтетических фторсодержащих миканитов. Хатч, Камфоро (Fabrication of synthetic fluorine-micas. Hatch Robert A., Comeforo Jay E.). Пат. США 2675853, 20.04.54

Для получения миканита подвергают горячему прессованию смесь большого числа синтетич. фторсодержащих слюд, обладающих различными точками плавления, и общим составом:  $\text{X}_2\text{Y}_2$  на  $1\text{Y}_2$  и на  $3\text{Z}_2\text{O}_{10}\text{F}_6$ , где X—один из катионов:  $\text{K}^+$ ,  $\text{Na}^+$ ,  $\text{Rb}^+$ ,  $\text{Ti}^+$ ,  $\text{Cs}^+$ ,  $\text{Ca}^{2+}$ ,  $\text{Sr}^{2+}$ ,  $\text{Ba}^{2+}$  и  $\text{Pb}^{2+}$ ; Y—один из катионов:  $\text{Mg}^{2+}$ ,  $\text{Fe}^{2+}$ ,  $\text{Co}^{2+}$  и  $\text{Ni}^{2+}$  и сочетание  $\text{Mg}^{2+}$  с одним из катионов:  $\text{Mn}^{2+}$ ,  $\text{Li}^+$ ,  $\text{Ti}^{3+}$ ,  $\text{Zn}^{2+}$  и  $\text{Cu}^{2+}$ , а Z—ионы  $\text{Si}^{4+}$  или  $\text{Ge}^{4+}$  или сочетание  $\text{Si}^{4+}$  с одним из катионов:  $\text{Al}^{3+}$ ,  $\text{Be}^{2+}$ ,  $\text{B}^{3+}$ ,  $\text{Fe}^{3+}$ ,  $\text{Mn}^{3+}$ ,  $\text{V}^{3+}$  и  $\text{Cr}^{3+}$ . O — кислород, F — фтор. Н. С.

**5707 П.** Извлечение кислотных составляющих из газов. Бектлод, Кол (Extraction of high acidic concentrations from gases. Bechtold Ira C., Kohl Arthur L.) [The Fluor Corp. Ltd]. Канад. пат. 502606, 18.05.54

Рассматривается ряд вариантов выделения кислотных компонентов (напр.,  $\text{H}_2\text{S}$  и  $\text{CO}_2$ ) из газов, в которых конц. этих компонентов достаточно велика, путем абсорбции р-рами аминов с последующей регенерацией нагревом. Аппарат для абсорбции состоит из двух зон: теплообменной (1) и контактной (2). В 1 газ контактируется с абсорбентом и частично поглощает кислотные составные части, а тепло р-ции отдается охлаждающей жидкостью. Затем от газа отделяется абсорбент и газ идет в 2, где он снова контактируется с абсорбентом, после чего последний регенерируется и опять идет на абсорбцию. Возможны следующие варианты проведения процесса абсорбции: прямоточное пропускание газа и абсорбента через 1, затем отделение газа от абсорбента и прямоточное пропускание газа с тем же самым абсорбентом через 2; прямоточное пропускание с 50% избытком аминов и контактом в 2 со свежим абсорбентом; противоточное пропускание газа и абсорбента через обе зоны с промежуточным отделением газа от абсорбента. Л. Ю.

**5708 П.** Способ удаления надписей с бутылок. Кумб, Венедам (Method of removing labels from bottles. Quimby Arthur G., Venedam Joseph T.) [Doe and Ingalls, Inc.]. Канад. пат. 505464, 31.08.54

Надписи, сделанные горячим способом на бутылках и других предметах, удаляют смачиванием их нагретым до 40—85° водн. р-ром 30—60 г/л смеси равных частей тринатрийфосфата и тринатрийполифосфата. Поверхность предмета можно затем обработать струей того же р-ра двойной конц-ии под давл. 2—3,5 атм при той же т-ре. Надписи, сделанные горячим способом под давлением, удаляются погружением предмета в тот же р-р с последующей обработкой его струей р-ра двойной конц-ии при вышеуказанных т-ре и давлении. Н. П.

**5709 П.** Метод удаления эмалевого покрытия с металлических проводников. Сас (Method of removing enamel coatings from metallic conductors. Szasz Paul G.) [Canadian General Electric Co., Ltd.]. Канад. пат. 505317, 24.08.54

Метод удаления эмалевых покрытий и покрытий из поливинилацеталевой смолы с электрич. металлич. проводников состоит в нагревании последних до т-ры выгорания покрытия и немедленном охлаждении в водн. р-ре  $\text{NH}_4\text{Cl}$ . Для удаления покрытия из поливинилацеталевой массы с медных проводников применяют нагревание их до т-ры, обеспечивающей сгорание смолы, но ниже 1000°, с последующим быстрым охлаждением в водн. р-ре  $\text{NH}_4\text{Cl}$ . В. В.

**5710 П.** Способ растворения металлов и состав для этого. Спрингер, Мейер (Method of dissolving metals and composition therefor. Springer Richard, Meyer Walter R.) [Enthone, Inc.]. Пат. США 2649361, 18.08.53

Предложен состав для хим. растворения металлов, который содержит не менее одного растворимого в воде цианида щел. металла, способного к ионизации в воде с образованием не менее 2,5 г  $\text{CN}^-$  на 1 л водн. р-ра. Кроме того р-р должен содержать, по крайней мере, одно соединение ароматич. ряда, содержащее нитрогруппу, создающее разность потенциалов 0,9 в или выше между электродом из листового никеля и насыщ. (KCl) каломельным электродом. При этом нитробензогруппа нитросоединения должна по весу составлять более 0,1%  $\text{CN}^-$ . Состав обладает щел. р-цией и не содержит Ni, Cu, Cd, Ag, Zn и Au. С. Ш.

**5711 П.** Состав и материал для чистки. Ричлин (Cleaning pad and composition therefor. Richlin Milton) [Kimball Chemical Products Corp.]. Пат. США 2690385, 28.09.54

Для многократного использования при чистке металла рекомендуется ткань, пропитанная следующим составом (в вес. %): смесь материалов кислотного характера с  $\text{pH} < 4$  (в виде 1%-ного водн. р-ра) 15—35; абразивный материал 15—35 многоосновный спирт 1—15 и вода 33—67. Л. Р.

## КОРРОЗИЯ. ЗАЩИТА ОТ КОРРОЗИИ

**5712.** \*Коррозия — основная проблема сохранения оборудования. Тиди (In plant maintenance corrosion poses a major problem. Thiede R. C.), Canad. Metals, 1953, May 1st, 43—44 (англ.)

Обзор по вопросам выбора коррозионноустойчивых конструктивных материалов, защитных покрытий и замедлителей коррозии. В. Л.

**5713.** Исследование национальным Бюро Стандартов коррозии чугунных труб с различным содержанием никеля. — (NBS charts effects of corrosion on vary-

ing amounts of nickel in cast iron pipe.—), Gas (Los Angeles), 1954, 30, № 11, 45—46 (англ.)

См. также РЖХим, 1954, 45815.

**5714.** Борьба с коррозией. Думитреску (Lupta contra corozunii. Dumitrescu C.), Petrol și gaze, 1955, 6, № 4, 173—175 (рум.)

Рассматриваются основные факторы, вызывающие химическую и электрохимическую коррозию металлов, виды коррозионных разрушений и методы борьбы с ними. Я. М.



5715. Коррозия, ее причины и предупреждение. Томас (Corrosion... its cause and control. Thomas W. R.), Canad. Metals, 1953, 16, June, 21—22 (англ.). Обзор по основам коррозии и методам борьбы с ней.

5716. Причины коррозии. Обзор. Грубич (Ursachen der Korrosion. Ein Übersichtsbericht. Grubisch H.), Chem.-Ing.-Techn., 1955, 27, № 5, 287—298 (нем.).

Обзор. Библ. 123 назв. П. Ш. 5717. Электродные потенциалы и коррозия молибдена и вольфрама. Шаталов А. Я., Маршаков Н. А., Ж. физ. химии, 1954, 28, № 1, 42—50.

Измерения электродных потенциалов Mo и W в буферных р-рах показали, что независимо от присутствия или отсутствия в них Cl-ионов необратимые потенциалы этих металлов приблизительно следуют линейной зависимости от pH и могут быть выражены уравнениями:  $E_{Mo} = \{0,35 \div 0,40\} - 0,045 \text{ pH}$ ;  $E_W = \{0,28 \div 0,33\} - 0,045 \text{ pH}$ . Изучение электрохимического поведения Mo и W в 20 различных р-рах электролитов позволило установить четыре формы кривых потенциал — логарифм концентрации для этих металлов. Анодная поляризация Mo и W довольно велика в кислых и нейтр. р-рах и заметно падает в щел. Это обстоятельство указывает на высокую коррозионную стойкость этих металлов в последних, что подтверждается результатами весовых и объемных методов исследования.

В. А. 5718. Сложные электродные системы. Чупр (Složené elektrodové soustavy. Čupr V.), Spisy vyd., přírodověd. facult. Masarykovy univ., 1954, № 8, 261—290 (чеш.; резюме русс., франц.).

Дается математич. расчет сложных многоэлектродных систем, в которых электроды соединены звездобразно или последовательно. Рассмотрены следующие вопросы: полярность электродов, общий потенциал системы, дифференциальный эффект. Указывается на некоторую неточность в математич. расчетах, сделанных Г. В. Акимовым для случая звездобразно соединенных электродных систем.

П. В. 5719. О пассивном и активном состоянии свинца в почве. Маркович, Дуги (Über das passive und aktive Verhalten von Blei im Erdreich. Markovitch T., Dugi Z.), Werkstoffe und Korrosion, 1955, 6, № 6, 294, 296 (нем.; резюме англ., франц.).

Результаты исследования коррозионного поведения Pb в почвах показали, что в то время, как Fe и Al находятся в активном или пассивном состоянии в зависимости от отношения «почвенная влага: почвенный воздух», Pb почти всегда в почве пассивен. Выводится ф-ла математич. зависимости коррозии Pb в почве в зависимости от отношения указанных факторов. Pb находится в пассивном состоянии в очень многих почвах, но может быть переведен в активное состояние полами HCO<sub>3</sub>.

В. П. 5720. Элхемографическое исследование коррозии в пассивности металлов. Чупр (Elchemografický výzkum pasivity a koroze kovů. Čupr Václav), Chem. zvesti, 1955, № 4, 220—227 (чеш.; резюме русс., нем.).

Описана измерительная установка — элхемограф, которая дает возможность наблюдения электрохимических процессов при помощи непрерывного фотографирования. Установка снабжена реле спец. конструкции, которое позволяет измерять силу тока и потенциал исследуемого электрода при его поляризации, а также потенциал электрода после прекращения поляризации. Авторы приводят несколько записей из области пассивности Cr и Sn в кислой среде и из области фосфатирования железа.

И. М.

5721. Исследования окисления бинарных сплавов Fe—Ni и Fe—Cr при повышенных температурах. Моро (Recherches sur l'oxydation des alliages binaires fer-nickel et fer-chrome aux températures élevées. Moreau Z.), Ann. Univ. Paris, 1954, 24, № 1, 153—154 (франц.).

Производилось изучение механизма р-ций окисления сплавов Fe—Ni и Fe—Cr на воздухе при повышенных т-рах. Отмечается, что Ni остается в металлич. состоянии в результате р-ций восстановления:  $3 \text{ FeO} + \text{NiO} \rightarrow \text{Fe}_3\text{O}_4 + \text{Ni}$  (суммарная), Cr диффундирует к поверхностным слоям окислов значительно медленнее Fe, так как образуется нерастворимое в FeO соединение FeCr<sub>2</sub>O<sub>4</sub>.

Н. И. 5722. Электронномикроскопическое исследование окисных слоев на металлах. Пфефферкорн (Elektronenmikroskopische Untersuchungen an Metalloxydschichten. Pfefferkorn Gerhard), Z. Metallkunde, 1955, 46, № 3, 204—207 (нем.).

Электронномикроскопическими исследованиями показано, что при определенных условиях на Cu и Fe окисные слои растут не параллельно основе, а имеют место образование игл. Толщина и длина игл зависит от т-ры и времени выдержки. Рост игл происходит с конца, удаленного от основания. Ионы металла доставляются к этому месту посредством поверхностной диффузии. Автор считает, что увеличение поверхности окисного слоя из-за наличия игл и пластин находится в связи с сорбционными, каталитическими свойствами окислов.

В. Г. 5723. О скорости кислородной деполяризации при атмосферной коррозии металлов. Розенфельд И. Л., Жигалова К. А., Докл. АН СССР, 1954, 99, № 1, 137—140.

Исследование процесса восстановления кислорода на Cu-катоде, покрытом тонкой пленкой электролита, при различных упругостях водяного пара над ним показало, что этот процесс облегчается с уменьшением относительной влажности. При влажности 66% и плотности тока 140 мА/см<sup>2</sup> Cu совершенно не поляризуется. Опытным путем показано, что возможность облегчения процесса восстановления кислорода на катоде при уменьшении влажности за счет уменьшения толщины пленки исключается. Авторы считают, что такое увеличение скорости кислородной деполяризации при малых относительных влажностях в основном обусловливается увеличением скорости конвекционного переноса кислорода к металлич. поверхности. Предполагается, что механизм этого явления заключен в понижении т-ры, возникающем при испарении воды. Перенос т-ры при испарении верхней части пленки вызывает перемешивание, которое усиливает доступ кислорода.

И. М.

5724. Бактериальное воздействие на подземные трубопроводы рассматривается как серьезная причина быстрой коррозии. Дьюбер (Bacterial attack on buried piping regarded as serious cause of rapid corrosion. Deuber Carl G.), Gas J., 1953, 178, № 2, 31—35 (англ.).

Указывается, что явление бактериальной коррозии было обнаружено первоначально в Голландии в 1934 г., а затем в 1937 г. в США. Опасными считаются сульфатовосстанавливающие бактерии, восстанавливающие сульфаты до сульфидов, в особенности вызывают разрушение металла бактерии *Sporotribro desulfuricans*, имеющие вид кривых стержней или спиральных палочек.

В. П.

5725. Анаэробная коррозия. Кесслер (The anaerobic corrosion mystery. Kessler Dave), Purdue Engr, 1955, 50, № 6, 18, 58, 60 (англ.).

Описан процесс протекания анаэробной коррозии; последняя сопровождается графитизацией чугуна и по-

явлением каверы на стали. Характерной особенностью анаэробной коррозии является присутствие сульфидов. Перечисляются возможные источники серы, образующей сульфиды. Анаэробные бактерии, стимулирующие коррозию, имеют размеры от 0,5—1 до 2—5  $\mu$ . Наиболее благоприятна для их развития нейтр. или близкая к ней среда. Однако они могут существовать и в щел. условиях до pH 11,7. Особенности физиологии вида этих бактерий *Sporovibrio desulfuricans* является наличие межмолекулярного дыхания, существование только при анаэробных условиях и развитие при низких окислительно-восстановительных потенциалах. Эти бактерии являются единственными из известных живых организмов, которые могут восстанавливать сульфаты до сульфидов. *S. desulfuricans* очень стойки к обычным антисептикам, таким как хлор, лизол и фенол. Стрептомицин на них не влияет, а пенициллин не может применяться из-за присутствия железного иона. Наиболее обещающими замедлителями являются теллуристокислый калий, цетилпиридинбромид, *o*-нитрофенол и бихромат калия. В. П.

**5726. Коррозия железа в контакте с бензином или керосином и с водным раствором электролита, содержащим добавки хромата калия.** Кротов И. В., Хочадурова Т. М., Ж. прикл. химии, 1953, 26, № 6, 605—611

Исследование коррозии железа, находящегося в контакте с водн. р-ром электролита и жидким горючим (авиабензин, крекинг-бензин, керосин), показало, что величина и характер коррозии мало зависят от вида горючего. Добавка  $K_2CrO_4$  к водн. фазе резко снижает коррозию. В случае дистилл. воды коррозия при конц-ии 0,5 н.  $K_2CrO_4$  подавляется целиком. При добавке  $K_2CrO_4$  к р-рам солей, находящимся в контакте с жидким горючим, общая коррозия переходит в местную. Делается вывод, что  $K_2CrO_4$  можно применять в качестве замедлителя коррозии железа в контакте с водн. фазой и с горючими, если водн. фаза не содержит заметного кол-ва солей. В. Г.

**5727. Кислото- и щелочестойкость модифицированного чугуна.** Варга, Яноши (A módosított öntöttvas sav- és lúgállóságának vizsgálata. Varga Ferenc, Jánossy Kármér), Kohász. lapok, 1954, 9, № 12, Öntöde, 275—280 (венг.; резюме русс., нем., англ.)

Указывается, что основным условием стойкости чугуна (Ч) в к-тах и щелочах любой конц-ии является его плотная, однородная, чистоперлитная структура. Мелкозернистый графит, а также повышенная прочность, как правило, увеличивают хим. стойкость Ч. В большинстве случаев Ч, модифицированный CaSi, обладает большей коррозионной стойкостью, чем Ч, модифицированный FeSi. Скорость растворения в некоторых р-рах увеличивается, в других уменьшается со временем. В. Л.

**5728. Коррозионная усталость металла.** Томашов Н. Д., Титов В. А., Сб. Моск. ин-та стали, 1954, 32, 331—345

Исследование канатной проволоки из среднеуглеродистой стали в р-ре 0,1 н. NaCl при напряжениях 50 кг/мм<sup>2</sup>, частоте перемены напряжений 7500 циклов в минуту и 20° показало: что электродный потенциал усталостно-напряженного образца разлагался по сравнению с ненапряженным; с увеличением частоты циклов от 500 до 9000 в минуту сопротивление коррозионно-усталостному разрушению (скур) растет; остаточная прочность в морской воде практически неизменна до 50 000 циклов, после чего резко сокращается; увеличение конц-ии  $H_2SO_4$  и NaCl уменьшает скур,  $H_2O_2$  при малых конц-иях уменьшает скур, при больших — увеличивает его,  $K_2Cr_2O_7$  и  $KMnO_4$  уже при малых конц-иях увеличивают скур; азотирование снижает скур, по-

верхностное упрочнение дробеструйной обработкой увеличивает скур. В. Р.

**5729. Образование хрупкости в листовой котельной стали.** Скорер (Boiler plate embrittlement. Scorer Sydney D.), Mech. World and Engng Rec., 1953, 133, № 3413, 558—559 (англ.)

В отличие от обычных теорий, объясняющих образование хрупкости в листовой котельной стали в процессе эксплуатации, как результат воздействия NaOH на металл, находящийся под действием растягивающих усилий, автор высказывает предположение, что растрескивание котельной стали происходит вследствие высоких механич. напряжений, возникающих в заклепочных швах в связи с технологией изготовления и условиями эксплуатации этих швов. Автор высказывает сомнение в том, что хим. фактор принимает участие в процессе образования так называемой «каустич. хрупкости». И. Л.

**5730. Случай разрушения трубок морской котельной установки в результате коррозионного растрескивания.** Бэрер (Case history of failure of marine boiler tubes by stress corrosion cracking. Bärer R. D.), Corrosion, 1955, 11, № 4, 18—24 (англ.)

Описан случай коррозионного растрескивания трубок котельной установки на одном канадском судне, который по мнению автора, объясняется конденсированием щелочи непосредственно на поверхности трубок котла при большой скорости парообразования. Большая скорость парообразования в отдельных трубках могла создаваться в связи с закупоркой трубок перегревателя. То, что разрушившиеся трубки в процессе эксплуатации нагревались до  $t$ -р выше 800° и быстро охлаждались, доказано металлографич. исследованием трубок. Процесс коррозионного растрескивания может проходить и при сравнительно невысоких механич. напряжениях. В трубках существуют в основном внутренние напряжения, обусловленные технологией их изготовления. И. Л.

**5731. Атмосферная коррозия и коррозия в напряженном состоянии сплавов системы алюминий — медь — магний и алюминий — магний — кремний в термически обработанном состоянии.** Меткаф (Atmospheric corrosion and stress-corrosion of aluminium — copper — magnesium and aluminium — magnesium — silicon alloys in the fully heat-treated condition. Metcalf G. J.), J. Inst. Metals, 1953, 81, № 6, Bull., 269—278 (англ.)

Коррозионные испытания в различных атмосферных условиях, в морской и речной водах Al-сплавов H10-WP (0,68% Mg, 0,98% Si) и H15-WP (3,81% Cu, 0,74% Mg, 0,95% Si, 0,54% Mn), подвергнутых старению при 175° (первый сплав) и при 170° (второй), показали, что наибольшая коррозия обоих сплавов отмечена в промышленной атмосфере Шеффилда. Снижение предела прочности в этих условиях после двух лет испытаний составляло ~11%, что соответствует проникновению коррозии вглубь на 0,3 мм. Напряженное состояние сплавов не влияет на скорость их коррозии, что объясняется тем, что коррозия преимущественно распространяется параллельно направлению механич. обработки металла; благодаря этому не происходит местной конц-ии напряжений. Скорость потери прочности образцов обоих сплавов, испытывавшихся в промышленной атмосфере Шеффилда, а также образцов сплава H15-WP, испытывавшихся в условиях морской атмосферы, со временем понижается; зависимость скорости потери прочности от времени — экспоненциальная. И. Л.

**5732. Защита оросительных холодильников от коррозии и обрастания водорослями.** Схамхарт (Bescherming van rekkoelers tegen corrosie en algen-

groei. Schamhart C.), Het gas, 1954, 74, № 8, 171—172 (голл.)

Трубы оросительных газовых холодильников, защищенных Al- или Cu-анодами, покрылись только очень тонким слоем Ca-солей, не влияющих заметно на теплопередачу. Трубы незащищенного холодильника при т-ре воды 16—21° в течение 6—7 дней покрывались слоем водорослей в 1 см. При анодной защите расходуется гораздо меньше Cu, чем требуется CuSO<sub>4</sub> для подавления роста водорослей. К. Г.

**5733. Защита от коррозии внутренней поверхности воздухопроводов низкого давления. Эйзенштейн** (Rostschutz des Rohrrinnern von Niederdruckluftleitungen. Eisenstecken Franz), Glückauf, 1954, 90, № 25/26, 651—661 (нем.)

Описана коррозия воздухопроводов, снабжающих сжатым воздухом пневмоприводы шахтного оборудования, вследствие образования в них конденсата, содержащего O<sub>2</sub>, CO<sub>2</sub>, H<sub>2</sub>SO<sub>4</sub> и H<sub>2</sub>SO<sub>4</sub>. Величина pH этого конденсата составляет обычно 3,0—4,5, достигая иногда 1,5. Коррозия воздухопроводов вызывает также загрязнение сжатого воздуха частицами ржавчины. Указывается, что коррозия также была замечена после замены поршневых компрессоров турбовоздуходувками, вследствие отсутствия в сжатом воздухе, нагреваемом турбомашинками, мельчайших капелек масла, образующих защитную пленку на поверхности металла воздухопроводов. Осушка воздуха недостаточно эффективна и связана с дополнительными затруднениями. Рекомендуется вновь сооружаемые воздухопроводы после тщательной очистки их поверхности от загрязнений и особенно от окислов защищать от коррозии путем нанесения двухслойного покрытия на битумной основе. Для действующих воздухопроводов рекомендуется впрыскивание (в нескольких точках) разбавленного р-ра КОН или NaOH в кол-ве, обеспечивающем цел. р-цию жидкости, вытекающей из конденсаторов (рН между 8 и 9). Этот же метод пригоден и для вновь сооруженных воздухопроводов, в том числе — снабженных защитным покрытием, для надежного предотвращения коррозии сварных швов и узлов со сложной конфигурацией, на которых защитное покрытие сравнительно быстро повреждается. А. М.

**5734. Проблемы использования алюминия как упаковочного материала. Угони** (I problemi chimici dell'impiego dell'alluminio nell'imballaggio. Hugoni E.), Imballaggio, 1955, 6, № 27, 21—25 (итал.)

Обзорная статья по вопросам применения Al в качестве упаковочного материала с учетом сопротивляемости его коррозии. Ю. М.

**5735. Предотвращение коррозии конструированием.** — (Designing against corrosion.—), Corros. Prevent. and Control, 1955, 2, № 2, 48—51 (англ.)

Указывается, что коррозионные разрушения разнообразного оборудования можно также предупредить рациональным конструированием. И. М.

**5736. О почернении алюминия при воздействии жесткой воды и его предотвращение. Альтенпольш** (Einiges zur sog. Brunnenwasserschwarzung des Aluminiums und ihrer Verhütung. Altenpohl D.), Metalloberfläche, 1955, 9, № 8, A118—A121 (нем.)

Способ получения на поверхности изделий из Al или из его сплавов (домашняя посуда, емкости, котлы и т. д.) прозрачного защитного слоя Al<sub>2</sub>O<sub>3</sub>·H<sub>2</sub>O толщиной 0,15—0,3 мс с целью предотвращения коричневой или черной окраски при соприкосновении изделий с горячей жесткой водопроводной водой и пищевыми продуктами состоит в следующем: изделия после предвари-

тельной очистки и травления в кислотах (1 л 25%-ной HNO<sub>3</sub>+40 г NaF) или щел. (5%-ный р-р NaOH, промывка в воде и осветление в 50%-ном р-ре HNO<sub>3</sub>) р-рах обрабатывают кипячением в дистилл. воде в течение 15—20 мин. или водяным паром при т-ре 110—150° в течение 3—10 мин., или кипячением в течение 5—10 мин. в дистилл. воде с добавкой 20 см<sup>3</sup> 10%-ного р-ра NH<sub>4</sub>OH на 1 л. Кроме того, рекомендуется в домашних условиях применять более простой способ: нагревают изделие в течение часа при т-ре 75—85° в водопроводной воде, содержащей в 1 л 3 чайных ложки (~25 г) кристаллич. соды. При этом получается защитный слой молочного цвета. Описан способ определения присутствия указанной защитной пленки на поверхности изделий и даны рекомендации по очистке посуды без нарушения целостности слоя. П. Ш.

**5737. Поведение технических сортов железа в разных кислотах. Кёнигер** (Das Verhalten technischer Eisensorten in verschiedenen Säuren. Köni-ger Anton), Giesserei, 1954, 41, № 20, 522—527 (нем.)

Коррозия малоуглеродистой стали и чугуна в HCl (к-та) с увеличением времени уменьшается. В начальный период скорость растворения (СР) чугуна несколько выше СР стали. Через несколько мин. СР стали становится большей, чем СР чугуна. Уменьшение СР объясняется изменением электродного потенциала, при изменении конц-ии р-ра. Серый чугун в HNO<sub>3</sub> (30%) через несколько секунд пассивируется и его электродный потенциал приобретает положительное постоянное значение. В 25%-ной HNO<sub>3</sub> чугун пассивируется медленнее. В момент пассивации выделение газа на электроде мгновенно прекращается. Уменьшение конц-ии HNO<sub>3</sub> приводит к тому, что промежуток времени до наступления пассивного состояния увеличивается. Серый чугун может пассивироваться в 19,1%-ной HNO<sub>3</sub>. Литейная корка способствует пассивации чугуна. При погружении чугуна с литейной коркой в HNO<sub>3</sub> в порах корки идет процесс окисления Fe HNO<sub>3</sub>, а водород выделяется на Fe<sub>2</sub>O<sub>4</sub>, восстанавливая ее до FeO или даже чистого Fe. Графит также способствует пассивации чугуна. А. Ф.

**5738. Успехи в области химической обработки воды с целью усиления защиты от коррозии. Хазе** (Fortschritte in der chemischen Wasseraufbereitung mit dem Ziele erhöhten Korrosionsschutzes. Haase L. W.), Werkstoffe und Korrosion, 1955, 6, № 3, 130—132 (нем.; резюме англ., франц.)

Рассмотрены достижения последних лет в области водоподготовки с точки зрения защиты от коррозии металла. Основное внимание обращено на добавление к воде небольших кол-в замедлителей коррозии с учетом участия растворенных в воде в-в во вторичных коррозионных процессах. Отмечены улучшения в конструкции дозаторов, новые устройства для аэрации воды, применение добавок окислителей (нитраты, перманганат, хлор, двуокись хлора и т. д.), улучшение санитарно-гигиенич. свойств воды при добавлении небольших кол-в фосфатов, силикатов, фторидов и т. д. А. М.

**5739. Защита от коррозии мачт воздушных линий. Хебберлинг** (Rostschutz an Freileitungsmasten. Hebblerling Hans), Elektrizitätswirtschaft, 1954, 53, № 24, 811—813 (нем.)

См. также РЖХим, 1954, 12131

**5740. Временная защита машин и стальных деталей от коррозии. Мыронович** (Czasowe zabezpieczenie maszyn i narzędzi stalowych przed korozją. Myronowicz Marian), Przegl. mech., 1953, 12, № 9, 322—324 (польск.)

Описываются защитные смазки и применение замедлителей коррозии. В. Л.



5741. Электрохимические принципы металлических покрытий. Часть I. Электрохимические принципы коррозии. Шрейр (Electrochemical principles of corrosion. Shreir L. L.), Industr. Finish. (London), 1955, 8, № 83, 261—262, 264, 266—267 (англ.)

5742. Защита стали металлическими и неметаллическими покрытиями. — (Protection of steel with metallic and non-metallic coatings. Annual conference of the Institute of Metal Finishing at Torquay.—), Iron and Coal Trades. Rev., 1955, 170, № 4, 547, 1281—1283 (англ.)

Сообщение о ежегодной конференции Института по отделке металлов в Торквее.

5743. Защита металлических материалов. Варво (Protezione del materiale metallico. Varvo Nicola), Chimica, 1954, 30, № 8, 255—258 (итал.)

5744. Защита стали от атмосферной коррозии металлическими покрытиями. Гильберт (The protection of steel against atmospheric corrosion [by metallic coatings. Gilbert P. T.], Ind. chim. belge, 1954, 19, № 9, 923—930 (англ.; резюме голл., франц., нем.)

Приведены результаты многолетних коррозионных испытаний металлич. покрытий в атмосферных условиях. На скорость коррозии металлич. покрытий основное влияние оказывают относительная влажность и загрязненность атмосферы. Защитные свойства покрытий определяются в основном их толщиной и пористостью. Метод нанесения покрытий не оказывает существенного влияния на длительность их эксплуатации. Al-покрытия чаще всего наносятся металлизацией. Было замечено, что в начальный период испытания в атмосфере Al-покрытие по отношению к стали может быть катодным. Однако поры в Al-покрытии быстро заполняются продуктами коррозии, вследствие чего скорость коррозии стали тормозится и Al защищает сталь электрохимически. В индустриальной атмосфере Al-покрытие толщиной  $\sim 73$  м обеспечивает защиту стали в течение 11 лет и более; в атмосфере сельского и морского районов в течение 20 лет. Zn-покрытие толщиной  $\sim 70$  м в указанных условиях — соответственно 6—8 лет и 20 лет. В морской атмосфере Zn обнаруживает преимущество перед Al. Cd покрытия обладают высокой стойкостью во влажной атмосфере и широко применяются для защиты от коррозии деталей электроаппаратуры. Zn в этих условиях ведет себя хуже, чем Cd. В атмосфере индустриального района Cd покрытие толщиной 24 м обеспечивает защиту стали в течение 0,7 лет, в сельской атмосфере 11 лет. В атмосферных условиях во многих случаях Cd ведет себя хуже, чем Zn. Pb-покрытия в атмосфере промышленного района более стойки, чем в сельской атмосфере. Это явление связано с образованием на поверхности Pb сульфатной пленки. Покрытие Pb-Sn (2% Sn) толщиной  $\sim 23$  м в индустриальной атмосфере не разрушается в течение 5—7 лет. Сплав Sn-Zn (20—30% Zn) применяется как заменитель Cd. Сплав можно паять, но в коррозионном отношении он ведет себя хуже, чем Zn. Гальванич. покрытие сплавом Sn-Ni (65% Sn) не тускнеет и износостойко. Защитные свойства покрытия Ni-Cr или Cu-Ni-Cr определяются в основном толщиной Ni. Ni-покрытие толщиной 24 м обеспечивает более надежную защиту, чем двуслойное покрытие Cu-Ni той же толщины.

А. Ф.

5745. Очистка алюминия. Мак-Кее (How to clean aluminum. McKee), Mod. Sanit., 1955, 7, № 1, 15—17, 42—47 (англ.)

Обобщены данные коррозионной стойкости и электрохимич. поведения Al в различных р-рах, а также

причин потемнения Al в некоторых средах. Рекомендуются следующие средства очистки Al (или их комбинации): «Безопасные», не воздействующие на основной металл (патентованные кислотные и щел. р-ры, содержащие замедлители коррозии), травящие, «обновляющие поверхность» кислотные и щел. р-ры, абразивные средства, очистка паром и р-рителями и электролитич. очистка.

Н. О.

5746. Пароксаль-2 — новый обезжиривающий продукт. Ривьер (Un nouveau produit de dégraissage: le paroxal 2. Rivière Georges), Rev. aluminium, 1954, 31, № 208, 101—102 (франц.; резюме англ., исп.)

Сложный р-р на основе фосфорной к-ты для обезжиривания и слабого травления легких металлов и сплавов, особенно больших поверхностей и изделий сложной конфигурации.

Т. Ш.

5747. Атмосферная коррозия электролитических Ni-Cr-осадков. Уэсли, Кнапп (La corrosion atmosphérique des dépôts électrolytiques de nickel-chrome. Wesley W. A., Knapp B. B.), Galvano, 1954, 23, № 214, 16—18 (франц.)

Изучена атмосферная коррозия Ni-покрытий в зависимости от микроструктуры, хим. состава, термич. обработки Ni и наличия тонкого слоя Cr на Ni-покрытии. Испытания проводились в атмосфере промышленных и морских районов в течение нескольких лет. Средняя потеря веса Ni-покрытия 25 м в течение 5 лет в результате общей коррозии. Электролитич. Ni несколько хуже противостоит коррозии, чем прокатанный. Это связано с пористостью Ni-покрытия. Через 160 дней испытания Ni-Cr-покрытие имеет меньше коррозионных точек, чем Ni-осадок. Но если Cr-покрытие повреждено, то начинается коррозия Ni. Через 1 год Ni-Cr-покрытие прокорродировало больше, чем Ni. Форма, число и размер коррозионных точек различны в зависимости от структуры Ni (электролитич. или прокатанный) и от наличия Cr-слоя. С увеличением толщины Cr-слоя форма внешних изъязвлений изменяется. Показано, что Ni-покрытие на стали толщиной даже до 50 м изменяет внешний вид вследствие коррозии во всех атмосферах. Ni-Cr-покрытие теряет блеск. Коррозия Ni в промышленной атмосфере сильно замедляется, когда в Ni-покрытии имеется несколько % Fe (сплав), хотя при наличии Cr-слоя этого не наблюдается. Выказывается мнение возможности подбора других добавок металлов к Ni-покрытию, способных повысить стойкость Ni в присутствии Cr.

З. С.

5748. Исследования в области металлизации неметаллов. Часть I. Никель-сульфатно-пиридиновая ванна. Чакрабурти, Банерджи (Studies on metallizing of non-metals. Part I. Nickel sulphate-pyridine bath. Chakraborty K., Banerjee T.), J. Scient. and Industr. Res., 1954, B13, № 6, 433—440 (англ.)

Исследуется подслои для гальванич. покрытий на основе известково-натриевого силикатного стекла, содержащего (в вес. %):  $\text{SiO}_2$  69,47,  $\text{Al}_2\text{O}_3$  +  $\text{Fe}_2\text{O}_3$  1,23,  $\text{CaO}$  7,4,  $\text{K}_2\text{O}$  +  $\text{Na}_2\text{O}$  14,71,  $\text{MgO}$  5,34, в р-е, состоящем из  $\text{NiSO}_4$ , пиридина и  $\text{Na}_2\text{S}_2\text{O}_8$ . Рассматривается влияние предварительной обработки в р-ре  $\text{SnCl}_2$ , подкисленном  $\text{HCl}$  (к-та), на природу и состав микропленки (М), оптимальные конц-ии компонентов, изменение состава, толщины и характера М с повышением т-ры р-ра, сцепление между неметаллич. подслоем и М и между М и гальванич. покрытием. А. 3.

5749. Металлизация как способ защиты от коррозии. Ашбель Б. И. В сб.: Материалы гор.-техн. конференции, 1953 (Всес. науч. инж.-техн. о-во машиностроителей. Новосибир. отд.), Новосибирск. Книгоиздат, 1954, 266—280

Рассматривается технология металлизации расплавлением и антикоррозионные свойства Zn- и Al-покрытий.

В. Р. 5750. Тенденции в гальванизации горячим погружением (Les tendances en galvanisation par immersion a chaud). Galvano, 1955, 24, № 219, 31—32 (франц.) Статья обзорного характера по современным способам горячего цинкования.

З. С. 5751. О равномерности цинковых покрытий, получаемых при горячем цинковании. Зауттер (Über die gleichmäßige Zinkauflage beim Feuerverzinken. Sautter F.). Metalloberfläche, 1954, 8, № 10, B156—B157 (нем.)

Описание исследований в области распределения Zn-покрытий по поверхности изделий и условий позволяющих снизить потери Zn при горячем цинковании. Отмечается, что экономия Zn, достигающая 27%, может быть получена путем уменьшения продолжительности процесса цинкования, промывкой изделий после травления и переработки Zn-дресса.

Е. З. 5752. Защитное покрытие из нивонела. Часть I. Френд (Nionel reference sheet. Part I. Friend W. Z.). Chem. Engng Progr., 1955, 51, № 5, 66 (англ.) Коррозионностойкий сплав нивонель состоит (в %): Ni 40, Cr 21, Te 31, Mo 3, Cu 1,75, Mn 0,60, Si 0,40, C 0,5 стоек ко всем к-там, кроме HCl (к-та) и галогенов.

М. М. 5753. Химическое никелирование. Трегорд (Förnickling genom kemisk reduktion. Trägårdh U. O.). Tekn. tidskr., 1955, 85, № 15, 337—338 (швед.)

Найдено, что когда соотношение между содержанием Ni и гипофосфита Na в р-ре составляет 0,25—0,6, конц-ия  $\text{NaH}_2\text{PO}_2$  равна 0,15—0,35 M/l; pH соответствует 4,6—5,5 и конц-ия ацетата Na 0,125 M/l. Р-цию ведут при  $\sim 90^\circ$ .

М. Г. 5754. Футеровка бетоном циклонов для лигнина. Попугаев Д. М., Сычников Д. И., Гидролизная и лесохим. пром-сть, 1955, № 3, 26

Во избежание быстрого износа и коррозии стенок стальных циклонов, применяемых для выгрузки лигнина, рекомендуется футеровка их слоем бетона толщиной 80 мм. Бетон составляют из 58 ч. цемента «500» и 38 ч. шамота, смешанного с гравием и после схватывания железнят его поверхность р-ром 2 ч. цемента и 1 ч. шамота. Описана конструкция подобной футеровки с успехом применяемой на Онежском гидролизном з-де.

В. Л. 5755. Коррозионное действие растворов сульфатов на аэрированный бетон. Мазур, Карабон (Działanie korozyjne roztworów siarczanów na beton parowietrzony. Mazur Stanisław, Karabon Bohdan). Mater. budowl., 1955, 10, № 3, 76—79 (польск.)

Общие данные о причинах коррозии (К) бетона (Б) раппи сульфатов, а также результаты исследования воздействия сульфатов на так называемый аэрированный Б. Опыты проводились с Б трех сортов: 1) обычным с прочностью  $R_{\text{ср}} = 140 \text{ кг/см}^2$ , 2) «аэрированным» с содержанием воздуха (СВ) 3,62% и  $R_{\text{ср}} = 140 \text{ кг/см}^2$ , 3) «аэрированным» с СВ 4,52% и  $R_{\text{ср}} = 120 \text{ кг/см}^2$ . Спустя 24 часа после изготовления образцы увлажняли в течение 7 суток, а затем высушивали в течение 28 дней. Испытание части образцов на сжатие показало следующие величины: 1) 157,40  $\text{кг/см}^2$ , 2) 142,50  $\text{кг/см}^2$ , 3) 119,00  $\text{кг/см}^2$ . Длительные испытания (10 мес.) в 5%-ном р-ре  $\text{Na}_2\text{SO}_4$  показали, что лучшей сопротивляемостью обладает 3-й образец.

В. Л. 5756. Борьба с коррозией и эрозией и снижение температуры металла в баках и в трубопроводах с помощью монокристаллических покрытий. Брадбери (Fighting corrosion, erosion, and reducing metal

temperatures in vessels and lines with monolithic linings. Bradbury Walter A.). Petrol. Eng., 1954, 26, № 9, C-57 — C-58, C-60 — C-62, C-64 (англ.)

Описан способ применения комбинированного покрытия для защиты от коррозии, эрозии и воздействия высокой т-ры стальных корпусов аппаратов, предназначенных для каталитич. расщепления углеводородов. К стальному корпусу аппарата приваривают Т-образные детали, армирующие защитное покрытие. Стержни этих деталей изготовлены из Cr-Ni-стали 18-8; прямоугольная головка — из углеродистой стали. Кроме того, к корпусу аппарата приварены плоские стержни углеродистой стали, затрудняющие просачивание паров. Первый слой покрытия непосредственно прилегающий к корпусу аппарата, состоит из бетона (отношение цемент: песок 1:3), имеет толщину 25 мм и армирован проволоочной сеткой с ячейками  $76 \times 76 \text{ мм}$ . Второй слой толщиной 50 мм состоит из изоляционного торкрета, усиленного такой же проволоочной сеткой. Третий, внутренний слой толщиной 25 мм состоит из отражательного торкрета, усиленного стальной арматурой. Покрытие снижает т-ру наружной поверхности стального корпуса аппарата при т-ре рабочей среды от  $515$  до  $88-222^\circ$  в зависимости от атмосферных условий (дождь, солнечное излучение, скорость ветра и т. д.). Т-ра внутренней поверхности стенки корпуса аппарата при всех условиях поддерживается ниже  $340^\circ$ . Покрытие служит в условиях воздействия на него рабочей среды (углеводороды и катализатор), при высокой т-ре, переменных значениях скорости движения и вязкости среды  $\sim 3$  лет, а в аппаратах для произ-ва катализатора 6 лет. Минимум коррозии углеродистой стали под покрытием наблюдается на внутренней поверхности корпуса при т-рах от  $150$  до  $232^\circ$ .

А. М. 5757. Опыт применения асбовинила в качестве антикоррозионного материала. Рычков А. И., Клинов И. Я., Хим. пром-сть, 1954, № 8, 492—493

Асбовиниловая масса (АМ), т. е. смесь лака этиноль и замельченного асбеста, находит широкое применение как заменитель свинца и других цветных металлов, силикатных плиток. АМ имеет преимущества перед фаолитом и виниластом: хорошее сцепление с металлом, бетоном, керамикой; легкость нанесения обычными штукатурными методами; отверждаемость как при нагреве, так и при комнатной т-ре; хим. стойкость к большинству агрессивных сред в интервале т-р от  $-50^\circ$  до  $+120^\circ$ , возможность применения для защиты от коррозии деталей сложной конфигурации. Из АМ можно изготовлять трубы, тройники, различные детали хим. аппаратуры. АМ обладает хим. стойкостью к сернистому газу, к  $\text{H}_2\text{SO}_4$  слабым и средних конц-ий, HCl (к-та) всех конц-ий, хлоргазу, слабым р-рам щелочей и др., но разрушается при действии  $\text{HNO}_3$  и др. окислителей, крепкой  $\text{H}_2\text{SO}_4$ , HF (газ) и HF (к-ты) и некоторых органич. сред. Описывается метод нанесения защитного покрытия АМ, и приводятся правила техники безопасности при работе с лаком этиноль и АМ.

И. Б. 5758. Об эффективности покрытия. Палмер (Give your pipe coating a chance. Palmer Warren D.). Pipe Line News, 1955, 27, № 5, 45—46, 48, 2-A (англ.)

Защита трубопроводов от коррозии битумными покрытиями.

В. П. 5759. Окраска металлических частей сооружений. — (Painting metals in buildings.—), Civil and Struct. Engrs Rev., 1955, 9, № 3, 127—131 (англ.)

5760. Окись цинка и противокоррозионная защита. Фулон (Zinkoxyd und Korrosionsschutz. Foulon A.). Metall, 1955, 9, № 3/4, 123 (нем.)

Указывается, что введение  $\text{ZnO}$ , особенно вместе

с  $\text{PbSO}_4$ ,  $\text{Pb}(\text{OH})_2$  в краску в качестве пигмента, улучшает прочность, пластичность и адгезию красок, а также их коррозионную стойкость против газов и паров.  $\text{ZnO}$  защищает также лакокрасочную пленку от старения.

В. Г.  
5761. Применение угля и графита в химическом машиностроении. Лёбелъ (Folosirea cărbunelui și a grafitului în construcția utilajului chimic. L. Öbel M.), Rev. chim., 1954, 5, № 1, 15—26 (рум., резюме русск.)

Рассматриваются физ. и хим. свойства угля и графита, их структура, способы получения и области применения. Описана технология изготовления графита и угля (обычных, пористых и пропитанных фенол-формальдегидными смолами и кремнийорганическими соединениями) и приводятся их характеристики. Перечислен ряд примеров использования полученных материалов для изготовления различного оборудования для металлургической, текстильной, бумажной и хим. пром-сти.

Я. М.  
5762. Электрографит и уголь в химическом аппарато-строении. Вейнер (Elektrographit und Hartbrandkohle im chemischen Apparatebau. Weiner Robert), Chemiker-Ztg., 1955, 79, № 2, 41—46 (нем.; резюме англ., франц., итал.)

Обзор. Произ-во обожженных «Durabon» и графитированных «Diabon» углеродистых материалов, применяемых в хим. аппаратостроении Германии. Описаны основные свойства указанных материалов, применение их в пром-сти.

О. К.  
5763. Графинерт — новый конструкционный материал для химической аппаратуры. — (Grafinertul un nou material de construcție pentru utilajul chimic.), Rev. chim., 1955, 6, № 2, 105—106 (рум.)

Получен новый материал — графинерт (I) путем прессования при давл. 50—500  $\text{кг}/\text{см}^2$  смеси, состоящей из графитного порошка с высокомолекулярными в-вами в качестве связующего. Последними служат термореактивные смолы, полученные при конденсации фенола, мочевины, меламин с формальдегидом, фуранолом и др. В зависимости от соотношения графита к связующему, вида применяемого связующего в-ва, измельченности графита, давления и времени прессования можно получить I с различной хим. стойкостью, а также различными механич., электр. и термич. свойствами. Из I можно изготовлять теплообменники, абсорберы, ректификационные колонны, вентиляторы, эксгаустеры, трубопроводы, краны, кольца Рашига, а также плитки для футеровки реакторов и емкостей. Обладая пониженной пористостью и одинаковой электропроводностью с графитом I может использоваться для изготовления электродов для электролиза  $\text{NaCl}$ . Опыты показали высокую хим. стойкость I по отношению к минер. к-там различной конц-ии, спиртам и органич. р-рителям. I легко пресуется, отличается прочностью, хорошо сопротивляется ударным нагрузкам, хорошо обрабатывается, дешев и может служить в качестве заменителя дорогостоящих легированных сталей.

Я. М.  
5764. Достижения в области производства стали (конструкции для повышения срока службы травильных установок). Ревиллок (Progress in steelmaking design for longer pickling equipment life. Revillock J. F.), Steel., 1953, 133, № 25, 84, 86, 88 (англ.)

Использование угля или графита для травильных установок, применяемых в произ-ве стальной ленты или стальных листов, позволяет повысить срок службы установок. Для крышки струйного устройства ванны травления успешно применяется графит, известный под маркой «Карбайт». Углеродистыми блоками целесообразно футеровать травильные ванны. Для изготовления по-

груженных в р-р нагревателей можно также использовать графит, но только при соответствующей конструкции, исключающей возможность повреждения нагревателей изделиями. Графит успешно применяется для изготовления кислотоупорных труб и корпусов насосов; сочетание обычного графита с «Карбайт» целесообразно для рольгангов травильных цехов; их срок службы длится несколько лет, в то время как эксплуатационный срок рольгангов из нержавеющей стали не превышает 8—12 месяцев.

Д. Н.  
5765. Торможение процесса коррозии и замедлители коррозии. Фишер (Inhibition and Inhibitoren. Fischer Hellmuth), Werkstoffe und Korrosion, 1955, 6, № 1, 26—32 (нем.; резюме англ., франц.)

Рассматривается механизм действия физ. и хим. замедлителей коррозии (ЗК). Физ. ЗК адсорбируются на поверхности металла и обволакивают ее, как напр., в случае коррозии с выделением водорода. Хим. ЗК реагируют с металлом, давая на его поверхности тонкие (иногда в несколько молекулярных слоев) защитные пленки. Хим. ЗК могут оказывать защитное действие, взаимодействуя не с металлом, а с коррозионноактивной средой. Хим. ЗК могут применяться в процессах коррозии с кислородной деполаризацией.

В. Г.  
5766. Замедлители коррозии. Кланг, Георгина (Inhibitorii coroziunii. Klang M., Georgina Lidia), Rev. chim., 1955, 6, № 2, 72—77 (рум.; резюме русск.)

Обзор методов защиты от коррозии различными замедлителями с указанием областей их применения, оптимальных конц-ий и механизма их действия.

Я. В.  
5767. Процессы, происходящие в пограничном слое между железом и лаком и влияние, оказываемое замедлителями коррозии. Блом (Processen in de grenslaag tussen ijzer en verlaag en de beïnvloeding hiervan door inhibitoren. Blom A. V.), Verfkro-niek, 1955, 28, № 4, 89—92 (голл.; резюме нем., англ.)

5768. Применение замедлителей коррозии при переработке нефти. Шервуд (Korrosionsinhibitoren in der Erdölraffination. Sherwood P. W.), Werkstoffe und Korrosion, 1955, 6, № 1, 2—6 (нем.; резюме англ., франц.)

Кратко описан механизм защитного действия различных замедлителей коррозии (ЗК). Анодные ЗК (хроматы, нитриты, силикаты и т. д.) применяются при малом содержании кислорода в агрессивной среде. Наличие иона гидроксила усиливает защитное действие ЗК. Приводятся минимально допустимые конц-ии хромата и нитрита, необходимые для полной защиты металла от действия хлоридов и сульфатов. Хроматы и нитриты не применяются в жесткой и питьевой воде. Катодные ЗК в отличие от анодных при малых конц-иях не ускоряют процессы коррозии. Защитная пленка из  $\text{CaCO}_3$  ухудшает теплообмен. В этом случае целесообразно применение фосфатов или их комплексных солей. Перемешивание коррозионной среды снижает к-во как катодного, так и анодного ЗК, необходимого для полной защиты металла. В качестве ЗК применяются также органич. соединения (безазот натрия, соли органич. к-т, азотосодержащие соединения и др.). Комбинация бензоата с  $\text{NaNO}_2$  применяется для предотвращения коррозии охлажда-тельных систем, заполненных антифризом. Полная защита стали в турбинном масле достигается при конц-ии стеарата  $\text{Mg}$  в 0,01%. При защите нефтяных трубопроводов от агрессивных вод миним. конц-ия  $\text{NaNO}_2$  должна составить 0,06%.

В. Г.  
5769. Основы коррозии подземных сооружений. Костанцо (Le basi fondamentali delle prove sulle strutture soggette a corrosione. Costan-



зо Ф. Е.), Metano, 1955, 9, № 4, 237—245 (итал.; резюме франц., англ., нем., исп.)

Популярное изложение основ электрохим. коррозии металлов и методов осуществления катодной и дренажной защиты.

В. П. 5770. Защита от коррозии подземных металлических сооружений. — (La difesa dalla corrosione delle strutture metalliche interrate.), Costruz. metall., 1954, 6, № 5, 30—35 (итал.)

Сравнительный анализ разных методов защиты показал, что наиболее эффективным и в то же время относительно дешевым средством предохранения подземных металлических трубопроводов от коррозии является катодная защита.

Н. Д. 5771. Коррозия подземных кабелей. Мак-Кей (Corrosion of underground cables. McKay Harold B.), Telephony, 1955, 148, № 19, 20—22, 40, 42 (англ.)

Статья общего характера по вопросам коррозии подземных кабелей с изложением основ электрохим. теории коррозии металлов.

В. П. 5772. Основы катодной защиты с точки зрения ее применения для морских судов и сооружений. Штейнрат (Die Grundlagen des kathodischen Schutzverfahrens im Hinblick auf seine Anwendungsmöglichkeit im Schiff- und Seewasserbau. Steingrath H.), Schiff und Hafen, 1955, 7, № 2, 87—90 (нем.)

Указывается, что для защиты подземных сооружений достаточно, если потенциал металл—почва снижается до  $-0,5$  или  $-0,53$  в по нормальному водородному электроду сравнения. Плотность тока, отвечающая указанному выше потенциалу, должна быть равна для неизолированной стали  $0,06$  а/м<sup>2</sup> в условиях движущейся пресной воды и  $0,15$  а/м<sup>2</sup> для морской воды. В качестве материала для гальванич. анодов применяются Zn, Mg или Al. При сопротивлении электролита не выше 2000 ом/см применяется Zn, а Mg и Al — не выше 5000—6000 ом/см. На стальных поверхностях в морской воде быстро образуется защитный слой, если плотность тока дается в  $0,58$ — $3,8$  а/м<sup>2</sup>, или практически  $1$ — $2$  а/м<sup>2</sup>. Этот слой, состоящий из карбонатов и гидратов окис Mg и Ca, позволяет поддерживать в дальнейшем защиту при плотности тока в  $0,023$ — $0,030$  а/м<sup>2</sup>. Указывается также на широкое практич. применение катодной защиты для корпусов судов и танков морских танкеров. Приводится содержание американского патента по защите танков с применением Zn-фольги. Пачка листов такой фольги толщиной  $0,15$ — $0,35$  мм, играя роль гальванич. анода, прикрепляется к стенке танка голым контактом.

В. П. 5773. Соображения по предупреждению коррозии судов в морской воде при помощи катодных защитных покрытий. Аидерс (Betrachtungen zur Korrosionsverhütung an Schiffen in Seewasser mittels kathodischer Schutzschichten. Anders H.), Schiff und Hafen, 1955, 7, № 3, 167—168 (нем.)

Краткие основы катодной защиты морских судов главным образом при помощи Zn- и Mg-анодов. Указание на необходимость применения около анода надежного электроизолирующего защитного слоя, напр. из полихлорвинила. Последний позволяет снизить расход защитного тока вдвое.

В. П. 5774. Методы борьбы с коррозией подземных трубопроводов. Венсан-Жено (Aspect de la lutte contre la corrosion des pipelines souterrains. Vincent-Genod J.), Travaux, 1955, 39, № 247, 445—457 (франц.)

Описываются методы борьбы с подземной коррозией стальных трубопроводов во Франции. Предварительно измеряется уд. сопротивление почвы, показатель pH и величина потенциала металл—почва. Почва считается агрессивной при сопротивлениях ниже

20 ом/м, находящейся под сомнением при сопротивлениях от 20 до 80 ом/м и неагрессивной при сопротивлениях выше 80 ом/м. Важным показателем являются результаты обследования существующих соседних подземных сооружений. Применяемые защитные покрытия обычно выполняются из каменноугольной или нефтешлаковой эмали, наносимой при  $150$ — $250^\circ$ . Отдельный слой дает толщину  $1,5$ — $4$  мм. Наносится покрытие или в поле, или на полувальцовочной установке. Электрич. сопротивление такого покрытия было на трубопроводе Гавр—Париж в пределах  $2500$ — $100\,000$  ом/м<sup>2</sup>, в среднем  $10\,000$  ом/м<sup>2</sup>. Активной защитой трубопровода является дополнительное применение системы катодной защиты. Критерием защиты считается потенциал труба—почва  $-0,85$  в, измеренный по медносульфатному электроду. Защита осуществляется или при питании с выпрямителями, или с применением Mg-анодов. Борьба с блуждающими токами ведется устройством электрич. дренажа. Обращается внимание на возможное вредное действие электрич. методов защиты на соседние подземные сооружения. Описываются условия эксплуатации систем защиты и техника измерений на них. Для защиты от внутренней коррозии применяются замедлители коррозии.

В. П. 5775. Причина коррозии железных труб. Калман (Why ferrous pipe corrodes. Kulman Frank E.), Gas. Age, 1955, 115, № 10, 26—29 (англ.)

Обработка результатов опроса 28 компаний, имеющих подземные трубопроводы, о причинах коррозии показала, что на трубопроводах большинства компаний имеются блуждающие токи, источниками которых являются главным образом электрич. ж. д. и лишь в меньшей степени промышленные установки. Во всех случаях имеются работающие вблизи катодные установки. Методы установления наличия блуждающих токов были основаны на применении различных электрич. измерений. Однако участие блуждающих токов в общей коррозии считается весьма небольшим. В 21 случае оно составляет не больше 19% от общей коррозии и лишь в одном больше 60%. Электрохим. коррозия из-за контакта различных металлов была установлена в 24 случаях. Это происходило главным образом из-за присоединения новых труб к старым и разнородного контакта. В 23 случаях коррозия была связана с наличием низкого сопротивления у почвы. Для 19 случаев почвенные условия являются основными причинами коррозии. Почти все компании отмечают недостаточность существующих методов испытания на наличие биокоррозии и желательность разработки улучшенных методов исследования для установления наличия других видов коррозии. В числе вопросов был также вопрос о том, необходимо ли применение удаленного электрода при измерениях потенциала труба—почва.

В. П. 5776. Защита железа от почвенной коррозии при помощи замедлителя «Enzisa». Маркович (Ispitivanje zaštitnog djelovanja «Enzisa» kod korozije žljeza u tlu. Marković T.), Nafta (Zagreb), 1954, 5, № 10, 282—286 (хорв.; резюме нем.)

5777. Оценка состояния автоклавы и их защита. Канаван, Паркер (Safety evaluation and protection of digesters. Canavan H. M., Parker W. B.), Canad. Pulp and Paper Ind., 1954, 7, № 4, 30—34, 130 (англ.)

Предлагается производить систематич. осмотр автоклавов и определение толщины их стенок с целью оценки состояния автоклавов и определения срока их годности. Рассматриваются также некоторые меры предохранения автоклавов от возможных аварий.

И. Л.

**5778. Многошпindelный аппарат для испытаний сталей на коррозию в проточной воде. Тиммербулатов М. Г.,** Завод. лаборатория, 1954, 20, № 8, 998—999

Описан аппарат, с помощью которого можно одновременно испытывать большое кол-во образцов на коррозию. Плоские или цилиндрич. образцы по 12—16 штук зажимаются пакетами между двумя текстолитовыми дисками и помещаются в прямоугольный бак из нержавеющей стали, через который непрерывно пропускается водопроводная вода. В бак помещается одновременно десять пакетов, вращающихся со скоростью 100 об/мин.

**В. Р. 5779. Методика электрохимического исследования атмосферной коррозии металлов. Розенфельд И. Л., Павлуцкая Т. И.,** Завод. лаборатория, 1955, 21, № 4, 437—442

Предлагается установка для электрохим. исследований процессов, протекающих на металлах под тонкой пленкой электролита, представляет собой герметич. камеру из плексигласа, помещенную в термостат ( $20 \pm 0,01^\circ$ ). Для сохранения неизменной толщины пленки в камере поддерживается относительная влажность 98%. Такая влажность создается насыщ. р-ром  $\text{CaSO}_4 \cdot 5\text{H}_2\text{O}$ , находящимся на дне камеры. Пленка на образце создается нанесением микропипеткой определенного кол-ва электролита. Для контроля толщины пленки предложено два метода (для разб. и для насыщ. р-ров). Испытуемый электрод армируется в стеклянный держатель. В целях устранения влияния мениска на толщину пленки над металлом поверхность держателя делается в несколько раз больше, чем поверхность металла. Испытуемый электрод при поляризации соединяется со вспомогательным электродом посредством спец. электролитич. ключей. Приведенный эксперимен. материал указывает, что скорость электрохим. процессов зависит от толщины пленки электролита.

**Н. И.**

**5780 К. Коррозия и окисление металлических материалов. Изд. 2-е. Примус (Korose a oxydace kovových materialů. 2 vyd. Primus František. 60 s., Praha, SNTL, 1954, 4, № 12 Kčs)** (чеш.)

**5781 К. Декоративные покрытия металлов. Эйчис А. П., Киев, Машгиз, 1955, 156 стр. с илл., 5 р. 35 к.**

**5782 К. Коррозия морских нефтепромысловых сооружений и катодная защита. Фархадов А. А., Баку, Азнефтеиздат, 1955, 160 стр. с илл., 4 руб.**

**5783 К. Коррозия и защита металлов. Часть I. Чупр (Korose a ochrana kovů. 1 část. Čupr Václav. 253 s., obr., Praha, SPN, 1954, 22, 70 Kčs.)** (чеш.)

**5784 К. Методы исследования процессов электроосаждения металлов. Ваграмян А. Т., Соловьева З. А. М., Изд-во АН СССР, 1955, 252 стр. с илл. 9 р. 70 к.**

**5785 П. Способ предупреждения коррозии дымовыми газами жаростойких металлических деталей, напр., кипяточных или дымогарных труб. Штауффер (Förfarande för att hindra förstoring av värmebeständiga metalldelar, särskilt av upphettarrör, genom förbränningsgaser, askbeständsdelar och dylikt. Stauffer W.) [Aktiengeellschaft für technische Studien]. Швед. пат. 144239, 23.02.54**

Патентуется способ предупреждения коррозии дымовыми газами, золой и т. п. металлич. деталей топок, в особенности кипяточных и дымогарных труб, отличающийся тем, что в топку вводят неорганич. галогенное соединение элемента II группы периодической системы, практически не вызывающее коррозии металла при указанной т-ре и вступающее в р-цию с агрессив-

ными компонентами дымовых газов и золы, превращая их в летучие галогениды.

**Р. Г. 5786 П. Способ получения внутренней пленки окис металла в многослойных изделиях. Вейнрих (Method of producing an intermediate metallic oxide film in a multiple layer article. Weinrich Arthur R.) [Libbey-Owens-Ford Glass Co.]. Пат. США 2628921, 17.02.53**

Способ изготовления многослойных изделий с внутренней окисной пленкой, которая окисляется после нанесения на нее наружного слоя. Изделие, на которое хотят нанести слой, устанавливают в вакуумной камере, в которой возмозножно легко окисляемый металл, сублимирующийся на несущей поверхности предмета, образует подлежащую окислению пленку. Затем таким же образом на пленку металла наносят слой такого в-ва, которое само не окисляется, но является провизаемым для кислорода при повышенных т-рах. Выключают (сбрасывают) вакуум в камере и в окислительной среде выдерживают предмет при повышенной т-ре. Продолжительность нагрева определяется в зависимости от толщины пленок так, чтобы внутренний слой по всей глубине полностью окислялся без существенного окисления внешнего слоя.

**Ж. К. 5787 П. Способ получения изделий, обладающих высоким сопротивлением коррозионной усталости. Беккер, Девес, Штейнберг (Verfahren zum Herstellen von Gegenständen, die in Gegenwart korrodierender Mittel von hoher Wechselfestigkeit sein sollen. Becker Gottfried, Daeves Karl, Steinberg Fritz) [Deutsche Edelstahlwerke A.-G.]. Пат. ГФР 879638 [Chem. Zbl., 1954, 125, № 14, 3104 (нем.)]**

Для повышения коррозионной стойкости в условиях воздействия переменных нагрузок изделия предлагается создание диффузионного слоя с высоким содержанием Cr. После насыщения Cr поверхность изделия полируют.

**Е. З. 5788 П. Защитное покрытие, стойкое против коррозии. Хасс (Korrosionsbeständige Schutzschicht. Hass Georg). Пат. ГФР 907965, 01.04.54 [Metallwaren-Ind. und Galvanotechn., 1954, 45, № 7, 356 (нем.)]**

Патентуется покрытие, наносимое из паровой фазы и содержащее кремний и кислород в приблизительно равных атомарных соотношениях. Путем последующей окислительной обработки эти элементы полностью или частично переходят в  $\text{SiO}_2$ . Такое антикоррозионное покрытие нашло применение в аппаратостроении.

**П. В. 5789 П. Методы борьбы с повреждением внутренней поверхности газопроводов из-за пыли и ржавчины. Медгер, Шмид (Verfahren zur Verhinderung von Störungen durch Flugstaub, Rost und dergleichen im Innern von gasführenden Leitungen. Mezger Robert, Schmid Eberhard) [Fa. Paul Lechler]. Пат. ГФР 886710, 17.08.53 [Chem. Zbl., 1954, 125, № 48, 11092 (нем.)]**

Влажная зона и зона переменной влажности трубопроводов покрывается маслами минер. или животного происхождения или битумом, асфальтом, дёсмом, смолой. Покрытие наносится в виде эмульсии (иногда водн.) распылением. Применяемый состав перед нанесением нагревается под давлением до такой степени, чтобы по выходе из сопла он находился в парообразном состоянии.

**В. Г. 5790 П. Защитный слой для оборудования, используемого при транспортировке алюминия. Ример, Янг (Protective wash for aluminum handling equipment. Rimmer Ralph H., Young George M.) [Aluminum Laboratories Ltd.] Канад. пат. 491485 24.03.53 (англ.)**

Защитная промывка для оборудования, используемого при транспортировке расплавленного Al, содержит тонкоразмельченную  $Al_2O_3$  со средним диам. частиц  $< 5 \mu$  и  $Na_2SiO_3$ , улучшающий сцепление между предохраняемой поверхностью и промывкой. Основной составляющей защитного покрытия является  $Al_2O_3$  со средним диам. частиц  $< 5 \mu$ . Е. К.

5791 П. Способ получения жаростойких антикоррозионных покрытий с высоким коэффициентом излучения для электронагревательных устройств. Воль (Verfahren zur Erzielung eines temperaturbeständigen Korrosionsschutzes mit hoher Strahlungszahl für Elektroheizgeräte. Woll Philipp) [Voigt und Haefner A.-G.]. Пат. ГФР 877526, 26.05.53 [Chem. Zbl., 1954, 125, № 22, 4941 (нем.)]

Патентуется гальванопокрытие или покрытие распылением, напр., Zn или Al, железной основы с последующей хим. или электрохим. обработкой, напр., фосфатированием или оксидированием, и окрашиванием в черный цвет. Е. З.

5792 П. Усовершенствование процессов покрытия металлических изделий защитным металлом (Perfectionnements aux procédés de recouvrement des pièces métalliques par une couche d'un métal protecteur) [Cie Cle de Télégraphie sans fil]. Франц. пат. 1056488, 26.02.54 [Chem. Zbl., 1955, 126, № 1, 210 (нем.)]

После восстановления находящегося на поверхности изделий окисного слоя производится гальванопокрытие Au, которое затем в результате термич. обработки диффундирует вглубь металла. Способ применяют для получения проволоки, идущей на изготовление сеток электронных ламп. [Е. З.]

5793 П. Металлизация. Клаф, Годли (Coating. Clough, Philip J., Godley Philip 2-nd) [National Research Corp.]. Пат. США, 2703334, 1.03.55

Описан выдерживающий смачивание алюминием подогреватель (фитиль) для испарения Al в установке для металлизации осажденными парами. Подогревателем служит угольный стержень, покрытый слоем, содержащим карбид одного из следующих металлов: Ti, Zr, Hf, V, Nb, Ta. Стержень тщательно очищен от летучих и газообразующих в-в. Г. С.

5794 П. Способ достижения большой сопротивляемости металлических изделий к образованию на их поверхности окисного слоя. Шульце (Förfarande för uppnående av stor motståndskraft mot oxidskikt-bildning hos metallföremål. Schulze H.) [Vereinigte Deutsche Metallwerke A.-G.]. Швед. пат. 143929, 2.02.54

Патентуемый способ повышения сопротивляемости окислению металлоизделий, подвергающихся действию корродирующих газов при  $t$ -ре выше  $800^\circ$ , который заключается в набрызгивании слоя из Cr-Fe-Ni или Cr-Ni-сплавов, отличается последующей обработкой этих изделий  $MgO$ , Na- или K-щелочью, соединениями Ca с Si или Al предпочтительно в виде CaSi или  $Al_2Ca$ . [М. Г.]

5795 П. Способ металлизации изоляционных материалов путем испарения или катодного распыления металла. Шупп, Мюльбауер (Verfahren zur Metallisierung von Isolierstoffen durch Metallaufdampfung oder Kathodenzerstäubung. Schupp Paul, Müllbauer Paul). Пат. ГФР 882788, 13.07.53 [Chem. Zbl., 1954, 125, № 44, 10076 (нем.)]

Предлагаемый способ металлизации производится при более высоком давлении, чем обычно, причем центры кристаллизации образуются на изоляционных материалах предварительным или одновременным

испарением или распылением более тугоплавкого металла, для которого с повышением давления увеличивается интенсивность испарения до тех пор, пока металлизация не будет соответствовать металлизации при обычном низком давлении. Под интенсивностью испарения понимается конц-ия паров металла вблизи изделия, которое металлизировано. Повышения интенсивности испарения можно достигнуть уменьшением расстояния между паровым соплом и изоляционным изделием. И. Б.

5796 П. Способ металлизации, в особенности омеднения, металлической поверхности по методу погружения или натирания. Дельмари (Verfahren zur Metallisierung, insbesondere zur Verkupferung von Metalloberflächen nach der Tauch oder Anreibemethode, Anwendung dieses Verfahrens und Elektrolyt zu dessen Durchführung. Deilmari Ella). Австр. пат. 176721, 25.11.53 [Chem. Zbl., 1954, 125, № 29, 6585 (нем.)]

Чтобы не допустить образования окисных включений и улучшить кристаллизацию возникающего металлич. слоя, к основному составу добавляется насыщ. водн. р-р  $FeCl_3$  в смеси со спиртом в отношении 1:2, но лучше 1:5; полезна добавка 1%  $ZnCl_2$  или 0,5%  $AlCl_3$ . И. Б.

5797 П. Алюмирование железных изделий. Уэстби (Förfarande för aluminisering av föremål i form av tråd, plåt etc. av metall, förefrådesvis järn. Westby T. H.). Швед. пат. 142030, 8.09.53

Патентуемый метод алумирования железных изделий (проволока, пластины) отличается предварительной обработкой изделий в солянокислом р-ре хлоридов Zn и Pb и (или) Cd и (или) Sn. М. Г.

5798 П. Процесс покрытия материала алюминием. Кингстон, Заварин, Бассерт (Process for making aluminum coated material. Kingston Walter E., Zavarin Igor N., Busert Charles E.) [Armco Steel Corp.]. Пат. США 2697869, 28.12.54

Патентуется процесс плакирования Fe-листа, заключающийся в горячей и холодной прокатке заготовок до толщины  $\approx 2,5$ —1 мм и покрытии слоем Al толщиной  $\approx 0,05$ —0,01 мм на сторону. Плакированную заготовку подвергают холодной и горячей прокатке до толщины  $\approx 1,5$ —0,125 мм. Последующий диффузионный нагрев проводят при  $t$ -ре  $\approx 790$ — $950^\circ$  в течение от 17 сек. до 7 мин. в зависимости от толщины основного металла и  $t$ -ры нагрева. Е. З.

5799 П. Способ фосфатирования металлов (Fremgangsmåte ved fosfatering av metaller) [Metallgesellschaft A.-G.]. Норм. пат. 84545, 8.11.54

Предложен способ фосфатирования металлов, в частности Fe, Al и их сплавов, водн. р-рами кислых солей фосфатов щел. металлов. Отличительной чертой патентуемого способа является введение в фосфатирующий р-р соответствующих в-в, которые, давая с металлами, подлежащими фосфатированию, комплексные соединения, либо полностью устраняют появление шлама, либо в значительной степени уменьшают его кол-во. Такого рода добавками служат натриевые соли этилен-диамина-тетрауксусной к-ты (I) или подобные им по строению производные карбоновых к-т и (или) пиро-, мета-, полифосфаты щел. металлов. Указанные соединения добавляются к фосфатирующим р-рам в момент появления шлама, но могут быть введены и вначале в исходные р-ры и добавляться к новым порциям р-ра, вводимым в процессе фосфатирования. Дана рецептура р-ра для 2 случаев фосфатирования: окунания и обрызгивания изделий. При наличии в р-ре в I или других добавок в расчете на  $m^2$  фосфатируемой поверхности металла образования шлама не наблюдается. М. Г.



**5800 П.** Снижение коррозионного действия фосфорной кислоты при процессе полимеризации. Битей (Reduction of phosphoric acid corrosion in a polymerization process. Bethea Sam R.) [Standard Oil Development Co.]. Пат. США 2702827, 22.02.55

Патентуется метод защиты медной обкладки реактора, подвергающегося воздействию  $H_3PO_4$  крепостью 75—115% при 138—316°. Метод основан на образовании стойкой пленки  $H_3PO_4$  на поверхности медной обкладки. Метод предусматривает достаточный подвод к-ты для поддержания пленки и защиту пленки от прямого соприкосновения с реакционной смесью при помощи дополнительной обкладки медной поверхности пластинами пористого угля.

В. Л.

**5801 П.** Способ фосфатирования. Шустер, Краузе (Phosphatiervorfahren. Schuster Ludwig, Krause Robert) [Metallgesellschaft A.-G.]. Пат. ГФР 900162, 900163, 21.12.53 [Chem. Zbl., 1954, 125, № 16, 3560—3561 (нем.)]

Патентуется фосфатное покрытие (II), получаемое в цинкфосфатном р-ре, содержащем  $NO_3^-$  в кол-ве, превышающем содержание  $P_2O_5$ . Содержание нитрит-иона соответствует 0,05—0,2 г/л  $NO_3^-$ . П прочно соединено с металлом и хорошо пропитывается маслом. Согласно второму патенту применяют нагретый до т-ры 30° цинкфосфатный р-р, содержащий нитрат. Конц-ия  $P_2O_5$  составляет (в г/л) не менее 10,  $NO_3^- > 10$ , а  $NO_2^-$  0,6—1,2. В результате фосфатирования получают тонкое, гладкое и плотное П.

Е. З.

**5802 П.** Способ и ванна для химической обработки металлической поверхности. Дете (Förfaringsätt för överdragning av en metallyta, behandlingsbad för utförande av sättet samt föremål framställt enligt sättet. Dété R. F. V.) [Sté Continentale Parker]. Швед. пат. 144345, 2.03.54

Патентуемый способ получения защитного покрытия на металлах, напр., Fe или Zn, с помощью водн. р-ра монофосфата тяжелых металлов: Zn, Fe, Mn, Ni или Co, содержащего окислитель, отличается тем, что pH применяемых рабочих р-ров поддерживается постоянным в интервале 3,95—4,4, частичной нейтр-цией фосфорной к-ты слабым основанием и введением оксалата Na в качестве слабого восстановителя в кол-ве 2,5—12 тысячных вес. ч. по отношению к общему весу р-ра.

М. Г.

**5803 П.** Покрытия для тепловой изоляции и защиты от коррозии трубопроводов и аналогичных металлоконструкций. Ханкок, Гаррисон (Lagging for the protection and waterproofing of thermal

insulation and for the protection against corrosion of metal work, such as pipes. Hancock William George, Harrison Frank Harland), [Bitulac Ltd]. Англ. пат. 712695, 28.07.54 [Chem. Zbl., 1955, 126, № 8, 1822 (нем.)]

Патентуется способ защиты трубопроводов от коррозии и их изоляции материалами на основе ткани из стеклянного волокна или другого волокнистого в-ва. Ткань пропитывают стабилизированной эмульсией коллоидной глины с добавкой бентонита, содержащей битумы, асфальт, вазелин или продукты перегонки каменноугольной массы с аналогичными свойствами. Предварительно из материала удаляют влагу. Битуминозные в-ва, добавляемые в эмульсию, можно заменить также жирами или минер. маслами.

М. А.

**5804 П.** Способ получения пассивирующего пигмента. Рагг (Förfarande för framställning av rostskyddspigment. Ragg M.) [Skånska Bomullskrut fabriksaktiebolaget]. Швед. пат. 143904, 2.02.54

Патентуется способ получения пассивирующего пигмента из металла, стоящего выше Fe в ряду напряжений (Pb или сплав другого металла с нейтр. или основным антимонатом Pb), отличающийся тем, что, вместо получения пигмента из частиц металла с оболочкой из антимоната Pb, пигмент получают смешением тонкоразмолотых металла и антимоната Pb.

К. Г.

**5805 П.** Устройства для уменьшения электролитической коррозии бронированных металлом электрических кабелей и металлических труб. Кроккер (Arrangements for reducing the electrolytic corrosion in metal sheathed electric cables, metal pipes, conduits and the like. Crocker W. G.) [Hackbridge Cable Co., Ltd]. Англ. пат. 710100, 9.06.54 [J. Appl. Chem., 1955, 5, № 1, 147 (англ.)]

Патентуется защита бронированных кабелей путем обмотки по спирали гальванич. проволочным анодом, удерживаемым на кабеле при помощи неметаллич. ленты, пропитанной замедлителем коррозии, напр.  $BaCrO_4$ .

В. П.

**5806 П.** Катодная защита для водоумягчителей и фильтров. Клам (Cathodic protection for water softeners and filters. Klumb George H.) [Culligan, Inc.]. Пат. США 2677655, 4.05.54

Конструкция предусматривает внутреннее расположение гальванич. анодов в металлич. резервуарах водоумягчителей и фильтров с целью защиты их внутренней поверхности.

В. П.

См. также: 4583, 4759, 4766, 5136, 5333, 5336

## ПРОЦЕССЫ И ОБОРУДОВАНИЕ ХИМИЧЕСКИХ ПРОИЗВОДСТВ

### ПРОЦЕССЫ И АППАРАТЫ ХИМИЧЕСКОЙ ТЕХНОЛОГИИ

**5807.** Развитие химической аппаратуры за последние 50 лет. Бон, Флёрен (De ontwikkeling van de chemische apparatuur in de laatste vijftig jaren. Bon E. F., Fleuren A. J.), Chem. weekbl., 1955, 51, № 4, 49—54 (голл.)

Изложены основные направления развития хим. аппаратуры и конструктивных материалов для нее. Приведены данные о жаростойких сталях, устойчивых к  $H_2$ .

К. Г.

**5808.** Применение радиоактивных изотопов в промышленности. — (Radioisotope techniques in indu-

stry.—), Nature, 1953, 171, № 4362, 1007—1008 (англ.)

Обзор докладов международной конференции по применению радиоактивных изотопов, состоявшейся 16—20 июля 1951 г. в Оксфорде.

Л. Б.

**5809.** Применение радиоактивных изотопов в промышленности. Манов (Radioisotopes in industry. Manov George G.), Arch. Industr. Health, 1955, 11, № 4, 338—342 (англ.)

Обзор.

В. К.

**5810.** Функция вязкость — температура. Бранкер (The viscosity — temperature function. Branker A. V.), Industr. Chemist, 1954, 30, № 350, 112—118 (англ.)

Дан обзор существующих у-рий зависимости вязкости от т-ры. Отмечается, что общее выражение указанной зависимости для жидкостей с различной вязкостью еще не найдено. Выведено эмпирич. у-ние, достаточно точное в широких пределах значений вязкости  $\mu/T = Ae^{B/T} + C$ , где  $\mu$  — вязкость,  $T$  — абс. т-ра,  $A$ ,  $B$  и  $C$  — константы, которые могут быть вычислены по 3 известным значениям вязкости для 3 различных т-р. Выведено также у-ние для вычисления текучести газов.

В. Р. 5811. Распределение скоростей потока в слое насадки. Хираи (微粒子充填塔における流速分布について. 平井英二), 化学工学. Кагаку когаку, Chem. Engng (Tokyo), 1954, 18, № 11, 528—531 (япон.; резюме англ.).

Исследовано распределение скоростей жидкости в слое насадки с помощью 11 пар платиновых электродов, диам. 1 мм и длиной 10 мм, помещенных в самом слое насадки. Получен волнообразный профиль скоростей с повышением последних у стенок. Минимум скоростей наблюдается на радиусе  $r$ , равном  $0,6 \pm 0,8$  радиуса трубы.

В. М. 5812. Распределение газового потока в слоях насадки. Шварц, Смит (Flow distribution in packed beds. Schwartz C. E., Smith J. M.), Industr. and Engng Chem., 1953, 45, № 6, 1209—1218 (англ.).

Изучено распределение скоростей газового потока (ГП) по сечению насадочной колонны в зависимости от ее диаметра, размера и высоты слоя насадки, а также весовой скорости ГП. Опыты проводились в колоннах диам. 50, 75 и 100 мм с насадкой в виде шариков и цилиндров высотой, равной их диаметру. Размер элементов насадки был равен 3; 6; 9,5 и 12,7 мм. Скорость ГП, отнесенная к полному сечению колонны, изменялась в пределах  $0,13$ — $1,1$  м/сек, высота слоя насадки 75—585 мм. Т-ра ГП  $\sim 23^\circ$ . Для измерения точечных значений скорости ГП в слое насадки применены термоанемометры с платиновыми нитями диам.  $0,075$  и  $0,1$  мм. Измерения производились в пяти различных точках по радиусу, выбор которых осуществлялся таким образом, чтобы при определении средней скорости по показаниям термоанемометров можно было избежать необходимости графич. интегрирования. Результаты представлены в таблицах, а также в виде профилей скорости. Установлено, что скорость ГП возрастает от оси к периферии колонны, достигая максимума на расстоянии от стенки колонны, равном диаметру элемента насадки. Максим. значение скорости ГП возрастает с уменьшением отношения диаметра колонны  $D_k$  к размеру элемента насадки  $D_p$ , а в отдельных опытах вдвое превышает скорость по сечению колонны. При  $(D_k/D_p) > 30$  максим. значение скорости превышает скорость ГП на оси не более чем на 20%, т. е. в этих случаях практически скорость по сечению колонны можно считать одинаковой. Высота слоя насадки, а также средняя скорость ГП мало влияют на профиль скоростей. Полученное распределение скоростей объясняется характером упаковки насадки, которая в центральной части наиболее плотна. Течение газа через насадку уподобляется течению через пучок трубок, центральная часть которого состоит из трубок одинакового диаметра и окружена рядами трубок с диаметром, возрастающим по мере удаления от центральной части пучка. В то же время в насадке происходит перемешивание газа. На основании этих предположений выведены теоретич. у-ния, позволяющие определить местные значения скорости вдоль радиуса, которые удовлетворительно согласуются с опытными данными.

Ю. П. 5813. Типы пылеуловителей. Хоппе (Entstauber-

bauarten. Hoppe Helmut), Z. Techn. Überwachungs-Vereines München, 1955, 7, № 2, 40—48 (нем.).

Приведен обзор различных типов пылеуловителей, применяемых для очистки дымовых газов от золы. Описаны устройство, принцип его действия, расчетные ф-лы и параметры нормальной работы жалюзийных пылеуловителей, циклонов различных типов и дана характеристика вращающихся барабанных пылеуловителей. Подробно рассмотрены теория и устройство электрофильтров, а также конструкции сложных осадительных электродов.

Ю. С. 5814. Выходоскоростной пылеулавливающий, абсорбционный и теплообменный аппарат. Зайцев В. М., Тверовский Е. Н., Хим. пром-сть, 1955, № 2, 18—23.

Турбулентные промыватели (ТП), представляющие комбинацию трубы — распылителя (ТР) с циклоном — каплеотделителем обеспечивают хорошее перемешивание мелких капель с газом и являются малогабаритными эффективными аппаратами, применяемыми в качестве реакторов, абсорберов, охладителей или распылителей. ТР представляет собой трубу Вентури, у которой центральный угол конфузора составляет  $25$ — $60^\circ$ , диффузора  $6$ — $7^\circ$  и вход в горловину закруглен. Жидкость вводится в отверстия диам.  $4$ — $6$  мм по периферии конфузора или через трубку с распылителем по оси ТР. Экспериментально исследован процесс очистки газа от пыли в ТП при различных расходах воздуха и воды. Найдено, что улавливание пыли не зависит от способа подачи воды, а определяется расходом ее и скоростью газа в горловине. При начальном содержании пыли до  $1,2$  г/м<sup>3</sup> (содержание в пыли фракций мельче  $6$  м  $44,4\%$  и от  $6$  до  $10$  м  $11,8\%$ ), скорости газа в горловине  $w_r = 86,3$  м/сек и удельном расходе жидкости  $m = 1,1$  л/м<sup>3</sup> эффективность пылеулавливания достигала  $99,92\%$  при сопротивлении потоку газа около  $220$  мм вод. ст. При охлаждении газа в ТП значение объемного коэфф. теплопередачи  $K$  ккал/м<sup>3</sup>час. град в несколько десятков раз больше, чем в полном скруббере, и может быть определено по ф-ле  $K = 1150 w_r^{0,7}$ . Высокое значение  $K$  дает возможность эффективно применять ТП также в качестве испарителя жидкости, а весьма малое время контакта фаз ( $\sim 10^{-3}$  сек) делает его пригодным для испарения термолабильных жидкостей.

А. Р. 5815. Характеристика скрубберов для мокрой очистки газов от пыли. Лэппл, Камак (Performance of wet dust scrubbers. Lapple C. F., Kamack N. J.), Chem. Engng Progr., 1955, 51, № 3, 110—121 (англ.).

Описаны эксперименты по мокрой очистке воздуха от пыли, проводившиеся на лабор. и ползаводских установках, представляющих собой сочетание циклона, питательная линия которого была снабжена трубой Вентури. Опыты проводились по очистке воздуха от пыли талька, двуокиси титана и ильменита. В результате исследования было показано, что увеличение нагрузки по пыли мало влияет на перепад давления в скруббере, но увеличивает эффективность осадения (ЭО). Применение батарейных циклонов также улучшает ЭО. При очистке горячих газов для увеличения ЭО рекомендуется производить их охлаждение до т-ры ниже точки росы. Важнейшим фактором, влияющим на ЭО, является наличие в скруббере турбулентной циркуляции газового потока. Замечено, что высокогабаритные установки работают более эффективно, чем малогабаритные.

А. Б. 5816. Эффективность центробежных скрубберов для мокрой очистки газов. Томас (Effectiveness of the fog filter. Thomas Frank A., Jr), Heat. and Ventil., 1953, 50, № 2, 113—115 (англ.).

Скруббер для очистки воздуха от пылей, туманов, дымов и растворенных газов состоит из корпуса, в который при помощи ряда расположенных по окружностям форсунок тангенциально распыляется под давлением, не превышающим 3 ат, вода или другой поглотитель. Воздух, проходящий через корпус сверху вниз, получает вращательное движение с большой скоростью, благодаря чему под действием центробежной силы происходит агломерация мелких частиц или капель и отделение их от воздуха. Размер улавливаемых частиц  $\geq 10 \mu$ . Аппарат удобен в эксплуатации и самоочищается в процессе работы. Расход воды составляет 80—160 л на 100 м<sup>3</sup> воздуха при производительности 140 м<sup>3</sup> в 1 мин. Приведены данные по эксплуатации скруббера при очистке воздуха с высокой степенью эффективности, достигающей 99,8%, от H<sub>2</sub>S, SO<sub>2</sub>, H<sub>2</sub>SO<sub>4</sub>, фторидов, фталевого ангидрида и других в-в. Н. К.

5817. Скоростной метод центробежной седиментации для измерения дисперсного состава малых частиц. Часть I. Аппаратура и методика. Уитби (A rapid general purpose centrifuge sedimentation method for measurement of size distribution of small particles. Part I.—Apparatus and method. Whitby K. T.), Heat., Piping and Air Condit., 1955, 27, № 1, 231—237 (англ.)

Вследствие низких скоростей осаждения малых частиц пыли в жидкости дисперсный анализ методом седиментации под действием сил тяжести ограничивается частицами размером в 1  $\mu$ . Используя для увеличения воздействия на оседающую частицу центробежную силу, можно распространить метод седиментационного анализа на меньшие частицы (до 0,01  $\mu$ ), а также во много раз ускорить выполнение анализа. Этим способом экономично и быстро определяется распределение пыли по размеру частиц в диапазоне 0,05—5  $\mu$ , характерном для загрязнений атмосферного воздуха. Рассмотрены принципы методики определения, устройства аппаратуры, способы определения размеров частиц по их скорости осаждения при различных числах оборотов центрифуг. Приведены расчетные ф-лы, справочные таблицы и описан метод определения поправок на время пуска и остановок центрифуг. Ю. С.

5818. Приготовление тонких и тончайших порошков в центрифуге с тяжелой жидкостью. Тейтеберг (Die Schwerflüssigkeitsaufbereitung von Fein- und Feinstkorn im Schleuderscheider. Teutberg Rudolf), Glückauf, 1954, 90, № 39/40, 1276—1282 (нем.)

Получение тонких порошков осаждением из суспензии их в тяжелой жидкости затруднено, вследствие малых скоростей осаждения мелких частиц. В центрифуге (Ц) действие сил тяжести заменено действием во много раз превосходящих центробежных сил. Разделение частиц загружаемой смеси по весу происходит во вращающемся сосуде конич. формы, заполненном тяжелой жидкостью. Подробно описаны конструкции Ц такого типа, механизм разделения в них, методика и результаты испытаний при отделении каменного угля от породы. Указаны производительность Ц и качество сепарации в них. Э. Н.

5819. Непрерывное перемешивание жидкостей, паст, пластических масс и твердых веществ. Куиллен (Mixing, Liquids, pastes, plastics, solids continuous mixing. Quillen Charles S.), Chem. Engng, 1954, 61, № 6, 178—185, 224 (англ.)

Обзор, посвященный теоретич. основам и применению процессов перемешивания в жидких средах (в том числе ньютоновых жидкостей), процессов смешения твердых в-в и перемешивания воздухом. С. К.

5820. Смешивание сухих твердых тел. Уорк (Dry mixing of solids. Work Lincoln T.), Chem. Engng Progr., 1954, 50, № 9, 476—479 (англ.)

Обзор по применяемому оборудованию для периодич. и непрерывного смешения твердых в-в. Разбирается вопрос использования вспомогательных операций (транспортировка, измельчение, бункеровка и т. п.) для смешения без спец. оборудования. Е. Х. 5821. Дозировочные насосы для опытных установок. Хей, Лагервей, Стеркман (Sympo-sium: pompen voor de chemische industrie. Doseerpompen bij proefinstallaties. De Hey H., Lagerwey A. A. F., Sterkman I.), Ingenieur (Utrecht), 1955, 67, № 15, Ch.17—Ch.26 (голл.; резюме англ.)

Описан стандартный дозировочный насос, разработанный в лаборатории Koninklijke/Shell, Амстердам. Насос испытан на опытной заводской установке и зарекомендовал себя наилучшим образом с точки зрения надежности работы и универсальности применения. Приводится также описание дозировочных насосов спец. типов. Р. Т.

5822. Рациональное проектирование воздухопроводов. Вальтер (Efficient piping of compressed air. Walter Leo), Rock Prod., 1954, 57, № 11, 84—86, 112—113 (англ.)

Описаны конструкции различных влагоотделителей и воздухоочистителей, а также приведены схемы автоматич. удаления влаги и масла из воздухопроводов. Изложены основные правила проверки и устранения неисправностей воздухоочистительной аппаратуры в эксплуатационных условиях. Р. Т.

5823. Паста на основе суспензии тефлона для уплотнения соединений труб, работающих под давлением. Томпсон, Нилсен (Teflon dispersion makes dope for pressure-tight pipe joints. Thompson J. B., Nielsen G. C.), Chem. Engng, 1953, 60, № 11, 196—197 (англ.)

Описаны состав и способ получения пасты из тетрафторэтиленовой смолы и поливинилового спирта, предназначенной для герметичного уплотнения соединений труб на резьбе, работающих под давлением. Такое уплотнение вследствие малого коэфф. трения тефлона позволяет легко монтировать трубы, а эластичность тефлона, вдавненного в резьбу, обеспечивает герметичность соединения. Паста применима также для труб из нержавеющей стали и пластика. В. Р.

5824. Исследование процессов теплообмена при ламинарном режиме движения теплоносителя применительно к нагревательным приборам систем водяного отопления. Тер-Мкртчян К. А., Сб. науч. тр. Ереванск. политехн. ин-та, 1955, № 6, 141—149

Экспериментальное исследование процесса теплообмена при ламинарном режиме движения теплоносителя ( $Re = 40 \div 100$ ) в нагревательном приборе систем водяного отопления показало, что основное падение т-ры происходит непосредственно в прилегающем к стенке слое теплоносителя и составляет у входного отверстия прибора 12—13°. Так как по нормам допускается т-ра стенки нагревательного прибора до 95°, рекомендуется повышать параметры теплоносителя и подавать воду при т-рах до 100—103°, что способствует установлению экономного режима работы системы водяного отопления и уменьшению поверхности приборов на 16%. А. Р.

5825. Исследование влияния скорости движения потока воды на коэффициент теплоотдачи при кипении в наклонной трубе. Богданов Ф. Ф., Изв. АН СССР, Отд. техн. н., 1955, № 4, 136—140

Исследовано влияние скорости воды  $w$  на коэфф. теплоотдачи  $\alpha_2$  при кипении в наклонной трубе с внеш-



ним обогревом, включенной в контур с искусств. циркуляцией. Установлено, что  $\alpha_2$  возрастает линейно с  $w$ ; при давлении  $P = 110 - 125$  атм и тепловых нагрузках порядка  $q = 200\,000$  ккал/м<sup>2</sup> час увеличение  $w$  на 1 м/сек приводит к возрастанию  $\alpha_2$  на 1500 ккал/м<sup>2</sup> час. град. В критерияльное ур-ние для кипения в этих условиях необходимо включить отношение скоростей  $w/w_*$ , где  $w_*$  — крит. скорость, соответствующая переходу ламинарного движения в турбулентное. Для определения  $\alpha_2$  предложено ур-ние:  $Nu = 0,125 \cdot Re^{0.7} \cdot Pr^{0.35} (P/P_1)^{0.79} (w/w_*)^{0.1}$ , где  $P_1 = 1$  атм;  $Nu$  и  $Re$  относятся к стадии кипения.

А. Р. 5826. Об определении температур и тепловых потоков при нестационарных процессах. Тайц Н. Ю., Науч. тр. Днепропетр. металлург. ин-та, 1954, № 31, 16—32

Рассматриваются способы расчета средних значений  $t$ -р и тепловых потоков за определенный промежуток времени для условий нагревания металла в печах и погрешности, получающиеся при приближенном вычислении этих величин.

В. К. 5827. Современное состояние вопроса о расчете теплообмена в топочной камере. Кузьмин С. Н., Сб. Ленингр. ин-та ниж. ж.-д. трансп., 1955, № 149, 122—132

Обзор. Библ. 14 назв. А. Р. 5828. Температурные градиенты в турбулентных газовых потоках. Измерение градиентов температуры, энергии и давления. Шлингер, Сюй, Каверс, Сейдж (Temperature gradients in turbulent gas streams. Measurement of temperature, energy, and pressure gradients. Schlinger W. G., Hsu N. T., Cavers S. D., Sage B. H.), Industr. and Engng Chem., 1953, 45, № 4, 864—870 (англ.)

Измерения градиентов  $t$ -ры, тепловой энергии и давления производились для установившегося воздушного потока в плоском прямоугольном канале, заключенном в спец. калориметр. Источником тепла являлась плавяная проволока, помещенная перпендикулярно движению потока. Результаты измерений авторов (наряду с данными литературных источников, ваятых для сравнения) обработаны в координатах  $\xi$  (фактор восстановления) —  $u$  (скорость воздуха в точке замера  $t$ -ры), где  $\xi = (T_w - T)/(T_s - T)$ ,  $T_w$ ,  $T_s$  и  $T$  —  $t$ -ра проволоки, неподвижного воздуха и воздуха до начала нагрева проволоки соответственно. Распределение  $t$ -р по высоте канала представлено в координатах  $u/y_0 - T$ , где  $y_0$  — общая высота канала,  $y$  — положение точки замера  $t$ -ры по вертикали. Степень точности замера  $t$ -ры составляла при скорости воздуха до 15 м/сек  $\sim 0,005^\circ$  и от 15 до 30 м/сек  $\sim 0,025^\circ$ . Распределение теплового потока (измерение градиента энергии) изучалось при различных  $t$ -рах противоположных стенок канала и различных скоростях воздуха. Результаты измерений авторов (наряду с данными литературных источников) обработаны в координатах  $Nu - Re$ , причем  $Nu$  определен авторами из ур-ния:  $Nu = 4y_0 Q / (T_u - T_l) k$ , где  $Q$  — кол-во передаваемого тепла,  $T_u$  и  $T_l$  —  $t$ -ры противоположных стенок канала,  $k$  — теплопроводность воздуха. Измерение градиента давления изучалось при различных скоростях воздуха, причем было установлено, что изменение  $t$ -ры не оказывает заметного влияния на градиент давления. Результаты измерений авторов (наряду с данными литературных источников для прямых круглых труб) обработаны в координатах:  $f$  (фактор трения) —  $Re$ , причем величина  $f$  определена из ур-ния:  $f = [(y_0 g) / (\sigma U^2)] \cdot dP/dx$ , где  $g$  — ускорение силы тяжести,  $\sigma$  — уд. вес воздуха,  $U$  — средняя скорость потока,  $P$  — давление,  $x$  — положение точки замера давления по горизонтали. Н. К.

5829. Теоретическое и экспериментальное изучение теплопередачи от жидкости к жидкости в подогревателе горячей воды. Хатчинсон, Латарт, Смит (A theoretical and experimental study of liquid-to-liquid heat transfer in hot water heaters. Hutchinson F. W., Latart L. J., Smith N. W.), Heat., Piping and Air Condit., 1955, 27, № 2, 111—115 (англ.)

Рассмотрены эмпирич. ур-ния для расчета теплопередачи при турбулентном движении теплоносителя (воды) внутри трубок и естественной конвекции с их внешней стороны. Произведена эксперим. проверка этих ур-ний и установлено, что расхождение между расчетными и эксперим. данными не превышает 10%.

С. К.

5830. Влияние радиации на теплопроводность. Хелд (Der Strahlungsbeitrag an der Wärmeleitung. Held E. F. M. van der), Allgem. Wärmetechnik, 1953, 4, № 11/12, 236—240 (нем.)

Теплопроводность ( $T$ ) пористых тел (напр., изолирующих материалов) существенно возрастает вследствие радиации ( $P$ ). Влияние  $P$  при очень низких  $t$ -рах почти не сказывается, и  $T$  пористых тел изменяется прямо пропорционально их плотности. Долю  $P$  в процессе передачи тепла можно определить как разность величин  $T$ , измеренных при наличии  $P$  и без нее. Кол-во тепла, передаваемого  $P$ , изменяется при малой плотности материала обратно пропорционально изменению плотности. Исходя из баланса тепла для элемента объема, автор выводит зависимости величины  $T$  с учетом влияния  $P$ .

Э. Н.

5831. Исследование теплообменников в Научно-исследовательском институте теплотехники. Шнейлер (Výzkum výměníků tepla ve VÚTT. Schneller J.), Strojirenství, 1955, 5, № 1, 3—12 (чеш.; резюме русс.)

Приводятся описание расчета и сравнительная оценка теплообменников для систем газ — вода с увеличенной поверхностью теплообмена со стороны газа. Описаны новые типы теплообменников, обеспечивающие экономию материалов и теплообменники — утилизаторы тепла отходящих газов.

С. К.

5832. Использование термокомпрессии и рециркуляции пара. Вальтер (Thermo-compression and steam recirculation. Walter Leo), Industr. Heat. Engr., 1953, 15, № 97, 344—346 (англ.)

Предложено для сдувания пленки конденсата, образующейся на поверхностях труб или каналов теплообменников, увеличить скорость пара, что достигается его рециркуляцией. Рециркуляция создается установкой спец. сопел — «циркуляторов», работающих по принципу эжектора и повышающих давление рециркулируемого пара за камерой смещения (так называемый эффект термокомпрессии). Циркулятор работает устойчиво при наличии перепада давл. 0,7—1,4 атм. Приводятся примеры установки его и рекомендации по выбору формы и размеров каналов и поверхностей теплообменников.

Э. Н.

5833. Комбинированный метод высокочастотного нагрева. Бова Н. Т., Изв. Киевск. политехн. ин-та, 1954 (1955), № 16, 111—113

Описывается комбинированный метод нагрева ВЧ-токами с одновременным использованием магнитного и электрич. полей. Приведено сравнение этого метода с обычным методом нагрева ВЧ-токами при нагреве образцов влажной древесины. Результаты испытаний графически представлены в координатах  $t$ -ра — время. Установлено, что новый способ позволяет ускорить процесс нагрева особенно на первом этапе, причем процесс сушки образца протекает более равномерно. Дано описание схемы индуктора для рекомендуемого способа.

Н. К.

5834. Электрическая печь сопротивления для нагрева при глубоком вакууме. Креймерс, Деннард (A high temperature resistance-heated high vacuum furnace. Kramers W. J., Dennard F.), Vacuum, 1953, 3, № 2, 151—158 (англ.; резюме франц.)

Большинство вакуумных нагревательных печей для тел больших размеров работает по принципу индукционного нагрева. Описывается опытная печь мощностью 10 кт с нагревательными элементами в виде сопротивлений. Печь может быть смонтирована из типового вакуумного оборудования и работает через трансформатор от сети переменного тока. Печи сопротивления примерно вдвое дешевле индукционных.

Э. Н.

5835. Эффект, оказываемый пограничными поверхностями огнеупорных стенок на поглощение лучистой энергии батареями охлаждаемых труб. Кантл, Ареф-Эл-Дин (The effect of end refractory surfaces upon the radiant heat absorption rate of banks of water-cooled tubes. Cantle G. S., Aref El Din M. N.), J. Inst. Fuel, 1954, 27, № 164, 438—445 (англ.)

Эксперименты с учетом влияния пограничных огнеупорных стенок на кол-во передаваемого тепла  $Q$  проводились в лабор. электропечи с огнеупорными теплоизолированными стенками. Печь снабжена батареями труб, расположенных параллельно и перпендикулярно к фронту излучения. Отношение шага труб к их наружному диам.  $P/d$  составляло 1,53; 2,75; 3,6; 5,6 и 8,2. При определении общего  $Q$  учитывалось тепло, поглощенное трубным коллектором, а также теплопотери за счет теплопроводности стенок. Результаты опытов для параллельно и перпендикулярно расположенных батарей с различными  $P/d$  представлены в форме кривых на графиках в координатах  $Q-T$ , где  $T$  — т-ра источника излучения. Произведены также расчеты  $Q$ , поглощаемого батареями с различным  $P/d$ , в зависимости от  $T$ , с учетом безразмерного геометрич. фактора, зависимость которого от  $P/d$  также дана графически. На графике в координатах  $\epsilon$  (лучеиспускательная способность) —  $P/d$  представлены эксперим. и расчетные данные авторов и расчетные данные, полученные по методу Энкерта (Eckert E., Hauptverein Deutscher Ingenieure Mitt., 1931, Nov., 483; Arch. Wärmep. 1932, 13, 241). Удовлетворительные совпадения эксперим. и расчетных данных авторов наблюдаются при  $P/d > 3$ . Эксперим. данные дают заметные отступления от данных, вычисленных по методу Энкерта. Приводятся результаты анализа причин, раскрывающие отклонения кривых, построенных по эксперимен. данным авторов от кривой, построенной по методу Энкерта.

Н. К.

5836. Выбор типа холодильной машины на основе анализа энергетического баланса предприятия. Розенфельд Л. М., Тр. Ленингр. технол. ин-та холодильн. пром-сти, 1955, № 9, 3—9

Подвергнут анализу вопрос о выборе типа холодильной машины (компрессорной, абсорбционной или комбинированной — абсорбционно-компрессорной) на крупных пищевых предприятиях (мясокомбинат и др.), потреблявших большие кол-ва холода, тепла и электроэнергии. Рациональный выбор типа холодильной машины, определяемой энергетич. балансом предприятия, должен обеспечить экономич. соотношение между расходом электрич. энергии и тепла.

А. Б.

5837. Автоматизация аммиачных холодильных установок. Кобулашвили Ш. Н. В сб.: Холодильная техника. М., Госторгиздат, 1955, 59—82

Описаны новые конструкции пристенных и потолочных оребренных батарей с внутренней самоциркуляцией жидкости для установки в камерах хране-

ния холодильников, отличающиеся полным использованием всей теплопередающей поверхности при миним. тепловой нагрузке. С увеличением тепловой нагрузки соответственно увеличивается самоциркуляция жидкости, что создает возможность автоматизации т-рного режима холодильной установки. Рассмотрены шесть вариантов автоматизированных насосных и безнасосных аммиачных схем для различных условий работы холодильников.

А. Р.

5838. Аккумулирование холода льдом, образованным на испарителях. Лоренцен, Йохансен (Noen forsök med ispåfrysingsfordampere for kyldeakkumulering. Lorentzen Gustav, Johansen Oivind Flognfeldt), Kytekn. tidskr., 1955, № 1, 9—15 (норв.)

Сопоставлены показатели работы двух холодильных установок (У) для получения льда. На первой У лед получали в баке с погружным змеевиком испарителем, в котором в периоде аккумулялирования льда т-ра испарения  $NH_3$  понижалась. На второй У лед непрерывно снимался скребками с поверхности испарителя при постоянной т-ре испарения  $NH_3$ . Расход энергии на первой У 20,7—24,6, на второй 36,3—40,4 кв на 1 т льда.

К. Г.

5839. Осущ. холодоагентов. Уоллис (Drying a refrigeration system. Wallis Louis A.), World Refrig., 1955, 6, № 5, 267—268 (англ.)

Приведены данные о растворимости воды в различных фреонах (Ф-11, Ф-12, Ф-21, Ф-22, Ф-113 и Ф-114) при т-рах от 38° до —74°. Отмечена повышенная растворимость воды в Ф-22. Для предотвращения разложения масла и коррозии аппаратуры содержание влаги в Ф-22 не должно превышать 25·10<sup>-4</sup>%.

А. Р.

5840. Применение накатных труб в аммиачных конденсаторах. Филиппов П., Мельцер Л., Минкус Б., Холодильн. техника, 1955, № 2, 42—44

Описана техника накатки резьбы на внешнюю поверхность труб аммиачных конденсаторов. Накаткой резьбы с шагом 2 мм на трубу 25 × 3 мм достигается увеличение поверхности в 2,3—3,3 раза. Коэфф. теплопередачи, отнесенный к внутренней поверхности опытного конденсатора с накатными трубами, составляет 1440 ккал/м<sup>2</sup> час·град, а для гладкотрубного конденсатора 700—850 ккал/м<sup>2</sup> час·град. Достижимая экономия металла при изготовлении кожухотрубных конденсаторов составляет ≥ 30%.

А. Б.

5841. Автоматическая защита от разрушения замерзанием конденсата в сопловых конденсатоотводчиках посредством шарового гнезда. Рихтер (Selbsttätiger Zerstrierschutz bei Düsen-Kondensatableitern durch Kugelgehäuse. Richter H.), Allgem. Wärmetechnik, 1954, 5, № 1, 3—5 (нем.)

Конденсатоотводчик имеет шаровое кожух, к центру которого подводится сопло. Конденсат, который может задерживаться в конденсатоотводящей линии за счет создания вакуума, начинает замерзать от стенки так, что в центре трубы до последнего момента будет существовать жидкое ядро, к которому как раз подходит сопло. Давление, возникающее в системе при замерзании, вытесняет часть жидкости через сопло и разрушения не происходит. Этот принцип защиты можно использовать и в других случаях.

Н. К.

5842. О возможности использования закономерности относительных приращений физических величин для описания процессов массообмена и процессов химического превращения. Таганов Н. И., Тр. Ленингр. технол. ин-та, 1953, № 25, 79—86

Показана возможность использования общего ур-ния, выведенного автором на основе закономерности относительных приращений физ. величин (Тр. Ленингр. технол. ин-та, 1952, № 23) для описания процессов

массообмена и хим. превращения. Ур-ние было исследовано путем использования имеющихся эксперим. данных для процессов абсорбции аммиака из воздуха водой в аппарате пленочного типа, экстрагирования уксусной к-ты водой из метилизобутилкетона, растворения 2-нафтола водой в «кипящем» слое и для процесса синтеза аммиака. Показано, что точность описания общим ур-нием всех указанных процессов вполне удовлетворительная. В. Г.

5843. Массопередача. Уилк (Mass transfer. Wilke C. R.), Industr. and Engng Chem., 1955, 47, № 3, Part 2, 658—664 (англ.)  
Обзор. Библ. 64 назв. С. К.

5844. Массопередача. Пигфорд (Mass transfer. Pigford Robert L.), Industr. and Engng Chem., 1954, 46, № 5, 937—947 (англ.)  
Обзор. Библ. 99 назв. В. Ж.

5845. Сведение многокомпонентных систем к бинарным смесям в расчетах процессов ректификации. Вейк, Тейссен (Reduction of multicomponent systems to binary mixtures in distillation calculations. Wijk W. R. van, Thijssen H. A. C.), Chem. Engng Sci., 1954, 3, № 4, 145—152 (англ.; резюме франц.)

Предлагаемый метод расчета процессов ректификации многокомпонентных систем является дальнейшим развитием теории, предложенной одним из авторов (Wijk W. R. van, Physica (s-Gravenhage), 1949, 15, 933). Сущность метода заключается в том, что расчет действительного процесса ректификации многокомпонентной системы заменяется приближенным расчетом гипотетич. бинарной смеси, компоненты которой на относительно большом числе тарелок (10—20) имеют такую же величину  $L_x/V_y$ , как два определяющих компонента многокомпонентной системы ( $L$  и  $V$  — расходы жидкости и пара в колонне в  $kg\text{-моль/сек}$ , а  $x$  и  $y$  — мол. конц-ии жидкости и пара). Коэфф. относительной летучести принимаются постоянными. При числе тарелок больше 10—20 учитывается третий компонент, но метод расчета остается в основном тем же, что и для бинарных смесей. Присутствие на тарелках других компонентов, кроме определяющих, учитывается путем введения поправок, для вычисления которых предложен графич. метод. В. К.

5846. Соображения о проектировании насадочных колонн. Лева (Chemical engineering considerations of packed tower design. Leva Max), Chem. in Canada, 1955, 7, № 3, 40—45 (англ.)

Приведены общий обзор требований, предъявляемых к насадкам, и сравнительная оценка насадок различных типов. Рассмотрены последовательные этапы проектирования насадочных колонн и даны рекомендации по расчетам абсорбционных и экстракционных насадочных колонн, в частности по определению потерь напора в условиях оптимальных гидродинамич. режимов. Обращается внимание на необходимость создания условий для хорошего начального и промежуточного распределения потоков жидкости в насадочных колоннах и на правильное конструирование опорной решетки для насадки. Рекомендуется, как наилучшая, решетка с переливными перегородками и с раздельными проходами для газа и жидкости, описанная автором ранее (РЖХим, 1955, 15565). С. К.

5847. Проектирование колпачковой тарелки на основе ее гидравлики. Омори (流動より見たキ ャップ塔の設計. 大森和夫), コーンスター, Кору тару, J. Japan Tar Ind. Assoc., 1953, 5, № 7, 7—14 (япон.)

Указывается, что расчет ректификационных колонн только по заданным производительности и конц-иям

не дает точных результатов. При расчете необходимо учитывать потерю напора, характер перемещения жидкости по тарелке, унос жидкости, расстояние между тарелками, скорость пара, положение переливной трубы. Дан обзор имеющихся расчетных ф-л по гидравлике тарельчатых колонн и приведен пример расчета колонны. Отмечается, что гидравлич. основы расчета тарельчатых колонн еще недостаточно разработаны. С. К.

5848. Относительная летучесть бинарных смесей из фракционной колонны при конечной флегме. Роз, Байлс (Relative volatility of binary mixtures from a fractionating column at finite reflux. Rose Arthur, Biles William R.), Chem. Engng Progr., 1955, 51, № 3, 138—140 (англ.)  
Излагается метод расчета относительных летучестей (ОЛ) бинарных смесей при конечной флегме по экспериментальным лабор. данным. Приведен также метод определения ОЛ для неидеальных смесей. Отмечается, что этот же метод может быть применен для расчета ОЛ в случае многокомпонентных смесей. Расчет иллюстрирован числовыми примерами. В. Р.

5849. Секционные конденсаторы фирмы «Канон». — (The Cannon sectional condenser.), Chem. Prod., 1955, 18, № 3, 112—113 (англ.)

Описано устройство чугунного секционного конденсатора для дистилляционных установок, состоящего из ряда одинаковых секций, соединяемых друг с другом на фланцах. Конденсатор работает по принципу противотока и обеспечивает высокие значения коэфф. теплопередачи. Конденсаторы выпускаются с секциями диам. 300 мм и поверхностью охлаждения 0,16 м<sup>2</sup> каждая и 460 мм с поверхностью охлаждения 0,325 м<sup>2</sup>. Требуемая по расчету поверхность охлаждения может быть получена путем последовательного соединения необходимого числа секций. Э. Н.

5850. Двухступенчатый абсорбер SO<sub>2</sub>. — (SO<sub>2</sub> absorber: Two scrubs better than one.), Chem. Engng, 1955, 62, № 2, 132, 134 (англ.)

Описан двухступенчатый абсорбер для очистки выхлопных газов от SO<sub>2</sub> аммиачными сульфитно-бисульфитными р-рами. Газы сернокислотного производства поступают в нижнюю первую ступень абсорбера, где они движутся противотоком к р-ру, поглощающему из них большую часть SO<sub>2</sub>. Из первой ступени абсорбера газы по газоходу направляются во вторую ступень, расположенную непосредственно над первой, после чего выбрасываются через выхлопную трубу в атмосферу. Вода непрерывно подается во вторую ступень, в которой поддерживается низкая конц-ия твердой фазы, необходимая для эффективной абсорбции. Пройдя последовательно обе ступени, р-р перекачивается в отдельную исчерпывающую тарельчатую колонну, где взаимодействует с 93%-ной H<sub>2</sub>SO<sub>4</sub>, образуя сульфат аммония и SO<sub>2</sub>. На обеих ступенях скруббера осуществляется циркуляция образующихся р-ров, которые перекачиваются из нижней части каждой секции в распылители, установленные в ее верхней части. За счет испарения воды из р-ров газ, поступающий с т-рой 77°, охлаждается, и абсорбция протекает при 37,7°. Свободный SO<sub>2</sub> возвращают под давлением в сушильную башню сернокислотного з-да. 97% общего кол-ва NH<sub>3</sub>, добавляемого к р-рам, орошающим ступени скруббера, регенерируется в виде сульфата. Отмечается, что производительность данной установки на 20% выше, чем при обычной скрубберной абсорбции. Установка рассчитана при начальной конц-ии SO<sub>2</sub> 0,9%. Остаточное содержание SO<sub>2</sub> в хвостовых газах менее 0,03%. Установка полностью автоматизирована. С. К.

5851. Расслоение в горизонтальном экстракторе. Хабиخت, Хертъес, Талема (Layer forma-



tion in a horizontal extractor. H a b i c h t C., Heer-  
ties P. M., Talsma H.), Chem. Engng Sci.,  
1954, 3, № 2, 76 (англ.)

Изучалась массопередача между р-ром уксусной к-ты (I) в четыреххлористом углеводе (II) и водой (III) в горизонтальном экстракторе размером  $100 \times 5 \times 5$  см. Было показано, что равновесие не достигается в течение долгого промежутка времени. Материальный баланс потоков при одинаковой их объемной скорости (3 л/час) за 16 час. показал, что в II содержание I понизилось на 20—30% больше, чем повысилось содержание I в III. Это объясняется сильной способностью к расслаиванию р-ров с различным содержанием I. В опыте с окрашенными р-рами при объемной скорости 3 л/час был замечен бесцветный слой повышенной плотности, аккумулирующий часть I, проходящей поверхность раздела. Добавление 5%-ного р-ра соляной к-ты с плотностью  $1,04 \text{ г/см}^3$  расслаивает этот бесцветный слой на два слоя с плотностью меньше  $1,04 \text{ г/см}^3$  (ближе к окрашенному водн. слою) и плотностью больше  $1,04 \text{ г/см}^3$  (ближе к поверхности раздела). Описанный эффект сильно препятствует расчету массопередачи. Л. Ю.

5852. Новый тип барабанной сушилки «Дегидро-Мат». Хальдорссон (En ny slags t rretroml den s kaldte Dehydro-Mat. H a l l d o r s s o n G i s l i), Ingeni ren, 1954, 63, № 28, 602—604 (дат.)

Барабанная сушилка (БС) прямого действия состоит из 3 барабанов (секций), последовательно соединенных конич. переходами. В 1-м от точки барабана сушилка протекает при постоянной скорости, во 2-м при падающей скорости и в 3-м барабане, имеющем диаметр, больший и длину меньшую предыдущего, скорость движения материала уменьшена для завершения сушики в течение второго и последнего этапа периода падающей скорости (этапа внутренней диффузии). Подробно описана БС такого типа для сушики 90—100 т рыбной муки в час с указанием размеров БС, потребляемой мощности и способа регулирования. К. Г.

5853. Осушка газов. Коларж (Su en  plynu. K o l   f M.), Paliva, 1954, 34, № 9, 251—258 (чеш.)

Обзор современных методов осушки газов. Приведена таблица, в которой рекомендуются наиболее рациональные методы осушки различных газов. Библ. 22 назв. М. Г.

5854. Трубчатые реакторы непрерывного действия.

Черный (Kontinu ln  trubkov  reaktory. C e r n   y O.), Chem. pr mysl, 1954, 4, № 9, 327—331 (чеш.)

Кратко изложена теория трубчатых реакторов (ТР) непрерывного действия и даны их основные характеристики. Отмечается применение ТР для быстропротекающих процессов, при р-циях с интенсивным выделением или поглощением тепла, а также р-циях под высоким давлением. С. Я.

5855. Конвейер Якоби в качестве питателя для кусковых материалов. Баннистер, Уилан (The Jacoby conveyor as a solids feeder. B a n n i s t e r H., Whelan P. F.), Chem. and Process Engng, 1955, 36, № 4, 115—118 (англ.)

Конвейер Якоби представляет собой вращающуюся трубу с внутренним шнеком типа Архимедова винта, жестко скрепленным со стенкой трубы. Питатель такого типа выгодно отличается от обычного шнекового тем, что для изменения подачи нет необходимости менять число оборотов, а достаточно лишь изменить угол наклона оси питателя. Приведены результаты испытаний питателя (диам. ~70 мм, длина 1 м) на антраците и барите при размере кусков 4,8÷6,3 мм. Питатель удобен для непрерывной дозировки сыпучих материалов, напр. для добавки извести в воду с целью

получения необходимого значения pH, добавки смолы к угольным смесям перед брикетированием, добавки флоккуляторов при обработке сточных вод и т. д. С. К.

5856. Метод определения количества осадка в резервуарах. Цуруми (貯水池堆砂量の一算法. 鶴見一之), 土木學會誌, Добоку гаккайси, J. Japan Soc. Civil Engrs, 1954, 39, № 3, 143—145 (япон.; резюме англ.)

Разработан метод определения кол-ва осадка в резервуарах и проведено сравнение предложенной автором расчетной ф-лы с ф-лами, опубликованными в США. Рассмотрен также вопрос о сроках службы резервуаров в связи с образованием в них осадков. Е. А.

5857. Новая система внутризаводского транспорта сырья на химических и металлургических заводах Декавилля. Лассалль (Les nouvelles manutentions des mati res premi res aux usines chimiques et m tallurgiques de Decazeville. L a s s a l l e),  quipm. m c., 1953, 32, № 287, 15—20 (франц.)

Описана полностью централизованная и автоматизированная система внутризаводского транспорта, расположенная на двух заводских площадках с различной уровней в 15 м. Э. К.

5858 К. Примеры и задачи по курсу процессов и аппаратов химической технологии (Учеб. пособие для хим.-технол. вузов). Изд. 3-е, доп. и перераб. Павлов К. Ф., Романков П. Г., Носков А. А. Л., Госхимиздат, 1955, 472 стр. с илл., 11 р. 20 к.

5859 П. Центробежный пылеуловитель из трубчатых пылеотделяющих элементов (D poussi reur centrifuge   cellules d poussi reuses tubulaires multiples) [Metallgesellschaft A.-G.]. Франц. пат. 1074255, 4.10.54 [G nie chim., 1955, 73, № 1, 21 (франц.)]

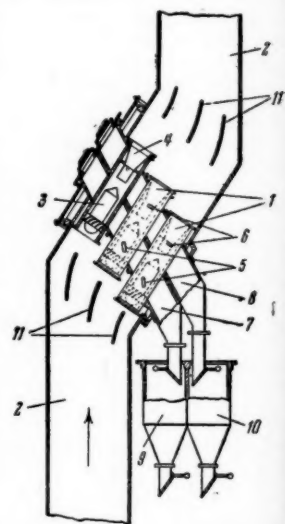
Центробежный пылеуловитель типа батарейного циклона отличается тем, что выхлопные трубы очищ. газа согнуты коленом и проходят через боковую стенку каждого элемента или через перегородку, отделяющую поток очищ. газа от потока загрязненного газа. Пылеотделяющие элементы расположены таким образом, чтобы они находились в потоке очищ. газа. Ю. С.

5860 П. Аппарат для отделения взвешенных частиц с помощью центробежной силы.

Хейнрих (Apparatus for centrifugal separation of suspended particles. H e i n r i c h O s w a l d X.), Пат. США

2662610, 15.12.53

Газовый поток, движущийся снизу вверх и несущий твердые частицы, направляется в ряд цилиндрич. каналов 1, размещенных в газоходе 2. В каждом из каналов имеется устройство 3, которое сообщает газу движение по спирали. На выходе из каналов установлено направляющее устройство 4. Взвешенные твердые частицы под действием центробежной силы отбрасываются к стенке канала 1 и попадают в сборный бункер 5.



ваются к периферии и через отверстия 5 и 6 попадают в коллекторы 7 и 8, а оттуда — в бункеры 9 и 10. Одновременно с сепарацией происходит классификация частиц по размеру. Лопасты 11 направляют поток газа на входе в цилиндрич. каналы 1 и на выходе из них.

Ю. П.

**5861 П.** Аппарат для очистки горячих газов с дутьевым устройством. Ландграф (Apparatus for cleaning hot gases and blower therefor. Landgraf George F.) [Trion, Inc.]. Пат. США 2675090, 13.04.54

Патентуется устройство для продвижения горячего газа, подлежащего очистке от пыли в электрофильтре. Во входном газоходе электрофильтра размещается свернутая в спираль труба, один конец которой выведен из газохода и присоединен к источнику питания водой, а другой конец направлен вдоль оси спирали. По ходу газа после спирали установлена трубка Вентури, в которую входит прямой конец трубы. Выходящая из этого конца трубы струя пара, образовавшегося при кипении воды вследствие нагревания ее горячими газами, поступает в трубку Вентури, в результате чего образуется нагнетательное устройство, которое перемещает газ по входному газоходу и электрофильтру.

Ю. С.

**5862 П.** Усовершенствование газоочистительного аппарата (Epurateur perfectionné de fluides gazeux) [De la Fournière M. M. P. R.]. Франц. пат. 1065138, 20.05.54 [Chimie et industrie, 1954, 72, № 4, 682 (франц.)]

Газоочистительный аппарат дополнительно снабжается отражателем пыли в виде перегородок с выпуклыми поверхностями, который располагается на пути газового потока перед входом его в аппарат. Ниже отражателя помещается устье сборника пыли, находящееся на пути частиц, отлетающих касательно к поверхности отражателя.

Ю. С.

**5863 П.** Способ отделения мельчайших твердых частиц, главным образом ферромагнитных, взвешенных в газах (Procédé de séparation de matières solides surfines, principalement ferromagnétiques, en suspension dans des gaz) [Industrie-Anlagen G. m. b. H.]. Франц. пат. 1075947, 21.10.54 [Génie chim., 1955, 73, № 1, 22 (франц.)]

Газы, в частности полученные при произ-ве стали с применением  $O_2$ , пропускают через магнитное поле, причем происходит агломерация взвешенных в нем и образуются крупные частицы, которые можно затем отделить без применения магнитной силы.

Г. Р.

**5864 П.** Улавливание пыли из воздуха или других газов. Джайлс (Separation of dust from air or other gases. Giles Eric Victor). Англ. пат. 700352, 2.12.53 [Milling, 1954, 122, № 21, 588 (англ.)]

Пылеулавливающий аппарат состоит из вертикального металлич. воздуховода (В), вдоль которого проходит запыленный воздух и одна стенка которого образована частью бесконечной ленты, изготовленной из чистой шерсти или из смеси ее с хлопчатой бумагой или найлоном. Поверхность ленты имеет начес на стороне, соприкасающейся с очищаемым воздухом. Лента натягивается между двумя расположенными один над другим роликами. В устанавливаются парно так, что каждая из двух частей движущейся бесконечной ленты образует четвертую стенку каждого В. Во избежание потерь воздуха лента прижимается пружинящими пластинками или роликами. Внутри В установлены отражательные пластины, направляющие запыленный воздух к ленте. Воздух входит в нижнюю часть одного В и движется вверх, затем переходит во второй, по которому опускается вниз. Ленты пере-

двигаются в направлении, обратном движению воздуха, и проходят через бункер, установленный под нижним роликом. В бункерах помещены устройства для освобождения ленты от пыли, которая выводится из бункера конвейером.

Ю. С.

**5865 П.** Система электродов для электрофильтра (Système d'électrodes pour filtre électrique) [Soc. Financière d'Expansion Commerciale et Industrielle Soc. An. «Sfindex»]. Франц. пат. 1075342, 14.10.54 [Génie chim., 1955, 73, № 1, 21 (франц.)]

Поток очищаемого газа проходит через несколько систем одинаковых взаимозаменяемых электродов, расположенных один за другим. Каждый электрод состоит из двух металлич. лент, обвитых совместно с находящимися между ними изолирующими полосами вокруг круглого стержня, расположенного аксиально направлению течения газа. Газ проходит главным образом в осевом направлении через пространства между лентами. В этих пространствах создается электр. поле, направленное поперечно потоку газа и питаемое от источника постоянного тока, к которому парно подключаются электроды. В результате взвешенные в газе заряженные твердые или жидкие частицы подвергаются действию отклоняющей силы, направляющей их к металлич. лентам, на которых оседают частицы.

Ю. С.

**5866 П.** Приспособление, позволяющее наблюдать за работой многоячейкового обеспыливателя (Dispositif permettant de surveiller le fonctionnement de dépoussiéreurs à cellules multiples) [Metallgesellschaft A.-G.]. Франц. пат. 1075797, 20.10.54 [Génie chim., 1955, 73, № 1, 21 (франц.)]

Используя непроницаемые для газа пленочные камеры, получают возможность доступа в каждую ячейку пылеуловителя во время работы для замены некоторых деталей.

Ю. С.

**5867 П.** Способ и аппарат для агломерации взвешенных в газе частиц с помощью звуковых или ультразвуковых волн. Буше (Procédé et appareil pour augmenter au moyen d'ondes soniques ou ultrasoniques les dimensions de particules suspendues dans un gaz. Boucher Raymond Marcel Gu t.). Франц. пат. 1052941, 28.01.54 [Chem. Zbl., 1955, 125, № 7, 1579 (нем.)]

Газ со взвешенными твердыми или жидкими частицами пропускают через одну или несколько труб Вентури, снабженных несколькими звуковыми или ультразвуковыми генераторами, причем при действии звуковых волн и одновременном повышении скорости газа происходит агломерация взвешенных частиц, которые затем отделяются от газа, напр. в циклоне. Аэрозоли, содержащие твердые частицы, смешивают с аэрозолями, содержащими жидкие частицы, для того чтобы твердые частицы агломерировались вместе с жидкими.

Г. Р.

**5868 П.** Способ и аппаратура для очистки и сжатых газов. Морель (Verfahren und Vorrichtung zur Reinigung und Trocknung komprimierter Gase. Morel Stanislas). Пат. ГФР 869938, 9.03.53 [Chem. Zbl., 1955, 126, № 7, 1579 (нем.)]

Газ сначала направляют в центробежный сепаратор, на стенках которого отделяется содержащаяся в газе жидкость, затем быстро дросселируют для дальнейшего отделения жидкости и, наконец, для окончательной очистки пропускают через 1-й фильтр с насадкой, а затем через 2-й со сжимающейся губчатой массой.

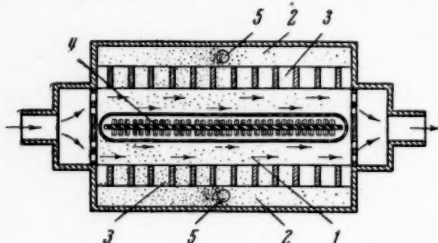
Г. Р.

**5869 П.** Способ отделения капелек жидкости от газов и паров (Procédé pour l'extraction de «brouillards» contenus dans les gaz et vapeurs) [Metallgesellschaft A.-G.]. Франц. пат. 1070468, 27.07.54 [Génie chim., 1955, 73, № 2, 50 (франц.)]

Газ, содержащий капельки жидкости, пропускают сквозь фильтры со скоростью, превышающей скорость, соответствующую точке перегиба кривой в логарифмич. координатах скорость газа — разность давлений.

А. О.  
5870 П. Метод и аппарат для извлечения частиц из жидкости. Баттеруорт (Apparatus and method for removing particles from a liquid. Butterworth John W.) [Clevite Corp.]. Пат. США 2688402, 7.09.54

Метод понижения концентрации твердых частиц, взвешенных в жидкости, отличается применением звуковых колебаний, возбуждаемых в обрабатываемой жидкости. Аппарат (см. рис.) имеет канал 1, по которому



протекает жидкость в направлении, указанном стрелками. По периферии канала устроены камеры 2, соединенные с каналом отверстиями 3. По оси канала расположено устройство 4 для возбуждения в жидкости колебаний в направлении, перпендикулярном направлению ее движения. Ширина 2 выбирается равной расстоянию от 4 до 3, а высота — несколько большей. Из этих камер по трубам 6 отводится некоторое кол-во жидкости, которая в результате действия колебаний имеет повышенную концентрацию твердых частиц.

А. Р.  
5871 П. Батарейный гидроциклон для сгущения или классификации суспензий (Multihydrocyklon til at fortykke eller sortere fine faste materialer i vaedskesuspension) [Maatschappij voor Kolensbewerking Stamnicarbon N. V.]. Дат. пат. 76596, 2.11.53

Зпатентован батарейный гидроциклон (Г), состоящий из цилиндрич. резинового блока (Б), в котором отдельные Г расположены по двум концентрич. окружностям вокруг центрального осевого канала параллельно оси Б. Суспензия поступает по патрубку в центральный канал и из него непосредственно по каналам тангенциально входит в Г внутреннего ряда, где получает вращательное движение. В Г наружного ряда суспензия вводится по каналам, обращенным к кольцевому зазору между Б и кожухом, в котором зажимается Б. Кольцевой зазор сообщается с центральным каналом через горизонтальные отверстия, просверленные в толще Б, по которым суспензия попадает в зазор. Б зажат в кожухе посредством двух плит, имеющих отверстия по числу Г. Каждый Г закрыт резиновой крышкой с отводной трубкой для осветленной жидкости, причем все крышки прижимаются верхней плитой. Осветленная жидкость проходит через отводные трубки и отверстия в плите в верхнюю сборную камеру, расположенную между плитой и крышкой кожуха. Сгущенная суспензия через отверстия в нижней плите удаляется в нижнюю сборную камеру между плитой и днищем кожуха. При последовательном или параллельном соединении нескольких батарейных Г их Б заключают в общий кожух.

К. Г.  
5872 П. Метод и аппаратура для регулирования плотности выходящего из циклона материала. Райт, Уивер, Фитч (Process and apparatus for controlling the density of the apex discharge of

a cyclone. Wright Orrin H., Weaver Joseph L., Fitch Elliot B.) [The Dorr Co.]. Канад. пат. 500158, 23.02.54

Зпатентован метод и аппаратура для автоматич. регулирования плотности материала, выходящего из нижнего разгрузочного отверстия гидравлич. циклона. Регулирование достигается изменением площади сечения выходного отверстия при помощи кольцевой полой упругой диафрагмы, внутренняя полость которой находится под переменным вакуумом, зависящим от режима питания циклона исходным материалом.

Ю. С.  
5873 П. Пionoобменный фильтр и способ обработки на нем жидких растворов (Fremgangsmåde og ionbytterfilter til behandling af en flydende opløsning) [The Dorr Co.]. Дат. пат. 77924, 2.08.54

Фильтр состоит из цилиндрич. вертикального бака, на ложном дне которого находится слой ионообменивающего материала (ИМ). Обрабатываемая жидкость поступает по вертикальной осевой трубе, верхний конец которой имеет раструб, выступающий над слоем ИМ и закрытый конич. клапаном. При поступлении жидкости приподнимает клапан, перемещение которого ограничено соосным трубе стержнем, прикрепленным к крышке фильтра. На высоте, соответствующей уровню жидкости, бак имеет два кармана с поплавками, положение которых изменяется при изменении уровня жидкости. Один поплавок соединен тягой с клапаном для впуска в аппарат газа, а другой — с клапаном для выпуска из аппарата газа. При открытии одного из клапанов давление газа в аппарате увеличивается или уменьшается, вследствие чего положение уровня жидкости в аппарате изменяется в желательном направлении. По другому варианту карманы снабжены смотровыми окнами, через которые проходят световые лучи, падающие на фотоэлементы; последние являются датчиками для устройства, регулирующего давление газа в аппарате. Вода для промывки фильтра поступает снизу, через отверстия ложного дна, поднимает перфорированный диск, лежащий на слое ИМ, и дойдя до крышки, прижимает этот диск к такому же диску, находящемуся на внутренней поверхности крышки фильтра. Вода вытекает через отверстия дисков, задерживающих замученный слой ИМ.

К. Г.  
5874 П. Фильтр для газа. Эндрес, Орман (Filtre à gaz. Endres Herbert A., Orman Ward T. van). Франц. пат. 1065315, 24.05.54 [Chem. Zbl., 1955, 126, № 8, 1810 (нем.)]

Фильтр для воздуха и различных газов состоит из блока с насадкой из стальной, деревянной или бумажной стружки, или стеклянного волокна и двух сит с отверстиями 6,35 мм, между которыми находится полиэтилен (П). По периферии рам, на которых установлены сита, накладываются стальные и картонные прокладки. Стеклянное волокно покрывается порошком П и нагревается до 210°, после чего дополнительно покрывается расплавленным П.

А. Б.  
5875 П. Усовершенствование фильтров для воздуха, газов или жидкостей (Perfectionnements aux filtres à air, gaz ou liquides) [De Puiffe de Magondeaux M.]. Франц. пат. 1072357, 13.09.54 [Génie chim., 1955, 73, № 1, 20 (франц.)]

Фильтровальные патроны изготовляют из лент плисированной бумаги или другого материала и приклеивают с одной стороны краями к поддерживающим лентам, изготовленным, напр., из пластмасс (хлорвиниловых или др.), или к текстильным лентам, импрегнированным в-вами с хорошей адгезией, напр. смолой, латексом, пластмассами и т. д. Плисированные ленты выступают или образуют закраину по крайней мере с одной стороны, толщиной такой же как и плис-



рованная бумага; этой закраине можно предварительно придать желательную форму, которая позволит, зажимая ее между двумя поверхностями, обеспечить хорошую непроницаемость.

Г. Р.  
5876 П. Барабанный фильтр. Янг (Rumpumallinen imusuodin. Young Frank William). Фин. пат. 27100, 10.07.54

Патентуется конструкция приспособлений для укрепления фильтрующей ткани на поверхности барабана.

М. Т.  
5877 П. Усовершенствование фильтров (Perfectionnements aux filtres) [Ateliers Robatel et Mulatier]. Франц. пат. 1072889, 16.09.54 [Génie chim., 1955, 73, № 1, 19 (франц.)]

Для облегчения очистки фильтрующих элементов от образующегося слоя тонкодисперсного в-ва применяют вибраторы, которые действуют на содержащуюся в фильтре жидкость и помогают слою отделяться от своей опоры.

Ю. С.  
5878 П. Фильтровальный материал (Filtermedium av den art som anvendes til randfiltere) [Stream-Line Filters Ltd]. Норв. пат. 83596, 3.05.54

Патентуется фильтровальный материал, состоящий из бумаги, пропитанной в-вом, не смачиваемым водой, напр. нитроцеллюлозой. Для пропитки применяют бумагу, состоящую на 85–90% из волокон, имеющих центральный канал (волокна хлопка, льна и рами). Стопу бумаги сначала пропитывают в течение 15–20 мин. под давл. 25 мм рт. ст.  $\text{CH}_3\text{OH}$  или  $\text{CCl}_4$ , а затем в течение 10–15 мин. р-ром, содержащим (в %): нитроцеллюлозы 2,5, этиллактата 1,2, ацетона 45, метилантхона 51. После пропитки бумагу сушат при 60°. Кол-во нитроцеллюлозы в пропитанной бумаге составляет 2% от веса последней. Такая бумага отличается уменьшенной способностью набухать в воде и повышать при этом свое сопротивление. В фильтре, бумага которого поглотила максим. кол-во воды, сопротивление возросло всего в 1,5 раза. Описанная бумага в особенности пригодна для отделения воды, эмульгированной в масле.

К. Г.  
5879 П. Фильтрующее вспомогательное вещество. Гомори (Filter aid. Gomory Paul L.) [Phillips Petroleum Co.]. Пат. США 2696306, 7.12.54

Для отделения кристаллов от маточного р-ра водн. суспензии  $\text{Ca}(\text{OC})_2$  смешивают с органич. жидкостью, напр., с бензолом, диэтилом, циклогексаном, циклооктаном, дициклогексидом, дибромметаном, дихлорнафталином или диоксисбутаном. Смесь охлаждают до т-ры ниже т-ры замерзания органич. жидкости, но выше т-ры замерзания воды; причем образуются твердые частицы органич. в-ва, действующие при фильтровании в качестве вспомогательного в-ва. Затем полученную фильтровальную лепешку нагревают до т-ры выше т-ры замерзания органич. жидкости и отделяют кристаллы  $\text{Ca}(\text{OC})_2$ .

Г. Р.  
5880 П. Смеситель газов (Mélangeur de gaz) [Soc. de Services Publics et d'Industries]. Франц. пат. 1045560, 30.11.53 [Chimie et industrie, 1954, 71, № 5, 939 (франц.)]

В качестве смесителя газов используется система из трех concentрич. труб, из которых две внутренние перфорированы. Отверстия расположены в стенках обеих труб попарно (одно против другого). Один из смешиваемых газов входит через центральную трубу, второй — через внешнее кольцевое междутрубное пространство. Полученная газовая смесь выходит из внутреннего междутрубного пространства.

Ю. С.  
5881 П. Теплоноситель. Инсингер (Heat transfer media. Insinger Thomas Harold, Jr) [Koppers Co. Inc.]. Пат. США 2692234, 19.10.54

Патентуется теплоноситель, представляющий собой тройную смесь солей, содержащую (в вес.%):  $\text{LiNO}_3$ ,

16,  $\text{KNO}_3$ , 42,  $\text{NaNO}_3$ , 42. Приложена диаграмма равновесия смеси.

Н. К.  
5882 П. Теплообменник. Бонно (Heat exchanger. Bonnaud Henri) [L'Air Liquide, Société Anonyme pour l'Etude et l'Exploitation des Procédés Georges Claude]. Пат. США 2643100, 23.06.53

Патентуется кожухотрубный теплообменник (см. рис.), в котором материалы труб и кожуха обладают

различными ко-

эфф. линейного

теплового расши-

рения. Для пред-

отвращения на-

пряжений, могу-

щих вызвать раз-

рушение в местах

крепления тру-

бок в решетках 1,

каждая из трубок

снабжена компен-

сатором, который

образуется изгибом

2 самой трубки;

стрела изгиба 3+

10 см, стягиваю-

щая хорда в 4–8 раз

больше стрелы. Изо-

гнутая часть

трубки составляет

меньше половины ее

длины. В смеж-

ных слоях пучка 3 и 4

направления изгиба

трубок

противоположны.

Ю. П.

5883 П. Уплотнение теплообменников (Maintaining

seal at heat exchangers) [Aktiebolaget Ljungstroms

Angturbin]. Австрал. пат. 154410, 17.12.53

Теплообменник регенеративного типа имеет ротор,

вращающийся внутри неподвижного корпуса с радиаль-

ными перегородками, образующими ряд камер в виде

секторов, в которых размещены теплопередающие эле-

менты. Между вращающимися и неподвижными частя-

ми могут быть предусмотрены уплотняющие приспособ-

ления. Перегородки снабжаются устройствами для

протекания хладагента и соприкосновения его с по-

верхностями теплообмена.

З. Н.

5884 П. Способ каталитического получения тепла и

света при помощи газов. Эссер (Vorrichtung

zur katalytischen Wärme-bzw. Lichtezeugung mittels

Gasen. Esser Theodor). Пат. ГФР 903986,

15.02.54 [Chem. Zbl., 1954, 125, № 49, 11340 (нем.)]

Метод каталитич. получения тепла и соответственно

света при помощи газов отличается тем, что одно или

несколько каталитич. в-в соединяют с катализатороно-

сителем свариванием, сплавиванием, частично спрес-

совыванием, заключением в один корпус. В результате

достигается непосредственный теплообмен между ка-

тализатором и катализатороносителем.

Е. А.

5885 П. Холодильник с двумя отделениями. Ше-

фер (Plural compartment refrigeration apparatus.

Schaefer Harold W.) [Philco Corp.]. Пат.

США 2691872, 19.10.54

В камере 1 холодильника (см. рис. на стр. 470) размещено

несколько испарителей 2, работающих при различных

т-рах. Перегородка 3 может перемещаться в вертикаль-

ном направлении, изменяя соотношение объемов верх-

ней и нижней частей 1, в которых поддерживаются

различные т-ры.

Ю. П.

5886 П. Низкотемпературные смеси  $\text{CH}_3\text{OH}$  и  $\text{H}_2\text{O}$

(Tiefstockende Methanol-Wasser-Mischungen) [Ruh-

chemie A.-G.]. Австр. пат. 174370, 25.03.53 [Chem.

Zbl., 1954, 125, № 6, 1323 (нем.)]

Смесь применяется в качестве теплоносителя при

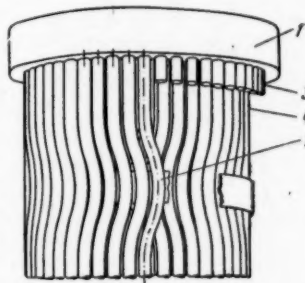
низких т-рах и как жидкость для заполнения низкот-

температурных термометров. Смесь готовится на

технич.  $\text{CH}_3\text{OH}$  и содержит ~11%  $\text{H}_2\text{O}$ . Т-ра замерза-

ния смеси —158°.

Н. А.





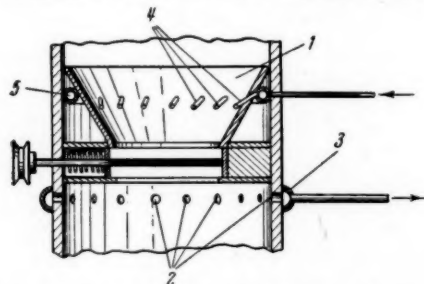
напр., прокаленного кварца, фарфора, имеющим поры diam. от 0,001 до 1 мм. Напр., куски песка диаметром 4—6 мм покрывают водн. р-ром поливинилового спирта, втирают фарфоровый порошок и нагревают до 1050°. Опыты с 10%-ной уксусной к-той показывают, что дистилляционная колонна с такой насадкой, благодаря лучшему контакту между жидкостью и паром, в 6 раз эффективнее колонны с насадкой из стеклянных колец Рашига diam. 5 мм. Г. Р.

**5893 П. Выделение ацетилена из газовой смеси** (Separation of acetylene from gaseous mixtures) [Badische Anilin und Soda-Fabrik]. Англ. пат. 702876, 21.01.54 [J. Appl. Chem., 1954, 4, part 4, 385 (англ.)]

Смесь газов обрабатывается в абсорбционной зоне  $\gamma$ -бутиролактоном или другим органич. р-рителем, обладающим способностью селективного растворения  $C_2H_2$ . Р-ритель затем выводится из абсорбционной зоны и, перед его отгонкой нагревом в вакууме, пропускается через ректификационную колонну противотоком к газу, полученному в зоне отгонки, с отбором чистого  $C_2H_2$  в средней части колонны. Ю. С.

**5894 П. Процесс непрерывной адсорбции.** Гилмор (Process for continuous adsorption. Gilmore Forrest E.) [Phillips Petroleum Co.]. Пат. США 2696304, 7.12.54

Непрерывный процесс адсорбционного разделения жидкой смеси углеводородов осуществляется в колонне с движущимся слоем гранулированного адсорбента: в верхней части колонны происходит адсорбция, в нижней — десорбция. Верхняя часть колонны соединяется



с нижней посредством воронки 1 (см. рис.), имеющей форму усеченного конуса. Десорбирующая жидкость вместе с одним из продуктов (хорошо адсорбируемым) отбирается из нижней части колонны непосредственно под 1; для этой цели в кожухе колонны имеется ряд отверстий 2, объединенных коллектором 3. Отобранная жидкость подвергается разделению и часть ее возвращается в колонну в качестве флегмы для зоны адсорбции. Эта часть жидкости вводится с большой скоростью через отверстия 4, объединенные коллектором 5, во внутреннюю часть 1: таким образом предупреждается уплотнение гранулированного адсорбента и вероятное закупоривание наиболее узкого нижнего отверстия 1. Ю. П.

**5895 П. Фракционирование газообразных углеводородов с помощью твердых адсорбентов.** Шнайп (Fractionation of hydrocarbon gases by solid adsorbents. Scheeline Harold W.) [Standard Oil Development Co.]. Пат. США 2693865, 9.11.54

Смесь газообразных углеводородов  $C_1$ — $C_3$ , содержащую легкополимеризующиеся ненасыщ. компоненты, пропускают для разделения через 1-ю адсорбционную зону, где гранулированным углем, поступающим из 2-й адсорбционной зоны, поглощаются легкополимеризующиеся компоненты. Затем газы пропускают через уголь 2-й адсорбционной зоны, состоящей

из трех секций: адсорбционной, расположенной над входом газов, средней ректификационной и нижней десорбционной, расположенных ниже входа газов. Из адсорбционной секции выходит  $CH_4$ , из ректификационной — углеводороды  $C_2$ , из десорбционной — углеводороды  $C_3$ . Из последней секции отводят периодически часть угля в первую адсорбционную зону, из которой уголь отводят в 1-й десорбер, где при слабом подогреве выделяются углеводороды  $C_1$ — $C_3$ , присоединяемые к газам, поступающим в первую адсорбционную зону; из первого десорбера уголь отводят во второй для выделения легкополимеризующихся компонентов. Г. Р.

**5896 П. Процесс концентрирования.** Рид (Process of concentrating. Reid Allen F.). Канад. пат. 493308, 2.06.53

Предложен способ увеличения относительного содержания целевого компонента в жидкой смеси путем ее пропуска через систему последовательно работающих катионообменников (К). В первом К увеличивается относительное содержание компонента в адсорбированной жидкости, а маточный р-р отводится. Ионообменная смола регенерируется к-той. После удаления к-ты из этого р-ра последний направляется во второй К для дальнейшего увеличения относительного содержания целевого компонента. Р-р, десорбированный из второго К, после удаления к-ты направляется в третий К. Маточный р-р, выходящий из третьего К, присоединяется к р-ру, десорбированному из первого, и подается во второй К. Описанные операции повторяются до достижения заданной степени разделения. Метод патентуется для увеличения относительного содержания радия в р-рах, содержащих еще и барий. В. К.

**5897 П. Экстрактатор непрерывного действия для извлечения жидкостей из твердых материалов.** Де-Смет (Anordning for kontinuerlig extraktion av vätskor ur fasta ämnen. De Smet J. A. W.) [Extraction Continue de Smet, Soc. An.]. Швед. пат. 144481, 16.03.54

Непрерывнодействующий экстрактор для экстракции твердых материалов (напр. масляных семян) р-рителями состоит из ленточного транспортера и питающей воронки над его загрузочным кольцом. Регулирование скорости ленты транспортера производится регулятором, датчиком которого является мембрана, установленная в питающей воронке. Она реагирует на давление материала в воронке и устанавливает регулятор на скорость, зависящую от заполнения воронки. К. Г.

**5898 П. Метод извлечения растворителей из отбросных газов, получаемых при экстракции.** Херберт, Эйзенлох, Гроб (Method for the recovery of solvents from waste gases resulting in extraction processes. Herbert Wilhelm, Eisenlohr Karl-Heins, Grob Karl) [Metallgesellschaft A.-G.]. Пат. США 2675412, 13.04.54

Для уменьшения потерь органич. р-рителя (ОР) в процессе экстракции фенола из отбросных вод посредством контакта этих вод с ОР предложено извлекать остаточный ОР из газа, содержащего  $CO_2$  и  $H_2S$ , контактом этого газа с частью экстрагированного фенола для абсорбции ОР и его последующего извлечения. Ю. С.

**5899 П. Аппарат для кристаллизации под вакуумом.** Накаи, Кимура (Apparatus for vacuum crystallization. Nakai Shiro, Kimura Hideoyoshi). Япон. пат. 6472, 16.12.53 [Chem. Abstr., 1954, 48, № 20, 11853 (англ.)]

Выпарной аппарат, работающий под вакуумом, разделен на два или больше отделений, имеющих общее дно. Кристаллизующий р-р поступает из отде-



ления с наименьшим вакуумом и удаляется из отделения с наивысшим вакуумом.

**5900 П.** Усовершенствования процессов и аппаратов для сушки газов (Perfectionnements apportés aux procédés et appareils pour le séchage des gaz) [W. C. Holmes and Co. Ltd.]. Франц. пат. 1063093, 29.04.54 [Chem. Zbl., 1955, 126, № 2, 431 (нем.)]  
Газ проходит снизу вверх через сушильную башню с колпачковыми тарелками, на которых находится р-р  $\text{CaCl}_2$  различной конц-ии, снижающейся постепенно к низу, а затем через слой твердого  $\text{CaCl}_2$ , причем достигается почти 100%-ное обезвоживание газа. Патентуется также аппаратура.

**5901 П.** Метод и аппарат для удаления жидкости из влажного гранулированного материала. Уэбстер, Уотсон (Method and apparatus for removing liquid from wet granular material. Webster D. S., Watson John W.) [Hydro-Blast Corp.]. Англ. пат. 705244, 10.03.54 [J. Appl. Chem., 1954, 4, part 8, ii162 (англ.)]

Патентуется аппарат для удаления влаги из влажного гранулированного материала сжатым воздухом, поступающим в цилиндр, заполненный материалом с пористым дном. Загрузка и выгрузка аппарата регулируются автоматически.

**5902 П.** Способ и аппарат для сухого разделения смесей на вибрационном столе. Самеш, Сагл, Кланнер (Process and apparatus for the dry separation of mixtures on a vibrating deck. Samesch K. R., Sagl K., Klanner R.). Англ. пат. 712148, 21.07.54 [Fuel Abstrs, 1955, 17, № 4, 21 (англ.)]

Смесь поступает на наклонный быстро вибрирующий стол, направление колебаний которого превышает угол наклона стола на 20—50°. Это вызывает передвижение материала, причем мелкая фракция движется вверх против наклона стола, а более крупная — сыпается вниз, в результате чего достигается хорошее разделение частиц по размеру. Процесс может быть повторен несколько раз с целью получения большего числа фракций.

**5903 П.** Усовершенствованный гранулятор (Improvements in or relating to granulator) [Chemical Construction Corp.]. Инд. пат. 50471, 21.12.53

Гранулятор имеет корпус с соплами для подачи р-ра. Внутри корпуса находится камера для перемещения р-ра и несколько камер, через которые движется теплоноситель.

**5904 П.** Аппараты со слоями ионообменных или других гранулированных материалов (Apparatus containing ion-exchange or other beds of granular material) [Permutit Co., Ltd.]. Англ. пат. 705402, 10.03.54 [J. Soc. Dyers and Colourists, 1954, 70, № 6, 246 (англ.)]

Устройства для собирания или распределения жидкости (Ж) в аппаратах, содержащих гранулированные материалы, состоят из системы пластин или перфорированных труб, в которой Ж перетекает с поверхности одной пластины на другую или из трубы в трубу. Пространство между пластинами или отверстия перекрываются полосами из жесткого материала таким образом, что между полосами может протекать Ж, но не могут проходить взвешенные в ней твердые частицы.

**5905 П.** Прибор для поддержания постоянного уровня жидкости в сосудах (Dispositif servant à maintenir constant le niveau de liquides dans des récipients) [Farbenfabriken Bayer]. Франц. пат. 1072134, 8.09.54 [Genie chim., 1955, 73, № 1, 17 (франц.)]

Прибор состоит из трубы для выпуска жидкости, находящейся под постоянным давлением. В трубе имеется приспособление (насос или червяк), способное создать протаводавление. Когда прибор погружен

в жидкость, приспособление препятствует поступлению новых порций жидкости по выпускной трубе в сосуд.

**5906 П.** Аппарат для соединения листового пластического материала. Хасселквист (Apparatus for seaming plastic sheet material. Hasselquist Victor H.) [The B. F. Goodrich Co.]. Пат. США 2665737, 12.01.54

Аппарат состоит из нижней опоры для штампа и удлиненной балки, расположенной над ней на определенном расстоянии. Балка охватывается подвижной рамой, высота которой больше высоты балки. К раме внизу крепится второй штамп. Между полками балки и соответственно верхней и нижней стенкой рамки имеются два пространства, в которые закладываются надувные детали (шланги). Одновременное надувание верхней и спуск воздуха из нижней детали приводит к подъему рамы и разъединению обоих штампов и, наоборот, надувание нижней и спуск воздуха из верхней детали приводит к опусканию рамки и смыканию обоих штампов.

**5907 П.** Аппарат для электрофоретического или электролитического разделения смесей. Грасман (Apparatus for the electrophoretic or electrolytic separation of mixtures. Grassman W.). Англ. пат. 716875, 13.10.54 [J. Appl. Chem., 1955, 5, № 4, 1504 (англ.)]

Патентуется аппарат, состоящий из разделительной камеры, содержащей пористое в-во, и электродной ячейки, разделенных между собой с помощью диафрагмы. Буферный р-р или р-р электролита, имеющий, в основном, тот же состав, что и перемещаемая жидкость, может протекать через электродную ячейку, посредством чего предотвращаются изменения в составе этих р-ров, вызываемые диффузией продуктов электролиза.

**5908 П.** Получение потока горячих газов под давлением. Хатчинсон, Харди (Production d'un courant de gaz chauds sous pression. Hutchinson Alexander C., Hardie David) [Imperial Chemical Industries, Ltd.]. Франц. пат. 1042673, 3.09.53 [Chaleur et ind., 1954, 35, № 348, 68d (франц.)]

Поток горячих газов под давлением получают при экзотермич. саморазложении (без подачи воздуха) некоторых жидкостей (напр., азотные эфиры алифатич. низших насыщ. спиртов), которое можно вызвать двумя способами: обрызгиванием жидкостью предварительно нагретого катализатора. Слой или подачей жидкости в генератор, в котором предварительно создано давление, соответствующее рабочим условиям. Р-цию саморазложения жидкости проводят в аппаратах (с катализатором и без него), снабженных распылителем жидкости и подводом воздуха для пуска. Зажигание производят с помощью свечи или создают давление взрывом, при котором воспламеняется струя жидкости.

**5909 П.** Резервуары для хранения жидкости (Storage tanks for liquids) [Hammond Iron Works]. Англ. пат. 713467, 11.08.54 [Paint, Oil and Colour J., 1954, 126, № 2919, 694 (англ.)]

Патентуется новый тип стальных резервуаров для хранения испаряющихся жидкостей, отличающийся наличием гибких газонепроницаемых диафрагм у верха и дна резервуара.

**5910 П.** Сосуд для хранения жидкостей под давлением. Бенсон (Behälter für unter Druck stehende Flüssigkeiten. Benson Ernest Herman). Швейц. пат. 295038, 16.02.54 [Chem. Zbl., 1955, 126, № 1, 180—181 (нем.)]

Сосуд для хранения жидкостей под давлением, напр. сжиженных газов, состоит из двух вставленных

друг в друга обечаек, соединенных по окружности. Нижняя обечайка имеет глухое днище, а верхняя — куполообразную крышку с центральным отверстием. В отверстии крышки на выпуклом фланце укреплен горловина цилиндрич. формы. Е. А.

См. также: Процессы: гидродинамич. 5206, 5424, 5458; тепловые 4908; механич. 4649, 5409; массопереда- чи 4350, 4986, 5439, 5440, 5502

## КОНТРОЛЬНО-ИЗМЕРИТЕЛЬНЫЕ ПРИБОРЫ. АВТОМАТИЧЕСКОЕ РЕГУЛИРОВАНИЕ

5911. Измерения в химической промышленности. Приспособление приборов к особым условиям и специальные проблемы в химической промышленности. Фроже (La mesure dans l'industrie chimique. Adaptation des appareils aux conditions particulières et problèmes spéciaux à l'industrie chimique. Froger P.), Chim. analyt., 1953, 35, № 12, 311—327 (франц.)

Приведены примеры приспособления измерительных приборов: манометров, измерителей уровня, расходомеров и других для измерения агрессивных, загрязненных, кристаллизующихся и вязких жидкостей. Описаны измерители плотности жидкости с компенсацией изменения т-ры, расходомеры для жидкостей, находящихся под небольшим давлением, содержащих растворенные газы, с изменяющейся плотностью, измерители уровня сжиженных газов в сферич. резервуарах. Г. Р.

5912. Современное состояние вопроса о графических панелях. Бенуэлл (The development of graphic panels. Benwell C. M. V.), Trans. Soc. Instrum. Technol., 1954, 6, № 3, 97—111 (англ.)

Дана краткая история вопроса о графич. панелях. Отмечаются преимущества и недостатки графич. панелей. Преимущества графич. панелей обусловили развитие малогабаритных приборов. Указано, что при малых передаточных запаздываниях по сравнению с запаздыванием в объекте (регулирование т-ры, давления, уровня жидкости) блоки регуляторов (БР) помещаются за графич. панелей. В противном случае БР размещаются вблизи датчика, а на графич. панели помещается только вторичный прибор. Г. О.

5913. Развитие регулирования процессов. Уэрли, Мак-Найт (Advancing process control. Worley C. W., McKnight G. W.), Instrumentation, 1953, 7, № 1, 21—27 (англ.)

В статье рассматриваются в популярной форме применение частотного анализа динамич. свойств объектов и методы моделирования при проектировании систем автоматизации технологич. процессов. Г. О.

5914. Библиография статей, посвященных применению частотного анализа к системам автоматического регулирования. Фуке (A bibliography of the frequency-Response Method as Applied to Automatic-Feedback-Control Systems. Fuchs A. M.), Trans. ASME, 1954, 76, № 8, 1175—1194 (англ.)

Библ. 284 назв. Г. О.

5915. Техника измерений тиксотропии. Рейн (Die Technik von Thixotropiemessungen. Rein Ed.), Chem. Rundschau, 1954, 7, № 18, 345—346 (нем.)

Изложение методич. основ измерений тиксотропии. Л. Б.

5916. Обобщение понятия PID. Штейн (La generalizzazione del concetto PID. Stein Teodoro), Misure e regolaz., 1955, 3, № 1, 3—12 (итал.)

В статье рассматривается классификация регуляторов по принципу их действия. Описываются регулято-

ры, обладающие пропорциональной  $P$ , интегральной  $I$  и дифференциальной  $D$  характеристиками. А. Н.

5917. Новые гидравлические регуляторы фирмы «La précision Mécanique». Грандварле (Les nouveaux régulateurs hydrauliques de «La Précision Mécanique». Description et installation des régulateurs type H. 10 et H. 15. pour moteurs de moyenne et grande puissance. Grandvarlet Monsieur René), Ind. voies ferrées et transp. automob., 1954, 43, № 497, 163—170 (франц.)

Дается описание гидравлич. регуляторов двух типов, предназначенных для регулирования производительности насосов. Приведены фотография внешнего вида регулятора и 14 чертежей, дающих полное представление об устройстве и действии регулятора. К. Ш.

5918. Регулирование при помощи двух струйных трубок. Карраро (La regolazione a doppio ugello. Carraro Pier Antonio), Misure e regolaz., 1955, 3, № 1, 17—18 (итал.)

Дается краткое описание струйного гидравлич. регулятора с двумя распределительными трубками. Для предотвращения перерегулирования и автоколебаний регулятор снабжен демпфирующим устройством. А. Н.

5919. Измерение расхода природного газа под давлением. Сен, Нарбонн, Верьен (Le mesurage du gaz naturel sous pression. Senes, Narbonne, Verrien), Rev. métrol. prat. et légale, 1954, 13, № 5, 201—211 (франц.)

Описана методика определения коэфф. расхода дроссельных органов для природного газа. А. Н.

5920. Портативный электрический прибор для измерения скорости медленно текущих жидкостей. Майснер (A portable electric velocimeter for low velocity liquids. Misener A. D.), Canad. J. Technol., 1954, 32, № 6, 242—249 (англ.)

Описывается электрич. прибор для измерения скорости жидкостей. Термистор, включенный в мостовую измерительную схему, подогревается спец. нагревателем и погружен в измеряемую жидкость. Скорость течения  $V$  связана с разностью т-р  $\Delta T$  между нагревателем и жидкостью соотношением  $V = C/(\Delta T)^2$ , где  $C$  — коэфф. Прибор может измерять скорость течения до 6,4 км/час с точностью большей, чем 160 м/час. Абсолютная точность улучшается при уменьшении скорости. Прибор портативен, не требует дополнительных устройств, легко может быть приспособлен к автоматич. измерению скорости любой жидкости как в трубе, так и в открытом русле. Осадки и суспензии не воздействуют на прибор. Сообщаются данные о калибровке прибора. Приведена номограмма для расчетов. С. К.

5921. Регулирование синхронности вращения валов в бумажной промышленности. Бокман, Рёберт (Zur Gleichlaufregelung in der papierverarbeitenden Industrie. Bockmann K., Röbert G.), Regelungstechnik, 1955, 3, № 2, 36—40 (нем.; резюме англ.)

При регулировании скорости вращения вала таким образом, чтобы число его оборотов было равно числу оборотов ведущего вала и сохранялось постоянное соответствие двух отмеченных точек этих валов, измеряемая чувствительным элементом ошибка всегда равна сумме скоростной и фазовой ошибок. При автоматич. регулировании бумагоделательных машин выявление этой суммарной ошибки производится с помощью отмоток на обрабатываемом материале, положения которых воспринимается фотоэлементом и сравнивается с нулевым импульсом ведущего вала. Для пропорционального регулирования оба импульса подаются на вход дифференциального усилителя, а на выходе формируются и вычитаются, давая пилообразную кри-

вую, знак которой соответствует опережению или отставанию, а высота — пропорциональна величине этого временного сдвига. Для точного регулирования необходимо раздельное управление скоростью и фазой вращения вала, в связи с чем возникает задача разделения сигнала ошибки на ее скоростную и фазовую составляющие. Новым решением этой задачи является разделение суммарной ошибки на две составляющие, основанное на допущении, что фазовые ошибки носят случайный характер. Таким образом, при суммировании сигнала ошибки за достаточное время получается нуль, если скоростная ошибка равна нулю. При этом методе применяют дифференциальный усилитель, как выше, и оба выхода подаются на перестановку дифференциала в одну и другую сторону. Но, кроме того, оба выхода раздельно суммируются и подаются на второй дифференциальный усилитель, выходной сигнал которого, если он отличен от нуля, воздействует на сервомотор переменной передачи. Новый способ регулирования дает лучшее качество регулирования.

**5922. Электрические весы.** — (Electrical balance.—), Sartorius Division, C. A. Brinkmann and Company, Rev. Scient. Instrum., 1955, 26, № 1, 96 (англ.). Весы с автоматич. балансом. Основаны на том, что при перемещении коромысла вместе с ним движется легкая катушка, взаимодействующая с магнитным полем другой, внешней катушки. Индуцированный в подвижной катушке ток усиливается и используется для балансирования системы за счет перемещения подвижной катушки и изменения внешнего магнитного поля. Весы имеют три диапазона: 0—0,5; 0—0,2; 0—0,1 мг. Точность 1%. Максим. нагрузка 500 мг. Показания могут подаваться на любой указывающий или регистрирующий прибор. Питание от сети переменного тока 115 в.

**5923. Самопишущие весы.** — (Recording balance.—) [The Sharples Corporation research laboratories, Bridgeport, Pennsylvania], Rev. Scient. Instrum., 1954, 25, № 11, 1146—1147 (англ.).

Описываются самопишущие весы, состоящие из трех узлов: электромеханич. уравновешивающего устройства; блока электроники, включающего чувствительный элемент, генератор, полосовой усилитель, фазовый детектор; записывающего устройства. Приведено краткое описание узлов. Прибор имеет шкалы 25 мг, 50 мг, 100 мг и 250 мг. Спец. мерами диапазон может быть расширен до 1 мг и до 1 в. Постоянная времени уравновешивающего устройства при максим. чувствительности <10 мсек, но наличие самописца увеличивает постоянную времени до 0,2 сек.

**5924. Чувствительность струнных гальванометров с сильным электромагнитным демпфированием.** Синьор (The response of string galvanometers with heavy electromagnetic damping. Senior D. A.), Instrum. Practice, 1954, 9, № 11, 968—974 (англ.).

Проведено теоретич. исследование чувствительности струнного гальванометра с сильным электромагнитным демпфированием. Определяются условия оптимальной чувствительности для разного вида нагрузок.

**5925. Промышленные применения магнитных усилителей.** Хелмик (Industrial applications of magnetic amplifiers. Helmic C. G.), Instruments and Automat., 1954, 27, № 8, 1300—1302 (англ.).

Освещены принципы действия, свойства и характерные особенности магнитных усилителей (МУ), а также область применения их для автоматизации электропривода в различных отраслях пром-сти. Приведены схемы, характеристики насыщения и регулировочные характеристики МУ и указаны основные их преимущ-

ества и недостатки. Описано применение МУ для автоматич. регулирования скорости мощных электр. приводов прокатных и протяжных станков, бумажных машин, суперкаландров, строгальных станков, шахтных подъемников, подземных кранов, экскаваторов, полиграфич. машин, для регуляторов напряжения (на электр. станциях) и др. Указывается на быстрое расширение областей применения МУ.

**5926. Унифицированные электрические измерительные приборы для химической промышленности.** Куликовский Л. Ф. В ст.: Автоматизация хим. пром-сти, М., Изд-во АН СССР, 1955, 127—139

Унифицированные измерительные устройства имеют структурную схему двух типов: «преобразователь—измеритель» или «преобразователь—усилитель—измеритель». Приборы, построенные по этим принципиальным схемам, отличаются друг от друга только конструкцией первичного преобразователя, назначение которого состоит в том, чтобы воспринимать ту или иную физ. величину и преобразовывать ее в единую для различных элементов и удобную для измерения и дистанционной передачи величину (электр. сигнал). Преобразовательные унифицированные элементы устройств измерения разделяются на две группы: на элементы, которые развивают на выходе относительно значительную мощность, достаточную для управления измерительным прибором или сервомотором, и на элементы, которые вследствие недостаточной мощности требуют применения усилителей. Приводится краткое описание схем измерения различных величин, а также отдельных унифицированных элементов и приборов, в том числе различных индукционных преобразователей, ферродинамич. приборов с независимым возбуждением, дистанционного электр. манометра камерного типа и др.

**5927. Новый круг задач международной комиссии по стандартизации измерений расхода жидкостей и газов.** Энгель (Neue Aufgabenkreise des internationalen Normenausschusses für die Durchflußmessung. Engel F. V. A.), Regelungstechnik, 1954, 2, № 12, 291—292 (нем.).

Сообщение о совещании по вопросам стандартизации измерения расхода жидкостей и газов.

**5928. Ротаметры в химической промышленности.** Шимусик (Rotametry w przemyśle chemicznym. Szumisk Zdzisław), Chemik, 1955, 8, № 1, 28—30 (польск.).

Обзор конструкций ротаметров.

**5929. Игольчатые вентили высокого давления ИВН.** Слободкин М., Новости нефт. техники. Нефтепереработка, 1955, № 1, 29—31

Отличительная особенность новой конструкции игольчатых вентилей на условное давл. 160 кг/см<sup>2</sup> с условными проходами Ду 8 и 15 мм заключается в отсутствии вращения штока с конич. затвором (иглой) при продольном его перемещении и отсутствие на штоке резьбы. Шток перемещается благодаря поступательному движению резьбовой втулки при ее вращении в спец. хомуте, что предохраняет ходовую резьбу от непосредственного контакта с регулирующей средой.

**5930. Запорные вентили ВЗХ для сред с низкой температурой.** Слободкин М., Белозерский С., Новости нефт. техники. Нефтепереработка, 1955, № 1, 13—16

Конструкторское бюро нефтяного приборостроения разработало и внедрило новую конструкцию запорных вентилей для сред с т-рой до —160° на давления: 40,64 и 160 кг/см<sup>2</sup>, диам. 100 мм. В этих вентилех детали, подвергающиеся воздействию низкой т-ры, изготовлены из аустенитной хромоникелевой стали (1 X 18N9T) и латуни, т. е. из металлов, проч-



ность которых с понижением т-ры не снижается. Отличительной особенностью вентилей ВЗХ является конструкция их крышки с сальниковым уплотнением, которая подробно описывается. М. С.

5931. Автоматическое регулирование температуры в промышленных печах. Р ю б (Automatische Temperaturregelung bei Industrieöfen. R ü b F r i e d u n d, Werkstatt und Betrieb, 1955, 88, № 4, 163—164 (нем.; резюме англ., франц.))

5932. Пленочные термометры сопротивления для измерения температуры поверхности. У а й н д и н г, Т о п п е р, Б о е (Metal-film resistance thermometers for measuring surface temperatures. W i n d i n g C. C., T o p p e r L., B a u s B. V.), Industr. and Engng. Chem., 1955, 47, № 3, part 1, 386—392 (англ.)

Металлическая пленка на непроводящей подложке может служить термометром сопротивления. Обычно толщина пленки составляет менее 1000 А. При этой толщине она обладает весьма малым тепловым сопротивлением и теплоемкостью. Описаны аппаратура и метод получения пленок вакуумным испарением. Исследовались термометры сопротивления из Cr, Ni, никонеля, Ag, Al и Ge. Наиболее стабильными оказались хромовые. За 2 года сопротивление хромового термометра изменилось на величину, эквивалентную 1°. Термометры этого типа использовались для определения коэфф. теплопередачи при конденсации органич. в-в. О. Т.

5933. Свойства и применения термисторов. Б л э з (Les propriétés et les applications des thermistances. B l e u z e J.), Onde électr., 1953, 33, № 319, 578—590 (франц.)

Описаны принципиальные схемы приборов, основанных на применении термисторов, для измерения т-ры, вакуума, расхода жидкостей, мощности при высоких частотах и стабилизации напряжения. Предыдущее сообщение см. РЖХим, 1955, 49557. А. Н.

5934. Автоматическое регулирование плотности бумажной массы. Х а е м а н (Das selbsttätige Einregeln der Stoffdichte mit einem oszillierend arbeitenden Regelgerät. H a e m a n F r a n z), Wochenbl. Papierfabr., 1954, 82, № 15, 619—621 (нем.)

Описан поплавковый регулятор плотности бумажной массы в чане бумагоделательной машины. Применение регулятора позволяет обеспечить постоянный вес единицы поверхности бумажной полосы на всем ее протяжении с точностью 3%, а также равномерную сушку. А. Н.

5935. Новый вискограф для лабораторий и производственных предприятий. — (Neuartiger Viskograph für Labors und Fabrikationsbetriebe.), Kautschuk und Gummi, 1954, 7, № 12, WT292 — WT294 (нем.)

Новая модель вискографа Брабендера предназначена для измерения и регистрации вязкости в широких пределах (в жидких и пастообразных средах) при т-рах 20—90° и 20—150°. Т-ра может оставаться постоянной, понижаться или повышаться с постоянной скоростью (1,5° в мин.). Нагрев сосуда с анализируемым в-вом — радиационный. Сосуд, снабженный восемью вертикальными штифами, вращается с постоянной скоростью моторным приводом, находящимся в массивном штативе. В сосуд погружается укрепленный на подвесе многотифтовый плунжер; действующий на него крутящий момент измеряется чувствительным весовым устройством и записывается самоиницирующим механизмом. Вискограф может быть использован для исследования процессов набухания, изменения вязкости под влиянием т-ры и добавок реактивов, а также контроля технологич. процессов. Л. Б.

5936. Применение регистраторов упругости паров воды. Э л л и н г е р (Zur Frage der Verwendung von Dampfdruckschreibern. E l l i n g e r H. W.), Reyon, Zellwolle und and. Chemiefasern, 1954, 32, № 11, 714—715 (нем.)

Разработан прибор для регистрации влажности воздуха, в котором биметаллич. термометр и волосяной гигрометр связаны между собой и приводят в действие одно перо, что позволяет определять содержание паров воды в воздухе без пересчетов. Кроме того, имеется отдельная запись т-ры. И. И.

5937. Использование модулированного света в фотоэлектрических анализаторах для определения концентрации газа при промышленном контроле. Ш е р р е, В е р о, В а г н е р (Utilisation de la lumière modulée dans les analyseurs photoélectriques pour le dosage de gaz dans le contrôle industriel. C h e r r i e r C., V e r o t L., W a g n e r R.), Spectrochim. acta, 1953, 6, № 1, 87—94 (франц.)

Описывается фотоэлектрич. анализатор, служащий для определения конц-ии газа абсорбционным методом. Используемые обычно в лабор. фотоэлектрич. анализаторах усилители постоянного тока заменяются здесь усилителями переменного тока, более простыми и стабильными в работе. Модуляция света, необходимая при использовании усилителей переменного тока, осуществлялась питанием источника света — разрядной ртутной лампы — от генератора низкой частоты. При использовании в качестве источника света лампы накаливания модуляцию необходимо производить механич. путем. Свет от источника с помощью двух призм полного внутреннего отражения, имеющих одно общее ребро, разделяется на два пучка, один из которых, пройдя через трубку с циркулирующим анализируемым газом, попадает на фотоэлемент, а другой падает на фотоэлемент сравнения. Катод одного фотоэлемента соединен с анодом другого регулируемым потенциометром. Переменное напряжение в средней точке этого потенциометра, служащее мерой поглощения газа, усиливается многокаскадным усилителем переменного тока с обратной связью и затем детектируется. Прибор имеет сигнальное реле, срабатывающее в случае, если конц-ия газа достигает определенной, заранее заданной величины. Прибор позволяет осуществлять непрерывный контроль произ-ва. Использовалось 4 типа анализаторов: 1) для определения следов (до 0,005%) хлора в синтетич. HCl; 2) для определения SO<sub>2</sub> при произ-ве H<sub>2</sub>SO<sub>4</sub> до и после катализа; 3) для определения NO<sub>2</sub> при конц-иях от 0,005 до 0,5% и от 10 до 12%; 4) для определения влажности. В случае хлора и NO<sub>2</sub> оптика прибора сделана из увиолевого стекла, а в случае SO<sub>2</sub> — из кварца. М. Н.

5938. Логарифмический фотоэлектронный измеритель. А т р и (A logarithmic photocell circuit. A t t r e e V. H.), J. Scient. Instrum., 1955, 32, № 2, 41—42 (англ.)

Триод 12AU7 при напряжении анодного питания 25 в, катодном сопротивлении 10 ком и анодном 100 ком имеет логарифмич. зависимость анодного тока  $i_a$  от сеточного  $i_g$ :  $i_a = 150 + 30 \lg i_g$  (токи в  $\mu$ а). Присоединив к сетке фотоэлемент VA16, имеющий в пределах от 0,005 до 5  $\mu$ а линейную зависимость тока от освещенности, и после триода — балансный усилитель постоянного тока с микроамперметром 125—0—375  $\mu$ а на выходе, автор получил прибор, имеющий логарифмич. характеристику в диапазоне 3 декад, который может быть использован как фотометр или денситометр. Калибровка прибора производится по двум отмеченным по шкале точкам 0 и 250  $\mu$ а, соответствую-

ющим плотностям 2,0 D и 0 D. При этом независимо устанавливаются нуль и наклон логарифмич. характеристики. Постоянная времени должна быть достаточно велика, в частности, чтобы была возможной градуировка с помощью вращающегося секторного аттенюатора. В приборе она определяется конденсатором 0,001  $\mu\text{f}$  между сеткой и катодом входной лампы. Приведена полная схема со всеми данными.

**В. Р. 5939. Система телеизмерения и управления «Электроспан».**— (Control system «Electro Span».—), Bendix Aviation Corp. Rev. Scient. Instrum., 1955, 26, № 1, 99—100 (англ.)

Система, разработанная Bendix Aviation Corp., предназначена для дистанционного измерения уровня и управления насосными станциями. При измерении уровня жидкости в резервуарах система позволяет выбрать желаемый резервуар, проверить его подсоединение и измерить уровень с точностью  $\pm 3$  мм при шкале 18 м. Передача производится цифровым кодом, который не нарушается изменением частоты, фазы, падения напряжения, шумами и помехами. Дистанционное управление производится частотным способом — управляющий сигнал представляет комбинацию нескольких одновременно передаваемых частот в звуковом диапазоне. Предусмотрен автоматич. обратный контроль. Система набирается из ряда блоков, включаемых с помощью штепсельных разъемов.

**В. Р. 5940. Работа устройств автоматизации бетонного завода.** Чаадаев В. А., Механиз. трудоемких и тяж. работ, 1955, № 2, 11—13

Освоен опыт эксплуатации устройств автоматизации трехсекционного автоматизированного бетонного з-да на строительстве Каховской гидроэлектростанции.

**А. Л. 5941. Автоматическое регулирование отношения топлива — воздух в металлургических печах.** Вальтер (Automatic control of fuel-air ratio in metallurgical furnaces. Walter Leo), Metallurgia, 1953, 47, № 284, 307—309 (англ.)

Описаны четыре типичных схемы автоматич. регулирования кол-ва топлива и воздуха в зависимости от т-ры в печи для случаев газообразного и жидкого топлива. 1. Автоматич. потенциометр с пневморегулированием, измеряющий т-ру, управляет заслонкой на воздухопроводе. Расходы воздуха и мазута измеряются расходомерами — датчиками, передающими сигналы на регулятор отношения топливо — воздух, управляющий клапаном подачи мазута. Это отношение может быть установлено в пределах от 25 до 200%. 2. Во второй схеме регулятор т-ры воздействует на установку заданного значения регуляторов расхода мазута и воздуха. Отношение топливо — воздух может быть установлено в пределах 0—200%. 3. Схема подобна второй, но имеет не линейный преобразователь в цепи контроля воздушного дутья, а квадратичный. Применяется при работе на газе. 4. Система представляет собой совмещение второй и третьей схем и используется на печах, попеременно работающих на мазуте и газе.

**О. Т. 5942. Приборы в газовой промышленности.** Лукас (Instrumentation in the gas industry. A review of recent developments. Lucas T. A.), Gas J., 1955, 281, № 4779, 43—46 (англ.)

Кратко описаны термоанемометры для измерения скорости газового потока, усовершенствования в конструкциях газовых калориметров и приборов для измерения уд. веса газа, а также данные по автоматич. регулированию коксовых печей, эксгаустеров и др. аппаратов с применением в основном пневматич. и гидравлич. систем регулирования.

**А. Л. 5943. Описание приспособления для автоматического отбора проб суперфосфата.** Пурицы и Р., Материа-

лы по обмену опытом. Науч. ин-т по удобр. и инсекто-фунгисадам, 1954, № 6, 23—24

На рижском Суперфосфатном з-де при погрузке суперфосфата в вагоны при помощи транспортной ленты отбор проб производится автоматически благодаря спец. приспособлению, представляющему колесо с лопатками, концы которых погружены в движущийся слой суперфосфата. Ось колеса при помощи конич. шестерен соединена с вертикальным валом, на котором укреплен нож. При каждом обороте колеса с валом нож пересекает движущийся слой суперфосфата; при этом он забирает на своей верхней поверхности небольшое кол-во суперфосфата. При повороте вала на 180° нож проходит под щеткой, которая сметает суперфосфат в бочку для отбора проб. Таким образом, за каждый оборот колеса нож захватывает определенную порцию суперфосфата и сбрасывает ее в бочку. Практикой рижского завода установлена целесообразность изготовления лопаток из винипласта, так как к металлич. лопаткам прилипает суперфосфат.

**М. С. 5944. Испытательные приборы для сушил.** Хикман (Experimental instrumentation for driers. Hickman M. J.), J. Inst. Fuel, 1955, 28, № 170, 113—116 (англ.)

Для исследования процесса сушки в конвейерных сушилах применяются: 1) термопары Ni-Cr-константан и Cu-константан длиной до 30 м; горячие спай перемещались вместе с материалом на конвейерной ленте, разматываясь с барабана, что позволяло контролировать т-ру непрерывно; 2) термопарные гигрометры для измерения влажности подаваемого и отводимого воздуха; 3) анемометры и расходомеры. Сообщены конструктивные данные гигрометров.

**О. Т. 5945 К. Контрольно-измерительные приборы.** Баран, Березницкий, Грачик, Кулицкий, Марковский, Питулко, Станишевский (Aparatura pomiarowa i kontrolna, wyd. 1. Baran Marcelli, Berzeznicki Olgierd, Graczyk Czeslaw, Kulicki Zbigniew, Markowski Adam, Pitulko Stanislaw, Staniszewski Bogumil, Warszawa, Panstw. Wydawn. Techniczne, 1954, 2 + 265 s., il., 10 zl.) (польск.)

**5946 П. Измерение степени плотности порошков и других тонкодисперсных материалов** (Measurement of the degree of density in powders and other finely divided materials.) [Rose Bros., Gainsborough, Ltd]. Англ. пат. 690225, 15.04.53 [Instrum. Practice, 1954, 8, № 5, 443 (англ.)]

Для обеспечения постоянства веса порошка, засыпаемого в коробки, независимо от тонины помола, предлагается в дозирующей машине применить устройство, непрерывно контролирующее плотность порошка, путем измерения степени поглощения  $\beta$ - или X-лучей, проходящих сквозь порошок. Сигнал с приемника излучения с помощью исполнительного механизма регулирует наполнение порошком засыпной воронки.

**С. К. 5947 П. Прибор для измерения плотности газов.** Мак-Махон (Apparatus for measuring the density of gases. McMahon Jerome B.) [Republic Flow Meters Co.]. Пат. США 2662394, 15.12.53

Патентуется плотномер газа, состоящий из двух изолированных газовых камер, в которых находятся шары определенного объема, укрепленные на концах рычага весов. Через одну камеру проходит измеряемый газ, а через другую — стандартный (эталонный). Выводы рычага весов из камер осуществлены через сильфоны. Измерение производится компенсационным способом. При нарушении равновесия весов солено пнев-

мост системы закрывается плотней или приоткрывается, что повышает или понижает давление, а значит и плотность стандартного газа, уравновешивая тем самым вес. Измерение давления стандартного газа позволяет косвенно судить о плотности рабочего газа. Н. Е. 5948 П. Расходомер для жидкостей (Fluid-flow meter) [Bowser, Inc.]. Англ. пат. 695425, 12.08.53 [J. Appl. Chem., 1954, 4, № 3, 130 (англ.)]

Измеряемая жидкость проходит через трубопровод из немагнитного изоляционного материала, по сечению которого создается магнитное поле. Приемные электроды смонтированы в стенках трубопровода в диаметрально противоположных точках, обеспечивают электрич. контакт с протекающей по трубопроводу жидкостью и располагаются в магнитном поле. Электроды соединены с вольтметром проводами, расположенными симметрично относительно магнитного поля. К. Ш.

5949 П. Стекланный электрод. Геффен, Крац (Glaselektrode. Geffcken Walter, Kratz Ludwig). Пат. ГДР 1709, 2.08.54

Для повышения прочности предлагается заполнение внутренней полости металлизированного стеклянного электрода в-вом, не расширяющимся при затвердевании, напр. природными или искусств. смолами с р-рителем или без него, пеком, каучуком, оргстеклом, парафином и т. п., с вязкостью  $\geq 10^{13}$  ед. CGS. Этим способом могут быть получены очень тонкие электроды, позволяющие пользоваться при измерении простым стрелочным прибором. Для получения особо тонких электродов можно после заливки опустить их в плавиковую к-ту. В качестве примера приведен состав для заливки: первый слой (тонкий) — каучук 65%, воск 26%, венецианский терпентин 9%; второй слой (толстый) — масса для заливки кабельных муфт. В. Р.

5950 П. Стекланный электрод для определения pH жидкостей при высоких температурах. Швабе (Glaselektrode zur pH-Bestimmung von Flüssigkeiten höherer Temperatur. Schwabe Kurt). Пат. ГДР 8268, 8.10.54

Предложенные стекланные электроды (СЭ) отличаются

добавкой к обычному составу стекла небольшого кол-ва  $\gamma$ -ва, напр. 0,2% окиси титана, пригодны для измерений и обладают большой сохранностью при 100°. При комнатной т-ре сопротивление СЭ равно 0,5 Мом и для измерения э. д. с. требуются спец. приспособления, но с увеличением т-ры сопротивление уменьшается и при 100° э. д. с. можно измерять обычными методами. При толщине стенок в 1,5 мм электрод остается неизменным и годным к работе в течение 2-х месяцев. Изменение потенциала на единицу pH при 99° равно 60 мВ.

Ф. М. 5951 П. Метод и прибор для электрооптического определения концентрации кристаллов в жидкости. Фишер (Method and apparatus for electrooptical analysis of the crystalline content of liquids. Fischer Karl A.). Пат. США 2668470, 9.02.54

Патентуются метод и прибор для определения концентрации кристаллов в жидкости. Испытываемая жидкость помещается в кристаллизатор. Спец. осветительное устройство посылает через толщу жидкости поляризованный световой пучок, который, выходя из кристаллизатора, воспринимается фотоэлементом, связанным с самопишущим микроамперметром. С ростом концентрации кристаллов увеличивается интенсивность выходящего светового пучка и соответственно возрастает фототок. А. Н.

5952 П. Метод и прибор для измерения температуры излучающих газовых потоков и пламени (Method and apparatus for measuring the temperatures of thermally radiating gaseous fluids and in particular flames) [Office National D'Etudes et de Recherches Aeronautiques]. Англ. пат. 711924, 14.07.54 [Fuel Abstrs, 1955, 17, № 1, 175 (англ.)]

Прибор для измерения т-ры пламени, чувствительный к излучению в диапазоне 0,2—15  $\mu$ . Измерение производится сравнением интенсивностей излучения пламени и излучения спец. источника. О. Т.

См. также: К.-и. приборы: контроль состава 4287, 4289, 5808, 5809; контроль общетехнич. параметров 4662

## ТЕХНИКА БЕЗОПАСНОСТИ. САНИТАРНАЯ ТЕХНИКА

5953. Сопоставление химических показателей отравления свинцом. Опенская-Блаут, Тушкевич, Бржозовский (Porównanie wskaźników wczesnej ołowicy u pracowników z terenu woj. lubuskiego, parazonych na zatrucie ołowiem. Opieńska-Blauth Janina, Tuszkiewicz Alired, Brzozowski Jan), Ann. Univ. M. Curie-Skłodowska, 1953 (1954), D8, 151—166 (польск.; резюме русс., англ.)

Исследования по распознаванию ранних стадий отравления рабочих различных профессий Pb позволяют предполагать, что повышенный уровень его в крови и в моче, а также наличие порфиринов в моче опережают остальные симптомы отравления Pb. Прекращение воздействия Pb оказывает положительное влияние на уменьшение его кол-ва в крови и моче. Повышенное кол-во Pb в моче не обнаружено после долголетней работы в той же отрасли произ-ва. Среди исследованных групп самые высокие хим. показатели отравления Pb установлены у гончаров, соприкасающихся с ним при глазуровании изделий, и рабочих консервных отделов мясной пром-сти. Б. Т.

5954. Работа с радиоактивным люминесцентным материалом. Гузль (Práce s radioaktivní luminis-

cenční hmotou. Hůzl Frant.), Pracovní lékař., 1954, 6, № 3, 173—176 (чеш.)

Острые отравления Ra при работах с люминесцентными радиоактивными в-вами проявляются в виде лейкопении, некроза челюстей, сепсиса и других заболеваний при накоплении в организме 10—100  $\gamma$  Ra за 1—7 лет. Для хронических отравлений, связанных с болезнями костей и крови, достаточно 1—10  $\gamma$  Ra. Допустимая конц-я Ra в человеческом организме 0,1  $\gamma$ . Накопления Ra 1,2—1,4  $\gamma$  являются смертельными. Содержание Rn в воздухе не должно превышать 10<sup>-11</sup> кюри/л. Методы удаления Ra из организма аналогичны методам удаления Pb. Содержание Ra в живом организме определяют по степени  $\gamma$ -излучения продуктов распада Ra, по содержанию Rn в выдыхаемом воздухе и по результатам анализов слюны, мочи и кала. К профилактическим мероприятиям относятся систематический врачебный надзор, личная гигиена работающих и гигиена рабочего места. Рекомендуется кубатура помещения на 1 рабочего 15 м<sup>3</sup> при высоте потолка не менее 3,25 м. Приток воздуха в цех должен производиться со скоростью 1—1,5 м/сек, а на отдельные рабочие места со скоростью 0,1—0,2 м/сек, при 6—10-кратной общеобменной вентиляции. Т-ра помещения 15—21°. Освещенность не ниже 300 люкс. На-



ление радиоактивных газов в воздухе определяется с помощью ионизационных камер и спец. счетчиков типа Гейгера — Мюллера. Возможно применение карманных приборов. Интенсивность излучения измеряется дозиметром или измерителями интенсивности. Очистка воздуха от радиоактивных аэрозолей производится с помощью пылевых фильтров и электрических осадителей.

С. Я. 5955. Снижение канцерогенной активности высококипящих нефтепродуктов. Ибн, Ренер, Кашнер, Смит (Reducing carcinogenicity of high boiling petroleum products. Eby L. T., Rehner John, Jr, Kuschner Marvin, Smith William E.), Industr. and Engng Chem., 1954, 46, № 10, 2209—2213 (англ.)

5956. О способах инактивации экземагенных веществ, встречающихся в промышленности. I. Воздействие на сенсибилизацию хрома и терпентина. Райка, Винце (Über versuche zur Inaktivierung ekzematogener Stoffe in der Industrie. I. Beeinflussung der Chrom- und Terpentsensibilisierung. Rajka Georg, Vincze Elisabeth), Dermatologica, 1954, 109, № 2, 93—106 (нем.; резюме франц., англ.)

Приведены результаты применения восстановителей (аскорбиновой к-ты) для защиты от Сг и в-в, препятствующих окислению (диметиланилин), для защиты от терпентина. Показав, что теор. и экспериментально такая защита возможна, авторы не выработали, однако, практических мероприятий.

Е. Я. 5957. Характеристика дымов и туманов. Лейн (A review on smog. Layne D. A.), Roy Sanit. Inst. J., 1955, 75, № 2, 171—192 (англ.)

Рассмотрены физ. характеристики и токсичность загрязнений атмосферного воздуха промышленными выбросами в связи с резким увеличением смертности населения района Лондона при большом тумане в декабре 1952 г., а также в других аналогичных случаях. Дан обзор составов смесей дымов и туманов, их токсичности, физиологич. действия и мер защиты от вредного действия смесей дымов и туманов, газов, паров и пылей. Библ. 66 назв.

Ю. С. 5958. Проблема борьбы с пылью в промышленности. Дальгрэн (Industrins dammproblem. Dahlgren Ake), VVS, 1953, 24, № 11, 252—253 (швед.) См. РЖХим, 1954, 14084.

5959. Газообразные выбросы суперфосфатного производства и эффективности их улавливания. Томсон Н. М., Изв. АН ЭССР, 1955, 4, № 1, 134—136. Описаны мероприятия по улавливанию вредных газовойделений суперфосфатных произ-в, заключавшиеся в установке электрофильтров и увеличении высоты трубы (до 100 м). Проверка эффективности принятых мер достигалась применением одинаковых методов отбора проб и их анализа в различные сроки. Пробы отбирались путем просасывания 200—400 л воздуха через соответствующие поглотители. Контрольные пробы брались с подветренной стороны. Обращено внимание на неорганизованный выброс газов, как наиболее вредный.

Г. А. 5960. Очистка воздуха в резиновой промышленности. Страш (Úprava vzduchu v gumárenském průmyslu. Strach Josef), Kožářství, 1955, 5, № 4, 68—70 (чеш.)

Рассмотрены проблемы вентиляции, охлаждения и климатизации в цехах. Горячие прессы рекомендуются ставить перпендикулярно продольной стене цеха с вентиляционными фонарями над каждым рядом прессов; над прессами и у столов для разборки форм устраивается местное отсасывание; свежий воздух подводится к каждому рабочему месту в виде струи со скоростью 0,6—0,7 м/сек. Летом воздух охлаждают водой

или льдом, или же рассолом, охлаждаемым в холодильнике. Оптимальные условия (т-ра 22—24°, влажность 50—70%) достигаются с помощью климатизирующих устройств автоматич. регулированием. Предыдущее сообщение см. РЖХим, 1955, 51063.

З. Б. 5961. Воздухоочиститель для защиты от силикоза, свинцового отравления и родственных им заболеваний. — (Protector contra la silicosis, saturnismo y enfermedades afines.—), Ind. minera, 1954, 12, № 151, 31—33, 35 (исп.)

Описан защитный респиратор, в котором воздух проходит последовательно через сухой фильтр, наполненный углем, мокрый, наполненный р-ром  $AlK(SO_4)_3$ , который коагулирует коллоиды и очищает воздух от  $SiO_2$ , а также конденсирует и задерживает пары металлов и их окислов. Увлекаемые вместе с воздухом ионы  $Al^{3+}$  способствуют коагуляции  $SiO_2$  в дыхательных путях и его удалению оттуда. Респиратор задерживает до 96,5% пылевых частиц с размерами 0,9—3,4 м и применим на пыльных работах в горном деле, металлургии, сельском хозяйстве, лакокрасочной пром-сти и т. д., но от СО не защищает; весит 850—1000 г и работает при низком давлении.

З. Б. 5962. Противопыльный фильтркартон. Бендрыйшев А. П., Бумажная пром-сть, 1954, № 4, 14

Для очистки воздуха индивидуальными респираторами в качестве фильтрующего материала вместо фильтркартона марки МФП, который задерживает до 99% тонкодисперсной пыли, но создает высокое сопротивление дыханию, предлагается фильтркартон МФП-Н, имеющий большую пористость. Последняя достигается введением в композицию незначительного кол-ва тонко-разработанного минер. волокна. При сохранении задерживающей способности сопротивление току воздуха фильтркартона МФП-Н колеблется в пределах 0,8—1,2 мм вод. ст. при скорости 0,05 л/см<sup>2</sup> в 1 мин., т. е. в среднем в 2 раза меньше сопротивления фильтркартона марки МФП. Фильтркартон МФП-Н можно использовать в респираторах разных конструкций и в промышленных фильтрах для очистки воздуха от различных газов. Приведена схема установки для определения пористости картонка.

Б. Т. 5963. Достоверность замеров запыленности воздуха миниатюрным скруббером. Дотребанд, Мусбуа (Validité des mesures d'empoussièrement par le Midget-Scrubber. Dautrebande L., Moussebois H.), Pact, 1954, 8, № 1, 20—28 (франц.)

Описан миниатюрный скруббер барботажного типа для анализа в полевых условиях атмосферной пыли микронных и субмикронных размеров. Скруббер имеет заряд промывной жидкости (изопропиловый спирт), равный 50 мл. Приведены описание прибора, техника его применения и результаты испытаний на аэрозоле, 85% которого (по весу) состоит из частиц размером 0,5—3 м. Дана также сравнительная общая характеристика других приборов, применяемых для анализа тонких пылей.

Ю. С. 5964. Температуры воспламенения веществ в газообразном и капельножидком состоянии. Элей (Gaszündpunkt und Tropfzündpunkt. Oehley E.), Chem.-Ing.-Techn., 1954, 26, № 2, 97—100 (нем.)

Для многих горючих органич. в-в, объединенных в гомологич. ряды (ГР), сопоставлены т-ры воспламенения в газовом или паробразном состоянии и в капельножидком состоянии. Установлено, что в каждом ГР с увеличением молекулярного веса (М) т-ра воспламенения капельножидкого в-ва  $Z_T$  падает почти в такой же мере, в какой повышается его т-ра кипения  $K_p$ , откуда найдена эмпирич. зависимость  $Z_T = a + b \cdot M - K_p$ , где  $a$  и  $b$  — константы для данного ГР. Приведена таблица для 33 ГР, в которой для каждого

соединения указаны: ф-ла, М, Кр, Z<sub>T</sub>, рассчитанная и взятая из литературы. Рассмотрены мероприятия по технике безопасности во взрывоопасных помещениях.

В. Е.

5965. Автоматические противопожарные установки в окрасочных цехах. Кук (Automatic fire protection for production painting. Cooke Oakley W.), Industr. Finish. (Indianapolis), 1954, 30, № 11, 52, 54, 56, 58 (англ.)

Краткое описание противопожарных мероприятий (вентиляция, углекислотные установки) в окрасочных цехах.

М. Ф.

5966. Противопожарные мероприятия на деревообрабатывающих производствах. Брауэр (Feuerschutz in holzverarbeitenden Betrieben. Brauer Fritz), Ind.-Anz., 1953, 75, № 94, 7—9 (нем.)

Указано, что пожароопасность на деревообрабатывающих предприятиях вызывают древесная пыль, р-рители, являющиеся составными частями лаков, различные упаковочные материалы (бумага, картон, древесная стружка). Причинами пожаров могут служить тлеющие частицы, электрич. искра, электрич. дуга, окурки, брошенная непогашенная спичка, плохо изолированные паропроводы, нагревательные трубы и т. п. Для предотвращения пожаров и замедления скорости распространения огня рекомендуется строить здания деревообрабатывающих предприятий с соблюдением существующих правил, а для тушения возникших очагов пожаров обеспечить рабочие помещения сильно-разветвленной системой гидрантных установок, баллонами с жидкой СО<sub>2</sub>, как стационарных, так и переносных, пенотушителями, огнетушителями, снаряженными инертными в-вами (ССl<sub>4</sub>) или обычной Н<sub>2</sub>О, к которой добавлено определенное кол-во смачивающих в-в, понижающих ее поверхностное натяжение примерно на 60%. Такая вода значительно легче проникает внутрь различных в-в, чем обычная, и надежнее тушит глубокие очаги пожаров. В мастерских, где производятся лакировочные работы, рекомендуется применять огнетушители, образующие снежную СО<sub>2</sub>, обладающую более эффективным действием.

М. Ф.

5967. Предотвращение пожара ядерным детектором.— (Fire prevention by nuclear detection.—), Atomics, 1955, 6, № 2, 40, 53 (англ.)

Описываются ядерные детекторы, надежно разрешаю-

щие проблему пожарной защиты. Их работа основана на α-излучении некоторых радиоактивных в-в. Прибор устроен так, что может присоединяться к автоматич. телефонному сигнализатору или оперативному СО<sub>2</sub>, или к спринклеру. Приведено описание устройства прибора и условий его работы.

Б. Т.

5968. Отсасывающие и конденсационные устройства для трихлорэтиленовых ванн. Опль (Odšaváci a kondenzační zařízení u trichlorethylenových van. Oppl Ladislav), Strojrenství, 1955, 5, № 3, 226—230 (чеш.; резюме русс.)

Бортовой отсос с предварительным нагнетанием менее выгоден, чем при одном только отсосе, так как повышает потери трихлорэтилена. Установки с предварительным нагнетанием целесообразно применять только для обезжиривающих ванн больших размеров, где нельзя гарантировать надлежащее действие двухстороннего отсоса. Миним. потери трихлорэтилена получаются в обезжиривающих устройствах, работающих с открытым циклом, благодаря их герметизации и конденсации пара. Приведены рекомендуемые схемы и расчет местного отсоса.

Е. С.

5969. Вопросы техники безопасности, относящиеся к вентиляции промышленных помещений. Думитреску (Probleme de tehnica securității muncii, privind ventilația în încăperile industriale. Dumitrescu L.), Standardizarea, 1955, 7, № 1, 19—25 (рум.; резюме русс.)

Обзор факторов, вызывающих загрязнение воздуха в промышленных помещениях, степень их вредности; мероприятия по вентиляции.

Я. М.

5970. Исследование воздуха в угольных шахтах. Баншаги, Предмерский (A bányalevegő vizsgálata szénbányákban. Bánsági József, Predmerszky Tibor), Bányászati lapok, 1953, 8, № 6, 314—320 (венг.)

Исследовано распределение пыли у рабочих мест в угольных шахтах по размерам и по кол-ву, а также характеристики микроклимата. Описаны методы улавливания пыли (промывка водой бура, употребление мешочного фильтра и вентиляционных труб). Дана функциональная зависимость климата рабочих мест от вентиляции.

Э. С.

См. также: Отравления 1860, 1973, 1975, 1981, 1988





